



Comune di Vigone

Città Metropolitana di Torino

AREA TECNICA - LAVORI PUBBLICI

NEXT GENERATION PNRR-M2, C4, I2.2

INTERVENTI DI ADEGUAMENTO SISMICO DELLE STRUTTURE E
RIORGANIZZAZIONE DEGLI SPAZI INTERNI DEI LABORATORI E
UFFICI DESTINATI A PRESIDENZA DELL'EDIFICIO SEDE DELLA

SCUOLA SECONDARIA DI PRIMO GRADO (CON ESCLUSIONE DEL BLOCCO AULE E PALESTRA)

SITA IN VIA DON MILANI N. 2

CUP H13H19000090001

PROGETTO DEFINITIVO-ESECUTIVO

OGGETTO:

**RELAZIONE ILLUSTRATIVA E DI CALCOLO
DELLE STRUTTURE (Tomo allegato A)**

EL. C1

Data:

Scala:

Rev:

Il Responsabile del Procedimento:

Geom. Mario DRUETTA

Il Progettista (capogruppo e mandatario R.T.P.):

ing. Giuseppe RINALDIS

I professionisti mandanti del R.T.P.:

ing. Carmelo RINALDIS

geol. Luca FILIERI

ing. Nicola CRITELLI



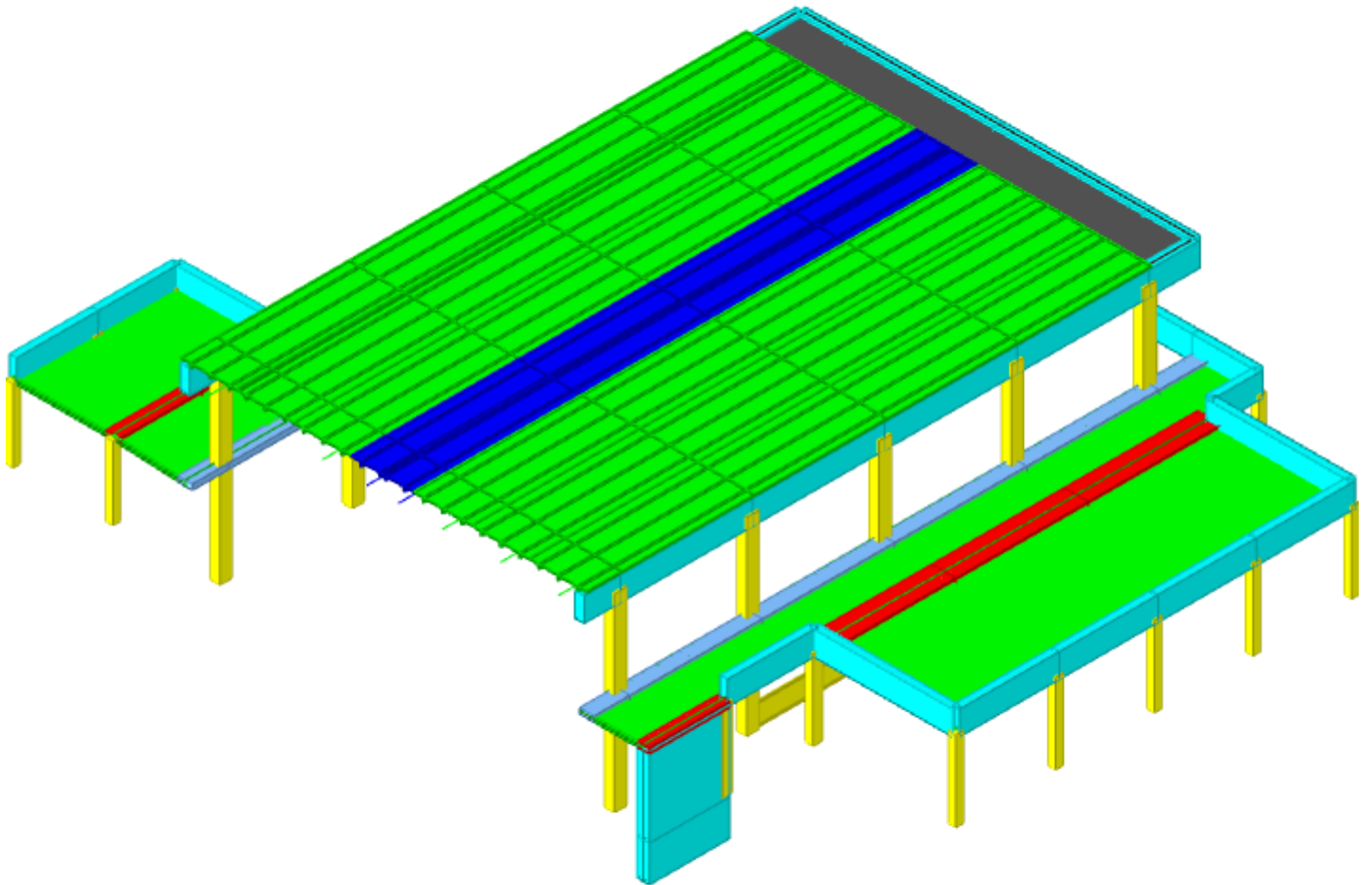
STUDIORINALDIS
SOLUZIONI PER L'INGEGNERIA
EDILIZIA - URBANISTICA - STRUTTURE

Via XXV Aprile, 20 - Nichelino (TO)
Tel./Fax 011 606 32 59
E-mail: studiorinaldis@libero.it

Adeguamento sismico e spazi interni scuola via Don Milani n. 2

CORPO A

1 Rappresentazione generale dell'edificio



Vista assometrica dell'edificio nella sua interezza

2 Dati generali

2.1 Materiali

2.1.1 Materiali c.a.

Descrizione: Descrizione o nome assegnato all'elemento.

Rck: Resistenza caratteristica cubica; valore medio nel caso di edificio esistente. [kN/m²]

E: Modulo di elasticità longitudinale del materiale per edifici o materiali nuovi. [kN/m²]

Gamma: Peso specifico del materiale. [kN/m³]

Poisson: Coefficiente di Poisson. Il valore è adimensionale.

G: Modulo di elasticità tangenziale del materiale, viene impiegato nella modellazione di aste. [kN/m²]

Alfa: Coefficiente longitudinale di dilatazione termica. [°C⁻¹]

Descrizione	Rck	E	Gamma	Poisson	G	Alfa
Magrone	100	20639276	25	0.1	Default (9381489)	0.00001
C32/40 LC2	40000	31532914	25	0.1	Default (14333143)	0.00001
C14/17 LC2 Vigone A	17000	24393874	25	0.1	Default (11088125)	0.00001

2.1.2 Curve di materiali c.a.

Descrizione: descrizione o nome assegnato all'elemento.

Curva: curva caratteristica.

Reaz.traz.: reagisce a trazione.

Comp.frag.: ha comportamento fragile.

E.compr.: modulo di elasticità a compressione. [kN/m²]

Incr.compr.: incrudimento di compressione. Il valore è adimensionale.

EpsEc: ϵ elastico a compressione. Il valore è adimensionale.

EpsUc: ϵ ultimo a compressione. Il valore è adimensionale.

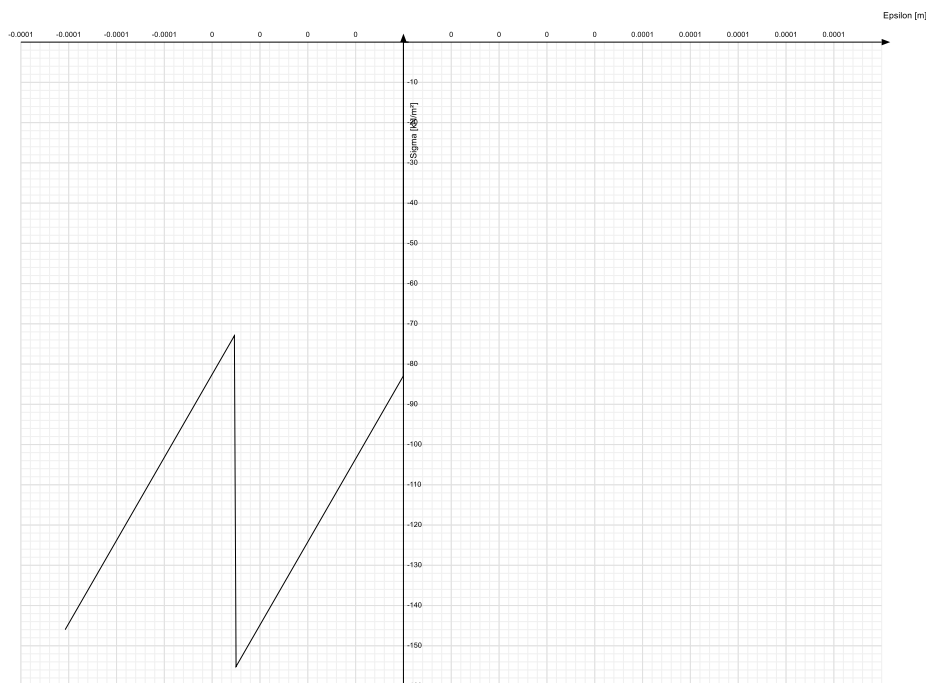
E.traz.: modulo di elasticità a trazione. [kN/m²]

Incr.traz.: incrudimento di trazione. Il valore è adimensionale.

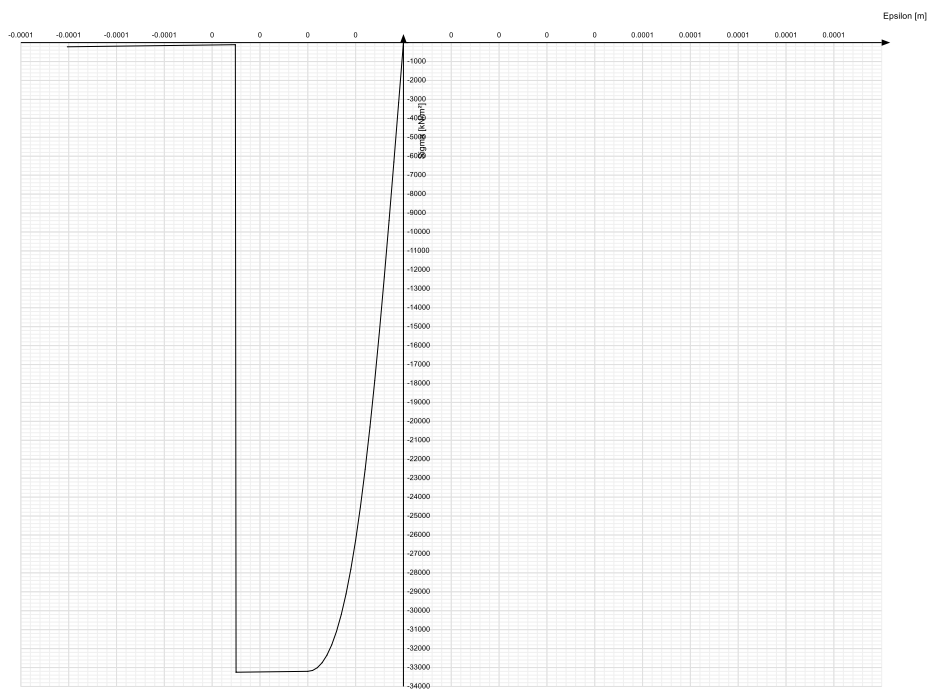
EpsEt: ϵ elastico a trazione. Il valore è adimensionale.

EpsUt: ϵ ultimo a trazione. Il valore è adimensionale.

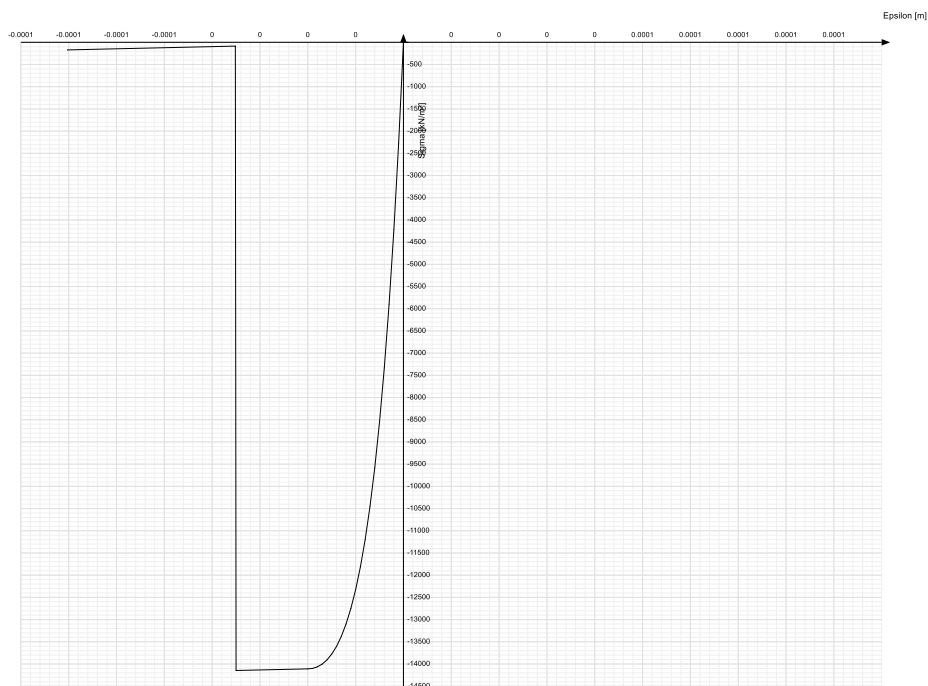
Descrizione	Curva									
	Reaz.traz.	Comp.frag.	E.compr.	Incr.compr.	EpsEc	EpsUc	E.traz.	Incr.traz.	EpsEt	EpsUt
Magrone	No	Si	20639276	0.001	-0.000004	-0.0035	20639276	0.001	0.0000019	0.0000021



Descrizione	Curva									
	Reaz.traz.	Comp.frag.	E.compr.	Incr.compr.	EpsEc	EpsUc	E.traz.	Incr.traz.	EpsEt	EpsUt
C32/40 LC2	No	Si	31532914	0.001	-0.002	-0.0035	31532914	0.001	0.0000688	0.0000757



Descrizione	Curva									
	Reaz.traz.	Comp.frag.	E.compr.	Incr.compr.	EpsEc	EpsUc	E.traz.	Incr.traz.	EpsEt	EpsUt
C14/17 LC2 Vigone A	No	Si	24393874	0.001	-0.002	-0.0035	24393874	0.001	0.0000503	0.0000553



2.1.3 Materiali muratura

2.1.3.1 Proprietà muratura base

Descrizione: descrizione o nome assegnato all'elemento.

E: modulo di elasticità longitudinale del materiale per edifici o materiali nuovi. [kN/m²]

G: modulo di elasticità tangenziale del materiale, viene impiegato nella modellazione di aste e di elementi guscio a comportamento ortotropo. [kN/m²]

Poisson: coefficiente di Poisson. Il valore è adimensionale.

Gamma: peso specifico del materiale. [kN/m³]

Alfa: coefficiente longitudinale di dilatazione termica. [°C⁻¹]

Descrizione	E	G	Poisson	Gamma	Alfa
(circ.617 C8A.2) Muratura in mattoni pieni e malta di calce LC2	3200000	Default (1280000)	0.25	18	0.000006

2.1.3.2 Proprietà muratura DM87

Descrizione: descrizione o nome assegnato all'elemento.

Tipo di blocchi: tipo di blocchi (D.M. 87).

fbk: resistenza caratteristica a compressione dell'elemento. [kN/m²]

fbk₀: resistenza caratteristica a compressione dell'elemento in direzione orizzontale nel piano del muro. Dato da richiedere al produttore. [kN/m²]

Malta: classe della malta.

fk: resistenza caratteristica della muratura a compressione. [kN/m²]

fvk0: resistenza caratteristica a taglio della muratura. [kN/m²]

Descrizione	Tipo di blocchi	fbk	fbk ₀	Malta	fk	fvk0
(circ.617 C8A.2) Muratura in mattoni pieni e malta di calce LC2	Laterizio	6000	1200	M4	3200	100

2.1.3.3 Proprietà muratura Circ.81

Descrizione: descrizione o nome assegnato all'elemento.

sigma k: resistenza a compressione σ k per edifici esistenti in muratura. Circ. LL.PP. 30-7-81 n.21745 tabella 1. [kN/m²]

tau k: resistenza tangenziale per edifici esistenti in muratura. Circ. LL.PP 30-7-81 n.21745 tabella 1. [kN/m²]

fkt: resistenza caratteristica a trazione della muratura per edifici nuovi. [kN/m²]

Mu: fattore di duttilità. Circ. LL.PP 30-7-81 n.21745 tabella 2. Il valore è adimensionale.

E plastico: modulo di elasticità longitudinale della muratura per verifiche agli stati limite di plasticizzazione. [kN/m²]

G plastico: modulo di elasticità tangenziale della muratura per verifiche agli stati limite di plasticizzazione. [kN/m²]

Descrizione	sigma k	tau k	fkt	Mu	E plastico	G plastico
(circ.617 C8A.2) Muratura in mattoni pieni e malta di calce LC2	3000	120	0	1.5	792000	132000

2.1.3.4 Proprietà muratura NTC 2008 1

Descrizione: descrizione o nome assegnato all'elemento.

Tipo blocchi: tipo di blocchi (D.M. 14-01-08 11.10.1, 11.10.V, VI).

Cat.blocchi: categoria blocchi (D.M. 14-01-08 4.5.6.1).

fbk: resistenza caratteristica a compressione dell'elemento dichiarata dal produttore (D.M. 14-01-08 11.10.1.1.1). [kN/m²]

fbk₀: resistenza caratteristica a compressione dell'elemento in direzione orizzontale nel piano del muro. Dato da richiedere al produttore (D.M. 14-01-08 11.10.1.1.1). [kN/m²]

Tipo malta: tipo di malta (D.M. 14-01-08 11.10.2).

Res.compr.malta: resistenza media a compressione della malta (D.M. 14-01-08 11.10.2.1). [kN/m²]

GammaM: coefficiente parziale di sicurezza sulla resistenza a compressione della muratura (D.M. 14-01-08 4.5.6.1, 4.5.II). Il valore è adimensionale.

Descrizione	Tipo blocchi	Cat.blocchi	fbk	fbk ₀	Tipo malta	Res.compr.malta	GammaM
(circ.617 C8A.2) Muratura in mattoni pieni e malta di calce LC2	Laterizio	II	6000	1200	Composizione prescritta	2500	3

2.1.3.5 Proprietà muratura NTC 2008 2

Descrizione: descrizione o nome assegnato all'elemento.

Livello di conoscenza: indica se il materiale è nuovo o esistente, e in tal caso il livello di conoscenza secondo Circ.617 02/02/09 §C8A. Informazione impiegata solo in analisi D.M. 14-01-08 (N.T.C.) e D.M. 17-01-18 (N.T.C.).

Cl.esec.: classe di esecuzione (D.M. 14-01-08 4.5.6.1).

fk: resistenza caratteristica a compressione della muratura (D.M. 14-01-08 4.5.6.1, 11.10.3.1). [kN/m²]

fvk0: resistenza caratteristica a taglio della muratura in assenza di tensioni normali (D.M. 14-01-08 4.5.6.1, 11.10.3.2). [kN/m²]

fhk: resistenza caratteristica della muratura a compressione in direzione orizzontale (nel piano della parete) D.M. 14-01-08. [kN/m²]

fkt: resistenza caratteristica a trazione (D.M. 14-01-08). [kN/m²]

f medio: resistenza media a compressione della muratura, per materiale esistente. [kN/m²]

tau medio: resistenza media a taglio della muratura, per materiale esistente. [kN/m²]

E medio: valore medio del modulo di elasticità normale utilizzato per materiale esistente in caso di analisi statica non-lineare (pushover). [kN/m²]

G medio: valore medio del modulo di elasticità tangenziale utilizzato per materiale esistente in caso di analisi statica non-lineare (pushover). [kN/m²]

Descrizione	Livello di conoscenza	Cl.esec.	fk	fvk0	fhk	fkt	f medio	tau medio	E medio	G medio
(circ.617 C8A.2) Muratura in mattoni pieni e malta di calce LC2	LC2 (FC = 1.2)	2	3200	100	600	0	Default (3200)	Default (76)	Default (1500000)	Default (500000)

2.1.3.6 Proprietà muratura Ord.3431

Descrizione: descrizione o nome assegnato all'elemento.

Tipo blocchi: tipo di blocchi

fbk: resistenza caratteristica a compressione dell'elemento. [kN/m²]

fbk₀: resistenza caratteristica a compressione dell'elemento in direzione orizzontale nel piano del muro. Dato da richiedere al produttore. [kN/m²]

Tipo malta: classe della malta.

fk: resistenza caratteristica della muratura a compressione. [kN/m²]

fvk0: resistenza caratteristica a taglio della muratura. [kN/m²]

fhk: resistenza caratteristica della muratura a compressione in direzione orizzontale (nel piano della parete). [kN/m²]

fkt: resistenza caratteristica a trazione. [kN/m²]

f medio: resistenza media a compressione della muratura, per edificio esistente. [kN/m²]

tau medio: resistenza media a taglio della muratura, per edificio esistente. [kN/m²]

Descrizione	Tipo blocchi	fbk	fbk	Tipo malta	fk	fvk0	fhk	fkt	f medio	tau medio
(circ.617 C8A.2) Muratura in mattoni pieni e malta di calce LC2	Laterizio	6000	1200	M4	3200	100	600	0	3200	76

2.1.4 Armature

Descrizione: descrizione o nome assegnato all'elemento.

fyk: resistenza caratteristica. [kN/m²]

Sigma amm.: tensione ammissibile. [kN/m²]

Tipo: tipo di barra.

E: modulo di elasticità longitudinale del materiale per edifici o materiali nuovi. [kN/m²]

Gamma: peso specifico del materiale. [kN/m³]

Poisson: coefficiente di Poisson. Il valore è adimensionale.

Alfa: coefficiente longitudinale di dilatazione termica. [°C⁻¹]

Livello di conoscenza: indica se il materiale è nuovo o esistente, e in tal caso il livello di conoscenza secondo Circ.617 02/02/09 §C8A. Informazione impiegata solo in analisi D.M. 14-01-08 (N.T.C.) e D.M. 17-01-18 (N.T.C.).

Descrizione	fyk	Sigma amm.	Tipo	E	Gamma	Poisson	Alfa	Livello di conoscenza
Vigone FeB22k LC2	313700	220000	Liscio	206000000	78.5	0.3	0.000012	LC2 (FC = 1.2)
Vigone_FeB44k_Staffe_LC2	476200	255000	Aderenza migliorata	206000000	78.5	0.3	0.000012	LC2 (FC = 1.2)

3 Dati di definizione

3.1 Preferenze commessa

3.1.1 Preferenze di analisi

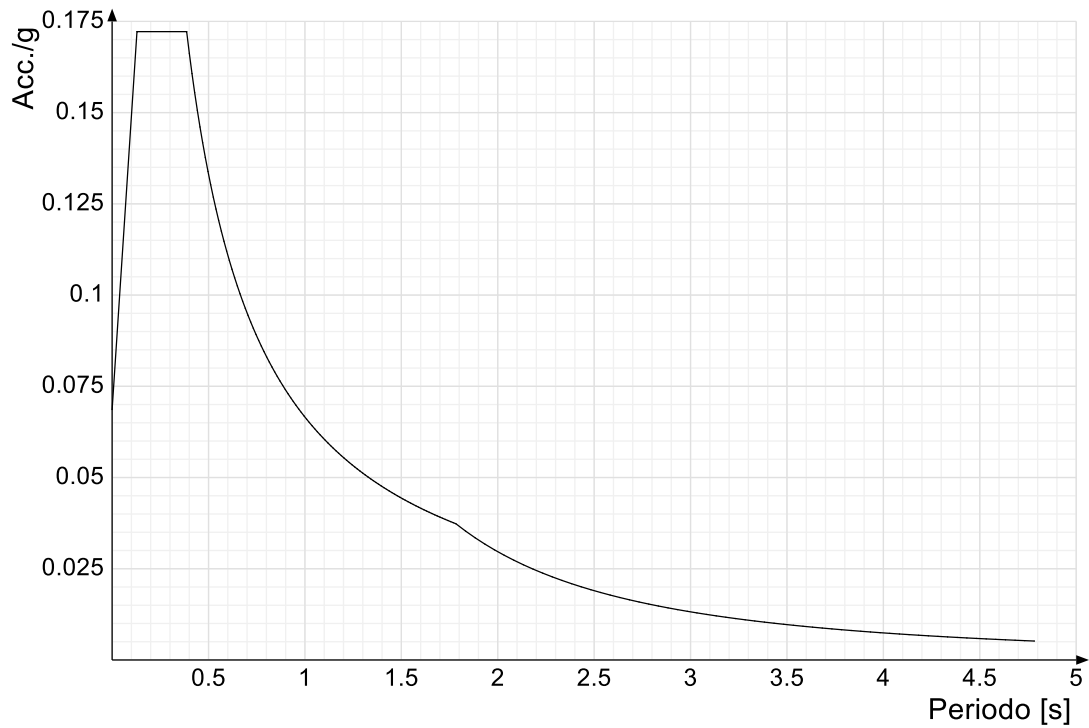
Metodo di analisi	D.M. 17-01-18 (N.T.C.)	
Tipo di costruzione	2 - Costruzioni con livelli di prestazioni ordinari	
Vn	50	
Classe d'uso	IV	
Vr	100	
Tipo di analisi	Lineare dinamica	
Considera sisma Z	Solo se $Ag \geq 0.15$ g, conformemente a §3.2.3.1	
Località	Torino, Vigone; Latitudine ED50 44.8438° (44° 50' 38''); Longitudine ED50 7.4897° (7° 29' 23''); Altitudine s.l.m. 261.75 m.	
Categoria del suolo	C - Depositi di terreni a grana grossa mediamente addensati o terreni a grana fina mediamente consistenti	
Categoria topografica	T1 - Superficie pianeggiante, pendii e rilievi isolati con inclinazione media $i \leq 15^\circ$	
Ss orizzontale SLO	1.5	
Tb orizzontale SLO	0.129	[s]
Tc orizzontale SLO	0.387	[s]
Td orizzontale SLO	1.783	[s]
Ss orizzontale SLD	1.5	
Tb orizzontale SLD	0.135	[s]
Tc orizzontale SLD	0.404	[s]
Td orizzontale SLD	1.83	[s]
Ss orizzontale SLV	1.4991	
Tb orizzontale SLV	0.145	[s]
Tc orizzontale SLV	0.436	[s]
Td orizzontale SLV	2.133	[s]
St	1	
PVr SLO (%)	81	
Tr SLO	60.21	
Ag/g SLO	0.0458	
Fo SLO	2.508	
Tc* SLO	0.225	[s]
PVr SLD (%)	63	
Tr SLD	101	
Ag/g SLD	0.0574	
Fo SLD	2.52	
Tc* SLD	0.24	[s]
PVr SLV (%)	10	
Tr SLV	949.12	
Ag/g SLV	0.1331	
Fo SLV	2.515	
Tc* SLV	0.27	[s]
Smorzamento viscoso (%)	5	
Classe di duttilità	CD"B"	
Rotazione del sisma	0	[deg]
Quota dello '0' sismico	-1.76	[m]
Regolarità in pianta	No	
Regolarità in elevazione	No	
Edificio C.A.	Si	
Tipologia C.A.	Strutture a telaio $q_0=3.0 \cdot \alpha/\alpha_1$	
α/α_1 C.A.	Strutture a telaio con più piani e più campate $\alpha/\alpha_1=(1.0+1.3)/2$	
Edificio esistente	Si	
Altezza costruzione	8.26	[m]
T1,x	0.37798	[s]
T1,y	0.7684	[s]
λ SLO,x	0.85	
λ SLO,y	0.85	
λ SLD,x	0.85	
λ SLD,y	0.85	
λ SLV,x	0.85	
λ SLV,y	0.85	
Numero modi	36	
Metodo di Ritz	applicato	
Limite spostamenti interpiano SLD	0.005	
Fattore di comportamento per sisma SLD X	1.5	
Fattore di comportamento per sisma SLD Y	1.5	
Fattore di comportamento per sisma SLV X	1.5	
Fattore di comportamento per sisma SLV Y	1.5	
Coefficiente di sicurezza per carico limite (fondazioni superficiali)	2.3	
Coefficiente di sicurezza per scorrimento (fondazioni superficiali)	1.1	
Coefficiente di sicurezza portanza verticale pali infissi, punta	1.15	
Coefficiente di sicurezza portanza verticale pali infissi, laterale compressione	1.15	
Coefficiente di sicurezza portanza verticale pali infissi, laterale trazione	1.25	
Coefficiente di sicurezza portanza verticale pali trivellati, punta	1.35	
Coefficiente di sicurezza portanza verticale pali trivellati, laterale compressione	1.15	
Coefficiente di sicurezza portanza verticale pali trivellati, laterale trazione	1.25	
Coefficiente di sicurezza portanza verticale micropali, punta	1.35	
Coefficiente di sicurezza portanza verticale micropali, laterale compressione	1.15	
Coefficiente di sicurezza portanza verticale micropali, laterale trazione	1.25	
Coefficiente di sicurezza portanza trasversale pali	1.3	
Fattore di correlazione resistenza caratteristica dei pali in base alle verticali indagate	1.7	
Coefficiente di sicurezza per ribaltamento (plinti superficiali)	1.15	
Percentuale di adeguamento (%)	100	
Parametro percentuale di adeguamento	Pga	

3.1.2 Spettri D.M. 17-01-18

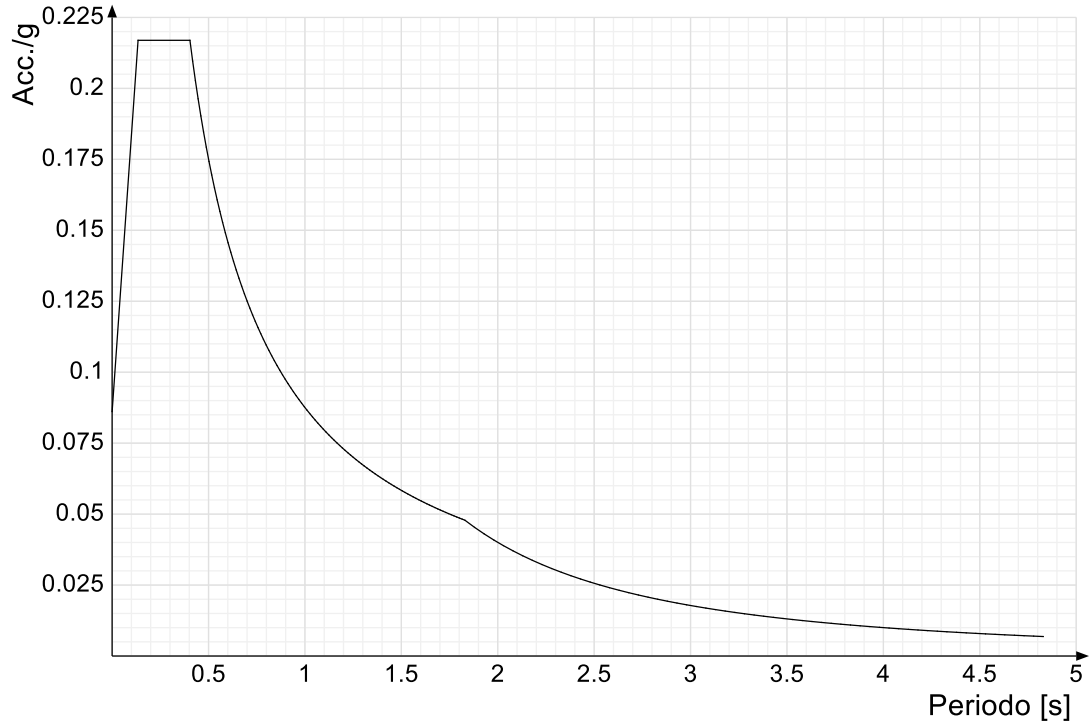
Acc./g: Accelerazione spettrale normalizzata ottenuta dividendo l'accelerazione spettrale per l'accelerazione di gravità.

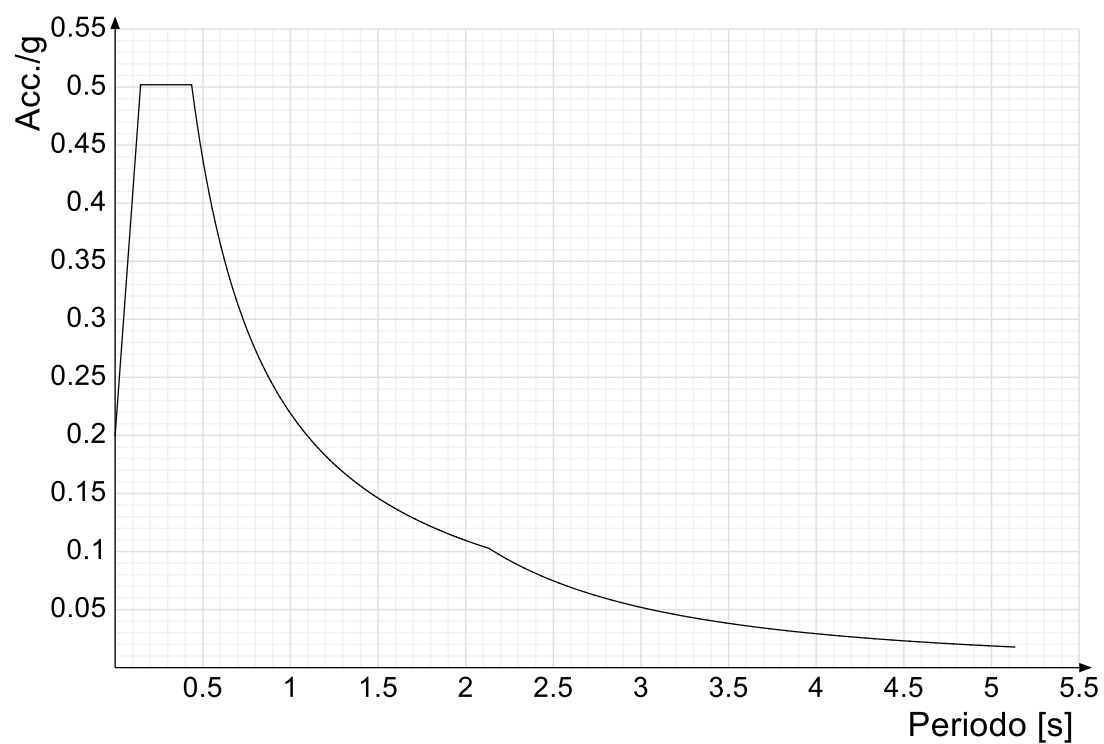
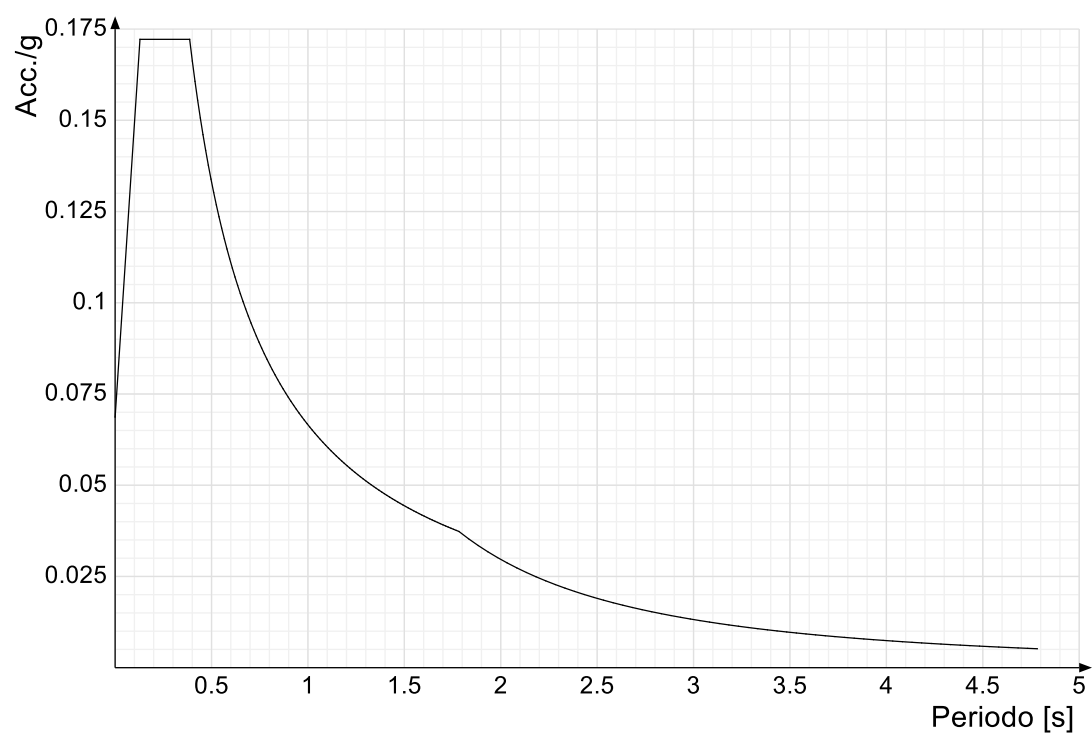
Periodo: Periodo di vibrazione.

Spettro di risposta elastico in accelerazione delle componenti orizzontali SLO § 3.2.3.2.1 [3.2.2]

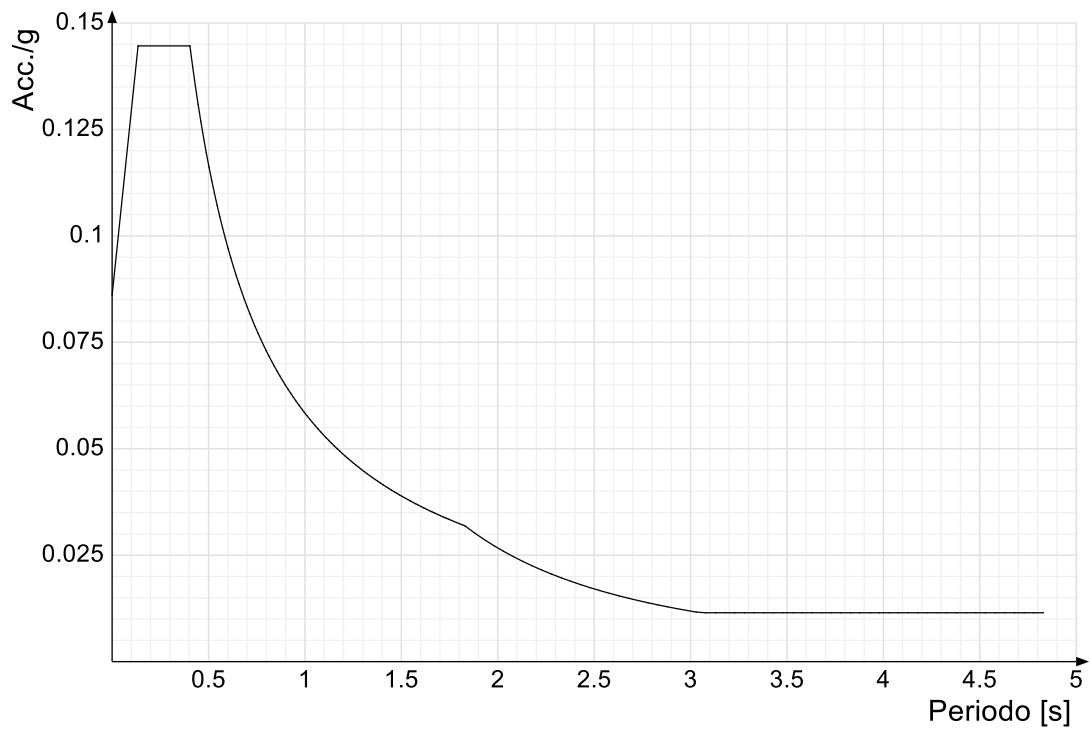


Spettro di risposta elastico in accelerazione delle componenti orizzontali SLD § 3.2.3.2.1 [3.2.2]

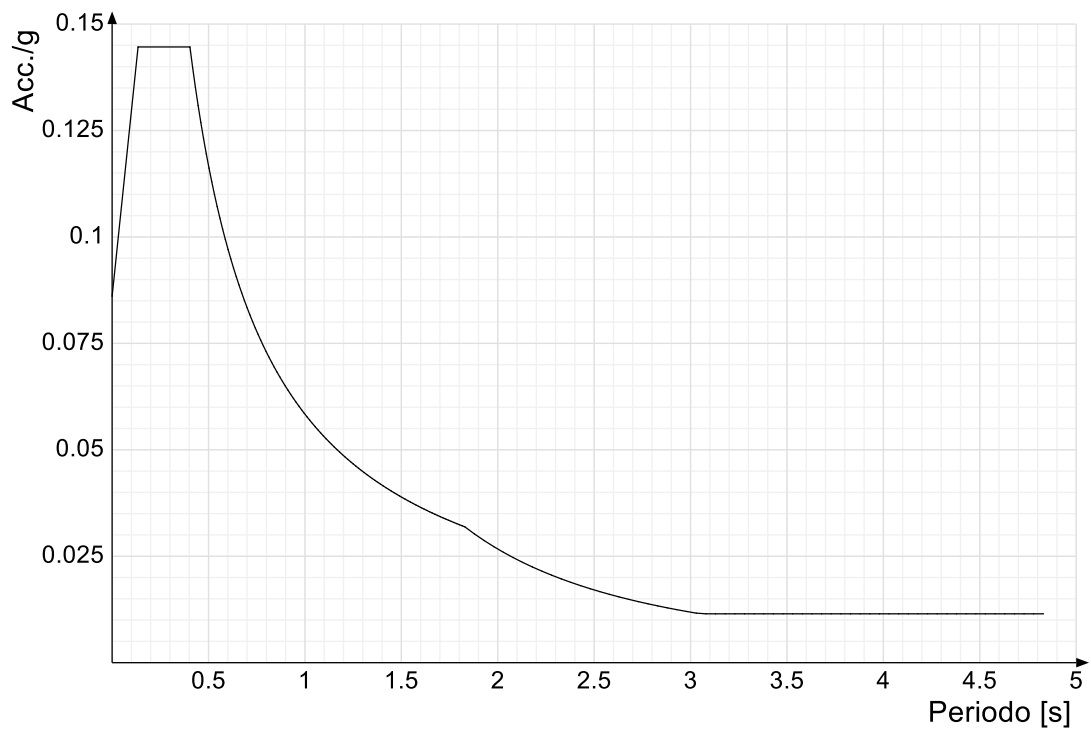


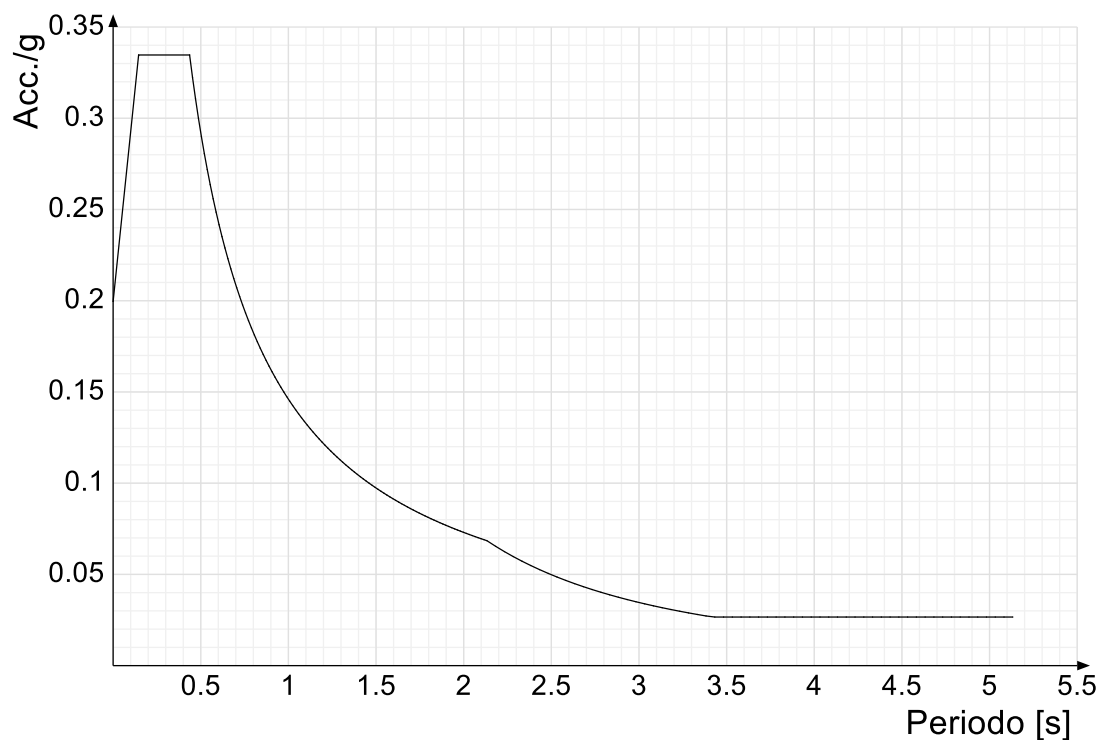
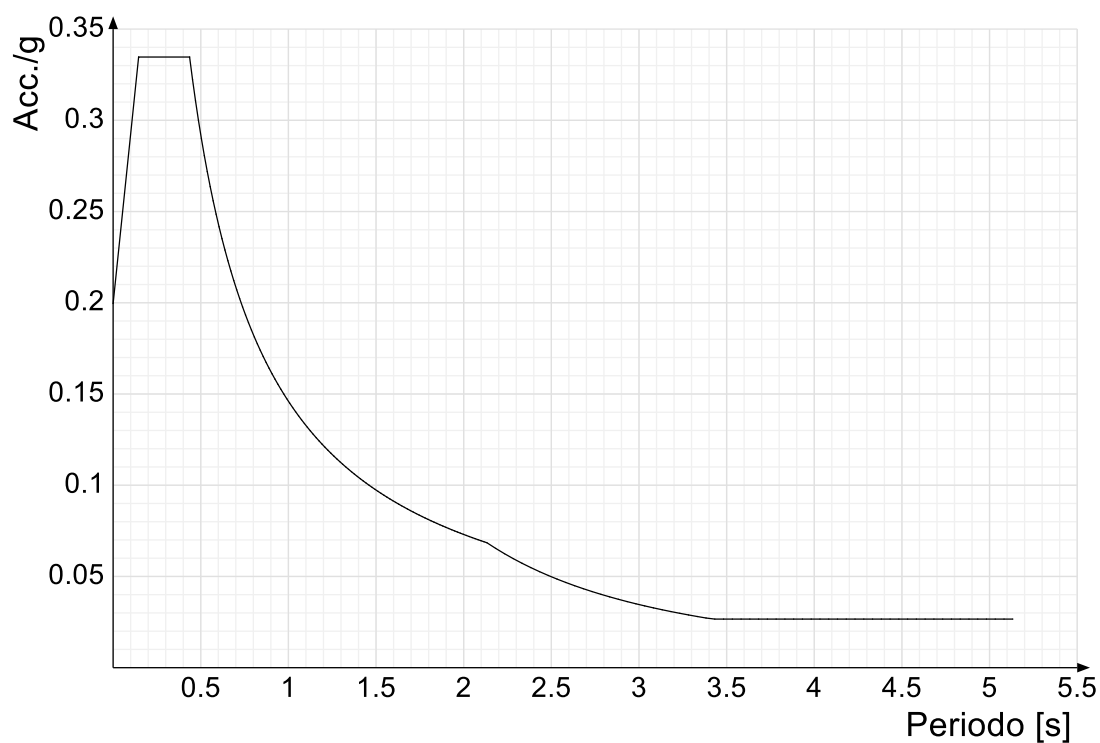
Spettro di risposta elastico in accelerazione delle componenti orizzontali SLV § 3.2.3.2.1 [3.2.2]**Spettro di risposta di progetto in accelerazione delle componenti orizzontali SLO § 3.2.3.4**

Spettro di risposta di progetto in accelerazione della componente X SLD § 3.2.3.5

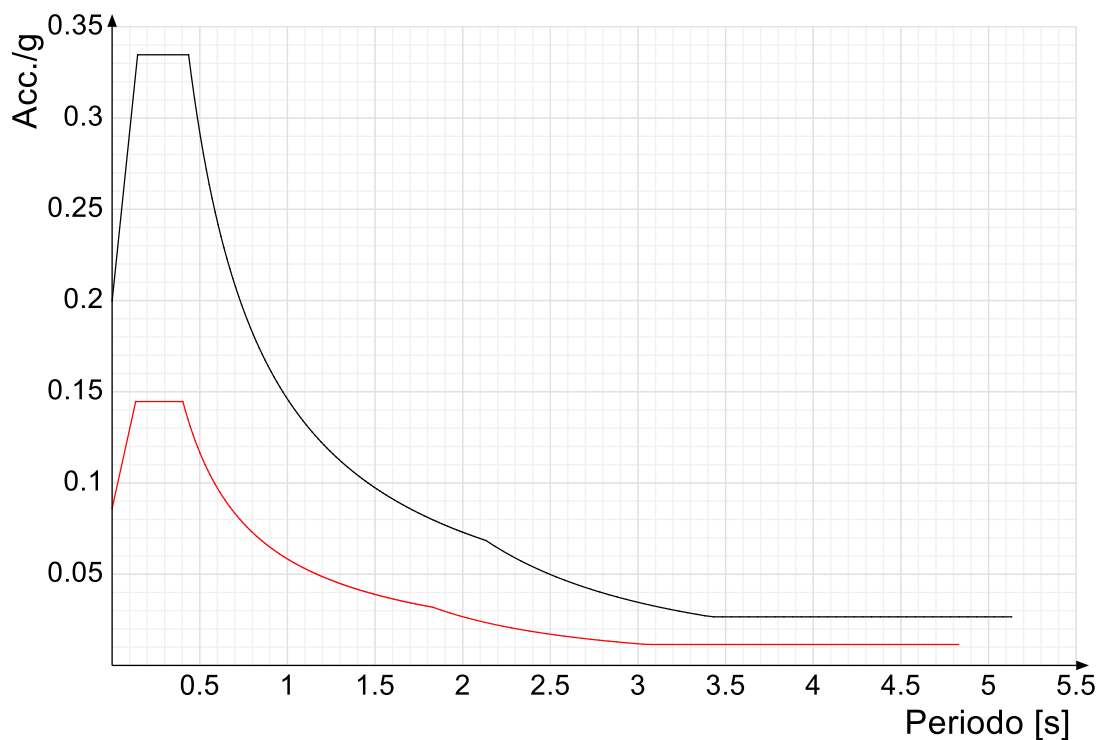


Spettro di risposta di progetto in accelerazione della componente Y SLD § 3.2.3.5

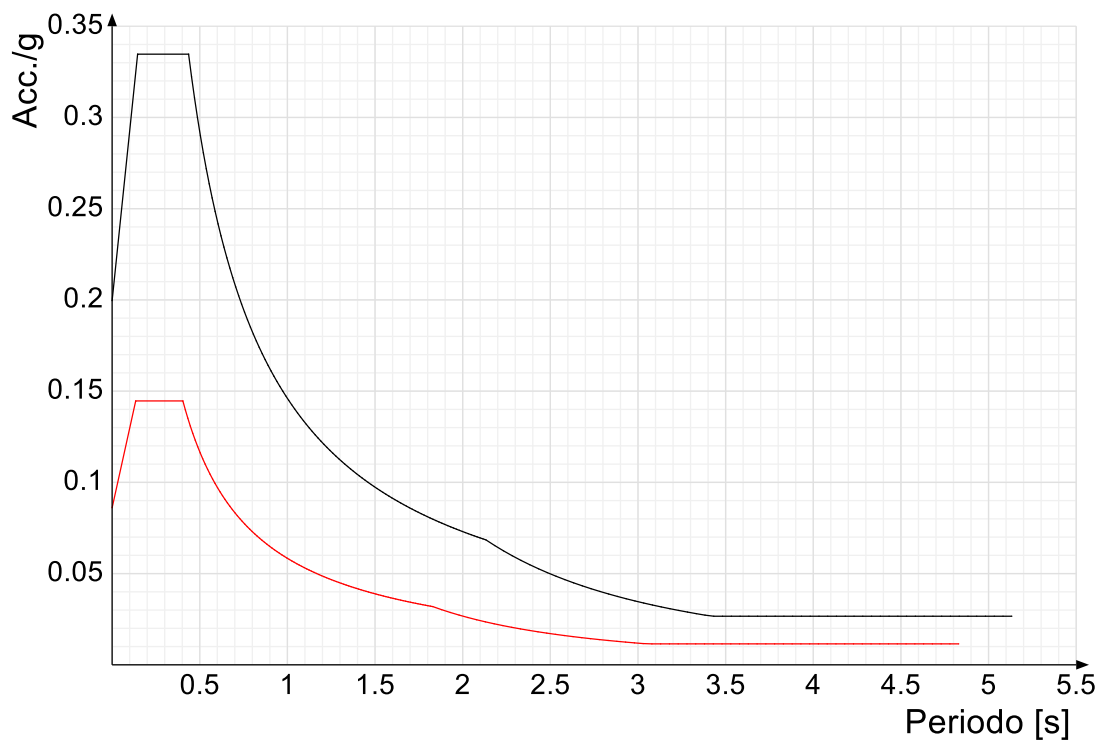


Spettro di risposta di progetto in accelerazione della componente X SLV § 3.2.3.5**Spettro di risposta di progetto in accelerazione della componente Y SLV § 3.2.3.5****Confronti spettri SLV-SLD**

Vengono confrontati lo spettro Spettro di risposta di progetto in accelerazione della componente X SLD § 3.2.3.5 (di colore rosso) e Spettro di risposta di progetto in accelerazione della componente X SLV § 3.2.3.5 (di colore nero).



Vengono confrontati lo spettro Spettro di risposta di progetto in accelerazione della componente Y SLD § 3.2.3.5 (di colore rosso) e Spettro di risposta di progetto in accelerazione della componente Y SLV § 3.2.3.5 (di colore nero).



3.2 Azioni e carichi

3.2.1 Condizioni elementari di carico

Descrizione: nome assegnato alla condizione elementare.

Nome breve: nome breve assegnato alla condizione elementare.

Durata: descrive la durata della condizione (necessario per strutture in legno).

Psi0: coefficiente moltiplicatore ψ_0 . Il valore è adimensionale.

Psi1: coefficiente moltiplicatore ψ_1 . Il valore è adimensionale.

Psi2: coefficiente moltiplicatore ψ_2 . Il valore è adimensionale.

Var.segno: descrive se la condizione elementare ha la possibilità di variare di segno.

Descrizione	Nome breve	Durata	Psi0	Psi1	Psi2	Var.segno
Pesi strutturali	Pesi	Permanente				

Descrizione	Nome breve	Durata	Psi0	Psi1	Psi2	Var.segno
Permanenti portati	Port.	Permanente				
Variabile C	Variabile C	Media	0.7	0.7	0.6	
Neve	Neve	Media	0.5	0.2	0	
ΔT	ΔT	Media	0.6	0.5	0	No
Sisma X SLV	X SLV					
Sisma Y SLV	Y SLV					
Sisma Z SLV	Z SLV					
Eccentricità Y per sisma X SLV	EY SLV					
Eccentricità X per sisma Y SLV	EX SLV					
Sisma X SLD	X SLD					
Sisma Y SLD	Y SLD					
Sisma Z SLD	Z SLD					
Eccentricità Y per sisma X SLD	EY SLD					
Eccentricità X per sisma Y SLD	EX SLD					
Sisma X SLO	X SLO					
Sisma Y SLO	Y SLO					
Sisma Z SLO	Z SLO					
Eccentricità Y per sisma X SLO	EY SLO					
Eccentricità X per sisma Y SLO	EX SLO					
Terreno sisma X SLV	Tr x SLV					
Terreno sisma Y SLV	Tr y SLV					
Terreno sisma Z SLV	Tr z SLV					
Terreno sisma X SLD	Tr x SLD					
Terreno sisma Y SLD	Tr y SLD					
Terreno sisma Z SLD	Tr z SLD					
Terreno sisma X SLO	Tr x SLO					
Terreno sisma Y SLO	Tr y SLO					
Terreno sisma Z SLO	Tr z SLO					
Rig. Ux	R Ux					
Rig. Uy	R Uy					
Rig. Rz	R Rz					

3.2.2 Combinazioni di carico

Nome: E' il nome esteso che contraddistingue la condizione elementare di carico.

Nome breve: E' il nome compatto della condizione elementare di carico, che viene utilizzato altrove nella relazione.

Pesi: Pesi strutturali

Port.: Permanenti portati

Variabile C: Variabile C

Neve: Neve

ΔT : ΔT

X SLO: Sisma X SLO

Y SLO: Sisma Y SLO

Z SLO: Sisma Z SLO

EY SLO: Eccentricità Y per sisma X SLO

EX SLO: Eccentricità X per sisma Y SLO

Tr x SLO: Terreno sisma X SLO

Tr y SLO: Terreno sisma Y SLO

Tr z SLO: Terreno sisma Z SLO

X SLD: Sisma X SLD

Y SLD: Sisma Y SLD

Z SLD: Sisma Z SLD

EY SLD: Eccentricità Y per sisma X SLD

EX SLD: Eccentricità X per sisma Y SLD

Tr x SLD: Terreno sisma X SLD

Tr y SLD: Terreno sisma Y SLD

Tr z SLD: Terreno sisma Z SLD

X SLV: Sisma X SLV

Y SLV: Sisma Y SLV

Z SLV: Sisma Z SLV

EY SLV: Eccentricità Y per sisma X SLV

EX SLV: Eccentricità X per sisma Y SLV

Tr x SLV: Terreno sisma X SLV

Tr y SLV: Terreno sisma Y SLV

Tr z SLV: Terreno sisma Z SLV

R Ux: Rig. Ux

R Uy: Rig. Uy

R Rz: Rig. Rz

Tutte le combinazioni di carico vengono raggruppate per famiglia di appartenenza. Le celle di una riga contengono i coefficienti moltiplicatori della i-esima combinazione, dove il valore della prima cella è da intendersi come moltiplicatore associato alla prima condizione elementare, la seconda cella si riferisce alla seconda condizione elementare e così via.

Famiglia SLU

Il nome compatto della famiglia è SLU.

Nome	Nome breve	Pesi	Port.	Variabile C	Neve	ΔT
1	SLU 1	1	0.8	0	0	0
2	SLU 2	1	0.8	0	1.5	0
3	SLU 3	1	0.8	1.05	1.5	0
4	SLU 4	1	0.8	1.5	0	0
5	SLU 5	1	0.8	1.5	0.75	0
6	SLU 6	1	1.5	0	0	0
7	SLU 7	1	1.5	0	1.5	0
8	SLU 8	1	1.5	1.05	1.5	0
9	SLU 9	1	1.5	1.5	0	0
10	SLU 10	1	1.5	1.5	0.75	0
11	SLU 11	1.3	0.8	0	0	0
12	SLU 12	1.3	0.8	0	1.5	0
13	SLU 13	1.3	0.8	1.05	1.5	0
14	SLU 14	1.3	0.8	1.5	0	0
15	SLU 15	1.3	0.8	1.5	0.75	0

Nome	Nome breve	Pesi	Port.	Variabile C	Neve	ΔT
16	SLU 16	1.3	1.5	0	0	0
17	SLU 17	1.3	1.5	0	1.5	0
18	SLU 18	1.3	1.5	1.05	1.5	0
19	SLU 19	1.3	1.5	1.5	0	0
20	SLU 20	1.3	1.5	1.5	0.75	0

Famiglia SLE rara

Il nome compatto della famiglia è SLE RA.

Nome	Nome breve	Pesi	Port.	Variabile C	Neve	ΔT
1	SLE RA 1	1	1	0	0	0
2	SLE RA 2	1	1	0	1	0
3	SLE RA 3	1	1	0.7	1	0
4	SLE RA 4	1	1	1	0	0
5	SLE RA 5	1	1	1	0.5	0

Famiglia SLE frequente

Il nome compatto della famiglia è SLE FR.

Nome	Nome breve	Pesi	Port.	Variabile C	Neve	ΔT
1	SLE FR 1	1	1	0	0	0
2	SLE FR 2	1	1	0	0.2	0
3	SLE FR 3	1	1	0.6	0.2	0
4	SLE FR 4	1	1	0.7	0	0

Famiglia SLE quasi permanente

Il nome compatto della famiglia è SLE QP.

Nome	Nome breve	Pesi	Port.	Variabile C	Neve	ΔT
1	SLE QP 1	1	1	0	0	0
2	SLE QP 2	1	1	0.6	0	0

Famiglia SLU eccezionale

Il nome compatto della famiglia è SLU EX.

Nome	Nome breve	Pesi	Port.	Variabile C	Neve	ΔT
------	------------	------	-------	-------------	------	------------

Famiglia SLO

Il nome compatto della famiglia è SLO.

Poiché il numero di condizioni elementari previste per le combinazioni di questa famiglia è cospicuo, la tabella verrà spezzata in più parti.

Nome	Nome breve	Pesi	Port.	Variabile C	Neve	ΔT	X SLO	Y SLO
1	SLO 1	1	1	0.6	0	0	-1	-0.3
2	SLO 2	1	1	0.6	0	0	-1	-0.3
3	SLO 3	1	1	0.6	0	0	-1	0.3
4	SLO 4	1	1	0.6	0	0	-1	0.3
5	SLO 5	1	1	0.6	0	0	-0.3	-1
6	SLO 6	1	1	0.6	0	0	-0.3	-1
7	SLO 7	1	1	0.6	0	0	-0.3	1
8	SLO 8	1	1	0.6	0	0	-0.3	1
9	SLO 9	1	1	0.6	0	0	0.3	-1
10	SLO 10	1	1	0.6	0	0	0.3	-1
11	SLO 11	1	1	0.6	0	0	0.3	1
12	SLO 12	1	1	0.6	0	0	0.3	1
13	SLO 13	1	1	0.6	0	0	1	-0.3
14	SLO 14	1	1	0.6	0	0	1	-0.3
15	SLO 15	1	1	0.6	0	0	1	0.3
16	SLO 16	1	1	0.6	0	0	1	0.3

Nome	Nome breve	Z SLO	EY SLO	EX SLO	Tr x SLO	Tr y SLO	Tr z SLO
1	SLO 1	0	-1	0.3	-1	-0.3	0
2	SLO 2	0	1	-0.3	-1	-0.3	0
3	SLO 3	0	-1	0.3	-1	0.3	0
4	SLO 4	0	1	-0.3	-1	0.3	0
5	SLO 5	0	-0.3	1	-0.3	-1	0
6	SLO 6	0	0.3	-1	-0.3	-1	0
7	SLO 7	0	-0.3	1	-0.3	1	0
8	SLO 8	0	0.3	-1	-0.3	1	0
9	SLO 9	0	-0.3	1	0.3	-1	0
10	SLO 10	0	0.3	-1	0.3	-1	0
11	SLO 11	0	-0.3	1	0.3	1	0
12	SLO 12	0	0.3	-1	0.3	1	0
13	SLO 13	0	-1	0.3	1	-0.3	0
14	SLO 14	0	1	-0.3	1	-0.3	0
15	SLO 15	0	-1	0.3	1	0.3	0
16	SLO 16	0	1	-0.3	1	0.3	0

Famiglia SLD

Il nome compatto della famiglia è SLD.

Poiché il numero di condizioni elementari previste per le combinazioni di questa famiglia è cospicuo, la tabella verrà spezzata in più parti.

Nome	Nome breve	Pesi	Port.	Variabile C	Neve	ΔT	X SLD	Y SLD
1	SLD 1	1	1	0.6	0	0	-1	-0.3
2	SLD 2	1	1	0.6	0	0	-1	-0.3
3	SLD 3	1	1	0.6	0	0	-1	0.3
4	SLD 4	1	1	0.6	0	0	-1	0.3
5	SLD 5	1	1	0.6	0	0	-0.3	-1
6	SLD 6	1	1	0.6	0	0	-0.3	-1
7	SLD 7	1	1	0.6	0	0	-0.3	1
8	SLD 8	1	1	0.6	0	0	-0.3	1
9	SLD 9	1	1	0.6	0	0	0.3	-1
10	SLD 10	1	1	0.6	0	0	0.3	-1
11	SLD 11	1	1	0.6	0	0	0.3	1
12	SLD 12	1	1	0.6	0	0	0.3	1
13	SLD 13	1	1	0.6	0	0	1	-0.3
14	SLD 14	1	1	0.6	0	0	1	-0.3
15	SLD 15	1	1	0.6	0	0	1	0.3
16	SLD 16	1	1	0.6	0	0	1	0.3

Nome	Nome breve	Z SLD	EY SLD	EX SLD	Tr x SLD	Tr y SLD	Tr z SLD
1	SLD 1	0	-1	0.3	-1	-0.3	0
2	SLD 2	0	1	-0.3	-1	-0.3	0
3	SLD 3	0	-1	0.3	-1	0.3	0
4	SLD 4	0	1	-0.3	-1	0.3	0
5	SLD 5	0	-0.3	1	-0.3	-1	0
6	SLD 6	0	0.3	-1	-0.3	-1	0
7	SLD 7	0	-0.3	1	-0.3	1	0
8	SLD 8	0	0.3	-1	-0.3	1	0
9	SLD 9	0	-0.3	1	0.3	-1	0
10	SLD 10	0	0.3	-1	0.3	-1	0
11	SLD 11	0	-0.3	1	0.3	1	0
12	SLD 12	0	0.3	-1	0.3	1	0
13	SLD 13	0	-1	0.3	1	-0.3	0
14	SLD 14	0	1	-0.3	1	-0.3	0
15	SLD 15	0	-1	0.3	1	0.3	0
16	SLD 16	0	1	-0.3	1	0.3	0

Famiglia SLV

Il nome compatto della famiglia è SLV.

Poiché il numero di condizioni elementari previste per le combinazioni di questa famiglia è cospicuo, la tabella verrà spezzata in più parti.

Nome	Nome breve	Pesi	Port.	Variabile C	Neve	ΔT	X SLV	Y SLV
1	SLV 1	1	1	0.6	0	0	-1	-0.3
2	SLV 2	1	1	0.6	0	0	-1	-0.3
3	SLV 3	1	1	0.6	0	0	-1	0.3
4	SLV 4	1	1	0.6	0	0	-1	0.3
5	SLV 5	1	1	0.6	0	0	-0.3	-1
6	SLV 6	1	1	0.6	0	0	-0.3	-1
7	SLV 7	1	1	0.6	0	0	-0.3	1
8	SLV 8	1	1	0.6	0	0	-0.3	1
9	SLV 9	1	1	0.6	0	0	0.3	-1
10	SLV 10	1	1	0.6	0	0	0.3	-1
11	SLV 11	1	1	0.6	0	0	0.3	1
12	SLV 12	1	1	0.6	0	0	0.3	1
13	SLV 13	1	1	0.6	0	0	1	-0.3
14	SLV 14	1	1	0.6	0	0	1	-0.3
15	SLV 15	1	1	0.6	0	0	1	0.3
16	SLV 16	1	1	0.6	0	0	1	0.3

Nome	Nome breve	Z SLV	EY SLV	EX SLV	Tr x SLV	Tr y SLV	Tr z SLV
1	SLV 1	0	-1	0.3	-1	-0.3	0
2	SLV 2	0	1	-0.3	-1	-0.3	0
3	SLV 3	0	-1	0.3	-1	0.3	0
4	SLV 4	0	1	-0.3	-1	0.3	0
5	SLV 5	0	-0.3	1	-0.3	-1	0
6	SLV 6	0	0.3	-1	-0.3	-1	0
7	SLV 7	0	-0.3	1	-0.3	1	0
8	SLV 8	0	0.3	-1	-0.3	1	0
9	SLV 9	0	-0.3	1	0.3	-1	0
10	SLV 10	0	0.3	-1	0.3	-1	0
11	SLV 11	0	-0.3	1	0.3	1	0
12	SLV 12	0	0.3	-1	0.3	1	0
13	SLV 13	0	-1	0.3	1	-0.3	0
14	SLV 14	0	1	-0.3	1	-0.3	0
15	SLV 15	0	-1	0.3	1	0.3	0
16	SLV 16	0	1	-0.3	1	0.3	0

Famiglia SLV fondazioni

Il nome compatto della famiglia è SLV FO.

Poiché il numero di condizioni elementari previste per le combinazioni di questa famiglia è cospicuo, la tabella verrà spezzata in più parti.

Nome	Nome breve	Pesi	Port.	Variabile C	Neve	ΔT	X SLV	Y SLV
1	SLV FO 1	1	1	0.6	0	0	-1.1	-0.33
2	SLV FO 2	1	1	0.6	0	0	-1.1	-0.33
3	SLV FO 3	1	1	0.6	0	0	-1.1	0.33
4	SLV FO 4	1	1	0.6	0	0	-1.1	0.33
5	SLV FO 5	1	1	0.6	0	0	-0.33	-1.1
6	SLV FO 6	1	1	0.6	0	0	-0.33	-1.1
7	SLV FO 7	1	1	0.6	0	0	-0.33	1.1
8	SLV FO 8	1	1	0.6	0	0	-0.33	1.1
9	SLV FO 9	1	1	0.6	0	0	0.33	-1.1
10	SLV FO 10	1	1	0.6	0	0	0.33	-1.1
11	SLV FO 11	1	1	0.6	0	0	0.33	1.1
12	SLV FO 12	1	1	0.6	0	0	0.33	1.1
13	SLV FO 13	1	1	0.6	0	0	1.1	-0.33
14	SLV FO 14	1	1	0.6	0	0	1.1	-0.33
15	SLV FO 15	1	1	0.6	0	0	1.1	0.33
16	SLV FO 16	1	1	0.6	0	0	1.1	0.33

Nome	Nome breve	Z SLV	EY SLV	EX SLV	Tr x SLV	Tr y SLV	Tr z SLV
1	SLV FO 1	0	-1.1	0.33	-1.1	-0.33	0
2	SLV FO 2	0	1.1	-0.33	-1.1	-0.33	0
3	SLV FO 3	0	-1.1	0.33	-1.1	0.33	0
4	SLV FO 4	0	1.1	-0.33	-1.1	0.33	0
5	SLV FO 5	0	-0.33	1.1	-0.33	-1.1	0
6	SLV FO 6	0	0.33	-1.1	-0.33	-1.1	0
7	SLV FO 7	0	-0.33	1.1	-0.33	1.1	0
8	SLV FO 8	0	0.33	-1.1	-0.33	1.1	0
9	SLV FO 9	0	-0.33	1.1	0.33	-1.1	0
10	SLV FO 10	0	0.33	-1.1	0.33	-1.1	0
11	SLV FO 11	0	-0.33	1.1	0.33	1.1	0
12	SLV FO 12	0	0.33	-1.1	0.33	1.1	0
13	SLV FO 13	0	-1.1	0.33	1.1	-0.33	0
14	SLV FO 14	0	1.1	-0.33	1.1	-0.33	0
15	SLV FO 15	0	-1.1	0.33	1.1	0.33	0
16	SLV FO 16	0	1.1	-0.33	1.1	0.33	0

Famiglia Calcolo rigidezza torsionale/flessionale di piano

Il nome compatto della famiglia è CRTFP.

Nome	Nome breve	R Ux	R Uy	R Rz
Rig. Ux+	CRTFP Ux+	1	0	0
Rig. Ux-	CRTFP Ux-	-1	0	0
Rig. Uy+	CRTFP Uy+	0	1	0
Rig. Uy-	CRTFP Uy-	0	-1	0
Rig. Rz+	CRTFP Rz+	0	0	1
Rig. Rz-	CRTFP Rz-	0	0	-1

3.2.3 Definizioni di carichi lineari**Nome:** nome identificativo della definizione di carico.**Valori:** valori associati alle condizioni di carico.**Condizione:** condizione di carico a cui sono associati i valori.**Descrizione:** nome assegnato alla condizione elementare.**Fx i.:** valore iniziale della forza, per unità di lunghezza, agente in direzione X. [kN/m]**Fx f.:** valore finale della forza, per unità di lunghezza, agente in direzione X. [kN/m]**Fy i.:** valore iniziale della forza, per unità di lunghezza, agente in direzione Y. [kN/m]**Fy f.:** valore finale della forza, per unità di lunghezza, agente in direzione Y. [kN/m]**Fz i.:** valore iniziale della forza, per unità di lunghezza, agente in direzione Z. [kN/m]**Fz f.:** valore finale della forza, per unità di lunghezza, agente in direzione Z. [kN/m]**Mx i.:** valore iniziale della coppia, per unità di lunghezza, agente attorno l'asse X. [kN]**Mx f.:** valore finale della coppia, per unità di lunghezza, agente attorno l'asse X. [kN]**My i.:** valore iniziale della coppia, per unità di lunghezza, agente attorno l'asse Y. [kN]**My f.:** valore finale della coppia, per unità di lunghezza, agente attorno l'asse Y. [kN]**Mz i.:** valore iniziale della coppia, per unità di lunghezza, agente attorno l'asse Z. [kN]**Mz f.:** valore finale della coppia, per unità di lunghezza, agente attorno l'asse Z. [kN]

Nome	Condizione Descrizione	Valori											
		Fx i.	Fx f.	Fy i.	Fy f.	Fz i.	Fz f.	Mx i.	Mx f.	My i.	My f.	Mz i.	Mz f.
Copertura coppelle 240	Pesi strutturali	0	0	0	0	0	0	0	0	0	0	0	0
	Permanenti portati	0	0	0	0	-4.8	-4.8	0	0	0	0	0	0
	Variabile C	0	0	0	0	0	0	0	0	0	0	0	0
Tettucci 16+4	Neve	0	0	0	0	-3.1	-3.1	0	0	0	0	0	0
	Pesi strutturali	0	0	0	0	-5.5	-5.5	0	0	0	0	0	0
	Permanenti portati	0	0	0	0	0	0	0	0	0	0	0	0
Copertura coppelle 130	Variabile C	0	0	0	0	0	0	0	0	0	0	0	0
	Neve	0	0	0	0	-2.9	-2.9	0	0	0	0	0	0
	Pesi strutturali	0	0	0	0	0	0	0	0	0	0	0	0
Tamponamento palestra H=7.80m	Permanenti portati	0	0	0	0	-2.6	-2.6	0	0	0	0	0	0
	Variabile C	0	0	0	0	0	0	0	0	0	0	0	0
	Neve	0	0	0	0	-1.7	-1.7	0	0	0	0	0	0
Tamponamento H=1.68m	Pesi strutturali	0	0	0	0	0	0	0	0	0	0	0	0
	Permanenti portati	0	0	0	0	-21.1	-21.1	0	0	0	0	0	0
	Variabile C	0	0	0	0	0	0	0	0	0	0	0	0
Tribune	Neve	0	0	0	0	0	0	0	0	0	0	0	0
	Pesi strutturali	0	0	0	0	0	0	0	0	0	0	0	0
	Permanenti portati	0	0	0	0	-4.5	-4.5	0	0	0	0	0	0
Solaio in opera palestra 16+4	Variabile C	0	0	0	0	0	0	0	0	0	0	0	0
	Neve	0	0	0	0	0	0	0	0	0	0	0	0
	Pesi strutturali	0	0	0	0	0	0	0	0	0	0	0	0

3.2.4 Definizioni di carichi superficiali**Nome:** nome identificativo della definizione di carico.**Valori:** valori associati alle condizioni di carico.**Condizione:** condizione di carico a cui sono associati i valori.**Descrizione:** nome assegnato alla condizione elementare.**Valore:** modulo del carico superficiale applicato alla superficie. [kN/m²]**Applicazione:** modalità con cui il carico è applicato alla superficie.

Nome	Condizione Descrizione	Valori	
		Valore	Applicazione
Solaio copertura 18+4	Pesi strutturali	3	Verticale
	Permanenti portati	1.5	Verticale
	Variabile C	0	Verticale
Solaio calpestio palestra	Neve	1.3	Verticale
	Pesi strutturali	3	Verticale
	Permanenti portati	1.5	Verticale
Solaio calpestio 18+4	Variabile C	5	Verticale
	Neve	0	Verticale
	Pesi strutturali	3	Verticale
Tribune	Permanenti portati	1.5	Verticale
	Variabile C	5	Verticale
	Neve	0	Verticale
Solaio in opera palestra 16+4	Pesi strutturali	3.5	Verticale
	Permanenti portati	0.5	Verticale
	Variabile C	0	Verticale
	Neve	1.3	Verticale

3.3 Quote

3.3.1 Livelli

Descrizione breve: Nome sintetico assegnato al livello.

Descrizione: Nome assegnato al livello.

Quota: Quota superiore espressa nel sistema di riferimento assoluto. [m]

Spessore: Spessore del livello. [m]

Descrizione breve	Descrizione	Quota	Spessore
L1	Fondazione -176	-1.76	0.5
L2	Fondazione -146	-1.46	0.6
L3	Piano 0	-1.3	0.16
L4	Fondazione -56	-0.56	1.6
L5	Piano 1	-0.4	0.22
L6	Piano 2	-0.1	0.22
L7	Piano 3	2.92	0.22
L8	Piano 4	7.05	1.1

3.3.2 Falde

Descrizione breve: Nome sintetico assegnato alla falda.

Descrizione: Nome assegnato alla falda.

Sp.: Spessore del piano della falda. [m]

Primo punto: Primo punto di definizione del piano dell'estradosso della falda.

X: Coordinata X. [m]

Y: Coordinata Y. [m]

Quota: Quota. esprimibile come livello, falda, piano orizzontale alla Z specificata. [m]

Secondo punto: Secondo punto di definizione del piano dell'estradosso della falda.

X: Coordinata X. [m]

Y: Coordinata Y. [m]

Quota: Quota. esprimibile come livello, falda, piano orizzontale alla Z specificata. [m]

Terzo punto: Terzo punto di definizione del piano dell'estradosso della falda.

X: Coordinata X. [m]

Y: Coordinata Y. [m]

Quota: Quota. esprimibile come livello, falda, piano orizzontale alla Z specificata. [m]

Descrizione breve	Descrizione	Sp.	Primo punto			Secondo punto			Terzo punto		
			X	Y	Quota	X	Y	Quota	X	Y	Quota
F1	Tribune	0.24	31.07	48.265	Piano 2	29.82	45.115	Piano 0	33.17	45.115	Piano 0

3.3.3 Tronchi

Descrizione breve: Nome sintetico assegnato al tronco.

Descrizione: Nome assegnato al tronco.

Quota 1: Riferimento della prima quota di definizione del tronco. esprimibile come livello, falda, piano orizzontale alla Z specificata. [m]

Quota 2: Riferimento della seconda quota di definizione del tronco. esprimibile come livello, falda, piano orizzontale alla Z specificata. [m]

Descrizione breve	Descrizione	Quota 1	Quota 2
T1	Fondazione -176 - Fondazione -146	Fondazione -176	Fondazione -146
T2	Fondazione -146 - Piano 0	Fondazione -146	Fondazione -56
T3	Piano 0 - Piano 1	Fondazione -56	Piano 1
T4	Piano 1 - Piano 2	Piano 1	Piano 2
T5	Piano 2 - Piano 3	Piano 2	Piano 3
T6	Piano 3 - Piano 4	Piano 3	Piano 4
T7	Fondazione -146 - Piano 2	Fondazione -146	Piano 2
T8	Fondazione -176 - Piano 1	Fondazione -176	Piano 1
T9	Fondazione -146 - Piano 1	Fondazione -146	Piano 1
T10	Piano 0 - Piano 3	Piano 0	Piano 3
T11	Piano 1 - Piano 3	Piano 1	Piano 3

4 Risultati numerici

4.1 Spostamenti di interpiano

Nodo inferiore: Nodo inferiore.

I.: Numero dell'elemento nell'insieme che lo contiene.

Pos.: Coordinate del nodo.

X: Coordinata X. [m]

Y: Coordinata Y. [m]

Z: Coordinata Z. [m]

Nodo superiore: Nodo superiore.

I.: Numero dell'elemento nell'insieme che lo contiene.

Pos.: Coordinate del nodo.

Z: Coordinata Z. [m]

Spst. rel.: Spostamento relativo. Il valore è adimensionale.

Comb.: Combinazione.

n.b.: Nome breve o compatto della combinazione di carico.

Spostamento inferiore: Spostamento in pianta del nodo inferiore.

X: Coordinata X. [m]

Y: Coordinata Y. [m]

Spostamento superiore: Spostamento in pianta del nodo superiore.

X: Coordinata X. [m]

Y: Coordinata Y. [m]

S.V.: Si intende non verificato qualora lo spostamento relativo sia superiore al valore limite espresso nelle preferenze di analisi.

limite = 0.003333

I.	Nodo inferiore			Nodo superiore		Spst. rel.	Comb. n.b.	Spostamento inferiore		Spostamento superiore		S.V.
	Pos.			I.	Pos.			X	Y	X	Y	
	X	Y	Z		Z							
7	7.57	26.065	-2.01	199	2.81	0.000911	SLO 1	0	0	-0.00166	-0.00407	si
7	7.57	26.065	-2.01	199	2.81	0.000771	SLO 2	0	0	-0.00176	-0.00327	si
7	7.57	26.065	-2.01	199	2.81	0.000549	SLO 3	0	0	-0.00208	-0.00164	si
7	7.57	26.065	-2.01	199	2.81	0.000486	SLO 4	0	0	-0.00218	-0.00084	si
7	7.57	26.065	-2.01	199	2.81	0.001076	SLO 5	0	0	0.00019	-0.00518	si
7	7.57	26.065	-2.01	199	2.81	0.000976	SLO 6	0	0	0.00014	-0.0047	si
7	7.57	26.065	-2.01	199	2.81	0.000657	SLO 7	0	0	-0.00123	0.00292	si
7	7.57	26.065	-2.01	199	2.81	0.000753	SLO 8	0	0	-0.00128	0.0034	si
7	7.57	26.065	-2.01	199	2.81	0.000846	SLO 9	0	0	0.00136	-0.00384	si
7	7.57	26.065	-2.01	199	2.81	0.000749	SLO 10	0	0	0.00132	-0.00336	si
7	7.57	26.065	-2.01	199	2.81	0.000883	SLO 11	0	0	-0.00005	0.00426	si
7	7.57	26.065	-2.01	199	2.81	0.000983	SLO 12	0	0	-0.0001	0.00474	si
7	7.57	26.065	-2.01	199	2.81	0.000478	SLO 13	0	0	0.00227	0.0004	si
7	7.57	26.065	-2.01	199	2.81	0.000513	SLO 14	0	0	0.00217	0.00119	si
7	7.57	26.065	-2.01	199	2.81	0.0007	SLO 15	0	0	0.00184	0.00283	si
7	7.57	26.065	-2.01	199	2.81	0.000834	SLO 16	0	0	0.00174	0.00362	si
11	10.92	26.065	-2.01	203	2.81	0.000804	SLO 1	0	0	-0.00166	-0.0035	si
11	10.92	26.065	-2.01	203	2.81	0.000699	SLO 2	0	0	-0.00176	-0.00288	si
11	10.92	26.065	-2.01	203	2.81	0.000493	SLO 3	0	0	-0.00208	-0.00115	si
11	10.92	26.065	-2.01	203	2.81	0.000466	SLO 4	0	0	-0.00218	-0.00052	si
11	10.92	26.065	-2.01	203	2.81	0.001011	SLO 5	0	0	0.00019	-0.00487	si
11	10.92	26.065	-2.01	203	2.81	0.000932	SLO 6	0	0	0.00014	-0.00449	si
11	10.92	26.065	-2.01	203	2.81	0.000669	SLO 7	0	0	-0.00123	0.00298	si
11	10.92	26.065	-2.01	203	2.81	0.000746	SLO 8	0	0	-0.00128	0.00336	si
11	10.92	26.065	-2.01	203	2.81	0.000837	SLO 9	0	0	0.00136	-0.00379	si
11	10.92	26.065	-2.01	203	2.81	0.000759	SLO 10	0	0	0.00132	-0.00342	si
11	10.92	26.065	-2.01	203	2.81	0.000841	SLO 11	0	0	-0.00005	0.00406	si
11	10.92	26.065	-2.01	203	2.81	0.00092	SLO 12	0	0	-0.0001	0.00444	si
11	10.92	26.065	-2.01	203	2.81	0.000471	SLO 13	0	0	0.00227	0.00009	si
11	10.92	26.065	-2.01	203	2.81	0.000473	SLO 14	0	0	0.00217	0.00071	si
11	10.92	26.065	-2.01	203	2.81	0.000634	SLO 15	0	0	0.00184	0.00244	si
11	10.92	26.065	-2.01	203	2.81	0.000731	SLO 16	0	0	0.00174	0.00307	si
12	20.07	26.065	-2.01	77	-0.51	0.000077	SLO 1	0	0	-0.00002	-0.00011	si
12	20.07	26.065	-2.01	77	-0.51	0.000068	SLO 2	0	0	-0.00003	-0.0001	si
12	20.07	26.065	-2.01	77	-0.51	0.000004	SLO 3	0	0	-0.00001	0	si
12	20.07	26.065	-2.01	77	-0.51	0.000014	SLO 4	0	0	-0.00002	0.00002	si
12	20.07	26.065	-2.01	77	-0.51	0.000136	SLO 5	0	0	-0.00002	-0.0002	si
12	20.07	26.065	-2.01	77	-0.51	0.000129	SLO 6	0	0	-0.00003	-0.00019	si
12	20.07	26.065	-2.01	77	-0.51	0.000118	SLO 7	0	0	0.00002	0.00018	si
12	20.07	26.065	-2.01	77	-0.51	0.000125	SLO 8	0	0	0.00001	0.00019	si
12	20.07	26.065	-2.01	77	-0.51	0.000112	SLO 9	0	0	-0.00001	-0.00017	si
12	20.07	26.065	-2.01	77	-0.51	0.000105	SLO 10	0	0	-0.00002	-0.00016	si
12	20.07	26.065	-2.01	77	-0.51	0.000142	SLO 11	0	0	0.00002	0.00021	si
12	20.07	26.065	-2.01	77	-0.51	0.000148	SLO 12	0	0	0.00002	0.00022	si
12	20.07	26.065	-2.01	77	-0.51	0.000008	SLO 13	0	0	0.00001	0	si
12	20.07	26.065	-2.01	77	-0.51	0.000013	SLO 14	0	0	0	0.00002	si
12	20.07	26.065	-2.01	77	-0.51	0.000008	SLO 15	0	0	0.00002	0.00012	si
12	20.07	26.065	-2.01	77	-0.51	0.000089	SLO 16	0	0	0.00001	0.00013	si
13	25.57	26.065	-2.01	78	-0.51	0.000062	SLO 1	0	0	-0.00002	-0.00009	si
13	25.57	26.065	-2.01	78	-0.51	0.000067	SLO 2	0	0	-0.00003	-0.0001	si
13	25.57	26.065	-2.01	78	-0.51	0.000009	SLO 3	0	0	-0.00001	0.00001	si
13	25.57	26.065	-2.01	78	-0.51	0.000011	SLO 4	0	0	-0.00002	0.00001	si
13	25.57	26.065	-2.01	78	-0.51	0.00012	SLO 5	0	0	-0.00002	-0.00018	si
13	25.57	26.065	-2.01	78	-0.51	0.000123	SLO 6	0	0	-0.00003	-0.00018	si
13	25.57	26.065	-2.01	78	-0.51	0.000111	SLO 7	0	0	0.00002	0.00017	si
13	25.57	26.065	-2.01	78	-0.51	0.000108	SLO 8	0	0	0.00001	0.00016	si
13	25.57	26.065	-2.01	78	-0.51	0.0001	SLO 9	0	0	-0.00001	-0.00015	si
13	25.57	26.065	-2.01	78	-0.51	0.000103	SLO 10	0	0	-0.00002	-0.00015	si
13	25.57	26.065	-2.01	78	-0.51	0.000131	SLO 11	0	0	0.00002	0.0002	si
13	25.57	26.065	-2.01	78	-0.51	0.000128	SLO 12	0	0	0.00002	0.00019	si

I.	Nodo inferiore			Nodo superiore		Spost. rel.	Comb.	Spostamento inferiore		Spostamento superiore		S.V.
	Pos.			I.	Pos.			X	Y	X	Y	
	X	Y	Z		Z							
13	25.57	26.065	-2.01	78	-0.51	0.000009	SLO 13	0	0	0.00001	0.00001	si
13	25.57	26.065	-2.01	78	-0.51	0.000002	SLO 14	0	0	0	0	si
13	25.57	26.065	-2.01	78	-0.51	0.000075	SLO 15	0	0	0.00002	0.00011	si
13	25.57	26.065	-2.01	78	-0.51	0.00007	SLO 16	0	0	0.00001	0.0001	si
14	9.07	28.715	-1.38	217	2.81	0.001035	SLO 1	0	0	-0.00207	-0.00381	si
14	9.07	28.715	-1.38	217	2.81	0.000885	SLO 2	0	0	-0.00204	-0.0031	si
14	9.07	28.715	-1.38	217	2.81	0.000676	SLO 3	0	0	-0.00245	-0.00142	si
14	9.07	28.715	-1.38	217	2.81	0.000602	SLO 4	0	0	-0.00242	-0.0007	si
14	9.07	28.715	-1.38	217	2.81	0.001203	SLO 5	0	0	-0.00002	-0.00504	si
14	9.07	28.715	-1.38	217	2.81	0.001099	SLO 6	0	0	0.00001	-0.00461	si
14	9.07	28.715	-1.38	217	2.81	0.000768	SLO 7	0	0	-0.0013	0.00294	si
14	9.07	28.715	-1.38	217	2.81	0.000862	SLO 8	0	0	-0.00127	0.00338	si
14	9.07	28.715	-1.38	217	2.81	0.000967	SLO 9	0	0	0.00135	-0.00382	si
14	9.07	28.715	-1.38	217	2.81	0.000872	SLO 10	0	0	0.00138	-0.00338	si
14	9.07	28.715	-1.38	217	2.81	0.000994	SLO 11	0	0	0.00007	0.00416	si
14	9.07	28.715	-1.38	217	2.81	0.001098	SLO 12	0	0	0.0001	0.0046	si
14	9.07	28.715	-1.38	217	2.81	0.0006	SLO 13	0	0	0.0025	0.00026	si
14	9.07	28.715	-1.38	217	2.81	0.000647	SLO 14	0	0	0.00253	0.00098	si
14	9.07	28.715	-1.38	217	2.81	0.00081	SLO 15	0	0	0.00212	0.00265	si
14	9.07	28.715	-1.38	217	2.81	0.000954	SLO 16	0	0	0.00215	0.00337	si
19	33.17	30.715	-1.38	222	2.81	0.000581	SLO 1	0	0	-0.00242	0.00029	si
19	33.17	30.715	-1.38	222	2.81	0.000571	SLO 2	0	0	-0.00238	-0.00019	si
19	33.17	30.715	-1.38	222	2.81	0.000877	SLO 3	0	0	-0.0028	0.00238	si
19	33.17	30.715	-1.38	222	2.81	0.000801	SLO 4	0	0	-0.00277	0.00019	si
19	33.17	30.715	-1.38	222	2.81	0.00075	SLO 5	0	0	-0.00014	-0.00314	si
19	33.17	30.715	-1.38	222	2.81	0.000822	SLO 6	0	0	-0.00011	-0.00344	si
19	33.17	30.715	-1.38	222	2.81	0.000977	SLO 7	0	0	-0.00142	0.00384	si
19	33.17	30.715	-1.38	222	2.81	0.000906	SLO 8	0	0	-0.00138	0.00354	si
19	33.17	30.715	-1.38	222	2.81	0.000993	SLO 9	0	0	0.00143	-0.00391	si
19	33.17	30.715	-1.38	222	2.81	0.001065	SLO 10	0	0	0.00146	-0.00421	si
19	33.17	30.715	-1.38	222	2.81	0.000734	SLO 11	0	0	0.00015	0.00307	si
19	33.17	30.715	-1.38	222	2.81	0.000662	SLO 12	0	0	0.00019	0.00277	si
19	33.17	30.715	-1.38	222	2.81	0.000863	SLO 13	0	0	0.00281	-0.00228	si
19	33.17	30.715	-1.38	222	2.81	0.000946	SLO 14	0	0	0.00284	-0.00276	si
19	33.17	30.715	-1.38	222	2.81	0.000581	SLO 15	0	0	0.00243	-0.00018	si
19	33.17	30.715	-1.38	222	2.81	0.000609	SLO 16	0	0	0.00246	-0.00066	si
20	33.17	36.665	-1.38	310	6.5	0.001013	SLO 1	0	0	-0.00716	-0.00352	si
20	33.17	36.665	-1.38	310	6.5	0.00103	SLO 2	0	0	-0.00712	-0.00388	si
20	33.17	36.665	-1.38	310	6.5	0.000938	SLO 3	0	0	-0.00702	0.00232	si
20	33.17	36.665	-1.38	310	6.5	0.00092	SLO 4	0	0	-0.00698	0.00196	si
20	33.17	36.665	-1.38	310	6.5	0.001327	SLO 5	0	0	-0.00241	-0.01017	si
20	33.17	36.665	-1.38	310	6.5	0.001351	SLO 6	0	0	-0.00239	-0.01037	si
20	33.17	36.665	-1.38	310	6.5	0.001206	SLO 7	0	0	-0.00193	0.00931	si
20	33.17	36.665	-1.38	310	6.5	0.00118	SLO 8	0	0	-0.0019	0.00911	si
20	33.17	36.665	-1.38	310	6.5	0.001285	SLO 9	0	0	0.00181	-0.00996	si
20	33.17	36.665	-1.38	310	6.5	0.00131	SLO 10	0	0	0.00183	-0.01016	si
20	33.17	36.665	-1.38	310	6.5	0.001242	SLO 11	0	0	0.00229	0.00952	si
20	33.17	36.665	-1.38	310	6.5	0.001218	SLO 12	0	0	0.00231	0.00932	si
20	33.17	36.665	-1.38	310	6.5	0.000944	SLO 13	0	0	0.00688	-0.00282	si
20	33.17	36.665	-1.38	310	6.5	0.000966	SLO 14	0	0	0.00692	-0.00318	si
20	33.17	36.665	-1.38	310	6.5	0.000971	SLO 15	0	0	0.00703	0.00302	si
20	33.17	36.665	-1.38	310	6.5	0.000958	SLO 16	0	0	0.00706	0.00266	si
22	33.17	37.169	-1.38	312	6.5	0.001019	SLO 1	0	0	-0.00722	-0.00352	si
22	33.17	37.169	-1.38	312	6.5	0.001034	SLO 2	0	0	-0.00716	-0.00388	si
22	33.17	37.169	-1.38	312	6.5	0.000934	SLO 3	0	0	-0.00698	0.00232	si
22	33.17	37.169	-1.38	312	6.5	0.000914	SLO 4	0	0	-0.00693	0.00196	si
22	33.17	37.169	-1.38	312	6.5	0.001331	SLO 5	0	0	-0.00256	-0.01017	si
22	33.17	37.169	-1.38	312	6.5	0.001355	SLO 6	0	0	-0.00253	-0.01037	si
22	33.17	37.169	-1.38	312	6.5	0.001203	SLO 7	0	0	-0.00179	0.00931	si
22	33.17	37.169	-1.38	312	6.5	0.001177	SLO 8	0	0	-0.00176	0.00911	si
22	33.17	37.169	-1.38	312	6.5	0.001282	SLO 9	0	0	0.00165	-0.00996	si
22	33.17	37.169	-1.38	312	6.5	0.001307	SLO 10	0	0	0.00168	-0.01016	si
22	33.17	37.169	-1.38	312	6.5	0.001246	SLO 11	0	0	0.00242	0.00952	si
22	33.17	37.169	-1.38	312	6.5	0.001222	SLO 12	0	0	0.00245	0.00932	si
22	33.17	37.169	-1.38	312	6.5	0.000937	SLO 13	0	0	0.00682	-0.00282	si
22	33.17	37.169	-1.38	312	6.5	0.000961	SLO 14	0	0	0.00687	-0.00318	si
22	33.17	37.169	-1.38	312	6.5	0.000974	SLO 15	0	0	0.00705	0.00302	si
22	33.17	37.169	-1.38	312	6.5	0.000963	SLO 16	0	0	0.00711	0.00266	si
23	33.17	43.115	-1.38	227	2.81	0.000897	SLO 1	0	0	-0.00298	-0.00229	si
23	33.17	43.115	-1.38	227	2.81	0.000957	SLO 2	0	0	-0.00297	-0.00269	si
23	33.17	43.115	-1.38	227	2.81	0.000574	SLO 3	0	0	-0.0024	-0.00002	si
23	33.17	43.115	-1.38	227	2.81	0.00058	SLO 4	0	0	-0.00239	-0.00042	si
23	33.17	43.115	-1.38	227	2.81	0.001082	SLO 5	0	0	-0.00179	-0.00417	si
23	33.17	43.115	-1.38	227	2.81	0.001139	SLO 6	0	0	-0.0018	-0.00442	si
23	33.17	43.115	-1.38	227	2.81	0.00081	SLO 7	0	0	0.00014	0.00339	si
23	33.17	43.115	-1.38	227	2.81	0.00075	SLO 8	0	0	0.00013	0.00314	si
23	33.17	43.115	-1.38	227	2.81	0.000824	SLO 9	0	0	-0.0002	-0.00345	si
23	33.17	43.115	-1.38	227	2.81	0.000885	SLO 10	0	0	-0.00021	-0.0037	si
23	33.17	43.115	-1.38	227	2.81	0.001065	SLO 11	0	0	0.00174	0.00411	si
23	33.17	43.115	-1.38	227	2.81	0.001009	SLO 12	0	0	0.00173	0.00386	si
23	33.17	43.115	-1.38	227	2.81	0.000557	SLO 13	0	0	0.00233	0.00011	si
23	33.17	43.115	-1.38	227	2.81	0.000563	SLO 14	0	0	0.00234	-0.00029	si
23	33.17	43.115	-1.38	227	2.81	0.000897	SLO 15	0	0	0.00291	0.00238	si
23	33.17	43.115	-1.38	227	2.81	0.000842	SLO 16	0	0	0.00292	0.00198	si
24	9.07	45.115	-1.38	229	2.81	0.000663	SLO 1	0	0	-0.00274	0.00048	si
24	9.07	45.115	-1.38	229	2.81	0.000684	SLO 2	0	0	-0.00271	0.00093	si
24	9.07	45.115	-1.38	229	2.81	0.000738	SLO 3	0	0	-0.00216	0.00221	si
24	9.07	45.115	-1.38	229	2.81	0.000813	SLO 4	0	0	-0.00214	0.00265	si
24	9.07	45.115	-1.38	229	2.81	0.000742	SLO 5	0	0	-0.0017	-0.0026	si
24	9.07	45.115	-1.38	229	2.81	0.000689	SLO 6	0	0	-0.0017	-0.00233	si
24	9.07	45.115	-1.38	229	2.81	0.000751	SLO 7	0	0	0.00021	0.00314	si
24	9.07	45.115	-1.38	229	2.81	0.000815	SLO 8	0	0	0.00021	0.00341	si
24	9.07	45.115	-1.38	229	2.81	0.000861	SLO 9	0	0	-0.00025	-0.0036	si
24	9.07	45.115	-1.38	229	2.81	0.000798	SLO 10	0	0	-0.00025	-0.00333	si
24	9.07	45.115	-1.38	229	2.81	0.000647	SLO 11	0	0	0.00166	0.00214	si
24	9.07	45.115	-1.38	229	2.81	0.000699	SLO 12	0	0	0.00166	0.00241	si
24	9.07	45.115	-1.38	229	2.81	0.000844	SLO 13	0	0	0.0021	-0.00284	si
24	9.07	45.115	-1.38	229	2.81	0.000765	SLO 14	0	0	0.00213	-0.0024	si
24	9.07	45.115	-1.38	229	2.81	0.000692	SLO 15	0	0	0.00267	-0.00112	si

I.	Nodo inferiore			Nodo superiore		Spost. rel.	Comb.	Spostamento inferiore		Spostamento superiore		S.V.
	X	Pos.		I.	Pos.			X	Y	X	Y	
		Y	Z									
24	9.07	45.115	-1.38	229	2.81	0.000664	SLO 16	0	0	0.0027	-0.00068	si
25	14.57	45.115	-1.38	230	2.81	0.000654	SLO 1	0	0	-0.00274	-0.00011	si
25	14.57	45.115	-1.38	230	2.81	0.000648	SLO 2	0	0	-0.00271	0.00015	si
25	14.57	45.115	-1.38	230	2.81	0.000654	SLO 3	0	0	-0.00216	0.00168	si
25	14.57	45.115	-1.38	230	2.81	0.000688	SLO 4	0	0	-0.00214	0.00193	si
25	14.57	45.115	-1.38	230	2.81	0.000793	SLO 5	0	0	-0.0017	-0.00285	si
25	14.57	45.115	-1.38	230	2.81	0.000763	SLO 6	0	0	-0.0017	-0.00271	si
25	14.57	45.115	-1.38	230	2.81	0.000742	SLO 7	0	0	0.00021	0.00031	si
25	14.57	45.115	-1.38	230	2.81	0.000777	SLO 8	0	0	0.00021	0.000325	si
25	14.57	45.115	-1.38	230	2.81	0.00083	SLO 9	0	0	-0.00025	-0.00347	si
25	14.57	45.115	-1.38	230	2.81	0.000794	SLO 10	0	0	-0.00025	-0.00332	si
25	14.57	45.115	-1.38	230	2.81	0.000714	SLO 11	0	0	0.00166	0.00249	si
25	14.57	45.115	-1.38	230	2.81	0.000744	SLO 12	0	0	0.00166	0.00264	si
25	14.57	45.115	-1.38	230	2.81	0.000718	SLO 13	0	0	0.00021	-0.00215	si
25	14.57	45.115	-1.38	230	2.81	0.000681	SLO 14	0	0	0.00213	-0.0019	si
25	14.57	45.115	-1.38	230	2.81	0.000644	SLO 15	0	0	0.00267	-0.00037	si
25	14.57	45.115	-1.38	230	2.81	0.000645	SLO 16	0	0	0.0027	-0.00011	si
26	20.07	45.115	-1.38	231	2.81	0.000674	SLO 1	0	0	-0.00274	-0.00069	si
26	20.07	45.115	-1.38	231	2.81	0.000664	SLO 2	0	0	-0.00271	-0.00063	si
26	20.07	45.115	-1.38	231	2.81	0.00059	SLO 3	0	0	-0.00216	0.0012	si
26	20.07	45.115	-1.38	231	2.81	0.000592	SLO 4	0	0	-0.00214	0.00126	si
26	20.07	45.115	-1.38	231	2.81	0.000857	SLO 5	0	0	-0.0017	-0.00317	si
26	20.07	45.115	-1.38	231	2.81	0.000851	SLO 6	0	0	-0.0017	-0.00314	si
26	20.07	45.115	-1.38	231	2.81	0.00075	SLO 7	0	0	0.00021	0.00313	si
26	20.07	45.115	-1.38	231	2.81	0.000757	SLO 8	0	0	0.00021	0.00316	si
26	20.07	45.115	-1.38	231	2.81	0.000816	SLO 9	0	0	-0.00025	-0.00341	si
26	20.07	45.115	-1.38	231	2.81	0.000809	SLO 10	0	0	-0.00025	-0.00338	si
26	20.07	45.115	-1.38	231	2.81	0.000796	SLO 11	0	0	0.00166	0.00289	si
26	20.07	45.115	-1.38	231	2.81	0.000802	SLO 12	0	0	0.00166	0.00292	si
26	20.07	45.115	-1.38	231	2.81	0.000617	SLO 13	0	0	0.0021	-0.0015	si
26	20.07	45.115	-1.38	231	2.81	0.000614	SLO 14	0	0	0.00213	-0.00145	si
26	20.07	45.115	-1.38	231	2.81	0.000645	SLO 15	0	0	0.00267	0.00039	si
26	20.07	45.115	-1.38	231	2.81	0.000653	SLO 16	0	0	0.0027	0.00044	si
27	25.57	45.115	-1.38	232	2.81	0.000738	SLO 1	0	0	-0.00274	-0.00144	si
27	25.57	45.115	-1.38	232	2.81	0.000748	SLO 2	0	0	-0.00271	-0.00157	si
27	25.57	45.115	-1.38	232	2.81	0.000535	SLO 3	0	0	-0.00216	0.00059	si
27	25.57	45.115	-1.38	232	2.81	0.000521	SLO 4	0	0	-0.00214	0.00045	si
27	25.57	45.115	-1.38	232	2.81	0.000945	SLO 5	0	0	-0.0017	-0.00358	si
27	25.57	45.115	-1.38	232	2.81	0.000965	SLO 6	0	0	-0.0017	-0.00367	si
27	25.57	45.115	-1.38	232	2.81	0.00076	SLO 7	0	0	0.00021	0.00318	si
27	25.57	45.115	-1.38	232	2.81	0.000739	SLO 8	0	0	0.00021	0.00309	si
27	25.57	45.115	-1.38	232	2.81	0.000805	SLO 9	0	0	-0.00025	-0.00336	si
27	25.57	45.115	-1.38	232	2.81	0.000826	SLO 10	0	0	-0.00025	-0.00345	si
27	25.57	45.115	-1.38	232	2.81	0.000902	SLO 11	0	0	0.00166	0.00339	si
27	25.57	45.115	-1.38	232	2.81	0.000882	SLO 12	0	0	0.00166	0.0033	si
27	25.57	45.115	-1.38	232	2.81	0.000531	SLO 13	0	0	0.0021	-0.00073	si
27	25.57	45.115	-1.38	232	2.81	0.000548	SLO 14	0	0	0.00213	-0.00086	si
27	25.57	45.115	-1.38	232	2.81	0.00071	SLO 15	0	0	0.00267	0.0013	si
27	25.57	45.115	-1.38	232	2.81	0.000702	SLO 16	0	0	0.0027	0.00117	si
28	31.07	45.115	-1.38	233	2.81	0.000816	SLO 1	0	0	-0.00274	-0.00205	si
28	31.07	45.115	-1.38	233	2.81	0.00086	SLO 2	0	0	-0.00271	-0.00237	si
28	31.07	45.115	-1.38	233	2.81	0.000517	SLO 3	0	0	-0.00216	0.00014	si
28	31.07	45.115	-1.38	233	2.81	0.000512	SLO 4	0	0	-0.00214	-0.00018	si
28	31.07	45.115	-1.38	233	2.81	0.001034	SLO 5	0	0	-0.0017	-0.00399	si
28	31.07	45.115	-1.38	233	2.81	0.001081	SLO 6	0	0	-0.0017	-0.0042	si
28	31.07	45.115	-1.38	233	2.81	0.000793	SLO 7	0	0	0.00021	0.00332	si
28	31.07	45.115	-1.38	233	2.81	0.000743	SLO 8	0	0	0.00021	0.00311	si
28	31.07	45.115	-1.38	233	2.81	0.000815	SLO 9	0	0	-0.00025	-0.00341	si
28	31.07	45.115	-1.38	233	2.81	0.000865	SLO 10	0	0	-0.00025	-0.00362	si
28	31.07	45.115	-1.38	233	2.81	0.001011	SLO 11	0	0	0.00166	0.0039	si
28	31.07	45.115	-1.38	233	2.81	0.000965	SLO 12	0	0	0.00166	0.00369	si
28	31.07	45.115	-1.38	233	2.81	0.000502	SLO 13	0	0	0.0021	-0.00012	si
28	31.07	45.115	-1.38	233	2.81	0.000519	SLO 14	0	0	0.00213	-0.00044	si
28	31.07	45.115	-1.38	233	2.81	0.000808	SLO 15	0	0	0.00267	0.00207	si
28	31.07	45.115	-1.38	233	2.81	0.000768	SLO 16	0	0	0.0027	0.00175	si
30	14.57	28.653	-1.36	107	-0.51	0.000183	SLO 1	0	0	0	-0.00016	si
30	14.57	28.653	-1.36	107	-0.51	0.00014	SLO 2	0	0	0	-0.00012	si
30	14.57	28.653	-1.36	107	-0.51	0.000033	SLO 3	0	0	-0.00001	-0.00003	si
30	14.57	28.653	-1.36	107	-0.51	0.000013	SLO 4	0	0	0	0.00001	si
30	14.57	28.653	-1.36	107	-0.51	0.000282	SLO 5	0	0	0	-0.00024	si
30	14.57	28.653	-1.36	107	-0.51	0.000251	SLO 6	0	0	0	-0.00021	si
30	14.57	28.653	-1.36	107	-0.51	0.000221	SLO 7	0	0	0	0.00019	si
30	14.57	28.653	-1.36	107	-0.51	0.000252	SLO 8	0	0	0	0.00021	si
30	14.57	28.653	-1.36	107	-0.51	0.000222	SLO 9	0	0	0	-0.00019	si
30	14.57	28.653	-1.36	107	-0.51	0.000191	SLO 10	0	0	0	-0.00016	si
30	14.57	28.653	-1.36	107	-0.51	0.000282	SLO 11	0	0	0	0.00024	si
30	14.57	28.653	-1.36	107	-0.51	0.000313	SLO 12	0	0	0	0.00027	si
30	14.57	28.653	-1.36	107	-0.51	0.00002	SLO 13	0	0	0	0.00002	si
30	14.57	28.653	-1.36	107	-0.51	0.000063	SLO 14	0	0	0.00001	0.00005	si
30	14.57	28.653	-1.36	107	-0.51	0.000171	SLO 15	0	0	0	0.00014	si
30	14.57	28.653	-1.36	107	-0.51	0.000214	SLO 16	0	0	0	0.00018	si
33	16.98	28.653	-1.36	110	-0.51	0.00016	SLO 1	0	0	0	-0.00014	si
33	16.98	28.653	-1.36	110	-0.51	0.000128	SLO 2	0	0	0	-0.00011	si
33	16.98	28.653	-1.36	110	-0.51	0.000018	SLO 3	0	0	-0.00001	-0.00001	si
33	16.98	28.653	-1.36	110	-0.51	0.000016	SLO 4	0	0	0	0.00001	si
33	16.98	28.653	-1.36	110	-0.51	0.000262	SLO 5	0	0	0	-0.00022	si
33	16.98	28.653	-1.36	110	-0.51	0.000239	SLO 6	0	0	0	-0.0002	si
33	16.98	28.653	-1.36	110	-0.51	0.000214	SLO 7	0	0	0	0.00018	si
33	16.98	28.653	-1.36	110	-0.51	0.000237	SLO 8	0	0	0	0.0002	si
33	16.98	28.653	-1.36	110	-0.51	0.00021	SLO 9	0	0	0	-0.00018	si
33	16.98	28.653	-1.36	110	-0.51	0.000187	SLO 10	0	0	0	-0.00016	si
33	16.98	28.653	-1.36	110	-0.51	0.000266	SLO 11	0	0	0	0.00023	si
33	16.98	28.653	-1.36	110	-0.51	0.000289	SLO 12	0	0	0	0.00025	si
33	16.98	28.653	-1.36	110	-0.51	0.000013	SLO 13	0	0	0	0.00001	si
33	16.98	28.653	-1.36	110	-0.51	0.000045	SLO 14	0	0	0	0.00004	si
33	16.98	28.653	-1.36	110	-0.51	0.000155	SLO 15	0	0	0.00001	0.00013	si
33	16.98	28.653	-1.36	110	-0.51	0.000187	SLO 16	0	0	0	0.00016	si
37	20.07	28.653	-1.36	114	-0.51	0.000134	SLO 1	0	0	0	-0.00011	si
37	20.07	28.653	-1.36	114	-0.51	0.000116	SLO 2	0	0	0	-0.0001	si

I.	Nodo inferiore			Nodo superiore		Spost. rel.	Comb.	Spostamento inferiore		Spostamento superiore		S.V.
	Pos.			I.	Pos.			X	Y	X	Y	
	X	Y	Z		Z							
37	20.07	28.653	-1.36	114	-0.51	0.000007	SLO 3	0	0	-0.00001	0	si
37	20.07	28.653	-1.36	114	-0.51	0.000019	SLO 4	0	0	0	0.00002	si
37	20.07	28.653	-1.36	114	-0.51	0.000238	SLO 5	0	0	0	-0.0002	si
37	20.07	28.653	-1.36	114	-0.51	0.000225	SLO 6	0	0	0	-0.00019	si
37	20.07	28.653	-1.36	114	-0.51	0.000207	SLO 7	0	0	0	0.00018	si
37	20.07	28.653	-1.36	114	-0.51	0.000219	SLO 8	0	0	0	0.00019	si
37	20.07	28.653	-1.36	114	-0.51	0.000197	SLO 9	0	0	0	-0.00017	si
37	20.07	28.653	-1.36	114	-0.51	0.000184	SLO 10	0	0	0	-0.00016	si
37	20.07	28.653	-1.36	114	-0.51	0.000248	SLO 11	0	0	0	0.00021	si
37	20.07	28.653	-1.36	114	-0.51	0.000261	SLO 12	0	0	0	0.00022	si
37	20.07	28.653	-1.36	114	-0.51	0.000007	SLO 13	0	0	0	0	si
37	20.07	28.653	-1.36	114	-0.51	0.000024	SLO 14	0	0	0.00001	0.00002	si
37	20.07	28.653	-1.36	114	-0.51	0.000139	SLO 15	0	0	0	0.00012	si
37	20.07	28.653	-1.36	114	-0.51	0.000156	SLO 16	0	0	0	0.00013	si
41	23.32	28.653	-1.36	118	-0.51	0.000114	SLO 1	0	0	0	-0.0001	si
41	23.32	28.653	-1.36	118	-0.51	0.000111	SLO 2	0	0	0	-0.00009	si
41	23.32	28.653	-1.36	118	-0.51	0.000014	SLO 3	0	0	-0.00001	0.00001	si
41	23.32	28.653	-1.36	118	-0.51	0.000016	SLO 4	0	0	0	0.00001	si
41	23.32	28.653	-1.36	118	-0.51	0.000219	SLO 5	0	0	0	-0.00019	si
41	23.32	28.653	-1.36	118	-0.51	0.000217	SLO 6	0	0	0	-0.00018	si
41	23.32	28.653	-1.36	118	-0.51	0.0002	SLO 7	0	0	0	0.00017	si
41	23.32	28.653	-1.36	118	-0.51	0.000202	SLO 8	0	0	0	0.00017	si
41	23.32	28.653	-1.36	118	-0.51	0.000184	SLO 9	0	0	0	-0.00016	si
41	23.32	28.653	-1.36	118	-0.51	0.000182	SLO 10	0	0	0	-0.00015	si
41	23.32	28.653	-1.36	118	-0.51	0.000235	SLO 11	0	0	0	0.0002	si
41	23.32	28.653	-1.36	118	-0.51	0.000237	SLO 12	0	0	0	0.0002	si
41	23.32	28.653	-1.36	118	-0.51	0.000006	SLO 13	0	0	0	0	si
41	23.32	28.653	-1.36	118	-0.51	0.000009	SLO 14	0	0	0.00001	0.00001	si
41	23.32	28.653	-1.36	118	-0.51	0.000129	SLO 15	0	0	0	0.00011	si
41	23.32	28.653	-1.36	118	-0.51	0.000132	SLO 16	0	0	0	0.00011	si
44	25.57	28.653	-1.36	121	-0.51	0.000107	SLO 1	0	0	0	-0.00009	si
44	25.57	28.653	-1.36	121	-0.51	0.000114	SLO 2	0	0	0	-0.0001	si
44	25.57	28.653	-1.36	121	-0.51	0.000016	SLO 3	0	0	-0.00001	0.00001	si
44	25.57	28.653	-1.36	121	-0.51	0.000009	SLO 4	0	0	0	0.00001	si
44	25.57	28.653	-1.36	121	-0.51	0.000209	SLO 5	0	0	0	-0.00018	si
44	25.57	28.653	-1.36	121	-0.51	0.000215	SLO 6	0	0	0	-0.00018	si
44	25.57	28.653	-1.36	121	-0.51	0.000196	SLO 7	0	0	0	0.00017	si
44	25.57	28.653	-1.36	121	-0.51	0.00019	SLO 8	0	0	0	0.00016	si
44	25.57	28.653	-1.36	121	-0.51	0.000175	SLO 9	0	0	0	-0.00015	si
44	25.57	28.653	-1.36	121	-0.51	0.000181	SLO 10	0	0	0	-0.00015	si
44	25.57	28.653	-1.36	121	-0.51	0.00023	SLO 11	0	0	0	0.0002	si
44	25.57	28.653	-1.36	121	-0.51	0.000224	SLO 12	0	0	0	0.00019	si
44	25.57	28.653	-1.36	121	-0.51	0.000009	SLO 13	0	0	0	0.00001	si
44	25.57	28.653	-1.36	121	-0.51	0.000006	SLO 14	0	0	0.00001	0	si
44	25.57	28.653	-1.36	121	-0.51	0.000129	SLO 15	0	0	0	0.00011	si
44	25.57	28.653	-1.36	121	-0.51	0.000122	SLO 16	0	0	0	0.0001	si
45	26.57	28.653	-1.36	122	-0.51	0.000106	SLO 1	0	0	0	-0.00009	si
45	26.57	28.653	-1.36	122	-0.51	0.000118	SLO 2	0	0	0	-0.0001	si
45	26.57	28.653	-1.36	122	-0.51	0.000016	SLO 3	0	0	-0.00001	0.00001	si
45	26.57	28.653	-1.36	122	-0.51	0.000006	SLO 4	0	0	0	0	si
45	26.57	28.653	-1.36	122	-0.51	0.000206	SLO 5	0	0	0	-0.00018	si
45	26.57	28.653	-1.36	122	-0.51	0.000215	SLO 6	0	0	0	-0.00018	si
45	26.57	28.653	-1.36	122	-0.51	0.000194	SLO 7	0	0	0	0.00016	si
45	26.57	28.653	-1.36	122	-0.51	0.000185	SLO 8	0	0	0	0.00016	si
45	26.57	28.653	-1.36	122	-0.51	0.000171	SLO 9	0	0	0	-0.00015	si
45	26.57	28.653	-1.36	122	-0.51	0.00018	SLO 10	0	0	0	-0.00015	si
45	26.57	28.653	-1.36	122	-0.51	0.000229	SLO 11	0	0	0	0.00019	si
45	26.57	28.653	-1.36	122	-0.51	0.00022	SLO 12	0	0	0	0.00019	si
45	26.57	28.653	-1.36	122	-0.51	0.000012	SLO 13	0	0	0	0.00001	si
45	26.57	28.653	-1.36	122	-0.51	0.000006	SLO 14	0	0	0.00001	0	si
45	26.57	28.653	-1.36	122	-0.51	0.000131	SLO 15	0	0	0	0.00011	si
45	26.57	28.653	-1.36	122	-0.51	0.000119	SLO 16	0	0	0	0.0001	si
49	29.82	28.653	-1.36	126	-0.51	0.00011	SLO 1	0	0	0	-0.00009	si
49	29.82	28.653	-1.36	126	-0.51	0.000137	SLO 2	0	0	0	-0.00012	si
49	29.82	28.653	-1.36	126	-0.51	0.00001	SLO 3	0	0	-0.00001	0.00001	si
49	29.82	28.653	-1.36	126	-0.51	0.00002	SLO 4	0	0	0	-0.00002	si
49	29.82	28.653	-1.36	126	-0.51	0.000202	SLO 5	0	0	0	-0.00017	si
49	29.82	28.653	-1.36	126	-0.51	0.000221	SLO 6	0	0	0	-0.00019	si
49	29.82	28.653	-1.36	126	-0.51	0.000189	SLO 7	0	0	0	0.00016	si
49	29.82	28.653	-1.36	126	-0.51	0.000169	SLO 8	0	0	0	0.00014	si
49	29.82	28.653	-1.36	126	-0.51	0.000161	SLO 9	0	0	0	-0.00014	si
49	29.82	28.653	-1.36	126	-0.51	0.00018	SLO 10	0	0	0	-0.00015	si
49	29.82	28.653	-1.36	126	-0.51	0.00023	SLO 11	0	0	0	0.0002	si
49	29.82	28.653	-1.36	126	-0.51	0.000211	SLO 12	0	0	0	0.00018	si
49	29.82	28.653	-1.36	126	-0.51	0.000029	SLO 13	0	0	0	0.00002	si
49	29.82	28.653	-1.36	126	-0.51	0.000006	SLO 14	0	0	0.00001	0	si
49	29.82	28.653	-1.36	126	-0.51	0.000146	SLO 15	0	0	0	0.00012	si
49	29.82	28.653	-1.36	126	-0.51	0.000118	SLO 16	0	0	0	0.0001	si
51	31.07	28.653	-1.36	128	-0.51	0.000114	SLO 1	0	0	0	-0.0001	si
51	31.07	28.653	-1.36	128	-0.51	0.000147	SLO 2	0	0	0	-0.00012	si
51	31.07	28.653	-1.36	128	-0.51	0.000008	SLO 3	0	0	-0.00001	0	si
51	31.07	28.653	-1.36	128	-0.51	0.00003	SLO 4	0	0	0	-0.00003	si
51	31.07	28.653	-1.36	128	-0.51	0.000202	SLO 5	0	0	0	-0.00017	si
51	31.07	28.653	-1.36	128	-0.51	0.000226	SLO 6	0	0	0	-0.00019	si
51	31.07	28.653	-1.36	128	-0.51	0.000188	SLO 7	0	0	0	0.00016	si
51	31.07	28.653	-1.36	128	-0.51	0.000164	SLO 8	0	0	0	0.00014	si
51	31.07	28.653	-1.36	128	-0.51	0.000157	SLO 9	0	0	0	-0.00013	si
51	31.07	28.653	-1.36	128	-0.51	0.000181	SLO 10	0	0	0	-0.00015	si
51	31.07	28.653	-1.36	128	-0.51	0.000233	SLO 11	0	0	0	0.0002	si
51	31.07	28.653	-1.36	128	-0.51	0.000209	SLO 12	0	0	0	0.00018	si
51	31.07	28.653	-1.36	128	-0.51	0.000037	SLO 13	0	0	0	0.00003	si
51	31.07	28.653	-1.36	128	-0.51	0.000007	SLO 14	0	0	0.00001	0	si
51	31.07	28.653	-1.36	128	-0.51	0.000154	SLO 15	0	0	0	0.00013	si
51	31.07	28.653	-1.36	128	-0.51	0.000121	SLO 16	0	0	0	0.0001	si
54	33.17	28.653	-1.36	131	-0.51	0.000122	SLO 1	0	0	0	-0.0001	si
54	33.17	28.653	-1.36	131	-0.51	0.000165	SLO 2	0	0	0	-0.00014	si
54	33.17	28.653	-1.36	131	-0.51	0.000008	SLO 3	0	0	-0.00001	0	si
54	33.17	28.653	-1.36	131	-0.51	0.000048	SLO 4	0	0	0	-0.00004	si
54	33.17	28.653	-1.36	131	-0.51	0.000204	SLO 5	0	0	0	-0.00017	si

I.	Nodo inferiore			Nodo superiore			Spost. rel.	Comb.	Spostamento inferiore		Spostamento superiore		S.V.
	Pos.			I.	Pos.	c.n.b.			X	Y	X	Y	
	X	Y	Z										
54	33.17	28.653	-1.36	131	-0.51	0.000235	SLO 6	0	0	0	-0.0002	si	
54	33.17	28.653	-1.36	131	-0.51	0.000187	SLO 7	0	0	0	0.00016	si	
54	33.17	28.653	-1.36	131	-0.51	0.000156	SLO 8	0	0	0	0.00013	si	
54	33.17	28.653	-1.36	131	-0.51	0.000152	SLO 9	0	0	0	-0.00013	si	
54	33.17	28.653	-1.36	131	-0.51	0.000183	SLO 10	0	0	0	-0.00016	si	
54	33.17	28.653	-1.36	131	-0.51	0.000239	SLO 11	0	0	0	0.0002	si	
54	33.17	28.653	-1.36	131	-0.51	0.000208	SLO 12	0	0	0	0.00018	si	
54	33.17	28.653	-1.36	131	-0.51	0.000052	SLO 13	0	0	0	0.00004	si	
54	33.17	28.653	-1.36	131	-0.51	0.000011	SLO 14	0	0.00001	0	0.00001	si	
54	33.17	28.653	-1.36	131	-0.51	0.000169	SLO 15	0	0	0	0.00014	si	
54	33.17	28.653	-1.36	131	-0.51	0.000126	SLO 16	0	0	0	0.00011	si	
66	14.67	20.165	-0.51	194	2.81	0.000897	SLO 1	0	0	-0.00076	-0.00288	si	
66	14.67	20.165	-0.51	194	2.81	0.000813	SLO 2	0	0	-0.00115	-0.00244	si	
66	14.67	20.165	-0.51	194	2.81	0.000446	SLO 3	0	0	-0.00136	-0.0006	si	
66	14.67	20.165	-0.51	194	2.81	0.00053	SLO 4	0	0	-0.00175	-0.00016	si	
66	14.67	20.165	-0.51	194	2.81	0.001386	SLO 5	0	0	0.00077	-0.00454	si	
66	14.67	20.165	-0.51	194	2.81	0.001297	SLO 6	0	0	0.00054	-0.00427	si	
66	14.67	20.165	-0.51	194	2.81	0.000994	SLO 7	0	0	-0.00122	0.00306	si	
66	14.67	20.165	-0.51	194	2.81	0.001094	SLO 8	0	0	-0.00145	0.00333	si	
66	14.67	20.165	-0.51	194	2.81	0.001223	SLO 9	0	0	0.00155	-0.00375	si	
66	14.67	20.165	-0.51	194	2.81	0.001124	SLO 10	0	0	0.00132	-0.00349	si	
66	14.67	20.165	-0.51	194	2.81	0.001167	SLO 11	0	0	-0.00044	0.00385	si	
66	14.67	20.165	-0.51	194	2.81	0.001255	SLO 12	0	0	-0.00067	0.00411	si	
66	14.67	20.165	-0.51	194	2.81	0.000564	SLO 13	0	0	0.00185	-0.00026	si	
66	14.67	20.165	-0.51	194	2.81	0.000442	SLO 14	0	0	0.00146	0.00017	si	
66	14.67	20.165	-0.51	194	2.81	0.000716	SLO 15	0	0	0.00126	0.00202	si	
66	14.67	20.165	-0.51	194	2.81	0.000784	SLO 16	0	0	0.00086	0.00246	si	
67	18.82	20.165	-0.51	195	2.81	0.000707	SLO 1	0	0	-0.00076	-0.00222	si	
67	18.82	20.165	-0.51	195	2.81	0.000693	SLO 2	0	0	-0.00115	-0.00199	si	
67	18.82	20.165	-0.51	195	2.81	0.000408	SLO 3	0	0	-0.00136	-0.00001	si	
67	18.82	20.165	-0.51	195	2.81	0.000532	SLO 4	0	0	-0.00175	0.00022	si	
67	18.82	20.165	-0.51	195	2.81	0.001285	SLO 5	0	0	0.00077	-0.0042	si	
67	18.82	20.165	-0.51	195	2.81	0.001234	SLO 6	0	0	0.00054	-0.00406	si	
67	18.82	20.165	-0.51	195	2.81	0.001024	SLO 7	0	0	-0.00122	0.00317	si	
67	18.82	20.165	-0.51	195	2.81	0.001088	SLO 8	0	0	-0.00145	0.00331	si	
67	18.82	20.165	-0.51	195	2.81	0.001214	SLO 9	0	0	0.00155	-0.00372	si	
67	18.82	20.165	-0.51	195	2.81	0.001151	SLO 10	0	0	0.00132	-0.00358	si	
67	18.82	20.165	-0.51	195	2.81	0.001107	SLO 11	0	0	-0.00044	0.00365	si	
67	18.82	20.165	-0.51	195	2.81	0.001158	SLO 12	0	0	-0.00067	0.00378	si	
67	18.82	20.165	-0.51	195	2.81	0.00059	SLO 13	0	0	0.00185	-0.00063	si	
67	18.82	20.165	-0.51	195	2.81	0.000455	SLO 14	0	0	0.00146	-0.0004	si	
67	18.82	20.165	-0.51	195	2.81	0.000608	SLO 15	0	0	0.00126	0.00158	si	
67	18.82	20.165	-0.51	195	2.81	0.000604	SLO 16	0	0	0.00086	0.00181	si	
68	22.92	20.165	-0.51	196	2.81	0.000564	SLO 1	0	0	-0.00076	-0.00171	si	
68	22.92	20.165	-0.51	196	2.81	0.000615	SLO 2	0	0	-0.00115	-0.00168	si	
68	22.92	20.165	-0.51	196	2.81	0.00043	SLO 3	0	0	-0.00136	0.00044	si	
68	22.92	20.165	-0.51	196	2.81	0.000546	SLO 4	0	0	-0.00175	0.00047	si	
68	22.92	20.165	-0.51	196	2.81	0.001204	SLO 5	0	0	0.00077	-0.00392	si	
68	22.92	20.165	-0.51	196	2.81	0.00119	SLO 6	0	0	0.00054	-0.00391	si	
68	22.92	20.165	-0.51	196	2.81	0.001049	SLO 7	0	0	-0.00122	0.00326	si	
68	22.92	20.165	-0.51	196	2.81	0.001078	SLO 8	0	0	-0.00145	0.00327	si	
68	22.92	20.165	-0.51	196	2.81	0.0012	SLO 9	0	0	0.00155	-0.00367	si	
68	22.92	20.165	-0.51	196	2.81	0.001172	SLO 10	0	0	0.00132	-0.00366	si	
68	22.92	20.165	-0.51	196	2.81	0.001066	SLO 11	0	0	-0.00044	0.00351	si	
68	22.92	20.165	-0.51	196	2.81	0.00108	SLO 12	0	0	-0.00067	0.00352	si	
68	22.92	20.165	-0.51	196	2.81	0.000617	SLO 13	0	0	0.00185	-0.00087	si	
68	22.92	20.165	-0.51	196	2.81	0.000507	SLO 14	0	0	0.00146	-0.00084	si	
68	22.92	20.165	-0.51	196	2.81	0.000541	SLO 15	0	0	0.00126	0.00128	si	
68	22.92	20.165	-0.51	196	2.81	0.000472	SLO 16	0	0	0.00086	0.00131	si	
69	27.02	20.165	-0.51	197	2.81	0.00029	SLO 1	0	0	-0.00076	-0.00059	si	
69	27.02	20.165	-0.51	197	2.81	0.000418	SLO 2	0	0	-0.00115	-0.00077	si	
69	27.02	20.165	-0.51	197	2.81	0.000613	SLO 3	0	0	-0.00136	0.00152	si	
69	27.02	20.165	-0.51	197	2.81	0.000665	SLO 4	0	0	-0.00175	0.00134	si	
69	27.02	20.165	-0.51	197	2.81	0.001076	SLO 5	0	0	0.00077	-0.00349	si	
69	27.02	20.165	-0.51	197	2.81	0.001098	SLO 6	0	0	0.00054	-0.00361	si	
69	27.02	20.165	-0.51	197	2.81	0.001133	SLO 7	0	0	-0.00122	0.00356	si	
69	27.02	20.165	-0.51	197	2.81	0.001125	SLO 8	0	0	-0.00145	0.00344	si	
69	27.02	20.165	-0.51	197	2.81	0.001245	SLO 9	0	0	0.00155	-0.00383	si	
69	27.02	20.165	-0.51	197	2.81	0.001254	SLO 10	0	0	0.00132	-0.00395	si	
69	27.02	20.165	-0.51	197	2.81	0.000978	SLO 11	0	0	-0.00044	0.00322	si	
69	27.02	20.165	-0.51	197	2.81	0.000956	SLO 12	0	0	-0.00067	0.0031	si	
69	27.02	20.165	-0.51	197	2.81	0.000764	SLO 13	0	0	0.00185	-0.00173	si	
69	27.02	20.165	-0.51	197	2.81	0.000723	SLO 14	0	0	0.00146	-0.00191	si	
69	27.02	20.165	-0.51	197	2.81	0.000396	SLO 15	0	0	0.00126	0.00038	si	
69	27.02	20.165	-0.51	197	2.81	0.000266	SLO 16	0	0	0.00086	0.00021	si	
70	31.12	20.165	-0.51	198	2.81	0.000228	SLO 1	0	0	-0.00076	-0.00001	si	
70	31.12	20.165	-0.51	198	2.81	0.000367	SLO 2	0	0	-0.00115	-0.00039	si	
70	31.12	20.165	-0.51	198	2.81	0.000749	SLO 3	0	0	-0.00136	0.00208	si	
70	31.12	20.165	-0.51	198	2.81	0.000736	SLO 4	0	0	-0.00175	0.0017	si	
70	31.12	20.165	-0.51	198	2.81	0.001002	SLO 5	0	0	0.00077	-0.00324	si	
70	31.12	20.165	-0.51	198	2.81	0.001061	SLO 6	0	0	0.00054	-0.00348	si	
70	31.12	20.165	-0.51	198	2.81	0.001182	SLO 7	0	0	-0.00122	0.00373	si	
70	31.12	20.165	-0.51	198	2.81	0.001137	SLO 8	0	0	-0.00145	0.00348	si	
70	31.12	20.165	-0.51	198	2.81	0.001253	SLO 9	0	0	0.00155	-0.00386	si	
70	31.12	20.165	-0.51	198	2.81	0.001298	SLO 10	0	0	0.00132	-0.0041	si	
70	31.12	20.165	-0.51	198	2.81	0.000945	SLO 11	0	0	-0.00044	0.00311	si	
70	31.12	20.165	-0.51	198	2.81	0.000885	SLO 12	0	0	-0.00067	0.00286	si	
70	31.12	20.165	-0.51	198	2.81	0.000839	SLO 13	0	0	0.00185	-0.00208	si	
70	31.12	20.165	-0.51	198	2.81	0.000861	SLO 14	0	0	0.00146	-0.00246	si	
70	31.12	20.165	-0.51	198	2.81	0.000379	SLO 15	0	0	0.00126	0.00001	si	
70	31.12	20.165	-0.51	198	2.81	0.000282	SLO 16	0	0	0.00086	-0.00037	si	
75	10.92	26.065	-0.51	203	2.81	0.000426	SLO 1	-0.00036	-0.00294	-0.00166	-0.0035	si	
75	10.92	26.065	-0.51	203	2.81	0.000416	SLO 2	-0.00038	-0.00284	-0.00176	-0.00288	si	
75	10.92	26.065	-0.51	203	2.81	0.0006	SLO 3	-0.00045	0	-0.00208	-0.00115	si	
75	10.92	26.065	-0.51	203	2.81	0.000548	SLO 4	-0.00047	0.0001	-0.00218	-0.00052	si	
75	10.92	26.065	-0.51	203	2.81	0.000157	SLO 5	0.00005	-0.00537	-0.00019	-0.00487	si	
75	10.92	26.065	-0.51	203	2.81	0.000248	SLO 6	0.00004	-0.00531	0.00014	-0.00449	si	
75	10.92	26.065	-0.51	203	2.81	0.000523	SLO 7	-0.00026	0.00442	-0.00123	0.00298	si	
75	10.92	26.065	-0.51	203	2.81	0.000454	SLO 8	-0.00027					

I.	Nodo inferiore			Nodo superiore		Spost. rel.	Comb.	Spostamento inferiore		Spostamento superiore		S.V.
	Pos.			I.	Pos.			X	Y	X	Y	
	X	Y	Z	Z	n.b.							
75	10.92	26.065	-0.51	203	2.81	0.000388	SLO 9	0.00031	-0.00454	0.00136	-0.00379	si
75	10.92	26.065	-0.51	203	2.81	0.000442	SLO 10	0.0003	-0.00447	0.00132	-0.00342	si
75	10.92	26.065	-0.51	203	2.81	0.000361	SLO 11	0	0.00525	-0.00005	0.00406	si
75	10.92	26.065	-0.51	203	2.81	0.000267	SLO 12	-0.00001	0.00532	-0.00001	0.00444	si
75	10.92	26.065	-0.51	203	2.81	0.000534	SLO 13	0.00051	-0.00016	0.00227	0.00009	si
75	10.92	26.065	-0.51	203	2.81	0.000555	SLO 14	0.00049	-0.00005	0.00217	0.00071	si
75	10.92	26.065	-0.51	203	2.81	0.000442	SLO 15	0.00042	0.00278	0.00184	0.00244	si
75	10.92	26.065	-0.51	203	2.81	0.000409	SLO 16	0.00039	0.00288	0.00174	0.00307	si
76	14.67	26.065	-0.51	204	2.81	0.0001	SLO 1	0	0	-0.00166	-0.00288	si
76	14.67	26.065	-0.51	204	2.81	0.000906	SLO 2	0	0	-0.00176	-0.00244	si
76	14.67	26.065	-0.51	204	2.81	0.000652	SLO 3	0	0	-0.00208	-0.0006	si
76	14.67	26.065	-0.51	204	2.81	0.000659	SLO 4	0	0	-0.00218	-0.00016	si
76	14.67	26.065	-0.51	204	2.81	0.001368	SLO 5	0	0	0.00019	-0.00454	si
76	14.67	26.065	-0.51	204	2.81	0.001288	SLO 6	0	0	0.00014	-0.00427	si
76	14.67	26.065	-0.51	204	2.81	0.000995	SLO 7	0	0	-0.00123	0.00306	si
76	14.67	26.065	-0.51	204	2.81	0.001074	SLO 8	0	0	-0.00128	0.00333	si
76	14.67	26.065	-0.51	204	2.81	0.001203	SLO 9	0	0	0.00136	-0.00375	si
76	14.67	26.065	-0.51	204	2.81	0.001123	SLO 10	0	0	0.00132	-0.00349	si
76	14.67	26.065	-0.51	204	2.81	0.00116	SLO 11	0	0	-0.00005	0.00385	si
76	14.67	26.065	-0.51	204	2.81	0.001239	SLO 12	0	0	-0.00001	0.00411	si
76	14.67	26.065	-0.51	204	2.81	0.000688	SLO 13	0	0	0.00227	-0.00026	si
76	14.67	26.065	-0.51	204	2.81	0.000654	SLO 14	0	0	0.00217	0.00017	si
76	14.67	26.065	-0.51	204	2.81	0.000823	SLO 15	0	0	0.00184	0.00202	si
76	14.67	26.065	-0.51	204	2.81	0.000907	SLO 16	0	0	0.00174	0.00246	si
77	20.07	26.065	-0.51	205	2.81	0.000762	SLO 1	-0.00002	-0.00011	-0.00166	-0.00204	si
77	20.07	26.065	-0.51	205	2.81	0.000746	SLO 2	-0.00003	-0.0001	-0.00176	-0.00187	si
77	20.07	26.065	-0.51	205	2.81	0.000626	SLO 3	-0.00001	0	-0.00208	0.00015	si
77	20.07	26.065	-0.51	205	2.81	0.000659	SLO 4	-0.00002	0.00002	-0.00218	0.00032	si
77	20.07	26.065	-0.51	205	2.81	0.001176	SLO 5	-0.00002	-0.00002	0.00019	-0.0041	si
77	20.07	26.065	-0.51	205	2.81	0.00115	SLO 6	-0.00003	-0.00019	0.00014	-0.00401	si
77	20.07	26.065	-0.51	205	2.81	0.000986	SLO 7	0.00002	0.00018	-0.00123	0.0032	si
77	20.07	26.065	-0.51	205	2.81	0.001015	SLO 8	0.00001	0.00019	-0.00128	0.0033	si
77	20.07	26.065	-0.51	205	2.81	0.001145	SLO 9	-0.00001	-0.00017	0.00136	-0.00371	si
77	20.07	26.065	-0.51	205	2.81	0.001116	SLO 10	-0.00002	-0.00016	0.00132	-0.00361	si
77	20.07	26.065	-0.51	205	2.81	0.00102	SLO 11	0.00002	0.00021	-0.00005	0.0036	si
77	20.07	26.065	-0.51	205	2.81	0.001047	SLO 12	0.00002	0.00022	-0.0001	0.00369	si
77	20.07	26.065	-0.51	205	2.81	0.000715	SLO 13	0.00001	0	0.00227	-0.00073	si
77	20.07	26.065	-0.51	205	2.81	0.000674	SLO 14	0	0.00002	0.00217	-0.00056	si
77	20.07	26.065	-0.51	205	2.81	0.000682	SLO 15	0.00002	0.00012	0.00184	0.00146	si
77	20.07	26.065	-0.51	205	2.81	0.000689	SLO 16	0.00001	0.00013	0.00174	0.00163	si
78	25.57	26.065	-0.51	206	2.81	0.000533	SLO 1	-0.00002	-0.00009	-0.00166	-0.00076	si
78	25.57	26.065	-0.51	206	2.81	0.00057	SLO 2	-0.00003	-0.0001	-0.00176	-0.00086	si
78	25.57	26.065	-0.51	206	2.81	0.000747	SLO 3	-0.00001	0.00001	-0.00208	0.00137	si
78	25.57	26.065	-0.51	206	2.81	0.000755	SLO 4	-0.00002	0.00001	-0.00218	0.00126	si
78	25.57	26.065	-0.51	206	2.81	0.001023	SLO 5	-0.00002	-0.00018	0.00019	-0.00357	si
78	25.57	26.065	-0.51	206	2.81	0.001043	SLO 6	-0.00003	-0.00018	0.00014	-0.00364	si
78	25.57	26.065	-0.51	206	2.81	0.001078	SLO 7	0.00002	0.00017	-0.00123	0.00352	si
78	25.57	26.065	-0.51	206	2.81	0.001063	SLO 8	0.00001	0.00016	-0.00128	0.00345	si
78	25.57	26.065	-0.51	206	2.81	0.001186	SLO 9	-0.00001	-0.00015	0.00136	-0.00384	si
78	25.57	26.065	-0.51	206	2.81	0.001201	SLO 10	-0.00002	-0.00015	0.00132	-0.00391	si
78	25.57	26.065	-0.51	206	2.81	0.00092	SLO 11	0.00002	0.0002	-0.00005	0.00325	si
78	25.57	26.065	-0.51	206	2.81	0.0009	SLO 12	0.00002	0.00019	-0.0001	0.00318	si
78	25.57	26.065	-0.51	206	2.81	0.000844	SLO 13	0.00001	0.00001	0.00227	-0.00166	si
78	25.57	26.065	-0.51	206	2.81	0.00084	SLO 14	0	0	0.00217	-0.00176	si
78	25.57	26.065	-0.51	206	2.81	0.000559	SLO 15	0.00002	0.00011	0.00184	0.00047	si
78	25.57	26.065	-0.51	206	2.81	0.000526	SLO 16	0.00001	0.0001	0.00174	0.00037	si
79	31.12	26.065	-0.51	207	2.81	0.000499	SLO 1	0	0	-0.00166	-0.00001	si
79	31.12	26.065	-0.51	207	2.81	0.000542	SLO 2	0	0	-0.00176	-0.00039	si
79	31.12	26.065	-0.51	207	2.81	0.000887	SLO 3	0	0	-0.00208	0.00208	si
79	31.12	26.065	-0.51	207	2.81	0.000834	SLO 4	0	0	-0.00218	0.0017	si
79	31.12	26.065	-0.51	207	2.81	0.000977	SLO 5	0	0	0.00019	-0.00324	si
79	31.12	26.065	-0.51	207	2.81	0.001049	SLO 6	0	0	0.00014	-0.00348	si
79	31.12	26.065	-0.51	207	2.81	0.001182	SLO 7	0	0	-0.00123	0.00373	si
79	31.12	26.065	-0.51	207	2.81	0.001118	SLO 8	0	0	-0.00128	0.00348	si
79	31.12	26.065	-0.51	207	2.81	0.001233	SLO 9	0	0	0.00136	-0.00386	si
79	31.12	26.065	-0.51	207	2.81	0.001298	SLO 10	0	0	0.00132	-0.0041	si
79	31.12	26.065	-0.51	207	2.81	0.000936	SLO 11	0	0	-0.00005	0.00311	si
79	31.12	26.065	-0.51	207	2.81	0.000863	SLO 12	0	0	-0.0001	0.00286	si
79	31.12	26.065	-0.51	207	2.81	0.000926	SLO 13	0	0	0.00227	-0.00208	si
79	31.12	26.065	-0.51	207	2.81	0.000987	SLO 14	0	0	0.00217	-0.00246	si
79	31.12	26.065	-0.51	207	2.81	0.000555	SLO 15	0	0	0.00184	0.00001	si
79	31.12	26.065	-0.51	207	2.81	0.000536	SLO 16	0	0	0.00174	-0.00037	si
80	33.17	26.065	-0.51	208	2.81	0.000507	SLO 1	0	0	-0.00166	0.00031	si
80	33.17	26.065	-0.51	208	2.81	0.000532	SLO 2	0	0	-0.00176	-0.00017	si
80	33.17	26.065	-0.51	208	2.81	0.000955	SLO 3	0	0	-0.00208	0.00239	si
80	33.17	26.065	-0.51	208	2.81	0.000873	SLO 4	0	0	-0.00218	0.00191	si
80	33.17	26.065	-0.51	208	2.81	0.00094	SLO 5	0	0	0.00019	-0.00312	si
80	33.17	26.065	-0.51	208	2.81	0.001032	SLO 6	0	0	0.00014	-0.00342	si
80	33.17	26.065	-0.51	208	2.81	0.001212	SLO 7	0	0	-0.00123	0.00383	si
80	33.17	26.065	-0.51	208	2.81	0.001129	SLO 8	0	0	-0.00128	0.00352	si
80	33.17	26.065	-0.51	208	2.81	0.001242	SLO 9	0	0	0.00136	-0.00389	si
80	33.17	26.065	-0.51	208	2.81	0.001325	SLO 10	0	0	0.00132	-0.0042	si
80	33.17	26.065	-0.51	208	2.81	0.00092	SLO 11	0	0	-0.00005	0.00305	si
80	33.17	26.065	-0.51	208	2.81	0.000828	SLO 12	0	0	-0.0001	0.00275	si
80	33.17	26.065	-0.51	208	2.81	0.000968	SLO 13	0	0	0.00227	-0.00228	si
80	33.17	26.065	-0.51	208	2.81	0.001057	SLO 14	0	0	0.00217	-0.00276	si
80	33.17	26.065	-0.51	208	2.81	0.000558	SLO 15	0	0	0.00184	-0.00019	si
80	33.17	26.065	-0.51	208	2.81	0.000563	SLO 16	0	0	0.00174	-0.00068	si
107	14.57	28.653	-0.51	218	2.81	0.001033	SLO 1	0	-0.00016	-0.00207	-0.0029	si
107	14.57	28.653	-0.51	218	2.81	0.000933	SLO 2	0	-0.00012	-0.00204	-0.00245	si
107	14.57	28.653	-0.51	218	2.81	0.000758	SLO 3	-0.00001	-0.00003	-0.00245	-0.00061	si
107	14.57	28.653	-0.51	218	2.81	0.00073	SLO 4	0	0.00001	-0.00242	-0.00017	si
107	14.57	28.653	-0.51	218	2.81	0.001297	SLO 5	0	-0.00024	-0.00002	-0.00455	si
107	14.57	28.653	-0.51	218	2.81	0.001225	SLO 6	0	-0.00021	0.00001	-0.00428	si
107	14.57	28.653	-0.51	218	2.81	0.00095	SLO 7	0	0.00019	-0.0013	0.00306	si</

I.	Nodo inferiore			Nodo superiore		Spost. rel.	Comb.	Spostamento inferiore		Spostamento superiore		S.V.
	Pos.			I.	Pos.			X	Y	X	Y	
	X	Y	Z		Z							
107	14.57	28.653	-0.51	218	2.81	0.001162	SLO 12	0	0.00027	0.0001	0.00412	si
107	14.57	28.653	-0.51	218	2.81	0.000756	SLO 13	0	0.00002	0.0025	-0.00025	si
107	14.57	28.653	-0.51	218	2.81	0.000762	SLO 14	0.00001	0.00005	0.00253	0.00019	si
107	14.57	28.653	-0.51	218	2.81	0.000852	SLO 15	0	0.00014	0.00212	0.00203	si
107	14.57	28.653	-0.51	218	2.81	0.000944	SLO 16	0	0.00018	0.00215	0.00247	si
114	20.07	28.653	-0.51	219	2.81	0.00085	SLO 1	0	-0.00011	-0.00207	-0.00204	si
114	20.07	28.653	-0.51	219	2.81	0.000813	SLO 2	0	-0.0001	-0.00204	-0.00187	si
114	20.07	28.653	-0.51	219	2.81	0.000738	SLO 3	-0.00001	0	-0.00245	0.00015	si
114	20.07	28.653	-0.51	219	2.81	0.000734	SLO 4	0	0.00002	-0.00242	0.00032	si
114	20.07	28.653	-0.51	219	2.81	0.001175	SLO 5	0	-0.0002	-0.00002	-0.0041	si
114	20.07	28.653	-0.51	219	2.81	0.001149	SLO 6	0	-0.00019	0.00001	-0.00401	si
114	20.07	28.653	-0.51	219	2.81	0.000993	SLO 7	0	0.00018	-0.00013	0.0032	si
114	20.07	28.653	-0.51	219	2.81	0.001013	SLO 8	0	0.00019	-0.00127	0.0033	si
114	20.07	28.653	-0.51	219	2.81	0.001141	SLO 9	0	-0.00017	0.00135	-0.00371	si
114	20.07	28.653	-0.51	219	2.81	0.001121	SLO 10	0	-0.00016	0.00138	-0.00361	si
114	20.07	28.653	-0.51	219	2.81	0.00102	SLO 11	0	0.00021	0.00007	0.0036	si
114	20.07	28.653	-0.51	219	2.81	0.001046	SLO 12	0	0.00022	0.0001	0.00369	si
114	20.07	28.653	-0.51	219	2.81	0.000783	SLO 13	0	0	0.0025	-0.00073	si
114	20.07	28.653	-0.51	219	2.81	0.00078	SLO 14	0.00001	0.00002	0.00253	-0.00056	si
114	20.07	28.653	-0.51	219	2.81	0.000754	SLO 15	0	0.00012	0.00212	0.00146	si
114	20.07	28.653	-0.51	219	2.81	0.000787	SLO 16	0	0.00013	0.00215	0.00163	si
121	25.57	28.653	-0.51	220	2.81	0.000653	SLO 1	0	-0.00009	-0.00207	-0.00076	si
121	25.57	28.653	-0.51	220	2.81	0.000655	SLO 2	0	-0.0001	-0.00204	-0.00086	si
121	25.57	28.653	-0.51	220	2.81	0.000843	SLO 3	-0.00001	0.00001	-0.00245	0.00137	si
121	25.57	28.653	-0.51	220	2.81	0.000821	SLO 4	0	0.00001	-0.00242	0.00126	si
121	25.57	28.653	-0.51	220	2.81	0.001022	SLO 5	0	-0.00018	-0.00002	-0.00357	si
121	25.57	28.653	-0.51	220	2.81	0.001042	SLO 6	0	-0.00018	0.00001	-0.00364	si
121	25.57	28.653	-0.51	220	2.81	0.001084	SLO 7	0	0.00017	-0.00013	0.00352	si
121	25.57	28.653	-0.51	220	2.81	0.001061	SLO 8	0	0.00016	-0.00127	0.00345	si
121	25.57	28.653	-0.51	220	2.81	0.001183	SLO 9	0	-0.00015	0.00135	-0.00384	si
121	25.57	28.653	-0.51	220	2.81	0.001206	SLO 10	0	-0.00015	0.00138	-0.00391	si
121	25.57	28.653	-0.51	220	2.81	0.00092	SLO 11	0	0.0002	0.00007	0.00325	si
121	25.57	28.653	-0.51	220	2.81	0.0009	SLO 12	0	0.00019	0.0001	0.00318	si
121	25.57	28.653	-0.51	220	2.81	0.000903	SLO 13	0	0.00001	0.0025	-0.00166	si
121	25.57	28.653	-0.51	220	2.81	0.000927	SLO 14	0.00001	0	0.00253	-0.00176	si
121	25.57	28.653	-0.51	220	2.81	0.000646	SLO 15	0	0.00011	0.00212	0.00047	si
121	25.57	28.653	-0.51	220	2.81	0.00065	SLO 16	0	0.0001	0.00215	0.00037	si
128	31.07	28.653	-0.51	221	2.81	0.000622	SLO 1	0	-0.0001	-0.00207	-0.00001	si
128	31.07	28.653	-0.51	221	2.81	0.000618	SLO 2	0	-0.00012	-0.00204	-0.00039	si
128	31.07	28.653	-0.51	221	2.81	0.000966	SLO 3	-0.00001	0	-0.00245	0.00208	si
128	31.07	28.653	-0.51	221	2.81	0.000894	SLO 4	0	-0.00003	-0.00242	0.0017	si
128	31.07	28.653	-0.51	221	2.81	0.000924	SLO 5	0	-0.00017	-0.00002	-0.00324	si
128	31.07	28.653	-0.51	221	2.81	0.000991	SLO 6	0	-0.00019	0.00001	-0.00348	si
128	31.07	28.653	-0.51	221	2.81	0.001143	SLO 7	0	0.00016	-0.00013	0.00373	si
128	31.07	28.653	-0.51	221	2.81	0.001077	SLO 8	0	0.00014	-0.00127	0.00348	si
128	31.07	28.653	-0.51	221	2.81	0.001193	SLO 9	0	-0.00013	0.00135	-0.00386	si
128	31.07	28.653	-0.51	221	2.81	0.001259	SLO 10	0	-0.00015	0.00138	-0.0041	si
128	31.07	28.653	-0.51	221	2.81	0.000877	SLO 11	0	0.0002	0.00007	0.00311	si
128	31.07	28.653	-0.51	221	2.81	0.00081	SLO 12	0	0.00018	0.0001	0.00287	si
128	31.07	28.653	-0.51	221	2.81	0.000983	SLO 13	0	0.00003	0.0025	-0.00207	si
128	31.07	28.653	-0.51	221	2.81	0.001061	SLO 14	0.00001	0	0.00253	-0.00245	si
128	31.07	28.653	-0.51	221	2.81	0.000637	SLO 15	0	0.00013	0.00212	0.00002	si
128	31.07	28.653	-0.51	221	2.81	0.00066	SLO 16	0	0.0001	0.00215	-0.00036	si
139	7.72	48.265	-0.21	235	2.81	0.000819	SLO 1	0	0	-0.00239	0.00063	si
139	7.72	48.265	-0.21	235	2.81	0.000834	SLO 2	0	0	-0.00226	0.00112	si
139	7.72	48.265	-0.21	235	2.81	0.000994	SLO 3	0	0	-0.00188	0.00234	si
139	7.72	48.265	-0.21	235	2.81	0.001101	SLO 4	0	0	-0.00174	0.00283	si
139	7.72	48.265	-0.21	235	2.81	0.000983	SLO 5	0	0	-0.00152	-0.00255	si
139	7.72	48.265	-0.21	235	2.81	0.000888	SLO 6	0	0	-0.00145	-0.00225	si
139	7.72	48.265	-0.21	235	2.81	0.001049	SLO 7	0	0	0.0002	0.00316	si
139	7.72	48.265	-0.21	235	2.81	0.001149	SLO 8	0	0	0.00026	0.00346	si
139	7.72	48.265	-0.21	235	2.81	0.001211	SLO 9	0	0	-0.00029	-0.00364	si
139	7.72	48.265	-0.21	235	2.81	0.001111	SLO 10	0	0	-0.00022	-0.00335	si
139	7.72	48.265	-0.21	235	2.81	0.000833	SLO 11	0	0	0.00143	0.00207	si
139	7.72	48.265	-0.21	235	2.81	0.000927	SLO 12	0	0	0.00015	0.00237	si
139	7.72	48.265	-0.21	235	2.81	0.001151	SLO 13	0	0	0.00172	-0.00302	si
139	7.72	48.265	-0.21	235	2.81	0.001038	SLO 14	0	0	0.00186	-0.00253	si
139	7.72	48.265	-0.21	235	2.81	0.000857	SLO 15	0	0	0.00224	-0.00013	si
139	7.72	48.265	-0.21	235	2.81	0.00083	SLO 16	0	0	0.00237	-0.00081	si
140	11.12	48.265	-0.21	236	2.81	0.000797	SLO 1	0	0	-0.00239	0.00027	si
140	11.12	48.265	-0.21	236	2.81	0.000777	SLO 2	0	0	-0.00226	0.00064	si
140	11.12	48.265	-0.21	236	2.81	0.00091	SLO 3	0	0	-0.00188	0.00201	si
140	11.12	48.265	-0.21	236	2.81	0.000977	SLO 4	0	0	-0.00174	0.00238	si
140	11.12	48.265	-0.21	236	2.81	0.001023	SLO 5	0	0	-0.00152	-0.00269	si
140	11.12	48.265	-0.21	236	2.81	0.000947	SLO 6	0	0	-0.00145	-0.00246	si
140	11.12	48.265	-0.21	236	2.81	0.001034	SLO 7	0	0	0.0002	0.00312	si
140	11.12	48.265	-0.21	236	2.81	0.00111	SLO 8	0	0	0.00026	0.00334	si
140	11.12	48.265	-0.21	236	2.81	0.001177	SLO 9	0	0	-0.00029	-0.00354	si
140	11.12	48.265	-0.21	236	2.81	0.001101	SLO 10	0	0	-0.00022	-0.00332	si
140	11.12	48.265	-0.21	236	2.81	0.000886	SLO 11	0	0	0.00143	0.00226	si
140	11.12	48.265	-0.21	236	2.81	0.000961	SLO 12	0	0	0.00015	0.00249	si
140	11.12	48.265	-0.21	236	2.81	0.001028	SLO 13	0	0	0.00172	-0.00258	si
140	11.12	48.265	-0.21	236	2.81	0.000956	SLO 14	0	0	0.00186	-0.00221	si
140	11.12	48.265	-0.21	236	2.81	0.000791	SLO 15	0	0	0.00224	-0.00084	si
140	11.12	48.265	-0.21	236	2.81	0.000801	SLO 16	0	0	0.00237	-0.00047	si
141	31.07	48.265	-0.21	237	2.81	0.001043	SLO 1	0	0	-0.00239	-0.00205	si
141	31.07	48.265	-0.21	237	2.81	0.001085	SLO 2	0	0	-0.00226	-0.00237	si
141	31.07	48.265	-0.21	237	2.81	0.000624	SLO 3	0	0	-0.00188	0.00014	si
141	31.07	48.265	-0.21	237	2.81	0.00058	SLO 4	0	0	-0.00174	-0.00018	si
141	31.07	48.265	-0.21	237	2.81	0.001413	SLO 5	0	0	-0.00152	-0.00399	si
141	31.07	48.265	-0.21	237	2.81	0.00147	SLO 6	0	0	-0.00145	-0.0042	si
141	31.07	48.265	-0.21	237	2.81	0.0011	SLO 7	0	0	0.0002	0.00332	si
141	31.07	48.265	-0.21	237	2.81	0.001032	SLO 8	0	0	0.00026	0.00311	si
141	31.07	48.265	-0.21	237	2.81	0.001132	SLO 9	0	0	-0.00029	-0.00341	si
141	31.07	48.265	-0.21	237	2.81	0.0012	SLO 10	0	0	-0.00022	-0.00362	si
141	31.07	48.265	-0.21	237	2.81	0.001374	SLO					

I.	Nodo inferiore			Nodo superiore		Spost. rel.	Comb.	Spostamento inferiore		Spostamento superiore		S.V.
	Pos.			I.	Pos.			X	Y	X	Y	
	X	Y	Z		Z							
141	31.07	48.265	-0.21	237	2.81	0.00101	SLO 15	0	0	0.00224	0.00207	si
141	31.07	48.265	-0.21	237	2.81	0.000975	SLO 16	0	0	0.00237	0.00175	si
142	33.17	48.265	-0.21	238	2.81	0.001098	SLO 1	0	0	-0.00239	-0.00229	si
142	33.17	48.265	-0.21	238	2.81	0.001164	SLO 2	0	0	-0.00226	-0.00269	si
142	33.17	48.265	-0.21	238	2.81	0.000622	SLO 3	0	0	-0.00188	-0.00003	si
142	33.17	48.265	-0.21	238	2.81	0.000594	SLO 4	0	0	-0.00174	-0.00043	si
142	33.17	48.265	-0.21	238	2.81	0.001465	SLO 5	0	0	-0.00152	-0.00416	si
142	33.17	48.265	-0.21	238	2.81	0.001538	SLO 6	0	0	-0.00145	-0.00441	si
142	33.17	48.265	-0.21	238	2.81	0.00112	SLO 7	0	0	0.00002	0.00338	si
142	33.17	48.265	-0.21	238	2.81	0.001037	SLO 8	0	0	0.00026	0.00312	si
142	33.17	48.265	-0.21	238	2.81	0.00114	SLO 9	0	0	-0.00029	-0.00343	si
142	33.17	48.265	-0.21	238	2.81	0.001223	SLO 10	0	0	-0.00022	-0.00369	si
142	33.17	48.265	-0.21	238	2.81	0.001438	SLO 11	0	0	0.00143	0.0041	si
142	33.17	48.265	-0.21	238	2.81	0.001367	SLO 12	0	0	0.00015	0.00385	si
142	33.17	48.265	-0.21	238	2.81	0.000571	SLO 13	0	0	0.00172	0.00012	si
142	33.17	48.265	-0.21	238	2.81	0.000622	SLO 14	0	0	0.00186	-0.00028	si
142	33.17	48.265	-0.21	238	2.81	0.001082	SLO 15	0	0	0.00224	0.00238	si
142	33.17	48.265	-0.21	238	2.81	0.001024	SLO 16	0	0	0.00237	0.00198	si
143	14.57	48.265	-0.21	239	2.81	0.000793	SLO 1	0	0	-0.00239	-0.00011	si
143	14.57	48.265	-0.21	239	2.81	0.000749	SLO 2	0	0	-0.00226	0.00015	si
143	14.57	48.265	-0.21	239	2.81	0.000835	SLO 3	0	0	-0.00188	0.00168	si
143	14.57	48.265	-0.21	239	2.81	0.000861	SLO 4	0	0	-0.00174	0.00193	si
143	14.57	48.265	-0.21	239	2.81	0.001071	SLO 5	0	0	-0.00152	-0.00285	si
143	14.57	48.265	-0.21	239	2.81	0.001017	SLO 6	0	0	-0.00145	-0.00271	si
143	14.57	48.265	-0.21	239	2.81	0.001029	SLO 7	0	0	0.00002	0.0031	si
143	14.57	48.265	-0.21	239	2.81	0.001079	SLO 8	0	0	0.00026	0.00325	si
143	14.57	48.265	-0.21	239	2.81	0.001152	SLO 9	0	0	-0.00029	-0.00347	si
143	14.57	48.265	-0.21	239	2.81	0.001101	SLO 10	0	0	-0.00022	-0.00332	si
143	14.57	48.265	-0.21	239	2.81	0.00095	SLO 11	0	0	0.00143	0.00249	si
143	14.57	48.265	-0.21	239	2.81	0.001004	SLO 12	0	0	0.00015	0.00264	si
143	14.57	48.265	-0.21	239	2.81	0.000912	SLO 13	0	0	0.00172	-0.00215	si
143	14.57	48.265	-0.21	239	2.81	0.00088	SLO 14	0	0	-0.00186	-0.0019	si
143	14.57	48.265	-0.21	239	2.81	0.00075	SLO 15	0	0	0.00224	-0.00037	si
143	14.57	48.265	-0.21	239	2.81	0.000786	SLO 16	0	0	0.00237	-0.00011	si
144	20.07	48.265	-0.21	240	2.81	0.000825	SLO 1	0	0	-0.00239	-0.00069	si
144	20.07	48.265	-0.21	240	2.81	0.000776	SLO 2	0	0	-0.00226	-0.00063	si
144	20.07	48.265	-0.21	240	2.81	0.000738	SLO 3	0	0	-0.00188	0.0012	si
144	20.07	48.265	-0.21	240	2.81	0.000711	SLO 4	0	0	-0.00174	0.00126	si
144	20.07	48.265	-0.21	240	2.81	0.001163	SLO 5	0	0	-0.00152	-0.00317	si
144	20.07	48.265	-0.21	240	2.81	0.001144	SLO 6	0	0	-0.00145	-0.00314	si
144	20.07	48.265	-0.21	240	2.81	0.00104	SLO 7	0	0	0.00002	0.00313	si
144	20.07	48.265	-0.21	240	2.81	0.001051	SLO 8	0	0	0.00026	0.00316	si
144	20.07	48.265	-0.21	240	2.81	0.001133	SLO 9	0	0	-0.00029	-0.00341	si
144	20.07	48.265	-0.21	240	2.81	0.001121	SLO 10	0	0	-0.00022	-0.00338	si
144	20.07	48.265	-0.21	240	2.81	0.001068	SLO 11	0	0	0.00143	0.00289	si
144	20.07	48.265	-0.21	240	2.81	0.001086	SLO 12	0	0	0.00015	0.00292	si
144	20.07	48.265	-0.21	240	2.81	0.000757	SLO 13	0	0	0.00172	-0.00015	si
144	20.07	48.265	-0.21	240	2.81	0.000779	SLO 14	0	0	0.00186	-0.00145	si
144	20.07	48.265	-0.21	240	2.81	0.000751	SLO 15	0	0	0.00224	0.00039	si
144	20.07	48.265	-0.21	240	2.81	0.000799	SLO 16	0	0	0.00237	0.00044	si
145	25.57	48.265	-0.21	241	2.81	0.000925	SLO 1	0	0	-0.00239	-0.00144	si
145	25.57	48.265	-0.21	241	2.81	0.000911	SLO 2	0	0	-0.00226	-0.00157	si
145	25.57	48.265	-0.21	241	2.81	0.000652	SLO 3	0	0	-0.00188	0.00059	si
145	25.57	48.265	-0.21	241	2.81	0.000596	SLO 4	0	0	-0.00174	0.00045	si
145	25.57	48.265	-0.21	241	2.81	0.001287	SLO 5	0	0	-0.00152	-0.00358	si
145	25.57	48.265	-0.21	241	2.81	0.001306	SLO 6	0	0	-0.00145	-0.00367	si
145	25.57	48.265	-0.21	241	2.81	0.001055	SLO 7	0	0	0.00002	0.00318	si
145	25.57	48.265	-0.21	241	2.81	0.001027	SLO 8	0	0	0.00026	0.00309	si
145	25.57	48.265	-0.21	241	2.81	0.001117	SLO 9	0	0	-0.00029	-0.00336	si
145	25.57	48.265	-0.21	241	2.81	0.001146	SLO 10	0	0	-0.00022	-0.00345	si
145	25.57	48.265	-0.21	241	2.81	0.001219	SLO 11	0	0	0.00143	0.00339	si
145	25.57	48.265	-0.21	241	2.81	0.001201	SLO 12	0	0	0.00015	0.0033	si
145	25.57	48.265	-0.21	241	2.81	0.000619	SLO 13	0	0	0.00172	-0.00073	si
145	25.57	48.265	-0.21	241	2.81	0.000678	SLO 14	0	0	0.00186	-0.00086	si
145	25.57	48.265	-0.21	241	2.81	0.000856	SLO 15	0	0	0.00224	0.00013	si
145	25.57	48.265	-0.21	241	2.81	0.000875	SLO 16	0	0	0.00237	0.00117	si
146	7.72	52.415	-0.21	242	2.81	0.000689	SLO 1	0	0	-0.00198	0.00063	si
146	7.72	52.415	-0.21	242	2.81	0.000674	SLO 2	0	0	-0.0017	0.00112	si
146	7.72	52.415	-0.21	242	2.81	0.000916	SLO 3	0	0	-0.00147	0.00234	si
146	7.72	52.415	-0.21	242	2.81	0.001018	SLO 4	0	0	-0.00119	0.00283	si
146	7.72	52.415	-0.21	242	2.81	0.000964	SLO 5	0	0	-0.0014	-0.00255	si
146	7.72	52.415	-0.21	242	2.81	0.000853	SLO 6	0	0	-0.00125	-0.00225	si
146	7.72	52.415	-0.21	242	2.81	0.001051	SLO 7	0	0	0.00029	0.00316	si
146	7.72	52.415	-0.21	242	2.81	0.001155	SLO 8	0	0	0.00045	0.00346	si
146	7.72	52.415	-0.21	242	2.81	0.001216	SLO 9	0	0	-0.00045	-0.00364	si
146	7.72	52.415	-0.21	242	2.81	0.001113	SLO 10	0	0	-0.00003	-0.00335	si
146	7.72	52.415	-0.21	242	2.81	0.00008	SLO 11	0	0	0.00025	0.00207	si
146	7.72	52.415	-0.21	242	2.81	0.000911	SLO 12	0	0	0.00014	0.00237	si
146	7.72	52.415	-0.21	242	2.81	0.001075	SLO 13	0	0	0.00119	-0.00302	si
146	7.72	52.415	-0.21	242	2.81	0.000968	SLO 14	0	0	0.00147	-0.00253	si
146	7.72	52.415	-0.21	242	2.81	0.000071	SLO 15	0	0	0.00017	-0.00013	si
146	7.72	52.415	-0.21	242	2.81	0.000071	SLO 16	0	0	0.00198	-0.00081	si
147	11.12	52.415	-0.21	243	2.81	0.000663	SLO 1	0	0	-0.00198	0.00027	si
147	11.12	52.415	-0.21	243	2.81	0.000602	SLO 2	0	0	-0.0017	0.00064	si
147	11.12	52.415	-0.21	243	2.81	0.000825	SLO 3	0	0	-0.00147	0.00201	si
147	11.12	52.415	-0.21	243	2.81	0.000882	SLO 4	0	0	-0.00119	0.00238	si
147	11.12	52.415	-0.21	243	2.81	0.001004	SLO 5	0	0	-0.00014	-0.00269	si
147	11.12	52.415	-0.21	243	2.81	0.000915	SLO 6	0	0	-0.00125	-0.00246	si
147	11.12	52.415	-0.21	243	2.81	0.001037	SLO 7	0	0	0.00029	0.00312	si
147	11.12	52.415	-0.21	243	2.81	0.001116	SLO 8	0	0	0.00045	0.00334	si
147	11.12	52.415	-0.21	243	2.81	0.001183	SLO 9	0	0	-0.00045	-0.00354	si
147	11.12	52.415	-0.21	243	2.81	0.001103	SLO 10	0	0	-0.00003	-0.00332	si
147	11.12	52.415	-0.21	243	2.81	0.000855	SLO 11	0	0	0.00125	0.00226	si
147	11.12	52.415	-0.21	243	2.81	0.000945	SLO 12	0	0	0.00014	0.00249	si
147	11.12	52.415	-0.21	243	2.81	0.000942	SLO 13	0	0	0.00119	-0.00258	si
147	11.12	52.415	-0.21	243	2.81	0.00088	SLO 14	0	0	0.00147	-0.00221	si
147	11.12	52.415	-0.21	243	2.81	0.000628	SLO 15	0	0	0.00017	-0.00084	si
147	11.12	52.415	-0.21	243	2.81	0.000675	SLO 16	0	0	0.00198	-0.00047	si
148	14.52											

I.	Nodo inferiore			Nodo superiore		Spost. rel.	c.n.b.	Spostamento inferiore		Spostamento superiore		S.V.
	Pos.			I.	Pos.			X	Y	X	Y	
	X	Y	Z		Z							
148	14.52	52.415	-0.21	244	2.81	0.000566	SLO 2	0	0	-0.0017	0.00015	si
148	14.52	52.415	-0.21	244	2.81	0.000741	SLO 3	0	0	-0.00147	0.00169	si
148	14.52	52.415	-0.21	244	2.81	0.000754	SLO 4	0	0	-0.00119	0.00194	si
148	14.52	52.415	-0.21	244	2.81	0.001053	SLO 5	0	0	-0.00014	-0.00285	si
148	14.52	52.415	-0.21	244	2.81	0.000985	SLO 6	0	0	-0.00125	-0.0027	si
148	14.52	52.415	-0.21	244	2.81	0.001031	SLO 7	0	0	-0.00029	0.0031	si
148	14.52	52.415	-0.21	244	2.81	0.001086	SLO 8	0	0	0.00045	0.00325	si
148	14.52	52.415	-0.21	244	2.81	0.001158	SLO 9	0	0	-0.00045	-0.00347	si
148	14.52	52.415	-0.21	244	2.81	0.001103	SLO 10	0	0	-0.00003	-0.00332	si
148	14.52	52.415	-0.21	244	2.81	0.00092	SLO 11	0	0	0.00125	0.00248	si
148	14.52	52.415	-0.21	244	2.81	0.000988	SLO 12	0	0	0.0014	0.00263	si
148	14.52	52.415	-0.21	244	2.81	0.000816	SLO 13	0	0	0.00119	-0.00216	si
148	14.52	52.415	-0.21	244	2.81	0.000797	SLO 14	0	0	0.00147	-0.0019	si
148	14.52	52.415	-0.21	244	2.81	0.000577	SLO 15	0	0	0.0017	-0.00037	si
148	14.52	52.415	-0.21	244	2.81	0.000658	SLO 16	0	0	0.00198	-0.00012	si
217	9.07	28.715	2.81	279	6.5	0.001379	SLO 1	-0.00207	-0.00381	-0.00604	-0.007	si
217	9.07	28.715	2.81	279	6.5	0.001454	SLO 2	-0.00204	-0.0031	-0.00625	-0.00642	si
217	9.07	28.715	2.81	279	6.5	0.002019	SLO 3	-0.00245	-0.00142	-0.00749	0.00408	si
217	9.07	28.715	2.81	279	6.5	0.002039	SLO 4	-0.00242	-0.0007	-0.0077	0.00466	si
217	9.07	28.715	2.81	279	6.5	0.003917	SLO 5	-0.00002	-0.00504	0.00043	-0.01949	no
217	9.07	28.715	2.81	279	6.5	0.003972	SLO 6	0.00001	-0.00461	0.00036	-0.01926	no
217	9.07	28.715	2.81	279	6.5	0.004016	SLO 7	-0.0013	0.00294	-0.0044	0.01743	no
217	9.07	28.715	2.81	279	6.5	0.003968	SLO 8	-0.00127	0.00338	-0.00448	0.01767	no
217	9.07	28.715	2.81	279	6.5	0.004277	SLO 9	0.00135	-0.00382	0.00459	-0.01927	no
217	9.07	28.715	2.81	279	6.5	0.004325	SLO 10	0.00138	-0.00338	0.00451	-0.01903	no
217	9.07	28.715	2.81	279	6.5	0.003657	SLO 11	0.00007	0.00416	-0.00024	0.01766	no
217	9.07	28.715	2.81	279	6.5	0.003602	SLO 12	0.0001	0.0046	-0.00032	0.01789	no
217	9.07	28.715	2.81	279	6.5	0.002279	SLO 13	0.0025	0.00026	0.00781	-0.00626	si
217	9.07	28.715	2.81	279	6.5	0.002266	SLO 14	0.00253	0.00098	0.0076	-0.00568	si
217	9.07	28.715	2.81	279	6.5	0.001292	SLO 15	0.00212	0.00265	0.00636	0.00482	si
217	9.07	28.715	2.81	279	6.5	0.001216	SLO 16	0.00215	0.00337	0.00615	0.0054	si
218	14.57	28.715	2.81	280	6.5	0.001391	SLO 1	-0.00207	-0.00229	-0.00604	-0.00615	si
218	14.57	28.715	2.81	280	6.5	0.001455	SLO 2	-0.00204	-0.00245	-0.00626	-0.00577	si
218	14.57	28.715	2.81	280	6.5	0.001811	SLO 3	-0.00245	-0.00061	-0.0075	0.00377	si
218	14.57	28.715	2.81	280	6.5	0.00185	SLO 4	-0.00242	-0.00017	-0.00771	0.00414	si
218	14.57	28.715	2.81	280	6.5	0.003486	SLO 5	-0.00002	-0.00455	0.00043	-0.0174	no
218	14.57	28.715	2.81	280	6.5	0.00352	SLO 6	0.00001	-0.00428	0.00036	-0.01726	no
218	14.57	28.715	2.81	280	6.5	0.003513	SLO 7	-0.0013	0.00306	-0.00441	0.01565	no
218	14.57	28.715	2.81	280	6.5	0.003486	SLO 8	-0.00127	0.00333	-0.00449	0.01578	no
218	14.57	28.715	2.81	280	6.5	0.003758	SLO 9	0.00135	-0.00375	0.00459	-0.01724	no
218	14.57	28.715	2.81	280	6.5	0.003785	SLO 10	0.00138	-0.00349	0.00452	-0.0171	no
218	14.57	28.715	2.81	280	6.5	0.003241	SLO 11	0.00007	0.00385	-0.00025	0.01581	si
218	14.57	28.715	2.81	280	6.5	0.003208	SLO 12	0.0001	0.00412	-0.00033	0.01595	si
218	14.57	28.715	2.81	280	6.5	0.002044	SLO 13	0.0025	-0.00025	0.00782	-0.0056	si
218	14.57	28.715	2.81	280	6.5	0.00201	SLO 14	0.00253	0.00021	0.0076	-0.00522	si
218	14.57	28.715	2.81	280	6.5	0.001309	SLO 15	0.00212	0.00203	0.00637	0.00432	si
218	14.57	28.715	2.81	280	6.5	0.001241	SLO 16	0.00215	0.00247	0.00615	0.00469	si
219	20.07	28.715	2.81	281	6.5	0.001386	SLO 1	-0.00207	-0.00204	-0.00606	-0.00524	si
219	20.07	28.715	2.81	281	6.5	0.001443	SLO 2	-0.00204	-0.00187	-0.00628	-0.00509	si
219	20.07	28.715	2.81	281	6.5	0.001628	SLO 3	-0.00245	0.00015	-0.00752	0.00338	si
219	20.07	28.715	2.81	281	6.5	0.001683	SLO 4	-0.00242	0.00032	-0.00774	0.00353	si
219	20.07	28.715	2.81	281	6.5	0.002978	SLO 5	-0.00002	-0.0041	0.00044	-0.01508	si
219	20.07	28.715	2.81	281	6.5	0.002995	SLO 6	0.00001	-0.00401	0.00036	-0.01505	si
219	20.07	28.715	2.81	281	6.5	0.002953	SLO 7	-0.0013	0.0032	-0.00443	0.01365	si
219	20.07	28.715	2.81	281	6.5	0.002945	SLO 8	-0.00127	0.0033	-0.0045	0.01368	si
219	20.07	28.715	2.81	281	6.5	0.003173	SLO 9	0.00135	-0.00371	0.00461	-0.01495	si
219	20.07	28.715	2.81	281	6.5	0.003182	SLO 10	0.00138	-0.00361	0.00453	-0.01492	si
219	20.07	28.715	2.81	281	6.5	0.00276	SLO 11	0.00007	0.0036	-0.00025	0.01377	si
219	20.07	28.715	2.81	281	6.5	0.002742	SLO 12	0.0001	0.00369	-0.00033	0.0138	si
219	20.07	28.715	2.81	281	6.5	0.001822	SLO 13	0.0025	-0.00073	0.00784	-0.00481	si
219	20.07	28.715	2.81	281	6.5	0.001772	SLO 14	0.00253	-0.00056	0.00762	-0.00466	si
219	20.07	28.715	2.81	281	6.5	0.001321	SLO 15	0.00212	0.00146	0.00639	0.00381	si
219	20.07	28.715	2.81	281	6.5	0.001259	SLO 16	0.00215	0.00163	0.00616	0.00396	si
220	25.57	28.715	2.81	282	6.5	0.00147	SLO 1	-0.00207	-0.00076	-0.00609	-0.00439	si
220	25.57	28.715	2.81	282	6.5	0.001518	SLO 2	-0.00204	-0.00086	-0.00632	-0.00448	si
220	25.57	28.715	2.81	282	6.5	0.001445	SLO 3	-0.00245	0.00137	-0.00756	0.0029	si
220	25.57	28.715	2.81	282	6.5	0.001513	SLO 4	-0.00242	0.00126	-0.00779	0.00281	si
220	25.57	28.715	2.81	282	6.5	0.002484	SLO 5	-0.00002	-0.00357	0.00044	-0.01272	si
220	25.57	28.715	2.81	282	6.5	0.002485	SLO 6	0.00001	-0.00364	0.00036	-0.0128	si
220	25.57	28.715	2.81	282	6.5	0.002342	SLO 7	-0.0013	0.00352	-0.00445	0.01157	si
220	25.57	28.715	2.81	282	6.5	0.002352	SLO 8	-0.00127	0.00345	-0.00453	0.01149	si
220	25.57	28.715	2.81	282	6.5	0.002529	SLO 9	0.00135	-0.00384	0.00463	-0.01258	si
220	25.57	28.715	2.81	282	6.5	0.002521	SLO 10	0.00138	-0.00391	0.00455	-0.01266	si
220	25.57	28.715	2.81	282	6.5	0.002297	SLO 11	0.00007	0.00325	-0.00026	0.01172	si
220	25.57	28.715	2.81	282	6.5	0.002296	SLO 12	0.0001	0.00318	-0.00034	0.01164	si
220	25.57	28.715	2.81	282	6.5	0.001581	SLO 13	0.0025	-0.00166	0.00789	-0.0039	si
220	25.57	28.715	2.81	282	6.5	0.001515	SLO 14	0.00253	-0.00176	0.00766	-0.00398	si
220	25.57	28.715	2.81	282	6.5	0.00141	SLO 15	0.00212	0.00047	0.00642	0.00339	si
220	25.57	28.715	2.81	282	6.5	0.001356	SLO 16	0.00215	0.00037	0.00619	0.00331	si
221	31.07	28.715	2.81	283	6.5	0.001492	SLO 1	-0.00207	-0.00001	-0.00615	-0.00371	si
221	31.07	28.715	2.81	283	6.5	0.00153	SLO 2	-0.00204	-0.00039	-0.00638	-0.004	si
221	31.07	28.715	2.81	283	6.5	0.001405	SLO 3	-0.00245	0.00208	-0.00762	0.00245	si
221	31.07	28.715	2.81	283	6.5	0.001478	SLO 4	-0.00242	0.0017	-0.00786	0.00216	si
221	31.07	28.715	2.81	283	6.5	0.002035	SLO 5	-0.00002	-0.00324	0.00043	-0.01074	si
221	31.07	28.715	2.81	283	6.5	0.002015	SLO 6	0.00001	-0.00348	0.00035	-0.01091	si
221	31.07	28.715	2.81	283	6.5	0.00186	SLO 7	-0.0013	0.00373	-0.00448	0.00981	si
221	31.07	28.715	2.81	283	6.5	0.001892	SLO 8	-0.00127	0.00348	-0.00457	0.00964	si
221	31.07	28.715	2.81	283	6.5	0.002022	SLO 9	0.00135	-0.00386	0.00466	-0.01054	si
221	31.07	28.715	2.81	283	6.5	0.001992	SLO 10	0.00138	-0.0041	0.00458	-0.01072	si
221	31.07	28.715	2.81	283	6.5	0.00187	SLO 11	0.00007	0.00311	-0.00025	0.01	si
221	31.07	28.715	2.81	283	6.5	0.00189	SLO 12	0.0001	0.00287	-0.00034	0.00983	si
221	31.07	28.715	2.81	283	6.5	0.001502	SLO 13	0.0025	-0.			

I.	Nodo inferiore			Nodo superiore			Spost. rel.	Comb.	Spostamento inferiore		Spostamento superiore		S.V.
	X	Y	Z	I.	Pos.	Z			X	Y	X	Y	
222	33.17	30.715	2.81	291		6.5	0.001907	SLO 5	-0.00014	-0.00314	-0.00027	-0.01017	si
222	33.17	30.715	2.81	291		6.5	0.001879	SLO 6	-0.00011	-0.00344	-0.00032	-0.01037	si
222	33.17	30.715	2.81	291		6.5	0.001622	SLO 7	-0.00142	0.00384	-0.00386	0.00931	si
222	33.17	30.715	2.81	291		6.5	0.001658	SLO 8	-0.00138	0.00354	-0.00391	0.00911	si
222	33.17	30.715	2.81	291		6.5	0.001778	SLO 9	0.00143	-0.00391	0.00396	-0.00996	si
222	33.17	30.715	2.81	291		6.5	0.001742	SLO 10	0.00146	-0.00421	0.0039	-0.01016	si
222	33.17	30.715	2.81	291		6.5	0.001748	SLO 11	0.00015	-0.00307	0.00037	0.00952	si
222	33.17	30.715	2.81	291		6.5	0.001775	SLO 12	0.00019	0.00277	0.00031	0.00932	si
222	33.17	30.715	2.81	291		6.5	0.001329	SLO 13	-0.00281	-0.00228	0.00769	-0.00282	si
222	33.17	30.715	2.81	291		6.5	0.001272	SLO 14	0.00284	-0.00276	0.00752	-0.00318	si
222	33.17	30.715	2.81	291		6.5	0.001427	SLO 15	0.00243	-0.00018	0.00661	0.00302	si
222	33.17	30.715	2.81	291		6.5	0.001406	SLO 16	0.00246	-0.00066	0.00644	0.00266	si
227	33.17	43.115	2.81	331		6.5	0.001388	SLO 1	-0.00298	-0.00229	-0.00796	-0.00352	si
227	33.17	43.115	2.81	331		6.5	0.001322	SLO 2	-0.00297	-0.00269	-0.0077	-0.00388	si
227	33.17	43.115	2.81	331		6.5	0.001291	SLO 3	-0.0024	-0.00002	-0.00655	0.00232	si
227	33.17	43.115	2.81	331		6.5	0.00124	SLO 4	-0.00239	-0.00042	-0.0063	0.00196	si
227	33.17	43.115	2.81	331		6.5	0.001799	SLO 5	-0.00179	-0.00417	-0.00462	-0.01017	si
227	33.17	43.115	2.81	331		6.5	0.001772	SLO 6	-0.0018	-0.00442	-0.00451	-0.01037	si
227	33.17	43.115	2.81	331		6.5	0.001603	SLO 7	0.00014	0.00339	0.00006	0.00931	si
227	33.17	43.115	2.81	331		6.5	0.001617	SLO 8	0.00013	0.00314	0.00016	0.00911	si
227	33.17	43.115	2.81	331		6.5	0.001767	SLO 9	-0.0002	-0.00345	-0.00042	-0.00996	si
227	33.17	43.115	2.81	331		6.5	0.001751	SLO 10	-0.00021	-0.0037	-0.00031	-0.01016	si
227	33.17	43.115	2.81	331		6.5	0.001616	SLO 11	0.00174	0.00411	0.00426	0.00952	si
227	33.17	43.115	2.81	331		6.5	0.001643	SLO 12	0.00173	0.00386	0.00436	0.00932	si
227	33.17	43.115	2.81	331		6.5	0.001282	SLO 13	0.00233	0.00011	0.00605	-0.00282	si
227	33.17	43.115	2.81	331		6.5	0.001328	SLO 14	0.00234	-0.00029	0.0063	-0.00318	si
227	33.17	43.115	2.81	331		6.5	0.001242	SLO 15	0.00291	0.00238	0.00745	0.00302	si
227	33.17	43.115	2.81	331		6.5	0.001308	SLO 16	0.00292	0.00198	0.0077	0.00266	si
229	9.07	45.115	2.81	339		6.5	0.002485	SLO 1	-0.00274	0.00048	-0.00803	-0.007	si
229	9.07	45.115	2.81	339		6.5	0.002411	SLO 2	-0.00271	0.00093	-0.00773	-0.00642	si
229	9.07	45.115	2.81	339		6.5	0.001221	SLO 3	-0.00216	0.00221	-0.00626	0.00407	si
229	9.07	45.115	2.81	339		6.5	0.00117	SLO 4	-0.00214	0.00265	-0.00596	0.00466	si
229	9.07	45.115	2.81	339		6.5	0.004673	SLO 5	-0.0017	-0.0026	-0.0052	-0.01948	no
229	9.07	45.115	2.81	339		6.5	0.004676	SLO 6	-0.0017	-0.00233	-0.00508	-0.01925	no
229	9.07	45.115	2.81	339		6.5	0.003875	SLO 7	0.00021	0.00314	0.00069	0.01743	no
229	9.07	45.115	2.81	339		6.5	0.003866	SLO 8	0.00021	0.00341	0.00081	0.01766	no
229	9.07	45.115	2.81	339		6.5	0.00425	SLO 9	-0.00025	-0.0036	-0.00109	-0.01926	no
229	9.07	45.115	2.81	339		6.5	0.004258	SLO 10	-0.00025	-0.00333	-0.00096	-0.01903	no
229	9.07	45.115	2.81	339		6.5	0.00429	SLO 11	0.00166	0.00214	0.0048	0.01766	no
229	9.07	45.115	2.81	339		6.5	0.004287	SLO 12	0.00166	0.00241	0.00493	0.01789	no
229	9.07	45.115	2.81	339		6.5	0.001341	SLO 13	0.0021	-0.00284	0.00569	-0.00625	si
229	9.07	45.115	2.81	339		6.5	0.001372	SLO 14	0.00213	-0.0024	0.00599	-0.00567	si
229	9.07	45.115	2.81	339		6.5	0.002067	SLO 15	0.00267	-0.00112	0.00745	0.00482	si
229	9.07	45.115	2.81	339		6.5	0.002143	SLO 16	0.0027	-0.00068	0.00776	0.0054	si
230	14.57	45.115	2.81	340		6.5	0.002179	SLO 1	-0.00274	-0.00011	-0.00805	-0.00615	si
230	14.57	45.115	2.81	340		6.5	0.002105	SLO 2	-0.00271	0.00015	-0.00774	-0.00577	si
230	14.57	45.115	2.81	340		6.5	0.001249	SLO 3	-0.00216	0.00168	-0.00627	0.00376	si
230	14.57	45.115	2.81	340		6.5	0.001199	SLO 4	-0.00214	0.00193	-0.00597	0.00414	si
230	14.57	45.115	2.81	340		6.5	0.004054	SLO 5	-0.0017	-0.00285	-0.00522	-0.0174	no
230	14.57	45.115	2.81	340		6.5	0.004049	SLO 6	-0.0017	-0.00271	-0.00509	-0.01726	no
230	14.57	45.115	2.81	340		6.5	0.003402	SLO 7	0.00021	0.0031	0.00069	0.01564	no
230	14.57	45.115	2.81	340		6.5	0.003401	SLO 8	0.00021	0.00325	0.00082	0.01578	no
230	14.57	45.115	2.81	340		6.5	0.003736	SLO 9	-0.00025	-0.00347	-0.0011	-0.01723	no
230	14.57	45.115	2.81	340		6.5	0.003737	SLO 10	-0.00025	-0.00332	-0.00097	-0.01709	no
230	14.57	45.115	2.81	340		6.5	0.003711	SLO 11	0.00166	0.00249	0.00481	0.01581	no
230	14.57	45.115	2.81	340		6.5	0.003716	SLO 12	0.00166	0.00264	0.00494	0.01595	no
230	14.57	45.115	2.81	340		6.5	0.001346	SLO 13	0.0021	-0.00215	0.00569	-0.00559	si
230	14.57	45.115	2.81	340		6.5	0.00138	SLO 14	0.00213	-0.0019	0.00599	-0.00521	si
230	14.57	45.115	2.81	340		6.5	0.001817	SLO 15	0.00267	-0.00037	0.00746	0.00433	si
230	14.57	45.115	2.81	340		6.5	0.001894	SLO 16	0.0027	-0.00011	0.00777	0.0047	si
231	20.07	45.115	2.81	341		6.5	0.0019	SLO 1	-0.00274	-0.00069	-0.00808	-0.00524	si
231	20.07	45.115	2.81	341		6.5	0.001827	SLO 2	-0.00271	-0.00063	-0.00777	-0.00509	si
231	20.07	45.115	2.81	341		6.5	0.001267	SLO 3	-0.00216	0.0012	-0.0063	0.00338	si
231	20.07	45.115	2.81	341		6.5	0.001212	SLO 4	-0.00214	0.00126	-0.00599	0.00353	si
231	20.07	45.115	2.81	341		6.5	0.003367	SLO 5	-0.0017	-0.00317	-0.00524	-0.01508	no
231	20.07	45.115	2.81	341		6.5	0.003358	SLO 6	-0.0017	-0.00314	-0.00511	-0.01505	no
231	20.07	45.115	2.81	341		6.5	0.002852	SLO 7	0.00021	0.00313	0.00069	0.01365	si
231	20.07	45.115	2.81	341		6.5	0.002854	SLO 8	0.00021	0.00316	0.00082	0.01368	si
231	20.07	45.115	2.81	341		6.5	0.003133	SLO 9	-0.00025	-0.00341	-0.0011	-0.01495	si
231	20.07	45.115	2.81	341		6.5	0.003135	SLO 10	-0.00025	-0.00338	-0.00098	-0.01492	si
231	20.07	45.115	2.81	341		6.5	0.003072	SLO 11	0.00166	0.00289	0.00482	0.01378	si
231	20.07	45.115	2.81	341		6.5	0.003082	SLO 12	0.00166	0.00292	0.00495	0.01381	si
231	20.07	45.115	2.81	341		6.5	0.001324	SLO 13	0.0021	-0.0015	0.00571	-0.0048	si
231	20.07	45.115	2.81	341		6.5	0.001365	SLO 14	0.00213	-0.00145	0.00601	-0.00465	si
231	20.07	45.115	2.81	341		6.5	0.001601	SLO 15	0.00267	0.00039	0.00748	0.00382	si
231	20.07	45.115	2.81	341		6.5	0.001677	SLO 16	0.0027	0.00044	0.00779	0.00396	si
232	25.57	45.115	2.81	342		6.5	0.001666	SLO 1	-0.00274	-0.00144	-0.00813	-0.00439	si
232	25.57	45.115	2.81	342		6.5	0.001591	SLO 2	-0.00271	-0.00157	-0.00782	-0.00447	si
232	25.57	45.115	2.81	342		6.5	0.001294	SLO 3	-0.00216	0.00059	-0.00634	0.0029	si
232	25.57	45.115	2.81	342		6.5	0.001234	SLO 4	-0.00214	0.00045	-0.00603	0.00282	si
232	25.57	45.115	2.81	342		6.5	0.00266	SLO 5	-0.0017	-0.00358	-0.00527	-0.01272	si
232	25.57	45.115	2.81	342		6.5	0.002645	SLO 6	-0.0017	-0.00367	-0.00514	-0.0128	si
232	25.57	45.115	2.81	342		6.5	0.002279	SLO 7	0.00021	0.00318	0.00069	0.01157	si
232	25.57	45.115	2.81	342		6.5	0.002283	SLO 8	0.00021	0.00309	0.00082	0.01149	si
232	25.57	45.115	2.81	342		6.5	0.002507	SLO 9	-0.00025	-0.00336	-0.00111	-0.01257	si
232	25.57	45.115	2.81	342		6.5	0.002501	SLO 10	-0.00025	-0.00345	-0.00098	-0.01265	si
232	25.57	45.115	2.81	342		6.5	0.002416	SLO 11	0.00166	0.00339	0.00485	0.01172	si
232	25.57	45.115	2.81	342		6.5	0.002432	SLO 12	0.00166	0.			

I.	Nodo inferiore			Nodo superiore		Spost. rel.	Comb.	Spostamento inferiore		Spostamento superiore		S.V.
	Pos.			I.	Pos.			X	Y	X	Y	
	X	Y	Z		Z		n.b.					
233	31.07	45.115	2.81	343	6.5	0.001777	SLO 8	0.00021	0.00311	0.00082	0.00964	si
233	31.07	45.115	2.81	343	6.5	0.001949	SLO 9	-0.00025	-0.00341	-0.00112	-0.01054	si
233	31.07	45.115	2.81	343	6.5	0.001934	SLO 10	-0.00025	-0.00362	-0.00099	-0.01072	si
233	31.07	45.115	2.81	343	6.5	0.00187	SLO 11	0.00166	0.0039	0.00488	0.01	si
233	31.07	45.115	2.81	343	6.5	0.001896	SLO 12	0.00166	0.00369	0.00501	0.00983	si
233	31.07	45.115	2.81	343	6.5	0.001279	SLO 13	0.0021	-0.00012	0.00578	-0.00307	si
233	31.07	45.115	2.81	343	6.5	0.001336	SLO 14	0.00213	-0.00044	0.0061	-0.00336	si
233	31.07	45.115	2.81	343	6.5	0.001359	SLO 15	0.00267	0.00207	0.00758	0.00309	si
233	31.07	45.115	2.81	343	6.5	0.001439	SLO 16	0.0027	0.00175	0.0079	0.0028	si

4.2 Verifica effetti secondo ordine

Quota inf.: Quota inferiore esprimibile come livello, falda, piano orizzontale alla Z specificata, espressa con notazione breve. esprimibile come livello, falda, piano orizzontale alla Z specificata. [m]

Quota sup.: Quota superiore esprimibile come livello, falda, piano orizzontale alla Z specificata, espressa con notazione breve. esprimibile come livello, falda, piano orizzontale alla Z specificata. [m]

Comb.: Combinazione.

n.b.: Nome breve o compatto della combinazione di carico.

Carico verticale: Carico verticale. [kN]

Spostamento: Spostamento medio di interpiano. [m]

Forza orizzontale totale: Forza orizzontale totale. [kN]

Altezza del piano: Altezza del piano. [m]

Theta: Coefficiente Theta formula (7.3.2) § 7.3.1 NTC 2008. Il valore è adimensionale.

Quota inf.	Quota sup.	Comb.	Carico verticale	Spostamento	Forza orizzontale totale	Altezza del piano	Theta
		n.b.					
L4	L5	SLV 1	5642.18	0.00035	517.38	0.85	0.004
L4	L5	SLV 2	5648.27	0.00036	501.68	0.85	0.005
L4	L5	SLV 3	5659.08	0.00002	676.99	0.85	0
L4	L5	SLV 4	5665.17	0.00003	661.12	0.85	0
L4	L5	SLV 5	5539.89	0.00061	87.01	0.85	0.046
L4	L5	SLV 6	5543.01	0.00061	106.42	0.85	0.038
L4	L5	SLV 7	5596.22	0.00051	449.46	0.85	0.007
L4	L5	SLV 8	5599.34	0.00051	429.91	0.85	0.008
L4	L5	SLV 9	5467.84	0.00049	442.96	0.85	0.007
L4	L5	SLV 10	5470.96	0.0005	462.46	0.85	0.007
L4	L5	SLV 11	5524.18	0.00063	105.6	0.85	0.039
L4	L5	SLV 12	5527.29	0.00062	88.65	0.85	0.046
L4	L5	SLV 13	5402.02	0.00004	676.91	0.85	0
L4	L5	SLV 14	5408.1	0.00003	692.51	0.85	0
L4	L5	SLV 15	5418.92	0.00037	518.98	0.85	0.005
L4	L5	SLV 16	5425.01	0.00036	534.28	0.85	0.004
L1	L5	SLV 1	5642.18	0.00034	517.38	1.5	0.002
L1	L5	SLV 2	5648.27	0.00033	501.68	1.5	0.002
L1	L5	SLV 3	5659.08	0.00002	676.99	1.5	0
L1	L5	SLV 4	5665.17	0.00005	661.12	1.5	0
L1	L5	SLV 5	5539.89	0.00061	87.01	1.5	0.026
L1	L5	SLV 6	5543.01	0.0006	106.42	1.5	0.021
L1	L5	SLV 7	5596.22	0.00051	449.46	1.5	0.004
L1	L5	SLV 8	5599.34	0.00052	429.91	1.5	0.005
L1	L5	SLV 9	5467.84	0.00051	442.96	1.5	0.004
L1	L5	SLV 10	5470.96	0.0005	462.46	1.5	0.004
L1	L5	SLV 11	5524.18	0.00062	105.6	1.5	0.021
L1	L5	SLV 12	5527.29	0.00062	88.65	1.5	0.026
L1	L5	SLV 13	5402.02	0.00004	676.91	1.5	0
L1	L5	SLV 14	5408.1	0.00002	692.51	1.5	0
L1	L5	SLV 15	5418.92	0.00034	518.98	1.5	0.002
L1	L5	SLV 16	5425.01	0.00035	534.28	1.5	0.002
L6	L7	SLV 1	6149.66	0.00711	1706.2	3.02	0.008
L6	L7	SLV 2	6149.66	0.00649	1706.2	3.02	0.008
L6	L7	SLV 3	6151.29	0.00711	1712.43	3.02	0.008
L6	L7	SLV 4	6151.29	0.00702	1712.43	3.02	0.008
L6	L7	SLV 5	6153.82	0.01086	981.15	3.02	0.023
L6	L7	SLV 6	6153.82	0.0105	981.15	3.02	0.022
L6	L7	SLV 7	6159.25	0.01055	991.94	3.02	0.022
L6	L7	SLV 8	6159.25	0.01083	991.94	3.02	0.022
L6	L7	SLV 9	6159	0.01107	991.94	3.02	0.023
L6	L7	SLV 10	6159	0.01078	991.94	3.02	0.022
L6	L7	SLV 11	6164.44	0.01028	981.15	3.02	0.021
L6	L7	SLV 12	6164.44	0.01064	981.15	3.02	0.022
L6	L7	SLV 13	6166.96	0.00718	1712.43	3.02	0.009
L6	L7	SLV 14	6166.96	0.00726	1712.43	3.02	0.009
L6	L7	SLV 15	6168.59	0.00644	1706.2	3.02	0.008
L6	L7	SLV 16	6168.59	0.00705	1706.2	3.02	0.008
L5	L7	SLV 1	6149.66	0.00571	1706.2	3.32	0.006
L5	L7	SLV 2	6149.66	0.00607	1706.2	3.32	0.007
L5	L7	SLV 3	6151.29	0.00658	1712.43	3.32	0.007
L5	L7	SLV 4	6151.29	0.00707	1712.43	3.32	0.008
L5	L7	SLV 5	6153.82	0.01088	981.15	3.32	0.021
L5	L7	SLV 6	6153.82	0.01083	981.15	3.32	0.02
L5	L7	SLV 7	6159.25	0.01105	991.94	3.32	0.021
L5	L7	SLV 8	6159.25	0.01117	991.94	3.32	0.021
L5	L7	SLV 9	6159	0.01158	991.94	3.32	0.022
L5	L7	SLV 10	6159	0.01146	991.94	3.32	0.021
L5	L7	SLV 11	6164.44	0.01042	981.15	3.32	0.02
L5	L7	SLV 12	6164.44	0.01047	981.15	3.32	0.02
L5	L7	SLV 13	6166.96	0.00732	1712.43	3.32	0.008
L5	L7	SLV 14	6166.96	0.00684	1712.43	3.32	0.007
L5	L7	SLV 15	6168.59	0.00592	1706.2	3.32	0.006
L5	L7	SLV 16	6168.59	0.00554	1706.2	3.32	0.006
L3	L7	SLV 1	6149.66	0.00887	1706.2	4.19	0.008
L3	L7	SLV 2	6149.66	0.00878	1706.2	4.19	0.008

Quota inf.	Quota sup.	Comb.	Carico verticale	Spostamento	Forza orizzontale totale	Altezza del piano	Theta
		n.b.					
L3	L7	SLV 3	6151.29	0.00768	1712.43	4.19	0.007
L3	L7	SLV 4	6151.29	0.00763	1712.43	4.19	0.007
L3	L7	SLV 5	6153.82	0.01198	981.15	4.19	0.018
L3	L7	SLV 6	6153.82	0.01196	981.15	4.19	0.018
L3	L7	SLV 7	6159.25	0.01092	991.94	4.19	0.016
L3	L7	SLV 8	6159.25	0.01093	991.94	4.19	0.016
L3	L7	SLV 9	6159	0.01123	991.94	4.19	0.017
L3	L7	SLV 10	6159	0.01122	991.94	4.19	0.017
L3	L7	SLV 11	6164.44	0.01168	981.15	4.19	0.018
L3	L7	SLV 12	6164.44	0.0117	981.15	4.19	0.018
L3	L7	SLV 13	6166.96	0.00774	1712.43	4.19	0.007
L3	L7	SLV 14	6166.96	0.00779	1712.43	4.19	0.007
L3	L7	SLV 15	6168.59	0.00865	1706.2	4.19	0.007
L3	L7	SLV 16	6168.59	0.00874	1706.2	4.19	0.008
L1	L7	SLV 1	6149.66	0.01245	1706.2	4.82	0.009
L1	L7	SLV 2	6149.66	0.01065	1706.2	4.82	0.008
L1	L7	SLV 3	6151.29	0.00744	1712.43	4.82	0.006
L1	L7	SLV 4	6151.29	0.00696	1712.43	4.82	0.005
L1	L7	SLV 5	6153.82	0.01561	981.15	4.82	0.02
L1	L7	SLV 6	6153.82	0.01423	981.15	4.82	0.019
L1	L7	SLV 7	6159.25	0.01082	991.94	4.82	0.014
L1	L7	SLV 8	6159.25	0.01216	991.94	4.82	0.016
L1	L7	SLV 9	6159	0.0126	991.94	4.82	0.016
L1	L7	SLV 10	6159	0.01126	991.94	4.82	0.015
L1	L7	SLV 11	6164.44	0.01378	981.15	4.82	0.018
L1	L7	SLV 12	6164.44	0.01516	981.15	4.82	0.02
L1	L7	SLV 13	6166.96	0.00696	1712.43	4.82	0.005
L1	L7	SLV 14	6166.96	0.00731	1712.43	4.82	0.005
L1	L7	SLV 15	6168.59	0.01032	1706.2	4.82	0.008
L1	L7	SLV 16	6168.59	0.01209	1706.2	4.82	0.009
L7	L8	SLV 1	3212.68	0.01808	1306.67	3.69	0.012
L7	L8	SLV 2	3212.68	0.01796	1306.67	3.69	0.012
L7	L8	SLV 3	3207.17	0.01644	1302.77	3.69	0.011
L7	L8	SLV 4	3207.17	0.01646	1302.77	3.69	0.011
L7	L8	SLV 5	3219.73	0.03424	826.81	3.69	0.036
L7	L8	SLV 6	3219.73	0.03429	826.81	3.69	0.036
L7	L8	SLV 7	3201.35	0.03289	820.64	3.69	0.035
L7	L8	SLV 8	3201.35	0.03283	820.64	3.69	0.035
L7	L8	SLV 9	3220.25	0.03368	820.64	3.69	0.036
L7	L8	SLV 10	3220.25	0.03374	820.64	3.69	0.036
L7	L8	SLV 11	3201.87	0.03342	826.81	3.69	0.035
L7	L8	SLV 12	3201.87	0.03337	826.81	3.69	0.035
L7	L8	SLV 13	3214.43	0.01685	1302.77	3.69	0.011
L7	L8	SLV 14	3214.43	0.01682	1302.77	3.69	0.011
L7	L8	SLV 15	3208.92	0.01735	1306.67	3.69	0.012
L7	L8	SLV 16	3208.92	0.01747	1306.67	3.69	0.012
L3	L8	SLV 1	3212.68	0.02432	1306.67	7.88	0.008
L3	L8	SLV 2	3212.68	0.02471	1306.67	7.88	0.008
L3	L8	SLV 3	3207.17	0.023	1302.77	7.88	0.007
L3	L8	SLV 4	3207.17	0.02248	1302.77	7.88	0.007
L3	L8	SLV 5	3219.73	0.03311	826.81	7.88	0.016
L3	L8	SLV 6	3219.73	0.03372	826.81	7.88	0.017
L3	L8	SLV 7	3201.35	0.03186	820.64	7.88	0.016
L3	L8	SLV 8	3201.35	0.03121	820.64	7.88	0.015
L3	L8	SLV 9	3220.25	0.03204	820.64	7.88	0.016
L3	L8	SLV 10	3220.25	0.03268	820.64	7.88	0.016
L3	L8	SLV 11	3201.87	0.03286	826.81	7.88	0.016
L3	L8	SLV 12	3201.87	0.03225	826.81	7.88	0.016
L3	L8	SLV 13	3214.43	0.02268	1302.77	7.88	0.007
L3	L8	SLV 14	3214.43	0.02324	1302.77	7.88	0.007
L3	L8	SLV 15	3208.92	0.02422	1306.67	7.88	0.008
L3	L8	SLV 16	3208.92	0.02387	1306.67	7.88	0.007

4.3 Tagli ai livelli

Livello: Livello rispetto a cui è calcolato il taglio.

Nome: Nome completo del livello.

Cont.: Contesto nel quale viene valutato il taglio.

n.br.: Nome breve della condizione o combinazione di carico.

Totale: Totale del taglio al livello.

F: Forza del taglio. [kN]

X: Componente lungo l'asse X globale. [kN]

Y: Componente lungo l'asse Y globale. [kN]

Z: Componente lungo l'asse Z globale. [kN]

Aste verticali: Contributo al taglio totale dato dalle aste verticali.

F: Forza del taglio. [kN]

X: Componente lungo l'asse X globale. [kN]

Y: Componente lungo l'asse Y globale. [kN]

Z: Componente lungo l'asse Z globale. [kN]

Pareti: Contributo al taglio totale dato dalle pareti e piastre generiche verticali.

F: Forza del taglio. [kN]

X: Componente lungo l'asse X globale. [kN]

Y: Componente lungo l'asse Y globale. [kN]

Z: Componente lungo l'asse Z globale. [kN]

Livello Nome	Cont. n.br.	Totale			Aste verticali			Pareti		
		X	Y	Z	X	Y	Z	X	Y	Z
Fondazione - 176	Pesi	-5.99	0.88	-630.28	-1.97	0.88	-434.03	-4.03	0	-196.25

Livello Nome	Cont. n.br.	Totale			Aste verticali			Pareti		
		F			F			F		
		X	Y	Z	X	Y	Z	X	Y	Z
Fondazione - 176	Port.	0.43	1.54	-143.45	-0.66	1.54	-137.98	1.09	0	-5.47
Fondazione - 176	Variabile C	-1.6	0.03	-232.61	-1.77	0.03	-232.73	0.18	0	0.12
Fondazione - 176	Neve	-1.04	0.34	-69.48	-0.08	0.34	-59.09	-0.96	0	-10.39
Fondazione - 176	X SLV	451.01	2.71	101.09	-72.58	-0.23	1.2	523.59	2.95	99.89
Fondazione - 176	Y SLV	-175.21	-35.39	-41.18	31.07	-59.91	-0.98	-206.28	24.52	-40.19
Fondazione - 176	EY SLV	-12.48	0.02	-2.54	0.4	0	-0.02	-12.88	0.03	-2.52
Fondazione - 176	EX SLV	3.22	-0.15	0.56	0.42	-0.14	0	2.8	-0.01	0.56
Fondazione - 176	X SLD	194.98	1.15	43.7	-31.38	-0.1	0.52	226.36	1.26	43.18
Fondazione - 176	Y SLD	-71.58	-13.94	-16.78	12.62	-24.16	-0.39	-84.2	10.23	-16.39
Fondazione - 176	EY SLD	-5.39	0.01	-1.1	0.17	0	-0.01	-5.56	0.01	-1.09
Fondazione - 176	EX SLD	1.29	-0.06	0.22	0.17	-0.06	0	1.12	0	0.22
Fondazione - 176	X SLO	231.96	1.36	51.99	-37.34	-0.12	0.62	269.3	1.48	51.37
Fondazione - 176	Y SLO	-82.71	-15.44	-19.36	14.52	-27.35	-0.44	-97.24	11.92	-18.93
Fondazione - 176	EY SLO	-6.42	0.01	-1.31	0.21	0	-0.01	-6.63	0.01	-1.3
Fondazione - 176	EX SLO	1.47	-0.07	0.25	0.19	-0.06	0	1.27	0	0.25
Fondazione - 176	R Ux	0	0	0	0	0	0	0	0	0
Fondazione - 176	R Uy	0	0	0	0	0	0	0	0	0
Fondazione - 176	R Rz	0	0	0	0	0	0	0	0	0
Fondazione - 176	SLU 1	-5.65	2.11	-745.04	-2.49	2.11	-544.42	-3.16	0	-200.62
Fondazione - 176	SLU 2	-7.21	2.63	-849.26	-2.61	2.63	-633.06	-4.6	0	-216.2
Fondazione - 176	SLU 3	-8.89	2.65	-1093.5	-4.47	2.65	-877.43	-4.42	0	-216.07
Fondazione - 176	SLU 4	-8.04	2.15	-1093.96	-5.15	2.15	-893.52	-2.89	0	-200.44
Fondazione - 176	SLU 5	-8.82	2.41	-1146.07	-5.21	2.41	-937.84	-3.61	0	-208.23
Fondazione - 176	SLU 6	-5.35	3.19	-845.45	-2.95	3.19	-641	-2.4	0	-204.45
Fondazione - 176	SLU 7	-6.91	3.7	-949.67	-3.07	3.71	-729.64	-3.84	0	-220.03
Fondazione - 176	SLU 8	-8.59	3.73	-1193.91	-4.93	3.73	-974.01	-3.65	0	-219.9
Fondazione - 176	SLU 9	-7.74	3.23	-1194.37	-5.61	3.23	-990.1	-2.13	0	-204.27
Fondazione - 176	SLU 10	-8.52	3.48	-1246.48	-5.67	3.49	-1034.42	-2.85	0	-212.06
Fondazione - 176	SLU 11	-7.45	2.38	-934.12	-3.08	2.38	-674.62	-4.36	0	-259.5
Fondazione - 176	SLU 12	-9.01	2.89	-1038.34	-3.2	2.89	-763.26	-5.81	0	-275.08
Fondazione - 176	SLU 13	-10.68	2.92	-1282.58	-5.06	2.92	-1007.63	-5.62	0	-274.95
Fondazione - 176	SLU 14	-9.84	2.42	-1283.04	-5.74	2.42	-1023.72	-4.1	0	-259.32
Fondazione - 176	SLU 15	-10.62	2.67	-1335.15	-5.8	2.67	-1068.04	-4.82	0	-267.11
Fondazione - 176	SLU 16	-7.15	3.46	-1034.54	-3.54	3.46	-771.21	-3.6	0	-263.32
Fondazione - 176	SLU 17	-8.71	3.97	-1138.76	-3.66	3.97	-859.85	-5.05	0	-278.9
Fondazione - 176	SLU 18	-10.38	4	-1383	-5.52	4	-1104.22	-4.86	0	-278.78
Fondazione - 176	SLU 19	-9.54	3.49	-1383.46	-6.2	3.5	-1120.31	-3.34	0	-263.14
Fondazione - 176	SLU 20	-10.32	3.75	-1435.57	-6.26	3.75	-1164.63	-4.06	0	-270.93
Fondazione - 176	SLE RA 1	-5.56	2.42	-773.73	-2.63	2.42	-572.01	-2.94	0	-201.72
Fondazione - 176	SLE RA 2	-6.6	2.76	-843.21	-2.7	2.76	-631.11	-3.9	0	-212.1
Fondazione - 176	SLE RA 3	-7.72	2.78	-1006.04	-3.94	2.78	-794.02	-3.78	0	-212.02
Fondazione - 176	SLE RA 4	-7.16	2.45	-1006.34	-4.4	2.45	-804.75	-2.76	0	-201.6
Fondazione - 176	SLE RA 5	-7.68	2.62	-1041.08	-4.44	2.62	-834.29	-3.24	0	-206.79
Fondazione - 176	SLE FR 1	-5.56	2.42	-773.73	-2.63	2.42	-572.01	-2.94	0	-201.72
Fondazione - 176	SLE FR 2	-5.77	2.49	-787.62	-2.64	2.49	-583.83	-3.13	0	-203.79
Fondazione - 176	SLE FR 3	-6.73	2.51	-927.19	-3.7	2.51	-723.47	-3.03	0	-203.72
Fondazione - 176	SLE FR 4	-6.68	2.44	-936.56	-3.87	2.44	-734.93	-2.82	0	-201.63
Fondazione - 176	SLE QP 1	-5.56	2.42	-773.73	-2.63	2.42	-572.01	-2.94	0	-201.72
Fondazione - 176	SLE QP 2	-6.52	2.44	-913.3	-3.69	2.44	-711.65	-2.83	0	-201.64
Fondazione - 176	SLO 1	-206.81	5.68	-958.09	29.14	10.75	-712.13	-235.95	-5.07	-245.97
Fondazione - 176	SLO 2	-220.53	5.74	-960.86	29.44	10.78	-712.15	-249.96	-5.04	-248.71

Livello Nome	Cont. n.br.	Totale			Aste verticali			Pareti		
		F			F			F		
		X	Y	Z	X	Y	Z	X	Y	Z
Fondazione - 176	SLO 3	-256.44	-3.58	-969.71	37.86	-5.66	-712.39	-294.29	2.08	-257.32
Fondazione - 176	SLO 4	-270.15	-3.52	-972.48	38.15	-5.63	-712.41	-308.31	2.11	-260.07
Fondazione - 176	SLO 5	10	17.39	-908.89	-6.88	29.76	-711.4	16.88	-12.37	-197.49
Fondazione - 176	SLO 6	3.21	17.54	-910.18	-7.14	29.89	-711.4	10.35	-12.35	-198.77
Fondazione - 176	SLO 7	-155.43	-13.48	-947.61	22.17	-24.94	-712.27	-177.6	11.46	-235.34
Fondazione - 176	SLO 8	-162.22	-13.33	-948.9	21.91	-24.81	-712.28	-184.12	11.48	-236.62
Fondazione - 176	SLO 9	149.17	18.21	-877.69	-29.28	29.69	-711.03	178.46	-11.48	-166.66
Fondazione - 176	SLO 10	142.39	18.35	-878.99	-29.55	29.82	-711.04	171.93	-11.46	-167.95
Fondazione - 176	SLO 11	-16.26	-12.66	-916.41	-0.23	-25.01	-711.9	-16.02	12.35	-204.51
Fondazione - 176	SLO 12	-23.04	-12.52	-917.71	-0.5	-24.89	-711.91	-22.54	12.37	-205.8
Fondazione - 176	SLO 13	257.11	8.39	-854.12	-45.53	10.5	-710.9	302.64	-2.11	-143.22
Fondazione - 176	SLO 14	243.39	8.46	-856.88	-45.23	10.54	-710.92	288.63	-2.08	-145.97
Fondazione - 176	SLO 15	207.48	-0.87	-865.73	-36.82	-5.91	-711.16	244.3	5.04	-154.57
Fondazione - 176	SLO 16	193.76	-0.8	-868.5	-36.52	-5.87	-711.18	230.28	5.07	-157.32
Fondazione - 176	SLD 1	-174.26	5.43	-950.8	23.78	9.77	-712.05	-198.03	-4.34	-238.75
Fondazione - 176	SLD 2	-185.81	5.49	-953.13	24.02	9.8	-712.06	-209.83	-4.31	-241.07
Fondazione - 176	SLD 3	-217.2	-2.93	-960.87	31.35	-4.73	-712.28	-248.55	1.8	-248.59
Fondazione - 176	SLD 4	-228.76	-2.87	-963.2	31.6	-4.69	-712.29	-260.35	1.82	-250.9
Fondazione - 176	SLD 5	9.47	15.96	-909.07	-6.78	26.57	-711.42	16.25	-10.61	-197.66
Fondazione - 176	SLD 6	3.66	16.09	-910.18	-7.01	26.68	-711.42	10.67	-10.6	-198.75
Fondazione - 176	SLD 7	-133.69	-11.91	-942.63	18.46	-21.75	-712.19	-152.15	9.84	-230.44
Fondazione - 176	SLD 8	-139.5	-11.78	-943.74	18.23	-21.64	-712.2	-157.73	9.86	-231.54
Fondazione - 176	SLD 9	126.46	16.66	-882.85	-25.61	26.51	-711.11	152.06	-9.86	-171.74
Fondazione - 176	SLD 10	120.65	16.78	-883.96	-25.84	26.62	-711.11	146.49	-9.84	-172.84
Fondazione - 176	SLD 11	-16.7	-11.21	-916.41	-0.36	-21.81	-711.88	-16.34	10.59	-204.53
Fondazione - 176	SLD 12	-22.51	-11.09	-917.52	-0.6	-21.7	-711.89	-21.91	10.61	-205.63
Fondazione - 176	SLD 13	215.71	7.74	-863.4	-38.98	9.57	-711.01	254.69	-1.82	-152.39
Fondazione - 176	SLD 14	204.16	7.8	-865.73	-38.73	9.6	-711.03	242.89	-1.8	-154.7
Fondazione - 176	SLD 15	172.76	-0.62	-873.47	-31.4	-4.93	-711.24	204.17	4.31	-162.22
Fondazione - 176	SLD 16	161.21	-0.56	-875.8	-31.16	-4.89	-711.26	192.37	4.33	-164.54
Fondazione - 176	SLV 1	-391.53	10.27	-999.33	59.3	20.6	-712.53	-450.83	-10.33	-286.79
Fondazione - 176	SLV 2	-418.41	10.41	-1004.74	59.85	20.69	-712.57	-478.26	-10.27	-292.17
Fondazione - 176	SLV 3	-496.65	-10.96	-1024.03	77.94	-15.34	-713.12	-574.59	4.38	-310.91
Fondazione - 176	SLV 4	-523.53	-10.82	-1029.45	78.49	-15.26	-713.16	-602.03	4.44	-316.29
Fondazione - 176	SLV 5	40.35	36.85	-901.13	-12.68	62.28	-711.02	53.02	-25.42	-190.1
Fondazione - 176	SLV 6	26.42	37.17	-903.77	-13.28	62.55	-711.04	39.71	-25.39	-192.73
Fondazione - 176	SLV 7	-310.07	-33.92	-983.48	49.45	-57.54	-712.98	-359.53	23.62	-270.49
Fondazione - 176	SLV 8	-324	-33.61	-986.12	48.85	-57.26	-713	-372.85	23.65	-273.12
Fondazione - 176	SLV 9	310.95	38.48	-840.47	-56.23	62.14	-710.31	367.18	-23.65	-130.17
Fondazione - 176	SLV 10	297.03	38.8	-843.12	-56.83	62.41	-710.32	353.86	-23.62	-132.8
Fondazione - 176	SLV 11	-39.47	-32.29	-922.82	5.9	-57.68	-712.27	-45.37	25.38	-210.56
Fondazione - 176	SLV 12	-53.39	-31.98	-925.47	5.3	-57.4	-712.28	-58.69	25.42	-213.18
Fondazione - 176	SLV 13	510.49	15.7	-797.15	-85.87	20.13	-710.14	596.36	-4.44	-87
Fondazione - 176	SLV 14	483.61	15.84	-802.56	-85.32	20.22	-710.18	568.93	-4.38	-92.38
Fondazione - 176	SLV 15	405.36	-5.54	-821.85	-67.23	-15.81	-710.73	472.59	10.27	-111.12
Fondazione - 176	SLV 16	378.48	-5.4	-827.27	-66.68	-15.73	-710.77	445.16	10.33	-116.5
Fondazione - 176	SLV FO 1	-430.03	11.06	-1007.93	65.6	22.42	-712.62	-495.63	-11.36	-295.31
Fondazione - 176	SLV FO 2	-459.6	11.21	-1013.89	66.21	22.51	-712.67	-525.8	-11.3	-301.22
Fondazione - 176	SLV FO 3	-545.67	-12.3	-1035.1	86.1	-17.12	-713.27	-631.77	4.82	-321.83
Fondazione - 176	SLV FO 4	-575.24	-12.15	-1041.06	86.71	-17.03	-713.31	-661.94	4.88	-327.75
Fondazione - 176	SLV FO 5	45.03	40.3	-899.91	-13.58	68.26	-710.96	58.61	-27.96	-188.95

Livello Nome	Cont. n.br.	Totale			Aste verticali			Pareti		
		X	Y	Z	X	Y	Z	X	Y	Z
Fondazione - 176	SLV FO 6	29.72	40.64	-902.82	-14.24	68.57	-710.98	43.96	-27.92	-191.84
Fondazione - 176	SLV FO 7	-340.43	-37.56	-990.5	54.77	-63.54	-713.12	-395.2	25.98	-277.38
Fondazione - 176	SLV FO 8	-355.74	-37.21	-993.4	54.1	-63.23	-713.13	-409.85	26.02	-280.27
Fondazione - 176	SLV FO 9	342.7	42.09	-833.19	-61.48	68.11	-710.17	404.18	-26.02	-123.02
Fondazione - 176	SLV FO 10	327.38	42.43	-836.1	-62.15	68.41	-710.19	389.53	-25.98	-125.91
Fondazione - 176	SLV FO 11	-42.76	-35.77	-923.78	6.86	-63.69	-712.33	-49.63	27.92	-211.45
Fondazione - 176	SLV FO 12	-58.08	-35.42	-926.68	6.2	-63.38	-712.35	-64.28	27.96	-214.34
Fondazione - 176	SLV FO 13	562.19	17.02	-785.53	-94.09	21.9	-709.99	656.28	-4.88	-75.54
Fondazione - 176	SLV FO 14	532.62	17.17	-791.49	-93.48	22	-710.04	626.1	-4.82	-81.45
Fondazione - 176	SLV FO 15	446.55	-6.33	-812.71	-73.58	-17.63	-710.64	520.14	11.3	-102.07
Fondazione - 176	SLV FO 16	416.98	-6.18	-818.67	-72.98	-17.54	-710.68	489.96	11.36	-107.98
Fondazione - 176	CRTFP Ux+	0	0	0	0	0	0	0	0	0
Fondazione - 176	CRTFP Ux-	0	0	0	0	0	0	0	0	0
Fondazione - 176	CRTFP Uy+	0	0	0	0	0	0	0	0	0
Fondazione - 176	CRTFP Uy-	0	0	0	0	0	0	0	0	0
Fondazione - 176	CRTFP Rz+	0	0	0	0	0	0	0	0	0
Fondazione - 176	CRTFP Rz-	0	0	0	0	0	0	0	0	0
Fondazione - 146	Pesi	-5.99	0.88	-628.78	-1.97	0.88	-432.53	-4.03	0	-196.25
Fondazione - 146	Port.	0.43	1.54	-143.45	-0.66	1.54	-137.98	1.09	0	-5.47
Fondazione - 146	Variabile C	-1.6	0.03	-232.61	-1.77	0.03	-232.73	0.18	0	0.12
Fondazione - 146	Neve	-1.04	0.34	-69.48	-0.08	0.34	-59.09	-0.96	0	-10.39
Fondazione - 146	X SLV	451.01	2.71	101.09	-72.58	-0.23	1.2	523.59	2.95	99.89
Fondazione - 146	Y SLV	-175.21	-35.39	-41.18	31.07	-59.91	-0.98	-206.28	24.52	-40.19
Fondazione - 146	EY SLV	-12.48	0.02	-2.54	0.4	0	-0.02	-12.88	0.03	-2.52
Fondazione - 146	EX SLV	3.22	-0.15	0.56	0.42	-0.14	0	2.8	-0.01	0.56
Fondazione - 146	X SLD	194.98	1.15	43.7	-31.38	-0.1	0.52	226.36	1.26	43.18
Fondazione - 146	Y SLD	-71.58	-13.94	-16.78	12.62	-24.16	-0.39	-84.2	10.23	-16.39
Fondazione - 146	EY SLD	-5.39	0.01	-1.1	0.17	0	-0.01	-5.56	0.01	-1.09
Fondazione - 146	EX SLD	1.29	-0.06	0.22	0.17	-0.06	0	1.12	0	0.22
Fondazione - 146	X SLO	231.96	1.36	51.99	-37.34	-0.12	0.62	269.3	1.48	51.37
Fondazione - 146	Y SLO	-82.71	-15.44	-19.36	14.52	-27.35	-0.44	-97.24	11.92	-18.93
Fondazione - 146	EY SLO	-6.42	0.01	-1.31	0.21	0	-0.01	-6.63	0.01	-1.3
Fondazione - 146	EX SLO	1.47	-0.07	0.25	0.19	-0.06	0	1.27	0	0.25
Fondazione - 146	R Ux	0	0	0	0	0	0	0	0	0
Fondazione - 146	R Uy	0	0	0	0	0	0	0	0	0
Fondazione - 146	R Rz	0	0	0	0	0	0	0	0	0
Fondazione - 146	SLU 1	-5.65	2.11	-743.54	-2.49	2.11	-542.92	-3.16	0	-200.62
Fondazione - 146	SLU 2	-7.21	2.63	-847.76	-2.61	2.63	-631.56	-4.6	0	-216.2
Fondazione - 146	SLU 3	-8.89	2.65	-1092	-4.47	2.65	-875.93	-4.42	0	-216.07
Fondazione - 146	SLU 4	-8.04	2.15	-1092.46	-5.15	2.15	-892.02	-2.89	0	-200.44
Fondazione - 146	SLU 5	-8.82	2.41	-1144.57	-5.21	2.41	-936.34	-3.61	0	-208.23
Fondazione - 146	SLU 6	-5.35	3.19	-843.95	-2.95	3.19	-639.5	-2.4	0	-204.45
Fondazione - 146	SLU 7	-6.91	3.7	-948.17	-3.07	3.71	-728.14	-3.84	0	-220.03
Fondazione - 146	SLU 8	-8.59	3.73	-1192.41	-4.93	3.73	-972.51	-3.65	0	-219.9
Fondazione - 146	SLU 9	-7.74	3.23	-1192.87	-5.61	3.23	-988.6	-2.13	0	-204.27
Fondazione - 146	SLU 10	-8.52	3.48	-1244.98	-5.67	3.49	-1032.92	-2.85	0	-212.06
Fondazione - 146	SLU 11	-7.45	2.38	-932.17	-3.08	2.38	-672.67	-4.36	0	-259.5
Fondazione - 146	SLU 12	-9.01	2.89	-1036.39	-3.2	2.89	-761.31	-5.81	0	-275.08
Fondazione - 146	SLU 13	-10.68	2.92	-1280.63	-5.06	2.92	-1005.68	-5.62	0	-274.95
Fondazione - 146	SLU 14	-9.84	2.42	-1281.09	-5.74	2.42	-1021.77	-4.1	0	-259.32
Fondazione - 146	SLU 15	-10.62	2.67	-1333.2	-5.8	2.67	-1066.09	-4.82	0	-267.11

Livello Nome	Cont. n.br.	Totale			Aste verticali			Pareti		
		F			F			F		
		X	Y	Z	X	Y	Z	X	Y	Z
Fondazione - 146	SLU 16	-7.15	3.46	-1032.59	-3.54	3.46	-769.26	-3.6	0	-263.32
Fondazione - 146	SLU 17	-8.71	3.97	-1136.81	-3.66	3.97	-857.9	-5.05	0	-278.9
Fondazione - 146	SLU 18	-10.38	4	-1381.05	-5.52	4	-1102.27	-4.86	0	-278.78
Fondazione - 146	SLU 19	-9.54	3.49	-1381.51	-6.2	3.5	-1118.36	-3.34	0	-263.14
Fondazione - 146	SLU 20	-10.32	3.75	-1433.62	-6.26	3.75	-1162.68	-4.06	0	-270.93
Fondazione - 146	SLE RA 1	-5.56	2.42	-772.23	-2.63	2.42	-570.51	-2.94	0	-201.72
Fondazione - 146	SLE RA 2	-6.6	2.76	-841.71	-2.7	2.76	-629.61	-3.9	0	-212.1
Fondazione - 146	SLE RA 3	-7.72	2.78	-1004.54	-3.94	2.78	-792.52	-3.78	0	-212.02
Fondazione - 146	SLE RA 4	-7.16	2.45	-1004.84	-4.4	2.45	-803.25	-2.76	0	-201.6
Fondazione - 146	SLE RA 5	-7.68	2.62	-1039.58	-4.44	2.62	-832.79	-3.24	0	-206.79
Fondazione - 146	SLE FR 1	-5.56	2.42	-772.23	-2.63	2.42	-570.51	-2.94	0	-201.72
Fondazione - 146	SLE FR 2	-5.77	2.49	-786.12	-2.64	2.49	-582.33	-3.13	0	-203.79
Fondazione - 146	SLE FR 3	-6.73	2.51	-925.69	-3.7	2.51	-721.97	-3.03	0	-203.72
Fondazione - 146	SLE FR 4	-6.68	2.44	-935.06	-3.87	2.44	-733.43	-2.82	0	-201.63
Fondazione - 146	SLE QP 1	-5.56	2.42	-772.23	-2.63	2.42	-570.51	-2.94	0	-201.72
Fondazione - 146	SLE QP 2	-6.52	2.44	-911.8	-3.69	2.44	-710.15	-2.83	0	-201.64
Fondazione - 146	SLO 1	-206.81	5.68	-956.59	29.14	10.75	-710.63	-235.95	-5.07	-245.97
Fondazione - 146	SLO 2	-220.53	5.74	-959.36	29.44	10.78	-710.65	-249.96	-5.04	-248.71
Fondazione - 146	SLO 3	-256.44	-3.58	-968.21	37.86	-5.66	-710.89	-294.29	2.08	-257.32
Fondazione - 146	SLO 4	-270.15	-3.52	-970.98	38.15	-5.63	-710.91	-308.31	2.11	-260.07
Fondazione - 146	SLO 5	10	17.39	-907.39	-6.88	29.76	-709.9	16.88	-12.37	-197.49
Fondazione - 146	SLO 6	3.21	17.54	-908.68	-7.14	29.89	-709.9	10.35	-12.35	-198.77
Fondazione - 146	SLO 7	-155.43	-13.48	-946.11	22.17	-24.94	-710.77	-177.6	11.46	-235.34
Fondazione - 146	SLO 8	-162.22	-13.33	-947.4	21.91	-24.81	-710.78	-184.12	11.48	-236.62
Fondazione - 146	SLO 9	149.17	18.21	-876.19	-29.28	29.69	-709.53	178.46	-11.48	-166.66
Fondazione - 146	SLO 10	142.39	18.35	-877.49	-29.55	29.82	-709.54	171.93	-11.46	-167.95
Fondazione - 146	SLO 11	-16.26	-12.66	-914.91	-0.23	-25.01	-710.4	-16.02	12.35	-204.51
Fondazione - 146	SLO 12	-23.04	-12.52	-916.21	-0.5	-24.89	-710.41	-22.54	12.37	-205.8
Fondazione - 146	SLO 13	257.11	8.39	-852.62	-45.53	10.5	-709.4	302.64	-2.11	-143.22
Fondazione - 146	SLO 14	243.39	8.46	-855.38	-45.23	10.54	-709.42	288.63	-2.08	-145.97
Fondazione - 146	SLO 15	207.48	-0.87	-864.23	-36.82	-5.91	-709.66	244.3	5.04	-154.57
Fondazione - 146	SLO 16	193.76	-0.8	-867	-36.52	-5.87	-709.68	230.28	5.07	-157.32
Fondazione - 146	SLD 1	-174.26	5.43	-949.3	23.78	9.77	-710.55	-198.03	-4.34	-238.75
Fondazione - 146	SLD 2	-185.81	5.49	-951.63	24.02	9.8	-710.56	-209.83	-4.31	-241.07
Fondazione - 146	SLD 3	-217.2	-2.93	-959.37	31.35	-4.73	-710.78	-248.55	1.8	-248.59
Fondazione - 146	SLD 4	-228.76	-2.87	-961.7	31.6	-4.69	-710.79	-260.35	1.82	-250.9
Fondazione - 146	SLD 5	9.47	15.96	-907.57	-6.78	26.57	-709.92	16.25	-10.61	-197.66
Fondazione - 146	SLD 6	3.66	16.09	-908.68	-7.01	26.68	-709.92	10.67	-10.6	-198.75
Fondazione - 146	SLD 7	-133.69	-11.91	-941.13	18.46	-21.75	-710.69	-152.15	9.84	-230.44
Fondazione - 146	SLD 8	-139.5	-11.78	-942.24	18.23	-21.64	-710.7	-157.73	9.86	-231.54
Fondazione - 146	SLD 9	126.46	16.66	-881.35	-25.61	26.51	-709.61	152.06	-9.86	-171.74
Fondazione - 146	SLD 10	120.65	16.78	-882.46	-25.84	26.62	-709.61	146.49	-9.84	-172.84
Fondazione - 146	SLD 11	-16.7	-11.21	-914.91	-0.36	-21.81	-710.38	-16.34	10.59	-204.53
Fondazione - 146	SLD 12	-22.51	-11.09	-916.02	-0.6	-21.7	-710.39	-21.91	10.61	-205.63
Fondazione - 146	SLD 13	215.71	7.74	-861.9	-38.98	9.57	-709.51	254.69	-1.82	-152.39
Fondazione - 146	SLD 14	204.16	7.8	-864.23	-38.73	9.6	-709.53	242.89	-1.8	-154.7
Fondazione - 146	SLD 15	172.76	-0.62	-871.97	-31.4	-4.93	-709.74	204.17	4.31	-162.22
Fondazione - 146	SLD 16	161.21	-0.56	-874.3	-31.16	-4.89	-709.76	192.37	4.33	-164.54
Fondazione - 146	SLV 1	-391.53	10.27	-997.83	59.3	20.6	-711.03	-450.83	-10.33	-286.79
Fondazione - 146	SLV 2	-418.41	10.41	-1003.24	59.85	20.69	-711.07	-478.26	-10.27	-292.17
Fondazione - 146	SLV 3	-496.65	-10.96	-1022.53	77.94	-15.34	-711.62	-574.59	4.38	-310.91

Livello Nome	Cont. n.br.	Totale			Aste verticali			Pareti		
		F			F			F		
		X	Y	Z	X	Y	Z	X	Y	Z
Fondazione - 146	SLV 4	-523.53	-10.82	-1027.95	78.49	-15.26	-711.66	-602.03	4.44	-316.29
Fondazione - 146	SLV 5	40.35	36.85	-899.63	-12.68	62.28	-709.52	53.02	-25.42	-190.1
Fondazione - 146	SLV 6	26.42	37.17	-902.27	-13.28	62.55	-709.54	39.71	-25.39	-192.73
Fondazione - 146	SLV 7	-310.07	-33.92	-981.98	49.45	-57.54	-711.48	-359.53	23.62	-270.49
Fondazione - 146	SLV 8	-324	-33.61	-984.62	48.85	-57.26	-711.5	-372.85	23.65	-273.12
Fondazione - 146	SLV 9	310.95	38.48	-838.97	-56.23	62.14	-708.81	367.18	-23.65	-130.17
Fondazione - 146	SLV 10	297.03	38.8	-841.62	-56.83	62.41	-708.82	353.86	-23.62	-132.8
Fondazione - 146	SLV 11	-39.47	-32.29	-921.32	5.9	-57.68	-710.77	-45.37	25.38	-210.56
Fondazione - 146	SLV 12	-53.39	-31.98	-923.97	5.3	-57.4	-710.78	-58.69	25.42	-213.18
Fondazione - 146	SLV 13	510.49	15.7	-795.65	-85.87	20.13	-708.64	596.36	-4.44	-87
Fondazione - 146	SLV 14	483.61	15.84	-801.06	-85.32	20.22	-708.68	568.93	-4.38	-92.38
Fondazione - 146	SLV 15	405.36	-5.54	-820.35	-67.23	-15.81	-709.23	472.59	10.27	-111.12
Fondazione - 146	SLV 16	378.48	-5.4	-825.77	-66.68	-15.73	-709.27	445.16	10.33	-116.5
Fondazione - 146	SLV FO 1	-430.03	11.06	-1006.43	65.6	22.42	-711.12	-495.63	-11.36	-295.31
Fondazione - 146	SLV FO 2	-459.6	11.21	-1012.39	66.21	22.51	-711.17	-525.8	-11.3	-301.22
Fondazione - 146	SLV FO 3	-545.67	-12.3	-1033.6	86.1	-17.12	-711.77	-631.77	4.82	-321.83
Fondazione - 146	SLV FO 4	-575.24	-12.15	-1039.56	86.71	-17.03	-711.81	-661.94	4.88	-327.75
Fondazione - 146	SLV FO 5	45.03	40.3	-898.41	-13.58	68.26	-709.46	58.61	-27.96	-188.95
Fondazione - 146	SLV FO 6	29.72	40.64	-901.32	-14.24	68.57	-709.48	43.96	-27.92	-191.84
Fondazione - 146	SLV FO 7	-340.43	-37.56	-989	54.77	-63.54	-711.62	-395.2	25.98	-277.38
Fondazione - 146	SLV FO 8	-355.74	-37.21	-991.9	54.1	-63.23	-711.63	-409.85	26.02	-280.27
Fondazione - 146	SLV FO 9	342.7	42.09	-831.69	-61.48	68.11	-708.67	404.18	-26.02	-123.02
Fondazione - 146	SLV FO 10	327.38	42.43	-834.6	-62.15	68.41	-708.69	389.53	-25.98	-125.91
Fondazione - 146	SLV FO 11	-42.76	-35.77	-922.28	6.86	-63.69	-710.83	-49.63	27.92	-211.45
Fondazione - 146	SLV FO 12	-58.08	-35.42	-925.18	6.2	-63.38	-710.85	-64.28	27.96	-214.34
Fondazione - 146	SLV FO 13	562.19	17.02	-784.03	-94.09	21.9	-708.49	656.28	-4.88	-75.54
Fondazione - 146	SLV FO 14	532.62	17.17	-789.99	-93.48	22	-708.54	626.1	-4.82	-81.45
Fondazione - 146	SLV FO 15	446.55	-6.33	-811.21	-73.58	-17.63	-709.14	520.14	11.3	-102.07
Fondazione - 146	SLV FO 16	416.98	-6.18	-817.17	-72.98	-17.54	-709.18	489.96	11.36	-107.98
Fondazione - 146	CRTFP Ux+	0	0	0	0	0	0	0	0	0
Fondazione - 146	CRTFP Ux-	0	0	0	0	0	0	0	0	0
Fondazione - 146	CRTFP Uy+	0	0	0	0	0	0	0	0	0
Fondazione - 146	CRTFP Uy-	0	0	0	0	0	0	0	0	0
Fondazione - 146	CRTFP Rz+	0	0	0	0	0	0	0	0	0
Fondazione - 146	CRTFP Rz-	0	0	0	0	0	0	0	0	0
Piano 0	Pesi	-5.3	3	-3714.8	-1.28	2.99	-3407.59	-4.03	0	-307.21
Piano 0	Port.	-0.52	3.33	-1203.35	-1.61	3.33	-1196.74	1.09	0	-6.61
Piano 0	Variabile C	-1.58	0.01	-246.2	-1.76	0.01	-246.32	0.18	0	0.12
Piano 0	Neve	-0.86	0.86	-866.7	0.1	0.86	-836.68	-0.96	0	-30.02
Piano 0	X SLV	411.04	10.19	161.86	-114.19	6.72	52.9	525.23	3.47	108.96
Piano 0	Y SLV	-200.39	-124.93	-389.53	5.51	-150.56	-350.01	-205.9	25.62	-39.52
Piano 0	EY SLV	-18.32	-2.71	-0.96	-5.45	-2.74	1.82	-12.88	0.02	-2.78
Piano 0	EX SLV	5.33	0.15	-0.4	2.54	0.16	-1.07	2.8	-0.01	0.67
Piano 0	X SLD	177.31	4.39	69.96	-49.73	2.91	22.85	227.04	1.48	47.12
Piano 0	Y SLD	-82.5	-51.46	-159.7	1.53	-62.1	-143.58	-84.04	10.64	-16.11
Piano 0	EY SLD	-7.92	-1.17	-0.42	-2.35	-1.18	0.78	-5.56	0.01	-1.2
Piano 0	EX SLD	2.13	0.06	-0.16	1.01	0.06	-0.43	1.12	0	0.27
Piano 0	X SLO	211.29	5.18	83.29	-58.8	3.47	27.25	270.09	1.71	56.04
Piano 0	Y SLO	-95.56	-59.53	-184.53	1.49	-71.91	-165.93	-97.05	12.38	-18.6
Piano 0	EY SLO	-9.43	-1.4	-0.5	-2.8	-1.41	0.93	-6.63	0.01	-1.43
Piano 0	EX SLO	2.43	0.07	-0.18	1.16	0.07	-0.49	1.27	0	0.31
Piano 0	R Ux	0	0	0	0	0	0	0	0	0
Piano 0	R Uy	0	0	0	0	0	0	0	0	0
Piano 0	R Rz	0	0	0	0	0	0	0	0	0
Piano 0	SLU 1	-5.72	5.66	-4677.48	-2.56	5.66	-4364.98	-3.16	0	-312.5
Piano 0	SLU 2	-7.01	6.95	-5977.53	-2.41	6.95	-5620	-4.6	0	-357.52
Piano 0	SLU 3	-8.67	6.97	-6236.03	-4.25	6.97	-5878.64	-4.42	0	-357.4
Piano 0	SLU 4	-8.09	5.68	-5046.78	-5.2	5.68	-4734.46	-2.89	0	-312.32
Piano 0	SLU 5	-8.74	6.32	-5696.8	-5.12	6.32	-5361.97	-3.61	0	-334.83
Piano 0	SLU 6	-6.08	7.99	-5519.82	-3.69	7.99	-5202.7	-2.4	0	-317.13
Piano 0	SLU 7	-7.37	9.28	-6819.87	-3.53	9.28	-6457.72	-3.84	0	-362.15
Piano 0	SLU 8	-9.03	9.29	-7078.38	-5.38	9.3	-6716.36	-3.65	0	-362.02
Piano 0	SLU 9	-8.46	8.01	-5889.12	-6.33	8.01	-5572.18	-2.13	0	-316.94
Piano 0	SLU 10	-9.1	8.65	-6539.14	-6.25	8.66	-6199.69	-2.85	0	-339.45
Piano 0	SLU 11	-7.31	6.56	-5791.92	-2.95	6.56	-5387.26	-4.36	0	-404.66
Piano 0	SLU 12	-8.6	7.85	-7091.97	-2.79	7.85	-6642.28	-5.81	0	-449.69

Livello	Cont.	Totale			Aste verticali			Pareti			
		Nome	n.br.	F	X	Y	Z	X	Y	Z	
Piano 0	SLU 13		-10.26	7.86	-7350.48	-4.64	7.86	-6900.92	-5.62	0	-449.56
Piano 0	SLU 14		-9.68	6.58	-6161.22	-5.58	6.58	-5756.74	-4.1	0	-404.48
Piano 0	SLU 15		-10.33	7.22	-6811.24	-5.51	7.22	-6384.25	-4.82	0	-426.99
Piano 0	SLU 16		-7.67	8.89	-6634.26	-4.07	8.89	-6224.97	-3.6	0	-409.29
Piano 0	SLU 17		-8.96	10.18	-7934.31	-3.91	10.18	-7480	-5.05	0	-454.31
Piano 0	SLU 18		-10.63	10.19	-8192.82	-5.76	10.2	-7738.63	-4.86	0	-454.18
Piano 0	SLU 19		-10.05	8.91	-7003.56	-6.71	8.91	-6594.46	-3.34	0	-409.11
Piano 0	SLU 20		-10.69	9.55	-7653.58	-6.63	9.56	-7221.97	-4.06	0	-431.62
Piano 0	SLE RA 1		-5.82	6.32	-4918.15	-2.88	6.33	-4604.33	-2.94	0	-313.82
Piano 0	SLE RA 2		-6.68	7.19	-5784.85	-2.78	7.19	-5441.01	-3.9	0	-343.84
Piano 0	SLE RA 3		-7.79	7.19	-5957.19	-4.01	7.2	-5613.43	-3.78	0	-343.75
Piano 0	SLE RA 4		-7.41	6.34	-5164.35	-4.64	6.34	-4850.65	-2.76	0	-313.7
Piano 0	SLE RA 5		-7.84	6.77	-5597.7	-4.59	6.77	-5268.99	-3.24	0	-328.71
Piano 0	SLE FR 1		-5.82	6.32	-4918.15	-2.88	6.33	-4604.33	-2.94	0	-313.82
Piano 0	SLE FR 2		-5.99	6.5	-5091.49	-2.86	6.5	-4771.66	-3.13	0	-319.83
Piano 0	SLE FR 3		-6.94	6.5	-5239.21	-3.92	6.51	-4919.46	-3.03	0	-319.75
Piano 0	SLE FR 4		-6.93	6.33	-5090.49	-4.12	6.33	-4776.75	-2.82	0	-313.74
Piano 0	SLE QP 1		-5.82	6.32	-4918.15	-2.88	6.33	-4604.33	-2.94	0	-313.82
Piano 0	SLE QP 2		-6.77	6.33	-5065.87	-3.94	6.33	-4752.12	-2.83	0	-313.75
Piano 0	SLO 1		-179.24	20.42	-5093.36	57.56	25.87	-4730.67	-236.8	-5.44	-362.69
Piano 0	SLO 2		-199.55	17.59	-5094.24	51.26	23.01	-4728.51	-250.81	-5.41	-365.73
Piano 0	SLO 3		-236.58	-15.3	-5204.08	58.45	-17.28	-4830.23	-295.03	1.99	-373.85
Piano 0	SLO 4		-256.89	-18.13	-5204.96	52.15	-20.14	-4828.07	-309.04	2.01	-376.89
Piano 0	SLO 5		30.66	64.79	-4906.36	14.21	77.7	-4595.13	16.45	-12.91	-311.22
Piano 0	SLO 6		20.14	63.82	-4906.29	10.21	76.71	-4593.6	9.93	-12.89	-312.69
Piano 0	SLO 7		-160.46	-54.27	-5275.42	17.18	-66.13	-4926.99	-177.65	11.86	-348.43
Piano 0	SLO 8		-170.98	-55.24	-5275.36	13.19	-67.12	-4925.46	-184.17	11.87	-349.9
Piano 0	SLO 9		157.44	67.9	-4856.38	-21.07	79.78	-4578.78	178.51	-11.88	-277.6
Piano 0	SLO 10		146.92	66.93	-4856.32	-25.06	78.79	-4577.25	171.98	-11.86	-279.07
Piano 0	SLO 11		-33.69	-51.16	-5225.45	-18.09	-64.05	-4910.65	-15.59	12.89	-314.8
Piano 0	SLO 12		-44.21	-52.13	-5225.38	-22.09	-65.03	-4909.11	-22.12	12.9	-316.27
Piano 0	SLO 13		243.35	30.79	-4926.78	-60.03	32.81	-4676.17	303.38	-2.02	-250.61
Piano 0	SLO 14		223.03	27.96	-4927.66	-66.33	29.95	-4674.01	289.36	-1.99	-253.65
Piano 0	SLO 15		186.01	-4.93	-5037.5	-59.14	-10.34	-4775.73	245.15	5.41	-261.77
Piano 0	SLO 16		165.69	-7.76	-5038.38	-65.44	-13.2	-4773.57	231.13	5.44	-264.81
Piano 0	SLD 1		-150.77	18.57	-5087.56	47.99	23.26	-4732.8	-198.76	-4.69	-354.75
Piano 0	SLD 2		-167.89	16.19	-5088.29	42.67	20.85	-4730.98	-210.56	-4.67	-357.31
Piano 0	SLD 3		-200.28	-12.31	-5183.37	48.91	-14	-4818.95	-249.19	1.7	-364.42
Piano 0	SLD 4		-217.39	-14.69	-5184.11	43.59	-16.41	-4817.13	-260.99	1.72	-366.98
Piano 0	SLD 5		27.04	56.88	-4927.2	11.17	67.98	-4616.05	15.88	-11.1	-311.14
Piano 0	SLD 6		18.03	56.06	-4927.13	7.73	67.14	-4614.73	10.3	-11.08	-312.4
Piano 0	SLD 7		-137.96	-46.03	-5246.59	14.23	-56.22	-4903.22	-152.19	10.19	-343.37
Piano 0	SLD 8		-146.98	-46.85	-5246.52	10.79	-57.06	-4901.9	-157.77	10.2	-344.62
Piano 0	SLD 9		133.43	59.52	-4885.22	-18.67	69.72	-4602.35	152.1	-10.21	-282.87
Piano 0	SLD 10		124.42	58.69	-4885.15	-22.11	68.89	-4601.02	146.53	-10.19	-284.13
Piano 0	SLD 11		-31.58	-43.4	-5204.61	-15.61	-54.48	-4889.52	-15.97	11.08	-315.09
Piano 0	SLD 12		-40.59	-44.22	-5204.54	-19.05	-55.31	-4888.19	-21.54	11.1	-316.35
Piano 0	SLD 13		203.85	27.35	-4947.63	-51.47	29.07	-4687.11	255.32	-1.72	-260.52
Piano 0	SLD 14		186.73	24.97	-4948.37	-56.79	26.67	-4685.29	243.52	-1.7	-263.08
Piano 0	SLD 15		154.34	-3.52	-5043.45	-50.55	-8.19	-4773.26	204.9	4.66	-270.18
Piano 0	SLD 16		137.23	-5.9	-5044.18	-55.87	-10.59	-4771.44	193.1	4.69	-272.75
Piano 0	SLV 1		-337.78	36.38	-5110.03	114.81	47.56	-4702.15	-452.58	-11.18	-407.87
Piano 0	SLV 2		-377.63	30.86	-5111.72	102.39	41.99	-4697.88	-480.01	-11.13	-413.84
Piano 0	SLV 3		-458.01	-38.58	-5343.75	118.11	-42.77	-4912.16	-576.12	4.19	-431.58
Piano 0	SLV 4		-497.86	-44.1	-5345.43	105.69	-48.34	-4907.89	-603.55	4.25	-437.55
Piano 0	SLV 5		81.13	129.17	-4725.01	28.98	155.85	-4419.59	52.15	-26.68	-305.41
Piano 0	SLV 6		59.47	127.25	-4724.79	20.64	153.89	-4416.36	38.83	-26.65	-308.43
Piano 0	SLV 7		-319.64	-120.7	-5504.07	40	-145.26	-5119.62	-359.64	24.56	-384.45
Piano 0	SLV 8		-341.31	-122.62	-5503.85	31.65	-147.22	-5116.39	-372.96	24.6	-387.46
Piano 0	SLV 9		327.76	135.28	-4627.89	-39.53	159.89	-4387.85	367.29	-24.6	-240.04
Piano 0	SLV 10		306.1	133.36	-4627.67	-47.88	157.93	-4384.62	353.98	-24.57	-243.05
Piano 0	SLV 11		-73.02	-114.58	-5406.95	-28.52	-141.23	-5087.88	-44.5	26.64	-319.07
Piano 0	SLV 12		-94.68	-116.51	-5406.73	-36.86	-143.19	-5084.65	-57.82	26.68	-322.08
Piano 0	SLV 13		484.31	56.76	-4786.3	-113.57	61.01	-4596.35	597.89	-4.25	-189.95
Piano 0	SLV 14		444.46	51.24	-4787.99	-125.99	55.44	-4592.08	570.45	-4.19	-195.91
Piano 0	SLV 15		364.08	-18.2	-5020.02	-110.27	-29.33	-4806.36	474.35	11.12	-213.66
Piano 0	SLV 16		324.23	-23.72	-5021.71	-122.69	-34.89	-4802.09	446.92	11.18	-219.62
Piano 0	SLV FO 1		-370.88	39.38	-5114.44	126.68	51.68	-4697.16	-497.56	-12.3	-417.29
Piano 0	SLV FO 2		-414.71	33.32	-5116.3	113.02	45.56	-4692.46	-527.73	-12.24	-423.84
Piano 0	SLV FO 3		-503.13	-43.07	-5371.53	130.32	-47.68	-4928.17	-633.45	4.61	-443.37
Piano 0	SLV FO 4		-546.97	-49.14	-5373.39	116.66	-53.81	-4923.46	-663.63	4.67	-449.93
Piano 0	SLV FO 5		89.92	141.45	-4690.92	32.27	170.8	-4386.34	57.65	-29.35	-304.58
Piano 0	SLV FO 6		66.1	139.34	-4690.68	23.09	168.65	-4382.79	43	-29.31	-307.89
Piano 0	SLV FO 7		-350.93	-133.4	-5547.89	44.39	-160.42	-5156.37	-395.32	27.02	-391.52
Piano 0	SLV FO 8		-374.76	-135.52	-5547.65	35.21	-162.57	-5152.82	-409.97	27.06	-394.83
Piano 0	SLV FO 9		361.21	148.18	-4584.09	-43.09	175.24	-4351.43	404.31	-27.06	-232.67
Piano 0	SLV FO 10		337.38	146.06	-4583.85	-52.27	173.08	-4347.87	389.66	-27.02	-235.98
Piano 0	SLV FO 11		-79.64	-126.68	-5441.06	-30.97	-155.98	-5121.45	-48.67	29.31	-319.6
Piano 0	SLV FO 12		-103.47	-128.79	-5440.82	-40.15	-158.14	-5117.9	-63.32	29.35	-322.92
Piano 0	SLV FO 13		533.42	61.8	-4758.35	-124.54	66.48	-4580.78	657.96	-4.67	-177.57
Piano 0	SLV FO 14		489.59	55.74	-4760.2	-138.2	60.35	-4576.08	627.78	-4.61	-184.13
Piano 0	SLV FO 15		401.16	-20.66	-5015.44	-120.9	-32.89	-4811.79	522.07	12.24	-203.65
Piano 0	SLV FO 16		357.33	-26.72	-5017.29	-134.56	-39.02	-4807.08	491.89	12.3	-210.21
Piano 0	CRTFP Ux+		0	0	0	0	0	0	0	0	0
Piano 0	CRTFP Ux-		0	0	0	0	0	0	0	0	0
Piano 0	CRTFP Uy+		0	0	0	0	0	0	0	0	0
Piano 0	CRTFP Uy-		0	0	0	0	0	0	0	0	0
Piano 0	CRTFP Rz+		0	0	0	0	0	0	0	0	0
Piano 0	CRTFP Rz-		0	0	0	0	0	0	0	0	0
Fondazione -56	Pesi		3.17	9.32	-4126.99	-1.28	2.99	-3407.01	4.44	6.33	-719.98
Fondazione -56	Port.		4.3	8.58	-1342.91	-1.61	3.33	-1196.74	5.91	5.25	-146.17
Fondazione -56	Variabile C		-0.75	0.06	-358.64	-1.76	0.01	-246.32	1.01	0.05	-112.32
Fondazione -56	Neve		1.13	2.07	-940.93	0.1	0.86	-836.68	1.02	1.21	-104.25
Fondazione -56	X SLV		608.96	33.29	134.57	-114.19	6.72	52.9	723.15	26.57	81.67
Fondazione -56	Y SLV		-267.37	24.62	-37.17	5.51	-150.56	-350.01	-272.87	175.18	312.85
Fondazione -56	EY SLV		5.56	-2.34	-2.83	-5.45	-2.74	1.82	11	0.4	-4.65
Fondazione -56	EX SLV		-8.09	-0.1	0.71	2.54	0.16	-1.07	-10.63	-0.26	1.78
Fondazione -56	X SLD		263.27	14.37	58.1	-49.73	2.91	22.85	313	11.46	35.26
Fondazione -56	Y SLD		-110.1	13.16	-15.14	1.53	-62.1	-143.58	-111.64	75.27	128.44

Livello Nome	Cont. n.br.	Totale			Aste verticali			Pareti		
		X	Y	Z	X	Y	Z	X	Y	Z
Fondazione -56	EY SLD	2.4	-1.01	-1.22	-2.35	-1.18	0.78	4.76	0.17	-2.01
Fondazione -56	EX SLD	-3.23	-0.04	0.28	1.01	0.06	-0.43	-4.25	-0.11	0.71
Fondazione -56	X SLO	308.32	16.96	70.25	-58.8	3.47	27.25	367.11	13.49	43
Fondazione -56	Y SLO	-126.97	12.45	-17.84	1.49	-71.91	-165.93	-128.46	84.37	148.09
Fondazione -56	EY SLO	2.86	-1.2	-1.46	-2.8	-1.41	0.93	5.66	0.21	-2.39
Fondazione -56	EX SLO	-3.69	-0.05	0.32	1.16	0.07	-0.49	-4.84	-0.12	0.81
Fondazione -56	R Ux	0	0	0	0	0	0	0	0	0
Fondazione -56	R Uy	0	0	0	0	0	0	0	0	0
Fondazione -56	R Rz	0	0	0	0	0	0	0	0	0
Fondazione -56	SLU 1	6.61	16.19	-5201.32	-2.56	5.66	-4364.4	9.17	10.53	-836.92
Fondazione -56	SLU 2	8.3	19.29	-6612.71	-2.41	6.95	-5619.42	10.71	12.34	-993.29
Fondazione -56	SLU 3	7.51	19.36	-6989.29	-4.25	6.97	-5878.06	11.77	12.39	-1111.23
Fondazione -56	SLU 4	5.48	16.28	-5739.28	-5.2	5.68	-4733.88	10.68	10.6	-1005.4
Fondazione -56	SLU 5	6.33	17.83	-6444.98	-5.12	6.32	-5361.39	11.45	11.51	-1083.58
Fondazione -56	SLU 6	9.62	22.2	-6141.35	-3.69	7.99	-5202.12	13.31	14.2	-939.24
Fondazione -56	SLU 7	11.32	25.3	-7552.75	-3.53	9.28	-6457.14	14.85	16.01	-1095.61
Fondazione -56	SLU 8	10.53	25.36	-7929.32	-5.38	9.3	-6715.78	15.91	16.06	-1213.55
Fondazione -56	SLU 9	8.49	22.29	-6679.32	-6.33	8.01	-5571.6	14.82	14.27	-1107.72
Fondazione -56	SLU 10	9.34	23.84	-7385.01	-6.25	8.66	-6199.11	15.59	15.18	-1185.9
Fondazione -56	SLU 11	7.56	18.99	-6439.41	-2.95	6.56	-5386.5	10.51	12.43	-1052.91
Fondazione -56	SLU 12	9.25	22.09	-7850.81	-2.79	7.85	-6641.52	12.04	14.24	-1209.28
Fondazione -56	SLU 13	8.46	22.15	-8227.38	-4.64	7.86	-6900.16	13.1	14.29	-1327.22
Fondazione -56	SLU 14	6.43	19.08	-6977.37	-5.58	6.58	-5755.98	12.02	12.5	-1221.39
Fondazione -56	SLU 15	7.28	20.63	-7683.07	-5.51	7.22	-6383.5	12.78	13.41	-1299.58
Fondazione -56	SLU 16	10.57	24.99	-7379.45	-4.07	8.89	-6224.22	14.65	16.1	-1155.23
Fondazione -56	SLU 17	12.27	28.1	-8790.85	-3.91	10.18	-7479.24	16.18	17.91	-1311.61
Fondazione -56	SLU 18	11.48	28.16	-9167.42	-5.76	10.2	-7737.88	17.24	17.96	-1429.54
Fondazione -56	SLU 19	9.44	25.08	-7917.41	-6.71	8.91	-6593.7	16.16	16.17	-1323.71
Fondazione -56	SLU 20	10.29	26.64	-8623.11	-6.63	9.56	-7221.21	16.92	17.08	-1401.9
Fondazione -56	SLE RA 1	7.47	17.91	-5469.9	-2.88	6.33	-4603.75	10.36	11.58	-866.15
Fondazione -56	SLE RA 2	8.6	19.97	-6410.83	-2.78	7.19	-5440.43	11.38	12.79	-970.4
Fondazione -56	SLE RA 3	8.07	20.02	-6661.88	-4.01	7.2	-5612.85	12.08	12.82	-1049.02
Fondazione -56	SLE RA 4	6.72	17.97	-5828.54	-4.64	6.34	-4850.07	11.36	11.63	-978.47
Fondazione -56	SLE RA 5	7.28	19	-6299.01	-4.59	6.77	-5268.41	11.87	12.23	-1030.6
Fondazione -56	SLE FR 1	7.47	17.91	-5469.9	-2.88	6.33	-4603.75	10.36	11.58	-866.15
Fondazione -56	SLE FR 2	7.7	18.32	-5658.09	-2.86	6.5	-4771.08	10.56	11.82	-887
Fondazione -56	SLE FR 3	7.25	18.36	-5873.27	-3.92	6.51	-4918.88	11.16	11.85	-954.39
Fondazione -56	SLE FR 4	6.94	17.95	-5720.95	-4.12	6.33	-4776.17	11.06	11.61	-944.77
Fondazione -56	SLE QP 1	7.47	17.91	-5469.9	-2.88	6.33	-4603.75	10.36	11.58	-866.15
Fondazione -56	SLE QP 2	7.02	17.94	-5685.08	-3.94	6.33	-4751.54	10.96	11.61	-933.54
Fondazione -56	SLO 1	-267.17	-1.56	-5748.43	57.56	25.87	-4730.09	-324.73	-27.43	-1018.34
Fondazione -56	SLO 2	-259.24	-3.94	-5751.54	51.26	23.01	-4727.93	-310.5	-26.95	-1023.61
Fondazione -56	SLO 3	-343.35	5.91	-5759.13	58.45	-17.28	-4829.65	-401.8	23.19	-929.48
Fondazione -56	SLO 4	-335.42	3.53	-5762.24	52.15	-20.14	-4827.49	-387.58	23.67	-934.75
Fondazione -56	SLO 5	36.95	0.71	-5687.56	14.21	77.7	-4594.55	22.74	-76.99	-1093.01
Fondazione -56	SLO 6	46.04	0.09	-5689.08	10.21	76.71	-4593.02	35.83	-76.62	-1096.07
Fondazione -56	SLO 7	-216.99	25.62	-5723.24	17.18	-66.13	-4926.41	-234.17	91.75	-796.82
Fondazione -56	SLO 8	-207.9	24.99	-5724.76	13.19	-67.12	-4924.88	-221.09	92.11	-799.88
Fondazione -56	SLO 9	221.94	10.89	-5645.41	-21.07	79.78	-4578.2	243.01	-68.89	-1067.21
Fondazione -56	SLO 10	231.03	10.26	-5646.93	-25.06	78.79	-4576.67	256.09	-68.53	-1070.26
Fondazione -56	SLO 11	-32	35.79	-5681.08	-18.09	-64.05	-4910.07	-13.91	99.84	-771.02
Fondazione -56	SLO 12	-22.91	35.17	-5682.61	-22.09	-65.03	-4908.53	-0.82	100.2	-774.08
Fondazione -56	SLO 13	349.46	32.35	-5607.93	-60.03	32.81	-4675.59	409.49	-0.46	-932.33
Fondazione -56	SLO 14	357.39	29.98	-5611.03	-66.33	29.95	-4673.43	423.72	0.03	-937.6
Fondazione -56	SLO 15	273.28	39.82	-5618.63	-59.14	-10.34	-4775.15	332.42	50.16	-843.48
Fondazione -56	SLO 16	281.21	37.45	-5621.74	-65.44	-13.2	-4772.99	346.65	50.65	-848.75
Fondazione -56	SLD 1	-226.59	0.62	-5737.34	47.99	23.26	-4732.22	-274.58	-22.64	-1005.11
Fondazione -56	SLD 2	-219.85	-1.38	-5739.95	42.67	20.85	-4730.4	-262.52	-22.23	-1009.56
Fondazione -56	SLD 3	-292.65	8.52	-5746.42	48.91	-14	-4818.37	-341.56	22.52	-928.05
Fondazione -56	SLD 4	-285.91	6.52	-5749.04	43.59	-16.41	-4816.55	-329.5	22.93	-932.49
Fondazione -56	SLD 5	34.19	0.73	-5686.72	11.17	67.98	-4615.47	23.02	-67.25	-1071.25
Fondazione -56	SLD 6	42.1	0.2	-5688.02	7.73	67.14	-4614.15	34.37	-66.94	-1073.88
Fondazione -56	SLD 7	-186.02	27.06	-5717.01	14.23	-56.22	-4902.64	-200.25	83.28	-814.36
Fondazione -56	SLD 8	-178.11	26.53	-5718.31	10.79	-57.06	-4901.32	-188.9	83.59	-816.99
Fondazione -56	SLD 9	192.15	9.35	-5651.86	-18.67	69.72	-4601.77	210.82	-60.38	-1050.09
Fondazione -56	SLD 10	200.06	8.83	-5653.16	-22.11	68.89	-4600.44	222.17	-60.06	-1052.72
Fondazione -56	SLD 11	-28.06	35.68	-5682.14	-15.61	-54.48	-4888.94	-12.45	90.16	-793.21
Fondazione -56	SLD 12	-20.15	35.16	-5683.44	-19.05	-55.31	-4887.61	-1.1	90.47	-795.84
Fondazione -56	SLD 13	299.95	29.36	-5621.13	-51.47	29.07	-4686.53	351.42	0.29	-934.6
Fondazione -56	SLD 14	306.69	27.37	-5623.75	-56.79	26.67	-4684.71	363.48	0.7	-939.04
Fondazione -56	SLD 15	233.89	37.26	-5630.21	-50.55	-8.19	-4772.68	284.44	45.45	-857.53
Fondazione -56	SLD 16	240.63	35.27	-5632.83	-55.87	-10.59	-4770.86	296.5	45.86	-861.97
Fondazione -56	SLV 1	-529.71	-20.43	-5805.46	114.81	47.56	-4701.57	-644.52	-67.99	-1103.89
Fondazione -56	SLV 2	-513.74	-25.04	-5811.55	102.39	41.99	-4697.3	-616.13	-67.03	-1114.25
Fondazione -56	SLV 3	-690.13	-5.66	-5827.76	118.11	-42.77	-4911.58	-808.24	37.12	-916.18
Fondazione -56	SLV 4	-674.16	-10.27	-5833.85	105.69	-48.34	-4907.31	-779.86	38.08	-926.54
Fondazione -56	SLV 5	81.94	-16.07	-5686.73	28.98	155.85	-4419.01	52.96	-171.92	-1267.72
Fondazione -56	SLV 6	101.46	-17.26	-5689.85	20.64	153.89	-4415.78	80.82	-171.16	-1274.06
Fondazione -56	SLV 7	-452.79	33.17	-5761.06	40	-145.26	-5119.04	-492.79	178.43	-642.03
Fondazione -56	SLV 8	-433.28	31.98	-5764.18	31.65	-147.22	-5115.81	-464.93	179.2	-648.37
Fondazione -56	SLV 9	447.32	3.9	-5605.99	-39.53	159.89	-4387.27	486.85	-155.98	-1218.71
Fondazione -56	SLV 10	466.83	2.71	-5609.1	-47.88	157.93	-4384.04	514.71	-155.22	-1225.06
Fondazione -56	SLV 11	-87.42	53.15	-5680.32	-28.52	-141.23	-5087.3	-58.9	194.37	-593.02
Fondazione -56	SLV 12	-67.9	51.96	-5683.44	-36.86	-143.19	-5084.07	-31.04	195.14	-599.37
Fondazione -56	SLV 13	688.2	46.15	-5536.32	-113.57	61.01	-4595.77	801.78	-14.86	-940.54
Fondazione -56	SLV 14	704.17	41.54	-5542.4	-125.99	55.44	-4591.5	830.16	-13.9	-950.9
Fondazione -56	SLV 15	527.78	60.92	-5558.62	-110.27	-29.33	-4805.78	638.05	90.25	-752.84
Fondazione -56	SLV 16	543.75	56.31	-5564.7	-122.69	-34.89	-4801.51	666.44	91.21	-763.2
Fondazione -56	SLV FO 1	-583.38	-24.27	-5817.5	126.68	51.68	-4696.58	-710.06	-75.95	-1120.92
Fondazione -56	SLV FO 2	-565.82	-29.34	-5824.2	113.02	45.56	-4691.88	-678.84	-74.9	-1132.32
Fondazione -56	SLV FO 3	-759.85	-8.02	-5842.03	130.32	-47.68	-4927.59	-890.16	39.67	-914.44
Fondazione -56	SLV FO 4	-742.28	-13.09	-5848.73	116.66	-53.81	-4922.88	-858.94	40.72	-925.84
Fondazione -56	SLV FO 5	-89.43	-19.47	-5686.89	32.27	170.8	-4385.76	57.16	-190.28	-1301.13
Fondazione -56	SLV FO 6	110.9	-20.79	-5690.32	23.09	168.65	-4382.21	87.81	-189.43	-1308.12
Fondazione -56	SLV FO 7	-498.77	34.7	-5768.66	44.39	-160.42	-5155.79	-543.16	195.12	-612.87
Fondazione -56	SLV FO 8	-477.31	33.39	-5772.09	35.21	-162.57	-5152.24	-512.52	195.96	-619.86
Fondazione -56	SLV FO 9	491.34	2.5	-5598.08	-43.09	175.24	-4350.85	534.44	-172.74	-1247.23
Fondazione -56	SLV FO 10	512.81	1.19	-5601.5	-52.27	173.08	-4347.29	565.08	-171.9	-1254.21
Fondazione -56	SLV FO 11	-96.86	56.67	-5679.84	-30.97	-155.98	-5120.87	-65.89	212.65	-558.97

Livello Nome	Cont. n.br.	Totale			Aste verticali			Pareti		
		F			F			F		
		X	Y	Z	X	Y	Z	X	Y	Z
Fondazione -56	SLV FO 12	-75.39	55.36	-5683.27	-40.15	-158.14	-5117.32	-35.24	213.49	-565.95
Fondazione -56	SLV FO 13	756.32	48.97	-5521.44	-124.54	66.48	-4580.2	880.86	-17.5	-941.24
Fondazione -56	SLV FO 14	773.89	43.9	-5528.14	-138.2	60.35	-4575.5	912.08	-16.45	-952.64
Fondazione -56	SLV FO 15	579.86	65.22	-5545.97	-120.9	-32.89	-4811.21	700.76	98.11	-734.76
Fondazione -56	SLV FO 16	597.42	60.15	-5552.67	-134.56	-39.02	-4806.5	731.98	99.17	-746.16
Fondazione -56	CRTFP Ux+	0	0	0	0	0	0	0	0	0
Fondazione -56	CRTFP Ux-	0	0	0	0	0	0	0	0	0
Fondazione -56	CRTFP Uy+	0	0	0	0	0	0	0	0	0
Fondazione -56	CRTFP Uy-	0	0	0	0	0	0	0	0	0
Fondazione -56	CRTFP Rz+	0	0	0	0	0	0	0	0	0
Fondazione -56	CRTFP Rz-	0	0	0	0	0	0	0	0	0
Piano 1	Pesi	4.68	0.84	-4452.2	8.03	0.85	-4218.16	-3.35	-0.01	-234.05
Piano 1	Port.	3.49	4.19	-1355.82	2.39	4.19	-1350.26	1.1	-0.01	-5.57
Piano 1	Variabile C	-0.01	0.01	0	-0.18	0.01	-0.15	0.17	0	0.15
Piano 1	Neve	1.31	0.33	-1141.84	2.17	0.33	-1114.81	-0.86	0	-27.03
Piano 1	X SLV	896.47	20.4	10.66	371.99	12.67	-303.12	524.48	7.73	313.77
Piano 1	Y SLV	-374.02	362.05	119.46	-167.8	354.21	239.15	-206.21	7.84	-119.69
Piano 1	EY SLV	-31.38	-3.75	-2.79	-18.49	-3.78	5.04	-12.9	0.03	-7.83
Piano 1	EX SLV	8.76	1.02	1.18	5.96	1.03	-0.58	2.8	-0.01	1.76
Piano 1	X SLD	387.83	8.78	4.59	161.12	5.48	-131.06	226.71	3.3	135.65
Piano 1	Y SLD	-153.93	144.17	47.06	-69.76	140.98	95.91	-84.17	3.19	-48.85
Piano 1	EY SLD	-13.56	-1.62	-1.2	-7.99	-1.63	2.18	-5.57	0.01	-3.38
Piano 1	EX SLD	3.5	0.41	0.47	2.38	0.41	-0.23	1.12	0	0.7
Piano 1	X SLO	461.23	10.3	5.49	191.45	6.53	-155.94	269.78	3.77	161.43
Piano 1	Y SLO	-178.6	163.91	53.19	-81.41	160.33	109.61	-97.2	3.58	-56.42
Piano 1	EY SLO	-16.15	-1.93	-1.43	-9.51	-1.94	2.59	-6.63	0.02	-4.03
Piano 1	EX SLO	3.99	0.46	0.54	2.72	0.47	-0.27	1.28	-0.01	0.8
Piano 1	R Ux	0	0	0	0	0	0	0	0	0
Piano 1	R Uy	0	0	0	0	0	0	0	0	0
Piano 1	R Rz	0	0	0	0	0	0	0	0	0
Piano 1	SLU 1	7.47	4.19	-5536.86	9.94	4.2	-5298.36	-2.47	-0.01	-238.5
Piano 1	SLU 2	9.44	4.68	-7249.63	13.2	4.7	-6970.58	-3.76	-0.01	-279.05
Piano 1	SLU 3	9.43	4.7	-7249.63	13.01	4.71	-6970.73	-3.57	-0.01	-278.9
Piano 1	SLU 4	7.46	4.21	-5536.87	9.67	4.22	-5298.58	-2.21	-0.01	-238.28
Piano 1	SLU 5	8.44	4.46	-6393.25	11.3	4.47	-6134.69	-2.85	-0.01	-258.56
Piano 1	SLU 6	9.91	7.12	-6485.94	11.62	7.13	-6243.54	-1.71	-0.02	-242.4
Piano 1	SLU 7	11.88	7.61	-8198.71	14.87	7.63	-7915.76	-2.99	-0.02	-282.95
Piano 1	SLU 8	11.88	7.63	-8198.71	14.68	7.65	-7915.91	-2.81	-0.02	-282.8
Piano 1	SLU 9	9.9	7.14	-6485.94	11.34	7.15	-6243.76	-1.44	-0.02	-242.18
Piano 1	SLU 10	10.89	7.39	-7342.33	12.97	7.4	-7079.87	-2.09	-0.02	-262.46
Piano 1	SLU 11	8.87	4.44	-6872.53	12.35	4.45	-6563.81	-3.48	-0.01	-308.72
Piano 1	SLU 12	10.85	4.94	-8585.29	15.61	4.95	-8236.03	-4.76	-0.02	-349.27
Piano 1	SLU 13	10.84	4.95	-8585.29	15.42	4.97	-8236.18	-4.58	-0.02	-349.12
Piano 1	SLU 14	8.86	4.46	-6872.53	12.08	4.47	-6564.03	-3.22	-0.01	-308.5
Piano 1	SLU 15	9.85	4.71	-7728.91	13.71	4.72	-7400.14	-3.86	-0.02	-328.77
Piano 1	SLU 16	11.32	7.37	-7821.6	14.03	7.39	-7508.99	-2.71	-0.02	-312.61
Piano 1	SLU 17	13.29	7.87	-9534.37	17.28	7.89	-9181.2	-3.99	-0.02	-353.17
Piano 1	SLU 18	13.28	7.88	-9534.37	17.09	7.9	-9181.36	-3.81	-0.02	-353.01
Piano 1	SLU 19	11.3	7.39	-7821.6	13.75	7.41	-7509.21	-2.45	-0.02	-312.4
Piano 1	SLU 20	12.29	7.64	-8677.99	15.38	7.66	-8345.32	-3.09	-0.02	-332.67
Piano 1	SLE RA 1	8.17	5.02	-5808.03	10.42	5.04	-5568.41	-2.25	-0.01	-239.62
Piano 1	SLE RA 2	9.48	5.36	-6949.87	12.59	5.37	-6683.22	-3.11	-0.02	-266.65
Piano 1	SLE RA 3	9.48	5.36	-6949.87	12.46	5.38	-6683.33	-2.99	-0.02	-266.55
Piano 1	SLE RA 4	8.16	5.04	-5808.03	10.24	5.05	-5568.56	-2.08	-0.01	-239.47
Piano 1	SLE RA 5	8.82	5.2	-6378.95	11.32	5.22	-6125.96	-2.51	-0.01	-252.99
Piano 1	SLE FR 1	8.17	5.02	-5808.03	10.42	5.04	-5568.41	-2.25	-0.01	-239.62
Piano 1	SLE FR 2	8.43	5.09	-6036.4	10.86	5.1	-5791.38	-2.43	-0.01	-245.02
Piano 1	SLE FR 3	8.43	5.1	-6036.4	10.75	5.11	-5791.46	-2.32	-0.01	-244.94
Piano 1	SLE FR 4	8.16	5.03	-5808.03	10.29	5.05	-5568.52	-2.13	-0.01	-239.51
Piano 1	SLE QP 1	8.17	5.02	-5808.03	10.42	5.04	-5568.41	-2.25	-0.01	-239.62
Piano 1	SLE QP 2	8.16	5.03	-5808.03	10.31	5.05	-5568.5	-2.15	-0.01	-239.53
Piano 1	SLO 1	-382.14	-52.37	-5827.89	-146.39	-47.5	-5448.12	-235.76	-4.87	-379.77
Piano 1	SLO 2	-416.83	-56.5	-5831.08	-167.04	-51.67	-5442.77	-249.79	-4.84	-388.3
Piano 1	SLO 3	-489.31	45.98	-5795.97	-195.23	48.7	-5382.35	-294.07	-2.72	-413.62
Piano 1	SLO 4	-523.99	41.84	-5799.16	-215.89	44.53	-5377.01	-308.11	-2.69	-422.15
Piano 1	SLO 5	57.23	-160.92	-5861.9	39.86	-156.19	-5632.37	17.38	-4.74	-229.53
Piano 1	SLO 6	39.56	-163.01	-5863.84	28.72	-158.29	-5630.29	10.84	-4.72	-233.55
Piano 1	SLO 7	-299.98	166.9	-5755.52	-122.96	164.47	-5413.15	-177.01	2.43	-342.37
Piano 1	SLO 8	-317.65	164.81	-5757.45	-134.1	162.36	-5411.07	-183.55	2.45	-346.39
Piano 1	SLO 9	333.97	-154.75	-5858.61	154.72	-152.27	-5725.94	179.25	-2.48	-132.67
Piano 1	SLO 10	316.3	-156.83	-5860.54	143.59	-154.38	-5723.85	172.71	-2.46	-136.69
Piano 1	SLO 11	-23.24	173.07	-5752.22	-8.09	168.38	-5506.71	-15.14	4.69	-249.51
Piano 1	SLO 12	-40.91	170.99	-5754.16	-19.23	166.28	-5504.63	-21.68	4.71	-249.53
Piano 1	SLO 13	540.32	-31.78	-5816.9	236.51	-34.44	-5760	303.81	2.66	-56.9
Piano 1	SLO 14	505.63	-35.91	-5820.09	215.86	-38.61	-5754.65	289.78	2.7	-65.44
Piano 1	SLO 15	433.16	66.57	-5784.98	187.67	61.76	-5694.23	245.49	4.81	-90.75
Piano 1	SLO 16	398.47	62.43	-5788.17	167.01	57.59	-5688.89	231.46	4.85	-99.29
Piano 1	SLD 1	-318.87	-45.25	-5825.39	-121.17	-40.97	-5468.46	-197.7	-4.28	-356.93
Piano 1	SLD 2	-348.1	-48.74	-5828.08	-138.58	-44.48	-5463.96	-209.52	-4.26	-364.12
Piano 1	SLD 3	-411.23	41.25	-5797.16	-163.03	43.62	-5410.91	-248.2	-2.37	-386.24
Piano 1	SLD 4	-440.45	37.77	-5799.85	-180.44	40.11	-5406.42	-260.02	-2.34	-393.43
Piano 1	SLD 5	53.31	-140.88	-5855.63	36.52	-136.68	-5625.97	16.79	-4.2	-229.66
Piano 1	SLD 6	38.18	-142.66	-5857.3	26.96	-138.48	-5624.2	11.21	-4.18	-233.09
Piano 1	SLD 7	-254.55	147.46	-5761.52	-103.01	145.29	-5434.16	-151.54	2.17	-327.36
Piano 1	SLD 8	-269.68	145.68	-5763.18	-112.57	143.49	-5432.39	-157.12	2.19	-330.79
Piano 1	SLD 9	286.01	-135.61	-5852.88	133.19	-133.4	-5704.61	152.82	-2.22	-148.27
Piano 1	SLD 10	270.87	-137.4	-5854.54	123.63	-135.2	-5702.84	147.24	-2.2	-151.7
Piano 1	SLD 11	-21.85	152.73	-5758.76	-6.34	148.57	-5512.8	-15.51	4.15	-245.96
Piano 1	SLD 12	-36.99	150.94	-5760.43	-15.89	146.77	-5511.03	-21.09	4.17	-249.4
Piano 1	SLD 13	456.78	-27.7	-5816.21	201.06	-30.02	-5730.58	255.72	2.32	-85.63
Piano 1	SLD 14	427.56	-31.18	-5818.9	183.66	-33.53	-5726.09	243.9	2.35	-92.81
Piano 1	SLD 15	364.42	58.8	-5787.98	159.21	54.57	-5673.04	205.22	4.23	-114.94
Piano 1	SLD 16	335.2	55.32	-5790.67	141.8	51.06	-5668.55	193.4	4.26	-122.12
Piano 1	SLV 1	-742.09	-119.93	-5851.38	-291.06	-109.8	-5342.34	-451.03	-10.13	-509.04
Piano 1	SLV 2	-810.11	-128.04	-5857.67	-331.61	-117.97	-5331.92	-478.5	-10.06	-525.75
Piano 1	SLV 3	-966.5	97.3	-5779.71	-391.74	102.72	-5198.85	-574.76	-5.43	-580.85
Piano 1	SLV 4	-1034.52	89.19	-5785.99	-432.29	94.55	-5188.43	-602.23	-5.36	-597.56
Piano 1	SLV 5	131.41	-360.99	-5928.67	78.02	-350.8	-5718.81	53.39	-10.2	-209.87
Piano 1	SLV 6	95.07	-365.28	-5932.7	55.02	-355.12	-5714.62	40.05	-10.15	-218.08

Livello	Cont.	Totale			Aste verticali			Pareti			
		Nome	n.br.	F	X	Y	Z	X	Y	Z	
Piano 1	SLV 7		-616.62	363.1	-5689.75	-257.58	357.61	-5240.51	-359.04	5.49	-449.24
Piano 1	SLV 8		-652.97	358.82	-5693.78	-280.59	353.29	-5236.33	-372.38	5.53	-457.45
Piano 1	SLV 9		669.29	-348.75	-5922.28	301.22	-343.2	-5900.68	368.08	-5.56	-21.6
Piano 1	SLV 10		632.95	-353.04	-5926.31	278.21	-347.52	-5896.49	354.74	-5.51	-29.82
Piano 1	SLV 11		-78.74	375.34	-5683.36	-34.39	365.22	-5422.38	-44.35	10.13	-260.98
Piano 1	SLV 12		-115.09	371.06	-5687.39	-57.4	360.89	-5418.2	-57.69	10.17	-269.19
Piano 1	SLV 13		1050.85	-79.13	-5830.07	452.92	-84.46	-5948.57	597.93	5.33	118.5
Piano 1	SLV 14		982.82	-87.23	-5836.35	412.37	-92.63	-5938.15	570.46	5.4	101.79
Piano 1	SLV 15		826.43	138.1	-5758.39	352.23	128.06	-5805.09	474.2	10.04	46.69
Piano 1	SLV 16		758.41	129.99	-5764.68	311.68	119.89	-5794.66	446.73	10.1	29.98
Piano 1	SLV FO 1		-817.11	-132.43	-5855.72	-321.2	-121.28	-5319.73	-495.92	-11.14	-535.99
Piano 1	SLV FO 2		-891.94	-141.34	-5862.63	-365.8	-130.28	-5308.26	-526.13	-11.07	-554.37
Piano 1	SLV FO 3		-1063.96	106.52	-5776.87	-431.95	112.49	-5161.89	-632.02	-5.97	-614.98
Piano 1	SLV FO 4		-1138.79	97.61	-5783.79	-476.55	103.5	-5150.42	-662.23	-5.89	-633.36
Piano 1	SLV FO 5		143.74	-397.6	-5940.74	84.79	-386.38	-5733.84	58.94	-11.21	-206.9
Piano 1	SLV FO 6		103.76	-402.31	-5945.17	59.49	-391.14	-5729.23	44.27	-11.17	-215.94
Piano 1	SLV FO 7		-679.1	398.91	-5677.93	-284.37	392.87	-5207.71	-394.73	6.04	-470.21
Piano 1	SLV FO 8		-719.08	394.19	-5682.36	-309.68	388.11	-5203.11	-409.4	6.08	-479.25
Piano 1	SLV FO 9		735.41	-384.13	-5933.7	330.31	-378.02	-5933.89	405.1	-6.11	0.19
Piano 1	SLV FO 10		695.43	-388.84	-5938.13	305	-382.78	-5929.29	390.43	-6.06	-8.85
Piano 1	SLV FO 11		-87.43	412.37	-5670.89	-38.86	401.23	-5407.77	-48.57	11.14	-263.12
Piano 1	SLV FO 12		-127.41	407.66	-5675.32	-64.17	396.47	-5403.17	-63.24	11.19	-272.16
Piano 1	SLV FO 13		1155.11	-87.54	-5832.27	497.18	-93.41	-5986.58	657.94	5.87	154.31
Piano 1	SLV FO 14		1080.29	-96.46	-5839.18	452.57	-102.4	-5975.11	627.72	5.94	135.93
Piano 1	SLV FO 15		908.26	151.41	-5753.43	386.43	140.37	-5828.74	521.83	11.04	75.31
Piano 1	SLV FO 16		833.44	142.49	-5760.34	341.82	131.38	-5817.28	491.62	11.12	56.93
Piano 1	CRTFP Ux+		0	0	0	0	0	0	0	0	0
Piano 1	CRTFP Ux-		0	0	0	0	0	0	0	0	0
Piano 1	CRTFP Uy+		0	0	0	0	0	0	0	0	0
Piano 1	CRTFP Uy-		0	0	0	0	0	0	0	0	0
Piano 1	CRTFP Rz+		0	0	0	0	0	0	0	0	0
Piano 1	CRTFP Rz-		0	0	0	0	0	0	0	0	0
Piano 2	Pesi		0	0	-5150.6	3.35	0.01	-4917.59	-3.35	-0.01	-233.01
Piano 2	Port.		0	0	-1458.77	-1.1	0.01	-1453.2	1.1	-0.01	-5.57
Piano 2	Variabile C		0	0	0	-0.17	0	-0.15	0.17	0	0.15
Piano 2	Neve		0	0	-1322.88	0.86	0	-1295.85	-0.86	0	-27.03
Piano 2	X SLV	1697.37	-30.86	-8.69	1173.01	-38.29	-322.47	524.35	7.43	313.77	
Piano 2	Y SLV	0.86	869.3	-5.15	207.12	861.69	118.27	-206.27	7.62	-123.42	
Piano 2	EY SLV	0	0	0	12.9	-0.03	7.83	-12.9	0.03	-7.83	
Piano 2	EX SLV	0	0	0	-2.8	0.01	-1.76	2.8	-0.01	1.76	
Piano 2	X SLD	734.08	-13.37	-3.77	507.42	-16.54	-139.43	226.65	3.17	135.65	
Piano 2	Y SLD	-0.07	348.56	-2.19	84.12	345.48	48.22	-84.19	3.08	-50.41	
Piano 2	EY SLD	0	0	0	5.57	-0.01	3.38	-5.57	0.01	-3.38	
Piano 2	EX SLD	0	0	0	-1.12	0	-0.7	1.12	0	0.7	
Piano 2	X SLO	873.27	-16.05	-4.46	603.55	-19.68	-165.89	269.72	3.63	161.43	
Piano 2	Y SLO	-0.37	398.15	-2.58	96.85	394.68	55.65	-97.23	3.48	-58.24	
Piano 2	EY SLO	0	0	0	6.63	-0.02	4.03	-6.63	0.02	-4.03	
Piano 2	EX SLO	0	0	0	-1.28	0.01	-0.8	1.28	-0.01	0.8	
Piano 2	R Ux	0.01	0	0	0.01	0	0	0	0	0	
Piano 2	R Uy	0	0.01	0	0	0.01	0	0	0	0	
Piano 2	R Rz	0	0	0	0	0	0	0	0	0	
Piano 2	SLU 1	0	0	-6317.62	2.47	0.01	-6080.15	-2.47	-0.01	-237.47	
Piano 2	SLU 2	0	0	-8301.94	3.76	0.01	-8023.92	-3.76	-0.01	-278.02	
Piano 2	SLU 3	0	0	-8301.94	3.57	0.01	-8024.08	-3.57	-0.01	-277.87	
Piano 2	SLU 4	0	0	-6317.62	2.21	0.01	-6080.37	-2.21	-0.01	-237.25	
Piano 2	SLU 5	0	0	-7309.78	2.85	0.01	-7052.26	-2.85	-0.01	-257.53	
Piano 2	SLU 6	0	0	-7338.76	1.71	0.02	-7097.4	-1.71	-0.02	-241.37	
Piano 2	SLU 7	0	0	-9323.09	2.99	0.02	-9041.17	-2.99	-0.02	-281.92	
Piano 2	SLU 8	0	0	-9323.09	2.81	0.02	-9041.32	-2.81	-0.02	-281.77	
Piano 2	SLU 9	0	0	-7338.76	1.44	0.02	-7097.61	-1.44	-0.02	-241.15	
Piano 2	SLU 10	0	0	-8330.92	2.09	0.02	-8069.5	-2.09	-0.02	-261.43	
Piano 2	SLU 11	0	0	-7862.8	3.48	0.01	-7555.43	-3.48	-0.01	-307.37	
Piano 2	SLU 12	0	0	-9847.12	4.76	0.02	-9499.2	-4.76	-0.02	-347.93	
Piano 2	SLU 13	0	0	-9847.12	4.58	0.02	-9499.35	-4.58	-0.02	-347.77	
Piano 2	SLU 14	0	0	-7862.8	3.22	0.01	-7555.65	-3.22	-0.01	-307.16	
Piano 2	SLU 15	0	0	-8854.96	3.86	0.02	-8527.53	-3.86	-0.02	-327.43	
Piano 2	SLU 16	0	0	-8883.94	2.71	0.02	-8572.67	-2.71	-0.02	-311.27	
Piano 2	SLU 17	0	0	-10868.27	3.99	0.02	-10516.44	-3.99	-0.02	-351.82	
Piano 2	SLU 18	0	0	-10868.27	3.81	0.02	-10516.6	-3.81	-0.02	-351.67	
Piano 2	SLU 19	0	0	-8883.94	2.45	0.02	-8572.89	-2.45	-0.02	-311.05	
Piano 2	SLU 20	0	0	-9876.11	3.09	0.02	-9544.78	-3.09	-0.02	-331.33	
Piano 2	SLE RA 1	0	0	-6609.38	2.25	0.01	-6370.79	-2.25	-0.01	-238.58	
Piano 2	SLE RA 2	0	0	-7932.26	3.11	0.02	-7666.64	-3.11	-0.02	-265.62	
Piano 2	SLE RA 3	0	0	-7932.26	2.99	0.02	-7666.74	-2.99	-0.02	-265.52	
Piano 2	SLE RA 4	0	0	-6609.38	2.08	0.01	-6370.94	-2.08	-0.01	-238.44	
Piano 2	SLE RA 5	0	0	-7270.82	2.51	0.01	-7018.86	-2.51	-0.01	-251.96	
Piano 2	SLE FR 1	0	0	-6609.38	2.25	0.01	-6370.79	-2.25	-0.01	-238.58	
Piano 2	SLE FR 2	0	0	-6873.95	2.43	0.01	-6629.96	-2.43	-0.01	-243.99	
Piano 2	SLE FR 3	0	0	-6873.95	2.32	0.01	-6630.05	-2.32	-0.01	-243.9	
Piano 2	SLE FR 4	0	0	-6609.38	2.13	0.01	-6370.89	-2.13	-0.01	-238.48	
Piano 2	SLE QP 1	0	0	-6609.38	2.25	0.01	-6370.79	-2.25	-0.01	-238.58	
Piano 2	SLE QP 2	0	0	-6609.38	2.15	0.01	-6370.88	-2.15	-0.01	-238.5	
Piano 2	SLO 1	-873.16	-103.39	-6604.14	-637.47	-98.69	-6225.95	-235.68	-4.71	-378.19	
Piano 2	SLO 2	-873.16	-103.39	-6604.14	-623.44	-98.72	-6217.42	-249.72	-4.67	-386.72	
Piano 2	SLO 3	-873.38	135.5	-6605.69	-579.36	138.12	-6192.56	-294.02	-2.62	-413.13	
Piano 2	SLO 4	-873.38	135.5	-6605.69	-565.33	138.08	-6184.03	-308.05	-2.59	-421.67	
Piano 2	SLO 5	-261.61	-393.34	-6605.45	-279.03	-388.75	-6378.77	17.43	-4.59	-226.68	
Piano 2	SLO 6	-261.61	-393.34	-6605.45	-272.5	-388.77	-6374.75	10.89	-4.57	-230.7	
Piano 2	SLO 7	-262.36	402.97	-6610.62	-85.33	400.6	-6267.47	-177.03	2.36	-343.15	
Piano 2	SLO 8	-262.36	402.97	-6610.62	-78.8	400.58	-6263.45	-183.56	2.38	-347.17	
Piano 2	SLO 9	262.36	-402.97	-6608.13	83.1	-400.56	-6478.31	179.26	-2.41	-129.82	
Piano 2	SLO 10	262.36	-402.97	-6608.13	89.63	-400.58	-6474.29	172.73	-2.39	-133.84	
Piano 2	SLO 11	261.61	393.34	-6613.3	276.8	388.79	-6367.01	-15.19	4.54	-246.29	
Piano 2	SLO 12	261.61	393.34	-6613.3	283.33	388.77	-6362.99	-21.73	4.56	-250.31	
Piano 2	SLO 13	873.38	-135.5	-6613.06	569.63	-138.06	-6557.74	303.76	2.56	-55.33	
Piano 2	SLO 14	873.38	-135.5	-6613.06	583.66	-138.09	-6549.2	289.72	2.59	-63.86	
Piano 2	SLO 15	873.16	103.39	-6614.61	627.74	98.75	-6524.34	245.42	4.65	-90.27	
Piano 2	SLO 16	873.16	103.39	-6614.61	641.77	98.72	-6515.81	231.38	4.68	-98.8	
Piano 2	SLD 1	-734.06	-91.2	-6604.95	-536.42	-87.08	-6249.51	-197.64	-4.12	-355.43	

Livello	Cont.	Totale			Aste verticali			Pareti		
		F			F			F		
Nome	n.br.	X	Y	Z	X	Y	Z	X	Y	Z
Piano 2	SLD 2	-734.06	-91.2	-6604.95	-524.6	-87.1	-6242.33	-209.46	-4.09	-362.62
Piano 2	SLD 3	-734.1	117.94	-6606.26	-485.95	120.21	-6220.58	-248.15	-2.27	-385.68
Piano 2	SLD 4	-734.1	117.94	-6606.26	-474.13	120.18	-6213.4	-259.97	-2.24	-392.86
Piano 2	SLD 5	-220.15	-344.55	-6606.05	-236.99	-340.49	-6378.99	16.83	-4.06	-227.07
Piano 2	SLD 6	-220.15	-344.55	-6606.05	-231.4	-340.51	-6375.55	11.25	-4.04	-230.5
Piano 2	SLD 7	-220.29	352.57	-6610.44	-68.75	350.46	-6282.55	-151.54	2.11	-327.88
Piano 2	SLD 8	-220.29	352.57	-6610.44	-63.17	350.44	-6279.12	-157.12	2.13	-331.32
Piano 2	SLD 9	220.29	-352.57	-6608.32	67.47	-350.42	-6462.64	152.83	-2.16	-145.68
Piano 2	SLD 10	220.29	-352.57	-6608.32	73.05	-350.43	-6459.21	147.24	-2.14	-149.11
Piano 2	SLD 11	220.15	344.55	-6612.7	235.7	340.54	-6366.21	-15.55	4.01	-246.49
Piano 2	SLD 12	220.15	344.55	-6612.7	241.28	340.52	-6362.77	-21.13	4.03	-249.93
Piano 2	SLD 13	734.1	-117.94	-6612.49	478.43	-120.16	-6528.36	-255.67	2.22	-84.13
Piano 2	SLD 14	734.1	-117.94	-6612.49	490.25	-120.18	-6521.18	243.85	2.24	-91.31
Piano 2	SLD 15	734.06	91.2	-6613.81	528.9	87.13	-6499.44	205.16	4.07	-114.37
Piano 2	SLD 16	734.06	91.2	-6613.81	540.72	87.1	-6492.25	193.34	4.09	-121.56
Piano 2	SLV 1	-1697.62	-229.93	-6599.14	-1246.74	-220.17	-6092.25	-450.89	-9.76	-506.89
Piano 2	SLV 2	-1697.62	-229.93	-6599.14	-1219.27	-220.24	-6075.54	-478.36	-9.7	-523.6
Piano 2	SLV 3	-1697.11	291.65	-6602.23	-1122.46	296.84	-6021.29	-574.65	-5.19	-580.94
Piano 2	SLV 4	-1697.11	291.65	-6602.23	-1094.99	296.78	-6004.58	-602.12	-5.13	-597.65
Piano 2	SLV 5	-510.07	-860.05	-6601.62	-563.55	-850.17	-6396.52	53.48	-9.88	-205.1
Piano 2	SLV 6	-510.07	-860.05	-6601.62	-550.21	-850.21	-6388.31	40.14	-9.84	-213.31
Piano 2	SLV 7	-508.35	878.56	-6611.92	-149.3	873.21	-6159.98	-359.05	5.35	-451.94
Piano 2	SLV 8	-508.35	878.56	-6611.92	-135.96	873.17	-6151.76	-372.39	5.39	-460.16
Piano 2	SLV 9	508.35	-878.56	-6606.83	140.26	-873.14	-6590	368.09	-5.42	-16.83
Piano 2	SLV 10	508.35	-878.56	-6606.83	153.6	-873.18	-6581.79	354.76	-5.38	-25.05
Piano 2	SLV 11	510.07	860.05	-6617.14	554.51	850.24	-6353.45	-44.44	9.81	-263.68
Piano 2	SLV 12	510.07	860.05	-6617.14	567.85	850.19	-6345.24	-57.78	9.85	-271.9
Piano 2	SLV 13	1697.11	-291.65	-6616.52	1099.29	-296.75	-6737.18	597.82	5.1	120.66
Piano 2	SLV 14	1697.11	-291.65	-6616.52	1126.76	-296.82	-6720.47	570.35	5.17	103.95
Piano 2	SLV 15	1697.62	229.93	-6619.62	1223.56	220.26	-6666.22	474.06	9.67	46.6
Piano 2	SLV 16	1697.62	229.93	-6619.62	1251.04	220.2	-6649.51	446.59	9.74	29.89
Piano 2	SLV FO 1	-1867.39	-252.93	-6598.11	-1371.63	-242.19	-6064.39	-495.76	-10.74	-533.73
Piano 2	SLV FO 2	-1867.39	-252.93	-6598.11	-1341.41	-242.26	-6046.01	-525.98	-10.67	-552.1
Piano 2	SLV FO 3	-1866.82	320.82	-6601.51	-1234.92	326.53	-5986.33	-631.9	-5.71	-615.19
Piano 2	SLV FO 4	-1866.82	320.82	-6601.51	-1204.71	326.45	-5967.95	-662.12	-5.64	-633.56
Piano 2	SLV FO 5	-561.07	-946.05	-6600.84	-620.12	-935.19	-6399.08	59.04	-10.87	-201.76
Piano 2	SLV FO 6	-561.07	-946.05	-6600.84	-605.45	-935.23	-6390.05	44.37	-10.82	-210.79
Piano 2	SLV FO 7	-559.19	966.42	-6612.17	-164.44	960.53	-6138.88	-394.75	5.89	-473.29
Piano 2	SLV FO 8	-559.19	966.42	-6612.17	-149.77	960.48	-6129.85	-409.42	5.93	-482.32
Piano 2	SLV FO 9	559.19	-966.42	-6606.58	154.07	-960.46	-6611.91	405.12	-5.96	5.33
Piano 2	SLV FO 10	559.19	-966.42	-6606.58	168.74	-960.5	-6602.88	390.45	-5.91	-3.7
Piano 2	SLV FO 11	561.07	946.05	-6617.91	609.74	935.26	-6351.71	-48.67	10.79	-266.2
Piano 2	SLV FO 12	561.07	946.05	-6617.91	624.42	935.21	-6342.68	-63.34	10.84	-275.24
Piano 2	SLV FO 13	1866.82	-320.82	-6617.24	1209	-326.43	-6773.81	657.82	5.61	156.57
Piano 2	SLV FO 14	1866.82	-320.82	-6617.24	1239.22	-326.5	-6755.43	627.6	5.69	138.19
Piano 2	SLV FO 15	1867.39	252.93	-6620.64	1345.71	242.29	-6695.75	521.68	10.64	75.11
Piano 2	SLV FO 16	1867.39	252.93	-6620.64	1375.92	242.21	-6677.37	491.46	10.71	56.73
Piano 2	CRTFP Ux+	0.01	0	0	0.01	0	0	0	0	0
Piano 2	CRTFP Ux-	-0.01	0	0	-0.01	0	0	0	0	0
Piano 2	CRTFP Uy+	0	0.01	0	0	0.01	0	0	0	0
Piano 2	CRTFP Uy-	0	-0.01	0	0	-0.01	0	0	0	0
Piano 2	CRTFP Rz+	0	0	0	0	0	0	0	0	0
Piano 2	CRTFP Rz-	0	0	0	0	0	0	0	0	0
Piano 3	Pesi	0	0	-2621.67	0	0	-2525.16	0	0	-96.51
Piano 3	Port.	0	0	-815.88	0	0	-814.74	0	0	-1.14
Piano 3	Variabile C	0	0	0	0	0	0	0	0	0
Piano 3	Neve	0	0	-757.24	0	0	-737.61	0	0	-19.63
Piano 3	X SLV	1288.27	-7.66	-0.88	1287.65	-11.55	-9.95	0.62	3.89	9.07
Piano 3	Y SLV	12.82	732.18	7.95	12.73	728.63	8.19	0.09	3.55	-0.24
Piano 3	EY SLV	0	0	0	0	0	0.26	0	0	-0.26
Piano 3	EX SLV	0	0	0	0	0	-0.11	0	0	0.11
Piano 3	X SLD	556.93	-3.29	-0.38	556.67	-4.99	-4.31	0.26	1.7	3.93
Piano 3	Y SLD	5.32	295.59	3.23	5.29	294.03	3.33	0.04	1.56	-0.1
Piano 3	EY SLD	0	0	0	0	0	0.11	0	0	-0.11
Piano 3	EX SLD	0	0	0	0	0	-0.05	0	0	0.05
Piano 3	X SLO	662.76	-4.2	-0.45	662.46	-5.94	-5.12	0.3	1.74	4.67
Piano 3	Y SLO	6.21	338.89	3.73	6.17	337.24	3.84	0.04	1.65	-0.12
Piano 3	EY SLO	0	0	0	0	0	0.13	0	0	-0.13
Piano 3	EX SLO	0	0	0	0	0	-0.05	0	0	0.05
Piano 3	R Ux	0.01	0	0	0.01	0	0	0	0	0
Piano 3	R Uy	0	0.01	0	0	0.01	0	0	0	0
Piano 3	R Rz	0	0	0	0	0	0	0	0	0
Piano 3	SLU 1	0	0	-3274.37	0	0	-3176.95	0	0	-97.42
Piano 3	SLU 2	0	0	-4410.23	0	0	-4283.36	0	0	-126.87
Piano 3	SLU 3	0	0	-4410.23	0	0	-4283.36	0	0	-126.87
Piano 3	SLU 4	0	0	-3274.37	0	0	-3176.95	0	0	-97.42
Piano 3	SLU 5	0	0	-3842.3	0	0	-3730.16	0	0	-112.14
Piano 3	SLU 6	0	0	-3845.49	0	0	-3747.26	0	0	-98.22
Piano 3	SLU 7	0	0	-4981.34	0	0	-4853.67	0	0	-127.67
Piano 3	SLU 8	0	0	-4981.34	0	0	-4853.68	0	0	-127.67
Piano 3	SLU 9	0	0	-3845.49	0	0	-3747.27	0	0	-98.22
Piano 3	SLU 10	0	0	-4413.41	0	0	-4300.47	0	0	-112.94
Piano 3	SLU 11	0	0	-4060.87	0	0	-3934.49	0	0	-126.38
Piano 3	SLU 12	0	0	-5196.73	0	0	-5040.9	0	0	-155.82
Piano 3	SLU 13	0	0	-5196.73	0	0	-5040.91	0	0	-155.82
Piano 3	SLU 14	0	0	-4060.87	0	0	-3934.5	0	0	-126.37
Piano 3	SLU 15	0	0	-4628.8	0	0	-4487.7	0	0	-141.1
Piano 3	SLU 16	0	0	-4631.99	0	0	-4504.81	0	0	-127.18
Piano 3	SLU 17	0	0	-5767.84	0	0	-5611.22	0	0	-156.62
Piano 3	SLU 18	0	0	-5767.84	0	0	-5611.22	0	0	-156.62
Piano 3	SLU 19	0	0	-4631.99	0	0	-4504.81	0	0	-127.17
Piano 3	SLU 20	0	0	-5199.92	0	0	-5058.02	0	0	-141.9
Piano 3	SLE RA 1	0	0	-3437.55	0	0	-3339.89	0	0	-97.65
Piano 3	SLE RA 2	0	0	-4194.78	0	0	-4077.5	0	0	-117.28
Piano 3	SLE RA 3	0	0	-4194.78	0	0	-4077.5	0	0	-117.28
Piano 3	SLE RA 4	0	0	-3437.55	0	0	-3339.9	0	0	-97.65
Piano 3	SLE RA 5	0	0	-3816.17	0	0	-3708.7	0	0	-107.47
Piano 3	SLE FR 1	0	0	-3437.55	0	0	-3339.89	0	0	-97.65
Piano 3	SLE FR 2	0	0	-3588.99	0	0	-3487.42	0	0	-101.58

Livello	Cont.	Totale			Aste verticali			Pareti		
		F			F			F		
Nome	n.br.	X	Y	Z	X	Y	Z	X	Y	Z
Piano 3	SLE FR 3	0	0	-3588.99	0	0	-3487.42	0	0	-101.58
Piano 3	SLE FR 4	0	0	-3437.55	0	0	-3339.9	0	0	-97.65
Piano 3	SLE QP 1	0	0	-3437.55	0	0	-3339.89	0	0	-97.65
Piano 3	SLE QP 2	0	0	-3437.55	0	0	-3339.9	0	0	-97.65
Piano 3	SLO 1	-664.62	-97.47	-3438.22	-664.31	-95.23	-3336.08	-0.32	-2.24	-102.14
Piano 3	SLO 2	-664.62	-97.47	-3438.22	-664.31	-95.23	-3335.79	-0.32	-2.24	-102.43
Piano 3	SLO 3	-660.9	105.87	-3435.98	-660.61	107.11	-3333.78	-0.29	-1.25	-102.21
Piano 3	SLO 4	-660.9	105.87	-3435.98	-660.61	107.12	-3333.48	-0.29	-1.25	-102.5
Piano 3	SLO 5	-205.04	-337.63	-3441.14	-204.91	-335.45	-3342.3	-0.13	-2.18	-98.84
Piano 3	SLO 6	-205.04	-337.63	-3441.14	-204.91	-335.45	-3342.11	-0.13	-2.18	-99.03
Piano 3	SLO 7	-192.62	340.15	-3433.69	-192.57	339.02	-3334.61	-0.05	1.13	-99.08
Piano 3	SLO 8	-192.62	340.15	-3433.69	-192.57	339.02	-3334.43	-0.05	1.13	-99.26
Piano 3	SLO 9	192.62	-340.15	-3441.41	192.57	-339.02	-3345.37	0.05	-1.13	-96.04
Piano 3	SLO 10	192.62	-340.15	-3441.41	192.57	-339.02	-3345.18	0.05	-1.13	-96.23
Piano 3	SLO 11	205.04	337.63	-3433.96	204.91	335.46	-3337.68	0.13	2.17	-96.28
Piano 3	SLO 12	205.04	337.63	-3433.96	204.91	335.46	-3337.5	0.13	2.17	-96.46
Piano 3	SLO 13	660.9	-105.87	-3439.11	660.61	-107.11	-3346.31	0.29	1.25	-92.8
Piano 3	SLO 14	660.9	-105.87	-3439.11	660.61	-107.11	-3346.02	0.29	1.25	-93.1
Piano 3	SLO 15	664.62	97.47	-3436.88	664.31	95.23	-3344.01	0.32	2.24	-92.87
Piano 3	SLO 16	664.62	97.47	-3436.88	664.31	95.23	-3343.71	0.32	2.24	-93.17
Piano 3	SLD 1	-558.52	-85.39	-3438.14	-558.25	-83.22	-3336.71	-0.27	-2.17	-101.43
Piano 3	SLD 2	-558.52	-85.39	-3438.14	-558.25	-83.22	-3336.46	-0.27	-2.17	-101.68
Piano 3	SLD 3	-555.33	91.96	-3436.2	-555.08	93.2	-3334.71	-0.25	-1.24	-101.49
Piano 3	SLD 4	-555.33	91.96	-3436.2	-555.08	93.2	-3334.46	-0.25	-1.24	-101.74
Piano 3	SLD 5	-172.4	-294.6	-3440.67	-172.29	-292.53	-3342.01	-0.12	-2.07	-98.65
Piano 3	SLD 6	-172.4	-294.6	-3440.67	-172.29	-292.53	-3341.86	-0.12	-2.07	-98.81
Piano 3	SLD 7	-161.75	296.57	-3434.2	-161.72	295.52	-3335.35	-0.04	1.05	-98.85
Piano 3	SLD 8	-161.75	296.57	-3434.2	-161.72	295.53	-3335.19	-0.04	1.05	-99.01
Piano 3	SLD 9	161.75	-296.57	-3440.89	161.72	-295.52	-3344.6	0.04	-1.05	-96.29
Piano 3	SLD 10	161.75	-296.57	-3440.89	161.72	-295.52	-3344.44	0.04	-1.05	-96.45
Piano 3	SLD 11	172.4	294.6	-3434.43	172.29	292.53	-3337.94	0.12	2.07	-96.49
Piano 3	SLD 12	172.4	294.6	-3434.43	172.29	292.53	-3337.78	0.12	2.07	-96.65
Piano 3	SLD 13	555.33	-91.96	-3438.89	555.08	-93.2	-3345.33	0.25	1.24	-93.56
Piano 3	SLD 14	555.33	-91.96	-3438.89	555.08	-93.2	-3345.08	0.25	1.23	-93.81
Piano 3	SLD 15	558.52	85.39	-3436.96	558.25	83.22	-3343.33	0.27	2.17	-93.62
Piano 3	SLD 16	558.52	85.39	-3436.96	558.25	83.22	-3343.08	0.27	2.17	-93.87
Piano 3	SLV 1	-1292.11	-211.99	-3439.05	-1291.47	-207.04	-3332.7	-0.65	-4.95	-106.36
Piano 3	SLV 2	-1292.11	-211.99	-3439.05	-1291.47	-207.04	-3332.12	-0.65	-4.95	-106.94
Piano 3	SLV 3	-1284.42	227.32	-3434.28	-1283.83	230.14	-3327.79	-0.59	-2.82	-106.5
Piano 3	SLV 4	-1284.42	227.32	-3434.28	-1283.83	230.14	-3327.2	-0.59	-2.82	-107.08
Piano 3	SLV 5	-399.3	-729.88	-3445.23	-399.02	-725.16	-3345.29	-0.28	-4.72	-99.94
Piano 3	SLV 6	-399.3	-729.88	-3445.23	-399.02	-725.16	-3344.91	-0.28	-4.72	-100.32
Piano 3	SLV 7	-373.66	734.48	-3429.33	-373.57	732.09	-3328.91	-0.1	2.38	-100.42
Piano 3	SLV 8	-373.66	734.48	-3429.33	-373.57	732.1	-3328.53	-0.1	2.38	-100.8
Piano 3	SLV 9	373.66	-734.48	-3445.76	373.57	-732.09	-3351.26	0.1	-2.38	-94.5
Piano 3	SLV 10	373.66	-734.48	-3445.76	373.57	-732.09	-3350.88	0.1	-2.39	-94.88
Piano 3	SLV 11	399.3	729.88	-3429.86	399.02	725.16	-3334.88	0.28	4.72	-94.98
Piano 3	SLV 12	399.3	729.88	-3429.86	399.02	725.17	-3334.5	0.28	4.71	-95.36
Piano 3	SLV 13	1284.42	-227.32	-3440.81	1283.83	-230.14	-3352.59	0.59	2.82	-88.22
Piano 3	SLV 14	1284.42	-227.32	-3440.81	1283.83	-230.14	-3352.01	0.59	2.82	-88.8
Piano 3	SLV 15	1292.11	211.99	-3436.04	1291.47	207.04	-3347.68	0.65	4.95	-88.36
Piano 3	SLV 16	1292.11	211.99	-3436.04	1291.47	207.04	-3347.09	0.65	4.95	-88.95
Piano 3	SLV FO 1	-1421.32	-233.19	-3439.2	-1420.61	-227.74	-3331.98	-0.71	-5.45	-107.23
Piano 3	SLV FO 2	-1421.32	-233.19	-3439.2	-1420.61	-227.74	-3331.34	-0.71	-5.45	-107.87
Piano 3	SLV FO 3	-1412.87	250.05	-3433.96	-1412.21	253.15	-3326.57	-0.65	-3.1	-107.38
Piano 3	SLV FO 4	-1412.87	250.05	-3433.96	-1412.21	253.16	-3325.93	-0.65	-3.11	-108.02
Piano 3	SLV FO 5	-439.23	-802.87	-3446	-438.92	-797.68	-3345.83	-0.3	-5.19	-100.17
Piano 3	SLV FO 6	-439.23	-802.87	-3446	-438.92	-797.68	-3345.41	-0.3	-5.19	-100.59
Piano 3	SLV FO 7	-411.03	807.93	-3428.51	-410.92	805.3	-3327.82	-0.11	2.62	-100.7
Piano 3	SLV FO 8	-411.03	807.93	-3428.51	-410.92	805.31	-3327.4	-0.11	2.62	-101.12
Piano 3	SLV FO 9	411.03	-807.93	-3446.58	410.92	-805.3	-3352.4	0.11	-2.62	-94.19
Piano 3	SLV FO 10	411.03	-807.93	-3446.58	410.92	-805.3	-3351.98	0.11	-2.62	-94.61
Piano 3	SLV FO 11	439.23	802.87	-3429.09	438.92	797.68	-3334.38	0.3	5.19	-94.71
Piano 3	SLV FO 12	439.23	802.87	-3429.09	438.92	797.68	-3333.96	0.3	5.19	-95.13
Piano 3	SLV FO 13	1412.87	-250.05	-3441.14	1412.21	-253.15	-3353.86	0.65	3.1	-87.28
Piano 3	SLV FO 14	1412.87	-250.05	-3441.14	1412.21	-253.15	-3353.22	0.65	3.1	-87.92
Piano 3	SLV FO 15	1421.32	233.19	-3435.89	1420.61	227.74	-3348.45	0.71	5.45	-87.44
Piano 3	SLV FO 16	1421.32	233.19	-3435.89	1420.61	227.74	-3347.81	0.71	5.44	-88.08
Piano 3	CRTFP Ux+	0.01	0	0	0.01	0	0	0	0	0
Piano 3	CRTFP Ux-	-0.01	0	0	-0.01	0	0	0	0	0
Piano 3	CRTFP Uy+	0	0.01	0	0	0.01	0	0	0	0
Piano 3	CRTFP Uy-	0	-0.01	0	0	-0.01	0	0	0	0
Piano 3	CRTFP Rz+	0	0	0	0	0	0	0	0	0
Piano 3	CRTFP Rz-	0	0	0	0	0	0	0	0	0

4.4 Baricentri delle rigidzze

Quota: Quota alla quale è stato valutato il baricentro delle rigidzze. esprimibile come livello, falda, piano orizzontale alla Z specificata. [m]

Posizione: Posizione in pianta del baricentro delle rigidzze.

X: Coordinata X. [m]

Y: Coordinata Y. [m]

Baricentro masse: Posizione in pianta del baricentro delle masse.

X: Coordinata X. [m]

Y: Coordinata Y. [m]

Distanza: Distanza in pianta tra il baricentro delle rigidzze e il baricentro delle masse.

X: Coordinata X. [m]

Y: Coordinata Y. [m]

Quota	Posizione		Baricentro masse		Distanza	
	X	Y	X	Y	X	Y
L3	23.568	28.522	23.528	37.437	0.04	-8.915
L5	23.656	28.485	23.178	26.741	0.478	1.744
L7	23.469	26.449	21.937	24.92	1.532	1.529

Quota	Posizione		Baricentro masse		Distanza	
	X	Y	X	Y	X	Y
L7	21.301	47.496	19.545	47.618	1.757	-0.122
L8	29.899	36.646	31.968	36.911	-2.069	-0.266

4.5 Risposta modale

Modo: Identificativo del modo di vibrare.

Periodo: Periodo. [s]

Massa X: Massa partecipante in direzione globale X. Il valore è adimensionale.

Massa Y: Massa partecipante in direzione globale Y. Il valore è adimensionale.

Massa Z: Massa partecipante in direzione globale Z. Il valore è adimensionale.

Massa rot X: Massa rotazionale partecipante attorno la direzione globale X. Il valore è adimensionale.

Massa rot Y: Massa rotazionale partecipante attorno la direzione globale Y. Il valore è adimensionale.

Massa rot Z: Massa rotazionale partecipante attorno la direzione globale Z. Il valore è adimensionale.

Totale masse partecipanti:

Traslazione X: 0.967835

Traslazione Y: 0.999954

Traslazione Z: 0

Rotazione X: 0.999819

Rotazione Y: 0.999268

Rotazione Z: 0.981609

Modo	Periodo	Massa X	Massa Y	Massa Z	Massa rot X	Massa rot Y	Massa rot Z
1	2.127089858	0.000000002	0.003415645	0	0.001134917	0.000000002	0.002001403
2	1.641618408	0	0	0	0	0	0.000000045
3	1.382529559	0.002806435	0.000000033	0	0.000000047	0.000903794	0.002110549
4	1.065266988	0.000000021	0.000136906	0	0.001350524	0.000000028	0.000032878
5	0.768396596	0.00008316	0.608306439	0	0.902905183	0.000178107	0.113215341
6	0.71108552	0.00000028	0.000760319	0	0.002126904	0.000000726	0.000018504
7	0.596870605	0	0.000000029	0	0.000000041	0	0.000000011
8	0.534985284	0.000000011	0.0000567	0	0.000003251	0.000000082	0.000001141
9	0.501056892	0.000397466	0.000000477	0	0.000001368	0.001892	0.000310999
10	0.452198891	0.000792145	0.010352752	0	0.00007967	0.001318807	0.000084693
11	0.429755549	0.000000016	0.000102269	0	0.000016148	0.000000203	0.000160501
12	0.377976898	0.662195199	0.000465608	0	0.000481171	0.955820496	0.510007833
13	0.360020791	0.000071465	0.001124672	0	0.001737469	0.000062008	0.001692458
14	0.35019525	0.001522243	0.059662752	0	0.064423656	0.001033808	0.0840812
15	0.310191366	0.000000686	0.000021667	0	0.000079247	0.000000218	0.000039577
16	0.27318627	0.000000111	0.000055235	0	0.00000542	0	0.000044735
17	0.260417244	0.000534668	0.006381147	0	0.000017935	0.000477732	0.001712604
18	0.254766259	0.000002109	0.000000489	0	0.000000325	0.000159753	0.000002903
19	0.219052125	0.000000377	0.000066836	0	0.000005463	0.000000269	0.000075376
20	0.210776455	0.011433912	0.089292584	0	0.008434887	0.006910956	0.039230803
21	0.186550069	0.003281869	0.080738708	0	0.013134372	0.003720137	0.00091019
22	0.169499672	0.031634146	0.032380279	0	0.000858191	0.011779204	0.000018867
23	0.153838131	0.00715446	0.001755467	0	0.000001788	0.00182218	0.001760474
24	0.147126698	0.006045161	0.015238817	0	0.000930594	0.0029126	0.016161726
25	0.134930994	0.000854893	0.006378059	0	0.000028907	0.001128927	0.026821931
26	0.116363196	0.001026419	0.000010739	0	0.000016983	0.000045149	0.000398388
27	0.105462593	0.164026302	0.000016762	0	0.000000013	0.007800529	0.126328781
28	0.070907808	0.000161083	0.002987375	0	0.000083877	0.000000692	0.000351353
29	0.062624487	0.000091301	0.079116312	0	0.002037086	0.000002175	0.026700942
30	0.045065335	0.004436655	0.001108869	0	0.000018635	0.000080544	0.000180934
31	0.037640841	0.004449517	0.000019794	0	0.000000401	0.000089938	0.000056133
32	0.011188587	0.064722825	0.000000133	0	0.000000226	0.001121078	0.026967879
33	0.00449841	0.000006226	0.000000031	0	0.000002118	0.000004381	0.000000386
34	0.003122486	0.000002865	0.000000143	0	0.000000378	0.000000122	0.00000421
35	0.001703235	0.000000558	0.000000019	0	0.0000001149	0.0000000124	0.000038333
36	0.001111106	0.000100012	0.000000016	0	0.000000631	0.000000967	0.000084431

4.6 Risposta di spettro

Spettro: Condizione elementare corrispondente allo spettro.

n.b.: Nome breve della condizione elementare.

Fx: Componente della forza lungo l'asse X. [kN]

Fy: Componente della forza lungo l'asse Y. [kN]

Fz: Componente della forza lungo l'asse Z. [kN]

Mx: Componente della coppia attorno all'asse X. [kN*m]

My: Componente della coppia attorno all'asse Y. [kN*m]

Mz: Componente della coppia attorno all'asse Z. [kN*m]

Max X: Massima reazione lungo l'asse X.

Valore: Valore massimo della reazione. [kN]

Angolo: Angolo d'ingresso del sisma che provoca il valore massimo della reazione. [deg]

Max Y: Massima reazione lungo l'asse Y.

Valore: Valore massimo della reazione. [kN]

Angolo: Angolo d'ingresso del sisma che provoca il valore massimo della reazione. [deg]

Max Z: Massima reazione lungo l'asse Z.

Valore: Valore massimo della reazione. [kN]

Angolo: Angolo d'ingresso del sisma che provoca il valore massimo della reazione. [deg]

Spettro	Fx	Fy	Fz	Mx	My	Mz	Max X		Max Y		Max Z	
							Valore	Angolo	Valore	Angolo	Valore	Angolo
X SLV	1656.8302	112.2317	0	2.143E02	9.233E03	6.079E04	1656.9977	178	959.212	89	0	0
Y SLV	112.2317	959.1962	0	4.981E03	4.336E02	1.965E04	1656.9977	178	959.212	89	0	0

Corpo A-Vigone

Spettro n.b.	Fx	Fy	Fz	Mx	My	Mz	Max X		Max Y		Max Z	
							Valore	Angolo	Valore	Angolo	Valore	Angolo
X SLD	716.8696	48.4848	0	92.153177	3.990E03	2.630E04	716.9429	178	391.031	89	0	0
Y SLD	48.4848	391.0268	0	1.998E03	1.871E02	8.111E03	716.9429	178	391.031	89	0	0
X SLO	851.721	57.6873	0	1.094E02	4.750E03	3.126E04	851.8094	178	449.5499	89	0	0
Y SLO	57.6873	449.5444	0	2.283E03	2.226E02	9.380E03	851.8094	178	449.5499	89	0	0

5 Verifiche

5.1 Verifiche pilastro C.A.

Le unità di misura elencate nel capitolo sono in [m, kN, deg] ove non espressamente specificato.

Q.inf.: quota inferiore. [m]
Q.sup.: quota superiore. [m]
Sezione: sezione impiegata.
Esistente: campata esistente.
Secondaria: campata secondaria.
Dissipativa: campata dissipativa.
Interna a parete: campata adiacente ad una parete in c.a.
Sovreresistenza: aliquota di sovreresistenza da assicurare in verifica.
Materiale CLS: materiale calcestruzzo impiegato.
Materiale Acciaio: materiale/i acciaio impiegato/i.
FC: fattore di confidenza riferito al materiale CLS.
Posizione: posizione della barra.
X: ascissa relativa della barra rispetto al baricentro della sezione. [m]
Y: ordinata relativa della barra rispetto al baricentro della sezione. [m]
Diametro: diametro nominale della barra. [m]
Area: area nominale della barra. [m²]
Q.inf.: quota inferiore della barra. [m]
Q.sup.: quota superiore della barra. [m]
Materiale: materiale della barra.
Quota: quota della sezione. [m]
As: area complessiva delle armature verticali. [m²]
%: percentuale di acciaio.
At: area delle armature verticali destinata alla verifica di torsione. [m²]
Pos.: posizioni barre longitudinali presenti nella sezione.
Mx: momento Mx. [kN*m]
My: momento My. [kN*m]
N: sforzo normale. [kN]
MRdx: momento resistente in direzione X. [kN*m]
MRdy: momento resistente in direzione Y. [kN*m]
Comb.: combinazione peggiore.
Coeff.s.: coefficiente di sicurezza minimo.
Verifica: stato di verifica.
C.S.: coefficiente di sicurezza minimo.
Nmin: compressione massima. [kN]
Nlim: compressione limite. [kN]
Comb.Nmin: combinazione in cui si ottiene la compressione massima.
Ver.: stato di verifica.
Molt.: moltiplicatore delle azioni sismiche che attiva il meccanismo.
TR: periodo di ritorno associato all'attivazione del meccanismo.
I.R.TR: indicatore di rischio sismico in termini di periodo di ritorno.
PGA: pga associata all'attivazione del meccanismo.
I.R.PGA: indicatore di rischio sismico in termini di pga.
Staffe: staffatura presente nella sezione.
Direzione X: dati della verifica a taglio in direzione X.
V: taglio di verifica per la direzione considerata. [kN]
N: sforzo normale per la verifica nella direzione considerata. [kN]
Comb.: combinazione per la verifica nella direzione considerata.
VRd: resistenza a taglio del calcestruzzo non staffato per la verifica nella direzione considerata. [kN]
VRsd: resistenza a taglio delle staffe per la verifica nella direzione considerata. [kN]
VRcd: resistenza a taglio delle bielle compresse per la verifica nella direzione considerata. [kN]
Cot: cotangente delle bielle compresse per la verifica nella direzione considerata.
c.s.: coefficiente di sicurezza per la verifica nella direzione considerata.
Direzione Y: dati della verifica a taglio in direzione Y.
Quota: quota di verifica. [m]
Q.inf.: quota inferiore dell'appoggio considerato per la valutazione della rotazione alla corda. [m]
Q.sup.: quota superiore dell'appoggio considerato per la valutazione della rotazione alla corda. [m]
Dir.: direzione di riferimento della verifica.
Lv: luce di taglio considerata. [m]
x: altezza della zona compressa della sezione. [m]
h: altezza totale della sezione. [m]
p,tot: percentuale geometrica totale di armatura longitudinale.
θ,m: rotazione massima per la combinazione considerata.
θ,y: rotazione di prima plasticizzazione.
μΔ,pl: parte plastica della domanda di duttilità.
VRcd(cotθ=1): resistenza a taglio delle bielle compresse per la verifica nella direzione considerata considerando il valore di cotθ unitario. [kN]
Vw: contributo dell'armatura trasversale per la resistenza a taglio. [kN]
VR: resistenza a taglio in condizioni cicliche (formula [C8.7.2.8]). [kN]
VR,f: resistenza a taglio considerata in condizioni cicliche (secondo §C8.7.2.3.5). [kN]

VEd: sollecitazione tagliante. [kN]

NEd: sollecitazione di sforzo normale. [kN]

Comb.: combinazione di riferimento.

Pilastrata: pilastrata cui appartiene il nodo.

Q.Nodo: quota del nodo oggetto di verifica. [m]

Escluso: nodo escluso dalla verifica da parte dell'utente.

Confinato: nodo interamente confinato.

Segnalazioni: eventuali indicazioni relative alla verifica.

Angolo travatura: angolo di inclinazione della travatura considerata rispetto all'asse X. [deg]

Aj: area di calcolo della tensione sul nodo secondo secondo Circolare 7 21-01-19 §C8.7.2.3.5. [m²]

Vpc: azione tagliante sul nodo derivante dal solo pilastro superiore per il calcolo della tensione di compressione. [kN]

Vtc: azione tagliante sul nodo derivante dalla sola travatura per il calcolo della tensione di compressione. [kN]

Vnc: azione tagliante complessiva sul nodo per il calcolo della tensione di compressione. [kN]

Nc: azione assiale sul nodo per il calcolo della tensione di compressione. [kN]

σ_{nc} : tensione di compressione agente. [kN/m²]

$\sigma_{nc,lim}$: tensione di compressione limite. [kN/m²]

Comb.c: combinazione che dà il valore peggiore per la tensione di compressione.

Vpt: azione tagliante sul nodo derivante dal solo pilastro superiore per il calcolo della tensione di trazione. [kN]

Vtt: azione tagliante sul nodo derivante dalla sola travatura per il calcolo della tensione di trazione. [kN]

Vnt: azione tagliante complessiva sul nodo per il calcolo della tensione di trazione. [kN]

Nt: azione assiale sul nodo per il calcolo della tensione di trazione. [kN]

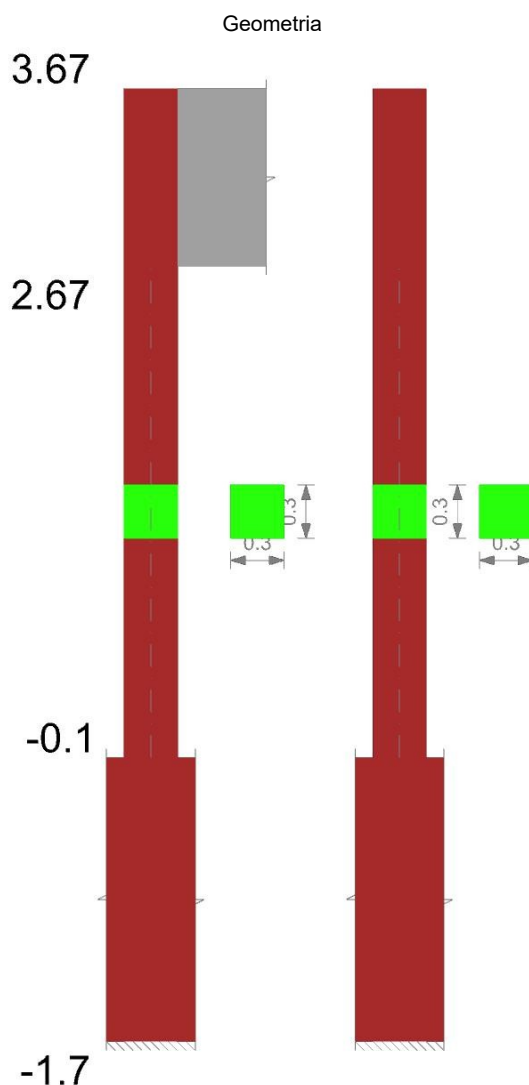
σ_{nt} : tensione di trazione agente. [kN/m²]

$\sigma_{nt,lim}$: tensione di trazione limite. [kN/m²]

Comb.t: combinazione che dà il valore peggiore per la tensione di trazione.

Moltiplicatore: moltiplicatore delle azioni sismiche che attiva il meccanismo.

Pilastrata P1



Dati della pilastrata

Analisi di edificio esistente con fattore di struttura.

Fattore di struttura per meccanismi duttili in direzione X: 1.5

Fattore di struttura per meccanismi duttili in direzione Y: 1.5

Fattore di struttura per meccanismi fragili in direzione X: 1

Fattore di struttura per meccanismi fragili in direzione Y: 1

Verifica dei meccanismi fragili condotta secondo Circolare 7 21-01-19 (§C8.7.2.2) Analisi lineare con fattore q.

Fattore di amplificazione dei meccanismi fragili della componente sismica in direzione X: 1

Fattore di amplificazione dei meccanismi fragili della componente sismica in direzione Y: 1

Campate costituenti la pilastrata

Q.inf.	Q.sup.	Sezione	Esistente	Secondaria	Dissipativa	Interna a parete	Sovreresistenza	Materiale CLS	Materiale Acciaio	FC
-0.1	2.67	R 30x30_1	Si	No	No	No		C14/17 LC2 Vigone A	Vigone FeB22k LC2 FC = 1.2; Vigone_FeB44k_Staffe_LC2_FC = 1.2	1.2

Disposizione delle armature longitudinali

Posizione	X	Y	Diametro	Area	Q.inf.	Q.sup.	Sezione	Materiale
p.1	-0.1105	-0.1105	0.014	0.0001539	-0.9	-0.1	R 30x30 1	Vigone FeB22k LC2
p.1	0.1105	-0.1105	0.014	0.0001539	-0.9	-0.1	R 30x30 1	Vigone FeB22k LC2
p.1	0.1105	0.1105	0.014	0.0001539	-0.9	-0.1	R 30x30 1	Vigone FeB22k LC2
p.1	-0.1105	0.1105	0.014	0.0001539	-0.9	-0.1	R 30x30 1	Vigone FeB22k LC2
p.2	-0.1105	-0.1105	0.014	0.0001539	-0.1	2.67	R 30x30 1	Vigone FeB22k LC2
p.2	0.1105	-0.1105	0.014	0.0001539	-0.1	2.67	R 30x30 1	Vigone FeB22k LC2
p.2	0.1105	0.1105	0.014	0.0001539	-0.1	2.67	R 30x30 1	Vigone FeB22k LC2
p.2	-0.1105	0.1105	0.014	0.0001539	-0.1	2.67	R 30x30 1	Vigone FeB22k LC2

Controlli geometrici NTC18

Nessuna anomalia

Verifiche delle sezioni**Verifica a pressoflessione in SLU**

Quota	As	%	At	Pos.	Mx	My	N	MRdx	MRdy	Comb.	Coeff.s.	Verifica
-0.1	0.000616	1.4	0	1,2	1.161	2.1157	-62.14	10.1201	18.4418	SLU 18	8.717	Si
0.21	0.000616	1.4	0	1,2	1.0402	1.5467	-61.26	9.8985	14.7183	SLU 18	9.516	Si
0.52	0.000616	1.4	0	1,2	0.9154	0.9684	-60.36	9.3992	9.943	SLU 17	10.268	Si
0.82	0.000616	0.7	0	2	0.7929	0.3899	-59.46	8.2643	4.0644	SLU 17	10.423	Si
1.13	0.000616	0.7	0	2	0.6704	-0.1885	-58.56	7.0945	-1.9949	SLU 17	10.583	Si
1.44	0.000616	0.7	0	2	0.5478	-0.7669	-57.66	5.8882	-8.2435	SLU 17	10.749	Si
1.75	0.000616	0.7	0	2	0.4262	-1.3453	-56.76	4.5274	-14.2914	SLU 18	10.623	Si
2.05	0.000616	0.7	0	2	0.3034	-1.9238	-55.85	3.0202	-19.1512	SLU 18	9.955	Si
2.36	0.000616	0.7	0	2	0.1802	-2.5023	-54.95	1.6794	-23.3203	SLU 17	9.32	Si
2.67	0.000616	0.7	0	2	0.0596	-3.0713	-54.07	0.5202	-26.7877	SLU 17	8.722	Si

Verifica a pressoflessione in SLV

E' attiva l'opzione fattori parziali di sicurezza unitari per meccanismi duttili di strutture esistenti con fattore q

Quota	As	%	At	Pos.	Mx	My	N	MRdx	MRdy	Comb.	C.S.	Nmin	Niim	Comb.Nmin	Ver.
-0.1	0.000616	1.4	0	1,2	10.6116	-77.3116	-4.47	2.744	-19.9917	SLV 16	0.259				No
0.21	0.000616	1.4	0	1,2	9.4956	-61.6326	-3.79	3.0799	-19.9906	SLV 16	0.324				No
0.52	0.000616	1.4	0	1,2	8.3612	-45.6947	-3.09	3.6575	-19.9887	SLV 16	0.437				No
0.82	0.000616	0.7	0	2	-39.8172	-7.2441	-26.35	-21.4391	-3.9005	SLV 8	0.538				No
1.13	0.000616	0.7	0	2	-33.6435	-3.5188	-25.66	-21.7601	-2.2759	SLV 8	0.647				No
1.44	0.000616	0.7	0	2	-27.4698	0.2067	-24.97	-22.2294	0.1672	SLV 8	0.809				No
1.75	0.000616	0.7	0	2	-21.2962	3.9318	-24.28	-22.7612	4.2023	SLV 8	1.069				Si
2.05	0.000616	0.7	0	2	2.6891	33.9947	0.37	1.5717	19.8683	SLV 16	0.584				No
2.36	0.000616	0.7	0	2	1.5547	49.9326	1.06	0.6187	19.8711	SLV 16	0.398				No
2.67	0.000616	0.7	0	2	0.4381	65.6116	1.74	0.1327	19.8725	SLV 16	0.303				No

Verifica a pressoflessione in SLD

Quota	As	%	At	Pos.	Mx	My	N	MRdx	MRdy	Comb.	Coeff.s.	Verifica
-0.1	0.000616	1.4	0	1,2	5.3663	-32.5496	-23.62	3.5642	-21.6188	SLD 16	0.664	No
0.21	0.000616	1.4	0	1,2	4.8028	-25.9953	-22.94	4.0698	-22.0283	SLD 16	0.847	No
0.52	0.000616	1.4	0	1,2	4.23	-19.3329	-22.24	4.9813	-22.7667	SLD 16	1.178	Si
0.82	0.000616	0.7	0	2	17.0966	3.2723	-39.89	26.8579	5.1406	SLD 9	1.571	Si
1.13	0.000616	0.7	0	2	-13.5956	-1.4895	-31.41	-26.8165	-2.938	SLD 8	1.972	Si
1.44	0.000616	0.7	0	2	-11.1001	-0.1848	-30.71	-28.8118	-0.4797	SLD 8	2.596	Si
1.75	0.000616	0.7	0	2	9.1439	-2.7113	-37.81	33.663	-9.988	SLD 9	3.681	Si
2.05	0.000616	0.7	0	2	1.3661	13.9796	-18.78	2.29	23.4349	SLD 16	1.676	Si
2.36	0.000616	0.7	0	2	0.7933	20.6421	-18.09	0.8499	22.1161	SLD 16	1.071	Si
2.67	0.000616	0.7	0	2	-0.154	-30.8498	-46.3	-0.1197	-23.9912	SLD 1	0.778	No

Indicatori di rischio sismico a pressoflessione in SLV

E' attiva l'opzione fattori parziali di sicurezza unitari per meccanismi duttili di strutture esistenti con fattore q

Quota	Molt.	TR	I.R.TR	PGA	I.R.PGA	Comb.	Ver.
-0.1	0.306	47	0.292	0.061	0.306	SLV 1	No
0.21	0.376	74	0.351	0.076	0.378	SLV 16	No
0.52	0.49	137	0.452	0.098	0.489	SLV 16	No
0.82	0.589	245	0.574	0.123	0.617	SLV 8	No
1.13	0.691	364	0.675	0.143	0.715	SLV 8	No
1.44	0.838	595	0.826	0.17	0.853	SLV 8	No
1.75	1.057	1109	1.066	0.21	1.05	SLV 8	Si
2.05	0.637	268	0.595	0.127	0.638	SLV 16	No
2.36	0.454	113	0.418	0.09	0.452	SLV 16	No
2.67	0.341	59	0.32	0.068	0.341	SLV 1	No

Indicatori di rischio sismico a pressoflessione in SLD Resistenza

Quota	Molt.	TR	I.R.TR	PGA	I.R.PGA	Comb.	Ver.
-0.1	0.711	47	0.731	0.061	0.71	SLD 1	No
0.21	0.875	74	0.88	0.076	0.878	SLD 16	No
0.52	1.139	138	1.137	0.098	1.137	SLD 16	Si
0.82	1.434	229	1.399	0.12	1.394	SLD 8	Si
1.13	1.68	339	1.643	0.139	1.615	SLD 8	Si
1.44	2.037	551	2.005	0.166	1.927	SLD 8	Si
1.75	2.506	1217	2.775	0.216	2.506	SLD 16	Si
2.05	1.48	270	1.497	0.128	1.485	SLD 16	Si
2.36	1.057	115	1.055	0.091	1.055	SLD 16	Si
2.67	0.791	59	0.802	0.068	0.79	SLD 1	No

Verifica a taglio in famiglia SLU

Quota	Staffe	Direzione X							Direzione Y							Verifica		
		V	N	Comb.	VRd	VRsd	VRcd	Cot	c.s.	V	N	Comb.	VRd	VRsd	VRcd		Cot	c.s.
-0.1	2X/2Y ø6/23.1	-1.88	-62.14	SLU 17	32.2	49.56	89.19	2.5	26.37	-0.4	-62.14	SLU 18	32.2	49.56	89.19	2.5	124.2	Si
0.21	2X/2Y ø6/23.1	-1.88	-61.26	SLU 17	32.09	49.56	89.07	2.5	26.37	-0.4	-61.26	SLU 18	32.09	49.56	89.07	2.5	124.2	Si
0.52	2X/2Y ø6/23.1	-1.88	-60.36	SLU 17	31.97	49.56	88.95	2.5	26.37	-0.4	-60.36	SLU 18	31.97	49.56	88.95	2.5	124.2	Si
0.82	2X/2Y ø6/23.1	-1.88	-59.46	SLU 17	31.85	49.56	88.82	2.5	26.37	-0.4	-59.46	SLU 18	31.85	49.56	88.82	2.5	124.2	Si

Quota	Staffe	Direzione X								Direzione Y								Verifica	
		V	N	Comb.	VRd	VRsd	VRcd	Cot	c.s.	V	N	Comb.	VRd	VRsd	VRcd	Cot	c.s.		
1.13	2X/2Y ø6/23.1	-1.88	-58.56	SLU 17	31.73	49.56	88.7	2.5	26.37	-0.4	-58.56	SLU 18	31.73	49.56	88.7	2.5	26.37	124.2	Si
1.44	2X/2Y ø6/23.1	-1.88	-57.66	SLU 17	31.62	49.56	88.58	2.5	26.37	-0.4	-57.66	SLU 18	31.62	49.56	88.58	2.5	26.37	124.2	Si
1.75	2X/2Y ø6/23.1	-1.88	-56.76	SLU 17	31.5	49.56	88.46	2.5	26.37	-0.4	-56.76	SLU 18	31.5	49.56	88.46	2.5	26.37	124.2	Si
2.05	2X/2Y ø6/23.1	-1.88	-55.85	SLU 17	31.38	49.56	88.34	2.5	26.37	-0.4	-55.85	SLU 18	31.38	49.56	88.34	2.5	26.37	124.2	Si
2.36	2X/2Y ø6/23.1	-1.88	-54.95	SLU 17	31.27	49.56	88.22	2.5	26.37	-0.4	-54.95	SLU 18	31.27	49.56	88.22	2.5	26.37	124.2	Si
2.67	2X/2Y ø6/23.1	-1.88	-54.07	SLU 17	31.15	49.56	88.1	2.5	26.37	-0.4	-54.07	SLU 18	31.15	49.56	88.1	2.5	26.37	124.2	Si

Verifica a taglio in famiglia SLV

Quota	Staffe	Direzione X								Direzione Y								Verifica
		V	N	Comb.	VRd	VRsd	VRcd	Cot	c.s.	V	N	Comb.	VRd	VRsd	VRcd	Cot	c.s.	
-0.1	2X/2Y ø6/23.1	-54.03	-71.65	SLV 1	33.44	49.56	90.47	2.5	0.92	-20.56	-47.7	SLV 9	30.32	49.56	87.24	2.5	2.41	No
0.21	2X/2Y ø6/23.1	-54.03	-70.97	SLV 1	33.35	49.56	90.38	2.5	0.92	-20.56	-47.02	SLV 9	30.23	49.56	87.15	2.5	2.41	No
0.52	2X/2Y ø6/23.1	-54.03	-70.28	SLV 1	33.26	49.56	90.28	2.5	0.92	-20.56	-46.33	SLV 9	30.14	49.56	87.06	2.5	2.41	No
0.82	2X/2Y ø6/23.1	-54.03	-69.59	SLV 1	33.17	49.56	90.19	2.5	0.92	-20.56	-45.63	SLV 9	30.05	49.56	86.96	2.5	2.41	No
1.13	2X/2Y ø6/23.1	-54.03	-68.9	SLV 1	33.08	49.56	90.1	2.5	0.92	-20.56	-44.94	SLV 9	29.96	49.56	86.87	2.5	2.41	No
1.44	2X/2Y ø6/23.1	-54.03	-68.2	SLV 1	32.99	49.56	90	2.5	0.92	-20.56	-44.25	SLV 9	29.87	49.56	86.78	2.5	2.41	No
1.75	2X/2Y ø6/23.1	-54.03	-67.51	SLV 1	32.9	49.56	89.91	2.5	0.92	-20.56	-43.56	SLV 9	29.78	49.56	86.68	2.5	2.41	No
2.05	2X/2Y ø6/23.1	-54.03	-66.82	SLV 1	32.81	49.56	89.82	2.5	0.92	-20.56	-42.86	SLV 9	29.69	49.56	86.59	2.5	2.41	No
2.36	2X/2Y ø6/23.1	-54.03	-66.13	SLV 1	32.72	49.56	89.72	2.5	0.92	-20.56	-42.17	SLV 9	29.6	49.56	86.5	2.5	2.41	No
2.67	2X/2Y ø6/23.1	-54.03	-65.44	SLV 1	32.63	49.56	89.63	2.5	0.92	-20.56	-41.49	SLV 9	29.51	49.56	86.4	2.5	2.41	No

Verifica taglio ciclico secondo Circolare 7 21-01-19 §C8.7.2.3.5 formula [C8.7.2.8] in combinazione SLV

Quota	Q.inf.	Q.sup.	Dir.	Lv	x	h	p.tot	θ.m	θ.y	μΔ.pl	VRd	VRcd(cotθ=1)	VRsd	Vw	VR	VR,f	VEd	NEd	Comb.	Verifica
-0.1	-0.9	3.17	X	1.51	0.105	0.3	0.0068	0.001791	0.008255	0	33.441	131.179	49.556	19.823	25.091	49.556	-	-	SLV 1	No
-0.1	-0.9	3.17	Y	1.51	0.095	0.3	0.0068	0.001752	0.008255	0	30.32	126.498	49.556	19.823	23.89	49.556	54.027	71.654	SLV 9	Si

Verifica a taglio in famiglia SLD Resistenza

Quota	Staffe	Direzione X								Direzione Y								Verifica
		V	N	Comb.	VRd	VRsd	VRcd	Cot	c.s.	V	N	Comb.	VRd	VRsd	VRcd	Cot	c.s.	
-0.1	2X/2Y ø6/23.1	-23.89	-52.51	SLD 1	30.95	49.56	87.89	2.5	2.07	-8.61	-41.96	SLD 9	29.57	49.56	86.47	2.5	5.75	Si
0.21	2X/2Y ø6/23.1	-23.89	-51.82	SLD 1	30.86	49.56	87.8	2.5	2.07	-8.61	-41.28	SLD 9	29.48	49.56	86.37	2.5	5.75	Si
0.52	2X/2Y ø6/23.1	-23.89	-51.13	SLD 1	30.77	49.56	87.7	2.5	2.07	-8.61	-40.58	SLD 9	29.39	49.56	86.28	2.5	5.75	Si
0.82	2X/2Y ø6/23.1	-23.89	-50.44	SLD 1	30.68	49.56	87.61	2.5	2.07	-8.61	-39.89	SLD 9	29.3	49.56	86.19	2.5	5.75	Si
1.13	2X/2Y ø6/23.1	-23.89	-49.75	SLD 1	30.59	49.56	87.52	2.5	2.07	-8.61	-39.2	SLD 9	29.21	49.56	86.09	2.5	5.75	Si
1.44	2X/2Y ø6/23.1	-23.89	-49.05	SLD 1	30.5	49.56	87.42	2.5	2.07	-8.61	-38.51	SLD 9	29.12	49.56	86	2.5	5.75	Si
1.75	2X/2Y ø6/23.1	-23.89	-48.36	SLD 1	30.41	49.56	87.33	2.5	2.07	-8.61	-37.81	SLD 9	29.03	49.56	85.91	2.5	5.75	Si
2.05	2X/2Y ø6/23.1	-23.89	-47.67	SLD 1	30.32	49.56	87.24	2.5	2.07	-8.61	-37.12	SLD 9	28.94	49.56	85.81	2.5	5.75	Si
2.36	2X/2Y ø6/23.1	-23.89	-46.98	SLD 1	30.23	49.56	87.14	2.5	2.07	-8.61	-36.43	SLD 9	28.85	49.56	85.72	2.5	5.75	Si
2.67	2X/2Y ø6/23.1	-23.89	-46.3	SLD 1	30.14	49.56	87.05	2.5	2.07	-8.61	-35.75	SLD 9	28.76	49.56	85.63	2.5	5.75	Si

Indicatori di rischio sismico a taglio in SLV

Quota	Molt.	TR	I.R.TR	PGA	I.R.PGA	Comb.	Verifica
0.21	0.916	735	0.901	0.183	0.917	SLV 1	No
0.52	0.916	735	0.901	0.183	0.917	SLV 1	No
0.82	0.916	735	0.901	0.183	0.917	SLV 1	No
1.13	0.916	735	0.901	0.183	0.917	SLV 1	No
1.44	0.916	735	0.901	0.183	0.917	SLV 1	No
1.75	0.916	735	0.901	0.183	0.917	SLV 1	No
2.05	0.916	735	0.901	0.183	0.917	SLV 1	No
2.36	0.916	735	0.901	0.183	0.917	SLV 1	No
2.67	0.916	735	0.901	0.183	0.917	SLV 1	No

Indicatori di rischio sismico a taglio in SLD Resistenza

Quota	Molt.	TR	I.R.TR	PGA	I.R.PGA	Comb.	Verifica
-0.1	2.128	742	2.265	0.184	2.133	SLD 1	Si
0.21	2.128	742	2.265	0.184	2.133	SLD 1	Si
0.52	2.128	742	2.265	0.184	2.133	SLD 1	Si
0.82	2.128	742	2.265	0.184	2.133	SLD 1	Si
1.13	2.128	742	2.265	0.184	2.133	SLD 1	Si
1.44	2.128	742	2.265	0.184	2.133	SLD 1	Si
1.75	2.128	742	2.265	0.184	2.133	SLD 1	Si
2.05	2.128	742	2.265	0.184	2.133	SLD 1	Si
2.36	2.128	742	2.265	0.184	2.133	SLD 1	Si
2.67	2.128	742	2.265	0.184	2.133	SLD 1	Si

Verifiche nodi trave colonna

Riepilogo dei dati per le diverse tipologie di verifica eseguite per i nodi

Pilastrata	Q.Nodo	Escluso	Confinato	Segnalazioni
Pilastrata P1	-0.9	Si	No	
Pilastrata P1	3.17	No	No	

Verifiche nodi trave colonna in combinazioni SLD

Riepilogo dei dati per la verifica del nodo secondo Circolare 7 21-01-19 §C8.7.2.3.5.

Pilastrata	Q.Nodo	Angolo travatura	Aj	Vpc	Vtc	Vnc	Nc	onc	onc,lim	Comb.c	Vpt	Vtt	Vnt	Nt	ont	ont,lim	Comb.t	Segnalazioni	Verifica
Pilastrata P1	3.17	0	0.06632	0	31.335	31.335	0	472	3919	SLD 1	0	31.335	31.335	0	472	840	SLD 1		Si

Verifiche nodi trave colonna in combinazioni SLV

Riepilogo dei dati per la verifica del nodo secondo Circolare 7 21-01-19 §C8.7.2.3.5.

Pilastrata	Q.Nodo	Angolo travatura	Aj	Vpc	Vtc	Vnc	Nc	onc	onc,lim	Comb.c	Vpt	Vtt	Vnt	Nt	ont	ont,lim	Comb.t	Segnalazioni	Verifica
Pilastrata P1	3.17	0	0.06632	0	76.553	76.553	0	1154	3919	SLV 1	0	76.553	76.553	0	1154	840	SLV 1		No

Indicatori di rischio sismico dei nodi in SLD

Pilastrata	Q.Nodo	Angolo travatura	Moltiplicatore	TR	I.R.TR	PGA	I.R.PGA	Comb.	Ver.
Pilastrata P1	3.17	0	1.715	402	1.762	0.148	1.721	SLD 1	Si

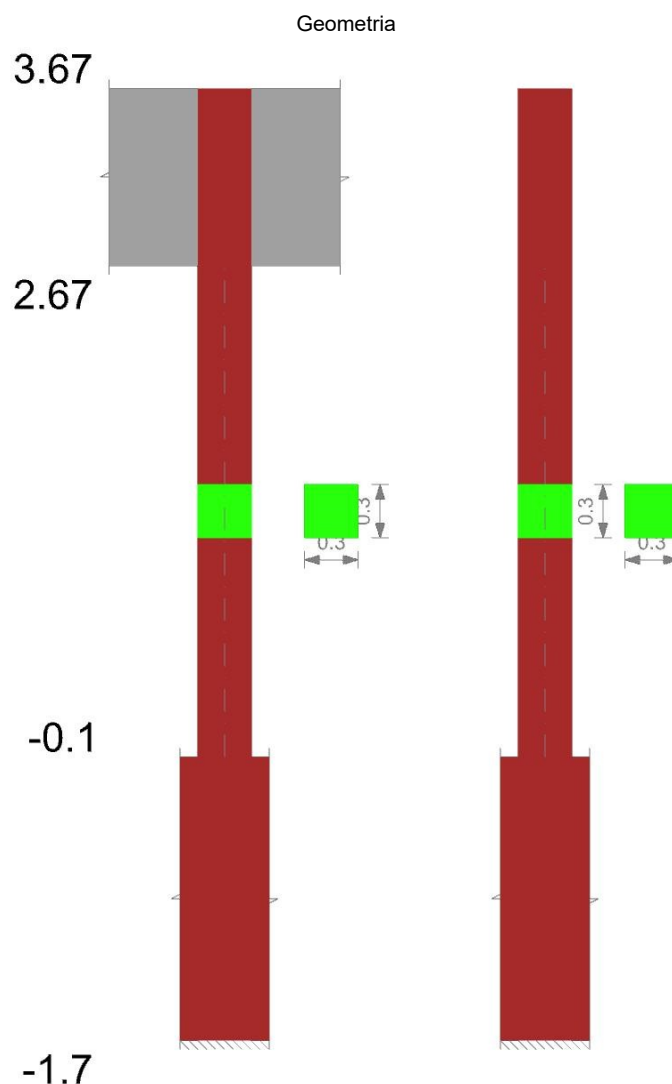
Indicatori di rischio sismico dei nodi in SLV

Pilastrata	Q.Nodo	Angolo travatura	Moltiplicatore	TR	I.R.TR	PGA	I.R.PGA	Comb.	Ver.
Pilastrata P1	3.17	0	0.737	396	0.699	0.147	0.738	SLV 1	No

Verifiche di gerarchia delle resistenze nei nodi trave pilastro

Verifiche di gerarchia delle resistenze nei nodi trave pilastro non presenti in quanto la verifica è non necessaria per la pilastrata per il nodo Appoggio -0.9 in quanto elemento di materiale esistente.
per il nodo Appoggio 3.17 in quanto elemento di materiale esistente.

Pilastrata P2



Dati della pilastrata

Analisi di edificio esistente con fattore di struttura.

Fattore di struttura per meccanismi duttili in direzione X: 1.5

Fattore di struttura per meccanismi duttili in direzione Y: 1.5

Fattore di struttura per meccanismi fragili in direzione X: 1

Fattore di struttura per meccanismi fragili in direzione Y: 1

Verifica dei meccanismi fragili condotta secondo Circolare 7 21-01-19 (§C8.7.2.2) Analisi lineare con fattore q.

Fattore di amplificazione dei meccanismi fragili della componente sismica in direzione X: 1

Fattore di amplificazione dei meccanismi fragili della componente sismica in direzione Y: 1

Campate costituenti la pilastrata

Q.inf.	Q.sup.	Sezione	Esistente	Secondaria	Dissipativa	Interna a parete	Sovreresistenza	Materiale CLS	Materiale Acciaio	FC
-0.1	2.67	R 30x30_1	Si	No	No	No		C14/17 LC2 Vigone A	Vigone_FeB22k_LC2_FC = 1.2; Vigone_FeB44k_Staffe_LC2_FC = 1.2	1.2

Disposizione delle armature longitudinali

Posizione	X	Y	Diametro	Area	Q.inf.	Q.sup.	Sezione	Materiale
p.1	-0.1105	-0.1105	0.014	0.0001539	-0.9	-0.1	R 30x30 1	Vigone_FeB22k_LC2
p.1	0.1105	-0.1105	0.014	0.0001539	-0.9	-0.1	R 30x30 1	Vigone_FeB22k_LC2
p.1	0.1105	0.1105	0.014	0.0001539	-0.9	-0.1	R 30x30 1	Vigone_FeB22k_LC2
p.1	-0.1105	0.1105	0.014	0.0001539	-0.9	-0.1	R 30x30 1	Vigone_FeB22k_LC2
p.2	-0.1105	-0.1105	0.014	0.0001539	-0.1	2.67	R 30x30 1	Vigone_FeB22k_LC2
p.2	0.1105	-0.1105	0.014	0.0001539	-0.1	2.67	R 30x30 1	Vigone_FeB22k_LC2
p.2	0.1105	0.1105	0.014	0.0001539	-0.1	2.67	R 30x30 1	Vigone_FeB22k_LC2
p.2	-0.1105	0.1105	0.014	0.0001539	-0.1	2.67	R 30x30 1	Vigone_FeB22k_LC2

Controlli geometrici NTC18

Nessuna anomalia

Verifiche delle sezioni

Verifica a pressoflessione in SLU

Quota	As	%	At	Pos.	Mx	My	N	MRdx	MRdy	Comb.	Coeff.s.	Verifica
-0.1	0.000616	1.4	0	1,2	1.2664	0.1194	-159.76	4.9125	0.463	SLU 17	3.879	Si
0.21	0.000616	1.4	0	1,2	1.1346	0.0853	-158.87	4.4259	0.3326	SLU 17	3.901	Si
0.52	0.000616	1.4	0	1,2	1.0007	0.0506	-157.97	3.9257	0.1985	SLU 17	3.923	Si
0.82	0.000616	0.7	0	2	0.8668	0.0159	-157.07	3.4198	0.0629	SLU 17	3.945	Si
1.13	0.000616	0.7	0	2	0.7329	-0.0187	-156.17	2.9081	-0.0743	SLU 17	3.968	Si
1.44	0.000616	0.7	0	2	0.5989	-0.0534	-155.27	2.3904	-0.2131	SLU 17	3.991	Si
1.75	0.000616	0.7	0	2	0.465	-0.088	-154.37	1.8667	-0.3535	SLU 17	4.014	Si
2.05	0.000616	0.7	0	2	0.3311	-0.1227	-153.47	1.3368	-0.4955	SLU 17	4.038	Si
2.36	0.000616	0.7	0	2	0.1971	-0.1574	-152.57	0.8007	-0.6392	SLU 17	4.062	Si
2.67	0.000616	0.7	0	2	0.0654	-0.1915	-151.68	0.2671	-0.7823	SLU 17	4.086	Si

Verifica a pressoflessione in SLV

E' attiva l'opzione fattori parziali di sicurezza unitari per meccanismi duttili di strutture esistenti con fattore q

Quota	As	%	At	Pos.	Mx	My	N	MRdx	MRdy	Comb.	C.S.	Nmin	Nlim	Comb.Nmin	Ver.
-0.1	0.000616	1.4	0	1,2	-3.4382	80.8991	-95.46	-0.9769	22.9853	SLV 1	0.284				No
0.21	0.000616	1.4	0	1,2	-3.0816	64.2598	-94.77	-1.1452	23.8797	SLV 1	0.372				No
0.52	0.000616	1.4	0	1,2	-2.7192	47.3456	-94.08	-1.4712	25.6163	SLV 1	0.541				No
0.82	0.000616	0.7	0	2	40.1296	7.5601	-90.2	26.5381	4.9996	SLV 9	0.661				No
1.13	0.000616	0.7	0	2	33.7656	3.3801	-89.51	28.2197	2.8249	SLV 9	0.836				No
1.44	0.000616	0.7	0	2	27.4016	-0.802	-88.82	31.1276	-0.911	SLV 9	1.136				Si
1.75	0.000616	0.7	0	2	16.283	-14.6618	-88.68	26.1078	-23.5084	SLV 5	1.603				Si
2.05	0.000616	0.7	0	2	-0.907	-37.2252	-90.62	-0.6667	-27.3641	SLV 1	0.735				No
2.36	0.000616	0.7	0	2	-0.5445	-54.1393	-89.93	-0.2465	-24.5088	SLV 1	0.453				No
2.67	0.000616	0.7	0	2	-0.1876	-70.7787	-89.25	-0.0616	-23.2544	SLV 1	0.329				No

Verifica a pressoflessione in SLD

Quota	As	%	At	Pos.	Mx	My	N	MRdx	MRdy	Comb.	Coeff.s.	Verifica
-0.1	0.000616	1.4	0	1,2	-1.4377	34.8766	-95.51	-1.1814	28.6586	SLD 1	0.822	No
0.21	0.000616	1.4	0	1,2	-1.2878	27.6997	-94.83	-1.4916	32.0827	SLD 1	1.158	Si
0.52	0.000616	1.4	0	1,2	14.8693	14.5494	-93.06	25.6298	25.0784	SLD 5	1.724	Si
0.82	0.000616	0.7	0	2	12.8324	9.3514	-92.37	31.0361	22.6171	SLD 5	2.419	Si
1.13	0.000616	0.7	0	2	14.0798	1.3659	-91.43	46.6679	4.5273	SLD 9	3.315	Si
1.44	0.000616	0.7	0	2	11.4281	-0.3459	-90.74	50.1159	-1.5169	SLD 9	4.385	Si
1.75	0.000616	0.7	0	2	6.7218	-6.2426	-90.29	30.8186	-28.6214	SLD 5	4.585	Si
2.05	0.000616	0.7	0	2	-0.3736	-16.0728	-90.67	-1.0348	-44.5192	SLD 1	2.77	Si
2.36	0.000616	0.7	0	2	-0.2212	-23.3683	-89.98	-0.3272	-34.5598	SLD 1	1.479	Si
2.67	0.000616	0.7	0	2	-0.0712	-30.5452	-89.3	-0.0689	-29.562	SLD 1	0.968	No

Indicatori di rischio sismico a pressoflessione in SLV

E' attiva l'opzione fattori parziali di sicurezza unitari per meccanismi duttili di strutture esistenti con fattore q

Quota	Molt.	TR	I.R.TR	PGA	I.R.PGA	Comb.	Ver.
-0.1	0.376	74	0.351	0.076	0.378	SLV 1	No
0.21	0.473	125	0.436	0.094	0.471	SLV 1	No
0.52	0.636	296	0.62	0.132	0.662	SLV 9	No
0.82	0.74	431	0.724	0.152	0.762	SLV 9	No
1.13	0.883	682	0.873	0.178	0.893	SLV 9	No
1.44	1.088	1207	1.104	0.215	1.077	SLV 9	Si
1.75	1.398	2114	1.389	0.255	1.279	SLV 9	Si
2.05	0.806	505	0.772	0.161	0.807	SLV 1	No
2.36	0.552	184	0.51	0.11	0.552	SLV 1	No
2.67	0.421	95	0.389	0.084	0.42	SLV 1	No

Indicatori di rischio sismico a pressoflessione in SLD Resistenza

Quota	Molt.	TR	I.R.TR	PGA	I.R.PGA	Comb.	Ver.
-0.1	0.875	74	0.88	0.076	0.878	SLD 1	No
0.21	1.1	127	1.098	0.095	1.099	SLD 1	Si
0.52	1.488	274	1.506	0.129	1.493	SLD 1	Si
0.82	1.811	407	1.771	0.149	1.729	SLD 9	Si
1.13	2.16	643	2.136	0.175	2.031	SLD 9	Si
1.44	2.661	1128	2.69	0.211	2.449	SLD 9	Si
1.75	3.42	2110	3.477	0.255	2.966	SLD 9	Si
2.05	1.871	510	1.942	0.162	1.877	SLD 1	Si
2.36	1.283	186	1.284	0.111	1.286	SLD 1	Si
2.67	0.979	96	0.979	0.084	0.979	SLD 1	No

Verifica a taglio in famiglia SLU

Quota	Staffe	Direzione X										Direzione Y					Verifica	
		V	N	Comb.	VRd	VRsd	VRcd	Cot	c.s.	V	N	Comb.	VRd	VRsd	VRcd	Cot		c.s.
-0.1	2X/2Y ø6/23.1	-0.13	-126.6	SLU 16	39.73	49.56	97.87	2.5	395.33	-0.44	-	SLU 18	39.73	49.56	101.02	2.5	113.68	Si
0.21	2X/2Y ø6/23.1	-0.13	-125.71	SLU 16	39.73	49.56	97.75	2.5	395.33	-0.44	-	SLU 18	39.73	49.56	101.02	2.5	113.68	Si
0.52	2X/2Y ø6/23.1	-0.13	-124.81	SLU 16	39.73	49.56	97.63	2.5	395.33	-0.44	-	SLU 18	39.73	49.56	101.02	2.5	113.68	Si
0.82	2X/2Y ø6/23.1	-0.13	-123.91	SLU 16	39.73	49.56	97.51	2.5	395.33	-0.44	-	SLU 18	39.73	49.56	101.02	2.5	113.68	Si
1.13	2X/2Y ø6/23.1	-0.13	-123.01	SLU 16	39.73	49.56	97.39	2.5	395.33	-0.44	-	SLU 18	39.73	49.56	101.02	2.5	113.68	Si
1.44	2X/2Y ø6/23.1	-0.13	-122.11	SLU 16	39.73	49.56	97.27	2.5	395.33	-0.44	-	SLU 18	39.73	49.56	101.02	2.5	113.68	Si
1.75	2X/2Y ø6/23.1	-0.13	-121.21	SLU 16	39.73	49.56	97.15	2.5	395.33	-0.44	-	SLU 18	39.73	49.56	101.02	2.5	113.68	Si
2.05	2X/2Y ø6/23.1	-0.13	-120.31	SLU 16	39.73	49.56	97.03	2.5	395.33	-0.44	-	SLU 18	39.73	49.56	101.02	2.5	113.68	Si
2.36	2X/2Y ø6/23.1	-0.13	-119.41	SLU 16	39.66	49.56	96.9	2.5	395.33	-0.44	-	SLU 18	39.73	49.56	101.02	2.5	113.68	Si
2.67	2X/2Y ø6/23.1	-0.13	-118.53	SLU 16	39.55	49.56	96.78	2.5	395.33	-0.44	-	SLU 18	39.73	49.56	101.02	2.5	113.68	Si

Verifica a taglio in famiglia SLV

Quota	Staffe	Direzione X										Direzione Y					Verifica	
		V	N	Comb.	VRd	VRsd	VRcd	Cot	c.s.	V	N	Comb.	VRd	VRsd	VRcd	Cot		c.s.
-0.1	2X/2Y ø6/23.1	-54.96	-95.46	SLV 1	36.54	49.56	93.68	2.5	0.9	-20.68	-92.27	SLV 9	36.13	49.56	93.25	2.5	2.4	No
0.21	2X/2Y ø6/23.1	-54.96	-94.77	SLV 1	36.45	49.56	93.58	2.5	0.9	-20.68	-91.59	SLV 9	36.04	49.56	93.15	2.5	2.4	No
0.52	2X/2Y ø6/23.1	-54.96	-94.08	SLV 1	36.36	49.56	93.49	2.5	0.9	-20.68	-90.9	SLV 9	35.95	49.56	93.06	2.5	2.4	No
0.82	2X/2Y ø6/23.1	-54.96	-93.39	SLV 1	36.27	49.56	93.4	2.5	0.9	-20.68	-90.2	SLV 9	35.86	49.56	92.97	2.5	2.4	No
1.13	2X/2Y ø6/23.1	-54.96	-92.7	SLV 1	36.18	49.56	93.3	2.5	0.9	-20.68	-89.51	SLV 9	35.77	49.56	92.87	2.5	2.4	No
1.44	2X/2Y ø6/23.1	-54.96	-92	SLV 1	36.09	49.56	93.21	2.5	0.9	-20.68	-88.82	SLV 9	35.68	49.56	92.78	2.5	2.4	No
1.75	2X/2Y ø6/23.1	-54.96	-91.31	SLV 1	36	49.56	93.12	2.5	0.9	-20.68	-88.13	SLV 9	35.59	49.56	92.69	2.5	2.4	No

Direzione X										Direzione Y										Verifica
Quota	Staffe	V	N	Comb.	VRd	VRsd	VRcd	Cot	c.s.	V	N	Comb.	VRd	VRsd	VRcd	Cot	c.s.			
2.05	2X/2Y ø6/23.1	-54.96	-90.62	SLV 1	35.91	49.56	93.02	2.5	0.9	-20.68	-87.43	SLV 9	35.5	49.56	92.59	2.5	2.4	No		
2.36	2X/2Y ø6/23.1	-54.96	-89.93	SLV 1	35.82	49.56	92.93	2.5	0.9	-20.68	-86.74	SLV 9	35.41	49.56	92.5	2.5	2.4	No		
2.67	2X/2Y ø6/23.1	-54.96	-89.25	SLV 1	35.73	49.56	92.84	2.5	0.9	-20.68	-86.06	SLV 9	35.32	49.56	92.41	2.5	2.4	No		

Verifica taglio ciclico secondo Circolare 7 21-01-19 §C8.7.2.3.5 formula [C8.7.2.8] in combinazione SLV

Quota	Q.inf.	Q.sup.	Dir.	Lv	x	h	p.tot	θ _m	θ _y	μΔ _{pl}	VRd	VRcd(cotθ=1)	VRsd	Vw	VR	VR _f	VEd	NEd	Comb.	Verifica
-0.1	-0.9	3.17	X	1.51	0.116	0.3	0.0068	0.001817	0.008255	0	36.541	135.83	49.556	19.823	26.146	49.556	-	-	SLV 1	No
-0.1	-0.9	3.17	Y	1.51	0.114	0.3	0.0068	0.001724	0.008255	0	36.126	135.207	49.556	19.823	26.013	49.556	-	-92.27	SLV 9	Si

Verifica a taglio in famiglia SLD Resistenza

Direzione X										Direzione Y										Verifica
Quota	Staffe	V	N	Comb.	VRd	VRsd	VRcd	Cot	c.s.	V	N	Comb.	VRd	VRsd	VRcd	Cot	c.s.			
-0.1	2X/2Y ø6/23.1	-23.7	-95.51	SLD 1	36.55	49.56	93.68	2.5	2.09	-8.62	-94.19	SLD 9	36.38	49.56	93.51	2.5	5.75	Si		
0.21	2X/2Y ø6/23.1	-23.7	-94.83	SLD 1	36.46	49.56	93.59	2.5	2.09	-8.62	-93.51	SLD 9	36.29	49.56	93.41	2.5	5.75	Si		
0.52	2X/2Y ø6/23.1	-23.7	-94.14	SLD 1	36.37	49.56	93.5	2.5	2.09	-8.62	-92.82	SLD 9	36.2	49.56	93.32	2.5	5.75	Si		
0.82	2X/2Y ø6/23.1	-23.7	-93.44	SLD 1	36.28	49.56	93.4	2.5	2.09	-8.62	-92.13	SLD 9	36.11	49.56	93.23	2.5	5.75	Si		
1.13	2X/2Y ø6/23.1	-23.7	-92.75	SLD 1	36.19	49.56	93.31	2.5	2.09	-8.62	-91.43	SLD 9	36.02	49.56	93.13	2.5	5.75	Si		
1.44	2X/2Y ø6/23.1	-23.7	-92.06	SLD 1	36.1	49.56	93.22	2.5	2.09	-8.62	-90.74	SLD 9	35.93	49.56	93.04	2.5	5.75	Si		
1.75	2X/2Y ø6/23.1	-23.7	-91.37	SLD 1	36.01	49.56	93.12	2.5	2.09	-8.62	-90.05	SLD 9	35.84	49.56	92.95	2.5	5.75	Si		
2.05	2X/2Y ø6/23.1	-23.7	-90.67	SLD 1	35.92	49.56	93.03	2.5	2.09	-8.62	-89.36	SLD 9	35.75	49.56	92.85	2.5	5.75	Si		
2.36	2X/2Y ø6/23.1	-23.7	-89.98	SLD 1	35.83	49.56	92.94	2.5	2.09	-8.62	-88.66	SLD 9	35.66	49.56	92.76	2.5	5.75	Si		
2.67	2X/2Y ø6/23.1	-23.7	-89.3	SLD 1	35.74	49.56	92.85	2.5	2.09	-8.62	-87.98	SLD 9	35.57	49.56	92.67	2.5	5.75	Si		

Indicatori di rischio sismico a taglio in SLV

Quota	Molt.	TR	I.R.TR	PGA	I.R.PGA	Comb.	Verifica
0.21	0.902	703	0.884	0.18	0.903	SLV 1	No
0.52	0.902	703	0.884	0.18	0.903	SLV 1	No
0.82	0.902	703	0.884	0.18	0.903	SLV 1	No
1.13	0.902	703	0.884	0.18	0.903	SLV 1	No
1.44	0.902	703	0.884	0.18	0.903	SLV 1	No
1.75	0.902	703	0.884	0.18	0.903	SLV 1	No
2.05	0.902	703	0.884	0.18	0.903	SLV 1	No
2.36	0.902	703	0.884	0.18	0.903	SLV 1	No
2.67	0.902	703	0.884	0.18	0.903	SLV 1	No

Indicatori di rischio sismico a taglio in SLD Resistenza

Quota	Molt.	TR	I.R.TR	PGA	I.R.PGA	Comb.	Verifica
-0.1	2.096	710	2.225	0.181	2.101	SLD 1	Si
0.21	2.096	710	2.225	0.181	2.101	SLD 1	Si
0.52	2.096	710	2.225	0.181	2.101	SLD 1	Si
0.82	2.096	710	2.225	0.181	2.101	SLD 1	Si
1.13	2.096	710	2.225	0.181	2.101	SLD 1	Si
1.44	2.096	710	2.225	0.181	2.101	SLD 1	Si
1.75	2.096	710	2.225	0.181	2.101	SLD 1	Si
2.05	2.096	710	2.225	0.181	2.101	SLD 1	Si
2.36	2.096	710	2.225	0.181	2.101	SLD 1	Si
2.67	2.096	710	2.225	0.181	2.101	SLD 1	Si

Verifiche nodi trave colonna

Riepilogo dei dati per le diverse tipologie di verifica eseguite per i nodi

Pilastrata	Q.Nodo	Escluso	Confinato	Segnalazioni
Pilastrata P2	-0.9	Si	No	
Pilastrata P2	3.17	No	No	

Verifiche nodi trave colonna in combinazioni SLD

Riepilogo dei dati per la verifica del nodo secondo Circolare 7 21-01-19 §C8.7.2.3.5.

Pilastrata	Q.Nodo	Angolo travatura	Aj	Vpc	Vtc	Vnc	Nc	σ _{nc}	σ _{nc,lim}	Comb.c	Vpt	Vtt	Vnt	Nt	σ _{nt}	σ _{nt,lim}	Comb.t	Segnalazioni	Verifica
Pilastrata P2	3.17	0	0.06632	0	33.634	33.634	0	507	3919	SLD 1	0	33.634	33.634	0	507	840	SLD 1		Si
	3.17	180	0.06632	0	33.634	33.634	0	507	3919	SLD 1	0	33.634	33.634	0	507	840	SLD 1		Si

Verifiche nodi trave colonna in combinazioni SLV

Riepilogo dei dati per la verifica del nodo secondo Circolare 7 21-01-19 §C8.7.2.3.5.

Pilastrata	Q.Nodo	Angolo travatura	Aj	Vpc	Vtc	Vnc	Nc	σ _{nc}	σ _{nc,lim}	Comb.c	Vpt	Vtt	Vnt	Nt	σ _{nt}	σ _{nt,lim}	Comb.t	Segnalazioni	Verifica
Pilastrata P2	3.17	0	0.06632	0	77.683	77.683	0	1171	3919	SLV 1	0	77.683	77.683	0	1171	840	SLV 1		No
	3.17	180	0.06632	0	77.683	77.683	0	1171	3919	SLV 1	0	77.683	77.683	0	1171	840	SLV 1		No

Indicatori di rischio sismico dei nodi in SLD

Pilastrata	Q.Nodo	Angolo travatura	Moltiplicatore	TR	I.R.TR	PGA	I.R.PGA	Comb.	Ver.
Pilastrata P2	3.17	0	1.664	371	1.705	0.144	1.67	SLD 1	Si
	3.17	180	1.664	371	1.705	0.144	1.67	SLD 1	Si

Indicatori di rischio sismico dei nodi in SLV

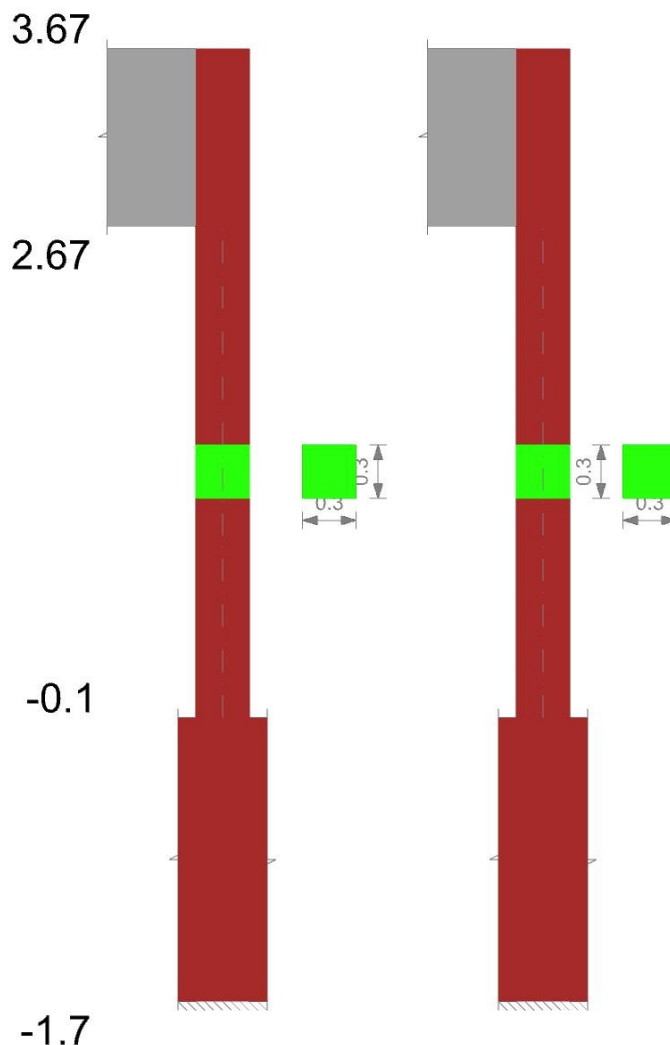
Pilastrata	Q.Nodo	Angolo travatura	Moltiplicatore	TR	I.R.TR	PGA	I.R.PGA	Comb.	Ver.
Pilastrata P2	3.17	0	0.715	365	0.676	0.143	0.716	SLV 1	No
	3.17	180	0.715	365	0.676	0.143	0.716	SLV 1	No

Verifiche di gerarchia delle resistenze nei nodi trave pilastro

Verifiche di gerarchia delle resistenze nei nodi trave pilastro non presenti in quanto la verifica è non necessaria per la pilastrata per il nodo Appoggio 3.17 in quanto elemento di materiale esistente.
per il nodo Appoggio -0.9 in quanto elemento di materiale esistente.

Pilastrata P3

Geometria



Dati della pilastriata

Analisi di edificio esistente con fattore di struttura.

Fattore di struttura per meccanismi duttili in direzione X: 1.5

Fattore di struttura per meccanismi duttili in direzione Y: 1.5

Fattore di struttura per meccanismi fragili in direzione X: 1

Fattore di struttura per meccanismi fragili in direzione Y: 1

Verifica dei meccanismi fragili condotta secondo Circolare 7 21-01-19 (§C8.7.2.2) Analisi lineare con fattore q.

Fattore di amplificazione dei meccanismi fragili della componente sismica in direzione X: 1

Fattore di amplificazione dei meccanismi fragili della componente sismica in direzione Y: 1

Campate costituenti la pilastriata

Q.inf.	Q.sup.	Sezione	Esistente	Secondaria	Dissipativa	Interna a parete	Sovreresistenza	Materiale CLS	Materiale Acciaio	FC
-0.1	2.67	R 30x30_1	Si	No	No	No		C14/17 LC2 Vigone A	Vigone FeB22k LC2 FC = 1.2; Vigone_FeB44k_Staiffe_LC2_FC = 1.2	1.2

Disposizione delle armature longitudinali

Posizione	X	Y	Diametro	Area	Q.inf.	Q.sup.	Sezione	Materiale
p.1	-0.1105	-0.1105	0.014	0.0001539	-0.9	-0.1	R 30x30 1	Vigone FeB22k LC2
p.1	0.1105	-0.1105	0.014	0.0001539	-0.9	-0.1	R 30x30 1	Vigone FeB22k LC2
p.1	0.1105	0.1105	0.014	0.0001539	-0.9	-0.1	R 30x30 1	Vigone FeB22k LC2
p.1	-0.1105	0.1105	0.014	0.0001539	-0.9	-0.1	R 30x30 1	Vigone FeB22k LC2
p.2	-0.1105	-0.1105	0.014	0.0001539	-0.1	2.67	R 30x30 1	Vigone FeB22k LC2
p.2	0.1105	-0.1105	0.014	0.0001539	-0.1	2.67	R 30x30 1	Vigone FeB22k LC2
p.2	0.1105	0.1105	0.014	0.0001539	-0.1	2.67	R 30x30 1	Vigone FeB22k LC2
p.2	-0.1105	0.1105	0.014	0.0001539	-0.1	2.67	R 30x30 1	Vigone FeB22k LC2

Controlli geometrici NTC18

Nessuna anomalia

Verifiche delle sezioni

Verifica a pressoflessione in SLU

Quota	As	%	At	Pos.	Mx	My	N	MRdx	MRdy	Comb.	Coeff.s.	Verifica
-0.1	0.000616	1.4	0	1,2	1.1625	-1.8864	-104.29	6.9075	-11.2089	SLU 17	5.942	Si
0.21	0.000616	1.4	0	1,2	1.0763	-1.3831	-103.41	6.45	-8.2885	SLU 17	5.993	Si
0.52	0.000616	1.4	0	1,2	0.9886	-0.8714	-102.51	5.9768	-5.2682	SLU 17	6.046	Si
0.82	0.000616	0.7	0	2	0.901	-0.3598	-101.61	5.4953	-2.1944	SLU 17	6.099	Si
1.13	0.000616	0.7	0	2	0.8134	0.1518	-100.71	5.0051	0.9344	SLU 17	6.154	Si
1.44	0.000616	0.7	0	2	0.7257	0.6635	-99.81	4.5061	4.1196	SLU 17	6.209	Si
1.75	0.000616	0.7	0	2	0.6381	1.1751	-98.91	3.998	7.3628	SLU 17	6.266	Si
2.05	0.000616	0.7	0	2	0.5505	1.6867	-98.01	3.4806	10.6656	SLU 17	6.323	Si

Quota	As	%	At	Pos.	Mx	My	N	MRdx	MRdy	Comb.	Coeff.s.	Verifica
2.36	0.000616	0.7	0	2	0.4628	2.1984	-97.11	2.9073	13.8098	SLU 17	6.282	Si
2.67	0.000616	0.7	0	2	0.3766	2.7017	-96.22	2.2899	16.4277	SLU 17	6.081	Si

Verifica a pressoflessione in SLV

E' attiva l'opzione fattori parziali di sicurezza unitari per meccanismi duttili di strutture esistenti con fattore q

Quota	As	%	At	Pos.	Mx	My	N	MRdx	MRdy	Comb.	C.S.	Nmin	Nlim	Comb.Nmin	Ver.
-0.1	0.000616	1.4	0	1,2	147.286	18.0109	15.78	19.6308	2.4006	SLV 9	0.133				No
0.21	0.000616	1.4	0	1,2	117.2761	14.4402	16.46	19.5576	2.4081	SLV 9	0.167				No
0.52	0.000616	1.4	0	1,2	86.7707	10.8106	17.15	19.4327	2.4211	SLV 9	0.224				No
0.82	0.000616	0.7	0	2	56.2653	7.1812	17.84	19.1772	2.4476	SLV 9	0.341				No
1.13	0.000616	0.7	0	2	25.7599	3.5524	18.54	18.364	2.5325	SLV 9	0.713				No
1.44	0.000616	0.7	0	2	-4.7461	0.0731	19.23	-13.6345	0.21	SLV 9	2.873				Si
1.75	0.000616	0.7	0	2	-35.251	-3.7098	19.92	-18.6811	-1.966	SLV 9	0.53				No
2.05	0.000616	0.7	0	2	-65.7564	-7.339	20.61	-19.1929	-2.1421	SLV 9	0.292				No
2.36	0.000616	0.7	0	2	-96.2618	-10.9685	21.31	-19.3873	-2.2091	SLV 9	0.201				No
2.67	0.000616	0.7	0	2	-126.2717	-14.5392	21.99	-19.4884	-2.2439	SLV 9	0.154				No

Verifica a pressoflessione in SLD

Quota	As	%	At	Pos.	Mx	My	N	MRdx	MRdy	Comb.	Coeff.s.	Verifica
-0.1	0.000616	1.4	0	1,2	60.3237	6.6666	-31.7	21.1342	2.3356	SLD 9	0.35	No
0.21	0.000616	1.4	0	1,2	48.0869	5.3894	-31.02	21.442	2.4031	SLD 9	0.446	No
0.52	0.000616	1.4	0	1,2	35.6481	4.0911	-30.32	21.9911	2.5238	SLD 9	0.617	No
0.82	0.000616	0.7	0	2	23.2092	2.7929	-29.63	23.2155	2.7936	SLD 9	1	Si
1.13	0.000616	0.7	0	2	10.7704	1.4949	-28.94	28.3407	3.9337	SLD 9	2.631	Si
1.44	0.000616	0.7	0	2	2.5484	0.5096	-92.53	23.1391	4.6273	SLD 8	9.08	Si
1.75	0.000616	0.7	0	2	-14.1073	-1.1029	-27.55	-25.4815	-1.992	SLD 9	1.806	Si
2.05	0.000616	0.7	0	2	-26.5462	-2.401	-26.86	-22.4597	-2.0314	SLD 9	0.846	No
2.36	0.000616	0.7	0	2	-38.985	-3.6992	-26.17	-21.5228	-2.0422	SLD 9	0.552	No
2.67	0.000616	0.7	0	2	-51.2218	-4.9764	-25.49	-21.0721	-2.0472	SLD 9	0.411	No

Indicatori di rischio sismico a pressoflessione in SLV

E' attiva l'opzione fattori parziali di sicurezza unitari per meccanismi duttili di strutture esistenti con fattore q

Quota	Molt.	TR	I.R.TR	PGA	I.R.PGA	Comb.	Ver.
-0.1	0.169	22	0.214	0.043	0.216	SLV 9	No
0.21	0.209	31	0.246	0.051	0.253	SLV 9	No
0.52	0.276	50	0.299	0.063	0.315	SLV 9	No
0.82	0.406	104	0.404	0.087	0.436	SLV 9	No
1.13	0.767	470	0.75	0.157	0.787	SLV 9	No
1.44	1.91	2114	1.389	0.255	1.279	SLV 5	Si
1.75	0.605	262	0.59	0.126	0.632	SLV 9	No
2.05	0.358	82	0.366	0.079	0.395	SLV 9	No
2.36	0.253	43	0.281	0.059	0.294	SLV 9	No
2.67	0.196	28	0.236	0.048	0.241	SLV 9	No

Indicatori di rischio sismico a pressoflessione in SLD Resistenza

Quota	Molt.	TR	I.R.TR	PGA	I.R.PGA	Comb.	Ver.
-0.1	0.416	21	0.525	0.042	0.49	SLD 9	No
0.21	0.515	31	0.616	0.051	0.587	SLD 9	No
0.52	0.68	48	0.737	0.062	0.717	SLD 9	No
0.82	1	101	1	0.086	1	SLD 9	Si
1.13	1.891	453	1.85	0.155	1.8	SLD 9	Si
1.44	4.719	2110	3.477	0.255	2.966	SLD 9	Si
1.75	1.492	253	1.457	0.125	1.447	SLD 9	Si
2.05	0.881	79	0.904	0.078	0.902	SLD 9	No
2.36	0.623	42	0.698	0.058	0.675	SLD 9	No
2.67	0.482	27	0.582	0.047	0.55	SLD 9	No

Verifica a taglio in famiglia SLU

Quota	Staffe	Direzione X								Direzione Y								Verifica
		V	N	Comb.	VRd	VRsd	VRcd	Cot	c.s.	V	N	Comb.	VRd	VRsd	VRcd	Cot	c.s.	
-0.1	2X/2Y ø6/23.1	1.66	-	SLV 18	37.69	49.56	94.87	2.5	29.81	-0.56	-65.82	SLV 9	32.68	49.56	89.68	2.5	87.74	Si
0.21	2X/2Y ø6/23.1	1.66	-	SLV 18	37.58	49.56	94.75	2.5	29.81	-0.56	-65.14	SLV 9	32.59	49.56	89.59	2.5	87.74	Si
0.52	2X/2Y ø6/23.1	1.66	-	SLV 18	37.46	49.56	94.63	2.5	29.81	-0.56	-64.45	SLV 9	32.5	49.56	89.5	2.5	87.74	Si
0.82	2X/2Y ø6/23.1	1.66	-101.6	SLV 18	37.34	49.56	94.5	2.5	29.81	-0.56	-63.76	SLV 9	32.41	49.56	89.4	2.5	87.74	Si
1.13	2X/2Y ø6/23.1	1.66	-100.7	SLV 18	37.22	49.56	94.38	2.5	29.81	-0.56	-63.07	SLV 9	32.32	49.56	89.31	2.5	87.74	Si
1.44	2X/2Y ø6/23.1	1.66	-99.8	SLV 18	37.11	49.56	94.26	2.5	29.81	-0.56	-62.37	SLV 9	32.23	49.56	89.22	2.5	87.74	Si
1.75	2X/2Y ø6/23.1	1.66	-98.9	SLV 18	36.99	49.56	94.14	2.5	29.81	-0.56	-61.68	SLV 9	32.14	49.56	89.12	2.5	87.74	Si
2.05	2X/2Y ø6/23.1	1.66	-98	SLV 18	36.87	49.56	94.02	2.5	29.81	-0.56	-60.99	SLV 9	32.05	49.56	89.03	2.5	87.74	Si
2.36	2X/2Y ø6/23.1	1.66	-97.1	SLV 18	36.76	49.56	93.9	2.5	29.81	-0.56	-60.3	SLV 9	31.96	49.56	88.94	2.5	87.74	Si
2.67	2X/2Y ø6/23.1	1.66	-96.22	SLV 18	36.64	49.56	93.78	2.5	29.81	-0.56	-59.61	SLV 9	31.87	49.56	88.85	2.5	87.74	Si

Verifica a taglio in famiglia SLV

Quota	Staffe	Direzione X								Direzione Y								Verifica
		V	N	Comb.	VRd	VRsd	VRcd	Cot	c.s.	V	N	Comb.	VRd	VRsd	VRcd	Cot	c.s.	
-0.1	2X/2Y ø6/23.1	53.88	-	SLV 16	37.54	49.56	94.71	2.5	0.92	-99.12	15.78	SLV 9	24.11	49.56	80.81	2.5	0.5	No
0.21	2X/2Y ø6/23.1	53.88	-	SLV 16	37.45	49.56	94.62	2.5	0.92	-99.12	16.46	SLV 9	24.11	49.56	80.81	2.5	0.5	No
0.52	2X/2Y ø6/23.1	53.88	-	SLV 16	37.36	49.56	94.52	2.5	0.92	-99.12	17.15	SLV 9	24.11	49.56	80.81	2.5	0.5	No
0.82	2X/2Y ø6/23.1	53.88	-	SLV 16	37.27	49.56	94.43	2.5	0.92	-99.12	17.84	SLV 9	24.11	49.56	80.81	2.5	0.5	No
1.13	2X/2Y ø6/23.1	53.88	-	SLV 16	37.18	49.56	94.34	2.5	0.92	-99.12	18.54	SLV 9	24.11	49.56	80.81	2.5	0.5	No
1.44	2X/2Y ø6/23.1	53.88	-99.68	SLV 16	37.09	49.56	94.24	2.5	0.92	-99.12	19.23	SLV 9	24.11	49.56	80.81	2.5	0.5	No
1.75	2X/2Y ø6/23.1	53.88	-98.98	SLV 16	37	49.56	94.15	2.5	0.92	-99.12	19.92	SLV 9	24.11	49.56	80.81	2.5	0.5	No
2.05	2X/2Y ø6/23.1	53.88	-98.29	SLV 16	36.91	49.56	94.06	2.5	0.92	-99.12	20.61	SLV 9	24.11	49.56	80.81	2.5	0.5	No
2.36	2X/2Y ø6/23.1	53.88	-97.6	SLV 16	36.82	49.56	93.96	2.5	0.92	-99.12	21.31	SLV 9	24.11	49.56	80.81	2.5	0.5	No
2.67	2X/2Y ø6/23.1	53.88	-96.92	SLV 16	36.73	49.56	93.87	2.5	0.92	-99.12	21.99	SLV 9	24.11	49.56	80.81	2.5	0.5	No

Verifica taglio ciclico secondo Circolare 7 21-01-19 §C8.7.2.3.5 formula [C8.7.2.8] in combinazione SLV

Quota	Q.inf.	Q.sup.	Dir.	Lv	x	h	p,tot	θ,m	θ,y	μ,Δ,pl	VRd	VRcd(cotθ=1)	VRsd	Vw	VR	VR,f	VEd	NEd	Comb.	Verifica
-0.1	-0.9	3.17	X	1.51	0.119	0.3	0.0068	0.001789	0.008255	0	37.541	137.329	49.556	19.823	26.457	49.556	53.882	-	SLV 16	No
-0.1	-0.9	3.17	Y	1.51	0.082	0.3	0.0068	0.003199	0.008255	0	24.106	117.177	49.556	19.823	21.078	49.556	-	15.778	SLV 9	No

Verifica a taglio in famiglia SLD Resistenza

Quota	Staffe	Direzione X									Direzione Y									Verifica
		V	N	Comb.	VRd	VRsd	VRcd	Cot	c.s.	V	N	Comb.	VRd	VRsd	VRcd	Cot	c.s.			
-0.1	2X/2Y ø6/23.1	23.74	-80.16	SLD 16	34.55	49.56	91.61	2.5	2.09	-40.42	-31.7	SLD 9	28.24	49.56	85.08	2.5	1.23	Si		
0.21	2X/2Y ø6/23.1	23.74	-79.47	SLD 16	34.46	49.56	91.52	2.5	2.09	-40.42	-31.02	SLD 9	28.15	49.56	84.99	2.5	1.23	Si		
0.52	2X/2Y ø6/23.1	23.74	-78.78	SLD 16	34.37	49.56	91.43	2.5	2.09	-40.42	-30.32	SLD 9	28.06	49.56	84.9	2.5	1.23	Si		
0.82	2X/2Y ø6/23.1	23.74	-78.09	SLD 16	34.28	49.56	91.34	2.5	2.09	-40.42	-29.63	SLD 9	27.97	49.56	84.81	2.5	1.23	Si		
1.13	2X/2Y ø6/23.1	23.74	-77.4	SLD 16	34.19	49.56	91.24	2.5	2.09	-40.42	-28.94	SLD 9	27.88	49.56	84.71	2.5	1.23	Si		
1.44	2X/2Y ø6/23.1	23.74	-76.7	SLD 16	34.1	49.56	91.15	2.5	2.09	-40.42	-28.25	SLD 9	27.79	49.56	84.62	2.5	1.23	Si		
1.75	2X/2Y ø6/23.1	23.74	-76.01	SLD 16	34.01	49.56	91.06	2.5	2.09	-40.42	-27.55	SLD 9	27.7	49.56	84.53	2.5	1.23	Si		
2.05	2X/2Y ø6/23.1	23.74	-75.32	SLD 16	33.92	49.56	90.96	2.5	2.09	-40.42	-26.86	SLD 9	27.61	49.56	84.43	2.5	1.23	Si		
2.36	2X/2Y ø6/23.1	23.74	-74.63	SLD 16	33.83	49.56	90.87	2.5	2.09	-40.42	-26.17	SLD 9	27.52	49.56	84.34	2.5	1.23	Si		
2.67	2X/2Y ø6/23.1	23.74	-73.95	SLD 16	33.74	49.56	90.78	2.5	2.09	-40.42	-25.49	SLD 9	27.43	49.56	84.25	2.5	1.23	Si		

Indicatori di rischio sismico a taglio in SLV

Quota	Molt.	TR	I.R.TR	PGA	I.R.PGA	Comb.	Verifica
0.21	0.499	162	0.484	0.105	0.524	SLV 9	No
0.52	0.499	162	0.484	0.105	0.524	SLV 9	No
0.82	0.499	162	0.484	0.105	0.524	SLV 9	No
1.13	0.499	162	0.484	0.105	0.524	SLV 9	No
1.44	0.499	162	0.484	0.105	0.524	SLV 9	No
1.75	0.499	162	0.484	0.105	0.524	SLV 9	No
2.05	0.499	162	0.484	0.105	0.524	SLV 9	No
2.36	0.499	162	0.484	0.105	0.524	SLV 9	No
2.67	0.499	162	0.484	0.105	0.524	SLV 9	No

Indicatori di rischio sismico a taglio in SLD Resistenza

Quota	Molt.	TR	I.R.TR	PGA	I.R.PGA	Comb.	Verifica
-0.1	1.227	155	1.192	0.103	1.193	SLD 9	Si
0.21	1.227	155	1.192	0.103	1.193	SLD 9	Si
0.52	1.227	155	1.192	0.103	1.193	SLD 9	Si
0.82	1.227	155	1.192	0.103	1.193	SLD 9	Si
1.13	1.227	155	1.192	0.103	1.193	SLD 9	Si
1.44	1.227	155	1.192	0.103	1.193	SLD 9	Si
1.75	1.227	155	1.192	0.103	1.193	SLD 9	Si
2.05	1.227	155	1.192	0.103	1.193	SLD 9	Si
2.36	1.227	155	1.192	0.103	1.193	SLD 9	Si
2.67	1.227	155	1.192	0.103	1.193	SLD 9	Si

Verifiche nodi trave colonna**Riepilogo dei dati per le diverse tipologie di verifica eseguite per i nodi**

Pilastrata	Q.Nodo	Escluso	Confinato	Segnalazioni
Pilastrata P3	-0.9	Si	No	
Pilastrata P3	3.17	No	No	

Verifiche nodi trave colonna in combinazioni SLD**Riepilogo dei dati per la verifica del nodo secondo Circolare 7 21-01-19 §C8.7.2.3.5.**

Pilastrata	Q.Nodo	Angolo travatura	Aj	Vpc	Vtc	Vnc	Nc	onc	onc,lim	Comb.c	Vpt	Vtt	Vnt	Nt	ont	ont,lim	Comb.t	Segnalazioni	Verifica
Pilastrata P3	3.17	180	0.06632	0	31.04	31.04	0	468	3919	SLD 16	0	31.04	31.04	0	468	840	SLD 16		Si
	3.17	271	0.06792	0	55.31	55.31	0	814	3919	SLD 8	0	55.31	55.31	0	814	840	SLD 8		Si

Verifiche nodi trave colonna in combinazioni SLV**Riepilogo dei dati per la verifica del nodo secondo Circolare 7 21-01-19 §C8.7.2.3.5.**

Pilastrata	Q.Nodo	Angolo travatura	Aj	Vpc	Vtc	Vnc	Nc	onc	onc,lim	Comb.c	Vpt	Vtt	Vnt	Nt	ont	ont,lim	Comb.t	Segnalazioni	Verifica
Pilastrata P3	3.17	180	0.06632	0	76.267	76.267	0	1150	3919	SLV 16	0	76.267	76.267	0	1150	840	SLV 16		No
	3.17	271	0.06792	0	142.316	142.316	0	2095	3919	SLV 8	0	142.316	142.316	0	2095	840	SLV 8		No

Indicatori di rischio sismico dei nodi in SLD

Pilastrata	Q.Nodo	Angolo travatura	Moltiplicatore	TR	I.R.TR	PGA	I.R.PGA	Comb.	Ver.
Pilastrata P3	3.17	180	1.723	407	1.771	0.149	1.729	SLD 16	Si
	3.17	271	1.029	107	1.024	0.088	1.024	SLD 8	Si

Indicatori di rischio sismico dei nodi in SLV

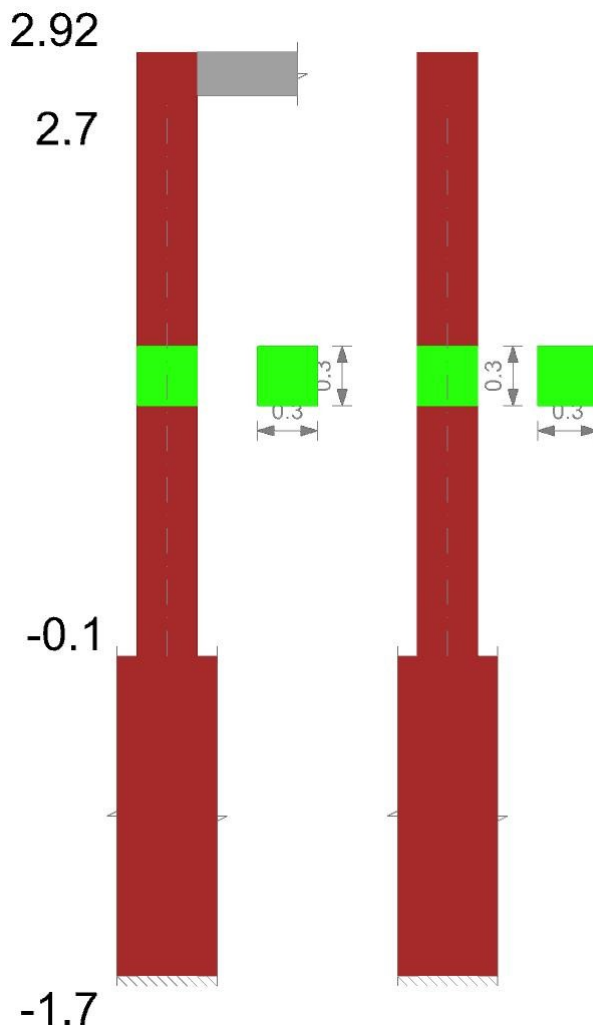
Pilastrata	Q.Nodo	Angolo travatura	Moltiplicatore	TR	I.R.TR	PGA	I.R.PGA	Comb.	Ver.
Pilastrata P3	3.17	180	0.741	402	0.703	0.148	0.742	SLV 16	No
	3.17	271	0.418	110	0.413	0.089	0.447	SLV 8	No

Verifiche di gerarchia delle resistenze nei nodi trave pilastro

Verifiche di gerarchia delle resistenze nei nodi trave pilastro non presenti in quanto la verifica è non necessaria per la pilastrata per il nodo Appoggio -0.9 in quanto elemento di materiale esistente.
per il nodo Appoggio 3.17 in quanto elemento di materiale esistente.

Pilastrata P4

Geometria



Dati della pilastriata

Analisi di edificio esistente con fattore di struttura.

Fattore di struttura per meccanismi duttili in direzione X: 1.5

Fattore di struttura per meccanismi duttili in direzione Y: 1.5

Fattore di struttura per meccanismi fragili in direzione X: 1

Fattore di struttura per meccanismi fragili in direzione Y: 1

Verifica dei meccanismi fragili condotta secondo Circolare 7 21-01-19 (§C8.7.2.2) Analisi lineare con fattore q.

Fattore di amplificazione dei meccanismi fragili della componente sismica in direzione X: 1

Fattore di amplificazione dei meccanismi fragili della componente sismica in direzione Y: 1

Campate costituenti la pilastriata

Q.inf.	Q.sup.	Sezione	Esistente	Secondaria	Dissipativa	Interna a parete	Sovreresistenza	Materiale CLS	Materiale Acciaio	FC
-0.1	2.7	R 30x30_1	Si	No	No	No		C14/17 LC2 Vigone A	Vigone_FeB22k_LC2_FC = 1.2; Vigone_FeB44k_Staffe_LC2_FC = 1.2	1.2

Disposizione delle armature longitudinali

Posizione	X	Y	Diametro	Area	Q.inf.	Q.sup.	Sezione	Materiale
p.1	-0.1105	-0.1105	0.014	0.0001539	-0.9	-0.1	R 30x30 1	Vigone FeB22k LC2
p.1	0.1105	-0.1105	0.014	0.0001539	-0.9	-0.1	R 30x30 1	Vigone FeB22k LC2
p.1	0.1105	0.1105	0.014	0.0001539	-0.9	-0.1	R 30x30 1	Vigone FeB22k LC2
p.1	-0.1105	0.1105	0.014	0.0001539	-0.9	-0.1	R 30x30 1	Vigone FeB22k LC2
p.2	-0.1105	-0.1105	0.014	0.0001539	-0.1	2.423	R 30x30 1	Vigone FeB22k LC2
p.2	0.1105	-0.1105	0.014	0.0001539	-0.1	2.423	R 30x30 1	Vigone FeB22k LC2
p.2	0.1105	0.1105	0.014	0.0001539	-0.1	2.423	R 30x30 1	Vigone FeB22k LC2
p.2	-0.1105	0.1105	0.014	0.0001539	-0.1	2.423	R 30x30 1	Vigone FeB22k LC2

Controlli geometrici NTC18

Nessuna anomalia

Verifiche delle sezioni

Verifica a pressoflessione in SLU

Quota	As	%	At	Pos.	Mx	My	N	MRdx	MRdy	Comb.	Coeff.s.	Verifica
-0.1	0.000616	1.4	0	1,2	1.1577	14.3263	-61.12	2.4378	30.1657	SLU 17	2.106	Si
0.21	0.000616	1.4	0	1,2	1.038	10.5076	-60.23	3.3975	34.3917	SLU 18	3.273	Si
0.52	0.000616	1.4	0	1,2	0.9138	6.6271	-59.32	4.8389	35.0921	SLU 18	5.295	Si
0.83	0.000616	0.7	0	2	0.7896	2.7466	-58.41	6.727	23.3995	SLU 18	8.519	Si
1.14	0.000616	0.7	0	2	0.6654	-1.1339	-57.5	7.1523	-12.188	SLU 18	10.749	Si
1.46	0.000616	0.7	0	2	0.5412	-5.0144	-56.59	3.5664	-33.0444	SLU 18	6.59	Si
1.77	0.000616	0.7	0	2	0.417	-8.8949	-55.68	1.6862	-35.9706	SLU 18	4.044	Si
2.08	0.000616	0.7	0	2	0.2921	-12.7754	-54.77	0.7011	-30.6618	SLU 17	2.4	Si
2.39	0.000616	0.7	0	2	0.1682	-16.656	-53.86	0.2655	-26.2956	SLU 17	1.579	Si

Quota	As	%	At	Pos.	Mx	My	N	MRdx	MRdy	Comb.	Coeff.s.	Verifica
2.7	0.000474	0.7	0	2	0.0462	-20.4743	-52.96	0.0424	-18.7605	SLU 17	0.916	No

Verifica a pressoflessione in SLV

E' attiva l'opzione fattori parziali di sicurezza unitari per meccanismi duttili di strutture esistenti con fattore q

Quota	As	%	At	Pos.	Mx	My	N	MRdx	MRdy	Comb.	C.S.	Nmin	Nlim	Comb.Nmin	Ver.
-0.1	0.000616	1.4	0	1,2	-9.0808	66.3475	-54.95	-2.9993	21.9142	SLV 1	0.33				No
0.21	0.000616	1.4	0	1,2	53.3213	13.2712	-39.08	21.5806	5.3712	SLV 9	0.405				No
0.52	0.000616	1.4	0	1,2	46.9375	9.5875	-38.38	21.8384	4.4607	SLV 9	0.465				No
0.83	0.000616	0.7	0	2	40.5537	5.9038	-37.68	22.1864	3.2299	SLV 9	0.547				No
1.14	0.000616	0.7	0	2	34.17	2.2201	-36.98	22.6818	1.4737	SLV 9	0.664				No
1.46	0.000616	0.7	0	2	27.7862	-1.4635	-36.28	23.3529	-1.23	SLV 9	0.84				No
1.77	0.000616	0.7	0	2	-20.8748	-5.2176	-30.45	-23.6703	-5.9163	SLV 8	1.134				Si
2.08	0.000616	0.7	0	2	15.0187	-8.8309	-34.88	24.841	-14.6064	SLV 9	1.654				Si
2.39	0.000616	0.7	0	2	-1.2973	-28.9403	-49.36	-1.1044	-24.6357	SLV 1	0.851				No
2.7	0.000474	0.7	0	2	-0.338	-40.6834	-48.67	-0.1517	-18.2618	SLV 1	0.449				No

Verifica a pressoflessione in SLD

Quota	As	%	At	Pos.	Mx	My	N	MRdx	MRdy	Comb.	Coeff.s.	Verifica
-0.1	0.000616	1.4	0	1,2	-3.8705	33.2667	-44.83	-2.7265	23.434	SLD 1	0.704	No
0.21	0.000616	1.4	0	1,2	-3.4616	26.9524	-44.14	-3.1279	24.3542	SLD 1	0.904	No
0.52	0.000616	1.4	0	1,2	19.6574	5.9726	-36.76	24.8852	7.5609	SLD 9	1.266	Si
0.83	0.000616	0.7	0	2	16.9838	3.1872	-36.06	26.0614	4.8907	SLD 9	1.534	Si
1.14	0.000616	0.7	0	2	14.3103	0.4018	-35.36	27.5124	0.7725	SLD 9	1.923	Si
1.46	0.000616	0.7	0	2	11.6367	-2.3836	-34.66	29.4731	-6.037	SLD 9	2.533	Si
1.77	0.000616	0.7	0	2	8.9631	-5.169	-33.96	28.6732	-16.5357	SLD 9	3.199	Si
2.08	0.000616	0.7	0	2	-0.9684	-11.5519	-39.94	-2.6977	-32.1804	SLD 1	2.786	Si
2.39	0.000616	0.7	0	2	-0.5529	-17.9693	-39.24	-0.8112	-26.3665	SLD 1	1.467	Si
2.7	0.000474	0.7	0	2	-0.1439	-24.2835	-38.55	-0.1142	-19.2637	SLD 1	0.793	No

Indicatori di rischio sismico a pressoflessione in SLV

E' attiva l'opzione fattori parziali di sicurezza unitari per meccanismi duttili di strutture esistenti con fattore q

Quota	Molt.	TR	I.R.TR	PGA	I.R.PGA	Comb.	Ver.
-0.1	0.28	40	0.273	0.057	0.284	SLV 1	No
0.21	0.384	77	0.357	0.077	0.385	SLV 1	No
0.52	0.503	165	0.488	0.105	0.528	SLV 9	No
0.83	0.586	242	0.571	0.123	0.614	SLV 9	No
1.14	0.698	373	0.682	0.144	0.722	SLV 9	No
1.46	0.859	636	0.849	0.174	0.872	SLV 9	No
1.77	1.111	1284	1.132	0.219	1.098	SLV 8	Si
2.08	1.563	2114	1.389	0.255	1.279	SLV 8	Si
2.39	0.797	489	0.762	0.159	0.798	SLV 1	No
2.7	0.275	39	0.27	0.056	0.281	SLV 1	No

Indicatori di rischio sismico a pressoflessione in SLD Resistenza

Quota	Molt.	TR	I.R.TR	PGA	I.R.PGA	Comb.	Ver.
-0.1	0.652	41	0.691	0.057	0.667	SLD 1	No
0.21	0.895	78	0.899	0.077	0.897	SLD 1	No
0.52	1.223	154	1.189	0.102	1.19	SLD 9	Si
0.83	1.422	224	1.386	0.119	1.383	SLD 9	Si
1.14	1.695	346	1.657	0.14	1.627	SLD 9	Si
1.46	2.087	587	2.058	0.169	1.969	SLD 9	Si
1.77	2.702	1180	2.74	0.214	2.483	SLD 8	Si
2.08	3.807	2110	3.477	0.255	2.966	SLD 8	Si
2.39	1.859	501	1.928	0.161	1.865	SLD 1	Si
2.7	0.643	40	0.684	0.057	0.66	SLD 1	No

Verifica a taglio in famiglia SLU

Quota	Staffe	V	N	Comb.	Direzione X					Direzione Y					Verifica			
					VRd	VRsd	VRcd	Cot	c.s.	V	N	Comb.	VRd	VRsd		VRcd	Cot	c.s.
-0.1	2X/2Y ø6/23.9	-12.47	-61.12	SLU 17	32.07	47.83	89.05	2.5	3.83	-0.4	-61.12	SLU 18	32.07	47.83	89.05	2.5	119.8	Si
0.21	2X/2Y ø6/23.9	-12.47	-60.23	SLU 17	31.95	47.83	88.93	2.5	3.83	-0.4	-60.23	SLU 18	31.95	47.83	88.93	2.5	119.8	Si
0.52	2X/2Y ø6/23.9	-12.47	-59.32	SLU 17	31.83	47.83	88.81	2.5	3.83	-0.4	-59.32	SLU 18	31.83	47.83	88.81	2.5	119.8	Si
0.83	2X/2Y ø6/23.9	-12.47	-58.41	SLU 17	31.72	47.83	88.68	2.5	3.83	-0.4	-58.41	SLU 18	31.72	47.83	88.68	2.5	119.8	Si
1.14	2X/2Y ø6/23.9	-12.47	-57.5	SLU 17	31.6	47.83	88.56	2.5	3.83	-0.4	-57.5	SLU 18	31.6	47.83	88.56	2.5	119.8	Si
1.46	2X/2Y ø6/23.9	-12.47	-56.59	SLU 17	31.48	47.83	88.44	2.5	3.83	-0.4	-56.59	SLU 18	31.48	47.83	88.44	2.5	119.8	Si
1.77	2X/2Y ø6/23.9	-12.47	-55.68	SLU 17	31.36	47.83	88.32	2.5	3.83	-0.4	-55.68	SLU 18	31.36	47.83	88.32	2.5	119.8	Si
2.08	2X/2Y ø6/23.9	-12.47	-54.77	SLU 17	31.24	47.83	88.19	2.5	3.83	-0.4	-54.77	SLU 18	31.24	47.83	88.19	2.5	119.8	Si
2.39	2X/2Y ø6/23.9	-12.47	-53.86	SLU 17	31.12	47.83	88.07	2.5	3.83	-0.4	-53.86	SLU 18	31.12	47.83	88.07	2.5	119.8	Si
2.7	2X/2Y ø6/23.9	-12.47	-52.96	SLU 17	31.01	47.83	87.95	2.5	3.83	-0.4	-52.96	SLU 18	31.01	47.83	87.95	2.5	119.8	Si

Verifica a taglio in famiglia SLV

Quota	Staffe	V	N	Comb.	Direzione X					Direzione Y					Verifica			
					VRd	VRsd	VRcd	Cot	c.s.	V	N	Comb.	VRd	VRsd		VRcd	Cot	c.s.
-0.1	2X/2Y ø6/23.9	-38.36	-54.95	SLV 1	31.26	47.83	88.22	2.5	1.25	-20.52	-39.77	SLV 9	29.29	47.83	86.17	2.5	2.33	Si
0.21	2X/2Y ø6/23.9	-38.36	-54.26	SLV 1	31.17	47.83	88.12	2.5	1.25	-20.52	-39.08	SLV 9	29.2	47.83	86.08	2.5	2.33	Si
0.52	2X/2Y ø6/23.9	-38.36	-53.56	SLV 1	31.08	47.83	88.03	2.5	1.25	-20.52	-38.38	SLV 9	29.11	47.83	85.98	2.5	2.33	Si
0.83	2X/2Y ø6/23.9	-38.36	-52.86	SLV 1	30.99	47.83	87.94	2.5	1.25	-20.52	-37.68	SLV 9	29.02	47.83	85.89	2.5	2.33	Si
1.14	2X/2Y ø6/23.9	-38.36	-52.16	SLV 1	30.9	47.83	87.84	2.5	1.25	-20.52	-36.98	SLV 9	28.92	47.83	85.8	2.5	2.33	Si
1.46	2X/2Y ø6/23.9	-38.36	-51.46	SLV 1	30.81	47.83	87.75	2.5	1.25	-20.52	-36.28	SLV 9	28.83	47.83	85.7	2.5	2.33	Si
1.77	2X/2Y ø6/23.9	-38.36	-50.76	SLV 1	30.72	47.83	87.65	2.5	1.25	-20.52	-35.58	SLV 9	28.74	47.83	85.61	2.5	2.33	Si
2.08	2X/2Y ø6/23.9	-38.36	-50.06	SLV 1	30.63	47.83	87.56	2.5	1.25	-20.52	-34.88	SLV 9	28.65	47.83	85.51	2.5	2.33	Si
2.39	2X/2Y ø6/23.9	-38.36	-49.36	SLV 1	30.54	47.83	87.46	2.5	1.25	-20.52	-34.18	SLV 9	28.56	47.83	85.42	2.5	2.33	Si
2.7	2X/2Y ø6/23.9	-38.36	-48.67	SLV 1	30.45	47.83	87.37	2.5	1.25	-20.52	-33.5	SLV 9	28.47	47.83	85.33	2.5	2.33	Si

Verifica taglio ciclico secondo Circolare 7 21-01-19 §C8.7.2.3.5 formula [C8.7.2.8] in combinazione SLV

Quota	Q.inf.	Q.sup.	Dir.	Lv	x	h	p,tot	θ,m	θ,y	μΔ,pl	VRd	VRcd(cotθ=1)	VRsd	Vw	VR	VR,f	VEd	NEd	Comb.	Verifica
-0.1	-0.9	2.81	X	1.51	0.098	0.3	0.0068	0.001599	0.008255	0	31.265	127.915	47.83	19.132	23.668	47.83	38.362	54.949	SLV 1	Si
-0.1	-0.9	2.81	Y	1.51	0.092	0.3	0.0068	0.001749	0.008255	0	29.288	124.949	47.83	19.132	22.86	47.83	20.519	39.773	SLV 9	Si

Verifica a taglio in famiglia SLD Resistenza

Quota	Staffe	V	N	Comb.	Direzione X					Direzione Y					Verifica			
					VRd	VRsd	VRcd	Cot	c.s.	V	N	Comb.	VRd	VRsd		VRcd	Cot	c.s.
-0.1	2X/2Y ø6/23.9	-20.63	-44.83	SLD 1	29.95	47.83	86.85	2.5	2.32	-8.59	-38.15	SLD 9	29.08	47.83	85.95	2.5	5.57	Si
0.21	2X/2Y ø6/23.9	-20.63	-44.14	SLD 1	29.86	47.83	86.76	2.5	2.32	-8.59	-37.46	SLD 9	28.99	47.83	85.86	2.5	5.57	Si
0.52	2X/2Y ø6/23.9	-20.63	-43.44	SLD 1	29.76	47.83	86.67	2.5	2.32	-8.59	-36.76	SLD 9	28.89	47.83	85.77	2.5	5.57	Si

Quota	Staffe	Direzione X									Direzione Y									Verifica
		V	N	Comb.	VRd	VRsd	VRcd	Cot	c.s.	V	N	Comb.	VRd	VRsd	VRcd	Cot	c.s.			
2.7	2X/2Y ø6/23.9	-20.63	-38.55	SLD 1	29.13	47.83	86.01	2.5	2.32	-8.59	-31.87	SLD 9	28.26	47.83	85.11	2.5	5.57	Si		

Indicatori di rischio sismico a taglio in SLV

Quota	Molt.	TR	I.R.TR	PGA	I.R.PGA	Comb.	Verifica
0.21	1.305	2114	1.389	0.255	1.279	SLV 1	Si
0.52	1.305	2114	1.389	0.255	1.279	SLV 1	Si
0.83	1.305	2114	1.389	0.255	1.279	SLV 1	Si
1.14	1.305	2114	1.389	0.255	1.279	SLV 1	Si
1.46	1.305	2114	1.389	0.255	1.279	SLV 1	Si
1.77	1.305	2114	1.389	0.255	1.279	SLV 1	Si
2.08	1.305	2114	1.389	0.255	1.279	SLV 1	Si
2.39	1.305	2114	1.389	0.255	1.279	SLV 1	Si
2.7	1.305	2114	1.389	0.255	1.279	SLV 1	Si

Indicatori di rischio sismico a taglio in SLD Resistenza

Quota	Molt.	TR	I.R.TR	PGA	I.R.PGA	Comb.	Verifica
-0.1	3.039	2110	3.477	0.255	2.966	SLD 1	Si
0.21	3.039	2110	3.477	0.255	2.966	SLD 1	Si
0.52	3.039	2110	3.477	0.255	2.966	SLD 1	Si
0.83	3.039	2110	3.477	0.255	2.966	SLD 1	Si
1.14	3.039	2110	3.477	0.255	2.966	SLD 1	Si
1.46	3.039	2110	3.477	0.255	2.966	SLD 1	Si
1.77	3.039	2110	3.477	0.255	2.966	SLD 1	Si
2.08	3.039	2110	3.477	0.255	2.966	SLD 1	Si
2.39	3.039	2110	3.477	0.255	2.966	SLD 1	Si
2.7	3.039	2110	3.477	0.255	2.966	SLD 1	Si

Verifiche nodi trave colonna**Riepilogo dei dati per le diverse tipologie di verifica eseguite per i nodi**

Pilastrata	Q.Nodo	Escluso	Confinato	Segnalazioni
Pilastrata P4	-0.9	Si	No	
Pilastrata P4	2.81	No	No	

Verifiche nodi trave colonna in combinazioni SLD**Riepilogo dei dati per la verifica del nodo secondo Circolare 7 21-01-19 §C8.7.2.3.5.**

Pilastrata	Q.Nodo	Angolo travatura	Aj	Vpc	Vtc	Vnc	Nc	σnc	σnc,lim	Comb.c	Vpt	Vtt	Vnt	Nt	σnt	σnt,lim	Comb.t	Segnalazioni	Verifica
Pilastrata P4	2.81	0	0.09948	0	82.597	82.597	0	830	3919	SLD 1	0	82.597	82.597	0	830	840	SLD 1		Si

Verifiche nodi trave colonna in combinazioni SLV**Riepilogo dei dati per la verifica del nodo secondo Circolare 7 21-01-19 §C8.7.2.3.5.**

Pilastrata	Q.Nodo	Angolo travatura	Aj	Vpc	Vtc	Vnc	Nc	σnc	σnc,lim	Comb.c	Vpt	Vtt	Vnt	Nt	σnt	σnt,lim	Comb.t	Segnalazioni	Verifica
Pilastrata P4	2.81	0	0.09948	0	82.597	82.597	0	830	3919	SLV 1	0	82.597	82.597	0	830	840	SLV 1		Si

Indicatori di rischio sismico dei nodi in SLD

Pilastrata	Q.Nodo	Angolo travatura	Moltiplicatore	TR	I.R.TR	PGA	I.R.PGA	Comb.	Ver.
Pilastrata P4	2.81	0	1000	2110	3.477	0.255	2.966	SLD 1	Si

Indicatori di rischio sismico dei nodi in SLV

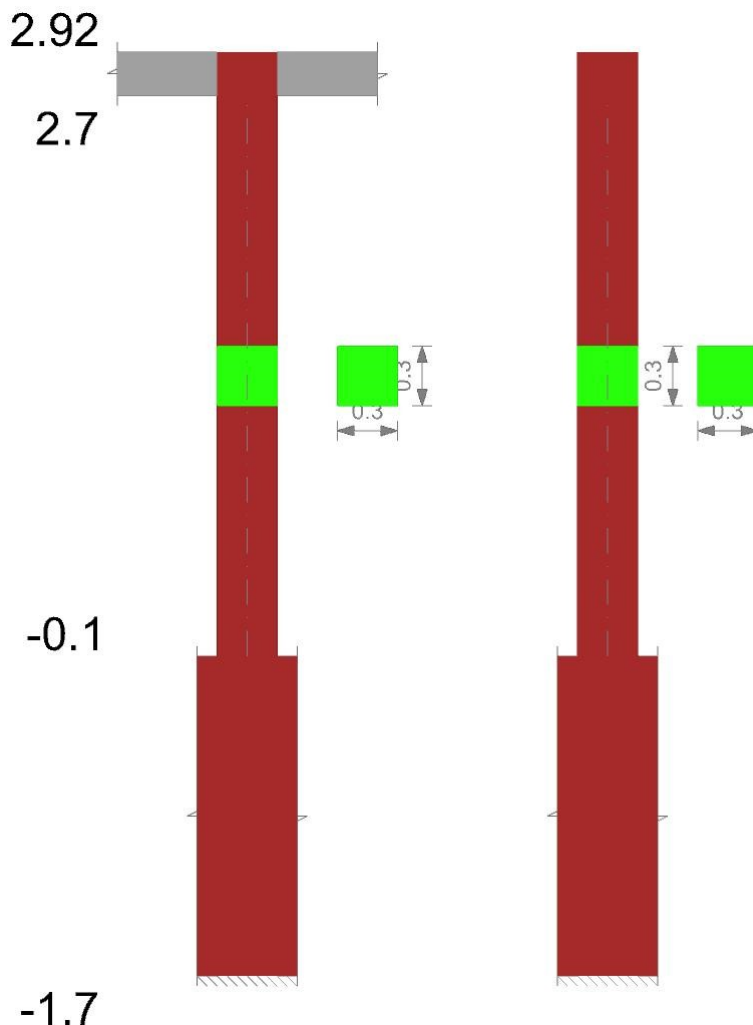
Pilastrata	Q.Nodo	Angolo travatura	Moltiplicatore	TR	I.R.TR	PGA	I.R.PGA	Comb.	Ver.
Pilastrata P4	2.81	0	1000	2114	1.389	0.255	1.279	SLV 1	Si

Verifiche di gerarchia delle resistenze nei nodi trave pilastro

Verifiche di gerarchia delle resistenze nei nodi trave pilastro non presenti in quanto la verifica è non necessaria per la pilastrata per il nodo Appoggio 2.81 in quanto elemento di materiale esistente.
per il nodo Appoggio -0.9 in quanto elemento di materiale esistente.

Pilastrata P5

Geometria



Dati della pilastro

Analisi di edificio esistente con fattore di struttura.

Fattore di struttura per meccanismi duttili in direzione X: 1.5

Fattore di struttura per meccanismi duttili in direzione Y: 1.5

Fattore di struttura per meccanismi fragili in direzione X: 1

Fattore di struttura per meccanismi fragili in direzione Y: 1

Verifica dei meccanismi fragili condotta secondo Circolare 7 21-01-19 (§C8.7.2.2) Analisi lineare con fattore q.

Fattore di amplificazione dei meccanismi fragili della componente sismica in direzione X: 1

Fattore di amplificazione dei meccanismi fragili della componente sismica in direzione Y: 1

Campate costituenti la pilastro

Q.inf.	Q.sup.	Sezione	Esistente	Secondaria	Dissipativa	Interna a parete	Sovreresistenza	Materiale CLS	Materiale Acciaio	FC
-0.1	2.7	R 30x30_1	Si	No	No	No		C14/17 LC2 Vigone A	Vigone_FeB22k_LC2_FC = 1.2; Vigone_FeB44k_Staffe_LC2_FC = 1.2	1.2

Disposizione delle armature longitudinali

Posizione	X	Y	Diametro	Area	Q.inf.	Q.sup.	Sezione	Materiale
p.1	-0.1105	-0.1105	0.014	0.0001539	-0.9	-0.1	R 30x30 1	Vigone FeB22k LC2
p.1	0.1105	-0.1105	0.014	0.0001539	-0.9	-0.1	R 30x30 1	Vigone FeB22k LC2
p.1	0.1105	0.1105	0.014	0.0001539	-0.9	-0.1	R 30x30 1	Vigone FeB22k LC2
p.1	-0.1105	0.1105	0.014	0.0001539	-0.9	-0.1	R 30x30 1	Vigone FeB22k LC2
p.2	-0.1105	-0.1105	0.014	0.0001539	-0.1	2.423	R 30x30 1	Vigone FeB22k LC2
p.2	0.1105	-0.1105	0.014	0.0001539	-0.1	2.423	R 30x30 1	Vigone FeB22k LC2
p.2	0.1105	0.1105	0.014	0.0001539	-0.1	2.423	R 30x30 1	Vigone FeB22k LC2
p.2	-0.1105	0.1105	0.014	0.0001539	-0.1	2.423	R 30x30 1	Vigone FeB22k LC2

Controlli geometrici NTC18

Nessuna anomalia

Verifiche delle sezioni

Verifica a pressoflessione in SLU

Quota	As	%	At	Pos.	Mx	My	N	MRdx	MRdy	Comb.	Coeff.s.	Verifica
-0.1	0.000616	1.4	0	1,2	1.2747	-1.8305	-129.09	6.1194	-8.7879	SLU 18	4.801	Si
0.21	0.000616	1.4	0	1,2	1.1393	-1.3209	-128.19	5.5078	-6.3858	SLU 18	4.834	Si
0.52	0.000616	1.4	0	1,2	1.0017	-0.803	-127.28	4.8773	-3.9098	SLU 18	4.869	Si
0.83	0.000616	0.7	0	2	0.8641	-0.2851	-126.37	4.2377	-1.3982	SLU 18	4.904	Si
1.14	0.000616	0.7	0	2	0.7266	0.2328	-125.46	3.5889	1.1499	SLU 18	4.94	Si
1.46	0.000616	0.7	0	2	0.589	0.7507	-124.55	2.9306	3.7352	SLU 18	4.976	Si
1.77	0.000616	0.7	0	2	0.4514	1.2686	-123.64	2.2625	6.3586	SLU 18	5.012	Si
2.08	0.000616	0.7	0	2	0.3138	1.7865	-122.73	1.5846	9.0208	SLU 18	5.049	Si
2.39	0.000616	0.7	0	2	0.1762	2.3044	-121.82	0.8966	11.7228	SLU 18	5.087	Si

Quota	As	%	At	Pos.	Mx	My	N	MRdx	MRdy	Comb.	Coeff.s.	Verifica
2.7	0.000474	0.7	0	2	0.0409	2.814	-120.92	0.1967	13.5409	SLU 18	4.812	Si

Verifica a pressoflessione in SLV

E' attiva l'opzione fattori parziali di sicurezza unitari per meccanismi duttili di strutture esistenti con fattore q

Quota	As	%	At	Pos.	Mx	My	N	MRdx	MRdy	Comb.	C.S.	Nmin	Nlim	Comb.Nmin	Ver.
-0.1	0.000616	1.4	0	1,2	5.0466	-68.3288	-84.92	1.7096	-23.1481	SLV 16	0.339				No
0.21	0.000616	1.4	0	1,2	-3.0761	54.5316	-67.96	-1.3071	23.1712	SLV 1	0.425				No
0.52	0.000616	1.4	0	1,2	46.0766	5.9747	-74.5	24.2848	3.149	SLV 9	0.527				No
0.83	0.000616	0.7	0	2	39.7816	4.4297	-73.8	25.112	2.7962	SLV 9	0.631				No
1.14	0.000616	0.7	0	2	33.4866	2.8847	-73.1	26.3401	2.269	SLV 9	0.787				No
1.46	0.000616	0.7	0	2	27.1916	1.3401	-72.4	28.3149	1.3954	SLV 9	1.041				Si
1.77	0.000616	0.7	0	2	20.8966	-0.2061	-71.7	32.2085	-0.3177	SLV 9	1.541				Si
2.08	0.000616	0.7	0	2	1.2706	18.9841	-80.03	2.4434	36.5074	SLV 16	1.923				Si
2.39	0.000616	0.7	0	2	0.7299	31.4861	-79.33	0.6426	27.7204	SLV 16	0.88				No
2.7	0.000474	0.7	0	2	0.1979	43.7871	-78.65	0.0897	19.8445	SLV 16	0.453				No

Verifica a pressoflessione in SLD

Quota	As	%	At	Pos.	Mx	My	N	MRdx	MRdy	Comb.	Coeff.s.	Verifica
-0.1	0.000616	1.4	0	1,2	3.0405	-29.9337	-80.28	2.8799	-28.3531	SLD 16	0.947	No
0.21	0.000616	1.4	0	1,2	2.7194	-24.485	-79.6	3.446	-31.0271	SLD 16	1.267	Si
0.52	0.000616	1.4	0	1,2	13.7996	-13.7643	-77.99	24.8325	-24.769	SLD 13	1.8	Si
0.83	0.000616	0.7	0	2	16.5879	1.5295	-74.38	37.8041	3.4857	SLD 9	2.279	Si
1.14	0.000616	0.7	0	2	13.9629	1.1491	-73.68	42.1099	3.4655	SLD 9	3.016	Si
1.46	0.000616	0.7	0	2	11.3378	0.7689	-72.98	46.9885	3.1866	SLD 9	4.144	Si
1.77	0.000616	0.7	0	2	8.7127	0.388	-72.28	50.1077	2.2313	SLD 9	5.751	Si
2.08	0.000616	0.7	0	2	4.3778	6.5548	-74.49	23.5917	35.3229	SLD 13	5.389	Si
2.39	0.000616	0.7	0	2	0.4356	14.2784	-74.7	1.2982	42.549	SLD 16	2.98	Si
2.7	0.000474	0.7	0	2	0.1146	19.727	-74.01	0.158	27.1922	SLD 16	1.378	Si

Indicatori di rischio sismico a pressoflessione in SLV

E' attiva l'opzione fattori parziali di sicurezza unitari per meccanismi duttili di strutture esistenti con fattore q

Quota	Molt.	TR	I.R.TR	PGA	I.R.PGA	Comb.	Ver.
-0.1	0.413	91	0.382	0.082	0.413	SLV 16	No
0.21	0.508	149	0.468	0.101	0.506	SLV 16	No
0.52	0.606	263	0.591	0.126	0.633	SLV 9	No
0.83	0.703	379	0.686	0.145	0.726	SLV 9	No
1.14	0.836	591	0.824	0.17	0.851	SLV 9	No
1.46	1.029	1028	1.033	0.205	1.026	SLV 9	Si
1.77	1.34	2114	1.389	0.255	1.279	SLV 9	Si
2.08	1.537	2114	1.389	0.255	1.279	SLV 1	Si
2.39	0.907	714	0.89	0.181	0.907	SLV 16	No
2.7	0.535	170	0.494	0.107	0.534	SLV 16	No

Indicatori di rischio sismico a pressoflessione in SLD Resistenza

Quota	Molt.	TR	I.R.TR	PGA	I.R.PGA	Comb.	Ver.
-0.1	0.961	92	0.962	0.083	0.962	SLD 16	No
0.21	1.182	151	1.179	0.102	1.18	SLD 16	Si
0.52	1.484	249	1.448	0.124	1.439	SLD 9	Si
0.83	1.721	359	1.682	0.142	1.65	SLD 9	Si
1.14	2.046	557	2.014	0.166	1.934	SLD 9	Si
1.46	2.518	962	2.52	0.201	2.332	SLD 9	Si
1.77	3.279	2066	3.447	0.254	2.947	SLD 9	Si
2.08	3.578	2110	3.477	0.255	2.966	SLD 1	Si
2.39	2.113	727	2.246	0.182	2.118	SLD 16	Si
2.7	1.246	173	1.247	0.107	1.248	SLD 16	Si

Verifica a taglio in famiglia SLU

Quota	Staffe	V	N	Direzione X						Direzione Y						Verifica		
				Comb.	VRd	VRsd	VRcd	Cot	c.s.	V	N	Comb.	VRd	VRsd	VRcd		Cot	c.s.
-0.1	2X/2Y ø6/23.9	1.66	-	SLU 18	39.73	47.83	98.21	2.5	28.73	-0.44	-	SLU 18	39.73	47.83	98.21	2.5	108.16	Si
0.21	2X/2Y ø6/23.9	1.66	-	SLU 18	39.73	47.83	98.09	2.5	28.73	-0.44	-	SLU 18	39.73	47.83	98.09	2.5	108.16	Si
0.52	2X/2Y ø6/23.9	1.66	-	SLU 18	39.73	47.83	97.96	2.5	28.73	-0.44	-	SLU 18	39.73	47.83	97.96	2.5	108.16	Si
0.83	2X/2Y ø6/23.9	1.66	-	SLU 18	39.73	47.83	97.84	2.5	28.73	-0.44	-	SLU 18	39.73	47.83	97.84	2.5	108.16	Si
1.14	2X/2Y ø6/23.9	1.66	-	SLU 18	39.73	47.83	97.72	2.5	28.73	-0.44	-	SLU 18	39.73	47.83	97.72	2.5	108.16	Si
1.46	2X/2Y ø6/23.9	1.66	-	SLU 18	39.73	47.83	97.6	2.5	28.73	-0.44	-	SLU 18	39.73	47.83	97.6	2.5	108.16	Si
1.77	2X/2Y ø6/23.9	1.66	-	SLU 18	39.73	47.83	97.47	2.5	28.73	-0.44	-	SLU 18	39.73	47.83	97.47	2.5	108.16	Si
2.08	2X/2Y ø6/23.9	1.66	-	SLU 18	39.73	47.83	97.35	2.5	28.73	-0.44	-	SLU 18	39.73	47.83	97.35	2.5	108.16	Si
2.39	2X/2Y ø6/23.9	1.66	-	SLU 18	39.73	47.83	97.23	2.5	28.73	-0.44	-	SLU 18	39.73	47.83	97.23	2.5	108.16	Si
2.7	2X/2Y ø6/23.9	1.66	-	SLU 18	39.73	47.83	97.11	2.5	28.73	-0.44	-	SLU 18	39.73	47.83	97.11	2.5	108.16	Si

Verifica a taglio in famiglia SLV

Quota	Staffe	V	N	Direzione X						Direzione Y						Verifica		
				Comb.	VRd	VRsd	VRcd	Cot	c.s.	V	N	Comb.	VRd	VRsd	VRcd		Cot	c.s.
-0.1	2X/2Y ø6/23.9	40.18	-84.92	SLV 16	35.17	47.83	92.26	2.5	1.19	-20.23	-75.89	SLV 9	33.99	47.83	91.04	2.5	2.36	Si
0.21	2X/2Y ø6/23.9	40.18	-84.23	SLV 16	35.08	47.83	92.16	2.5	1.19	-20.23	-75.2	SLV 9	33.9	47.83	90.95	2.5	2.36	Si
0.52	2X/2Y ø6/23.9	40.18	-83.53	SLV 16	34.99	47.83	92.07	2.5	1.19	-20.23	-74.5	SLV 9	33.81	47.83	90.85	2.5	2.36	Si
0.83	2X/2Y ø6/23.9	40.18	-82.83	SLV 16	34.9	47.83	91.97	2.5	1.19	-20.23	-73.8	SLV 9	33.72	47.83	90.76	2.5	2.36	Si
1.14	2X/2Y ø6/23.9	40.18	-82.13	SLV 16	34.81	47.83	91.88	2.5	1.19	-20.23	-73.1	SLV 9	33.63	47.83	90.66	2.5	2.36	Si
1.46	2X/2Y ø6/23.9	40.18	-81.43	SLV 16	34.71	47.83	91.79	2.5	1.19	-20.23	-72.4	SLV 9	33.54	47.83	90.57	2.5	2.36	Si
1.77	2X/2Y ø6/23.9	40.18	-80.73	SLV 16	34.62	47.83	91.69	2.5	1.19	-20.23	-71.7	SLV 9	33.45	47.83	90.47	2.5	2.36	Si
2.08	2X/2Y ø6/23.9	40.18	-80.03	SLV 16	34.53	47.83	91.6	2.5	1.19	-20.23	-71	SLV 9	33.36	47.83	90.38	2.5	2.36	Si
2.39	2X/2Y ø6/23.9	40.18	-79.33	SLV 16	34.44	47.83	91.5	2.5	1.19	-20.23	-70.3	SLV 9	33.26	47.83	90.29	2.5	2.36	Si
2.7	2X/2Y ø6/23.9	40.18	-78.65	SLV 16	34.35	47.83	91.41	2.5	1.19	-20.23	-69.62	SLV 9	33.18	47.83	90.19	2.5	2.36	Si

Verifica taglio ciclico secondo Circolare 7 21-01-19 §C8.7.2.3.5 formula [C8.7.2.8] in combinazione SLV

Quota	Q.inf.	Q.sup.	Dir.	Lv	x	h	p.tot	θm	θy	μΔ.pl	VRd	VRcd(cotθ=1)	VRsd	Vw	VR	VR,f	VEd	NEd	Comb.	Verifica
-0.1	-0.9	2.81	X	1.51	0.111	0.3	0.0068	0.001681	0.008255	0	35.169	133.772	47.83	19.132	25.096	47.83	40.185	-	SLV 16	Si
-0.1	-0.9	2.81	Y	1.51	0.107	0.3	0.0068	0.001714	0.008255	0	33.993	132.007	47.83	19.132	24.689	47.83	-	84.923	SLV 9	Si
																	20.234	75.893		

Verifica a taglio in famiglia SLD Resistenza

Quota	Staffe	Direzione X									Direzione Y						Verifica	
		V	N	Comb.	VRd	VRsd	VRcd	Cot	c.s.	V	N	Comb.	VRd	VRsd	VRcd	Cot		c.s.
-0.1	2X/2Y ø6/23.9	17.8	-80.28	SLD 16	34.56	47.83	91.63	2.5	2.69	-8.44	-76.47	SLD 9	34.07	47.83	91.12	2.5	5.67	Si
0.21	2X/2Y ø6/23.9	17.8	-79.6	SLD 16	34.48	47.83	91.54	2.5	2.69	-8.44	-75.78	SLD 9	33.98	47.83	91.02	2.5	5.67	Si
0.52	2X/2Y ø6/23.9	17.8	-78.9	SLD 16	34.38	47.83	91.44	2.5	2.69	-8.44	-75.08	SLD 9	33.89	47.83	90.93	2.5	5.67	Si
0.83	2X/2Y ø6/23.9	17.8	-78.2	SLD 16	34.29	47.83	91.35	2.5	2.69	-8.44	-74.38	SLD 9	33.8	47.83	90.84	2.5	5.67	Si
1.14	2X/2Y ø6/23.9	17.8	-77.5	SLD 16	34.2	47.83	91.26	2.5	2.69	-8.44	-73.68	SLD 9	33.7	47.83	90.74	2.5	5.67	Si
1.46	2X/2Y ø6/23.9	17.8	-76.8	SLD 16	34.11	47.83	91.16	2.5	2.69	-8.44	-72.98	SLD 9	33.61	47.83	90.65	2.5	5.67	Si
1.77	2X/2Y ø6/23.9	17.8	-76.1	SLD 16	34.02	47.83	91.07	2.5	2.69	-8.44	-72.28	SLD 9	33.52	47.83	90.55	2.5	5.67	Si
2.08	2X/2Y ø6/23.9	17.8	-75.4	SLD 16	33.93	47.83	90.97	2.5	2.69	-8.44	-71.58	SLD 9	33.43	47.83	90.46	2.5	5.67	Si
2.39	2X/2Y ø6/23.9	17.8	-74.7	SLD 16	33.84	47.83	90.88	2.5	2.69	-8.44	-70.88	SLD 9	33.34	47.83	90.36	2.5	5.67	Si
2.7	2X/2Y ø6/23.9	17.8	-74.01	SLD 16	33.75	47.83	90.79	2.5	2.69	-8.44	-70.19	SLD 9	33.25	47.83	90.27	2.5	5.67	Si

Indicatori di rischio sismico a taglio in SLV

Quota	Molt.	TR	I.R.TR	PGA	I.R.PGA	Comb.	Verifica
0.21	1.195	1669	1.26	0.237	1.19	SLV 16	Si
0.52	1.195	1669	1.26	0.237	1.19	SLV 16	Si
0.83	1.195	1669	1.26	0.237	1.19	SLV 16	Si
1.14	1.195	1669	1.26	0.237	1.19	SLV 16	Si
1.46	1.195	1669	1.26	0.237	1.19	SLV 16	Si
1.77	1.195	1669	1.26	0.237	1.19	SLV 16	Si
2.08	1.195	1669	1.26	0.237	1.19	SLV 16	Si
2.39	1.195	1669	1.26	0.237	1.19	SLV 16	Si
2.7	1.195	1669	1.26	0.237	1.19	SLV 16	Si

Indicatori di rischio sismico a taglio in SLD Resistenza

Quota	Molt.	TR	I.R.TR	PGA	I.R.PGA	Comb.	Verifica
-0.1	2.781	1696	3.179	0.239	2.774	SLD 16	Si
0.21	2.781	1696	3.179	0.239	2.774	SLD 16	Si
0.52	2.781	1696	3.179	0.239	2.774	SLD 16	Si
0.83	2.781	1696	3.179	0.239	2.774	SLD 16	Si
1.14	2.781	1696	3.179	0.239	2.774	SLD 16	Si
1.46	2.781	1696	3.179	0.239	2.774	SLD 16	Si
1.77	2.781	1696	3.179	0.239	2.774	SLD 16	Si
2.08	2.781	1696	3.179	0.239	2.774	SLD 16	Si
2.39	2.781	1696	3.179	0.239	2.774	SLD 16	Si
2.7	2.781	1696	3.179	0.239	2.774	SLD 16	Si

Verifiche nodi trave colonna

Riepilogo dei dati per le diverse tipologie di verifica eseguite per i nodi

Pilastrata	Q.Nodo	Escluso	Confinato	Segnalazioni
Pilastrata P5	-0.9	Si	No	
Pilastrata P5	2.81	No	No	

Verifiche nodi trave colonna in combinazioni SLD

Riepilogo dei dati per la verifica del nodo secondo Circolare 7 21-01-19 §C8.7.2.3.5.

Pilastrata	Q.Nodo	Angolo travatura	Aj	Vpc	Vtc	Vnc	Nc	onc	onc,lim	Comb.c	Vpt	Vtt	Vnt	Nt	ont	ont,lim	Comb.t	Segnalazioni	Verifica
Pilastrata P5	2.81	0	0.09948	0	132.098	132.098	0	1328	3919	SLD 16	0	132.098	132.098	0	1328	840	SLD 16		No
	2.81	180	0.09948	0	132.098	132.098	0	1328	3919	SLD 16	0	132.098	132.098	0	1328	840	SLD 16		No

Verifiche nodi trave colonna in combinazioni SLV

Riepilogo dei dati per la verifica del nodo secondo Circolare 7 21-01-19 §C8.7.2.3.5.

Pilastrata	Q.Nodo	Angolo travatura	Aj	Vpc	Vtc	Vnc	Nc	onc	onc,lim	Comb.c	Vpt	Vtt	Vnt	Nt	ont	ont,lim	Comb.t	Segnalazioni	Verifica
Pilastrata P5	2.81	0	0.09948	0	274.619	274.619	0	2760	3919	SLV 1	0	274.619	274.619	0	2760	840	SLV 1		No
	2.81	180	0.09948	0	274.619	274.619	0	2760	3919	SLV 1	0	274.619	274.619	0	2760	840	SLV 1		No

Indicatori di rischio sismico dei nodi in SLD

Pilastrata	Q.Nodo	Angolo travatura	Moltiplicatore	TR	I.R.TR	PGA	I.R.PGA	Comb.	Ver.
Pilastrata P5	2.81	0	0.606	36	0.655	0.054	0.629	SLD 16	No
	2.81	180	0.606	36	0.655	0.054	0.629	SLD 16	No

Indicatori di rischio sismico dei nodi in SLV

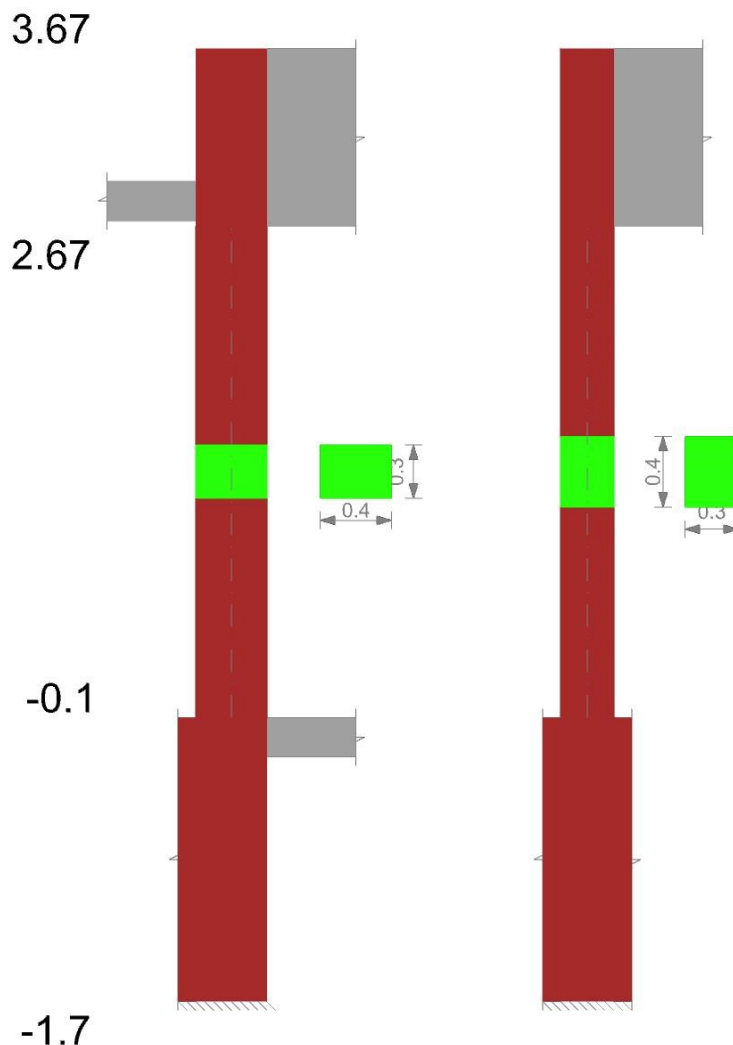
Pilastrata	Q.Nodo	Angolo travatura	Moltiplicatore	TR	I.R.TR	PGA	I.R.PGA	Comb.	Ver.
Pilastrata P5	2.81	0	0.26	36	0.261	0.054	0.271	SLV 16	No
	2.81	180	0.26	36	0.261	0.054	0.271	SLV 16	No

Verifiche di gerarchia delle resistenze nei nodi trave pilastro

Verifiche di gerarchia delle resistenze nei nodi trave pilastro non presenti in quanto la verifica è non necessaria per la pilastrata per il nodo Appoggio -0.9 in quanto elemento di materiale esistente.
per il nodo Appoggio 2.81 in quanto elemento di materiale esistente.

Pilastrata P6

Geometria



Dati della pilastrata

Analisi di edificio esistente con fattore di struttura.

Fattore di struttura per meccanismi duttili in direzione X: 1.5

Fattore di struttura per meccanismi duttili in direzione Y: 1.5

Fattore di struttura per meccanismi fragili in direzione X: 1

Fattore di struttura per meccanismi fragili in direzione Y: 1

Verifica dei meccanismi fragili condotta secondo Circolare 7 21-01-19 (§C8.7.2.2) Analisi lineare con fattore q.

Fattore di amplificazione dei meccanismi fragili della componente sismica in direzione X: 1

Fattore di amplificazione dei meccanismi fragili della componente sismica in direzione Y: 1

Campate costituenti la pilastrata

Q.inf.	Q.sup.	Sezione	Esistente	Secondaria	Dissipativa	Interna a parete	Sovreresistenza	Materiale CLS	Materiale Acciaio	FC
-0.1	2.67	R 40x30	Si	No	No	No		C14/17 LC2 Vigone A	Vigone FeB22k LC2 FC = 1.2; Vigone_FeB44k_Staiffe_LC2_FC = 1.2	1.2

Disposizione delle armature longitudinali

Posizione	X	Y	Diametro	Area	Q.inf.	Q.sup.	Sezione	Materiale
p.1	-0.1605	-0.1105	0.014	0.0001539	-0.9	-0.1	R 40x30	Vigone FeB22k LC2
p.1	0.1605	-0.1105	0.014	0.0001539	-0.9	-0.1	R 40x30	Vigone FeB22k LC2
p.1	0.1605	0.1105	0.014	0.0001539	-0.9	-0.1	R 40x30	Vigone FeB22k LC2
p.1	-0.1605	0.1105	0.014	0.0001539	-0.9	-0.1	R 40x30	Vigone FeB22k LC2
p.1	0	-0.112	0.014	0.0001539	-0.9	-0.1	R 40x30	Vigone FeB22k LC2
p.1	0	0.112	0.014	0.0001539	-0.9	-0.1	R 40x30	Vigone FeB22k LC2
p.2	-0.1605	-0.1105	0.014	0.0001539	-0.1	2.67	R 40x30	Vigone FeB22k LC2
p.2	0.1605	-0.1105	0.014	0.0001539	-0.1	2.67	R 40x30	Vigone FeB22k LC2
p.2	0.1605	0.1105	0.014	0.0001539	-0.1	2.67	R 40x30	Vigone FeB22k LC2
p.2	-0.1605	0.1105	0.014	0.0001539	-0.1	2.67	R 40x30	Vigone FeB22k LC2
p.2	0	-0.112	0.014	0.0001539	-0.1	2.67	R 40x30	Vigone FeB22k LC2
p.2	0	0.112	0.014	0.0001539	-0.1	2.67	R 40x30	Vigone FeB22k LC2

Controlli geometrici NTC18

Nessuna anomalia

Verifiche delle sezioni

Verifica a pressoflessione in SLU

Quota	As	%	At	Pos.	Mx	My	N	MRdx	MRdy	Comb.	Coeff.s.	Verifica
-0.1	0.000924	1.5	0	1,2	7.1449	6.4377	-199.56	25.5075	22.9827	SLU 18	3.57	Si
0.21	0.000924	1.5	0	1,2	5.5316	4.7427	-198.38	21.6136	18.5312	SLU 18	3.907	Si
0.52	0.000924	1.5	0	1,2	3.8917	3.0198	-197.18	16.6154	12.8927	SLU 18	4.269	Si
0.82	0.000924	0.8	0	2	2.2518	1.2968	-195.98	9.7621	5.622	SLU 18	4.335	Si

Quota	As	%	At	Pos.	Mx	My	N	MRdx	MRdy	Comb.	Coeff.s.	Verifica
1.13	0.000924	0.8	0	2	0.6119	-0.4262	-194.78	2.669	-1.8589	SLU 18	4.362	Si
1.44	0.000924	0.8	0	2	-1.028	-2.1491	-193.58	-4.5121	-9.4326	SLU 18	4.389	Si
1.75	0.000924	0.8	0	2	-2.668	-3.8721	-192.38	-11.7829	-17.1007	SLU 18	4.416	Si
2.05	0.000924	0.8	0	2	-4.3079	-5.595	-191.18	-17.7375	-23.0373	SLU 18	4.117	Si
2.36	0.000924	0.8	0	2	-5.9478	-7.318	-189.97	-22.3963	-27.5557	SLU 18	3.765	Si
2.67	0.000924	0.8	0	2	-7.5611	-9.013	-188.79	-26.011	-31.0056	SLU 18	3.44	Si

Verifica a pressoflessione in SLV

E' attiva l'opzione fattori parziali di sicurezza unitari per meccanismi duttili di strutture esistenti con fattore q

Quota	As	%	At	Pos.	Mx	My	N	MRdx	MRdy	Comb.	C.S.	Nmin	Nlim	Comb.Nmin	Ver.
-0.1	0.000924	1.5	0	1,2	-186.763	-25.9568	-39.69	-30.2567	-4.2052	SLV 8	0.162				No
0.21	0.000924	1.5	0	1,2	-148.9457	-21.0459	-38.78	-30.4246	-4.299	SLV 8	0.204				No
0.52	0.000924	1.5	0	1,2	-110.5039	-16.0539	-37.86	-30.7175	-4.4626	SLV 8	0.278				No
0.82	0.000924	0.8	0	2	-72.062	-11.062	-36.94	-31.3414	-4.8111	SLV 8	0.435				No
1.13	0.000924	0.8	0	2	-33.6203	-6.0703	-36.01	-33.5629	-6.06	SLV 8	0.998				No
1.44	0.000924	0.8	0	2	-5.0766	-3.0953	-208.02	-28.2285	-17.2116	SLV 5	5.56				Si
1.75	0.000924	0.8	0	2	43.2636	3.915	-34.17	32.476	2.9388	SLV 8	0.751				No
2.05	0.000924	0.8	0	2	81.7054	8.9068	-33.24	30.9861	3.3778	SLV 8	0.379				No
2.36	0.000924	0.8	0	2	120.1472	13.8987	-32.32	30.4782	3.5257	SLV 8	0.254				No
2.67	0.000924	0.8	0	2	157.9645	18.8096	-31.41	30.226	3.5992	SLV 8	0.191				No

Verifica a pressoflessione in SLD

Quota	As	%	At	Pos.	Mx	My	N	MRdx	MRdy	Comb.	Coeff.s.	Verifica
-0.1	0.000924	1.5	0	1,2	82.1821	14.8626	-153.01	37.2504	6.7367	SLD 9	0.453	No
0.21	0.000924	1.5	0	1,2	-58.4735	-5.8826	-87.2	-35.5121	-3.5726	SLD 8	0.607	No
0.52	0.000924	1.5	0	1,2	-43.4592	-4.7159	-86.28	-37.9729	-4.1206	SLD 8	0.874	No
0.82	0.000924	0.8	0	2	-28.445	-3.5493	-85.36	-44.2421	-5.5204	SLD 8	1.555	Si
1.13	0.000924	0.8	0	2	-10.9987	-11.0397	-79.59	-43.155	-43.3158	SLD 12	3.924	Si
1.44	0.000924	0.8	0	2	-2.4161	-2.0464	-153.25	-18.9336	-16.0366	SLD 5	7.836	Si
1.75	0.000924	0.8	0	2	-16.6072	-14.6546	-152.33	-48.6212	-42.9046	SLD 5	2.928	Si
2.05	0.000924	0.8	0	2	31.6121	1.1178	-81.66	41.5707	1.47	SLD 8	1.315	Si
2.36	0.000924	0.8	0	2	-54.0444	-11.1142	-145.64	-42.0053	-8.6383	SLD 9	0.777	No
2.67	0.000924	0.8	0	2	-70.8302	-14.315	-144.73	-38.1783	-7.7159	SLD 9	0.539	No

Indicatori di rischio sismico a pressoflessione in SLV

E' attiva l'opzione fattori parziali di sicurezza unitari per meccanismi duttili di strutture esistenti con fattore q

Quota	Molt.	TR	I.R.TR	PGA	I.R.PGA	Comb.	Ver.
-0.1	0.209	32	0.249	0.051	0.257	SLV 9	No
0.21	0.273	49	0.297	0.062	0.312	SLV 9	No
0.52	0.371	87	0.375	0.081	0.405	SLV 8	No
0.82	0.534	192	0.519	0.112	0.562	SLV 8	No
1.13	0.999	946	0.999	0.199	0.999	SLV 8	No
1.44	2.887	2114	1.389	0.255	1.279	SLV 12	Si
1.75	0.818	559	0.805	0.167	0.835	SLV 8	No
2.05	0.482	149	0.468	0.101	0.506	SLV 8	No
2.36	0.331	70	0.343	0.074	0.369	SLV 9	No
2.67	0.24	39	0.27	0.056	0.281	SLV 9	No

Indicatori di rischio sismico a pressoflessione in SLD Resistenza

Quota	Molt.	TR	I.R.TR	PGA	I.R.PGA	Comb.	Ver.
-0.1	0.516	31	0.616	0.051	0.587	SLD 9	No
0.21	0.672	47	0.731	0.061	0.71	SLD 9	No
0.52	0.913	85	0.932	0.08	0.93	SLD 8	No
0.82	1.316	185	1.282	0.11	1.283	SLD 8	Si
1.13	2.465	911	2.464	0.197	2.288	SLD 8	Si
1.44	7.139	2110	3.477	0.255	2.966	SLD 12	Si
1.75	2.017	536	1.982	0.164	1.909	SLD 8	Si
2.05	1.188	143	1.153	0.099	1.154	SLD 8	Si
2.36	0.815	68	0.85	0.073	0.845	SLD 9	No
2.67	0.591	38	0.67	0.055	0.644	SLD 9	No

Verifica a taglio in famiglia SLU

Quota	Staffe	V	N	Comb.	Direzione X					Direzione Y					Verifica			
					VRd	VRsd	VRcd	Cot	c.s.	V	N	Comb.	VRd	VRsd		VRcd	Cot	c.s.
-0.1	2X/2Y ø6/23.1	-5.6	-	SLU 17	51.54	68.58	139.74	2.5	12.25	-5.33	-	SLU 18	53.21	49.83	135.4	2.5	9.99	Si
0.21	2X/2Y ø6/23.1	-5.6	-	SLU 17	51.54	68.58	139.58	2.5	12.25	-5.33	-	SLU 18	53.21	49.83	135.24	2.5	9.99	Si
0.52	2X/2Y ø6/23.1	-5.6	-	SLU 17	51.54	68.58	139.41	2.5	12.25	-5.33	-	SLU 18	53.21	49.83	135.08	2.5	9.99	Si
0.82	2X/2Y ø6/23.1	-5.6	-	SLU 17	51.54	68.58	139.24	2.5	12.25	-5.33	-	SLU 18	53.21	49.83	134.91	2.5	9.99	Si
1.13	2X/2Y ø6/23.1	-5.6	-	SLU 17	51.54	68.58	139.07	2.5	12.25	-5.33	-	SLU 18	53.21	49.83	134.75	2.5	9.99	Si
1.44	2X/2Y ø6/23.1	-5.6	-	SLU 17	51.54	68.58	138.9	2.5	12.25	-5.33	-	SLU 18	53.21	49.83	134.59	2.5	9.99	Si
1.75	2X/2Y ø6/23.1	-5.6	-	SLU 17	51.54	68.58	138.74	2.5	12.25	-5.33	-	SLU 18	53.21	49.83	134.43	2.5	9.99	Si
2.05	2X/2Y ø6/23.1	-5.6	-	SLU 17	51.54	68.58	138.57	2.5	12.25	-5.33	-	SLU 18	53.21	49.83	134.26	2.5	9.99	Si
2.36	2X/2Y ø6/23.1	-5.6	-	SLU 17	51.54	68.58	138.4	2.5	12.25	-5.33	-	SLU 18	53.21	49.83	134.1	2.5	9.99	Si
2.67	2X/2Y ø6/23.1	-5.6	-	SLU 17	51.54	68.58	138.23	2.5	12.25	-5.33	-	SLU 18	53.21	49.83	133.94	2.5	9.99	Si

Verifica a taglio in famiglia SLV

Quota	Staffe	V	N	Comb.	Direzione X					Direzione Y					Verifica			
					VRd	VRsd	VRcd	Cot	c.s.	V	N	Comb.	VRd	VRsd		VRcd	Cot	c.s.
-0.1	2X/2Y ø6/23.1	-	-	SLV 1	51.54	68.58	135.38	2.5	0.49	124.9	-39.69	SLV 8	37.46	49.83	113.73	2.5	0.4	No
0.21	2X/2Y ø6/23.1	-	-	SLV 1	51.54	68.58	135.25	2.5	0.49	124.9	-38.78	SLV 8	37.34	49.83	113.61	2.5	0.4	No
0.52	2X/2Y ø6/23.1	-	-	SLV 1	51.54	68.58	135.12	2.5	0.49	124.9	-37.86	SLV 8	37.22	49.83	113.49	2.5	0.4	No
0.82	2X/2Y ø6/23.1	-	-	SLV 1	51.54	68.58	135	2.5	0.49	124.9	-36.94	SLV 8	37.1	49.83	113.36	2.5	0.4	No
1.13	2X/2Y ø6/23.1	-	-	SLV 1	51.54	68.58	134.87	2.5	0.49	124.9	-36.01	SLV 8	36.98	49.83	113.24	2.5	0.4	No
1.44	2X/2Y ø6/23.1	-	-	SLV 1	51.54	68.58	134.74	2.5	0.49	124.9	-35.09	SLV 8	36.86	49.83	113.11	2.5	0.4	No
1.75	2X/2Y ø6/23.1	-	-	SLV 1	51.54	68.58	134.61	2.5	0.49	124.9	-34.17	SLV 8	36.73	49.83	112.99	2.5	0.4	No

Quota	Staffe	Direzione X								Direzione Y								Verifica
		V	N	Comb.	VRd	VRsd	VRcd	Cot	c.s.	V	N	Comb.	VRd	VRsd	VRcd	Cot	c.s.	
2.05	2X/2Y ø6/23.1	-	-	SLV 1	51.54	68.58	134.48	2.5	0.49	124.9	-33.24	SLV 8	36.61	49.83	112.86	2.5	0.4	No
2.36	2X/2Y ø6/23.1	140.26	161.94	SLV 1	51.54	68.58	134.35	2.5	0.49	124.9	-32.32	SLV 8	36.49	49.83	112.73	2.5	0.4	No
2.67	2X/2Y ø6/23.1	140.26	161.02	SLV 1	51.54	68.58	134.22	2.5	0.49	124.9	-31.41	SLV 8	36.37	49.83	112.61	2.5	0.4	No
		140.26	160.11															

Verifica taglio ciclico secondo Circolare 7 21-01-19 §C8.7.2.3.5 formula [C8.7.2.8] in combinazione SLV

Quota	Q.inf.	Q.sup.	Dir.	Lv	x	h	p.tot	θ,m	θ,y	μΔ.pl	VRd	VRcd(cotθ=1)	VRsd	Vw	VR	VRf	VEd	NEd	Comb.	Verifica
-0.1	-0.9	3.17	X	1.51	0.129	0.4	0.0077	0.002083	0.006563	0	51.538	196.302	68.577	27.431	48.846	68.577	-140.26	168.387	SLV 1	No
-0.1	-0.9	3.17	Y	1.51	0.117	0.3	0.0077	0.003087	0.008218	0	37.459	164.914	49.835	19.934	25.221	49.835	124.901	-39.691	SLV 8	No

Verifica a taglio in famiglia SLD Resistenza

Quota	Staffe	Direzione X								Direzione Y								Verifica
		V	N	Comb.	VRd	VRsd	VRcd	Cot	c.s.	V	N	Comb.	VRd	VRsd	VRcd	Cot	c.s.	
-0.1	2X/2Y ø6/23.1	-62.17	-	SLD 1	48.91	68.58	131.48	2.5	1.1	-55.44	-	SLD 9	52.3	49.83	129.09	2.5	0.94	No
		140.49	-								153.01	-						
0.21	2X/2Y ø6/23.1	-62.17	-	SLD 1	48.79	68.58	131.35	2.5	1.1	-55.44	-	SLD 9	52.18	49.83	128.97	2.5	0.94	No
		139.58	-								152.11	-						
0.52	2X/2Y ø6/23.1	-62.17	-	SLD 1	48.66	68.58	131.22	2.5	1.1	-55.44	-	SLD 9	52.06	49.83	128.84	2.5	0.94	No
		138.66	-								151.18	-						
0.82	2X/2Y ø6/23.1	-62.17	-	SLD 1	48.54	68.58	131.09	2.5	1.1	-55.44	-	SLD 9	51.94	49.83	128.72	2.5	0.94	No
		137.74	-								150.26	-						
1.13	2X/2Y ø6/23.1	-62.17	-	SLD 1	48.42	68.58	130.96	2.5	1.1	-55.44	-	SLD 9	51.82	49.83	128.59	2.5	0.93	No
		136.81	-								149.34	-						
1.44	2X/2Y ø6/23.1	-62.17	-	SLD 1	48.29	68.58	130.84	2.5	1.1	-55.44	-	SLD 9	51.7	49.83	128.47	2.5	0.93	No
		135.89	-								148.41	-						
1.75	2X/2Y ø6/23.1	-62.17	-	SLD 1	48.17	68.58	130.71	2.5	1.1	-55.44	-	SLD 9	51.58	49.83	128.34	2.5	0.93	No
		134.97	-								147.49	-						
2.05	2X/2Y ø6/23.1	-62.17	-	SLD 1	48.04	68.58	130.58	2.5	1.1	-55.44	-	SLD 9	51.46	49.83	128.22	2.5	0.93	No
		134.04	-								146.57	-						
2.36	2X/2Y ø6/23.1	-62.17	-	SLD 1	47.92	68.58	130.45	2.5	1.1	-55.44	-	SLD 9	51.34	49.83	128.09	2.5	0.93	No
		133.12	-								145.64	-						
2.67	2X/2Y ø6/23.1	-62.17	-	SLD 1	47.79	68.58	130.32	2.5	1.1	-55.44	-	SLD 9	51.22	49.83	127.97	2.5	0.92	No
		132.21	-								144.73	-						

Indicatori di rischio sismico a taglio in SLV

Quota	Molt.	TR	I.R.TR	PGA	I.R.PGA	Comb.	Verifica
0.21	0.379	91	0.382	0.082	0.413	SLV 9	No
0.52	0.378	90	0.381	0.082	0.411	SLV 9	No
0.82	0.377	90	0.381	0.082	0.411	SLV 9	No
1.13	0.376	89	0.379	0.082	0.409	SLV 9	No
1.44	0.375	89	0.379	0.082	0.409	SLV 9	No
1.75	0.374	89	0.379	0.082	0.409	SLV 9	No
2.05	0.373	88	0.377	0.081	0.407	SLV 9	No
2.36	0.372	88	0.377	0.081	0.407	SLV 9	No
2.67	0.371	87	0.375	0.081	0.405	SLV 9	No

Indicatori di rischio sismico a taglio in SLD Resistenza

Quota	Molt.	TR	I.R.TR	PGA	I.R.PGA	Comb.	Verifica
-0.1	0.934	88	0.945	0.081	0.944	SLD 9	No
0.21	0.932	88	0.945	0.081	0.944	SLD 9	No
0.52	0.93	88	0.945	0.081	0.944	SLD 9	No
0.82	0.928	87	0.941	0.081	0.939	SLD 9	No
1.13	0.924	86	0.936	0.08	0.935	SLD 9	No
1.44	0.922	86	0.936	0.08	0.935	SLD 9	No
1.75	0.92	86	0.936	0.08	0.935	SLD 9	No
2.05	0.916	85	0.932	0.08	0.93	SLD 9	No
2.36	0.914	85	0.932	0.08	0.93	SLD 9	No
2.67	0.912	84	0.927	0.08	0.926	SLD 9	No

Verifiche nodi trave colonna

Riepilogo dei dati per le diverse tipologie di verifica eseguite per i nodi

Pilastrata	Q.Nodo	Escluso	Confinato	Segnalazioni
Pilastrata P6	-0.9	Si	No	non tutte le travature convergenti al nodo sono calcolate/validate
Pilastrata P6	3.17	No	No	

Verifiche nodi trave colonna in combinazioni SLD

Riepilogo dei dati per la verifica del nodo secondo Circolare 7 21-01-19 §C8.7.2.3.5.

Pilastrata	Q.Nodo	Angolo travatura	Aj	Vpc	Vtc	Vnc	Nc	σnc	σnc,lim	Comb.c	Vpt	Vtt	Vnt	Nt	σnt	σnt,lim	Comb.t	Segnalazioni	Verifica
Pilastrata P6	3.17	0	0.09632	0	196.519	196.519	0	2040	3919	SLD 16	0	196.519	196.519	0	2040	840	SLD 16		No
	3.17	91	0.09078	0	79.213	79.213	0	873	3919	SLV 9	0	79.213	79.213	0	873	840	SLV 9		No
	3.17	180	0.16054	0	196.519	196.519	0	1224	3919	SLD 16	0	196.519	196.519	0	1224	840	SLD 16		No

Verifiche nodi trave colonna in combinazioni SLV

Riepilogo dei dati per la verifica del nodo secondo Circolare 7 21-01-19 §C8.7.2.3.5.

Pilastrata	Q.Nodo	Angolo travatura	Aj	Vpc	Vtc	Vnc	Nc	σnc	σnc,lim	Comb.c	Vpt	Vtt	Vnt	Nt	σnt	σnt,lim	Comb.t	Segnalazioni	Verifica
Pilastrata P6	3.17	0	0.09632	0	311.773	311.773	0	3237	3919	SLV 16	0	311.773	311.773	0	3237	840	SLV 16		No
	3.17	91	0.09078	0	181.987	181.987	0	2005	3919	SLV 9	0	181.987	181.987	0	2005	840	SLV 9		No
	3.17	180	0.16054	0	311.773	311.773	0	1942	3919	SLV 16	0	311.773	311.773	0	1942	840	SLV 16		No

Indicatori di rischio sismico dei nodi in SLD

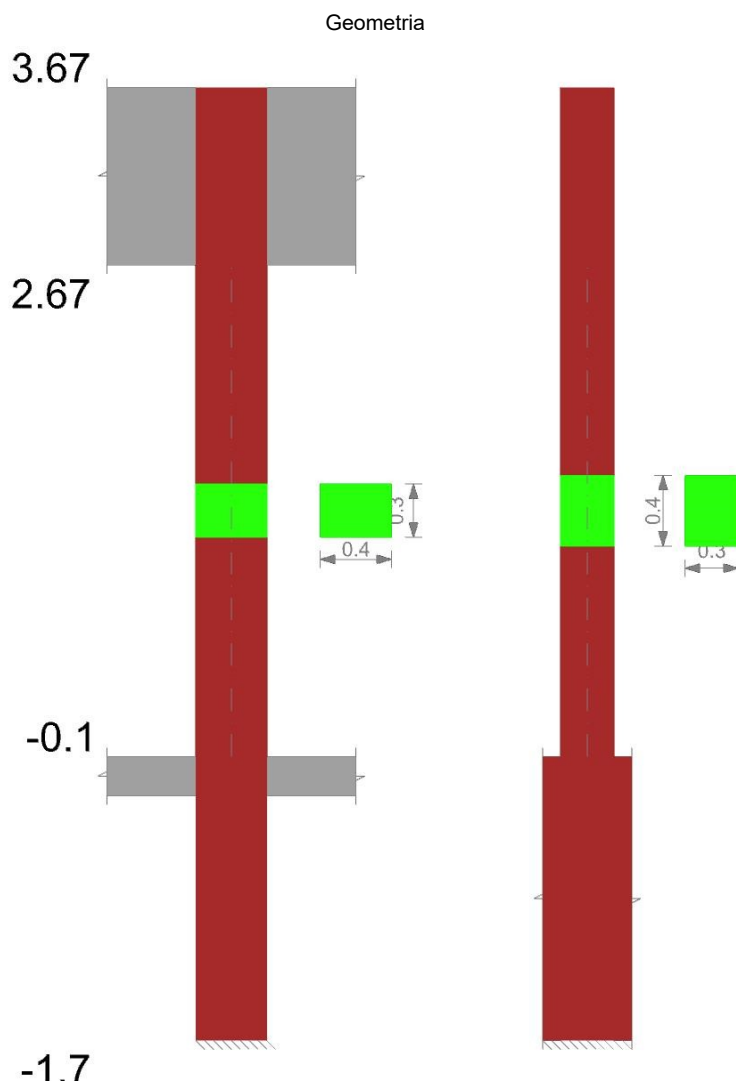
Pilastrata	Q.Nodo	Angolo travatura	Moltiplicatore	TR	I.R.TR	PGA	I.R.PGA	Comb.	Ver.
Pilastrata P6	3.17	0	0.041	0	0	0	0	SLD 16	No
	3.17	91	0.963	94	0.971	0.084	0.97	SLD 9	No
	3.17	180	0.494	25	0.564	0.046	0.531	SLD 16	No

Indicatori di rischio sismico dei nodi in SLV

Pilastrata	Q.Nodo	Angolo travatura	Moltiplicatore	TR	I.R.TR	PGA	I.R.PGA	Comb.	Ver.
Pilastrata P6	3.17	0	0.018	0	0	0	0	SLV 16	No
	3.17	91	0.391	96	0.391	0.084	0.422	SLV 9	No
	3.17	180	0.212	25	0.225	0.046	0.229	SLV 16	No

Verifiche di gerarchia delle resistenze nei nodi trave pilastro

Verifiche di gerarchia delle resistenze nei nodi trave pilastro non presenti in quanto la verifica è non necessaria per la pilastrata

Pilastrata P7**Dati della pilastrata**

Analisi di edificio esistente con fattore di struttura.

Fattore di struttura per meccanismi duttili in direzione X: 1.5

Fattore di struttura per meccanismi duttili in direzione Y: 1.5

Fattore di struttura per meccanismi fragili in direzione X: 1

Fattore di struttura per meccanismi fragili in direzione Y: 1

Verifica dei meccanismi fragili condotta secondo Circolare 7 21-01-19 (§C8.7.2.2) Analisi lineare con fattore q.

Fattore di amplificazione dei meccanismi fragili della componente sismica in direzione X: 1

Fattore di amplificazione dei meccanismi fragili della componente sismica in direzione Y: 1

Campate costituenti la pilastrata

Q.inf.	Q.sup.	Sezione	Esistente	Secondaria	Dissipativa	Interna a parete	Sovraresistenza	Materiale CLS	Materiale Acciaio	FC
-0.1	2.67	R 40x30	Si	No	No	No		C14/17 LC2 Vigone A	Vigone_FeB22k_LC2_FC = 1.2; Vigone_FeB44k_Staffe_LC2_FC = 1.2	1.2

Disposizione delle armature longitudinali

Posizione	X	Y	Diametro	Area	Q.inf.	Q.sup.	Sezione	Materiale
p.1	-0.1605	-0.1105	0.014	0.0001539	-0.9	-0.1	R 40x30	Vigone_FeB22k_LC2
p.1	0.1605	-0.1105	0.014	0.0001539	-0.9	-0.1	R 40x30	Vigone_FeB22k_LC2
p.1	0.1605	0.1105	0.014	0.0001539	-0.9	-0.1	R 40x30	Vigone_FeB22k_LC2
p.1	-0.1605	0.1105	0.014	0.0001539	-0.9	-0.1	R 40x30	Vigone_FeB22k_LC2
p.1	0	-0.112	0.014	0.0001539	-0.9	-0.1	R 40x30	Vigone_FeB22k_LC2
p.1	0	0.112	0.014	0.0001539	-0.9	-0.1	R 40x30	Vigone_FeB22k_LC2
p.2	-0.1605	-0.1105	0.014	0.0001539	-0.1	2.67	R 40x30	Vigone_FeB22k_LC2
p.2	0.1605	-0.1105	0.014	0.0001539	-0.1	2.67	R 40x30	Vigone_FeB22k_LC2
p.2	0.1605	0.1105	0.014	0.0001539	-0.1	2.67	R 40x30	Vigone_FeB22k_LC2
p.2	-0.1605	0.1105	0.014	0.0001539	-0.1	2.67	R 40x30	Vigone_FeB22k_LC2
p.2	0	-0.112	0.014	0.0001539	-0.1	2.67	R 40x30	Vigone_FeB22k_LC2
p.2	0	0.112	0.014	0.0001539	-0.1	2.67	R 40x30	Vigone_FeB22k_LC2

Controlli geometrici NTC18

Nessuna anomalia

Verifiche delle sezioni**Verifica a pressoflessione in SLU**

Quota	As	%	At	Pos.	Mx	My	N	MRdx	MRdy	Comb.	Coeff.s.	Verifica
-0.1	0.000924	1.5	0	1,2	2.0886	-0.8121	-208.66	8.5043	-3.3067	SLU 18	4.072	Si
0.21	0.000924	1.5	0	1,2	1.8682	-0.5459	-207.48	7.6501	-2.2355	SLU 18	4.095	Si
0.52	0.000924	1.5	0	1,2	1.6442	-0.2754	-206.28	6.7718	-1.1342	SLU 18	4.119	Si
0.82	0.000924	0.8	0	2	1.4201	-0.0048	-205.08	5.8832	-0.0199	SLU 18	4.143	Si
1.13	0.000924	0.8	0	2	1.1961	0.2658	-203.88	4.9842	1.1075	SLU 18	4.167	Si
1.44	0.000924	0.8	0	2	0.972	0.5363	-202.68	4.0745	2.2482	SLU 18	4.192	Si
1.75	0.000924	0.8	0	2	0.7479	0.8069	-201.48	3.1539	3.4025	SLU 18	4.217	Si
2.05	0.000924	0.8	0	2	0.5239	1.0775	-200.28	2.2224	4.5707	SLU 18	4.242	Si
2.36	0.000924	0.8	0	2	0.2998	1.348	-199.08	1.2796	5.753	SLU 18	4.268	Si
2.67	0.000924	0.8	0	2	0.0794	1.6142	-197.9	0.3409	6.93	SLU 18	4.293	Si

Verifica a pressoflessione in SLV

E' attiva l'opzione fattori parziali di sicurezza unitari per meccanismi duttili di strutture esistenti con fattore q

Quota	As	%	At	Pos.	Mx	My	N	MRdx	MRdy	Comb.	C.S.	Nmin	Nlim	Comb.Nmin	Ver.
-0.1	0.000924	1.5	0	1,2	15.2851	218.7474	-104.82	3.0896	44.2162	SLV 1	0.202				No
0.21	0.000924	1.5	0	1,2	13.6883	174.1326	-103.91	3.5446	45.0912	SLV 1	0.259				No
0.52	0.000924	1.5	0	1,2	12.0652	128.781	-102.99	4.3689	46.6325	SLV 1	0.362				No
0.82	0.000924	0.8	0	2	10.442	83.4293	-102.07	6.2408	49.8621	SLV 1	0.598				No
1.13	0.000924	0.8	0	2	41.2785	25.2214	-108.38	38.6674	23.6261	SLV 5	0.937				No
1.44	0.000924	0.8	0	2	35.9675	-0.7128	-118.16	46.6182	-0.9239	SLV 9	1.296				Si
1.75	0.000924	0.8	0	2	5.5725	-52.6255	-99.3	5.9334	-56.0331	SLV 1	1.065				Si
2.05	0.000924	0.8	0	2	3.9493	-97.9771	-98.37	1.9579	-48.5723	SLV 1	0.496				No
2.36	0.000924	0.8	0	2	2.3257	-143.3287	-97.45	0.7456	-45.9491	SLV 1	0.321				No
2.67	0.000924	0.8	0	2	0.7248	-187.9436	-96.54	0.1722	-44.6486	SLV 1	0.238				No

Verifica a pressoflessione in SLD

Quota	As	%	At	Pos.	Mx	My	N	MRdx	MRdy	Comb.	Coeff.s.	Verifica
-0.1	0.000924	1.5	0	1,2	6.6925	93.7031	-116.65	3.6168	50.6393	SLD 1	0.54	No
0.21	0.000924	1.5	0	1,2	5.9929	74.6259	-115.75	4.2792	53.2866	SLD 1	0.714	No
0.52	0.000924	1.5	0	1,2	5.2817	55.2337	-114.82	5.5537	58.0781	SLD 1	1.051	Si
0.82	0.000924	0.8	0	2	4.5705	35.8414	-113.9	8.4803	66.5018	SLD 1	1.855	Si
1.13	0.000924	0.8	0	2	16.9991	10.6354	-116.24	52.2676	32.7011	SLD 5	3.075	Si
1.44	0.000924	0.8	0	2	14.8582	-0.058	-119.94	70.4302	-0.2749	SLD 9	4.74	Si
1.75	0.000924	0.8	0	2	-1.4966	23.2636	-128.94	-5.1945	80.747	SLD 16	3.471	Si
2.05	0.000924	0.8	0	2	1.7257	-41.7276	-110.21	2.6863	-64.9544	SLD 1	1.557	Si
2.36	0.000924	0.8	0	2	1.0144	-61.1198	-109.28	0.9337	-56.2587	SLD 1	0.92	No
2.67	0.000924	0.8	0	2	0.313	-80.197	-108.37	0.2024	-51.8539	SLD 1	0.647	No

Indicatori di rischio sismico a pressoflessione in SLV

E' attiva l'opzione fattori parziali di sicurezza unitari per meccanismi duttili di strutture esistenti con fattore q

Quota	Molt.	TR	I.R.TR	PGA	I.R.PGA	Comb.	Ver.
-0.1	0.267	37	0.264	0.055	0.274	SLV 1	No
0.21	0.333	56	0.313	0.066	0.332	SLV 1	No
0.52	0.444	108	0.41	0.088	0.443	SLV 1	No
0.82	0.672	309	0.631	0.134	0.673	SLV 1	No
1.13	0.951	831	0.947	0.191	0.956	SLV 5	No
1.44	1.191	1571	1.23	0.233	1.168	SLV 9	Si
1.75	1.047	1094	1.06	0.209	1.046	SLV 1	Si
2.05	0.584	212	0.541	0.117	0.584	SLV 1	No
2.36	0.404	86	0.374	0.08	0.403	SLV 1	No
2.67	0.31	48	0.294	0.062	0.309	SLV 16	No

Indicatori di rischio sismico a pressoflessione in SLD Resistenza

Quota	Molt.	TR	I.R.TR	PGA	I.R.PGA	Comb.	Ver.
-0.1	0.623	38	0.67	0.055	0.644	SLD 1	No
0.21	0.776	57	0.791	0.067	0.777	SLD 1	No
0.52	1.037	110	1.036	0.089	1.036	SLD 1	Si
0.82	1.57	317	1.598	0.136	1.575	SLD 1	Si
1.13	2.356	809	2.347	0.189	2.197	SLD 5	Si
1.44	2.957	1532	3.049	0.231	2.689	SLD 9	Si
1.75	2.441	1119	2.681	0.21	2.443	SLD 1	Si
2.05	1.361	217	1.368	0.118	1.367	SLD 1	Si
2.36	0.941	88	0.945	0.081	0.944	SLD 1	No
2.67	0.722	48	0.737	0.062	0.717	SLD 16	No

Verifica a taglio in famiglia SLU

Quota	Staffe	V	N	Direzione X					Direzione Y					Verifica				
				Comb.	VRd	VRsd	VRcd	Cot	c.s.	V	N	Comb.	VRd		VRsd	VRcd	Cot	c.s.
-0.1	2X/2Y ø6/23.1	1.12	-	SLU 13	51.54	68.58	139.74	2.5	61.34	-0.73	-	SLU 18	53.21	49.83	135.44	2.5	73.09	Si
			199.58								208.66							
0.21	2X/2Y ø6/23.1	1.12	-198.4	SLU 13	51.54	68.58	139.58	2.5	61.34	-0.73	-	SLU 18	53.21	49.83	135.44	2.5	73.09	Si
											207.48							
0.52	2X/2Y ø6/23.1	1.12	-197.2	SLU 13	51.54	68.58	139.41	2.5	61.34	-0.73	-	SLU 18	53.21	49.83	135.44	2.5	73.09	Si
											206.28							
0.82	2X/2Y ø6/23.1	1.12	-196	SLU 13	51.54	68.58	139.24	2.5	61.34	-0.73	-	SLU 18	53.21	49.83	135.44	2.5	73.09	Si
											205.08							
1.13	2X/2Y ø6/23.1	1.12	-194.8	SLU 13	51.54	68.58	139.07	2.5	61.34	-0.73	-	SLU 18	53.21	49.83	135.44	2.5	73.09	Si
											203.88							
1.44	2X/2Y ø6/23.1	1.12	-	SLU 13	51.54	68.58	138.91	2.5	61.34	-0.73	-	SLU 18	53.21	49.83	135.44	2.5	73.09	Si
			193.59								202.68							
1.75	2X/2Y ø6/23.1	1.12	-	SLU 13	51.54	68.58	138.74	2.5	61.34	-0.73	-	SLU 18	53.21	49.83	135.44	2.5	73.09	Si
			192.39								201.48							
2.05	2X/2Y ø6/23.1	1.12	-	SLU 13	51.54	68.58	138.57	2.5	61.34	-0.73	-	SLU 18	53.21	49.83	135.44	2.5	73.09	Si
			191.19								200.28							
2.36	2X/2Y ø6/23.1	1.12	-	SLU 13	51.54	68.58	138.4	2.5	61.34	-0.73	-	SLU 18	53.21	49.83	135.33	2.5	73.09	Si
			189.99								199.08							
2.67	2X/2Y ø6/23.1	1.12	-	SLU 13	51.54	68.58	138.24	2.5	61.34	-0.73	-197.9	SLU 18	53.21	49.83	135.17	2.5	73.09	Si
			188.81															

Verifica a taglio in famiglia SLV

Quota	Staffe	V	N	Direzione X					Direzione Y					Verifica				
				Comb.	VRd	VRsd	VRcd	Cot	c.s.	V	N	Comb.	VRd		VRsd	VRcd	Cot	c.s.
-0.1	2X/2Y ø6/23.1	148.3	-146.3	SLV 16	49.7	68.58	132.29	2.5	0.46	-26.65	-	SLV 9	48.34	49.83	124.99	2.5	1.87	No
											122.76							

Quota	Staffe	Direzione X									Direzione Y									Verifica
		V	N	Comb.	VRd	VRsd	VRcd	Cot	c.s.	V	N	Comb.	VRd	VRsd	VRcd	Cot	c.s.			
0.21	2X/2Y ø6/23.1	148.3	-	SLV 16	49.57	68.58	132.16	2.5	0.46	-26.65	-	SLV 9	48.22	49.83	124.87	2.5	1.87	No		
			145.39	-							121.85	-								
0.52	2X/2Y ø6/23.1	148.3	-	SLV 16	49.45	68.58	132.03	2.5	0.46	-26.65	-	SLV 9	48.1	49.83	124.74	2.5	1.87	No		
			144.46	-							120.93	-								
0.82	2X/2Y ø6/23.1	148.3	-	SLV 16	49.32	68.58	131.91	2.5	0.46	-26.65	-120	SLV 9	47.98	49.83	124.62	2.5	1.87	No		
			143.54	-																
1.13	2X/2Y ø6/23.1	148.3	-	SLV 16	49.2	68.58	131.78	2.5	0.46	-26.65	-	SLV 9	47.86	49.83	124.49	2.5	1.87	No		
			142.62	-							119.08	-								
1.44	2X/2Y ø6/23.1	148.3	-	SLV 16	49.07	68.58	131.65	2.5	0.46	-26.65	-	SLV 9	47.74	49.83	124.37	2.5	1.87	No		
			141.69	-							118.16	-								
1.75	2X/2Y ø6/23.1	148.3	-	SLV 16	48.95	68.58	131.52	2.5	0.46	-26.65	-	SLV 9	47.62	49.83	124.24	2.5	1.87	No		
			140.77	-							117.23	-								
2.05	2X/2Y ø6/23.1	148.3	-	SLV 16	48.83	68.58	131.39	2.5	0.46	-26.65	-	SLV 9	47.5	49.83	124.12	2.5	1.87	No		
			139.85	-							116.31	-								
2.36	2X/2Y ø6/23.1	148.3	-	SLV 16	48.7	68.58	131.26	2.5	0.46	-26.65	-	SLV 9	47.37	49.83	123.99	2.5	1.87	No		
			138.92	-							115.39	-								
2.67	2X/2Y ø6/23.1	148.3	-	SLV 16	48.58	68.58	131.13	2.5	0.46	-26.65	-	SLV 9	47.26	49.83	123.87	2.5	1.87	No		
			138.02	-							114.48	-								

Verifica taglio ciclico secondo Circolare 7 21-01-19 §C8.7.2.3.5 formula [C8.7.2.8] in combinazione SLV

Quota	Q.inf.	Q.sup.	Dir.	Lv	x	h	p.tot	θ,m	θ,y	μΔ.pl	VRd	VRcd(cotθ=1)	VRsd	Vw	VR	VRf	VEd	NEd	Comb.	Verifica
-0.1	-0.9	3.17	X	1.51	0.122	0.4	0.0077	0.00216	0.006563	0	49.697	191.822	68.577	27.431	47.418	68.577	148.301	-	SLV 16	No
-0.1	-0.9	3.17	Y	1.51	0.152	0.3	0.0077	0.001675	0.008218	0	48.34	181.237	49.835	19.934	28.352	49.835	-26.654	146.296	SLV 9	Si
																		122.757		

Verifica a taglio in famiglia SLD Resistenza

Quota	Staffe	Direzione X									Direzione Y									Verifica
		V	N	Comb.	VRd	VRsd	VRcd	Cot	c.s.	V	N	Comb.	VRd	VRsd	VRcd	Cot	c.s.			
-0.1	2X/2Y ø6/23.1	63.96	-	SLD 16	48.1	68.58	130.64	2.5	1.07	-11.01	-	SLD 9	48.57	49.83	125.23	2.5	4.52	Si		
			134.47	-							124.54	-								
0.21	2X/2Y ø6/23.1	63.96	-	SLD 16	47.97	68.58	130.51	2.5	1.07	-11.01	-	SLD 9	48.46	49.83	125.11	2.5	4.52	Si		
			133.56	-							123.64	-								
0.52	2X/2Y ø6/23.1	63.96	-	SLD 16	47.85	68.58	130.38	2.5	1.07	-11.01	-	SLD 9	48.33	49.83	124.98	2.5	4.52	Si		
			132.63	-							122.71	-								
0.82	2X/2Y ø6/23.1	63.96	-	SLD 16	47.73	68.58	130.25	2.5	1.07	-11.01	-	SLD 9	48.21	49.83	124.86	2.5	4.52	Si		
			131.71	-							121.79	-								
1.13	2X/2Y ø6/23.1	63.96	-	SLD 16	47.6	68.58	130.12	2.5	1.07	-11.01	-	SLD 9	48.09	49.83	124.73	2.5	4.52	Si		
			130.79	-							120.87	-								
1.44	2X/2Y ø6/23.1	63.96	-	SLD 16	47.48	68.58	129.99	2.5	1.07	-11.01	-	SLD 9	47.97	49.83	124.61	2.5	4.52	Si		
			129.86	-							119.94	-								
1.75	2X/2Y ø6/23.1	63.96	-	SLD 16	47.35	68.58	129.86	2.5	1.07	-11.01	-	SLD 9	47.85	49.83	124.48	2.5	4.52	Si		
			128.94	-							119.02	-								
2.05	2X/2Y ø6/23.1	63.96	-	SLD 16	47.23	68.58	129.73	2.5	1.07	-11.01	-118.1	SLD 9	47.73	49.83	124.36	2.5	4.52	Si		
			128.02	-								-								
2.36	2X/2Y ø6/23.1	63.96	-	SLD 16	47.1	68.58	129.61	2.5	1.07	-11.01	-	SLD 9	47.61	49.83	124.23	2.5	4.52	Si		
			127.09	-							117.17	-								
2.67	2X/2Y ø6/23.1	63.96	-	SLD 16	46.98	68.58	129.48	2.5	1.07	-11.01	-	SLD 9	47.49	49.83	124.11	2.5	4.52	Si		
			126.19	-							116.26	-								

Indicatori di rischio sismico a taglio in SLV

Quota	Molt.	TR	I.R.TR	PGA	I.R.PGA	Comb.	Verifica
0.21	0.461	118	0.425	0.092	0.46	SLV 16	No
0.52	0.461	118	0.425	0.092	0.46	SLV 16	No
0.82	0.461	118	0.425	0.092	0.46	SLV 16	No
1.13	0.461	118	0.425	0.092	0.46	SLV 16	No
1.44	0.461	118	0.425	0.092	0.46	SLV 16	No
1.75	0.461	118	0.425	0.092	0.46	SLV 16	No
2.05	0.461	118	0.425	0.092	0.46	SLV 16	No
2.36	0.461	118	0.425	0.092	0.46	SLV 16	No
2.67	0.461	118	0.425	0.092	0.46	SLV 16	No

Indicatori di rischio sismico a taglio in SLD Resistenza

Quota	Molt.	TR	I.R.TR	PGA	I.R.PGA	Comb.	Verifica
-0.1	1.072	119	1.07	0.092	1.07	SLD 16	Si
0.21	1.072	119	1.07	0.092	1.07	SLD 16	Si
0.52	1.072	119	1.07	0.092	1.07	SLD 16	Si
0.82	1.072	119	1.07	0.092	1.07	SLD 16	Si
1.13	1.072	119	1.07	0.092	1.07	SLD 16	Si
1.44	1.072	119	1.07	0.092	1.07	SLD 16	Si
1.75	1.072	119	1.07	0.092	1.07	SLD 16	Si
2.05	1.072	119	1.07	0.092	1.07	SLD 16	Si
2.36	1.072	119	1.07	0.092	1.07	SLD 16	Si
2.67	1.072	119	1.07	0.092	1.07	SLD 16	Si

Verifiche nodi trave colonna

Riepilogo dei dati per le diverse tipologie di verifica eseguite per i nodi

Pilastrata	Q.Nodo	Escluso	Confinato	Segnalazioni
Pilastrata P7	-0.9	Si	No	non tutte le travature convergenti al nodo sono calcolate/validate
Pilastrata P7	3.17	No	No	

Verifiche nodi trave colonna in combinazioni SLD

Riepilogo dei dati per la verifica del nodo secondo Circolare 7 21-01-19 §C8.7.2.3.5.

Pilastrata	Q.Nodo	Angolo travatura	Aj	Vpc	Vtc	Vnc	Nc	σnc	σnc,lim	Comb.c	Vpt	Vtt	Vnt	Nt	σnt	σnt,lim	Comb.t	Segnalazioni	Verifica
Pilastrata P7	3.17	0	0.09632	0	95.651	95.651	0	993	3919	SLD 16	0	95.651	95.651	0	993	840	SLD 16		No
	3.17	180	0.09632	0	95.651	95.651	0	993	3919	SLD 16	0	95.651	95.651	0	993	840	SLD 16		No

Verifiche nodi trave colonna in combinazioni SLV

Riepilogo dei dati per la verifica del nodo secondo Circolare 7 21-01-19 §C8.7.2.3.5.

Pilastrata	Q.Nodo	Angolo travatura	Aj	Vpc	Vtc	Vnc	Nc	σnc	σnc,lim	Comb.c	Vpt	Vtt	Vnt	Nt	σnt	σnt,lim	Comb.t	Segnalazioni	Verifica
Pilastrata P7	3.17	0	0.09632	0	221.044	221.044	0	2295	3919	SLV 16	0	221.044	221.044	0	2295	840	SLV 16		No
	3.17	180	0.09632	0	221.044	221.044	0	2295	3919	SLV 16	0	221.044	221.044	0	2295	840	SLV 16		No

Indicatori di rischio sismico dei nodi in SLD

Pilastrata	Q.Nodo	Angolo travatura	Moltiplicatore	TR	I.R.TR	PGA	I.R.PGA	Comb.	Ver.
Pilastrata P7	3.17	0	0.846	69	0.855	0.073	0.85	SLD 1	No
	3.17	180	0.846	69	0.855	0.073	0.85	SLD 1	No

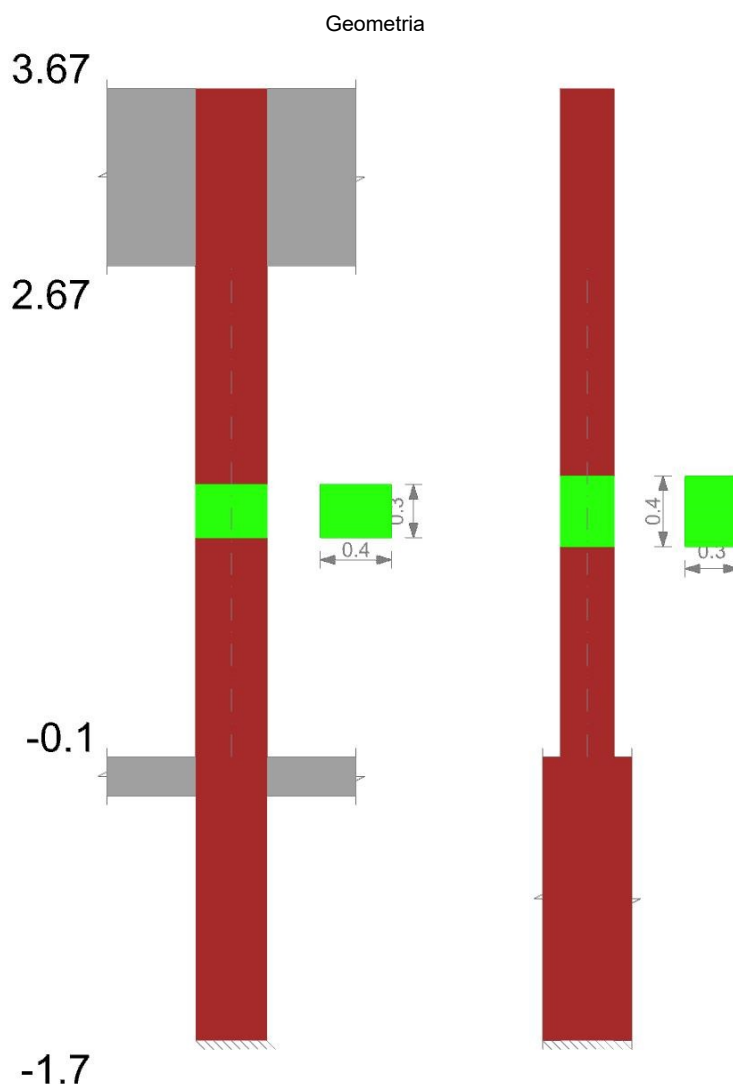
Indicatori di rischio sismico dei nodi in SLV

Pilastrata	Q.Nodo	Angolo travatura	Moltiplicatore	TR	I.R.TR	PGA	I.R.PGA	Comb.	Ver.
Pilastrata P7	3.17	0	0.363	68	0.339	0.073	0.364	SLV 1	No
	3.17	180	0.363	68	0.339	0.073	0.364	SLV 1	No

Verifiche di gerarchia delle resistenze nei nodi trave pilastro

Verifiche di gerarchia delle resistenze nei nodi trave pilastro non presenti in quanto la verifica è non necessaria per la pilastrata per il nodo Appoggio -0.9 in quanto elemento di materiale esistente.
per il nodo Appoggio 3.17 in quanto elemento di materiale esistente.

Pilastrata P8



Dati della pilastrata

Analisi di edificio esistente con fattore di struttura.

Fattore di struttura per meccanismi duttili in direzione X: 1.5

Fattore di struttura per meccanismi duttili in direzione Y: 1.5

Fattore di struttura per meccanismi fragili in direzione X: 1

Fattore di struttura per meccanismi fragili in direzione Y: 1

Verifica dei meccanismi fragili condotta secondo Circolare 7 21-01-19 (§C8.7.2.2) Analisi lineare con fattore q.

Fattore di amplificazione dei meccanismi fragili della componente sismica in direzione X: 1

Fattore di amplificazione dei meccanismi fragili della componente sismica in direzione Y: 1

Campate costituenti la pilastrata

Q.inf.	Q.sup.	Sezione	Esistente	Secondaria	Dissipativa	Interna a parete	Sovreresistenza	Materiale CLS	Materiale Acciaio	FC
-0.1	2.67	R 40x30	Si	No	No	No		C14/17 LC2 Vigone A	Vigone_FeB22k_LC2_FC = 1.2; Vigone_FeB44k_Staffe_LC2_FC = 1.2	1.2

Disposizione delle armature longitudinali

Posizione	X	Y	Diametro	Area	Q.inf.	Q.sup.	Sezione	Materiale
p.1	-0.1605	-0.1105	0.014	0.0001539	-0.9	-0.1	R 40x30	Vigone_FeB22k_LC2
p.1	0.1605	-0.1105	0.014	0.0001539	-0.9	-0.1	R 40x30	Vigone_FeB22k_LC2
p.1	0.1605	0.1105	0.014	0.0001539	-0.9	-0.1	R 40x30	Vigone_FeB22k_LC2
p.1	-0.1605	0.1105	0.014	0.0001539	-0.9	-0.1	R 40x30	Vigone_FeB22k_LC2
p.1	0	-0.112	0.014	0.0001539	-0.9	-0.1	R 40x30	Vigone_FeB22k_LC2
p.1	0	0.112	0.014	0.0001539	-0.9	-0.1	R 40x30	Vigone_FeB22k_LC2

Posizione	X	Y	Diametro	Area	Q.inf.	Q.sup.	Sezione	Materiale
p.2	-0.1605	-0.1105	0.014	0.0001539	-0.1	2.67	R 40x30	Vigone FeB22k LC2
p.2	0.1605	-0.1105	0.014	0.0001539	-0.1	2.67	R 40x30	Vigone FeB22k LC2
p.2	0.1605	0.1105	0.014	0.0001539	-0.1	2.67	R 40x30	Vigone FeB22k LC2
p.2	-0.1605	0.1105	0.014	0.0001539	-0.1	2.67	R 40x30	Vigone FeB22k LC2
p.2	0	-0.112	0.014	0.0001539	-0.1	2.67	R 40x30	Vigone FeB22k LC2
p.2	0	0.112	0.014	0.0001539	-0.1	2.67	R 40x30	Vigone FeB22k LC2

Controlli geometrici NTC18

Nessuna anomalia

Verifiche delle sezioni**Verifica a pressoflessione in SLU**

Quota	As	%	At	Pos.	Mx	My	N	MRdx	MRdy	Comb.	Coeff.s.	Verifica
-0.1	0.000924	1.5	0	1,2	2.3026	1.6863	-202.58	9.6573	7.0724	SLU 17	4.194	Si
0.21	0.000924	1.5	0	1,2	2.0627	1.2768	-201.39	8.7018	5.3862	SLU 17	4.219	Si
0.52	0.000924	1.5	0	1,2	1.8188	0.8605	-200.19	7.719	3.6518	SLU 17	4.244	Si
0.82	0.000924	0.8	0	2	1.5749	0.4442	-198.99	6.7243	1.8965	SLU 17	4.27	Si
1.13	0.000924	0.8	0	2	1.3311	0.0279	-197.79	5.7175	0.1199	SLU 17	4.295	Si
1.44	0.000924	0.8	0	2	1.0872	-0.3884	-196.59	4.6985	-1.6784	SLU 17	4.322	Si
1.75	0.000924	0.8	0	2	0.8433	-0.8047	-195.39	3.6669	-3.4989	SLU 17	4.348	Si
2.05	0.000924	0.8	0	2	0.5994	-1.221	-194.19	2.6226	-5.3418	SLU 17	4.375	Si
2.36	0.000924	0.8	0	2	0.3556	-1.6372	-192.99	1.5653	-7.2076	SLU 17	4.402	Si
2.67	0.000924	0.8	0	2	0.1156	-2.0468	-191.81	0.5122	-9.066	SLU 17	4.429	Si

Verifica a pressoflessione in SLV

E' attiva l'opzione fattori parziali di sicurezza unitari per meccanismi duttili di strutture esistenti con fattore q

Quota	As	%	At	Pos.	Mx	My	N	MRdx	MRdy	Comb.	C.S.	Nmin	Nlim	Comb.Nmin	Ver.
-0.1	0.000924	1.5	0	1,2	30.7197	218.2012	-128.18	6.3007	44.7534	SLV 1	0.205				No
0.21	0.000924	1.5	0	1,2	27.5177	173.7341	-127.27	7.2401	45.7107	SLV 1	0.263				No
0.52	0.000924	1.5	0	1,2	-21.9792	-127.4233	-113.66	-8.0653	-46.7582	SLV 16	0.367				No
0.82	0.000924	0.8	0	2	-19.0305	-82.7463	-112.74	-11.3357	-49.2887	SLV 16	0.596				No
1.13	0.000924	0.8	0	2	47.6778	24.0598	-123.94	39.632	19.9996	SLV 6	0.831				No
1.44	0.000924	0.8	0	2	38.9361	-4.6364	-123.02	45.4254	-5.4092	SLV 6	1.167				Si
1.75	0.000924	0.8	0	2	11.2432	-52.273	-122.65	12.1631	-56.55	SLV 1	1.082				Si
2.05	0.000924	0.8	0	2	-7.2358	95.962	-109.04	-3.7421	49.6289	SLV 16	0.517				No
2.36	0.000924	0.8	0	2	4.7334	-142.6758	-120.81	1.5675	-47.2482	SLV 1	0.331				No
2.67	0.000924	0.8	0	2	1.5314	-187.1429	-119.9	0.3736	-45.6523	SLV 1	0.244				No

Verifica a pressoflessione in SLD

Quota	As	%	At	Pos.	Mx	My	N	MRdx	MRdy	Comb.	Coeff.s.	Verifica
-0.1	0.000924	1.5	0	1,2	13.3759	94.3091	-124.54	7.1538	50.439	SLD 1	0.535	No
0.21	0.000924	1.5	0	1,2	11.9817	75.068	-123.63	8.4387	52.8704	SLD 1	0.704	No
0.52	0.000924	1.5	0	1,2	10.5645	55.5091	-122.7	10.7335	56.3972	SLD 1	1.016	Si
0.82	0.000924	0.8	0	2	9.1473	35.9502	-121.78	15.8188	62.1703	SLD 1	1.729	Si
1.13	0.000924	0.8	0	2	19.6679	10.0694	-120.52	54.0606	27.6775	SLD 6	2.749	Si
1.44	0.000924	0.8	0	2	16.0618	-2.0685	-119.59	68.2334	-8.7871	SLD 6	4.248	Si
1.75	0.000924	0.8	0	2	4.8957	-22.7265	-119.01	16.139	-74.9193	SLD 1	3.297	Si
2.05	0.000924	0.8	0	2	3.4785	-42.2853	-118.09	5.3811	-65.4145	SLD 1	1.547	Si
2.36	0.000924	0.8	0	2	2.0613	-61.8442	-117.16	1.9078	-57.2391	SLD 1	0.926	No
2.67	0.000924	0.8	0	2	0.6671	-81.0854	-116.26	0.4332	-52.6524	SLD 1	0.649	No

Indicatori di rischio sismico a pressoflessione in SLV

E' attiva l'opzione fattori parziali di sicurezza unitari per meccanismi duttili di strutture esistenti con fattore q

Quota	Molt.	TR	I.R.TR	PGA	I.R.PGA	Comb.	Ver.
-0.1	0.258	35	0.258	0.053	0.268	SLV 1	No
0.21	0.323	52	0.304	0.064	0.321	SLV 1	No
0.52	0.433	101	0.399	0.086	0.431	SLV 1	No
0.82	0.649	312	0.634	0.135	0.675	SLV 5	No
1.13	0.866	649	0.856	0.175	0.878	SLV 6	No
1.44	1.111	1284	1.132	0.219	1.098	SLV 11	Si
1.75	1.064	1154	1.083	0.212	1.063	SLV 1	Si
2.05	0.592	220	0.549	0.118	0.592	SLV 1	No
2.36	0.405	87	0.375	0.081	0.405	SLV 1	No
2.67	0.307	47	0.292	0.061	0.306	SLV 1	No

Indicatori di rischio sismico a pressoflessione in SLD Resistenza

Quota	Molt.	TR	I.R.TR	PGA	I.R.PGA	Comb.	Ver.
-0.1	0.603	36	0.655	0.054	0.629	SLD 1	No
0.21	0.755	53	0.768	0.065	0.751	SLD 1	No
0.52	1.013	104	1.012	0.087	1.012	SLD 1	Si
0.82	1.527	295	1.552	0.132	1.533	SLD 1	Si
1.13	2.146	631	2.12	0.174	2.018	SLD 6	Si
1.44	2.764	1259	2.813	0.218	2.533	SLD 11	Si
1.75	2.488	1189	2.748	0.214	2.489	SLD 1	Si
2.05	1.381	225	1.389	0.119	1.385	SLD 1	Si
2.36	0.943	88	0.945	0.081	0.944	SLD 1	No
2.67	0.715	47	0.731	0.061	0.71	SLD 1	No

Verifica a taglio in famiglia SLU

Quota	Staffe	Direzione X							Direzione Y							Verifica		
		V	N	Comb.	VRd	VRcd	Cot	c.s.	V	N	Comb.	VRd	VRcd	Cot	c.s.			
-0.1	2X/2Y ø6/23.1	-1.35	-	SLU 17	51.54	68.58	139.79	2.5	50.7	-0.79	-	SLU 18	53.21	49.83	135.44	2.5	67.1	Si
			202.58								202.58							
0.21	2X/2Y ø6/23.1	-1.35	-	SLU 17	51.54	68.58	139.79	2.5	50.7	-0.79	-	SLU 18	53.21	49.83	135.44	2.5	67.1	Si
			201.39								201.39							
0.52	2X/2Y ø6/23.1	-1.35	-	SLU 17	51.54	68.58	139.79	2.5	50.7	-0.79	-	SLU 18	53.21	49.83	135.44	2.5	67.1	Si
			200.19								200.19							
0.82	2X/2Y ø6/23.1	-1.35	-	SLU 17	51.54	68.58	139.66	2.5	50.7	-0.79	-	SLU 18	53.21	49.83	135.32	2.5	67.1	Si
			198.99								198.99							
1.13	2X/2Y ø6/23.1	-1.35	-	SLU 17	51.54	68.58	139.49	2.5	50.7	-0.79	-	SLU 18	53.21	49.83	135.16	2.5	67.1	Si
			197.79								197.79							
1.44	2X/2Y ø6/23.1	-1.35	-	SLU 17	51.54	68.58	139.33	2.5	50.7	-0.79	-	SLU 18	53.21	49.83	135	2.5	67.1	Si
			196.59								196.59							
1.75	2X/2Y ø6/23.1	-1.35	-	SLU 17	51.54	68.58	139.16	2.5	50.7	-0.79	-	SLU 18	53.21	49.83	134.83	2.5	67.1	Si
			195.39								195.39							
2.05	2X/2Y ø6/23.1	-1.35	-	SLU 17	51.54	68.58	138.99	2.5	50.7	-0.79	-	SLU 18	53.21	49.83	134.67	2.5	67.1	Si
			194.19								194.19							
2.36	2X/2Y ø6/23.1	-1.35	-	SLU 17	51.54	68.58	138.82	2.5	50.7	-0.79	-	SLU 18	53.21	49.83	134.51	2.5	67.1	Si
			192.99								192.99							
2.67	2X/2Y ø6/23.1	-1.35	-	SLU 17	51.54	68.58	138.66	2.5	50.7	-0.79	-	SLU 18	53.21	49.83	134.35	2.5	67.1	Si
			191.81								191.81							

Verifica a taglio in famiglia SLV

Quota	Staffe	Direzione X									Direzione Y									Verifica
		V	N	Comb.	VRd	VRsd	VRcd	Cot	c.s.	V	N	Comb.	VRd	VRsd	VRcd	Cot	c.s.			
-0.1	2X/2Y ø6/23.1	-	-	SLV 1	47.25	68.58	129.76	2.5	0.47	-28.4	-	SLV 6	48.98	49.83	125.65	2.5	1.75	No		
0.21	2X/2Y ø6/23.1	146.86	128.18	SLV 1	47.12	68.58	129.63	2.5	0.47	-28.4	127.62	SLV 6	48.86	49.83	125.53	2.5	1.75	No		
0.52	2X/2Y ø6/23.1	146.86	127.27	SLV 1	47	68.58	129.5	2.5	0.47	-28.4	126.71	SLV 6	48.74	49.83	125.4	2.5	1.75	No		
0.82	2X/2Y ø6/23.1	146.86	126.35	SLV 1	46.88	68.58	129.37	2.5	0.47	-28.4	125.79	SLV 6	48.62	49.83	125.28	2.5	1.75	No		
1.13	2X/2Y ø6/23.1	146.86	125.42	SLV 1	46.75	68.58	129.24	2.5	0.47	-28.4	124.86	SLV 6	48.5	49.83	125.15	2.5	1.75	No		
1.44	2X/2Y ø6/23.1	146.86	124.5	SLV 1	46.63	68.58	129.11	2.5	0.47	-28.4	123.94	SLV 6	48.37	49.83	125.03	2.5	1.75	No		
1.75	2X/2Y ø6/23.1	146.86	123.58	SLV 1	46.5	68.58	128.98	2.5	0.47	-28.4	123.02	SLV 6	48.25	49.83	124.9	2.5	1.75	No		
2.05	2X/2Y ø6/23.1	146.86	122.65	SLV 1	46.38	68.58	128.86	2.5	0.47	-28.4	122.09	SLV 6	48.13	49.83	124.78	2.5	1.75	No		
2.36	2X/2Y ø6/23.1	146.86	121.73	SLV 1	46.25	68.58	128.73	2.5	0.47	-28.4	121.17	SLV 6	48.01	49.83	124.65	2.5	1.75	No		
2.67	2X/2Y ø6/23.1	146.86	120.81	SLV 1	46.13	68.58	128.6	2.5	0.47	-28.4	120.25	SLV 6	47.89	49.83	124.53	2.5	1.75	No		
		146.86	119.9	SLV 1	46.13	68.58	128.6	2.5	0.47	-28.4	119.34	SLV 6	47.89	49.83	124.53	2.5	1.75	No		

Verifica taglio ciclico secondo Circolare 7 21-01-19 §C8.7.2.3.5 formula [C8.7.2.8] in combinazione SLV

Quota	Q.inf.	Q.sup.	Dir.	Lv	x	h	p_tot	θ_m	θ_y	μΔ.pl	VRd	VRcd(cotθ=1)	VRsd	Vw	VR	VRf	VEd	NEd	Comb.	Verifica
-0.1	-0.9	3.17	X	1.51	0.116	0.4	0.0077	0.002148	0.006563	0	47.248	188.148	68.577	27.431	46.179	68.577	-	-	SLV 1	No
-0.1	-0.9	3.17	Y	1.51	0.154	0.3	0.0077	0.001801	0.008218	0	48.977	182.192	49.835	19.934	28.483	49.835	-28.403	-	SLV 6	Si
																	146.864	128.179	-	-
																		127.618	-	-

Verifica a taglio in famiglia SLD Resistenza

Quota	Staffe	Direzione X									Direzione Y									Verifica
		V	N	Comb.	VRd	VRsd	VRcd	Cot	c.s.	V	N	Comb.	VRd	VRsd	VRcd	Cot	c.s.			
-0.1	2X/2Y ø6/23.1	-63.55	-	SLD 1	46.76	68.58	129.25	2.5	1.08	-11.72	-124.2	SLD 6	48.53	49.83	125.19	2.5	4.25	Si		
0.21	2X/2Y ø6/23.1	-63.55	124.54	SLD 1	46.63	68.58	129.12	2.5	1.08	-11.72	-	SLD 6	48.41	49.83	125.06	2.5	4.25	Si		
0.52	2X/2Y ø6/23.1	-63.55	123.63	SLD 1	46.51	68.58	128.99	2.5	1.08	-11.72	123.29	SLD 6	48.29	49.83	124.94	2.5	4.25	Si		
0.82	2X/2Y ø6/23.1	-63.55	-122.7	SLD 1	46.38	68.58	128.86	2.5	1.08	-11.72	122.36	SLD 6	48.17	49.83	124.81	2.5	4.25	Si		
1.13	2X/2Y ø6/23.1	-63.55	121.78	SLD 1	46.26	68.58	128.73	2.5	1.08	-11.72	121.44	SLD 6	48.05	49.83	124.69	2.5	4.25	Si		
1.44	2X/2Y ø6/23.1	-63.55	120.86	SLD 1	46.13	68.58	128.6	2.5	1.08	-11.72	120.52	SLD 6	47.93	49.83	124.56	2.5	4.25	Si		
1.75	2X/2Y ø6/23.1	-63.55	119.93	SLD 1	46.01	68.58	128.47	2.5	1.08	-11.72	119.59	SLD 6	47.81	49.83	124.44	2.5	4.25	Si		
2.05	2X/2Y ø6/23.1	-63.55	119.01	SLD 1	45.88	68.58	128.35	2.5	1.08	-11.72	118.67	SLD 6	47.68	49.83	124.31	2.5	4.25	Si		
2.36	2X/2Y ø6/23.1	-63.55	118.09	SLD 1	45.76	68.58	128.22	2.5	1.08	-11.72	117.75	SLD 6	47.56	49.83	124.19	2.5	4.25	Si		
2.67	2X/2Y ø6/23.1	-63.55	117.16	SLD 1	45.64	68.58	128.09	2.5	1.08	-11.72	116.82	SLD 6	47.44	49.83	124.06	2.5	4.25	Si		
		-63.55	116.26	SLD 1	45.64	68.58	128.09	2.5	1.08	-11.72	115.92	SLD 6	47.44	49.83	124.06	2.5	4.25	Si		

Indicatori di rischio sismico a taglio in SLV

Quota	Molt.	TR	I.R.TR	PGA	I.R.PGA	Comb.
0.21	0.464	119	0.427	0.092	0.461	SLV 1
0.52	0.464	119	0.427	0.092	0.461	SLV 1
0.82	0.464	119	0.427	0.092	0.461	SLV 1
1.13	0.464	119	0.427	0.092	0.461	SLV 1
1.44	0.464	119	0.427	0.092	0.461	SLV 1
1.75	0.464	119	0.427	0.092	0.461	SLV 1
2.05	0.464	119	0.427	0.092	0.461	SLV 1
2.36	0.464	119	0.427	0.092	0.461	SLV 1
2.67	0.464	119	0.427	0.092	0.461	SLV 1

Indicatori di rischio sismico a taglio in SLD Resistenza

Quota	Molt.	TR	I.R.TR	PGA	I.R.PGA	Comb.
-0.1	1.08	121	1.077	0.093	1.077	SLD 1
0.21	1.08	121	1.077	0.093	1.077	SLD 1
0.52	1.08	121	1.077	0.093	1.077	SLD 1
0.82	1.08	121	1.077	0.093	1.077	SLD 1
1.13	1.08	121	1.077	0.093	1.077	SLD 1
1.44	1.08	121	1.077	0.093	1.077	SLD 1
1.75	1.08	121	1.077	0.093	1.077	SLD 1
2.05	1.08	121	1.077	0.093	1.077	SLD 1
2.36	1.08	121	1.077	0.093	1.077	SLD 1
2.67	1.08	121	1.077	0.093	1.077	SLD 1

Verifiche nodi trave colonna

Riepilogo dei dati per le diverse tipologie di verifica eseguite per i nodi

Pilastrata	Q.Nodo	Escluso	Confinato	Segnalazioni
Pilastrata P8	-0.9	Si	No	non tutte le travature convergenti al nodo sono calcolate/validate
Pilastrata P8	3.17	No	No	

Verifiche nodi trave colonna in combinazioni SLD

Riepilogo dei dati per la verifica del nodo secondo Circolare 7 21-01-19 §C8.7.2.3.5.

Pilastrata	Q.Nodo	Angolo travatura	Aj	Vpc	Vtc	Vnc	Nc	onc	onc,lim	Comb.c	Vpt	Vtt	Vnt	Nt	ont	ont,lim	Comb.t	Segnalazioni	Verifica
Pilastrata P8	3.17	180	0.09632	0	96.155	96.155	0	998	3919	SLD 1	0	96.155	96.155	0	998	840	SLD 1		No
	3.17	360	0.09632	0	96.155	96.155	0	998	3919	SLD 1	0	96.155	96.155	0	998	840	SLD 1		No

Verifiche nodi trave colonna in combinazioni SLV

Riepilogo dei dati per la verifica del nodo secondo Circolare 7 21-01-19 §C8.7.2.3.5.

Pilastrata	Q.Nodo	Angolo travatura	Aj	Vpc	Vtc	Vnc	Nc	onc	onc,lim	Comb.c	Vpt	Vtt	Vnt	Nt	ont	ont,lim	Comb.t	Segnalazioni	Verifica
Pilastrata P8	3.17	180	0.09632	0	220.509	220.509	0	2289	3919	SLV 1	0	220.509	220.509	0	2289	840	SLV 1		No
	3.17	360	0.09632	0	220.509	220.509	0	2289	3919	SLV 1	0	220.509	220.509	0	2289	840	SLV 1		No

Indicatori di rischio sismico dei nodi in SLD

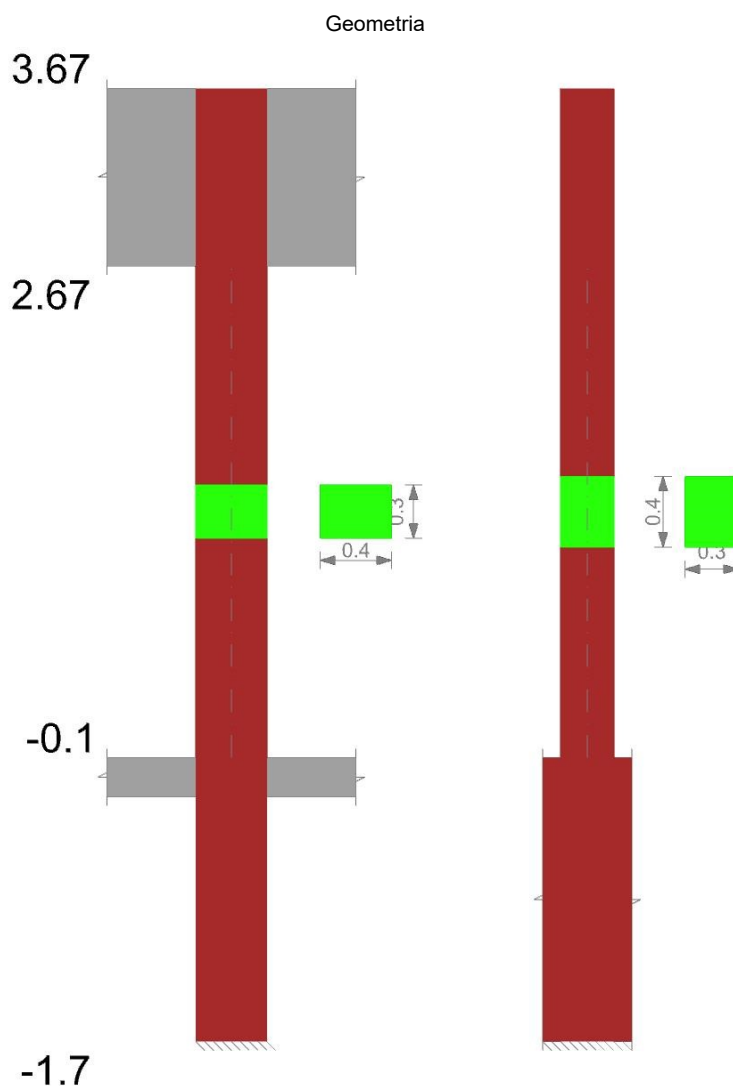
Pilastrata	Q.Nodo	Angolo travatura	Moltiplicatore	TR	I.R.TR	PGA	I.R.PGA	Comb.	Ver.
Pilastrata P8	3.17	180	0.84	68	0.85	0.073	0.845	SLD 1	No
	3.17	360	0.84	68	0.85	0.073	0.845	SLD 1	No

Indicatori di rischio sismico dei nodi in SLV

Pilastrata	Q.Nodo	Angolo travatura	Moltiplicatore	TR	I.R.TR	PGA	I.R.PGA	Comb.	Ver.
Pilastrata P8	3.17	180	0.361	67	0.337	0.072	0.362	SLV 1	No
	3.17	360	0.361	67	0.337	0.072	0.362	SLV 1	No

Verifiche di gerarchia delle resistenze nei nodi trave pilastro

Verifiche di gerarchia delle resistenze nei nodi trave pilastro non presenti in quanto la verifica è non necessaria per la pilastrata per il nodo Appoggio 3.17 in quanto elemento di materiale esistente.
per il nodo Appoggio -0.9 in quanto elemento di materiale esistente.

Pilastrata P9**Dati della pilastrata**

Analisi di edificio esistente con fattore di struttura.

Fattore di struttura per meccanismi duttili in direzione X: 1.5

Fattore di struttura per meccanismi duttili in direzione Y: 1.5

Fattore di struttura per meccanismi fragili in direzione X: 1

Fattore di struttura per meccanismi fragili in direzione Y: 1

Verifica dei meccanismi fragili condotta secondo Circolare 7 21-01-19 (§C8.7.2.2) Analisi lineare con fattore q.

Fattore di amplificazione dei meccanismi fragili della componente sismica in direzione X: 1

Fattore di amplificazione dei meccanismi fragili della componente sismica in direzione Y: 1

Campate costituenti la pilastrata

Q.inf.	Q.sup.	Sezione	Esistente	Secondaria	Dissipativa	Interna a parete	Sovreresistenza	Materiale CLS	Materiale Acciaio	FC
-0.1	2.67	R 40x30	Si	No	No	No		C14/17 LC2 Vigone A	Vigone_FeB22k_LC2_FC = 1.2; Vigone_FeB44k_Staffe_LC2_FC = 1.2	1.2

Disposizione delle armature longitudinali

Posizione	X	Y	Diametro	Area	Q.inf.	Q.sup.	Sezione	Materiale
p.1	-0.1605	-0.1105	0.014	0.0001539	-0.9	-0.1	R 40x30	Vigone FeB22k LC2

Posizione	X	Y	Diametro	Area	Q.inf.	Q.sup.	Sezione	Materiale
p.1	0.1605	-0.1105	0.014	0.0001539	-0.9	-0.1	R 40x30	Vigone FeB22k LC2
p.1	0.1605	0.1105	0.014	0.0001539	-0.9	-0.1	R 40x30	Vigone FeB22k LC2
p.1	-0.1605	0.1105	0.014	0.0001539	-0.9	-0.1	R 40x30	Vigone FeB22k LC2
p.1	0	-0.112	0.014	0.0001539	-0.9	-0.1	R 40x30	Vigone FeB22k LC2
p.1	0	0.112	0.014	0.0001539	-0.9	-0.1	R 40x30	Vigone FeB22k LC2
p.2	-0.1605	-0.1105	0.014	0.0001539	-0.1	2.67	R 40x30	Vigone FeB22k LC2
p.2	0.1605	-0.1105	0.014	0.0001539	-0.1	2.67	R 40x30	Vigone FeB22k LC2
p.2	0.1605	0.1105	0.014	0.0001539	-0.1	2.67	R 40x30	Vigone FeB22k LC2
p.2	-0.1605	0.1105	0.014	0.0001539	-0.1	2.67	R 40x30	Vigone FeB22k LC2
p.2	0	-0.112	0.014	0.0001539	-0.1	2.67	R 40x30	Vigone FeB22k LC2
p.2	0	0.112	0.014	0.0001539	-0.1	2.67	R 40x30	Vigone FeB22k LC2

Controlli geometrici NTC18

Nessuna anomalia

Verifiche delle sezioni**Verifica a pressoflessione in SLU**

Quota	As	%	At	Pos.	Mx	My	N	MRdx	MRdy	Comb.	Coeff.s.	Verifica
-0.1	0.000924	1.5	0	1,2	2.51	-3.2904	-160.81	13.2615	-17.3844	SLU 17	5.283	Si
0.21	0.000924	1.5	0	1,2	2.2527	-2.3537	-159.63	11.9901	-12.5273	SLU 17	5.322	Si
0.52	0.000924	1.5	0	1,2	1.9912	-1.4015	-158.43	10.6782	-7.5159	SLU 17	5.363	Si
0.82	0.000924	0.8	0	2	1.7296	-0.4493	-157.23	9.3462	-2.4279	SLU 17	5.404	Si
1.13	0.000924	0.8	0	2	1.468	0.5029	-156.03	7.9938	2.7384	SLU 17	5.445	Si
1.44	0.000924	0.8	0	2	1.2065	1.4551	-154.83	6.6204	7.9847	SLU 17	5.488	Si
1.75	0.000924	0.8	0	2	0.9449	2.4073	-153.63	5.2256	13.3131	SLU 17	5.53	Si
2.05	0.000924	0.8	0	2	0.6833	3.3594	-152.43	3.8088	18.7254	SLU 17	5.574	Si
2.36	0.000924	0.8	0	2	0.4219	4.3131	-151.22	2.3562	24.0884	SLU 18	5.585	Si
2.67	0.000924	0.8	0	2	0.1645	5.2502	-150.04	0.8932	28.512	SLU 18	5.431	Si

Verifica a pressoflessione in SLV

E' attiva l'opzione fattori parziali di sicurezza unitari per meccanismi duttili di strutture esistenti con fattore q

Quota	As	%	At	Pos.	Mx	My	N	MRdx	MRdy	Comb.	C.S.	Nmin	Nlim	Comb.Nmin	Ver.
-0.1	0.000924	1.5	0	1,2	-40.7191	-219.4014	3.15	-7.5244	-40.5428	SLV 16	0.185				No
0.21	0.000924	1.5	0	1,2	-36.3698	-174.5439	4.06	-8.4109	-40.3651	SLV 16	0.231				No
0.52	0.000924	1.5	0	1,2	-31.9487	-128.9457	4.98	-9.9083	-39.9902	SLV 16	0.31				No
0.82	0.000924	0.8	0	2	-27.5277	-83.3476	5.9	-12.9265	-39.1386	SLV 16	0.47				No
1.13	0.000924	0.8	0	2	-23.8082	-35.94	6.9	-15.5737	-38.3454	SLV 11	0.603				No
1.44	0.000924	0.8	0	2	-20.5833	-9.7614	7.9	-18.2209	-37.5933	SLV 11	0.769				No
1.75	0.000924	0.8	0	2	-17.3584	6.4549	8.9	-20.8681	-36.8412	SLV 16	0.935				No
2.05	0.000924	0.8	0	2	-14.1335	21.1694	9.9	-23.5143	-36.0891	SLV 16	1.101				No
2.36	0.000924	0.8	0	2	-10.9086	35.4849	10.9	-26.1605	-35.3370	SLV 16	1.267				No
2.67	0.000924	0.8	0	2	-7.6837	49.8004	11.9	-28.8067	-34.5849	SLV 16	1.433				No

Verifica a pressoflessione in SLD

Quota	As	%	At	Pos.	Mx	My	N	MRdx	MRdy	Comb.	Coeff.s.	Verifica
-0.1	0.000924	1.5	0	1,2	-15.9197	-95.2891	-54.06	-7.4293	-44.4689	SLD 16	0.467	No
0.21	0.000924	1.5	0	1,2	-14.2153	-75.7172	-53.15	-8.4902	-45.2224	SLD 16	0.597	No
0.52	0.000924	1.5	0	1,2	-12.4828	-55.8221	-52.23	-10.3776	-46.4077	SLD 16	0.831	No
0.82	0.000924	0.8	0	2	-10.7503	-35.927	-51.31	-14.3618	-47.9966	SLD 16	1.336	Si
1.13	0.000924	0.8	0	2	-20.5833	-9.7614	-69.24	-43.6537	-20.7023	SLD 11	2.121	Si
1.44	0.000924	0.8	0	2	-16.6479	2.4183	-68.32	-52.3058	7.5981	SLD 11	3.142	Si
1.75	0.000924	0.8	0	2	-5.5527	23.7591	-48.54	-12.557	53.7296	SLD 16	2.261	Si
2.05	0.000924	0.8	0	2	-3.8202	43.6541	-47.61	-4.2977	49.1111	SLD 16	1.125	Si
2.36	0.000924	0.8	0	2	-2.0877	63.5492	-46.69	-1.5223	46.338	SLD 16	0.729	No
2.67	0.000924	0.8	0	2	-0.3837	83.1211	-45.78	-0.2074	44.9389	SLD 16	0.541	No

Indicatori di rischio sismico a pressoflessione in SLV

E' attiva l'opzione fattori parziali di sicurezza unitari per meccanismi duttili di strutture esistenti con fattore q

Quota	Molt.	TR	I.R.TR	PGA	I.R.PGA	Comb.	Ver.
-0.1	0.227	28	0.236	0.048	0.241	SLV 16	No
0.21	0.282	41	0.276	0.057	0.288	SLV 16	No
0.52	0.37	71	0.345	0.074	0.372	SLV 16	No
0.82	0.535	170	0.494	0.107	0.534	SLV 16	No
1.13	0.677	345	0.66	0.14	0.701	SLV 11	No
1.44	0.82	562	0.807	0.167	0.836	SLV 11	No
1.75	0.779	460	0.743	0.156	0.781	SLV 16	No
2.05	0.47	124	0.434	0.094	0.469	SLV 16	No
2.36	0.333	56	0.313	0.066	0.332	SLV 16	No
2.67	0.256	35	0.258	0.053	0.268	SLV 16	No

Indicatori di rischio sismico a pressoflessione in SLD Resistenza

Quota	Molt.	TR	I.R.TR	PGA	I.R.PGA	Comb.	Ver.
-0.1	0.53	29	0.6	0.049	0.569	SLD 16	No
0.21	0.657	41	0.691	0.057	0.667	SLD 16	No
0.52	0.864	72	0.87	0.075	0.868	SLD 16	No
0.82	1.252	175	1.253	0.108	1.254	SLD 16	Si
1.13	1.666	332	1.629	0.138	1.602	SLD 11	Si
1.44	2.022	540	1.988	0.165	1.914	SLD 11	Si
1.75	1.816	469	1.877	0.157	1.823	SLD 16	Si
2.05	1.095	125	1.091	0.094	1.092	SLD 16	Si
2.36	0.774	56	0.785	0.066	0.771	SLD 16	No
2.67	0.597	35	0.648	0.053	0.62	SLD 16	No

Verifica a taglio in famiglia SLU

Quota	Staffe	V	Direzione X							Direzione Y							Verifica	
			N	Comb.	VRd	VRcd	Cot	c.s.	V	N	Comb.	VRd	VRcd	Cot	c.s.			
-0.1	2X/2Y ø6/23.1	3.15	-	SLU 13	50.68	68.58	133.31	2.5	21.74	-0.85	-	SLU 18	53.21	49.83	130.15	2.5	62.58	Si
0.21	2X/2Y ø6/23.1	3.15	153.58	SLU 13	50.52	68.58	133.14	2.5	21.74	-0.85	160.81	SLU 18	53.17	49.83	129.99	2.5	62.54	Si
0.52	2X/2Y ø6/23.1	3.15	-151.2	SLU 13	50.36	68.58	132.98	2.5	21.74	-0.85	159.63	SLU 18	53.01	49.83	129.82	2.5	62.35	Si
0.82	2X/2Y ø6/23.1	3.15	-150	SLU 13	50.2	68.58	132.81	2.5	21.74	-0.85	158.43	SLU 18	52.86	49.83	129.66	2.5	62.17	Si
1.13	2X/2Y ø6/23.1	3.15	-148.8	SLU 13	50.04	68.58	132.64	2.5	21.74	-0.85	157.23	SLU 18	52.7	49.83	129.5	2.5	61.98	Si
1.44	2X/2Y ø6/23.1	3.15	-147.6	SLU 13	49.87	68.58	132.47	2.5	21.74	-0.85	156.02	SLU 18	52.54	49.83	129.34	2.5	61.8	Si
1.75	2X/2Y ø6/23.1	3.15	-146.4	SLU 13	49.71	68.58	132.3	2.5	21.74	-0.85	154.82	SLU 18	52.38	49.83	129.17	2.5	61.61	Si
											153.62							

Quota	Staffe	Direzione X									Direzione Y									Verifica
		V	N	Comb.	VRd	VRsd	VRcd	Cot	c.s.	V	N	Comb.	VRd	VRsd	VRcd	Cot	c.s.			
2.05	2X/2Y ø6/23.1	3.15	-	SLU 13	49.55	68.58	132.14	2.5	21.74	-0.85	-	SLU 18	52.23	49.83	129.01	2.5	61.43	Si		
2.36	2X/2Y ø6/23.1	3.15	-	SLU 13	49.39	68.58	131.97	2.5	21.74	-0.85	-	SLU 18	52.07	49.83	128.85	2.5	61.24	Si		
2.67	2X/2Y ø6/23.1	3.15	-	SLU 13	49.23	68.58	131.8	2.5	21.74	-0.85	-	SLU 18	51.91	49.83	128.69	2.5	61.06	Si		

Verifica a taglio in famiglia SLV

Quota	Staffe	Direzione X									Direzione Y									Verifica
		V	N	Comb.	VRd	VRsd	VRcd	Cot	c.s.	V	N	Comb.	VRd	VRsd	VRcd	Cot	c.s.			
-0.1	2X/2Y ø6/23.1	148.15	3.15	SLV 16	29.92	68.58	111.83	2.5	0.46	32.49	-39.62	SLV 11	37.45	49.83	113.72	2.5	1.53	No		
0.21	2X/2Y ø6/23.1	148.15	4.06	SLV 16	29.92	68.58	111.83	2.5	0.46	32.49	-38.71	SLV 11	37.33	49.83	113.6	2.5	1.53	No		
0.52	2X/2Y ø6/23.1	148.15	4.98	SLV 16	29.92	68.58	111.83	2.5	0.46	32.49	-37.78	SLV 11	37.21	49.83	113.48	2.5	1.53	No		
0.82	2X/2Y ø6/23.1	148.15	5.9	SLV 16	29.92	68.58	111.83	2.5	0.46	32.49	-36.86	SLV 11	37.09	49.83	113.35	2.5	1.53	No		
1.13	2X/2Y ø6/23.1	148.15	6.83	SLV 16	29.92	68.58	111.83	2.5	0.46	32.49	-35.94	SLV 11	36.97	49.83	113.23	2.5	1.53	No		
1.44	2X/2Y ø6/23.1	148.15	7.75	SLV 16	29.92	68.58	111.83	2.5	0.46	32.49	-35.01	SLV 11	36.85	49.83	113.1	2.5	1.53	No		
1.75	2X/2Y ø6/23.1	148.15	8.67	SLV 16	29.92	68.58	111.83	2.5	0.46	32.49	-34.09	SLV 11	36.73	49.83	112.97	2.5	1.53	No		
2.05	2X/2Y ø6/23.1	148.15	9.6	SLV 16	29.92	68.58	111.83	2.5	0.46	32.49	-33.17	SLV 11	36.6	49.83	112.85	2.5	1.53	No		
2.36	2X/2Y ø6/23.1	148.15	10.52	SLV 16	29.92	68.58	111.83	2.5	0.46	32.49	-32.24	SLV 11	36.48	49.83	112.72	2.5	1.53	No		
2.67	2X/2Y ø6/23.1	148.15	11.43	SLV 16	29.92	68.58	111.83	2.5	0.46	32.49	-31.34	SLV 11	36.36	49.83	112.6	2.5	1.53	No		

Verifica taglio ciclico secondo Circolare 7 21-01-19 §C8.7.2.3.5 formula [C8.7.2.8] in combinazione SLV

Quota	Q.inf.	Q.sup.	Dir.	Lv	x	h	p.tot	θ,m	θ,y	μΔ,pl	VRd	VRcd(cotθ=1)	VRsd	Vw	VR	VR,f	VEd	NEd	Comb.	Verifica
-0.1	-0.9	3.17	X	1.51	0.076	0.4	0.0077	0.002154	0.006563	0	29.918	162.153	68.577	27.431	35.693	68.577	148.153	3.147	SLV 16	No
-0.1	-0.9	3.17	Y	1.51	0.117	0.3	0.0077	0.002029	0.008218	0	37.449	164.899	49.835	19.934	25.217	49.835	32.495	-	SLV 11	Si

Verifica a taglio in famiglia SLD Resistenza

Quota	Staffe	Direzione X									Direzione Y									Verifica
		V	N	Comb.	VRd	VRsd	VRcd	Cot	c.s.	V	N	Comb.	VRd	VRsd	VRcd	Cot	c.s.			
-0.1	2X/2Y ø6/23.1	64.64	-54.06	SLD 16	37.23	68.58	119.39	2.5	1.06	-13.85	-121.7	SLD 6	48.2	49.83	124.85	2.5	3.6	Si		
0.21	2X/2Y ø6/23.1	64.64	-53.15	SLD 16	37.1	68.58	119.26	2.5	1.06	-13.85	120.79	SLD 6	48.08	49.83	124.72	2.5	3.6	Si		
0.52	2X/2Y ø6/23.1	64.64	-52.23	SLD 16	36.98	68.58	119.13	2.5	1.06	-13.85	119.87	SLD 6	47.96	49.83	124.6	2.5	3.6	Si		
0.82	2X/2Y ø6/23.1	64.64	-51.31	SLD 16	36.85	68.58	119.01	2.5	1.06	-13.85	118.94	SLD 6	47.84	49.83	124.47	2.5	3.6	Si		
1.13	2X/2Y ø6/23.1	64.64	-50.38	SLD 16	36.73	68.58	118.88	2.5	1.06	-13.85	118.02	SLD 6	47.72	49.83	124.35	2.5	3.6	Si		
1.44	2X/2Y ø6/23.1	64.64	-49.46	SLD 16	36.6	68.58	118.75	2.5	1.06	-13.85	-117.1	SLD 6	47.6	49.83	124.22	2.5	3.6	Si		
1.75	2X/2Y ø6/23.1	64.64	-48.54	SLD 16	36.48	68.58	118.62	2.5	1.06	-13.85	116.17	SLD 6	47.48	49.83	124.1	2.5	3.6	Si		
2.05	2X/2Y ø6/23.1	64.64	-47.61	SLD 16	36.36	68.58	118.49	2.5	1.06	-13.85	115.25	SLD 6	47.36	49.83	123.97	2.5	3.6	Si		
2.36	2X/2Y ø6/23.1	64.64	-46.69	SLD 16	36.23	68.58	118.36	2.5	1.06	-13.85	114.33	SLD 6	47.24	49.83	123.85	2.5	3.6	Si		
2.67	2X/2Y ø6/23.1	64.64	-45.78	SLD 16	36.11	68.58	118.23	2.5	1.06	-13.85	113.42	SLD 6	47.12	49.83	123.73	2.5	3.6	Si		

Indicatori di rischio sismico a taglio in SLV

Quota	Molt.	TR	I.R.TR	PGA	I.R.PGA	Comb.	Verifica
0.21	0.456	115	0.421	0.091	0.455	SLV 16	No
0.52	0.456	115	0.421	0.091	0.455	SLV 16	No
0.82	0.456	115	0.421	0.091	0.455	SLV 16	No
1.13	0.456	115	0.421	0.091	0.455	SLV 16	No
1.44	0.456	115	0.421	0.091	0.455	SLV 16	No
1.75	0.456	115	0.421	0.091	0.455	SLV 16	No
2.05	0.456	115	0.421	0.091	0.455	SLV 16	No
2.36	0.456	115	0.421	0.091	0.455	SLV 16	No
2.67	0.456	115	0.421	0.091	0.455	SLV 16	No

Indicatori di rischio sismico a taglio in SLD Resistenza

Quota	Molt.	TR	I.R.TR	PGA	I.R.PGA	Comb.	Verifica
-0.1	1.063	117	1.062	0.091	1.062	SLD 16	Si
0.21	1.063	117	1.062	0.091	1.062	SLD 16	Si
0.52	1.063	117	1.062	0.091	1.062	SLD 16	Si
0.82	1.063	117	1.062	0.091	1.062	SLD 16	Si
1.13	1.063	117	1.062	0.091	1.062	SLD 16	Si
1.44	1.063	117	1.062	0.091	1.062	SLD 16	Si
1.75	1.063	117	1.062	0.091	1.062	SLD 16	Si
2.05	1.063	117	1.062	0.091	1.062	SLD 16	Si
2.36	1.063	117	1.062	0.091	1.062	SLD 16	Si
2.67	1.063	117	1.062	0.091	1.062	SLD 16	Si

Verifiche nodi trave colonna

Riepilogo dei dati per le diverse tipologie di verifica eseguite per i nodi

Pilastrata	Q.Nodo	Escluso	Confinato	Segnalazioni
Pilastrata P9	-0.9	Si	No	non tutte le travature convergenti al nodo sono calcolate/validate
Pilastrata P9	3.17	No	No	

Verifiche nodi trave colonna in combinazioni SLD

Riepilogo dei dati per la verifica del nodo secondo Circolare 7 21-01-19 §C8.7.2.3.5.

Pilastrata	Q.Nodo	Angolo travatura	Aj	Vpc	Vtc	Vnc	Nc	onc	onc,lim	Comb.c	Vpt	Vtt	Vnt	Nt	ont	ont,lim	Comb.t	Segnalazioni	Verifica
Pilastrata P9	3.17	0	0.09632	0	84.025	84.025	0	872	3919	SLD 16	0	84.025	84.025	0	872	840	SLD 16		No
Pilastrata P9	3.17	180	0.09632	0	84.025	84.025	0	872	3919	SLD 16	0	84.025	84.025	0	872	840	SLD 16		No

Verifiche nodi trave colonna in combinazioni SLV

Riepilogo dei dati per la verifica del nodo secondo Circolare 7 21-01-19 §C8.7.2.3.5.

Pilastrata	Q.Nodo	Angolo travatura	Aj	Vpc	Vtc	Vnc	Nc	onc	onc,lim	Comb.c	Vpt	Vtt	Vnt	Nt	ont	ont,lim	Comb.t	Segnalazioni	Verifica
Pilastrata P9	3.17	0	0.09632	0	194.838	194.838	0	2023	3919	SLV 16	0	194.838	194.838	0	2023	840	SLV 16		No
Pilastrata P9	3.17	180	0.09632	0	194.838	194.838	0	2023	3919	SLV 16	0	194.838	194.838	0	2023	840	SLV 16		No

Indicatori di rischio sismico dei nodi in SLD

Pilastrata	Q.Nodo	Angolo travatura	Moltiplicatore	TR	I.R.TR	PGA	I.R.PGA	Comb.	Ver.
Pilastrata P9	3.17	0	0.963	92	0.962	0.083	0.962	SLD 16	No
Pilastrata P9	3.17	180	0.963	92	0.962	0.083	0.962	SLD 16	No

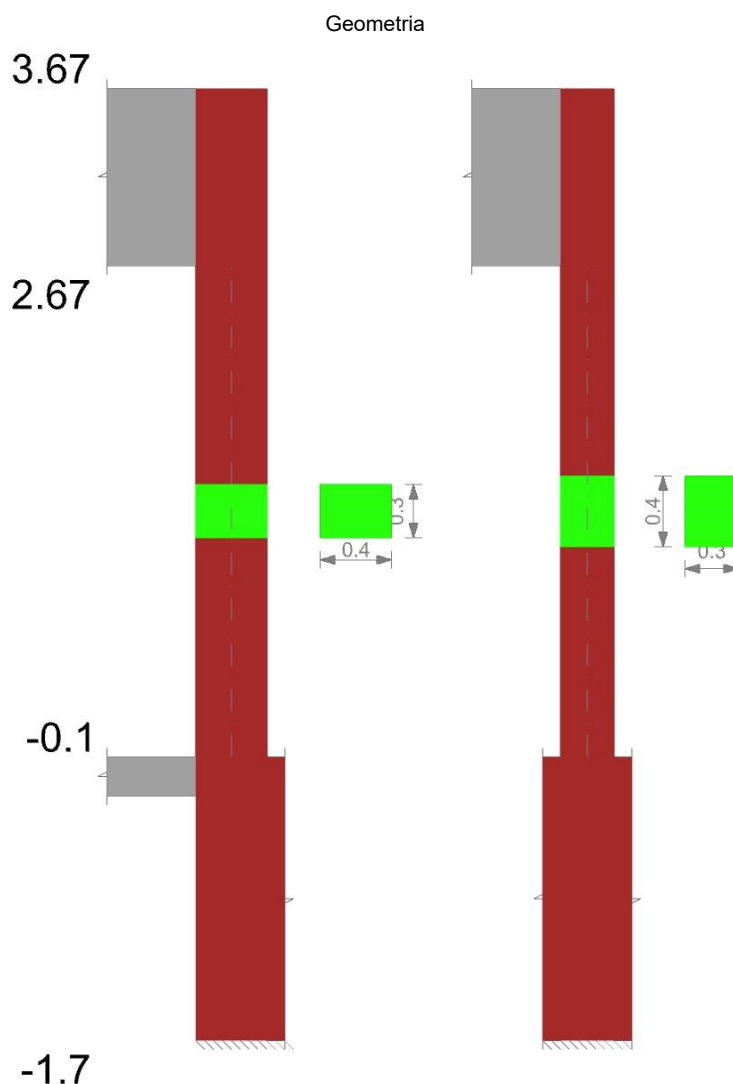
Indicatori di rischio sismico dei nodi in SLV

Pilastrata	Q.Nodo	Angolo travatura	Moltiplicatore	TR	I.R.TR	PGA	I.R.PGA	Comb.	Ver.
Pilastrata P9	3.17	0	0.413	91	0.382	0.082	0.413	SLV 16	No
	3.17	180	0.413	91	0.382	0.082	0.413	SLV 16	No

Verifiche di gerarchia delle resistenze nei nodi trave pilastro

Verifiche di gerarchia delle resistenze nei nodi trave pilastro non presenti in quanto la verifica è non necessaria per la pilastrata per il nodo Appoggio -0.9 in quanto elemento di materiale esistente.
per il nodo Appoggio 3.17 in quanto elemento di materiale esistente.

Pilastrata P10



Dati della pilastrata

Analisi di edificio esistente con fattore di struttura.

Fattore di struttura per meccanismi duttili in direzione X: 1.5

Fattore di struttura per meccanismi duttili in direzione Y: 1.5

Fattore di struttura per meccanismi fragili in direzione X: 1

Fattore di struttura per meccanismi fragili in direzione Y: 1

Verifica dei meccanismi fragili condotta secondo Circolare 7 21-01-19 (§C8.7.2.2) Analisi lineare con fattore q.

Fattore di amplificazione dei meccanismi fragili della componente sismica in direzione X: 1

Fattore di amplificazione dei meccanismi fragili della componente sismica in direzione Y: 1

Campate costituenti la pilastrata

Q.inf.	Q.sup.	Sezione	Esistente	Secondaria	Dissipativa	Interna a parete	Sovreresistenza	Materiale CLS	Materiale Acciaio	FC
-0.1	2.67	R 40x30	Si	No	No	No		C14/17 LC2 Vigone A	Vigone_FeB22k_LC2_FC = 1.2; Vigone_FeB44k_Staffe_LC2_FC = 1.2	1.2

Disposizione delle armature longitudinali

Posizione	X	Y	Diametro	Area	Q.inf.	Q.sup.	Sezione	Materiale
p.1	-0.1605	-0.1105	0.014	0.0001539	-0.9	-0.1	R 40x30	Vigone_FeB22k_LC2
p.1	0.1605	-0.1105	0.014	0.0001539	-0.9	-0.1	R 40x30	Vigone_FeB22k_LC2
p.1	0.1605	0.1105	0.014	0.0001539	-0.9	-0.1	R 40x30	Vigone_FeB22k_LC2
p.1	-0.1605	0.1105	0.014	0.0001539	-0.9	-0.1	R 40x30	Vigone_FeB22k_LC2
p.1	0	-0.112	0.014	0.0001539	-0.9	-0.1	R 40x30	Vigone_FeB22k_LC2
p.1	0	0.112	0.014	0.0001539	-0.9	-0.1	R 40x30	Vigone_FeB22k_LC2

Posizione	X	Y	Diametro	Area	Q.inf.	Q.sup.	Sezione	Materiale
p.2	-0.1605	-0.1105	0.014	0.0001539	-0.1	2.67	R 40x30	Vigone FeB22k LC2
p.2	0.1605	-0.1105	0.014	0.0001539	-0.1	2.67	R 40x30	Vigone FeB22k LC2
p.2	0.1605	0.1105	0.014	0.0001539	-0.1	2.67	R 40x30	Vigone FeB22k LC2
p.2	-0.1605	0.1105	0.014	0.0001539	-0.1	2.67	R 40x30	Vigone FeB22k LC2
p.2	0	-0.112	0.014	0.0001539	-0.1	2.67	R 40x30	Vigone FeB22k LC2
p.2	0	0.112	0.014	0.0001539	-0.1	2.67	R 40x30	Vigone FeB22k LC2

Controlli geometrici NTC18

Nessuna anomalia

Verifiche delle sezioni**Verifica a pressoflessione in SLU**

Quota	As	%	At	Pos.	Mx	My	N	MRdx	MRdy	Comb.	Coeff.s.	Verifica
-0.1	0.000924	1.5	0	1,2	-1.88	-1.0133	-76.99	-19.8936	-10.7222	SLU 12	10.582	Si
0.21	0.000924	1.5	0	1,2	0.1285	-0.5083	-76.43	1.4284	-5.6501	SLU 18	11.116	Si
0.52	0.000924	1.5	0	1,2	0.6777	-0.2519	-75.23	7.6534	-2.8449	SLU 18	11.294	Si
0.82	0.000924	0.8	0	2	1.2268	0.0045	-74.03	14.0804	0.0513	SLU 18	11.477	Si
1.13	0.000924	0.8	0	2	1.776	0.2608	-72.83	20.0684	2.9474	SLU 18	11.3	Si
1.44	0.000924	0.8	0	2	2.3253	0.5172	-71.63	25.0269	5.5661	SLU 17	10.763	Si
1.75	0.000924	0.8	0	2	3.1602	0.782	-69.81	31.5174	7.7987	SLU 12	9.973	Si
2.05	0.000924	0.8	0	2	4.0025	1.082	-68.61	36.6167	9.8984	SLU 12	9.148	Si
2.36	0.000924	0.8	0	2	4.8448	1.382	-67.41	40.6503	11.5956	SLU 12	8.39	Si
2.67	0.000924	0.8	0	2	5.6734	1.6771	-66.22	43.7754	12.9406	SLU 12	7.716	Si

Verifica a pressoflessione in SLV

E' attiva l'opzione fattori parziali di sicurezza unitari per meccanismi duttili di strutture esistenti con fattore q

Quota	As	%	At	Pos.	Mx	My	N	MRdx	MRdy	Comb.	C.S.	Nmin	Nlim	Comb.Nmin	Ver.
-0.1	0.000924	1.5	0	1,2	253.1859	130.6183	164.11	27.1278	13.9952	SLV 6	0.107				No
0.21	0.000924	1.5	0	1,2	201.507	104.4861	165.01	26.6547	13.8211	SLV 6	0.132				No
0.52	0.000924	1.5	0	1,2	148.975	77.9228	165.94	25.8728	13.533	SLV 6	0.174				No
0.82	0.000924	0.8	0	2	96.4434	51.3603	166.86	24.3728	12.9796	SLV 6	0.253				No
1.13	0.000924	0.8	0	2	43.9148	24.802	167.78	20.3569	11.4971	SLV 6	0.464				No
1.44	0.000924	0.8	0	2	-8.6557	-1.7043	168.71	-9.0276	-1.7775	SLV 6	1.043				Si
1.75	0.000924	0.8	0	2	-61.1616	-28.3469	169.63	-22.254	-10.3142	SLV 6	0.364				No
2.05	0.000924	0.8	0	2	-113.6921	-54.9064	170.55	-24.9698	-12.0589	SLV 6	0.22				No
2.36	0.000924	0.8	0	2	-166.2239	-81.4691	171.48	-26.1308	-12.8071	SLV 6	0.157				No
2.67	0.000924	0.8	0	2	-217.9026	-107.6009	172.39	-26.767	-13.2176	SLV 6	0.123				No

Verifica a pressoflessione in SLD

Quota	As	%	At	Pos.	Mx	My	N	MRdx	MRdy	Comb.	Coeff.s.	Verifica
-0.1	0.000924	1.5	0	1,2	102.0774	54.4238	37.47	27.907	14.879	SLD 6	0.273	No
0.21	0.000924	1.5	0	1,2	81.4127	43.5645	38.38	27.599	14.7685	SLD 6	0.339	No
0.52	0.000924	1.5	0	1,2	60.4068	32.5261	39.31	27.0853	14.5841	SLD 6	0.448	No
0.82	0.000924	0.8	0	2	39.4011	21.4881	40.23	26.0816	14.224	SLD 6	0.662	No
1.13	0.000924	0.8	0	2	18.3969	10.4518	41.15	23.2223	13.1933	SLD 6	1.262	Si
1.44	0.000924	0.8	0	2	-2.6274	-0.5604	42.08	-10.3421	-2.206	SLD 6	3.936	Si
1.75	0.000924	0.8	0	2	-23.6206	-11.6347	43	-24.2153	-11.9276	SLD 6	1.025	Si
2.05	0.000924	0.8	0	2	-44.6258	-22.6715	43.92	-26.2299	-13.3258	SLD 6	0.588	No
2.36	0.000924	0.8	0	2	-65.6315	-33.7096	44.85	-27.0334	-13.8849	SLD 6	0.412	No
2.67	0.000924	0.8	0	2	-86.2962	-44.5688	45.75	-27.4608	-14.1825	SLD 6	0.318	No

Indicatori di rischio sismico a pressoflessione in SLV

E' attiva l'opzione fattori parziali di sicurezza unitari per meccanismi duttili di strutture esistenti con fattore q

Quota	Molt.	TR	I.R.TR	PGA	I.R.PGA	Comb.	Ver.
-0.1	0.125	13	0.172	0.034	0.169	SLV 6	No
0.21	0.152	18	0.197	0.039	0.197	SLV 6	No
0.52	0.197	28	0.236	0.048	0.241	SLV 6	No
0.82	0.28	51	0.302	0.063	0.318	SLV 6	No
1.13	0.495	159	0.481	0.104	0.52	SLV 6	No
1.44	1.035	1045	1.04	0.206	1.031	SLV 6	Si
1.75	0.413	107	0.409	0.088	0.442	SLV 6	No
2.05	0.258	44	0.284	0.059	0.297	SLV 6	No
2.36	0.188	26	0.229	0.047	0.233	SLV 6	No
2.67	0.149	17	0.192	0.038	0.191	SLV 6	No

Indicatori di rischio sismico a pressoflessione in SLD Resistenza

Quota	Molt.	TR	I.R.TR	PGA	I.R.PGA	Comb.	Ver.
-0.1	0.31	12	0.418	0.033	0.378	SLD 6	No
0.21	0.376	18	0.493	0.039	0.456	SLD 6	No
0.52	0.486	28	0.591	0.048	0.56	SLD 6	No
0.82	0.692	49	0.743	0.063	0.731	SLD 6	No
1.13	1.223	154	1.189	0.102	1.19	SLD 6	Si
1.44	2.553	1000	2.56	0.203	2.36	SLD 6	Si
1.75	1.021	105	1.016	0.087	1.016	SLD 6	Si
2.05	0.638	44	0.711	0.059	0.689	SLD 6	No
2.36	0.465	25	0.564	0.046	0.531	SLD 6	No
2.67	0.368	17	0.482	0.038	0.444	SLD 6	No

Verifica a taglio in famiglia SLU

Quota	Staffe	V	N	Direzione X					Direzione Y					Verifica				
				Comb.	VRd	VRsd	VRcd	Cot	c.s.	Comb.	VRd	VRsd	VRcd		Cot	c.s.		
-0.1	2X/2Y ø6/23.1	0.98	-76.99	SLU 13	40.33	68.58	122.6	2.5	70.25	2.74	-76.99	SLU 12	42.34	49.83	118.79	2.5	18.21	Si
0.21	2X/2Y ø6/23.1	0.98	-75.81	SLU 13	40.17	68.58	122.43	2.5	70.25	2.74	-75.81	SLU 12	42.19	49.83	118.63	2.5	18.21	Si
0.52	2X/2Y ø6/23.1	0.98	-74.61	SLU 13	40	68.58	122.26	2.5	70.25	2.74	-74.61	SLU 12	42.03	49.83	118.47	2.5	18.21	Si
0.82	2X/2Y ø6/23.1	0.98	-73.41	SLU 13	39.84	68.58	122.1	2.5	70.25	2.74	-73.41	SLU 12	41.88	49.83	118.3	2.5	18.21	Si
1.13	2X/2Y ø6/23.1	0.98	-72.21	SLU 13	39.68	68.58	121.93	2.5	70.25	2.74	-72.21	SLU 12	41.72	49.83	118.14	2.5	18.21	Si
1.44	2X/2Y ø6/23.1	0.98	-71.01	SLU 13	39.52	68.58	121.76	2.5	70.25	2.74	-71.01	SLU 12	41.56	49.83	117.98	2.5	18.21	Si
1.75	2X/2Y ø6/23.1	0.98	-69.81	SLU 13	39.36	68.58	121.59	2.5	70.25	2.74	-69.81	SLU 12	41.4	49.83	117.81	2.5	18.21	Si
2.05	2X/2Y ø6/23.1	0.98	-68.61	SLU 13	39.19	68.58	121.43	2.5	70.25	2.74	-68.61	SLU 12	41.25	49.83	117.65	2.5	18.21	Si
2.36	2X/2Y ø6/23.1	0.98	-67.41	SLU 13	39.03	68.58	121.26	2.5	70.25	2.74	-67.41	SLU 12	41.09	49.83	117.49	2.5	18.21	Si
2.67	2X/2Y ø6/23.1	0.98	-66.22	SLU 13	38.87	68.58	121.09	2.5	70.25	2.74	-66.22	SLU 12	40.93	49.83	117.33	2.5	18.21	Si

Verifica a taglio in famiglia SLV

Quota	Staffe	V	N	Direzione X					Direzione Y					Verifica				
				Comb.	VRd	VRsd	VRcd	Cot	c.s.	Comb.	VRd	VRsd	VRcd		Cot	c.s.		
-0.1	2X/2Y ø6/23.1	139.82	-239.3	SLV 16	51.54	68.58	139.79	2.5	0.49	-	164.11	SLV 6	32.26	49.83	108.36	2.5	0.29	No
0.21	2X/2Y ø6/23.1	139.82	-238.39	SLV 16	51.54	68.58	139.79	2.5	0.49	-	165.01	SLV 6	32.26	49.83	108.36	2.5	0.29	No

Quota	Staffe	Direzione X								Direzione Y								Verifica
		V	N	Comb.	VRd	VRsd	VRcd	Cot	c.s.	V	N	Comb.	VRd	VRsd	VRcd	Cot	c.s.	
0.52	2X/2Y ø6/23.1	139.82	-	SLV 16	51.54	68.58	139.79	2.5	0.49	-	165.94	SLV 6	32.26	49.83	108.36	2.5	0.29	No
			237.47							170.68								
0.82	2X/2Y ø6/23.1	139.82	-	SLV 16	51.54	68.58	139.79	2.5	0.49	-	166.86	SLV 6	32.26	49.83	108.36	2.5	0.29	No
			236.54							170.68								
1.13	2X/2Y ø6/23.1	139.82	-	SLV 16	51.54	68.58	139.79	2.5	0.49	-	167.78	SLV 6	32.26	49.83	108.36	2.5	0.29	No
			235.62							170.68								
1.44	2X/2Y ø6/23.1	139.82	-234.7	SLV 16	51.54	68.58	139.79	2.5	0.49	-	168.71	SLV 6	32.26	49.83	108.36	2.5	0.29	No
										170.68								
1.75	2X/2Y ø6/23.1	139.82	-	SLV 16	51.54	68.58	139.79	2.5	0.49	-	169.63	SLV 6	32.26	49.83	108.36	2.5	0.29	No
			233.77							170.68								
2.05	2X/2Y ø6/23.1	139.82	-	SLV 16	51.54	68.58	139.79	2.5	0.49	-	170.55	SLV 6	32.26	49.83	108.36	2.5	0.29	No
			232.85							170.68								
2.36	2X/2Y ø6/23.1	139.82	-	SLV 16	51.54	68.58	139.79	2.5	0.49	-	171.48	SLV 6	32.26	49.83	108.36	2.5	0.29	No
			231.93							170.68								
2.67	2X/2Y ø6/23.1	139.82	-	SLV 16	51.54	68.58	139.79	2.5	0.49	-	172.39	SLV 6	32.26	49.83	108.36	2.5	0.29	No
			231.02							170.68								

Verifica taglio ciclico secondo Circolare 7 21-01-19 §C8.7.2.3.5 formula [C8.7.2.8] in combinazione SLV

Quota	Q.inf.	Q.sup.	Dir.	Lv	x	h	p,tot	θ,m	θ,y	μΔ,pl	VRd	VRcd(cotθ=1)	VRsd	Vw	VR	VRf	VEd	NEd	Comb.	Verifica
-0.1	-0.9	3.17	X	1.51	0.151	0.4	0.0077	0.002087	0.006563	0	51.538	202.691	68.577	27.431	52.828	68.577	139.824	-239.3	SLV 16	No
-0.1	-0.9	3.17	Y	1.51	0.17	0.3	0.0077	0.004123	0.008218	0	32.259	157.115	49.835	19.934	23.128	49.835	-	164.105	SLV 6	No
																	170.683			

Verifica a taglio in famiglia SLD Resistenza

Quota	Staffe	Direzione X								Direzione Y								Verifica
		V	N	Comb.	VRd	VRsd	VRcd	Cot	c.s.	V	N	Comb.	VRd	VRsd	VRcd	Cot	c.s.	
-0.1	2X/2Y ø6/23.1	60.31	-	SLD 16	47.44	68.58	129.96	2.5	1.14	70.39	-	SLD 11	50.03	49.83	126.74	2.5	0.71	No
			129.63								135.63							
0.21	2X/2Y ø6/23.1	60.31	-	SLD 16	47.32	68.58	129.83	2.5	1.14	70.39	-	SLD 11	49.91	49.83	126.61	2.5	0.71	No
			128.72								134.72							
0.52	2X/2Y ø6/23.1	60.31	-127.8	SLD 16	47.2	68.58	129.7	2.5	1.14	70.39	-133.8	SLD 11	49.79	49.83	126.49	2.5	0.71	No
0.82	2X/2Y ø6/23.1	60.31	-	SLD 16	47.07	68.58	129.57	2.5	1.14	70.39	-	SLD 11	49.67	49.83	126.36	2.5	0.71	No
			126.87								132.87							
1.13	2X/2Y ø6/23.1	60.31	-	SLD 16	46.95	68.58	129.45	2.5	1.14	70.39	-	SLD 11	49.54	49.83	126.24	2.5	0.71	No
			125.95								131.95							
1.44	2X/2Y ø6/23.1	60.31	-	SLD 16	46.82	68.58	129.32	2.5	1.14	70.39	-	SLD 11	49.42	49.83	126.11	2.5	0.71	No
			125.03								131.03							
1.75	2X/2Y ø6/23.1	60.31	-124.1	SLD 16	46.7	68.58	129.19	2.5	1.14	70.39	-130.1	SLD 11	49.3	49.83	125.99	2.5	0.71	No
2.05	2X/2Y ø6/23.1	60.31	-	SLD 16	46.57	68.58	129.06	2.5	1.14	70.39	-	SLD 11	49.18	49.83	125.86	2.5	0.71	No
			123.18								129.18							
2.36	2X/2Y ø6/23.1	60.31	-	SLD 16	46.45	68.58	128.93	2.5	1.14	70.39	-	SLD 11	49.06	49.83	125.74	2.5	0.71	No
			122.26								128.26							
2.67	2X/2Y ø6/23.1	60.31	-	SLD 16	46.32	68.58	128.8	2.5	1.14	70.39	-	SLD 11	48.94	49.83	125.61	2.5	0.71	No
			121.35								127.35							

Indicatori di rischio sismico a taglio in SLV

Quota	Molt.	TR	I.R.TR	PGA	I.R.PGA	Comb.	Verifica
0.21	0.284	53	0.306	0.065	0.324	SLV 11	No
0.52	0.284	53	0.306	0.065	0.324	SLV 11	No
0.82	0.284	53	0.306	0.065	0.324	SLV 11	No
1.13	0.284	53	0.306	0.065	0.324	SLV 11	No
1.44	0.284	53	0.306	0.065	0.324	SLV 11	No
1.75	0.284	53	0.306	0.065	0.324	SLV 11	No
2.05	0.284	53	0.306	0.065	0.324	SLV 11	No
2.36	0.284	53	0.306	0.065	0.324	SLV 11	No
2.67	0.284	53	0.306	0.065	0.324	SLV 11	No

Indicatori di rischio sismico a taglio in SLD Resistenza

Quota	Molt.	TR	I.R.TR	PGA	I.R.PGA	Comb.	Verifica
-0.1	0.703	51	0.756	0.063	0.737	SLD 11	No
0.21	0.703	51	0.756	0.063	0.737	SLD 11	No
0.52	0.703	51	0.756	0.063	0.737	SLD 11	No
0.82	0.703	51	0.756	0.063	0.737	SLD 11	No
1.13	0.703	51	0.756	0.063	0.737	SLD 11	No
1.44	0.703	51	0.756	0.063	0.737	SLD 11	No
1.75	0.703	51	0.756	0.063	0.737	SLD 11	No
2.05	0.703	51	0.756	0.063	0.737	SLD 11	No
2.36	0.703	51	0.756	0.063	0.737	SLD 11	No
2.67	0.703	51	0.756	0.063	0.737	SLD 11	No

Verifiche nodi trave colonna

Riepilogo dei dati per le diverse tipologie di verifica eseguite per i nodi

Pilastrata	Q.Nodo	Escluso	Confinato	Segnalazioni
Pilastrata P10	-0.9	Si	No	non tutte le travature convergenti al nodo sono calcolate/validate
Pilastrata P10	3.17	No	No	

Verifiche nodi trave colonna in combinazioni SLD

Riepilogo dei dati per la verifica del nodo secondo Circolare 7 21-01-19 §C8.7.2.3.5.

Pilastrata	Q.Nodo	Angolo travatura	Aj	Vpc	Vtc	Vnc	Nc	onc	onc,lim	Comb.c	Vpt	Vtt	Vnt	Nt	ont	ont,lim	Comb.t	Segnalazioni	Verifica
Pilastrata P10	3.17	180	0.09632	0	80.943	80.943	0	840	3919	SLD 16	0	80.943	80.943	0	840	840	SLD 16		No
	3.17	270	0.0896	0	100.83	100.83	0	1125	3919	SLD 11	0	100.83	100.83	0	1125	840	SLD 11		No

Verifiche nodi trave colonna in combinazioni SLV

Riepilogo dei dati per la verifica del nodo secondo Circolare 7 21-01-19 §C8.7.2.3.5.

Pilastrata	Q.Nodo	Angolo travatura	Aj	Vpc	Vtc	Vnc	Nc	onc	onc,lim	Comb.c	Vpt	Vtt	Vnt	Nt	ont	ont,lim	Comb.t	Segnalazioni	Verifica
Pilastrata P10	3.17	180	0.09632	0	178.318	178.318	0	1851	3919	SLV 16	0	178.318	178.318	0	1851	840	SLV 16		No
	3.17	270	0.0896	0	221.371	221.371	0	2471	3919	SLV 11	0	221.371	221.371	0	2471	840	SLV 11		No

Indicatori di rischio sismico dei nodi in SLD

Pilastrata	Q.Nodo	Angolo travatura	Moltiplicatore	TR	I.R.TR	PGA	I.R.PGA	Comb.	Ver.
Pilastrata P10	3.17	180	0.999	100	0.996	0.086	0.996	SLD 16	No
	3.17	270	0.752	58	0.797	0.067	0.784	SLD 11	No

Indicatori di rischio sismico dei nodi in SLV

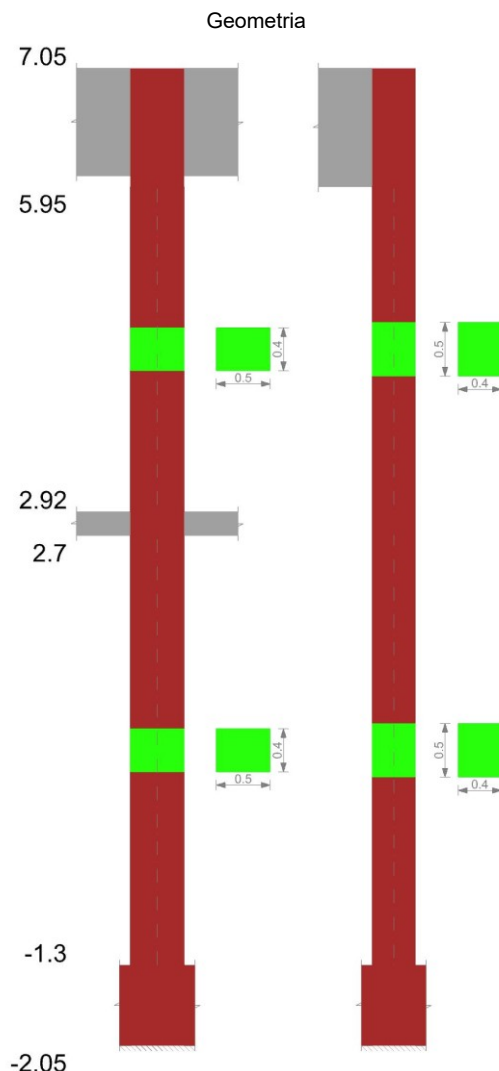
Pilastrata	Q.Nodo	Angolo travatura	Moltiplicatore	TR	I.R.TR	PGA	I.R.PGA	Comb.	Ver.
Pilastrata P10	3.17	180	0.43	99	0.396	0.085	0.428	SLV 16	No

Pilastrata	Q.Nodo	Angolo travatura	Moltiplicatore	TR	I.R.TR	PGA	I.R.PGA	Comb.	Ver.
	3.17	270	0.304	60	0.322	0.069	0.343	SLV 11	No

Verifiche di gerarchia delle resistenze nei nodi trave pilastro

Verifiche di gerarchia delle resistenze nei nodi trave pilastro non presenti in quanto la verifica è non necessaria per la pilastrata per il nodo Appoggio -0.9 in quanto elemento di materiale esistente.
per il nodo Appoggio 3.17 in quanto elemento di materiale esistente.

Pilastrata P11



Dati della pilastrata

Analisi di edificio esistente con fattore di struttura.

Fattore di struttura per meccanismi duttili in direzione X: 1.5

Fattore di struttura per meccanismi duttili in direzione Y: 1.5

Fattore di struttura per meccanismi fragili in direzione X: 1

Fattore di struttura per meccanismi fragili in direzione Y: 1

Verifica dei meccanismi fragili condotta secondo Circolare 7 21-01-19 (§C8.7.2.2) Analisi lineare con fattore q.

Fattore di amplificazione dei meccanismi fragili della componente sismica in direzione X: 1

Fattore di amplificazione dei meccanismi fragili della componente sismica in direzione Y: 1

Campate costituenti la pilastrata

Q.inf.	Q.sup.	Sezione	Esistente	Secondaria	Dissipativa	Interna a parete	Sovreresistenza	Materiale CLS	Materiale Acciaio	FC
-1.3	2.7	R 50x40	Si	No	No	No		C14/17 LC2 Vigone A	Vigone_FeB22k_LC2_FC = 1.2; Vigone_FeB44k_Staffe_LC2_FC = 1.2	1.2
2.92	5.95	R 50x40	Si	No	No	No		C14/17 LC2 Vigone A	Vigone_FeB22k_LC2_FC = 1.2; Vigone_FeB44k_Staffe_LC2_FC = 1.2	1.2

Disposizione delle armature longitudinali

Posizione	X	Y	Diametro	Area	Q.inf.	Q.sup.	Sezione	Materiale
p.1	-0.2105	-0.1605	0.014	0.0001539	-1.675	-1.3	R 50x40	Vigone_FeB22k_LC2
p.1	0.2105	-0.1605	0.014	0.0001539	-1.675	-1.3	R 50x40	Vigone_FeB22k_LC2
p.1	0.2105	0.1605	0.014	0.0001539	-1.675	-1.3	R 50x40	Vigone_FeB22k_LC2
p.1	-0.2105	0.1605	0.014	0.0001539	-1.675	-1.3	R 50x40	Vigone_FeB22k_LC2
p.1	0	-0.162	0.014	0.0001539	-1.675	-1.3	R 50x40	Vigone_FeB22k_LC2
p.1	0	0.162	0.014	0.0001539	-1.675	-1.3	R 50x40	Vigone_FeB22k_LC2

Posizione	X	Y	Diametro	Area	Q.inf.	Q.sup.	Sezione	Materiale
p.1	-0.212	0	0.014	0.0001539	-1.675	-1.3	R 50x40	Vigone FeB22k LC2
p.1	0.212	0	0.014	0.0001539	-1.675	-1.3	R 50x40	Vigone FeB22k LC2
p.2	-0.2105	-0.1605	0.014	0.0001539	-1.3	2.92	R 50x40	Vigone FeB22k LC2
p.2	0.2105	-0.1605	0.014	0.0001539	-1.3	2.92	R 50x40	Vigone FeB22k LC2
p.2	0.2105	0.1605	0.014	0.0001539	-1.3	2.92	R 50x40	Vigone FeB22k LC2
p.2	-0.2105	0.1605	0.014	0.0001539	-1.3	2.92	R 50x40	Vigone FeB22k LC2
p.2	0	-0.162	0.014	0.0001539	-1.3	2.92	R 50x40	Vigone FeB22k LC2
p.2	0	0.162	0.014	0.0001539	-1.3	2.92	R 50x40	Vigone FeB22k LC2
p.2	-0.212	0	0.014	0.0001539	-1.3	2.92	R 50x40	Vigone FeB22k LC2
p.2	0.212	0	0.014	0.0001539	-1.3	2.92	R 50x40	Vigone FeB22k LC2
p.3	-0.2105	-0.1605	0.014	0.0001539	2.92	5.95	R 50x40	Vigone FeB22k LC2
p.3	0.2105	-0.1605	0.014	0.0001539	2.92	5.95	R 50x40	Vigone FeB22k LC2
p.3	0.2105	0.1605	0.014	0.0001539	2.92	5.95	R 50x40	Vigone FeB22k LC2
p.3	-0.2105	0.1605	0.014	0.0001539	2.92	5.95	R 50x40	Vigone FeB22k LC2
p.3	0	-0.162	0.014	0.0001539	2.92	5.95	R 50x40	Vigone FeB22k LC2
p.3	0	0.162	0.014	0.0001539	2.92	5.95	R 50x40	Vigone FeB22k LC2
p.3	-0.212	0	0.014	0.0001539	2.92	5.95	R 50x40	Vigone FeB22k LC2
p.3	0.212	0	0.014	0.0001539	2.92	5.95	R 50x40	Vigone FeB22k LC2

Controlli geometrici NTC18

Nessuna anomalia

Verifiche delle sezioni**Verifica a pressoflessione in SLU**

Quota	As	%	At	Pos.	Mx	My	N	MRdx	MRdy	Comb.	Coeff.s.	Verifica
-1.3	0.001232	1.2	0	1,2	-2.0433	7.632	-596.88	-4.608	17.211	SLU 17	2.255	Si
-0.99	0.001232	1.2	0	1,2	-1.3444	6.0679	-594.91	-3.0418	13.7291	SLU 17	2.263	Si
-0.68	0.001232	1.2	0	1,2	-0.6339	4.478	-592.91	-1.4391	10.166	SLU 17	2.27	Si
-0.38	0.001232	0.6	0	2	0.0766	2.8881	-590.91	0.1744	6.5788	SLU 17	2.278	Si
-0.07	0.001232	0.6	0	2	0.7871	1.2982	-588.91	1.799	2.9672	SLU 17	2.286	Si
0.24	0.001232	0.6	0	2	1.5056	-0.3097	-586.89	3.4531	-0.7103	SLU 17	2.294	Si
0.55	0.001232	0.6	0	2	2.208	-1.8816	-584.91	5.0813	-4.3301	SLU 17	2.301	Si
0.85	0.001232	0.6	0	2	2.9185	-3.4715	-582.91	6.7394	-8.0163	SLU 17	2.309	Si
1.16	0.001232	0.6	0	2	3.629	-5.0614	-580.91	8.4088	-11.7279	SLU 17	2.317	Si
1.47	0.001232	0.6	0	2	4.3395	-6.6514	-578.91	10.0899	-15.4652	SLU 17	2.325	Si
1.78	0.001232	0.6	0	2	5.05	-8.2413	-576.91	11.7825	-19.2283	SLU 17	2.333	Si
2.08	0.001232	0.6	0	2	5.7605	-9.8312	-574.91	13.487	-23.0176	SLU 17	2.341	Si
2.39	0.001232	0.6	0	2	6.471	-11.4211	-572.91	15.2033	-26.8334	SLU 17	2.349	Si
2.67	0.001232	0.6	0	2	7.0898	-12.806	-571.17	16.7081	-30.1789	SLU 17	2.357	Si
2.7	0.001232	0.6	0	2	7.1699	-12.9851	-570.94	16.9035	-30.6133	SLU 17	2.358	Si
2.92	0.001232	1.2	0	2,3	7.2036	20.6093	-468.12	19.6753	56.2905	SLU 18	2.731	Si
3.22	0.001232	1.2	0	2,3	6.6094	17.7745	-466.2	18.6726	58.6726	SLU 18	2.825	Si
3.53	0.001232	1.2	0	2,3	5.9938	14.8706	-464.25	17.3783	43.1155	SLU 17	2.899	Si
3.83	0.001232	0.6	0	3	5.3783	11.9309	-462.27	15.6606	34.7404	SLU 17	2.912	Si
4.13	0.001232	0.6	0	3	4.7665	9.0086	-460.3	13.9385	26.3435	SLU 17	2.924	Si
4.44	0.001232	0.6	0	3	4.1546	6.0863	-458.33	12.2015	17.8744	SLU 17	2.937	Si
4.74	0.001232	0.6	0	3	3.5428	3.164	-456.36	10.4496	9.3323	SLU 17	2.95	Si
5.04	0.001232	0.6	0	3	2.931	0.2417	-454.39	8.6825	0.716	SLU 17	2.962	Si
5.34	0.001232	0.6	0	3	2.3192	-2.6806	-452.42	6.8999	-7.9752	SLU 17	2.975	Si
5.65	0.001232	0.6	0	3	1.7073	-5.6029	-450.45	5.1019	-16.7424	SLU 17	2.988	Si
5.95	0.001232	0.6	0	3	1.1056	-8.4769	-448.51	3.318	-25.4401	SLU 17	3.001	Si

Verifica a pressoflessione in SLV

E' attiva l'opzione fattori parziali di sicurezza unitari per meccanismi duttili di strutture esistenti con fattore q

Quota	As	%	At	Pos.	Mx	My	N	MRdx	MRdy	Comb.	C.S.	Nmin	Nlim	Comb.Nmin	Ver.
-1.3	0.001232	1.2	0	1,2	103.277	-56.5469	-255.24	77.5633	-42.4679	SLV 15	0.751				No
-0.99	0.001232	1.2	0	1,2	87.4344	-58.1571	-253.72	78.1618	-51.9894	SLV 15	0.894				No
-0.68	0.001232	1.2	0	1,2	67.7173	-47.4157	-280.89	89.6805	-62.7944	SLV 13	1.324				Si
-0.38	0.001232	0.6	0	2	59.3524	-48.7218	-279.35	89.1571	-73.1881	SLV 13	1.502				Si
-0.07	0.001232	0.6	0	2	49.9068	-50.2627	-277.82	85.6213	-86.2318	SLV 13	1.716				Si
0.24	0.001232	0.6	0	2	-50.0291	-45.4327	-276.52	-90.2027	-81.9155	SLV 12	1.803				Si
0.55	0.001232	0.6	0	2	-69.6578	-49.4483	-274.99	-87.3343	-61.9963	SLV 12	1.254				Si
0.85	0.001232	0.6	0	2	-92.6035	-53.6359	-273.46	-81.8171	-47.3884	SLV 12	0.884				Si
1.16	0.001232	0.6	0	2	-114.7101	-57.9315	-271.92	-77.8058	-39.2939	SLV 12	0.678				No
1.47	0.001232	0.6	0	2	-139.4883	-59.5467	-273.56	-75.3824	-32.1803	SLV 11	0.54				No
1.78	0.001232	0.6	0	2	-164.6827	-63.3684	-272.02	-72.1906	-27.7783	SLV 11	0.438				No
2.08	0.001232	0.6	0	2	-190.082	-67.2579	-270.48	-69.7577	-24.6828	SLV 11	0.367				No
2.39	0.001232	0.6	0	2	-215.6188	-71.2062	-268.95	-67.7792	-22.3835	SLV 11	0.314				No
2.67	0.001232	0.6	0	2	-237.9443	-74.6887	-267.61	-66.4342	-20.8531	SLV 11	0.279				No
2.7	0.001232	0.6	0	2	-240.8374	-75.1421	-267.43	-66.2803	-20.6797	SLV 11	0.275				No
2.92	0.001232	1.2	0	2,3	-242.3531	-75.3741	-213.94	-63.6724	-19.8027	SLV 11	0.263				No
3.22	0.001232	1.2	0	2,3	-222.3562	-52.6425	-212.47	-64.9412	-15.3747	SLV 11	0.292				No
3.53	0.001232	1.2	0	2,3	-201.8677	-29.4439	-210.96	-66.2667	-9.6655	SLV 11	0.328				No
3.83	0.001232	0.6	0	3	-181.1335	-6.8928	-209.44	-67.9935	-2.5874	SLV 11	0.375				No
4.13	0.001232	0.6	0	3	-160.5221	19.6577	-207.92	-69.6749	8.5324	SLV 11	0.434				No
4.44	0.001232	0.6	0	3	-139.9108	42.0548	-206.41	-71.0121	21.345	SLV 11	0.508				No
4.74	0.001232	0.6	0	3	-119.2995	65.3804	-204.89	-69.8687	38.2905	SLV 11	0.586				No
5.04	0.001232	0.6	0	3	-98.6881	88.8117	-203.38	-63.712	57.3359	SLV 11	0.646				No
5.34	0.001232	0.6	0	3	-77.9292	171.2474	-169.01	-19.1198	86.3243	SLV 16	0.504				No
5.65	0.001232	0.6	0	3	-27.9088	207.6658	-167.49	-11.3454	84.4195	SLV 16	0.407				No
5.95	0.001232	0.6	0	3	-18.0538	243.4983	-166	-6.1068	82.3652	SLV 16	0.338				No

Verifica a pressoflessione in SLD

Quota	As	%	At	Pos.	Mx	My	N	MRdx	MRdy	Comb.	Coeff.s.	Verifica
-1.3	0.001232	1.2	0	1,2	-46.1244	31.1401	-408.45	-109.3891	73.8521	SLD 2	2.372	Si
-0.99	0.001232	1.2	0	1,2	-38.813	30.4086	-406.93	-102.9299	80.642	SLD 2	2.652	Si
-0.68	0.001232	1.2	0	1,2	-29.7939	24.6798	-393.75	-96.1241	79.6245	SLD 4	3.226	Si
-0.38	0.001232	0.6	0	2	-25.5161	23.842	-392.21	-88.2502	82.4602	SLD 4	3.459	Si
-0.07	0.001232	0.6	0	2	-20.6137	23.1102	-390.67	-77.0477	86.3792	SLD 4	3.738	Si
0.24	0.001232	0.6	0	2	21.3788	18.6368	-387.33	82.817	72.1951	SLD 5	3.874	Si
0.55	0.001232	0.6	0	2	29.7587	18.9355	-385.81	101.6521	64.6812	SLD 5	3.416	Si
0.85	0.001232	0.6	0	2	39.6309	19.2953	-384.27	115.936	56.4464	SLD 5	2.925	Si
1.16	0.001232	0.6	0	2	49.179	19.7045	-382.73	123.1762	49.3528	SLD 5	2.505	Si
1.47	0.001232	0.6	0	2	-53.8803	-28.2959	-316.11	-112.8933	-59.2872	SLD 12	2.095	Si
1.78	0.001232	0.6	0	2	-64.3831	-29.3113	-315.9	-109.7217	-49.9523	SLD 11	1.704	Si
2.08	0.001232	0.6	0	2	-74.4678	-31.5156	-314.36	-103.4034	-43.7615	SLD 11	1.389	Si
2.39	0.001232	0.6	0	2	-84.616	-33.7467	-312.82	-97.7763	-38.9953	SLD 11	1.156	Si
2.67	0.001232	0.6	0	2	-93.4932	-35.7096	-311.48	-93.8858	-35.8595	SLD 11	1.004	Si
2.7	0.001232	0.6	0	2	-94.6438	-35.9648	-311.31	-93.4626	-35.5159	SLD 11	0.988	No

Quota	As	%	At	Pos.	Mx	My	N	MRdx	MRdy	Comb.	Coeff.s.	Verifica
2.92	0.001232	1.2	0	2,3	104.3392	49.8286	-304.59	84.9899	40.5881	SLD 6	0.815	No
3.22	0.001232	1.2	0	2,3	95.7301	37.7429	-303.12	91.2285	35.9681	SLD 6	0.953	No
3.53	0.001232	1.2	0	2,3	86.9094	25.4015	-301.61	99.3547	29.0389	SLD 6	1.143	Si
3.83	0.001232	0.6	0	3	77.9829	13.322	-300.09	110.0358	18.7977	SLD 6	1.411	Si
4.13	0.001232	0.6	0	3	-63.1107	11.3612	-245.34	-110.2459	19.8465	SLD 11	1.747	Si
4.44	0.001232	0.6	0	3	-55.0071	19.5098	-243.82	-109.4154	38.8072	SLD 11	1.989	Si
4.74	0.001232	0.6	0	3	-46.9035	28.0816	-242.31	-104.1922	62.381	SLD 11	2.221	Si
5.04	0.001232	0.6	0	3	42.4885	-37.3959	-294.03	97.9621	-86.2206	SLD 6	2.306	Si
5.34	0.001232	0.6	0	3	-14.9121	72.1334	-224.35	-27.4445	132.7561	SLD 16	1.84	Si
5.65	0.001232	0.6	0	3	-10.972	86.6554	-222.83	-16.1493	127.5446	SLD 16	1.472	Si
5.95	0.001232	0.6	0	3	8.4884	-113.0875	-304.44	10.0995	-134.5506	SLD 1	1.19	Si

Indicatori di rischio sismico a pressoflessione in SLV

E' attiva l'opzione fattori parziali di sicurezza unitari per meccanismi duttili di strutture esistenti con fattore q

Quota	Molt.	TR	I.R.TR	PGA	I.R.PGA	Comb.	Ver.
-1.3	0.833	557	0.804	0.166	0.834	SLV 15	No
-0.99	0.932	772	0.919	0.186	0.932	SLV 15	No
-0.68	1.189	1643	1.252	0.236	1.184	SLV 13	Si
-0.38	1.291	2114	1.389	0.255	1.279	SLV 13	Si
-0.07	1.428	2114	1.389	0.255	1.279	SLV 13	Si
0.24	1.459	2114	1.389	0.255	1.279	SLV 12	Si
0.55	1.15	1420	1.18	0.226	1.132	SLV 12	Si
0.85	0.922	765	0.915	0.185	0.929	SLV 12	No
1.16	0.771	477	0.754	0.158	0.791	SLV 12	No
1.47	0.657	321	0.641	0.136	0.682	SLV 11	No
1.78	0.568	224	0.553	0.119	0.596	SLV 11	No
2.08	0.5	163	0.486	0.105	0.525	SLV 11	No
2.39	0.445	125	0.436	0.094	0.471	SLV 11	No
2.67	0.407	104	0.404	0.087	0.436	SLV 11	No
2.7	0.402	102	0.401	0.086	0.433	SLV 11	No
2.92	0.345	76	0.355	0.076	0.383	SLV 6	No
3.22	0.391	96	0.391	0.084	0.422	SLV 6	No
3.53	0.447	126	0.437	0.094	0.472	SLV 6	No
3.83	0.518	178	0.503	0.109	0.545	SLV 6	No
4.13	0.571	227	0.556	0.12	0.599	SLV 11	No
4.44	0.628	287	0.612	0.131	0.654	SLV 11	No
4.74	0.683	353	0.667	0.141	0.707	SLV 11	No
5.04	0.731	418	0.715	0.15	0.753	SLV 11	No
5.34	0.626	256	0.584	0.125	0.627	SLV 16	No
5.65	0.541	175	0.5	0.108	0.541	SLV 16	No
5.95	0.476	127	0.438	0.095	0.474	SLV 16	No

Indicatori di rischio sismico a pressoflessione in SLD Resistenza

Quota	Molt.	TR	I.R.TR	PGA	I.R.PGA	Comb.	Ver.
-1.3	1.941	568	2.03	0.168	1.947	SLD 15	Si
-0.99	2.165	780	2.312	0.187	2.17	SLD 15	Si
-0.68	2.746	1628	3.126	0.236	2.74	SLD 13	Si
-0.38	2.98	2110	3.477	0.255	2.966	SLD 13	Si
-0.07	3.309	2110	3.477	0.255	2.966	SLD 13	Si
0.24	3.543	2110	3.477	0.255	2.966	SLD 13	Si
0.55	2.849	1375	2.917	0.224	2.602	SLD 12	Si
0.85	2.283	744	2.268	0.184	2.135	SLD 12	Si
1.16	1.91	465	1.87	0.156	1.817	SLD 12	Si
1.47	1.625	312	1.588	0.135	1.565	SLD 12	Si
1.78	1.404	217	1.368	0.118	1.367	SLD 11	Si
2.08	1.234	158	1.201	0.104	1.203	SLD 11	Si
2.39	1.099	122	1.081	0.093	1.081	SLD 11	Si
2.67	1.003	101	1	0.086	1	SLD 11	Si
2.7	0.992	99	0.992	0.085	0.992	SLD 11	No
2.92	0.852	74	0.88	0.076	0.878	SLD 6	No
3.22	0.964	94	0.971	0.084	0.97	SLD 6	No
3.53	1.105	123	1.084	0.093	1.085	SLD 6	Si
3.83	1.281	173	1.247	0.107	1.248	SLD 6	Si
4.13	1.41	220	1.376	0.118	1.374	SLD 11	Si
4.44	1.547	276	1.51	0.129	1.495	SLD 11	Si
4.74	1.678	338	1.641	0.139	1.613	SLD 11	Si
5.04	1.719	404	1.765	0.148	1.724	SLD 16	Si
5.34	1.465	264	1.483	0.127	1.47	SLD 16	Si
5.65	1.262	178	1.262	0.109	1.263	SLD 16	Si
5.95	1.11	130	1.109	0.096	1.11	SLD 16	Si

Verifica a taglio in famiglia SLU

Quota	Staffe	V	N	Direzione X							Direzione Y							Verifica
				Comb.	VRd	VRsd	VRcd	Cot	c.s.	V	N	Comb.	VRd	VRsd	VRcd	Cot	c.s.	
-1.3	2X/2Y ø6/25	-5.17	-	SLU 17	84.29	81.14	238.84	2.5	16.31	2.31	-	SLU 18	86.18	63.58	233.92	2.5	37.29	Si
-0.99	2X/2Y ø6/25	-5.17	-	SLU 17	84.29	81.14	238.84	2.5	16.31	2.31	-	SLU 18	86.18	63.58	233.92	2.5	37.29	Si
-0.68	2X/2Y ø6/25	-5.17	-	SLU 17	84.29	81.14	238.84	2.5	16.31	2.31	-	SLU 18	86.18	63.58	233.92	2.5	37.29	Si
-0.38	2X/2Y ø6/25	-5.17	-	SLU 17	84.29	81.14	238.84	2.5	16.31	2.31	-	SLU 18	86.18	63.58	233.92	2.5	37.29	Si
-0.07	2X/2Y ø6/25	-5.17	-	SLU 17	84.29	81.14	238.84	2.5	16.31	2.31	-	SLU 18	86.18	63.58	233.92	2.5	37.29	Si
0.24	2X/2Y ø6/25	-5.17	-	SLU 17	84.29	81.14	238.84	2.5	16.31	2.31	-	SLU 18	86.18	63.58	233.92	2.5	37.29	Si
0.55	2X/2Y ø6/25	-5.17	-	SLU 17	84.29	81.14	238.84	2.5	16.31	2.31	-	SLU 18	86.18	63.58	233.92	2.5	37.29	Si
0.85	2X/2Y ø6/25	-5.17	-	SLU 17	84.29	81.14	238.84	2.5	16.31	2.31	-	SLU 18	86.18	63.58	233.92	2.5	37.29	Si
1.16	2X/2Y ø6/25	-5.17	-	SLU 17	84.29	81.14	238.84	2.5	16.31	2.31	-	SLU 18	86.18	63.58	233.92	2.5	37.29	Si
1.47	2X/2Y ø6/25	-5.17	-	SLU 17	84.29	81.14	238.84	2.5	16.31	2.31	-	SLU 18	86.18	63.58	233.92	2.5	37.29	Si
1.78	2X/2Y ø6/25	-5.17	-	SLU 17	84.29	81.14	238.84	2.5	16.31	2.31	-	SLU 18	86.18	63.58	233.92	2.5	37.29	Si
2.08	2X/2Y ø6/25	-5.17	-	SLU 17	84.29	81.14	238.84	2.5	16.31	2.31	-	SLU 18	86.18	63.58	233.92	2.5	37.29	Si
2.39	2X/2Y ø6/25	-5.17	-	SLU 17	84.29	81.14	238.84	2.5	16.31	2.31	-	SLU 18	86.18	63.58	233.92	2.5	37.29	Si
2.67	2X/2Y ø6/25	-5.17	-	SLU 17	84.29	81.14	238.84	2.5	16.31	2.31	-	SLU 18	86.18	63.58	233.92	2.5	37.29	Si

Quota	Staffe	Direzione X								Direzione Y								Verifica
		V	N	Comb.	VRd	VRsd	VRcd	Cot	c.s.	V	N	Comb.	VRd	VRsd	VRcd	Cot	c.s.	
2.7	2X/2Y ø6/25	-5.17	-	SLU 17	84.29	81.14	238.84	2.5	16.31	2.31	-	SLU 18	86.18	63.58	233.92	2.5	37.29	Si
			570.94								570.94							
2.92	2X/2Y ø6/23.3	-9.64	-	SLU 17	84.29	87.03	238.84	2.5	9.02	-2.02	-	SLU 18	86.18	68.19	233.92	2.5	42.63	Si
			468.12								468.12							
3.22	2X/2Y ø6/23.3	-9.64	-	SLU 17	84.29	87.03	238.84	2.5	9.02	-2.02	-	SLU 18	86.18	68.19	233.92	2.5	42.63	Si
			466.21								-466.2							
3.53	2X/2Y ø6/23.3	-9.64	-	SLU 17	84.29	87.03	238.84	2.5	9.02	-2.02	-	SLU 18	86.18	68.19	233.92	2.5	42.63	Si
			464.25								464.25							
3.83	2X/2Y ø6/23.3	-9.64	-	SLU 17	84.29	87.03	238.84	2.5	9.02	-2.02	-	SLU 18	86.18	68.19	233.92	2.5	42.63	Si
			462.27								462.27							
4.13	2X/2Y ø6/23.3	-9.64	-	SLU 17	84.29	87.03	238.84	2.5	9.02	-2.02	-	SLU 18	86.18	68.19	233.92	2.5	42.63	Si
			-460.3								-460.3							
4.44	2X/2Y ø6/23.3	-9.64	-	SLU 17	84.29	87.03	238.84	2.5	9.02	-2.02	-	SLU 18	86.18	68.19	233.92	2.5	42.63	Si
			458.33								458.33							
4.74	2X/2Y ø6/23.3	-9.64	-	SLU 17	84.29	87.03	238.84	2.5	9.02	-2.02	-	SLU 18	86.18	68.19	233.92	2.5	42.63	Si
			456.36								456.36							
5.04	2X/2Y ø6/23.3	-9.64	-	SLU 17	84.29	87.03	238.84	2.5	9.02	-2.02	-	SLU 18	86.18	68.19	233.92	2.5	42.63	Si
			454.39								454.39							
5.34	2X/2Y ø6/23.3	-9.64	-	SLU 17	84.29	87.03	238.84	2.5	9.02	-2.02	-	SLU 18	86.18	68.19	233.92	2.5	42.63	Si
			452.42								452.42							
5.65	2X/2Y ø6/23.3	-9.64	-	SLU 17	84.29	87.03	238.84	2.5	9.02	-2.02	-	SLU 18	86.18	68.19	233.92	2.5	42.63	Si
			450.45								450.45							
5.95	2X/2Y ø6/23.3	-9.64	-	SLU 17	84.29	87.03	238.84	2.5	9.02	-2.02	-	SLU 18	86.18	68.19	233.92	2.5	42.63	Si
			448.51								448.51							

Verifica a taglio in famiglia SLV

Quota	Staffe	Direzione X								Direzione Y								Verifica
		V	N	Comb.	VRd	VRsd	VRcd	Cot	c.s.	V	N	Comb.	VRd	VRsd	VRcd	Cot	c.s.	
-1.3	2X/2Y ø6/25	-21.34	-	SLV 16	81.83	81.14	226.74	2.5	3.84	87.46	-	SLV 6	86.18	63.58	233.92	2.5	0.99	No
			248.78								437.56							
-0.99	2X/2Y ø6/25	-21.34	-	SLV 16	81.62	81.14	226.52	2.5	3.83	87.46	-	SLV 6	86.18	63.58	233.92	2.5	0.99	No
			247.27								436.05							
-0.68	2X/2Y ø6/25	-21.34	-	SLV 16	81.41	81.14	226.3	2.5	3.82	87.46	-	SLV 6	86.18	63.58	233.92	2.5	0.99	No
			245.73								434.51							
-0.38	2X/2Y ø6/25	-21.34	-	SLV 16	81.19	81.14	226.08	2.5	3.81	87.46	-	SLV 6	86.18	63.58	233.92	2.5	0.99	No
			244.19								432.97							
-0.07	2X/2Y ø6/25	-21.34	-	SLV 16	80.98	81.14	225.86	2.5	3.8	87.46	-	SLV 6	86.18	63.58	233.92	2.5	0.99	No
			242.65								431.43							
0.24	2X/2Y ø6/25	-21.34	-	SLV 16	80.76	81.14	225.64	2.5	3.8	87.46	-	SLV 6	86.18	63.58	233.92	2.5	0.99	No
			-241.1								429.88							
0.55	2X/2Y ø6/25	-21.34	-	SLV 16	80.55	81.14	225.42	2.5	3.8	87.46	-	SLV 6	86.18	63.58	233.92	2.5	0.99	No
			239.58								428.36							
0.85	2X/2Y ø6/25	-21.34	-	SLV 16	80.34	81.14	225.2	2.5	3.8	87.46	-	SLV 6	86.18	63.58	233.92	2.5	0.99	No
			238.04								426.82							
1.16	2X/2Y ø6/25	-21.34	-	SLV 16	80.13	81.14	224.98	2.5	3.8	87.46	-	SLV 6	86.18	63.58	233.92	2.5	0.99	No
			-236.5								425.28							
1.47	2X/2Y ø6/25	-21.34	-	SLV 16	79.91	81.14	224.76	2.5	3.8	87.46	-	SLV 6	86.18	63.58	233.92	2.5	0.99	No
			234.96								423.74							
1.78	2X/2Y ø6/25	-21.34	-	SLV 16	79.7	81.14	224.54	2.5	3.8	87.46	-	SLV 6	86.18	63.58	233.92	2.5	0.99	No
			233.42								-422.2							
2.08	2X/2Y ø6/25	-21.34	-	SLV 16	79.49	81.14	224.32	2.5	3.8	87.46	-	SLV 6	86.18	63.58	233.92	2.5	0.99	No
			231.88								420.66							
2.39	2X/2Y ø6/25	-21.34	-	SLV 16	79.27	81.14	224.1	2.5	3.8	87.46	-	SLV 6	86.18	63.58	233.92	2.5	0.99	No
			230.35								419.13							
2.67	2X/2Y ø6/25	-21.34	-	SLV 16	79.09	81.14	223.9	2.5	3.8	87.46	-	SLV 6	86.18	63.58	233.92	2.5	0.99	No
			229.01								417.79							
2.7	2X/2Y ø6/25	-21.34	-	SLV 16	79.06	81.14	223.88	2.5	3.8	87.46	-	SLV 6	86.18	63.58	233.92	2.5	0.99	No
			228.83								417.61							
2.92	2X/2Y ø6/23.3	-	-	SLV 1	84.29	87.03	238.84	2.5	0.65	68.02	-	SLV 11	79.04	68.19	217.18	2.5	1.16	No
			133.02								213.94							
3.22	2X/2Y ø6/23.3	-	-	SLV 1	84.29	87.03	238.84	2.5	0.65	68.02	-	SLV 11	78.84	68.19	216.98	2.5	1.16	No
			133.02								212.47							
3.53	2X/2Y ø6/23.3	-	-	SLV 1	84.29	87.03	238.84	2.5	0.65	68.02	-	SLV 11	78.64	68.19	216.77	2.5	1.16	No
			133.02								210.96							
3.83	2X/2Y ø6/23.3	-	-	SLV 1	84.29	87.03	238.84	2.5	0.65	68.02	-	SLV 11	78.43	68.19	216.55	2.5	1.15	No
			133.02								209.44							
4.13	2X/2Y ø6/23.3	-	-	SLV 1	84.29	87.03	238.84	2.5	0.65	68.02	-	SLV 11	78.23	68.19	216.34	2.5	1.15	No
			133.02								207.92							
4.44	2X/2Y ø6/23.3	-	-	SLV 1	84.29	87.03	238.84	2.5	0.65	68.02	-	SLV 11	78.02	68.19	216.13	2.5	1.15	No
			133.02								206.41							
4.74	2X/2Y ø6/23.3	-	-	SLV 1	84.29	87.03	238.84	2.5	0.65	68.02	-	SLV 11	77.81	68.19	215.91	2.5	1.14	No
			133.02								204.89							
5.04	2X/2Y ø6/23.3	-	-	SLV 1	84.29	87.03	238.84	2.5	0.65	68.02	-	SLV 11	77.61	68.19	215.7	2.5	1.14	No
			133.02								203.38							
5.34	2X/2Y ø6/23.3	-	-	SLV 1	84.29	87.03	238.84	2.5	0.65	68.02	-	SLV 11	77.4	68.19	215.49	2.5	1.14	No
			133.02								201.86							
5.65	2X/2Y ø6/23.3	-	-	SLV 1	84.29	87.03	238.84	2.5	0.65	68.02	-	SLV 11	77.2	68.19	215.27	2.5	1.13	No
			133.02								200.35							
5.95	2X/2Y ø6/23.3	-	-	SLV 1	84.29	87.03	238.84	2.5	0.65	68.02	-	SLV 11	77	68.19	215.07	2.5</		

Quota	Staffe	Direzione X								Direzione Y								Verifica
		V	N	Comb.	VRd	VRsd	VRcd	Cot	c.s.	V	N	Comb.	VRd	VRsd	VRcd	Cot	c.s.	
0.85	2X/2Y ø6/25	-11.09	302.98	SLD 16	89.34	81.14	234.51	2.5	8.06	-33.7	320.52	SLD 11	93.51	63.58	232.15	2.5	2.77	Si
1.16	2X/2Y ø6/25	-11.09	301.44	SLD 16	89.13	81.14	234.29	2.5	8.04	-33.7	318.98	SLD 11	93.3	63.58	231.93	2.5	2.77	Si
1.47	2X/2Y ø6/25	-11.09	-299.9	SLD 16	88.91	81.14	234.07	2.5	8.02	-33.7	317.44	SLD 11	93.09	63.58	231.72	2.5	2.76	Si
1.78	2X/2Y ø6/25	-11.09	298.36	SLD 16	88.7	81.14	233.85	2.5	8	-33.7	-315.9	SLD 11	92.88	63.58	231.5	2.5	2.76	Si
2.08	2X/2Y ø6/25	-11.09	296.82	SLD 16	88.49	81.14	233.63	2.5	7.98	-33.7	314.36	SLD 11	92.68	63.58	231.29	2.5	2.75	Si
2.39	2X/2Y ø6/25	-11.09	295.29	SLD 16	88.27	81.14	233.41	2.5	7.96	-33.7	312.82	SLD 11	92.47	63.58	231.07	2.5	2.74	Si
2.67	2X/2Y ø6/25	-11.09	293.95	SLD 16	88.09	81.14	233.21	2.5	7.95	-33.7	311.48	SLD 11	92.28	63.58	230.88	2.5	2.74	Si
2.7	2X/2Y ø6/25	-11.09	293.77	SLD 16	88.06	81.14	233.19	2.5	7.94	-33.7	311.31	SLD 11	92.26	63.58	230.86	2.5	2.74	Si
2.92	2X/2Y ø6/23.3	-60.67	319.52	SLD 1	91.63	87.03	236.88	2.5	1.51	-29.29	304.59	SLD 6	91.35	68.19	229.91	2.5	3.12	Si
3.22	2X/2Y ø6/23.3	-60.67	318.05	SLD 1	91.43	87.03	236.67	2.5	1.51	-29.29	303.12	SLD 6	91.15	68.19	229.71	2.5	3.11	Si
3.53	2X/2Y ø6/23.3	-60.67	316.54	SLD 1	91.22	87.03	236.45	2.5	1.5	-29.29	301.61	SLD 6	90.94	68.19	229.5	2.5	3.11	Si
3.83	2X/2Y ø6/23.3	-60.67	315.02	SLD 1	91.01	87.03	236.24	2.5	1.5	-29.29	300.09	SLD 6	90.74	68.19	229.28	2.5	3.1	Si
4.13	2X/2Y ø6/23.3	-60.67	-313.5	SLD 1	90.8	87.03	236.02	2.5	1.5	-29.29	298.57	SLD 6	90.53	68.19	229.07	2.5	3.09	Si
4.44	2X/2Y ø6/23.3	-60.67	311.99	SLD 1	90.59	87.03	235.8	2.5	1.49	-29.29	297.06	SLD 6	90.33	68.19	228.86	2.5	3.08	Si
4.74	2X/2Y ø6/23.3	-60.67	310.47	SLD 1	90.38	87.03	235.58	2.5	1.49	-29.29	295.54	SLD 6	90.12	68.19	228.64	2.5	3.08	Si
5.04	2X/2Y ø6/23.3	-60.67	308.96	SLD 1	90.17	87.03	235.37	2.5	1.49	-29.29	294.03	SLD 6	89.92	68.19	228.43	2.5	3.07	Si
5.34	2X/2Y ø6/23.3	-60.67	307.44	SLD 1	89.96	87.03	235.15	2.5	1.48	-29.29	292.51	SLD 6	89.71	68.19	228.22	2.5	3.06	Si
5.65	2X/2Y ø6/23.3	-60.67	305.93	SLD 1	89.75	87.03	234.93	2.5	1.48	-29.29	-291	SLD 6	89.5	68.19	228.01	2.5	3.06	Si
5.95	2X/2Y ø6/23.3	-60.67	304.44	SLD 1	89.54	87.03	234.72	2.5	1.48	-29.29	289.51	SLD 6	89.3	68.19	227.8	2.5	3.05	Si

Indicatori di rischio sismico a taglio in SLV

Quota	Molt.	TR	I.R.TR	PGA	I.R.PGA	Comb.	
-0.99	0.984	909	0.982	0.197	0.986	SLV 6	No
-0.68	0.984	909	0.982	0.197	0.986	SLV 6	No
-0.38	0.984	909	0.982	0.197	0.986	SLV 6	No
-0.07	0.984	909	0.982	0.197	0.986	SLV 6	No
0.24	0.984	909	0.982	0.197	0.986	SLV 6	No
0.55	0.984	909	0.982	0.197	0.986	SLV 6	No
0.85	0.984	909	0.982	0.197	0.986	SLV 6	No
1.16	0.984	909	0.982	0.197	0.986	SLV 6	No
1.47	0.984	909	0.982	0.197	0.986	SLV 6	No
1.78	0.984	909	0.982	0.197	0.986	SLV 6	No
2.08	0.984	909	0.982	0.197	0.986	SLV 6	No
2.39	0.984	909	0.982	0.197	0.986	SLV 6	No
2.67	0.984	909	0.982	0.197	0.986	SLV 6	No
2.7	0.984	909	0.982	0.197	0.986	SLV 6	No
2.92	0.637	268	0.595	0.127	0.638	SLV 1	No
3.22	0.637	268	0.595	0.127	0.638	SLV 1	No
3.53	0.637	268	0.595	0.127	0.638	SLV 1	No
3.83	0.637	268	0.595	0.127	0.638	SLV 1	No
4.13	0.637	268	0.595	0.127	0.638	SLV 1	No
4.44	0.637	268	0.595	0.127	0.638	SLV 1	No
4.74	0.637	268	0.595	0.127	0.638	SLV 1	No
5.04	0.637	268	0.595	0.127	0.638	SLV 1	No
5.34	0.637	268	0.595	0.127	0.638	SLV 1	No
5.65	0.637	268	0.595	0.127	0.638	SLV 1	No
5.95	0.637	268	0.595	0.127	0.638	SLV 1	No

Indicatori di rischio sismico a taglio in SLD Resistenza

Quota	Molt.	TR	I.R.TR	PGA	I.R.PGA	Comb.	
-1.3	2.556	1004	2.564	0.203	2.363	SLD 11	Si
-0.99	2.55	997	2.557	0.203	2.358	SLD 11	Si
-0.68	2.547	993	2.553	0.203	2.355	SLD 11	Si
-0.38	2.541	987	2.546	0.202	2.351	SLD 11	Si
-0.07	2.535	981	2.54	0.202	2.346	SLD 11	Si
0.24	2.529	974	2.532	0.202	2.341	SLD 11	Si
0.55	2.523	968	2.526	0.201	2.337	SLD 11	Si
0.85	2.518	962	2.52	0.201	2.332	SLD 11	Si
1.16	2.512	956	2.513	0.2	2.327	SLD 11	Si
1.47	2.506	950	2.507	0.2	2.322	SLD 11	Si
1.78	2.503	948	2.504	0.2	2.319	SLD 11	Si
2.08	2.497	942	2.498	0.199	2.314	SLD 11	Si
2.39	2.494	939	2.495	0.199	2.312	SLD 11	Si
2.67	2.488	934	2.489	0.199	2.308	SLD 11	Si
2.7	2.488	934	2.489	0.199	2.308	SLD 11	Si
2.92	1.637	355	1.674	0.141	1.643	SLD 1	Si
3.22	1.633	352	1.668	0.141	1.638	SLD 1	Si
3.53	1.629	350	1.665	0.141	1.634	SLD 1	Si
3.83	1.625	348	1.661	0.14	1.631	SLD 1	Si
4.13	1.621	346	1.657	0.14	1.627	SLD 1	Si
4.44	1.617	343	1.651	0.14	1.622	SLD 1	Si
4.74	1.613	341	1.647	0.139	1.618	SLD 1	Si
5.04	1.605	337	1.639	0.139	1.611	SLD 1	Si
5.34	1.602	335	1.635	0.138	1.607	SLD 1	Si
5.65	1.598	332	1.629	0.138	1.602	SLD 1	Si
5.95	1.594	330	1.625	0.138	1.598	SLD 1	Si

Verifiche nodi trave colonna

Riepilogo dei dati per le diverse tipologie di verifica eseguite per i nodi

Pilastrata	Q.Nodo	Escluso	Confinato	Segnalazioni
Pilastrata P11	-1.675	Si	No	
Pilastrata P11	2.81	No	No	

Pilastrata	Q.Nodo	Escluso	Confinato	Segnalazioni
Pilastrata P11	6.5	No	No	non tutte le travature convergenti al nodo sono calcolate/validate

Verifiche nodi trave colonna in combinazioni SLD**Riepilogo dei dati per la verifica del nodo secondo Circolare 7 21-01-19 §C8.7.2.3.5.**

Pilastrata	Q.Nodo	Angolo travatura	Aj	Vpc	Vtc	Vnc	Nc	σnc	σnc,lim	Comb.c	Vpt	Vtt	Vnt	Nt	σnt	σnt,lim	Comb.t	Segnalazioni	Verifica
Pilastrata P11	2.81	0	0.2544	-	251.505	190.838	-	1606	3919	SLD 1	-	251.505	190.838	-	350	840	SLD 1		Si
				60.666			319.562				60.666			319.562					
	2.81	180	0.2544	-	251.505	190.838	-	1606	3919	SLD 1	-	251.505	190.838	-	350	840	SLD 1		Si
				60.666			319.562				60.666			319.562					

Verifiche nodi trave colonna in combinazioni SLD**Riepilogo dei dati per la verifica del nodo secondo Circolare 7 21-01-19 §C8.7.2.3.5.**

Pilastrata	Q.Nodo	Angolo travatura	Aj	Vpc	Vtc	Vnc	Nc	σnc	σnc,lim	Comb.c	Vpt	Vtt	Vnt	Nt	σnt	σnt,lim	Comb.t	Segnalazioni	Verifica
Pilastrata P11	6.5	0	0.1696	0	179.908	179.908	0	1061	3919	SLD 1	0	179.908	179.908	0	1061	840	SLD 1		No
	6.5	180	0.1696	0	179.908	179.908	0	1061	3919	SLD 1	0	179.908	179.908	0	1061	840	SLD 1		No
	6.5	270	0	0	0	0	0	0	0		0	0	0	0	0	0		Trave non calcolata	Si

Verifiche nodi trave colonna in combinazioni SLV**Riepilogo dei dati per la verifica del nodo secondo Circolare 7 21-01-19 §C8.7.2.3.5.**

Pilastrata	Q.Nodo	Angolo travatura	Aj	Vpc	Vtc	Vnc	Nc	σnc	σnc,lim	Comb.c	Vpt	Vtt	Vnt	Nt	σnt	σnt,lim	Comb.t	Segnalazioni	Verifica
Pilastrata P11	2.81	0	0.2544	-	353.39	252.894	-	1898	3919	SLV 3	-	353.39	252.894	-	521	840	SLV 3		Si
				100.496			350.324				100.496			350.324					
	2.81	180	0.2544	-	353.39	252.894	-	1898	3919	SLV 3	-	353.39	252.894	-	521	840	SLV 3		Si
				100.496			350.324				100.496			350.324					

Verifiche nodi trave colonna in combinazioni SLV**Riepilogo dei dati per la verifica del nodo secondo Circolare 7 21-01-19 §C8.7.2.3.5.**

Pilastrata	Q.Nodo	Angolo travatura	Aj	Vpc	Vtc	Vnc	Nc	σnc	σnc,lim	Comb.c	Vpt	Vtt	Vnt	Nt	σnt	σnt,lim	Comb.t	Segnalazioni	Verifica
Pilastrata P11	6.5	0	0.1696	0	346.169	346.169	0	2041	3919	SLV 2	0	346.169	346.169	0	2041	840	SLV 2		No
	6.5	180	0.1696	0	346.169	346.169	0	2041	3919	SLV 2	0	346.169	346.169	0	2041	840	SLV 2		No
	6.5	270	0	0	0	0	0	0	0		0	0	0	0	0	0		Trave non calcolata	Si

Indicatori di rischio sismico dei nodi in SLD

Pilastrata	Q.Nodo	Angolo travatura	Moltiplicatore	TR	I.R.TR	PGA	I.R.PGA	Comb.	Ver.
Pilastrata P11	2.81	0	3.68	2110	3.477	0.255	2.966	SLD 16	Si
	2.81	180	3.68	2110	3.477	0.255	2.966	SLD 16	Si

Indicatori di rischio sismico dei nodi in SLD

Pilastrata	Q.Nodo	Angolo travatura	Moltiplicatore	TR	I.R.TR	PGA	I.R.PGA	Comb.	Ver.
Pilastrata P11	6.5	0	0.73	49	0.743	0.063	0.731	SLD 1	No
	6.5	180	0.73	49	0.743	0.063	0.731	SLD 1	No

Indicatori di rischio sismico dei nodi in SLV

Pilastrata	Q.Nodo	Angolo travatura	Moltiplicatore	TR	I.R.TR	PGA	I.R.PGA	Comb.	Ver.
Pilastrata P11	2.81	0	1.578	2114	1.389	0.255	1.279	SLV 16	Si
	2.81	180	1.578	2114	1.389	0.255	1.279	SLV 16	Si

Indicatori di rischio sismico dei nodi in SLV

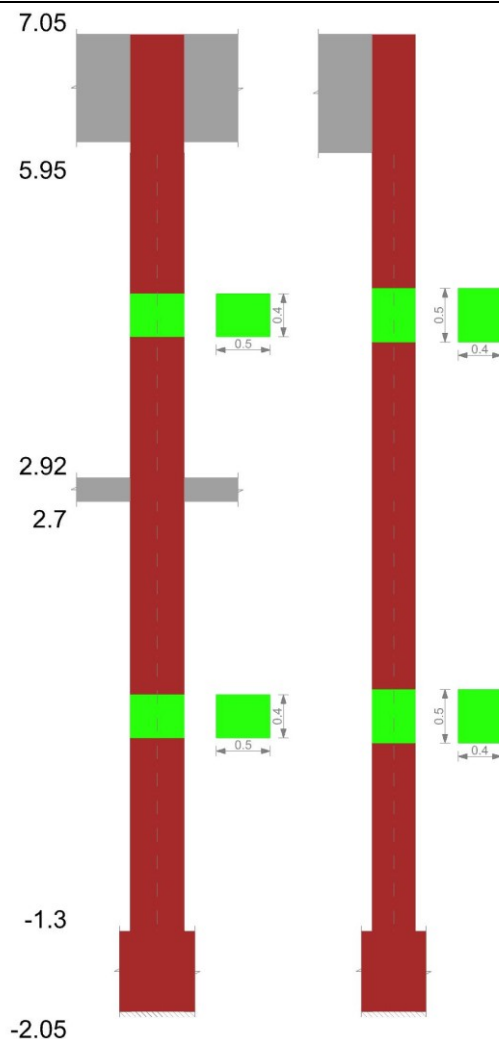
Pilastrata	Q.Nodo	Angolo travatura	Moltiplicatore	TR	I.R.TR	PGA	I.R.PGA	Comb.	Ver.
Pilastrata P11	6.5	0	0.313	49	0.297	0.062	0.312	SLV 1	No
	6.5	180	0.313	49	0.297	0.062	0.312	SLV 1	No

Verifiche di gerarchia delle resistenze nei nodi trave pilastro

Verifiche di gerarchia delle resistenze nei nodi trave pilastro non presenti in quanto la verifica è non necessaria per la pilastrata per il nodo Appoggio 2.81 in quanto elemento di materiale esistente.
per il nodo Appoggio 6.5 in quanto elemento di materiale esistente.
per il nodo Appoggio -1.675 in quanto elemento di materiale esistente.

Pilastrata P12

Geometria



Dati della pilastrata

Analisi di edificio esistente con fattore di struttura.

Fattore di struttura per meccanismi duttili in direzione X: 1.5

Fattore di struttura per meccanismi duttili in direzione Y: 1.5

Fattore di struttura per meccanismi fragili in direzione X: 1

Fattore di struttura per meccanismi fragili in direzione Y: 1

Verifica dei meccanismi fragili condotta secondo Circolare 7 21-01-19 (§C8.7.2.2) Analisi lineare con fattore q.

Fattore di amplificazione dei meccanismi fragili della componente sismica in direzione X: 1

Fattore di amplificazione dei meccanismi fragili della componente sismica in direzione Y: 1

Campate costituenti la pilastrata

Q.inf.	Q.sup.	Sezione	Esistente	Secondaria	Dissipativa	Interna a parete	Sovreresistenza	Materiale CLS	Materiale Acciaio	FC
-1.3	2.7	R 50x40	Si	No	No	No		C14/17 LC2 Vigone A	Vigone_FeB22k_LC2_FC = 1.2; Vigone_FeB44k_Staffe_LC2_FC = 1.2	1.2
2.92	5.95	R 50x40	Si	No	No	No		C14/17 LC2 Vigone A	Vigone_FeB22k_LC2_FC = 1.2; Vigone_FeB44k_Staffe_LC2_FC = 1.2	1.2

Disposizione delle armature longitudinali

Posizione	X	Y	Diametro	Area	Q.inf.	Q.sup.	Sezione	Materiale
p.1	-0.2105	-0.1605	0.014	0.0001539	-1.675	-1.3	R 50x40	Vigone FeB22k LC2
p.1	0.2105	-0.1605	0.014	0.0001539	-1.675	-1.3	R 50x40	Vigone FeB22k LC2
p.1	0.2105	0.1605	0.014	0.0001539	-1.675	-1.3	R 50x40	Vigone FeB22k LC2
p.1	-0.2105	0.1605	0.014	0.0001539	-1.675	-1.3	R 50x40	Vigone FeB22k LC2
p.1	0	-0.162	0.014	0.0001539	-1.675	-1.3	R 50x40	Vigone FeB22k LC2
p.1	0	0.162	0.014	0.0001539	-1.675	-1.3	R 50x40	Vigone FeB22k LC2
p.1	-0.212	0	0.014	0.0001539	-1.675	-1.3	R 50x40	Vigone FeB22k LC2
p.1	0.212	0	0.014	0.0001539	-1.675	-1.3	R 50x40	Vigone FeB22k LC2
p.2	-0.2105	-0.1605	0.014	0.0001539	-1.3	2.92	R 50x40	Vigone FeB22k LC2
p.2	0.2105	-0.1605	0.014	0.0001539	-1.3	2.92	R 50x40	Vigone FeB22k LC2
p.2	0.2105	0.1605	0.014	0.0001539	-1.3	2.92	R 50x40	Vigone FeB22k LC2
p.2	-0.2105	0.1605	0.014	0.0001539	-1.3	2.92	R 50x40	Vigone FeB22k LC2
p.2	0	-0.162	0.014	0.0001539	-1.3	2.92	R 50x40	Vigone FeB22k LC2
p.2	0	0.162	0.014	0.0001539	-1.3	2.92	R 50x40	Vigone FeB22k LC2
p.2	-0.212	0	0.014	0.0001539	-1.3	2.92	R 50x40	Vigone FeB22k LC2
p.2	0.212	0	0.014	0.0001539	-1.3	2.92	R 50x40	Vigone FeB22k LC2
p.3	-0.2105	-0.1605	0.014	0.0001539	2.92	5.95	R 50x40	Vigone FeB22k LC2
p.3	0.2105	-0.1605	0.014	0.0001539	2.92	5.95	R 50x40	Vigone FeB22k LC2
p.3	0.2105	0.1605	0.014	0.0001539	2.92	5.95	R 50x40	Vigone FeB22k LC2
p.3	-0.2105	0.1605	0.014	0.0001539	2.92	5.95	R 50x40	Vigone FeB22k LC2
p.3	0	-0.162	0.014	0.0001539	2.92	5.95	R 50x40	Vigone FeB22k LC2
p.3	0	0.162	0.014	0.0001539	2.92	5.95	R 50x40	Vigone FeB22k LC2
p.3	-0.212	0	0.014	0.0001539	2.92	5.95	R 50x40	Vigone FeB22k LC2

Posizione	X	Y	Diametro	Area	Q.inf.	Q.sup.	Sezione	Materiale
p.3	0.212	0	0.014	0.0001539	2.92	5.95	R 50x40	Vigone FeB22k LC2

Controlli geometrici NTC18

Nessuna anomalia

Verifiche delle sezioni**Verifica a pressoflessione in SLU**

Quota	As	%	At	Pos.	Mx	My	N	MRdx	MRdy	Comb.	Coeff.s.	Verifica
-1.3	0.001232	1.2	0	1,2	-1.0212	-1.9693	-711.21	-1.9327	-3.7271	SLU 18	1.893	SI
-0.99	0.001232	1.2	0	1,2	-0.5016	-1.4711	-709.25	-0.952	-2.7918	SLU 18	1.898	SI
-0.68	0.001232	1.2	0	1,2	0.0265	-0.9646	-707.25	0.0504	-1.8358	SLU 18	1.903	SI
-0.38	0.001232	0.6	0	2	0.5546	-0.4581	-705.25	1.0586	-0.8743	SLU 18	1.909	SI
-0.07	0.001232	0.6	0	2	1.0828	0.0484	-703.25	2.0725	0.0926	SLU 18	1.914	SI
0.24	0.001232	0.6	0	2	1.6169	0.5606	-701.22	3.1037	1.0761	SLU 18	1.92	SI
0.55	0.001232	0.6	0	2	2.1391	1.0614	-699.25	4.1177	2.0431	SLU 18	1.925	SI
0.85	0.001232	0.6	0	2	2.6672	1.5678	-697.25	5.149	3.0267	SLU 18	1.93	SI
1.16	0.001232	0.6	0	2	3.1954	2.0743	-695.25	6.1864	4.016	SLU 18	1.936	SI
1.47	0.001232	0.6	0	2	3.7235	2.5808	-693.25	7.2297	5.011	SLU 18	1.942	SI
1.78	0.001232	0.6	0	2	4.2516	3.0873	-691.25	8.279	6.0118	SLU 18	1.947	SI
2.08	0.001232	0.6	0	2	4.7798	3.5938	-689.25	9.3345	7.0183	SLU 18	1.953	SI
2.39	0.001232	0.6	0	2	5.3079	4.1003	-687.25	10.396	8.0307	SLU 18	1.959	SI
2.67	0.001232	0.6	0	2	5.768	4.5414	-685.5	11.3258	8.9174	SLU 18	1.964	SI
2.7	0.001232	0.6	0	2	5.8275	4.5985	-685.28	11.4464	9.0325	SLU 18	1.964	SI
2.92	0.001232	1.2	0	2,3	5.8305	5.2786	-552.14	14.2138	12.8683	SLU 18	2.438	SI
3.22	0.001232	1.2	0	2,3	5.3504	3.8552	-550.23	13.0886	9.4309	SLU 18	2.446	SI
3.53	0.001232	1.2	0	2,3	4.8585	2.3967	-548.28	11.9277	5.8841	SLU 18	2.455	SI
3.83	0.001232	0.6	0	3	4.3606	0.9208	-546.29	10.7443	2.2688	SLU 18	2.464	SI
4.13	0.001232	0.6	0	3	3.8657	-0.5464	-544.32	9.5594	-1.3511	SLU 18	2.473	SI
4.44	0.001232	0.6	0	3	3.3708	-2.0135	-542.35	8.3658	-4.9973	SLU 18	2.482	SI
4.74	0.001232	0.6	0	3	2.8759	-3.4807	-540.39	7.1636	-8.67	SLU 18	2.491	SI
5.04	0.001232	0.6	0	3	2.3811	-4.9479	-538.42	5.9526	-12.3697	SLU 18	2.5	SI
5.34	0.001232	0.6	0	3	1.8862	-6.4151	-536.45	4.7327	-16.0965	SLU 18	2.509	SI
5.65	0.001232	0.6	0	3	1.3913	-7.8822	-534.48	3.5038	-19.8508	SLU 18	2.518	SI
5.95	0.001232	0.6	0	3	0.9046	-9.3252	-532.54	2.2863	-23.5702	SLU 18	2.528	SI

Verifica a pressoflessione in SLV

E' attiva l'opzione fattori parziali di sicurezza unitari per meccanismi duttili di strutture esistenti con fattore q

Quota	As	%	At	Pos.	Mx	My	N	MRdx	MRdy	Comb.	C.S.	Nmin	Nlim	Comb.Nmin	Ver.
-1.3	0.001232	1.2	0	1,2	-45.6343	64.3097	-398.47	-79.9271	112.6364	SLV 2	1.751				SI
-0.99	0.001232	1.2	0	1,2	-55.5113	51.8873	-405.12	-96.5884	90.2826	SLV 4	1.74				SI
-0.68	0.001232	1.2	0	1,2	46.8262	-52.5919	-448.9	90.7244	-101.8953	SLV 13	1.937				SI
-0.38	0.001232	0.6	0	2	40.7671	-51.9152	-447.36	85.2383	-108.5474	SLV 13	2.091				SI
-0.07	0.001232	0.6	0	2	36.6352	-51.4571	-445.83	80.6674	-113.3039	SLV 13	2.202				SI
0.24	0.001232	0.6	0	2	54.8242	45.3561	-399.19	101.7825	84.2048	SLV 5	1.857				SI
0.55	0.001232	0.6	0	2	69.7383	48.084	-397.67	102.9454	70.98	SLV 5	1.476				SI
0.85	0.001232	0.6	0	2	86.7352	50.9757	-396.13	99.4367	58.4406	SLV 5	1.146				SI
1.16	0.001232	0.6	0	2	103.1343	53.985	-394.59	94.0251	49.2168	SLV 5	0.912				No
1.47	0.001232	0.6	0	2	120.5108	57.0994	-393.06	89.2126	42.2699	SLV 5	0.74				No
1.78	0.001232	0.6	0	2	139.5545	56.8746	-392.5	86.1242	35.0994	SLV 6	0.617				No
2.08	0.001232	0.6	0	2	158.1497	59.5123	-390.96	82.8364	31.1716	SLV 6	0.524				No
2.39	0.001232	0.6	0	2	176.8741	62.2212	-389.42	79.9536	28.1263	SLV 6	0.452				No
2.67	0.001232	0.6	0	2	193.2636	64.634	-388.08	77.6543	25.9702	SLV 6	0.402				No
2.7	0.001232	0.6	0	2	195.3887	64.9496	-387.91	77.386	25.7241	SLV 6	0.396				No
2.92	0.001232	1.2	0	2,3	195.911	113.8641	-304.46	67.6838	39.3381	SLV 6	0.345				No
3.22	0.001232	1.2	0	2,3	179.7783	83.2881	-302.99	71.2643	33.0155	SLV 6	0.396				No
3.53	0.001232	1.2	0	2,3	163.2491	52.0105	-301.49	75.778	24.1426	SLV 6	0.464				No
3.83	0.001232	0.6	0	3	146.5216	20.7627	-299.96	80.8941	11.463	SLV 6	0.552				No
4.13	0.001232	0.6	0	3	129.8933	-13.3407	-298.45	85.6166	-8.7933	SLV 6	0.659				No
4.44	0.001232	0.6	0	3	113.2649	-43.4124	-296.93	84.5387	-32.4021	SLV 6	0.746				No
4.74	0.001232	0.6	0	3	96.6366	-74.8352	-295.42	75.8749	-58.7574	SLV 6	0.785				No
5.04	0.001232	0.6	0	3	37.1831	-159.6585	-282.59	23.7893	-102.1477	SLV 1	0.64				No
5.34	0.001232	0.6	0	3	29.4569	-206.8256	-281.07	13.69	-96.1212	SLV 1	0.465				No
5.65	0.001232	0.6	0	3	21.7307	-254.0127	-279.56	7.7964	-91.1323	SLV 1	0.359				No
5.95	0.001232	0.6	0	3	14.1321	-300.4317	-278.07	4.113	-87.4366	SLV 1	0.291				No

Verifica a pressoflessione in SLD

Quota	As	%	At	Pos.	Mx	My	N	MRdx	MRdy	Comb.	Coeff.s.	Verifica
-1.3	0.001232	1.2	0	1,2	18.78	-29.292	-442.52	63.4274	-98.9306	SLD 15	3.377	SI
-0.99	0.001232	1.2	0	1,2	23.5151	-23.8142	-437.68	79.4542	-80.465	SLD 13	3.379	SI
-0.68	0.001232	1.2	0	1,2	20.2065	-23.2513	-436.15	71.7289	-82.5373	SLD 13	3.55	SI
-0.38	0.001232	0.6	0	2	17.6551	-22.7896	-434.61	64.9542	-83.8445	SLD 13	3.679	SI
-0.07	0.001232	0.6	0	2	15.8806	-22.4266	-433.07	59.9249	-84.6261	SLD 13	3.773	SI
0.24	0.001232	0.6	0	2	22.5501	19.056	-412.28	82.8426	70.0062	SLD 5	3.674	SI
0.55	0.001232	0.6	0	2	28.656	20.3529	-410.76	95.8868	68.1035	SLD 5	3.346	SI
0.85	0.001232	0.6	0	2	35.6922	21.7254	-409.22	107.2328	65.2711	SLD 5	3.004	SI
1.16	0.001232	0.6	0	2	42.4985	23.1515	-407.68	114.0712	62.1414	SLD 5	2.684	SI
1.47	0.001232	0.6	0	2	49.7434	24.6255	-406.14	118.4473	58.6373	SLD 5	2.381	SI
1.78	0.001232	0.6	0	2	57.1319	26.1424	-404.6	119.7846	54.8111	SLD 5	2.097	SI
2.08	0.001232	0.6	0	2	65.4445	25.9948	-403.48	120.863	48.0073	SLD 6	1.847	SI
2.39	0.001232	0.6	0	2	73.2727	27.3104	-401.94	119.1009	44.3915	SLD 6	1.625	SI
2.67	0.001232	0.6	0	2	80.1283	28.4803	-400.6	115.7398	41.1379	SLD 6	1.444	SI
2.7	0.001232	0.6	0	2	81.0173	28.6332	-400.42	115.3618	40.7713	SLD 6	1.424	SI
2.92	0.001232	1.2	0	2,3	81.2595	49.152	-316.94	91.4021	55.287	SLD 6	1.125	SI
3.22	0.001232	1.2	0	2,3	74.5681	35.9653	-315.47	100.6925	48.5655	SLD 6	1.35	SI
3.53	0.001232	1.2	0	2,3	67.7121	22.4771	-313.96	113.2396	37.5899	SLD 6	1.672	SI
3.83	0.001232	0.6	0	3	60.774	9.0088	-312.44	125.2553	18.5672	SLD 6	2.061	SI
4.13	0.001232	0.6	0	3	53.8769	-5.7497	-310.92	130.2894	-13.9043	SLD 6	2.418	SI
4.44	0.001232	0.6	0	3	46.9799	-18.6927	-309.41	122.2383	-48.637	SLD 6	2.602	SI
4.74	0.001232	0.6	0	3	40.0828	-32.2422	-307.89	103.3232	-83.112	SLD 6	2.578	SI
5.04	0.001232	0.6	0	3	16.2567	-70.0602	-301.25	35.0418	-151.0174	SLD 1	2.156	SI
5.34	0.001232	0.6	0	3	12.8787	-90.7659	-299.74	20.317	-143.189	SLD 1	1.578	SI
5.65	0.001232	0.6	0	3	9.5008	-111.4807	-298.22	11.3692	-133.4035	SLD 1	1.197	SI
5.95	0.001232	0.6	0	3	6.1787	-131.8585	-296.73	5.7688	-123.1125	SLD 1	0.934	No

Indicatori di rischio sismico a pressoflessione in SLV

E' attiva l'opzione fattori parziali di sicurezza unitari per meccanismi duttili di strutture esistenti con fattore q

Quota	Molt.	TR	I.R.TR	PGA	I.R.PGA	Comb.	Ver.
-1.3	1.506	2114	1.389	0.255	1.279	SLV 2	SI
-0.99	1.506	2114	1.389	0.255	1.279	SLV 4	SI

Quota	Molt.	TR	I.R.TR	PGA	I.R.PGA	Comb.	Ver.
-0.68	1.662	2114	1.389	0.255	1.279	SLV 4	Si
-0.38	1.797	2114	1.389	0.255	1.279	SLV 4	Si
-0.07	1.9	2114	1.389	0.255	1.279	SLV 4	Si
0.24	1.59	2114	1.389	0.255	1.279	SLV 5	Si
0.55	1.316	2095	1.384	0.255	1.275	SLV 5	Si
0.85	1.096	1232	1.113	0.216	1.084	SLV 5	Si
1.16	0.939	804	0.934	0.189	0.945	SLV 5	No
1.47	0.815	554	0.802	0.166	0.832	SLV 5	No
1.78	0.717	398	0.7	0.148	0.739	SLV 5	No
2.08	0.636	296	0.62	0.132	0.662	SLV 6	No
2.39	0.57	226	0.555	0.119	0.598	SLV 6	No
2.67	0.523	182	0.508	0.11	0.55	SLV 6	No
2.7	0.518	178	0.503	0.109	0.545	SLV 6	No
2.92	0.44	122	0.431	0.093	0.466	SLV 6	No
3.22	0.5	163	0.486	0.105	0.525	SLV 6	No
3.53	0.576	232	0.561	0.121	0.604	SLV 6	No
3.83	0.67	337	0.654	0.139	0.695	SLV 6	No
4.13	0.762	462	0.744	0.156	0.782	SLV 6	No
4.44	0.815	554	0.802	0.166	0.832	SLV 6	No
4.74	0.842	602	0.83	0.171	0.856	SLV 6	No
5.04	0.729	384	0.69	0.146	0.73	SLV 1	No
5.34	0.583	211	0.54	0.116	0.583	SLV 1	No
5.65	0.482	131	0.444	0.096	0.48	SLV 1	No
5.95	0.41	89	0.379	0.082	0.409	SLV 1	No

Indicatori di rischio sismico a pressoflessione in SLD Resistenza

Quota	Molt.	TR	I.R.TR	PGA	I.R.PGA	Comb.	Ver.
-1.3	3.493	2110	3.477	0.255	2.966	SLD 2	Si
-0.99	3.473	2110	3.477	0.255	2.966	SLD 4	Si
-0.68	3.833	2110	3.477	0.255	2.966	SLD 4	Si
-0.38	4.158	2110	3.477	0.255	2.966	SLD 4	Si
-0.07	4.411	2110	3.477	0.255	2.966	SLD 4	Si
0.24	3.918	2110	3.477	0.255	2.966	SLD 5	Si
0.55	3.262	2034	3.425	0.252	2.933	SLD 5	Si
0.85	2.717	1199	2.758	0.215	2.495	SLD 5	Si
1.16	2.33	785	2.318	0.187	2.175	SLD 5	Si
1.47	2.022	540	1.988	0.165	1.914	SLD 5	Si
1.78	1.775	388	1.736	0.146	1.698	SLD 5	Si
2.08	1.574	288	1.537	0.131	1.519	SLD 6	Si
2.39	1.41	220	1.376	0.118	1.374	SLD 6	Si
2.67	1.292	177	1.259	0.108	1.26	SLD 6	Si
2.7	1.277	172	1.244	0.107	1.245	SLD 6	Si
2.92	1.085	119	1.07	0.092	1.07	SLD 6	Si
3.22	1.232	157	1.198	0.103	1.199	SLD 6	Si
3.53	1.424	225	1.389	0.119	1.385	SLD 6	Si
3.83	1.658	328	1.621	0.137	1.595	SLD 6	Si
4.13	1.883	449	1.844	0.154	1.794	SLD 6	Si
4.44	2.011	532	1.976	0.164	1.904	SLD 6	Si
4.74	2.069	574	2.039	0.168	1.954	SLD 6	Si
5.04	1.703	394	1.747	0.147	1.708	SLD 1	Si
5.34	1.363	217	1.368	0.118	1.367	SLD 1	Si
5.65	1.127	135	1.126	0.097	1.127	SLD 1	Si
5.95	0.956	91	0.958	0.082	0.957	SLD 1	No

Verifica a taglio in famiglia SLU

Quota	Staffe	Direzione X									Direzione Y									Verifica
		V	N	Comb.	VRd	VRsd	VRcd	Cot	c.s.	V	N	Comb.	VRd	VRsd	VRcd	Cot	c.s.			
-1.3	2X/2Y ø6/25	1.65	711.21	SLU 18	84.29	81.14	222.74	2.5	51.21	1.72	711.21	SLU 18	86.18	63.58	218.16	2.5	50.21	Si		
-0.99	2X/2Y ø6/25	1.65	709.25	SLU 18	84.29	81.14	223.44	2.5	51.21	1.72	709.25	SLU 18	86.18	63.58	218.85	2.5	50.21	Si		
-0.68	2X/2Y ø6/25	1.65	707.25	SLU 18	84.29	81.14	224.16	2.5	51.21	1.72	707.25	SLU 18	86.18	63.58	219.55	2.5	50.21	Si		
-0.38	2X/2Y ø6/25	1.65	705.25	SLU 18	84.29	81.14	224.88	2.5	51.21	1.72	705.25	SLU 18	86.18	63.58	220.25	2.5	50.21	Si		
-0.07	2X/2Y ø6/25	1.65	703.25	SLU 18	84.29	81.14	225.59	2.5	51.21	1.72	703.25	SLU 18	86.18	63.58	220.96	2.5	50.21	Si		
0.24	2X/2Y ø6/25	1.65	701.22	SLU 18	84.29	81.14	226.32	2.5	51.21	1.72	701.22	SLU 18	86.18	63.58	221.67	2.5	50.21	Si		
0.55	2X/2Y ø6/25	1.65	699.25	SLU 18	84.29	81.14	227.03	2.5	51.21	1.72	699.25	SLU 18	86.18	63.58	222.36	2.5	50.21	Si		
0.85	2X/2Y ø6/25	1.65	697.25	SLU 18	84.29	81.14	227.75	2.5	51.21	1.72	697.25	SLU 18	86.18	63.58	223.06	2.5	50.21	Si		
1.16	2X/2Y ø6/25	1.65	695.25	SLU 18	84.29	81.14	228.46	2.5	51.21	1.72	695.25	SLU 18	86.18	63.58	223.76	2.5	50.21	Si		
1.47	2X/2Y ø6/25	1.65	693.25	SLU 18	84.29	81.14	229.18	2.5	51.21	1.72	693.25	SLU 18	86.18	63.58	224.47	2.5	50.21	Si		
1.78	2X/2Y ø6/25	1.65	691.25	SLU 18	84.29	81.14	229.9	2.5	51.21	1.72	691.25	SLU 18	86.18	63.58	225.17	2.5	50.21	Si		
2.08	2X/2Y ø6/25	1.65	689.25	SLU 18	84.29	81.14	230.61	2.5	51.21	1.72	689.25	SLU 18	86.18	63.58	225.87	2.5	50.21	Si		
2.39	2X/2Y ø6/25	1.65	687.25	SLU 18	84.29	81.14	231.33	2.5	51.21	1.72	687.25	SLU 18	86.18	63.58	226.57	2.5	50.21	Si		
2.67	2X/2Y ø6/25	1.65	-685.5	SLU 18	84.29	81.14	231.95	2.5	51.21	1.72	-685.5	SLU 18	86.18	63.58	227.18	2.5	50.21	Si		
2.7	2X/2Y ø6/25	1.65	685.28	SLU 18	84.29	81.14	232.04	2.5	51.21	1.72	685.28	SLU 18	86.18	63.58	227.26	2.5	50.21	Si		
2.92	2X/2Y ø6/23.3	-4.84	552.14	SLU 17	84.29	87.03	238.84	2.5	17.97	-1.63	552.14	SLU 18	86.18	68.19	233.92	2.5	52.77	Si		
3.22	2X/2Y ø6/23.3	-4.84	550.23	SLU 17	84.29	87.03	238.84	2.5	17.97	-1.63	550.23	SLU 18	86.18	68.19	233.92	2.5	52.77	Si		
3.53	2X/2Y ø6/23.3	-4.84	548.27	SLU 17	84.29	87.03	238.84	2.5	17.97	-1.63	548.28	SLU 18	86.18	68.19	233.92	2.5	52.77	Si		
3.83	2X/2Y ø6/23.3	-4.84	546.29	SLU 17	84.29	87.03	238.84	2.5	17.97	-1.63	546.29	SLU 18	86.18	68.19	233.92	2.5	52.77	Si		
4.13	2X/2Y ø6/23.3	-4.84	544.32	SLU 17	84.29	87.03	238.84	2.5	17.97	-1.63	544.32	SLU 18	86.18	68.19	233.92	2.5	52.77	Si		
4.44	2X/2Y ø6/23.3	-4.84	542.35	SLU 17	84.29	87.03	238.84	2.5	17.97	-1.63	542.35	SLU 18	86.18	68.19	233.92	2.5	52.77	Si		
4.74	2X/2Y ø6/23.3	-4.84	540.38	SLU 17	84.29	87.03	238.84	2.5	17.97	-1.63	540.39	SLU 18	86.18	68.19	233.92	2.5	52.77	Si		
5.04	2X/2Y ø6/23.3	-4.84	538.42	SLU 17	84.29	87.03	238.84	2.5	17.97	-1.63	538.42	SLU 18	86.18	68.19	233.92	2.5	52.77	Si		

Quota	Staffe	Direzione X								Direzione Y								Verifica
		V	N	Comb.	VRd	VRsd	VRcd	Cot	c.s.	V	N	Comb.	VRd	VRsd	VRcd	Cot	c.s.	
5.34	2X/2Y ø6/23.3	-4.84	-	SLU 17	84.29	87.03	238.84	2.5	17.97	-1.63	-	SLU 18	86.18	68.19	233.92	2.5	52.77	Si
			536.45								536.45							
5.65	2X/2Y ø6/23.3	-4.84	-	SLU 17	84.29	87.03	238.84	2.5	17.97	-1.63	-	SLU 18	86.18	68.19	233.92	2.5	52.77	Si
			534.48								534.48							
5.95	2X/2Y ø6/23.3	-4.84	-	SLU 17	84.29	87.03	238.84	2.5	17.97	-1.63	-	SLU 18	86.18	68.19	233.92	2.5	52.77	Si
			532.54								532.54							

Verifica a taglio in famiglia SLV

Quota	Staffe	Direzione X								Direzione Y								Verifica
		V	N	Comb.	VRd	VRsd	VRcd	Cot	c.s.	V	N	Comb.	VRd	VRsd	VRcd	Cot	c.s.	
-1.3	2X/2Y ø6/25	17.76	-	SLV 1	84.29	81.14	238.84	2.5	4.75	62.53	-	SLV 6	86.18	63.58	233.92	2.5	1.38	Si
			396.51								407.86							
-0.99	2X/2Y ø6/25	17.76	-	SLV 1	84.29	81.14	238.84	2.5	4.75	62.53	-	SLV 6	86.18	63.58	233.92	2.5	1.38	Si
			-395								406.34							
-0.68	2X/2Y ø6/25	17.76	-	SLV 1	84.29	81.14	238.84	2.5	4.75	62.53	-	SLV 6	86.18	63.58	233.92	2.5	1.38	Si
			393.46								404.81							
-0.38	2X/2Y ø6/25	17.76	-	SLV 1	84.29	81.14	238.84	2.5	4.75	62.53	-	SLV 6	86.18	63.58	233.92	2.5	1.38	Si
			391.92								403.27							
-0.07	2X/2Y ø6/25	17.76	-	SLV 1	84.29	81.14	238.84	2.5	4.75	62.53	-	SLV 6	86.18	63.58	233.92	2.5	1.38	Si
			390.38								401.73							
0.24	2X/2Y ø6/25	17.76	-	SLV 1	84.29	81.14	238.84	2.5	4.75	62.53	-	SLV 6	86.18	63.58	233.92	2.5	1.38	Si
			388.83								400.17							
0.55	2X/2Y ø6/25	17.76	-	SLV 1	84.29	81.14	238.84	2.5	4.75	62.53	-	SLV 6	86.18	63.58	233.92	2.5	1.38	Si
			-387.3								398.65							
0.85	2X/2Y ø6/25	17.76	-	SLV 1	84.29	81.14	238.84	2.5	4.75	62.53	-	SLV 6	86.18	63.58	233.92	2.5	1.38	Si
			385.77								397.11							
1.16	2X/2Y ø6/25	17.76	-	SLV 1	84.29	81.14	238.84	2.5	4.75	62.53	-	SLV 6	86.18	63.58	233.92	2.5	1.38	Si
			384.23								395.58							
1.47	2X/2Y ø6/25	17.76	-	SLV 1	84.29	81.14	238.84	2.5	4.75	62.53	-	SLV 6	86.18	63.58	233.92	2.5	1.38	Si
			382.69								394.04							
1.78	2X/2Y ø6/25	17.76	-	SLV 1	84.29	81.14	238.84	2.5	4.75	62.53	-	SLV 6	86.18	63.58	233.92	2.5	1.38	Si
			381.15								-392.5							
2.08	2X/2Y ø6/25	17.76	-	SLV 1	84.29	81.14	238.84	2.5	4.75	62.53	-	SLV 6	86.18	63.58	233.92	2.5	1.38	Si
			379.61								390.96							
2.39	2X/2Y ø6/25	17.76	-	SLV 1	84.29	81.14	238.84	2.5	4.75	62.53	-	SLV 6	86.18	63.58	233.92	2.5	1.38	Si
			378.07								389.42							
2.67	2X/2Y ø6/25	17.76	-	SLV 1	84.29	81.14	238.84	2.5	4.75	62.53	-	SLV 6	86.18	63.58	233.92	2.5	1.38	Si
			376.73								388.08							
2.7	2X/2Y ø6/25	17.76	-	SLV 1	84.29	81.14	238.84	2.5	4.75	62.53	-	SLV 6	86.18	63.58	233.92	2.5	1.38	Si
			376.56								387.91							
2.92	2X/2Y ø6/23.3	-	-	SLV 1	84.29	87.03	233.1	2.5	0.56	-54.88	-	SLV 6	86.18	68.19	229.9	2.5	1.57	No
		155.85	293.15								304.46							
3.22	2X/2Y ø6/23.3	-	-	SLV 1	84.29	87.03	232.89	2.5	0.56	-54.88	-	SLV 6	86.18	68.19	229.69	2.5	1.57	No
		155.85	291.68								302.99							
3.53	2X/2Y ø6/23.3	-	-	SLV 1	84.29	87.03	232.67	2.5	0.56	-54.88	-	SLV 6	86.18	68.19	229.48	2.5	1.57	No
		155.85	290.17								301.49							
3.83	2X/2Y ø6/23.3	-	-	SLV 1	84.29	87.03	232.45	2.5	0.56	-54.88	-	SLV 6	86.18	68.19	229.26	2.5	1.57	No
		155.85	288.65								299.96							
4.13	2X/2Y ø6/23.3	-	-	SLV 1	84.29	87.03	232.24	2.5	0.56	-54.88	-	SLV 6	86.18	68.19	229.05	2.5	1.57	No
		155.85	287.13								298.45							
4.44	2X/2Y ø6/23.3	-	-	SLV 1	84.29	87.03	232.02	2.5	0.56	-54.88	-	SLV 6	86.18	68.19	228.84	2.5	1.57	No
		155.85	285.62								296.93							
4.74	2X/2Y ø6/23.3	-	-	SLV 1	84.29	87.03	231.8	2.5	0.56	-54.88	-	SLV 6	86.18	68.19	228.63	2.5	1.57	No
		155.85	-284.1								295.42							
5.04	2X/2Y ø6/23.3	-	-	SLV 1	84.29	87.03	231.59	2.5	0.56	-54.88	-	SLV 6	86.18	68.19	228.41	2.5	1.57	No
		155.85	282.59								-293.9							
5.34	2X/2Y ø6/23.3	-	-	SLV 1	84.29	87.03	231.37	2.5	0.56	-54.88	-	SLV 6	86.18	68.19	228.2	2.5	1.57	No
		155.85	281.07								292.39							
5.65	2X/2Y ø6/23.3	-	-	SLV 1	84.29	87.03	231.15	2.5	0.56	-54.88	-	SLV 6	86.18	68.19	227.99	2.5	1.57	No
		155.85	279.56								290.87							
5.95	2X/2Y ø6/23.3	-	-	SLV 1	84.29	87.03	230.94	2.5	0.56	-54.88	-	SLV 6	86.18	68.19	227.78	2.5	1.57	No
		155.85	278.07								289.38							

Verifica taglio ciclico secondo Circolare 7 21-01-19 §C8.7.2.3.5 formula [C8.7.2.8] in combinazione SLV

Quota	Q.inf.	Q.sup.	Dir.	Lv	x	h	p_tot	θ_m	θ_y	μΔ.pl	VRd	VRcd(cotθ=1)	VRsd	Vw	VR	VR,f	VEd	NEd	Comb.	Verifica
-1.3	-	2.81	X	2.095	0.201	0.5	0.0062	0.000846	0.006594	0	84.288	346.312	81.139	32.455	66.283	84.288	17.76	-396.51	SLV 1	Si
	1.675																			
-1.3	-	2.81	Y	2.095	0.255	0.4	0.0062	0.00053	0.007835	0	86.181	339.191	63.576	25.43	42.386	86.181	62.528	-	SLV 6	Si
	1.675																	407.858		

Verifica a taglio in famiglia SLD Resistenza

Quota	Staffe	Direzione X								Direzione Y								Verifica
		V	N	Comb.	VRd	VRsd	VRcd	Cot	c.s.	V	N	Comb.	VRd	VRsd	VRcd	Cot	c.s.	
-1.3	2X/2Y ø6/25	8.3	-	SLD 1	102.76	81.14	238.84	2.5	12.39	26.21	-	SLD 6	104.27	63.58	233.92	2.5	3.98	Si
			415.23								420.37							
-0.99	2X/2Y ø6/25	8.3	-	SLD 1	102.76	81.14	238.84	2.5	12.39	26.21	-	SLD 6	104.27	63.58	233.92	2.5	3.98	Si
			413.72								418.86							
-0.68	2X/2Y ø6/25	8.3	-	SLD 1	102.76	81.14	238.84	2.5	12.39	26.21	-	SLD 6	104.27	63.58	233.92	2.5	3.98	Si
			412.18								417.32							
-0.38	2X/2Y ø6/25	8.3	-	SLD 1	102.76	81.14	238.84	2.5	12.39	26.21	-	SLD 6	104.27	63.58	233.92	2.5	3.98	Si
			410.64								415.78							
-0.07	2X/2Y ø6/25	8.3	-	SLD 1	102.76	81.14	238.84	2.5										

Quota	Staffe	Direzione X								Direzione Y								Verifica
		V	N	Comb.	VRd	VRsd	VRcd	Cot	c.s.	V	N	Comb.	VRd	VRsd	VRcd	Cot	c.s.	
2.92	2X/2Y ø6/23.3	-68.42	311.81	SLD 1	90.56	87.03	235.78	2.5	1.32	-22.76	316.94	SLD 6	93.02	68.19	231.65	2.5	4.09	Si
3.22	2X/2Y ø6/23.3	-68.42	310.34	SLD 1	90.36	87.03	235.57	2.5	1.32	-22.76	315.47	SLD 6	92.83	68.19	231.44	2.5	4.08	Si
3.53	2X/2Y ø6/23.3	-68.42	308.84	SLD 1	90.15	87.03	235.35	2.5	1.32	-22.76	313.96	SLD 6	92.62	68.19	231.23	2.5	4.07	Si
3.83	2X/2Y ø6/23.3	-68.42	307.31	SLD 1	89.94	87.03	235.13	2.5	1.31	-22.76	312.44	SLD 6	92.41	68.19	231.02	2.5	4.06	Si
4.13	2X/2Y ø6/23.3	-68.42	305.8	SLD 1	89.73	87.03	234.91	2.5	1.31	-22.76	310.92	SLD 6	92.21	68.19	230.8	2.5	4.05	Si
4.44	2X/2Y ø6/23.3	-68.42	304.28	SLD 1	89.52	87.03	234.7	2.5	1.31	-22.76	309.41	SLD 6	92	68.19	230.59	2.5	4.04	Si
4.74	2X/2Y ø6/23.3	-68.42	302.77	SLD 1	89.31	87.03	234.48	2.5	1.31	-22.76	307.89	SLD 6	91.8	68.19	230.38	2.5	4.03	Si
5.04	2X/2Y ø6/23.3	-68.42	301.25	SLD 1	89.1	87.03	234.26	2.5	1.3	-22.76	306.38	SLD 6	91.59	68.19	230.16	2.5	4.02	Si
5.34	2X/2Y ø6/23.3	-68.42	299.74	SLD 1	88.89	87.03	234.04	2.5	1.3	-22.76	304.86	SLD 6	91.39	68.19	229.95	2.5	4.01	Si
5.65	2X/2Y ø6/23.3	-68.42	298.22	SLD 1	88.68	87.03	233.83	2.5	1.3	-22.76	303.35	SLD 6	91.18	68.19	229.74	2.5	4.01	Si
5.95	2X/2Y ø6/23.3	-68.42	296.73	SLD 1	88.47	87.03	233.61	2.5	1.29	-22.76	301.86	SLD 6	90.98	68.19	229.53	2.5	4	Si

Indicatori di rischio sismico a taglio in SLV

Quota	Molt.	TR	I.R.TR	PGA	I.R.PGA	Comb.	Verifica
-0.99	1.385	2114	1.389	0.255	1.279	SLV 6	Si
-0.68	1.385	2114	1.389	0.255	1.279	SLV 6	Si
-0.38	1.385	2114	1.389	0.255	1.279	SLV 6	Si
-0.07	1.385	2114	1.389	0.255	1.279	SLV 6	Si
0.24	1.385	2114	1.389	0.255	1.279	SLV 6	Si
0.55	1.385	2114	1.389	0.255	1.279	SLV 6	Si
0.85	1.385	2114	1.389	0.255	1.279	SLV 6	Si
1.16	1.385	2114	1.389	0.255	1.279	SLV 6	Si
1.47	1.385	2114	1.389	0.255	1.279	SLV 6	Si
1.78	1.385	2114	1.389	0.255	1.279	SLV 6	Si
2.08	1.385	2114	1.389	0.255	1.279	SLV 6	Si
2.39	1.385	2114	1.389	0.255	1.279	SLV 6	Si
2.67	1.385	2114	1.389	0.255	1.279	SLV 6	Si
2.7	1.385	2114	1.389	0.255	1.279	SLV 6	Si
2.92	0.551	183	0.509	0.11	0.551	SLV 1	No
3.22	0.551	183	0.509	0.11	0.551	SLV 1	No
3.53	0.551	183	0.509	0.11	0.551	SLV 1	No
3.83	0.551	183	0.509	0.11	0.551	SLV 1	No
4.13	0.551	183	0.509	0.11	0.551	SLV 1	No
4.44	0.551	183	0.509	0.11	0.551	SLV 1	No
4.74	0.551	183	0.509	0.11	0.551	SLV 1	No
5.04	0.551	183	0.509	0.11	0.551	SLV 1	No
5.34	0.551	183	0.509	0.11	0.551	SLV 1	No
5.65	0.551	183	0.509	0.11	0.551	SLV 1	No
5.95	0.551	183	0.509	0.11	0.551	SLV 1	No

Indicatori di rischio sismico a taglio in SLD Resistenza

Quota	Molt.	TR	I.R.TR	PGA	I.R.PGA	Comb.	Verifica
-1.3	4.069	2110	3.477	0.255	2.966	SLD 6	Si
-0.99	4.063	2110	3.477	0.255	2.966	SLD 6	Si
-0.68	4.056	2110	3.477	0.255	2.966	SLD 6	Si
-0.38	4.049	2110	3.477	0.255	2.966	SLD 6	Si
-0.07	4.035	2110	3.477	0.255	2.966	SLD 6	Si
0.24	4.028	2110	3.477	0.255	2.966	SLD 6	Si
0.55	4.021	2110	3.477	0.255	2.966	SLD 6	Si
0.85	4.015	2110	3.477	0.255	2.966	SLD 6	Si
1.16	4.008	2110	3.477	0.255	2.966	SLD 6	Si
1.47	4	2110	3.477	0.255	2.966	SLD 6	Si
1.78	3.988	2110	3.477	0.255	2.966	SLD 6	Si
2.08	3.982	2110	3.477	0.255	2.966	SLD 6	Si
2.39	3.977	2110	3.477	0.255	2.966	SLD 6	Si
2.67	3.965	2110	3.477	0.255	2.966	SLD 6	Si
2.7	3.965	2110	3.477	0.255	2.966	SLD 6	Si
2.92	1.328	203	1.331	0.115	1.333	SLD 1	Si
3.22	1.324	201	1.326	0.114	1.328	SLD 1	Si
3.53	1.32	200	1.323	0.114	1.325	SLD 1	Si
3.83	1.318	199	1.321	0.114	1.322	SLD 1	Si
4.13	1.316	198	1.318	0.114	1.32	SLD 1	Si
4.44	1.313	197	1.315	0.113	1.317	SLD 1	Si
4.74	1.309	195	1.31	0.113	1.311	SLD 1	Si
5.04	1.307	195	1.31	0.113	1.311	SLD 1	Si
5.34	1.303	193	1.304	0.112	1.306	SLD 1	Si
5.65	1.301	192	1.301	0.112	1.303	SLD 1	Si
5.95	1.297	191	1.299	0.112	1.3	SLD 1	Si

Verifiche nodi trave colonna

Riepilogo dei dati per le diverse tipologie di verifica eseguite per i nodi

Pilastrata	Q.Nodo	Escluso	Confinato	Segnalazioni
Pilastrata P12	-1.675	Si	No	
Pilastrata P12	2.81	No	No	
Pilastrata P12	6.5	No	No	non tutte le travature convergenti al nodo sono calcolate/validate

Verifiche nodi trave colonna in combinazioni SLD

Riepilogo dei dati per la verifica del nodo secondo Circolare 7 21-01-19 §C8.7.2.3.5.

Pilastrata	Q.Nodo	Angolo travatura	Aj	Vpc	Vtc	Vnc	Nc	onc	onc,lim	Comb.c	Vpt	Vtt	Vnt	Nt	ont	ont,lim	Comb.t	Segnalazioni	Verifica
Pilastrata P12	2.81	0	0.2544	-	253.516	190.642	-	1672	3919	SLD 16	-	262.045	193.628	-	364	840	SLD 1		Si
			62.874	-			339.898	-			68.417			311.856	-				
	2.81	180	0.2544	-	253.516	190.642	-	1672	3919	SLD 16	-	262.045	193.628	-	364	840	SLD 1		Si
			62.874	-			339.898	-			68.417			311.856	-				

Verifiche nodi trave colonna in combinazioni SLD**Riepilogo dei dati per la verifica del nodo secondo Circolare 7 21-01-19 §C8.7.2.3.5.**

Pilastrata	Q.Nodo	Angolo travatura	Aj	Vpc	Vtc	Vnc	Nc	σnc	σnc,lim	Comb.c	Vpt	Vtt	Vnt	Nt	σnt	σnt,lim	Comb.t	Segnalazioni	Verifica
Pilastrata P12	6.5	0	0.1696	0	186.202	186.202	0	1098	3919	SLD 16	0	186.202	186.202	0	1098	840	SLD 16		No
	6.5	180	0.1696	0	186.202	186.202	0	1098	3919	SLD 16	0	186.202	186.202	0	1098	840	SLD 16		No
	6.5	270	0	0	0	0	0	0	0		0	0	0	0	0	0		Trave non calcolata	Si

Verifiche nodi trave colonna in combinazioni SLV**Riepilogo dei dati per la verifica del nodo secondo Circolare 7 21-01-19 §C8.7.2.3.5.**

Pilastrata	Q.Nodo	Angolo travatura	Aj	Vpc	Vtc	Vnc	Nc	σnc	σnc,lim	Comb.c	Vpt	Vtt	Vnt	Nt	σnt	σnt,lim	Comb.t	Segnalazioni	Verifica
Pilastrata P12	2.81	0	0.2544	-	606.732	456.43	-	2632	3919	SLV 16	-	611.522	455.677	-	1305	840	SLV 1		No
	2.81	180	0.2544	150.302	606.732	456.43	358.564	2632	3919	SLV 16	155.845	611.522	455.677	293.191	1305	840	SLV 1		No
	2.81	270	0	150.302	606.732	456.43	358.564	2632	3919	SLV 16	155.845	611.522	455.677	293.191	1305	840	SLV 1		No

Verifiche nodi trave colonna in combinazioni SLV**Riepilogo dei dati per la verifica del nodo secondo Circolare 7 21-01-19 §C8.7.2.3.5.**

Pilastrata	Q.Nodo	Angolo travatura	Aj	Vpc	Vtc	Vnc	Nc	σnc	σnc,lim	Comb.c	Vpt	Vtt	Vnt	Nt	σnt	σnt,lim	Comb.t	Segnalazioni	Verifica
Pilastrata P12	6.5	0	0.1696	0	449.335	449.335	0	2649	3919	SLV 16	0	449.335	449.335	0	2649	840	SLV 16		No
	6.5	180	0.1696	0	449.335	449.335	0	2649	3919	SLV 16	0	449.335	449.335	0	2649	840	SLV 16		No
	6.5	270	0	0	0	0	0	0	0		0	0	0	0	0	0		Trave non calcolata	Si

Indicatori di rischio sismico dei nodi in SLD

Pilastrata	Q.Nodo	Angolo travatura	Moltiplicatore	TR	I.R.TR	PGA	I.R.PGA	Comb.	Ver.
Pilastrata P12	2.81	0	1.703	394	1.747	0.147	1.708	SLD 1	Si
	2.81	180	1.703	394	1.747	0.147	1.708	SLD 1	Si

Indicatori di rischio sismico dei nodi in SLD

Pilastrata	Q.Nodo	Angolo travatura	Moltiplicatore	TR	I.R.TR	PGA	I.R.PGA	Comb.	Ver.
Pilastrata P12	6.5	0	0.777	57	0.791	0.067	0.777	SLD 16	No
	6.5	180	0.777	57	0.791	0.067	0.777	SLD 16	No

Indicatori di rischio sismico dei nodi in SLV

Pilastrata	Q.Nodo	Angolo travatura	Moltiplicatore	TR	I.R.TR	PGA	I.R.PGA	Comb.	Ver.
Pilastrata P12	2.81	0	0.729	385	0.691	0.146	0.73	SLV 1	No
	2.81	180	0.729	385	0.691	0.146	0.73	SLV 1	No

Indicatori di rischio sismico dei nodi in SLV

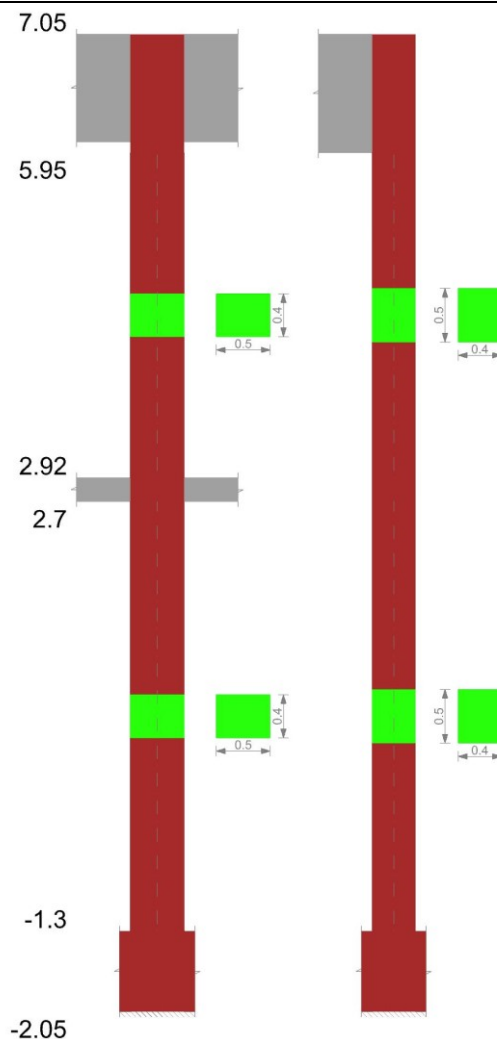
Pilastrata	Q.Nodo	Angolo travatura	Moltiplicatore	TR	I.R.TR	PGA	I.R.PGA	Comb.	Ver.
Pilastrata P12	6.5	0	0.333	56	0.313	0.066	0.332	SLV 16	No
	6.5	180	0.333	56	0.313	0.066	0.332	SLV 16	No

Verifiche di gerarchia delle resistenze nei nodi trave pilastro

Verifiche di gerarchia delle resistenze nei nodi trave pilastro non presenti in quanto la verifica è non necessaria per la pilastrata per il nodo Appoggio 6.5 in quanto elemento di materiale esistente.
per il nodo Appoggio 2.81 in quanto elemento di materiale esistente.
per il nodo Appoggio -1.675 in quanto elemento di materiale esistente.

Pilastrata P13

Geometria



Dati della pilastrata

Analisi di edificio esistente con fattore di struttura.

Fattore di struttura per meccanismi duttili in direzione X: 1.5

Fattore di struttura per meccanismi duttili in direzione Y: 1.5

Fattore di struttura per meccanismi fragili in direzione X: 1

Fattore di struttura per meccanismi fragili in direzione Y: 1

Verifica dei meccanismi fragili condotta secondo Circolare 7 21-01-19 (§C8.7.2.2) Analisi lineare con fattore q.

Fattore di amplificazione dei meccanismi fragili della componente sismica in direzione X: 1

Fattore di amplificazione dei meccanismi fragili della componente sismica in direzione Y: 1

Campate costituenti la pilastrata

Q.inf.	Q.sup.	Sezione	Esistente	Secondaria	Dissipativa	Interna a parete	Sovreresistenza	Materiale CLS	Materiale Acciaio	FC
-1.3	2.7	R 50x40	Si	No	No	No		C14/17 LC2 Vigone A	Vigone_FeB22k_LC2_FC = 1.2; Vigone_FeB44k_Staffe_LC2_FC = 1.2	1.2
2.92	5.95	R 50x40	Si	No	No	No		C14/17 LC2 Vigone A	Vigone_FeB22k_LC2_FC = 1.2; Vigone_FeB44k_Staffe_LC2_FC = 1.2	1.2

Disposizione delle armature longitudinali

Posizione	X	Y	Diametro	Area	Q.inf.	Q.sup.	Sezione	Materiale
p.1	-0.2105	-0.1605	0.014	0.0001539	-1.675	-1.3	R 50x40	Vigone FeB22k LC2
p.1	0.2105	-0.1605	0.014	0.0001539	-1.675	-1.3	R 50x40	Vigone FeB22k LC2
p.1	0.2105	0.1605	0.014	0.0001539	-1.675	-1.3	R 50x40	Vigone FeB22k LC2
p.1	-0.2105	0.1605	0.014	0.0001539	-1.675	-1.3	R 50x40	Vigone FeB22k LC2
p.1	0	-0.162	0.014	0.0001539	-1.675	-1.3	R 50x40	Vigone FeB22k LC2
p.1	0	0.162	0.014	0.0001539	-1.675	-1.3	R 50x40	Vigone FeB22k LC2
p.1	-0.212	0	0.014	0.0001539	-1.675	-1.3	R 50x40	Vigone FeB22k LC2
p.1	0.212	0	0.014	0.0001539	-1.675	-1.3	R 50x40	Vigone FeB22k LC2
p.2	-0.2105	-0.1605	0.014	0.0001539	-1.3	2.92	R 50x40	Vigone FeB22k LC2
p.2	0.2105	-0.1605	0.014	0.0001539	-1.3	2.92	R 50x40	Vigone FeB22k LC2
p.2	0.2105	0.1605	0.014	0.0001539	-1.3	2.92	R 50x40	Vigone FeB22k LC2
p.2	-0.2105	0.1605	0.014	0.0001539	-1.3	2.92	R 50x40	Vigone FeB22k LC2
p.2	0	-0.162	0.014	0.0001539	-1.3	2.92	R 50x40	Vigone FeB22k LC2
p.2	0	0.162	0.014	0.0001539	-1.3	2.92	R 50x40	Vigone FeB22k LC2
p.2	-0.212	0	0.014	0.0001539	-1.3	2.92	R 50x40	Vigone FeB22k LC2
p.2	0.212	0	0.014	0.0001539	-1.3	2.92	R 50x40	Vigone FeB22k LC2
p.3	-0.2105	-0.1605	0.014	0.0001539	2.92	5.95	R 50x40	Vigone FeB22k LC2
p.3	0.2105	-0.1605	0.014	0.0001539	2.92	5.95	R 50x40	Vigone FeB22k LC2
p.3	0.2105	0.1605	0.014	0.0001539	2.92	5.95	R 50x40	Vigone FeB22k LC2
p.3	-0.2105	0.1605	0.014	0.0001539	2.92	5.95	R 50x40	Vigone FeB22k LC2
p.3	0	-0.162	0.014	0.0001539	2.92	5.95	R 50x40	Vigone FeB22k LC2
p.3	0	0.162	0.014	0.0001539	2.92	5.95	R 50x40	Vigone FeB22k LC2
p.3	-0.212	0	0.014	0.0001539	2.92	5.95	R 50x40	Vigone FeB22k LC2

Posizione	X	Y	Diametro	Area	Q.inf.	Q.sup.	Sezione	Materiale
p.3	0.212	0	0.014	0.0001539	2.92	5.95	R 50x40	Vigone FeB22k LC2

Controlli geometrici NTC18

Nessuna anomalia

Verifiche delle sezioni**Verifica a pressoflessione in SLU**

Quota	As	%	At	Pos.	Mx	My	N	MRdx	MRdy	Comb.	Coeff.s.	Verifica
-1.3	0.001232	1.2	0	1,2	0.0801	-1.2588	-727.21	0.1482	-2.33	SLU 17	1.851	SI
-0.99	0.001232	1.2	0	1,2	0.4025	-0.913	-725.24	0.747	-1.6945	SLU 17	1.856	SI
-0.68	0.001232	1.2	0	1,2	0.7302	-0.5614	-723.24	1.359	-1.0449	SLU 17	1.861	SI
-0.38	0.001232	0.6	0	2	1.058	-0.2099	-721.24	1.9745	-0.3917	SLU 17	1.866	SI
-0.07	0.001232	0.6	0	2	1.3857	0.1417	-719.24	2.5934	0.2651	SLU 17	1.871	SI
0.24	0.001232	0.6	0	2	1.7172	0.4972	-717.22	3.2227	0.9331	SLU 17	1.877	SI
0.55	0.001232	0.6	0	2	2.0413	0.8448	-715.24	3.8415	1.5898	SLU 17	1.882	SI
0.85	0.001232	0.6	0	2	2.369	1.1963	-713.24	4.4708	2.2577	SLU 17	1.887	SI
1.16	0.001232	0.6	0	2	2.6968	1.5479	-711.24	5.1036	2.9293	SLU 17	1.893	SI
1.47	0.001232	0.6	0	2	3.0245	1.8994	-709.24	5.7401	3.6048	SLU 17	1.898	SI
1.78	0.001232	0.6	0	2	3.3523	2.251	-707.24	6.3801	4.284	SLU 17	1.903	SI
2.08	0.001232	0.6	0	2	3.68	2.6025	-705.24	7.0237	4.9671	SLU 17	1.909	SI
2.39	0.001232	0.6	0	2	4.0078	2.954	-703.24	7.671	5.6541	SLU 17	1.914	SI
2.67	0.001232	0.6	0	2	4.2933	3.2603	-701.5	8.2379	6.2557	SLU 17	1.919	SI
2.7	0.001232	0.6	0	2	4.3302	3.2999	-701.28	8.3114	6.3338	SLU 17	1.919	SI
2.92	0.001232	1.2	0	2,3	4.3091	4.5809	-568.57	10.2014	10.8449	SLU 17	2.367	SI
3.22	0.001232	1.2	0	2,3	3.9542	3.563	-566.66	9.3929	8.4636	SLU 17	2.375	SI
3.53	0.001232	1.2	0	2,3	3.5907	2.5201	-564.7	8.5589	6.007	SLU 17	2.384	SI
3.83	0.001232	0.6	0	3	3.2228	1.4647	-562.72	7.7089	3.5036	SLU 17	2.392	SI
4.13	0.001232	0.6	0	3	2.857	0.4155	-560.75	6.858	0.9974	SLU 17	2.4	SI
4.44	0.001232	0.6	0	3	2.4913	-0.6336	-558.78	6.0012	-1.5264	SLU 17	2.409	SI
4.74	0.001232	0.6	0	3	2.1255	-1.6828	-556.81	5.1383	-4.068	SLU 17	2.417	SI
5.04	0.001232	0.6	0	3	1.7598	-2.732	-554.84	4.2692	-6.6277	SLU 17	2.426	SI
5.34	0.001232	0.6	0	3	1.394	-3.7812	-552.87	3.394	-9.2057	SLU 17	2.435	SI
5.65	0.001232	0.6	0	3	1.0283	-4.8303	-550.9	2.5125	-11.8021	SLU 17	2.443	SI
5.95	0.001232	0.6	0	3	0.6686	-5.8622	-548.96	1.6394	-14.3738	SLU 17	2.452	SI

Verifica a pressoflessione in SLV

E' attiva l'opzione fattori parziali di sicurezza unitari per meccanismi duttili di strutture esistenti con fattore q

Quota	As	%	At	Pos.	Mx	My	N	MRdx	MRdy	Comb.	C.S.	Nmin	Nlim	Comb.Nmin	Ver.
-1.3	0.001232	1.2	0	1,2	30.3964	-54.4505	-434.11	70.0506	-125.485	SLV 13	2.305				SI
-0.99	0.001232	1.2	0	1,2	27.9389	-53.3857	-432.6	67.004	-128.0312	SLV 13	2.398				SI
-0.68	0.001232	1.2	0	1,2	38.6667	40.2418	-432.24	92.6504	96.4246	SLV 6	2.396				SI
-0.38	0.001232	0.6	0	2	43.3177	41.6712	-430.7	96.5588	92.8886	SLV 6	2.229				SI
-0.07	0.001232	0.6	0	2	50.3406	42.8196	-429.2	101.5871	86.4097	SLV 5	2.018				SI
0.24	0.001232	0.6	0	2	58.0291	45.2918	-427.64	104.2056	81.3327	SLV 5	1.796				SI
0.55	0.001232	0.6	0	2	66.6363	47.8657	-426.12	104.3877	74.983	SLV 5	1.567				SI
0.85	0.001232	0.6	0	2	76.3899	50.6009	-424.58	103.4585	68.5312	SLV 5	1.354				SI
1.16	0.001232	0.6	0	2	85.4024	53.4533	-423.04	101.0932	63.2741	SLV 5	1.184				SI
1.47	0.001232	0.6	0	2	95.2492	56.4109	-421.5	97.5936	57.7994	SLV 5	1.025				SI
1.78	0.001232	0.6	0	2	105.3867	59.4636	-419.96	94.0784	53.083	SLV 5	0.893				No
2.08	0.001232	0.6	0	2	115.7015	62.5971	-418.43	90.6857	49.063	SLV 5	0.784				No
2.39	0.001232	0.6	0	2	126.1493	65.8024	-416.89	87.8747	45.8375	SLV 5	0.697				No
2.67	0.001232	0.6	0	2	135.3368	68.6484	-415.55	85.7718	43.507	SLV 5	0.634				No
2.7	0.001232	0.6	0	2	136.5306	69.0201	-415.37	85.5099	43.2277	SLV 5	0.626				No
2.92	0.001232	1.2	0	2,3	135.9635	119.8234	-332.01	67.2966	59.3079	SLV 5	0.495				No
3.22	0.001232	1.2	0	2,3	124.7681	88.3494	-330.54	74.2967	52.6102	SLV 5	0.595				No
3.53	0.001232	1.2	0	2,3	113.2974	56.1497	-329.04	84.1957	41.727	SLV 5	0.743				No
3.83	0.001232	0.6	0	3	101.6892	23.9324	-327.51	98.0407	23.0737	SLV 5	0.964				No
4.13	0.001232	0.6	0	3	90.6279	-12.0536	-325.97	107.7753	-14.3342	SLV 6	1.189				SI
4.44	0.001232	0.6	0	3	79.0273	-41.2487	-324.45	97.3971	-50.8369	SLV 6	1.232				SI
4.74	0.001232	0.6	0	3	67.0708	-74.3962	-322.97	76.5817	-84.9457	SLV 5	1.142				SI
5.04	0.001232	0.6	0	3	22.4693	-155.4513	-324.88	16.5141	-114.2512	SLV 1	0.735				No
5.34	0.001232	0.6	0	3	17.8007	-201.8828	-323.37	9.1202	-103.4351	SLV 1	0.512				No
5.65	0.001232	0.6	0	3	13.1321	-248.3351	-321.85	5.0855	-96.1701	SLV 1	0.387				No
5.95	0.001232	0.6	0	3	8.5406	-294.0316	-320.36	2.6508	-91.2621	SLV 1	0.31				No

Verifica a pressoflessione in SLD

Quota	As	%	At	Pos.	Mx	My	N	MRdx	MRdy	Comb.	Coeff.s.	Verifica
-1.3	0.001232	1.2	0	1,2	13.1161	-24.1865	-435.83	49.7955	-91.8245	SLD 13	3.797	SI
-0.99	0.001232	1.2	0	1,2	12.0974	-23.5986	-434.32	46.7425	-91.1812	SLD 13	3.864	SI
-0.68	0.001232	1.2	0	1,2	0.8116	-28.5075	-433.39	3.1736	-111.4662	SLD 15	3.91	SI
-0.38	0.001232	0.6	0	2	18.3043	16.8237	-431.81	70.5486	64.8422	SLD 5	3.854	SI
-0.07	0.001232	0.6	0	2	20.7803	17.8706	-430.27	77.0361	66.2496	SLD 5	3.707	SI
0.24	0.001232	0.6	0	2	23.88	19.009	-428.71	84.4127	67.1945	SLD 5	3.535	SI
0.55	0.001232	0.6	0	2	27.4089	20.1939	-427.19	91.73	67.5834	SLD 5	3.347	SI
0.85	0.001232	0.6	0	2	31.4449	21.4525	-425.65	98.8178	67.4161	SLD 5	3.143	SI
1.16	0.001232	0.6	0	2	35.1824	22.7647	-424.11	104.3203	67.5003	SLD 5	2.965	SI
1.47	0.001232	0.6	0	2	39.2937	24.1248	-422.58	108.668	66.7179	SLD 5	2.766	SI
1.78	0.001232	0.6	0	2	43.537	25.5281	-421.04	112.1709	65.7719	SLD 5	2.576	SI
2.08	0.001232	0.6	0	2	47.862	26.968	-419.5	114.5007	64.5159	SLD 5	2.392	SI
2.39	0.001232	0.6	0	2	52.2483	28.4405	-417.96	116.4609	63.3935	SLD 5	2.229	SI
2.67	0.001232	0.6	0	2	56.109	29.7474	-416.62	116.6031	61.8195	SLD 5	2.078	SI
2.7	0.001232	0.6	0	2	56.6109	29.918	-416.45	116.5923	61.6173	SLD 5	2.06	SI
2.92	0.001232	1.2	0	2,3	56.3981	51.4452	-333.15	92.132	84.041	SLD 5	1.634	SI
3.22	0.001232	1.2	0	2,3	51.7542	38.0028	-331.68	103.6013	76.0739	SLD 5	2.002	SI
3.53	0.001232	1.2	0	2,3	46.9961	24.2517	-330.17	116.7488	60.2467	SLD 5	2.484	SI
3.83	0.001232	0.6	0	3	42.181	10.5014	-328.65	129.152	32.1538	SLD 5	3.062	SI
4.13	0.001232	0.6	0	3	37.5833	-4.9161	-327.12	130.518	-17.0725	SLD 6	3.473	SI
4.44	0.001232	0.6	0	3	32.6078	-17.7093	-325.62	113.1634	-61.459	SLD 5	3.47	SI
4.74	0.001232	0.6	0	3	27.8212	-31.5198	-324.1	89.2012	-101.0598	SLD 5	3.206	SI
5.04	0.001232	0.6	0	3	9.8607	-67.5967	-324.02	23.7366	-162.7179	SLD 1	2.407	SI
5.34	0.001232	0.6	0	3	7.8119	-87.8659	-322.51	13.6906	-153.9879	SLD 1	1.753	SI
5.65	0.001232	0.6	0	3	5.7631	-108.1445	-320.99	7.6124	-142.8486	SLD 1	1.321	SI
5.95	0.001232	0.6	0	3	3.748	-128.0933	-319.5	3.8331	-131.0006	SLD 1	1.023	SI

Indicatori di rischio sismico a pressoflessione in SLV

E' attiva l'opzione fattori parziali di sicurezza unitari per meccanismi duttili di strutture esistenti con fattore q

Quota	Molt.	TR	I.R.TR	PGA	I.R.PGA	Comb.	Ver.
-1.3	2.046	2114	1.389	0.255	1.279	SLV 13	SI
-0.99	2.131	2114	1.389	0.255	1.279	SLV 13	SI

Quota	Molt.	TR	I.R.TR	PGA	I.R.PGA	Comb.	Ver.
-0.68	2.131	2114	1.389	0.255	1.279	SLV 6	Si
-0.38	1.969	2114	1.389	0.255	1.279	SLV 5	Si
-0.07	1.77	2114	1.389	0.255	1.279	SLV 5	Si
0.24	1.578	2114	1.389	0.255	1.279	SLV 5	Si
0.55	1.404	2114	1.389	0.255	1.279	SLV 5	Si
0.85	1.244	1780	1.294	0.242	1.214	SLV 5	Si
1.16	1.125	1331	1.149	0.222	1.11	SLV 5	Si
1.47	1.017	991	1.018	0.202	1.014	SLV 5	Si
1.78	0.924	769	0.917	0.186	0.931	SLV 5	No
2.08	0.846	609	0.834	0.172	0.859	SLV 5	No
2.39	0.778	489	0.762	0.159	0.798	SLV 5	No
2.67	0.727	411	0.71	0.149	0.748	SLV 5	No
2.7	0.721	403	0.704	0.148	0.743	SLV 5	No
2.92	0.589	245	0.574	0.123	0.617	SLV 5	No
3.22	0.685	355	0.668	0.141	0.708	SLV 5	No
3.53	0.809	540	0.794	0.165	0.825	SLV 5	No
3.83	0.976	888	0.973	0.195	0.978	SLV 5	No
4.13	1.121	1317	1.144	0.221	1.107	SLV 6	Si
4.44	1.152	1427	1.182	0.226	1.134	SLV 6	Si
4.74	1.104	1298	1.137	0.22	1.102	SLV 1	Si
5.04	0.81	512	0.776	0.162	0.81	SLV 1	No
5.34	0.633	263	0.591	0.126	0.633	SLV 1	No
5.65	0.517	156	0.477	0.103	0.516	SLV 1	No
5.95	0.435	102	0.401	0.086	0.433	SLV 1	No

Indicatori di rischio sismico a pressoflessione in SLD Resistenza

Quota	Molt.	TR	I.R.TR	PGA	I.R.PGA	Comb.	Ver.
-1.3	4.705	2110	3.477	0.255	2.966	SLD 13	Si
-0.99	4.917	2110	3.477	0.255	2.966	SLD 13	Si
-0.68	5.081	2110	3.477	0.255	2.966	SLD 13	Si
-0.38	4.794	2110	3.477	0.255	2.966	SLD 6	Si
-0.07	4.35	2110	3.477	0.255	2.966	SLD 5	Si
0.24	3.895	2110	3.477	0.255	2.966	SLD 5	Si
0.55	3.479	2110	3.477	0.255	2.966	SLD 5	Si
0.85	3.086	1734	3.208	0.24	2.793	SLD 5	Si
1.16	2.787	1291	2.843	0.22	2.552	SLD 5	Si
1.47	2.521	965	2.523	0.201	2.334	SLD 5	Si
1.78	2.289	749	2.274	0.184	2.14	SLD 5	Si
2.08	2.093	591	2.063	0.17	1.974	SLD 5	Si
2.39	1.922	472	1.882	0.157	1.827	SLD 5	Si
2.67	1.793	398	1.755	0.148	1.714	SLD 5	Si
2.7	1.777	389	1.738	0.146	1.7	SLD 5	Si
2.92	1.447	234	1.411	0.121	1.406	SLD 5	Si
3.22	1.688	342	1.649	0.139	1.62	SLD 5	Si
3.53	1.998	523	1.963	0.163	1.893	SLD 5	Si
3.83	2.415	863	2.41	0.193	2.246	SLD 5	Si
4.13	2.781	1283	2.835	0.219	2.547	SLD 6	Si
4.44	2.846	1371	2.913	0.224	2.6	SLD 6	Si
4.74	2.591	1352	2.897	0.223	2.589	SLD 1	Si
5.04	1.893	527	1.969	0.163	1.898	SLD 1	Si
5.34	1.477	269	1.494	0.127	1.481	SLD 1	Si
5.65	1.205	159	1.204	0.104	1.206	SLD 1	Si
5.95	1.015	104	1.012	0.087	1.012	SLD 1	Si

Verifica a taglio in famiglia SLU

Quota	Staffe	Direzione X									Direzione Y							Verifica
		V	N	Comb.	VRd	VRsd	VRcd	Cot	c.s.	V	N	Comb.	VRd	VRsd	VRcd	Cot	c.s.	
-1.3	2X/2Y ø6/25	1.14	-	SLU 18	84.29	81.14	217	2.5	73.77	1.07	-	SLU 18	86.18	63.58	212.54	2.5	80.82	Si
-0.99	2X/2Y ø6/25	1.14	-	SLU 18	84.29	81.14	217.71	2.5	73.77	1.07	-	SLU 18	86.18	63.58	213.23	2.5	80.82	Si
-0.68	2X/2Y ø6/25	1.14	-	SLU 18	84.29	81.14	218.43	2.5	73.77	1.07	-	SLU 18	86.18	63.58	213.94	2.5	80.82	Si
-0.38	2X/2Y ø6/25	1.14	-	SLU 18	84.29	81.14	219.14	2.5	73.77	1.07	-	SLU 18	86.18	63.58	214.64	2.5	80.82	Si
-0.07	2X/2Y ø6/25	1.14	-	SLU 18	84.29	81.14	219.86	2.5	73.77	1.07	-	SLU 18	86.18	63.58	215.34	2.5	80.82	Si
0.24	2X/2Y ø6/25	1.14	-	SLU 18	84.29	81.14	220.59	2.5	73.77	1.07	-	SLU 18	86.18	63.58	216.05	2.5	80.82	Si
0.55	2X/2Y ø6/25	1.14	-	SLU 18	84.29	81.14	221.29	2.5	73.77	1.07	-	SLU 18	86.18	63.58	216.74	2.5	80.82	Si
0.85	2X/2Y ø6/25	1.14	-	SLU 18	84.29	81.14	222.01	2.5	73.77	1.07	-	SLU 18	86.18	63.58	217.45	2.5	80.82	Si
1.16	2X/2Y ø6/25	1.14	-	SLU 18	84.29	81.14	222.73	2.5	73.77	1.07	-	SLU 18	86.18	63.58	218.15	2.5	80.82	Si
1.47	2X/2Y ø6/25	1.14	-	SLU 18	84.29	81.14	223.45	2.5	73.77	1.07	-	SLU 18	86.18	63.58	218.85	2.5	80.82	Si
1.78	2X/2Y ø6/25	1.14	-	SLU 18	84.29	81.14	224.16	2.5	73.77	1.07	-	SLU 18	86.18	63.58	219.55	2.5	80.82	Si
2.08	2X/2Y ø6/25	1.14	-	SLU 18	84.29	81.14	224.88	2.5	73.77	1.07	-	SLU 18	86.18	63.58	220.25	2.5	80.82	Si
2.39	2X/2Y ø6/25	1.14	-	SLU 18	84.29	81.14	225.6	2.5	73.77	1.07	-	SLU 18	86.18	63.58	220.96	2.5	80.82	Si
2.67	2X/2Y ø6/25	1.14	-	SLU 18	84.29	81.14	226.22	2.5	73.77	1.07	-	SLU 18	86.18	63.58	221.57	2.5	80.82	Si
2.7	2X/2Y ø6/25	1.14	-	SLU 18	84.29	81.14	226.3	2.5	73.77	1.07	-	SLU 18	86.18	63.58	221.65	2.5	80.82	Si
2.92	2X/2Y ø6/23.3	-3.46	-	SLU 17	84.29	87.03	238.84	2.5	25.13	-1.21	-	SLU 18	86.18	68.19	233.92	2.5	71.32	Si
3.22	2X/2Y ø6/23.3	-3.46	-	SLU 17	84.29	87.03	238.84	2.5	25.13	-1.21	-	SLU 18	86.18	68.19	233.92	2.5	71.32	Si
3.53	2X/2Y ø6/23.3	-3.46	-	SLU 17	84.29	87.03	238.84	2.5	25.13	-1.21	-	SLU 18	86.18	68.19	233.92	2.5	71.32	Si
3.83	2X/2Y ø6/23.3	-3.46	-	SLU 17	84.29	87.03	238.84	2.5	25.13	-1.21	-	SLU 18	86.18	68.19	233.92	2.5	71.32	Si
4.13	2X/2Y ø6/23.3	-3.46	-	SLU 17	84.29	87.03	238.84	2.5	25.13	-1.21	-	SLU 18	86.18	68.19	233.92	2.5	71.32	Si
4.44	2X/2Y ø6/23.3	-3.46	-	SLU 17	84.29	87.03	238.84	2.5	25.13	-1.21	-	SLU 18	86.18	68.19	233.92	2.5	71.32	Si
4.74	2X/2Y ø6/23.3	-3.46	-	SLU 17	84.29	87.03	238.84	2.5	25.13	-1.21	-	SLU 18	86.18	68.19	233.92	2.5	71.32	Si
5.04	2X/2Y ø6/23.3	-3.46	-	SLU 17	84.29	87.03	238.84	2.5	25.13	-1.21	-	SLU 18	86.18	68.19	233.92	2.5	71.32	Si
5.34	2X/2Y ø6/23.3	-3.46	-	SLU 17	84.29	87.03	238.84	2.5	25.13	-1.21	-	SLU 18	86.18	68.19	233.92	2.5	71.32	Si

Quota	Staffe	Direzione X								Direzione Y								Verifica
		V	N	Comb.	VRd	VRsd	VRcd	Cot	c.s.	V	N	Comb.	VRd	VRsd	VRcd	Cot	c.s.	
5.65	2X/2Y ø6/23.3	-3.46	-550.9	SLU 17	84.29	87.03	238.84	2.5	25.13	-1.21	-550.9	SLU 18	86.18	68.19	233.92	2.5	71.32	Si
5.95	2X/2Y ø6/23.3	-3.46	-	SLU 17	84.29	87.03	238.84	2.5	25.13	-1.21	-	SLU 18	86.18	68.19	233.92	2.5	71.32	Si
			548.96								548.96							

Verifica a taglio in famiglia SLV

Quota	Staffe	Direzione X								Direzione Y								Verifica
		V	N	Comb.	VRd	VRsd	VRcd	Cot	c.s.	V	N	Comb.	VRd	VRsd	VRcd	Cot	c.s.	
-1.3	2X/2Y ø6/25	17.33	-	SLV 1	84.29	81.14	238.84	2.5	4.86	36.6	-	SLV 6	86.18	63.58	233.92	2.5	2.35	Si
			438.73								435.29							
-0.99	2X/2Y ø6/25	17.33	-	SLV 1	84.29	81.14	238.84	2.5	4.86	36.6	-	SLV 6	86.18	63.58	233.92	2.5	2.35	Si
			437.21								433.78							
-0.68	2X/2Y ø6/25	17.33	-	SLV 1	84.29	81.14	238.84	2.5	4.86	36.6	-	SLV 6	86.18	63.58	233.92	2.5	2.35	Si
			435.68								432.24							
-0.38	2X/2Y ø6/25	17.33	-	SLV 1	84.29	81.14	238.84	2.5	4.86	36.6	-	SLV 6	86.18	63.58	233.92	2.5	2.35	Si
			434.14								-430.7							
-0.07	2X/2Y ø6/25	17.33	-	SLV 1	84.29	81.14	238.84	2.5	4.86	36.6	-	SLV 6	86.18	63.58	233.92	2.5	2.35	Si
			-432.6								429.16							
0.24	2X/2Y ø6/25	17.33	-	SLV 1	84.29	81.14	238.84	2.5	4.86	36.6	-	SLV 6	86.18	63.58	233.92	2.5	2.35	Si
			431.04								427.61							
0.55	2X/2Y ø6/25	17.33	-	SLV 1	84.29	81.14	238.84	2.5	4.86	36.6	-	SLV 6	86.18	63.58	233.92	2.5	2.35	Si
			429.52								426.08							
0.85	2X/2Y ø6/25	17.33	-	SLV 1	84.29	81.14	238.84	2.5	4.86	36.6	-	SLV 6	86.18	63.58	233.92	2.5	2.35	Si
			427.98								424.55							
1.16	2X/2Y ø6/25	17.33	-	SLV 1	84.29	81.14	238.84	2.5	4.86	36.6	-	SLV 6	86.18	63.58	233.92	2.5	2.35	Si
			426.45								423.01							
1.47	2X/2Y ø6/25	17.33	-	SLV 1	84.29	81.14	238.84	2.5	4.86	36.6	-	SLV 6	86.18	63.58	233.92	2.5	2.35	Si
			424.91								421.47							
1.78	2X/2Y ø6/25	17.33	-	SLV 1	84.29	81.14	238.84	2.5	4.86	36.6	-	SLV 6	86.18	63.58	233.92	2.5	2.35	Si
			423.37								419.93							
2.08	2X/2Y ø6/25	17.33	-	SLV 1	84.29	81.14	238.84	2.5	4.86	36.6	-	SLV 6	86.18	63.58	233.92	2.5	2.35	Si
			421.83								418.39							
2.39	2X/2Y ø6/25	17.33	-	SLV 1	84.29	81.14	238.84	2.5	4.86	36.6	-	SLV 6	86.18	63.58	233.92	2.5	2.35	Si
			420.29								416.85							
2.67	2X/2Y ø6/25	17.33	-	SLV 1	84.29	81.14	238.84	2.5	4.86	36.6	-	SLV 6	86.18	63.58	233.92	2.5	2.35	Si
			418.95								415.51							
2.7	2X/2Y ø6/25	17.33	-	SLV 1	84.29	81.14	238.84	2.5	4.86	36.6	-	SLV 6	86.18	63.58	233.92	2.5	2.35	Si
			418.78								415.34							
2.92	2X/2Y ø6/23.3	-	-	SLV 1	84.29	87.03	238.84	2.5	0.57	-38.29	-	SLV 6	86.18	68.19	233.76	2.5	2.25	No
		153.42	335.44								331.98							
3.22	2X/2Y ø6/23.3	-	-	SLV 1	84.29	87.03	238.84	2.5	0.57	-38.29	-	SLV 6	86.18	68.19	233.55	2.5	2.25	No
		153.42	333.97								330.51							
3.53	2X/2Y ø6/23.3	-	-	SLV 1	84.29	87.03	238.74	2.5	0.57	-38.29	-	SLV 6	86.18	68.19	233.34	2.5	2.25	No
		153.42	332.47								329.01							
3.83	2X/2Y ø6/23.3	-	-	SLV 1	84.29	87.03	238.52	2.5	0.57	-38.29	-	SLV 6	86.18	68.19	233.13	2.5	2.25	No
		153.42	330.94								327.48							
4.13	2X/2Y ø6/23.3	-	-	SLV 1	84.29	87.03	238.3	2.5	0.57	-38.29	-	SLV 6	86.18	68.19	232.92	2.5	2.25	No
		153.42	329.43								325.97							
4.44	2X/2Y ø6/23.3	-	-	SLV 1	84.29	87.03	238.08	2.5	0.57	-38.29	-	SLV 6	86.18	68.19	232.7	2.5	2.25	No
		153.42	327.91								324.45							
4.74	2X/2Y ø6/23.3	-	-	SLV 1	84.29	87.03	237.87	2.5	0.57	-38.29	-	SLV 6	86.18	68.19	232.49	2.5	2.25	No
		153.42	-326.4								322.94							
5.04	2X/2Y ø6/23.3	-	-	SLV 1	84.29	87.03	237.65	2.5	0.57	-38.29	-	SLV 6	86.18	68.19	232.28	2.5	2.25	No
		153.42	324.88								321.42							
5.34	2X/2Y ø6/23.3	-	-	SLV 1	84.29	87.03	237.43	2.5	0.57	-38.29	-	SLV 6	86.18	68.19	232.06	2.5	2.25	No
		153.42	323.37								319.91							
5.65	2X/2Y ø6/23.3	-	-	SLV 1	84.29	87.03	237.22	2.5	0.57	-38.29	-	SLV 6	86.18	68.19	231.85	2.5	2.25	No
		153.42	321.85								318.39							
5.95	2X/2Y ø6/23.3	-	-	SLV 1	84.29	87.03	237	2.5	0.57	-38.29	-	SLV 6	86.18	68.19	231.64	2.5	2.25	No
		153.42	320.36								-316.9							

Verifica taglio ciclico secondo Circolare 7 21-01-19 §C8.7.2.3.5 formula [C8.7.2.8] in combinazione SLV

Quota	Q.inf.	Q.sup.	Dir.	Lv	x	h	p,tot	θ,m	θ,y	μΔ,pl	VRd	VRcd(cotθ=1)	VRsd	Vw	VR	VR,f	VEd	NEd	Comb.	Verifica
-1.3	-	2.81	X	2.095	0.212	0.5	0.0062	0.00085	0.006594	0	84.288	346.312	81.139	32.455	67.92	84.288	17.326	-	SLV 1	Si
	1.675																	438.728		
-1.3	-	2.81	Y	2.095	0.264	0.4	0.0062	0.000788	0.007835	0	86.181	339.191	63.576	25.43	42.42	86.181	36.604	-435.29	SLV 6	Si
	1.675																			

Verifica a taglio in famiglia SLD Resistenza

Quota	Staffe	Direzione X								Direzione Y								Verifica
		V	N	Comb.	VRd	VRsd	VRcd	Cot	c.s.	V	N	Comb.	VRd	VRsd	VRcd	Cot	c.s.	
-1.3	2X/2Y ø6/25	7.96	-	SLD 1	102.76	81.14	238.84	2.5	12.92	15.44	-	SLD 6	104.27	63.58	233.92	2.5	6.76	Si
			437.83								436.38							
-0.99	2X/2Y ø6/25	7.96	-	SLD 1	102.76	81.14	238.84	2.5	12.92	15.44	-	SLD 6	104.27	63.58	233.92	2.5	6.76	Si
			436.31								434.87							
-0.68	2X/2Y ø6/25	7.96	-	SLD 1	102.76	81.14	238.84	2.5	12.92	15.44	-	SLD 6	104.27	63.58	233.92	2.5	6.76	Si
			434.77								433.33							
-0.38	2X/2Y ø6/25	7.96	-	SLD 1	102.76	81.14	238.84	2.5	12.92	15.44	-	SLD 6	104.27	63.58	233.92	2.5	6.76	Si
			433.24								431.79							
-0.07	2X/2Y ø6/25	7.96	-	SLD 1	102.76	81.14	238.84	2.5	12.92	15.44	-	SLD 6	104.27	63.58	233.92	2.5	6.76	Si
			-431.7								430.25							
0.24	2X/2Y ø6/25	7.96	-	SLD 1	102.76	81.14	238.84	2.5	12.92	15.44	-	SLD 6	104.27	63.58	233.92	2.5	6.76	Si

Quota	Staffe	Direzione X									Direzione Y									Verifica
		V	N	Comb.	VRd	VRsd	VRcd	Cot	c.s.	V	N	Comb.	VRd	VRsd	VRcd	Cot	c.s.			
3.53	2X/2Y ø6/23.3	-66.98	-	SLD 1	93.31	87.03	238.61	2.5	1.39	-15.88	-	SLD 6	94.82	68.19	233.5	2.5	5.97	Si		
			331.61								330.16									
3.83	2X/2Y ø6/23.3	-66.98	-	SLD 1	93.1	87.03	238.4	2.5	1.39	-15.88	-	SLD 6	94.61	68.19	233.29	2.5	5.96	Si		
			330.08								328.63									
4.13	2X/2Y ø6/23.3	-66.98	-	SLD 1	92.89	87.03	238.18	2.5	1.39	-15.88	-	SLD 6	94.41	68.19	233.08	2.5	5.95	Si		
			328.57								327.12									
4.44	2X/2Y ø6/23.3	-66.98	-	SLD 1	92.68	87.03	237.96	2.5	1.38	-15.88	-325.6	SLD 6	94.2	68.19	232.86	2.5	5.93	Si		
			327.05																	
4.74	2X/2Y ø6/23.3	-66.98	-	SLD 1	92.47	87.03	237.74	2.5	1.38	-15.88	-	SLD 6	94	68.19	232.65	2.5	5.92	Si		
			325.54								324.09									
5.04	2X/2Y ø6/23.3	-66.98	-	SLD 1	92.26	87.03	237.53	2.5	1.38	-15.88	-	SLD 6	93.79	68.19	232.44	2.5	5.91	Si		
			324.02								322.57									
5.34	2X/2Y ø6/23.3	-66.98	-	SLD 1	92.05	87.03	237.31	2.5	1.37	-15.88	-	SLD 6	93.58	68.19	232.23	2.5	5.89	Si		
			322.51								321.06									
5.65	2X/2Y ø6/23.3	-66.98	-	SLD 1	91.84	87.03	237.09	2.5	1.37	-15.88	-	SLD 6	93.38	68.19	232.01	2.5	5.88	Si		
			320.99								319.54									
5.95	2X/2Y ø6/23.3	-66.98	-	SLD 1	91.63	87.03	236.88	2.5	1.37	-15.88	-	SLD 6	93.18	68.19	231.8	2.5	5.87	Si		
			-319.5								318.05									

Indicatori di rischio sismico a taglio in SLV

Quota	Molt.	TR	I.R.TR	PGA	I.R.PGA	Comb.	Verifica
-0.99	2.38	2114	1.389	0.255	1.279	SLV 6	Si
-0.68	2.38	2114	1.389	0.255	1.279	SLV 6	Si
-0.38	2.38	2114	1.389	0.255	1.279	SLV 6	Si
-0.07	2.38	2114	1.389	0.255	1.279	SLV 6	Si
0.24	2.38	2114	1.389	0.255	1.279	SLV 6	Si
0.55	2.38	2114	1.389	0.255	1.279	SLV 6	Si
0.85	2.38	2114	1.389	0.255	1.279	SLV 6	Si
1.16	2.38	2114	1.389	0.255	1.279	SLV 6	Si
1.47	2.38	2114	1.389	0.255	1.279	SLV 6	Si
1.78	2.38	2114	1.389	0.255	1.279	SLV 6	Si
2.08	2.38	2114	1.389	0.255	1.279	SLV 6	Si
2.39	2.38	2114	1.389	0.255	1.279	SLV 6	Si
2.67	2.38	2114	1.389	0.255	1.279	SLV 6	Si
2.7	2.38	2114	1.389	0.255	1.279	SLV 6	Si
2.92	0.562	192	0.519	0.112	0.562	SLV 1	No
3.22	0.562	192	0.519	0.112	0.562	SLV 1	No
3.53	0.562	192	0.519	0.112	0.562	SLV 1	No
3.83	0.562	192	0.519	0.112	0.562	SLV 1	No
4.13	0.562	192	0.519	0.112	0.562	SLV 1	No
4.44	0.562	192	0.519	0.112	0.562	SLV 1	No
4.74	0.562	192	0.519	0.112	0.562	SLV 1	No
5.04	0.562	192	0.519	0.112	0.562	SLV 1	No
5.34	0.562	192	0.519	0.112	0.562	SLV 1	No
5.65	0.562	192	0.519	0.112	0.562	SLV 1	No
5.95	0.562	192	0.519	0.112	0.562	SLV 1	No

Indicatori di rischio sismico a taglio in SLD Resistenza

Quota	Molt.	TR	I.R.TR	PGA	I.R.PGA	Comb.	Verifica
-1.3	7.016	2110	3.477	0.255	2.966	SLD 6	Si
-0.99	7.016	2110	3.477	0.255	2.966	SLD 6	Si
-0.68	7.016	2110	3.477	0.255	2.966	SLD 6	Si
-0.38	7.016	2110	3.477	0.255	2.966	SLD 6	Si
-0.07	7.016	2110	3.477	0.255	2.966	SLD 6	Si
0.24	7.016	2110	3.477	0.255	2.966	SLD 6	Si
0.55	7.016	2110	3.477	0.255	2.966	SLD 6	Si
0.85	7.016	2110	3.477	0.255	2.966	SLD 6	Si
1.16	7.016	2110	3.477	0.255	2.966	SLD 6	Si
1.47	7.016	2110	3.477	0.255	2.966	SLD 6	Si
1.78	7.016	2110	3.477	0.255	2.966	SLD 6	Si
2.08	7.016	2110	3.477	0.255	2.966	SLD 6	Si
2.39	7.016	2110	3.477	0.255	2.966	SLD 6	Si
2.67	7.016	2110	3.477	0.255	2.966	SLD 6	Si
2.7	7.016	2110	3.477	0.255	2.966	SLD 6	Si
2.92	1.414	240	1.426	0.122	1.419	SLD 1	Si
3.22	1.41	238	1.421	0.122	1.415	SLD 1	Si
3.53	1.406	236	1.416	0.121	1.41	SLD 1	Si
3.83	1.402	235	1.414	0.121	1.408	SLD 1	Si
4.13	1.398	233	1.409	0.121	1.403	SLD 1	Si
4.44	1.396	232	1.406	0.121	1.401	SLD 1	Si
4.74	1.395	231	1.404	0.12	1.399	SLD 1	Si
5.04	1.391	229	1.399	0.12	1.394	SLD 1	Si
5.34	1.387	228	1.396	0.12	1.392	SLD 1	Si
5.65	1.383	226	1.391	0.119	1.387	SLD 1	Si
5.95	1.381	225	1.389	0.119	1.385	SLD 1	Si

Verifiche nodi trave colonna

Riepilogo dei dati per le diverse tipologie di verifica eseguite per i nodi

Pilastrata	Q.Nodo	Escluso	Confinato	Segnalazioni
Pilastrata P13	-1.675	Si	No	
Pilastrata P13	2.81	No	No	
Pilastrata P13	6.5	No	No	non tutte le travature convergenti al nodo sono calcolate/validate

Verifiche nodi trave colonna in combinazioni SLD

Riepilogo dei dati per la verifica del nodo secondo Circolare 7 21-01-19 §C8.7.2.3.5.

Pilastrata	Q.Nodo	Angolo travatura	Aj	Vpc	Vtc	Vnc	Nc	σnc	σnc,lim	Comb.c	Vpt	Vtt	Vnt	Nt	σnt	σnt,lim	Comb.t	Segnalazioni	Verifica
Pilastrata P13	2.81	0	0.2544	-	263.876	196.898	-	1673	3919	SLD 1	-	263.876	196.898	-	358	840	SLD 1		Si
				66.978			334.629				66.978			334.629					
	2.81	180	0.2544	-	263.876	196.898	-	1673	3919	SLD 1	-	263.876	196.898	-	358	840	SLD 1		Si
				66.978			334.629				66.978			334.629					

Verifiche nodi trave colonna in combinazioni SLD

Riepilogo dei dati per la verifica del nodo secondo Circolare 7 21-01-19 §C8.7.2.3.5.

Pilastrata	Q.Nodo	Angolo travatura	Aj	Vpc	Vtc	Vnc	Nc	σnc	σnc,lim	Comb.c	Vpt	Vtt	Vnt	Nt	σnt	σnt,lim	Comb.t	Segnalazioni	Verifica
Pilastrata P13	6.5	0	0.1696	0	214.414	214.414	0	1264	3919	SLD 16	0	214.414	214.414	0	1264	840	SLD 16		No
	6.5	180	0.1696	0	214.414	214.414	0	1264	3919	SLD 16	0	214.414	214.414	0	1264	840	SLD 16		No

Pilastrata	Q.Nodo	Angolo travatura	Aj	Vpc	Vtc	Vnc	Nc	σnc	σnc,lim	Comb.c	Vpt	Vtt	Vnt	Nt	σnt	σnt,lim	Comb.t	Segnalazioni	Verifica
	6.5	270	0	0	0	0	0	0	0		0	0	0	0	0	0		Trave non calcolata	Si

Verifiche nodi trave colonna in combinazioni SLV**Riepilogo dei dati per la verifica del nodo secondo Circolare 7 21-01-19 §C8.7.2.3.5.**

Pilastrata	Q.Nodo	Angolo travatura	Aj	Vpc	Vtc	Vnc	Nc	σnc	σnc,lim	Comb.c	Vpt	Vtt	Vnt	Nt	σnt	σnt,lim	Comb.t	Segnalazioni	Verifica
Pilastrata P13	2.81	0	0.2544	-153.422	613.158	459.736	-335.487	-2583	3919	SLV 1	-153.422	613.158	459.736	-335.487	-1264	840	SLV 1		No
	2.81	180	0.2544	-153.422	613.158	459.736	-335.487	-2583	3919	SLV 1	-153.422	613.158	459.736	-335.487	-1264	840	SLV 1		No

Verifiche nodi trave colonna in combinazioni SLV**Riepilogo dei dati per la verifica del nodo secondo Circolare 7 21-01-19 §C8.7.2.3.5.**

Pilastrata	Q.Nodo	Angolo travatura	Aj	Vpc	Vtc	Vnc	Nc	σnc	σnc,lim	Comb.c	Vpt	Vtt	Vnt	Nt	σnt	σnt,lim	Comb.t	Segnalazioni	Verifica
Pilastrata P13	6.5	0	0.1696	0	484.256	484.256	0	2855	3919	SLV 15	0	484.256	484.256	0	2855	840	SLV 15		No
	6.5	180	0.1696	0	484.256	484.256	0	2855	3919	SLV 15	0	484.256	484.256	0	2855	840	SLV 15		No
	6.5	270	0	0	0	0	0	0	0		0	0	0	0	0	0		Trave non calcolata	Si

Indicatori di rischio sismico dei nodi in SLD

Pilastrata	Q.Nodo	Angolo travatura	Moltiplicatore	TR	I.R.TR	PGA	I.R.PGA	Comb.	Ver.
Pilastrata P13	2.81	0	1.736	415	1.785	0.15	1.742	SLD 1	Si
	2.81	180	1.736	415	1.785	0.15	1.742	SLD 1	Si

Indicatori di rischio sismico dei nodi in SLD

Pilastrata	Q.Nodo	Angolo travatura	Moltiplicatore	TR	I.R.TR	PGA	I.R.PGA	Comb.	Ver.
Pilastrata P13	6.5	0	0.729	49	0.743	0.062	0.724	SLD 15	No
	6.5	180	0.729	49	0.743	0.062	0.724	SLD 15	No

Indicatori di rischio sismico dei nodi in SLV

Pilastrata	Q.Nodo	Angolo travatura	Moltiplicatore	TR	I.R.TR	PGA	I.R.PGA	Comb.	Ver.
Pilastrata P13	2.81	0	0.744	406	0.706	0.149	0.745	SLV 1	No
	2.81	180	0.744	406	0.706	0.149	0.745	SLV 1	No

Indicatori di rischio sismico dei nodi in SLV

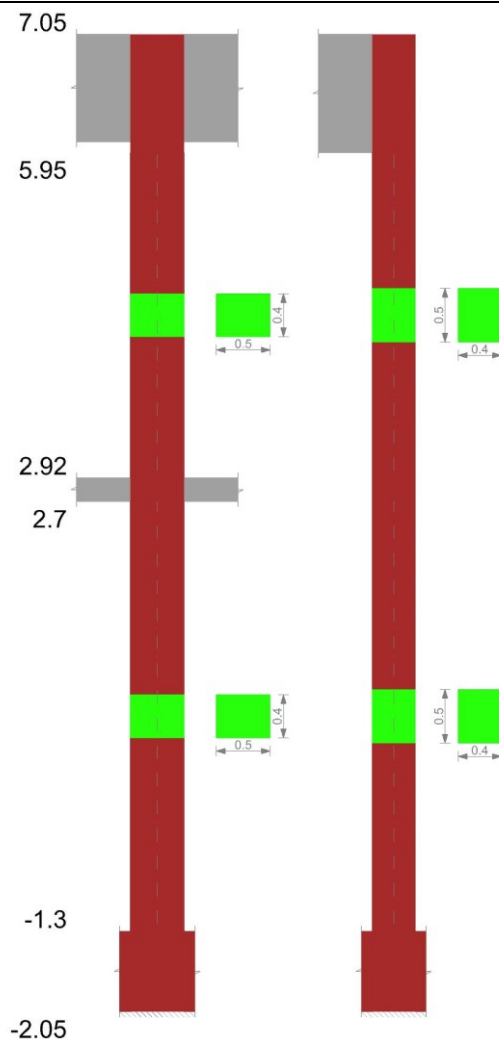
Pilastrata	Q.Nodo	Angolo travatura	Moltiplicatore	TR	I.R.TR	PGA	I.R.PGA	Comb.	Ver.
Pilastrata P13	6.5	0	0.299	45	0.287	0.06	0.3	SLV 16	No
	6.5	180	0.299	45	0.287	0.06	0.3	SLV 16	No

Verifiche di gerarchia delle resistenze nei nodi trave pilastro

Verifiche di gerarchia delle resistenze nei nodi trave pilastro non presenti in quanto la verifica è non necessaria per la pilastrata per il nodo Appoggio -1.675 in quanto elemento di materiale esistente.
per il nodo Appoggio 6.5 in quanto elemento di materiale esistente.
per il nodo Appoggio 2.81 in quanto elemento di materiale esistente.

Pilastrata P14

Geometria



Dati della pilastrata

Analisi di edificio esistente con fattore di struttura.

Fattore di struttura per meccanismi duttili in direzione X: 1.5

Fattore di struttura per meccanismi duttili in direzione Y: 1.5

Fattore di struttura per meccanismi fragili in direzione X: 1

Fattore di struttura per meccanismi fragili in direzione Y: 1

Verifica dei meccanismi fragili condotta secondo Circolare 7 21-01-19 (§C8.7.2.2) Analisi lineare con fattore q.

Fattore di amplificazione dei meccanismi fragili della componente sismica in direzione X: 1

Fattore di amplificazione dei meccanismi fragili della componente sismica in direzione Y: 1

Campate costituenti la pilastrata

Q.inf.	Q.sup.	Sezione	Esistente	Secondaria	Dissipativa	Interna a parete	Sovreresistenza	Materiale CLS	Materiale Acciaio	FC
-1.3	2.7	R 50x40	Si	No	No	No		C14/17 LC2 Vigone A	Vigone_FeB22k_LC2_FC = 1.2; Vigone_FeB44k_Staffe_LC2_FC = 1.2	1.2
2.92	5.95	R 50x40	Si	No	No	No		C14/17 LC2 Vigone A	Vigone_FeB22k_LC2_FC = 1.2; Vigone_FeB44k_Staffe_LC2_FC = 1.2	1.2

Disposizione delle armature longitudinali

Posizione	X	Y	Diametro	Area	Q.inf.	Q.sup.	Sezione	Materiale
p.1	-0.2105	-0.1605	0.014	0.0001539	-1.675	-1.3	R 50x40	Vigone FeB22k LC2
p.1	0.2105	-0.1605	0.014	0.0001539	-1.675	-1.3	R 50x40	Vigone FeB22k LC2
p.1	0.2105	0.1605	0.014	0.0001539	-1.675	-1.3	R 50x40	Vigone FeB22k LC2
p.1	-0.2105	0.1605	0.014	0.0001539	-1.675	-1.3	R 50x40	Vigone FeB22k LC2
p.1	0	-0.162	0.014	0.0001539	-1.675	-1.3	R 50x40	Vigone FeB22k LC2
p.1	0	0.162	0.014	0.0001539	-1.675	-1.3	R 50x40	Vigone FeB22k LC2
p.1	-0.212	0	0.014	0.0001539	-1.675	-1.3	R 50x40	Vigone FeB22k LC2
p.1	0.212	0	0.014	0.0001539	-1.675	-1.3	R 50x40	Vigone FeB22k LC2
p.2	-0.2105	-0.1605	0.014	0.0001539	-1.3	2.92	R 50x40	Vigone FeB22k LC2
p.2	0.2105	-0.1605	0.014	0.0001539	-1.3	2.92	R 50x40	Vigone FeB22k LC2
p.2	0.2105	0.1605	0.014	0.0001539	-1.3	2.92	R 50x40	Vigone FeB22k LC2
p.2	-0.2105	0.1605	0.014	0.0001539	-1.3	2.92	R 50x40	Vigone FeB22k LC2
p.2	0	-0.162	0.014	0.0001539	-1.3	2.92	R 50x40	Vigone FeB22k LC2
p.2	0	0.162	0.014	0.0001539	-1.3	2.92	R 50x40	Vigone FeB22k LC2
p.2	-0.212	0	0.014	0.0001539	-1.3	2.92	R 50x40	Vigone FeB22k LC2
p.2	0.212	0	0.014	0.0001539	-1.3	2.92	R 50x40	Vigone FeB22k LC2
p.3	-0.2105	-0.1605	0.014	0.0001539	2.92	5.95	R 50x40	Vigone FeB22k LC2
p.3	0.2105	-0.1605	0.014	0.0001539	2.92	5.95	R 50x40	Vigone FeB22k LC2
p.3	0.2105	0.1605	0.014	0.0001539	2.92	5.95	R 50x40	Vigone FeB22k LC2
p.3	-0.2105	0.1605	0.014	0.0001539	2.92	5.95	R 50x40	Vigone FeB22k LC2
p.3	0	-0.162	0.014	0.0001539	2.92	5.95	R 50x40	Vigone FeB22k LC2
p.3	0	0.162	0.014	0.0001539	2.92	5.95	R 50x40	Vigone FeB22k LC2
p.3	-0.212	0	0.014	0.0001539	2.92	5.95	R 50x40	Vigone FeB22k LC2

Posizione	X	Y	Diametro	Area	Q.inf.	Q.sup.	Sezione	Materiale
p.3	0.212	0	0.014	0.0001539	2.92	5.95	R 50x40	Vigone FeB22k LC2

Controlli geometrici NTC18

Nessuna anomalia

Verifiche delle sezioni**Verifica a pressoflessione in SLU**

Quota	As	%	At	Pos.	Mx	My	N	MRdx	MRdy	Comb.	Coeff.s.	Verifica
-1.3	0.001232	1.2	0	1,2	1.2384	-1.5259	-735.7	2.2657	-2.7918	SLU 17	1.83	Si
-0.99	0.001232	1.2	0	1,2	1.3519	-1.1227	-733.73	2.4801	-2.0596	SLU 17	1.835	Si
-0.68	0.001232	1.2	0	1,2	1.4674	-0.7128	-731.73	2.6993	-1.3112	SLU 17	1.84	Si
-0.38	0.001232	0.6	0	2	1.5828	-0.3029	-729.73	2.9196	-0.5588	SLU 17	1.845	Si
-0.07	0.001232	0.6	0	2	1.6982	0.1069	-727.73	3.1411	0.1978	SLU 17	1.85	Si
0.24	0.001232	0.6	0	2	1.815	0.5214	-725.71	3.3664	0.9671	SLU 17	1.855	Si
0.55	0.001232	0.6	0	2	1.9291	0.9267	-723.73	3.5879	1.7235	SLU 17	1.86	Si
0.85	0.001232	0.6	0	2	2.0445	1.3365	-721.73	3.8131	2.4927	SLU 17	1.865	Si
1.16	0.001232	0.6	0	2	2.16	1.7464	-719.73	4.0396	3.2661	SLU 17	1.87	Si
1.47	0.001232	0.6	0	2	2.2754	2.1563	-717.73	4.2673	4.0439	SLU 17	1.875	Si
1.78	0.001232	0.6	0	2	2.3908	2.5661	-715.73	4.4963	4.826	SLU 17	1.881	Si
2.08	0.001232	0.6	0	2	2.5063	2.976	-713.73	4.7266	5.6125	SLU 17	1.886	Si
2.39	0.001232	0.6	0	2	2.6217	3.3859	-711.73	4.9582	6.4035	SLU 17	1.891	Si
2.67	0.001232	0.6	0	2	2.7222	3.7429	-709.99	5.161	7.096	SLU 17	1.896	Si
2.7	0.001232	0.6	0	2	2.7353	3.7891	-709.76	5.1873	7.1859	SLU 17	1.896	Si
2.92	0.001232	1.2	0	2,3	2.6888	5.1713	-576.84	6.2741	12.0671	SLU 17	2.333	Si
3.22	0.001232	1.2	0	2,3	2.4676	3.9475	-574.93	5.7771	9.2419	SLU 17	2.341	Si
3.53	0.001232	1.2	0	2,3	2.2409	2.6936	-572.97	5.2644	6.3278	SLU 17	2.349	Si
3.83	0.001232	0.6	0	3	2.0116	1.4246	-570.99	4.742	3.3584	SLU 17	2.357	Si
4.13	0.001232	0.6	0	3	1.7836	0.1632	-569.02	4.2191	0.386	SLU 17	2.366	Si
4.44	0.001232	0.6	0	3	1.5556	-1.0983	-567.05	3.6925	-2.607	SLU 17	2.374	Si
4.74	0.001232	0.6	0	3	1.3276	-2.3597	-565.08	3.1623	-5.6208	SLU 17	2.382	Si
5.04	0.001232	0.6	0	3	1.0996	-3.6211	-563.11	2.6284	-8.6557	SLU 17	2.39	Si
5.34	0.001232	0.6	0	3	0.8716	-4.8826	-561.14	2.0907	-11.712	SLU 17	2.399	Si
5.65	0.001232	0.6	0	3	0.6436	-6.144	-559.17	1.5492	-14.7897	SLU 17	2.407	Si
5.95	0.001232	0.6	0	3	0.4193	-7.3846	-557.24	1.0129	-17.8379	SLU 17	2.416	Si

Verifica a pressoflessione in SLV

E' attiva l'opzione fattori parziali di sicurezza unitari per meccanismi duttili di strutture esistenti con fattore q

Quota	As	%	At	Pos.	Mx	My	N	MRdx	MRdy	Comb.	C.S.	Nmin	Nlim	Comb.Nmin	Ver.
-1.3	0.001232	1.2	0	1,2	-62.8745	-38.0303	-409.66	-110.7823	-67.0079	SLV 11	1.762				Si
-0.99	0.001232	1.2	0	1,2	-61.9133	-38.8431	-408.14	-109.8336	-68.9072	SLV 11	1.774				Si
-0.68	0.001232	1.2	0	1,2	63.115	39.1581	-473.84	111.9193	69.4374	SLV 6	1.773				Si
-0.38	0.001232	0.6	0	2	62.9755	40.9979	-472.3	110.4125	71.8799	SLV 6	1.753				Si
-0.07	0.001232	0.6	0	2	63.1604	43.0413	-470.76	108.9415	74.2392	SLV 6	1.725				Si
0.24	0.001232	0.6	0	2	63.6649	45.2855	-469.21	107.5134	76.4754	SLV 6	1.689				Si
0.55	0.001232	0.6	0	2	64.4848	47.6362	-467.68	106.0674	78.3542	SLV 6	1.645				Si
0.85	0.001232	0.6	0	2	65.3015	51.6612	-467.1	103.1985	81.6422	SLV 5	1.58				Si
1.16	0.001232	0.6	0	2	67.4291	54.9481	-465.56	101.1254	82.4073	SLV 5	1.5				Si
1.47	0.001232	0.6	0	2	68.5734	58.3347	-464.03	98.8771	84.1137	SLV 5	1.442				Si
1.78	0.001232	0.6	0	2	70.7464	61.8098	-462.49	97.0086	84.7546	SLV 5	1.371				Si
2.08	0.001232	0.6	0	2	73.089	65.3595	-460.95	95.2737	85.1981	SLV 5	1.304				Si
2.39	0.001232	0.6	0	2	75.5877	68.9748	-459.41	93.1039	84.9585	SLV 5	1.232				Si
2.67	0.001232	0.6	0	2	77.8291	72.1726	-458.07	91.2696	84.5777	SLV 5	1.172				Si
2.7	0.001232	0.6	0	2	78.1876	72.5895	-457.9	91.044	84.5254	SLV 5	1.164				Si
2.92	0.001232	1.2	0	2,3	-9.8466	-166.5483	-316.45	-6.6463	-112.4177	SLV 16	0.675				No
3.22	0.001232	1.2	0	2,3	-67.2173	-85.6772	-303.53	-68.6699	-87.5286	SLV 12	1.022				Si
3.53	0.001232	1.2	0	2,3	-61.0429	-53.8269	-302.03	-88.1008	-77.6862	SLV 12	1.443				Si
3.83	0.001232	0.6	0	3	63.4781	8.5163	-362.21	129.317	17.3493	SLV 9	2.037				Si
4.13	0.001232	0.6	0	3	56.2819	-1.8848	-360.7	134.1296	-4.4917	SLV 9	2.383				Si
4.44	0.001232	0.6	0	3	44.3428	-44.8143	-367.32	94.8405	-95.849	SLV 5	2.139				Si
4.74	0.001232	0.6	0	3	-4.8639	109.7516	-307.41	-6.1693	139.2078	SLV 16	1.268				Si
5.04	0.001232	0.6	0	3	-4.0293	155.8357	-305.89	-2.9748	115.0531	SLV 16	0.738				No
5.34	0.001232	0.6	0	3	-3.1947	201.9664	-304.38	-1.6179	102.2804	SLV 16	0.506				No
5.65	0.001232	0.6	0	3	-2.3601	248.1175	-302.86	-0.9006	94.68	SLV 16	0.382				No
5.95	0.001232	0.6	0	3	-1.5393	293.5177	-301.37	-0.4715	89.9144	SLV 16	0.306				No

Verifica a pressoflessione in SLD

Quota	As	%	At	Pos.	Mx	My	N	MRdx	MRdy	Comb.	Coeff.s.	Verifica
-1.3	0.001232	1.2	0	1,2	26.8876	14.7066	-456.85	90.6586	49.5871	SLD 6	3.372	Si
-0.99	0.001232	1.2	0	1,2	26.4601	15.3321	-455.34	89.5754	51.9037	SLD 6	3.385	Si
-0.68	0.001232	1.2	0	1,2	26.1802	16.097	-453.8	88.7515	54.5692	SLD 6	3.39	Si
-0.38	0.001232	0.6	0	2	26.0558	16.9736	-452.26	88.1604	57.4304	SLD 6	3.384	Si
-0.07	0.001232	0.6	0	2	26.08	17.9434	-450.72	87.8262	60.4255	SLD 6	3.368	Si
0.24	0.001232	0.6	0	2	26.2511	19.0057	-449.17	87.7093	63.5011	SLD 6	3.341	Si
0.55	0.001232	0.6	0	2	26.5691	20.116	-447.65	87.8772	66.5337	SLD 6	3.308	Si
0.85	0.001232	0.6	0	2	26.9058	21.9357	-446.5	87.5348	71.3365	SLD 5	3.253	Si
1.16	0.001232	0.6	0	2	27.8024	23.4459	-444.97	88.607	74.7229	SLD 5	3.187	Si
1.47	0.001232	0.6	0	2	28.2816	25.0016	-443.43	88.6363	78.3566	SLD 5	3.134	Si
1.78	0.001232	0.6	0	2	29.2098	26.5976	-441.89	89.3632	81.3714	SLD 5	3.059	Si
2.08	0.001232	0.6	0	2	30.2176	28.2274	-440.35	90.1166	84.1814	SLD 5	2.982	Si
2.39	0.001232	0.6	0	2	31.2979	29.887	-438.81	90.9427	86.843	SLD 5	2.906	Si
2.67	0.001232	0.6	0	2	32.2938	31.3546	-437.47	91.5755	88.9122	SLD 5	2.836	Si
2.7	0.001232	0.6	0	2	32.4262	31.5459	-437.3	91.61	89.123	SLD 5	2.825	Si
2.92	0.001232	1.2	0	2,3	6.0066	75.935	-349.78	13.0578	165.0773	SLD 1	2.174	Si
3.22	0.001232	1.2	0	2,3	29.1916	39.0275	-352.57	82.6105	110.4455	SLD 5	2.83	Si
3.53	0.001232	1.2	0	2,3	26.5101	24.7054	-351.07	93.2484	86.9006	SLD 5	3.517	Si
3.83	0.001232	0.6	0	3	26.4492	3.8102	-346.02	110.3929	15.9029	SLD 9	4.174	Si
4.13	0.001232	0.6	0	3	23.4507	-0.5772	-344.51	104.6376	-2.5753	SLD 9	4.462	Si
4.44	0.001232	0.6	0	3	18.4013	-19.0088	-346.51	78.6687	-81.266	SLD 5	4.275	Si
4.74	0.001232	0.6	0	3	2.9666	-49.1736	-340.73	10.0527	-166.6298	SLD 1	3.389	Si
5.04	0.001232	0.6	0	3	2.4574	-70.0401	-339.22	5.9134	-168.5395	SLD 1	2.406	Si
5.34	0.001232	0.6	0	3	1.9483	-90.9277	-337.7	3.3825	-157.8661	SLD 1	1.736	Si
5.65	0.001232	0.6	0	3	1.4391	-111.8247	-336.19	1.8739	-145.6127	SLD 1	1.302	Si
5.95	0.001232	0.6	0	3	0.9383	-132.3817	-334.7	0.9378	-132.31	SLD 1	0.999	No

Indicatori di rischio sismico a pressoflessione in SLV

E' attiva l'opzione fattori parziali di sicurezza unitari per meccanismi duttili di strutture esistenti con fattore q

Quota	Molt.	TR	I.R.TR	PGA	I.R.PGA	Comb.	Ver.
-1.3	1.496	2114	1.389	0.255	1.279	SLV 11	Si
-0.99	1.506	2114	1.389	0.255	1.279	SLV 11	Si

Quota	Molt.	TR	I.R.TR	PGA	I.R.PGA	Comb.	Ver.
-0.68	1.506	2114	1.389	0.255	1.279	SLV 11	Si
-0.38	1.496	2114	1.389	0.255	1.279	SLV 11	Si
-0.07	1.48	2114	1.389	0.255	1.279	SLV 11	Si
0.24	1.457	2114	1.389	0.255	1.279	SLV 11	Si
0.55	1.43	2114	1.389	0.255	1.279	SLV 11	Si
0.85	1.389	2114	1.389	0.255	1.279	SLV 12	Si
1.16	1.336	2114	1.389	0.255	1.279	SLV 12	Si
1.47	1.299	2016	1.362	0.252	1.261	SLV 12	Si
1.78	1.252	1813	1.304	0.244	1.22	SLV 12	Si
2.08	1.205	1624	1.246	0.235	1.18	SLV 12	Si
2.39	1.16	1455	1.192	0.228	1.141	SLV 12	Si
2.67	1.123	1324	1.146	0.221	1.108	SLV 12	Si
2.7	1.118	1307	1.14	0.22	1.104	SLV 12	Si
2.92	0.77	444	0.732	0.154	0.77	SLV 1	No
3.22	1.016	989	1.017	0.202	1.014	SLV 12	Si
3.53	1.275	1912	1.333	0.248	1.24	SLV 12	Si
3.83	1.594	2114	1.389	0.255	1.279	SLV 8	Si
4.13	1.797	2114	1.389	0.255	1.279	SLV 8	Si
4.44	1.709	2114	1.389	0.255	1.279	SLV 12	Si
4.74	1.157	1505	1.208	0.23	1.153	SLV 16	Si
5.04	0.827	545	0.797	0.165	0.828	SLV 16	No
5.34	0.636	267	0.595	0.127	0.637	SLV 1	No
5.65	0.512	152	0.472	0.102	0.51	SLV 1	No
5.95	0.429	99	0.396	0.085	0.428	SLV 1	No

Indicatori di rischio sismico a pressoflessione in SLD Resistenza

Quota	Molt.	TR	I.R.TR	PGA	I.R.PGA	Comb.	Ver.
-1.3	3.634	2110	3.477	0.255	2.966	SLD 11	Si
-0.99	3.672	2110	3.477	0.255	2.966	SLD 11	Si
-0.68	3.684	2110	3.477	0.255	2.966	SLD 11	Si
-0.38	3.678	2110	3.477	0.255	2.966	SLD 11	Si
-0.07	3.648	2110	3.477	0.255	2.966	SLD 11	Si
0.24	3.602	2110	3.477	0.255	2.966	SLD 11	Si
0.55	3.537	2110	3.477	0.255	2.966	SLD 11	Si
0.85	3.429	2110	3.477	0.255	2.966	SLD 12	Si
1.16	3.3	2103	3.472	0.255	2.963	SLD 12	Si
1.47	3.209	1940	3.359	0.249	2.891	SLD 12	Si
1.78	3.089	1738	3.211	0.241	2.795	SLD 12	Si
2.08	2.972	1554	3.067	0.232	2.701	SLD 12	Si
2.39	2.857	1387	2.927	0.225	2.609	SLD 12	Si
2.67	2.764	1259	2.813	0.218	2.533	SLD 12	Si
2.7	2.752	1244	2.8	0.217	2.523	SLD 12	Si
2.92	1.801	458	1.859	0.156	1.807	SLD 1	Si
3.22	2.456	1141	2.702	0.211	2.457	SLD 16	Si
3.53	3.142	1825	3.276	0.244	2.837	SLD 12	Si
3.83	3.947	2110	3.477	0.255	2.966	SLD 8	Si
4.13	4.445	2110	3.477	0.255	2.966	SLD 8	Si
4.44	4.206	2110	3.477	0.255	2.966	SLD 12	Si
4.74	2.705	1552	3.065	0.232	2.7	SLD 16	Si
5.04	1.932	560	2.018	0.167	1.938	SLD 16	Si
5.34	1.482	272	1.501	0.128	1.487	SLD 1	Si
5.65	1.193	155	1.192	0.103	1.193	SLD 1	Si
5.95	1	101	1	0.086	1	SLD 1	Si

Verifica a taglio in famiglia SLU

Quota	Staffe	V	Direzione X							Direzione Y							Verifica	
			N	Comb.	VRd	VRsd	VRcd	Cot	c.s.	V	N	Comb.	VRd	VRsd	VRcd	Cot		c.s.
-1.3	2X/2Y ø6/25	1.33	-735.7	SLU 18	84.29	81.14	213.96	2.5	63.27	0.38	-735.7	SLU 18	86.18	63.58	209.56	2.5	229.29	Si
-0.99	2X/2Y ø6/25	1.33	-	SLU 18	84.29	81.14	214.67	2.5	63.27	0.38	-	SLU 18	86.18	63.58	210.25	2.5	229.29	Si
			733.73								733.73							
-0.68	2X/2Y ø6/25	1.33	-	SLU 18	84.29	81.14	215.39	2.5	63.27	0.38	-	SLU 18	86.18	63.58	210.96	2.5	229.29	Si
			731.73								731.73							
-0.38	2X/2Y ø6/25	1.33	-	SLU 18	84.29	81.14	216.1	2.5	63.27	0.38	-	SLU 18	86.18	63.58	211.66	2.5	229.29	Si
			729.73								729.73							
-0.07	2X/2Y ø6/25	1.33	-	SLU 18	84.29	81.14	216.82	2.5	63.27	0.38	-	SLU 18	86.18	63.58	212.36	2.5	229.29	Si
			727.73								727.73							
0.24	2X/2Y ø6/25	1.33	-	SLU 18	84.29	81.14	217.54	2.5	63.27	0.38	-	SLU 18	86.18	63.58	213.07	2.5	229.29	Si
			725.71								725.71							
0.55	2X/2Y ø6/25	1.33	-	SLU 18	84.29	81.14	218.25	2.5	63.27	0.38	-	SLU 18	86.18	63.58	213.77	2.5	229.29	Si
			723.73								723.73							
0.85	2X/2Y ø6/25	1.33	-	SLU 18	84.29	81.14	218.97	2.5	63.27	0.38	-	SLU 18	86.18	63.58	214.47	2.5	229.29	Si
			721.73								721.73							
1.16	2X/2Y ø6/25	1.33	-	SLU 18	84.29	81.14	219.69	2.5	63.27	0.38	-	SLU 18	86.18	63.58	215.17	2.5	229.29	Si
			719.73								719.73							
1.47	2X/2Y ø6/25	1.33	-	SLU 18	84.29	81.14	220.4	2.5	63.27	0.38	-	SLU 18	86.18	63.58	215.87	2.5	229.29	Si
			717.73								717.73							
1.78	2X/2Y ø6/25	1.33	-	SLU 18	84.29	81.14	221.12	2.5	63.27	0.38	-	SLU 18	86.18	63.58	216.57	2.5	229.29	Si
			715.73								715.73							
2.08	2X/2Y ø6/25	1.33	-	SLU 18	84.29	81.14	221.84	2.5	63.27	0.38	-	SLU 18	86.18	63.58	217.28	2.5	229.29	Si
			713.73								713.73							
2.39	2X/2Y ø6/25	1.33	-	SLU 18	84.29	81.14	222.55	2.5	63.27	0.38	-	SLU 18	86.18	63.58	217.98	2.5	229.29	Si
			711.73								711.73							
2.67	2X/2Y ø6/25	1.33	-	SLU 18	84.29	81.14	223.18	2.5	63.27	0.38	-	SLU 18	86.18	63.58	218.59	2.5	229.29	Si
			709.99								709.99							
2.7	2X/2Y ø6/25	1.33	-	SLU 18	84.29	81.14	223.26	2.5	63.27	0.38	-	SLU 18	86.18	63.58	218.67	2.5	229.29	Si
			709.76								709.76							
2.92	2X/2Y ø6/23.3	-4.16	-	SLU 17	84.29	87.03	238.84	2.5	20.9	-0.75	-	SLU 18	86.18	68.19	233.92	2.5	114.4	Si
			576.84								576.84							
3.22	2X/2Y ø6/23.3	-4.16	-	SLU 17	84.29	87.03	238.84	2.5	20.9	-0.75	-	SLU 18	86.18	68.19	233.92	2.5	114.4	Si
			574.93								574.93							
3.53	2X/2Y ø6/23.3	-4.16	-	SLU 17	84.29	87.03	238.84	2.5	20.9	-0.75	-	SLU 18	86.18	68.19	233.92	2.5	114.4	Si
			572.97								572.97							
3.83	2X/2Y ø6/23.3	-4.16	-	SLU 17	84.29	87.03	238.84	2.5	20.9	-0.75	-	SLU 18	86.18	68.19	233.92	2.5	114.4	Si
			570.99								570.99							
4.13	2X/2Y ø6/23.3	-4.16	-	SLU 17	84.29	87.03	238.84	2.5	20.9	-0.75	-	SLU 18	86.18	68.19	233.92	2.5	114.4	Si
			569.02								569.02							
4.44	2X/2Y ø6/23.3	-4.16	-	SLU 17	84.29	87.03	238.84	2.5	20.9	-0.75	-	SLU 18	86.18	68.19	233.92	2.5	114.4	Si
			567.05								567.05							
4.74	2X/2Y ø6/23.3	-4.16	-	SLU 17	84.29	87.03	238.84	2.5	20.9	-0.75	-	SLU 18	86.18	68.19	233.92	2.5	114.4	Si
			565.08								565.08							
5.04	2X/2Y ø6/23.3	-4.16	-	SLU 17	84.29	87.03	238.84	2.5	20.9	-0.75	-	SLU 18	86.18	68.19	233.92	2.5	114.4	Si
			563.11								563.11							

Quota	Staffe	Direzione X								Direzione Y								Verifica
		V	N	Comb.	VRd	VRsd	VRcd	Cot	c.s.	V	N	Comb.	VRd	VRsd	VRcd	Cot	c.s.	
5.34	2X/2Y ø6/23.3	-4.16	-	SLU 17	84.29	87.03	238.84	2.5	20.9	-0.75	-	SLU 18	86.18	68.19	233.92	2.5	114.4	Si
			561.14								561.14							
5.65	2X/2Y ø6/23.3	-4.16	-	SLU 17	84.29	87.03	238.84	2.5	20.9	-0.75	-	SLU 18	86.18	68.19	233.92	2.5	114.4	Si
			559.17								559.17							
5.95	2X/2Y ø6/23.3	-4.16	-	SLU 17	84.29	87.03	238.84	2.5	20.9	-0.75	-	SLU 18	86.18	68.19	233.92	2.5	114.4	Si
			557.24								557.24							

Verifica a taglio in famiglia SLV

Quota	Staffe	Direzione X								Direzione Y								Verifica
		V	N	Comb.	VRd	VRsd	VRcd	Cot	c.s.	V	N	Comb.	VRd	VRsd	VRcd	Cot	c.s.	
-1.3	2X/2Y ø6/25	18.29	-	SLV 1	84.29	81.14	238.84	2.5	4.61	17.56	-	SLV 9	86.18	63.58	233.92	2.5	4.91	Si
			466.49								469.81							
-0.99	2X/2Y ø6/25	18.29	-	SLV 1	84.29	81.14	238.84	2.5	4.61	17.56	-468.3	SLV 9	86.18	63.58	233.92	2.5	4.91	Si
			464.97															
-0.68	2X/2Y ø6/25	18.29	-	SLV 1	84.29	81.14	238.84	2.5	4.61	17.56	-	SLV 9	86.18	63.58	233.92	2.5	4.91	Si
			463.44								466.76							
-0.38	2X/2Y ø6/25	18.29	-	SLV 1	84.29	81.14	238.84	2.5	4.61	17.56	-	SLV 9	86.18	63.58	233.92	2.5	4.91	Si
			-461.9								465.22							
-0.07	2X/2Y ø6/25	18.29	-	SLV 1	84.29	81.14	238.84	2.5	4.61	17.56	-	SLV 9	86.18	63.58	233.92	2.5	4.91	Si
			460.36								463.68							
0.24	2X/2Y ø6/25	18.29	-458.8	SLV 1	84.29	81.14	238.84	2.5	4.61	17.56	-	SLV 9	86.18	63.58	233.92	2.5	4.91	Si
											462.13							
0.55	2X/2Y ø6/25	18.29	-	SLV 1	84.29	81.14	238.84	2.5	4.61	17.56	-	SLV 9	86.18	63.58	233.92	2.5	4.91	Si
			457.28								460.61							
0.85	2X/2Y ø6/25	18.29	-	SLV 1	84.29	81.14	238.84	2.5	4.61	17.56	-	SLV 9	86.18	63.58	233.92	2.5	4.91	Si
			455.74								459.07							
1.16	2X/2Y ø6/25	18.29	-454.2	SLV 1	84.29	81.14	238.84	2.5	4.61	17.56	-	SLV 9	86.18	63.58	233.92	2.5	4.91	Si
											457.53							
1.47	2X/2Y ø6/25	18.29	-	SLV 1	84.29	81.14	238.84	2.5	4.61	17.56	-	SLV 9	86.18	63.58	233.92	2.5	4.91	Si
			452.67								455.99							
1.78	2X/2Y ø6/25	18.29	-	SLV 1	84.29	81.14	238.84	2.5	4.61	17.56	-	SLV 9	86.18	63.58	233.92	2.5	4.91	Si
			451.13								454.45							
2.08	2X/2Y ø6/25	18.29	-	SLV 1	84.29	81.14	238.84	2.5	4.61	17.56	-	SLV 9	86.18	63.58	233.92	2.5	4.91	Si
			449.59								452.91							
2.39	2X/2Y ø6/25	18.29	-	SLV 1	84.29	81.14	238.84	2.5	4.61	17.56	-	SLV 9	86.18	63.58	233.92	2.5	4.91	Si
			448.05								451.38							
2.67	2X/2Y ø6/25	18.29	-	SLV 1	84.29	81.14	238.84	2.5	4.61	17.56	-	SLV 9	86.18	63.58	233.92	2.5	4.91	Si
			446.71								450.04							
2.7	2X/2Y ø6/25	18.29	-	SLV 1	84.29	81.14	238.84	2.5	4.61	17.56	-	SLV 9	86.18	63.58	233.92	2.5	4.91	Si
			446.54								449.86							
2.92	2X/2Y ø6/23.3	-	-363.4	SLV 1	84.29	87.03	238.84	2.5	0.55	-23.75	-	SLV 9	86.18	68.19	233.92	2.5	3.63	No
		157.56									366.71							
3.22	2X/2Y ø6/23.3	-	-	SLV 1	84.29	87.03	238.84	2.5	0.55	-23.75	-	SLV 9	86.18	68.19	233.92	2.5	3.63	No
		157.56	361.93								365.24							
3.53	2X/2Y ø6/23.3	-	-	SLV 1	84.29	87.03	238.84	2.5	0.55	-23.75	-	SLV 9	86.18	68.19	233.92	2.5	3.63	No
		157.56	360.42								363.74							
3.83	2X/2Y ø6/23.3	-	-358.9	SLV 1	84.29	87.03	238.84	2.5	0.55	-23.75	-	SLV 9	86.18	68.19	233.92	2.5	3.63	No
		157.56									362.21							
4.13	2X/2Y ø6/23.3	-	-	SLV 1	84.29	87.03	238.84	2.5	0.55	-23.75	-360.7	SLV 9	86.18	68.19	233.92	2.5	3.63	No
		157.56	357.38															
4.44	2X/2Y ø6/23.3	-	-	SLV 1	84.29	87.03	238.84	2.5	0.55	-23.75	-	SLV 9	86.18	68.19	233.92	2.5	3.63	No
		157.56	355.87								359.18							
4.74	2X/2Y ø6/23.3	-	-	SLV 1	84.29	87.03	238.84	2.5	0.55	-23.75	-	SLV 9	86.18	68.19	233.92	2.5	3.63	No
		157.56	354.35								357.67							
5.04	2X/2Y ø6/23.3	-	-	SLV 1	84.29	87.03	238.84	2.5	0.55	-23.75	-	SLV 9	86.18	68.19	233.92	2.5	3.63	No
		157.56	352.84								356.15							
5.34	2X/2Y ø6/23.3	-	-	SLV 1	84.29	87.03	238.84	2.5	0.55	-23.75	-	SLV 9	86.18	68.19	233.92	2.5	3.63	No
		157.56	351.32								354.64							
5.65	2X/2Y ø6/23.3	-	-	SLV 1	84.29	87.03	238.84	2.5	0.55	-23.75	-	SLV 9	86.18	68.19	233.92	2.5	3.63	No
		157.56	349.81								353.12							
5.95	2X/2Y ø6/23.3	-	-	SLV 1	84.29	87.03	238.84	2.5	0.55	-23.75	-	SLV 9	86.18	68.19	233.92	2.5	3.63	No
		157.56	348.32								351.63							

Verifica taglio ciclico secondo Circolare 7 21-01-19 §C8.7.2.3.5 formula [C8.7.2.8] in combinazione SLV

Quota	Q.inf.	Q.sup.	Dir.	Lv	x	h	p_tot	θ_m	θ_y	μΔ.pl	VRd	VRcd(cotθ=1)	VRsd	Vw	VR	VR,f	VEd	NEd	Comb.	Verifica
-1.3	-	2.81	X	2.095	0.219	0.5	0.0062	0.000836	0.006594	0	84.288	346.312	81.139	32.455	68.894	84.288	18.289	-	SLV 1	Si
	1.675																	466.487		
-1.3	-	2.81	Y	2.095	0.275	0.4	0.0062	0.00107	0.007835	0	86.181	339.191	63.576	25.43	42.323	86.181	17.561	-	SLV 9	Si
	1.675																	469.812		

Verifica a taglio in famiglia SLD Resistenza

Quota	Staffe	Direzione X								Direzione Y								Verifica	
		V	N	Comb.	VRd	VRsd	VRcd	Cot	c.s.	V	N	Comb.	VRd	VRsd	VRcd	Cot	c.s.		
-1.3	2X/2Y ø6/25	8.43	-	SLD 1	102.76	81.14	238.84	2.5	12.19	7.63	-	SLD 9	104.27	63.58	233.92	2.5	13.67	Si	
			453.02								453.77								
-0.99	2X/2Y ø6/25	8.43	-451.5	SLD 1	102.76	81.14	238.84	2.5	12.19	7.63	-	SLD 9	104.27	63.58	233.92	2.5	13.67	Si	
											452.26								
-0.68	2X/2Y ø6/25	8.43	-	SLD 1	102.76	81.14	238.84	2.5	12.19	7.63	-	SLD 9	104.27	63.58	233.92	2.5	13.67	Si	
			449.97								450.72								
-0.38	2X/2Y ø6/25	8.43	-	SLD 1	102.76	81.14	238.84	2.5	12.19	7.63	-	SLD 9	104.27	63.58	233.92	2.5	13.67	Si	
			448.43								449.18								
-0.07	2X/2Y ø6/25	8.43	-	SLD 1	102.76	81.14													

Quota	Staffe	Direzione X								Direzione Y								Verifica
		V	N	Comb.	VRd	VRsd	VRcd	Cot	c.s.	V	N	Comb.	VRd	VRsd	VRcd	Cot	c.s.	
2.92	2X/2Y ø6/23.3	-69.02	-	SLD 1	95.83	87.03	238.84	2.5	1.39	-9.9	-	SLD 9	97.58	68.19	233.92	2.5	9.86	Si
			349.78								350.52							
3.22	2X/2Y ø6/23.3	-69.02	-	SLD 1	95.62	87.03	238.84	2.5	1.39	-9.9	-	SLD 9	97.38	68.19	233.92	2.5	9.84	Si
			348.31								349.05							
3.53	2X/2Y ø6/23.3	-69.02	-	SLD 1	95.41	87.03	238.84	2.5	1.38	-9.9	-	SLD 9	97.18	68.19	233.92	2.5	9.82	Si
			-346.8								347.55							
3.83	2X/2Y ø6/23.3	-69.02	-	SLD 1	95.2	87.03	238.84	2.5	1.38	-9.9	-	SLD 9	96.97	68.19	233.92	2.5	9.8	Si
			345.28								346.02							
4.13	2X/2Y ø6/23.3	-69.02	-	SLD 1	94.99	87.03	238.84	2.5	1.38	-9.9	-	SLD 9	96.77	68.19	233.92	2.5	9.78	Si
			343.76								344.51							
4.44	2X/2Y ø6/23.3	-69.02	-	SLD 1	94.78	87.03	238.84	2.5	1.37	-9.9	-	SLD 9	96.56	68.19	233.92	2.5	9.76	Si
			342.25								342.99							
4.74	2X/2Y ø6/23.3	-69.02	-	SLD 1	94.57	87.03	238.84	2.5	1.37	-9.9	-	SLD 9	96.36	68.19	233.92	2.5	9.74	Si
			340.73								341.48							
5.04	2X/2Y ø6/23.3	-69.02	-	SLD 1	94.36	87.03	238.84	2.5	1.37	-9.9	-	SLD 9	96.15	68.19	233.92	2.5	9.72	Si
			339.22								339.96							
5.34	2X/2Y ø6/23.3	-69.02	-	SLD 1	94.15	87.03	238.84	2.5	1.36	-9.9	-	SLD 9	95.95	68.19	233.92	2.5	9.7	Si
			-337.7								338.45							
5.65	2X/2Y ø6/23.3	-69.02	-	SLD 1	93.94	87.03	238.84	2.5	1.36	-9.9	-	SLD 9	95.74	68.19	233.92	2.5	9.67	Si
			336.19								336.93							
5.95	2X/2Y ø6/23.3	-69.02	-	SLD 1	93.74	87.03	238.84	2.5	1.36	-9.9	-	SLD 9	95.54	68.19	233.92	2.5	9.65	Si
			-334.7								335.44							

Indicatori di rischio sismico a taglio in SLV

Quota	Molt.	TR	I.R.TR	PGA	I.R.PGA	Comb.	Verifica
-0.99	4.773	2114	1.389	0.255	1.279	SLV 1	Si
-0.68	4.773	2114	1.389	0.255	1.279	SLV 1	Si
-0.38	4.773	2114	1.389	0.255	1.279	SLV 1	Si
-0.07	4.773	2114	1.389	0.255	1.279	SLV 1	Si
0.24	4.773	2114	1.389	0.255	1.279	SLV 1	Si
0.55	4.773	2114	1.389	0.255	1.279	SLV 1	Si
0.85	4.773	2114	1.389	0.255	1.279	SLV 1	Si
1.16	4.773	2114	1.389	0.255	1.279	SLV 1	Si
1.47	4.773	2114	1.389	0.255	1.279	SLV 1	Si
1.78	4.773	2114	1.389	0.255	1.279	SLV 1	Si
2.08	4.773	2114	1.389	0.255	1.279	SLV 1	Si
2.39	4.773	2114	1.389	0.255	1.279	SLV 1	Si
2.67	4.773	2114	1.389	0.255	1.279	SLV 1	Si
2.7	4.773	2114	1.389	0.255	1.279	SLV 1	Si
2.92	0.545	178	0.503	0.109	0.545	SLV 1	No
3.22	0.545	178	0.503	0.109	0.545	SLV 1	No
3.53	0.545	178	0.503	0.109	0.545	SLV 1	No
3.83	0.545	178	0.503	0.109	0.545	SLV 1	No
4.13	0.545	178	0.503	0.109	0.545	SLV 1	No
4.44	0.545	178	0.503	0.109	0.545	SLV 1	No
4.74	0.545	178	0.503	0.109	0.545	SLV 1	No
5.04	0.545	178	0.503	0.109	0.545	SLV 1	No
5.34	0.545	178	0.503	0.109	0.545	SLV 1	No
5.65	0.545	178	0.503	0.109	0.545	SLV 1	No
5.95	0.545	178	0.503	0.109	0.545	SLV 1	No

Indicatori di rischio sismico a taglio in SLD Resistenza

Quota	Molt.	TR	I.R.TR	PGA	I.R.PGA	Comb.	Verifica
-1.3	12.191	2110	3.477	0.255	2.966	SLD 16	Si
-0.99	12.162	2110	3.477	0.255	2.966	SLD 16	Si
-0.68	12.133	2110	3.477	0.255	2.966	SLD 16	Si
-0.38	12.118	2110	3.477	0.255	2.966	SLD 16	Si
-0.07	12.089	2110	3.477	0.255	2.966	SLD 16	Si
0.24	12.074	2110	3.477	0.255	2.966	SLD 16	Si
0.55	12.045	2110	3.477	0.255	2.966	SLD 16	Si
0.85	12.016	2110	3.477	0.255	2.966	SLD 16	Si
1.16	12.001	2110	3.477	0.255	2.966	SLD 16	Si
1.47	11.972	2110	3.477	0.255	2.966	SLD 16	Si
1.78	11.957	2110	3.477	0.255	2.966	SLD 16	Si
2.08	11.928	2110	3.477	0.255	2.966	SLD 16	Si
2.39	11.898	2110	3.477	0.255	2.966	SLD 16	Si
2.67	11.884	2110	3.477	0.255	2.966	SLD 16	Si
2.7	11.884	2110	3.477	0.255	2.966	SLD 16	Si
2.92	1.412	239	1.424	0.122	1.417	SLD 1	Si
3.22	1.41	238	1.421	0.122	1.415	SLD 1	Si
3.53	1.406	236	1.416	0.121	1.41	SLD 1	Si
3.83	1.402	235	1.414	0.121	1.408	SLD 1	Si
4.13	1.398	233	1.409	0.121	1.403	SLD 1	Si
4.44	1.395	231	1.404	0.12	1.399	SLD 1	Si
4.74	1.393	230	1.401	0.12	1.397	SLD 1	Si
5.04	1.391	229	1.399	0.12	1.394	SLD 1	Si
5.34	1.387	228	1.396	0.12	1.392	SLD 1	Si
5.65	1.383	226	1.391	0.119	1.387	SLD 1	Si
5.95	1.379	224	1.386	0.119	1.383	SLD 1	Si

Verifiche nodi trave colonna

Riepilogo dei dati per le diverse tipologie di verifica eseguite per i nodi

Pilastrata	Q.Nodo	Escluso	Confinato	Segnalazioni
Pilastrata P14	-1.675	Si	No	
Pilastrata P14	2.81	No	No	
Pilastrata P14	6.5	No	No	non tutte le travature convergenti al nodo sono calcolate/validate

Verifiche nodi trave colonna in combinazioni SLD

Riepilogo dei dati per la verifica del nodo secondo Circolare 7 21-01-19 §C8.7.2.3.5.

Pilastrata	Q.Nodo	Angolo travatura	Aj	Vpc	Vtc	Vnc	Nc	onc	onc,lim	Comb.c	Vpt	Vtt	Vnt	Nt	ont	ont,lim	Comb.t	Segnalazioni	Verifica
Pilastrata P14	2.81	0	0.2544	-	264.782	195.763	-	1719	3919	SLD 1	-	264.782	195.763	-	344	840	SLD 1		Si
				69.018			349.823				69.018			349.823					
	2.81	180	0.2544	-	264.782	195.763	-	1719	3919	SLD 1	-	264.782	195.763	-	344	840	SLD 1		Si
				69.018			349.823				69.018			349.823					

Verifiche nodi trave colonna in combinazioni SLD**Riepilogo dei dati per la verifica del nodo secondo Circolare 7 21-01-19 §C8.7.2.3.5.**

Pilastrata	Q.Nodo	Angolo travatura	Aj	Vpc	Vtc	Vnc	Nc	σnc	σnc,lim	Comb.c	Vpt	Vtt	Vnt	Nt	σnt	σnt,lim	Comb.t	Segnalazioni	Verifica
Pilastrata P14	6.5	0	0.1696	0	249.205	249.205	0	1469	3919	SLD 16	0	249.205	249.205	0	1469	840	SLD 16		No
	6.5	180	0.1696	0	249.205	249.205	0	1469	3919	SLD 16	0	249.205	249.205	0	1469	840	SLD 16		No
	6.5	270	0	0	0	0	0	0	0		0	0	0	0	0	0		Trave non calcolata	Si

Verifiche nodi trave colonna in combinazioni SLV**Riepilogo dei dati per la verifica del nodo secondo Circolare 7 21-01-19 §C8.7.2.3.5.**

Pilastrata	Q.Nodo	Angolo travatura	Aj	Vpc	Vtc	Vnc	Nc	σnc	σnc,lim	Comb.c	Vpt	Vtt	Vnt	Nt	σnt	σnt,lim	Comb.t	Segnalazioni	Verifica
Pilastrata P14	2.81	0	0.2544	-	615.077	457.515	-	2649	3919	SLV 1	-	604.868	452.44	-	1262	840	SLV 16		No
	2.81	180	0.2544	157.562	615.077	457.515	363.441	2649	3919	SLV 1	152.427	604.868	452.44	316.499	1262	840	SLV 16		No
	2.81	270	0	157.562	615.077	457.515	363.441	2649	3919	SLV 1	152.427	604.868	452.44	316.499	1262	840	SLV 16		No

Verifiche nodi trave colonna in combinazioni SLV**Riepilogo dei dati per la verifica del nodo secondo Circolare 7 21-01-19 §C8.7.2.3.5.**

Pilastrata	Q.Nodo	Angolo travatura	Aj	Vpc	Vtc	Vnc	Nc	σnc	σnc,lim	Comb.c	Vpt	Vtt	Vnt	Nt	σnt	σnt,lim	Comb.t	Segnalazioni	Verifica
Pilastrata P14	6.5	0	0.1696	0	523.668	523.668	0	3088	3919	SLV 16	0	523.668	523.668	0	3088	840	SLV 16		No
	6.5	180	0.1696	0	523.668	523.668	0	3088	3919	SLV 16	0	523.668	523.668	0	3088	840	SLV 16		No
	6.5	270	0	0	0	0	0	0	0		0	0	0	0	0	0		Trave non calcolata	Si

Indicatori di rischio sismico dei nodi in SLD

Pilastrata	Q.Nodo	Angolo travatura	Moltiplicatore	TR	I.R.TR	PGA	I.R.PGA	Comb.	Ver.
Pilastrata P14	2.81	0	1.773	439	1.827	0.153	1.779	SLD 16	Si
	2.81	180	1.773	439	1.827	0.153	1.779	SLD 16	Si

Indicatori di rischio sismico dei nodi in SLD

Pilastrata	Q.Nodo	Angolo travatura	Moltiplicatore	TR	I.R.TR	PGA	I.R.PGA	Comb.	Ver.
Pilastrata P14	6.5	0	0.887	80	0.909	0.078	0.907	SLD 12	No
	6.5	180	0.887	80	0.909	0.078	0.907	SLD 12	No

Indicatori di rischio sismico dei nodi in SLV

Pilastrata	Q.Nodo	Angolo travatura	Moltiplicatore	TR	I.R.TR	PGA	I.R.PGA	Comb.	Ver.
Pilastrata P14	2.81	0	0.76	429	0.722	0.152	0.76	SLV 16	No
	2.81	180	0.76	429	0.722	0.152	0.76	SLV 16	No

Indicatori di rischio sismico dei nodi in SLV

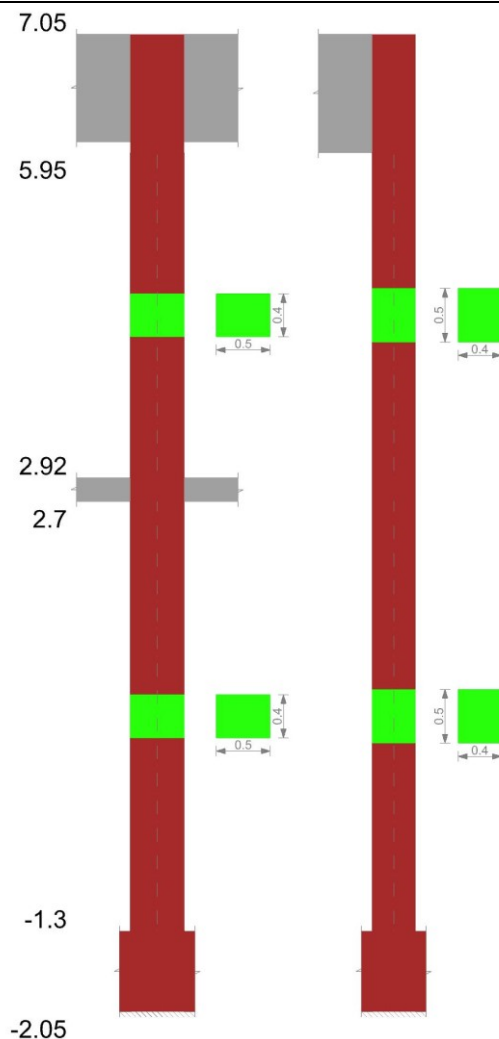
Pilastrata	Q.Nodo	Angolo travatura	Moltiplicatore	TR	I.R.TR	PGA	I.R.PGA	Comb.	Ver.
Pilastrata P14	6.5	0	0.369	86	0.374	0.08	0.403	SLV 12	No
	6.5	180	0.369	86	0.374	0.08	0.403	SLV 12	No

Verifiche di gerarchia delle resistenze nei nodi trave pilastro

Verifiche di gerarchia delle resistenze nei nodi trave pilastro non presenti in quanto la verifica è non necessaria per la pilastrata per il nodo Appoggio 2.81 in quanto elemento di materiale esistente.
per il nodo Appoggio 6.5 in quanto elemento di materiale esistente.
per il nodo Appoggio -1.675 in quanto elemento di materiale esistente.

Pilastrata P15

Geometria



Dati della pilastrata

Analisi di edificio esistente con fattore di struttura.

Fattore di struttura per meccanismi duttili in direzione X: 1.5

Fattore di struttura per meccanismi duttili in direzione Y: 1.5

Fattore di struttura per meccanismi fragili in direzione X: 1

Fattore di struttura per meccanismi fragili in direzione Y: 1

Verifica dei meccanismi fragili condotta secondo Circolare 7 21-01-19 (§C8.7.2.2) Analisi lineare con fattore q.

Fattore di amplificazione dei meccanismi fragili della componente sismica in direzione X: 1

Fattore di amplificazione dei meccanismi fragili della componente sismica in direzione Y: 1

Campate costituenti la pilastrata

Q.inf.	Q.sup.	Sezione	Esistente	Secondaria	Dissipativa	Interna a parete	Sovreresistenza	Materiale CLS	Materiale Acciaio	FC
-1.3	2.7	R 50x40	Si	No	No	No		C14/17 LC2 Vigone A	Vigone_FeB22k_LC2_FC = 1.2; Vigone_FeB44k_Staffe_LC2_FC = 1.2	1.2
2.92	5.95	R 50x40	Si	No	No	No		C14/17 LC2 Vigone A	Vigone_FeB22k_LC2_FC = 1.2; Vigone_FeB44k_Staffe_LC2_FC = 1.2	1.2

Disposizione delle armature longitudinali

Posizione	X	Y	Diametro	Area	Q.inf.	Q.sup.	Sezione	Materiale
p.1	-0.2105	-0.1605	0.014	0.0001539	-1.675	-1.3	R 50x40	Vigone FeB22k LC2
p.1	0.2105	-0.1605	0.014	0.0001539	-1.675	-1.3	R 50x40	Vigone FeB22k LC2
p.1	0.2105	0.1605	0.014	0.0001539	-1.675	-1.3	R 50x40	Vigone FeB22k LC2
p.1	-0.2105	0.1605	0.014	0.0001539	-1.675	-1.3	R 50x40	Vigone FeB22k LC2
p.1	0	-0.162	0.014	0.0001539	-1.675	-1.3	R 50x40	Vigone FeB22k LC2
p.1	0	0.162	0.014	0.0001539	-1.675	-1.3	R 50x40	Vigone FeB22k LC2
p.1	-0.212	0	0.014	0.0001539	-1.675	-1.3	R 50x40	Vigone FeB22k LC2
p.1	0.212	0	0.014	0.0001539	-1.675	-1.3	R 50x40	Vigone FeB22k LC2
p.2	-0.2105	-0.1605	0.014	0.0001539	-1.3	2.92	R 50x40	Vigone FeB22k LC2
p.2	0.2105	-0.1605	0.014	0.0001539	-1.3	2.92	R 50x40	Vigone FeB22k LC2
p.2	0.2105	0.1605	0.014	0.0001539	-1.3	2.92	R 50x40	Vigone FeB22k LC2
p.2	-0.2105	0.1605	0.014	0.0001539	-1.3	2.92	R 50x40	Vigone FeB22k LC2
p.2	0	-0.162	0.014	0.0001539	-1.3	2.92	R 50x40	Vigone FeB22k LC2
p.2	0	0.162	0.014	0.0001539	-1.3	2.92	R 50x40	Vigone FeB22k LC2
p.2	-0.212	0	0.014	0.0001539	-1.3	2.92	R 50x40	Vigone FeB22k LC2
p.2	0.212	0	0.014	0.0001539	-1.3	2.92	R 50x40	Vigone FeB22k LC2
p.3	-0.2105	-0.1605	0.014	0.0001539	2.92	5.95	R 50x40	Vigone FeB22k LC2
p.3	0.2105	-0.1605	0.014	0.0001539	2.92	5.95	R 50x40	Vigone FeB22k LC2
p.3	0.2105	0.1605	0.014	0.0001539	2.92	5.95	R 50x40	Vigone FeB22k LC2
p.3	-0.2105	0.1605	0.014	0.0001539	2.92	5.95	R 50x40	Vigone FeB22k LC2
p.3	0	-0.162	0.014	0.0001539	2.92	5.95	R 50x40	Vigone FeB22k LC2
p.3	0	0.162	0.014	0.0001539	2.92	5.95	R 50x40	Vigone FeB22k LC2
p.3	-0.212	0	0.014	0.0001539	2.92	5.95	R 50x40	Vigone FeB22k LC2

Quota	Molt.	TR	I.R.TR	PGA	I.R.PGA	Comb.	Ver.
-0.68	0.929	780	0.923	0.187	0.935	SLV 6	No
-0.38	0.98	900	0.978	0.196	0.982	SLV 6	No
-0.07	1.038	1054	1.044	0.206	1.034	SLV 6	Si
0.24	1.1	1245	1.118	0.217	1.088	SLV 6	Si
0.55	1.165	1472	1.197	0.229	1.145	SLV 6	Si
0.85	1.234	1740	1.282	0.241	1.205	SLV 6	Si
1.16	1.289	1973	1.35	0.25	1.252	SLV 5	Si
1.47	1.328	2114	1.389	0.255	1.279	SLV 5	Si
1.78	1.354	2114	1.389	0.255	1.279	SLV 5	Si
2.08	1.352	2114	1.389	0.255	1.279	SLV 1	Si
2.39	1.27	2022	1.364	0.252	1.262	SLV 1	Si
2.67	1.197	1678	1.263	0.238	1.192	SLV 1	Si
2.7	1.188	1635	1.25	0.236	1.182	SLV 1	Si
2.92	0.606	235	0.564	0.121	0.607	SLV 16	No
3.22	0.836	563	0.807	0.167	0.837	SLV 16	No
3.53	1.299	2114	1.389	0.255	1.279	SLV 1	Si
3.83	1.809	2114	1.389	0.255	1.279	SLV 9	Si
4.13	1.982	2114	1.389	0.255	1.279	SLV 9	Si
4.44	1.727	2114	1.389	0.255	1.279	SLV 1	Si
4.74	1.055	1121	1.071	0.21	1.053	SLV 1	Si
5.04	0.765	437	0.728	0.153	0.766	SLV 1	No
5.34	0.58	209	0.538	0.116	0.581	SLV 16	No
5.65	0.452	112	0.416	0.09	0.45	SLV 16	No
5.95	0.368	70	0.343	0.074	0.369	SLV 16	No

Indicatori di rischio sismico a pressoflessione in SLD Resistenza

Quota	Molt.	TR	I.R.TR	PGA	I.R.PGA	Comb.	Ver.
-1.3	2.055	563	2.023	0.167	1.941	SLD 6	Si
-0.99	2.163	645	2.139	0.175	2.033	SLD 6	Si
-0.68	2.286	747	2.271	0.184	2.138	SLD 6	Si
-0.38	2.418	866	2.413	0.194	2.249	SLD 6	Si
-0.07	2.559	1007	2.567	0.204	2.365	SLD 6	Si
0.24	2.714	1195	2.754	0.215	2.492	SLD 6	Si
0.55	2.875	1412	2.949	0.226	2.623	SLD 6	Si
0.85	3.048	1673	3.161	0.238	2.762	SLD 6	Si
1.16	3.18	1890	3.323	0.247	2.868	SLD 5	Si
1.47	3.262	2034	3.425	0.252	2.933	SLD 5	Si
1.78	3.309	2110	3.477	0.255	2.966	SLD 5	Si
2.08	3.147	2110	3.477	0.255	2.966	SLD 1	Si
2.39	2.951	2048	3.435	0.253	2.939	SLD 1	Si
2.67	2.781	1696	3.179	0.239	2.774	SLD 1	Si
2.7	2.758	1650	3.143	0.237	2.751	SLD 1	Si
2.92	1.408	237	1.419	0.122	1.412	SLD 16	Si
3.22	1.938	565	2.026	0.167	1.944	SLD 16	Si
3.53	3.024	2110	3.477	0.255	2.966	SLD 1	Si
3.83	4.384	2110	3.477	0.255	2.966	SLD 9	Si
4.13	4.808	2110	3.477	0.255	2.966	SLD 9	Si
4.44	4.028	2110	3.477	0.255	2.966	SLD 1	Si
4.74	2.459	1146	2.707	0.212	2.46	SLD 1	Si
5.04	1.781	445	1.837	0.154	1.788	SLD 1	Si
5.34	1.348	211	1.353	0.116	1.352	SLD 16	Si
5.65	1.051	113	1.047	0.09	1.047	SLD 16	Si
5.95	0.855	71	0.865	0.074	0.862	SLD 16	No

Verifica a taglio in famiglia SLU

Quota	Staffe	Direzione X								Direzione Y								Verifica
		V	N	Comb.	VRd	VRsd	VRcd	Cot	c.s.	V	N	Comb.	VRd	VRsd	VRcd	Cot	c.s.	
-1.3	2X/2Y ø6/25	6.14	-	SLU 18	84.29	81.14	238.84	2.5	13.74	-0.28	-	SLU 7	86.18	63.58	233.92	2.5	311.46	Si
-0.99	2X/2Y ø6/25	6.14	-	SLU 18	84.29	81.14	238.84	2.5	13.74	-0.28	-	SLU 7	86.18	63.58	233.92	2.5	311.46	Si
-0.68	2X/2Y ø6/25	6.14	-	SLU 18	84.29	81.14	238.84	2.5	13.74	-0.28	-	SLU 7	86.18	63.58	233.92	2.5	311.46	Si
-0.38	2X/2Y ø6/25	6.14	-	SLU 18	84.29	81.14	238.84	2.5	13.74	-0.28	-	SLU 7	86.18	63.58	233.92	2.5	311.46	Si
-0.07	2X/2Y ø6/25	6.14	-	SLU 18	84.29	81.14	238.84	2.5	13.74	-0.28	-	SLU 7	86.18	63.58	233.92	2.5	311.46	Si
0.24	2X/2Y ø6/25	6.14	-	SLU 18	84.29	81.14	238.84	2.5	13.74	-0.28	-	SLU 7	86.18	63.58	233.92	2.5	311.46	Si
0.55	2X/2Y ø6/25	6.14	-	SLU 18	84.29	81.14	238.84	2.5	13.74	-0.28	-	SLU 7	86.18	63.58	233.92	2.5	311.46	Si
0.85	2X/2Y ø6/25	6.14	-	SLU 18	84.29	81.14	238.84	2.5	13.74	-0.28	-	SLU 7	86.18	63.58	233.92	2.5	311.46	Si
1.16	2X/2Y ø6/25	6.14	-	SLU 18	84.29	81.14	238.84	2.5	13.74	-0.28	-	SLU 7	86.18	63.58	233.92	2.5	311.46	Si
1.47	2X/2Y ø6/25	6.14	-	SLU 18	84.29	81.14	238.84	2.5	13.74	-0.28	-	SLU 7	86.18	63.58	233.92	2.5	311.46	Si
1.78	2X/2Y ø6/25	6.14	-	SLU 18	84.29	81.14	238.84	2.5	13.74	-0.28	-	SLU 7	86.18	63.58	233.92	2.5	311.46	Si
2.08	2X/2Y ø6/25	6.14	-	SLU 18	84.29	81.14	238.84	2.5	13.74	-0.28	-	SLU 7	86.18	63.58	233.92	2.5	311.46	Si
2.39	2X/2Y ø6/25	6.14	-	SLU 18	84.29	81.14	238.84	2.5	13.74	-0.28	-	SLU 7	86.18	63.58	233.92	2.5	311.46	Si
2.67	2X/2Y ø6/25	6.14	-	SLU 18	84.29	81.14	238.84	2.5	13.74	-0.28	-	SLU 7	86.18	63.58	233.92	2.5	311.46	Si
2.7	2X/2Y ø6/25	6.14	-	SLU 18	84.29	81.14	238.84	2.5	13.74	-0.28	-	SLU 7	86.18	63.58	233.92	2.5	311.46	Si
2.92	2X/2Y ø6/23.3	14.2	-	SLU 18	84.29	87.03	238.84	2.5	6.13	-0.33	-	SLU 18	86.18	68.19	233.92	2.5	260.79	Si
3.22	2X/2Y ø6/23.3	14.2	-	SLU 18	84.29	87.03	238.84	2.5	6.13	-0.33	-	SLU 18	86.18	68.19	233.92	2.5	260.79	Si
3.53	2X/2Y ø6/23.3	14.2	-	SLU 18	84.29	87.03	238.84	2.5	6.13	-0.33	-	SLU 18	86.18	68.19	233.92	2.5	260.79	Si
3.83	2X/2Y ø6/23.3	14.2	-	SLU 18	84.29	87.03	238.84	2.5	6.13	-0.33	-	SLU 18	86.18	68.19	233.92	2.5	260.79	Si
4.13	2X/2Y ø6/23.3	14.2	-	SLU 18	84.29	87.03	238.84	2.5	6.13	-0.33	-	SLU 18	86.18	68.19	233.92	2.5	260.79	Si
4.44	2X/2Y ø6/23.3	14.2	-	SLU 18	84.29	87.03	238.84	2.5	6.13	-0.33	-	SLU 18	86.18	68.19	233.92	2.5	260.79	Si
4.74	2X/2Y ø6/23.3	14.2	-	SLU 18	84.29	87.03	238.84	2.5	6.13	-0.33	-	SLU 18	86.18	68.19	233.92	2.5	260.79	Si
5.04	2X/2Y ø6/23.3	14.2	-	SLU 18	84.29	87.03	238.84	2.5	6.13	-0.33	-	SLU 18	86.18	68.19	233.92	2.5	260.79	Si

Quota	Staffe	Direzione X									Direzione Y									Verifica
		V	N	Comb.	VRd	VRsd	VRcd	Cot	c.s.	V	N	Comb.	VRd	VRsd	VRcd	Cot	c.s.			
2.92	2X/2Y ø6/23.3	73.83	-	SLD 16	82.48	87.03	227.41	2.5	1.18	-6.27	-	SLD 9	76.86	68.19	214.93	2.5	12.25	Si		
			253.45								197.88									
3.22	2X/2Y ø6/23.3	73.83	-	SLD 16	82.27	87.03	227.2	2.5	1.18	-6.27	-	SLD 9	76.66	68.19	214.72	2.5	12.22	Si		
			251.98								196.41									
3.53	2X/2Y ø6/23.3	73.83	-	SLD 16	82.06	87.03	226.98	2.5	1.18	-6.27	-	SLD 9	76.46	68.19	214.51	2.5	12.19	Si		
			250.47								194.91									
3.83	2X/2Y ø6/23.3	73.83	-	SLD 16	81.85	87.03	226.76	2.5	1.18	-6.27	-	SLD 9	76.25	68.19	214.3	2.5	12.15	Si		
			248.95								193.38									
4.13	2X/2Y ø6/23.3	73.83	-	SLD 16	81.64	87.03	226.55	2.5	1.18	-6.27	-	SLD 9	76.05	68.19	214.08	2.5	12.12	Si		
			247.43								191.87									
4.44	2X/2Y ø6/23.3	73.83	-	SLD 16	81.43	87.03	226.33	2.5	1.18	-6.27	-	SLD 9	75.84	68.19	213.87	2.5	12.09	Si		
			245.92								190.35									
4.74	2X/2Y ø6/23.3	73.83	-244.4	SLD 16	81.22	87.03	226.11	2.5	1.18	-6.27	-	SLD 9	75.64	68.19	213.66	2.5	12.05	Si		
											188.84									
5.04	2X/2Y ø6/23.3	73.83	-	SLD 16	81.01	87.03	225.89	2.5	1.18	-6.27	-	SLD 9	75.43	68.19	213.45	2.5	12.02	Si		
			242.89								187.32									
5.34	2X/2Y ø6/23.3	73.83	-	SLD 16	80.8	87.03	225.68	2.5	1.18	-6.27	-	SLD 9	75.22	68.19	213.23	2.5	11.99	Si		
			241.37								185.81									
5.65	2X/2Y ø6/23.3	73.83	-	SLD 16	80.59	87.03	225.46	2.5	1.18	-6.27	-	SLD 9	75.02	68.19	213.02	2.5	11.96	Si		
			239.86								184.29									
5.95	2X/2Y ø6/23.3	73.83	-	SLD 16	80.39	87.03	225.25	2.5	1.18	-6.27	-182.8	SLD 9	74.82	68.19	212.81	2.5	11.92	Si		
			238.37																	

Indicatori di rischio sismico a taglio in SLV

Quota	Molt.	TR	I.R.TR	PGA	I.R.PGA	Comb.	Verifica
-0.99	2.623	2114	1.389	0.255	1.279	SLV 6	Si
-0.68	2.623	2114	1.389	0.255	1.279	SLV 6	Si
-0.38	2.623	2114	1.389	0.255	1.279	SLV 6	Si
-0.07	2.623	2114	1.389	0.255	1.279	SLV 6	Si
0.24	2.623	2114	1.389	0.255	1.279	SLV 6	Si
0.55	2.623	2114	1.389	0.255	1.279	SLV 6	Si
0.85	2.623	2114	1.389	0.255	1.279	SLV 6	Si
1.16	2.623	2114	1.389	0.255	1.279	SLV 6	Si
1.47	2.623	2114	1.389	0.255	1.279	SLV 6	Si
1.78	2.623	2114	1.389	0.255	1.279	SLV 6	Si
2.08	2.623	2114	1.389	0.255	1.279	SLV 6	Si
2.39	2.623	2114	1.389	0.255	1.279	SLV 6	Si
2.67	2.623	2114	1.389	0.255	1.279	SLV 6	Si
2.7	2.623	2114	1.389	0.255	1.279	SLV 6	Si
2.92	0.517	156	0.477	0.103	0.516	SLV 16	No
3.22	0.517	156	0.477	0.103	0.516	SLV 16	No
3.53	0.517	156	0.477	0.103	0.516	SLV 16	No
3.83	0.517	156	0.477	0.103	0.516	SLV 16	No
4.13	0.517	156	0.477	0.103	0.516	SLV 16	No
4.44	0.517	156	0.477	0.103	0.516	SLV 16	No
4.74	0.517	156	0.477	0.103	0.516	SLV 16	No
5.04	0.517	156	0.477	0.103	0.516	SLV 16	No
5.34	0.517	156	0.477	0.103	0.516	SLV 16	No
5.65	0.517	156	0.477	0.103	0.516	SLV 16	No
5.95	0.517	156	0.477	0.103	0.516	SLV 16	No

Indicatori di rischio sismico a taglio in SLD Resistenza

Quota	Molt.	TR	I.R.TR	PGA	I.R.PGA	Comb.	Verifica
-1.3	6.277	2110	3.477	0.255	2.966	SLD 6	Si
-0.99	6.277	2110	3.477	0.255	2.966	SLD 6	Si
-0.68	6.277	2110	3.477	0.255	2.966	SLD 6	Si
-0.38	6.277	2110	3.477	0.255	2.966	SLD 6	Si
-0.07	6.277	2110	3.477	0.255	2.966	SLD 6	Si
0.24	6.277	2110	3.477	0.255	2.966	SLD 6	Si
0.55	6.277	2110	3.477	0.255	2.966	SLD 6	Si
0.85	6.277	2110	3.477	0.255	2.966	SLD 6	Si
1.16	6.277	2110	3.477	0.255	2.966	SLD 6	Si
1.47	6.277	2110	3.477	0.255	2.966	SLD 6	Si
1.78	6.277	2110	3.477	0.255	2.966	SLD 6	Si
2.08	6.277	2110	3.477	0.255	2.966	SLD 6	Si
2.39	6.277	2110	3.477	0.255	2.966	SLD 6	Si
2.67	6.277	2110	3.477	0.255	2.966	SLD 6	Si
2.7	6.277	2110	3.477	0.255	2.966	SLD 6	Si
2.92	1.203	158	1.201	0.104	1.203	SLD 16	Si
3.22	1.203	158	1.201	0.104	1.203	SLD 16	Si
3.53	1.203	158	1.201	0.104	1.203	SLD 16	Si
3.83	1.203	158	1.201	0.104	1.203	SLD 16	Si
4.13	1.203	158	1.201	0.104	1.203	SLD 16	Si
4.44	1.203	158	1.201	0.104	1.203	SLD 16	Si
4.74	1.203	158	1.201	0.104	1.203	SLD 16	Si
5.04	1.203	158	1.201	0.104	1.203	SLD 16	Si
5.34	1.203	158	1.201	0.104	1.203	SLD 16	Si
5.65	1.203	158	1.201	0.104	1.203	SLD 16	Si
5.95	1.203	158	1.201	0.104	1.203	SLD 16	Si

Verifiche nodi trave colonna

Riepilogo dei dati per le diverse tipologie di verifica eseguite per i nodi

Pilastrata	Q.Nodo	Escluso	Confinato	Segnalazioni
Pilastrata P15	-1.675	Si	No	
Pilastrata P15	2.81	No	No	
Pilastrata P15	6.5	No	No	non tutte le travature convergenti al nodo sono calcolate/validate

Verifiche nodi trave colonna in combinazioni SLD

Riepilogo dei dati per la verifica del nodo secondo Circolare 7 21-01-19 §C8.7.2.3.5.

Pilastrata	Q.Nodo	Angolo travatura	Aj	Vpc	Vtc	Vnc	Nc	onc	onc,lim	Comb.c	Vpt	Vtt	Vnt	Nt	ont	ont,lim	Comb.t	Segnalazioni	Verifica
Pilastrata P15	2.81	180	0.2544	-	384.808	310.978	-	1818	3919	SLD 16	-	384.808	310.978	-	822	840	SLD 16		Si
				73.829			253.491				73.829			253.491					
	2.81	360	0.2544	-	384.808	310.978	-	1818	3919	SLD 16	-	384.808	310.978	-	822	840	SLD 16		Si
				73.829			253.491				73.829			253.491					

Verifiche nodi trave colonna in combinazioni SLD**Riepilogo dei dati per la verifica del nodo secondo Circolare 7 21-01-19 §C8.7.2.3.5.**

Pilastrata	Q.Nodo	Angolo travatura	Aj	Vpc	Vtc	Vnc	Nc	σnc	σnc,lim	Comb.c	Vpt	Vtt	Vnt	Nt	σnt	σnt,lim	Comb.t	Segnalazioni	Verifica
Pilastrata P15	6.5	180	0.1696	0	218.763	218.763	0	1290	3919	SLD 16	0	218.763	218.763	0	1290	840	SLD 16		No
	6.5	270	0	0	0	0	0	0	0		0	0	0	0	0	0		Trave non calcolata	Si
	6.5	360	0.1696	0	218.763	218.763	0	1290	3919	SLD 16	0	218.763	218.763	0	1290	840	SLD 16		No

Verifiche nodi trave colonna in combinazioni SLV**Riepilogo dei dati per la verifica del nodo secondo Circolare 7 21-01-19 §C8.7.2.3.5.**

Pilastrata	Q.Nodo	Angolo travatura	Aj	Vpc	Vtc	Vnc	Nc	σnc	σnc,lim	Comb.c	Vpt	Vtt	Vnt	Nt	σnt	σnt,lim	Comb.t	Segnalazioni	Verifica
Pilastrata P15	2.81	180	0.2544	-106.673	444.756	338.084	-332.779	2135	3919	SLV 12	-116.433	486.417	369.984	-223.359	1080	840	SLV 13		No
	2.81	360	0.2544	-106.673	444.756	338.084	-332.779	2135	3919	SLV 12	-116.433	486.417	369.984	-223.359	1080	840	SLV 13		No

Verifiche nodi trave colonna in combinazioni SLV**Riepilogo dei dati per la verifica del nodo secondo Circolare 7 21-01-19 §C8.7.2.3.5.**

Pilastrata	Q.Nodo	Angolo travatura	Aj	Vpc	Vtc	Vnc	Nc	σnc	σnc,lim	Comb.c	Vpt	Vtt	Vnt	Nt	σnt	σnt,lim	Comb.t	Segnalazioni	Verifica
Pilastrata P15	6.5	180	0.1696	0	436.027	436.027	0	2571	3919	SLV 15	0	436.027	436.027	0	2571	840	SLV 15		No
	6.5	270	0	0	0	0	0	0	0		0	0	0	0	0	0		Trave non calcolata	Si
	6.5	360	0.1696	0	436.027	436.027	0	2571	3919	SLV 15	0	436.027	436.027	0	2571	840	SLV 15		No

Indicatori di rischio sismico dei nodi in SLD

Pilastrata	Q.Nodo	Angolo travatura	Moltiplicatore	TR	I.R.TR	PGA	I.R.PGA	Comb.	Ver.
Pilastrata P15	2.81	180	1.164	146	1.163	0.1	1.164	SLD 14	Si
	2.81	360	1.164	146	1.163	0.1	1.164	SLD 14	Si

Indicatori di rischio sismico dei nodi in SLV

Pilastrata	Q.Nodo	Angolo travatura	Moltiplicatore	TR	I.R.TR	PGA	I.R.PGA	Comb.	Ver.
Pilastrata P15	6.5	180	0.639	39	0.677	0.056	0.652	SLD 16	No
	6.5	360	0.639	39	0.677	0.056	0.652	SLD 16	No

Indicatori di rischio sismico dei nodi in SLV

Pilastrata	Q.Nodo	Angolo travatura	Moltiplicatore	TR	I.R.TR	PGA	I.R.PGA	Comb.	Ver.
Pilastrata P15	2.81	180	0.512	152	0.472	0.102	0.51	SLV 13	No
	2.81	360	0.512	152	0.472	0.102	0.51	SLV 13	No

Indicatori di rischio sismico dei nodi in SLV

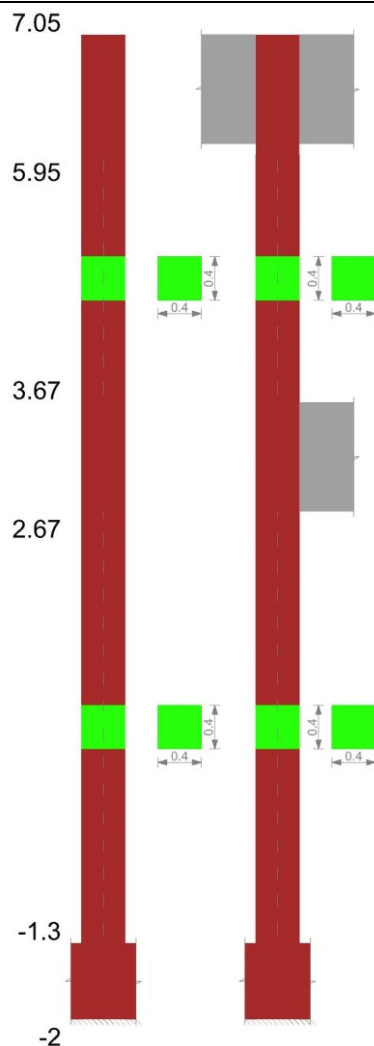
Pilastrata	Q.Nodo	Angolo travatura	Moltiplicatore	TR	I.R.TR	PGA	I.R.PGA	Comb.	Ver.
Pilastrata P15	6.5	180	0.274	39	0.27	0.056	0.281	SLV 16	No
	6.5	360	0.274	39	0.27	0.056	0.281	SLV 16	No

Verifiche di gerarchia delle resistenze nei nodi trave pilastro

Verifiche di gerarchia delle resistenze nei nodi trave pilastro non presenti in quanto la verifica è non necessaria per la pilastrata per il nodo Appoggio 6.5 in quanto elemento di materiale esistente.
per il nodo Appoggio -1.675 in quanto elemento di materiale esistente.
per il nodo Appoggio 2.81 in quanto elemento di materiale esistente.

Pilastrata P16

Geometria



Dati della pilastrata

Analisi di edificio esistente con fattore di struttura.

Fattore di struttura per meccanismi duttili in direzione X: 1.5

Fattore di struttura per meccanismi duttili in direzione Y: 1.5

Fattore di struttura per meccanismi fragili in direzione X: 1

Fattore di struttura per meccanismi fragili in direzione Y: 1

Verifica dei meccanismi fragili condotta secondo Circolare 7 21-01-19 (§C8.7.2.2) Analisi lineare con fattore q.

Fattore di amplificazione dei meccanismi fragili della componente sismica in direzione X: 1

Fattore di amplificazione dei meccanismi fragili della componente sismica in direzione Y: 1

Campate costituenti la pilastrata

Q.inf.	Q.sup.	Sezione	Esistente	Secondaria	Dissipativa	Interna a parete	Sovreresistenza	Materiale CLS	Materiale Acciaio	FC
-1.3	2.67	R 40x40	Si	No	No	No		C14/17 LC2 Vigone A	Vigone_FeB22k_LC2_FC = 1.2; Vigone_FeB44k_Staffe_LC2_FC = 1.2	1.2
3.67	5.95	R 40x40	Si	No	No	No		C14/17 LC2 Vigone A	Vigone_FeB22k_LC2_FC = 1.2; Vigone_FeB44k_Staffe_LC2_FC = 1.2	1.2

Disposizioni delle armature longitudinali

Posizione	X	Y	Diametro	Area	Q.inf.	Q.sup.	Sezione	Materiale
p.1	-0.1605	-0.1605	0.014	0.0001539	-1.65	-1.3	R 40x40	Vigone_FeB22k_LC2
p.1	0.1605	-0.1605	0.014	0.0001539	-1.65	-1.3	R 40x40	Vigone_FeB22k_LC2
p.1	0.1605	0.1605	0.014	0.0001539	-1.65	-1.3	R 40x40	Vigone_FeB22k_LC2
p.1	-0.1605	0.1605	0.014	0.0001539	-1.65	-1.3	R 40x40	Vigone_FeB22k_LC2
p.1	0	-0.162	0.014	0.0001539	-1.65	-1.3	R 40x40	Vigone_FeB22k_LC2
p.1	0	0.162	0.014	0.0001539	-1.65	-1.3	R 40x40	Vigone_FeB22k_LC2
p.1	-0.162	0	0.014	0.0001539	-1.65	-1.3	R 40x40	Vigone_FeB22k_LC2
p.1	0.162	0	0.014	0.0001539	-1.65	-1.3	R 40x40	Vigone_FeB22k_LC2
p.2	-0.1605	-0.1605	0.014	0.0001539	-1.3	3.67	R 40x40	Vigone_FeB22k_LC2
p.2	0.1605	-0.1605	0.014	0.0001539	-1.3	3.67	R 40x40	Vigone_FeB22k_LC2
p.2	0.1605	0.1605	0.014	0.0001539	-1.3	3.67	R 40x40	Vigone_FeB22k_LC2
p.2	-0.1605	0.1605	0.014	0.0001539	-1.3	3.67	R 40x40	Vigone_FeB22k_LC2
p.2	0	-0.162	0.014	0.0001539	-1.3	3.67	R 40x40	Vigone_FeB22k_LC2
p.2	0	0.162	0.014	0.0001539	-1.3	3.67	R 40x40	Vigone_FeB22k_LC2
p.2	-0.162	0	0.014	0.0001539	-1.3	3.67	R 40x40	Vigone_FeB22k_LC2
p.2	0.162	0	0.014	0.0001539	-1.3	3.67	R 40x40	Vigone_FeB22k_LC2
p.3	-0.1605	-0.1605	0.014	0.0001539	3.67	5.95	R 40x40	Vigone_FeB22k_LC2
p.3	0.1605	-0.1605	0.014	0.0001539	3.67	5.95	R 40x40	Vigone_FeB22k_LC2
p.3	0.1605	0.1605	0.014	0.0001539	3.67	5.95	R 40x40	Vigone_FeB22k_LC2
p.3	-0.1605	0.1605	0.014	0.0001539	3.67	5.95	R 40x40	Vigone_FeB22k_LC2
p.3	0	-0.162	0.014	0.0001539	3.67	5.95	R 40x40	Vigone_FeB22k_LC2
p.3	0	0.162	0.014	0.0001539	3.67	5.95	R 40x40	Vigone_FeB22k_LC2

Quota	Molt.	TR	I.R.TR	PGA	I.R.PGA	Comb.	Ver.
1.75	1.001	950	1	0.2	1.001	SLV 11	Si
2.06	0.802	528	0.786	0.163	0.819	SLV 11	No
2.36	0.67	337	0.654	0.139	0.695	SLV 11	No
2.67	0.58	236	0.565	0.121	0.608	SLV 11	No
3.67	0.393	97	0.393	0.085	0.424	SLV 9	No
3.96	0.564	220	0.549	0.118	0.592	SLV 9	No
4.24	1.007	965	1.007	0.201	1.006	SLV 9	Si
4.53	3.303	2114	1.389	0.255	1.279	SLV 8	Si
4.81	1.723	2114	1.389	0.255	1.279	SLV 7	Si
5.1	0.743	435	0.726	0.153	0.764	SLV 8	No
5.38	0.474	143	0.46	0.099	0.498	SLV 8	No
5.67	0.348	77	0.357	0.077	0.385	SLV 8	No
5.95	0.277	50	0.299	0.063	0.315	SLV 8	No

Indicatori di rischio sismico a pressoflessione in SLD Resistenza

Quota	Molt.	TR	I.R.TR	PGA	I.R.PGA	Comb.	Ver.
-1.3	1.23	156	1.195	0.103	1.196	SLD 11	Si
-0.99	1.393	213	1.358	0.117	1.357	SLD 11	Si
-0.69	1.611	305	1.573	0.134	1.552	SLD 11	Si
-0.38	1.922	472	1.882	0.157	1.827	SLD 11	Si
-0.08	2.397	846	2.39	0.192	2.231	SLD 11	Si
0.23	3.197	1921	3.346	0.248	2.882	SLD 11	Si
0.53	4.664	2110	3.477	0.255	2.966	SLD 3	Si
0.84	4.842	2110	3.477	0.255	2.966	SLD 3	Si
1.14	4.849	2110	3.477	0.255	2.966	SLD 11	Si
1.45	3.285	2077	3.454	0.254	2.951	SLD 11	Si
1.75	2.468	913	2.466	0.197	2.29	SLD 11	Si
2.06	1.98	511	1.944	0.162	1.878	SLD 11	Si
2.36	1.654	326	1.617	0.137	1.591	SLD 11	Si
2.67	1.432	228	1.396	0.12	1.392	SLD 11	Si
3.67	0.972	95	0.975	0.084	0.975	SLD 9	No
3.96	1.398	215	1.363	0.117	1.362	SLD 9	Si
4.24	2.477	922	2.476	0.198	2.297	SLD 8	Si
4.53	8.031	2110	3.477	0.255	2.966	SLD 8	Si
4.81	4.213	2110	3.477	0.255	2.966	SLD 7	Si
5.1	1.828	417	1.788	0.15	1.745	SLD 8	Si
5.38	1.168	138	1.137	0.098	1.137	SLD 8	Si
5.67	0.858	75	0.885	0.076	0.883	SLD 8	No
5.95	0.684	49	0.743	0.062	0.724	SLD 8	No

Verifica a taglio in famiglia SLU

Quota	Staffe	Direzione X								Direzione Y								Verifica
		V	N	Comb.	VRd	VRsd	VRcd	Cot	c.s.	V	N	Comb.	VRd	VRsd	VRcd	Cot	c.s.	
-1.3	2X/2Y ø6/24.8	0.14	-	SLU 17	68.94	64.06	187.14	2.5	480.57	-5.48	-	SLU 18	68.94	64.06	187.14	2.5	12.59	Si
-0.99	2X/2Y ø6/24.8	0.14	334.74	SLU 17	68.94	64.06	187.14	2.5	480.57	-5.48	334.74	SLU 18	68.94	64.06	187.14	2.5	12.59	Si
-0.69	2X/2Y ø6/24.8	0.14	333.18	SLU 17	68.94	64.06	187.14	2.5	480.57	-5.48	333.18	SLU 18	68.94	64.06	187.14	2.5	12.59	Si
-0.38	2X/2Y ø6/24.8	0.14	331.59	SLU 17	68.94	64.06	187.14	2.5	480.57	-5.48	331.59	SLU 18	68.94	64.06	187.14	2.5	12.59	Si
-0.08	2X/2Y ø6/24.8	0.14	-330	SLU 17	68.94	64.06	187.14	2.5	480.57	-5.48	-330.01	SLU 18	68.94	64.06	187.14	2.5	12.59	Si
0.23	2X/2Y ø6/24.8	0.14	328.41	SLU 17	68.94	64.06	187.14	2.5	480.57	-5.48	328.42	SLU 18	68.94	64.06	187.14	2.5	12.59	Si
0.53	2X/2Y ø6/24.8	0.14	326.83	SLU 17	68.94	64.06	187.14	2.5	480.57	-5.48	326.83	SLU 18	68.94	64.06	187.14	2.5	12.59	Si
0.84	2X/2Y ø6/24.8	0.14	325.24	SLU 17	68.94	64.06	187.14	2.5	480.57	-5.48	325.24	SLU 18	68.94	64.06	187.14	2.5	12.59	Si
1.14	2X/2Y ø6/24.8	0.14	323.65	SLU 17	68.94	64.06	187.14	2.5	480.57	-5.48	323.65	SLU 18	68.94	64.06	187.14	2.5	12.59	Si
1.45	2X/2Y ø6/24.8	0.14	322.06	SLU 17	68.94	64.06	187.14	2.5	480.57	-5.48	322.07	SLU 18	68.94	64.06	187.14	2.5	12.59	Si
1.75	2X/2Y ø6/24.8	0.14	320.47	SLU 17	68.94	64.06	187.14	2.5	480.57	-5.48	320.48	SLU 18	68.94	64.06	187.14	2.5	12.59	Si
2.06	2X/2Y ø6/24.8	0.14	318.89	SLU 17	68.94	64.06	187.14	2.5	480.57	-5.48	318.89	SLU 18	68.94	64.06	187.14	2.5	12.59	Si
2.36	2X/2Y ø6/24.8	0.14	-317.3	SLU 17	68.94	64.06	187.14	2.5	480.57	-5.48	-317.3	SLU 18	68.94	64.06	187.14	2.5	12.59	Si
2.67	2X/2Y ø6/24.8	0.14	315.71	SLU 17	68.94	64.06	187.14	2.5	480.57	-5.48	315.71	SLU 18	68.94	64.06	187.14	2.5	12.59	Si
3.67	2X/2Y ø6/22.8	-0.14	314.15	SLU 17	68.94	64.06	187.14	2.5	480.57	-5.48	314.15	SLU 18	68.94	64.06	187.14	2.5	12.59	Si
3.96	2X/2Y ø6/22.8	-0.14	241.23	SLU 17	68.94	69.71	183.59	2.5	503.61	-2.48	-153.8	SLU 9	60.88	69.71	171.31	2.5	28.15	Si
4.24	2X/2Y ø6/22.8	-0.14	239.77	SLU 17	68.94	69.71	183.38	2.5	503.61	-2.48	152.68	SLU 9	60.73	69.71	171.15	2.5	28.15	Si
4.53	2X/2Y ø6/22.8	-0.14	-238.3	SLU 17	68.94	69.71	183.18	2.5	503.61	-2.48	-151.55	SLU 9	60.57	69.71	170.99	2.5	28.15	Si
4.81	2X/2Y ø6/22.8	-0.14	236.81	SLU 17	68.94	69.71	182.97	2.5	503.61	-2.48	-150.4	SLU 9	60.42	69.71	170.83	2.5	28.15	Si
5.1	2X/2Y ø6/22.8	-0.14	235.33	SLU 17	68.94	69.71	182.76	2.5	503.61	-2.48	149.26	SLU 9	60.26	69.71	170.67	2.5	28.15	Si
5.38	2X/2Y ø6/22.8	-0.14	233.84	SLU 17	68.94	69.71	182.55	2.5	503.61	-2.48	148.12	SLU 9	60.11	69.71	170.51	2.5	28.15	Si
5.67	2X/2Y ø6/22.8	-0.14	232.36	SLU 17	68.94	69.71	182.34	2.5	503.61	-2.48	146.98	SLU 9	59.95	69.71	170.35	2.5	28.15	Si
5.95	2X/2Y ø6/22.8	-0.14	230.87	SLU 17	68.94	69.71	182.13	2.5	503.61	-2.48	145.83	SLU 9	59.8	69.71	170.19	2.5	28.15	Si
			229.42	SLU 17	68.94	69.71	181.93	2.5	503.61	-2.48	144.72	SLU 9	59.65	69.71	170.04	2.5	28.15	Si

Verifica a taglio in famiglia SLV

Quota	Staffe	Direzione X								Direzione Y								Verifica
		V	N	Comb.	VRd	VRsd	VRcd	Cot	c.s.	V	N	Comb.	VRd	VRsd	VRcd	Cot	c.s.	
-1.3	2X/2Y ø6/24.8	-10.95	-	SLV 2	66.21	64.06	176.83	2.5	6.05	-80.8	-	SLV 6	68.94	64.06	187.14	2.5	0.85	No
-0.99	2X/2Y ø6/24.8	-10.95	193.08	SLV 2	66.05	64.06	176.66	2.5	6.03	-80.8	326.99	SLV 6	68.94	64.06	187.14	2.5	0.85	No
-0.69	2X/2Y ø6/24.8	-10.95	191.88	SLV 2	65.88	64.06	176.49	2.5	6.02	-80.8	325.79	SLV 6	68.94	64.06	187.14	2.5	0.85	No
-0.38	2X/2Y ø6/24.8	-10.95	190.65	SLV 2	65.72	64.06	176.31	2.5	6	-80.8	324.57	SLV 6	68.94	64.06	187.14	2.5	0.85	No
-0.08	2X/2Y ø6/24.8	-10.95	189.43	SLV 2	65.55	64.06	176.14	2.5	5.99	-80.8	323.35	SLV 6	68.94	64.06	187.14	2.5	0.85	No
0.23	2X/2Y ø6/24.8	-10.95	188.21	SLV 2	65.38	64.06	175.97	2.5	5.97	-80.8	322.13	SLV 6	68.94	64.06	187.14	2.5	0.85	No
			186.99	SLV 2	65.38	64.06	175.97	2.5	5.97	-80.8	-320.9	SLV 6	68.94	64.06	187.14	2.5	0.85	No

Table with 20 columns: Quota, Staffe, V, N, Comb., VRd, VRsd, VRcd, Cot, c.s., V, N, Comb., VRd, VRsd, VRcd, Cot, c.s., Verifica. Contains data for various structural elements under Direction X and Y.

Verifica taglio ciclico secondo Circolare 7 21-01-19 §C8.7.2.3.5 formula [C8.7.2.8] in combinazione SLV

Table with 20 columns: Quota, Q.inf, Q.sup, Dir., Lv, x, h, p.tot, θ.m, θ.y, μΔ.pl, VRd, VRcd(cotθ=1), VRsd, Vw, VR, VR.f, VEd, NEd, Comb., Verifica. Summary data for cyclic shear verification.

Verifica a taglio in famiglia SLD Resistenza

Table with 20 columns: Quota, Staffe, V, N, Comb., VRd, VRsd, VRcd, Cot, c.s., V, N, Comb., VRd, VRsd, VRcd, Cot, c.s., Verifica. Detailed shear resistance verification for SLD family elements.

Indicatori di rischio sismico a taglio in SLV

Table with 9 columns: Quota, Molt., TR, I.R.TR, PGA, I.R.PGA, Comb., Verifica. Seismic risk indicators for shear in SLV.

Quota	Molt.	TR	I.R.TR	PGA	I.R.PGA	Comb.	
2.36	0.848	613	0.836	0.172	0.861	SLV 6	No
2.67	0.848	613	0.836	0.172	0.861	SLV 6	No
3.67	0.343	75	0.353	0.076	0.381	SLV 9	No
3.96	0.343	75	0.353	0.076	0.381	SLV 9	No
4.24	0.343	75	0.353	0.076	0.381	SLV 9	No
4.53	0.343	75	0.353	0.076	0.381	SLV 9	No
4.81	0.343	75	0.353	0.076	0.381	SLV 9	No
5.1	0.343	75	0.353	0.076	0.381	SLV 9	No
5.38	0.343	75	0.353	0.076	0.381	SLV 9	No
5.67	0.343	75	0.353	0.076	0.381	SLV 9	No
5.95	0.343	75	0.353	0.076	0.381	SLV 9	No

Indicatori di rischio sismico a taglio in SLD Resistenza

Quota	Molt.	TR	I.R.TR	PGA	I.R.PGA	Comb.	
-1.3	2.151	636	2.126	0.174	2.024	SLD 11	Si
-0.99	2.151	636	2.126	0.174	2.024	SLD 11	Si
-0.69	2.151	636	2.126	0.174	2.024	SLD 11	Si
-0.38	2.151	636	2.126	0.174	2.024	SLD 11	Si
-0.08	2.151	636	2.126	0.174	2.024	SLD 11	Si
0.23	2.151	636	2.126	0.174	2.024	SLD 11	Si
0.53	2.151	636	2.126	0.174	2.024	SLD 11	Si
0.84	2.151	636	2.126	0.174	2.024	SLD 11	Si
1.14	2.151	636	2.126	0.174	2.024	SLD 11	Si
1.45	2.151	636	2.126	0.174	2.024	SLD 11	Si
1.75	2.151	636	2.126	0.174	2.024	SLD 11	Si
2.06	2.151	636	2.126	0.174	2.024	SLD 11	Si
2.36	2.151	636	2.126	0.174	2.024	SLD 11	Si
2.67	2.151	636	2.126	0.174	2.024	SLD 11	Si
3.67	0.846	73	0.875	0.075	0.873	SLD 9	No
3.96	0.846	73	0.875	0.075	0.873	SLD 9	No
4.24	0.846	73	0.875	0.075	0.873	SLD 9	No
4.53	0.846	73	0.875	0.075	0.873	SLD 9	No
4.81	0.846	73	0.875	0.075	0.873	SLD 9	No
5.1	0.846	73	0.875	0.075	0.873	SLD 9	No
5.38	0.846	73	0.875	0.075	0.873	SLD 9	No
5.67	0.846	73	0.875	0.075	0.873	SLD 9	No
5.95	0.846	73	0.875	0.075	0.873	SLD 9	No

Verifiche nodi trave colonna**Riepilogo dei dati per le diverse tipologie di verifica eseguite per i nodi**

Pilastrata	Q.Nodo	Escluso	Confinato	Segnalazioni
Pilastrata P16	-1.65	Si	No	
Pilastrata P16	3.17	No	No	
Pilastrata P16	6.5	No	No	

Verifiche nodi trave colonna in combinazioni SLD**Riepilogo dei dati per la verifica del nodo secondo Circolare 7 21-01-19 §C8.7.2.3.5.**

Pilastrata	Q.Nodo	Angolo travatura	Aj	Vpc	Vtc	Vnc	Nc	onc	onc,lim	Comb.c	Vpt	Vtt	Vnt	Nt	ont	ont,lim	Comb.t	Segnalazioni	Verifica
Pilastrata P16	3.17	90	0.1296	-	241.09	159.743	-	2024	3919	SLD 10	-	241.09	159.743	-	751	840	SLD 10		Si

Verifiche nodi trave colonna in combinazioni SLD**Riepilogo dei dati per la verifica del nodo secondo Circolare 7 21-01-19 §C8.7.2.3.5.**

Pilastrata	Q.Nodo	Angolo travatura	Aj	Vpc	Vtc	Vnc	Nc	onc	onc,lim	Comb.c	Vpt	Vtt	Vnt	Nt	ont	ont,lim	Comb.t	Segnalazioni	Verifica
Pilastrata P16	6.5	90	0.1296	0	173.554	173.554	0	1339	3919	SLD 9	0	173.554	173.554	0	1339	840	SLD 9		No
Pilastrata P16	6.5	270	0.1296	0	173.554	173.554	0	1339	3919	SLD 9	0	173.554	173.554	0	1339	840	SLD 9		No

Verifiche nodi trave colonna in combinazioni SLV**Riepilogo dei dati per la verifica del nodo secondo Circolare 7 21-01-19 §C8.7.2.3.5.**

Pilastrata	Q.Nodo	Angolo travatura	Aj	Vpc	Vtc	Vnc	Nc	onc	onc,lim	Comb.c	Vpt	Vtt	Vnt	Nt	ont	ont,lim	Comb.t	Segnalazioni	Verifica
Pilastrata P16	3.17	90	0.1296	-	243.196	141.688	-	2174	3919	SLV 14	197.981	0	197.981	-	1139	840	SLV 8		No

Verifiche nodi trave colonna in combinazioni SLV**Riepilogo dei dati per la verifica del nodo secondo Circolare 7 21-01-19 §C8.7.2.3.5.**

Pilastrata	Q.Nodo	Angolo travatura	Aj	Vpc	Vtc	Vnc	Nc	onc	onc,lim	Comb.c	Vpt	Vtt	Vnt	Nt	ont	ont,lim	Comb.t	Segnalazioni	Verifica
Pilastrata P16	6.5	90	0.1296	0	425.099	425.099	0	3280	3919	SLV 8	0	425.099	425.099	0	3280	840	SLV 8		No
Pilastrata P16	6.5	270	0.1296	0	425.099	425.099	0	3280	3919	SLV 8	0	425.099	425.099	0	3280	840	SLV 8		No

Indicatori di rischio sismico dei nodi in SLD

Pilastrata	Q.Nodo	Angolo travatura	Moltiplicatore	TR	I.R.TR	PGA	I.R.PGA	Comb.	Ver.
Pilastrata P16	3.17	90	1.984	514	1.949	0.162	1.882	SLD 8	Si

Indicatori di rischio sismico dei nodi in SLD

Pilastrata	Q.Nodo	Angolo travatura	Moltiplicatore	TR	I.R.TR	PGA	I.R.PGA	Comb.	Ver.
Pilastrata P16	6.5	90	0.613	41	0.691	0.057	0.667	SLD 9	No
Pilastrata P16	6.5	270	0.613	41	0.691	0.057	0.667	SLD 9	No

Indicatori di rischio sismico dei nodi in SLV

Pilastrata	Q.Nodo	Angolo travatura	Moltiplicatore	TR	I.R.TR	PGA	I.R.PGA	Comb.	Ver.
Pilastrata P16	3.17	90	0.807	537	0.792	0.164	0.824	SLV 8	No

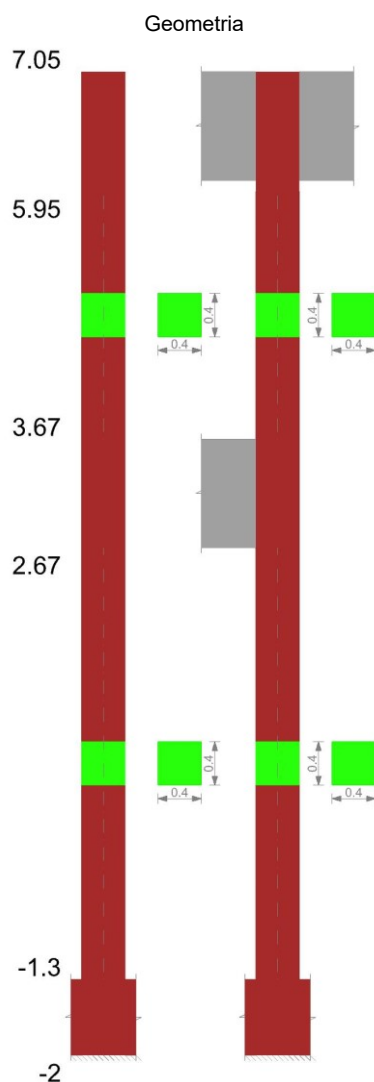
Indicatori di rischio sismico dei nodi in SLV

Pilastrata	Q.Nodo	Angolo travatura	Moltiplicatore	TR	I.R.TR	PGA	I.R.PGA	Comb.	Ver.
Pilastrata P16	6.5	90	0.249	42	0.279	0.058	0.291	SLV 9	No
Pilastrata P16	6.5	270	0.249	42	0.279	0.058	0.291	SLV 9	No

Verifiche di gerarchia delle resistenze nei nodi trave pilastro

Verifiche di gerarchia delle resistenze nei nodi trave pilastro non presenti in quanto la verifica è non necessaria per la pilastrata per il nodo Appoggio 3.17 in quanto elemento di materiale esistente.
per il nodo Appoggio -1.65 in quanto elemento di materiale esistente.
per il nodo Appoggio 6.5 in quanto elemento di materiale esistente.

Pilastrata P17



Dati della pilastrata

Analisi di edificio esistente con fattore di struttura.

Fattore di struttura per meccanismi duttili in direzione X: 1.5

Fattore di struttura per meccanismi duttili in direzione Y: 1.5

Fattore di struttura per meccanismi fragili in direzione X: 1

Fattore di struttura per meccanismi fragili in direzione Y: 1

Verifica dei meccanismi fragili condotta secondo Circolare 7 21-01-19 (§C8.7.2.2) Analisi lineare con fattore q.

Fattore di amplificazione dei meccanismi fragili della componente sismica in direzione X: 1

Fattore di amplificazione dei meccanismi fragili della componente sismica in direzione Y: 1

Campate costituenti la pilastrata

Q.inf.	Q.sup.	Sezione	Esistente	Secondaria	Dissipativa	Interna a parete	Sovreresistenza	Materiale CLS	Materiale Acciaio	FC
-1.3	2.67	R 40x40	Si	No	No	No		C14/17 LC2 Vigone A	Vigone_FeB22k_LC2_FC = 1.2; Vigone_FeB44k_Staffe_LC2_FC = 1.2	1.2
3.67	5.95	R 40x40	Si	No	No	No		C14/17 LC2 Vigone A	Vigone_FeB22k_LC2_FC = 1.2; Vigone_FeB44k_Staffe_LC2_FC = 1.2	1.2

Disposizione delle armature longitudinali

Posizione	X	Y	Diametro	Area	Q.inf.	Q.sup.	Sezione	Materiale
p.1	-0.1605	-0.1605	0.014	0.0001539	-1.65	-1.3	R 40x40	Vigone_FeB22k_LC2
p.1	0.1605	-0.1605	0.014	0.0001539	-1.65	-1.3	R 40x40	Vigone_FeB22k_LC2
p.1	0.1605	0.1605	0.014	0.0001539	-1.65	-1.3	R 40x40	Vigone_FeB22k_LC2
p.1	-0.1605	0.1605	0.014	0.0001539	-1.65	-1.3	R 40x40	Vigone_FeB22k_LC2
p.1	0	-0.162	0.014	0.0001539	-1.65	-1.3	R 40x40	Vigone_FeB22k_LC2
p.1	0	0.162	0.014	0.0001539	-1.65	-1.3	R 40x40	Vigone_FeB22k_LC2
p.1	-0.162	0	0.014	0.0001539	-1.65	-1.3	R 40x40	Vigone_FeB22k_LC2
p.1	0.162	0	0.014	0.0001539	-1.65	-1.3	R 40x40	Vigone_FeB22k_LC2
p.2	-0.1605	-0.1605	0.014	0.0001539	-1.3	3.67	R 40x40	Vigone_FeB22k_LC2
p.2	0.1605	-0.1605	0.014	0.0001539	-1.3	3.67	R 40x40	Vigone_FeB22k_LC2
p.2	0.1605	0.1605	0.014	0.0001539	-1.3	3.67	R 40x40	Vigone_FeB22k_LC2
p.2	-0.1605	0.1605	0.014	0.0001539	-1.3	3.67	R 40x40	Vigone_FeB22k_LC2
p.2	0	-0.162	0.014	0.0001539	-1.3	3.67	R 40x40	Vigone_FeB22k_LC2
p.2	0	0.162	0.014	0.0001539	-1.3	3.67	R 40x40	Vigone_FeB22k_LC2

Quota	Molt.	TR	I.R.TR	PGA	I.R.PGA	Comb.	Ver.
-0.69	0.661	326	0.645	0.137	0.686	SLV 10	No
-0.38	0.795	517	0.78	0.162	0.813	SLV 10	No
-0.08	0.996	938	0.995	0.199	0.996	SLV 10	No
0.23	1.332	2114	1.389	0.255	1.279	SLV 10	Si
0.53	1.881	2114	1.389	0.255	1.279	SLV 6	Si
0.84	2.008	2114	1.389	0.255	1.279	SLV 2	Si
1.14	2.078	2114	1.389	0.255	1.279	SLV 2	Si
1.45	1.398	2114	1.389	0.255	1.279	SLV 10	Si
1.75	1.037	1050	1.042	0.206	1.033	SLV 10	Si
2.06	0.822	566	0.809	0.167	0.838	SLV 10	No
2.36	0.68	349	0.664	0.14	0.704	SLV 10	No
2.67	0.58	236	0.565	0.121	0.608	SLV 10	No
3.67	0.364	84	0.37	0.08	0.399	SLV 5	No
3.96	0.523	182	0.508	0.11	0.55	SLV 5	No
4.24	0.904	727	0.896	0.182	0.913	SLV 5	No
4.53	3.068	2114	1.389	0.255	1.279	SLV 5	Si
4.81	1.633	2114	1.389	0.255	1.279	SLV 5	Si
5.1	0.67	337	0.654	0.139	0.695	SLV 5	No
5.38	0.412	107	0.409	0.088	0.442	SLV 5	No
5.67	0.292	55	0.311	0.066	0.33	SLV 5	No
5.95	0.224	35	0.258	0.053	0.268	SLV 5	No

Indicatori di rischio sismico a pressoflessione in SLD Resistenza

Quota	Molt.	TR	I.R.TR	PGA	I.R.PGA	Comb.	Ver.
-1.3	1.219	153	1.186	0.102	1.187	SLD 10	Si
-0.99	1.393	213	1.358	0.117	1.357	SLD 10	Si
-0.69	1.629	314	1.592	0.135	1.569	SLD 10	Si
-0.38	1.959	497	1.922	0.16	1.86	SLD 10	Si
-0.08	2.459	905	2.457	0.196	2.283	SLD 10	Si
0.23	3.291	2087	3.461	0.254	2.956	SLD 10	Si
0.53	4.524	2110	3.477	0.255	2.966	SLD 2	Si
0.84	4.678	2110	3.477	0.255	2.966	SLD 2	Si
1.14	4.835	2110	3.477	0.255	2.966	SLD 2	Si
1.45	3.426	2110	3.477	0.255	2.966	SLD 10	Si
1.75	2.544	990	2.549	0.203	2.353	SLD 10	Si
2.06	2.017	536	1.982	0.164	1.909	SLD 10	Si
2.36	1.668	333	1.631	0.138	1.604	SLD 10	Si
2.67	1.424	225	1.389	0.119	1.385	SLD 10	Si
3.67	0.898	82	0.918	0.079	0.916	SLD 5	No
3.96	1.289	176	1.256	0.108	1.257	SLD 5	Si
4.24	2.225	695	2.205	0.18	2.086	SLD 5	Si
4.53	7.48	2110	3.477	0.255	2.966	SLD 5	Si
4.81	4.008	2110	3.477	0.255	2.966	SLD 5	Si
5.1	1.652	325	1.615	0.137	1.589	SLD 5	Si
5.38	1.017	104	1.012	0.087	1.012	SLD 5	Si
5.67	0.721	54	0.774	0.065	0.758	SLD 5	No
5.95	0.554	35	0.648	0.053	0.62	SLD 5	No

Verifica a taglio in famiglia SLU

Quota	Staffe	V	N	Direzione X						Direzione Y						Verifica		
				Comb.	VRd	VRsd	VRcd	Cot	c.s.	V	N	Comb.	VRd	VRsd	VRcd		Cot	c.s.
-1.3	2X/2Y ø6/24.8	0.24	-	SLU 18	68.94	64.06	187.14	2.5	285.74	0.45	-313.2	SLU 12	68.94	64.06	187.14	2.5	154.2	Si
-0.99	2X/2Y ø6/24.8	0.24	-	SLU 18	68.94	64.06	187.14	2.5	285.74	0.45	-	SLU 12	68.94	64.06	187.14	2.5	154.2	Si
-0.69	2X/2Y ø6/24.8	0.24	-	SLU 18	68.94	64.06	187.14	2.5	285.74	0.45	-	SLU 12	68.94	64.06	187.14	2.5	154.2	Si
-0.38	2X/2Y ø6/24.8	0.24	-	SLU 18	68.94	64.06	187.14	2.5	285.74	0.45	-	SLU 12	68.94	64.06	187.14	2.5	154.2	Si
-0.08	2X/2Y ø6/24.8	0.24	-	SLU 18	68.94	64.06	187.14	2.5	285.74	0.45	-	SLU 12	68.94	64.06	187.14	2.5	154.2	Si
0.23	2X/2Y ø6/24.8	0.24	-	SLU 18	68.94	64.06	187.14	2.5	285.74	0.45	-	SLU 12	68.94	64.06	187.14	2.5	154.2	Si
0.53	2X/2Y ø6/24.8	0.24	-	SLU 18	68.94	64.06	187.14	2.5	285.74	0.45	-303.7	SLU 12	68.94	64.06	187.14	2.5	154.2	Si
0.84	2X/2Y ø6/24.8	0.24	-	SLU 18	68.94	64.06	187.14	2.5	285.74	0.45	-	SLU 12	68.94	64.06	187.14	2.5	154.2	Si
1.14	2X/2Y ø6/24.8	0.24	-	SLU 18	68.94	64.06	187.14	2.5	285.74	0.45	-	SLU 12	68.94	64.06	187.14	2.5	154.2	Si
1.45	2X/2Y ø6/24.8	0.24	-304.5	SLU 18	68.94	64.06	187.14	2.5	285.74	0.45	-	SLU 12	68.94	64.06	187.14	2.5	154.2	Si
1.75	2X/2Y ø6/24.8	0.24	-	SLU 18	68.94	64.06	187.14	2.5	285.74	0.45	-	SLU 12	68.94	64.06	187.14	2.5	154.2	Si
2.06	2X/2Y ø6/24.8	0.24	-	SLU 18	68.94	64.06	187.14	2.5	285.74	0.45	-	SLU 12	68.94	64.06	187.14	2.5	154.2	Si
2.36	2X/2Y ø6/24.8	0.24	-	SLU 18	68.94	64.06	187.14	2.5	285.74	0.45	-	SLU 12	68.94	64.06	187.14	2.5	154.2	Si
2.67	2X/2Y ø6/24.8	0.24	-	SLU 18	68.94	64.06	187.14	2.5	285.74	0.45	-	SLU 12	68.94	64.06	187.14	2.5	154.2	Si
3.67	2X/2Y ø6/22.8	-0.05	-	SLU 13	68.94	69.71	182.83	2.5	1502.73	-10.73	-	SLU 17	68.94	69.71	183.47	2.5	6.5	Si
3.96	2X/2Y ø6/22.8	-0.05	-	SLU 13	68.94	69.71	182.63	2.5	1502.73	-10.73	-	SLU 17	68.94	69.71	183.26	2.5	6.5	Si
4.24	2X/2Y ø6/22.8	-0.05	-	SLU 13	68.94	69.71	182.42	2.5	1502.73	-10.73	-	SLU 17	68.94	69.71	183.06	2.5	6.5	Si
4.53	2X/2Y ø6/22.8	-0.05	-	SLU 13	68.94	69.71	182.21	2.5	1502.73	-10.73	-	SLU 17	68.94	69.71	182.85	2.5	6.5	Si
4.81	2X/2Y ø6/22.8	-0.05	-	SLU 13	68.94	69.71	182	2.5	1502.73	-10.73	-	SLU 17	68.94	69.71	182.64	2.5	6.5	Si
5.1	2X/2Y ø6/22.8	-0.05	-	SLU 13	68.94	69.71	181.79	2.5	1502.73	-10.73	-	SLU 17	68.94	69.71	182.43	2.5	6.5	Si
5.38	2X/2Y ø6/22.8	-0.05	-	SLU 13	68.94	69.71	181.59	2.5	1502.73	-10.73	-	SLU 17	68.94	69.71	182.22	2.5	6.5	Si
5.67	2X/2Y ø6/22.8	-0.05	-	SLU 13	68.94	69.71	181.38	2.5	1502.73	-10.73	-	SLU 17	68.94	69.71	182.01	2.5	6.5	Si
5.95	2X/2Y ø6/22.8	-0.05	-	SLU 13	68.94	69.71	181.17	2.5	1502.73	-10.73	-	SLU 17	68.94	69.71	181.81	2.5	6.5	Si

Verifica a taglio in famiglia SLV

Quota	Staffe	V	N	Direzione X						Direzione Y						Verifica		
				Comb.	VRd	VRsd	VRcd	Cot	c.s.	V	N	Comb.	VRd	VRsd	VRcd		Cot	c.s.
-1.3	2X/2Y ø6/24.8	-9.35	-	SLV 3	64.29	64.06	174.84	2.5	6.88	-70.65	-91.66	SLV 10	52.44	64.06	162.58	2.5	0.91	No
			178.92															

Quota	Staffe	Direzione X									Direzione Y									Verifica
		V	N	Comb.	VRd	VRsd	VRcd	Cot	c.s.	V	N	Comb.	VRd	VRsd	VRcd	Cot	c.s.			
-0.99	2X/2Y ø6/24.8	-9.35	-	SLV 3	64.13	64.06	174.67	2.5	6.86	-70.65	-90.46	SLV 10	52.28	64.06	162.41	2.5	0.91	No		
-0.69	2X/2Y ø6/24.8	-9.35	-177.72	SLV 3	63.96	64.06	174.5	2.5	6.85	-70.65	-89.24	SLV 10	52.11	64.06	162.24	2.5	0.91	No		
-0.38	2X/2Y ø6/24.8	-9.35	-	SLV 3	63.79	64.06	174.33	2.5	6.85	-70.65	-88.01	SLV 10	51.95	64.06	162.07	2.5	0.91	No		
-0.08	2X/2Y ø6/24.8	-9.35	-	SLV 3	63.63	64.06	174.15	2.5	6.85	-70.65	-86.79	SLV 10	51.78	64.06	161.9	2.5	0.91	No		
0.23	2X/2Y ø6/24.8	-9.35	-	SLV 3	63.46	64.06	173.98	2.5	6.85	-70.65	-85.57	SLV 10	51.62	64.06	161.73	2.5	0.91	No		
0.53	2X/2Y ø6/24.8	-9.35	-	SLV 3	63.3	64.06	173.81	2.5	6.85	-70.65	-84.35	SLV 10	51.45	64.06	161.56	2.5	0.91	No		
0.84	2X/2Y ø6/24.8	-9.35	-	SLV 3	63.13	64.06	173.64	2.5	6.85	-70.65	-83.13	SLV 10	51.29	64.06	161.39	2.5	0.91	No		
1.14	2X/2Y ø6/24.8	-9.35	-	SLV 3	62.97	64.06	173.47	2.5	6.85	-70.65	-81.91	SLV 10	51.12	64.06	161.21	2.5	0.91	No		
1.45	2X/2Y ø6/24.8	-9.35	-	SLV 3	62.8	64.06	173.3	2.5	6.85	-70.65	-80.68	SLV 10	50.95	64.06	161.04	2.5	0.91	No		
1.75	2X/2Y ø6/24.8	-9.35	-	SLV 3	62.63	64.06	173.13	2.5	6.85	-70.65	-79.46	SLV 10	50.79	64.06	160.87	2.5	0.91	No		
2.06	2X/2Y ø6/24.8	-9.35	-	SLV 3	62.47	64.06	172.95	2.5	6.85	-70.65	-78.24	SLV 10	50.62	64.06	160.7	2.5	0.91	No		
2.36	2X/2Y ø6/24.8	-9.35	-	SLV 3	62.3	64.06	172.78	2.5	6.85	-70.65	-77.02	SLV 10	50.46	64.06	160.53	2.5	0.91	No		
2.67	2X/2Y ø6/24.8	-9.35	-	SLV 3	62.14	64.06	172.61	2.5	6.85	-70.65	-75.82	SLV 10	50.29	64.06	160.36	2.5	0.91	No		
3.67	2X/2Y ø6/22.8	-6.45	-98.9	SLV 4	53.43	69.71	163.6	2.5	10.8	-	-	SLV 5	56.02	69.71	166.28	2.5	0.32	No		
3.96	2X/2Y ø6/22.8	-6.45	-97.78	SLV 4	53.27	69.71	163.44	2.5	10.8	-	-	SLV 5	55.87	69.71	166.13	2.5	0.32	No		
4.24	2X/2Y ø6/22.8	-6.45	-96.65	SLV 4	53.12	69.71	163.28	2.5	10.8	-	-	SLV 5	55.72	69.71	165.97	2.5	0.32	No		
4.53	2X/2Y ø6/22.8	-6.45	-95.5	SLV 4	52.96	69.71	163.12	2.5	10.8	-	-	SLV 5	55.56	69.71	165.81	2.5	0.32	No		
4.81	2X/2Y ø6/22.8	-6.45	-94.36	SLV 4	52.81	69.71	162.96	2.5	10.8	-	-	SLV 5	55.4	69.71	165.65	2.5	0.32	No		
5.1	2X/2Y ø6/22.8	-6.45	-93.22	SLV 4	52.66	69.71	162.8	2.5	10.8	-	-	SLV 5	55.25	69.71	165.49	2.5	0.32	No		
5.38	2X/2Y ø6/22.8	-6.45	-92.08	SLV 4	52.5	69.71	162.64	2.5	10.8	-	-	SLV 5	55.1	69.71	165.33	2.5	0.32	No		
5.67	2X/2Y ø6/22.8	-6.45	-90.93	SLV 4	52.34	69.71	162.48	2.5	10.8	-	-	SLV 5	54.94	69.71	165.17	2.5	0.32	No		
5.95	2X/2Y ø6/22.8	-6.45	-89.82	SLV 4	52.19	69.71	162.33	2.5	10.8	-	-	SLV 5	54.79	69.71	165.01	2.5	0.32	No		

Verifica taglio ciclico secondo Circolare 7 21-01-19 §C8.7.2.3.5 formula [C8.7.2.8] in combinazione SLV

Quota	Q.inf.	Q.sup.	Dir.	Lv	x	h	p_tot	θ_m	θ_y	μΔ.pl	VRd	VRcd(cotθ=1)	VRsd	Vw	VR	VRf	VEd	NEd	Comb.	Verifica
-1.3	-1.65	3.17	X	2.095	0.157	0.4	0.0077	0.001138	0.007835	0	64.289	253.516	64.057	25.623	39.307	64.289	-9.348	178.923	SLV 3	Si
-1.3	-1.65	3.17	Y	2.095	0.129	0.4	0.0077	0.002827	0.007835	0	52.443	235.746	64.057	25.623	35.436	64.057	-	-91.658	SLV 10	No

Verifica a taglio in famiglia SLD Resistenza

Quota	Staffe	Direzione X									Direzione Y									Verifica
		V	N	Comb.	VRd	VRsd	VRcd	Cot	c.s.	V	N	Comb.	VRd	VRsd	VRcd	Cot	c.s.			
-1.3	2X/2Y ø6/24.8	4.26	-	SLD 14	68.93	64.06	179.64	2.5	16.17	-28.76	-	SLD 10	61.44	64.06	171.89	2.5	2.23	Si		
-0.99	2X/2Y ø6/24.8	4.26	-	SLD 14	68.77	64.06	179.47	2.5	16.14	-28.76	-	SLD 10	61.28	64.06	171.72	2.5	2.23	Si		
-0.69	2X/2Y ø6/24.8	4.26	-	SLD 14	68.6	64.06	179.3	2.5	16.1	-28.76	-	SLD 10	61.11	64.06	171.55	2.5	2.23	Si		
-0.38	2X/2Y ø6/24.8	4.26	-	SLD 14	68.44	64.06	179.13	2.5	16.06	-28.76	-	SLD 10	60.95	64.06	171.38	2.5	2.23	Si		
-0.08	2X/2Y ø6/24.8	4.26	-	SLD 14	68.27	64.06	178.96	2.5	16.02	-28.76	-	SLD 10	60.78	64.06	171.21	2.5	2.23	Si		
0.23	2X/2Y ø6/24.8	4.26	-	SLD 14	68.11	64.06	178.79	2.5	15.98	-28.76	-	SLD 10	60.61	64.06	171.04	2.5	2.23	Si		
0.53	2X/2Y ø6/24.8	4.26	-	SLD 14	67.94	64.06	178.61	2.5	15.94	-28.76	-	SLD 10	60.45	64.06	170.87	2.5	2.23	Si		
0.84	2X/2Y ø6/24.8	4.26	-	SLD 14	67.77	64.06	178.44	2.5	15.9	-28.76	-	SLD 10	60.28	64.06	170.69	2.5	2.23	Si		
1.14	2X/2Y ø6/24.8	4.26	-	SLD 14	67.61	64.06	178.27	2.5	15.86	-28.76	-	SLD 10	60.12	64.06	170.52	2.5	2.23	Si		
1.45	2X/2Y ø6/24.8	4.26	-	SLD 14	67.44	64.06	178.1	2.5	15.82	-28.76	-	SLD 10	59.95	64.06	170.35	2.5	2.23	Si		
1.75	2X/2Y ø6/24.8	4.26	-	SLD 14	67.28	64.06	177.93	2.5	15.79	-28.76	-	SLD 10	59.79	64.06	170.18	2.5	2.23	Si		
2.06	2X/2Y ø6/24.8	4.26	-	SLD 14	67.11	64.06	177.76	2.5	15.75	-28.76	-	SLD 10	59.62	64.06	170.01	2.5	2.23	Si		
2.36	2X/2Y ø6/24.8	4.26	-	SLD 14	66.94	64.06	177.59	2.5	15.71	-28.76	-	SLD 10	59.45	64.06	169.84	2.5	2.23	Si		
2.67	2X/2Y ø6/24.8	4.26	-	SLD 14	66.78	64.06	177.42	2.5	15.67	-28.76	-	SLD 10	59.29	64.06	169.67	2.5	2.23	Si		
3.67	2X/2Y ø6/22.8	-2.8	-	SLD 4	57.36	69.71	167.67	2.5	24.88	-92.82	-	SLD 5	58.48	69.71	168.83	2.5	0.75	No		
3.96	2X/2Y ø6/22.8	-2.8	-	SLD 4	57.21	69.71	167.51	2.5	24.88	-92.82	-	SLD 5	58.33	69.71	168.67	2.5	0.75	No		
4.24	2X/2Y ø6/22.8	-2.8	-	SLD 4	57.05	69.71	167.35	2.5	24.88	-92.82	-	SLD 5	58.18	69.71	168.51	2.5	0.75	No		
4.53	2X/2Y ø6/22.8	-2.8	-	SLD 4	56.9	69.71	167.19	2.5	24.88	-92.82	-	SLD 5	58.02	69.71	168.35	2.5	0.75	No		
4.81	2X/2Y ø6/22.8	-2.8	-	SLD 4	56.74	69.71	167.03	2.5	24.88	-92.82	-	SLD 5	57.87	69.71	168.19	2.5	0.75	No		
5.1	2X/2Y ø6/22.8	-2.8	-	SLD 4	56.59	69.71	166.87	2.5	24.88	-92.82	-	SLD 5	57.71	69.71	168.03	2.5	0.75	No		
5.38	2X/2Y ø6/22.8	-2.8	-	SLD 4	56.43	69.71	166.71	2.5	24.88	-92.82	-	SLD 5	57.56	69.71	167.87	2.5	0.75	No		
5.67	2X/2Y ø6/22.8	-2.8	-	SLD 4	56.28	69.71	166.55	2.5	24.88	-92.82	-	SLD 5	57.4	69.71	167.71	2.5	0.75	No		
5.95	2X/2Y ø6/22.8	-2.8	-	SLD 4	56.13	69.71	166.39	2.5	24.88	-92.82	-	SLD 5	57.25	69.71	167.56	2.5	0.75	No		

Indicatori di rischio sismico a taglio in SLV

Quota	Molt.	TR	I.R.TR	PGA	I.R.PGA	Comb.
-0.99	0.906	731	0.899	0.183	0.915	SLV 10

Quota	Molt.	TR	I.R.TR	PGA	I.R.PGA	Comb.	
-0.69	0.906	731	0.899	0.183	0.915	SLV 10	No
-0.38	0.906	731	0.899	0.183	0.915	SLV 10	No
-0.08	0.906	731	0.899	0.183	0.915	SLV 10	No
0.23	0.906	731	0.899	0.183	0.915	SLV 10	No
0.53	0.906	731	0.899	0.183	0.915	SLV 10	No
0.84	0.906	731	0.899	0.183	0.915	SLV 10	No
1.14	0.906	731	0.899	0.183	0.915	SLV 10	No
1.45	0.906	731	0.899	0.183	0.915	SLV 10	No
1.75	0.906	731	0.899	0.183	0.915	SLV 10	No
2.06	0.906	731	0.899	0.183	0.915	SLV 10	No
2.36	0.906	731	0.899	0.183	0.915	SLV 10	No
2.67	0.906	731	0.899	0.183	0.915	SLV 10	No
3.67	0.296	57	0.316	0.067	0.335	SLV 5	No
3.96	0.296	57	0.316	0.067	0.335	SLV 5	No
4.24	0.296	57	0.316	0.067	0.335	SLV 5	No
4.53	0.296	57	0.316	0.067	0.335	SLV 5	No
4.81	0.296	57	0.316	0.067	0.335	SLV 5	No
5.1	0.296	57	0.316	0.067	0.335	SLV 5	No
5.38	0.296	57	0.316	0.067	0.335	SLV 5	No
5.67	0.296	57	0.316	0.067	0.335	SLV 5	No
5.95	0.296	57	0.316	0.067	0.335	SLV 5	No

Indicatori di rischio sismico a taglio in SLD Resistenza

Quota	Molt.	TR	I.R.TR	PGA	I.R.PGA	Comb.	
-1.3	2.225	695	2.205	0.18	2.086	SLD 10	Si
-0.99	2.225	695	2.205	0.18	2.086	SLD 10	Si
-0.69	2.225	695	2.205	0.18	2.086	SLD 10	Si
-0.38	2.225	695	2.205	0.18	2.086	SLD 10	Si
-0.08	2.225	695	2.205	0.18	2.086	SLD 10	Si
0.23	2.225	695	2.205	0.18	2.086	SLD 10	Si
0.53	2.225	695	2.205	0.18	2.086	SLD 10	Si
0.84	2.225	695	2.205	0.18	2.086	SLD 10	Si
1.14	2.225	695	2.205	0.18	2.086	SLD 10	Si
1.45	2.225	695	2.205	0.18	2.086	SLD 10	Si
1.75	2.225	695	2.205	0.18	2.086	SLD 10	Si
2.06	2.225	695	2.205	0.18	2.086	SLD 10	Si
2.36	2.225	695	2.205	0.18	2.086	SLD 10	Si
2.67	2.225	695	2.205	0.18	2.086	SLD 10	Si
3.67	0.732	56	0.785	0.066	0.771	SLD 5	No
3.96	0.732	56	0.785	0.066	0.771	SLD 5	No
4.24	0.732	56	0.785	0.066	0.771	SLD 5	No
4.53	0.732	56	0.785	0.066	0.771	SLD 5	No
4.81	0.732	56	0.785	0.066	0.771	SLD 5	No
5.1	0.732	56	0.785	0.066	0.771	SLD 5	No
5.38	0.732	56	0.785	0.066	0.771	SLD 5	No
5.67	0.732	56	0.785	0.066	0.771	SLD 5	No
5.95	0.732	56	0.785	0.066	0.771	SLD 5	No

Verifiche nodi trave colonna

Riepilogo dei dati per le diverse tipologie di verifica eseguite per i nodi

Pilastrata	Q.Nodo	Escluso	Confinato	Segnalazioni
Pilastrata P17	-1.65	Si	No	
Pilastrata P17	3.17	No	No	
Pilastrata P17	6.5	No	No	

Verifiche nodi trave colonna in combinazioni SLD

Riepilogo dei dati per la verifica del nodo secondo Circolare 7 21-01-19 §C8.7.2.3.5.

Pilastrata	Q.Nodo	Angolo travatura	Aj	Vpc	Vtc	Vnc	Nc	onc	onc,lim	Comb.c	Vpt	Vtt	Vnt	Nt	ont	ont,lim	Comb.t	Segnalazioni	Verifica
Pilastrata P17	3.17	270	0.1296	-	220.28	142.431	-	1902	3919	SLD 11	-	204.231	138.445	-	636	840	SLD 7		Si
				77.849			164.151				65.786			149.993					

Verifiche nodi trave colonna in combinazioni SLD

Riepilogo dei dati per la verifica del nodo secondo Circolare 7 21-01-19 §C8.7.2.3.5.

Pilastrata	Q.Nodo	Angolo travatura	Aj	Vpc	Vtc	Vnc	Nc	onc	onc,lim	Comb.c	Vpt	Vtt	Vnt	Nt	ont	ont,lim	Comb.t	Segnalazioni	Verifica
Pilastrata P17	6.5	90	0.1296	0	195.505	195.505	0	1509	3919	SLD 5	0	195.505	195.505	0	1509	840	SLD 5		No
	6.5	270	0.1296	0	195.505	195.505	0	1509	3919	SLD 5	0	195.505	195.505	0	1509	840	SLD 5		No

Verifiche nodi trave colonna in combinazioni SLV

Riepilogo dei dati per la verifica del nodo secondo Circolare 7 21-01-19 §C8.7.2.3.5.

Pilastrata	Q.Nodo	Angolo travatura	Aj	Vpc	Vtc	Vnc	Nc	onc	onc,lim	Comb.c	Vpt	Vtt	Vnt	Nt	ont	ont,lim	Comb.t	Segnalazioni	Verifica
Pilastrata P17	3.17	270	0.1296	219.444	0	219.444	-	2209	3919	SLV 5	219.444	0	219.444	-	1298	840	SLV 5		No
							118.035							118.035					

Verifiche nodi trave colonna in combinazioni SLV

Riepilogo dei dati per la verifica del nodo secondo Circolare 7 21-01-19 §C8.7.2.3.5.

Pilastrata	Q.Nodo	Angolo travatura	Aj	Vpc	Vtc	Vnc	Nc	onc	onc,lim	Comb.c	Vpt	Vtt	Vnt	Nt	ont	ont,lim	Comb.t	Segnalazioni	Verifica
Pilastrata P17	6.5	90	0.1296	0	458.217	458.217	0	3536	3919	SLV 5	0	458.217	458.217	0	3536	840	SLV 5		No
	6.5	270	0.1296	0	458.217	458.217	0	3536	3919	SLV 5	0	458.217	458.217	0	3536	840	SLV 5		No

Indicatori di rischio sismico dei nodi in SLD

Pilastrata	Q.Nodo	Angolo travatura	Moltiplicatore	TR	I.R.TR	PGA	I.R.PGA	Comb.	Ver.
Pilastrata P17	3.17	270	1.777	389	1.738	0.146	1.7	SLD 5	Si

Indicatori di rischio sismico dei nodi in SLD

Pilastrata	Q.Nodo	Angolo travatura	Moltiplicatore	TR	I.R.TR	PGA	I.R.PGA	Comb.	Ver.
Pilastrata P17	6.5	90	0.522	31	0.616	0.051	0.587	SLD 5	No
	6.5	270	0.522	31	0.616	0.051	0.587	SLD 5	No

Indicatori di rischio sismico dei nodi in SLV

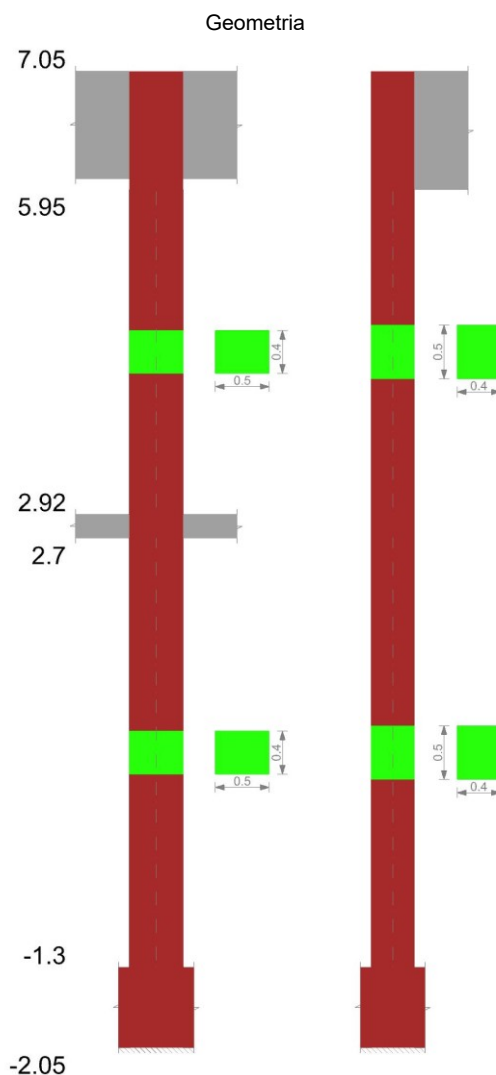
Pilastrata	Q.Nodo	Angolo travatura	Moltiplicatore	TR	I.R.TR	PGA	I.R.PGA	Comb.	Ver.
Pilastrata P17	3.17	270	0.722	405	0.705	0.149	0.744	SLV 5	No

Indicatori di rischio sismico dei nodi in SLV

Pilastrata	Q.Nodo	Angolo travatura	Moltiplicatore	TR	I.R.TR	PGA	I.R.PGA	Comb.	Ver.
Pilastrata P17	6.5	90	0.211	32	0.249	0.051	0.257	SLV 5	No
	6.5	270	0.211	32	0.249	0.051	0.257	SLV 5	No

Verifiche di gerarchia delle resistenze nei nodi trave pilastrato

Verifiche di gerarchia delle resistenze nei nodi trave pilastrato non presenti in quanto la verifica è non necessaria per la pilastrata per il nodo Appoggio 6.5 in quanto elemento di materiale esistente.
per il nodo Appoggio -1.65 in quanto elemento di materiale esistente.
per il nodo Appoggio 3.17 in quanto elemento di materiale esistente.

Pilastrata P18**Dati della pilastrata**

Analisi di edificio esistente con fattore di struttura.

Fattore di struttura per meccanismi duttili in direzione X: 1.5

Fattore di struttura per meccanismi duttili in direzione Y: 1.5

Fattore di struttura per meccanismi fragili in direzione X: 1

Fattore di struttura per meccanismi fragili in direzione Y: 1

Verifica dei meccanismi fragili condotta secondo Circolare 7 21-01-19 (§C8.7.2.2) Analisi lineare con fattore q.

Fattore di amplificazione dei meccanismi fragili della componente sismica in direzione X: 1

Fattore di amplificazione dei meccanismi fragili della componente sismica in direzione Y: 1

Campate costituenti la pilastrata

Q.inf.	Q.sup.	Sezione	Esistente	Secondaria	Dissipativa	Interna a parete	Sovreresistenza	Materiale CLS	Materiale Acciaio	FC
-1.3	2.7	R 50x40	Si	No	No	No		C14/17 LC2 Vigone A	Vigone_FeB22k_LC2_FC = 1.2; Vigone_FeB44k_Staffe_LC2_FC = 1.2	1.2
2.92	5.95	R 50x40	Si	No	No	No		C14/17 LC2 Vigone A	Vigone_FeB22k_LC2_FC = 1.2; Vigone_FeB44k_Staffe_LC2_FC = 1.2	1.2

Disposizioni delle armature longitudinali

Posizione	X	Y	Diametro	Area	Q.inf.	Q.sup.	Sezione	Materiale
p.1	-0.2105	-0.1605	0.014	0.0001539	-1.675	-1.3	R 50x40	Vigone_FeB22k_LC2
p.1	0.2105	-0.1605	0.014	0.0001539	-1.675	-1.3	R 50x40	Vigone_FeB22k_LC2

Quota	As	%	At	Pos.	Mx	My	N	MRdx	MRdy	Comb.	Coeff.s.	Verifica
2.08	0.001232	0.6	0	2	79.6228	-34.3664	-313.14	99.4595	-42.9282	SLD 10	1.249	Si
2.39	0.001232	0.6	0	2	89.6111	-37.4721	-311.61	94.1196	-39.3574	SLD 10	1.05	Si
2.67	0.001232	0.6	0	2	98.4074	-40.1878	-310.27	90.4783	-36.9497	SLD 10	0.919	No
2.7	0.001232	0.6	0	2	99.5509	-40.5398	-310.09	90.0289	-36.6622	SLD 10	0.904	No
2.92	0.001232	1.2	0	2,3	-94.9336	49.523	-303.98	-86.7246	45.2407	SLD 7	0.914	No
3.22	0.001232	1.2	0	2,3	-87.1031	38.0859	-302.51	-93.2635	40.7796	SLD 7	1.071	Si
3.53	0.001232	1.2	0	2,3	-79.0802	26.3889	-301	-102.2	34.1039	SLD 7	1.292	Si
3.83	0.001232	0.6	0	3	-70.9611	14.7198	-299.48	-113.8652	23.6196	SLD 7	1.605	Si
4.13	0.001232	0.6	0	3	-62.89	2.2041	-297.97	-124.5593	4.3655	SLD 7	1.981	Si
4.44	0.001232	0.6	0	3	-54.819	-9.3424	-296.45	-126.6137	-21.5778	SLD 7	2.31	Si
4.74	0.001232	0.6	0	3	-46.748	-21.089	-294.94	-118.365	-53.397	SLD 7	2.532	Si
5.04	0.001232	0.6	0	3	19.3266	60.9255	-224.18	42.1407	132.8452	SLD 13	2.18	Si
5.34	0.001232	0.6	0	3	15.2837	77.1808	-222.67	25.4297	128.4168	SLD 13	1.664	Si
5.65	0.001232	0.6	0	3	11.2408	93.4471	-221.15	14.7665	122.7567	SLD 13	1.314	Si
5.95	0.001232	0.6	0	3	7.2646	109.4507	-219.66	7.6496	115.2514	SLD 13	1.053	Si

Indicatori di rischio sismico a pressoflessione in SLV

E' attiva l'opzione fattori parziali di sicurezza unitari per meccanismi duttili di strutture esistenti con fattore q

Quota	Molt.	TR	I.R.TR	PGA	I.R.PGA	Comb.	Ver.
-1.3	0.71	358	0.671	0.142	0.711	SLV 16	No
-0.99	0.806	505	0.772	0.161	0.807	SLV 16	No
-0.68	0.916	735	0.901	0.183	0.917	SLV 16	No
-0.38	1.044	1085	1.056	0.208	1.043	SLV 16	Si
-0.07	1.186	1626	1.247	0.236	1.18	SLV 16	Si
0.24	1.207	1631	1.249	0.236	1.181	SLV 5	Si
0.55	1.034	1042	1.039	0.206	1.03	SLV 9	Si
0.85	0.879	675	0.87	0.178	0.89	SLV 9	No
1.16	0.748	442	0.731	0.153	0.769	SLV 9	No
1.47	0.636	296	0.62	0.132	0.662	SLV 10	No
1.78	0.549	206	0.535	0.115	0.578	SLV 10	No
2.08	0.48	147	0.466	0.1	0.503	SLV 10	No
2.39	0.424	113	0.418	0.09	0.452	SLV 10	No
2.67	0.383	93	0.386	0.083	0.417	SLV 10	No
2.7	0.378	90	0.381	0.082	0.411	SLV 10	No
2.92	0.38	91	0.382	0.082	0.413	SLV 7	No
3.22	0.431	117	0.424	0.091	0.458	SLV 7	No
3.53	0.495	159	0.481	0.104	0.52	SLV 7	No
3.83	0.577	233	0.562	0.121	0.605	SLV 7	No
4.13	0.65	313	0.635	0.135	0.676	SLV 10	No
4.44	0.71	389	0.694	0.146	0.733	SLV 10	No
4.74	0.763	464	0.746	0.156	0.783	SLV 10	No
5.04	0.707	354	0.667	0.141	0.708	SLV 13	No
5.34	0.596	225	0.554	0.119	0.597	SLV 13	No
5.65	0.509	150	0.469	0.101	0.508	SLV 13	No
5.95	0.443	107	0.409	0.088	0.442	SLV 13	No

Indicatori di rischio sismico a pressoflessione in SLD Resistenza

Quota	Molt.	TR	I.R.TR	PGA	I.R.PGA	Comb.	Ver.
-1.3	1.643	358	1.68	0.142	1.648	SLD 16	Si
-0.99	1.863	504	1.933	0.161	1.869	SLD 16	Si
-0.68	2.122	736	2.258	0.183	2.127	SLD 16	Si
-0.38	2.427	1098	2.66	0.209	2.429	SLD 16	Si
-0.07	2.77	1673	3.161	0.238	2.762	SLD 16	Si
0.24	2.98	1568	3.078	0.233	2.708	SLD 5	Si
0.55	2.564	1014	2.575	0.204	2.37	SLD 9	Si
0.85	2.181	659	2.158	0.176	2.048	SLD 9	Si
1.16	1.852	431	1.813	0.152	1.766	SLD 9	Si
1.47	1.57	287	1.534	0.131	1.517	SLD 10	Si
1.78	1.352	198	1.318	0.114	1.32	SLD 10	Si
2.08	1.18	141	1.147	0.099	1.147	SLD 10	Si
2.39	1.039	109	1.032	0.089	1.032	SLD 10	Si
2.67	0.938	89	0.949	0.082	0.948	SLD 10	No
2.7	0.926	87	0.941	0.081	0.939	SLD 10	No
2.92	0.931	88	0.945	0.081	0.944	SLD 7	No
3.22	1.055	112	1.043	0.09	1.044	SLD 7	Si
3.53	1.215	151	1.179	0.102	1.18	SLD 7	Si
3.83	1.416	222	1.381	0.119	1.378	SLD 7	Si
4.13	1.592	296	1.554	0.132	1.535	SLD 10	Si
4.44	1.736	367	1.697	0.143	1.663	SLD 10	Si
4.74	1.859	435	1.82	0.153	1.772	SLD 10	Si
5.04	1.654	365	1.693	0.143	1.66	SLD 13	Si
5.34	1.393	230	1.401	0.12	1.397	SLD 13	Si
5.65	1.186	153	1.186	0.102	1.187	SLD 13	Si
5.95	1.033	109	1.032	0.089	1.032	SLD 13	Si

Verifica a taglio in famiglia SLU

Quota	Staffe	V	Direzione X							Direzione Y							Verifica	
			N	Comb.	VRd	VRsd	VRcd	Cot	c.s.	N	Comb.	VRd	VRsd	VRcd	Cot	c.s.		
-1.3	2X/2Y ø6/25	-5.73	-	SLU 17	84.29	81.14	238.84	2.5	14.72	6.31	-	SLU 17	86.18	81.14	233.92	2.5	13.66	Si
-0.99	2X/2Y ø6/25	-5.73	-	SLU 17	84.29	81.14	238.84	2.5	14.72	6.31	-	SLU 17	86.18	81.14	233.92	2.5	13.66	Si
-0.68	2X/2Y ø6/25	-5.73	-	SLU 17	84.29	81.14	238.84	2.5	14.72	6.31	-	SLU 17	86.18	81.14	233.92	2.5	13.66	Si
-0.38	2X/2Y ø6/25	-5.73	-	SLU 17	84.29	81.14	238.84	2.5	14.72	6.31	-	SLU 17	86.18	81.14	233.92	2.5	13.66	Si
-0.07	2X/2Y ø6/25	-5.73	-	SLU 17	84.29	81.14	238.84	2.5	14.72	6.31	-	SLU 17	86.18	81.14	233.92	2.5	13.66	Si
0.24	2X/2Y ø6/25	-5.73	-	SLU 17	84.29	81.14	238.84	2.5	14.72	6.31	-	SLU 17	86.18	81.14	233.92	2.5	13.66	Si
0.55	2X/2Y ø6/25	-5.73	-	SLU 17	84.29	81.14	238.84	2.5	14.72	6.31	-	SLU 17	86.18	81.14	233.92	2.5	13.66	Si
0.85	2X/2Y ø6/25	-5.73	-	SLU 17	84.29	81.14	238.84	2.5	14.72	6.31	-	SLU 17	86.18	81.14	233.92	2.5	13.66	Si
1.16	2X/2Y ø6/25	-5.73	-	SLU 17	84.29	81.14	238.84	2.5	14.72	6.31	-	SLU 17	86.18	81.14	233.92	2.5	13.66	Si
1.47	2X/2Y ø6/25	-5.73	-	SLU 17	84.29	81.14	238.84	2.5	14.72	6.31	-	SLU 17	86.18	81.14	233.92	2.5	13.66	Si
1.78	2X/2Y ø6/25	-5.73	-	SLU 17	84.29	81.14	238.84	2.5	14.72	6.31	-	SLU 17	86.18	81.14	233.92	2.5	13.66	Si
2.08	2X/2Y ø6/25	-5.73	-	SLU 17	84.29	81.14	238.84	2.5	14.72	6.31	-	SLU 17	86.18	81.14	233.92	2.5	13.66	Si

Quota	Staffe	Direzione X								Direzione Y								Verifica
		V	N	Comb.	VRd	VRsd	VRcd	Cot	c.s.	V	N	Comb.	VRd	VRsd	VRcd	Cot	c.s.	
0.24	2X/2Y ø6/25	-13.98	302.24	SLD 13	89.24	81.14	234.4	2.5	6.38	34.48	-	SLD 10	93.76	63.58	232.41	2.5	2.72	Si
0.55	2X/2Y ø6/25	-13.98	300.72	SLD 13	89.03	81.14	234.19	2.5	6.37	34.48	-	SLD 10	93.55	63.58	232.2	2.5	2.71	Si
0.85	2X/2Y ø6/25	-13.98	299.18	SLD 13	88.81	81.14	233.97	2.5	6.35	34.48	-319.3	SLD 10	93.35	63.58	231.98	2.5	2.71	Si
1.16	2X/2Y ø6/25	-13.98	297.64	SLD 13	88.6	81.14	233.74	2.5	6.34	34.48	-	SLD 10	93.14	63.58	231.76	2.5	2.7	Si
1.47	2X/2Y ø6/25	-13.98	296.11	SLD 13	88.39	81.14	233.52	2.5	6.32	34.48	-	SLD 10	92.93	63.58	231.55	2.5	2.7	Si
1.78	2X/2Y ø6/25	-13.98	294.57	SLD 13	88.17	81.14	233.3	2.5	6.31	34.48	-	SLD 10	92.72	63.58	231.33	2.5	2.69	Si
2.08	2X/2Y ø6/25	-13.98	293.03	SLD 13	87.96	81.14	233.08	2.5	6.29	34.48	-	SLD 10	92.51	63.58	231.12	2.5	2.68	Si
2.39	2X/2Y ø6/25	-13.98	291.49	SLD 13	87.75	81.14	232.86	2.5	6.27	34.48	-	SLD 10	92.3	63.58	230.9	2.5	2.68	Si
2.67	2X/2Y ø6/25	-13.98	290.15	SLD 13	87.56	81.14	232.67	2.5	6.26	34.48	-	SLD 10	92.12	63.58	230.71	2.5	2.67	Si
2.7	2X/2Y ø6/25	-13.98	289.98	SLD 13	87.54	81.14	232.65	2.5	6.26	34.48	-	SLD 10	92.1	63.58	230.69	2.5	2.67	Si
2.92	2X/2Y ø6/23.3	-61.58	321.17	SLD 4	91.86	87.03	237.12	2.5	1.49	26.64	-	SLD 7	91.27	68.19	229.83	2.5	3.43	Si
3.22	2X/2Y ø6/23.3	-61.58	-319.7	SLD 4	91.66	87.03	236.91	2.5	1.49	26.64	-	SLD 7	91.07	68.19	229.62	2.5	3.42	Si
3.53	2X/2Y ø6/23.3	-61.58	318.19	SLD 4	91.45	87.03	236.69	2.5	1.49	26.64	-301	SLD 7	90.86	68.19	229.41	2.5	3.41	Si
3.83	2X/2Y ø6/23.3	-61.58	316.67	SLD 4	91.24	87.03	236.47	2.5	1.48	26.64	-	SLD 7	90.66	68.19	229.2	2.5	3.4	Si
4.13	2X/2Y ø6/23.3	-61.58	315.15	SLD 4	91.03	87.03	236.26	2.5	1.48	26.64	-	SLD 7	90.45	68.19	228.98	2.5	3.4	Si
4.44	2X/2Y ø6/23.3	-61.58	313.64	SLD 4	90.82	87.03	236.04	2.5	1.47	26.64	-	SLD 7	90.24	68.19	228.77	2.5	3.39	Si
4.74	2X/2Y ø6/23.3	-61.58	312.12	SLD 4	90.61	87.03	235.82	2.5	1.47	26.64	-	SLD 7	90.04	68.19	228.56	2.5	3.38	Si
5.04	2X/2Y ø6/23.3	-61.58	310.61	SLD 4	90.4	87.03	235.6	2.5	1.47	26.64	-	SLD 7	89.83	68.19	228.35	2.5	3.37	Si
5.34	2X/2Y ø6/23.3	-61.58	309.09	SLD 4	90.19	87.03	235.39	2.5	1.46	26.64	-	SLD 7	89.63	68.19	228.13	2.5	3.36	Si
5.65	2X/2Y ø6/23.3	-61.58	307.58	SLD 4	89.98	87.03	235.17	2.5	1.46	26.64	-	SLD 7	89.42	68.19	227.92	2.5	3.36	Si
5.95	2X/2Y ø6/23.3	-61.58	306.09	SLD 4	89.77	87.03	234.96	2.5	1.46	26.64	-288.9	SLD 7	89.22	68.19	227.71	2.5	3.35	Si

Indicatori di rischio sismico a taglio in SLV

Quota	Molt.	TR	I.R.TR	PGA	I.R.PGA	Comb.	Verifica
-0.99	1.123	1324	1.146	0.221	1.108	SLV 10	Si
-0.68	1.123	1324	1.146	0.221	1.108	SLV 10	Si
-0.38	1.123	1324	1.146	0.221	1.108	SLV 10	Si
-0.07	1.123	1324	1.146	0.221	1.108	SLV 10	Si
0.24	1.123	1324	1.146	0.221	1.108	SLV 10	Si
0.55	1.123	1324	1.146	0.221	1.108	SLV 10	Si
0.85	1.123	1324	1.146	0.221	1.108	SLV 10	Si
1.16	1.123	1324	1.146	0.221	1.108	SLV 10	Si
1.47	1.121	1317	1.144	0.221	1.107	SLV 10	Si
1.78	1.117	1304	1.139	0.22	1.103	SLV 10	Si
2.08	1.115	1297	1.137	0.22	1.102	SLV 10	Si
2.39	1.113	1291	1.134	0.22	1.1	SLV 10	Si
2.67	1.111	1284	1.132	0.219	1.098	SLV 10	Si
2.7	1.111	1284	1.132	0.219	1.098	SLV 10	Si
2.92	0.619	248	0.577	0.124	0.619	SLV 4	No
3.22	0.619	248	0.577	0.124	0.619	SLV 4	No
3.53	0.619	248	0.577	0.124	0.619	SLV 4	No
3.83	0.619	248	0.577	0.124	0.619	SLV 4	No
4.13	0.619	248	0.577	0.124	0.619	SLV 4	No
4.44	0.619	248	0.577	0.124	0.619	SLV 4	No
4.74	0.619	248	0.577	0.124	0.619	SLV 4	No
5.04	0.619	248	0.577	0.124	0.619	SLV 4	No
5.34	0.619	248	0.577	0.124	0.619	SLV 4	No
5.65	0.619	248	0.577	0.124	0.619	SLV 4	No
5.95	0.619	248	0.577	0.124	0.619	SLV 4	No

Indicatori di rischio sismico a taglio in SLD Resistenza

Quota	Molt.	TR	I.R.TR	PGA	I.R.PGA	Comb.	Verifica
-1.3	2.74	1229	2.786	0.216	2.514	SLD 10	Si
-0.99	2.734	1222	2.779	0.216	2.509	SLD 10	Si
-0.68	2.729	1213	2.771	0.216	2.504	SLD 10	Si
-0.38	2.723	1206	2.764	0.215	2.499	SLD 10	Si
-0.07	2.717	1199	2.758	0.215	2.495	SLD 10	Si
0.24	2.711	1191	2.75	0.214	2.49	SLD 10	Si
0.55	2.705	1183	2.743	0.214	2.485	SLD 10	Si
0.85	2.699	1176	2.736	0.213	2.48	SLD 10	Si
1.16	2.693	1169	2.729	0.213	2.475	SLD 10	Si
1.47	2.688	1161	2.722	0.213	2.471	SLD 10	Si
1.78	2.682	1154	2.715	0.212	2.466	SLD 10	Si
2.08	2.676	1146	2.707	0.212	2.461	SLD 10	Si
2.39	2.67	1140	2.701	0.211	2.457	SLD 10	Si
2.67	2.664	1132	2.693	0.211	2.452	SLD 10	Si
2.7	2.664	1132	2.693	0.211	2.452	SLD 10	Si
2.92	1.578	322	1.609	0.136	1.584	SLD 13	Si
3.22	1.578	322	1.609	0.136	1.584	SLD 13	Si
3.53	1.578	322	1.609	0.136	1.584	SLD 4	Si
3.83	1.574	320	1.605	0.136	1.58	SLD 4	Si
4.13	1.57	317	1.598	0.136	1.575	SLD 4	Si
4.44	1.566	315	1.594	0.135	1.571	SLD 4	Si
4.74	1.563	313	1.59	0.135	1.567	SLD 4	Si
5.04	1.559	311	1.586	0.135	1.563	SLD 4	Si
5.34	1.555	309	1.582	0.134	1.56	SLD 4	Si
5.65	1.551	307	1.577	0.134	1.556	SLD 4	Si
5.95	1.547	305	1.573	0.134	1.552	SLD 4	Si

Verifiche nodi trave colonna**Riepilogo dei dati per le diverse tipologie di verifica eseguite per i nodi**

Pilastrata	Q.Nodo	Escluso	Confinato	Segnalazioni
Pilastrata P18	-1.675	Si	No	
Pilastrata P18	2.81	No	No	
Pilastrata P18	6.5	No	No	non tutte le travature convergenti al nodo sono calcolate/validate

Verifiche nodi trave colonna in combinazioni SLD**Riepilogo dei dati per la verifica del nodo secondo Circolare 7 21-01-19 §C8.7.2.3.5.**

Pilastrata	Q.Nodo	Angolo travatura	Aj	Vpc	Vtc	Vnc	Nc	σnc	σnc,lim	Comb.c	Vpt	Vtt	Vnt	Nt	σnt	σnt,lim	Comb.t	Segnalazioni	Verifica
Pilastrata P18	2.81	0	0.2544	-	241.986	180.41	321.215	-1581	3919	SLD 4	-57.978	237.916	179.937	-318.852	318	840	SLD 3		Si
	2.81	180	0.2544	-	241.986	180.41	321.215	-1581	3919	SLD 4	-57.978	237.916	179.937	-318.852	318	840	SLD 3		Si

Verifiche nodi trave colonna in combinazioni SLD**Riepilogo dei dati per la verifica del nodo secondo Circolare 7 21-01-19 §C8.7.2.3.5.**

Pilastrata	Q.Nodo	Angolo travatura	Aj	Vpc	Vtc	Vnc	Nc	σnc	σnc,lim	Comb.c	Vpt	Vtt	Vnt	Nt	σnt	σnt,lim	Comb.t	Segnalazioni	Verifica
Pilastrata P18	6.5	0	0.1696	0	187.311	187.311	0	1104	3919	SLD 4	0	187.311	187.311	0	1104	840	SLD 4		No
	6.5	90	0	0	0	0	0	0	0		0	0	0	0	0	0		Trave non calcolata	Si
	6.5	180	0.1696	0	187.311	187.311	0	1104	3919	SLD 4	0	187.311	187.311	0	1104	840	SLD 4		No

Verifiche nodi trave colonna in combinazioni SLV**Riepilogo dei dati per la verifica del nodo secondo Circolare 7 21-01-19 §C8.7.2.3.5.**

Pilastrata	Q.Nodo	Angolo travatura	Aj	Vpc	Vtc	Vnc	Nc	σnc	σnc,lim	Comb.c	Vpt	Vtt	Vnt	Nt	σnt	σnt,lim	Comb.t	Segnalazioni	Verifica
Pilastrata P18	2.81	0	0.2544	-	359.195	229.282	-	1896	3919	SLV 3	-	353.256	246.159	-	494	840	SLV 2		Si
	2.81	180	0.2544	-	359.195	229.282	373.201	-1896	3919	SLV 3	107.097	353.256	246.159	355.967	-494	840	SLV 2		Si

Verifiche nodi trave colonna in combinazioni SLV**Riepilogo dei dati per la verifica del nodo secondo Circolare 7 21-01-19 §C8.7.2.3.5.**

Pilastrata	Q.Nodo	Angolo travatura	Aj	Vpc	Vtc	Vnc	Nc	σnc	σnc,lim	Comb.c	Vpt	Vtt	Vnt	Nt	σnt	σnt,lim	Comb.t	Segnalazioni	Verifica
Pilastrata P18	6.5	0	0.1696	0	345.944	345.944	0	2040	3919	SLV 3	0	345.944	345.944	0	2040	840	SLV 3		No
	6.5	90	0	0	0	0	0	0	0		0	0	0	0	0	0		Trave non calcolata	Si
	6.5	180	0.1696	0	345.944	345.944	0	2040	3919	SLV 3	0	345.944	345.944	0	2040	840	SLV 3		No

Indicatori di rischio sismico dei nodi in SLD

Pilastrata	Q.Nodo	Angolo travatura	Moltiplicatore	TR	I.R.TR	PGA	I.R.PGA	Comb.	Ver.
Pilastrata P18	2.81	0	3.599	2110	3.477	0.255	2.966	SLD 13	Si
	2.81	180	3.599	2110	3.477	0.255	2.966	SLD 13	Si

Indicatori di rischio sismico dei nodi in SLD

Pilastrata	Q.Nodo	Angolo travatura	Moltiplicatore	TR	I.R.TR	PGA	I.R.PGA	Comb.	Ver.
Pilastrata P18	6.5	0	0.693	45	0.718	0.06	0.696	SLD 4	No
	6.5	180	0.693	45	0.718	0.06	0.696	SLD 4	No

Indicatori di rischio sismico dei nodi in SLV

Pilastrata	Q.Nodo	Angolo travatura	Moltiplicatore	TR	I.R.TR	PGA	I.R.PGA	Comb.	Ver.
Pilastrata P18	2.81	0	1.545	2114	1.389	0.255	1.279	SLV 13	Si
	2.81	180	1.545	2114	1.389	0.255	1.279	SLV 13	Si

Indicatori di rischio sismico dei nodi in SLV

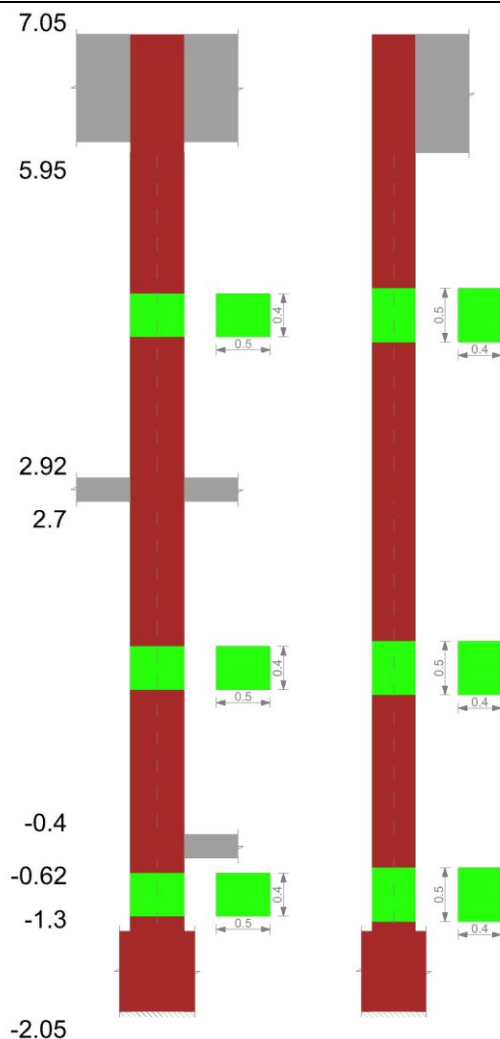
Pilastrata	Q.Nodo	Angolo travatura	Moltiplicatore	TR	I.R.TR	PGA	I.R.PGA	Comb.	Ver.
Pilastrata P18	6.5	0	0.298	44	0.284	0.059	0.297	SLV 4	No
	6.5	180	0.298	44	0.284	0.059	0.297	SLV 4	No

Verifiche di gerarchia delle resistenze nei nodi trave pilastro

Verifiche di gerarchia delle resistenze nei nodi trave pilastro non presenti in quanto la verifica è non necessaria per la pilastrata per il nodo Appoggio 2.81 in quanto elemento di materiale esistente.
per il nodo Appoggio 6.5 in quanto elemento di materiale esistente.
per il nodo Appoggio -1.675 in quanto elemento di materiale esistente.

Pilastrata P19

Geometria



Dati della pilastrata

Analisi di edificio esistente con fattore di struttura.

Fattore di struttura per meccanismi duttili in direzione X: 1.5

Fattore di struttura per meccanismi duttili in direzione Y: 1.5

Fattore di struttura per meccanismi fragili in direzione X: 1

Fattore di struttura per meccanismi fragili in direzione Y: 1

Verifica dei meccanismi fragili condotta secondo Circolare 7 21-01-19 (§C8.7.2.2) Analisi lineare con fattore q.

Fattore di amplificazione dei meccanismi fragili della componente sismica in direzione X: 1

Fattore di amplificazione dei meccanismi fragili della componente sismica in direzione Y: 1

Campate costituenti la pilastrata

Q.inf.	Q.sup.	Sezione	Esistente	Secondaria	Dissipativa	Interna a parete	Sovreresistenza	Materiale CLS	Materiale Acciaio	FC
-1.3	-0.62	R 50x40	Si	No	No	No		C14/17 LC2 Vigone A	Vigone_FeB22k_LC2_FC = 1.2; Vigone_FeB44k_Staffe_LC2_FC = 1.2	1.2
-0.4	2.7	R 50x40	Si	No	No	No		C14/17 LC2 Vigone A	Vigone_FeB22k_LC2_FC = 1.2; Vigone_FeB44k_Staffe_LC2_FC = 1.2	1.2
2.92	5.95	R 50x40	Si	No	No	No		C14/17 LC2 Vigone A	Vigone_FeB22k_LC2_FC = 1.2; Vigone_FeB44k_Staffe_LC2_FC = 1.2	1.2

Disposizione delle armature longitudinali

Posizione	X	Y	Diametro	Area	Q.inf.	Q.sup.	Sezione	Materiale
p.1	-0.2105	-0.1605	0.014	0.0001539	-1.675	-1.3	R 50x40	Vigone FeB22k LC2
p.1	0.2105	-0.1605	0.014	0.0001539	-1.675	-1.3	R 50x40	Vigone FeB22k LC2
p.1	0.2105	0.1605	0.014	0.0001539	-1.675	-1.3	R 50x40	Vigone FeB22k LC2
p.1	-0.2105	0.1605	0.014	0.0001539	-1.675	-1.3	R 50x40	Vigone FeB22k LC2
p.1	0	-0.162	0.014	0.0001539	-1.675	-1.3	R 50x40	Vigone FeB22k LC2
p.1	0	0.162	0.014	0.0001539	-1.675	-1.3	R 50x40	Vigone FeB22k LC2
p.1	-0.212	0	0.014	0.0001539	-1.675	-1.3	R 50x40	Vigone FeB22k LC2
p.1	0.212	0	0.014	0.0001539	-1.675	-1.3	R 50x40	Vigone FeB22k LC2
p.2	-0.2105	-0.1605	0.014	0.0001539	-1.3	2.92	R 50x40	Vigone FeB22k LC2
p.2	0.2105	-0.1605	0.014	0.0001539	-1.3	2.92	R 50x40	Vigone FeB22k LC2
p.2	0.2105	0.1605	0.014	0.0001539	-1.3	2.92	R 50x40	Vigone FeB22k LC2
p.2	-0.2105	0.1605	0.014	0.0001539	-1.3	2.92	R 50x40	Vigone FeB22k LC2
p.2	0	-0.162	0.014	0.0001539	-1.3	2.92	R 50x40	Vigone FeB22k LC2
p.2	0	0.162	0.014	0.0001539	-1.3	2.92	R 50x40	Vigone FeB22k LC2
p.2	-0.212	0	0.014	0.0001539	-1.3	2.92	R 50x40	Vigone FeB22k LC2
p.2	0.212	0	0.014	0.0001539	-1.3	2.92	R 50x40	Vigone FeB22k LC2
p.3	-0.2105	-0.1605	0.014	0.0001539	2.92	5.95	R 50x40	Vigone FeB22k LC2
p.3	0.2105	-0.1605	0.014	0.0001539	2.92	5.95	R 50x40	Vigone FeB22k LC2
p.3	0.2105	0.1605	0.014	0.0001539	2.92	5.95	R 50x40	Vigone FeB22k LC2
p.3	-0.2105	0.1605	0.014	0.0001539	2.92	5.95	R 50x40	Vigone FeB22k LC2

Quota	Molt.	TR	I.R.TR	PGA	I.R.PGA	Comb.	Ver.
-0.62	1.267	2007	1.359	0.251	1.259	SLV 1	Si
-0.4	1.223	1794	1.298	0.243	1.216	SLV 1	Si
-0.09	1.334	2114	1.389	0.255	1.279	SLV 1	Si
0.22	1.377	2114	1.389	0.255	1.279	SLV 5	Si
0.53	1.277	1921	1.335	0.248	1.242	SLV 9	Si
0.84	1.112	1288	1.133	0.219	1.099	SLV 9	Si
1.15	0.971	876	0.968	0.194	0.973	SLV 9	No
1.46	0.845	608	0.833	0.171	0.859	SLV 10	No
1.77	0.739	429	0.722	0.152	0.76	SLV 10	No
2.08	0.653	316	0.637	0.135	0.678	SLV 10	No
2.39	0.582	238	0.567	0.122	0.61	SLV 10	No
2.7	0.523	182	0.508	0.11	0.55	SLV 10	No
2.92	0.455	131	0.444	0.096	0.48	SLV 7	No
3.22	0.519	178	0.503	0.109	0.545	SLV 7	No
3.53	0.602	258	0.586	0.125	0.629	SLV 7	No
3.83	0.705	382	0.689	0.145	0.728	SLV 7	No
4.13	0.814	552	0.801	0.166	0.831	SLV 7	No
4.44	0.877	671	0.868	0.177	0.888	SLV 7	No
4.74	0.906	731	0.899	0.183	0.915	SLV 7	No
5.04	0.715	365	0.676	0.143	0.716	SLV 4	No
5.34	0.576	205	0.534	0.115	0.577	SLV 4	No
5.65	0.48	130	0.443	0.096	0.479	SLV 4	No
5.95	0.41	89	0.379	0.082	0.409	SLV 4	No

Indicatori di rischio sismico a pressoflessione in SLD Resistenza

Quota	Molt.	TR	I.R.TR	PGA	I.R.PGA	Comb.	Ver.
-1.3	3.191	1910	3.338	0.248	2.877	SLD 5	Si
-0.96	3.106	2110	3.477	0.255	2.966	SLD 1	Si
-0.62	2.948	2041	3.43	0.253	2.936	SLD 1	Si
-0.4	2.843	1817	3.27	0.244	2.833	SLD 1	Si
-0.09	3.112	2110	3.477	0.255	2.966	SLD 1	Si
0.22	3.373	2110	3.477	0.255	2.966	SLD 5	Si
0.53	3.171	1875	3.313	0.246	2.861	SLD 9	Si
0.84	2.764	1259	2.813	0.218	2.533	SLD 9	Si
1.15	2.409	857	2.403	0.193	2.241	SLD 9	Si
1.46	2.093	591	2.063	0.17	1.974	SLD 10	Si
1.77	1.826	416	1.787	0.15	1.743	SLD 10	Si
2.08	1.609	305	1.573	0.134	1.552	SLD 10	Si
2.39	1.43	227	1.394	0.12	1.39	SLD 10	Si
2.7	1.283	174	1.25	0.108	1.251	SLD 10	Si
2.92	1.113	125	1.091	0.094	1.092	SLD 7	Si
3.22	1.268	168	1.232	0.106	1.233	SLD 7	Si
3.53	1.473	245	1.438	0.123	1.43	SLD 7	Si
3.83	1.73	364	1.692	0.143	1.658	SLD 7	Si
4.13	1.998	523	1.963	0.163	1.893	SLD 7	Si
4.44	2.148	634	2.124	0.174	2.022	SLD 7	Si
4.74	2.166	781	2.313	0.187	2.171	SLD 4	Si
5.04	1.67	374	1.71	0.144	1.675	SLD 4	Si
5.34	1.344	209	1.347	0.116	1.347	SLD 4	Si
5.65	1.119	132	1.116	0.096	1.117	SLD 4	Si
5.95	0.955	91	0.958	0.082	0.957	SLD 4	No

Verifica a taglio in famiglia SLU

Quota	Staffe	Direzione X										Direzione Y						Verifica
		V	N	Comb.	VRd	VRsd	VRcd	Cot	c.s.	V	N	Comb.	VRd	VRsd	VRcd	Cot	c.s.	
-1.3	2X/2Y ø6/25	7.1	-	SLU 17	84.29	81.14	238.84	2.5	11.88	4.2	-	SLU 17	86.18	63.58	233.92	2.5	20.54	Si
-0.96	2X/2Y ø6/25	7.1	604.28	SLU 17	84.29	81.14	238.84	2.5	11.88	4.2	604.28	SLU 17	86.18	63.58	233.92	2.5	20.54	Si
-0.62	2X/2Y ø6/25	7.1	602.09	SLU 17	84.29	81.14	238.84	2.5	11.88	4.2	602.09	SLU 17	86.18	63.58	233.92	2.5	20.54	Si
-0.4	2X/2Y ø6/25	2.06	-599.9	SLU 17	84.29	81.14	238.84	2.5	11.88	4.2	-599.9	SLU 18	86.18	63.58	233.92	2.5	20.54	Si
-0.09	2X/2Y ø6/25	2.06	701.49	SLU 17	84.29	81.14	238.84	2.5	11.88	4.2	701.49	SLU 18	86.18	63.58	233.92	2.5	20.54	Si
0.22	2X/2Y ø6/25	2.06	-699.5	SLU 17	84.29	81.14	226.94	2.5	40.9	7.15	-699.5	SLU 18	86.18	63.58	222.27	2.5	12.06	Si
0.53	2X/2Y ø6/25	2.06	697.49	SLU 17	84.29	81.14	226.94	2.5	40.9	7.15	697.49	SLU 18	86.18	63.58	222.98	2.5	12.06	Si
0.84	2X/2Y ø6/25	2.06	695.47	SLU 17	84.29	81.14	228.38	2.5	40.9	7.15	695.47	SLU 18	86.18	63.58	223.68	2.5	12.06	Si
1.15	2X/2Y ø6/25	2.06	693.46	SLU 17	84.29	81.14	229.1	2.5	40.9	7.15	693.46	SLU 18	86.18	63.58	224.39	2.5	12.06	Si
1.46	2X/2Y ø6/25	2.06	691.44	SLU 17	84.29	81.14	229.83	2.5	40.9	7.15	691.44	SLU 18	86.18	63.58	225.1	2.5	12.06	Si
1.77	2X/2Y ø6/25	2.06	689.43	SLU 17	84.29	81.14	230.55	2.5	40.9	7.15	689.43	SLU 18	86.18	63.58	225.81	2.5	12.06	Si
2.08	2X/2Y ø6/25	2.06	687.41	SLU 17	84.29	81.14	231.27	2.5	40.9	7.15	687.41	SLU 18	86.18	63.58	226.51	2.5	12.06	Si
2.39	2X/2Y ø6/25	2.06	685.4	SLU 17	84.29	81.14	231.99	2.5	40.9	7.15	685.4	SLU 18	86.18	63.58	227.22	2.5	12.06	Si
2.7	2X/2Y ø6/25	2.06	683.38	SLU 17	84.29	81.14	232.71	2.5	40.9	7.15	683.38	SLU 18	86.18	63.58	227.93	2.5	12.06	Si
2.92	2X/2Y ø6/23.3	-1.69	-681.4	SLU 17	84.29	81.14	233.43	2.5	40.9	7.15	-681.4	SLU 18	86.18	63.58	228.63	2.5	12.06	Si
3.22	2X/2Y ø6/23.3	-1.69	552.73	SLU 18	84.29	87.03	238.84	2.5	51.61	3.98	552.73	SLU 17	86.18	68.19	233.92	2.5	21.64	Si
3.53	2X/2Y ø6/23.3	-1.69	550.82	SLU 18	84.29	87.03	238.84	2.5	51.61	3.98	550.82	SLU 17	86.18	68.19	233.92	2.5	21.64	Si
3.83	2X/2Y ø6/23.3	-1.69	548.86	SLU 18	84.29	87.03	238.84	2.5	51.61	3.98	548.86	SLU 17	86.18	68.19	233.92	2.5	21.64	Si
4.13	2X/2Y ø6/23.3	-1.69	546.88	SLU 18	84.29	87.03	238.84	2.5	51.61	3.98	546.88	SLU 17	86.18	68.19	233.92	2.5	21.64	Si
4.44	2X/2Y ø6/23.3	-1.69	544.91	SLU 18	84.29	87.03	238.84	2.5	51.61	3.98	544.91	SLU 17	86.18	68.19	233.92	2.5	21.64	Si
4.74	2X/2Y ø6/23.3	-1.69	542.94	SLU 18	84.29	87.03	238.84	2.5	51.61	3.98	542.94	SLU 17	86.18	68.19	233.92	2.5	21.64	Si
5.04	2X/2Y ø6/23.3	-1.69	540.97	SLU 18	84.29	87.03	238.84	2.5	51.61	3.98	540.97	SLU 17	86.18	68.19	233.92	2.5	21.64	Si
5.34	2X/2Y ø6/23.3	-1.69	-539	SLU 18	84.29	87.03	238.84	2.5	51.61	3.98	-539	SLU 17	86.18	68.19	233.92	2.5	21.64	Si
5.65	2X/2Y ø6/23.3	-1.69	537.03	SLU 18	84.29	87.03	238.84	2.5	51.61	3.98	537.03	SLU 17	86.18	68.19	233.92	2.5	21.64	Si
5.95	2X/2Y ø6/23.3	-1.69	535.06	SLU 18	84.29	87.03	238.84	2.5	51.61	3.98	535.06	SLU 17	86.18	68.19	233.92	2.5	21.64	Si
			533.12	SLU 18	84.29	87.03	238.84	2.5	51.61	3.98	533.12	SLU 17	86.18	68.19	233.92	2.5	21.64	Si

Quota	Staffe	Direzione X									Direzione Y									Verifica
		V	N	Comb.	VRd	VRsd	VRcd	Cot	c.s.	V	N	Comb.	VRd	VRsd	VRcd	Cot	c.s.			
5.95	2X/2Y ø6/23.3	-69.19	-	SLD 4	88.41	87.03	233.55	2.5	1.28	22.35	-	SLD 7	91.04	68.19	229.6	2.5	4.07	Si		
			296.27								302.34									

Indicatori di rischio sismico a taglio in SLV

Quota	Molt.	TR	I.R.TR	PGA	I.R.PGA	Comb.	Verifica
-1.3	3.73	2114	1.389	0.255	1.279	SLV 1	Si
-0.96	3.73	2114	1.389	0.255	1.279	SLV 1	Si
-0.62	3.73	2114	1.389	0.255	1.279	SLV 1	Si
-0.4	1.424	2114	1.389	0.255	1.279	SLV 10	Si
-0.09	1.424	2114	1.389	0.255	1.279	SLV 10	Si
0.22	1.424	2114	1.389	0.255	1.279	SLV 10	Si
0.53	1.424	2114	1.389	0.255	1.279	SLV 10	Si
0.84	1.424	2114	1.389	0.255	1.279	SLV 10	Si
1.15	1.424	2114	1.389	0.255	1.279	SLV 10	Si
1.46	1.424	2114	1.389	0.255	1.279	SLV 10	Si
1.77	1.424	2114	1.389	0.255	1.279	SLV 10	Si
2.08	1.424	2114	1.389	0.255	1.279	SLV 10	Si
2.39	1.424	2114	1.389	0.255	1.279	SLV 10	Si
2.7	1.424	2114	1.389	0.255	1.279	SLV 10	Si
2.92	0.541	175	0.5	0.108	0.541	SLV 4	No
3.22	0.541	175	0.5	0.108	0.541	SLV 4	No
3.53	0.541	175	0.5	0.108	0.541	SLV 4	No
3.83	0.541	175	0.5	0.108	0.541	SLV 4	No
4.13	0.541	175	0.5	0.108	0.541	SLV 4	No
4.44	0.541	175	0.5	0.108	0.541	SLV 4	No
4.74	0.541	175	0.5	0.108	0.541	SLV 4	No
5.04	0.541	175	0.5	0.108	0.541	SLV 4	No
5.34	0.541	175	0.5	0.108	0.541	SLV 4	No
5.65	0.541	175	0.5	0.108	0.541	SLV 4	No
5.95	0.541	175	0.5	0.108	0.541	SLV 4	No

Indicatori di rischio sismico a taglio in SLD Resistenza

Quota	Molt.	TR	I.R.TR	PGA	I.R.PGA	Comb.	Verifica
-1.3	8.617	2110	3.477	0.255	2.966	SLD 1	Si
-0.96	8.617	2110	3.477	0.255	2.966	SLD 1	Si
-0.62	8.617	2110	3.477	0.255	2.966	SLD 1	Si
-0.4	4.145	2110	3.477	0.255	2.966	SLD 10	Si
-0.09	4.145	2110	3.477	0.255	2.966	SLD 10	Si
0.22	4.145	2110	3.477	0.255	2.966	SLD 10	Si
0.53	4.145	2110	3.477	0.255	2.966	SLD 10	Si
0.84	4.145	2110	3.477	0.255	2.966	SLD 10	Si
1.15	4.145	2110	3.477	0.255	2.966	SLD 10	Si
1.46	4.145	2110	3.477	0.255	2.966	SLD 10	Si
1.77	4.145	2110	3.477	0.255	2.966	SLD 10	Si
2.08	4.145	2110	3.477	0.255	2.966	SLD 10	Si
2.39	4.145	2110	3.477	0.255	2.966	SLD 10	Si
2.7	4.145	2110	3.477	0.255	2.966	SLD 10	Si
2.92	1.303	193	1.304	0.112	1.306	SLD 4	Si
3.22	1.301	192	1.301	0.112	1.303	SLD 4	Si
3.53	1.297	191	1.299	0.112	1.3	SLD 4	Si
3.83	1.293	190	1.296	0.112	1.297	SLD 4	Si
4.13	1.291	189	1.293	0.111	1.295	SLD 4	Si
4.44	1.287	187	1.287	0.111	1.289	SLD 4	Si
4.74	1.285	187	1.287	0.111	1.289	SLD 4	Si
5.04	1.281	185	1.282	0.11	1.283	SLD 4	Si
5.34	1.279	185	1.282	0.11	1.283	SLD 4	Si
5.65	1.275	183	1.276	0.11	1.278	SLD 4	Si
5.95	1.273	182	1.273	0.11	1.275	SLD 4	Si

Verifiche nodi trave colonna

Riepilogo dei dati per le diverse tipologie di verifica eseguite per i nodi

Pilastrata	Q.Nodo	Escluso	Confinato	Segnalazioni
Pilastrata P19	-1.675	Si	No	
Pilastrata P19	-0.51	No	No	non tutte le travature convergenti al nodo sono calcolate/validate
Pilastrata P19	2.81	No	No	
Pilastrata P19	6.5	No	No	non tutte le travature convergenti al nodo sono calcolate/validate

Verifiche nodi trave colonna in combinazioni SLD

Riepilogo dei dati per la verifica del nodo secondo Circolare 7 21-01-19 §C8.7.2.3.5.

Pilastrata	Q.Nodo	Angolo travatura	Aj	Vpc	Vtc	Vnc	Nc	σnc	σnc,lim	Comb.c	Vpt	Vtt	Vnt	Nt	σnt	σnt,lim	Comb.t	Segnalazioni	Verifica
Pilastrata P19	-0.51	0	0	0	0	0	0	0	0		0	0	0	0	0	0		Trave non calcolata	Si

Verifiche nodi trave colonna in combinazioni SLD

Riepilogo dei dati per la verifica del nodo secondo Circolare 7 21-01-19 §C8.7.2.3.5.

Pilastrata	Q.Nodo	Angolo travatura	Aj	Vpc	Vtc	Vnc	Nc	σnc	σnc,lim	Comb.c	Vpt	Vtt	Vnt	Nt	σnt	σnt,lim	Comb.t	Segnalazioni	Verifica	
Pilastrata P19	2.81	0	0.2544	-	261.497	193.835	-	1686	3919	SLD 13	-	261.497	193.835	-	344	840	SLD 13		Si	
	2.81	180	0.2544	-	261.497	193.835	341.178	-	1686	3919	SLD 13	67.662	261.497	193.835	341.178	-	344	840	SLD 13	Si
							341.178					67.662			341.178					

Verifiche nodi trave colonna in combinazioni SLD

Riepilogo dei dati per la verifica del nodo secondo Circolare 7 21-01-19 §C8.7.2.3.5.

Pilastrata	Q.Nodo	Angolo travatura	Aj	Vpc	Vtc	Vnc	Nc	σnc	σnc,lim	Comb.c	Vpt	Vtt	Vnt	Nt	σnt	σnt,lim	Comb.t	Segnalazioni	Verifica
Pilastrata P19	6.5	0	0.1696	0	195.135	195.135	0	1151	3919	SLD 13	0	195.135	195.135	0	1151	840	SLD 13		No
	6.5	90	0	0	0	0	0	0	0		0	0	0	0	0	0		Trave non calcolata	Si
	6.5	180	0.1696	0	195.135	195.135	0	1151	3919	SLD 13	0	195.135	195.135	0	1151	840	SLD 13		No

Verifiche nodi trave colonna in combinazioni SLV**Riepilogo dei dati per la verifica del nodo secondo Circolare 7 21-01-19 §C8.7.2.3.5.**

Pilastrata	Q.Nodo	Angolo travatura	Aj	Vpc	Vtc	Vnc	Nc	σnc	σnc,lim	Comb.c	Vpt	Vtt	Vnt	Nt	σnt	σnt,lim	Comb.t	Segnalazioni	Verifica
Pilastrata P19	-0.51	0	0	0	0	0	0	0	0		0	0	0	0	0	0		Trave non calcolata	Si

Verifiche nodi trave colonna in combinazioni SLV**Riepilogo dei dati per la verifica del nodo secondo Circolare 7 21-01-19 §C8.7.2.3.5.**

Pilastrata	Q.Nodo	Angolo travatura	Aj	Vpc	Vtc	Vnc	Nc	σnc	σnc,lim	Comb.c	Vpt	Vtt	Vnt	Nt	σnt	σnt,lim	Comb.t	Segnalazioni	Verifica
Pilastrata P19	2.81	0	0.2544	-	617.557	458.868	-	2648	3919	SLV 13	-	613.34	453.127	-	1298	840	SLV 4		No
			158.689				360.971				160.213			291.604					
	2.81	180	0.2544	-	617.557	458.868	-	2648	3919	SLV 13	-	613.34	453.127	-	1298	840	SLV 4		No
			158.689				360.971				160.213			291.604					

Verifiche nodi trave colonna in combinazioni SLV**Riepilogo dei dati per la verifica del nodo secondo Circolare 7 21-01-19 §C8.7.2.3.5.**

Pilastrata	Q.Nodo	Angolo travatura	Aj	Vpc	Vtc	Vnc	Nc	σnc	σnc,lim	Comb.c	Vpt	Vtt	Vnt	Nt	σnt	σnt,lim	Comb.t	Segnalazioni	Verifica
Pilastrata P19	6.5	0	0.1696	0	459.787	459.787	0	2711	3919	SLV 13	0	459.787	459.787	0	2711	840	SLV 13		No
	6.5	90	0	0	0	0	0	0	0		0	0	0	0	0	0		Trave non calcolata	Si
	6.5	180	0.1696	0	459.787	459.787	0	2711	3919	SLV 13	0	459.787	459.787	0	2711	840	SLV 13		No

Indicatori di rischio sismico dei nodi in SLD

Pilastrata	Q.Nodo	Angolo travatura	Moltiplicatore	TR	I.R.TR	PGA	I.R.PGA	Comb.	Ver.
Pilastrata P19	2.81	0	1.756	428	1.808	0.152	1.762	SLD 4	Si
	2.81	180	1.756	428	1.808	0.152	1.762	SLD 4	Si

Indicatori di rischio sismico dei nodi in SLD

Pilastrata	Q.Nodo	Angolo travatura	Moltiplicatore	TR	I.R.TR	PGA	I.R.PGA	Comb.	Ver.
Pilastrata P19	6.5	0	0.734	49	0.743	0.063	0.731	SLD 13	No
	6.5	180	0.734	49	0.743	0.063	0.731	SLD 13	No

Indicatori di rischio sismico dei nodi in SLV

Pilastrata	Q.Nodo	Angolo travatura	Moltiplicatore	TR	I.R.TR	PGA	I.R.PGA	Comb.	Ver.
Pilastrata P19	2.81	0	0.754	421	0.717	0.151	0.755	SLV 4	No
	2.81	180	0.754	421	0.717	0.151	0.755	SLV 4	No

Indicatori di rischio sismico dei nodi in SLV

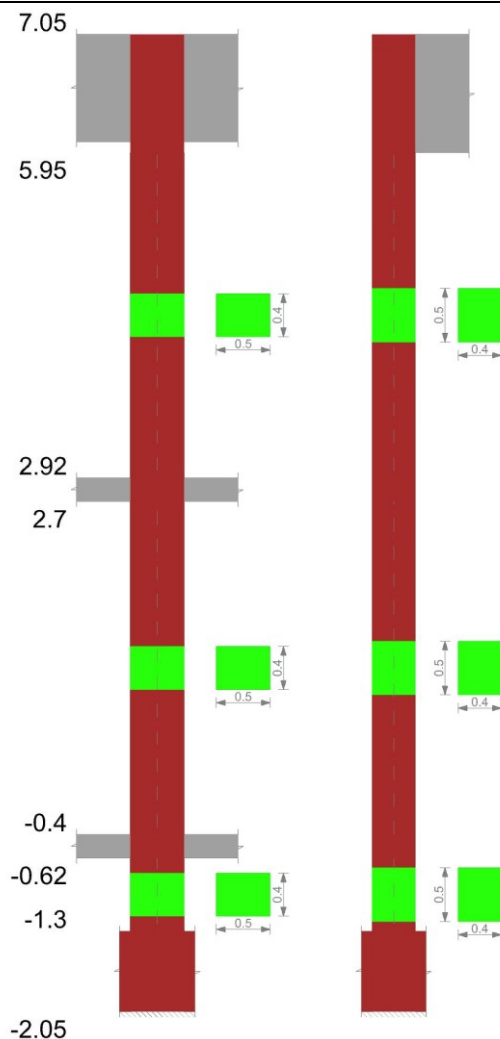
Pilastrata	Q.Nodo	Angolo travatura	Moltiplicatore	TR	I.R.TR	PGA	I.R.PGA	Comb.	Ver.
Pilastrata P19	6.5	0	0.315	49	0.297	0.062	0.312	SLV 13	No
	6.5	180	0.315	49	0.297	0.062	0.312	SLV 13	No

Verifiche di gerarchia delle resistenze nei nodi trave pilastro

Verifiche di gerarchia delle resistenze nei nodi trave pilastro non presenti in quanto la verifica è non necessaria per la pilastrata per il nodo Appoggio -1.675 in quanto elemento di materiale esistente.
per il nodo Appoggio 2.81 in quanto elemento di materiale esistente.
per il nodo Appoggio 6.5 in quanto elemento di materiale esistente.
per il nodo Appoggio -0.51 in quanto elemento di materiale esistente.

Pilastrata P20

Geometria



Dati della pilastrata

Analisi di edificio esistente con fattore di struttura.

Fattore di struttura per meccanismi duttili in direzione X: 1.5

Fattore di struttura per meccanismi duttili in direzione Y: 1.5

Fattore di struttura per meccanismi fragili in direzione X: 1

Fattore di struttura per meccanismi fragili in direzione Y: 1

Verifica dei meccanismi fragili condotta secondo Circolare 7 21-01-19 (§C8.7.2.2) Analisi lineare con fattore q.

Fattore di amplificazione dei meccanismi fragili della componente sismica in direzione X: 1

Fattore di amplificazione dei meccanismi fragili della componente sismica in direzione Y: 1

Campate costituenti la pilastrata

Q.inf.	Q.sup.	Sezione	Esistente	Secondaria	Dissipativa	Interna a parete	Sovreresistenza	Materiale CLS	Materiale Acciaio	FC
-1.3	-0.62	R 50x40	Si	No	No	No		C14/17 LC2 Vigone A	Vigone_FeB22k_LC2_FC = 1.2; Vigone_FeB44k_Staffe_LC2_FC = 1.2	1.2
-0.4	2.7	R 50x40	Si	No	No	No		C14/17 LC2 Vigone A	Vigone_FeB22k_LC2_FC = 1.2; Vigone_FeB44k_Staffe_LC2_FC = 1.2	1.2
2.92	5.95	R 50x40	Si	No	No	No		C14/17 LC2 Vigone A	Vigone_FeB22k_LC2_FC = 1.2; Vigone_FeB44k_Staffe_LC2_FC = 1.2	1.2

Disposizione delle armature longitudinali

Posizione	X	Y	Diametro	Area	Q.inf.	Q.sup.	Sezione	Materiale
p.1	-0.2105	-0.1605	0.014	0.0001539	-1.675	-1.3	R 50x40	Vigone FeB22k LC2
p.1	0.2105	-0.1605	0.014	0.0001539	-1.675	-1.3	R 50x40	Vigone FeB22k LC2
p.1	0.2105	0.1605	0.014	0.0001539	-1.675	-1.3	R 50x40	Vigone FeB22k LC2
p.1	-0.2105	0.1605	0.014	0.0001539	-1.675	-1.3	R 50x40	Vigone FeB22k LC2
p.1	0	-0.162	0.014	0.0001539	-1.675	-1.3	R 50x40	Vigone FeB22k LC2
p.1	0	0.162	0.014	0.0001539	-1.675	-1.3	R 50x40	Vigone FeB22k LC2
p.1	-0.212	0	0.014	0.0001539	-1.675	-1.3	R 50x40	Vigone FeB22k LC2
p.1	0.212	0	0.014	0.0001539	-1.675	-1.3	R 50x40	Vigone FeB22k LC2
p.2	-0.2105	-0.1605	0.014	0.0001539	-1.3	2.92	R 50x40	Vigone FeB22k LC2
p.2	0.2105	-0.1605	0.014	0.0001539	-1.3	2.92	R 50x40	Vigone FeB22k LC2
p.2	0.2105	0.1605	0.014	0.0001539	-1.3	2.92	R 50x40	Vigone FeB22k LC2
p.2	-0.2105	0.1605	0.014	0.0001539	-1.3	2.92	R 50x40	Vigone FeB22k LC2
p.2	0	-0.162	0.014	0.0001539	-1.3	2.92	R 50x40	Vigone FeB22k LC2
p.2	0	0.162	0.014	0.0001539	-1.3	2.92	R 50x40	Vigone FeB22k LC2
p.2	-0.212	0	0.014	0.0001539	-1.3	2.92	R 50x40	Vigone FeB22k LC2
p.2	0.212	0	0.014	0.0001539	-1.3	2.92	R 50x40	Vigone FeB22k LC2
p.3	-0.2105	-0.1605	0.014	0.0001539	2.92	5.95	R 50x40	Vigone FeB22k LC2
p.3	0.2105	-0.1605	0.014	0.0001539	2.92	5.95	R 50x40	Vigone FeB22k LC2
p.3	0.2105	0.1605	0.014	0.0001539	2.92	5.95	R 50x40	Vigone FeB22k LC2
p.3	-0.2105	0.1605	0.014	0.0001539	2.92	5.95	R 50x40	Vigone FeB22k LC2

Quota	Molt.	TR	I.R.TR	PGA	I.R.PGA	Comb.	Ver.
-0.62	1.381	2114	1.389	0.255	1.279	SLV 5	Si
-0.4	1.496	2114	1.389	0.255	1.279	SLV 12	Si
-0.09	1.508	2114	1.389	0.255	1.279	SLV 9	Si
0.22	1.412	2114	1.389	0.255	1.279	SLV 9	Si
0.53	1.307	2051	1.372	0.253	1.267	SLV 9	Si
0.84	1.197	1593	1.237	0.234	1.173	SLV 9	Si
1.15	1.107	1271	1.127	0.218	1.095	SLV 9	Si
1.46	0.993	931	0.992	0.198	0.994	SLV 9	No
1.77	0.904	727	0.896	0.182	0.913	SLV 9	No
2.08	0.824	569	0.811	0.168	0.84	SLV 10	No
2.39	0.753	449	0.736	0.154	0.773	SLV 10	No
2.7	0.69	363	0.674	0.143	0.714	SLV 10	No
2.92	0.589	245	0.574	0.123	0.617	SLV 8	No
3.22	0.686	356	0.669	0.142	0.709	SLV 7	No
3.53	0.809	540	0.794	0.165	0.825	SLV 7	No
3.83	0.977	890	0.974	0.195	0.979	SLV 7	No
4.13	1.153	1430	1.183	0.226	1.135	SLV 7	Si
4.44	1.195	1586	1.234	0.234	1.171	SLV 7	Si
4.74	1.074	1188	1.096	0.214	1.072	SLV 4	Si
5.04	0.794	484	0.759	0.159	0.795	SLV 4	No
5.34	0.626	256	0.584	0.125	0.627	SLV 4	No
5.65	0.514	154	0.474	0.102	0.513	SLV 13	No
5.95	0.434	102	0.401	0.086	0.433	SLV 13	No

Indicatori di rischio sismico a pressoflessione in SLD Resistenza

Quota	Molt.	TR	I.R.TR	PGA	I.R.PGA	Comb.	Ver.
-1.3	3.218	1956	3.37	0.249	2.898	SLD 5	Si
-0.96	3.273	2055	3.439	0.253	2.942	SLD 5	Si
-0.62	3.329	2110	3.477	0.255	2.966	SLD 5	Si
-0.4	3.531	2110	3.477	0.255	2.966	SLD 16	Si
-0.09	3.701	2110	3.477	0.255	2.966	SLD 9	Si
0.22	3.487	2110	3.477	0.255	2.966	SLD 9	Si
0.53	3.232	1982	3.389	0.25	2.91	SLD 9	Si
0.84	2.969	1550	3.064	0.232	2.699	SLD 9	Si
1.15	2.746	1236	2.792	0.217	2.518	SLD 9	Si
1.46	2.459	905	2.457	0.196	2.283	SLD 9	Si
1.77	2.233	702	2.214	0.18	2.093	SLD 9	Si
2.08	2.031	546	1.997	0.165	1.921	SLD 10	Si
2.39	1.852	431	1.813	0.152	1.766	SLD 10	Si
2.7	1.693	345	1.655	0.14	1.625	SLD 10	Si
2.92	1.438	230	1.401	0.12	1.397	SLD 8	Si
3.22	1.676	337	1.639	0.139	1.611	SLD 7	Si
3.53	1.98	511	1.944	0.162	1.878	SLD 7	Si
3.83	2.397	846	2.39	0.192	2.231	SLD 7	Si
4.13	2.834	1355	2.9	0.223	2.59	SLD 7	Si
4.44	2.928	1489	3.014	0.229	2.666	SLD 7	Si
4.74	2.512	1226	2.783	0.216	2.512	SLD 4	Si
5.04	1.855	498	1.924	0.16	1.862	SLD 4	Si
5.34	1.461	262	1.478	0.126	1.466	SLD 4	Si
5.65	1.199	157	1.198	0.103	1.199	SLD 13	Si
5.95	1.011	103	1.008	0.087	1.008	SLD 13	Si

Verifica a taglio in famiglia SLD

Quota	Staffe	V	N	Direzione X							Direzione Y							Verifica
				Comb.	VRd	VRsd	VRcd	Cot	c.s.	V	N	Comb.	VRd	VRsd	VRcd	Cot	c.s.	
-1.3	2X/2Y ø6/25	0.64	-	SLU 9	84.29	81.14	238.84	2.5	130.77	-3.96	-	SLU 17	86.18	63.58	233.92	2.5	21.77	Si
-0.96	2X/2Y ø6/25	0.64	-	SLU 9	84.29	81.14	238.84	2.5	130.77	-3.96	-	SLU 17	86.18	63.58	233.92	2.5	21.77	Si
-0.62	2X/2Y ø6/25	0.64	-	SLU 9	84.29	81.14	238.84	2.5	130.77	-3.96	-	SLU 17	86.18	63.58	233.92	2.5	21.77	Si
-0.4	2X/2Y ø6/25	0.95	-	SLU 13	84.29	81.14	238.84	2.5	88.45	6.57	-	SLU 18	86.18	63.58	215.52	2.5	13.12	Si
-0.09	2X/2Y ø6/25	0.95	-	SLU 13	84.29	81.14	238.84	2.5	88.45	6.57	-	SLU 18	86.18	63.58	216.21	2.5	13.12	Si
0.22	2X/2Y ø6/25	0.95	-	SLU 13	84.29	81.14	238.84	2.5	88.45	6.57	-	SLU 18	86.18	63.58	216.92	2.5	13.12	Si
0.53	2X/2Y ø6/25	0.95	-	SLU 13	84.29	81.14	238.84	2.5	88.45	6.57	-	SLU 18	86.18	63.58	217.63	2.5	13.12	Si
0.84	2X/2Y ø6/25	0.95	-	SLU 13	84.29	81.14	238.84	2.5	88.45	6.57	-	SLU 18	86.18	63.58	218.33	2.5	13.12	Si
1.15	2X/2Y ø6/25	0.95	-	SLU 13	84.29	81.14	238.84	2.5	88.45	6.57	-	SLU 18	86.18	63.58	219.04	2.5	13.12	Si
1.46	2X/2Y ø6/25	0.95	-	SLU 13	84.29	81.14	238.84	2.5	88.45	6.57	-	SLU 18	86.18	63.58	219.75	2.5	13.12	Si
1.77	2X/2Y ø6/25	0.95	-	SLU 13	84.29	81.14	238.84	2.5	88.45	6.57	-	SLU 18	86.18	63.58	220.46	2.5	13.12	Si
2.08	2X/2Y ø6/25	0.95	-	SLU 13	84.29	81.14	238.84	2.5	88.45	6.57	-	SLU 18	86.18	63.58	221.16	2.5	13.12	Si
2.39	2X/2Y ø6/25	0.95	-	SLU 13	84.29	81.14	238.84	2.5	88.45	6.57	-	SLU 18	86.18	63.58	221.87	2.5	13.12	Si
2.7	2X/2Y ø6/25	0.95	-	SLU 13	84.29	81.14	238.84	2.5	88.45	6.57	-	SLU 18	86.18	63.58	222.57	2.5	13.12	Si
2.92	2X/2Y ø6/23.3	-0.15	-	SLU 13	84.29	87.03	238.84	2.5	584.11	4.24	-	SLU 17	86.18	68.19	233.92	2.5	20.32	Si
3.22	2X/2Y ø6/23.3	-0.15	-	SLU 13	84.29	87.03	238.84	2.5	584.11	4.24	-	SLU 17	86.18	68.19	233.92	2.5	20.32	Si
3.53	2X/2Y ø6/23.3	-0.15	-	SLU 13	84.29	87.03	238.84	2.5	584.11	4.24	-	SLU 17	86.18	68.19	233.92	2.5	20.32	Si
3.83	2X/2Y ø6/23.3	-0.15	-	SLU 13	84.29	87.03	238.84	2.5	584.11	4.24	-	SLU 17	86.18	68.19	233.92	2.5	20.32	Si
4.13	2X/2Y ø6/23.3	-0.15	-	SLU 13	84.29	87.03	238.84	2.5	584.11	4.24	-	SLU 17	86.18	68.19	233.92	2.5	20.32	Si
4.44	2X/2Y ø6/23.3	-0.15	-	SLU 13	84.29	87.03	238.84	2.5	584.11	4.24	-	SLU 17	86.18	68.19	233.92	2.5	20.32	Si
4.74	2X/2Y ø6/23.3	-0.15	-	SLU 13	84.29	87.03	238.84	2.5	584.11	4.24	-	SLU 17	86.18	68.19	233.92	2.5	20.32	Si
5.04	2X/2Y ø6/23.3	-0.15	-	SLU 13	84.29	87.03	238.84	2.5	584.11	4.24	-	SLU 17	86.18	68.19	233.92	2.5	20.32	Si
5.34	2X/2Y ø6/23.3	-0.15	-	SLU 13	84.29	87.03	238.84	2.5	584.11	4.24	-	SLU 17	86.18	68.19	233.92	2.5	20.32	Si
5.65	2X/2Y ø6/23.3	-0.15	-	SLU 13	84.29	87.03	238.84	2.5	584.11	4.24	-	SLU 17	86.18	68.19	233.92	2.5	20.32	Si

Quota	Staffe	Direzione X								Direzione Y								Verifica
		V	N	Comb.	VRd	VRsd	VRcd	Cot	c.s.	V	N	Comb.	VRd	VRsd	VRcd	Cot	c.s.	
5.34	2X/2Y ø6/23.3	67.43	-322.1	SLD 13	91.99	87.03	237.25	2.5	1.36	17	-	SLD 7	93.69	68.19	232.34	2.5	5.51	Si
5.65	2X/2Y ø6/23.3	67.43	-	SLD 13	91.78	87.03	237.03	2.5	1.36	17	321.84	SLD 7	93.49	68.19	232.12	2.5	5.5	Si
5.95	2X/2Y ø6/23.3	67.43	-	SLD 13	91.57	87.03	236.82	2.5	1.36	17	320.33	SLD 7	93.28	68.19	231.91	2.5	5.49	Si
			319.09								318.84							

Indicatori di rischio sismico a taglio in SLV

Quota	Molt.	TR	I.R.TR	PGA	I.R.PGA	Comb.	Verifica
-1.3	9.849	2114	1.389	0.255	1.279	SLV 12	Si
-0.96	9.866	2114	1.389	0.255	1.279	SLV 12	Si
-0.62	9.882	2114	1.389	0.255	1.279	SLV 12	Si
-0.4	2.213	2114	1.389	0.255	1.279	SLV 10	Si
-0.09	2.213	2114	1.389	0.255	1.279	SLV 10	Si
0.22	2.213	2114	1.389	0.255	1.279	SLV 10	Si
0.53	2.213	2114	1.389	0.255	1.279	SLV 10	Si
0.84	2.213	2114	1.389	0.255	1.279	SLV 10	Si
1.15	2.213	2114	1.389	0.255	1.279	SLV 10	Si
1.46	2.213	2114	1.389	0.255	1.279	SLV 10	Si
1.77	2.213	2114	1.389	0.255	1.279	SLV 10	Si
2.08	2.213	2114	1.389	0.255	1.279	SLV 10	Si
2.39	2.213	2114	1.389	0.255	1.279	SLV 10	Si
2.7	2.213	2114	1.389	0.255	1.279	SLV 10	Si
2.92	0.554	185	0.512	0.11	0.553	SLV 13	No
3.22	0.554	185	0.512	0.11	0.553	SLV 13	No
3.53	0.554	185	0.512	0.11	0.553	SLV 13	No
3.83	0.554	185	0.512	0.11	0.553	SLV 13	No
4.13	0.554	185	0.512	0.11	0.553	SLV 13	No
4.44	0.554	185	0.512	0.11	0.553	SLV 13	No
4.74	0.554	185	0.512	0.11	0.553	SLV 13	No
5.04	0.554	185	0.512	0.11	0.553	SLV 13	No
5.34	0.554	185	0.512	0.11	0.553	SLV 13	No
5.65	0.554	185	0.512	0.11	0.553	SLV 13	No
5.95	0.554	185	0.512	0.11	0.553	SLV 13	No

Indicatori di rischio sismico a taglio in SLD Resistenza

Quota	Molt.	TR	I.R.TR	PGA	I.R.PGA	Comb.	Verifica
-1.3	23.103	2110	3.477	0.255	2.966	SLD 12	Si
-0.96	23.141	2110	3.477	0.255	2.966	SLD 12	Si
-0.62	23.183	2110	3.477	0.255	2.966	SLD 12	Si
-0.4	6.373	2110	3.477	0.255	2.966	SLD 10	Si
-0.09	6.373	2110	3.477	0.255	2.966	SLD 10	Si
0.22	6.373	2110	3.477	0.255	2.966	SLD 10	Si
0.53	6.373	2110	3.477	0.255	2.966	SLD 10	Si
0.84	6.373	2110	3.477	0.255	2.966	SLD 10	Si
1.15	6.373	2110	3.477	0.255	2.966	SLD 10	Si
1.46	6.373	2110	3.477	0.255	2.966	SLD 10	Si
1.77	6.373	2110	3.477	0.255	2.966	SLD 10	Si
2.08	6.373	2110	3.477	0.255	2.966	SLD 10	Si
2.39	6.373	2110	3.477	0.255	2.966	SLD 10	Si
2.7	6.373	2110	3.477	0.255	2.966	SLD 10	Si
2.92	1.389	228	1.396	0.12	1.392	SLD 13	Si
3.22	1.387	228	1.396	0.12	1.392	SLD 13	Si
3.53	1.383	226	1.391	0.119	1.387	SLD 13	Si
3.83	1.379	224	1.386	0.119	1.383	SLD 13	Si
4.13	1.375	223	1.384	0.119	1.381	SLD 13	Si
4.44	1.373	222	1.381	0.119	1.378	SLD 13	Si
4.74	1.371	221	1.379	0.118	1.376	SLD 13	Si
5.04	1.367	219	1.373	0.118	1.371	SLD 13	Si
5.34	1.363	217	1.368	0.118	1.367	SLD 13	Si
5.65	1.361	217	1.368	0.118	1.367	SLD 13	Si
5.95	1.357	215	1.363	0.117	1.362	SLD 13	Si

Verifiche nodi trave colonna

Riepilogo dei dati per le diverse tipologie di verifica eseguite per i nodi

Pilastrata	Q.Nodo	Escluso	Confinato	Segnalazioni
Pilastrata P20	-1.675	Si	No	
Pilastrata P20	-0.51	No	No	non tutte le travature convergenti al nodo sono calcolate/validate
Pilastrata P20	2.81	No	No	
Pilastrata P20	6.5	No	No	non tutte le travature convergenti al nodo sono calcolate/validate

Verifiche nodi trave colonna in combinazioni SLD

Riepilogo dei dati per la verifica del nodo secondo Circolare 7 21-01-19 §C8.7.2.3.5.

Pilastrata	Q.Nodo	Angolo travatura	Aj	Vpc	Vtc	Vnc	Nc	onc	onc,lim	Comb.c	Vpt	Vtt	Vnt	Nt	ont	ont,lim	Comb.t	Segnalazioni	Verifica
Pilastrata P20	-0.51	0	0	0	0	0	0	0	0		0	0	0	0	0	0		Trave non calcolata	Si
	-0.51	180	0	0	0	0	0	0	0		0	0	0	0	0	0		Trave non calcolata	Si

Verifiche nodi trave colonna in combinazioni SLD

Riepilogo dei dati per la verifica del nodo secondo Circolare 7 21-01-19 §C8.7.2.3.5.

Pilastrata	Q.Nodo	Angolo travatura	Aj	Vpc	Vtc	Vnc	Nc	onc	onc,lim	Comb.c	Vpt	Vtt	Vnt	Nt	ont	ont,lim	Comb.t	Segnalazioni	Verifica
Pilastrata P20	2.81	0	0.2544	-	260.761	193.327	-	1661	3919	SLD 13	-	260.761	193.327	-	348	840	SLD 13		Si
	2.81	180	0.2544	-	260.761	193.327	-	1661	3919	SLD 13	-	260.761	193.327	-	348	840	SLD 13		Si

Verifiche nodi trave colonna in combinazioni SLD

Riepilogo dei dati per la verifica del nodo secondo Circolare 7 21-01-19 §C8.7.2.3.5.

Pilastrata	Q.Nodo	Angolo travatura	Aj	Vpc	Vtc	Vnc	Nc	onc	onc,lim	Comb.c	Vpt	Vtt	Vnt	Nt	ont	ont,lim	Comb.t	Segnalazioni	Verifica
Pilastrata P20	6.5	0	0.1696	0	221.315	221.315	0	1305	3919	SLD 13	0	221.315	221.315	0	1305	840	SLD 13		No
	6.5	90	0	0	0	0	0	0	0		0	0	0	0	0	0		Trave non calcolata	Si
	6.5	180	0.1696	0	221.315	221.315	0	1305	3919	SLD 13	0	221.315	221.315	0	1305	840	SLD 13		No

Verifiche nodi trave colonna in combinazioni SLV**Riepilogo dei dati per la verifica del nodo secondo Circolare 7 21-01-19 §C8.7.2.3.5.**

Pilastrata	Q.Nodo	Angolo travatura	Aj	Vpc	Vtc	Vnc	Nc	σnc	σnc,lim	Comb.c	Vpt	Vtt	Vnt	Nt	σnt	σnt,lim	Comb.t	Segnalazioni	Verifica
Pilastrata P20	-0.51	0	0	0	0	0	0	0	0	0	0	0	0	0	0	0	0	Trave non calcolata	Si
	-0.51	180	0	0	0	0	0	0	0	0	0	0	0	0	0	0	0	Trave non calcolata	Si

Verifiche nodi trave colonna in combinazioni SLV**Riepilogo dei dati per la verifica del nodo secondo Circolare 7 21-01-19 §C8.7.2.3.5.**

Pilastrata	Q.Nodo	Angolo travatura	Aj	Vpc	Vtc	Vnc	Nc	σnc	σnc,lim	Comb.c	Vpt	Vtt	Vnt	Nt	σnt	σnt,lim	Comb.t	Segnalazioni	Verifica
Pilastrata P20	2.81	0	0.2544	-157.025	616.443	459.417	-336.443	2584	3919	SLV 4	-157.097	618.654	461.557	-333.371	1274	840	SLV 13		No
	2.81	180	0.2544	-157.025	616.443	459.417	-336.443	2584	3919	SLV 4	-157.097	618.654	461.557	-333.371	1274	840	SLV 13		No

Verifiche nodi trave colonna in combinazioni SLV**Riepilogo dei dati per la verifica del nodo secondo Circolare 7 21-01-19 §C8.7.2.3.5.**

Pilastrata	Q.Nodo	Angolo travatura	Aj	Vpc	Vtc	Vnc	Nc	σnc	σnc,lim	Comb.c	Vpt	Vtt	Vnt	Nt	σnt	σnt,lim	Comb.t	Segnalazioni	Verifica
Pilastrata P20	6.5	0	0.1696	0	492.908	492.908	0	2906	3919	SLV 14	0	492.908	492.908	0	2906	840	SLV 14		No
	6.5	90	0	0	0	0	0	0	0	0	0	0	0	0	0	0		Trave non calcolata	Si
	6.5	180	0.1696	0	492.908	492.908	0	2906	3919	SLV 14	0	492.908	492.908	0	2906	840	SLV 14		No

Indicatori di rischio sismico dei nodi in SLD

Pilastrata	Q.Nodo	Angolo travatura	Moltiplicatore	TR	I.R.TR	PGA	I.R.PGA	Comb.	Ver.
Pilastrata P20	2.81	0	1.762	432	1.815	0.152	1.768	SLD 13	Si
	2.81	180	1.762	432	1.815	0.152	1.768	SLD 13	Si

Indicatori di rischio sismico dei nodi in SLD

Pilastrata	Q.Nodo	Angolo travatura	Moltiplicatore	TR	I.R.TR	PGA	I.R.PGA	Comb.	Ver.
Pilastrata P20	6.5	0	0.647	40	0.684	0.057	0.66	SLD 13	No
	6.5	180	0.647	40	0.684	0.057	0.66	SLD 13	No

Indicatori di rischio sismico dei nodi in SLV

Pilastrata	Q.Nodo	Angolo travatura	Moltiplicatore	TR	I.R.TR	PGA	I.R.PGA	Comb.	Ver.
Pilastrata P20	2.81	0	0.756	424	0.719	0.151	0.757	SLV 13	No
	2.81	180	0.756	424	0.719	0.151	0.757	SLV 13	No

Indicatori di rischio sismico dei nodi in SLV

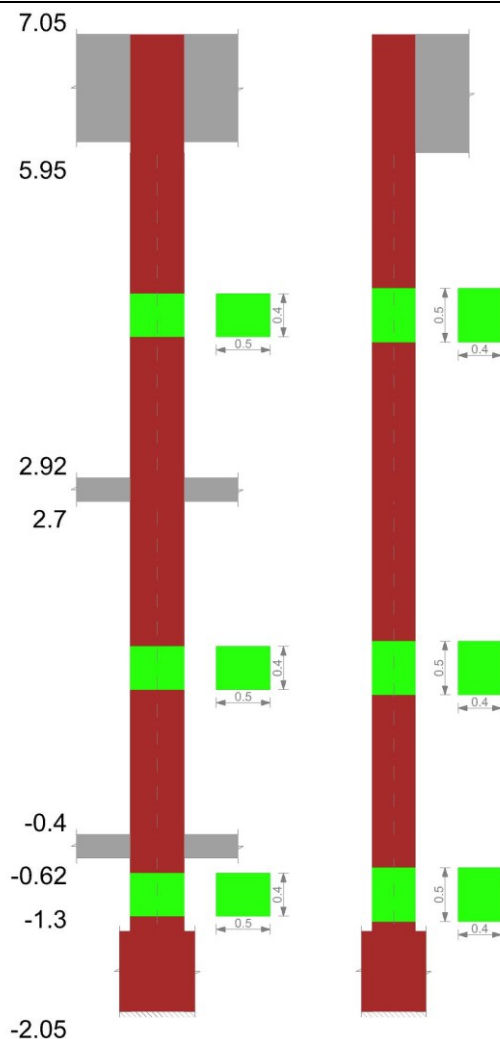
Pilastrata	Q.Nodo	Angolo travatura	Moltiplicatore	TR	I.R.TR	PGA	I.R.PGA	Comb.	Ver.
Pilastrata P20	6.5	0	0.278	40	0.273	0.057	0.284	SLV 13	No
	6.5	180	0.278	40	0.273	0.057	0.284	SLV 13	No

Verifiche di gerarchia delle resistenze nei nodi trave pilastro

Verifiche di gerarchia delle resistenze nei nodi trave pilastro non presenti in quanto la verifica è non necessaria per la pilastrata per il nodo Appoggio 6.5 in quanto elemento di materiale esistente.
per il nodo Appoggio -0.51 in quanto elemento di materiale esistente.
per il nodo Appoggio -1.675 in quanto elemento di materiale esistente.
per il nodo Appoggio 2.81 in quanto elemento di materiale esistente.

Pilastrata P21

Geometria



Dati della pilastrata

Analisi di edificio esistente con fattore di struttura.

Fattore di struttura per meccanismi duttili in direzione X: 1.5

Fattore di struttura per meccanismi duttili in direzione Y: 1.5

Fattore di struttura per meccanismi fragili in direzione X: 1

Fattore di struttura per meccanismi fragili in direzione Y: 1

Verifica dei meccanismi fragili condotta secondo Circolare 7 21-01-19 (§C8.7.2.2) Analisi lineare con fattore q.

Fattore di amplificazione dei meccanismi fragili della componente sismica in direzione X: 1

Fattore di amplificazione dei meccanismi fragili della componente sismica in direzione Y: 1

Campate costituenti la pilastrata

Q.inf.	Q.sup.	Sezione	Esistente	Secondaria	Dissipativa	Interna a parete	Sovreresistenza	Materiale CLS	Materiale Acciaio	FC
-1.3	-0.62	R 50x40	Si	No	No	No		C14/17 LC2 Vigone A	Vigone_FeB22k_LC2_FC = 1.2; Vigone_FeB44k_Staffe_LC2_FC = 1.2	1.2
-0.4	2.7	R 50x40	Si	No	No	No		C14/17 LC2 Vigone A	Vigone_FeB22k_LC2_FC = 1.2; Vigone_FeB44k_Staffe_LC2_FC = 1.2	1.2
2.92	5.95	R 50x40	Si	No	No	No		C14/17 LC2 Vigone A	Vigone_FeB22k_LC2_FC = 1.2; Vigone_FeB44k_Staffe_LC2_FC = 1.2	1.2

Disposizione delle armature longitudinali

Posizione	X	Y	Diametro	Area	Q.inf.	Q.sup.	Sezione	Materiale
p.1	-0.2105	-0.1605	0.014	0.0001539	-1.675	-1.3	R 50x40	Vigone FeB22k LC2
p.1	0.2105	-0.1605	0.014	0.0001539	-1.675	-1.3	R 50x40	Vigone FeB22k LC2
p.1	0.2105	0.1605	0.014	0.0001539	-1.675	-1.3	R 50x40	Vigone FeB22k LC2
p.1	-0.2105	0.1605	0.014	0.0001539	-1.675	-1.3	R 50x40	Vigone FeB22k LC2
p.1	0	-0.162	0.014	0.0001539	-1.675	-1.3	R 50x40	Vigone FeB22k LC2
p.1	0	0.162	0.014	0.0001539	-1.675	-1.3	R 50x40	Vigone FeB22k LC2
p.1	-0.212	0	0.014	0.0001539	-1.675	-1.3	R 50x40	Vigone FeB22k LC2
p.1	0.212	0	0.014	0.0001539	-1.675	-1.3	R 50x40	Vigone FeB22k LC2
p.2	-0.2105	-0.1605	0.014	0.0001539	-1.3	2.92	R 50x40	Vigone FeB22k LC2
p.2	0.2105	-0.1605	0.014	0.0001539	-1.3	2.92	R 50x40	Vigone FeB22k LC2
p.2	0.2105	0.1605	0.014	0.0001539	-1.3	2.92	R 50x40	Vigone FeB22k LC2
p.2	-0.2105	0.1605	0.014	0.0001539	-1.3	2.92	R 50x40	Vigone FeB22k LC2
p.2	0	-0.162	0.014	0.0001539	-1.3	2.92	R 50x40	Vigone FeB22k LC2
p.2	0	0.162	0.014	0.0001539	-1.3	2.92	R 50x40	Vigone FeB22k LC2
p.2	-0.212	0	0.014	0.0001539	-1.3	2.92	R 50x40	Vigone FeB22k LC2
p.2	0.212	0	0.014	0.0001539	-1.3	2.92	R 50x40	Vigone FeB22k LC2
p.3	-0.2105	-0.1605	0.014	0.0001539	2.92	5.95	R 50x40	Vigone FeB22k LC2
p.3	0.2105	-0.1605	0.014	0.0001539	2.92	5.95	R 50x40	Vigone FeB22k LC2
p.3	0.2105	0.1605	0.014	0.0001539	2.92	5.95	R 50x40	Vigone FeB22k LC2
p.3	-0.2105	0.1605	0.014	0.0001539	2.92	5.95	R 50x40	Vigone FeB22k LC2

Quota	Molt.	TR	I.R.TR	PGA	I.R.PGA	Comb.	Ver.
-0.62	1.27	1887	1.326	0.247	1.235	SLV 10	Si
-0.4	1.26	1846	1.314	0.245	1.227	SLV 10	Si
-0.09	1.273	1905	1.331	0.247	1.239	SLV 10	Si
0.22	1.277	1921	1.335	0.248	1.242	SLV 10	Si
0.53	1.271	1896	1.328	0.247	1.237	SLV 10	Si
0.84	1.272	1900	1.329	0.247	1.238	SLV 10	Si
1.15	1.227	1709	1.273	0.239	1.198	SLV 9	Si
1.46	1.181	1530	1.216	0.231	1.158	SLV 9	Si
1.77	1.129	1344	1.153	0.222	1.114	SLV 9	Si
2.08	1.074	1164	1.087	0.213	1.065	SLV 9	Si
2.39	1.02	1000	1.022	0.203	1.017	SLV 9	Si
2.7	0.965	863	0.962	0.193	0.968	SLV 9	No
2.92	0.729	384	0.69	0.146	0.73	SLV 13	No
3.22	0.968	870	0.965	0.194	0.971	SLV 8	No
3.53	1.252	1813	1.304	0.244	1.22	SLV 8	Si
3.83	1.586	2114	1.389	0.255	1.279	SLV 12	Si
4.13	1.852	2114	1.389	0.255	1.279	SLV 12	Si
4.44	1.861	2114	1.389	0.255	1.279	SLV 9	Si
4.74	1.133	1407	1.175	0.225	1.129	SLV 13	Si
5.04	0.798	491	0.763	0.159	0.799	SLV 13	No
5.34	0.615	244	0.573	0.123	0.616	SLV 13	No
5.65	0.501	144	0.462	0.1	0.499	SLV 13	No
5.95	0.423	96	0.391	0.084	0.422	SLV 13	No

Indicatori di rischio sismico a pressoflessione in SLD Resistenza

Quota	Molt.	TR	I.R.TR	PGA	I.R.PGA	Comb.	Ver.
-1.3	3.089	1738	3.211	0.241	2.795	SLD 10	Si
-0.96	3.098	1753	3.222	0.241	2.802	SLD 10	Si
-0.62	3.104	1762	3.229	0.242	2.807	SLD 10	Si
-0.4	3.074	1715	3.194	0.24	2.783	SLD 10	Si
-0.09	3.121	1791	3.251	0.243	2.821	SLD 10	Si
0.22	3.145	1830	3.28	0.244	2.84	SLD 10	Si
0.53	3.139	1820	3.272	0.244	2.835	SLD 10	Si
0.84	3.147	1835	3.283	0.245	2.842	SLD 10	Si
1.15	3.033	1649	3.143	0.237	2.75	SLD 9	Si
1.46	2.916	1472	3	0.229	2.656	SLD 9	Si
1.77	2.781	1283	2.835	0.219	2.547	SLD 9	Si
2.08	2.644	1107	2.669	0.21	2.435	SLD 9	Si
2.39	2.5	945	2.501	0.199	2.317	SLD 9	Si
2.7	2.362	814	2.353	0.19	2.202	SLD 9	Si
2.92	1.697	391	1.742	0.147	1.703	SLD 13	Si
3.22	2.286	914	2.467	0.197	2.291	SLD 13	Si
3.53	3.06	1691	3.175	0.239	2.772	SLD 8	Si
3.83	3.883	2110	3.477	0.255	2.966	SLD 12	Si
4.13	4.521	2110	3.477	0.255	2.966	SLD 12	Si
4.44	4.524	2110	3.477	0.255	2.966	SLD 13	Si
4.74	2.641	1437	2.97	0.227	2.637	SLD 13	Si
5.04	1.859	501	1.928	0.161	1.865	SLD 13	Si
5.34	1.436	250	1.45	0.124	1.441	SLD 13	Si
5.65	1.168	147	1.166	0.1	1.167	SLD 13	Si
5.95	0.986	97	0.984	0.085	0.983	SLD 13	No

Verifica a taglio in famiglia SLU

Quota	Staffe	Direzione X								Direzione Y							Verifica	
		V	N	Comb.	VRd	VRsd	VRcd	Cot	c.s.	V	N	Comb.	VRd	VRsd	VRcd	Cot		c.s.
-1.3	2X/2Y ø6/25	-0.59	-	SLU 12	84.29	81.14	238.84	2.5	143.69	-4.67	-	SLU 17	86.18	63.58	233.92	2.5	18.44	Si
-0.96	2X/2Y ø6/25	-0.59	476.98	SLU 12	84.29	81.14	238.84	2.5	143.69	-4.67	544.68	SLU 17	86.18	63.58	233.92	2.5	18.44	Si
-0.62	2X/2Y ø6/25	-0.59	-474.8	SLU 12	84.29	81.14	238.84	2.5	143.69	-4.67	-540.3	SLU 17	86.18	63.58	233.92	2.5	18.44	Si
-0.4	2X/2Y ø6/25	1.16	472.61	SLU 13	84.29	81.14	238.84	2.5	72.4	6.31	-	SLU 18	86.18	63.58	213.36	2.5	13.66	Si
-0.09	2X/2Y ø6/25	1.16	634.26	SLU 13	84.29	81.14	238.84	2.5	72.4	6.31	724.88	SLU 18	86.18	63.58	214.06	2.5	13.66	Si
0.22	2X/2Y ø6/25	1.16	632.28	SLU 13	84.29	81.14	238.84	2.5	72.4	6.31	-722.9	SLU 18	86.18	63.58	214.76	2.5	13.66	Si
0.53	2X/2Y ø6/25	1.16	630.26	SLU 13	84.29	81.14	238.84	2.5	72.4	6.31	720.89	SLU 18	86.18	63.58	215.47	2.5	13.66	Si
0.84	2X/2Y ø6/25	1.16	628.25	SLU 13	84.29	81.14	238.84	2.5	72.4	6.31	718.87	SLU 18	86.18	63.58	216.18	2.5	13.66	Si
1.15	2X/2Y ø6/25	1.16	626.23	SLU 13	84.29	81.14	238.84	2.5	72.4	6.31	716.86	SLU 18	86.18	63.58	216.89	2.5	13.66	Si
1.46	2X/2Y ø6/25	1.16	624.22	SLU 13	84.29	81.14	238.84	2.5	72.4	6.31	714.84	SLU 18	86.18	63.58	217.59	2.5	13.66	Si
1.77	2X/2Y ø6/25	1.16	-622.2	SLU 13	84.29	81.14	238.84	2.5	72.4	6.31	-	SLU 18	86.18	63.58	218.3	2.5	13.66	Si
2.08	2X/2Y ø6/25	1.16	620.19	SLU 13	84.29	81.14	238.84	2.5	72.4	6.31	712.83	SLU 18	86.18	63.58	219.01	2.5	13.66	Si
2.39	2X/2Y ø6/25	1.16	618.17	SLU 13	84.29	81.14	238.84	2.5	72.4	6.31	710.81	SLU 18	86.18	63.58	219.71	2.5	13.66	Si
2.7	2X/2Y ø6/25	1.16	616.16	SLU 13	84.29	81.14	238.84	2.5	72.4	6.31	-708.8	SLU 18	86.18	63.58	220.41	2.5	13.66	Si
2.92	2X/2Y ø6/23.3	-0.86	614.18	SLU 13	84.29	87.03	238.84	2.5	101.12	4.5	706.78	SLU 17	86.18	68.19	233.92	2.5	19.15	Si
3.22	2X/2Y ø6/23.3	-0.86	511.78	SLU 13	84.29	87.03	238.84	2.5	101.12	4.5	-704.8	SLU 17	86.18	68.19	233.92	2.5	19.15	Si
3.53	2X/2Y ø6/23.3	-0.86	509.87	SLU 13	84.29	87.03	238.84	2.5	101.12	4.5	576.33	SLU 17	86.18	68.19	233.92	2.5	19.15	Si
3.83	2X/2Y ø6/23.3	-0.86	507.91	SLU 13	84.29	87.03	238.84	2.5	101.12	4.5	574.42	SLU 17	86.18	68.19	233.92	2.5	19.15	Si
4.13	2X/2Y ø6/23.3	-0.86	505.93	SLU 13	84.29	87.03	238.84	2.5	101.12	4.5	572.46	SLU 17	86.18	68.19	233.92	2.5	19.15	Si
4.44	2X/2Y ø6/23.3	-0.86	503.96	SLU 13	84.29	87.03	238.84	2.5	101.12	4.5	570.48	SLU 17	86.18	68.19	233.92	2.5	19.15	Si
4.74	2X/2Y ø6/23.3	-0.86	501.99	SLU 13	84.29	87.03	238.84	2.5	101.12	4.5	568.51	SLU 17	86.18	68.19	233.92	2.5	19.15	Si
5.04	2X/2Y ø6/23.3	-0.86	500.02	SLU 13	84.29	87.03	238.84	2.5	101.12	4.5	566.54	SLU 17	86.18	68.19	233.92	2.5	19.15	Si
5.34	2X/2Y ø6/23.3	-0.86	498.06	SLU 13	84.29	87.03	238.84	2.5	101.12	4.5	564.57	SLU 17	86.18	68.19	233.92	2.5	19.15	Si
5.65	2X/2Y ø6/23.3	-0.86	496.09	SLU 13	84.29	87.03	238.84	2.5	101.12	4.5	562.61	SLU 17	86.18	68.19	233.92	2.5	19.15	Si
			494.12	SLU 13	84.29	87.03	238.84	2.5	101.12	4.5	560.64	SLU 17	86.18	68.19	233.92	2.5	19.15	Si
											558.67							

Quota	Staffe	Direzione X									Direzione Y									Verifica
		V	N	Comb.	VRd	VRsd	VRcd	Cot	c.s.	V	N	Comb.	VRd	VRsd	VRcd	Cot	c.s.			
5.34	2X/2Y ø6/23.3	68.62	-	SLD 13	91.2	87.03	236.44	2.5	1.33	12.38	-	SLD 12	95.98	68.19	233.92	2.5	7.75	Si		
5.65	2X/2Y ø6/23.3	68.62	-	SLD 13	90.99	87.03	236.22	2.5	1.33	12.38	338.71	SLD 12	95.77	68.19	233.92	2.5	7.74	Si		
5.95	2X/2Y ø6/23.3	68.62	-	SLD 13	90.79	87.03	236.01	2.5	1.32	12.38	337.19	SLD 12	95.57	68.19	233.92	2.5	7.72	Si		
			316.42																	
			314.91																	
			313.42																	

Indicatori di rischio sismico a taglio in SLV

Quota	Molt.	TR	I.R.TR	PGA	I.R.PGA	Comb.	Verifica
-1.3	7.453	2114	1.389	0.255	1.279	SLV 14	Si
-0.96	7.453	2114	1.389	0.255	1.279	SLV 14	Si
-0.62	7.453	2114	1.389	0.255	1.279	SLV 14	Si
-0.4	3.344	2114	1.389	0.255	1.279	SLV 7	Si
-0.09	3.344	2114	1.389	0.255	1.279	SLV 7	Si
0.22	3.344	2114	1.389	0.255	1.279	SLV 7	Si
0.53	3.344	2114	1.389	0.255	1.279	SLV 7	Si
0.84	3.344	2114	1.389	0.255	1.279	SLV 7	Si
1.15	3.344	2114	1.389	0.255	1.279	SLV 7	Si
1.46	3.344	2114	1.389	0.255	1.279	SLV 7	Si
1.77	3.344	2114	1.389	0.255	1.279	SLV 7	Si
2.08	3.344	2114	1.389	0.255	1.279	SLV 7	Si
2.39	3.344	2114	1.389	0.255	1.279	SLV 7	Si
2.7	3.344	2114	1.389	0.255	1.279	SLV 7	Si
2.92	0.539	173	0.498	0.107	0.538	SLV 4	No
3.22	0.539	173	0.498	0.107	0.538	SLV 4	No
3.53	0.539	173	0.498	0.107	0.538	SLV 4	No
3.83	0.539	173	0.498	0.107	0.538	SLV 4	No
4.13	0.539	173	0.498	0.107	0.538	SLV 4	No
4.44	0.539	173	0.498	0.107	0.538	SLV 4	No
4.74	0.539	173	0.498	0.107	0.538	SLV 4	No
5.04	0.539	173	0.498	0.107	0.538	SLV 4	No
5.34	0.539	173	0.498	0.107	0.538	SLV 4	No
5.65	0.539	173	0.498	0.107	0.538	SLV 4	No
5.95	0.539	173	0.498	0.107	0.538	SLV 4	No

Indicatori di rischio sismico a taglio in SLD Resistenza

Quota	Molt.	TR	I.R.TR	PGA	I.R.PGA	Comb.	Verifica
-1.3	17.257	2110	3.477	0.255	2.966	SLD 14	Si
-0.96	17.257	2110	3.477	0.255	2.966	SLD 14	Si
-0.62	17.257	2110	3.477	0.255	2.966	SLD 14	Si
-0.4	8.983	2110	3.477	0.255	2.966	SLD 10	Si
-0.09	8.969	2110	3.477	0.255	2.966	SLD 10	Si
0.22	8.954	2110	3.477	0.255	2.966	SLD 10	Si
0.53	8.939	2110	3.477	0.255	2.966	SLD 10	Si
0.84	8.925	2110	3.477	0.255	2.966	SLD 10	Si
1.15	8.91	2110	3.477	0.255	2.966	SLD 10	Si
1.46	8.881	2110	3.477	0.255	2.966	SLD 10	Si
1.77	8.866	2110	3.477	0.255	2.966	SLD 10	Si
2.08	8.852	2110	3.477	0.255	2.966	SLD 10	Si
2.39	8.837	2110	3.477	0.255	2.966	SLD 10	Si
2.7	8.822	2110	3.477	0.255	2.966	SLD 10	Si
2.92	1.344	209	1.347	0.116	1.347	SLD 13	Si
3.22	1.34	208	1.345	0.116	1.345	SLD 13	Si
3.53	1.338	207	1.342	0.116	1.343	SLD 13	Si
3.83	1.336	206	1.339	0.115	1.34	SLD 13	Si
4.13	1.332	204	1.334	0.115	1.335	SLD 13	Si
4.44	1.328	203	1.331	0.115	1.333	SLD 13	Si
4.74	1.326	202	1.329	0.115	1.33	SLD 13	Si
5.04	1.324	201	1.326	0.114	1.328	SLD 13	Si
5.34	1.32	200	1.323	0.114	1.325	SLD 13	Si
5.65	1.316	198	1.318	0.114	1.32	SLD 13	Si
5.95	1.314	197	1.315	0.113	1.317	SLD 13	Si

Verifiche nodi trave colonna

Riepilogo dei dati per le diverse tipologie di verifica eseguite per i nodi

Pilastrata	Q.Nodo	Escluso	Confinato	Segnalazioni
Pilastrata P21	-1.675	Si	No	
Pilastrata P21	-0.51	No	No	non tutte le travature convergenti al nodo sono calcolate/validate
Pilastrata P21	2.81	No	No	
Pilastrata P21	6.5	No	No	non tutte le travature convergenti al nodo sono calcolate/validate

Verifiche nodi trave colonna in combinazioni SLD

Riepilogo dei dati per la verifica del nodo secondo Circolare 7 21-01-19 §C8.7.2.3.5.

Pilastrata	Q.Nodo	Angolo travatura	Aj	Vpc	Vtc	Vnc	Nc	onc	onc,lim	Comb.c	Vpt	Vtt	Vnt	Nt	ont	ont,lim	Comb.t	Segnalazioni	Verifica
Pilastrata P21	-0.51	0	0	0	0	0	0	0	0	0	0	0	0	0	0	0		Trave non calcolata	Si
	-0.51	180	0	0	0	0	0	0	0	0	0	0	0	0	0	0		Trave non calcolata	Si

Verifiche nodi trave colonna in combinazioni SLD

Riepilogo dei dati per la verifica del nodo secondo Circolare 7 21-01-19 §C8.7.2.3.5.

Pilastrata	Q.Nodo	Angolo travatura	Aj	Vpc	Vtc	Vnc	Nc	onc	onc,lim	Comb.c	Vpt	Vtt	Vnt	Nt	ont	ont,lim	Comb.t	Segnalazioni	Verifica
Pilastrata P21	2.81	0	0.2544	-	257.451	188.064	-	1699	3919	SLD 4	-	259.867	191.246	-	345	840	SLD 13		Si
	2.81	180	0.2544	-	257.451	188.064	-	1699	3919	SLD 4	68.622	259.867	191.246	-	345	840	SLD 13		Si

Verifiche nodi trave colonna in combinazioni SLD

Riepilogo dei dati per la verifica del nodo secondo Circolare 7 21-01-19 §C8.7.2.3.5.

Pilastrata	Q.Nodo	Angolo travatura	Aj	Vpc	Vtc	Vnc	Nc	onc	onc,lim	Comb.c	Vpt	Vtt	Vnt	Nt	ont	ont,lim	Comb.t	Segnalazioni	Verifica
Pilastrata P21	6.5	0	0.1696	0	254.824	254.824	0	1503	3919	SLD 13	0	254.824	254.824	0	1503	840	SLD 13		No
	6.5	90	0	0	0	0	0	0	0		0	0	0	0	0	0		Trave non calcolata	Si
	6.5	180	0.1696	0	254.824	254.824	0	1503	3919	SLD 13	0	254.824	254.824	0	1503	840	SLD 13		No

Verifiche nodi trave colonna in combinazioni SLV**Riepilogo dei dati per la verifica del nodo secondo Circolare 7 21-01-19 §C8.7.2.3.5.**

Pilastrata	Q.Nodo	Angolo travatura	Aj	Vpc	Vtc	Vnc	Nc	σnc	σnc,lim	Comb.c	Vpt	Vtt	Vnt	Nt	σnt	σnt,lim	Comb.t	Segnalazioni	Verifica
Pilastrata P21	-0.51	0	0	0	0	0	0	0	0		0	0	0	0	0	0		Trave non calcolata	Si
	-0.51	180	0	0	0	0	0	0	0		0	0	0	0	0	0		Trave non calcolata	Si

Verifiche nodi trave colonna in combinazioni SLV**Riepilogo dei dati per la verifica del nodo secondo Circolare 7 21-01-19 §C8.7.2.3.5.**

Pilastrata	Q.Nodo	Angolo travatura	Aj	Vpc	Vtc	Vnc	Nc	σnc	σnc,lim	Comb.c	Vpt	Vtt	Vnt	Nt	σnt	σnt,lim	Comb.t	Segnalazioni	Verifica
Pilastrata P21	2.81	0	0.2544	-	618.538	457.301	-	2654	3919	SLV 4	-	615.473	455.003	-	1276	840	SLV 13		No
	2.81	180	0.2544	161.236	618.538	457.301	365.555	2654	3919	SLV 4	160.47	615.473	455.003	313.435	1276	840	SLV 13		No
				161.236							160.47								

Verifiche nodi trave colonna in combinazioni SLV**Riepilogo dei dati per la verifica del nodo secondo Circolare 7 21-01-19 §C8.7.2.3.5.**

Pilastrata	Q.Nodo	Angolo travatura	Aj	Vpc	Vtc	Vnc	Nc	σnc	σnc,lim	Comb.c	Vpt	Vtt	Vnt	Nt	σnt	σnt,lim	Comb.t	Segnalazioni	Verifica
Pilastrata P21	6.5	0	0.1696	0	429.426	429.426	0	2532	3919	SLV 16	0	429.426	429.426	0	2532	840	SLV 16		No
	6.5	90	0	0	0	0	0	0	0		0	0	0	0	0	0		Trave non calcolata	Si
	6.5	180	0.1696	0	429.426	429.426	0	2532	3919	SLV 16	0	429.426	429.426	0	2532	840	SLV 16		No

Indicatori di rischio sismico dei nodi in SLD

Pilastrata	Q.Nodo	Angolo travatura	Moltiplicatore	TR	I.R.TR	PGA	I.R.PGA	Comb.	Ver.
Pilastrata P21	2.81	0	1.754	427	1.806	0.152	1.76	SLD 13	Si
	2.81	180	1.754	427	1.806	0.152	1.76	SLD 13	Si

Indicatori di rischio sismico dei nodi in SLD

Pilastrata	Q.Nodo	Angolo travatura	Moltiplicatore	TR	I.R.TR	PGA	I.R.PGA	Comb.	Ver.
Pilastrata P21	6.5	0	0.711	47	0.731	0.061	0.71	SLD 13	No
	6.5	180	0.711	47	0.731	0.061	0.71	SLD 13	No

Indicatori di rischio sismico dei nodi in SLV

Pilastrata	Q.Nodo	Angolo travatura	Moltiplicatore	TR	I.R.TR	PGA	I.R.PGA	Comb.	Ver.
Pilastrata P21	2.81	0	0.753	419	0.715	0.15	0.754	SLV 13	No
	2.81	180	0.753	419	0.715	0.15	0.754	SLV 13	No

Indicatori di rischio sismico dei nodi in SLV

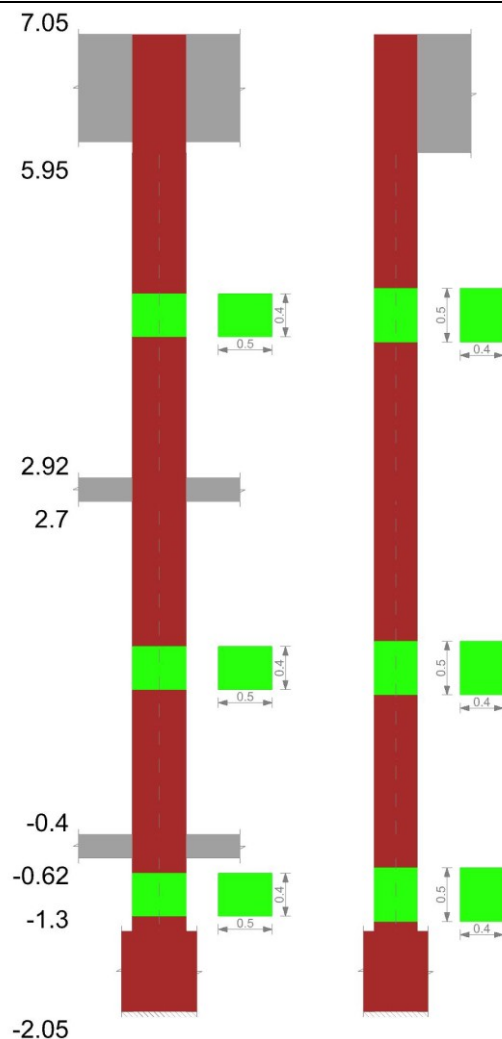
Pilastrata	Q.Nodo	Angolo travatura	Moltiplicatore	TR	I.R.TR	PGA	I.R.PGA	Comb.	Ver.
Pilastrata P21	6.5	0	0.387	94	0.388	0.084	0.418	SLV 9	No
	6.5	180	0.387	94	0.388	0.084	0.418	SLV 9	No

Verifiche di gerarchia delle resistenze nei nodi trave pilastro

Verifiche di gerarchia delle resistenze nei nodi trave pilastro non presenti in quanto la verifica è non necessaria per la pilastrata per il nodo Appoggio 6.5 in quanto elemento di materiale esistente.
per il nodo Appoggio -0.51 in quanto elemento di materiale esistente.
per il nodo Appoggio 2.81 in quanto elemento di materiale esistente.
per il nodo Appoggio -1.675 in quanto elemento di materiale esistente.

Pilastrata P22

Geometria



Dati della pilastrata

Analisi di edificio esistente con fattore di struttura.

Fattore di struttura per meccanismi duttili in direzione X: 1.5

Fattore di struttura per meccanismi duttili in direzione Y: 1.5

Fattore di struttura per meccanismi fragili in direzione X: 1

Fattore di struttura per meccanismi fragili in direzione Y: 1

Verifica dei meccanismi fragili condotta secondo Circolare 7 21-01-19 (§C8.7.2.2) Analisi lineare con fattore q.

Fattore di amplificazione dei meccanismi fragili della componente sismica in direzione X: 1

Fattore di amplificazione dei meccanismi fragili della componente sismica in direzione Y: 1

Campate costituenti la pilastrata

Q.inf.	Q.sup.	Sezione	Esistente	Secondaria	Dissipativa	Interna a parete	Sovreresistenza	Materiale CLS	Materiale Acciaio	FC
-1.3	-0.62	R 50x40	Si	No	No	No		C14/17 LC2 Vigone A	Vigone_FeB22k_LC2_FC = 1.2; Vigone_FeB44k_Staffe_LC2_FC = 1.2	1.2
-0.4	2.7	R 50x40	Si	No	No	No		C14/17 LC2 Vigone A	Vigone_FeB22k_LC2_FC = 1.2; Vigone_FeB44k_Staffe_LC2_FC = 1.2	1.2
2.92	5.95	R 50x40	Si	No	No	No		C14/17 LC2 Vigone A	Vigone_FeB22k_LC2_FC = 1.2; Vigone_FeB44k_Staffe_LC2_FC = 1.2	1.2

Disposizione delle armature longitudinali

Posizione	X	Y	Diametro	Area	Q.inf.	Q.sup.	Sezione	Materiale
p.1	-0.2105	-0.1605	0.014	0.0001539	-1.675	-1.3	R 50x40	Vigone FeB22k LC2
p.1	0.2105	-0.1605	0.014	0.0001539	-1.675	-1.3	R 50x40	Vigone FeB22k LC2
p.1	0.2105	0.1605	0.014	0.0001539	-1.675	-1.3	R 50x40	Vigone FeB22k LC2
p.1	-0.2105	0.1605	0.014	0.0001539	-1.675	-1.3	R 50x40	Vigone FeB22k LC2
p.1	0	-0.162	0.014	0.0001539	-1.675	-1.3	R 50x40	Vigone FeB22k LC2
p.1	0	0.162	0.014	0.0001539	-1.675	-1.3	R 50x40	Vigone FeB22k LC2
p.1	-0.212	0	0.014	0.0001539	-1.675	-1.3	R 50x40	Vigone FeB22k LC2
p.1	0.212	0	0.014	0.0001539	-1.675	-1.3	R 50x40	Vigone FeB22k LC2
p.2	-0.2105	-0.1605	0.014	0.0001539	-1.3	2.92	R 50x40	Vigone FeB22k LC2
p.2	0.2105	-0.1605	0.014	0.0001539	-1.3	2.92	R 50x40	Vigone FeB22k LC2
p.2	0.2105	0.1605	0.014	0.0001539	-1.3	2.92	R 50x40	Vigone FeB22k LC2
p.2	-0.2105	0.1605	0.014	0.0001539	-1.3	2.92	R 50x40	Vigone FeB22k LC2
p.2	0	-0.162	0.014	0.0001539	-1.3	2.92	R 50x40	Vigone FeB22k LC2
p.2	0	0.162	0.014	0.0001539	-1.3	2.92	R 50x40	Vigone FeB22k LC2
p.2	-0.212	0	0.014	0.0001539	-1.3	2.92	R 50x40	Vigone FeB22k LC2
p.2	0.212	0	0.014	0.0001539	-1.3	2.92	R 50x40	Vigone FeB22k LC2
p.3	-0.2105	-0.1605	0.014	0.0001539	2.92	5.95	R 50x40	Vigone FeB22k LC2
p.3	0.2105	-0.1605	0.014	0.0001539	2.92	5.95	R 50x40	Vigone FeB22k LC2
p.3	0.2105	0.1605	0.014	0.0001539	2.92	5.95	R 50x40	Vigone FeB22k LC2
p.3	-0.2105	0.1605	0.014	0.0001539	2.92	5.95	R 50x40	Vigone FeB22k LC2

Quota	Molt.	TR	I.R.TR	PGA	I.R.PGA	Comb.	Ver.
-0.62	1.029	1028	1.033	0.205	1.026	SLV 10	Si
-0.4	0.925	771	0.918	0.186	0.932	SLV 7	No
-0.09	0.99	924	0.989	0.198	0.991	SLV 7	No
0.22	1.063	1127	1.073	0.211	1.055	SLV 7	Si
0.53	1.139	1378	1.165	0.224	1.122	SLV 7	Si
0.84	1.219	1677	1.263	0.238	1.192	SLV 7	Si
1.15	1.293	1989	1.354	0.251	1.255	SLV 8	Si
1.46	1.33	2114	1.389	0.255	1.279	SLV 8	Si
1.77	1.305	2114	1.389	0.255	1.279	SLV 4	Si
2.08	1.223	1794	1.298	0.243	1.216	SLV 4	Si
2.39	1.132	1403	1.174	0.225	1.128	SLV 4	Si
2.7	1.047	1094	1.06	0.209	1.046	SLV 4	Si
2.92	0.564	194	0.522	0.113	0.564	SLV 13	No
3.22	0.779	460	0.743	0.156	0.781	SLV 13	No
3.53	1.188	1635	1.25	0.236	1.182	SLV 16	Si
3.83	1.4	2114	1.389	0.255	1.279	SLV 12	Si
4.13	1.545	2114	1.389	0.255	1.279	SLV 12	Si
4.44	1.729	2114	1.389	0.255	1.279	SLV 16	Si
4.74	1.061	1141	1.078	0.211	1.059	SLV 4	Si
5.04	0.766	438	0.728	0.153	0.766	SLV 4	No
5.34	0.568	198	0.526	0.114	0.569	SLV 13	No
5.65	0.441	106	0.407	0.088	0.44	SLV 13	No
5.95	0.356	65	0.333	0.071	0.357	SLV 13	No

Indicatori di rischio sismico a pressoflessione in SLD Resistenza

Quota	Molt.	TR	I.R.TR	PGA	I.R.PGA	Comb.	Ver.
-1.3	2.562	1010	2.57	0.204	2.368	SLD 10	Si
-0.96	2.535	981	2.54	0.202	2.346	SLD 10	Si
-0.62	2.509	954	2.511	0.2	2.325	SLD 10	Si
-0.4	2.263	726	2.245	0.182	2.117	SLD 7	Si
-0.09	2.43	877	2.426	0.194	2.258	SLD 7	Si
0.22	2.614	1072	2.634	0.208	2.411	SLD 7	Si
0.53	2.805	1315	2.864	0.221	2.566	SLD 7	Si
0.84	3.004	1603	3.106	0.235	2.727	SLD 7	Si
1.15	3.188	1905	3.334	0.247	2.874	SLD 8	Si
1.46	3.197	2110	3.477	0.255	2.966	SLD 4	Si
1.77	3.036	2110	3.477	0.255	2.966	SLD 4	Si
2.08	2.84	1812	3.266	0.244	2.831	SLD 4	Si
2.39	2.629	1417	2.953	0.226	2.626	SLD 4	Si
2.7	2.43	1103	2.665	0.209	2.432	SLD 4	Si
2.92	1.309	195	1.31	0.113	1.311	SLD 13	Si
3.22	1.809	463	1.867	0.156	1.814	SLD 13	Si
3.53	2.755	1645	3.139	0.237	2.748	SLD 16	Si
3.83	3.388	2110	3.477	0.255	2.966	SLD 12	Si
4.13	3.742	2110	3.477	0.255	2.966	SLD 12	Si
4.44	4.035	2110	3.477	0.255	2.966	SLD 16	Si
4.74	2.471	1163	2.723	0.213	2.472	SLD 4	Si
5.04	1.783	446	1.838	0.154	1.789	SLD 4	Si
5.34	1.32	200	1.323	0.114	1.325	SLD 13	Si
5.65	1.023	106	1.02	0.088	1.02	SLD 13	Si
5.95	0.827	66	0.84	0.072	0.833	SLD 13	No

Verifica a taglio in famiglia SLU

Quota	Staffe	Direzione X									Direzione Y						Verifica			
		V	N	Comb.	VRd	VRsd	VRcd	Cot	c.s.	V	N	Comb.	VRd	VRsd	VRcd	Cot		c.s.		
-1.3	2X/2Y ø6/25	-7.27	-	394.72	SLU 17	84.29	81.14	238.84	2.5	11.6	4.43	-	394.72	SLU 17	86.18	63.58	233.92	2.5	19.43	Si
-0.96	2X/2Y ø6/25	-7.27	-	392.53	SLU 17	84.29	81.14	238.84	2.5	11.6	4.43	-	392.53	SLU 17	86.18	63.58	233.92	2.5	19.43	Si
-0.62	2X/2Y ø6/25	-7.27	-	390.34	SLU 17	84.29	81.14	238.84	2.5	11.6	4.43	-	390.34	SLU 17	86.18	63.58	233.92	2.5	19.43	Si
-0.4	2X/2Y ø6/25	7.59	-	510.54	SLU 18	84.29	81.14	238.84	2.5	11.11	3.98	-	510.54	SLU 18	86.18	63.58	233.92	2.5	21.64	Si
-0.09	2X/2Y ø6/25	7.59	-	508.56	SLU 18	84.29	81.14	238.84	2.5	11.11	3.98	-	508.56	SLU 18	86.18	63.58	233.92	2.5	21.64	Si
0.22	2X/2Y ø6/25	7.59	-	506.54	SLU 18	84.29	81.14	238.84	2.5	11.11	3.98	-	506.54	SLU 18	86.18	63.58	233.92	2.5	21.64	Si
0.53	2X/2Y ø6/25	7.59	-	504.53	SLU 18	84.29	81.14	238.84	2.5	11.11	3.98	-	504.53	SLU 18	86.18	63.58	233.92	2.5	21.64	Si
0.84	2X/2Y ø6/25	7.59	-	502.51	SLU 18	84.29	81.14	238.84	2.5	11.11	3.98	-	502.51	SLU 18	86.18	63.58	233.92	2.5	21.64	Si
1.15	2X/2Y ø6/25	7.59	-	500.5	SLU 18	84.29	81.14	238.84	2.5	11.11	3.98	-	500.5	SLU 18	86.18	63.58	233.92	2.5	21.64	Si
1.46	2X/2Y ø6/25	7.59	-	498.48	SLU 18	84.29	81.14	238.84	2.5	11.11	3.98	-	498.48	SLU 18	86.18	63.58	233.92	2.5	21.64	Si
1.77	2X/2Y ø6/25	7.59	-	496.47	SLU 18	84.29	81.14	238.84	2.5	11.11	3.98	-	496.47	SLU 18	86.18	63.58	233.92	2.5	21.64	Si
2.08	2X/2Y ø6/25	7.59	-	494.45	SLU 18	84.29	81.14	238.84	2.5	11.11	3.98	-	494.45	SLU 18	86.18	63.58	233.92	2.5	21.64	Si
2.39	2X/2Y ø6/25	7.59	-	492.44	SLU 18	84.29	81.14	238.84	2.5	11.11	3.98	-	492.44	SLU 18	86.18	63.58	233.92	2.5	21.64	Si
2.7	2X/2Y ø6/25	7.59	-	490.45	SLU 18	84.29	81.14	238.84	2.5	11.11	3.98	-	490.45	SLU 18	86.18	63.58	233.92	2.5	21.64	Si
2.92	2X/2Y ø6/23.3	16.24	-	393.35	SLU 18	84.29	87.03	238.84	2.5	5.36	3.59	-	393.35	SLU 18	86.18	68.19	233.92	2.5	24.02	Si
3.22	2X/2Y ø6/23.3	16.24	-	391.44	SLU 18	84.29	87.03	238.84	2.5	5.36	3.59	-	391.44	SLU 18	86.18	68.19	233.92	2.5	24.02	Si
3.53	2X/2Y ø6/23.3	16.24	-	389.48	SLU 18	84.29	87.03	238.84	2.5	5.36	3.59	-	389.48	SLU 18	86.18	68.19	233.92	2.5	24.02	Si
3.83	2X/2Y ø6/23.3	16.24	-	387.5	SLU 18	84.29	87.03	238.84	2.5	5.36	3.59	-	387.5	SLU 18	86.18	68.19	233.92	2.5	24.02	Si
4.13	2X/2Y ø6/23.3	16.24	-	385.53	SLU 18	84.29	87.03	238.84	2.5	5.36	3.59	-	385.53	SLU 18	86.18	68.19	233.92	2.5	24.02	Si
4.44	2X/2Y ø6/23.3	16.24	-	383.56	SLU 18	84.29	87.03	238.84	2.5	5.36	3.59	-	383.56	SLU 18	86.18	68.19	233.92	2.5	24.02	Si
4.74	2X/2Y ø6/23.3	16.24	-	381.59	SLU 18	84.29	87.03	238.84	2.5	5.36	3.59	-	381.59	SLU 18	86.18	68.19	233.92	2.5	24.02	Si
5.04	2X/2Y ø6/23.3	16.24	-	379.62	SLU 18	84.29	87.03	238.84	2.5	5.36	3.59	-	379.62	SLU 18	86.18	68.19	233.92	2.5	24.02	Si
5.34	2X/2Y ø6/23.3	16.24	-	377.65	SLU 18	84.29	87.03	238.84	2.5	5.36	3.59	-	377.65	SLU 18	86.18	68.19	233.92	2.5	24.02	Si
5.65	2X/2Y ø6/23.3	16.24	-	375.68	SLU 18	84.29	87.03	238.84	2.5	5.36	3.59	-	375.68	SLU 18	86.18	68.19	233.92	2.5	24.02	Si
5.95	2X/2Y ø6/23.3	16.24	-	373.75	SLU 18	84.29	87.03	238.84	2.5	5.36	3.59	-	373.75	SLU 18	86.18	68.19	233.92	2.5	24.02	Si

Quota	Staffe	Direzione X									Direzione Y									Verifica
		V	N	Comb.	VRd	VRsd	VRcd	Cot	c.s.	V	N	Comb.	VRd	VRsd	VRcd	Cot	c.s.			
5.95	2X/2Y ø6/23.3	77.17	-	SLD 13	81.56	87.03	226.46	2.5	1.13	9.98	-	SLD 12	75.17	68.19	213.17	2.5	7.53	Si		
			246.83								185.38									

Indicatori di rischio sismico a taglio in SLV

Quota	Molt.	TR	I.R.TR	PGA	I.R.PGA	Comb.	Verifica
-1.3	12.807	2114	1.389	0.255	1.279	SLV 5	Si
-0.96	12.807	2114	1.389	0.255	1.279	SLV 5	Si
-0.62	12.807	2114	1.389	0.255	1.279	SLV 5	Si
-0.4	2.031	2114	1.389	0.255	1.279	SLV 7	Si
-0.09	2.025	2114	1.389	0.255	1.279	SLV 7	Si
0.22	2.022	2114	1.389	0.255	1.279	SLV 7	Si
0.53	2.017	2114	1.389	0.255	1.279	SLV 7	Si
0.84	2.011	2114	1.389	0.255	1.279	SLV 7	Si
1.15	2.008	2114	1.389	0.255	1.279	SLV 7	Si
1.46	2.002	2114	1.389	0.255	1.279	SLV 7	Si
1.77	1.996	2114	1.389	0.255	1.279	SLV 7	Si
2.08	1.992	2114	1.389	0.255	1.279	SLV 7	Si
2.39	1.988	2114	1.389	0.255	1.279	SLV 7	Si
2.7	1.984	2114	1.389	0.255	1.279	SLV 7	Si
2.92	0.493	139	0.455	0.098	0.492	SLV 13	No
3.22	0.493	139	0.455	0.098	0.492	SLV 13	No
3.53	0.493	139	0.455	0.098	0.492	SLV 13	No
3.83	0.493	139	0.455	0.098	0.492	SLV 13	No
4.13	0.493	139	0.455	0.098	0.492	SLV 13	No
4.44	0.493	139	0.455	0.098	0.492	SLV 13	No
4.74	0.493	139	0.455	0.098	0.492	SLV 13	No
5.04	0.493	139	0.455	0.098	0.492	SLV 13	No
5.34	0.493	139	0.455	0.098	0.492	SLV 13	No
5.65	0.493	139	0.455	0.098	0.492	SLV 13	No
5.95	0.493	139	0.455	0.098	0.492	SLV 13	No

Indicatori di rischio sismico a taglio in SLD Resistenza

Quota	Molt.	TR	I.R.TR	PGA	I.R.PGA	Comb.	Verifica
-1.3	31.637	2110	3.477	0.255	2.966	SLD 5	Si
-0.96	31.637	2110	3.477	0.255	2.966	SLD 5	Si
-0.62	31.637	2110	3.477	0.255	2.966	SLD 5	Si
-0.4	4.862	2110	3.477	0.255	2.966	SLD 7	Si
-0.09	4.849	2110	3.477	0.255	2.966	SLD 7	Si
0.22	4.842	2110	3.477	0.255	2.966	SLD 7	Si
0.53	4.828	2110	3.477	0.255	2.966	SLD 7	Si
0.84	4.814	2110	3.477	0.255	2.966	SLD 7	Si
1.15	4.808	2110	3.477	0.255	2.966	SLD 7	Si
1.46	4.794	2110	3.477	0.255	2.966	SLD 7	Si
1.77	4.78	2110	3.477	0.255	2.966	SLD 7	Si
2.08	4.773	2110	3.477	0.255	2.966	SLD 7	Si
2.39	4.76	2110	3.477	0.255	2.966	SLD 7	Si
2.7	4.746	2110	3.477	0.255	2.966	SLD 7	Si
2.92	1.146	140	1.143	0.098	1.144	SLD 13	Si
3.22	1.146	140	1.143	0.098	1.144	SLD 13	Si
3.53	1.146	140	1.143	0.098	1.144	SLD 13	Si
3.83	1.146	140	1.143	0.098	1.144	SLD 13	Si
4.13	1.146	140	1.143	0.098	1.144	SLD 13	Si
4.44	1.146	140	1.143	0.098	1.144	SLD 13	Si
4.74	1.146	140	1.143	0.098	1.144	SLD 13	Si
5.04	1.146	140	1.143	0.098	1.144	SLD 13	Si
5.34	1.146	140	1.143	0.098	1.144	SLD 13	Si
5.65	1.146	140	1.143	0.098	1.144	SLD 13	Si
5.95	1.146	140	1.143	0.098	1.144	SLD 13	Si

Verifiche nodi trave colonna

Riepilogo dei dati per le diverse tipologie di verifica eseguite per i nodi

Pilastrata	Q.Nodo	Escluso	Confinato	Segnalazioni
Pilastrata P22	-1.675	Si	No	
Pilastrata P22	-0.51	No	No	non tutte le travature convergenti al nodo sono calcolate/validate
Pilastrata P22	2.81	No	No	
Pilastrata P22	6.5	No	No	non tutte le travature convergenti al nodo sono calcolate/validate

Verifiche nodi trave colonna in combinazioni SLD

Riepilogo dei dati per la verifica del nodo secondo Circolare 7 21-01-19 §C8.7.2.3.5.

Pilastrata	Q.Nodo	Angolo travatura	Aj	Vpc	Vtc	Vnc	Nc	onc	onc,lim	Comb.c	Vpt	Vtt	Vnt	Nt	ont	ont,lim	Comb.t	Segnalazioni	Verifica
Pilastrata P22	-0.51	0	0	0	0	0	0	0	0		0	0	0	0	0	0		Trave non calcolata	Si
	-0.51	180	0	0	0	0	0	0	0		0	0	0	0	0	0		Trave non calcolata	Si

Verifiche nodi trave colonna in combinazioni SLD

Riepilogo dei dati per la verifica del nodo secondo Circolare 7 21-01-19 §C8.7.2.3.5.

Pilastrata	Q.Nodo	Angolo travatura	Aj	Vpc	Vtc	Vnc	Nc	onc	onc,lim	Comb.c	Vpt	Vtt	Vnt	Nt	ont	ont,lim	Comb.t	Segnalazioni	Verifica				
Pilastrata P22	2.81	180	0.2544	-	400.788	323.615	-	1887	3919	SLD 13	-	397.399	324.342	-	863	840	SLD 14		No				
	2.81	360	0.2544	77.174	-	400.788	323.615	261.951	-	1887	3919	SLD 13	73.057	-	397.399	324.342	259.979	-	863	840	SLD 14		No
				77.174				261.951					73.057					259.979					

Verifiche nodi trave colonna in combinazioni SLD

Riepilogo dei dati per la verifica del nodo secondo Circolare 7 21-01-19 §C8.7.2.3.5.

Pilastrata	Q.Nodo	Angolo travatura	Aj	Vpc	Vtc	Vnc	Nc	onc	onc,lim	Comb.c	Vpt	Vtt	Vnt	Nt	ont	ont,lim	Comb.t	Segnalazioni	Verifica
Pilastrata P22	6.5	90	0	0	0	0	0	0	0		0	0	0	0	0	0		Trave non calcolata	Si
	6.5	180	0.1696	0	225.112	225.112	0	1327	3919	SLD 13	0	225.112	225.112	0	1327	840	SLD 13		No
	6.5	360	0.1696	0	225.112	225.112	0	1327	3919	SLD 13	0	225.112	225.112	0	1327	840	SLD 13		No

Verifiche nodi trave colonna in combinazioni SLV**Riepilogo dei dati per la verifica del nodo secondo Circolare 7 21-01-19 §C8.7.2.3.5.**

Pilastrata	Q.Nodo	Angolo travatura	Aj	Vpc	Vtc	Vnc	Nc	σnc	σnc,lim	Comb.c	Vpt	Vtt	Vnt	Nt	σnt	σnt,lim	Comb.t	Segnalazioni	Verifica
Pilastrata P22	-0.51	0	0	0	0	0	0	0	0		0	0	0	0	0	0		Trave non calcolata	Si
	-0.51	180	0	0	0	0	0	0	0		0	0	0	0	0	0		Trave non calcolata	Si

Verifiche nodi trave colonna in combinazioni SLV**Riepilogo dei dati per la verifica del nodo secondo Circolare 7 21-01-19 §C8.7.2.3.5.**

Pilastrata	Q.Nodo	Angolo travatura	Aj	Vpc	Vtc	Vnc	Nc	σnc	σnc,lim	Comb.c	Vpt	Vtt	Vnt	Nt	σnt	σnt,lim	Comb.t	Segnalazioni	Verifica
Pilastrata P22	2.81	180	0.2544	-	471.299	370.069	-	2279	3919	SLV 10	-	471.299	370.069	-	929	840	SLV 10		No
	2.81	360	0.2544	101.23	471.299	370.069	343.451	2279	3919	SLV 10	101.23	471.299	370.069	343.451	929	840	SLV 10		No
				101.23															

Verifiche nodi trave colonna in combinazioni SLV**Riepilogo dei dati per la verifica del nodo secondo Circolare 7 21-01-19 §C8.7.2.3.5.**

Pilastrata	Q.Nodo	Angolo travatura	Aj	Vpc	Vtc	Vnc	Nc	σnc	σnc,lim	Comb.c	Vpt	Vtt	Vnt	Nt	σnt	σnt,lim	Comb.t	Segnalazioni	Verifica
Pilastrata P22	6.5	90	0	0	0	0	0	0	0		0	0	0	0	0	0		Trave non calcolata	Si
	6.5	180	0.1696	0	361.745	361.745	0	2133	3919	SLV 13	0	361.745	361.745	0	2133	840	SLV 13		No
	6.5	360	0.1696	0	361.745	361.745	0	2133	3919	SLV 13	0	361.745	361.745	0	2133	840	SLV 13		No

Indicatori di rischio sismico dei nodi in SLD

Pilastrata	Q.Nodo	Angolo travatura	Moltiplicatore	TR	I.R.TR	PGA	I.R.PGA	Comb.	Ver.
Pilastrata P22	2.81	180	0.926	84	0.927	0.08	0.926	SLD 14	No
	2.81	360	0.926	84	0.927	0.08	0.926	SLD 14	No

Indicatori di rischio sismico dei nodi in SLD

Pilastrata	Q.Nodo	Angolo travatura	Moltiplicatore	TR	I.R.TR	PGA	I.R.PGA	Comb.	Ver.
Pilastrata P22	6.5	180	0.61	36	0.655	0.054	0.629	SLD 13	No
	6.5	360	0.61	36	0.655	0.054	0.629	SLD 13	No

Indicatori di rischio sismico dei nodi in SLV

Pilastrata	Q.Nodo	Angolo travatura	Moltiplicatore	TR	I.R.TR	PGA	I.R.PGA	Comb.	Ver.
Pilastrata P22	2.81	180	0.766	468	0.748	0.157	0.786	SLV 10	No
	2.81	360	0.766	468	0.748	0.157	0.786	SLV 10	No

Indicatori di rischio sismico dei nodi in SLV

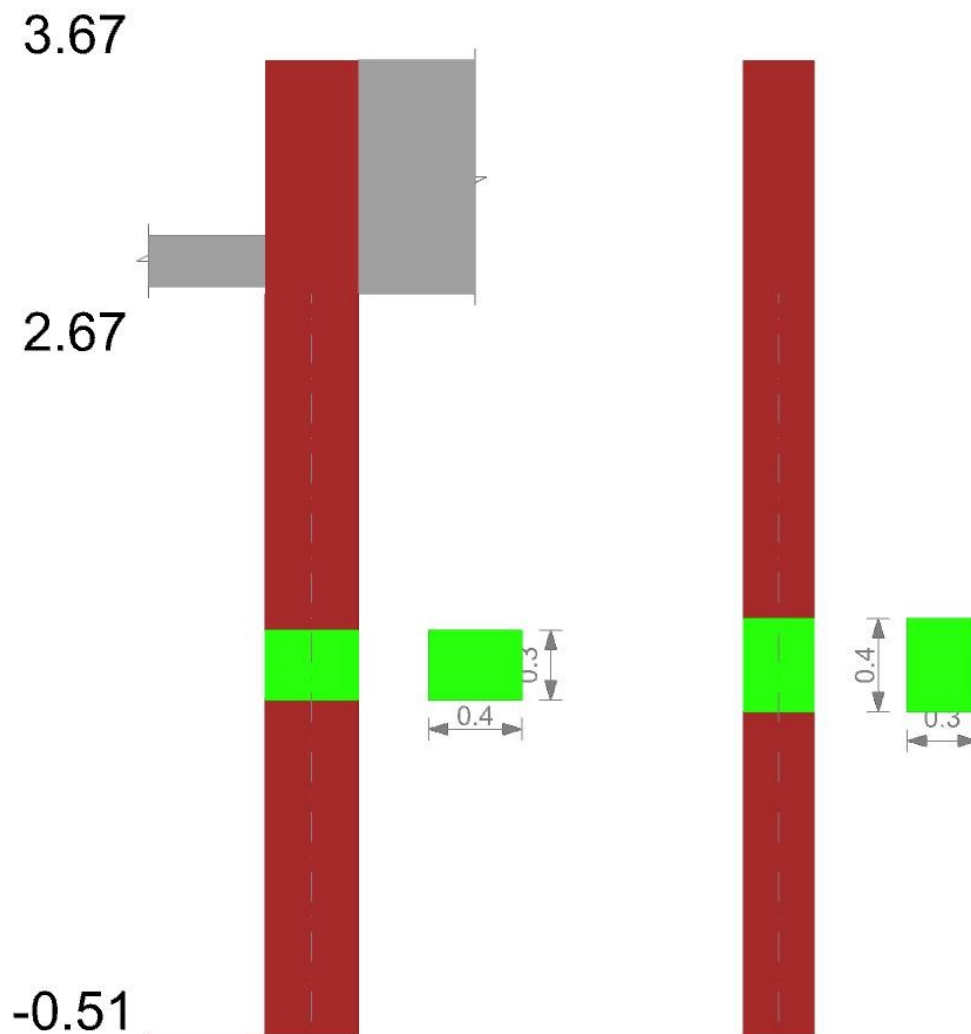
Pilastrata	Q.Nodo	Angolo travatura	Moltiplicatore	TR	I.R.TR	PGA	I.R.PGA	Comb.	Ver.
Pilastrata P22	6.5	180	0.262	36	0.261	0.054	0.271	SLV 13	No
	6.5	360	0.262	36	0.261	0.054	0.271	SLV 13	No

Verifiche di gerarchia delle resistenze nei nodi trave pilastro

Verifiche di gerarchia delle resistenze nei nodi trave pilastro non presenti in quanto la verifica è non necessaria per la pilastrata per il nodo Appoggio 2.81 in quanto elemento di materiale esistente.
per il nodo Appoggio 6.5 in quanto elemento di materiale esistente.
per il nodo Appoggio -1.675 in quanto elemento di materiale esistente.
per il nodo Appoggio -0.51 in quanto elemento di materiale esistente.

Pilastrata P23

Geometria



Dati della pilastrata

Analisi di edificio esistente con fattore di struttura.

Fattore di struttura per meccanismi duttili in direzione X: 1.5

Fattore di struttura per meccanismi duttili in direzione Y: 1.5

Fattore di struttura per meccanismi fragili in direzione X: 1

Fattore di struttura per meccanismi fragili in direzione Y: 1

Verifica dei meccanismi fragili condotta secondo Circolare 7 21-01-19 (§C8.7.2.2) Analisi lineare con fattore q.

Fattore di amplificazione dei meccanismi fragili della componente sismica in direzione X: 1

Fattore di amplificazione dei meccanismi fragili della componente sismica in direzione Y: 1

Campate costituenti la pilastrata

Q.inf.	Q.sup.	Sezione	Esistente	Secondaria	Dissipativa	Interna a parete	Sovreresistenza	Materiale CLS	Materiale Acciaio	FC
-0.51	2.67	R 40x30	Si	No	No	No		C14/17 LC2 Vigone A	Vigone_FeB22k_LC2_FC = 1.2; Vigone_FeB44k_Staffe_LC2_FC = 1.2	1.2

Disposizioni delle armature longitudinali

Posizione	X	Y	Diametro	Area	Q.inf.	Q.sup.	Sezione	Materiale
p.1	-0.1605	-0.1105	0.014	0.0001539	-0.9	-0.1	R 40x30	Vigone FeB22k LC2
p.1	0.1605	-0.1105	0.014	0.0001539	-0.9	-0.1	R 40x30	Vigone FeB22k LC2
p.1	0.1605	0.1105	0.014	0.0001539	-0.9	-0.1	R 40x30	Vigone FeB22k LC2
p.1	-0.1605	0.1105	0.014	0.0001539	-0.9	-0.1	R 40x30	Vigone FeB22k LC2
p.1	0	-0.112	0.014	0.0001539	-0.9	-0.1	R 40x30	Vigone FeB22k LC2
p.1	0	0.112	0.014	0.0001539	-0.9	-0.1	R 40x30	Vigone FeB22k LC2
p.2	-0.1605	-0.1105	0.014	0.0001539	-0.1	2.67	R 40x30	Vigone FeB22k LC2
p.2	0.1605	-0.1105	0.014	0.0001539	-0.1	2.67	R 40x30	Vigone FeB22k LC2
p.2	0.1605	0.1105	0.014	0.0001539	-0.1	2.67	R 40x30	Vigone FeB22k LC2
p.2	-0.1605	0.1105	0.014	0.0001539	-0.1	2.67	R 40x30	Vigone FeB22k LC2
p.2	0	-0.112	0.014	0.0001539	-0.1	2.67	R 40x30	Vigone FeB22k LC2
p.2	0	0.112	0.014	0.0001539	-0.1	2.67	R 40x30	Vigone FeB22k LC2

Controlli geometrici NTC18

Nessuna anomalia

Verifiche delle sezioni

Verifica a pressoflessione in SLU

Quota	As	%	At	Pos.	Mx	My	N	MRdx	MRdy	Comb.	Coeff.s.	Verifica
-0.51	0.000924	0.8	0	1	0.0098	0.8649	-39.69	0.2104	18.5129	SLU 18	21.404	Si
-0.22	0.000924	0.8	0	1	0.0152	0.5609	-38.57	0.3351	12.357	SLU 18	22.029	Si
0.07	0.000924	1.5	0	1,2	0.0206	0.2569	-37.44	0.4673	5.8302	SLU 18	22.693	Si
0.36	0.000924	1.5	0	1,2	0.0253	0.6644	-43.4	0.4959	13.007	SLU 17	19.576	Si
0.65	0.000924	0.8	0	2	0.0274	0.4603	-42.27	0.5509	9.251	SLU 17	20.098	Si

Quota	As	%	At	Pos.	Mx	My	N	MRdx	MRdy	Comb.	Coeff.s.	Verifica
0.94	0.000924	0.8	0	2	0.0295	0.2559	-41.14	0.6089	5.2842	SLU 17	20.65	Si
1.15	0.000924	0.8	0	2	0.031	0.3629	-42	0.6274	7.3406	SLU 17	20.228	Si
1.22	0.000924	0.8	0	2	0.0313	0.3243	-41.71	0.6382	6.6061	SLU 17	20.369	Si
1.51	0.000924	0.8	0	2	0.0326	0.1747	-40.58	0.6817	3.6579	SLU 17	20.935	Si
1.8	0.000924	0.8	0	2	0.0338	0.0251	-39.46	0.7276	0.5412	SLU 17	21.533	Si
1.98	0.000924	0.8	0	2	0.0345	-0.0621	-39.36	0.7446	-1.3412	SLU 17	21.584	Si
2.09	0.000924	0.8	0	2	0.0349	-0.6534	-38.93	0.7619	-14.2604	SLU 17	21.826	Si
2.38	0.000924	0.8	0	2	0.0384	-2.3293	-37.61	0.7126	-43.1916	SLU 12	18.542	Si
2.67	0.000924	0.8	0	2	0.0401	-3.9157	-36.51	0.5933	-57.8914	SLU 12	14.784	Si

Verifica a pressoflessione in SLV

E' attiva l'opzione fattori parziali di sicurezza unitari per meccanismi duttili di strutture esistenti con fattore q

Quota	As	%	At	Pos.	Mx	My	N	MRdx	MRdy	Comb.	C.S.	Nmin	Nlim	Comb.Nmin	Ver.
-0.51	0.000924	0.8	0	1	1.6737	1.9971	207.52	1.841	2.1967	SLV 4	1.1				Si
-0.22	0.000924	0.8	0	1	2.7204	2.0303	208.38	2.8872	2.1548	SLV 4	1.061				Si
0.07	0.000924	1.5	0	1,2	3.7902	2.0653	209.25	3.8821	2.1153	SLV 4	1.024				Si
0.36	0.000924	1.5	0	1,2	4.7084	8.0949	143.67	5.9735	10.2699	SLV 4	1.269				Si
0.65	0.000924	0.8	0	2	4.7345	7.3674	144.54	6.091	9.4783	SLV 4	1.287				Si
0.94	0.000924	0.8	0	2	4.7939	6.6391	145.41	6.2305	8.6287	SLV 4	1.3				Si
1.15	0.000924	0.8	0	2	4.859	6.1003	146.05	6.3275	7.9438	SLV 4	1.302				Si
1.22	0.000924	0.8	0	2	4.6965	16.6847	1.6	11.0998	39.4326	SLV 4	2.363				Si
1.51	0.000924	0.8	0	2	6.2321	4.0285	-9.06	33.7607	21.8235	SLV 8	5.417				Si
1.8	0.000924	0.8	0	2	5.3176	-2.3913	-8.2	35.1045	-15.7861	SLV 8	6.602				Si
1.98	0.000924	0.8	0	2	0.0433	3.1445	89.83	0.0985	7.1475	SLV 13	2.273				Si
2.09	0.000924	0.8	0	2	0.0417	32.172	90.17	0.0366	28.2078	SLV 13	0.877				No
2.38	0.000924	0.8	0	2	0.0382	107.409	91.04	0.0128	36.0338	SLV 13	0.335				No
2.67	0.000924	0.8	0	2	0.0341	180.9827	91.89	0.0071	37.8595	SLV 13	0.209				No

Verifica a pressoflessione in SLD

Quota	As	%	At	Pos.	Mx	My	N	MRdx	MRdy	Comb.	Coeff.s.	Verifica
-0.51	0.000924	0.8	0	1	0.7132	1.1928	73.82	2.1397	3.5786	SLD 4	3	Si
-0.22	0.000924	0.8	0	1	1.1517	1.0943	74.69	3.349	3.182	SLD 4	2.908	Si
0.07	0.000924	1.5	0	1,2	1.6	0.9965	75.56	4.4474	2.7699	SLD 4	2.78	Si
0.36	0.000924	1.5	0	1,2	1.9839	3.7378	45.35	7.1568	13.4838	SLD 4	3.607	Si
0.65	0.000924	0.8	0	2	1.9902	3.3457	46.21	7.3117	12.2917	SLD 4	3.674	Si
0.94	0.000924	0.8	0	2	2.0111	2.9531	47.08	7.5007	11.0143	SLD 4	3.73	Si
1.15	0.000924	0.8	0	2	2.0359	2.6626	47.72	7.6125	9.9559	SLD 4	3.739	Si
1.22	0.000924	0.8	0	2	1.9675	7.2745	-14.52	14.1214	52.2114	SLD 4	7.177	Si
1.51	0.000924	0.8	0	2	2.5762	1.7508	-18.79	51.5152	35.0109	SLD 8	19.997	Si
1.8	0.000924	0.8	0	2	-2.1524	1.059	-31.98	-53.2854	26.2157	SLD 9	24.756	Si
1.98	0.000924	0.8	0	2	0.044	1.3353	24.86	0.3316	10.0639	SLD 13	7.537	Si
2.09	0.000924	0.8	0	2	0.0422	13.6397	25.19	0.0976	31.5571	SLD 13	2.314	Si
2.38	0.000924	0.8	0	2	0.0378	45.5318	26.06	0.0311	37.4977	SLD 13	0.824	No
2.67	0.000924	0.8	0	2	0.0328	76.7188	26.91	0.0166	38.7662	SLD 13	0.505	No

Indicatori di rischio sismico a pressoflessione in SLV

E' attiva l'opzione fattori parziali di sicurezza unitari per meccanismi duttili di strutture esistenti con fattore q

Quota	Molt.	TR	I.R.TR	PGA	I.R.PGA	Comb.	Ver.
-0.51	1.09	1244	1.117	0.217	1.088	SLV 4	Si
-0.22	1.055	1121	1.071	0.21	1.053	SLV 4	Si
0.07	1.021	1012	1.027	0.204	1.021	SLV 4	Si
0.36	1.236	1859	1.317	0.245	1.23	SLV 4	Si
0.65	1.252	1934	1.339	0.248	1.245	SLV 4	Si
0.94	1.262	1982	1.352	0.25	1.254	SLV 4	Si
1.15	1.266	2002	1.358	0.251	1.258	SLV 4	Si
1.22	2.116	2114	1.389	0.255	1.279	SLV 4	Si
1.51	3.936	2114	1.389	0.255	1.279	SLV 8	Si
1.8	4.459	2114	1.389	0.255	1.279	SLV 8	Si
1.98	2.037	2114	1.389	0.255	1.279	SLV 13	Si
2.09	0.887	668	0.866	0.177	0.887	SLV 13	No
2.38	0.36	67	0.337	0.072	0.362	SLV 13	No
2.67	0.23	29	0.239	0.049	0.245	SLV 13	No

Indicatori di rischio sismico a pressoflessione in SLD Resistenza

Quota	Molt.	TR	I.R.TR	PGA	I.R.PGA	Comb.	Ver.
-0.51	2.535	1262	2.816	0.218	2.534	SLD 4	Si
-0.22	2.459	1146	2.707	0.212	2.46	SLD 4	Si
0.07	2.383	1036	2.597	0.205	2.386	SLD 4	Si
0.36	2.881	1896	3.328	0.247	2.87	SLD 4	Si
0.65	2.916	1971	3.381	0.25	2.904	SLD 4	Si
0.94	2.945	2034	3.425	0.252	2.933	SLD 4	Si
1.15	2.957	2061	3.444	0.253	2.944	SLD 4	Si
1.22	4.931	2110	3.477	0.255	2.966	SLD 4	Si
1.51	9.511	2110	3.477	0.255	2.966	SLD 8	Si
1.8	10.785	2110	3.477	0.255	2.966	SLD 8	Si
1.98	4.746	2110	3.477	0.255	2.966	SLD 13	Si
2.09	2.063	678	2.183	0.178	2.068	SLD 13	Si
2.38	0.839	68	0.85	0.073	0.845	SLD 13	No
2.67	0.536	29	0.6	0.049	0.569	SLD 13	No

Verifica a taglio in famiglia SLU

Quota	Staffe	Direzione X								Direzione Y								Verifica
		V	N	Comb.	VRd	VRsd	VRcd	Cot	c.s.	V	N	Comb.	VRd	VRsd	VRcd	Cot	c.s.	
-0.51	2x/2Y ø6/24.5	-1.05	-39.67	SLU 17	35.28	64.71	117.38	2.5	61.45	0.02	-39.69	SLU 18	37.46	47.03	113.73	2.5	2526.71	Si
-0.22	2x/2Y ø6/24.5	-1.05	-38.54	SLU 17	35.13	64.71	117.22	2.5	61.45	0.02	-38.57	SLU 18	37.31	47.03	113.58	2.5	2526.71	Si
0.07	2x/2Y ø6/24.5	-1.05	-37.42	SLU 17	34.98	64.71	117.06	2.5	61.45	0.02	-37.44	SLU 18	37.16	47.03	113.43	2.5	2526.71	Si
0.36	2x/2Y ø6/24.5	-0.71	-42.69	SLU 12	35.69	64.71	117.8	2.5	91.34	0	-28.56	SLU 1	36	47.03	112.23	2.5	1000	Si
0.65	2x/2Y ø6/24.5	-0.71	-41.56	SLU 12	35.54	64.71	117.64	2.5	91.34	0	-27.69	SLU 1	35.89	47.03	112.11	2.5	1000	Si
0.94	2x/2Y ø6/24.5	-0.71	-40.43	SLU 12	35.38	64.71	117.48	2.5	91.34	0	-26.82	SLU 1	35.77	47.03	111.99	2.5	1000	Si
1.15	2x/2Y ø6/24.5	-0.71	-39.59	SLU 12	35.27	64.71	117.37	2.5	91.34	0	-26.18	SLU 1	35.69	47.03	111.9	2.5	1000	Si
1.22	2x/2Y ø6/24.5	-0.58	-41.22	SLU 12	35.49	64.71	117.59	2.5	111.02	0	-26.58	SLU 1	35.74	47.03	111.96	2.5	1000	Si
1.51	2x/2Y ø6/24.5	-0.58	-40.09	SLU 12	35.34	64.71	117.44	2.5	111.02	0	-25.71	SLU 1	35.63	47.03	111.84	2.5	1000	Si
1.8	2x/2Y ø6/24.5	-0.58	-38.96	SLU 12	35.19	64.71	117.28	2.5	111.02	0	-24.84	SLU 1	35.51	47.03	111.72	2.5	1000	Si

Verifiche nodi trave colonna**Riepilogo dei dati per le diverse tipologie di verifica eseguite per i nodi**

Pilastrata	Q.Nodo	Escluso	Confinato	Segnalazioni
Pilastrata P23	3.17	No	No	non tutte le travature convergenti al nodo sono calcolate/validate

Verifiche nodi trave colonna in combinazioni SLD**Riepilogo dei dati per la verifica del nodo secondo Circolare 7 21-01-19 §C8.7.2.3.5.**

Pilastrata	Q.Nodo	Angolo travatura	Aj	Vpc	Vtc	Vnc	Nc	σnc	σnc,lim	Comb.c	Vpt	Vtt	Vnt	Nt	σnt	σnt,lim	Comb.t	Segnalazioni	Verifica
Pilastrata P23	3.17	0	0.09632	0	115.162	115.162	0	1196	3919	SLD 4	0	115.162	115.162	0	1196	840	SLD 4		No
	3.17	180	0	0	0	0	0	0	0		0	0	0	0	0	0		Trave non calcolata	Si

Verifiche nodi trave colonna in combinazioni SLV**Riepilogo dei dati per la verifica del nodo secondo Circolare 7 21-01-19 §C8.7.2.3.5.**

Pilastrata	Q.Nodo	Angolo travatura	Aj	Vpc	Vtc	Vnc	Nc	σnc	σnc,lim	Comb.c	Vpt	Vtt	Vnt	Nt	σnt	σnt,lim	Comb.t	Segnalazioni	Verifica
Pilastrata P23	3.17	0	0.09632	0	202.588	202.588	0	2103	3919	SLV 2	0	202.588	202.588	0	2103	840	SLV 2		No
	3.17	180	0	0	0	0	0	0	0		0	0	0	0	0	0		Trave non calcolata	Si

Indicatori di rischio sismico dei nodi in SLD

Pilastrata	Q.Nodo	Angolo travatura	Moltiplicatore	TR	I.R.TR	PGA	I.R.PGA	Comb.	Ver.
Pilastrata P23	3.17	0	0.704	46	0.724	0.061	0.703	SLD 4	No

Indicatori di rischio sismico dei nodi in SLV

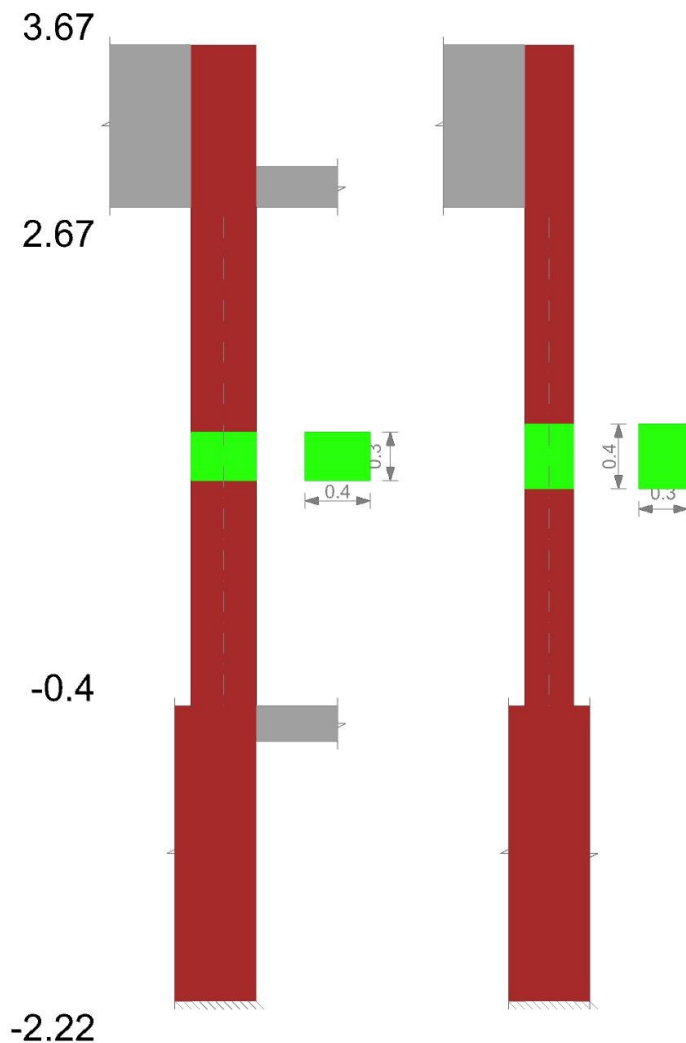
Pilastrata	Q.Nodo	Angolo travatura	Moltiplicatore	TR	I.R.TR	PGA	I.R.PGA	Comb.	Ver.
Pilastrata P23	3.17	0	0.303	46	0.289	0.061	0.303	SLV 4	No

Verifiche di gerarchia delle resistenze nei nodi trave pilastro

Verifiche di gerarchia delle resistenze nei nodi trave pilastro non presenti in quanto la verifica è non necessaria per la pilastrata per il nodo Appoggio 3.17 in quanto elemento di materiale esistente.
per il nodo Appoggio -0.51 in quanto elemento di materiale esistente.

Pilastrata P24

Geometria



Dati della pilastrata

Analisi di edificio esistente con fattore di struttura.

Fattore di struttura per meccanismi duttili in direzione X: 1.5

Fattore di struttura per meccanismi duttili in direzione Y: 1.5

Fattore di struttura per meccanismi fragili in direzione X: 1

Fattore di struttura per meccanismi fragili in direzione Y: 1

Verifica dei meccanismi fragili condotta secondo Circolare 7 21-01-19 (§C8.7.2.2) Analisi lineare con fattore q.

Fattore di amplificazione dei meccanismi fragili della componente sismica in direzione X: 1

Fattore di amplificazione dei meccanismi fragili della componente sismica in direzione Y: 1

Campate costituenti la pilastrata

Q.inf.	Q.sup.	Sezione	Esistente	Secondaria	Dissipativa	Interna a parete	Sovreresistenza	Materiale CLS	Materiale Acciaio	FC
-0.4	2.67	R 40x30	Si	No	No	No		C14/17 LC2 Vigone A	Vigone_FeB22k_LC2_FC = 1.2; Vigone_FeB44k_Staffe_LC2_FC = 1.2	1.2

Disposizione delle armature longitudinali

Posizione	X	Y	Diametro	Area	Q.inf.	Q.sup.	Sezione	Materiale
p.1	-0.1605	-0.1105	0.014	0.0001539	-0.9	-0.1	R 40x30	Vigone FeB22k LC2
p.1	0.1605	-0.1105	0.014	0.0001539	-0.9	-0.1	R 40x30	Vigone FeB22k LC2
p.1	0.1605	0.1105	0.014	0.0001539	-0.9	-0.1	R 40x30	Vigone FeB22k LC2
p.1	-0.1605	0.1105	0.014	0.0001539	-0.9	-0.1	R 40x30	Vigone FeB22k LC2
p.1	0	-0.112	0.014	0.0001539	-0.9	-0.1	R 40x30	Vigone FeB22k LC2
p.1	0	0.112	0.014	0.0001539	-0.9	-0.1	R 40x30	Vigone FeB22k LC2
p.2	-0.1605	-0.1105	0.014	0.0001539	-0.1	2.67	R 40x30	Vigone FeB22k LC2
p.2	0.1605	-0.1105	0.014	0.0001539	-0.1	2.67	R 40x30	Vigone FeB22k LC2
p.2	0.1605	0.1105	0.014	0.0001539	-0.1	2.67	R 40x30	Vigone FeB22k LC2
p.2	-0.1605	0.1105	0.014	0.0001539	-0.1	2.67	R 40x30	Vigone FeB22k LC2
p.2	0	-0.112	0.014	0.0001539	-0.1	2.67	R 40x30	Vigone FeB22k LC2
p.2	0	0.112	0.014	0.0001539	-0.1	2.67	R 40x30	Vigone FeB22k LC2

Controlli geometrici NTC18

Nessuna anomalia

Verifiche delle sezioni

Verifica a pressoflessione in SLU

Quota	As	%	At	Pos.	Mx	My	N	MRdx	MRdy	Comb.	Coeff.s.	Verifica
-0.4	0.000924	0.8	0	1	0.6084	2.3499	-267.22	1.9345	7.4716	SLU 18	3.179	Si
-0.09	0.000924	1.5	0	1,2	0.8847	1.6133	-266.04	2.8252	5.152	SLU 18	3.194	Si
0.21	0.000924	1.5	0	1,2	1.1655	0.8644	-264.84	3.7389	2.7729	SLU 18	3.208	Si
0.52	0.000924	1.5	0	1,2	1.4463	0.1155	-263.65	4.6608	0.3722	SLU 18	3.223	Si

Quota	As	%	At	Pos.	Mx	My	N	MRdx	MRdy	Comb.	Coeff.s.	Verifica
0.83	0.000924	0.8	0	2	1.7271	-0.6334	-262.45	5.5911	-2.0504	SLU 18	3.237	Si
1.14	0.000924	0.8	0	2	2.0079	-1.3822	-261.25	6.53	-4.4952	SLU 18	3.252	Si
1.44	0.000924	0.8	0	2	2.2888	-2.1311	-260.05	7.4775	-6.9625	SLU 18	3.267	Si
1.75	0.000924	0.8	0	2	2.5696	-2.88	-258.86	8.4338	-9.4527	SLU 18	3.282	Si
2.06	0.000924	0.8	0	2	2.8543	-3.6394	-257.64	9.4126	-12.0015	SLU 18	3.298	Si
2.36	0.000924	0.8	0	2	3.1312	-4.3778	-256.46	10.3731	-14.5027	SLU 18	3.313	Si
2.67	0.000924	0.8	0	2	3.4074	-5.1144	-255.28	11.3404	-17.0214	SLU 18	3.328	Si

Verifica a pressoflessione in SLV

E' attiva l'opzione fattori parziali di sicurezza unitari per meccanismi duttili di strutture esistenti con fattore q

Quota	As	%	At	Pos.	Mx	My	N	MRdx	MRdy	Comb.	C.S.	Nmin	Nlim	Comb.Nmin	Ver.
-0.4	0.000924	0.8	0	1	191.3473	-15.4012	-103.12	31.509	-2.5361	SLV 5	0.165				No
-0.09	0.000924	1.5	0	1,2	156.4831	-12.6222	-102.21	31.9474	-2.5769	SLV 5	0.204				No
0.21	0.000924	1.5	0	1,2	121.0416	-9.7971	-101.29	32.6744	-2.6447	SLV 5	0.27				No
0.52	0.000924	1.5	0	1,2	85.6001	-6.972	-100.37	34.0853	-2.7762	SLV 5	0.398				No
0.83	0.000924	0.8	0	2	50.1586	-4.147	-99.45	37.988	-3.1408	SLV 5	0.757				No
1.14	0.000924	0.8	0	2	-6.7673	-5.9674	-275.21	-27.9159	-24.6159	SLV 16	4.125				Si
1.44	0.000924	0.8	0	2	-11.453	-20.9595	-40.39	-23.7304	-43.4278	SLV 1	2.072				Si
1.75	0.000924	0.8	0	2	-56.1661	4.3287	-96.69	-36.6445	2.8242	SLV 5	0.652				No
2.06	0.000924	0.8	0	2	-92.1066	7.1935	-95.75	-33.517	2.6177	SLV 5	0.364				No
2.36	0.000924	0.8	0	2	-127.049	9.9788	-94.85	-32.3149	2.5381	SLV 5	0.254				No
2.67	0.000924	0.8	0	2	-161.9133	12.7579	-93.94	-31.6689	2.4953	SLV 5	0.196				No

Verifica a pressoflessione in SLD

Quota	As	%	At	Pos.	Mx	My	N	MRdx	MRdy	Comb.	Coeff.s.	Verifica
-0.4	0.000924	0.8	0	1	78.0678	-4.4712	-137.22	36.8457	-2.1103	SLD 5	0.472	No
-0.09	0.000924	1.5	0	1,2	63.9846	-3.7805	-136.32	38.8237	-2.2939	SLD 5	0.607	No
0.21	0.000924	1.5	0	1,2	49.6683	-3.0785	-135.4	42.4604	-2.6317	SLD 5	0.855	No
0.52	0.000924	1.5	0	1,2	35.352	-2.3764	-134.48	50.4577	-3.3918	SLD 5	1.427	Si
0.83	0.000924	0.8	0	2	17.5354	-10.7955	-161.82	55.0421	-33.8861	SLD 9	3.139	Si
1.14	0.000924	0.8	0	2	-1.5793	-3.1801	-208.8	-9.0834	-18.2906	SLD 15	5.752	Si
1.44	0.000924	0.8	0	2	6.7639	7.3985	-207.83	33.0373	36.1368	SLD 16	4.884	Si
1.75	0.000924	0.8	0	2	20.9381	-17.2488	-153.78	47.8642	-39.4304	SLD 8	2.286	Si
2.06	0.000924	0.8	0	2	33.2022	-26.4637	-152.85	42.6595	-34.0016	SLD 8	1.285	Si
2.36	0.000924	0.8	0	2	-50.5461	1.8362	-128.95	-41.364	1.5027	SLD 5	0.818	No
2.67	0.000924	0.8	0	2	-64.6293	2.5269	-128.04	-38.0284	1.4868	SLD 5	0.588	No

Indicatori di rischio sismico a pressoflessione in SLV

E' attiva l'opzione fattori parziali di sicurezza unitari per meccanismi duttili di strutture esistenti con fattore q

Quota	Molt.	TR	I.R.TR	PGA	I.R.PGA	Comb.	Ver.
-0.4	0.239	39	0.27	0.056	0.281	SLV 5	No
-0.09	0.289	54	0.309	0.065	0.327	SLV 5	No
0.21	0.368	86	0.374	0.08	0.403	SLV 5	No
0.52	0.508	170	0.494	0.107	0.534	SLV 5	No
0.83	0.829	578	0.816	0.168	0.844	SLV 5	No
1.14	2.157	2114	1.389	0.255	1.279	SLV 1	Si
1.44	1.516	2114	1.389	0.255	1.279	SLV 4	Si
1.75	0.754	451	0.737	0.155	0.775	SLV 5	No
2.06	0.483	150	0.469	0.101	0.508	SLV 5	No
2.36	0.359	82	0.366	0.079	0.395	SLV 5	No
2.67	0.282	52	0.304	0.064	0.321	SLV 12	No

Indicatori di rischio sismico a pressoflessione in SLD Resistenza

Quota	Molt.	TR	I.R.TR	PGA	I.R.PGA	Comb.	Ver.
-0.4	0.587	38	0.67	0.055	0.644	SLD 5	No
-0.09	0.709	52	0.762	0.064	0.744	SLD 5	No
0.21	0.902	83	0.923	0.079	0.921	SLD 5	No
0.52	1.246	161	1.211	0.104	1.212	SLD 5	Si
0.83	2.027	543	1.993	0.165	1.917	SLD 5	Si
1.14	5.054	2110	3.477	0.255	2.966	SLD 4	Si
1.44	3.52	2110	3.477	0.255	2.966	SLD 4	Si
1.75	1.846	427	1.806	0.152	1.76	SLD 5	Si
2.06	1.186	143	1.153	0.099	1.154	SLD 5	Si
2.36	0.881	79	0.904	0.078	0.902	SLD 5	No
2.67	0.694	49	0.743	0.063	0.731	SLD 12	No

Verifica a taglio in famiglia SLU

Quota	Staffe	V	N	Direzione X					Direzione Y					Verifica					
				Comb.	VRd	VRsd	VRcd	Cot	c.s.	V	N	Comb.	VRd		VRsd	VRcd	Cot	c.s.	
-0.4	2X/2Y ø6/24.5	-2.44			51.54	64.71	139.79	2.5	26.53	1.81								29.46	Si
-0.09	2X/2Y ø6/24.5	-2.44	267.22		51.54	64.71	139.79	2.5	26.53	1.81	250.81							29.46	Si
0.21	2X/2Y ø6/24.5	-2.44	266.04		51.54	64.71	139.79	2.5	26.53	1.81	249.63							29.46	Si
0.52	2X/2Y ø6/24.5	-2.44	264.84		51.54	64.71	139.79	2.5	26.53	1.81	248.44							29.46	Si
0.83	2X/2Y ø6/24.5	-2.44	263.65		51.54	64.71	139.79	2.5	26.53	1.81	247.24							29.46	Si
1.14	2X/2Y ø6/24.5	-2.44	262.45		51.54	64.71	139.79	2.5	26.53	1.81	246.04							29.46	Si
1.44	2X/2Y ø6/24.5	-2.44	261.25		51.54	64.71	139.79	2.5	26.53	1.81	244.84							29.46	Si
1.75	2X/2Y ø6/24.5	-2.44	260.05		51.54	64.71	139.79	2.5	26.53	1.81	243.65							29.46	Si
2.06	2X/2Y ø6/24.5	-2.44	258.86		51.54	64.71	139.79	2.5	26.53	1.81	242.45							29.46	Si
2.36	2X/2Y ø6/24.5	-2.44	257.64		51.54	64.71	139.79	2.5	26.53	1.81	241.24							29.46	Si
2.67	2X/2Y ø6/24.5	-2.44	256.46		51.54	64.71	139.79	2.5	26.53	1.81	240.06							29.46	Si
			255.28		51.54	64.71	139.79	2.5	26.53	1.81	238.88							29.46	Si

Verifica a taglio in famiglia SLV

Quota	Staffe	V	N	Direzione X					Direzione Y					Verifica					
				Comb.	VRd	VRsd	VRcd	Cot	c.s.	V	N	Comb.	VRd		VRsd	VRcd	Cot	c.s.	
-0.4	2X/2Y ø6/24.5		-61.83		38.28	64.71	120.48	2.5	0.59									0.41	No
-0.09	2X/2Y ø6/24.5		110.22		38.15	64.71	120.35	2.5	0.59		115.44							0.41	No
0.21	2X/2Y ø6/24.5		-60		38.03	64.71	120.22	2.5	0.59		115.44							0.41	No
0.52	2X/2Y ø6/24.5		110.22		37.91	64.71	120.09	2.5	0.59		115.44							0.41	No
			-59.08																
			110.22								115.44								

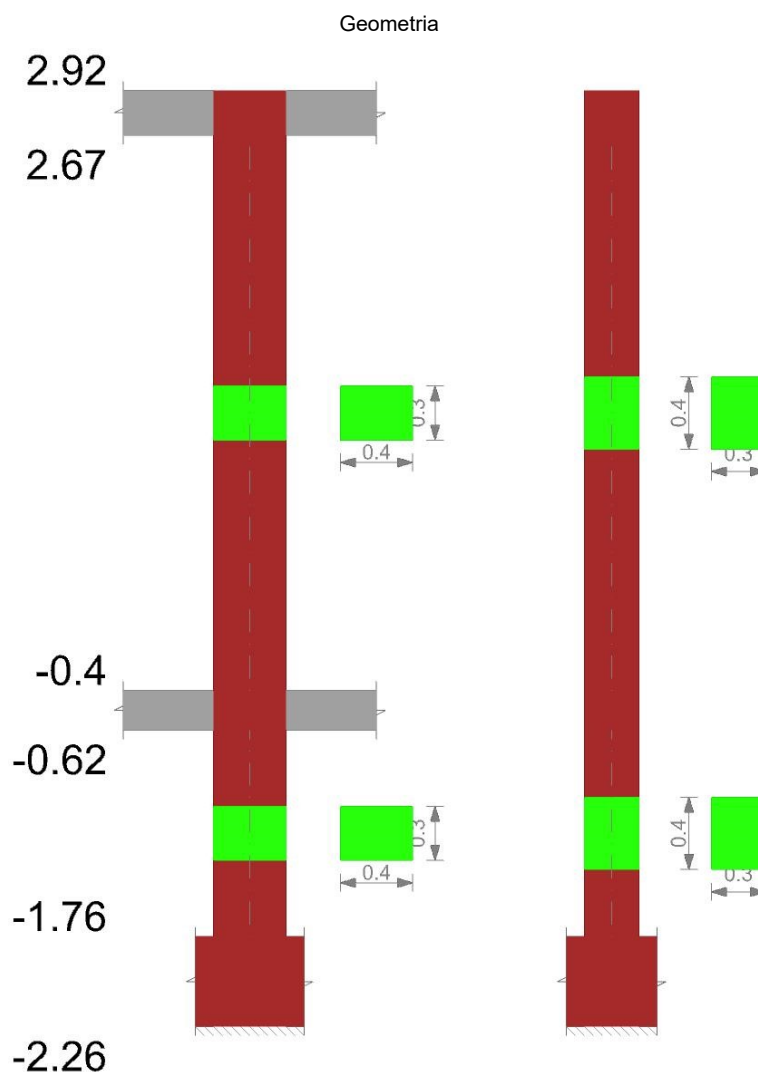
Pilastrata	Q.Nodo	Angolo travatura	Moltiplicatore	TR	I.R.TR	PGA	I.R.PGA	Comb.	Ver.
	3.17	180	0	0	0	0	0	SLD 1	No
	3.17	270	0.99	99	0.992	0.085	0.992	SLD 12	No

Indicatori di rischio sismico dei nodi in SLV

Pilastrata	Q.Nodo	Angolo travatura	Moltiplicatore	TR	I.R.TR	PGA	I.R.PGA	Comb.	Ver.
Pilastrata P24	3.17	0	0	0	0	0	0	SLV 1	No
	3.17	180	0	0	0	0	0	SLV 1	No
	3.17	270	0.403	102	0.401	0.086	0.433	SLV 12	No

Verifiche di gerarchia delle resistenze nei nodi trave pilastro

Verifiche di gerarchia delle resistenze nei nodi trave pilastro non presenti in quanto la verifica è non necessaria per la pilastrata per il nodo Appoggio 3.17 in quanto elemento di materiale esistente.
per il nodo Appoggio -1.31 in quanto elemento di materiale esistente.

Pilastrata P25**Dati della pilastrata**

Analisi di edificio esistente con fattore di struttura.

Fattore di struttura per meccanismi duttili in direzione X: 1.5

Fattore di struttura per meccanismi duttili in direzione Y: 1.5

Fattore di struttura per meccanismi fragili in direzione X: 1

Fattore di struttura per meccanismi fragili in direzione Y: 1

Verifica dei meccanismi fragili condotta secondo Circolare 7 21-01-19 (§C8.7.2.2) Analisi lineare con fattore q.

Fattore di amplificazione dei meccanismi fragili della componente sismica in direzione X: 1

Fattore di amplificazione dei meccanismi fragili della componente sismica in direzione Y: 1

Campate costituenti la pilastrata

Q.inf.	Q.sup.	Sezione	Esistente	Secondaria	Dissipativa	Interna a parete	Sovreresistenza	Materiale CLS	Materiale Acciaio	FC
-1.76	-0.62	R 40x30	Si	No	No	No		C14/17 LC2 Vigone A	Vigone_FeB22k_LC2_FC = 1.2; Vigone_FeB44k_Staffe_LC2_FC = 1.2	1.2
-0.4	2.67	R 40x30	Si	No	No	No		C14/17 LC2 Vigone A	Vigone_FeB22k_LC2_FC = 1.2; Vigone_FeB44k_Staffe_LC2_FC = 1.2	1.2

Disposizione delle armature longitudinali

Posizione	X	Y	Diametro	Area	Q.inf.	Q.sup.	Sezione	Materiale
p.1	-0.1605	-0.1105	0.014	0.0001539	-2.01	-1.76	R 40x30	Vigone FeB22k LC2
p.1	0.1605	-0.1105	0.014	0.0001539	-2.01	-1.76	R 40x30	Vigone FeB22k LC2
p.1	0.1605	0.1105	0.014	0.0001539	-2.01	-1.76	R 40x30	Vigone FeB22k LC2
p.1	-0.1605	0.1105	0.014	0.0001539	-2.01	-1.76	R 40x30	Vigone FeB22k LC2
p.1	0	-0.112	0.014	0.0001539	-2.01	-1.76	R 40x30	Vigone FeB22k LC2
p.1	0	0.112	0.014	0.0001539	-2.01	-1.76	R 40x30	Vigone FeB22k LC2
p.2	-0.1605	-0.1105	0.014	0.0001539	-1.76	-0.4	R 40x30	Vigone FeB22k LC2
p.2	0.1605	-0.1105	0.014	0.0001539	-1.76	-0.4	R 40x30	Vigone FeB22k LC2
p.2	0.1605	0.1105	0.014	0.0001539	-1.76	-0.4	R 40x30	Vigone FeB22k LC2
p.2	-0.1605	0.1105	0.014	0.0001539	-1.76	-0.4	R 40x30	Vigone FeB22k LC2
p.2	0	-0.112	0.014	0.0001539	-1.76	-0.4	R 40x30	Vigone FeB22k LC2
p.2	0	0.112	0.014	0.0001539	-1.76	-0.4	R 40x30	Vigone FeB22k LC2
p.3	-0.1605	-0.1105	0.014	0.0001539	-0.4	2.67	R 40x30	Vigone FeB22k LC2
p.3	0.1605	-0.1105	0.014	0.0001539	-0.4	2.67	R 40x30	Vigone FeB22k LC2
p.3	0.1605	0.1105	0.014	0.0001539	-0.4	2.67	R 40x30	Vigone FeB22k LC2
p.3	-0.1605	0.1105	0.014	0.0001539	-0.4	2.67	R 40x30	Vigone FeB22k LC2
p.4	0	-0.112	0.014	0.0001539	-0.4	2.67	R 40x30	Vigone FeB22k LC2
p.4	0	0.112	0.014	0.0001539	-0.4	2.67	R 40x30	Vigone FeB22k LC2

Controlli geometrici NTC18

Nessuna anomalia

Verifiche delle sezioni

Verifica a pressoflessione in SLU

Quota	As	%	At	Pos.	Mx	My	N	MRdx	MRdy	Comb.	Coeff.s.	Verifica
-1.76	0.000924	1.5	0	1,2	-0.7475	0.9405	-576.01	-1.1026	1.3872	SLU 20	1.475	Si
-1.48	0.000924	1.5	0	1,2	-0.1946	-0.2454	-0.2876	-0.2876	-0.3626	SLU 20	1.478	Si
-1.19	0.000924	1.5	0	1,2	0.3843	-1.4872	-573.8	0.569	-2.2021	SLU 20	1.481	Si
-0.91	0.000924	0.8	0	2	0.9474	-2.6952	-572.7	1.4056	-3.9988	SLU 20	1.484	Si
-0.62	0.000924	0.8	0	2	1.5058	-3.8928	-571.61	2.2381	-5.7861	SLU 20	1.486	Si
-0.4	0.000924	1.5	0	2,3,4	1.7818	0.5515	-238.71	6.3417	1.963	SLU 17	3.559	Si
-0.09	0.000924	1.5	0	2,3,4	1.6147	0.3934	-237.53	5.7757	1.4073	SLU 17	3.577	Si
0.21	0.000924	1.5	0	2,3,4	1.4449	0.2327	-236.33	5.1945	0.8366	SLU 17	3.595	Si
0.52	0.000924	0.8	0	3,4	1.2751	0.072	-235.14	4.6073	0.2602	SLU 17	3.613	Si
0.83	0.000924	0.8	0	3,4	1.1053	-0.0887	-233.94	4.0142	-0.3221	SLU 17	3.632	Si
1.14	0.000924	0.8	0	3,4	0.9355	-0.2494	-232.74	3.415	-0.9105	SLU 17	3.65	Si
1.44	0.000924	0.8	0	3,4	0.7657	-0.4101	-231.54	2.8095	-1.5049	SLU 17	3.669	Si
1.75	0.000924	0.8	0	3,4	0.5959	-0.5708	-230.35	2.1978	-2.1055	SLU 17	3.688	Si
2.06	0.000924	0.8	0	3,4	0.4237	-0.7338	-229.13	1.5709	-2.721	SLU 17	3.708	Si
2.36	0.000924	0.8	0	3,4	0.2562	-0.8923	-227.95	0.9551	-3.3256	SLU 17	3.727	Si
2.67	0.000982	1.5	0	3,4	0.0892	-1.0504	-226.77	0.3395	-3.9972	SLU 17	3.805	Si

Verifica a pressoflessione in SLV

E' attiva l'opzione fattori parziali di sicurezza unitari per meccanismi duttili di strutture esistenti con fattore q

Quota	As	%	At	Pos.	Mx	My	N	MRdx	MRdy	Comb.	C.S.	Nmin	Nlim	Comb.Nmin	Ver.
-1.76	0.000924	1.5	0	1,2	-10.8693	2.5097	-351.12	-34.4153	7.9464	SLV 6	3.166				Si
-1.48	0.000924	1.5	0	1,2	-9.0533	-0.2029	-351.84	-29.9391	-0.671	SLV 12	3.307				Si
-1.19	0.000924	1.5	0	1,2	13.7268	-9.8345	-345.02	39.33	-28.1779	SLV 9	2.865				Si
-0.91	0.000924	0.8	0	2	21.9407	-17.8179	-344.17	48.0688	-39.0364	SLV 9	2.191				Si
-0.62	0.000924	0.8	0	2	30.5398	-25.7712	-343.33	49.7781	-42.0055	SLV 9	1.63				Si
-0.4	0.000924	1.5	0	2,3,4	7.5766	-54.6732	-138.36	8.4352	-60.8688	SLV 13	1.113				Si
-0.09	0.000924	1.5	0	2,3,4	29.8405	-27.7324	-139.75	40.0758	-37.2446	SLV 9	1.343				Si
0.21	0.000924	1.5	0	2,3,4	26.6579	-21.6958	-138.83	43.7625	-35.6164	SLV 9	1.642				Si
0.52	0.000924	0.8	0	3,4	23.4753	-15.6595	-137.91	49.1313	-32.7736	SLV 9	2.093				Si
0.83	0.000924	0.8	0	3,4	20.2927	-9.6244	-136.99	56.5981	-26.8432	SLV 9	2.789				Si
1.14	0.000924	0.8	0	3,4	18.2912	-0.7151	-139.34	69.9028	-2.7328	SLV 5	3.822				Si
1.44	0.000924	0.8	0	3,4	14.8839	0.0808	-138.42	68.879	0.3737	SLV 5	4.628				Si
1.75	0.000924	0.8	0	3,4	10.7449	8.4975	-134.23	50.5386	39.9679	SLV 9	4.703				Si
2.06	0.000924	0.8	0	3,4	-1.2342	-25.3355	-143.54	-3.9617	-81.3249	SLV 4	3.21				Si
2.36	0.000924	0.8	0	3,4	-0.7256	-35.3928	-142.63	-1.563	-76.2413	SLV 4	2.154				Si
2.67	0.000982	1.5	0	3,4	-0.217	-45.4277	-141.73	-0.3493	-73.1232	SLV 4	1.61				Si

Verifica a pressoflessione in SLD

Quota	As	%	At	Pos.	Mx	My	N	MRdx	MRdy	Comb.	Coeff.s.	Verifica
-1.76	0.000924	1.5	0	1,2	-0.2428	-3.1537	-355.27	-0.8208	-10.6605	SLD 4	3.38	Si
-1.48	0.000924	1.5	0	1,2	-0.267	1.1142	-354.44	-0.9046	3.7752	SLD 4	3.388	Si
-1.19	0.000924	1.5	0	1,2	-0.4231	5.3977	-353.57	-1.4371	18.3338	SLD 4	3.397	Si
-0.91	0.000924	0.8	0	2	9.172	-8.3741	-347.13	29.3736	-26.8182	SLD 9	3.203	Si
-0.62	0.000924	0.8	0	2	12.8272	-12.1069	-346.29	36.51	-34.4598	SLD 9	2.846	Si
-0.4	0.000924	1.5	0	2,3,4	-1.3852	24.6211	-147.33	-4.6135	82.0028	SLD 4	3.331	Si
-0.09	0.000924	1.5	0	2,3,4	12.5521	-11.2326	-142.07	48.6881	-43.57	SLD 9	3.879	Si
0.21	0.000924	1.5	0	2,3,4	11.2143	-8.8067	-141.14	50.627	-39.7579	SLD 9	4.515	Si
0.52	0.000924	0.8	0	3,4	9.8765	-6.3809	-140.22	52.0191	-33.6079	SLD 9	5.267	Si
0.83	0.000924	0.8	0	3,4	8.5387	-3.9556	-139.3	51.5204	-23.8673	SLD 9	6.034	Si
1.14	0.000924	0.8	0	3,4	7.7107	-0.2881	-139.8	51.1122	-1.9097	SLD 5	6.629	Si
1.44	0.000924	0.8	0	3,4	6.2759	-0.127	-138.87	45.2771	-0.916	SLD 5	7.214	Si
1.75	0.000924	0.8	0	3,4	-0.4509	-6.6724	-140.9	-3.4499	-51.0502	SLD 4	7.651	Si
2.06	0.000924	0.8	0	3,4	-0.3152	-11.2158	-139.96	-1.9911	-70.8399	SLD 4	6.316	Si
2.36	0.000924	0.8	0	3,4	-0.1833	-15.6332	-139.05	-0.9569	-81.6083	SLD 4	5.22	Si
2.67	0.000982	1.5	0	3,4	-0.0512	-20.0409	-138.15	-0.2186	-85.5582	SLD 4	4.269	Si

Indicatori di rischio sismico a pressoflessione in SLV

E' attiva l'opzione fattori parziali di sicurezza unitari per meccanismi duttili di strutture esistenti con fattore q

Quota	Molt.	TR	I.R.TR	PGA	I.R.PGA	Comb.	Ver.
-1.76	5.307	2114	1.389	0.255	1.279	SLV 10	Si
-1.48	7.077	2114	1.389	0.255	1.279	SLV 5	Si
-1.19	3.713	2114	1.389	0.255	1.279	SLV 9	Si
-0.91	2.233	2114	1.389	0.255	1.279	SLV 9	Si
-0.62	1.574	2114	1.389	0.255	1.279	SLV 9	Si
-0.4	1.081	1212	1.105	0.215	1.079	SLV 13	Si
-0.09	1.275	1912	1.333	0.248	1.24	SLV 9	Si
0.21	1.482	2114	1.389	0.255	1.279	SLV 9	Si
0.52	1.756	2114	1.389	0.255	1.279	SLV 9	Si
0.83	2.11	2114	1.389	0.255	1.279	SLV 5	Si
1.14	2.506	2114	1.389	0.255	1.279	SLV 5	Si
1.44	3.08	2114	1.389	0.255	1.279	SLV 5	Si
1.75	3.637	2114	1.389	0.255	1.279	SLV 9	Si
2.06	2.395	2114	1.389	0.255	1.279	SLV 13	Si

Quota	Molt.	TR	I.R.TR	PGA	I.R.PGA	Comb.	Ver.
2.36	1.74	2114	1.389	0.255	1.279	SLV 13	Si
2.67	1.412	2114	1.389	0.255	1.279	SLV 13	Si

Indicatori di rischio sismico a pressoflessione in SLD Resistenza

Quota	Molt.	TR	I.R.TR	PGA	I.R.PGA	Comb.	Ver.
-1.76	12.484	2110	3.477	0.255	2.966	SLD 10	Si
-1.48	16.636	2110	3.477	0.255	2.966	SLD 5	Si
-1.19	9.086	2110	3.477	0.255	2.966	SLD 9	Si
-0.91	5.498	2110	3.477	0.255	2.966	SLD 9	Si
-0.62	3.871	2110	3.477	0.255	2.966	SLD 9	Si
-0.4	2.529	1253	2.808	0.218	2.529	SLD 13	Si
-0.09	3.045	2110	3.477	0.255	2.966	SLD 13	Si
0.21	3.654	2110	3.477	0.255	2.966	SLD 9	Si
0.52	4.343	2110	3.477	0.255	2.966	SLD 9	Si
0.83	5.252	2110	3.477	0.255	2.966	SLD 5	Si
1.14	6.229	2110	3.477	0.255	2.966	SLD 5	Si
1.44	7.658	2110	3.477	0.255	2.966	SLD 5	Si
1.75	8.969	2110	3.477	0.255	2.966	SLD 9	Si
2.06	5.573	2110	3.477	0.255	2.966	SLD 13	Si
2.36	4.049	2110	3.477	0.255	2.966	SLD 13	Si
2.67	3.285	2110	3.477	0.255	2.966	SLD 13	Si

Verifica a taglio in famiglia SLU

Quota	Staffe	Direzione X								Direzione Y								Verifica
		V	N	Comb.	VRd	VRsd	VRcd	Cot	c.s.	V	N	Comb.	VRd	VRsd	VRcd	Cot	c.s.	
-1.76	2X/2Y ø6/22.8	-4.28	-	SLU 20	51.54	69.43	78.17	2.5	16.23	2.13	-	SLU 18	53.21	50.46	85.91	2.5	24.99	Si
-1.48	2X/2Y ø6/22.8	-4.28	-	SLU 20	51.54	69.43	78.55	2.5	16.23	2.13	-	SLU 18	53.21	50.46	86.27	2.5	24.99	Si
-1.19	2X/2Y ø6/22.8	-4.28	-	SLU 20	51.54	69.43	78.94	2.5	16.23	2.13	-	SLU 18	53.21	50.46	86.66	2.5	24.99	Si
-0.91	2X/2Y ø6/22.8	-4.28	-	SLU 20	51.54	69.43	79.33	2.5	16.23	2.13	-	SLU 18	53.21	50.46	87.03	2.5	24.99	Si
-0.62	2X/2Y ø6/22.8	-4.28	-	SLU 20	51.54	69.43	79.71	2.5	16.23	2.13	-	SLU 18	53.21	50.46	87.4	2.5	24.99	Si
-0.4	2X/2Y ø6/23.6	-0.97	-	SLU 20	51.54	67.03	139.79	2.5	69.4	-0.55	-238.6	SLU 18	53.21	48.71	135.44	2.5	96.01	Si
-0.09	2X/2Y ø6/23.6	-0.97	-	SLU 20	51.54	67.03	139.79	2.5	69.4	-0.55	-	SLU 18	53.21	48.71	135.44	2.5	96.01	Si
0.21	2X/2Y ø6/23.6	-0.97	-	SLU 20	51.54	67.03	139.79	2.5	69.4	-0.55	-	SLU 18	53.21	48.71	135.44	2.5	96.01	Si
0.52	2X/2Y ø6/23.6	-0.97	-	SLU 20	51.54	67.03	139.79	2.5	69.4	-0.55	-	SLU 18	53.21	48.71	135.44	2.5	96.01	Si
0.83	2X/2Y ø6/23.6	-0.97	-	SLU 20	51.54	67.03	139.79	2.5	69.4	-0.55	-	SLU 18	53.21	48.71	135.44	2.5	96.01	Si
1.14	2X/2Y ø6/23.6	-0.97	-	SLU 20	51.54	67.03	139.79	2.5	69.4	-0.55	-	SLU 18	53.21	48.71	135.44	2.5	96.01	Si
1.44	2X/2Y ø6/23.6	-0.97	-	SLU 20	51.54	67.03	139.79	2.5	69.4	-0.55	-	SLU 18	53.21	48.71	135.44	2.5	96.01	Si
1.75	2X/2Y ø6/23.6	-0.97	-	SLU 20	51.54	67.03	139.79	2.5	69.4	-0.55	-	SLU 18	53.21	48.71	135.44	2.5	96.01	Si
2.06	2X/2Y ø6/23.6	-0.97	-	SLU 20	51.54	67.03	139.79	2.5	69.4	-0.55	-	SLU 18	53.21	48.71	135.44	2.5	96.01	Si
2.36	2X/2Y ø6/23.6	-0.97	-	SLU 20	51.54	67.03	139.79	2.5	69.4	-0.55	-	SLU 18	53.21	48.71	135.44	2.5	96.01	Si
2.67	2X/2Y ø6/23.6	-0.97	-	SLU 20	51.54	67.03	139.79	2.5	69.4	-0.55	-	SLU 18	53.21	48.71	135.44	2.5	96.01	Si

Verifica a taglio in famiglia SLV

Quota	Staffe	Direzione X								Direzione Y								Verifica
		V	N	Comb.	VRd	VRsd	VRcd	Cot	c.s.	V	N	Comb.	VRd	VRsd	VRcd	Cot	c.s.	
-1.76	2X/2Y ø6/22.8	-43.26	-	SLV 13	51.54	69.43	139.79	2.5	1.61	33.33	-	SLV 5	53.21	50.46	135.44	2.5	1.6	Si
-1.48	2X/2Y ø6/22.8	-43.26	-	SLV 13	51.54	69.43	139.79	2.5	1.61	33.33	-350.1	SLV 5	53.21	50.46	135.44	2.5	1.6	Si
-1.19	2X/2Y ø6/22.8	-43.26	-	SLV 13	51.54	69.43	139.79	2.5	1.61	33.33	-	SLV 5	53.21	50.46	135.44	2.5	1.6	Si
-0.91	2X/2Y ø6/22.8	-43.26	-	SLV 13	51.54	69.43	139.79	2.5	1.61	33.33	-	SLV 5	53.21	50.46	135.44	2.5	1.6	Si
-0.62	2X/2Y ø6/22.8	-43.26	-	SLV 13	51.54	69.43	139.79	2.5	1.61	33.33	-	SLV 5	53.21	50.46	135.44	2.5	1.6	Si
-0.4	2X/2Y ø6/23.6	-33.23	-	SLV 4	50.32	67.03	132.94	2.5	2.02	-11.1	-	SLV 5	51.11	48.71	127.86	2.5	4.61	Si
-0.09	2X/2Y ø6/23.6	-33.23	-	SLV 4	50.2	67.03	132.81	2.5	2.02	-11.1	-	SLV 5	51	48.71	127.74	2.5	4.59	Si
0.21	2X/2Y ø6/23.6	-33.23	-	SLV 4	50.07	67.03	132.68	2.5	2.02	-11.1	-142.1	SLV 5	50.87	48.71	127.61	2.5	4.58	Si
0.52	2X/2Y ø6/23.6	-33.23	-	SLV 4	49.95	67.03	132.55	2.5	2.02	-11.1	-	SLV 5	50.75	48.71	127.49	2.5	4.57	Si
0.83	2X/2Y ø6/23.6	-33.23	-	SLV 4	49.82	67.03	132.42	2.5	2.02	-11.1	-	SLV 5	50.63	48.71	127.36	2.5	4.56	Si
1.14	2X/2Y ø6/23.6	-33.23	-	SLV 4	49.7	67.03	132.29	2.5	2.02	-11.1	-	SLV 5	50.51	48.71	127.24	2.5	4.55	Si
1.44	2X/2Y ø6/23.6	-33.23	-	SLV 4	49.58	67.03	132.17	2.5	2.02	-11.1	-	SLV 5	50.39	48.71	127.11	2.5	4.54	Si
1.75	2X/2Y ø6/23.6	-33.23	-	SLV 4	49.45	67.03	132.04	2.5	2.02	-11.1	-137.5	SLV 5	50.27	48.71	126.99	2.5	4.53	Si
2.06	2X/2Y ø6/23.6	-33.23	-	SLV 4	49.32	67.03	131.91	2.5	2.02	-11.1	-	SLV 5	50.15	48.71	126.86	2.5	4.52	Si
2.36	2X/2Y ø6/23.6	-33.23	-	SLV 4	49.2	67.03	131.78	2.5	2.02	-11.1	-	SLV 5	50.03	48.71	126.74	2.5	4.51	Si
2.67	2X/2Y ø6/23.6	-33.23	-	SLV 4	49.08	67.03	131.65	2.5	2.02	-11.1	-	SLV 5	49.91	48.71	126.62	2.5	4.5	Si

Verifica taglio ciclico secondo Circolare 7 21-01-19 §C8.7.2.3.5 formula [C8.7.2.8] in combinazione SLV

Quota	Q.inf.	Q.sup.	Dir.	Lv	x	h	p.tot	θ _m	θ _y	μΔ _{pl}	VRd	VRcd(cotθ=1)	VRsd	Vw	VR	VRf	VEd	NEd	Comb.	Verifica
-1.76	-2.01	-0.51	X	0.75	0.185	0.4	0.0077	0.000199	0.005213	0	51.538	202.691	69.433	27.773	87.996	87.996	-43.26	343.723	SLV 13	Si
-1.76	-2.01	-0.51	Y	0.75	0.249	0.3	0.0077	0.000295	0.006034	0	53.208	196.394	50.457	20.183	45.261	53.208	33.329	350.929	SLV 5	Si

Verifica a taglio in famiglia SLD Resistenza

Quota	Staffe	V	N	Direzione X						Direzione Y						Verifica		
				Comb.	VRd	VRsd	VRcd	Cot	c.s.	V	N	Comb.	VRd	VRsd	VRcd		Cot	c.s.
-1.76	2X/2Y ø6/22.8	-20.03	348.33	SLD 13	62.35	69.43	139.79	2.5	3.47	14.24	-	SLD 5	63.68	50.46	135.44	2.5	4.47	Si
-1.48	2X/2Y ø6/22.8	-20.03	347.5	SLD 13	62.35	69.43	139.79	2.5	3.47	14.24	351.49	SLD 5	63.68	50.46	135.44	2.5	4.47	Si
-1.19	2X/2Y ø6/22.8	-20.03	346.63	SLD 13	62.35	69.43	139.79	2.5	3.47	14.24	350.66	SLD 5	63.68	50.46	135.44	2.5	4.47	Si
-0.91	2X/2Y ø6/22.8	-20.03	345.78	SLD 13	62.35	69.43	139.79	2.5	3.47	14.24	349.79	SLD 5	63.68	50.46	135.44	2.5	4.47	Si
-0.62	2X/2Y ø6/22.8	-20.03	344.94	SLD 13	62.35	69.43	139.79	2.5	3.47	14.24	348.94	SLD 5	63.68	50.46	135.44	2.5	4.47	Si
-0.4	2X/2Y ø6/23.6	-14.6	147.33	SLD 4	49.84	67.03	132.44	2.5	4.59	-4.67	-	SLD 5	51.17	48.71	127.92	2.5	10.95	Si
-0.09	2X/2Y ø6/23.6	-14.6	146.42	SLD 4	49.71	67.03	132.31	2.5	4.59	-4.67	-	SLD 5	51.06	48.71	127.8	2.5	10.92	Si
0.21	2X/2Y ø6/23.6	-14.6	-145.5	SLD 4	49.59	67.03	132.18	2.5	4.59	-4.67	-	SLD 5	50.93	48.71	127.67	2.5	10.9	Si
0.52	2X/2Y ø6/23.6	-14.6	144.58	SLD 4	49.47	67.03	132.05	2.5	4.59	-4.67	-	SLD 5	50.81	48.71	127.55	2.5	10.87	Si
0.83	2X/2Y ø6/23.6	-14.6	143.66	SLD 4	49.34	67.03	131.92	2.5	4.59	-4.67	-	SLD 5	50.69	48.71	127.42	2.5	10.85	Si
1.14	2X/2Y ø6/23.6	-14.6	142.74	SLD 4	49.22	67.03	131.79	2.5	4.59	-4.67	-139.8	SLD 5	50.57	48.71	127.3	2.5	10.82	Si
1.44	2X/2Y ø6/23.6	-14.6	141.82	SLD 4	49.09	67.03	131.66	2.5	4.59	-4.67	-	SLD 5	50.45	48.71	127.17	2.5	10.79	Si
1.75	2X/2Y ø6/23.6	-14.6	-140.9	SLD 4	48.97	67.03	131.54	2.5	4.59	-4.67	-	SLD 5	50.33	48.71	127.05	2.5	10.77	Si
2.06	2X/2Y ø6/23.6	-14.6	139.96	SLD 4	48.84	67.03	131.41	2.5	4.59	-4.67	-	SLD 5	50.21	48.71	126.92	2.5	10.74	Si
2.36	2X/2Y ø6/23.6	-14.6	139.05	SLD 4	48.72	67.03	131.28	2.5	4.59	-4.67	-	SLD 5	50.09	48.71	126.8	2.5	10.72	Si
2.67	2X/2Y ø6/23.6	-14.6	138.15	SLD 4	48.6	67.03	131.15	2.5	4.59	-4.67	-	SLD 5	49.97	48.71	126.68	2.5	10.69	Si
											135.21							

Indicatori di rischio sismico a taglio in SLV

Quota	Molt.	TR	I.R.TR	PGA	I.R.PGA	Comb.	Verifica
-1.48	1.621	2114	1.389	0.255	1.279	SLV 5	Si
-1.19	1.621	2114	1.389	0.255	1.279	SLV 5	Si
-0.91	1.621	2114	1.389	0.255	1.279	SLV 5	Si
-0.62	1.621	2114	1.389	0.255	1.279	SLV 5	Si
-0.4	2.034	2114	1.389	0.255	1.279	SLV 4	Si
-0.09	2.034	2114	1.389	0.255	1.279	SLV 4	Si
0.21	2.034	2114	1.389	0.255	1.279	SLV 4	Si
0.52	2.034	2114	1.389	0.255	1.279	SLV 4	Si
0.83	2.034	2114	1.389	0.255	1.279	SLV 4	Si
1.14	2.034	2114	1.389	0.255	1.279	SLV 4	Si
1.44	2.034	2114	1.389	0.255	1.279	SLV 4	Si
1.75	2.034	2114	1.389	0.255	1.279	SLV 4	Si
2.06	2.034	2114	1.389	0.255	1.279	SLV 4	Si
2.36	2.034	2114	1.389	0.255	1.279	SLV 4	Si
2.67	2.034	2114	1.389	0.255	1.279	SLV 4	Si

Indicatori di rischio sismico a taglio in SLD Resistenza

Quota	Molt.	TR	I.R.TR	PGA	I.R.PGA	Comb.	Verifica
-1.76	3.824	2110	3.477	0.255	2.966	SLD 13	Si
-1.48	3.824	2110	3.477	0.255	2.966	SLD 13	Si
-1.19	3.824	2110	3.477	0.255	2.966	SLD 13	Si
-0.91	3.824	2110	3.477	0.255	2.966	SLD 13	Si
-0.62	3.824	2110	3.477	0.255	2.966	SLD 13	Si
-0.4	4.732	2110	3.477	0.255	2.966	SLD 4	Si
-0.09	4.732	2110	3.477	0.255	2.966	SLD 4	Si
0.21	4.732	2110	3.477	0.255	2.966	SLD 4	Si
0.52	4.732	2110	3.477	0.255	2.966	SLD 4	Si
0.83	4.732	2110	3.477	0.255	2.966	SLD 4	Si
1.14	4.732	2110	3.477	0.255	2.966	SLD 4	Si
1.44	4.732	2110	3.477	0.255	2.966	SLD 4	Si
1.75	4.732	2110	3.477	0.255	2.966	SLD 4	Si
2.06	4.732	2110	3.477	0.255	2.966	SLD 4	Si
2.36	4.732	2110	3.477	0.255	2.966	SLD 4	Si
2.67	4.732	2110	3.477	0.255	2.966	SLD 4	Si

Verifiche nodi trave colonna

Riepilogo dei dati per le diverse tipologie di verifica eseguite per i nodi

Pilastrata	Q.Nodo	Escluso	Confinato	Segnalazioni
Pilastrata P25	-2.01	Si	No	
Pilastrata P25	-0.51	No	No	non tutte le travature convergenti al nodo sono calcolate/validate
Pilastrata P25	2.795	No	No	

Verifiche nodi trave colonna in combinazioni SLD

Riepilogo dei dati per la verifica del nodo secondo Circolare 7 21-01-19 §C8.7.2.3.5.

Pilastrata	Q.Nodo	Angolo travatura	Aj	Vpc	Vtc	Vnc	Nc	onc	onc,lim	Comb.c	Vpt	Vtt	Vnt	Nt	ont	ont,lim	Comb.t	Segnalazioni	Verifica
Pilastrata P25	-0.51	0	0	0	0	0	0	0	0	SLD 4	0	0	0	0	0	0	0	Trave non calcolata	Si
	-0.51	180	0	0	0	0	0	0	0	SLD 4	0	0	0	0	0	0	0	Trave non calcolata	Si

Verifiche nodi trave colonna in combinazioni SLD

Riepilogo dei dati per la verifica del nodo secondo Circolare 7 21-01-19 §C8.7.2.3.5.

Pilastrata	Q.Nodo	Angolo travatura	Aj	Vpc	Vtc	Vnc	Nc	onc	onc,lim	Comb.c	Vpt	Vtt	Vnt	Nt	ont	ont,lim	Comb.t	Segnalazioni	Verifica
Pilastrata P25	2.795	0	0.16054	0	120.096	120.096	0	748	3919	SLD 4	0	120.096	120.096	0	748	840	SLD 4		Si
	2.795	180	0.16054	0	120.096	120.096	0	748	3919	SLD 4	0	120.096	120.096	0	748	840	SLD 4		Si

Verifiche nodi trave colonna in combinazioni SLV**Riepilogo dei dati per la verifica del nodo secondo Circolare 7 21-01-19 §C8.7.2.3.5.**

Pilastrata	Q.Nodo	Angolo travatura	Aj	Vpc	Vtc	Vnc	Nc	σnc	σnc,lim	Comb.c	Vpt	Vtt	Vnt	Nt	σnt	σnt,lim	Comb.t	Segnalazioni	Verifica
Pilastrata P25	-0.51	0	0	0	0	0	0	0	0		0	0	0	0	0	0		Trave non calcolata	Si
	-0.51	180	0	0	0	0	0	0	0		0	0	0	0	0	0		Trave non calcolata	Si

Verifiche nodi trave colonna in combinazioni SLV**Riepilogo dei dati per la verifica del nodo secondo Circolare 7 21-01-19 §C8.7.2.3.5.**

Pilastrata	Q.Nodo	Angolo travatura	Aj	Vpc	Vtc	Vnc	Nc	σnc	σnc,lim	Comb.c	Vpt	Vtt	Vnt	Nt	σnt	σnt,lim	Comb.t	Segnalazioni	Verifica
Pilastrata P25	2.795	0	0.16054	0	273.467	273.467	0	1703	3919	SLV 4	0	273.467	273.467	0	1703	840	SLV 4		No
	2.795	180	0.16054	0	273.467	273.467	0	1703	3919	SLV 4	0	273.467	273.467	0	1703	840	SLV 4		No

Indicatori di rischio sismico dei nodi in SLD

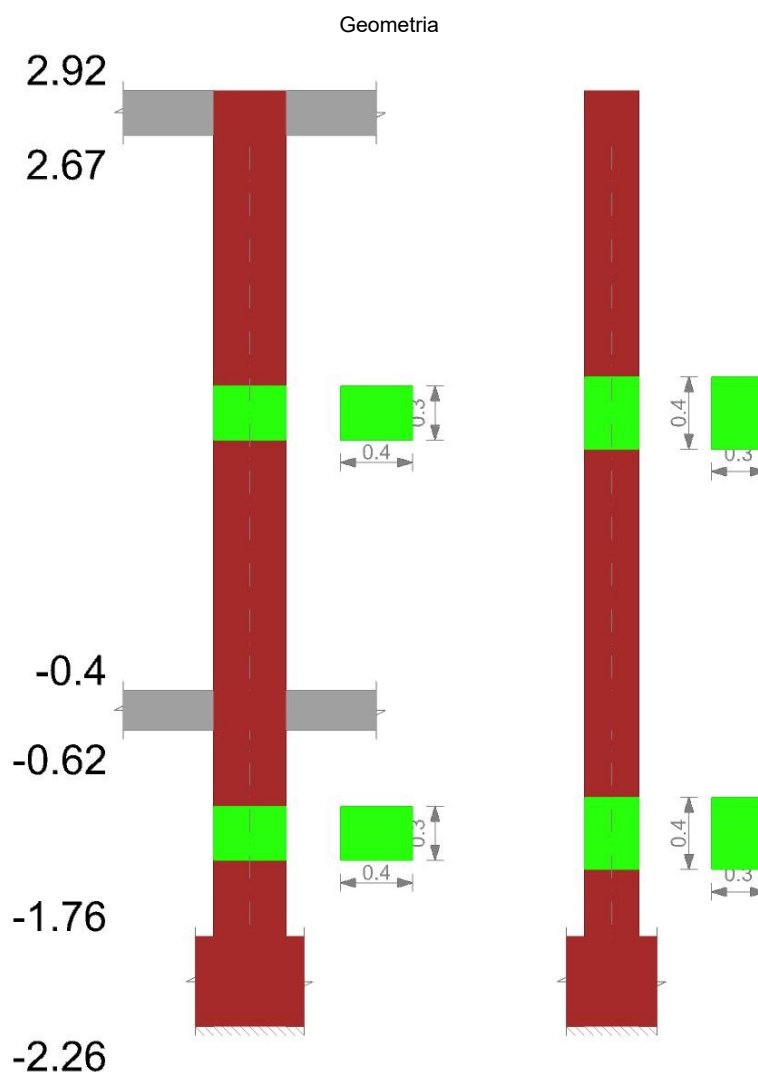
Pilastrata	Q.Nodo	Angolo travatura	Moltiplicatore	TR	I.R.TR	PGA	I.R.PGA	Comb.	Ver.
Pilastrata P25	2.795	0	1.129	135	1.126	0.097	1.127	SLD 4	Si
	2.795	180	1.129	135	1.126	0.097	1.127	SLD 4	Si

Indicatori di rischio sismico dei nodi in SLV

Pilastrata	Q.Nodo	Angolo travatura	Moltiplicatore	TR	I.R.TR	PGA	I.R.PGA	Comb.	Ver.
Pilastrata P25	2.795	0	0.484	133	0.447	0.096	0.483	SLV 4	No
	2.795	180	0.484	133	0.447	0.096	0.483	SLV 4	No

Verifiche di gerarchia delle resistenze nei nodi trave pilastro

Verifiche di gerarchia delle resistenze nei nodi trave pilastro non presenti in quanto la verifica è non necessaria per la pilastrata per il nodo Appoggio -2.01 in quanto elemento di materiale esistente.
per il nodo Appoggio 2.795 in quanto elemento di materiale esistente.
per il nodo Appoggio -0.51 in quanto elemento di materiale esistente.

Pilastrata P26**Dati della pilastrata**

Analisi di edificio esistente con fattore di struttura.
Fattore di struttura per meccanismi duttili in direzione X: 1.5
Fattore di struttura per meccanismi duttili in direzione Y: 1.5

Fattore di struttura per meccanismi fragili in direzione X: 1

Fattore di struttura per meccanismi fragili in direzione Y: 1

Verifica dei meccanismi fragili condotta secondo Circolare 7 21-01-19 (§C8.7.2.2) Analisi lineare con fattore q.

Fattore di amplificazione dei meccanismi fragili della componente sismica in direzione X: 1

Fattore di amplificazione dei meccanismi fragili della componente sismica in direzione Y: 1

Campate costituenti la pilastriata

Q.inf.	Q.sup.	Sezione	Esistente	Secondaria	Dissipativa	Interna a parete	Sovraresistenza	Materiale CLS	Materiale Acciaio	FC
-1.76	-0.62	R 40x30	Si	No	No	No		C14/17 LC2 Vigone A	Vigone_FeB22k_LC2_FC = 1.2; Vigone_FeB44k_Staffe_LC2_FC = 1.2	1.2
-0.4	2.67	R 40x30	Si	No	No	No		C14/17 LC2 Vigone A	Vigone_FeB22k_LC2_FC = 1.2; Vigone_FeB44k_Staffe_LC2_FC = 1.2	1.2

Disposizione delle armature longitudinali

Posizione	X	Y	Diametro	Area	Q.inf.	Q.sup.	Sezione	Materiale
p.1	-0.1605	-0.1105	0.014	0.0001539	-2.01	-1.76	R 40x30	Vigone FeB22k LC2
p.1	0.1605	-0.1105	0.014	0.0001539	-2.01	-1.76	R 40x30	Vigone FeB22k LC2
p.1	0.1605	0.1105	0.014	0.0001539	-2.01	-1.76	R 40x30	Vigone FeB22k LC2
p.1	-0.1605	0.1105	0.014	0.0001539	-2.01	-1.76	R 40x30	Vigone FeB22k LC2
p.1	0	-0.112	0.014	0.0001539	-2.01	-1.76	R 40x30	Vigone FeB22k LC2
p.1	0	0.112	0.014	0.0001539	-2.01	-1.76	R 40x30	Vigone FeB22k LC2
p.2	-0.1605	-0.1105	0.014	0.0001539	-1.76	-0.4	R 40x30	Vigone FeB22k LC2
p.2	0.1605	-0.1105	0.014	0.0001539	-1.76	-0.4	R 40x30	Vigone FeB22k LC2
p.2	0.1605	0.1105	0.014	0.0001539	-1.76	-0.4	R 40x30	Vigone FeB22k LC2
p.2	-0.1605	0.1105	0.014	0.0001539	-1.76	-0.4	R 40x30	Vigone FeB22k LC2
p.2	0	-0.112	0.014	0.0001539	-1.76	-0.4	R 40x30	Vigone FeB22k LC2
p.2	0	0.112	0.014	0.0001539	-1.76	-0.4	R 40x30	Vigone FeB22k LC2
p.3	-0.1605	-0.1105	0.014	0.0001539	-0.4	2.67	R 40x30	Vigone FeB22k LC2
p.3	0.1605	-0.1105	0.014	0.0001539	-0.4	2.67	R 40x30	Vigone FeB22k LC2
p.3	0.1605	0.1105	0.014	0.0001539	-0.4	2.67	R 40x30	Vigone FeB22k LC2
p.3	-0.1605	0.1105	0.014	0.0001539	-0.4	2.67	R 40x30	Vigone FeB22k LC2
p.4	0	-0.112	0.014	0.0001539	-0.4	2.67	R 40x30	Vigone FeB22k LC2
p.4	0	0.112	0.014	0.0001539	-0.4	2.67	R 40x30	Vigone FeB22k LC2

Controlli geometrici NTC18

Nessuna anomalia

Verifiche delle sezioni

Verifica a pressoflessione in SLU

Quota	As	%	At	Pos.	Mx	My	N	MRdx	MRdy	Comb.	Coeff.s.	Verifica
-1.76	0.000924	1.5	0	1,2	-0.606	0.4854	-586.63	-0.8777	0.703	SLU 20	1.448	SI
-1.48	0.000924	1.5	0	1,2	-0.1188	-0.0646	-585.55	-0.1723	-0.0937	SLU 20	1.451	SI
-1.19	0.000924	1.5	0	1,2	0.3915	-0.6405	-584.42	0.5691	-0.9311	SLU 20	1.454	SI
-0.91	0.000924	0.8	0	2	0.8878	-1.2007	-583.32	1.2932	-1.7488	SLU 20	1.457	SI
-0.62	0.000924	0.8	0	2	1.3799	-1.7561	-582.22	2.0137	-2.562	SLU 20	1.459	SI
-0.4	0.000924	1.5	0	2,3,4	1.6098	0.0369	-243.88	5.6084	0.1287	SLU 17	3.484	SI
-0.09	0.000924	1.5	0	2,3,4	1.4591	-0.091	-242.7	5.108	-0.3187	SLU 17	3.501	SI
0.21	0.000924	1.5	0	2,3,4	1.3059	-0.2212	-241.5	4.5944	-0.778	SLU 17	3.518	SI
0.52	0.000924	0.8	0	3,4	1.1527	-0.3513	-240.3	4.0756	-1.2419	SLU 17	3.536	SI
0.83	0.000924	0.8	0	3,4	0.9995	-0.4814	-239.11	3.5516	-1.7105	SLU 17	3.553	SI
1.14	0.000924	0.8	0	3,4	0.8463	-0.6115	-237.91	3.0224	-2.1837	SLU 17	3.571	SI
1.44	0.000924	0.8	0	3,4	0.6931	-0.7416	-236.71	2.4878	-2.6618	SLU 17	3.589	SI
1.75	0.000924	0.8	0	3,4	0.5399	-0.8717	-235.51	1.9478	-3.1447	SLU 17	3.607	SI
2.06	0.000924	0.8	0	3,4	0.3846	-1.0037	-234.3	1.3945	-3.6394	SLU 17	3.626	SI
2.36	0.000924	0.8	0	3,4	0.2335	-1.1319	-233.12	0.8511	-4.1254	SLU 17	3.645	SI
2.67	0.000982	1.5	0	3,4	0.0828	-1.2599	-231.94	0.3082	-4.6878	SLU 17	3.721	SI

Verifica a pressoflessione in SLV

E' attiva l'opzione fattori parziali di sicurezza unitari per meccanismi duttili di strutture esistenti con fattore q

Quota	As	%	At	Pos.	Mx	My	N	MRdx	MRdy	Comb.	C.S.	Nmin	Nlim	Comb.Nmin	Ver.
-1.76	0.000924	1.5	0	1,2	-3.8167	9.1179	-364.89	-12.5614	30.0089	SLV 13	3.291				SI
-1.48	0.000924	1.5	0	1,2	0.2597	-2.9681	-364.06	0.8566	-9.7911	SLV 13	3.299				SI
-1.19	0.000924	1.5	0	1,2	14.817	-9.1912	-360.17	40.636	-25.207	SLV 10	2.743				SI
-0.91	0.000924	0.8	0	2	22.6955	-17.0516	-359.33	48.8282	-36.6856	SLV 10	2.151				SI
-0.62	0.000924	0.8	0	2	30.882	-24.8818	-358.49	50.4845	-40.6756	SLV 10	1.635				SI
-0.4	0.000924	1.5	0	2,3,4	-10.5807	56.2515	-143.05	-11.1013	59.0192	SLV 4	1.049				SI
-0.09	0.000924	1.5	0	2,3,4	11.3969	-45.9151	-151.5	15.3447	-61.8196	SLV 13	1.346				SI
0.21	0.000924	1.5	0	2,3,4	26.7968	-21.8535	-148.39	44.5352	-36.3197	SLV 10	1.662				SI
0.52	0.000924	0.8	0	3,4	23.5964	-15.6397	-147.47	50.0041	-33.1427	SLV 10	2.119				SI
0.83	0.000924	0.8	0	3,4	20.396	-9.4272	-146.55	57.6558	-26.649	SLV 10	2.827				SI
1.14	0.000924	0.8	0	3,4	17.1957	-3.1436	-145.62	67.0188	-12.252	SLV 10	3.897				SI
1.44	0.000924	0.8	0	3,4	13.9953	3.0255	-144.7	64.1052	13.8583	SLV 10	4.58				SI
1.75	0.000924	0.8	0	3,4	10.6367	9.5428	-143.89	48.1326	43.1826	SLV 9	4.525				SI
2.06	0.000924	0.8	0	3,4	-2.3779	-26.5969	-135.68	-7.0467	-78.8176	SLV 4	2.963				SI
2.36	0.000924	0.8	0	3,4	-1.3671	-36.8093	-134.78	-2.7499	-74.0395	SLV 4	2.011				SI
2.67	0.000982	1.5	0	3,4	-0.3088	-46.9991	-133.87	-0.4628	-70.4257	SLV 4	1.498				SI

Verifica a pressoflessione in SLD

Quota	As	%	At	Pos.	Mx	My	N	MRdx	MRdy	Comb.	Coeff.s.	Verifica
-1.76	0.000924	1.5	0	1,2	-1.8595	4.0791	-361.15	-6.1833	13.5641	SLD 13	3.325	SI
-1.48	0.000924	1.5	0	1,2	0.0526	-1.2947	-360.32	0.1753	-4.3151	SLD 13	3.333	SI
-1.19	0.000924	1.5	0	1,2	2.6885	-6.7447	-359.45	8.9823	-22.5343	SLD 13	3.341	SI
-0.91	0.000924	0.8	0	2	9.4908	-7.517	-357.28	29.7635	-23.5737	SLD 10	3.136	SI
-0.62	0.000924	0.8	0	2	12.9652	-10.9661	-356.44	36.6205	-30.9739	SLD 10	2.825	SI
-0.4	0.000924	1.5	0	2,3,4	5.7278	-23.95	-149.74	18.1482	-75.8841	SLD 13	3.168	SI
-0.09	0.000924	1.5	0	2,3,4	12.4211	-11.9383	-147.92	47.2718	-45.4343	SLD 9	3.806	SI
0.21	0.000924	1.5	0	2,3,4	11.2654	-9.1336	-146.96	49.9671	-40.5113	SLD 10	4.435	SI
0.52	0.000924	0.8	0	3,4	9.921	-6.5838	-146.04	51.2576	-34.0156	SLD 10	5.167	SI
0.83	0.000924	0.8	0	3,4	8.5765	-4.0346	-145.12	50.5691	-23.7891	SLD 10	5.896	SI
1.14	0.000924	0.8	0	3,4	7.232	-1.4554	-144.19	47.8451	-9.6287	SLD 10	6.616	SI
1.44	0.000924	0.8	0	3,4	5.8875	1.0765	-143.27	42.2081	7.7172	SLD 10	7.169	SI
1.75	0.000924	0.8	0	3,4	4.5431	3.6211	-142.35	33.8529	26.9829	SLD 10	7.452	SI
2.06	0.000924	0.8	0	3,4	-0.8258	-11.6953	-138.34	-5.0953	-72.1591	SLD 4	6.17	SI
2.36	0.000924	0.8	0	3,4	-0.47	-16.1262	-137.44	-2.4001	-82.3562	SLD 4	5.107	SI
2.67	0.000982	1.5	0	3,4	-0.0935	-20.5473	-136.53	-0.3882	-85.3523	SLD 4	4.154	SI

Indicatori di rischio sismico a pressoflessione in SLV

E' attiva l'opzione fattori parziali di sicurezza unitari per meccanismi duttili di strutture esistenti con fattore q

Quota	Molt.	TR	I.R.TR	PGA	I.R.PGA	Comb.	Ver.
-1.76	7.05	2114	1.389	0.255	1.279	SLV 3	Si
-1.48	7.617	2114	1.389	0.255	1.279	SLV 11	Si
-1.19	3.619	2114	1.389	0.255	1.279	SLV 7	Si
-0.91	2.225	2114	1.389	0.255	1.279	SLV 10	Si
-0.62	1.588	2114	1.389	0.255	1.279	SLV 10	Si
-0.4	1.036	1059	1.046	0.207	1.035	SLV 4	Si
-0.09	1.248	1915	1.334	0.248	1.241	SLV 4	Si
0.21	1.506	2114	1.389	0.255	1.279	SLV 10	Si
0.52	1.795	2114	1.389	0.255	1.279	SLV 10	Si
0.83	2.192	2114	1.389	0.255	1.279	SLV 10	Si
1.14	2.705	2114	1.389	0.255	1.279	SLV 7	Si
1.44	3.276	2114	1.389	0.255	1.279	SLV 7	Si
1.75	3.502	2114	1.389	0.255	1.279	SLV 4	Si
2.06	2.248	2114	1.389	0.255	1.279	SLV 4	Si
2.36	1.646	2114	1.389	0.255	1.279	SLV 4	Si
2.67	1.338	2114	1.389	0.255	1.279	SLV 4	Si

Indicatori di rischio sismico a pressoflessione in SLD Resistenza

Quota	Molt.	TR	I.R.TR	PGA	I.R.PGA	Comb.	Ver.
-1.76	16.409	2110	3.477	0.255	2.966	SLD 3	Si
-1.48	18.104	2110	3.477	0.255	2.966	SLD 11	Si
-1.19	8.852	2110	3.477	0.255	2.966	SLD 7	Si
-0.91	5.464	2110	3.477	0.255	2.966	SLD 10	Si
-0.62	3.9	2110	3.477	0.255	2.966	SLD 10	Si
-0.4	2.424	1094	2.656	0.209	2.426	SLD 4	Si
-0.09	2.922	1983	3.389	0.25	2.91	SLD 4	Si
0.21	3.689	2110	3.477	0.255	2.966	SLD 4	Si
0.52	4.432	2110	3.477	0.255	2.966	SLD 10	Si
0.83	5.43	2110	3.477	0.255	2.966	SLD 10	Si
1.14	6.722	2110	3.477	0.255	2.966	SLD 7	Si
1.44	8.134	2110	3.477	0.255	2.966	SLD 7	Si
1.75	8.192	2110	3.477	0.255	2.966	SLD 4	Si
2.06	5.238	2110	3.477	0.255	2.966	SLD 4	Si
2.36	3.836	2110	3.477	0.255	2.966	SLD 4	Si
2.67	3.115	2110	3.477	0.255	2.966	SLD 4	Si

Verifica a taglio in famiglia SLU

Quota	Staffe	Direzione X									Direzione Y						Verifica	
		V	N	Comb.	VRd	VRsd	VRcd	Cot	c.s.	V	N	Comb.	VRd	VRsd	VRcd	Cot		c.s.
-1.76	2X/2Y ø6/22.8	-2	-	SLU 19	51.54	69.43	82.29	2.5	34.64	1.87	-	SLU 18	53.21	50.46	82.44	2.5	28.5	Si
-1.48	2X/2Y ø6/22.8	-2	564.22	SLU 19	51.54	69.43	82.67	2.5	34.64	1.87	556.24	SLU 18	53.21	50.46	82.8	2.5	28.5	Si
-1.19	2X/2Y ø6/22.8	-2	563.14	SLU 19	51.54	69.43	83.06	2.5	34.64	1.87	555.16	SLU 18	53.21	50.46	83.19	2.5	28.5	Si
-0.91	2X/2Y ø6/22.8	-2	562.01	SLU 19	51.54	69.43	83.45	2.5	34.64	1.87	554.03	SLU 18	53.21	50.46	83.56	2.5	28.5	Si
-0.62	2X/2Y ø6/22.8	-2	560.91	SLU 19	51.54	69.43	83.83	2.5	34.64	1.87	552.92	SLU 18	53.21	50.46	83.93	2.5	28.5	Si
-0.4	2X/2Y ø6/23.6	-0.44	559.82	SLU 18	51.54	67.03	139.79	2.5	150.75	-0.5	551.83	SLU 18	53.21	48.71	135.44	2.5	105.66	Si
-0.09	2X/2Y ø6/23.6	-0.44	243.74	SLU 18	51.54	67.03	139.79	2.5	150.75	-0.5	243.74	SLU 18	53.21	48.71	135.44	2.5	105.66	Si
0.21	2X/2Y ø6/23.6	-0.44	242.57	SLU 18	51.54	67.03	139.79	2.5	150.75	-0.5	242.57	SLU 18	53.21	48.71	135.44	2.5	105.66	Si
0.52	2X/2Y ø6/23.6	-0.44	241.37	SLU 18	51.54	67.03	139.79	2.5	150.75	-0.5	241.37	SLU 18	53.21	48.71	135.44	2.5	105.66	Si
0.83	2X/2Y ø6/23.6	-0.44	240.17	SLU 18	51.54	67.03	139.79	2.5	150.75	-0.5	240.17	SLU 18	53.21	48.71	135.44	2.5	105.66	Si
1.14	2X/2Y ø6/23.6	-0.44	238.97	SLU 18	51.54	67.03	139.79	2.5	150.75	-0.5	238.97	SLU 18	53.21	48.71	135.44	2.5	105.66	Si
1.44	2X/2Y ø6/23.6	-0.44	237.78	SLU 18	51.54	67.03	139.79	2.5	150.75	-0.5	237.78	SLU 18	53.21	48.71	135.44	2.5	105.66	Si
1.75	2X/2Y ø6/23.6	-0.44	236.58	SLU 18	51.54	67.03	139.79	2.5	150.75	-0.5	236.58	SLU 18	53.21	48.71	135.44	2.5	105.66	Si
2.06	2X/2Y ø6/23.6	-0.44	235.38	SLU 18	51.54	67.03	139.79	2.5	150.75	-0.5	235.38	SLU 18	53.21	48.71	135.44	2.5	105.66	Si
2.36	2X/2Y ø6/23.6	-0.44	234.17	SLU 18	51.54	67.03	139.79	2.5	150.75	-0.5	234.17	SLU 18	53.21	48.71	135.44	2.5	105.66	Si
2.67	2X/2Y ø6/23.6	-0.44	232.99	SLU 18	51.54	67.03	139.79	2.5	150.75	-0.5	232.99	SLU 18	53.21	48.71	135.44	2.5	105.66	Si
			231.81	SLU 18	51.54	67.03	139.79	2.5	150.75	-0.5	231.81	SLU 18	53.21	48.71	135.44	2.5	105.66	Si

Verifica a taglio in famiglia SLV

Quota	Staffe	Direzione X									Direzione Y						Verifica	
		V	N	Comb.	VRd	VRsd	VRcd	Cot	c.s.	V	N	Comb.	VRd	VRsd	VRcd	Cot		c.s.
-1.76	2X/2Y ø6/22.8	-42.61	-	SLV 13	51.54	69.43	139.79	2.5	1.63	30.53	-	SLV 10	53.21	50.46	135.44	2.5	1.74	Si
-1.48	2X/2Y ø6/22.8	-42.61	364.89	SLV 13	51.54	69.43	139.79	2.5	1.63	30.53	361.88	SLV 10	53.21	50.46	135.44	2.5	1.74	Si
-1.19	2X/2Y ø6/22.8	-42.61	364.06	SLV 13	51.54	69.43	139.79	2.5	1.63	30.53	361.04	SLV 10	53.21	50.46	135.44	2.5	1.74	Si
-0.91	2X/2Y ø6/22.8	-42.61	363.19	SLV 13	51.54	69.43	139.79	2.5	1.63	30.53	360.17	SLV 10	53.21	50.46	135.44	2.5	1.74	Si
-0.62	2X/2Y ø6/22.8	-42.61	362.34	SLV 13	51.54	69.43	139.79	2.5	1.63	30.53	359.33	SLV 10	53.21	50.46	135.44	2.5	1.74	Si
-0.4	2X/2Y ø6/23.6	-33.74	-361.5	SLV 13	51.54	69.43	139.79	2.5	1.63	30.53	358.49	SLV 10	53.21	50.46	135.44	2.5	1.74	Si
-0.09	2X/2Y ø6/23.6	-33.74	143.05	SLV 4	49.26	67.03	131.84	2.5	1.99	-10.42	150.21	SLV 10	51.94	48.71	128.71	2.5	4.98	Si
0.21	2X/2Y ø6/23.6	-33.74	142.14	SLV 4	49.14	67.03	131.71	2.5	1.99	-10.42	149.31	SLV 10	51.82	48.71	128.59	2.5	4.97	Si
0.52	2X/2Y ø6/23.6	-33.74	141.22	SLV 4	49.01	67.03	131.58	2.5	1.99	-10.42	148.39	SLV 10	51.7	48.71	128.46	2.5	4.96	Si
0.83	2X/2Y ø6/23.6	-33.74	140.3	SLV 4	48.89	67.03	131.45	2.5	1.99	-10.42	147.47	SLV 10	51.58	48.71	128.34	2.5	4.95	Si
1.14	2X/2Y ø6/23.6	-33.74	139.38	SLV 4	48.76	67.03	131.32	2.5	1.99	-10.42	146.55	SLV 10	51.46	48.71	128.21	2.5	4.94	Si
1.44	2X/2Y ø6/23.6	-33.74	138.46	SLV 4	48.64	67.03	131.2	2.5	1.99	-10.42	145.62	SLV 10	51.34	48.71	128.09	2.5	4.92	Si
1.75	2X/2Y ø6/23.6	-33.74	137.54	SLV 4	48.51	67.03	131.07	2.5	1.99	-10.42	144.7	SLV 10	51.22	48.71	127.96	2.5	4.91	Si
			136.62	SLV 4	48.39	67.03	130.94	2.5	1.99	-10.42	143.78	SLV 10	51.09	48.71	127.84	2.5	4.9	Si

Pilastrata	Q.Nodo	Angolo travatura	Aj	Vpc	Vtc	Vnc	Nc	σnc	σnc,lim	Comb.c	Vpt	Vtt	Vnt	Nt	σnt	σnt,lim	Comb.t	Segnalazioni	Verifica
	-0.51	180	0	0	0	0	0	0	0		0	0	0	0	0	0		Trave non calcolata	Si

Verifiche nodi trave colonna in combinazioni SLD**Riepilogo dei dati per la verifica del nodo secondo Circolare 7 21-01-19 §C8.7.2.3.5.**

Pilastrata	Q.Nodo	Angolo travatura	Aj	Vpc	Vtc	Vnc	Nc	σnc	σnc,lim	Comb.c	Vpt	Vtt	Vnt	Nt	σnt	σnt,lim	Comb.t	Segnalazioni	Verifica
Pilastrata P26	2.795	0	0.16054	0	123.23	123.23	0	768	3919	SLD 4	0	123.23	123.23	0	768	840	SLD 4		Si
	2.795	180	0.16054	0	123.23	123.23	0	768	3919	SLD 4	0	123.23	123.23	0	768	840	SLD 4		Si

Verifiche nodi trave colonna in combinazioni SLV**Riepilogo dei dati per la verifica del nodo secondo Circolare 7 21-01-19 §C8.7.2.3.5.**

Pilastrata	Q.Nodo	Angolo travatura	Aj	Vpc	Vtc	Vnc	Nc	σnc	σnc,lim	Comb.c	Vpt	Vtt	Vnt	Nt	σnt	σnt,lim	Comb.t	Segnalazioni	Verifica
Pilastrata P26	-0.51	0	0	0	0	0	0	0	0		0	0	0	0	0	0		Trave non calcolata	Si
	-0.51	180	0	0	0	0	0	0	0		0	0	0	0	0	0		Trave non calcolata	Si

Verifiche nodi trave colonna in combinazioni SLV**Riepilogo dei dati per la verifica del nodo secondo Circolare 7 21-01-19 §C8.7.2.3.5.**

Pilastrata	Q.Nodo	Angolo travatura	Aj	Vpc	Vtc	Vnc	Nc	σnc	σnc,lim	Comb.c	Vpt	Vtt	Vnt	Nt	σnt	σnt,lim	Comb.t	Segnalazioni	Verifica
Pilastrata P26	2.795	0	0.16054	0	283.623	283.623	0	1767	3919	SLV 4	0	283.623	283.623	0	1767	840	SLV 4		No
	2.795	180	0.16054	0	283.623	283.623	0	1767	3919	SLV 4	0	283.623	283.623	0	1767	840	SLV 4		No

Indicatori di rischio sismico dei nodi in SLD

Pilastrata	Q.Nodo	Angolo travatura	Moltiplicatore	TR	I.R.TR	PGA	I.R.PGA	Comb.	Ver.
Pilastrata P26	2.795	0	1.096	126	1.095	0.094	1.095	SLD 4	Si
	2.795	180	1.096	126	1.095	0.094	1.095	SLD 4	Si

Indicatori di rischio sismico dei nodi in SLV

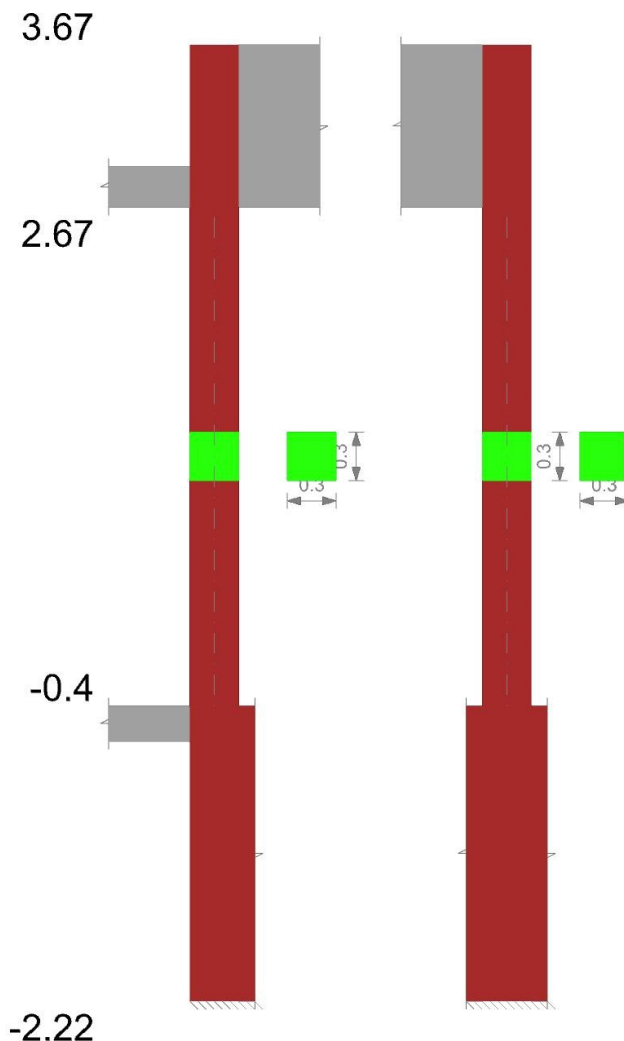
Pilastrata	Q.Nodo	Angolo travatura	Moltiplicatore	TR	I.R.TR	PGA	I.R.PGA	Comb.	Ver.
Pilastrata P26	2.795	0	0.471	124	0.434	0.094	0.469	SLV 4	No
	2.795	180	0.471	124	0.434	0.094	0.469	SLV 4	No

Verifiche di gerarchia delle resistenze nei nodi trave pilastro

Verifiche di gerarchia delle resistenze nei nodi trave pilastro non presenti in quanto la verifica è non necessaria per la pilastrata per il nodo Appoggio -2.01 in quanto elemento di materiale esistente.
per il nodo Appoggio 2.795 in quanto elemento di materiale esistente.
per il nodo Appoggio -0.51 in quanto elemento di materiale esistente.

Pilastrata P27

Geometria



Dati della pilastrata

Analisi di edificio esistente con fattore di struttura.

Fattore di struttura per meccanismi duttili in direzione X: 1.5

Fattore di struttura per meccanismi duttili in direzione Y: 1.5

Fattore di struttura per meccanismi fragili in direzione X: 1

Fattore di struttura per meccanismi fragili in direzione Y: 1

Verifica dei meccanismi fragili condotta secondo Circolare 7 21-01-19 (§C8.7.2.2) Analisi lineare con fattore q.

Fattore di amplificazione dei meccanismi fragili della componente sismica in direzione X: 1

Fattore di amplificazione dei meccanismi fragili della componente sismica in direzione Y: 1

Campate costituenti la pilastrata

Q.inf.	Q.sup.	Sezione	Esistente	Secondaria	Dissipativa	Interna a parete	Sovreresistenza	Materiale CLS	Materiale Acciaio	FC
-0.4	2.67	R 30x30_1	Si	No	No	No		C14/17 LC2 Vigone A	Vigone_FeB22k_LC2_FC = 1.2; Vigone_FeB44k_Staffe_LC2_FC = 1.2	1.2

Disposizione delle armature longitudinali

Posizione	X	Y	Diametro	Area	Q.inf.	Q.sup.	Sezione	Materiale
p.1	-0.1105	-0.1105	0.014	0.0001539	-0.9	-0.1	R 30x30 1	Vigone FeB22k LC2
p.1	0.1105	-0.1105	0.014	0.0001539	-0.9	-0.1	R 30x30 1	Vigone FeB22k LC2
p.1	0.1105	0.1105	0.014	0.0001539	-0.9	-0.1	R 30x30 1	Vigone FeB22k LC2
p.1	-0.1105	0.1105	0.014	0.0001539	-0.9	-0.1	R 30x30 1	Vigone FeB22k LC2
p.2	-0.1105	-0.1105	0.014	0.0001539	-0.1	2.67	R 30x30 1	Vigone FeB22k LC2
p.2	0.1105	-0.1105	0.014	0.0001539	-0.1	2.67	R 30x30 1	Vigone FeB22k LC2
p.2	0.1105	0.1105	0.014	0.0001539	-0.1	2.67	R 30x30 1	Vigone FeB22k LC2
p.2	-0.1105	0.1105	0.014	0.0001539	-0.1	2.67	R 30x30 1	Vigone FeB22k LC2

Controlli geometrici NTC18

Nessuna anomalia

Verifiche delle sezioni

Verifica a pressoflessione in SLU

Quota	As	%	At	Pos.	Mx	My	N	MRdx	MRdy	Comb.	Coeff.s.	Verifica
-0.4	0.000616	0.7	0	1	0.0209	-5.396	-261.29	0.0496	-12.7979	SLU 18	2.372	Si
-0.09	0.000616	1.4	0	1,2	0.2967	-4.1395	-260.41	0.7062	-9.8511	SLU 18	2.38	Si
0.21	0.000616	1.4	0	1,2	0.5771	-2.8622	-259.51	1.3782	-6.8349	SLU 18	2.388	Si
0.52	0.000616	1.4	0	1,2	0.8576	-1.5849	-258.61	2.055	-3.7978	SLU 18	2.396	Si
0.83	0.000616	0.7	0	2	1.138	-0.3075	-257.71	2.7364	-0.7395	SLU 18	2.405	Si
1.14	0.000616	0.7	0	2	1.4184	0.9698	-256.82	3.4226	2.3402	SLU 18	2.413	Si
1.44	0.000616	0.7	0	2	1.6988	2.2471	-255.92	4.1136	5.4414	SLU 18	2.422	Si
1.75	0.000616	0.7	0	2	1.9792	3.5244	-255.02	4.8095	8.5646	SLU 18	2.43	Si

Quota	As	%	At	Pos.	Mx	My	N	MRdx	MRdy	Comb.	Coef.s.	Verifica
2.06	0.000616	0.7	0	2	2.2635	4.8198	-254.11	5.5202	11.7542	SLU 18	2.439	SI
2.36	0.000616	0.7	0	2	2.54	6.0791	-253.22	6.0077	14.3785	SLU 18	2.365	SI
2.67	0.000616	0.7	0	2	2.8158	7.3356	-252.34	6.4087	16.6955	SLU 18	2.276	SI

Verifica a pressoflessione in SLV

E' attiva l'opzione fattori parziali di sicurezza unitari per meccanismi duttili di strutture esistenti con fattore q

Quota	As	%	At	Pos.	Mx	My	N	MRdx	MRdy	Comb.	C.S.	Nmin	Nlim	Comb.Nmin	Ver.
-0.4	0.000616	0.7	0	1	132.7877	-42.9454	-93.1	21.4105	-6.9245	SLV 10	0.161				No
-0.09	0.000616	1.4	0	1,2	108.4666	-34.9392	-92.42	21.8044	-7.0236	SLV 10	0.201				No
0.21	0.000616	1.4	0	1,2	83.7429	-26.801	-91.73	22.4695	-7.1911	SLV 10	0.268				No
0.52	0.000616	1.4	0	1,2	59.0191	-18.6639	-91.04	23.796	-7.5251	SLV 10	0.403				No
0.83	0.000616	0.7	0	2	34.2954	-10.5305	-90.35	27.6756	-8.4978	SLV 10	0.807				No
1.14	0.000616	0.7	0	2	-7.8163	3.6207	-220.71	-27.224	12.611	SLV 7	3.483				SI
1.44	0.000616	0.7	0	2	-15.1522	5.806	-88.96	-37.7029	14.4469	SLV 10	2.488				SI
1.75	0.000616	0.7	0	2	-39.8759	13.9164	-88.27	-25.9393	9.0526	SLV 10	0.651				No
2.06	0.000616	0.7	0	2	-64.9477	22.1653	-87.57	-23.158	7.9033	SLV 10	0.357				No
2.36	0.000616	0.7	0	2	-89.3233	30.188	-86.89	-22.1033	7.4701	SLV 10	0.247				No
2.67	0.000616	0.7	0	2	-113.6444	38.1938	-86.21	-21.5411	7.2396	SLV 10	0.19				No

Verifica a pressoflessione in SLD

Quota	As	%	At	Pos.	Mx	My	N	MRdx	MRdy	Comb.	Coef.s.	Verifica
-0.4	0.000616	0.7	0	1	53.7864	-19.9107	-131.86	26.6516	-9.8659	SLD 10	0.496	No
-0.09	0.000616	1.4	0	1,2	44.0372	-16.109	-131.18	28.5378	-10.4393	SLD 10	0.648	No
0.21	0.000616	1.4	0	1,2	34.1266	-12.2446	-130.49	31.673	-11.3643	SLD 10	0.928	No
0.52	0.000616	1.4	0	1,2	24.216	-8.3807	-129.8	37.1865	-12.8696	SLD 10	1.536	SI
0.83	0.000616	0.7	0	2	14.3054	-4.5185	-129.11	43.2897	-13.6733	SLD 10	3.026	SI
1.14	0.000616	0.7	0	2	-1.1404	2.4688	-184.16	-5.4529	11.8051	SLD 3	4.782	SI
1.44	0.000616	0.7	0	2	7.5776	-0.5458	-181.26	31.518	-2.2701	SLD 7	4.159	SI
1.75	0.000616	0.7	0	2	-15.4264	7.0886	-127.04	-38.6327	17.7521	SLD 10	2.504	SI
2.06	0.000616	0.7	0	2	-25.4765	11.0057	-126.33	-34.2302	14.7873	SLD 10	1.344	SI
2.36	0.000616	0.7	0	2	-35.2475	14.8153	-125.65	-30.0228	12.6192	SLD 10	0.852	No
2.67	0.000616	0.7	0	2	-44.9967	18.6168	-124.97	-27.4811	11.37	SLD 10	0.611	No

Indicatori di rischio sismico a pressoflessione in SLV

E' attiva l'opzione fattori parziali di sicurezza unitari per meccanismi duttili di strutture esistenti con fattore q

Quota	Molt.	TR	I.R.TR	PGA	I.R.PGA	Comb.	Ver.
-0.4	0.247	41	0.276	0.057	0.288	SLV 10	No
-0.09	0.301	59	0.32	0.068	0.341	SLV 10	No
0.21	0.387	94	0.388	0.084	0.418	SLV 10	No
0.52	0.537	195	0.523	0.113	0.566	SLV 10	No
0.83	0.876	669	0.866	0.177	0.888	SLV 10	No
1.14	2.263	2114	1.389	0.255	1.279	SLV 10	SI
1.44	1.611	2114	1.389	0.255	1.279	SLV 10	SI
1.75	0.764	465	0.746	0.156	0.784	SLV 10	No
2.06	0.493	157	0.478	0.103	0.517	SLV 10	No
2.36	0.365	84	0.37	0.08	0.399	SLV 10	No
2.67	0.289	54	0.309	0.065	0.327	SLV 10	No

Indicatori di rischio sismico a pressoflessione in SLD Resistenza

Quota	Molt.	TR	I.R.TR	PGA	I.R.PGA	Comb.	Ver.
-0.4	0.608	40	0.684	0.057	0.66	SLD 10	No
-0.09	0.741	57	0.791	0.067	0.777	SLD 10	No
0.21	0.951	91	0.958	0.082	0.957	SLD 10	No
0.52	1.322	187	1.287	0.111	1.289	SLD 10	SI
0.83	2.157	640	2.132	0.175	2.028	SLD 10	SI
1.14	5.566	2110	3.477	0.255	2.966	SLD 10	SI
1.44	3.971	2110	3.477	0.255	2.966	SLD 10	SI
1.75	1.879	447	1.84	0.154	1.791	SLD 10	SI
2.06	1.213	151	1.179	0.102	1.18	SLD 10	SI
2.36	0.897	82	0.918	0.079	0.916	SLD 10	No
2.67	0.711	53	0.768	0.065	0.751	SLD 10	No

Verifica a taglio in famiglia SLU

Quota	Staffe	Direzione X								Direzione Y								Verifica	
		V	N	Comb.	VRd	VRsd	VRcd	Cot	c.s.	V	N	Comb.	VRd	VRsd	VRcd	Cot	c.s.		
-0.4	2X/2Y ø6/23.6	4.16	-	SLU 18	39.73	48.44	101.02	2.5	11.64	1.44	-	SLU 12	39.73	48.44	101.02	2.5	33.74	SI	
			261.29								243.31								
-0.09	2X/2Y ø6/23.6	4.16	-	SLU 18	39.73	48.44	101.02	2.5	11.64	1.44	-	SLU 12	39.73	48.44	101.02	2.5	33.74	SI	
			260.41								242.43								
0.21	2X/2Y ø6/23.6	4.16	-	SLU 18	39.73	48.44	101.02	2.5	11.64	1.44	-	SLU 12	39.73	48.44	101.02	2.5	33.74	SI	
			259.51								241.53								
0.52	2X/2Y ø6/23.6	4.16	-	SLU 18	39.73	48.44	101.02	2.5	11.64	1.44	-	SLU 12	39.73	48.44	101.02	2.5	33.74	SI	
			258.61								240.63								
0.83	2X/2Y ø6/23.6	4.16	-	SLU 18	39.73	48.44	101.02	2.5	11.64	1.44	-	SLU 12	39.73	48.44	101.02	2.5	33.74	SI	
			257.71								239.73								
1.14	2X/2Y ø6/23.6	4.16	-	SLU 18	39.73	48.44	101.02	2.5	11.64	1.44	-	SLU 12	39.73	48.44	101.02	2.5	33.74	SI	
			256.82								238.84								
1.44	2X/2Y ø6/23.6	4.16	-	SLU 18	39.73	48.44	101.02	2.5	11.64	1.44	-	SLU 12	39.73	48.44	101.02	2.5	33.74	SI	
			255.92								237.94								
1.75	2X/2Y ø6/23.6	4.16	-	SLU 18	39.73	48.44	101.02	2.5	11.64	1.44	-	SLU 12	39.73	48.44	101.02	2.5	33.74	SI	
			255.02								237.04								
2.06	2X/2Y ø6/23.6	4.16	-	SLU 18	39.73	48.44	101.02	2.5	11.64	1.44	-	SLU 12	39.73	48.44	101.02	2.5	33.74	SI	
			254.11								236.13								
2.36	2X/2Y ø6/23.6	4.16	-	SLU 18	39.73	48.44	101.02	2.5	11.64	1.44	-	SLU 12	39.73	48.44	101.02	2.5	33.74	SI	
			253.22								235.24								
2.67	2X/2Y ø6/23.6	4.16	-	SLU 18	39.73	48.44	101.02	2.5	11.64	1.44	-	SLU 12	39.73	48.44	101.02	2.5	33.74	SI	
			252.34								234.36								

Verifica a taglio in famiglia SLV

Quota	Staffe	Direzione X								Direzione Y								Verifica	
		V	N	Comb.	VRd	VRsd	VRcd	Cot	c.s.	V	N	Comb.	VRd	VRsd	VRcd	Cot	c.s.		
-0.4	2X/2Y ø6/23.6	44.25	-91.67	SLV 13	36.05	48.44	93.17	2.5	1.09	81.53	-	SLV 7	39.73	48.44	101.02	2.5	0.59	No	
											224.15								
-0.09	2X/2Y ø6/23.6	44.25	-90.99	SLV 13	35.96	48.44	93.07	2.5	1.09	81.53	-	SLV 7	39.73	48.44	101.02	2.5	0.59	No	
											223.47								
0.21	2X/2Y ø6/23.6	44.25	-90.3	SLV 13	35.87	48.44	92.98	2.5	1.09	81.53	-	SLV 7	39.73	48.44	101.02	2.5	0.59	No	
											222.78								
0.52	2X/2Y ø6/23.6	44.25	-89.61	SLV 13	35.78	48.44	92.89	2.5	1.09	81.53	-	SLV 7	39.73	48.44	101.02	2.5	0.59	No	
											222.09								
0.83	2X/2Y ø6/23.6	44.25	-88.92	SLV 13	35.69	48.44	92.79	2.5	1.09	81.53	-221.4	SLV 7	39.73	48.44	101.02	2.5	0.59	No	
											220.71								
1.14	2X/2Y ø6/23.6	44.25	-88.23	SLV 13	35.6	48.44	92.7	2.5	1.09	81.53	-	SLV 7	39.73	48.44	101.02	2.5	0.59	No	

Quota	Staffe	Direzione X								Direzione Y								Verifica	
		V	N	Comb.	VRd	VRsd	VRcd	Cot	c.s.	V	N	Comb.	VRd	VRsd	VRcd	Cot	c.s.		
1.44	2X/2Y ø6/23.6	44.25	-87.54	SLV 13	35.51	48.44	92.61	2.5	1.09	81.53	-	220.02	SLV 7	39.73	48.44	101.02	2.5	0.59	No
1.75	2X/2Y ø6/23.6	44.25	-86.85	SLV 13	35.42	48.44	92.52	2.5	1.09	81.53	-	219.33	SLV 7	39.73	48.44	101.02	2.5	0.59	No
2.06	2X/2Y ø6/23.6	44.25	-86.15	SLV 13	35.33	48.44	92.42	2.5	1.09	81.53	-	218.63	SLV 7	39.73	48.44	101.02	2.5	0.59	No
2.36	2X/2Y ø6/23.6	44.25	-85.46	SLV 13	35.24	48.44	92.33	2.5	1.09	81.53	-	217.95	SLV 7	39.73	48.44	101.02	2.5	0.59	No
2.67	2X/2Y ø6/23.6	44.25	-84.79	SLV 13	35.15	48.44	92.24	2.5	1.09	81.53	-	217.27	SLV 7	39.73	48.44	101.02	2.5	0.59	No

Verifica taglio ciclico secondo Circolare 7 21-01-19 §C8.7.2.3.5 formula [C8.7.2.8] in combinazione SLV

Quota	Q.inf.	Q.sup.	Dir.	Lv	x	h	p.tot	θm	θy	μΔpl	VRd	VRcd(cotθ=1)	VRsd	Vw	VR	VRf	VEd	NEd	Comb.	Verifica
-0.4	-1.31	3.17	X	1.66	0.114	0.3	0.0068	0.001874	0.008731	0	36.048	135.09	48.44	19.376	25.156	48.44	44.25	-91.67	SLV 13	Si
-0.4	-1.31	3.17	Y	1.66	0.17	0.3	0.0068	0.003394	0.008731	0	39.73	146.472	48.44	19.376	28.303	48.44	81.532	224.152	SLV 7	No

Verifica a taglio in famiglia SLD Resistenza

Quota	Staffe	Direzione X								Direzione Y								Verifica	
		V	N	Comb.	VRd	VRsd	VRcd	Cot	c.s.	V	N	Comb.	VRd	VRsd	VRcd	Cot	c.s.		
-0.4	2X/2Y ø6/23.6	20.46	-	SLD 13	41.06	48.44	98.35	2.5	2.37	33.28	-	185.39	SLD 7	47.54	48.44	101.02	2.5	1.46	Si
-0.09	2X/2Y ø6/23.6	20.46	-	SLD 13	40.97	48.44	98.26	2.5	2.37	33.28	-	184.71	SLD 7	47.54	48.44	101.02	2.5	1.46	Si
0.21	2X/2Y ø6/23.6	20.46	-	SLD 13	40.88	48.44	98.16	2.5	2.37	33.28	-	184.02	SLD 7	47.54	48.44	101.02	2.5	1.46	Si
0.52	2X/2Y ø6/23.6	20.46	-	SLD 13	40.79	48.44	98.07	2.5	2.37	33.28	-	183.33	SLD 7	47.54	48.44	101.02	2.5	1.46	Si
0.83	2X/2Y ø6/23.6	20.46	-	SLD 13	40.7	48.44	97.98	2.5	2.37	33.28	-	182.64	SLD 7	47.54	48.44	101.02	2.5	1.46	Si
1.14	2X/2Y ø6/23.6	20.46	-	SLD 13	40.61	48.44	97.89	2.5	2.37	33.28	-	181.95	SLD 7	47.54	48.44	101.02	2.5	1.46	Si
1.44	2X/2Y ø6/23.6	20.46	-	SLD 13	40.52	48.44	97.79	2.5	2.37	33.28	-	181.26	SLD 7	47.54	48.44	101.02	2.5	1.46	Si
1.75	2X/2Y ø6/23.6	20.46	-	SLD 13	40.43	48.44	97.7	2.5	2.37	33.28	-	180.57	SLD 7	47.54	48.44	101.02	2.5	1.46	Si
2.06	2X/2Y ø6/23.6	20.46	-	SLD 13	40.34	48.44	97.61	2.5	2.37	33.28	-	179.86	SLD 7	47.54	48.44	101.02	2.5	1.46	Si
2.36	2X/2Y ø6/23.6	20.46	-	SLD 13	40.25	48.44	97.51	2.5	2.37	33.28	-	179.18	SLD 7	47.45	48.44	101.02	2.5	1.46	Si
2.67	2X/2Y ø6/23.6	20.46	-	SLD 13	40.16	48.44	97.42	2.5	2.37	33.28	-	178.5	SLD 7	47.36	48.44	101.02	2.5	1.46	Si

Indicatori di rischio sismico a taglio in SLV

Quota	Molt.	TR	I.R.TR	PGA	I.R.PGA	Comb.	Verifica
-0.09	0.592	248	0.577	0.124	0.619	SLV 7	No
0.21	0.592	248	0.577	0.124	0.619	SLV 7	No
0.52	0.592	248	0.577	0.124	0.619	SLV 7	No
0.83	0.592	248	0.577	0.124	0.619	SLV 7	No
1.14	0.592	248	0.577	0.124	0.619	SLV 7	No
1.44	0.592	248	0.577	0.124	0.619	SLV 7	No
1.75	0.592	248	0.577	0.124	0.619	SLV 7	No
2.06	0.592	248	0.577	0.124	0.619	SLV 7	No
2.36	0.592	248	0.577	0.124	0.619	SLV 7	No
2.67	0.592	248	0.577	0.124	0.619	SLV 7	No

Indicatori di rischio sismico a taglio in SLD Resistenza

Quota	Molt.	TR	I.R.TR	PGA	I.R.PGA	Comb.	Verifica
-0.4	1.463	241	1.428	0.122	1.421	SLD 7	Si
-0.09	1.463	241	1.428	0.122	1.421	SLD 7	Si
0.21	1.463	241	1.428	0.122	1.421	SLD 7	Si
0.52	1.463	241	1.428	0.122	1.421	SLD 7	Si
0.83	1.463	241	1.428	0.122	1.421	SLD 7	Si
1.14	1.463	241	1.428	0.122	1.421	SLD 7	Si
1.44	1.463	241	1.428	0.122	1.421	SLD 7	Si
1.75	1.463	241	1.428	0.122	1.421	SLD 7	Si
2.06	1.463	241	1.428	0.122	1.421	SLD 7	Si
2.36	1.463	241	1.428	0.122	1.421	SLD 7	Si
2.67	1.463	241	1.428	0.122	1.421	SLD 7	Si

Verifiche nodi trave colonna

Riepilogo dei dati per le diverse tipologie di verifica eseguite per i nodi

Pilastrata	Q.Nodo	Escluso	Confinato	Segnalazioni
Pilastrata P27	-1.31	Si	No	non tutte le travature convergenti al nodo sono calcolate/validate
Pilastrata P27	3.17	No	No	

Verifiche nodi trave colonna in combinazioni SLD

Riepilogo dei dati per la verifica del nodo secondo Circolare 7 21-01-19 §C8.7.2.3.5.

Pilastrata	Q.Nodo	Angolo travatura	Aj	Vpc	Vtc	Vnc	Nc	onc	onc,lim	Comb.c	Vpt	Vtt	Vnt	Nt	ont	ont,lim	Comb.t	Segnalazioni	Verifica
Pilastrata P27	3.17	0	0.06632	0	292.535	292.535	0	4411	3919	SLD 13	0	292.535	292.535	0	4411	840	SLD 13		No
	3.17	180	0.09948	0	292.535	292.535	0	2941	3919	SLD 13	0	292.535	292.535	0	2941	840	SLD 13		No
	3.17	270	0.06632	0	51.256	51.256	0	773	3919	SLD 7	0	51.256	51.256	0	773	840	SLD 7		Si

Verifiche nodi trave colonna in combinazioni SLV

Riepilogo dei dati per la verifica del nodo secondo Circolare 7 21-01-19 §C8.7.2.3.5.

Pilastrata	Q.Nodo	Angolo travatura	Aj	Vpc	Vtc	Vnc	Nc	onc	onc,lim	Comb.c	Vpt	Vtt	Vnt	Nt	ont	ont,lim	Comb.t	Segnalazioni	Verifica
Pilastrata P27	3.17	0	0.06632	0	344.582	344.582	0	5196	3919	SLV 13	0	344.582	344.582	0	5196	840	SLV 13		No
	3.17	180	0.09948	0	344.582	344.582	0	3464	3919	SLV 13	0	344.582	344.582	0	3464	840	SLV 13		No
	3.17	270	0.06632	0	132.877	132.877	0	2004	3919	SLV 7	0	132.877	132.877	0	2004	840	SLV 7		No

Indicatori di rischio sismico dei nodi in SLD

Pilastrata	Q.Nodo	Angolo travatura	Moltiplicatore	TR	I.R.TR	PGA	I.R.PGA	Comb.	Ver.
Pilastrata P27	3.17	0	0	0	0	0	0	SLD 1	No
	3.17	180	0	0	0	0	0	SLD 1	No
	3.17	270	1.08	118	1.066	0.092	1.066	SLD 7	Si

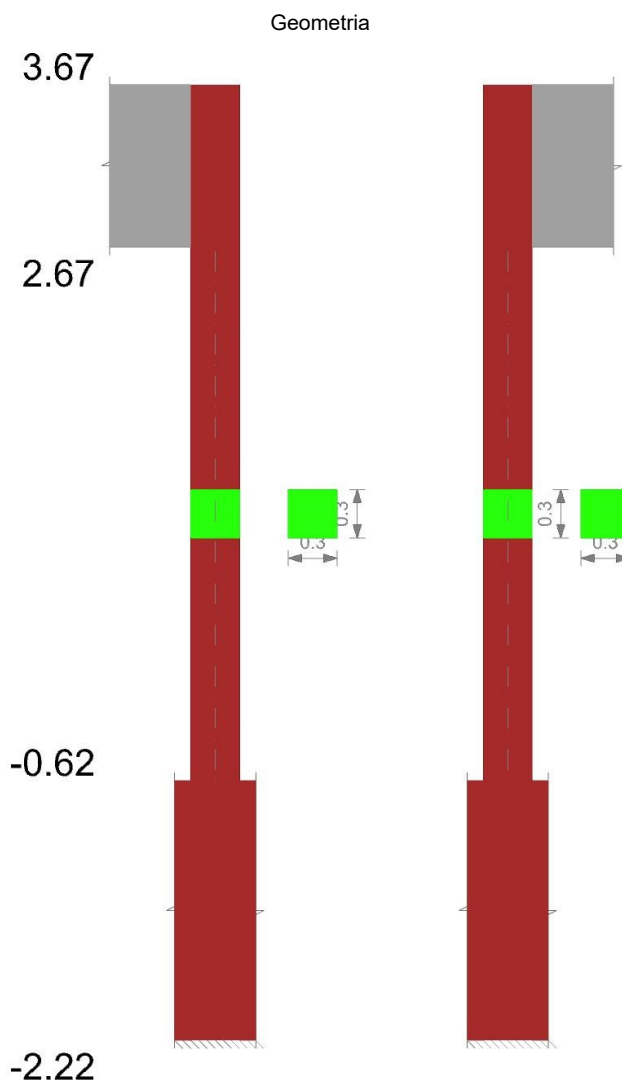
Indicatori di rischio sismico dei nodi in SLV

Pilastrata	Q.Nodo	Angolo travatura	Moltiplicatore	TR	I.R.TR	PGA	I.R.PGA	Comb.	Ver.
Pilastrata P27	3.17	0	0	0	0	0	0	SLV 1	No
	3.17	180	0	0	0	0	0	SLV 1	No
	3.17	270	0.437	120	0.428	0.092	0.463	SLV 7	No

Verifiche di gerarchia delle resistenze nei nodi trave pilastro

Verifiche di gerarchia delle resistenze nei nodi trave pilastro non presenti in quanto la verifica è non necessaria per la pilastrata per il nodo Appoggio 3.17 in quanto elemento di materiale esistente.
per il nodo Appoggio -1.31 in quanto elemento di materiale esistente.

Pilastrata P28



Dati della pilastrata

Analisi di edificio esistente con fattore di struttura.

Fattore di struttura per meccanismi duttili in direzione X: 1.5

Fattore di struttura per meccanismi duttili in direzione Y: 1.5

Fattore di struttura per meccanismi fragili in direzione X: 1

Fattore di struttura per meccanismi fragili in direzione Y: 1

Verifica dei meccanismi fragili condotta secondo Circolare 7 21-01-19 (§C8.7.2.2) Analisi lineare con fattore q.

Fattore di amplificazione dei meccanismi fragili della componente sismica in direzione X: 1

Fattore di amplificazione dei meccanismi fragili della componente sismica in direzione Y: 1

Campate costituenti la pilastrata

Q.inf.	Q.sup.	Sezione	Esistente	Secondaria	Dissipativa	Interna a parete	Sovreresistenza	Materiale CLS	Materiale Acciaio	FC
-0.62	2.67	R 30x30_1	Si	No	No	No		C14/17 LC2 Vigone A	Vigone_FeB22k_LC2_FC = 1.2; Vigone_FeB44k_Staffe_LC2_FC = 1.2	1.2

Disposizione delle armature longitudinali

Posizione	X	Y	Diametro	Area	Q.inf.	Q.sup.	Sezione	Materiale
p.1	-0.1105	-0.1105	0.014	0.0001539	-0.9	-0.1	R 30x30 1	Vigone FeB22k LC2
p.1	0.1105	-0.1105	0.014	0.0001539	-0.9	-0.1	R 30x30 1	Vigone FeB22k LC2
p.1	0.1105	0.1105	0.014	0.0001539	-0.9	-0.1	R 30x30 1	Vigone FeB22k LC2
p.1	-0.1105	0.1105	0.014	0.0001539	-0.9	-0.1	R 30x30 1	Vigone FeB22k LC2
p.2	-0.1105	-0.1105	0.014	0.0001539	-0.1	2.67	R 30x30 1	Vigone FeB22k LC2

Posizione	X	Y	Diametro	Area	Q.inf.	Q.sup.	Sezione	Materiale
p.2	0.1105	-0.1105	0.014	0.0001539	-0.1	2.67	R 30x30 1	Vigone FeB22k LC2
p.2	0.1105	0.1105	0.014	0.0001539	-0.1	2.67	R 30x30 1	Vigone FeB22k LC2
p.2	-0.1105	0.1105	0.014	0.0001539	-0.1	2.67	R 30x30 1	Vigone FeB22k LC2

Controlli geometrici NTC18

Nessuna anomalia

Verifiche delle sezioni**Verifica a pressoflessione in SLU**

Quota	As	%	At	Pos.	Mx	My	N	MRdx	MRdy	Comb.	Coeff.s.	Verifica
-0.32	0.000616	0.7	0	1	8.4873	-2.8356	-57.25	30.5483	-10.2062	SLU 18	3.599	Si
-0.02	0.000616	1.4	0	1,2	6.5874	-2.1726	-56.37	31.509	-10.392	SLU 18	4.783	Si
0.28	0.000616	1.4	0	1,2	4.6874	-1.5095	-55.5	30.9865	-9.9789	SLU 18	6.611	Si
0.58	0.000616	1.4	0	1,2	2.782	-0.8393	-54.74	24.4616	-7.3797	SLU 17	8.793	Si
0.88	0.000616	0.7	0	2	0.7256	-0.1692	-55.03	8.1715	-1.9058	SLU 12	11.261	Si
1.17	0.000616	0.7	0	2	-0.9867	0.4412	-54.15	-11.2914	5.0484	SLU 12	11.443	Si
1.47	0.000616	0.7	0	2	-2.9099	1.1392	-52.12	-25.4142	9.9492	SLU 17	8.734	Si
1.77	0.000616	0.7	0	2	-4.8121	1.8056	-51.12	-30.748	11.5374	SLU 18	6.39	Si
2.07	0.000616	0.7	0	2	-6.712	2.4686	-50.25	-30.252	11.1266	SLU 18	4.507	Si
2.37	0.000616	0.7	0	2	-8.6119	3.1317	-49.37	-29.0619	10.5683	SLU 18	3.375	Si
2.67	0.000616	0.7	0	2	-10.48	3.7836	-48.51	-27.4357	9.9052	SLU 18	2.618	Si

Verifica a pressoflessione in SLV

E' attiva l'opzione fattori parziali di sicurezza unitari per meccanismi duttili di strutture esistenti con fattore q

Quota	As	%	At	Pos.	Mx	My	N	MRdx	MRdy	Comb.	C.S.	Nmin	Nlim	Comb.Nmin	Ver.
-0.32	0.000616	0.7	0	1	-131.21	35.9586	125.36	-17.8648	4.8959	SLV 7	0.136				No
-0.02	0.000616	1.4	0	1,2	-105.8049	29.2408	126.03	-17.4455	4.8213	SLV 7	0.165				No
0.28	0.000616	1.4	0	1,2	-80.4001	22.5235	126.71	-16.8019	4.7069	SLV 7	0.209				No
0.58	0.000616	1.4	0	1,2	-54.9959	15.8077	127.38	-15.688	4.5093	SLV 7	0.285				No
0.88	0.000616	0.7	0	2	-29.5943	9.0966	128.05	-13.2553	4.0744	SLV 7	0.448				No
1.17	0.000616	0.7	0	2	-4.1836	2.4943	128.73	-4.2196	2.5158	SLV 7	1.009				Si
1.47	0.000616	0.7	0	2	21.236	-4.4001	129.4	11.6823	-2.4206	SLV 7	0.55				No
1.77	0.000616	0.7	0	2	46.6351	-11.0921	130.07	15.0647	-3.5831	SLV 7	0.323				No
2.07	0.000616	0.7	0	2	72.0388	-17.8055	130.74	16.4372	-4.0627	SLV 7	0.228				No
2.37	0.000616	0.7	0	2	97.4435	-24.522	131.42	17.1861	-4.3249	SLV 7	0.176				No
2.67	0.000616	0.7	0	2	122.4239	-31.1272	132.08	17.6512	-4.488	SLV 7	0.144				No

Verifica a pressoflessione in SLD

Quota	As	%	At	Pos.	Mx	My	N	MRdx	MRdy	Comb.	Coeff.s.	Verifica
-0.32	0.000616	0.7	0	1	-49.9609	14.1022	28.68	-18.5818	5.245	SLD 7	0.372	No
-0.02	0.000616	1.4	0	1,2	-40.3845	11.5105	29.35	-18.2852	5.2117	SLD 7	0.453	No
0.28	0.000616	1.4	0	1,2	-30.8083	8.9191	30.02	-17.8238	5.1601	SLD 7	0.579	No
0.58	0.000616	1.4	0	1,2	-21.2324	6.3283	30.7	-17.0074	5.0691	SLD 7	0.801	No
0.88	0.000616	0.7	0	2	-11.6577	3.7396	31.37	-15.1704	4.8665	SLD 7	1.301	Si
1.17	0.000616	0.7	0	2	-2.0787	1.2004	32.04	-6.9652	4.0223	SLD 7	3.351	Si
1.47	0.000616	0.7	0	2	7.5043	-1.4698	32.72	13.2565	-2.5965	SLD 7	1.767	Si
1.77	0.000616	0.7	0	2	17.0779	-4.0506	33.39	16.2274	-3.8488	SLD 7	0.95	No
2.07	0.000616	0.7	0	2	26.6537	-6.6403	34.06	17.3069	-4.3117	SLD 7	0.649	No
2.37	0.000616	0.7	0	2	36.2298	-9.2314	34.73	17.8668	-4.5525	SLD 7	0.493	No
2.67	0.000616	0.7	0	2	45.6461	-11.7796	35.4	18.2049	-4.698	SLD 7	0.399	No

Indicatori di rischio sismico a pressoflessione in SLV

E' attiva l'opzione fattori parziali di sicurezza unitari per meccanismi duttili di strutture esistenti con fattore q

Quota	Molt.	TR	I.R.TR	PGA	I.R.PGA	Comb.	Ver.
-0.32	0.156	19	0.201	0.04	0.202	SLV 10	No
-0.02	0.213	32	0.249	0.051	0.257	SLV 10	No
0.28	0.263	46	0.289	0.061	0.303	SLV 7	No
0.58	0.339	74	0.351	0.076	0.378	SLV 7	No
0.88	0.499	162	0.484	0.105	0.524	SLV 7	No
1.17	1.008	968	1.008	0.201	1.007	SLV 7	Si
1.47	0.611	268	0.595	0.127	0.638	SLV 7	No
1.77	0.389	96	0.391	0.084	0.422	SLV 7	No
2.07	0.292	55	0.311	0.066	0.33	SLV 7	No
2.37	0.209	32	0.249	0.051	0.257	SLV 10	No
2.67	0.149	17	0.192	0.038	0.191	SLV 10	No

Indicatori di rischio sismico a pressoflessione in SLD Resistenza

Quota	Molt.	TR	I.R.TR	PGA	I.R.PGA	Comb.	Ver.
-0.32	0.384	18	0.493	0.039	0.456	SLD 10	No
-0.02	0.524	32	0.624	0.051	0.596	SLD 10	No
0.28	0.649	45	0.718	0.06	0.696	SLD 7	No
0.58	0.838	72	0.87	0.075	0.868	SLD 7	No
0.88	1.232	157	1.198	0.103	1.199	SLD 7	Si
1.17	2.488	934	2.489	0.199	2.308	SLD 7	Si
1.47	1.512	260	1.474	0.126	1.464	SLD 7	Si
1.77	0.963	94	0.971	0.084	0.97	SLD 7	No
2.07	0.721	54	0.774	0.065	0.758	SLD 7	No
2.37	0.517	31	0.616	0.051	0.587	SLD 10	No
2.67	0.368	17	0.482	0.038	0.444	SLD 10	No

Verifica a taglio in famiglia SLU

Quota	Staffe	Direzione X						Direzione Y						Verifica				
		V	N	Comb.	VRd	VRsd	Cot	c.s.	V	N	Comb.	VRd	VRsd		Cot	c.s.		
-0.32	2X/2Y ø6/23.6	2.22	-57.25	SLU 18	31.56	48.44	88.53	2.5	21.85	-6.35	-57.25	SLU 18	31.56	48.44	88.53	2.5	7.63	Si
-0.02	2X/2Y ø6/23.6	2.22	-56.37	SLU 18	31.45	48.44	88.41	2.5	21.85	-6.35	-56.37	SLU 18	31.45	48.44	88.41	2.5	7.63	Si
0.28	2X/2Y ø6/23.6	2.22	-55.5	SLU 18	31.34	48.44	88.29	2.5	21.85	-6.35	-55.5	SLU 18	31.34	48.44	88.29	2.5	7.63	Si
0.58	2X/2Y ø6/23.6	2.22	-54.62	SLU 18	31.22	48.44	88.17	2.5	21.85	-6.35	-54.62	SLU 18	31.22	48.44	88.17	2.5	7.63	Si
0.88	2X/2Y ø6/23.6	2.22	-53.75	SLU 18	31.11	48.44	88.05	2.5	21.85	-6.35	-53.75	SLU 18	31.11	48.44	88.05	2.5	7.63	Si
1.17	2X/2Y ø6/23.6	2.22	-52.87	SLU 18	30.99	48.44	87.94	2.5	21.85	-6.35	-52.87	SLU 18	30.99	48.44	87.94	2.5	7.63	Si
1.47	2X/2Y ø6/23.6	2.22	-52	SLU 18	30.88	48.44	87.82	2.5	21.85	-6.35	-52	SLU 18	30.88	48.44	87.82	2.5	7.63	Si
1.77	2X/2Y ø6/23.6	2.22	-51.12	SLU 18	30.77	48.44	87.7	2.5	21.85	-6.35	-51.12	SLU 18	30.77	48.44	87.7	2.5	7.63	Si
2.07	2X/2Y ø6/23.6	2.22	-50.25	SLU 18	30.65	48.44	87.58	2.5	21.85	-6.35	-50.25	SLU 18	30.65	48.44	87.58	2.5	7.63	Si
2.37	2X/2Y ø6/23.6	2.22	-49.37	SLU 18	30.54	48.44	87.47	2.5	21.85	-6.35	-49.37	SLU 18	30.54	48.44	87.47	2.5	7.63	Si
2.67	2X/2Y ø6/23.6	2.22	-48.51	SLU 18	30.43	48.44	87.35	2.5	21.85	-6.35	-48.51	SLU 18	30.43	48.44	87.35	2.5	7.63	Si

Verifica a taglio in famiglia SLV

Quota	Staffe	Direzione X						Direzione Y						Verifica				
		V	N	Comb.	VRd	VRsd	Cot	c.s.	V	N	Comb.	VRd	VRsd		Cot	c.s.		
-0.32	2X/2Y ø6/23.6	42.78	-	SLV 13	39.73	48.44	100.21	2.5	1.13	-92.91	-	SLV 10	39.73	48.44	101.02	2.5	0.52	No
			143.93								199.19							

Quota	Staffe	Direzione X									Direzione Y									Verifica
		V	N	Comb.	VRd	VRsd	VRcd	Cot	c.s.	V	N	Comb.	VRd	VRsd	VRcd	Cot	c.s.			
-0.02	2X/2Y ø6/23.6	42.78	-143.26	SLV 13	39.73	48.44	100.12	2.5	1.13	-92.91	-	SLV 10	39.73	48.44	101.02	2.5	0.52	No		
0.28	2X/2Y ø6/23.6	42.78	-142.59	SLV 13	39.73	48.44	100.03	2.5	1.13	-92.91	-	SLV 10	39.73	48.44	101.02	2.5	0.52	No		
0.58	2X/2Y ø6/23.6	42.78	-141.92	SLV 13	39.73	48.44	99.94	2.5	1.13	-92.91	-	SLV 10	39.73	48.44	101.02	2.5	0.52	No		
0.88	2X/2Y ø6/23.6	42.78	-141.24	SLV 13	39.73	48.44	99.85	2.5	1.13	-92.91	-196.5	SLV 10	39.73	48.44	101.02	2.5	0.52	No		
1.17	2X/2Y ø6/23.6	42.78	-140.57	SLV 13	39.73	48.44	99.76	2.5	1.13	-92.91	-	SLV 10	39.73	48.44	101.02	2.5	0.52	No		
1.47	2X/2Y ø6/23.6	42.78	-139.9	SLV 13	39.73	48.44	99.66	2.5	1.13	-92.91	-	SLV 10	39.73	48.44	101.02	2.5	0.52	No		
1.77	2X/2Y ø6/23.6	42.78	-139.22	SLV 13	39.73	48.44	99.57	2.5	1.13	-92.91	-	SLV 10	39.73	48.44	101.02	2.5	0.52	No		
2.07	2X/2Y ø6/23.6	42.78	-138.55	SLV 13	39.73	48.44	99.48	2.5	1.13	-92.91	-	SLV 10	39.73	48.44	101.02	2.5	0.52	No		
2.37	2X/2Y ø6/23.6	42.78	-137.88	SLV 13	39.73	48.44	99.39	2.5	1.13	-92.91	-	SLV 10	39.73	48.44	101.02	2.5	0.52	No		
2.67	2X/2Y ø6/23.6	42.78	-137.22	SLV 13	39.73	48.44	99.3	2.5	1.13	-92.91	-	SLV 10	39.73	48.44	101.02	2.5	0.52	No		

Verifica a taglio in famiglia SLD Resistenza

Quota	Staffe	Direzione X									Direzione Y									Verifica
		V	N	Comb.	VRd	VRsd	VRcd	Cot	c.s.	V	N	Comb.	VRd	VRsd	VRcd	Cot	c.s.			
-0.32	2X/2Y ø6/23.6	19.16	-81.82	SLD 13	34.77	48.44	91.84	2.5	2.53	-39.99	-	SLD 10	37.46	48.44	94.63	2.5	1.21	Si		
-0.02	2X/2Y ø6/23.6	19.16	-81.15	SLD 13	34.68	48.44	91.75	2.5	2.53	-39.99	-	SLD 10	37.37	48.44	94.54	2.5	1.21	Si		
0.28	2X/2Y ø6/23.6	19.16	-80.48	SLD 13	34.59	48.44	91.66	2.5	2.53	-39.99	-	SLD 10	37.28	48.44	94.44	2.5	1.21	Si		
0.58	2X/2Y ø6/23.6	19.16	-79.8	SLD 13	34.5	48.44	91.57	2.5	2.53	-39.99	-	SLD 10	37.2	48.44	94.35	2.5	1.21	Si		
0.88	2X/2Y ø6/23.6	19.16	-79.13	SLD 13	34.41	48.44	91.48	2.5	2.53	-39.99	-99.82	SLD 10	37.11	48.44	94.26	2.5	1.21	Si		
1.17	2X/2Y ø6/23.6	19.16	-78.46	SLD 13	34.33	48.44	91.38	2.5	2.53	-39.99	-99.14	SLD 10	37.02	48.44	94.17	2.5	1.21	Si		
1.47	2X/2Y ø6/23.6	19.16	-77.78	SLD 13	34.24	48.44	91.29	2.5	2.53	-39.99	-98.47	SLD 10	36.93	48.44	94.08	2.5	1.21	Si		
1.77	2X/2Y ø6/23.6	19.16	-77.11	SLD 13	34.15	48.44	91.2	2.5	2.53	-39.99	-97.8	SLD 10	36.85	48.44	93.99	2.5	1.21	Si		
2.07	2X/2Y ø6/23.6	19.16	-76.44	SLD 13	34.06	48.44	91.11	2.5	2.53	-39.99	-97.13	SLD 10	36.76	48.44	93.9	2.5	1.21	Si		
2.37	2X/2Y ø6/23.6	19.16	-75.76	SLD 13	33.98	48.44	91.02	2.5	2.53	-39.99	-96.45	SLD 10	36.67	48.44	93.81	2.5	1.21	Si		
2.67	2X/2Y ø6/23.6	19.16	-75.1	SLD 13	33.89	48.44	90.93	2.5	2.53	-39.99	-95.79	SLD 10	36.58	48.44	93.72	2.5	1.21	Si		

Indicatori di rischio sismico a taglio in SLV

Quota	Molt.	TR	I.R.TR	PGA	I.R.PGA	Comb.
-0.32	0.5	163	0.486	0.105	0.525	SLV 10
-0.02	0.5	163	0.486	0.105	0.525	SLV 10
0.28	0.5	163	0.486	0.105	0.525	SLV 10
0.58	0.5	163	0.486	0.105	0.525	SLV 10
0.88	0.5	163	0.486	0.105	0.525	SLV 10
1.17	0.5	163	0.486	0.105	0.525	SLV 10
1.47	0.5	163	0.486	0.105	0.525	SLV 10
1.77	0.5	163	0.486	0.105	0.525	SLV 10
2.07	0.5	163	0.486	0.105	0.525	SLV 10
2.37	0.5	163	0.486	0.105	0.525	SLV 10
2.67	0.5	163	0.486	0.105	0.525	SLV 10

Indicatori di rischio sismico a taglio in SLD Resistenza

Quota	Molt.	TR	I.R.TR	PGA	I.R.PGA	Comb.
-0.32	1.234	158	1.201	0.104	1.203	SLD 10
-0.02	1.234	158	1.201	0.104	1.203	SLD 10
0.28	1.234	158	1.201	0.104	1.203	SLD 10
0.58	1.234	158	1.201	0.104	1.203	SLD 10
0.88	1.234	158	1.201	0.104	1.203	SLD 10
1.17	1.234	158	1.201	0.104	1.203	SLD 10
1.47	1.234	158	1.201	0.104	1.203	SLD 10
1.77	1.234	158	1.201	0.104	1.203	SLD 10
2.07	1.234	158	1.201	0.104	1.203	SLD 10
2.37	1.234	158	1.201	0.104	1.203	SLD 10
2.67	1.234	158	1.201	0.104	1.203	SLD 10

Verifiche nodi trave colonna**Riepilogo dei dati per le diverse tipologie di verifica eseguite per i nodi**

Pilastrata	Q.Nodo	Escluso	Confinato	Segnalazioni
Pilastrata P28	-1.42	Si	No	
Pilastrata P28	3.17	No	No	

Verifiche nodi trave colonna in combinazioni SLD**Riepilogo dei dati per la verifica del nodo secondo Circolare 7 21-01-19 §C8.7.2.3.5.**

Pilastrata	Q.Nodo	Angolo travatura	Aj	Vpc	Vtc	Vnc	Nc	onc	onc,lim	Comb.c	Vpt	Vtt	Vnt	Nt	ont	ont,lim	Comb.t	Segnalazioni	Verifica
Pilastrata P28	3.17	90	0.06632	0	57.638	57.638	0	869	3919	SLD 10	0	57.638	57.638	0	869	840	SLD 10		No
	3.17	180	0.06632	0	30.368	30.368	0	458	3919	SLD 13	0	30.368	30.368	0	458	840	SLD 13		Si

Verifiche nodi trave colonna in combinazioni SLV**Riepilogo dei dati per la verifica del nodo secondo Circolare 7 21-01-19 §C8.7.2.3.5.**

Pilastrata	Q.Nodo	Angolo travatura	Aj	Vpc	Vtc	Vnc	Nc	onc	onc,lim	Comb.c	Vpt	Vtt	Vnt	Nt	ont	ont,lim	Comb.t	Segnalazioni	Verifica
Pilastrata P28	3.17	90	0.06632	0	139.652	139.652	0	2106	3919	SLV 10	0	139.652	139.652	0	2106	840	SLV 10		No
	3.17	180	0.06632	0	51.418	51.418	0	775	3919	SLV 13	0	51.418	51.418	0	775	840	SLV 13		Si

Indicatori di rischio sismico dei nodi in SLD

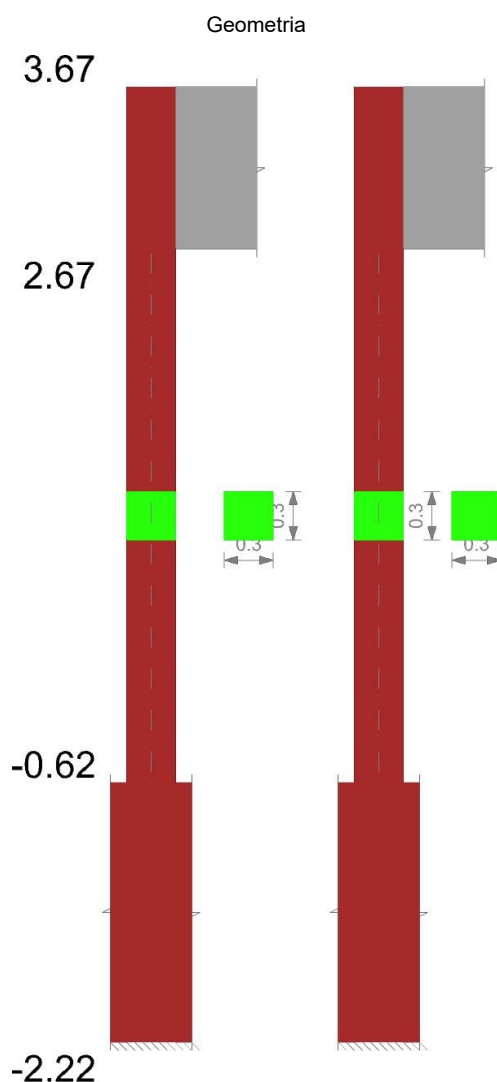
Pilastrata	Q.Nodo	Angolo travatura	Moltiplicatore	TR	I.R.TR	PGA	I.R.PGA	Comb.	Ver.
Pilastrata P28	3.17	90	0.965	94	0.971	0.084	0.97	SLD 10	No
	3.17	180	1000	2110	3.477	0.255	2.966	SLD 1	Si

Indicatori di rischio sismico dei nodi in SLV

Pilastrata	Q.Nodo	Angolo travatura	Moltiplicatore	TR	I.R.TR	PGA	I.R.PGA	Comb.	Ver.
Pilastrata P28	3.17	90	0.392	97	0.393	0.085	0.424	SLV 10	No
	3.17	180	1000	2114	1.389	0.255	1.279	SLV 1	Si

Verifiche di gerarchia delle resistenze nei nodi trave pilastro

Verifiche di gerarchia delle resistenze nei nodi trave pilastro non presenti in quanto la verifica è non necessaria per la pilastrata per il nodo Appoggio 3.17 in quanto elemento di materiale esistente.
per il nodo Appoggio -1.42 in quanto elemento di materiale esistente.

Pilastrata P29**Dati della pilastrata**

Analisi di edificio esistente con fattore di struttura.

Fattore di struttura per meccanismi duttili in direzione X: 1.5

Fattore di struttura per meccanismi duttili in direzione Y: 1.5

Fattore di struttura per meccanismi fragili in direzione X: 1

Fattore di struttura per meccanismi fragili in direzione Y: 1

Verifica dei meccanismi fragili condotta secondo Circolare 7 21-01-19 (§C8.7.2.2) Analisi lineare con fattore q.

Fattore di amplificazione dei meccanismi fragili della componente sismica in direzione X: 1

Fattore di amplificazione dei meccanismi fragili della componente sismica in direzione Y: 1

Campate costituenti la pilastrata

Q.inf.	Q.sup.	Sezione	Esistente	Secondaria	Dissipativa	Interna a parete	Sovreresistenza	Materiale CLS	Materiale Acciaio	FC
-0.62	2.67	R 30x30_1	Si	No	No	No		C14/17 LC2 Vigone A	Vigone_FeB22k_LC2_FC = 1.2; Vigone_FeB44k_Staffe_LC2_FC = 1.2	1.2

Disposizione delle armature longitudinali

Posizione	X	Y	Diametro	Area	Q.inf.	Q.sup.	Sezione	Materiale
p.1	-0.1105	-0.1105	0.014	0.0001539	-0.9	-0.1	R 30x30 1	Vigone_FeB22k_LC2
p.1	0.1105	-0.1105	0.014	0.0001539	-0.9	-0.1	R 30x30 1	Vigone_FeB22k_LC2
p.1	0.1105	0.1105	0.014	0.0001539	-0.9	-0.1	R 30x30 1	Vigone_FeB22k_LC2
p.1	-0.1105	0.1105	0.014	0.0001539	-0.9	-0.1	R 30x30 1	Vigone_FeB22k_LC2
p.2	-0.1105	-0.1105	0.014	0.0001539	-0.1	2.67	R 30x30 1	Vigone_FeB22k_LC2
p.2	0.1105	-0.1105	0.014	0.0001539	-0.1	2.67	R 30x30 1	Vigone_FeB22k_LC2
p.2	0.1105	0.1105	0.014	0.0001539	-0.1	2.67	R 30x30 1	Vigone_FeB22k_LC2
p.2	-0.1105	0.1105	0.014	0.0001539	-0.1	2.67	R 30x30 1	Vigone_FeB22k_LC2

Controlli geometrici NTC18

Nessuna anomalia

Verifiche delle sezioni

Verifica a pressoflessione in SLU

Quota	As	%	At	Pos.	Mx	My	N	MRdx	MRdy	Comb.	Coeff.s.	Verifica
-0.32	0.000616	0.7	0	1	9.9771	1.5023	-149.35	28.925	4.3553	SLU 18	2.899	SI
-0.02	0.000616	1.4	0	1,2	7.7376	1.0311	-148.47	25.2706	3.3676	SLU 18	3.266	SI
0.28	0.000616	1.4	0	1,2	5.4982	0.56	-147.6	20.3132	2.0688	SLU 18	3.695	SI
0.58	0.000616	1.4	0	1,2	3.2587	0.0888	-146.72	13.6238	0.3714	SLU 18	4.181	SI
0.88	0.000616	0.7	0	2	1.0193	-0.3823	-145.85	4.331	-1.6245	SLU 18	4.249	SI
1.17	0.000616	0.7	0	2	-1.2202	-0.8535	-144.97	-5.2157	-3.6482	SLU 18	4.275	SI
1.47	0.000616	0.7	0	2	-3.4596	-1.3246	-144.1	-14.4006	-5.5137	SLU 18	4.162	SI
1.77	0.000616	0.7	0	2	-5.699	-1.7957	-143.22	-20.9669	-6.6066	SLU 18	3.679	SI
2.07	0.000616	0.7	0	2	-7.9385	-2.2669	-142.35	-25.8388	-7.3785	SLU 18	3.255	SI
2.37	0.000616	0.7	0	2	-10.1779	-2.738	-141.47	-29.4149	-7.9131	SLU 18	2.89	SI
2.67	0.000616	0.7	0	2	-12.3799	-3.2013	-140.61	-32.0026	-8.2755	SLU 18	2.585	SI

Verifica a pressoflessione in SLV

E' attiva l'opzione fattori parziali di sicurezza unitari per meccanismi duttili di strutture esistenti con fattore q

Quota	As	%	At	Pos.	Mx	My	N	MRdx	MRdy	Comb.	C.S.	Nmin	Nlim	Comb.Nmin	Ver.
-0.32	0.000616	0.7	0	1	146.3209	-22.3583	-138.48	22.2293	-3.3967	SLV 5	0.152				No
-0.02	0.000616	1.4	0	1,2	-108.3803	19.2811	-42.25	-20.7527	3.6919	SLV 12	0.191				No
0.28	0.000616	1.4	0	1,2	-82.8904	14.5658	-41.58	-21.0318	3.6958	SLV 12	0.254				No
0.58	0.000616	1.4	0	1,2	-57.4005	9.8506	-40.91	-21.5798	3.7034	SLV 12	0.376				No
0.88	0.000616	0.7	0	2	-31.9106	5.1355	-40.23	-23.1378	3.7236	SLV 12	0.725				No
1.17	0.000616	0.7	0	2	4.9313	-1.4107	-135.12	28.3039	-8.0969	SLV 5	5.74				SI
1.47	0.000616	0.7	0	2	19.0694	-4.2958	-38.89	25.6876	-5.7867	SLV 12	1.347				SI
1.77	0.000616	0.7	0	2	44.5593	-9.0108	-38.21	21.9481	-4.4384	SLV 12	0.493				No
2.07	0.000616	0.7	0	2	70.0492	-13.726	-37.54	21.1054	-4.1356	SLV 12	0.301				No
2.37	0.000616	0.7	0	2	-108.1798	15.3458	-132.43	-23.042	3.2686	SLV 5	0.213				No
2.67	0.000616	0.7	0	2	-135.9849	19.4651	-131.77	-22.2996	3.192	SLV 5	0.164				No

Verifica a pressoflessione in SLD

Quota	As	%	At	Pos.	Mx	My	N	MRdx	MRdy	Comb.	Coeff.s.	Verifica
-0.32	0.000616	0.7	0	1	63.1593	-8.6394	-110.25	24.7146	-3.3806	SLD 5	0.391	No
-0.02	0.000616	1.4	0	1,2	50.8401	-7.0856	-109.58	26.2088	-3.6527	SLD 5	0.516	No
0.28	0.000616	1.4	0	1,2	38.5208	-5.5318	-108.91	28.952	-4.1577	SLD 5	0.752	No
0.58	0.000616	1.4	0	1,2	26.2016	-3.9781	-108.23	35.3933	-5.3736	SLD 5	1.351	SI
0.88	0.000616	0.7	0	2	-12.5834	1.9586	-68.46	-41.6105	6.4768	SLD 12	3.307	SI
1.17	0.000616	0.7	0	2	1.563	-0.8701	-106.89	12.8764	-7.1679	SLD 5	8.238	SI
1.47	0.000616	0.7	0	2	-10.7562	0.6835	-106.22	-48.5724	3.0867	SLD 5	4.516	SI
1.77	0.000616	0.7	0	2	-23.0754	2.2372	-105.54	-38.2458	3.708	SLD 5	1.657	SI
2.07	0.000616	0.7	0	2	-35.3946	3.791	-104.87	-29.6177	3.1722	SLD 5	0.837	No
2.37	0.000616	0.7	0	2	-47.7138	5.3447	-104.2	-26.3314	2.9495	SLD 5	0.552	No
2.67	0.000616	0.7	0	2	-59.8271	6.8725	-103.53	-24.6766	2.8347	SLD 5	0.412	No

Indicatori di rischio sismico a pressoflessione in SLV

E' attiva l'opzione fattori parziali di sicurezza unitari per meccanismi duttili di strutture esistenti con fattore q

Quota	Molt.	TR	I.R.TR	PGA	I.R.PGA	Comb.	Ver.
-0.32	0.176	23	0.218	0.044	0.22	SLV 5	No
-0.02	0.231	37	0.264	0.055	0.274	SLV 5	No
0.28	0.324	68	0.339	0.073	0.364	SLV 5	No
0.58	0.491	156	0.477	0.103	0.516	SLV 12	No
0.88	0.802	528	0.786	0.163	0.819	SLV 12	No
1.17	2.617	2114	1.389	0.255	1.279	SLV 12	SI
1.47	1.193	1579	1.232	0.233	1.17	SLV 12	SI
1.77	0.603	259	0.587	0.126	0.63	SLV 5	No
2.07	0.35	78	0.359	0.077	0.387	SLV 5	No
2.37	0.238	39	0.27	0.056	0.281	SLV 5	No
2.67	0.175	23	0.218	0.044	0.22	SLV 5	No

Indicatori di rischio sismico a pressoflessione in SLD Resistenza

Quota	Molt.	TR	I.R.TR	PGA	I.R.PGA	Comb.	Ver.
-0.32	0.433	22	0.535	0.043	0.5	SLD 5	No
-0.02	0.569	36	0.655	0.054	0.629	SLD 5	No
0.28	0.798	65	0.835	0.071	0.827	SLD 5	No
0.58	1.207	149	1.173	0.101	1.174	SLD 12	SI
0.88	1.969	503	1.931	0.161	1.868	SLD 12	SI
1.17	6.414	2110	3.477	0.255	2.966	SLD 12	SI
1.47	2.931	1493	3.017	0.23	2.668	SLD 12	SI
1.77	1.484	249	1.448	0.124	1.439	SLD 5	SI
2.07	0.861	76	0.89	0.076	0.888	SLD 5	No
2.37	0.585	38	0.67	0.055	0.644	SLD 5	No
2.67	0.431	22	0.535	0.043	0.5	SLD 5	No

Verifica a taglio in famiglia SLU

Quota	Staffe	Direzione X							Direzione Y							Verifica		
		V	N	Comb.	VRd	VRsd	VRcd	Cot	c.s.	V	N	Comb.	VRd	VRsd	VRcd		Cot	c.s.
-0.32	2X/2Y ø6/23.6	-1.59	-	SLU 17	39.73	48.44	100.94	2.5	30.53	-7.49	-	SLU 18	39.73	48.44	100.94	2.5	6.47	SI
-0.02	2X/2Y ø6/23.6	-1.59	-	SLU 17	39.73	48.44	100.82	2.5	30.53	-7.49	-	SLU 18	39.73	48.44	100.82	2.5	6.47	SI
0.28	2X/2Y ø6/23.6	-1.59	-147.6	SLU 17	39.73	48.44	100.7	2.5	30.53	-7.49	-147.6	SLU 18	39.73	48.44	100.7	2.5	6.47	SI
0.58	2X/2Y ø6/23.6	-1.59	-	SLU 17	39.73	48.44	100.58	2.5	30.53	-7.49	-	SLU 18	39.73	48.44	100.58	2.5	6.47	SI
0.88	2X/2Y ø6/23.6	-1.59	-	SLU 17	39.73	48.44	100.47	2.5	30.53	-7.49	-	SLU 18	39.73	48.44	100.47	2.5	6.47	SI
1.17	2X/2Y ø6/23.6	-1.59	-	SLU 17	39.73	48.44	100.35	2.5	30.53	-7.49	-	SLU 18	39.73	48.44	100.35	2.5	6.47	SI
1.47	2X/2Y ø6/23.6	-1.59	-144.1	SLU 17	39.73	48.44	100.23	2.5	30.53	-7.49	-144.1	SLU 18	39.73	48.44	100.23	2.5	6.47	SI
1.77	2X/2Y ø6/23.6	-1.59	-	SLU 17	39.73	48.44	100.11	2.5	30.53	-7.49	-	SLU 18	39.73	48.44	100.11	2.5	6.47	SI
2.07	2X/2Y ø6/23.6	-1.59	-	SLU 17	39.73	48.44	99.99	2.5	30.53	-7.49	-	SLU 18	39.73	48.44	100	2.5	6.47	SI
2.37	2X/2Y ø6/23.6	-1.59	-	SLU 17	39.73	48.44	99.88	2.5	30.53	-7.49	-	SLU 18	39.73	48.44	99.88	2.5	6.47	SI
2.67	2X/2Y ø6/23.6	-1.59	-	SLU 17	39.73	48.44	99.76	2.5	30.53	-7.49	-	SLU 18	39.73	48.44	99.76	2.5	6.47	SI

Verifica a taglio in famiglia SLV

Quota	Staffe	Direzione X							Direzione Y							Verifica		
		V	N	Comb.	VRd	VRsd	VRcd	Cot	c.s.	V	N	Comb.	VRd	VRsd	VRcd		Cot	c.s.
-0.32	2X/2Y ø6/23.6	-34.97	-106	SLV 4	37.91	48.44	95.1	2.5	1.39	-94.55	-	SLV 5	39.73	48.44	99.47	2.5	0.51	No

Quota	Staffe	Direzione X									Direzione Y									Verifica
		V	N	Comb.	VRd	VRsd	VRcd	Cot	c.s.	V	N	Comb.	VRd	VRsd	VRcd	Cot	c.s.			
-0.02	2X/2Y ø6/23.6	-34.97	-105.32	SLV 4	37.83	48.44	95.01	2.5	1.39	-94.55	-	SLV 5	39.73	48.44	99.38	2.5	0.51	No		
0.28	2X/2Y ø6/23.6	-34.97	104.65	SLV 4	37.74	48.44	94.91	2.5	1.39	-94.55	137.81	SLV 5	39.73	48.44	99.29	2.5	0.51	No		
0.58	2X/2Y ø6/23.6	-34.97	103.98	SLV 4	37.65	48.44	94.82	2.5	1.39	-94.55	137.14	SLV 5	39.73	48.44	99.2	2.5	0.51	No		
0.88	2X/2Y ø6/23.6	-34.97	-103.3	SLV 4	37.56	48.44	94.73	2.5	1.39	-94.55	136.47	SLV 5	39.73	48.44	99.11	2.5	0.51	No		
1.17	2X/2Y ø6/23.6	-34.97	102.63	SLV 4	37.48	48.44	94.64	2.5	1.39	-94.55	135.79	SLV 5	39.73	48.44	99.02	2.5	0.51	No		
1.47	2X/2Y ø6/23.6	-34.97	101.96	SLV 4	37.39	48.44	94.55	2.5	1.39	-94.55	135.12	SLV 5	39.73	48.44	98.93	2.5	0.51	No		
1.77	2X/2Y ø6/23.6	-34.97	101.28	SLV 4	37.3	48.44	94.46	2.5	1.39	-94.55	134.45	SLV 5	39.73	48.44	98.84	2.5	0.51	No		
2.07	2X/2Y ø6/23.6	-34.97	100.61	SLV 4	37.21	48.44	94.37	2.5	1.39	-94.55	133.77	SLV 5	39.73	48.44	98.75	2.5	0.51	No		
2.37	2X/2Y ø6/23.6	-34.97	-99.94	SLV 4	37.13	48.44	94.28	2.5	1.39	-94.55	-133.1	SLV 5	39.73	48.44	98.66	2.5	0.51	No		
2.67	2X/2Y ø6/23.6	-34.97	-99.28	SLV 4	37.04	48.44	94.19	2.5	1.39	-94.55	132.43	SLV 5	39.73	48.44	98.57	2.5	0.51	No		
											131.77									

Verifica a taglio in famiglia SLD Resistenza

Quota	Staffe	Direzione X									Direzione Y									Verifica
		V	N	Comb.	VRd	VRsd	VRcd	Cot	c.s.	V	N	Comb.	VRd	VRsd	VRcd	Cot	c.s.			
-0.32	2X/2Y ø6/23.6	-15.51	-97.64	SLD 4	36.83	48.44	93.97	2.5	3.12	-41.19	-	SLD 5	38.47	48.44	95.67	2.5	1.18	Si		
-0.02	2X/2Y ø6/23.6	-15.51	-96.97	SLD 4	36.74	48.44	93.88	2.5	3.12	-41.19	110.25	SLD 5	38.38	48.44	95.58	2.5	1.18	Si		
0.28	2X/2Y ø6/23.6	-15.51	-96.3	SLD 4	36.65	48.44	93.79	2.5	3.12	-41.19	109.58	SLD 5	38.29	48.44	95.49	2.5	1.18	Si		
0.58	2X/2Y ø6/23.6	-15.51	-95.62	SLD 4	36.56	48.44	93.7	2.5	3.12	-41.19	108.91	SLD 5	38.21	48.44	95.4	2.5	1.18	Si		
0.88	2X/2Y ø6/23.6	-15.51	-94.95	SLD 4	36.48	48.44	93.61	2.5	3.12	-41.19	108.23	SLD 5	38.12	48.44	95.31	2.5	1.18	Si		
1.17	2X/2Y ø6/23.6	-15.51	-94.28	SLD 4	36.39	48.44	93.52	2.5	3.12	-41.19	107.56	SLD 5	38.03	48.44	95.22	2.5	1.18	Si		
1.47	2X/2Y ø6/23.6	-15.51	-93.61	SLD 4	36.3	48.44	93.43	2.5	3.12	-41.19	106.89	SLD 5	37.94	48.44	95.13	2.5	1.18	Si		
1.77	2X/2Y ø6/23.6	-15.51	-92.93	SLD 4	36.21	48.44	93.34	2.5	3.12	-41.19	106.22	SLD 5	37.86	48.44	95.03	2.5	1.18	Si		
2.07	2X/2Y ø6/23.6	-15.51	-92.26	SLD 4	36.12	48.44	93.24	2.5	3.12	-41.19	105.54	SLD 5	37.77	48.44	94.94	2.5	1.18	Si		
2.37	2X/2Y ø6/23.6	-15.51	-91.59	SLD 4	36.04	48.44	93.15	2.5	3.12	-41.19	104.87	SLD 5	37.68	48.44	94.85	2.5	1.18	Si		
2.67	2X/2Y ø6/23.6	-15.51	-90.92	SLD 4	35.95	48.44	93.07	2.5	3.12	-41.19	-104.2	SLD 5	37.59	48.44	94.76	2.5	1.18	Si		
											103.53									

Indicatori di rischio sismico a taglio in SLV

Quota	Molt.	TR	I.R.TR	PGA	I.R.PGA	Comb.
-0.32	0.487	153	0.473	0.102	0.512	SLV 5
-0.02	0.487	153	0.473	0.102	0.512	SLV 5
0.28	0.487	153	0.473	0.102	0.512	SLV 5
0.58	0.487	153	0.473	0.102	0.512	SLV 5
0.88	0.487	153	0.473	0.102	0.512	SLV 5
1.17	0.487	153	0.473	0.102	0.512	SLV 5
1.47	0.487	153	0.473	0.102	0.512	SLV 5
1.77	0.487	153	0.473	0.102	0.512	SLV 5
2.07	0.487	153	0.473	0.102	0.512	SLV 5
2.37	0.487	153	0.473	0.102	0.512	SLV 5
2.67	0.487	153	0.473	0.102	0.512	SLV 5

Indicatori di rischio sismico a taglio in SLD Resistenza

Quota	Molt.	TR	I.R.TR	PGA	I.R.PGA	Comb.
-0.32	1.199	147	1.166	0.1	1.167	SLD 5
-0.02	1.199	147	1.166	0.1	1.167	SLD 5
0.28	1.199	147	1.166	0.1	1.167	SLD 5
0.58	1.199	147	1.166	0.1	1.167	SLD 5
0.88	1.199	147	1.166	0.1	1.167	SLD 5
1.17	1.199	147	1.166	0.1	1.167	SLD 5
1.47	1.199	147	1.166	0.1	1.167	SLD 5
1.77	1.199	147	1.166	0.1	1.167	SLD 5
2.07	1.199	147	1.166	0.1	1.167	SLD 5
2.37	1.199	147	1.166	0.1	1.167	SLD 5
2.67	1.199	147	1.166	0.1	1.167	SLD 5

Verifiche nodi trave colonna

Riepilogo dei dati per le diverse tipologie di verifica eseguite per i nodi

Pilastrata	Q.Nodo	Escluso	Confinato	Segnalazioni
Pilastrata P29	-1.42	Si	No	
Pilastrata P29	3.17	No	No	

Verifiche nodi trave colonna in combinazioni SLD

Riepilogo dei dati per la verifica del nodo secondo Circolare 7 21-01-19 §C8.7.2.3.5.

Pilastrata	Q.Nodo	Angolo travatura	Aj	Vpc	Vtc	Vnc	Nc	onc	onc,lim	Comb.c	Vpt	Vtt	Vnt	Nt	ont	ont,lim	Comb.t	Segnalazioni	Verifica
Pilastrata P29	3.17	0	0.06632	0	19.364	19.364	0	292	3919	SLD 4	0	19.364	19.364	0	292	840	SLD 4		Si
	3.17	90	0.06632	0	65.138	65.138	0	982	3919	SLD 5	0	65.138	65.138	0	982	840	SLD 5		No

Verifiche nodi trave colonna in combinazioni SLV

Riepilogo dei dati per la verifica del nodo secondo Circolare 7 21-01-19 §C8.7.2.3.5.

Pilastrata	Q.Nodo	Angolo travatura	Aj	Vpc	Vtc	Vnc	Nc	onc	onc,lim	Comb.c	Vpt	Vtt	Vnt	Nt	ont	ont,lim	Comb.t	Segnalazioni	Verifica
Pilastrata P29	3.17	0	0.06632	0	51.704	51.704	0	780	3919	SLV 4	0	51.704	51.704	0	780	840	SLV 4		Si
	3.17	90	0.06632	0	156.326	156.326	0	2357	3919	SLV 5	0	156.326	156.326	0	2357	840	SLV 5		No

Indicatori di rischio sismico dei nodi in SLD

Pilastrata	Q.Nodo	Angolo travatura	Moltiplicatore	TR	I.R.TR	PGA	I.R.PGA	Comb.	Ver.
Pilastrata P29	3.17	0	2.494	1198	2.757	0.215	2.494	SLD 4	Si
	3.17	90	0.848	73	0.875	0.075	0.873	SLD 5	No

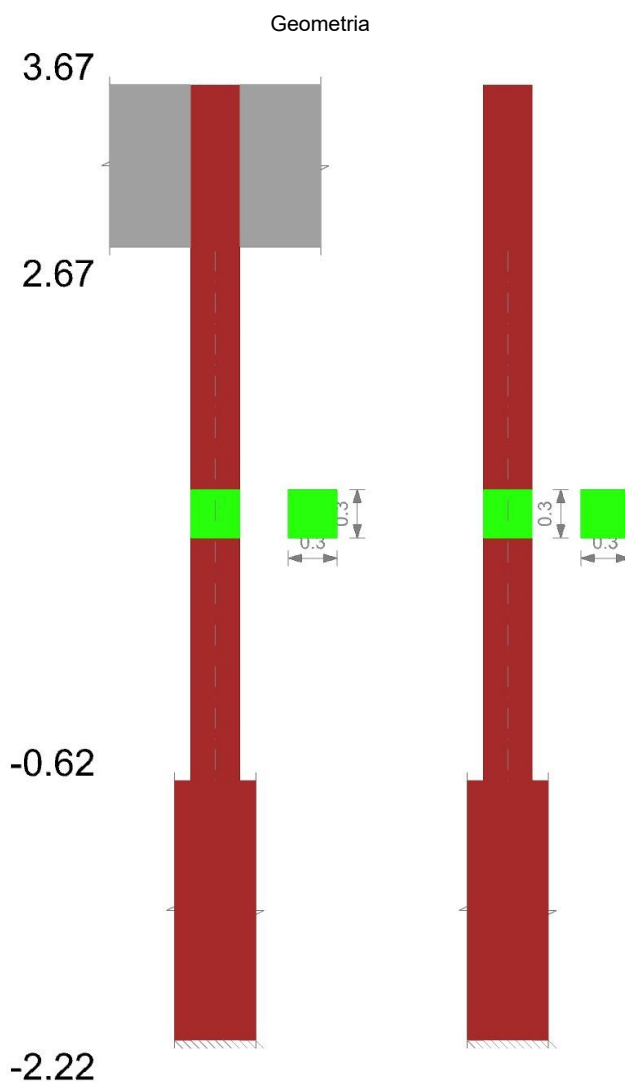
Indicatori di rischio sismico dei nodi in SLV

Pilastrata	Q.Nodo	Angolo travatura	Moltiplicatore	TR	I.R.TR	PGA	I.R.PGA	Comb.	Ver.
Pilastrata P29	3.17	0	1.07	1174	1.091	0.213	1.068	SLV 4	Si
	3.17	90	0.345	76	0.355	0.076	0.383	SLV 5	No

Verifiche di gerarchia delle resistenze nei nodi trave pilastro

Verifiche di gerarchia delle resistenze nei nodi trave pilastro non presenti in quanto la verifica è non necessaria per la pilastrata per il nodo Appoggio -1.42 in quanto elemento di materiale esistente.
per il nodo Appoggio 3.17 in quanto elemento di materiale esistente.

Pilastrata P30



Dati della pilastrata

Analisi di edificio esistente con fattore di struttura.

Fattore di struttura per meccanismi duttili in direzione X: 1.5

Fattore di struttura per meccanismi duttili in direzione Y: 1.5

Fattore di struttura per meccanismi fragili in direzione X: 1

Fattore di struttura per meccanismi fragili in direzione Y: 1

Verifica dei meccanismi fragili condotta secondo Circolare 7 21-01-19 (§C8.7.2.2) Analisi lineare con fattore q.

Fattore di amplificazione dei meccanismi fragili della componente sismica in direzione X: 1

Fattore di amplificazione dei meccanismi fragili della componente sismica in direzione Y: 1

Campate costituenti la pilastrata

Q.inf.	Q.sup.	Sezione	Esistente	Secondaria	Dissipativa	Interna a parete	Sovraresistenza	Materiale CLS	Materiale Acciaio	FC
-0.62	2.67	R 30x30_1	Si	No	No	No		C14/17 LC2 Vigone A	Vigone_FeB22k_LC2_FC = 1.2; Vigone_FeB44k_Staffe_LC2_FC = 1.2	1.2

Disposizione delle armature longitudinali

Posizione	X	Y	Diametro	Area	Q.inf.	Q.sup.	Sezione	Materiale
p.1	-0.1105	-0.1105	0.014	0.0001539	-0.9	-0.1	R 30x30 1	Vigone FeB22k LC2
p.1	0.1105	-0.1105	0.014	0.0001539	-0.9	-0.1	R 30x30 1	Vigone FeB22k LC2
p.1	0.1105	0.1105	0.014	0.0001539	-0.9	-0.1	R 30x30 1	Vigone FeB22k LC2
p.1	-0.1105	0.1105	0.014	0.0001539	-0.9	-0.1	R 30x30 1	Vigone FeB22k LC2
p.2	-0.1105	-0.1105	0.014	0.0001539	-0.1	2.67	R 30x30 1	Vigone FeB22k LC2
p.2	0.1105	-0.1105	0.014	0.0001539	-0.1	2.67	R 30x30 1	Vigone FeB22k LC2

Posizione	X	Y	Diametro	Area	Q.inf.	Q.sup.	Sezione	Materiale
p.2	0.1105	0.1105	0.014	0.0001539	-0.1	2.67	R 30x30 1	Vigone FeB22k LC2
p.2	-0.1105	0.1105	0.014	0.0001539	-0.1	2.67	R 30x30 1	Vigone FeB22k LC2

Controlli geometrici NTC18

Nessuna anomalia

Verifiche delle sezioni**Verifica a pressoflessione in SLU**

Quota	As	%	At	Pos.	Mx	My	N	MRdx	MRdy	Comb.	Coeff.s.	Verifica
-0.32	0.000616	0.7	0	1	2.055	-1.7805	-214.86	5.9273	-5.1354	SLU 18	2.884	Si
-0.02	0.000616	1.4	0	1,2	1.8505	-1.4042	-213.98	5.3593	-4.0666	SLU 18	2.896	Si
0.28	0.000616	1.4	0	1,2	1.646	-1.0279	-213.11	4.7866	-2.9891	SLU 18	2.908	Si
0.58	0.000616	1.4	0	1,2	1.4415	-0.6516	-212.23	4.2092	-1.9027	SLU 18	2.92	Si
0.88	0.000616	0.7	0	2	1.237	-0.2753	-211.36	3.627	-0.8073	SLU 18	2.932	Si
1.17	0.000616	0.7	0	2	1.0325	0.1009	-210.48	3.04	0.2972	SLU 18	2.944	Si
1.47	0.000616	0.7	0	2	0.828	0.4772	-209.61	2.4481	1.4109	SLU 18	2.957	Si
1.77	0.000616	0.7	0	2	0.6235	0.8535	-208.73	1.8513	2.534	SLU 18	2.969	Si
2.07	0.000616	0.7	0	2	0.4191	1.2298	-207.86	1.2494	3.6665	SLU 18	2.981	Si
2.37	0.000616	0.7	0	2	0.2146	1.6061	-206.98	0.6424	4.8086	SLU 18	2.994	Si
2.67	0.000616	0.7	0	2	0.0135	1.9761	-206.12	0.0406	5.9411	SLU 18	3.007	Si

Verifica a pressoflessione in SLV

E' attiva l'opzione fattori parziali di sicurezza unitari per meccanismi duttili di strutture esistenti con fattore q

Quota	As	%	At	Pos.	Mx	My	N	MRdx	MRdy	Comb.	C.S.	Nmin	Nlim	Comb.Nmin	Ver.
-0.32	0.000616	0.7	0	1	49.0233	-48.1432	-135.18	21.8856	-21.4927	SLV 9	0.446				No
-0.02	0.000616	1.4	0	1,2	44.2633	-38.827	-134.5	23.5563	-20.6632	SLV 9	0.532				No
0.28	0.000616	1.4	0	1,2	44.1879	-15.1085	-130.7	28.6507	-9.7961	SLV 5	0.648				No
0.58	0.000616	1.4	0	1,2	38.8577	-10.3168	-130.03	30.7533	-8.1651	SLV 5	0.791				No
0.88	0.000616	0.7	0	2	33.5276	-5.5251	-129.36	33.9049	-5.5873	SLV 5	1.011				Si
1.17	0.000616	0.7	0	2	28.1974	-0.7333	-128.68	38.876	-1.011	SLV 5	1.379				Si
1.47	0.000616	0.7	0	2	22.8672	4.0585	-128.01	41.7241	7.4052	SLV 5	1.825				Si
1.77	0.000616	0.7	0	2	15.7031	17.0703	-130.47	25.5225	27.7447	SLV 9	1.625				Si
2.07	0.000616	0.7	0	2	-1.2679	-28.9501	-113.65	-1.5287	-34.904	SLV 4	1.206				Si
2.37	0.000616	0.7	0	2	1.0322	41.2107	-128.92	0.7651	30.5464	SLV 13	0.741				No
2.67	0.000616	0.7	0	2	0.2705	51.7972	-128.26	0.1439	27.5502	SLV 13	0.532				No

Verifica a pressoflessione in SLD

Quota	As	%	At	Pos.	Mx	My	N	MRdx	MRdy	Comb.	Coeff.s.	Verifica
-0.32	0.000616	0.7	0	1	20.4562	-20.8624	-130.4	25.0932	-25.5914	SLD 9	1.227	Si
-0.02	0.000616	1.4	0	1,2	18.4682	-16.8146	-129.73	27.4	-24.9467	SLD 9	1.484	Si
0.28	0.000616	1.4	0	1,2	16.4801	-12.7668	-129.06	30.7156	-23.7947	SLD 9	1.864	Si
0.58	0.000616	1.4	0	1,2	14.492	-8.719	-128.38	35.4801	-21.3462	SLD 9	2.448	Si
0.88	0.000616	0.7	0	2	12.504	-4.6711	-127.71	42.1506	-15.7463	SLD 9	3.371	Si
1.17	0.000616	0.7	0	2	11.8003	-0.2649	-125.68	47.8872	-1.0751	SLD 5	4.058	Si
1.47	0.000616	0.7	0	2	9.5661	1.8266	-125.01	43.0413	8.2185	SLD 5	4.499	Si
1.77	0.000616	0.7	0	2	6.5398	7.4723	-125.69	27.3236	31.2197	SLD 9	4.178	Si
2.07	0.000616	0.7	0	2	4.5517	11.5202	-125.02	16.4437	41.618	SLD 9	3.613	Si
2.37	0.000616	0.7	0	2	0.4683	18.2452	-124.35	1.2444	48.4773	SLD 13	2.657	Si
2.67	0.000616	0.7	0	2	0.1087	22.9179	-123.69	0.2064	43.5357	SLD 13	1.9	Si

Indicatori di rischio sismico a pressoflessione in SLV

E' attiva l'opzione fattori parziali di sicurezza unitari per meccanismi duttili di strutture esistenti con fattore q

Quota	Molt.	TR	I.R.TR	PGA	I.R.PGA	Comb.	Ver.
-0.32	0.492	157	0.478	0.103	0.517	SLV 9	No
-0.02	0.579	235	0.564	0.121	0.607	SLV 9	No
0.28	0.697	372	0.681	0.144	0.721	SLV 9	No
0.58	0.848	613	0.836	0.172	0.861	SLV 5	No
0.88	1.008	968	1.008	0.201	1.007	SLV 5	Si
1.17	1.219	1677	1.263	0.238	1.192	SLV 5	Si
1.47	1.475	2114	1.389	0.255	1.279	SLV 12	Si
1.77	1.516	2114	1.389	0.255	1.279	SLV 9	Si
2.07	1.116	1343	1.153	0.222	1.113	SLV 4	Si
2.37	0.82	532	0.789	0.164	0.821	SLV 13	No
2.67	0.644	275	0.602	0.129	0.644	SLV 13	No

Indicatori di rischio sismico a pressoflessione in SLD Resistenza

Quota	Molt.	TR	I.R.TR	PGA	I.R.PGA	Comb.	Ver.
-0.32	1.199	147	1.166	0.1	1.167	SLD 9	Si
-0.02	1.412	220	1.376	0.118	1.374	SLD 9	Si
0.28	1.707	352	1.668	0.141	1.638	SLD 9	Si
0.58	2.096	593	2.066	0.17	1.976	SLD 5	Si
0.88	2.488	934	2.489	0.199	2.308	SLD 5	Si
1.17	3.01	1613	3.114	0.235	2.732	SLD 5	Si
1.47	3.643	2110	3.477	0.255	2.966	SLD 12	Si
1.77	3.684	2110	3.477	0.255	2.966	SLD 9	Si
2.07	2.603	1372	2.914	0.224	2.6	SLD 4	Si
2.37	1.91	542	1.991	0.165	1.916	SLD 13	Si
2.67	1.5	281	1.521	0.13	1.505	SLD 13	Si

Verifica a taglio in famiglia SLU

Quota	Staffe	V	Direzione X								Direzione Y								Verifica	
			N	Comb.	VRd	VRsd	VRcd	Cot	c.s.	V	N	Comb.	VRd	VRsd	VRcd	Cot	c.s.			
-0.32	2X/2Y ø6/23.6	1.26	-	SLU 18	39.73	48.44	101.02	2.5	38.5	-0.68	-	SLU 18	39.73	48.44	101.02	2.5	70.85	Si		
-0.02	2X/2Y ø6/23.6	1.26	214.86	-	SLU 18	39.73	48.44	101.02	2.5	38.5	-0.68	214.86	-	SLU 18	39.73	48.44	101.02	2.5	70.85	Si
0.28	2X/2Y ø6/23.6	1.26	213.98	-	SLU 18	39.73	48.44	101.02	2.5	38.5	-0.68	213.98	-	SLU 18	39.73	48.44	101.02	2.5	70.85	Si
0.58	2X/2Y ø6/23.6	1.26	213.11	-	SLU 18	39.73	48.44	101.02	2.5	38.5	-0.68	213.11	-	SLU 18	39.73	48.44	101.02	2.5	70.85	Si
0.88	2X/2Y ø6/23.6	1.26	212.23	-	SLU 18	39.73	48.44	101.02	2.5	38.5	-0.68	212.23	-	SLU 18	39.73	48.44	101.02	2.5	70.85	Si
1.17	2X/2Y ø6/23.6	1.26	211.36	-	SLU 18	39.73	48.44	101.02	2.5	38.5	-0.68	211.36	-	SLU 18	39.73	48.44	101.02	2.5	70.85	Si
1.47	2X/2Y ø6/23.6	1.26	210.48	-	SLU 18	39.73	48.44	101.02	2.5	38.5	-0.68	210.48	-	SLU 18	39.73	48.44	101.02	2.5	70.85	Si
1.77	2X/2Y ø6/23.6	1.26	209.61	-	SLU 18	39.73	48.44	101.02	2.5	38.5	-0.68	209.61	-	SLU 18	39.73	48.44	101.02	2.5	70.85	Si
2.07	2X/2Y ø6/23.6	1.26	208.73	-	SLU 18	39.73	48.44	101.02	2.5	38.5	-0.68	208.73	-	SLU 18	39.73	48.44	101.02	2.5	70.85	Si
2.37	2X/2Y ø6/23.6	1.26	207.86	-	SLU 18	39.73	48.44	101.02	2.5	38.5	-0.68	207.86	-	SLU 18	39.73	48.44	101.02	2.5	70.85	Si

Quota	Staffe	Direzione X									Direzione Y									Verifica
		V	N	Comb.	VRd	VRsd	VRcd	Cot	c.s.	V	N	Comb.	VRd	VRsd	VRcd	Cot	c.s.			
2.37	2X/2Y ø6/23.6	1.26	-	SLU 18	39.73	48.44	101.02	2.5	38.5	-0.68	-	SLU 18	39.73	48.44	101.02	2.5	70.85	Si		
2.67	2X/2Y ø6/23.6	1.26	-	SLU 18	39.73	48.44	101.02	2.5	38.5	-0.68	-	SLU 18	39.73	48.44	101.02	2.5	70.85	Si		

Verifica a taglio in famiglia SLV

Quota	Staffe	Direzione X									Direzione Y									Verifica
		V	N	Comb.	VRd	VRsd	VRcd	Cot	c.s.	V	N	Comb.	VRd	VRsd	VRcd	Cot	c.s.			
-0.32	2X/2Y ø6/23.6	36	-	SLV 13	39.73	48.44	99	2.5	1.35	-17.82	-	SLV 5	39.73	48.44	98.61	2.5	2.72	Si		
-0.02	2X/2Y ø6/23.6	36	-	SLV 13	39.73	48.44	98.91	2.5	1.35	-17.82	-	SLV 5	39.73	48.44	98.52	2.5	2.72	Si		
0.28	2X/2Y ø6/23.6	36	-	SLV 13	39.73	48.44	98.82	2.5	1.35	-17.82	-	SLV 5	39.73	48.44	98.43	2.5	2.72	Si		
0.58	2X/2Y ø6/23.6	36	-	SLV 13	39.73	48.44	98.73	2.5	1.35	-17.82	-	SLV 5	39.73	48.44	98.33	2.5	2.72	Si		
0.88	2X/2Y ø6/23.6	36	-	SLV 13	39.73	48.44	98.64	2.5	1.35	-17.82	-	SLV 5	39.73	48.44	98.24	2.5	2.72	Si		
1.17	2X/2Y ø6/23.6	36	-	SLV 13	39.73	48.44	98.55	2.5	1.35	-17.82	-	SLV 5	39.73	48.44	98.15	2.5	2.72	Si		
1.47	2X/2Y ø6/23.6	36	-	SLV 13	39.73	48.44	98.46	2.5	1.35	-17.82	-	SLV 5	39.73	48.44	98.06	2.5	2.72	Si		
1.77	2X/2Y ø6/23.6	36	-	SLV 13	39.73	48.44	98.37	2.5	1.35	-17.82	-	SLV 5	39.73	48.44	97.97	2.5	2.72	Si		
2.07	2X/2Y ø6/23.6	36	-	SLV 13	39.73	48.44	98.28	2.5	1.35	-17.82	-	SLV 5	39.73	48.44	97.88	2.5	2.72	Si		
2.37	2X/2Y ø6/23.6	36	-	SLV 13	39.73	48.44	98.19	2.5	1.35	-17.82	-	SLV 5	39.73	48.44	97.79	2.5	2.72	Si		
2.67	2X/2Y ø6/23.6	36	-	SLV 13	39.73	48.44	98.1	2.5	1.35	-17.82	-	SLV 5	39.73	48.44	97.7	2.5	2.72	Si		

Verifica a taglio in famiglia SLD Resistenza

Quota	Staffe	Direzione X									Direzione Y									Verifica
		V	N	Comb.	VRd	VRsd	VRcd	Cot	c.s.	V	N	Comb.	VRd	VRsd	VRcd	Cot	c.s.			
-0.32	2X/2Y ø6/23.6	15.89	-	SLD 13	41.09	48.44	98.39	2.5	3.05	-7.47	-	SLD 5	40.92	48.44	98.2	2.5	6.48	Si		
-0.02	2X/2Y ø6/23.6	15.89	-	SLD 13	41.01	48.44	98.3	2.5	3.05	-7.47	-	SLD 5	40.83	48.44	98.11	2.5	6.48	Si		
0.28	2X/2Y ø6/23.6	15.89	-	SLD 13	40.92	48.44	98.2	2.5	3.05	-7.47	-	SLD 5	40.74	48.44	98.02	2.5	6.48	Si		
0.58	2X/2Y ø6/23.6	15.89	-	SLD 13	40.83	48.44	98.11	2.5	3.05	-7.47	-	SLD 5	40.65	48.44	97.93	2.5	6.48	Si		
0.88	2X/2Y ø6/23.6	15.89	-	SLD 13	40.74	48.44	98.02	2.5	3.05	-7.47	-	SLD 5	40.57	48.44	97.84	2.5	6.48	Si		
1.17	2X/2Y ø6/23.6	15.89	-	SLD 13	40.66	48.44	97.93	2.5	3.05	-7.47	-	SLD 5	40.48	48.44	97.75	2.5	6.48	Si		
1.47	2X/2Y ø6/23.6	15.89	-	SLD 13	40.57	48.44	97.84	2.5	3.05	-7.47	-	SLD 5	40.39	48.44	97.66	2.5	6.48	Si		
1.77	2X/2Y ø6/23.6	15.89	-	SLD 13	40.48	48.44	97.75	2.5	3.05	-7.47	-	SLD 5	40.3	48.44	97.57	2.5	6.48	Si		
2.07	2X/2Y ø6/23.6	15.89	-	SLD 13	40.39	48.44	97.66	2.5	3.05	-7.47	-	SLD 5	40.22	48.44	97.48	2.5	6.48	Si		
2.37	2X/2Y ø6/23.6	15.89	-	SLD 13	40.31	48.44	97.57	2.5	3.05	-7.47	-	SLD 5	40.13	48.44	97.39	2.5	6.48	Si		
2.67	2X/2Y ø6/23.6	15.89	-	SLD 13	40.22	48.44	97.48	2.5	3.05	-7.47	-	SLD 5	40.04	48.44	97.3	2.5	6.48	Si		

Indicatori di rischio sismico a taglio in SLV

Quota	Molt.	TR	I.R.TR	PGA	I.R.PGA	Comb.
-0.32	1.354	2114	1.389	0.255	1.279	SLV 13
-0.02	1.354	2114	1.389	0.255	1.279	SLV 13
0.28	1.354	2114	1.389	0.255	1.279	SLV 13
0.58	1.354	2114	1.389	0.255	1.279	SLV 13
0.88	1.354	2114	1.389	0.255	1.279	SLV 13
1.17	1.354	2114	1.389	0.255	1.279	SLV 13
1.47	1.354	2114	1.389	0.255	1.279	SLV 13
1.77	1.354	2114	1.389	0.255	1.279	SLV 13
2.07	1.354	2114	1.389	0.255	1.279	SLV 13
2.37	1.354	2114	1.389	0.255	1.279	SLV 13
2.67	1.354	2114	1.389	0.255	1.279	SLV 13

Indicatori di rischio sismico a taglio in SLD Resistenza

Quota	Molt.	TR	I.R.TR	PGA	I.R.PGA	Comb.
-0.32	3.15	2110	3.477	0.255	2.966	SLD 13
-0.02	3.15	2110	3.477	0.255	2.966	SLD 13
0.28	3.15	2110	3.477	0.255	2.966	SLD 13
0.58	3.15	2110	3.477	0.255	2.966	SLD 13
0.88	3.15	2110	3.477	0.255	2.966	SLD 13
1.17	3.15	2110	3.477	0.255	2.966	SLD 13
1.47	3.15	2110	3.477	0.255	2.966	SLD 13
1.77	3.15	2110	3.477	0.255	2.966	SLD 13
2.07	3.15	2110	3.477	0.255	2.966	SLD 13
2.37	3.15	2110	3.477	0.255	2.966	SLD 13
2.67	3.15	2110	3.477	0.255	2.966	SLD 13

Verifiche nodi trave colonna**Riepilogo dei dati per le diverse tipologie di verifica eseguite per i nodi**

Pilastrata	Q.Nodo	Escluso	Confinato	Segnalazioni
Pilastrata P30	-1.42	Si	No	
Pilastrata P30	3.17	No	No	

Verifiche nodi trave colonna in combinazioni SLD**Riepilogo dei dati per la verifica del nodo secondo Circolare 7 21-01-19 §C8.7.2.3.5.**

Pilastrata	Q.Nodo	Angolo travatura	Aj	Vpc	Vtc	Vnc	Nc	σnc	σnc,lim	Comb.c	Vpt	Vtt	Vnt	Nt	ont	ont,lim	Comb.t	Segnalazioni	Verifica
Pilastrata P30	3.17	0	0.06632	0	24.858	24.858	0	375	3919	SLD 4	0	24.858	24.858	0	375	840	SLD 4		Si
Pilastrata P30	3.17	180	0.06632	0	24.858	24.858	0	375	3919	SLD 4	0	24.858	24.858	0	375	840	SLD 4		Si

Verifiche nodi trave colonna in combinazioni SLV**Riepilogo dei dati per la verifica del nodo secondo Circolare 7 21-01-19 §C8.7.2.3.5.**

Pilastrata	Q.Nodo	Angolo travatura	Aj	Vpc	Vtc	Vnc	Nc	σ_{nc}	$\sigma_{nc,lim}$	Comb.c	Vpt	Vtt	Vnt	Nt	σ_{nt}	$\sigma_{nt,lim}$	Comb.t	Segnalazioni	Verifica
Pilastrata P30	3.17	0	0.06632	0	57.707	57.707	0	870	3919	SLV 4	0	57.707	57.707	0	870	840	SLV 4		No
	3.17	180	0.06632	0	57.707	57.707	0	870	3919	SLV 4	0	57.707	57.707	0	870	840	SLV 4		No

Indicatori di rischio sismico dei nodi in SLD

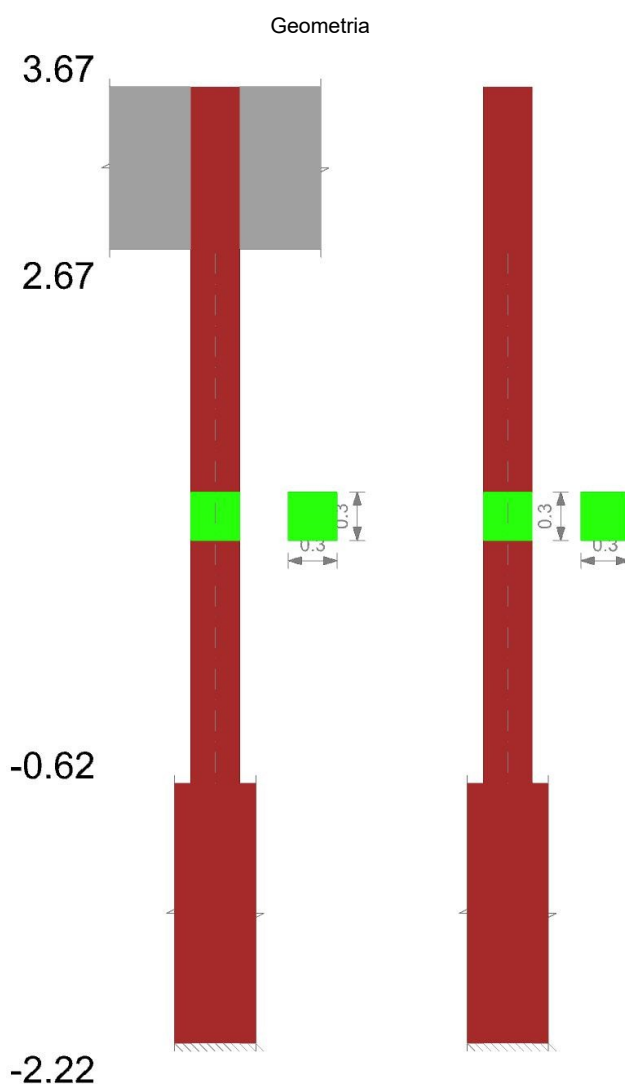
Pilastrata	Q.Nodo	Angolo travatura	Moltiplicatore	TR	I.R.TR	PGA	I.R.PGA	Comb.	Ver.
Pilastrata P30	3.17	0	2.248	870	2.418	0.194	2.252	SLD 4	Si
	3.17	180	2.248	870	2.418	0.194	2.252	SLD 4	Si

Indicatori di rischio sismico dei nodi in SLV

Pilastrata	Q.Nodo	Angolo travatura	Moltiplicatore	TR	I.R.TR	PGA	I.R.PGA	Comb.	Ver.
Pilastrata P30	3.17	0	0.965	854	0.958	0.193	0.965	SLV 4	No
	3.17	180	0.965	854	0.958	0.193	0.965	SLV 4	No

Verifiche di gerarchia delle resistenze nei nodi trave pilastro

Verifiche di gerarchia delle resistenze nei nodi trave pilastro non presenti in quanto la verifica è non necessaria per la pilastrata per il nodo Appoggio -1.42 in quanto elemento di materiale esistente.
per il nodo Appoggio 3.17 in quanto elemento di materiale esistente.

Pilastrata P31**Dati della pilastrata**

Analisi di edificio esistente con fattore di struttura.

Fattore di struttura per meccanismi duttili in direzione X: 1.5

Fattore di struttura per meccanismi duttili in direzione Y: 1.5

Fattore di struttura per meccanismi fragili in direzione X: 1

Fattore di struttura per meccanismi fragili in direzione Y: 1

Verifica dei meccanismi fragili condotta secondo Circolare 7 21-01-19 (§C8.7.2.2) Analisi lineare con fattore q.

Fattore di amplificazione dei meccanismi fragili della componente sismica in direzione X: 1

Fattore di amplificazione dei meccanismi fragili della componente sismica in direzione Y: 1

Campate costituenti la pilastrata

Q.inf.	Q.sup.	Sezione	Esistente	Secondaria	Dissipativa	Interna a parete	Sovreresistenza	Materiale CLS	Materiale Acciaio	FC
-0.62	2.67	R 30x30_1	Si	No	No	No		C14/17 LC2 Vigone A	Vigone_FeB22k_LC2_FC = 1.2; Vigone_FeB44k_Stafte_LC2_FC = 1.2	1.2

Disposizione delle armature longitudinali

Posizione	X	Y	Diametro	Area	Q.inf.	Q.sup.	Sezione	Materiale
p.1	-0.1105	-0.1105	0.014	0.0001539	-0.9	-0.1	R 30x30 1	Vigone FeB22k LC2
p.1	0.1105	-0.1105	0.014	0.0001539	-0.9	-0.1	R 30x30 1	Vigone FeB22k LC2
p.1	0.1105	0.1105	0.014	0.0001539	-0.9	-0.1	R 30x30 1	Vigone FeB22k LC2
p.1	-0.1105	0.1105	0.014	0.0001539	-0.9	-0.1	R 30x30 1	Vigone FeB22k LC2
p.2	-0.1105	-0.1105	0.014	0.0001539	-0.1	2.67	R 30x30 1	Vigone FeB22k LC2
p.2	0.1105	-0.1105	0.014	0.0001539	-0.1	2.67	R 30x30 1	Vigone FeB22k LC2
p.2	0.1105	0.1105	0.014	0.0001539	-0.1	2.67	R 30x30 1	Vigone FeB22k LC2
p.2	-0.1105	0.1105	0.014	0.0001539	-0.1	2.67	R 30x30 1	Vigone FeB22k LC2

Controlli geometrici NTC18

Nessuna anomalia

Verifiche delle sezioni

Verifica a pressoflessione in SLU

Quota	As	%	At	Pos.	Mx	My	N	MRdx	MRdy	Comb.	Coeff.s.	Verifica
-0.32	0.000616	0.7	0	1	1.9375	-1.2491	-189.37	6.3403	-4.0878	SLU 17	3.272	Si
-0.02	0.000616	1.4	0	1,2	1.7523	-1.0088	-188.5	5.7609	-3.3167	SLU 17	3.288	Si
0.28	0.000616	1.4	0	1,2	1.5671	-0.7685	-187.62	5.1761	-2.5384	SLU 17	3.303	Si
0.58	0.000616	1.4	0	1,2	1.3819	-0.5282	-186.75	4.5858	-1.7528	SLU 17	3.318	Si
0.88	0.000616	0.7	0	2	1.1967	-0.2879	-185.87	3.9899	-0.9599	SLU 17	3.334	Si
1.17	0.000616	0.7	0	2	1.0115	-0.0476	-185	3.3885	-0.1594	SLU 17	3.35	Si
1.47	0.000616	0.7	0	2	0.8263	0.1927	-184.12	2.7813	0.6487	SLU 17	3.366	Si
1.77	0.000616	0.7	0	2	0.6412	0.433	-183.25	2.1683	1.4644	SLU 17	3.382	Si
2.07	0.000616	0.7	0	2	0.456	0.6733	-182.37	1.5494	2.2881	SLU 17	3.398	Si
2.37	0.000616	0.7	0	2	0.2708	0.9137	-181.5	0.9245	3.1196	SLU 17	3.414	Si
2.67	0.000616	0.7	0	2	0.0887	1.15	-180.64	0.3042	3.9451	SLU 17	3.431	Si

Verifica a pressoflessione in SLV

E' attiva l'opzione fattori parziali di sicurezza unitari per meccanismi duttili di strutture esistenti con fattore q

Quota	As	%	At	Pos.	Mx	My	N	MRdx	MRdy	Comb.	C.S.	Nmin	Nlim	Comb.Nmin	Ver.
-0.32	0.000616	0.7	0	1	47.9394	-47.5633	-110.32	21.1445	-20.9786	SLV 9	0.441				No
-0.02	0.000616	1.4	0	1,2	43.3589	-38.3968	-109.65	22.72	-20.1199	SLV 9	0.524				No
0.28	0.000616	1.4	0	1,2	38.7783	-29.2303	-108.98	24.503	-18.4699	SLV 9	0.632				No
0.58	0.000616	1.4	0	1,2	34.1978	-20.0638	-108.3	27.0117	-15.8478	SLV 9	0.79				No
0.88	0.000616	0.7	0	2	31.4913	-5.5419	-107.52	31.5975	-5.5606	SLV 5	1.003				Si
1.17	0.000616	0.7	0	2	26.6209	-0.883	-106.85	35.4493	-1.1758	SLV 5	1.332				Si
1.47	0.000616	0.7	0	2	20.4561	7.4357	-106.28	36.2977	13.194	SLV 9	1.774				Si
1.77	0.000616	0.7	0	2	15.8756	16.6022	-105.61	24.931	26.0721	SLV 9	1.57				Si
2.07	0.000616	0.7	0	2	2.5418	29.8989	-106.26	2.7809	32.7121	SLV 13	1.094				Si
2.37	0.000616	0.7	0	2	1.5109	40.5333	-105.59	1.0464	28.0739	SLV 13	0.693				No
2.67	0.000616	0.7	0	2	0.4972	50.9899	-104.93	0.2525	25.901	SLV 13	0.508				No

Verifica a pressoflessione in SLD

Quota	As	%	At	Pos.	Mx	My	N	MRdx	MRdy	Comb.	Coeff.s.	Verifica
-0.32	0.000616	0.7	0	1	19.9808	-20.4449	-111.32	24.382	-24.9484	SLD 9	1.22	Si
-0.02	0.000616	1.4	0	1,2	18.0716	-16.5049	-110.65	26.5473	-24.2458	SLD 9	1.469	Si
0.28	0.000616	1.4	0	1,2	16.1625	-12.5648	-109.98	29.6646	-23.0616	SLD 9	1.835	Si
0.58	0.000616	1.4	0	1,2	14.2533	-8.6248	-109.3	34.3823	-20.805	SLD 9	2.412	Si
0.88	0.000616	0.7	0	2	12.3441	-4.6847	-108.63	41.3458	-15.6912	SLD 9	3.349	Si
1.17	0.000616	0.7	0	2	11.1189	-0.3781	-107.91	49.1242	-1.6705	SLD 5	4.418	Si
1.47	0.000616	0.7	0	2	8.5258	3.1954	-107.28	41.2829	15.4723	SLD 9	4.842	Si
1.77	0.000616	0.7	0	2	6.6166	7.1354	-106.61	28.6589	30.9058	SLD 9	4.331	Si
2.07	0.000616	0.7	0	2	4.7075	11.0755	-105.94	17.2081	40.4861	SLD 9	3.655	Si
2.37	0.000616	0.7	0	2	0.6908	17.7261	-105.8	1.7829	45.7508	SLD 13	2.581	Si
2.67	0.000616	0.7	0	2	0.2272	22.2991	-105.14	0.4057	39.83	SLD 13	1.786	Si

Indicatori di rischio sismico a pressoflessione in SLV

E' attiva l'opzione fattori parziali di sicurezza unitari per meccanismi duttili di strutture esistenti con fattore q

Quota	Molt.	TR	I.R.TR	PGA	I.R.PGA	Comb.	Ver.
-0.32	0.491	156	0.477	0.103	0.516	SLV 9	No
-0.02	0.575	231	0.56	0.12	0.603	SLV 9	No
0.28	0.686	356	0.669	0.142	0.709	SLV 9	No
0.58	0.832	584	0.82	0.169	0.847	SLV 9	No
0.88	1.002	953	1.002	0.2	1.002	SLV 5	Si
1.17	1.197	1593	1.237	0.234	1.173	SLV 5	Si
1.47	1.453	2114	1.389	0.255	1.279	SLV 5	Si
1.77	1.473	2114	1.389	0.255	1.279	SLV 9	Si
2.07	1.059	1134	1.076	0.211	1.057	SLV 13	Si
2.37	0.777	456	0.74	0.155	0.778	SLV 13	No
2.67	0.614	243	0.572	0.123	0.615	SLV 13	No

Indicatori di rischio sismico a pressoflessione in SLD Resistenza

Quota	Molt.	TR	I.R.TR	PGA	I.R.PGA	Comb.	Ver.
-0.32	1.195	145	1.16	0.1	1.161	SLD 9	Si
-0.02	1.402	217	1.368	0.118	1.367	SLD 9	Si
0.28	1.684	340	1.645	0.139	1.616	SLD 9	Si
0.58	2.052	561	2.02	0.167	1.939	SLD 9	Si
0.88	2.485	931	2.486	0.198	2.305	SLD 5	Si
1.17	2.969	1550	3.064	0.232	2.699	SLD 5	Si
1.47	3.602	2110	3.477	0.255	2.966	SLD 5	Si
1.77	3.578	2110	3.477	0.255	2.966	SLD 9	Si
2.07	2.468	1159	2.72	0.213	2.469	SLD 13	Si
2.37	1.813	466	1.872	0.157	1.819	SLD 13	Si
2.67	1.432	248	1.445	0.124	1.436	SLD 13	Si

Verifica a taglio in famiglia SLU

Quota	Staffe	Direzione X							Direzione Y							Verifica		
		V	N	Comb.	VRd	VRsd	VRcd	Cot	c.s.	V	N	Comb.	VRd	VRsd	VRcd		Cot	c.s.
-0.32	2X/2Y ø6/23.6	0.82	-	SLU 18	39.73	48.44	101.02	2.5	59.42	-0.62	-	SLU 18	39.73	48.44	101.02	2.5	77.97	Si
-0.02	2X/2Y ø6/23.6	0.82	-189.37	SLU 18	39.73	48.44	101.02	2.5	59.42	-0.62	-189.37	SLU 18	39.73	48.44	101.02	2.5	77.97	Si

Quota	Staffe	Direzione X									Direzione Y									Verifica
		V	N	Comb.	VRd	VRsd	VRcd	Cot	c.s.	V	N	Comb.	VRd	VRsd	VRcd	Cot	c.s.			
0.28	2X/2Y ø6/23.6	0.82	-187.62	SLU 18	39.73	48.44	101.02	2.5	59.42	-0.62	-	SLU 18	39.73	48.44	101.02	2.5	77.97	Si		
0.58	2X/2Y ø6/23.6	0.82	-186.75	SLU 18	39.73	48.44	101.02	2.5	59.42	-0.62	-	SLU 18	39.73	48.44	101.02	2.5	77.97	Si		
0.88	2X/2Y ø6/23.6	0.82	-185.87	SLU 18	39.73	48.44	101.02	2.5	59.42	-0.62	-	SLU 18	39.73	48.44	101.02	2.5	77.97	Si		
1.17	2X/2Y ø6/23.6	0.82	-185	SLU 18	39.73	48.44	101.02	2.5	59.42	-0.62	-	SLU 18	39.73	48.44	101.02	2.5	77.97	Si		
1.47	2X/2Y ø6/23.6	0.82	-184.12	SLU 18	39.73	48.44	101.02	2.5	59.42	-0.62	-	SLU 18	39.73	48.44	101.02	2.5	77.97	Si		
1.77	2X/2Y ø6/23.6	0.82	-183.25	SLU 18	39.73	48.44	101.02	2.5	59.42	-0.62	-	SLU 18	39.73	48.44	101.02	2.5	77.97	Si		
2.07	2X/2Y ø6/23.6	0.82	-182.37	SLU 18	39.73	48.44	101.02	2.5	59.42	-0.62	-	SLU 18	39.73	48.44	101.02	2.5	77.97	Si		
2.37	2X/2Y ø6/23.6	0.82	-181.5	SLU 18	39.73	48.44	101.02	2.5	59.42	-0.62	-	SLU 18	39.73	48.44	101.02	2.5	77.97	Si		
2.67	2X/2Y ø6/23.6	0.82	-180.64	SLU 18	39.73	48.44	101.02	2.5	59.42	-0.62	-	SLU 18	39.73	48.44	101.02	2.5	77.97	Si		

Verifica a taglio in famiglia SLV

Quota	Staffe	Direzione X									Direzione Y									Verifica
		V	N	Comb.	VRd	VRsd	VRcd	Cot	c.s.	V	N	Comb.	VRd	VRsd	VRcd	Cot	c.s.			
-0.32	2X/2Y ø6/23.6	35.56	-111.65	SLV 13	38.65	48.44	95.86	2.5	1.36	-16.28	-	SLV 5	38.46	48.44	95.66	2.5	2.97	Si		
-0.02	2X/2Y ø6/23.6	35.56	-110.97	SLV 13	38.56	48.44	95.77	2.5	1.36	-16.28	-	SLV 5	38.38	48.44	95.57	2.5	2.97	Si		
0.28	2X/2Y ø6/23.6	35.56	-110.3	SLV 13	38.47	48.44	95.68	2.5	1.36	-16.28	-	SLV 5	38.29	48.44	95.48	2.5	2.97	Si		
0.58	2X/2Y ø6/23.6	35.56	-109.63	SLV 13	38.39	48.44	95.59	2.5	1.36	-16.28	-	SLV 5	38.2	48.44	95.39	2.5	2.97	Si		
0.88	2X/2Y ø6/23.6	35.56	-108.95	SLV 13	38.3	48.44	95.49	2.5	1.36	-16.28	-	SLV 5	38.11	48.44	95.3	2.5	2.97	Si		
1.17	2X/2Y ø6/23.6	35.56	-108.28	SLV 13	38.21	48.44	95.4	2.5	1.36	-16.28	-	SLV 5	38.03	48.44	95.21	2.5	2.97	Si		
1.47	2X/2Y ø6/23.6	35.56	-107.61	SLV 13	38.12	48.44	95.31	2.5	1.36	-16.28	-	SLV 5	37.94	48.44	95.12	2.5	2.97	Si		
1.77	2X/2Y ø6/23.6	35.56	-106.93	SLV 13	38.04	48.44	95.22	2.5	1.36	-16.28	-	SLV 5	37.85	48.44	95.03	2.5	2.97	Si		
2.07	2X/2Y ø6/23.6	35.56	-106.26	SLV 13	37.95	48.44	95.13	2.5	1.36	-16.28	-	SLV 5	37.76	48.44	94.94	2.5	2.97	Si		
2.37	2X/2Y ø6/23.6	35.56	-105.59	SLV 13	37.86	48.44	95.04	2.5	1.36	-16.28	-	SLV 5	37.67	48.44	94.85	2.5	2.97	Si		
2.67	2X/2Y ø6/23.6	35.56	-104.93	SLV 13	37.78	48.44	94.95	2.5	1.36	-16.28	-	SLV 5	37.59	48.44	94.76	2.5	2.97	Si		

Verifica a taglio in famiglia SLD Resistenza

Quota	Staffe	Direzione X									Direzione Y									Verifica
		V	N	Comb.	VRd	VRsd	VRcd	Cot	c.s.	V	N	Comb.	VRd	VRsd	VRcd	Cot	c.s.			
-0.32	2X/2Y ø6/23.6	15.55	-111.86	SLD 13	38.68	48.44	95.89	2.5	3.12	-6.8	-	SLD 5	38.6	48.44	95.81	2.5	7.12	Si		
-0.02	2X/2Y ø6/23.6	15.55	-111.18	SLD 13	38.59	48.44	95.8	2.5	3.12	-6.8	-	SLD 5	38.51	48.44	95.72	2.5	7.12	Si		
0.28	2X/2Y ø6/23.6	15.55	-110.51	SLD 13	38.5	48.44	95.7	2.5	3.12	-6.8	-	SLD 5	38.43	48.44	95.63	2.5	7.12	Si		
0.58	2X/2Y ø6/23.6	15.55	-109.84	SLD 13	38.41	48.44	95.61	2.5	3.12	-6.8	-	SLD 5	38.34	48.44	95.54	2.5	7.12	Si		
0.88	2X/2Y ø6/23.6	15.55	-109.17	SLD 13	38.33	48.44	95.52	2.5	3.12	-6.8	-	SLD 5	38.25	48.44	95.44	2.5	7.12	Si		
1.17	2X/2Y ø6/23.6	15.55	-108.49	SLD 13	38.24	48.44	95.43	2.5	3.12	-6.8	-	SLD 5	38.16	48.44	95.35	2.5	7.12	Si		
1.47	2X/2Y ø6/23.6	15.55	-107.82	SLD 13	38.15	48.44	95.34	2.5	3.12	-6.8	-	SLD 5	38.08	48.44	95.26	2.5	7.12	Si		
1.77	2X/2Y ø6/23.6	15.55	-107.15	SLD 13	38.06	48.44	95.25	2.5	3.12	-6.8	-	SLD 5	37.99	48.44	95.17	2.5	7.12	Si		
2.07	2X/2Y ø6/23.6	15.55	-106.47	SLD 13	37.98	48.44	95.16	2.5	3.12	-6.8	-	SLD 5	37.9	48.44	95.08	2.5	7.12	Si		
2.37	2X/2Y ø6/23.6	15.55	-105.8	SLD 13	37.89	48.44	95.07	2.5	3.12	-6.8	-	SLD 5	37.81	48.44	94.99	2.5	7.12	Si		
2.67	2X/2Y ø6/23.6	15.55	-105.14	SLD 13	37.8	48.44	94.98	2.5	3.12	-6.8	-	SLD 5	37.73	48.44	94.9	2.5	7.12	Si		

Indicatori di rischio sismico a taglio in SLV

Quota	Molt.	TR	I.R.TR	PGA	I.R.PGA	Comb.	Verifica
-0.32	1.367	2114	1.389	0.255	1.279	SLV 13	Si
-0.02	1.367	2114	1.389	0.255	1.279	SLV 13	Si
0.28	1.367	2114	1.389	0.255	1.279	SLV 13	Si
0.58	1.367	2114	1.389	0.255	1.279	SLV 13	Si
0.88	1.367	2114	1.389	0.255	1.279	SLV 13	Si
1.17	1.367	2114	1.389	0.255	1.279	SLV 13	Si
1.47	1.367	2114	1.389	0.255	1.279	SLV 13	Si
1.77	1.367	2114	1.389	0.255	1.279	SLV 13	Si
2.07	1.367	2114	1.389	0.255	1.279	SLV 13	Si
2.37	1.367	2114	1.389	0.255	1.279	SLV 13	Si
2.67	1.367	2114	1.389	0.255	1.279	SLV 13	Si

Indicatori di rischio sismico a taglio in SLD Resistenza

Quota	Molt.	TR	I.R.TR	PGA	I.R.PGA	Comb.	Verifica
-0.32	3.186	2110	3.477	0.255	2.966	SLD 13	Si
-0.02	3.186	2110	3.477	0.255	2.966	SLD 13	Si
0.28	3.186	2110	3.477	0.255	2.966	SLD 13	Si
0.58	3.186	2110	3.477	0.255	2.966	SLD 13	Si
0.88	3.186	2110	3.477	0.255	2.966	SLD 13	Si
1.17	3.186	2110	3.477	0.255	2.966	SLD 13	Si
1.47	3.186	2110	3.477	0.255	2.966	SLD 13	Si
1.77	3.186	2110	3.477	0.255	2.966	SLD 13	Si
2.07	3.186	2110	3.477	0.255	2.966	SLD 13	Si
2.37	3.186	2110	3.477	0.255	2.966	SLD 13	Si
2.67	3.186	2110	3.477	0.255	2.966	SLD 13	Si

Verifiche nodi trave colonna

Riepilogo dei dati per le diverse tipologie di verifica eseguite per i nodi

Pilastrata	Q.Nodo	Escluso	Confinato	Segnalazioni
Pilastrata P31	-1.42	Si	No	
Pilastrata P31	3.17	No	No	

Verifiche nodi trave colonna in combinazioni SLD**Riepilogo dei dati per la verifica del nodo secondo Circolare 7 21-01-19 §C8.7.2.3.5.**

Pilastrata	Q.Nodo	Angolo travatura	Aj	Vpc	Vtc	Vnc	Nc	σnc	σnc,lim	Comb.c	Vpt	Vtt	Vnt	Nt	σnt	σnt,lim	Comb.t	Segnalazioni	Verifica
Pilastrata P31	3.17	0	0.06632	0	26.499	26.499	0	400	3919	SLD 13	0	26.499	26.499	0	400	840	SLD 13		Si
	3.17	180	0.06632	0	26.499	26.499	0	400	3919	SLD 13	0	26.499	26.499	0	400	840	SLD 13		Si

Verifiche nodi trave colonna in combinazioni SLV**Riepilogo dei dati per la verifica del nodo secondo Circolare 7 21-01-19 §C8.7.2.3.5.**

Pilastrata	Q.Nodo	Angolo travatura	Aj	Vpc	Vtc	Vnc	Nc	σnc	σnc,lim	Comb.c	Vpt	Vtt	Vnt	Nt	σnt	σnt,lim	Comb.t	Segnalazioni	Verifica
Pilastrata P31	3.17	0	0.06632	0	60.524	60.524	0	913	3919	SLV 13	0	60.524	60.524	0	913	840	SLV 13		No
	3.17	180	0.06632	0	60.524	60.524	0	913	3919	SLV 13	0	60.524	60.524	0	913	840	SLV 13		No

Indicatori di rischio sismico dei nodi in SLD

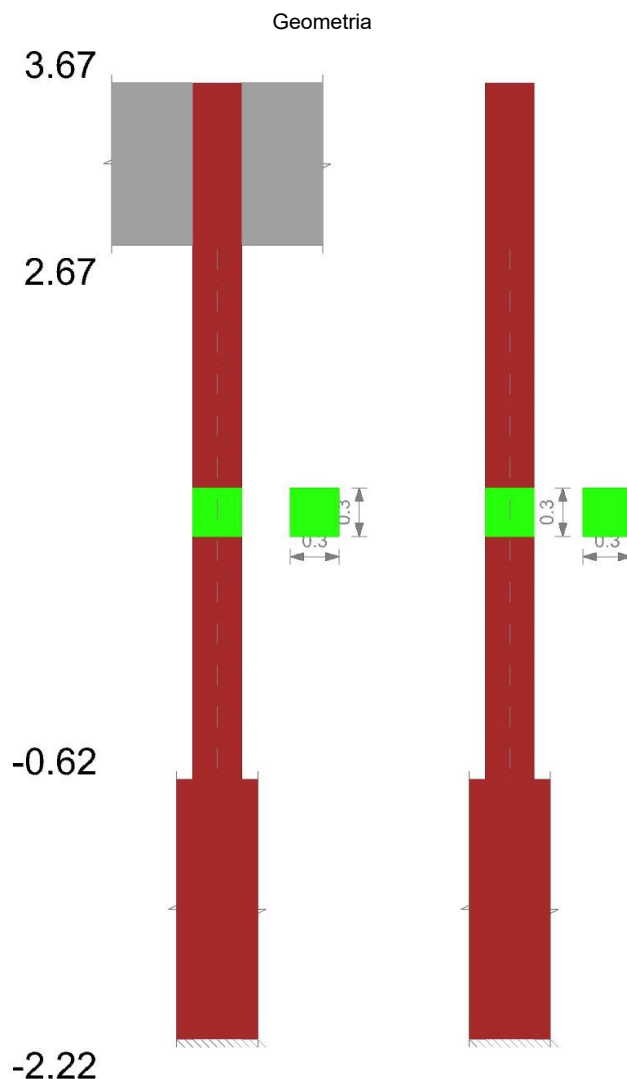
Pilastrata	Q.Nodo	Angolo travatura	Moltiplicatore	TR	I.R.TR	PGA	I.R.PGA	Comb.	Ver.
Pilastrata P31	3.17	0	2.143	757	2.284	0.185	2.148	SLD 13	Si
	3.17	180	2.143	757	2.284	0.185	2.148	SLD 13	Si

Indicatori di rischio sismico dei nodi in SLV

Pilastrata	Q.Nodo	Angolo travatura	Moltiplicatore	TR	I.R.TR	PGA	I.R.PGA	Comb.	Ver.
Pilastrata P31	3.17	0	0.92	744	0.905	0.184	0.92	SLV 13	No
	3.17	180	0.92	744	0.905	0.184	0.92	SLV 13	No

Verifiche di gerarchia delle resistenze nei nodi trave pilastro

Verifiche di gerarchia delle resistenze nei nodi trave pilastro non presenti in quanto la verifica è non necessaria per la pilastrata per il nodo Appoggio -1.42 in quanto elemento di materiale esistente.
per il nodo Appoggio 3.17 in quanto elemento di materiale esistente.

Pilastrata P32**Dati della pilastrata**

Analisi di edificio esistente con fattore di struttura.
Fattore di struttura per meccanismi duttili in direzione X: 1.5
Fattore di struttura per meccanismi duttili in direzione Y: 1.5
Fattore di struttura per meccanismi fragili in direzione X: 1

Fattore di struttura per meccanismi fragili in direzione Y: 1

Verifica dei meccanismi fragili condotta secondo Circolare 7 21-01-19 (§C8.7.2.2) Analisi lineare con fattore q.

Fattore di amplificazione dei meccanismi fragili della componente sismica in direzione X: 1

Fattore di amplificazione dei meccanismi fragili della componente sismica in direzione Y: 1

Campate costituenti la pilastrata

Q.inf.	Q.sup.	Sezione	Esistente	Secondaria	Dissipativa	Interna a parete	Sovreresistenza	Materiale CLS	Materiale Acciaio	FC
-0.62	2.67	R 30x30_1	Si	No	No	No		C14/17 LC2 Vigone A	Vigone_FeB22k_LC2_FC = 1.2; Vigone_FeB44k_Staffe_LC2_FC = 1.2	1.2

Disposizione delle armature longitudinali

Posizione	X	Y	Diametro	Area	Q.inf.	Q.sup.	Sezione	Materiale
p.1	-0.1105	-0.1105	0.014	0.0001539	-0.9	-0.1	R 30x30 1	Vigone FeB22k LC2
p.1	0.1105	-0.1105	0.014	0.0001539	-0.9	-0.1	R 30x30 1	Vigone FeB22k LC2
p.1	0.1105	0.1105	0.014	0.0001539	-0.9	-0.1	R 30x30 1	Vigone FeB22k LC2
p.1	-0.1105	0.1105	0.014	0.0001539	-0.9	-0.1	R 30x30 1	Vigone FeB22k LC2
p.2	-0.1105	-0.1105	0.014	0.0001539	-0.1	2.67	R 30x30 1	Vigone FeB22k LC2
p.2	0.1105	-0.1105	0.014	0.0001539	-0.1	2.67	R 30x30 1	Vigone FeB22k LC2
p.2	0.1105	0.1105	0.014	0.0001539	-0.1	2.67	R 30x30 1	Vigone FeB22k LC2
p.2	-0.1105	0.1105	0.014	0.0001539	-0.1	2.67	R 30x30 1	Vigone FeB22k LC2

Controlli geometrici NTC18

Nessuna anomalia

Verifiche delle sezioni

Verifica a pressoflessione in SLU

Quota	As	%	At	Pos.	Mx	My	N	MRdx	MRdy	Comb.	Coeff.s.	Verifica
-0.32	0.000616	0.7	0	1	1.9261	-0.8139	-213.02	5.6033	-2.3677	SLU 17	2.909	Si
-0.02	0.000616	1.4	0	1,2	1.7339	-0.6859	-212.15	5.0651	-2.0037	SLU 17	2.921	Si
0.28	0.000616	1.4	0	1,2	1.5418	-0.558	-211.27	4.5225	-1.6367	SLU 17	2.933	Si
0.58	0.000616	1.4	0	1,2	1.3496	-0.43	-210.4	3.9753	-1.2666	SLU 17	2.945	Si
0.88	0.000616	0.7	0	2	1.1575	-0.3021	-209.52	3.4236	-0.8935	SLU 17	2.958	Si
1.17	0.000616	0.7	0	2	0.9653	-0.1741	-208.65	2.8672	-0.5172	SLU 17	2.97	Si
1.47	0.000616	0.7	0	2	0.7732	-0.0462	-207.77	2.3062	-0.1377	SLU 17	2.983	Si
1.77	0.000616	0.7	0	2	0.581	0.0818	-206.9	1.7404	0.2449	SLU 17	2.995	Si
2.07	0.000616	0.7	0	2	0.3889	0.2097	-206.02	1.1698	0.6308	SLU 17	3.008	Si
2.37	0.000616	0.7	0	2	0.1967	0.3377	-205.15	0.5943	1.02	SLU 17	3.021	Si
2.67	0.000616	0.7	0	2	0.0078	0.4635	-204.29	0.0237	1.406	SLU 17	3.034	Si

Verifica a pressoflessione in SLV

E' attiva l'opzione fattori parziali di sicurezza unitari per meccanismi duttili di strutture esistenti con fattore q

Quota	As	%	At	Pos.	Mx	My	N	MRdx	MRdy	Comb.	C.S.	Nmin	Nlim	Comb.Nmin	Ver.
-0.32	0.000616	0.7	0	1	50.2737	-47.4238	-119.79	21.8303	-20.5927	SLV 9	0.434				No
-0.02	0.000616	1.4	0	1,2	45.3933	-38.2933	-119.11	23.2805	-19.6391	SLV 9	0.513				No
0.28	0.000616	1.4	0	1,2	40.5129	-29.1628	-118.44	25.0535	-18.0345	SLV 9	0.618				No
0.58	0.000616	1.4	0	1,2	35.6325	-20.0323	-117.77	27.6302	-15.5335	SLV 9	0.775				No
0.88	0.000616	0.7	0	2	31.687	-9.2264	-118.26	32.1093	-9.3493	SLV 10	1.013				Si
1.17	0.000616	0.7	0	2	26.6544	-1.5154	-117.59	37.7479	-2.1461	SLV 10	1.416				Si
1.47	0.000616	0.7	0	2	21.6218	6.1954	-116.91	38.6295	11.0687	SLV 10	1.787				Si
1.77	0.000616	0.7	0	2	16.111	16.4897	-115.08	25.6658	26.2691	SLV 9	1.593				Si
2.07	0.000616	0.7	0	2	4.7221	29.8047	-112.87	5.321	33.5851	SLV 13	1.127				Si
2.37	0.000616	0.7	0	2	2.6416	40.4162	-112.2	1.8826	28.8037	SLV 13	0.713				No
2.67	0.000616	0.7	0	2	0.4858	50.8504	-111.54	0.2523	26.4139	SLV 13	0.519				No

Verifica a pressoflessione in SLD

Quota	As	%	At	Pos.	Mx	My	N	MRdx	MRdy	Comb.	Coeff.s.	Verifica
-0.32	0.000616	0.7	0	1	20.9991	-20.239	-123.31	25.5139	-24.5903	SLD 9	1.215	Si
-0.02	0.000616	1.4	0	1,2	18.9587	-16.3521	-122.63	27.7655	-23.9481	SLD 9	1.465	Si
0.28	0.000616	1.4	0	1,2	16.9182	-12.4652	-121.96	30.8778	-22.7505	SLD 9	1.825	Si
0.58	0.000616	1.4	0	1,2	14.8777	-8.5783	-121.29	35.481	-20.4579	SLD 9	2.385	Si
0.88	0.000616	0.7	0	2	12.8373	-4.6915	-120.62	42.064	-15.3725	SLD 9	3.277	Si
1.17	0.000616	0.7	0	2	11.1192	-0.6986	-120.43	47.3042	-2.9721	SLD 10	4.254	Si
1.47	0.000616	0.7	0	2	9.016	2.6005	-119.75	41.8003	12.0567	SLD 10	4.636	Si
1.77	0.000616	0.7	0	2	6.716	6.9692	-118.6	28.9596	30.0515	SLD 9	4.312	Si
2.07	0.000616	0.7	0	2	2.0861	12.8784	-117.24	7.6863	47.4506	SLD 13	3.684	Si
2.37	0.000616	0.7	0	2	1.1591	17.4816	-116.56	3.1604	47.6666	SLD 13	2.727	Si
2.67	0.000616	0.7	0	2	0.1999	22.0077	-115.9	0.3891	42.8331	SLD 13	1.946	Si

Indicatori di rischio sismico a pressoflessione in SLV

E' attiva l'opzione fattori parziali di sicurezza unitari per meccanismi duttili di strutture esistenti con fattore q

Quota	Molt.	TR	I.R.TR	PGA	I.R.PGA	Comb.	Ver.
-0.32	0.487	153	0.473	0.102	0.512	SLV 9	No
-0.02	0.569	225	0.554	0.119	0.597	SLV 9	No
0.28	0.68	349	0.664	0.14	0.704	SLV 9	No
0.58	0.824	569	0.811	0.168	0.84	SLV 9	No
0.88	1.01	972	1.01	0.201	1.009	SLV 10	Si
1.17	1.234	1740	1.282	0.241	1.205	SLV 10	Si
1.47	1.477	2114	1.389	0.255	1.279	SLV 10	Si
1.77	1.479	2114	1.389	0.255	1.279	SLV 9	Si
2.07	1.078	1202	1.102	0.215	1.076	SLV 13	Si
2.37	0.802	498	0.768	0.16	0.803	SLV 13	No
2.67	0.639	270	0.597	0.128	0.639	SLV 13	No

Indicatori di rischio sismico a pressoflessione in SLD Resistenza

Quota	Molt.	TR	I.R.TR	PGA	I.R.PGA	Comb.	Ver.
-0.32	1.186	143	1.153	0.099	1.154	SLD 9	Si
-0.02	1.387	211	1.353	0.116	1.352	SLD 9	Si
0.28	1.66	329	1.623	0.137	1.597	SLD 9	Si
0.58	2.025	542	1.991	0.165	1.916	SLD 9	Si
0.88	2.491	936	2.491	0.199	2.31	SLD 10	Si
1.17	3.057	1686	3.171	0.238	2.769	SLD 10	Si
1.47	3.643	2110	3.477	0.255	2.966	SLD 10	Si
1.77	3.584	2110	3.477	0.255	2.966	SLD 9	Si
2.07	2.512	1226	2.783	0.216	2.512	SLD 13	Si
2.37	1.869	509	1.941	0.161	1.875	SLD 13	Si
2.67	1.488	274	1.506	0.129	1.493	SLD 13	Si

Verifica a taglio in famiglia SLU

Quota	Staffe	V	N	Direzione X							V	N	Direzione Y							Verifica
				Comb.	VRd	VRsd	VRcd	Cot	c.s.	Comb.			VRd	VRsd	VRcd	Cot	c.s.			
-0.32	2X/2Y ø6/23.6	0.44	-	SLU 18	39.73	48.44	101.02	2.5	110.2	-0.64	-	SLU 18	39.73	48.44	101.02	2.5	75.17	Si		
-0.02	2X/2Y ø6/23.6	0.44	-	SLU 18	39.73	48.44	101.02	2.5	110.2	-0.64	-	SLU 18	39.73	48.44	101.02	2.5	75.17	Si		
0.28	2X/2Y ø6/23.6	0.44	-	SLU 18	39.73	48.44	101.02	2.5	110.2	-0.64	-	SLU 18	39.73	48.44	101.02	2.5	75.17	Si		
0.58	2X/2Y ø6/23.6	0.44	-	SLU 18	39.73	48.44	101.02	2.5	110.2	-0.64	-	SLU 18	39.73	48.44	101.02	2.5	75.17	Si		
0.88	2X/2Y ø6/23.6	0.44	-	SLU 18	39.73	48.44	101.02	2.5	110.2	-0.64	-	SLU 18	39.73	48.44	101.02	2.5	75.17	Si		
1.17	2X/2Y ø6/23.6	0.44	-	SLU 18	39.73	48.44	101.02	2.5	110.2	-0.64	-	SLU 18	39.73	48.44	101.02	2.5	75.17	Si		
1.47	2X/2Y ø6/23.6	0.44	-	SLU 18	39.73	48.44	101.02	2.5	110.2	-0.64	-	SLU 18	39.73	48.44	101.02	2.5	75.17	Si		
1.77	2X/2Y ø6/23.6	0.44	-	SLU 18	39.73	48.44	101.02	2.5	110.2	-0.64	-	SLU 18	39.73	48.44	101.02	2.5	75.17	Si		
2.07	2X/2Y ø6/23.6	0.44	-	SLU 18	39.73	48.44	101.02	2.5	110.2	-0.64	-	SLU 18	39.73	48.44	101.02	2.5	75.17	Si		
2.37	2X/2Y ø6/23.6	0.44	-	SLU 18	39.73	48.44	101.02	2.5	110.2	-0.64	-	SLU 18	39.73	48.44	101.02	2.5	75.17	Si		
2.67	2X/2Y ø6/23.6	0.44	-	SLU 18	39.73	48.44	101.02	2.5	110.2	-0.64	-	SLU 18	39.73	48.44	101.02	2.5	75.17	Si		

Verifica a taglio in famiglia SLV

Quota	Staffe	V	N	Direzione X							V	N	Direzione Y							Verifica
				Comb.	VRd	VRsd	VRcd	Cot	c.s.	Comb.			VRd	VRsd	VRcd	Cot	c.s.			
-0.32	2X/2Y ø6/23.6	35.48	-	SLV 13	39.51	48.44	96.75	2.5	1.37	-16.83	-	SLV 10	39.73	48.44	97.11	2.5	2.88	Si		
-0.02	2X/2Y ø6/23.6	35.48	-	SLV 13	39.42	48.44	96.66	2.5	1.37	-16.83	-	SLV 10	39.73	48.44	97.02	2.5	2.88	Si		
0.28	2X/2Y ø6/23.6	35.48	-	SLV 13	39.34	48.44	96.57	2.5	1.37	-16.83	-	SLV 10	39.69	48.44	96.93	2.5	2.88	Si		
0.58	2X/2Y ø6/23.6	35.48	-	SLV 13	39.25	48.44	96.48	2.5	1.37	-16.83	-	SLV 10	39.6	48.44	96.84	2.5	2.88	Si		
0.88	2X/2Y ø6/23.6	35.48	-	SLV 13	39.16	48.44	96.39	2.5	1.37	-16.83	-	SLV 10	39.51	48.44	96.75	2.5	2.88	Si		
1.17	2X/2Y ø6/23.6	35.48	-	SLV 13	39.07	48.44	96.29	2.5	1.37	-16.83	-	SLV 10	39.42	48.44	96.66	2.5	2.88	Si		
1.47	2X/2Y ø6/23.6	35.48	-	SLV 13	38.99	48.44	96.2	2.5	1.37	-16.83	-	SLV 10	39.34	48.44	96.57	2.5	2.88	Si		
1.77	2X/2Y ø6/23.6	35.48	-	SLV 13	38.9	48.44	96.11	2.5	1.37	-16.83	-	SLV 10	39.25	48.44	96.48	2.5	2.88	Si		
2.07	2X/2Y ø6/23.6	35.48	-	SLV 13	38.81	48.44	96.02	2.5	1.37	-16.83	-	SLV 10	39.16	48.44	96.39	2.5	2.88	Si		
2.37	2X/2Y ø6/23.6	35.48	-	SLV 13	38.72	48.44	95.93	2.5	1.37	-16.83	-	SLV 10	39.07	48.44	96.3	2.5	2.88	Si		
2.67	2X/2Y ø6/23.6	35.48	-	SLV 13	38.64	48.44	95.84	2.5	1.37	-16.83	-	SLV 10	38.99	48.44	96.21	2.5	2.88	Si		

Verifica a taglio in famiglia SLD Resistenza

Quota	Staffe	V	N	Direzione X							V	N	Direzione Y							Verifica
				Comb.	VRd	VRsd	VRcd	Cot	c.s.	Comb.			VRd	VRsd	VRcd	Cot	c.s.			
-0.32	2X/2Y ø6/23.6	15.39	-	SLD 13	40.08	48.44	97.34	2.5	3.15	-7.03	-	SLD 10	40.23	48.44	97.49	2.5	6.89	Si		
-0.02	2X/2Y ø6/23.6	15.39	-	SLD 13	39.99	48.44	97.25	2.5	3.15	-7.03	-	SLD 10	40.14	48.44	97.4	2.5	6.89	Si		
0.28	2X/2Y ø6/23.6	15.39	-	SLD 13	39.9	48.44	97.15	2.5	3.15	-7.03	-	SLD 10	40.06	48.44	97.31	2.5	6.89	Si		
0.58	2X/2Y ø6/23.6	15.39	-	SLD 13	39.82	48.44	97.06	2.5	3.15	-7.03	-	SLD 10	39.97	48.44	97.22	2.5	6.89	Si		
0.88	2X/2Y ø6/23.6	15.39	-	SLD 13	39.73	48.44	96.97	2.5	3.15	-7.03	-	SLD 10	39.88	48.44	97.13	2.5	6.89	Si		
1.17	2X/2Y ø6/23.6	15.39	-	SLD 13	39.64	48.44	96.88	2.5	3.15	-7.03	-	SLD 10	39.79	48.44	97.04	2.5	6.89	Si		
1.47	2X/2Y ø6/23.6	15.39	-	SLD 13	39.55	48.44	96.79	2.5	3.15	-7.03	-	SLD 10	39.71	48.44	96.95	2.5	6.89	Si		
1.77	2X/2Y ø6/23.6	15.39	-	SLD 13	39.47	48.44	96.7	2.5	3.15	-7.03	-	SLD 10	39.62	48.44	96.86	2.5	6.89	Si		
2.07	2X/2Y ø6/23.6	15.39	-	SLD 13	39.38	48.44	96.61	2.5	3.15	-7.03	-	SLD 10	39.53	48.44	96.77	2.5	6.89	Si		
2.37	2X/2Y ø6/23.6	15.39	-	SLD 13	39.29	48.44	96.52	2.5	3.15	-7.03	-	SLD 10	39.44	48.44	96.68	2.5	6.89	Si		
2.67	2X/2Y ø6/23.6	15.39	-	SLD 13	39.2	48.44	96.43	2.5	3.15	-7.03	-	SLD 10	39.36	48.44	96.59	2.5	6.89	Si		

Indicatori di rischio sismico a taglio in SLV

Quota	Molt.	TR	I.R.TR	PGA	I.R.PGA	Comb.	
-0.32	1.367	2114	1.389	0.255	1.279	SLV 13	Si
-0.02	1.367	2114	1.389	0.255	1.279	SLV 13	Si
0.28	1.367	2114	1.389	0.255	1.279	SLV 13	Si
0.58	1.367	2114	1.389	0.255	1.279	SLV 13	Si
0.88	1.367	2114	1.389	0.255	1.279	SLV 13	Si
1.17	1.367	2114	1.389	0.255	1.279	SLV 13	Si
1.47	1.367	2114	1.389	0.255	1.279	SLV 13	Si
1.77	1.367	2114	1.389	0.255	1.279	SLV 13	Si
2.07	1.367	2114	1.389	0.255	1.279	SLV 13	Si
2.37	1.367	2114	1.389	0.255	1.279	SLV 13	Si
2.67	1.367	2114	1.389	0.255	1.279	SLV 13	Si

Indicatori di rischio sismico a taglio in SLD Resistenza

Quota	Molt.	TR	I.R.TR	PGA	I.R.PGA	Comb.	
-0.32	3.186	2110	3.477	0.255	2.966	SLD 13	Si
-0.02	3.186	2110	3.477	0.255	2.966	SLD 13	Si
0.28	3.186	2110	3.477	0.255	2.966	SLD 13	Si
0.58	3.186	2110	3.477	0.255	2.966	SLD 13	Si
0.88	3.186	2110	3.477	0.255	2.966	SLD 13	Si
1.17	3.186	2110	3.477	0.255	2.966	SLD 13	Si
1.47	3.186	2110	3.477	0.255	2.966	SLD 13	Si
1.77	3.186	2110	3.477	0.255	2.966	SLD 13	Si
2.07	3.186	2110	3.477	0.255	2.966	SLD 13	Si
2.37	3.186	2110	3.477	0.255	2.966	SLD 13	Si
2.67	3.186	2110	3.477	0.255	2.966	SLD 13	Si

Verifiche nodi trave colonna**Riepilogo dei dati per le diverse tipologie di verifica eseguite per i nodi**

Pilastrata	Q.Nodo	Escluso	Confinato	Segnalazioni	
Pilastrata P32	-1.42	Si	No		
Pilastrata P32	3.17	No	No		

Verifiche nodi trave colonna in combinazioni SLD**Riepilogo dei dati per la verifica del nodo secondo Circolare 7 21-01-19 §C8.7.2.3.5.**

Pilastrata	Q.Nodo	Angolo travatura	Aj	Vpc	Vtc	Vnc	Nc	σnc	σnc,lim	Comb.c	Vpt	Vtt	Vnt	Nt	σnt	σnt,lim	Comb.t	Segnalazioni	Verifica
Pilastrata P32	3.17	0	0.06632	0	26.44	26.44	0	399	3919	SLD 13	0	26.44	26.44	0	399	840	SLD 13		Si
	3.17	180	0.06632	0	26.44	26.44	0	399	3919	SLD 13	0	26.44	26.44	0	399	840	SLD 13		Si

Verifiche nodi trave colonna in combinazioni SLV**Riepilogo dei dati per la verifica del nodo secondo Circolare 7 21-01-19 §C8.7.2.3.5.**

Pilastrata	Q.Nodo	Angolo travatura	Aj	Vpc	Vtc	Vnc	Nc	σnc	σnc,lim	Comb.c	Vpt	Vtt	Vnt	Nt	σnt	σnt,lim	Comb.t	Segnalazioni	Verifica
Pilastrata P32	3.17	0	0.06632	0	59.214	59.214	0	893	3919	SLV 13	0	59.214	59.214	0	893	840	SLV 13		No
	3.17	180	0.06632	0	59.214	59.214	0	893	3919	SLV 13	0	59.214	59.214	0	893	840	SLV 13		No

Indicatori di rischio sismico dei nodi in SLD

Pilastrata	Q.Nodo	Angolo travatura	Moltiplicatore	TR	I.R.TR	PGA	I.R.PGA	Comb.	Ver.
Pilastrata P32	3.17	0	2.189	806	2.343	0.189	2.194	SLD 13	Si
	3.17	180	2.189	806	2.343	0.189	2.194	SLD 13	Si

Indicatori di rischio sismico dei nodi in SLV

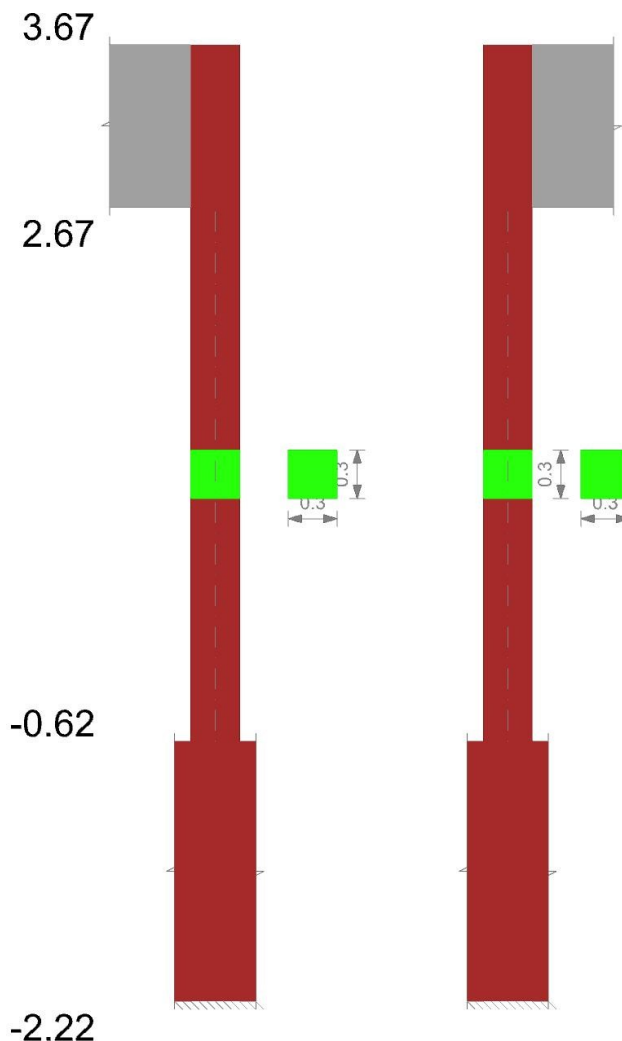
Pilastrata	Q.Nodo	Angolo travatura	Moltiplicatore	TR	I.R.TR	PGA	I.R.PGA	Comb.	Ver.
Pilastrata P32	3.17	0	0.939	790	0.928	0.187	0.939	SLV 13	No
	3.17	180	0.939	790	0.928	0.187	0.939	SLV 13	No

Verifiche di gerarchia delle resistenze nei nodi trave pilastro

Verifiche di gerarchia delle resistenze nei nodi trave pilastro non presenti in quanto la verifica è non necessaria per la pilastrata per il nodo Appoggio 3.17 in quanto elemento di materiale esistente.
per il nodo Appoggio -1.42 in quanto elemento di materiale esistente.

Pilastrata P33

Geometria



Dati della pilastrata

Analisi di edificio esistente con fattore di struttura.

Fattore di struttura per meccanismi duttili in direzione X: 1.5

Fattore di struttura per meccanismi duttili in direzione Y: 1.5

Fattore di struttura per meccanismi fragili in direzione X: 1

Fattore di struttura per meccanismi fragili in direzione Y: 1

Verifica dei meccanismi fragili condotta secondo Circolare 7 21-01-19 (§C8.7.2.2) Analisi lineare con fattore q.

Fattore di amplificazione dei meccanismi fragili della componente sismica in direzione X: 1

Fattore di amplificazione dei meccanismi fragili della componente sismica in direzione Y: 1

Campate costituenti la pilastrata

Q.inf.	Q.sup.	Sezione	Esistente	Secondaria	Dissipativa	Interna a parete	Sovreresistenza	Materiale CLS	Materiale Acciaio	FC
-0.62	2.67	R 30x30_1	Si	No	No	No		C14/17 LC2 Vigone A	Vigone_FeB22k_LC2_FC = 1.2; Vigone_FeB44k_Staffe_LC2_FC = 1.2	1.2

Disposizione delle armature longitudinali

Posizione	X	Y	Diametro	Area	Q.inf.	Q.sup.	Sezione	Materiale
p.1	-0.1105	-0.1105	0.014	0.0001539	-0.9	-0.1	R 30x30 1	Vigone FeB22k LC2
p.1	0.1105	-0.1105	0.014	0.0001539	-0.9	-0.1	R 30x30 1	Vigone FeB22k LC2
p.1	0.1105	0.1105	0.014	0.0001539	-0.9	-0.1	R 30x30 1	Vigone FeB22k LC2
p.1	-0.1105	0.1105	0.014	0.0001539	-0.9	-0.1	R 30x30 1	Vigone FeB22k LC2
p.2	-0.1105	-0.1105	0.014	0.0001539	-0.1	2.67	R 30x30 1	Vigone FeB22k LC2
p.2	0.1105	-0.1105	0.014	0.0001539	-0.1	2.67	R 30x30 1	Vigone FeB22k LC2
p.2	0.1105	0.1105	0.014	0.0001539	-0.1	2.67	R 30x30 1	Vigone FeB22k LC2
p.2	-0.1105	0.1105	0.014	0.0001539	-0.1	2.67	R 30x30 1	Vigone FeB22k LC2

Controlli geometrici NTC18

Nessuna anomalia

Verifiche delle sezioni

Verifica a pressoflessione in SLU

Quota	As	%	At	Pos.	Mx	My	N	MRdx	MRdy	Comb.	Coeff.s.	Verifica
-0.32	0.000616	0.7	0	1	9.6134	-3.9084	-149.28	27.1732	-11.0475	SLU 18	2.827	Si
-0.02	0.000616	1.4	0	1,2	7.4278	-2.9828	-148.41	23.9115	-9.6023	SLU 18	3.219	Si
0.28	0.000616	1.4	0	1,2	5.2421	-2.0572	-147.53	19.2866	-7.5688	SLU 18	3.679	Si
0.58	0.000616	1.4	0	1,2	3.0565	-1.1316	-146.66	12.8513	-4.7578	SLU 18	4.205	Si
0.88	0.000616	0.7	0	2	0.8709	-0.206	-145.78	3.7022	-0.8757	SLU 18	4.251	Si
1.17	0.000616	0.7	0	2	-1.3147	0.7196	-144.91	-5.6226	3.0775	SLU 18	4.277	Si
1.47	0.000616	0.7	0	2	-3.5003	1.6452	-144.03	-14.4821	6.8069	SLU 18	4.137	Si
1.77	0.000616	0.7	0	2	-5.686	2.5708	-143.16	-20.649	9.3362	SLU 18	3.632	Si

Quota	As	%	At	Pos.	Mx	My	N	MRdx	MRdy	Comb.	Coeff.s.	Verifica
2.07	0.000616	0.7	0	2	-7.8716	3.4964	-142.28	-25.0379	11.1214	SLU 18	3.181	Si
2.37	0.000616	0.7	0	2	-10.0572	4.422	-141.41	-28.1147	12.3617	SLU 18	2.795	Si
2.67	0.000616	0.7	0	2	-12.2063	5.3322	-140.55	-29.5827	12.9229	SLU 18	2.424	Si

Verifica a pressoflessione in SLV

E' attiva l'opzione fattori parziali di sicurezza unitari per meccanismi duttili di strutture esistenti con fattore q

Quota	As	%	At	Pos.	Mx	My	N	MRdx	MRdy	Comb.	C.S.	Nmin	Nlim	Comb.Nmin	Ver.
-0.32	0.000616	0.7	0	1	132.6125	-40.8092	-143.58	22.4543	-6.9099	SLV 10	0.169				No
-0.02	0.000616	1.4	0	1,2	-97.7604	29.3766	-37.13	-20.6446	6.2036	SLV 7	0.211				No
0.28	0.000616	1.4	0	1,2	-74.8968	22.5646	-36.45	-20.9023	6.2973	SLV 7	0.279				No
0.58	0.000616	1.4	0	1,2	-52.0332	15.7525	-35.78	-21.404	6.4798	SLV 7	0.411				No
0.88	0.000616	0.7	0	2	-29.1697	8.9405	-35.11	-22.8	6.9882	SLV 7	0.782				No
1.17	0.000616	0.7	0	2	4.7027	-1.2985	-140.22	26.6915	-7.3697	SLV 10	5.676				Si
1.47	0.000616	0.7	0	2	16.5576	-4.6846	-33.76	25.525	-7.2216	SLV 7	1.542				Si
1.77	0.000616	0.7	0	2	39.4211	-11.4963	-33.09	21.8153	-6.362	SLV 7	0.553				No
2.07	0.000616	0.7	0	2	62.2847	-18.3084	-32.42	20.9943	-6.1712	SLV 7	0.337				No
2.37	0.000616	0.7	0	2	-97.6244	30.307	-137.52	-23.3968	7.2634	SLV 10	0.24				No
2.67	0.000616	0.7	0	2	-122.7786	38.0767	-136.86	-22.5404	6.9903	SLV 10	0.184				No

Verifica a pressoflessione in SLD

Quota	As	%	At	Pos.	Mx	My	N	MRdx	MRdy	Comb.	Coeff.s.	Verifica
-0.32	0.000616	0.7	0	1	57.2171	-18.5423	-112.12	25.1373	-8.1463	SLD 10	0.439	No
-0.02	0.000616	1.4	0	1,2	46.0587	-14.8952	-111.45	26.7827	-8.6614	SLD 10	0.581	No
0.28	0.000616	1.4	0	1,2	34.9004	-11.2481	-110.78	29.629	-9.5491	SLD 10	0.849	No
0.58	0.000616	1.4	0	1,2	23.7421	-7.601	-110.1	35.2206	-11.2758	SLD 10	1.483	Si
0.88	0.000616	0.7	0	2	-11.4684	3.6921	-66.57	-39.0502	12.5718	SLD 7	3.405	Si
1.17	0.000616	0.7	0	2	1.2908	-0.4321	-108.85	10.4422	-3.4956	SLD 9	8.09	Si
1.47	0.000616	0.7	0	2	-9.733	3.3408	-108.09	-42.882	14.7189	SLD 10	4.406	Si
1.77	0.000616	0.7	0	2	-20.8913	6.9878	-107.41	-36.7318	12.2861	SLD 10	1.758	Si
2.07	0.000616	0.7	0	2	-32.0496	10.6349	-106.74	-30.1549	10.0062	SLD 10	0.941	No
2.37	0.000616	0.7	0	2	-43.2079	14.282	-106.07	-26.8767	8.8838	SLD 10	0.622	No
2.67	0.000616	0.7	0	2	-54.1797	17.8681	-105.41	-25.0744	8.2694	SLD 10	0.463	No

Indicatori di rischio sismico a pressoflessione in SLV

E' attiva l'opzione fattori parziali di sicurezza unitari per meccanismi duttili di strutture esistenti con fattore q

Quota	Molt.	TR	I.R.TR	PGA	I.R.PGA	Comb.	Ver.
-0.32	0.192	27	0.232	0.047	0.237	SLV 10	No
-0.02	0.253	43	0.281	0.059	0.294	SLV 10	No
0.28	0.354	80	0.363	0.078	0.391	SLV 10	No
0.58	0.525	184	0.51	0.11	0.552	SLV 7	No
0.88	0.844	606	0.832	0.171	0.858	SLV 7	No
1.17	2.512	2114	1.389	0.255	1.279	SLV 7	Si
1.47	1.283	1946	1.342	0.249	1.247	SLV 7	Si
1.77	0.663	328	0.647	0.137	0.688	SLV 10	No
2.07	0.384	93	0.386	0.083	0.417	SLV 10	No
2.37	0.26	45	0.287	0.06	0.3	SLV 10	No
2.67	0.191	27	0.232	0.047	0.237	SLV 10	No

Indicatori di rischio sismico a pressoflessione in SLD Resistenza

Quota	Molt.	TR	I.R.TR	PGA	I.R.PGA	Comb.	Ver.
-0.32	0.473	26	0.573	0.047	0.541	SLD 10	No
-0.02	0.623	42	0.698	0.058	0.675	SLD 10	No
0.28	0.873	78	0.899	0.077	0.897	SLD 10	No
0.58	1.297	178	1.262	0.109	1.263	SLD 7	Si
0.88	2.084	585	2.055	0.169	1.967	SLD 7	Si
1.17	6.209	2110	3.477	0.255	2.966	SLD 7	Si
1.47	3.171	1875	3.313	0.246	2.861	SLD 7	Si
1.77	1.635	317	1.598	0.136	1.575	SLD 10	Si
2.07	0.946	91	0.958	0.082	0.957	SLD 10	No
2.37	0.641	44	0.711	0.059	0.689	SLD 10	No
2.67	0.471	26	0.573	0.047	0.541	SLD 10	No

Verifica a taglio in famiglia SLU

Quota	Staffe	Direzione X							Direzione Y							Verifica		
		V	N	Comb.	VRd	VRsd	VRcd	Cot	c.s.	V	N	Comb.	VRd	VRsd	VRcd		Cot	c.s.
-0.32	2X/2Y ø6/23.6	3.09	-	SLU 18	39.73	48.44	100.93	2.5	15.65	-7.31	-	SLU 18	39.73	48.44	100.93	2.5	6.63	Si
-0.02	2X/2Y ø6/23.6	3.09	-	SLU 18	149.28	148.41	100.81	2.5	15.65	-7.31	-	SLU 18	39.73	48.44	100.81	2.5	6.63	Si
0.28	2X/2Y ø6/23.6	3.09	-	SLU 18	147.53	147.53	100.69	2.5	15.65	-7.31	-	SLU 18	39.73	48.44	100.69	2.5	6.63	Si
0.58	2X/2Y ø6/23.6	3.09	-	SLU 18	146.66	146.66	100.58	2.5	15.65	-7.31	-	SLU 18	39.73	48.44	100.58	2.5	6.63	Si
0.88	2X/2Y ø6/23.6	3.09	-	SLU 18	145.78	145.78	100.46	2.5	15.65	-7.31	-	SLU 18	39.73	48.44	100.46	2.5	6.63	Si
1.17	2X/2Y ø6/23.6	3.09	-	SLU 18	144.91	144.91	100.34	2.5	15.65	-7.31	-	SLU 18	39.73	48.44	100.34	2.5	6.63	Si
1.47	2X/2Y ø6/23.6	3.09	-	SLU 18	144.03	144.03	100.22	2.5	15.65	-7.31	-	SLU 18	39.73	48.44	100.22	2.5	6.63	Si
1.77	2X/2Y ø6/23.6	3.09	-	SLU 18	143.16	143.16	100.1	2.5	15.65	-7.31	-	SLU 18	39.73	48.44	100.1	2.5	6.63	Si
2.07	2X/2Y ø6/23.6	3.09	-	SLU 18	142.28	142.28	99.99	2.5	15.65	-7.31	-	SLU 18	39.73	48.44	99.99	2.5	6.63	Si
2.37	2X/2Y ø6/23.6	3.09	-	SLU 18	141.41	141.41	99.87	2.5	15.65	-7.31	-	SLU 18	39.73	48.44	99.87	2.5	6.63	Si
2.67	2X/2Y ø6/23.6	3.09	-	SLU 18	140.55	140.55	99.75	2.5	15.65	-7.31	-	SLU 18	39.73	48.44	99.75	2.5	6.63	Si

Verifica a taglio in famiglia SLV

Quota	Staffe	Direzione X							Direzione Y							Verifica				
		V	N	Comb.	VRd	VRsd	VRcd	Cot	c.s.	V	N	Comb.	VRd	VRsd	VRcd		Cot	c.s.		
-0.32	2X/2Y ø6/23.6	35.85	-	SLV 13	127.36	-	39.73	48.44	97.98	2.5	1.35	-85.53	-	SLV 10	39.73	48.44	100.16	2.5	0.57	No
-0.02	2X/2Y ø6/23.6	35.85	-	SLV 13	126.69	-	39.73	48.44	97.88	2.5	1.35	-85.53	-	SLV 10	39.73	48.44	100.07	2.5	0.57	No
0.28	2X/2Y ø6/23.6	35.85	-	SLV 13	126.02	-	39.73	48.44	97.79	2.5	1.35	-85.53	-	SLV 10	39.73	48.44	99.98	2.5	0.57	No
0.58	2X/2Y ø6/23.6	35.85	-	SLV 13	125.35	-	39.73	48.44	97.7	2.5	1.35	-85.53	-	SLV 10	39.73	48.44	99.89	2.5	0.57	No
0.88	2X/2Y ø6/23.6	35.85	-	SLV 13	124.67	-	39.73	48.44	97.61	2.5	1.35	-85.53	-	SLV 10	39.73	48.44	99.8	2.5	0.57	No
1.17	2X/2Y ø6/23.6	35.85	-124	SLV 13	124.00	-	39.73	48.44	97.52	2.5	1.35	-85.53	-	SLV 10	39.73	48.44	99.71	2.5	0.57	No

Quota	Staffe	Direzione X									Direzione Y									Verifica
		V	N	Comb.	VRd	VRsd	VRcd	Cot	c.s.	V	N	Comb.	VRd	VRsd	VRcd	Cot	c.s.			
1.47	2X/2Y ø6/23.6	35.85	-	SLV 13	39.73	48.44	97.43	2.5	1.35	-85.53	-	SLV 10	39.73	48.44	99.62	2.5	0.57	No		
			123.33								139.54									
1.77	2X/2Y ø6/23.6	35.85	-	SLV 13	39.73	48.44	97.34	2.5	1.35	-85.53	-	SLV 10	39.73	48.44	99.53	2.5	0.57	No		
			122.65								138.87									
2.07	2X/2Y ø6/23.6	35.85	-	SLV 13	39.73	48.44	97.25	2.5	1.35	-85.53	-138.2	SLV 10	39.73	48.44	99.44	2.5	0.57	No		
			121.98																	
2.37	2X/2Y ø6/23.6	35.85	-	SLV 13	39.73	48.44	97.16	2.5	1.35	-85.53	-	SLV 10	39.73	48.44	99.34	2.5	0.57	No		
			121.31								137.52									
2.67	2X/2Y ø6/23.6	35.85	-	SLV 13	39.73	48.44	97.07	2.5	1.35	-85.53	-	SLV 10	39.73	48.44	99.26	2.5	0.57	No		
			120.65								136.86									

Verifica a taglio in famiglia SLD Resistenza

Quota	Staffe	Direzione X									Direzione Y									Verifica
		V	N	Comb.	VRd	VRsd	VRcd	Cot	c.s.	V	N	Comb.	VRd	VRsd	VRcd	Cot	c.s.			
-0.32	2X/2Y ø6/23.6	16.43	-	SLD 13	37.93	48.44	95.11	2.5	2.95	-37.31	-	SLD 10	38.71	48.44	95.92	2.5	1.3	Si		
			106.12								112.12									
-0.02	2X/2Y ø6/23.6	16.43	-	SLD 13	37.84	48.44	95.02	2.5	2.95	-37.31	-	SLD 10	38.62	48.44	95.83	2.5	1.3	Si		
			105.44								111.45									
0.28	2X/2Y ø6/23.6	16.43	-	SLD 13	37.75	48.44	94.93	2.5	2.95	-37.31	-	SLD 10	38.54	48.44	95.74	2.5	1.3	Si		
			104.77								110.78									
0.58	2X/2Y ø6/23.6	16.43	-104.1	SLD 13	37.67	48.44	94.84	2.5	2.95	-37.31	-110.1	SLD 10	38.45	48.44	95.65	2.5	1.3	Si		
0.88	2X/2Y ø6/23.6	16.43	-	SLD 13	37.58	48.44	94.75	2.5	2.95	-37.31	-	SLD 10	38.36	48.44	95.56	2.5	1.3	Si		
			103.42								109.43									
1.17	2X/2Y ø6/23.6	16.43	-	SLD 13	37.49	48.44	94.66	2.5	2.95	-37.31	-	SLD 10	38.27	48.44	95.47	2.5	1.3	Si		
			102.75								108.76									
1.47	2X/2Y ø6/23.6	16.43	-	SLD 13	37.4	48.44	94.57	2.5	2.95	-37.31	-	SLD 10	38.19	48.44	95.38	2.5	1.3	Si		
			102.08								108.09									
1.77	2X/2Y ø6/23.6	16.43	-	SLD 13	37.32	48.44	94.48	2.5	2.95	-37.31	-	SLD 10	38.1	48.44	95.29	2.5	1.3	Si		
			101.41								107.41									
2.07	2X/2Y ø6/23.6	16.43	-	SLD 13	37.23	48.44	94.39	2.5	2.95	-37.31	-	SLD 10	38.01	48.44	95.2	2.5	1.3	Si		
			100.73								106.74									
2.37	2X/2Y ø6/23.6	16.43	-	SLD 13	37.14	48.44	94.3	2.5	2.95	-37.31	-	SLD 10	37.92	48.44	95.11	2.5	1.3	Si		
			100.06								106.07									
2.67	2X/2Y ø6/23.6	16.43	-99.4	SLD 13	37.05	48.44	94.21	2.5	2.95	-37.31	-	SLD 10	37.84	48.44	95.02	2.5	1.3	Si		
											105.41									

Indicatori di rischio sismico a taglio in SLV

Quota	Molt.	TR	I.R.TR	PGA	I.R.PGA	Comb.
-0.32	0.542	199	0.527	0.114	0.57	SLV 10
-0.02	0.542	199	0.527	0.114	0.57	SLV 10
0.28	0.542	199	0.527	0.114	0.57	SLV 10
0.58	0.542	199	0.527	0.114	0.57	SLV 10
0.88	0.542	199	0.527	0.114	0.57	SLV 10
1.17	0.542	199	0.527	0.114	0.57	SLV 10
1.47	0.542	199	0.527	0.114	0.57	SLV 10
1.77	0.542	199	0.527	0.114	0.57	SLV 10
2.07	0.542	199	0.527	0.114	0.57	SLV 10
2.37	0.542	199	0.527	0.114	0.57	SLV 10
2.67	0.542	199	0.527	0.114	0.57	SLV 10

Indicatori di rischio sismico a taglio in SLD Resistenza

Quota	Molt.	TR	I.R.TR	PGA	I.R.PGA	Comb.
-0.32	1.34	193	1.304	0.112	1.306	SLD 10
-0.02	1.34	193	1.304	0.112	1.306	SLD 10
0.28	1.34	193	1.304	0.112	1.306	SLD 10
0.58	1.34	193	1.304	0.112	1.306	SLD 10
0.88	1.34	193	1.304	0.112	1.306	SLD 10
1.17	1.34	193	1.304	0.112	1.306	SLD 10
1.47	1.34	193	1.304	0.112	1.306	SLD 10
1.77	1.34	193	1.304	0.112	1.306	SLD 10
2.07	1.34	193	1.304	0.112	1.306	SLD 10
2.37	1.34	193	1.304	0.112	1.306	SLD 10
2.67	1.34	193	1.304	0.112	1.306	SLD 10

Verifiche nodi trave colonna

Riepilogo dei dati per le diverse tipologie di verifica eseguite per i nodi

Pilastrata	Q.Nodo	Escluso	Confinato	Segnalazioni
Pilastrata P33	-1.42	Si	No	
Pilastrata P33	3.17	No	No	

Verifiche nodi trave colonna in combinazioni SLD

Riepilogo dei dati per la verifica del nodo secondo Circolare 7 21-01-19 §C8.7.2.3.5.

Pilastrata	Q.Nodo	Angolo travatura	Aj	Vpc	Vtc	Vnc	Nc	onc	onc,lim	Comb.c	Vpt	Vtt	Vnt	Nt	ont	ont,lim	Comb.t	Segnalazioni	Verifica
Pilastrata P33	3.17	90	0.06632	0	58.842	58.842	0	887	3919	SLD 10	0	58.842	58.842	0	887	840	SLD 10		No
	3.17	180	0.06632	0	20.968	20.968	0	316	3919	SLD 13	0	20.968	20.968	0	316	840	SLD 13		Si

Verifiche nodi trave colonna in combinazioni SLV

Riepilogo dei dati per la verifica del nodo secondo Circolare 7 21-01-19 §C8.7.2.3.5.

Pilastrata	Q.Nodo	Angolo travatura	Aj	Vpc	Vtc	Vnc	Nc	onc	onc,lim	Comb.c	Vpt	Vtt	Vnt	Nt	ont	ont,lim	Comb.t	Segnalazioni	Verifica
Pilastrata P33	3.17	90	0.06632	0	141.579	141.579	0	2135	3919	SLV 10	0	141.579	141.579	0	2135	840	SLV 10		No
	3.17	180	0.06632	0	53.251	53.251	0	803	3919	SLV 13	0	53.251	53.251	0	803	840	SLV 13		Si

Indicatori di rischio sismico dei nodi in SLD

Pilastrata	Q.Nodo	Angolo travatura	Moltiplicatore	TR	I.R.TR	PGA	I.R.PGA	Comb.	Ver.
Pilastrata P33	3.17	90	0.943	90	0.954	0.082	0.953	SLD 10	No
	3.17	180	2.43	1103	2.665	0.209	2.432	SLD 13	Si

Indicatori di rischio sismico dei nodi in SLV

Pilastrata	Q.Nodo	Angolo travatura	Moltiplicatore	TR	I.R.TR	PGA	I.R.PGA	Comb.	Ver.
Pilastrata P33	3.17	90	0.382	92	0.384	0.083	0.415	SLV 10	No
	3.17	180	1.043	1082	1.055	0.208	1.042	SLV 13	Si

Verifiche di gerarchia delle resistenze nei nodi trave pilastro

Verifiche di gerarchia delle resistenze nei nodi trave pilastro non presenti in quanto la verifica è non necessaria per la pilastrata per il nodo Appoggio 3.17 in quanto elemento di materiale esistente.

5.2 Verifiche travate C.A.

Le unità di misura elencate nel capitolo sono in [m, kN] ove non espressamente specificato.

N°: indice progressivo della sezione.

Descrizione: descrizione della sezione.

Tipo: tipo di sezione.

Base: base della sezione. [m]

Altezza: altezza della sezione. [m]

Copriferro sup.: distanza del bordo della staffa dalla superficie superiore del getto. [m]

Copriferro inf.: distanza del bordo della staffa dalla superficie inferiore del getto. [m]

Copriferro lat.: distanza del bordo della staffa dalle superfici laterali del getto. [m]

x: distanza da asse appoggio sinistro. [m]

A sup.: area efficace di armatura longitudinale superiore. [m²]

C.b. sup.: distanza dal bordo del baricentro dell'armatura longitudinale superiore. [m]

A inf.: area efficace di armatura longitudinale inferiore. [m²]

C.b. inf.: distanza dal bordo del baricentro dell'armatura longitudinale inferiore. [m]

M+ela: momento flettente desunto dal solutore che tende le fibre inferiori. [kN*m]

Comb.: combinazione.

M+des: momento flettente di progetto che tende le fibre inferiori. [kN*m]

M+ult: momento ultimo per trazione delle fibre inferiori. [kN*m]

x/d: rapporto tra posizione asse neutro e altezza utile.

coeff: coefficiente di sicurezza.

M-ela: momento flettente desunto dal solutore che tende le fibre superiori. [kN*m]

M-des: momento flettente di progetto che tende le fibre superiori. [kN*m]

M-ult: momento ultimo per trazione delle fibre superiori. [kN*m]

Verifica: stato di verifica.

A st: area di staffe per unità di lunghezza. [m²]

A sl: area di armatura longitudinale tesa per valutazione resistenza taglio in assenza di armature a taglio. [m²]

A sag: area equivalente di barre piegate per unità di lunghezza. [m²]

Vela: taglio elastico. [kN]

Vdes: taglio di progetto. [kN]

Vrd: resistenza a taglio della sezione senza armature. [kN]

Vrcd: sforzo di taglio che produce il cedimento delle bielle. [kN]

Vrsd: resistenza a taglio per la presenza delle armature. [kN]

Vult: taglio ultimo. [kN]

cotgθ: cotg dell'angolo di inclinazione dei puntoni in calcestruzzo.

T gravità: taglio dovuto ai carichi gravitazionali. [kN]

T sisma: taglio dovuto a sisma. [kN]

T ultimo: taglio ultimo. [kN]

Comb.: combinazione per indicatore minimo per taglio.

Pga: pga per taglio.

Tr: tempo di ritorno per taglio.

Ind. taglio: indicatore di rischio per taglio.

M gravità: momento dovuto ai carichi gravitazionali. [kN*m]

M sisma: momento dovuto a sisma. [kN*m]

M ultimo: momento ultimo. [kN*m]

Comb.: combinazione per indicatore minimo per momento.

Pga: pga per momento.

Tr: tempo di ritorno per momento.

Ind. momento: indicatore di rischio per momento.

Ver: stato di verifica.

Ascissa: ascissa sezione di verifica. [m]

Lv: luce di taglio considerata. [m]

x: altezza della zona compressa della sezione. [m]

h: altezza totale della sezione. [m]

p,tot: percentuale geometrica totale di armatura longitudinale.

θ,m: rotazione massima per la combinazione considerata.

θ,y: rotazione di prima plasticizzazione.

μΔ,pl: parte plastica della domanda di duttilità.

Vrd: resistenza a taglio del calcestruzzo non staffato per la verifica nella direzione considerata. [kN]

VRcd(cotθ=1): resistenza a taglio delle bielle compresse per la verifica nella direzione considerata considerando il valore di cotθ unitario. [kN]

Vrsd: resistenza a taglio delle staffe per la verifica nella direzione considerata. [kN]

Vw: contributo dell'armatura trasversale per la resistenza a taglio. [kN]

Vr: resistenza a taglio in condizioni cicliche (formula [C8.7.2.8]). [kN]

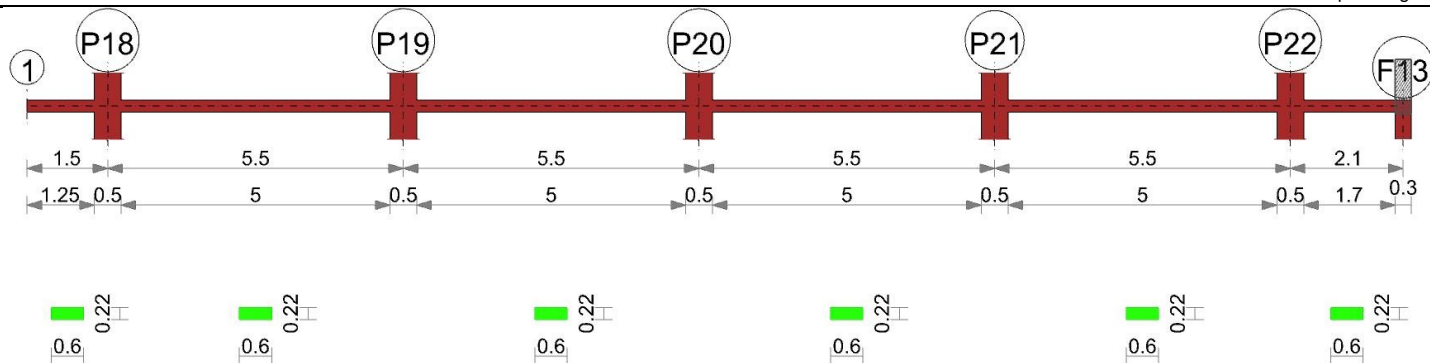
Vu: resistenza a taglio in condizioni sismiche. [kN]

Ved: sollecitazione tagliante. [kN]

Ned: sollecitazione di sforzo normale. [kN]

Comb.: combinazione di verifica.

Trave a "Piano 3" 1-F13



Caratteristiche dei materiali

Acciaio: Vigone_FeB22k_LC2 Fym 313700 Livello di conoscenza LC2 Fattore di confidenza 1.2

Calcestruzzo: C14/17 LC2 Vigone A Rcm 17000 Livello di conoscenza LC2 Fattore di confidenza 1.2

Elenco delle sezioni

N°	Descrizione	Tipo	Base	Altezza	Copriferro sup.	Copriferro inf.	Copriferro lat.
1	R 60x22	Rettangolare	0.6	0.22	0.025	0.025	0.025

Diagramma verifica stato limite ultimo flessione

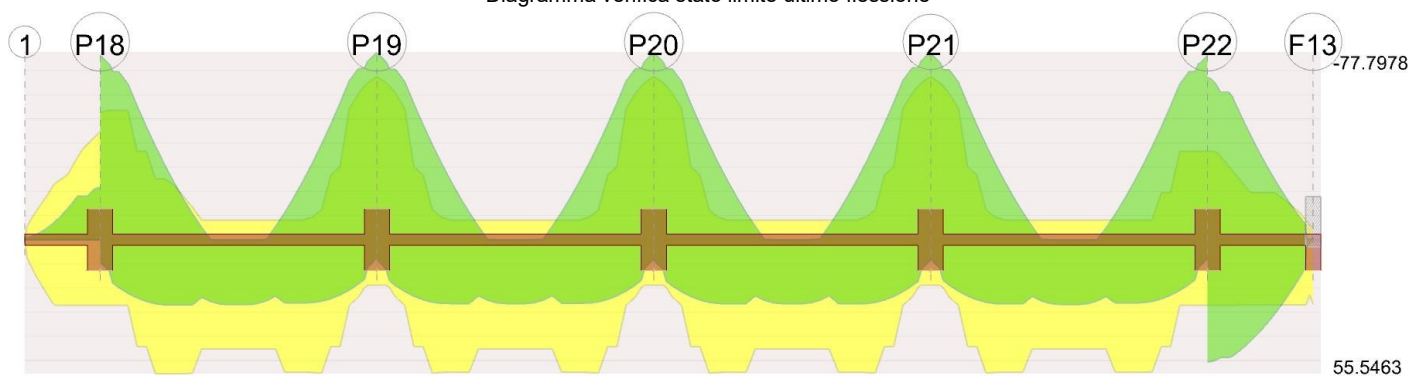


Diagramma verifica stato limite ultimo taglio

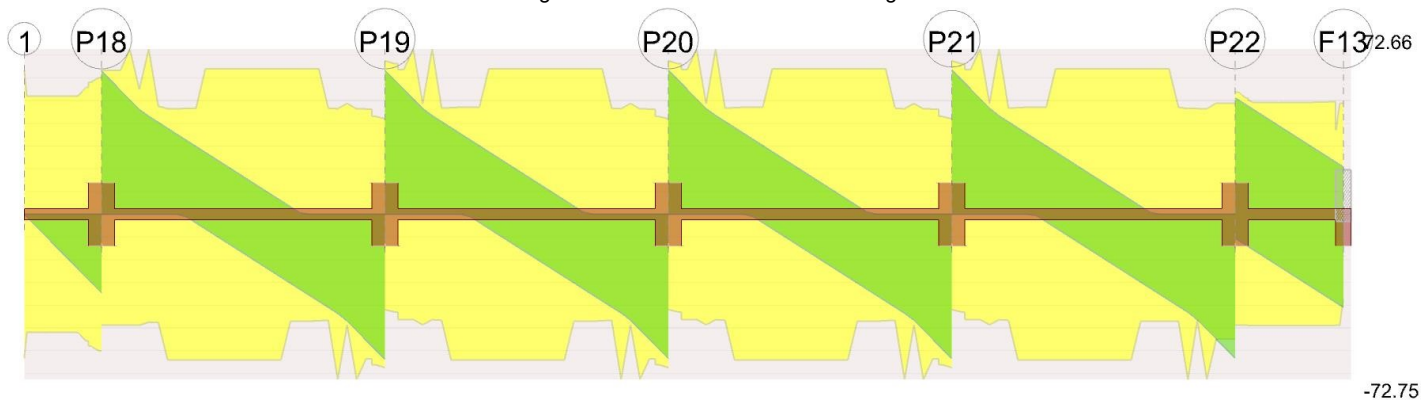
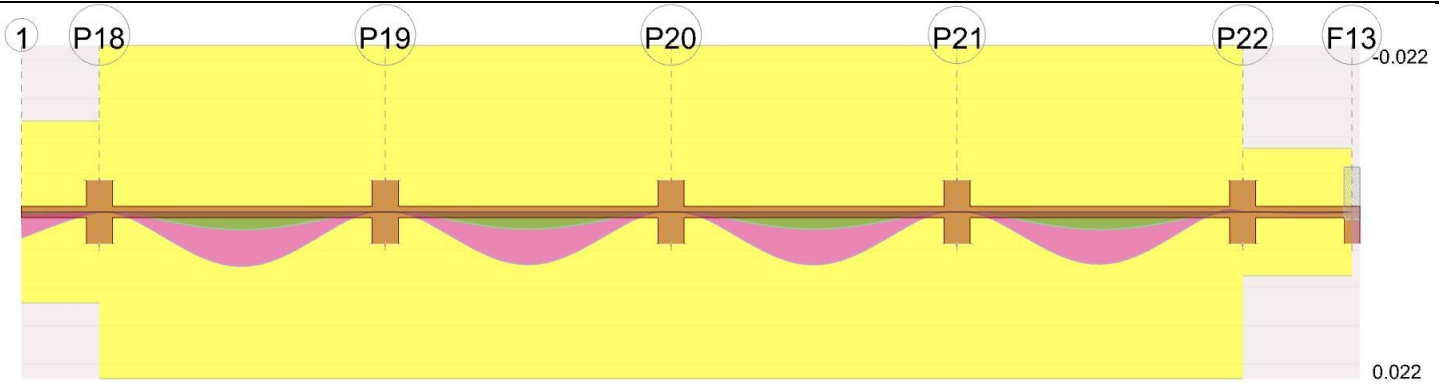


Diagramma verifica stato limite esercizio quasi permanente freccia



Output camplate

Campata 1 tra i fili 1 - P18, sezione R 60x22, asta 105

Verifiche a flessione in famiglia SLU

x	A sup.	C.b. sup.	A inf.	C.b. inf.	M+ela	Comb.	M+des	M+ult	x/d	coeff	M-ela	Comb.	M-des	M-ult	x/d	coeff	Verifica
0	0	0	0	0							0	SLU 17	-0.4739	0	0	0	Si
0.75	0.000699	0.04	0.000616	0.04							-6.4821	SLU 17	-10.4564	-25.4359	0.234	2.43	Si
1.25	0.001139	0.04	0.000616	0.04							-18.0059	SLU 17	-18.0059	-39.5181	0.283	2.19	Si
1.5	0.001307	0.04	0.000616	0.04							-25.9284	SLU 17	-21.607	-44.8399	0.305	2.08	Si

Verifiche a flessione in famiglia SLV

E' attiva l'opzione fattori parziali di sicurezza unitari per meccanismi duttili di strutture esistenti con fattore q

x	A sup.	C.b. sup.	A inf.	C.b. inf.	M+ela	Comb.	M+des	M+ult	x/d	coeff	M-ela	Comb.	M-des	M-ult	x/d	coeff	Verifica
0	0	0	0	0	0.0006	SLV 13	0.0006	0	0	++	-0.0006	SLV 4	-0.2981	0	0	0	Si
0.75	0.000699	0.04	0.000616	0.04							-4.0719	SLV 4	-6.5683	-30.2445	0.219	4.6	Si
1.25	0.001139	0.04	0.000616	0.04							-11.3108	SLV 2	-11.3108	-46.5555	0.263	4.12	Si
1.5	0.001307	0.04	0.000616	0.04							-16.2876	SLV 1	-13.573	-52.7193	0.284	3.88	Si

Verifiche SLD Resistenza a flessione

x	A sup.	C.b. sup.	A inf.	C.b. inf.	M+ela	Comb.	M+des	M+ult	x/d	coeff	M-ela	Comb.	M-des	M-ult	x/d	coeff	Verifica
0	0	0	0	0	0.0002	SLD 13	0.0002	0	0	++	-0.0002	SLD 4	-0.2979	0	0	0	Si
0.75	0.000699	0.04	0.000616	0.04							-4.0718	SLD 13	-6.5683	-30.2445	0.219	4.6	Si
1.25	0.001139	0.04	0.000616	0.04							-11.3107	SLD 13	-11.3107	-46.5555	0.263	4.12	Si
1.5	0.001307	0.04	0.000616	0.04							-16.2874	SLD 13	-13.5728	-52.7193	0.284	3.88	Si

Verifiche a taglio in famiglia SLU

x	A st	A sl	A sag	Vela	Comb.	Vdes	Vrd	Vrcd	Vrsd	Vult	cotgθ	coeff	Verifica
0	0.0000056	0	0	0	Ger.	0	43.25	136.48	-63.35	-63.35	2.5	7082918563121090	Si
0.75	0.0000056	0.00059	0	-17.29	SLU 17	-17.29	-48.26	-111.93	-51.95	-51.95	2.5	3.01	Si
1.25	0.0000056	0.000968	0	-28.81	SLU 17	-28.81	-56.88	-111.83	-51.91	-56.88	2.5	1.97	Si
1.5	0	0.001139	0	-34.57	SLU 17	-34.57	-60.05	-111.81	0	-60.05	2.5	1.74	Si

Verifiche a taglio in famiglia SLV

x	A st	A sl	A sag	Vela	Comb.	Vdes	Vrd	Vrcd	Vrsd	Vult	cotgθ	coeff	Verifica
0	0.0000056	0	0	0	Ger.	0	43.25	136.48	63.35	63.35	2.5	98776.77	Si
0	0.0000056	0	0	0	Ger.	0	-43.25	-136.48	-63.35	-63.35	2.5	98776.77	Si
0.75	0.0000056	0.00059	0	-10.86	SLV 1	-10.86	-48.26	-111.93	-51.95	-51.95	2.5	4.78	Si
1.25	0.0000056	0.000968	0	-18.1	SLV 1	-18.1	-56.88	-111.83	-51.91	-56.88	2.5	3.14	Si
1.5	0	0.001139	0	-21.72	SLV 1	-21.72	-60.05	-111.81	0	-60.05	2.5	2.77	Si

Verifiche SLD Resistenza a taglio

x	A st	A sl	A sag	Vela	Comb.	Vdes	Vrd	Vrcd	Vrsd	Vult	cotgθ	coeff	Verifica
0	0.0000056	0	0	0	Ger.	0	43.25	136.48	63.35	63.35	2.5	225164.59	Si
0	0.0000056	0	0	0	Ger.	0	-43.25	-136.48	-63.35	-63.35	2.5	225164.59	Si
0.75	0.0000056	0.00059	0	-10.86	SLD 13	-10.86	-48.26	-111.93	-51.95	-51.95	2.5	4.78	Si
1.25	0.0000056	0.000968	0	-18.1	SLD 13	-18.1	-56.88	-111.83	-51.91	-56.88	2.5	3.14	Si
1.5	0	0.001139	0	-21.72	SLD 13	-21.72	-60.05	-111.81	0	-60.05	2.5	2.77	Si

Indicatori di rischio sismico SLV

x	T gravità	T sisma	T ultimo	Comb.	Pga	Tr	Ind. taglio	M gravità	M sisma	M ultimo	Comb.	Pga	Tr	Ind. momento	Ver
0	0	0	-63.35	SLV 2	0.26	2114	1.389	0	-0.0003	0	SLV 1	0	0	0	Si
0.75	-10.86	0	-51.95	SLV 2	0.26	2114	1.389	-2.1707	-0.0001	-30.2445	SLV 1	0.26	2114	1.389	Si
1.25	-18.1	0	-56.88	SLV 2	0.26	2114	1.389	-11.3105	-0.0002	-46.5555	SLV 1	0.26	2114	1.389	Si

Indicatori di rischio sismico SLD resistenza

x	T gravità	T sisma	T ultimo	Comb.	Pga	Tr	Ind. taglio	M gravità	M sisma	M ultimo	Comb.	Pga	Tr	Ind. momento	Ver
0	0	0	-63.35	SLD 13	0.26	2110	3.477	0	-0.0001	0	SLD 1	0	0	0	Si
0.75	-10.86	0	-51.95	SLD 13	0.26	2110	3.477	-2.1707	-0.0001	-30.2445	SLD 1	0.26	2110	3.477	Si
1.25	-18.1	0	-56.88	SLD 13	0.26	2110	3.477	-11.3105	0.0001	-46.5555	SLD 1	0.26	2110	3.477	Si

Campata 2 tra i fili P18 - P19, sezione R 60x22, aste 98, 99

Verifiche a flessione in famiglia SLU

x	A sup.	C.b. sup.	A inf.	C.b. inf.	M+ela	Comb.	M+des	M+ult	x/d	coeff	M-ela	Comb.	M-des	M-ult	x/d	coeff	Verifica
0	0.001307	0.04	0.000616	0.04							-59.0039	SLU 17	-51.1465	-44.8399	0.305	0.88	No
0.25	0.001332	0.04	0.000616	0.04							-44.0009	SLU 17	-44.0009	-45.6165	0.309	1.04	Si
2.75	0.000101	0.037	0.001385	0.04	26.8784	SLU 18	26.8784	45.1734	0.507	1.68							Si
4.4	0.000216	0.039	0.001385	0.04	-3.0125	SLU 1	2.0275	45.957	0.462	22.67	-5.26	SLU 18	-13.5643	-9.9507	0.206	0.73	No
5.25	0.001614	0.04	0.00042	0.04							-46.2645	SLU 18	-46.2645	-53.1478	0.471	1.15	Si
5.5	0.00174	0.04	0.00039	0.04							-61.5012	SLU 18	-53.5237	-56.0183	0.532	1.05	Si

Verifiche a flessione in famiglia SLV

E' attiva l'opzione fattori parziali di sicurezza unitari per meccanismi duttili di strutture esistenti con fattore q

x	A sup.	C.b. sup.	A inf.	C.b. inf.	M+ela	Comb.	M+des	M+ult	x/d	coeff	M-ela	Comb.	M-des	M-ult	x/d	coeff	Verifica
0	0.001307	0.04	0.000616	0.04	9.1374	SLV 13	9.1374	27.0995	0.215	2.97	-83.2703	SLV 4	-76.2388	-52.7193	0.284	0.69	No
0.25	0.001332	0.04	0.000616	0.04	14.3685	SLV 13	17.8858	27.1005	0.215	1.52	-69.6543	SLV 4	-69.6543	-53.621	0.287	0.77	No
2.75	0.000101	0.037	0.001385	0.04	16.9624	SLV 13	20.082	54.8136	0.389	2.73							Si

x	A sup.	C.b. sup.	A inf.	C.b. inf.	M+ela	Comb.	M+des	M+ult	x/d	coeff	M-ela	Comb.	M-des	M-ult	x/d	coeff	Verifica
4.22	0.000134	0.038	0.001385	0.04	25.381	SLV 4	26.0188	54.9464	0.379	2.11	-23.636	SLV 13	-31.712	-9.3714	0.194	0.3	No
5.25	0.001614	0.04	0.00042	0.04	12.7594	SLV 4	16.3777	19.8541	0.208	1.21	-70.9151	SLV 13	-70.9151	-63.594	0.361	0.9	No
5.5	0.00174	0.04	0.00039	0.04	7.3802	SLV 4	7.3802	18.769	0.207	2.54	-84.6791	SLV 13	-77.5715	-67.5851	0.408	0.87	No

Verifiche SLD Resistenza a flessione

x	A sup.	C.b. sup.	A inf.	C.b. inf.	M+ela	Comb.	M+des	M+ult	x/d	coeff	M-ela	Comb.	M-des	M-ult	x/d	coeff	Verifica
0	0.001307	0.04	0.000616	0.04							-56.9016	SLD 4	-51.0664	-52.7193	0.284	1.03	Si
0.25	0.001332	0.04	0.000616	0.04							-45.6782	SLD 4	-45.6782	-53.621	0.287	1.17	Si
2.75	0.000101	0.037	0.001385	0.04	16.9115	SLD 13	18.0941	54.8136	0.389	3.03							Si
4.4	0.000216	0.039	0.001385	0.04	8.5229	SLD 4	11.6425	55.222	0.354	4.74	-15.16	SLD 13	-21.8347	-12.4132	0.198	0.57	No
5.25	0.001614	0.04	0.00042	0.04							-47.0386	SLD 13	-47.0386	-63.594	0.361	1.35	Si
5.5	0.00174	0.04	0.00039	0.04							-58.41	SLD 13	-52.4987	-67.5851	0.408	1.29	Si

Verifiche a taglio in famiglia SLU

x	A st	A sl	A sag	Vela	Comb.	Vdes	Vrd	Vrcd	Vrsd	Vult	cotgθ	coeff	Verifica
0	0	0.001332	0	62.93	SLU 17	62.93	63.26	111.81	0	63.26	2.5	1.01	Si
0.25	0.000005	0.001332	0	57.17	SLU 17	57.17	63.26	111.8	46.33	63.26	2.5	1.11	Si
2.75	0.000005	0.001385	0	-0.45	SLU 18	-0.45	-64.04	-111.66	-46.28	-64.04	2.5	140.89	Si
5.25	0.000005	0.001522	0	-58.07	SLU 18	-58.07	-66.18	-111.9	-46.37	-66.18	2.5	1.14	Si
5.5	0	0.001614	0	-63.84	SLU 18	-63.84	-67.48	-111.88	0	-67.48	2.5	1.06	Si

Verifiche a taglio in famiglia SLV

x	A st	A sl	A sag	Vela	Comb.	Vdes	Vrd	Vrcd	Vrsd	Vult	cotgθ	coeff	Verifica
0	0	0.001332	0	56.3	SLV 4	56.3	63.26	111.81	0	63.26	2.5	1.12	Si
0.25	0.000005	0.001332	0	52.68	SLV 4	52.68	63.26	111.8	46.33	63.26	2.5	1.2	Si
2.75	0.000005	0.001385	0	16.48	SLV 4	16.48	64.04	111.66	46.28	64.04	2.5	3.89	Si
2.75	0.000005	0.001385	0	-17.06	SLV 13	-17.06	-64.04	-111.66	-46.28	-64.04	2.5	3.75	Si
4.77	0.000005	0.000607	0	-46.25	SLV 13	-46.25	-48.71	-111.93	-46.39	-48.71	2.5	1.05	Si
5.25	0.000005	0.001522	0	-53.25	SLV 13	-53.25	-66.18	-111.9	-46.37	-66.18	2.5	1.24	Si
5.5	0	0.001614	0	-56.87	SLV 13	-56.87	-67.48	-111.88	0	-67.48	2.5	1.19	Si

Verifiche SLD Resistenza a taglio

x	A st	A sl	A sag	Vela	Comb.	Vdes	Vrd	Vrcd	Vrsd	Vult	cotgθ	coeff	Verifica
0	0	0.001332	0	46.72	SLD 4	46.72	63.26	111.81	0	63.26	2.5	1.35	Si
0.25	0.000005	0.001332	0	43.11	SLD 4	43.11	63.26	111.8	46.33	63.26	2.5	1.47	Si
2.75	0.000005	0.001385	0	6.91	SLD 4	6.91	64.04	111.66	46.28	64.04	2.5	9.27	Si
2.75	0.000005	0.001385	0	-7.49	SLD 13	-7.49	-64.04	-111.66	-46.28	-64.04	2.5	8.55	Si
4.77	0.000005	0.000607	0	-36.68	SLD 13	-36.68	-48.71	-111.93	-46.39	-48.71	2.5	1.33	Si
5.25	0.000005	0.001522	0	-43.68	SLD 13	-43.68	-66.18	-111.9	-46.37	-66.18	2.5	1.52	Si
5.5	0	0.001614	0	-47.3	SLD 13	-47.3	-67.48	-111.88	0	-67.48	2.5	1.43	Si

Verifiche taglio ciclico nel piano Circolare 7 21-01-19 §C8.7.2.3.5, [C8.7.2.8]

Ascissa	Lv	x	h	p.tot	θm	θy	μΔ.pl	Vrd	Vrcd(cotθ=1)	Vrsd	Vw	Vr	Vu	Ved	Ned	Comb.	Verifica
1.75	1.989	0.052	0.22	0.015	0.00449	0.00453	0	63.26	162.12	46.33	18.53	27.43	63.26	52.68	0	SLV 4	Si
6.75	1.997	0.065	0.22	0.016	0.00455	0.00458	0	66.18	162.25	46.37	18.55	28.68	66.18	-53.25	0	SLV 13	Si

Indicatori di rischio sismico SLV

x	T gravità	T sisma	T ultimo	Comb.	Pga	Tr	Ind. taglio	M gravità	M sisma	M ultimo	Comb.	Pga	Tr	Ind. momento	Ver
0.25	35.91	16.77	63.26	SLV 4	0.26	2114	1.389	-27.6429	-42.0114	-53.621	SLV 4	0.12	248	0.577	No
2.75	-0.29	-16.77	-64.04	SLV 13	0.26	2114	1.389	16.5988	-3.4832	-8.1246	SLV 4	0.26	2114	1.389	Si
4.4	-24.18	-16.77	-46.63	SLV 13	0.26	2114	1.389	-8.5354	-30.9788	-12.4132	SLV 13	0.03	10	0.155	No
5.25	-36.48	-16.77	-66.18	SLV 13	0.26	2114	1.389	-29.0778	-41.8372	-63.594	SLV 13	0.16	541	0.794	No

Indicatori di rischio sismico SLD resistenza

x	T gravità	T sisma	T ultimo	Comb.	Pga	Tr	Ind. taglio	M gravità	M sisma	M ultimo	Comb.	Pga	Tr	Ind. momento	Ver
0.25	35.91	7.2	63.26	SLD 4	0.26	2110	3.477	-27.6429	-18.0353	-53.621	SLD 4	0.12	252	1.455	Si
2.75	-0.29	-7.2	-64.04	SLD 13	0.26	2110	3.477	16.5988	-1.4952	-8.1246	SLD 4	0.26	2110	3.477	Si
4.4	-24.18	-7.2	-46.63	SLD 13	0.26	2110	3.477	-8.5354	-13.2993	-12.4132	SLD 13	0.03	10	0.387	No
5.25	-36.48	-7.2	-66.18	SLD 13	0.26	2110	3.477	-29.0778	-17.9608	-63.594	SLD 13	0.17	551	2.005	Si

Campata 3 tra i fili P19 - P20, sezione R 60x22, asta 100

Verifiche a flessione in famiglia SLU

x	A sup.	C.b. sup.	A inf.	C.b. inf.	M+ela	Comb.	M+des	M+ult	x/d	coeff	M-ela	Comb.	M-des	M-ult	x/d	coeff	Verifica
0	0.00174	0.04	0.00039	0.04							-60.5329	SLU 17	-52.7077	-56.0183	0.532	1.06	Si
0.25	0.001616	0.04	0.000419	0.04							-45.5131	SLU 17	-45.5131	-53.1896	0.472	1.17	Si
2.75	0.000101	0.037	0.001385	0.04	26.4444	SLU 17	26.4444	45.1734	0.507	1.71							Si
4.4	0.000216	0.039	0.001385	0.04	-2.8881	SLU 1	2.1729	45.957	0.462	21.15	-5.0332	SLU 18	-13.2556	-9.9507	0.206	0.75	No
5.25	0.001614	0.04	0.000419	0.04							-45.8265	SLU 18	-45.8265	-53.1421	0.471	1.16	Si
5.5	0.00174	0.04	0.00039	0.04							-60.8775	SLU 18	-53.0367	-56.0108	0.532	1.06	Si

Verifiche a flessione in famiglia SLV

E' attiva l'opzione fattori parziali di sicurezza unitari per meccanismi duttili di strutture esistenti con fattore q

x	A sup.	C.b. sup.	A inf.	C.b. inf.	M+ela	Comb.	M+des	M+ult	x/d	coeff	M-ela	Comb.	M-des	M-ult	x/d	coeff	Verifica
0	0.00174	0.04	0.00039	0.04	8.259	SLV 13	8.259	18.769	0.207	2.27	-84.2442	SLV 4	-77.228	-67.5851	0.408	0.88	No
0.25	0.001616	0.04	0.000419	0.04	13.487	SLV 13	17.0997	19.8209	0.208	1.16	-70.6079	SLV 4	-70.6079	-63.656	0.362	0.9	No
1.28	0.000132	0.038	0.001385	0.04	25.7856	SLV 13	26.3504	54.9398	0.379	2.08	-23.5549	SLV 4	-31.5696	-9.3003	0.193	0.29	No
2.75	0.000101	0.037	0.001385	0.04	16.6313	SLV 5	19.7156	54.8136	0.389	2.78							Si
5.25	0.001614	0.04	0.000419	0.04	13.2271	SLV 4	16.8599	19.8206	0.208	1.18	-70.8444	SLV 13	-70.8444	-63.5919	0.361	0.9	No
5.5	0.00174	0.04	0.00039	0.04	7.9743	SLV 4	7.9743	18.7356	0.207	2.35	-84.5056	SLV 13	-77.4769	-67.5815	0.408	0.87	No

Verifiche SLD Resistenza a flessione

x	A sup.	C.b. sup.	A inf.	C.b. inf.	M+ela	Comb.	M+des	M+ult	x/d	coeff	M-ela	Comb.	M-des	M-ult	x/d	coeff	Verifica
0	0.00174	0.04	0.00039	0.04							-57.8483	SLD 4	-52.0318	-67.5851	0.408	1.3	Si
0.25	0.001616	0.04	0.000419	0.04							-46.6113	SLD 4	-46.6113	-63.656	0.362	1.37	Si
2.75	0.000101	0.037	0.001385	0.04	16.6211	SLD 5	17.7687	54.8136	0.389	3.08							Si
4.4	0.000216	0.039	0.001385	0.04	8.7341	SLD 4	11.7999	55.222	0.354	4.68	-15.085	SLD 13	-21.7139	-12.4132	0.198	0.57	No
5.25	0.001614	0.04	0.000419	0.04							-46.8547	SLD 13	-46.8547	-63.5919	0.361	1.36	Si
5.5	0.00174	0.04	0.00039	0.04							-58.1165	SLD 13	-52.2875	-67.5815	0.408	1.29	Si

Verifiche a taglio in famiglia SLU

x	A st	A sl	A sag	Vela	Comb.	Vdes	Vrd	Vrcd	Vrsd	Vult	cotgθ	coeff	Verifica
0	0	0.001616	0	63.32	SLU 17	63.32	67.5	111.88	0	67.5	2.5	1.07	Si
0.25	0.000005	0.001524	0	57.56	SLU 17	57.56	66.21	111.9	46.37	66.21	2.5	1.15	Si
2.75	0.000005	0.001385	0	-0.07	SLU 14	-0.07	-64.04	-111.66	-46.28	-64.04	2.5	923.63	Si
4.77	0.000005	0.000607	0	-46.54	SLU 18	-46.54	-48.71	-111.93	-46.39	-48.71	2.5	1.05	Si
5.25	0.000005	0.001522	0	-57.68	SLU 18	-57.68	-66.18	-111.9	-46.37	-66.18	2.5	1.15	Si
5.5	0	0.001614	0	-63.44	SLU 18	-63.44	-67.48	-111.88	0	-67.48	2.5	1.06	Si

Verifiche a taglio in famiglia SLV

x	A st	A sl	A sag	Vela	Comb.	Vdes	Vrd	Vrcd	Vrsd	Vult	cotgθ	coeff	Verifica
0	0	0.001616	0	56.58	SLV 4	56.58	67.5	111.88	0	67.5	2.5	1.19	Si
0.25	0.000005	0.001524	0	52.96	SLV 4	52.96	66.21	111.9	46.37	66.21	2.5	1.25	Si
2.75	0.000005	0.001385	0	16.77	SLV 4	16.77	64.04	111.66	46.28	64.04	2.5	3.82	Si
2.75	0.000005	0.001385	0	-16.87	SLV 13	-16.87	-64.04	-111.66	-46.28	-64.04	2.5	3.8	Si
4.77	0.000005	0.000607	0	-46.06	SLV 13	-46.06	-48.71	-111.93	-46.39	-48.71	2.5	1.06	Si
5.25	0.000005	0.001522	0	-53.06	SLV 13	-53.06	-66.18	-111.9	-46.37	-66.18	2.5	1.25	Si
5.5	0	0.001614	0	-56.68	SLV 13	-56.68	-67.48	-111.88	0	-67.48	2.5	1.19	Si

Verifiche SLD Resistenza a taglio

x	A st	A sl	A sag	Vela	Comb.	Vdes	Vrd	Vrcd	Vrsd	Vult	cotgθ	coeff	Verifica
0	0	0.001616	0	46.98	SLD 4	46.98	67.5	111.88	0	67.5	2.5	1.44	Si
0.25	0.000005	0.001524	0	43.36	SLD 4	43.36	66.21	111.9	46.37	66.21	2.5	1.53	Si
2.75	0.000005	0.001385	0	7.17	SLD 4	7.17	64.04	111.66	46.28	64.04	2.5	8.93	Si
2.75	0.000005	0.001385	0	-7.27	SLD 13	-7.27	-64.04	-111.66	-46.28	-64.04	2.5	8.81	Si
4.77	0.000005	0.000607	0	-36.47	SLD 13	-36.47	-48.71	-111.93	-46.39	-48.71	2.5	1.34	Si
5.25	0.000005	0.001522	0	-43.46	SLD 13	-43.46	-66.18	-111.9	-46.37	-66.18	2.5	1.52	Si
5.5	0	0.001614	0	-47.08	SLD 13	-47.08	-67.48	-111.88	0	-67.48	2.5	1.43	Si

Verifiche taglio ciclico nel piano Circolare 7 21-01-19 §C8.7.2.3.5, [C8.7.2.8]

Ascissa	Lv	x	h	p.tot	θm	θy	μΔ.pl	Vrd	VRcd(cotθ=1)	VRsd	Vw	Vr	Vu	Ved	Ned	Comb.	Verifica
7.25	2.002	0.065	0.22	0.016	0.00439	0.00452		66.21	162.25	46.37	18.55	28.68	66.21	52.96	0	SLV 4	Si
12.25	2.004	0.065	0.22	0.016	0.00443	0.00452	0	66.18	162.25	46.37	18.55	28.67	66.18	-53.06	0	SLV 13	Si

Indicatori di rischio sismico SLV

x	T gravità	T sisma	T ultimo	Comb.	Pga	Tr	Ind. taglio	M gravità	M sisma	M ultimo	Comb.	Pga	Tr	Ind. momento	Ver
0.25	36.14	16.82	66.21	SLV 4	0.26	2114	1.389	-28.5605	-42.0475	-63.656	SLV 4	0.17	561	0.806	No
1.1	23.84	16.82	46.64	SLV 4	0.26	2114	1.389	-8.1585	-31.1587	-12.3417	SLV 4	0.03	11	0.161	No
2.75	-0.05	-16.82	-64.04	SLV 13	0.26	2114	1.389	16.3044	-3.4112	-8.1246	SLV 4	0.26	2114	1.389	Si
5.25	-36.24	-16.82	-66.18	SLV 13	0.26	2114	1.389	-28.8087	-42.0358	-63.5919	SLV 13	0.17	546	0.797	No

Indicatori di rischio sismico SLD resistenza

x	T gravità	T sisma	T ultimo	Comb.	Pga	Tr	Ind. taglio	M gravità	M sisma	M ultimo	Comb.	Pga	Tr	Ind. momento	Ver
0.25	36.14	7.22	66.21	SLD 4	0.26	2110	3.477	-28.5605	-18.0508	-63.656	SLD 4	0.17	570	2.033	Si
1.1	23.84	7.22	46.64	SLD 4	0.26	2110	3.477	-8.1585	-13.3763	-12.3417	SLD 4	0.03	11	0.403	No
2.75	-0.05	-7.22	-64.04	SLD 13	0.26	2110	3.477	16.3044	-1.4643	-8.1246	SLD 4	0.26	2110	3.477	Si
5.25	-36.24	-7.22	-66.18	SLD 13	0.26	2110	3.477	-28.8087	-18.046	-63.5919	SLD 13	0.17	556	2.012	Si

Campata 4 tra i fili P20 - P21, sezione R 60x22, asta 101**Verifiche a flessione in famiglia SLV**

x	A sup.	C.b. sup.	A inf.	C.b. inf.	M+ela	Comb.	M+des	M+ult	x/d	coeff	M-ela	Comb.	M-des	M-ult	x/d	coeff	Verifica
0	0.00174	0.04	0.000389	0.04							-60.4477	SLU 17	-52.6249	-56.0108	0.532	1.06	Si
0.25	0.001616	0.04	0.000419	0.04							-45.4327	SLU 17	-45.4327	-53.1896	0.472	1.17	Si
2.75	0.000101	0.037	0.001385	0.04	26.4777	SLU 17	26.4777	45.1734	0.507	1.71							Si
4.4	0.000216	0.039	0.001385	0.04	-2.8732	SLU 1	2.1789	45.957	0.462	21.09	-5.0316	SLU 18	-13.2579	-9.9507	0.206	0.75	No
5.25	0.001614	0.04	0.000419	0.04							-45.8413	SLU 18	-45.8413	-53.1421	0.471	1.16	Si
5.5	0.00174	0.04	0.000389	0.04							-60.8972	SLU 18	-53.0539	-56.0108	0.532	1.06	Si

Verifiche a flessione in famiglia SLV

E' attiva l'opzione fattori parziali di sicurezza unitari per meccanismi duttili di strutture esistenti con fattore q

x	A sup.	C.b. sup.	A inf.	C.b. inf.	M+ela	Comb.	M+des	M+ult	x/d	coeff	M-ela	Comb.	M-des	M-ult	x/d	coeff	Verifica
0	0.00174	0.04	0.000389	0.04	8.4476	SLV 13	8.4476	18.7356	0.207	2.22	-84.3618	SLV 4	-77.3353	-67.5815	0.408	0.87	No
0.25	0.001616	0.04	0.000419	0.04	13.6519	SLV 13	17.2454	19.8209	0.208	1.15	-70.7049	SLV 4	-70.7049	-63.656	0.362	0.9	No
2.75	0.000101	0.037	0.001385	0.04	16.7199	SLV 4	19.8096	54.8136	0.389	2.77							Si
4.22	0.000134	0.038	0.001385	0.04	25.8582	SLV 4	26.4264	54.9464	0.379	2.08	-23.8999	SLV 13	-31.9539	-9.3714	0.194	0.29	No
5.25	0.001614	0.04	0.000419	0.04	13.5421	SLV 4	17.1582	19.8206	0.208	1.16	-71.1534	SLV 13	-71.1534	-63.5919	0.361	0.89	No
5.5	0.00174	0.04	0.000389	0.04	8.3099	SLV 4	8.3099	18.7356	0.207	2.25	-84.8383	SLV 13	-77.7978	-67.5815	0.408	0.87	No

Verifiche SLD Resistenza a flessione

x	A sup.	C.b. sup.	A inf.	C.b. inf.	M+ela	Comb.	M+des	M+ult	x/d	coeff	M-ela	Comb.	M-des	M-ult	x/d	coeff	Verifica
0	0.00174	0.04	0.000389	0.04							-57.8769	SLD 4	-52.0565	-67.5815	0.408	1.3	Si
0.25	0.001616	0.04	0.000419	0.04							-46.6322	SLD 4	-46.6322	-63.656	0.362	1.37	Si
2.75	0.000101	0.037	0.001385	0.04	16.6696	SLD 4	17.8069	54.8136	0.389	3.08							Si
4.4	0.000216	0.039	0.001385	0.04	8.8421	SLD 4	11.9017	55.222	0.354	4.64	-15.1766	SLD 13	-21.8143	-12.4132	0.198	0.57	No
5.25	0.001614	0.04	0.000419	0.04							-46.9832	SLD 13	-46.9832	-63.5919	0.361	1.35	Si
5.5	0.00174	0.04	0.000389	0.04							-58.2559	SLD 13	-52.4215	-67.5815	0.408	1.29	Si

Verifiche a taglio in famiglia SLU

x	A st	A sl	A sag	Vela	Comb.	Vdes	Vrd	Vrcd	Vrsd	Vult	cotgθ	coeff	Verifica
0	0	0.001616	0	63.3	SLU 17	63.3	67.5	111.88	0	67.5	2.5	1.07	Si
0.25	0.000005	0.001524	0	57.54	SLU 17	57.54	66.21	111.9	46.37	66.21	2.5	1.15	Si
2.75	0.000005	0.001385	0	-0.08	SLU 18	-0.08	-64.04	-111.66	-46.28	-64.04	2.5	777.56	Si
4.77	0.000005	0.000607	0	-46.56	SLU 18	-46.56	-48.71	-111.93	-46.39	-48.71	2.5	1.05	Si
5.25	0.000005	0.001522	0	-57.7	SLU 18	-57.7	-66.18	-111.9	-46.37	-66.18	2.5	1.15	Si
5.5	0	0.001614	0	-63.46	SLU 18	-63.46	-67.48	-111.88	0	-67.48	2.5	1.06	Si

Verifiche a taglio in famiglia SLV

x	A st	A sl	A sag	Vela	Comb.	Vdes	Vrd	Vrcd	Vrsd	Vult	cotgθ	coeff	Verifica
0	0	0.001616	0	56.66	SLV 4	56.66	67.5	111.88	0	67.5	2.5	1.19	Si
0.25	0.000005	0.001524	0	53.04	SLV 4	53.04	66.21	111.9	46.37	66.21	2.5	1.25	Si
2.75	0.000005	0.001385	0	16.85	SLV 4	16.85	64.04	111.66	46.28	64.04	2.5	3.8	Si
2.75	0.000005	0.001385	0	-16.96	SLV 13	-16.96	-64.04	-111.66	-46.28	-64.04	2.5	3.78	Si
4.77	0.000005	0.000607	0	-46.16	SLV 13	-46.16	-48.71	-111.93	-46.39	-48.71	2.5	1.06	Si
5.25	0.000005	0.001522	0	-53.15	SLV 13	-53.15	-66.18	-111.9	-46.37	-66.18	2.5	1.25	Si
5.5	0	0.001614	0	-56.77	SLV 13	-56.77	-67.48	-111.88	0	-67.48	2.5	1.19	Si

Verifiche SLD Resistenza a taglio

x	A st	A sl	A sag	Vela	Comb.	Vdes	Vrd	Vrcd	Vrsd	Vult	cotgθ	coeff	Verifica
0	0	0.001616	0	47.01	SLD 4	47.01	67.5	111.88	0	67.5	2.5	1.44	Si
0.25	0.000005	0.001524	0	43.39	SLD 4	43.39	66.21	111.9	46.37	66.21	2.5	1.53	Si
2.75	0.000005	0.001385	0	7.2	SLD 4	7.2	64.04	111.66	46.28	64.04	2.5	8.89	Si
2.75	0.000005	0.001385	0	-7.31	SLD 13	-7.31	-64.04	-111.66	-				

Verifiche taglio ciclico nel piano Circolare 7 21-01-19 §C8.7.2.3.5, [C8.7.2.8]

Ascissa	Lv	x	h	p.tot	θ_m	θ_y	μ_d, pl	Vrd	$V_{Rcd}(cot\theta=1)$	V_{Rsd}	Vw	Vr	Vu	Ved	Ned	Comb.	Verifica
12.75	2	0.065	0.22	0.016	0.0044	0.00452	0	66.21	162.25	46.37	18.55	28.67	66.21	53.04	0	SLV 4	Si
17.75	2.009	0.065	0.22	0.016	0.00448	0.00452	0	66.18	162.25	46.37	18.55	28.67	66.18	-53.15	0	SLV 13	Si

Indicatori di rischio sismico SLV

x	T gravità	T sisma	T ultimo	Comb.	Pga	Tr	Ind. taglio	M gravità	M sisma	M ultimo	Comb.	Pga	Tr	Ind. momento	Ver
0.25	36.14	16.91	66.21	SLV 4	0.26	2114	1.389	-28.5265	-42.1784	-63.656	SLV 4	0.17	557	0.804	No
2.75	-0.06	-16.91	-64.04	SLV 13	0.26	2114	1.389	16.3015	-3.5081	-8.1246	SLV 13	0.26	2114	1.389	Si
4.4	-23.94	-16.91	-46.63	SLV 13	0.26	2114	1.389	-8.3354	-31.4016	-12.4132	SLV 13	0.03	10	0.155	No
5.25	-36.25	-16.91	-66.18	SLV 13	0.26	2114	1.389	-28.8057	-42.3478	-63.5919	SLV 13	0.16	534	0.779	No

Indicatori di rischio sismico SLD resistenza

x	T gravità	T sisma	T ultimo	Comb.	Pga	Tr	Ind. taglio	M gravità	M sisma	M ultimo	Comb.	Pga	Tr	Ind. momento	Ver
0.25	36.14	7.26	66.21	SLD 4	0.26	2110	3.477	-28.5265	-18.1057	-63.656	SLD 4	0.17	567	2.029	Si
1.1	23.83	7.26	46.64	SLD 4	0.26	2110	3.477	-8.1286	-13.407	-12.3417	SLD 4	0.03	11	0.403	No
2.75	-0.06	-7.26	-64.04	SLD 13	0.26	2110	3.477	16.3015	-1.5054	-8.1246	SLD 13	0.26	2110	3.477	Si
5.25	-36.25	-7.26	-66.18	SLD 13	0.26	2110	3.477	-28.8057	-18.1775	-63.5919	SLD 13	0.17	545	1.996	Si

Campata 5 tra i fili P21 - P22, sezione R 60x22, asta 102**Verifiche a flessione in famiglia SLU**

x	A sup.	C.b. sup.	A inf.	C.b. inf.	M+ela	Comb.	M+des	M+ult	x/d	coeff	M-ela	Comb.	M-des	M-ult	x/d	coeff	Verifica
0	0.00174	0.04	0.000389	0.04							-60.6311	SLU 17	-52.7865	-56.0108	0.532	1.06	Si
0.25	0.001616	0.04	0.000419	0.04							-45.5726	SLU 17	-45.5726	-53.1896	0.472	1.17	Si
2.75	0.000101	0.037	0.001385	0.04	26.7731	SLU 18	26.7731	45.1734	0.507	1.69							Si
4.4	0.000101	0.037	0.001385	0.04	-2.5416	SLU 1	2.7263	45.1734	0.507	16.57	-4.449	SLU 18	-12.64	-6.2359	0.2	0.49	No
5.25	0.00087	0.04	0.000616	0.04							-45.1108	SLU 18	-45.1108	-30.9335	0.252	0.69	No
5.5	0.00087	0.04	0.000616	0.04							-60.1231	SLU 18	-52.3016	-30.9335	0.252	0.59	No

Verifiche a flessione in famiglia SLV

E' attiva l'opzione fattori parziali di sicurezza unitari per meccanismi duttili di strutture esistenti con fattore q

x	A sup.	C.b. sup.	A inf.	C.b. inf.	M+ela	Comb.	M+des	M+ult	x/d	coeff	M-ela	Comb.	M-des	M-ult	x/d	coeff	Verifica
0	0.00174	0.04	0.000389	0.04	7.8669	SLV 13	7.8669	18.7356	0.207	2.38	-84.0768	SLV 4	-77.071	-67.5815	0.408	0.88	No
0.25	0.001616	0.04	0.000419	0.04	13.1736	SLV 13	16.85	19.8209	0.208	1.18	-70.4613	SLV 4	-70.4613	-63.656	0.362	0.9	No
2.75	0.000101	0.037	0.001385	0.04	17.168	SLV 9	20.1272	54.8136	0.389	2.72							Si
4.4	0.000101	0.037	0.001385	0.04	24.3679	SLV 4	25.5072	54.8136	0.389	2.15	-29.9249	SLV 13	-38.4334	-8.1246	0.191	0.21	No
5.25	0.00087	0.04	0.000616	0.04	12.958	SLV 4	16.6077	27.0763	0.213	1.63	-69.5846	SLV 13	-69.5846	-36.6111	0.235	0.53	No
5.5	0.00087	0.04	0.000616	0.04	7.6844	SLV 4	7.6844	27.0763	0.213	3.52	-83.167	SLV 13	-76.1778	-36.6111	0.235	0.48	No

Verifiche SLD Resistenza a flessione

x	A sup.	C.b. sup.	A inf.	C.b. inf.	M+ela	Comb.	M+des	M+ult	x/d	coeff	M-ela	Comb.	M-des	M-ult	x/d	coeff	Verifica
0	0.00174	0.04	0.000389	0.04							-57.8461	SLD 4	-52.0254	-67.5815	0.408	1.3	Si
0.25	0.001616	0.04	0.000419	0.04							-46.6008	SLD 4	-46.6008	-63.656	0.362	1.37	Si
2.75	0.000101	0.037	0.001385	0.04	16.961	SLD 9	18.048	54.8136	0.389	3.04							Si
4.4	0.000101	0.037	0.001385	0.04	8.8824	SLD 4	11.9415	54.8136	0.389	4.59	-14.4393	SLD 13	-21.028	-8.1246	0.191	0.39	No
5.25	0.00087	0.04	0.000616	0.04							-46.0403	SLD 13	-46.0403	-36.6111	0.235	0.8	No
5.5	0.00087	0.04	0.000616	0.04							-57.2525	SLD 13	-51.4484	-36.6111	0.235	0.71	No

Verifiche a taglio in famiglia SLU

x	A st	A sl	A sag	Vela	Comb.	Vdes	Vrd	Vrcd	Vrsd	Vult	cotg θ	coeff	Verifica
0	0	0.001616	0	63.47	SLU 17	63.47	67.5	111.88	0	67.5	2.5	1.06	Si
0.25	0.000005	0.001524	0	57.71	SLU 17	57.71	66.21	111.9	46.37	66.21	2.5	1.15	Si
2.75	0.000005	0.001385	0	0.11	SLU 6	0.11	64.04	111.66	46.28	64.04	2.5	593.1	Si
5.25	0.000005	0.00087	0	-57.53	SLU 18	-57.53	-54.92	-111.88	-46.37	-54.92	2.5	0.95	No
5.5	0	0.00087	0	-63.29	SLU 18	-63.29	-54.92	-111.88	0	-54.92	2.5	0.87	Si

Verifiche a taglio in famiglia SLV

x	A st	A sl	A sag	Vela	Comb.	Vdes	Vrd	Vrcd	Vrsd	Vult	cotg θ	coeff	Verifica
0	0	0.001616	0	56.5	SLV 4	56.5	67.5	111.88	0	67.5	2.5	1.19	Si
0.25	0.000005	0.001524	0	52.88	SLV 4	52.88	66.21	111.9	46.37	66.21	2.5	1.25	Si
2.75	0.000005	0.001385	0	16.68	SLV 4	16.68	64.04	111.66	46.28	64.04	2.5	3.84	Si
2.75	0.000005	0.001385	0	-16.55	SLV 13	-16.55	-64.04	-111.66	-46.28	-64.04	2.5	3.87	Si
5.25	0.000005	0.00087	0	-52.75	SLV 13	-52.75	-54.92	-111.88	-46.37	-54.92	2.5	1.04	Si
5.5	0	0.00087	0	-56.36	SLV 13	-56.36	-54.92	-111.88	0	-54.92	2.5	0.97	Si

Verifiche SLD Resistenza a taglio

x	A st	A sl	A sag	Vela	Comb.	Vdes	Vrd	Vrcd	Vrsd	Vult	cotg θ	coeff	Verifica
0	0	0.001616	0	47.02	SLD 4	47.02	67.5	111.88	0	67.5	2.5	1.44	Si
0.25	0.000005	0.001524	0	43.4	SLD 4	43.4	66.21	111.9	46.37	66.21	2.5	1.53	Si
2.75	0.000005	0.001385	0	7.2	SLD 4	7.2	64.04	111.66	46.28	64.04	2.5	8.89	Si
2.75	0.000005	0.001385	0	-7.07	SLD 13	-7.07	-64.04	-111.66	-46.28	-64.04	2.5	9.06	Si
5.25	0.000005	0.00087	0	-43.26	SLD 13	-43.26	-54.92	-111.88	-46.37	-54.92	2.5	1.27	Si
5.5	0	0.00087	0	-46.88	SLD 13	-46.88	-54.92	-111.88	0	-54.92	2.5	1.17	Si

Verifiche taglio ciclico nel piano Circolare 7 21-01-19 §C8.7.2.3.5, [C8.7.2.8]

Ascissa	Lv	x	h	p.tot	θ_m	θ_y	μ_d, pl	Vrd	$V_{Rcd}(cot\theta=1)$	V_{Rsd}	Vw	Vr	Vu	Ved	Ned	Comb.	Verifica
18.25	2.002	0.065	0.22	0.016	0.00437	0.00466	0	66.21	162.25	46.37	18.55	28.67	66.21	52.88	0	SLV 4	Si
23.25	1.979	0.042	0.22	0.011	0.00429	0.00455	0	54.92	162.22	46.37	18.55	24.88	54.92	-52.75	0	SLV 13	Si

Indicatori di rischio sismico SLV

x	T gravità	T sisma	T ultimo	Comb.	Pga	Tr	Ind. taglio	M gravità	M sisma	M ultimo	Comb.	Pga	Tr	Ind. momento	Ver
0.25	36.26	16.62	66.21	SLV 4	0.26	2114	1.389	-28.6438	-41.8174	-63.656	SLV 4	0.17	566	0.809	No
2.75	0.07	16.62	64.04	SLV 4	0.26	2114	1.389	16.4869	-3.6403	-8.1246	SLV 4	0.26	2114	1.389	Si
4.4	-23.82	-16.62	-47.05	SLV 13	0.26	2114	1.389	-7.922	-30.5114	-8.1246	SLV 13	0	0	0	No
5.25	-36.13	-16.62	-54.92	SLV 13	0.22	1399	1.172	-28.3133	-41.2713	-36.6111	SLV 13	0.04	23	0.218	No

Indicatori di rischio sismico SLD resistenza

x	T gravità	T sisma	T ultimo	Comb.	Pga	Tr	Ind. taglio	M gravità	M sisma	M ultimo	Comb.	Pga	Tr	Ind. momento	Ver
0.25	36.26	7.14	66.21	SLD 4	0.26	2110	3.477	-28.6438	-17.9569	-63.656	SLD 4	0.17	575	2.04	Si
2.75	0.07	7.14	64.04	SLD 4	0.26	2110	3.477	16.4869	-1.5611	-8.1246	SLD 4	0.26	2110	3.477	Si
4.4	-23.82	-7.14	-47.05	SLD 13	0.26	2110	3.477	-7.922	-13.106	-8.1246	SLD 13	0	0	0	No
5.25	-36.13	-7.14	-54.92	SLD 13	0.23	1424	2.959	-28.3133	-17.727	-36.6111	SLD				

x	A sup.	C.b. sup.	A inf.	C.b. inf.	M+ela	Comb.	M+des	M+ult	x/d	coeff	M-ela	Comb.	M-des	M-ult	x/d	coeff	Verifica
0.25	0.000817	0.04	0.000616	0.04							-9.8019	SLV 17	-9.8019	-29.2169	0.246	2.98	Si
1.05	0.000408	0.039	0.000616	0.04	4.0713	SLV 18	5.2323	22.7015	0.226	4.34							Si
1.95	0.00011	0.038	0.000616	0.04	2.0144	SLV 18	4.1083	22.7224	0.231	5.53							Si
2.1	0.000031	0.037	0.000616	0.04							-0.1354	SLV 18	-0.1354	-3.8278	0.179	28.28	Si

Verifiche a flessione in famiglia SLV

E' attiva l'opzione fattori parziali di sicurezza unitari per meccanismi duttili di strutture esistenti con fattore q

x	A sup.	C.b. sup.	A inf.	C.b. inf.	M+ela	Comb.	M+des	M+ult	x/d	coeff	M-ela	Comb.	M-des	M-ult	x/d	coeff	Verifica
0	0.00087	0.04	0.000616	0.04	51.9118	SLV 13	50.5885	27.0763	0.213	0.54	-73.5064	SLV 4	-67.1248	-36.6111	0.235	0.55	No
0.25	0.000817	0.04	0.000616	0.04	48.8215	SLV 13	48.8215	27.072	0.212	0.55	-61.1869	SLV 4	-61.1869	-34.6244	0.23	0.57	No
0.84	0.00042	0.039	0.000616	0.04	37.9699	SLV 13	42.262	27.0176	0.206	0.64	-35.6714	SLV 4	-43.8612	-19.8299	0.195	0.45	No
1.05	0.000408	0.039	0.000616	0.04	32.8883	SLV 13	37.7961	27.0147	0.206	0.71	-27.8088	SLV 4	-35.383	-19.398	0.194	0.55	No
1.95	0.00011	0.038	0.000616	0.04	3.8747	SLV 13	11.427	26.8932	0.194	2.35	-1.3484	SLV 4	-6.2771	-8.2176	0.173	1.31	Si
2.1	0.000031	0.037	0.000616	0.04	1.9282	SLV 4	0.5018	26.8341	0.189	53.48	-2.0975	SLV 13	-0.9686	-5.227	0.167	5.4	Si

Verifiche SLD Resistenza a flessione

x	A sup.	C.b. sup.	A inf.	C.b. inf.	M+ela	Comb.	M+des	M+ult	x/d	coeff	M-ela	Comb.	M-des	M-ult	x/d	coeff	Verifica
0	0.00087	0.04	0.000616	0.04	16.1171	SLD 13	16.1171	27.0763	0.213	1.68	-37.7117	SLD 4	-33.5291	-36.6111	0.235	1.09	Si
0.25	0.000817	0.04	0.000616	0.04	17.4248	SLD 13	17.8277	27.072	0.212	1.52	-29.7903	SLD 4	-29.7903	-34.6244	0.23	1.16	Si
0.49	0.000655	0.04	0.000616	0.04	17.846	SLD 13	17.846	27.0561	0.211	1.52	-23.02	SLD 4	-28.6735	-28.6162	0.215	1	No
1.05	0.000408	0.039	0.000616	0.04	15.5654	SLD 13	16.9107	27.0147	0.206	1.6	-10.4859	SLD 4	-14.4977	-19.398	0.194	1.34	Si
1.95	0.00011	0.038	0.000616	0.04	2.3845	SLD 13	6.3746	26.8932	0.194	4.22	0.1418	SLD 4	-1.2247	-8.2176	0.173	6.71	Si
2.1	0.000031	0.037	0.000616	0.04	0.7788	SLD 4	0.5747	26.8341	0.189	46.69	-0.9481	SLD 13	-0.7978	-5.227	0.167	6.55	Si

Verifiche a taglio in famiglia SLU

x	A st	A sl	A sag	Vela	Comb.	Vdes	Vrd	Vrcd	Vrsd	Vult	cotgθ	coeff	Verifica
0	0	0.000817	0	32.3	SLU 17	32.3	53.77	111.88	0	53.77	2.5	1.66	Si
0.25	0.0000053	0.000702	0	26.54	SLU 17	26.54	51.14	111.89	49.1	51.14	2.5	1.93	Si
1.05	0.0000053	0.000616	0	8.1	SLU 17	8.1	48.87	111.66	49	49	2.5	6.05	Si
1.95	0.0000053	0.000616	0	-12.65	SLU 18	-12.65	-48.87	-111.66	-49	-49	2.5	3.87	Si
2.1	0.0000053	0.00011	0	-16.11	SLU 18	-16.11	-37.27	-113.52	0	-37.27	2.5	2.31	Si

Verifiche a taglio in famiglia SLV

x	A st	A sl	A sag	Vela	Comb.	Vdes	Vrd	Vrcd	Vrsd	Vult	cotgθ	coeff	Verifica
0	0	0.000817	0	51.12	SLV 4	51.12	53.77	111.88	0	53.77	2.5	1.05	Si
0	0	0.000616	0	-10.52	SLV 13	-10.52	-48.87	-111.66	0	-48.87	2.5	4.65	Si
0.25	0.0000053	0.000702	0	47.5	SLV 4	47.5	51.14	111.89	49.1	51.14	2.5	1.08	Si
0.25	0.0000053	0.000616	0	-14.14	SLV 13	-14.14	-48.87	-111.66	-49	-49	2.5	3.47	Si
1.05	0.0000053	0.000408	0	35.92	SLV 4	35.92	42.74	112.12	49.2	49.2	2.5	1.37	Si
1.05	0.0000053	0.000616	0	-25.72	SLV 13	-25.72	-48.87	-111.66	-49	-49	2.5	1.91	Si
1.95	0.0000053	0.00011	0	22.89	SLV 4	22.89	37.05	112.84	49.51	49.51	2.5	2.16	Si
1.95	0.0000053	0.000616	0	-38.75	SLV 13	-38.75	-48.87	-111.66	-49	-49	2.5	1.26	Si
2.1	0	0.000616	0	20.72	SLV 4	20.72	48.87	111.66	0	48.87	2.5	2.36	Si
2.1	0	0.00011	0	-40.92	SLV 13	-40.92	-37.27	-113.52	0	-37.27	2.5	0.91	Si

Verifiche SLD Resistenza a taglio

x	A st	A sl	A sag	Vela	Comb.	Vdes	Vrd	Vrcd	Vrsd	Vult	cotgθ	coeff	Verifica
0	0	0.000817	0	33.53	SLD 4	33.53	53.77	111.88	0	53.77	2.5	1.6	Si
0.25	0.0000053	0.000702	0	29.91	SLD 4	29.91	51.14	111.89	49.1	51.14	2.5	1.71	Si
1.05	0.0000053	0.000408	0	18.33	SLD 4	18.33	42.74	112.12	49.2	49.2	2.5	2.68	Si
1.05	0.0000053	0.000616	0	-8.13	SLD 13	-8.13	-48.87	-111.66	-49	-49	2.5	6.03	Si
1.95	0.0000053	0.000616	0	5.3	SLD 4	5.3	48.87	111.66	49	49	2.5	9.25	Si
1.95	0.0000053	0.000616	0	-21.16	SLD 13	-21.16	-48.87	-111.66	-49	-49	2.5	2.32	Si
2.1	0	0.000616	0	3.13	SLD 4	3.13	48.87	111.66	0	48.87	2.5	15.63	Si
2.1	0	0.00011	0	-23.33	SLD 13	-23.33	-37.27	-113.52	0	-37.27	2.5	1.6	Si

Verifiche taglio ciclico nel piano Circolare 7 21-01-19 §C8.7.2.3.5, [C8.7.2.8]

Ascissa	Lv	x	h	p,tot	θ,m	θ,y	μΔ,pl	Vrd	Vrcd(cotθ=1)	Vrsd	Vw	Vr	Vu	Ved	Ned	Comb.	Verifica
23.75	2.009	0.041	0.22	0.011	0.00433	0.00451	0	51.14	162.24	49.1	19.64	25.83	51.14	47.5	0	SLV 4	Si
25.45	1.05	0.035	0.22	0.005	0.00002	0.00893	0	48.87	161.91	49	19.6	21.63	49	-38.75	0	SLV 13	Si

Indicatori di rischio sismico SLV

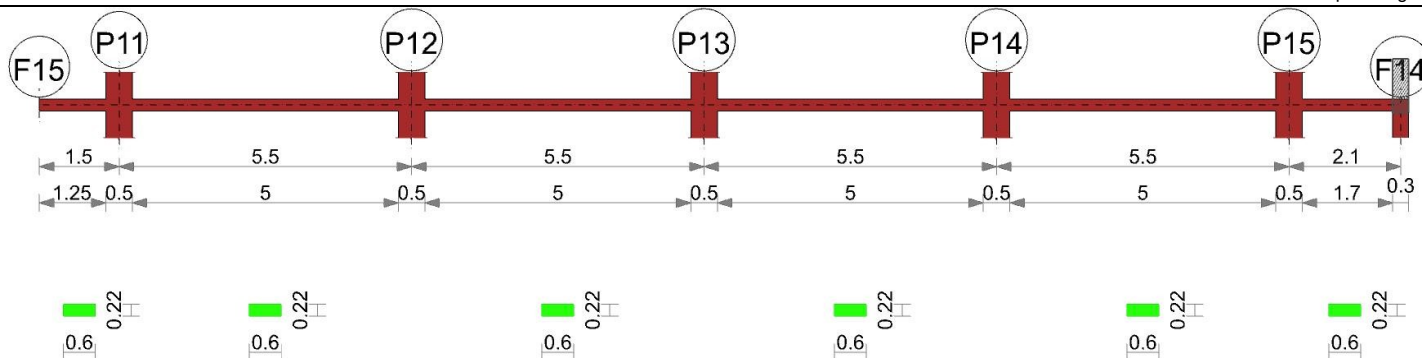
x	T gravità	T sisma	T ultimo	Comb.	Pga	Tr	Ind. taglio	M gravità	M sisma	M ultimo	Comb.	Pga	Tr	Ind. momento	Ver
0.25	16.68	30.82	51.14	SLV 4	0.22	1349	1.155	-6.1827	-55.0042	-34.6244	SLV 4	0.1	156	0.477	No
0.49	13.21	30.82	49.12	SLV 4	0.23	1540	1.22	-5.562	-53.8485	-28.6162	SLV 4	0.08	98	0.394	No
1.05	5.1	30.82	49.2	SLV 4	0.26	2114	1.389	1.2065	-36.5895	-19.398	SLV 4	0.11	193	0.52	No
1.95	-7.93	-30.82	-49	SLV 13	0.26	2114	1.389	1.2632	-2.6116	-8.2176	SLV 4	0.26	2114	1.389	Si

Indicatori di rischio sismico SLD resistenza

x	T gravità	T sisma	T ultimo	Comb.	Pga	Tr	Ind. taglio	M gravità	M sisma	M ultimo	Comb.	Pga	Tr	Ind. momento	Ver
0.25	16.68	13.23	51.14	SLD 4	0.22	1376	2.918	-6.1827	-23.6075	-34.6244	SLD 4	0.1	159	1.204	Si
0.49	13.21	13.23	49.12	SLD 4	0.23	1571	3.081	-5.562	-23.1115	-28.6162	SLD 4	0.09	100	0.996	No
1.05	5.1	13.23	49.2	SLD 4	0.26	2110	3.477	1.2065	-15.7042	-19.398	SLD 4	0.11	197	1.315	Si
1.95	-7.93	-13.23	-49	SLD 13	0.26	2110	3.477	1.2632	-1.1213	-8.2176	SLD 4	0.26	2110	3.477	Si

Trave a "Piano 3" F15-F14

Geometria



Caratteristiche dei materiali

Acciaio: Vigone_FeB22k LC2 Fym 313700 Livello di conoscenza LC2 Fattore di confidenza 1.2

Calcestruzzo: C14/17 LC2 Vigone A Rcm 17000 Livello di conoscenza LC2 Fattore di confidenza 1.2

Elenco delle sezioni

N°	Descrizione	Tipo	Base	Altezza	Copriferro sup.	Copriferro inf.	Copriferro lat.
1	R 60x22	Rettangolare	0.6	0.22	0.025	0.025	0.025

Diagramma verifica stato limite ultimo flessione

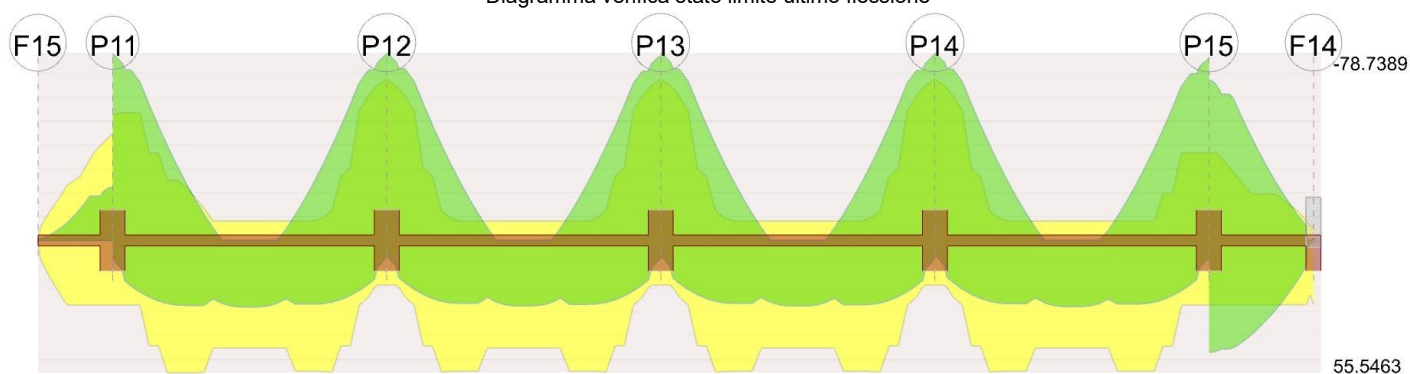


Diagramma verifica stato limite ultimo taglio

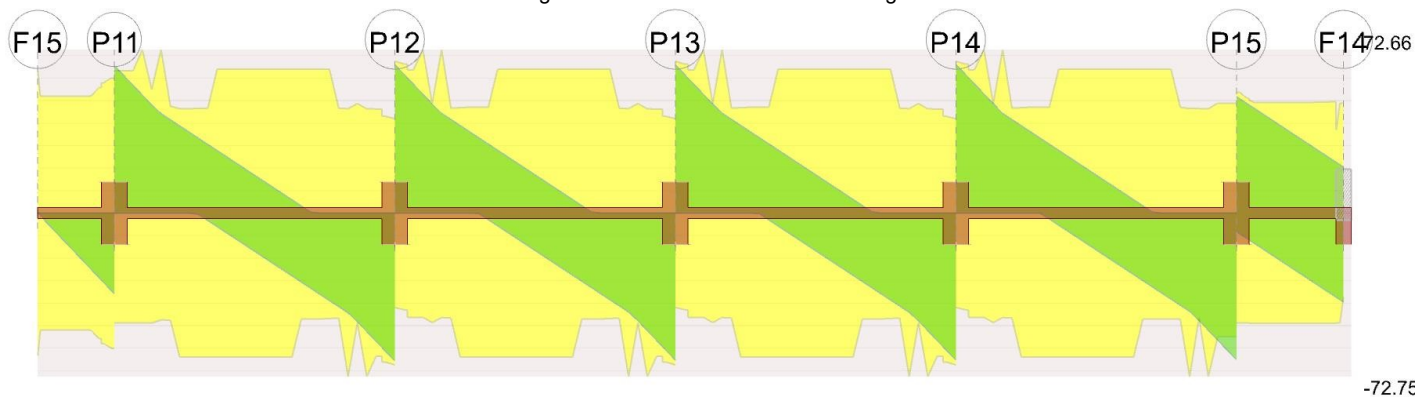
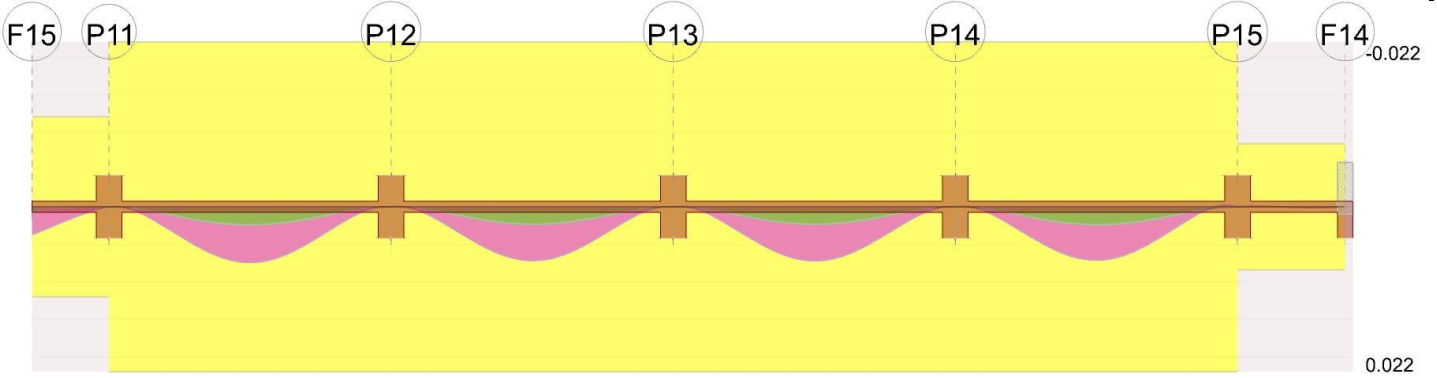


Diagramma verifica stato limite esercizio quasi permanente freccia



Output campate

Campata 1 tra i fili F15 - P11, sezione R 60x22, asta 56

Verifiche a flessione in famiglia SLU

x	A sup.	C.b. sup.	A inf.	C.b. inf.	M+ela	Comb.	M+des	M+ult	x/d	coeff	M-ela	Comb.	M-des	M-ult	x/d	coeff	Verifica
0	0	0	0	0							0	SLU 16	-0.4427	0	0	0	Si
0.75	0.000699	0.04	0.000616	0.04							-6.6621	SLU 17	-10.776	-25.4359	0.234	2.36	Si
1.25	0.001139	0.04	0.000616	0.04							-18.5908	SLU 17	-18.5908	-39.5181	0.283	2.13	Si
1.5	0.001307	0.04	0.000616	0.04							-26.7918	SLU 17	-22.3186	-44.8399	0.305	2.01	Si

Verifiche a flessione in famiglia SLV

E' attiva l'opzione fattori parziali di sicurezza unitari per meccanismi duttili di strutture esistenti con fattore q

x	A sup.	C.b. sup.	A inf.	C.b. inf.	M+ela	Comb.	M+des	M+ult	x/d	coeff	M-ela	Comb.	M-des	M-ult	x/d	coeff	Verifica
0	0	0	0	0	0.0007	SLV 4	0.0007	0	0	++	-0.0007	SLV 13	-0.2809	0	0	0	Si
0.75	0.000699	0.04	0.000616	0.04							-4.1719	SLV 13	-6.7459	-30.2445	0.219	4.48	Si
1.25	0.001139	0.04	0.000616	0.04							-11.6358	SLV 13	-11.6358	-46.5555	0.263	4	Si
1.5	0.001307	0.04	0.000616	0.04							-16.7673	SLV 13	-13.9683	-52.7193	0.284	3.77	Si

Verifiche SLD Resistenza a flessione

x	A sup.	C.b. sup.	A inf.	C.b. inf.	M+ela	Comb.	M+des	M+ult	x/d	coeff	M-ela	Comb.	M-des	M-ult	x/d	coeff	Verifica
0	0	0	0	0	0.0003	SLD 4	0.0003	0	0	++	-0.0003	SLD 13	-0.2806	0	0	0	Si
0.75	0.000699	0.04	0.000616	0.04							-4.1718	SLD 1	-6.7459	-30.2445	0.219	4.48	Si
1.25	0.001139	0.04	0.000616	0.04							-11.6357	SLD 1	-11.6357	-46.5555	0.263	4	Si
1.5	0.001307	0.04	0.000616	0.04							-16.7671	SLD 1	-13.9681	-52.7193	0.284	3.77	Si

Verifiche a taglio in famiglia SLU

x	A st	A sl	A sag	Vela	Comb.	Vdes	Vrd	Vrcd	Vrsd	Vult	cotgθ	coeff	Verifica
0	0.0000056	0	0	0	Ger.	0	43.25	136.48	63.35	63.35	2.5	8741903443868940	Si
0.75	0.0000056	0.00059	0	-17.89	SLU 17	-17.89	-48.26	-111.93	-51.95	-51.95	2.5	2.9	Si
1.25	0.0000056	0.000968	0	-29.82	SLU 17	-29.82	-56.88	-111.83	-51.91	-56.88	2.5	1.91	Si
1.5	0	0.001139	0	-35.79	SLU 17	-35.79	-60.05	-111.81	0	-60.05	2.5	1.68	Si

Verifiche a taglio in famiglia SLV

x	A st	A sl	A sag	Vela	Comb.	Vdes	Vrd	Vrcd	Vrsd	Vult	cotgθ	coeff	Verifica
0	0.0000056	0	0	0	Ger.	0	43.25	136.48	63.35	63.35	2.5	83736.69	Si
0	0.0000056	0	0	0	Ger.	0	-43.25	-136.48	-63.35	-63.35	2.5	83736.69	Si
0.75	0.0000056	0.00059	0	-11.2	SLV 15	-11.2	-48.26	-111.93	-51.95	-51.95	2.5	4.64	Si
1.25	0.0000056	0.000968	0	-18.66	SLV 15	-18.66	-56.88	-111.83	-51.91	-56.88	2.5	3.05	Si
1.5	0	0.001139	0	-22.39	SLV 15	-22.39	-60.05	-111.81	0	-60.05	2.5	2.68	Si

Verifiche SLD Resistenza a taglio

x	A st	A sl	A sag	Vela	Comb.	Vdes	Vrd	Vrcd	Vrsd	Vult	cotgθ	coeff	Verifica
0	0.0000056	0	0	0	Ger.	0	43.25	136.48	63.35	63.35	2.5	190875.27	Si
0	0.0000056	0	0	0	Ger.	0	-43.25	-136.48	-63.35	-63.35	2.5	190875.27	Si
0.75	0.0000056	0.00059	0	-11.2	SLD 3	-11.2	-48.26	-111.93	-51.95	-51.95	2.5	4.64	Si
1.25	0.0000056	0.000968	0	-18.66	SLD 3	-18.66	-56.88	-111.83	-51.91	-56.88	2.5	3.05	Si
1.5	0	0.001139	0	-22.39	SLD 3	-22.39	-60.05	-111.81	0	-60.05	2.5	2.68	Si

Indicatori di rischio sismico SLV

x	T gravità	T sisma	T ultimo	Comb.	Pga	Tr	Ind. taglio	M gravità	M sisma	M ultimo	Comb.	Pga	Tr	Ind. momento	Ver
0	0	0	63.35	SLV 2	0.26	2114	1.389	0	0.0004	0	SLV 1	0	0	0	Si
0.75	-11.2	0	-51.95	SLV 15	0.26	2114	1.389	-2.2116	0.0001	-30.2445	SLV 1	0.26	2114	1.389	Si
1.25	-18.66	0	-56.88	SLV 15	0.26	2114	1.389	-11.6355	0.0002	-46.5555	SLV 1	0.26	2114	1.389	Si

Indicatori di rischio sismico SLD resistenza

x	T gravità	T sisma	T ultimo	Comb.	Pga	Tr	Ind. taglio	M gravità	M sisma	M ultimo	Comb.	Pga	Tr	Ind. momento	Ver
0	0	0	63.35	SLD 14	0.26	2110	3.477	0	0.0002	0	SLD 1	0	0	0	Si
0.75	-11.2	0	-51.95	SLD 3	0.26	2110	3.477	-2.2116	-0.0001	-30.2445	SLD 1	0.26	2110	3.477	Si
1.25	-18.66	0	-56.88	SLD 3	0.26	2110	3.477	-11.6355	-0.0001	-46.5555	SLD 1	0.26	2110	3.477	Si

Campata 2 tra i fili P11 - P12, sezione R 60x22, asta 57

Verifiche a flessione in famiglia SLU

x	A sup.	C.b. sup.	A inf.	C.b. inf.	M+ela	Comb.	M+des	M+ult	x/d	coeff	M-ela	Comb.	M-des	M-ult	x/d	coeff	Verifica
0	0.001307	0.04	0.000616	0.04							-62.1299	SLU 17	-54.0328	-44.8399	0.305	0.83	No
0.25	0.001332	0.04	0.000616	0.04							-46.5885	SLU 17	-46.5885	-45.6165	0.309	0.98	No
2.75	0.000101	0.037	0.001385	0.04	27.8357	SLU 18	27.8357	45.1734	0.507	1.62							Si
4.4	0.000216	0.039	0.001385	0.04	-2.7325	SLU 1	2.6748	45.957	0.462	17.18	-4.7883	SLU 18	-13.3046	-9.9507	0.206	0.75	No
5.25	0.001614	0.04	0.00042	0.04							-47.0362	SLU 18	-47.0362	-53.1478	0.471	1.13	Si
5.5	0.00174	0.04	0.00039	0.04							-62.6224	SLU 18	-54.5029	-56.0183	0.532	1.03	Si

Verifiche a flessione in famiglia SLV

E' attiva l'opzione fattori parziali di sicurezza unitari per meccanismi duttili di strutture esistenti con fattore q

x	A sup.	C.b. sup.	A inf.	C.b. inf.	M+ela	Comb.	M+des	M+ult	x/d	coeff	M-ela	Comb.	M-des	M-ult	x/d	coeff	Verifica
0	0.001307	0.04	0.000616	0.04	7.6742	SLV 16	7.6742	27.0995	0.215	3.53	-85.4213	SLV 1	-78.2488	-52.7193	0.284	0.67	No
0.25	0.001332	0.04	0.000616	0.04	13.1839	SLV 16	17.0055	27.1005	0.215	1.59	-71.4846	SLV 1	-71.4846	-53.621	0.287	0.75	No
2.75	0.000101	0.037	0.001385	0.04	17.6079	SLV 16	20.702	54.8136	0.389	2.65							Si
4.22	0.000134	0.038	0.001385	0.04	25.7833	SLV 1	26.4864	54.9464	0.379	2.07	-23.2556	SLV 16	-31.4437	-9.3714	0.194	0.3	No

x	A sup.	C.b. sup.	A inf.	C.b. inf.	M+ela	Comb.	M+des	M+ult	x/d	coeff	M-ela	Comb.	M-des	M-ult	x/d	coeff	Verifica
5.25	0.001614	0.04	0.00042	0.04	12.486	SLV 1	16.3318	19.8541	0.208	1.22	-71.3843	SLV 16	-71.3843	-63.594	0.361	0.89	No
5.5	0.00174	0.04	0.00039	0.04	6.9464	SLV 1	6.9464	18.769	0.207	2.7	-85.3508	SLV 16	-78.1633	-67.5851	0.408	0.86	No

Verifiche SLD Resistenza a flessione

x	A sup.	C.b. sup.	A inf.	C.b. inf.	M+ela	Comb.	M+des	M+ult	x/d	coeff	M-ela	Comb.	M-des	M-ult	x/d	coeff	Verifica
0	0.001307	0.04	0.000616	0.04							-58.8315	SLD 1	-52.8624	-52.7193	0.284	1	No
0.25	0.001332	0.04	0.000616	0.04							-47.3017	SLD 1	-47.3017	-53.621	0.287	1.13	Si
2.75	0.000101	0.037	0.001385	0.04	17.4932	SLD 16	18.6384	54.8136	0.389	2.94							Si
4.4	0.000216	0.039	0.001385	0.04	8.8259	SLD 1	12.0328	55.222	0.354	4.59	-14.8496	SLD 16	-21.6422	-12.4132	0.198	0.57	No
5.25	0.001614	0.04	0.00042	0.04							-47.4292	SLD 16	-47.4292	-63.594	0.361	1.34	Si
5.5	0.00174	0.04	0.00039	0.04							-58.9889	SLD 16	-53.0049	-67.5851	0.408	1.28	Si

Verifiche a taglio in famiglia SLU

x	A st	A sl	A sag	Vela	Comb.	Vdes	Vrd	Vrcd	Vrsd	Vult	cotgθ	coeff	Verifica
0	0	0.001332	0	65.52	SLU 17	65.52	63.26	111.81	0	63.26	2.5	0.97	Si
0.25	0.000005	0.001332	0	59.55	SLU 17	59.55	63.26	111.8	46.33	63.26	2.5	1.06	Si
2.75	0.000005	0.001385	0	-0.09	SLU 18	-0.09	-64.04	-111.66	-46.28	-64.04	2.5	714.65	Si
5.25	0.000005	0.001522	0	-59.73	SLU 18	-59.73	-66.18	-111.9	-46.37	-66.18	2.5	1.11	Si
5.5	0	0.001614	0	-65.7	SLU 18	-65.7	-67.48	-111.88	0	-67.48	2.5	1.03	Si

Verifiche a taglio in famiglia SLV

x	A st	A sl	A sag	Vela	Comb.	Vdes	Vrd	Vrcd	Vrsd	Vult	cotgθ	coeff	Verifica
0	0	0.001332	0	57.84	SLV 1	57.84	63.26	111.81	0	63.26	2.5	1.09	Si
0.25	0.000005	0.001332	0	54.11	SLV 1	54.11	63.26	111.8	46.33	63.26	2.5	1.17	Si
2.75	0.000005	0.001385	0	16.79	SLV 1	16.79	64.04	111.66	46.28	64.04	2.5	3.81	Si
2.75	0.000005	0.001385	0	-16.91	SLV 16	-16.91	-64.04	-111.66	-46.28	-64.04	2.5	3.79	Si
4.77	0.000005	0.000607	0	-47.02	SLV 16	-47.02	-48.71	-111.93	-46.39	-48.71	2.5	1.04	Si
5.25	0.000005	0.001522	0	-54.23	SLV 16	-54.23	-66.18	-111.9	-46.37	-66.18	2.5	1.22	Si
5.5	0	0.001614	0	-57.96	SLV 16	-57.96	-67.48	-111.88	0	-67.48	2.5	1.16	Si

Verifiche SLD Resistenza a taglio

x	A st	A sl	A sag	Vela	Comb.	Vdes	Vrd	Vrcd	Vrsd	Vult	cotgθ	coeff	Verifica
0	0	0.001332	0	48.22	SLD 1	48.22	63.26	111.81	0	63.26	2.5	1.31	Si
0.25	0.000005	0.001332	0	44.49	SLD 1	44.49	63.26	111.8	46.33	63.26	2.5	1.42	Si
2.75	0.000005	0.001385	0	7.17	SLD 1	7.17	64.04	111.66	46.28	64.04	2.5	8.94	Si
2.75	0.000005	0.001385	0	-7.29	SLD 16	-7.29	-64.04	-111.66	-46.28	-64.04	2.5	8.79	Si
4.77	0.000005	0.000607	0	-37.39	SLD 16	-37.39	-48.71	-111.93	-46.39	-48.71	2.5	1.3	Si
5.25	0.000005	0.001522	0	-44.6	SLD 16	-44.6	-66.18	-111.9	-46.37	-66.18	2.5	1.48	Si
5.5	0	0.001614	0	-48.34	SLD 16	-48.34	-67.48	-111.88	0	-67.48	2.5	1.4	Si

Verifiche taglio ciclico nel piano Circolare 7 21-01-19 §C8.7.2.3.5, [C8.7.2.8]

Ascissa	Lv	x	h	p,tot	θ,m	θ,y	μΔ,pl	Vrd	VRcd(cotθ=1)	VRsd	Vw	Vr	Vu	Ved	Ned	Comb.	Verifica
1.75	1.987	0.052	0.22	0.015	0.00441	0.00452	0	63.26	162.12	46.33	18.53	27.43	63.26	54.11	0	SLV 1	Si
6.75	1.976	0.065	0.22	0.016	0.00437	0.00461	0	66.18	162.25	46.37	18.55	28.68	66.18	-54.23	0	SLV 16	Si

Indicatori di rischio sismico SLV

x	T gravità	T sisma	T ultimo	Comb.	Pga	Tr	Ind. taglio	M gravità	M sisma	M ultimo	Comb.	Pga	Tr	Ind. momento	Ver
0.25	37.26	16.85	63.26	SLV 1	0.26	2114	1.389	-29.1504	-42.3343	-53.621	SLV 1	0.12	207	1.353	No
2.75	-0.06	-16.85	-64.04	SLV 16	0.26	2114	1.389	17.0894	-3.6126	-8.1246	SLV 1	0.26	2114	1.389	Si
4.4	-24.69	-16.85	-46.63	SLV 16	0.26	2114	1.389	-8.3411	-31.0223	-12.4132	SLV 16	0.03	11	0.161	No
5.25	-37.38	-16.85	-66.18	SLV 16	0.26	2114	1.389	-29.4491	-41.9351	-63.594	SLV 16	0.16	521	0.782	No

Indicatori di rischio sismico SLD resistenza

x	T gravità	T sisma	T ultimo	Comb.	Pga	Tr	Ind. taglio	M gravità	M sisma	M ultimo	Comb.	Pga	Tr	Ind. momento	Ver
0.25	37.26	7.23	63.26	SLD 1	0.26	2110	3.477	-29.1504	-18.1513	-53.621	SLD 1	0.12	211	1.353	Si
2.75	-0.06	-7.23	-64.04	SLD 16	0.26	2110	3.477	17.0894	-1.549	-8.1246	SLD 1	0.26	2110	3.477	Si
4.4	-24.69	-7.23	-46.63	SLD 16	0.26	2110	3.477	-8.3411	-13.3011	-12.4132	SLD 16	0.03	11	0.403	No
5.25	-37.38	-7.23	-66.18	SLD 16	0.26	2110	3.477	-29.4491	-17.9801	-63.594	SLD 16	0.16	533	1.978	Si

Campata 3 tra i fili P12 - P13, sezione R 60x22, asta 58**Verifiche a flessione in famiglia SLU**

x	A sup.	C.b. sup.	A inf.	C.b. inf.	M+ela	Comb.	M+des	M+ult	x/d	coeff	M-ela	Comb.	M-des	M-ult	x/d	coeff	Verifica
0	0.00174	0.04	0.00039	0.04							-63.6901	SLU 17	-55.5434	-56.0183	0.532	1.01	Si
0.25	0.001616	0.04	0.000419	0.04							-48.0495	SLU 17	-48.0495	-53.1896	0.472	1.11	Si
1.1	0.000214	0.039	0.001385	0.04	-3.1648	SLU 4	1.8908	45.9443	0.462	24.3	-5.6165	SLV 17	-14.1769	-9.8883	0.206	0.7	No
2.75	0.000101	0.037	0.001385	0.04	27.3668	SLU 17	27.3668	45.1734	0.507	1.65							Si
5.25	0.001614	0.04	0.000419	0.04							-46.5135	SLU 18	-46.5135	-53.1421	0.471	1.14	Si
5.5	0.00174	0.04	0.000389	0.04							-62.0006	SLU 18	-53.9307	-56.0108	0.532	1.04	Si

Verifiche a flessione in famiglia SLV

E' attiva l'opzione fattori parziali di sicurezza unitari per meccanismi duttili di strutture esistenti con fattore q

x	A sup.	C.b. sup.	A inf.	C.b. inf.	M+ela	Comb.	M+des	M+ult	x/d	coeff	M-ela	Comb.	M-des	M-ult	x/d	coeff	Verifica
0	0.00174	0.04	0.00039	0.04	6.262	SLV 16	6.262	18.769	0.207	3	-85.9032	SLV 1	-78.7133	-67.5851	0.408	0.86	No
0.25	0.001616	0.04	0.000419	0.04	11.8582	SLV 16	15.7498	19.8209	0.208	1.26	-71.9318	SLV 1	-71.9318	-63.656	0.362	0.88	No
1.28	0.000132	0.038	0.001385	0.04	25.3891	SLV 16	26.1381	54.9398	0.379	2.1	-23.7831	SLV 1	-31.9751	-9.3003	0.193	0.29	No
2.75	0.000101	0.037	0.001385	0.04	17.1449	SLV 16	20.2068	54.8136	0.389	2.71							Si
5.25	0.001614	0.04	0.000419	0.04	12.733	SLV 1	16.5507	19.8206	0.208	1.2	-70.9823	SLV 16	-70.9823	-63.5919	0.361	0.9	No
5.5	0.00174	0.04	0.000389	0.04	7.2281	SLV 1	7.2281	18.7356	0.207	2.59	-84.8625	SLV 16	-77.7182	-67.5815	0.408	0.87	No

Verifiche SLD Resistenza a flessione

x	A sup.	C.b. sup.	A inf.	C.b. inf.	M+ela	Comb.	M+des	M+ult	x/d	coeff	M-ela	Comb.	M-des	M-ult	x/d	coeff	Verifica
0	0.00174	0.04	0.00039	0.04							-59.579	SLD 1	-53.5851	-67.5851	0.408	1.26	Si
0.25	0.001616	0.04	0.000419	0.04							-47.9997	SLD 1	-47.9997	-63.656	0.362	1.33	Si
1.1	0.000214	0.039	0.001385	0.04	8.3631	SLD 16	11.6038	55.2135	0.354	4.76	-15.3534	SLD 1	-22.1619	-12.3417	0.198	0.56	No
2.75	0.000101	0.037	0.001385	0.04	17.1341	SLD 16	18.2798	54.8136	0.389	3							Si
5.25	0.001614	0.04	0.000419	0.04							-47.0715	SLD 16	-47.0715	-63.5919	0.361	1.35	Si
5.5	0.00174	0.04	0.000389	0.04							-58.5596	SLD 16	-52.6114	-67.5815	0.408	1.28	Si

Verifiche a taglio in famiglia SLU

x	A st	A sl	A sag	Vela	Comb.	Vdes	Vrd	Vrcd	Vrsd	Vult	cotgθ	coeff	Verifica
0	0	0.001616	0	65.92	SLU 17								

Verifiche a taglio in famiglia SLV

x	A st	A sl	A sag	Vela	Comb.	Vdes	Vrd	Vrcd	Vrsd	Vult	cotgθ	coeff	Verifica
0	0	0.001616	0	57.98	SLV 1	57.98	67.5	111.88	0	67.5	2.5	1.16	Si
0.25	0.000005	0.001524	0	54.25	SLV 1	54.25	66.21	111.9	46.37	66.21	2.5	1.22	Si
0.73	0.000005	0.000605	0	47.04	SLV 1	47.04	48.65	111.93	46.39	48.65	2.5	1.03	Si
2.75	0.000005	0.001385	0	16.93	SLV 1	16.93	64.04	111.66	46.28	64.04	2.5	3.78	Si
2.75	0.000005	0.001385	0	-16.57	SLV 16	-16.57	-64.04	-111.66	-46.28	-64.04	2.5	3.87	Si
5.25	0.000005	0.001522	0	-53.89	SLV 16	-53.89	-66.18	-111.9	-46.37	-66.18	2.5	1.23	Si
5.5	0	0.001614	0	-57.62	SLV 16	-57.62	-67.48	-111.88	0	-67.48	2.5	1.17	Si

Verifiche SLD Resistenza a taglio

x	A st	A sl	A sag	Vela	Comb.	Vdes	Vrd	Vrcd	Vrsd	Vult	cotgθ	coeff	Verifica
0	0	0.001616	0	48.42	SLD 1	48.42	67.5	111.88	0	67.5	2.5	1.39	Si
0.25	0.000005	0.001524	0	44.68	SLD 1	44.68	66.21	111.9	46.37	66.21	2.5	1.48	Si
0.73	0.000005	0.000605	0	37.47	SLD 1	37.47	48.65	111.93	46.39	48.65	2.5	1.3	Si
2.75	0.000005	0.001385	0	7.36	SLD 1	7.36	64.04	111.66	46.28	64.04	2.5	8.7	Si
2.75	0.000005	0.001385	0	-7	SLD 16	-7	-64.04	-111.66	-46.28	-64.04	2.5	9.15	Si
5.25	0.000005	0.001522	0	-44.32	SLD 16	-44.32	-66.18	-111.9	-46.37	-66.18	2.5	1.49	Si
5.5	0	0.001614	0	-48.05	SLD 16	-48.05	-67.48	-111.88	0	-67.48	2.5	1.4	Si

Verifiche taglio ciclico nel piano Circolare 7 21-01-19 §C8.7.2.3.5, [C8.7.2.8]

Ascissa	Lv	x	h	p,tot	θ,m	θ,y	μΔ,pl	Vrd	VRCd(cotθ=1)	VRsd	Vv	Vr	Vu	Ved	Ned	Comb.	Verifica
7.25	1.994	0.065	0.22	0.016	0.00442	0.00454	0	66.21	162.25	46.37	18.55	28.68	66.21	54.25	0	SLV 1	Si
12.25	1.983	0.065	0.22	0.016	0.00436	0.00455	0	66.18	162.25	46.37	18.55	28.67	66.18	-53.89	0	SLV 16	Si

Indicatori di rischio sismico SLV

x	T gravità	T sisma	T ultimo	Comb.	Pga	Tr	Ind. taglio	M gravità	M sisma	M ultimo	Comb.	Pga	Tr	Ind. momento	Ver
0.25	37.5	16.75	66.21	SLV 1	0.26	2114	1.389	-30.0368	-41.895	-63.656	SLV 1	0.16	499	0.768	No
1.1	24.81	16.75	46.64	SLV 1	0.26	2114	1.389	-8.8493	-31.049	-12.3417	SLV 1	0.03	8	0.141	No
2.75	0.18	16.75	64.04	SLV 1	0.26	2114	1.389	16.7596	-3.4107	-8.1246	SLV 1	0.26	2114	1.389	Si
5.25	-37.14	-16.75	-66.18	SLV 16	0.26	2114	1.389	-29.1246	-41.8576	-63.5919	SLV 16	0.16	538	0.792	No

Indicatori di rischio sismico SLD resistenza

x	T gravità	T sisma	T ultimo	Comb.	Pga	Tr	Ind. taglio	M gravità	M sisma	M ultimo	Comb.	Pga	Tr	Ind. momento	Ver
0.25	37.5	7.18	66.21	SLD 1	0.26	2110	3.477	-30.0368	-17.9629	-63.656	SLD 1	0.16	511	1.944	Si
1.1	24.81	7.18	46.64	SLD 1	0.26	2110	3.477	-8.8493	-13.3126	-12.3417	SLD 1	0.03	8	0.354	No
2.75	0.18	7.18	64.04	SLD 1	0.26	2110	3.477	16.7596	-1.4623	-8.1246	SLD 1	0.26	2110	3.477	Si
5.25	-37.14	-7.18	-66.18	SLD 16	0.26	2110	3.477	-29.1246	-17.9469	-63.5919	SLD 16	0.17	550	2.003	Si

Campata 4 tra i fili P13 - P14, sezione R 60x22, asta 59

Verifiche a flessione in famiglia SLV

x	A sup.	C.b. sup.	A inf.	C.b. inf.	M+ela	Comb.	M+des	M+ult	x/d	coeff	M-ela	Comb.	M-des	M-ult	x/d	coeff	Verifica
0	0.00174	0.04	0.000389	0.04							-63.5618	SLV 17	-55.4189	-56.0108	0.532	1.01	Si
0.25	0.001616	0.04	0.000419	0.04							-47.9288	SLV 17	-47.9288	-53.1896	0.472	1.11	Si
1.1	0.000214	0.039	0.001385	0.04	-3.1285	SLV 4	1.9793	45.9443	0.462	23.21	-5.5218	SLV 17	-14.076	-9.8883	0.206	0.7	No
2.75	0.000101	0.037	0.001385	0.04	27.4112	SLV 17	27.4112	45.1734	0.507	1.65							Si
5.25	0.001614	0.04	0.000419	0.04							-46.5453	SLV 18	-46.5453	-53.1421	0.471	1.14	Si
5.5	0.00174	0.04	0.000389	0.04							-62.04	SLV 18	-53.9663	-56.0108	0.532	1.04	Si

Verifiche a flessione in famiglia SLV

E' attiva l'opzione fattori parziali di sicurezza unitari per meccanismi duttili di strutture esistenti con fattore q

x	A sup.	C.b. sup.	A inf.	C.b. inf.	M+ela	Comb.	M+des	M+ult	x/d	coeff	M-ela	Comb.	M-des	M-ult	x/d	coeff	Verifica
0	0.00174	0.04	0.000389	0.04	6.4154	SLV 16	6.4154	18.7356	0.207	2.92	-85.9365	SLV 1	-78.7389	-67.5815	0.408	0.86	No
0.25	0.001616	0.04	0.000419	0.04	11.9899	SLV 16	15.864	19.8209	0.208	1.25	-71.9497	SLV 1	-71.9497	-63.656	0.362	0.88	No
1.28	0.000132	0.038	0.001385	0.04	25.4314	SLV 16	26.1627	54.9398	0.379	2.1	-23.7376	SLV 1	-31.942	-9.3003	0.193	0.29	No
2.75	0.000101	0.037	0.001385	0.04	17.245	SLV 1	20.3547	54.8136	0.389	2.69							Si
5.25	0.001614	0.04	0.000419	0.04	13.0218	SLV 1	16.827	19.8206	0.208	1.18	-71.2837	SLV 16	-71.2837	-63.5919	0.361	0.89	No
5.5	0.00174	0.04	0.000389	0.04	7.5322	SLV 1	7.5322	18.7356	0.207	2.49	-85.1856	SLV 16	-78.0304	-67.5815	0.408	0.87	No

Verifiche SLD Resistenza a flessione

x	A sup.	C.b. sup.	A inf.	C.b. inf.	M+ela	Comb.	M+des	M+ult	x/d	coeff	M-ela	Comb.	M-des	M-ult	x/d	coeff	Verifica
0	0.00174	0.04	0.000389	0.04							-59.5573	SLD 1	-53.5612	-67.5815	0.408	1.26	Si
0.25	0.001616	0.04	0.000419	0.04							-47.9735	SLD 1	-47.9735	-63.656	0.362	1.33	Si
1.1	0.000214	0.039	0.001385	0.04	8.4136	SLD 16	11.6455	55.2135	0.354	4.74	-15.3115	SLD 1	-22.1238	-12.3417	0.198	0.56	No
2.75	0.000101	0.037	0.001385	0.04	17.1912	SLD 1	18.3557	54.8136	0.389	2.99							Si
5.25	0.001614	0.04	0.000419	0.04							-47.2022	SLD 16	-47.2022	-63.5919	0.361	1.35	Si
5.5	0.00174	0.04	0.000389	0.04							-58.7011	SLD 16	-52.7474	-67.5815	0.408	1.28	Si

Verifiche a taglio in famiglia SLU

x	A st	A sl	A sag	Vela	Comb.	Vdes	Vrd	Vrcd	Vrsd	Vult	cotgθ	coeff	Verifica
0	0	0.001616	0	65.89	SLU 17	65.89	67.5	111.88	0	67.5	2.5	1.02	Si
0.25	0.000005	0.001524	0	59.92	SLU 17	59.92	66.21	111.9	46.37	66.21	2.5	1.1	Si
0.73	0.000005	0.000605	0	48.39	SLU 17	48.39	48.65	111.93	46.39	48.65	2.5	1.01	Si
2.75	0.000005	0.001385	0	0.28	SLU 17	0.28	64.04	111.66	46.28	64.04	2.5	231.37	Si
5.25	0.000005	0.001522	0	-59.37	SLU 18	-59.37	-66.18	-111.9	-46.37	-66.18	2.5	1.11	Si
5.5	0	0.001614	0	-65.33	SLU 18	-65.33	-67.48	-111.88	0	-67.48	2.5	1.03	Si

Verifiche a taglio in famiglia SLV

x	A st	A sl	A sag	Vela	Comb.	Vdes	Vrd	Vrcd	Vrsd	Vult	cotgθ	coeff	Verifica
0	0	0.001616	0	58.05	SLV 1	58.05	67.5	111.88	0	67.5	2.5	1.16	Si
0.25	0.000005	0.001524	0	54.31	SLV 1	54.31	66.21	111.9	46.37	66.21	2.5	1.22	Si
0.73	0.000005	0.000605	0	47.1	SLV 1	47.1	48.65	111.93	46.39	48.65	2.5	1.03	Si
2.75	0.000005	0.001385	0	16.99	SLV 1	16.99	64.04	111.66	46.28	64.04	2.5	3.77	Si
2.75	0.000005	0.001385	0	-16.65	SLV 16	-16.65	-64.04	-111.66	-46.28	-64.04	2.5	3.85	Si
5.25	0.000005	0.001522	0	-53.97	SLV 16	-53.97	-66.18	-111.9	-46.37	-66.18	2.5	1.23	Si
5.5	0	0.001614	0	-57.71	SLV 16	-57.71	-67.48	-111.88	0	-67.48	2.5	1.17	Si

Verifiche SLD Resistenza a taglio

x	A st	A sl	A sag	Vela	Comb.	Vdes	Vrd	Vrcd	Vrsd	Vult	cotgθ	coeff	Verifica
0	0	0.001616	0	48.43	SLD 1	48.43	67.5	111.88	0	67.5	2.5	1.39	Si
0.25	0.000005	0.001524	0	44.7	SLD 1	44.7	66.21	111.9	46.37	66.21	2.5	1.48	Si
0.73	0.000005	0.000605	0	37.49	SLD 1	37.49	48.65	111.93	46.39	48.65	2.5	1.3	Si
2.75	0.000005	0.001385	0	7.38	SLD 1	7.38	64.04	111.66	46.28	64.04	2.5	8.67	Si
2.75	0.000005	0.001385	0	-7.04	SLD 16	-7.04	-64.04	-111.66	-46.28	-64.04	2.5	9.09	Si
5.25	0.000005	0.001522	0	-44.36	SLD 16	-44.36	-66.18	-111.9	-46.37	-66.18	2.5	1.49	Si
5.5	0	0.001614	0	-48.09	SLD 16	-48.09	-67.48	-111.88	0	-67.48	2.5	1.4	Si

Verifiche taglio ciclico nel piano Circolare 7 21-01-19 §C8.7.2.3.5, [C8.7.2.8]

Ascissa	Lv	x	h	p.tot	θ _m	θ _y	μΔ.pl	Vrd	VRcd(cotθ=1)	VRsd	Vw	Vr	Vu	Ved	Ned	Comb.	Verifica
12.75	1.991	0.065	0.22	0.016	0.00442	0.00455	0	66.21	162.25	46.37	18.55	28.67	66.21	54.31	0	SLV 1	Si
17.75	1.988	0.065	0.22	0.016	0.00439	0.00455	0	66.18	162.25	46.37	18.55	28.67	66.18	-53.97	0	SLV 16	Si

Indicatori di rischio sismico SLV

x	T gravità	T sisma	T ultimo	Comb.	Pga	Tr	Ind. taglio	M gravità	M sisma	M ultimo	Comb.	Pga	Tr	Ind. momento	Ver
0.25	37.49	16.82	66.21	SLV 1	0.26	2114	1.389	-29.9799	-41.9698	-63.656	SLV 1	0.16	499	0.768	No
1.1	24.8	16.82	46.64	SLV 1	0.26	2114	1.389	-8.8006	-31.0759	-12.3417	SLV 1	0.03	8	0.141	No
2.75	0.17	16.82	64.04	SLV 1	0.26	2114	1.389	16.8562	-3.4985	-8.1246	SLV 16	0.26	2114	1.389	Si
5.25	-37.15	-16.82	-66.18	SLV 16	0.26	2114	1.389	-29.131	-42.1527	-63.5919	SLV 16	0.16	527	0.786	No

Indicatori di rischio sismico SLD resistenza

x	T gravità	T sisma	T ultimo	Comb.	Pga	Tr	Ind. taglio	M gravità	M sisma	M ultimo	Comb.	Pga	Tr	Ind. momento	Ver
0.25	37.49	7.21	66.21	SLD 1	0.26	2110	3.477	-29.9799	-17.9936	-63.656	SLD 1	0.16	511	1.944	Si
1.1	24.8	7.21	46.64	SLD 1	0.26	2110	3.477	-8.8006	-13.3232	-12.3417	SLD 1	0.03	8	0.354	No
2.75	0.17	7.21	64.04	SLD 1	0.26	2110	3.477	16.8562	-1.4995	-8.1246	SLD 16	0.26	2110	3.477	Si
5.25	-37.15	-7.21	-66.18	SLD 16	0.26	2110	3.477	-29.131	-18.0712	-63.5919	SLD 16	0.16	539	1.987	Si

Campata 5 tra i fili P14 - P15, sezione R 60x22, asta 60

Verifiche a flessione in famiglia SLU

x	A sup.	C.b. sup.	A inf.	C.b. inf.	M+ela	Comb.	M+des	M+ult	x/d	coeff	M-ela	Comb.	M-des	M-ult	x/d	coeff	Verifica
0	0.00174	0.04	0.000389	0.04							-63.764	SLU 17	-55.5985	-56.0108	0.532	1.01	Si
0.25	0.001616	0.04	0.000419	0.04							-48.0858	SLU 17	-48.0858	-53.1896	0.472	1.11	Si
2.75	0.000101	0.037	0.001385	0.04	27.7069	SLU 18	27.7069	45.1734	0.507	1.63							Si
4.4	0.000101	0.037	0.001385	0.04	-2.2849	SLU 1	3.3384	45.1734	0.507	13.53	-4.014	SLU 18	-12.4194	-6.2359	0.2	0.5	No
5.25	0.00087	0.04	0.000616	0.04							-45.7964	SLU 18	-45.7964	-30.9335	0.252	0.68	No
5.5	0.00087	0.04	0.000616	0.04							-61.2457	SLU 18	-53.1947	-30.9335	0.252	0.58	No

Verifiche a flessione in famiglia SLV

E' attiva l'opzione fattori parziali di sicurezza unitari per meccanismi duttili di strutture esistenti con fattore q

x	A sup.	C.b. sup.	A inf.	C.b. inf.	M+ela	Comb.	M+des	M+ult	x/d	coeff	M-ela	Comb.	M-des	M-ult	x/d	coeff	Verifica
0	0.00174	0.04	0.000389	0.04	5.9091	SLV 16	5.9091	18.7356	0.207	3.17	-85.7508	SLV 1	-78.5686	-67.5815	0.408	0.86	No
0.25	0.001616	0.04	0.000419	0.04	11.5774	SLV 16	15.5275	19.8209	0.208	1.28	-71.7948	SLV 1	-71.7948	-63.656	0.362	0.89	No
2.75	0.000101	0.037	0.001385	0.04	17.6033	SLV 12	20.5535	54.8136	0.389	2.67							Si
4.4	0.000101	0.037	0.001385	0.04	24.6078	SLV 1	25.8495	54.8136	0.389	2.12	-29.595	SLV 16	-38.2088	-8.1246	0.191	0.21	No
5.25	0.00087	0.04	0.000616	0.04	12.5619	SLV 1	16.3921	27.0763	0.213	1.65	-69.8188	SLV 16	-69.8188	-36.6111	0.235	0.52	No
5.5	0.00087	0.04	0.000616	0.04	7.0416	SLV 1	7.0416	27.0763	0.213	3.85	-83.6268	SLV 16	-76.5186	-36.6111	0.235	0.48	No

Verifiche SLD Resistenza a flessione

x	A sup.	C.b. sup.	A inf.	C.b. inf.	M+ela	Comb.	M+des	M+ult	x/d	coeff	M-ela	Comb.	M-des	M-ult	x/d	coeff	Verifica
0	0.00174	0.04	0.000389	0.04							-59.5739	SLD 1	-53.5751	-67.5815	0.408	1.26	Si
0.25	0.001616	0.04	0.000419	0.04							-47.9847	SLD 1	-47.9847	-63.656	0.362	1.33	Si
2.75	0.000101	0.037	0.001385	0.04	17.446	SLD 12	18.4933	54.8136	0.389	2.96							Si
4.4	0.000101	0.037	0.001385	0.04	9.1303	SLD 1	12.289	54.8136	0.389	4.46	-14.1175	SLD 16	-20.8142	-8.1246	0.191	0.39	No
5.25	0.00087	0.04	0.000616	0.04							-46.2944	SLD 16	-46.2944	-36.6111	0.235	0.79	No
5.5	0.00087	0.04	0.000616	0.04							-57.7356	SLD 16	-51.8108	-36.6111	0.235	0.71	No

Verifiche a taglio in famiglia SLU

x	A st	A sl	A sag	Vela	Comb.	Vdes	Vrd	Vrcd	Vrsd	Vult	cotgθ	coeff	Verifica
0				66.07	SLU 17	66.07	67.5	111.88		67.5	2.5	1.02	Si
0.25	0.000005	0.001524	0	60.1	SLU 17	60.1	66.21	111.9	46.37	66.21	2.5	1.1	Si
2.75	0.000005	0.001385	0	0.46	SLU 17	0.46	64.04	111.66	46.28	64.04	2.5	139.85	Si
5.25	0.000005	0.00087	0	-59.19	SLU 18	-59.19	-54.92	-111.88	-46.37	-54.92	2.5	0.93	No
5.5	0	0.00087	0	-65.15	SLU 18	-65.15	-54.92	-111.88	0	-54.92	2.5	0.84	Si

Verifiche a taglio in famiglia SLV

x	A st	A sl	A sag	Vela	Comb.	Vdes	Vrd	Vrcd	Vrsd	Vult	cotgθ	coeff	Verifica
0				57.92	SLV 1	57.92	67.5	111.88		67.5	2.5	1.17	Si
0.25	0.000005	0.001524	0	54.19	SLV 1	54.19	66.21	111.9	46.37	66.21	2.5	1.22	Si
2.75	0.000005	0.001385	0	16.87	SLV 1	16.87	64.04	111.66	46.28	64.04	2.5	3.8	Si
2.75	0.000005	0.001385	0	-16.28	SLV 16	-16.28	-64.04	-111.66	-46.28	-64.04	2.5	3.93	Si
5.25	0.000005	0.00087	0	-53.6	SLV 16	-53.6	-54.92	-111.88	-46.37	-54.92	2.5	1.02	Si
5.5	0	0.00087	0	-57.33	SLV 16	-57.33	-54.92	-111.88	0	-54.92	2.5	0.96	Si

Verifiche SLD Resistenza a taglio

x	A st	A sl	A sag	Vela	Comb.	Vdes	Vrd	Vrcd	Vrsd	Vult	cotgθ	coeff	Verifica
0				48.46	SLD 1	48.46	67.5	111.88		67.5	2.5	1.39	Si
0.25	0.000005	0.001524	0	44.72	SLD 1	44.72	66.21	111.9	46.37	66.21	2.5	1.48	Si
2.75	0.000005	0.001385	0	7.4	SLD 1	7.4	64.04	111.66	46.28	64.04	2.5	8.65	Si
2.75	0.000005	0.001385	0	-6.81	SLD 16	-6.81	-64.04	-111.66	-46.28	-64.04	2.5	9.4	Si
5.25	0.000005	0.00087	0	-44.13	SLD 16	-44.13	-54.92	-111.88	-46.37	-54.92	2.5	1.24	Si
5.5	0	0.00087	0	-47.86	SLD 16	-47.86	-54.92	-111.88	0	-54.92	2.5	1.15	Si

Verifiche taglio ciclico nel piano Circolare 7 21-01-19 §C8.7.2.3.5, [C8.7.2.8]

Ascissa	Lv	x	h	p.tot	θ _m	θ _y	μΔ.pl	Vrd	VRcd(cotθ=1)	VRsd	Vw	Vr	Vu	Ved	Ned	Comb.	Verifica
18.25	1.993	0.065	0.22	0.016	0.00441	0.0047	0	66.21	162.25	46.37	18.55	28.67	66.21	54.19	0	SLV 1	Si
23.25	1.96	0.042	0.22	0.011	0.00423	0.00456	0	54.92	162.22	46.37	18.55	24.88	54.92	-53.6	0	SLV 16	Si

Indicatori di rischio sismico SLV

x	T gravità	T sisma	T ultimo	Comb.	Pga	Tr	Ind. taglio	M gravità	M sisma	M ultimo	Comb.	Pga	Tr	Ind. momento	Ver
0.25	37.61	16.58	66.21	SLV 1	0.26	2114	1.389	-30.1087	-41.6861	-63.656	SLV 1	0.16	503	0.771	No
2.75	0.3	16.58	64.04	SLV 1	0.26	2114	1.389	16.9486	-3.6049	-8.1246	SLV 1	0.26	2114	1.389	Si
4.4	-24.33	-16.58	-47.05	SLV 16	0.26	2114	1.389	-7.7509	-30.4579	-8.1246	SLV 16	0	0	0	No
5.25	-37.02	-16.58	-54.92	SLV 16	0.22	1207	1.104	-28.6285	-41.1904	-36.6111	SLV 16	0.04	21	0.21	No

Indicatori di rischio sismico SLD resistenza

x	T gravità	T sisma	T ultimo	Comb.	Pga	Tr	Ind. taglio	M gravità	M sisma	M ultimo	Comb.	Pga	Tr	Ind. momento	Ver
0.25	37.61	7.11	66.21	SLD 1	0.26	2110	3.477	-30.1087	-17.876	-63.656	SLD 1	0.16	515	1.95	Si
2.75	0.3	7.11	64.04	SLD 1	0.26	2110	3.477	16.9486	-1.5447	-8.1246	SLD 1	0.26	2110	3.477	Si
4.4	-24.33	-7.11	-47.05	SLD 16	0.26	2110	3.477	-7.7509	-13.0633	-8.1246	SLD 16	0	0	0	No
5.25	-37.02	-7.11	-54.92	SLD 16	0.22	1234	2.79	-28.6285	-17.666	-36.6111	SLD 16	0.04	22	0.535	No

Campata 6 tra i fili P15 - F14, sezione R 60x22, asta 61

Verifiche a flessione in famiglia SLU

x	A sup.	C.b. sup.	A inf.	C.b. inf.	M+ela	Comb.	M+des	M+ult	x/d	coeff	M-ela	Comb.	M-des	M-ult	x/d	coeff	Verifica
0	0.00087	0.04	0.000616	0.04							-20.5227	SLU 17	-16.1872	-30.9335	0.252	1.91	Si

x	A sup.	C.b. sup.	A inf.	C.b. inf.	M+ela	Comb.	M+des	M+ult	x/d	coeff	M-ela	Comb.	M-des	M-ult	x/d	coeff	Verifica
0.25	0.000817	0.04	0.000616	0.04							-12.583	SLV 17	-12.583	-29.2169	0.246	2.32	Si
1.05	0.000408	0.039	0.000616	0.04	2.8645	SLV 18	4.3437	22.7015	0.226	5.23							Si
1.95	0.00011	0.038	0.000616	0.04	1.9679	SLV 18	3.858	22.7224	0.231	5.89							Si
2.1	0.000031	0.037	0.000616	0.04							-0.0577	SLV 8	-0.0577	-3.8278	0.179	66.38	Si

Verifiche a flessione in famiglia SLV

E' attiva l'opzione fattori parziali di sicurezza unitari per meccanismi duttili di strutture esistenti con fattore q

x	A sup.	C.b. sup.	A inf.	C.b. inf.	M+ela	Comb.	M+des	M+ult	x/d	coeff	M-ela	Comb.	M-des	M-ult	x/d	coeff	Verifica
0	0.00087	0.04	0.000616	0.04	47.9434	SLV 16	46.9164	27.0763	0.213	0.58	-73.6866	SLV 1	-67.2305	-36.6111	0.235	0.54	No
0.25	0.000817	0.04	0.000616	0.04	45.4319	SLV 16	45.4319	27.072	0.212	0.6	-61.2319	SLV 1	-61.2319	-34.6244	0.23	0.57	No
0.84	0.00042	0.039	0.000616	0.04	35.8357	SLV 16	39.7146	27.0176	0.206	0.68	-35.5077	SLV 1	-43.7515	-19.8299	0.195	0.45	No
1.05	0.000408	0.039	0.000616	0.04	31.163	SLV 16	35.6767	27.0147	0.206	0.76	-27.6088	SLV 1	-35.2178	-19.398	0.194	0.55	No
1.95	0.00011	0.038	0.000616	0.04	3.6774	SLV 16	10.9175	26.8932	0.194	2.46	-1.2178	SLV 1	-6.0988	-8.2176	0.173	1.35	Si
2.1	0.000031	0.037	0.000616	0.04	2.0131	SLV 1	0.605	26.8341	0.189	44.35	-2.0766	SLV 16	-0.902	-5.227	0.167	5.79	Si

Verifiche SLD Resistenza a flessione

x	A sup.	C.b. sup.	A inf.	C.b. inf.	M+ela	Comb.	M+des	M+ult	x/d	coeff	M-ela	Comb.	M-des	M-ult	x/d	coeff	Verifica
0	0.00087	0.04	0.000616	0.04	13.2878	SLD 16	13.2878	27.0763	0.213	2.04	-39.0309	SLD 1	-34.7069	-36.6111	0.235	1.05	Si
0.25	0.000817	0.04	0.000616	0.04	15.0404	SLD 16	15.7831	27.072	0.212	1.72	-30.8403	SLD 1	-30.8403	-34.6244	0.23	1.12	Si
0.49	0.000655	0.04	0.000616	0.04	15.8627	SLD 16	15.94	27.0561	0.211	1.7	-23.8376	SLD 1	-29.6854	-28.6162	0.215	0.96	No
1.05	0.000408	0.039	0.000616	0.04	14.4167	SLD 16	15.4764	27.0147	0.206	1.75	-10.8624	SLD 1	-15.0175	-19.398	0.194	1.29	Si
1.95	0.00011	0.038	0.000616	0.04	2.2814	SLD 16	6.068	26.8932	0.194	4.43	0.1782	SLD 1	-1.2493	-8.2176	0.173	6.58	Si
2.1	0.000031	0.037	0.000616	0.04	0.8492	SLD 1	0.6463	26.8341	0.189	41.52	-0.9127	SLD 16	-0.7666	-5.227	0.167	6.82	Si

Verifiche a taglio in famiglia SLU

x	A st	A sl	A sag	Vela	Comb.	Vdes	Vrd	Vrcd	Vrsd	Vult	cotgθ	coeff	Verifica
0	0	0.000817	0	34.8	SLU 17	34.8	53.77	111.88	0	53.77	2.5	1.55	Si
0.25	0.0000053	0.000702	0	28.83	SLU 17	28.83	51.14	111.89	49.1	51.14	2.5	1.77	Si
1.05	0.0000053	0.000616	0	9.75	SLU 17	9.75	48.87	111.66	49	49	2.5	5.03	Si
1.95	0.0000053	0.000616	0	-11.72	SLU 18	-11.72	-48.87	-111.66	-49	-49	2.5	4.18	Si
2.1	0	0.00011	0	-15.3	SLU 18	-15.3	-37.27	-113.52	0	-37.27	2.5	2.44	Si

Verifiche a taglio in famiglia SLV

x	A st	A sl	A sag	Vela	Comb.	Vdes	Vrd	Vrcd	Vrsd	Vult	cotgθ	coeff	Verifica
0	0	0.000817	0	51.72	SLV 1	51.72	53.77	111.88	0	53.77	2.5	1.04	Si
0	0	0.000616	0	-8.14	SLV 16	-8.14	-48.87	-111.66	0	-48.87	2.5	6	Si
0.25	0.0000053	0.000702	0	47.99	SLV 1	47.99	51.14	111.89	49.1	51.14	2.5	1.07	Si
0.25	0.0000053	0.000616	0	-11.88	SLV 16	-11.88	-48.87	-111.66	-49	-49	2.5	4.13	Si
1.05	0.0000053	0.000408	0	36.05	SLV 1	36.05	42.74	112.12	49.2	49.2	2.5	1.36	Si
1.05	0.0000053	0.000616	0	-23.82	SLV 16	-23.82	-48.87	-111.66	-49	-49	2.5	2.06	Si
1.95	0.0000053	0.00011	0	22.61	SLV 1	22.61	37.05	112.84	49.51	49.51	2.5	2.19	Si
1.95	0.0000053	0.000616	0	-37.25	SLV 16	-37.25	-48.87	-111.66	-49	-49	2.5	1.32	Si
2.1	0	0.000616	0	20.37	SLV 1	20.37	48.87	111.66	0	48.87	2.5	2.4	Si
2.1	0	0.00011	0	-39.49	SLV 16	-39.49	-37.27	-113.52	0	-37.27	2.5	0.94	Si

Verifiche SLD Resistenza a taglio

x	A st	A sl	A sag	Vela	Comb.	Vdes	Vrd	Vrcd	Vrsd	Vult	cotgθ	coeff	Verifica
0	0	0.000817	0	34.66	SLD 1	34.66	53.77	111.88	0	53.77	2.5	1.55	Si
0.25	0.0000053	0.000702	0	30.93	SLD 1	30.93	51.14	111.89	49.1	51.14	2.5	1.65	Si
1.05	0.0000053	0.000408	0	18.99	SLD 1	18.99	42.74	112.12	49.2	49.2	2.5	2.59	Si
1.05	0.0000053	0.000616	0	-6.76	SLD 16	-6.76	-48.87	-111.66	-49	-49	2.5	7.25	Si
1.95	0.0000053	0.000616	0	5.56	SLD 1	5.56	48.87	111.66	49	49	2.5	8.82	Si
1.95	0.0000053	0.000616	0	-20.2	SLD 16	-20.2	-48.87	-111.66	-49	-49	2.5	2.43	Si
2.1	0	0.000616	0	3.32	SLD 1	3.32	48.87	111.66	0	48.87	2.5	14.74	Si
2.1	0	0.00011	0	-22.44	SLD 16	-22.44	-37.27	-113.52	0	-37.27	2.5	1.66	Si

Verifiche taglio ciclico nel piano Circolare 7 21-01-19 §C8.7.2.3.5, [C8.7.2.8]

Ascissa	Lv	x	h	p,tot	θ,m	θ,y	μΔ,pl	Vrd	Vrcd(cotθ=1)	Vrsd	Vw	Vr	Vu	Ved	Ned	Comb.	Verifica
23.75	2.004	0.041	0.22	0.011	0.00422	0.00452	0	51.14	162.24	49.1	19.64	25.83	51.14	47.99	0	SLV 1	Si
25.45	1.05	0.035	0.22	0.005	0.00022	0.00903	0	48.87	161.91	49	19.6	21.63	49	-37.25	0	SLV 16	Si

Indicatori di rischio sismico SLV

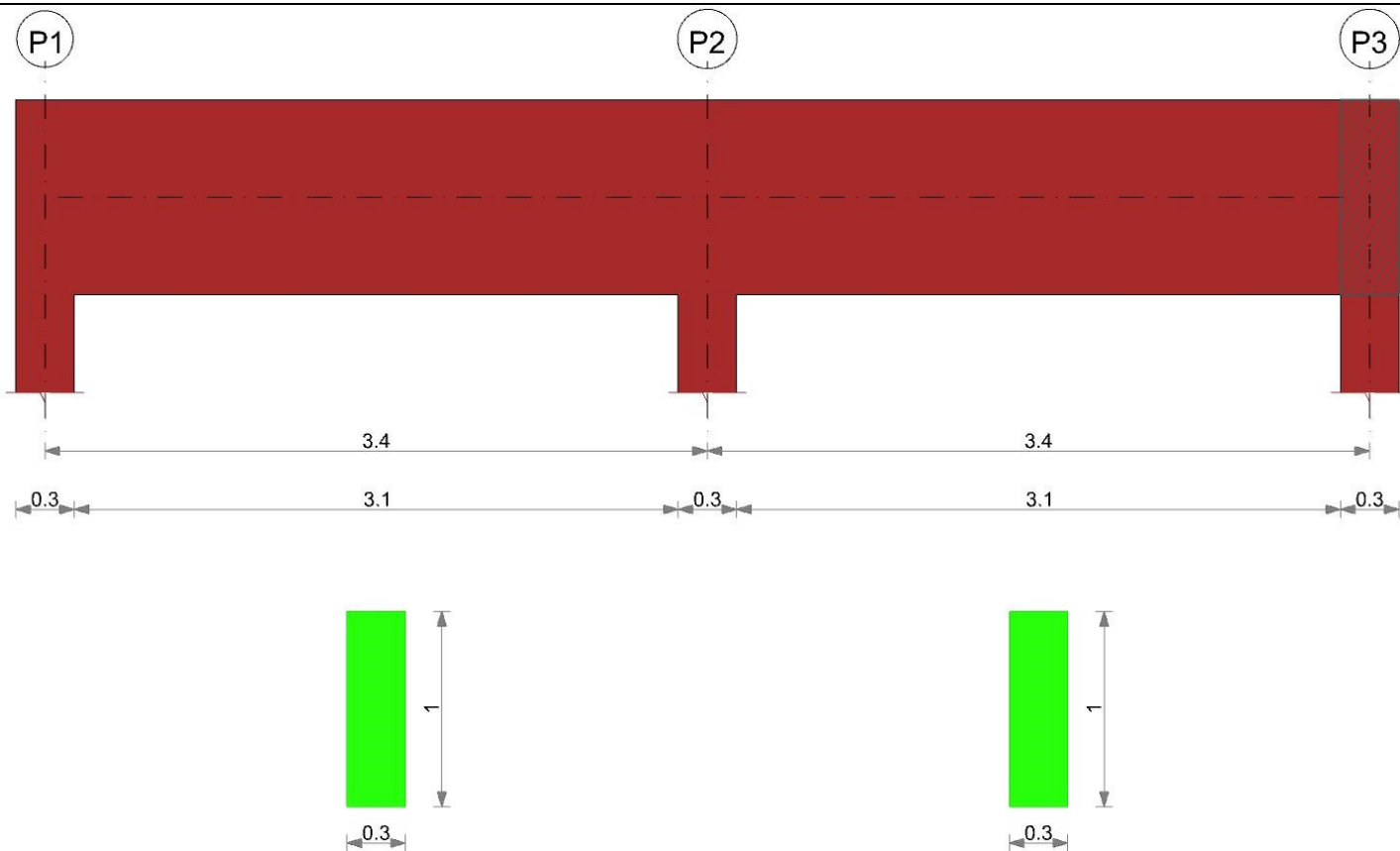
x	T gravità	T sisma	T ultimo	Comb.	Pga	Tr	Ind. taglio	M gravità	M sisma	M ultimo	Comb.	Pga	Tr	Ind. momento	Ver
0.25	18.06	29.93	51.14	SLV 1	0.22	1300	1.138	-7.9	-53.3319	-34.6244	SLV 1	0.1	144	0.462	No
0.49	14.47	29.93	49.12	SLV 1	0.23	1508	1.209	-7.2279	-52.2094	-28.6162	SLV 1	0.08	89	0.379	No
1.05	6.11	29.93	49.2	SLV 1	0.26	2114	1.389	0.2294	-35.4472	-19.398	SLV 1	0.11	185	0.512	No
1.95	-7.32	-29.93	-49	SLV 16	0.26	2114	1.389	1.2298	-2.4476	-8.2176	SLV 1	0.26	2114	1.389	Si

Indicatori di rischio sismico SLD resistenza

x	T gravità	T sisma	T ultimo	Comb.	Pga	Tr	Ind. taglio	M gravità	M sisma	M ultimo	Comb.	Pga	Tr	Ind. momento	Ver
0.25	18.06	12.88	51.14	SLD 1	0.22	1317	2.866	-7.9	-22.9404	-34.6244	SLD 1	0.1	146	1.163	Si
0.49	14.47	12.88	49.12	SLD 1	0.23	1527	3.045	-7.2279	-22.4575	-28.6162	SLD 1	0.08	90	0.954	No
1.05	6.11	12.88	49.2	SLD 1	0.26	2110	3.477	0.2294	-15.247	-19.398	SLD 1	0.11	187	1.287	Si
1.95	-7.32	-12.88	-49	SLD 16	0.26	2110	3.477	1.2298	-1.0516	-8.2176	SLD 1	0.26	2110	3.477	Si

Trave a "Piano 3" P1-P3

Geometria



Caratteristiche dei materiali

Acciaio: Vigone_FeB22k_LC2 Fym 313700 Livello di conoscenza LC2 Fattore di confidenza 1.2

Calcestruzzo: C14/17 LC2 Vigone A Rcm 17000 Livello di conoscenza LC2 Fattore di confidenza 1.2

Elenco delle sezioni

N°	Descrizione	Tipo	Base	Altezza	Copriferro sup.	Copriferro inf.	Copriferro lat.
1	R 30x100	Rettangolare	0.3	1	0.025	0.025	0.025

Diagramma verifica stato limite ultimo flessione

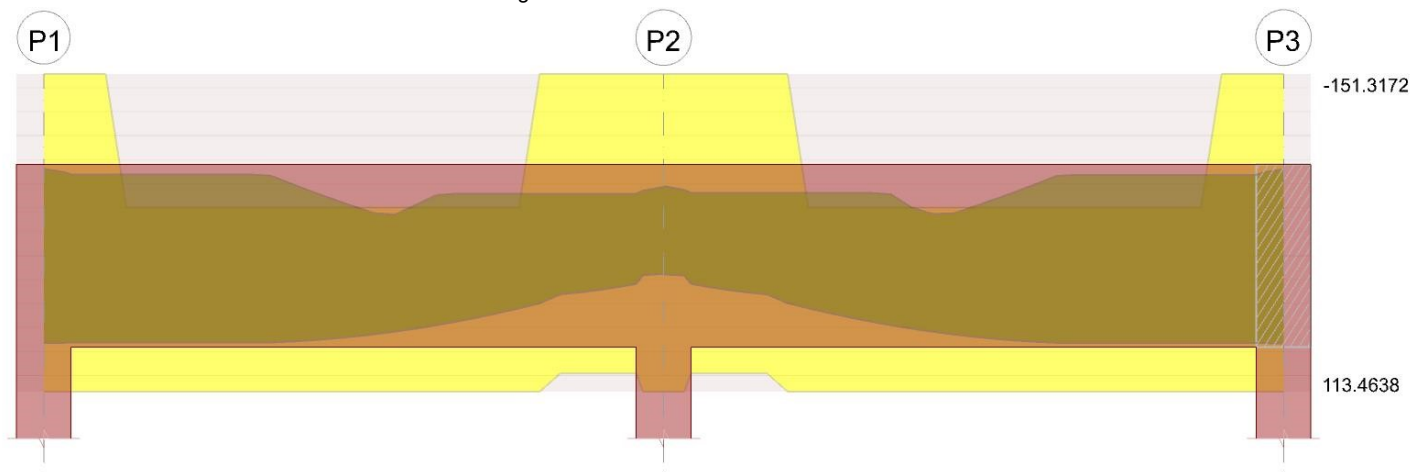


Diagramma verifica stato limite ultimo taglio

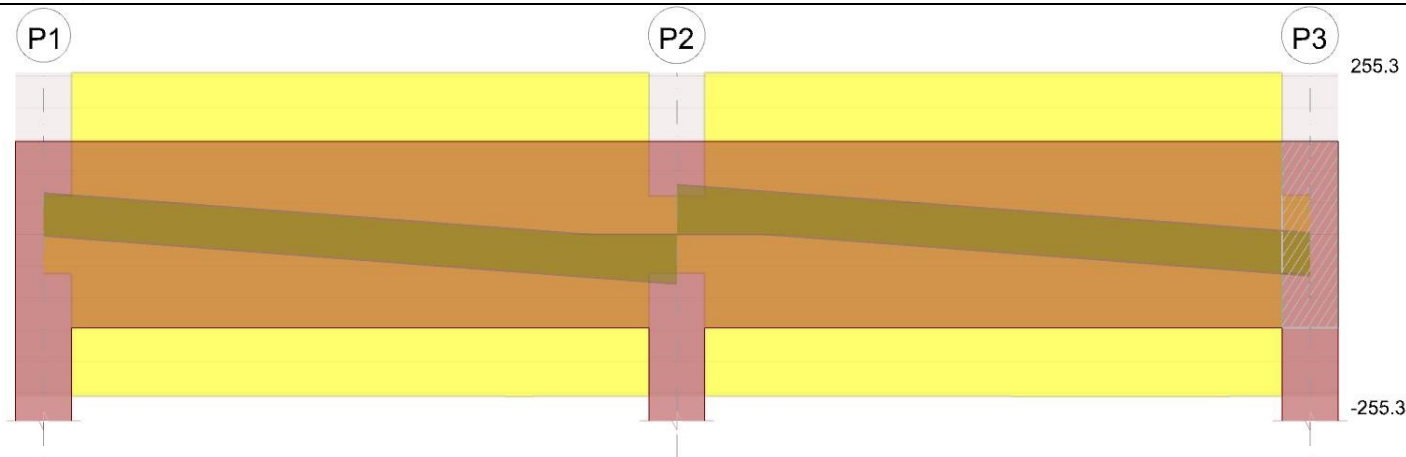
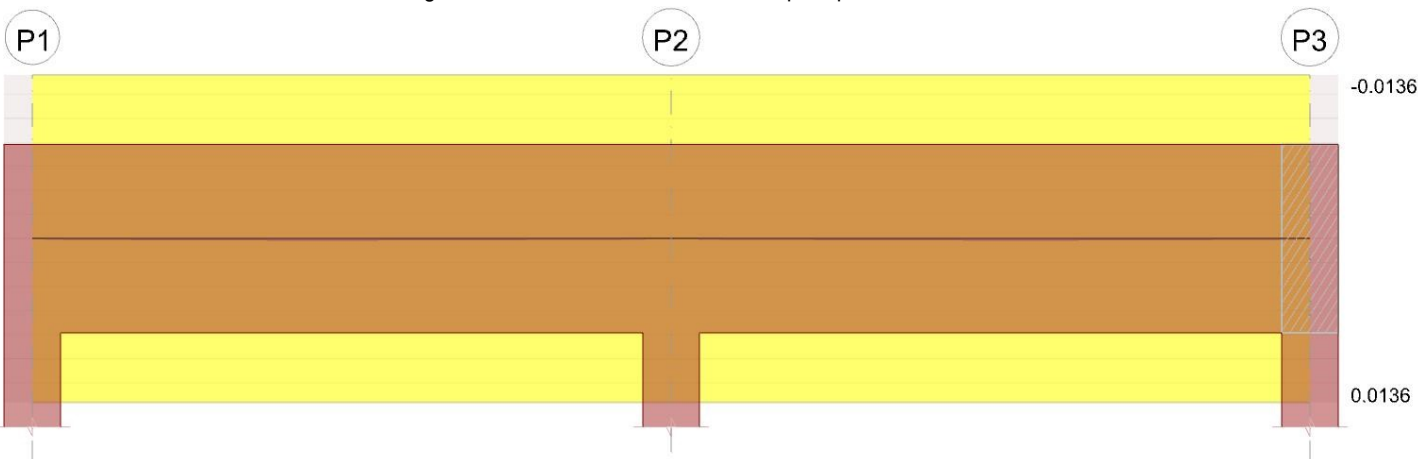


Diagramma verifica stato limite esercizio quasi permanente freccia



Output campate

Campata 1 tra i fili P1 - P2, sezione R 30x100, asta 68

Verifiche a flessione in famiglia SLU

x	A sup.	C.b. sup.	A inf.	C.b. inf.	M+ela	Comb.	M+des	M+ult	x/d	coeff	M-ela	Comb.	M-des	M-ult	x/d	coeff	Verifica
0	0.000619	0.039	0.000462	0.04							-3.3438	SLU 17	-0.6443	-131.1008	0.051	203.48	Si
0.15	0.000619	0.039	0.000462	0.04	4.2222	SLU 18	33.8658	98.1766	0.045	2.9							Si
1.7	0.000157	0.038	0.000462	0.04	32.9464	SLU 18	34.4734	98.2314	0.051	2.85	18.7604	SLU 1	-1.2172	-34.4078	0.038	28.27	Si
2.61	0.000157	0.038	0.000462	0.04	7.3999	SLU 18	34.2129	98.2314	0.051	2.87	4.1282	SLU 1	-29.7253	-34.4078	0.038	1.16	Si
3.25	0.000619	0.039	0.000462	0.04	-17.1113	SLU 4	23.5721	98.1766	0.045	4.16	-29.7253	SLU 17	-29.7253	-131.1008	0.051	4.41	Si
3.4	0.000619	0.039	0.000462	0.04							-40.5764	SLU 17	-34.9638	-131.1008	0.051	3.75	Si

Verifiche a flessione in famiglia SLV

E' attiva l'opzione fattori parziali di sicurezza unitari per meccanismi duttili di strutture esistenti con fattore q

x	A sup.	C.b. sup.	A inf.	C.b. inf.	M+ela	Comb.	M+des	M+ult	x/d	coeff	M-ela	Comb.	M-des	M-ult	x/d	coeff	Verifica
0	0.000619	0.039	0.000462	0.04	73.1202	SLV 16	72.9354	113.4175	0.043	1.56	-77.099	SLV 1	-72.2482	-151.3172	0.049	2.09	Si
0.15	0.000619	0.039	0.000462	0.04	72.5289	SLV 16	72.5289	113.4175	0.043	1.56	-67.6156	SLV 1	-67.6156	-151.3172	0.049	2.24	Si
0.57	0.000157	0.038	0.000462	0.04	68.3694	SLV 16	72.5289	113.4638	0.046	1.56	-43.7931	SLV 1	-67.6156	-40.0167	0.035	0.59	No
1.7	0.000157	0.038	0.000462	0.04	37.4164	SLV 16	67.5176	113.4638	0.046	1.68	1.2332	SLV 1	-41.0638	-40.0167	0.035	0.97	No
3.25	0.000619	0.039	0.000462	0.04	16.5938	SLV 1	17.8798	113.4175	0.043	6.34	-51.6653	SLV 16	-51.6653	-151.3172	0.049	2.93	Si
3.4	0.000619	0.039	0.000462	0.04	15.2476	SLV 1	15.2476	113.4175	0.043	7.44	-63.0805	SLV 16	-57.2652	-151.3172	0.049	2.64	Si

Verifiche SLD Resistenza a flessione

x	A sup.	C.b. sup.	A inf.	C.b. inf.	M+ela	Comb.	M+des	M+ult	x/d	coeff	M-ela	Comb.	M-des	M-ult	x/d	coeff	Verifica
0	0.000619	0.039	0.000462	0.04	30.3352	SLD 16	30.3352	113.4175	0.043	3.74	-34.3139	SLD 1	-30.8984	-151.3172	0.049	4.9	Si
0.15	0.000619	0.039	0.000462	0.04	32.6152	SLD 16	36.8617	113.4175	0.043	3.08	-27.702	SLD 1	-27.702	-151.3172	0.049	5.46	Si
1.7	0.000157	0.038	0.000462	0.04	27.1314	SLD 16	36.8617	113.4638	0.046	3.08	11.5182	SLD 1	-10.146	-40.0167	0.035	3.94	Si
2.61	0.000157	0.038	0.000462	0.04	9.6695	SLD 1	30.3683	113.4638	0.046	3.74	-1.0768	SLD 16	-32.1805	-40.0167	0.035	1.24	Si
3.25	0.000619	0.039	0.000462	0.04	-2.8909	SLD 1	15.2397	113.4175	0.043	7.44	-32.1805	SLD 16	-32.1805	-151.3172	0.049	4.7	Si
3.4	0.000619	0.039	0.000462	0.04							-40.726	SLD 16	-36.3443	-151.3172	0.049	4.16	Si

Verifiche a taglio in famiglia SLU

x	A st	A sl	A sag	Vela	Comb.	Vdes	Vrd	Vrcd	Vrsd	Vult	cotgθ	coeff	Verifica
0	0	0.000157	0	53.64	SLU 17	53.64	60.78	297.93	0	60.78	2.5	1.13	Si
0.15	0.0000052	0.000462	0	47.95	SLU 17	47.95	62.18	297.77	254.77	254.77	2.5	5.31	Si
1.7	0.0000052	0.000462	0	-10.95	SLU 18	-10.95	-62.18	-297.77	-254.77	-254.77	2.5	23.26	Si
3.25	0.0000052	0.000157	0	-69.85	SLU 18	-69.85	-60.78	-297.93	-254.9	-254.9	2.5	3.65	Si
3.4	0	0.000157	0	-75.55	SLU 18	-75.55	-60.78	-297.93	0	-60.78	2.5	0.8	Si

Verifiche a taglio in famiglia SLV

x	A st	A sl	A sag	Vela	Comb.	Vdes	Vrd	Vrcd	Vrsd	Vult	cotgθ	coeff	Verifica
0	0	0.000157	0	65.12	SLV 1	65.12	60.78	297.93	0	60.78	2.5	0.93	Si
0	0	0.000462	0	-2.07	SLV 16	-2.07	-62.18	-297.77	0	-62.18	2.5	30.06	Si
0.15	0.0000052	0.000157	0	61.77	SLV 1	61.77	60.78	297.93	254.9	254.9	2.5	4.13	Si
0.15	0.0000052	0.000462	0	-5.42	SLV 16	-5.42	-62.18	-297.77	-254.77	-254.77	2.5	47.01	Si
1.7	0.0000052	0.000462	0	27.14	SLV 1	27.14	62.18	297.77	254.77	254.77	2.5	9.39	Si
1.7	0.0000052	0.000462	0	-40.04	SLV 16	-40.04	-62.18	-297.77	-254.77	-254.77	2.5	6.36	Si
3.25	0.0000052	0.000157	0	-74.67	SLV 16	-74.67	-60.78	-297.93	-254.9	-254.9	2.5	3.41	Si

x	A st	A sl	A sag	Vela	Comb.	Vdes	Vrd	Vrcd	Vrsd	Vult	cotgθ	coeff	Verifica
3.4	0	0.000157	0	-78.02	SLV 16	-78.02	-60.78	-297.93	0	-60.78	2.5	0.78	Si

Verifiche SLD Resistenza a taglio

x	A st	A sl	A sag	Vela	Comb.	Vdes	Vrd	Vrcd	Vrsd	Vult	cotgθ	coeff	Verifica
0	0	0.000157	0	45.97	SLD 1	45.97	60.78	297.93	0	60.78	2.5	1.32	Si
0.15	0.0000052	0.000157	0	42.62	SLD 1	42.62	60.78	297.93	254.9	254.9	2.5	5.98	Si
1.7	0.0000052	0.000462	0	8	SLD 1	8	62.18	297.77	254.77	254.77	2.5	31.87	Si
1.7	0.0000052	0.000462	0	-20.89	SLD 16	-20.89	-62.18	-297.77	-254.77	-254.77	2.5	12.19	Si
3.25	0.0000052	0.000157	0	-55.52	SLD 16	-55.52	-60.78	-297.93	-254.9	-254.9	2.5	4.59	Si
3.4	0	0.000157	0	-58.87	SLD 16	-58.87	-60.78	-297.93	0	-60.78	2.5	1.03	Si

Verifiche taglio ciclico nel piano Circolare 7 21-01-19 §C8.7.2.3.5, [C8.7.2.8]

Ascissa	Lv	x	h	p_tot	θ_m	θ_y	μΔpl	Vrd	VRcd(cotθ=1)	VRsd	Vw	Vr	Vu	Ved	Ned	Comb.	Verifica
0.3	1.656	0.047	1	0.004	0.00012	0.00737	0	60.78	431.99	254.9	101.96	126.69	254.9	61.77	0	SLV 1	Si
3.4	0.935	0.047	1	0.004	0.00006	0.00737	0	60.78	431.99	254.9	101.96	132.66	254.9	-74.67	0	SLV 16	Si

Indicatori di rischio sismico SLV

x	T gravità	T sisma	T ultimo	Comb.	Pga	Tr	Ind. taglio	M gravità	M sisma	M ultimo	Comb.	Pga	Tr	Ind. momento	Ver
0.15	28.17	33.59	254.9	SLV 1	0.26	2114	1.389	2.4566	70.0723	113.4175	SLV 16	0.26	2114	1.389	Si
1.7	-6.45	-33.59	-254.77	SLV 16	0.26	2114	1.389	13.2269	-54.2907	-40.0167	SLV 1	0.2	896	0.977	No
3.25	-41.07	-33.59	-254.9	SLV 16	0.26	2114	1.389	-17.5357	34.1295	113.4175	SLV 1	0.26	2114	1.389	Si

Indicatori di rischio sismico SLD resistenza

x	T gravità	T sisma	T ultimo	Comb.	Pga	Tr	Ind. taglio	M gravità	M sisma	M ultimo	Comb.	Pga	Tr	Ind. momento	Ver
0.15	28.17	14.44	254.9	SLD 1	0.26	2110	3.477	2.4566	30.1586	113.4175	SLD 16	0.26	2110	3.477	Si
1.7	-6.45	-14.44	-254.77	SLD 16	0.26	2110	3.477	13.2269	-23.3729	-40.0167	SLD 1	0.2	905	2.457	Si
3.25	-41.07	-14.44	-254.9	SLD 16	0.26	2110	3.477	-17.5357	14.6448	113.4175	SLD 1	0.26	2110	3.477	Si

Campata 2 tra i fili P2 - P3, sezione R 30x100, asta 69

Verifiche a flessione in famiglia SLU

x	A sup.	C.b. sup.	A inf.	C.b. inf.	M+ela	Comb.	M+des	M+ult	x/d	coeff	M-ela	Comb.	M-des	M-ult	x/d	coeff	Verifica
0	0.000619	0.039	0.000462	0.04							-40.7842	SLU 17	-35.1592	-131.1008	0.051	3.73	Si
0.15	0.000619	0.039	0.000462	0.04	-17.2327	SLU 4	23.569	98.1766	0.045	4.17	-29.9082	SLU 17	-29.9082	-131.1008	0.051	4.38	Si
0.91	0.000157	0.038	0.000462	0.04	12.2445	SLU 18	34.5863	98.2314	0.051	2.84	6.896	SLU 1	-29.9082	-34.4078	0.038	1.15	Si
1.7	0.000157	0.038	0.000462	0.04	33.0215	SLU 18	34.6051	98.2314	0.051	2.84	18.8113	SLU 1	-1.2969	-34.4078	0.038	26.53	Si
3.25	0.000619	0.039	0.000462	0.04	4.5554	SLU 17	34.0191	98.1766	0.045	2.89							Si
3.4	0.000619	0.039	0.000462	0.04							-2.9856	SLU 18	-0.972	-131.1008	0.051	134.88	Si

Verifiche a flessione in famiglia SLV

E' attiva l'opzione fattori parziali di sicurezza unitari per meccanismi duttili di strutture esistenti con fattore q

x	A sup.	C.b. sup.	A inf.	C.b. inf.	M+ela	Comb.	M+des	M+ult	x/d	coeff	M-ela	Comb.	M-des	M-ult	x/d	coeff	Verifica
0	0.000619	0.039	0.000462	0.04	15.6098	SLV 16	15.6098	113.4175	0.043	7.27	-63.7511	SLV 1	-57.9267	-151.3172	0.049	2.61	Si
0.15	0.000619	0.039	0.000462	0.04	16.9648	SLV 16	18.5443	113.4175	0.043	6.12	-52.3069	SLV 1	-52.3069	-151.3172	0.049	2.89	Si
1.7	0.000157	0.038	0.000462	0.04	37.2572	SLV 1	67.6515	113.4638	0.046	1.68	1.5105	SLV 16	-40.8085	-40.0167	0.035	0.98	No
2.27	0.000157	0.038	0.000462	0.04	56.4568	SLV 1	72.7842	113.4638	0.046	1.56	-17.4107	SLV 16	-67.3637	-40.0167	0.035	0.59	No
3.25	0.000619	0.039	0.000462	0.04	72.7842	SLV 1	72.7842	113.4175	0.043	1.56	-67.3637	SLV 16	-67.3637	-151.3172	0.049	2.25	Si
3.4	0.000619	0.039	0.000462	0.04	73.4144	SLV 1	73.2105	113.4175	0.043	1.55	-76.8483	SLV 16	-71.9973	-151.3172	0.049	2.1	Si

Verifiche SLD Resistenza a flessione

x	A sup.	C.b. sup.	A inf.	C.b. inf.	M+ela	Comb.	M+des	M+ult	x/d	coeff	M-ela	Comb.	M-des	M-ult	x/d	coeff	Verifica
0	0.000619	0.039	0.000462	0.04							-41.1929	SLD 1	-36.7995	-151.3172	0.049	4.11	Si
0.15	0.000619	0.039	0.000462	0.04	-2.7222	SLD 16	15.7335	113.4175	0.043	7.21	-32.6199	SLD 1	-32.6199	-151.3172	0.049	4.64	Si
0.91	0.000157	0.038	0.000462	0.04	11.27	SLD 14	32.1304	113.4638	0.046	3.53	3.0073	SLD 3	-32.6199	-40.0167	0.035	1.23	Si
1.7	0.000157	0.038	0.000462	0.04	27.0488	SLD 1	36.9734	113.4638	0.046	3.07	11.7189	SLD 16	-9.9047	-40.0167	0.035	4.04	Si
3.25	0.000619	0.039	0.000462	0.04	32.8613	SLD 1	36.9734	113.4175	0.043	3.07	-27.4408	SLD 16	-27.4408	-151.3172	0.049	5.51	Si
3.4	0.000619	0.039	0.000462	0.04	30.6126	SLD 1	30.6126	113.4175	0.043	3.7	-34.0465	SLD 16	-30.6342	-151.3172	0.049	4.94	Si

Verifiche a taglio in famiglia SLU

x	A st	A sl	A sag	Vela	Comb.	Vdes	Vrd	Vrcd	Vrsd	Vult	cotgθ	coeff	Verifica
0	0	0.000157	0	75.71	SLU 17	75.71	60.78	297.93	0	60.78	2.5	0.8	Si
0.15	0.0000052	0.000157	0	70.01	SLU 17	70.01	60.78	297.93	254.9	254.9	2.5	3.64	Si
1.7	0.0000052	0.000462	0	11.12	SLU 17	11.12	62.18	297.77	254.77	254.77	2.5	22.92	Si
3.25	0.0000052	0.000462	0	-47.78	SLU 18	-47.78	-62.18	-297.77	-254.77	-254.77	2.5	5.33	Si
3.4	0	0.000157	0	-53.48	SLU 18	-53.48	-60.78	-297.93	0	-60.78	2.5	1.14	Si

Verifiche a taglio in famiglia SLV

x	A st	A sl	A sag	Vela	Comb.	Vdes	Vrd	Vrcd	Vrsd	Vult	cotgθ	coeff	Verifica
0	0	0.000157	0	78.28	SLV 1	78.28	60.78	297.93	0	60.78	2.5	0.78	Si
0.15	0.0000052	0.000157	0	74.93	SLV 1	74.93	60.78	297.93	254.9	254.9	2.5	3.4	Si
1.7	0.0000052	0.000462	0	40.31	SLV 1	40.31	62.18	297.77	254.77	254.77	2.5	6.32	Si
1.7	0.0000052	0.000462	0	-27.16	SLV 16	-27.16	-62.18	-297.77	-254.77	-254.77	2.5	9.38	Si
3.25	0.0000052	0.000462	0	5.68	SLV 1	5.68	62.18	297.77	254.77	254.77	2.5	44.82	Si
3.25	0.0000052	0.000157	0	-61.78	SLV 16	-61.78	-60.78	-297.93	-254.9	-254.9	2.5	4.13	Si
3.4	0	0.000462	0	2.33	SLV 1	2.33	62.18	297.77	0	62.18	2.5	26.65	Si
3.4	0	0.000157	0	-65.13	SLV 16	-65.13	-60.78	-297.93	0	-60.78	2.5	0.93	Si

Verifiche SLD Resistenza a taglio

x	A st	A sl	A sag	Vela	Comb.	Vdes	Vrd	Vrcd	Vrsd	Vult	cotgθ	coeff	Verifica
0	0	0.000157	0	59.08	SLD 1	59.08	60.78	297.93	0	60.78	2.5	1.03	Si
0.15	0.0000052	0.000157	0	55.73	SLD 1	55.73	60.78	297.93	254.9	254.9	2.5	4.57	Si
1.7	0.0000052	0.000462	0	21.1	SLD 1	21.1	62.18	297.77	254.77	254.77	2.5	12.07	Si
1.7	0.0000052	0.000462	0	-7.96	SLD 16	-7.96	-62.18	-297.77	-254.77	-254.77	2.5	32.02	Si
3.25	0.0000052	0.000157	0	-42.58	SLD 16	-42.58	-60.78	-297.93	-254.9	-254.9	2.5	5.99	Si
3.4	0	0.000157	0	-45.93	SLD 16	-45.93	-60.78	-297.93	0	-60.78	2.5	1.32	Si

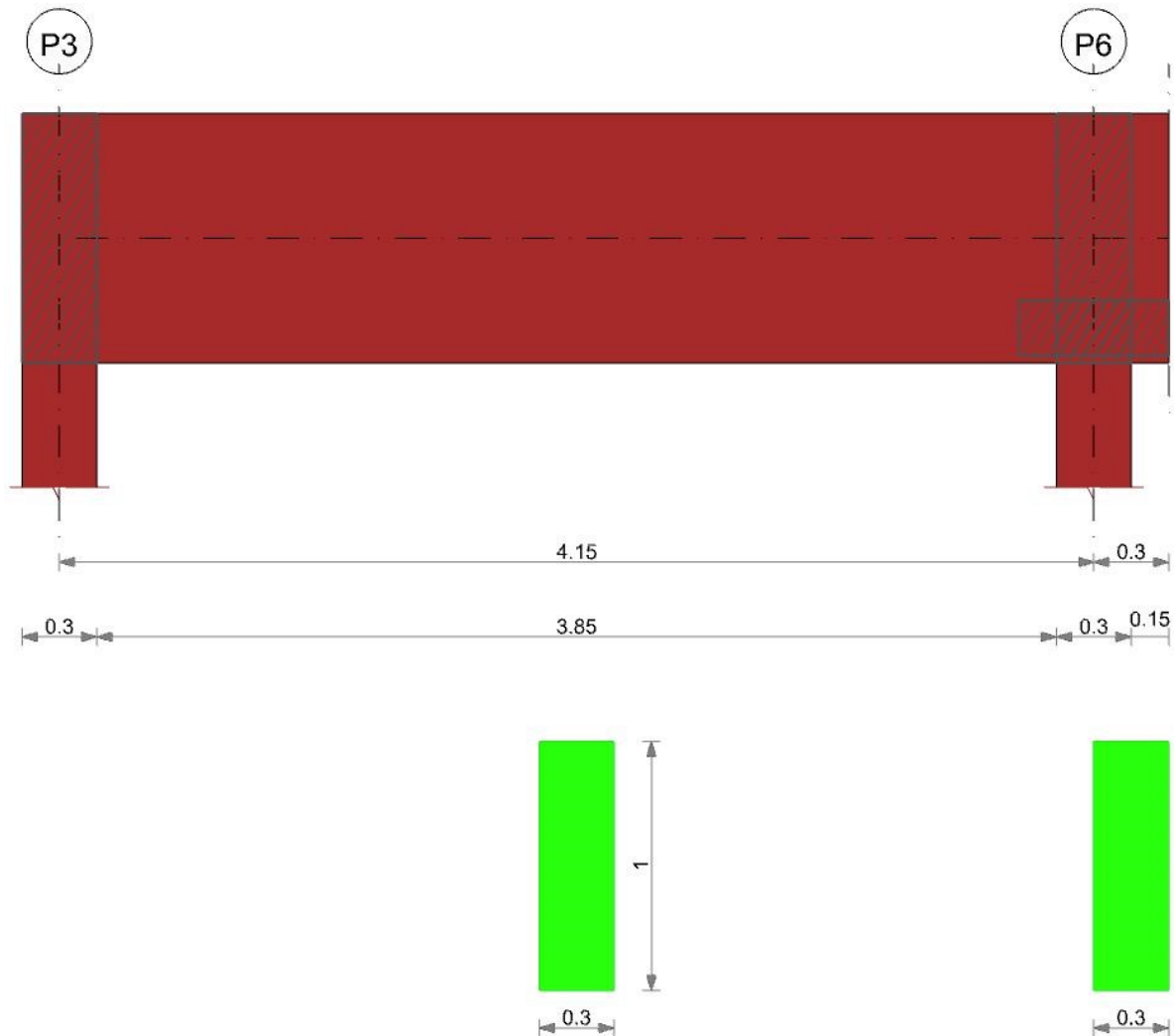
Verifiche taglio ciclico nel piano Circolare 7 21-01-19 §C8.7.2.3.5, [C8.7.2.8]

Ascissa	Lv	x	h	p_tot	θ_m	θ_y	μΔpl	Vrd	VRcd(cotθ=1)	VRsd	Vw	Vr	Vu	Ved	Ned	Comb.	Verifica
3.7	0.918	0.047	1	0.004	0.00006	0.00737	0	60.78	431.99	254.9	101.96	132.8	254.9	74.93	0	SLV 1	Si
6.8	1.647	0.047	1	0.004	0.00011	0.00737	0	60.78	431.99	254.9	101.96	126.77	254.9	-61.78	0	SLV	

x	T gravità	T sisma	T ultimo	Comb.	Pga	Tr	Ind. taglio	M gravità	M sisma	M ultimo	Comb.	Pga	Tr	Ind. momento	Ver
1.7	6.57	14.53	254.77	SLD 1	0.26	2110	3.477	13.4215	-23.3262	-40.0167	SLD 16	0.2	920	2.474	Si
3.25	-28.05	-14.53	-254.9	SLD 16	0.26	2110	3.477	2.7102	30.151	113.4175	SLD 1	0.26	2110	3.477	Si

Trave a "Piano 3" P3-P6

Geometria



Caratteristiche dei materiali

Acciaio: Vigone_FeB22k_LC2 Fym 313700 Livello di conoscenza LC2 Fattore di confidenza 1.2

Calcestruzzo: C14/17 LC2 Vigone A Rcm 17000 Livello di conoscenza LC2 Fattore di confidenza 1.2

Elenco delle sezioni

N°	Descrizione	Tipo	Base	Altezza	Copriferro sup.	Copriferro inf.	Copriferro lat.
1	R 30x100	Rettangolare	0.3	1	0.025	0.025	0.025

Diagramma verifica stato limite ultimo flessione

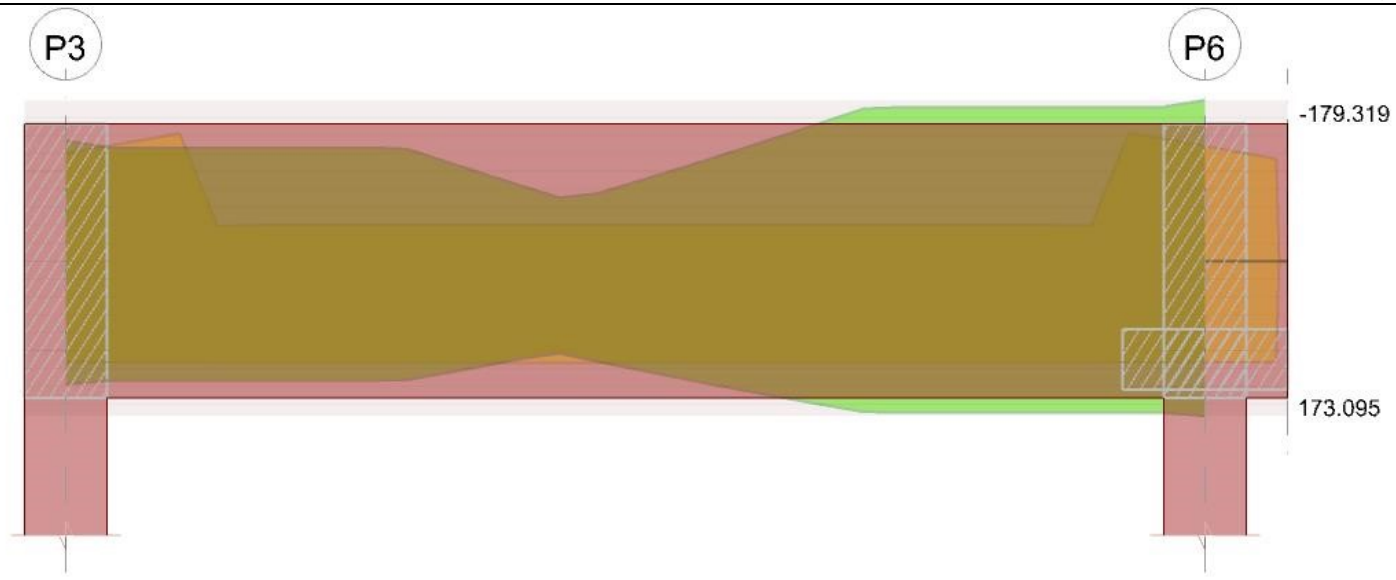


Diagramma verifica stato limite ultimo taglio

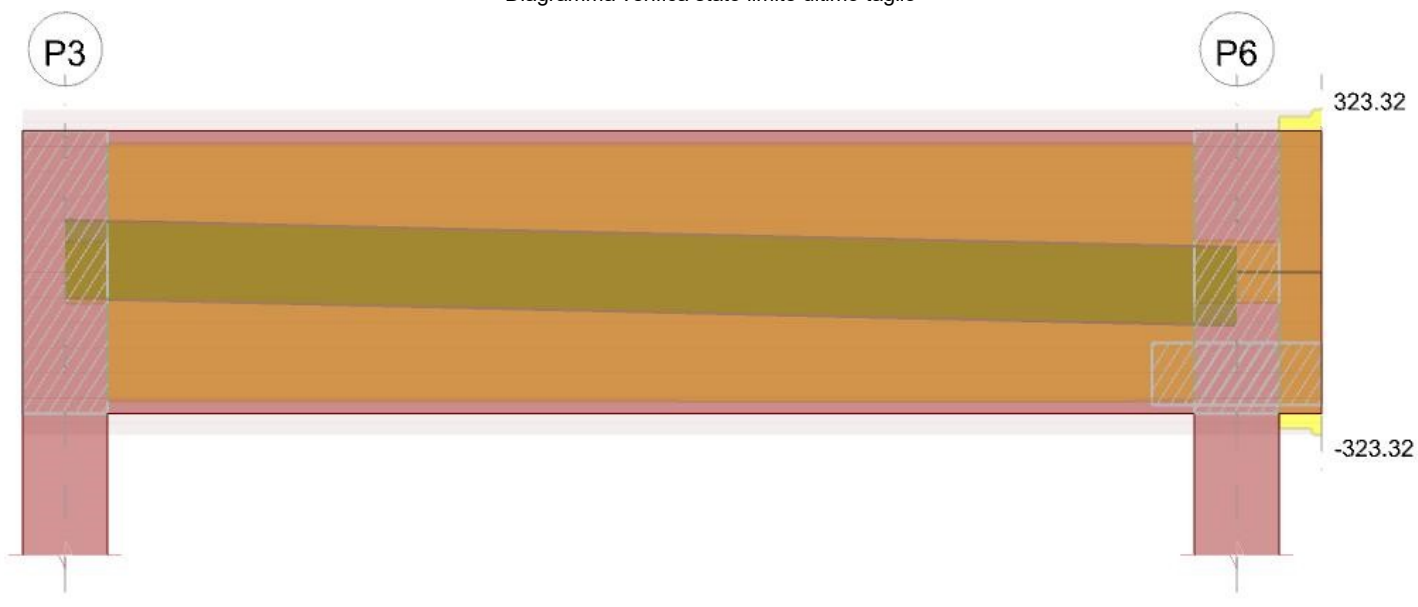


Diagramma verifica stato limite esercizio quasi permanente freccia



Output campate

Campata 1 tra i fili P3 - P6, sezione R 30x100, asta 70

Verifiche a flessione in famiglia SLU

x	A sup.	C.b. sup.	A inf.	C.b. inf.	M+ela	Comb.	M+des	M+ult	x/d	coeff	M-ela	Comb.	M-des	M-ult	x/d	coeff	Verifica
0	0.000489	0.04	0.000462	0.04	0.3457	SLU 9	0.3457	98.1656	0.046	283.97	-1.006	SLU 12	-1.006	-103.8042	0.047	103.19	Si
0.15	0.000522	0.04	0.000462	0.04	5.7559	SLU 18	35.526	98.1689	0.046	2.76							Si
2.08	0.000157	0.038	0.000462	0.04	41.5607	SLU 12	41.5777	98.2314	0.051	2.36							Si
2.63	0.000157	0.038	0.000462	0.04	37.4213	SLU 12	41.5777	98.2314	0.051	2.36							Si
4	0.000556	0.04	0.000462	0.04	-0.8966	SLU 11	32.5982	98.172	0.046	3.01	-1.7255	SLU 8	-1.7255	-117.9068	0.049	68.33	Si
4.15	0.000522	0.04	0.000462	0.04							-8.3725	SLU 18	-4.9344	-110.8559	0.048	22.47	Si

Verifiche a flessione in famiglia SLV

E' attiva l'opzione fattori parziali di sicurezza unitari per meccanismi duttili di strutture esistenti con fattore q

x	A sup.	C.b. sup.	A inf.	C.b. inf.	M+ela	Comb.	M+des	M+ult	x/d	coeff	M-ela	Comb.	M-des	M-ult	x/d	coeff	Verifica
0	0.000489	0.04	0.000462	0.04	141.6225	SLV 9	137.704	113.4159	0.044	0.82	-141.8911	SLV 8	-134.1061	-119.908	0.045	0.89	No
0.15	0.000522	0.04	0.000462	0.04	133.6478	SLV 9	133.6478	113.4163	0.044	0.85	-126.4589	SLV 8	-126.4589	-128.0226	0.046	1.01	No
2.08	0.000157	0.038	0.000462	0.04	45.5838	SLV 8	120.8747	113.4638	0.046	0.94	5.2808	SLV 9	-87.957	-40.0167	0.035	0.45	No
3.74	0.000154	0.038	0.000462	0.04	155.0711	SLV 8	169.2181	113.4645	0.046	0.67	-144.2833	SLV 9	-171.4925	-39.1626	0.035	0.23	No
4	0.000556	0.04	0.000462	0.04	169.2181	SLV 8	169.2181	113.4173	0.044	0.67	-171.4925	SLV 9	-171.4925	-136.1354	0.047	0.79	No
4.15	0.000522	0.04	0.000462	0.04	176.8353	SLV 8	173.095	113.4163	0.044	0.66	-187.2822	SLV 9	-179.319	-128.0226	0.046	0.71	Si

Verifiche SLD Resistenza a flessione

x	A sup.	C.b. sup.	A inf.	C.b. inf.	M+ela	Comb.	M+des	M+ult	x/d	coeff	M-ela	Comb.	M-des	M-ult	x/d	coeff	Verifica
0	0.000489	0.04	0.000462	0.04	57.4809	SLD 9	57.0359	113.4159	0.044	1.99	-57.7494	SLD 8	-53.438	-119.908	0.045	2.24	Si
0.15	0.000522	0.04	0.000462	0.04	56.4532	SLD 9	56.4532	113.4163	0.044	2.01	-49.2643	SLD 8	-49.2643	-128.0226	0.046	2.6	Si
2.08	0.000157	0.038	0.000462	0.04	33.6182	SLD 8	58.8905	113.4638	0.046	1.93	17.2464	SLD 9	-25.9729	-40.0167	0.035	1.54	Si
3.74	0.000154	0.038	0.000462	0.04	66.2202	SLD 8	68.0929	113.4645	0.046	1.67	-55.4325	SLD 9	-70.3673	-39.1626	0.035	0.56	No
4	0.000556	0.04	0.000462	0.04	68.0929	SLD 8	68.0929	113.4173	0.044	1.67	-70.3673	SLD 9	-70.3673	-136.1354	0.047	1.93	Si
4.15	0.000522	0.04	0.000462	0.04	68.763	SLD 8	68.4963	113.4163	0.044	1.66	-79.2099	SLD 9	-74.7203	-128.0226	0.046	1.71	Si

Verifiche a taglio in famiglia SLU

x	A st	A sl	A sag	Vela	Comb.	Vdes	Vrd	Vrcd	Vrsd	Vult	cotgθ	coeff	Verifica
0	0	0.000157	0	42.65	SLU 12	42.65	60.76	297.8	0	60.76	2.5	1.42	Si
0.15	0.0000052	0.000462	0	39.45	SLU 12	39.45	62.18	297.77	256.41	256.41	2.5	6.5	Si
2.08	0.0000052	0.000462	0	-1.97	SLU 18	-1.97	-62.18	-297.77	-256.41	-256.41	2.5	130.05	Si
4	0.0000052	0.000157	0	-42.87	SLU 18	-42.87	-60.77	-297.87	-256.5	-256.5	2.5	5.98	Si
4.15	0	0.000157	0	-46.05	SLU 18	-46.05	-60.76	-297.84	0	-60.76	2.5	1.32	Si

Verifiche a taglio in famiglia SLV

x	A st	A sl	A sag	Vela	Comb.	Vdes	Vrd	Vrcd	Vrsd	Vult	cotgθ	coeff	Verifica
0	0	0.000157	0	103.93	SLV 8	103.93	60.76	297.8	0	60.76	2.5	0.58	Si
0	0	0.000462	0	-52.12	SLV 9	-52.12	-62.18	-297.77	0	-62.18	2.5	1.19	Si
0.15	0.0000052	0.000157	0	101.96	SLV 8	101.96	60.76	297.84	256.47	256.47	2.5	2.52	Si
0.15	0.0000052	0.000462	0	-54.08	SLV 9	-54.08	-62.18	-297.77	-256.41	-256.41	2.5	4.74	Si
2.08	0.0000052	0.000462	0	76.78	SLV 8	76.78	62.18	297.77	256.41	256.41	2.5	3.34	Si
2.08	0.0000052	0.000462	0	-79.27	SLV 9	-79.27	-62.18	-297.77	-256.41	-256.41	2.5	3.23	Si
4	0.0000052	0.000462	0	51.69	SLV 8	51.69	62.18	297.77	256.41	256.41	2.5	4.96	Si
4	0.0000052	0.000157	0	-104.35	SLV 9	-104.35	-60.77	-297.87	-256.5	-256.5	2.5	2.46	Si
4.15	0	0.000462	0	49.74	SLV 8	49.74	62.18	297.77	0	62.18	2.5	1.25	Si
4.15	0	0.000157	0	-106.3	SLV 9	-106.3	-60.76	-297.84	0	-60.76	2.5	0.57	Si

Verifiche SLD Resistenza a taglio

x	A st	A sl	A sag	Vela	Comb.	Vdes	Vrd	Vrcd	Vrsd	Vult	cotgθ	coeff	Verifica
0	0	0.000157	0	57.62	SLD 8	57.62	60.76	297.8	0	60.76	2.5	1.05	Si
0	0	0.000462	0	-5.8	SLD 9	-5.8	-62.18	-297.77	0	-62.18	2.5	10.72	Si
0.15	0.0000052	0.000157	0	55.65	SLD 8	55.65	60.76	297.84	256.47	256.47	2.5	4.61	Si
0.15	0.0000052	0.000462	0	-7.77	SLD 9	-7.77	-62.18	-297.77	-256.41	-256.41	2.5	3.3	Si
2.08	0.0000052	0.000462	0	30.46	SLD 8	30.46	62.18	297.77	256.41	256.41	2.5	8.42	Si
2.08	0.0000052	0.000462	0	-32.95	SLD 9	-32.95	-62.18	-297.77	-256.41	-256.41	2.5	7.78	Si
4	0.0000052	0.000462	0	5.38	SLD 8	5.38	62.18	297.77	256.41	256.41	2.5	47.67	Si
4	0.0000052	0.000157	0	-58.04	SLD 9	-58.04	-60.77	-297.87	-256.5	-256.5	2.5	4.42	Si
4.15	0	0.000462	0	3.43	SLD 8	3.43	62.18	297.77	0	62.18	2.5	18.14	Si
4.15	0	0.000157	0	-59.99	SLD 9	-59.99	-60.76	-297.84	0	-60.76	2.5	1.01	Si

Verifiche taglio ciclico nel piano Circolare 7 21-01-19 §C8.7.2.3.5, [C8.7.2.8]

Ascissa	Lv	x	h	p_tot	θ _m	θ _y	μΔ _{pl}	Vrd	VRCd(cotθ=1)	VRsd	Vw	Vr	Vu	Ved	Ned	Comb.	Verifica
0.3	1.509	0.044	1	0.003	0.0002	0.00777	0	60.76	431.87	256.47	102.59	128.45	256.47	101.96	0	SLV 8	Si

Ascissa	Lv	x	h	ρ_{tot}	θ_m	θ_y	$\mu\Delta_{pl}$	Vrd	VRcd(cot $\theta=1$)	VRsd	Vw	Vr	Vu	Ved	Ned	Comb.	Verifica
4.15	2.141	0.045	1	0.004	0.00033	0.00797	0	60.77	431.92	256.5	102.6	123.23	256.5	-104.35	0	SLV 9	Si

Indicatori di rischio sismico SLV

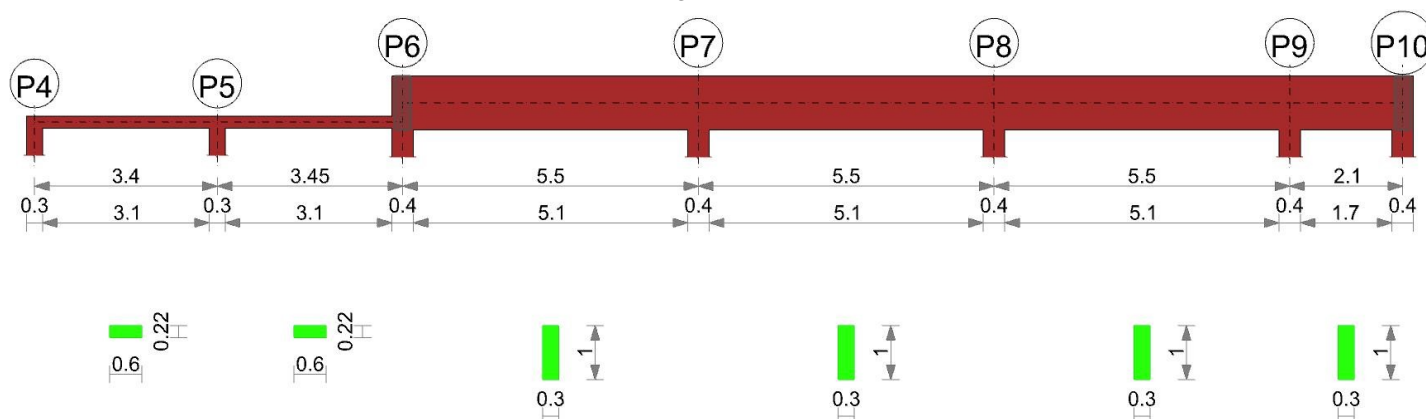
x	T gravità	T sisma	T ultimo	Comb.	Pga	Tr	Ind. taglio	M gravità	M sisma	M ultimo	Comb.	Pga	Tr	Ind. momento	Ver
0.15	23.94	78.02	256.47	SLV 8	0.26	2114	1.389	3.5944	130.0534	113.4163	SLV 9	0.17	607	0.833	No
2.08	-1.25	-78.02	-256.41	SLV 9	0.26	2114	1.389	16.4588	-104.4158	-40.0167	SLV 9	0.11	198	0.526	No
3.74	-22.88	-78.02	-256.94	SLV 9	0.26	2114	1.389	-1.1372	-170.3553	-39.1626	SLV 9	0.05	35	0.258	No
4	-26.33	-78.02	-256.5	SLV 9	0.26	2114	1.389	-1.1372	170.3553	113.4173	SLV 8	0.14	340	0.656	No

Indicatori di rischio sismico SLD resistenza

x	T gravità	T sisma	T ultimo	Comb.	Pga	Tr	Ind. taglio	M gravità	M sisma	M ultimo	Comb.	Pga	Tr	Ind. momento	Ver
0.15	23.94	31.71	256.47	SLD 8	0.26	2110	3.477	3.5944	52.8588	113.4163	SLD 9	0.17	580	2.048	Si
2.08	-1.25	-31.71	-256.41	SLD 9	0.26	2110	3.477	16.4588	-42.4317	-40.0167	SLD 9	0.11	190	1.296	Si
3.74	-22.88	-31.71	-256.94	SLD 9	0.26	2110	3.477	-1.1372	-69.2301	-39.1626	SLD 9	0.05	34	0.64	No
4	-26.33	-31.71	-256.5	SLD 9	0.26	2110	3.477	-1.1372	69.2301	113.4173	SLD 8	0.14	326	1.617	Si

Trave a "Piano 3" P4-P10

Geometria



Caratteristiche dei materiali

Acciaio: Vigone_FeB22k_LC2 Fym 313700 Livello di conoscenza LC2 Fattore di confidenza 1.2

Calcestruzzo: C14/17 LC2 Vigone A Rcm 17000 Livello di conoscenza LC2 Fattore di confidenza 1.2

Elenco delle sezioni

N°	Descrizione	Tipo	Base	Altezza	Copriferro sup.	Copriferro inf.	Copriferro lat.
1	R 60x22	Rettangolare	0.6	0.22	0.025	0.025	0.025
2	R 30x100	Rettangolare	0.3	1	0.025	0.025	0.025

Diagramma verifica stato limite ultimo flessione

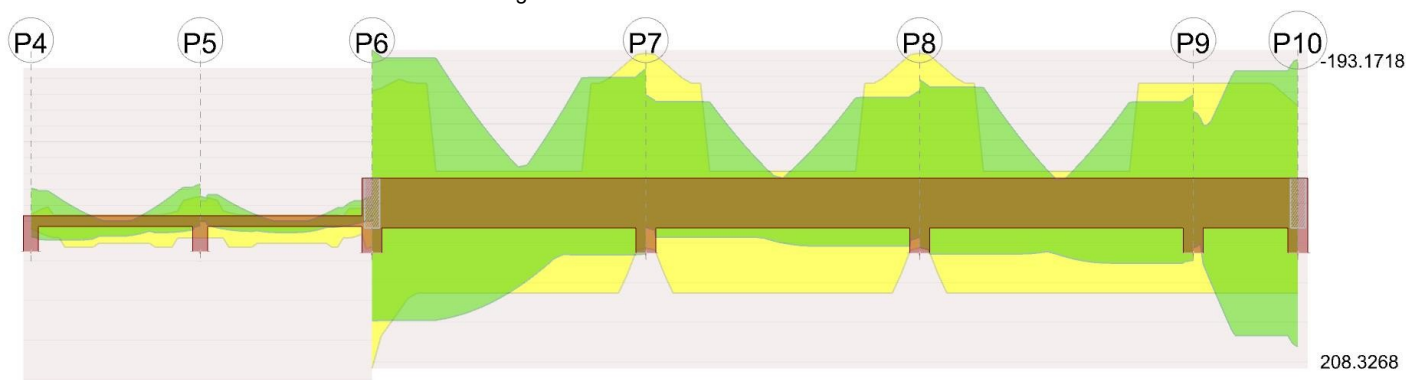


Diagramma verifica stato limite ultimo taglio

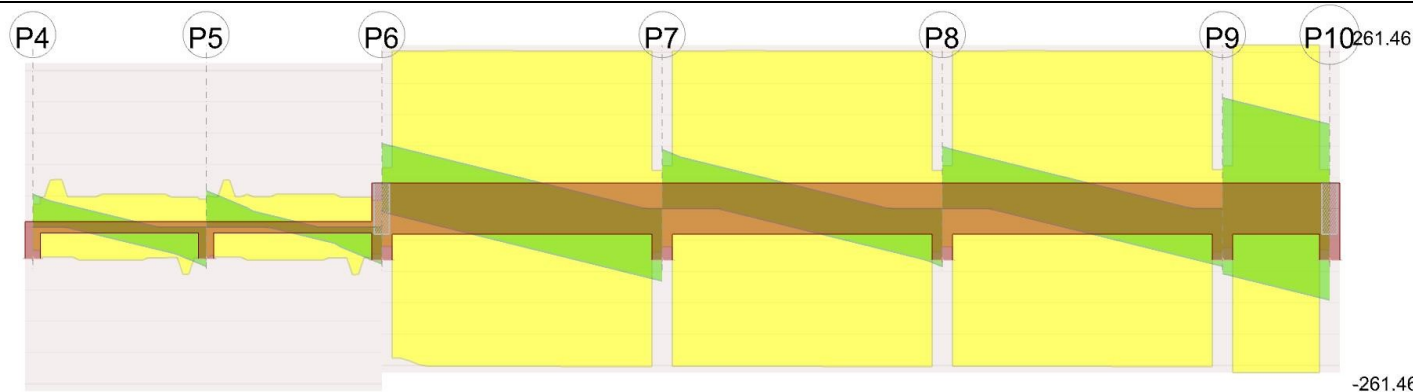
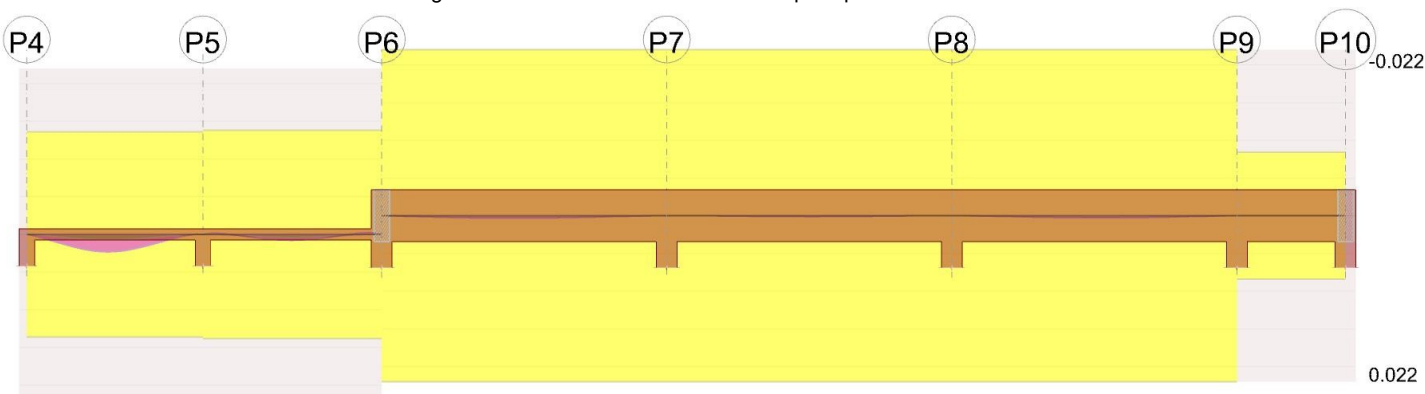


Diagramma verifica stato limite esercizio quasi permanente freccia



Output campate

Campata 1 tra i fili P4 - P5, sezione R 60x22, asta 71

Verifiche a flessione in famiglia SLU

x	A sup.	C.b. sup.	A inf.	C.b. inf.	M+ela	Comb.	M+des	M+ult	x/d	coeff	M-ela	Comb.	M-des	M-ult	x/d	coeff	Verifica
0	0.000147	0.039	0.000173	0.04							-21.9087	SLU 17	-18.0092	-6.9371	0.126	0.39	No
0.15	0.000252	0.039	0.000274	0.04							-14.443	SLU 17	-14.443	-10.8801	0.179	0.75	No
1.7	0.000101	0.037	0.00077	0.04	18.6376	SLU 18	18.9785	27.7454	0.273	1.46							Si
3.25	0.000671	0.04	0.000462	0.04							-29.7139	SLU 18	-29.7139	-24.5491	0.234	0.83	No
3.4	0.000716	0.04	0.000462	0.04							-38.6574	SLU 18	-34.019	-26.0024	0.239	0.76	No

Verifiche a flessione in famiglia SLV

E' attiva l'opzione fattori parziali di sicurezza unitari per meccanismi duttili di strutture esistenti con fattore q

x	A sup.	C.b. sup.	A inf.	C.b. inf.	M+ela	Comb.	M+des	M+ult	x/d	coeff	M-ela	Comb.	M-des	M-ult	x/d	coeff	Verifica
0	0.000147	0.039	0.000173	0.04	19.5403	SLV 16	19.5403	9.0888	0.097	0.47	-45.0951	SLV 1	-41.4918	-8.1554	0.097	0.2	No
0.15	0.000252	0.039	0.000274	0.04	21.2296	SLV 16	22.8589	13.878	0.157	0.61	-38.0828	SLV 1	-38.0828	-13.216	0.159	0.35	No
1.7	0.000101	0.037	0.00077	0.04	13.0123	SLV 16	16.7593	32.8164	0.226	1.96							Si
3.25	0.000671	0.04	0.000462	0.04	8.0462	SLV 1	10.835	21.3038	0.199	1.97	-42.6501	SLV 16	-42.6501	-29.1973	0.215	0.68	No
3.4	0.000716	0.04	0.000462	0.04	5.498	SLV 1	5.498	21.3151	0.2	3.88	-50.5213	SLV 16	-46.4887	-30.8856	0.22	0.66	No

Verifiche SLD Resistenza a flessione

x	A sup.	C.b. sup.	A inf.	C.b. inf.	M+ela	Comb.	M+des	M+ult	x/d	coeff	M-ela	Comb.	M-des	M-ult	x/d	coeff	Verifica
0	0.000147	0.039	0.000173	0.04	1.1009	SLD 16	1.1009	9.0888	0.097	8.26	-26.6557	SLD 1	-23.8117	-8.1554	0.097	0.34	No
0.15	0.000252	0.039	0.000274	0.04	4.3088	SLD 16	7.988	13.878	0.157	1.74	-21.1619	SLD 1	-21.1619	-13.216	0.159	0.62	No
1.7	0.000101	0.037	0.00077	0.04	11.7827	SLD 16	13.4798	32.8164	0.226	2.43							Si
3.25	0.000671	0.04	0.000462	0.04							-28.1882	SLD 16	-28.1882	-29.1973	0.215	1.04	Si
3.4	0.000716	0.04	0.000462	0.04							-34.5409	SLD 16	-31.2675	-30.8856	0.22	0.99	No

Verifiche a taglio in famiglia SLU

x	A st	A sl	A sag	Vela	Comb.	Vdes	Vrd	Vrcd	Vrsd	Vult	cotgθ	coeff	Verifica
0	0	0.000252	0	52.63	SLU 17	52.63	36.79	112.06	0	36.79	2.5	0.7	Si
0.15	0.0000052	0.000252	0	47.55	SLU 17	47.55	36.83	112.18	47.99	47.99	2.5	1.01	Si
1.7	0.0000052	0.00077	0	-4.93	SLU 18	-4.93	-52.65	-111.66	-47.77	-52.65	2.5	10.69	Si
3.25	0.0000052	0.000586	0	-57.4	SLU 18	-57.4	-48.15	-111.94	-47.89	-48.15	2.5	0.84	No
3.4	0	0.000671	0	-62.48	SLU 18	-62.48	-50.38	-111.92	0	-50.38	2.5	0.81	Si

Verifiche a taglio in famiglia SLV

x	A st	A sl	A sag	Vela	Comb.	Vdes	Vrd	Vrcd	Vrsd	Vult	cotgθ	coeff	Verifica
0	0	0.000252	0	48.41	SLV 1	48.41	36.79	112.06	0	36.79	2.5	0.76	Si
0.15	0.0000052	0.000252	0	45.45	SLV 1	45.45	36.83	112.18	47.99	47.99	2.5	1.06	Si
1.7	0.0000052	0.00077	0	14.88	SLV 1	14.88	52.65	111.66	47.77	52.65	2.5	3.54	Si
1.7	0.0000052	0.00077	0	-20.61	SLV 16	-20.61	-52.65	-111.66	-47.77	-52.65	2.5	2.55	Si
3.25	0.0000052	0.000586	0	-51.18	SLV 16	-51.18	-48.15	-111.94	-47.89	-48.15	2.5	0.94	No
3.4	0	0.000671	0	-54.14	SLV 16	-54.14	-50.38	-111.92	0	-50.38	2.5	0.93	Si

Verifiche SLD Resistenza a taglio

x	A st	A sl	A sag	Vela	Comb.	Vdes	Vrd	Vrcd	Vrsd	Vult	cotgθ	coeff	Verifica
0	0	0.000252	0	38.29	SLD 1	38.29	36.79	112.06	0	36.79	2.5	0.96	Si
0.15	0.0000052	0.000252	0	35.33	SLD 1	35.33	36.83	112.18	47.99	47.99	2.5	1.36	Si
1.7	0.0000052	0.00077	0	4.76	SLD 1	4.76	52.65	111.66	47.77	52.65	2.5	11.07	Si
1.7	0.0000052	0.00077	0	-10.48	SLD 16	-10.48	-52.65	-111.66	-47.77	-52.65	2.5	5.02	Si
3.25	0.0000052	0.000586	0	-41.06	SLD 16	-41.06	-48.15	-111.94	-47.89	-48.15	2.5	1.17	Si
3.4	0	0.000671	0	-44.02	SLD 16	-44.02	-50.38	-111.92	0	-50.38	2.5	1.14	Si

Verifiche taglio ciclico nel piano Circolare 7 21-01-19 §C8.7.2.3.5, [C8.7.2.8]

Ascissa	Lv	x	h	p.tot	θ_m	θ_y	$\mu\Delta_{pl}$	Vrd	VRcd(cot $\theta=1$)	VRsd	Vw	Vr	Vu	Ved	Ned	Comb.	Verifica
0.3	1.25	0.029	0.22	0.002	0.00166	0.00818	0	36.83	162.65	47.99	19.2	20.59	47.99	45.45	0	SLV 1	Si
3.4	1.193	0.039	0.22	0.009	0.00161	0.00458	0	48.15	162.32	47.89	19.16	23.6	48.15	-51.18	0	SLV 16	No

Indicatori di rischio sismico SLV

x	T gravità	T sisma	T ultimo	Comb.	Pga	Tr	Ind. taglio	M gravità	M sisma	M ultimo	Comb.	Pga	Tr	Ind. momento	Ver
0.15	27.71	17.74	47.99	SLV 1	0.23	1447	1.189	-8.4266	-29.6562	-13.216	SLV 1	0.04	15	0.183	No
1.7	-2.86	-17.74	-52.65	SLV 16	0.26	2114	1.389	11.0122	-5.7471	-7.9642	SLV 1	0.26	2114	1.389	Si
3.25	-33.44	-17.74	-48.15	SLV 16	0.17	550	0.8	-17.302	-25.3482	-29.1973	SLV 16	0.09	123	0.433	No

Indicatori di rischio sismico SLD resistenza

x	T gravità	T sisma	T ultimo	Comb.	Pga	Tr	Ind. taglio	M gravità	M sisma	M ultimo	Comb.	Pga	Tr	Ind. momento	Ver
0.15	27.71	7.62	47.99	SLD 1	0.23	1473	3	-8.4266	-12.7353	-13.216	SLD 1	0.04	16	0.47	No
1.7	-2.86	-7.62	-52.65	SLD 16	0.26	2110	3.477	11.0122	-2.4676	-7.9642	SLD 1	0.26	2110	3.477	Si
3.25	-33.44	-7.62	-48.15	SLD 16	0.17	559	2.017	-17.302	-10.8863	-29.1973	SLD 16	0.09	125	1.091	Si

Campata 2 tra i fili P5 - P6, sezione R 60x22, asta 72**Verifiche a flessione in famiglia SLU**

x	A sup.	C.b. sup.	A inf.	C.b. inf.	M+ela	Comb.	M+des	M+ult	x/d	coeff	M-ela	Comb.	M-des	M-ult	x/d	coeff	Verifica
0	0.000716	0.04	0.000462	0.04							-35.6521	SLU 17	-31.3413	-26.0024	0.239	0.83	No
0.15	0.000678	0.04	0.000462	0.04							-27.364	SLU 17	-27.364	-24.7798	0.235	0.91	No
1.73	0.000101	0.037	0.00077	0.04	14.2161	SLU 18	14.2161	27.7454	0.273	1.95							Si
2.88	0.000101	0.037	0.000462	0.04							-8.5051	SLU 18	-17.1829	-6.0629	0.176	0.35	No
3.25	0.000403	0.039	0.000329	0.04							-25.6378	SLU 18	-25.6378	-15.8446	0.201	0.62	No
3.45	0.000352	0.04	0.000657	0.019							-36.6497	SLU 18	-30.8298	-15.1484	0.074	0.49	No

Verifiche a flessione in famiglia SLV

E' attiva l'opzione fattori parziali di sicurezza unitari per meccanismi duttili di strutture esistenti con fattore q

x	A sup.	C.b. sup.	A inf.	C.b. inf.	M+ela	Comb.	M+des	M+ult	x/d	coeff	M-ela	Comb.	M-des	M-ult	x/d	coeff	Verifica
0	0.000716	0.04	0.000462	0.04							-39.4447	SLV 1	-36.2123	-30.8856	0.22	0.85	No
0.15	0.000678	0.04	0.000462	0.04	1.2751	SLV 16	5.2008	21.3056	0.199	4.1	-33.1743	SLV 1	-33.1743	-29.4652	0.216	0.89	No
1.73	0.000101	0.037	0.00077	0.04	10.3644	SLV 16	11.9162	32.8164	0.226	2.75							Si
2.88	0.000101	0.037	0.000462	0.04	4.0019	SLV 1	6.2555	20.8108	0.162	3.33	-13.9283	SLV 16	-20.9305	-7.7624	0.162	0.37	No
3.25	0.000403	0.039	0.000329	0.04	-2.3764	SLV 1	1.3914	16.1914	0.177	11.64	-27.5145	SLV 16	-27.5145	-19.0509	0.182	0.69	No
3.45	0.000352	0.04	0.000657	0.019							-35.8528	SLV 16	-31.5006	-17.4909	0.073	0.56	No

Verifiche SLD Resistenza a flessione

x	A sup.	C.b. sup.	A inf.	C.b. inf.	M+ela	Comb.	M+des	M+ult	x/d	coeff	M-ela	Comb.	M-des	M-ult	x/d	coeff	Verifica
0	0.000716	0.04	0.000462	0.04							-28.7903	SLD 1	-25.9694	-30.8856	0.22	1.19	Si
0.15	0.000678	0.04	0.000462	0.04							-23.3428	SLD 1	-23.3428	-29.4652	0.216	1.26	Si
1.73	0.000101	0.037	0.00077	0.04	9.1734	SLD 16	9.6146	32.8164	0.226	3.41							Si
2.88	0.000101	0.037	0.000462	0.04	-1.1175	SLD 1	2.2471	20.8108	0.162	9.26	-8.809	SLD 16	-14.7002	-7.7624	0.162	0.53	No
3.25	0.000403	0.039	0.000329	0.04							-20.3378	SLD 16	-20.3378	-19.0509	0.182	0.94	No
3.45	0.000352	0.04	0.000657	0.019							-27.5788	SLD 16	-23.7753	-17.4909	0.073	0.74	No

Verifiche a taglio in famiglia SLU

x	A st	A sl	A sag	Vela	Comb.	Vdes	Vrd	Vrcd	Vrsd	Vult	cotg θ	coeff	Verifica
0	0	0.000678	0	58.11	SLU 17	58.11	50.55	111.92	0	50.55	2.5	0.87	Si
0.15	0.0000052	0.000591	0	53.03	SLU 17	53.03	48.29	111.94	47.89	48.29	2.5	0.91	No
1.73	0.0000052	0.00077	0	-0.32	SLU 13	-0.32	-52.65	-111.66	-47.77	-52.65	2.5	163.42	Si
3.25	0.0000052	0.000403	0	-51.92	SLU 18	-51.92	-42.54	-112.1	-47.96	-47.96	2.5	0.92	No
3.45	0	0.000403	0	-58.33	SLU 18	-58.33	-42.49	-111.9	0	-42.49	2.5	0.73	Si

Verifiche a taglio in famiglia SLV

x	A st	A sl	A sag	Vela	Comb.	Vdes	Vrd	Vrcd	Vrsd	Vult	cotg θ	coeff	Verifica
0	0	0.000678	0	43.47	SLV 1	43.47	50.55	111.92	0	50.55	2.5	1.16	Si
0.15	0.0000052	0.000591	0	40.51	SLV 1	40.51	48.29	111.94	47.89	48.29	2.5	1.19	Si
1.73	0.0000052	0.00077	0	9.44	SLV 1	9.44	52.65	111.66	47.77	52.65	2.5	5.58	Si
1.73	0.0000052	0.00077	0	-9.78	SLV 16	-9.78	-52.65	-111.66	-47.77	-52.65	2.5	5.38	Si
3.25	0.0000052	0.000403	0	-39.86	SLV 16	-39.86	-42.54	-112.1	-47.96	-47.96	2.5	1.2	Si
3.45	0	0.000403	0	-43.61	SLV 16	-43.61	-42.49	-111.9	0	-42.49	2.5	0.97	Si

Verifiche SLD Resistenza a taglio

x	A st	A sl	A sag	Vela	Comb.	Vdes	Vrd	Vrcd	Vrsd	Vult	cotg θ	coeff	Verifica
0	0	0.000678	0	37.98	SLD 1	37.98	50.55	111.92	0	50.55	2.5	1.33	Si
0.15	0.0000052	0.000591	0	35.02	SLD 1	35.02	48.29	111.94	47.89	48.29	2.5	1.38	Si
1.73	0.0000052	0.00077	0	3.95	SLD 1	3.95	52.65	111.66	47.77	52.65	2.5	13.31	Si
1.73	0.0000052	0.00077	0	-4.29	SLD 16	-4.29	-52.65	-111.66	-47.77	-52.65	2.5	12.26	Si
3.25	0.0000052	0.000403	0	-34.37	SLD 16	-34.37	-42.54	-112.1	-47.96	-47.96	2.5	1.4	Si
3.45	0	0.000403	0	-38.12	SLD 16	-38.12	-42.49	-111.9	0	-42.49	2.5	1.11	Si

Verifiche taglio ciclico nel piano Circolare 7 21-01-19 §C8.7.2.3.5, [C8.7.2.8]

Ascissa	Lv	x	h	p.tot	θ_m	θ_y	$\mu\Delta_{pl}$	Vrd	VRcd(cot $\theta=1$)	VRsd	Vw	Vr	Vu	Ved	Ned	Comb.	Verifica
3.7	1.279	0.039	0.22	0.009	0.00127	0.00471	0	48.29	162.31	47.89	19.15	23.6	48.29	40.51	0	SLV 1	Si
6.8	1.084	0.033	0.22	0.008	0.00088	0.00594	0	42.54	162.55	47.96	19.18	22.98	47.96	-39.86	0	SLV 16	Si

Indicatori di rischio sismico SLV

x	T gravità	T sisma	T ultimo	Comb.	Pga	Tr	Ind. taglio	M gravità	M sisma	M ultimo	Comb.	Pga	Tr	Ind. momento	Ver
0.15	30.9	9.61	48.29	SLV 1	0.26	2114	1.389	-15.9496	-17.2247	-29.4652	SLV 1	0.16	468	0.748	No
0.46	24.78	9.61	75.33	SLV 1	0.26	2114	1.389	-12.7382	-16.1916	-12.6874	SLV 1	0	0	0	No
1.73	-0.17	-9.61	-52.65	SLV 16	0.26	2114	1.389	7.8817	-4.0344	-7.9642	SLV 1	0.26	2114	1.389	Si
3.25	-30.25	-9.61	-47.96	SLV 16	0.26	2114	1.389	-14.9454	-12.5691	-19.0509	SLV 16	0.06	53	0.306	No

Indicatori di rischio sismico SLD resistenza

x	T gravità	T sisma	T ultimo	Comb.	Pga	Tr	Ind. taglio	M gravità	M sisma	M ultimo	Comb.	Pga	Tr	Ind. momento	Ver
0.15	30.9	4.12	48.29	SLD 1	0.26	2110	3.477	-15.9496	-7.3932	-29.4652	SLD 1	0.16	477	1.89	Si
0.46	24.78	4.12	75.33	SLD 1	0.26	2110	3.477	-12.7382	-6.9499	-12.6874	SLD 1	0	0	0	No
1.73	-0.17	-4.12	-52.65	SLD 16	0.26	2110	3.477	7.8817	-1.7328	-7.9642	SLD 1	0.26	2110	3.477	Si
3.25	-30.25	-4.12	-47.96	SLD 16	0.26	2110	3.477	-14.9454	-5.3923	-19.0509	SLD 16	0.07	54	0.774	No

Campata 3 tra i fili P6 - P7, sezione R 30x100, asta 62**Verifiche a flessione in famiglia SLU**

x	A sup.	C.b. sup.	A inf.	C.b. inf.	M+ela	Comb.	M+des	M+ult	x/d	coeff	M-ela	Comb.	M-des	M-ult	x/d	coeff	Verifica
0	0.000516	0.04	0.000922	0.105							-46.6157	SLU 17	-38.2779	-122.613	0.065	3.2	Si
0.2	0.000545	0.04	0.00073	0.102	-16.8998	SLU 4	32.8921	143.8854	0.056	4.37	-30.572	SLU 17	-30.572	-125.8918	0.058	4.12	Si
2.75	0.000157	0.038	0.000462	0.04	55.6049	SLU 18	56.809	98.2314	0.051	1.73							Si

x	A sup.	C.b. sup.	A inf.	C.b. inf.	M+ela	Comb.	M+des	M+ult	x/d	coeff	M-ela	Comb.	M-des	M-ult	x/d	coeff	Verifica
4.22	0.000157	0.038	0.000462	0.04	5.1484	SLU 17	49.3354	98.2314	0.051	1.99	2.9898	SLU 4	-78.7472	-34.4078	0.038	0.44	No
5.3	0.000765	0.039	0.000247	0.04	-45.8654	SLU 1	4.9404	53.2769	0.04	10.78	-79.0589	SLU 18	-79.0589	-161.4198	0.077	2.04	Si
5.5	0.000776	0.039	0.000225	0.04							-98.9056	SLU 18	-88.6663	-163.5125	0.081	1.84	Si

Verifiche a flessione in famiglia SLV

E' attiva l'opzione fattori parziali di sicurezza unitari per meccanismi duttili di strutture esistenti con fattore q

x	A sup.	C.b. sup.	A inf.	C.b. inf.	M+ela	Comb.	M+des	M+ult	x/d	coeff	M-ela	Comb.	M-des	M-ult	x/d	coeff	Verifica
0	0.000516	0.04	0.000922	0.105	148.7692	SLV 16	148.2693	208.3268	0.062	1.41	-203.53	SLV 1	-193.1718	-141.7972	0.06	0.73	No
0.2	0.000545	0.04	0.00073	0.102	147.3956	SLV 16	147.3956	166.0181	0.054	1.13	-183.1875	SLV 1	-183.1875	-145.3506	0.056	0.79	No
1.28	0.000157	0.038	0.000462	0.04	126.1705	SLV 16	147.3614	113.4638	0.046	0.77	-86.7839	SLV 1	-182.8597	-40.0167	0.035	0.22	No
2.75	0.000157	0.038	0.000462	0.04	59.8366	SLV 16	112.8433	113.4638	0.046	1.01	6.1271	SLV 1	-58.127	-40.0167	0.035	0.69	No
5.3	0.000765	0.039	0.000247	0.04	64.7768	SLV 1	64.9598	61.7463	0.039	0.95	-158.4083	SLV 16	-158.4083	-186.5186	0.062	1.18	No
5.5	0.000776	0.039	0.000225	0.04	63.8822	SLV 1	63.8822	56.3951	0.038	0.88	-181.0189	SLV 16	-169.5268	-189.0679	0.064	1.12	No

Verifiche SLD Resistenza a flessione

x	A sup.	C.b. sup.	A inf.	C.b. inf.	M+ela	Comb.	M+des	M+ult	x/d	coeff	M-ela	Comb.	M-des	M-ult	x/d	coeff	Verifica
0	0.000516	0.04	0.000922	0.105	48.2587	SLD 16	48.2587	208.3268	0.062	4.32	-103.0194	SLD 1	-95.7587	-141.7972	0.06	1.48	Si
0.2	0.000545	0.04	0.00073	0.102	53.08	SLD 16	65.4032	166.0181	0.054	2.54	-88.8719	SLD 1	-88.8719	-145.3506	0.056	1.64	Si
2.75	0.000157	0.038	0.000462	0.04	44.5049	SLD 16	64.0605	113.4638	0.046	1.77	21.4588	SLD 1	-9.3442	-40.0167	0.035	4.28	Si
4.22	0.000157	0.038	0.000462	0.04	25.7365	SLD 1	31.7797	113.4638	0.046	3.57	-19.617	SLD 16	-94.488	-40.0167	0.035	0.42	No
5.3	0.000765	0.039	0.000247	0.04	1.1189	SLD 1	25.6909	61.7463	0.039	2.4	-94.7504	SLD 16	-94.7504	-186.5186	0.062	1.97	Si
5.5	0.000776	0.039	0.000225	0.04							-111.1661	SLD 16	-102.7713	-189.0679	0.064	1.84	Si

Verifiche a taglio in famiglia SLU

x	A st	A sl	A sag	Vela	Comb.	Vdes	Vrd	Vrcd	Vrsd	Vult	cotgθ	coeff	Verifica
0	0	0.000545	0	83.85	SLU 17	83.85	65.71	297.84	0	65.71	2.5	0.78	Si
0.2	0.0000051	0.000545	0	77.06	SLU 17	77.06	65.71	297.86	251.73	251.73	2.5	3.27	Si
2.75	0.0000051	0.000462	0	-9.54	SLU 13	-9.54	-62.18	-297.77	-251.65	-251.65	2.5	26.38	Si
5.3	0.0000051	0.000619	0	-96.07	SLU 18	-96.07	-68.59	-298.02	-251.86	-251.86	2.5	2.62	Si
5.5	0	0.000619	0	-102.86	SLU 18	-102.86	-68.59	-298.02	0	-68.59	2.5	0.67	Si

Verifiche a taglio in famiglia SLV

x	A st	A sl	A sag	Vela	Comb.	Vdes	Vrd	Vrcd	Vrsd	Vult	cotgθ	coeff	Verifica
0	0	0.000545	0	103.86	SLV 1	103.86	65.71	297.84	0	65.71	2.5	0.63	Si
0	0	0.000462	0	-4.72	SLV 16	-4.72	-60	-277.57	0	-60	2.5	12.71	Si
0.2	0.0000051	0.000545	0	99.84	SLV 1	99.84	65.71	297.86	251.73	251.73	2.5	2.52	Si
0.2	0.0000051	0.000462	0	-8.74	SLV 16	-8.74	-60.09	-278.41	-235.29	-235.29	2.5	26.93	Si
2.75	0.0000051	0.000462	0	48.62	SLV 1	48.62	62.18	297.77	251.65	251.65	2.5	5.18	Si
2.75	0.0000051	0.000462	0	-59.96	SLV 16	-59.96	-62.18	-297.77	-251.65	-251.65	2.5	4.2	Si
5.3	0.0000051	0.000619	0	-111.18	SLV 16	-111.18	-68.59	-298.02	-251.86	-251.86	2.5	2.27	Si
5.5	0	0.000619	0	-115.2	SLV 16	-115.2	-68.59	-298.02	0	-68.59	2.5	0.6	Si

Verifiche SLD Resistenza a taglio

x	A st	A sl	A sag	Vela	Comb.	Vdes	Vrd	Vrcd	Vrsd	Vult	cotgθ	coeff	Verifica
0	0	0.000545	0	72.89	SLD 1	72.89	65.71	297.84	0	65.71	2.5	0.9	Si
0.2	0.0000051	0.000545	0	68.87	SLD 1	68.87	65.71	297.86	251.73	251.73	2.5	3.66	Si
2.75	0.0000051	0.000462	0	17.65	SLD 1	17.65	62.18	297.77	251.65	251.65	2.5	14.26	Si
2.75	0.0000051	0.000462	0	-28.99	SLD 16	-28.99	-62.18	-297.77	-251.65	-251.65	2.5	8.68	Si
5.3	0.0000051	0.000619	0	-80.21	SLD 16	-80.21	-68.59	-298.02	-251.86	-251.86	2.5	3.14	Si
5.5	0	0.000619	0	-84.23	SLD 16	-84.23	-68.59	-298.02	0	-68.59	2.5	0.81	Si

Verifiche taglio ciclico nel piano Circolare 7 21-01-19 §C8.7.2.3.5, [C8.7.2.8]

Ascissa	Lv	x	h	p,tot	θ,m	θ,y	μΔ,pl	Vrd	Vrcd(cotθ=1)	Vrsd	Vw	Vr	Vu	Ved	Ned	Comb.	Verifica
7.2	2.629	0.054	1	0.005	0.00041	0.00814	0	65.71	431.9	251.73	100.69	117.53	251.73	99.84	0	SLV 1	Si
12.3	1.88	0.059	1	0.004	0.00025	0.00792	0	68.59	432.12	251.86	100.74	123.79	251.86	-111.18	0	SLV 16	Si

Indicatori di rischio sismico SLV

x	T gravità	T sisma	T ultimo	Comb.	Pga	Tr	Ind. taglio	M gravità	M sisma	M ultimo	Comb.	Pga	Tr	Ind. momento	Ver
0.2	45.55	54.29	251.73	SLV 1	0.26	2114	1.389	-17.896	-165.2915	-145.3506	SLV 1	0.15	447	0.734	No
2.75	-5.67	-54.29	-251.65	SLV 16	0.26	2114	1.389	27.3581	-85.4852	-40.0167	SLV 1	0.16	474	0.752	No
4.22	-35.13	-54.29	-252.17	SLV 16	0.26	2114	1.389	-46.6311	69.2235	-40.0167	SLV 6	0	0	0	No
5.3	-56.89	-54.29	-251.86	SLV 16	0.26	2114	1.389	-46.8157	111.5926	61.7463	SLV 1	0.19	875	0.967	No

Indicatori di rischio sismico SLD resistenza

x	T gravità	T sisma	T ultimo	Comb.	Pga	Tr	Ind. taglio	M gravità	M sisma	M ultimo	Comb.	Pga	Tr	Ind. momento	Ver
0.2	45.55	23.32	251.73	SLD 1	0.26	2110	3.477	-17.896	-70.9759	-145.3506	SLD 1	0.16	454	1.852	Si
2.75	-5.67	-23.32	-251.65	SLD 16	0.26	2110	3.477	27.3581	-36.7024	-40.0167	SLD 1	0.16	483	1.9	Si
4.22	-35.13	-23.32	-252.17	SLD 16	0.26	2110	3.477	-46.6311	47.8569	-40.0167	SLD 1	0	0	0	No
5.3	-56.89	-23.32	-251.86	SLD 16	0.26	2110	3.477	-46.8157	47.9346	61.7463	SLD 1	0.2	889	2.439	Si

Campata 4 tra i fili P7 - P8, sezione R 30x100, asta 63

Verifiche a flessione in famiglia SLU

x	A sup.	C.b. sup.	A inf.	C.b. inf.	M+ela	Comb.	M+des	M+ult	x/d	coeff	M-ela	Comb.	M-des	M-ult	x/d	coeff	Verifica
0	0.000776	0.039	0.000225	0.04							-97.1647	SLU 17	-87.7647	-163.5125	0.081	1.86	Si
0.2	0.000765	0.039	0.000247	0.04							-78.9965	SLU 17	-78.9965	-161.4166	0.077	2.04	Si
1.28	0.000157	0.038	0.000462	0.04	-2.3542	SLU 4	31.2434	98.2314	0.051	3.14	-3.8809	SLU 17	-78.7127	-34.4078	0.038	0.44	No
2.75	0.000157	0.038	0.000462	0.04	34.268	SLU 17	34.268	98.2314	0.051	2.87							Si
5.3	0.000765	0.039	0.000247	0.04							-73.3074	SLU 18	-73.3074	-161.4166	0.077	2.2	Si
5.5	0.000776	0.039	0.000225	0.04							-91.0295	SLU 18	-81.8526	-163.5087	0.082	2	Si

Verifiche a flessione in famiglia SLV

E' attiva l'opzione fattori parziali di sicurezza unitari per meccanismi duttili di strutture esistenti con fattore q

x	A sup.	C.b. sup.	A inf.	C.b. inf.	M+ela	Comb.	M+des	M+ult	x/d	coeff	M-ela	Comb.	M-des	M-ult	x/d	coeff	Verifica
0	0.000776	0.039	0.000225	0.04	30.2328	SLV 16	30.2328	56.3951	0.038	1.87	-145.432	SLV 1	-136.5113	-189.0679	0.064	1.38	Si
0.2	0.000765	0.039	0.000247	0.04	34.2789	SLV 16	42.6973	61.5842	0.039	1.44	-127.9641	SLV 1	-127.9641	-186.5183	0.062	1.46	Si
2.75	0.000157	0.038	0.000462	0.04	24.8242	SLV 3	49.9564	113.4638	0.046	2.27	15.6969	SLV 14	-31.4356	-40.0167	0.035	1.27	Si
4.22	0.000157	0.038	0.000462	0.04	53.3396	SLV 1	53.8789	113.4638	0.046	2.11	-53.9983	SLV 16	-133.0551	-40.0167	0.035	0.3	No</

x	A sup.	C.b. sup.	A inf.	C.b. inf.	M+ela	Comb.	M+des	M+ult	x/d	coeff	M-ela	Comb.	M-des	M-ult	x/d	coeff	Verifica
5.3	0.000765	0.039	0.000247	0.04	-4.6382	SLD 1	22.6794	61.5842	0.039	2.72	-81.9851	SLD 16	-81.9851	-186.5183	0.062	2.28	Si
5.5	0.000776	0.039	0.000225	0.04							-95.3472	SLD 16	-88.4793	-189.0671	0.064	2.14	Si

Verifiche a taglio in famiglia SLU

x	A st	A sl	A sag	Vela	Comb.	Vdes	Vrd	Vrcd	Vrsd	Vult	cotgθ	coeff	Verifica
0	0	0.000619	0	94.47	SLU 17	94.47	68.59	298.02	0	68.59	2.5	0.73	Si
0.2	0.0000051	0.000619	0	87.68	SLU 17	87.68	68.59	298.02	251.86	251.86	2.5	2.87	Si
2.75	0.0000051	0.000462	0	1.12	SLU 17	1.12	62.18	297.77	251.65	251.65	2.5	225.56	Si
5.3	0.0000051	0.000619	0	-85.45	SLU 18	-85.45	-68.59	-298.02	-251.86	-251.86	2.5	2.95	Si
5.5	0	0.000619	0	-92.24	SLU 18	-92.24	-68.59	-298.02	0	-68.59	2.5	0.74	Si

Verifiche a taglio in famiglia SLV

x	A st	A sl	A sag	Vela	Comb.	Vdes	Vrd	Vrcd	Vrsd	Vult	cotgθ	coeff	Verifica
0	0	0.000619	0	89.49	SLV 1	89.49	68.59	298.02	0	68.59	2.5	0.77	Si
0.2	0.0000051	0.000619	0	85.47	SLV 1	85.47	68.59	298.02	251.86	251.86	2.5	2.95	Si
2.75	0.0000051	0.000462	0	34.25	SLV 1	34.25	62.18	297.77	251.65	251.65	2.5	7.35	Si
2.75	0.0000051	0.000462	0	-32.86	SLV 16	-32.86	-62.18	-297.77	-251.65	-251.65	2.5	7.66	Si
5.3	0.0000051	0.000619	0	-84.09	SLV 16	-84.09	-68.59	-298.02	-251.86	-251.86	2.5	3	Si
5.5	0	0.000619	0	-88.1	SLV 16	-88.1	-68.59	-298.02	0	-68.59	2.5	0.78	Si

Verifiche SLD Resistenza a taglio

x	A st	A sl	A sag	Vela	Comb.	Vdes	Vrd	Vrcd	Vrsd	Vult	cotgθ	coeff	Verifica
0	0	0.000619	0	70.34	SLD 1	70.34	68.59	298.02	0	68.59	2.5	0.98	Si
0.2	0.0000051	0.000619	0	66.33	SLD 1	66.33	68.59	298.02	251.86	251.86	2.5	3.8	Si
2.75	0.0000051	0.000462	0	15.1	SLD 1	15.1	62.18	297.77	251.65	251.65	2.5	16.66	Si
2.75	0.0000051	0.000462	0	-13.72	SLD 16	-13.72	-62.18	-297.77	-251.65	-251.65	2.5	18.34	Si
5.3	0.0000051	0.000619	0	-64.94	SLD 16	-64.94	-68.59	-298.02	-251.86	-251.86	2.5	3.88	Si
5.5	0	0.000619	0	-68.96	SLD 16	-68.96	-68.59	-298.02	0	-68.59	2.5	0.99	Si

Verifiche taglio ciclico nel piano Circolare 7 21-01-19 §C8.7.2.3.5, [C8.7.2.8]

Ascissa	Lv	x	h	p.tot	θm	θy	Vrd	Vrcd(cotθ=1)	VRsd	Vw	Vr	Vu	Ved	Ned	Comb.	Verifica	
12.7	2.14	0.059	1	0.004	0.00021	0.00922	0	68.59	432.12	251.86	100.74	121.64	251.86	85.47	0	SLV 1	Si
17.8	2.326	0.059	1	0.004	0.00024	0.00922	0	68.59	432.12	251.86	100.74	120.09	251.86	-84.09	0	SLV 16	Si

Indicatori di rischio sismico SLV

x	T gravità	T sisma	T ultimo	Comb.	Pga	Tr	Ind. taglio	M gravità	M sisma	M ultimo	Comb.	Pga	Tr	Ind. momento	Ver
0.2	51.92	33.56	251.86	SLV 1	0.26	2114	1.389	-46.8426	81.1215	61.5842	SLV 16	0.26	2114	1.389	Si
1.28	30.15	33.56	252.17	SLV 1	0.26	2114	1.389	-46.6746	-81.0097	-40.0167	SLV 1	0	0	0	No
2.75	0.69	33.56	251.65	SLV 1	0.26	2114	1.389	9.2604	-40.696	-40.0167	SLV 16	0.24	1740	1.282	Si
5.3	-50.53	-33.56	-251.86	SLV 16	0.26	2114	1.389	-43.3117	90.0187	61.5842	SLV 1	0.23	1539	1.219	Si

Indicatori di rischio sismico SLD resistenza

x	T gravità	T sisma	T ultimo	Comb.	Pga	Tr	Ind. taglio	M gravità	M sisma	M ultimo	Comb.	Pga	Tr	Ind. momento	Ver
0.2	51.92	14.41	251.86	SLD 1	0.26	2110	3.477	-46.8426	34.8242	61.5842	SLD 16	0.26	2110	3.477	Si
1.28	30.15	14.41	252.17	SLD 1	0.26	2110	3.477	-46.6746	-34.7762	-40.0167	SLD 1	0	0	0	No
2.75	0.69	14.41	251.65	SLD 1	0.26	2110	3.477	9.2604	-17.4914	-40.0167	SLD 16	0.24	1766	3.232	Si
5.3	-50.53	-14.41	-251.86	SLD 16	0.26	2110	3.477	-43.3117	38.6734	61.5842	SLD 1	0.23	1566	3.077	Si

Campta 5 tra i fili P8 - P9, sezione R 30x100, asta 64**Verifiche a flessione in famiglia SLU**

x	A sup.	C.b. sup.	A inf.	C.b. inf.	M+ela	Comb.	M+des	M+ult	x/d	coeff	M-ela	Comb.	M-des	M-ult	x/d	coeff	Verifica
0	0.000776	0.039	0.000225	0.04							-93.2714	SLU 17	-83.418	-163.5087	0.082	1.96	Si
0.2	0.000765	0.039	0.000247	0.04	-42.7977	SLU 4	5.6357	53.1359	0.04	9.43	-74.1965	SLU 17	-74.1965	-161.4166	0.077	2.18	Si
1.28	0.000157	0.038	0.000462	0.04	5.8309	SLU 18	45.8509	98.2314	0.051	2.14	3.3886	SLU 1	-73.8976	-34.4078	0.038	0.47	No
2.75	0.000157	0.038	0.000462	0.04	50.6283	SLU 18	51.0934	98.2314	0.051	1.92							Si
5.3	0.000619	0.039	0.000462	0.04	-26.3971	SLU 1	22.2437	98.1766	0.045	4.41	-45.3864	SLU 18	-45.3864	-131.1008	0.051	2.89	Si
5.5	0.000619	0.039	0.000462	0.04							-62.2017	SLU 18	-53.4782	-131.1008	0.051	2.45	Si

Verifiche a flessione in famiglia SLV**E' attiva l'opzione fattori parziali di sicurezza unitari per meccanismi duttili di strutture esistenti con fattore q**

x	A sup.	C.b. sup.	A inf.	C.b. inf.	M+ela	Comb.	M+des	M+ult	x/d	coeff	M-ela	Comb.	M-des	M-ult	x/d	coeff	Verifica
0	0.000776	0.039	0.000225	0.04	55.1325	SLV 16	55.1325	56.233	0.038	1.02	-165.5156	SLV 1	-155.7079	-189.0671	0.064	1.21	Si
0.2	0.000765	0.039	0.000247	0.04	58.4581	SLV 16	63.9082	61.5842	0.039	0.96	-146.2721	SLV 1	-146.2721	-186.5183	0.062	1.28	No
1.28	0.000157	0.038	0.000462	0.04	62.6972	SLV 16	63.9082	113.4638	0.046	1.78	-55.8316	SLV 1	-145.9627	-40.0167	0.035	0.27	No
2.75	0.000157	0.038	0.000462	0.04	34.165	SLV 10	63.9698	113.4638	0.046	1.77	25.6792	SLV 7	-29.3148	-40.0167	0.035	1.37	Si
5.3	0.000619	0.039	0.000462	0.04	73.761	SLV 1	75.3929	113.4175	0.043	1.5	-127.6087	SLV 16	-127.6087	-151.3172	0.049	1.19	Si
5.5	0.000619	0.039	0.000462	0.04	71.7678	SLV 1	71.7678	113.4175	0.043	1.58	-145.5206	SLV 16	-136.3785	-151.3172	0.049	1.11	Si

Verifiche SLD Resistenza a flessione

x	A sup.	C.b. sup.	A inf.	C.b. inf.	M+ela	Comb.	M+des	M+ult	x/d	coeff	M-ela	Comb.	M-des	M-ult	x/d	coeff	Verifica
0	0.000776	0.039	0.000225	0.04							-102.5429	SLD 1	-95.0077	-189.0671	0.064	1.99	Si
0.2	0.000765	0.039	0.000247	0.04	0.0316	SLD 16	28.8313	61.5842	0.039	2.14	-87.8456	SLD 1	-87.8456	-186.5183	0.062	2.12	Si
1.28	0.000157	0.038	0.000462	0.04	28.8899	SLD 16	35.0438	113.4638	0.046	3.24	-22.0242	SLD 1	-87.6119	-40.0167	0.035	0.46	No
2.75	0.000157	0.038	0.000462	0.04	31.6493	SLD 10	39.8235	113.4638	0.046	2.85	28.1949	SLD 7	-4.2879	-40.0167	0.035	9.33	Si
5.3	0.000619	0.039	0.000462	0.04	16.2073	SLD 1	37.8117	113.4175	0.043	3	-70.055	SLD 16	-70.055	-151.3172	0.049	2.16	Si
5.5	0.000619	0.039	0.000462	0.04	9.6678	SLD 1	9.6678	113.4175	0.043	11.73	-83.4205	SLD 16	-76.5512	-151.3172	0.049	1.98	Si

Verifiche a taglio in famiglia SLU

x	A st	A sl	A sag	Vela	Comb.	Vdes	Vrd	Vrcd	Vrsd	Vult	cotgθ	coeff	Verifica
0	0	0.000619	0	99.01	SLU 17	99.01	68.59	298.02	0	68.59	2.5	0.69	Si
0.2	0.0000051	0.000619	0	92.22	SLU 17	92.22	68.59	298.02	251.86	251.86	2.5	2.73	Si
2.75	0.0000051	0.000462	0	5.65	SLU 17	5.65	62.18	297.77	251.65	251.65	2.5	44.55	Si
5.3	0.0000051	0.000619	0	-80.92	SLU 18	-80.92	-68.58	-297.93	-251.78	-251.78	2.5	3.11	Si
5.5	0	0.000619	0	-87.71	SLU 18	-87.71	-68.58	-297.93	0	-68.58	2.5	0.78	Si

Verifiche a taglio in famiglia SLV

x	A st	A sl	A sag	Vela	Comb.	Vdes	Vrd	Vrcd	Vrsd	Vult	cotgθ	coeff	Verifica
0	0	0.000619	0	98.38	SLV 1	98.38	68.59	298.02	0	68.59	2.5	0.7	Si
0.2	0.0000051	0.000619	0	94.36	SLV 1	94.36	68.59	298.02	251.86	251.86	2.5	2.67	Si
2.75	0.0000051	0.000462	0	43.13	SLV 1	43.13	62.18	297.77	251.65	251.65	2.5	5.83	Si
2.75	0.0000051	0.000462	0	-36.47	SLV 16	-36.47	-62.18	-297.77	-251.65	-251.65	2.5	6.9	Si
5.3	0.0000051	0.000619	0	-87.7	SLV 16	-87.7	-68.58	-297.93	-251.78	-251.78	2.5	2.87	Si
5.5	0	0.000619	0	-91.72	SLV 16	-91.72	-68.58	-297.93	0	-68.58	2.5	0.75	Si

Verifiche SLD Resistenza a taglio

x	A st	A sl	A sag	Vela	Comb.	Vdes	Vrd	Vrcd	Vrsd	Vult	cotgθ	coeff	Verifica
0	0	0.000619	0	75.64	SLD 1	75.64	68.59	298.02	0	68.59	2.5	0.91	Si
0.2	0.0000051	0.000619	0	71.62	SLD 1	71.62	68.59	298.02	251.86	251.86	2.5	3.52	Si

x	A st	A sl	A sag	Vela	Comb.	Vdes	Vrd	Vrcd	Vrsd	Vult	cotgθ	coeff	Verifica
2.75	0.0000051	0.000462	0	20.4	SLD 1	20.4	62.18	297.77	251.65	251.65	2.5	12.34	Si
2.75	0.0000051	0.000462	0	-13.74	SLD 16	-13.74	-62.18	-297.77	-251.65	-251.65	2.5	18.32	Si
5.3	0.0000051	0.000619	0	-64.96	SLD 16	-64.96	-68.58	-297.93	-251.78	-251.78	2.5	3.88	Si
5.5	0	0.000619	0	-68.98	SLD 16	-68.98	-68.58	-297.93	0	-68.58	2.5	0.99	Si

Verifiche taglio ciclico nel piano Circolare 7 21-01-19 §C8.7.2.3.5, [C8.7.2.8]

Ascissa	Lv	x	h	ρ _{tot}	θ _m	θ _y	μΔ _{pl}	Vrd	VRCd(cotθ=1)	VRsd	Vw	Vr	Vu	Ved	Ned	Comb.	Verifica
18.2	2.161	0.059	1	0.004	0.00026	0.00865	0	68.59	432.12	251.86	100.74	121.46	251.86	94.36	0	SLV 1	Si
23.3	2.046	0.047	1	0.004	0.00022	0.00836	0	68.58	431.99	251.78	100.71	122.38	251.78	-87.7	0	SLV 16	Si

Indicatori di rischio sismico SLV

x	T gravità	T sisma	T ultimo	Comb.	Pga	Tr	Ind. taglio	M gravità	M sisma	M ultimo	Comb.	Pga	Tr	Ind. momento	Ver
0.2	54.55	39.8	251.86	SLV 1	0.26	2114	1.389	-43.907	102.3651	61.5842	SLV 16	0.21	1040	1.038	Si
1.28	32.79	39.8	252.17	SLV 1	0.26	2114	1.389	-43.7302	-102.2325	-40.0167	SLV 1	0	0	0	No
2.75	3.33	39.8	251.65	SLV 1	0.26	2114	1.389	14.5778	-43.8926	-40.0167	SLV 1	0.25	1895	1.328	Si
5.3	-47.89	-39.8	-251.78	SLV 16	0.26	2114	1.389	-26.9239	-100.6849	-151.3172	SLV 16	0.25	1854	1.316	Si

Indicatori di rischio sismico SLD resistenza

x	T gravità	T sisma	T ultimo	Comb.	Pga	Tr	Ind. taglio	M gravità	M sisma	M ultimo	Comb.	Pga	Tr	Ind. momento	Ver
0.2	54.55	17.07	251.86	SLD 1	0.26	2110	3.477	-43.907	43.9386	61.5842	SLD 16	0.21	1061	2.623	Si
1.28	32.79	17.07	252.17	SLD 1	0.26	2110	3.477	-43.7302	-43.8817	-40.0167	SLD 1	0	0	0	No
2.75	3.33	17.07	251.65	SLD 1	0.26	2110	3.477	14.5778	-18.8658	-40.0167	SLD 1	0.25	1923	3.347	Si
5.3	-47.89	-17.07	-251.78	SLD 16	0.26	2110	3.477	-26.9239	-43.1312	-151.3172	SLD 16	0.25	1903	3.333	Si

Campata 6 tra i fili P9 - P10, sezione R 30x100, asta 65

Verifiche a flessione in famiglia SLU

x	A sup.	C.b. sup.	A inf.	C.b. inf.	M+ela	Comb.	M+des	M+ult	x/d	coeff	M-ela	Comb.	M-des	M-ult	x/d	coeff	Verifica
0	0.000619	0.039	0.000462	0.04							-56.5038	SLU 17	-50.3368	-131.1008	0.051	2.6	Si
0.2	0.000619	0.039	0.000462	0.04							-44.8386	SLU 17	-44.8386	-131.1008	0.051	2.92	Si
1.05	0.000619	0.039	0.000462	0.04	-6.0666	SLU 1	0.0495	98.1766	0.045	1983.31	-10.3574	SLU 18	-44.8386	-131.1008	0.051	2.92	Si
1.9	0.000545	0.04	0.000462	0.04	-0.0109	SLU 6	0.0495	98.1718	0.046	1983.22	-0.6449	SLU 13	-17.2811	-115.5558	0.049	6.69	Si
2.1	0.0005	0.04	0.000462	0.04							-1.8148	SLU 13	-0.9117	-106.1556	0.048	116.43	Si

Verifiche a flessione in famiglia SLV

E' attiva l'opzione fattori parziali di sicurezza unitari per meccanismi duttili di strutture esistenti con fattore q

x	A sup.	C.b. sup.	A inf.	C.b. inf.	M+ela	Comb.	M+des	M+ult	x/d	coeff	M-ela	Comb.	M-des	M-ult	x/d	coeff	Verifica
0	0.000619	0.039	0.000462	0.04	66.0221	SLV 16	55.7457	113.4175	0.043	2.03	-133.2302	SLV 1	-115.6291	-151.3172	0.049	1.31	Si
0.2	0.000619	0.039	0.000462	0.04	45.0027	SLV 16	76.8816	113.4175	0.043	1.48	-98.3529	SLV 1	-98.3529	-151.3172	0.049	1.54	Si
1.05	0.000619	0.039	0.000462	0.04	41.6914	SLV 1	166.6156	113.4175	0.043	0.68	-54.0105	SLV 16	-166.9541	-151.3172	0.049	0.91	No
1.9	0.000545	0.04	0.000462	0.04	166.6156	SLV 1	166.6156	113.4161	0.044	0.68	-166.9541	SLV 16	-166.9541	-133.4313	0.047	0.8	No
2.1	0.0005	0.04	0.000462	0.04	193.9323	SLV 1	180.4769	113.4162	0.044	0.63	-195.6553	SLV 16	-181.1119	-122.613	0.046	0.68	No

Verifiche SLD Resistenza a flessione

x	A sup.	C.b. sup.	A inf.	C.b. inf.	M+ela	Comb.	M+des	M+ult	x/d	coeff	M-ela	Comb.	M-des	M-ult	x/d	coeff	Verifica
0	0.000619	0.039	0.000462	0.04	9.3156	SLD 16	6.9828	113.4175	0.043	16.24	-76.5237	SLD 1	-66.8663	-151.3172	0.049	2.26	Si
0.2	0.000619	0.039	0.000462	0.04	4.225	SLD 16	31.2067	113.4175	0.043	3.63	-57.5753	SLD 1	-57.5753	-151.3172	0.049	2.63	Si
1.05	0.000619	0.039	0.000462	0.04	14.3397	SLD 1	71.4727	113.4175	0.043	1.59	-26.6587	SLD 16	-71.8112	-151.3172	0.049	2.11	Si
1.9	0.000545	0.04	0.000462	0.04	71.4727	SLD 1	71.4727	113.4161	0.044	1.59	-71.8112	SLD 16	-71.8112	-133.4313	0.047	1.86	Si
2.1	0.0005	0.04	0.000462	0.04	82.8249	SLD 1	77.3489	113.4162	0.044	1.47	-84.5479	SLD 16	-77.9839	-122.613	0.046	1.57	Si

Verifiche a taglio in famiglia SLU

x	A st	A sl	A sag	Vela	Comb.	Vdes	Vrd	Vrcd	Vrsd	Vult	cotgθ	coeff	Verifica
0	0	0.000619	0	61.77	SLU 17	61.77	68.58	297.93	0	68.58	2.5	1.11	Si
0.2	0.0000053	0.000619	0	54.98	SLU 17	54.98	68.58	297.93	261.46	261.46	2.5	4.76	Si
1.05	0.0000053	0.000545	0	26.13	SLU 17	26.13	65.72	297.93	261.46	261.46	2.5	10.01	Si
1.9	0.0000053	0.000545	0	-2.73	SLU 18	-2.73	-65.71	-297.86	-261.41	-261.41	2.5	95.76	Si
2.1	0	0.000545	0	-9.52	SLU 18	-9.52	-65.71	-297.82	0	-65.71	2.5	6.9	Si

Verifiche a taglio in famiglia SLV

x	A st	A sl	A sag	Vela	Comb.	Vdes	Vrd	Vrcd	Vrsd	Vult	cotgθ	coeff	Verifica
0	0	0.000619	0	176.78	SLV 1	176.78	68.58	297.93	0	68.58	2.5	0.39	Si
0	0	0.000462	0	-103.41	SLV 16	-103.41	-62.18	-297.77	0	-62.18	2.5	0.6	Si
0.2	0.0000053	0.000619	0	172.76	SLV 1	172.76	68.58	297.93	261.46	261.46	2.5	1.51	Si
0.2	0.0000053	0.000462	0	-107.43	SLV 16	-107.43	-62.18	-297.77	-261.33	-261.33	2.5	2.43	Si
1.05	0.0000053	0.000462	0	155.69	SLV 1	155.69	62.18	297.77	261.33	261.33	2.5	1.68	Si
1.05	0.0000053	0.000545	0	-124.5	SLV 16	-124.5	-65.72	-297.93	-261.46	-261.46	2.5	2.1	Si
1.9	0.0000053	0.000462	0	138.61	SLV 1	138.61	62.18	297.77	261.33	261.33	2.5	1.89	Si
1.9	0.0000053	0.000545	0	-141.58	SLV 16	-141.58	-65.71	-297.86	-261.41	-261.41	2.5	1.85	Si
2.1	0	0.000462	0	134.6	SLV 1	134.6	62.18	297.77	0	62.18	2.5	0.46	Si
2.1	0	0.000545	0	-145.6	SLV 16	-145.6	-65.71	-297.82	0	-65.71	2.5	0.45	Si

Verifiche SLD Resistenza a taglio

x	A st	A sl	A sag	Vela	Comb.	Vdes	Vrd	Vrcd	Vrsd	Vult	cotgθ	coeff	Verifica
0	0	0.000619	0	96.93	SLD 1	96.93	68.58	297.93	0	68.58	2.5	0.71	Si
0	0	0.000462	0	-23.56	SLD 16	-23.56	-62.18	-297.77	0	-62.18	2.5	2.64	Si
0.2	0.0000053	0.000619	0	92.91	SLD 1	92.91	68.58	297.93	261.46	261.46	2.5	2.81	Si
0.2	0.0000053	0.000462	0	-27.58	SLD 16	-27.58	-62.18	-297.77	-261.33	-261.33	2.5	9.48	Si
1.05	0.0000053	0.000462	0	75.84	SLD 1	75.84	62.18	297.77	261.33	261.33	2.5	3.45	Si
1.05	0.0000053	0.000545	0	-44.65	SLD 16	-44.65	-65.72	-297.93	-261.46	-261.46	2.5	5.86	Si
1.9	0.0000053	0.000462	0	58.76	SLD 1	58.76	62.18	297.77	261.33	261.33	2.5	4.45	Si
1.9	0.0000053	0.000545	0	-61.73	SLD 16	-61.73	-65.71	-297.86	-261.41	-261.41	2.5	4.23	Si
2.1	0	0.000462	0	54.74	SLD 1	54.74	62.18	297.77	0	62.18	2.5	1.14	Si
2.1	0	0.000545	0	-65.74	SLD 16	-65.74	-65.71	-297.82	0	-65.71	2.5	1	Si

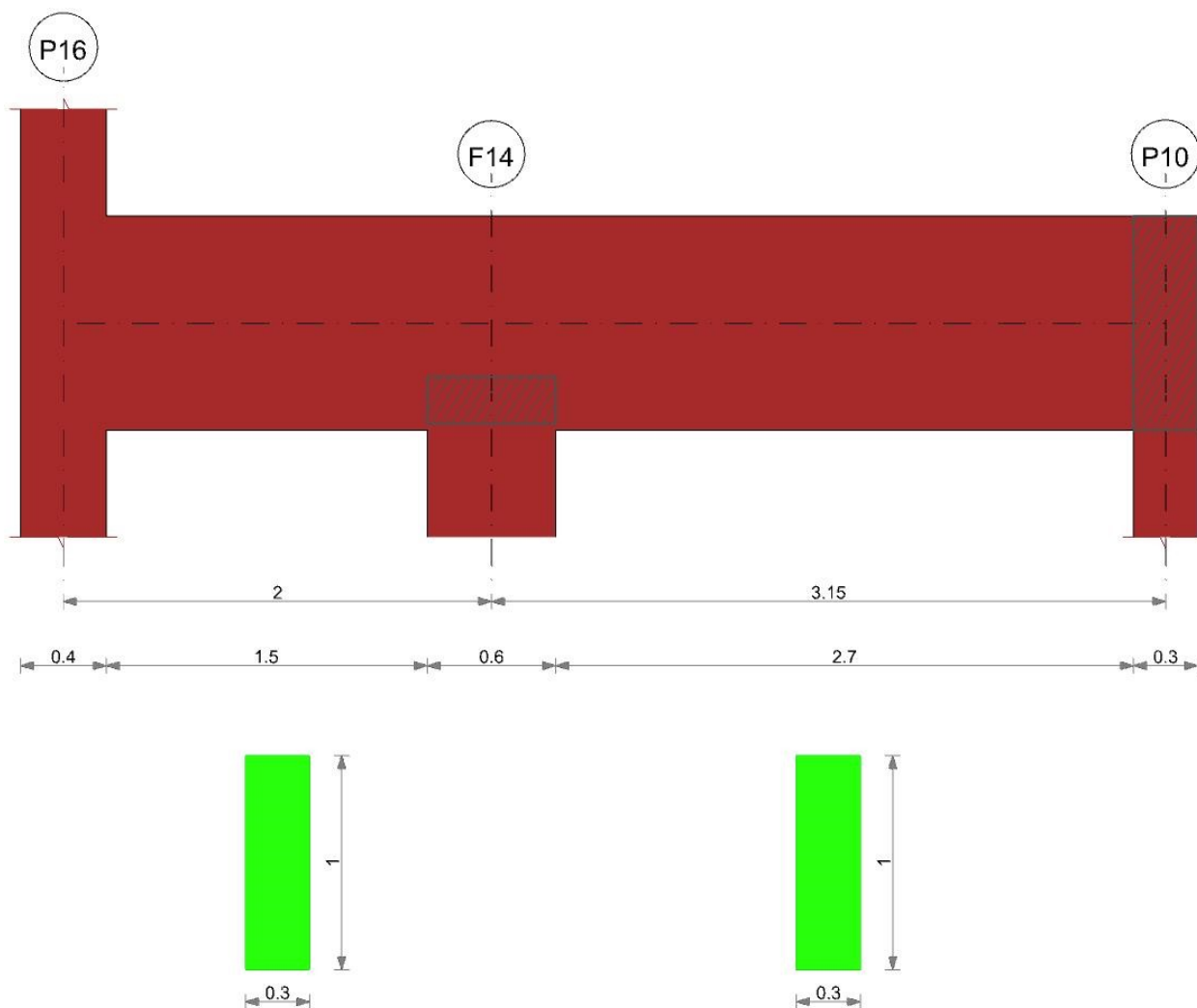
Verifiche taglio ciclico nel piano Circolare 7 21-01-19 §C8.7.2.3.5, [C8.7.2.8]

Ascissa	Lv	x	h	ρ _{tot}	θ _m	θ _y	μΔ _{pl}	Vrd	VRCd(cotθ=1)	VRsd	Vw	Vr	Vu	Ved	Ned	Comb.	Verifica
23.7	0.785	0.047	1	0.004	0.00012	0.00655	0	68.58	431.99	261.46	104.59	136.19	261.46	172.76	0	SLV 1	Si
25.4	1.52	0.045	1	0.003	0.00027	0.00624	0	65.71	431.9								

x	T gravità	T sisma	T ultimo	Comb.	Pga	Tr	Ind. taglio	M gravità	M sisma	M ultimo	Comb.	Pga	Tr	Ind. momento	Ver
1.05	15.59	60.24	261.33	SLD 1	0.26	2110	3.477	-0.1692	71.642	113.4175	SLD 1	0.14	326	1.617	Si
1.9	-1.48	-60.24	-261.41	SLD 16	0.26	2110	3.477	-0.1692	71.642	113.4161	SLD 1	0.14	326	1.617	Si

Trave a "Piano 3" P16-P10

Geometria



Caratteristiche dei materiali

Acciaio: Vigone_FeB22k_LC2 Fym 313700 Livello di conoscenza LC2 Fattore di confidenza 1.2

Calcestruzzo: C14/17 LC2 Vigone A Rcm 17000 Livello di conoscenza LC2 Fattore di confidenza 1.2

Elenco delle sezioni

N°	Descrizione	Tipo	Base	Altezza	Copriferro sup.	Copriferro inf.	Copriferro lat.
1	R 30x100	Rettangolare	0.3	1	0.025	0.025	0.025

Diagramma verifica stato limite ultimo flessione

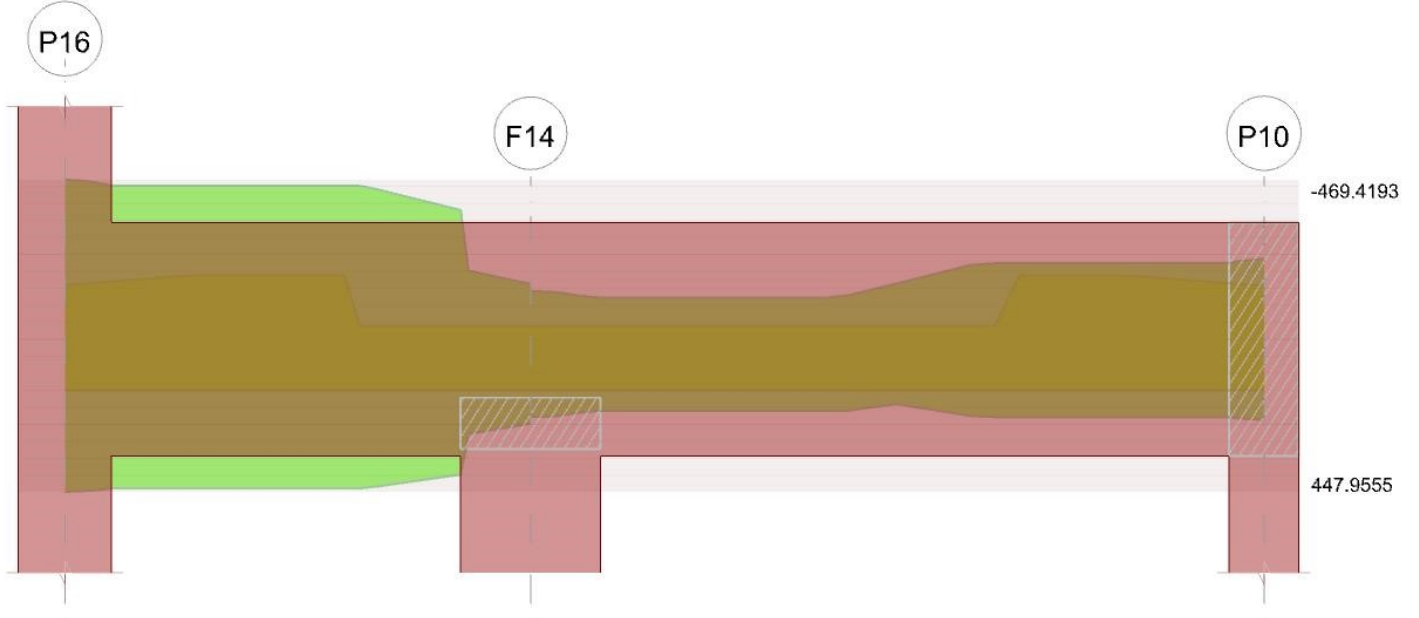


Diagramma verifica stato limite ultimo taglio

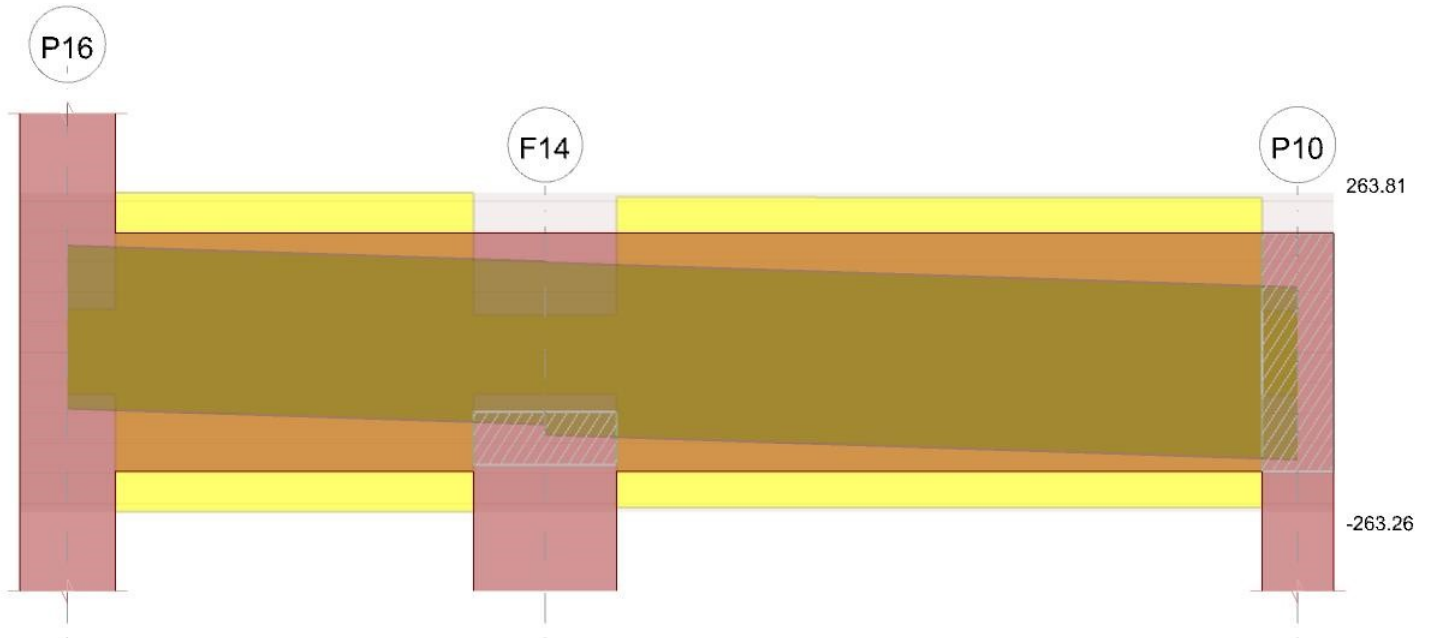
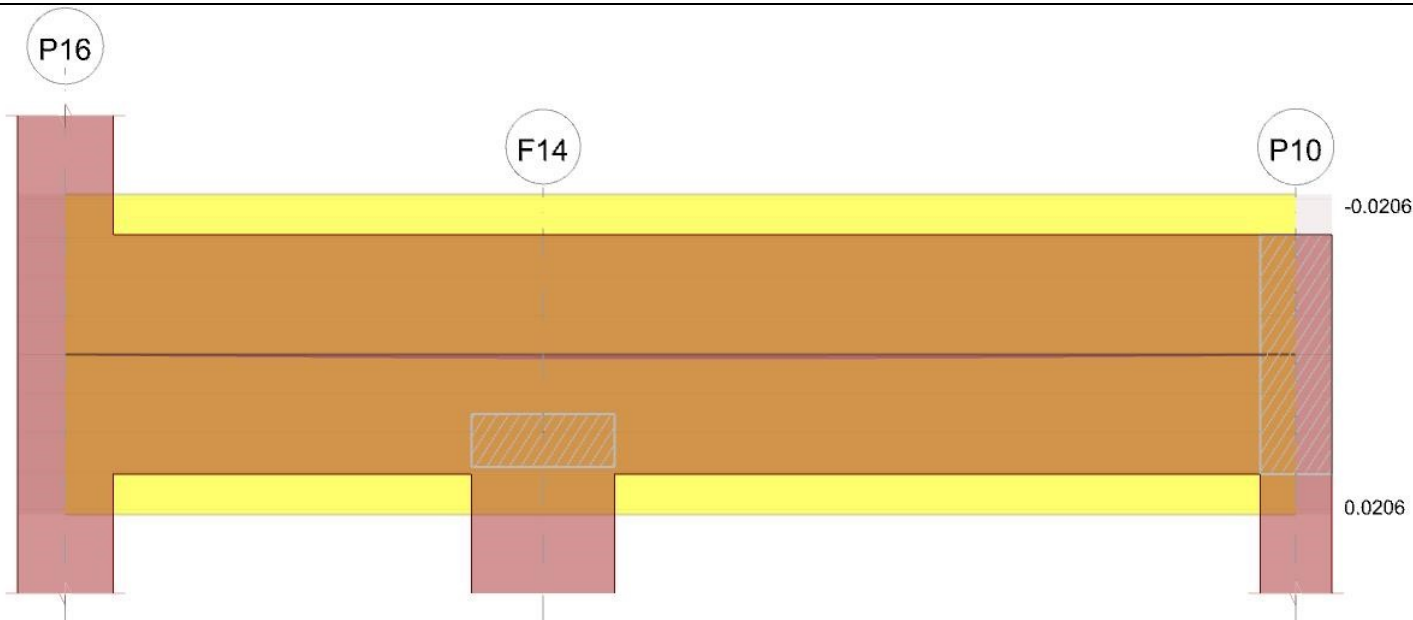


Diagramma verifica stato limite esercizio quasi permanente freccia



Output campate

Campata 1 tra i fili P16 - F14, sezione R 30x100, asta 67

Verifiche a flessione in famiglia SLU

x	A sup.	C.b. sup.	A inf.	C.b. inf.	M+ela	Comb.	M+des	M+ult	x/d	coeff	M-ela	Comb.	M-des	M-ult	x/d	coeff	Verifica
0	0.000654	0.04	0.000616	0.04							-24.1018	SLU 18	-17.3347	-138.357	0.05	7.98	Si
0.2	0.000699	0.04	0.000616	0.04	-5.8267	SLU 1	45.3337	130.3824	0.048	2.88	-10.9913	SLU 18	-10.9913	-147.7535	0.051	13.44	Si
1	0.000773	0.04	0.000616	0.04	34.0163	SLU 12	60.3108	130.3951	0.047	2.16	19.5065	SLU 9	-10.9913	-163.2967	0.053	14.86	Si
1.7	0.000157	0.038	0.000616	0.04	60.3108	SLU 17	60.3108	130.2974	0.068	2.16							Si
2	0.000157	0.038	0.000616	0.04	68.8631	SLU 17	65.916	130.2974	0.068	1.98							Si

Verifiche a flessione in famiglia SLV

E' attiva l'opzione fattori parziali di sicurezza unitari per meccanismi duttili di strutture esistenti con fattore q

x	A sup.	C.b. sup.	A inf.	C.b. inf.	M+ela	Comb.	M+des	M+ult	x/d	coeff	M-ela	Comb.	M-des	M-ult	x/d	coeff	Verifica
0	0.000654	0.04	0.000616	0.04	457.1745	SLV 7	447.9555	150.4761	0.047	0.34	-486.9678	SLV 10	-469.4193	-159.6595	0.048	0.34	No
0.2	0.000699	0.04	0.000616	0.04	438.4263	SLV 7	438.4263	150.4805	0.047	0.34	-452.0805	SLV 10	-452.0805	-170.4715	0.049	0.38	No
1	0.000773	0.04	0.000616	0.04	358.343	SLV 7	438.4263	150.4876	0.046	0.34	-317.8409	SLV 10	-452.0805	-188.348	0.051	0.42	No
1.27	0.000157	0.038	0.000616	0.04	329.8697	SLV 7	438.4263	150.5425	0.056	0.34	-275.0133	SLV 10	-452.0805	-40.0511	0.037	0.09	No
1.7	0.000157	0.038	0.000616	0.04	281.788	SLV 11	397.3861	150.5425	0.056	0.38	-207.5636	SLV 6	-380.5456	-40.0511	0.037	0.11	No
2	0.000157	0.038	0.000616	0.04	247.9174	SLV 12	247.9174	150.5425	0.056	0.61	-163.1199	SLV 5	-163.1199	-40.0511	0.037	0.25	No

Verifiche SLD Resistenza a flessione

x	A sup.	C.b. sup.	A inf.	C.b. inf.	M+ela	Comb.	M+des	M+ult	x/d	coeff	M-ela	Comb.	M-des	M-ult	x/d	coeff	Verifica
0	0.000654	0.04	0.000616	0.04	175.0897	SLD 7	173.8642	150.4761	0.047	0.87	-204.883	SLD 10	-195.328	-159.6595	0.048	0.82	No
0.2	0.000699	0.04	0.000616	0.04	172.3562	SLD 7	172.3562	150.4805	0.047	0.87	-186.0105	SLD 10	-186.0105	-170.4715	0.049	0.92	No
1	0.000773	0.04	0.000616	0.04	156.2711	SLD 7	172.3562	150.4876	0.046	0.87	-115.769	SLD 10	-186.0105	-188.348	0.051	1.01	No
1.27	0.000157	0.038	0.000616	0.04	149.0916	SLD 7	172.3562	150.5425	0.056	0.87	-94.2352	SLD 10	-186.0105	-40.0511	0.037	0.22	No
1.7	0.000157	0.038	0.000616	0.04	135.5197	SLD 11	164.9305	150.5425	0.056	0.91	-61.2953	SLD 6	-148.09	-40.0511	0.037	0.27	No
2	0.000157	0.038	0.000616	0.04	125.0469	SLD 12	125.0469	150.5425	0.056	1.2	-40.2495	SLD 5	-40.2495	-40.0511	0.037	1	No

Verifiche a taglio in famiglia SLU

x	A st	A sl	A sag	Vela	Comb.	Vdes	Vrd	Vrcd	Vrsd	Vult	cotgθ	coeff	Verifica
0	0	0.000699	0	67.67	SLU 18	67.67	71.39	297.81	0	71.39	2.5	1.05	Si
0.2	0.0000054	0.000699	0	63.43	SLU 18	63.43	71.39	297.84	263.33	263.33	2.5	4.15	Si
1	0.0000054	0.000616	0	46.48	SLU 18	46.48	68.44	297.77	263.26	263.26	2.5	5.66	Si
1.7	0.0000054	0.000616	0	31.65	SLU 18	31.65	68.44	297.77	263.26	263.26	2.5	8.32	Si
2	0	0.000616	0	25.29	SLU 18	25.29	68.44	297.77	0	68.44	2.5	2.71	Si

Verifiche a taglio in famiglia SLV

x	A st	A sl	A sag	Vela	Comb.	Vdes	Vrd	Vrcd	Vrsd	Vult	cotgθ	coeff	Verifica
0	0	0.000699	0	175.99	SLV 10	175.99	71.39	297.81	0	71.39	2.5	0.41	Si
0	0	0.000616	0	-92.69	SLV 7	-92.69	-68.44	-297.77	0	-68.44	2.5	0.74	Si
0.2	0.0000054	0.000699	0	173.39	SLV 10	173.39	71.39	297.84	263.33	263.33	2.5	1.52	Si
0.2	0.0000054	0.000616	0	-95.29	SLV 7	-95.29	-68.44	-297.77	-263.26	-263.26	2.5	2.76	Si
1	0.0000054	0.000157	0	162.99	SLV 10	162.99	60.77	297.9	263.37	263.37	2.5	1.62	Si
1	0.0000054	0.000616	0	-105.69	SLV 7	-105.69	-68.44	-297.77	-263.26	-263.26	2.5	2.49	Si
1.7	0.0000054	0.000157	0	153.89	SLV 10	153.89	60.85	298.39	263.81	263.81	2.5	1.71	Si
1.7	0.0000054	0.000616	0	-114.79	SLV 7	-114.79	-68.44	-297.77	-263.26	-263.26	2.5	2.29	Si
1.73	0	0.000157	0	153.45	SLV 10	153.45	60.85	298.39	0	60.85	2.5	0.4	Si
1.73	0	0.000616	0	-115.23	SLV 7	-115.23	-68.44	-297.77	0	-68.44	2.5	0.59	Si
2	0	0.000157	0	149.99	SLV 10	149.99	60.85	298.39	0	60.85	2.5	0.41	Si
2	0	0.000616	0	-118.69	SLV 7	-118.69	-68.44	-297.77	0	-68.44	2.5	0.58	Si

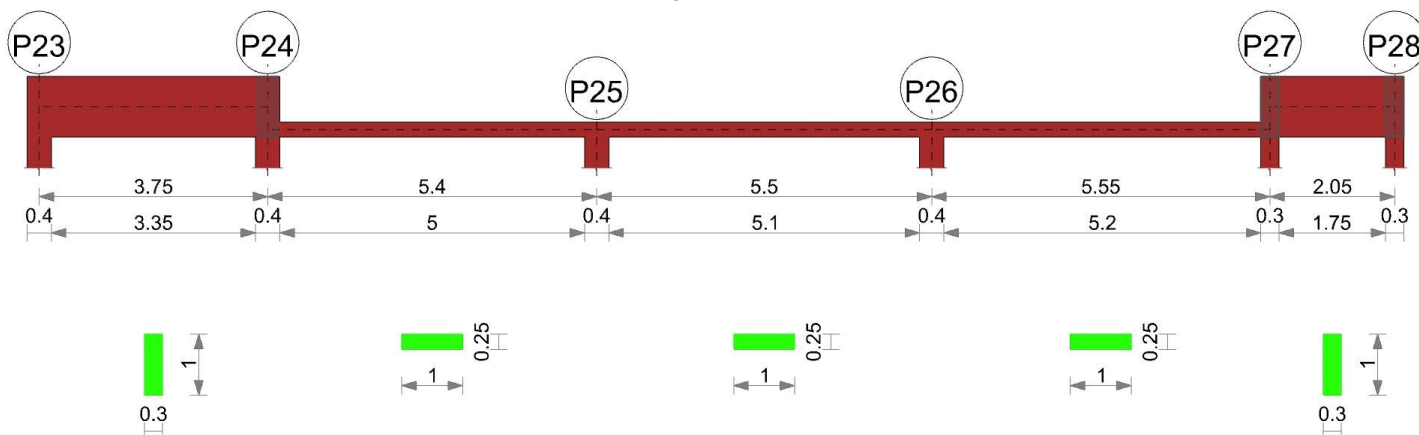
Verifiche SLD Resistenza a taglio

x	A st	A sl	A sag	Vela	Comb.	Vdes	Vrd	Vrcd	Vrsd	Vult	cotgθ	coeff	Verifica
0	0	0.000699	0	95.78	SLD 10	95.78	71.39	297.81	0	71.39	2.5	0.75	Si
0	0	0.000616	0	-12.48	SLD 7	-12.48	-68.44	-297.77	0	-68.44	2.5	5.48	Si
0.2	0.0000054	0.000699	0	93.18	SLD 10	93.18	71.39	297.84	263.33	263.33	2.5	2.83	Si
0.2	0.0000054	0.000616	0	-15.08	SLD 7	-15.08	-68.44	-297.77	-263.26	-263.26	2.5	17.46	Si
1	0.0000054	0.000157	0	82.78	SLD 10	82.78	60.77	297.9	263.37	263.37	2.5	3.18	Si
1	0.0000054	0.000616	0	-25.48	SLD 7	-25.48	-68.44	-297.77	-263.26	-263.26	2.5	10.33	Si
1.7	0.0000054	0.000157	0	73.68	SLD 10	73.68	60.85	298.39	263.81	263.81	2.5	3.58	Si
1.7	0.0000054	0.000616	0	-34.58	SLD 7	-34.58	-68.44	-297.77	-263.26	-263.26	2.5	7.61	Si
2	0	0.000157	0	69.78	SLD 10	69.78	60.85	298.39	0	60.85	2.5	0.87	Si
2	0	0.000616	0	-38.48	SLD 7	-38.48	-68.44	-297.77	0	-68.44	2.5	1.78	Si

x	T gravità	T sisma	T ultimo	Comb.	Pga	Tr	Ind. taglio	M gravità	M sisma	M ultimo	Comb.	Pga	Tr	Ind. momento	Ver
3	-32.91	-57.17	-256	SLD 11	0.26	2110	3.477	2.1381	91.3796	150.4788	SLD 6	0.13	311	1.586	si

Trave a "Piano 3" P23-P28

Geometria



Caratteristiche dei materiali

Acciaio: Vigone_FeB22k_LC2 Fym 313700 Livello di conoscenza LC2 Fattore di confidenza 1.2

Calcestruzzo: C14/17 LC2 Vigone A Rcm 17000 Livello di conoscenza LC2 Fattore di confidenza 1.2

Elenco delle sezioni

N°	Descrizione	Tipo	Base	Altezza	Copriferro sup.	Copriferro inf.	Copriferro lat.
1	R 30x100	Rettangolare	0.3	1	0.025	0.025	0.025
2	R 100x25	Rettangolare	1	0.25	0.025	0.025	0.025

Diagramma verifica stato limite ultimo flessione

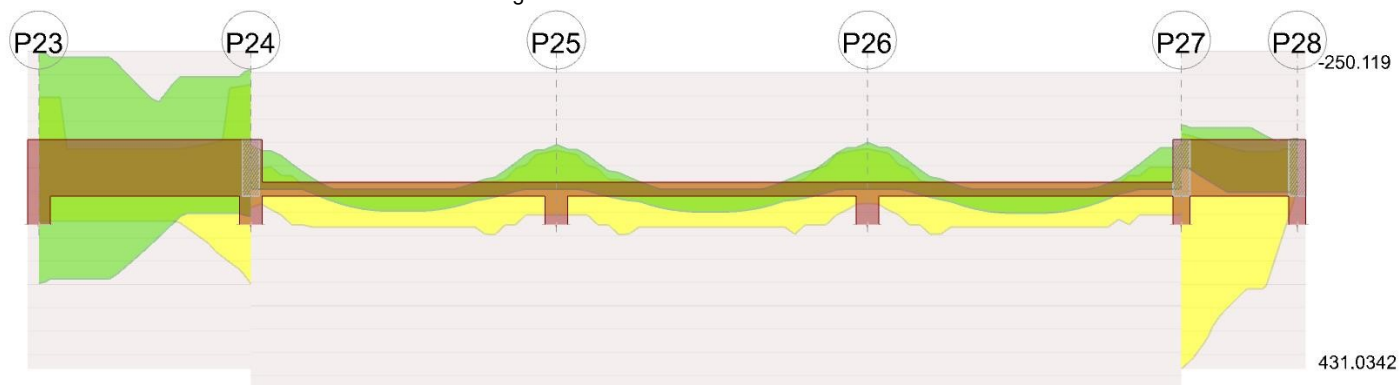


Diagramma verifica stato limite ultimo taglio

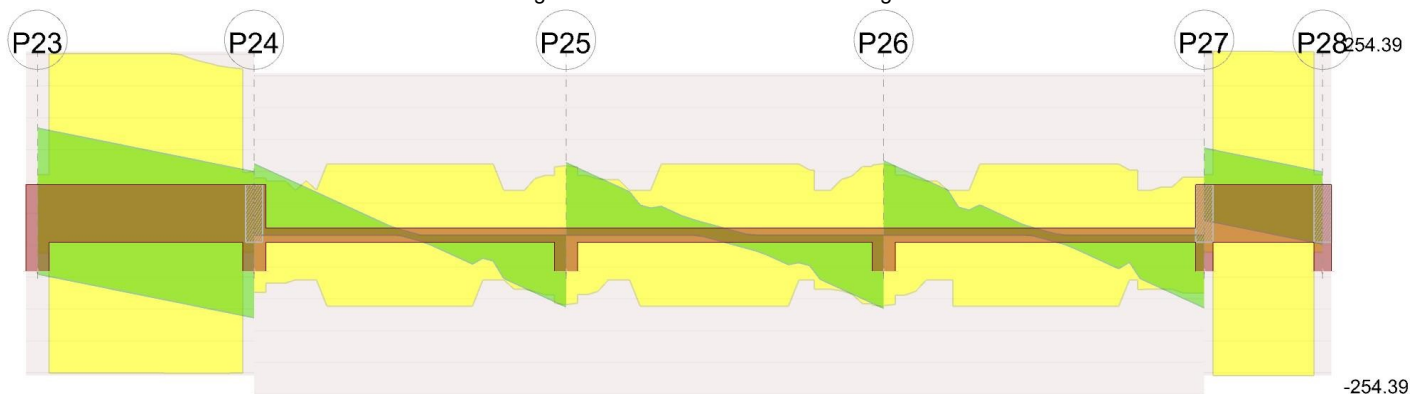
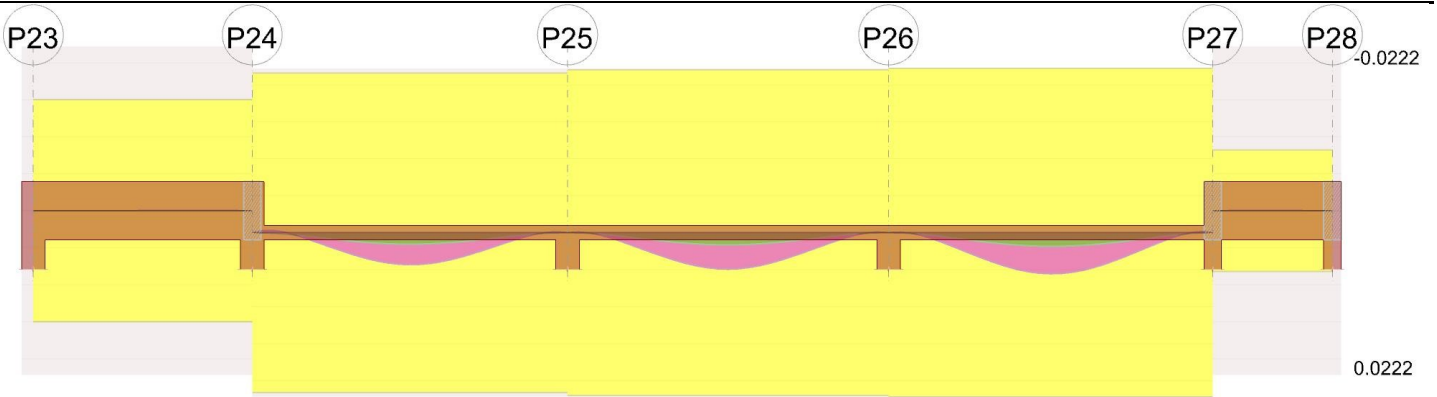


Diagramma verifica stato limite esercizio quasi permanente freccia



Output cambate

Campata 1 tra i fili P23 - P24, sezione R 30x100, asta 97

Verifiche a flessione in famiglia SLU

x	A sup.	C.b. sup.	A inf.	C.b. inf.	M+ela	Comb.	M+des	M+ult	x/d	coeff	M-ela	Comb.	M-des	M-ult	x/d	coeff	Verifica
0	0.000619	0.039	0.000462	0.04							-6.1685	SLU 12	-2.8756	-131.1008	0.051	45.59	Si
0.2	0.000619	0.039	0.000462	0.04	0.6349	SLU 19	12.8469	98.1766	0.045	7.64	-0.1487	SLU 2	-0.1487	-131.1008	0.051	881.55	Si
1.88	0.000157	0.038	0.000462	0.04	4.8001	SLU 12	12.8469	98.2314	0.051	7.65	-0.6669	SLU 9	-42.2657	-34.4078	0.038	0.81	No
2.5	0.000157	0.038	0.000484	0.048	-10.2694	SLU 1	11.6068	102.034	0.053	8.79	-19.139	SLU 18	-82.0306	-35.2784	0.039	0.43	No
3.55	0.000619	0.039	0.000993	0.131							-82.0306	SLU 18	-82.0306	-150.1722	0.102	1.83	Si
3.75	0.000619	0.039	0.001142	0.136							-97.7799	SLU 18	-89.627	-153.783	0.113	1.72	Si

Verifiche a flessione in famiglia SLV

E' attiva l'opzione fattori parziali di sicurezza unitari per meccanismi duttili di strutture esistenti con fattore q

x	A sup.	C.b. sup.	A inf.	C.b. inf.	M+ela	Comb.	M+des	M+ult	x/d	coeff	M-ela	Comb.	M-des	M-ult	x/d	coeff	Verifica
0	0.000619	0.039	0.000462	0.04	257.3278	SLV 13	247.7826	113.4175	0.043	0.46	-263.4828	SLV 4	-250.119	-151.3172	0.049	0.6	No
0.2	0.000619	0.039	0.000462	0.04	237.9059	SLV 13	237.9059	113.4175	0.043	0.48	-237.0867	SLV 4	-237.0867	-151.3172	0.049	0.64	No
0.5	0.000157	0.038	0.000462	0.04	207.4872	SLV 13	237.9059	113.4638	0.046	0.48	-198.7785	SLV 4	-237.0867	-40.0167	0.035	0.17	No
1.88	0.000157	0.038	0.000462	0.04	46.8526	SLV 13	175.9039	113.4638	0.046	0.65	-44.4163	SLV 4	-162.7804	-40.0167	0.035	0.25	No
3.55	0.000619	0.039	0.000993	0.131	96.8801	SLV 4	96.8801	217.6975	0.064	2.25	-195.5795	SLV 13	-195.5795	-174.3404	0.078	0.89	No
3.75	0.000619	0.039	0.001142	0.136	110.3605	SLV 4	103.7861	248.551	0.07	2.39	-227.9169	SLV 13	-211.5825	-178.8644	0.086	0.85	No

Verifiche SLD Resistenza a flessione

x	A sup.	C.b. sup.	A inf.	C.b. inf.	M+ela	Comb.	M+des	M+ult	x/d	coeff	M-ela	Comb.	M-des	M-ult	x/d	coeff	Verifica
0	0.000619	0.039	0.000462	0.04	108.8095	SLD 13	105.7971	113.4175	0.043	1.07	-114.9645	SLD 4	-108.1335	-151.3172	0.049	1.4	Si
0.2	0.000619	0.039	0.000462	0.04	102.4532	SLD 13	102.4532	113.4175	0.043	1.11	-101.6341	SLD 4	-101.6341	-151.3172	0.049	1.49	Si
1.88	0.000157	0.038	0.000462	0.04	20.8241	SLD 13	79.3215	113.4638	0.046	1.43	-18.3878	SLD 4	-66.1979	-40.0167	0.035	0.6	No
2.5	0.000157	0.038	0.000484	0.048	-0.4812	SLD 4	48.0499	117.8477	0.048	2.45	-22.7929	SLD 13	-112.1825	-41.0255	0.036	0.37	No
3.55	0.000619	0.039	0.000993	0.131	13.4831	SLD 4	13.4831	217.6975	0.064	16.15	-112.1825	SLD 13	-112.1825	-174.3404	0.078	1.55	Si
3.75	0.000619	0.039	0.001142	0.136	13.8979	SLD 4	13.8562	248.551	0.07	17.94	-131.4543	SLD 13	-121.6526	-178.8644	0.086	1.47	Si

Verifiche a taglio in famiglia SLU

x	A st	A sl	A sag	Vela	Comb.	Vdes	Vrd	Vrcd	Vrsd	Vult	cotgθ	coeff	Verifica
0	0	0.000157	0	33.48	SLU 12	33.48	60.78	297.93	0	60.78	2.5	1.82	Si
0.2	0.0000051	0.000157	0	27.59	SLU 12	27.59	60.78	297.93	250.62	250.62	2.5	9.08	Si
1.88	0.0000051	0.000462	0	-24.53	SLU 18	-24.53	-62.18	-297.77	-250.49	-250.49	2.5	10.21	Si
3.55	0.0000051	0.000157	0	-75.96	SLU 18	-75.96	-60.78	-297.93	-250.62	-250.62	2.5	3.3	Si
3.75	0	0.000157	0	-82.1	SLU 18	-82.1	-60.78	-297.93	0	-60.78	2.5	0.74	Si

Verifiche a taglio in famiglia SLV

x	A st	A sl	A sag	Vela	Comb.	Vdes	Vrd	Vrcd	Vrsd	Vult	cotgθ	coeff	Verifica
0	0	0.000157	0	133.98	SLV 4	133.98	60.78	297.93	0	60.78	2.5	0.45	Si
0	0	0.000462	0	-95.11	SLV 13	-95.11	-62.18	-297.77	0	-62.18	2.5	0.65	Si
0.2	0.0000051	0.000157	0	130.32	SLV 4	130.32	60.78	297.93	250.62	250.62	2.5	1.92	Si
0.2	0.0000051	0.000462	0	-98.77	SLV 13	-98.77	-62.18	-297.77	-250.49	-250.49	2.5	2.54	Si
1.88	0.0000051	0.000157	0	99.69	SLV 4	99.69	60.85	298.39	251.01	251.01	2.5	2.52	Si
1.88	0.0000051	0.000462	0	-129.4	SLV 13	-129.4	-62.18	-297.77	-250.49	-250.49	2.5	1.94	Si
3.55	0.0000051	0.00054	0	69.06	SLV 4	69.06	62.29	269.56	226.76	226.76	2.5	3.28	Si
3.55	0.0000051	0.000157	0	-160.03	SLV 13	-160.03	-60.78	-297.93	-250.62	-250.62	2.5	1.57	Si
3.75	0	0.000652	0	65.4	SLV 4	65.4	66.15	268.08	0	66.15	2.5	1.01	Si
3.75	0	0.000157	0	-163.69	SLV 13	-163.69	-60.78	-297.93	0	-60.78	2.5	0.37	Si

Verifiche SLD Resistenza a taglio

x	A st	A sl	A sag	Vela	Comb.	Vdes	Vrd	Vrcd	Vrsd	Vult	cotgθ	coeff	Verifica
0	0	0.000157	0	68.65	SLD 4	68.65	60.78	297.93	0	60.78	2.5	0.89	Si
0	0	0.000462	0	-29.78	SLD 13	-29.78	-62.18	-297.77	0	-62.18	2.5	2.09	Si
0.2	0.0000051	0.000157	0	64.99	SLD 4	64.99	60.78	297.93	250.62	250.62	2.5	3.86	Si
0.2	0.0000051	0.000462	0	-33.44	SLD 13	-33.44	-62.18	-297.77	-250.49	-250.49	2.5	7.49	Si
1.88	0.0000051	0.000157	0	34.36	SLD 4	34.36	60.85	298.39	251.01	251.01	2.5	7.3	Si
1.88	0.0000051	0.000462	0	-64.07	SLD 13	-64.07	-62.18	-297.77	-250.49	-250.49	2.5	3.91	Si
3.55	0.0000051	0.00054	0	3.73	SLD 4	3.73	62.29	269.56	226.76	226.76	2.5	60.77	Si
3.55	0.0000051	0.000157	0	-94.7	SLD 13	-94.7	-60.78	-297.93	-250.62	-250.62	2.5	2.65	Si
3.75	0	0.000652	0	0.07	SLD 4	0.07	66.15	268.08	0	66.15	2.5	891.67	Si
3.75	0	0.000157	0	-98.36	SLD 13	-98.36	-60.78	-297.93	0	-60.78	2.5	0.62	Si

Verifiche taglio ciclico nel piano Circolare 7 21-01-19 §C8.7.2.3.5, [C8.7.2.8]

Ascissa	Lv	x	h	p,tot	θ,m	θ,y	μΔ,pl	Vrd	VRCd(cotθ=1)	VRsd	Vw	Vr	Vu	Ved	Ned	Comb.	Verifica	
0.4	2.341	0.047		1	0.004	0.0005	0.00665	0	60.78	431.99	250.62	100.25	119.54	250.62	130.32	0	SLV 4	Si
3.75	1.522	0.075		1	0.006	0.00029	0.00834	0	60.78	431.99	250.62	100.25	134.31	250.62	-160.03	0	SLV 13	Si

Indicatori di rischio sismico SLV

x	T gravità	T sisma	T ultimo	Comb.	Pga	Tr	Ind. taglio	M gravità	M sisma	M ultimo	Comb.	Pga	Tr	Ind. momento	Ver
0.2	15.78	114.54	250.62	SLV 4	0.26	2114	1.389	0.4096	237.4963	113.4175	SLV 13	0.09	127	0.438	No
1.88	-14.85	-114.54	-250.49	SLV 13	0.26	2114	1.389	-25.5218	-78.0759	-40.0167	SLV 13	0.04	20	0.205	No
2.25	-21.71	-114.54	-251.01	SLV 13	0.26	2114	1.389	-39.7842	-121.03	-40.0167	SLV 13	0	0	0	No
3.55	-45.49	-114.54	-250.62	SLV 13	0.26	2114	1.389	-49.3497	-146.2298	-174.3404	SLV 13	0.17	601	0.829	No

Indicatori di rischio sismico SLD resistenza

Verifiche a taglio in famiglia SLV

x	A st	A sl	A sag	Vela	Comb.	Vdes	Vrd	Vrcd	Vrsd	Vult	cotgθ	coeff	Verifica
0	0	0.001966	0	75.81	SLV 4	75.81	110.83	217.43	0	110.83	2.5	1.46	Si
0.2	0.000005	0.001852	0	70.85	SLV 4	70.85	108.65	217.45	54.07	108.65	2.5	1.53	Si
2.78	0.000005	0.002001	0	6.96	SLV 4	6.96	111.42	217.12	53.99	111.42	2.5	16.01	Si
2.78	0.000005	0.002001	0	-5.68	SLV 13	-5.68	-111.42	-217.12	-53.99	-111.42	2.5	19.62	Si
5.4	0.000005	0.001081	0	-70.81	SLV 13	-70.81	-90.79	-217.42	-54.06	-90.79	2.5	1.28	Si
5.55	0	0.001081	0	-74.53	SLV 13	-74.53	-90.79	-217.45	0	-90.79	2.5	1.22	Si

Verifiche SLD Resistenza a taglio

x	A st	A sl	A sag	Vela	Comb.	Vdes	Vrd	Vrcd	Vrsd	Vult	cotgθ	coeff	Verifica
0	0	0.001966	0	72.2	SLD 4	72.2	110.83	217.43	0	110.83	2.5	1.54	Si
0.2	0.000005	0.001852	0	67.24	SLD 4	67.24	108.65	217.45	54.07	108.65	2.5	1.62	Si
2.78	0.000005	0.002001	0	3.35	SLD 4	3.35	111.42	217.12	53.99	111.42	2.5	33.28	Si
2.78	0.000005	0.002001	0	-2.07	SLD 13	-2.07	-111.42	-217.12	-53.99	-111.42	2.5	53.82	Si
5.4	0.000005	0.001081	0	-67.2	SLD 13	-67.2	-90.79	-217.42	-54.06	-90.79	2.5	1.35	Si
5.55	0	0.001081	0	-70.92	SLD 13	-70.92	-90.79	-217.45	0	-90.79	2.5	1.28	Si

Verifiche taglio ciclico nel piano Circolare 7 21-01 19 §C8.7.2.3.5, [C8.7.2.8]

Ascissa	Lv	x	h	p.tot	θ _m	θ _y	μΔ _{pl}	Vrd	V _{Rcd} (cotθ=1)	V _{Rsd}	V _w	V _r	V _u	V _{ed}	Ned	Comb.	Verifica
15.05	1.557	0.052	0.25	0.011	0.00115	0.00559	0	108.65	315.31	54.07	21.63	34.68	108.65	70.85	0	SLV 4	Si
20.25	1.32	0.039	0.25	0.008	0.00109	0.0059	0	90.79	315.27	54.06	21.63	31.27	90.79	-70.81	0	SLV 13	Si

Indicatori di rischio sismico SLV

x	T gravità	T sisma	T ultimo	Comb.	Pga	Tr	Ind. taglio	M gravità	M sisma	M ultimo	Comb.	Pga	Tr	Ind. momento	Ver
0.2	64.53	6.32	108.65	SLV 4	0.26	2114	1.389	-53.1356	-20.0751	-95.5196	SLV 4	0.26	2114	1.389	Si
0.93	46.54	6.32	84.91	SLV 4	0.26	2114	1.389	-24.613	-12.5707	-22.6634	SLV 1	0	0	0	No
2.78	0.64	6.32	111.42	SLV 4	0.26	2114	1.389	29.8742	-5.3197	-14.2824	SLV 4	0.26	2114	1.389	Si
5.4	-64.49	-6.32	-90.79	SLV 13	0.26	2114	1.389	-53.0718	-12.7965	-55.695	SLV 13	0.04	24	0.221	No

Indicatori di rischio sismico SLD resistenza

x	T gravità	T sisma	T ultimo	Comb.	Pga	Tr	Ind. taglio	M gravità	M sisma	M ultimo	Comb.	Pga	Tr	Ind. momento	Ver
0.2	64.53	2.71	108.65	SLD 4	0.26	2110	3.477	-53.1356	-8.6168	-95.5196	SLD 4	0.26	2110	3.477	Si
0.93	46.54	2.71	84.91	SLD 4	0.26	2110	3.477	-24.613	-5.4848	-22.6634	SLD 1	0	0	0	No
2.78	0.64	2.71	111.42	SLD 4	0.26	2110	3.477	29.8742	-2.2906	-14.2824	SLD 4	0.26	2110	3.477	Si
5.4	-64.49	-2.71	-90.79	SLD 13	0.26	2110	3.477	-53.0718	-5.4775	-55.695	SLD 13	0.04	24	0.555	No

Campata 5 tra i fili P27 - P28, sezione R 30x100, asta 88

Verifiche a flessione in famiglia SLU

x	A sup.	C.b. sup.	A inf.	C.b. inf.	M+ela	Comb.	M+des	M+ult	x/d	coeff	M-ela	Comb.	M-des	M-ult	x/d	coeff	Verifica
0	0.000157	0.038	0.002064	0.121							-97.3344	SLU 18	-91.5725	-72.6994	0.054	0.79	No
0.15	0.000157	0.038	0.001963	0.117							-86.1447	SLU 18	-86.1447	-68.8065	0.052	0.8	No
1.03	0.000157	0.038	0.001161	0.052							-34.5647	SLU 18	-86.1447	-37.689	0.041	0.44	No
1.23	0.000157	0.038	0.001078	0.04							-25.8822	SLU 18	-86.1447	-34.4353	0.04	0.4	No
1.9	0.000157	0.038	0.000419	0.04							-6.5177	SLU 18	-44.5377	-34.4031	0.038	0.77	No
2.05	0.000157	0.038	0.000184	0.04							-4.057	SLU 18	-4.057	-34.3471	0.035	8.47	Si

Verifiche a flessione in famiglia SLV

E' attiva l'opzione fattori parziali di sicurezza unitari per meccanismi duttili di strutture esistenti con fattore q

x	A sup.	C.b. sup.	A inf.	C.b. inf.	M+ela	Comb.	M+des	M+ult	x/d	coeff	M-ela	Comb.	M-des	M-ult	x/d	coeff	Verifica
0	0.000157	0.038	0.002064	0.121							-109.9696	SLV 4	-102.2925	-84.1661	0.054	0.82	No
0.15	0.000157	0.038	0.001963	0.117	-8.2095	SLV 13	2.3025	414.4629	0.223	180.01	-94.8117	SLV 4	-94.8117	-79.6878	0.052	0.84	No
1.03	0.000157	0.038	0.001161	0.052	-14.4409	SLV 4	51.7668	274.6791	0.115	5.31	-26.9733	SLV 13	-94.8117	-43.8502	0.04	0.46	No
1.23	0.000157	0.038	0.001078	0.04	2.3025	SLV 4	51.7668	259.2098	0.104	5.01	-33.335	SLV 13	-94.8117	-40.0983	0.039	0.42	No
1.9	0.000157	0.038	0.000419	0.04	51.7668	SLV 4	51.7668	103.109	0.044	1.99	-59.6035	SLV 13	-59.6035	-40.0033	0.035	0.67	No
2.05	0.000157	0.038	0.000184	0.04	61.7276	SLV 4	56.8474	46.0804	0.03	0.81	-66.6042	SLV 13	-63.005	-39.8484	0.03	0.63	No

Verifiche SLD Resistenza a flessione

x	A sup.	C.b. sup.	A inf.	C.b. inf.	M+ela	Comb.	M+des	M+ult	x/d	coeff	M-ela	Comb.	M-des	M-ult	x/d	coeff	Verifica
0	0.000157	0.038	0.002064	0.121							-80.4948	SLD 4	-75.2314	-84.1661	0.054	1.12	Si
0.15	0.000157	0.038	0.001963	0.117							-70.1659	SLD 4	-70.1659	-79.6878	0.052	1.14	Si
1.03	0.000157	0.038	0.001161	0.052	-18.0245	SLD 4	20.0376	274.6791	0.115	13.71	-23.3897	SLD 13	-70.1659	-43.8502	0.04	0.62	No
1.23	0.000157	0.038	0.001078	0.04	-7.861	SLD 4	20.0376	259.2098	0.104	12.94	-23.1715	SLD 13	-70.1659	-40.0983	0.039	0.57	No
1.9	0.000157	0.038	0.000419	0.04	20.0376	SLD 4	20.0376	103.109	0.044	5.15	-27.8743	SLD 13	-29.0756	-40.0033	0.035	1.38	Si
2.05	0.000157	0.038	0.000184	0.04	25.1684	SLD 4	22.7028	46.0804	0.03	2.03	-30.045	SLD 13	-28.8604	-39.8484	0.03	1.38	Si

Verifiche a taglio in famiglia SLU

x	A st	A sl	A sag	Vela	Comb.	Vdes	Vrd	Vrcd	Vrsd	Vult	cotgθ	coeff	Verifica
0	0	0.000157	0	76.98	SLU 18	76.98	60.85	298.39	0	60.85	2.5	0.79	Si
0.15	0.0000052	0.000157	0	72.37	SLU 18	72.37	60.85	298.39	254.39	254.39	2.5	3.52	Si
1.03	0.0000052	0.000157	0	45.5	SLU 18	45.5	60.85	298.39	254.39	254.39	2.5	5.59	Si
1.9	0.0000052	0.000157	0	18.63	SLU 18	18.63	60.85	298.39	254.39	254.39	2.5	13.65	Si
2.05	0	0.000157	0	14.03	SLU 18	14.03	60.85	298.39	0	60.85	2.5	4.34	Si

Verifiche a taglio in famiglia SLV

x	A st	A sl	A sag	Vela	Comb.	Vdes	Vrd	Vrcd	Vrsd	Vult	cotgθ	coeff	Verifica
0	0	0.000157	0	102.49	SLV 4	102.49	60.85	298.39	0	60.85	2.5	0.59	Si
0	0	0.000157	0	-10.61	SLV 13	-10.61	-60.85	-298.39	0	-60.85	2.5	5.74	Si
0.15	0.0000052	0.000157	0	99.74	SLV 4	99.74	60.85	298.39	254.39	254.39	2.5	2.55	Si
0.15	0.0000052	0.000157	0	-13.35	SLV 13	-13.35	-60.85	-298.39	-254.39	-254.39	2.5	19.05	Si
1.03	0.0000052	0.000157	0	83.74	SLV 4	83.74	60.85	298.39	254.39	254.39	2.5	3.04	Si
1.03	0.0000052	0.000157	0	-29.35	SLV 13	-29.35	-60.85	-298.39	-254.39	-254.39	2.5	8.67	Si
1.9	0.0000052	0.000419	0	67.74	SLV 4	67.74	60.75	297.77	253.86	253.86	2.5	3.75	Si
1.9	0.0000052	0.000157	0	-45.35	SLV 13	-45.35	-60.85	-298.39	-254.39	-254.39	2.5	5.61	Si
2.05	0	0.000419	0	65	SLV 4	65	60.75	297.77	0	60.75	2.5	0.93	Si
2.05	0	0.000157	0	-48.1	SLV 13	-48.1	-60.85	-298.39	0	-60.85	2.5	1.27	Si

Verifiche SLD Resistenza a taglio

x	A st	A sl	A sag	Vela	Comb.	Vdes	Vrd	Vrcd	Vrsd	Vult	cotgθ	coeff	Verifica
0	0	0.000157	0	70.28	SLD 4	70.28	60.85	298.39	0	60.85	2.5	0.87	Si
0.15	0.0000052	0.000157	0	67.54	SLD 4	67.54	60.85	298.39	254.39	254.39	2.5	3.77	Si
1.03	0.0000052	0.000157	0	51.54	SLD 4	51.54	60.85	298.39	254.39	254.39	2.5	4.94	Si
1.9	0.0000052	0.000419	0	35.54	SLD 4	35.54	60.75	297.77	253.86	253.86	2.5	7.14	Si
1.9	0.0000052	0.000157	0	-13.15	SLD 13	-13.15	-60.85	-298.39	-254.39	-254.39	2.5	19.35	Si
2.05	0	0.000419	0	32.79	SLD 4	32.79	60.75	297.77	0	60.75	2.5	1.85	Si
2.05	0	0.000157	0	-15.89	SLD 13	-15.89	-60.85	-298.39	0	-60.85	2.5	3.83	Si

Verifiche taglio ciclico nel piano Circolare 7 21-01-19 §C8.7.2.3.5, [C8.7.2.8]

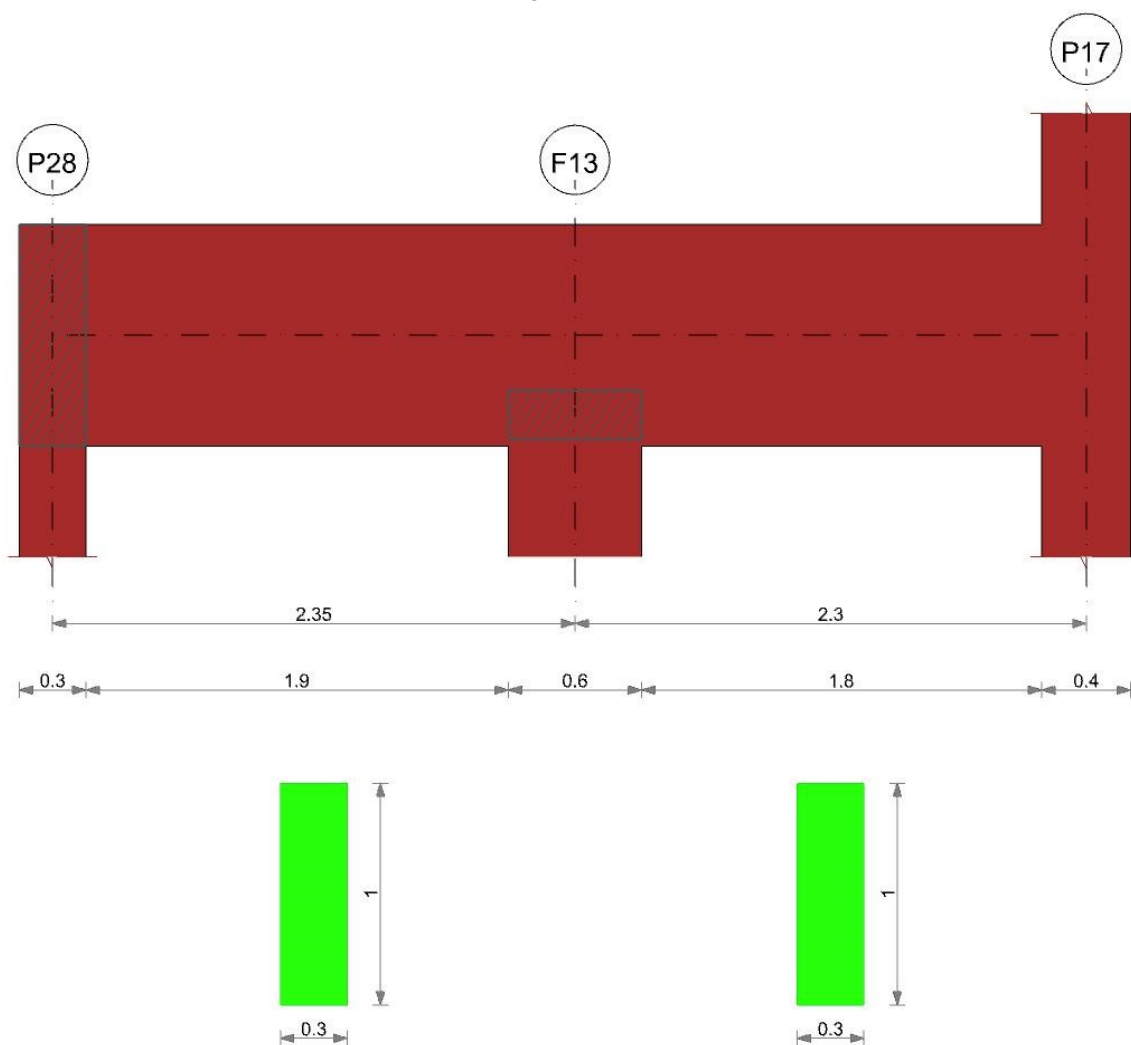
Ascissa	Lv	x	h	ρ_{tot}	θ_m	θ_y	$\mu_{\Delta,pl}$	Vrd	VRcd(cot $\theta=1$)	VRsd	Vw	Vr	Vu	Ved	Ned	Comb.	Verifica
20.55	1.201	0.05	1	0.008	0.00011	0.00658	0	60.85	432.67	254.39	101.76	151.36	254.39	99.74	0	SLV 4	Si
22.3	0.849	0.042	1	0.001	0.00007	0.00671	0	60.75	431.77	253.86	101.54	132.99	253.86	67.74	0	SLV 4	Si

Indicatori di rischio sismico SLV

x	T gravità	T sisma	T ultimo	Comb.	Pga	Tr	Ind. taglio	M gravità	M sisma	M ultimo	Comb.	Pga	Tr	Ind. momento	Ver
0.15	43.2	56.55	254.39	SLV 4	0.26	2114	1.389	-51.5106	-43.3011	-79.6878	SLV 4	0.13	284	0.61	No
0.75	32.19	56.55	254.39	SLV 4	0.26	2114	1.389	-51.5106	-43.3011	-52.0707	SLV 4	0	0	0	No
1.03	27.2	56.55	254.39	SLV 4	0.26	2114	1.389	-51.5106	-33.5045	-43.8502	SLV 1	0	0	0	No
1.9	11.19	56.55	253.86	SLV 4	0.26	2114	1.389	-3.9184	-55.6851	-40.0033	SLV 13	0.13	281	0.607	No

Indicatori di rischio sismico SLD resistenza

x	T gravità	T sisma	T ultimo	Comb.	Pga	Tr	Ind. taglio	M gravità	M sisma	M ultimo	Comb.	Pga	Tr	Ind. momento	Ver
0.15	43.2	24.34	254.39	SLD 4	0.26	2110	3.477	-51.5106	-18.6554	-79.6878	SLD 4	0.13	286	1.532	Si
0.75	32.19	24.34	254.39	SLD 4	0.26	2110	3.477	-51.5106	-18.6554	-52.0707	SLD 4	0	0	0	No
1.03	27.2	24.34	254.39	SLD 4	0.26	2110	3.477	-51.5106	-14.5477	-43.8502	SLD 1	0	0	0	No
1.9	11.19	24.34	253.86	SLD 4	0.26	2110	3.477	-3.9184	-23.9559	-40.0033	SLD 13	0.13	284	1.528	Si

Trave a "Piano 3" P28-P17**Geometria****Caratteristiche dei materiali**

Acciaio: Vigone_FeB22k_LC2 Fym 313700 Livello di conoscenza LC2 Fattore di confidenza 1.2

Calcestruzzo: C14/17 LC2 Vigone A Rcm 17000 Livello di conoscenza LC2 Fattore di confidenza 1.2

Elenco delle sezioni

N°	Descrizione	Tipo	Base	Altezza	Copriferro sup.	Copriferro inf.	Copriferro lat.
1	R 30x100	Rettangolare	0.3	1	0.025	0.025	0.025

Diagramma verifica stato limite ultimo flessione

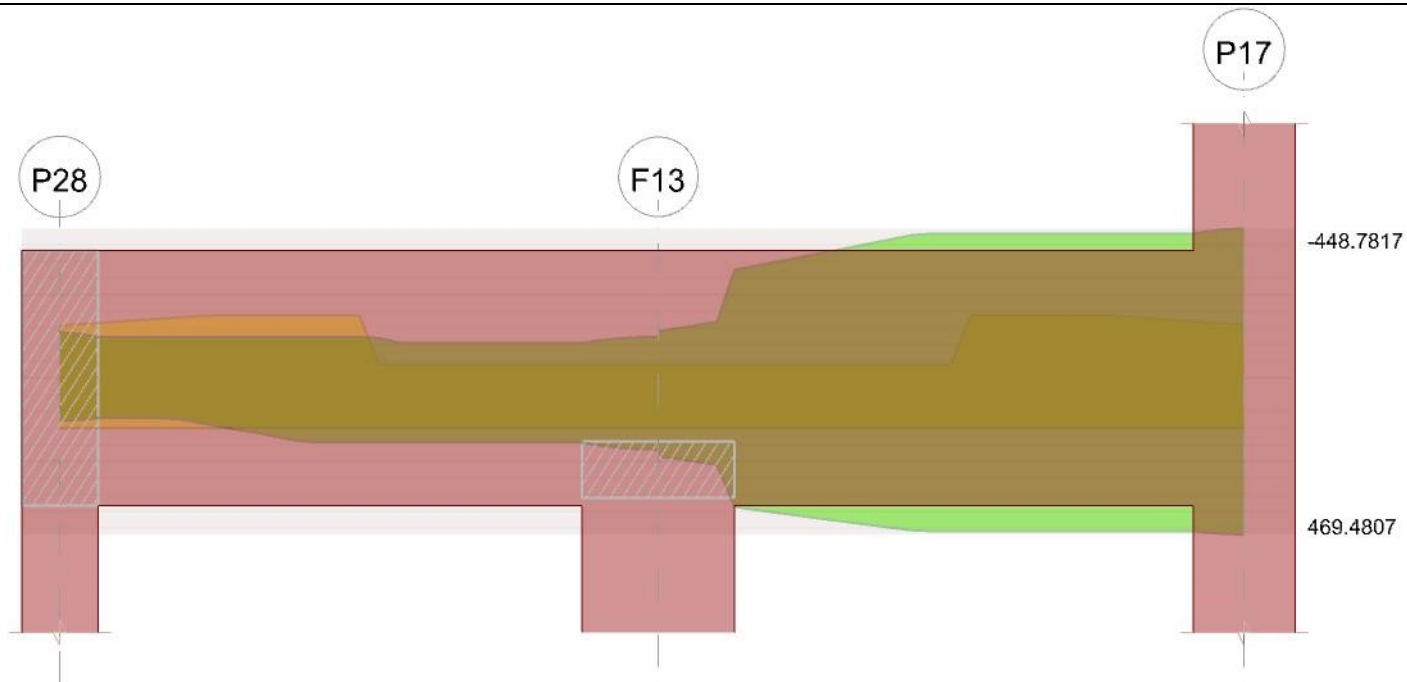


Diagramma verifica stato limite ultimo taglio

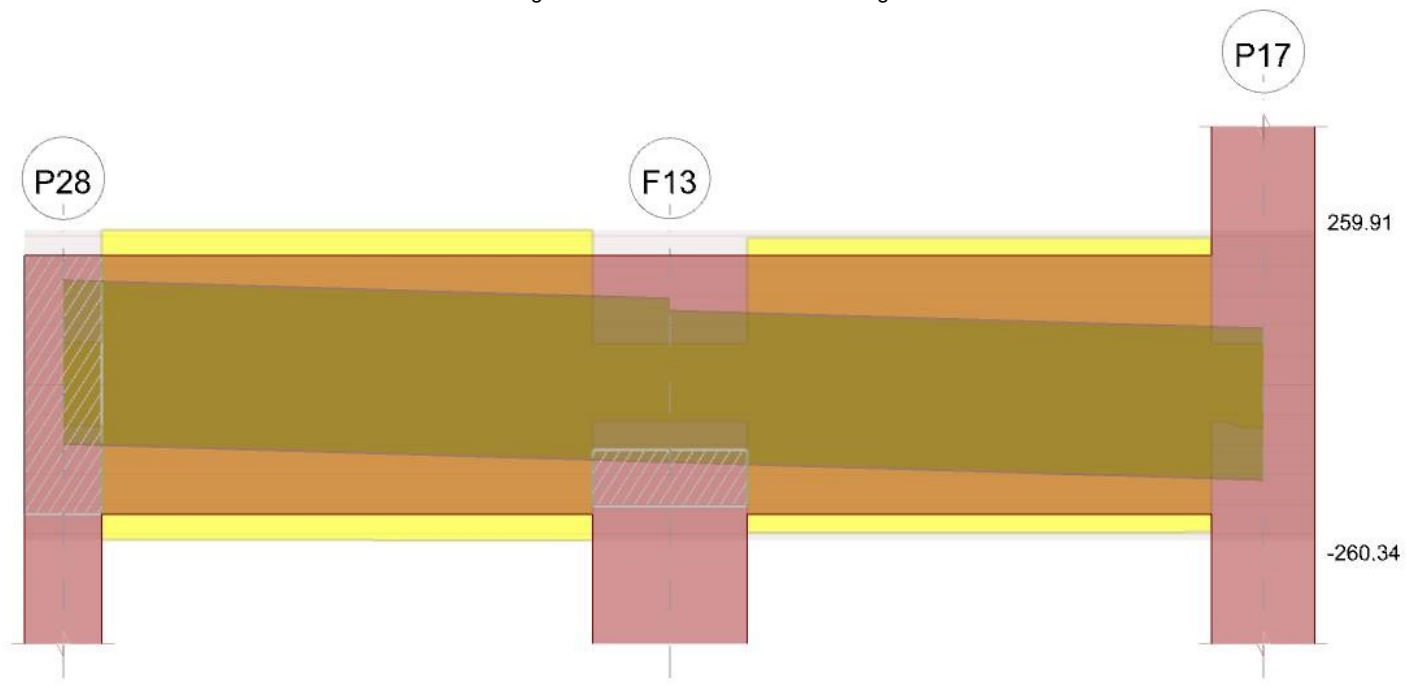
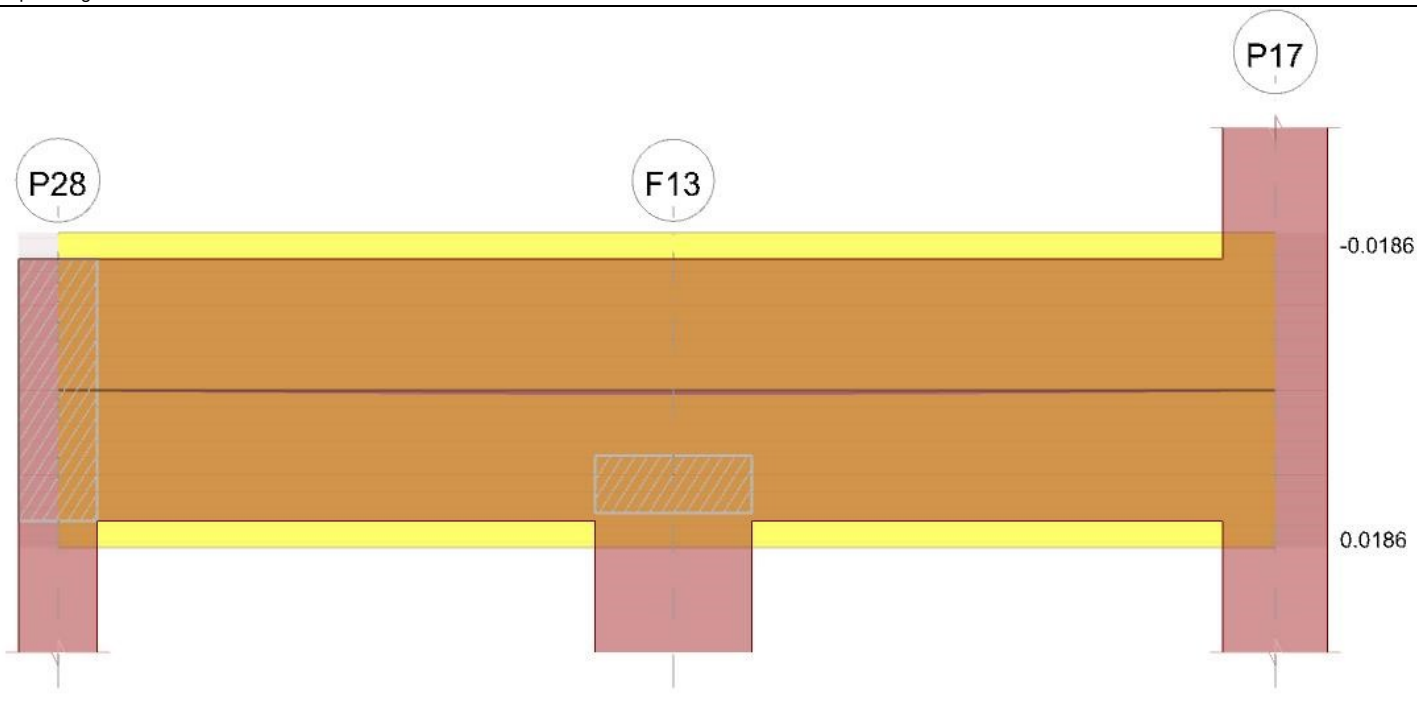


Diagramma verifica stato limite esercizio quasi permanente freccia



Output campate

Campata 1 tra i fili P28 - F13, sezione R 30x100, asta 89

Verifiche a flessione in famiglia SLU

x	A sup.	C.b. sup.	A inf.	C.b. inf.	M+ela	Comb.	M+des	M+ult	x/d	coeff	M-ela	Comb.	M-des	M-ult	x/d	coeff	Verifica
0	0.000643	0.04	0.000616	0.04							-11.5968	SLU 18	-6.9433	-136.0056	0.049	19.59	Si
0.15	0.000676	0.04	0.000616	0.04	-1.4606	SLU 1	48.7676	130.3787	0.048	2.67	-2.5231	SLU 18	-2.5231	-143.0559	0.05	56.7	Si
1.18	0.000773	0.04	0.000616	0.04	46.7667	SLU 17	71.2046	130.3951	0.047	1.83	28.2699	SLU 4	-2.5231	-163.2967	0.053	64.72	Si
2.05	0.000157	0.038	0.000616	0.04	71.2046	SLU 17	71.2046	130.2974	0.068	1.83							Si
2.35	0.000157	0.038	0.000616	0.04	75.8612	SLU 18	74.005	130.2974	0.068	1.76							Si

Verifiche a flessione in famiglia SLV

E' attiva l'opzione fattori parziali di sicurezza unitari per meccanismi duttili di strutture esistenti con fattore q

x	A sup.	C.b. sup.	A inf.	C.b. inf.	M+ela	Comb.	M+des	M+ult	x/d	coeff	M-ela	Comb.	M-des	M-ult	x/d	coeff	Verifica
0	0.000643	0.04	0.000616	0.04	134.7807	SLV 7	127.7331	150.4729	0.047	1.18	-149.301	SLV 10	-136.5113	-156.9577	0.048	1.15	Si
0.15	0.000676	0.04	0.000616	0.04	120.1983	SLV 7	120.1983	150.4788	0.047	1.25	-123.5207	SLV 10	-123.5207	-165.0657	0.049	1.34	Si
1.18	0.000773	0.04	0.000616	0.04	72.3762	SLV 5	193.2909	150.4876	0.046	0.78	-14.7884	SLV 12	-123.5207	-188.348	0.051	1.52	No
2.05	0.000157	0.038	0.000616	0.04	193.2909	SLV 9	193.2909	150.5425	0.056	0.78	-105.3357	SLV 8	-105.3357	-40.0511	0.037	0.38	No
2.35	0.000157	0.038	0.000616	0.04	234.6125	SLV 9	215.0342	150.5425	0.056	0.7	-140.8129	SLV 8	-123.5774	-40.0511	0.037	0.32	No

Verifiche SLD Resistenza a flessione

x	A sup.	C.b. sup.	A inf.	C.b. inf.	M+ela	Comb.	M+des	M+ult	x/d	coeff	M-ela	Comb.	M-des	M-ult	x/d	coeff	Verifica
0	0.000643	0.04	0.000616	0.04	50.2323	SLD 7	49.1297	150.4729	0.047	3.06	-64.7525	SLD 10	-57.9078	-156.9577	0.048	2.71	Si
0.15	0.000676	0.04	0.000616	0.04	47.7265	SLD 7	50.4061	150.4788	0.047	2.99	-51.0489	SLD 10	-51.0489	-165.0657	0.049	3.23	Si
1.18	0.000773	0.04	0.000616	0.04	46.8577	SLD 5	104.1274	150.4876	0.046	1.45	10.7301	SLD 12	-51.0489	-188.348	0.051	3.69	Si
1.25	0.000157	0.038	0.000616	0.04	51.9114	SLD 5	104.1274	150.5425	0.056	1.45	9.2073	SLD 12	-48.9521	-40.0511	0.037	0.82	No
2.05	0.000157	0.038	0.000616	0.04	104.1274	SLD 9	104.1274	150.5425	0.056	1.45	-16.1722	SLD 8	-16.1722	-40.0511	0.037	2.48	Si
2.35	0.000157	0.038	0.000616	0.04	122.4382	SLD 9	113.92	150.5425	0.056	1.32	-28.6386	SLD 8	-22.4632	-40.0511	0.037	1.78	Si

Verifiche a taglio in famiglia SLU

x	A st	A sl	A sag	Vela	Comb.	Vdes	Vrd	Vrcd	Vrsd	Vult	cotgθ	coeff	Verifica
0	0	0.000676	0	62.11	SLU 18	62.11	70.62	297.8	0	70.62	2.5	1.14	Si
0.15	0.0000053	0.000676	0	58.94	SLU 18	58.94	70.62	297.83	259.85	259.85	2.5	4.41	Si
1.18	0.0000053	0.000616	0	37.22	SLU 18	37.22	68.44	297.77	259.8	259.8	2.5	6.98	Si
2.05	0.0000053	0.000616	0	18.67	SLU 18	18.67	68.44	297.77	259.8	259.8	2.5	13.91	Si
2.35	0	0.000616	0	12.32	SLU 18	12.32	68.44	297.77	0	68.44	2.5	5.56	Si

Verifiche a taglio in famiglia SLV

x	A st	A sl	A sag	Vela	Comb.	Vdes	Vrd	Vrcd	Vrsd	Vult	cotgθ	coeff	Verifica
0	0	0.000676	0	175.16	SLV 10	175.16	70.62	297.8	0	70.62	2.5	0.4	Si
0	0	0.000616	0	-98.51	SLV 7	-98.51	-68.44	-297.77	0	-68.44	2.5	0.69	Si
0.15	0.0000053	0.000676	0	173.21	SLV 10	173.21	70.62	297.83	259.85	259.85	2.5	1.5	Si
0.15	0.0000053	0.000616	0	-100.46	SLV 7	-100.46	-68.44	-297.77	-259.8	-259.8	2.5	2.59	Si
1.18	0.0000053	0.000616	0	159.88	SLV 10	159.88	68.44	297.77	259.8	259.8	2.5	1.62	Si
1.18	0.0000053	0.000616	0	-113.79	SLV 7	-113.79	-68.44	-297.77	-259.8	-259.8	2.5	2.28	Si
2.05	0.0000053	0.000616	0	148.51	SLV 10	148.51	68.44	297.77	259.8	259.8	2.5	1.75	Si
2.05	0.0000053	0.000157	0	-125.16	SLV 7	-125.16	-60.85	-298.39	-260.34	-260.34	2.5	2.08	Si
2.35	0	0.000616	0	144.61	SLV 10	144.61	68.44	297.77	0	68.44	2.5	0.47	Si
2.35	0	0.000157	0	-129.06	SLV 7	-129.06	-60.85	-298.39	0	-60.85	2.5	0.47	Si

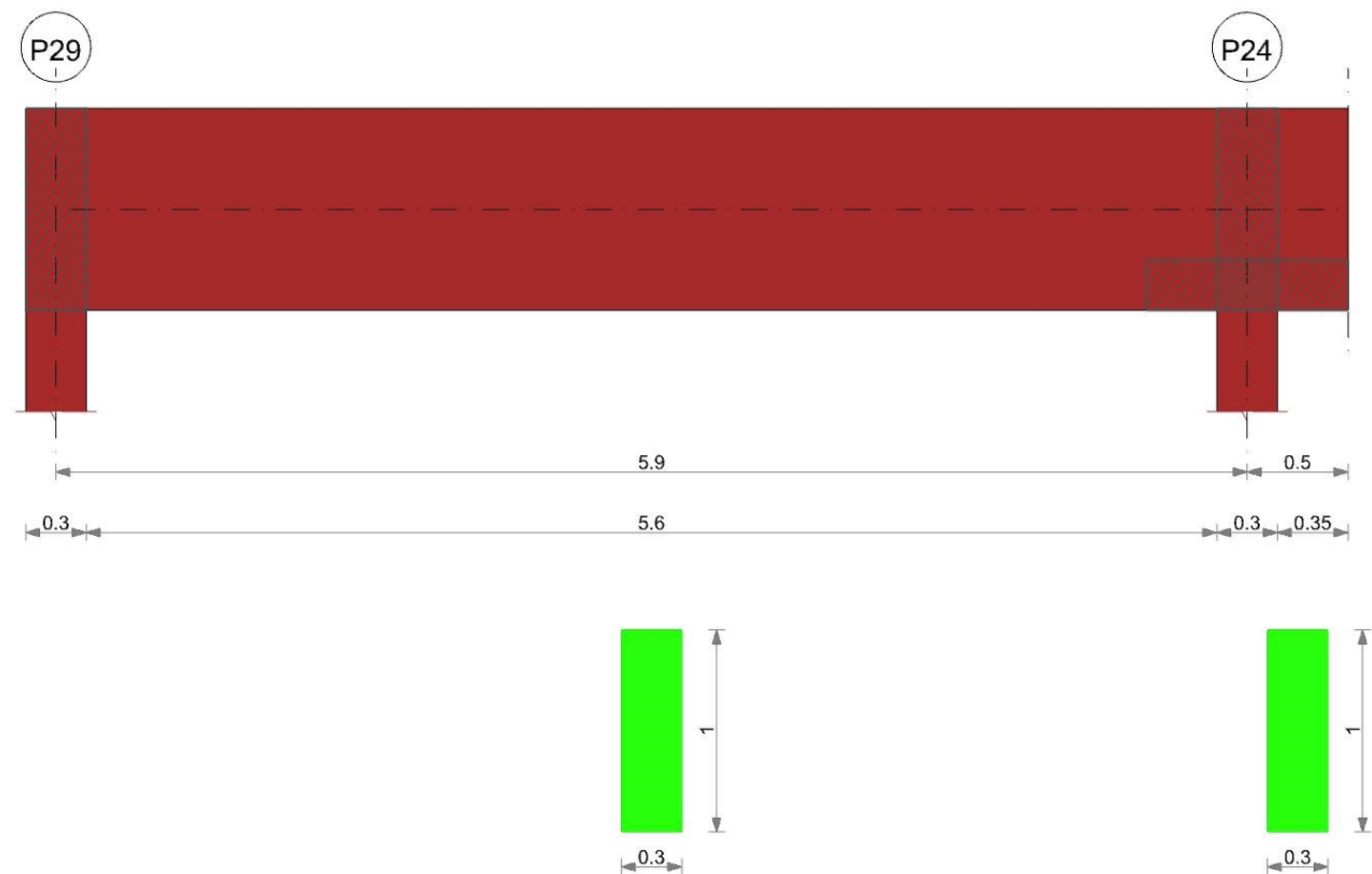
Verifiche SLD Resistenza a taglio

x	A st	A sl	A sag	Vela	Comb.	Vdes	Vrd	Vrcd	Vrsd	Vult	cotgθ	coeff	Verifica
0	0	0.000676	0	93.4	SLD 10	93.4	70.62	297.8	0	70.62	2.5	0.76	Si
0	0	0.000616	0	-16.76	SLD 7	-16.76	-68.44	-297.77	0	-68.44	2.5	4.08	Si
0.15	0.0000053	0.000676	0	91.45	SLD 10	91.45	70.62	297.83	259.85	259.85	2.5	2.84	Si
0.15	0.0000053	0.000616	0	-18.71	SLD 7	-18.71	-68.44	-297.77	-259.8	-259.8	2.5	13.89	Si
1.18	0.0000053	0.000616	0	78.13	SLD 10	78.13	68.44	297.77	259.8	259.8	2.5	3.33	Si
1.18	0.0000053	0.000616	0	-32.03	SLD 7	-32.03	-68.44	-297.77	-259.8	-259.8	2.5	8.11	Si
2.05	0.0000053	0.000616	0	66.75	SLD 10	66.75	68.44	297.77	259.8	259.8	2.5	3.89	Si
2.05	0.0000053	0.000157	0	-43.41	SLD 7	-43.41	-60.85	-298.39	-260.34	-260.34	2.5	6	Si
2.35	0	0.000616	0	62.85	SLD 10	62.85	68.44	297.77	0	68.44	2.5	1.09	Si
2.35	0	0.000157	0	-47.31	SLD 7	-47.31	-60.85	-298.39	0	-60.85	2.5	1.29	Si

x	T gravità	T sisma	T ultimo	Comb.	Pga	Tr	Ind. taglio	M gravità	M sisma	M ultimo	Comb.	Pga	Tr	Ind. momento	Ver
1	-15.29	-51.04	-247.32	SLD 11	0.26	2110	3.477	14.0062	-178.4619	-40.0511	SLD 11	0.03	12	0.418	No
1.15	-17.28	-51.04	-247.32	SLD 11	0.26	2110	3.477	13.3124	-179.6443	-40.0511	SLD 11	0.03	12	0.418	No
2.1	-29.63	-51.04	-246.87	SLD 11	0.26	2110	3.477	13.3124	179.6443	150.4805	SLD 6	0.07	60	0.808	No

Trave a "Piano 3" P29-P24

Geometria



Caratteristiche dei materiali

Acciaio: Vigone_FeB22k_LC2 Fym 313700 Livello di conoscenza LC2 Fattore di confidenza 1.2

Calcestruzzo: C14/17 LC2 Vigone A Rcm 17000 Livello di conoscenza LC2 Fattore di confidenza 1.2

Elenco delle sezioni

N°	Descrizione	Tipo	Base	Altezza	Copriferro sup.	Copriferro inf.	Copriferro lat.
1	R 30x100	Rettangolare	0.3	1	0.025	0.025	0.025

Diagramma verifica stato limite ultimo flessione

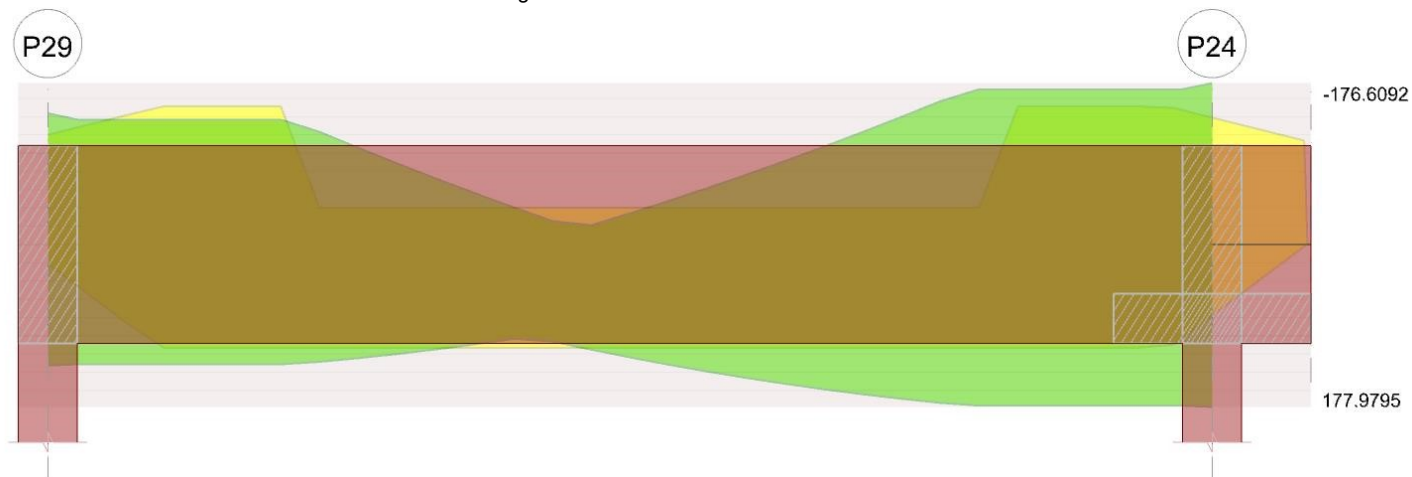


Diagramma verifica stato limite ultimo taglio

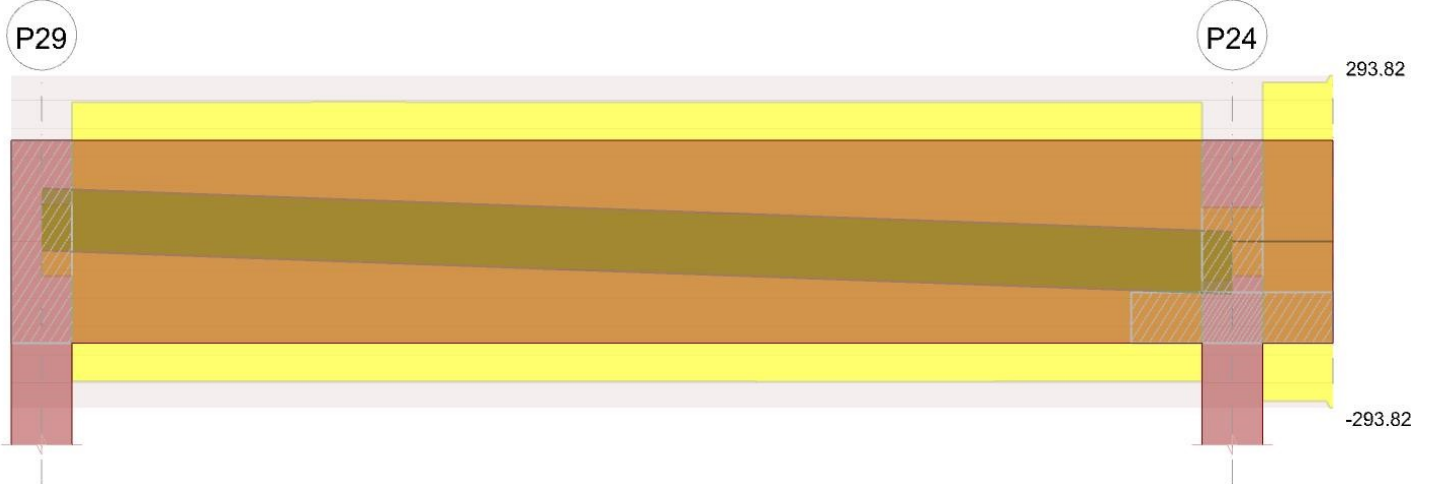
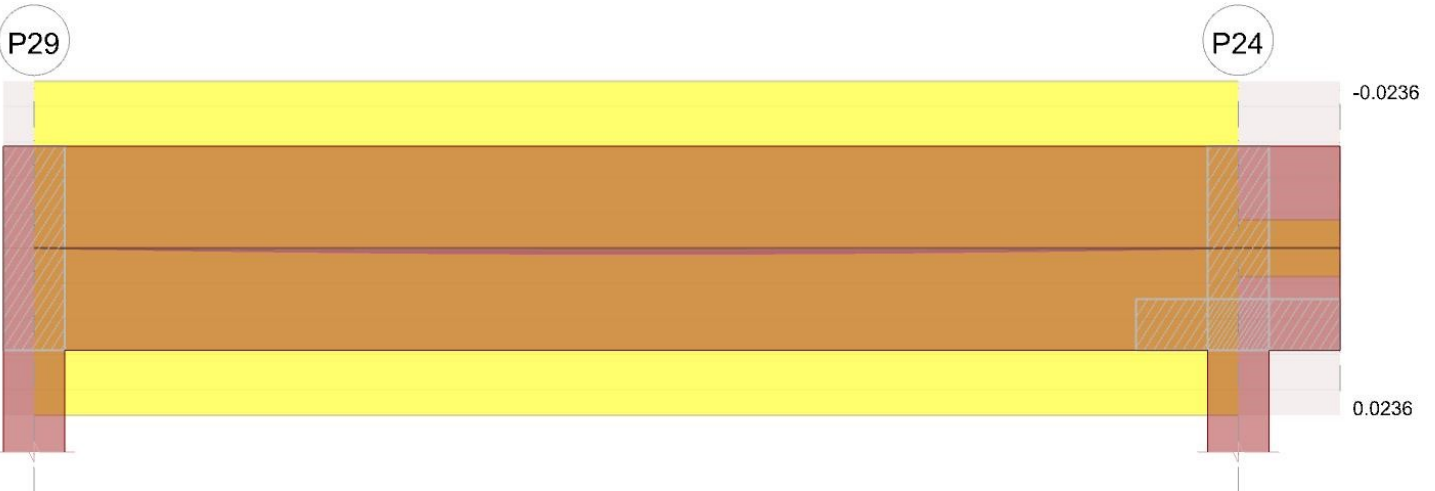


Diagramma verifica stato limite esercizio quasi permanente freccia



Output campate

Campata 1 tra i fili P29 - P24, sezione R 30x100, asta 228

Verifiche a flessione in famiglia SLU

x	A sup.	C.b. sup.	A inf.	C.b. inf.	M+ela	Comb.	M+des	M+ult	x/d	coeff	M-ela	Comb.	M-des	M-ult	x/d	coeff	Verifica
0	0.000489	0.04	0.000079	0.04							-13.5508	SLU 18	-8.81	-103.7737	0.061	11.78	Si
0.15	0.000522	0.04	0.00018	0.04	-2.3952	SLU 1	49.8869	39.1855	0.039	0.79	-4.2334	SLU 18	-4.2334	-110.8562	0.056	26.19	No
2.95	0.000157	0.038	0.000462	0.04	83.6342	SLU 18	83.6342	98.2314	0.051	1.17							Si
5.75	0.000601	0.04	0.000416	0.04	5.2239	SLU 18	55.117	88.4922	0.044	1.61							Si
5.9	0.000567	0.04	0.000315	0.04							-4.995	SLU 12	-1.4804	-120.2602	0.053	81.23	Si

Verifiche a flessione in famiglia SLV

E' attiva l'opzione fattori parziali di sicurezza unitari per meccanismi duttili di strutture esistenti con fattore q

x	A sup.	C.b. sup.	A inf.	C.b. inf.	M+ela	Comb.	M+des	M+ult	x/d	coeff	M-ela	Comb.	M-des	M-ult	x/d	coeff	Verifica
0	0.000489	0.04	0.000079	0.04	133.7418	SLV 12	132.5402	21.1735	0.034	0.16	-150.5813	SLV 5	-143.5566	-119.949	0.051	0.84	No
0.15	0.000522	0.04	0.00018	0.04	131.2378	SLV 12	131.2378	45.5219	0.037	0.35	-136.6327	SLV 5	-136.6327	-128.0503	0.05	0.94	No
2.95	0.000157	0.038	0.000462	0.04	70.9494	SLV 5	123.6959	113.4638	0.046	0.92	31.6986	SLV 12	-34.0103	-40.0167	0.035	1.18	No
5.75	0.000601	0.04	0.000416	0.04	176.5156	SLV 5	176.5156	102.2748	0.042	0.58	-169.8469	SLV 12	-169.8469	-146.9546	0.049	0.87	No
5.9	0.000567	0.04	0.000315	0.04	179.3427	SLV 5	177.9795	77.9607	0.04	0.44	-183.4724	SLV 12	-176.6092	-138.852	0.049	0.79	No

Verifiche SLD Resistenza a flessione

x	A sup.	C.b. sup.	A inf.	C.b. inf.	M+ela	Comb.	M+des	M+ult	x/d	coeff	M-ela	Comb.	M-des	M-ult	x/d	coeff	Verifica
0	0.000489	0.04	0.000079	0.04	49.3503	SLD 12	49.3503	21.1735	0.034	0.43	-66.1898	SLD 5	-61.6068	-119.949	0.051	1.95	No
0.15	0.000522	0.04	0.00018	0.04	51.7296	SLD 12	60.5512	45.5219	0.037	0.75	-57.1244	SLD 5	-57.1244	-128.0503	0.05	2.24	No
2.95	0.000157	0.038	0.000462	0.04	59.3019	SLD 5	76.8899	113.4638	0.046	1.48							Si
5.75	0.000601	0.04	0.000416	0.04	73.715	SLD 5	80.2917	102.2748	0.042	1.27	-67.0463	SLD 12	-67.0463	-146.9546	0.049	2.19	Si
5.9	0.000567	0.04	0.000315	0.04	71.6589	SLD 5	71.6589	77.9607	0.04	1.09	-75.7885	SLD 12	-71.3671	-138.852	0.049	1.95	Si

Verifiche a taglio in famiglia SLU

x	A st	A sl	A sag	Vela	Comb.	Vdes	Vrd	Vrcd	Vrsd	Vult	cotgθ	coeff	Verifica
0	0	0.000522	0	64.2	SLU 18	64.2	64.79	297.8	0	64.79	2.5	1.01	Si
0.15	0.000005	0.000522	0	61.02	SLU 18	61.02	64.8	246.87	246.87	246.87	2.5	4.05	Si
2.95	0.000005	0.000462	0	1.69	SLU 18	1.69	62.18	297.77	246.81	246.81	2.5	146.14	Si
5.75	0.000005	0.000416	0	-58.07	SLU 12	-58.07	-60.75	-297.77	-246.81	-246.81	2.5	4.25	Si
5.9	0	0.000601	0	-61.25	SLU 12	-61.25	-67.9	-297.88	0	-67.9	2.5	1.11	Si

Verifiche a taglio in famiglia SLV

x	A st	A sl	A sag	Vela	Comb.	Vdes	Vrd	Vrcd	Vrsd	Vult	cotgθ	coeff	Verifica
0	0	0.000522	0	94.27	SLV 5	94.27	64.79	297.8	0	64.79	2.5	0.69	Si
0	0	0.00018	0	-15.42	SLV 12	-15.42	-60.75	-297.77	0	-60.75	2.5	3.94	Si
0.15	0.000005	0.000522	0	92.32	SLV 5	92.32	64.8	297.84	246.87	246.87	2.5	2.67	Si
0.15	0.000005	0.00018	0	-17.37	SLV 12	-17.37	-60.75	-297.77	-246.81	-246.81	2.5	14.21	Si
2.95	0.000005	0.000462	0	55.92	SLV 5	55.92	62.18	297.77	246.81	246.81	2.5	4.41	Si
2.95	0.000005	0.000462	0	-53.77	SLV 12	-53.77	-62.18	-297.77	-246.81	-246.81	2.5	4.59	Si
5.75	0.000005	0.000416	0	19.52	SLV 5	19.52	60.75	297.77	246.81	246.81	2.5	12.64	Si

x	A st	A sl	A sag	Vela	Comb.	Vdes	Vrd	Vrcd	Vrsd	Vult	cotgθ	coeff	Verifica
5.75	0.000005	0.000157	0	-90.17	SLV 12	-90.17	-60.78	-297.91	-246.93	-246.93	2.5	2.74	Si
5.9	0	0.000416	0	17.57	SLV 5	17.57	60.75	297.77	0	60.75	2.5	3.46	Si
5.9	0	0.000601	0	-92.12	SLV 12	-92.12	-67.9	-297.88	0	-67.9	2.5	0.74	Si

Verifiche SLD Resistenza a taglio

x	A st	A sl	A sag	Vela	Comb.	Vdes	Vrd	Vrcd	Vrsd	Vult	cotgθ	coeff	Verifica
0	0	0.000522	0	61.71	SLD 5	61.71	64.79	297.8	0	64.79	2.5	1.05	Si
0.15	0.000005	0.000522	0	59.76	SLD 5	59.76	64.8	297.84	246.87	246.87	2.5	4.13	Si
2.95	0.000005	0.000462	0	23.36	SLD 5	23.36	62.18	297.77	246.81	246.81	2.5	10.56	Si
2.95	0.000005	0.000462	0	-21.21	SLD 12	-21.21	-62.18	-297.77	-246.81	-246.81	2.5	11.64	Si
5.75	0.000005	0.000157	0	-57.61	SLD 12	-57.61	-60.78	-297.91	-246.93	-246.93	2.5	4.29	Si
5.9	0	0.000601	0	-59.56	SLD 12	-59.56	-67.9	-297.88	0	-67.9	2.5	1.14	Si

Verifiche taglio ciclico nel piano Circolare 7 21-01-19 §C8.7.2.3.5, [C8.7.2.8]

Ascissa	Lv	x	h	p,tot	θ,m	θ,y	μΔ,pl	Vrd	VRcd(cotθ=1)	VRsd	Vw	Vr	Vu	Ved	Ned	Comb.	Verifica
0.3	1.828	0.048	1	0.002	0.00024	0.00849	0	64.8	431.87	246.87	98.75	122.46	246.87	92.32	0	SLV 5	Si
5.9	2.715	0.047	1	0.003	0.00039	0.00994	0	60.78	431.97	246.93	98.77	115.15	246.93	-90.17	0	SLV 12	Si

Indicatori di rischio sismico SLV

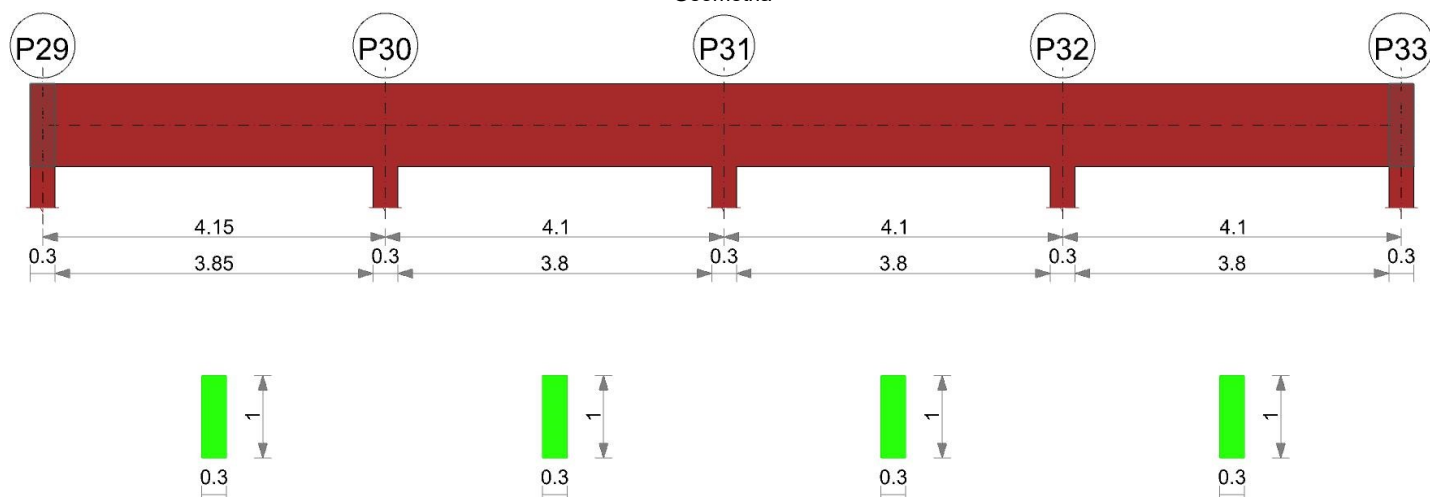
x	T gravità	T sisma	T ultimo	Comb.	Pga	Tr	Ind. taglio	M gravità	M sisma	M ultimo	Comb.	Pga	Tr	Ind. momento	Ver
0.15	37.48	54.84	246.87	SLV 5	0.26	2114	1.389	-2.6974	133.9353	45.5219	SLV 12	0.08	82	0.366	No
2.95	1.08	54.84	246.81	SLV 5	0.26	2114	1.389	44.8428	78.8531	113.4638	SLV 5	0.18	657	0.86	No
5.75	-35.32	-54.84	-246.93	SLV 12	0.26	2114	1.389	3.3344	173.1812	102.2748	SLV 5	0.12	227	0.556	No

Indicatori di rischio sismico SLD resistenza

x	T gravità	T sisma	T ultimo	Comb.	Pga	Tr	Ind. taglio	M gravità	M sisma	M ultimo	Comb.	Pga	Tr	Ind. momento	Ver
0.15	37.48	22.29	246.87	SLD 5	0.26	2110	3.477	-2.6974	54.427	45.5219	SLD 12	0.08	80	0.909	No
2.95	1.08	22.29	246.81	SLD 5	0.26	2110	3.477	44.8428	32.0471	113.4638	SLD 5	0.17	628	2.115	Si
5.75	-35.32	-22.29	-246.93	SLD 12	0.26	2110	3.477	3.3344	70.3807	102.2748	SLD 5	0.12	218	1.371	Si

Trave a "Piano 3" P29-P33

Geometria



Caratteristiche dei materiali

Acciaio: Vigone_FeB22k_LC2 Fym 313700 Livello di conoscenza LC2 Fattore di confidenza 1.2
 Calcestruzzo: C14/17 LC2 Vigone A Rcm 17000 Livello di conoscenza LC2 Fattore di confidenza 1.2

Elenco delle sezioni

N°	Descrizione	Tipo	Base	Altezza	Copriferro sup.	Copriferro inf.	Copriferro lat.
1	R 30x100	Rettagonolare	0.3	1	0.025	0.025	0.025

Diagramma verifica stato limite ultimo flessione

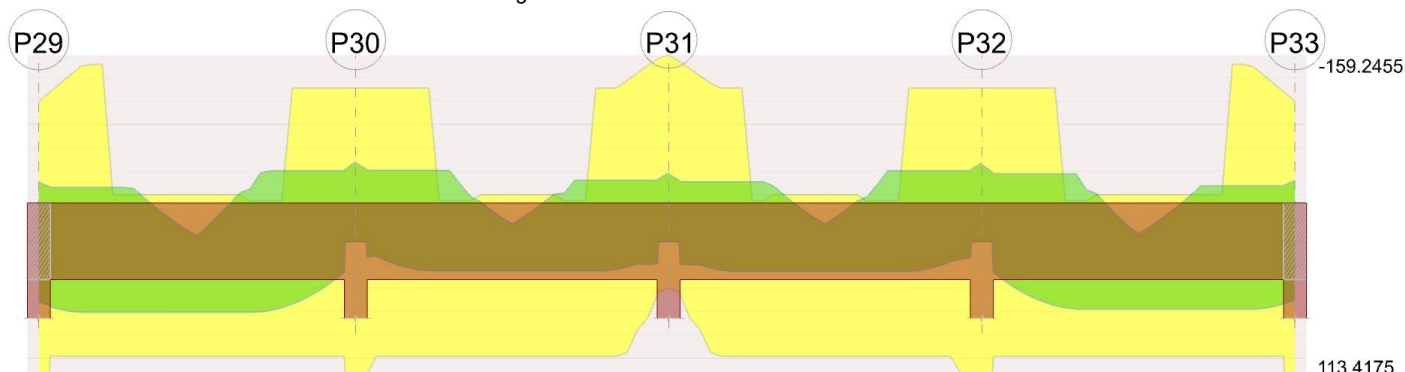


Diagramma verifica stato limite ultimo taglio

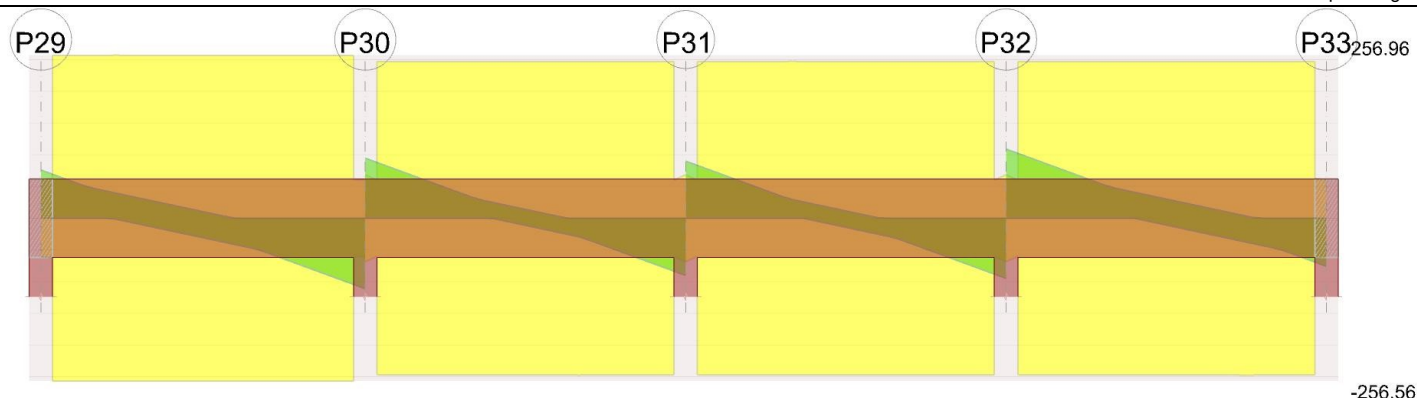
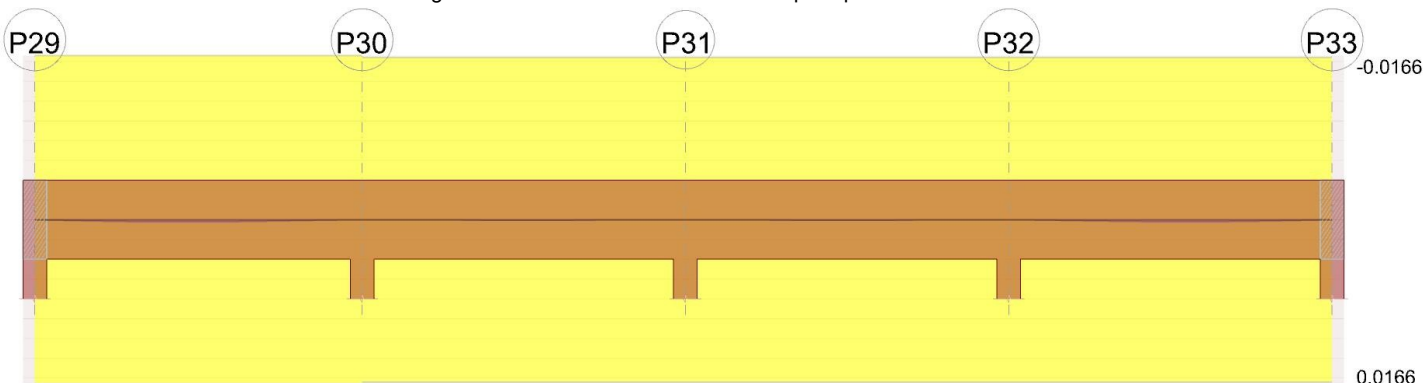


Diagramma verifica stato limite esercizio quasi permanente freccia



Output campate

Campata 1 tra i fili P29 - P30, sezione R 30x100, asta 83

Verifiche a flessione in famiglia SLU

x	A sup.	C.b. sup.	A inf.	C.b. inf.	M+ela	Comb.	M+des	M+ult	x/d	coeff	M-ela	Comb.	M-des	M-ult	x/d	coeff	Verifica
0	0.000488	0.04	0.000462	0.04							-3.4536	SLU 17	-2.2304	-103.7575	0.047	46.52	Si
0.15	0.000522	0.04	0.000462	0.04	7.4225	SLU 18	55.8869	98.1688	0.046	1.76							Si
2.08	0.000157	0.038	0.000462	0.04	57.1858	SLU 18	60.5911	98.2314	0.051	1.62							Si
3.04	0.000157	0.038	0.000462	0.04	19.0473	SLU 17	58.7986	98.2314	0.051	1.67	10.5739	SLU 4	-60.1856	-34.4078	0.038	0.57	No
4	0.000619	0.039	0.000462	0.04	-34.0998	SLU 1	26.212	98.1766	0.045	3.75	-60.1856	SLU 18	-60.1856	-131.1008	0.051	2.18	Si
4.15	0.000619	0.039	0.000462	0.04							-76.3118	SLU 18	-68.0117	-131.1008	0.051	1.93	Si

Verifiche a flessione in famiglia SLV

E' attiva l'opzione fattori parziali di sicurezza unitari per meccanismi duttili di strutture esistenti con fattore q

x	A sup.	C.b. sup.	A inf.	C.b. inf.	M+ela	Comb.	M+des	M+ult	x/d	coeff	M-ela	Comb.	M-des	M-ult	x/d	coeff	Verifica
0	0.000488	0.04	0.000462	0.04	51.4845	SLV 13	51.4845	113.4158	0.044	2.2	-55.359	SLV 4	-50.5235	-119.8542	0.045	2.37	Si
0.15	0.000522	0.04	0.000462	0.04	54.729	SLV 13	62.1461	113.4163	0.044	1.82	-45.9637	SLV 4	-45.9637	-127.9688	0.046	2.78	Si
2.08	0.000157	0.038	0.000462	0.04	44.1874	SLV 13	62.0521	113.4638	0.046	1.83	22.3727	SLV 4	-4.6217	-40.0167	0.035	8.66	Si
3.04	0.000157	0.038	0.000462	0.04	20.4016	SLV 8	47.4151	113.4638	0.046	2.39	1.5967	SLV 9	-63.8481	-40.0167	0.035	0.63	No
4	0.000619	0.039	0.000462	0.04	-6.6051	SLV 4	22.358	113.4175	0.043	5.07	-63.8481	SLV 13	-63.8481	-151.3172	0.049	2.37	Si
4.15	0.000619	0.039	0.000462	0.04							-76.329	SLV 13	-69.9511	-151.3172	0.049	2.16	Si

Verifiche SLD Resistenza a flessione

x	A sup.	C.b. sup.	A inf.	C.b. inf.	M+ela	Comb.	M+des	M+ult	x/d	coeff	M-ela	Comb.	M-des	M-ult	x/d	coeff	Verifica
0	0.000488	0.04	0.000462	0.04	20.9892	SLD 13	20.9892	113.4158	0.044	5.4	-24.8636	SLD 4	-20.9063	-119.8542	0.045	5.73	Si
0.15	0.000522	0.04	0.000462	0.04	25.9902	SLD 13	44.6818	113.4163	0.044	2.54	-17.2249	SLD 4	-17.2249	-127.9688	0.046	7.43	Si
2.08	0.000157	0.038	0.000462	0.04	37.974	SLD 13	44.8765	113.4638	0.046	2.53							Si
3.04	0.000157	0.038	0.000462	0.04	14.9034	SLD 8	39.8985	113.4638	0.046	2.84	7.0949	SLD 9	-47.4843	-40.0167	0.035	0.84	No
4	0.000619	0.039	0.000462	0.04	-22.9688	SLD 4	18.1532	113.4175	0.043	6.25	-47.4843	SLD 13	-47.4843	-151.3172	0.049	3.19	Si
4.15	0.000619	0.039	0.000462	0.04							-58.2092	SLD 13	-52.7089	-151.3172	0.049	2.87	Si

Verifiche a taglio in famiglia SLU

x	A st	A sl	A sag	Vela	Comb.	Vdes	Vrd	Vrcd	Vrsd	Vult	cotgθ	coeff	Verifica
0	0	0.000157	0	76	SLU 17	76	60.76	297.8	0	60.76	2.5	0.8	Si
0.15	0.0000052	0.000462	0	69.24	SLU 17	69.24	62.18	297.77	256.42	256.42	2.5	3.7	Si
2.08	0.0000052	0.000462	0	-17.56	SLU 18	-17.56	-62.18	-297.77	-256.42	-256.42	2.5	14.6	Si
4	0.0000052	0.000157	0	-104.35	SLU 18	-104.35	-60.78	-297.93	-256.56	-256.56	2.5	2.46	Si
4.15	0	0.000157	0	-111.11	SLU 18	-111.11	-60.78	-297.93	0	-60.78	2.5	0.55	Si

Verifiche a taglio in famiglia SLV

x	A st	A sl	A sag	Vela	Comb.	Vdes	Vrd	Vrcd	Vrsd	Vult	cotgθ	coeff	Verifica
0	0	0.000157	0	64.74	SLV 4	64.74	60.76	297.8	0	60.76	2.5	0.94	Si
0.15	0.0000052	0.000157	0	60.8	SLV 4	60.8	60.76	297.84	256.49	256.49	2.5	4.22	Si
2.08	0.0000052	0.000462	0	10.22	SLV 4	10.22	62.18	297.77	256.42	256.42	2.5	25.1	Si
2.08	0.0000052	0.000462	0	-30.79	SLV 13	-30.79	-62.18	-297.77	-256.42	-256.42	2.5	8.33	Si
4	0.0000052	0.000157	0	-81.37	SLV 13	-81.37	-60.78	-297.93	-256.56	-256.56	2.5	3.15	Si
4.15	0	0.000157	0	-85.31	SLV 13	-85.31	-60.78	-297.93	0	-60.78	2.5	0.71	Si

Verifiche SLD Resistenza a taglio

x	A st	A sl	A sag	Vela	Comb.	Vdes	Vrd	Vrcd	Vrsd	Vult	cotgθ	coeff	Verifica
0	0	0.000157	0	53.03	SLD 4	53.03	60.76	297.8	0	60.76	2.5	1.15	Si
0.15	0.0000052	0.000157	0	49.09	SLD 4	49.09	60.76	297.84	256.49	256.49	2.5	5.23	Si
2.08	0.0000052	0.000462	0	-19.08	SLD 13	-19.08	-62.18	-297.77	-256.42	-256.42	2.5	13.44	Si
4	0.0000052	0.000157	0	-69.66	SLD 13	-69.66	-60.78	-297.93	-256.56	-256.56	2.5	3.68	Si
4.15	0	0.000157	0	-73.6	SLD 13	-73.6	-60.78	-297.93	0	-60.78	2.5	0.83	Si

Verifiche SLD Resistenza a flessione

x	A sup.	C.b. sup.	A inf.	C.b. inf.	M+ela	Comb.	M+des	M+ult	x/d	coeff	M-ela	Comb.	M-des	M-ult	x/d	coeff	Verifica
0	0.000619	0.039	0.000462	0.04							-56.1975	SLD 4	-50.7953	-151.3172	0.049	2.98	Si
0.15	0.000619	0.039	0.000462	0.04	-21.9016	SLD 13	17.6727	113.4175	0.043	6.42	-45.6664	SLD 4	-45.6664	-151.3172	0.049	3.31	Si
1.09	0.000157	0.038	0.000462	0.04	14.3511	SLD 13	38.9382	113.4638	0.046	2.91	7.1563	SLD 4	-45.6664	-40.0167	0.035	0.88	No
2.05	0.000157	0.038	0.000462	0.04	36.8853	SLD 4	43.3586	113.4638	0.046	2.62							Si
3.95	0.000522	0.04	0.000462	0.04	24.5049	SLD 4	43.182	113.4163	0.044	2.63	-18.6512	SLD 13	-18.6512	-127.9688	0.046	6.86	Si
4.1	0.000488	0.04	0.000462	0.04	19.5118	SLD 4	19.5118	113.4158	0.044	5.81	-26.2846	SLD 13	-22.331	-119.8542	0.045	5.37	Si

Verifiche a taglio in famiglia SLU

x	A st	A sl	A sag	Vela	Comb.	Vdes	Vrd	Vrcd	Vrsd	Vult	cotgθ	coeff	Verifica
0	0	0.000619	0	108.97	SLU 17	108.97	68.58	297.93	0	68.58	2.5	0.63	Si
0.14	0	0.000157	0	102.81	SLU 17	102.81	60.78	297.93	0	60.78	2.5	0.59	Si
0.15	0.000005	0.000157	0	102.21	SLU 17	102.21	60.78	297.93	246.94	246.94	2.5	2.42	Si
2.05	0.000005	0.000462	0	16.55	SLU 17	16.55	62.18	297.77	246.81	246.81	2.5	14.91	Si
3.95	0.000005	0.000462	0	-69.12	SLU 18	-69.12	-62.18	-297.77	-246.81	-246.81	2.5	3.57	Si
4.1	0	0.000157	0	-75.88	SLU 18	-75.88	-60.76	-297.8	0	-60.76	2.5	0.8	Si

Verifiche a taglio in famiglia SLV

x	A st	A sl	A sag	Vela	Comb.	Vdes	Vrd	Vrcd	Vrsd	Vult	cotgθ	coeff	Verifica
0	0	0.000619	0	84.02	SLV 4	84.02	68.58	297.93	0	68.58	2.5	0.82	Si
0.14	0	0.000157	0	80.43	SLV 4	80.43	60.78	297.93	0	60.78	2.5	0.76	Si
0.15	0.000005	0.000157	0	80.07	SLV 4	80.07	60.78	297.93	246.94	246.94	2.5	3.08	Si
2.05	0.000005	0.000462	0	30.15	SLV 4	30.15	62.18	297.77	246.81	246.81	2.5	8.19	Si
2.05	0.000005	0.000462	0	-10.83	SLV 13	-10.83	-62.18	-297.77	-246.81	-246.81	2.5	22.79	Si
3.95	0.000005	0.000157	0	-60.75	SLV 13	-60.75	-60.76	-297.84	-246.81	-246.81	2.5	4.06	Si
4.1	0	0.000157	0	-64.69	SLV 13	-64.69	-60.76	-297.8	0	-60.76	2.5	0.94	Si

Verifiche SLD Resistenza a taglio

x	A st	A sl	A sag	Vela	Comb.	Vdes	Vrd	Vrcd	Vrsd	Vult	cotgθ	coeff	Verifica
0	0	0.000619	0	72.33	SLD 4	72.33	68.58	297.93	0	68.58	2.5	0.95	Si
0.14	0	0.000157	0	68.74	SLD 4	68.74	60.78	297.93	0	60.78	2.5	0.88	Si
0.15	0.000005	0.000157	0	68.39	SLD 4	68.39	60.78	297.93	246.94	246.94	2.5	3.61	Si
2.05	0.000005	0.000462	0	18.46	SLD 4	18.46	62.18	297.77	246.81	246.81	2.5	13.37	Si
3.95	0.000005	0.000157	0	-49.06	SLD 13	-49.06	-60.76	-297.84	-246.81	-246.81	2.5	5.03	Si
4.1	0	0.000157	0	-53.01	SLD 13	-53.01	-60.76	-297.8	0	-60.76	2.5	1.15	Si

Verifiche taglio ciclico nel piano Circolare 7 21-01-19 §C8.7.2.3.5, [C8.7.2.8]

Ascissa	Lv	x	h	p,tot	θ,m	θ,y	μΔ,pl	Vrd	VRCd(cotθ=1)	VRsd	Vw	Vr	Vu	Ved	Ned	Comb.	Verifica
12.65	1.051	0.047	1	0.004	0.00006	0.00728	0	60.78	431.99	246.94	98.78	128.93	246.94	80.07	0	SLV 4	Si
16.45	1.143	0.044	1	0.003	0.00007	0.0067	0	60.76	431.87	246.87	98.75	128.13	246.87	-60.75	0	SLV 13	Si

Indicatori di rischio sismico SLV

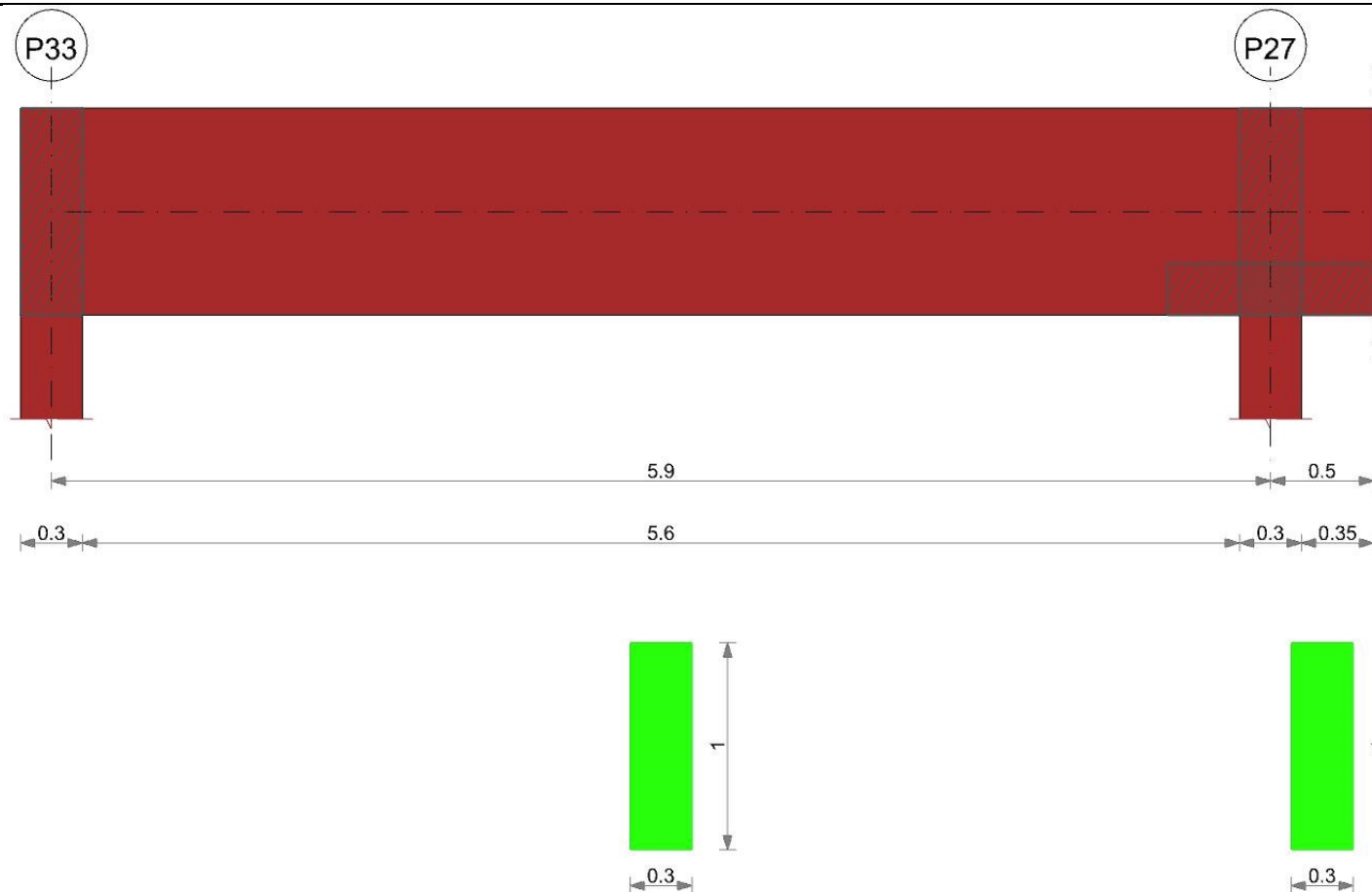
x	T gravità	T sisma	T ultimo	Comb.	Pga	Tr	Ind. taglio	M gravità	M sisma	M ultimo	Comb.	Pga	Tr	Ind. momento	Ver
0.15	59.58	20.49	246.94	SLV 4	0.26	2114	1.389	-33.784	-27.6306	-151.3172	SLV 4	0.26	2114	1.389	Si
2.05	9.66	20.49	246.81	SLV 4	0.26	2114	1.389	27.1078	-33.4657	-40.0167	SLV 13	0.26	2114	1.389	Si
3.95	-40.26	-20.49	-246.87	SLV 13	0.26	2114	1.389	2.9269	50.2642	113.4163	SLV 4	0.26	2114	1.389	Si

Indicatori di rischio sismico SLD resistenza

x	T gravità	T sisma	T ultimo	Comb.	Pga	Tr	Ind. taglio	M gravità	M sisma	M ultimo	Comb.	Pga	Tr	Ind. momento	Ver
0.15	59.58	8.8	246.94	SLD 4	0.26	2110	3.477	-33.784	-11.8824	-151.3172	SLD 4	0.26	2110	3.477	Si
2.05	9.66	8.8	246.81	SLD 4	0.26	2110	3.477	32.4864	10.8721	113.4638	SLD 4	0.26	2110	3.477	Si
3.95	-40.26	-8.8	-246.87	SLD 13	0.26	2110	3.477	2.9269	21.578	113.4163	SLD 4	0.26	2110	3.477	Si

Trave a "Piano 3" P33-P27

Geometria



Caratteristiche dei materiali

Acciaio: Vigone_FeB22k LC2 Fym 313700 Livello di conoscenza LC2 Fattore di confidenza 1.2

Calcestruzzo: C14/17 LC2 Vigone A Rcm 17000 Livello di conoscenza LC2 Fattore di confidenza 1.2

Elenco delle sezioni

N°	Descrizione	Tipo	Base	Altezza	Copriferro sup.	Copriferro inf.	Copriferro lat.
1	R 30x100	Rettangolare	0.3	1	0.025	0.025	0.025

Diagramma verifica stato limite ultimo flessione

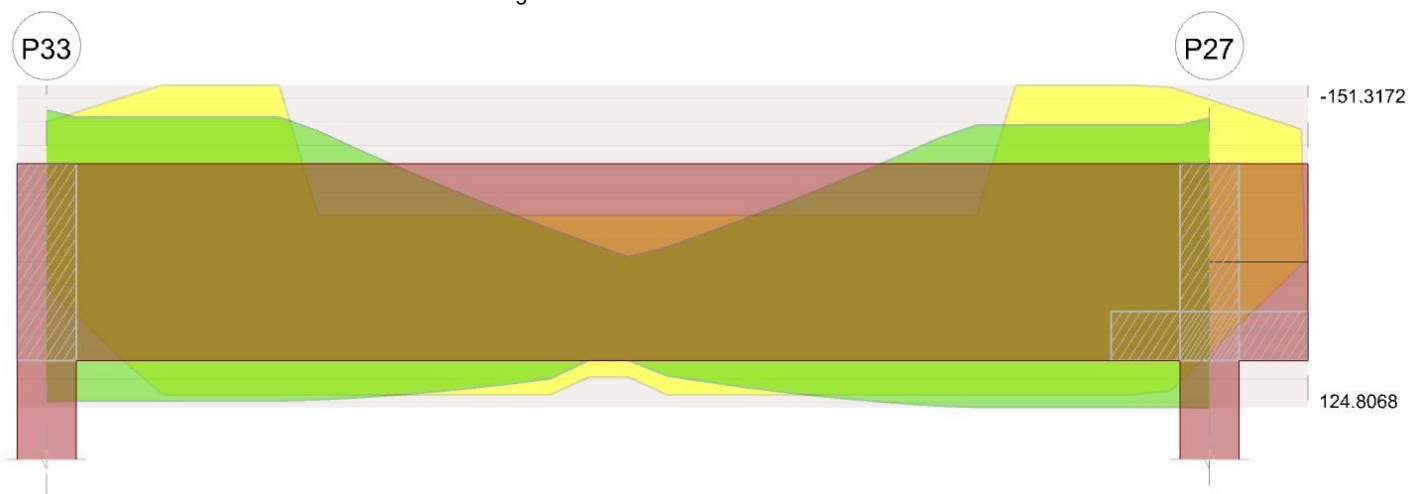


Diagramma verifica stato limite ultimo taglio

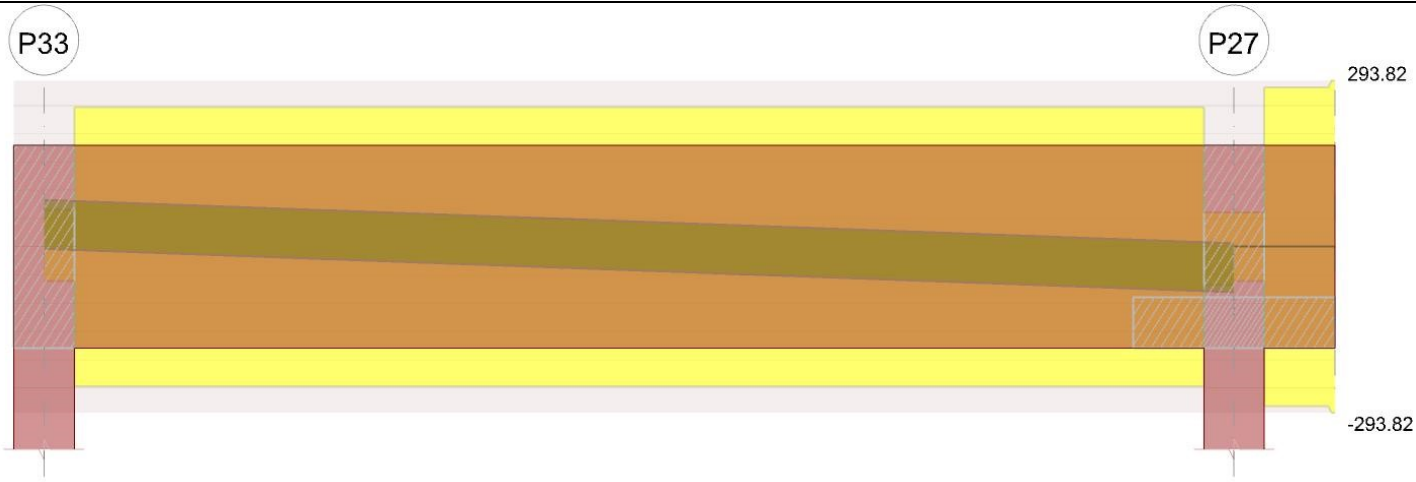
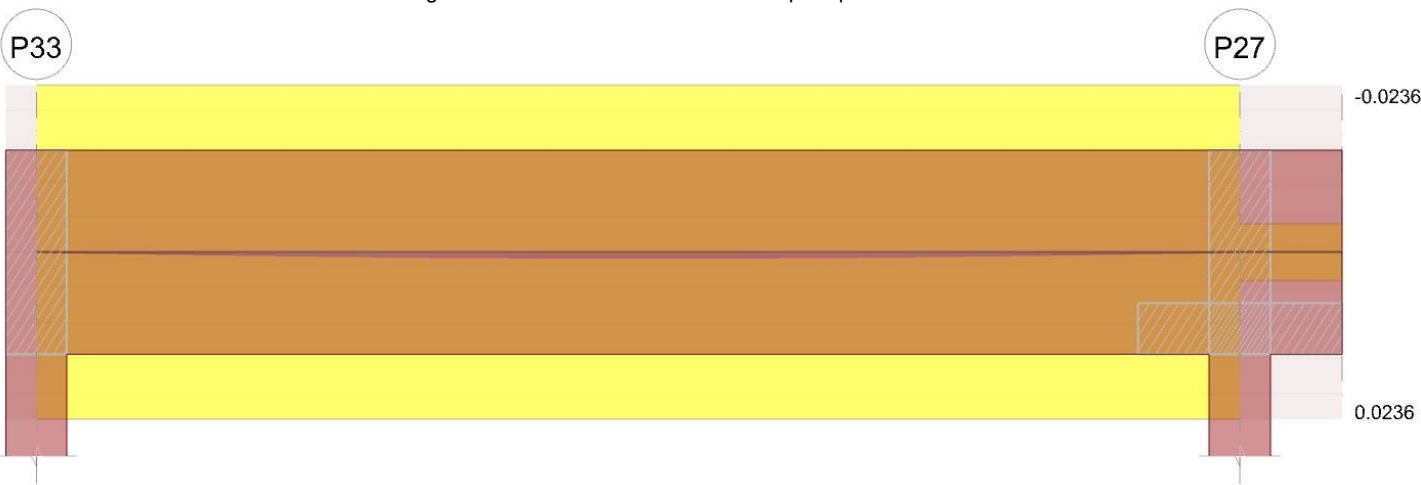


Diagramma verifica stato limite esercizio quasi permanente freccia



Output campate

Campata 1 tra i fili P33 - P27, sezione R 30x100, asta 87

Verifiche a flessione in famiglia SLU

x	A sup.	C.b. sup.	A inf.	C.b. inf.	M+ela	Comb.	M+des	M+ult	x/d	coeff	M-ela	Comb.	M-des	M-ult	x/d	coeff	Verifica
0	0.000489	0.04	0.000079	0.04							-13.3529	SLU 18	-8.6091	-103.7737	0.061	12.05	Si
0.15	0.000522	0.04	0.00018	0.04	-2.3309	SLU 1	50.0455	39.1855	0.039	0.78	-4.0296	SLU 18	-4.0296	-110.8562	0.056	27.51	No
2.95	0.000157	0.038	0.000462	0.04	83.9527	SLU 12	83.9527	98.2314	0.051	1.17							Si
5.75	0.000601	0.04	0.000416	0.04	5.6513	SLU 18	55.5013	88.4922	0.044	1.59							Si
5.9	0.000567	0.04	0.000315	0.04							-3.9878	SLU 12	-1.4504	-120.2602	0.053	82.91	Si

Verifiche a flessione in famiglia SLV

E' attiva l'opzione fattori parziali di sicurezza unitari per meccanismi duttili di strutture esistenti con fattore q

x	A sup.	C.b. sup.	A inf.	C.b. inf.	M+ela	Comb.	M+des	M+ult	x/d	coeff	M-ela	Comb.	M-des	M-ult	x/d	coeff	Verifica
0	0.000489	0.04	0.000079	0.04	119.4455	SLV 7	119.1183	21.1735	0.034	0.18	-136.0204	SLV 10	-129.8678	-119.949	0.051	0.92	No
0.15	0.000522	0.04	0.00018	0.04	118.6904	SLV 7	118.6904	45.5219	0.037	0.38	-123.816	SLV 10	-123.816	-128.0503	0.05	1.03	No
2.95	0.000157	0.038	0.000462	0.04	51.8013	SLV 7	91.3951	113.4638	0.046	1.24	51.2036	SLV 10	-4.274	-40.0167	0.035	9.36	Si
5.75	0.000601	0.04	0.000416	0.04	124.2149	SLV 10	124.2149	102.2748	0.042	0.82	-117.1015	SLV 7	-117.1015	-146.9546	0.049	1.25	No
5.9	0.000567	0.04	0.000315	0.04	125.2979	SLV 10	124.8068	77.9607	0.04	0.62	-128.9781	SLV 7	-122.9894	-138.852	0.049	1.13	No

Verifiche SLD Resistenza a flessione

x	A sup.	C.b. sup.	A inf.	C.b. inf.	M+ela	Comb.	M+des	M+ult	x/d	coeff	M-ela	Comb.	M-des	M-ult	x/d	coeff	Verifica
0	0.000489	0.04	0.000079	0.04	43.385	SLD 7	43.385	21.1735	0.034	0.49	-59.9599	SLD 10	-55.7366	-119.949	0.051	2.15	No
0.15	0.000522	0.04	0.00018	0.04	46.4884	SLD 7	60.5232	45.5219	0.037	0.75	-51.614	SLD 10	-51.614	-128.0503	0.05	2.48	No
2.95	0.000157	0.038	0.000462	0.04	51.6228	SLD 7	63.792	113.4638	0.046	1.78							Si
5.75	0.000601	0.04	0.000416	0.04	52.3684	SLD 10	64.0429	102.2748	0.042	1.6	-45.255	SLD 7	-45.255	-146.9546	0.049	3.25	Si
5.9	0.000567	0.04	0.000315	0.04	49.5929	SLD 10	49.5929	77.9607	0.04	1.57	-53.2731	SLD 7	-49.2137	-138.852	0.049	2.82	Si

Verifiche a taglio in famiglia SLU

x	A st	A sl	A sag	Vela	Comb.	Vdes	Vrd	Vrcd	Vrsd	Vult	cotgθ	coeff	Verifica
0	0	0.000522	0	64.24	SLU 18	64.24	64.79	297.8	0	64.79	2.5	1.01	Si
0.15	0.000005	0.000522	0	61.06	SLU 18	61.06	64.8	297.84	246.87	246.87	2.5	4.04	Si
2.95	0.000005	0.000462	0	1.73	SLU 18	1.73	62.18	297.77	246.81	246.81	2.5	142.77	Si
5.75	0.000005	0.000416	0	-57.89	SLU 12	-57.89	-60.75	-297.77	-246.81	-246.81	2.5	4.26	Si
5.9	0	0.000601	0	-61.07	SLU 12	-61.07	-67.9	-297.88	0	-67.9	2.5	1.11	Si

Verifiche a taglio in famiglia SLV

x	A st	A sl	A sag	Vela	Comb.	Vdes	Vrd	Vrcd	Vrsd	Vult	cotgθ	coeff	Verifica
0	0	0.000522	0	82.64	SLV 10	82.64	64.79	297.8	0	64.79	2.5	0.78	Si
0	0	0.00018	0	-3.76	SLV 7	-3.76	-60.75	-297.77	0	-60.75	2.5	16.18	Si
0.15	0.000005	0.000522	0	80.69	SLV 10	80.69	64.8	297.84	246.87	246.87	2.5	3.06	Si
0.15	0.000005	0.00018	0	-5.71	SLV 7	-5.71	-60.75	-297.77	-246.81	-246.81	2.5	43.26	Si
2.95	0.000005	0.000462	0	44.29	SLV 10	44.29	62.18	297.77	246.81	246.81	2.5	5.57	Si
2.95	0.000005	0.000462	0	-42.11	SLV 7	-42.11	-62.18	-297.77	-246.81	-246.81	2.5	5.86	Si
5.75	0.000005	0.000416	0	7.89	SLV 10	7.89	60.75	297.77	246.81	246.81	2.5	31.28	Si

x	A st	A sl	A sag	Vela	Comb.	Vdes	Vrd	Vrcd	Vrsd	Vult	cotgθ	coeff	Verifica
5.75	0.000005	0.000157	0	-78.51	SLV 7	-78.51	-60.78	-297.91	-246.93	-246.93	2.5	3.15	Si
5.9	0	0.000416	0	5.94	SLV 10	5.94	60.75	297.77	0	60.75	2.5	10.23	Si
5.9	0	0.000601	0	-80.46	SLV 7	-80.46	-67.9	-297.88	0	-67.9	2.5	0.84	Si

Verifiche SLD Resistenza a taglio

x	A st	A sl	A sag	Vela	Comb.	Vdes	Vrd	Vrcd	Vrsd	Vult	cotgθ	coeff	Verifica
0	0	0.000522	0	56.92	SLD 10	56.92	64.79	297.8	0	64.79	2.5	1.14	Si
0.15	0.000005	0.000522	0	54.97	SLD 10	54.97	64.8	297.84	246.87	246.87	2.5	4.49	Si
2.95	0.000005	0.000462	0	18.57	SLD 10	18.57	62.18	297.77	246.81	246.81	2.5	13.29	Si
2.95	0.000005	0.000462	0	-16.38	SLD 7	-16.38	-62.18	-297.77	-246.81	-246.81	2.5	15.07	Si
5.75	0.000005	0.000157	0	-52.78	SLD 7	-52.78	-60.78	-297.91	-246.93	-246.93	2.5	4.68	Si
5.9	0	0.000601	0	-54.73	SLD 7	-54.73	-67.9	-297.88	0	-67.9	2.5	1.24	Si

Verifiche taglio ciclico nel piano Circolare 7 21-01-19 §C8.7.2.3.5, [C8.7.2.8]

Ascissa	Lv	x	h	p,tot	θ,m	θ,y	μΔ,pl	Vrd	VRcd(cotθ=1)	VRsd	Vw	Vr	Vu	Ved	Ned	Comb.	Verifica
0.3	1.943	0.048	1	0.002	0.00023	0.00849	0	64.8	431.87	246.87	98.75	121.51	246.87	80.69	0	SLV 10	Si
5.9	2.04	0.047	1	0.003	0.00022	0.00994	0	60.78	431.97	246.93	98.77	120.74	246.93	-78.51	0	SLV 7	Si

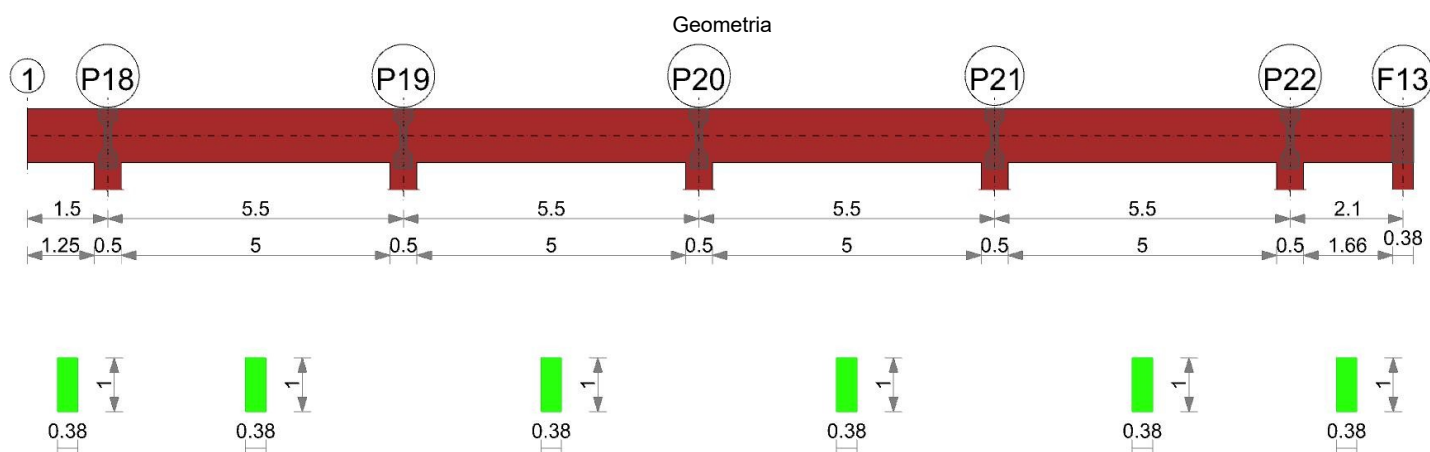
Indicatori di rischio sismico SLV

x	T gravità	T sisma	T ultimo	Comb.	Pga	Tr	Ind. taglio	M gravità	M sisma	M ultimo	Comb.	Pga	Tr	Ind. momento	Ver
0.15	37.49	43.2	246.87	SLV 10	0.26	2114	1.389	-2.5628	121.2532	45.5219	SLV 7	0.09	99	0.396	No
2.95	1.09	43.2	246.81	SLV 10	0.26	2114	1.389	45.0382	46.3569	113.4638	SLV 10	0.26	2114	1.389	Si
5.75	-35.31	-43.2	-246.93	SLV 7	0.26	2114	1.389	3.5567	120.6582	102.2748	SLV 10	0.17	558	0.804	No

Indicatori di rischio sismico SLD resistenza

x	T gravità	T sisma	T ultimo	Comb.	Pga	Tr	Ind. taglio	M gravità	M sisma	M ultimo	Comb.	Pga	Tr	Ind. momento	Ver
0.15	37.49	17.48	246.87	SLD 10	0.26	2110	3.477	-2.5628	49.0512	45.5219	SLD 7	0.08	97	0.984	No
2.95	1.09	17.48	246.81	SLD 10	0.26	2110	3.477	45.0382	18.7538	113.4638	SLD 10	0.26	2110	3.477	Si
5.75	-35.31	-17.48	-246.93	SLD 7	0.26	2110	3.477	3.5567	48.8117	102.2748	SLD 10	0.16	540	1.988	Si

Trave a "Piano 4" 1-F13



Caratteristiche dei materiali

Acciaio: Vigone_FeB22k_LC2 Fym 313700 Livello di conoscenza LC2 Fattore di confidenza 1.2

Calcestruzzo: C14/17 LC2 Vigone A Rcm 17000 Livello di conoscenza LC2 Fattore di confidenza 1.2

Elenco delle sezioni

N°	Descrizione	Tipo	Base	Altezza	Copriferro sup.	Copriferro inf.	Copriferro lat.
1	R 38x100	Rettangolare	0.38	1	0.025	0.025	0.025

Diagramma verifica stato limite ultimo flessione

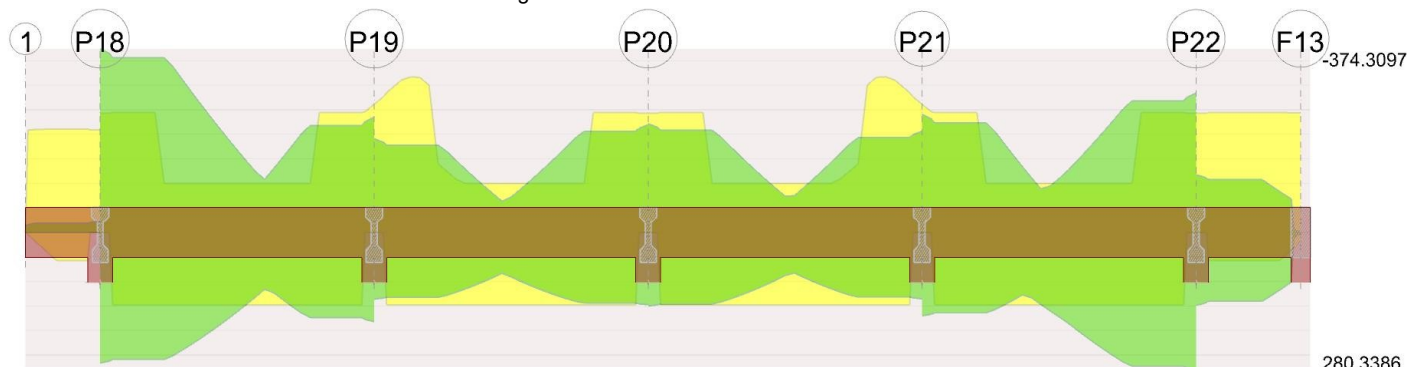


Diagramma verifica stato limite ultimo taglio

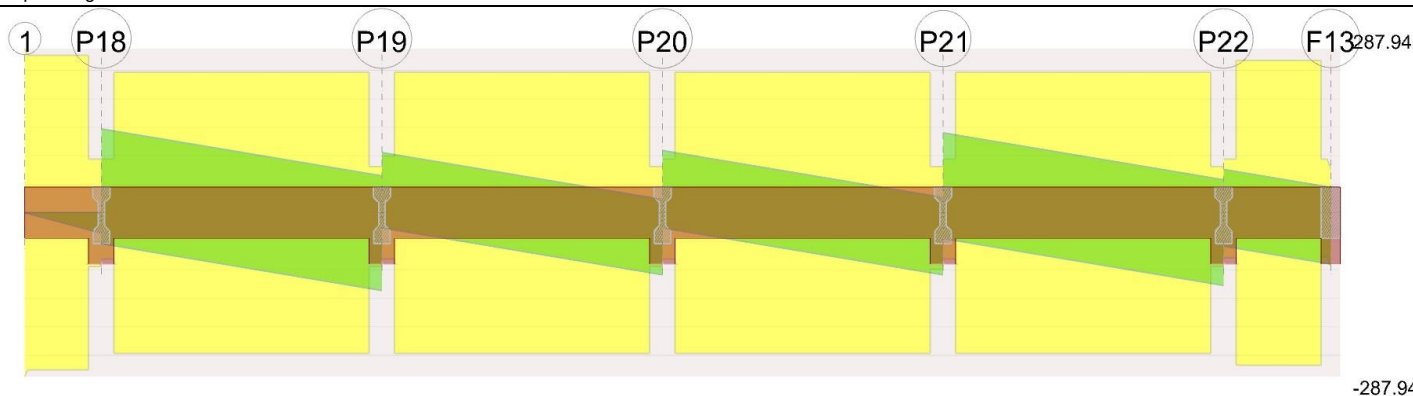
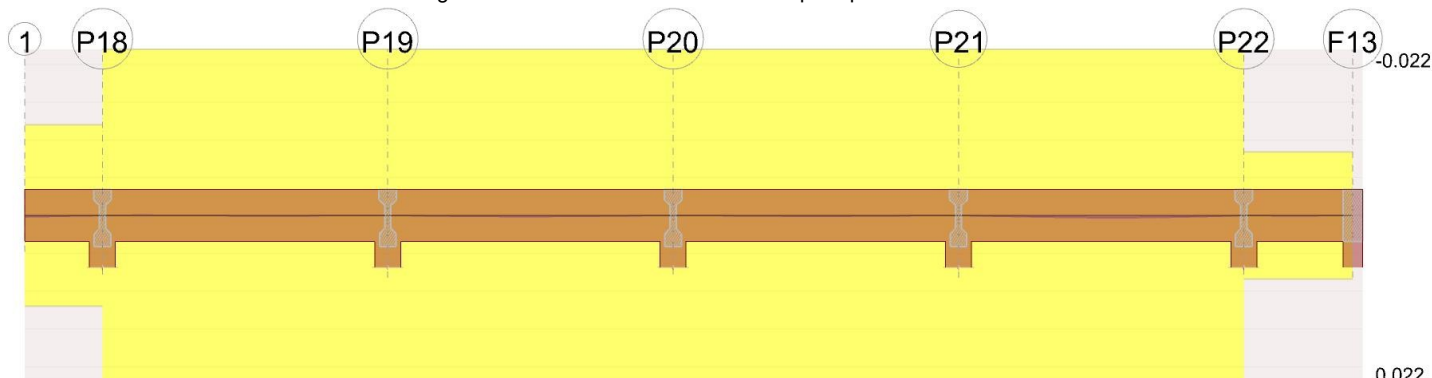


Diagramma verifica stato limite esercizio quasi permanente freccia



Output campate

Campata 1 tra i fili 1 - P18, sezione R 38x100, asta 209

Verifiche a flessione in famiglia SLU

x	A sup.	C.b. sup.	A inf.	C.b. inf.	M+ela	Comb.	M+des	M+ult	x/d	coeff	M-ela	Comb.	M-des	M-ult	x/d	coeff	Verifica
0	0	0	0	0							0	SLU 7	-13.8815	0	0	0	Si
0.75	0.001005	0.041	0.000226	0.039							-6.6909	SLU 17	-18.5859	-210.9567	0.091	11.35	Si
1.25	0.001005	0.041	0.000226	0.039							-18.5859	SLU 17	-18.5859	-210.9567	0.091	11.35	Si
1.5	0.001005	0.041	0	0							-26.7638	SLU 17	-22.3031	-208.8433	0.118	9.36	Si

Verifiche a flessione in famiglia SLV

E' attiva l'opzione fattori parziali di sicurezza unitari per meccanismi duttili di strutture esistenti con fattore q

x	A sup.	C.b. sup.	A inf.	C.b. inf.	M+ela	Comb.	M+des	M+ult	x/d	coeff	M-ela	Comb.	M-des	M-ult	x/d	coeff	Verifica
0	0	0	0	0	0.0076	SLV 14	0.0076	0	0	0	-0.0076	SLV 3	-8.756	0	0	0	Si
0.75	0.001005	0.041	0.000226	0.039	-4.2186	SLV 5	0.0076	57.3593	0.039	7560.01	-4.2189	SLV 11	-11.724	-244.263	0.07	20.83	Si
1.25	0.001005	0.041	0.000226	0.039							-11.724	SLV 15	-11.724	-244.263	0.07	20.83	Si
1.5	0.001005	0.041	0	0							-16.8828	SLV 15	-14.069	-242.9376	0.09	17.27	Si

Verifiche SLD Resistenza a flessione

x	A sup.	C.b. sup.	A inf.	C.b. inf.	M+ela	Comb.	M+des	M+ult	x/d	coeff	M-ela	Comb.	M-des	M-ult	x/d	coeff	Verifica
0	0	0	0	0	0.0033	SLD 2	0.0033	0	0	0	-0.0033	SLD 15	-8.754	0	0	0	Si
0.75	0.001005	0.041	0.000226	0.039	-4.2187	SLD 10	0.0033	57.3593	0.039	17234.22	-4.2188	SLD 7	-11.721	-244.263	0.07	20.84	Si
1.25	0.001005	0.041	0.000226	0.039							-11.721	SLD 3	-11.721	-244.263	0.07	20.84	Si
1.5	0.001005	0.041	0	0							-16.8784	SLD 3	-14.0653	-242.9376	0.09	17.27	Si

Verifiche a taglio in famiglia SLU

x	A st	A sl	A sag	Vela	Comb.	Vdes	Vrd	Vrcd	Vrsd	Vult	cotgθ	coeff	Verifica
0	0.0000056	0	0	0	Ger.	0	79.4	392.89	287.94	287.94	2.5	3531023113454190	Si
0	0.0000056	0	0	0	Ger.	0	-79.4	-392.89	-287.94	-287.94	2.5	12236215085397100	Si
0.75	0.0000056	0	0	-17.84	SLU 12	-17.84	-76.89	-376.78	-276.14	-276.14	2.5	15.48	Si
1.25	0.0000056	0.001005	0	-29.74	SLU 12	-29.74	-94.3	-376.78	-276.14	-276.14	2.5	9.29	Si
1.5	0	0.001005	0	-35.69	SLU 12	-35.69	-94.3	-376.78	0	-94.3	2.5	2.64	Si

Verifiche a taglio in famiglia SLV

x	A st	A sl	A sag	Vela	Comb.	Vdes	Vrd	Vrcd	Vrsd	Vult	cotgθ	coeff	Verifica
0	0.0000056	0	0	0.01	SLV 2	0.01	79.4	392.89	287.94	287.94	2.5	28120.41	Si
0	0.0000056	0	0	-0.01	SLV 15	-0.01	-79.4	-392.89	-287.94	-287.94	2.5	28120.41	Si
0.75	0.0000056	0	0	-11.26	SLV 15	-11.26	-76.89	-376.78	-276.14	-276.14	2.5	24.52	Si
1.25	0.0000056	0.001005	0	-18.76	SLV 15	-18.76	-94.3	-376.78	-276.14	-276.14	2.5	14.72	Si
1.5	0	0.001005	0	-22.51	SLV 15	-22.51	-94.3	-376.78	0	-94.3	2.5	4.19	Si

Verifiche SLD Resistenza a taglio

x	A st	A sl	A sag	Vela	Comb.	Vdes	Vrd	Vrcd	Vrsd	Vult	cotgθ	coeff	Verifica
0	0.0000056	0	0	0	SLD 14	0	79.4	392.89	287.94	287.94	2.5	64101.55	Si
0	0.0000056	0	0	0	SLD 3	0	-79.4	-392.89	-287.94	-287.94	2.5	64101.55	Si
0.75	0.0000056	0	0	-11.25	SLD 3	-11.25	-76.89	-376.78	-276.14	-276.14	2.5	24.54	Si
1.25	0.0000056	0.001005	0	-18.75	SLD 3	-18.75	-94.3	-376.78	-276.14	-276.14	2.5	14.72	Si
1.5	0	0.001005	0	-22.5	SLD 3	-22.5	-94.3	-376.78	0	-94.3	2.5	4.19	Si

Indicatori di rischio sismico SLV

x	T gravità	T sisma	T ultimo	Comb.	Pga	Tr	Ind. taglio	M gravità	M sisma	M ultimo	Comb.	Pga	Tr	Ind. momento	Ver
0	0	0.01	287.94	SLV 2	0.26	2114	1.389	0	-0.0044	0	SLV 1	0	0	0	Si
0.75	-11.25	-0.01	-276.14	SLV 15	0.26	2114	1.389	0	0.0076	57.3593	SLV 14	0.26	2114	1.389	Si
1.25	-18.75	-0.01	-276.14	SLV 15	0.26	2114	1.389	-11.7188	0.0052	57.3593	SLV 2	0.26	2114	1.389	Si

Indicatori di rischio sismico SLD resistenza

x	T gravità	T sisma	T ultimo	Comb.	Pga	Tr	Ind. taglio	M gravità	M sisma	M ultimo	Comb.	Pga	Tr	Ind. momento	Ver
0	0	0	-287.94	SLD 3	0.26	2110	3.477	0	0.0033	0	SLD 1	0	0	0	Si
0.75	-11.25	0	-276.14	SLD 3	0.26	2110	3.477	0	0.0033	57.3593	SLD 2	0.26	2110	3.477	Si
1.25	-18.75	0	-276.14	SLD 3	0.26	2110	3.477	-11.7188	0.0023	57.3593	SLD 14	0.26	2110	3.477	Si

Campata 2 tra i fili P18 - P19, sezione R 38x100, asta 210**Verifiche a flessione in famiglia SLU**

x	A sup.	C.b. sup.	A inf.	C.b. inf.	M+ela	Comb.	M+des	M+ult	x/d	coeff	M-ela	Comb.	M-des	M-ult	x/d	coeff	Verifica
0	0.001005	0.041	0	0							-105.4499	SLU 18	-95.9931	-208.8433	0.118	2.18	Si
0.25	0.001005	0.041	0.000603	0.041							-87.1872	SLU 18	-87.1872	-211.8987	0.058	2.43	Si
1.28	0.000402	0.041	0.000603	0.041	-9.4521	SLU 11	14.9696	127.9898	0.05	8.55	-27.2676	SLU 8	-87.1872	-85.9699	0.044	0.99	No
2.75	0.000402	0.041	0.000603	0.041	19.2465	SLU 12	20.4908	127.9898	0.05	6.25	8.2491	SLU 9	-13.6389	-85.9699	0.044	6.3	Si
5.25	0.001005	0.041	0.000603	0.041	-19.7269	SLU 9	6.1995	127.9602	0.046	20.64	-35.8024	SLU 12	-35.8024	-211.8987	0.058	5.92	Si
5.5	0.001084	0.041	0	0							-49.3833	SLU 12	-42.2674	-224.2915	0.127	5.31	Si

Verifiche a flessione in famiglia SLV

E' attiva l'opzione fattori parziali di sicurezza unitari per meccanismi duttili di strutture esistenti con fattore q

x	A sup.	C.b. sup.	A inf.	C.b. inf.	M+ela	Comb.	M+des	M+ult	x/d	coeff	M-ela	Comb.	M-des	M-ult	x/d	coeff	Verifica
0	0.001005	0.041	0	0	273.1739	SLV 13	266.3458	0	0	0	-392.6548	SLV 4	-374.3097	-242.9376	0.09	0.65	No
0.25	0.001005	0.041	0.000603	0.041	259.1073	SLV 13	259.1073	147.8578	0.045	0.57	-356.3751	SLV 4	-356.3751	-244.4406	0.056	0.69	No
2.75	0.000402	0.041	0.000603	0.041	67.5211	SLV 13	161.789	147.8909	0.047	0.91	-44.4982	SLV 4	-167.7262	-99.5235	0.041	0.59	No
5.25	0.001005	0.041	0.000603	0.041	173.5125	SLV 4	173.5125	147.8578	0.045	0.85	-217.9323	SLV 13	-217.9323	-244.4406	0.056	1.12	No
5.5	0.001084	0.041	0	0	190.2214	SLV 4	182.0722	0	0	0	-251.5697	SLV 13	-234.5458	-261.1504	0.097	1.11	No

Verifiche SLD Resistenza a flessione

x	A sup.	C.b. sup.	A inf.	C.b. inf.	M+ela	Comb.	M+des	M+ult	x/d	coeff	M-ela	Comb.	M-des	M-ult	x/d	coeff	Verifica
0	0.001005	0.041	0	0	83.1348	SLD 13	83.1348	0	0	0	-202.6158	SLD 4	-191.4556	-242.9376	0.09	1.27	No
0.25	0.001005	0.041	0.000603	0.041	83.438	SLD 13	83.438	147.8578	0.045	1.77	-180.7057	SLD 4	-180.7057	-244.4406	0.056	1.35	Si
2.75	0.000402	0.041	0.000603	0.041	35.5487	SLD 13	67.7395	147.8909	0.047	2.18	-12.5258	SLD 4	-73.6768	-99.5235	0.041	1.35	Si
5.25	0.001005	0.041	0.000603	0.041	61.7876	SLD 4	61.7876	147.8578	0.045	2.39	-106.2075	SLD 13	-106.2075	-244.4406	0.056	2.3	Si
5.5	0.001084	0.041	0	0	64.1269	SLD 4	63.1625	0	0	0	-125.4751	SLD 13	-115.6361	-261.1504	0.097	2.26	No

Verifiche a taglio in famiglia SLU

x	A st	A sl	A sag	Vela	Comb.	Vdes	Vrd	Vrcd	Vrsd	Vult	cotgθ	coeff	Verifica
0	0	0.001005	0	76.39	SLU 18	76.39	94.3	376.78	0	94.3	2.5	1.23	Si
0.25	0.000005	0.000402	0	70.45	SLU 18	70.45	76.89	376.78	246.55	246.55	2.5	3.5	Si
2.75	0.000005	0.000603	0	10.97	SLU 18	10.97	79.53	376.78	246.55	246.55	2.5	22.47	Si
5.25	0.000005	0.000402	0	-51.72	SLU 12	-51.72	-76.89	-376.78	-246.55	-246.55	2.5	4.77	Si
5.5	0	0.001005	0	-57.67	SLU 12	-57.67	-94.3	-376.78	0	-94.3	2.5	1.64	Si

Verifiche a taglio in famiglia SLV

x	A st	A sl	A sag	Vela	Comb.	Vdes	Vrd	Vrcd	Vrsd	Vult	cotgθ	coeff	Verifica
0	0	0.001005	0	147.23	SLV 4	147.23	94.3	376.78	0	94.3	2.5	0.64	Si
0.25	0	0.000603	0	-54.16	SLV 13	-54.16	-81.25	-392.89	0	-81.25	2.5	1.5	Si
0.25	0.000005	0.000402	0	143.48	SLV 4	143.48	76.89	376.78	246.55	246.55	2.5	1.72	Si
0.25	0.000005	0.000603	0	-57.91	SLV 13	-57.91	-79.53	-376.78	-246.55	-246.55	2.5	4.26	Si
2.75	0.000005	0.000402	0	105.98	SLV 4	105.98	76.89	376.78	246.55	246.55	2.5	2.33	Si
2.75	0.000005	0.000603	0	-95.41	SLV 13	-95.41	-79.53	-376.78	-246.55	-246.55	2.5	2.58	Si
5.25	0.000005	0.000603	0	68.48	SLV 4	68.48	79.53	376.78	246.55	246.55	2.5	3.6	Si
5.25	0.000005	0.000402	0	-132.91	SLV 13	-132.91	-76.89	-376.78	-246.55	-246.55	2.5	1.86	Si
5.5	0	0.000603	0	64.73	SLV 4	64.73	81.25	392.89	0	81.25	2.5	1.26	Si
5.5	0	0.001005	0	-136.66	SLV 13	-136.66	-94.3	-376.78	0	-94.3	2.5	0.69	Si

Verifiche SLD Resistenza a taglio

x	A st	A sl	A sag	Vela	Comb.	Vdes	Vrd	Vrcd	Vrsd	Vult	cotgθ	coeff	Verifica
0	0	0.001005	0	89.75	SLD 4	89.75	94.3	376.78	0	94.3	2.5	1.05	Si
0.25	0.000005	0.000402	0	86	SLD 4	86	76.89	376.78	246.55	246.55	2.5	2.87	Si
0.25	0.000005	0.000603	0	-0.43	SLD 13	-0.43	-79.53	-376.78	-246.55	-246.55	2.5	574.61	Si
2.75	0.000005	0.000402	0	48.5	SLD 4	48.5	76.89	376.78	246.55	246.55	2.5	5.08	Si
2.75	0.000005	0.000603	0	-37.93	SLD 13	-37.93	-79.53	-376.78	-246.55	-246.55	2.5	6.5	Si
5.25	0.000005	0.000603	0	11	SLD 4	11	79.53	376.78	246.55	246.55	2.5	22.42	Si
5.25	0.000005	0.000402	0	-75.43	SLD 13	-75.43	-76.89	-376.78	-246.55	-246.55	2.5	3.27	Si
5.5	0	0.000603	0	7.25	SLD 4	7.25	81.25	392.89	0	81.25	2.5	11.21	Si
5.5	0	0.001005	0	-79.18	SLD 13	-79.18	-94.3	-376.78	0	-94.3	2.5	1.19	Si

Verifiche taglio ciclico nel piano Circolare 7 21-01-19 §C8.7.2.3.5, [C8.7.2.8]

Ascissa	Lv	x	h	p,tot	θ,m	θ,y	Vrd	VRcd(cotθ=1)	VRsd	Vw	Vr	Vu	Ned	Comb.	Verifica		
1.75	3.184	0.053	1	0.003	0.00073	0.00646	0	76.89	546.33	246.55	98.62	122.45	246.55	143.48	-35.48	SLV 4	Si
6.75	2.078	0.053	1	0.003	0.00032	0.00665	0	76.89	546.33	246.55	98.62	129.44	246.55	-132.91	29.73	SLV 13	Si

Indicatori di rischio sismico SLV

x	T gravità	T sisma	T ultimo	Comb.	Pga	Tr	Ind. taglio	M gravità	M sisma	M ultimo	Comb.	Pga	Tr	Ind. momento	Ver
0.25	42.78	100.69	246.55	SLV 4	0.26	2114	1.389	-48.6339	-307.7412	-244.4406	SLV 4	0.13	267	0.595	No
2.75	5.28	100.69	246.55	SLV 4	0.26	2114	1.389	-2.9686	-164.7576	-99.5235	SLV 4	0.12	214	0.543	No
5.25	-32.22	-100.69	-246.55	SLV 13	0.26	2114	1.389	-22.2099	195.7224	147.8578	SLV 4	0.17	630	0.845	No

Indicatori di rischio sismico SLD resistenza

x	T gravità	T sisma	T ultimo	Comb.	Pga	Tr	Ind. taglio	M gravità	M sisma	M ultimo	Comb.	Pga	Tr	Ind. momento	Ver
0.25	42.78	43.21	246.55	SLD 4	0.26	2110	3.477	-48.6339	-132.0719	-244.4406	SLD 4	0.13	272	1.501	Si
2.75	5.28	43.21	246.55	SLD 4	0.26	2110	3.477	-2.9686	-70.7082	-99.5235	SLD 4	0.12	218	1.371	Si
5.25	-32.22	-43.21	-246.55	SLD 13	0.26	2110	3.477	-22.2099	83.9975	147.8578	SLD 4	0.17	642	2.135	Si

Campata 3 tra i fili P19 - P20, sezione R 38x100, asta 211**Verifiche a flessione in famiglia SLU**

x	A sup.	C.b. sup.	A inf.	C.b. inf.	M+ela	Comb.	M+des	M+ult	x/d	coeff	M-ela	Comb.	M-des	M-ult	x/d	coeff	Verifica
0	0.001084	0.041	0	0							-52.1722	SLU 12	-44.3735	-224.2915	0.127	5.05	Si
0.25	0.001174	0.041	0.000603	0.041	-20.5502	SLV 9	13.0532	127.954	0.046	9.8	-37.2258	SLU 12	-37.2258	-246.8839	0.067	6.63	Si
2.75	0.000402	0.041	0.000603	0.041	32.7258	SLU 18	32.8926	127.9898	0.05	3.89							Si
4.22	0.000402	0.041	0.000603	0.041	2.6058	SLV 18	29.7136	127.9898	0.05	4.31	1.4669	SLU 1	-49.4449	-85.9699	0.044	1.74	Si
5.25	0.001005	0.041	0.000603	0.041	-30.7643	SLV 4	4.2766	127.9602	0.046	29.92	-49.4449	SLU 17	-49.4449	-211.8987	0.058	4.29	Si
5.5	0.001005	0.041	0	0							-65.7375	SLU 17	-57.4297	-208.8433	0.118	3.64	Si

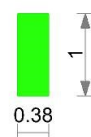
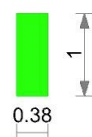
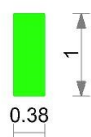
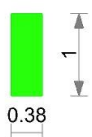
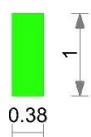
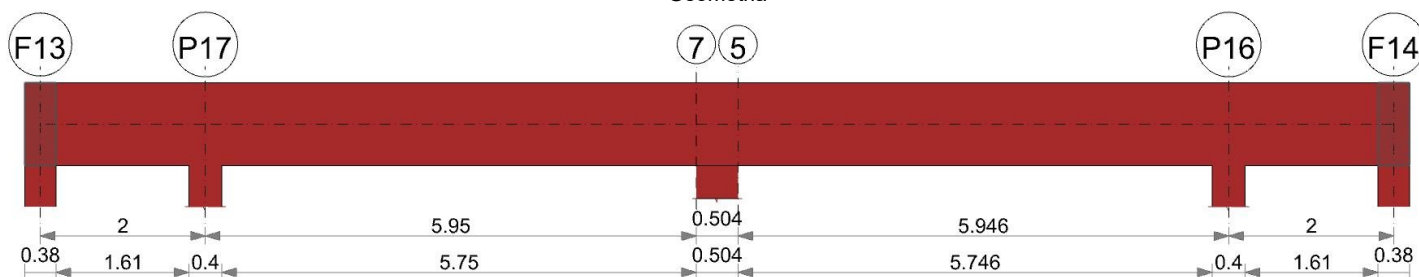
Verifiche a flessione in famiglia SLV

E' attiva l'opzione fattori parziali di sicurezza unitari per meccanismi duttili di strutture esistenti con fattore q

x	A sup.	C.b. sup.	A inf.	C.b. inf.	M+ela	Comb.	M+des	M+ult	x/d	coeff	M-ela	Comb.	M-des	M-ult	x/d	coeff	Verifica
0	0.001084	0.041	0	0	139.2466	SLV 13	135.8904	0	0	0	-203.7366	SLV 4	-190.5907	-261.1504	0.097	1.37	No

Trave a "Piano 4" F13-F14

Geometria



Caratteristiche dei materiali

Acciaio: Vigone_FeB22k_LC2 Fym 313700 Livello di conoscenza LC2 Fattore di confidenza 1.2

Calcestruzzo: C14/17 LC2 Vigone A Rcm 17000 Livello di conoscenza LC2 Fattore di confidenza 1.2

Elenco delle sezioni

N°	Descrizione	Tipo	Base	Altezza	Copriferro sup.	Copriferro inf.	Copriferro lat.
1	R 38x100	Rettangolare	0.38	1	0.025	0.025	0.025

Diagramma verifica stato limite ultimo flessione

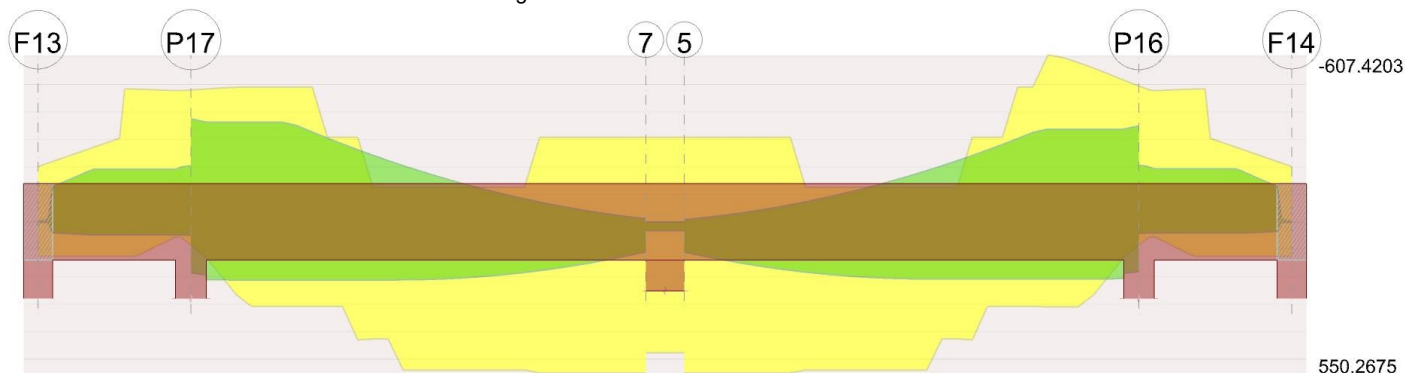


Diagramma verifica stato limite ultimo taglio

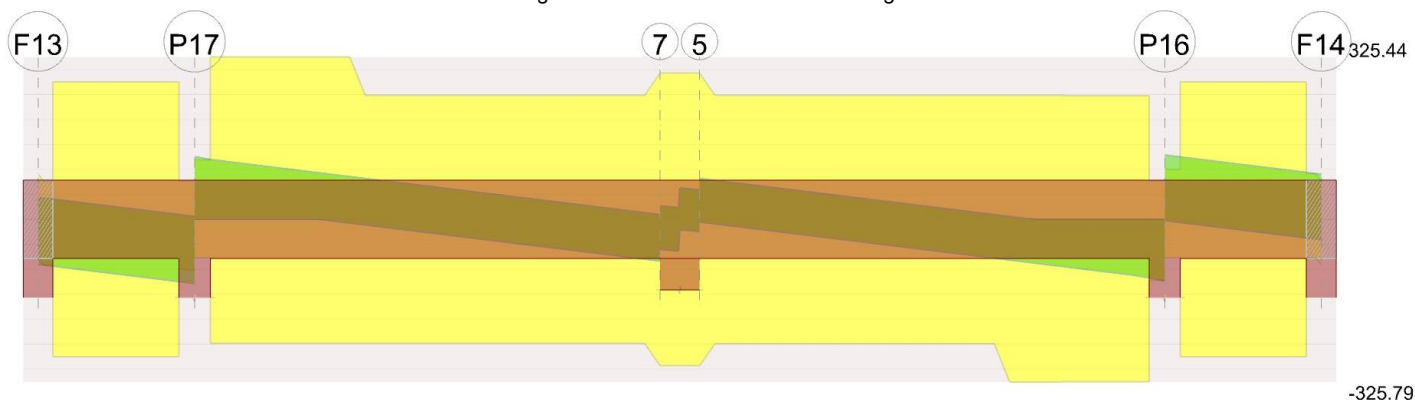
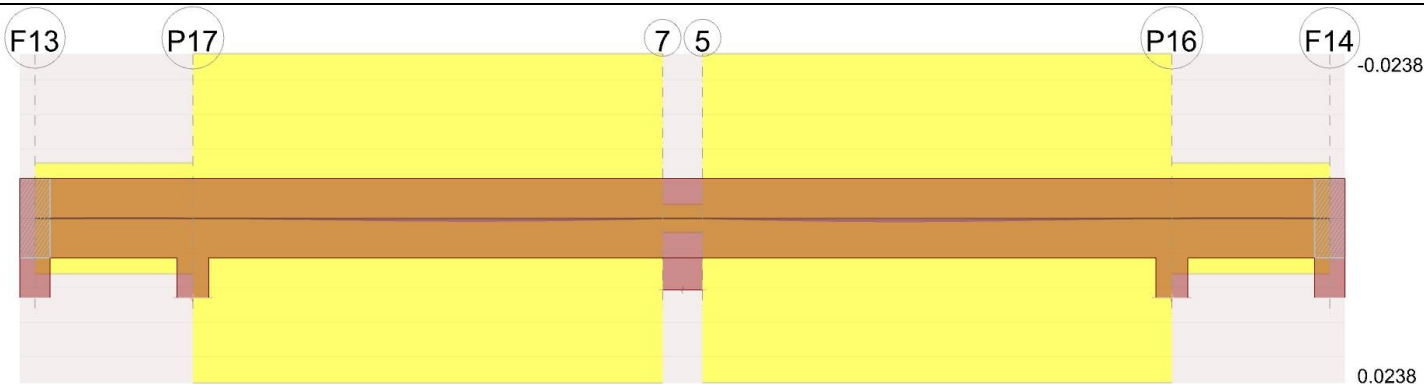


Diagramma verifica stato limite esercizio quasi permanente freccia



Output campate

Campata 1 tra i fili F13 - P17, sezione R 38x100, asta 203

Verifiche a flessione in famiglia SLU

x	A sup.	C.b. sup.	A inf.	C.b. inf.	M+ela	Comb.	M+des	M+ult	x/d	coeff	M-ela	Comb.	M-des	M-ult	x/d	coeff	Verifica
0	0.000826	0.042	0.000509	0.042							-0.0909	SLU 12	-0.0909	-174.2966	0.056	1916.68	Si
0.19	0.000903	0.042	0.000509	0.042							-7.667	SLU 18	-72.2532	-190.2515	0.058	2.63	Si
0.73	0.001122	0.042	0.000509	0.042	6.4663	SLV 2	39.3222	125.0932	0.044	3.18	-35.575	SLU 18	-117.3455	-235.6919	0.072	2.01	Si
1	0.00123	0.042	0.000509	0.042							-52.6681	SLU 18	-117.3455	-257.6584	0.084	2.2	Si
1.8	0.002036	0.042	0.000212	0.042							-117.3455	SLU 18	-117.3455	-407.3783	0.214	3.47	Si
2	0.002036	0.042	0.000336	0.042	48.8558	SLV 2	48.251	83.7402	0.043	1.74	-136.6551	SLU 18	-126.6863	-410.6449	0.199	3.24	Si

Verifiche a flessione in famiglia SLV

E' attiva l'opzione fattori parziali di sicurezza unitari per meccanismi duttili di strutture esistenti con fattore q

x	A sup.	C.b. sup.	A inf.	C.b. inf.	M+ela	Comb.	M+des	M+ult	x/d	coeff	M-ela	Comb.	M-des	M-ult	x/d	coeff	Verifica
0	0.000826	0.042	0.000509	0.042	3.2459	SLV 12	3.2459	125.0931	0.044	38.54	-3.3508	SLV 5	-1.8181	-201.2223	0.053	110.68	Si
0.19	0.000903	0.042	0.000509	0.042	6.4663	SLV 2	39.3222	125.0932	0.044	3.18	-15.9407	SLV 15	-128.3211	-219.5802	0.055	1.71	Si
1	0.00123	0.042	0.000509	0.042	33.2071	SLV 2	47.262	125.0913	0.044	2.65	-98.1201	SLV 15	-191.6694	-297.6757	0.067	1.55	Si
1.8	0.002036	0.042	0.000212	0.042	47.262	SLV 2	47.262	54.0375	0.042	1.14	-191.6694	SLV 15	-191.6694	-477.5866	0.164	2.49	Si
2	0.002036	0.042	0.000336	0.042	48.8558	SLV 2	48.251	83.7402	0.043	1.74	-216.9768	SLV 15	-204.1312	-480.1547	0.153	2.35	Si

Verifiche SLD Resistenza a flessione

x	A sup.	C.b. sup.	A inf.	C.b. inf.	M+ela	Comb.	M+des	M+ult	x/d	coeff	M-ela	Comb.	M-des	M-ult	x/d	coeff	Verifica
0	0.000826	0.042	0.000509	0.042	1.2826	SLD 12	1.2826	125.0931	0.044	97.53	-1.3875	SLD 5	-1.1759	-201.2223	0.053	171.12	Si
0.19	0.000903	0.042	0.000509	0.042	0.0606	SLD 2	0.1854	125.0932	0.044	674.65	-9.535	SLD 15	-80.275	-219.5802	0.055	2.74	Si
0.73	0.001122	0.042	0.000509	0.042	-1.5586	SLD 2	0.1854	125.0912	0.044	674.64	-42.3175	SLD 15	-123.1845	-272.0049	0.063	2.21	Si
1	0.00123	0.042	0.000509	0.042	-4.4269	SLD 2	0.1854	125.0913	0.044	674.64	-60.4861	SLD 15	-123.1845	-297.6757	0.067	2.42	Si
1.8	0.002036	0.042	0.000212	0.042							-123.1845	SLD 15	-123.1845	-477.5866	0.164	3.88	Si
2	0.002036	0.042	0.000336	0.042							-140.7791	SLD 15	-131.7898	-480.1547	0.153	3.64	Si

Verifiche a taglio in famiglia SLU

x	A st	A sl	A sag	Vela	Comb.	Vdes	Vrd	Vrcd	Vrsd	Vult	cotgθ	coeff	Verifica
0	0	0.000903	0	-36.88	SLU 18	-36.88	-90.93	-376.39	0	-90.93	2.5	2.47	Si
0.19	0.0000056	0.000903	0	-42.85	SLU 18	-42.85	-90.93	-376.39	-275.36	-275.36	2.5	6.43	Si
1	0.0000056	0.000903	0	-68.29	SLU 18	-68.29	-90.93	-376.39	-275.36	-275.36	2.5	4.03	Si
1.8	0.0000056	0.001176	0	-93.41	SLU 18	-93.41	-99.3	-376.39	-275.36	-275.36	2.5	2.95	Si
2	0	0.001257	0	-99.69	SLU 18	-99.69	-101.53	-376.39	0	-101.53	2.5	1.02	Si

Verifiche a taglio in famiglia SLV

x	A st	A sl	A sag	Vela	Comb.	Vdes	Vrd	Vrcd	Vrsd	Vult	cotgθ	coeff	Verifica
0	0	0.000903	0	44.45	SLV 2	44.45	90.93	376.39	0	90.93	2.5	2.05	Si
0	0	0.000509	0	-90.06	SLV 15	-90.06	-76.83	-376.39	0	-76.83	2.5	0.85	Si
0.19	0.0000056	0.000509	0	40.8	SLV 2	40.8	76.83	376.39	275.36	275.36	2.5	6.75	Si
0.19	0.0000056	0.000903	0	-93.71	SLV 15	-93.71	-90.93	-376.39	-275.36	-275.36	2.5	2.94	Si
1	0.0000056	0.000212	0	25.25	SLV 2	25.25	76.83	376.39	275.36	275.36	2.5	10.91	Si
1	0.0000056	0.000903	0	-109.26	SLV 15	-109.26	-90.93	-376.39	-275.36	-275.36	2.5	2.52	Si
1.8	0.0000056	0.000212	0	9.89	SLV 2	9.89	76.83	376.39	275.36	275.36	2.5	27.84	Si
1.8	0.0000056	0.001176	0	-124.62	SLV 15	-124.62	-99.3	-376.39	-275.36	-275.36	2.5	2.21	Si
2	0	0.000212	0	6.05	SLV 2	6.05	76.83	376.39	0	76.83	2.5	12.7	Si
2	0	0.001257	0	-128.46	SLV 15	-128.46	-101.53	-376.39	0	-101.53	2.5	0.79	Si

Verifiche SLD Resistenza a taglio

x	A st	A sl	A sag	Vela	Comb.	Vdes	Vrd	Vrcd	Vrsd	Vult	cotgθ	coeff	Verifica
0	0	0.000903	0	5.89	SLD 2	5.89	90.93	376.39	0	90.93	2.5	15.45	Si
0	0	0.000509	0	-51.49	SLD 15	-51.49	-76.83	-376.39	0	-76.83	2.5	1.49	Si
0.19	0.0000056	0.000509	0	2.24	SLD 2	2.24	76.83	376.39	275.36	275.36	2.5	123.06	Si
0.19	0.0000056	0.000903	0	-55.14	SLD 15	-55.14	-90.93	-376.39	-275.36	-275.36	2.5	4.99	Si
1	0.0000056	0.000903	0	-70.69	SLD 15	-70.69	-90.93	-376.39	-275.36	-275.36	2.5	3.9	Si
1.8	0.0000056	0.001176	0	-86.05	SLD 15	-86.05	-99.3	-376.39	-275.36	-275.36	2.5	3.2	Si
2	0	0.001257	0	-89.89	SLD 15	-89.89	-101.53	-376.39	0	-101.53	2.5	1.13	Si

Verifiche taglio ciclico nel piano Circolare 7 21-01-19 §C8.7.2.3.5, [C8.7.2.8]

Ascissa	Lv	x	h	p_tot	θ_m	θ_y	μΔ_pi	Vrd	VRCd(cotθ=1)	VRSd	Vw	Vr	Vu	Ved	Ned	Comb.	Verifica
0.38	0.195	0.053	1	0.004	0.00003	0.00526	0	90.93	545.76	275.36	110.14	159.11	275.36	-93.71	0	SLV 15	Si

Indicatori di rischio sismico SLV

x	T gravità	T sisma	T ultimo	Comb.	Pga	Tr	Ind. taglio	M gravità	M sisma	M ultimo	Comb.	Pga	Tr	Ind. momento	Ver
0.19	-26.45	-67.25	-275.36	SLV 15	0.26	2114	1.389	-4.7372	11.2035	125.0932	SLV 2	0.26	2114	1.389	Si
1	-42	-67.25	-275.36	SLV 15	0.26	2114	1.389	-72.2037	119.4657	125.0913	SLV 2	0.26	2114	1.389	Si
1.8	-57.36	-67.25	-275.36	SLV 15	0.26	2114	1.389	-72.2037	119.4657	54.0375	SLV 2	0.21	1127	1.073	Si

Indicatori di rischio sismico SLD resistenza

x	T gravità	T sisma	T ultimo	Comb.	Pga	Tr	Ind. taglio	M gravità	M sisma	M ultimo	Comb.	Pga	Tr	Ind. momento	Ver
0.19	-26.45	-28.69	-275.36	SLD 15	0.26	2110	3.477	-4.7372	4.7978	125.0932	SLD 2	0.26	2110	3.477	Si
1	-42	-28.69	-275.36	SLD 15	0.26	2110	3.477	-72.2037	50.9808	125.0913	SLD 2	0.26	2110	3.477	Si
1.8	-57.36	-28.69	-275.36	SLD 15	0.26	2110	3.477	-72.2037	50.9808	54.0375	SLD 2	0.21	1171	2.731	Si

Campata 2 tra i fili P17 - 7, sezione R 38x100, asta 204**Verifiche a flessione in famiglia SLU**

x	A sup.	C.b. sup.	A inf.	C.b. inf.	M+ela	Comb.	M+des	M+ult	x/d	coeff	M-ela	Comb.	M-des	M-ult	x/d	coeff	Verifica
0	0.002036	0.042	0.000336	0.042							-162.7983	SLU 18	-150.2012	-410.6449	0.199	2.73	Si
0.2	0.002036	0.042	0.000527	0.042							-138.2269	SLU 18	-138.2269	-415.0721	0.177	3	Si
2.98	0.000509	0.042	0.00229	0.042	74.3932	SLU 12	90.4007	461.5127	0.209	5.11							Si
5.95	0.001272	0.042	0.00229	0.042	31.1745	SLU 17	78.3988	476.0233	0.119	6.07							Si

Verifiche a flessione in famiglia SLV

E' attiva l'opzione fattori parziali di sicurezza unitari per meccanismi duttili di strutture esistenti con fattore q

x	A sup.	C.b. sup.	A inf.	C.b. inf.	M+ela	Comb.	M+des	M+ult	x/d	coeff	M-ela	Comb.	M-des	M-ult	x/d	coeff	Verifica
0	0.002036	0.042	0.000336	0.042	186.5246	SLV 8	186.5246	83.7402	0.043	0.45	-387.3425	SLV 9	-374.9424	-480.1547	0.153	1.28	No
0.2	0.002036	0.042	0.000527	0.042	192.3035	SLV 8	210.1667	129.5117	0.044	0.62	-362.9217	SLV 9	-362.9217	-483.5708	0.135	1.33	No
2.98	0.000509	0.042	0.00229	0.042	193.2973	SLV 8	210.3858	539.4225	0.16	2.56	-103.3112	SLV 9	-186.8607	-125.0884	0.044	0.67	No
5.95	0.001272	0.042	0.00229	0.042	31.1792	SLV 8	109.0342	550.2675	0.091	5.05	9.7469	SLV 9	-11.1899	-307.9894	0.049	27.52	Si

Verifiche SLD Resistenza a flessione

x	A sup.	C.b. sup.	A inf.	C.b. inf.	M+ela	Comb.	M+des	M+ult	x/d	coeff	M-ela	Comb.	M-des	M-ult	x/d	coeff	Verifica
0	0.002036	0.042	0.000336	0.042	15.1629	SLD 8	15.1629	83.7402	0.043	5.52	-215.9808	SLD 9	-206.3633	-480.1547	0.153	2.33	Si
0.2	0.002036	0.042	0.000527	0.042	26.5077	SLD 8	74.4257	129.5117	0.044	1.74	-197.1259	SLD 9	-197.1259	-483.5708	0.135	2.45	Si
2.38	0.000509	0.042	0.001781	0.042	100.3987	SLD 8	104.7174	425.9471	0.114	4.07	-41.3842	SLD 9	-107.2262	-125.0894	0.044	1.17	Si
2.98	0.000509	0.042	0.00229	0.042	104.7174	SLD 8	104.7174	539.4225	0.16	5.15	-14.7312	SLD 9	-68.2328	-125.0884	0.044	1.83	Si
5.95	0.001272	0.042	0.00229	0.042	24.7997	SLD 8	73.1219	550.2675	0.091	7.53							Si

Verifiche a taglio in famiglia SLU

x	A st	A sl	A sag	Vela	Comb.	Vdes	Vrd	Vrcd	Vrsd	Vult	cotgθ	coeff	Verifica
0	0	0.002036	0	126.02	SLU 18	126.02	119.24	376.39	0	119.24	2.5	0.95	Si
0.2	0.0000051	0.002036	0.0000028	119.74	SLU 18	119.74	119.24	376.39	325.44	325.44	2.5	2.72	Si
2.98	0.0000051	0.001272	0	32.6	SLU 18	32.6	101.94	376.39	248.44	248.44	2.5	7.62	Si
5.95	0.000006	0.00229	0	-60.82	SLU 17	-60.82	-124.01	-376.39	-293.03	-293.03	2.5	4.82	Si

Verifiche a taglio in famiglia SLV

x	A st	A sl	A sag	Vela	Comb.	Vdes	Vrd	Vrcd	Vrsd	Vult	cotgθ	coeff	Verifica
0	0	0.002036	0	124.05	SLV 9	124.05	119.24	376.39	0	119.24	2.5	0.96	Si
0.2	0.0000051	0.002036	0.0000028	120.21	SLV 9	120.21	119.24	376.39	325.44	325.44	2.5	2.71	Si
2.98	0.0000051	0.000509	0	66.93	SLV 9	66.93	76.83	376.39	248.44	248.44	2.5	3.71	Si
2.98	0.0000051	0.001272	0	-26.3	SLV 8	-26.3	-101.94	-376.39	-248.44	-248.44	2.5	9.45	Si
5.95	0.000006	0.00229	0	9.81	SLV 9	9.81	124.01	376.39	293.03	293.03	2.5	29.88	Si
5.95	0.000006	0.00229	0	-83.42	SLV 8	-83.42	-124.01	-376.39	-293.03	-293.03	2.5	3.51	Si

Verifiche SLD Resistenza a taglio

x	A st	A sl	A sag	Vela	Comb.	Vdes	Vrd	Vrcd	Vrsd	Vult	cotgθ	coeff	Verifica
0	0	0.002036	0	96.21	SLD 9	96.21	119.24	376.39	0	119.24	2.5	1.24	Si
0.2	0.0000051	0.002036	0.0000028	92.37	SLD 9	92.37	119.24	376.39	325.44	325.44	2.5	3.52	Si
2.98	0.0000051	0.000509	0	39.09	SLD 9	39.09	76.83	376.39	248.44	248.44	2.5	6.35	Si
5.95	0.000006	0.00229	0	-55.58	SLD 8	-55.58	-124.01	-376.39	-293.03	-293.03	2.5	5.27	Si

Verifiche taglio ciclico nel piano Circolare 7 21-01-19 §C8.7.2.3.5, [C8.7.2.8]

Ascissa	Lv	x	h	p,tot	θ,m	θ,y	μΔ,pl	Vrd	Vrcd(cotθ=7)	Vrsd	Vw	Vr	Vu	Ved	Ned	Comb.	Verifica
2.39	5.297	0.13	1	0.006	0.00103	0.00854	0	119.24	545.76	325.44	99.37	103.2	325.44	120.21	0	SLV 9	Si

Indicatori di rischio sismico SLV

x	T gravità	T sisma	T ultimo	Comb.	Pga	Tr	Ind. taglio	M gravità	M sisma	M ultimo	Comb.	Pga	Tr	Ind. momento	Ver
0.2	73.59	46.61	325.44	SLV 9	0.26	2114	1.389	-85.3091	277.6126	129.5117	SLV 8	0.16	481	0.757	No
2.38	31.74	46.61	248.44	SLV 9	0.26	2114	1.389	-16.0612	-226.3496	-125.0894	SLV 9	0.1	148	0.467	No
2.98	20.31	46.61	248.44	SLV 9	0.26	2114	1.389	11.7626	-198.6232	-125.0884	SLV 9	0.14	361	0.673	No
5.95	-36.81	-46.61	-293.03	SLV 8	0.26	2114	1.389	20.4631	-10.7162	-307.9894	SLV 9	0.26	2114	1.389	Si

Indicatori di rischio sismico SLD resistenza

x	T gravità	T sisma	T ultimo	Comb.	Pga	Tr	Ind. taglio	M gravità	M sisma	M ultimo	Comb.	Pga	Tr	Ind. momento	Ver
0.2	73.59	18.78	325.44	SLD 9	0.26	2110	3.477	-85.3091	111.8168	129.5117	SLD 8	0.16	472	1.882	Si
2.98	20.31	18.78	248.44	SLD 9	0.26	2110	3.477	11.7626	-79.9953	-125.0884	SLD 9	0.14	354	1.672	Si
5.95	-36.81	-18.78	-293.03	SLD 8	0.26	2110	3.477	20.4631	-4.3366	-307.9894	SLD 9	0.26	2110	3.477	Si

Campata 4 tra i fili 5 - P16, sezione R 38x100, asta 207**Verifiche a flessione in famiglia SLU**

x	A sup.	C.b. sup.	A inf.	C.b. inf.	M+ela	Comb.	M+des	M+ult	x/d	coeff	M-ela	Comb.	M-des	M-ult	x/d	coeff	Verifica
0	0.001272	0.042	0.00229	0.042	31.8013	SLU 18	81.8229	476.0233	0.119	5.82							Si
2.97	0.000509	0.042	0.00229	0.042	81.5592	SLU 18	95.8099	461.5127	0.209	4.82							Si
5.75	0.002183	0.043	0.000527	0.042							-122.1905	SLU 17	-122.1905	-442.1303	0.194	3.62	Si
5.95	0.002103	0.042	0.000336	0.042							-346.216	SLU 17	-133.892	-422.7201	0.207	3.16	Si

Verifiche a flessione in famiglia SLV

E' attiva l'opzione fattori parziali di sicurezza unitari per meccanismi duttili di strutture esistenti con fattore q

x	A sup.	C.b. sup.	A inf.	C.b. inf.	M+ela	Comb.	M+des	M+ult	x/d	coeff	M-ela	Comb.	M-des	M-ult	x/d	coeff	Verifica
0	0.001272	0.042	0.00229	0.042	33.3586	SLV 5	109.9575	550.2675	0.091	5	8.3559	SLV 12	-7.805	-307.9894	0.049	39.46	Si
2.97	0.000509	0.042	0.00229	0.042	191.5796	SLV 5	207.2656	539.4225	0.16	2.6	-91.029	SLV 12	-169.567	-125.0884	0.044	0.74	No
5.75	0.002183	0.043	0.000527	0.042	187.0551	SLV 5	206.2674	129.9104	0.045	0.63	-337.5272	SLV 12	-337.5272	-515.9583	0.149	1.53	No
5.95	0.002103	0.042	0.000336	0.042	181.0271	SLV 5	181.0271	83.9229	0.043	0.46	-361.0134	SLV 12	-349.0814	-494.6648	0.159	1.42	No

Verifiche SLD Resistenza a flessione

x	A sup.	C.b. sup.	A inf.	C.b. inf.	M+ela	Comb.	M+des	M+ult	x/d	coeff	M-ela	Comb.	M-des	M-ult	x/d	coeff	Verifica
0	0.001272	0.042	0.00229	0.042	25.9156	SLD 5	74.7579	550.2675	0.091	7.36							Si
2.97	0.000509	0.042	0.00229	0.042	107.1028	SLD 5	107.1028	539.4225	0.16	5.04	-6.5521	SLD 12	-56.9272	-125.0884	0.044	2.2	Si
3.57	0.000509	0.042	0.001781	0.042	103.0547	SLD 5	107.1028	425.9471	0.114	3.98	-31.4616	SLD 12	-94.1702	-125.0894	0.044	1.33	Si
5.75	0.002183	0.043	0.000527	0.042	30.2547	SLD 5	77.6419	129.9104	0.045	1.67	-180.7269	SLD 12	-180.7269	-515.9583	0.149	2.85	Si
5.95	0.002103	0.042	0.000336	0.042	19.0088	SLD 5	19.0088	83.9229	0.043	4.41	-198.9951	SLD 12	-189.6713	-494.6648	0.159	2.61	Si

Verifiche a taglio in famiglia SLU

x	A st	A sl	A sag	Vela	Comb.	Vdes	Vrd	Vrcd	Vrsd	Vult	cotgθ	coeff	Verifica
0	0.000006	0.00229	0	63.41	SLU 18	63.41	124.01	376.39	293.03	293.03	2.5	4.62	Si
2.97	0.0000051	0.001272	0	-29.94	SLU 17	-29.94	-101.94	-376.39	-248.62	-248.62	2.5	8.3	Si
5.75	0.0000051	0.002183	0	-117.01	SLU 17	-117.01	-122.01	-376.12	-248.45	-248.45	2.5	2.12	Si
5.95	0	0.002183	0	-123.3	SLU 17	-123.3	-122.03	-376.26	0	-122.03	2.5	0.99	Si

Verifiche a taglio in famiglia SLV

x	A st	A sl	A sag	Vela	Comb.	Vdes	Vrd	Vrzd	Vrsd	Vult	cotgθ	coeff	Verifica
0	0.000006	0.00229	0	82.09	SLV 5	82.09	124.01	376.39	293.03	293.03	2.5	3.57	Si
0	0.000006	0.00229	0	-5.22	SLV 12	-5.22	-124.01	-376.39	-293.03	-293.03	2.5	56.09	Si
2.97	0.0000051	0.001272	0	25.02	SLV 5	25.02	101.94	376.39	248.62	248.62	2.5	9.94	Si
2.97	0.0000051	0.000509	0	-62.3	SLV 12	-62.3	-76.83	-376.39	-248.62	-248.62	2.5	3.99	Si
5.75	0.0000051	0.002183	0	-115.54	SLV 12	-115.54	-122.01	-376.12	-248.45	-248.45	2.5	2.15	Si
5.95	0	0.002183	0	-119.38	SLV 12	-119.38	-122.03	-376.26	0	-122.03	2.5	1.02	Si

Verifiche SLD Resistenza a taglio

x	A st	A sl	A sag	Vela	Comb.	Vdes	Vrd	Vrzd	Vrsd	Vult	cotgθ	coeff	Verifica
0	0.000006	0.00229	0	56	SLD 5	56	124.01	376.39	293.03	293.03	2.5	5.23	Si
2.97	0.0000051	0.000509	0	-36.21	SLD 12	-36.21	-76.83	-376.39	-248.62	-248.62	2.5	6.87	Si
5.75	0.0000051	0.002183	0	-89.44	SLD 12	-89.44	-122.01	-376.12	-248.45	-248.45	2.5	2.78	Si
5.95	0	0.002183	0	-93.28	SLD 12	-93.28	-122.03	-376.26	0	-122.03	2.5	1.31	Si

Verifiche taglio ciclico nel piano Circolare 7 21-01-19 §C8.7.2.3.5, [C8.7.2.8]

Ascissa	Lv	x	h	p,tot	θ,m	θ,y	μΔ,pl	Vrd	VRcd(cotθ=1)	VRsd	Vw	Vr	Vu	Ved	Ned	Comb.	Verifica
14.39	5.216	0.142	1	0.006	0.00095	0.00787	0	122.01	545.38	248.45	99.38	103.19	248.45	-115.54	0	SLV 12	Si

Indicatori di rischio sismico SLV

x	T gravità	T sisma	T ultimo	Comb.	Pga	Tr	Ind. taglio	M gravità	M sisma	M ultimo	Comb.	Pga	Tr	Ind. momento	Ver
0	38.43	43.66	293.03	SLV 5	0.26	2114	1.389	20.8573	-12.5014	-307.9894	SLV 12	0.26	2114	1.389	Si
2.97	-18.64	-43.66	-248.62	SLV 12	0.26	2114	1.389	18.8493	-188.4163	-125.0884	SLV 12	0.16	466	0.747	No
3.57	-30.06	-43.66	-248.62	SLV 12	0.26	2114	1.389	-7.9585	-214.3602	-125.0894	SLV 12	0.11	203	0.531	No
5.75	-71.88	-43.66	-248.45	SLV 12	0.26	2114	1.389	-75.2361	-262.2911	-129.9104	SLV 5	0.16	495	0.766	No

Indicatori di rischio sismico SLD resistenza

x	T gravità	T sisma	T ultimo	Comb.	Pga	Tr	Ind. taglio	M gravità	M sisma	M ultimo	Comb.	Pga	Tr	Ind. momento	Ver
0	38.43	17.56	293.03	SLD 5	0.26	2110	3.477	20.8573	-5.0584	-307.9894	SLD 12	0.26	2110	3.477	Si
2.97	-18.64	-17.56	-248.62	SLD 12	0.26	2110	3.477	18.8493	-75.7764	-125.0884	SLD 12	0.16	459	1.86	Si
5.75	-71.88	-17.56	-248.45	SLD 12	0.26	2110	3.477	-75.2361	105.4908	-129.9104	SLD 5	0.16	487	1.906	Si

Campata 5 tra i fili P16 - F14, sezione R 38x100, asta 208

Verifiche a flessione in famiglia SLU

x	A sup.	C.b. sup.	A inf.	C.b. inf.	M+ela	Comb.	M+des	M+ult	x/d	coeff	M-ela	Comb.	M-des	M-ult	x/d	coeff	Verifica
0	0.002103	0.042	0.000336	0.042							-143.6841	SLU 18	-133.3598	-422.7201	0.207	3.17	Si
0.2	0.002036	0.042	0.000212	0.042							-123.6636	SLU 18	-123.6636	-407.3783	0.214	3.29	Si
1	0.00123	0.042	0.000509	0.042							-56.1425	SLU 18	-123.6636	-257.6584	0.084	2.08	Si
1.27	0.001122	0.042	0.000509	0.042							-38.1016	SLU 18	-123.6636	-235.6919	0.072	1.91	Si
1.81	0.000903	0.042	0.000509	0.042							-8.2623	SLU 18	-76.6873	-190.2515	0.058	2.48	Si
2	0.000826	0.042	0.000509	0.042	0.0169	SLU 9	0.0169	108.1491	0.046	6396.8	-0.0299	SLU 12	-0.0299	-174.2966	0.056	5830.56	Si

Verifiche a flessione in famiglia SLV

E' attiva l'opzione fattori parziali di sicurezza unitari per meccanismi duttili di strutture esistenti con fattore q

x	A sup.	C.b. sup.	A inf.	C.b. inf.	M+ela	Comb.	M+des	M+ult	x/d	coeff	M-ela	Comb.	M-des	M-ult	x/d	coeff	Verifica
0	0.002103	0.042	0.000336	0.042	41.4566	SLV 3	41.2243	83.9229	0.043	2.04	-218.3514	SLV 14	-205.4346	-494.6648	0.159	2.41	Si
0.2	0.002036	0.042	0.000212	0.042	40.6079	SLV 3	40.6079	54.0375	0.042	1.33	-192.9017	SLV 14	-192.9017	-477.5866	0.164	2.48	Si
1	0.00123	0.042	0.000509	0.042	29.5341	SLV 3	40.6079	125.0913	0.044	3.08	-98.7835	SLV 14	-192.9017	-297.6757	0.067	1.54	Si
1.81	0.000903	0.042	0.000509	0.042	5.8149	SLV 3	34.643	125.0932	0.044	3.61	-16.0316	SLV 14	-129.1764	-219.5802	0.055	1.7	Si
2	0.000826	0.042	0.000509	0.042	3.115	SLV 9	3.115	125.0931	0.044	40.16	-3.1191	SLV 8	-1.876	-201.2223	0.053	107.26	Si

Verifiche SLD Resistenza a flessione

x	A sup.	C.b. sup.	A inf.	C.b. inf.	M+ela	Comb.	M+des	M+ult	x/d	coeff	M-ela	Comb.	M-des	M-ult	x/d	coeff	Verifica
0	0.002103	0.042	0.000336	0.042							-144.0063	SLD 14	-134.8531	-494.6648	0.159	3.67	Si
0.2	0.002036	0.042	0.000212	0.042							-126.0838	SLD 14	-126.0838	-477.5866	0.164	3.79	Si
1	0.00123	0.042	0.000509	0.042							-62.0743	SLD 14	-126.0838	-297.6757	0.067	2.36	Si
1.27	0.001122	0.042	0.000509	0.042							-43.4688	SLD 14	-126.0838	-272.0049	0.063	2.16	Si
1.81	0.000903	0.042	0.000509	0.042							-9.7971	SLD 14	-82.3057	-219.5802	0.055	2.67	Si
2	0.000826	0.042	0.000509	0.042	1.2596	SLD 9	1.2596	125.0931	0.044	99.31	-1.2636	SLD 8	-1.1307	-201.2223	0.053	177.97	Si

Verifiche a taglio in famiglia SLU

x	A st	A sl	A sag	Vela	Comb.	Vdes	Vrd	Vrzd	Vrsd	Vult	cotgθ	coeff	Verifica
0	0	0.001257	0	103.24	SLU 18	103.24	101.51	376.26	0	101.51	2.5	0.98	Si
0.2	0.0000056	0.001176	0	96.96	SLU 18	96.96	99.3	376.39	275.36	275.36	2.5	2.84	Si
1	0.0000056	0.000903	0	71.84	SLU 18	71.84	90.93	376.39	275.36	275.36	2.5	3.83	Si
1.81	0.0000056	0.000903	0	46.4	SLU 18	46.4	90.93	376.39	275.36	275.36	2.5	5.93	Si
2	0	0.000903	0	40.44	SLU 18	40.44	90.93	376.39	0	90.93	2.5	2.25	Si

Verifiche a taglio in famiglia SLV

x	A st	A sl	A sag	Vela	Comb.	Vdes	Vrd	Vrzd	Vrsd	Vult	cotgθ	coeff	Verifica
0	0	0.001257	0	129.17	SLV 14	129.17	101.51	376.26	0	101.51	2.5	0.79	Si
0	0	0.000212	0	-2.32	SLV 3	-2.32	-76.83	-376.39	0	-76.83	2.5	33.06	Si
0.2	0.0000056	0.001176	0	125.33	SLV 14	125.33	99.3	376.39	275.36	275.36	2.5	2.2	Si
0.2	0.0000056	0.000212	0	-6.16	SLV 3	-6.16	-76.83	-376.39	-275.36	-275.36	2.5	44.67	Si
1	0.0000056	0.000903	0	109.97	SLV 14	109.97	90.93	376.39	275.36	275.36	2.5	2.5	Si
1	0.0000056	0.000212	0	-21.52	SLV 3	-21.52	-76.83	-376.39	-275.36	-275.36	2.5	12.79	Si
1.81	0.0000056	0.000903	0	94.42	SLV 14	94.42	90.93	376.39	275.36	275.36	2.5	2.92	Si
1.81	0.0000056	0.000509	0	-37.08	SLV 3	-37.08	-76.83	-376.39	-275.36	-275.36	2.5	7.43	Si
2	0	0.000509	0	90.77	SLV 14	90.77	76.83	376.39	0	76.83	2.5	0.85	Si
2	0	0.000903	0	-40.72	SLV 3	-40.72	-90.93	-376.39	0	-90.93	2.5	2.23	Si

Verifiche SLD Resistenza a taglio

x	A st	A sl	A sag	Vela	Comb.	Vdes	Vrd	Vrzd	Vrsd	Vult	cotgθ	coeff	Verifica
0	0	0.001257	0	91.53	SLD 14	91.53	101.51	376.26	0	101.51	2.5	1.11	Si
0.2	0.0000056	0.001176	0	87.69	SLD 14	87.69	99.3	376.39	275.36	275.36	2.5	3.14	Si
1	0.0000056	0.000903	0	72.33	SLD 14	72.33	90.93	376.39	275.36	275.36	2.5	3.81	Si
1.81	0.0000056	0.000903	0	56.78	SLD 14	56.78	90.93	376.39	275.36	275.36	2.5	4.85	Si
2	0	0.000509	0	53.13	SLD 14	53.13	76.83	376.39	0	76.83	2.5	1.45	Si
2	0	0.000903	0	-3.09	SLD 3	-3.09	-90.93	-376.39	0	-90.93	2.5	29.45	Si

Verifiche taglio ciclico nel piano Circolare 7 21-01-19 §C8.7.2.3.5, [C8.7.2.8]

Ascissa	Lv	x	h	p,tot	θ,m	θ,y	μΔ,pl	Vrd	VRcd(cotθ=1)	VRsd	Vw	Vr	Vu	Ved	Ned	Comb.	Verifica
16.4	1	0.053	1	0.004	0.0001	0.00528	0	90.93	545.76	275.36	110.14	150.69	275.36	94.42	0	SLV 14	Si

Indicatori di rischio sismico SLV

x	T gravità	T sisma	T ultimo	Comb.	Pga	Tr	Ind. taglio	M gravità	M sisma	M ultimo	Comb.	Pga	Tr	Ind. momento	Ver
0.2	59.58	65.75	275.36	SLV 14	0.26	2114	1.389	-76.1469	116.7548	54.0375	SLV 3	0.22	1338	1.151	Si
1	44.22	65.75	275.36	SLV 14	0.26	2114	1.389	-76.1469	116.7548	125.0913	SLV 3	0.26	2114	1.389	Si

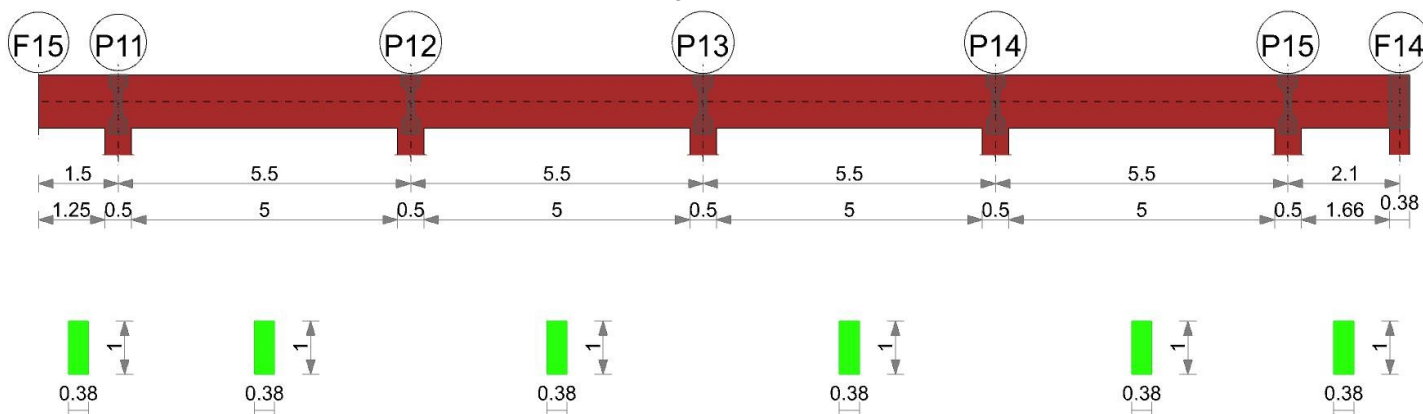
x	T gravità	T sisma	T ultimo	Comb.	Pga	Tr	Ind. taglio	M gravità	M sisma	M ultimo	Comb.	Pga	Tr	Ind. momento	Ver
1.81	28.67	65.75	275.36	SLV 14	0.26	2114	1.389	-5.1083	10.9232	125.0932	SLV 3	0.26	2114	1.389	Si

Indicatori di rischio sismico SLD resistenza

x	T gravità	T sisma	T ultimo	Comb.	Pga	Tr	Ind. taglio	M gravità	M sisma	M ultimo	Comb.	Pga	Tr	Ind. momento	Ver
0.2	59.58	28.11	275.36	SLD 14	0.26	2110	3.477	-76.1469	49.937	54.0375	SLD 3	0.22	1380	2.921	Si
1	44.22	28.11	275.36	SLD 14	0.26	2110	3.477	-76.1469	49.937	125.0913	SLD 3	0.26	2110	3.477	Si
1.81	28.67	28.11	275.36	SLD 14	0.26	2110	3.477	-5.1083	4.6888	125.0932	SLD 3	0.26	2110	3.477	Si

Trave a "Piano 4" F15-F14

Geometria



Caratteristiche dei materiali

Acciaio: Vigone_FeB22k_LC2 Fym 313700 Livello di conoscenza LC2 Fattore di confidenza 1.2
 Calcestruzzo: C14/17 LC2 Vigone A Rcm 17000 Livello di conoscenza LC2 Fattore di confidenza 1.2

Elenco delle sezioni

N°	Descrizione	Tipo	Base	Altezza	Copriferro sup.	Copriferro inf.	Copriferro lat.
1	R 38x100	Rettangolare	0.38	1	0.025	0.025	0.025

Diagramma verifica stato limite ultimo flessione

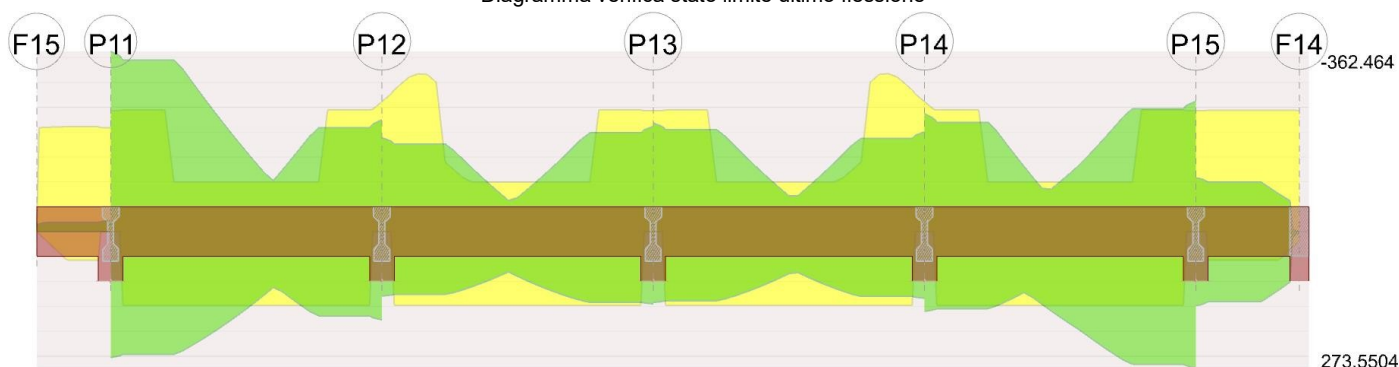


Diagramma verifica stato limite ultimo taglio

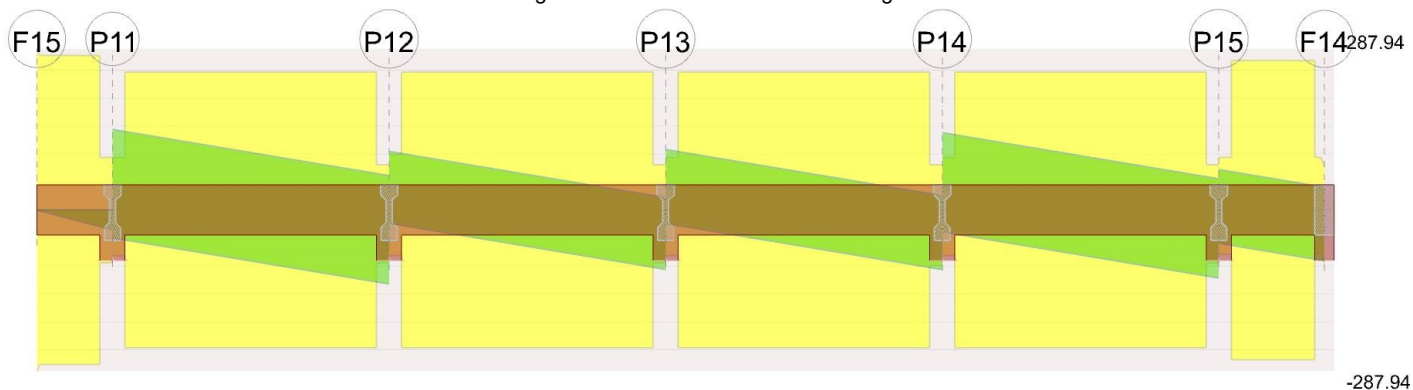
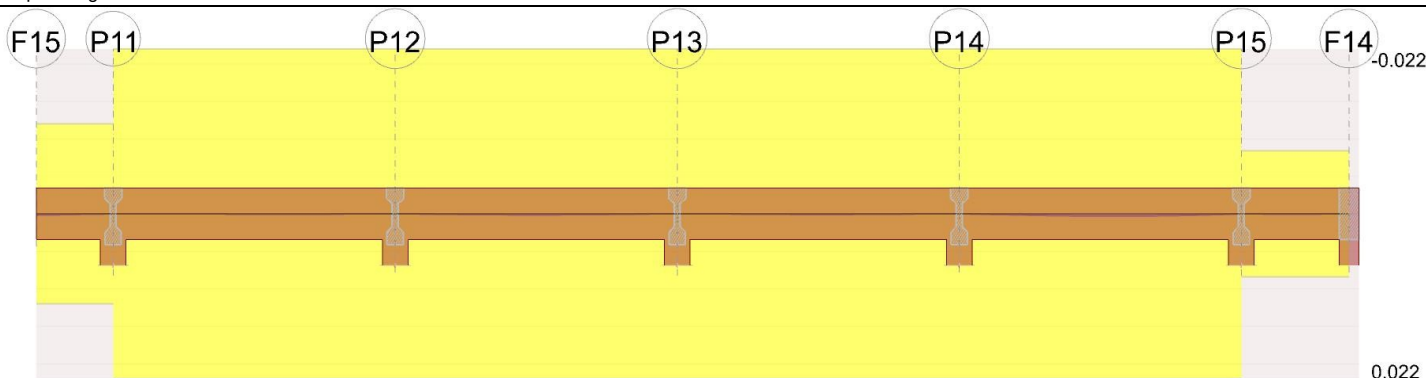


Diagramma verifica stato limite esercizio quasi permanente freccia



Output campate

Campata 1 tra i fili F15 - P11, sezione R 38x100, asta 219

Verifiche a flessione in famiglia SLU

x	A sup.	C.b. sup.	A inf.	C.b. inf.	M+ela	Comb.	M+des	M+ult	x/d	coeff	M-ela	Comb.	M-des	M-ult	x/d	coeff	Verifica
0	0	0	0	0							0	SLU 17	-13.8815	0	0	0	Si
0.75	0.001005	0.041	0.000226	0.039							-6.6909	SLU 17	-18.5859	-210.9567	0.091	11.35	Si
1.25	0.001005	0.041	0.000226	0.039							-18.5859	SLU 17	-18.5859	-210.9567	0.091	11.35	Si
1.5	0.001005	0.041	0	0							-26.7638	SLU 17	-22.3031	-208.8433	0.118	9.36	Si

Verifiche a flessione in famiglia SLV

E' attiva l'opzione fattori parziali di sicurezza unitari per meccanismi duttili di strutture esistenti con fattore q

x	A sup.	C.b. sup.	A inf.	C.b. inf.	M+ela	Comb.	M+des	M+ult	x/d	coeff	M-ela	Comb.	M-des	M-ult	x/d	coeff	Verifica
0	0	0	0	0	0.0051	SLV 16	0.0051	0	0	0	-0.0051	SLV 1	-8.7596	0	0	0	Si
0.75	0.001005	0.041	0.000226	0.039	-4.2154	SLV 14	0.0051	57.3593	0.039	11140.72	-4.2221	SLV 3	-11.7278	-244.263	0.07	20.83	Si
1.25	0.001005	0.041	0.000226	0.039							-11.7278	SLV 3	-11.7278	-244.263	0.07	20.83	Si
1.5	0.001005	0.041	0	0							-16.8869	SLV 3	-14.0716	-242.9376	0.09	17.26	Si

Verifiche SLD Resistenza a flessione

x	A sup.	C.b. sup.	A inf.	C.b. inf.	M+ela	Comb.	M+des	M+ult	x/d	coeff	M-ela	Comb.	M-des	M-ult	x/d	coeff	Verifica
0	0	0	0	0	0.0023	SLD 14	0.0023	0	0	0	-0.0023	SLD 3	-8.7556	0	0	0	Si
0.75	0.001005	0.041	0.000226	0.039	-4.2173	SLD 14	0.0023	57.3593	0.039	25393.58	-4.2202	SLD 3	-11.7227	-244.263	0.07	20.84	Si
1.25	0.001005	0.041	0.000226	0.039							-11.7227	SLD 4	-11.7227	-244.263	0.07	20.84	Si
1.5	0.001005	0.041	0	0							-16.8802	SLD 4	-14.0665	-242.9376	0.09	17.27	Si

Verifiche a taglio in famiglia SLU

x	A st	A sl	A sag	Vela	Comb.	Vdes	Vrd	Vrcd	Vrsd	Vult	cotgθ	coeff	Verifica
0	0.0000056	0	0	0	Ger.	0	79.4	392.89	287.94	287.94	2.5	6012508842605830	Si
0	0.0000056	0	0	0	Ger.	0	-79.4	-392.89	-287.94	-287.94	2.5	225135053328685000	Si
0.75	0.0000056	0	0	-17.84	SLU 12	-17.84	-76.89	-376.78	-276.14	-276.14	2.5	15.48	Si
1.25	0.0000056	0.001005	0	-29.74	SLU 12	-29.74	-94.3	-376.78	-276.14	-276.14	2.5	9.29	Si
1.5	0	0.001005	0	-35.69	SLU 12	-35.69	-94.3	-376.78	0	-94.3	2.5	2.64	Si

Verifiche a taglio in famiglia SLV

x	A st	A sl	A sag	Vela	Comb.	Vdes	Vrd	Vrcd	Vrsd	Vult	cotgθ	coeff	Verifica
0	0.0000056	0	0	0.01	SLV 1	0.01	79.4	392.89	287.94	287.94	2.5	25380.65	Si
0	0.0000056	0	0	-0.01	SLV 16	-0.01	-79.4	-392.89	-287.94	-287.94	2.5	25380.65	Si
0.75	0.0000056	0	0	-11.26	SLV 16	-11.26	-76.89	-376.78	-276.14	-276.14	2.5	24.52	Si
1.25	0.0000056	0.001005	0	-18.76	SLV 16	-18.76	-94.3	-376.78	-276.14	-276.14	2.5	14.72	Si
1.5	0	0.001005	0	-22.51	SLV 16	-22.51	-94.3	-376.78	0	-94.3	2.5	4.19	Si

Verifiche SLD Resistenza a taglio

x	A st	A sl	A sag	Vela	Comb.	Vdes	Vrd	Vrcd	Vrsd	Vult	cotgθ	coeff	Verifica
0	0.0000056	0	0	0	SLD 1	0	79.4	392.89	287.94	287.94	2.5	57851.29	Si
0	0.0000056	0	0	0	SLD 16	0	-79.4	-392.89	-287.94	-287.94	2.5	57851.29	Si
0.75	0.0000056	0	0	-11.25	SLD 16	-11.25	-76.89	-376.78	-276.14	-276.14	2.5	24.53	Si
1.25	0.0000056	0.001005	0	-18.75	SLD 16	-18.75	-94.3	-376.78	-276.14	-276.14	2.5	14.72	Si
1.5	0	0.001005	0	-22.5	SLD 16	-22.5	-94.3	-376.78	0	-94.3	2.5	4.19	Si

Indicatori di rischio sismico SLV

x	T gravità	T sisma	T ultimo	Comb.	Pga	Tr	Ind. taglio	M gravità	M sisma	M ultimo	Comb.	Pga	Tr	Ind. momento	Ver
0	0	0.01	287.94	SLV 1	0.26	2114	1.389	0	-0.0051	0	SLV 1	0	0	0	Si
0.75	-11.25	-0.01	-276.14	SLV 16	0.26	2114	1.389	-11.7188	0.009	57.3593	SLV 14	0.26	2114	1.389	Si
1.25	-18.75	-0.01	-276.14	SLV 16	0.26	2114	1.389	-11.7188	0.009	57.3593	SLV 14	0.26	2114	1.389	Si

Indicatori di rischio sismico SLD resistenza

x	T gravità	T sisma	T ultimo	Comb.	Pga	Tr	Ind. taglio	M gravità	M sisma	M ultimo	Comb.	Pga	Tr	Ind. momento	Ver
0	0	0	287.94	SLD 1	0.26	2110	3.477	0	-0.0013	0	SLD 1	0	0	0	Si
0.75	-11.25	0	-276.14	SLD 16	0.26	2110	3.477	-11.7188	0.004	57.3593	SLD 13	0.26	2110	3.477	Si
1.25	-18.75	0	-276.14	SLD 16	0.26	2110	3.477	-11.7188	0.004	57.3593	SLD 13	0.26	2110	3.477	Si

Campata 2 tra i fili P11 - P12, sezione R 38x100, asta 218

Verifiche a flessione in famiglia SLU

x	A sup.	C.b. sup.	A inf.	C.b. inf.	M+ela	Comb.	M+des	M+ult	x/d	coeff	M-ela	Comb.	M-des	M-ult	x/d	coeff	Verifica
0	0.001005	0.041	0	0							-105.6038	SLU 17	-96.0588	-208.8433	0.118	2.17	Si
0.25	0.001005	0.041	0.000603	0.041							-87.1648	SLU 17	-87.1648	-211.8987	0.058	2.43	Si
1.28	0.000402	0.041	0.000603	0.041	-9.6231	SLU 14	15.6806	127.9898	0.05	8.16	-26.4473	SLU 7	-87.1648	-85.9699	0.044	0.99	No
2.75	0.000402	0.041	0.000603	0.041	20.7149	SLU 13	22.1662	127.9898	0.05	5.77	9.3035	SLU 6	-12.594	-85.9699	0.044	6.83	Si
5.25	0.001005	0.041	0.000603	0.041	-16.8911	SLU 6	8.9851	127.9602	0.046	14.24	-32.9223	SLU 13	-32.9223	-211.8987	0.058	6.44	Si
5.5	0.001084	0.041	0	0							-46.3621	SLU 13	-39.3167	-224.2915	0.127	5.7	Si

Verifiche a flessione in famiglia SLV

E' attiva l'opzione fattori parziali di sicurezza unitari per meccanismi duttili di strutture esistenti con fattore q

x	A sup.	C.b. sup.	A inf.	C.b. inf.	M+ela	Comb.	M+des	M+ult	x/d	coeff	M-ela	Comb.	M-des	M-ult	x/d	coeff	Verifica
0	0.001005	0.041	0	0	259.2154	SLV 16	252.9397	0	0	0	-380.4098	SLV 1	-362.464	-242.9376	0.09	0.67	No
0.25	0.001005	0.041	0.000603	0.041	246.2537	SLV 16	246.2537	147.8578	0.045	0.6	-344.9285	SLV 1	-344.9285	-244.4406	0.056	0.71	No
2.75	0.000402	0.041	0.000603	0.041	65.7159	SLV 16	155.2108	147.8909	0.047	0.95	-41.0371	SLV 1	-160.8154	-99.5235	0.041	0.62	No

x	A sup.	C.b. sup.	A inf.	C.b. inf.	M+ela	Comb.	M+des	M+ult	x/d	coeff	M-ela	Comb.	M-des	M-ult	x/d	coeff	Verifica
2.1	0.001005	0.041	0.000064	0.039							-0.168	SLU 18	-0.168	-209.5412	0.11	1247.44	Si

Verifiche a flessione in famiglia SLV

E' attiva l'opzione fattori parziali di sicurezza unitari per meccanismi duttili di strutture esistenti con fattore q

x	A sup.	C.b. sup.	A inf.	C.b. inf.	M+ela	Comb.	M+des	M+ult	x/d	coeff	M-ela	Comb.	M-des	M-ult	x/d	coeff	Verifica
0	0.001005	0.041	0	0	155.5516	SLV 14	148.134	0	0	0	-116.8101	SLV 3	-107.7911	-242.9376	0.09	2.25	No
0.25	0.001005	0.041	0.000226	0.039	140.2566	SLV 14	140.2566	57.3593	0.039	0.41	-99.2319	SLV 3	-99.2319	-244.263	0.07	2.46	No
1.05	0.001005	0.041	0.000226	0.039	85.0504	SLV 14	140.2566	57.3593	0.039	0.41	-49.2441	SLV 3	-99.2319	-244.263	0.07	2.46	No
1.91	0.001005	0.041	0.000137	0.039	15.5232	SLV 10	101.1871	35.7533	0.038	0.35	-6.7749	SLV 7	-62.0357	-243.8471	0.078	3.93	No
2.1	0.001005	0.041	0.000064	0.039	1.9153	SLV 1	1.658	18.1543	0.036	10.95	-2.1191	SLV 16	-2.1191	-243.4036	0.085	114.86	Si

Verifiche SLD Resistenza a flessione

x	A sup.	C.b. sup.	A inf.	C.b. inf.	M+ela	Comb.	M+des	M+ult	x/d	coeff	M-ela	Comb.	M-des	M-ult	x/d	coeff	Verifica
0	0.001005	0.041	0	0	77.5824	SLD 14	74.8694	0	0	0	-38.8409	SLD 3	-34.5265	-242.9376	0.09	7.04	No
0.25	0.001005	0.041	0.000226	0.039	71.6966	SLD 14	71.6966	57.3593	0.039	0.8	-30.6719	SLD 3	-30.6719	-244.263	0.07	7.96	No
1.05	0.001005	0.041	0.000226	0.039	46.5996	SLD 14	71.6966	57.3593	0.039	0.8	-10.7932	SLD 3	-30.6719	-244.263	0.07	7.96	No
1.91	0.001005	0.041	0.000137	0.039	8.9887	SLD 10	54.4562	35.7533	0.038	0.66	-0.2403	SLD 7	-15.3049	-243.8471	0.078	15.93	No
2.1	0.001005	0.041	0.000064	0.039	0.7688	SLD 1	0.7688	18.1543	0.036	23.61	-0.9726	SLD 16	-0.9726	-243.4036	0.085	250.25	Si

Verifiche a taglio in famiglia SLU

x	A st	A sl	A sag	Vela	Comb.	Vdes	Vrd	Vrcd	Vrsd	Vult	cotg θ	coeff	Verifica
0	0	0.000226	0	11.88	SLU 12	11.88	79.4	392.89	0	79.4	2.5	6.68	Si
0.25	0.0000055	0.000226	0	5.94	SLU 12	5.94	77.02	377.57	267.9	267.9	2.5	45.12	Si
1.05	0.0000055	0.000137	0	-15.46	SLU 18	-15.46	-77.02	-377.57	-267.9	-267.9	2.5	17.33	Si
1.91	0.0000055	0.000137	0	-35.92	SLU 18	-35.92	-77.02	-377.57	-267.9	-267.9	2.5	7.46	Si
2.03	0	0.000137	0	-38.77	SLU 18	-38.77	-77.02	-377.57	0	-77.02	2.5	1.99	Si
2.1	0	0.001005	0	-40.44	SLU 18	-40.44	-94.3	-376.78	0	-94.3	2.5	2.33	Si

Verifiche a taglio in famiglia SLV

x	A st	A sl	A sag	Vela	Comb.	Vdes	Vrd	Vrcd	Vrsd	Vult	cotg θ	coeff	Verifica
0	0	0.001005	0	72.22	SLV 3	72.22	94.3	376.78	0	94.3	2.5	1.31	Si
0	0	0.000226	0	-59.27	SLV 14	-59.27	-79.4	-392.89	0	-79.4	2.5	1.34	Si
0.25	0.0000055	0.001005	0	68.47	SLV 3	68.47	94.3	376.78	267.34	267.34	2.5	3.9	Si
0.25	0.0000055	0.000226	0	-63.02	SLV 14	-63.02	-77.02	-377.57	-267.9	-267.9	2.5	4.25	Si
1.05	0.0000055	0.001005	0	56.47	SLV 3	56.47	94.3	376.78	267.34	267.34	2.5	4.73	Si
1.05	0.0000055	0.000137	0	-75.02	SLV 14	-75.02	-77.02	-377.57	-267.9	-267.9	2.5	3.57	Si
1.91	0.0000055	0.001005	0	43.57	SLV 3	43.57	94.3	376.78	267.34	267.34	2.5	6.14	Si
1.91	0.0000055	0.000137	0	-87.92	SLV 14	-87.92	-77.02	-377.57	-267.9	-267.9	2.5	3.05	Si
2.03	0	0.001005	0	41.77	SLV 3	41.77	94.3	376.78	0	94.3	2.5	2.26	Si
2.03	0	0.000137	0	-89.72	SLV 14	-89.72	-77.02	-377.57	0	-77.02	2.5	0.86	Si
2.1	0	0.000137	0	40.72	SLV 3	40.72	77.02	377.57	0	77.02	2.5	1.89	Si
2.1	0	0.001005	0	-90.77	SLV 14	-90.77	-94.3	-376.78	0	-94.3	2.5	1.04	Si

Verifiche SLD Resistenza a taglio

x	A st	A sl	A sag	Vela	Comb.	Vdes	Vrd	Vrcd	Vrsd	Vult	cotg θ	coeff	Verifica
0	0	0.001005	0	34.59	SLD 3	34.59	94.3	376.78	0	94.3	2.5	2.73	Si
0	0	0.000226	0	-21.63	SLD 14	-21.63	-79.4	-392.89	0	-79.4	2.5	3.67	Si
0.25	0.0000055	0.001005	0	30.84	SLD 3	30.84	94.3	376.78	267.34	267.34	2.5	8.67	Si
0.25	0.0000055	0.000226	0	-25.38	SLD 14	-25.38	-77.02	-377.57	-267.9	-267.9	2.5	10.55	Si
1.05	0.0000055	0.001005	0	18.84	SLD 3	18.84	94.3	376.78	267.34	267.34	2.5	14.19	Si
1.05	0.0000055	0.000137	0	-37.38	SLD 14	-37.38	-77.02	-377.57	-267.9	-267.9	2.5	7.17	Si
1.91	0.0000055	0.001005	0	5.94	SLD 3	5.94	94.3	376.78	267.34	267.34	2.5	45.03	Si
1.91	0.0000055	0.000137	0	-50.28	SLD 14	-50.28	-77.02	-377.57	-267.9	-267.9	2.5	5.33	Si
2.03	0	0.000137	0	4.14	SLD 3	4.14	77.02	377.57	0	77.02	2.5	18.62	Si
2.03	0	0.000137	0	-52.08	SLD 14	-52.08	-77.02	-377.57	0	-77.02	2.5	1.48	Si
2.1	0	0.000137	0	3.09	SLD 3	3.09	77.02	377.57	0	77.02	2.5	24.95	Si
2.1	0	0.001005	0	-53.13	SLD 14	-53.13	-94.3	-376.78	0	-94.3	2.5	1.77	Si

Verifiche taglio ciclico nel piano Circolare 7 21-01-19 §C8.7.2.3.5, [C8.7.2.8]

Ascissa	Lv	x	h	p,tot	θ_m	θ_y	$\mu\Delta_{pl}$	Vrd	VRCd(cot $\theta=1$)	VRSd	Vw	Vr	Vu	Ved	Ned	Comb.	Verifica	
23.75	2.058	0.067		1	0.003	0.00015	0.00513	0	94.3	546.33	267.34	106.94	136.88	267.34	68.47	0	SLV 3	Si
25.41	1.05	0.036		1	0.003	0.00001	0.00719	0	77.02	547.47	267.9	107.16	147.74	267.9	-87.92	0	SLV 14	Si

Indicatori di rischio sismico SLV

x	T gravità	T sisma	T ultimo	Comb.	Pga	Tr	Ind. taglio	M gravità	M sisma	M ultimo	Comb.	Pga	Tr	Ind. momento	Ver
0.25	2.73	65.75	267.34	SLV 3	0.26	2114	1.389	20.5123	119.7442	57.3593	SLV 14	0.06	47	0.292	No
1.05	-9.27	-65.75	-267.9	SLV 14	0.26	2114	1.389	20.5123	119.7442	57.3593	SLV 14	0.06	47	0.292	No
1.91	-22.17	-65.75	-267.9	SLV 14	0.26	2114	1.389	4.3742	11.149	35.7533	SLV 10	0.26	2114	1.389	Si

Indicatori di rischio sismico SLD resistenza

x	T gravità	T sisma	T ultimo	Comb.	Pga	Tr	Ind. taglio	M gravità	M sisma	M ultimo	Comb.	Pga	Tr	Ind. momento	Ver
0.25	2.73	28.11	267.34	SLD 3	0.26	2110	3.477	20.5123	51.1842	57.3593	SLD 14	0.06	48	0.737	No
1.05	-9.27	-28.11	-267.9	SLD 14	0.26	2110	3.477	20.5123	51.1842	57.3593	SLD 14	0.06	48	0.737	No
1.91	-22.17	-28.11	-267.9	SLD 14	0.26	2110	3.477	4.3742	4.6145	35.7533	SLD 10	0.26	2110	3.477	Si

5.3 Verifica sismica globale

Le unità di misura elencate nel capitolo sono in [m, kN, deg] ove non espressamente specificato.

Desc.: descrizione.

Stato limite: (muratura) V=Taglio; PF=Pressoflessione; PFFP=Pressoflessione fuori piano; R=Ribaltamento.

Molt.: moltiplicatore minimo della azione sismica che produce lo stato limite.

Comb.: combinazione.

PGA: accelerazione al suolo.

iPGA (ζ): indicatore di rischio sismico in termini di PGA ovvero rapporto tra l'azione sismica massima sopportabile dall'elemento e l'azione sismica massima che si utilizzerebbe nel progetto nuovo (§C8.3).

TR: tempo di ritorno.

(TR/TRrif)^{.41}: indicatore di rischio sismico in termini di periodo di ritorno.

fa: fattore di accelerazione.

Stato limite: (muratura) V=Taglio; PF=Presso flessione; PFFP=Pressoflessione fuori piano; R=Ribaltamento.

Coeff.s.: coefficiente minimo prodotto dallo stato limite.

Verifica: stato di verifica.

Stato limite: (C.A.) tipologia di verifica analizzata.

Trave: titolo della trave.

Pressoflessione: dati della verifica a pressoflessione.

Coeff.s.: coefficiente di sicurezza a flessione.

iTR: indicatore di rischio sismico in termini di tempo di ritorno.

campata: campata di riferimento.

dist.: ascissa relativa all'inizio della campata. [m]

C.S. PF: coefficiente di sicurezza a flessione.

Taglio: dati della verifica a taglio.

Coeff.s.: coefficiente di sicurezza a taglio.

C.S. T: coefficiente di sicurezza a taglio.

Pilastro: titolo del pilastro.

Instabilità: coefficiente di sicurezza instabilità.

Nodi: dati della verifica dei nodi.

C.S. N: coefficiente di sicurezza del nodo.

Conf.: nodo interamente confinato.

Pilastro: pilastro cui appartiene il nodo.

Quota: quota del nodo. [m]

Ag: area della sezione trasversale del pilastro. [m²]

Angolo Trave: angolo della giacitura della trave considerata rispetto al sistema di riferimento globale. [deg]

Compressione: dati della verifica della tensione di compressione del nodo.

Vnc: azione tagliante sul nodo per il calcolo della tensione di compressione. [kN]

Nc: azione assiale sul nodo per il calcolo della tensione di compressione. [kN]

Snc: tensione di compressione agente. [kN/m²]

Snc,lim: tensione di compressione limite. [kN/m²]

Comb. c: combinazione che dà il valore peggiore per la tensione di compressione.

Trazione: dati della verifica della tensione di trazione del nodo.

Vnt: azione tagliante sul nodo per il calcolo della tensione di trazione. [kN]

Nt: azione assiale sul nodo per il calcolo della tensione di trazione. [kN]

Snt: tensione di trazione agente. [kN/m²]

Snt,lim: tensione di trazione limite. [kN/m²]

Comb. t: combinazione che dà il valore peggiore per la tensione di trazione.

Maschio: maschio.

Stato limite: (maschio muratura) V=Taglio; PF=Presso flessione; PFFP=Presso flessione fuori piano; R=Ribaltamento.

TR,C: periodo di ritorno di capacità.

TR,Rif: periodo di ritorno di riferimento.

PAM: perdita media annua attesa.

Classe PAM: classe di rischio PAM.

IS-V: indice di sicurezza.

Classe IS-V: classe di rischio IS-V.

Tipo rottura: tipo di rottura che fornisce il valore minimo degli elementi considerati.

Verifica di elementi dotati di indicatori di rischio sismico mediante analisi con fattore q

Verifiche condotte secondo D.M. 17-01-18 (N.T.C.) § C8.7.2.4

Accelerazioni e tempi di ritorno

Accelerazione di aggancio SLV (ag/g_SLV*S*ST) PGA,SLVrif = 0.2

Accelerazione di aggancio SLO (ag/g_SLO*S*ST) PGA,SLOrif = 0.069

Tr,SLVrif = 949 anni

Tr,SLOrif = 60 anni

Moltiplicatori minimi delle condizioni sismiche

(Il valore di ζE corrisponde al valore di I.R. PGA secondo quanto riportato nella Circolare 7 21-01-19 §C8.3)

Rottura a taglio

Moltiplicatore: 0.097

Maschio 1 "Quote generiche"

Lunghezza: 3.35; altezza: 4.46; spessore: 0.5; sezione a quota: -2.01

Combinazione SLV 13 N= -190.49 V par.= -55.45 l'= 0.7084 fvd= 163 Vt scorrimento= 57.56 Vt fess. diag.= 0

Tempo di ritorno 6 anni

Indicatore iTr=(Tr/Tr,SLVrif)^.41 = 0.125

PGA 0.024

Indicatore iPGA=PGA/PGA,SLVrif = 0.118

Fattore di accelerazione fa = 0.1181

Rottura a flessione

Moltiplicatore: 0

Trave a "Piano 3" P4-P10

Momento flettente gravitazionale -1402.422

Momento flettente sismico 2355.907

Momento ultimo -1253.111

Combinazione SLV 1

Campata 1

Sezione a distanza 2.947

Tempo di ritorno 0 anni

Indicatore iTr=(Tr/Tr,SLVrif)^.41 = 0

PGA 0

Indicatore iPGA=PGA/PGA,SLVrif = 0

Fattore di accelerazione fa = 0

Rottura di un nodo

Moltiplicatore: 0

Pilastrata P24

Combinazione SLD 1

Sezione a quota 3.17

Tempo di ritorno 0 anni

Indicatore $iTr=(Tr/Tr,SLVrif)^{.41}=0$

PGA 0

Indicatore $iPGA=PGA/PGA,SLVrif=0$ Fattore di accelerazione $fa=0$ **Rottura a pressoflessione nel piano ortogonale**

Moltiplicatore: 0.317

Maschio 1 "Quote generiche"

Lunghezza: 3.35; altezza: 4.46; spessore: 0.5; sezione a quota: 0.4

Combinazione SLV 13 $fd=1438$ $Ta=0.07$ $Wa=9$ $N=-9$ $M=2.2028$ $Mc=2.2399$

Tempo di ritorno 50 anni

Indicatore $iTr=(Tr/Tr,SLVrif)^{.41}=0.299$

PGA 0.063

Indicatore $iPGA=PGA/PGA,SLVrif=0.315$ Fattore di accelerazione $fa=0.3149$ **Raggiungimento dello spostamento limite di interpiano**

Moltiplicatore: 0.701

Combinazione SLO 6

tra Nodo 229 e Nodo 339

Tempo di ritorno 32 anni

Indicatore $iTr=(Tr/Tr,SLOrif)^{.41}=0.773$

PGA 0.051

Indicatore $iPGA=PGA/PGA,SLOrif=0.747$ **Indicatori minimi riferiti al solo materiale muratura**

Desc.	Stato limite	Molt.	Comb.	PGA	iPGA (ZE)	TR	(TR/TRrif)^.41	fa
Maschio 1 "Quote generiche"	PF	0.103	SLV 13	0.0253	0.1269	7	0.1336	0.1269
Maschio 1 "Quote generiche"	V	0.097	SLV 13	0.0236	0.1182	6	0.1254	0.1181
Maschio 1 "Quote generiche"	PFFP	0.317	SLV 13	0.0629	0.3151	50	0.2992	0.3149

Coefficienti di sicurezza riferiti al solo materiale muratura

Desc.	Stato limite	Coeff.s.	Comb.	Verifica
Maschio 1 "Quote generiche"	PF SLU	2.619	SLU 17	Si
Maschio 1 "Quote generiche"	V SLU	22.333	SLU 12	Si
Maschio 1 "Quote generiche"	PF	0	SLD 1	No
Maschio 1 "Quote generiche"	V	0	SLD 1	No
Maschio 1 "Quote generiche"	PFFP	0	SLV 16	No
Maschio 2 "Quote generiche"	PF SLU	0.372	SLU 17	No
Maschio 2 "Quote generiche"	V SLU	1000	SLU 1	Si
Maschio 2 "Quote generiche"	PFFP	3.9	SLV 13	Si

Indicatori minimi riferiti al solo materiale C.A.

Desc.	Stato limite	Molt.	Comb.	PGA	iPGA (ZE)	TR	(TR/TRrif)^.41	fa
Trave a "Piano 3" P4-P10	Taglio	0.829	SLV 16	0.1657	0.83	550	0.7996	0.83
	Flessione	0	SLV 1	0	0	0	0	0
Pilastrata P23	Taglio	0.237	SLV 4	0.0498	0.2493	30	0.2426	0.2492
Pilastrata P10	Flessione	0.125	SLV 6	0.0338	0.1691	13	0.1722	0.169
Pilastrata P24	Nodi	0	SLD 1	0	0	0	0	0

Verifica a flessione semplice e a taglio delle travi

Trave	Pressoflessione						Taglio						Verifica
	Coeff.s.	Molt.	iPGA (ZE)	iTR	campata	dist.	Coeff.s.	Molt.	iPGA (ZE)	iTR	campata	dist.	
Trave a "Piano 3" 1-F13	0.211	0.007	0	0	5	4.4	0.955	1.043	1.042	1.055	5	4.767	No
Trave a "Piano 3" F15-F14	0.213	0.012	0	0	5	4.4	0.928	1.005	1.005	1.006	5	4.767	No
Trave a "Piano 3" P1-P3	0.592	0.606	0.607	0.564	1	0.453	3.402	6.335	1.279	1.389	2	0.15	No
Trave a "Piano 3" P3-P6	0.228	0.223	0.268	0.258	1	3.735	2.458	2.95	1.279	1.389	1	4	No
Trave a "Piano 3" P4-P10	0.197	0	0	0	1	2.947	0.839	0.829	0.83	0.8	1	3.25	No
Trave a "Piano 3" P16-P10	0.089	0.075	0.109	0.116	1	1.267	1.463	1.57	1.279	1.389	2	3	No
Trave a "Piano 3" P23-P28	0.169	0	0	0	1	2.375	0.841	1.791	1.279	1.389	1	3.55	No
Trave a "Piano 3" P28-P17	0.092	0.12	0.163	0.167	2	1.073	1.5	1.633	1.279	1.389	1	0.15	No
Trave a "Piano 3" P29-P24	0.16	0.25	0.291	0.279	1	4.72	2.674	3.818	1.279	1.389	1	0.15	No
Trave a "Piano 3" P29-P33	0.569	0.167	0.186	0.188	1	3.043	2.416	9.143	1.279	1.389	4	0.15	No
Trave a "Piano 3" P33-P27	0.178	0.299	0.338	0.318	1	0.197	3.059	4.847	1.279	1.389	1	0.15	No
Trave a "Piano 4" 1-F13	0	0.165	0.186	0.188	2	1.283	1.718	2.024	1.279	1.389	2	0.25	No
Trave a "Piano 4" F13-F14	0.449	0.482	0.505	0.467	2	2.38	2.123	3.241	1.279	1.389	1	1.8	No
Trave a "Piano 4" F15-F14	0	0.17	0.191	0.192	2	1.283	1.758	2.097	1.279	1.389	2	0.25	No

Verifica a pressoflessione e taglio dei pilastri; verifica dei nodi; verifica di instabilità

Pilastro	Pressoflessione				Taglio				Nodi				Instabilità	Verifica
	C.S. PF	Molt.	iPGA (ZE)	iTR	C.S. T	Molt.	iPGA (ZE)	iTR	C.S. N	Molt.	iPGA (ZE)	iTR		
Pilastrata P1	0.259	0.306	0.306	0.292	0.917	0.916	0.917	0.901	0.728	0.737	0.738	0.699	No	No
Pilastrata P2	0.284	0.376	0.378	0.351	0.902	0.902	0.903	0.884	0.717	0.715	0.716	0.676	No	No
Pilastrata P3	0.133	0.169	0.216	0.214	0.5	0.499	0.524	0.484	0.401	0.418	0.447	0.413	No	No
Pilastrata P4	0.33	0.275	0.281	0.27	1.247	1.305	1.279	1.389	1.012	1000	1.279	1.389	No	No
Pilastrata P5	0.339	0.413	0.413	0.382	1.19	1.195	1.19	1.26	0.304	0.26	0.271	0.261	No	No
Pilastrata P6	0.162	0.209	0.257	0.249	0.399	0.371	0.405	0.375	0.259	0.041	0	0	No	No
Pilastrata P7	0.202	0.267	0.274	0.264	0.462	0.461	0.46	0.425	0.366	0.363	0.364	0.339	No	No
Pilastrata P8	0.205	0.258	0.268	0.258	0.467	0.464	0.461	0.427	0.367	0.361	0.362	0.337	No	No
Pilastrata P9	0.185	0.227	0.241	0.236	0.463	0.456	0.455	0.421	0.415	0.413	0.413	0.382	No	No
Pilastrata P10	0.107	0.125	0.169	0.172	0.292	0.284	0.324	0.306	0.34	0.304	0.343	0.322	No	No
Pilastrata P11	0.263	0.345	0.383	0.355	0.654	0.637	0.638	0.595	1.613	0.313	0.312	0.297	No	No
Pilastrata P12	0.291	0.41	0.409	0.379	0.558	0.551	0.551	0.509	0.643	0.333	0.332	0.313	No	No
Pilastrata P13	0.31	0.435	0.433	0.401	0.567	0.562	0.562	0.519	0.664	0.299	0.3	0.287	No	No
Pilastrata P14	0.306	0.429	0.428	0.396	0.552	0.545	0.545	0.503	0.666	0.369	0.403	0.374	No	No
Pilastrata P15	0.294	0.368	0.369	0.343	0.543	0.517	0.516	0.477	0.778	0.274	0.281	0.27	No	No

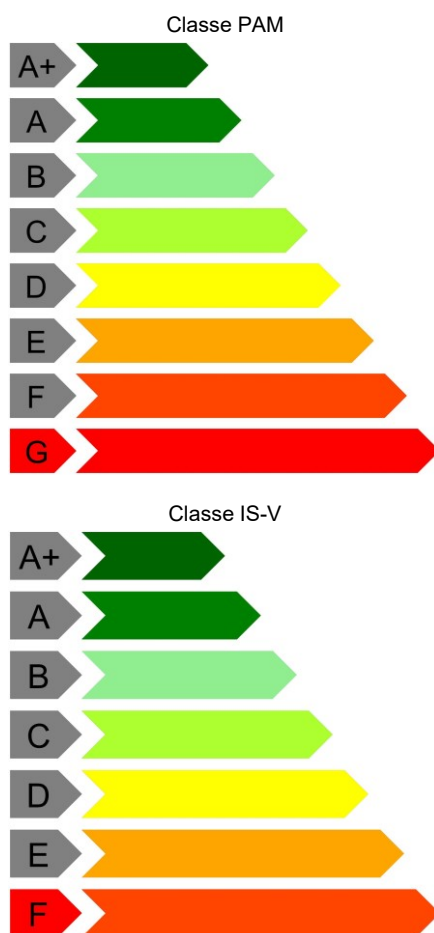
Pilastro	Quota	Ag	Angolo Trave	Compressione				Trazione					
				Vnc	Nc	Snc	Snc,lim	Comb. c	Vnt	Nt	Snt	Snt,lim	Comb. t
Pilastrata P28	3.17	0.09	180	51.42	0	775.3	3919.4	SLV 13	51.42	0	775.3	839.9	SLV 13
	3.17	0.09	90	139.65	0	2105.7	3919.4	SLV 10	139.65	0	2105.7	839.9	SLV 10
Pilastrata P29	3.17	0.09	0	51.7	0	779.6	3919.4	SLV 4	51.7	0	779.6	839.9	SLV 4
	3.17	0.09	90	156.33	0	2357.1	3919.4	SLV 5	156.33	0	2357.1	839.9	SLV 5
Pilastrata P30	3.17	0.09	180	57.71	0	870.1	3919.4	SLV 4	57.71	0	870.1	839.9	SLV 4
	3.17	0.09	0	57.71	0	870.1	3919.4	SLV 4	57.71	0	870.1	839.9	SLV 4
Pilastrata P31	3.17	0.09	180	60.52	0	912.6	3919.4	SLV 13	60.52	0	912.6	839.9	SLV 13
	3.17	0.09	0	60.52	0	912.6	3919.4	SLV 13	60.52	0	912.6	839.9	SLV 13
Pilastrata P32	3.17	0.09	180	59.21	0	892.8	3919.4	SLV 13	59.21	0	892.8	839.9	SLV 13
	3.17	0.09	0	59.21	0	892.8	3919.4	SLV 13	59.21	0	892.8	839.9	SLV 13
Pilastrata P33	3.17	0.09	180	53.25	0	802.9	3919.4	SLV 13	53.25	0	802.9	839.9	SLV 13
	3.17	0.09	90	141.58	0	2134.7	3919.4	SLV 10	141.58	0	2134.7	839.9	SLV 10

Verifica maschi in muratura

Maschio	Stato limite	Molt.	Comb.	PGA	iPGA (ZE)	TR	(TR/TRrif)^.41	Verifica
1	PF	0.103	SLV 13	0.025	0.127	7	0.134	No
	V	0.097	SLV 13	0.024	0.118	6	0.125	No
	FFFF	0.317	SLV 13	0.063	0.315	50	0.299	No
2	FFFF	3.373	SLV 13	0.255	1.279	2114	1.389	Si

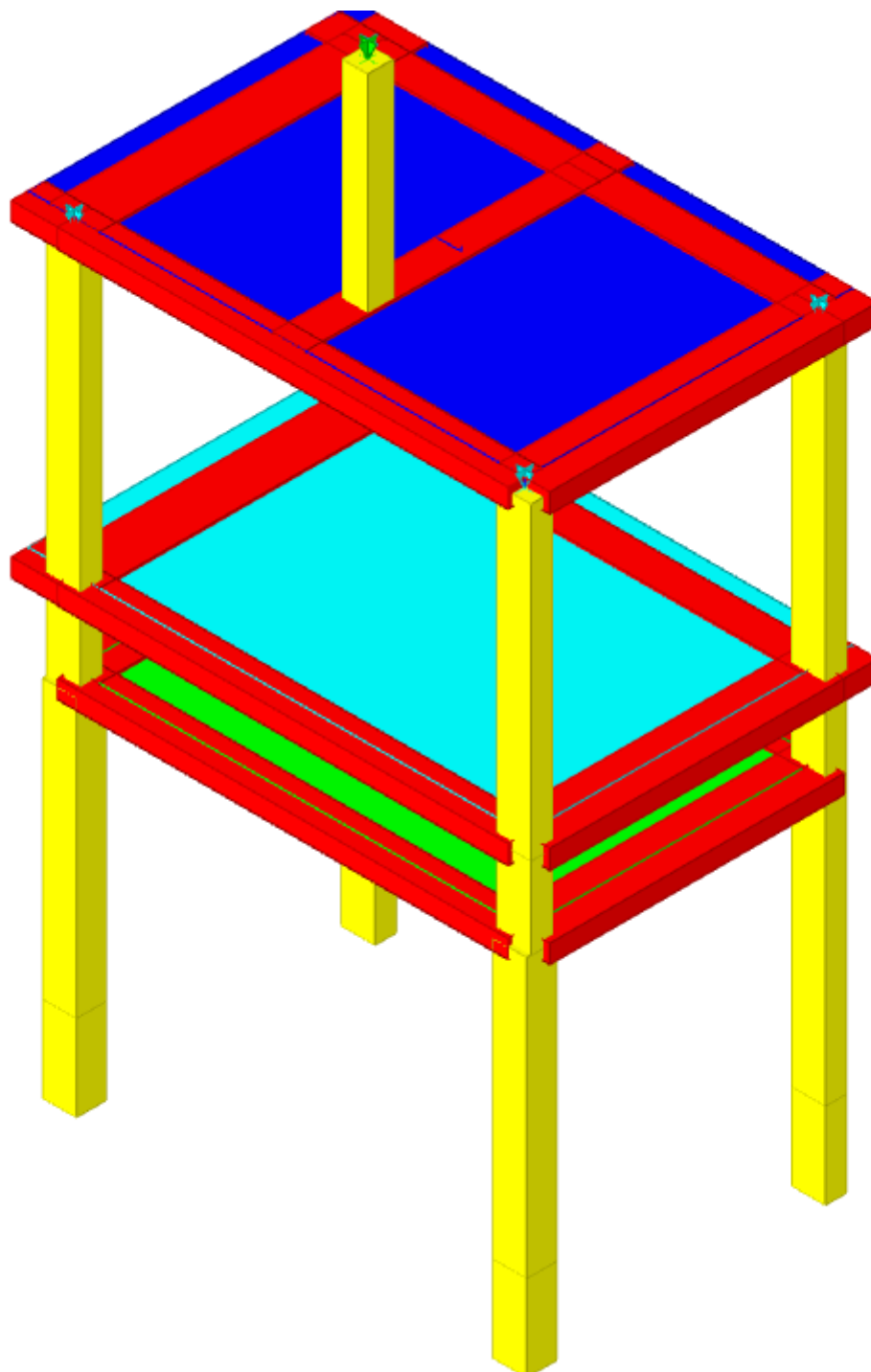
Coefficienti relativi alle Linee guida per la classificazione del rischio sismico delle costruzioni secondo il D.M. 24 09/01/2020

TR,C	TR,Rif	PAM	Classe PAM	IS-V	Classe IS-V	Tipo rottura
0	949	8.22	G	0	F	flessione travi



CORPO B

1 Rappresentazione generale dell'edificio



Vista assometrica dell'edificio nella sua interezza

2 Dati generali

2.1 Materiali

2.1.1 Materiali c.a.

Descrizione: Descrizione o nome assegnato all'elemento.

Rck: Resistenza caratteristica cubica; valore medio nel caso di edificio esistente. [kN/m²]

E: Modulo di elasticità longitudinale del materiale per edifici o materiali nuovi. [kN/m²]

Gamma: Peso specifico del materiale. [kN/m³]

Poisson: Coefficiente di Poisson. Il valore è adimensionale.

G: Modulo di elasticità tangenziale del materiale, viene impiegato nella modellazione di aste. [kN/m²]

Alfa: Coefficiente longitudinale di dilatazione termica. [°C⁻¹]

Descrizione	Rck	E	Gamma	Poisson	G	Alfa
C35/42 Vigone B LC2	41700	31929118	25	0.1	Default (14513235)	0.00001

2.1.2 Curve di materiali c.a.

Descrizione: descrizione o nome assegnato all'elemento.

Curva: curva caratteristica.

Reaz.traz.: reagisce a trazione.

Comp.frag.: ha comportamento fragile.

E.compr.: modulo di elasticità a compressione. [kN/m²]

Incr.compr.: incrudimento di compressione. Il valore è adimensionale.

EpsEc: ε elastico a compressione. Il valore è adimensionale.

EpsUc: ε ultimo a compressione. Il valore è adimensionale.

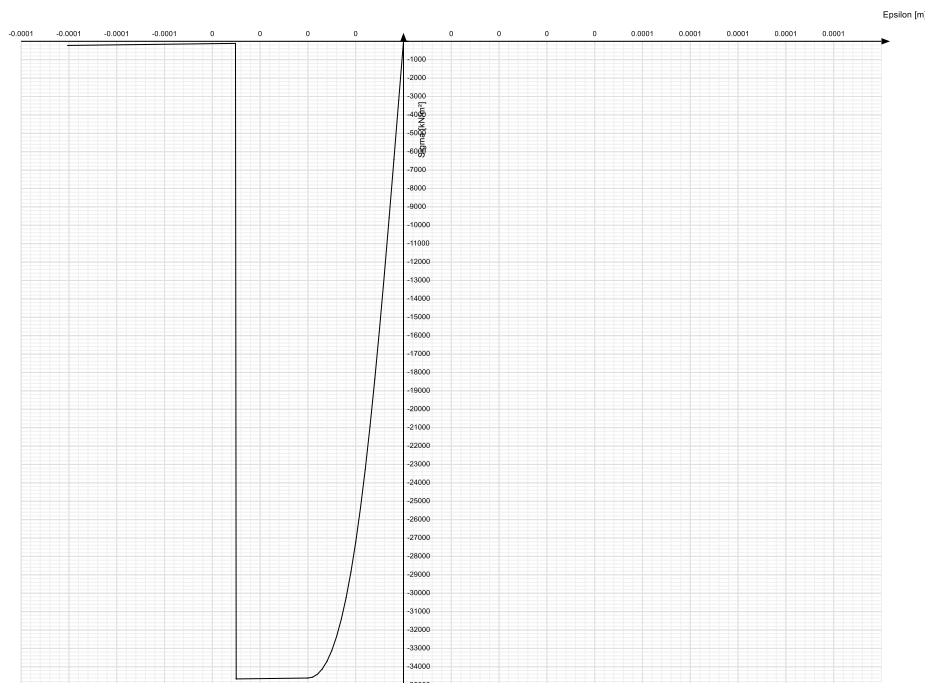
E.traz.: modulo di elasticità a trazione. [kN/m²]

Incr.traz.: incrudimento di trazione. Il valore è adimensionale.

EpsEt: ε elastico a trazione. Il valore è adimensionale.

EpsUt: ε ultimo a trazione. Il valore è adimensionale.

Descrizione	Curva									
	Reaz.traz.	Comp.frag.	E.compr.	Incr.compr.	EpsEc	EpsUc	E.traz.	Incr.traz.	EpsEt	EpsUt
C35/42 Vigone B LC2	No	Si	31929118	0.001	-0.002	-0.0035	31929118	0.001	0.0000699	0.0000768



2.1.3 Armature

Descrizione: descrizione o nome assegnato all'elemento.

fyk: resistenza caratteristica. [kN/m²]

Sigma amm.: tensione ammissibile. [kN/m²]

Tipo: tipo di barra.

E: modulo di elasticità longitudinale del materiale per edifici o materiali nuovi. [kN/m²]

Gamma: peso specifico del materiale. [kN/m³]

Poisson: coefficiente di Poisson. Il valore è adimensionale.

Alfa: coefficiente longitudinale di dilatazione termica. [$^{\circ}\text{C}^{-1}$]

Livello di conoscenza: indica se il materiale è nuovo o esistente, e in tal caso il livello di conoscenza secondo Circ.617 02/02/09 §C8A. Informazione impiegata solo in analisi D.M. 14-01-08 (N.T.C.) e D.M. 17-01-18 (N.T.C.).

Descrizione	fyk	Sigma amm.	Tipo	E	Gamma	Poisson	Alfa	Livello di conoscenza
Vigone_FeB38k_LC2	428200	255000	Aderenza migliorata	206000000	78.5	0.3	0.000012	LC2 (FC = 1.2)

3 Dati di definizione

3.1 Preferenze commessa

3.1.1 Preferenze di analisi

Metodo di analisi	D.M. 17-01-18 (N.T.C.)	
Tipo di costruzione	2 - Costruzioni con livelli di prestazioni ordinari	
Vn	50	
Classe d'uso	IV	
Vr	100	
Tipo di analisi	Lineare dinamica	
Considera sisma Z	Solo se $Ag \geq 0.15$ g, conformemente a §3.2.3.1	
Località	Torino, Vigone; Latitudine ED50 44.8438° (44° 50' 38''); Longitudine ED50 7.4897° (7° 29' 23''); Altitudine s.l.m. 261.75 m.	
Categoria del suolo	C - Depositi di terreni a grana grossa mediamente addensati o terreni a grana fina mediamente consistenti	
Categoria topografica	T1 - Superficie pianeggiante, pendii e rilievi isolati con inclinazione media $i \leq 15^\circ$	
Ss orizzontale SLO	1.5	
Tb orizzontale SLO	0.129	[s]
Tc orizzontale SLO	0.387	[s]
Td orizzontale SLO	1.783	[s]
Ss orizzontale SLD	1.5	
Tb orizzontale SLD	0.135	[s]
Tc orizzontale SLD	0.404	[s]
Td orizzontale SLD	1.83	[s]
Ss orizzontale SLV	1.4991	
Tb orizzontale SLV	0.145	[s]
Tc orizzontale SLV	0.436	[s]
Td orizzontale SLV	2.133	[s]
St	1	
PVr SLO (%)	81	
Tr SLO	60.21	
Ag/g SLO	0.0458	
Fo SLO	2.508	
Tc* SLO	0.225	[s]
PVr SLD (%)	63	
Tr SLD	101	
Ag/g SLD	0.0574	
Fo SLD	2.52	
Tc* SLD	0.24	[s]
PVr SLV (%)	10	
Tr SLV	949.12	
Ag/g SLV	0.1331	
Fo SLV	2.515	
Tc* SLV	0.27	[s]
Smorzamento viscoso (%)	5	
Classe di duttilità	Non dissipativa	
Rotazione del sisma	0	[deg]
Quota dello '0' sismico	-1	[m]
Regolarità in pianta	No	
Regolarità in elevazione	No	
Edificio C.A.	Si	
Edificio esistente	Si	
Altezza costruzione	11.32	[m]
T1,x	0.53959	[s]
T1,y	0.56436	[s]
λ SLO,x	0.85	
λ SLO,y	0.85	
λ SLD,x	0.85	
λ SLD,y	0.85	
λ SLV,x	0.85	
λ SLV,y	0.85	
Numero modi	9	
Metodo di Ritz	applicato	
Limite spostamenti interpiano SLD	0.005	
Fattore di comportamento per sisma SLD X	1.5	
Fattore di comportamento per sisma SLD Y	1.5	
Fattore di comportamento per sisma SLV X	1.5	
Fattore di comportamento per sisma SLV Y	1.5	
Coefficiente di sicurezza per carico limite (fondazioni superficiali)	2.3	
Coefficiente di sicurezza per scorrimento (fondazioni superficiali)	1.1	
Coefficiente di sicurezza portanza verticale pali infissi, punta	1.15	
Coefficiente di sicurezza portanza verticale pali infissi, laterale compressione	1.15	
Coefficiente di sicurezza portanza verticale pali infissi, laterale trazione	1.25	
Coefficiente di sicurezza portanza verticale pali trivellati, punta	1.35	
Coefficiente di sicurezza portanza verticale pali trivellati, laterale compressione	1.15	
Coefficiente di sicurezza portanza verticale pali trivellati, laterale trazione	1.25	
Coefficiente di sicurezza portanza verticale micropali, punta	1.35	
Coefficiente di sicurezza portanza verticale micropali, laterale compressione	1.15	
Coefficiente di sicurezza portanza verticale micropali, laterale trazione	1.25	
Coefficiente di sicurezza portanza trasversale pali	1.3	
Fattore di correlazione resistenza caratteristica dei pali in base alle verticali indagate	1.7	
Coefficiente di sicurezza per ribaltamento (plinti superficiali)	1.15	
Percentuale di adeguamento (%)	100	
Parametro percentuale di adeguamento	Pga	

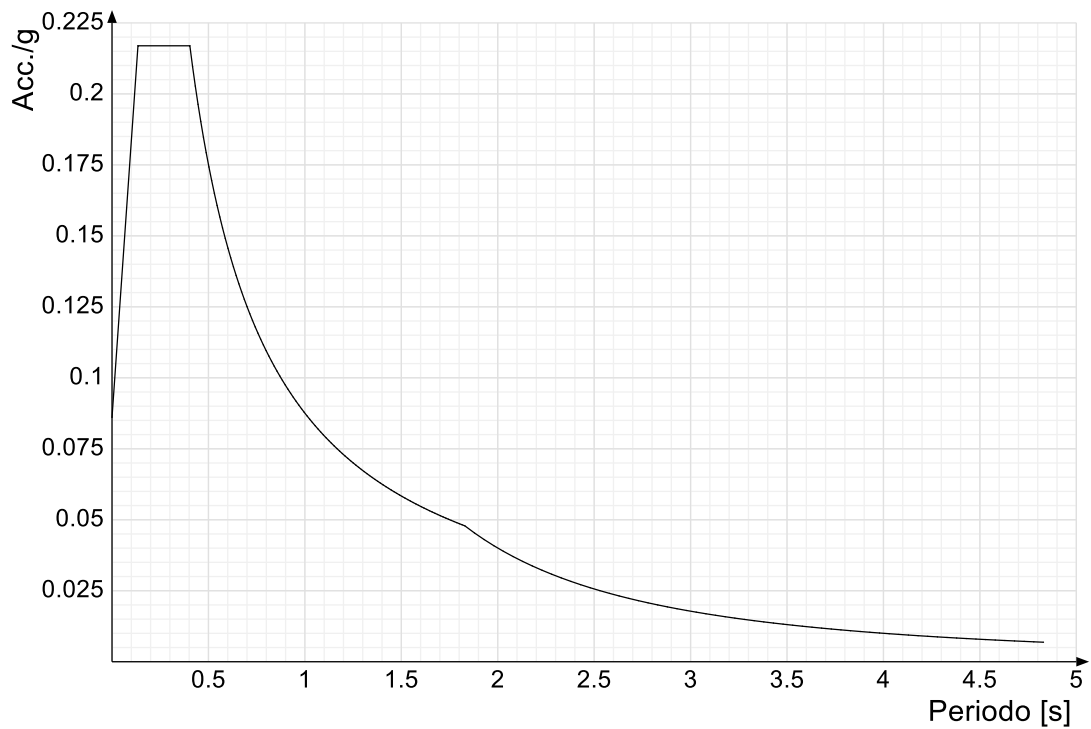
3.1.2 Spettri D.M. 17-01-18

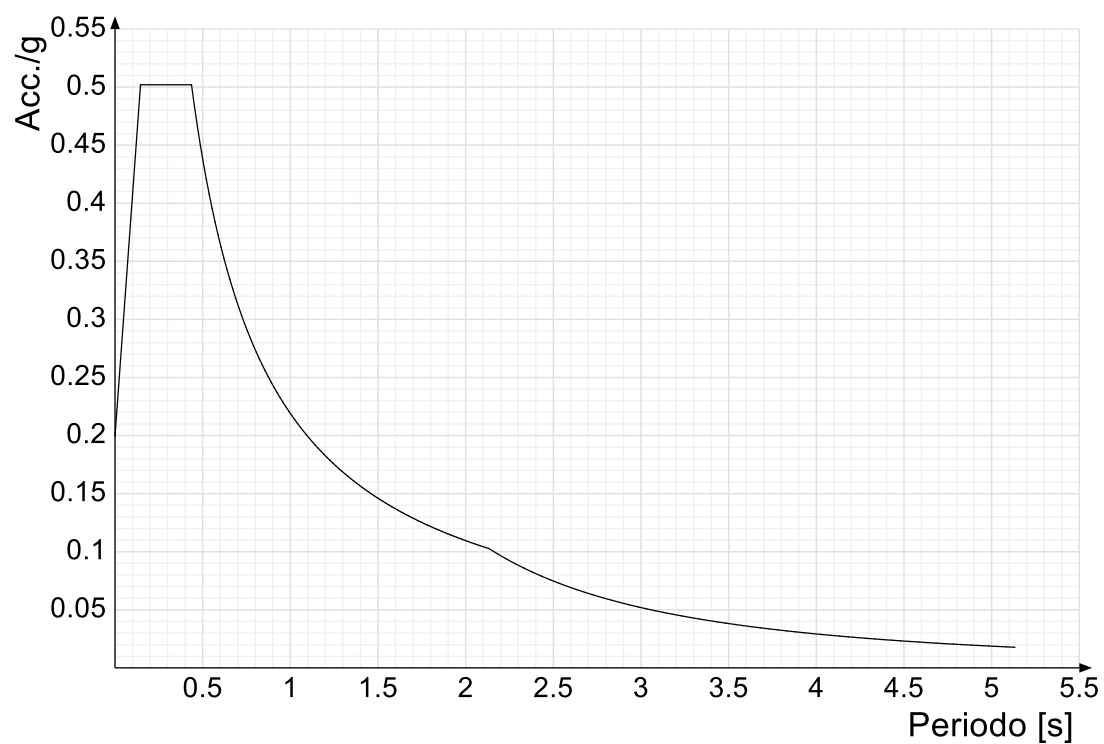
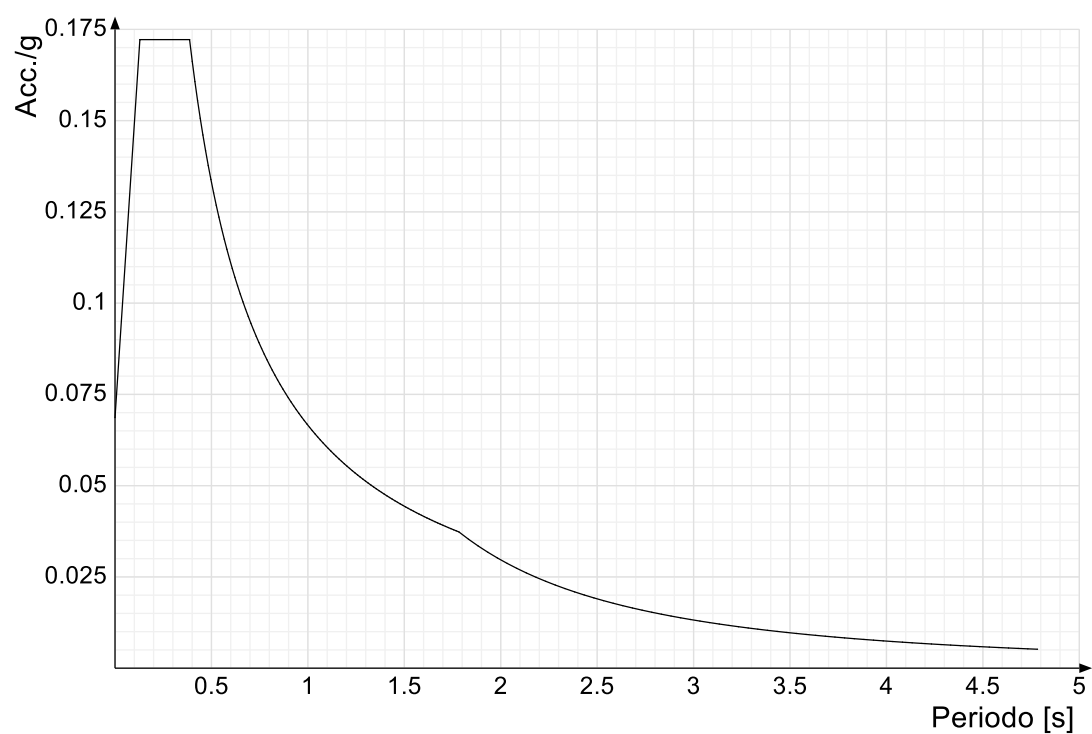
Acc.g: Accelerazione spettrale normalizzata ottenuta dividendo l'accelerazione spettrale per l'accelerazione di gravità.

Spettro di risposta elastico in accelerazione delle componenti orizzontali SLO § 3.2.3.2.1 [3.2.2]

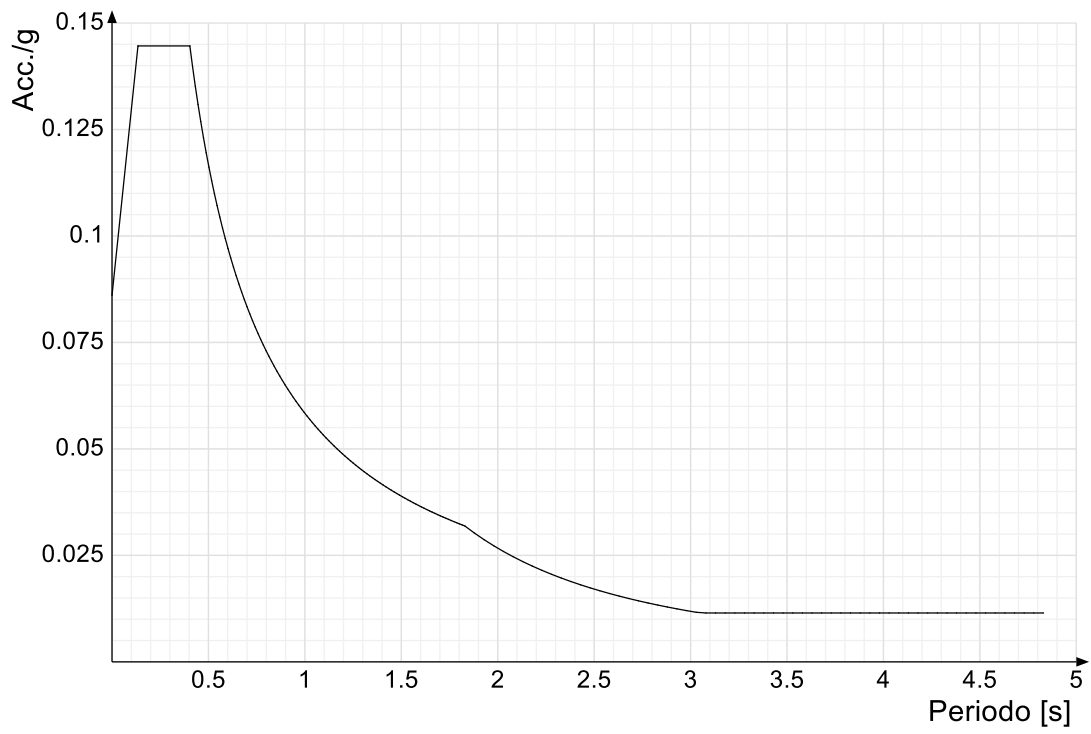


Spettro di risposta elastico in accelerazione delle componenti orizzontali SLD § 3.2.3.2.1 [3.2.2]

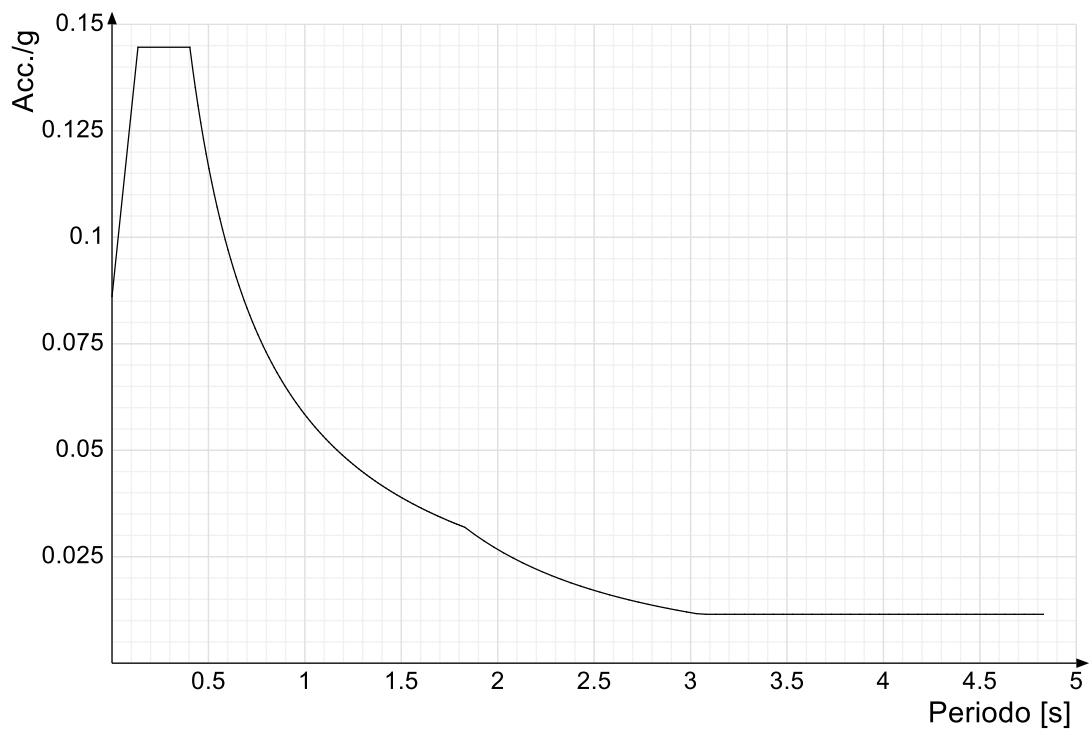


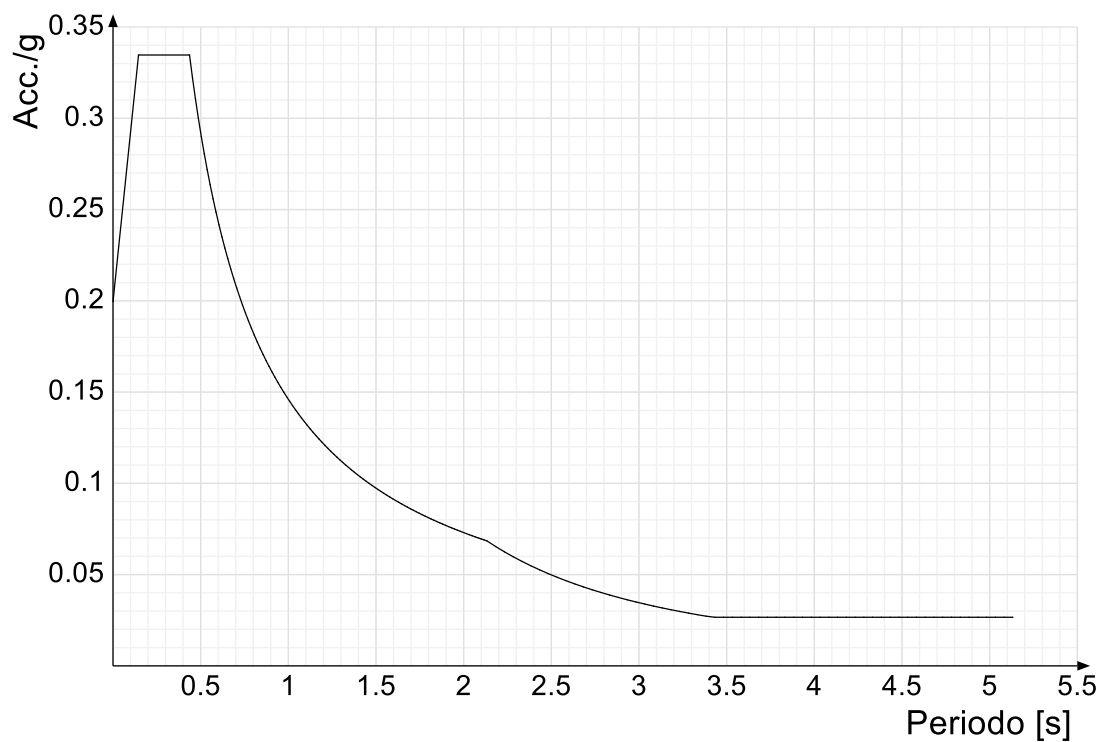
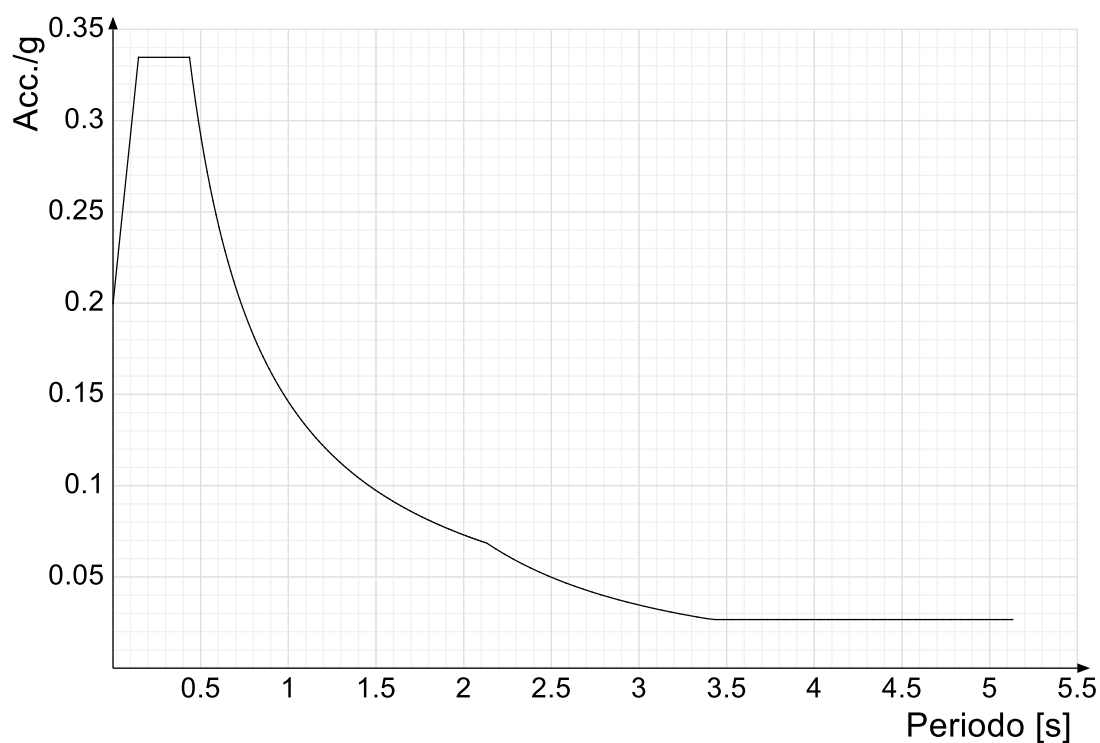
Spettro di risposta elastico in accelerazione delle componenti orizzontali SLV § 3.2.3.2.1 [3.2.2]**Spettro di risposta di progetto in accelerazione delle componenti orizzontali SLO § 3.2.3.4**

Spettro di risposta di progetto in accelerazione della componente X SLD § 3.2.3.5

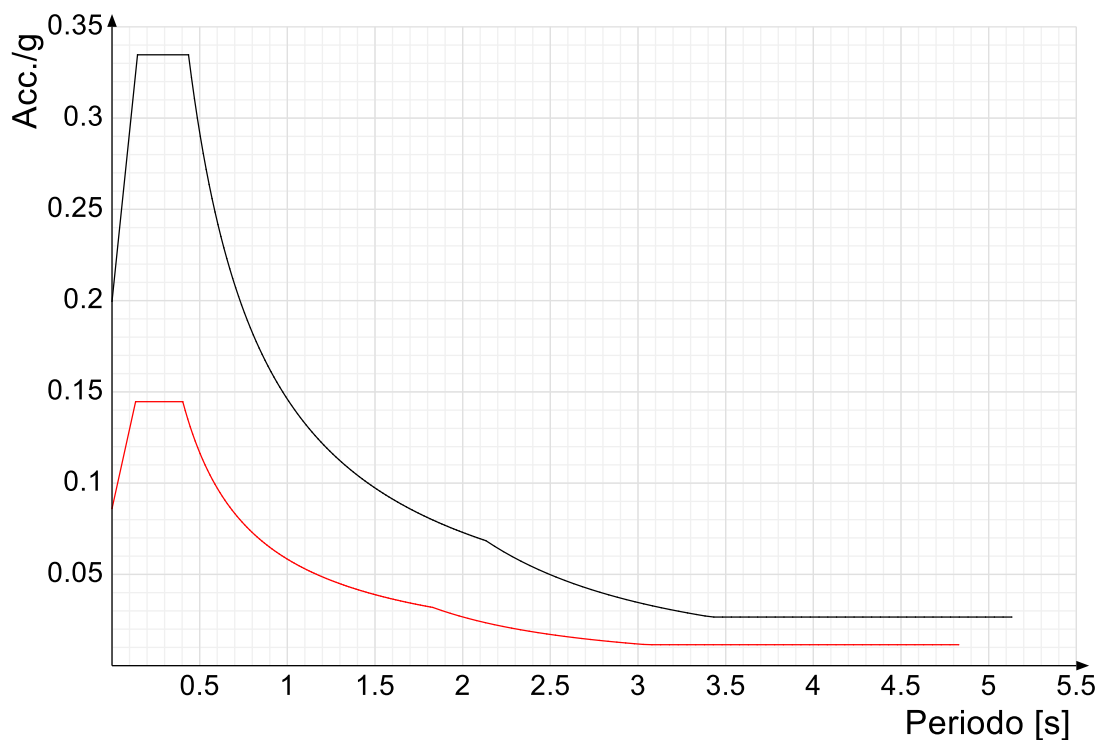


Spettro di risposta di progetto in accelerazione della componente Y SLD § 3.2.3.5

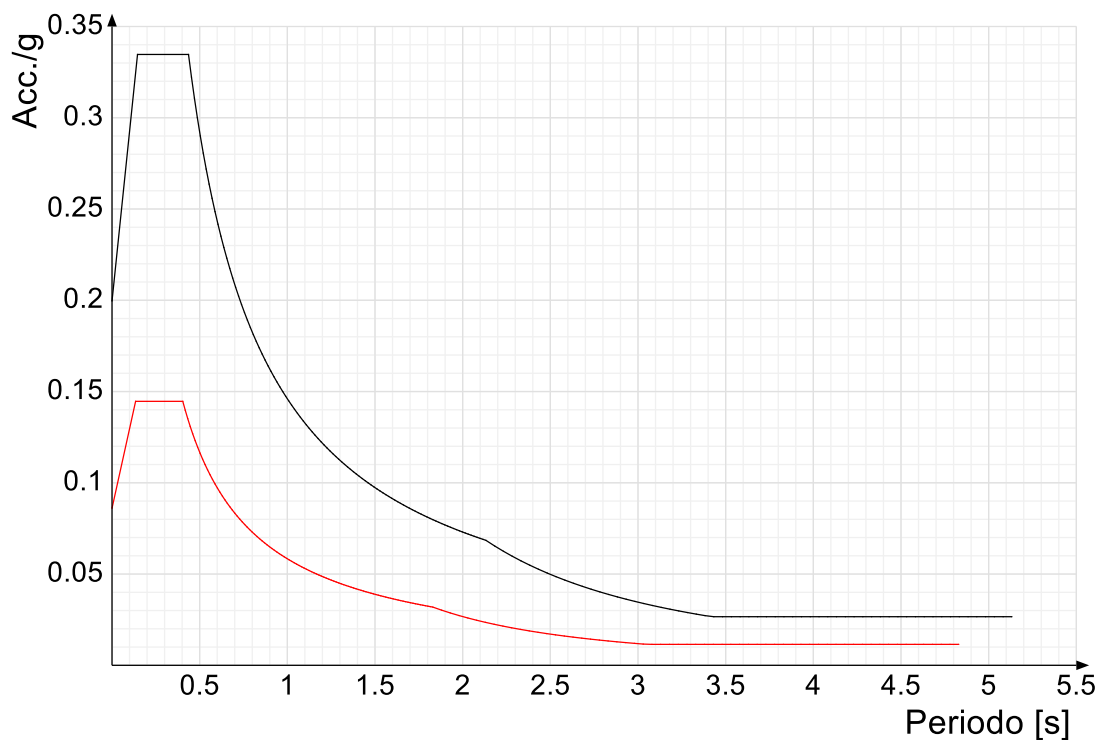


Spettro di risposta di progetto in accelerazione della componente X SLV § 3.2.3.5**Spettro di risposta di progetto in accelerazione della componente Y SLV § 3.2.3.5****Confronti spettri SLV-SLD**

Vengono confrontati lo spettro Spettro di risposta di progetto in accelerazione della componente X SLD § 3.2.3.5 (di colore rosso) e Spettro di risposta di progetto in accelerazione della componente X SLV § 3.2.3.5 (di colore nero).



Vengono confrontati lo spettro Spettro di risposta di progetto in accelerazione della componente Y SLD § 3.2.3.5 (di colore rosso) e Spettro di risposta di progetto in accelerazione della componente Y SLV § 3.2.3.5 (di colore nero).



3.2 Azioni e carichi

3.2.1 Condizioni elementari di carico

Descrizione: nome assegnato alla condizione elementare.

Nome breve: nome breve assegnato alla condizione elementare.

Durata: descrive la durata della condizione (necessario per strutture in legno).

Psi0: coefficiente moltiplicatore ψ_0 . Il valore è adimensionale.

Psi1: coefficiente moltiplicatore ψ_1 . Il valore è adimensionale.

Psi2: coefficiente moltiplicatore ψ_2 . Il valore è adimensionale.

Var.segno: descrive se la condizione elementare ha la possibilità di variare di segno.

Descrizione	Nome breve	Durata	Psi0	Psi1	Psi2	Var.segno
Pesi strutturali	Pesi	Permanente				

Descrizione	Nome breve	Durata	Psi0	Psi1	Psi2	Var.segno
Permanenti portati	Port.	Permanente				
Variabile C	Variabile C	Media	0.7	0.7	0.6	
Neve	Neve	Media	0.5	0.2	0	
Variabile H	Variabile H	Media	0	0	0	
ΔT	ΔT	Media	0.6	0.5	0	No
Sisma X SLV	X SLV					
Sisma Y SLV	Y SLV					
Sisma Z SLV	Z SLV					
Eccentricità Y per sisma X SLV	EY SLV					
Eccentricità X per sisma Y SLV	EX SLV					
Sisma X SLD	X SLD					
Sisma Y SLD	Y SLD					
Sisma Z SLD	Z SLD					
Eccentricità Y per sisma X SLD	EY SLD					
Eccentricità X per sisma Y SLD	EX SLD					
Sisma X SLO	X SLO					
Sisma Y SLO	Y SLO					
Sisma Z SLO	Z SLO					
Eccentricità Y per sisma X SLO	EY SLO					
Eccentricità X per sisma Y SLO	EX SLO					
Terreno sisma X SLV	Tr x SLV					
Terreno sisma Y SLV	Tr y SLV					
Terreno sisma Z SLV	Tr z SLV					
Terreno sisma X SLD	Tr x SLD					
Terreno sisma Y SLD	Tr y SLD					
Terreno sisma Z SLD	Tr z SLD					
Terreno sisma X SLO	Tr x SLO					
Terreno sisma Y SLO	Tr y SLO					
Terreno sisma Z SLO	Tr z SLO					
Rig. Ux	R Ux					
Rig. Uy	R Uy					
Rig. Rz	R Rz					

3.2.2 Combinazioni di carico

Nome: E' il nome esteso che contraddistingue la condizione elementare di carico.

Nome breve: E' il nome compatto della condizione elementare di carico, che viene utilizzato altrove nella relazione.

Pesi: Pesi strutturali

Port.: Permanenti portati

Variabile C: Variabile C

Neve: Neve

Variabile H: Variabile H

ΔT : ΔT

X SLO: Sisma X SLO

Y SLO: Sisma Y SLO

Z SLO: Sisma Z SLO

EY SLO: Eccentricità Y per sisma X SLO

EX SLO: Eccentricità X per sisma Y SLO

Tr x SLO: Terreno sisma X SLO

Tr y SLO: Terreno sisma Y SLO

Tr z SLO: Terreno sisma Z SLO

X SLD: Sisma X SLD

Y SLD: Sisma Y SLD

Z SLD: Sisma Z SLD

EY SLD: Eccentricità Y per sisma X SLD

EX SLD: Eccentricità X per sisma Y SLD

Tr x SLD: Terreno sisma X SLD

Tr y SLD: Terreno sisma Y SLD

Tr z SLD: Terreno sisma Z SLD

X SLV: Sisma X SLV

Y SLV: Sisma Y SLV

Z SLV: Sisma Z SLV

EY SLV: Eccentricità Y per sisma X SLV

EX SLV: Eccentricità X per sisma Y SLV

Tr x SLV: Terreno sisma X SLV

Tr y SLV: Terreno sisma Y SLV

Tr z SLV: Terreno sisma Z SLV

R Ux: Rig. Ux

R Uy: Rig. Uy

R Rz: Rig. Rz

Tutte le combinazioni di carico vengono raggruppate per famiglia di appartenenza. Le celle di una riga contengono i coefficienti moltiplicatori della i-esima combinazione, dove il valore della prima cella è da intendersi come moltiplicatore associato alla prima condizione elementare, la seconda cella si riferisce alla seconda condizione elementare e così via.

Famiglia SLU

Il nome compatto della famiglia è SLU.

Nome	Nome breve	Pesi	Port.	Variabile C	Neve	Variabile H	ΔT
1	SLU 1	1	0.8	0	0	0	0
2	SLU 2	1	0.8	0	0	1.5	0
3	SLU 3	1	0.8	0	0.75	1.5	0
4	SLU 4	1	0.8	0	1.5	0	0
5	SLU 5	1	0.8	1.05	0	1.5	0
6	SLU 6	1	0.8	1.05	0.75	1.5	0
7	SLU 7	1	0.8	1.05	1.5	0	0
8	SLU 8	1	0.8	1.5	0	0	0
9	SLU 9	1	0.8	1.5	0.75	0	0
10	SLU 10	1	1.5	0	0	0	0
11	SLU 11	1	1.5	0	0	1.5	0
12	SLU 12	1	1.5	0	0.75	1.5	0
13	SLU 13	1	1.5	0	1.5	0	0

Nome	Nome breve	Pesi	Port.	Variabile C	Neve	Variabile H	ΔT
14	SLU 14	1	1.5	1.05	0	1.5	0
15	SLU 15	1	1.5	1.05	0.75	1.5	0
16	SLU 16	1	1.5	1.05	1.5	0	0
17	SLU 17	1	1.5	1.5	0	0	0
18	SLU 18	1	1.5	1.5	0.75	0	0
19	SLU 19	1.3	0.8	0	0	0	0
20	SLU 20	1.3	0.8	0	0	1.5	0
21	SLU 21	1.3	0.8	0	0.75	1.5	0
22	SLU 22	1.3	0.8	0	1.5	0	0
23	SLU 23	1.3	0.8	1.05	0	1.5	0
24	SLU 24	1.3	0.8	1.05	0.75	1.5	0
25	SLU 25	1.3	0.8	1.05	1.5	0	0
26	SLU 26	1.3	0.8	1.5	0	0	0
27	SLU 27	1.3	0.8	1.5	0.75	0	0
28	SLU 28	1.3	1.5	0	0	0	0
29	SLU 29	1.3	1.5	0	0	1.5	0
30	SLU 30	1.3	1.5	0	0.75	1.5	0
31	SLU 31	1.3	1.5	0	1.5	0	0
32	SLU 32	1.3	1.5	1.05	0	1.5	0
33	SLU 33	1.3	1.5	1.05	0.75	1.5	0
34	SLU 34	1.3	1.5	1.05	1.5	0	0
35	SLU 35	1.3	1.5	1.5	0	0	0
36	SLU 36	1.3	1.5	1.5	0.75	0	0

Famiglia SLE rara

Il nome compatto della famiglia è SLE RA.

Nome	Nome breve	Pesi	Port.	Variabile C	Neve	Variabile H	ΔT
1	SLE RA 1	1	1	0	0	0	0
2	SLE RA 2	1	1	0	0	1	0
3	SLE RA 3	1	1	0	0.5	1	0
4	SLE RA 4	1	1	0	1	0	0
5	SLE RA 5	1	1	0.7	0	1	0
6	SLE RA 6	1	1	0.7	0.5	1	0
7	SLE RA 7	1	1	0.7	1	0	0
8	SLE RA 8	1	1	1	0	0	0
9	SLE RA 9	1	1	1	0.5	0	0

Famiglia SLE frequente

Il nome compatto della famiglia è SLE FR.

Nome	Nome breve	Pesi	Port.	Variabile C	Neve	Variabile H	ΔT
1	SLE FR 1	1	1	0	0	0	0
2	SLE FR 2	1	1	0	0.2	0	0
3	SLE FR 3	1	1	0.6	0.2	0	0
4	SLE FR 4	1	1	0.7	0	0	0

Famiglia SLE quasi permanente

Il nome compatto della famiglia è SLE QP.

Nome	Nome breve	Pesi	Port.	Variabile C	Neve	Variabile H	ΔT
1	SLE QP 1	1	1	0	0	0	0
2	SLE QP 2	1	1	0.6	0	0	0

Famiglia SLU eccezionale

Il nome compatto della famiglia è SLU EX.

Nome	Nome breve	Pesi	Port.	Variabile C	Neve	Variabile H	ΔT
1	SLU EX 1	1	1	0	0	0	0
2	SLU EX 2	1	1	0.6	0	0	0

Famiglia SLO

Il nome compatto della famiglia è SLO.

Poiché il numero di condizioni elementari previste per le combinazioni di questa famiglia è cospicuo, la tabella verrà spezzata in più parti.

Nome	Nome breve	Pesi	Port.	Variabile C	Neve	Variabile H	ΔT	X SLO
1	SLO 1	1	1	0.6	0	0	0	-1
2	SLO 2	1	1	0.6	0	0	0	-1
3	SLO 3	1	1	0.6	0	0	0	-1
4	SLO 4	1	1	0.6	0	0	0	-1
5	SLO 5	1	1	0.6	0	0	0	-0.3
6	SLO 6	1	1	0.6	0	0	0	-0.3
7	SLO 7	1	1	0.6	0	0	0	-0.3
8	SLO 8	1	1	0.6	0	0	0	-0.3
9	SLO 9	1	1	0.6	0	0	0	0.3
10	SLO 10	1	1	0.6	0	0	0	0.3
11	SLO 11	1	1	0.6	0	0	0	0.3
12	SLO 12	1	1	0.6	0	0	0	0.3
13	SLO 13	1	1	0.6	0	0	0	1
14	SLO 14	1	1	0.6	0	0	0	1
15	SLO 15	1	1	0.6	0	0	0	1
16	SLO 16	1	1	0.6	0	0	0	1

Nome	Nome breve	Y SLO	Z SLO	EY SLO	EX SLO	Tr x SLO	Tr y SLO	Tr z SLO
1	SLO 1	-0.3	0	-1	0.3	-1	-0.3	0
2	SLO 2	-0.3	0	1	-0.3	-1	-0.3	0
3	SLO 3	0.3	0	-1	0.3	-1	0.3	0
4	SLO 4	0.3	0	1	-0.3	-1	0.3	0
5	SLO 5	-1	0	-0.3	1	-0.3	-1	0
6	SLO 6	-1	0	0.3	-1	-0.3	-1	0
7	SLO 7	1	0	-0.3	1	-0.3	1	0
8	SLO 8	1	0	0.3	-1	-0.3	1	0
9	SLO 9	-1	0	-0.3	1	0.3	-1	0
10	SLO 10	-1	0	0.3	-1	0.3	-1	0
11	SLO 11	1	0	-0.3	1	0.3	1	0
12	SLO 12	1	0	0.3	-1	0.3	1	0
13	SLO 13	-0.3	0	-1	0.3	1	-0.3	0
14	SLO 14	-0.3	0	1	-0.3	1	-0.3	0
15	SLO 15	0.3	0	-1	0.3	1	0.3	0
16	SLO 16	0.3	0	1	-0.3	1	0.3	0

Famiglia SLD

Il nome compatto della famiglia è SLD.

Poiché il numero di condizioni elementari previste per le combinazioni di questa famiglia è cospicuo, la tabella verrà spezzata in più parti.

Nome	Nome breve	Pesi	Port.	Variabile C	Neve	Variabile H	ΔT	X SLD
1	SLD 1	1	1	0.6	0	0	0	-1
2	SLD 2	1	1	0.6	0	0	0	-1
3	SLD 3	1	1	0.6	0	0	0	-1
4	SLD 4	1	1	0.6	0	0	0	-1
5	SLD 5	1	1	0.6	0	0	0	-0.3
6	SLD 6	1	1	0.6	0	0	0	-0.3
7	SLD 7	1	1	0.6	0	0	0	-0.3
8	SLD 8	1	1	0.6	0	0	0	-0.3
9	SLD 9	1	1	0.6	0	0	0	0.3
10	SLD 10	1	1	0.6	0	0	0	0.3
11	SLD 11	1	1	0.6	0	0	0	0.3
12	SLD 12	1	1	0.6	0	0	0	0.3
13	SLD 13	1	1	0.6	0	0	0	1
14	SLD 14	1	1	0.6	0	0	0	1
15	SLD 15	1	1	0.6	0	0	0	1
16	SLD 16	1	1	0.6	0	0	0	1

Nome	Nome breve	Y SLD	Z SLD	EY SLD	EX SLD	Tr x SLD	Tr y SLD	Tr z SLD
1	SLD 1	-0.3	0	-1	0.3	-1	-0.3	0
2	SLD 2	-0.3	0	1	-0.3	-1	-0.3	0
3	SLD 3	0.3	0	-1	0.3	-1	0.3	0
4	SLD 4	0.3	0	1	-0.3	-1	0.3	0
5	SLD 5	-1	0	-0.3	1	-0.3	-1	0
6	SLD 6	-1	0	0.3	-1	-0.3	-1	0
7	SLD 7	1	0	-0.3	1	-0.3	1	0
8	SLD 8	1	0	0.3	-1	-0.3	1	0
9	SLD 9	-1	0	-0.3	1	0.3	-1	0
10	SLD 10	-1	0	0.3	-1	0.3	-1	0
11	SLD 11	1	0	-0.3	1	0.3	1	0
12	SLD 12	1	0	0.3	-1	0.3	1	0
13	SLD 13	-0.3	0	-1	0.3	1	-0.3	0
14	SLD 14	-0.3	0	1	-0.3	1	-0.3	0
15	SLD 15	0.3	0	-1	0.3	1	0.3	0
16	SLD 16	0.3	0	1	-0.3	1	0.3	0

Famiglia SLV

Il nome compatto della famiglia è SLV.

Poiché il numero di condizioni elementari previste per le combinazioni di questa famiglia è cospicuo, la tabella verrà spezzata in più parti.

Nome	Nome breve	Pesi	Port.	Variabile C	Neve	Variabile H	ΔT	X SLV
1	SLV 1	1	1	0.6	0	0	0	-1
2	SLV 2	1	1	0.6	0	0	0	-1
3	SLV 3	1	1	0.6	0	0	0	-1
4	SLV 4	1	1	0.6	0	0	0	-1
5	SLV 5	1	1	0.6	0	0	0	-0.3
6	SLV 6	1	1	0.6	0	0	0	-0.3
7	SLV 7	1	1	0.6	0	0	0	-0.3
8	SLV 8	1	1	0.6	0	0	0	-0.3
9	SLV 9	1	1	0.6	0	0	0	-0.3
10	SLV 10	1	1	0.6	0	0	0	0.3
11	SLV 11	1	1	0.6	0	0	0	0.3
12	SLV 12	1	1	0.6	0	0	0	0.3
13	SLV 13	1	1	0.6	0	0	0	1
14	SLV 14	1	1	0.6	0	0	0	1
15	SLV 15	1	1	0.6	0	0	0	1
16	SLV 16	1	1	0.6	0	0	0	1

Nome	Nome breve	Y SLV	Z SLV	EY SLV	EX SLV	Tr x SLV	Tr y SLV	Tr z SLV
1	SLV 1	-0.3	0	-1	0.3	-1	-0.3	0
2	SLV 2	-0.3	0	1	-0.3	-1	-0.3	0
3	SLV 3	0.3	0	-1	0.3	-1	0.3	0
4	SLV 4	0.3	0	1	-0.3	-1	0.3	0
5	SLV 5	-1	0	-0.3	1	-0.3	-1	0
6	SLV 6	-1	0	0.3	-1	-0.3	-1	0
7	SLV 7	1	0	-0.3	1	-0.3	1	0
8	SLV 8	1	0	0.3	-1	-0.3	1	0
9	SLV 9	-1	0	-0.3	1	0.3	-1	0
10	SLV 10	-1	0	0.3	-1	0.3	-1	0
11	SLV 11	1	0	-0.3	1	0.3	1	0
12	SLV 12	1	0	0.3	-1	0.3	1	0
13	SLV 13	-0.3	0	-1	0.3	1	-0.3	0
14	SLV 14	-0.3	0	1	-0.3	1	-0.3	0
15	SLV 15	0.3	0	-1	0.3	1	0.3	0
16	SLV 16	0.3	0	1	-0.3	1	0.3	0

Famiglia Calcolo rigidità torsionale/flessionale di piano

Il nome compatto della famiglia è CRTFP.

Nome	Nome breve	R Ux	R Uy	R Rz
Rig. Ux+	CRTFP Ux+	1	0	0
Rig. Ux-	CRTFP Ux-	-1	0	0
Rig. Uy+	CRTFP Uy+	0	1	0
Rig. Uy-	CRTFP Uy-	0	-1	0
Rig. Rz+	CRTFP Rz+	0	0	1
Rig. Rz-	CRTFP Rz-	0	0	-1

3.2.3 Definizioni di carichi concentrati

Nome: nome identificativo della definizione di carico.

Valori: valori associati alle condizioni di carico.

Condizione: condizione di carico a cui sono associati i valori.

Descrizione: nome assegnato alla condizione elementare.

Fx: componente X del carico concentrato. [kN]

Fy: componente Y del carico concentrato. [kN]

Fz: componente Z del carico concentrato. [kN]

Mx: componente di momento della coppia concentrata attorno all'asse X. [kN*m]

My: componente di momento della coppia concentrata attorno all'asse Y. [kN*m]

Mz: componente di momento della coppia concentrata attorno all'asse Z. [kN*m]

Nome	Condizione Descrizione	Valori					
		Fx	Fy	Fz	Mx	My	Mz
Copertura in legno Pilastro A	Pesi strutturali	0	0	0	0	0	0
	Permanenti portati	0	0	-3.54	0	0	0
	Variabile C	0	0	0	0	0	0
	Neve	0	0	-4.6	0	0	0
Copertura in legno	Variabile H	0	0	0	0	0	0
	Pesi strutturali	0	0	0	0	0	0
	Permanenti portati	0	0	-9.83	0	0	0
	Variabile C	0	0	0	0	0	0
	Neve	0	0	-12.8	0	0	0
	Variabile H	0	0	0	0	0	0

3.2.4 Definizioni di carichi superficiali

Nome: nome identificativo della definizione di carico.

Valori: valori associati alle condizioni di carico.

Condizione: condizione di carico a cui sono associati i valori.

Descrizione: nome assegnato alla condizione elementare.

Valore: modulo del carico superficiale applicato alla superficie. [kN/m²]

Applicazione: modalità con cui il carico è applicato alla superficie.

Nome	Condizione Descrizione	Valori		Applicazione
		Valore		
Solaio 18+4 non utilizzato	Pesi strutturali	2.6		Verticale
	Permanenti portati	0		Verticale
	Variabile C	0		Verticale
	Neve	0		Verticale
Solaio 18+5	Variabile H	0		Verticale
	Pesi strutturali	2.85		Verticale
	Permanenti portati	1.5		Verticale
	Variabile C	3		Verticale
Solaio sottotetto	Neve	0		Verticale
	Variabile H	0		Verticale
	Pesi strutturali	2.85		Verticale
	Permanenti portati	1.5		Verticale
	Variabile C	0		Verticale
	Neve	0		Verticale
	Variabile H	0.5		Verticale

3.3 Quote

3.3.1 Livelli

Descrizione breve: Nome sintetico assegnato al livello.

Descrizione: Nome assegnato al livello.

Quota: Quota superiore espressa nel sistema di riferimento assoluto. [m]

Spessore: Spessore del livello. [m]

Descrizione breve	Descrizione	Quota	Spessore
L1	Fondazione -100	-1	0.45
L2	Piano -10	-0.1	0.2
L3	Piano 1	3.22	0.22
L4	Piano 2	4.2	0.23
L5	Piano 3	7.88	0.23
L6	Colmo	10.45	0.26

3.3.2 Tronchi

Descrizione breve: Nome sintetico assegnato al tronco.

Descrizione: Nome assegnato al tronco.

Quota 1: Riferimento della prima quota di definizione del tronco. esprimibile come livello, falda, piano orizzontale alla Z specificata. [m]

Quota 2: Riferimento della seconda quota di definizione del tronco. esprimibile come livello, falda, piano orizzontale alla Z specificata. [m]

Descrizione breve	Descrizione	Quota 1	Quota 2
T1	Fondazione -100 - Piano -10	Fondazione -100	Piano -10
T2	Piano -10 - Piano 1	Piano -10	Piano 1
T3	Piano 1 - Piano 2	Piano 1	Piano 2
T4	Piano 2 - Piano 3	Piano 2	Piano 3
T5	Piano 3 - Colmo	Piano 3	Colmo

4 Risultati numerici

4.1 Spostamenti di interpiano

Nodo inferiore: *Nodo inferiore.*

I.: Numero dell'elemento nell'insieme che lo contiene.

Pos.: Coordinate del nodo.

X: Coordinata X. [m]

Y: Coordinata Y. [m]

Z: Coordinata Z. [m]

Nodo superiore: *Nodo superiore.*

I.: Numero dell'elemento nell'insieme che lo contiene.

Pos.: Coordinate del nodo.

Z: Coordinata Z. [m]

Spost. rel.: *Spostamento relativo. Il valore è adimensionale.*

Comb.: *Combinazione.*

n.b.: Nome breve o compatto della combinazione di carico.

Spostamento inferiore: *Spostamento in pianta del nodo inferiore.*

X: Coordinata X. [m]

Y: Coordinata Y. [m]

Spostamento superiore: *Spostamento in pianta del nodo superiore.*

X: Coordinata X. [m]

Y: Coordinata Y. [m]

S.V.: *Si intende non verificato qualora lo spostamento relativo sia superiore al valore limite espresso nelle preferenze di analisi.*

limite = 0.003333

I.	Nodo inferiore			Nodo superiore		Spost. rel.	Comb. n.b.	Spostamento inferiore		Spostamento superiore		S.V.
	Pos.			I.	Pos.			X	Y	X	Y	
	X	Y	Z		Z							
5	10.805	20.215	-1.225	13	3.11	0.001299	SLO 1	0	0	-0.00509	-0.00242	si
5	10.805	20.215	-1.225	13	3.11	0.001452	SLO 2	0	0	-0.006	-0.00189	si
5	10.805	20.215	-1.225	13	3.11	0.00097	SLO 3	0	0	-0.0042	0.00013	si
5	10.805	20.215	-1.225	13	3.11	0.001191	SLO 4	0	0	-0.00512	0.00066	si
5	10.805	20.215	-1.225	13	3.11	0.001242	SLO 5	0	0	-0.00258	-0.00473	si
5	10.805	20.215	-1.225	13	3.11	0.001251	SLO 6	0	0	-0.00033	-0.00431	si
5	10.805	20.215	-1.225	13	3.11	0.000875	SLO 7	0	0	0.00037	0.00378	si
5	10.805	20.215	-1.225	13	3.11	0.000971	SLO 8	0	0	-0.00035	0.0042	si
5	10.805	20.215	-1.225	13	3.11	0.000977	SLO 9	0	0	0.00054	-0.0042	si
5	10.805	20.215	-1.225	13	3.11	0.000873	SLO 10	0	0	-0.00018	-0.00378	si
5	10.805	20.215	-1.225	13	3.11	0.001277	SLO 11	0	0	0.00348	0.0043	si
5	10.805	20.215	-1.225	13	3.11	0.001262	SLO 12	0	0	0.00277	0.00472	si
5	10.805	20.215	-1.225	13	3.11	0.001234	SLO 13	0	0	0.00531	-0.00067	si
5	10.805	20.215	-1.225	13	3.11	0.001013	SLO 14	0	0	0.00439	-0.00013	si
5	10.805	20.215	-1.225	13	3.11	0.001493	SLO 15	0	0	0.00619	0.00188	si
5	10.805	20.215	-1.225	13	3.11	0.001338	SLO 16	0	0	0.00527	0.00242	si
6	14.315	20.215	-1.225	14	3.11	0.001185	SLO 1	0	0	-0.00509	-0.00072	si
6	14.315	20.215	-1.225	14	3.11	0.001421	SLO 2	0	0	-0.006	-0.00138	si
6	14.315	20.215	-1.225	14	3.11	0.001135	SLO 3	0	0	-0.0042	0.00256	si
6	14.315	20.215	-1.225	14	3.11	0.001259	SLO 4	0	0	-0.00512	0.00189	si
6	14.315	20.215	-1.225	14	3.11	0.001302	SLO 5	0	0	-0.00258	-0.00502	si
6	14.315	20.215	-1.225	14	3.11	0.001487	SLO 6	0	0	-0.00033	-0.00554	si
6	14.315	20.215	-1.225	14	3.11	0.001361	SLO 7	0	0	0.00037	0.00589	si
6	14.315	20.215	-1.225	14	3.11	0.001241	SLO 8	0	0	-0.00035	0.00537	si
6	14.315	20.215	-1.225	14	3.11	0.001246	SLO 9	0	0	0.00054	-0.00537	si
6	14.315	20.215	-1.225	14	3.11	0.00136	SLO 10	0	0	-0.00018	-0.00589	si
6	14.315	20.215	-1.225	14	3.11	0.001509	SLO 11	0	0	0.00348	0.00554	si
6	14.315	20.215	-1.225	14	3.11	0.001321	SLO 12	0	0	0.00277	0.00501	si
6	14.315	20.215	-1.225	14	3.11	0.0013	SLO 13	0	0	0.00531	-0.00189	si
6	14.315	20.215	-1.225	14	3.11	0.001172	SLO 14	0	0	0.00439	-0.00256	si
6	14.315	20.215	-1.225	14	3.11	0.001463	SLO 15	0	0	0.00619	0.00138	si
6	14.315	20.215	-1.225	14	3.11	0.001227	SLO 16	0	0	0.00527	0.00071	si
7	10.805	25.585	-1.225	15	3.11	0.001531	SLO 1	0	0	-0.00618	-0.00242	si
7	10.805	25.585	-1.225	15	3.11	0.001289	SLO 2	0	0	-0.00526	-0.00189	si
7	10.805	25.585	-1.225	15	3.11	0.001619	SLO 3	0	0	-0.00702	0.00013	si
7	10.805	25.585	-1.225	15	3.11	0.001415	SLO 4	0	0	-0.0061	0.00066	si
7	10.805	25.585	-1.225	15	3.11	0.001104	SLO 5	0	0	-0.00074	-0.00473	si
7	10.805	25.585	-1.225	15	3.11	0.000994	SLO 6	0	0	-0.00003	-0.00431	si
7	10.805	25.585	-1.225	15	3.11	0.001192	SLO 7	0	0	-0.00353	0.00378	si
7	10.805	25.585	-1.225	15	3.11	0.001165	SLO 8	0	0	-0.00281	0.0042	si
7	10.805	25.585	-1.225	15	3.11	0.00119	SLO 9	0	0	0.00299	-0.0042	si
7	10.805	25.585	-1.225	15	3.11	0.001223	SLO 10	0	0	0.00371	-0.00378	si
7	10.805	25.585	-1.225	15	3.11	0.000994	SLO 11	0	0	0.00021	0.0043	si
7	10.805	25.585	-1.225	15	3.11	0.0011	SLO 12	0	0	0.00093	0.00472	si
7	10.805	25.585	-1.225	15	3.11	0.001457	SLO 13	0	0	0.00628	-0.00067	si
7	10.805	25.585	-1.225	15	3.11	0.001661	SLO 14	0	0	0.0072	-0.00013	si
7	10.805	25.585	-1.225	15	3.11	0.001329	SLO 15	0	0	0.00545	0.00188	si
7	10.805	25.585	-1.225	15	3.11	0.001571	SLO 16	0	0	0.00637	0.00242	si
8	14.315	25.585	-1.225	16	3.11	0.001435	SLO 1	0	0	-0.00618	-0.00072	si
8	14.315	25.585	-1.225	16	3.11	0.001255	SLO 2	0	0	-0.00526	-0.00138	si
8	14.315	25.585	-1.225	16	3.11	0.001722	SLO 3	0	0	-0.00702	0.00256	si
8	14.315	25.585	-1.225	16	3.11	0.001472	SLO 4	0	0	-0.0061	0.00189	si
8	14.315	25.585	-1.225	16	3.11	0.00117	SLO 5	0	0	-0.00074	-0.00502	si
8	14.315	25.585	-1.225	16	3.11	0.001278	SLO 6	0	0	-0.00003	-0.00554	si
8	14.315	25.585	-1.225	16	3.11	0.001584	SLO 7	0	0	-0.00353	0.00589	si
8	14.315	25.585	-1.225	16	3.11	0.001398	SLO 8	0	0	-0.00281	0.00537	si
8	14.315	25.585	-1.225	16	3.11	0.001419	SLO 9	0	0	0.00299	-0.00537	si
8	14.315	25.585	-1.225	16	3.11	0.001607	SLO 10	0	0	0.00371	-0.00589	si
8	14.315	25.585	-1.225	16	3.11	0.001278	SLO 11	0	0	0.00021	0.00554	si
8	14.315	25.585	-1.225	16	3.11	0.001176	SLO 12	0	0	0.00093	0.00501	si

I.	Nodo inferiore			Nodo superiore		Spost. rel.	Comb.	Spostamento inferiore		Spostamento superiore		S.V.
	Pos.			I.	Pos.			X	Y	X	Y	
	X	Y	Z									
8	14.315	25.585	-1.225	16	3.11	0.001514	SLO 13	0	0	0.00628	-0.00189	si
8	14.315	25.585	-1.225	16	3.11	0.001763	SLO 14	0	0	0.0072	-0.00256	si
8	14.315	25.585	-1.225	16	3.11	0.001296	SLO 15	0	0	0.00545	0.00138	si
8	14.315	25.585	-1.225	16	3.11	0.001478	SLO 16	0	0	0.00637	0.00071	si
13	10.805	20.215	3.11	17	4.085	0.000991	SLO 1	-0.00509	-0.00242	-0.00583	-0.00304	si
13	10.805	20.215	3.11	17	4.085	0.001076	SLO 2	-0.006	-0.00189	-0.00692	-0.0024	si
13	10.805	20.215	3.11	17	4.085	0.000618	SLO 3	-0.0042	0.00013	-0.0048	0.00023	si
13	10.805	20.215	3.11	17	4.085	0.000819	SLO 4	-0.00512	0.00066	-0.00589	0.00087	si
13	10.805	20.215	3.11	17	4.085	0.001391	SLO 5	-0.00258	-0.00473	-0.00296	-0.00603	si
13	10.805	20.215	3.11	17	4.085	0.001355	SLO 6	-0.0033	-0.00431	-0.00382	-0.00552	si
13	10.805	20.215	3.11	17	4.085	0.001123	SLO 7	0.00037	0.00378	0.00047	0.00487	si
13	10.805	20.215	3.11	17	4.085	0.001207	SLO 8	-0.00035	0.0042	-0.00039	0.00537	si
13	10.805	20.215	3.11	17	4.085	0.001212	SLO 9	0.00054	-0.0042	0.00063	-0.00538	si
13	10.805	20.215	3.11	17	4.085	0.001121	SLO 10	-0.00018	-0.00378	-0.00023	-0.00487	si
13	10.805	20.215	3.11	17	4.085	0.001377	SLO 11	0.00348	0.0043	0.00406	0.00552	si
13	10.805	20.215	3.11	17	4.085	0.001407	SLO 12	0.00277	0.00472	0.0032	0.00602	si
13	10.805	20.215	3.11	17	4.085	0.000876	SLO 13	0.00531	-0.00067	0.00614	-0.00088	si
13	10.805	20.215	3.11	17	4.085	0.000677	SLO 14	0.00439	-0.00013	0.00504	-0.00023	si
13	10.805	20.215	3.11	17	4.085	0.001127	SLO 15	0.00619	0.00188	0.00717	0.00239	si
13	10.805	20.215	3.11	17	4.085	0.001036	SLO 16	0.00527	0.00242	0.00607	0.00304	si
14	14.315	20.215	3.11	18	4.085	0.0008	SLO 1	-0.00509	-0.00072	-0.00583	-0.00096	si
14	14.315	20.215	3.11	18	4.085	0.001012	SLO 2	-0.006	-0.00138	-0.00692	-0.00175	si
14	14.315	20.215	3.11	18	4.085	0.000853	SLO 3	-0.0042	0.00256	-0.0048	0.00314	si
14	14.315	20.215	3.11	18	4.085	0.000922	SLO 4	-0.00512	0.00189	-0.00589	0.00235	si
14	14.315	20.215	3.11	18	4.085	0.001391	SLO 5	-0.00258	-0.00502	-0.00296	-0.00632	si
14	14.315	20.215	3.11	18	4.085	0.001527	SLO 6	-0.0033	-0.00554	-0.00382	-0.00694	si
14	14.315	20.215	3.11	18	4.085	0.001498	SLO 7	0.00037	0.00378	0.00047	0.00735	si
14	14.315	20.215	3.11	18	4.085	0.001398	SLO 8	-0.00035	0.00537	-0.00039	0.00673	si
14	14.315	20.215	3.11	18	4.085	0.001407	SLO 9	0.00054	-0.00537	0.00063	-0.00674	si
14	14.315	20.215	3.11	18	4.085	0.001501	SLO 10	-0.00018	-0.00589	-0.00023	-0.00736	si
14	14.315	20.215	3.11	18	4.085	0.001543	SLO 11	0.00348	0.00554	0.00406	0.00693	si
14	14.315	20.215	3.11	18	4.085	0.001403	SLO 12	0.00277	0.00501	0.0032	0.00631	si
14	14.315	20.215	3.11	18	4.085	0.000976	SLO 13	0.00531	-0.00189	0.00614	-0.00236	si
14	14.315	20.215	3.11	18	4.085	0.000901	SLO 14	0.00439	-0.00256	0.00504	-0.00315	si
14	14.315	20.215	3.11	18	4.085	0.001065	SLO 15	0.00619	0.00138	0.00717	0.00174	si
14	14.315	20.215	3.11	18	4.085	0.000855	SLO 16	0.00527	0.00071	0.00607	0.00095	si
15	10.805	25.585	3.11	20	4.085	0.001179	SLO 1	-0.00618	-0.00242	-0.00715	-0.00304	si
15	10.805	25.585	3.11	20	4.085	0.000966	SLO 2	-0.00526	-0.00189	-0.00605	-0.0024	si
15	10.805	25.585	3.11	20	4.085	0.00114	SLO 3	-0.00702	0.00013	-0.00812	0.00023	si
15	10.805	25.585	3.11	20	4.085	0.000978	SLO 4	-0.0061	0.00066	-0.00703	0.00087	si
15	10.805	25.585	3.11	20	4.085	0.001339	SLO 5	-0.00074	-0.00473	-0.00084	-0.00603	si
15	10.805	25.585	3.11	20	4.085	0.001247	SLO 6	-0.00003	-0.00431	0.00001	-0.00552	si
15	10.805	25.585	3.11	20	4.085	0.001258	SLO 7	-0.00353	0.00378	-0.00409	0.00487	si
15	10.805	25.585	3.11	20	4.085	0.001283	SLO 8	-0.00281	0.0042	-0.00323	0.00537	si
15	10.805	25.585	3.11	20	4.085	0.001308	SLO 9	0.00299	-0.0042	0.00348	-0.00538	si
15	10.805	25.585	3.11	20	4.085	0.001291	SLO 10	0.00371	-0.00378	0.00434	-0.00487	si
15	10.805	25.585	3.11	20	4.085	0.001245	SLO 11	0.00021	0.0043	0.00024	0.00552	si
15	10.805	25.585	3.11	20	4.085	0.001343	SLO 12	0.00093	0.00472	0.00109	0.00602	si
15	10.805	25.585	3.11	20	4.085	0.001043	SLO 13	0.00628	-0.00067	0.00728	-0.00088	si
15	10.805	25.585	3.11	20	4.085	0.001205	SLO 14	0.0072	-0.00013	0.00837	-0.00023	si
15	10.805	25.585	3.11	20	4.085	0.001021	SLO 15	0.00545	0.00188	0.0063	0.00239	si
15	10.805	25.585	3.11	20	4.085	0.001234	SLO 16	0.00637	0.00242	0.0074	0.00304	si
16	14.315	25.585	3.11	21	4.085	0.001024	SLO 1	-0.00618	-0.00072	-0.00715	-0.00096	si
16	14.315	25.585	3.11	21	4.085	0.000894	SLO 2	-0.00526	-0.00138	-0.00605	-0.00175	si
16	14.315	25.585	3.11	21	4.085	0.001283	SLO 3	-0.00702	0.00256	-0.00812	0.00314	si
16	14.315	25.585	3.11	21	4.085	0.001066	SLO 4	-0.0061	0.00189	-0.00703	0.00235	si
16	14.315	25.585	3.11	21	4.085	0.001339	SLO 5	-0.00074	-0.00502	-0.00084	-0.00632	si
16	14.315	25.585	3.11	21	4.085	0.001432	SLO 6	-0.00003	-0.00554	0.00001	-0.00694	si
16	14.315	25.585	3.11	21	4.085	0.001602	SLO 7	-0.00353	0.00589	-0.00409	0.00735	si
16	14.315	25.585	3.11	21	4.085	0.001465	SLO 8	-0.00281	0.00537	-0.00323	0.00673	si
16	14.315	25.585	3.11	21	4.085	0.001491	SLO 9	0.00299	-0.00537	0.00348	-0.00674	si
16	14.315	25.585	3.11	21	4.085	0.001633	SLO 10	0.00371	-0.00589	0.00434	-0.00736	si
16	14.315	25.585	3.11	21	4.085	0.001426	SLO 11	0.00021	0.00554	0.00024	0.00693	si
16	14.315	25.585	3.11	21	4.085	0.00134	SLO 12	0.00093	0.00501	0.00109	0.00631	si
16	14.315	25.585	3.11	21	4.085	0.001128	SLO 13	0.00628	-0.00013	0.00728	-0.00023	si
16	14.315	25.585	3.11	21	4.085	0.001344	SLO 14	0.0072	-0.00256	0.00837	-0.00315	si
16	14.315	25.585	3.11	21	4.085	0.000952	SLO 15	0.00545	0.00188	0.0063	0.00239	si
16	14.315	25.585	3.11	21	4.085	0.001086	SLO 16	0.00637	0.00242	0.0074	0.00304	si
17	10.805	20.215	4.085	25	7.765	0.001213	SLO 1	-0.00583	-0.00304	-0.00948	-0.00519	si
17	10.805	20.215	4.085	25	7.765	0.00133	SLO 2	-0.00692	-0.0024	-0.01136	-0.00446	si
17	10.805	20.215	4.085	25	7.765	0.000832	SLO 3	-0.0048	0.00023	-0.00785	0.00047	si
17	10.805	20.215	4.085	25	7.765	0.001062	SLO 4	-0.00589	0.00087	-0.00973	0.00162	si
17	10.805	20.215	4.085	25	7.765	0.001488	SLO 5	-0.00296	-0.00603	-0.00469	-0.01122	si
17	10.805	20.215	4.085	25	7.765	0.001452	SLO 6	-0.00382	-0.00552	-0.00616	-0.01032	si
17	10.805	20.215	4.085	25	7.765	0.001137	SLO 7	0.00047	0.00487	0.00075	0.00904	si
17	10.805	20.215	4.085	25	7.765	0.001245	SLO 8	-0.00039	0.00537	-0.00072	0.00994	si
17	10.805	20.215	4.085	25	7.765	0.001283	SLO 9	0.00063	-0.00538	0.00122	-0.01006	si
17	10.805	20.215	4.085	25	7.765	0.001166	SLO 10	-0.00023	-0.00487	-0.00025	-0.00917	si
17	10.805	20.215	4.085	25	7.765	0.001455	SLO 11	0.00406	0.00552	0.00666	0.0102	si
17	10.805	20.215	4.085	25	7.765	0.001481	SLO 12	0.0032	0.00602	0.00519	0.0111	si
17	10.805	20.215	4.085	25	7.765	0.001136	SLO 13	0.00614	-0.00088	0.01022	-0.00175	si
17	10.805	20.215	4.085	25	7.765	0.000903	SLO 14	0.00504	-0.00023	0.00834	-0.0006	si
17	10.805	20.215	4.085	25	7.765	0.00138	SLO 15	0.00717	0.00239	0.01186	0.00433	si
17	10.805	20.215	4.085	25	7.765	0.001252	SLO 16	0.00607	0.00304	0.00998	0.00548	si
18	14.315	20.215	4.085	26	7.765	0.001027	SLO 1	-0.00583	-0.00304	-0.00948	-0.00519	si
18	14.315	20.215	4.085	26	7.765	0.001272	SLO 2	-0.00692	-0.0024	-0.01136	-0.00446	si
18	14.315	20.215	4.085	26	7.765	0.001032	SLO 3	-0.0048	0.00023	-0.00785	0.00047	si
18	14.315	20.215	4.085	26	7.765	0.001145	SLO 4	-0.00589	0.00087	-0.00973	0.00162	si
18	14.315	20.215	4.085	26	7.765	0.001466	SLO 5	-0.00296	-0.00603	-0.00469	-0.01122	si
18	14.315	20.215	4.085	26	7.765	0.00163	SLO 6	-0.00382	-0.00552	-0.00616		

I.	Nodo inferiore			Nodo superiore		Spost. rel.	Comb.	Spostamento inferiore		Spostamento superiore		S.V.
	Pos.			I.	Pos.			X	Y	X	Y	
	X	Y	Z		Z		n.b.					
18	14.315	20.215	4.085	26	7.765	0.001085	SLO 16	0.00607	0.00095	0.00998	0.00178	si
20	10.805	25.585	4.085	32	7.765	0.001452	SLO 1	-0.00715	-0.00304	-0.01184	-0.00561	si
20	10.805	25.585	4.085	32	7.765	0.001199	SLO 2	-0.00605	-0.0024	-0.00996	-0.00446	si
20	10.805	25.585	4.085	32	7.765	0.001431	SLO 3	-0.00812	0.00023	-0.01338	0.00047	si
20	10.805	25.585	4.085	32	7.765	0.001233	SLO 4	-0.00703	0.00087	-0.0115	0.00162	si
20	10.805	25.585	4.085	32	7.765	0.001422	SLO 5	-0.00084	-0.00603	-0.00147	-0.01122	si
20	10.805	25.585	4.085	32	7.765	0.001304	SLO 6	0.00001	-0.00552	0	-0.01032	si
20	10.805	25.585	4.085	32	7.765	0.001327	SLO 7	-0.00409	0.00487	-0.00663	0.00904	si
20	10.805	25.585	4.085	32	7.765	0.001347	SLO 8	-0.00323	0.00537	-0.00516	0.00994	si
20	10.805	25.585	4.085	32	7.765	0.001407	SLO 9	0.00348	-0.00538	0.00569	-0.01006	si
20	10.805	25.585	4.085	32	7.765	0.001395	SLO 10	0.00434	-0.00487	0.00716	-0.00917	si
20	10.805	25.585	4.085	32	7.765	0.001275	SLO 11	0.00024	-0.00552	0.00053	0.0102	si
20	10.805	25.585	4.085	32	7.765	0.001402	SLO 12	0.00109	0.00602	0.002	0.0111	si
20	10.805	25.585	4.085	32	7.765	0.001314	SLO 13	0.00728	-0.00088	0.01203	-0.00175	si
20	10.805	25.585	4.085	32	7.765	0.001509	SLO 14	0.00837	-0.00023	0.01391	-0.00006	si
20	10.805	25.585	4.085	32	7.765	0.001254	SLO 15	0.0063	0.00239	0.01049	0.00433	si
20	10.805	25.585	4.085	32	7.765	0.001505	SLO 16	0.0074	0.00304	0.01237	0.00548	si
21	14.315	25.585	4.085	33	7.765	0.001301	SLO 1	-0.00715	-0.00096	-0.01184	-0.00193	si
21	14.315	25.585	4.085	33	7.765	0.001135	SLO 2	-0.00605	-0.00175	-0.00996	-0.00324	si
21	14.315	25.585	4.085	33	7.765	0.001556	SLO 3	-0.00812	0.00314	-0.01338	0.0054	si
21	14.315	25.585	4.085	33	7.765	0.001305	SLO 4	-0.00703	0.00235	-0.0115	0.00409	si
21	14.315	25.585	4.085	33	7.765	0.001399	SLO 5	-0.00084	-0.00632	-0.00147	-0.01143	si
21	14.315	25.585	4.085	33	7.765	0.0015	SLO 6	0.00001	-0.00694	0	-0.01246	si
21	14.315	25.585	4.085	33	7.765	0.001685	SLO 7	-0.00409	0.00735	-0.00663	0.013	si
21	14.315	25.585	4.085	33	7.765	0.001519	SLO 8	-0.00323	0.00673	-0.00516	0.01198	si
21	14.315	25.585	4.085	33	7.765	0.001581	SLO 9	0.00348	-0.00674	0.00569	-0.01213	si
21	14.315	25.585	4.085	33	7.765	0.00175	SLO 10	0.00434	-0.00736	0.00716	-0.01315	si
21	14.315	25.585	4.085	33	7.765	0.001465	SLO 11	0.00024	0.00693	0.00053	0.01231	si
21	14.315	25.585	4.085	33	7.765	0.001374	SLO 12	0.00109	0.00631	0.002	0.01129	si
21	14.315	25.585	4.085	33	7.765	0.001389	SLO 13	0.00728	-0.00236	0.01203	-0.00424	si
21	14.315	25.585	4.085	33	7.765	0.001641	SLO 14	0.00837	-0.00315	0.01391	-0.00555	si
21	14.315	25.585	4.085	33	7.765	0.001195	SLO 15	0.0063	0.00174	0.01049	0.00309	si
21	14.315	25.585	4.085	33	7.765	0.001369	SLO 16	0.0074	0.00095	0.01237	0.00178	si

4.2 Verifica effetti secondo ordine

Quota inf.: Quota inferiore esprimibile come livello, falda, piano orizzontale alla Z specificata, espressa con notazione breve. esprimibile come livello, falda, piano orizzontale alla Z specificata. [m]

Quota sup.: Quota superiore esprimibile come livello, falda, piano orizzontale alla Z specificata, espressa con notazione breve. esprimibile come livello, falda, piano orizzontale alla Z specificata. [m]

Comb.: Combinazione.

n.b.: Nome breve o compatto della combinazione di carico.

Carico verticale: Carico verticale. [kN]

Spostamento: Spostamento medio di interpiano. [m]

Forza orizzontale totale: Forza orizzontale totale. [kN]

Altezza del piano: Altezza del piano. [m]

Theta: Coefficiente Theta formula (7.3.2) § 7.3.1 NTC 2008. Il valore è adimensionale.

Quota inf.	Quota sup.	Comb.	Carico verticale	Spostamento	Forza orizzontale totale	Altezza del piano	Theta
		n.b.					
L1	L3	SLV 1	550.84	0.01943	149.5	4.34	0.017
L1	L3	SLV 2	550.84	0.01949	149.5	4.34	0.017
L1	L3	SLV 3	550.53	0.01917	145.72	4.34	0.017
L1	L3	SLV 4	550.53	0.01912	145.72	4.34	0.017
L1	L3	SLV 5	551.56	0.01699	135.4	4.34	0.016
L1	L3	SLV 6	551.56	0.01715	135.4	4.34	0.016
L1	L3	SLV 7	550.53	0.01679	131.22	4.34	0.016
L1	L3	SLV 8	550.53	0.01663	131.22	4.34	0.016
L1	L3	SLV 9	551.87	0.0167	131.22	4.34	0.016
L1	L3	SLV 10	551.87	0.01686	131.22	4.34	0.016
L1	L3	SLV 11	550.84	0.01721	135.4	4.34	0.016
L1	L3	SLV 12	550.84	0.01705	135.4	4.34	0.016
L1	L3	SLV 13	551.87	0.01931	145.72	4.34	0.017
L1	L3	SLV 14	551.87	0.01935	145.72	4.34	0.017
L1	L3	SLV 15	551.56	0.01967	149.5	4.34	0.017
L1	L3	SLV 16	551.56	0.01961	149.5	4.34	0.017
L3	L4	SLV 1	445.39	0.00321	132.24	0.98	0.011
L3	L4	SLV 2	445.39	0.00322	132.24	0.98	0.011
L3	L4	SLV 3	445.23	0.00308	129.51	0.98	0.011
L3	L4	SLV 4	445.23	0.00308	129.51	0.98	0.011
L3	L4	SLV 5	445.81	0.00437	115.85	0.98	0.017
L3	L4	SLV 6	445.81	0.00438	115.85	0.98	0.017
L3	L4	SLV 7	445.29	0.00428	112.72	0.98	0.017
L3	L4	SLV 8	445.29	0.00427	112.72	0.98	0.017
L3	L4	SLV 9	446.01	0.00428	112.72	0.98	0.017
L3	L4	SLV 10	446.01	0.00429	112.72	0.98	0.017
L3	L4	SLV 11	445.49	0.00439	115.85	0.98	0.017
L3	L4	SLV 12	445.49	0.00438	115.85	0.98	0.017
L3	L4	SLV 13	446.06	0.00314	129.51	0.98	0.011
L3	L4	SLV 14	446.06	0.00314	129.51	0.98	0.011
L3	L4	SLV 15	445.91	0.00327	132.24	0.98	0.011
L3	L4	SLV 16	445.91	0.00327	132.24	0.98	0.011
L4	L5	SLV 1	212.3	0.01514	82.12	3.68	0.011
L4	L5	SLV 2	212.3	0.01515	82.12	3.68	0.011
L4	L5	SLV 3	212.26	0.01463	81.55	3.68	0.01
L4	L5	SLV 4	212.26	0.01462	81.55	3.68	0.01
L4	L5	SLV 5	212.42	0.01734	76.24	3.68	0.013
L4	L5	SLV 6	212.42	0.01736	76.24	3.68	0.013
L4	L5	SLV 7	212.3	0.01682	75.62	3.68	0.013
L4	L5	SLV 8	212.3	0.0168	75.62	3.68	0.013
L4	L5	SLV 9	212.49	0.01699	75.62	3.68	0.013
L4	L5	SLV 10	212.49	0.01701	75.62	3.68	0.013

Quota inf.	Quota sup.	Comb.	Carico verticale	Spostamento	Forza orizzontale totale	Altezza del piano	Theta
		n.b.					
L4	L5	SLV 11	212.36	0.01731	76.24	3.68	0.013
L4	L5	SLV 12	212.36	0.01728	76.24	3.68	0.013
L4	L5	SLV 13	212.52	0.01491	81.55	3.68	0.011
L4	L5	SLV 14	212.52	0.01492	81.55	3.68	0.011
L4	L5	SLV 15	212.48	0.01535	82.12	3.68	0.011
L4	L5	SLV 16	212.48	0.01534	82.12	3.68	0.011

4.3 Tagli ai livelli

Livello: Livello rispetto a cui è calcolato il taglio.

Nome: Nome completo del livello.

Cont.: Contesto nel quale viene valutato il taglio.

n.br.: Nome breve della condizione o combinazione di carico.

Totale: Totale del taglio al livello.

F: Forza del taglio. [kN]

X: Componente lungo l'asse X globale. [kN]

Y: Componente lungo l'asse Y globale. [kN]

Z: Componente lungo l'asse Z globale. [kN]

Aste verticali: Contributo al taglio totale dato dalle aste verticali.

F: Forza del taglio. [kN]

X: Componente lungo l'asse X globale. [kN]

Y: Componente lungo l'asse Y globale. [kN]

Z: Componente lungo l'asse Z globale. [kN]

Pareti: Contributo al taglio totale dato dalle pareti e piastre generiche verticali.

F: Forza del taglio. [kN]

X: Componente lungo l'asse X globale. [kN]

Y: Componente lungo l'asse Y globale. [kN]

Z: Componente lungo l'asse Z globale. [kN]

Livello	Cont.	Totale			Aste verticali			Pareti				
		Nome	n.br.	X	Y	Z	X	Y	Z	X	Y	Z
Fondazione -100	Pesi		0		0	-449.25	0	0	-449.25	0	0	0
Fondazione -100	Port.		0		0	-112.3	0	0	-112.3	0	0	0
Fondazione -100	Variabile C		0		0	-69.44	0	0	-69.44	0	0	0
Fondazione -100	Neve		0		0	-55.8	0	0	-55.8	0	0	0
Fondazione -100	Variabile H		0		0	-11.57	0	0	-11.57	0	0	0
Fondazione -100	X SLV		143.15		6.22	-0.52	143.15	6.22	-0.52	0	0	0
Fondazione -100	Y SLV		0.97		126.78	0.51	0.97	126.78	0.51	0	0	0
Fondazione -100	EY SLV		0		0	0	0	0	0	0	0	0
Fondazione -100	EX SLV		0		0	0	0	0	0	0	0	0
Fondazione -100	X SLD		57.28		2.48	-0.21	57.28	2.48	-0.21	0	0	0
Fondazione -100	Y SLD		0.38		50.8	0.21	0.38	50.8	0.21	0	0	0
Fondazione -100	EY SLD		0		0	0	0	0	0	0	0	0
Fondazione -100	EX SLD		0		0	0	0	0	0	0	0	0
Fondazione -100	X SLO		65.34		2.83	-0.24	65.34	2.83	-0.24	0	0	0
Fondazione -100	Y SLO		0.44		58	0.24	0.44	58	0.24	0	0	0
Fondazione -100	EY SLO		0		0	0	0	0	0	0	0	0
Fondazione -100	EX SLO		0		0	0	0	0	0	0	0	0
Fondazione -100	R Ux		0.01		0	0	0.01	0	0	0	0	0
Fondazione -100	R Uy		0		0.01	0	0	0.01	0	0	0	0
Fondazione -100	R Rz		0		0	0	0	0	0	0	0	0
Fondazione -100	SLU 1		0		0	-539.09	0	0	-539.09	0	0	0
Fondazione -100	SLU 2		0		0	-556.46	0	0	-556.46	0	0	0
Fondazione -100	SLU 3		0		0	-598.31	0	0	-598.31	0	0	0
Fondazione -100	SLU 4		0		0	-622.79	0	0	-622.79	0	0	0
Fondazione -100	SLU 5		0		0	-629.37	0	0	-629.37	0	0	0
Fondazione -100	SLU 6		0		0	-671.22	0	0	-671.22	0	0	0
Fondazione -100	SLU 7		0		0	-695.71	0	0	-695.71	0	0	0
Fondazione -100	SLU 8		0		0	-643.26	0	0	-643.26	0	0	0
Fondazione -100	SLU 9		0		0	-685.11	0	0	-685.11	0	0	0
Fondazione -100	SLU 10		0		0	-617.71	0	0	-617.71	0	0	0
Fondazione -100	SLU 11		0		0	-635.07	0	0	-635.07	0	0	0
Fondazione -100	SLU 12		0		0	-676.92	0	0	-676.92	0	0	0
Fondazione -100	SLU 13		0		0	-701.41	0	0	-701.41	0	0	0
Fondazione -100	SLU 14		0		0	-707.98	0	0	-707.98	0	0	0
Fondazione -100	SLU 15		0		0	-749.83	0	0	-749.83	0	0	0
Fondazione -100	SLU 16		0		0	-774.32	0	0	-774.32	0	0	0
Fondazione -100	SLU 17		0		0	-721.87	0	0	-721.87	0	0	0
Fondazione -100	SLU 18		0		0	-763.72	0	0	-763.72	0	0	0
Fondazione -100	SLU 19		0		0	-673.87	0	0	-673.87	0	0	0
Fondazione -100	SLU 20		0		0	-691.23	0	0	-691.23	0	0	0
Fondazione -100	SLU 21		0		0	-733.08	0	0	-733.08	0	0	0
Fondazione -100	SLU 22		0		0	-757.57	0	0	-757.57	0	0	0
Fondazione -100	SLU 23		0		0	-764.14	0	0	-764.14	0	0	0
Fondazione -100	SLU 24		0		0	-805.99	0	0	-805.99	0	0	0
Fondazione -100	SLU 25		0		0	-830.48	0	0	-830.48	0	0	0
Fondazione -100	SLU 26		0		0	-778.03	0	0	-778.03	0	0	0
Fondazione -100	SLU 27		0		0	-819.88	0	0	-819.88	0	0	0
Fondazione -100	SLU 28		0		0	-752.48	0	0	-752.48	0	0	0
Fondazione -100	SLU 29		0		0	-769.84	0	0	-769.84	0	0	0
Fondazione -100	SLU 30		0		0	-811.69	0	0	-811.69	0	0	0
Fondazione -100	SLU 31		0		0	-836.18	0	0	-836.18	0	0	0
Fondazione -100	SLU 32		0		0	-842.76	0	0	-842.76	0	0	0
Fondazione -100	SLU 33		0		0	-884.61	0	0	-884.61	0	0	0
Fondazione -100	SLU 34		0		0	-909.1	0	0	-909.1	0	0	0
Fondazione -100	SLU 35		0		0	-856.64	0	0	-856.64	0	0	0
Fondazione -100	SLU 36		0		0	-898.49	0	0	-898.49	0	0	0
Fondazione -100	SLE RA 1		0		0	-561.56	0	0	-561.56	0	0	0
Fondazione -100	SLE RA 2		0		0	-573.13	0	0	-573.13	0	0	0
Fondazione -100	SLE RA 3		0		0	-601.03	0	0	-601.03	0	0	0

Livello	Cont.	Totale			Aste verticali			Pareti		
		F			F			F		
Nome	n.br.	X	Y	Z	X	Y	Z	X	Y	Z
Fondazione -100	SLE RA 4	0	0	-617.36	0	0	-617.36	0	0	0
Fondazione -100	SLE RA 5	0	0	-621.74	0	0	-621.74	0	0	0
Fondazione -100	SLE RA 6	0	0	-649.64	0	0	-649.64	0	0	0
Fondazione -100	SLE RA 7	0	0	-665.96	0	0	-665.96	0	0	0
Fondazione -100	SLE RA 8	0	0	-631	0	0	-631	0	0	0
Fondazione -100	SLE RA 9	0	0	-658.9	0	0	-658.9	0	0	0
Fondazione -100	SLE FR 1	0	0	-561.56	0	0	-561.56	0	0	0
Fondazione -100	SLE FR 2	0	0	-572.72	0	0	-572.72	0	0	0
Fondazione -100	SLE FR 3	0	0	-614.38	0	0	-614.38	0	0	0
Fondazione -100	SLE FR 4	0	0	-610.16	0	0	-610.16	0	0	0
Fondazione -100	SLE QP 1	0	0	-561.56	0	0	-561.56	0	0	0
Fondazione -100	SLE QP 2	0	0	-603.22	0	0	-603.22	0	0	0
Fondazione -100	SLO 1	-65.47	-20.23	-603.06	-65.47	-20.23	-603.06	0	0	0
Fondazione -100	SLO 2	-65.47	-20.23	-603.06	-65.47	-20.23	-603.06	0	0	0
Fondazione -100	SLO 3	-65.21	14.57	-602.91	-65.21	14.57	-602.91	0	0	0
Fondazione -100	SLO 4	-65.21	14.57	-602.91	-65.21	14.57	-602.91	0	0	0
Fondazione -100	SLO 5	-20.04	-58.84	-603.39	-20.04	-58.84	-603.39	0	0	0
Fondazione -100	SLO 6	-20.04	-58.84	-603.39	-20.04	-58.84	-603.39	0	0	0
Fondazione -100	SLO 7	-19.16	57.15	-602.91	-19.16	57.15	-602.91	0	0	0
Fondazione -100	SLO 8	-19.16	57.15	-602.91	-19.16	57.15	-602.91	0	0	0
Fondazione -100	SLO 9	19.16	-57.15	-603.53	19.16	-57.15	-603.53	0	0	0
Fondazione -100	SLO 10	19.16	-57.15	-603.53	19.16	-57.15	-603.53	0	0	0
Fondazione -100	SLO 11	20.04	58.84	-603.05	20.04	58.84	-603.05	0	0	0
Fondazione -100	SLO 12	20.04	58.84	-603.05	20.04	58.84	-603.05	0	0	0
Fondazione -100	SLO 13	65.21	-14.57	-603.53	65.21	-14.57	-603.53	0	0	0
Fondazione -100	SLO 14	65.21	-14.57	-603.53	65.21	-14.57	-603.53	0	0	0
Fondazione -100	SLO 15	65.47	20.23	-603.38	65.47	20.23	-603.38	0	0	0
Fondazione -100	SLO 16	65.47	20.23	-603.38	65.47	20.23	-603.38	0	0	0
Fondazione -100	SLD 1	-57.4	-17.72	-603.08	-57.4	-17.72	-603.08	0	0	0
Fondazione -100	SLD 2	-57.4	-17.72	-603.08	-57.4	-17.72	-603.08	0	0	0
Fondazione -100	SLD 3	-57.17	12.76	-602.95	-57.17	12.76	-602.95	0	0	0
Fondazione -100	SLD 4	-57.17	12.76	-602.95	-57.17	12.76	-602.95	0	0	0
Fondazione -100	SLD 5	-17.57	-51.54	-603.36	-17.57	-51.54	-603.36	0	0	0
Fondazione -100	SLD 6	-17.57	-51.54	-603.36	-17.57	-51.54	-603.36	0	0	0
Fondazione -100	SLD 7	-16.8	50.05	-602.95	-16.8	50.05	-602.95	0	0	0
Fondazione -100	SLD 8	-16.8	50.05	-602.95	-16.8	50.05	-602.95	0	0	0
Fondazione -100	SLD 9	16.8	-50.05	-603.49	16.8	-50.05	-603.49	0	0	0
Fondazione -100	SLD 10	16.8	-50.05	-603.49	16.8	-50.05	-603.49	0	0	0
Fondazione -100	SLD 11	17.57	51.54	-603.08	17.57	51.54	-603.08	0	0	0
Fondazione -100	SLD 12	17.57	51.54	-603.08	17.57	51.54	-603.08	0	0	0
Fondazione -100	SLD 13	57.17	-12.76	-603.49	57.17	-12.76	-603.49	0	0	0
Fondazione -100	SLD 14	57.17	-12.76	-603.49	57.17	-12.76	-603.49	0	0	0
Fondazione -100	SLD 15	57.4	17.72	-603.36	57.4	17.72	-603.36	0	0	0
Fondazione -100	SLD 16	57.4	17.72	-603.36	57.4	17.72	-603.36	0	0	0
Fondazione -100	SLV 1	-143.44	-44.25	-602.86	-143.44	-44.25	-602.86	0	0	0
Fondazione -100	SLV 2	-143.44	-44.25	-602.86	-143.44	-44.25	-602.86	0	0	0
Fondazione -100	SLV 3	-142.86	31.82	-602.55	-142.86	31.82	-602.55	0	0	0
Fondazione -100	SLV 4	-142.86	31.82	-602.55	-142.86	31.82	-602.55	0	0	0
Fondazione -100	SLV 5	-43.91	-128.64	-603.58	-43.91	-128.64	-603.58	0	0	0
Fondazione -100	SLV 6	-43.91	-128.64	-603.58	-43.91	-128.64	-603.58	0	0	0
Fondazione -100	SLV 7	-41.98	124.91	-602.55	-41.98	124.91	-602.55	0	0	0
Fondazione -100	SLV 8	-41.98	124.91	-602.55	-41.98	124.91	-602.55	0	0	0
Fondazione -100	SLV 9	41.98	-124.91	-603.89	41.98	-124.91	-603.89	0	0	0
Fondazione -100	SLV 10	41.98	-124.91	-603.89	41.98	-124.91	-603.89	0	0	0
Fondazione -100	SLV 11	43.91	128.64	-602.86	43.91	128.64	-602.86	0	0	0
Fondazione -100	SLV 12	43.91	128.64	-602.86	43.91	128.64	-602.86	0	0	0
Fondazione -100	SLV 13	142.86	-31.82	-603.89	142.86	-31.82	-603.89	0	0	0
Fondazione -100	SLV 14	142.86	-31.82	-603.89	142.86	-31.82	-603.89	0	0	0
Fondazione -100	SLV 15	143.44	44.25	-603.58	143.44	44.25	-603.58	0	0	0
Fondazione -100	SLV 16	143.44	44.25	-603.58	143.44	44.25	-603.58	0	0	0
Fondazione -100	CRTFP Ux+	0.01	0	0	0.01	0	0	0	0	0
Fondazione -100	CRTFP Ux-	-0.01	0	0	-0.01	0	0	0	0	0
Fondazione -100	CRTFP Uy+	0	0.01	0	0	0.01	0	0	0	0
Fondazione -100	CRTFP Uy-	0	-0.01	0	0	-0.01	0	0	0	0
Fondazione -100	CRTFP Rz+	0	0	0	0	0	0	0	0	0
Fondazione -100	CRTFP Rz-	0	0	0	0	0	0	0	0	0
Piano -10	Pesi	0	0	-436.95	0	0	-436.95	0	0	0
Piano -10	Port.	0	0	-112.3	0	0	-112.3	0	0	0
Piano -10	Variabile C	0	0	-69.44	0	0	-69.44	0	0	0
Piano -10	Neve	0	0	-55.8	0	0	-55.8	0	0	0
Piano -10	Variabile H	0	0	-11.57	0	0	-11.57	0	0	0
Piano -10	X SLV	142.55	6.15	-0.52	142.55	6.15	-0.52	0	0	0
Piano -10	Y SLV	1.07	126.26	0.51	1.07	126.26	0.51	0	0	0
Piano -10	EY SLV	0	0	0	0	0	0	0	0	0
Piano -10	EX SLV	0	0	0	0	0	0	0	0	0
Piano -10	X SLD	57.03	2.45	-0.21	57.03	2.45	-0.21	0	0	0
Piano -10	Y SLD	0.43	50.58	0.21	0.43	50.58	0.21	0	0	0
Piano -10	EY SLD	0	0	0	0	0	0	0	0	0
Piano -10	EX SLD	0	0	0	0	0	0	0	0	0
Piano -10	X SLO	65.06	2.8	-0.24	65.06	2.8	-0.24	0	0	0
Piano -10	Y SLO	0.5	57.76	0.24	0.5	57.76	0.24	0	0	0
Piano -10	EY SLO	0	0	0	0	0	0	0	0	0
Piano -10	EX SLO	0	0	0	0	0	0	0	0	0
Piano -10	R Ux	0.01	0	0	0.01	0	0	0	0	0
Piano -10	R Uy	0	0.01	0	0	0.01	0	0	0	0
Piano -10	R Rz	0	0	0	0	0	0	0	0	0
Piano -10	SLU 1	0	0	-526.79	0	0	-526.79	0	0	0
Piano -10	SLU 2	0	0	-544.16	0	0	-544.16	0	0	0
Piano -10	SLU 3	0	0	-586.01	0	0	-586.01	0	0	0
Piano -10	SLU 4	0	0	-610.49	0	0	-610.49	0	0	0
Piano -10	SLU 5	0	0	-617.07	0	0	-617.07	0	0	0
Piano -10	SLU 6	0	0	-658.92	0	0	-658.92	0	0	0
Piano -10	SLU 7	0	0	-683.41	0	0	-683.41	0	0	0
Piano -10	SLU 8	0	0	-630.96	0	0	-630.96	0	0	0
Piano -10	SLU 9	0	0	-672.81	0	0	-672.81	0	0	0
Piano -10	SLU 10	0	0	-605.41	0	0	-605.41	0	0	0
Piano -10	SLU 11	0	0	-622.77	0	0	-622.77	0	0	0
Piano -10	SLU 12	0	0	-664.62	0	0	-664.62	0	0	0
Piano -10	SLU 13	0	0	-689.11	0	0	-689.11	0	0	0

Livello	Cont.	Totale			Aste verticali			Pareti		
		Nome	n.br.	F	X	Y	Z	X	Y	Z
Piano -10	SLU 14	0	0	-695.68	0	0	-695.68	0	0	0
Piano -10	SLU 15	0	0	-737.53	0	0	-737.53	0	0	0
Piano -10	SLU 16	0	0	-762.02	0	0	-762.02	0	0	0
Piano -10	SLU 17	0	0	-709.57	0	0	-709.57	0	0	0
Piano -10	SLU 18	0	0	-751.42	0	0	-751.42	0	0	0
Piano -10	SLU 19	0	0	-657.88	0	0	-657.88	0	0	0
Piano -10	SLU 20	0	0	-675.24	0	0	-675.24	0	0	0
Piano -10	SLU 21	0	0	-717.09	0	0	-717.09	0	0	0
Piano -10	SLU 22	0	0	-741.58	0	0	-741.58	0	0	0
Piano -10	SLU 23	0	0	-748.15	0	0	-748.15	0	0	0
Piano -10	SLU 24	0	0	-790	0	0	-790	0	0	0
Piano -10	SLU 25	0	0	-814.49	0	0	-814.49	0	0	0
Piano -10	SLU 26	0	0	-762.04	0	0	-762.04	0	0	0
Piano -10	SLU 27	0	0	-803.89	0	0	-803.89	0	0	0
Piano -10	SLU 28	0	0	-736.49	0	0	-736.49	0	0	0
Piano -10	SLU 29	0	0	-753.85	0	0	-753.85	0	0	0
Piano -10	SLU 30	0	0	-795.7	0	0	-795.7	0	0	0
Piano -10	SLU 31	0	0	-820.19	0	0	-820.19	0	0	0
Piano -10	SLU 32	0	0	-826.77	0	0	-826.77	0	0	0
Piano -10	SLU 33	0	0	-868.62	0	0	-868.62	0	0	0
Piano -10	SLU 34	0	0	-893.11	0	0	-893.11	0	0	0
Piano -10	SLU 35	0	0	-840.65	0	0	-840.65	0	0	0
Piano -10	SLU 36	0	0	-882.5	0	0	-882.5	0	0	0
Piano -10	SLE RA 1	0	0	-549.26	0	0	-549.26	0	0	0
Piano -10	SLE RA 2	0	0	-560.83	0	0	-560.83	0	0	0
Piano -10	SLE RA 3	0	0	-588.73	0	0	-588.73	0	0	0
Piano -10	SLE RA 4	0	0	-605.06	0	0	-605.06	0	0	0
Piano -10	SLE RA 5	0	0	-609.44	0	0	-609.44	0	0	0
Piano -10	SLE RA 6	0	0	-637.34	0	0	-637.34	0	0	0
Piano -10	SLE RA 7	0	0	-653.66	0	0	-653.66	0	0	0
Piano -10	SLE RA 8	0	0	-618.7	0	0	-618.7	0	0	0
Piano -10	SLE RA 9	0	0	-646.6	0	0	-646.6	0	0	0
Piano -10	SLE FR 1	0	0	-549.26	0	0	-549.26	0	0	0
Piano -10	SLE FR 2	0	0	-560.42	0	0	-560.42	0	0	0
Piano -10	SLE FR 3	0	0	-602.08	0	0	-602.08	0	0	0
Piano -10	SLE FR 4	0	0	-597.86	0	0	-597.86	0	0	0
Piano -10	SLE QP 1	0	0	-549.26	0	0	-549.26	0	0	0
Piano -10	SLE QP 2	0	0	-590.92	0	0	-590.92	0	0	0
Piano -10	SLO 1	-65.21	-20.12	-590.76	-65.21	-20.12	-590.76	0	0	0
Piano -10	SLO 2	-65.21	-20.12	-590.76	-65.21	-20.12	-590.76	0	0	0
Piano -10	SLO 3	-64.91	14.53	-590.61	-64.91	14.53	-590.61	0	0	0
Piano -10	SLO 4	-64.91	14.53	-590.61	-64.91	14.53	-590.61	0	0	0
Piano -10	SLO 5	-20.01	-58.6	-591.09	-20.01	-58.6	-591.09	0	0	0
Piano -10	SLO 6	-20.01	-58.6	-591.09	-20.01	-58.6	-591.09	0	0	0
Piano -10	SLO 7	-19.02	56.92	-590.61	-19.02	56.92	-590.61	0	0	0
Piano -10	SLO 8	-19.02	56.92	-590.61	-19.02	56.92	-590.61	0	0	0
Piano -10	SLO 9	19.02	-56.92	-591.23	19.02	-56.92	-591.23	0	0	0
Piano -10	SLO 10	19.02	-56.92	-591.23	19.02	-56.92	-591.23	0	0	0
Piano -10	SLO 11	20.01	58.6	-590.75	20.01	58.6	-590.75	0	0	0
Piano -10	SLO 12	20.01	58.6	-590.75	20.01	58.6	-590.75	0	0	0
Piano -10	SLO 13	64.91	-14.53	-591.23	64.91	-14.53	-591.23	0	0	0
Piano -10	SLO 14	64.91	-14.53	-591.23	64.91	-14.53	-591.23	0	0	0
Piano -10	SLO 15	65.21	20.12	-591.08	65.21	20.12	-591.08	0	0	0
Piano -10	SLO 16	65.21	20.12	-591.08	65.21	20.12	-591.08	0	0	0
Piano -10	SLD 1	-57.16	-17.63	-590.78	-57.16	-17.63	-590.78	0	0	0
Piano -10	SLD 2	-57.16	-17.63	-590.78	-57.16	-17.63	-590.78	0	0	0
Piano -10	SLD 3	-56.9	12.72	-590.65	-56.9	12.72	-590.65	0	0	0
Piano -10	SLD 4	-56.9	12.72	-590.65	-56.9	12.72	-590.65	0	0	0
Piano -10	SLD 5	-17.54	-51.32	-591.06	-17.54	-51.32	-591.06	0	0	0
Piano -10	SLD 6	-17.54	-51.32	-591.06	-17.54	-51.32	-591.06	0	0	0
Piano -10	SLD 7	-16.68	49.85	-590.65	-16.68	49.85	-590.65	0	0	0
Piano -10	SLD 8	-16.68	49.85	-590.65	-16.68	49.85	-590.65	0	0	0
Piano -10	SLD 9	16.68	-49.85	-591.19	16.68	-49.85	-591.19	0	0	0
Piano -10	SLD 10	16.68	-49.85	-591.19	16.68	-49.85	-591.19	0	0	0
Piano -10	SLD 11	17.54	51.32	-590.78	17.54	51.32	-590.78	0	0	0
Piano -10	SLD 12	17.54	51.32	-590.78	17.54	51.32	-590.78	0	0	0
Piano -10	SLD 13	56.9	-12.72	-591.19	56.9	-12.72	-591.19	0	0	0
Piano -10	SLD 14	56.9	-12.72	-591.19	56.9	-12.72	-591.19	0	0	0
Piano -10	SLD 15	57.16	17.63	-591.06	57.16	17.63	-591.06	0	0	0
Piano -10	SLD 16	57.16	17.63	-591.06	57.16	17.63	-591.06	0	0	0
Piano -10	SLV 1	-142.87	-44.03	-590.56	-142.87	-44.03	-590.56	0	0	0
Piano -10	SLV 2	-142.87	-44.03	-590.56	-142.87	-44.03	-590.56	0	0	0
Piano -10	SLV 3	-142.23	31.73	-590.25	-142.23	31.73	-590.25	0	0	0
Piano -10	SLV 4	-142.23	31.73	-590.25	-142.23	31.73	-590.25	0	0	0
Piano -10	SLV 5	-43.83	-128.11	-591.28	-43.83	-128.11	-591.28	0	0	0
Piano -10	SLV 6	-43.83	-128.11	-591.28	-43.83	-128.11	-591.28	0	0	0
Piano -10	SLV 7	-41.7	124.42	-590.25	-41.7	124.42	-590.25	0	0	0
Piano -10	SLV 8	-41.7	124.42	-590.25	-41.7	124.42	-590.25	0	0	0
Piano -10	SLV 9	41.7	-124.42	-591.59	41.7	-124.42	-591.59	0	0	0
Piano -10	SLV 10	41.7	-124.42	-591.59	41.7	-124.42	-591.59	0	0	0
Piano -10	SLV 11	43.83	128.11	-590.56	43.83	128.11	-590.56	0	0	0
Piano -10	SLV 12	43.83	128.11	-590.56	43.83	128.11	-590.56	0	0	0
Piano -10	SLV 13	142.23	-31.73	-591.59	142.23	-31.73	-591.59	0	0	0
Piano -10	SLV 14	142.23	-31.73	-591.59	142.23	-31.73	-591.59	0	0	0
Piano -10	SLV 15	142.87	44.03	-591.28	142.87	44.03	-591.28	0	0	0
Piano -10	SLV 16	142.87	44.03	-591.28	142.87	44.03	-591.28	0	0	0
Piano -10	CRTFP Ux+	0.01	0	0	0.01	0	0	0	0	0
Piano -10	CRTFP Ux-	-0.01	0	0	-0.01	0	0	0	0	0
Piano -10	CRTFP Uy+	0	0.01	0	0	0.01	0	0	0	0
Piano -10	CRTFP Uy-	0	-0.01	0	0	-0.01	0	0	0	0
Piano -10	CRTFP Rz+	0	0	0	0	0	0	0	0	0
Piano -10	CRTFP Rz-	0	0	0	0	0	0	0	0	0
Piano 1	Pesi	0	0	-301.43	0	0	-301.43	0	0	0
Piano 1	Port.	0	0	-112.3	0	0	-112.3	0	0	0
Piano 1	Variabile C	0	0	-69.44	0	0	-69.44	0	0	0
Piano 1	Neve	0	0	-55.8	0	0	-55.8	0	0	0
Piano 1	Variabile H	0	0	-11.57	0	0	-11.57	0	0	0
Piano 1	X SLV	126.73	4.85	-0.34	126.73	4.85	-0.34	0	0	0
Piano 1	Y SLV	0.58	107.77	0.26	0.58	107.77	0.26	0	0	0

Livello	Cont.	Totale			Aste verticali			Pareti		
		F			F			F		
Nome	n.br.	X	Y	Z	X	Y	Z	X	Y	Z
Piano 1	EY SLV	0	0	0	0	0	0	0	0	0
Piano 1	EX SLV	0	0	0	0	0	0	0	0	0
Piano 1	X SLD	50.7	1.94	-0.13	50.7	1.94	-0.13	0	0	0
Piano 1	Y SLD	0.23	43.09	0.11	0.23	43.09	0.11	0	0	0
Piano 1	EY SLD	0	0	0	0	0	0	0	0	0
Piano 1	EX SLD	0	0	0	0	0	0	0	0	0
Piano 1	X SLO	57.83	2.21	-0.15	57.83	2.21	-0.15	0	0	0
Piano 1	Y SLO	0.26	49.14	0.12	0.26	49.14	0.12	0	0	0
Piano 1	EY SLO	0	0	0	0	0	0	0	0	0
Piano 1	EX SLO	0	0	0	0	0	0	0	0	0
Piano 1	R Ux	0.01	0	0	0.01	0	0	0	0	0
Piano 1	R Uy	0	0.01	0	0	0.01	0	0	0	0
Piano 1	R Rz	0	0	0	0	0	0	0	0	0
Piano 1	SLU 1	0	0	-391.27	0	0	-391.27	0	0	0
Piano 1	SLU 2	0	0	-408.63	0	0	-408.63	0	0	0
Piano 1	SLU 3	0	0	-450.48	0	0	-450.48	0	0	0
Piano 1	SLU 4	0	0	-474.97	0	0	-474.97	0	0	0
Piano 1	SLU 5	0	0	-481.55	0	0	-481.55	0	0	0
Piano 1	SLU 6	0	0	-523.4	0	0	-523.4	0	0	0
Piano 1	SLU 7	0	0	-547.89	0	0	-547.89	0	0	0
Piano 1	SLU 8	0	0	-495.44	0	0	-495.44	0	0	0
Piano 1	SLU 9	0	0	-537.29	0	0	-537.29	0	0	0
Piano 1	SLU 10	0	0	-469.89	0	0	-469.89	0	0	0
Piano 1	SLU 11	0	0	-487.25	0	0	-487.25	0	0	0
Piano 1	SLU 12	0	0	-529.1	0	0	-529.1	0	0	0
Piano 1	SLU 13	0	0	-553.59	0	0	-553.59	0	0	0
Piano 1	SLU 14	0	0	-560.16	0	0	-560.16	0	0	0
Piano 1	SLU 15	0	0	-602.01	0	0	-602.01	0	0	0
Piano 1	SLU 16	0	0	-626.5	0	0	-626.5	0	0	0
Piano 1	SLU 17	0	0	-574.05	0	0	-574.05	0	0	0
Piano 1	SLU 18	0	0	-615.9	0	0	-615.9	0	0	0
Piano 1	SLU 19	0	0	-481.7	0	0	-481.7	0	0	0
Piano 1	SLU 20	0	0	-499.06	0	0	-499.06	0	0	0
Piano 1	SLU 21	0	0	-540.91	0	0	-540.91	0	0	0
Piano 1	SLU 22	0	0	-565.4	0	0	-565.4	0	0	0
Piano 1	SLU 23	0	0	-571.98	0	0	-571.98	0	0	0
Piano 1	SLU 24	0	0	-613.83	0	0	-613.83	0	0	0
Piano 1	SLU 25	0	0	-638.32	0	0	-638.32	0	0	0
Piano 1	SLU 26	0	0	-585.87	0	0	-585.87	0	0	0
Piano 1	SLU 27	0	0	-627.72	0	0	-627.72	0	0	0
Piano 1	SLU 28	0	0	-560.32	0	0	-560.32	0	0	0
Piano 1	SLU 29	0	0	-577.68	0	0	-577.68	0	0	0
Piano 1	SLU 30	0	0	-619.53	0	0	-619.53	0	0	0
Piano 1	SLU 31	0	0	-644.02	0	0	-644.02	0	0	0
Piano 1	SLU 32	0	0	-650.59	0	0	-650.59	0	0	0
Piano 1	SLU 33	0	0	-692.44	0	0	-692.44	0	0	0
Piano 1	SLU 34	0	0	-716.93	0	0	-716.93	0	0	0
Piano 1	SLU 35	0	0	-664.48	0	0	-664.48	0	0	0
Piano 1	SLU 36	0	0	-706.33	0	0	-706.33	0	0	0
Piano 1	SLE RA 1	0	0	-413.73	0	0	-413.73	0	0	0
Piano 1	SLE RA 2	0	0	-425.31	0	0	-425.31	0	0	0
Piano 1	SLE RA 3	0	0	-453.21	0	0	-453.21	0	0	0
Piano 1	SLE RA 4	0	0	-469.53	0	0	-469.53	0	0	0
Piano 1	SLE RA 5	0	0	-473.92	0	0	-473.92	0	0	0
Piano 1	SLE RA 6	0	0	-501.82	0	0	-501.82	0	0	0
Piano 1	SLE RA 7	0	0	-518.14	0	0	-518.14	0	0	0
Piano 1	SLE RA 8	0	0	-483.18	0	0	-483.18	0	0	0
Piano 1	SLE RA 9	0	0	-511.08	0	0	-511.08	0	0	0
Piano 1	SLE FR 1	0	0	-413.73	0	0	-413.73	0	0	0
Piano 1	SLE FR 2	0	0	-424.89	0	0	-424.89	0	0	0
Piano 1	SLE FR 3	0	0	-466.56	0	0	-466.56	0	0	0
Piano 1	SLE FR 4	0	0	-462.34	0	0	-462.34	0	0	0
Piano 1	SLE QP 1	0	0	-413.73	0	0	-413.73	0	0	0
Piano 1	SLE QP 2	0	0	-455.4	0	0	-455.4	0	0	0
Piano 1	SLO 1	-57.91	-16.95	-455.28	-57.91	-16.95	-455.28	0	0	0
Piano 1	SLO 2	-57.91	-16.95	-455.28	-57.91	-16.95	-455.28	0	0	0
Piano 1	SLO 3	-57.75	12.53	-455.21	-57.75	12.53	-455.21	0	0	0
Piano 1	SLO 4	-57.75	12.53	-455.21	-57.75	12.53	-455.21	0	0	0
Piano 1	SLO 5	-17.61	-49.81	-455.48	-17.61	-49.81	-455.48	0	0	0
Piano 1	SLO 6	-17.61	-49.81	-455.48	-17.61	-49.81	-455.48	0	0	0
Piano 1	SLO 7	-17.09	48.48	-455.23	-17.09	48.48	-455.23	0	0	0
Piano 1	SLO 8	-17.09	48.48	-455.23	-17.09	48.48	-455.23	0	0	0
Piano 1	SLO 9	17.09	-48.48	-455.57	17.09	-48.48	-455.57	0	0	0
Piano 1	SLO 10	17.09	-48.48	-455.57	17.09	-48.48	-455.57	0	0	0
Piano 1	SLO 11	17.61	49.81	-455.32	17.61	49.81	-455.32	0	0	0
Piano 1	SLO 12	17.61	49.81	-455.32	17.61	49.81	-455.32	0	0	0
Piano 1	SLO 13	57.75	-12.53	-455.59	57.75	-12.53	-455.59	0	0	0
Piano 1	SLO 14	57.75	-12.53	-455.59	57.75	-12.53	-455.59	0	0	0
Piano 1	SLO 15	57.91	16.95	-455.51	57.91	16.95	-455.51	0	0	0
Piano 1	SLO 16	57.91	16.95	-455.51	57.91	16.95	-455.51	0	0	0
Piano 1	SLD 1	-50.77	-14.86	-455.3	-50.77	-14.86	-455.3	0	0	0
Piano 1	SLD 2	-50.77	-14.86	-455.3	-50.77	-14.86	-455.3	0	0	0
Piano 1	SLD 3	-50.63	10.99	-455.23	-50.63	10.99	-455.23	0	0	0
Piano 1	SLD 4	-50.63	10.99	-455.23	-50.63	10.99	-455.23	0	0	0
Piano 1	SLD 5	-15.44	-43.67	-455.47	-15.44	-43.67	-455.47	0	0	0
Piano 1	SLD 6	-15.44	-43.67	-455.47	-15.44	-43.67	-455.47	0	0	0
Piano 1	SLD 7	-14.98	42.51	-455.25	-14.98	42.51	-455.25	0	0	0
Piano 1	SLD 8	-14.98	42.51	-455.25	-14.98	42.51	-455.25	0	0	0
Piano 1	SLD 9	14.98	-42.51	-455.55	14.98	-42.51	-455.55	0	0	0
Piano 1	SLD 10	14.98	-42.51	-455.55	14.98	-42.51	-455.55	0	0	0
Piano 1	SLD 11	15.44	43.67	-455.33	15.44	43.67	-455.33	0	0	0
Piano 1	SLD 12	15.44	43.67	-455.33	15.44	43.67	-455.33	0	0	0
Piano 1	SLD 13	50.63	-10.99	-455.57	50.63	-10.99	-455.57	0	0	0
Piano 1	SLD 14	50.63	-10.99	-455.57	50.63	-10.99	-455.57	0	0	0
Piano 1	SLD 15	50.77	14.86	-455.5	50.77	14.86	-455.5	0	0	0
Piano 1	SLD 16	50.77	14.86	-455.5	50.77	14.86	-455.5	0	0	0
Piano 1	SLV 1	-126.91	-37.18	-455.14	-126.91	-37.18	-455.14	0	0	0
Piano 1	SLV 2	-126.91	-37.18	-455.14	-126.91	-37.18	-455.14	0	0	0
Piano 1	SLV 3	-126.56	27.48	-454.98	-126.56	27.48	-454.98	0	0	0

Livello	Cont.	Totale			Aste verticali			Pareti		
		F			F			F		
Nome	n.br.	X	Y	Z	X	Y	Z	X	Y	Z
Piano 1	SLV 4	-126.56	27.48	-454.98	-126.56	27.48	-454.98	0	0	0
Piano 1	SLV 5	-38.6	-109.23	-455.56	-38.6	-109.23	-455.56	0	0	0
Piano 1	SLV 6	-38.6	-109.23	-455.56	-38.6	-109.23	-455.56	0	0	0
Piano 1	SLV 7	-37.44	106.32	-455.04	-37.44	106.32	-455.04	0	0	0
Piano 1	SLV 8	-37.44	106.32	-455.04	-37.44	106.32	-455.04	0	0	0
Piano 1	SLV 9	37.44	-106.32	-455.76	37.44	-106.32	-455.76	0	0	0
Piano 1	SLV 10	37.44	-106.32	-455.76	37.44	-106.32	-455.76	0	0	0
Piano 1	SLV 11	38.6	109.23	-455.24	38.6	109.23	-455.24	0	0	0
Piano 1	SLV 12	38.6	109.23	-455.24	38.6	109.23	-455.24	0	0	0
Piano 1	SLV 13	126.56	-27.48	-455.81	126.56	-27.48	-455.81	0	0	0
Piano 1	SLV 14	126.56	-27.48	-455.81	126.56	-27.48	-455.81	0	0	0
Piano 1	SLV 15	126.91	37.18	-455.66	126.91	37.18	-455.66	0	0	0
Piano 1	SLV 16	126.91	37.18	-455.66	126.91	37.18	-455.66	0	0	0
Piano 1	CRTFP Ux+	0.01	0	0	0.01	0	0	0	0	0
Piano 1	CRTFP Ux-	-0.01	0	0	-0.01	0	0	0	0	0
Piano 1	CRTFP Uy+	0	0.01	0	0	0.01	0	0	0	0
Piano 1	CRTFP Uy-	0	-0.01	0	0	-0.01	0	0	0	0
Piano 1	CRTFP Rz+	0	0	0	0	0	0	0	0	0
Piano 1	CRTFP Rz-	0	0	0	0	0	0	0	0	0
Piano 2	Pesi	0	0	-171.61	0	0	-171.61	0	0	0
Piano 2	Port.	0	0	-77.58	0	0	-77.58	0	0	0
Piano 2	Variabile C	0	0	0	0	0	0	0	0	0
Piano 2	Neve	0	0	-55.8	0	0	-55.8	0	0	0
Piano 2	Variabile H	0	0	-11.57	0	0	-11.57	0	0	0
Piano 2	X SLV	78.92	0.34	-0.11	78.92	0.34	-0.11	0	0	0
Piano 2	Y SLV	0.68	72.14	0.06	0.68	72.14	0.06	0	0	0
Piano 2	EY SLV	0	0	0	0	0	0	0	0	0
Piano 2	EX SLV	0	0	0	0	0	0	0	0	0
Piano 2	X SLD	31.7	0.13	-0.04	31.7	0.13	-0.04	0	0	0
Piano 2	Y SLD	0.29	29.02	0.03	0.29	29.02	0.03	0	0	0
Piano 2	EY SLD	0	0	0	0	0	0	0	0	0
Piano 2	EX SLD	0	0	0	0	0	0	0	0	0
Piano 2	X SLO	36.24	0.15	-0.05	36.24	0.15	-0.05	0	0	0
Piano 2	Y SLO	0.34	33.23	0.03	0.34	33.23	0.03	0	0	0
Piano 2	EY SLO	0	0	0	0	0	0	0	0	0
Piano 2	EX SLO	0	0	0	0	0	0	0	0	0
Piano 2	R Ux	0.01	0	0	0.01	0	0	0	0	0
Piano 2	R Uy	0	0.01	0	0	0.01	0	0	0	0
Piano 2	R Rz	0	0	0	0	0	0	0	0	0
Piano 2	SLU 1	0	0	-233.68	0	0	-233.68	0	0	0
Piano 2	SLU 2	0	0	-251.04	0	0	-251.04	0	0	0
Piano 2	SLU 3	0	0	-292.89	0	0	-292.89	0	0	0
Piano 2	SLU 4	0	0	-317.38	0	0	-317.38	0	0	0
Piano 2	SLU 5	0	0	-251.04	0	0	-251.04	0	0	0
Piano 2	SLU 6	0	0	-292.89	0	0	-292.89	0	0	0
Piano 2	SLU 7	0	0	-317.38	0	0	-317.38	0	0	0
Piano 2	SLU 8	0	0	-233.68	0	0	-233.68	0	0	0
Piano 2	SLU 9	0	0	-275.53	0	0	-275.53	0	0	0
Piano 2	SLU 10	0	0	-287.98	0	0	-287.98	0	0	0
Piano 2	SLU 11	0	0	-305.34	0	0	-305.34	0	0	0
Piano 2	SLU 12	0	0	-347.19	0	0	-347.19	0	0	0
Piano 2	SLU 13	0	0	-371.68	0	0	-371.68	0	0	0
Piano 2	SLU 14	0	0	-305.34	0	0	-305.34	0	0	0
Piano 2	SLU 15	0	0	-347.19	0	0	-347.19	0	0	0
Piano 2	SLU 16	0	0	-371.68	0	0	-371.68	0	0	0
Piano 2	SLU 17	0	0	-287.98	0	0	-287.98	0	0	0
Piano 2	SLU 18	0	0	-329.83	0	0	-329.83	0	0	0
Piano 2	SLU 19	0	0	-285.16	0	0	-285.16	0	0	0
Piano 2	SLU 20	0	0	-302.52	0	0	-302.52	0	0	0
Piano 2	SLU 21	0	0	-344.37	0	0	-344.37	0	0	0
Piano 2	SLU 22	0	0	-368.86	0	0	-368.86	0	0	0
Piano 2	SLU 23	0	0	-302.52	0	0	-302.52	0	0	0
Piano 2	SLU 24	0	0	-344.37	0	0	-344.37	0	0	0
Piano 2	SLU 25	0	0	-368.86	0	0	-368.86	0	0	0
Piano 2	SLU 26	0	0	-285.16	0	0	-285.16	0	0	0
Piano 2	SLU 27	0	0	-327.01	0	0	-327.01	0	0	0
Piano 2	SLU 28	0	0	-339.47	0	0	-339.47	0	0	0
Piano 2	SLU 29	0	0	-356.83	0	0	-356.83	0	0	0
Piano 2	SLU 30	0	0	-398.68	0	0	-398.68	0	0	0
Piano 2	SLU 31	0	0	-423.17	0	0	-423.17	0	0	0
Piano 2	SLU 32	0	0	-356.83	0	0	-356.83	0	0	0
Piano 2	SLU 33	0	0	-398.68	0	0	-398.68	0	0	0
Piano 2	SLU 34	0	0	-423.17	0	0	-423.17	0	0	0
Piano 2	SLU 35	0	0	-339.47	0	0	-339.47	0	0	0
Piano 2	SLU 36	0	0	-381.32	0	0	-381.32	0	0	0
Piano 2	SLE RA 1	0	0	-249.19	0	0	-249.19	0	0	0
Piano 2	SLE RA 2	0	0	-260.77	0	0	-260.77	0	0	0
Piano 2	SLE RA 3	0	0	-288.67	0	0	-288.67	0	0	0
Piano 2	SLE RA 4	0	0	-304.99	0	0	-304.99	0	0	0
Piano 2	SLE RA 5	0	0	-260.77	0	0	-260.77	0	0	0
Piano 2	SLE RA 6	0	0	-288.67	0	0	-288.67	0	0	0
Piano 2	SLE RA 7	0	0	-304.99	0	0	-304.99	0	0	0
Piano 2	SLE RA 8	0	0	-249.19	0	0	-249.19	0	0	0
Piano 2	SLE RA 9	0	0	-277.09	0	0	-277.09	0	0	0
Piano 2	SLE FR 1	0	0	-249.19	0	0	-249.19	0	0	0
Piano 2	SLE FR 2	0	0	-260.35	0	0	-260.35	0	0	0
Piano 2	SLE FR 3	0	0	-260.35	0	0	-260.35	0	0	0
Piano 2	SLE FR 4	0	0	-249.19	0	0	-249.19	0	0	0
Piano 2	SLE QP 1	0	0	-249.19	0	0	-249.19	0	0	0
Piano 2	SLE QP 2	0	0	-249.19	0	0	-249.19	0	0	0
Piano 2	SLO 1	-36.34	-10.12	-249.15	-36.34	-10.12	-249.15	0	0	0
Piano 2	SLO 2	-36.34	-10.12	-249.15	-36.34	-10.12	-249.15	0	0	0
Piano 2	SLO 3	-36.14	9.82	-249.13	-36.14	9.82	-249.13	0	0	0
Piano 2	SLO 4	-36.14	9.82	-249.13	-36.14	9.82	-249.13	0	0	0
Piano 2	SLO 5	-11.21	-33.27	-249.21	-11.21	-33.27	-249.21	0	0	0
Piano 2	SLO 6	-11.21	-33.27	-249.21	-11.21	-33.27	-249.21	0	0	0
Piano 2	SLO 7	-10.54	33.19	-249.15	-10.54	33.19	-249.15	0	0	0
Piano 2	SLO 8	-10.54	33.19	-249.15	-10.54	33.19	-249.15	0	0	0
Piano 2	SLO 9	10.54	-33.19	-249.24	10.54	-33.19	-249.24	0	0	0

Livello	Cont.	Totale			Aste verticali			Pareti		
		F			F			F		
Nome	n.br.	X	Y	Z	X	Y	Z	X	Y	Z
Piano 2	SLO 10	10.54	-33.19	-249.24	10.54	-33.19	-249.24	0	0	0
Piano 2	SLO 11	11.21	33.27	-249.18	11.21	33.27	-249.18	0	0	0
Piano 2	SLO 12	11.21	33.27	-249.18	11.21	33.27	-249.18	0	0	0
Piano 2	SLO 13	36.14	-9.82	-249.25	36.14	-9.82	-249.25	0	0	0
Piano 2	SLO 14	36.14	-9.82	-249.25	36.14	-9.82	-249.25	0	0	0
Piano 2	SLO 15	36.34	10.12	-249.23	36.34	10.12	-249.23	0	0	0
Piano 2	SLO 16	36.34	10.12	-249.23	36.34	10.12	-249.23	0	0	0
Piano 2	SLD 1	-31.78	-8.84	-249.16	-31.78	-8.84	-249.16	0	0	0
Piano 2	SLD 2	-31.78	-8.84	-249.16	-31.78	-8.84	-249.16	0	0	0
Piano 2	SLD 3	-31.61	8.58	-249.14	-31.61	8.58	-249.14	0	0	0
Piano 2	SLD 4	-31.61	8.58	-249.14	-31.61	8.58	-249.14	0	0	0
Piano 2	SLD 5	-9.79	-29.06	-249.21	-9.79	-29.06	-249.21	0	0	0
Piano 2	SLD 6	-9.79	-29.06	-249.21	-9.79	-29.06	-249.21	0	0	0
Piano 2	SLD 7	-9.22	28.99	-249.15	-9.22	28.99	-249.15	0	0	0
Piano 2	SLD 8	-9.22	28.99	-249.15	-9.22	28.99	-249.15	0	0	0
Piano 2	SLD 9	9.22	-28.99	-249.23	9.22	-28.99	-249.23	0	0	0
Piano 2	SLD 10	9.22	-28.99	-249.23	9.22	-28.99	-249.23	0	0	0
Piano 2	SLD 11	9.79	29.06	-249.18	9.79	29.06	-249.18	0	0	0
Piano 2	SLD 12	9.79	29.06	-249.18	9.79	29.06	-249.18	0	0	0
Piano 2	SLD 13	31.61	-8.58	-249.24	31.61	-8.58	-249.24	0	0	0
Piano 2	SLD 14	31.61	-8.58	-249.24	31.61	-8.58	-249.24	0	0	0
Piano 2	SLD 15	31.78	8.84	-249.23	31.78	8.84	-249.23	0	0	0
Piano 2	SLD 16	31.78	8.84	-249.23	31.78	8.84	-249.23	0	0	0
Piano 2	SLV 1	-79.13	-21.98	-249.1	-79.13	-21.98	-249.1	0	0	0
Piano 2	SLV 2	-79.13	-21.98	-249.1	-79.13	-21.98	-249.1	0	0	0
Piano 2	SLV 3	-78.72	21.31	-249.06	-78.72	21.31	-249.06	0	0	0
Piano 2	SLV 4	-78.72	21.31	-249.06	-78.72	21.31	-249.06	0	0	0
Piano 2	SLV 5	-24.35	-72.24	-249.22	-24.35	-72.24	-249.22	0	0	0
Piano 2	SLV 6	-24.35	-72.24	-249.22	-24.35	-72.24	-249.22	0	0	0
Piano 2	SLV 7	-23	72.04	-249.1	-23	72.04	-249.1	0	0	0
Piano 2	SLV 8	-23	72.04	-249.1	-23	72.04	-249.1	0	0	0
Piano 2	SLV 9	23	-72.04	-249.29	23	-72.04	-249.29	0	0	0
Piano 2	SLV 10	23	-72.04	-249.29	23	-72.04	-249.29	0	0	0
Piano 2	SLV 11	24.35	72.24	-249.16	24.35	72.24	-249.16	0	0	0
Piano 2	SLV 12	24.35	72.24	-249.16	24.35	72.24	-249.16	0	0	0
Piano 2	SLV 13	78.72	-21.31	-249.32	78.72	-21.31	-249.32	0	0	0
Piano 2	SLV 14	78.72	-21.31	-249.32	78.72	-21.31	-249.32	0	0	0
Piano 2	SLV 15	79.13	21.98	-249.28	79.13	21.98	-249.28	0	0	0
Piano 2	SLV 16	79.13	21.98	-249.28	79.13	21.98	-249.28	0	0	0
Piano 2	CRTFP Ux+	0.01	0	0	0.01	0	0	0	0	0
Piano 2	CRTFP Ux-	-0.01	0	0	-0.01	0	0	0	0	0
Piano 2	CRTFP Uy+	0	0.01	0	0	0.01	0	0	0	0
Piano 2	CRTFP Uy-	0	-0.01	0	0	-0.01	0	0	0	0
Piano 2	CRTFP Rz+	0	0	0	0	0	0	0	0	0
Piano 2	CRTFP Rz-	0	0	0	0	0	0	0	0	0
Piano 3	Pesi	0	0	-5.75	0	0	-5.75	0	0	0
Piano 3	Port.	0	0	-3.54	0	0	-3.54	0	0	0
Piano 3	Variabile C	0	0	0	0	0	0	0	0	0
Piano 3	Neve	0	0	-4.6	0	0	-4.6	0	0	0
Piano 3	Variabile H	0	0	0	0	0	0	0	0	0
Piano 3	X SLV	2.4	-0.15	0	2.4	-0.15	0	0	0	0
Piano 3	Y SLV	0.53	2.27	0	0.53	2.27	0	0	0	0
Piano 3	EY SLV	0	0	0	0	0	0	0	0	0
Piano 3	EX SLV	0	0	0	0	0	0	0	0	0
Piano 3	X SLD	0.97	-0.06	0	0.97	-0.06	0	0	0	0
Piano 3	Y SLD	0.23	0.91	0	0.23	0.91	0	0	0	0
Piano 3	EY SLD	0	0	0	0	0	0	0	0	0
Piano 3	EX SLD	0	0	0	0	0	0	0	0	0
Piano 3	X SLO	1.11	-0.07	0	1.11	-0.07	0	0	0	0
Piano 3	Y SLO	0.27	1.03	0	0.27	1.03	0	0	0	0
Piano 3	EY SLO	0	0	0	0	0	0	0	0	0
Piano 3	EX SLO	0	0	0	0	0	0	0	0	0
Piano 3	R Ux	0	0	0	0	0	0	0	0	0
Piano 3	R Uy	0	0	0	0	0	0	0	0	0
Piano 3	R Rz	0	0	0	0	0	0	0	0	0
Piano 3	SLU 1	0	0	-8.58	0	0	-8.58	0	0	0
Piano 3	SLU 2	0	0	-8.58	0	0	-8.58	0	0	0
Piano 3	SLU 3	0	0	-12.03	0	0	-12.03	0	0	0
Piano 3	SLU 4	0	0	-15.48	0	0	-15.48	0	0	0
Piano 3	SLU 5	0	0	-8.58	0	0	-8.58	0	0	0
Piano 3	SLU 6	0	0	-12.03	0	0	-12.03	0	0	0
Piano 3	SLU 7	0	0	-15.48	0	0	-15.48	0	0	0
Piano 3	SLU 8	0	0	-8.58	0	0	-8.58	0	0	0
Piano 3	SLU 9	0	0	-12.03	0	0	-12.03	0	0	0
Piano 3	SLU 10	0	0	-11.06	0	0	-11.06	0	0	0
Piano 3	SLU 11	0	0	-11.06	0	0	-11.06	0	0	0
Piano 3	SLU 12	0	0	-14.51	0	0	-14.51	0	0	0
Piano 3	SLU 13	0	0	-17.96	0	0	-17.96	0	0	0
Piano 3	SLU 14	0	0	-11.06	0	0	-11.06	0	0	0
Piano 3	SLU 15	0	0	-14.51	0	0	-14.51	0	0	0
Piano 3	SLU 16	0	0	-17.96	0	0	-17.96	0	0	0
Piano 3	SLU 17	0	0	-11.06	0	0	-11.06	0	0	0
Piano 3	SLU 18	0	0	-14.51	0	0	-14.51	0	0	0
Piano 3	SLU 19	0	0	-10.31	0	0	-10.31	0	0	0
Piano 3	SLU 20	0	0	-10.31	0	0	-10.31	0	0	0
Piano 3	SLU 21	0	0	-13.76	0	0	-13.76	0	0	0
Piano 3	SLU 22	0	0	-17.21	0	0	-17.21	0	0	0
Piano 3	SLU 23	0	0	-10.31	0	0	-10.31	0	0	0
Piano 3	SLU 24	0	0	-13.76	0	0	-13.76	0	0	0
Piano 3	SLU 25	0	0	-17.21	0	0	-17.21	0	0	0
Piano 3	SLU 26	0	0	-10.31	0	0	-10.31	0	0	0
Piano 3	SLU 27	0	0	-13.76	0	0	-13.76	0	0	0
Piano 3	SLU 28	0	0	-12.78	0	0	-12.78	0	0	0
Piano 3	SLU 29	0	0	-12.78	0	0	-12.78	0	0	0
Piano 3	SLU 30	0	0	-16.23	0	0	-16.23	0	0	0
Piano 3	SLU 31	0	0	-19.68	0	0	-19.68	0	0	0
Piano 3	SLU 32	0	0	-12.78	0	0	-12.78	0	0	0
Piano 3	SLU 33	0	0	-16.23	0	0	-16.23	0	0	0
Piano 3	SLU 34	0	0	-19.68	0	0	-19.68	0	0	0

Livello Nome	Cont. n.br.	Totale			Aste verticali			Pareti		
		F			F			F		
		X	Y	Z	X	Y	Z	X	Y	Z
Piano 3	SLU 35	0	0	-12.78	0	0	-12.78	0	0	0
Piano 3	SLU 36	0	0	-16.23	0	0	-16.23	0	0	0
Piano 3	SLE RA 1	0	0	-9.29	0	0	-9.29	0	0	0
Piano 3	SLE RA 2	0	0	-9.29	0	0	-9.29	0	0	0
Piano 3	SLE RA 3	0	0	-11.59	0	0	-11.59	0	0	0
Piano 3	SLE RA 4	0	0	-13.89	0	0	-13.89	0	0	0
Piano 3	SLE RA 5	0	0	-9.29	0	0	-9.29	0	0	0
Piano 3	SLE RA 6	0	0	-11.59	0	0	-11.59	0	0	0
Piano 3	SLE RA 7	0	0	-13.89	0	0	-13.89	0	0	0
Piano 3	SLE RA 8	0	0	-9.29	0	0	-9.29	0	0	0
Piano 3	SLE RA 9	0	0	-11.59	0	0	-11.59	0	0	0
Piano 3	SLE FR 1	0	0	-9.29	0	0	-9.29	0	0	0
Piano 3	SLE FR 2	0	0	-10.21	0	0	-10.21	0	0	0
Piano 3	SLE FR 3	0	0	-10.21	0	0	-10.21	0	0	0
Piano 3	SLE FR 4	0	0	-9.29	0	0	-9.29	0	0	0
Piano 3	SLE QP 1	0	0	-9.29	0	0	-9.29	0	0	0
Piano 3	SLE QP 2	0	0	-9.29	0	0	-9.29	0	0	0
Piano 3	SLO 1	-1.19	-0.24	-9.29	-1.19	-0.24	-9.29	0	0	0
Piano 3	SLO 2	-1.19	-0.24	-9.29	-1.19	-0.24	-9.29	0	0	0
Piano 3	SLO 3	-1.03	0.38	-9.29	-1.03	0.38	-9.29	0	0	0
Piano 3	SLO 4	-1.03	0.38	-9.29	-1.03	0.38	-9.29	0	0	0
Piano 3	SLO 5	-0.6	-1.01	-9.29	-0.6	-1.01	-9.29	0	0	0
Piano 3	SLO 6	-0.6	-1.01	-9.29	-0.6	-1.01	-9.29	0	0	0
Piano 3	SLO 7	-0.06	1.06	-9.29	-0.06	1.06	-9.29	0	0	0
Piano 3	SLO 8	-0.06	1.06	-9.29	-0.06	1.06	-9.29	0	0	0
Piano 3	SLO 9	0.06	-1.06	-9.29	0.06	-1.06	-9.29	0	0	0
Piano 3	SLO 10	0.06	-1.06	-9.29	0.06	-1.06	-9.29	0	0	0
Piano 3	SLO 11	0.6	1.01	-9.29	0.6	1.01	-9.29	0	0	0
Piano 3	SLO 12	0.6	1.01	-9.29	0.6	1.01	-9.29	0	0	0
Piano 3	SLO 13	1.03	-0.38	-9.29	1.03	-0.38	-9.29	0	0	0
Piano 3	SLO 14	1.03	-0.38	-9.29	1.03	-0.38	-9.29	0	0	0
Piano 3	SLO 15	1.19	0.24	-9.29	1.19	0.24	-9.29	0	0	0
Piano 3	SLO 16	1.19	0.24	-9.29	1.19	0.24	-9.29	0	0	0
Piano 3	SLD 1	-1.04	-0.21	-9.29	-1.04	-0.21	-9.29	0	0	0
Piano 3	SLD 2	-1.04	-0.21	-9.29	-1.04	-0.21	-9.29	0	0	0
Piano 3	SLD 3	-0.9	0.33	-9.29	-0.9	0.33	-9.29	0	0	0
Piano 3	SLD 4	-0.9	0.33	-9.29	-0.9	0.33	-9.29	0	0	0
Piano 3	SLD 5	-0.52	-0.89	-9.29	-0.52	-0.89	-9.29	0	0	0
Piano 3	SLD 6	-0.52	-0.89	-9.29	-0.52	-0.89	-9.29	0	0	0
Piano 3	SLD 7	-0.06	0.93	-9.29	-0.06	0.93	-9.29	0	0	0
Piano 3	SLD 8	-0.06	0.93	-9.29	-0.06	0.93	-9.29	0	0	0
Piano 3	SLD 9	0.06	-0.93	-9.29	0.06	-0.93	-9.29	0	0	0
Piano 3	SLD 10	0.06	-0.93	-9.29	0.06	-0.93	-9.29	0	0	0
Piano 3	SLD 11	0.52	0.89	-9.29	0.52	0.89	-9.29	0	0	0
Piano 3	SLD 12	0.52	0.89	-9.29	0.52	0.89	-9.29	0	0	0
Piano 3	SLD 13	0.9	-0.33	-9.29	0.9	-0.33	-9.29	0	0	0
Piano 3	SLD 14	0.9	-0.33	-9.29	0.9	-0.33	-9.29	0	0	0
Piano 3	SLD 15	1.04	0.21	-9.29	1.04	0.21	-9.29	0	0	0
Piano 3	SLD 16	1.04	0.21	-9.29	1.04	0.21	-9.29	0	0	0
Piano 3	SLV 1	-2.56	-0.53	-9.29	-2.56	-0.53	-9.29	0	0	0
Piano 3	SLV 2	-2.56	-0.53	-9.29	-2.56	-0.53	-9.29	0	0	0
Piano 3	SLV 3	-2.24	0.83	-9.29	-2.24	0.83	-9.29	0	0	0
Piano 3	SLV 4	-2.24	0.83	-9.29	-2.24	0.83	-9.29	0	0	0
Piano 3	SLV 5	-1.25	-2.22	-9.29	-1.25	-2.22	-9.29	0	0	0
Piano 3	SLV 6	-1.25	-2.22	-9.29	-1.25	-2.22	-9.29	0	0	0
Piano 3	SLV 7	-0.19	2.31	-9.29	-0.19	2.31	-9.29	0	0	0
Piano 3	SLV 8	-0.19	2.31	-9.29	-0.19	2.31	-9.29	0	0	0
Piano 3	SLV 9	0.19	-2.31	-9.29	0.19	-2.31	-9.29	0	0	0
Piano 3	SLV 10	0.19	-2.31	-9.29	0.19	-2.31	-9.29	0	0	0
Piano 3	SLV 11	1.25	2.22	-9.29	1.25	2.22	-9.29	0	0	0
Piano 3	SLV 12	1.25	2.22	-9.29	1.25	2.22	-9.29	0	0	0
Piano 3	SLV 13	2.24	-0.83	-9.29	2.24	-0.83	-9.29	0	0	0
Piano 3	SLV 14	2.24	-0.83	-9.29	2.24	-0.83	-9.29	0	0	0
Piano 3	SLV 15	2.56	0.53	-9.29	2.56	0.53	-9.29	0	0	0
Piano 3	SLV 16	2.56	0.53	-9.29	2.56	0.53	-9.29	0	0	0
Piano 3	CRTFP Ux+	0	0	0	0	0	0	0	0	0
Piano 3	CRTFP Ux-	0	0	0	0	0	0	0	0	0
Piano 3	CRTFP Uy+	0	0	0	0	0	0	0	0	0
Piano 3	CRTFP Uy-	0	0	0	0	0	0	0	0	0
Piano 3	CRTFP Rz+	0	0	0	0	0	0	0	0	0
Piano 3	CRTFP Rz-	0	0	0	0	0	0	0	0	0

4.4 Baricentri delle rigidzze

Quota: Quota alla quale è stato valutato il baricentro delle rigidzze. esprimibile come livello, falda, piano orizzontale alla Z specificata. [m]

Posizione: Posizione in pianta del baricentro delle rigidzze.

X: Coordinata X. [m]

Y: Coordinata Y. [m]

Baricentro masse: Posizione in pianta del baricentro delle masse.

X: Coordinata X. [m]

Y: Coordinata Y. [m]

Distanza: Distanza in pianta tra il baricentro delle rigidzze e il baricentro delle masse.

X: Coordinata X. [m]

Y: Coordinata Y. [m]

Quota	Posizione		Baricentro masse		Distanza	
	X	Y	X	Y	X	Y
L3	12.343	22.9	12.511	22.9	-0.168	0
L4	12.374	22.9	12.714	23.094	-0.34	-0.194
L5	12.469	22.9	12.671	23.05	-0.202	-0.15

4.5 Risposta modale

Modo: Identificativo del modo di vibrare.

Periodo: Periodo. [s]

Massa X: Massa partecipante in direzione globale X. Il valore è adimensionale.

Massa Y: Massa partecipante in direzione globale Y. Il valore è adimensionale.

Massa Z: Massa partecipante in direzione globale Z. Il valore è adimensionale.

Massa rot X: Massa rotazionale partecipante attorno la direzione globale X. Il valore è adimensionale.

Massa rot Y: Massa rotazionale partecipante attorno la direzione globale Y. Il valore è adimensionale.

Massa rot Z: Massa rotazionale partecipante attorno la direzione globale Z. Il valore è adimensionale.

Totale masse partecipanti:

Traslazione X: 0.982707

Traslazione Y: 0.9721

Traslazione Z: 0

Rotazione X: 0.999738

Rotazione Y: 0.998919

Rotazione Z: 0.984082

Modo	Periodo	Massa X	Massa Y	Massa Z	Massa rot X	Massa rot Y	Massa rot Z
1	0.859517945	0.000000537	0.034898955	0	0.077294121	0.000000669	0.007103534
2	0.56435793	0.015676206	0.759176351	0	0.850840452	0.017539647	0.306489792
3	0.539585576	0.84773612	0.023728022	0	0.02670834	0.942585761	0.552868487
4	0.476270923	0.028105296	0.038586675	0	0.044347471	0.030392834	0.018599048
5	0.200827234	0.070976043	0.00004697	0	0.000004602	0.00718164	0.057601018
6	0.17736853	0.00171301	0.013818049	0	0.000216932	0.000136168	0.002245675
7	0.163342568	0.000098649	0.091784005	0	0.000244022	0.000003782	0.01960449
8	0.03089609	0.002352802	0.00596236	0	0.000043954	0.000260888	0.000075809
9	0.020166014	0.016048514	0.004098825	0	0.000038134	0.000817319	0.019494172

4.6 Equilibrio forze

Contributo: Nome attribuito al sistema risultante.

Fx: Componente X di forza del sistema risultante. [kN]

Fy: Componente Y di forza del sistema risultante. [kN]

Fz: Componente Z di forza del sistema risultante. [kN]

Mx: Componente di momento attorno l'asse X del sistema risultante. [kN*m]

My: Componente di momento attorno l'asse Y del sistema risultante. [kN*m]

Mz: Componente di momento attorno l'asse Z del sistema risultante. [kN*m]

Bilancio in condizione di carico: Pesi strutturali

Contributo	Fx	Fy	Fz	Mx	My	Mz
Forze applicate	0	0	-449.25341	-10336.9845	5661.5481	0
Reazioni	0	0	449.25341	10336.9845	-5661.5481	0
P-Delta	0	0	0	0	0	0
Totale	0	0	0	0	0	0

Bilancio in condizione di carico: Permanenti portati

Contributo	Fx	Fy	Fz	Mx	My	Mz
Forze applicate	0	0	-112.3016	-2589.4714	1421.4734	0
Reazioni	0	0	112.3016	2589.4714	-1421.4734	0
P-Delta	0	0	0	0	0	0
Totale	0	0	0	0	0	0

Bilancio in condizione di carico: Variabile C

Contributo	Fx	Fy	Fz	Mx	My	Mz
Forze applicate	0	0	-69.4416	-1607.5349	886.0514	0
Reazioni	0	0	69.4416	1607.5349	-886.0514	0
P-Delta	0	0	0	0	0	0
Totale	0	0	0	0	0	0

Bilancio in condizione di carico: Neve

Contributo	Fx	Fy	Fz	Mx	My	Mz
Forze applicate	0	0	-55.8	-1278.395	697.0802	0
Reazioni	0	0	55.8	1278.395	-697.0802	0
P-Delta	0	0	0	0	0	0
Totale	0	0	0	0	0	0

Bilancio in condizione di carico: Variabile H

Contributo	Fx	Fy	Fz	Mx	My	Mz
Forze applicate	0	0	-11.5736	-267.9225	147.6752	0
Reazioni	0	0	11.5736	267.9225	-147.6752	0
P-Delta	0	0	0	0	0	0
Totale	0	0	0	0	0	0

Bilancio in condizione di carico: Sisma X SLV

Contributo	Fx	Fy	Fz	Mx	My	Mz
Forze applicate	137.34463	0	0	0	827.2259	-3164.7126
Reazioni	-137.34463	0	0	0	-827.2259	3164.7126
P-Delta	0	0	0	0	0	0
Totale	0	0	0	0	0	0

Bilancio in condizione di carico: Sisma Y SLV

Contributo	Fx	Fy	Fz	Mx	My	Mz
Forze applicate	0	131.31592	0	-790.915	0	1660.085

Contributo	Fx	Fy	Fz	Mx	My	Mz
Reazioni	0	-131.31592	0	790.915	0	-1660.085
P-Delta	0	0	0	0	0	0
Totale	0	0	0	0	0	0

Bilancio in condizione di carico: Eccentricità Y per sisma X SLV

Contributo	Fx	Fy	Fz	Mx	My	Mz
Forze applicate	0	0	0	0	0	-39.1105
Reazioni	0	0	0	0	0	39.1105
P-Delta	0	0	0	0	0	0
Totale	0	0	0	0	0	0

Bilancio in condizione di carico: Eccentricità X per sisma Y SLV

Contributo	Fx	Fy	Fz	Mx	My	Mz
Forze applicate	0	0	0	0	0	24.665
Reazioni	0	0	0	0	0	-24.665
P-Delta	0	0	0	0	0	0
Totale	0	0	0	0	0	0

Bilancio in condizione di carico: Sisma X SLD

Contributo	Fx	Fy	Fz	Mx	My	Mz
Forze applicate	54.89931	0	0	0	330.6583	-1264.9971
Reazioni	-54.89931	0	0	0	-330.6583	1264.9971
P-Delta	0	0	0	0	0	0
Totale	0	0	0	0	0	0

Bilancio in condizione di carico: Sisma Y SLD

Contributo	Fx	Fy	Fz	Mx	My	Mz
Forze applicate	0	52.48952	0	-316.1441	0	663.5682
Reazioni	0	-52.48952	0	316.1441	0	-663.5682
P-Delta	0	0	0	0	0	0
Totale	0	0	0	0	0	0

Bilancio in condizione di carico: Eccentricità Y per sisma X SLD

Contributo	Fx	Fy	Fz	Mx	My	Mz
Forze applicate	0	0	0	0	0	-15.6332
Reazioni	0	0	0	0	0	15.6332
P-Delta	0	0	0	0	0	0
Totale	0	0	0	0	0	0

Bilancio in condizione di carico: Eccentricità X per sisma Y SLD

Contributo	Fx	Fy	Fz	Mx	My	Mz
Forze applicate	0	0	0	0	0	9.8591
Reazioni	0	0	0	0	0	-9.8591
P-Delta	0	0	0	0	0	0
Totale	0	0	0	0	0	0

Bilancio in condizione di carico: Sisma X SLO

Contributo	Fx	Fy	Fz	Mx	My	Mz
Forze applicate	62.60302	0	0	0	377.0577	-1442.5069
Reazioni	-62.60302	0	0	0	-377.0577	1442.5069
P-Delta	0	0	0	0	0	0
Totale	0	0	0	0	0	0

Bilancio in condizione di carico: Sisma Y SLO

Contributo	Fx	Fy	Fz	Mx	My	Mz
Forze applicate	0	59.85508	0	-360.5068	0	756.683
Reazioni	0	-59.85508	0	360.5068	0	-756.683
P-Delta	0	0	0	0	0	0
Totale	0	0	0	0	0	0

Bilancio in condizione di carico: Eccentricità Y per sisma X SLO

Contributo	Fx	Fy	Fz	Mx	My	Mz
Forze applicate	0	0	0	0	0	-17.827
Reazioni	0	0	0	0	0	17.827
P-Delta	0	0	0	0	0	0
Totale	0	0	0	0	0	0

Bilancio in condizione di carico: Eccentricità X per sisma Y SLO

Contributo	Fx	Fy	Fz	Mx	My	Mz
Forze applicate	0	0	0	0	0	11.2426
Reazioni	0	0	0	0	0	-11.2426
P-Delta	0	0	0	0	0	0
Totale	0	0	0	0	0	0

Bilancio in condizione di carico: Rig. Ux

Contributo	Fx	Fy	Fz	Mx	My	Mz
Forze applicate	0.01	0	0	0	0.0777	-0.2305
Reazioni	-0.01	0	0	0	-0.0776	0.2305
P-Delta	0	0	0	0	0	0
Totale	0	0	0	0	0	0

Bilancio in condizione di carico: Rig. Uy

Contributo	Fx	Fy	Fz	Mx	My	Mz
Forze applicate	0	0.01	0	-0.0777	0	0.1267
Reazioni	0	-0.01	0	0.0776	0	-0.1267
P-Delta	0	0	0	0	0	0
Totale	0	0	0	0	0	0

Bilancio in condizione di carico: Rig. Rz

Contributo	Fx	Fy	Fz	Mx	My	Mz
Forze applicate	0	0	0	0	0	0.0001
Reazioni	0	0	0	0	0	-0.0001
P-Delta	0	0	0	0	0	0

Contributo	Fx	Fy	Fz	Mx	My	Mz
Totale	0	0	0	0	0	0

4.7 Risposta di spettro

Spettro: Condizione elementare corrispondente allo spettro.

n.b.: Nome breve della condizione elementare.

Fx: Componente della forza lungo l'asse X. [kN]

Fy: Componente della forza lungo l'asse Y. [kN]

Fz: Componente della forza lungo l'asse Z. [kN]

Mx: Componente della coppia attorno all'asse X. [kN*m]

My: Componente della coppia attorno all'asse Y. [kN*m]

Mz: Componente della coppia attorno all'asse Z. [kN*m]

Max X: Massima reazione lungo l'asse X.

Valore: Valore massimo della reazione. [kN]

Angolo: Angolo d'ingresso del sisma che provoca il valore massimo della reazione. [deg]

Max Y: Massima reazione lungo l'asse Y.

Valore: Valore massimo della reazione. [kN]

Angolo: Angolo d'ingresso del sisma che provoca il valore massimo della reazione. [deg]

Max Z: Massima reazione lungo l'asse Z.

Valore: Valore massimo della reazione. [kN]

Angolo: Angolo d'ingresso del sisma che provoca il valore massimo della reazione. [deg]

Spettro n.b.	Fx	Fy	Fz	Mx	My	Mz	Max X		Max Y		Max Z	
							Valore	Angolo	Valore	Angolo	Valore	Angolo
X SLV	141.9632	12.2106	0	72.768811	8.403E02	3.230E03	142.0969	3	124.5455	90	0	0
Y SLV	12.2106	124.5455	0	7.352E02	72.217855	1.640E03	142.0969	3	124.5455	90	0	0
X SLD	56.8013	4.8865	0	29.088504	3.359E02	1.292E03	56.8545	3	49.8936	90	0	0
Y SLD	4.8865	49.8936	0	2.938E02	28.870006	6.569E02	56.8545	3	49.8936	90	0	0
X SLO	64.7985	5.5617	0	33.166322	3.830E02	1.474E03	64.8591	3	56.9702	90	0	0
Y SLO	5.5617	56.9702	0	335.04738	32.914112	749.90363	64.8591	3	56.9702	90	0	0

5 Verifiche

5.1 Verifiche pilastrate C.A.

Le unità di misura elencate nel capitolo sono in [m, kN, deg] ove non espressamente specificato.

Q.inf.: quota inferiore. [m]

Q.sup.: quota superiore. [m]

Sezione: sezione impiegata.

Esistente: campata esistente.

Secondaria: campata secondaria.

Dissipativa: campata dissipativa.

Interna a parete: campata adiacente ad una parete in c.a.

Sovreresistenza: aliquota di sovreresistenza da assicurare in verifica.

Materiale CLS: materiale calcestruzzo impiegato.

Materiale Acciaio: materiale/i acciaio impiegato/i.

FC: fattore di confidenza riferito al materiale CLS.

Posizione: posizione della barra.

X: ascissa relativa della barra rispetto al baricentro della sezione. [m]

Y: ordinata relativa della barra rispetto al baricentro della sezione. [m]

Diametro: diametro nominale della barra. [m]

Area: area nominale della barra. [m²]

Q.inf.: quota inferiore della barra. [m]

Q.sup.: quota superiore della barra. [m]

Materiale: materiale della barra.

Quota: quota della sezione. [m]

As: area complessiva delle armature verticali. [m²]

%: percentuale di acciaio.

At: area delle armature verticali destinata alla verifica di torsione. [m²]

Pos.: posizioni barre longitudinali presenti nella sezione.

Mx: momento Mx. [kN*m]

My: momento My. [kN*m]

N: sforzo normale. [kN]

MRdx: momento resistente in direzione X. [kN*m]

MRdy: momento resistente in direzione Y. [kN*m]

Comb.: combinazione peggiore.

Coeff.s.: coefficiente di sicurezza minimo.

Verifica: stato di verifica.

ε, cu: deformazione ultima utilizzata per il calcestruzzo [%].

ε, fk: deformazione ultima utilizzata per l'acciaio [%].

C.S.: coefficiente di sicurezza minimo.

Nmin: compressione massima. [kN]

Nlim: compressione limite. [kN]

Comb.Nmin: combinazione in cui si ottiene la compressione massima.

Ver.: stato di verifica.

Molt.: moltiplicatore delle azioni sismiche che attiva il meccanismo.

TR: periodo di ritorno associato all'attivazione del meccanismo.

I.R.TR: indicatore di rischio sismico in termini di periodo di ritorno.

PGA: pga associata all'attivazione del meccanismo.

I.R.PGA: indicatore di rischio sismico in termini di pga.

Staffe: staffatura presente nella sezione.

Ved,x: taglio di verifica per la direzione X. [kN]

Ved,y: taglio di verifica per la direzione Y. [kN]

Ned: sforzo normale di verifica. [kN]

Comb.V: combinazione di verifica taglio.

Cot: cotagente delle bielle compresse per la verifica critica.

Vres: resistenza a taglio per la verifica. [kN]

c.s.V: coefficiente di sicurezza taglio.

Mt: momento torcente di verifica. [kN*m]

As,t: area di staffatura destinata alla torsione. [m²]

At,t: area di barre longitudinali destinata alla torsione. [m²]

Comb.Tor.: combinazione di verifica torsione.

Trcd: resistenza a torsione delle bielle di calcestruzzo [4.1.27]. [kN*m]

Trsd: resistenza a torsione in relazione al minimo di staffe necessario [4.1.28]. [kN*m]

Trld: resistenza a torsione in relazione al minimo di barre longitudinali necessario [4.1.29]. [kN*m]

c.s.V-T: coefficiente di sicurezza taglio-torsione.

Quota: quota di verifica. [m]

Q.inf.: quota inferiore dell'appoggio considerato per la valutazione della rotazione alla corda. [m]

Q.sup.: quota superiore dell'appoggio considerato per la valutazione della rotazione alla corda. [m]

Dir.: direzione di riferimento della verifica.

Lv: luce di taglio considerata. [m]

x: altezza della zona compressa della sezione. [m]

h: altezza totale della sezione. [m]

p,tot: percentuale geometrica totale di armatura longitudinale.

θ, m : rotazione massima per la combinazione considerata.

θ, y : rotazione di prima plasticizzazione.

$\mu\Delta, pl$: parte plastica della domanda di duttilità.

VRd: resistenza a taglio del calcestruzzo non staffato per la verifica nella direzione considerata. [kN]

VRcd(cot θ =1): resistenza a taglio delle bielle compresse per la verifica nella direzione considerata considerando il valore di cot θ unitario. [kN]

VRsd: resistenza a taglio delle staffe per la verifica nella direzione considerata. [kN]

Vv: contributo dell'armatura trasversale per la resistenza a taglio. [kN]

VR: resistenza a taglio in condizioni cicliche (formula [C8.7.2.8]). [kN]

VR,f: resistenza a taglio considerata in condizioni cicliche (secondo §C8.7.2.3.5). [kN]

VEd: sollecitazione tagliante. [kN]

NEd: sollecitazione di sforzo normale. [kN]

Comb.: combinazione di riferimento.

Pilastrata: pilastrata cui appartiene il nodo.

Q.Nodo: quota del nodo oggetto di verifica. [m]

Escluso: nodo escluso dalla verifica da parte dell'utente.

Confinato: nodo interamente confinato.

Segnalazioni: eventuali indicazioni relative alla verifica.

Angolo travatura: angolo di inclinazione della travatura considerata rispetto all'asse X. [deg]

Aj: area di calcolo della tensione sul nodo secondo secondo Circolare 7 21-01-19 §C8.7.2.3.5. [m²]

Vpc: azione tagliante sul nodo derivante dal solo pilastro superiore per il calcolo della tensione di compressione. [kN]

Vtc: azione tagliante sul nodo derivante dalla sola travatura per il calcolo della tensione di compressione. [kN]

Vnc: azione tagliante complessiva sul nodo per il calcolo della tensione di compressione. [kN]

Nc: azione assiale sul nodo per il calcolo della tensione di compressione. [kN]

σc : tensione di compressione agente. [kN/m²]

$\sigma c, lim$: tensione di compressione limite. [kN/m²]

Comb.c: combinazione che dà il valore peggiore per la tensione di compressione.

Vpt: azione tagliante sul nodo derivante dal solo pilastro superiore per il calcolo della tensione di trazione. [kN]

Vtt: azione tagliante sul nodo derivante dalla sola travatura per il calcolo della tensione di trazione. [kN]

Vnt: azione tagliante complessiva sul nodo per il calcolo della tensione di trazione. [kN]

Nt: azione assiale sul nodo per il calcolo della tensione di trazione. [kN]

σt : tensione di trazione agente. [kN/m²]

$\sigma t, lim$: tensione di trazione limite. [kN/m²]

Comb.t: combinazione che dà il valore peggiore per la tensione di trazione.

Moltiplicatore: moltiplicatore delle azioni sismiche che attiva il meccanismo.

Quota: quota della sezione di verifica. [m]

λ, x : snellezza per sbandamento in direzione X.

λ, y : snellezza per sbandamento in direzione Y.

$\lambda, limX$: snellezza limite in direzione X.

$\lambda, limY$: snellezza limite in direzione Y.

M 2° ord.: la verifica viene effettuata considerando anche gli effetti del secondo ordine, se non richiesti la verifica viene comunque condotta considerando i momenti del 1° ordine.

Nsd: sforzo normale. [kN]

M0ed,x: momento del primo ordine che tiene conto dell'effetto delle imperfezioni in direzione X. [kN*m]

M2,x: momento del secondo ordine in direzione X. [kN*m]

M0ed,y: momento del primo ordine che tiene conto dell'effetto delle imperfezioni in direzione Y. [kN*m]

M2,y: momento del secondo ordine in direzione y. [kN*m]

Mver,x: momento di verifica in direzione X. [kN*m]

Mver,y: momento di verifica in direzione Y. [kN*m]

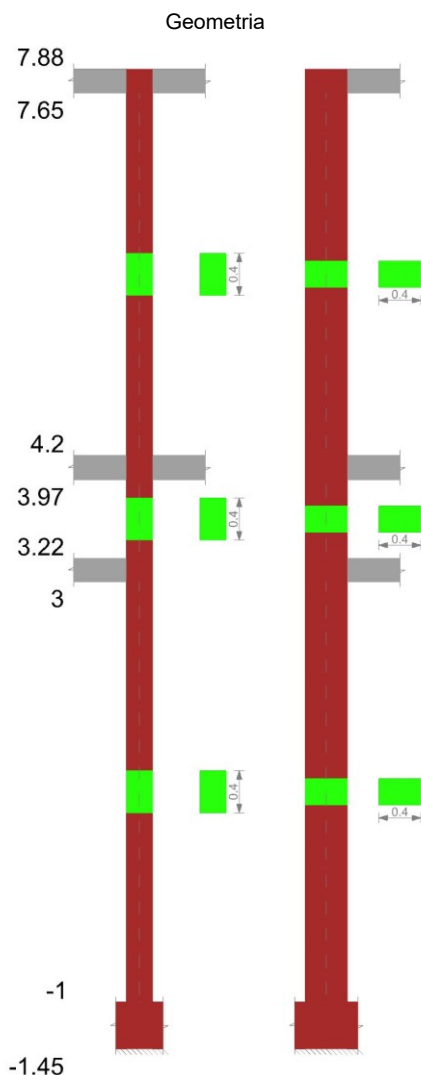
C.s x: coefficiente di sicurezza per sbandamento in direzione X.

C.s y: coefficiente di sicurezza per sbandamento in direzione Y.

Risultato: tipo di risultato esposto, può essere critico, in direzione X e in direzione Y.

(5.38): applicabilità delle verifiche in direzioni separate.

(5.39): coefficiente di sicurezza per i casi di non applicabilità delle verifiche su direzioni separate.

Pilastrata P1**Dati della pilastrata**

Analisi di edificio esistente con fattore di struttura.

Fattore di struttura per meccanismi duttili in direzione X: 1.5

Fattore di struttura per meccanismi duttili in direzione Y: 1.5

Fattore di struttura per meccanismi fragili in direzione X: 1

Fattore di struttura per meccanismi fragili in direzione Y: 1

Verifica dei meccanismi fragili condotta secondo Circolare 7 21-01-19 (§C8.7.2.2) Analisi lineare con fattore q.

Fattore di amplificazione dei meccanismi fragili della componente sismica in direzione X: 1

Fattore di amplificazione dei meccanismi fragili della componente sismica in direzione Y: 1

Campate costituenti la pilastrata

Q.inf.	Q.sup.	Sezione	Esistente	Secondaria	Dissipativa	Interna a parete	Sovreresistenza	Materiale CLS	Materiale Acciaio	FC
-1	3	R 25x40	Si	No	No	No		C35/42 Vigone B LC2	Vigone_FeB38k_LC2_FC = 1.2	1.2
3.22	3.97	R 25x40	Si	No	No	No		C35/42 Vigone B LC2	Vigone_FeB44k_LC2_FC = 1.2; Vigone_FeB38k_LC2_FC = 1.2	1.2
4.2	7.65	R 25x40	Si	No	No	No		C35/42 Vigone B LC2	Vigone_FeB44k_LC2_FC = 1.2; Vigone_FeB38k_LC2_FC = 1.2	1.2

Disposizione delle armature longitudinali

Posizione	X	Y	Diametro	Area	Q.inf.	Q.sup.	Sezione	Materiale
p.1	-0.0855	-0.1605	0.014	0.0001539	-1.225	-1	R 25x40	Vigone FeB38k LC2
p.1	0.0855	-0.1605	0.014	0.0001539	-1.225	-1	R 25x40	Vigone FeB38k LC2
p.1	0.0855	0.1605	0.014	0.0001539	-1.225	-1	R 25x40	Vigone FeB38k LC2
p.1	-0.0855	0.1605	0.014	0.0001539	-1.225	-1	R 25x40	Vigone FeB38k LC2
p.2	-0.0855	-0.1605	0.014	0.0001539	-1	2.937	R 25x40	Vigone FeB38k LC2
p.2	0.0855	-0.1605	0.014	0.0001539	-1	2.937	R 25x40	Vigone FeB38k LC2
p.2	0.0855	0.1605	0.014	0.0001539	-1	2.937	R 25x40	Vigone FeB38k LC2
p.2	-0.0855	0.1605	0.014	0.0001539	-1	2.937	R 25x40	Vigone FeB38k LC2
p.3	-0.0848	-0.1598	0.016	0.0002011	4.2	7.38	R 25x40	Vigone FeB44k LC2
p.3	0.0848	-0.1598	0.016	0.0002011	4.2	7.38	R 25x40	Vigone FeB44k LC2
p.3	0.0848	0.1598	0.016	0.0002011	4.2	7.38	R 25x40	Vigone FeB44k LC2
p.3	-0.0848	0.1598	0.016	0.0002011	4.2	7.38	R 25x40	Vigone FeB44k LC2
p.3	-0.086	0	0.016	0.0002011	4.2	7.379	R 25x40	Vigone FeB44k LC2
p.3	0.086	0	0.016	0.0002011	4.2	7.379	R 25x40	Vigone FeB44k LC2
p.4	-0.0848	-0.1598	0.016	0.0002011	3.431	4.224	R 25x40	Vigone FeB44k LC2

Posizione	X	Y	Diametro	Area	Q.inf.	Q.sup.	Sezione	Materiale
p.4	0.0848	-0.1598	0.016	0.0002011	3.431	4.224	R 25x40	Vigone FeB44k LC2
p.4	0.0848	0.1598	0.016	0.0002011	3.431	4.224	R 25x40	Vigone FeB44k LC2
p.4	-0.0848	0.1598	0.016	0.0002011	3.431	4.224	R 25x40	Vigone FeB44k LC2
p.5	-0.086	0	0.016	0.0002011	3.409	4.2	R 25x40	Vigone FeB44k LC2
p.5	0.086	0	0.016	0.0002011	3.409	4.2	R 25x40	Vigone FeB44k LC2

Controlli geometrici NTC18

Nessuna anomalia

Verifiche delle sezioni**Verifica a pressoflessione in SLU**

Quota	As	%	At	Pos.	Mx	My	N	MRdx	MRdy	Comb.	Coeff.s.	Verifica
-1	0.000616	1.2	0	1,2	0.951	-0.6475	-222.5	6.4053	-4.3612	SLU 34	6.735	Si
-0.69	0.000616	1.2	0	1,2	0.7198	-0.5399	-221.53	4.8692	-3.6524	SLU 34	6.765	Si
-0.38	0.000616	0.6	0	2	0.4789	-0.4278	-220.52	3.2547	-2.9073	SLU 34	6.796	Si
-0.08	0.000616	0.6	0	2	0.2388	-0.3161	-219.52	1.6304	-2.1577	SLU 34	6.827	Si
0.23	0.000616	0.6	0	2	-0.0002	-0.2048	-218.52	-0.0017	-1.4045	SLU 34	6.858	Si
0.54	0.000616	0.6	0	2	-0.2393	-0.0935	-217.52	-1.6487	-0.6444	SLU 34	6.889	Si
0.85	0.000616	0.6	0	2	-0.4784	0.0177	-216.52	-3.311	0.1227	SLU 34	6.921	Si
1.15	0.000616	0.6	0	2	-0.7162	0.1284	-215.52	-4.98	0.8929	SLU 34	6.953	Si
1.46	0.000616	0.6	0	2	-0.9565	0.2402	-214.52	-6.682	1.6783	SLU 34	6.986	Si
1.77	0.000616	0.6	0	2	-1.1956	0.3515	-213.52	-8.3912	2.4671	SLU 34	7.019	Si
2.08	0.000616	0.6	0	2	-1.4346	0.4628	-212.52	-10.1165	3.2632	SLU 34	7.052	Si
2.38	0.000616	0.6	0	2	-1.6737	0.574	-211.52	-11.8581	4.067	SLU 34	7.085	Si
2.69	0.000616	0.6	0	2	-1.9114	0.6846	-210.52	-13.6057	4.8735	SLU 34	7.118	Si
3	0.00062	1.8	0	2,4,5	-2.148	0.7947	-209.53	-15.4139	5.7032	SLU 34	7.176	Si
3.22	0.00082	1.8	0.00000001	2,4,5	5.1637	-9.3378	-175.48	31.0222	-56.0996	SLU 36	6.008	Si
3.6	0.001206	1.2	0.00000001	4,5	6.3725	3.9493	-174.28	53.8142	33.3506	SLU 36	8.445	Si
3.97	0.001206	1.2	0.00000001	4,5	7.5813	17.2363	-173.07	32.1915	73.1881	SLU 36	4.246	Si
4.2	0.001206	2.4	0.00000001	3,4,5	15.1678	-7.5251	-87.8	81.3802	-40.3749	SLU 32	5.365	Si
4.49	0.001247	2.4	0.00000001	3,4,5	11.1952	-6.1459	-96.92	82.5181	-45.3006	SLU 33	7.371	Si
4.78	0.001206	1.2	0.00000001	3	6.9324	-4.7416	-95.98	70.9087	-48.5002	SLU 33	10.229	Si
5.06	0.001206	1.2	0.00000001	3	2.5556	-3.2975	-100.73	35.8695	-46.283	SLU 34	14.036	Si
5.35	0.001206	1.2	0.00000001	3	-1.4702	-1.9667	-99.8	-24.2908	-32.4937	SLU 34	16.522	Si
5.64	0.001206	1.2	0.00000001	3	-5.4959	-0.6359	-98.86	-80.1451	-9.2726	SLU 34	14.583	Si
5.93	0.001206	1.2	0.00000001	3	-10.1143	1.4229	-92.23	-109.1138	15.3505	SLU 30	10.788	Si
6.21	0.001206	1.2	0.00000001	3	-14.3766	2.6821	-91.29	-110.2359	20.566	SLU 30	7.668	Si
6.5	0.001206	1.2	0.00000001	3	-18.3508	3.9365	-80.31	-102.3689	21.9595	SLU 29	5.578	Si
6.79	0.001206	1.2	0.00000001	3	-22.5476	5.1942	-79.38	-96.0836	22.1346	SLU 29	4.261	Si
7.08	0.001206	1.2	0.00000001	3	-26.7507	6.4848	-78.47	-90.5981	21.9623	SLU 32	3.387	Si
7.36	0.001206	1.2	0.00000001	3	-30.948	7.8876	-77.53	-85.8797	21.8877	SLU 32	2.775	Si
7.65	0.000877	1.2	0.00000001	3	-35.0911	9.2723	-76.61	-65.8403	17.3972	SLU 32	1.876	Si
7.65	0.000867	1.2	0.00000001	3	-35.0911	9.2723	-76.61	-65.3314	17.2628	SLU 32	1.862	Si

Verifica a pressoflessione in SLV (domini sostanzialmente elastici)

E' attiva l'opzione fattori parziali di sicurezza unitari per meccanismi duttili di strutture esistenti con fattore q

La struttura oppure parte di essa, è stata dichiarata come non dissipativa pertanto la verifica a pressoflessione, per tutte o solo alcune sezioni, viene eseguita calcolando i momenti resistenti in campo sostanzialmente elastico secondo D.M. 17-01-2018 §7.4.1

Le dilatazioni ultime utilizzate sono le dilatazioni limite elastiche

Quota	As	%	At	Pos.	Mx	My	N	ε _{cu}	ε _{fk}	MRdx	MRdy	Comb.	C.S.	Nmin	Nlim	Comb.Nmin	Ver.
-1	0.000616	1.2	0.00000238	1,2	-93.9437	-28.9057	-139.89	-	1.75	-37.518	-11.544	SLV 11	0.399				No
-0.69	0.000616	1.2	0.00000238	1,2	-84.2513	-25.0538	-139.15	-	1.75	-38.9144	-11.572	SLV 11	0.462				No
-0.38	0.000616	0.6	0.00000238	2	-79.2468	-1.8635	-88.19	-	1.75	-43.7512	-1.0288	SLV 7	0.552				No
-0.08	0.000616	0.6	0.00000238	2	-68.3665	-1.5391	-87.42	-	1.75	-45.1671	-1.0168	SLV 7	0.661				No
0.23	0.000616	0.6	0.00000238	2	-57.5594	-1.2118	-86.65	-	1.75	-47.2524	-0.9948	SLV 7	0.821				No
0.54	0.000616	0.6	0.00000238	2	-46.77	-0.8853	-85.88	-	1.75	-50.6027	-0.9579	SLV 7	1.082				Si
0.85	0.000616	0.6	0.00000238	2	-36.0175	-0.5615	-85.11	-	1.75	-56.7912	-0.8853	SLV 7	1.577				Si
1.15	0.000616	0.6	0.00000238	2	-24.0393	0.396	-74.4	-	1.75	-67.3644	1.1098	SLV 8	2.802				Si
1.46	0.000616	0.6	0.00000238	2	-14.7411	-0.1666	-73.62	-	1.75	-	-1.2499	SLV 8	7.505				Si
1.77	0.000616	0.6	0.00000238	2	-1.3625	-10.035	-39.48	-	1.75	-4.4032	-32.4311	SLV 4	3.232				Si
2.08	0.000616	0.6	0.00000238	2	-1.7269	-18.5862	-61.47	-	1.75	-2.8051	-30.1907	SLV 2	1.624				Si
2.38	0.000616	0.6	0.00000238	2	-4.2861	-25.5242	-60.7	-	1.75	-4.4226	-26.3375	SLV 2	1.032				Si
2.69	0.000616	0.6	0.00000238	2	-6.8263	-32.4224	-59.94	-	1.75	-5.1616	-24.5157	SLV 2	0.756				No
3	0.00062	1.8	0.00000238	2,4,5	-9.3678	-39.2906	-59.17	-	1.75	-5.6148	-23.5498	SLV 2	0.599				No
3.22	0.00082	1.8	0.00000208	2,4,5	-1.5296	-26.5793	-158.56	-	1.75	-3.2539	-56.5393	SLV 15	2.127				Si
3.6	0.001206	1.2	0.00000187	4,5	17.7811	2.4503	-73.88	-	1.95	111.1501	15.3165	SLV 7	6.251				Si
3.97	0.001206	1.2	0.00000187	4,5	25.2531	25.1875	-102.71	-	1.95	43.9848	43.8706	SLV 11	1.742				Si
4.2	0.001206	2.4	0.0000019	3,4,5	20.4879	-33.0679	-86.94	-	1.95	28.1994	-45.5145	SLV 13	1.376				Si
4.49	0.001247	2.4	0.0000019	3,4,5	15.7732	-27.098	-86.23	-	1.95	29.1365	-50.0558	SLV 13	1.847				Si
4.78	0.001206	1.2	0.0000019	3	11.0161	-21.0523	-85.51	-	1.95	28.4669	-54.4016	SLV 13	2.584				Si
5.06	0.001206	1.2	0.0000019	3	-1.2088	-16.7066	-77.24	-	1.95	-5.1265	-70.8543	SLV 15	4.241				Si
5.35	0.001206	1.2	0.0000019	3	-2.8357	-9.9644	-76.52	-	1.95	-23.1818	-81.458	SLV 15	8.175				Si
5.64	0.001206	1.2	0.0000019	3	-5.1492	-3.3835	-83.35	-	1.95	-78.1665	-51.3622	SLV 13	15.18				Si
5.93	0.001206	1.2	0.0000019	3	-13.1954	-1.5818	-62.41	-	1.95	-124.936	-14.977	SLV 6	9.468				Si

Quota	As	%	At	Pos.	Mx	My	N	ε _{cu}	ε _{fk}	MRdx	MRdy	Comb.	C.S.	Nmin	Nlim	Comb.Nmin	Ver.
6.21	0.001206	1.2	0.0000019	3	-20.8925	-3.5467	-61.7	-	1.95	-87.4757	-14.85	SLV 6	4.187				Si
6.5	0.001206	1.2	0.0000019	3	-29.1152	-5.6523	-60.98	2.02	1.95	-74.44	-14.4516	SLV 6	2.557				Si
6.79	0.001206	1.2	0.0000019	3	-37.4711	-7.776	-60.26	-	1.95	-68.3561	-14.1852	SLV 6	1.824				Si
7.08	0.001206	1.2	0.0000019	3	-45.8824	-9.906	-59.54	2.02	1.95	-64.875	-14.0066	SLV 6	1.414				Si
7.36	0.001206	1.2	0.0000019	3	-32.6331	33.4686	-79.04	-	1.95	-37.4347	38.3932	SLV 13	1.147				Si
7.65	0.000877	1.2	0.0000019	3	-37.361	39.4397	-78.33	2.02	1.95	-27.3535	28.8754	SLV 13	0.732				No
7.65	0.000867	1.2	0.0000019	3	-37.361	39.4397	-78.33	2.02	1.95	-27.1018	28.6097	SLV 13	0.725				No

Verifica a pressoflessione in SLD

La struttura oppure parte di essa, è stata dichiarata come non dissipativa pertanto la verifica a pressoflessione, per tutte o solo alcune sezioni, viene eseguita calcolando i momenti resistenti in campo sostanzialmente elastico secondo D.M. 17-01-2018 §7.4.1

Le dilatazioni ultime utilizzate sono le dilatazioni limite elastiche

Quota	As	%	At	Pos.	Mx	My	N	MRdx	MRdy	Comb.	Coef.f.s.	Verifica
-1	0.000616	1.2	0.00000095	1,2	-37.1558	-11.9143	-144.61	-58.6804	-18.8164	SLD 11	1.579	Si
-0.69	0.000616	1.2	0.00000095	1,2	-33.3797	-10.3109	-143.87	-64.9887	-20.0749	SLD 11	1.947	Si
-0.38	0.000616	0.6	0.00000095	2	-29.4469	-8.6418	-143.09	-74.575	-21.8855	SLD 11	2.533	Si
-0.08	0.000616	0.6	0.00000095	2	-25.5317	-6.981	-142.32	-89.0285	-24.3427	SLD 11	3.487	Si
0.23	0.000616	0.6	0.00000095	2	-21.6419	-5.3304	-141.55	-102.5599	-25.2605	SLD 11	4.739	Si
0.54	0.000616	0.6	0.00000095	2	-17.755	-3.6805	-140.78	-110.53	-22.9122	SLD 11	6.225	Si
0.85	0.000616	0.6	0.00000095	2	-13.8724	-2.033	-140.01	-116.4445	-17.065	SLD 11	8.394	Si
1.15	0.000616	0.6	0.00000095	2	9.4058	0.2541	-165.61	98.4198	2.6583	SLD 10	10.464	Si
1.46	0.000616	0.6	0.00000095	2	1.224	2.0245	-182.15	14.6532	24.2363	SLD 13	11.972	Si
1.77	0.000616	0.6	0.00000095	2	-2.1148	5.1963	-172.29	-21.3137	52.3704	SLD 15	10.078	Si
2.08	0.000616	0.6	0.00000095	2	-2.6603	7.0764	-180.62	-22.9611	61.0776	SLD 13	8.631	Si
2.38	0.000616	0.6	0.00000095	2	-4.1968	9.6052	-179.85	-29.5966	67.737	SLD 13	7.052	Si
2.69	0.000616	0.6	0.00000095	2	-3.5956	-12.5543	-107.12	-17.7372	-61.9309	SLD 2	4.933	Si
3	0.00062	1.8	0.00000095	2,4,5	-4.7167	-15.2381	-106.35	-14.9425	-48.2741	SLD 2	3.168	Si
3.22	0.00082	1.8	0.00000083	2,4,5	1.6706	-14.811	-131.41	8.9332	-79.1978	SLD 15	5.347	Si
3.6	0.001206	1.2	0.00000075	4,5	9.4604	2.4397	-108.86	110.4909	28.4942	SLD 11	11.679	Si
3.97	0.001206	1.2	0.00000075	4,5	13.4723	16.2348	-107.94	50.0221	60.2793	SLD 11	3.713	Si
4.2	0.001206	2.4	0.00000076	3,4,5	14.5652	-16.3541	-71.56	42.3083	-47.5047	SLD 13	2.905	Si
4.49	0.001247	2.4	0.00000076	3,4,5	10.9615	-13.3913	-70.85	44.9036	-54.8574	SLD 13	4.096	Si
4.78	0.001206	1.2	0.00000076	3	7.3191	-10.3909	-70.13	45.6989	-64.8782	SLD 13	6.244	Si
5.06	0.001206	1.2	0.00000076	3	3.6965	-7.3929	-69.41	37.4394	-74.8772	SLD 13	10.128	Si
5.35	0.001206	1.2	0.00000076	3	-1.7774	-4.8042	-65.67	-29.4652	-79.6431	SLD 15	16.578	Si
5.64	0.001206	1.2	0.00000076	3	-4.4433	-1.5921	-67.97	-95.3059	-34.1498	SLD 13	21.449	Si
5.93	0.001206	1.2	0.00000076	3	-9.554	0.6529	-64.85	-135.6488	9.2703	SLD 9	14.198	Si
6.21	0.001206	1.2	0.00000076	3	-11.3117	4.6759	-66.54	-93.95	38.8359	SLD 13	8.306	Si
6.5	0.001206	1.2	0.00000076	3	-19.1397	3.0759	-63.41	-93.8849	15.0881	SLD 9	4.905	Si
6.79	0.001206	1.2	0.00000076	3	-24.1465	4.2874	-62.69	-81.9197	14.5456	SLD 9	3.393	Si
7.08	0.001206	1.2	0.00000076	3	-22.182	13.662	-64.38	-56.2259	34.6299	SLD 13	2.535	Si
7.36	0.001206	1.2	0.00000076	3	-25.8347	16.6634	-63.66	-51.9721	33.5221	SLD 13	2.012	Si
7.65	0.000877	1.2	0.00000076	3	-29.4441	19.6267	-62.95	-38.0029	25.3318	SLD 13	1.291	Si
7.65	0.000867	1.2	0.00000076	3	-29.4441	19.6267	-62.95	-37.6692	25.1094	SLD 13	1.279	Si

Indicatori di rischio sismico a pressoflessione in SLV

E' attiva l'opzione fattori parziali di sicurezza unitari per meccanismi duttili di strutture esistenti con fattore q

La struttura oppure parte di essa, è stata dichiarata come non dissipativa pertanto la verifica a pressoflessione, per tutte o solo alcune sezioni, viene eseguita calcolando i momenti resistenti in campo sostanzialmente elastico secondo D.M. 17-01-2018 §7.4.1

Le dilatazioni ultime utilizzate sono le dilatazioni limite elastiche

Quota	Molt.	TR	I.R.TR	PGA	I.R.PGA	Comb.	Ver.
-1	0.522	181	0.507	0.109	0.548	SLV 11	No
-0.69	0.584	240	0.569	0.122	0.612	SLV 11	No
-0.38	0.666	331	0.649	0.138	0.69	SLV 7	No
-0.08	0.758	457	0.741	0.155	0.779	SLV 7	No
0.23	0.88	676	0.87	0.178	0.891	SLV 7	No
0.54	1.05	1088	1.058	0.208	1.044	SLV 7	Si
0.85	1.303	2034	1.367	0.252	1.264	SLV 7	Si
1.15	1.701	2114	1.389	0.255	1.279	SLV 8	Si
1.46	2.143	2114	1.389	0.255	1.279	SLV 4	Si
1.77	1.713	2114	1.389	0.255	1.279	SLV 4	Si
2.08	1.307	2051	1.372	0.253	1.267	SLV 2	Si
2.38	1.02	1000	1.022	0.203	1.017	SLV 2	Si
2.69	0.836	591	0.824	0.17	0.851	SLV 2	No
3	0.711	390	0.694	0.146	0.734	SLV 2	No
3.22	1.742	2114	1.389	0.255	1.279	SLV 2	Si
3.6	3.795	2114	1.389	0.255	1.279	SLV 7	Si
3.97	1.789	2114	1.389	0.255	1.279	SLV 11	Si
4.2	1.422	2114	1.389	0.255	1.279	SLV 13	Si
4.49	1.783	2114	1.389	0.255	1.279	SLV 2	Si
4.78	2.207	2114	1.389	0.255	1.279	SLV 2	Si
5.06	3.016	2114	1.389	0.255	1.279	SLV 2	Si
5.35	4.582	2114	1.389	0.255	1.279	SLV 4	Si
5.64	8.661	2114	1.389	0.255	1.279	SLV 4	Si
5.93	7.959	2114	1.389	0.255	1.279	SLV 7	Si
6.21	4.063	2114	1.389	0.255	1.279	SLV 2	Si
6.5	2.635	2114	1.389	0.255	1.279	SLV 2	Si
6.79	1.941	2114	1.389	0.255	1.279	SLV 2	Si
7.08	1.492	2114	1.389	0.255	1.279	SLV 6	Si
7.36	1.184	1541	1.22	0.232	1.161	SLV 6	Si
7.65	0.635	295	0.619	0.132	0.661	SLV 13	No
7.65	0.625	284	0.61	0.13	0.652	SLV 13	No

Indicatori di rischio sismico a pressoflessione in SLD Resistenza

La struttura oppure parte di essa, è stata dichiarata come non dissipativa pertanto la verifica a pressoflessione, per tutte o solo alcune sezioni, viene eseguita calcolando i momenti resistenti in campo sostanzialmente elastico secondo D.M. 17-01-2018 §7.4.1

Le dilatazioni ultime utilizzate sono le dilatazioni limite elastiche

Quota	Molt.	TR	I.R.TR	PGA	I.R.PGA	Comb.	Ver.
-1	1.307	182	1.273	0.11	1.275	SLD 11	Si

Quota	Molt.	TR	I.R.TR	PGA	I.R.PGA	Comb.	Ver.
-0.69	1.461	240	1.426	0.122	1.419	SLD 11	Si
-0.38	1.666	332	1.629	0.138	1.602	SLD 7	Si
-0.08	1.898	458	1.859	0.156	1.807	SLD 7	Si
0.23	2.204	678	2.183	0.178	2.068	SLD 7	Si
0.54	2.629	1089	2.651	0.209	2.423	SLD 7	Si
0.85	3.262	2034	3.425	0.252	2.933	SLD 7	Si
1.15	4.261	2110	3.477	0.255	2.966	SLD 8	Si
1.46	5.361	2110	3.477	0.255	2.966	SLD 4	Si
1.77	4.285	2110	3.477	0.255	2.966	SLD 4	Si
2.08	3.268	2045	3.433	0.253	2.937	SLD 2	Si
2.38	2.55	997	2.557	0.203	2.358	SLD 2	Si
2.69	2.093	591	2.063	0.17	1.974	SLD 2	Si
3	1.779	390	1.74	0.146	1.702	SLD 2	Si
3.22	4.343	2110	3.477	0.255	2.966	SLD 2	Si
3.6	9.218	2110	3.477	0.255	2.966	SLD 7	Si
3.97	4.432	2110	3.477	0.255	2.966	SLD 11	Si
4.2	3.531	2110	3.477	0.255	2.966	SLD 13	Si
4.49	4.432	2110	3.477	0.255	2.966	SLD 2	Si
4.78	5.484	2110	3.477	0.255	2.966	SLD 2	Si
5.06	7.48	2110	3.477	0.255	2.966	SLD 2	Si
5.35	11.313	2110	3.477	0.255	2.966	SLD 4	Si
5.64	21.223	2110	3.477	0.255	2.966	SLD 4	Si
5.93	19.648	2110	3.477	0.255	2.966	SLD 7	Si
6.21	10.141	2110	3.477	0.255	2.966	SLD 2	Si
6.5	6.592	2110	3.477	0.255	2.966	SLD 2	Si
6.79	4.849	2110	3.477	0.255	2.966	SLD 2	Si
7.08	3.73	2110	3.477	0.255	2.966	SLD 6	Si
7.36	2.963	1541	3.057	0.232	2.694	SLD 6	Si
7.65	1.586	294	1.55	0.132	1.531	SLD 13	Si
7.65	1.563	283	1.526	0.13	1.509	SLD 13	Si

Verifica a taglio-torsione in famiglia SLU

Quota	Staffe	Ved.x	Ved.y	Ned	Comb.V	Cot	Vres	c.s.V	Mt	As,t	Al,t	Comb.Tor.	Trcd	Trsd	Trld	c.s.V-T	Ver.
-1	2X/2Y ø6/14.8	0.73	-0.81	-168.82	SLU 20	2.5	65.25	89.86	0.00001	0	0	SLU 7	35.15057	0.00011	0.00011	1.02	Si
-0.69	2X/2Y ø6/14.8	0.73	-0.81	-167.85	SLU 20	2.5	65.13	89.69	0.00001	0	0	SLU 7	35.15057	0.00011	0.00011	1.02	Si
-0.38	2X/2Y ø6/14.8	0.73	-0.81	-166.85	SLU 20	2.5	65	89.52	0.00001	0	0	SLU 7	35.15057	0.00011	0.00011	1.02	Si
-0.08	2X/2Y ø6/14.8	0.73	-0.81	-165.84	SLU 20	2.5	64.87	89.34	0.00001	0	0	SLU 7	35.15057	0.00011	0.00011	1.02	Si
0.23	2X/2Y ø6/14.8	0.73	-0.81	-164.84	SLU 20	2.5	64.75	89.17	0.00001	0	0	SLU 7	35.15057	0.00011	0.00011	1.02	Si
0.54	2X/2Y ø6/14.8	0.73	-0.81	-163.84	SLU 20	2.5	64.62	88.99	0.00001	0	0	SLU 7	35.15057	0.00011	0.00011	1.02	Si
0.85	2X/2Y ø6/14.8	0.73	-0.81	-162.84	SLU 20	2.5	64.49	88.82	0.00001	0	0	SLU 7	35.15057	0.00011	0.00011	1.02	Si
1.15	2X/2Y ø6/14.8	0.73	-0.81	-161.85	SLU 20	2.5	64.37	88.65	0.00001	0	0	SLU 7	35.15057	0.00011	0.00011	1.02	Si
1.46	2X/2Y ø6/14.8	0.73	-0.81	-160.84	SLU 20	2.5	64.24	88.47	0.00001	0	0	SLU 7	35.15057	0.00011	0.00011	1.02	Si
1.77	2X/2Y ø6/14.8	0.73	-0.81	-159.84	SLU 20	2.5	64.12	88.3	0.00001	0	0	SLU 7	35.15057	0.00011	0.00011	1.02	Si
2.08	2X/2Y ø6/14.8	0.73	-0.81	-158.84	SLU 20	2.5	63.99	88.12	0.00001	0	0	SLU 7	35.15057	0.00011	0.00011	1.02	Si
2.38	2X/2Y ø6/14.8	0.73	-0.81	-157.84	SLU 20	2.5	63.86	87.95	0.00001	0	0	SLU 7	35.15057	0.00011	0.00011	1.02	Si
2.69	2X/2Y ø6/14.8	0.73	-0.81	-156.85	SLU 20	2.5	63.74	87.78	0.00001	0	0	SLU 7	35.15057	0.00011	0.00011	1.02	Si
3	2X/2Y ø6/14.8	0.73	-0.81	-155.86	SLU 20	2.5	63.72	87.75	0.00001	0	0	SLU 7	35.15057	0.00011	0.00011	1.02	Si
3.22	2X/2Y ø6/15	35.92	4.8	-165.43	SLU 35	2.5	64.93	1.81	0.00009	0	0	SLU 1	35.15057	0.00011	0.00011	1.02	Si
3.6	2X/2Y ø6/15	35.92	4.8	-164.23	SLU 35	2.5	64.78	1.8	0.00009	0	0	SLU 1	35.15057	0.00011	0.00011	1.02	Si
3.97	2X/2Y ø6/15	35.92	4.8	-163.03	SLU 35	2.5	64.62	1.8	0.00009	0	0	SLU 1	35.15057	0.00011	0.00011	1.02	Si
4.2	2X/2Y ø6/15	4.88	-14.83	-97.84	SLU 33	2.5	94.71	6.39	0.00011	0	0	SLU 1	35.15057	0.00011	0.00011	1.02	Si
4.49	2X/2Y ø6/15	4.88	-14.83	-96.92	SLU 33	2.5	94.71	6.39	0.00011	0	0	SLU 1	35.15057	0.00011	0.00011	1.02	Si
4.78	2X/2Y ø6/15	4.88	-14.83	-95.98	SLU 33	2.5	94.71	6.39	0.00011	0	0	SLU 1	35.15057	0.00011	0.00011	1.02	Si
5.06	2X/2Y ø6/15	4.88	-14.83	-95.05	SLU 33	2.5	94.71	6.39	0.00011	0	0	SLU 1	35.15057	0.00011	0.00011	1.02	Si
5.35	2X/2Y ø6/15	4.88	-14.83	-94.12	SLU 33	2.5	94.71	6.39	0.00011	0	0	SLU 1	35.15057	0.00011	0.00011	1.02	Si
5.64	2X/2Y ø6/15	4.88	-14.83	-93.18	SLU 33	2.5	94.71	6.39	0.00011	0	0	SLU 1	35.15057	0.00011	0.00011	1.02	Si
5.93	2X/2Y ø6/15	4.88	-14.83	-92.25	SLU 33	2.5	94.71	6.39	0.00011	0	0	SLU 1	35.15057	0.00011	0.00011	1.02	Si
6.21	2X/2Y ø6/15	4.88	-14.83	-91.31	SLU 33	2.5	94.71	6.39	0.00011	0	0	SLU 1	35.15057	0.00011	0.00011	1.02	Si
6.5	2X/2Y ø6/15	4.88	-14.83	-90.38	SLU 33	2.5	94.71	6.39	0.00011	0	0	SLU 1	35.15057	0.00011	0.00011	1.02	Si
6.79	2X/2Y ø6/15	4.88	-14.83	-89.44	SLU 33	2.5	94.71	6.39	0.00011	0	0	SLU 1	35.15057	0.00011	0.00011	1.02	Si
7.08	2X/2Y ø6/15	4.88	-14.83	-88.51	SLU 33	2.5	94.71	6.39	0.00011	0	0	SLU 1	35.15057	0.00011	0.00011	1.02	Si
7.36	2X/2Y ø6/15	4.88	-14.83	-87.57	SLU 33	2.5	94.71	6.39	0.00011	0	0	SLU 1	35.15057	0.00011	0.00011	1.02	Si
7.65	2X/2Y ø6/15	4.88	-14.83	-86.65	SLU 33	2.5	94.71	6.39	0.00011	0	0	SLU 1	35.15057	0.00011	0.00011	1.02	Si
7.65	2X/2Y ø6/15	4.88	-14.83	-86.65	SLU 33	2.5	94.71	6.39	0.00011	0	0	SLU 1	35.15057	0.00011	0.00011	1.02	Si

Verifica a taglio-torsione in famiglia SLV

Quota	Staffe	Ved.x	Ved.y	Ned	Comb.V	Cot	Vres	c.s.V	Mt	As,t	Al,t	Comb.Tor.	Trcd	Trsd	Trld	c.s.V-T	Ver.
-1	2X/2Y ø6/14.8	-22.7	-36.51	-69.15	SLV 2	2.5	56.09	2.47	0.03437	0.00000015	0.00000118	SLV 1	35.15057	0.03437	0.03437	1.02	Si
-0.69	2X/2Y ø6/14.8	-22.7	-36.51	-68.4	SLV 2	2.5	56.09	2.47	0.03437	0.00000015	0.00000118	SLV 1	35.15057	0.03437	0.03437	1.02	Si
-0.38	2X/2Y ø6/14.8	-22.7	-36.51	-67.63	SLV 2	2.5	56.09	2.47	0.03437	0.00000015	0.00000118	SLV 1	35.15057	0.03437	0.03437	1.02	Si
-0.08	2X/2Y ø6/14.8	-22.56	-36.39	-66.85	SLV 2	2.5	56.09	2.49	0.03437	0.00000015	0.00000118	SLV 1	35.15057	0.03437	0.03437	1.02	Si
0.23	2X/2Y ø6/14.8	-22.56	-36.39	-66.08	SLV 2	2.5	56.09	2.49	0.03437	0.00000015	0.00000118	SLV 1	35.15057	0.03437	0.03437	1.02	Si
0.54	2X/2Y ø6/14.8	-22.56	-36.39	-65.32	SLV 2	2.5	56.09	2.49	0.03437	0.00000015	0.00000118	SLV 1	35.15057	0.03437	0.03437	1.02	Si
0.85	2X/2Y ø6/14.8	-22.56	-36.39	-64.55	SLV 2	2.5	56.09	2.49	0.03437	0.00000015	0.00000118	SLV 1	35.15057	0.03437	0.03437	1.02	Si
1.15	2X/2Y ø6/14.8	-22.56	-36.39	-63.78	SLV 2	2.5	56.09	2.49	0.03437	0.00000015	0.00000118	SLV 1	35.15057	0.03437	0.03437	1.02	Si
1.46	2X/2Y ø6/14.8	-22.56	-36.39	-63.01	SLV 2	2.5	56.09	2.49	0.03437	0.00000015	0.00000118	SLV 1	35.15057	0.03437	0.03437	1.02	Si

Quota	Staffe	Ved.x	Ved.y	Ned	Comb.V	Cot	Vres	c.s.V	Mt	As,t	Al,t	Comb.Tor.	Trcd	Trsd	Trld	c.s.V-T	Ver.
1.77	2X/2Y ø6/14.8	-22.56	-36.39	-62.24	SLV 2	2.5	56.09	2.49	0.03437	0.00000015	0.00000118	SLV 1	35.15057	0.03437	0.03437	1.02	Si
2.08	2X/2Y ø6/14.8	-22.56	-36.39	-61.47	SLV 2	2.5	56.09	2.49	0.03437	0.00000015	0.00000118	SLV 1	35.15057	0.03437	0.03437	1.02	Si
2.38	2X/2Y ø6/14.8	-22.56	-36.39	-60.7	SLV 2	2.5	56.09	2.49	0.03437	0.00000015	0.00000118	SLV 1	35.15057	0.03437	0.03437	1.02	Si
2.69	2X/2Y ø6/14.8	-22.56	-36.39	-59.94	SLV 2	2.5	56.09	2.49	0.03437	0.00000015	0.00000118	SLV 1	35.15057	0.03437	0.03437	1.02	Si
3	2X/2Y ø6/14.8	-22.56	-36.39	-59.17	SLV 2	2.5	56.21	2.49	0.03437	0.00000015	0.00000118	SLV 1	35.15057	0.03437	0.03437	1.02	Si
3.22	2X/2Y ø6/15	80.59	31.07	-158.56	SLV 15	2.5	64.06	0.79	0.03338	0.00000014	0.00000115	SLV 1	35.15057	0.03338	0.03338	1.02	No
3.6	2X/2Y ø6/15	80.59	31.07	-157.64	SLV 15	2.5	63.94	0.79	0.03338	0.00000014	0.00000103	SLV 1	35.15057	0.03338	0.03338	1.02	No
3.97	2X/2Y ø6/15	80.59	31.07	-156.71	SLV 15	2.5	63.83	0.79	0.03338	0.00000014	0.00000103	SLV 1	35.15057	0.03338	0.03338	1.02	No
4.2	2X/2Y ø6/15	23.63	-30.77	-79.39	SLV 15	2.5	55.51	2.35	0.03533	0.00000015	0.00000109	SLV 1	35.15057	0.03533	0.03533	1.02	Si
4.49	2X/2Y ø6/15	23.63	-30.77	-78.68	SLV 15	2.5	55.51	2.35	0.03533	0.00000015	0.00000109	SLV 1	35.15057	0.03533	0.03533	1.02	Si
4.78	2X/2Y ø6/15	23.63	-30.77	-77.96	SLV 15	2.5	55.51	2.35	0.03533	0.00000015	0.00000109	SLV 1	35.15057	0.03533	0.03533	1.02	Si
5.06	2X/2Y ø6/15	23.63	-30.77	-77.24	SLV 15	2.5	55.51	2.35	0.03533	0.00000015	0.00000109	SLV 1	35.15057	0.03533	0.03533	1.02	Si
5.35	2X/2Y ø6/15	23.63	-30.77	-76.52	SLV 15	2.5	55.51	2.35	0.03533	0.00000015	0.00000109	SLV 1	35.15057	0.03533	0.03533	1.02	Si
5.64	2X/2Y ø6/15	23.63	-30.77	-75.8	SLV 15	2.5	55.51	2.35	0.03533	0.00000015	0.00000109	SLV 1	35.15057	0.03533	0.03533	1.02	Si
5.93	2X/2Y ø6/15	23.63	-30.77	-75.08	SLV 15	2.5	55.51	2.35	0.03533	0.00000015	0.00000109	SLV 1	35.15057	0.03533	0.03533	1.02	Si
6.21	2X/2Y ø6/15	23.63	-30.77	-74.37	SLV 15	2.5	55.51	2.35	0.03533	0.00000015	0.00000109	SLV 1	35.15057	0.03533	0.03533	1.02	Si
6.5	2X/2Y ø6/15	23.63	-30.77	-73.65	SLV 15	2.5	55.51	2.35	0.03533	0.00000015	0.00000109	SLV 1	35.15057	0.03533	0.03533	1.02	Si
6.79	2X/2Y ø6/15	23.63	-30.77	-72.93	SLV 15	2.5	55.51	2.35	0.03533	0.00000015	0.00000109	SLV 1	35.15057	0.03533	0.03533	1.02	Si
7.08	2X/2Y ø6/15	23.63	-30.77	-72.21	SLV 15	2.5	55.51	2.35	0.03533	0.00000015	0.00000109	SLV 1	35.15057	0.03533	0.03533	1.02	Si
7.36	2X/2Y ø6/15	23.63	-30.77	-71.49	SLV 15	2.5	55.51	2.35	0.03533	0.00000015	0.00000109	SLV 1	35.15057	0.03533	0.03533	1.02	Si
7.65	2X/2Y ø6/15	23.63	-30.77	-70.78	SLV 15	2.5	55.51	2.35	0.03533	0.00000015	0.00000109	SLV 1	35.15057	0.03533	0.03533	1.02	Si
7.65	2X/2Y ø6/15	23.63	-30.77	-70.78	SLV 15	2.5	55.51	2.35	0.03533	0.00000015	0.00000109	SLV 1	35.15057	0.03533	0.03533	1.02	Si

Verifica taglio ciclico secondo Circolare 7 21-01-19 §C8.7.2.3.5 formula [C8.7.2.8] in combinazione SLV

Quota	Q.inf.	Q.sup.	Dir.	Lv	x	h	p,tot	θ,m	θ,y	μΔ,pl	VRD	VRcd(cotθ=1)	VRsd	Vw	VR	VR,f	VEd	NEd	Comb.	Verifica
-1	-	3.11	X	2.168	0.114	0.25	0.0062	0.003919	0.016098	0	52.659	322.793	56.088	22.435	27.223	56.088	-	-69.145	SLV 2	Si
-1	1.225	-	Y	2.168	0.089	0.4	0.0062	0.003255	0.01017	0	66.873	373.198	95.073	38.029	52.141	95.073	22.695	-36.51	SLV 10	Si

Verifica a taglio-torsione in famiglia SLD Resistenza

Quota	Staffe	Ved.x	Ved.y	Ned	Comb.V	Cot	Vres	c.s.V	Mt	As,t	Al,t	Comb.Tor.	Trcd	Trsd	Trld	c.s.V-T	Ver.
-1	2X/2Y ø6/14.8	-8.87	-14.96	-170.97	SLD 10	2.5	95.68	6.4	0.01374	0.00000006	0.00000047	SLD 1	35.15057	0.01374	0.01374	1.02	Si
-0.69	2X/2Y ø6/14.8	-8.87	-14.96	-170.23	SLD 10	2.5	95.68	6.4	0.01374	0.00000006	0.00000047	SLD 1	35.15057	0.01374	0.01374	1.02	Si
-0.38	2X/2Y ø6/14.8	-8.87	-14.96	-169.45	SLD 10	2.5	95.68	6.4	0.01374	0.00000006	0.00000047	SLD 1	35.15057	0.01374	0.01374	1.02	Si
-0.08	2X/2Y ø6/14.8	-8.81	-14.91	-168.68	SLD 10	2.5	95.68	6.42	0.01374	0.00000006	0.00000047	SLD 1	35.15057	0.01374	0.01374	1.02	Si
0.23	2X/2Y ø6/14.8	-8.81	-14.91	-167.91	SLD 10	2.5	95.68	6.42	0.01374	0.00000006	0.00000047	SLD 1	35.15057	0.01374	0.01374	1.02	Si
0.54	2X/2Y ø6/14.8	-8.81	-14.91	-167.14	SLD 10	2.5	95.68	6.42	0.01374	0.00000006	0.00000047	SLD 1	35.15057	0.01374	0.01374	1.02	Si
0.85	2X/2Y ø6/14.8	-8.81	-14.91	-166.37	SLD 10	2.5	95.68	6.42	0.01374	0.00000006	0.00000047	SLD 1	35.15057	0.01374	0.01374	1.02	Si
1.15	2X/2Y ø6/14.8	-8.81	-14.91	-165.61	SLD 10	2.5	95.68	6.42	0.01374	0.00000006	0.00000047	SLD 1	35.15057	0.01374	0.01374	1.02	Si
1.46	2X/2Y ø6/14.8	-8.81	-14.91	-164.83	SLD 10	2.5	95.68	6.42	0.01374	0.00000006	0.00000047	SLD 1	35.15057	0.01374	0.01374	1.02	Si
1.77	2X/2Y ø6/14.8	-8.81	-14.91	-164.06	SLD 10	2.5	95.68	6.42	0.01374	0.00000006	0.00000047	SLD 1	35.15057	0.01374	0.01374	1.02	Si
2.08	2X/2Y ø6/14.8	-8.81	-14.91	-163.29	SLD 10	2.5	95.68	6.42	0.01374	0.00000006	0.00000047	SLD 1	35.15057	0.01374	0.01374	1.02	Si
2.38	2X/2Y ø6/14.8	-8.81	-14.91	-162.52	SLD 10	2.5	95.68	6.42	0.01374	0.00000006	0.00000047	SLD 1	35.15057	0.01374	0.01374	1.02	Si
2.69	2X/2Y ø6/14.8	-8.81	-14.91	-161.76	SLD 10	2.5	95.68	6.42	0.01374	0.00000006	0.00000047	SLD 1	35.15057	0.01374	0.01374	1.02	Si
3	2X/2Y ø6/14.8	-8.81	-14.91	-161	SLD 10	2.5	95.68	6.42	0.01374	0.00000006	0.00000047	SLD 1	35.15057	0.01374	0.01374	1.02	Si
3.22	2X/2Y ø6/15	46.18	13.57	-131.41	SLD 15	2.5	60.62	1.31	0.01327	0.00000006	0.00000046	SLD 1	35.15057	0.01327	0.01327	1.02	Si
3.6	2X/2Y ø6/15	46.18	13.57	-130.48	SLD 15	2.5	60.5	1.31	0.01327	0.00000006	0.00000041	SLD 1	35.15057	0.01327	0.01327	1.02	Si
3.97	2X/2Y ø6/15	46.18	13.57	-129.56	SLD 15	2.5	60.39	1.31	0.01327	0.00000006	0.00000041	SLD 1	35.15057	0.01327	0.01327	1.02	Si
4.2	2X/2Y ø6/15	11.49	-18.38	-68.53	SLD 15	2.5	55.53	4.83	0.01404	0.00000006	0.00000043	SLD 1	35.15057	0.01404	0.01404	1.02	Si
4.49	2X/2Y ø6/15	11.49	-18.38	-67.82	SLD 15	2.5	55.53	4.83	0.01404	0.00000006	0.00000043	SLD 1	35.15057	0.01404	0.01404	1.02	Si
4.78	2X/2Y ø6/15	11.49	-18.38	-67.1	SLD 15	2.5	55.53	4.83	0.01404	0.00000006	0.00000043	SLD 1	35.15057	0.01404	0.01404	1.02	Si
5.06	2X/2Y ø6/15	11.49	-18.38	-66.38	SLD 15	2.5	55.53	4.83	0.01404	0.00000006	0.00000043	SLD 1	35.15057	0.01404	0.01404	1.02	Si
5.35	2X/2Y ø6/15	11.49	-18.38	-65.67	SLD 15	2.5	55.53	4.83	0.01404	0.00000006	0.00000043	SLD 1	35.15057	0.01404	0.01404	1.02	Si
5.64	2X/2Y ø6/15	11.49	-18.38	-64.95	SLD 15	2.5	55.53	4.83	0.01404	0.00000006	0.00000043	SLD 1	35.15057	0.01404	0.01404	1.02	Si
5.93	2X/2Y ø6/15	11.49	-18.38	-64.23	SLD 15	2.5	55.53	4.83	0.01404	0.00000006	0.00000043	SLD 1	35.15057	0.01404	0.01404	1.02	Si
6.21	2X/2Y ø6/15	11.49	-18.38	-63.51	SLD 15	2.5	55.53	4.83	0.01404	0.00000006	0.00000043	SLD 1	35.15057	0.01404	0.01404	1.02	Si
6.5	2X/2Y ø6/15	11.49	-18.38	-62.79	SLD 15	2.5	55.53	4.83	0.01404	0.00000006	0.00000043	SLD 1	35.15057	0.01404	0.01404	1.02	Si
6.79	2X/2Y ø6/15	11.49	-18.38	-62.07	SLD 15	2.5	55.53	4.83	0.01404	0.00000006	0.00000043	SLD 1	35.15057	0.01404	0.01404	1.02	Si
7.08	2X/2Y ø6/15	11.49	-18.38	-61.35	SLD 15	2.5	55.53	4.83	0.01404	0.00000006	0.00000043	SLD 1	35.15057	0.01404	0.01404	1.02	Si
7.36	2X/2Y ø6/15	11.49	-18.38	-60.63	SLD 15	2.5	55.53	4.83	0.01404	0.00000006	0.00000043	SLD 1	35.15057	0.01404	0.01404	1.02	Si
7.65	2X/2Y ø6/15	11.49	-18.38	-59.93	SLD 15	2.5	55.53	4.83	0.01404	0.00000006	0.00000043	SLD 1	35.15057	0.01404	0.01404	1.02	Si
7.65	2X/2Y ø6/15	11.49	-18.38	-59.93	SLD 15	2.5	55.53	4.83	0.01404	0.00000006	0.00000043	SLD 1	35.15057	0.01404	0.01404	1.02	Si

Indicatori di rischio sismico a taglio in SLV

Quota	Molt.	TR	I.R.TR	PGA	I.R.PGA	Comb.	Ver.
-0.69	2.45	2114	1.389	0.255	1.279	SLV 2	Si
-0.38	2.45	2114	1.389	0.255	1.279	SLV 2	Si
-0.08	2.465	2114	1.389	0.255	1.279	SLV 2	Si
0.23	2.465	2114	1.389	0.255	1.279	SLV 2	Si
0.54	2.465	2114	1.389	0.			

Quota	Molt.	TR	I.R.TR	PGA	I.R.PGA	Comb.	
4.78	2.682	2114	1.389	0.255	1.279	SLV 15	Si
5.06	2.676	2114	1.389	0.255	1.279	SLV 15	Si
5.35	2.67	2114	1.389	0.255	1.279	SLV 15	Si
5.64	2.664	2114	1.389	0.255	1.279	SLV 15	Si
5.93	2.658	2114	1.389	0.255	1.279	SLV 15	Si
6.21	2.652	2114	1.389	0.255	1.279	SLV 15	Si
6.5	2.652	2114	1.389	0.255	1.279	SLV 15	Si
6.79	2.646	2114	1.389	0.255	1.279	SLV 15	Si
7.08	2.641	2114	1.389	0.255	1.279	SLV 15	Si
7.36	2.635	2114	1.389	0.255	1.279	SLV 15	Si
7.65	2.629	2114	1.389	0.255	1.279	SLV 15	Si
7.65	2.629	2114	1.389	0.255	1.279	SLV 15	Si

Indicatori di rischio sismico a taglio in SLD Resistenza

Quota	Molt.	TR	I.R.TR	PGA	I.R.PGA	Comb.	
-1	6.127	2110	3.477	0.255	2.966	SLD 2	Si
-0.69	6.127	2110	3.477	0.255	2.966	SLD 2	Si
-0.38	6.127	2110	3.477	0.255	2.966	SLD 2	Si
-0.08	6.154	2110	3.477	0.255	2.966	SLD 2	Si
0.23	6.154	2110	3.477	0.255	2.966	SLD 2	Si
0.54	6.154	2110	3.477	0.255	2.966	SLD 2	Si
0.85	6.154	2110	3.477	0.255	2.966	SLD 2	Si
1.15	6.154	2110	3.477	0.255	2.966	SLD 2	Si
1.46	6.154	2110	3.477	0.255	2.966	SLD 2	Si
1.77	6.154	2110	3.477	0.255	2.966	SLD 2	Si
2.08	6.154	2110	3.477	0.255	2.966	SLD 2	Si
2.38	6.154	2110	3.477	0.255	2.966	SLD 2	Si
2.69	6.154	2110	3.477	0.255	2.966	SLD 2	Si
3	6.168	2110	3.477	0.255	2.966	SLD 2	Si
3.22	1.699	348	1.661	0.14	1.631	SLD 15	Si
3.6	1.695	346	1.657	0.14	1.627	SLD 15	Si
3.97	1.688	342	1.649	0.139	1.62	SLD 15	Si
4.2	6.701	2110	3.477	0.255	2.966	SLD 15	Si
4.49	6.688	2110	3.477	0.255	2.966	SLD 15	Si
4.78	6.674	2110	3.477	0.255	2.966	SLD 15	Si
5.06	6.66	2110	3.477	0.255	2.966	SLD 15	Si
5.35	6.646	2110	3.477	0.255	2.966	SLD 15	Si
5.64	6.633	2110	3.477	0.255	2.966	SLD 15	Si
5.93	6.619	2110	3.477	0.255	2.966	SLD 15	Si
6.21	6.605	2110	3.477	0.255	2.966	SLD 15	Si
6.5	6.592	2110	3.477	0.255	2.966	SLD 15	Si
6.79	6.578	2110	3.477	0.255	2.966	SLD 15	Si
7.08	6.578	2110	3.477	0.255	2.966	SLD 15	Si
7.36	6.551	2110	3.477	0.255	2.966	SLD 15	Si
7.65	6.551	2110	3.477	0.255	2.966	SLD 15	Si
7.65	6.551	2110	3.477	0.255	2.966	SLD 15	Si

Verifiche nodi trave colonna**Riepilogo dei dati per le diverse tipologie di verifica eseguite per i nodi**

Pilastrata	Q.Nodo	Escluso	Confinato	Segnalazioni
Pilastrata P1	-1.225	Si	No	
Pilastrata P1	3.11	No	No	non tutte le travature convergenti al nodo sono calcolate/validate
Pilastrata P1	4.085	No	No	
Pilastrata P1	7.765	No	No	

Verifiche nodi trave colonna in combinazioni SLD**Riepilogo dei dati per la verifica del nodo secondo Circolare 7 21-01-19 §C8.7.2.3.5.**

Pilastrata	Q.Nodo	Angolo travatura	Aj	Vpc	Vtc	Vnc	Nc	onc	onc,lim	Comb.c	Vpt	Vtt	Vnt	Nt	ont	ont,lim	Comb.t	Segnalazioni	Verifica
Pilastrata P1	3.11	90	0	0	0	0	0	0	0	0	0	0	0	0	0	0	0	Trave non calcolata	Si
Pilastrata P1	3.11	180	0	0	0	0	0	0	0	0	0	0	0	0	0	0	0	Trave non calcolata	Si

Verifiche nodi trave colonna in combinazioni SLD**Riepilogo dei dati per la verifica del nodo secondo Circolare 7 21-01-19 §C8.7.2.3.5.**

Pilastrata	Q.Nodo	Angolo travatura	Aj	Vpc	Vtc	Vnc	Nc	onc	onc,lim	Comb.c	Vpt	Vtt	Vnt	Nt	ont	ont,lim	Comb.t	Segnalazioni	Verifica
Pilastrata P1	4.085	0	0.0903	11.485	235.35	223.865	68.532	2887	9614	SLD 15	11.485	235.35	223.865	68.532	2129	1316	SLD 15		No
Pilastrata P1	4.085	90	0.12786	18.381	145.543	127.162	68.448	1298	9614	SLD 10	18.381	145.543	127.162	68.448	762	1316	SLD 10		Si
Pilastrata P1	4.085	180	0.0903	11.485	235.35	223.865	68.532	2887	9614	SLD 15	11.485	235.35	223.865	68.532	2129	1316	SLD 15		No

Verifiche nodi trave colonna in combinazioni SLD**Riepilogo dei dati per la verifica del nodo secondo Circolare 7 21-01-19 §C8.7.2.3.5.**

Pilastrata	Q.Nodo	Angolo travatura	Aj	Vpc	Vtc	Vnc	Nc	onc	onc,lim	Comb.c	Vpt	Vtt	Vnt	Nt	ont	ont,lim	Comb.t	Segnalazioni	Verifica
Pilastrata P1	7.765	0	0.0903	0	119.038	119.038	0	1318	9614	SLD 15	0	119.038	119.038	0	1318	1316	SLD 15		No
Pilastrata P1	7.765	90	0.12786	0	229.928	229.928	0	1798	9614	SLD 10	0	229.928	229.928	0	1798	1316	SLD 10		No
Pilastrata P1	7.765	180	0.0903	0	119.038	119.038	0	1318	9614	SLD 15	0	119.038	119.038	0	1318	1316	SLD 15		No

Verifiche nodi trave colonna in combinazioni SLV**Riepilogo dei dati per la verifica del nodo secondo Circolare 7 21-01-19 §C8.7.2.3.5.**

Pilastrata	Q.Nodo	Angolo travatura	Aj	Vpc	Vtc	Vnc	Nc	onc	onc,lim	Comb.c	Vpt	Vtt	Vnt	Nt	ont	ont,lim	Comb.t	Segnalazioni	Verifica
Pilastrata P1	3.11	90	0	0	0	0	0	0	0	0	0	0	0	0	0	0	0	Trave non calcolata	Si
Pilastrata P1	3.11	180	0	0	0	0	0	0	0	0	0	0	0	0	0	0	0	Trave non calcolata	Si

Verifiche nodi trave colonna in combinazioni SLV**Riepilogo dei dati per la verifica del nodo secondo Circolare 7 21-01-19 §C8.7.2.3.5.**

Pilastrata	Q.Nodo	Angolo travatura	Aj	Vpc	Vtc	Vnc	Nc	onc	onc,lim	Comb.c	Vpt	Vtt	Vnt	Nt	ont	ont,lim	Comb.t	Segnalazioni	Verifica
Pilastrata P1	4.085	0	0.0903	23.626	455.039	431.414	79.388	5237	9614	SLV 15	23.626	455.039	431.414	79.388	4358	1316	SLV 15		No

Pilastrata	Q.Nodo	Angolo travatura	Aj	Vpc	Vtc	Vnc	Nc	onc	onc,lim	Comb.c	Vpt	Vtt	Vnt	Nt	ont	ont,lim	Comb.t	Segnalazioni	Verifica
	4.085	90	0.12786	-30.77	322.574	291.804	-	2613	9614	SLV 10	-30.77	322.574	291.804	-	1993	1316	SLV 10		No
	4.085	180	0.0903	-	455.039	431.414	-	5237	9614	SLV 15	-	455.039	431.414	-	4358	1316	SLV 15		No
				23.626			79.388				23.626			79.388					

Verifiche nodi trave colonna in combinazioni SLV

Riepilogo dei dati per la verifica del nodo secondo Circolare 7 21-01-19 §C8.7.2.3.5.

Pilastrata	Q.Nodo	Angolo travatura	Aj	Vpc	Vtc	Vnc	Nc	onc	onc,lim	Comb.c	Vpt	Vtt	Vnt	Nt	ont	ont,lim	Comb.t	Segnalazioni	Verifica
Pilastrata P1	7.765	0	0.0903	0	253.9	253.9	0	2812	9614	SLV 15	0	253.9	253.9	0	2812	1316	SLV 15		No
	7.765	90	0.12786	0	382.462	382.462	0	2991	9614	SLV 10	0	382.462	382.462	0	2991	1316	SLV 10		No
	7.765	180	0.0903	0	253.9	253.9	0	2812	9614	SLV 15	0	253.9	253.9	0	2812	1316	SLV 15		No

Indicatori di rischio sismico dei nodi in SLD

Pilastrata	Q.Nodo	Angolo travatura	Moltiplicatore	TR	I.R.TR	PGA	I.R.PGA	Comb.	Ver.
Pilastrata P1	4.085	0	0.438	23	0.545	0.044	0.511	SLD 15	No
	4.085	90	1.684	340	1.645	0.139	1.616	SLD 10	Si
	4.085	180	0.438	23	0.545	0.044	0.511	SLD 15	No

Indicatori di rischio sismico dei nodi in SLD

Pilastrata	Q.Nodo	Angolo travatura	Moltiplicatore	TR	I.R.TR	PGA	I.R.PGA	Comb.	Ver.
Pilastrata P1	7.765	0	0.996	100	0.996	0.086	0.996	SLD 15	No
	7.765	90	0.387	18	0.493	0.039	0.456	SLD 10	No
	7.765	180	0.996	100	0.996	0.086	0.996	SLD 15	No

Indicatori di rischio sismico dei nodi in SLV

Pilastrata	Q.Nodo	Angolo travatura	Moltiplicatore	TR	I.R.TR	PGA	I.R.PGA	Comb.	Ver.
Pilastrata P1	4.085	0	0.175	23	0.218	0.044	0.22	SLV 15	No
	4.085	90	0.673	340	0.656	0.139	0.697	SLV 10	No
	4.085	180	0.175	23	0.218	0.044	0.22	SLV 15	No

Indicatori di rischio sismico dei nodi in SLV

Pilastrata	Q.Nodo	Angolo travatura	Moltiplicatore	TR	I.R.TR	PGA	I.R.PGA	Comb.	Ver.
Pilastrata P1	7.765	0	0.4	101	0.399	0.086	0.431	SLV 15	No
	7.765	90	0.154	18	0.197	0.039	0.197	SLV 10	No
	7.765	180	0.4	101	0.399	0.086	0.431	SLV 15	No

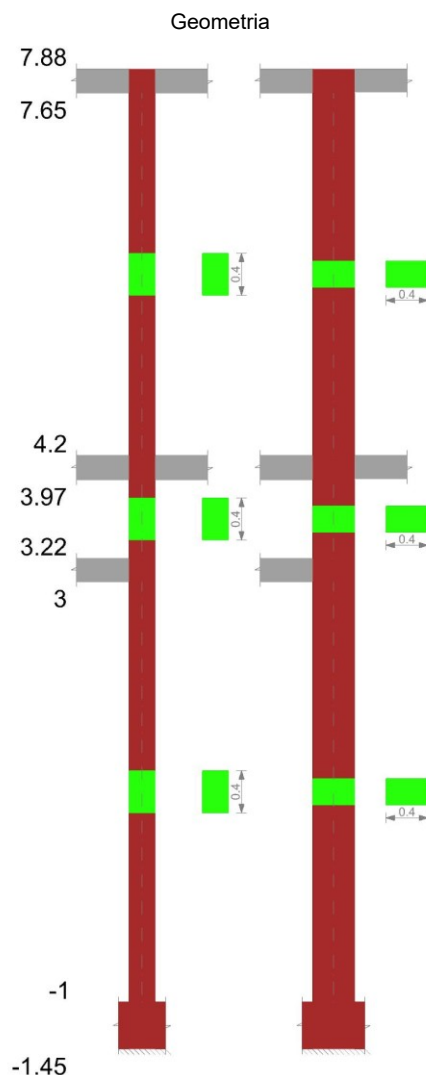
Verifica di instabilità

Q.inf.	Q.sup.	Quota	λ,x	λ,y	λ,limX	λ,limY	M 2° ord.	Nsd	Comb.	M0ed,x	M2,x	M0ed,y	M2,y	Mver,x	Mver,y	C.s.x	C.s.y	Risultato	(5.38)	(5.39)	Ver.	
-	3.11	-1	38	60	68	68	No	-222.5	SLU 34	0.8949	5.091	0.3345	7.7072	0.951	-0.6475	6.74	6.74	Min	No	6.74	Si	
1.225	-	3.11	-1	38	60	68	No	-222.5	SLU 34	0.8949	5.091	0.3345	7.7072	0.951	-0.6475	6.74	6.74	X	No	6.74	Si	
-	3.11	-1	38	60	84	84	No	-144.61	SLD 11	18.0713	2.5432	5.2648	4.367	-37.1558	-	2.26	6.72	Min	No	1.58	Si	
1.225	-	3.11	-1	38	60	91	91	No	-124.55	SLD 7	19.1066	2.1891	0.5991	4.0729	-39.8511	-1.3515	1.73		X	Si	Si	
-	3.11	-1	38	60	107	107	No	-89.71	SLV 7	47.5661	1.5652	1.0981	2.8173	-	-2.5011	0.42		Min	Si	No	No	
1.225	-	3.11	-1	38	60	107	107	No	-89.71	SLV 7	47.5661	1.5652	1.0981	2.8173	100.6807	-	-2.5011	0.42		X	Si	No
-	3.11	-1	38	60	68	68	No	-222.5	SLU 34	0.8949	5.091	0.3345	7.7072	0.951	-0.6475	6.74	6.74	Min	No	6.74	Si	
1.225	-	3.11	-1	38	60	68	No	-222.5	SLU 34	0.8949	5.091	0.3345	7.7072	0.951	-0.6475	6.74	6.74	Y	No	6.74	Si	
-	3.11	-1	38	60	84	84	No	-144.61	SLD 11	18.0713	2.5432	5.2648	4.367	-37.1558	-	2.26	6.72	Min	No	1.58	Si	
1.225	-	3.11	-1	38	60	94	94	No	-116.33	SLD 2	4.4078	2.0901	8.8052	3.4978	9.9201	19.9612	12.41	2.27	Y	No	1.88	Si
-	3.11	-1	38	60	122	122	No	-69.15	SLV 2	11.2832	1.2214	22.4131	2.0659	23.7577	50.7832	2.75	0.48	Min	No	0.43	No	
1.225	-	3.11	-1	38	60	122	122	No	-69.15	SLV 2	11.2832	1.2214	22.4131	2.0659	23.7577	50.7832	2.75	0.48	Y	No	0.43	No
-	3.11	4.085	3.97	8	14	77	No	-173.07	SLU 36	6.6992	0.2597	8.6183	0.4102	7.5813	17.2363	9.1	4.77	Min	No	4.25	Si	
3.11	4.085	3.22	8	14	76	76	No	-177.64	SLU 34	6.8402	0.2453	7.5831	0.4098	6.8402	-9.1759	8.52	6.45	X	No	5.81	Si	
-	3.11	4.085	3.97	8	14	97	No	-107.94	SLD 11	8.5911	0.1376	8.3049	0.2604	13.4723	16.2348	10.6	5.72	Min	No	3.71	Si	
3.11	4.085	3.97	8	14	97	97	No	-107.94	SLD 11	8.5911	0.1376	8.3049	0.2604	13.4723	16.2348	10.6	5.72	X	No	3.71	Si	
-	3.11	4.085	3.97	8	14	100	No	-102.71	SLV 11	14.1958	0.117	12.931	0.2209	25.2531	25.1875	4.97	2.72	Min	No	1.74	Si	
3.11	4.085	3.97	8	14	123	123	No	-67.27	SLV 8	13.2062	0.0774	5.1088	0.1903	23.4573	10.1071	4.26	9.19	X	No	2.87	Si	
-	3.11	4.085	3.97	8	14	77	No	-173.07	SLU 36	6.6992	0.2597	8.6183	0.4102	7.5813	17.2363	9.1	4.77	Min	No	4.25	Si	
3.11	4.085	3.97	8	14	77	77	No	-173.07	SLU 36	6.6992	0.2597	8.6183	0.4102	7.5813	17.2363	9.1	4.77	Y	No	4.25	Si	
-	3.11	4.085	3.97	8	14	97	No	-107.94	SLD 11	8.5911	0.1376	8.3049	0.2604	13.4723	16.2348	10.6	5.72	Min	No	3.71	Si	
3.11	4.085	3.97	8	14	97	97	No	-107.94	SLD 11	8.5911	0.1376	8.3049	0.2604	13.4723	16.2348	10.6	5.72	Min	No	3.71	Si	
-	3.11	4.085	3.97	8	14	89	No	-129.56	SLD 15	6.0364	0.1858	10.0563	0.2961	8.7041	19.626	13.41	4.71	Y	No	3.74	Si	
3.11	4.085	3.97	8	14	100	100	No	-102.71	SLV 11	14.1958	0.117	12.931	0.2209	25.2531	25.1875	4.97	2.72	Min	No	1.74	Si	
-	3.11	4.085	3.22	8	14	80	No	-158.56	SLV 15	7.7954	0.2441	17.2962	0.2829	-7.7954	-	-	2.18	Y	Si	Si	Si	
														26.5793								
4.085	7.765	7.65	32	51	115	115	No	-76.61	SLU 32	15.3342	1.0733	3.9406	2.1598	-35.0911	9.2723	2.16		Min	Si	Si	Si	
4.085	7.765	7.65	32	51	115	115	No	-76.61	SLU 32	15.3342	1.0733	3.9406	2.1598	-35.0911	9.2723	2.16		X	Si	Si	Si	
4.085	7.765	7.65	32	51	127	127	No	-62.95	SLD 13	12.3818	0.8819	8.3466	1.504	-29.4441	19.6267	2.24	2.35	Min	No	1.28	Si	
4.085	7.765	7.65	32	51	131	131	No	-59.84	SLD 10	17.0592	0.8384	2.5264	1.8046	-40.4726	5.9368	1.44		X	Si	Si	Si	
4.085	7.765	7.65	32	51	114	114	No	-78.33	SLV 13	15.7361	1.0974	16.7751	1.8714	-37.361	39.4397	1.75	1.01	Min	No	0.73	No	
4.085	7.765	7.65	32	51	120	120	No	-70.58	SLV 10	27.4285	0.9888	2.2675	2.1285	-64.9329	5.313	0.84		X	Si	No	No	
4.085	7.765	4.2	32	51	108	108	No	-87.8	SLU 32	15.3342	1.6376	3.9406	2.4717	15.3342	-7.5251	7.98	10.47	Min	No	5.33	Si	
4.085	7.765	7.65	32	51	115	115	No	-76.61	SLU 32	15.3342	1.0733	3.9406	2.1598	-35.0911	9.2723		7.76	Y	Si	Si	Si	
4.085	7.765	7.65	32	51	127	127	No	-62.95	SLD 13	12.3818	0.8819	8.3466	1.504	-29.4441	19.6267	2.24	2.35	Min	No	1.28	Si	
4.085	7.765	7.65	32	51	131	131	No	-59.93	SLD 15	9.3172	1.2417	9.1993	1.4317	-20.2926	21.6355	3.83	2.03	Y	No	1.43	Si	
4.085	7.765	7.65	32	51	114	114	No	-78.33	SLV 13	15.7361	1.0974	16.7751	1.8714	-37.361	39.4397	1.75	1.01	Min	No	0.73	No	
4.085	7.765	7.65	32	51	120	120	No	-70.78	SLV 15	7.4849	1.4666	18.8943	1.6911	-14.5001	44.4328	8.13	0.86	Y	No	0.78	No	

Verifiche di gerarchia delle resistenze nei nodi trave pilastro

Verifiche di gerarchia delle resistenze nei nodi trave pilastro non presenti in quanto la verifica è non necessaria per la pilastrata per il nodo Appoggio 7.765 in quanto elemento di materiale esistente.
 per il nodo Appoggio -1.225 in quanto elemento di materiale esistente.
 per il nodo Appoggio 3.11 in quanto elemento di materiale esistente.
 per il nodo Appoggio 4.085 in quanto elemento di materiale esistente.

Pilastrata P2



Dati della pilastrata

Analisi di edificio esistente con fattore di struttura.

Fattore di struttura per meccanismi duttili in direzione X: 1.5

Fattore di struttura per meccanismi duttili in direzione Y: 1.5

Fattore di struttura per meccanismi fragili in direzione X: 1

Fattore di struttura per meccanismi fragili in direzione Y: 1

Verifica dei meccanismi fragili condotta secondo Circolare 7 21-01-19 (§8.7.2.2) Analisi lineare con fattore q.

Fattore di amplificazione dei meccanismi fragili della componente sismica in direzione X: 1

Fattore di amplificazione dei meccanismi fragili della componente sismica in direzione Y: 1

Campate costituenti la pilastrata

Q.inf.	Q.sup.	Sezione	Esistente	Secondaria	Dissipativa	Interna a parete	Sovreresistenza	Materiale CLS	Materiale Acciaio	FC
-1	3	R 25x40	Si	No	No	No		C35/42 Vigone B LC2	Vigone_FeB38k_LC2_FC = 1.2	1.2
3.22	3.97	R 25x40	Si	No	No	No		C35/42 Vigone B LC2	Vigone_FeB44k_LC2_FC = 1.2; Vigone_FeB38k_LC2_FC = 1.2	1.2
4.2	7.65	R 25x40	Si	No	No	No		C35/42 Vigone B LC2	Vigone_FeB44k_LC2_FC = 1.2; Vigone_FeB38k_LC2_FC = 1.2	1.2

Disposizione delle armature longitudinali

Posizione	X	Y	Diametro	Area	Q.inf.	Q.sup.	Sezione	Materiale
p.1	-0.0855	-0.1605	0.014	0.0001539	-1.225	-1	R 25x40	Vigone FeB38k LC2
p.1	0.0855	-0.1605	0.014	0.0001539	-1.225	-1	R 25x40	Vigone FeB38k LC2
p.1	0.0855	0.1605	0.014	0.0001539	-1.225	-1	R 25x40	Vigone FeB38k LC2
p.1	-0.0855	0.1605	0.014	0.0001539	-1.225	-1	R 25x40	Vigone FeB38k LC2
p.2	-0.0855	-0.1605	0.014	0.0001539	-1	2.937	R 25x40	Vigone FeB38k LC2
p.2	0.0855	-0.1605	0.014	0.0001539	-1	2.937	R 25x40	Vigone FeB38k LC2
p.2	0.0855	0.1605	0.014	0.0001539	-1	2.937	R 25x40	Vigone FeB38k LC2
p.2	-0.0855	0.1605	0.014	0.0001539	-1	2.937	R 25x40	Vigone FeB38k LC2
p.3	-0.0848	-0.1598	0.016	0.0002011	4.2	7.38	R 25x40	Vigone FeB44k LC2
p.3	0.0848	-0.1598	0.016	0.0002011	4.2	7.38	R 25x40	Vigone FeB44k LC2
p.3	0.0848	0.1598	0.016	0.0002011	4.2	7.38	R 25x40	Vigone FeB44k LC2
p.3	-0.0848	0.1598	0.016	0.0002011	4.2	7.38	R 25x40	Vigone FeB44k LC2
p.3	-0.086	0	0.016	0.0002011	4.2	7.379	R 25x40	Vigone FeB44k LC2
p.3	0.086	0	0.016	0.0002011	4.2	7.379	R 25x40	Vigone FeB44k LC2
p.4	-0.0848	-0.1598	0.016	0.0002011	3.431	4.224	R 25x40	Vigone FeB44k LC2

Posizione	X	Y	Diametro	Area	Q.inf.	Q.sup.	Sezione	Materiale
p.4	0.0848	-0.1598	0.016	0.0002011	3.431	4.224	R 25x40	Vigone FeB44k LC2
p.4	0.0848	0.1598	0.016	0.0002011	3.431	4.224	R 25x40	Vigone FeB44k LC2
p.4	-0.0848	0.1598	0.016	0.0002011	3.431	4.224	R 25x40	Vigone FeB44k LC2
p.5	-0.086	0	0.016	0.0002011	3.409	4.2	R 25x40	Vigone FeB44k LC2
p.5	0.086	0	0.016	0.0002011	3.409	4.2	R 25x40	Vigone FeB44k LC2

Controlli geometrici NTC18

Nessuna anomalia

Verifiche delle sezioni**Verifica a pressoflessione in SLU**

Quota	As	%	At	Pos.	Mx	My	N	MRdx	MRdy	Comb.	Coeff.s.	Verifica
-1	0.000616	1.2	0	1,2	-0.9558	-0.5007	-244.42	-5.8601	-3.0697	SLU 34	6.131	Si
-0.69	0.000616	1.2	0	1,2	-0.713	-0.4285	-243.45	-4.3888	-2.6379	SLU 34	6.156	Si
-0.38	0.000616	0.6	0	2	-0.46	-0.3534	-242.44	-2.8435	-2.1845	SLU 34	6.181	Si
-0.08	0.000616	0.6	0	2	-0.2079	-0.2785	-241.44	-1.2902	-1.7288	SLU 34	6.207	Si
0.23	0.000616	0.6	0	2	0.0432	-0.204	-240.44	0.2692	-1.2712	SLU 34	6.233	Si
0.54	0.000616	0.6	0	2	0.2942	-0.1294	-239.44	1.8416	-0.8098	SLU 34	6.259	Si
0.85	0.000616	0.6	0	2	0.5453	-0.0548	-238.44	3.4272	-0.3446	SLU 34	6.285	Si
1.15	0.000616	0.6	0	2	0.7951	0.0194	-237.44	5.0179	0.1221	SLU 34	6.311	Si
1.46	0.000616	0.6	0	2	1.0474	0.0943	-236.44	6.6386	0.5977	SLU 34	6.338	Si
1.77	0.000616	0.6	0	2	1.2985	0.1689	-235.44	8.2648	1.0749	SLU 34	6.365	Si
2.08	0.000616	0.6	0	2	1.5495	0.2434	-234.44	9.9049	1.5561	SLU 34	6.392	Si
2.38	0.000616	0.6	0	2	1.8006	0.318	-233.44	11.559	2.0414	SLU 34	6.42	Si
2.69	0.000616	0.6	0	2	2.0501	0.3921	-232.44	13.2174	2.5281	SLU 34	6.447	Si
3	0.00062	1.8	0	2,4,5	2.2986	0.4659	-231.45	14.9328	3.0268	SLU 34	6.496	Si
3.22	0.00082	1.8	0.00000001	2,4,5	-4.7821	-9.4989	-199.04	-27.3123	-54.2512	SLU 36	5.711	Si
3.6	0.001206	1.2	0.00000001	4,5	-6.084	5.3332	-197.84	-44.8217	39.2898	SLU 36	7.367	Si
3.97	0.001206	1.2	0.00000001	4,5	-7.386	20.1652	-196.64	-27.5462	75.2067	SLU 36	3.73	Si
4.2	0.001206	2.4	0.00000001	3,4,5	-14.1005	-9.0754	-98.41	-73.2193	-47.1256	SLU 32	5.193	Si
4.49	0.001247	2.4	0.00000001	3,4,5	-9.2991	-7.8109	-92.19	-66.1955	-55.6019	SLU 35	7.119	Si
4.78	0.001206	1.2	0.00000001	3	-5.4751	-6.1419	-101.34	-52.5834	-58.9874	SLU 36	9.604	Si
5.06	0.001206	1.2	0.00000001	3	-1.5243	-3.9663	-110.48	-19.5231	-50.8006	SLU 34	12.808	Si
5.35	0.001206	1.2	0.00000001	3	2.4925	-2.3764	-109.54	35.9892	-34.3119	SLU 34	14.439	Si
5.64	0.001206	1.2	0.00000001	3	6.5094	-0.7864	-108.61	83.8298	-10.1276	SLU 34	12.878	Si
5.93	0.001206	1.2	0.00000001	3	11.2032	1.6989	-102.88	108.3784	16.435	SLU 30	9.674	Si
6.21	0.001206	1.2	0.00000001	3	15.4613	3.2133	-101.94	108.3178	22.5117	SLU 30	7.006	Si
6.5	0.001206	1.2	0.00000001	3	19.4103	4.7255	-90.93	100.7815	24.5357	SLU 29	5.192	Si
6.79	0.001206	1.2	0.00000001	3	23.6057	6.2402	-89.99	95.4575	25.2344	SLU 29	4.044	Si
7.08	0.001206	1.2	0.00000001	3	27.7948	7.7898	-89.07	89.6422	25.1233	SLU 32	3.225	Si
7.36	0.001206	1.2	0.00000001	3	31.9897	9.4785	-88.14	85.0516	25.2007	SLU 32	2.659	Si
7.65	0.000877	1.2	0.00000001	3	36.1306	11.1454	-87.22	65.2731	20.1352	SLU 32	1.807	Si
7.65	0.000867	1.2	0.00000001	3	36.1306	11.1454	-87.22	64.78	19.9831	SLU 32	1.793	Si

Verifica a pressoflessione in SLV (domini sostanzialmente elastici)

E' attiva l'opzione fattori parziali di sicurezza unitari per meccanismi duttili di strutture esistenti con fattore q

La struttura oppure parte di essa, è stata dichiarata come non dissipativa pertanto la verifica a pressoflessione, per tutte o solo alcune sezioni, viene eseguita calcolando i momenti resistenti in campo sostanzialmente elastico secondo D.M. 17-01-2018 §7.4.1

Le dilatazioni ultime utilizzate sono le dilatazioni limite elastiche

Quota	As	%	At	Pos.	Mx	My	N	ε _{cu}	ε _{fk}	MRdx	MRdy	Comb.	C.S.	Nmin	Nlim	Comb.Nmin	Ver.
-1	0.000616	1.2	0.00000238	1,2	-46.2185	59.0011	-65.96	-	1.75	-15.2692	19.4922	SLV 3	0.33				No
-0.69	0.000616	1.2	0.00000238	1,2	-41.0294	51.1898	-65.22	2.02	1.75	-15.7476	19.6473	SLV 3	0.384				No
-0.38	0.000616	0.6	0.00000238	2	-35.632	43.0545	-64.44	-	1.75	-16.4884	19.9231	SLV 3	0.463				No
-0.08	0.000616	0.6	0.00000238	2	-30.2659	34.9634	-63.67	2.02	1.75	-17.6091	20.3422	SLV 3	0.582				No
0.23	0.000616	0.6	0.00000238	2	-24.9395	26.9331	-62.9	-	1.75	-19.469	21.0253	SLV 3	0.781				No
0.54	0.000616	0.6	0.00000238	2	-19.6362	18.9047	-62.13	2.02	1.75	-23.1589	22.2962	SLV 3	1.179				Si
0.85	0.000616	0.6	0.00000238	2	34.1985	0.0292	-94.38	-	1.75	62.8372	0.0536	SLV 6	1.837				Si
1.15	0.000616	0.6	0.00000238	2	22.9197	0.5284	-83.66	2.02	1.75	77.0619	1.7768	SLV 5	3.362				Si
1.46	0.000616	0.6	0.00000238	2	5.7737	5.6094	-254.47	-	1.75	40.6597	39.5029	SLV 14	7.042				Si
1.77	0.000616	0.6	0.00000238	2	5.3476	-11.756	-35.94	2.02	1.75	11.9758	-26.3272	SLV 1	2.239				Si
2.08	0.000616	0.6	0.00000238	2	8.0219	-21.2844	-58.28	-	1.75	9.7832	-25.9577	SLV 3	1.22				Si
2.38	0.000616	0.6	0.00000238	2	13.1884	-29.3137	-57.52	2.02	1.75	10.4778	-23.2888	SLV 3	0.794				No
2.69	0.000616	0.6	0.00000238	2	18.412	-37.2968	-56.75	-	1.75	10.8351	-21.9484	SLV 3	0.588				No
3	0.00062	1.8	0.00000238	2,4,5	23.6657	-45.2453	-55.99	2.02	1.75	11.0893	-21.2011	SLV 3	0.469				No
3.22	0.00082	1.8	0.00000208	2,4,5	-7.0439	-31.9681	-185.26	-	1.75	-11.3481	-51.5023	SLV 14	1.611				Si
3.6	0.001206	1.2	0.00000187	4,5	-17.6415	4.1821	-122.19	2.02	1.95	-	27.1596	SLV 10	6.494				Si
3.97	0.001206	1.2	0.00000187	4,5	-13.2001	40.9267	-183.41	-	1.95	-20.0949	62.304	SLV 14	1.522				Si
4.2	0.001206	2.4	0.0000019	3,4,5	3.8077	-43.2066	-90.43	2.02	1.95	4.6809	-53.1146	SLV 14	1.229				Si
4.49	0.001247	2.4	0.0000019	3,4,5	4.2253	-35.339	-89.72	-	1.95	6.7729	-56.6453	SLV 14	1.603				Si
4.78	0.001206	1.2	0.0000019	3	4.6743	-27.3734	-89	2.02	1.95	9.9449	-58.239	SLV 14	2.128				Si
5.06	0.001206	1.2	0.0000019	3	5.1811	-19.4192	-88.28	-	1.95	17.1862	-64.4147	SLV 14	3.317				Si
5.35	0.001206	1.2	0.0000019	3	5.8516	-11.5018	-87.57	2.02	1.95	37.2542	-73.226	SLV 14	6.366				Si
5.64	0.001206	1.2	0.0000019	3	6.0747	-3.8079	-94.53	-	1.95	80.2855	-50.3259	SLV 16	13.216				Si
5.93	0.001206	1.2	0.0000019	3	13.8069	-1.6823	-68.58	2.02	1.95	126.1174	-15.3668	SLV 7	9.134				Si

Quota	As	%	At	Pos.	Mx	My	N	ε _{cu}	ε _{fk}	MRdx	MRdy	Comb.	C.S.	Nmin	Nlim	Comb.Nmin	Ver.
6.21	0.001206	1.2	0.0000019	3	13.005	-8.9797	-41.34	-	1.95	53.8765	-37.2007	SLV 3	4.143				Si
6.5	0.001206	1.2	0.0000019	3	17.396	-14.6145	-40.62	2.02	-1.95	43.1184	-36.2241	SLV 3	2.479				Si
6.79	0.001206	1.2	0.0000019	3	23.7153	25.9825	-91.65	2.02	1.95	39.7795	43.5825	SLV 16	1.677				Si
7.08	0.001206	1.2	0.0000019	3	28.3992	33.2693	-90.93	2.02	1.95	35.5904	41.6937	SLV 16	1.253				Si
7.36	0.001206	1.2	0.0000019	3	33.1058	40.5599	-90.21	2.02	1.95	33.0602	40.5039	SLV 16	0.999				No
7.65	0.000877	1.2	0.0000019	3	37.764	47.7582	-89.5	2.02	1.95	24.0248	30.3829	SLV 16	0.636				No
7.65	0.000867	1.2	0.0000019	3	37.764	47.7582	-89.5	2.02	1.95	23.8047	30.1047	SLV 16	0.63				No

Verifica a pressoflessione in SLD

La struttura oppure parte di essa, è stata dichiarata come non dissipativa pertanto la verifica a pressoflessione, per tutte o solo alcune sezioni, viene eseguita calcolando i momenti resistenti in campo sostanzialmente elastico secondo D.M. 17-01-2018 §7.4.1

Le dilatazioni ultime utilizzate sono le dilatazioni limite elastiche

Quota	As	%	At	Pos.	Mx	My	N	MRdx	MRdy	Comb.	Coeff.s.	Verifica
-1	0.000616	1.2	0.00000095	1,2	-18.9135	23.3066	-124.37	-25.0823	30.9082	SLD 3	1.326	Si
-0.69	0.000616	1.2	0.00000095	1,2	-16.7292	20.2295	-123.63	-27.985	33.8403	SLD 3	1.673	Si
-0.38	0.000616	0.6	0.00000095	2	-14.4574	17.025	-122.85	-32.8836	38.7236	SLD 3	2.275	Si
-0.08	0.000616	0.6	0.00000095	2	-12.1987	13.8382	-122.08	-41.3905	46.9532	SLD 3	3.393	Si
0.23	0.000616	0.6	0.00000095	2	23.0382	-5.6791	-159.11	103.625	-25.5444	SLD 10	4.498	Si
0.54	0.000616	0.6	0.00000095	2	18.8362	-3.9621	-158.34	110.6588	-23.2764	SLD 10	5.875	Si
0.85	0.000616	0.6	0.00000095	2	14.6498	-2.2473	-157.57	114.4395	-17.5552	SLD 10	7.812	Si
1.15	0.000616	0.6	0.00000095	2	-8.8964	0.0989	-183.64	-88.9318	0.9884	SLD 11	9.996	Si
1.46	0.000616	0.6	0.00000095	2	-0.5566	2.1212	-205.3	-5.9124	22.5307	SLD 16	10.622	Si
1.77	0.000616	0.6	0.00000095	2	-0.8242	5.0679	-204.54	-7.6722	47.1765	SLD 16	9.309	Si
2.08	0.000616	0.6	0.00000095	2	-1.6373	8.9962	-194.52	-12.4665	68.4975	SLD 14	7.614	Si
2.38	0.000616	0.6	0.00000095	2	6.0893	-11.4779	-115.93	33.6871	-63.4973	SLD 3	5.532	Si
2.69	0.000616	0.6	0.00000095	2	8.2879	-14.6219	-115.16	27.6776	-48.8298	SLD 3	3.34	Si
3	0.00062	1.8	0.00000095	2,4,5	10.4993	-17.7523	-114.4	23.1884	-39.207	SLD 3	2.209	Si
3.22	0.00082	1.8	0.00000083	2,4,5	-4.9738	-17.0207	-151.43	-21.2998	-72.8894	SLD 14	4.282	Si
3.6	0.001206	1.2	0.00000075	4,5	-9.9503	3.1513	-125.63	-103.6501	32.8259	SLD 10	10.417	Si
3.97	0.001206	1.2	0.00000075	4,5	-8.4876	23.5343	-149.58	-27.0451	74.9906	SLD 14	3.186	Si
4.2	0.001206	2.4	0.00000076	3,4,5	-11.2235	-19.6329	-80.31	-30.5485	-53.4374	SLD 16	2.722	Si
4.49	0.001247	2.4	0.00000076	3,4,5	-8.0528	-16.0659	-79.61	-31.0095	-61.8659	SLD 16	3.851	Si
4.78	0.001206	1.2	0.00000076	3	-4.8421	-12.4539	-78.89	-28.6659	-73.7296	SLD 16	5.92	Si
5.06	0.001206	1.2	0.00000076	3	1.4464	-9.4567	-75.09	13.2909	-86.8998	SLD 14	9.189	Si
5.35	0.001206	1.2	0.00000076	3	3.4502	-5.5938	-74.37	44.875	-72.7568	SLD 14	13.007	Si
5.64	0.001206	1.2	0.00000076	3	5.2346	-1.8252	-76.73	97.285	-33.9208	SLD 16	18.585	Si
5.93	0.001206	1.2	0.00000076	3	10.2811	0.8673	-72.56	133.5887	11.2694	SLD 12	12.994	Si
6.21	0.001206	1.2	0.00000076	3	12.0706	5.7	-75.29	89.3594	42.1976	SLD 16	7.403	Si
6.5	0.001206	1.2	0.00000076	3	15.6125	9.2965	-74.57	72.0356	42.8937	SLD 16	4.614	Si
6.79	0.001206	1.2	0.00000076	3	19.2013	12.9045	-73.86	59.2861	39.8441	SLD 16	3.088	Si
7.08	0.001206	1.2	0.00000076	3	22.8106	16.5164	-73.14	52.343	37.8999	SLD 16	2.295	Si
7.36	0.001206	1.2	0.00000076	3	26.4303	20.1301	-72.42	48.1209	36.6503	SLD 16	1.821	Si
7.65	0.000877	1.2	0.00000076	3	30.0088	23.698	-71.71	35.0075	27.6455	SLD 16	1.167	Si
7.65	0.000867	1.2	0.00000076	3	30.0088	23.698	-71.71	34.6999	27.4026	SLD 16	1.156	Si

Indicatori di rischio sismico a pressoflessione in SLV

E' attiva l'opzione fattori parziali di sicurezza unitari per meccanismi duttili di strutture esistenti con fattore q

La struttura oppure parte di essa, è stata dichiarata come non dissipativa pertanto la verifica a pressoflessione, per tutte o solo alcune sezioni, viene eseguita calcolando i momenti resistenti in campo sostanzialmente elastico secondo D.M. 17-01-2018 §7.4.1

Le dilatazioni ultime utilizzate sono le dilatazioni limite elastiche

Quota	Molt.	TR	I.R.TR	PGA	I.R.PGA	Comb.	Ver.
-1	0.467	138	0.454	0.098	0.49	SLV 3	No
-0.69	0.525	184	0.51	0.11	0.552	SLV 3	No
-0.38	0.604	261	0.589	0.126	0.631	SLV 3	No
-0.08	0.711	390	0.694	0.146	0.734	SLV 3	No
0.23	0.862	641	0.851	0.175	0.875	SLV 3	No
0.54	1.094	1226	1.111	0.216	1.083	SLV 3	Si
0.85	1.391	2114	1.389	0.255	1.279	SLV 6	Si
1.15	1.775	2114	1.389	0.255	1.279	SLV 5	Si
1.46	2.014	2114	1.389	0.255	1.279	SLV 1	Si
1.77	1.465	2114	1.389	0.255	1.279	SLV 1	Si
2.08	1.117	1304	1.139	0.22	1.103	SLV 3	Si
2.38	0.869	655	0.859	0.176	0.881	SLV 3	No
2.69	0.711	390	0.694	0.146	0.734	SLV 3	No
3	0.603	259	0.587	0.126	0.63	SLV 3	No
3.22	1.531	2114	1.389	0.255	1.279	SLV 14	Si
3.6	4.179	2114	1.389	0.255	1.279	SLV 6	Si
3.97	1.584	2114	1.389	0.255	1.279	SLV 14	Si
4.2	1.213	1654	1.256	0.237	1.187	SLV 3	Si
4.49	1.504	2114	1.389	0.255	1.279	SLV 3	Si
4.78	1.859	2114	1.389	0.255	1.279	SLV 3	Si
5.06	2.529	2114	1.389	0.255	1.279	SLV 3	Si
5.35	3.936	2114	1.389	0.255	1.279	SLV 3	Si
5.64	7.781	2114	1.389	0.255	1.279	SLV 1	Si
5.93	7.016	2114	1.389	0.255	1.279	SLV 1	Si
6.21	3.508	2114	1.389	0.255	1.279	SLV 3	Si
6.5	2.292	2114	1.389	0.255	1.279	SLV 3	Si
6.79	1.699	2114	1.389	0.255	1.279	SLV 3	Si
7.08	1.324	2114	1.389	0.255	1.279	SLV 16	Si
7.36	0.998	943	0.997	0.199	0.998	SLV 16	No
7.65	0.524	184	0.51	0.11	0.552	SLV 16	No
7.65	0.517	177	0.502	0.108	0.543	SLV 16	No

Indicatori di rischio sismico a pressoflessione in SLD Resistenza

La struttura oppure parte di essa, è stata dichiarata come non dissipativa pertanto la verifica a pressoflessione, per tutte o solo alcune sezioni, viene eseguita calcolando i momenti resistenti in campo sostanzialmente elastico secondo D.M. 17-01-2018 §7.4.1

Le dilatazioni ultime utilizzate sono le dilatazioni limite elastiche

Quota	Molt.	TR	I.R.TR	PGA	I.R.PGA	Comb.	Ver.
-1	1.168	138	1.137	0.098	1.137	SLD 3	Si

Quota	Molt.	TR	I.R.TR	PGA	I.R.PGA	Comb.	Ver.
-0.69	1.314	184	1.279	0.11	1.28	SLD 3	Si
-0.38	1.512	260	1.474	0.126	1.464	SLD 3	Si
-0.08	1.779	390	1.74	0.146	1.702	SLD 3	Si
0.23	2.16	643	2.136	0.175	2.031	SLD 3	Si
0.54	2.74	1229	2.786	0.216	2.514	SLD 3	Si
0.85	3.484	2110	3.477	0.255	2.966	SLD 6	Si
1.15	4.445	2110	3.477	0.255	2.966	SLD 5	Si
1.46	5.04	2110	3.477	0.255	2.966	SLD 1	Si
1.77	3.66	2110	3.477	0.255	2.966	SLD 1	Si
2.08	2.796	1303	2.853	0.22	2.559	SLD 3	Si
2.38	2.175	654	2.151	0.176	2.043	SLD 3	Si
2.69	1.779	390	1.74	0.146	1.702	SLD 3	Si
3	1.507	259	1.471	0.126	1.46	SLD 3	Si
3.22	3.836	2110	3.477	0.255	2.966	SLD 14	Si
3.6	10.155	2110	3.477	0.255	2.966	SLD 6	Si
3.97	3.941	2110	3.477	0.255	2.966	SLD 14	Si
4.2	3.01	1613	3.114	0.235	2.732	SLD 14	Si
4.49	3.736	2110	3.477	0.255	2.966	SLD 3	Si
4.78	4.609	2110	3.477	0.255	2.966	SLD 3	Si
5.06	6.271	2110	3.477	0.255	2.966	SLD 3	Si
5.35	9.716	2110	3.477	0.255	2.966	SLD 3	Si
5.64	19.073	2110	3.477	0.255	2.966	SLD 1	Si
5.93	17.423	2110	3.477	0.255	2.966	SLD 1	Si
6.21	8.764	2110	3.477	0.255	2.966	SLD 3	Si
6.5	5.73	2110	3.477	0.255	2.966	SLD 3	Si
6.79	4.24	2110	3.477	0.255	2.966	SLD 3	Si
7.08	3.303	2109	3.476	0.255	2.965	SLD 16	Si
7.36	2.494	939	2.495	0.199	2.312	SLD 16	Si
7.65	1.309	182	1.273	0.11	1.275	SLD 16	Si
7.65	1.289	176	1.256	0.108	1.257	SLD 16	Si

Verifica a taglio-torsione in famiglia SLU

Quota	Staffe	Ved.x	Ved.y	Ned	Comb.V	Cot	Vres	c.s.v	Mt	As,t	Al,t	Comb.Tor.	Trcd	Trsd	Trld	c.s.V-T	Ver.
-1	2X/2Y ø6/14.8	0.67	0.84	-185.32	SLU 20	2.5	67.33	100.28	0.00001	0	0	SLU 7	35.15057	0.00011	0.00011	1.02	Si
-0.69	2X/2Y ø6/14.8	0.67	0.84	-184.35	SLU 20	2.5	67.21	100.1	0.00001	0	0	SLU 7	35.15057	0.00011	0.00011	1.02	Si
-0.38	2X/2Y ø6/14.8	0.67	0.84	-183.35	SLU 20	2.5	67.09	99.91	0.00001	0	0	SLU 7	35.15057	0.00011	0.00011	1.02	Si
-0.08	2X/2Y ø6/14.8	0.67	0.84	-182.34	SLU 20	2.5	66.96	99.72	0.00001	0	0	SLU 7	35.15057	0.00011	0.00011	1.02	Si
0.23	2X/2Y ø6/14.8	0.67	0.84	-181.34	SLU 20	2.5	66.83	99.53	0.00001	0	0	SLU 7	35.15057	0.00011	0.00011	1.02	Si
0.54	2X/2Y ø6/14.8	0.67	0.84	-180.34	SLU 20	2.5	66.71	99.34	0.00001	0	0	SLU 7	35.15057	0.00011	0.00011	1.02	Si
0.85	2X/2Y ø6/14.8	0.67	0.84	-179.34	SLU 20	2.5	66.58	99.15	0.00001	0	0	SLU 7	35.15057	0.00011	0.00011	1.02	Si
1.15	2X/2Y ø6/14.8	0.67	0.84	-178.35	SLU 20	2.5	66.45	98.97	0.00001	0	0	SLU 7	35.15057	0.00011	0.00011	1.02	Si
1.46	2X/2Y ø6/14.8	0.67	0.84	-177.34	SLU 20	2.5	66.33	98.78	0.00001	0	0	SLU 7	35.15057	0.00011	0.00011	1.02	Si
1.77	2X/2Y ø6/14.8	0.67	0.84	-176.34	SLU 20	2.5	66.2	98.59	0.00001	0	0	SLU 7	35.15057	0.00011	0.00011	1.02	Si
2.08	2X/2Y ø6/14.8	0.67	0.84	-175.34	SLU 20	2.5	66.07	98.4	0.00001	0	0	SLU 7	35.15057	0.00011	0.00011	1.02	Si
2.38	2X/2Y ø6/14.8	0.67	0.84	-174.34	SLU 20	2.5	65.95	98.21	0.00001	0	0	SLU 7	35.15057	0.00011	0.00011	1.02	Si
2.69	2X/2Y ø6/14.8	0.67	0.84	-173.35	SLU 20	2.5	65.82	98.03	0.00001	0	0	SLU 7	35.15057	0.00011	0.00011	1.02	Si
3	2X/2Y ø6/14.8	0.67	0.84	-172.36	SLU 20	2.5	65.81	98	0.00001	0	0	SLU 7	35.15057	0.00011	0.00011	1.02	Si
3.22	2X/2Y ø6/15	40.09	-4.96	-188.97	SLU 35	2.5	67.91	1.69	-	0	0	SLU 1	35.15057	0.00011	0.00011	1.02	Si
3.6	2X/2Y ø6/15	40.09	-4.96	-187.77	SLU 35	2.5	67.76	1.69	-	0	0	SLU 1	35.15057	0.00011	0.00011	1.02	Si
3.97	2X/2Y ø6/15	40.09	-4.96	-186.56	SLU 35	2.5	67.6	1.69	-	0	0	SLU 1	35.15057	0.00011	0.00011	1.02	Si
4.2	2X/2Y ø6/15	5.87	14.81	-108.47	SLU 30	2.5	94.71	6.39	-	0	0	SLU 1	35.15057	0.00011	0.00011	1.02	Si
4.49	2X/2Y ø6/15	5.87	14.81	-107.55	SLU 30	2.5	94.71	6.39	-	0	0	SLU 1	35.15057	0.00011	0.00011	1.02	Si
4.78	2X/2Y ø6/15	5.87	14.81	-106.62	SLU 30	2.5	94.71	6.39	-	0	0	SLU 1	35.15057	0.00011	0.00011	1.02	Si
5.06	2X/2Y ø6/15	5.87	14.81	-105.68	SLU 30	2.5	94.71	6.39	-	0	0	SLU 1	35.15057	0.00011	0.00011	1.02	Si
5.35	2X/2Y ø6/15	5.87	14.81	-104.75	SLU 30	2.5	94.71	6.39	-	0	0	SLU 1	35.15057	0.00011	0.00011	1.02	Si
5.64	2X/2Y ø6/15	5.87	14.81	-103.81	SLU 30	2.5	94.71	6.39	-	0	0	SLU 1	35.15057	0.00011	0.00011	1.02	Si
5.93	2X/2Y ø6/15	5.87	14.81	-102.88	SLU 30	2.5	94.71	6.39	-	0	0	SLU 1	35.15057	0.00011	0.00011	1.02	Si
6.21	2X/2Y ø6/15	5.87	14.81	-101.94	SLU 30	2.5	94.71	6.39	-	0	0	SLU 1	35.15057	0.00011	0.00011	1.02	Si
6.5	2X/2Y ø6/15	5.87	14.81	-101.01	SLU 30	2.5	94.71	6.39	-	0	0	SLU 1	35.15057	0.00011	0.00011	1.02	Si
6.79	2X/2Y ø6/15	5.87	14.81	-100.08	SLU 30	2.5	94.71	6.39	-	0	0	SLU 1	35.15057	0.00011	0.00011	1.02	Si
7.08	2X/2Y ø6/15	5.87	14.81	-99.14	SLU 30	2.5	94.71	6.39	-	0	0	SLU 1	35.15057	0.00011	0.00011	1.02	Si
7.36	2X/2Y ø6/15	5.87	14.81	-98.21	SLU 30	2.5	94.71	6.39	-	0	0	SLU 1	35.15057	0.00011	0.00011	1.02	Si
7.65	2X/2Y ø6/15	5.87	14.81	-97.28	SLU 30	2.5	94.71	6.39	-	0	0	SLU 1	35.15057	0.00011	0.00011	1.02	Si
7.65	2X/2Y ø6/15	5.87	14.81	-97.28	SLU 30	2.5	94.71	6.39	-	0	0	SLU 1	35.15057	0.00011	0.00011	1.02	Si

Verifica a taglio-torsione in famiglia SLV

Quota	Staffe	Ved.x	Ved.y	Ned	Comb.V	Cot	Vres	c.s.v	Mt	As,t	Al,t	Comb.Tor.	Trcd	Trsd	Trld	c.s.V-T	Ver.
-1	2X/2Y ø6/14.8	-26.27	36.53	-65.96	SLV 3	2.5	55.58	2.12	0.03437	0.00000015	0.00000118	SLV 1	35.15057	0.03437	0.03437	1.02	Si
-0.69	2X/2Y ø6/14.8	-26.27	36.53	-65.22	SLV 3	2.5	55.58	2.12	0.03437	0.00000015	0.00000118	SLV 1	35.15057	0.03437	0.03437	1.02	Si
-0.38	2X/2Y ø6/14.8	-26.27	36.53	-64.44	SLV 3	2.5	55.58	2.12	0.03437	0.00000015	0.00000118	SLV 1	35.15057	0.03437	0.03437	1.02	Si
-0.08	2X/2Y ø6/14.8	-26.11	36.42	-63.67	SLV 3	2.5	55.58	2.13	0.03437	0.00000015	0.00000118	SLV 1	35.15057	0.03437	0.03437	1.02	Si
0.23	2X/2Y ø6/14.8	-26.11	36.42	-62.9	SLV 3	2.5	55.58	2.13	0.03437	0.00000015	0.00000118	SLV 1	35.15057	0.03437	0.03437	1.02	Si
0.54	2X/2Y ø6/14.8	-26.11	36.42	-62.13	SLV 3	2.5	55.58	2.13	0.03437	0.00000015	0.00000118	SLV 1	35.15057	0.03437	0.03437	1.02	Si
0.85	2X/2Y ø6/14.8	-26.11	36.42	-61.36	SLV 3	2.5	55.58	2.13	0.03437	0.00000015	0.00000118	SLV 1	35.15057	0.03437	0.03437	1.02	Si
1.15	2X/2Y ø6/14.8	-26.11	36.42	-60.6	SLV 3	2.5	55.58	2.13	0.03437	0.00000015	0.00000118	SLV 1	35.15057	0.03437	0.03437	1.02	Si
1.46	2X/2Y ø6/14.8	-26.11	36.42	-59.82	SLV 3	2.5	55.58	2.13	0.03437	0.00000015	0.00000118	SLV 1	35.15057	0.03437	0.03437	1.02	Si

Quota	Molt.	TR	I.R.TR	PGA	I.R.PGA	Comb.
4.78	2.313	2114	1.389	0.255	1.279	SLV 14
5.06	2.307	2114	1.389	0.255	1.279	SLV 14
5.35	2.301	2114	1.389	0.255	1.279	SLV 14
5.64	2.301	2114	1.389	0.255	1.279	SLV 14
5.93	2.295	2114	1.389	0.255	1.279	SLV 14
6.21	2.289	2114	1.389	0.255	1.279	SLV 14
6.5	2.283	2114	1.389	0.255	1.279	SLV 14
6.79	2.283	2114	1.389	0.255	1.279	SLV 14
7.08	2.277	2114	1.389	0.255	1.279	SLV 14
7.36	2.271	2114	1.389	0.255	1.279	SLV 14
7.65	2.266	2114	1.389	0.255	1.279	SLV 14
7.65	2.266	2114	1.389	0.255	1.279	SLV 14

Indicatori di rischio sismico a taglio in SLD Resistenza

Quota	Molt.	TR	I.R.TR	PGA	I.R.PGA	Comb.
-1	5.307	2110	3.477	0.255	2.966	SLD 3
-0.69	5.307	2110	3.477	0.255	2.966	SLD 3
-0.38	5.307	2110	3.477	0.255	2.966	SLD 3
-0.08	5.348	2110	3.477	0.255	2.966	SLD 3
0.23	5.348	2110	3.477	0.255	2.966	SLD 3
0.54	5.348	2110	3.477	0.255	2.966	SLD 3
0.85	5.348	2110	3.477	0.255	2.966	SLD 3
1.15	5.348	2110	3.477	0.255	2.966	SLD 3
1.46	5.348	2110	3.477	0.255	2.966	SLD 3
1.77	5.348	2110	3.477	0.255	2.966	SLD 3
2.08	5.348	2110	3.477	0.255	2.966	SLD 3
2.38	5.348	2110	3.477	0.255	2.966	SLD 3
2.69	5.348	2110	3.477	0.255	2.966	SLD 3
3	5.354	2110	3.477	0.255	2.966	SLD 3
3.22	1.336	192	1.301	0.112	1.303	SLD 14
3.6	1.332	191	1.299	0.112	1.3	SLD 14
3.97	1.328	189	1.293	0.111	1.295	SLD 14
4.2	5.771	2110	3.477	0.255	2.966	SLD 14
4.49	5.758	2110	3.477	0.255	2.966	SLD 14
4.78	5.758	2110	3.477	0.255	2.966	SLD 14
5.06	5.744	2110	3.477	0.255	2.966	SLD 14
5.35	5.73	2110	3.477	0.255	2.966	SLD 14
5.64	5.717	2110	3.477	0.255	2.966	SLD 14
5.93	5.703	2110	3.477	0.255	2.966	SLD 14
6.21	5.703	2110	3.477	0.255	2.966	SLD 14
6.5	5.689	2110	3.477	0.255	2.966	SLD 14
6.79	5.676	2110	3.477	0.255	2.966	SLD 14
7.08	5.662	2110	3.477	0.255	2.966	SLD 14
7.36	5.662	2110	3.477	0.255	2.966	SLD 14
7.65	5.648	2110	3.477	0.255	2.966	SLD 14
7.65	5.648	2110	3.477	0.255	2.966	SLD 14

Verifiche nodi trave colonna

Riepilogo dei dati per le diverse tipologie di verifica eseguite per i nodi

Pilastrata	Q.Nodo	Escluso	Confinato	Segnalazioni
Pilastrata P2	-1.225	Si	No	
Pilastrata P2	3.11	No	No	non tutte le travature convergenti al nodo sono calcolate/validate
Pilastrata P2	4.085	No	Si	
Pilastrata P2	7.765	No	Si	

Verifiche nodi trave colonna in combinazioni SLD

Riepilogo dei dati per la verifica del nodo secondo Circolare 7 21-01-19 §C8.7.2.3.5.

Pilastrata	Q.Nodo	Angolo travatura	Aj	Vpc	Vtc	Vnc	Nc	onc	onc,lim	Comb.c	Vpt	Vtt	Vnt	Nt	ont	ont,lim	Comb.t	Segnalazioni	Verifica
Pilastrata P2	3.11	180	0	0	0	0	0	0	0	0	0	0	0	0	0	0	0	Trave non calcolata	Si
Pilastrata P2	3.11	270	0	0	0	0	0	0	0	0	0	0	0	0	0	0	0	Trave non calcolata	Si

Verifiche nodi trave colonna in combinazioni SLV

Riepilogo dei dati per la verifica del nodo secondo Circolare 7 21-01-19 §C8.7.2.3.5.

Pilastrata	Q.Nodo	Angolo travatura	Aj	Vpc	Vtc	Vnc	Nc	onc	onc,lim	Comb.c	Vpt	Vtt	Vnt	Nt	ont	ont,lim	Comb.t	Segnalazioni	Verifica
Pilastrata P2	3.11	180	0	0	0	0	0	0	0	0	0	0	0	0	0	0	0	Trave non calcolata	Si
Pilastrata P2	3.11	270	0	0	0	0	0	0	0	0	0	0	0	0	0	0	0	Trave non calcolata	Si

Verifica di instabilità

Q.inf.	Q.sup.	Quota	λ,x	λ,y	λ,limX	λ,limY	M 2° ord.	Nsd	Comb.	M0ed,x	M2,x	M0ed,y	M2,y	Mver,x	Mver,y	C.s x	C.s y	Risultato	(5.38)	(5.39)	Ver.	
-	1.225	3.11	-1	38	60	65	65	No	-244.42	SLU 34	0.9776	5.5884	0.2227	8.4665	-0.9776	-0.5007	6.13	6.13	Min	No	6.13	Si
-	1.225	3.11	-1	38	60	65	65	No	-244.42	SLU 34	0.9776	5.5884	0.2227	8.4665	-0.9776	-0.5007	6.13	6.13	X	No	6.13	Si
-	1.225	3.11	-1	38	60	91	91	No	-124.37	SLD 3	8.2456	2.2039	10.2801	3.7347	-	23.3066	7.19	1.79	Min	No	1.33	Si
-	1.225	3.11	-1	38	60	79	79	No	-164.4	SLD 7	18.7472	2.889	5.0946	4.9621	-	11.56	2.08		X	Si		Si
-	1.225	3.11	-1	38	60	124	124	No	-65.96	SLV 3	20.1033	1.1508	26.031	1.9707	-	59.0011	1.02	0.4	Min	No	0.33	No
-	1.225	3.11	-1	38	60	102	102	No	-98.98	SLV 6	45.0024	1.7268	0.3515	3.405	93.9345	0.779	0.47		X	Si		No
-	1.225	3.11	-1	38	60	65	65	No	-244.42	SLU 34	0.9776	5.5884	0.2227	8.4665	-0.9776	-0.5007	6.13	6.13	Min	No	6.13	Si
-	1.225	3.11	-1	38	60	65	65	No	-244.42	SLU 34	0.9776	5.5884	0.2227	8.4665	-0.9776	-0.5007	6.13	6.13	Y	No	6.13	Si
-	1.225	3.11	-1	38	60	91	91	No	-124.37	SLD 3	8.2456	2.2039	10.2801	3.7347	-	23.3066	7.19	1.79	Min	No	1.33	Si
-	1.225	3.11	-1	38	60	91	91	No	-124.37	SLD 3	8.2456	2.2039	10.2801	3.7347	-	23.3066	7.19	1.79	Y	No	1.33	Si
-	1.225	3.11	-1	38	60	124	124	No	-65.96	SLV 3	20.1033	1.1508	26.031	1.9707	-	59.0011	1.02	0.4	Min	No	0.33	No
-	1.225	3.11	-1	38	60	124	124	No	-65.96	SLV 3	20.1033	1.1508	26.031	1.9707	-	59.0011	1.02	0.4	Y	No	0.33	No

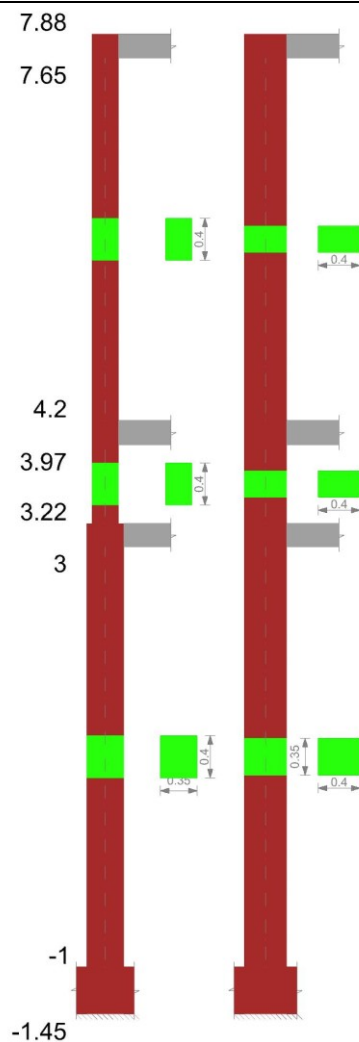
Q.inf.	Q.sup.	Quota	λ,x	λ,y	λ,limX	λ,limY	M 2° ord.	Nsd	Comb.	M0ed,x	M2,x	M0ed,y	M2,y	Mver,x	Mver,y	C.s x	C.s y	Risultato	(5.38)	(5.39)	Ver.
3.11	4.085	3.97	8	14	72	72	No	-196.64	SLU 36	6.4359	0.2952	9.9902	0.4648	-7.386	20.1652	8.31	4.11	Min	No	3.73	Si
3.11	4.085	3.22	8	14	72	72	No	-199.63	SLU 34	6.5547	0.2773	8.7491	0.4605	-6.5547	-9.3114	7.82	6.03	X	No	5.56	Si
3.11	4.085	3.97	8	14	83	83	No	-149.58	SLD 14	7.3774	0.2145	12.0144	0.3389	-8.4876	23.5343	12.47	3.83	Min	No	3.19	Si
3.11	4.085	3.97	8	14	91	91	No	-124.7	SLD 10	8.8794	0.1584	9.3796	0.3027	-	18.4509	10.45	5.07	X	No	3.49	Si
3.11	4.085	3.22	8	14	74	74	No	-185.26	SLV 14	11.3924	0.2273	21.0346	0.3225	-	-	9.27	1.77	Min	No	1.51	Si
3.11	4.085	3.97	8	14	114	114	No	-79.08	SLV 5	11.9168	0.0907	4.8344	0.2237	-	9.7377	4.7	9.59	X	No	3.13	Si
3.11	4.085	3.97	8	14	72	72	No	-196.64	SLU 36	6.4359	0.2952	9.9902	0.4648	-7.386	20.1652	8.31	4.11	Min	No	3.73	Si
3.11	4.085	3.97	8	14	72	72	No	-196.64	SLU 36	6.4359	0.2952	9.9902	0.4648	-7.386	20.1652	8.31	4.11	Y	No	3.73	Si
3.11	4.085	3.97	8	14	83	83	No	-149.58	SLD 14	7.3774	0.2145	12.0144	0.3389	-8.4876	23.5343	12.47	3.83	Min	No	3.19	Si
3.11	4.085	3.97	8	14	83	83	No	-149.58	SLD 14	7.3774	0.2145	12.0144	0.3389	-8.4876	23.5343	12.47	3.83	Y	No	3.19	Si
3.11	4.085	3.22	8	14	74	74	No	-185.26	SLV 14	11.3924	0.2273	21.0346	0.3225	-	-	9.27	1.77	Min	No	1.51	Si
3.11	4.085	3.97	8	14	75	75	No	-183.41	SLV 14	11.3924	0.2335	21.0346	0.3697	-	40.9267	9.16	1.76	Y	No	1.52	Si
4.085	7.765	7.65	32	51	108	108	No	-87.2	SLU 29	16.3896	1.2217	4.5561	2.4682	36.1377	10.7648	2.19		Min	Si		Si
4.085	7.765	7.65	32	51	108	108	No	-87.2	SLU 29	16.3896	1.2217	4.5561	2.4682	36.1377	10.7648	2.19		X	Si		Si
4.085	7.765	7.65	32	51	119	119	No	-71.71	SLD 16	13.8841	1.0046	10.0763	1.7132	30.0088	23.698	2.31	1.91	Min	No	1.16	Si
4.085	7.765	7.65	32	51	123	123	No	-67.55	SLD 11	17.3268	0.9463	3.5026	2.0036	41.1446	8.2319	1.46		X	Si		Si
4.085	7.765	7.65	32	51	107	107	No	-89.5	SLV 16	17.8766	1.2539	20.3079	2.1384	37.764	47.7582	1.82	0.83	Min	No	0.63	No
4.085	7.765	7.65	32	51	126	126	No	-64.28	SLV 7	26.8029	0.9005	6.1269	1.7474	63.5019	-	0.85		X	Si		No
4.085	7.765	4.2	32	51	102	102	No	-98.41	SLU 32	16.3845	1.8367	4.7371	2.7684	-	14.4253	7.51	8.88	Min	No	4.74	Si
4.085	7.765	7.65	32	51	108	108	No	-87.22	SLU 32	16.3845	1.2219	4.7371	2.4555	36.1306	11.1454		6.33	Y	Si		Si
4.085	7.765	7.65	32	51	119	119	No	-71.71	SLD 16	13.8841	1.0046	10.0763	1.7132	30.0088	23.698	2.31	1.91	Min	No	1.16	Si
4.085	7.765	7.65	32	51	122	122	No	-68.63	SLD 14	11.0526	1.422	10.8666	1.6396	20.8424	25.5609	4	1.7	Y	No	1.26	Si
4.085	7.765	7.65	32	51	107	107	No	-89.5	SLV 16	17.8766	1.2539	20.3079	2.1384	37.764	47.7582	1.82	0.83	Min	No	0.63	No
4.085	7.765	7.65	32	51	112	112	No	-81.82	SLV 14	10.7291	1.6954	22.2781	1.9549	14.8674	52.4026	8.86	0.73	Y	No	0.67	No

Verifiche di gerarchia delle resistenze nei nodi trave pilastro

Verifiche di gerarchia delle resistenze nei nodi trave pilastro non presenti in quanto la verifica è non necessaria per la pilastrata per il nodo Appoggio 4.085 in quanto elemento di materiale esistente.
per il nodo Appoggio 7.765 in quanto elemento di materiale esistente.
per il nodo Appoggio -1.225 in quanto elemento di materiale esistente.
per il nodo Appoggio 3.11 in quanto elemento di materiale esistente.

Pilastrata P3

Geometria



Dati della pilastrata

Analisi di edificio esistente con fattore di struttura.

Fattore di struttura per meccanismi duttili in direzione X: 1.5

Fattore di struttura per meccanismi duttili in direzione Y: 1.5

Fattore di struttura per meccanismi fragili in direzione X: 1

Fattore di struttura per meccanismi fragili in direzione Y: 1

Verifica dei meccanismi fragili condotta secondo Circolare 7 21-01-19 (§C8.7.2.2) Analisi lineare con fattore q.

Fattore di amplificazione dei meccanismi fragili della componente sismica in direzione X: 1

Fattore di amplificazione dei meccanismi fragili della componente sismica in direzione Y: 1

Campate costituenti la pilastrata

Q.inf.	Q.sup.	Sezione	Esistente	Secondaria	Dissipativa	Interna a parete	Sovraresistenza	Materiale CLS	Materiale Acciaio	FC
-1	3	R 35x40	Si	No	No	No		C35/42 Vigone B LC2	Vigone_FeB38k_LC2_FC = 1.2	1.2
3.22	3.97	R 25x40	Si	No	No	No		C35/42 Vigone B LC2	Vigone_FeB44k_LC2_FC = 1.2; Vigone_FeB38k_LC2_FC = 1.2	1.2
4.2	7.65	R 25x40	Si	No	No	No		C35/42 Vigone B LC2	Vigone_FeB44k_LC2_FC = 1.2; Vigone_FeB38k_LC2_FC = 1.2	1.2

Disposizione delle armature longitudinali

Posizione	X	Y	Diametro	Area	Q.inf.	Q.sup.	Sezione	Materiale
p.1	-0.1355	-0.1605	0.014	0.0001539	-1.225	-1	R 35x40	Vigone_FeB38k_LC2
p.1	0.1355	-0.1605	0.014	0.0001539	-1.225	-1	R 35x40	Vigone_FeB38k_LC2
p.1	-0.1355	0.1605	0.014	0.0001539	-1.225	-1	R 35x40	Vigone_FeB38k_LC2
p.1	0.1355	0.1605	0.014	0.0001539	-1.225	-1	R 35x40	Vigone_FeB38k_LC2
p.2	-0.1355	-0.1605	0.014	0.0001539	-1	2.937	R 35x40	Vigone_FeB38k_LC2
p.2	0.1355	-0.1605	0.014	0.0001539	-1	2.937	R 35x40	Vigone_FeB38k_LC2
p.2	-0.1355	0.1605	0.014	0.0001539	-1	2.937	R 35x40	Vigone_FeB38k_LC2
p.2	0.1355	0.1605	0.014	0.0001539	-1	2.937	R 35x40	Vigone_FeB38k_LC2
p.4	-0.0848	-0.1598	0.016	0.0002011	4.2	7.38	R 25x40	Vigone_FeB44k_LC2
p.4	0.0848	-0.1598	0.016	0.0002011	4.2	7.38	R 25x40	Vigone_FeB44k_LC2
p.4	-0.0848	0.1598	0.016	0.0002011	4.2	7.38	R 25x40	Vigone_FeB44k_LC2
p.4	0.0848	0.1598	0.016	0.0002011	4.2	7.38	R 25x40	Vigone_FeB44k_LC2
p.4	-0.086	0	0.016	0.0002011	4.2	7.379	R 25x40	Vigone_FeB44k_LC2
p.4	0.086	0	0.016	0.0002011	4.2	7.379	R 25x40	Vigone_FeB44k_LC2
p.5	-0.0848	-0.1598	0.016	0.0002011	3.431	4.224	R 25x40	Vigone_FeB44k_LC2
p.5	0.0848	-0.1598	0.016	0.0002011	3.431	4.224	R 25x40	Vigone_FeB44k_LC2
p.5	-0.0848	0.1598	0.016	0.0002011	3.431	4.224	R 25x40	Vigone_FeB44k_LC2
p.5	0.0848	0.1598	0.016	0.0002011	3.431	4.224	R 25x40	Vigone_FeB44k_LC2
p.6	-0.086	0	0.016	0.0002011	3.409	4.2	R 25x40	Vigone_FeB44k_LC2
p.6	0.086	0	0.016	0.0002011	3.409	4.2	R 25x40	Vigone_FeB44k_LC2

Controlli geometrici NTC18

Nessuna anomalia

Verifiche delle sezioni**Verifica a pressoflessione in SLU**

Quota	As	%	At	Pos.	Mx	My	N	MRdx	MRdy	Comb.	Coeff.s.	Verifica
-1	0.000616	0.9	0	1,2	1.2978	-0.1145	-209.83	12.5039	-1.1033	SLU 34	9.634	Si
-0.69	0.000616	0.9	0	1,2	0.9842	-0.2297	-208.48	9.5437	-2.2275	SLU 34	9.697	Si
-0.38	0.000616	0.4	0	2	0.6575	-0.3497	-207.07	6.4188	-3.4142	SLU 34	9.763	Si
-0.08	0.000616	0.4	0	2	0.3317	-0.4693	-205.66	3.2609	-4.6134	SLU 34	9.83	Si
0.23	0.000616	0.4	0	2	0.0074	-0.5884	-204.26	0.0737	-5.8238	SLU 34	9.897	Si
0.54	0.000616	0.4	0	2	-0.3169	-0.7075	-202.86	-3.1576	-7.0509	SLU 34	9.965	Si
0.85	0.000616	0.4	0	2	-0.6412	-0.8266	-201.46	-6.4338	-8.2951	SLU 34	10.035	Si
1.15	0.000616	0.4	0	2	-0.9638	-0.9451	-200.07	-9.7386	-9.5501	SLU 34	10.105	Si
1.46	0.000616	0.4	0	2	-1.2898	-1.0648	-198.66	-13.1247	-10.836	SLU 34	10.176	Si
1.77	0.000616	0.4	0	2	-1.6141	-1.184	-197.26	-16.5414	-12.1335	SLU 34	10.248	Si
2.08	0.000616	0.4	0	2	-1.9384	-1.3031	-195.86	-20.0069	-13.4496	SLU 34	10.322	Si
2.38	0.000616	0.4	0	2	-2.2627	-1.4222	-194.46	-23.5223	-14.7846	SLU 34	10.396	Si
2.69	0.000616	0.4	0	2	-2.585	-1.5406	-193.07	-27.0674	-16.1309	SLU 34	10.471	Si
3	0.001235	1.7	0	2,3,5,6	-2.906	-1.6584	-191.68	-33.6211	-19.1874	SLU 34	11.57	Si
3.22	0.00082	1.8	0.00000001	3,5,6	4.4752	8.445	-159.59	29.8237	56.2791	SLU 34	6.664	Si
3.6	0.001206	1.2	0.00000001	5,6	5.921	-4.679	-153.89	52.4541	-41.4515	SLU 36	8.859	Si
3.97	0.001206	1.2	0.00000001	5,6	7.3944	-17.9052	-152.69	30.4033	-73.6201	SLU 36	4.112	Si
4.2	0.001206	2.4	0.00000001	4,5,6	15.0122	7.554	-90.73	81.2917	40.905	SLU 33	5.415	Si
4.49	0.001247	2.4	0.00000001	4,5,6	10.9276	6.1711	-89.81	81.0985	45.7988	SLU 33	7.421	Si
4.78	0.001206	1.2	0.00000001	4	6.4194	5.1691	-85.39	66.4667	53.5212	SLU 36	10.354	Si
5.06	0.001206	1.2	0.00000001	4	2.6088	3.3349	-95.25	37.5962	48.0603	SLU 34	14.411	Si
5.35	0.001206	1.2	0.00000001	4	-1.4603	2.0099	-94.31	-25.1027	34.5496	SLU 34	17.19	Si
5.64	0.001206	1.2	0.00000001	4	-5.5295	0.685	-93.38	-83.1756	10.3035	SLU 34	15.042	Si
5.93	0.001206	1.2	0.00000001	4	-9.6	-1.2457	-92.46	-107.8685	-13.9965	SLU 31	11.236	Si
6.21	0.001206	1.2	0.00000001	4	-13.9023	-2.6955	-84.22	-109.188	-21.1701	SLU 30	7.854	Si
6.5	0.001206	1.2	0.00000001	4	-18.0407	-3.9519	-83.29	-102.9886	-22.5603	SLU 30	5.709	Si
6.79	0.001206	1.2	0.00000001	4	-22.1792	-5.2084	-82.35	-97.2503	-22.8375	SLU 30	4.385	Si
7.08	0.001206	1.2	0.00000001	4	-26.3177	-6.4649	-81.42	-91.5171	-22.4809	SLU 30	3.477	Si
7.36	0.001206	1.2	0.00000001	4	-30.4524	-7.8378	-80.46	-86.9694	-22.3841	SLU 33	2.856	Si
7.65	0.000877	1.2	0.00000001	4	-34.537	-9.2206	-79.54	-66.6742	-17.8006	SLU 33	1.931	Si
7.65	0.000867	1.2	0.00000001	4	-34.537	-9.2206	-79.54	-66.1602	-17.6634	SLU 33	1.916	Si

Verifica a pressoflessione in SLV (domini sostanzialmente elastici)

E' attiva l'opzione fattori parziali di sicurezza unitari per meccanismi duttili di strutture esistenti con fattore q

La struttura oppure parte di essa, è stata dichiarata come non dissipativa pertanto la verifica a pressoflessione, per tutte o solo alcune sezioni, viene eseguita calcolando i momenti resistenti in campo sostanzialmente elastico secondo D.M. 17-01-2018 §7.4.1

Le dilatazioni ultime utilizzate sono le dilatazioni limite elastiche

Quota	As	%	At	Pos.	Mx	My	N	ε _{cu}	ε _{fk}	MRdx	MRdy	Comb.	C.S.	Nmin	Nlim	Comb.Nmin	Ver.
-1	0.000616	0.9	0.00000039	1,2	-42.3561	-	-26.3	-	1.75	-9.7325	-29.5841	SLV 15	0.23				No
-0.69	0.000616	0.9	0.00000039	1,2	-38.3214	128.7511	-25.26	-	1.75	-9.9913	-29.4675	SLV 15	0.261				No
-0.38	0.000616	0.4	0.00000039	2	-34.1257	-96.639	-24.17	-	1.75	-10.3902	-29.4234	SLV 15	0.304				No
-0.08	0.000616	0.4	0.00000039	2	-29.958	-80.3262	-23.09	-	1.75	-10.9506	-29.3616	SLV 15	0.366				No
0.23	0.000616	0.4	0.00000039	2	-25.8236	-64.112	-22.01	-	1.75	-11.7898	-29.2704	SLV 15	0.457				No
0.54	0.000616	0.4	0.00000039	2	-21.6985	-47.9004	-20.94	-	1.75	-13.1924	-29.1229	SLV 15	0.608				No
0.85	0.000616	0.4	0.00000039	2	-40.6036	-18.2087	-41.98	-	1.75	-35.5868	-15.9589	SLV 11	0.876				No
1.15	0.000616	0.4	0.00000039	2	-31.5412	-9.4506	-40.91	-	1.75	-40.5687	-12.1555	SLV 11	1.286				Si
1.46	0.000616	0.4	0.00000039	2	-22.5608	0.5349	-39.82	-	1.75	-50.9559	1.2081	SLV 11	2.259				Si
1.77	0.000616	0.4	0.00000039	2	-4.0554	17.0627	-16.63	-	1.75	-8.1044	34.0987	SLV 15	1.998				Si
2.08	0.000616	0.4	0.00000039	2	0.2256	33.2471	-15.55	-	1.75	0.2298	33.8574	SLV 15	1.018				Si
2.38	0.000616	0.4	0.00000039	2	4.2947	49.454	-14.48	-	1.75	2.7984	32.2244	SLV 15	0.652				No
2.69	0.000616	0.4	0.00000039	2	8.0099	65.5702	-13.4	-	1.75	3.8476	31.4968	SLV 15	0.48				No
3	0.001235	1.7	0.00000039	2,3,5,6	11.9833	81.6174	-12.34	-	1.75	7.4564	50.7851	SLV 15	0.622				No
3.22	0.00082	1.8	0.00000208	3,5,6	4.3887	22.5048	-39.73	-	1.75	6.114	31.3525	SLV 16	1.393				Si
3.6	0.001206	1.2	0.00000187	5,6	9.2911	16.7255	-31.39	-	1.95	24.1949	43.5549	SLV 15	2.604				Si
3.97	0.001206	1.2	0.00000187	5,6	12.3906	-28.8854	-142.61	-	1.95	26.7116	-62.271	SLV 4	2.156				Si
4.2	0.001206	2.4	0.00000019	4,5,6	21.3712	40.3501	-83.89	-	1.95	23.7535	44.848	SLV 2	1.111				Si
4.49	0.001247	2.4	0.00000019	4,5,6	16.5469	33.3117	-83.18	-	1.95	24.1506	48.6192	SLV 2	1.46				Si
4.78	0.001206	1.2	0.00000019	4	11.6786	26.1826	-82.46	-	1.95	22.9389	51.4272	SLV 2	1.964				Si
5.06	0.001206	1.2	0.00000019	4	6.8546	19.0562	-81.74	-	1.95	21.5818	59.9989	SLV 2	3.149				Si
5.35	0.001206	1.2	0.00000019	4	-4.0381	-9.2993	-25.35	-	1.95	-21.5111	-49.538	SLV 15	5.327				Si
5.64	0.001206	1.2	0.00000019	4	-4.2966	4.8628	-80.31	-	1.95	-57.997	65.6397	SLV 2	13.498				Si
5.93	0.001206	1.2	0.00000019	4	-12.7764	-1.9644	-74.77	-	1.95	-	-18.9581	SLV 6	9.651				Si
6.21	0.001206	1.2	0.00000019	4	-19.2288	-6.1086	-74.05	-	1.95	123.3051	-87.082	SLV 6	4.529				Si
6.5	0.001206	1.2	0.00000019	4	-26.4658	-10.3278	-73.33	-	1.95	-69.0347	-26.9395	SLV 6	2.608				Si
6.79	0.001206	1.2	0.00000019	4	-23.1961	-23.782	-77.43	-	1.95	-40.3538	-41.3732	SLV 2	1.74				Si

Quota	As	%	At	Pos.	Mx	My	N	ε _{cu}	ε _{fk}	MRdx	MRdy	Comb.	C.S.	Nmin	Nlim	Comb.Nmin	Ver.
7.08	0.001206	1.2	0.0000019	4	-28.075	-30.9103	-76.71	-	1.95	-36.2637	-39.9261	SLV 2	1.292				Si
7.36	0.001206	1.2	0.0000019	4	-32.9684	-38.0403	-75.99	2.02	1.95	-33.7511	-38.9434	SLV 2	1.024				Si
7.65	0.000877	1.2	0.0000019	4	-37.8064	-45.0791	-75.28	2.02	1.95	-24.5477	-29.2699	SLV 2	0.649				No
7.65	0.000867	1.2	0.0000019	4	-37.8064	-45.0791	-75.28	2.02	1.95	-24.316	-28.9936	SLV 2	0.643				No

Verifica a pressoflessione in SLD

La struttura oppure parte di essa, è stata dichiarata come non dissipativa pertanto la verifica a pressoflessione, per tutte o solo alcune sezioni, viene eseguita calcolando i momenti resistenti in campo sostanzialmente elastico secondo D.M. 17-01-2018 §7.4.1

Le dilatazioni ultime utilizzate sono le dilatazioni limite elastiche

Quota	As	%	At	Pos.	Mx	My	N	MRdx	MRdy	Comb.	Coeff.s.	Verifica
-1	0.000616	0.9	0.00000156	1,2	-16.3971	-51.5075	-93.38	-12.1524	-38.1739	SLD 15	0.741	No
-0.69	0.000616	0.9	0.00000156	1,2	-14.9152	-45.2805	-92.34	-13.0014	-39.4704	SLD 15	0.872	No
-0.38	0.000616	0.4	0.00000156	2	-13.3748	-38.7946	-91.25	-14.3023	-41.4846	SLD 15	1.069	Si
-0.08	0.000616	0.4	0.00000156	2	-11.8458	-32.3368	-90.17	-16.3172	-44.5427	SLD 15	1.377	Si
0.23	0.000616	0.4	0.00000156	2	-10.3297	-25.9182	-89.1	-19.8743	-49.8663	SLD 15	1.924	Si
0.54	0.000616	0.4	0.00000156	2	-8.8177	-19.5007	-88.02	-27.486	-60.7861	SLD 15	3.117	Si
0.85	0.000616	0.4	0.00000156	2	-16.5128	-7.6933	-95.79	-98.9421	-46.0969	SLD 11	5.992	Si
1.15	0.000616	0.4	0.00000156	2	-13.0269	-4.2583	-94.72	-139.896	-45.7305	SLD 11	10.739	Si
1.46	0.000616	0.4	0.00000156	2	8.0304	-1.6614	-161.24	117.9251	-24.3979	SLD 5	14.685	Si
1.77	0.000616	0.4	0.00000156	2	0.0009	-8.2753	-173.09	0.0125	-114.8461	SLD 2	13.878	Si
2.08	0.000616	0.4	0.00000156	2	-2.0655	-14.9065	-172.01	-19.9528	-144	SLD 2	9.66	Si
2.38	0.000616	0.4	0.00000156	2	0.7925	19.0422	-81.56	3.0011	72.1081	SLD 15	3.787	Si
2.69	0.000616	0.4	0.00000156	2	2.1328	25.422	-80.49	4.5646	54.4075	SLD 15	2.14	Si
3	0.001235	1.7	0.00000156	2,3,5,6	3.5819	31.7746	-79.42	8.1787	72.5511	SLD 15	2.283	Si
3.22	0.00082	1.8	0.00000083	3,5,6	3.7259	12.9391	-75.52	14.3579	49.862	SLD 16	3.854	Si
3.6	0.001206	1.2	0.00000075	5,6	5.0027	-8.5455	-116.52	43.1029	-73.6265	SLD 4	8.616	Si
3.97	0.001206	1.2	0.00000075	5,6	8.0021	-17.9914	-115.6	32.1002	-72.1717	SLD 4	4.011	Si
4.2	0.001206	2.4	0.00000076	4,5,6	14.6589	19.2822	-67.22	35.288	46.4175	SLD 2	2.407	Si
4.49	0.001247	2.4	0.00000076	4,5,6	11.0896	15.8917	-66.51	36.538	52.3601	SLD 2	3.295	Si
4.78	0.001206	1.2	0.00000076	4	7.4818	12.4573	-65.79	35.66	59.3743	SLD 2	4.766	Si
5.06	0.001206	1.2	0.00000076	4	3.8931	9.0243	-65.07	32.616	75.605	SLD 2	8.378	Si
5.35	0.001206	1.2	0.00000076	4	-1.5932	5.1048	-60.63	-25.5332	81.8119	SLD 4	16.027	Si
5.64	0.001206	1.2	0.00000076	4	-3.9482	2.1843	-63.63	-83.3689	46.1229	SLD 2	21.115	Si
5.93	0.001206	1.2	0.00000076	4	-9.0505	-1.1435	-60.97	-128.0236	-16.1758	SLD 6	14.145	Si
6.21	0.001206	1.2	0.00000076	4	-13.2352	-3.3765	-60.25	-104.1599	-26.573	SLD 6	7.87	Si
6.5	0.001206	1.2	0.00000076	4	-17.7752	-5.6435	-59.54	-80.7739	-25.6454	SLD 6	4.544	Si
6.79	0.001206	1.2	0.00000076	4	-22.4135	-7.9153	-58.82	-70.0499	-24.7362	SLD 6	3.125	Si
7.08	0.001206	1.2	0.00000076	4	-21.7394	-15.0442	-60.04	-51.4067	-35.5746	SLD 2	2.365	Si
7.36	0.001206	1.2	0.00000076	4	-25.3577	-18.4789	-59.32	-47.5184	-34.6281	SLD 2	1.874	Si
7.65	0.000877	1.2	0.00000076	4	-28.9329	-21.8697	-58.61	-34.6607	-26.1992	SLD 2	1.198	Si
7.65	0.000867	1.2	0.00000076	4	-28.9329	-21.8697	-58.61	-34.3445	-25.9602	SLD 2	1.187	Si

Indicatori di rischio sismico a pressoflessione in SLV

E' attiva l'opzione fattori parziali di sicurezza unitari per meccanismi duttili di strutture esistenti con fattore q

La struttura oppure parte di essa, è stata dichiarata come non dissipativa pertanto la verifica a pressoflessione, per tutte o solo alcune sezioni, viene eseguita calcolando i momenti resistenti in campo sostanzialmente elastico secondo D.M. 17-01-2018 §7.4.1

Le dilatazioni ultime utilizzate sono le dilatazioni limite elastiche

Quota	Molt.	TR	I.R.TR	PGA	I.R.PGA	Comb.	Ver.
-1	0.329	69	0.341	0.073	0.367	SLV 15	No
-0.69	0.366	85	0.372	0.08	0.401	SLV 15	No
-0.38	0.416	109	0.412	0.089	0.445	SLV 15	No
-0.08	0.482	149	0.468	0.101	0.506	SLV 15	No
0.23	0.576	231	0.56	0.12	0.603	SLV 15	No
0.54	0.715	395	0.698	0.147	0.737	SLV 15	No
0.85	0.919	759	0.912	0.185	0.927	SLV 11	No
1.15	1.164	1468	1.196	0.228	1.144	SLV 11	Si
1.46	1.557	2114	1.389	0.255	1.279	SLV 11	Si
1.77	1.443	2114	1.389	0.255	1.279	SLV 15	Si
2.08	1.012	977	1.012	0.202	1.01	SLV 15	Si
2.38	0.753	449	0.736	0.154	0.773	SLV 15	No
2.69	0.601	257	0.585	0.125	0.628	SLV 15	No
3	0.689	361	0.673	0.142	0.713	SLV 15	No
3.22	1.355	2114	1.389	0.255	1.279	SLV 16	Si
3.6	2.02	2114	1.389	0.255	1.279	SLV 15	Si
3.97	2.093	2114	1.389	0.255	1.279	SLV 15	Si
4.2	1.123	1324	1.146	0.221	1.108	SLV 2	Si
4.49	1.492	2114	1.389	0.255	1.279	SLV 2	Si
4.78	1.953	2114	1.389	0.255	1.279	SLV 15	Si
5.06	2.494	2114	1.389	0.255	1.279	SLV 15	Si
5.35	3.531	2114	1.389	0.255	1.279	SLV 15	Si
5.64	6.947	2114	1.389	0.255	1.279	SLV 15	Si
5.93	7.152	2114	1.389	0.255	1.279	SLV 11	Si
6.21	4.459	2114	1.389	0.255	1.279	SLV 15	Si
6.5	2.957	2114	1.389	0.255	1.279	SLV 15	Si
6.79	1.934	2114	1.389	0.255	1.279	SLV 2	Si
7.08	1.371	2114	1.389	0.255	1.279	SLV 2	Si
7.36	1.031	1034	1.036	0.205	1.028	SLV 2	Si
7.65	0.545	202	0.53	0.115	0.574	SLV 2	No
7.65	0.537	195	0.523	0.113	0.566	SLV 2	No

Indicatori di rischio sismico a pressoflessione in SLD Resistenza

La struttura oppure parte di essa, è stata dichiarata come non dissipativa pertanto la verifica a pressoflessione, per tutte o solo alcune sezioni, viene eseguita calcolando i momenti resistenti in campo sostanzialmente elastico secondo D.M. 17-01-2018 §7.4.1

Le dilatazioni ultime utilizzate sono le dilatazioni limite elastiche

Quota	Molt.	TR	I.R.TR	PGA	I.R.PGA	Comb.	Ver.
-1	0.823	70	0.86	0.074	0.856	SLD 15	No
-0.69	0.916	85	0.932	0.08	0.93	SLD 15	No
-0.38	1.042	109	1.032	0.089	1.032	SLD 15	Si
-0.08	1.209	150	1.176	0.101	1.177	SLD 15	Si
0.23	1.443	233	1.409	0.121	1.403	SLD 15	Si
0.54	1.791	397	1.753	0.147	1.713	SLD 15	Si
0.85	2.304	762	2.29	0.185	2.153	SLD 11	Si

Quota	Molt.	TR	I.R.TR	PGA	I.R.PGA	Comb.	Ver.
1.15	2.919	1476	3.003	0.229	2.658	SLD 11	Si
1.46	3.9	2110	3.477	0.255	2.966	SLD 11	Si
1.77	3.613	2110	3.477	0.255	2.966	SLD 15	Si
2.08	2.532	977	2.536	0.202	2.344	SLD 15	Si
2.38	1.885	450	1.845	0.155	1.795	SLD 15	Si
2.69	1.504	258	1.469	0.125	1.458	SLD 15	Si
3	1.727	362	1.688	0.142	1.655	SLD 15	Si
3.22	3.373	2110	3.477	0.255	2.966	SLD 16	Si
3.6	5.006	2110	3.477	0.255	2.966	SLD 15	Si
3.97	5.218	2110	3.477	0.255	2.966	SLD 15	Si
4.2	2.793	1299	2.85	0.22	2.557	SLD 2	Si
4.49	3.707	2110	3.477	0.255	2.966	SLD 2	Si
4.78	4.855	2110	3.477	0.255	2.966	SLD 15	Si
5.06	6.195	2110	3.477	0.255	2.966	SLD 15	Si
5.35	8.749	2110	3.477	0.255	2.966	SLD 15	Si
5.64	17.227	2110	3.477	0.255	2.966	SLD 15	Si
5.93	17.65	2110	3.477	0.255	2.966	SLD 11	Si
6.21	11.137	2110	3.477	0.255	2.966	SLD 15	Si
6.5	7.385	2110	3.477	0.255	2.966	SLD 15	Si
6.79	4.828	2110	3.477	0.255	2.966	SLD 2	Si
7.08	3.42	2110	3.477	0.255	2.966	SLD 2	Si
7.36	2.57	1020	2.581	0.204	2.375	SLD 2	Si
7.65	1.359	201	1.326	0.114	1.328	SLD 2	Si
7.65	1.344	195	1.31	0.113	1.311	SLD 2	Si

Verifica a taglio-torsione in famiglia SLU

Quota	Staffe	Ved.x	Ved.y	Ned	Comb.V	Cot	Vres	c.s.V	Mt	As,t	Al,t	Comb.Tor.	Trcd	Trsd	Trld	c.s.V-T	Ver.
-1	2X/2Y ø6/14.8	-0.74	-1.06	-202.53	SLU 33	2.5	96.08	90.33	0.00002	0	0	SLU 2	60.03484	0.00011	0.00011	1.02	Si
-0.69	2X/2Y ø6/14.8	-0.74	-1.06	-201.18	SLU 33	2.5	96.08	90.33	0.00002	0	0	SLU 2	60.03484	0.00011	0.00011	1.02	Si
-0.38	2X/2Y ø6/14.8	-0.74	-1.06	-199.77	SLU 33	2.5	96.08	90.33	0.00002	0	0	SLU 2	60.03484	0.00011	0.00011	1.02	Si
-0.08	2X/2Y ø6/14.8	-0.74	-1.06	-198.36	SLU 33	2.5	96.08	90.33	0.00002	0	0	SLU 2	60.03484	0.00011	0.00011	1.02	Si
0.23	2X/2Y ø6/14.8	-0.74	-1.06	-196.96	SLU 33	2.5	96.08	90.33	0.00002	0	0	SLU 2	60.03484	0.00011	0.00011	1.02	Si
0.54	2X/2Y ø6/14.8	-0.74	-1.06	-195.56	SLU 33	2.5	96.08	90.33	0.00002	0	0	SLU 2	60.03484	0.00011	0.00011	1.02	Si
0.85	2X/2Y ø6/14.8	-0.74	-1.06	-194.16	SLU 33	2.5	96.08	90.33	0.00002	0	0	SLU 2	60.03484	0.00011	0.00011	1.02	Si
1.15	2X/2Y ø6/14.8	-0.74	-1.06	-192.77	SLU 33	2.5	96.08	90.33	0.00002	0	0	SLU 2	60.03484	0.00011	0.00011	1.02	Si
1.46	2X/2Y ø6/14.8	-0.74	-1.06	-191.36	SLU 33	2.5	96.08	90.33	0.00002	0	0	SLU 2	60.03484	0.00011	0.00011	1.02	Si
1.77	2X/2Y ø6/14.8	-0.74	-1.06	-189.96	SLU 33	2.5	96.08	90.33	0.00002	0	0	SLU 2	60.03484	0.00011	0.00011	1.02	Si
2.08	2X/2Y ø6/14.8	-0.74	-1.06	-188.56	SLU 33	2.5	96.08	90.33	0.00002	0	0	SLU 2	60.03484	0.00011	0.00011	1.02	Si
2.38	2X/2Y ø6/14.8	-0.74	-1.06	-187.16	SLU 33	2.5	96.08	90.33	0.00002	0	0	SLU 2	60.03484	0.00011	0.00011	1.02	Si
2.69	2X/2Y ø6/14.8	-0.74	-1.06	-185.77	SLU 33	2.5	96.08	90.33	0.00002	0	0	SLU 2	60.03484	0.00011	0.00011	1.02	Si
3	2X/2Y ø6/14.8	-0.74	-1.06	-184.38	SLU 33	2.5	96.08	90.33	0.00002	0	0	SLU 2	60.03484	0.00011	0.00011	1.02	Si
3.22	2X/2Y ø6/15	-35.75	5.21	-144.3	SLU 35	2.5	62.47	1.75	0.00009	0	0	SLU 1	35.15057	0.00011	0.00011	1.02	Si
3.6	2X/2Y ø6/15	-35.75	5.21	-143.1	SLU 35	2.5	62.1	1.74	0.00009	0	0	SLU 1	35.15057	0.00011	0.00011	1.02	Si
3.97	2X/2Y ø6/15	-35.75	5.21	-141.9	SLU 35	2.5	61.95	1.73	0.00009	0	0	SLU 1	35.15057	0.00011	0.00011	1.02	Si
4.2	2X/2Y ø6/15	-4.87	-14.39	-90.75	SLU 30	2.5	94.71	6.58	0.00011	0	0	SLU 1	35.15057	0.00011	0.00011	1.02	Si
4.49	2X/2Y ø6/15	-4.87	-14.39	-89.83	SLU 30	2.5	94.71	6.58	0.00011	0	0	SLU 1	35.15057	0.00011	0.00011	1.02	Si
4.78	2X/2Y ø6/15	-4.87	-14.39	-88.89	SLU 30	2.5	94.71	6.58	0.00011	0	0	SLU 1	35.15057	0.00011	0.00011	1.02	Si
5.06	2X/2Y ø6/15	-4.87	-14.39	-87.96	SLU 30	2.5	94.71	6.58	0.00011	0	0	SLU 1	35.15057	0.00011	0.00011	1.02	Si
5.35	2X/2Y ø6/15	-4.87	-14.39	-87.02	SLU 30	2.5	94.71	6.58	0.00011	0	0	SLU 1	35.15057	0.00011	0.00011	1.02	Si
5.64	2X/2Y ø6/15	-4.87	-14.39	-86.09	SLU 30	2.5	94.71	6.58	0.00011	0	0	SLU 1	35.15057	0.00011	0.00011	1.02	Si
5.93	2X/2Y ø6/15	-4.87	-14.39	-85.16	SLU 30	2.5	94.71	6.58	0.00011	0	0	SLU 1	35.15057	0.00011	0.00011	1.02	Si
6.21	2X/2Y ø6/15	-4.87	-14.39	-84.22	SLU 30	2.5	94.71	6.58	0.00011	0	0	SLU 1	35.15057	0.00011	0.00011	1.02	Si
6.5	2X/2Y ø6/15	-4.87	-14.39	-83.29	SLU 30	2.5	94.71	6.58	0.00011	0	0	SLU 1	35.15057	0.00011	0.00011	1.02	Si
6.79	2X/2Y ø6/15	-4.87	-14.39	-82.35	SLU 30	2.5	94.71	6.58	0.00011	0	0	SLU 1	35.15057	0.00011	0.00011	1.02	Si
7.08	2X/2Y ø6/15	-4.87	-14.39	-81.42	SLU 30	2.5	94.71	6.58	0.00011	0	0	SLU 1	35.15057	0.00011	0.00011	1.02	Si
7.36	2X/2Y ø6/15	-4.87	-14.39	-80.48	SLU 30	2.5	94.71	6.58	0.00011	0	0	SLU 1	35.15057	0.00011	0.00011	1.02	Si
7.65	2X/2Y ø6/15	-4.87	-14.39	-79.56	SLU 30	2.5	94.71	6.58	0.00011	0	0	SLU 1	35.15057	0.00011	0.00011	1.02	Si
7.65	2X/2Y ø6/15	-4.87	-14.39	-79.56	SLU 30	2.5	94.71	6.58	0.00011	0	0	SLU 1	35.15057	0.00011	0.00011	1.02	Si

Verifica a taglio-torsione in famiglia SLV

Quota	Staffe	Ved.x	Ved.y	Ned	Comb.V	Cot	Vres	c.s.V	Mt	As,t	Al,t	Comb.Tor.	Trcd	Trsd	Trld	c.s.V-T	Ver.
-1	2X/2Y ø6/14.8	52.88	-35.92	-26.3	SLV 15	2.5	82.72	1.56	0.06982	0.00000021	0.00000193	SLV 1	60.03484	0.06982	0.06982	1.02	Si
-0.69	2X/2Y ø6/14.8	52.88	-35.92	-25.26	SLV 15	2.5	82.72	1.56	0.06982	0.00000021	0.00000193	SLV 1	60.03484	0.06982	0.06982	1.02	Si
-0.38	2X/2Y ø6/14.8	52.88	-35.92	-24.17	SLV 15	2.5	82.72	1.56	0.06982	0.00000021	0.00000193	SLV 1	60.03484	0.06982	0.06982	1.02	Si
-0.08	2X/2Y ø6/14.8	52.71	-35.74	-23.09	SLV 15	2.5	82.72	1.57	0.06982	0.00000021	0.00000193	SLV 1	60.03484	0.06982	0.06982	1.02	Si
0.23	2X/2Y ø6/14.8	52.71	-35.74	-22.01	SLV 15	2.5	82.72	1.57	0.06982	0.00000021	0.00000193	SLV 1	60.03484	0.06982	0.06982	1.02	Si
0.54	2X/2Y ø6/14.8	52.71	-35.74	-20.94	SLV 15	2.5	82.72	1.57	0.06982	0.00000021	0.00000193	SLV 1	60.03484	0.06982	0.06982	1.02	Si

Quota	Staffe	Ved.x	Ved.y	Ned	Comb.V	Cot	Vres	c.s.v	Mt	As,t	Al,t	Comb.Tor.	Trcd	Trsd	Trld	c.s.v-T	Ver.
0.85	2X/2Y ø6/14.8	52.71	-35.74	-19.86	SLV 15	2.5	82.72	1.57	0.06982	0.00000021	0.00000193	SLV 1	60.03484	0.06982	0.06982	1.02	Sl
1.15	2X/2Y ø6/14.8	52.71	-35.74	-18.79	SLV 15	2.5	82.72	1.57	0.06982	0.00000021	0.00000193	SLV 1	60.03484	0.06982	0.06982	1.02	Sl
1.46	2X/2Y ø6/14.8	52.71	-35.74	-17.71	SLV 15	2.5	82.72	1.57	0.06982	0.00000021	0.00000193	SLV 1	60.03484	0.06982	0.06982	1.02	Sl
1.77	2X/2Y ø6/14.8	52.71	-35.74	-16.63	SLV 15	2.5	82.72	1.57	0.06982	0.00000021	0.00000193	SLV 1	60.03484	0.06982	0.06982	1.02	Sl
2.08	2X/2Y ø6/14.8	52.71	-35.74	-15.55	SLV 15	2.5	82.72	1.57	0.06982	0.00000021	0.00000193	SLV 1	60.03484	0.06982	0.06982	1.02	Sl
2.38	2X/2Y ø6/14.8	52.71	-35.74	-14.48	SLV 15	2.5	82.72	1.57	0.06982	0.00000021	0.00000193	SLV 1	60.03484	0.06982	0.06982	1.02	Sl
2.69	2X/2Y ø6/14.8	52.71	-35.74	-13.4	SLV 15	2.5	82.72	1.57	0.06982	0.00000021	0.00000193	SLV 1	60.03484	0.06982	0.06982	1.02	Sl
3	2X/2Y ø6/14.8	52.71	-35.74	-12.34	SLV 15	2.5	82.72	1.57	0.06982	0.00000021	0.00000193	SLV 1	60.03484	0.06982	0.06982	1.02	Sl
3.22	2X/2Y ø6/15	-35.61	32.65	-81.27	SLV 8	2.5	55.49	1.56	0.03338	0.00000014	0.00000115	SLV 1	35.15057	0.03338	0.03338	1.02	Sl
3.6	2X/2Y ø6/15	-35.61	32.65	-80.35	SLV 8	2.5	55.23	1.55	0.03338	0.00000014	0.00000103	SLV 1	35.15057	0.03338	0.03338	1.02	Sl
3.97	2X/2Y ø6/15	-35.61	32.65	-79.42	SLV 8	2.5	55.23	1.55	0.03338	0.00000014	0.00000103	SLV 1	35.15057	0.03338	0.03338	1.02	Sl
4.2	2X/2Y ø6/15	-24.81	-28.43	-83.89	SLV 2	2.5	55.52	2.24	0.03533	0.00000015	0.00000109	SLV 1	35.15057	0.03533	0.03533	1.02	Sl
4.49	2X/2Y ø6/15	-24.81	-28.43	-83.18	SLV 2	2.5	55.52	2.24	0.03533	0.00000015	0.00000109	SLV 1	35.15057	0.03533	0.03533	1.02	Sl
4.78	2X/2Y ø6/15	-24.81	-28.43	-82.46	SLV 2	2.5	55.52	2.24	0.03533	0.00000015	0.00000109	SLV 1	35.15057	0.03533	0.03533	1.02	Sl
5.06	2X/2Y ø6/15	-24.81	-28.43	-81.74	SLV 2	2.5	55.52	2.24	0.03533	0.00000015	0.00000109	SLV 1	35.15057	0.03533	0.03533	1.02	Sl
5.35	2X/2Y ø6/15	-24.81	-28.43	-81.03	SLV 2	2.5	55.52	2.24	0.03533	0.00000015	0.00000109	SLV 1	35.15057	0.03533	0.03533	1.02	Sl
5.64	2X/2Y ø6/15	-24.81	-28.43	-80.31	SLV 2	2.5	55.52	2.24	0.03533	0.00000015	0.00000109	SLV 1	35.15057	0.03533	0.03533	1.02	Sl
5.93	2X/2Y ø6/15	-24.81	-28.43	-79.59	SLV 2	2.5	55.52	2.24	0.03533	0.00000015	0.00000109	SLV 1	35.15057	0.03533	0.03533	1.02	Sl
6.21	2X/2Y ø6/15	-24.81	-28.43	-78.87	SLV 2	2.5	55.52	2.24	0.03533	0.00000015	0.00000109	SLV 1	35.15057	0.03533	0.03533	1.02	Sl
6.5	2X/2Y ø6/15	-24.81	-28.43	-78.15	SLV 2	2.5	55.52	2.24	0.03533	0.00000015	0.00000109	SLV 1	35.15057	0.03533	0.03533	1.02	Sl
6.79	2X/2Y ø6/15	-24.81	-28.43	-77.43	SLV 2	2.5	55.52	2.24	0.03533	0.00000015	0.00000109	SLV 1	35.15057	0.03533	0.03533	1.02	Sl
7.08	2X/2Y ø6/15	-24.81	-28.43	-76.71	SLV 2	2.5	55.52	2.24	0.03533	0.00000015	0.00000109	SLV 1	35.15057	0.03533	0.03533	1.02	Sl
7.36	2X/2Y ø6/15	-24.81	-28.43	-75.99	SLV 2	2.5	55.52	2.24	0.03533	0.00000015	0.00000109	SLV 1	35.15057	0.03533	0.03533	1.02	Sl
7.65	2X/2Y ø6/15	-24.81	-28.43	-75.28	SLV 2	2.5	55.52	2.24	0.03533	0.00000015	0.00000109	SLV 1	35.15057	0.03533	0.03533	1.02	Sl
7.65	2X/2Y ø6/15	-24.81	-28.43	-75.28	SLV 2	2.5	55.52	2.24	0.03533	0.00000015	0.00000109	SLV 1	35.15057	0.03533	0.03533	1.02	Sl

Verifica taglio ciclico secondo Circolare 7 21-01-19 §C8.7.2.3.5 formula [C8.7.2.8] in combinazione SLV

Quota	Q.inf.	Q.sup.	Dir.	Lv	x	h	p,tot	θ,m	θ,y	μΔ,pl	VRd	VRcd(cotθ=1)	VRsd	Vw	VR	VR,f	VEd	NEd	Comb.	Verifica
-1	-	3.11	X	2.168	0.104	0.35	0.0044	0.003708	0.011495	0	60.004	462.038	82.716	33.086	37.056	82.716	52.875	-26.299	SLV 15	Sl
-1	-	3.11	Y	2.168	0.116	0.4	0.0044	0.002505	0.01017	0	84.076	508.159	95.561	38.224	52.738	95.561	-	-	SLV 5	Sl

Verifica a taglio-torsione in famiglia SLD Resistenza

Quota	Staffe	Ved.x	Ved.y	Ned	Comb.V	Cot	Vres	c.s.v	Mt	As,t	Al,t	Comb.Tor.	Trcd	Trsd	Trld	c.s.v-T	Ver.
-1	2X/2Y ø6/14.8	-21.67	-14.85	-182.76	SLD 2	2.5	82.74	3.82	0.02792	0.00000008	0.00000077	SLD 1	60.03484	0.02792	0.02792	1.02	Sl
-0.69	2X/2Y ø6/14.8	-21.67	-14.85	-181.72	SLD 2	2.5	82.74	3.82	0.02792	0.00000008	0.00000077	SLD 1	60.03484	0.02792	0.02792	1.02	Sl
-0.38	2X/2Y ø6/14.8	-21.67	-14.85	-180.63	SLD 2	2.5	82.74	3.82	0.02792	0.00000008	0.00000077	SLD 1	60.03484	0.02792	0.02792	1.02	Sl
-0.08	2X/2Y ø6/14.8	-21.6	-14.77	-179.55	SLD 2	2.5	82.74	3.83	0.02792	0.00000008	0.00000077	SLD 1	60.03484	0.02792	0.02792	1.02	Sl
0.23	2X/2Y ø6/14.8	-21.6	-14.77	-178.47	SLD 2	2.5	82.74	3.83	0.02792	0.00000008	0.00000077	SLD 1	60.03484	0.02792	0.02792	1.02	Sl
0.54	2X/2Y ø6/14.8	-21.6	-14.77	-177.4	SLD 2	2.5	82.74	3.83	0.02792	0.00000008	0.00000077	SLD 1	60.03484	0.02792	0.02792	1.02	Sl
0.85	2X/2Y ø6/14.8	-21.6	-14.77	-176.32	SLD 2	2.5	82.74	3.83	0.02792	0.00000008	0.00000077	SLD 1	60.03484	0.02792	0.02792	1.02	Sl
1.15	2X/2Y ø6/14.8	-21.6	-14.77	-175.25	SLD 2	2.5	82.74	3.83	0.02792	0.00000008	0.00000077	SLD 1	60.03484	0.02792	0.02792	1.02	Sl
1.46	2X/2Y ø6/14.8	-21.6	-14.77	-174.16	SLD 2	2.5	82.74	3.83	0.02792	0.00000008	0.00000077	SLD 1	60.03484	0.02792	0.02792	1.02	Sl
1.77	2X/2Y ø6/14.8	-21.6	-14.77	-173.09	SLD 2	2.5	82.74	3.83	0.02792	0.00000008	0.00000077	SLD 1	60.03484	0.02792	0.02792	1.02	Sl
2.08	2X/2Y ø6/14.8	-21.6	-14.77	-172.01	SLD 2	2.5	82.74	3.83	0.02792	0.00000008	0.00000077	SLD 1	60.03484	0.02792	0.02792	1.02	Sl
2.38	2X/2Y ø6/14.8	-21.6	-14.77	-170.93	SLD 2	2.5	82.74	3.83	0.02792	0.00000008	0.00000077	SLD 1	60.03484	0.02792	0.02792	1.02	Sl
2.69	2X/2Y ø6/14.8	-21.6	-14.77	-169.86	SLD 2	2.5	82.74	3.83	0.02792	0.00000008	0.00000077	SLD 1	60.03484	0.02792	0.02792	1.02	Sl
3	2X/2Y ø6/14.8	-21.6	-14.77	-168.8	SLD 2	2.5	82.74	3.83	0.02792	0.00000008	0.00000077	SLD 1	60.03484	0.02792	0.02792	1.02	Sl
3.22	2X/2Y ø6/15	-28.14	14.29	-92.16	SLD 8	2.5	55.84	1.98	0.01327	0.00000006	0.00000046	SLD 1	35.15057	0.01327	0.01327	1.02	Sl
3.6	2X/2Y ø6/15	-28.14	14.29	-91.24	SLD 8	2.5	55.54	1.97	0.01327	0.00000006	0.00000041	SLD 1	35.15057	0.01327	0.01327	1.02	Sl
3.97	2X/2Y ø6/15	-28.14	14.29	-90.31	SLD 8	2.5	55.42	1.97	0.01327	0.00000006	0.00000041	SLD 1	35.15057	0.01327	0.01327	1.02	Sl
4.2	2X/2Y ø6/15	-11.95	-17.19	-67.22	SLD 2	2.5	55.53	4.65	0.01404	0.00000006	0.00000043	SLD 1	35.15057	0.01404	0.01404	1.02	Sl
4.49	2X/2Y ø6/15	-11.95	-17.19	-66.51	SLD 2	2.5	55.53	4.65	0.01404	0.00000006	0.00000043	SLD 1	35.15057	0.01404	0.01404	1.02	Sl
4.78	2X/2Y ø6/15	-11.95	-17.19	-65.79	SLD 2	2.5	55.53	4.65	0.01404	0.00000006	0.00000043	SLD 1	35.15057	0.01404	0.01404	1.02	Sl
5.06	2X/2Y ø6/15	-11.95	-17.19	-65.07	SLD 2	2.5	55.53	4.65	0.01404	0.00000006	0.00000043	SLD 1	35.15057	0.01404	0.01404	1.02	Sl
5.35	2X/2Y ø6/15	-11.95	-17.19	-64.35	SLD 2	2.5	55.53	4.65	0.01404	0.00000006	0.00000043	SLD 1	35.15057	0.01404	0.01404	1.02	Sl
5.64	2X/2Y ø6/15	-11.95	-17.19	-63.63	SLD 2	2.5	55.53	4.65	0.01404	0.00000006	0.00000043	SLD 1	35.15057	0.01404	0.01404	1.02	Sl
5.93	2X/2Y ø6/15	-11.95	-17.19	-62.91	SLD 2	2.5	55.53	4.65	0.01404	0.00000006	0.00000043	SLD 1	35.15057	0.01404	0.01404	1.02	Sl
6.21	2X/2Y ø6/15	-11.95	-17.19	-62.2	SLD 2	2.5	55.53	4.65	0.01404	0.00000006	0.00000043	SLD 1	35.15057	0.01404	0.01404	1.02	Sl
6.5	2X/2Y ø6/15	-11.95	-17.19	-61.48	SLD 2	2.5	55.53	4.65	0.01404	0.00000006	0.00000043	SLD 1	35.15057	0.01404	0.01404	1.02	Sl
6.79	2X/2Y ø6/15	-11.95	-17.19	-60.76	SLD 2	2.5	55.53	4.65	0.01404	0.00000006	0.00000043	SLD 1	35.15057	0.01404	0.01404	1.02	Sl
7.08	2X/2Y ø6/15	-11.95	-17.19	-60.04	SLD 2	2.5	55.53	4.65	0.01404	0.00000006	0.00000043	SLD 1	35.15057	0.01404	0.01404	1.02	Sl
7.36	2X/2Y ø6/15	-11.95	-17.19	-59.32	SLD 2	2.5	55.53	4.65	0.01404	0.00000006	0.00000043	SLD 1	35.15057	0.01404	0.01404	1.02	Sl
7.65	2X/2Y ø6/15	-11.95	-17.19	-58.61	SLD 2	2.5	55.53	4.65	0.01404	0.00000006	0.00000043	SLD 1	35.15057	0.01404	0.01404	1.02	Sl
7.65	2X/2Y ø6/15	-11.95	-17.19	-58.61	SLD 2	2.5	55.53	4.65	0.01404	0.00000006	0.00000043	SLD 1	35.15057	0.0			

Quota	Molt.	TR	I.R.TR	PGA	I.R.PGA	Comb.	
3	1.566	2114	1.389	0.255	1.279	SLV 15	Si
3.22	2.617	2114	1.389	0.255	1.279	SLV 8	Si
3.6	2.6	2114	1.389	0.255	1.279	SLV 8	Si
3.97	2.6	2114	1.389	0.255	1.279	SLV 8	Si
4.2	2.658	2114	1.389	0.255	1.279	SLV 2	Si
4.49	2.652	2114	1.389	0.255	1.279	SLV 2	Si
4.78	2.652	2114	1.389	0.255	1.279	SLV 2	Si
5.06	2.646	2114	1.389	0.255	1.279	SLV 2	Si
5.35	2.641	2114	1.389	0.255	1.279	SLV 2	Si
5.64	2.635	2114	1.389	0.255	1.279	SLV 2	Si
5.93	2.629	2114	1.389	0.255	1.279	SLV 2	Si
6.21	2.623	2114	1.389	0.255	1.279	SLV 2	Si
6.5	2.617	2114	1.389	0.255	1.279	SLV 2	Si
6.79	2.617	2114	1.389	0.255	1.279	SLV 2	Si
7.08	2.611	2114	1.389	0.255	1.279	SLV 2	Si
7.36	2.605	2114	1.389	0.255	1.279	SLV 2	Si
7.65	2.6	2114	1.389	0.255	1.279	SLV 2	Si
7.65	2.6	2114	1.389	0.255	1.279	SLV 2	Si

Indicatori di rischio sismico a taglio in SLD Resistenza

Quota	Molt.	TR	I.R.TR	PGA	I.R.PGA	Comb.	
-1	3.9	2110	3.477	0.255	2.966	SLD 15	Si
-0.69	3.9	2110	3.477	0.255	2.966	SLD 15	Si
-0.38	3.9	2110	3.477	0.255	2.966	SLD 15	Si
-0.08	3.918	2110	3.477	0.255	2.966	SLD 15	Si
0.23	3.918	2110	3.477	0.255	2.966	SLD 15	Si
0.54	3.918	2110	3.477	0.255	2.966	SLD 15	Si
0.85	3.918	2110	3.477	0.255	2.966	SLD 15	Si
1.15	3.918	2110	3.477	0.255	2.966	SLD 15	Si
1.46	3.918	2110	3.477	0.255	2.966	SLD 15	Si
1.77	3.918	2110	3.477	0.255	2.966	SLD 15	Si
2.08	3.918	2110	3.477	0.255	2.966	SLD 15	Si
2.38	3.918	2110	3.477	0.255	2.966	SLD 15	Si
2.69	3.918	2110	3.477	0.255	2.966	SLD 15	Si
3	3.918	2110	3.477	0.255	2.966	SLD 15	Si
3.22	6.551	2110	3.477	0.255	2.966	SLD 8	Si
3.6	6.496	2110	3.477	0.255	2.966	SLD 8	Si
3.97	6.496	2110	3.477	0.255	2.966	SLD 8	Si
4.2	6.633	2110	3.477	0.255	2.966	SLD 2	Si
4.49	6.605	2110	3.477	0.255	2.966	SLD 2	Si
4.78	6.605	2110	3.477	0.255	2.966	SLD 2	Si
5.06	6.592	2110	3.477	0.255	2.966	SLD 2	Si
5.35	6.578	2110	3.477	0.255	2.966	SLD 2	Si
5.64	6.564	2110	3.477	0.255	2.966	SLD 2	Si
5.93	6.551	2110	3.477	0.255	2.966	SLD 2	Si
6.21	6.537	2110	3.477	0.255	2.966	SLD 2	Si
6.5	6.523	2110	3.477	0.255	2.966	SLD 2	Si
6.79	6.51	2110	3.477	0.255	2.966	SLD 2	Si
7.08	6.496	2110	3.477	0.255	2.966	SLD 2	Si
7.36	6.482	2110	3.477	0.255	2.966	SLD 2	Si
7.65	6.469	2110	3.477	0.255	2.966	SLD 2	Si
7.65	6.469	2110	3.477	0.255	2.966	SLD 2	Si

Verifiche nodi trave colonna

Riepilogo dei dati per le diverse tipologie di verifica eseguite per i nodi

Pilastrata	Q.Nodo	Escluso	Confinato	Segnalazioni
Pilastrata P3	-1.225	Si	No	
Pilastrata P3	3.11	No	No	non tutte le travature convergenti al nodo sono calcolate/validate
Pilastrata P3	4.085	No	No	
Pilastrata P3	7.765	No	No	

Verifiche nodi trave colonna in combinazioni SLD

Riepilogo dei dati per la verifica del nodo secondo Circolare 7 21-01-19 §C8.7.2.3.5.

Pilastrata	Q.Nodo	Angolo travatura	Aj	Vpc	Vtc	Vnc	Nc	onc	onc,lim	Comb.c	Vpt	Vtt	Vnt	Nt	ont	ont,lim	Comb.t	Segnalazioni	Verifica
Pilastrata P3	3.11	0	0	0	0	0	0	0	0	SLD 2	0	0	0	0	0	0		Trave non calcolata	Si
	3.11	90	0	0	0	0	0	0	0	SLD 2	0	0	0	0	0	0		Trave non calcolata	Si

Verifiche nodi trave colonna in combinazioni SLD

Riepilogo dei dati per la verifica del nodo secondo Circolare 7 21-01-19 §C8.7.2.3.5.

Pilastrata	Q.Nodo	Angolo travatura	Aj	Vpc	Vtc	Vnc	Nc	onc	onc,lim	Comb.c	Vpt	Vtt	Vnt	Nt	ont	ont,lim	Comb.t	Segnalazioni	Verifica	
Pilastrata P3	4.085	0	0.0903	-	226.406	214.455	-	2776	9614	SLD 2	-	226.406	214.455	-	2032	1316	SLD 2		No	
	4.085	90	0.12786	-17.19	132.786	115.595	67.217	-	1191	9614	11.951	-17.19	132.786	115.595	-	686	1316	SLD 5		Si

Verifiche nodi trave colonna in combinazioni SLD

Riepilogo dei dati per la verifica del nodo secondo Circolare 7 21-01-19 §C8.7.2.3.5.

Pilastrata	Q.Nodo	Angolo travatura	Aj	Vpc	Vtc	Vnc	Nc	onc	onc,lim	Comb.c	Vpt	Vtt	Vnt	Nt	ont	ont,lim	Comb.t	Segnalazioni	Verifica
Pilastrata P3	7.765	0	0.0903	0	118.664	118.664	0	1314	9614	SLD 2	0	118.664	118.664	0	1314	1316	SLD 2		Si
	7.765	90	0.12786	0	213.381	213.381	0	1669	9614	SLD 5	0	213.381	213.381	0	1669	1316	SLD 5		No

Verifiche nodi trave colonna in combinazioni SLV

Riepilogo dei dati per la verifica del nodo secondo Circolare 7 21-01-19 §C8.7.2.3.5.

Pilastrata	Q.Nodo	Angolo travatura	Aj	Vpc	Vtc	Vnc	Nc	onc	onc,lim	Comb.c	Vpt	Vtt	Vnt	Nt	ont	ont,lim	Comb.t	Segnalazioni	Verifica
Pilastrata P3	3.11	0	0	0	0	0	0	0	0	SLD 2	0	0	0	0	0	0		Trave non calcolata	Si
	3.11	90	0	0	0	0	0	0	0	SLD 2	0	0	0	0	0	0		Trave non calcolata	Si

Verifiche nodi trave colonna in combinazioni SLV**Riepilogo dei dati per la verifica del nodo secondo Circolare 7 21-01-19 §C8.7.2.3.5.**

Pilastrata	Q.Nodo	Angolo travatura	Aj	Vpc	Vtc	Vnc	Nc	onc	onc,lim	Comb.c	Vpt	Vtt	Vnt	Nt	ont	ont,lim	Comb.t	Segnalazioni	Verifica	
Pilastrata P3	4.085	0	0.0903	-	435.358	410.548	-	5035	9614	SLV 2	-	435.358	410.548	-	4106	1316	SLV 2		No	
	4.085	90	0.12786	24.809	-	290.529	262.096	-	2374	9614	SLV 5	24.809	290.529	262.096	-	1770	1316	SLV 5		No
				28.433		77.268						28.433		77.268						

Verifiche nodi trave colonna in combinazioni SLV**Riepilogo dei dati per la verifica del nodo secondo Circolare 7 21-01-19 §C8.7.2.3.5.**

Pilastrata	Q.Nodo	Angolo travatura	Aj	Vpc	Vtc	Vnc	Nc	onc	onc,lim	Comb.c	Vpt	Vtt	Vnt	Nt	ont	ont,lim	Comb.t	Segnalazioni	Verifica
Pilastrata P3	7.765	0	0.0903	0	256.557	256.557	0	2841	9614	SLV 2	0	256.557	256.557	0	2841	1316	SLV 2		No
	7.765	90	0.12786	0	350.274	350.274	0	2739	9614	SLV 5	0	350.274	350.274	0	2739	1316	SLV 5		No

Indicatori di rischio sismico dei nodi in SLD

Pilastrata	Q.Nodo	Angolo travatura	Moltiplicatore	TR	I.R.TR	PGA	I.R.PGA	Comb.	Ver.
Pilastrata P3	4.085	0	0.469	26	0.573	0.047	0.541	SLD 2	No
	4.085	90	1.883	449	1.844	0.154	1.794	SLD 5	Si

Indicatori di rischio sismico dei nodi in SLD

Pilastrata	Q.Nodo	Angolo travatura	Moltiplicatore	TR	I.R.TR	PGA	I.R.PGA	Comb.	Ver.
Pilastrata P3	7.765	0	1.002	101	1	0.086	1	SLD 2	Si
	7.765	90	0.5	29	0.6	0.049	0.569	SLD 5	No

Indicatori di rischio sismico dei nodi in SLV

Pilastrata	Q.Nodo	Angolo travatura	Moltiplicatore	TR	I.R.TR	PGA	I.R.PGA	Comb.	Ver.
Pilastrata P3	4.085	0	0.188	26	0.229	0.047	0.233	SLV 2	No
	4.085	90	0.752	448	0.735	0.154	0.773	SLV 5	No

Indicatori di rischio sismico dei nodi in SLV

Pilastrata	Q.Nodo	Angolo travatura	Moltiplicatore	TR	I.R.TR	PGA	I.R.PGA	Comb.	Ver.
Pilastrata P3	7.765	0	0.401	101	0.399	0.086	0.431	SLV 2	No
	7.765	90	0.2	29	0.239	0.049	0.245	SLV 5	No

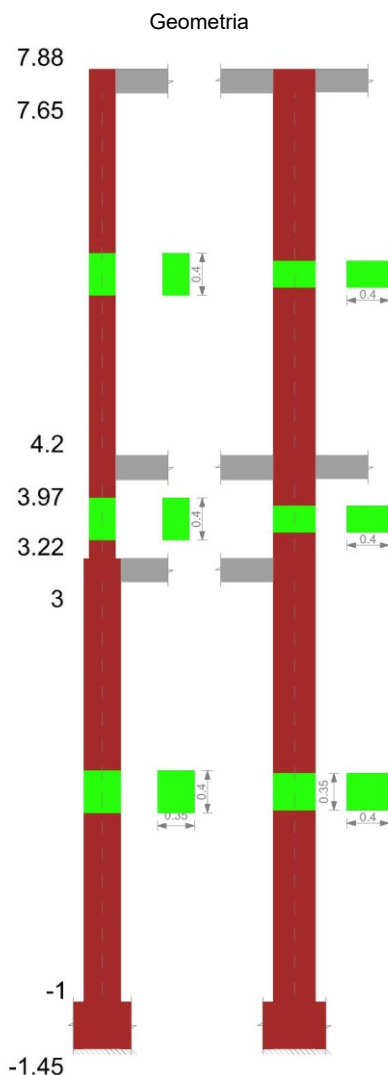
Verifica di instabilità

Q.inf.	Q.sup.	Quota	λ,x	λ,y	λ,limX	λ,limY	M 2° ord.	Nsd	Comb.	M0ed,x	M2,x	M0ed,y	M2,y	Mver,x	Mver,y	C.s x	C.s y	Risultato	(5.38)	(5.39)	Ver.	
-	3.11	-1	38	43	83	83	No	-209.83	SLV 34	1.2109	4.7417	1.0317	5.7546	1.2978	-1.0317	9.63		Min	Si		Si	
1.225	3.11	-1	38	43	83	83	No	-209.83	SLV 34	1.2109	4.7417	1.0317	5.7546	1.2978	-1.0317	9.63		X	Si		Si	
-	3.11	-1	38	43	124	124	No	-93.38	SLD 15	8.8757	1.6673	22.5405	1.8915	-16.3971	-51.5075	9.33	0.83	Min	No	0.74	No	
1.225	3.11	-1	38	43	116	116	No	-106.3	SLD 12	21.9813	1.8715	9.8693	2.1572	-42.1026	-22.5948	1.46	3.64	X	No	1.05	Si	
-	3.11	-1	38	43	233	233	No	-26.3	SLV 15	21.8972	0.4588	56.3942	0.5327	-42.3561	-	0.97	0.25	Min	No	0.23	No	
1.225	3.11	-1	38	43	156	156	No	-58.61	SLV 12	54.7215	1.0226	24.7142	1.1872	-	128.7511	-56.4632	0.38	0.66	X	No	0.29	No
-	3.11	-1	38	43	83	83	No	-209.83	SLV 34	1.2109	4.7417	1.0317	5.7546	1.2978	-1.0317		9.63	Min	Si		Si	
1.225	3.11	-1	38	43	83	83	No	-209.83	SLV 34	1.2109	4.7417	1.0317	5.7546	1.2978	-1.0317		9.63	Y	Si		Si	
-	3.11	-1	38	43	124	124	No	-93.38	SLD 15	8.8757	1.6673	22.5405	1.8915	-16.3971	-51.5075	9.33	0.83	Min	No	0.74	No	
1.225	3.11	-1	38	43	124	124	No	-93.38	SLD 15	8.8757	1.6673	22.5405	1.8915	-16.3971	-51.5075	9.33	0.83	Y	No	0.74	No	
-	3.11	-1	38	43	233	233	No	-26.3	SLV 15	21.8972	0.4588	56.3942	0.5327	-42.3561	-	0.97	0.25	Min	No	0.23	No	
1.225	3.11	-1	38	43	233	233	No	-26.3	SLV 15	21.8972	0.4588	56.3942	0.5327	-42.3561	-	0.97	0.25	Y	No	0.23	No	
-	3.11	-1	38	43	82	82	No	-152.69	SLV 36	6.3192	0.2249	8.8779	0.3622	7.3944	-17.9052	10.03	4.73	Min	No	4.11	Si	
3.11	4.085	3.22	8	14	80	80	No	-159.59	SLV 34	6.6812	0.221	7.8281	0.3674	6.6812	8.445	9.29	7.09	X	No	6.3	Si	
-	3.11	4.085	3.22	8	14	116	116	No	-75.52	SLD 16	5.4891	0.1122	6.8871	0.1528	5.4891	12.9391	21.04	4.38	Min	No	3.62	Si
3.11	4.085	3.97	8	14	106	106	No	-90.31	SLD 8	7.1313	0.1148	5.3469	0.2555	12.5657	-10.7203	11.47	8.71	X	No	5.19	Si	
-	3.11	4.085	3.22	8	14	160	160	No	-39.73	SLV 16	7.1639	0.0554	16.9593	0.0596	7.1639	22.5048	17.44	1.48	Min	No	1.34	Si
3.11	4.085	3.97	8	14	156	156	No	-42.19	SLV 11	10.3736	0.0415	10.5668	0.1194	22.0898	10.5668	3.8		X	Si		Si	
-	3.11	4.085	3.97	8	14	82	82	No	-152.69	SLV 36	6.3192	0.2249	8.8779	0.3622	7.3944	-17.9052	10.03	4.73	Min	No	4.11	Si
3.11	4.085	3.97	8	14	85	85	No	-141.9	SLV 35	5.9616	0.2146	8.8773	0.3366	6.8403	-17.9035	10.81	4.68	Y	No	4.12	Si	
-	3.11	4.085	3.22	8	14	116	116	No	-75.52	SLD 16	5.4891	0.1122	6.8871	0.1528	5.4891	12.9391	21.04	4.38	Min	No	3.62	Si
3.11	4.085	3.22	8	14	119	119	No	-72.56	SLD 15	4.9942	0.1117	7.51	0.1473	4.9942	12.79	22.51	4.33	Y	No	3.64	Si	
-	3.11	4.085	3.22	8	14	160	160	No	-39.73	SLV 16	7.1639	0.0554	16.9593	0.0596	7.1639	22.5048	17.44	1.48	Min	No	1.34	Si
3.11	4.085	3.22	8	14	178	178	No	-32.31	SLV 15	5.9257	0.0497	18.5178	0.0485	5.9257	22.1318		1.46	Y	Si		Si	
-	4.085	7.765	7.65	32	51	113	113	No	-79.56	SLV 30	15.061	1.1146	3.7921	2.2528	-34.5412	-8.9616	2.25		Min	Si		Si
4.085	7.765	7.65	32	51	113	113	No	-79.56	SLV 30	15.061	1.1146	3.7921	2.2528	-34.5412	-8.9616	2.25		X	Si		Si	
-	4.085	7.765	7.65	32	51	132	132	No	-58.61	SLD 2	12.1716	0.8211	9.3152	1.4003	-28.9329	-21.8697	2.23	1.98	Min	No	1.19	Si
4.085	7.765	7.65	32	51	135	135	No	-55.95	SLD 5	15.8706	0.7838	5.4097	1.5112	-37.6448	-12.7117	1.55	4.23	X	No	1.22	Si	
-	4.085	7.765	7.65	32	51	116	116	No	-75.28	SLV 2	15.9327	1.0547	19.2095	1.7987	-37.8064	-45.0791	1.69	0.86	Min	No	0.64	No
4.085	7.765	7.65	32	51	122	122	No	-68.66	SLV 5	25.1609	0.9619	9.458	1.6404	-59.5463	-22.2126	0.92	2.05	X	No	0.72	No	
-	4.085	7.765	4.2	32	51	106	106	No	-90.73	SLV 33	15.059	1.6797	3.9196	2.5542	15.059	7.554	8.17	10.33	Min	No	5.4	Si
4.085	7.765	7.65	32	51	122	122	No	-68.76	SLV 32	14.4032	0.9633	3.9202	1.9383	-33.0662	-9.2219		7.47	Y	Si		Si	
-	4.085	7.765	7.65	32	51	132	132	No	-58.61	SLD 2	12.1716	0.8211	9.3152	1.4003	-28.9329	-21.8697	2.23	1.98	Min	No	1.19	Si
4.085	7.765	7.65	32	51	132	132	No	-58.61	SLD 2	12.1716	0.8211	9.3152	1.4003	-28.9329	-21.8697	2.23	1.98	Y	No	1.19	Si	
-	4.085	7.765	7.65	32	51	116	116	No	-75.28	SLV 2	15.9327	1.0547	19.2095	1.7987	-37.8064	-45.0791	1.69	0.86	Min	No	0.64	No
4.085	7.765	7.65	32	51	116	116	No	-75.28	SLV 2	15.9327	1.0547	19.2095	1.7987	-37.8064	-45.0791	1.69	0.86	Y	No	0.64	No	

Verifiche di gerarchia delle resistenze nei nodi trave pilastro

Verifiche di gerarchia delle resistenze nei nodi trave pilastro non presenti in quanto la verifica è non necessaria per la pilastrata per il nodo Appoggio 7.765 in quanto elemento di materiale esistente.
per il nodo Appoggio -1.225 in quanto elemento di materiale esistente.
per il nodo Appoggio 3.11 in quanto elemento di materiale esistente.
per il nodo Appoggio 4.085 in quanto elemento di materiale esistente.

Pilastrata P4



Dati della pilastrata

Analisi di edificio esistente con fattore di struttura.

Fattore di struttura per meccanismi duttili in direzione X: 1.5

Fattore di struttura per meccanismi duttili in direzione Y: 1.5

Fattore di struttura per meccanismi fragili in direzione X: 1

Fattore di struttura per meccanismi fragili in direzione Y: 1

Verifica dei meccanismi fragili condotta secondo Circolare 7 21-01-19 (§C8.7.2.2) Analisi lineare con fattore q.

Fattore di amplificazione dei meccanismi fragili della componente sismica in direzione X: 1

Fattore di amplificazione dei meccanismi fragili della componente sismica in direzione Y: 1

Campate costituenti la pilastrata

Q.inf.	Q.sup.	Sezione	Esistente	Secondaria	Dissipativa	Interna a parete	Sovreresistenza	Materiale CLS	Materiale Acciaio	FC
-1	3	R 35x40	Si	No	No	No		C35/42 Vigone B LC2	Vigone_FeB38k_LC2_FC = 1.2	1.2
3.22	3.97	R 25x40	Si	No	No	No		C35/42 Vigone B LC2	Vigone_FeB44k_LC2_FC = 1.2; Vigone_FeB38k_LC2_FC = 1.2	1.2
4.2	7.65	R 25x40	Si	No	No	No		C35/42 Vigone B LC2	Vigone_FeB44k_LC2_FC = 1.2; Vigone_FeB38k_LC2_FC = 1.2	1.2

Disposizione delle armature longitudinali

Posizione	X	Y	Diametro	Area	Q.inf.	Q.sup.	Sezione	Materiale
p.1	-0.1355	-0.1605	0.014	0.0001539	-1.225	-1	R 35x40	Vigone FeB38k LC2
p.1	0.1355	-0.1605	0.014	0.0001539	-1.225	-1	R 35x40	Vigone FeB38k LC2
p.1	0.1355	0.1605	0.014	0.0001539	-1.225	-1	R 35x40	Vigone FeB38k LC2
p.1	-0.1355	0.1605	0.014	0.0001539	-1.225	-1	R 35x40	Vigone FeB38k LC2
p.2	-0.1355	-0.1605	0.014	0.0001539	-1	2.937	R 35x40	Vigone FeB38k LC2
p.2	0.1355	-0.1605	0.014	0.0001539	-1	2.937	R 35x40	Vigone FeB38k LC2
p.2	0.1355	0.1605	0.014	0.0001539	-1	2.937	R 35x40	Vigone FeB38k LC2
p.2	-0.1355	0.1605	0.014	0.0001539	-1	2.937	R 35x40	Vigone FeB38k LC2
p.4	-0.0848	-0.1598	0.016	0.0002011	4.2	7.38	R 25x40	Vigone FeB44k LC2
p.4	0.0848	-0.1598	0.016	0.0002011	4.2	7.38	R 25x40	Vigone FeB44k LC2
p.4	0.0848	0.1598	0.016	0.0002011	4.2	7.38	R 25x40	Vigone FeB44k LC2
p.4	-0.0848	0.1598	0.016	0.0002011	4.2	7.38	R 25x40	Vigone FeB44k LC2
p.4	-0.086	0	0.016	0.0002011	4.2	7.379	R 25x40	Vigone FeB44k LC2
p.4	0.086	0	0.016	0.0002011	4.2	7.379	R 25x40	Vigone FeB44k LC2
p.5	-0.0848	-0.1598	0.016	0.0002011	3.431	4.224	R 25x40	Vigone FeB44k LC2

Posizione	X	Y	Diametro	Area	Q.inf.	Q.sup.	Sezione	Materiale
p.5	0.0848	-0.1598	0.016	0.0002011	3.431	4.224	R 25x40	Vigone FeB44k LC2
p.5	0.0848	0.1598	0.016	0.0002011	3.431	4.224	R 25x40	Vigone FeB44k LC2
p.5	-0.0848	0.1598	0.016	0.0002011	3.431	4.224	R 25x40	Vigone FeB44k LC2
p.6	-0.086	0	0.016	0.0002011	3.409	4.2	R 25x40	Vigone FeB44k LC2
p.6	0.086	0	0.016	0.0002011	3.409	4.2	R 25x40	Vigone FeB44k LC2

Controlli geometrici NTC18

Nessuna anomalia

Verifiche delle sezioni**Verifica a pressoflessione in SLU**

Quota	As	%	At	Pos.	Mx	My	N	MRdx	MRdy	Comb.	Coeff.s.	Verifica
-1	0.000616	0.9	0	1,2	-1.1788	-0.3109	-228.74	-10.4186	-2.7477	SLU 34	8.838	Si
-0.69	0.000616	0.9	0	1,2	-0.8768	-0.3754	-227.38	-7.7953	-3.3378	SLU 34	8.891	Si
-0.38	0.000616	0.4	0	2	-0.5621	-0.4426	-225.97	-5.029	-3.96	SLU 34	8.946	Si
-0.08	0.000616	0.4	0	2	-0.2485	-0.5097	-224.57	-2.2367	-4.5881	SLU 34	9.002	Si
0.23	0.000616	0.4	0	2	0.0639	-0.5764	-223.17	0.5784	-5.2213	SLU 34	9.059	Si
0.54	0.000616	0.4	0	2	0.3762	-0.6431	-221.77	3.4291	-5.8626	SLU 34	9.116	Si
0.85	0.000616	0.4	0	2	0.6885	-0.7098	-220.37	6.3159	-6.5119	SLU 34	9.174	Si
1.15	0.000616	0.4	0	2	0.9992	-0.7762	-218.97	9.2245	-7.1662	SLU 34	9.232	Si
1.46	0.000616	0.4	0	2	1.3131	-0.8433	-217.57	12.2011	-7.8357	SLU 34	9.292	Si
1.77	0.000616	0.4	0	2	1.6254	-0.91	-216.17	15.2008	-8.5105	SLU 34	9.352	Si
2.08	0.000616	0.4	0	2	1.9377	-0.9767	-214.77	18.2397	-9.194	SLU 34	9.413	Si
2.38	0.000616	0.4	0	2	2.25	-1.0435	-213.37	21.3184	-9.8865	SLU 34	9.475	Si
2.69	0.000616	0.4	0	2	2.5605	-1.1098	-211.98	24.4192	-10.584	SLU 34	9.537	Si
3	0.001235	1.7	0	2,3,5,6	2.8696	-1.1758	-210.59	30.2193	-12.3826	SLU 34	10.531	Si
3.22	0.00082	1.8	0.00000001	3,5,6	-4.3517	8.6403	-178.57	-27.5049	54.6109	SLU 34	6.32	Si
3.6	0.001206	1.2	0.00000001	5,6	-5.7528	-6.1163	-174.02	-44.2961	-47.0952	SLU 36	7.7	Si
3.97	0.001206	1.2	0.00000001	5,6	-7.1332	-21.0093	-172.81	-25.6333	-75.4976	SLU 36	3.594	Si
4.2	0.001206	2.4	0.00000001	4,5,6	-13.9642	9.1279	-100.08	-72.8514	47.6206	SLU 33	5.217	Si
4.49	0.001247	2.4	0.00000001	4,5,6	-9.3526	7.9085	-94.93	-66.0293	55.8344	SLU 36	7.06	Si
4.78	0.001206	1.2	0.00000001	4	-5.4503	6.2394	-93.99	-52.9375	60.6023	SLU 36	9.713	Si
5.06	0.001206	1.2	0.00000001	4	-1.5845	4.0386	-104	-20.9041	53.2798	SLU 34	13.193	Si
5.35	0.001206	1.2	0.00000001	4	2.4935	2.4427	-103.07	37.3721	36.611	SLU 34	14.988	Si
5.64	0.001206	1.2	0.00000001	4	6.5716	0.8469	-102.13	87.2579	11.2456	SLU 34	13.278	Si
5.93	0.001206	1.2	0.00000001	4	10.8397	-1.7284	-94.5	109.5831	-17.4733	SLU 30	10.109	Si
6.21	0.001206	1.2	0.00000001	4	14.9823	-3.2456	-93.56	107.1105	-23.2033	SLU 30	7.149	Si
6.5	0.001206	1.2	0.00000001	4	19.125	-4.7628	-92.63	100.7966	-25.102	SLU 30	5.27	Si
6.79	0.001206	1.2	0.00000001	4	23.2676	-6.28	-91.69	95.4795	-25.7702	SLU 30	4.104	Si
7.08	0.001206	1.2	0.00000001	4	27.4103	-7.7972	-90.76	90.1872	-25.6549	SLU 30	3.29	Si
7.36	0.001206	1.2	0.00000001	4	31.5566	-9.4601	-89.81	85.464	-25.6206	SLU 33	2.708	Si
7.65	0.000877	1.2	0.00000001	4	35.6463	-11.1301	-88.89	65.6487	-20.4979	SLU 33	1.842	Si
7.65	0.000867	1.2	0.00000001	4	35.6463	-11.1301	-88.89	65.1694	-20.3483	SLU 33	1.828	Si

Verifica a pressoflessione in SLV (domini sostanzialmente elastici)

E' attiva l'opzione fattori parziali di sicurezza unitari per meccanismi duttili di strutture esistenti con fattore q

La struttura oppure parte di essa, è stata dichiarata come non dissipativa pertanto la verifica a pressoflessione, per tutte o solo alcune sezioni, viene eseguita calcolando i momenti resistenti in campo sostanzialmente elastico secondo D.M. 17-01-2018 §7.4.1

Le dilatazioni ultime utilizzate sono le dilatazioni limite elastiche

Quota	As	%	At	Pos.	Mx	My	N	ε _{cu}	ε _{fk}	MRdx	MRdy	Comb.	C.S.	Nmin	Nlim	Comb.Nmin	Ver.
-1	0.000616	0.9	0.0000039	1,2	-0.2301	-	-29.84	-	1.75	-0.0503	-32.6702	SLV 14	0.219				No
-0.69	0.000616	0.9	0.0000039	1,2	0.2795	149.4141	-28.8	2.02	1.75	0.0696	-32.6609	SLV 14	0.249				No
-0.38	0.000616	0.4	0.0000039	2	0.8083	131.2241	-27.71	2.02	1.75	0.2357	-32.7453	SLV 14	0.292				No
-0.08	0.000616	0.4	0.0000039	2	1.3352	112.2772	-26.63	2.02	1.75	0.4698	-32.8643	SLV 14	0.352				No
0.23	0.000616	0.4	0.0000039	2	1.8648	-74.6668	-25.55	2.02	1.75	0.8253	-33.0436	SLV 14	0.443				No
0.54	0.000616	0.4	0.0000039	2	2.3972	-55.923	-24.48	2.02	1.75	1.4296	-33.3489	SLV 14	0.596				No
0.85	0.000616	0.4	0.0000039	2	2.9338	-37.1866	-23.4	2.02	1.75	2.6813	-33.9852	SLV 14	0.914				No
1.15	0.000616	0.4	0.0000039	2	28.5255	-10.1104	-52.26	2.02	1.75	43.583	-15.4472	SLV 10	1.528				Si
1.46	0.000616	0.4	0.0000039	2	20.9041	0.5108	-51.18	2.02	1.75	59.5278	1.4545	SLV 10	2.848				Si
1.77	0.000616	0.4	0.0000039	2	5.3615	19.1884	-20.17	2.02	1.75	9.5041	34.0147	SLV 14	1.773				Si
2.08	0.000616	0.4	0.0000039	2	4.4494	37.8983	-19.09	2.02	1.75	3.8706	32.9684	SLV 14	0.87				No
2.38	0.000616	0.4	0.0000039	2	4.798	56.6361	-18.01	2.02	1.75	2.7418	32.365	SLV 14	0.571				No
2.69	0.000616	0.4	0.0000039	2	5.6545	75.2693	-16.94	2.02	1.75	2.4049	32.0124	SLV 14	0.425				No
3	0.001235	1.7	0.0000039	2,3,5,6	6.2738	93.8227	-15.88	2.02	1.75	3.4905	52.1986	SLV 14	0.556				No
3.22	0.00082	1.8	0.00000208	3,5,6	5.3727	22.0794	-40.45	2.02	1.75	7.5696	31.1074	SLV 14	1.409				Si
3.6	0.001206	1.2	0.00000187	5,6	-4.1219	18.5357	-39.53	2.02	1.95	-11.3052	50.8377	SLV 14	2.743				Si
3.97	0.001206	1.2	0.00000187	5,6	-12.4459	-36.3373	-161.47	2.02	1.95	-21.0558	-61.4746	SLV 1	1.692				Si
4.2	0.001206	2.4	0.0000019	4,5,6	-10.123	47.0976	-91.41	2.02	1.95	-10.7541	50.0337	SLV 3	1.062				Si
4.49	0.001247	2.4	0.0000019	4,5,6	-7.172	38.8371	-90.7	2.02	1.95	-10.0049	54.1776	SLV 3	1.395				Si
4.78	0.001206	1.2	0.0000019	4	-4.1967	30.47	-89.98	2.02	1.95	-7.8634	57.092	SLV 3	1.874				Si
5.06	0.001206	1.2	0.0000019	4	5.8687	20.3036	-80.13	2.02	1.95	17.2579	59.7062	SLV 1	2.941				Si
5.35	0.001206	1.2	0.0000019	4	1.6503	-10.5531	-30.33	2.02	1.95	8.7914	-56.2184	SLV 14	5.327				Si
5.64	0.001206	1.2	0.0000019	4	5.8466	5.4623	-87.82	2.02	1.95	65.961	61.626	SLV 3	11.282				Si
5.93	0.001206	1.2	0.0000019	4	13.4892	-2.1983	-81.14	2.02	1.95	122.3508	-19.9389	SLV 7	9.07				Si

Quota	As	%	At	Pos.	Mx	My	N	ε,ε _{cu}	ε,ε _{fk}	MRdx	MRdy	Comb.	C.S.	Nmin	Nlim	Comb.Nmin	Ver.
6.21	0.001206	1.2	0.0000019	4	19.8308	-6.7945	-80.42	-	1.95	87.4384	-29.9587	SLV 7	4.409				Si
6.5	0.001206	1.2	0.0000019	4	18.4024	-19.8121	-85.67	2.02	1.95	43.0869	-46.3876	SLV 3	2.341				Si
6.79	0.001206	1.2	0.0000019	4	23.0808	-28.1735	-84.95	2.02	1.95	35.5044	-43.3383	SLV 3	1.538				Si
7.08	0.001206	1.2	0.0000019	4	27.7962	-36.5396	-84.23	2.02	1.95	31.738	-41.7214	SLV 3	1.142				Si
7.36	0.001206	1.2	0.0000019	4	32.5293	-44.9078	-83.51	2.02	1.95	29.5152	-40.7467	SLV 3	0.907				No
7.65	0.000877	1.2	0.0000019	4	37.2107	-53.169	-82.8	2.02	1.95	21.3689	-30.5332	SLV 3	0.574				No
7.65	0.000867	1.2	0.0000019	4	37.2107	-53.169	-82.8	2.02	1.95	21.164	-30.2405	SLV 3	0.569				No

Verifica a pressoflessione in SLD

La struttura oppure parte di essa, è stata dichiarata come non dissipativa pertanto la verifica a pressoflessione, per tutte o solo alcune sezioni, viene eseguita calcolando i momenti resistenti in campo sostanzialmente elastico secondo D.M. 17-01-2018 §7.4.1

Le dilatazioni ultime utilizzate sono le dilatazioni limite elastiche

Quota	As	%	At	Pos.	Mx	My	N	MRdx	MRdy	Comb.	Coeff.s.	Verifica
-1	0.000616	0.9	0.00000156	1,2	-0.5905	-59.8522	-102.75	-0.4132	-41.8753	SLD 14	0.7	No
-0.69	0.000616	0.9	0.00000156	1,2	-0.2594	-52.6201	-101.71	-0.2149	-43.5972	SLD 14	0.829	No
-0.38	0.000616	0.4	0.00000156	2	0.0846	-45.0872	-100.63	0.0868	-46.2278	SLD 14	1.025	Si
-0.08	0.000616	0.4	0.00000156	2	0.4275	-37.5878	-99.54	0.5697	-50.0998	SLD 14	1.333	Si
0.23	0.000616	0.4	0.00000156	2	0.7711	-30.1353	-98.47	1.4573	-56.9501	SLD 14	1.89	Si
0.54	0.000616	0.4	0.00000156	2	1.1162	-22.684	-97.39	3.5451	-72.0445	SLD 14	3.176	Si
0.85	0.000616	0.4	0.00000156	2	1.4635	-15.2361	-96.31	11.4487	-119.1867	SLD 14	7.823	Si
1.15	0.000616	0.4	0.00000156	2	12.6334	-3.5834	-111.29	149.4666	-42.3956	SLD 9	11.831	Si
1.46	0.000616	0.4	0.00000156	2	-7.0572	-1.2925	-179.34	-101.2872	-18.5504	SLD 7	14.352	Si
1.77	0.000616	0.4	0.00000156	2	-0.5387	-8.8754	-190.24	-6.7924	-111.9057	SLD 3	12.609	Si
2.08	0.000616	0.4	0.00000156	2	2.5914	14.6186	-92.01	19.8513	111.987	SLD 14	7.661	Si
2.38	0.000616	0.4	0.00000156	2	2.831	22.0671	-90.93	8.5452	66.6089	SLD 14	3.018	Si
2.69	0.000616	0.4	0.00000156	2	3.3132	29.4745	-89.86	5.8983	52.4719	SLD 14	1.78	Si
3	0.001235	1.7	0.00000156	2,3,5,6	3.6953	36.8502	-88.79	7.2032	71.8325	SLD 14	1.949	Si
3.22	0.00082	1.8	0.00000083	3,5,6	-1.0033	13.0167	-86.76	-4.7628	61.7937	SLD 13	4.747	Si
3.6	0.001206	1.2	0.00000075	5,6	-6.918	-10.5163	-132.06	-47.063	-71.5428	SLD 1	6.803	Si
3.97	0.001206	1.2	0.00000075	5,6	-7.9129	-22.03	-131.13	-25.8215	-71.8887	SLD 1	3.263	Si
4.2	0.001206	2.4	0.00000076	4,5,6	-9.7429	22.6152	-73.98	-22.5866	52.428	SLD 3	2.318	Si
4.49	0.001247	2.4	0.00000076	4,5,6	-6.9222	18.6217	-73.27	-21.9875	59.1494	SLD 3	3.176	Si
4.78	0.001206	1.2	0.00000076	4	-4.0709	14.5768	-72.55	-18.7674	67.2002	SLD 3	4.61	Si
5.06	0.001206	1.2	0.00000076	4	-1.2339	10.5334	-71.83	-10.2478	87.48	SLD 3	8.305	Si
5.35	0.001206	1.2	0.00000076	4	3.5182	6.0572	-67.46	42.5816	73.3114	SLD 1	12.103	Si
5.64	0.001206	1.2	0.00000076	4	4.9855	2.4835	-70.39	89.1016	44.3858	SLD 3	17.872	Si
5.93	0.001206	1.2	0.00000076	4	9.7508	-1.2958	-67.27	127.3018	-16.9172	SLD 7	13.056	Si
6.21	0.001206	1.2	0.00000076	4	13.8904	-3.8242	-66.55	104.9613	-28.8969	SLD 7	7.556	Si
6.5	0.001206	1.2	0.00000076	4	18.4034	-6.3709	-65.83	81.1479	-28.0919	SLD 7	4.409	Si
6.79	0.001206	1.2	0.00000076	4	18.4957	-13.7717	-67.52	53.8068	-40.0641	SLD 3	2.909	Si
7.08	0.001206	1.2	0.00000076	4	22.042	-17.8163	-66.8	47.4646	-38.365	SLD 3	2.153	Si
7.36	0.001206	1.2	0.00000076	4	25.5964	-21.8617	-66.08	43.6483	-37.2798	SLD 3	1.705	Si
7.65	0.000877	1.2	0.00000076	4	29.1092	-25.8554	-65.37	31.6988	-28.1556	SLD 3	1.089	Si
7.65	0.000867	1.2	0.00000076	4	29.1092	-25.8554	-65.37	31.4075	-27.8968	SLD 3	1.079	Si

Indicatori di rischio sismico a pressoflessione in SLV

E' attiva l'opzione fattori parziali di sicurezza unitari per meccanismi duttili di strutture esistenti con fattore q

La struttura oppure parte di essa, è stata dichiarata come non dissipativa pertanto la verifica a pressoflessione, per tutte o solo alcune sezioni, viene eseguita calcolando i momenti resistenti in campo sostanzialmente elastico secondo D.M. 17-01-2018 §7.4.1

Le dilatazioni ultime utilizzate sono le dilatazioni limite elastiche

Quota	Molt.	TR	I.R.TR	PGA	I.R.PGA	Comb.	Ver.
-1	0.316	64	0.331	0.071	0.354	SLV 14	No
-0.69	0.354	80	0.363	0.078	0.391	SLV 14	No
-0.38	0.405	103	0.402	0.087	0.435	SLV 14	No
-0.08	0.472	141	0.458	0.099	0.495	SLV 14	No
0.23	0.566	222	0.551	0.119	0.594	SLV 14	No
0.54	0.707	385	0.691	0.146	0.73	SLV 14	No
0.85	0.945	817	0.94	0.19	0.95	SLV 14	No
1.15	1.268	1879	1.323	0.246	1.234	SLV 10	Si
1.46	1.678	2114	1.389	0.255	1.279	SLV 10	Si
1.77	1.349	2114	1.389	0.255	1.279	SLV 14	Si
2.08	0.918	756	0.911	0.185	0.925	SLV 14	No
2.38	0.688	359	0.671	0.142	0.711	SLV 14	No
2.69	0.549	206	0.535	0.115	0.578	SLV 14	No
3	0.629	288	0.613	0.131	0.655	SLV 14	No
3.22	1.322	2114	1.389	0.255	1.279	SLV 14	Si
3.6	2.005	2114	1.389	0.255	1.279	SLV 14	Si
3.97	1.84	2114	1.389	0.255	1.279	SLV 14	Si
4.2	1.068	1145	1.08	0.212	1.06	SLV 3	Si
4.49	1.416	2114	1.389	0.255	1.279	SLV 3	Si
4.78	1.799	2114	1.389	0.255	1.279	SLV 16	Si
5.06	2.383	2114	1.389	0.255	1.279	SLV 14	Si
5.35	3.438	2114	1.389	0.255	1.279	SLV 14	Si
5.64	6.277	2114	1.389	0.255	1.279	SLV 14	Si
5.93	7.207	2114	1.389	0.255	1.279	SLV 10	Si
6.21	4.032	2114	1.389	0.255	1.279	SLV 14	Si
6.5	2.611	2114	1.389	0.255	1.279	SLV 3	Si
6.79	1.66	2114	1.389	0.255	1.279	SLV 3	Si
7.08	1.178	1519	1.213	0.231	1.156	SLV 3	Si
7.36	0.883	682	0.873	0.178	0.893	SLV 3	No
7.65	0.461	134	0.448	0.097	0.485	SLV 3	No
7.65	0.455	131	0.444	0.096	0.48	SLV 3	No

Indicatori di rischio sismico a pressoflessione in SLD Resistenza

La struttura oppure parte di essa, è stata dichiarata come non dissipativa pertanto la verifica a pressoflessione, per tutte o solo alcune sezioni, viene eseguita calcolando i momenti resistenti in campo sostanzialmente elastico secondo D.M. 17-01-2018 §7.4.1

Le dilatazioni ultime utilizzate sono le dilatazioni limite elastiche

Quota	Molt.	TR	I.R.TR	PGA	I.R.PGA	Comb.	Ver.
-1	0.792	65	0.835	0.071	0.827	SLD 14	No

Quota	Molt.	TR	I.R.TR	PGA	I.R.PGA	Comb.	Ver.
-0.69	0.888	80	0.909	0.078	0.907	SLD 14	No
-0.38	1.016	104	1.012	0.087	1.012	SLD 14	Si
-0.08	1.184	142	1.15	0.099	1.151	SLD 14	Si
0.23	1.418	223	1.384	0.119	1.381	SLD 14	Si
0.54	1.773	387	1.735	0.146	1.697	SLD 14	Si
0.85	2.371	822	2.362	0.19	2.209	SLD 14	Si
1.15	3.18	1890	3.323	0.247	2.868	SLD 10	Si
1.46	4.206	2110	3.477	0.255	2.966	SLD 10	Si
1.77	3.373	2110	3.477	0.255	2.966	SLD 14	Si
2.08	2.298	757	2.284	0.185	2.148	SLD 14	Si
2.38	1.723	360	1.684	0.142	1.651	SLD 14	Si
2.69	1.375	206	1.339	0.115	1.34	SLD 14	Si
3	1.574	288	1.537	0.131	1.519	SLD 14	Si
3.22	3.268	2045	3.433	0.253	2.937	SLD 14	Si
3.6	4.979	2110	3.477	0.255	2.966	SLD 14	Si
3.97	4.582	2110	3.477	0.255	2.966	SLD 1	Si
4.2	2.658	1125	2.687	0.211	2.447	SLD 3	Si
4.49	3.52	2110	3.477	0.255	2.966	SLD 3	Si
4.78	4.473	2110	3.477	0.255	2.966	SLD 16	Si
5.06	5.949	2110	3.477	0.255	2.966	SLD 14	Si
5.35	8.529	2110	3.477	0.255	2.966	SLD 14	Si
5.64	15.531	2110	3.477	0.255	2.966	SLD 14	Si
5.93	17.771	2110	3.477	0.255	2.966	SLD 10	Si
6.21	10.067	2110	3.477	0.255	2.966	SLD 14	Si
6.5	6.523	2110	3.477	0.255	2.966	SLD 3	Si
6.79	4.151	2110	3.477	0.255	2.966	SLD 3	Si
7.08	2.939	1506	3.028	0.23	2.675	SLD 3	Si
7.36	2.201	675	2.179	0.178	2.065	SLD 3	Si
7.65	1.152	134	1.123	0.097	1.124	SLD 3	Si
7.65	1.137	130	1.109	0.096	1.11	SLD 3	Si

Verifica a taglio-torsione in famiglia SLU

Quota	Staffe	Ved.x	Ved.y	Ned	Comb.V	Cot	Vres	c.s.V	Mt	As,t	Al,t	Comb.Tor.	Trcd	Trsd	Trld	c.s.V-T	Ver.
-1	2X/2Y ø6/14.8	-0.66	1.03	-204.39	SLU 30	2.5	96.08	92.98	-	0	0	SLU 2	60.03484	0.00011	0.00011	1.02	Si
-0.69	2X/2Y ø6/14.8	-0.66	1.03	-203.03	SLU 30	2.5	96.08	92.98	0.00002	0	0	SLU 2	60.03484	0.00011	0.00011	1.02	Si
-0.38	2X/2Y ø6/14.8	-0.66	1.03	-201.62	SLU 30	2.5	96.08	92.98	0.00002	0	0	SLU 2	60.03484	0.00011	0.00011	1.02	Si
-0.08	2X/2Y ø6/14.8	-0.66	1.03	-200.22	SLU 30	2.5	96.08	92.98	0.00002	0	0	SLU 2	60.03484	0.00011	0.00011	1.02	Si
0.23	2X/2Y ø6/14.8	-0.66	1.03	-198.82	SLU 30	2.5	96.08	92.98	0.00002	0	0	SLU 2	60.03484	0.00011	0.00011	1.02	Si
0.54	2X/2Y ø6/14.8	-0.66	1.03	-197.42	SLU 30	2.5	96.08	92.98	0.00002	0	0	SLU 2	60.03484	0.00011	0.00011	1.02	Si
0.85	2X/2Y ø6/14.8	-0.66	1.03	-196.02	SLU 30	2.5	96.08	92.98	0.00002	0	0	SLU 2	60.03484	0.00011	0.00011	1.02	Si
1.15	2X/2Y ø6/14.8	-0.66	1.03	-194.62	SLU 30	2.5	96.08	92.98	0.00002	0	0	SLU 2	60.03484	0.00011	0.00011	1.02	Si
1.46	2X/2Y ø6/14.8	-0.66	1.03	-193.22	SLU 30	2.5	96.08	92.98	0.00002	0	0	SLU 2	60.03484	0.00011	0.00011	1.02	Si
1.77	2X/2Y ø6/14.8	-0.66	1.03	-191.82	SLU 30	2.5	96.08	92.98	0.00002	0	0	SLU 2	60.03484	0.00011	0.00011	1.02	Si
2.08	2X/2Y ø6/14.8	-0.66	1.03	-190.42	SLU 30	2.5	96.08	92.98	0.00002	0	0	SLU 2	60.03484	0.00011	0.00011	1.02	Si
2.38	2X/2Y ø6/14.8	-0.66	1.03	-189.02	SLU 30	2.5	96.08	92.98	0.00002	0	0	SLU 2	60.03484	0.00011	0.00011	1.02	Si
2.69	2X/2Y ø6/14.8	-0.66	1.03	-187.62	SLU 30	2.5	96.08	92.98	0.00002	0	0	SLU 2	60.03484	0.00011	0.00011	1.02	Si
3	2X/2Y ø6/14.8	-0.66	1.03	-186.24	SLU 30	2.5	96.08	92.98	0.00002	0	0	SLU 2	60.03484	0.00011	0.00011	1.02	Si
3.22	2X/2Y ø6/15	-40.26	-5.05	-164.28	SLU 35	2.5	65.01	1.61	0.00009	0	0	SLU 1	35.15057	0.00011	0.00011	1.02	Si
3.6	2X/2Y ø6/15	-40.26	-5.05	-163.08	SLU 35	2.5	64.63	1.61	0.00009	0	0	SLU 1	35.15057	0.00011	0.00011	1.02	Si
3.97	2X/2Y ø6/15	-40.26	-5.05	-161.88	SLU 35	2.5	64.48	1.6	0.00009	0	0	SLU 1	35.15057	0.00011	0.00011	1.02	Si
4.2	2X/2Y ø6/15	-5.88	14.41	-100.08	SLU 33	2.5	94.71	6.57	0.00011	0	0	SLU 1	35.15057	0.00011	0.00011	1.02	Si
4.49	2X/2Y ø6/15	-5.88	14.41	-99.15	SLU 33	2.5	94.71	6.57	0.00011	0	0	SLU 1	35.15057	0.00011	0.00011	1.02	Si
4.78	2X/2Y ø6/15	-5.88	14.41	-98.22	SLU 33	2.5	94.71	6.57	0.00011	0	0	SLU 1	35.15057	0.00011	0.00011	1.02	Si
5.06	2X/2Y ø6/15	-5.88	14.41	-97.28	SLU 33	2.5	94.71	6.57	0.00011	0	0	SLU 1	35.15057	0.00011	0.00011	1.02	Si
5.35	2X/2Y ø6/15	-5.88	14.41	-96.35	SLU 33	2.5	94.71	6.57	0.00011	0	0	SLU 1	35.15057	0.00011	0.00011	1.02	Si
5.64	2X/2Y ø6/15	-5.88	14.41	-95.42	SLU 33	2.5	94.71	6.57	0.00011	0	0	SLU 1	35.15057	0.00011	0.00011	1.02	Si
5.93	2X/2Y ø6/15	-5.88	14.41	-94.48	SLU 33	2.5	94.71	6.57	0.00011	0	0	SLU 1	35.15057	0.00011	0.00011	1.02	Si
6.21	2X/2Y ø6/15	-5.88	14.41	-93.55	SLU 33	2.5	94.71	6.57	0.00011	0	0	SLU 1	35.15057	0.00011	0.00011	1.02	Si
6.5	2X/2Y ø6/15	-5.88	14.41	-92.61	SLU 33	2.5	94.71	6.57	0.00011	0	0	SLU 1	35.15057	0.00011	0.00011	1.02	Si
6.79	2X/2Y ø6/15	-5.88	14.41	-91.68	SLU 33	2.5	94.71	6.57	0.00011	0	0	SLU 1	35.15057	0.00011	0.00011	1.02	Si
7.08	2X/2Y ø6/15	-5.88	14.41	-90.74	SLU 33	2.5	94.71	6.57	0.00011	0	0	SLU 1	35.15057	0.00011	0.00011	1.02	Si
7.36	2X/2Y ø6/15	-5.88	14.41	-89.81	SLU 33	2.5	94.71	6.57	0.00011	0	0	SLU 1	35.15057	0.00011	0.00011	1.02	Si
7.65	2X/2Y ø6/15	-5.88	14.41	-88.89	SLU 33	2.5	94.71	6.57	0.00011	0	0	SLU 1	35.15057	0.00011	0.00011	1.02	Si
7.65	2X/2Y ø6/15	-5.88	14.41	-88.89	SLU 33	2.5	94.71	6.57	0.00011	0	0	SLU 1	35.15057	0.00011	0.00011	1.02	Si

Verifica a taglio-torsione in famiglia SLV

Quota	Staffe	Ved.x	Ved.y	Ned	Comb.V	Cot	Vres	c.s.V	Mt	As,t	Al,t	Comb.Tor.	Trcd	Trsd	Trld	c.s.V-T	Ver.
-1	2X/2Y ø6/14.8	61.15	35.89	-29.84	SLV 14	2.5	81.63	1.33	0.06982	0.00000021	0.00000193	SLV 1	60.03484	0.06982	0.06982	1.02	Si
-0.69	2X/2Y ø6/14.8	61.15	35.89	-28.8	SLV 14	2.5	81.63	1.33	0.06982	0.00000021	0.00000193	SLV 1	60.03484	0.06982	0.06982	1.02	Si
-0.38	2X/2Y ø6/14.8	61.15	35.89	-27.71	SLV 14	2.5	81.63	1.33	0.06982	0.00000021	0.00000193	SLV 1	60.03484	0.06982	0.06982	1.02	Si

Quota	Staffe	Ved.x	Ved.y	Ned	Comb.V	Cot	Vres	c.s.v	Mt	As,t	Al,t	Comb.Tor.	Trcd	Trsd	Trld	c.s.v-T	Ver.
-0.08	2X/2Y ø6/14.8	60.94	35.71	-26.63	SLV 14	2.5	81.63	1.34	0.06982	0.00000021	0.00000193	SLV 1	60.03484	0.06982	0.06982	1.02	Sl
0.23	2X/2Y ø6/14.8	60.94	35.71	-25.55	SLV 14	2.5	81.63	1.34	0.06982	0.00000021	0.00000193	SLV 1	60.03484	0.06982	0.06982	1.02	Sl
0.54	2X/2Y ø6/14.8	60.94	35.71	-24.48	SLV 14	2.5	81.63	1.34	0.06982	0.00000021	0.00000193	SLV 1	60.03484	0.06982	0.06982	1.02	Sl
0.85	2X/2Y ø6/14.8	60.94	35.71	-23.4	SLV 14	2.5	81.63	1.34	0.06982	0.00000021	0.00000193	SLV 1	60.03484	0.06982	0.06982	1.02	Sl
1.15	2X/2Y ø6/14.8	60.94	35.71	-22.33	SLV 14	2.5	81.63	1.34	0.06982	0.00000021	0.00000193	SLV 1	60.03484	0.06982	0.06982	1.02	Sl
1.46	2X/2Y ø6/14.8	60.94	35.71	-21.24	SLV 14	2.5	81.63	1.34	0.06982	0.00000021	0.00000193	SLV 1	60.03484	0.06982	0.06982	1.02	Sl
1.77	2X/2Y ø6/14.8	60.94	35.71	-20.17	SLV 14	2.5	81.63	1.34	0.06982	0.00000021	0.00000193	SLV 1	60.03484	0.06982	0.06982	1.02	Sl
2.08	2X/2Y ø6/14.8	60.94	35.71	-19.09	SLV 14	2.5	81.63	1.34	0.06982	0.00000021	0.00000193	SLV 1	60.03484	0.06982	0.06982	1.02	Sl
2.38	2X/2Y ø6/14.8	60.94	35.71	-18.01	SLV 14	2.5	81.63	1.34	0.06982	0.00000021	0.00000193	SLV 1	60.03484	0.06982	0.06982	1.02	Sl
2.69	2X/2Y ø6/14.8	60.94	35.71	-16.94	SLV 14	2.5	81.63	1.34	0.06982	0.00000021	0.00000193	SLV 1	60.03484	0.06982	0.06982	1.02	Sl
3	2X/2Y ø6/14.8	60.94	35.71	-15.88	SLV 14	2.5	81.63	1.34	0.06982	0.00000021	0.00000193	SLV 1	60.03484	0.06982	0.06982	1.02	Sl
3.22	2X/2Y ø6/15	-40.18	-32.38	-96.84	SLV 5	2.5	56.43	1.4	0.03338	0.00000014	0.00000115	SLV 1	35.15057	0.03338	0.03338	1.02	Sl
3.6	2X/2Y ø6/15	-40.18	-32.38	-95.92	SLV 5	2.5	56.13	1.4	0.03338	0.00000014	0.00000103	SLV 1	35.15057	0.03338	0.03338	1.02	Sl
3.97	2X/2Y ø6/15	-40.18	-32.38	-94.99	SLV 5	2.5	56.01	1.39	0.03338	0.00000014	0.00000103	SLV 1	35.15057	0.03338	0.03338	1.02	Sl
4.2	2X/2Y ø6/15	-29.12	28.27	-91.41	SLV 3	2.5	55.56	1.91	0.03533	0.00000015	0.00000109	SLV 1	35.15057	0.03533	0.03533	1.02	Sl
4.49	2X/2Y ø6/15	-29.12	28.27	-90.7	SLV 3	2.5	55.47	1.9	0.03533	0.00000015	0.00000109	SLV 1	35.15057	0.03533	0.03533	1.02	Sl
4.78	2X/2Y ø6/15	-29.12	28.27	-89.98	SLV 3	2.5	55.38	1.9	0.03533	0.00000015	0.00000109	SLV 1	35.15057	0.03533	0.03533	1.02	Sl
5.06	2X/2Y ø6/15	-29.12	28.27	-89.26	SLV 3	2.5	55.29	1.9	0.03533	0.00000015	0.00000109	SLV 1	35.15057	0.03533	0.03533	1.02	Sl
5.35	2X/2Y ø6/15	-29.12	28.27	-88.54	SLV 3	2.5	55.2	1.9	0.03533	0.00000015	0.00000109	SLV 1	35.15057	0.03533	0.03533	1.02	Sl
5.64	2X/2Y ø6/15	-29.12	28.27	-87.82	SLV 3	2.5	55.1	1.89	0.03533	0.00000015	0.00000109	SLV 1	35.15057	0.03533	0.03533	1.02	Sl
5.93	2X/2Y ø6/15	-29.12	28.27	-87.11	SLV 3	2.5	55.04	1.89	0.03533	0.00000015	0.00000109	SLV 1	35.15057	0.03533	0.03533	1.02	Sl
6.21	2X/2Y ø6/15	-29.12	28.27	-86.39	SLV 3	2.5	55.04	1.89	0.03533	0.00000015	0.00000109	SLV 1	35.15057	0.03533	0.03533	1.02	Sl
6.5	2X/2Y ø6/15	-29.12	28.27	-85.67	SLV 3	2.5	55.04	1.89	0.03533	0.00000015	0.00000109	SLV 1	35.15057	0.03533	0.03533	1.02	Sl
6.79	2X/2Y ø6/15	-29.12	28.27	-84.95	SLV 3	2.5	55.04	1.89	0.03533	0.00000015	0.00000109	SLV 1	35.15057	0.03533	0.03533	1.02	Sl
7.08	2X/2Y ø6/15	-29.12	28.27	-84.23	SLV 3	2.5	55.04	1.89	0.03533	0.00000015	0.00000109	SLV 1	35.15057	0.03533	0.03533	1.02	Sl
7.36	2X/2Y ø6/15	-29.12	28.27	-83.51	SLV 3	2.5	55.04	1.89	0.03533	0.00000015	0.00000109	SLV 1	35.15057	0.03533	0.03533	1.02	Sl
7.65	2X/2Y ø6/15	-29.12	28.27	-82.8	SLV 3	2.5	55.04	1.89	0.03533	0.00000015	0.00000109	SLV 1	35.15057	0.03533	0.03533	1.02	Sl
7.65	2X/2Y ø6/15	-29.12	28.27	-82.8	SLV 3	2.5	55.04	1.89	0.03533	0.00000015	0.00000109	SLV 1	35.15057	0.03533	0.03533	1.02	Sl

Verifica taglio ciclico secondo Circolare 7 21-01-19 §C8.7.2.3 formula [C8.7.2.8] in combinazione SLV

Quota	Q.inf.	Q.sup.	Dir.	Lv	x	h	p,tot	θ,m	θ,y	μΔ,pl	VRd	VRcd(cotθ=1)	VRsd	Vw	VR	VR,f	VEd	NEd	Comb.	Verifica
-1	-	3.11	X	2.168	0.104	0.35	0.0044	0.004306	0.011495		60.475	462.744	81.626	32.651	36.848	81.626	61.148	-29.837	SLV 14	Sl
-1	-	3.11	Y	2.168	0.11	0.4	0.0044	0.002504	0.01017	0	78.189	499.328	95.561	38.224	50.453	95.561	35.886	-	SLV 12	Sl

Verifica a taglio-torsione in famiglia SLD Resistenza

Quota	Staffe	Ved.x	Ved.y	Ned	Comb.V	Cot	Vres	c.s.v	Mt	As,t	Al,t	Comb.Tor.	Trcd	Trsd	Trld	c.s.v-T	Ver.
-1	2X/2Y ø6/14.8	-24.82	14.83	-199.91	SLD 3	2.5	83.11	3.35	0.02792	0.00000008	0.00000077	SLD 1	60.03484	0.02792	0.02792	1.02	Sl
-0.69	2X/2Y ø6/14.8	-24.82	14.83	-198.87	SLD 3	2.5	82.97	3.34	0.02792	0.00000008	0.00000077	SLD 1	60.03484	0.02792	0.02792	1.02	Sl
-0.38	2X/2Y ø6/14.8	-24.82	14.83	-197.78	SLD 3	2.5	82.83	3.34	0.02792	0.00000008	0.00000077	SLD 1	60.03484	0.02792	0.02792	1.02	Sl
-0.08	2X/2Y ø6/14.8	-24.73	14.75	-196.7	SLD 3	2.5	82.68	3.34	0.02792	0.00000008	0.00000077	SLD 1	60.03484	0.02792	0.02792	1.02	Sl
0.23	2X/2Y ø6/14.8	-24.73	14.75	-195.62	SLD 3	2.5	82.54	3.34	0.02792	0.00000008	0.00000077	SLD 1	60.03484	0.02792	0.02792	1.02	Sl
0.54	2X/2Y ø6/14.8	-24.73	14.75	-194.54	SLD 3	2.5	82.4	3.33	0.02792	0.00000008	0.00000077	SLD 1	60.03484	0.02792	0.02792	1.02	Sl
0.85	2X/2Y ø6/14.8	-24.73	14.75	-193.47	SLD 3	2.5	82.3	3.33	0.02792	0.00000008	0.00000077	SLD 1	60.03484	0.02792	0.02792	1.02	Sl
1.15	2X/2Y ø6/14.8	-24.73	14.75	-192.4	SLD 3	2.5	82.3	3.33	0.02792	0.00000008	0.00000077	SLD 1	60.03484	0.02792	0.02792	1.02	Sl
1.46	2X/2Y ø6/14.8	-24.73	14.75	-191.31	SLD 3	2.5	82.3	3.33	0.02792	0.00000008	0.00000077	SLD 1	60.03484	0.02792	0.02792	1.02	Sl
1.77	2X/2Y ø6/14.8	-24.73	14.75	-190.24	SLD 3	2.5	82.3	3.33	0.02792	0.00000008	0.00000077	SLD 1	60.03484	0.02792	0.02792	1.02	Sl
2.08	2X/2Y ø6/14.8	-24.73	14.75	-189.16	SLD 3	2.5	82.3	3.33	0.02792	0.00000008	0.00000077	SLD 1	60.03484	0.02792	0.02792	1.02	Sl
2.38	2X/2Y ø6/14.8	-24.73	14.75	-188.08	SLD 3	2.5	82.3	3.33	0.02792	0.00000008	0.00000077	SLD 1	60.03484	0.02792	0.02792	1.02	Sl
2.69	2X/2Y ø6/14.8	-24.73	14.75	-187.01	SLD 3	2.5	82.3	3.33	0.02792	0.00000008	0.00000077	SLD 1	60.03484	0.02792	0.02792	1.02	Sl
3	2X/2Y ø6/14.8	-24.73	14.75	-185.95	SLD 3	2.5	82.3	3.33	0.02792	0.00000008	0.00000077	SLD 1	60.03484	0.02792	0.02792	1.02	Sl
3.22	2X/2Y ø6/15	-33.55	-14.08	-132.98	SLD 1	2.5	61.03	1.82	0.01327	0.00000006	0.00000046	SLD 1	35.15057	0.01327	0.01327	1.02	Sl
3.6	2X/2Y ø6/15	-33.55	-14.08	-132.06	SLD 1	2.5	60.7	1.81	0.01327	0.00000006	0.00000041	SLD 1	35.15057	0.01327	0.01327	1.02	Sl
3.97	2X/2Y ø6/15	-33.55	-14.08	-131.13	SLD 1	2.5	60.59	1.81	0.01327	0.00000006	0.00000041	SLD 1	35.15057	0.01327	0.01327	1.02	Sl
4.2	2X/2Y ø6/15	-14.08	17.13	-73.98	SLD 3	2.5	55.34	3.93	0.01404	0.00000006	0.00000043	SLD 1	35.15057	0.01404	0.01404	1.02	Sl
4.49	2X/2Y ø6/15	-14.08	17.13	-73.27	SLD 3	2.5	55.34	3.93	0.01404	0.00000006	0.00000043	SLD 1	35.15057	0.01404	0.01404	1.02	Sl
4.78	2X/2Y ø6/15	-14.08	17.13	-72.55	SLD 3	2.5	55.34	3.93	0.01404	0.00000006	0.00000043	SLD 1	35.15057	0.01404	0.01404	1.02	Sl
5.06	2X/2Y ø6/15	-14.08	17.13	-71.83	SLD 3	2.5	55.34	3.93	0.01404	0.00000006	0.00000043	SLD 1	35.15057	0.01404	0.01404	1.02	Sl
5.35	2X/2Y ø6/15	-14.08	17.13	-71.11	SLD 3	2.5	55.34	3.93	0.01404	0.00000006	0.00000043	SLD 1	35.15057	0.01404	0.01404	1.02	Sl
5.64	2X/2Y ø6/15	-14.08	17.13	-70.39	SLD 3	2.5	55.34	3.93	0.01404	0.00000006	0.00000043	SLD 1					

Quota	Molt.	TR	I.R.TR	PGA	I.R.PGA	Comb.	
1.46	1.355	2114	1.389	0.255	1.279	SLV 14	Si
1.77	1.355	2114	1.389	0.255	1.279	SLV 14	Si
2.08	1.355	2114	1.389	0.255	1.279	SLV 14	Si
2.38	1.355	2114	1.389	0.255	1.279	SLV 14	Si
2.69	1.355	2114	1.389	0.255	1.279	SLV 14	Si
3	1.355	2114	1.389	0.255	1.279	SLV 14	Si
3.22	2.078	2114	1.389	0.255	1.279	SLV 5	Si
3.6	2.061	2114	1.389	0.255	1.279	SLV 5	Si
3.97	2.061	2114	1.389	0.255	1.279	SLV 5	Si
4.2	2.23	2114	1.389	0.255	1.279	SLV 3	Si
4.49	2.23	2114	1.389	0.255	1.279	SLV 3	Si
4.78	2.225	2114	1.389	0.255	1.279	SLV 3	Si
5.06	2.219	2114	1.389	0.255	1.279	SLV 3	Si
5.35	2.219	2114	1.389	0.255	1.279	SLV 3	Si
5.64	2.213	2114	1.389	0.255	1.279	SLV 3	Si
5.93	2.207	2114	1.389	0.255	1.279	SLV 3	Si
6.21	2.201	2114	1.389	0.255	1.279	SLV 3	Si
6.5	2.201	2114	1.389	0.255	1.279	SLV 3	Si
6.79	2.195	2114	1.389	0.255	1.279	SLV 3	Si
7.08	2.189	2114	1.389	0.255	1.279	SLV 3	Si
7.36	2.187	2114	1.389	0.255	1.279	SLV 3	Si
7.65	2.184	2114	1.389	0.255	1.279	SLV 3	Si
7.65	2.184	2114	1.389	0.255	1.279	SLV 3	Si

Indicatori di rischio sismico a taglio in SLD Resistenza

Quota	Molt.	TR	I.R.TR	PGA	I.R.PGA	Comb.	
-1	3.379	2110	3.477	0.255	2.966	SLD 14	Si
-0.69	3.379	2110	3.477	0.255	2.966	SLD 14	Si
-0.38	3.379	2110	3.477	0.255	2.966	SLD 14	Si
-0.08	3.391	2110	3.477	0.255	2.966	SLD 14	Si
0.23	3.391	2110	3.477	0.255	2.966	SLD 14	Si
0.54	3.391	2110	3.477	0.255	2.966	SLD 14	Si
0.85	3.391	2110	3.477	0.255	2.966	SLD 14	Si
1.15	3.391	2110	3.477	0.255	2.966	SLD 14	Si
1.46	3.391	2110	3.477	0.255	2.966	SLD 14	Si
1.77	3.391	2110	3.477	0.255	2.966	SLD 14	Si
2.08	3.391	2110	3.477	0.255	2.966	SLD 14	Si
2.38	3.391	2110	3.477	0.255	2.966	SLD 14	Si
2.69	3.391	2110	3.477	0.255	2.966	SLD 14	Si
3	3.391	2110	3.477	0.255	2.966	SLD 14	Si
3.22	5.197	2110	3.477	0.255	2.966	SLD 5	Si
3.6	5.156	2110	3.477	0.255	2.966	SLD 5	Si
3.97	5.156	2110	3.477	0.255	2.966	SLD 5	Si
4.2	5.566	2110	3.477	0.255	2.966	SLD 3	Si
4.49	5.553	2110	3.477	0.255	2.966	SLD 3	Si
4.78	5.539	2110	3.477	0.255	2.966	SLD 3	Si
5.06	5.525	2110	3.477	0.255	2.966	SLD 3	Si
5.35	5.525	2110	3.477	0.255	2.966	SLD 3	Si
5.64	5.512	2110	3.477	0.255	2.966	SLD 3	Si
5.93	5.498	2110	3.477	0.255	2.966	SLD 3	Si
6.21	5.484	2110	3.477	0.255	2.966	SLD 3	Si
6.5	5.484	2110	3.477	0.255	2.966	SLD 3	Si
6.79	5.471	2110	3.477	0.255	2.966	SLD 3	Si
7.08	5.457	2110	3.477	0.255	2.966	SLD 3	Si
7.36	5.443	2110	3.477	0.255	2.966	SLD 3	Si
7.65	5.443	2110	3.477	0.255	2.966	SLD 3	Si
7.65	5.443	2110	3.477	0.255	2.966	SLD 3	Si

Verifiche nodi trave colonna

Riepilogo dei dati per le diverse tipologie di verifica eseguite per i nodi

Pilastrata	Q.Nodo	Escluso	Confinato	Segnalazioni
Pilastrata P4	-1.225	Si	No	
Pilastrata P4	3.11	No	No	non tutte le travature convergenti al nodo sono calcolate/validate
Pilastrata P4	4.085	No	No	
Pilastrata P4	7.765	No	No	

Verifiche nodi trave colonna in combinazioni SLD

Riepilogo dei dati per la verifica del nodo secondo Circolare 7 21-01-19 §C8.7.2.3.5.

Pilastrata	Q.Nodo	Angolo travatura	Aj	Vpc	Vtc	Vnc	Nc	onc	onc,lim	Comb.c	Vpt	Vtt	Vnt	Nt	ont	ont,lim	Comb.t	Segnalazioni	Verifica
Pilastrata P4	3.11	0	0	0	0	0	0	0	0	SLD 3	0	0	0	0	0	0		Trave non calcolata	Si
	3.11	270	0	0	0	0	0	0	0	SLD 3	0	0	0	0	0	0		Trave non calcolata	Si

Verifiche nodi trave colonna in combinazioni SLD

Riepilogo dei dati per la verifica del nodo secondo Circolare 7 21-01-19 §C8.7.2.3.5.

Pilastrata	Q.Nodo	Angolo travatura	Aj	Vpc	Vtc	Vnc	Nc	onc	onc,lim	Comb.c	Vpt	Vtt	Vnt	Nt	ont	ont,lim	Comb.t	Segnalazioni	Verifica
Pilastrata P4	4.085	0	0.0903	-	270.314	256.238	-	3277	9614	SLD 3	-	270.314	256.238	-	2457	1316	SLD 3		No
	4.085	90	0.12786	14.076	-	131.052	114.658	-65.22	1187	SLD 12	14.076	-	131.052	114.658	-65.22	677	1316	SLD 12	Si
	4.085	270	0.12786	16.395	-	131.052	114.658	-65.22	1187	SLD 12	16.395	-	131.052	114.658	-65.22	677	1316	SLD 12	Si

Verifiche nodi trave colonna in combinazioni SLD

Riepilogo dei dati per la verifica del nodo secondo Circolare 7 21-01-19 §C8.7.2.3.5.

Pilastrata	Q.Nodo	Angolo travatura	Aj	Vpc	Vtc	Vnc	Nc	onc	onc,lim	Comb.c	Vpt	Vtt	Vnt	Nt	ont	ont,lim	Comb.t	Segnalazioni	Verifica
Pilastrata P4	7.765	0	0.0903	0	137.798	137.798	0	1526	9614	SLD 3	0	137.798	137.798	0	1526	1316	SLD 3		No
	7.765	90	0.12786	0	215.604	215.604	0	1686	9614	SLD 8	0	215.604	215.604	0	1686	1316	SLD 8		No
	7.765	270	0.12786	0	215.604	215.604	0	1686	9614	SLD 8	0	215.604	215.604	0	1686	1316	SLD 8		No

Verifiche nodi trave colonna in combinazioni SLV

Riepilogo dei dati per la verifica del nodo secondo Circolare 7 21-01-19 §C8.7.2.3.5.

Pilastrata	Q.Nodo	Angolo travatura	Aj	Vpc	Vtc	Vnc	Nc	onc	onc,lim	Comb.c	Vpt	Vtt	Vnt	Nt	ont	ont,lim	Comb.t	Segnalazioni	Verifica
Pilastrata P4	3.11	0	0	0	0	0	0	0	0	0	0	0	0	0	0	0	0	Trave non calcolata	Si
	3.11	270	0	0	0	0	0	0	0	0	0	0	0	0	0	0	0	Trave non calcolata	Si

Verifiche nodi trave colonna in combinazioni SLV

Riepilogo dei dati per la verifica del nodo secondo Circolare 7 21-01-19 §C8.7.2.3.5.

Pilastrata	Q.Nodo	Angolo travatura	Aj	Vpc	Vtc	Vnc	Nc	onc	onc,lim	Comb.c	Vpt	Vtt	Vnt	Nt	ont	ont,lim	Comb.t	Segnalazioni	Verifica
Pilastrata P4	4.085	0	0.0903	-	488.43	459.311	-	5618	9614	SLV 3	-	488.43	459.311	-	4605	1316	SLV 3		No
				29.118			91.409				29.118			91.409					
	4.085	90	0.12786	-	288.758	262.316	-69.61	2342	9614	SLV 12	-	288.758	262.316	-69.61	1797	1316	SLV 12		No
				26.442							26.442								
	4.085	270	0.12786	-	288.758	262.316	-69.61	2342	9614	SLV 12	-	288.758	262.316	-69.61	1797	1316	SLV 12		No
				26.442							26.442								

Verifiche nodi trave colonna in combinazioni SLV

Riepilogo dei dati per la verifica del nodo secondo Circolare 7 21-01-19 §C8.7.2.3.5.

Pilastrata	Q.Nodo	Angolo travatura	Aj	Vpc	Vtc	Vnc	Nc	onc	onc,lim	Comb.c	Vpt	Vtt	Vnt	Nt	ont	ont,lim	Comb.t	Segnalazioni	Verifica
Pilastrata P4	7.765	0	0.0903	0	280.993	280.993	0	3112	9614	SLV 3	0	280.993	280.993	0	3112	1316	SLV 3		No
	7.765	90	0.12786	0	351.649	351.649	0	2750	9614	SLV 8	0	351.649	351.649	0	2750	1316	SLV 8		No
	7.765	270	0.12786	0	351.649	351.649	0	2750	9614	SLV 8	0	351.649	351.649	0	2750	1316	SLV 8		No

Indicatori di rischio sismico dei nodi in SLD

Pilastrata	Q.Nodo	Angolo travatura	Moltiplicatore	TR	I.R.TR	PGA	I.R.PGA	Comb.	Ver.
Pilastrata P4	4.085	0	0.305	12	0.418	0.033	0.378	SLD 3	No
	4.085	90	1.865	439	1.827	0.153	1.779	SLD 12	Si
	4.085	270	1.865	439	1.827	0.153	1.779	SLD 12	Si

Indicatori di rischio sismico dei nodi in SLD

Pilastrata	Q.Nodo	Angolo travatura	Moltiplicatore	TR	I.R.TR	PGA	I.R.PGA	Comb.	Ver.
Pilastrata P4	7.765	0	0.82	69	0.855	0.073	0.85	SLD 3	No
	7.765	90	0.469	26	0.573	0.047	0.541	SLD 8	No
	7.765	270	0.469	26	0.573	0.047	0.541	SLD 8	No

Indicatori di rischio sismico dei nodi in SLV

Pilastrata	Q.Nodo	Angolo travatura	Moltiplicatore	TR	I.R.TR	PGA	I.R.PGA	Comb.	Ver.
Pilastrata P4	4.085	0	0.122	12	0.167	0.033	0.163	SLV 3	No
	4.085	90	0.745	438	0.728	0.153	0.766	SLV 12	No
	4.085	270	0.745	438	0.728	0.153	0.766	SLV 12	No

Indicatori di rischio sismico dei nodi in SLV

Pilastrata	Q.Nodo	Angolo travatura	Moltiplicatore	TR	I.R.TR	PGA	I.R.PGA	Comb.	Ver.
Pilastrata P4	7.765	0	0.329	70	0.343	0.074	0.369	SLV 3	No
	7.765	90	0.188	26	0.229	0.047	0.233	SLV 8	No
	7.765	270	0.188	26	0.229	0.047	0.233	SLV 8	No

Verifica di instabilità

Q.inf.	Q.sup.	Quota	λ,x	λ,y	λ,limX	λ,limY	M ² ord.	Nsd	Comb.	M0ed,x	M2,x	M0ed,y	M2,y	Mver,x	Mver,y	C.s x	C.s y	Risultato	(5.38)	(5.39)	Ver.		
-	1.225	3.11	-1	38	43	79	79	No	-228.74	SLU 34	1.2263	5.2016	0.8247	5.3949	-1.2263	-0.8247	8.84	8.84	Min	No	8.84	Si	
-	1.225	3.11	-1	38	43	79	79	No	-228.74	SLU 34	1.2263	5.2016	0.8247	5.3949	-1.2263	-0.8247	8.84	8.84	X	No	8.84	Si	
-	1.225	3.11	-1	38	43	111	111	No	-116.45	SLD 16	10.7753	2.0625	23.1451	2.3588	-23.5932	-52.8956	5.21	0.87	Min	No	0.73	No	
-	1.225	3.11	-1	38	43	100	100	No	-142.28	SLD 5	22.0057	2.5033	3.0656	2.9032	42.1644	6.9308	1.83		X	Si		Si	
-	1.225	3.11	-1	38	43	149	149	No	-64.1	SLV 16	27.3296	1.1184	57.8077	1.2984	-57.6946		0.78	0.26	Min	No	0.22	No	
-	1.225	3.11	-1	38	43	105	105	No	-128.68	SLV 5	54.7459	2.245	7.7135	2.614	106.6301	17.5383	0.43		X	Si		No	
-	1.225	3.11	-1	38	43	79	79	No	-228.74	SLU 34	1.2263	5.2016	0.8247	5.3949	-1.2263	-0.8247	8.84	8.84	Min	No	8.84	Si	
-	1.225	3.11	-1	38	43	79	79	No	-228.74	SLU 34	1.2263	5.2016	0.8247	5.3949	-1.2263	-0.8247	8.84	8.84	Y	No	8.84	Si	
-	1.225	3.11	-1	38	43	118	118	No	-102.75	SLD 14	1.9603	2.5361	26.1911	2.0814	-1.9603	-59.8522		0.7	Min	Si		No	
-	1.225	3.11	-1	38	43	118	118	No	-102.75	SLD 14	1.9603	2.5361	26.1911	2.0814	-1.9603	-59.8522		0.7	Y	Si		No	
-	1.225	3.11	-1	38	43	219	219	No	-29.84	SLV 14	3.6444	0.7364	65.4251	0.6044	-3.6444			0.22	Min	Si		No	
-	1.225	3.11	-1	38	43	219	219	No	-29.84	SLV 14	3.6444	0.7364	65.4251	0.6044	-3.6444	149.4141				0.22	Y	Si	No
3.11	4.085	3.97	8	14	77	77	No	-172.81	SLU 36	6.1259	0.2547	10.3358	0.409	-7.1332	-21.0093	9.25	4.01	Min	No	3.59	Si		
3.11	4.085	3.22	8	14	76	76	No	-178.57	SLU 34	6.4586	0.2479	9.0649	0.4108	-6.4586	9.0649	8.59	6.48	X	No	5.89	Si		
3.11	4.085	3.97	8	14	85	85	No	-139.79	SLD 3	5.6202	0.2398	15.0472	0.3199	-5.6202	-23.692	14.92	3.61	Min	No	3.21	Si		
3.11	4.085	3.97	8	14	99	99	No	-104.53	SLD 5	7.343	0.1323	6.5286	0.2895	-12.3873	-13.2669	11.45	7.04	X	No	4.59	Si		
3.11	4.085	3.22	8	14	159	159	No	-40.45	SLV 14	3.6041	0.0523	19.9446	0.0607	5.3727	22.0794	24.95	1.52	Min	No	1.41	Si		
3.11	4.085	3.97	8	14	137	137	No	-54.55	SLV 10	9.9657	0.0624	10.1977	0.1543	-21.7619	10.1977	4.29		X	Si		Si		
3.11	4.085	3.97	8	14	77	77	No	-172.81	SLU 36	6.1259	0.2547	10.3358	0.409	-7.1332	-21.0093	9.25	4.01	Min	No	3.59	Si		
3.11	4.085	3.97	8	14	79	79	No	-161.88	SLU 35	5.7888	0.245	10.3376	0.3831	-6.5974	-21.013	9.91	3.96	Y	No	3.6	Si		
3.11	4.085	3.97	8	14	85	85	No	-139.79	SLD 3	5.6202	0.2398	15.0472	0.3199	-5.6202	-23.692	14.92	3.61	Min	No	3.21	Si		
3.11	4.085	3.97	8	14	85	85	No	-139.79	SLD 3	5.6202	0.2398	15.0472	0.3199	-5.6202	-23.692	14.92	3.61	Y	No	3.21	Si		
3.11	4.085	3.22	8	14	159	159	No	-40.45	SLV 14	3.6041	0.0523	19.9446	0.0607	5.3727	22.0794	24.95	1.52	Min	No	1.41	Si		
3.11	4.085	3.22	8	14	159	159	No	-40.45	SLV 14	3.6041	0.0523	19.9446	0.0607	5.3727	22.0794	24.95	1.52	Y	No	1.41	Si		
4.085	7.765	7.65	32	51	114	114	No	-77.95	SLU 32	15.4278	1.092	4.7275	2.1946	34.1017	-11.1207	2.27	6	Min	No	1.84	Si		
4.085	7.765	7.65	32	51	107	107	No	-88.89	SLU 33	16.1442	1.2453	4.7315	2.5022	35.6463	-11.1301	2.26		X	Si		Si		
4.085	7.765	7.65	32	51	125	125	No	-65.37	SLD 3	13.9781	0.9159	11.0104	1.5618	29.1092	-25.8554	2.31	1.65	Min	No	1.08	Si		
4.085	7.765	7.65	32	51	128	128	No	-62.25	SLD 8	16.0857	0.8721	6.192	1.6899	38.1906	-14.5521	1.57	3.63	X	No	1.19	Si		
4.085	7.765	7.65	32	51	111	111	No	-82.8	SLV 3	18.9585	1.16	22.6499	1.9783	37.2107	-53.169	1.8	0.72	Min	No	0.57	No		
4.085	7.765	7.65	32	51	117	117	No	-75.04	SLV 8	25.2842	1.0512	10.6312	1.7927	59.8748	-24.9739	0.94	1.8	X	No	0.7	No		
4.085	7.765	7.65	32	51	114	114	No	-77.95	SLU 32	15.4278	1.092	4.7275	2.1946	34.1017	-11.1207	2.27	6	Min	No	1.84	Si		
4.085	7.765	7.65	32	51	114	114	No	-77.95	SLU 32	15.4278	1.092	4.7275	2.1946	34.1017	-11.1207	2.27	6	Y	No	1.84	Si		
4.085	7.765	7.65	32	51	125	125	No	-65.37	SLD 3	13.9781	0.9159	11.0104	1.5618	29.1092	-25.8554	2.31	1.65	Min	No	1.08	Si		
4.085	7.765	7.65	32	51	125	125	No	-65.37	SLD 3	13.9781	0.9159	11.0104	1.5618	29.1092	-25.8554	2.31	1.65	Y	No	1.08	Si		

Q.inf.	Q.sup.	Quota	λ_x	λ_y	λ_{limX}	λ_{limY}	M 2° ord.	Nsd	Comb.	M0ed,x	M2,x	M0ed,y	M2,y	Mver,x	Mver,y	C.s x	C.s y	Risultato	(5.38)	(5.39)	Ver.
4.085	7.765	7.65	32	51	111	111	No	-82.8	SLV 3	18.9585	1.16	22.6499	1.9783	37.2107	-53.169	1.8	0.72	Min	No	0.57	No
4.085	7.765	7.65	32	51	111	111	No	-82.8	SLV 3	18.9585	1.16	22.6499	1.9783	37.2107	-53.169	1.8	0.72	Y	No	0.57	No

Verifiche di gerarchia delle resistenze nei nodi trave pilastro

Verifiche di gerarchia delle resistenze nei nodi trave pilastro non presenti in quanto la verifica è non necessaria per la pilastrata per il nodo Appoggio 3.11 in quanto elemento di materiale esistente.
per il nodo Appoggio 7.765 in quanto elemento di materiale esistente.
per il nodo Appoggio 4.085 in quanto elemento di materiale esistente.
per il nodo Appoggio -1.225 in quanto elemento di materiale esistente.

5.2 Verifiche travate C.A.

Le unità di misura elencate nel capitolo sono in [m, kN] ove non espressamente specificato.

N°: indice progressivo della sezione.

Descrizione: descrizione della sezione.

Tipo: tipo di sezione.

Base: base della sezione. [m]

Altezza: altezza della sezione. [m]

Copriferro sup.: distanza del bordo della staffa dalla superficie superiore del getto. [m]

Copriferro inf.: distanza del bordo della staffa dalla superficie inferiore del getto. [m]

Copriferro lat.: distanza del bordo della staffa dalle superfici laterali del getto. [m]

x: distanza da asse appoggio sinistro. [m]

A sup.: area efficace di armatura longitudinale superiore. [m²]

C.b. sup.: distanza dal bordo del baricentro dell'armatura longitudinale superiore. [m]

A inf.: area efficace di armatura longitudinale inferiore. [m²]

C.b. inf.: distanza dal bordo del baricentro dell'armatura longitudinale inferiore. [m]

M+ela: momento flettente desunto dal solutore che tende le fibre inferiori. [kN*m]

Comb.: combinazione.

M+des: momento flettente di progetto che tende le fibre inferiori. [kN*m]

M+ult: momento ultimo per trazione delle fibre inferiori. [kN*m]

x/d: rapporto tra posizione asse neutro e altezza utile.

coeff: coefficiente di sicurezza.

M-ela: momento flettente desunto dal solutore che tende le fibre superiori. [kN*m]

M-des: momento flettente di progetto che tende le fibre superiori. [kN*m]

M-ult: momento ultimo per trazione delle fibre superiori. [kN*m]

Verifica: stato di verifica.

A st: area di staffe per unità di lunghezza. [m²]

A sl: area di armatura longitudinale tesa per valutazione resistenza taglio in assenza di armature a taglio. [m²]

A sag: area equivalente di barre piegate per unità di lunghezza. [m²]

Vela: taglio elastico. [kN]

Vdes: taglio di progetto. [kN]

Vrd: resistenza a taglio della sezione senza armature. [kN]

Vrcd: sforzo di taglio che produce il cedimento delle bielle. [kN]

Vrsd: resistenza a taglio per la presenza delle armature. [kN]

Vult: taglio ultimo. [kN]

cotg θ : cotg dell'angolo di inclinazione dei puntoni in calcestruzzo.

T gravità: taglio dovuto ai carichi gravitazionali. [kN]

T sisma: taglio dovuto a sisma. [kN]

T ultimo: taglio ultimo. [kN]

Comb.: combinazione per indicatore minimo per taglio.

Pga: pga per taglio.

Tr: tempo di ritorno per taglio.

Ind. taglio: indicatore di rischio per taglio.

M gravità: momento dovuto ai carichi gravitazionali. [kN*m]

M sisma: momento dovuto a sisma. [kN*m]

M ultimo: momento ultimo. [kN*m]

Comb.: combinazione per indicatore minimo per momento.

Pga: pga per momento.

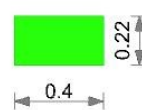
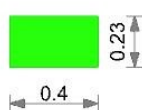
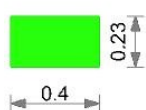
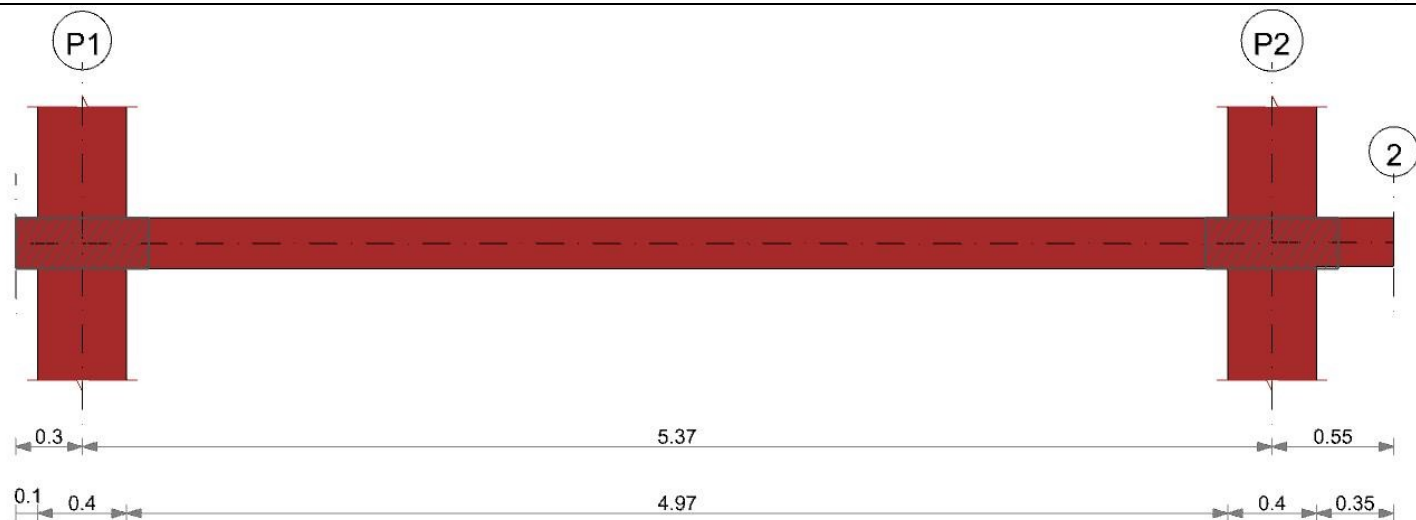
Tr: tempo di ritorno per momento.

Ind. momento: indicatore di rischio per momento.

Ver: stato di verifica.

Trave a "Piano 2" P1-2

Geometria



Caratteristiche dei materiali

Acciaio: Vigone_FeB44k_LC2 Fym 476200 Livello di conoscenza LC2 Fattore di confidenza 1.2

Calcestruzzo: C35/42 Vigone B_LC2 Rcm 41700 Livello di conoscenza LC2 Fattore di confidenza 1.2

Elenco delle sezioni

N°	Descrizione	Tipo	Base	Altezza	Copriferro sup.	Copriferro inf.	Copriferro lat.
1	R 40x23	Rettangolare	0.4	0.23	0.025	0.025	0.025
2	R 40x22	Rettangolare	0.4	0.22	0.025	0.025	0.025

Diagramma verifica stato limite ultimo flessione



Diagramma verifica stato limite ultimo taglio

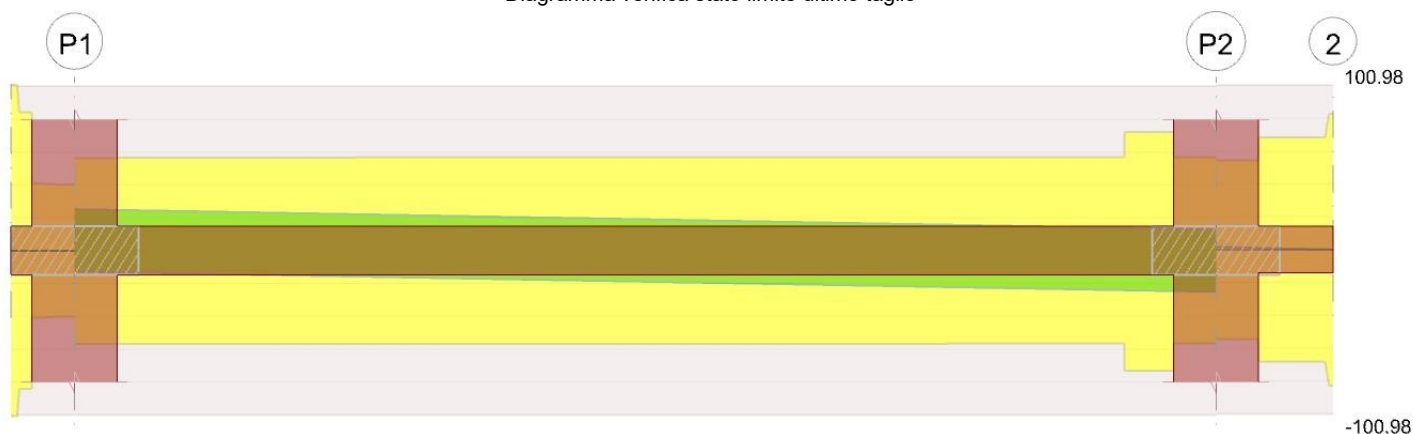
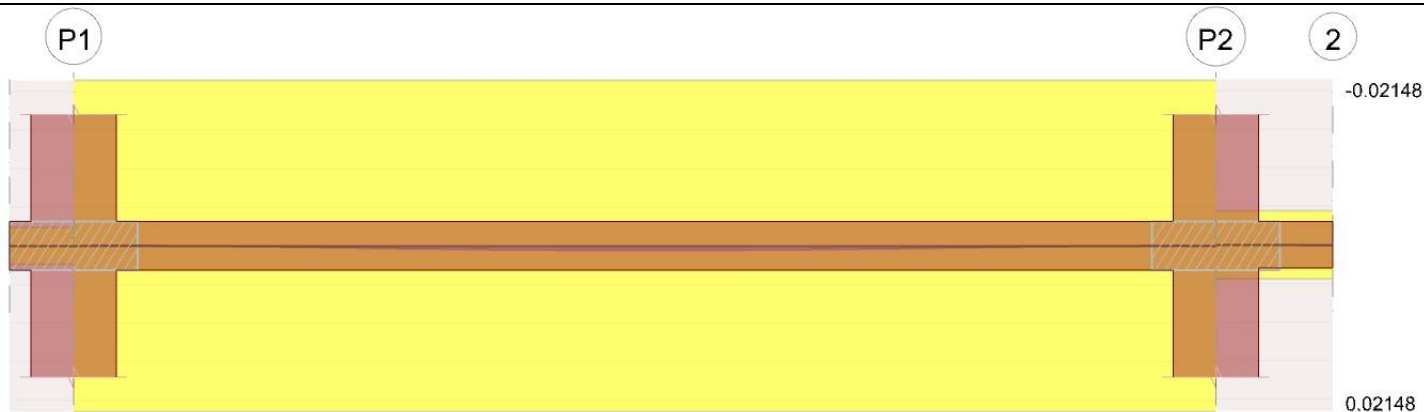


Diagramma verifica stato limite esercizio quasi permanente freccia



Output campate

Campata 2 tra i fili P1 - P2, sezione R 40x23, asta 15

Verifiche a flessione in famiglia SLU

x	A sup.	C.b. sup.	A inf.	C.b. inf.	M+ela	Comb.	M+des	M+ult	x/d	coeff	M-ela	Comb.	M-des	M-ult	x/d	coeff	Verifica
0	0.00077	0.039	0.000716	0.041							-8.0635	SLU 33	-7.2571	-45.2782	0.23	6.24	Si
0.2	0.00077	0.039	0.000804	0.041							-6.5056	SLU 33	-6.5056	-45.2716	0.229	6.96	Si
2.69	0.000462	0.038	0.000804	0.041	3.0461	SLU 19	3.0461	46.6027	0.234	15.3							Si
5.17	0.00077	0.039	0.000804	0.041							-6.096	SLU 29	-6.096	-45.2716	0.229	7.43	Si
5.37	0.00077	0.039	0.000804	0.041							-7.6216	SLU 29	-6.8314	-45.2716	0.229	6.63	Si

Verifiche a flessione in famiglia SLV (domini sostanzialmente elastici)

La struttura oppure parte di essa, è stata dichiarata come non dissipativa pertanto la verifica a pressoflessione, per tutte o solo alcune sezioni, viene eseguita calcolando i momenti resistenti in campo sostanzialmente elastico secondo D.M. 17-01-2018 §7.4.1

Le dilatazioni ultime utilizzate sono le seguenti: $\epsilon_c2= 0.002$, $\epsilon_{yd}= 0.00193$

E' attiva l'opzione fattori parziali di sicurezza unitari per meccanismi duttili di strutture esistenti con fattore q

x	A sup.	C.b. sup.	A inf.	C.b. inf.	M+ela	Comb.	M+des	M+ult	x/d	coeff	M-ela	Comb.	M-des	M-ult	x/d	coeff	Verifica
0	0.00077	0.039	0.000716	0.041	44.7675	SLV 7	43.4912	47.1565	0.28	1.08	-56.9977	SLV 10	-54.4838	-50.7608	0.29	0.93	Si
0.2	0.00077	0.039	0.000804	0.041	42.1728	SLV 7	42.1728	52.5777	0.294	1.25	-52.0121	SLV 10	-52.0121	-50.7372	0.288	0.98	No
2.69	0.000462	0.038	0.000804	0.041	2.3277	SLV 3	6.3148	52.6636	0.301	8.34	2.2949	SLV 14	-1.8085	-31.7221	0.233	17.54	Si
5.17	0.00077	0.039	0.000804	0.041	42.4244	SLV 10	42.4244	52.5777	0.294	1.24	-51.7611	SLV 7	-51.7611	-50.7372	0.288	0.98	No
5.37	0.00077	0.039	0.000804	0.041	45.0394	SLV 10	43.753	52.5777	0.294	1.2	-56.7264	SLV 7	-54.2227	-50.7372	0.288	0.94	No

Verifiche SLD Resistenza a flessione (domini sostanzialmente elastici)

La struttura oppure parte di essa, è stata dichiarata come non dissipativa pertanto la verifica a pressoflessione, per tutte o solo alcune sezioni, viene eseguita calcolando i momenti resistenti in campo sostanzialmente elastico secondo D.M. 17-01-2018 §7.4.1

Le dilatazioni ultime utilizzate sono le seguenti: $\epsilon_c2= 0.002$, $\epsilon_{yd}= 0.00193$

x	A sup.	C.b. sup.	A inf.	C.b. inf.	M+ela	Comb.	M+des	M+ult	x/d	coeff	M-ela	Comb.	M-des	M-ult	x/d	coeff	Verifica
0	0.00077	0.039	0.000716	0.041	14.2251	SLD 7	14.0863	47.1565	0.28	3.35	-26.4552	SLD 10	-25.0789	-50.7608	0.29	2.02	Si
0.2	0.00077	0.039	0.000804	0.041	13.9054	SLD 7	13.9054	52.5777	0.294	3.78	-23.7447	SLD 10	-23.7447	-50.7372	0.288	2.14	Si
2.69	0.000462	0.038	0.000804	0.041	2.3179	SLD 3	3.8832	52.6636	0.301	13.56							Si
5.17	0.00077	0.039	0.000804	0.041	14.1568	SLD 10	14.1568	52.5777	0.294	3.71	-23.4935	SLD 7	-23.4935	-50.7372	0.288	2.16	Si
5.37	0.00077	0.039	0.000804	0.041	14.4967	SLD 10	14.3479	52.5777	0.294	3.66	-26.1838	SLD 7	-24.8176	-50.7372	0.288	2.04	Si

Verifiche a taglio in famiglia SLU

x	A st	A sl	A sag	Vela	Comb.	Vdes	Vrd	Vrcd	Vrsd	Vult	cotgθ	coeff	Verifica
0	0	0.00077	0	8.11	SLU 33	8.11	56.41	193.96	0	56.41	2.5	6.95	Si
0.2	0.000038	0.00077	0	7.52	SLU 33	7.52	56.41	193.96	56.67	56.67	2.5	7.54	Si
2.69	0.000038	0.000804	0	0.09	SLU 33	0.09	56.8	191.73	56.02	56.8	2.5	667.44	Si
5.17	0.000049	0.00077	0	-7.38	SLU 19	-7.38	-56.41	-193.96	-73	-73	2.5	9.89	Si
5.37	0	0.00077	0	-7.98	SLU 19	-7.98	-56.41	-193.96	0	-56.41	2.5	7.07	Si

Verifiche a taglio in famiglia SLV

x	A st	A sl	A sag	Vela	Comb.	Vdes	Vrd	Vrcd	Vrsd	Vult	cotgθ	coeff	Verifica
0	0	0.00077	0	25.18	SLV 10	25.18	56.41	193.96	0	56.41	2.5	2.24	Si
0.2	0	0.000804	0	-12.72	SLV 7	-12.72	-56.8	-191.73	0	-56.8	2.5	4.46	Si
0.2	0.000038	0.00077	0	24.72	SLV 10	24.72	56.41	193.96	56.67	56.67	2.5	2.29	Si
0.2	0.000038	0.000804	0	-13.18	SLV 7	-13.18	-56.8	-191.73	-56.02	-56.8	2.5	4.31	Si
2.69	0.000038	0.000804	0	19	SLV 10	19	56.8	191.73	56.02	56.8	2.5	2.99	Si
2.69	0.000038	0.000804	0	-18.9	SLV 7	-18.9	-56.8	-191.73	-56.02	-56.8	2.5	3.01	Si
5.17	0.000049	0.000804	0	13.29	SLV 10	13.29	56.8	191.73	72.16	72.16	2.5	5.43	Si
5.17	0.000049	0.00077	0	-24.62	SLV 7	-24.62	-56.41	-193.96	-73	-73	2.5	2.97	Si
5.37	0	0.000804	0	12.83	SLV 10	12.83	56.8	191.73	0	56.8	2.5	4.43	Si
5.37	0	0.00077	0	-25.08	SLV 7	-25.08	-56.41	-193.96	0	-56.41	2.5	2.25	Si

Verifiche SLD Resistenza a taglio

x	A st	A sl	A sag	Vela	Comb.	Vdes	Vrd	Vrcd	Vrsd	Vult	cotgθ	coeff	Verifica
0	0	0.00077	0	13.8	SLD 10	13.8	56.41	193.96	0	56.41	2.5	4.09	Si
0	0	0.000804	0	-1.35	SLD 7	-1.35	-56.8	-191.73	0	-56.8	2.5	42.09	Si
0.2	0.000038	0.00077	0	13.34	SLD 10	13.34	56.41	193.96	56.67	56.67	2.5	4.25	Si
0.2	0.000038	0.000804	0	-1.81	SLD 7	-1.81	-56.8	-191.73	-56.02	-56.8	2.5	31.39	Si
2.69	0.000038	0.000804	0	7.63	SLD 10	7.63	56.8	191.73	56.02	56.8	2.5	7.45	Si
2.69	0.000038	0.000804	0	-7.52	SLD 7	-7.52	-56.8	-191.73	-56.02	-56.8	2.5	7.55	Si
5.17	0.000049	0.000804	0	1.91	SLD 10	1.91	56.8	191.73	72.16	72.16	2.5	37.77	Si
5.17	0.000049	0.00077	0	-13.24	SLD 7	-13.24	-56.41	-193.96	-73	-73	2.5	5.51	Si
5.37	0	0.000804	0	1.45	SLD 10	1.45	56.8	191.73	0	56.8	2.5	39.16	Si
5.37	0	0.00077	0	-13.7	SLD 7	-13.7	-56.41	-193.96	0	-56.41	2.5	4.12	Si

Indicatori di rischio sismico SLV

x	T gravità	T sisma	T ultimo	Comb.	Pga	Tr	Ind. taglio	M gravità	M sisma	M ultimo	Comb.	Pga	Tr	Ind. momento	Ver
0.2	5.77	18.95	56.67	SLV 10	0.26	2114	1.389	-4.9197	-47.0925	-50.7372	SLV 10	0.19	882	0.97	No
2.69	0.05	18.95	56.8	SLV 10	0.26	2114	1.389	2.2422	-4.0507	-31.7221	SLV 10	0.26	2114	1.389	Si
5.17	-5.66	-18.95	-73	SLV 7	0.26	2114	1.389	-4.6684	-47.0928	-50.7372	SLV 7	0.2	895	0.976	No

Indicatori di rischio sismico SLD resistenza

x	T gravità	T sisma	T ultimo	Comb.	Pga	Tr	Ind. taglio	M gravità	M sisma	M ultimo	Comb.	Pga	Tr	Ind. momento	Ver
0.2	5.77	7.58	56.67	SLD 10	0.26	2110	3.477	-4.9197	-18.825	-50.7372	SLD 10	0.19	881	2.43	Si
2.69	0.05	7.58	56.8	SLD 10	0.26	2110	3.477	2.2422	-1.6193	-31.7221	SLD 10	0.26	2110	3.477	Si
5.17	-5.66	-7.58	-73	SLD 7	0.26	2110	3.477	-4.6684	-18.8252	-50.7372	SLD 7	0.2	894	2.445	Si

Campata 3 tra i fili P2 - 2, sezione R 40x22, asta 34**Verifiche a flessione in famiglia SLU**

x	A sup.	C.b. sup.	A inf.	C.b. inf.	M+ela	Comb.	M+des	M+ult	x/d	coeff	M-ela	Comb.	M-des	M-ult	x/d	coeff	Verifica
0	0.00077	0.039	0.000804	0.031							-0.4326	SLU 19	-0.2753	-43.0177	0.198	156.25	Si
0.2	0.00077	0.039	0.000278	0.04							-0.1752	SLU 19	-0.1752	-42.6969	0.253	243.68	Si
0.28	0.00077	0.039	0.000308	0.04							-0.1081	SLU 19	-0.1752	-42.6927	0.252	243.66	Si
0.53	0	0	0	0	-0.0004	SLU 18	0	0	0	+	-0.0005	SLU 19	-0.0698	0	0	0	Si
0.55	0	0	0	0	0	SLU 36	0	0	0	+	0	SLU 1	-0.0587	0	0	0	Si

Verifiche a flessione in famiglia SLV (domini sostanzialmente elastici)

La struttura oppure parte di essa, è stata dichiarata come non dissipativa pertanto la verifica a pressoflessione, per tutte o solo alcune sezioni, viene eseguita calcolando i momenti resistenti in campo sostanzialmente elastico secondo D.M. 17-01-2018 §7.4.1

Le dilatazioni ultime utilizzate sono le seguenti: $\epsilon_c2=0.002$, $\epsilon_{yd}=0.00193$

E' attiva l'opzione fattori parziali di sicurezza unitari per meccanismi duttili di strutture esistenti con fattore q

x	A sup.	C.b. sup.	A inf.	C.b. inf.	M+ela	Comb.	M+des	M+ult	x/d	coeff	M-ela	Comb.	M-des	M-ult	x/d	coeff	Verifica
0	0.00077	0.039	0.000804	0.031							-0.3328	SLV 6	-0.2118	-48.1858	0.286	227.53	Si
0.2	0.00077	0.039	0.000278	0.04							-0.1348	SLV 6	-0.1348	-48.0221	0.306	356.3	Si
0.28	0.00077	0.039	0.000308	0.04							-0.0832	SLV 6	-0.1348	-48.0134	0.306	356.23	Si
0.53	0	0	0	0	-0.0004	SLV 11	0	0	0	+	-0.0004	SLV 6	-0.0537	0	0	0	Si
0.55	0	0	0	0	0	SLV 11	0	0	0	+	0	SLV 6	-0.0451	0	0	0	Si

Verifiche SLD Resistenza a flessione (domini sostanzialmente elastici)

La struttura oppure parte di essa, è stata dichiarata come non dissipativa pertanto la verifica a pressoflessione, per tutte o solo alcune sezioni, viene eseguita calcolando i momenti resistenti in campo sostanzialmente elastico secondo D.M. 17-01-2018 §7.4.1

Le dilatazioni ultime utilizzate sono le seguenti: $\epsilon_c2=0.002$, $\epsilon_{yd}=0.00193$

x	A sup.	C.b. sup.	A inf.	C.b. inf.	M+ela	Comb.	M+des	M+ult	x/d	coeff	M-ela	Comb.	M-des	M-ult	x/d	coeff	Verifica
0	0.00077	0.039	0.000804	0.031							-0.3328	SLD 6	-0.2118	-48.1858	0.286	227.53	Si
0.2	0.00077	0.039	0.000278	0.04							-0.1348	SLD 6	-0.1348	-48.0221	0.306	356.3	Si
0.28	0.00077	0.039	0.000308	0.04							-0.0832	SLD 6	-0.1348	-48.0134	0.306	356.23	Si
0.53	0	0	0	0	-0.0004	SLD 5	0	0	0	+	-0.0004	SLD 12	-0.0537	0	0	0	Si
0.55	0	0	0	0	0	SLD 5	0	0	0	+	0	SLD 12	-0.0451	0	0	0	Si

Verifiche a taglio in famiglia SLU

x	A st	A sl	A sag	Vela	Comb.	Vdes	Vrd	Vrcd	Vrsd	Vult	cotgθ	coeff	Verifica
0	0	0.00077	0	1.57	SLU 23	1.57	54.43	183.82	0	54.43	2.5	34.6	Si
0.2	0.0000048	0.00077	0	1	SLU 23	1	54.43	183.82	68.19	68.19	2.5	68.12	Si
0.28	0.0000048	0.00077	0	0.79	SLU 23	0.79	54.43	183.82	68.19	68.19	2.5	86.7	Si
0.55	0.0000048	0	0	0	Ger.	0	-45.16	-223.18	-82.79	-82.79	2.5	1482915819837590	Si

Verifiche a taglio in famiglia SLV

x	A st	A sl	A sag	Vela	Comb.	Vdes	Vrd	Vrcd	Vrsd	Vult	cotgθ	coeff	Verifica
0	0	0.00077	0	1.21	SLV 6	1.21	54.43	183.82	0	54.43	2.5	44.98	Si
0.2	0.0000048	0.00077	0	0.77	SLV 6	0.77	54.43	183.82	68.19	68.19	2.5	88.56	Si
0.28	0.0000048	0.00077	0	0.61	SLV 6	0.61	54.43	183.82	68.19	68.19	2.5	112.71	Si
0.55	0.0000048	0	0	0	Ger.	0	45.16	223.18	82.79	82.79	2.5	22022062779212.8	Si
0.55	0.0000048	0	0	0	Ger.	0	-45.16	-223.18	-82.79	-82.79	2.5	21579060280730.6	Si

Verifiche SLD Resistenza a taglio

x	A st	A sl	A sag	Vela	Comb.	Vdes	Vrd	Vrcd	Vrsd	Vult	cotgθ	coeff	Verifica
0	0	0.00077	0	1.21	SLD 6	1.21	54.43	183.82	0	54.43	2.5	44.98	Si
0.2	0.0000048	0.00077	0	0.77	SLD 6	0.77	54.43	183.82	68.19	68.19	2.5	88.56	Si
0.28	0.0000048	0.00077	0	0.61	SLD 6	0.61	54.43	183.82	68.19	68.19	2.5	112.71	Si
0.55	0.0000048	0	0	0	Ger.	0	45.16	223.18	82.79	82.79	2.5	51610951833473.1	Si
0.55	0.0000048	0	0	0	Ger.	0	-45.16	-223.18	-82.79	-82.79	2.5	49241998729538.4	Si

Indicatori di rischio sismico SLV

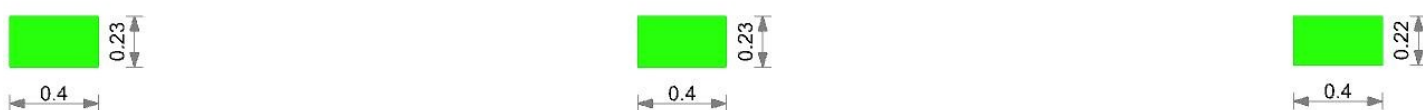
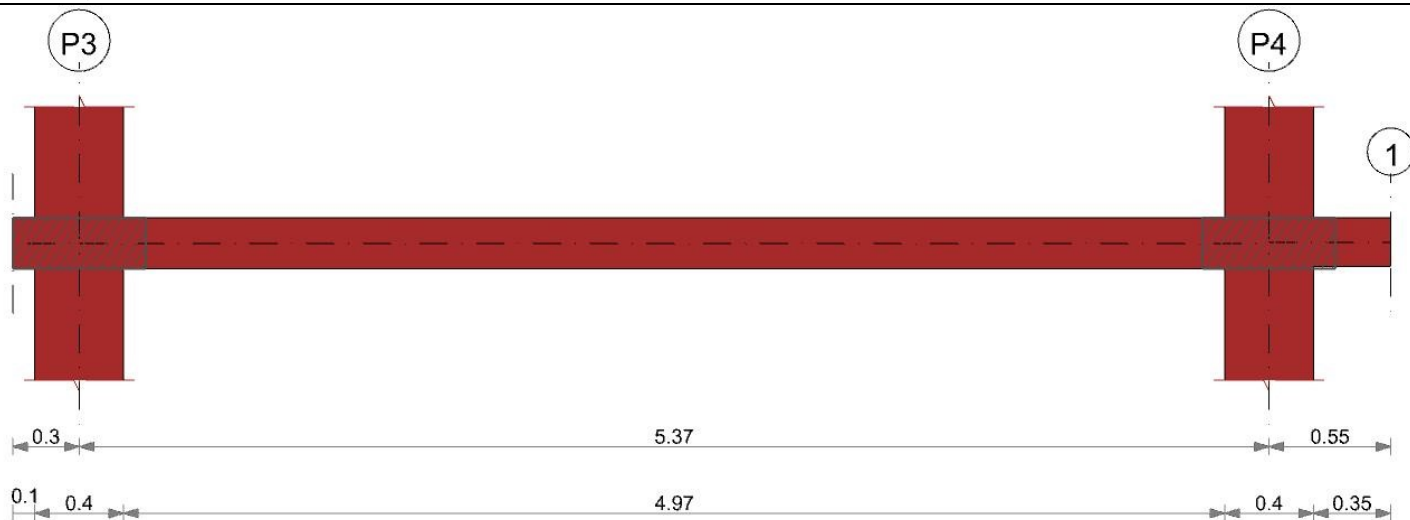
x	T gravità	T sisma	T ultimo	Comb.	Pga	Tr	Ind. taglio	M gravità	M sisma	M ultimo	Comb.	Pga	Tr	Ind. momento	Ver
0.2	0.77	0	68.19	SLV 6	0.26	2114	1.389	-0.1348	0	-48.0221	SLV 1	0.26	2114	1.389	Si
0.28	0.6	0	68.19	SLV 6	0.26	2114	1.389	-0.0058	0	-48.0134	SLV 1	0.26	2114	1.389	Si
0.53	0.04	0	82.79	SLV 6	0.26	2114	1.389	-0.0537	0	0	SLV 1	0	0	0	Si
0.55	0	0	-82.79	SLV 11	0.26	2114	1.389	0	0	0	SLV 1	0.26	2114	1.389	Si

Indicatori di rischio sismico SLD resistenza

x	T gravità	T sisma	T ultimo	Comb.	Pga	Tr	Ind. taglio	M gravità	M sisma	M ultimo	Comb.	Pga	Tr	Ind. momento	Ver
0.2	0.77	0	68.19	SLD 6	0.26	2110	3.477	-0.1348	0	-48.0221	SLD 1	0.26	2110	3.477	Si
0.28	0.6	0	68.19	SLD 6	0.26	2110	3.477	-0.0058	0	-48.0134	SLD 1	0.26	2110	3.477	Si
0.53	0.04	0	82.79	SLD 6	0.26	2110	3.477	-0.0537	0	0	SLD 1	0	0	0	Si
0.55	0	0	-82.79	SLD 11	0.26	2110	3.477	0	0	0	SLD 1	0.26	2110	3.477	Si

Trave a "Piano 2" P3-1

Geometria



Caratteristiche dei materiali

Acciaio: Vigone_FeB44k_LC2 Fym 476200 Livello di conoscenza LC2 Fattore di confidenza 1.2
 Calcestruzzo: C35/42 Vigone B_LC2 Rcm 41700 Livello di conoscenza LC2 Fattore di confidenza 1.2

Elenco delle sezioni

N°	Descrizione	Tipo	Base	Altezza	Copriferro sup.	Copriferro inf.	Copriferro lat.
1	R 40x23	Rettangolare	0.4	0.23	0.025	0.025	0.025
2	R 40x22	Rettangolare	0.4	0.22	0.025	0.025	0.025

Diagramma verifica stato limite ultimo flessione

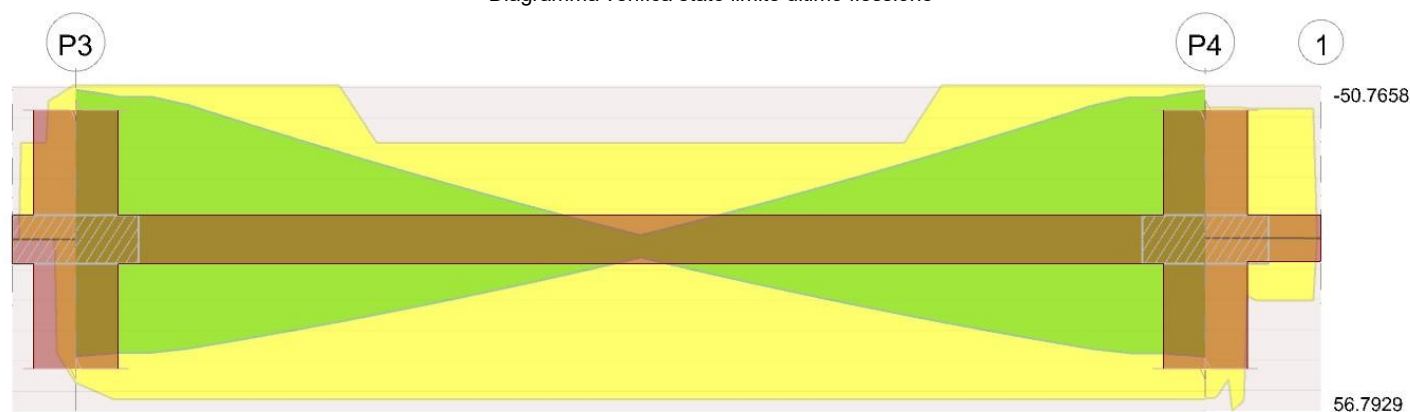
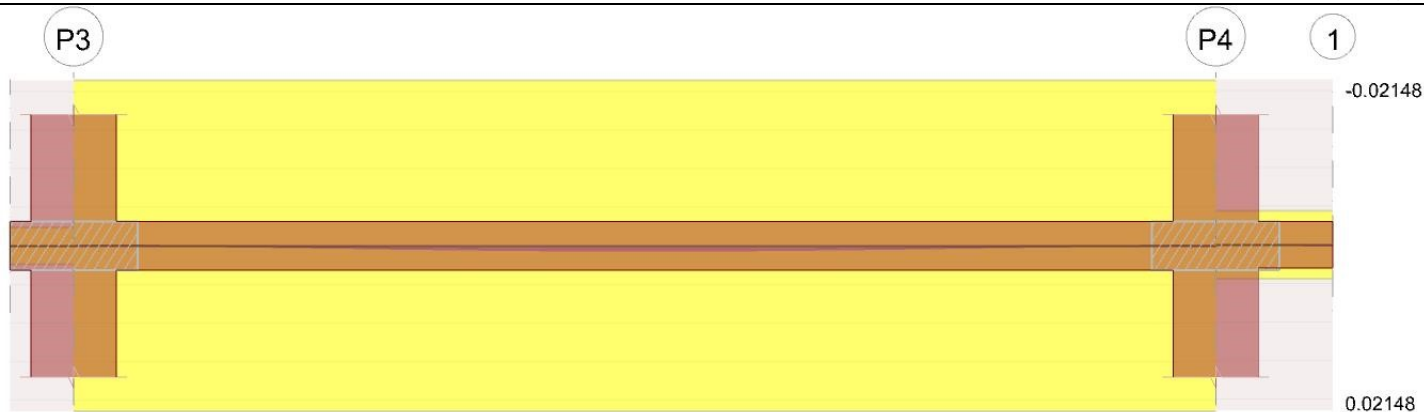


Diagramma verifica stato limite ultimo taglio



Diagramma verifica stato limite esercizio quasi permanente freccia



Output campate

Campata 2 tra i fili P3 - P4, sezione R 40x23, asta 14

Verifiche a flessione in famiglia SLU

x	A sup.	C.b. sup.	A inf.	C.b. inf.	M+ela	Comb.	M+des	M+ult	x/d	coeff	M-ela	Comb.	M-des	M-ult	x/d	coeff	Verifica
0	0.00077	0.039	0.000716	0.041							-7.9579	SLU 30	-7.1546	-45.2782	0.23	6.33	Si
0.2	0.00077	0.039	0.000804	0.041							-6.4062	SLU 30	-6.4062	-45.2716	0.229	7.07	Si
2.69	0.000462	0.038	0.000804	0.041	3.0733	SLU 26	3.0733	46.6027	0.234	15.16							Si
5.17	0.00077	0.039	0.000804	0.041							-6.144	SLU 34	-6.144	-45.2716	0.229	7.37	Si
5.37	0.00077	0.039	0.000804	0.041							-7.6753	SLU 34	-6.8822	-45.2716	0.229	6.58	Si

Verifiche a flessione in famiglia SLV (domini sostanzialmente elastici)

La struttura oppure parte di essa, è stata dichiarata come non dissipativa pertanto la verifica a pressoflessione, per tutte o solo alcune sezioni, viene eseguita calcolando i momenti resistenti in campo sostanzialmente elastico secondo D.M. 17-01-2018 §7.4.1

Le dilatazioni ultime utilizzate sono le seguenti: $\epsilon_{c2} = 0.002$, $\epsilon_{yd} = 0.00193$

E' attiva l'opzione fattori parziali di sicurezza unitari per meccanismi duttili di strutture esistenti con fattore q

x	A sup.	C.b. sup.	A inf.	C.b. inf.	M+ela	Comb.	M+des	M+ult	x/d	coeff	M-ela	Comb.	M-des	M-ult	x/d	coeff	Verifica
0	0.00077	0.039	0.000716	0.041	39.4731	SLV 12	38.3949	47.1565	0.28	1.23	-51.5392	SLV 5	-49.2279	-50.7608	0.29	1.03	Si
0.2	0.00077	0.039	0.000804	0.041	37.2745	SLV 12	37.2745	52.5777	0.294	1.41	-46.9588	SLV 5	-46.9588	-50.7372	0.288	1.08	Si
2.69	0.000462	0.038	0.000804	0.041	2.3492	SLV 16	5.9009	52.6636	0.301	8.92	2.3167	SLV 1	-1.3562	-31.7221	0.233	23.39	Si
5.17	0.00077	0.039	0.000804	0.041	37.4094	SLV 5	37.4094	52.5777	0.294	1.41	-46.8148	SLV 12	-46.8148	-50.7372	0.288	1.08	Si
5.37	0.00077	0.039	0.000804	0.041	39.6193	SLV 5	38.5354	52.5777	0.294	1.36	-51.384	SLV 12	-49.0783	-50.7372	0.288	1.03	Si

Verifiche SLD Resistenza a flessione (domini sostanzialmente elastici)

La struttura oppure parte di essa, è stata dichiarata come non dissipativa pertanto la verifica a pressoflessione, per tutte o solo alcune sezioni, viene eseguita calcolando i momenti resistenti in campo sostanzialmente elastico secondo D.M. 17-01-2018 §7.4.1

Le dilatazioni ultime utilizzate sono le seguenti: $\epsilon_{c2} = 0.002$, $\epsilon_{yd} = 0.00193$

x	A sup.	C.b. sup.	A inf.	C.b. inf.	M+ela	Comb.	M+des	M+ult	x/d	coeff	M-ela	Comb.	M-des	M-ult	x/d	coeff	Verifica
0	0.00077	0.039	0.000716	0.041	12.1589	SLD 12	12.0979	47.1565	0.28	3.9	-24.2249	SLD 5	-22.9308	-50.7608	0.29	2.21	Si
0.2	0.00077	0.039	0.000804	0.041	11.9947	SLD 12	11.9947	52.5777	0.294	4.38	-21.679	SLD 5	-21.679	-50.7372	0.288	2.34	Si
2.69	0.000462	0.038	0.000804	0.041	2.3395	SLD 16	3.7279	52.6636	0.301	14.13							Si
5.17	0.00077	0.039	0.000804	0.041	12.1323	SLD 5	12.1323	52.5777	0.294	4.33	-21.5377	SLD 12	-21.5377	-50.7372	0.288	2.36	Si
5.37	0.00077	0.039	0.000804	0.041	12.3077	SLD 5	12.2411	52.5777	0.294	4.3	-24.0724	SLD 12	-22.784	-50.7372	0.288	2.23	Si

Verifiche a taglio in famiglia SLU

x	A st	A sl	A sag	Vela	Comb.	Vdes	Vrd	Vrcd	Vrsd	Vult	cotgθ	coeff	Verifica
0	0	0.00077	0	8.08	SLU 30	8.08	56.41	193.96	0	56.41	2.5	6.98	Si
0.2	0.000038	0.00077	0	7.48	SLU 30	7.48	56.41	193.96	56.67	56.67	2.5	7.57	Si
2.69	0.000038	0.000804	0	0.05	SLU 30	0.05	56.8	191.73	56.02	56.8	2.5	1045.44	Si
5.17	0.000049	0.00077	0	-7.4	SLU 26	-7.4	-56.41	-193.96	-73	-73	2.5	9.86	Si
5.37	0	0.00077	0	-8	SLU 26	-8	-56.41	-193.96	0	-56.41	2.5	7.05	Si

Verifiche a taglio in famiglia SLV

x	A st	A sl	A sag	Vela	Comb.	Vdes	Vrd	Vrcd	Vrsd	Vult	cotgθ	coeff	Verifica
0	0	0.00077	0	23.15	SLV 5	23.15	56.41	193.96	0	56.41	2.5	2.44	Si
0.2	0	0.000804	0	-10.74	SLV 12	-10.74	-56.8	-191.73	0	-56.8	2.5	5.29	Si
0.2	0.000038	0.00077	0	22.69	SLV 5	22.69	56.41	193.96	56.67	56.67	2.5	2.5	Si
0.2	0.000038	0.000804	0	-11.2	SLV 12	-11.2	-56.8	-191.73	-56.02	-56.8	2.5	5.07	Si
2.69	0.000038	0.000804	0	16.98	SLV 5	16.98	56.8	191.73	56.02	56.8	2.5	3.35	Si
2.69	0.000038	0.000804	0	-16.92	SLV 12	-16.92	-56.8	-191.73	-56.02	-56.8	2.5	3.36	Si
5.17	0.000049	0.000804	0	11.26	SLV 5	11.26	56.8	191.73	72.16	72.16	2.5	6.41	Si
5.17	0.000049	0.00077	0	-22.63	SLV 12	-22.63	-56.41	-193.96	-73	-73	2.5	3.22	Si
5.37	0	0.000804	0	10.8	SLV 5	10.8	56.8	191.73	0	56.8	2.5	5.26	Si
5.37	0	0.00077	0	-23.09	SLV 12	-23.09	-56.41	-193.96	0	-56.41	2.5	2.44	Si

Verifiche SLD Resistenza a taglio

x	A st	A sl	A sag	Vela	Comb.	Vdes	Vrd	Vrcd	Vrsd	Vult	cotgθ	coeff	Verifica
0	0	0.00077	0	12.98	SLD 5	12.98	56.41	193.96	0	56.41	2.5	4.35	Si
0	0	0.000804	0	-0.57	SLD 12	-0.57	-56.8	-191.73	0	-56.8	2.5	99.4	Si
0.2	0.000038	0.00077	0	12.52	SLD 5	12.52	56.41	193.96	56.67	56.67	2.5	4.53	Si
0.2	0.000038	0.000804	0	-1.03	SLD 12	-1.03	-56.8	-191.73	-56.02	-56.8	2.5	55.07	Si
2.69	0.000038	0.000804	0	6.8	SLV 5	6.8	56.8	191.73	56.02	56.8	2.5	8.35	Si
2.69	0.000038	0.000804	0	-6.75	SLD 12	-6.75	-56.8	-191.73	-56.02	-56.8	2.5	8.42	Si
5.17	0.000049	0.000804	0	1.09	SLV 5	1.09	56.8	191.73	72.16	72.16	2.5	66.35	Si
5.17	0.000049	0.00077	0	-12.46	SLD 12	-12.46	-56.41	-193.96	-73	-73	2.5	5.86	Si
5.37	0	0.000804	0	0.63	SLV 5	0.63	56.8	191.73	0	56.8	2.5	90.51	Si
5.37	0	0.00077	0	-12.92	SLD 12	-12.92	-56.41	-193.96	0	-56.41	2.5	4.37	Si

Indicatori di rischio sismico SLV

x	T gravità	T sisma	T ultimo	Comb.	Pga	Tr	Ind. taglio	M gravità	M sisma	M ultimo	Comb.	Pga	Tr	Ind. momento	Ver
0.2	5.74	16.95	56.67	SLV 5	0.26	2114	1.389	-4.8421	-42.1167	-50.7372	SLV 5	0.22	1213	1.106	Si
2.69	0.03	16.95	56.8	SLV 5	0.26	2114	1.389	2.2686	-3.6248	-31.7221	SLV 5	0.26	2114	1.389	Si
5.17	-5.69	-16.95	-73	SLV 12	0.26	2114	1.389	-4.7027	-42.1121	-50.7372	SLV 12	0.22	1224	1.11	Si

Indicatori di rischio sismico SLD resistenza

x	T gravità	T sisma	T ultimo	Comb.	Pga	Tr	Ind. taglio	M gravità	M sisma	M ultimo	Comb.	Pga	Tr	Ind. momento	Ver
0.2	5.74	6.78	56.67	SLD 5	0.26	2110	3.477	-4.8421	-16.8369	-50.7372	SLD 5	0.22	1210	2.768	Si
2.69	0.03	6.78	56.8	SLD 5	0.26	2110	3.477	2.2686	-1.4491	-31.7221	SLD 5	0.26	2110	3.477	Si
5.17	-5.69	-6.78	-73	SLD 12	0.26	2110	3.477	-4.7027	-16.835	-50.7372	SLD 12	0.22	1222	2.779	Si

Campata 3 tra i fili P4 - 1, sezione R 40x22, asta 33**Verifiche a flessione in famiglia SLU**

x	A sup.	C.b. sup.	A inf.	C.b. inf.	M+ela	Comb.	M+des	M+ult	x/d	coeff	M-ela	Comb.	M-des	M-ult	x/d	coeff	Verifica
0	0.00077	0.039	0.000804	0.031							-0.4326	SLU 19	-0.2753	-43.0177	0.198	156.25	Si
0.2	0.00077	0.039	0.000278	0.038							-0.1752	SLU 28	-0.1752	-42.7398	0.248	243.93	Si
0.28	0.00077	0.039	0.000308	0.038							-0.1081	SLU 28	-0.1752	-42.7349	0.246	243.9	Si
0.53	0	0	0	0	-0.0004	SLU 8	0	0	0	+	-0.0005	SLU 31	-0.0698	0	0	0	Si
0.55	0	0	0	0	0	SLU 26	0	0	0	+	0	SLU 13	-0.0587	0	0	0	Si

Verifiche a flessione in famiglia SLV (domini sostanzialmente elastici)

La struttura oppure parte di essa, è stata dichiarata come non dissipativa pertanto la verifica a pressoflessione, per tutte o solo alcune sezioni, viene eseguita calcolando i momenti resistenti in campo sostanzialmente elastico secondo D.M. 17-01-2018 §7.4.1

Le dilatazioni ultime utilizzate sono le seguenti: $\epsilon_c=0.002$, $\epsilon_{yd}=0.00193$

E' attiva l'opzione fattori parziali di sicurezza unitari per meccanismi duttili di strutture esistenti con fattore q

x	A sup.	C.b. sup.	A inf.	C.b. inf.	M+ela	Comb.	M+des	M+ult	x/d	coeff	M-ela	Comb.	M-des	M-ult	x/d	coeff	Verifica
0	0.00077	0.039	0.000804	0.031							-0.3328	SLV 9	-0.2118	-48.1858	0.286	227.53	Si
0.2	0.00077	0.039	0.000278	0.038							-0.1348	SLV 10	-0.1348	-48.0418	0.305	356.44	Si
0.28	0.00077	0.039	0.000308	0.038							-0.0832	SLV 10	-0.1348	-48.0343	0.305	356.39	Si
0.53	0	0	0	0	-0.0004	SLV 7	0	0	0	+	-0.0004	SLV 10	-0.0537	0	0	0	Si
0.55	0	0	0	0	0	SLV 7	0	0	0	+	0	SLV 10	-0.0451	0	0	0	Si

Verifiche SLD Resistenza a flessione (domini sostanzialmente elastici)

La struttura oppure parte di essa, è stata dichiarata come non dissipativa pertanto la verifica a pressoflessione, per tutte o solo alcune sezioni, viene eseguita calcolando i momenti resistenti in campo sostanzialmente elastico secondo D.M. 17-01-2018 §7.4.1

Le dilatazioni ultime utilizzate sono le seguenti: $\epsilon_c=0.002$, $\epsilon_{yd}=0.00193$

x	A sup.	C.b. sup.	A inf.	C.b. inf.	M+ela	Comb.	M+des	M+ult	x/d	coeff	M-ela	Comb.	M-des	M-ult	x/d	coeff	Verifica
0	0.00077	0.039	0.000804	0.031							-0.3328	SLD 9	-0.2118	-48.1858	0.286	227.53	Si
0.2	0.00077	0.039	0.000278	0.038							-0.1348	SLD 5	-0.1348	-48.0418	0.305	356.44	Si
0.28	0.00077	0.039	0.000308	0.038							-0.0832	SLD 5	-0.1348	-48.0343	0.305	356.39	Si
0.53	0	0	0	0	-0.0004	SLD 10	0	0	0	+	-0.0004	SLD 7	-0.0537	0	0	0	Si
0.55	0	0	0	0	0	SLD 10	0	0	0	+	0	SLD 7	-0.0451	0	0	0	Si

Verifiche a taglio in famiglia SLU

x	A st	A sl	A sag	Vela	Comb.	Vdes	Vrd	Vrcd	Vrsd	Vult	cotgθ	coeff	Verifica
0	0	0.00077	0	1.57	SLU 26	1.57	54.43	183.82	0	54.43	2.5	34.6	Si
0.2	0.0000048	0.00077	0	1	SLU 26	1	54.43	183.82	68.19	68.19	2.5	68.12	Si
0.28	0.0000048	0.00077	0	0.79	SLU 26	0.79	54.43	183.82	68.19	68.19	2.5	86.7	Si
0.55	0.0000048	0	0	0	Ger.	0	45.16	223.18	82.79	82.79	2.5	36990511283726500	Si
0.55	0.0000048	0	0	0	Ger.	0	-45.16	-223.18	-82.79	-82.79	2.5	5844268867397550	Si

Verifiche a taglio in famiglia SLV

x	A st	A sl	A sag	Vela	Comb.	Vdes	Vrd	Vrcd	Vrsd	Vult	cotgθ	coeff	Verifica
0	0	0.00077	0	1.21	SLV 11	1.21	54.43	183.82	0	54.43	2.5	44.98	Si
0.2	0.0000048	0.00077	0	0.77	SLV 11	0.77	54.43	183.82	68.19	68.19	2.5	88.56	Si
0.28	0.0000048	0.00077	0	0.61	SLV 11	0.61	54.43	183.82	68.19	68.19	2.5	112.71	Si
0.55	0.0000048	0	0	0	Ger.	0	45.16	223.18	82.79	82.79	2.5	29095765712484.7	Si
0.55	0.0000048	0	0	0	Ger.	0	-45.16	-223.18	-82.79	-82.79	2.5	29078504161373.7	Si

Verifiche SLD Resistenza a taglio

x	A st	A sl	A sag	Vela	Comb.	Vdes	Vrd	Vrcd	Vrsd	Vult	cotgθ	coeff	Verifica
0	0	0.00077	0	1.21	SLD 9	1.21	54.43	183.82	0	54.43	2.5	44.98	Si
0.2	0.0000048	0.00077	0	0.77	SLD 9	0.77	54.43	183.82	68.19	68.19	2.5	88.56	Si
0.28	0.0000048	0.00077	0	0.61	SLD 9	0.61	54.43	183.82	68.19	68.19	2.5	112.71	Si
0.55	0.0000048	0	0	0	Ger.	0	45.16	223.18	82.79	82.79	2.5	67506310196611.4	Si
0.55	0.0000048	0	0	0	Ger.	0	-45.16	-223.18	-82.79	-82.79	2.5	67413064042198.8	Si

Indicatori di rischio sismico SLV

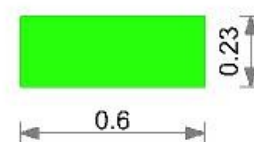
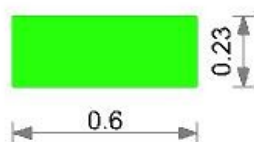
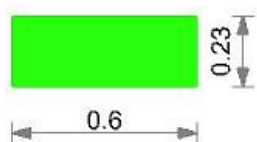
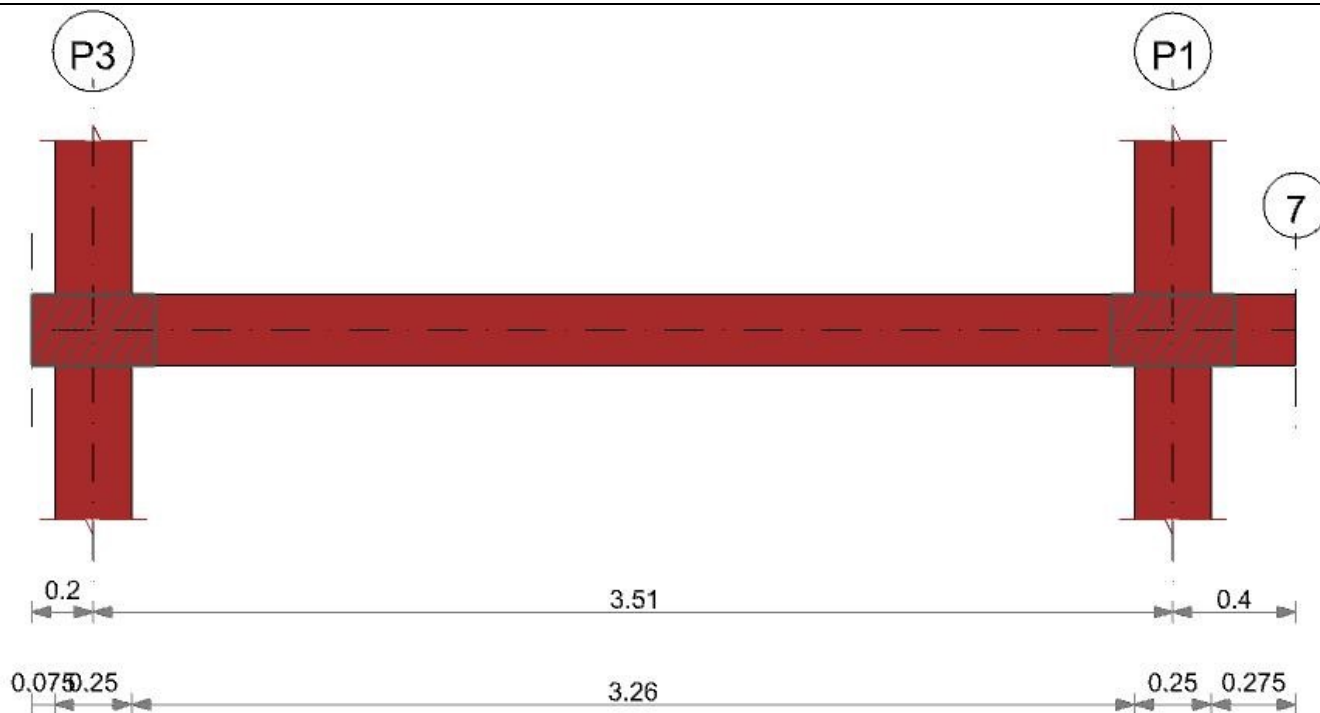
x	T gravità	T sisma	T ultimo	Comb.	Pga	Tr	Ind. taglio	M gravità	M sisma	M ultimo	Comb.	Pga	Tr	Ind. momento	Ver
0.2	0.77	0	68.19	SLV 11	0.26	2114	1.389	-0.1348	0	-48.0418	SLV 1	0.26	2114	1.389	Si
0.28	0.6	0	68.19	SLV 11	0.26	2114	1.389	-0.0058	0	-48.0343	SLV 1	0.26	2114	1.389	Si
0.53	0.04	0	82.79	SLV 11	0.26	2114	1.389	-0.0537	0	0	SLV 1	0	0	0	Si
0.55	0	0	-82.79	SLV 6	0.26	2114	1.389	0	0	0	SLV 1	0.26	2114	1.389	Si

Indicatori di rischio sismico SLD resistenza

x	T gravità	T sisma	T ultimo	Comb.	Pga	Tr	Ind. taglio	M gravità	M sisma	M ultimo	Comb.	Pga	Tr	Ind. momento	Ver
0.2	0.77	0	68.19	SLD 9	0.26	2110	3.477	-0.1348	0	-48.0418	SLD 1	0.26	2110	3.477	Si
0.28	0.6	0	68.19	SLD 9	0.26	2110	3.477	-0.0058	0	-48.0343	SLD 1	0.26	2110	3.477	Si
0.53	0.04	0	82.79	SLD 9	0.26	2110	3.477	-0.0537	0	0	SLD 1	0	0	0	Si
0.55	0	0	-82.79	SLD 8	0.26	2110	3.477	0	0	0	SLD 1	0.26	2110	3.477	Si

Trave a "Piano 2" P3-7

Geometria



Caratteristiche dei materiali

Acciaio: Vigone_FeB44k_LC2 Fym 476200 Livello di conoscenza LC2 Fattore di confidenza 1.2

Calcestruzzo: C35/42 Vigone B_LC2 Rcm 41700 Livello di conoscenza LC2 Fattore di confidenza 1.2

Elenco delle sezioni

N°	Descrizione	Tipo	Base	Altezza	Copriferro sup.	Copriferro inf.	Copriferro lat.
1	R 60x23	Rettangolare	0.6	0.23	0.025	0.025	0.025

Diagramma verifica stato limite ultimo flessione

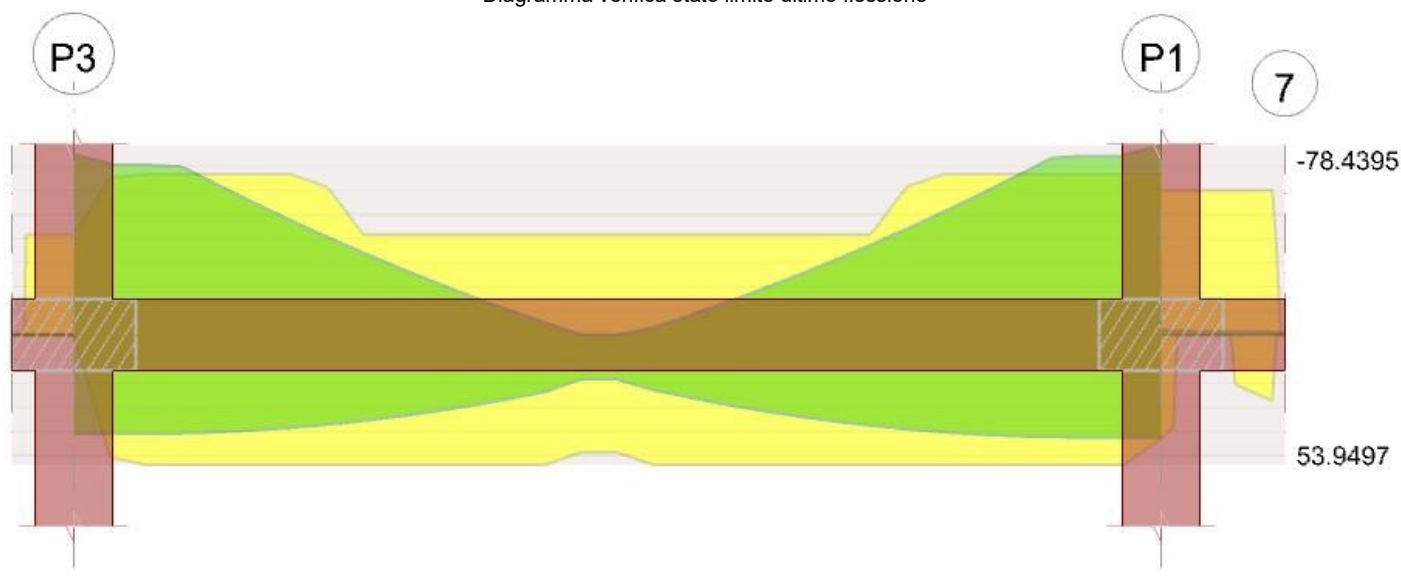


Diagramma verifica stato limite ultimo taglio

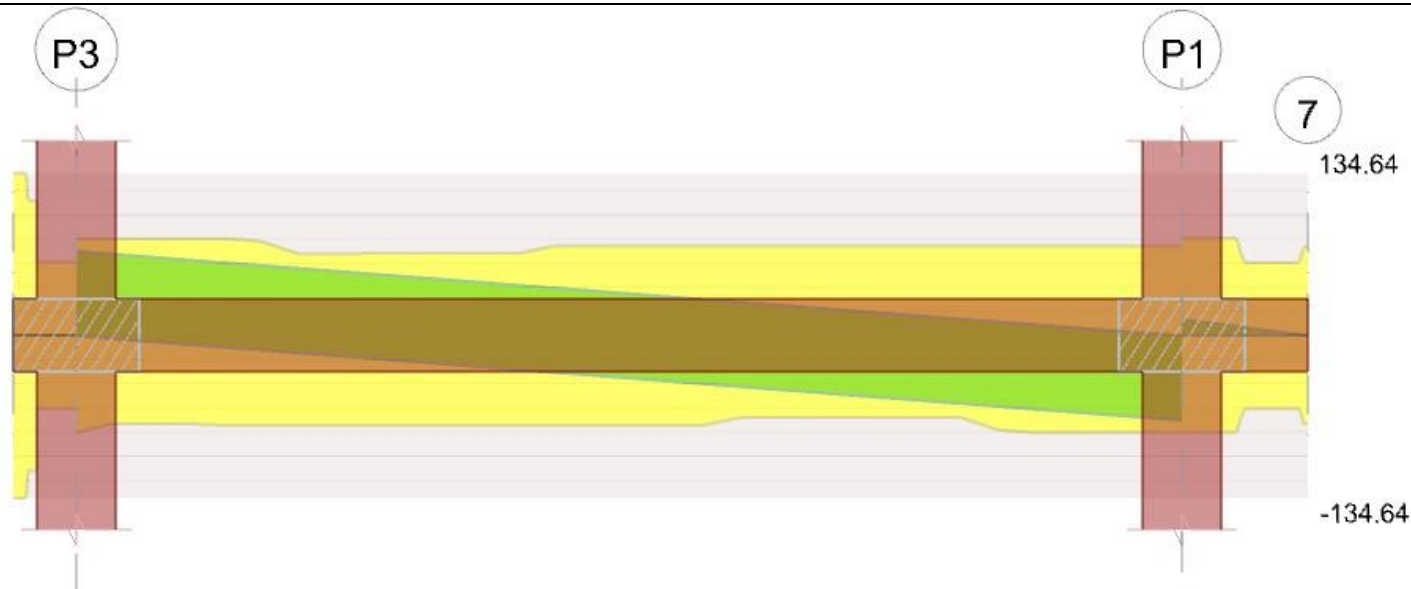


Diagramma verifica stato limite esercizio quasi permanente freccia



Output campate

Campata 2 tra i fili P3 - P1, sezione R 60x23, asta 13

Verifiche a flessione in famiglia SLU

x	A sup.	C.b. sup.	A inf.	C.b. inf.	M+ela	Comb.	M+des	M+ult	x/d	coeff	M-ela	Comb.	M-des	M-ult	x/d	coeff	Verifica
0	0.000603	0.039	0	0							-30.6927	SLU 35	-27.1697	-37.5462	0.139	1.38	Si
0.13	0.000983	0.04	0.00076	0.041							-23.8869	SLU 35	-23.8869	-58.5794	0.22	2.45	Si
1.76	0.000603	0.039	0.000804	0.041	18.4943	SLU 35	18.4943	48.6919	0.199	2.63							Si
3.39	0.001005	0.04	0.000804	0.041							-25.6545	SLU 36	-25.6545	-59.7424	0.222	2.33	Si
3.51	0.001005	0.04	0.000634	0.041							-32.5959	SLU 36	-29.0051	-59.752	0.223	2.06	Si

Verifiche a flessione in famiglia SLV (domini sostanzialmente elastici)

La struttura oppure parte di essa, è stata dichiarata come non dissipativa pertanto la verifica a pressoflessione, per tutte o solo alcune sezioni, viene eseguita calcolando i momenti resistenti in campo sostanzialmente elastico secondo D.M. 17-01-2018 §7.4.1

Le dilatazioni ultime utilizzate sono le seguenti: $\epsilon_c2 = 0.002$, $\epsilon_{yd} = 0.00193$

E' attiva l'opzione fattori parziali di sicurezza unitari per meccanismi duttili di strutture esistenti con fattore q

x	A sup.	C.b. sup.	A inf.	C.b. inf.	M+ela	Comb.	M+des	M+ult	x/d	coeff	M-ela	Comb.	M-des	M-ult	x/d	coeff	Verifica
0	0.000603	0.039	0	0	41.032	SLV 15	41.0076	0	0	0	-79.0256	SLV 2	-74.6802	-41.6359	0.223	0.56	Si
0.13	0.000983	0.04	0.00076	0.041	40.8359	SLV 15	40.8359	51.0483	0.244	1.25	-70.482	SLV 2	-70.482	-65.2123	0.274	0.93	Si
1.76	0.000603	0.039	0.000804	0.041	12.5237	SLV 2	19.4277	53.9497	0.252	2.78							Si
3.39	0.001005	0.04	0.000804	0.041	42.4184	SLV 2	42.4184	53.8692	0.249	1.27	-74.2004	SLV 15	-74.2004	-66.568	0.276	0.9	No
3.51	0.001005	0.04	0.000634	0.041	42.5326	SLV 2	42.5326	43.0355	0.226	1.01	-82.8258	SLV 15	-78.4395	-66.6156	0.278	0.85	No

Verifiche SLD Resistenza a flessione (domini sostanzialmente elastici)

La struttura oppure parte di essa, è stata dichiarata come non dissipativa pertanto la verifica a pressoflessione, per tutte o solo alcune sezioni, viene eseguita calcolando i momenti resistenti in campo sostanzialmente elastico secondo D.M. 17-01-2018 §7.4.1

Le dilatazioni ultime utilizzate sono le seguenti: $\epsilon_c2 = 0.002$, $\epsilon_{yd} = 0.00193$

x	A sup.	C.b. sup.	A inf.	C.b. inf.	M+ela	Comb.	M+des	M+ult	x/d	coeff	M-ela	Comb.	M-des	M-ult	x/d	coeff	Verifica
0	0.000603	0.039	0	0	5.0109	SLD 15	5.0109	0	0	0	-43.0045	SLD 2	-39.9702	-41.6359	0.223	1.04	Si
0.13	0.000983	0.04	0.00076	0.041	7.437	SLD 15	10.8738	51.0483	0.244	4.69	-37.0832	SLD 2	-37.0832	-65.2123	0.274	1.76	Si
1.76	0.000603	0.039	0.000804	0.041	11.7124	SLD 2	14.1446	53.9497	0.252	3.81							Si
3.39	0.001005	0.04	0.000804	0.041	7.4265	SLD 2	11.0033	53.8692	0.249	4.9	-39.2084	SLD 15	-39.2084	-66.568	0.276	1.7	Si
3.51	0.001005	0.04	0.000634	0.041	4.9184	SLD 2	4.9184	43.0355	0.226	8.75	-45.2116	SLD 15	-42.1364	-66.6156	0.278	1.58	Si

Verifiche a taglio in famiglia SLU

x	A st	A sl	A sag	Vela	Comb.	Vdes	Vrd	Vrcd	Vrsd	Vult	cotgθ	coeff	Verifica
0	0	0.000983	0	56.6	SLU 35	56.6	80.14	290.64	0	80.14	2.5	1.42	Si
0.13	0.0000038	0.000983	0	52.53	SLU 35	52.53	79.92	289.47	56.36	79.92	2.5	1.52	Si
1.76	0.0000038	0.000804	0	-0.54	SLU 36	-0.54	-74.43	-287.6	-56	-74.43	2.5	137.17	Si
3.39	0.0000038	0.001005	0	-53.61	SLU 36	-53.61	-80.52	-289.43	-56.35	-80.52	2.5	1.5	Si
3.51	0	0.001005	0	-57.68	SLU 36	-57.68	-80.52	-289.43	0	-80.52	2.5	1.4	Si

Verifiche a taglio in famiglia SLV

x	A st	A sl	A sag	Vela	Comb.	Vdes	Vrd	Vrcd	Vrsd	Vult	cotgθ	coeff	Verifica
0	0	0.000983	0	69.67	SLV 2	69.67	80.14	290.64	0	80.14	2.5	1.15	Si
0	0	0.00076	0	-0.25	SLV 15	-0.25	-80.43	-349.99	0	-80.43	2.5	318.97	Si
0.13	0.0000038	0.000983	0	67.17	SLV 2	67.17	79.92	289.47	56.36	79.92	2.5	1.19	Si
0.13	0.0000038	0.00076	0	-2.75	SLV 15	-2.75	-73.03	-287.6	-56	-73.03	2.5	26.58	Si
1.76	0.0000038	0.000804	0	34.63	SLV 2	34.63	74.43	287.6	56	74.43	2.5	2.15	Si
1.76	0.0000038	0.000804	0	-35.29	SLV 15	-35.29	-74.43	-287.6	-56	-74.43	2.5	2.11	Si
3.39	0.0000038	0.000804	0	2.09	SLV 2	2.09	74.43	287.6	56	74.43	2.5	35.57	Si
3.39	0.0000038	0.001005	0	-67.83	SLV 15	-67.83	-80.52	-289.43	-56.35	-80.52	2.5	1.19	Si
3.51	0	0.001005	0	-70.32	SLV 15	-70.32	-80.52	-289.43	0	-80.52	2.5	1.15	Si

Verifiche SLD Resistenza a taglio

x	A st	A sl	A sag	Vela	Comb.	Vdes	Vrd	Vrcd	Vrsd	Vult	cotgθ	coeff	Verifica
0	0	0.000983	0	48.69	SLD 2	48.69	80.14	290.64	0	80.14	2.5	1.65	Si
0.13	0.0000038	0.000983	0	46.19	SLD 2	46.19	79.92	289.47	56.36	79.92	2.5	1.73	Si
1.76	0.0000038	0.000804	0	13.65	SLD 2	13.65	74.43	287.6	56	74.43	2.5	5.45	Si
1.76	0.0000038	0.000804	0	-14.31	SLD 15	-14.31	-74.43	-287.6	-56	-74.43	2.5	5.2	Si
3.39	0.0000038	0.001005	0	-46.85	SLD 15	-46.85	-80.52	-289.43	-56.35	-80.52	2.5	1.72	Si
3.51	0	0.001005	0	-49.34	SLD 15	-49.34	-80.52	-289.43	0	-80.52	2.5	1.63	Si

Indicatori di rischio sismico SLV

x	T gravità	T sisma	T ultimo	Comb.	Pga	Tr	Ind. taglio	M gravità	M sisma	M ultimo	Comb.	Pga	Tr	Ind. momento	Ver
0.13	32.21	34.96	79.92	SLV 2	0.26	2114	1.389	-14.8231	-55.6589	-65.2123	SLV 2	0.18	729	0.898	Si
1.76	-0.33	-34.96	-74.43	SLV 15	0.26	2114	1.389	10.6256	8.8022	53.9497	SLV 2	0.26	2114	1.389	Si
3.39	-32.87	-34.96	-80.52	SLV 15	0.26	2114	1.389	-15.891	-58.3094	-66.568	SLV 15	0.18	655	0.859	No

Indicatori di rischio sismico SLD resistenza

x	T gravità	T sisma	T ultimo	Comb.	Pga	Tr	Ind. taglio	M gravità	M sisma	M ultimo	Comb.	Pga	Tr	Ind. momento	Ver
0.13	32.21	13.98	79.92	SLD 2	0.26	2110	3.477	-14.8231	-22.2601	-65.2123	SLD 2	0.18	727	2.246	Si
1.76	-0.33	-13.98	-74.43	SLD 15	0.26	2110	3.477	10.6256	3.5191	53.9497	SLD 2	0.26	2110	3.477	Si
3.39	-32.87	-13.98	-80.52	SLD 15	0.26	2110	3.477	-15.891	-23.3174	-66.568	SLD 15	0.18	653	2.15	Si

Campata 3 tra i fili P1 - 7, sezione R 60x23, asta 42

Verifiche a flessione in famiglia SLU

x	A sup.	C.b. sup.	A inf.	C.b. inf.	M+ela	Comb.	M+des	M+ult	x/d	coeff	M-ela	Comb.	M-des	M-ult	x/d	coeff	Verifica
0	0.001005	0.04	0.000634	0.041							-2.6045	SLU 36	-1.7913	-59.752	0.223	33.36	Si
0.13	0.001005	0.04	0	0							-1.2317	SLU 36	-1.2317	-59.8457	0.233	48.59	Si
0.2	0.001005	0.04	0	0							-0.6511	SLU 36	-1.2317	-59.8457	0.233	48.59	Si
0.39	0	0	0	0							-0.0029	SLV 35	-0.8395	0	0	0	Si
0.4	0	0	0	0							0	SLV 29	-0.7438	0	0	0	Si

Verifiche a flessione in famiglia SLV (domini sostanzialmente elastici)

La struttura oppure parte di essa, è stata dichiarata come non dissipativa pertanto la verifica a pressoflessione, per tutte o solo alcune sezioni, viene eseguita calcolando i momenti resistenti in campo sostanzialmente elastico secondo D.M. 17-01-2018 §7.4.1

Le dilatazioni ultime utilizzate sono le seguenti: $\epsilon_{c2} = 0.002$, $\epsilon_{yd} = 0.00193$

E' attiva l'opzione fattori parziali di sicurezza unitari per meccanismi duttili di strutture esistenti con fattore q

x	A sup.	C.b. sup.	A inf.	C.b. inf.	M+ela	Comb.	M+des	M+ult	x/d	coeff	M-ela	Comb.	M-des	M-ult	x/d	coeff	Verifica
0	0.001005	0.04	0.000634	0.041							-1.597	SLV 9	-1.0984	-66.6156	0.278	60.65	Si
0.13	0.001005	0.04	0	0							-0.7553	SLV 9	-0.7553	-66.8106	0.286	88.46	Si
0.2	0.001005	0.04	0	0	-0.3993	SLV 8	0	0	0	+\infty	-0.3993	SLV 9	-0.7553	-66.8106	0.286	88.46	Si
0.39	0	0	0	0	-0.0018	SLV 8	0	0	0	+\infty	-0.0018	SLV 9	-0.5148	0	0	0	Si
0.4	0	0	0	0	0	SLV 8	0	0	0	+\infty	0	SLV 9	-0.4561	0	0	0	Si

Verifiche SLD Resistenza a flessione (domini sostanzialmente elastici)

La struttura oppure parte di essa, è stata dichiarata come non dissipativa pertanto la verifica a pressoflessione, per tutte o solo alcune sezioni, viene eseguita calcolando i momenti resistenti in campo sostanzialmente elastico secondo D.M. 17-01-2018 §7.4.1

Le dilatazioni ultime utilizzate sono le seguenti: $\epsilon_{c2} = 0.002$, $\epsilon_{yd} = 0.00193$

x	A sup.	C.b. sup.	A inf.	C.b. inf.	M+ela	Comb.	M+des	M+ult	x/d	coeff	M-ela	Comb.	M-des	M-ult	x/d	coeff	Verifica
0	0.001005	0.04	0.000634	0.041							-1.597	SLD 9	-1.0984	-66.6156	0.278	60.65	Si
0.13	0.001005	0.04	0	0							-0.7553	SLD 9	-0.7553	-66.8106	0.286	88.46	Si
0.2	0.001005	0.04	0	0	-0.3993	SLD 8	0	0	0	+\infty	-0.3993	SLD 9	-0.7553	-66.8106	0.286	88.46	Si
0.39	0	0	0	0	-0.0018	SLD 12	0	0	0	+\infty	-0.0018	SLD 5	-0.5148	0	0	0	Si
0.4	0	0	0	0	0	SLD 12	0	0	0	+\infty	0	SLD 5	-0.4561	0	0	0	Si

Verifiche a taglio in famiglia SLU

x	A st	A sl	A sag	Vela	Comb.	Vdes	Vrd	Vrcd	Vrsd	Vult	cotgθ	coeff	Verifica
0	0	0.001005	0	13.02	SLU 36	13.02	80.52	289.43	0	80.52	2.5	6.18	Si
0.13	0.0000041	0.001005	0	8.95	SLU 36	8.95	80.52	289.43	60.73	80.52	2.5	8.99	Si
0.2	0.0000041	0	0	6.51	SLU 36	6.51	60.67	289.43	60.73	60.73	2.5	9.33	Si
0.4	0.0000041	0	0	0	Ger.	0	69.69	349.99	73.44	73.44	2.5	634885976050737	Si

Verifiche a taglio in famiglia SLV

x	A st	A sl	A sag	Vela	Comb.	Vdes	Vrd	Vrcd	Vrsd	Vult	cotgθ	coeff	Verifica
0	0	0.001005	0	7.99	SLV 9	7.99	80.52	289.43	0	80.52	2.5	10.08	Si
0.13	0.0000041	0.001005	0	5.49	SLV 9	5.49	80.52	289.43	60.73	80.52	2.5	14.67	Si
0.2	0.0000041	0	0	3.99	SLV 9	3.99	60.67	289.43	60.73	60.73	2.5	15.21	Si
0.4	0.0000041	0	0	0	Ger.	0	69.69	349.99	73.44	73.44	2.5	4041138058464.45	Si
0.4	0.0000041	0	0	0	Ger.	0	-69.69	-349.99	-73.44	-73.44	2.5	4071751638278.3	Si

Verifiche SLD Resistenza a taglio

x	A st	A sl	A sag	Vela	Comb.	Vdes	Vrd	Vrcd	Vrsd	Vult	cotgθ	coeff	Verifica
0	0	0.001005	0	7.99	SLD 9	7.99	80.52	289.43	0	80.52	2.5	10.08	Si
0.13	0.0000041	0.001005	0	5.49	SLD 9	5.49	80.52	289.43	60.73	80.52	2.5	14.67	Si
0.2	0.0000041	0	0	3.99	SLD 9	3.99	60.67	289.43	60.73	60.73	2.5	15.21	Si
0.4	0.0000041	0	0	0	Ger.	0	69.69	349.99	73.44	73.44	2.5	9293952235250.84	Si
0.4	0.0000041	0	0	0	Ger.	0	-69.69	-349.99	-73.44	-73.44	2.5	9457485179232.94	Si

Indicatori di rischio sismico SLV

Corpo B-Vigone

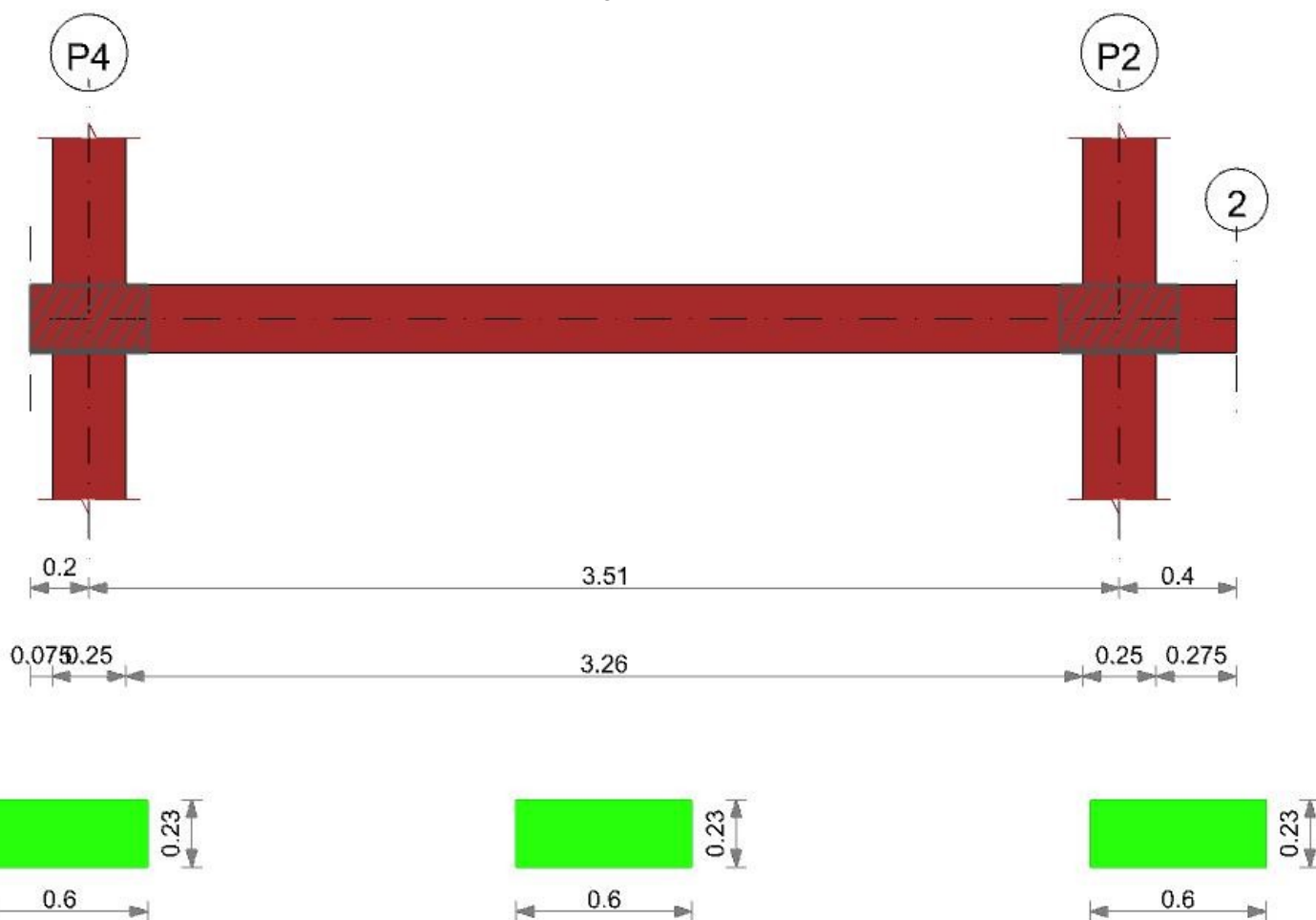
x	T gravità	T sisma	T ultimo	Comb.	Pga	Tr	Ind. taglio	M gravità	M sisma	M ultimo	Comb.	Pga	Tr	Ind. momento	Ver
0.13	5.49	0	80.52	SLV 9	0.26	2114	1.389	-0.7553	0	-66.8106	SLV 1	0.26	2114	1.389	Si
0.2	3.99	0	60.73	SLV 9	0.26	2114	1.389	0	0	-66.8106	SLV 1	0.26	2114	1.389	Si
0.39	0.27	0	73.44	SLV 9	0.26	2114	1.389	-0.5148	0	0	SLV 1	0	0	0	Si
0.4	0	0	73.44	SLV 9	0.26	2114	1.389	0	0	0	SLV 1	0.26	2114	1.389	Si

Indicatori di rischio sismico SLD resistenza

x	T gravità	T sisma	T ultimo	Comb.	Pga	Tr	Ind. taglio	M gravità	M sisma	M ultimo	Comb.	Pga	Tr	Ind. momento	Ver
0.13	5.49	0	80.52	SLD 9	0.26	2110	3.477	-0.7553	0	-66.8106	SLD 1	0.26	2110	3.477	Si
0.2	3.99	0	60.73	SLD 9	0.26	2110	3.477	0	0	-66.8106	SLD 1	0.26	2110	3.477	Si
0.39	0.27	0	73.44	SLD 9	0.26	2110	3.477	-0.5148	0	0	SLD 1	0	0	0	Si
0.4	0	0	73.44	SLD 9	0.26	2110	3.477	0	0	0	SLD 1	0.26	2110	3.477	Si

Trave a "Piano 2" P4-2

Geometria



Caratteristiche dei materiali

Acciaio: Vigone_FeB44k_LC2 Fym 476200 Livello di conoscenza LC2 Fattore di confidenza 1.2
 Calcestruzzo: C35/42 Vigone B_LC2 Rcm 41700 Livello di conoscenza LC2 Fattore di confidenza 1.2

Elenco delle sezioni

N°	Descrizione	Tipo	Base	Altezza	Copriferro sup.	Copriferro inf.	Copriferro lat.
1	R 60x23	Rettangolare	0.6	0.23	0.025	0.025	0.025

Diagramma verifica stato limite ultimo flessione

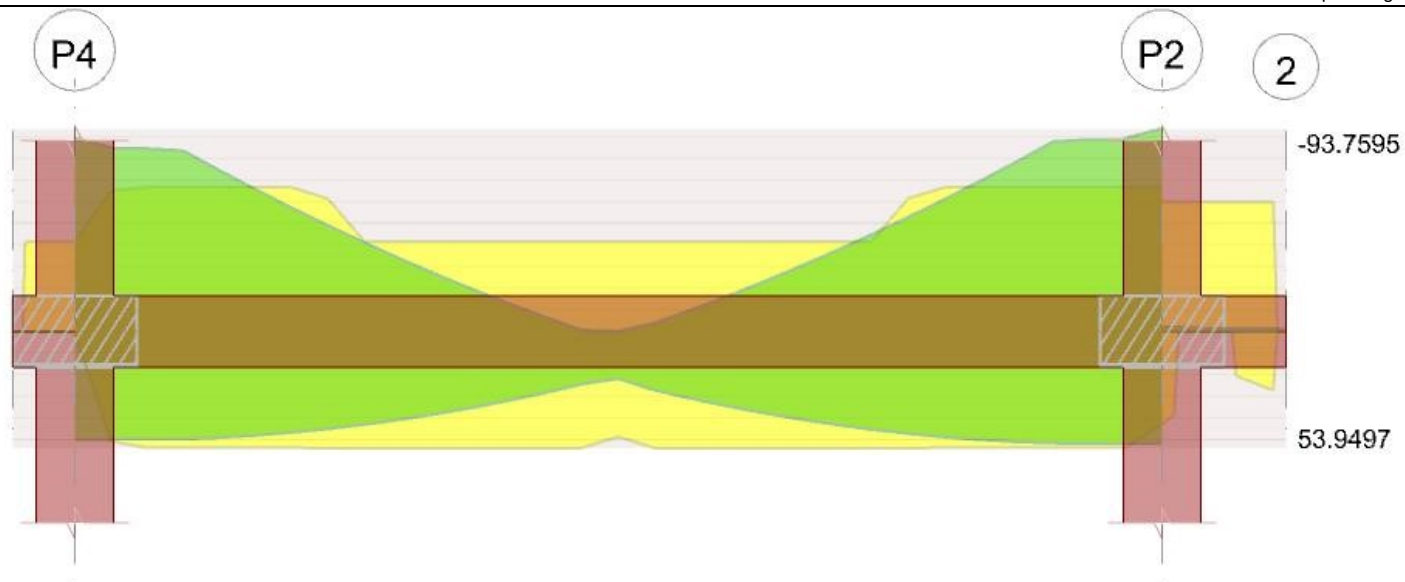


Diagramma verifica stato limite ultimo taglio

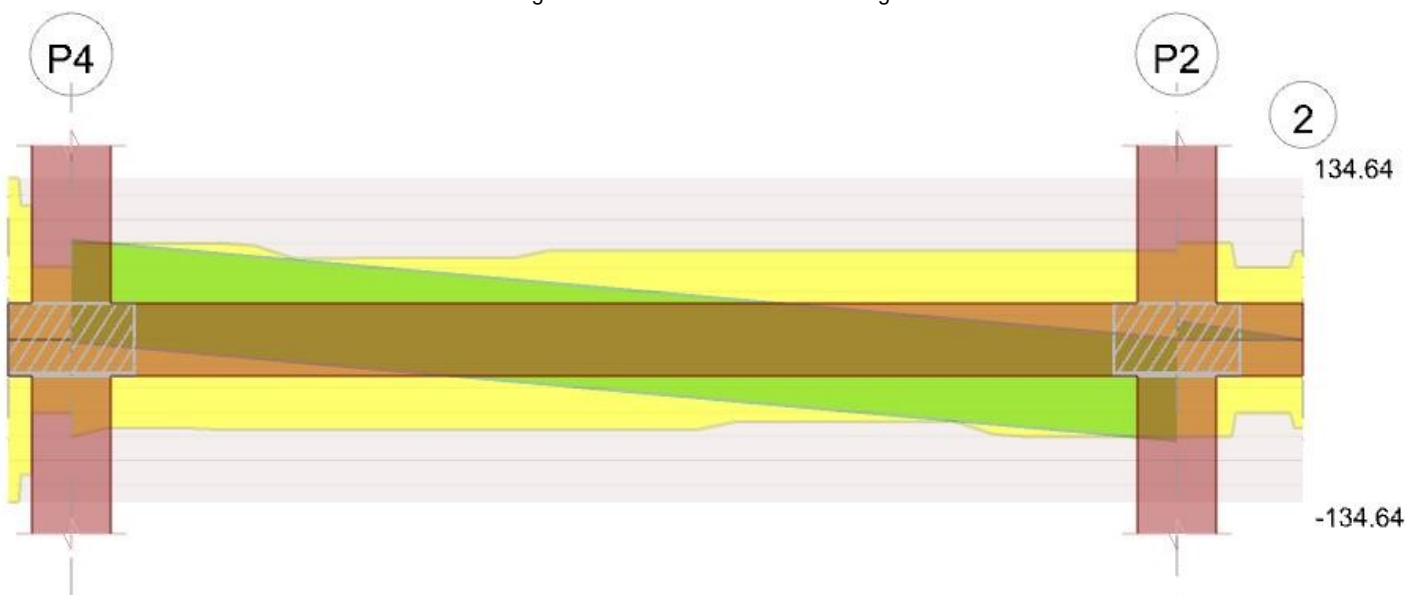
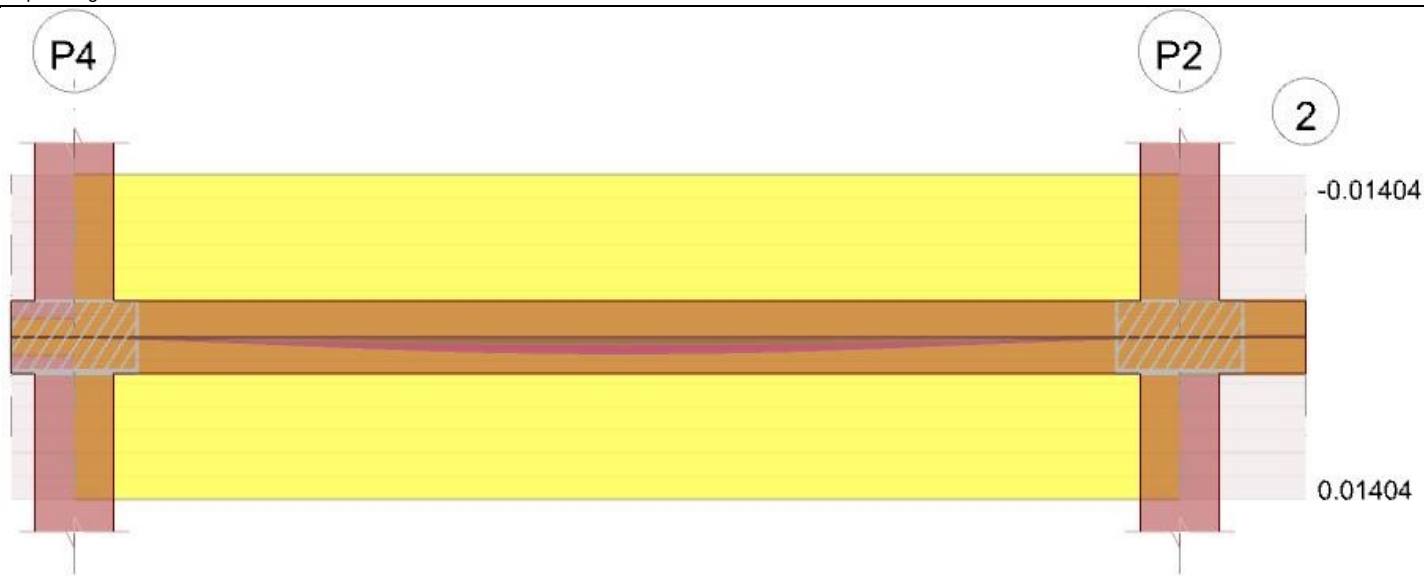


Diagramma verifica stato limite esercizio quasi permanente freccia



Output campate

Campata 2 tra i fili P4 - P2, sezione R 60x23, asta 16

Verifiche a flessione in famiglia SLU

x	A sup.	C.b. sup.	A inf.	C.b. inf.	M+ela	Comb.	M+des	M+ult	x/d	coeff	M-ela	Comb.	M-des	M-ult	x/d	coeff	Verifica
0	0.000603	0.039	0	0							-36.0865	SLU 36	-31.9386	-37.5462	0.139	1.18	Si
0.13	0.000983	0.04	0.00076	0.041							-28.0734	SLU 36	-28.0734	-58.5794	0.22	2.09	Si
1.76	0.000603	0.039	0.000804	0.041	21.8607	SLU 35	21.8607	48.6919	0.199	2.23							Si
3.39	0.001005	0.04	0.000804	0.041							-30.0211	SLU 35	-30.0211	-59.7424	0.222	1.99	Si
3.51	0.001005	0.04	0.000634	0.041							-38.1836	SLU 35	-33.9611	-59.752	0.223	1.76	Si

Verifiche a flessione in famiglia SLV (domini sostanzialmente elastici)

La struttura oppure parte di essa, è stata dichiarata come non dissipativa pertanto la verifica a pressoflessione, per tutte o solo alcune sezioni, viene eseguita calcolando i momenti resistenti in campo sostanzialmente elastico secondo D.M. 17-01-2018 §7.4.1

Le dilatazioni ultime utilizzate sono le seguenti: $\epsilon_{c2} = 0.002$, $\epsilon_{yd} = 0.00193$

E' attiva l'opzione fattori parziali di sicurezza unitari per meccanismi duttili di strutture esistenti con fattore q

x	A sup.	C.b. sup.	A inf.	C.b. inf.	M+ela	Comb.	M+des	M+ult	x/d	coeff	M-ela	Comb.	M-des	M-ult	x/d	coeff	Verifica
0	0.000603	0.039	0	0	50.305	SLV 14	50.1976	0	0	0	-94.6687	SLV 3	-89.5054	-41.6359	0.223	0.47	Si
0.13	0.000983	0.04	0.00076	0.041	49.9179	SLV 14	49.9179	51.0483	0.244	1.02	-84.5143	SLV 3	-84.5143	-65.2123	0.274	0.77	Si
1.76	0.000603	0.039	0.000804	0.041	14.682	SLV 3	23.037	53.9497	0.252	2.34							Si
3.39	0.001005	0.04	0.000804	0.041	51.7733	SLV 3	51.7733	53.8692	0.249	1.04	-88.7233	SLV 14	-88.7233	-66.568	0.276	0.75	No
3.51	0.001005	0.04	0.000634	0.041	52.0702	SLV 3	52.0079	43.0355	0.226	0.83	-98.968	SLV 14	-93.7595	-66.6156	0.278	0.71	No

Verifiche SLD Resistenza a flessione (domini sostanzialmente elastici)

La struttura oppure parte di essa, è stata dichiarata come non dissipativa pertanto la verifica a pressoflessione, per tutte o solo alcune sezioni, viene eseguita calcolando i momenti resistenti in campo sostanzialmente elastico secondo D.M. 17-01-2018 §7.4.1

Le dilatazioni ultime utilizzate sono le seguenti: $\epsilon_{c2} = 0.002$, $\epsilon_{yd} = 0.00193$

x	A sup.	C.b. sup.	A inf.	C.b. inf.	M+ela	Comb.	M+des	M+ult	x/d	coeff	M-ela	Comb.	M-des	M-ult	x/d	coeff	Verifica
0	0.000603	0.039	0	0	6.808	SLD 14	6.808	0	0	0	-51.1717	SLD 3	-47.5899	-41.6359	0.223	0.87	Si
0.13	0.000983	0.04	0.00076	0.041	9.5839	SLD 14	13.498	51.0483	0.244	3.78	-44.1802	SLD 3	-44.1802	-65.2123	0.274	1.48	Si
1.76	0.000603	0.039	0.000804	0.041	13.755	SLD 3	16.7147	53.9497	0.252	3.23							Si
3.39	0.001005	0.04	0.000804	0.041	9.6168	SLD 3	13.6852	53.8692	0.249	3.94	-46.5667	SLD 14	-46.5667	-66.568	0.276	1.43	Si
3.51	0.001005	0.04	0.000634	0.041	6.7507	SLD 3	6.7507	43.0355	0.226	6.37	-53.6485	SLD 14	-50.0215	-66.6156	0.278	1.33	Si

Verifiche a taglio in famiglia SLU

x	A st	A sl	A sag	Vela	Comb.	Vdes	Vrd	Vrcd	Vrsd	Vult	cotgθ	coeff	Verifica
0	0	0	0	66.63	SLU 36	66.63	80.14	290.64	0	80.14	2.5	1.2	Si
0.13	0.0000038	0.000983	0	61.84	SLU 36	61.84	79.92	289.47	56.36	79.92	2.5	1.29	Si
1.76	0.0000038	0.000804	0	-0.6	SLU 35	-0.6	-74.43	-287.6	-56	-74.43	2.5	124.27	Si
3.39	0.0000038	0.001005	0	-63.04	SLU 35	-63.04	-80.52	-289.43	-56.35	-80.52	2.5	1.28	Si
3.51	0	0.001005	0	-67.83	SLU 35	-67.83	-80.52	-289.43	0	-80.52	2.5	1.19	Si

Verifiche a taglio in famiglia SLV

x	A st	A sl	A sag	Vela	Comb.	Vdes	Vrd	Vrcd	Vrsd	Vult	cotgθ	coeff	Verifica
0	0	0.000983	0	82.78	SLV 3	82.78	80.14	290.64	0	80.14	2.5	0.97	Si
0	0	0.00076	0	-1.56	SLV 14	-1.56	-80.43	-349.99	0	-80.43	2.5	51.67	Si
0.13	0.0000038	0.000983	0	79.86	SLV 3	79.86	79.92	289.47	56.36	79.92	2.5	1	Si
0.13	0.0000038	0.00076	0	-4.47	SLV 14	-4.47	-73.03	-287.6	-56	-73.03	2.5	16.32	Si
1.76	0.0000038	0.000804	0	41.81	SLV 3	41.81	74.43	287.6	56	74.43	2.5	1.78	Si
1.76	0.0000038	0.000804	0	-42.53	SLV 14	-42.53	-74.43	-287.6	-56	-74.43	2.5	1.75	Si
3.39	0.0000038	0.000804	0	3.75	SLV 3	3.75	74.43	287.6	56	74.43	2.5	19.83	Si
3.39	0.0000038	0.001005	0	-80.58	SLV 14	-80.58	-80.52	-289.43	-56.35	-80.52	2.5	1	No
3.51	0	0.000804	0	0.83	SLV 3	0.83	74.43	287.6	0	74.43	2.5	89.17	Si
3.51	0	0.001005	0	-83.5	SLV 14	-83.5	-80.52	-289.43	0	-80.52	2.5	0.96	Si

Verifiche SLD Resistenza a taglio

x	A st	A sl	A sag	Vela	Comb.	Vdes	Vrd	Vrcd	Vrsd	Vult	cotgθ	coeff	Verifica
0	0	0.000983	0	57.47	SLD 3	57.47	80.14	290.64	0	80.14	2.5	1.39	Si
0.13	0.0000038	0.000983	0	54.55	SLD 3	54.55	79.92	289.47	56.36	79.92	2.5	1.47	Si
1.76	0.0000038	0.000804	0	16.5	SLD 3	16.5	74.43	287.6	56	74.43	2.5	4.51	Si
1.76	0.0000038	0.000804	0	-17.22	SLD 14	-17.22	-74.43	-287.6	-56	-74.43	2.5	4.32	Si
3.39	0.0000038	0.001005	0	-55.28	SLD 14	-55.28	-80.52	-289.43	-56.35	-80.52	2.5	1.46	Si
3.51	0	0.001005	0	-58.19	SLD 14	-58.19	-80.52	-289.43	0	-80.52	2.5	1.38	Si

Indicatori di rischio sismico SLV

x	T gravità	T sisma	T ultimo	Comb.	Pga	Tr	Ind. taglio	M gravità	M sisma	M ultimo	Comb.	Pga	Tr	Ind. momento	Ver
0.13	37.69	42.17	79.92	SLV 3	0.2	952	1.001	-17.2982	-67.2161	-65.2123	SLV 3	0.15	392	0.696	Si
1.76	-0.36	-42.17	-74.43	SLV 14	0.26	2114	1.389	12.5033	10.5337	53.9497	SLV 3	0.26	2114	1.389	Si
3.39	-38.41	-42.17	-80.52	SLV 14	0.2	944	0.998	-18.475	-70.2483	-66.568	SLV 14	0.14	355	0.668	No

Indicatori di rischio sismico SLD resistenza

x	T gravità	T sisma	T ultimo	Comb.	Pga	Tr	Ind. taglio	M gravità	M sisma	M ultimo	Comb.	Pga	Tr	Ind. momento	Ver
0.13	37.69	16.86	79.92	SLD 3	0.2	949	2.506	-17.2982	-26.882	-65.2123	SLD 3	0.15	392	1.744	Si
1.76	-0.36	-16.86	-74.43	SLD 14	0.26	2110	3.477	12.5033	4.2114	53.9497	SLD 3	0.26	2110	3.477	Si
3.39	-38.41	-16.86	-80.52	SLD 14	0.2	942	2.498	-18.475	-28.0918	-66.568	SLD 14	0.14	355	1.674	Si

Campata 3 tra i fili P2 - 2, sezione R 60x23, asta 41**Verifiche a flessione in famiglia SLU**

x	A sup.	C.b. sup.	A inf.	C.b. inf.	M+ela	Comb.	M+des	M+ult	x/d	coeff	M-ela	Comb.	M-des	M-ult	x/d	coeff	Verifica
0	0.001005	0.04	0.000634	0.041							-3.0646	SLU 36	-2.1077	-59.752	0.223	28.35	Si
0.13	0.001005	0.04	0	0							-1.4493	SLU 36	-1.4493	-59.8457	0.233	41.29	Si
0.2	0.001005	0.04	0	0	-0.331	SLU 4	0	0	0	+	-0.7661	SLU 35	-1.4493	-59.8457	0.233	41.29	Si
0.37	0	0	0	0	-0.0059	SLU 4	0	0	0	+	-0.0136	SLU 35	-1.1072	0	0	0	Si
0.4	0	0	0	0	0	SLU 13	0	0	0	+	0	SLU 26	-0.8752	0	0	0	Si

Verifiche a flessione in famiglia SLV (domini sostanzialmente elastici)

La struttura oppure parte di essa, è stata dichiarata come non dissipativa pertanto la verifica a pressoflessione, per tutte o solo alcune sezioni, viene eseguita calcolando i momenti resistenti in campo sostanzialmente elastico secondo D.M. 17-01-2018 §7.4.1

Le dilatazioni ultime utilizzate sono le seguenti: $\epsilon_{c2} = 0.002$, $\epsilon_{yd} = 0.00193$

E' attiva l'opzione fattori parziali di sicurezza unitari per meccanismi duttili di strutture esistenti con fattore q

x	A sup.	C.b. sup.	A inf.	C.b. inf.	M+ela	Comb.	M+des	M+ult	x/d	coeff	M-ela	Comb.	M-des	M-ult	x/d	coeff	Verifica
0	0.001005	0.04	0.000634	0.041							-1.8676	SLV 12	-1.2845	-66.6156	0.278	51.86	Si
0.13	0.001005	0.04	0	0							-0.8832	SLV 16	-0.8832	-66.8106	0.286	75.64	Si
0.2	0.001005	0.04	0	0	-0.4669	SLV 7	0	0	0	+	-0.4669	SLV 10	-0.8832	-66.8106	0.286	75.64	Si
0.37	0	0	0	0	-0.0083	SLV 7	0	0	0	+	-0.0083	SLV 10	-0.6747	0	0	0	Si
0.4	0	0	0	0	0	SLV 7	0	0	0	+	0	SLV 10	-0.5334	0	0	0	Si

Verifiche SLD Resistenza a flessione (domini sostanzialmente elastici)

La struttura oppure parte di essa, è stata dichiarata come non dissipativa pertanto la verifica a pressoflessione, per tutte o solo alcune sezioni, viene eseguita calcolando i momenti resistenti in campo sostanzialmente elastico secondo D.M. 17-01-2018 §7.4.1

Le dilatazioni ultime utilizzate sono le seguenti: $\epsilon_{c2} = 0.002$, $\epsilon_{yd} = 0.00193$

x	A sup.	C.b. sup.	A inf.	C.b. inf.	M+ela	Comb.	M+des	M+ult	x/d	coeff	M-ela	Comb.	M-des	M-ult	x/d	coeff	Verifica
0	0.001005	0.04	0.000634	0.041							-1.8676	SLD 12	-1.2845	-66.6156	0.278	51.86	Si
0.13	0.001005	0.04	0	0							-0.8832	SLD 11	-0.8832	-66.8106	0.286	75.64	Si
0.2	0.001005	0.04	0	0	-0.4669	SLD 6	0	0	0	+	-0.4669	SLD 11	-0.8832	-66.8106	0.286	75.64	Si
0.37	0	0	0	0	-0.0083	SLD 6	0	0	0	+	-0.0083	SLD 11	-0.6747	0	0	0	Si
0.4	0	0	0	0	0	SLD 6	0	0	0	+	0	SLD 11	-0.5334	0	0	0	Si

Verifiche a taglio in famiglia SLU

x	A st	A sl	A sag	Vela	Comb.	Vdes	Vrd	Vrcd	Vrsd	Vult	cotgθ	coeff	Verifica
0	0	0.001005	0	15.32	SLU 36	15.32	80.52	289.43	0	80.52	2.5	5.25	Si
0.13	0.0000041	0.001005	0	10.53	SLU 36	10.53	80.52	289.43	60.73	80.52	2.5	7.64	Si
0.2	0.0000041	0	0	7.66	SLU 36	7.66	60.67	289.43	60.73	60.73	2.5	7.93	Si
0.4	0.0000041	0	0	0	Ger.	0	-69.69	-349.99	-73.44	-73.44	2.5	2603512264510330	Si

Verifiche a taglio in famiglia SLV

x	A st	A sl	A sag	Vela	Comb.	Vdes	Vrd	Vrcd	Vrsd	Vult	cotgθ	coeff	Verifica
0	0	0.001005	0	9.34	SLV 12	9.34	80.52	289.43	0	80.52	2.5	8.62	Si
0.13	0.0000041	0.001005	0	6.42	SLV 12	6.42	80.52	289.43	60.73	80.52	2.5	12.54	Si
0.2	0.0000041	0	0	4.67	SLV 12	4.67	60.67	289.43	60.73	60.73	2.5	13.01	Si
0.4	0.0000041	0	0	0	Ger.	0	69.69	349.99	73.44	73.44	2.5	27626979459020.4	Si
0.4	0.0000041	0	0	0	Ger.	0	-69.69	-349.99	-73.44	-73.44	2.5	27309448946709.8	Si

Verifiche SLD Resistenza a taglio

x	A st	A sl	A sag	Vela	Comb.	Vdes	Vrd	Vrcd	Vrsd	Vult	cotgθ	coeff	Verifica
0	0	0.001005	0	9.34	SLD 12	9.34	80.52	289.43	0	80.52	2.5	8.62	Si
0.13	0.0000041	0.001005	0	6.42	SLD 12	6.42	80.52	289.43	60.73	80.52	2.5	12.54	Si
0.2	0.0000041	0	0	4.67	SLD 12	4.67	60.67	289.43	60.73	60.73	2.5	13.01	Si
0.4	0.0000041	0	0	0	Ger.	0	69.69	349.99	73.44	73.44	2.5	64368324397359.4	Si
0.4	0.0000041	0	0	0	Ger.	0	-69.69	-349.99	-73.44	-73.44	2.5	62670569592881.6	Si

Indicatori di rischio sismico SLV

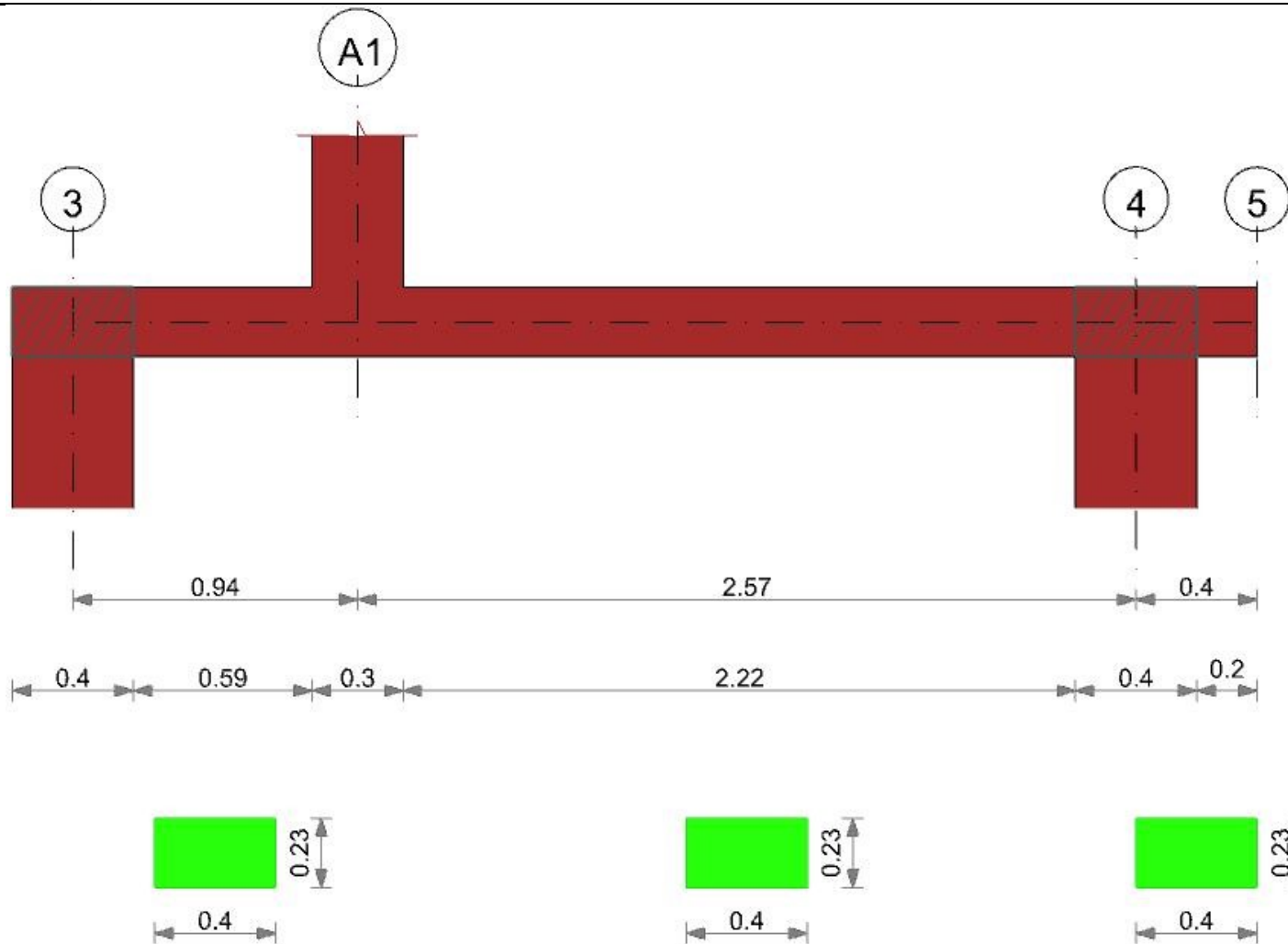
x	T gravità	T sisma	T ultimo	Comb.	Pga	Tr	Ind. taglio	M gravità	M sisma	M ultimo	Comb.	Pga	Tr	Ind. momento	Ver
0.13	6.42	0	80.52	SLV 12	0.26	2114	1.389	-0.8832	0	-66.8106	SLV 1	0.26	2114	1.389	Si
0.2	4.67	0	60.73	SLV 12	0.26	2114	1.389	0	0	0	SLV 1	0.26	2114	1.389	Si
0.37	0.62	0	73.44	SLV 12	0.26	2114	1.389	-0.6747	0	0	SLV 1	0	0	0	Si
0.4	0	0	-73.44	SLV 5	0.26	2114	1.389	0	0	0	SLV 1	0.26	2114	1.389	Si

Indicatori di rischio sismico SLD resistenza

x	T gravità	T sisma	T ultimo	Comb.	Pga	Tr	Ind. taglio	M gravità	M sisma	M ultimo	Comb.	Pga	Tr	Ind. momento	Ver
0.13	6.42	0	80.52	SLD 12	0.26	2110	3.477	-0.8832	0	-66.8106	SLD 1	0.26	2110	3.477	Si
0.2	4.67	0	60.73	SLD 12	0.26	2110	3.477	0	0	0	SLD 1	0.26	2110	3.477	Si
0.37	0.62	0	73.44	SLD 12	0.26	2110	3.477	-0.6747	0	0	SLD 1	0	0	0	Si
0.4	0	0	-73.44	SLD 5	0.26	2110	3.477	0	0	0	SLD 1	0.26	2110	3.477	Si

Trave a "Piano 3" 3-5

Geometria



Caratteristiche dei materiali

Acciaio: Vigone_FeB44k_LC2 Fym 476200 Livello di conoscenza LC2 Fattore di confidenza 1.2
 Calcestruzzo: C35/42 Vigone B_LC2 Rcm 41700 Livello di conoscenza LC2 Fattore di confidenza 1.2

Elenco delle sezioni

N°	Descrizione	Tipo	Base	Altezza	Copriferro sup.	Copriferro inf.	Copriferro lat.
1	R 40x23	Rettangolare	0.4	0.23	0.025	0.025	0.025

Diagramma verifica stato limite ultimo flessione

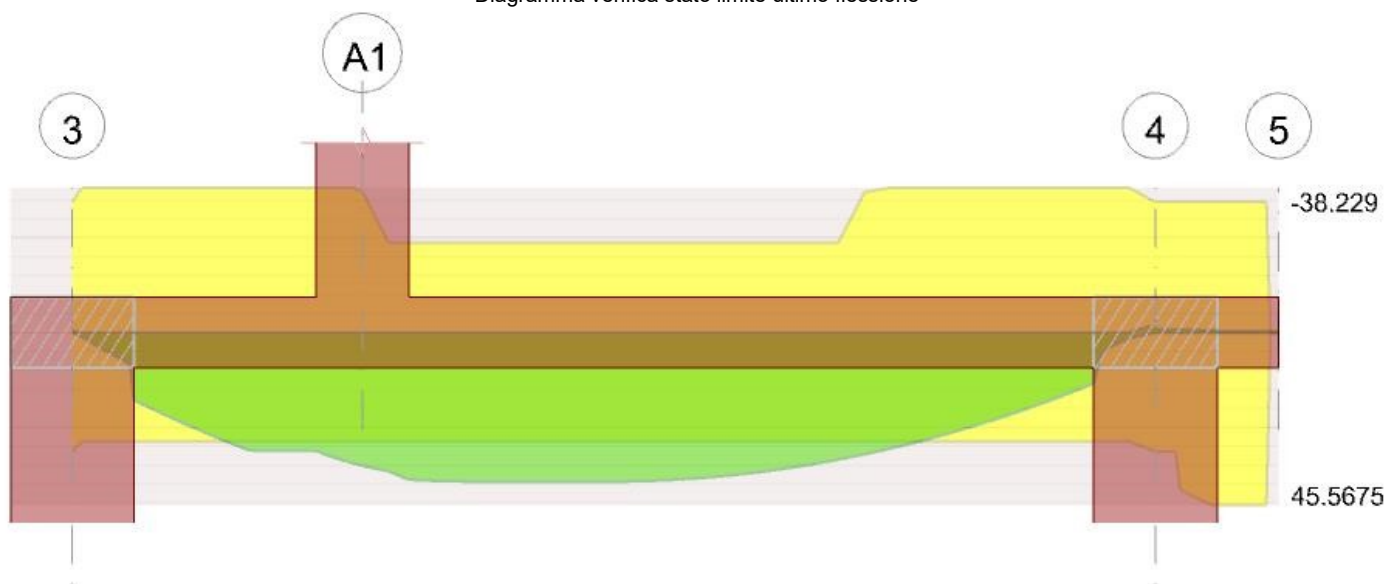


Diagramma verifica stato limite ultimo taglio

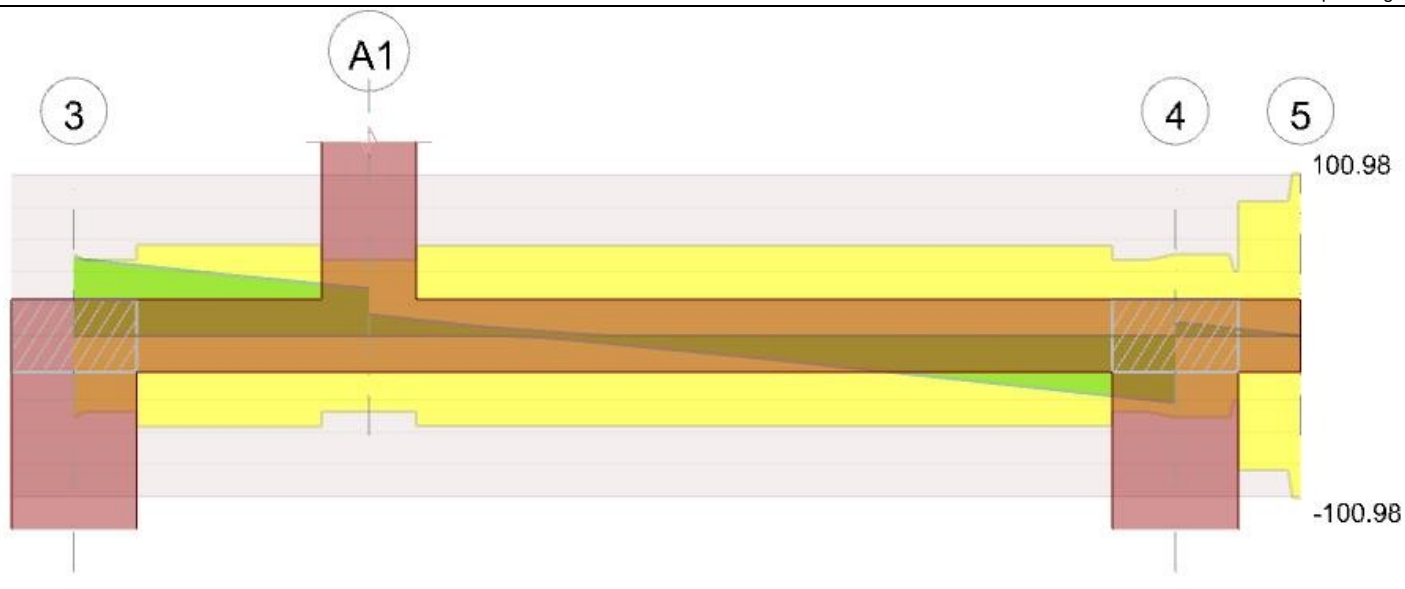


Diagramma verifica stato limite esercizio quasi permanente freccia

**Output campate****Campata 1 tra i fili 3 - A1, sezione R 40x23, asta 35****Verifiche a flessione in famiglia SLU**

x	A sup.	C.b. sup.	A inf.	C.b. inf.	M+ela	Comb.	M+des	M+ult	x/d	coeff	M-ela	Comb.	M-des	M-ult	x/d	coeff	Verifica
0	0.000565	0.039	0.000462	0.04							-0.3444	SLU 33	-0.3444	-34.4416	0.204	100	Si
0.2	0.000565	0.039	0.000462	0.04	8.8882	SLU 30	17.8265	28.7103	0.191	1.61							Si
0.47	0.000565	0.039	0.000462	0.04	20.0208	SLU 30	27.7454	28.7103	0.191	1.03							Si
0.79	0.000565	0.039	0.000462	0.04	31.2287	SLU 30	31.2287	28.7103	0.191	0.92							No
0.94	0.00055	0.039	0.000462	0.04	35.7449	SLU 30	35.1281	28.7076	0.191	0.82							No

Verifiche a flessione in famiglia SLV (domini sostanzialmente elastici)

La struttura oppure parte di essa, è stata dichiarata come non dissipativa pertanto la verifica a pressoflessione, per tutte o solo alcune sezioni, viene eseguita calcolando i momenti resistenti in campo sostanzialmente elastico secondo D.M. 17-01-2018 §7.4.1

Le dilatazioni ultime utilizzate sono le seguenti: $\epsilon_{c2} = 0.002$, $\epsilon_{yd} = 0.00193$

E' attiva l'opzione fattori parziali di sicurezza unitari per meccanismi duttili di strutture esistenti con fattore q

x	A sup.	C.b. sup.	A inf.	C.b. inf.	M+ela	Comb.	M+des	M+ult	x/d	coeff	M-ela	Comb.	M-des	M-ult	x/d	coeff	Verifica
0	0.000565	0.039	0.000462	0.04							-0.3232	SLV 4	-0.3232	-38.229	0.256	118.3	Si
0.2	0.000565	0.039	0.000462	0.04	5.9925	SLV 1	12.1177	31.3845	0.234	2.59							Si
0.47	0.000565	0.039	0.000462	0.04	13.6245	SLV 1	18.9419	31.3845	0.234	1.66							Si
0.79	0.000565	0.039	0.000462	0.04	21.3478	SLV 1	21.3478	31.3845	0.234	1.47							Si
0.94	0.00055	0.039	0.000462	0.04	24.477	SLV 1	22.973	31.3869	0.234	1.37							Si

Verifiche SLD Resistenza a flessione (domini sostanzialmente elastici)

La struttura oppure parte di essa, è stata dichiarata come non dissipativa pertanto la verifica a pressoflessione, per tutte o solo alcune sezioni, viene eseguita calcolando i momenti resistenti in campo sostanzialmente elastico secondo D.M. 17-01-2018 §7.4.1

Le dilatazioni ultime utilizzate sono le seguenti: $\epsilon_{c2} = 0.002$, $\epsilon_{yd} = 0.00193$

x	A sup.	C.b. sup.	A inf.	C.b. inf.	M+ela	Comb.	M+des	M+ult	x/d	coeff	M-ela	Comb.	M-des	M-ult	x/d	coeff	Verifica
0	0.000565	0.039	0.000462	0.04							-0.2624	SLD 4	-0.2624	-38.229	0.256	145.71	Si
0.2	0.000565	0.039	0.000462	0.04	5.8201	SLD 1	11.7009	31.3845	0.234	2.68							Si
0.47	0.000565	0.039	0.000462	0.04	13.1433	SLD 1	18.2161	31.3845	0.234	1.72							Si
0.79	0.000565	0.039	0.000462	0.04	20.5003	SLD 1	20.5003	31.3845	0.234	1.53							Si
0.94	0.00055	0.039	0.000462	0.04	23.4578	SLD 1	22.0497	31.3869	0.234	1.42							Si

x	A st	A sl	A sag	Vela	Comb.	Vdes	Vrd	Vrcd	Vrsd	Vult	cotgθ	coeff	Verifica
2.48	0	0.000462	0	-26.92	SLD 13	-26.92	-47.38	-192.75	0	-47.38	2.5	1.76	Si
2.57	0	0.000565	0	-28.12	SLD 13	-28.12	-50.87	-193.76	0	-50.87	2.5	1.81	Si

Indicatori di rischio sismico SLV

x	T gravità	T sisma	T ultimo	Comb.	Pga	Tr	Ind. taglio	M gravità	M sisma	M ultimo	Comb.	Pga	Tr	Ind. momento	Ver
0.15	6.49	1.93	56.36	SLV 4	0.26	2114	1.389	23.8837	4.527	31.4224	SLV 13	0.26	2114	1.389	Si
1.28	-9.37	-1.93	-56.36	SLV 13	0.26	2114	1.389	23.9311	2.7532	31.4224	SLV 16	0.26	2114	1.389	Si
2.37	-24.54	-1.93	-56.36	SLV 13	0.26	2114	1.389	3.8506	0.2535	31.3845	SLV 16	0.26	2114	1.389	Si

Indicatori di rischio sismico SLD resistenza

x	T gravità	T sisma	T ultimo	Comb.	Pga	Tr	Ind. taglio	M gravità	M sisma	M ultimo	Comb.	Pga	Tr	Ind. momento	Ver
0.15	6.49	0.78	56.36	SLD 4	0.26	2110	3.477	23.8837	1.8356	31.4224	SLD 13	0.26	2110	3.477	Si
1.28	-9.37	-0.78	-56.36	SLD 13	0.26	2110	3.477	23.9311	1.1166	31.4224	SLD 16	0.26	2110	3.477	Si
2.37	-24.54	-0.78	-56.36	SLD 13	0.26	2110	3.477	3.8506	0.1033	31.3845	SLD 16	0.26	2110	3.477	Si

Campata 3 tra i fili 4 - 5, sezione R 40x23, asta 40**Verifiche a flessione in famiglia SLU**

x	A sup.	C.b. sup.	A inf.	C.b. inf.	M+ela	Comb.	M+des	M+ult	x/d	coeff	M-ela	Comb.	M-des	M-ult	x/d	coeff	Verifica
0	0.000565	0.039	0.000462	0.04							-1.6794	SLU 30	-0.8397	-34.4416	0.204	41.02	Si
0.2	0.000565	0.039	0.000688	0.04							-0.4199	SLU 29	-0.4199	-34.4416	0.204	82.03	Si
0.37	0	0	0	0							-0.0075	SLU 29	-0.4199	0	0	0	Si
0.4	0	0	0	0							0	SLU 35	-0.4199	0	0	0	Si

Verifiche a flessione in famiglia SLV (domini sostanzialmente elastici)

La struttura oppure parte di essa, è stata dichiarata come non dissipativa pertanto la verifica a pressoflessione, per tutte o solo alcune sezioni, viene eseguita calcolando i momenti resistenti in campo sostanzialmente elastico secondo D.M. 17-01-2018 §7.4.1

Le dilatazioni ultime utilizzate sono le seguenti: $\epsilon_{c2}=0.002$, $\epsilon_{yd}=0.00193$

E' attiva l'opzione fattori parziali di sicurezza unitari per meccanismi duttili di strutture esistenti con fattore q

x	A sup.	C.b. sup.	A inf.	C.b. inf.	M+ela	Comb.	M+des	M+ult	x/d	coeff	M-ela	Comb.	M-des	M-ult	x/d	coeff	Verifica
0	0.000565	0.039	0.000462	0.04							-1.1184	SLV 10	-0.5592	-38.229	0.256	68.36	Si
0.2	0.000565	0.039	0.000688	0.04	-0.2796	SLV 7	0	45.5675	0.278	+	-0.2796	SLV 10	-0.2796	-38.1775	0.253	136.55	Si
0.37	0	0	0	0	-0.005	SLV 12	0	0	0	+	-0.005	SLV 5	-0.2796	0	0	0	Si
0.4	0	0	0	0	0	SLV 12	0	0	0	+	0	SLV 5	-0.2796	0	0	0	Si

Verifiche SLD Resistenza a flessione (domini sostanzialmente elastici)

La struttura oppure parte di essa, è stata dichiarata come non dissipativa pertanto la verifica a pressoflessione, per tutte o solo alcune sezioni, viene eseguita calcolando i momenti resistenti in campo sostanzialmente elastico secondo D.M. 17-01-2018 §7.4.1

Le dilatazioni ultime utilizzate sono le seguenti: $\epsilon_{c2}=0.002$, $\epsilon_{yd}=0.00193$

x	A sup.	C.b. sup.	A inf.	C.b. inf.	M+ela	Comb.	M+des	M+ult	x/d	coeff	M-ela	Comb.	M-des	M-ult	x/d	coeff	Verifica
0	0.000565	0.039	0.000462	0.04							-1.1184	SLD 9	-0.5592	-38.229	0.256	68.36	Si
0.2	0.000565	0.039	0.000688	0.04							-0.2796	SLD 8	-0.2796	-38.1775	0.253	136.55	Si
0.37	0	0	0	0							-0.005	SLD 8	-0.2796	0	0	0	Si
0.4	0	0	0	0							0	SLD 7	-0.2796	0	0	0	Si

Verifiche a taglio in famiglia SLU

x	A st	A sl	A sag	Vela	Comb.	Vdes	Vrd	Vrcd	Vrsd	Vult	cotgθ	coeff	Verifica
0	0	0.000565	0	8.4	SLU 30	8.4	50.87	193.76	0	50.87	2.5	6.06	Si
0.2	0.0000057	0	0	4.2	SLU 30	4.2	40.62	193.76	83.86	83.86	2.5	19.97	Si
0.4	0.0000057	0	0	0	Ger.	0	46.46	233.33	100.98	100.98	2.5	471843378947374	Si

Verifiche a taglio in famiglia SLV

x	A st	A sl	A sag	Vela	Comb.	Vdes	Vrd	Vrcd	Vrsd	Vult	cotgθ	coeff	Verifica
0	0	0.000565	0	5.59	SLV 10	5.59	50.87	193.76	0	50.87	2.5	9.1	Si
0.2	0.0000057	0	0	2.8	SLV 10	2.8	40.62	193.76	83.86	83.86	2.5	29.99	Si
0.4	0.0000057	0	0	0	Ger.	0	46.46	233.33	100.98	100.98	2.5	71193099931846.7	Si
0.4	0.0000057	0	0	0	Ger.	0	-46.46	-233.33	-100.98	-100.98	2.5	74865624016200.1	Si

Verifiche SLD Resistenza a taglio

x	A st	A sl	A sag	Vela	Comb.	Vdes	Vrd	Vrcd	Vrsd	Vult	cotgθ	coeff	Verifica
0	0	0.000565	0	5.59	SLD 9	5.59	50.87	193.76	0	50.87	2.5	9.1	Si
0.2	0.0000057	0	0	2.8	SLD 9	2.8	40.62	193.76	83.86	83.86	2.5	29.99	Si
0.4	0.0000057	0	0	0	Ger.	0	46.46	233.33	100.98	100.98	2.5	159801232067183	Si
0.4	0.0000057	0	0	0	Ger.	0	-46.46	-233.33	-100.98	-100.98	2.5	179568166958050	Si

Indicatori di rischio sismico SLV

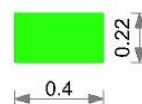
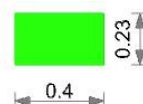
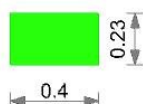
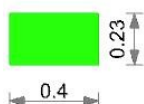
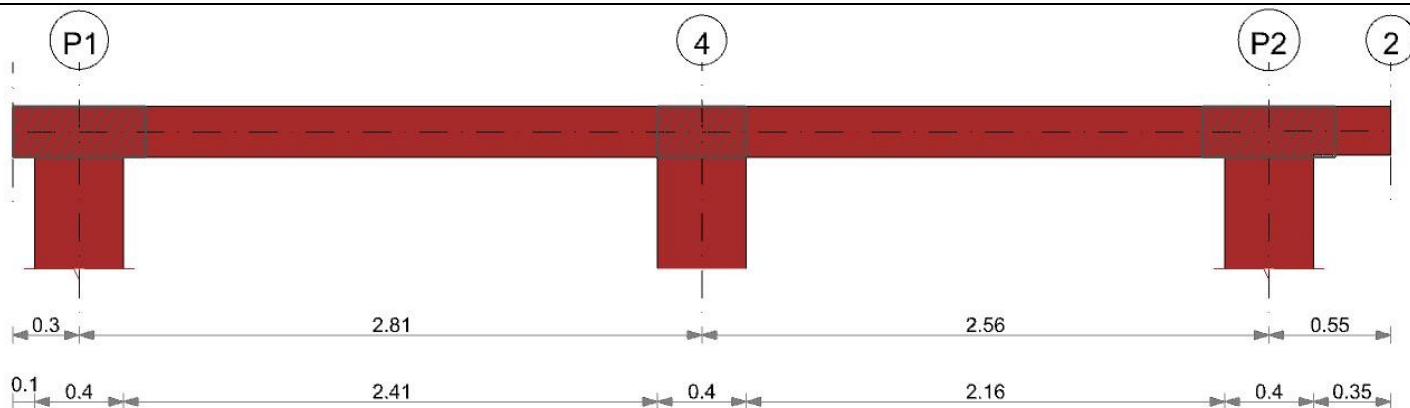
x	T gravità	T sisma	T ultimo	Comb.	Pga	Tr	Ind. taglio	M gravità	M sisma	M ultimo	Comb.	Pga	Tr	Ind. momento	Ver
0.2	2.8	0	83.86	SLV 10	0.26	2114	1.389	-0.2796	0	-38.1775	SLV 1	0.26	2114	1.389	Si
0.37	0.37	0	100.98	SLV 10	0.26	2114	1.389	-0.2796	0	0	SLV 1	0	0	0	Si
0.4	0	0	100.98	SLV 10	0.26	2114	1.389	0	0	0	SLV 1	0.26	2114	1.389	Si

Indicatori di rischio sismico SLD resistenza

x	T gravità	T sisma	T ultimo	Comb.	Pga	Tr	Ind. taglio	M gravità	M sisma	M ultimo	Comb.	Pga	Tr	Ind. momento	Ver
0.2	2.8	0	83.86	SLD 10	0.26	2110	3.477	-0.2796	0	-38.1775	SLD 1	0.26	2110	3.477	Si
0.37	0.37	0	100.98	SLD 10	0.26	2110	3.477	-0.2796	0	0	SLD 1	0	0	0	Si
0.4	0	0	100.98	SLD 10	0.26	2110	3.477	0	0	0	SLD 1	0.26	2110	3.477	Si

Trave a "Piano 3" P1-2

Geometria



Caratteristiche dei materiali

Acciaio: Vigone_FeB44k_LC2 Fym 476200 Livello di conoscenza LC2 Fattore di confidenza 1.2
 Calcestruzzo: C35/42 Vigone_B_LC2 Rcm 41700 Livello di conoscenza LC2 Fattore di confidenza 1.2

Elenco delle sezioni

N°	Descrizione	Tipo	Base	Altezza	Copriferro sup.	Copriferro inf.	Copriferro lat.
1	R 40x23	Rettangolare	0.4	0.23	0.025	0.025	0.025
2	R 40x22	Rettangolare	0.4	0.22	0.025	0.025	0.025

Diagramma verifica stato limite ultimo flessione

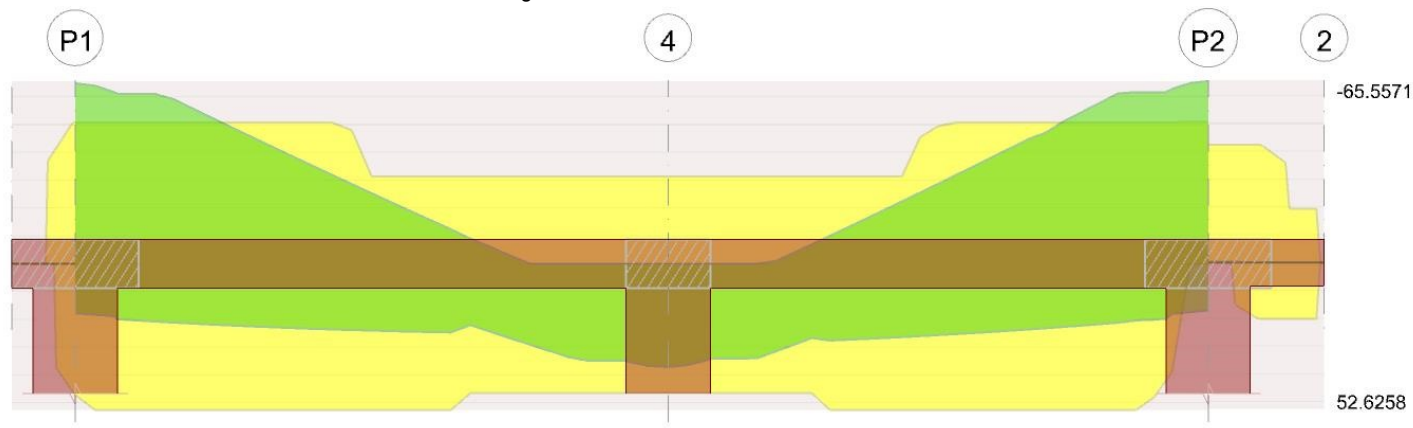


Diagramma verifica stato limite ultimo taglio

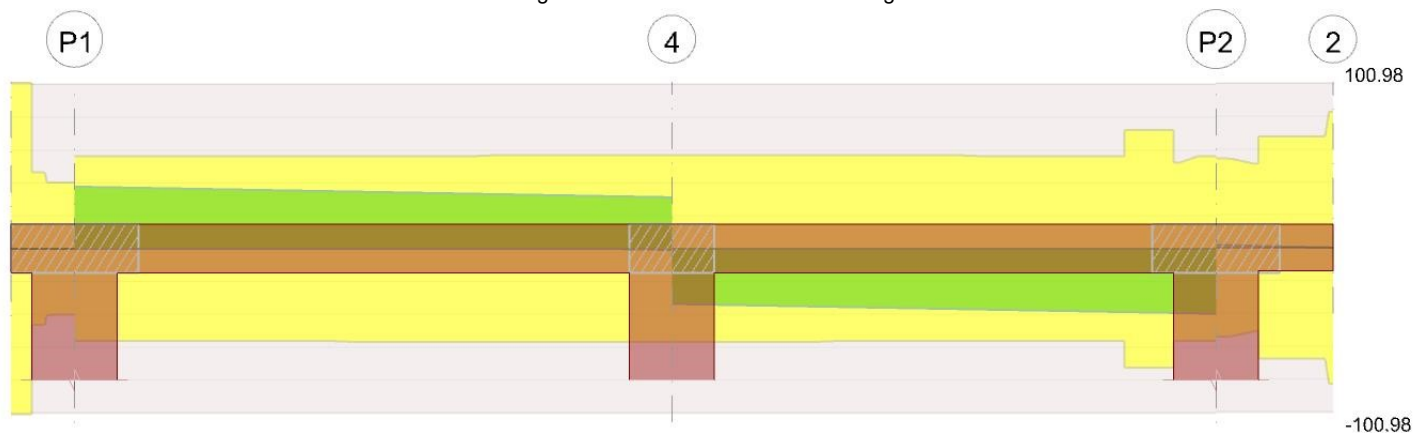
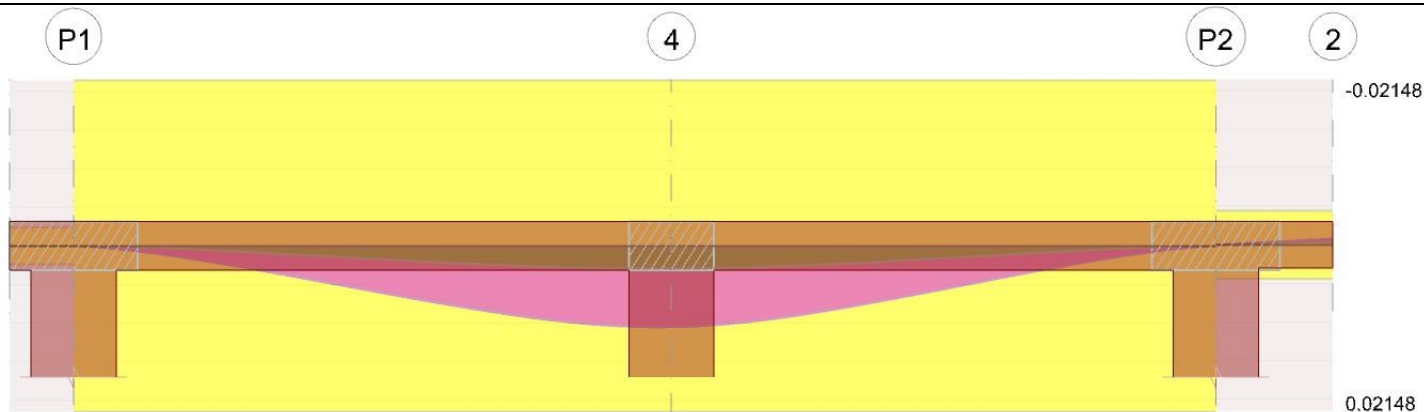


Diagramma verifica stato limite esercizio quasi permanente freccia



Output camptate

Campata 2 tra i fili P1 - 4, sezione R 40x23, asta 28

Verifiche a flessione in famiglia SLU

x	A sup.	C.b. sup.	A inf.	C.b. inf.	M+ela	Comb.	M+des	M+ult	x/d	coeff	M-ela	Comb.	M-des	M-ult	x/d	coeff	Verifica
0	0.00077	0.04	0.000716	0.041							-37.4023	SLU 33	-34.2421	-44.9601	0.232	1.31	Si
0.2	0.00077	0.04	0.000804	0.041							-31.1402	SLU 33	-31.1402	-44.9513	0.23	1.44	Si
1.41	0.000462	0.04	0.000804	0.041	4.0723	SLU 30	9.861	46.5375	0.24	4.72	2.7596	SLU 8	-1.8624	-28.8884	0.202	15.51	Si
2.61	0.000462	0.04	0.000804	0.041	34.9333	SLU 30	34.9333	46.5375	0.24	1.33							Si
2.81	0.000462	0.04	0.000804	0.041	39.6376	SLU 33	37.1326	46.5375	0.24	1.25							Si

Verifiche a flessione in famiglia SLV (domini sostanzialmente elastici)

La struttura oppure parte di essa, è stata dichiarata come non dissipativa pertanto la verifica a pressoflessione, per tutte o solo alcune sezioni, viene eseguita calcolando i momenti resistenti in campo sostanzialmente elastico secondo D.M. 17-01-2018 §7.4.1

Le dilatazioni ultime utilizzate sono le seguenti: $\epsilon_{c2} = 0.002$, $\epsilon_{yd} = 0.00193$

E' attiva l'opzione fattori parziali di sicurezza unitari per meccanismi duttili di strutture esistenti con fattore q

x	A sup.	C.b. sup.	A inf.	C.b. inf.	M+ela	Comb.	M+des	M+ult	x/d	coeff	M-ela	Comb.	M-des	M-ult	x/d	coeff	Verifica
0	0.00077	0.04	0.000716	0.041	17.8473	SLV 7	17.8473	47.1347	0.281	2.64	-68.5226	SLV 10	-64.7565	-50.7077	0.291	0.78	Si
0.2	0.00077	0.04	0.000804	0.041	18.9351	SLV 7	19.9969	52.5442	0.296	2.63	-61.0314	SLV 10	-61.0314	-50.6829	0.29	0.83	No
1.41	0.000462	0.04	0.000804	0.041	23.5817	SLV 7	24.0166	52.6258	0.302	2.19	-17.8661	SLV 10	-25.2739	-31.3777	0.234	1.24	Si
2.61	0.000462	0.04	0.000804	0.041	25.4225	SLV 11	25.4225	52.6258	0.302	2.07							Si
2.81	0.000462	0.04	0.000804	0.041	28.669	SLV 10	26.3618	52.6258	0.302	2							Si

Verifiche SLD Resistenza a flessione (domini sostanzialmente elastici)

La struttura oppure parte di essa, è stata dichiarata come non dissipativa pertanto la verifica a pressoflessione, per tutte o solo alcune sezioni, viene eseguita calcolando i momenti resistenti in campo sostanzialmente elastico secondo D.M. 17-01-2018 §7.4.1

Le dilatazioni ultime utilizzate sono le seguenti: $\epsilon_{c2} = 0.002$, $\epsilon_{yd} = 0.00193$

x	A sup.	C.b. sup.	A inf.	C.b. inf.	M+ela	Comb.	M+des	M+ult	x/d	coeff	M-ela	Comb.	M-des	M-ult	x/d	coeff	Verifica
0	0.00077	0.04	0.000716	0.041							-42.6296	SLD 10	-39.8221	-50.7077	0.291	1.27	Si
0.2	0.00077	0.04	0.000804	0.041							-37.0579	SLD 10	-37.0579	-50.6829	0.29	1.37	Si
1.41	0.000462	0.04	0.000804	0.041	11.1552	SLD 7	13.5903	52.6258	0.302	3.87	-5.4397	SLD 10	-10.8035	-31.3777	0.234	2.9	Si
2.61	0.000462	0.04	0.000804	0.041	24.2248	SLD 11	24.2248	52.6258	0.302	2.17							Si
2.81	0.000462	0.04	0.000804	0.041	27.3784	SLD 10	25.5434	52.6258	0.302	2.06							Si

Verifiche a taglio in famiglia SLU

x	A st	A sl	A sag	Vela	Comb.	Vdes	Vrd	Vrcd	Vrsd	Vult	cotgθ	coeff	Verifica
0	0	0.00077	0	31.62	SLU 33	31.62	56.17	192.75	0	56.17	2.5	1.78	Si
0.2	0.0000038	0.00077	0	31.02	SLU 33	31.02	56.17	192.75	56.32	56.32	2.5	1.82	Si
1.41	0.0000038	0.000804	0	27.42	SLU 33	27.42	56.8	191.73	56.02	56.8	2.5	2.07	Si
2.61	0.0000038	0.000804	0	23.81	SLU 33	23.81	56.8	191.73	56.02	56.8	2.5	2.39	Si
2.81	0.0000038	0.000804	0	23.22	SLU 33	23.22	56.8	191.73	56.02	56.8	2.5	2.45	Si

Verifiche a taglio in famiglia SLV

x	A st	A sl	A sag	Vela	Comb.	Vdes	Vrd	Vrcd	Vrsd	Vult	cotgθ	coeff	Verifica
0	0	0.00077	0	37.71	SLV 10	37.71	56.17	192.75	0	56.17	2.5	1.49	Si
0.2	0.0000038	0.00077	0	37.25	SLV 10	37.25	56.17	192.75	56.32	56.32	2.5	1.51	Si
1.41	0.0000038	0.000462	0	34.48	SLV 10	34.48	47.38	192.75	56.32	56.32	2.5	1.63	Si
2.61	0.0000038	0.000804	0	31.71	SLV 10	31.71	56.8	191.73	56.02	56.8	2.5	1.79	Si
2.61	0.0000038	0.000804	0	-0.35	SLV 7	-0.35	-56.8	-191.73	-56.02	-56.8	2.5	163.97	Si
2.81	0.0000038	0.000804	0	31.25	SLV 10	31.25	56.8	191.73	56.02	56.8	2.5	1.82	Si
2.81	0.0000038	0.000804	0	-0.81	SLV 7	-0.81	-56.8	-191.73	-56.02	-56.8	2.5	70.44	Si

Verifiche SLD Resistenza a taglio

x	A st	A sl	A sag	Vela	Comb.	Vdes	Vrd	Vrcd	Vrsd	Vult	cotgθ	coeff	Verifica
0	0	0.00077	0	28.1	SLD 10	28.1	56.17	192.75	0	56.17	2.5	2	Si
0.2	0.0000038	0.00077	0	27.64	SLD 10	27.64	56.17	192.75	56.32	56.32	2.5	2.04	Si
1.41	0.0000038	0.000462	0	24.87	SLD 10	24.87	47.38	192.75	56.32	56.32	2.5	2.26	Si
2.61	0.0000038	0.000804	0	22.1	SLD 10	22.1	56.8	191.73	56.02	56.8	2.5	2.57	Si
2.81	0.0000038	0.000804	0	21.64	SLD 10	21.64	56.8	191.73	56.02	56.8	2.5	2.63	Si

Indicatori di rischio sismico SLV

x	T gravità	T sisma	T ultimo	Comb.	Pga	Tr	Ind. taglio	M gravità	M sisma	M ultimo	Comb.	Pga	Tr	Ind. momento	Ver
0.2	21.22	16.03	56.32	SLV 10	0.26	2114	1.389	-21.0481	-39.9833	-50.6829	SLV 10	0.15	432	0.724	No
1.41	18.45	16.03	56.32	SLV 10	0.26	2114	1.389	-1.141	-24.133	-31.3777	SLV 10	0.24	1817	1.305	Si
2.61	15.68	16.03	56.8	SLV 10	0.26	2114	1.389	23.4216	2.0009	52.6258	SLV 11	0.26	2114	1.389	Si

Indicatori di rischio sismico SLD resistenza

x	T gravità	T sisma	T ultimo	Comb.	Pga	Tr	Ind. taglio	M gravità	M sisma	M ultimo	Comb.	Pga	Tr	Ind. momento	Ver
0.2	21.22	6.42	56.32	SLD 10	0.26	2110	3.477	-21.0481	-16.0098	-50.6829	SLD 10	0.15	430	1.811	Si
1.41	18.45	6.42	56.32	SLD 10	0.26	2110	3.477	-1.141	-9.6626	-31.3777	SLD 10	0.24	1804	3.261	Si
2.61	15.68	6.42	56.8	SLD 10	0.26	2110	3.477	23.4216	0.8031	52.6258	SLD 11	0.26	2110	3.477	Si

Campata 3 tra i fili 4 - P2, sezione R 40x23, asta 29**Verifiche a flessione in famiglia SLU**

x	A sup.	C.b. sup.	A inf.	C.b. inf.	M+ela	Comb.	M+des	M+ult	x/d	coeff	M-ela	Comb.	M-des	M-ult	x/d	coeff	Verifica
0	0.000462	0.04	0.000804	0.041	39.6376	SLU 33	37.1326	46.5375	0.24	1.25							Si
0.2	0.000462	0.04	0.000804	0.041	34.2064	SLU 33	34.2064	46.5375	0.24	1.36							Si
1.28	0.000748	0.04	0.000804	0.041	2.8269	SLU 33	9.312	46.5038	0.232	4.99	1.8875	SLU 1	-3.8047	-43.8398	0.228	11.52	Si
2.36	0.00077	0.04	0.000634	0.041							-32.0519	SLU 30	-32.0519	-44.9671	0.233	1.4	Si
2.56	0.00077	0.04	0	0							-38.89	SLU 30	-35.4423	-45.0679	0.267	1.27	Si

Verifiche a flessione in famiglia SLV (domini sostanzialmente elastici)

La struttura oppure parte di essa, è stata dichiarata come non dissipativa pertanto la verifica a pressoflessione, per tutte o solo alcune sezioni, viene eseguita calcolando i momenti resistenti in campo sostanzialmente elastico secondo D.M. 17-01-2018 §7.4.1

Le dilatazioni ultime utilizzate sono le seguenti: $\epsilon_c=0.002$, $\epsilon_{yd}=0.00193$

E' attiva l'opzione fattori parziali di sicurezza unitari per meccanismi duttili di strutture esistenti con fattore q

x	A sup.	C.b. sup.	A inf.	C.b. inf.	M+ela	Comb.	M+des	M+ult	x/d	coeff	M-ela	Comb.	M-des	M-ult	x/d	coeff	Verifica
0	0.000462	0.04	0.000804	0.041	29.2987	SLV 10	29.0321	52.6258	0.302	1.81							Si
0.2	0.000462	0.04	0.000804	0.041	28.7231	SLV 10	28.7231	52.6258	0.302	1.83							Si
1.28	0.000748	0.04	0.000804	0.041	24.7127	SLV 10	25.6812	52.5501	0.296	2.05	-20.7869	SLV 7	-28.6546	-49.3619	0.286	1.72	Si
2.36	0.00077	0.04	0.000634	0.041	18.2753	SLV 6	19.7574	41.9908	0.267	2.13	-61.6438	SLV 11	-61.6438	-50.7306	0.293	0.82	No
2.47	0.00077	0.04	0	0	17.4397	SLV 6	17.4397	0	0	0	-66.1406	SLV 11	-64.8447	-50.9265	0.306	0.79	No
2.56	0.00077	0.04	0	0	16.7971	SLV 6	16.7971	0	0	0	-69.5082	SLV 11	-65.5571	-50.9265	0.306	0.78	No

Verifiche SLD Resistenza a flessione (domini sostanzialmente elastici)

La struttura oppure parte di essa, è stata dichiarata come non dissipativa pertanto la verifica a pressoflessione, per tutte o solo alcune sezioni, viene eseguita calcolando i momenti resistenti in campo sostanzialmente elastico secondo D.M. 17-01-2018 §7.4.1

Le dilatazioni ultime utilizzate sono le seguenti: $\epsilon_c=0.002$, $\epsilon_{yd}=0.00193$

x	A sup.	C.b. sup.	A inf.	C.b. inf.	M+ela	Comb.	M+des	M+ult	x/d	coeff	M-ela	Comb.	M-des	M-ult	x/d	coeff	Verifica
0	0.000462	0.04	0.000804	0.041	27.6297	SLD 10	26.4594	52.6258	0.302	1.99							Si
0.2	0.000462	0.04	0.000804	0.041	25.2464	SLD 10	25.2464	52.6258	0.302	2.08							Si
1.28	0.000748	0.04	0.000804	0.041	11.0716	SLD 10	14.0736	52.5501	0.296	3.73	-7.1457	SLD 7	-12.9755	-49.3619	0.286	3.8	Si
2.36	0.00077	0.04	0.000634	0.041							-37.6834	SLD 11	-37.6834	-50.7306	0.293	1.35	Si
2.56	0.00077	0.04	0	0							-43.6332	SLD 11	-40.6375	-50.9265	0.306	1.25	Si

Verifiche a taglio in famiglia SLU

x	A st	A sl	A sag	Vela	Comb.	Vdes	Vrd	Vrcd	Vrsd	Vult	cotgθ	coeff	Verifica
0	0.0000038	0.000804	0	-26.85	SLU 30	-26.85	-56.8	-191.73	-56.02	-56.8	2.5	2.12	Si
0.2	0.0000038	0.000804	0	-27.45	SLU 30	-27.45	-56.8	-191.73	-56.02	-56.8	2.5	2.07	Si
1.28	0.0000038	0.000804	0	-30.67	SLU 30	-30.67	-56.8	-191.73	-56.02	-56.8	2.5	1.85	Si
2.36	0.0000049	0.00077	0	-33.9	SLU 30	-33.9	-56.17	-192.75	-72.54	-72.54	2.5	2.14	Si
2.56	0	0.00077	0	-34.5	SLU 30	-34.5	-56.17	-192.75	0	-56.17	2.5	1.63	Si

Verifiche a taglio in famiglia SLV

x	A st	A sl	A sag	Vela	Comb.	Vdes	Vrd	Vrcd	Vrsd	Vult	cotgθ	coeff	Verifica
0	0.0000038	0.000804	0	-33.7	SLV 11	-33.7	-56.8	-191.73	-56.02	-56.8	2.5	1.69	Si
0.2	0.0000038	0.000804	0	-34.16	SLV 11	-34.16	-56.8	-191.73	-56.02	-56.8	2.5	1.66	Si
1.28	0.0000038	0.000462	0	-36.65	SLV 11	-36.65	-47.38	-192.75	-56.32	-56.32	2.5	1.54	Si
2.36	0.0000049	0.00077	0	-39.13	SLV 11	-39.13	-56.17	-192.75	-72.54	-72.54	2.5	1.85	Si
2.56	0	0.00077	0	-39.59	SLV 11	-39.59	-56.17	-192.75	0	-56.17	2.5	1.42	Si

Verifiche SLD Resistenza a taglio

x	A st	A sl	A sag	Vela	Comb.	Vdes	Vrd	Vrcd	Vrsd	Vult	cotgθ	coeff	Verifica
0	0.0000038	0.000804	0	-24.11	SLD 11	-24.11	-56.8	-191.73	-56.02	-56.8	2.5	2.36	Si
0.2	0.0000038	0.000804	0	-24.57	SLD 11	-24.57	-56.8	-191.73	-56.02	-56.8	2.5	2.31	Si
1.28	0.0000038	0.000462	0	-27.06	SLD 11	-27.06	-47.38	-192.75	-56.32	-56.32	2.5	2.08	Si
2.36	0.0000049	0.00077	0	-29.54	SLD 11	-29.54	-56.17	-192.75	-72.54	-72.54	2.5	2.46	Si
2.56	0	0.00077	0	-30	SLD 11	-30	-56.17	-192.75	0	-56.17	2.5	1.87	Si

Indicatori di rischio sismico SLV

x	T gravità	T sisma	T ultimo	Comb.	Pga	Tr	Ind. taglio	M gravità	M sisma	M ultimo	Comb.	Pga	Tr	Ind. momento	Ver
0.2	-18.17	-16	-56.8	SLV 11	0.26	2114	1.389	22.9236	5.7994	52.6258	SLV 10	0.26	2114	1.389	Si
1.28	-20.65	-16	-56.32	SLV 11	0.26	2114	1.389	-2.506	-26.1486	-49.3619	SLV 7	0.26	2114	1.389	Si
2.36	-23.14	-16	-72.54	SLV 11	0.26	2114	1.389	-21.6843	-39.9595	-50.7306	SLV 11	0.15	412	0.71	No

Indicatori di rischio sismico SLD resistenza

x	T gravità	T sisma	T ultimo	Comb.	Pga	Tr	Ind. taglio	M gravità	M sisma	M ultimo	Comb.	Pga	Tr	Ind. momento	Ver
0.2	-18.17	-6.41	-56.8	SLD 11	0.26	2110	3.477	22.9236	2.3227	52.6258	SLD 10	0.26	2110	3.477	Si
1.28	-20.65	-6.41	-56.32	SLD 11	0.26	2110	3.477	-2.506	-10.4694	-49.3619	SLD 7	0.26	2110	3.477	Si
2.36	-23.14	-6.41	-72.54	SLD 11	0.26	2110	3.477	-21.6843	-15.9991	-50.7306	SLD 11	0.15	410	1.776	Si

Campata 4 tra i fili P2 - 2, sezione R 40x22, asta 32**Verifiche a flessione in famiglia SLU**

x	A sup.	C.b. sup.	A inf.	C.b. inf.	M+ela	Comb.	M+des	M+ult	x/d	coeff	M-ela	Comb.	M-des	M-ult	x/d	coeff	Verifica
0	0.00077	0.04	0	0							-0.4326	SLU 34	-0.2753	-42.412	0.282	154.05	Si
0.2	0.00077	0.04	0.000278	0.04							-0.1752	SLU 33	-0.1752	-42.3776	0.255	241.86	Si
0.28	0.000742	0.04	0.000308	0.04							-0.1081	SLU 32	-0.1752	-41.0016	0.248	234.01	Si
0.53	0	0	0	0	-0.0004	SLV 11	0	0	0	++	-0.0005	SLU 32	-0.0698	0	0	0	Si
0.55	0	0	0	0	0	SLV 11	0	0	0	++	0	SLU 32	-0.0587	0	0	0	Si

Verifiche a flessione in famiglia SLV (domini sostanzialmente elastici)

La struttura oppure parte di essa, è stata dichiarata come non dissipativa pertanto la verifica a pressoflessione, per tutte o solo alcune sezioni, viene eseguita calcolando i momenti resistenti in campo sostanzialmente elastico secondo D.M. 17-01-2018 §7.4.1

Le dilatazioni ultime utilizzate sono le seguenti: $\epsilon_c=0.002$, $\epsilon_{yd}=0.00193$

E' attiva l'opzione fattori parziali di sicurezza unitari per meccanismi duttili di strutture esistenti con fattore q

x	A sup.	C.b. sup.	A inf.	C.b. inf.	M+ela	Comb.	M+des	M+ult	x/d	coeff	M-ela	Comb.	M-des	M-ult	x/d	coeff	Verifica
0	0.00077	0.04	0	0							-0.3328	SLV 12	-0.2118	-48.0668	0.314	226.96	Si
0.2	0.00077	0.04	0.000278	0.04							-0.1348	SLV 10	-0.1348	-47.9754	0.307	355.95	Si
0.28	0.000742	0.04	0.000308	0.04							-0.0832	SLV 6	-0.1348	-46.3388	0.302	343.81	Si
0.53	0	0	0	0	-0.0004	SLV 11	0	0	0	++	-0.0004	SLV 6	-0.0537	0	0	0	Si
0.55	0	0	0	0	0	SLV 11	0	0	0	++	0	SLV 6	-0.0451	0	0	0	Si

Verifiche SLD Resistenza a flessione (domini sostanzialmente elastici)

La struttura oppure parte di essa, è stata dichiarata come non dissipativa pertanto la verifica a pressoflessione, per tutte o solo alcune sezioni, viene eseguita calcolando i momenti resistenti in campo sostanzialmente elastico secondo D.M. 17-01-2018 §7.4.1

Le dilatazioni ultime utilizzate sono le seguenti: $\epsilon c2= 0.002$, $\epsilon yd= 0.00193$

x	A sup.	C.b. sup.	A inf.	C.b. inf.	M+ela	Comb.	M+des	M+ult	x/d	coeff	M-ela	Comb.	M-des	M-ult	x/d	coeff	Verifica
0	0.00077	0.04	0	0							-0.3328	SLD 10	-0.2118	-48.0668	0.314	226.96	Si
0.2	0.00077	0.04	0.000278	0.04							-0.1348	SLD 10	-0.1348	-47.9754	0.307	355.95	Si
0.28	0.000742	0.04	0.000308	0.04							-0.0832	SLD 10	-0.1348	-46.3388	0.302	343.81	Si
0.53	0	0	0	0	-0.0004	SLD 7	0	0	0	++	-0.0004	SLD 10	-0.0537	0	0	0	Si
0.55	0	0	0	0	0	SLD 7	0	0	0	++	0	SLD 10	-0.0451	0	0	0	Si

Verifiche a taglio in famiglia SLU

x	A st	A sl	A sag	Vela	Comb.	Vdes	Vrd	Vrcd	Vrsd	Vult	cotg θ	coeff	Verifica
0	0	0.00077	0	1.57	SLU 34	1.57	54.19	182.6	0	54.19	2.5	34.45	Si
0.2	0.0000048	0.000308	0	1	SLU 34	1	39.92	182.6	67.74	67.74	2.5	67.67	Si
0.28	0.0000048	0.000308	0	0.79	SLU 34	0.79	39.92	182.6	67.74	67.74	2.5	86.13	Si
0.55	0.0000048	0	0	0	Ger.	0	45.16	223.18	82.79	82.79	2.5	5764755005256080	Si
0.55	0.0000048	0	0	0	Ger.	0	-45.16	-223.18	-82.79	-82.79	2.5	81768498627185000	Si

Verifiche a taglio in famiglia SLV

x	A st	A sl	A sag	Vela	Comb.	Vdes	Vrd	Vrcd	Vrsd	Vult	cotg θ	coeff	Verifica
0	0	0.00077	0	1.21	SLV 11	1.21	54.19	182.6	0	54.19	2.5	44.78	Si
0.2	0.0000048	0.000308	0	0.77	SLV 11	0.77	39.92	182.6	67.74	67.74	2.5	87.97	Si
0.28	0.0000048	0.000308	0	0.61	SLV 11	0.61	39.92	182.6	67.74	67.74	2.5	111.97	Si
0.55	0.0000048	0	0	0	Ger.	0	45.16	223.18	82.79	82.79	2.5	27506082042154	Si
0.55	0.0000048	0	0	0	Ger.	0	-45.16	-223.18	-82.79	-82.79	2.5	27557770699495	Si

Verifiche SLD Resistenza a taglio

x	A st	A sl	A sag	Vela	Comb.	Vdes	Vrd	Vrcd	Vrsd	Vult	cotg θ	coeff	Verifica
0	0	0.00077	0	1.21	SLD 11	1.21	54.19	182.6	0	54.19	2.5	44.78	Si
0.2	0.0000048	0.000308	0	0.77	SLD 11	0.77	39.92	182.6	67.74	67.74	2.5	87.97	Si
0.28	0.0000048	0.000308	0	0.61	SLD 11	0.61	39.92	182.6	67.74	67.74	2.5	111.97	Si
0.55	0.0000048	0	0	0	Ger.	0	45.16	223.18	82.79	82.79	2.5	63650887636645.4	Si
0.55	0.0000048	0	0	0	Ger.	0	-45.16	-223.18	-82.79	-82.79	2.5	63928078534976.7	Si

Indicatori di rischio sismico SLV

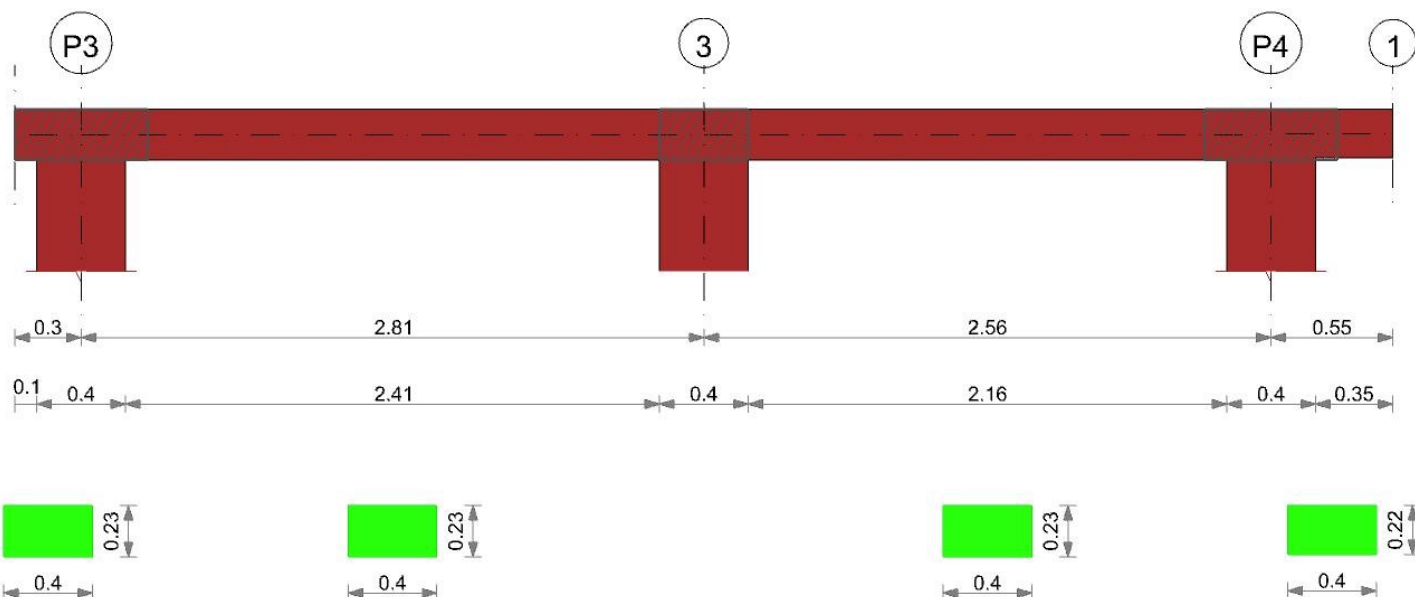
x	T gravità	T sisma	T ultimo	Comb.	Pga	Tr	Ind. taglio	M gravità	M sisma	M ultimo	Comb.	Pga	Tr	Ind. momento	Ver
0.2	0.77	0	67.74	SLV 11	0.26	2114	1.389	-0.1348	0	-47.9754	SLV 1	0.26	2114	1.389	Si
0.28	0.61	0	67.74	SLV 11	0.26	2114	1.389	-0.0058	0	-46.3388	SLV 1	0.26	2114	1.389	Si
0.53	0.04	0	82.79	SLV 11	0.26	2114	1.389	-0.0537	0	0	SLV 1	0	0	0	Si
0.55	0	0	-82.79	SLV 6	0.26	2114	1.389	0	0	0	SLV 1	0.26	2114	1.389	Si

Indicatori di rischio sismico SLD resistenza

x	T gravità	T sisma	T ultimo	Comb.	Pga	Tr	Ind. taglio	M gravità	M sisma	M ultimo	Comb.	Pga	Tr	Ind. momento	Ver
0.2	0.77	0	67.74	SLD 11	0.26	2110	3.477	-0.1348	0	-47.9754	SLD 1	0.26	2110	3.477	Si
0.28	0.61	0	67.74	SLD 11	0.26	2110	3.477	-0.0058	0	-46.3388	SLD 1	0.26	2110	3.477	Si
0.53	0.04	0	82.79	SLD 11	0.26	2110	3.477	-0.0537	0	0	SLD 1	0	0	0	Si
0.55	0	0	-82.79	SLD 6	0.26	2110	3.477	0	0	0	SLD 1	0.26	2110	3.477	Si

Trave a "Piano 3" P3-1

Geometria



Caratteristiche dei materiali

Acciaio: Vigone_FeB44k_LC2 Fym 476200 Livello di conoscenza LC2 Fattore di confidenza 1.2

Calcestruzzo: C35/42 Vigone_B_LC2 Rcm 41700 Livello di conoscenza LC2 Fattore di confidenza 1.2

Elenco delle sezioni

N°	Descrizione	Tipo	Base	Altezza	Copriferro sup.	Copriferro inf.	Copriferro lat.
1	R 40x23	Rettangolare	0.4	0.23	0.025	0.025	0.025
2	R 40x22	Rettangolare	0.4	0.22	0.025	0.025	0.025

Diagramma verifica stato limite ultimo flessione

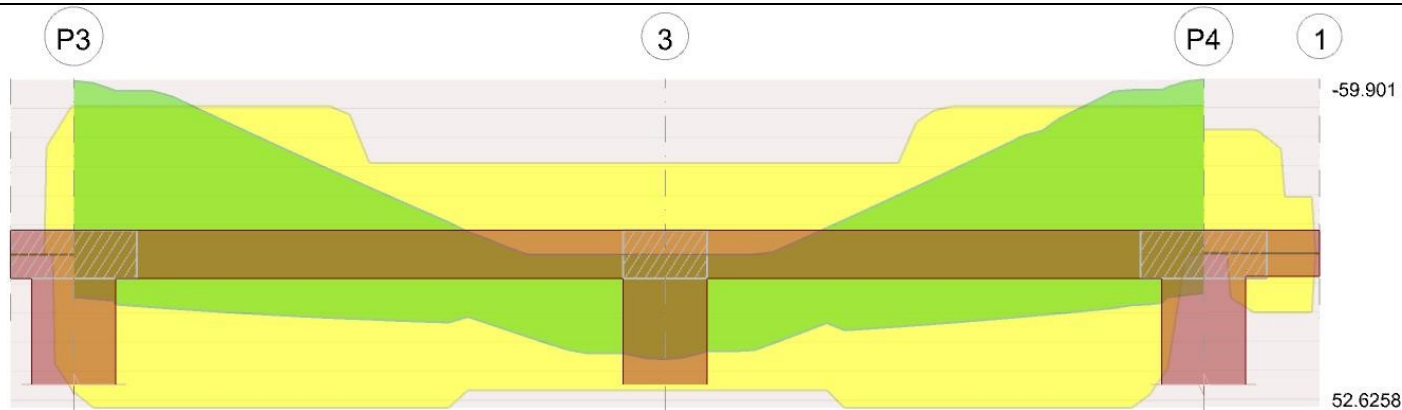


Diagramma verifica stato limite ultimo taglio

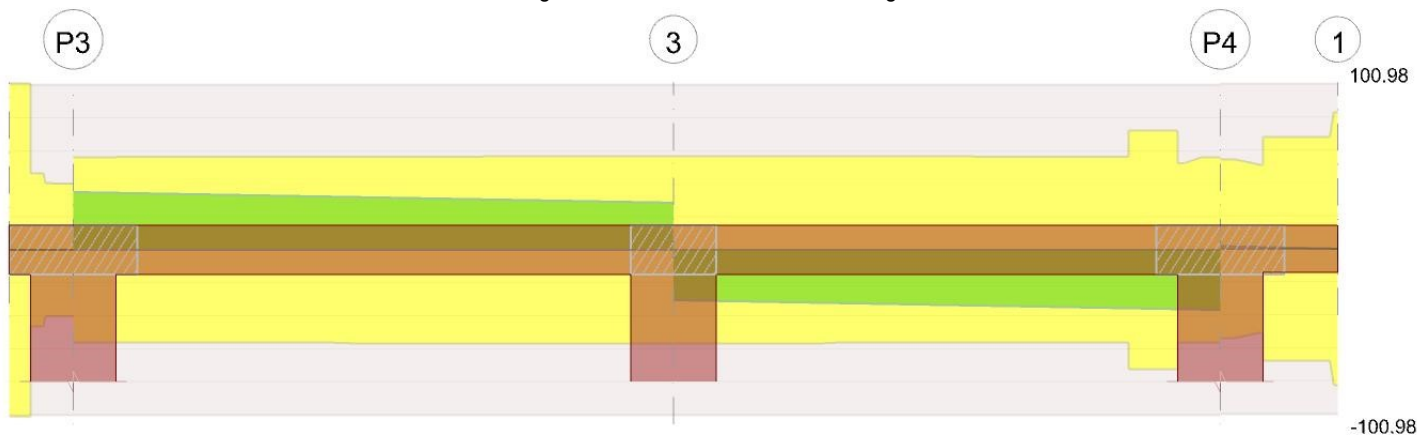
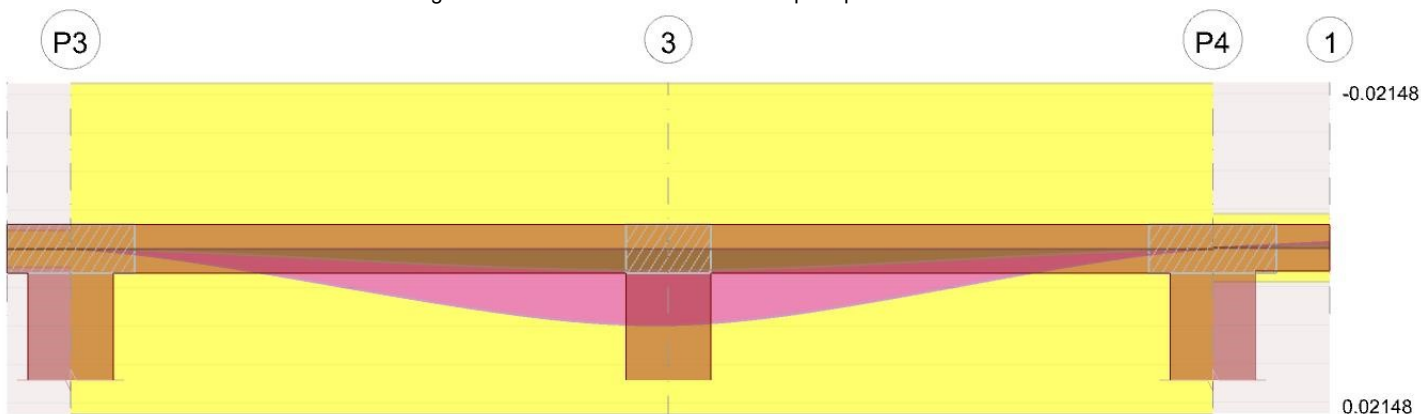


Diagramma verifica stato limite esercizio quasi permanente freccia



Output campate

Campata 2 tra i fili P3 - 3, sezione R 40x23, asta 26

Verifiche a flessione in famiglia SLU

x	A sup.	C.b. sup.	A inf.	C.b. inf.	M+ela	Comb.	M+des	M+ult	x/d	coeff	M-ela	Comb.	M-des	M-ult	x/d	coeff	Verifica
0	0.00077	0.04	0.000716	0.041							-36.2482	SLU 30	-33.175	-44.9601	0.232	1.36	Si
0.2	0.00077	0.04	0.000804	0.041							-30.1602	SLU 30	-30.1602	-44.9513	0.23	1.49	Si
1.41	0.000462	0.04	0.000804	0.041	4.0021	SLU 33	9.605	46.5375	0.24	4.85	2.6799	SLU 1	-1.7451	-28.8884	0.202	16.55	Si
2.61	0.000462	0.04	0.000804	0.041	33.8156	SLU 33	33.8156	46.5375	0.24	1.38							Si
2.81	0.000462	0.04	0.000804	0.041	38.3459	SLU 30	35.9311	46.5375	0.24	1.3							Si

Verifiche a flessione in famiglia SLV (domini sostanzialmente elastici)

La struttura oppure parte di essa, è stata dichiarata come non dissipativa pertanto la verifica a pressoflessione, per tutte o solo alcune sezioni, viene eseguita calcolando i momenti resistenti in campo sostanzialmente elastico secondo D.M. 17-01-2018 §7.4.1

Le dilatazioni ultime utilizzate sono le seguenti: $\epsilon_{c2} = 0.002$, $\epsilon_{yd} = 0.00193$

E' attiva l'opzione fattori parziali di sicurezza unitari per meccanismi duttili di strutture esistenti con fattore q

x	A sup.	C.b. sup.	A inf.	C.b. inf.	M+ela	Comb.	M+des	M+ult	x/d	coeff	M-ela	Comb.	M-des	M-ult	x/d	coeff	Verifica
0	0.00077	0.04	0.000716	0.041	14.6181	SLV 12	14.6181	47.1347	0.281	3.22	-62.8955	SLV 5	-59.4038	-50.7077	0.291	0.85	Si
0.2	0.00077	0.04	0.000804	0.041	15.8887	SLV 12	17.146	52.5442	0.296	3.06	-55.9517	SLV 5	-55.9517	-50.6829	0.29	0.91	No
1.41	0.000462	0.04	0.000804	0.041	21.6403	SLV 12	22.2477	52.6258	0.302	2.37	-16.0888	SLV 5	-22.9103	-31.3777	0.234	1.37	Si
2.61	0.000462	0.04	0.000804	0.041	24.2652	SLV 6	24.7489	52.6258	0.302	2.13							Si
2.81	0.000462	0.04	0.000804	0.041	27.7293	SLV 5	27.0786	52.6258	0.302	1.94							Si

Verifiche SLD Resistenza a flessione (domini sostanzialmente elastici)

La struttura oppure parte di essa, è stata dichiarata come non dissipativa pertanto la verifica a pressoflessione, per tutte o solo alcune sezioni, viene eseguita calcolando i momenti resistenti in campo sostanzialmente elastico secondo D.M. 17-01-2018 §7.4.1

Le dilatazioni ultime utilizzate sono le seguenti: $\epsilon c2= 0.002$, $\epsilon yd= 0.00193$

x	A sup.	C.b. sup.	A inf.	C.b. inf.	M+ela	Comb.	M+des	M+ult	x/d	coeff	M-ela	Comb.	M-des	M-ult	x/d	coeff	Verifica	
0	0.00077	0.04	0.000716	0.041														Si
0.2	0.00077	0.04	0.000804	0.041														Si
1.41	0.000462	0.04	0.000804	0.041	10.3344	SLD 12	12.6667	52.6258	0.302	4.15	-4.7829	SLD 5	-9.7965	-31.3777	0.234	3.2	Si	
2.61	0.000462	0.04	0.000804	0.041	23.0518	SLD 6	23.0518	52.6258	0.302	2.28								Si
2.81	0.000462	0.04	0.000804	0.041	26.1868	SLD 5	25.0647	52.6258	0.302	2.1								Si

Verifiche a taglio in famiglia SLU

x	A st	A sl	A sag	Vela	Comb.	Vdes	Vrd	Vrcd	Vrsd	Vult	cotgθ	coeff	Verifica
0	0	0.00077	0	30.75	SLU 30	30.75	56.17	192.75	0	56.17	2.5	1.83	Si
0.2	0.0000038	0.00077	0	30.15	SLU 30	30.15	56.17	192.75	56.32	56.32	2.5	1.87	Si
1.41	0.0000038	0.000804	0	26.55	SLU 30	26.55	56.8	191.73	56.02	56.8	2.5	2.14	Si
2.61	0.0000038	0.000804	0	22.94	SLU 30	22.94	56.8	191.73	56.02	56.8	2.5	2.48	Si
2.81	0.0000038	0.000804	0	22.34	SLU 30	22.34	56.8	191.73	56.02	56.8	2.5	2.54	Si

Verifiche a taglio in famiglia SLV

x	A st	A sl	A sag	Vela	Comb.	Vdes	Vrd	Vrcd	Vrsd	Vult	cotgθ	coeff	Verifica
0	0	0.00077	0	34.98	SLV 5	34.98	56.17	192.75	0	56.17	2.5	1.61	Si
0.2	0.0000038	0.00077	0	34.52	SLV 5	34.52	56.17	192.75	56.32	56.32	2.5	1.63	Si
1.41	0.0000038	0.000462	0	31.75	SLV 5	31.75	47.38	192.75	56.32	56.32	2.5	1.77	Si
2.61	0.0000038	0.000804	0	28.98	SLV 5	28.98	56.8	191.73	56.02	56.8	2.5	1.96	Si
2.81	0.0000038	0.000804	0	28.52	SLV 5	28.52	56.8	191.73	56.02	56.8	2.5	1.99	Si

Verifiche SLD Resistenza a taglio

x	A st	A sl	A sag	Vela	Comb.	Vdes	Vrd	Vrcd	Vrsd	Vult	cotgθ	coeff	Verifica
0	0	0.00077	0	26.47	SLD 5	26.47	56.17	192.75	0	56.17	2.5	2.12	Si
0.2	0.0000038	0.00077	0	26.01	SLD 5	26.01	56.17	192.75	56.32	56.32	2.5	2.17	Si
1.41	0.0000038	0.000462	0	23.24	SLD 5	23.24	47.38	192.75	56.32	56.32	2.5	2.42	Si
2.61	0.0000038	0.000804	0	20.47	SLD 5	20.47	56.8	191.73	56.02	56.8	2.5	2.78	Si
2.81	0.0000038	0.000804	0	20.01	SLD 5	20.01	56.8	191.73	56.02	56.8	2.5	2.84	Si

Indicatori di rischio sismico SLV

x	T gravità	T sisma	T ultimo	Comb.	Pga	Tr	Ind. taglio	M gravità	M sisma	M ultimo	Comb.	Pga	Tr	Ind. momento	Ver
0.2	20.31	14.21	56.32	SLV 5	0.26	2114	1.389	-20.0315	-35.9202	-50.6829	SLV 5	0.17	624	0.842	No
1.41	17.54	14.21	56.32	SLV 5	0.26	2114	1.389	-1.0281	-21.8822	-31.3777	SLV 5	0.26	2114	1.389	Si
2.61	14.77	14.21	56.8	SLV 5	0.26	2114	1.389	22.241	2.0242	52.6258	SLV 6	0.26	2114	1.389	Si

Indicatori di rischio sismico SLD resistenza

x	T gravità	T sisma	T ultimo	Comb.	Pga	Tr	Ind. taglio	M gravità	M sisma	M ultimo	Comb.	Pga	Tr	Ind. momento	Ver
0.2	20.31	5.7	56.32	SLD 5	0.26	2110	3.477	-20.0315	-14.3966	-50.6829	SLD 5	0.17	619	2.103	Si
1.41	17.54	5.7	56.32	SLD 5	0.26	2110	3.477	-1.0281	-8.7684	-31.3777	SLD 5	0.26	2110	3.477	Si
2.61	14.77	5.7	56.8	SLD 5	0.26	2110	3.477	22.241	0.8108	52.6258	SLD 6	0.26	2110	3.477	Si

Campata 3 tra i fili 3 - P4, sezione R 40x23, asta 27**Verifiche a flessione in famiglia SLU**

x	A sup.	C.b. sup.	A inf.	C.b. inf.	M+ela	Comb.	M+des	M+ult	x/d	coeff	M-ela	Comb.	M-des	M-ult	x/d	coeff	Verifica
0	0.000462	0.04	0.000804	0.041	38.3458	SLU 30	35.9311	46.5375	0.24	1.3							Si
0.2	0.000462	0.04	0.000804	0.041	33.1014	SLU 30	33.1014	46.5375	0.24	1.41							Si
1.28	0.000748	0.04	0.000804	0.041	2.7308	SLU 30	9.0162	46.5038	0.232	5.16	1.8013	SLV 8	-3.6993	-43.8398	0.228	11.85	Si
2.36	0.00077	0.04	0.000634	0.041													Si
2.56	0.00077	0.04	0	0													Si

Verifiche a flessione in famiglia SLV (domini sostanzialmente elastici)

La struttura oppure parte di essa, è stata dichiarata come non dissipativa pertanto la verifica a pressoflessione, per tutte o solo alcune sezioni, viene eseguita calcolando i momenti resistenti in campo sostanzialmente elastico secondo D.M. 17-01-2018 §7.4.1

Le dilatazioni ultime utilizzate sono le seguenti: $\epsilon c2= 0.002$, $\epsilon yd= 0.00193$

E' attiva l'opzione fattori parziali di sicurezza unitari per meccanismi duttili di strutture esistenti con fattore q

x	A sup.	C.b. sup.	A inf.	C.b. inf.	M+ela	Comb.	M+des	M+ult	x/d	coeff	M-ela	Comb.	M-des	M-ult	x/d	coeff	Verifica
0	0.000462	0.04	0.000804	0.041	28.9591	SLV 7	25.8541	52.6258	0.302	2.04							Si
0.2	0.000462	0.04	0.000804	0.041	27.9549	SLV 5	27.9549	52.6258	0.302	1.88							Si
1.28	0.000748	0.04	0.000804	0.041	22.609	SLV 5	23.8278	52.5501	0.296	2.21	-18.8607	SLV 12	-26.0523	-49.3619	0.286	1.89	Si
2.36	0.00077	0.04	0.000634	0.041	14.9073	SLV 9	16.6393	41.9908	0.267	2.52	-56.3026	SLV 8	-56.3026	-50.7306	0.293	0.9	No
2.47	0.00077	0.04	0	0	13.9377	SLV 9	13.9377	0	0	0	-31.1362	SLV 33	-31.1362	-44.9671	0.233	1.44	Si
2.56	0.00077	0.04	0	0	13.1955	SLV 9	13.1955	0	0	0	-37.7873	SLV 33	-34.4331	-45.0679	0.267	1.31	Si

Verifiche SLD Resistenza a flessione (domini sostanzialmente elastici)

La struttura oppure parte di essa, è stata dichiarata come non dissipativa pertanto la verifica a pressoflessione, per tutte o solo alcune sezioni, viene eseguita calcolando i momenti resistenti in campo sostanzialmente elastico secondo D.M. 17-01-2018 §7.4.1

Le dilatazioni ultime utilizzate sono le seguenti: $\epsilon c2= 0.002$, $\epsilon yd= 0.00193$

x	A sup.	C.b. sup.	A inf.	C.b. inf.	M+ela	Comb.	M+des	M+ult	x/d	coeff	M-ela	Comb.	M-des	M-ult	x/d	coeff	Verifica
0	0.000462	0.04	0.000804	0.041	26.6765	SLD 7	24.8505	52.6258	0.302	2.12							Si
0.2	0.000462	0.04	0.000804	0.041	24.2424	SLD 5	24.2424	52.6258	0.302	2.17							Si
1.28	0.000748	0.04	0.000804	0.041	10.1825	SLD 5	13.1562	52.5501	0.296	3.99	-6.4341	SLD 12	-11.8665	-49.3619	0.286	4.16	Si
2.36	0.00077	0.04	0.000634	0.041													Si
2.56	0.00077	0.04	0	0													Si

Verifiche a taglio in famiglia SLU

x	A st	A sl	A sag	Vela	Comb.	Vdes	Vrd	Vrcd	Vrsd	Vult	cotgθ	coeff	Verifica
0	0.0000038	0.000804	0	-25.91	SLU 33	-25.91	-56.8	-191.73	-56.02	-56.8	2.5	2.19	Si
0.2	0.0000038	0.000804	0	-26.51	SLU 33	-26.51	-56.8	-191.73	-56.02	-56.8	2.5	2.14	Si
1.28	0.0000038	0.000804	0	-29.74	SLU 33	-29.74	-56.8	-191.73	-56.02	-56.8	2.5	1.91	Si
2.36	0.0000049	0.00077	0	-32.97	SLU 33	-32.97	-56.17	-192.75	-72.54	-72.54	2.5	2.2	Si
2.56	0	0.00077	0	-33.57	SLU 33	-33.57	-56.17	-192.75	0	-56.17	2.5	1.67	Si

Verifiche a taglio in famiglia SLV

x	A st	A sl	A sag	Vela	Comb.	Vdes	Vrd	Vrcd	Vrsd	Vult	cotgθ	coeff	Verifica
0	0.0000038	0.000804	0	-30.56	SLV 8	-30.56	-56.8	-191.73	-56.02	-56.8	2.5	1.86	Si
0.2	0.0000038	0.000804	0	-31.02	SLV 8	-31.02	-56.8	-191.73	-56.02	-56.8	2.5	1.83	Si
1.28	0.0000038	0.000462	0	-33.5	SLV 8	-33.5	-47.38	-192.75	-56.32	-56.32	2.5	1.68	Si
2.36	0.0000049	0.00077	0	-35.98	SLV 8	-35.98	-56.17	-192.75	-72.54	-72.54	2.5	2.02	Si
2.56	0	0.00077	0	-36.44	SLV 8	-36.44	-56.17	-192.75	0	-56.17	2.5	1.54	Si

Verifiche SLD Resistenza a taglio

x	A st	A sl	A sag	Vela	Comb.	Vdes	Vrd	Vrcd	Vrsd	Vult	cotgθ	coeff	Verifica
0	0.0000038	0.000804	0	-22.26	SLD 8	-22.26	-56.8	-191.73	-56.02	-56.8	2.5	2.55	Si
0.2	0.0000038	0.000804	0	-22.72	SLD 8	-22.72	-56.8	-191.73	-56.02	-56.8	2.5	2.5	Si

x	A st	A sl	A sag	Vela	Comb.	Vdes	Vrd	Vrcd	Vrsd	Vult	cotgθ	coeff	Verifica
1.28	0.000038	0.000462	0	-25.2	SLD 8	-25.2	-47.38	-192.75	-56.32	-56.32	2.5	2.23	Si
2.36	0.000049	0.00077	0	-27.69	SLD 8	-27.69	-56.17	-192.75	-72.54	-72.54	2.5	2.62	Si
2.56	0	0.00077	0	-28.15	SLD 8	-28.15	-56.17	-192.75	0	-56.17	2.5	2	Si

Indicatori di rischio sismico SLV

x	T gravità	T sisma	T ultimo	Comb.	Pga	Tr	Ind. taglio	M gravità	M sisma	M ultimo	Comb.	Pga	Tr	Ind. momento	Ver
0.2	-17.17	-13.84	-56.8	SLV 8	0.26	2114	1.389	21.7595	6.1954	52.6258	SLV 5	0.26	2114	1.389	Si
1.28	-19.66	-13.84	-56.32	SLV 8	0.26	2114	1.389	-2.3819	-23.6704	-49.3619	SLV 12	0.26	2114	1.389	Si
2.36	-22.14	-13.84	-72.54	SLV 8	0.26	2114	1.389	-20.6977	-35.6049	-50.7306	SLV 8	0.17	605	0.831	No

Indicatori di rischio sismico SLD resistenza

x	T gravità	T sisma	T ultimo	Comb.	Pga	Tr	Ind. taglio	M gravità	M sisma	M ultimo	Comb.	Pga	Tr	Ind. momento	Ver
0.2	-17.17	-5.55	-56.8	SLD 8	0.26	2110	3.477	21.7595	2.4829	52.6258	SLD 5	0.26	2110	3.477	Si
1.28	-19.66	-5.55	-56.32	SLD 8	0.26	2110	3.477	-2.3819	-9.4845	-49.3619	SLD 12	0.26	2110	3.477	Si
2.36	-22.14	-5.55	-72.54	SLD 8	0.26	2110	3.477	-20.6977	-14.2665	-50.7306	SLD 8	0.17	600	2.076	Si

Campata 4 tra i fili P4 - 1, sezione R 40x22, asta 31**Verifiche a flessione in famiglia SLU**

x	A sup.	C.b. sup.	A inf.	C.b. inf.	M+ela	Comb.	M+des	M+ult	x/d	coeff	M-ela	Comb.	M-des	M-ult	x/d	coeff	Verifica
0	0.00077	0.04	0	0							-0.4326	SLU 34	-0.2753	-42.412	0.282	154.05	Si
0.2	0.00077	0.04	0.000278	0.04							-0.1752	SLU 34	-0.1752	-42.3776	0.255	241.86	Si
0.28	0.000742	0.04	0.000308	0.04							-0.1081	SLU 31	-0.1752	-41.0016	0.248	234.01	Si
0.53	0	0	0	0							-0.0005	SLU 28	-0.0698	0	0	0	Si
0.55	0	0	0	0							0	SLU 28	-0.0587	0	0	0	Si

Verifiche a flessione in famiglia SLV (domini sostanzialmente elastici)

La struttura oppure parte di essa, è stata dichiarata come non dissipativa pertanto la verifica a pressoflessione, per tutte o solo alcune sezioni, viene eseguita calcolando i momenti resistenti in campo sostanzialmente elastico secondo D.M. 17-01-2018 §7.4.1

Le dilatazioni ultime utilizzate sono le seguenti: $\epsilon_c=0.002$, $\epsilon_{yd}=0.00193$

E' attiva l'opzione fattori parziali di sicurezza unitari per meccanismi duttili di strutture esistenti con fattore q

x	A sup.	C.b. sup.	A inf.	C.b. inf.	M+ela	Comb.	M+des	M+ult	x/d	coeff	M-ela	Comb.	M-des	M-ult	x/d	coeff	Verifica
0	0.00077	0.04	0	0							-0.3328	SLV 6	-0.2118	-48.0668	0.314	226.96	Si
0.2	0.00077	0.04	0.000278	0.04							-0.1348	SLV 5	-0.1348	-47.9754	0.307	355.95	Si
0.28	0.000742	0.04	0.000308	0.04							-0.0832	SLV 5	-0.1348	-46.3388	0.302	343.81	Si
0.53	0	0	0	0	-0.0004	SLV 8	0	0	0	++	-0.0004	SLV 9	-0.0537	0	0	0	Si
0.55	0	0	0	0	0	SLV 8	0	0	0	++	0	SLV 9	-0.0451	0	0	0	Si

Verifiche SLD Resistenza a flessione (domini sostanzialmente elastici)

La struttura oppure parte di essa, è stata dichiarata come non dissipativa pertanto la verifica a pressoflessione, per tutte o solo alcune sezioni, viene eseguita calcolando i momenti resistenti in campo sostanzialmente elastico secondo D.M. 17-01-2018 §7.4.1

Le dilatazioni ultime utilizzate sono le seguenti: $\epsilon_c=0.002$, $\epsilon_{yd}=0.00193$

x	A sup.	C.b. sup.	A inf.	C.b. inf.	M+ela	Comb.	M+des	M+ult	x/d	coeff	M-ela	Comb.	M-des	M-ult	x/d	coeff	Verifica
0	0.00077	0.04	0	0							-0.3328	SLD 11	-0.2118	-48.0668	0.314	226.96	Si
0.2	0.00077	0.04	0.000278	0.04							-0.1348	SLD 7	-0.1348	-47.9754	0.307	355.95	Si
0.28	0.000742	0.04	0.000308	0.04							-0.0832	SLD 7	-0.1348	-46.3388	0.302	343.81	Si
0.53	0	0	0	0	-0.0004	SLD 12	0	0	0	++	-0.0004	SLD 5	-0.0537	0	0	0	Si
0.55	0	0	0	0	0	SLD 12	0	0	0	++	0	SLD 5	-0.0451	0	0	0	Si

Verifiche a taglio in famiglia SLU

x	A st	A sl	A sag	Vela	Comb.	Vdes	Vrd	Vrcd	Vrsd	Vult	cotgθ	coeff	Verifica
0	0	0.00077	0	1.57	SLU 25	1.57	54.19	182.6	0	54.19	2.5	34.45	Si
0.2	0.000048	0.000308	0	1	SLU 25	1	39.92	182.6	67.74	67.74	2.5	67.67	Si
0.28	0.000048	0.000308	0	0.79	SLU 25	0.79	39.92	182.6	67.74	67.74	2.5	86.13	Si
0.55	0.000048	0	0	0	Ger.	0	-45.16	-223.18	-82.79	-82.79	2.5	1364004805896850	Si

Verifiche a taglio in famiglia SLV

x	A st	A sl	A sag	Vela	Comb.	Vdes	Vrd	Vrcd	Vrsd	Vult	cotgθ	coeff	Verifica
0	0	0.00077	0	1.21	SLV 8	1.21	54.19	182.6	0	54.19	2.5	44.78	Si
0.2	0.000048	0.000308	0	0.77	SLV 8	0.77	39.92	182.6	67.74	67.74	2.5	87.97	Si
0.28	0.000048	0.000308	0	0.61	SLV 8	0.61	39.92	182.6	67.74	67.74	2.5	111.97	Si
0.55	0.000048	0	0	0	Ger.	0	45.16	223.18	82.79	82.79	2.5	1945572791006.2	Si
0.55	0.000048	0	0	0	Ger.	0	-45.16	-223.18	-82.79	-82.79	2.5	19071998848258.4	Si

Verifiche SLD Resistenza a taglio

x	A st	A sl	A sag	Vela	Comb.	Vdes	Vrd	Vrcd	Vrsd	Vult	cotgθ	coeff	Verifica
0	0	0.00077	0	1.21	SLD 11	1.21	54.19	182.6	0	54.19	2.5	44.78	Si
0.2	0.000048	0.000308	0	0.77	SLD 11	0.77	39.92	182.6	67.74	67.74	2.5	87.97	Si
0.28	0.000048	0.000308	0	0.61	SLD 11	0.61	39.92	182.6	67.74	67.74	2.5	111.97	Si
0.55	0.000048	0	0	0	Ger.	0	45.16	223.18	82.79	82.79	2.5	45695280979921.5	Si
0.55	0.000048	0	0	0	Ger.	0	-45.16	-223.18	-82.79	-82.79	2.5	43633545425817.5	Si

Indicatori di rischio sismico SLV

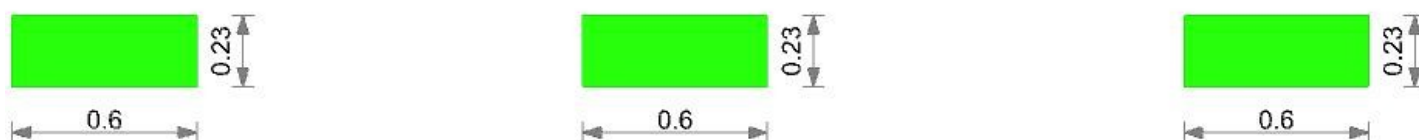
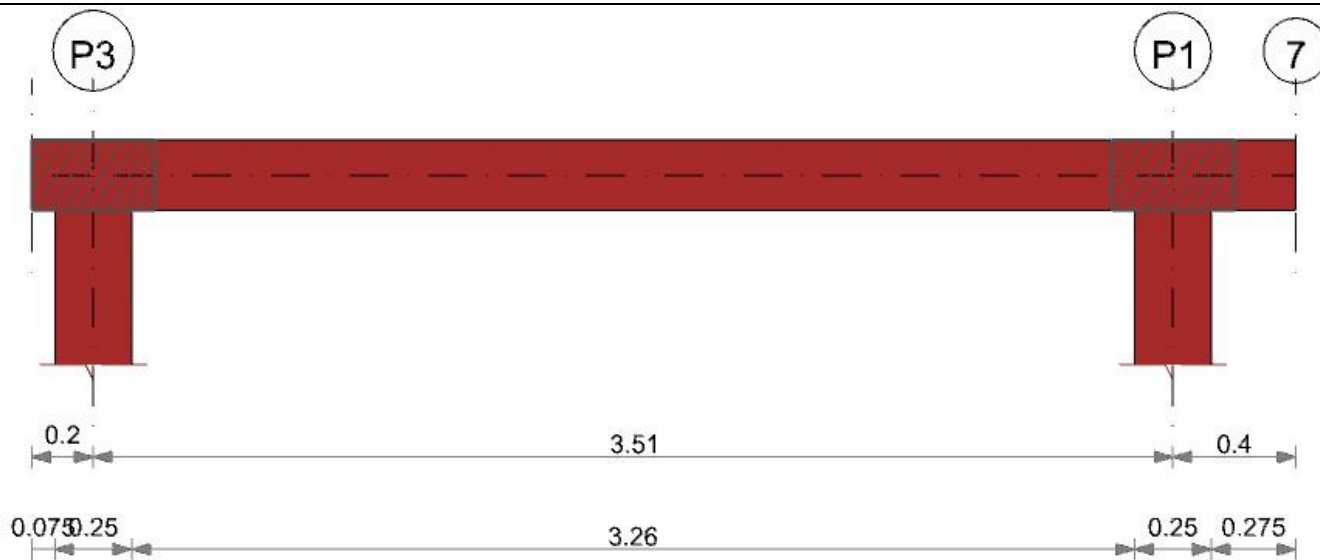
x	T gravità	T sisma	T ultimo	Comb.	Pga	Tr	Ind. taglio	M gravità	M sisma	M ultimo	Comb.	Pga	Tr	Ind. momento	Ver
0.2	0.77	0	67.74	SLV 8	0.26	2114	1.389	-0.1348	0	-47.9754	SLV 1	0.26	2114	1.389	Si
0.28	0.6	0	67.74	SLV 8	0.26	2114	1.389	-0.0058	0	-46.3388	SLV 1	0.26	2114	1.389	Si
0.53	0.04	0	82.79	SLV 8	0.26	2114	1.389	-0.0537	0	0	SLV 1	0	0	0	Si
0.55	0	0	-82.79	SLV 9	0.26	2114	1.389	0	0	0	SLV 1	0.26	2114	1.389	Si

Indicatori di rischio sismico SLD resistenza

x	T gravità	T sisma	T ultimo	Comb.	Pga	Tr	Ind. taglio	M gravità	M sisma	M ultimo	Comb.	Pga	Tr	Ind. momento	Ver
0.2	0.77	0	67.74	SLD 11	0.26	2110	3.477	-0.1348	0	-47.9754	SLD 1	0.26	2110	3.477	Si
0.28	0.6	0	67.74	SLD 11	0.26	2110	3.477	-0.0058	0	-46.3388	SLD 1	0.26	2110	3.477	Si
0.53	0.04	0	82.79	SLD 11	0.26	2110	3.477	-0.0537	0	0	SLD 1	0	0	0	Si
0.55	0	0	-82.79	SLD 6	0.26	2110	3.477	0	0	0	SLD 1	0.26	2110	3.477	Si

Trave a "Piano 3" P3-7

Geometria



Caratteristiche dei materiali

Acciaio: Vigone_FeB44k_LC2 Fym 476200 Livello di conoscenza LC2 Fattore di confidenza 1.2

Calcestruzzo: C35/42 Vigone B_LC2 Rcm 41700 Livello di conoscenza LC2 Fattore di confidenza 1.2

Elenco delle sezioni

N°	Descrizione	Tipo	Base	Altezza	Copriferro sup.	Copriferro inf.	Copriferro lat.
1	R 60x23	Rettangolare	0,6	0,23	0,025	0,025	0,025

Diagramma verifica stato limite ultimo flessione

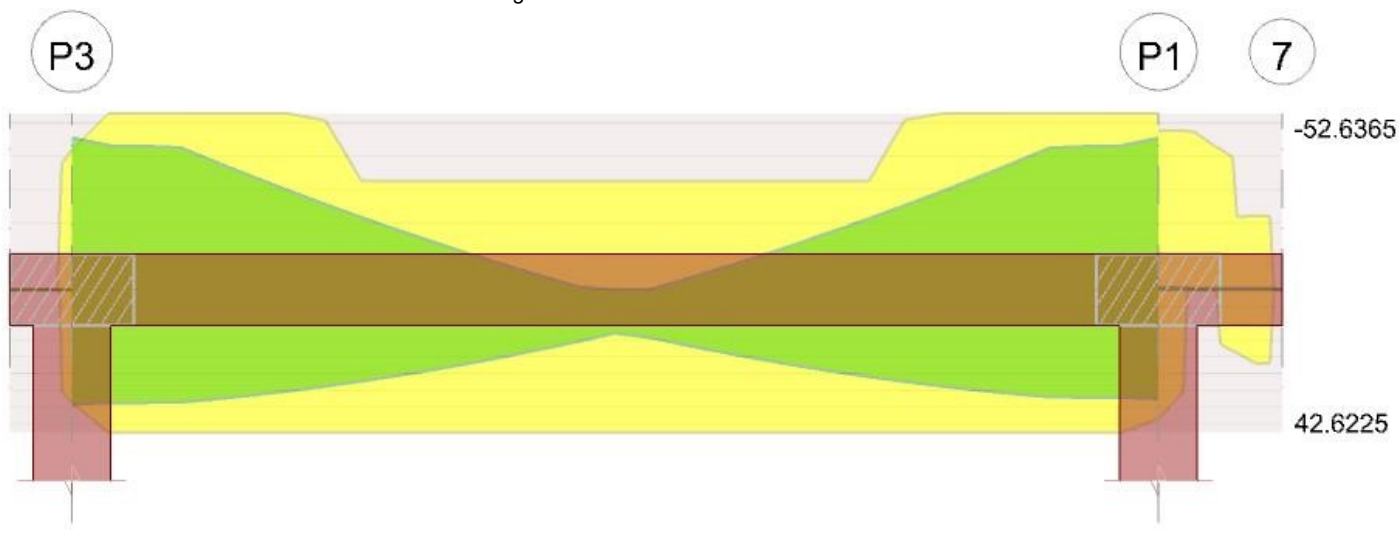
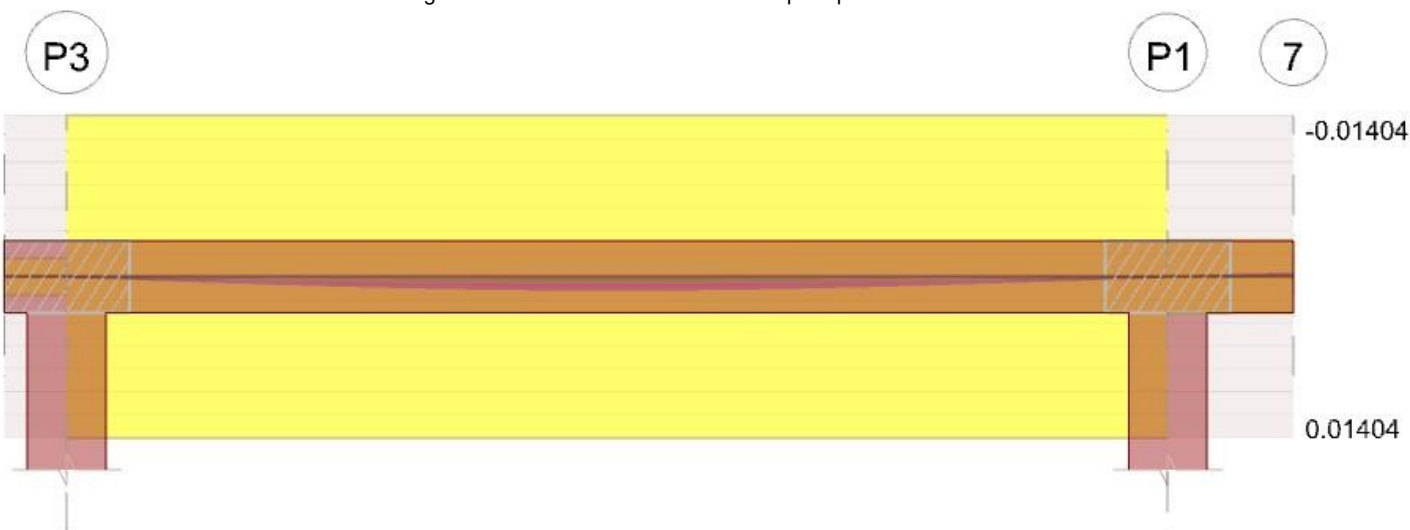


Diagramma verifica stato limite ultimo taglio



Diagramma verifica stato limite esercizio quasi permanente freccia



Output campate

Campata 2 tra i fili P3 - P1, sezione R 60x23, asta 25

Verifiche a flessione in famiglia SLU

x	A sup.	C.b. sup.	A inf.	C.b. inf.	M+ela	Comb.	M+des	M+ult	x/d	coeff	M-ela	Comb.	M-des	M-ult	x/d	coeff	Verifica
0	0.000605	0.038	0.000482	0.038							-9.6413	SLU 32	-8.143	-38.5572	0.172	4.74	Si
0.13	0.00077	0.038	0.000616	0.038							-6.7473	SLU 32	-6.7473	-47.5941	0.189	7.05	Si
1.76	0.000462	0.038	0.000616	0.038	11.5373	SLU 30	11.5373	39.1611	0.173	3.39							Si
1.87	0.000462	0.038	0.000616	0.038	11.4046	SLU 30	11.5373	39.1611	0.173	3.39							Si
3.39	0.00077	0.038	0.000616	0.038							-7.8404	SLU 33	-7.8404	-47.5941	0.189	6.07	Si
3.51	0.00077	0.038	0.000554	0.038							-10.8184	SLU 33	-9.2781	-47.5875	0.189	5.13	Si

Verifiche a flessione in famiglia SLV (domini sostanzialmente elastici)

La struttura oppure parte di essa, è stata dichiarata come non dissipativa pertanto la verifica a pressoflessione, per tutte o solo alcune sezioni, viene eseguita calcolando i momenti resistenti in campo sostanzialmente elastico secondo D.M. 17-01-2018 §7.4.1

Le dilatazioni ultime utilizzate sono le seguenti: $\epsilon_{c2} = 0.002$, $\epsilon_{yd} = 0.00193$

E' attiva l'opzione fattori parziali di sicurezza unitari per meccanismi duttili di strutture esistenti con fattore q

x	A sup.	C.b. sup.	A inf.	C.b. inf.	M+ela	Comb.	M+des	M+ult	x/d	coeff	M-ela	Comb.	M-des	M-ult	x/d	coeff	Verifica
0	0.000605	0.038	0.000482	0.038	34.634	SLV 15	34.2102	33.7678	0.2	0.99	-47.865	SLV 2	-45.3808	-41.8832	0.22	0.92	Si
0.13	0.00077	0.038	0.000616	0.038	33.7159	SLV 15	33.7159	42.5809	0.221	1.26	-42.9671	SLV 2	-42.9671	-52.6226	0.244	1.22	Si
1.76	0.000462	0.038	0.000616	0.038	8.1483	SLV 15	12.9216	42.6225	0.222	3.3							Si
3.39	0.00077	0.038	0.000616	0.038	32.1237	SLV 2	32.1237	42.5809	0.221	1.33	-42.8782	SLV 15	-42.8782	-52.6226	0.244	1.23	Si
3.51	0.00077	0.038	0.000554	0.038	32.9842	SLV 2	32.5892	38.5501	0.211	1.18	-47.8338	SLV 15	-45.3207	-52.6365	0.245	1.16	Si

Verifiche SLD Resistenza a flessione (domini sostanzialmente elastici)

La struttura oppure parte di essa, è stata dichiarata come non dissipativa pertanto la verifica a pressoflessione, per tutte o solo alcune sezioni, viene eseguita calcolando i momenti resistenti in campo sostanzialmente elastico secondo D.M. 17-01-2018 §7.4.1

Le dilatazioni ultime utilizzate sono le seguenti: $\epsilon_{c2} = 0.002$, $\epsilon_{yd} = 0.00193$

x	A sup.	C.b. sup.	A inf.	C.b. inf.	M+ela	Comb.	M+des	M+ult	x/d	coeff	M-ela	Comb.	M-des	M-ult	x/d	coeff	Verifica
0	0.000605	0.038	0.000482	0.038	9.9294	SLD 15	9.9294	33.7678	0.2	3.4	-23.1604	SLD 2	-21.5469	-41.8832	0.22	1.94	Si
0.13	0.00077	0.038	0.000616	0.038	10.7528	SLD 15	11.8198	42.5809	0.221	3.6	-20.0039	SLD 2	-20.0039	-52.6226	0.244	2.63	Si
1.76	0.000462	0.038	0.000616	0.038	7.8824	SLD 15	9.6889	42.6225	0.222	4.4							Si
3.39	0.00077	0.038	0.000616	0.038	9.6677	SLD 2	10.8333	42.5809	0.221	3.93	-20.4222	SLD 15	-20.4222	-52.6226	0.244	2.58	Si
3.51	0.00077	0.038	0.000554	0.038	8.7867	SLD 2	8.7867	38.5501	0.211	4.39	-23.6362	SLD 15	-21.9939	-52.6365	0.245	2.39	Si

Verifiche a taglio in famiglia SLU

x	A st	A sl	A sag	Vela	Comb.	Vdes	Vrd	Vrcd	Vrsd	Vult	cotgθ	coeff	Verifica
0	0	0.00077	0	24.09	SLU 29	24.09	74.12	292.16	0	74.12	2.5	3.08	Si
0.13	0.0000038	0.00077	0	22.35	SLU 29	22.35	74.12	292.16	56.89	74.12	2.5	3.32	Si

x	A st	A sl	A sag	Vela	Comb.	Vdes	Vrd	Vrcd	Vrsd	Vult	cotgθ	coeff	Verifica
1.76	0.0000038	0.000616	0	-0.34	SLU 33	-0.34	-68.81	-292.16	-56.89	-68.81	2.5	203.69	Si
3.39	0.0000038	0.00077	0	-23	SLU 33	-23	-74.12	-292.16	-56.89	-74.12	2.5	3.22	Si
3.51	0	0.00077	0	-24.74	SLU 33	-24.74	-74.12	-292.16	0	-74.12	2.5	3	Si

Verifiche a taglio in famiglia SLV

x	A st	A sl	A sag	Vela	Comb.	Vdes	Vrd	Vrcd	Vrsd	Vult	cotgθ	coeff	Verifica
0	0	0.00077	0	39.81	SLV 2	39.81	74.12	292.16	0	74.12	2.5	1.86	Si
0	0	0.000616	0	-6.71	SLV 15	-6.71	-68.81	-292.16	0	-68.81	2.5	10.25	Si
0.13	0.0000038	0.00077	0	38.62	SLV 2	38.62	74.12	292.16	56.89	74.12	2.5	1.92	Si
0.13	0.0000038	0.000616	0	-7.91	SLV 15	-7.91	-68.81	-292.16	-56.89	-68.81	2.5	8.7	Si
1.76	0.0000038	0.000616	0	23.03	SLV 2	23.03	68.81	292.16	56.89	68.81	2.5	2.99	Si
1.76	0.0000038	0.000616	0	-23.49	SLV 15	-23.49	-68.81	-292.16	-56.89	-68.81	2.5	2.93	Si
3.39	0.0000038	0.000616	0	7.45	SLV 2	7.45	68.81	292.16	56.89	68.81	2.5	9.24	Si
3.39	0.0000038	0.00077	0	-39.08	SLV 15	-39.08	-74.12	-292.16	-56.89	-74.12	2.5	1.9	Si
3.51	0	0.000616	0	6.25	SLV 2	6.25	68.81	292.16	0	68.81	2.5	11	Si
3.51	0	0.00077	0	-40.28	SLV 15	-40.28	-74.12	-292.16	0	-74.12	2.5	1.84	Si

Verifiche SLD Resistenza a taglio

x	A st	A sl	A sag	Vela	Comb.	Vdes	Vrd	Vrcd	Vrsd	Vult	cotgθ	coeff	Verifica
0	0	0.00077	0	25.88	SLD 2	25.88	74.12	292.16	0	74.12	2.5	2.86	Si
0.13	0.0000038	0.00077	0	24.69	SLD 2	24.69	74.12	292.16	56.89	74.12	2.5	3	Si
1.76	0.0000038	0.000616	0	9.1	SLD 2	9.1	68.81	292.16	56.89	68.81	2.5	7.56	Si
1.76	0.0000038	0.000616	0	-9.56	SLD 15	-9.56	-68.81	-292.16	-56.89	-68.81	2.5	7.2	Si
3.39	0.0000038	0.00077	0	-25.15	SLD 15	-25.15	-74.12	-292.16	-56.89	-74.12	2.5	2.95	Si
3.51	0	0.00077	0	-26.34	SLD 15	-26.34	-74.12	-292.16	0	-74.12	2.5	2.81	Si

Indicatori di rischio sismico SLV

x	T gravità	T sisma	T ultimo	Comb.	Pga	Tr	Ind. taglio	M gravità	M sisma	M ultimo	Comb.	Pga	Tr	Ind. momento	Ver
0.13	15.36	23.26	74.12	SLV 2	0.26	2114	1.389	-4.6256	38.3415	42.5809	SLV 15	0.24	1728	1.279	Si
1.76	-0.23	-23.26	-68.81	SLV 15	0.26	2114	1.389	7.5266	5.395	42.6225	SLV 15	0.26	2114	1.389	Si
3.39	-15.82	-23.26	-74.12	SLV 15	0.26	2114	1.389	-5.3772	-37.501	-52.6226	SLV 15	0.24	1846	1.314	Si

Indicatori di rischio sismico SLD resistenza

x	T gravità	T sisma	T ultimo	Comb.	Pga	Tr	Ind. taglio	M gravità	M sisma	M ultimo	Comb.	Pga	Tr	Ind. momento	Ver
0.13	15.36	9.33	74.12	SLD 2	0.26	2110	3.477	-4.6256	15.3783	42.5809	SLD 15	0.24	1707	3.187	Si
1.76	-0.23	-9.33	-68.81	SLD 15	0.26	2110	3.477	7.5266	2.1624	42.6225	SLD 15	0.26	2110	3.477	Si
3.39	-15.82	-9.33	-74.12	SLD 15	0.26	2110	3.477	-5.3772	-15.0449	-52.6226	SLD 15	0.24	1823	3.275	Si

Campata 3 tra i fili P1 - 7, sezione R 60x23, asta 39**Verifiche a flessione in famiglia SLU**

x	A sup.	C.b. sup.	A inf.	C.b. inf.	M+ela	Comb.	M+des	M+ult	x/d	coeff	M-ela	Comb.	M-des	M-ult	x/d	coeff	Verifica
0	0.00077	0.038	0.000554	0.038							-1.1124	SLU 33	-0.7651	-47.5875	0.189	62.2	Si
0.13	0.000756	0.038	0	0							-0.5261	SLU 33	-0.5261	-46.6453	0.173	88.66	Si
0.2	0.000672	0.038	0.000221	0.038	-0.1828	SLU 1	0	17.7207	0.151	+							

Verifiche a flessione in famiglia SLV (domini sostanzialmente elastici)

La struttura oppure parte di essa, è stata dichiarata come non dissipativa pertanto la verifica a pressoflessione, per tutte o solo alcune sezioni, viene eseguita calcolando i momenti resistenti in campo sostanzialmente elastico secondo D.M. 17-01-2018 §7.4.1

Le dilatazioni ultime utilizzate sono le seguenti: $\epsilon_c=0.002$, $\epsilon_{yd}=0.00193$

E' attiva l'opzione fattori parziali di sicurezza unitari per meccanismi duttili di strutture esistenti con fattore γ

x	A sup.	C.b. sup.	A inf.	C.b. inf.	M+ela	Comb.	M+des	M+ult	x/d	coeff	M-ela	Comb.	M-des	M-ult	x/d	coeff	Verifica
0	0.00077	0.038	0.000554	0.038							-0.7649	SLV 9	-0.5261	-52.6365	0.245	100.05	Si
0.13	0.000756	0.038	0	0							-0.3618	SLV 9	-0.3618	-51.9126	0.248	143.5	Si
0.2	0.000672	0.038	0.000221	0.038	-0.1912	SLV 8	0	16.2176	0.148	+							

Verifiche SLD Resistenza a flessione (domini sostanzialmente elastici)

La struttura oppure parte di essa, è stata dichiarata come non dissipativa pertanto la verifica a pressoflessione, per tutte o solo alcune sezioni, viene eseguita calcolando i momenti resistenti in campo sostanzialmente elastico secondo D.M. 17-01-2018 §7.4.1

Le dilatazioni ultime utilizzate sono le seguenti: $\epsilon_c=0.002$, $\epsilon_{yd}=0.00193$

x	A sup.	C.b. sup.	A inf.	C.b. inf.	M+ela	Comb.	M+des	M+ult	x/d	coeff	M-ela	Comb.	M-des	M-ult	x/d	coeff	Verifica
0	0.00077	0.038	0.000554	0.038							-0.7649	SLD 9	-0.5261	-52.6365	0.245	100.05	Si
0.13	0.000756	0.038	0	0							-0.3618	SLD 9	-0.3618	-51.9126	0.248	143.5	Si
0.2	0.000672	0.038	0.000221	0.038	-0.1912	SLD 7	0	16.2176	0.148	+							

Verifiche a taglio in famiglia SLU

x	A st	A sl	A sag	Vela	Comb.	Vdes	Vrd	Vrcd	Vrsd	Vult	cotgθ	coeff	Verifica
0	0	0.000687	0	5.56	SLU 33	5.56	71.36	292.16	0	71.36	2.5	12.83	Si
0.13	0.0000041	0.000308	0	3.82	SLU 33	3.82	61.25	292.16	61.31	61.31	2.5	16.03	Si
0.2	0.0000041	0	0	2.78	SLU 33	2.78	61.25	292.16	61.31	61.31	2.5	22.04	Si
0.4	0.0000041	0	0	0	Ger.	0	69.69	349.99	73.44	73.44	2.5	1328527466594600	Si

Verifiche a taglio in famiglia SLV

x	A st	A sl	A sag	Vela	Comb.	Vdes	Vrd	Vrcd	Vrsd	Vult	cotgθ	coeff	Verifica
0	0	0.000687	0	3.82	SLV 11	3.82	71.36	292.16	0	71.36	2.5	18.66	Si
0.13	0.0000041	0.000308	0	2.63	SLV 11	2.63	61.25	292.16	61.31	61.31	2.5	23.32	Si
0.2	0.0000041	0	0	1.91	SLV 11	1.91	61.25	292.16	61.31	61.31	2.5	32.06	Si
0.4	0.0000041	0	0	0	Ger.	0	69.69	349.99	73.44	73.44	2.5	12377338055619.3	Si
0.4	0.0000041	0	0	0	Ger.	0	-69.69	-349.99	-73.44	-73.44	2.5	12489830279820.3	Si

Verifiche SLD Resistenza a taglio

x	A st	A sl	A sag	Vela	Comb.	Vdes	Vrd	Vrcd	Vrsd	Vult	cotgθ	coeff	Verifica
0	0	0.000687	0	3.82	SLD 9	3.82	71.36	292.16	0	71.36	2.5	18.66	Si
0.13	0.0000041	0.000308	0	2.63	SLD 9	2.63	61.25	292.16	61.31	61.31	2.5	23.32	Si
0.2	0.0000041	0	0	1.91	SLD 9	1.91	61.25	292.16	61.31	61.31	2.5	32.06	Si
0.4	0.0000041	0	0	0	Ger.	0	69.69	349.99	73.44	73.44	2.5	28425906025978.4	Si
0.4	0.0000041	0	0	0	Ger.	0	-69.69	-349.99	-73.44	-73.44	2.5	29026211604105.7	Si

Indicatori di rischio sismico SLV

x	T gravità	T sisma	T ultimo	Comb.	Pga	Tr	Ind. taglio	M gravità	M sisma	M ultimo	Comb.	Pga	Tr	Ind. momento	Ver
0.13	2.63	0	61.31	SLV 11	0.26	2114	1.389	-0.3618	0	-51.9126	SLV 1	0.26	2114	1.389	Si
0.2	1.91	0	61.31	SLV 11	0.26	2114	1.389	0	0	16.2176	SLV 1	0.26	2114	1.389	Si

Corpo B-Vigone

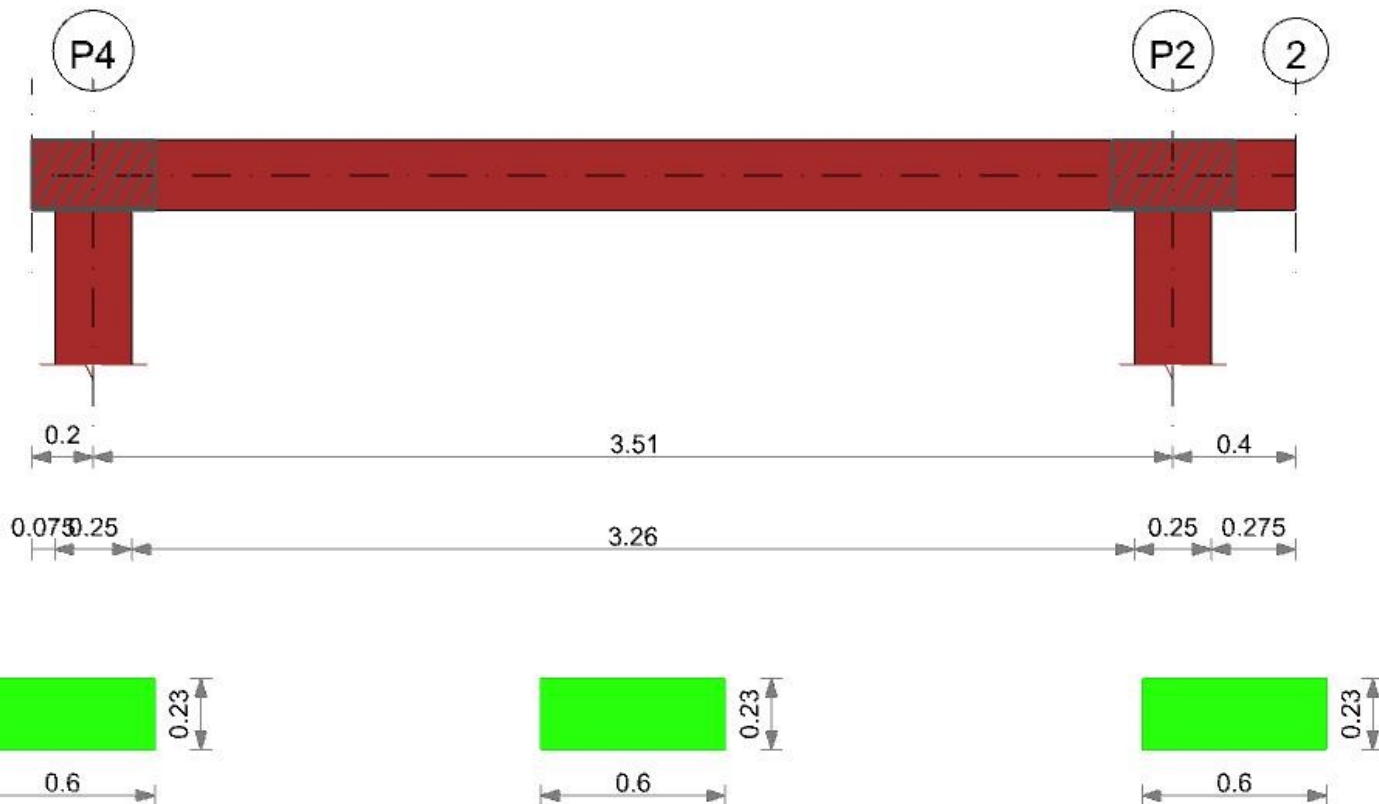
x	T gravità	T sisma	T ultimo	Comb.	Pga	Tr	Ind. taglio	M gravità	M sisma	M ultimo	Comb.	Pga	Tr	Ind. momento	Ver
0.37	0.25	0	73.44	SLV 11	0.26	2114	1.389	-0.2764	0	0	SLV 1	0	0	0	Si
0.4	0	0	73.44	SLV 11	0.26	2114	1.389	0	0	0	SLV 1	0.26	2114	1.389	Si

Indicatori di rischio sismico SLD resistenza

x	T gravità	T sisma	T ultimo	Comb.	Pga	Tr	Ind. taglio	M gravità	M sisma	M ultimo	Comb.	Pga	Tr	Ind. momento	Ver
0.13	2.63	0	61.31	SLD 9	0.26	2110	3.477	-0.3618	0	-51.9126	SLD 1	0.26	2110	3.477	Si
0.2	1.91	0	61.31	SLD 9	0.26	2110	3.477	0	0	16.2176	SLD 1	0.26	2110	3.477	Si
0.37	0.25	0	73.44	SLD 9	0.26	2110	3.477	-0.2764	0	0	SLD 1	0	0	0	Si
0.4	0	0	73.44	SLD 9	0.26	2110	3.477	0	0	0	SLD 1	0.26	2110	3.477	Si

Trave a "Piano 3" P4-2

Geometria



Caratteristiche dei materiali

Acciaio: Vigone_FeB44k_LC2 Fym 476200 Livello di conoscenza LC2 Fattore di confidenza 1.2
 Calcestruzzo: C35/42 Vigone B_LC2 Rcm 41700 Livello di conoscenza LC2 Fattore di confidenza 1.2

Elenco delle sezioni

N°	Descrizione	Tipo	Base	Altezza	Copriferro sup.	Copriferro inf.	Copriferro lat.
1	R 60x23	Rettangolare	0.6	0.23	0.025	0.025	0.025

Diagramma verifica stato limite ultimo flessione

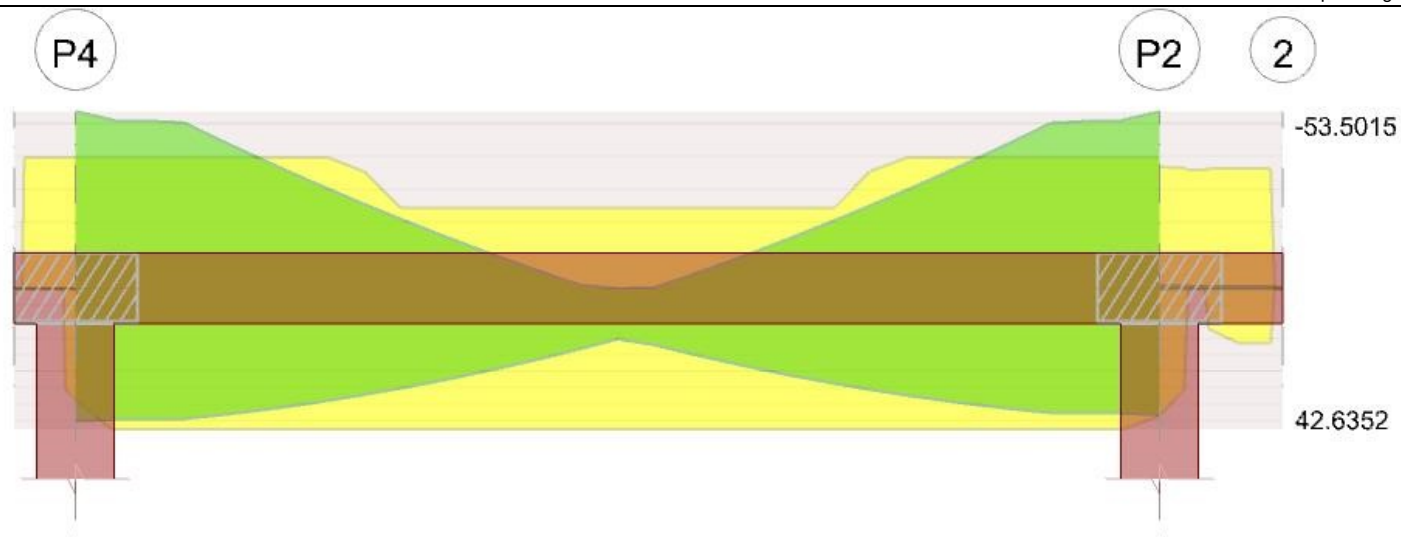


Diagramma verifica stato limite ultimo taglio

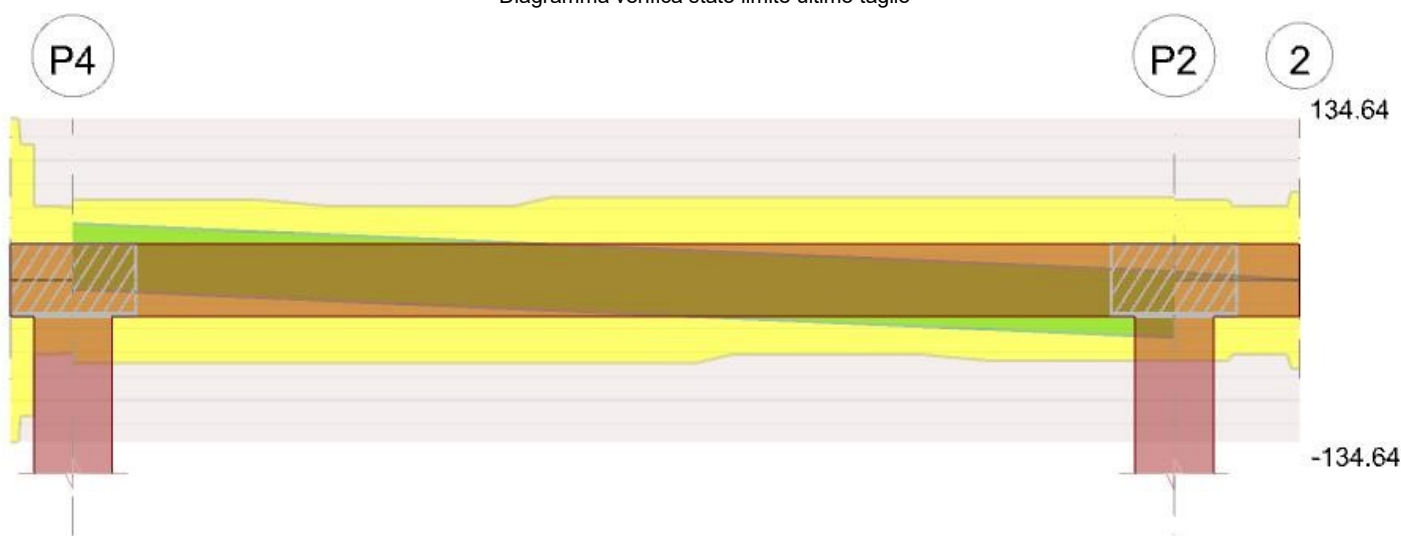
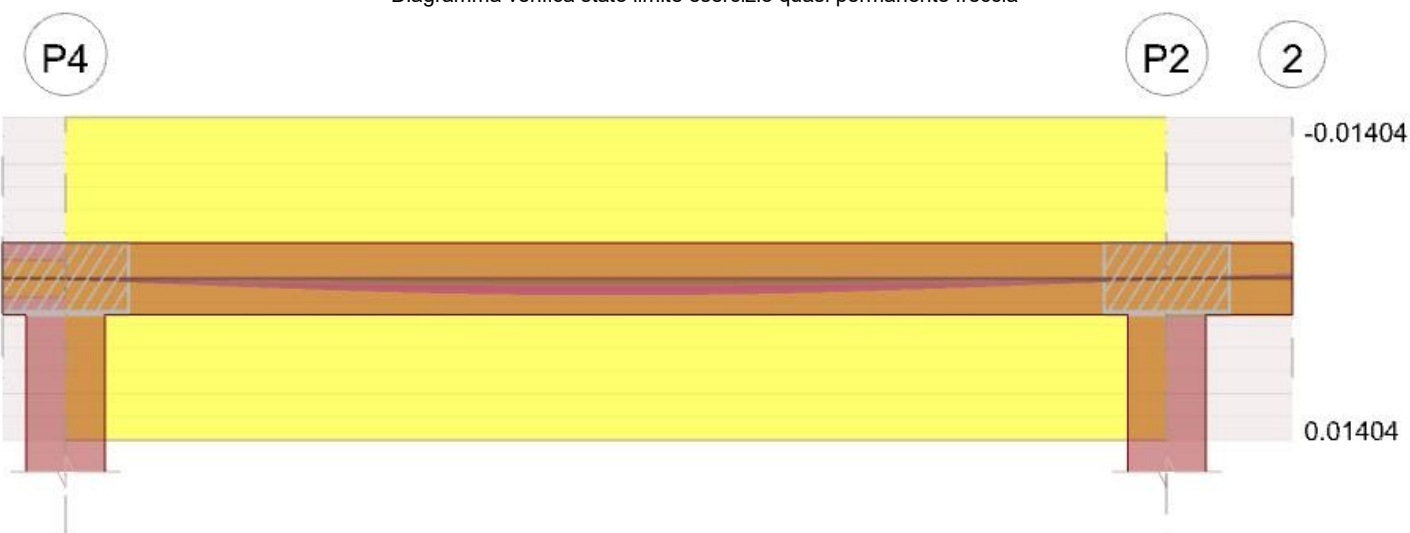


Diagramma verifica stato limite esercizio quasi permanente freccia

**Output campate****Campata 2 tra i fili P4 - P2, sezione R 60x23, asta 30****Verifiche a flessione in famiglia SLU**

x	A sup.	C.b. sup.	A inf.	C.b. inf.	M+ela	Comb.	M+des	M+ult	x/d	coeff	M-ela	Comb.	M-des	M-ult	x/d	coeff	Verifica
0	0.000565	0.037	0.000482	0.038							-11.6506	SLU 33	-9.8444	-36.615	0.168	3.72	Si
0.13	0.000565	0.037	0.000616	0.038							-8.1618	SLU 33	-8.1618	-36.6796	0.172	4.49	Si
1.76	0.000339	0.037	0.000616	0.038	13.8891	SLU 30	13.8891	39.0078	0.167	2.81							Si
1.87	0.000339	0.037	0.000616	0.038	13.731	SLU 30	13.8891	39.0078	0.167	2.81							Si
3.39	0.000565	0.037	0.000616	0.038							-9.4381	SLU 32	-9.4381	-36.6796	0.172	3.89	Si
3.51	0.000565	0.037	0.000554	0.038							-13.0246	SLU 32	-11.1695	-36.6531	0.17	3.28	Si

Verifiche a flessione in famiglia SLV (domini sostanzialmente elastici)

La struttura oppure parte di essa, è stata dichiarata come non dissipativa pertanto la verifica a pressoflessione, per tutte o solo alcune sezioni, viene eseguita calcolando i momenti resistenti in campo sostanzialmente elastico secondo D.M. 17-01-2018 §7.4.1

Le dilatazioni ultime utilizzate sono le seguenti: $\epsilon_c=0.002$, $\epsilon_{yd}=0.00193$

E' attiva l'opzione fattori parziali di sicurezza unitari per meccanismi duttili di strutture esistenti con fattore q

x	A sup.	C.b. sup.	A inf.	C.b. inf.	M+ela	Comb.	M+des	M+ult	x/d	coeff	M-ela	Comb.	M-des	M-ult	x/d	coeff	Verifica
0	0.000565	0.037	0.000482	0.038	40.591	SLV 14	40.1103	33.7502	0.199	0.84	-56.4421	SLV 3	-53.5015	-39.5251	0.213	0.74	Si
0.13	0.000565	0.037	0.000616	0.038	39.5455	SLV 14	39.5455	42.5993	0.221	1.08	-50.645	SLV 3	-50.645	-39.5114	0.213	0.78	Si
1.76	0.000339	0.037	0.000616	0.038	9.6854	SLV 14	15.2977	42.6352	0.223	2.79							Si
3.39	0.000565	0.037	0.000616	0.038	37.7155	SLV 3	37.7155	42.5993	0.221	1.13	-50.5519	SLV 14	-50.5519	-39.5114	0.213	0.78	No
3.51	0.000565	0.037	0.000554	0.038	38.6944	SLV 3	38.247	38.5545	0.211	1.01	-56.4156	SLV 14	-53.4417	-39.5179	0.213	0.74	No

Verifiche SLD Resistenza a flessione (domini sostanzialmente elastici)

La struttura oppure parte di essa, è stata dichiarata come non dissipativa pertanto la verifica a pressoflessione, per tutte o solo alcune sezioni, viene eseguita calcolando i momenti resistenti in campo sostanzialmente elastico secondo D.M. 17-01-2018 §7.4.1

Le dilatazioni ultime utilizzate sono le seguenti: $\epsilon_c=0.002$, $\epsilon_{yd}=0.00193$

x	A sup.	C.b. sup.	A inf.	C.b. inf.	M+ela	Comb.	M+des	M+ult	x/d	coeff	M-ela	Comb.	M-des	M-ult	x/d	coeff	Verifica
0	0.000565	0.037	0.000482	0.038	11.5332	SLD 14	11.5332	33.7502	0.199	2.93	-27.3842	SLD 3	-25.4661	-39.5251	0.213	1.55	Si
0.13	0.000565	0.037	0.000616	0.038	12.5366	SLD 14	13.8455	42.5993	0.221	3.08	-23.6361	SLD 3	-23.6361	-39.5114	0.213	1.67	Si
1.76	0.000339	0.037	0.000616	0.038	9.3818	SLD 14	11.5028	42.6352	0.223	3.71							Si
3.39	0.000565	0.037	0.000616	0.038	11.2866	SLD 3	12.7094	42.5993	0.221	3.35	-24.1231	SLD 14	-24.1231	-39.5114	0.213	1.64	Si
3.51	0.000565	0.037	0.000554	0.038	10.2166	SLD 3	10.2166	38.5545	0.211	3.77	-27.9378	SLD 14	-25.9883	-39.5179	0.213	1.52	Si

Verifiche a taglio in famiglia SLU

x	A st	A sl	A sag	Vela	Comb.	Vdes	Vrd	Vrcd	Vrsd	Vult	cotgθ	coeff	Verifica
0	0	0.000565	0	29.03	SLU 30	29.03	67.12	293.69	0	67.12	2.5	2.31	Si
0.13	0.0000038	0.000565	0	26.94	SLU 30	26.94	67.12	293.69	57.18	67.12	2.5	2.49	Si
1.76	0.0000038	0.000616	0	-0.39	SLU 32	-0.39	-68.81	-292.16	-56.89	-68.81	2.5	175.53	Si
3.39	0.0000038	0.000565	0	-27.7	SLU 32	-27.7	-67.12	-293.69	-57.18	-67.12	2.5	2.42	Si
3.51	0	0.000565	0	-29.8	SLU 32	-29.8	-67.12	-293.69	0	-67.12	2.5	2.25	Si

Verifiche a taglio in famiglia SLV

x	A st	A sl	A sag	Vela	Comb.	Vdes	Vrd	Vrcd	Vrsd	Vult	cotgθ	coeff	Verifica
0	0	0.000565	0	47.13	SLV 3	47.13	67.12	293.69	0	67.12	2.5	1.42	Si
0.13	0	0.000616	0	-7.61	SLV 14	-7.61	-68.81	-292.16	0	-68.81	2.5	9.04	Si
0.13	0.0000038	0.000565	0	45.7	SLV 3	45.7	67.12	293.69	57.18	67.12	2.5	1.47	Si
0.13	0.0000038	0.000616	0	-9.04	SLV 14	-9.04	-68.81	-292.16	-56.89	-68.81	2.5	7.61	Si
1.76	0.0000038	0.000616	0	27.1	SLV 3	27.1	68.81	292.16	56.89	68.81	2.5	2.54	Si
1.76	0.0000038	0.000616	0	-27.64	SLV 14	-27.64	-68.81	-292.16	-56.89	-68.81	2.5	2.49	Si
3.39	0.0000038	0.000616	0	8.51	SLV 3	8.51	68.81	292.16	56.89	68.81	2.5	8.09	Si
3.39	0.0000038	0.000565	0	-46.24	SLV 14	-46.24	-67.12	-293.69	-57.18	-67.12	2.5	1.45	Si
3.51	0	0.000616	0	7.08	SLV 3	7.08	68.81	292.16	0	68.81	2.5	9.72	Si
3.51	0	0.000565	0	-47.66	SLV 14	-47.66	-67.12	-293.69	0	-67.12	2.5	1.41	Si

Verifiche SLD Resistenza a taglio

x	A st	A sl	A sag	Vela	Comb.	Vdes	Vrd	Vrcd	Vrsd	Vult	cotgθ	coeff	Verifica
0	0	0.000565	0	30.74	SLD 3	30.74	67.12	293.69	0	67.12	2.5	2.18	Si
0.13	0.0000038	0.000565	0	29.31	SLD 3	29.31	67.12	293.69	57.18	67.12	2.5	2.29	Si
1.76	0.0000038	0.000616	0	10.71	SLD 3	10.71	68.81	292.16	56.89	68.81	2.5	6.42	Si
1.76	0.0000038	0.000616	0	-11.25	SLD 14	-11.25	-68.81	-292.16	-56.89	-68.81	2.5	6.12	Si
3.39	0.0000038	0.000565	0	-29.84	SLD 14	-29.84	-67.12	-293.69	-57.18	-67.12	2.5	2.25	Si
3.51	0	0.000565	0	-31.27	SLD 14	-31.27	-67.12	-293.69	0	-67.12	2.5	2.15	Si

Indicatori di rischio sismico SLV

x	T gravità	T sisma	T ultimo	Comb.	Pga	Tr	Ind. taglio	M gravità	M sisma	M ultimo	Comb.	Pga	Tr	Ind. momento	Ver
0.13	18.33	27.37	67.12	SLV 3	0.26	2114	1.389	-5.5498	-45.0952	-39.5114	SLV 3	0.15	450	0.736	Si
1.76	-0.27	-27.37	-68.81	SLV 14	0.26	2114	1.389	8.9644	-6.3334	-24.3677	SLV 3	0.26	2114	1.389	Si
3.39	-18.87	-27.37	-67.12	SLV 14	0.26	2114	1.389	-6.4182	-44.1337	-39.5114	SLV 14	0.15	445	0.733	No

Indicatori di rischio sismico SLD resistenza

x	T gravità	T sisma	T ultimo	Comb.	Pga	Tr	Ind. taglio	M gravità	M sisma	M ultimo	Comb.	Pga	Tr	Ind. momento	Ver
0.13	18.33	10.98	67.12	SLD 3	0.26	2110	3.477	-5.5498	-18.0864	-39.5114	SLD 3	0.15	446	1.838	Si
1.76	-0.27	-10.98	-68.81	SLD 14	0.26	2110	3.477	8.9644	-2.5385	-24.3677	SLD 3	0.26	2110	3.477	Si
3.39	-18.87	-10.98	-67.12	SLD 14	0.26	2110	3.477	-6.4182	-17.7049	-39.5114	SLD 14	0.15	441	1.83	Si

Campata 3 tra i fili P2 - 2, sezione R 60x23, asta 38**Verifiche a flessione in famiglia SLU**

x	A sup.	C.b. sup.	A inf.	C.b. inf.	M+ela	Comb.	M+des	M+ult	x/d	coeff	M-ela	Comb.	M-des	M-ult	x/d	coeff	Verifica
0	0.000565	0.037	0.000554	0.038							-1.3404	SLU 33	-0.9219	-36.6531	0.17	39.76	Si
0.13	0.000565	0.037	0	0							-0.6339	SLU 33	-0.6339	-35.7193	0.129	56.35	Si
0.2	0.000565	0.037	0.000189	0.037	-0.2172	SLU 1	0	15.7426	0.141	+	-0.3351	SLU 33	-0.6339	-36.2602	0.152	57.2	Si
0.37	0	0	0	0	-0.0039	SLU 8	0	0	0	+	-0.006	SLU 30	-0.4843	0	0	0	Si
0.4	0	0	0	0	0	SLU 33	0	0	0	+	0	SLU 1	-0.3828	0	0	0	Si

Verifiche a flessione in famiglia SLV (domini sostanzialmente elastici)

La struttura oppure parte di essa, è stata dichiarata come non dissipativa pertanto la verifica a pressoflessione, per tutte o solo alcune sezioni, viene eseguita calcolando i momenti resistenti in campo sostanzialmente elastico secondo D.M. 17-01-2018 §7.4.1

Le dilatazioni ultime utilizzate sono le seguenti: $\epsilon_c=0.002$, $\epsilon_{yd}=0.00193$

E' attiva l'opzione fattori parziali di sicurezza unitari per meccanismi duttili di strutture esistenti con fattore q

x	A sup.	C.b. sup.	A inf.	C.b. inf.	M+ela	Comb.	M+des	M+ult	x/d	coeff	M-ela	Comb.	M-des	M-ult	x/d	coeff	Verifica
0	0.000565	0.037	0.000554	0.038							-0.9128	SLV 16	-0.6278	-39.5179	0.213	62.95	Si
0.13	0.000565	0.037	0	0							-0.4317	SLV 16	-0.4317	-39.5794	0.215	91.68	Si
0.2	0.000565	0.037	0.000189	0.037	-0.2282	SLV 5	0	14.0477	0.138	+	-0.2282	SLV 12	-0.4317	-39.5527	0.214	91.62	Si
0.37	0	0	0	0	-0.0041	SLV 6	0	0	0	+	-0.0041	SLV 11	-0.3298	0	0	0	Si
0.4	0	0	0	0	0	SLV 6	0	0	0	+	0	SLV 11	-0.2607	0	0	0	Si

Verifiche SLD Resistenza a flessione (domini sostanzialmente elastici)

La struttura oppure parte di essa, è stata dichiarata come non dissipativa pertanto la verifica a pressoflessione, per tutte o solo alcune sezioni, viene eseguita calcolando i momenti resistenti in campo sostanzialmente elastico secondo D.M. 17-01-2018 §7.4.1

Le dilatazioni ultime utilizzate sono le seguenti: $\epsilon_c=0.002$, $\epsilon_{yd}=0.00193$

x	A sup.	C.b. sup.	A inf.	C.b. inf.	M+ela	Comb.	M+des	M+ult	x/d	coeff	M-ela	Comb.	M-des	M-ult	x/d	coeff	Verifica
0	0.000565	0.037	0.000554	0.038							-0.9128	SLD 16	-0.6278	-39.5179	0.213	62.95	Si
0.13	0.000565	0.037	0	0							-0.4317	SLD 16	-0.4317	-39.5794	0.215	91.68	Si
0.2	0.000565	0.037	0.000189	0.037	-0.2282	SLD 5	0	14.0477	0.138	+	-0.2282	SLD 12	-0.4317	-39.5527	0.214	91.62	Si

x	A sup.	C.b. sup.	A inf.	C.b. inf.	M+ela	Comb.	M+des	M+ult	x/d	coeff	M-ela	Comb.	M-des	M-ult	x/d	coeff	Verifica
0.37	0	0	0	0	-0.0041	SLD 5	0	0	0	++	-0.0041	SLD 12	-0.3298	0	0	0	Si
0.4	0	0	0	0	0	SLD 5	0	0	0	++	0	SLD 12	-0.2607	0	0	0	Si

Verifiche a taglio in famiglia SLU

x	A st	A sl	A sag	Vela	Comb.	Vdes	Vrd	Vrcd	Vrsd	Vult	cotgθ	coeff	Verifica
0	0	0.000565	0	6.7	SLU 33	6.7	67.12	293.69	0	67.12	2.5	10.01	Si
0.13	0.0000041	0.000565	0	4.61	SLU 33	4.61	67.12	293.69	61.63	67.12	2.5	14.57	Si
0.2	0.0000041	0	0	3.35	SLU 33	3.35	61.57	293.69	61.63	61.63	2.5	18.39	Si
0.4	0.0000041	0	0	0	Ger.	0	69.69	349.99	73.44	73.44	2.5	651493456672297	Si

Verifiche a taglio in famiglia SLV

x	A st	A sl	A sag	Vela	Comb.	Vdes	Vrd	Vrcd	Vrsd	Vult	cotgθ	coeff	Verifica
0	0	0.000565	0	4.56	SLV 2	4.56	67.12	293.69	0	67.12	2.5	14.71	Si
0.13	0.0000041	0.000565	0	3.14	SLV 2	3.14	67.12	293.69	61.63	67.12	2.5	21.39	Si
0.2	0.0000041	0	0	2.28	SLV 2	2.28	61.57	293.69	61.63	61.63	2.5	27	Si
0.4	0.0000041	0	0	0	Ger.	0	69.69	349.99	73.44	73.44	2.5	100072069420593	Si
0.4	0.0000041	0	0	0	Ger.	0	-69.69	-349.99	-73.44	-73.44	2.5	122262218680675	Si

Verifiche SLD Resistenza a taglio

x	A st	A sl	A sag	Vela	Comb.	Vdes	Vrd	Vrcd	Vrsd	Vult	cotgθ	coeff	Verifica
0	0	0.000565	0	4.56	SLD 15	4.56	67.12	293.69	0	67.12	2.5	14.71	Si
0.13	0.0000041	0.000565	0	3.14	SLD 15	3.14	67.12	293.69	61.63	67.12	2.5	21.39	Si
0.2	0.0000041	0	0	2.28	SLD 15	2.28	61.57	293.69	61.63	61.63	2.5	27	Si
0.4	0.0000041	0	0	0	Ger.	0	69.69	349.99	73.44	73.44	2.5	218669142436262	Si
0.4	0.0000041	0	0	0	Ger.	0	-69.69	-349.99	-73.44	-73.44	2.5	362378602510509	Si

Indicatori di rischio sismico SLV

x	T gravità	T sisma	T ultimo	Comb.	Pga	Tr	Ind. taglio	M gravità	M sisma	M ultimo	Comb.	Pga	Tr	Ind. momento	Ver
0.13	3.14	0	67.12	SLV 2	0.26	2114	1.389	-0.4317	0	-39.5794	SLV 1	0.26	2114	1.389	Si
0.2	2.28	0	61.63	SLV 2	0.26	2114	1.389	0	0	14.0477	SLV 1	0.26	2114	1.389	Si
0.37	0.3	0	73.44	SLV 2	0.26	2114	1.389	-0.3298	0	0	SLV 1	0	0	0	Si
0.4	0	0	73.44	SLV 2	0.26	2114	1.389	0	0	0	SLV 1	0.26	2114	1.389	Si

Indicatori di rischio sismico SLD resistenza

x	T gravità	T sisma	T ultimo	Comb.	Pga	Tr	Ind. taglio	M gravità	M sisma	M ultimo	Comb.	Pga	Tr	Ind. momento	Ver
0.13	3.14	0	67.12	SLD 15	0.26	2110	3.477	-0.4317	0	-39.5794	SLD 1	0.26	2110	3.477	Si
0.2	2.28	0	61.63	SLD 15	0.26	2110	3.477	0	0	14.0477	SLD 1	0.26	2110	3.477	Si
0.37	0.3	0	73.44	SLD 15	0.26	2110	3.477	-0.3298	0	0	SLD 1	0	0	0	Si
0.4	0	0	73.44	SLD 15	0.26	2110	3.477	0	0	0	SLD 1	0.26	2110	3.477	Si

5.3 Verifica sismica globale

Le unità di misura elencate nel capitolo sono in [m, kN, deg] ove non espressamente specificato.

Desc.: descrizione.

Stato limite: (C.A.) tipologia di verifica analizzata.

Molt.: moltiplicatore minimo della azione sismica che produce lo stato limite.

Comb.: combinazione.

PGA: accelerazione al suolo.

iPGA (ζE): indicatore di rischio sismico in termini di PGA ovvero rapporto tra l'azione sismica massima sopportabile dall'elemento e l'azione sismica massima che si utilizzerebbe nel progetto nuovo (§C8.3).

TR: tempo di ritorno.

(TR/TRrif)^{0.41}: indicatore di rischio sismico in termini di periodo di ritorno.

fa: fattore di accelerazione.

Trave: titolo della trave.

Verifica: stato di verifica.

Pressoflessione: dati della verifica a pressoflessione.

Coeff.s.: coefficiente di sicurezza a flessione.

iTR: indicatore di rischio sismico in termini di tempo di ritorno.

campata: campata di riferimento.

dist.: ascissa relativa all'inizio della campata. [m]

C.S. PF: coefficiente di sicurezza a flessione.

Taglio: dati della verifica a taglio.

Coeff.s.: coefficiente di sicurezza a taglio.

C.S. T: coefficiente di sicurezza a taglio.

Pilastro: titolo del pilastro.

Instabilità: coefficiente di sicurezza instabilità.

Nodi: dati della verifica dei nodi.

C.S. N: coefficiente di sicurezza del nodo.

Conf.: nodo interamente confinato.

Pilastro: pilastro cui appartiene il nodo.

Quota: quota del nodo. [m]

Ag: area della sezione trasversale del pilastro. [m²]

Angolo Trave: angolo della giacitura della trave considerata rispetto al sistema di riferimento globale. [deg]

Compressione: dati della verifica della tensione di compressione del nodo.

Vnc: azione tagliante sul nodo per il calcolo della tensione di compressione. [kN]

Nc: azione assiale sul nodo per il calcolo della tensione di compressione. [kN]

Snc: tensione di compressione agente. [kN/m²]

Snc,lim: tensione di compressione limite. [kN/m²]

Comb. c: combinazione che dà il valore peggiore per la tensione di compressione.

Trazione: dati della verifica della tensione di trazione del nodo.

Vnt: azione tagliante sul nodo per il calcolo della tensione di trazione. [kN]

Nt: azione assiale sul nodo per il calcolo della tensione di trazione. [kN]

Snt: tensione di trazione agente. [kN/m²]

Snt,lim: tensione di trazione limite. [kN/m²]

Comb. t: combinazione che dà il valore peggiore per la tensione di trazione.

TR,C: periodo di ritorno di capacità.

TR,Rif: periodo di ritorno di riferimento.

PAM: perdita media annua attesa.

Classe PAM: classe di rischio PAM.

IS-V: indice di sicurezza.

Classe IS-V: classe di rischio IS-V.

Tipo rottura: tipo di rottura che fornisce il valore minimo degli elementi considerati.

λ,SLR: frequenza media annua di superamento in Stato Limite di Ricostruzione.

λ,SLC: frequenza media annua di superamento in Stato Limite di Collasso.

λ,SLV: frequenza media annua di superamento in Stato Limite di salvaguardia della Vita.

λ,SLD: frequenza media annua di superamento in Stato Limite di Danno.

λ,SLO: frequenza media annua di superamento in Stato Limite di Operatività.

λ,SLID: frequenza media annua di superamento in Stato Limite di Inizio Danno.

Verifica di elementi dotati di indicatori di rischio sismico mediante analisi con fattore q

Verifiche condotte secondo D.M. 17-01-18 (N.T.C.) § C8.7.2.4

Accelerazioni e tempi di ritorno

Accelerazione di aggancio SLV (ag/g_SLV*S*ST) PGA,SLVrif = 0.2

Accelerazione di aggancio SLO (ag/g_SLO*S*ST) PGA,SLOrif = 0.069

Tr,SLVrif = 949 anni

Tr,SLOrif = 60 anni

Moltiplicatori minimi delle condizioni sismiche

(Il valore di ζE corrisponde al valore di I.R. PGA secondo quanto riportato nella Circolare 7 21-01-19 §C8.3)

Rottura a taglio

Moltiplicatore: 0.531

Pilastrata P2

Valori azioni gravitazionali N= -126.997 Tx= 25.6 Ty= -2.063

Valori azioni sismiche N= -29.969 Tx= 38.299 Ty= -0.234

Tagli ultimi Tx= 63.858 Ty= 94.718

Combinazione SLV 14

Sezione a quota 3.97

Tempo di ritorno 190 anni

Indicatore iTr=(Tr/Tr,SLVrif)^.41 = 0.517

PGA 0.112

Indicatore iPGA=PGA/PGA,SLVrif = 0.56

Fattore di accelerazione fa = 0.5592

Rottura a flessione

Moltiplicatore: 0.316

Pilastrata P4

Valori azioni gravitazionali N= -151.33 Mx= -85.518 My= -14.604

Valori azioni sismiche N= 38.441 Mx= 19.777 My= -4722.934

Momenti ultimi Mx= -65.761 My= -4738.925

Combinazione SLV 14

Sezione a quota -1

Tempo di ritorno 64 anni

Indicatore iTr=(Tr/Tr,SLVrif)^.41 = 0.331

PGA 0.071

Indicatore iPGA=PGA/PGA,SLVrif = 0.354

Fattore di accelerazione fa = 0.3537

Rottura di un nodo

Moltiplicatore: 0.122

Pilastrata P4

Combinazione SLV 3

Sezione a quota 4.085

Tempo di ritorno 12 anni

Indicatore iTr=(Tr/Tr,SLVrif)^.41 = 0.167

PGA 0.033

Indicatore iPGA=PGA/PGA,SLVrif = 0.163

Fattore di accelerazione fa = 0.1629

Raggiungimento dello spostamento limite di interpiano

Moltiplicatore: 1.901

Combinazione SLO 14

tra Nodo 8 e Nodo 16

Tempo di ritorno 232 anni

Indicatore iTr=(Tr/Tr,SLOrif)^.41 = 1.741

PGA 0.121

Indicatore iPGA=PGA/PGA,SLOrif = 1.757

Indicatori minimi riferiti al solo materiale C.A.

Desc.	Stato limite	Molt.	Comb.	PGA	iPGA (ζE)	TR	(TR/TRrif)^.41	fa
Trave a "Piano 2" P4-2	Taglio	0.999	SLV 14	0.1993	0.9984	944	0.9978	0.9982
	Flessione	0.685	SLV 14	0.1414	0.7084	355	0.6682	0.708
Pilastrata P2	Taglio	0.531	SLV 14	0.1117	0.5595	190	0.5171	0.5592
	Flessione	0.316	SLV 14	0.0706	0.354	64	0.331	0.3537
Pilastrata P4	Nodi	0.122	SLV 3	0.0325	0.163	12	0.1666	0.1629

Verifica a flessione semplice e a taglio delle travi

Trave	Pressoflessione						Taglio						Verifica
	Coeff.s.	Molt.	iPGA (ZE)	iTR	campata	dist.	Coeff.s.	Molt.	iPGA (ZE)	iTR	campata	dist.	
Trave a "Piano 2" P1-2	0.936	0.973	0.975	0.97	2	0.358	2.293	2.686	1.279	1.389	2	0.2	No
Trave a "Piano 2" P3-1	1.034	1.09	1.079	1.106	2	0.358	2.498	3.005	1.279	1.389	2	0.2	Si
Trave a "Piano 2" P3-7	0.849	0.869	0.881	0.859	2	3.276	1.187	1.332	1.279	1.389	2	2.808	No
Trave a "Piano 2" P4-2	0.71	0.685	0.708	0.668	2	3.276	0.999	0.999	0.998	0.998	2	3.385	No
Trave a "Piano 3" 3-5	0.728	1.571	1.279	1.389	2	0.171	1.284	14.714	1.279	1.389	1	0.2	No
Trave a "Piano 3" P1-2	0	0.726	0.748	0.709	3	2.219	1.466	2.119	1.279	1.389	3	2.048	No
Trave a "Piano 3" P3-1	0	0.842	0.857	0.83	3	2.219	1.597	2.521	1.279	1.389	3	2.048	No
Trave a "Piano 3" P3-7	1.161	1.231	1.202	1.279	2	0.234	1.863	2.245	1.279	1.389	2	2.808	Si
Trave a "Piano 3" P4-2	0.739	0.75	0.771	0.733	2	3.276	1.452	1.763	1.279	1.389	2	3.385	No

Verifica a pressoflessione e taglio dei pilastri; verifica dei nodi; verifica di instabilità

Pilastro	Pressoflessione				Taglio				Nodi				Instabilità	Verifica	
	C.S. PF	Molt.	iPGA (ZE)	iTR	C.S. T	Molt.	iPGA (ZE)	iTR	C.S. N	Molt.	iPGA (ZE)	iTR			Conf.
Pilastrata P1	0.399	0.522	0.548	0.507	0.792	0.676	0.7	0.66	0.302	0.154	0.197	0.197	No	0.423	No
Pilastrata P2	0.33	0.467	0.49	0.454	0.688	0.531	0.56	0.517	1000				Si	0.33	No
Pilastrata P3	0.23	0.329	0.367	0.341	1.551	1.563	1.279	1.389	0.32	0.188	0.233	0.229	No	0.23	No
Pilastrata P4	0.219	0.316	0.354	0.331	1.335	1.352	1.279	1.389	0.286	0.122	0.163	0.167	No	0.219	No

Riepilogo dei dati per la verifica dei nodi secondo Circolare 7 21-01-19 §C8.7.2.3.5

Pilastro	Quota	Ag	Angolo Trave	Compressione					Trazione				
				Vnc	Nc	Snc	Snc,lim	Comb. c	Vnt	Nt	Snt	Snt,lim	Comb. t
Pilastrata P1	4.09	0.1	180	431.41	-79.39	5237.3	9614.2	SLV 15	431.41	-79.39	4358.2	1315.5	SLV 15
	4.09	0.1	90	291.8	-79.19	2612.7	9614.2	SLV 10	291.8	-79.19	1993.4	1315.5	SLV 10
	4.09	0.1	0	431.41	-79.39	5237.3	9614.2	SLV 15	431.41	-79.39	4358.2	1315.5	SLV 15
	7.77	0.1	180	253.9	0	2811.7	9614.2	SLV 15	253.9	0	2811.7	1315.5	SLV 15
	7.77	0.1	90	382.46	0	2991.2	9614.2	SLV 10	382.46	0	2991.2	1315.5	SLV 10
Pilastrata P2	4.09	0.1	270	125.21	-70.2	1291.5	9614.2	SLD 7	125.21	-70.2	742.5	1315.5	SLD 7
	4.09	0.1	180	266.7	-77.23	3412	9614.2	SLD 14	266.7	-77.23	2556.6	1315.5	SLD 14
	4.09	0.1	90	125.21	-70.2	1291.5	9614.2	SLD 7	125.21	-70.2	742.5	1315.5	SLD 7
	4.09	0.1	0	266.7	-77.23	3412	9614.2	SLD 14	266.7	-77.23	2556.6	1315.5	SLD 14
	7.77	0.1	270	232.73	0	1820.1	9614.2	SLD 11	232.73	0	1820.1	1315.5	SLD 11
Pilastrata P3	4.09	0.1	180	138.18	0	1530.2	9614.2	SLD 14	138.18	0	1530.2	1315.5	SLD 14
	4.09	0.1	90	232.73	0	1820.1	9614.2	SLD 11	232.73	0	1820.1	1315.5	SLD 11
	7.77	0.1	180	138.18	0	1530.2	9614.2	SLD 14	138.18	0	1530.2	1315.5	SLD 14
	7.77	0.1	90	232.73	0	1820.1	9614.2	SLD 11	232.73	0	1820.1	1315.5	SLD 11
	7.77	0.1	0	138.18	0	1530.2	9614.2	SLD 14	138.18	0	1530.2	1315.5	SLD 14
Pilastrata P4	4.09	0.1	270	262.32	-69.61	2341.7	9614.2	SLV 12	262.32	-69.61	1797.3	1315.5	SLV 12
	4.09	0.1	0	459.31	-91.41	5617.8	9614.2	SLV 3	459.31	-91.41	4605.5	1315.5	SLV 3
	4.09	0.1	90	262.32	-69.61	2341.7	9614.2	SLV 12	262.32	-69.61	1797.3	1315.5	SLV 12
	7.77	0.1	270	351.65	0	2750.2	9614.2	SLV 8	351.65	0	2750.2	1315.5	SLV 8
	7.77	0.1	0	280.99	0	3111.8	9614.2	SLV 3	280.99	0	3111.8	1315.5	SLV 3
Pilastrata P4	7.77	0.1	90	351.65	0	2750.2	9614.2	SLV 8	351.65	0	2750.2	1315.5	SLV 8

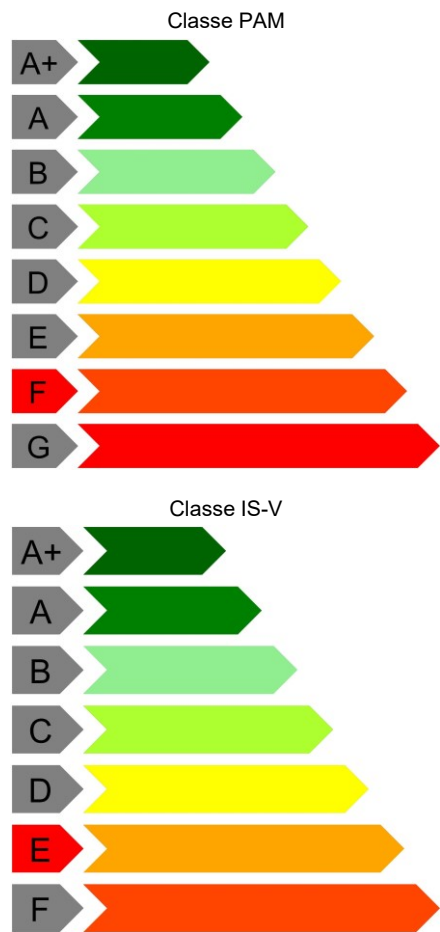
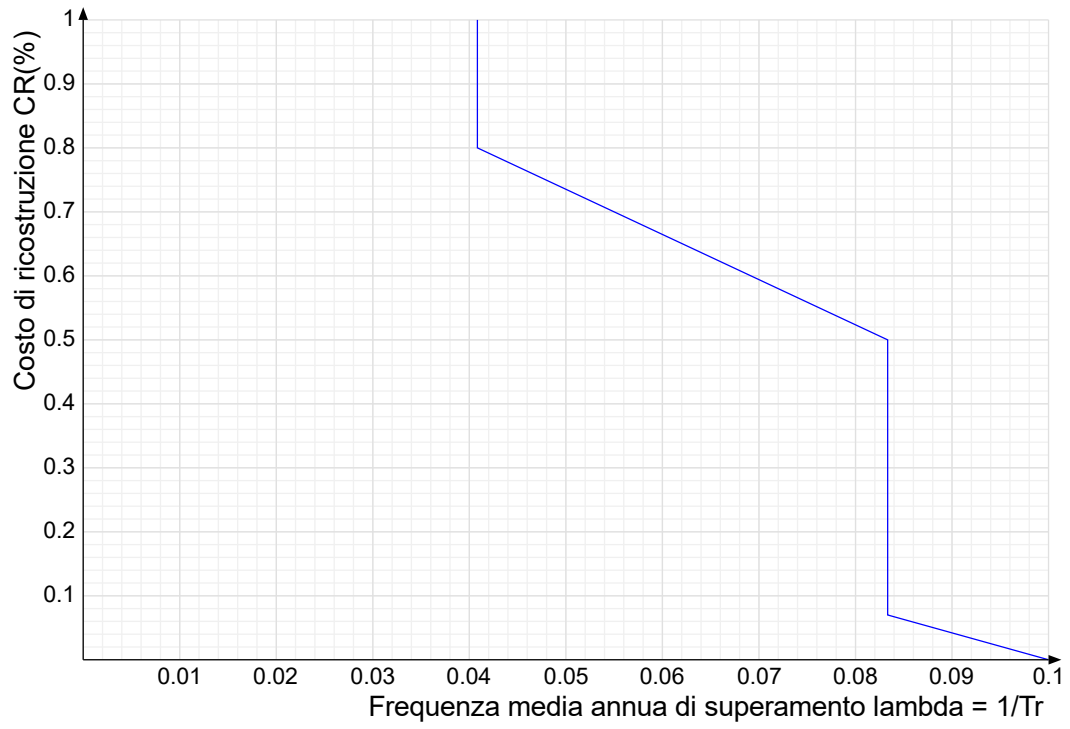
Coefficienti relativi alle Linee guida per la classificazione del rischio sismico delle costruzioni secondo il D.M. 24 09/01/2020

TR,C	TR,Rif	PAM	Classe PAM	IS-V	Classe IS-V	Tipo rottura
12	949	6.904	F	16.295	E	nodo pilastri

Coefficienti λ relativi alle Linee guida per la classificazione del rischio sismico delle costruzioni secondo il D.M. 24 09/01/2020

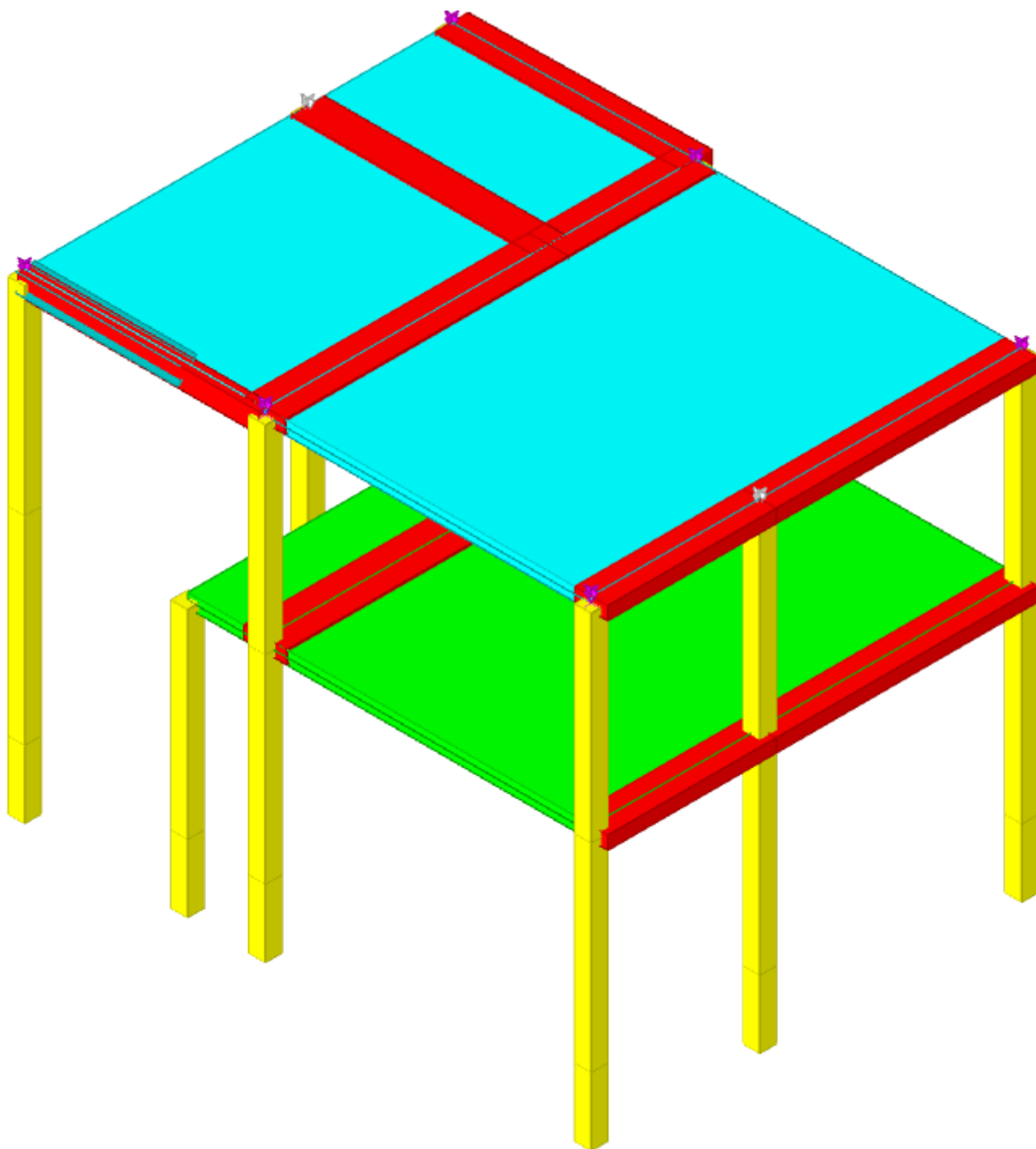
λ_{SLR}	λ_{SLC}	λ_{SLV}	λ_{SLD}	λ_{SLO}	λ_{SLID}
0.040833	0.040833	0.083333	0.083333	0.083333	0.1

Andamento della curva che individua il PAM (Perdita Annuale Media Attesa)



CORPO C

1 Rappresentazione generale dell'edificio



Vista assometrica dell'edificio nella sua interezza

2 Dati generali

2.1 Materiali

2.1.1 Materiali c.a.

Descrizione: Descrizione o nome assegnato all'elemento.

Rck: Resistenza caratteristica cubica; valore medio nel caso di edificio esistente. [kN/m²]

E: Modulo di elasticità longitudinale del materiale per edifici o materiali nuovi. [kN/m²]

Gamma: Peso specifico del materiale. [kN/m³]

Poisson: Coefficiente di Poisson. Il valore è adimensionale.

G: Modulo di elasticità tangenziale del materiale, viene impiegato nella modellazione di aste. [kN/m²]

Alfa: Coefficiente longitudinale di dilatazione termica. [°C⁻¹]

Descrizione	Rck	E	Gamma	Poisson	G	Alfa
C15/18 Vigone C LC2	18100	24857055	25	0.1	Default (11298661)	0.00001

2.1.2 Curve di materiali c.a.

Descrizione: descrizione o nome assegnato all'elemento.

Curva: curva caratteristica.

Reaz.traz.: reagisce a trazione.

Comp.frag.: ha comportamento fragile.

E.compr.: modulo di elasticità a compressione. [kN/m²]

Incr.compr.: incrudimento di compressione. Il valore è adimensionale.

EpsEc: ε elastico a compressione. Il valore è adimensionale.

EpsUc: ε ultimo a compressione. Il valore è adimensionale.

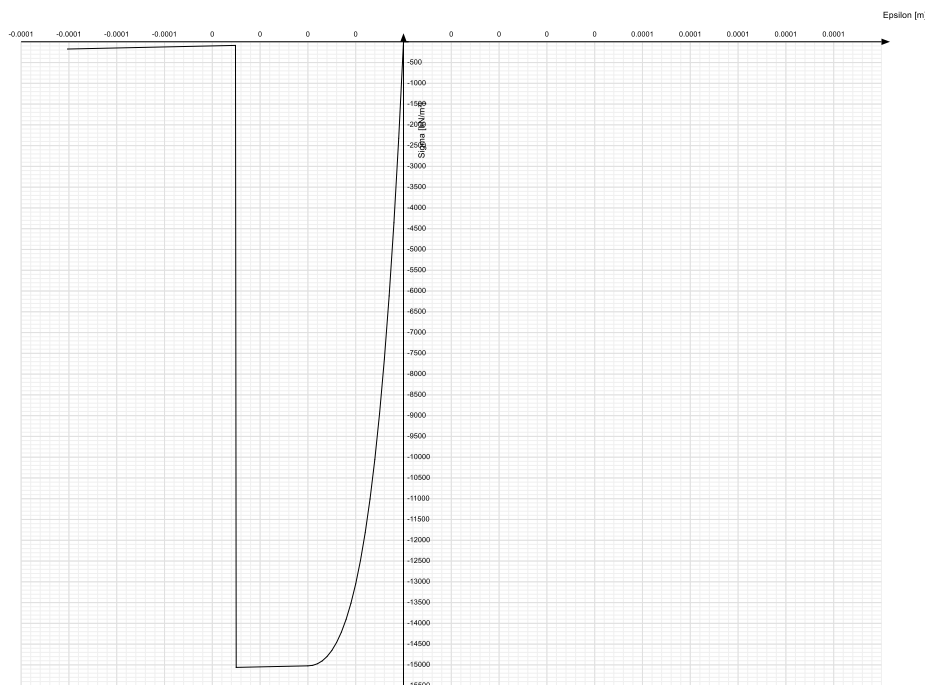
E.traz.: modulo di elasticità a trazione. [kN/m²]

Incr.traz.: incrudimento di trazione. Il valore è adimensionale.

EpsEt: ε elastico a trazione. Il valore è adimensionale.

EpsUt: ε ultimo a trazione. Il valore è adimensionale.

Descrizione	Curva									
	Reaz.traz.	Comp.frag.	E.compr.	Incr.compr.	EpsEc	EpsUc	E.traz.	Incr.traz.	EpsEt	EpsUt
C15/18 Vigone C LC2	No	Si	24857055	0.001	-0.002	-0.0035	24857055	0.001	0.0000514	0.0000566



2.1.3 Armature

Descrizione: descrizione o nome assegnato all'elemento.

fyk: resistenza caratteristica. [kN/m²]

Sigma amm.: tensione ammissibile. [kN/m²]

Tipo: tipo di barra.

E: modulo di elasticità longitudinale del materiale per edifici o materiali nuovi. [kN/m²]

Gamma: peso specifico del materiale. [kN/m³]

Poisson: coefficiente di Poisson. Il valore è adimensionale.

Alfa: coefficiente longitudinale di dilatazione termica. [°C⁻¹]

Livello di conoscenza: indica se il materiale è nuovo o esistente, e in tal caso il livello di conoscenza secondo Circ.617 02/02/09 §C8A. Informazione impiegata solo in analisi D.M. 14-01-08 (N.T.C.) e D.M. 17-01-18 (N.T.C.).

Descrizione	fyk	Sigma amm.	Tipo	E	Gamma	Poisson	Alfa	Livello di conoscenza
Vigone FeB32k LC2	386700	220000	Liscio	206000000	78.5	0.3	0.000012	LC2 (FC = 1.2)

3 Dati di definizione

3.1 Preferenze commessa

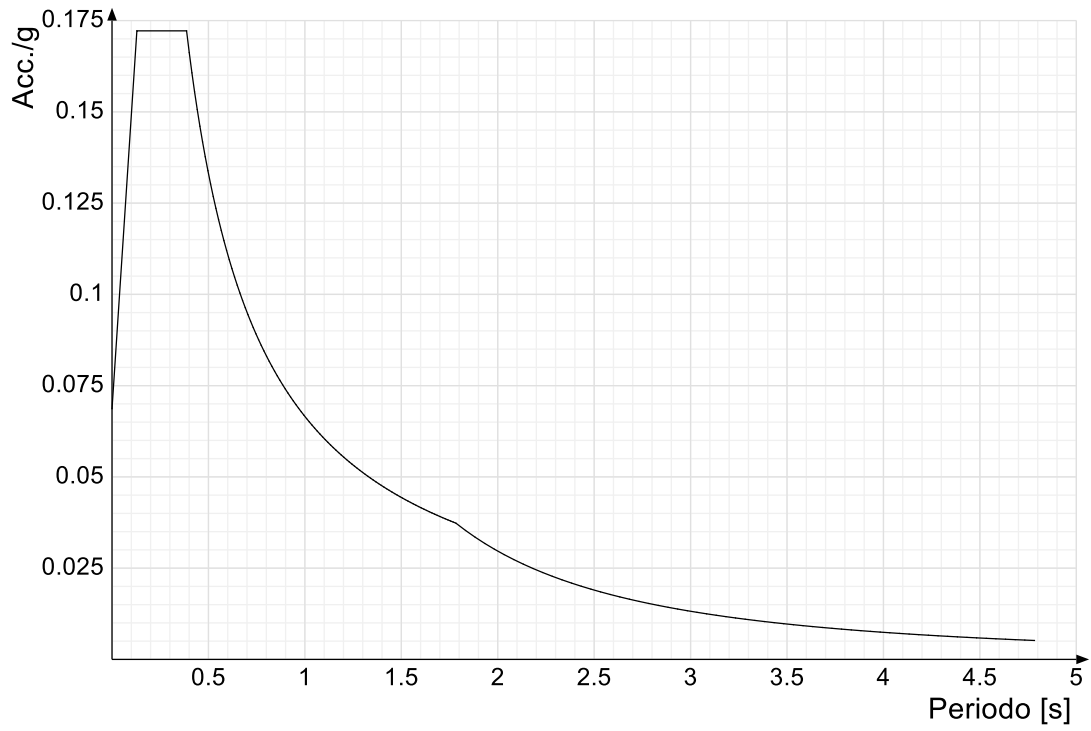
3.1.1 Preferenze di analisi

Metodo di analisi	D.M. 17-01-18 (N.T.C.)	
Tipo di costruzione	2 - Costruzioni con livelli di prestazioni ordinari	
Vn	50	
Classe d'uso	IV	
Vr	100	
Tipo di analisi	Lineare dinamica	
Considera sisma Z	Solo se $A_g \geq 0.15$ g, conformemente a §3.2.3.1	
Località	Torino, Vigone; Latitudine ED50 44.8438° (44° 50' 38''); Longitudine ED50 7.4897° (7° 29' 23''); Altitudine s.l.m. 261.75 m.	
Categoria del suolo	C - Depositi di terreni a grana grossa mediamente addensati o terreni a grana fina mediamente consistenti	
Categoria topografica	T1 - Superficie pianeggiante, pendii e rilievi isolati con inclinazione media $i \leq 15^\circ$	
Ss orizzontale SLO	1.5	
Tb orizzontale SLO	0.129	[s]
Tc orizzontale SLO	0.387	[s]
Td orizzontale SLO	1.783	[s]
Ss orizzontale SLD	1.5	
Tb orizzontale SLD	0.135	[s]
Tc orizzontale SLD	0.404	[s]
Td orizzontale SLD	1.83	[s]
Ss orizzontale SLV	1.4991	
Tb orizzontale SLV	0.145	[s]
Tc orizzontale SLV	0.436	[s]
Td orizzontale SLV	2.133	[s]
St	1	
PVr SLO (%)	81	
Tr SLO	60.21	
Ag/g SLO	0.0458	
Fo SLO	2.508	
Tc* SLO	0.225	[s]
PVr SLD (%)	63	
Tr SLD	101	
Ag/g SLD	0.0574	
Fo SLD	2.52	
Tc* SLD	0.24	[s]
PVr SLV (%)	10	
Tr SLV	949.12	
Ag/g SLV	0.1331	
Fo SLV	2.515	
Tc* SLV	0.27	[s]
Smorzamento viscoso (%)	5	
Classe di duttilità	Non dissipativa	
Rotazione del sisma	0	[deg]
Quota dello '0' sismico	-1	[m]
Regolarità in pianta	No	
Regolarità in elevazione	No	
Edificio C.A.	Si	
Edificio esistente	Si	
Altezza costruzione	6.8	[m]
T1,x	0.98047	[s]
T1,y	1.36588	[s]
λ SLO,x	1	
λ SLO,y	1	
λ SLD,x	1	
λ SLD,y	1	
λ SLV,x	1	
λ SLV,y	1	
Numero modi	9	
Metodo di Ritz	applicato	
Limite spostamenti interpiano SLD	0.005	
Fattore di comportamento per sisma SLD X	1.5	
Fattore di comportamento per sisma SLD Y	1.5	
Fattore di comportamento per sisma SLV X	1.5	
Fattore di comportamento per sisma SLV Y	1.5	
Coefficiente di sicurezza per carico limite (fondazioni superficiali)	2.3	
Coefficiente di sicurezza per scorrimento (fondazioni superficiali)	1.1	
Coefficiente di sicurezza portanza verticale pali infissi, punta	1.15	
Coefficiente di sicurezza portanza verticale pali infissi, laterale compressione	1.15	
Coefficiente di sicurezza portanza verticale pali infissi, laterale trazione	1.25	
Coefficiente di sicurezza portanza verticale pali trivellati, punta	1.35	
Coefficiente di sicurezza portanza verticale pali trivellati, laterale compressione	1.15	
Coefficiente di sicurezza portanza verticale pali trivellati, laterale trazione	1.25	
Coefficiente di sicurezza portanza verticale micropali, punta	1.35	
Coefficiente di sicurezza portanza verticale micropali, laterale compressione	1.15	
Coefficiente di sicurezza portanza verticale micropali, laterale trazione	1.25	
Coefficiente di sicurezza portanza trasversale pali	1.3	
Fattore di correlazione resistenza caratteristica dei pali in base alle verticali indagate	1.7	
Coefficiente di sicurezza per ribaltamento (plinti superficiali)	1.15	
Percentuale di adeguamento (%)	100	
Parametro percentuale di adeguamento	Pga	

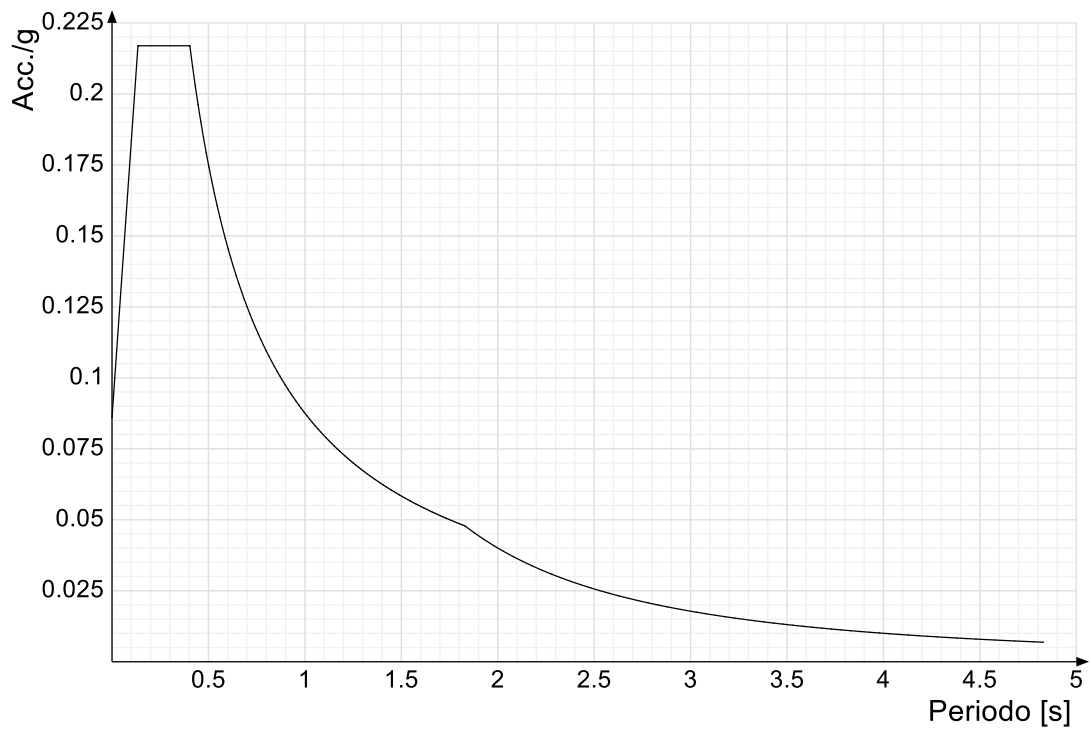
3.1.2 Spettri D.M. 17-01-18

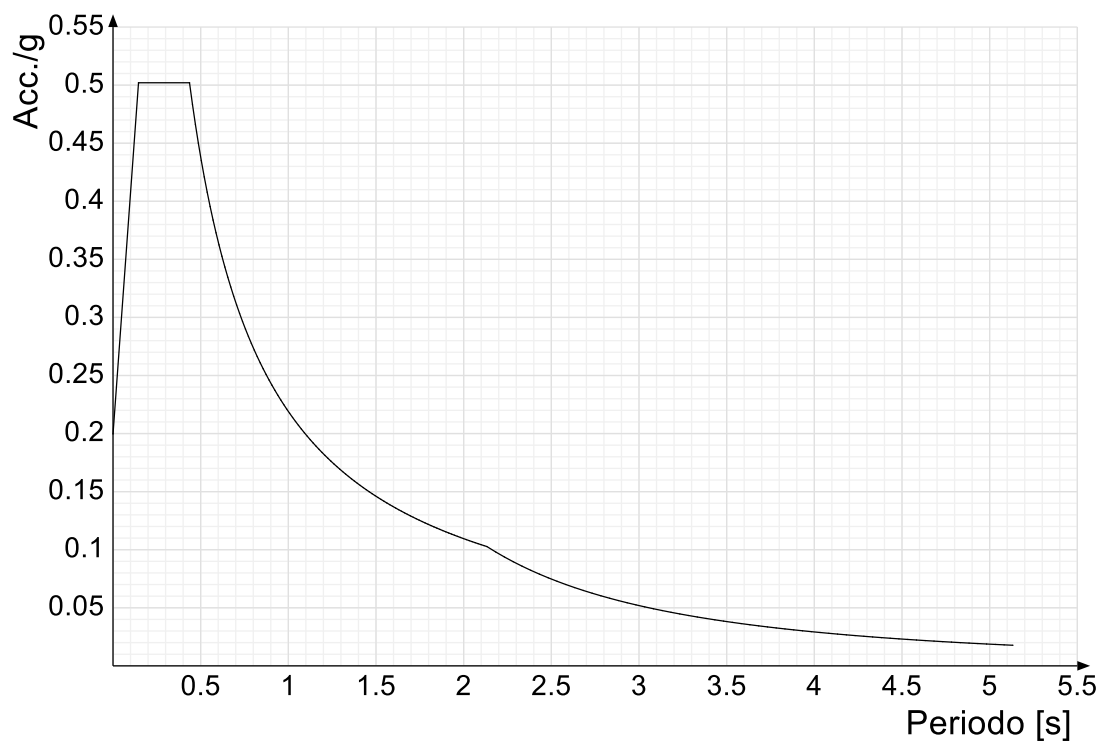
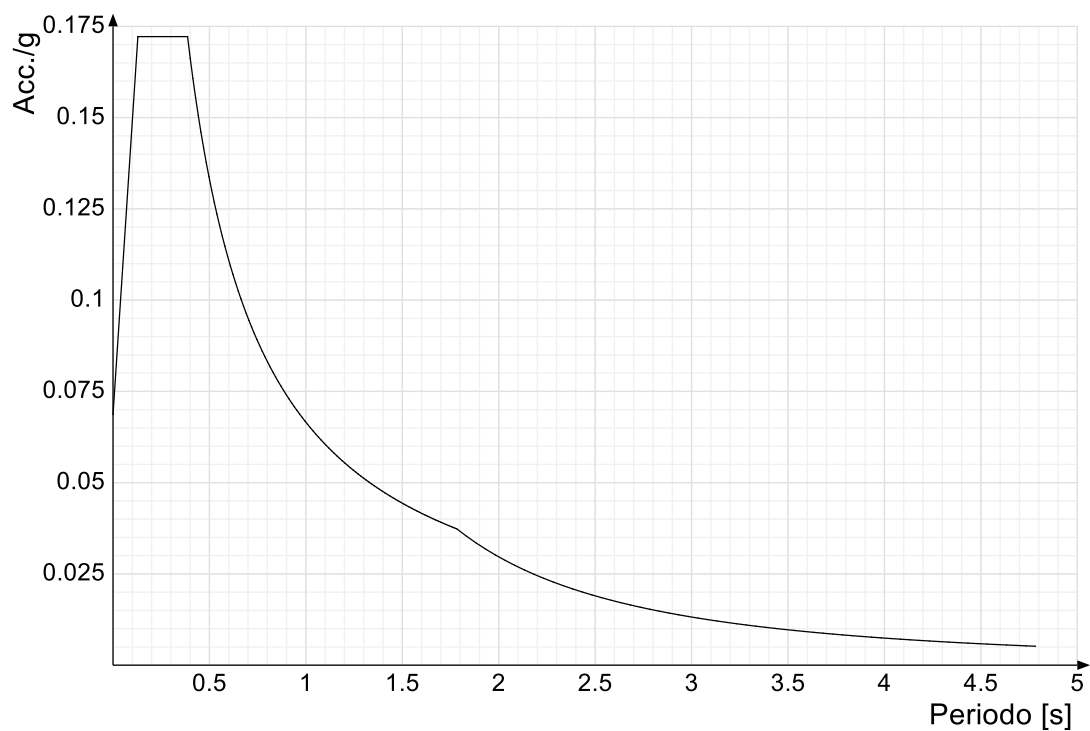
Acc.g: Accelerazione spettrale normalizzata ottenuta dividendo l'accelerazione spettrale per l'accelerazione di gravità.

Spettro di risposta elastico in accelerazione delle componenti orizzontali SLO § 3.2.3.2.1 [3.2.2]

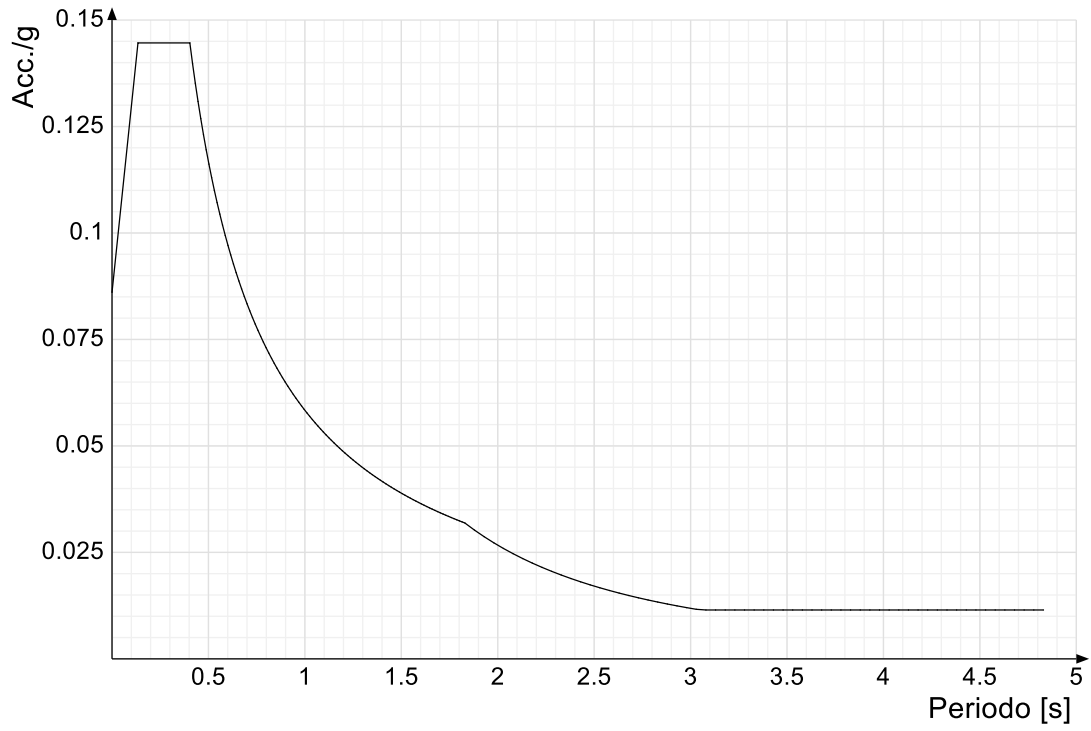


Spettro di risposta elastico in accelerazione delle componenti orizzontali SLD § 3.2.3.2.1 [3.2.2]

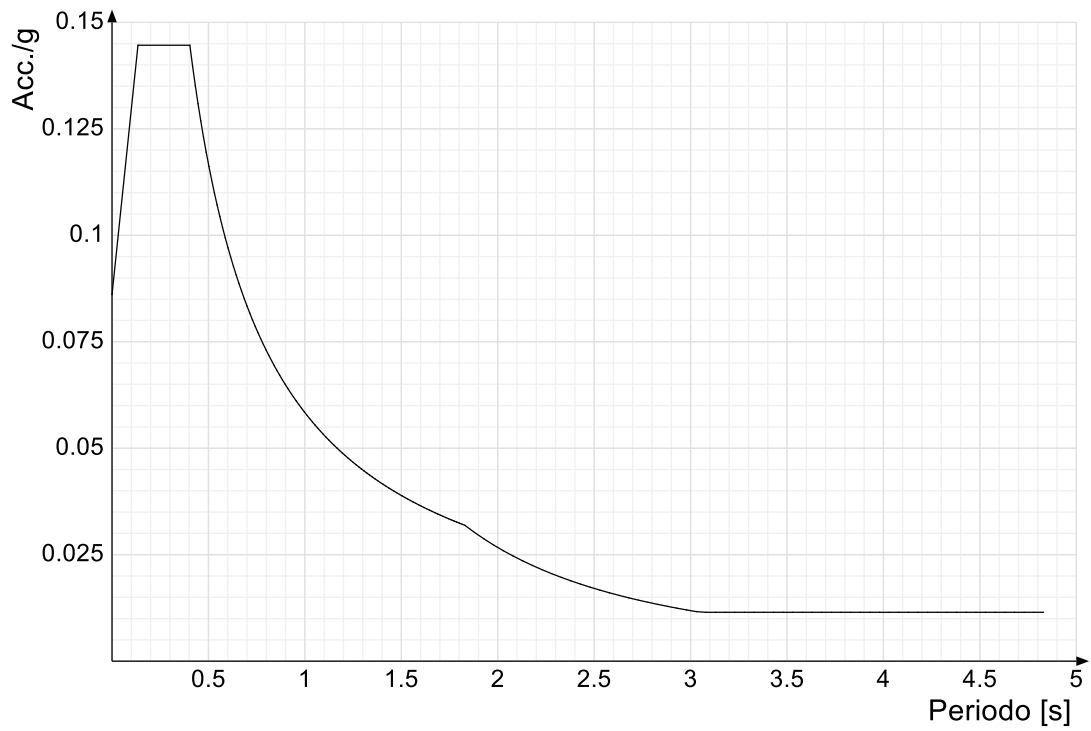


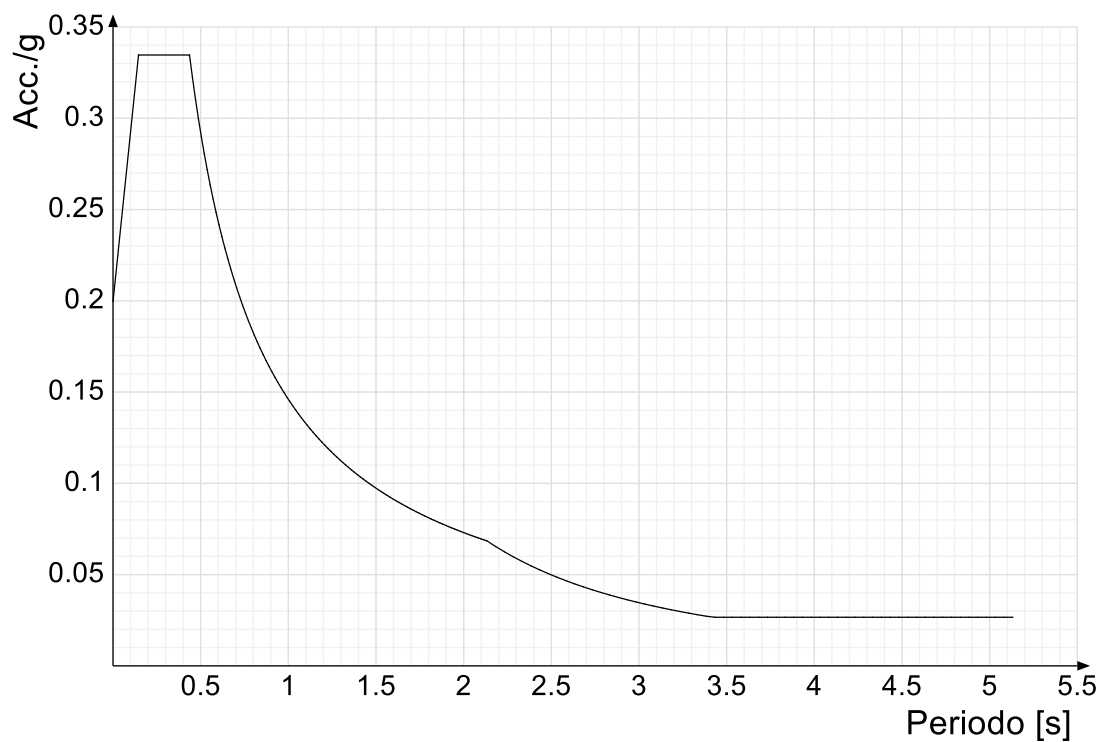
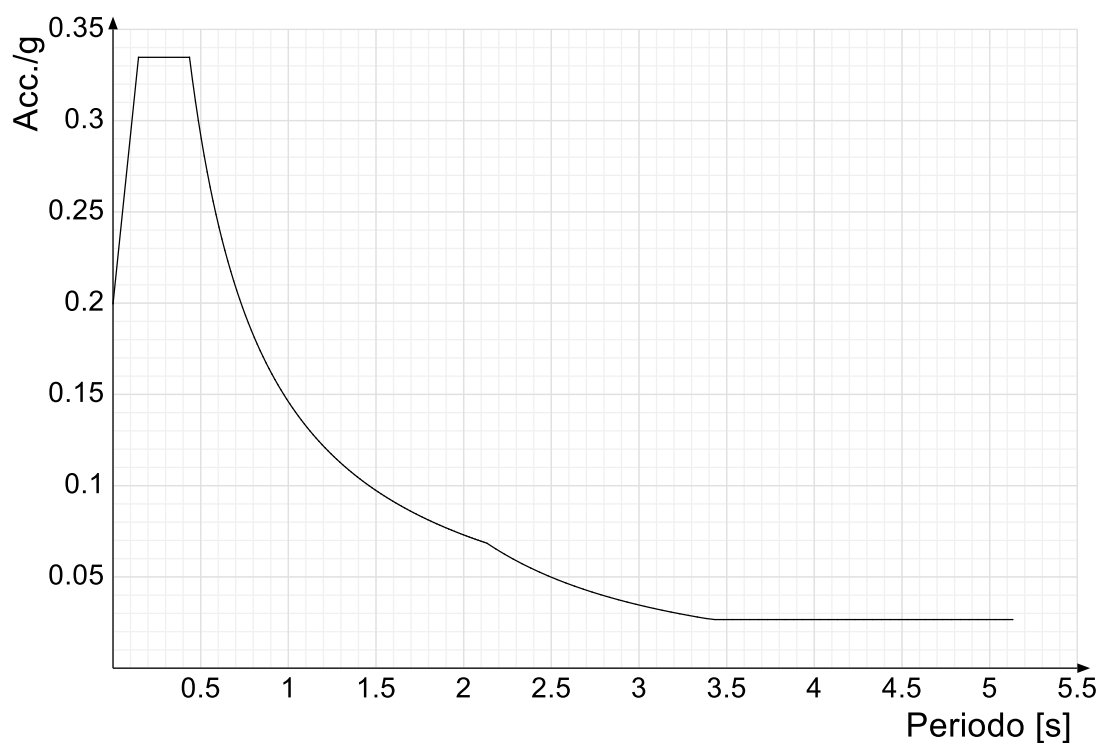
Spettro di risposta elastico in accelerazione delle componenti orizzontali SLV § 3.2.3.2.1 [3.2.2]**Spettro di risposta di progetto in accelerazione delle componenti orizzontali SLO § 3.2.3.4**

Spettro di risposta di progetto in accelerazione della componente X SLD § 3.2.3.5

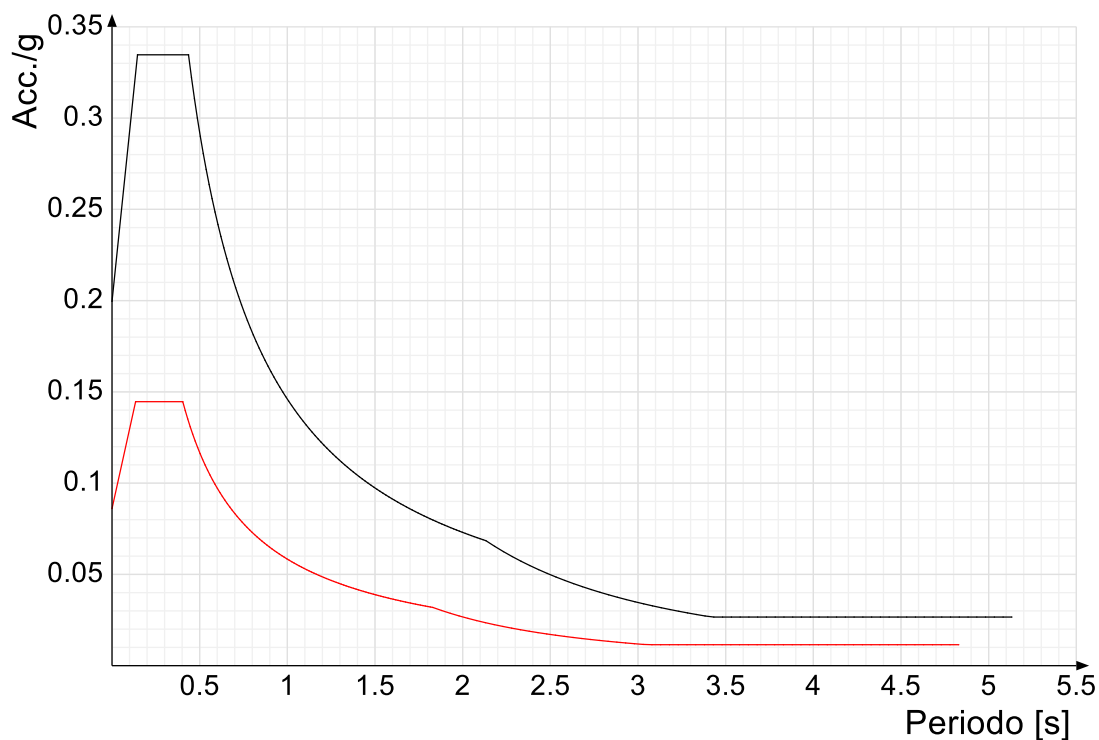


Spettro di risposta di progetto in accelerazione della componente Y SLD § 3.2.3.5

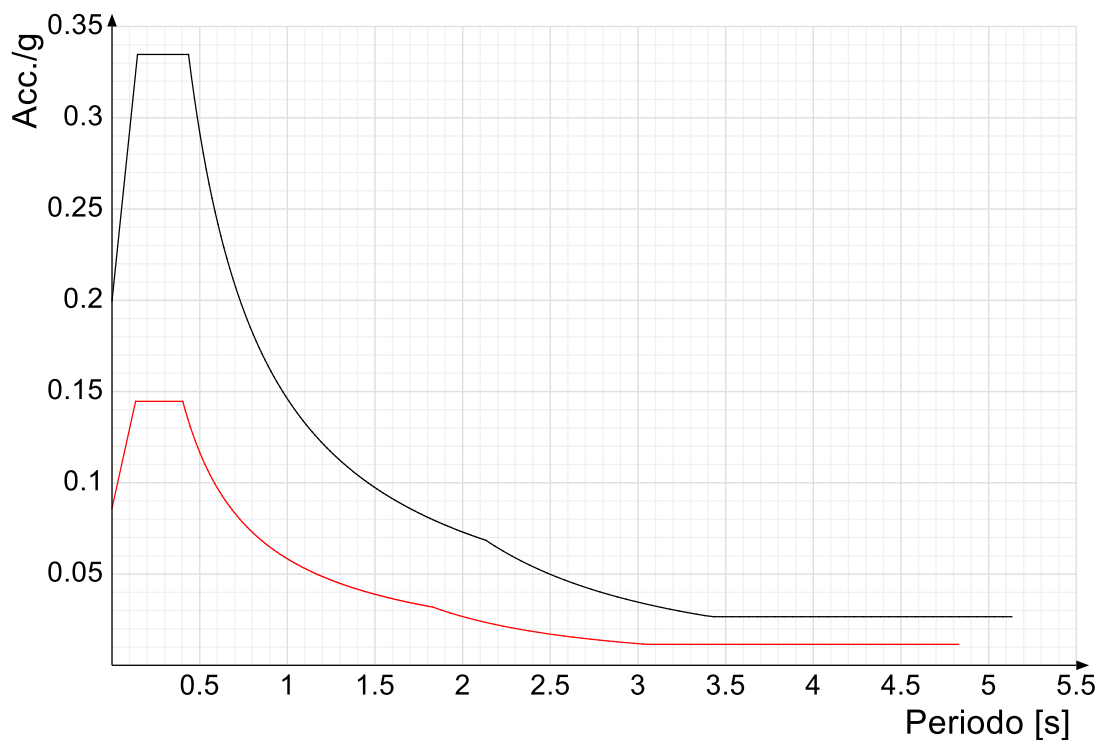


Spettro di risposta di progetto in accelerazione della componente X SLV § 3.2.3.5**Spettro di risposta di progetto in accelerazione della componente Y SLV § 3.2.3.5****Confronti spettri SLV-SLD**

Vengono confrontati lo spettro Spettro di risposta di progetto in accelerazione della componente X SLD § 3.2.3.5 (di colore rosso) e Spettro di risposta di progetto in accelerazione della componente X SLV § 3.2.3.5 (di colore nero).



Vengono confrontati lo spettro Spettro di risposta di progetto in accelerazione della componente Y SLD § 3.2.3.5 (di colore rosso) e Spettro di risposta di progetto in accelerazione della componente Y SLV § 3.2.3.5 (di colore nero).



3.2 Azioni e carichi

3.2.1 Condizioni elementari di carico

Descrizione: nome assegnato alla condizione elementare.

Nome breve: nome breve assegnato alla condizione elementare.

Durata: descrive la durata della condizione (necessario per strutture in legno).

Psi0: coefficiente moltiplicatore ψ_0 . Il valore è adimensionale.

Psi1: coefficiente moltiplicatore ψ_1 . Il valore è adimensionale.

Psi2: coefficiente moltiplicatore ψ_2 . Il valore è adimensionale.

Var.segno: descrive se la condizione elementare ha la possibilità di variare di segno.

Descrizione	Nome breve	Durata	Psi0	Psi1	Psi2	Var.segno
Pesi strutturali	Pesi	Permanente				

Descrizione	Nome breve	Durata	Psi0	Psi1	Psi2	Var.segno
Permanenti portati	Port.	Permanente				
Variabile C	Variabile C	Media	0.7	0.7	0.6	
Neve	Neve	Media	0.5	0.2	0	
ΔT	ΔT	Media	0.6	0.5	0	No
Sisma X SLV	X SLV					
Sisma Y SLV	Y SLV					
Sisma Z SLV	Z SLV					
Eccentricità Y per sisma X SLV	EY SLV					
Eccentricità X per sisma Y SLV	EX SLV					
Sisma X SLD	X SLD					
Sisma Y SLD	Y SLD					
Sisma Z SLD	Z SLD					
Eccentricità Y per sisma X SLD	EY SLD					
Eccentricità X per sisma Y SLD	EX SLD					
Sisma X SLO	X SLO					
Sisma Y SLO	Y SLO					
Sisma Z SLO	Z SLO					
Eccentricità Y per sisma X SLO	EY SLO					
Eccentricità X per sisma Y SLO	EX SLO					
Terreno sisma X SLV	Tr x SLV					
Terreno sisma Y SLV	Tr y SLV					
Terreno sisma Z SLV	Tr z SLV					
Terreno sisma X SLD	Tr x SLD					
Terreno sisma Y SLD	Tr y SLD					
Terreno sisma Z SLD	Tr z SLD					
Terreno sisma X SLO	Tr x SLO					
Terreno sisma Y SLO	Tr y SLO					
Terreno sisma Z SLO	Tr z SLO					
Rig. Ux	R Ux					
Rig. Uy	R Uy					
Rig. Rz	R Rz					

3.2.2 Combinazioni di carico

Nome: E' il nome esteso che contraddistingue la condizione elementare di carico.

Nome breve: E' il nome compatto della condizione elementare di carico, che viene utilizzato altrove nella relazione.

Pesi: Pesi strutturali

Port.: Permanenti portati

Variabile C: Variabile C

Neve: Neve

ΔT : ΔT

X SLO: Sisma X SLO

Y SLO: Sisma Y SLO

Z SLO: Sisma Z SLO

EY SLO: Eccentricità Y per sisma X SLO

EX SLO: Eccentricità X per sisma Y SLO

Tr x SLO: Terreno sisma X SLO

Tr y SLO: Terreno sisma Y SLO

Tr z SLO: Terreno sisma Z SLO

X SLD: Sisma X SLD

Y SLD: Sisma Y SLD

Z SLD: Sisma Z SLD

EY SLD: Eccentricità Y per sisma X SLD

EX SLD: Eccentricità X per sisma Y SLD

Tr x SLD: Terreno sisma X SLD

Tr y SLD: Terreno sisma Y SLD

Tr z SLD: Terreno sisma Z SLD

X SLV: Sisma X SLV

Y SLV: Sisma Y SLV

Z SLV: Sisma Z SLV

EY SLV: Eccentricità Y per sisma X SLV

EX SLV: Eccentricità X per sisma Y SLV

Tr x SLV: Terreno sisma X SLV

Tr y SLV: Terreno sisma Y SLV

Tr z SLV: Terreno sisma Z SLV

R Ux: Rig. Ux

R Uy: Rig. Uy

R Rz: Rig. Rz

Tutte le combinazioni di carico vengono raggruppate per famiglia di appartenenza. Le celle di una riga contengono i coefficienti moltiplicatori della i-esima combinazione, dove il valore della prima cella è da intendersi come moltiplicatore associato alla prima condizione elementare, la seconda cella si riferisce alla seconda condizione elementare e così via.

Famiglia SLU

Il nome compatto della famiglia è SLU.

Nome	Nome breve	Pesi	Port.	Variabile C	Neve	ΔT
1	SLU 1	1	0.8	0	0	0
2	SLU 2	1	0.8	0	1.5	0
3	SLU 3	1	0.8	1.05	1.5	0
4	SLU 4	1	0.8	1.5	0	0
5	SLU 5	1	0.8	1.5	0.75	0
6	SLU 6	1	1.5	0	0	0
7	SLU 7	1	1.5	0	1.5	0
8	SLU 8	1	1.5	1.05	1.5	0
9	SLU 9	1	1.5	1.5	0	0
10	SLU 10	1	1.5	1.5	0.75	0
11	SLU 11	1.3	0.8	0	0	0
12	SLU 12	1.3	0.8	0	1.5	0
13	SLU 13	1.3	0.8	1.05	1.5	0
14	SLU 14	1.3	0.8	1.5	0	0
15	SLU 15	1.3	0.8	1.5	0.75	0

Nome	Nome breve	Pesi	Port.	Variabile C	Neve	ΔT
16	SLU 16	1.3	1.5	0	0	0
17	SLU 17	1.3	1.5	0	1.5	0
18	SLU 18	1.3	1.5	1.05	1.5	0
19	SLU 19	1.3	1.5	1.5	0	0
20	SLU 20	1.3	1.5	1.5	0.75	0

Famiglia SLE rara

Il nome compatto della famiglia è SLE RA.

Nome	Nome breve	Pesi	Port.	Variabile C	Neve	ΔT
1	SLE RA 1	1	1	0	0	0
2	SLE RA 2	1	1	0	1	0
3	SLE RA 3	1	1	0.7	1	0
4	SLE RA 4	1	1	1	0	0
5	SLE RA 5	1	1	1	0.5	0

Famiglia SLE frequente

Il nome compatto della famiglia è SLE FR.

Nome	Nome breve	Pesi	Port.	Variabile C	Neve	ΔT
1	SLE FR 1	1	1	0	0	0
2	SLE FR 2	1	1	0	0.2	0
3	SLE FR 3	1	1	0.6	0.2	0
4	SLE FR 4	1	1	0.7	0	0

Famiglia SLE quasi permanente

Il nome compatto della famiglia è SLE QP.

Nome	Nome breve	Pesi	Port.	Variabile C	Neve	ΔT
1	SLE QP 1	1	1	0	0	0
2	SLE QP 2	1	1	0.6	0	0

Famiglia SLU eccezionale

Il nome compatto della famiglia è SLU EX.

Nome	Nome breve	Pesi	Port.	Variabile C	Neve	ΔT
------	------------	------	-------	-------------	------	------------

Famiglia SLO

Il nome compatto della famiglia è SLO.

Poiché il numero di condizioni elementari previste per le combinazioni di questa famiglia è cospicuo, la tabella verrà spezzata in più parti.

Nome	Nome breve	Pesi	Port.	Variabile C	Neve	ΔT	X SLO	Y SLO
1	SLO 1	1	1	0.6	0	0	-1	-0.3
2	SLO 2	1	1	0.6	0	0	-1	-0.3
3	SLO 3	1	1	0.6	0	0	-1	0.3
4	SLO 4	1	1	0.6	0	0	-1	0.3
5	SLO 5	1	1	0.6	0	0	-0.3	-1
6	SLO 6	1	1	0.6	0	0	-0.3	-1
7	SLO 7	1	1	0.6	0	0	-0.3	1
8	SLO 8	1	1	0.6	0	0	-0.3	1
9	SLO 9	1	1	0.6	0	0	0.3	-1
10	SLO 10	1	1	0.6	0	0	0.3	-1
11	SLO 11	1	1	0.6	0	0	0.3	1
12	SLO 12	1	1	0.6	0	0	0.3	1
13	SLO 13	1	1	0.6	0	0	1	-0.3
14	SLO 14	1	1	0.6	0	0	1	-0.3
15	SLO 15	1	1	0.6	0	0	1	0.3
16	SLO 16	1	1	0.6	0	0	1	0.3

Nome	Nome breve	Z SLO	EY SLO	EX SLO	Tr x SLO	Tr y SLO	Tr z SLO
1	SLO 1	0	-1	0.3	-1	-0.3	0
2	SLO 2	0	1	-0.3	-1	-0.3	0
3	SLO 3	0	-1	0.3	-1	0.3	0
4	SLO 4	0	1	-0.3	-1	0.3	0
5	SLO 5	0	-0.3	1	-0.3	-1	0
6	SLO 6	0	0.3	-1	-0.3	-1	0
7	SLO 7	0	-0.3	1	-0.3	1	0
8	SLO 8	0	0.3	-1	-0.3	1	0
9	SLO 9	0	-0.3	1	0.3	-1	0
10	SLO 10	0	0.3	-1	0.3	-1	0
11	SLO 11	0	-0.3	1	0.3	1	0
12	SLO 12	0	0.3	-1	0.3	1	0
13	SLO 13	0	-1	0.3	1	-0.3	0
14	SLO 14	0	1	-0.3	1	-0.3	0
15	SLO 15	0	-1	0.3	1	0.3	0
16	SLO 16	0	1	-0.3	1	0.3	0

Famiglia SLD

Il nome compatto della famiglia è SLD.

Poiché il numero di condizioni elementari previste per le combinazioni di questa famiglia è cospicuo, la tabella verrà spezzata in più parti.

Nome	Nome breve	Pesi	Port.	Variabile C	Neve	ΔT	X SLD	Y SLD
1	SLD 1	1	1	0.6	0	0	-1	-0.3
2	SLD 2	1	1	0.6	0	0	-1	-0.3
3	SLD 3	1	1	0.6	0	0	-1	0.3
4	SLD 4	1	1	0.6	0	0	-1	0.3
5	SLD 5	1	1	0.6	0	0	-0.3	-1
6	SLD 6	1	1	0.6	0	0	-0.3	-1
7	SLD 7	1	1	0.6	0	0	-0.3	1
8	SLD 8	1	1	0.6	0	0	-0.3	1
9	SLD 9	1	1	0.6	0	0	0.3	-1
10	SLD 10	1	1	0.6	0	0	0.3	-1
11	SLD 11	1	1	0.6	0	0	0.3	1
12	SLD 12	1	1	0.6	0	0	0.3	1
13	SLD 13	1	1	0.6	0	0	1	-0.3
14	SLD 14	1	1	0.6	0	0	1	-0.3
15	SLD 15	1	1	0.6	0	0	1	0.3
16	SLD 16	1	1	0.6	0	0	1	0.3

Nome	Nome breve	Z SLD	EY SLD	EX SLD	Tr x SLD	Tr y SLD	Tr z SLD
1	SLD 1	0	-1	0.3	-1	-0.3	0
2	SLD 2	0	1	-0.3	-1	-0.3	0
3	SLD 3	0	-1	0.3	-1	0.3	0
4	SLD 4	0	1	-0.3	-1	0.3	0
5	SLD 5	0	-0.3	1	-0.3	-1	0
6	SLD 6	0	0.3	-1	-0.3	-1	0
7	SLD 7	0	-0.3	1	-0.3	1	0
8	SLD 8	0	0.3	-1	-0.3	1	0
9	SLD 9	0	-0.3	1	0.3	-1	0
10	SLD 10	0	0.3	-1	0.3	-1	0
11	SLD 11	0	-0.3	1	0.3	1	0
12	SLD 12	0	0.3	-1	0.3	1	0
13	SLD 13	0	-1	0.3	1	-0.3	0
14	SLD 14	0	1	-0.3	1	-0.3	0
15	SLD 15	0	-1	0.3	1	0.3	0
16	SLD 16	0	1	-0.3	1	0.3	0

Famiglia SLV

Il nome compatto della famiglia è SLV.

Poiché il numero di condizioni elementari previste per le combinazioni di questa famiglia è cospicuo, la tabella verrà spezzata in più parti.

Nome	Nome breve	Pesi	Port.	Variabile C	Neve	ΔT	X SLV	Y SLV
1	SLV 1	1	1	0.6	0	0	-1	-0.3
2	SLV 2	1	1	0.6	0	0	-1	-0.3
3	SLV 3	1	1	0.6	0	0	-1	0.3
4	SLV 4	1	1	0.6	0	0	-1	0.3
5	SLV 5	1	1	0.6	0	0	-0.3	-1
6	SLV 6	1	1	0.6	0	0	-0.3	-1
7	SLV 7	1	1	0.6	0	0	-0.3	1
8	SLV 8	1	1	0.6	0	0	-0.3	1
9	SLV 9	1	1	0.6	0	0	0.3	-1
10	SLV 10	1	1	0.6	0	0	0.3	-1
11	SLV 11	1	1	0.6	0	0	0.3	1
12	SLV 12	1	1	0.6	0	0	0.3	1
13	SLV 13	1	1	0.6	0	0	1	-0.3
14	SLV 14	1	1	0.6	0	0	1	-0.3
15	SLV 15	1	1	0.6	0	0	1	0.3
16	SLV 16	1	1	0.6	0	0	1	0.3

Nome	Nome breve	Z SLV	EY SLV	EX SLV	Tr x SLV	Tr y SLV	Tr z SLV
1	SLV 1	0	-1	0.3	-1	-0.3	0
2	SLV 2	0	1	-0.3	-1	-0.3	0
3	SLV 3	0	-1	0.3	-1	0.3	0
4	SLV 4	0	1	-0.3	-1	0.3	0
5	SLV 5	0	-0.3	1	-0.3	-1	0
6	SLV 6	0	0.3	-1	-0.3	-1	0
7	SLV 7	0	-0.3	1	-0.3	1	0
8	SLV 8	0	0.3	-1	-0.3	1	0
9	SLV 9	0	-0.3	1	0.3	-1	0
10	SLV 10	0	0.3	-1	0.3	-1	0
11	SLV 11	0	-0.3	1	0.3	1	0
12	SLV 12	0	0.3	-1	0.3	1	0
13	SLV 13	0	-1	0.3	1	-0.3	0
14	SLV 14	0	1	-0.3	1	-0.3	0
15	SLV 15	0	-1	0.3	1	0.3	0
16	SLV 16	0	1	-0.3	1	0.3	0

Famiglia Calcolo rigidezza torsionale/flessionale di piano

Il nome compatto della famiglia è CRTFP.

Nome	Nome breve	R Ux	R Uy	R Rz
Rig. Ux+	CRTFP Ux+	1	0	0
Rig. Ux-	CRTFP Ux-	-1	0	0
Rig. Uy+	CRTFP Uy+	0	1	0
Rig. Uy-	CRTFP Uy-	0	-1	0
Rig. Rz+	CRTFP Rz+	0	0	1
Rig. Rz-	CRTFP Rz-	0	0	-1

Famiglia P-Delta

Il nome compatto della famiglia è PTH.

Nome	Nome breve	Pesi	Port.	Variabile C	Neve	ΔT
Unica per metodo P-Delta	Pd	1	1	0.6	0	0

3.2.3 Definizioni di carichi concentrati

Nome: nome identificativo della definizione di carico.

Valori: valori associati alle condizioni di carico.

Condizione: condizione di carico a cui sono associati i valori.

Descrizione: nome assegnato alla condizione elementare.

Fx: componente X del carico concentrato. [kN]

Fy: componente Y del carico concentrato. [kN]

Fz: componente Z del carico concentrato. [kN]

Mx: componente di momento della coppia concentrata attorno all'asse X. [kN*m]

My: componente di momento della coppia concentrata attorno all'asse Y. [kN*m]

Mz: componente di momento della coppia concentrata attorno all'asse Z. [kN*m]

Nome	Condizione Descrizione	Valori					
		Fx	Fy	Fz	Mx	My	Mz
Massa muri P2,3,4,7,8,9 1sol	Pesi strutturali	0	0	-162	0	0	0
	Permanenti portati	0	0	0	0	0	0
	Variabile C	0	0	0	0	0	0
Massa muri P5,6 1sol	Neve	0	0	0	0	0	0
	Pesi strutturali	0	0	-118.5	0	0	0

Nome	Condizione	Valori					
		Fx	Fy	Fz	Mx	My	Mz
	Descrizione						
	Permanenti portati	0	0	0	0	0	0
	Variabile C	0	0	0	0	0	0
	Neve	0	0	0	0	0	0
Massa muri P2,3,4,7,8,9 2sol	Pesi strutturali	0	0	-54	0	0	0
	Permanenti portati	0	0	0	0	0	0
	Variabile C	0	0	0	0	0	0
	Neve	0	0	0	0	0	0
Massa muri P5,6 2sol	Pesi strutturali	0	0	-39.5	0	0	0
	Permanenti portati	0	0	0	0	0	0
	Variabile C	0	0	0	0	0	0
	Neve	0	0	0	0	0	0

3.2.4 Definizioni di carichi lineari

Nome: nome identificativo della definizione di carico.

Valori: valori associati alle condizioni di carico.

Condizione: condizione di carico a cui sono associati i valori.

Descrizione: nome assegnato alla condizione elementare.

Fx i.: valore iniziale della forza, per unità di lunghezza, agente in direzione X. [kN/m]

Fx f.: valore finale della forza, per unità di lunghezza, agente in direzione X. [kN/m]

Fy i.: valore iniziale della forza, per unità di lunghezza, agente in direzione Y. [kN/m]

Fy f.: valore finale della forza, per unità di lunghezza, agente in direzione Y. [kN/m]

Fz i.: valore iniziale della forza, per unità di lunghezza, agente in direzione Z. [kN/m]

Fz f.: valore finale della forza, per unità di lunghezza, agente in direzione Z. [kN/m]

Mx i.: valore iniziale della coppia, per unità di lunghezza, agente attorno l'asse X. [kN]

Mx f.: valore finale della coppia, per unità di lunghezza, agente attorno l'asse X. [kN]

My i.: valore iniziale della coppia, per unità di lunghezza, agente attorno l'asse Y. [kN]

My f.: valore finale della coppia, per unità di lunghezza, agente attorno l'asse Y. [kN]

Mz i.: valore iniziale della coppia, per unità di lunghezza, agente attorno l'asse Z. [kN]

Mz f.: valore finale della coppia, per unità di lunghezza, agente attorno l'asse Z. [kN]

Nome	Condizione	Valori											
		Fx i.	Fx f.	Fy i.	Fy f.	Fz i.	Fz f.	Mx i.	Mx f.	My i.	My f.	Mz i.	Mz f.
	Descrizione												
Scala 16+4	Pesi strutturali	0	0	0	0	-6.5	-6.5	0	0	0	0	0	0
	Permanenti portati	0	0	0	0	-3.2	-3.2	0	0	0	0	0	0
	Variabile C	0	0	0	0	-8.6	-8.6	0	0	0	0	0	0
	Neve	0	0	0	0	0	0	0	0	0	0	0	0

3.2.5 Definizioni di carichi superficiali

Nome: nome identificativo della definizione di carico.

Valori: valori associati alle condizioni di carico.

Condizione: condizione di carico a cui sono associati i valori.

Descrizione: nome assegnato alla condizione elementare.

Valore: modulo del carico superficiale applicato alla superficie. [kN/m²]

Applicazione: modalità con cui il carico è applicato alla superficie.

Nome	Condizione	Valore		Applicazione
		Descrizione	Valore	
Solaio 16+4	Pesi strutturali	2.5	Verticale	
	Permanenti portati	1.5	Verticale	
	Variabile C	3	Verticale	
	Neve	0	Verticale	
Sottotetto 16+4	Pesi strutturali	2.5	Verticale	
	Permanenti portati	1.5	Verticale	
	Variabile C	0	Verticale	
	Neve	0	Verticale	

3.3 Quote

3.3.1 Livelli

Descrizione breve: Nome sintetico assegnato al livello.

Descrizione: Nome assegnato al livello.

Quota: Quota superiore espressa nel sistema di riferimento assoluto. [m]

Spessore: Spessore del livello. [m]

Descrizione breve	Descrizione	Quota	Spessore
L1	Fondazione -100	-1	0.45
L2	Piano -10	-0.1	0.2
L3	Piano 1	2.9	0.2
L4	Piano 2	5.9	0.2

3.3.2 Tronchi

Descrizione breve: Nome sintetico assegnato al tronco.

Descrizione: Nome assegnato al tronco.

Quota 1: Riferimento della prima quota di definizione del tronco. esprimibile come livello, falda, piano orizzontale alla Z specificata. [m]

Quota 2: Riferimento della seconda quota di definizione del tronco. esprimibile come livello, falda, piano orizzontale alla Z specificata. [m]

Descrizione breve	Descrizione	Quota 1	Quota 2
T1	Fondazione -100 - Piano -10	Fondazione -100	Piano -10

Descrizione breve	Descrizione	Quota 1	Quota 2
T2	Piano -10 - Piano 1	Piano -10	Piano 1
T3	Piano 1 - Piano 2	Piano 1	Piano 2

4 Risultati numerici

4.1 Spostamenti di interpiano

Nodo inferiore: *Nodo inferiore.*

I.: *Numero dell'elemento nell'insieme che lo contiene.*

Pos.: *Coordinate del nodo.*

X: *Coordinata X. [m]*

Y: *Coordinata Y. [m]*

Z: *Coordinata Z. [m]*

Nodo superiore: *Nodo superiore.*

I.: *Numero dell'elemento nell'insieme che lo contiene.*

Pos.: *Coordinate del nodo.*

Z: *Coordinata Z. [m]*

Spost. rel.: *Spostamento relativo. Il valore è adimensionale.*

Comb.: *Combinazione.*

n.b.: *Nome breve o compatto della combinazione di carico.*

Spostamento inferiore: *Spostamento in pianta del nodo inferiore.*

X: *Coordinata X. [m]*

Y: *Coordinata Y. [m]*

Spostamento superiore: *Spostamento in pianta del nodo superiore.*

X: *Coordinata X. [m]*

Y: *Coordinata Y. [m]*

S.V.: *Si intende non verificato qualora lo spostamento relativo sia superiore al valore limite espresso nelle preferenze di analisi.*

limite = 0.003333

I.	Nodo inferiore			Nodo superiore		Spost. rel.	Comb.	Spostamento inferiore		Spostamento superiore		S.V.
	Pos.			I.	Pos.			n.b.	X	Y	X	
	X	Y	Z		Z							
4	0.4	0.385	-1.225	24	2.8	0.00415	SLO 1	0	0	-0.01291	-0.01059	no
4	0.4	0.385	-1.225	24	2.8	0.004626	SLO 2	0	0	-0.0173	-0.00688	no
4	0.4	0.385	-1.225	24	2.8	0.003795	SLO 3	0	0	-0.01527	0.00015	no
4	0.4	0.385	-1.225	24	2.8	0.004979	SLO 4	0	0	-0.01966	0.00387	no
4	0.4	0.385	-1.225	24	2.8	0.005101	SLO 5	0	0	0.00071	-0.02052	no
4	0.4	0.385	-1.225	24	2.8	0.00447	SLO 6	0	0	-0.00248	-0.01782	no
4	0.4	0.385	-1.225	24	2.8	0.004199	SLO 7	0	0	-0.00716	0.01531	no
4	0.4	0.385	-1.225	24	2.8	0.00516	SLO 8	0	0	-0.01035	0.01801	no
4	0.4	0.385	-1.225	24	2.8	0.005336	SLO 9	0	0	0.01054	-0.01871	no
4	0.4	0.385	-1.225	24	2.8	0.004378	SLO 10	0	0	0.00735	-0.01601	no
4	0.4	0.385	-1.225	24	2.8	0.004304	SLO 11	0	0	0.00267	0.01712	no
4	0.4	0.385	-1.225	24	2.8	0.004924	SLO 12	0	0	-0.00052	0.01981	no
4	0.4	0.385	-1.225	24	2.8	0.005061	SLO 13	0	0	0.01985	-0.00457	no
4	0.4	0.385	-1.225	24	2.8	0.003848	SLO 14	0	0	0.01546	-0.00086	no
4	0.4	0.385	-1.225	24	2.8	0.004608	SLO 15	0	0	0.01749	0.00618	no
4	0.4	0.385	-1.225	24	2.8	0.004078	SLO 16	0	0.0131	0.00989	no	
5	2.945	0.385	-1.225	25	2.8	0.003624	SLO 1	0	0	-0.01291	-0.00679	no
5	2.945	0.385	-1.225	25	2.8	0.00453	SLO 2	0	0	-0.0173	-0.00576	no
5	2.945	0.385	-1.225	25	2.8	0.00387	SLO 3	0	0	-0.01527	0.00305	no
5	2.945	0.385	-1.225	25	2.8	0.004989	SLO 4	0	0	-0.01966	0.00407	no
5	2.945	0.385	-1.225	25	2.8	0.004317	SLO 5	0	0	0.00071	-0.01736	no
5	2.945	0.385	-1.225	25	2.8	0.004173	SLO 6	0	0	-0.00248	-0.01661	no
5	2.945	0.385	-1.225	25	2.8	0.004224	SLO 7	0	0	-0.00716	0.01542	no
5	2.945	0.385	-1.225	25	2.8	0.004769	SLO 8	0	0	-0.01035	0.01617	no
5	2.945	0.385	-1.225	25	2.8	0.004908	SLO 9	0	0	0.01054	-0.01671	no
5	2.945	0.385	-1.225	25	2.8	0.004366	SLO 10	0	0	0.00735	-0.01596	no
5	2.945	0.385	-1.225	25	2.8	0.004048	SLO 11	0	0	0.00267	0.01607	no
5	2.945	0.385	-1.225	25	2.8	0.00418	SLO 12	0	0	-0.00052	0.01682	no
5	2.945	0.385	-1.225	25	2.8	0.005063	SLO 13	0	0	0.01985	-0.00462	no
5	2.945	0.385	-1.225	25	2.8	0.003944	SLO 14	0	0	0.01546	-0.00359	no
5	2.945	0.385	-1.225	25	2.8	0.004534	SLO 15	0	0	0.01749	0.00522	no
5	2.945	0.385	-1.225	25	2.8	0.003606	SLO 16	0	0.0131	0.00625	no	
6	6.9	0.385	-1.225	26	2.8	0.00321	SLO 1	0	0	-0.01291	0.00042	si
6	6.9	0.385	-1.225	26	2.8	0.004351	SLO 2	0	0	-0.0173	-0.00272	no
6	6.9	0.385	-1.225	26	2.8	0.004439	SLO 3	0	0	-0.01527	0.00927	no
6	6.9	0.385	-1.225	26	2.8	0.005116	SLO 4	0	0	-0.01966	0.00612	no
6	6.9	0.385	-1.225	26	2.8	0.003165	SLO 5	0	0	0.00071	-0.01272	si
6	6.9	0.385	-1.225	26	2.8	0.003779	SLO 6	0	0	-0.00248	-0.01501	no
6	6.9	0.385	-1.225	26	2.8	0.004531	SLO 7	0	0	-0.00716	0.01677	no
6	6.9	0.385	-1.225	26	2.8	0.004423	SLO 8	0	0	-0.01035	0.01448	no
6	6.9	0.385	-1.225	26	2.8	0.004508	SLO 9	0	0	0.01054	-0.01477	no
6	6.9	0.385	-1.225	26	2.8	0.004615	SLO 10	0	0	0.00735	-0.01706	no
6	6.9	0.385	-1.225	26	2.8	0.003717	SLO 11	0	0	0.00267	0.01472	no
6	6.9	0.385	-1.225	26	2.8	0.003092	SLO 12	0	0	-0.00052	0.01243	si
6	6.9	0.385	-1.225	26	2.8	0.005183	SLO 13	0	0	0.01985	-0.00641	no
6	6.9	0.385	-1.225	26	2.8	0.004516	SLO 14	0	0	0.01546	-0.00956	no
6	6.9	0.385	-1.225	26	2.8	0.004387	SLO 15	0	0	0.01749	0.00244	no
6	6.9	0.385	-1.225	26	2.8	0.00326	SLO 16	0	0.0131	-0.00071	si	
7	0.4	5.305	-1.225	27	2.8	0.004346	SLO 1	0	0	-0.01392	-0.01059	no
7	0.4	5.305	-1.225	27	2.8	0.003679	SLO 2	0	0	-0.01311	-0.00688	no
7	0.4	5.305	-1.225	27	2.8	0.003249	SLO 3	0	0	-0.01307	0.00015	si
7	0.4	5.305	-1.225	27	2.8	0.003196	SLO 4	0	0	-0.01227	0.00387	si
7	0.4	5.305	-1.225	27	2.8	0.005289	SLO 5	0	0	-0.00567	-0.02052	no
7	0.4	5.305	-1.225	27	2.8	0.004604	SLO 6	0	0	-0.00509	-0.01782	no
7	0.4	5.305	-1.225	27	2.8	0.003869	SLO 7	0	0	-0.00286	0.01531	no
7	0.4	5.305	-1.225	27	2.8	0.004509	SLO 8	0	0	-0.00227	0.01801	no
7	0.4	5.305	-1.225	27	2.8	0.004679	SLO 9	0	0	0.00215	-0.01871	no
7	0.4	5.305	-1.225	27	2.8	0.004036	SLO 10	0	0	0.00273	-0.01601	no
7	0.4	5.305	-1.225	27	2.8	0.004427	SLO 11	0	0	0.00496	0.01712	no
7	0.4	5.305	-1.225	27	2.8	0.005112	SLO 12	0	0	0.00555	0.01981	no

I.	Nodo inferiore			Nodo superiore		Spost. rel.	Comb.	Spostamento inferiore		Spostamento superiore		S.V.
	Pos.			I.	Pos.			X	Y	X	Y	
	X	Y	Z		Z							
7	0.4	5.305	-1.225	27	2.8	0.003223	SLO 13	0	0	0.01214	-0.00457	si
7	0.4	5.305	-1.225	27	2.8	0.003224	SLO 14	0	0	0.01295	-0.00086	si
7	0.4	5.305	-1.225	27	2.8	0.003573	SLO 15	0	0	0.01299	0.00618	no
7	0.4	5.305	-1.225	27	2.8	0.004216	SLO 16	0	0	0.01379	0.00989	no
8	4.675	5.305	-1.225	28	2.8	0.003535	SLO 1	0	0	-0.01392	-0.00294	no
8	4.675	5.305	-1.225	28	2.8	0.003388	SLO 2	0	0	-0.01311	-0.00374	no
8	4.675	5.305	-1.225	28	2.8	0.003615	SLO 3	0	0	-0.01307	0.00639	no
8	4.675	5.305	-1.225	28	2.8	0.003349	SLO 4	0	0	-0.01227	0.00559	no
8	4.675	5.305	-1.225	28	2.8	0.003987	SLO 5	0	0	-0.00567	-0.01501	no
8	4.675	5.305	-1.225	28	2.8	0.004075	SLO 6	0	0	-0.00509	-0.01559	no
8	4.675	5.305	-1.225	28	2.8	0.004059	SLO 7	0	0	-0.00286	0.01608	no
8	4.675	5.305	-1.225	28	2.8	0.003893	SLO 8	0	0	-0.00227	0.0155	no
8	4.675	5.305	-1.225	28	2.8	0.003994	SLO 9	0	0	0.00215	-0.01593	no
8	4.675	5.305	-1.225	28	2.8	0.004159	SLO 10	0	0	0.00273	-0.01651	no
8	4.675	5.305	-1.225	28	2.8	0.003963	SLO 11	0	0	0.00496	0.01516	no
8	4.675	5.305	-1.225	28	2.8	0.003876	SLO 12	0	0	0.00555	0.01458	no
8	4.675	5.305	-1.225	28	2.8	0.003367	SLO 13	0	0	0.01214	-0.00602	no
8	4.675	5.305	-1.225	28	2.8	0.003635	SLO 14	0	0	0.01295	-0.00682	no
8	4.675	5.305	-1.225	28	2.8	0.00333	SLO 15	0	0	0.01299	0.00331	si
8	4.675	5.305	-1.225	28	2.8	0.003483	SLO 16	0	0	0.01379	0.00251	no
9	6.9	5.305	-1.225	29	2.8	0.00346	SLO 1	0	0	-0.01392	0.00042	no
9	6.9	5.305	-1.225	29	2.8	0.003328	SLO 2	0	0	-0.01311	-0.00272	si
9	6.9	5.305	-1.225	29	2.8	0.003982	SLO 3	0	0	-0.01307	0.00927	no
9	6.9	5.305	-1.225	29	2.8	0.003407	SLO 4	0	0	-0.01227	0.00612	no
9	6.9	5.305	-1.225	29	2.8	0.003461	SLO 5	0	0	-0.00567	-0.01272	no
9	6.9	5.305	-1.225	29	2.8	0.003937	SLO 6	0	0	-0.00509	-0.01501	no
9	6.9	5.305	-1.225	29	2.8	0.004227	SLO 7	0	0	-0.00286	0.01677	no
9	6.9	5.305	-1.225	29	2.8	0.003643	SLO 8	0	0	-0.00227	0.01448	no
9	6.9	5.305	-1.225	29	2.8	0.003708	SLO 9	0	0	0.00215	-0.01477	no
9	6.9	5.305	-1.225	29	2.8	0.004292	SLO 10	0	0	0.00273	-0.01706	no
9	6.9	5.305	-1.225	29	2.8	0.003859	SLO 11	0	0	0.00496	0.01472	no
9	6.9	5.305	-1.225	29	2.8	0.003383	SLO 12	0	0	0.00555	0.01243	no
9	6.9	5.305	-1.225	29	2.8	0.003411	SLO 13	0	0	0.01214	-0.00641	no
9	6.9	5.305	-1.225	29	2.8	0.003998	SLO 14	0	0	0.01295	-0.00956	no
9	6.9	5.305	-1.225	29	2.8	0.003283	SLO 15	0	0	0.01299	0.00244	si
9	6.9	5.305	-1.225	29	2.8	0.003431	SLO 16	0	0	0.01379	-0.00071	no
10	0.4	6.48	-1.225	30	2.8	0.004417	SLO 1	0	0	-0.01428	-0.01059	no
10	0.4	6.48	-1.225	30	2.8	0.003487	SLO 2	0	0	-0.01223	-0.00688	no
10	0.4	6.48	-1.225	30	2.8	0.00315	SLO 3	0	0	-0.01268	0.00015	si
10	0.4	6.48	-1.225	30	2.8	0.002811	SLO 4	0	0	-0.01063	0.00387	si
10	0.4	6.48	-1.225	30	2.8	0.005404	SLO 5	0	0	-0.00722	-0.02052	no
10	0.4	6.48	-1.225	30	2.8	0.004651	SLO 6	0	0	-0.00573	-0.01782	no
10	0.4	6.48	-1.225	30	2.8	0.003832	SLO 7	0	0	-0.00188	0.01531	no
10	0.4	6.48	-1.225	30	2.8	0.004475	SLO 8	0	0	-0.00039	0.01801	no
10	0.4	6.48	-1.225	30	2.8	0.004649	SLO 9	0	0	0.00019	-0.01871	no
10	0.4	6.48	-1.225	30	2.8	0.004	SLO 10	0	0	0.00168	-0.01601	no
10	0.4	6.48	-1.225	30	2.8	0.004469	SLO 11	0	0	0.00553	0.01712	no
10	0.4	6.48	-1.225	30	2.8	0.005222	SLO 12	0	0	0.00702	0.01981	no
10	0.4	6.48	-1.225	30	2.8	0.002829	SLO 13	0	0	0.01043	-0.00457	si
10	0.4	6.48	-1.225	30	2.8	0.003106	SLO 14	0	0	0.01247	-0.00086	si
10	0.4	6.48	-1.225	30	2.8	0.00336	SLO 15	0	0	0.01203	0.00618	no
10	0.4	6.48	-1.225	30	2.8	0.004274	SLO 16	0	0	0.01408	0.00989	no
11	0.4	8.94	-1.225	42	5.8	0.004144	SLO 1	0	0	-0.02444	-0.01581	no
11	0.4	8.94	-1.225	42	5.8	0.002721	SLO 2	0	0	-0.01645	-0.00972	si
11	0.4	8.94	-1.225	42	5.8	0.00268	SLO 3	0	0	-0.01855	0.00322	si
11	0.4	8.94	-1.225	42	5.8	0.002003	SLO 4	0	0	-0.01056	0.0093	si
11	0.4	8.94	-1.225	42	5.8	0.005532	SLO 5	0	0	-0.01776	-0.03457	no
11	0.4	8.94	-1.225	42	5.8	0.004617	SLO 6	0	0	-0.01195	-0.03015	no
11	0.4	8.94	-1.225	42	5.8	0.004114	SLO 7	0	0	0.00189	0.02884	no
11	0.4	8.94	-1.225	42	5.8	0.004859	SLO 8	0	0	0.00769	0.03325	no
11	0.4	8.94	-1.225	42	5.8	0.004712	SLO 9	0	0	-0.00707	-0.03234	no
11	0.4	8.94	-1.225	42	5.8	0.003979	SLO 10	0	0	-0.00127	-0.02792	no
11	0.4	8.94	-1.225	42	5.8	0.00477	SLO 11	0	0	0.01257	0.03106	no
11	0.4	8.94	-1.225	42	5.8	0.005688	SLO 12	0	0	0.01838	0.03548	no
11	0.4	8.94	-1.225	42	5.8	0.001989	SLO 13	0	0	0.01118	-0.00838	si
11	0.4	8.94	-1.225	42	5.8	0.002748	SLO 14	0	0	0.01917	-0.0023	si
11	0.4	8.94	-1.225	42	5.8	0.002863	SLO 15	0	0	0.01707	0.01064	si
11	0.4	8.94	-1.225	42	5.8	0.004289	SLO 16	0	0	0.02506	0.01672	no
12	4.675	8.94	-1.225	33	2.8	0.00386	SLO 1	0	0	-0.01526	-0.00294	no
12	4.675	8.94	-1.225	33	2.8	0.002796	SLO 2	0	0	-0.01062	-0.00374	si
12	4.675	8.94	-1.225	33	2.8	0.003391	SLO 3	0	0	-0.01206	0.00639	no
12	4.675	8.94	-1.225	33	2.8	0.002308	SLO 4	0	0	-0.00742	0.00559	si
12	4.675	8.94	-1.225	33	2.8	0.004557	SLO 5	0	0	-0.01054	-0.01501	no
12	4.675	8.94	-1.225	33	2.8	0.004264	SLO 6	0	0	-0.00717	-0.01559	no
12	4.675	8.94	-1.225	33	2.8	0.003996	SLO 7	0	0	0.00011	0.01608	no
12	4.675	8.94	-1.225	33	2.8	0.003948	SLO 8	0	0	0.00348	0.0155	no
12	4.675	8.94	-1.225	33	2.8	0.004072	SLO 9	0	0	-0.00385	-0.01593	no
12	4.675	8.94	-1.225	33	2.8	0.004105	SLO 10	0	0	-0.00047	-0.01651	no
12	4.675	8.94	-1.225	33	2.8	0.004129	SLO 11	0	0	0.00681	0.01516	no
12	4.675	8.94	-1.225	33	2.8	0.004418	SLO 12	0	0	0.01018	0.01458	no
12	4.675	8.94	-1.225	33	2.8	0.002304	SLO 13	0	0	0.00706	-0.00602	si
12	4.675	8.94	-1.225	33	2.8	0.003364	SLO 14	0	0	0.0117	-0.00682	no
12	4.675	8.94	-1.225	33	2.8	0.002677	SLO 15	0	0	0.01025	0.00331	si
12	4.675	8.94	-1.225	33	2.8	0.003753	SLO 16	0	0	0.0149	0.00251	no
13	6.85	8.94	-1.225	34	2.8	0.003792	SLO 1	0	0	-0.01526	0.00035	no
13	6.85	8.94	-1.225	34	2.8	0.002724	SLO 2	0	0	-0.01062	-0.00275	si
13	6.85	8.94	-1.225	34	2.8	0.003769	SLO 3	0	0	-0.01206	0.0092	no
13	6.85	8.94	-1.225	34	2.8	0.002387	SLO 4	0	0	-0.00742	0.00611	si
13	6.85	8.94	-1.225	34	2.8	0.004114	SLO 5	0	0	-0.01054	-0.01277	no
13	6.85	8.94	-1.225	34	2.8	0.004134	SLO 6	0	0	-0.00717	-0.01502	no
13	6.85	8.94	-1.225	34	2.8	0.004162	SLO 7	0	0	0.00011	0.01675	no
13	6.85	8.94	-1.225	34	2.8	0.003706	SLO 8	0	0	0.00348	0.0145	no
13	6.85	8.94	-1.225	34	2.8	0.003797	SLO 9	0	0	-0.00385	-0.01479	no
13	6.85	8.94	-1.225	34	2.8	0.004235	SLO 10	0	0	-0.00047	-0.01704	no
13	6.85	8.94	-1.225	34	2.8	0.004031	SLO 11	0	0	0.00681	0.01473	no
13	6.85	8.94	-1.225	34	2.8	0.004001	SLO 12	0	0	0.01018	0.01248	no
13	6.85	8.94	-1.225	34	2.8	0.002367	SLO 13	0	0	0.00706	-0.00641	si
13	6.85	8.94	-1.225	34	2.8	0.003743	SLO 14	0	0	0.0117	-0.00949	no
13	6.85	8.94	-1.225	34	2.8	0.00262	SLO 15	0	0	0.01025	0.00246	si

I.	Nodo inferiore			Nodo superiore		Spost. rel.	Comb.	Spostamento inferiore		Spostamento superiore		S.V.
	Pos.			I.	Pos.			X	Y	X	Y	
	X	Y	Z	Z	Z							
13	6.85	8.94	-1.225	34	2.8	0.003704	SLO 16	0	0	0.0149	-0.00064	no
24	0.4	0.385	2.8	35	5.8	0.002225	SLO 1	-0.01291	-0.01059	-0.01709	-0.01581	si
24	0.4	0.385	2.8	35	5.8	0.002356	SLO 2	-0.0173	-0.00688	-0.02377	-0.00972	si
24	0.4	0.385	2.8	35	5.8	0.002144	SLO 3	-0.01527	0.00015	-0.02093	0.00322	si
24	0.4	0.385	2.8	35	5.8	0.00321	SLO 4	-0.01966	0.00387	-0.02762	0.0093	si
24	0.4	0.385	2.8	35	5.8	0.004699	SLO 5	0.00071	-0.02052	0.00188	-0.03457	no
24	0.4	0.385	2.8	35	5.8	0.004113	SLO 6	-0.00248	-0.01782	-0.00298	-0.03015	no
24	0.4	0.385	2.8	35	5.8	0.004681	SLO 7	-0.00716	0.01531	-0.01094	0.02884	no
24	0.4	0.385	2.8	35	5.8	0.005397	SLO 8	-0.01035	0.01801	-0.0158	0.03325	no
24	0.4	0.385	2.8	35	5.8	0.004787	SLO 9	0.01054	-0.01871	0.01507	-0.03234	no
24	0.4	0.385	2.8	35	5.8	0.004082	SLO 10	0.00735	-0.01601	0.01021	-0.02792	no
24	0.4	0.385	2.8	35	5.8	0.004651	SLO 11	0.00267	0.01712	0.00225	0.03106	no
24	0.4	0.385	2.8	35	5.8	0.005268	SLO 12	-0.00052	0.01981	-0.0026	0.03548	no
24	0.4	0.385	2.8	35	5.8	0.002667	SLO 13	0.01985	-0.00457	0.02689	-0.00838	si
24	0.4	0.385	2.8	35	5.8	0.001651	SLO 14	0.01546	-0.00086	0.0202	-0.0023	si
24	0.4	0.385	2.8	35	5.8	0.002374	SLO 15	0.01749	0.00618	0.02304	0.01064	si
24	0.4	0.385	2.8	35	5.8	0.002522	SLO 16	0.0131	0.00989	0.01636	0.01672	si
25	2.945	0.385	2.8	36	5.8	0.001908	SLO 1	-0.01291	-0.00679	-0.01709	-0.01071	si
25	2.945	0.385	2.8	36	5.8	0.002411	SLO 2	-0.0173	-0.00576	-0.02377	-0.00899	si
25	2.945	0.385	2.8	36	5.8	0.002206	SLO 3	-0.01527	0.00305	-0.02093	0.00648	si
25	2.945	0.385	2.8	36	5.8	0.002987	SLO 4	-0.01966	0.00407	-0.02762	0.0082	si
25	2.945	0.385	2.8	36	5.8	0.004056	SLO 5	0.00071	-0.01736	0.00188	-0.02792	no
25	2.945	0.385	2.8	36	5.8	0.003873	SLO 6	-0.00248	-0.01661	-0.00298	-0.02822	no
25	2.945	0.385	2.8	36	5.8	0.004324	SLO 7	-0.00716	0.01542	-0.01094	0.02783	no
25	2.945	0.385	2.8	36	5.8	0.004671	SLO 8	-0.01035	0.01617	-0.0158	0.02908	no
25	2.945	0.385	2.8	36	5.8	0.00423	SLO 9	0.01054	-0.01671	0.01507	-0.02856	no
25	2.945	0.385	2.8	36	5.8	0.003903	SLO 10	0.00735	-0.01596	0.01021	-0.02732	no
25	2.945	0.385	2.8	36	5.8	0.004223	SLO 11	0.00267	0.01607	0.00225	0.02874	no
25	2.945	0.385	2.8	36	5.8	0.004443	SLO 12	-0.00052	0.01682	-0.0026	0.02998	no
25	2.945	0.385	2.8	36	5.8	0.002559	SLO 13	0.01985	-0.00462	0.02689	-0.00769	si
25	2.945	0.385	2.8	36	5.8	0.001767	SLO 14	0.01546	-0.00359	0.0202	-0.00597	si
25	2.945	0.385	2.8	36	5.8	0.002338	SLO 15	0.01749	0.00522	0.02304	0.0095	si
25	2.945	0.385	2.8	36	5.8	0.001982	SLO 16	0.0131	0.00625	0.01636	0.01122	si
26	6.9	0.385	2.8	37	5.8	0.001403	SLO 1	-0.01291	0.00042	-0.01709	-0.00012	si
26	6.9	0.385	2.8	37	5.8	0.002308	SLO 2	-0.0173	-0.00272	-0.02377	-0.00519	si
26	6.9	0.385	2.8	37	5.8	0.002661	SLO 3	-0.01527	0.00927	-0.02093	0.01491	si
26	6.9	0.385	2.8	37	5.8	0.002926	SLO 4	-0.01966	0.00612	-0.02762	0.00984	si
26	6.9	0.385	2.8	37	5.8	0.003044	SLO 5	0.00071	-0.01272	0.00188	-0.02178	si
26	6.9	0.385	2.8	37	5.8	0.003488	SLO 6	-0.00248	-0.01501	-0.00298	-0.02546	no
26	6.9	0.385	2.8	37	5.8	0.004044	SLO 7	-0.00716	0.01677	-0.01094	0.0283	no
26	6.9	0.385	2.8	37	5.8	0.003835	SLO 8	-0.01035	0.01448	-0.0158	0.02462	no
26	6.9	0.385	2.8	37	5.8	0.003646	SLO 9	0.01054	-0.01477	0.01507	-0.02473	no
26	6.9	0.385	2.8	37	5.8	0.003902	SLO 10	0.00735	-0.01706	0.01021	-0.02841	no
26	6.9	0.385	2.8	37	5.8	0.003546	SLO 11	0.00267	0.01472	0.00225	0.02535	no
26	6.9	0.385	2.8	37	5.8	0.003155	SLO 12	-0.00052	0.01243	-0.0026	0.02167	si
26	6.9	0.385	2.8	37	5.8	0.002625	SLO 13	0.01985	-0.00641	0.02689	-0.00995	si
26	6.9	0.385	2.8	37	5.8	0.002409	SLO 14	0.01546	-0.00956	0.0202	-0.01502	si
26	6.9	0.385	2.8	37	5.8	0.00205	SLO 15	0.01749	0.00244	0.02304	0.00508	si
26	6.9	0.385	2.8	37	5.8	0.001111	SLO 16	0.0131	-0.00071	0.01636	0.00001	si
27	0.4	5.305	2.8	38	5.8	0.002854	SLO 1	-0.01392	-0.01059	-0.02071	-0.01581	si
27	0.4	5.305	2.8	38	5.8	0.002167	SLO 2	-0.01311	-0.00688	-0.01896	-0.00972	si
27	0.4	5.305	2.8	38	5.8	0.002209	SLO 3	-0.01307	0.00015	-0.01895	0.00322	si
27	0.4	5.305	2.8	38	5.8	0.002445	SLO 4	-0.01227	0.00387	-0.0172	0.0093	si
27	0.4	5.305	2.8	38	5.8	0.004832	SLO 5	-0.00567	-0.02052	-0.00925	-0.03457	no
27	0.4	5.305	2.8	38	5.8	0.00422	SLO 6	-0.00509	-0.01782	-0.00797	-0.03015	no
27	0.4	5.305	2.8	38	5.8	0.004512	SLO 7	-0.00286	0.01531	-0.00337	0.02884	no
27	0.4	5.305	2.8	38	5.8	0.005083	SLO 8	-0.00227	0.01801	-0.0021	0.03325	no
27	0.4	5.305	2.8	38	5.8	0.004543	SLO 9	0.00215	-0.01871	0.00214	-0.03234	no
27	0.4	5.305	2.8	38	5.8	0.003976	SLO 10	0.00273	-0.01601	0.00342	-0.02792	no
27	0.4	5.305	2.8	38	5.8	0.004759	SLO 11	0.00496	0.01712	0.00802	0.03106	no
27	0.4	5.305	2.8	38	5.8	0.00537	SLO 12	0.00555	0.01981	0.00929	0.03548	no
27	0.4	5.305	2.8	38	5.8	0.002123	SLO 13	0.01214	-0.00457	0.01724	-0.00838	si
27	0.4	5.305	2.8	38	5.8	0.002074	SLO 14	0.01295	-0.00086	0.019	-0.0023	si
27	0.4	5.305	2.8	38	5.8	0.002498	SLO 15	0.01299	0.00618	0.01901	0.01064	si
27	0.4	5.305	2.8	38	5.8	0.003253	SLO 16	0.01379	0.00989	0.02076	0.01672	si
28	4.675	5.305	2.8	39	5.8	0.002356	SLO 1	-0.01392	-0.00294	-0.02071	-0.00489	si
28	4.675	5.305	2.8	39	5.8	0.002106	SLO 2	-0.01311	-0.00374	-0.01896	-0.00614	si
28	4.675	5.305	2.8	39	5.8	0.00254	SLO 3	-0.01307	0.00639	-0.01895	0.01124	si
28	4.675	5.305	2.8	39	5.8	0.002202	SLO 4	-0.01227	0.00559	-0.0172	0.00999	si
28	4.675	5.305	2.8	39	5.8	0.003715	SLO 5	-0.00567	-0.01501	-0.00925	-0.02557	no
28	4.675	5.305	2.8	39	5.8	0.003754	SLO 6	-0.00509	-0.01559	-0.00797	-0.02648	no
28	4.675	5.305	2.8	39	5.8	0.004034	SLO 7	-0.00286	0.01608	-0.00337	0.02818	no
28	4.675	5.305	2.8	39	5.8	0.003922	SLO 8	-0.00227	0.0155	-0.0021	0.02727	no
28	4.675	5.305	2.8	39	5.8	0.003698	SLO 9	0.00215	-0.01593	0.00214	-0.02703	no
28	4.675	5.305	2.8	39	5.8	0.003814	SLO 10	0.00273	-0.01651	0.00342	-0.02794	no
28	4.675	5.305	2.8	39	5.8	0.003985	SLO 11	0.00496	0.01516	0.00802	0.02672	no
28	4.675	5.305	2.8	39	5.8	0.003946	SLO 12	0.00555	0.01458	0.00929	0.02581	no
28	4.675	5.305	2.8	39	5.8	0.002107	SLO 13	0.01214	-0.00602	0.01724	-0.00975	si
28	4.675	5.305	2.8	39	5.8	0.002452	SLO 14	0.01295	-0.00682	0.019	-0.011	si
28	4.675	5.305	2.8	39	5.8	0.002252	SLO 15	0.01299	0.00331	0.01901	0.00638	si
28	4.675	5.305	2.8	39	5.8	0.002481	SLO 16	0.01379	0.00251	0.02076	0.00513	si
29	6.9	5.305	2.8	40	5.8	0.002272	SLO 1	-0.01392	0.00042	-0.02071	-0.00012	si
29	6.9	5.305	2.8	40	5.8	0.002115	SLO 2	-0.01311	-0.00272	-0.01896	-0.00519	si
29	6.9	5.305	2.8	40	5.8	0.002714	SLO 3	-0.01307	0.00927	-0.01895	0.01491	si
29	6.9	5.305	2.8	40	5.8	0.002057	SLO 4	-0.01227	0.00612	-0.0172	0.00984	si
29	6.9	5.305	2.8	40	5.8	0.003246	SLO 5	-0.00567	-0.01272	-0.00925	-0.02178	si
29	6.9	5.305	2.8	40	5.8	0.003614	SLO 6	-0.00509	-0.01501	-0.00797	-0.02546	no
29	6.9	5.305	2.8	40	5.8	0.003847	SLO 7	-0.00286	0.01677	-0.00337	0.0283	no
29	6.9	5.305	2.8	40	5.8	0.003378	SLO 8	-0.00227	0.01448	-0.0021	0.02462	no
29	6.9	5.305	2.8	40	5.8	0.003319	SLO 9	0.00215	-0.01477	0.00214	-0.02473	no
29	6.9	5.305	2.8	40	5.8	0.003791	SLO 10	0.00273	-0.01706	0.00342	-0.02841	no
29	6.9	5.305	2.8	40	5.8	0.003687	SLO 11	0.00496	0.01472	0.00802	0.02535	no
29	6.9	5.305	2.8	40	5.8	0.003322	SLO 12	0.00555	0.01243	0.00929	0.02167	si
29	6.9	5.305	2.8	40	5.8	0.00207	SLO 13	0.01214	-0.00641	0.01724	-0.00995	si
29	6.											

I.	Nodo inferiore			Nodo superiore		Spost. rel.	Comb.	Spostamento inferiore		Spostamento superiore		S.V.
	Pos.			I.	Pos.			X	Y	X	Y	
	X	Y	Z		Z		n.b.					
33	4.675	8.94	2.8	43	5.8	0.002701	SLO 3	-0.01206	0.00639	-0.01855	0.01124	si
33	4.675	8.94	2.8	43	5.8	0.001802	SLO 4	-0.00742	0.00559	-0.01056	0.00999	si
33	4.675	8.94	2.8	43	5.8	0.004263	SLO 5	-0.01054	-0.01501	-0.01776	-0.02557	no
33	4.675	8.94	2.8	43	5.8	0.003964	SLO 6	-0.00717	-0.01559	-0.01195	-0.02648	no
33	4.675	8.94	2.8	43	5.8	0.004074	SLO 7	0.00011	0.01608	0.00189	0.02818	no
33	4.675	8.94	2.8	43	5.8	0.004164	SLO 8	0.00348	0.0155	0.00769	0.02727	no
33	4.675	8.94	2.8	43	5.8	0.003851	SLO 9	-0.00385	-0.01593	-0.00707	-0.02703	no
33	4.675	8.94	2.8	43	5.8	0.003817	SLO 10	-0.00047	-0.01651	-0.00127	-0.02794	no
33	4.675	8.94	2.8	43	5.8	0.004305	SLO 11	0.00681	0.01516	0.01257	0.02672	no
33	4.675	8.94	2.8	43	5.8	0.004634	SLO 12	0.01018	0.01458	0.01839	0.02581	no
33	4.675	8.94	2.8	43	5.8	0.001853	SLO 13	0.00706	-0.00602	0.01118	-0.00975	si
33	4.675	8.94	2.8	43	5.8	0.002853	SLO 14	0.01117	-0.00682	0.01917	-0.011	si
33	4.675	8.94	2.8	43	5.8	0.002493	SLO 15	0.01025	0.00331	0.01707	0.00638	si
33	4.675	8.94	2.8	43	5.8	0.003499	SLO 16	0.0149	0.00251	0.02506	0.00513	no
34	6.85	8.94	2.8	44	5.8	0.003068	SLO 1	-0.01526	0.00035	-0.02444	-0.00023	si
34	6.85	8.94	2.8	44	5.8	0.002112	SLO 2	-0.01062	-0.00275	-0.01645	-0.00521	si
34	6.85	8.94	2.8	44	5.8	0.002861	SLO 3	-0.01206	0.0092	-0.01855	0.01482	si
34	6.85	8.94	2.8	44	5.8	0.001625	SLO 4	-0.00742	0.00611	-0.01056	0.00984	si
34	6.85	8.94	2.8	44	5.8	0.003869	SLO 5	-0.01054	-0.01277	-0.01776	-0.02186	no
34	6.85	8.94	2.8	44	5.8	0.003834	SLO 6	-0.00717	-0.01502	-0.01195	-0.02548	no
34	6.85	8.94	2.8	44	5.8	0.003891	SLO 7	0.00011	0.01675	0.00189	0.02829	no
34	6.85	8.94	2.8	44	5.8	0.003668	SLO 8	0.00348	0.0145	0.00769	0.02467	no
34	6.85	8.94	2.8	44	5.8	0.003496	SLO 9	-0.00385	-0.01479	-0.00707	-0.02477	no
34	6.85	8.94	2.8	44	5.8	0.003793	SLO 10	-0.00047	-0.01704	-0.00127	-0.02839	no
34	6.85	8.94	2.8	44	5.8	0.004036	SLO 11	0.00681	0.01473	0.01257	0.02538	no
34	6.85	8.94	2.8	44	5.8	0.004127	SLO 12	0.01018	0.01248	0.01838	0.02176	no
34	6.85	8.94	2.8	44	5.8	0.001811	SLO 13	0.00706	-0.0064	0.01118	-0.00994	si
34	6.85	8.94	2.8	44	5.8	0.003078	SLO 14	0.01117	-0.00949	0.01917	-0.01492	si
34	6.85	8.94	2.8	44	5.8	0.002439	SLO 15	0.01025	0.00246	0.01707	0.00511	si
34	6.85	8.94	2.8	44	5.8	0.003399	SLO 16	0.0149	-0.00064	0.02506	0.00012	no

4.2 Verifica effetti secondo ordine

Quota inf.: Quota inferiore esprimibile come livello, falda, piano orizzontale alla Z specificata, espressa con notazione breve. esprimibile come livello, falda, piano orizzontale alla Z specificata. [m]

Quota sup.: Quota superiore esprimibile come livello, falda, piano orizzontale alla Z specificata, espressa con notazione breve. esprimibile come livello, falda, piano orizzontale alla Z specificata. [m]

Comb.: Combinazione.

n.b.: Nome breve o compatto della combinazione di carico.

Carico verticale: Carico verticale. [kN]

Spostamento: Spostamento medio di interpiano. [m]

Forza orizzontale totale: Forza orizzontale totale. [kN]

Altezza del piano: Altezza del piano. [m]

Theta: Coefficiente Theta formula (7.3.2) § 7.3.1 NTC 2008. Il valore è adimensionale.

Quota inf.	Quota sup.	Comb.	Carico verticale	Spostamento	Forza orizzontale totale	Altezza del piano	Theta
		n.b.					
L1	L3	SLV 1	713.11	0.04818	337.01	4.03	0.025
L1	L3	SLV 2	713.11	0.04785	337.01	4.03	0.025
L1	L3	SLV 3	706.57	0.04747	341.02	4.03	0.024
L1	L3	SLV 4	706.57	0.04742	341.02	4.03	0.024
L1	L3	SLV 5	721.24	0.05549	251.6	4.03	0.04
L1	L3	SLV 6	721.24	0.05514	251.6	4.03	0.039
L1	L3	SLV 7	699.45	0.05435	256.93	4.03	0.037
L1	L3	SLV 8	699.45	0.05462	256.93	4.03	0.037
L1	L3	SLV 9	721.68	0.05508	256.93	4.03	0.038
L1	L3	SLV 10	721.68	0.05481	256.93	4.03	0.038
L1	L3	SLV 11	699.89	0.05465	251.6	4.03	0.038
L1	L3	SLV 12	699.89	0.055	251.6	4.03	0.038
L1	L3	SLV 13	714.57	0.04752	341.02	4.03	0.025
L1	L3	SLV 14	714.57	0.04756	341.02	4.03	0.025
L1	L3	SLV 15	708.03	0.04762	337.01	4.03	0.025
L1	L3	SLV 16	708.03	0.04795	337.01	4.03	0.025
L1	L4	SLV 1	322.69	0.09692	148.67	7.03	0.03
L1	L4	SLV 2	322.69	0.06401	148.67	7.03	0.02
L1	L4	SLV 3	318.96	0.06248	142.89	7.03	0.02
L1	L4	SLV 4	318.96	0.04617	142.89	7.03	0.015
L1	L4	SLV 5	325.03	0.12912	127.93	7.03	0.047
L1	L4	SLV 6	325.03	0.10794	127.93	7.03	0.039
L1	L4	SLV 7	312.59	0.094	121.17	7.03	0.035
L1	L4	SLV 8	312.59	0.11114	121.17	7.03	0.041
L1	L4	SLV 9	323.31	0.11011	121.17	7.03	0.042
L1	L4	SLV 10	323.31	0.09305	121.17	7.03	0.035
L1	L4	SLV 11	310.87	0.10901	127.93	7.03	0.038
L1	L4	SLV 12	310.87	0.13021	127.93	7.03	0.045
L1	L4	SLV 13	316.95	0.04607	142.89	7.03	0.015
L1	L4	SLV 14	316.95	0.06296	142.89	7.03	0.02
L1	L4	SLV 15	313.22	0.06501	148.67	7.03	0.019
L1	L4	SLV 16	313.22	0.09794	148.67	7.03	0.029
L3	L4	SLV 1	322.69	0.02293	148.67	3	0.017
L3	L4	SLV 2	322.69	0.02214	148.67	3	0.016
L3	L4	SLV 3	318.96	0.02403	142.89	3	0.018
L3	L4	SLV 4	318.96	0.02286	142.89	3	0.017
L3	L4	SLV 5	325.03	0.03834	127.93	3	0.032
L3	L4	SLV 6	325.03	0.03852	127.93	3	0.033
L3	L4	SLV 7	312.59	0.03971	121.17	3	0.034
L3	L4	SLV 8	312.59	0.03929	121.17	3	0.034
L3	L4	SLV 9	323.31	0.03852	121.17	3	0.034
L3	L4	SLV 10	323.31	0.03894	121.17	3	0.035
L3	L4	SLV 11	310.87	0.03927	127.93	3	0.032
L3	L4	SLV 12	310.87	0.03909	127.93	3	0.032
L3	L4	SLV 13	316.95	0.02238	142.89	3	0.017

Quota inf.	Quota sup.	Comb.	Carico verticale	Spostamento	Forza orizzontale totale	Altezza del piano	Theta
		n.b.					
L3	L4	SLV 14	316.95	0.02356	142.89	3	0.017
L3	L4	SLV 15	313.22	0.02245	148.67	3	0.016
L3	L4	SLV 16	313.22	0.02321	148.67	3	0.016

4.3 Tagli ai livelli

Livello: Livello rispetto a cui è calcolato il taglio.

Nome: Nome completo del livello.

Cont.: Contesto nel quale viene valutato il taglio.

n.br.: Nome breve della condizione o combinazione di carico.

Totale: Totale del taglio al livello.

F: Forza del taglio. [kN]

X: Componente lungo l'asse X globale. [kN]

Y: Componente lungo l'asse Y globale. [kN]

Z: Componente lungo l'asse Z globale. [kN]

Aste verticali: Contributo al taglio totale dato dalle aste verticali.

F: Forza del taglio. [kN]

X: Componente lungo l'asse X globale. [kN]

Y: Componente lungo l'asse Y globale. [kN]

Z: Componente lungo l'asse Z globale. [kN]

Pareti: Contributo al taglio totale dato dalle pareti e piastre generiche verticali.

F: Forza del taglio. [kN]

X: Componente lungo l'asse X globale. [kN]

Y: Componente lungo l'asse Y globale. [kN]

Z: Componente lungo l'asse Z globale. [kN]

Livello Nome	Cont. n.br.	Totale			Aste verticali			Pareti		
		X	Y	Z	X	Y	Z	X	Y	Z
Fondazione -100	Pesi	0	0	-503.14	0	0	-503.14	0	0	0
Fondazione -100	Port.	0	0	-166.68	0	0	-166.68	0	0	0
Fondazione -100	Variabile C	0	0	-177.34	0	0	-177.34	0	0	0
Fondazione -100	X SLV	335.94	1.71	-0.73	335.94	1.71	-0.73	0	0	0
Fondazione -100	Y SLV	-7.8	234.43	10.9	-7.8	234.43	10.9	0	0	0
Fondazione -100	EY SLV	0	0	0	0	0	0	0	0	0
Fondazione -100	EX SLV	0	0	0	0	0	0	0	0	0
Fondazione -100	X SLD	134.59	0.79	-0.38	134.59	0.79	-0.38	0	0	0
Fondazione -100	Y SLD	-3.16	94.15	4.43	-3.16	94.15	4.43	0	0	0
Fondazione -100	EY SLD	0	0	0	0	0	0	0	0	0
Fondazione -100	EX SLD	0	0	0	0	0	0	0	0	0
Fondazione -100	X SLO	153.7	0.98	-0.5	153.7	0.98	-0.5	0	0	0
Fondazione -100	Y SLO	-3.63	107.66	5.1	-3.63	107.66	5.1	0	0	0
Fondazione -100	EY SLO	0	0	0	0	0	0	0	0	0
Fondazione -100	EX SLO	0	0	0	0	0	0	0	0	0
Fondazione -100	R Ux	0.01	0	0	0.01	0	0	0	0	0
Fondazione -100	R Uy	0	0.01	0	0	0.01	0	0	0	0
Fondazione -100	R Rz	0	0	0	0	0	0	0	0	0
Fondazione -100	SLU 1	0	0	-636.49	0	0	-636.49	0	0	0
Fondazione -100	SLU 2	0	0	-636.49	0	0	-636.49	0	0	0
Fondazione -100	SLU 3	0	0	-822.69	0	0	-822.69	0	0	0
Fondazione -100	SLU 4	0	0	-902.49	0	0	-902.49	0	0	0
Fondazione -100	SLU 5	0	0	-902.49	0	0	-902.49	0	0	0
Fondazione -100	SLU 6	0	0	-753.16	0	0	-753.16	0	0	0
Fondazione -100	SLU 7	0	0	-753.16	0	0	-753.16	0	0	0
Fondazione -100	SLU 8	0	0	-939.37	0	0	-939.37	0	0	0
Fondazione -100	SLU 9	0	0	-1019.17	0	0	-1019.17	0	0	0
Fondazione -100	SLU 10	0	0	-1019.17	0	0	-1019.17	0	0	0
Fondazione -100	SLU 11	0	0	-787.43	0	0	-787.43	0	0	0
Fondazione -100	SLU 12	0	0	-787.43	0	0	-787.43	0	0	0
Fondazione -100	SLU 13	0	0	-973.64	0	0	-973.64	0	0	0
Fondazione -100	SLU 14	0	0	-1053.44	0	0	-1053.44	0	0	0
Fondazione -100	SLU 15	0	0	-1053.44	0	0	-1053.44	0	0	0
Fondazione -100	SLU 16	0	0	-904.11	0	0	-904.11	0	0	0
Fondazione -100	SLU 17	0	0	-904.11	0	0	-904.11	0	0	0
Fondazione -100	SLU 18	0	0	-1090.31	0	0	-1090.31	0	0	0
Fondazione -100	SLU 19	0	0	-1170.11	0	0	-1170.11	0	0	0
Fondazione -100	SLU 20	0	0	-1170.11	0	0	-1170.11	0	0	0
Fondazione -100	SLE RA 1	0	0	-669.82	0	0	-669.82	0	0	0
Fondazione -100	SLE RA 2	0	0	-669.82	0	0	-669.82	0	0	0
Fondazione -100	SLE RA 3	0	0	-793.96	0	0	-793.96	0	0	0
Fondazione -100	SLE RA 4	0	0	-847.16	0	0	-847.16	0	0	0
Fondazione -100	SLE RA 5	0	0	-847.16	0	0	-847.16	0	0	0
Fondazione -100	SLE FR 1	0	0	-669.82	0	0	-669.82	0	0	0
Fondazione -100	SLE FR 2	0	0	-669.82	0	0	-669.82	0	0	0
Fondazione -100	SLE FR 3	0	0	-776.23	0	0	-776.23	0	0	0
Fondazione -100	SLE FR 4	0	0	-793.96	0	0	-793.96	0	0	0
Fondazione -100	SLE QP 1	0	0	-669.82	0	0	-669.82	0	0	0
Fondazione -100	SLE QP 2	0	0	-776.23	0	0	-776.23	0	0	0
Fondazione -100	SLO 1	-152.61	-33.28	-777.26	-152.61	-33.28	-777.26	0	0	0
Fondazione -100	SLO 2	-152.61	-33.28	-777.26	-152.61	-33.28	-777.26	0	0	0
Fondazione -100	SLO 3	-154.79	31.32	-774.2	-154.79	31.32	-774.2	0	0	0
Fondazione -100	SLO 4	-154.79	31.32	-774.2	-154.79	31.32	-774.2	0	0	0
Fondazione -100	SLO 5	-42.48	-107.95	-781.17	-42.48	-107.95	-781.17	0	0	0
Fondazione -100	SLO 6	-42.48	-107.95	-781.17	-42.48	-107.95	-781.17	0	0	0
Fondazione -100	SLO 7	-49.74	107.36	-770.98	-49.74	107.36	-770.98	0	0	0
Fondazione -100	SLO 8	-49.74	107.36	-770.98	-49.74	107.36	-770.98	0	0	0
Fondazione -100	SLO 9	49.74	-107.36	-781.47	49.74	-107.36	-781.47	0	0	0
Fondazione -100	SLO 10	49.74	-107.36	-781.47	49.74	-107.36	-781.47	0	0	0
Fondazione -100	SLO 11	42.48	107.95	-771.28	42.48	107.95	-771.28	0	0	0
Fondazione -100	SLO 12	42.48	107.95	-771.28	42.48	107.95	-771.28	0	0	0
Fondazione -100	SLO 13	154.79	-31.32	-778.25	154.79	-31.32	-778.25	0	0	0

Livello	Cont.	Totale			Aste verticali			Pareti			
		Nome	n.br.	F	X	Y	Z	X	Y	Z	
Fondazione -100	SLO 14		154.79	-31.32	-778.25	154.79	-31.32	-778.25	0	0	0
Fondazione -100	SLO 15		152.61	33.28	-775.2	152.61	33.28	-775.2	0	0	0
Fondazione -100	SLO 16		152.61	33.28	-775.2	152.61	33.28	-775.2	0	0	0
Fondazione -100	SLD 1		-133.64	-29.04	-777.17	-133.64	-29.04	-777.17	0	0	0
Fondazione -100	SLD 2		-133.64	-29.04	-777.17	-133.64	-29.04	-777.17	0	0	0
Fondazione -100	SLD 3		-135.54	27.45	-774.51	-135.54	27.45	-774.51	0	0	0
Fondazione -100	SLD 4		-135.54	27.45	-774.51	-135.54	27.45	-774.51	0	0	0
Fondazione -100	SLD 5		-37.22	-94.39	-780.54	-37.22	-94.39	-780.54	0	0	0
Fondazione -100	SLD 6		-37.22	-94.39	-780.54	-37.22	-94.39	-780.54	0	0	0
Fondazione -100	SLD 7		-43.54	93.91	-771.69	-43.54	93.91	-771.69	0	0	0
Fondazione -100	SLD 8		-43.54	93.91	-771.69	-43.54	93.91	-771.69	0	0	0
Fondazione -100	SLD 9		43.54	-93.91	-780.77	43.54	-93.91	-780.77	0	0	0
Fondazione -100	SLD 10		43.54	-93.91	-780.77	43.54	-93.91	-780.77	0	0	0
Fondazione -100	SLD 11		37.22	94.39	-771.92	37.22	94.39	-771.92	0	0	0
Fondazione -100	SLD 12		37.22	94.39	-771.92	37.22	94.39	-771.92	0	0	0
Fondazione -100	SLD 13		135.54	-27.45	-777.94	135.54	-27.45	-777.94	0	0	0
Fondazione -100	SLD 14		135.54	-27.45	-777.94	135.54	-27.45	-777.94	0	0	0
Fondazione -100	SLD 15		133.64	29.04	-775.28	133.64	29.04	-775.28	0	0	0
Fondazione -100	SLD 16		133.64	29.04	-775.28	133.64	29.04	-775.28	0	0	0
Fondazione -100	SLV 1		-333.6	-72.04	-778.76	-333.6	-72.04	-778.76	0	0	0
Fondazione -100	SLV 2		-333.6	-72.04	-778.76	-333.6	-72.04	-778.76	0	0	0
Fondazione -100	SLV 3		-338.28	68.62	-772.23	-338.28	68.62	-772.23	0	0	0
Fondazione -100	SLV 4		-338.28	68.62	-772.23	-338.28	68.62	-772.23	0	0	0
Fondazione -100	SLV 5		-92.98	-234.94	-786.9	-92.98	-234.94	-786.9	0	0	0
Fondazione -100	SLV 6		-92.98	-234.94	-786.9	-92.98	-234.94	-786.9	0	0	0
Fondazione -100	SLV 7		-108.58	233.91	-765.11	-108.58	233.91	-765.11	0	0	0
Fondazione -100	SLV 8		-108.58	233.91	-765.11	-108.58	233.91	-765.11	0	0	0
Fondazione -100	SLV 9		108.58	-233.91	-787.34	108.58	-233.91	-787.34	0	0	0
Fondazione -100	SLV 10		108.58	-233.91	-787.34	108.58	-233.91	-787.34	0	0	0
Fondazione -100	SLV 11		92.98	234.94	-765.55	92.98	234.94	-765.55	0	0	0
Fondazione -100	SLV 12		92.98	234.94	-765.55	92.98	234.94	-765.55	0	0	0
Fondazione -100	SLV 13		338.28	-68.62	-780.23	338.28	-68.62	-780.23	0	0	0
Fondazione -100	SLV 14		338.28	-68.62	-780.23	338.28	-68.62	-780.23	0	0	0
Fondazione -100	SLV 15		333.6	72.04	-773.69	333.6	72.04	-773.69	0	0	0
Fondazione -100	SLV 16		333.6	72.04	-773.69	333.6	72.04	-773.69	0	0	0
Fondazione -100	CRTFP Ux+		0.01	0	0	0.01	0	0	0	0	0
Fondazione -100	CRTFP Ux-		-0.01	0	0	-0.01	0	0	0	0	0
Fondazione -100	CRTFP Uy+		0	0.01	0	0	0.01	0	0	0	0
Fondazione -100	CRTFP Uy-		0	-0.01	0	0	-0.01	0	0	0	0
Fondazione -100	CRTFP Rz+		0	0	0	0	0	0	0	0	0
Fondazione -100	CRTFP Rz-		0	0	0	0	0	0	0	0	0
Piano -10	Pesi		0	0	-486.42	0	0	-486.42	0	0	0
Piano -10	Port.		0	0	-166.68	0	0	-166.68	0	0	0
Piano -10	Variabile C		0	0	-177.34	0	0	-177.34	0	0	0
Piano -10	X SLV		331.67	1.32	-0.73	331.67	1.32	-0.73	0	0	0
Piano -10	Y SLV		-7.75	233.87	10.9	-7.75	233.87	10.9	0	0	0
Piano -10	EY SLV		0	0	0	0	0	0	0	0	0
Piano -10	EX SLV		0	0	0	0	0	0	0	0	0
Piano -10	X SLD		132.65	0.61	-0.38	132.65	0.61	-0.38	0	0	0
Piano -10	Y SLD		-3.13	93.91	4.43	-3.13	93.91	4.43	0	0	0
Piano -10	EY SLD		0	0	0	0	0	0	0	0	0
Piano -10	EX SLD		0	0	0	0	0	0	0	0	0
Piano -10	X SLO		151.32	0.74	-0.5	151.32	0.74	-0.5	0	0	0
Piano -10	Y SLO		-3.59	107.39	5.1	-3.59	107.39	5.1	0	0	0
Piano -10	EY SLO		0	0	0	0	0	0	0	0	0
Piano -10	EX SLO		0	0	0	0	0	0	0	0	0
Piano -10	R Ux		0.01	0	0	0.01	0	0	0	0	0
Piano -10	R Uy		0	0.01	0	0	0.01	0	0	0	0
Piano -10	R Rz		0	0	0	0	0	0	0	0	0
Piano -10	SLU 1		0	0	-619.77	0	0	-619.77	0	0	0
Piano -10	SLU 2		0	0	-619.77	0	0	-619.77	0	0	0
Piano -10	SLU 3		0	0	-805.97	0	0	-805.97	0	0	0
Piano -10	SLU 4		0	0	-885.77	0	0	-885.77	0	0	0
Piano -10	SLU 5		0	0	-885.77	0	0	-885.77	0	0	0
Piano -10	SLU 6		0	0	-736.44	0	0	-736.44	0	0	0
Piano -10	SLU 7		0	0	-736.44	0	0	-736.44	0	0	0
Piano -10	SLU 8		0	0	-922.65	0	0	-922.65	0	0	0
Piano -10	SLU 9		0	0	-1002.45	0	0	-1002.45	0	0	0
Piano -10	SLU 10		0	0	-1002.45	0	0	-1002.45	0	0	0
Piano -10	SLU 11		0	0	-765.7	0	0	-765.7	0	0	0
Piano -10	SLU 12		0	0	-765.7	0	0	-765.7	0	0	0
Piano -10	SLU 13		0	0	-951.9	0	0	-951.9	0	0	0
Piano -10	SLU 14		0	0	-1031.7	0	0	-1031.7	0	0	0
Piano -10	SLU 15		0	0	-1031.7	0	0	-1031.7	0	0	0
Piano -10	SLU 16		0	0	-882.37	0	0	-882.37	0	0	0
Piano -10	SLU 17		0	0	-882.37	0	0	-882.37	0	0	0
Piano -10	SLU 18		0	0	-1068.57	0	0	-1068.57	0	0	0
Piano -10	SLU 19		0	0	-1148.38	0	0	-1148.38	0	0	0
Piano -10	SLU 20		0	0	-1148.38	0	0	-1148.38	0	0	0
Piano -10	SLE RA 1		0	0	-653.1	0	0	-653.1	0	0	0
Piano -10	SLE RA 2		0	0	-653.1	0	0	-653.1	0	0	0
Piano -10	SLE RA 3		0	0	-777.24	0	0	-777.24	0	0	0
Piano -10	SLE RA 4		0	0	-830.44	0	0	-830.44	0	0	0
Piano -10	SLE RA 5		0	0	-830.44	0	0	-830.44	0	0	0
Piano -10	SLE FR 1		0	0	-653.1	0	0	-653.1	0	0	0
Piano -10	SLE FR 2		0	0	-653.1	0	0	-653.1	0	0	0
Piano -10	SLE FR 3		0	0	-759.51	0	0	-759.51	0	0	0
Piano -10	SLE FR 4		0	0	-777.24	0	0	-777.24	0	0	0
Piano -10	SLE QP 1		0	0	-653.1	0	0	-653.1	0	0	0
Piano -10	SLE QP 2		0	0	-759.51	0	0	-759.51	0	0	0
Piano -10	SLO 1		-150.24	-32.96	-760.54	-150.24	-32.96	-760.54	0	0	0
Piano -10	SLO 2		-150.24	-32.96	-760.54	-150.24	-32.96	-760.54	0	0	0
Piano -10	SLO 3		-152.4	31.47	-757.48	-152.4	31.47	-757.48	0	0	0
Piano -10	SLO 4		-152.4	31.47	-757.48	-152.4	31.47	-757.48	0	0	0
Piano -10	SLO 5		-41.81	-107.62	-764.45	-41.81	-107.62	-764.45	0	0	0
Piano -10	SLO 6		-41.81	-107.62	-764.45	-41.81	-107.62	-764.45	0	0	0
Piano -10	SLO 7		-48.99	107.17	-754.26	-48.99	107.17	-754.26	0	0	0
Piano -10	SLO 8		-48.99	107.17	-754.26	-48.99	107.17	-754.26	0	0	0
Piano -10	SLO 9		48.99	-107.17	-764.75	48.99	-107.17	-764.75	0	0	0

Livello	Cont.	Totale			Aste verticali			Pareti		
		F			F			F		
Nome	n.br.	X	Y	Z	X	Y	Z	X	Y	Z
Piano -10	SLO 10	48.99	-107.17	-764.75	48.99	-107.17	-764.75	0	0	0
Piano -10	SLO 11	41.81	107.62	-754.56	41.81	107.62	-754.56	0	0	0
Piano -10	SLO 12	41.81	107.62	-754.56	41.81	107.62	-754.56	0	0	0
Piano -10	SLO 13	152.4	-31.47	-761.53	152.4	-31.47	-761.53	0	0	0
Piano -10	SLO 14	152.4	-31.47	-761.53	152.4	-31.47	-761.53	0	0	0
Piano -10	SLO 15	150.24	32.96	-758.48	150.24	32.96	-758.48	0	0	0
Piano -10	SLO 16	150.24	32.96	-758.48	150.24	32.96	-758.48	0	0	0
Piano -10	SLD 1	-131.71	-28.78	-760.45	-131.71	-28.78	-760.45	0	0	0
Piano -10	SLD 2	-131.71	-28.78	-760.45	-131.71	-28.78	-760.45	0	0	0
Piano -10	SLD 3	-133.59	27.57	-757.79	-133.59	27.57	-757.79	0	0	0
Piano -10	SLD 4	-133.59	27.57	-757.79	-133.59	27.57	-757.79	0	0	0
Piano -10	SLD 5	-36.67	-94.09	-763.82	-36.67	-94.09	-763.82	0	0	0
Piano -10	SLD 6	-36.67	-94.09	-763.82	-36.67	-94.09	-763.82	0	0	0
Piano -10	SLD 7	-42.93	93.73	-754.96	-42.93	93.73	-754.96	0	0	0
Piano -10	SLD 8	-42.93	93.73	-754.96	-42.93	93.73	-754.96	0	0	0
Piano -10	SLD 9	42.93	-93.73	-764.05	42.93	-93.73	-764.05	0	0	0
Piano -10	SLD 10	42.93	-93.73	-764.05	42.93	-93.73	-764.05	0	0	0
Piano -10	SLD 11	36.67	94.09	-755.19	36.67	94.09	-755.19	0	0	0
Piano -10	SLD 12	36.67	94.09	-755.19	36.67	94.09	-755.19	0	0	0
Piano -10	SLD 13	133.59	-27.57	-761.22	133.59	-27.57	-761.22	0	0	0
Piano -10	SLD 14	133.59	-27.57	-761.22	133.59	-27.57	-761.22	0	0	0
Piano -10	SLD 15	131.71	28.78	-758.56	131.71	28.78	-758.56	0	0	0
Piano -10	SLD 16	131.71	28.78	-758.56	131.71	28.78	-758.56	0	0	0
Piano -10	SLV 1	-329.35	-71.49	-762.04	-329.35	-71.49	-762.04	0	0	0
Piano -10	SLV 2	-329.35	-71.49	-762.04	-329.35	-71.49	-762.04	0	0	0
Piano -10	SLV 3	-334	68.84	-755.51	-334	68.84	-755.51	0	0	0
Piano -10	SLV 4	-334	68.84	-755.51	-334	68.84	-755.51	0	0	0
Piano -10	SLV 5	-91.75	-234.27	-770.18	-91.75	-234.27	-770.18	0	0	0
Piano -10	SLV 6	-91.75	-234.27	-770.18	-91.75	-234.27	-770.18	0	0	0
Piano -10	SLV 7	-107.25	233.48	-748.39	-107.25	233.48	-748.39	0	0	0
Piano -10	SLV 8	-107.25	233.48	-748.39	-107.25	233.48	-748.39	0	0	0
Piano -10	SLV 9	107.25	-233.48	-770.62	107.25	-233.48	-770.62	0	0	0
Piano -10	SLV 10	107.25	-233.48	-770.62	107.25	-233.48	-770.62	0	0	0
Piano -10	SLV 11	91.75	234.27	-748.83	91.75	234.27	-748.83	0	0	0
Piano -10	SLV 12	91.75	234.27	-748.83	91.75	234.27	-748.83	0	0	0
Piano -10	SLV 13	334	-68.84	-763.51	334	-68.84	-763.51	0	0	0
Piano -10	SLV 14	334	-68.84	-763.51	334	-68.84	-763.51	0	0	0
Piano -10	SLV 15	329.35	71.49	-756.97	329.35	71.49	-756.97	0	0	0
Piano -10	SLV 16	329.35	71.49	-756.97	329.35	71.49	-756.97	0	0	0
Piano -10	CRTFP Ux+	0.01	0	0	0.01	0	0	0	0	0
Piano -10	CRTFP Ux-	-0.01	0	0	-0.01	0	0	0	0	0
Piano -10	CRTFP Uy+	0	0.01	0	0	0.01	0	0	0	0
Piano -10	CRTFP Uy-	0	-0.01	0	0	-0.01	0	0	0	0
Piano -10	CRTFP Rz+	0	0	0	0	0	0	0	0	0
Piano -10	CRTFP Rz-	0	0	0	0	0	0	0	0	0
Piano 1	Pesi	0	0	-258.29	0	0	-258.29	0	0	0
Piano 1	Port.	0	0	-91.22	0	0	-91.22	0	0	0
Piano 1	Variabile C	0	0	-21.16	0	0	-21.16	0	0	0
Piano 1	X SLV	141.5	-1.53	2.87	141.5	-1.53	2.87	0	0	0
Piano 1	Y SLV	11.17	116.6	6.22	11.17	116.6	6.22	0	0	0
Piano 1	EY SLV	0	0	0	0	0	0	0	0	0
Piano 1	EX SLV	0	0	0	0	0	0	0	0	0
Piano 1	X SLD	57.13	-0.59	1.15	57.13	-0.59	1.15	0	0	0
Piano 1	Y SLD	4.61	47.55	2.53	4.61	47.55	2.53	0	0	0
Piano 1	EY SLD	0	0	0	0	0	0	0	0	0
Piano 1	EX SLD	0	0	0	0	0	0	0	0	0
Piano 1	X SLO	65.55	-0.67	1.31	65.55	-0.67	1.31	0	0	0
Piano 1	Y SLO	5.36	54.88	2.91	5.36	54.88	2.91	0	0	0
Piano 1	EY SLO	0	0	0	0	0	0	0	0	0
Piano 1	EX SLO	0	0	0	0	0	0	0	0	0
Piano 1	R Ux	0.01	0	0	0.01	0	0	0	0	0
Piano 1	R Uy	0	0.01	0	0	0.01	0	0	0	0
Piano 1	R Rz	0	0	0	0	0	0	0	0	0
Piano 1	SLU 1	0	0	-331.26	0	0	-331.26	0	0	0
Piano 1	SLU 2	0	0	-331.26	0	0	-331.26	0	0	0
Piano 1	SLU 3	0	0	-353.48	0	0	-353.48	0	0	0
Piano 1	SLU 4	0	0	-363	0	0	-363	0	0	0
Piano 1	SLU 5	0	0	-363	0	0	-363	0	0	0
Piano 1	SLU 6	0	0	-395.12	0	0	-395.12	0	0	0
Piano 1	SLU 7	0	0	-395.12	0	0	-395.12	0	0	0
Piano 1	SLU 8	0	0	-417.33	0	0	-417.33	0	0	0
Piano 1	SLU 9	0	0	-426.85	0	0	-426.85	0	0	0
Piano 1	SLU 10	0	0	-426.85	0	0	-426.85	0	0	0
Piano 1	SLU 11	0	0	-408.75	0	0	-408.75	0	0	0
Piano 1	SLU 12	0	0	-408.75	0	0	-408.75	0	0	0
Piano 1	SLU 13	0	0	-430.96	0	0	-430.96	0	0	0
Piano 1	SLU 14	0	0	-440.48	0	0	-440.48	0	0	0
Piano 1	SLU 15	0	0	-440.48	0	0	-440.48	0	0	0
Piano 1	SLU 16	0	0	-472.6	0	0	-472.6	0	0	0
Piano 1	SLU 17	0	0	-472.6	0	0	-472.6	0	0	0
Piano 1	SLU 18	0	0	-494.82	0	0	-494.82	0	0	0
Piano 1	SLU 19	0	0	-504.34	0	0	-504.34	0	0	0
Piano 1	SLU 20	0	0	-504.34	0	0	-504.34	0	0	0
Piano 1	SLE RA 1	0	0	-349.51	0	0	-349.51	0	0	0
Piano 1	SLE RA 2	0	0	-349.51	0	0	-349.51	0	0	0
Piano 1	SLE RA 3	0	0	-364.32	0	0	-364.32	0	0	0
Piano 1	SLE RA 4	0	0	-370.66	0	0	-370.66	0	0	0
Piano 1	SLE RA 5	0	0	-370.66	0	0	-370.66	0	0	0
Piano 1	SLE FR 1	0	0	-349.51	0	0	-349.51	0	0	0
Piano 1	SLE FR 2	0	0	-349.51	0	0	-349.51	0	0	0
Piano 1	SLE FR 3	0	0	-362.2	0	0	-362.2	0	0	0
Piano 1	SLE FR 4	0	0	-364.32	0	0	-364.32	0	0	0
Piano 1	SLE QP 1	0	0	-349.51	0	0	-349.51	0	0	0
Piano 1	SLE QP 2	0	0	-362.2	0	0	-362.2	0	0	0
Piano 1	SLO 1	-67.16	-15.8	-364.39	-67.16	-15.8	-364.39	0	0	0
Piano 1	SLO 2	-67.16	-15.8	-364.39	-67.16	-15.8	-364.39	0	0	0
Piano 1	SLO 3	-63.94	17.13	-362.64	-63.94	17.13	-362.64	0	0	0
Piano 1	SLO 4	-63.94	17.13	-362.64	-63.94	17.13	-362.64	0	0	0
Piano 1	SLO 5	-25.03	-54.68	-365.51	-25.03	-54.68	-365.51	0	0	0

Livello Nome	Cont. n.br.	Totale			Aste verticali			Pareti		
		X	Y	Z	X	Y	Z	X	Y	Z
Piano 1	SLO 6	-25.03	-54.68	-365.51	-25.03	-54.68	-365.51	0	0	0
Piano 1	SLO 7	-14.3	55.08	-359.68	-14.3	55.08	-359.68	0	0	0
Piano 1	SLO 8	-14.3	55.08	-359.68	-14.3	55.08	-359.68	0	0	0
Piano 1	SLO 9	14.3	-55.08	-364.72	14.3	-55.08	-364.72	0	0	0
Piano 1	SLO 10	14.3	-55.08	-364.72	14.3	-55.08	-364.72	0	0	0
Piano 1	SLO 11	25.03	54.68	-358.89	25.03	54.68	-358.89	0	0	0
Piano 1	SLO 12	25.03	54.68	-358.89	25.03	54.68	-358.89	0	0	0
Piano 1	SLO 13	63.94	-17.13	-361.76	63.94	-17.13	-361.76	0	0	0
Piano 1	SLO 14	63.94	-17.13	-361.76	63.94	-17.13	-361.76	0	0	0
Piano 1	SLO 15	67.16	15.8	-360.01	67.16	15.8	-360.01	0	0	0
Piano 1	SLO 16	67.16	15.8	-360.01	67.16	15.8	-360.01	0	0	0
Piano 1	SLD 1	-58.51	-13.67	-364.11	-58.51	-13.67	-364.11	0	0	0
Piano 1	SLD 2	-58.51	-13.67	-364.11	-58.51	-13.67	-364.11	0	0	0
Piano 1	SLD 3	-55.75	14.86	-362.59	-55.75	14.86	-362.59	0	0	0
Piano 1	SLD 4	-55.75	14.86	-362.59	-55.75	14.86	-362.59	0	0	0
Piano 1	SLD 5	-21.75	-47.37	-365.07	-21.75	-47.37	-365.07	0	0	0
Piano 1	SLD 6	-21.75	-47.37	-365.07	-21.75	-47.37	-365.07	0	0	0
Piano 1	SLD 7	-12.53	47.73	-360.02	-12.53	47.73	-360.02	0	0	0
Piano 1	SLD 8	-12.53	47.73	-360.02	-12.53	47.73	-360.02	0	0	0
Piano 1	SLD 9	12.53	-47.73	-364.38	12.53	-47.73	-364.38	0	0	0
Piano 1	SLD 10	12.53	-47.73	-364.38	12.53	-47.73	-364.38	0	0	0
Piano 1	SLD 11	21.75	47.37	-359.33	21.75	47.37	-359.33	0	0	0
Piano 1	SLD 12	21.75	47.37	-359.33	21.75	47.37	-359.33	0	0	0
Piano 1	SLD 13	55.75	-14.86	-361.81	55.75	-14.86	-361.81	0	0	0
Piano 1	SLD 14	55.75	-14.86	-361.81	55.75	-14.86	-361.81	0	0	0
Piano 1	SLD 15	58.51	13.67	-360.29	58.51	13.67	-360.29	0	0	0
Piano 1	SLD 16	58.51	13.67	-360.29	58.51	13.67	-360.29	0	0	0
Piano 1	SLV 1	-144.85	-33.46	-366.94	-144.85	-33.46	-366.94	0	0	0
Piano 1	SLV 2	-144.85	-33.46	-366.94	-144.85	-33.46	-366.94	0	0	0
Piano 1	SLV 3	-138.15	36.51	-363.21	-138.15	36.51	-363.21	0	0	0
Piano 1	SLV 4	-138.15	36.51	-363.21	-138.15	36.51	-363.21	0	0	0
Piano 1	SLV 5	-53.62	-116.15	-369.28	-53.62	-116.15	-369.28	0	0	0
Piano 1	SLV 6	-53.62	-116.15	-369.28	-53.62	-116.15	-369.28	0	0	0
Piano 1	SLV 7	-31.28	117.06	-356.84	-31.28	117.06	-356.84	0	0	0
Piano 1	SLV 8	-31.28	117.06	-356.84	-31.28	117.06	-356.84	0	0	0
Piano 1	SLV 9	31.28	-117.06	-367.56	31.28	-117.06	-367.56	0	0	0
Piano 1	SLV 10	31.28	-117.06	-367.56	31.28	-117.06	-367.56	0	0	0
Piano 1	SLV 11	53.62	116.15	-355.12	53.62	116.15	-355.12	0	0	0
Piano 1	SLV 12	53.62	116.15	-355.12	53.62	116.15	-355.12	0	0	0
Piano 1	SLV 13	138.15	-36.51	-361.2	138.15	-36.51	-361.2	0	0	0
Piano 1	SLV 14	138.15	-36.51	-361.2	138.15	-36.51	-361.2	0	0	0
Piano 1	SLV 15	144.85	33.46	-357.47	144.85	33.46	-357.47	0	0	0
Piano 1	SLV 16	144.85	33.46	-357.47	144.85	33.46	-357.47	0	0	0
Piano 1	CRTFP Ux+	0.01	0	0	0.01	0	0	0	0	0
Piano 1	CRTFP Ux-	-0.01	0	0	-0.01	0	0	0	0	0
Piano 1	CRTFP Uy+	0	0.01	0	0	0.01	0	0	0	0
Piano 1	CRTFP Uy-	0	-0.01	0	0	-0.01	0	0	0	0
Piano 1	CRTFP Rz+	0	0	0	0	0	0	0	0	0
Piano 1	CRTFP Rz-	0	0	0	0	0	0	0	0	0

4.4 Baricentri delle rigidzze

Quota: Quota alla quale è stato valutato il baricentro delle rigidzze. esprimibile come livello, falda, piano orizzontale alla Z specificata. [m]

Posizione: Posizione in pianta del baricentro delle rigidzze.

X: Coordinata X. [m]

Y: Coordinata Y. [m]

Baricentro masse: Posizione in pianta del baricentro delle masse.

X: Coordinata X. [m]

Y: Coordinata Y. [m]

Distanza: Distanza in pianta tra il baricentro delle rigidzze e il baricentro delle masse.

X: Coordinata X. [m]

Y: Coordinata Y. [m]

Quota	Posizione		Baricentro masse		Distanza	
	X	Y	X	Y	X	Y
L3	3.943	4.565	4.133	4.246	-0.19	0.319
L4	4.008	4.185	3.536	4.913	0.472	-0.728

4.5 Risposta modale

Modo: Identificativo del modo di vibrare.

Periodo: Periodo. [s]

Massa X: Massa partecipante in direzione globale X. Il valore è adimensionale.

Massa Y: Massa partecipante in direzione globale Y. Il valore è adimensionale.

Massa Z: Massa partecipante in direzione globale Z. Il valore è adimensionale.

Massa rot X: Massa rotazionale partecipante attorno la direzione globale X. Il valore è adimensionale.

Massa rot Y: Massa rotazionale partecipante attorno la direzione globale Y. Il valore è adimensionale.

Massa rot Z: Massa rotazionale partecipante attorno la direzione globale Z. Il valore è adimensionale.

Totale masse partecipanti:

Traslazione X: 0.990344

Traslazione Y: 0.999481

Traslazione Z: 0

Rotazione X: 0.999988

Rotazione Y: 0.999801

Modo	Periodo	Massa X	Massa Y	Massa Z	Massa rot X	Massa rot Y	Massa rot Z
1	1.365875302	0.002676107	0.835086692	0	0.904985747	0.003630986	0.061092932
2	1.217512236	0.035216406	0.085345247	0	0.08552297	0.045180049	0.632402537
3	0.980470605	0.911835947	0.00002908	0	0.000023072	0.920007561	0.229146057
4	0.528103545	0.003727845	0.000009567	0	0.000001348	0.000006018	0.006275677
5	0.446645489	0.00248392	0.003573341	0	0.00022007	0.000266456	0.002049881
6	0.358069574	0.014418011	0.005075438	0	0.000438655	0.001685335	0.026133144
7	0.328598187	0.002262646	0.059998386	0	0.0085052	0.000879141	0.032015083
8	0.282779832	0.017358033	0.000430577	0	0.00012431	0.028136789	0.000561771
9	0.016484938	0.000364948	0.009932889	0	0.000166579	0.000008879	0.003340614

4.6 Equilibrio forze

Contributo: Nome attribuito al sistema risultante.

Fx: Componente X di forza del sistema risultante. [kN]

Fy: Componente Y di forza del sistema risultante. [kN]

Fz: Componente Z di forza del sistema risultante. [kN]

Mx: Componente di momento attorno l'asse X del sistema risultante. [kN*m]

My: Componente di momento attorno l'asse Y del sistema risultante. [kN*m]

Mz: Componente di momento attorno l'asse Z del sistema risultante. [kN*m]

Bilancio in condizione di carico: Pesi strutturali

Contributo	Fx	Fy	Fz	Mx	My	Mz
Forze applicate	0	0	-503.14486	-2375.3284	1867.1501	0
Reazioni	0	0	503.14486	2375.3515	-1867.1425	0
P-Delta	0	0	0	2375.3515	-1867.1425	0
Totale	0	0	0	0.0032	-0.0007	0

Bilancio in condizione di carico: Permanenti portati

Contributo	Fx	Fy	Fz	Mx	My	Mz
Forze applicate	0	0	-166.67891	-772.0767	607.406	0
Reazioni	0	0	166.67891	772.078	-607.4032	0
P-Delta	0	0	0	772.078	-607.4032	0
Totale	0	0	0	0.0013	-0.0002	0

Bilancio in condizione di carico: Variabile C

Contributo	Fx	Fy	Fz	Mx	My	Mz
Forze applicate	0	0	-177.33675	-849.6276	634.5032	0
Reazioni	0	0	177.33675	849.5793	-634.4983	0
P-Delta	0	0	0	849.5793	-634.4983	0
Totale	0	0	0	0.0022	-0.0009	0

Bilancio in condizione di carico: Sisma X SLV

Contributo	Fx	Fy	Fz	Mx	My	Mz
Forze applicate	354.44244	0	0	0	1470.7697	-1706.7095
Reazioni	-354.44244	0	0	0.5191	-1500.3284	1706.7095
P-Delta	0	0	0	0.5191	-1500.3284	1706.7095
Totale	0	0	0	0.2732	-0.167	0

Bilancio in condizione di carico: Sisma Y SLV

Contributo	Fx	Fy	Fz	Mx	My	Mz
Forze applicate	0	254.43055	0	-1055.7673	0	928.6418
Reazioni	0	-254.43055	0	1095.2276	-0.3664	-928.6418
P-Delta	0	0	0	1095.2276	-0.3664	-928.6418
Totale	0	0	0	0.1526	-0.0959	0

Bilancio in condizione di carico: Eccentricità Y per sisma X SLV

Contributo	Fx	Fy	Fz	Mx	My	Mz
Forze applicate	0	0	0	0	0	-142.6622
Reazioni	0	0	0	0.2993	-0.3436	142.6622
P-Delta	0	0	0	0.2993	-0.3436	142.6622
Totale	0	0	0	0.282	-0.1952	0

Bilancio in condizione di carico: Eccentricità X per sisma Y SLV

Contributo	Fx	Fy	Fz	Mx	My	Mz
Forze applicate	0	0	0	0	0	77.8083
Reazioni	0	0	0	-0.1632	0.1874	-77.8083
P-Delta	0	0	0	-0.1632	0.1874	-77.8083
Totale	0	0	0	-0.1538	0.1065	0

Bilancio in condizione di carico: Sisma X SLD

Contributo	Fx	Fy	Fz	Mx	My	Mz
Forze applicate	141.67753	0	0	0	587.8952	-682.2049
Reazioni	-141.67753	0	0	0.2075	-599.7104	682.2049
P-Delta	0	0	0	0.2075	-599.7104	682.2049
Totale	0	0	0	0.1092	-0.0668	0

Bilancio in condizione di carico: Sisma Y SLD

Contributo	Fx	Fy	Fz	Mx	My	Mz
Forze applicate	0	101.70083	0	-422.0107	0	371.1962
Reazioni	0	-101.70083	0	437.7837	-0.1465	-371.1962
P-Delta	0	0	0	437.7837	-0.1465	-371.1962
Totale	0	0	0	0.061	-0.0383	0

Bilancio in condizione di carico: Eccentricità Y per sisma X SLD

Contributo	Fx	Fy	Fz	Mx	My	Mz
Forze applicate	0	0	0	0	0	-57.0249
Reazioni	0	0	0	0.1196	-0.1373	57.0249
P-Delta	0	0	0	0.1196	-0.1373	57.0249

Contributo	Fx	Fy	Fz	Mx	My	Mz
Totale	0	0	0	0.1127	-0.078	0

Bilancio in condizione di carico: Eccentricità X per sisma Y SLD

Contributo	Fx	Fy	Fz	Mx	My	Mz
Forze applicate	0	0	0	0	0	31.1015
Reazioni	0	0	0	-0.0653	0.0749	-31.1015
P-Delta	0	0	0	-0.0653	0.0749	-31.1015
Totale	0	0	0	-0.0615	0.0426	0

Bilancio in condizione di carico: Sisma X SLO

Contributo	Fx	Fy	Fz	Mx	My	Mz
Forze applicate	161.55833	0	0	0	670.3912	-777.9349
Reazioni	-161.55833	0	0	0.2366	-683.8644	777.9349
P-Delta	0	0	0	0.2366	-683.8644	777.9349
Totale	0	0	0	0.1245	-0.0761	0

Bilancio in condizione di carico: Sisma Y SLO

Contributo	Fx	Fy	Fz	Mx	My	Mz
Forze applicate	0	115.97193	0	-481.2291	0	423.284
Reazioni	0	-115.97193	0	499.2154	-0.167	-423.284
P-Delta	0	0	0	499.2154	-0.167	-423.284
Totale	0	0	0	0.0696	-0.0437	0

Bilancio in condizione di carico: Eccentricità Y per sisma X SLO

Contributo	Fx	Fy	Fz	Mx	My	Mz
Forze applicate	0	0	0	0	0	-65.0268
Reazioni	0	0	0	0.1364	-0.1566	65.0268
P-Delta	0	0	0	0.1364	-0.1566	65.0268
Totale	0	0	0	0.1285	-0.089	0

Bilancio in condizione di carico: Eccentricità X per sisma Y SLO

Contributo	Fx	Fy	Fz	Mx	My	Mz
Forze applicate	0	0	0	0	0	35.4658
Reazioni	0	0	0	-0.0744	0.0854	-35.4658
P-Delta	0	0	0	-0.0744	0.0854	-35.4658
Totale	0	0	0	-0.0701	0.0485	0

Bilancio in condizione di carico: Rig. Ux

Contributo	Fx	Fy	Fz	Mx	My	Mz
Forze applicate	0.01	0	0	0	0.058	-0.0491
Reazioni	-0.01	0	0	0	-0.059	0.0491
P-Delta	0	0	0	0	-0.059	0.0491
Totale	0	0	0	0	0	0

Bilancio in condizione di carico: Rig. Uy

Contributo	Fx	Fy	Fz	Mx	My	Mz
Forze applicate	0	0.01	0	-0.058	0	0.0354
Reazioni	0	-0.01	0	0.06	0	-0.0354
P-Delta	0	0	0	0.06	0	-0.0354
Totale	0	0	0	0	0	0

Bilancio in condizione di carico: Rig. Rz

Contributo	Fx	Fy	Fz	Mx	My	Mz
Forze applicate	0	0	0	0	0	0.0001
Reazioni	0	0	0	0	0	-0.0001
P-Delta	0	0	0	0	0	-0.0001
Totale	0	0	0	0	0	0

4.7 Risposta di spettro

Spettro: Condizione elementare corrispondente allo spettro.

n.b.: Nome breve della condizione elementare.

Fx: Componente della forza lungo l'asse X. [kN]

Fy: Componente della forza lungo l'asse Y. [kN]

Fz: Componente della forza lungo l'asse Z. [kN]

Mx: Componente della coppia attorno all'asse X. [kN*m]

My: Componente della coppia attorno all'asse Y. [kN*m]

Mz: Componente della coppia attorno all'asse Z. [kN*m]

Max X: Massima reazione lungo l'asse X.

Valore: Valore massimo della reazione. [kN]

Angolo: Angolo d'ingresso del sisma che provoca il valore massimo della reazione. [deg]

Max Y: Massima reazione lungo l'asse Y.

Valore: Valore massimo della reazione. [kN]

Angolo: Angolo d'ingresso del sisma che provoca il valore massimo della reazione. [deg]

Max Z: Massima reazione lungo l'asse Z.

Valore: Valore massimo della reazione. [kN]

Angolo: Angolo d'ingresso del sisma che provoca il valore massimo della reazione. [deg]

Spettro n.b.	Fx	Fy	Fz	Mx	My	Mz	Max X		Max Y		Max Z	
							Valore	Angolo	Valore	Angolo	Valore	Angolo
X SLV	326.1166	17.0072	0	61.390619	1.301E03	1.318E03	326.1166	0	229.9701	89	0	0
Y SLV	17.0072	229.951	0	9.274E02	70.755787	8.188E02	326.1166	0	229.9701	89	0	0
X SLD	130.3983	6.913	0	24.605546	5.200E02	5.277E02	130.3983	179	92.3032	89	0	0
Y SLD	6.913	92.2968	0	3.709E02	28.45641	3.295E02	130.3983	179	92.3032	89	0	0
X SLO	148.7286	7.9564	0	28.104939	5.931E02	6.022E02	148.7286	0	105.5107	89	0	0
Y SLO	7.9564	105.5042	0	4.231E02	32.571914	3.772E02	148.7286	0	105.5107	89	0	0

5 Verifiche

5.1 Verifiche pilastro C.A.

Le unità di misura elencate nel capitolo sono in [m, kN, deg] ove non espressamente specificato.

Q.inf.: quota inferiore. [m]

Q.sup.: quota superiore. [m]

Sezione: sezione impiegata.

Esistente: campata esistente.

Secondaria: campata secondaria.

Dissipativa: campata dissipativa.

Interna a parete: campata adiacente ad una parete in c.a.

Sovreresistenza: aliquota di sovreresistenza da assicurare in verifica.

Materiale CLS: materiale calcestruzzo impiegato.

Materiale Acciaio: materiale/i acciaio impiegato/i.

FC: fattore di confidenza riferito al materiale CLS.

Posizione: posizione della barra.

X: ascissa relativa della barra rispetto al baricentro della sezione. [m]

Y: ordinata relativa della barra rispetto al baricentro della sezione. [m]

Diametro: diametro nominale della barra. [m]

Area: area nominale della barra. [m²]

Q.inf.: quota inferiore della barra. [m]

Q.sup.: quota superiore della barra. [m]

Materiale: materiale della barra.

Quota: quota della sezione. [m]

As: area complessiva delle armature verticali. [m²]

%: percentuale di acciaio.

At: area delle armature verticali destinata alla verifica di torsione. [m²]

Pos.: posizioni barre longitudinali presenti nella sezione.

Mx: momento Mx. [kN*m]

My: momento My. [kN*m]

N: sforzo normale. [kN]

MRdx: momento resistente in direzione X. [kN*m]

MRdy: momento resistente in direzione Y. [kN*m]

Comb.: combinazione peggiore.

Coeff.s.: coefficiente di sicurezza minimo.

Verifica: stato di verifica.

ε,ε_{cu}: deformazione ultima utilizzata per il calcestruzzo [%].

ε,ε_{fk}: deformazione ultima utilizzata per l'acciaio [%].

C.S.: coefficiente di sicurezza minimo.

N_{min}: compressione massima. [kN]

N_{lim}: compressione limite. [kN]

Comb.N_{min}: combinazione in cui si ottiene la compressione massima.

Ver.: stato di verifica.

Molt.: moltiplicatore delle azioni sismiche che attiva il meccanismo.

TR: periodo di ritorno associato all'attivazione del meccanismo.

I.R.TR: indicatore di rischio sismico in termini di periodo di ritorno.

PGA: pga associata all'attivazione del meccanismo.

I.R.PGA: indicatore di rischio sismico in termini di pga.

Staffe: staffatura presente nella sezione.

Ved,x: taglio di verifica per la direzione X. [kN]

Ved,y: taglio di verifica per la direzione Y. [kN]

Ned: sforzo normale di verifica. [kN]

Comb.V: combinazione di verifica taglio.

Cot: cotagente delle bielle compresse per la verifica critica.

Vres: resistenza a taglio per la verifica. [kN]

c.s.V: coefficiente di sicurezza taglio.

Mt: momento torcente di verifica. [kN*m]

As,t: area di staffatura destinata alla torsione. [m²]

At,t: area di barre longitudinali destinata alla torsione. [m²]

Comb.Tor.: combinazione di verifica torsione.

Trcd: resistenza a torsione delle bielle di calcestruzzo [4.1.27]. [kN*m]

Trsd: resistenza a torsione in relazione al minimo di staffe necessario [4.1.28]. [kN*m]

Trld: resistenza a torsione in relazione al minimo di barre longitudinali necessario [4.1.29]. [kN*m]

c.s.V-T: coefficiente di sicurezza taglio-torsione.

Quota: quota di verifica. [m]

Q.inf.: quota inferiore dell'appoggio considerato per la valutazione della rotazione alla corda. [m]

Q.sup.: quota superiore dell'appoggio considerato per la valutazione della rotazione alla corda. [m]

Dir.: direzione di riferimento della verifica.

Lv: luce di taglio considerata. [m]

x: altezza della zona compressa della sezione. [m]

h: altezza totale della sezione. [m]

p,tot: percentuale geometrica totale di armatura longitudinale.

θ,m: rotazione massima per la combinazione considerata.

θ,y: rotazione di prima plasticizzazione.

$\mu\Delta,pl$: parte plastica della domanda di duttilità.

VRd: resistenza a taglio del calcestruzzo non staffato per la verifica nella direzione considerata. [kN]

VRcd(cot θ =1): resistenza a taglio delle bielle compresse per la verifica nella direzione considerata considerando il valore di cot θ unitario. [kN]

VRsd: resistenza a taglio delle staffe per la verifica nella direzione considerata. [kN]

Vv: contributo dell'armatura trasversale per la resistenza a taglio [C8.7.2.9] ovvero [C8.7.2.10]. [kN]

VR: resistenza a taglio in condizioni cicliche (formula [C8.7.2.8]). [kN]

Vu: resistenza a taglio in condizioni sismiche. [kN]

VEd: sollecitazione tagliante. [kN]

NEd: sollecitazione di sforzo normale. [kN]

Comb.: combinazione di riferimento.

Pilastrata: pilastrata cui appartiene il nodo.

Q.Nodo: quota del nodo oggetto di verifica. [m]

Escluso: nodo escluso dalla verifica da parte dell'utente.

Confinato: nodo interamente confinato.

Segnalazioni: eventuali indicazioni relative alla verifica.

Angolo travatura: angolo di inclinazione della travatura considerata rispetto all'asse X. [deg]

Aj: area di calcolo della tensione sul nodo secondo secondo Circolare 7 21-01-19 §C8.7.2.3.5. [m²]

Vpc: azione tagliante sul nodo derivante dal solo pilastro superiore per il calcolo della tensione di compressione. [kN]

Vtc: azione tagliante sul nodo derivante dalla sola travatura per il calcolo della tensione di compressione. [kN]

Vnc: azione tagliante complessiva sul nodo per il calcolo della tensione di compressione. [kN]

Nc: azione assiale sul nodo per il calcolo della tensione di compressione. [kN]

σ_{nc} : tensione di compressione agente. [kN/m²]

$\sigma_{nc,lim}$: tensione di compressione limite. [kN/m²]

Comb.c: combinazione che dà il valore peggiore per la tensione di compressione.

Vpt: azione tagliante sul nodo derivante dal solo pilastro superiore per il calcolo della tensione di trazione. [kN]

Vtt: azione tagliante sul nodo derivante dalla sola travatura per il calcolo della tensione di trazione. [kN]

Vnt: azione tagliante complessiva sul nodo per il calcolo della tensione di trazione. [kN]

Nt: azione assiale sul nodo per il calcolo della tensione di trazione. [kN]

σ_{nt} : tensione di trazione agente. [kN/m²]

$\sigma_{nt,lim}$: tensione di trazione limite. [kN/m²]

Comb.t: combinazione che dà il valore peggiore per la tensione di trazione.

Moltiplicatore: moltiplicatore delle azioni sismiche che attiva il meccanismo.

Quota: quota della sezione di verifica. [m]

λ_x : snellezza per sbandamento in direzione X.

λ_y : snellezza per sbandamento in direzione Y.

λ_{limX} : snellezza limite in direzione X.

λ_{limY} : snellezza limite in direzione Y.

M 2° ord.: la verifica viene effettuata considerando anche gli effetti del secondo ordine, se non richiesti la verifica viene comunque condotta considerando i momenti del 1° ordine.

Nsd: sforzo normale. [kN]

M0ed,x: momento del primo ordine che tiene conto dell'effetto delle imperfezioni in direzione X. [kN*m]

M2,x: momento del secondo ordine in direzione X. [kN*m]

M0ed,y: momento del primo ordine che tiene conto dell'effetto delle imperfezioni in direzione Y. [kN*m]

M2,y: momento del secondo ordine in direzione y. [kN*m]

Mver,x: momento di verifica in direzione X. [kN*m]

Mver,y: momento di verifica in direzione Y. [kN*m]

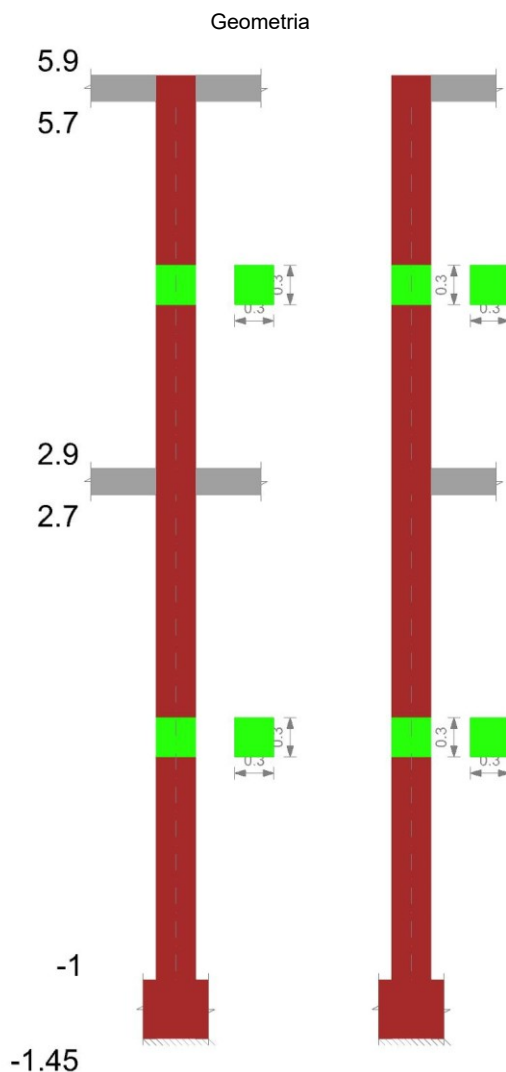
C.s x: coefficiente di sicurezza per sbandamento in direzione X.

C.s y: coefficiente di sicurezza per sbandamento in direzione Y.

Risultato: tipo di risultato esposto, può essere critico, in direzione X e in direzione Y.

(5.38): applicabilità delle verifiche in direzioni separate.

(5.39): coefficiente di sicurezza per i casi di non applicabilità delle verifiche su direzioni separate.

Pilastrata P1**Dati della pilastrata**

Analisi di edificio esistente con fattore di struttura.

Fattore di struttura per meccanismi duttili in direzione X: 1.5

Fattore di struttura per meccanismi duttili in direzione Y: 1.5

Fattore di struttura per meccanismi fragili in direzione X: 1

Fattore di struttura per meccanismi fragili in direzione Y: 1

Verifica dei meccanismi fragili condotta secondo Circolare 7 21-01-19 (SC8.7.2.2) Analisi lineare con fattore q.

Fattore di amplificazione dei meccanismi fragili della componente sismica in direzione X: 1

Fattore di amplificazione dei meccanismi fragili della componente sismica in direzione Y: 1

Campate costituenti la pilastrata

Q.inf.	Q.sup.	Sezione	Esistente	Secondaria	Dissipativa	Interna a parete	Sovreresistenza	Materiale CLS	Materiale Acciaio	FC
-1	2.7	R 30x30_1	Si	No	No	No		C15/18 Vigone C LC2	Vigone_FeB32k_LC2_FC = 1.2	1.2
2.9	5.7	R 30x30_1	Si	No	No	No		C15/18 Vigone C LC2	Vigone_FeB32k_LC2_FC = 1.2	1.2

Disposizione delle armature longitudinali

Posizione	X	Y	Diametro	Area	Q.inf.	Q.sup.	Sezione	Materiale
p.1	-0.1112	-0.1112	0.012	0.0001131	-1.225	-1	R 30x30 1	Vigone FeB32k LC2
p.1	0.1112	-0.1112	0.012	0.0001131	-1.225	-1	R 30x30 1	Vigone FeB32k LC2
p.1	0.1112	0.1112	0.012	0.0001131	-1.225	-1	R 30x30 1	Vigone FeB32k LC2
p.1	-0.1112	0.1112	0.012	0.0001131	-1.225	-1	R 30x30 1	Vigone FeB32k LC2
p.2	-0.1112	-0.1112	0.012	0.0001131	-1	2.9	R 30x30 1	Vigone FeB32k LC2
p.2	0.1112	-0.1112	0.012	0.0001131	-1	2.9	R 30x30 1	Vigone FeB32k LC2
p.2	0.1112	0.1112	0.012	0.0001131	-1	2.9	R 30x30 1	Vigone FeB32k LC2
p.2	-0.1112	0.1112	0.012	0.0001131	-1	2.9	R 30x30 1	Vigone FeB32k LC2
p.3	-0.1112	-0.1112	0.012	0.0001131	2.9	5.496	R 30x30 1	Vigone FeB32k LC2
p.3	0.1112	-0.1112	0.012	0.0001131	2.9	5.496	R 30x30 1	Vigone FeB32k LC2
p.3	0.1112	0.1112	0.012	0.0001131	2.9	5.496	R 30x30 1	Vigone FeB32k LC2
p.3	-0.1112	0.1112	0.012	0.0001131	2.9	5.496	R 30x30 1	Vigone FeB32k LC2

Controlli geometrici NTC18

Nessuna anomalia

Verifiche delle sezioni

Verifica a pressoflessione in SLU

Quota	As	%	At	Pos.	Mx	My	N	MRdx	MRdy	Comb.	Coeff.s.	Verifica
-1	0.000452	1	0.00000005	1,2	4.4847	-4.2235	-302.74	9.4443	-8.8943	SLU 19	2.106	Si
-0.69	0.000452	1	0.00000005	1,2	3.4743	-3.0254	-301.87	7.3376	-6.3894	SLU 19	2.112	Si
-0.38	0.000452	1	0.00000005	1,2	2.4129	-1.7666	-300.96	5.1114	-3.7423	SLU 19	2.118	Si
-0.08	0.000452	0.5	0.00000005	2	1.3674	-0.53	-300.05	2.9054	-1.126	SLU 19	2.125	Si
0.23	0.000452	0.5	0.00000005	2	0.324	0.6997	-299.15	0.6905	1.4912	SLU 19	2.131	Si
0.54	0.000452	0.5	0.00000005	2	-0.7194	1.9293	-298.25	-1.5378	4.1241	SLU 19	2.138	Si
0.85	0.000452	0.5	0.00000005	2	-1.771	3.1686	-297.34	-3.7973	6.794	SLU 19	2.144	Si
1.16	0.000452	0.5	0.00000005	2	-2.8062	4.3886	-296.45	-6.0351	9.4382	SLU 19	2.151	Si
1.47	0.000452	0.5	0.00000005	2	-3.8497	5.6183	-295.54	-8.3043	12.1195	SLU 19	2.157	Si
1.78	0.000452	0.5	0.00000005	2	-4.8931	6.8479	-294.64	-10.1419	14.1937	SLU 19	2.073	Si
2.08	0.000452	0.5	0.00000005	2	-5.9365	8.0776	-293.74	-11.7746	16.0214	SLU 19	1.983	Si
2.39	0.000452	0.5	0.00000005	2	-6.9799	9.3072	-292.84	-13.2225	17.6314	SLU 19	1.894	Si
2.7	0.000452	0.5	0.00000005	2	-8.0064	10.5169	-291.95	-14.4595	18.9935	SLU 19	1.806	Si
2.9	0.000452	1	0.00000025	2,3	12.3001	-20.0978	-107.77	14.4149	-23.5533	SLU 19	1.172	Si
3.21	0.000452	1	0.00000025	2,3	8.9383	-16.1461	-106.88	14.1773	-25.6098	SLU 19	1.586	Si
3.52	0.000452	1	0.00000025	2,3	5.5215	-12.1297	-105.97	13.1851	-28.9655	SLU 19	2.388	Si
3.83	0.000452	0.5	0.00000025	3	2.1047	-8.1134	-105.06	8.0029	-30.8508	SLU 19	3.802	Si
4.14	0.000452	0.5	0.00000025	3	-1.3121	-4.097	-104.15	-6.8708	-21.4536	SLU 19	5.236	Si
4.46	0.000452	0.5	0.00000025	3	-6.528	1.7573	-106.12	-27.9328	7.5194	SLU 16	4.279	Si
4.77	0.000452	0.5	0.00000025	3	-9.5298	4.8518	-105.21	-28.5725	14.5469	SLU 16	2.998	Si
5.08	0.000452	0.5	0.00000025	3	-12.5315	7.9463	-104.3	-25.3836	16.0959	SLU 16	2.026	Si
5.39	0.000452	0.5	0.00000025	3	-14.9793	11.9683	-100.51	-21.7106	17.3465	SLU 19	1.449	Si
5.7	0.00033	1	0.00000025	3	-18.3412	15.9201	-99.61	-17.0002	14.7561	SLU 19	0.927	No

Verifica a pressoflessione in SLV (domini sostanzialmente elastici)

E' attiva l'opzione fattori parziali di sicurezza unitari per meccanismi duttili di strutture esistenti con fattore q
La struttura oppure parte di essa, è stata dichiarata come non dissipativa pertanto la verifica a pressoflessione, per tutte o solo alcune sezioni, viene eseguita calcolando i momenti resistenti in campo sostanzialmente elastico secondo D.M. 17-01-2018 §7.4.1

Le dilatazioni ultime utilizzate sono le dilatazioni limite elastiche

Quota	As	%	At	Pos.	Mx	My	N	ε _{cu}	ε _{fk}	MRdx	MRdy	Comb.	C.S.	Nmin	Niim	Comb.Nmin	Ver.
-1	0.000452	1	0.00000428	1,2	58.9745	-	-138.35	-	1.58	6.7164	-15.4131	SLV 14	0.114				No
						135.3375		2.02									
-0.69	0.000452	1	0.00000428	1,2	-	-44.6083	-65.58	-	1.58	-14.9362	-5.9779	SLV 11	0.134				No
						111.4568		2.02									
-0.38	0.000452	1	0.00000428	1,2	-95.2645	-36.2045	-64.88	-	1.58	-15.2375	-5.7909	SLV 11	0.16				No
								2.02									
-0.08	0.000452	0.5	0.00000428	2	-79.1664	-27.8613	-64.18	-	1.58	-15.6731	-5.5159	SLV 11	0.198				No
								2.02									
0.23	0.000452	0.5	0.00000428	2	-62.8901	-19.3801	-63.49	-	1.58	-16.3879	-5.0501	SLV 11	0.261				No
								2.02									
0.54	0.000452	0.5	0.00000428	2	-46.6807	-10.9431	-62.8	-	1.58	-17.6989	-4.1491	SLV 11	0.379				No
								2.02									
0.85	0.000452	0.5	0.00000428	2	-30.5185	-2.6328	-62.1	-	1.58	-20.8815	-1.8014	SLV 11	0.684				No
								2.02									
1.16	0.000452	0.5	0.00000428	2	-15.3223	4.651	-56.37	-	1.58	-22.8363	6.9318	SLV 12	1.49				Si
								2.02									
1.47	0.000452	0.5	0.00000428	2	2.4437	35.5058	-67.78	-	1.58	1.4258	20.7164	SLV 16	0.583				No
								2.02									
1.78	0.000452	0.5	0.00000428	2	2.328	57.0063	-67.09	-	1.58	0.7809	19.1216	SLV 16	0.335				No
								2.02									
2.08	0.000452	0.5	0.00000428	2	-22.1041	82.1565	-131.43	-	1.58	-4.8184	17.909	SLV 14	0.218				No
								2.02									
2.39	0.000452	0.5	0.00000428	2	-30.0733	104.7719	-130.73	-	1.58	-4.8877	17.0281	SLV 14	0.163				No
								2.02									
2.7	0.000452	0.5	0.00000428	2	-37.9672	127.027	-130.05	-	1.58	-4.9302	16.4949	SLV 14	0.13				No
								2.02									
2.9	0.000452	1	0.00000417	2,3	0.5273	-76.1401	-39.83	-	1.58	0.1248	-18.0138	SLV 16	0.237				No
								2.02									
3.21	0.000452	1	0.00000417	2,3	0.4703	-57.531	-39.14	-	1.58	0.1493	-18.2674	SLV 16	0.318				No
								2.02									
3.52	0.000452	1	0.00000417	2,3	0.2812	-38.6955	-38.44	-	1.58	0.138	-18.989	SLV 16	0.491				No
								2.02									
3.83	0.000452	0.5	0.00000417	3	2.4345	-20.2369	-37.74	-	1.58	2.4121	-20.0504	SLV 16	0.991				No
								2.02									
4.14	0.000452	0.5	0.00000417	3	12.259	-2.3281	-28.28	-	1.58	20.4266	-3.8793	SLV 11	1.666				Si
								2.02									
4.46	0.000452	0.5	0.00000417	3	17.6957	9.0694	-25.25	-	1.58	15.3662	7.8755	SLV 12	0.868				No
								2.02									
4.77	0.000452	0.5	0.00000417	3	-20.5516	33.5533	-61.29	-	1.58	-9.2683	15.1318	SLV 14	0.451				No
								2.02									
5.08	0.000452	0.5	0.00000417	3	-27.646	49.6376	-60.59	-	1.58	-8.1685	14.6664	SLV 14	0.295				No
								2.02									
5.39	0.000452	0.5	0.00000417	3	-34.9349	65.7671	-59.89	-	1.58	-7.6563	14.4134	SLV 14	0.219				No
								2.02									
5.7	0.00033	1	0.00000417	3	-42.1986	81.6565	-59.2	-	1.58	-5.575	10.788	SLV 14	0.132				No
								2.02									

Verifica a pressoflessione in SLD

La struttura oppure parte di essa, è stata dichiarata come non dissipativa pertanto la verifica a pressoflessione, per tutte o solo alcune sezioni, viene eseguita calcolando i momenti resistenti in campo sostanzialmente elastico secondo D.M. 17-01-2018 §7.4.1

Le dilatazioni ultime utilizzate sono le dilatazioni limite elastiche

Quota	As	%	At	Pos.	Mx	My	N	MRdx	MRdy	Comb.	Coeff.s.	Verifica
-1	0.000452	1	0.00000173	1,2	25.0947	-55.559	-174.76	8.8127	-19.5111	SLD 14	0.351	No
-0.69	0.000452	1	0.00000173	1,2	21.6737	-46.9217	-174.09	9.5778	-20.7352	SLD 14	0.442	No
-0.38	0.000452	1	0.00000173	1,2	-37.2924	-15.0938	-144.54	-22.005	-8.9064	SLD 11	0.59	No
-0.08	0.000452	0.5	0.00000173	2	-31.187	-11.33	-143.85	-24.9613	-9.0682	SLD 11	0.8	No
0.23	0.000452	0.5	0.00000173	2	-25.0117	-7.5065	-143.15	-30.5478	-9.168	SLD 11	1.221	Si
0.54	0.000452	0.5	0.00000173	2	18.1723	5.9518	-248.7	35.3541	11.5791	SLD 6	1.945	Si
0.85	0.000452	0.5	0.00000173	2	10.5349	3.9945	-250.02	27.993	10.6141	SLD 5	2.657	Si
1.16	0.000452	0.5	0.00000173	2	4.5206	4.59	-227.79	15.2818	15.5167	SLD 9	3.381	Si
1.47	0.000452	0.5	0.00000173	2	-2.3662	16.7699	-169.22	-5.7571	40.8026	SLD 14	2.433	Si
1.78	0.000452	0.5	0.00000173	2	-6.4204	26.2139	-168.53	-8.6369	35.2636	SLD 14	1.345	Si
2.08	0.000452	0.5	0.00000173	2	-10.8307	35.6784	-167.84	-8.0154	26.4045	SLD 14	0.74	No
2.39	0.000452	0.5	0.00000173	2	-14.3592	45.1491	-167.14	-7.2495	22.7943	SLD 14	0.505	No

Quota	As	%	At	Pos.	Mx	My	N	MRdx	MRdy	Comb.	Coeff.s.	Verifica
2.7	0.000452	0.5	0.00000173	2	-17.8543	54.4689	-166.46	-6.8257	20.8234	SLD 14	0.382	No
2.9	0.000452	1	0.00000177	2,3	4.8507	-38.2597	-64.21	2.491	-19.6477	SLD 16	0.514	No
3.21	0.000452	1	0.00000177	2,3	3.4176	-29.2209	-63.52	2.458	-21.0164	SLD 16	0.719	No
3.52	0.000452	1	0.00000177	2,3	1.9044	-20.0687	-62.82	2.3047	-24.2873	SLD 16	1.21	Si
3.83	0.000452	0.5	0.00000177	3	1.4256	-11.0791	-62.12	4.4303	-34.4309	SLD 16	3.108	Si
4.14	0.000452	0.5	0.00000177	3	-7.3838	-1.9744	-97.58	-36.6682	-9.8048	SLD 6	4.966	Si
4.46	0.000452	0.5	0.00000177	3	-13.6771	1.7347	-90.55	-39.9786	5.0706	SLD 10	2.923	Si
4.77	0.000452	0.5	0.00000177	3	-12.0733	15.3559	-70.3	-14.3201	18.2135	SLD 14	1.186	Si
5.08	0.000452	0.5	0.00000177	3	-16.3539	23.3989	-69.6	-11.3771	16.278	SLD 14	0.696	No
5.39	0.000452	0.5	0.00000177	3	-20.721	31.4624	-68.9	-10.1175	15.3622	SLD 14	0.488	No
5.7	0.00033	1	0.00000177	3	-25.0582	39.405	-68.21	-7.1958	11.3156	SLD 14	0.287	No

Indicatori di rischio sismico a pressoflessione in SLV

E' attiva l'opzione fattori parziali di sicurezza unitari per meccanismi duttili di strutture esistenti con fattore q
La struttura oppure parte di essa, è stata dichiarata come non dissipativa pertanto la verifica a pressoflessione, per tutte o solo alcune sezioni, viene eseguita calcolando i momenti resistenti in campo sostanzialmente elastico secondo D.M. 17-01-2018 §7.4.1

Le dilatazioni ultime utilizzate sono le dilatazioni limite elastiche

Quota	Molt.	TR	I.R.TR	PGA	I.R.PGA	Comb.	Ver.
-1	0.2	29	0.239	0.049	0.245	SLV 14	No
-0.69	0.239	39	0.27	0.056	0.281	SLV 14	No
-0.38	0.296	57	0.316	0.067	0.335	SLV 14	No
-0.08	0.356	81	0.365	0.078	0.393	SLV 11	No
0.23	0.439	122	0.431	0.093	0.466	SLV 11	No
0.54	0.574	230	0.559	0.12	0.602	SLV 11	No
0.85	0.825	571	0.812	0.168	0.841	SLV 11	No
1.16	1.19	1567	1.228	0.233	1.167	SLV 12	Si
1.47	0.739	429	0.722	0.152	0.76	SLV 16	No
1.78	0.478	145	0.463	0.1	0.501	SLV 14	No
2.08	0.329	69	0.341	0.073	0.367	SLV 14	No
2.39	0.248	42	0.279	0.058	0.291	SLV 14	No
2.7	0.197	28	0.236	0.048	0.241	SLV 14	No
2.9	0.148	17	0.192	0.038	0.191	SLV 16	No
3.21	0.266	47	0.292	0.061	0.306	SLV 16	No
3.52	0.489	154	0.474	0.102	0.513	SLV 16	No
3.83	0.992	929	0.991	0.198	0.993	SLV 16	No
4.14	1.348	2114	1.389	0.255	1.279	SLV 11	Si
4.46	0.92	761	0.913	0.185	0.927	SLV 12	No
4.77	0.47	139	0.455	0.098	0.492	SLV 14	No
5.08	0.26	45	0.287	0.06	0.3	SLV 14	No
5.39	0.142	16	0.188	0.037	0.186	SLV 14	No
5.7	0.022	0	0	0	0	SLV 14	No

Indicatori di rischio sismico a pressoflessione in SLD Resistenza

La struttura oppure parte di essa, è stata dichiarata come non dissipativa pertanto la verifica a pressoflessione, per tutte o solo alcune sezioni, viene eseguita calcolando i momenti resistenti in campo sostanzialmente elastico secondo D.M. 17-01-2018 §7.4.1

Le dilatazioni ultime utilizzate sono le dilatazioni limite elastiche

Quota	Molt.	TR	I.R.TR	PGA	I.R.PGA	Comb.	Ver.
-1	0.501	29	0.6	0.049	0.569	SLD 14	No
-0.69	0.599	39	0.677	0.056	0.652	SLD 14	No
-0.38	0.742	57	0.791	0.067	0.777	SLD 14	No
-0.08	0.892	81	0.913	0.078	0.912	SLD 11	No
0.23	1.102	122	1.081	0.093	1.081	SLD 11	Si
0.54	1.439	231	1.404	0.12	1.399	SLD 11	Si
0.85	2.066	572	2.036	0.168	1.952	SLD 11	Si
1.16	2.967	1547	3.061	0.232	2.697	SLD 12	Si
1.47	1.848	428	1.808	0.152	1.762	SLD 16	Si
1.78	1.195	145	1.16	0.1	1.161	SLD 14	Si
2.08	0.822	69	0.855	0.073	0.85	SLD 14	No
2.39	0.621	42	0.698	0.058	0.675	SLD 14	No
2.7	0.493	28	0.591	0.048	0.56	SLD 14	No
2.9	0.368	17	0.482	0.038	0.444	SLD 14	No
3.21	0.662	46	0.724	0.061	0.703	SLD 16	No
3.52	1.217	152	1.182	0.102	1.183	SLD 16	Si
3.83	2.441	888	2.438	0.195	2.268	SLD 16	Si
4.14	3.32	2110	3.477	0.255	2.966	SLD 11	Si
4.46	2.304	762	2.29	0.185	2.153	SLD 12	Si
4.77	1.178	140	1.143	0.098	1.144	SLD 14	Si
5.08	0.652	45	0.718	0.06	0.696	SLD 14	No
5.39	0.357	16	0.47	0.037	0.432	SLD 14	No
5.7	0.056	0	0	0	0	SLD 14	No

Verifica a taglio-torsione in famiglia SLU

Quota	Staffe	Ved.x	Ved.y	Ned	Comb.V	Cot	Vres	c.s.v	Mt	As,t	Al,t	Comb.Tor.	Trcd	Trsd	Trld	c.s.v-T	Ver.
-1	2X/2Y ø6/14.8	4	-3.37	-302.74	SLU 19	2.5	62.92	15.72	0.00078	0	0.00000003	SLU 1	13.46788	0.00078	0.00078	1.02	Si
-0.69	2X/2Y ø6/14.8	4	-3.37	-301.87	SLU 19	2.5	62.92	15.72	0.00078	0	0.00000003	SLU 1	13.46788	0.00078	0.00078	1.02	Si
-0.38	2X/2Y ø6/14.8	4	-3.37	-300.96	SLU 19	2.5	62.92	15.72	0.00078	0	0.00000003	SLU 1	13.46788	0.00078	0.00078	1.02	Si
-0.08	2X/2Y ø6/14.8	4	-3.37	-300.05	SLU 19	2.5	62.92	15.72	0.00078	0	0.00000003	SLU 1	13.46788	0.00078	0.00078	1.02	Si
0.23	2X/2Y ø6/14.8	4	-3.37	-299.15	SLU 19	2.5	62.92	15.72	0.00078	0	0.00000003	SLU 1	13.46788	0.00078	0.00078	1.02	Si
0.54	2X/2Y ø6/14.8	4	-3.37	-298.25	SLU 19	2.5	62.92	15.72	0.00078	0	0.00000003	SLU 1	13.46788	0.00078	0.00078	1.02	Si
0.85	2X/2Y ø6/14.8	4	-3.37	-297.34	SLU 19	2.5	62.92	15.72	0.00078	0	0.00000003	SLU 1	13.46788	0.00078	0.00078	1.02	Si
1.16	2X/2Y ø6/14.8	4	-3.37	-296.45	SLU 19	2.5	62.92	15.72	0.00078	0	0.00000003	SLU 1	13.46788	0.00078	0.00078	1.02	Si
1.47	2X/2Y ø6/14.8	4	-3.37	-295.54	SLU 19	2.5	62.92	15.72	0.00078	0	0.00000003	SLU 1	13.46788	0.00078	0.00078	1.02	Si
1.78	2X/2Y ø6/14.8	4	-3.37	-294.64	SLU 19	2.5	62.92	15.72	0.00078	0	0.00000003	SLU 1	13.46788	0.00078	0.00078	1.02	Si
2.08	2X/2Y ø6/14.8	4	-3.37	-293.74	SLU 19	2.5	62.92	15.72	0.00078	0	0.00000003	SLU 1	13.46788	0.00078	0.00078	1.02	Si
2.39	2X/2Y ø6/14.8	4	-3.37	-292.84	SLU 19	2.5	62.92	15.72	0.00078	0	0.00000003	SLU 1	13.46788	0.00078	0.00078	1.02	Si

Quota	Staffe	Ved.x	Ved.y	Ned	Comb.V	Cot	Vres	c.s.V	Mt	As,t	Al,t	Comb.Tor.	Trcd	Trsd	Trld	c.s.V-T	Ver.
2.7	2X/2Y ø6/14.8	4	-3.37	-291.95	SLU 19	2.5	62.92	15.72	0.00078	0	0.00000003	SLU 1	13.46788	0.00078	0.00078	1.02	Si
2.9	2X/2Y ø6/14.7	12.91	-10.99	-107.77	SLU 19	2.5	63.13	4.89	-0.00344	0.00000002	0.00000013	SLU 1	13.46788	0.00344	0.00344	1.02	Si
3.21	2X/2Y ø6/14.7	12.91	-10.99	-106.88	SLU 19	2.5	63.13	4.89	-0.00344	0.00000002	0.00000013	SLU 1	13.46788	0.00344	0.00344	1.02	Si
3.52	2X/2Y ø6/14.7	12.91	-10.99	-105.97	SLU 19	2.5	63.13	4.89	-0.00344	0.00000002	0.00000013	SLU 1	13.46788	0.00344	0.00344	1.02	Si
3.83	2X/2Y ø6/14.7	12.91	-10.99	-105.06	SLU 19	2.5	63.13	4.89	-0.00344	0.00000002	0.00000013	SLU 1	13.46788	0.00344	0.00344	1.02	Si
4.14	2X/2Y ø6/14.7	12.91	-10.99	-104.15	SLU 19	2.5	63.13	4.89	-0.00344	0.00000002	0.00000013	SLU 1	13.46788	0.00344	0.00344	1.02	Si
4.46	2X/2Y ø6/14.7	12.91	-10.99	-103.24	SLU 19	2.5	63.13	4.89	-0.00344	0.00000002	0.00000013	SLU 1	13.46788	0.00344	0.00344	1.02	Si
4.77	2X/2Y ø6/14.7	12.91	-10.99	-102.33	SLU 19	2.5	63.13	4.89	-0.00344	0.00000002	0.00000013	SLU 1	13.46788	0.00344	0.00344	1.02	Si
5.08	2X/2Y ø6/14.7	12.91	-10.99	-101.42	SLU 19	2.5	63.13	4.89	-0.00344	0.00000002	0.00000013	SLU 1	13.46788	0.00344	0.00344	1.02	Si
5.39	2X/2Y ø6/14.7	12.91	-10.99	-100.51	SLU 19	2.5	63.13	4.89	-0.00344	0.00000002	0.00000013	SLU 1	13.46788	0.00344	0.00344	1.02	Si
5.7	2X/2Y ø6/14.7	12.91	-10.99	-99.61	SLU 19	2.5	63.13	4.89	-0.00344	0.00000002	0.00000013	SLU 1	13.46788	0.00344	0.00344	1.02	Si

Verifica a taglio-torsione in famiglia SLV

Quota	Staffe	Ved.x	Ved.y	Ned	Comb.V	Cot	Vres	c.s.V	Mt	As,t	Al,t	Comb.Tor.	Trcd	Trsd	Trld	c.s.V-T	Ver.
-1	2X/2Y ø6/14.8	72	-58.59	-138.35	SLV 14	2.5	62.12	0.86	0.11252	0.00000059	0.00000428	SLV 1	13.46788	0.11252	0.11252	1.02	No
-0.69	2X/2Y ø6/14.8	72	-58.59	-137.68	SLV 14	2.5	62.12	0.86	0.11252	0.00000059	0.00000428	SLV 1	13.46788	0.11252	0.11252	1.02	No
-0.38	2X/2Y ø6/14.8	72	-58.59	-136.98	SLV 14	2.5	62.12	0.86	0.11252	0.00000059	0.00000428	SLV 1	13.46788	0.11252	0.11252	1.02	No
-0.08	2X/2Y ø6/14.8	71.72	-58.42	-136.28	SLV 14	2.5	62.12	0.87	0.11252	0.00000059	0.00000428	SLV 1	13.46788	0.11252	0.11252	1.02	No
0.23	2X/2Y ø6/14.8	71.72	-58.42	-135.59	SLV 14	2.5	62.12	0.87	0.11252	0.00000059	0.00000428	SLV 1	13.46788	0.11252	0.11252	1.02	No
0.54	2X/2Y ø6/14.8	71.72	-58.42	-134.9	SLV 14	2.5	62.12	0.87	0.11252	0.00000059	0.00000428	SLV 1	13.46788	0.11252	0.11252	1.02	No
0.85	2X/2Y ø6/14.8	71.72	-58.42	-134.2	SLV 14	2.5	62.12	0.87	0.11252	0.00000059	0.00000428	SLV 1	13.46788	0.11252	0.11252	1.02	No
1.16	2X/2Y ø6/14.8	71.72	-58.42	-133.51	SLV 14	2.5	62.12	0.87	0.11252	0.00000059	0.00000428	SLV 1	13.46788	0.11252	0.11252	1.02	No
1.47	2X/2Y ø6/14.8	71.72	-58.42	-132.81	SLV 14	2.5	62.12	0.87	0.11252	0.00000059	0.00000428	SLV 1	13.46788	0.11252	0.11252	1.02	No
1.78	2X/2Y ø6/14.8	71.72	-58.42	-132.12	SLV 14	2.5	62.12	0.87	0.11252	0.00000059	0.00000428	SLV 1	13.46788	0.11252	0.11252	1.02	No
2.08	2X/2Y ø6/14.8	71.72	-58.42	-131.43	SLV 14	2.5	62.12	0.87	0.11252	0.00000059	0.00000428	SLV 1	13.46788	0.11252	0.11252	1.02	No
2.39	2X/2Y ø6/14.8	71.72	-58.42	-130.73	SLV 14	2.5	62.12	0.87	0.11252	0.00000059	0.00000428	SLV 1	13.46788	0.11252	0.11252	1.02	No
2.7	2X/2Y ø6/14.8	71.72	-58.42	-130.05	SLV 14	2.5	62.12	0.87	0.11252	0.00000059	0.00000428	SLV 1	13.46788	0.11252	0.11252	1.02	No
2.9	2X/2Y ø6/14.7	60.62	-48.93	-39.83	SLV 16	2.5	62.08	1.02	0.08848	0.00000046	0.00000337	SLV 1	13.46788	0.08848	0.08848	1.02	Si
3.21	2X/2Y ø6/14.7	60.62	-48.93	-39.14	SLV 16	2.5	62.08	1.02	0.08848	0.00000046	0.00000337	SLV 1	13.46788	0.08848	0.08848	1.02	Si
3.52	2X/2Y ø6/14.7	60.62	-48.93	-38.44	SLV 16	2.5	62.08	1.02	0.08848	0.00000046	0.00000337	SLV 1	13.46788	0.08848	0.08848	1.02	Si
3.83	2X/2Y ø6/14.7	60.62	-48.93	-37.74	SLV 16	2.5	62.08	1.02	0.08848	0.00000046	0.00000337	SLV 1	13.46788	0.08848	0.08848	1.02	Si
4.14	2X/2Y ø6/14.7	60.62	-48.93	-37.04	SLV 16	2.5	62.08	1.02	0.08848	0.00000046	0.00000337	SLV 1	13.46788	0.08848	0.08848	1.02	Si
4.46	2X/2Y ø6/14.7	60.62	-48.93	-36.34	SLV 16	2.5	62.08	1.02	0.08848	0.00000046	0.00000337	SLV 1	13.46788	0.08848	0.08848	1.02	Si
4.77	2X/2Y ø6/14.7	60.62	-48.93	-35.64	SLV 16	2.5	62.08	1.02	0.08848	0.00000046	0.00000337	SLV 1	13.46788	0.08848	0.08848	1.02	Si
5.08	2X/2Y ø6/14.7	60.62	-48.93	-34.94	SLV 16	2.5	62.08	1.02	0.08848	0.00000046	0.00000337	SLV 1	13.46788	0.08848	0.08848	1.02	Si
5.39	2X/2Y ø6/14.7	60.62	-48.93	-34.24	SLV 16	2.5	62.08	1.02	0.08848	0.00000046	0.00000337	SLV 1	13.46788	0.08848	0.08848	1.02	Si
5.7	2X/2Y ø6/14.7	60.62	-48.93	-33.55	SLV 16	2.5	62.08	1.02	0.08848	0.00000046	0.00000337	SLV 1	13.46788	0.08848	0.08848	1.02	Si

Verifica taglio ciclico secondo Circolare 7 21-01-19 §C8.7.2.3.5 formula [C8.7.2.8] in combinazione SLV

Quota	Q.inf.	Q.sup.	Dir.	Lv	x	h	p.tot	θ.m	θ.y	μΔ.pl	VRd	VRcd(cotθ=1)	VRsd	Vw	VR	Vu	VEd	NEd	Comb.	Verifica
-1	1.225	2.8	X	2.013	0.13	0.3	0.005	0.009423	0.011813	0	41.598	152.205	62.119	24.848	29.6	62.119	72	-138.35	SLV 14	No
-1	1.225	2.8	Y	2.013	0.186	0.3	0.005	0.010198	0.011813	0	41.598	156.373	62.624	25.049	31.547	62.624	-58.59	277.978	SLV 10	Si

Verifica a taglio-torsione in famiglia SLD Resistenza

Quota	Staffe	Ved.x	Ved.y	Ned	Comb.V	Cot	Vres	c.s.V	Mt	As,t	Al,t	Comb.Tor.	Trcd	Trsd	Trld	c.s.V-T	Ver.
-1	2X/2Y ø6/14.8	30.2	-24.58	-174.76	SLD 14	2.5	62.62	2.07	0.04555	0.00000024	0.00000173	SLD 1	13.46788	0.04555	0.04555	1.02	Si
-0.69	2X/2Y ø6/14.8	30.2	-24.58	-174.09	SLD 14	2.5	62.62	2.07	0.04555	0.00000024	0.00000173	SLD 1	13.46788	0.04555	0.04555	1.02	Si
-0.38	2X/2Y ø6/14.8	30.2	-24.58	-173.39	SLD 14	2.5	62.62	2.07	0.04555	0.00000024	0.00000173	SLD 1	13.46788	0.04555	0.04555	1.02	Si
-0.08	2X/2Y ø6/14.8	30.07	-24.51	-172.69	SLD 14	2.5	62.62	2.08	0.04555	0.00000024	0.00000173	SLD 1	13.46788	0.04555	0.04555	1.02	Si
0.23	2X/2Y ø6/14.8	30.07	-24.51	-172	SLD 14	2.5	62.62	2.08	0.04555	0.00000024	0.00000173	SLD 1	13.46788	0.04555	0.04555	1.02	Si
0.54	2X/2Y ø6/14.8	30.07	-24.51	-171.31	SLD 14	2.5	62.62	2.08	0.04555	0.00000024	0.00000173	SLD 1	13.46788	0.04555	0.04555	1.02	Si
0.85	2X/2Y ø6/14.8	30.07	-24.51	-170.61	SLD 14	2.5	62.62	2.08	0.04555	0.00000024	0.00000173	SLD 1	13.46788	0.04555	0.04555	1.02	Si
1.16	2X/2Y ø6/14.8	30.07	-24.51	-169.92	SLD 14	2.5	62.62	2.08	0.04555	0.00000024	0.00000173	SLD 1	13.46788	0.04555	0.04555	1.02	Si
1.47	2X/2Y ø6/14.8	30.07	-24.51	-169.22	SLD 14	2.5	62.62	2.08	0.04555	0.00000024	0.00000173	SLD 1	13.46788	0.04555	0.04555	1.02	Si
1.78	2X/2Y ø6/14.8	30.07	-24.51	-168.53	SLD 14	2.5	62.62	2.08	0.04555	0.00000024	0.00000173	SLD 1	13.46788	0.04555	0.04555	1.02	Si
2.08	2X/2Y ø6/14.8	30.07	-24.51	-167.84	SLD 14	2.5	62.62	2.08	0.04555	0.00000024	0.00000173	SLD 1	13.46788	0.04555	0.04555	1.02	Si
2.39	2X/2Y ø6/14.8	30.07	-24.51	-167.14	SLD 14	2.5	62.62	2.08	0.04555	0.00000024	0.00000173	SLD 1	13.46788	0.04555	0.04555	1.02	Si

Quota	Staffe	Ved.x	Ved.y	Ned	Comb.V	Cot	Vres	c.s.V	Mt	As,t	Al,t	Comb.Tor.	Trcd	Trsd	Trld	c.s.V-T	Ver.
2.7	2X/2Y ø6/14.8	30.07	-24.51	-166.46	SLD 14	2.5	62.72	2.08	0.04555	0.00000024	0.00000173	SLD 1	13.46788	0.04555	0.04555	1.02	Si
2.9	2X/2Y ø6/14.7	29.47	-24.36	-64.21	SLD 16	2.5	62.72	2.13	0.03309	0.00000017	0.00000126	SLD 1	13.46788	0.03309	0.03309	1.02	Si
3.21	2X/2Y ø6/14.7	29.47	-24.36	-63.52	SLD 16	2.5	62.72	2.13	0.03309	0.00000017	0.00000126	SLD 1	13.46788	0.03309	0.03309	1.02	Si
3.52	2X/2Y ø6/14.7	29.47	-24.36	-62.82	SLD 16	2.5	62.72	2.13	0.03309	0.00000017	0.00000126	SLD 1	13.46788	0.03309	0.03309	1.02	Si
3.83	2X/2Y ø6/14.7	29.47	-24.36	-62.12	SLD 16	2.5	62.72	2.13	0.03309	0.00000017	0.00000126	SLD 1	13.46788	0.03309	0.03309	1.02	Si
4.14	2X/2Y ø6/14.7	29.47	-24.36	-61.42	SLD 16	2.5	62.72	2.13	0.03309	0.00000017	0.00000126	SLD 1	13.46788	0.03309	0.03309	1.02	Si
4.46	2X/2Y ø6/14.7	29.47	-24.36	-60.72	SLD 16	2.5	62.72	2.13	0.03309	0.00000017	0.00000126	SLD 1	13.46788	0.03309	0.03309	1.02	Si
4.77	2X/2Y ø6/14.7	29.47	-24.36	-60.02	SLD 16	2.5	62.72	2.13	0.03309	0.00000017	0.00000126	SLD 1	13.46788	0.03309	0.03309	1.02	Si
5.08	2X/2Y ø6/14.7	29.47	-24.36	-59.32	SLD 16	2.5	62.72	2.13	0.03309	0.00000017	0.00000126	SLD 1	13.46788	0.03309	0.03309	1.02	Si
5.39	2X/2Y ø6/14.7	29.47	-24.36	-58.62	SLD 16	2.5	62.72	2.13	0.03309	0.00000017	0.00000126	SLD 1	13.46788	0.03309	0.03309	1.02	Si
5.7	2X/2Y ø6/14.7	29.47	-24.36	-57.93	SLD 16	2.5	62.72	2.13	0.03309	0.00000017	0.00000126	SLD 1	13.46788	0.03309	0.03309	1.02	Si

Indicatori di rischio sismico a taglio in SLV

Quota	Molt.	TR	I.R.TR	PGA	I.R.PGA	Comb.	
-0.69	0.869	655	0.859	0.176	0.881	SLV 14	No
-0.38	0.869	655	0.859	0.176	0.881	SLV 14	No
-0.08	0.873	663	0.863	0.177	0.885	SLV 14	No
0.23	0.873	663	0.863	0.177	0.885	SLV 14	No
0.54	0.873	663	0.863	0.177	0.885	SLV 14	No
0.85	0.873	663	0.863	0.177	0.885	SLV 14	No
1.16	0.873	663	0.863	0.177	0.885	SLV 14	No
1.47	0.873	663	0.863	0.177	0.885	SLV 14	No
1.78	0.873	663	0.863	0.177	0.885	SLV 14	No
2.08	0.873	663	0.863	0.177	0.885	SLV 14	No
2.39	0.873	663	0.863	0.177	0.885	SLV 14	No
2.7	0.873	663	0.863	0.177	0.885	SLV 14	No
2.9	1.051	1092	1.059	0.209	1.045	SLV 16	Si
3.21	1.051	1092	1.059	0.209	1.045	SLV 16	Si
3.52	1.051	1092	1.059	0.209	1.045	SLV 16	Si
3.83	1.051	1092	1.059	0.209	1.045	SLV 16	Si
4.14	1.051	1092	1.059	0.209	1.045	SLV 16	Si
4.46	1.051	1092	1.059	0.209	1.045	SLV 16	Si
4.77	1.051	1092	1.059	0.209	1.045	SLV 16	Si
5.08	1.051	1092	1.059	0.209	1.045	SLV 16	Si
5.39	1.051	1092	1.059	0.209	1.045	SLV 16	Si
5.7	1.051	1092	1.059	0.209	1.045	SLV 16	Si

Indicatori di rischio sismico a taglio in SLD Resistenza

Quota	Molt.	TR	I.R.TR	PGA	I.R.PGA	Comb.	
-1	2.172	652	2.148	0.176	2.041	SLD 14	Si
-0.69	2.172	652	2.148	0.176	2.041	SLD 14	Si
-0.38	2.172	652	2.148	0.176	2.041	SLD 14	Si
-0.08	2.184	661	2.16	0.176	2.051	SLD 14	Si
0.23	2.184	661	2.16	0.176	2.051	SLD 14	Si
0.54	2.184	661	2.16	0.176	2.051	SLD 14	Si
0.85	2.184	661	2.16	0.176	2.051	SLD 14	Si
1.16	2.184	661	2.16	0.176	2.051	SLD 14	Si
1.47	2.184	661	2.16	0.176	2.051	SLD 14	Si
1.78	2.184	661	2.16	0.176	2.051	SLD 14	Si
2.08	2.184	661	2.16	0.176	2.051	SLD 14	Si
2.39	2.184	661	2.16	0.176	2.051	SLD 14	Si
2.7	2.184	661	2.16	0.176	2.051	SLD 14	Si
2.9	2.611	1068	2.63	0.207	2.409	SLD 16	Si
3.21	2.611	1068	2.63	0.207	2.409	SLD 16	Si
3.52	2.611	1068	2.63	0.207	2.409	SLD 16	Si
3.83	2.611	1068	2.63	0.207	2.409	SLD 16	Si
4.14	2.611	1068	2.63	0.207	2.409	SLD 16	Si
4.46	2.611	1068	2.63	0.207	2.409	SLD 16	Si
4.77	2.611	1068	2.63	0.207	2.409	SLD 16	Si
5.08	2.611	1068	2.63	0.207	2.409	SLD 16	Si
5.39	2.611	1068	2.63	0.207	2.409	SLD 16	Si
5.7	2.611	1068	2.63	0.207	2.409	SLD 16	Si

Verifiche nodi trave colonna

Riepilogo dei dati per le diverse tipologie di verifica eseguite per i nodi

Pilastrata	Q.Nodo	Escluso	Confinato	Segnalazioni
Pilastrata P1	-1.225	Si	No	
Pilastrata P1	2.8	No	No	
Pilastrata P1	5.8	No	No	

Verifiche nodi trave colonna in combinazioni SLD

Riepilogo dei dati per la verifica del nodo secondo Circolare 7 21-01-19 §C8.7.2.3.5.

Pilastrata	Q.Nodo	Angolo travatura	Aj	Vpc	Vtc	Vnc	Nc	onc	onc,lim	Comb.c	Vpt	Vtt	Vnt	Nt	ont	ont,lim	Comb.t	Segnalazioni	Verifica
Pilastrata P1	2.8	0	0.10012	-	636.934	607.467	-	6397	4173	SLD 16	-	636.934	607.467	-	5755	867	SLD 16		No
				29.466	276.423	285.497	-	3206	4173	SLD 7	29.466	276.423	284.228	-	2556	867	SLD 12		No
				9.073	-	-	67.045	-	-	-	-	-	-	59.787	-	-	-		-
	2.8	180	0.10012	-	636.934	607.467	-	6397	4173	SLD 16	-	636.934	607.467	-	5755	867	SLD 16		No
				29.466	-	-	64.228	-	-	-	29.466	-	-	64.228	-	-	-		-

Verifiche nodi trave colonna in combinazioni SLD

Riepilogo dei dati per la verifica del nodo secondo Circolare 7 21-01-19 §C8.7.2.3.5.

Pilastrata	Q.Nodo	Angolo travatura	Aj	Vpc	Vtc	Vnc	Nc	onc	onc,lim	Comb.c	Vpt	Vtt	Vnt	Nt	ont	ont,lim	Comb.t	Segnalazioni	Verifica
Pilastrata P1	5.8	0	0.10012	0	313.951	313.951	0	3136	4173	SLD 16	0	313.951	313.951	0	3136	867	SLD 16		No
				90	275.018	275.018	0	2704	4173	SLD 5	0	275.018	275.018	0	2704	867	SLD 5		No
				180	313.951	313.951	0	3136	4173	SLD 16	0	313.951	313.951	0	3136	867	SLD 16		No

Verifiche nodi trave colonna in combinazioni SLV**Riepilogo dei dati per la verifica del nodo secondo Circolare 7 21-01-19 §C8.7.2.3.5.**

Pilastrata	Q.Nodo	Angolo travatura	Aj	Vpc	Vtc	Vnc	Nc	onc	onc,lim	Comb.c	Vpt	Vtt	Vnt	Nt	ont	ont,lim	Comb.t	Segnalazioni	Verifica	
Pilastrata P1	2.8	0	0.10012	-	634.369	601.042	-	6161	4173	SLV 11	-	634.369	601.042	-	5850	867	SLV 11		No	
	2.8	90	0.10012	33.326	8.719	276.423	285.143	-	3365	4173	SLV 3	30.565	276.423	306.988	-	2926	867	SLV 12	No	
	2.8	180	0.10012	-	634.369	601.042	95.607	-	6161	4173	SLV 11	-	634.369	601.042	28.755	-	5850	867	SLV 11	No
				33.326			31.088					33.326			31.088					

Verifiche nodi trave colonna in combinazioni SLV**Riepilogo dei dati per la verifica del nodo secondo Circolare 7 21-01-19 §C8.7.2.3.5.**

Pilastrata	Q.Nodo	Angolo travatura	Aj	Vpc	Vtc	Vnc	Nc	onc	onc,lim	Comb.c	Vpt	Vtt	Vnt	Nt	ont	ont,lim	Comb.t	Segnalazioni	Verifica
Pilastrata P1	5.8	0	0.10012	0	484.147	484.147	0	4836	4173	SLV 13	0	484.147	484.147	0	4836	867	SLV 13		No
	5.8	90	0.1017	0	275.018	275.018	0	2704	4173	SLV 3	0	275.018	275.018	0	2704	867	SLV 3		No
	5.8	180	0.10012	0	484.147	484.147	0	4836	4173	SLV 13	0	484.147	484.147	0	4836	867	SLV 13		No

Indicatori di rischio sismico dei nodi in SLD

Pilastrata	Q.Nodo	Angolo travatura	Moltiplicatore	TR	I.R.TR	PGA	I.R.PGA	Comb.	Ver.
Pilastrata P1	2.8	0	0	0	0	0	0	SLD 1	No
	2.8	90	0.152	3	0.237	0.017	0.199	SLD 10	No
	2.8	180	0	0	0	0	0	SLD 1	No

Indicatori di rischio sismico dei nodi in SLD

Pilastrata	Q.Nodo	Angolo travatura	Moltiplicatore	TR	I.R.TR	PGA	I.R.PGA	Comb.	Ver.
Pilastrata P1	5.8	0	0.042	0	0	0	0	SLD 16	No
	5.8	90	0.056	0	0	0	0	SLD 10	No
	5.8	180	0.042	0	0	0	0	SLD 16	No

Indicatori di rischio sismico dei nodi in SLV

Pilastrata	Q.Nodo	Angolo travatura	Moltiplicatore	TR	I.R.TR	PGA	I.R.PGA	Comb.	Ver.
Pilastrata P1	2.8	0	0	0	0	0	0	SLV 1	No
	2.8	90	0.061	3	0.094	0.017	0.086	SLV 10	No
	2.8	180	0	0	0	0	0	SLV 1	No

Indicatori di rischio sismico dei nodi in SLV

Pilastrata	Q.Nodo	Angolo travatura	Moltiplicatore	TR	I.R.TR	PGA	I.R.PGA	Comb.	Ver.
Pilastrata P1	5.8	0	0.02	0	0	0	0	SLV 14	No
	5.8	90	0.022	0	0	0	0	SLV 10	No
	5.8	180	0.02	0	0	0	0	SLV 14	No

Verifica di instabilità

Q.inf.	Q.sup.	Quota	λ _x	λ _y	λ _{limX}	λ _{limY}	M 2° ord.	Nsd	Comb.	M0ed,x	M2,x	M0ed,y	M2,y	Mver,x	Mver,y	C.s x	C.s y	Risultato	(5.38)	(5.39)	Ver.		
-	2.8	-1	46	46	36	36	Si	-302.74	SLV 19	3.3447	5.6463	4.4992	5.6661	8.991	-10.1654	1.98	1.92	Min	No	1.75	Si		
-	1.225	-	2.8	-1	46	46	36	36	Si	-302.74	SLV 19	3.3447	5.6463	4.4992	5.6661	8.991	-10.1654	1.98	1.92	X	No	1.75	Si
-	1.225	-	2.8	-1	46	46	48	48	Si	-174.76	SLD 14	11.1041	3.3327	24.9121	3.276	25.0947	-55.559	1.81	0.46	Min	No	0.35	No
-	1.225	-	2.8	-1	46	46	49	49	Si	-167.45	SLD 7	22.993	3.139	5.3704	3.2803	-52.5823	9.4372	0.49		X	Si		No
-	1.225	-	2.8	-1	46	46	54	54	Si	-138.35	SLV 14	25.9921	2.5935	60.5348	2.5935	58.9745	-	0.39	0.14	Min	No	0.11	No
-	1.225	-	2.8	-1	46	46	58	58	Si	-120.09	SLV 7	59.1907	2.2511	17.147	2.2862	-	27.2693	0.14	1.14	X	No	0.13	No
-	1.225	-	2.8	-1	46	46	36	36	Si	-302.74	SLV 19	3.3447	5.6463	4.4992	5.6661	8.991	-10.1654	1.98	1.92	Min	No	1.75	Si
-	1.225	-	2.8	-1	46	46	36	36	Si	-302.74	SLV 19	3.3447	5.6463	4.4992	5.6661	8.991	-10.1654	1.98	1.92	Y	No	1.75	Si
-	1.225	-	2.8	-1	46	46	48	48	Si	-174.76	SLD 14	11.1041	3.3327	24.9121	3.276	25.0947	-55.559	1.81	0.46	Min	No	0.35	No
-	1.225	-	2.8	-1	46	46	52	52	Si	-148.74	SLD 16	3.9376	2.9793	26.281	2.7883	-6.3374	-58.6576		0.4	Y	Si		No
-	1.225	-	2.8	-1	46	46	54	54	Si	-138.35	SLV 14	25.9921	2.5935	60.5348	2.5935	58.9745	-	0.39	0.14	Min	No	0.11	No
-	1.225	-	2.8	-1	46	46	74	74	Si	-73.32	SLV 16	9.7867	1.4049	63.9496	1.3744	-19.5799	-		0.13	Y	Si		No
2.8	5.8	5.7	35	35	63	63	No	-99.61	SLV 19	7.7978	1.2668	8.5813	1.2622	-18.3412	15.9201	1.48	1.88	Min	No	0.93	No		
2.8	5.8	5.7	35	35	63	63	No	-99.61	SLV 19	7.7978	1.2668	8.5813	1.2622	-18.3412	15.9201	1.48	1.88	X	No	0.93	No		
2.8	5.8	5.7	35	35	76	76	No	-68.21	SLD 14	10.6206	0.7056	16.8522	0.7104	-25.0582	39.405	0.72	0.4	Min	No	0.29	No		
2.8	5.8	5.7	35	35	67	67	No	-87.76	SLD 10	18.2544	0.9079	5.5123	1.1595	-43.0781	12.8395	0.38	2.88	X	No	0.33	No		
2.8	5.8	5.7	35	35	82	82	No	-59.2	SLV 14	17.8811	0.6124	34.8437	0.6165	-42.1986	81.6565	0.35	0.17	Min	No	0.13	No		
2.8	5.8	5.7	35	35	61	61	No	-107.96	SLV 10	36.9154	1.1167	6.619	1.374	-87.1407	15.5276	0.17		X	Si		No		
2.8	5.8	5.7	35	35	63	63	No	-99.61	SLV 19	7.7978	1.2668	8.5813	1.2622	-18.3412	15.9201	1.48	1.88	Min	No	0.93	No		
2.8	5.8	2.9	35	35	61	61	No	-107.77	SLV 19	7.7978	1.3436	8.5813	1.3412	12.3001	-20.0978	3.02	1.65	Y	No	1.17	Si		
2.8	5.8	5.7	35	35	76	76	No	-68.21	SLD 14	10.6206	0.7056	16.8522	0.7104	-25.0582	39.405	0.72	0.4	Min	No	0.29	No		
2.8	5.8	5.7	35	35	83	83	No	-57.93	SLD 16	3.3853	0.7843	19.0627	0.6033	-7.9854	44.5499		0.33	Y	Si		No		
2.8	5.8	5.7	35	35	82	82	No	-59.2	SLV 14	17.8811	0.6124	34.8437	0.6165	-42.1986	81.6565	0.35	0.17	Min	No	0.13	No		
2.8	5.8	5.7	35	35	109	109	No	-33.55	SLV 16	0.4573	0.4543	40.3295	0.3494	0.4573	94.426		0.14	Y	Si		No		

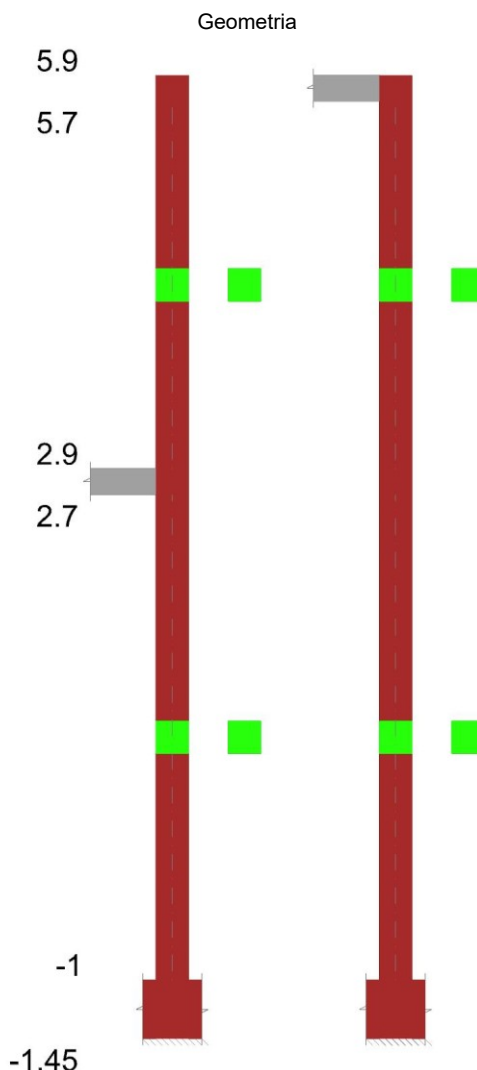
Verifiche di gerarchia delle resistenze nei nodi trave pilastro

Verifiche di gerarchia delle resistenze nei nodi trave pilastro non presenti in quanto la verifica è non necessaria per la pilastrata

per il nodo Appoggio 5.8 in quanto elemento di materiale esistente.

per il nodo Appoggio 2.8 in quanto elemento di materiale esistente.

per il nodo Appoggio -1.225 in quanto elemento di materiale esistente.

Pilastrata P2**Dati della pilastrata**

Analisi di edificio esistente con fattore di struttura.

Fattore di struttura per meccanismi duttili in direzione X: 1.5

Fattore di struttura per meccanismi duttili in direzione Y: 1.5

Fattore di struttura per meccanismi fragili in direzione X: 1

Fattore di struttura per meccanismi fragili in direzione Y: 1

Verifica dei meccanismi fragili condotta secondo Circolare 7 21-01-19 (SC8.7.2.2) Analisi lineare con fattore q.

Fattore di amplificazione dei meccanismi fragili della componente sismica in direzione X: 1

Fattore di amplificazione dei meccanismi fragili della componente sismica in direzione Y: 1

Campate costituenti la pilastrata

Q.inf.	Q.sup.	Sezione	Esistente	Secondaria	Dissipativa	Interna a parete	Sovreresistenza	Materiale CLS	Materiale Acciaio	FC
-1	2.7	R 25x25	Si	No	No	No		C15/18 Vigone C LC2	Vigone_FeB32k_LC2_FC = 1.2	1.2
2.9	5.7	R 25x25	Si	No	No	No		C15/18 Vigone C LC2	Vigone_FeB32k_LC2_FC = 1.2	1.2

Disposizione delle armature longitudinali

Posizione	X	Y	Diametro	Area	Q.inf.	Q.sup.	Sezione	Materiale
p.1	-0.0862	-0.0862	0.012	0.0001131	-1.225	-1	R 25x25	Vigone FeB32k LC2
p.1	0.0862	-0.0862	0.012	0.0001131	-1.225	-1	R 25x25	Vigone FeB32k LC2
p.1	0.0862	0.0862	0.012	0.0001131	-1.225	-1	R 25x25	Vigone FeB32k LC2
p.1	-0.0862	0.0862	0.012	0.0001131	-1.225	-1	R 25x25	Vigone FeB32k LC2
p.2	-0.0862	-0.0862	0.012	0.0001131	-1	2.9	R 25x25	Vigone FeB32k LC2
p.2	0.0862	-0.0862	0.012	0.0001131	-1	2.9	R 25x25	Vigone FeB32k LC2
p.2	0.0862	0.0862	0.012	0.0001131	-1	2.9	R 25x25	Vigone FeB32k LC2
p.2	-0.0862	0.0862	0.012	0.0001131	-1	2.9	R 25x25	Vigone FeB32k LC2
p.3	-0.0862	-0.0862	0.012	0.0001131	2.9	5.494	R 25x25	Vigone FeB32k LC2
p.3	0.0862	-0.0862	0.012	0.0001131	2.9	5.494	R 25x25	Vigone FeB32k LC2
p.3	0.0862	0.0862	0.012	0.0001131	2.9	5.494	R 25x25	Vigone FeB32k LC2
p.3	-0.0862	0.0862	0.012	0.0001131	2.9	5.494	R 25x25	Vigone FeB32k LC2

Controlli geometrici NTC18

Nessuna anomalia

Verifiche delle sezioni

Verifica a pressoflessione in SLU

Quota	As	%	At	Pos.	Mx	My	N	MRdx	MRdy	Comb.	Coeff.s.	Verifica
-1	0.000452	1.4	0.00000003	1,2	1.3837	-0.5865	-54.92	10.9504	-4.6418	SLU 19	7.914	Si
-0.69	0.000452	1.4	0.00000003	1,2	1.0797	-0.3553	-54.31	9.1875	-3.023	SLU 19	8.509	Si
-0.38	0.000452	1.4	0.00000003	1,2	0.7603	-0.1123	-53.68	6.8195	-1.007	SLU 19	8.97	Si
-0.08	0.000452	0.7	0.00000003	2	0.4454	0.1268	-53.05	4.0423	1.1508	SLU 19	9.076	Si
0.23	0.000452	0.7	0.00000003	2	0.1307	0.365	-52.42	1.2005	3.3523	SLU 19	9.184	Si
0.54	0.000452	0.7	0.00000003	2	-0.184	0.6032	-51.8	-1.7099	5.6069	SLU 19	9.295	Si
0.85	0.000452	0.7	0.00000003	2	-0.5011	0.8433	-51.17	-4.642	7.8118	SLU 19	9.264	Si
1.16	0.000452	0.7	0.00000003	2	-0.8133	1.0796	-50.54	-7.1033	9.4291	SLU 19	8.734	Si
1.47	0.000452	0.7	0.00000003	2	-1.128	1.3178	-49.92	-9.1748	10.7187	SLU 19	8.134	Si
1.78	0.000452	0.7	0.00000003	2	-1.4427	1.556	-49.29	-10.796	11.6442	SLU 19	7.483	Si
2.08	0.000452	0.7	0.00000003	2	-1.7573	1.7942	-48.67	-12.0725	12.3258	SLU 19	6.87	Si
2.39	0.000452	0.7	0.00000003	2	-2.072	2.0324	-48.04	-13.08	12.83	SLU 19	6.313	Si
2.7	0.000452	0.7	0.00000003	2	-2.3816	2.2667	-47.42	-13.8435	13.176	SLU 19	5.813	Si
2.9	0.000452	1.4	0.00000015	2,3	-2.177	-5.1287	-23.05	-7.1799	-16.9147	SLU 19	3.298	Si
3.21	0.000452	1.4	0.00000015	2,3	-1.1409	-4.5948	-22.43	-4.6977	-18.9198	SLU 19	4.118	Si
3.52	0.000452	1.4	0.00000015	2,3	-0.0878	-4.0522	-21.8	-0.4638	-21.4169	SLU 19	5.285	Si
3.83	0.000452	0.7	0.00000015	3	0.9653	-3.5095	-21.17	5.4553	-19.8331	SLU 19	5.651	Si
4.14	0.000452	0.7	0.00000015	3	2.0184	-2.9669	-20.54	10.4036	-15.2924	SLU 19	5.154	Si
4.46	0.000452	0.7	0.00000015	3	3.0715	-2.4243	-19.9	14.1296	-11.1522	SLU 19	4.6	Si
4.77	0.000452	0.7	0.00000015	3	4.1246	-1.8817	-19.27	16.7843	-7.657	SLU 19	4.069	Si
5.08	0.000452	0.7	0.00000015	3	5.1777	-1.339	-18.64	17.0163	-4.4007	SLU 19	3.286	Si
5.39	0.000452	0.7	0.00000015	3	6.2756	-0.5562	-18.03	16.1796	-1.4341	SLU 16	2.578	Si
5.7	0.000358	1.4	0.00000015	3	7.3023	-0.2066	-17.4	12.4965	-0.3536	SLU 16	1.711	Si

Verifica a pressoflessione in SLV (domini sostanzialmente elastici)

E' attiva l'opzione fattori parziali di sicurezza unitari per meccanismi duttili di strutture esistenti con fattore q
La struttura oppure parte di essa, è stata dichiarata come non dissipativa pertanto la verifica a pressoflessione, per tutte o solo alcune sezioni, viene eseguita calcolando i momenti resistenti in campo sostanzialmente elastico secondo D.M. 17-01-2018 §7.4.1

Le dilatazioni ultime utilizzate sono le dilatazioni limite elastiche

Quota	As	%	At	Pos.	Mx	My	N	ε _{cu}	ε _{fk}	MRdx	MRdy	Comb.	C.S.	Nmin	Niim	Comb.Nmin	Ver.
-1	0.000452	1.4	0.00000248	1,2	42.8019	50.0414	33.86	-	1.58	7.1095	8.312	SLV 5	0.166				No
-0.69	0.000452	1.4	0.00000248	1,2	38.7466	42.7399	34.32	-	1.58	7.2713	8.0207	SLV 5	0.188				No
-0.38	0.000452	1.4	0.00000248	1,2	34.5043	35.0849	34.81	-	1.58	7.5152	7.6417	SLV 5	0.218				No
-0.08	0.000452	0.7	0.00000248	2	30.3219	27.5136	35.29	-	1.58	7.8415	7.1153	SLV 5	0.259				No
0.23	0.000452	0.7	0.00000248	2	26.1419	19.8825	35.78	-	1.58	8.3121	6.3219	SLV 5	0.318				No
0.54	0.000452	0.7	0.00000248	2	22.0159	12.2618	36.26	-	1.58	9.0175	5.0223	SLV 5	0.41				No
0.85	0.000452	0.7	0.00000248	2	20.8721	3.3248	19.98	-	1.58	11.4665	1.8265	SLV 6	0.549				No
1.16	0.000452	0.7	0.00000248	2	18.0086	3.4565	-14.04	-	1.58	13.0558	2.5059	SLV 10	0.725				No
1.47	0.000452	0.7	0.00000248	2	-1.1171	-16.8204	48.85	-	1.58	-0.6836	-10.2925	SIV 1	0.612				No
1.78	0.000452	0.7	0.00000248	2	-2.5241	-28.1751	49.33	-	1.58	-0.9965	-11.1241	SLV 1	0.395				No
2.08	0.000452	0.7	0.00000248	2	-3.701	-39.5408	49.81	-	1.58	-1.0808	-11.5472	SLV 1	0.292				No
2.39	0.000452	0.7	0.00000248	2	-11.0768	-50.9099	50.29	-	1.58	-2.4206	-11.1255	SIV 1	0.219				No
2.7	0.000452	0.7	0.00000248	2	-13.5473	-62.0962	50.77	-	1.58	-2.4593	-11.2725	SLV 1	0.182				No
2.9	0.000452	1.4	0.00000241	2,3	10.477	-29.5038	-17.56	-	1.58	4.1987	-11.8238	SLV 16	0.401				No
3.21	0.000452	1.4	0.00000241	2,3	-18.0509	17.9713	2.63	-	1.58	-7.9895	7.9543	SIV 5	0.443				No
3.52	0.000452	1.4	0.00000241	2,3	17.943	-20.8475	-35.73	-	1.58	8.3357	-9.685	SLV 12	0.465				No
3.83	0.000452	0.7	0.00000241	3	18.8519	-18.0097	-35.24	-	1.58	9.2701	-8.856	SLV 12	0.492				No
4.14	0.000452	0.7	0.00000241	3	23.683	-11.6085	-37.42	-	1.58	11.8758	-5.821	SLV 11	0.501				No
4.46	0.000452	0.7	0.00000241	3	30.5789	-4.6667	-39.64	-	1.58	13.9684	-2.1317	SLV 7	0.457				No
4.77	0.000452	0.7	0.00000241	3	34.8329	-3.6702	-39.16	-	1.58	14.1046	-1.4862	SLV 7	0.405				No
5.08	0.000452	0.7	0.00000241	3	39.3938	-2.678	-38.67	-	1.58	14.1899	-0.9647	SLV 7	0.36				No
5.39	0.000452	0.7	0.00000241	3	44.1731	-1.6991	-38.18	-	1.58	14.241	-0.5478	SLV 7	0.322				No
5.7	0.000358	1.4	0.00000241	3	49.0249	-0.8268	-37.71	-	1.58	11.4222	-0.1926	SLV 7	0.233				No

Verifica a pressoflessione in SLD

La struttura oppure parte di essa, è stata dichiarata come non dissipativa pertanto la verifica a pressoflessione, per tutte o solo alcune sezioni, viene eseguita calcolando i momenti resistenti in campo sostanzialmente elastico secondo D.M. 17-01-2018 §7.4.1

Le dilatazioni ultime utilizzate sono le dilatazioni limite elastiche

Quota	As	%	At	Pos.	Mx	My	N	MRdx	MRdy	Comb.	Coeff.s.	Verifica
-1	0.000452	1.4	0.000001	1,2	17.7174	19.826	-9.16	7.8427	8.7761	SLD 5	0.443	No
-0.69	0.000452	1.4	0.000001	1,2	15.9548	16.9866	-8.69	8.0642	8.5857	SLD 5	0.505	No
-0.38	0.000452	1.4	0.000001	1,2	14.1116	14.0109	-8.2	8.3872	8.3274	SLD 5	0.594	No
-0.08	0.000452	0.7	0.000001	2	12.2963	11.0662	-7.72	8.8334	7.9497	SLD 5	0.718	No
0.23	0.000452	0.7	0.000001	2	10.4848	8.0939	-7.24	9.5089	7.3406	SLD 5	0.907	No
0.54	0.000452	0.7	0.000001	2	8.6995	5.1261	-6.76	10.5819	6.2353	SLD 5	1.216	Si
0.85	0.000452	0.7	0.000001	2	8.1126	1.6355	-12.97	14.0211	2.8266	SLD 6	1.728	Si
1.16	0.000452	0.7	0.000001	2	6.8689	1.7767	-26.29	16.7829	4.3411	SLD 10	2.443	Si
1.47	0.000452	0.7	0.000001	2	-0.9691	-6.2728	-0.88	-1.9511	-12.6288	SLD 1	2.013	Si
1.78	0.000452	0.7	0.000001	2	-1.649	-10.7343	-0.4	-1.9237	-12.5225	SLD 1	1.167	Si
2.08	0.000452	0.7	0.000001	2	-2.2292	-15.2007	0.08	-1.8361	-12.5204	SLD 1	0.824	No
2.39	0.000452	0.7	0.000001	2	-5.5029	-19.6687	0.57	-3.2703	-11.6888	SLD 1	0.594	No

Quota	As	%	At	Pos.	Mx	My	N	MRdx	MRdy	Comb.	Coeff.s.	Verifica
2.7	0.000452	0.7	0.000001	2	-6.6381	-24.0649	1.04	-3.2267	-11.6977	SLD 1	0.486	No
2.9	0.000452	1.4	0.00000102	2,3	3.4151	-13.8775	-17.36	3.2658	-13.2707	SLD 16	0.956	No
3.21	0.000452	1.4	0.00000102	2,3	3.5991	-12.4045	-16.88	3.7915	-13.0677	SLD 16	1.053	Si
3.52	0.000452	1.4	0.00000102	2,3	7.2607	-9.9198	-24.13	8.0816	-11.0413	SLD 12	1.113	Si
3.83	0.000452	0.7	0.00000102	3	8.0193	-8.5733	-23.65	9.3465	-9.9922	SLD 12	1.165	Si
4.14	0.000452	0.7	0.00000102	3	10.3865	-5.8025	-24.23	12.1662	-6.7967	SLD 11	1.171	Si
4.46	0.000452	0.7	0.00000102	3	12.4297	-4.7344	-23.74	13.029	-4.9627	SLD 11	1.048	Si
4.77	0.000452	0.7	0.00000102	3	15.7963	-2.1722	-24.37	14.4528	-1.9875	SLD 7	0.915	No
5.08	0.000452	0.7	0.00000102	3	18.1211	-1.5738	-23.88	14.5549	-1.2641	SLD 7	0.803	No
5.39	0.000452	0.7	0.00000102	3	20.5425	-0.9808	-23.39	14.5903	-0.6966	SLD 7	0.71	No
5.7	0.000358	1.4	0.00000102	3	22.9905	-0.4351	-22.91	11.7075	-0.2216	SLD 7	0.509	No

Indicatori di rischio sismico a pressoflessione in SLV

E' attiva l'opzione fattori parziali di sicurezza unitari per meccanismi duttili di strutture esistenti con fattore q La struttura oppure parte di essa, è stata dichiarata come non dissipativa pertanto la verifica a pressoflessione, per tutte o solo alcune sezioni, viene eseguita calcolando i momenti resistenti in campo sostanzialmente elastico secondo D.M. 17-01-2018 §7.4.1

Le dilatazioni ultime utilizzate sono le dilatazioni limite elastiche

Quota	Molt.	TR	I.R.TR	PGA	I.R.PGA	Comb.	Ver.
-1	0.198	28	0.236	0.048	0.241	SLV 5	No
-0.69	0.223	35	0.258	0.053	0.268	SLV 5	No
-0.38	0.257	44	0.284	0.059	0.297	SLV 5	No
-0.08	0.303	59	0.32	0.068	0.341	SLV 5	No
0.23	0.369	86	0.374	0.08	0.403	SLV 5	No
0.54	0.466	137	0.452	0.098	0.489	SLV 5	No
0.85	0.604	260	0.588	0.126	0.631	SLV 6	No
1.16	0.768	471	0.75	0.157	0.787	SLV 10	No
1.47	0.666	332	0.65	0.138	0.691	SLV 1	No
1.78	0.451	128	0.44	0.095	0.475	SLV 1	No
2.08	0.341	74	0.351	0.076	0.378	SLV 1	No
2.39	0.259	45	0.287	0.06	0.3	SLV 1	No
2.7	0.216	33	0.252	0.052	0.26	SLV 1	No
2.9	0.389	95	0.389	0.084	0.42	SLV 16	No
3.21	0.429	116	0.422	0.091	0.457	SLV 16	No
3.52	0.452	129	0.441	0.095	0.477	SLV 12	No
3.83	0.474	142	0.459	0.099	0.496	SLV 12	No
4.14	0.477	145	0.463	0.1	0.501	SLV 11	No
4.46	0.422	112	0.416	0.09	0.45	SLV 7	No
4.77	0.358	82	0.366	0.079	0.395	SLV 7	No
5.08	0.304	60	0.322	0.069	0.343	SLV 7	No
5.39	0.256	44	0.284	0.059	0.297	SLV 7	No
5.7	0.153	18	0.197	0.039	0.197	SLV 7	No

Indicatori di rischio sismico a pressoflessione in SLD Resistenza

La struttura oppure parte di essa, è stata dichiarata come non dissipativa pertanto la verifica a pressoflessione, per tutte o solo alcune sezioni, viene eseguita calcolando i momenti resistenti in campo sostanzialmente elastico secondo D.M. 17-01-2018 §7.4.1

Le dilatazioni ultime utilizzate sono le dilatazioni limite elastiche

Quota	Molt.	TR	I.R.TR	PGA	I.R.PGA	Comb.	Ver.
-1	0.495	28	0.591	0.048	0.56	SLD 5	No
-0.69	0.559	35	0.648	0.053	0.62	SLD 5	No
-0.38	0.645	44	0.711	0.059	0.689	SLD 5	No
-0.08	0.76	60	0.808	0.069	0.796	SLD 5	No
0.23	0.924	86	0.936	0.08	0.935	SLD 5	No
0.54	1.166	137	1.133	0.098	1.134	SLD 5	Si
0.85	1.514	262	1.478	0.126	1.466	SLD 6	Si
1.16	1.914	468	1.875	0.157	1.822	SLD 10	Si
1.47	1.666	332	1.629	0.138	1.602	SLD 1	Si
1.78	1.129	129	1.106	0.095	1.106	SLD 1	Si
2.08	0.854	74	0.88	0.076	0.878	SLD 1	No
2.39	0.646	44	0.711	0.059	0.689	SLD 1	No
2.7	0.54	33	0.632	0.052	0.604	SLD 1	No
2.9	0.953	92	0.962	0.083	0.962	SLD 16	No
3.21	1.057	112	1.043	0.09	1.044	SLD 16	Si
3.52	1.121	127	1.098	0.095	1.099	SLD 12	Si
3.83	1.18	141	1.147	0.099	1.147	SLD 12	Si
4.14	1.191	144	1.157	0.1	1.157	SLD 11	Si
4.46	1.057	112	1.043	0.09	1.044	SLD 11	Si
4.77	0.898	82	0.918	0.079	0.916	SLD 7	No
5.08	0.76	60	0.808	0.069	0.796	SLD 7	No
5.39	0.641	44	0.711	0.059	0.689	SLD 7	No
5.7	0.383	18	0.493	0.039	0.456	SLD 7	No

Verifica a taglio-torsione in famiglia SLU

Quota	Staffe	Ved.x	Ved.y	Ned	Comb.V	Cot	Vres	c.s.v	Mt	As,t	Al,t	Comb.Tor.	Trcd	Trsd	Trld	c.s.v-T	Ver.
-1	2X/2Y ø6/14.8	0.78	-1.02	-54.92	SLU 19	2.5	50.88	49.95	0.00038	0	0.00000002	SLU 1	7.79391	0.00038	0.00038	1.02	Si
-0.69	2X/2Y ø6/14.8	0.78	-1.02	-54.31	SLU 19	2.5	50.88	49.95	0.00038	0	0.00000002	SLU 1	7.79391	0.00038	0.00038	1.02	Si
-0.38	2X/2Y ø6/14.8	0.78	-1.02	-53.68	SLU 19	2.5	50.88	49.95	0.00038	0	0.00000002	SLU 1	7.79391	0.00038	0.00038	1.02	Si
-0.08	2X/2Y ø6/14.8	0.78	-1.02	-53.05	SLU 19	2.5	50.88	49.95	0.00038	0	0.00000002	SLU 1	7.79391	0.00038	0.00038	1.02	Si
0.23	2X/2Y ø6/14.8	0.78	-1.02	-52.42	SLU 19	2.5	50.88	49.95	0.00038	0	0.00000002	SLU 1	7.79391	0.00038	0.00038	1.02	Si
0.54	2X/2Y ø6/14.8	0.78	-1.02	-51.8	SLU 19	2.5	50.88	49.95	0.00038	0	0.00000002	SLU 1	7.79391	0.00038	0.00038	1.02	Si
0.85	2X/2Y ø6/14.8	0.78	-1.02	-51.17	SLU 19	2.5	50.88	49.95	0.00038	0	0.00000002	SLU 1	7.79391	0.00038	0.00038	1.02	Si
1.16	2X/2Y ø6/14.8	0.78	-1.02	-50.54	SLU 19	2.5	50.88	49.95	0.00038	0	0.00000002	SLU 1	7.79391	0.00038	0.00038	1.02	Si
1.47	2X/2Y ø6/14.8	0.78	-1.02	-49.92	SLU 19	2.5	50.88	49.95	0.00038	0	0.00000002	SLU 1	7.79391	0.00038	0.00038	1.02	Si
1.78	2X/2Y ø6/14.8	0.78	-1.02	-49.29	SLU 19	2.5	50.88	49.95	0.00038	0	0.00000002	SLU 1	7.79391	0.00038	0.00038	1.02	Si
2.08	2X/2Y ø6/14.8	0.78	-1.02	-48.67	SLU 19	2.5	50.88	49.95	0.00038	0	0.00000002	SLU 1	7.79391	0.00038	0.00038	1.02	Si
2.39	2X/2Y ø6/14.8	0.78	-1.02	-48.04	SLU 19	2.5	50.88	49.95	0.00038	0	0.00000002	SLU 1	7.79391	0.00038	0.00038	1.02	Si

Quota	Staffe	Ved.x	Ved.y	Ned	Comb.V	Cot	Vres	c.s.V	Mt	As,t	Al,t	Comb.Tor.	Trcd	Trsd	Trld	c.s.V-T	Ver.
2.7	2X/2Y ø6/14.8	0.78	-1.02	-47.42	SLU 19	2.5	50.88	49.95	0.00038	0	0.00000002	SLU 1	7.79391	0.00038	0.00038	1.02	Sl
2.9	2X/2Y ø6/14.7	1.74	3.38	-23.05	SLU 19	2.5	51.07	15.09	-0.00166	0.00000001	0.00000008	SLU 1	7.79391	0.00166	0.00166	1.02	Sl
3.21	2X/2Y ø6/14.7	1.74	3.38	-22.43	SLU 19	2.5	51.07	15.09	-0.00166	0.00000001	0.00000008	SLU 1	7.79391	0.00166	0.00166	1.02	Sl
3.52	2X/2Y ø6/14.7	1.74	3.38	-21.8	SLU 19	2.5	51.07	15.09	-0.00166	0.00000001	0.00000008	SLU 1	7.79391	0.00166	0.00166	1.02	Sl
3.83	2X/2Y ø6/14.7	1.74	3.38	-21.17	SLU 19	2.5	51.07	15.09	-0.00166	0.00000001	0.00000008	SLU 1	7.79391	0.00166	0.00166	1.02	Sl
4.14	2X/2Y ø6/14.7	1.74	3.38	-20.54	SLU 19	2.5	51.07	15.09	-0.00166	0.00000001	0.00000008	SLU 1	7.79391	0.00166	0.00166	1.02	Sl
4.46	2X/2Y ø6/14.7	1.74	3.38	-19.9	SLU 19	2.5	51.07	15.09	-0.00166	0.00000001	0.00000008	SLU 1	7.79391	0.00166	0.00166	1.02	Sl
4.77	2X/2Y ø6/14.7	1.74	3.38	-19.27	SLU 19	2.5	51.07	15.09	-0.00166	0.00000001	0.00000008	SLU 1	7.79391	0.00166	0.00166	1.02	Sl
5.08	2X/2Y ø6/14.7	1.74	3.38	-18.64	SLU 19	2.5	51.07	15.09	-0.00166	0.00000001	0.00000008	SLU 1	7.79391	0.00166	0.00166	1.02	Sl
5.39	2X/2Y ø6/14.7	1.74	3.38	-18.01	SLU 19	2.5	51.07	15.09	-0.00166	0.00000001	0.00000008	SLU 1	7.79391	0.00166	0.00166	1.02	Sl
5.7	2X/2Y ø6/14.7	1.74	3.38	-17.39	SLU 19	2.5	51.49	15.21	-0.00166	0.00000001	0.00000008	SLU 1	7.79391	0.00166	0.00166	1.02	Sl

Verifica a taglio-torsione in famiglia SLV

Quota	Staffe	Ved.x	Ved.y	Ned	Comb.V	Cot	Vres	c.s.V	Mt	As,t	Al,t	Comb.Tor.	Trcd	Trsd	Trld	c.s.V-T	Ver.
-1	2X/2Y ø6/14.8	37.55	-20.06	-120.71	SLV 16	2.5	50.17	1.34	0.05426	0.00000041	0.00000248	SLV 1	7.79391	0.05426	0.05426	1.02	Sl
-0.69	2X/2Y ø6/14.8	37.55	-20.06	-120.25	SLV 16	2.5	50.17	1.34	0.05426	0.00000041	0.00000248	SLV 1	7.79391	0.05426	0.05426	1.02	Sl
-0.38	2X/2Y ø6/14.8	37.55	-20.06	-119.76	SLV 16	2.5	50.17	1.34	0.05426	0.00000041	0.00000248	SLV 1	7.79391	0.05426	0.05426	1.02	Sl
-0.08	2X/2Y ø6/14.8	37.45	-19.88	-119.28	SLV 16	2.5	50.17	1.34	0.05426	0.00000041	0.00000248	SLV 1	7.79391	0.05426	0.05426	1.02	Sl
0.23	2X/2Y ø6/14.8	37.45	-19.88	-118.8	SLV 16	2.5	50.17	1.34	0.05426	0.00000041	0.00000248	SLV 1	7.79391	0.05426	0.05426	1.02	Sl
0.54	2X/2Y ø6/14.8	37.45	-19.88	-118.31	SLV 16	2.5	50.17	1.34	0.05426	0.00000041	0.00000248	SLV 1	7.79391	0.05426	0.05426	1.02	Sl
0.85	2X/2Y ø6/14.8	37.45	-19.88	-117.83	SLV 16	2.5	50.17	1.34	0.05426	0.00000041	0.00000248	SLV 1	7.79391	0.05426	0.05426	1.02	Sl
1.16	2X/2Y ø6/14.8	37.45	-19.88	-117.35	SLV 16	2.5	50.17	1.34	0.05426	0.00000041	0.00000248	SLV 1	7.79391	0.05426	0.05426	1.02	Sl
1.47	2X/2Y ø6/14.8	37.45	-19.88	-116.87	SLV 16	2.5	50.17	1.34	0.05426	0.00000041	0.00000248	SLV 1	7.79391	0.05426	0.05426	1.02	Sl
1.78	2X/2Y ø6/14.8	37.45	-19.88	-116.39	SLV 16	2.5	50.17	1.34	0.05426	0.00000041	0.00000248	SLV 1	7.79391	0.05426	0.05426	1.02	Sl
2.08	2X/2Y ø6/14.8	37.45	-19.88	-115.91	SLV 16	2.5	50.17	1.34	0.05426	0.00000041	0.00000248	SLV 1	7.79391	0.05426	0.05426	1.02	Sl
2.39	2X/2Y ø6/14.8	37.45	-19.88	-115.42	SLV 16	2.5	50.17	1.34	0.05426	0.00000041	0.00000248	SLV 1	7.79391	0.05426	0.05426	1.02	Sl
2.7	2X/2Y ø6/14.8	37.45	-19.88	-114.95	SLV 16	2.5	50.17	1.34	0.05426	0.00000041	0.00000248	SLV 1	7.79391	0.05426	0.05426	1.02	Sl
2.9	2X/2Y ø6/14.7	10.16	17.41	-42.06	SLV 7	2.5	50.83	2.92	0.04267	0.00000032	0.00000195	SLV 1	7.79391	0.04267	0.04267	1.02	Sl
3.21	2X/2Y ø6/14.7	10.16	17.41	-41.59	SLV 7	2.5	50.83	2.92	0.04267	0.00000032	0.00000195	SLV 1	7.79391	0.04267	0.04267	1.02	Sl
3.52	2X/2Y ø6/14.7	10.16	17.41	-41.1	SLV 7	2.5	50.83	2.92	0.04267	0.00000032	0.00000195	SLV 1	7.79391	0.04267	0.04267	1.02	Sl
3.83	2X/2Y ø6/14.7	10.16	17.41	-40.61	SLV 7	2.5	50.83	2.92	0.04267	0.00000032	0.00000195	SLV 1	7.79391	0.04267	0.04267	1.02	Sl
4.14	2X/2Y ø6/14.7	10.16	17.41	-40.13	SLV 7	2.5	50.83	2.92	0.04267	0.00000032	0.00000195	SLV 1	7.79391	0.04267	0.04267	1.02	Sl
4.46	2X/2Y ø6/14.7	10.16	17.41	-39.64	SLV 7	2.5	50.83	2.92	0.04267	0.00000032	0.00000195	SLV 1	7.79391	0.04267	0.04267	1.02	Sl
4.77	2X/2Y ø6/14.7	10.16	17.41	-39.16	SLV 7	2.5	50.83	2.92	0.04267	0.00000032	0.00000195	SLV 1	7.79391	0.04267	0.04267	1.02	Sl
5.08	2X/2Y ø6/14.7	10.16	17.41	-38.67	SLV 7	2.5	50.83	2.92	0.04267	0.00000032	0.00000195	SLV 1	7.79391	0.04267	0.04267	1.02	Sl
5.39	2X/2Y ø6/14.7	10.16	17.41	-38.18	SLV 7	2.5	50.83	2.92	0.04267	0.00000032	0.00000195	SLV 1	7.79391	0.04267	0.04267	1.02	Sl
5.7	2X/2Y ø6/14.7	10.16	17.41	-37.71	SLV 7	2.5	51.25	2.94	0.04267	0.00000032	0.00000195	SLV 1	7.79391	0.04267	0.04267	1.02	Sl

Verifica taglio ciclico secondo Circolare 7 21-01-19 §C8.7.2.3.5 formula [C8.7.2.8] in combinazione SLV

Quota	Q.inf.	Q.sup.	Dir.	Lv	x	h	p.tot	θ.m	θ.y	μΔ.pl	VRd	VRcd(cotθ=1)	VRsd	Vw	VR	Vu	VEd	NEd	Comb.	Verifica
-1	1.225	2.8	X	2.013	0.12	0.25	0.0072	0.01084	0.014184	0	29.364	105.37	50.168	20.067	23.664	50.168	37.549	-120.713	SLV 16	Sl
-1	1.225	2.8	Y	2.013	0.071	0.25	0.0072	0.008087	0.014184	0	18.125	84.296	50.486	20.194	20.393	50.486	-20.064	17.093	SLV 6	Sl

Verifica a taglio-torsione in famiglia SLD Resistenza

Quota	Staffe	Ved.x	Ved.y	Ned	Comb.V	Cot	Vres	c.s.V	Mt	As,t	Al,t	Comb.Tor.	Trcd	Trsd	Trld	c.s.V-T	Ver.
-1	2X/2Y ø6/14.8	15.29	-8.54	-70.99	SLD 16	2.5	50.6	3.31	0.02196	0.00000016	0.0000001	SLD 1	7.79391	0.02196	0.02196	1.02	Sl
-0.69	2X/2Y ø6/14.8	15.29	-8.54	-70.52	SLD 16	2.5	50.6	3.31	0.02196	0.00000016	0.0000001	SLD 1	7.79391	0.02196	0.02196	1.02	Sl
-0.38	2X/2Y ø6/14.8	15.29	-8.54	-70.03	SLD 16	2.5	50.6	3.31	0.02196	0.00000016	0.0000001	SLD 1	7.79391	0.02196	0.02196	1.02	Sl
-0.08	2X/2Y ø6/14.8	15.25	-8.45	-69.55	SLD 16	2.5	50.6	3.32	0.02196	0.00000016	0.0000001	SLD 1	7.79391	0.02196	0.02196	1.02	Sl
0.23	2X/2Y ø6/14.8	15.25	-8.45	-69.07	SLD 16	2.5	50.6	3.32	0.02196	0.00000016	0.0000001	SLD 1	7.79391	0.02196	0.02196	1.02	Sl
0.54	2X/2Y ø6/14.8	15.25	-8.45	-68.59	SLD 16	2.5	50.6	3.32	0.02196	0.00000016	0.0000001	SLD 1	7.79391	0.02196	0.02196	1.02	Sl
0.85	2X/2Y ø6/14.8	15.25	-8.45	-68.1	SLD 16	2.5	50.6	3.32	0.02196	0.00000016	0.0000001	SLD 1	7.79391	0.02196	0.02196	1.02	Sl
1.16	2X/2Y ø6/14.8	15.25	-8.45	-67.62	SLD 16	2.5	50.6	3.32	0.02196	0.00000016	0.0000001	SLD 1	7.79391	0.02196	0.02196	1.02	Sl
1.47	2X/2Y ø6/14.8	15.25	-8.45	-67.14	SLD 16	2.5	50.6	3.32	0.02196	0.00000016	0.0000001	SLD 1	7.79391	0.02196	0.02196	1.02	Sl
1.78	2X/2Y ø6/14.8	15.25	-8.45	-66.66	SLD 16	2.5	50.6	3.32	0.02196	0.00000016	0.0000001	SLD 1	7.79391	0.02196	0.02196	1.02	Sl
2.08	2X/2Y ø6/14.8	15.25	-8.45	-66.18	SLD 16	2.5	50.6	3.32	0.02196	0.00000016	0.0000001	SLD 1	7.79391	0.02196	0.02196	1.02	Sl
2.39	2X/2Y ø6/14.8	15.25	-8.45	-65.7	SLD 16	2.5	50.6	3.32	0.02196	0.00000016	0.0000001	SLD 1	7.79391	0.02196	0.02196	1.02	Sl

Quota	Staffe	Ved.x	Ved.y	Ned	Comb.V	Cot	Vres	c.s.V	Mt	As,t	Al,t	Comb.Tor.	Trcd	Trsd	Trld	c.s.V-T	Ver.
2.7	2X/2Y ø6/14.8	15.25	-8.45	-65.22	SLD 16	2.5	50.6	3.32	0.02196	0.00000016	0.000001	SLD 1	7.79391	0.02196	0.02196	1.02	Si
2.9	2X/2Y ø6/14.7	4.77	8.68	-27.27	SLD 7	2.5	50.98	5.88	0.01596	0.00000012	0.00000073	SLD 1	7.79391	0.01596	0.01596	1.02	Si
3.21	2X/2Y ø6/14.7	4.77	8.68	-26.8	SLD 7	2.5	50.98	5.88	0.01596	0.00000012	0.00000073	SLD 1	7.79391	0.01596	0.01596	1.02	Si
3.52	2X/2Y ø6/14.7	4.77	8.68	-26.31	SLD 7	2.5	50.98	5.88	0.01596	0.00000012	0.00000073	SLD 1	7.79391	0.01596	0.01596	1.02	Si
3.83	2X/2Y ø6/14.7	4.77	8.68	-25.82	SLD 7	2.5	50.98	5.88	0.01596	0.00000012	0.00000073	SLD 1	7.79391	0.01596	0.01596	1.02	Si
4.14	2X/2Y ø6/14.7	4.77	8.68	-25.34	SLD 7	2.5	50.98	5.88	0.01596	0.00000012	0.00000073	SLD 1	7.79391	0.01596	0.01596	1.02	Si
4.46	2X/2Y ø6/14.7	4.77	8.68	-24.85	SLD 7	2.5	50.98	5.88	0.01596	0.00000012	0.00000073	SLD 1	7.79391	0.01596	0.01596	1.02	Si
4.77	2X/2Y ø6/14.7	4.77	8.68	-24.37	SLD 7	2.5	50.98	5.88	0.01596	0.00000012	0.00000073	SLD 1	7.79391	0.01596	0.01596	1.02	Si
5.08	2X/2Y ø6/14.7	4.77	8.68	-23.88	SLD 7	2.5	50.98	5.88	0.01596	0.00000012	0.00000073	SLD 1	7.79391	0.01596	0.01596	1.02	Si
5.39	2X/2Y ø6/14.7	4.77	8.68	-23.39	SLD 7	2.5	50.98	5.88	0.01596	0.00000012	0.00000073	SLD 1	7.79391	0.01596	0.01596	1.02	Si
5.7	2X/2Y ø6/14.7	4.77	8.68	-22.91	SLD 7	2.5	51.4	5.92	0.01596	0.00000012	0.00000073	SLD 1	7.79391	0.01596	0.01596	1.02	Si

Indicatori di rischio sismico a taglio in SLV

Quota	Molt.	TR	I.R.TR	PGA	I.R.PGA	Comb.	
-0.69	1.359	2114	1.389	0.255	1.279	SLV 16	Si
-0.38	1.359	2114	1.389	0.255	1.279	SLV 16	Si
-0.08	1.363	2114	1.389	0.255	1.279	SLV 16	Si
0.23	1.363	2114	1.389	0.255	1.279	SLV 16	Si
0.54	1.363	2114	1.389	0.255	1.279	SLV 16	Si
0.85	1.363	2114	1.389	0.255	1.279	SLV 16	Si
1.16	1.363	2114	1.389	0.255	1.279	SLV 16	Si
1.47	1.363	2114	1.389	0.255	1.279	SLV 16	Si
1.78	1.363	2114	1.389	0.255	1.279	SLV 16	Si
2.08	1.363	2114	1.389	0.255	1.279	SLV 16	Si
2.39	1.363	2114	1.389	0.255	1.279	SLV 16	Si
2.7	1.363	2114	1.389	0.255	1.279	SLV 16	Si
2.9	3.262	2114	1.389	0.255	1.279	SLV 7	Si
3.21	3.262	2114	1.389	0.255	1.279	SLV 7	Si
3.52	3.262	2114	1.389	0.255	1.279	SLV 7	Si
3.83	3.262	2114	1.389	0.255	1.279	SLV 7	Si
4.14	3.262	2114	1.389	0.255	1.279	SLV 7	Si
4.46	3.262	2114	1.389	0.255	1.279	SLV 7	Si
4.77	3.262	2114	1.389	0.255	1.279	SLV 7	Si
5.08	3.262	2114	1.389	0.255	1.279	SLV 7	Si
5.39	3.262	2114	1.389	0.255	1.279	SLV 7	Si
5.7	3.285	2114	1.389	0.255	1.279	SLV 7	Si

Indicatori di rischio sismico a taglio in SLD Resistenza

Quota	Molt.	TR	I.R.TR	PGA	I.R.PGA	Comb.	
-1	3.396	2110	3.477	0.255	2.966	SLD 16	Si
-0.69	3.396	2110	3.477	0.255	2.966	SLD 16	Si
-0.38	3.396	2110	3.477	0.255	2.966	SLD 16	Si
-0.08	3.408	2110	3.477	0.255	2.966	SLD 16	Si
0.23	3.408	2110	3.477	0.255	2.966	SLD 16	Si
0.54	3.408	2110	3.477	0.255	2.966	SLD 16	Si
0.85	3.408	2110	3.477	0.255	2.966	SLD 16	Si
1.16	3.408	2110	3.477	0.255	2.966	SLD 16	Si
1.47	3.408	2110	3.477	0.255	2.966	SLD 16	Si
1.78	3.408	2110	3.477	0.255	2.966	SLD 16	Si
2.08	3.408	2110	3.477	0.255	2.966	SLD 16	Si
2.39	3.408	2110	3.477	0.255	2.966	SLD 16	Si
2.7	3.408	2110	3.477	0.255	2.966	SLD 16	Si
2.9	7.863	2110	3.477	0.255	2.966	SLD 7	Si
3.21	7.863	2110	3.477	0.255	2.966	SLD 7	Si
3.52	7.863	2110	3.477	0.255	2.966	SLD 7	Si
3.83	7.863	2110	3.477	0.255	2.966	SLD 7	Si
4.14	7.863	2110	3.477	0.255	2.966	SLD 7	Si
4.46	7.863	2110	3.477	0.255	2.966	SLD 7	Si
4.77	7.863	2110	3.477	0.255	2.966	SLD 7	Si
5.08	7.863	2110	3.477	0.255	2.966	SLD 7	Si
5.39	7.863	2110	3.477	0.255	2.966	SLD 7	Si
5.7	7.932	2110	3.477	0.255	2.966	SLD 7	Si

Verifiche nodi trave colonna

Riepilogo dei dati per le diverse tipologie di verifica eseguite per i nodi

Pilastrata	Q.Nodo	Escluso	Confinato	Segnalazioni
Pilastrata P2	-1.225	Si	No	
Pilastrata P2	2.8	No	No	
Pilastrata P2	5.8	No	No	

Verifiche nodi trave colonna in combinazioni SLD

Riepilogo dei dati per la verifica del nodo secondo Circolare 7 21-01-19 §C8.7.2.3.5.

Pilastrata	Q.Nodo	Angolo travatura	Aj	Vpc	Vtc	Vnc	Nc	σnc	σnc,lim	Comb.c	Vpt	Vtt	Vnt	Nt	σnt	σnt,lim	Comb.t	Segnalazioni	Verifica
Pilastrata P2	2.8	180	0.06468	1.393	67.307	68.7	-	1251	4173	SLD 3	2.138	67.307	69.445	-	1003	867	SLD 5		No

Verifiche nodi trave colonna in combinazioni SLD

Riepilogo dei dati per la verifica del nodo secondo Circolare 7 21-01-19 §C8.7.2.3.5.

Pilastrata	Q.Nodo	Angolo travatura	Aj	Vpc	Vtc	Vnc	Nc	σnc	σnc,lim	Comb.c	Vpt	Vtt	Vnt	Nt	σnt	σnt,lim	Comb.t	Segnalazioni	Verifica
Pilastrata P2	5.8	271	0.06767	0	196.09	196.09	0	2898	4173	SLD 10	0	196.09	196.09	0	2898	867	SLD 10		No

Verifiche nodi trave colonna in combinazioni SLV**Riepilogo dei dati per la verifica del nodo secondo Circolare 7 21-01-19 §C8.7.2.3.5.**

Pilastrata	Q.Nodo	Angolo travatura	Aj	Vpc	Vtc	Vnc	Nc	onc	onc,lim	Comb.c	Vpt	Vtt	Vnt	Nt	ont	ont,lim	Comb.t	Segnalazioni	Verifica
Pilastrata P2	2.8	180	0.06468	4.98	67.307	72.287	-30.26	1376	4173	SLV 3	6.884	67.307	74.191	2.142	1164	867	SLV 5		No

Verifiche nodi trave colonna in combinazioni SLV**Riepilogo dei dati per la verifica del nodo secondo Circolare 7 21-01-19 §C8.7.2.3.5.**

Pilastrata	Q.Nodo	Angolo travatura	Aj	Vpc	Vtc	Vnc	Nc	onc	onc,lim	Comb.c	Vpt	Vtt	Vnt	Nt	ont	ont,lim	Comb.t	Segnalazioni	Verifica
Pilastrata P2	5.8	271	0.06767	0	272.309	272.309	0	4024	4173	SLV 5	0	272.309	272.309	0	4024	867	SLV 5		No

Indicatori di rischio sismico dei nodi in SLD

Pilastrata	Q.Nodo	Angolo travatura	Moltiplicatore	TR	I.R.TR	PGA	I.R.PGA	Comb.	Ver.
Pilastrata P2	2.8	180	0.262	9	0.371	0.028	0.331	SLD 14	No

Indicatori di rischio sismico dei nodi in SLD

Pilastrata	Q.Nodo	Angolo travatura	Moltiplicatore	TR	I.R.TR	PGA	I.R.PGA	Comb.	Ver.
Pilastrata P2	5.8	271	0.231	7	0.335	0.025	0.294	SLD 7	No

Indicatori di rischio sismico dei nodi in SLV

Pilastrata	Q.Nodo	Angolo travatura	Moltiplicatore	TR	I.R.TR	PGA	I.R.PGA	Comb.	Ver.
Pilastrata P2	2.8	180	0.105	9	0.148	0.028	0.143	SLV 14	No

Indicatori di rischio sismico dei nodi in SLV

Pilastrata	Q.Nodo	Angolo travatura	Moltiplicatore	TR	I.R.TR	PGA	I.R.PGA	Comb.	Ver.
Pilastrata P2	5.8	271	0.094	7	0.134	0.025	0.127	SLV 7	No

Verifica di instabilità

Q.inf.	Q.sup.	Quota	λ,x	λ,y	λ,limX	λ,limY	M 2° ord.	Nsd	Comb.	M0ed,x	M2,x	M0ed,y	M2,y	Mver,x	Mver,y	C.s x	C.s y	Risultato	(5.38)	(5.39)	Ver.
-1.225	2.8	2.7	56	56	76	76	No	-47.42	SLU 19	0.9955	1.1549	1.1021	1.1439	-2.3816	2.2667	7.41	7.58	Min	No	5.81	Si
-1.225	2.8	2.7	56	56	76	76	No	-47.42	SLU 19	0.9955	1.1549	1.1021	1.1439	-2.3816	2.2667	7.41	7.58	X	No	5.81	Si
-1.225	2.8	-1	56	56	174	174	No	-9.16	SLD 5	7.7113	0.2123	8.8149	0.2123	17.7174	19.826	0.8	0.71	Min	No	0.44	No
-1.225	2.8	-1	56	56	97	97	No	-29.65	SLD 10	12.445	0.6873	0.7551	0.735	24.1232	0.7551	0.63		X	Si		No
-1.225	2.8	-1	56	56	+++	+++	No	33.86	SLV 5	19.6813	0.785	22.2907	0.785	42.8019	50.0414	0.29	0.25	Min	No	0.17	No
-1.225	2.8	-1	56	56	126	126	No	-17.4	SLV 10	31.4436	0.4035	0.9172	0.4172	58.7855	0.9172	0.23		X	Si		No
-1.225	2.8	2.7	56	56	76	76	No	-47.42	SLU 19	0.9955	1.1549	1.1021	1.1439	-2.3816	2.2667	7.41	7.58	Min	No	5.81	Si
-1.225	2.8	2.7	56	56	76	76	No	-47.42	SLU 19	0.9955	1.1549	1.1021	1.1439	-2.3816	2.2667	7.41	7.58	Y	No	5.81	Si
-1.225	2.8	-1	56	56	174	174	No	-9.16	SLD 5	7.7113	0.2123	8.8149	0.2123	17.7174	19.826	0.8	0.71	Min	No	0.44	No
-1.225	2.8	-1	56	56	242	242	No	-4.72	SLD 1	4.5244	0.1171	13.0485	0.1095	-4.5244	29.289		0.47	Y	Si		No
-1.225	2.8	-1	56	56	+++	+++	No	33.86	SLV 5	19.6813	0.785	22.2907	0.785	42.8019	50.0414	0.29	0.25	Min	No	0.17	No
-1.225	2.8	-1	56	56	+++	+++	No	45	SLV 1	10.062	1.0658	32.8746	1.0433	-10.062	73.701		0.17	Y	Si		No
2.8	5.8	5.7	42	42	126	126	No	-17.4	SLU 16	3.6296	0.2223	2.1426	0.2656	7.3023	-2.1426	1.71		Min	Si		Si
2.8	5.8	5.7	42	42	126	126	No	-17.4	SLU 16	3.6296	0.2223	2.1426	0.2656	7.3023	-2.1426	1.71		X	Si		Si
2.8	5.8	5.7	42	42	110	110	No	-22.91	SLD 7	16.0312	0.2927	3.7136	0.321	22.9905	-3.7136	0.51		Min	Si		No
2.8	5.8	5.7	42	42	110	110	No	-22.91	SLD 7	16.0312	0.2927	3.7136	0.321	22.9905	-3.7136	0.51		X	Si		No
2.8	5.8	5.7	42	42	86	86	No	-37.71	SLV 7	35.5067	0.4816	6.2761	0.508	49.0249	-6.2761	0.23		Min	Si		No
2.8	5.8	5.7	42	42	86	86	No	-37.71	SLV 7	35.5067	0.4816	6.2761	0.508	49.0249	-6.2761	0.23		X	Si		No
2.8	5.8	2.9	42	42	110	110	No	-23.05	SLU 19	3.5605	0.3468	3.2189	0.3395	-3.5605	-5.1287	6.5	3.83	Min	No	2.79	Si
2.8	5.8	2.9	42	42	110	110	No	-23.05	SLU 19	3.5605	0.3468	3.2189	0.3395	-3.5605	-5.1287	6.5	3.83	Y	No	2.79	Si
2.8	5.8	2.9	42	42	105	105	No	-25.1	SLD 12	14.1965	0.3437	7.9116	0.3232	14.1965				Min	No	0.68	No
2.8	5.8	2.9	42	42	126	126	No	-17.36	SLD 16	4.8317	0.2475	8.624	0.2235	4.8317				Y	No	0.9	No
2.8	5.8	2.9	42	42	87	87	No	-36.69	SLV 12	30.9502	0.4725	16.6332	0.4725	30.9502				Min	No	0.3	No
2.8	5.8	2.9	42	42	126	126	No	-17.56	SLV 16	8.895	0.2261	18.299	0.2261	10.477				Y	No	0.4	No

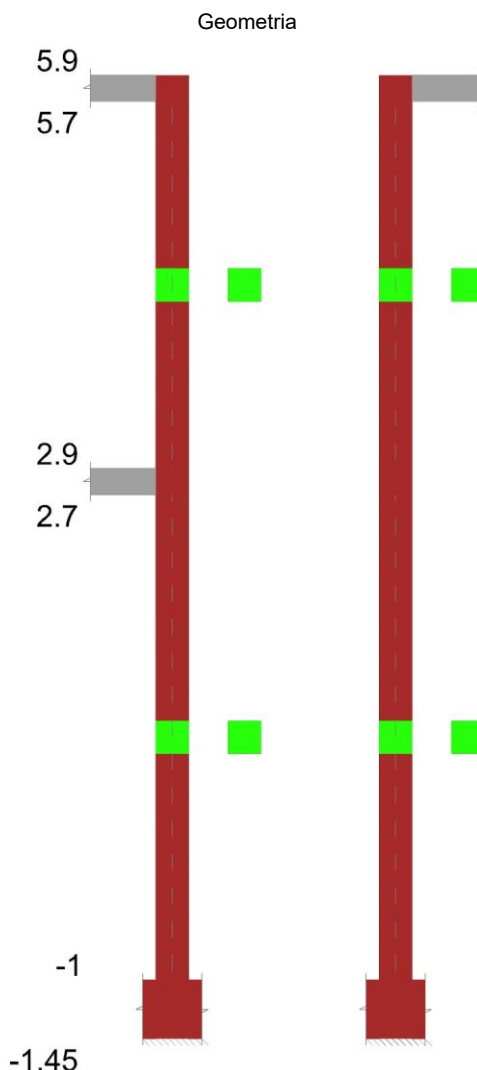
Verifiche di gerarchia delle resistenze nei nodi trave pilastro

Verifiche di gerarchia delle resistenze nei nodi trave pilastro non presenti in quanto la verifica è non necessaria per la pilastrata

per il nodo Appoggio -1.225 in quanto elemento di materiale esistente.

per il nodo Appoggio 5.8 in quanto elemento di materiale esistente.

per il nodo Appoggio 2.8 in quanto elemento di materiale esistente.

Pilastrata P3**Dati della pilastrata**

Analisi di edificio esistente con fattore di struttura.

Fattore di struttura per meccanismi duttili in direzione X: 1.5

Fattore di struttura per meccanismi duttili in direzione Y: 1.5

Fattore di struttura per meccanismi fragili in direzione X: 1

Fattore di struttura per meccanismi fragili in direzione Y: 1

Verifica dei meccanismi fragili condotta secondo Circolare 7 21-01-19 (SC8.7.2.2) Analisi lineare con fattore q.

Fattore di amplificazione dei meccanismi fragili della componente sismica in direzione X: 1

Fattore di amplificazione dei meccanismi fragili della componente sismica in direzione Y: 1

Campate costituenti la pilastrata

Q.inf.	Q.sup.	Sezione	Esistente	Secondaria	Dissipativa	Interna a parete	Sovreresistenza	Materiale CLS	Materiale Acciaio	FC
-1	2.7	R 25x25	Si	No	No	No		C15/18 Vigone C LC2	Vigone_FeB32k_LC2_FC = 1.2	1.2
2.9	5.7	R 25x25	Si	No	No	No		C15/18 Vigone C LC2	Vigone_FeB32k_LC2_FC = 1.2	1.2

Disposizione delle armature longitudinali

Posizione	X	Y	Diametro	Area	Q.inf.	Q.sup.	Sezione	Materiale
p.1	-0.0862	-0.0862	0.012	0.0001131	-1.225	-1	R 25x25	Vigone FeB32k LC2
p.1	0.0862	-0.0862	0.012	0.0001131	-1.225	-1	R 25x25	Vigone FeB32k LC2
p.1	0.0862	0.0862	0.012	0.0001131	-1.225	-1	R 25x25	Vigone FeB32k LC2
p.1	-0.0862	0.0862	0.012	0.0001131	-1.225	-1	R 25x25	Vigone FeB32k LC2
p.2	-0.0862	-0.0862	0.012	0.0001131	-1	2.9	R 25x25	Vigone FeB32k LC2
p.2	0.0862	-0.0862	0.012	0.0001131	-1	2.9	R 25x25	Vigone FeB32k LC2
p.2	0.0862	0.0862	0.012	0.0001131	-1	2.9	R 25x25	Vigone FeB32k LC2
p.2	-0.0862	0.0862	0.012	0.0001131	-1	2.9	R 25x25	Vigone FeB32k LC2
p.3	-0.0862	-0.0862	0.012	0.0001131	2.9	5.494	R 25x25	Vigone FeB32k LC2
p.3	0.0862	-0.0862	0.012	0.0001131	2.9	5.494	R 25x25	Vigone FeB32k LC2
p.3	0.0862	0.0862	0.012	0.0001131	2.9	5.494	R 25x25	Vigone FeB32k LC2
p.3	-0.0862	0.0862	0.012	0.0001131	2.9	5.494	R 25x25	Vigone FeB32k LC2

Controlli geometrici NTC18

Nessuna anomalia

Verifiche delle sezioni

Verifica a pressoflessione in SLU

Quota	As	%	At	Pos.	Mx	My	N	MRdx	MRdy	Comb.	Coeff.s.	Verifica
-1	0.000452	1.4	0.00000003	1,2	-0.1079	-0.9573	-87.39	-0.5942	-5.2742	SLU 19	5.509	Si
-0.69	0.000452	1.4	0.00000003	1,2	-0.01	-0.6723	-86.79	-0.0556	-3.7294	SLU 19	5.548	Si
-0.38	0.000452	1.4	0.00000003	1,2	0.0927	-0.3728	-86.15	0.5183	-2.0832	SLU 19	5.588	Si
-0.08	0.000452	0.7	0.00000003	2	0.1935	-0.0782	-85.53	1.0891	-0.44	SLU 19	5.629	Si
0.23	0.000452	0.7	0.00000003	2	0.2933	0.2153	-84.9	1.6631	1.2211	SLU 19	5.671	Si
0.54	0.000452	0.7	0.00000003	2	0.3931	0.5088	-84.28	2.2456	2.9069	SLU 19	5.713	Si
0.85	0.000452	0.7	0.00000003	2	0.4936	0.8046	-83.64	2.8414	4.6315	SLU 19	5.756	Si
1.16	0.000452	0.7	0.00000003	2	0.5926	1.0958	-83.02	3.4369	6.3548	SLU 19	5.799	Si
1.47	0.000452	0.7	0.00000003	2	0.6924	1.3893	-82.4	3.9837	7.9927	SLU 19	5.753	Si
1.78	0.000452	0.7	0.00000003	2	0.7922	1.6828	-81.77	4.4146	9.377	SLU 19	5.572	Si
2.08	0.000452	0.7	0.00000003	2	0.892	1.9762	-81.14	4.8117	10.6601	SLU 19	5.394	Si
2.39	0.000452	0.7	0.00000003	2	0.9918	2.2697	-80.52	5.1776	11.8487	SLU 19	5.22	Si
2.7	0.000452	0.7	0.00000003	2	1.09	2.5585	-79.9	5.5028	12.9162	SLU 19	5.048	Si
2.9	0.000452	1.4	0.00000015	2,3	0.9007	-5.7296	-39.27	3.4785	-22.1271	SLU 19	3.862	Si
3.21	0.000452	1.4	0.00000015	2,3	0.1178	-4.5646	-38.65	0.6253	-24.2203	SLU 19	5.306	Si
3.52	0.000452	1.4	0.00000015	2,3	-0.6778	-3.3806	-38.02	-4.361	-21.7501	SLU 19	6.434	Si
3.83	0.000452	0.7	0.00000015	3	-1.4735	-2.1966	-37.38	-10.8115	-16.1168	SLU 19	7.337	Si
4.14	0.000452	0.7	0.00000015	3	-2.2692	-1.0126	-36.75	-17.8943	-7.9848	SLU 19	7.886	Si
4.46	0.000452	0.7	0.00000015	3	-3.0648	0.1715	-36.12	-22.1548	1.2395	SLU 19	7.229	Si
4.77	0.000452	0.7	0.00000015	3	-3.8605	1.3555	-35.49	-19.9497	7.0046	SLU 19	5.168	Si
5.08	0.000452	0.7	0.00000015	3	-4.6562	2.5395	-34.86	-16.9666	9.2537	SLU 19	3.644	Si
5.39	0.000452	0.7	0.00000015	3	-5.4519	3.7235	-34.22	-15.0515	10.2799	SLU 19	2.761	Si
5.7	0.000358	1.4	0.00000015	3	-6.2347	4.8885	-33.6	-12.1496	9.5262	SLU 19	1.949	Si

Verifica a pressoflessione in SLV (domini sostanzialmente elastici)

E' attiva l'opzione fattori parziali di sicurezza unitari per meccanismi duttili di strutture esistenti con fattore q
La struttura oppure parte di essa, è stata dichiarata come non dissipativa pertanto la verifica a pressoflessione, per tutte o solo alcune sezioni, viene eseguita calcolando i momenti resistenti in campo sostanzialmente elastico secondo D.M. 17-01-2018 §7.4.1

Le dilatazioni ultime utilizzate sono le dilatazioni limite elastiche

Quota	As	%	At	Pos.	Mx	My	N	ε _{cu}	ε _{fk}	MRdx	MRdy	Comb.	C.S.	Nmin	Nim	Comb.Nmin	Ver.
-1	0.000452	1.4	0.00000248	1,2	-34.3078	66.3713	95.96	-	1.58	-4.8316	9.3472	SLV 3	0.141				No
-0.69	0.000452	1.4	0.00000248	1,2	-30.5207	56.1844	96.43	-	1.58	-4.9074	9.0338	SLV 3	0.161				No
-0.38	0.000452	1.4	0.00000248	1,2	-26.5836	45.4987	96.92	-	1.58	-5.0344	8.6165	SLV 3	0.189				No
-0.08	0.000452	0.7	0.00000248	2	-22.7516	34.9604	97.4	-	1.58	-5.2098	8.0055	SLV 3	0.229				No
0.23	0.000452	0.7	0.00000248	2	-18.9725	24.3895	97.88	-	1.58	-5.4752	7.0385	SLV 3	0.289				No
0.54	0.000452	0.7	0.00000248	2	-15.3202	13.8241	98.36	-	1.58	-5.9133	5.3358	SLV 3	0.386				No
0.85	0.000452	0.7	0.00000248	2	-23.2457	0.7069	21.58	-	1.58	-12.1935	0.3708	SLV 7	0.525				No
1.16	0.000452	0.7	0.00000248	2	-9.1474	-7.7039	99.33	-	1.58	-4.9494	-4.1684	SLV 3	0.541				No
1.47	0.000452	0.7	0.00000248	2	-7.4325	-18.8019	99.81	-	1.58	-3.0319	-7.6697	SLV 3	0.408				No
1.78	0.000452	0.7	0.00000248	2	-6.9274	-29.9717	100.29	-	1.58	-2.1503	-9.3034	SLV 3	0.31				No
2.08	0.000452	0.7	0.00000248	2	-7.5216	-41.1528	100.77	-	1.58	-1.8501	-10.1225	SLV 3	0.246				No
2.39	0.000452	0.7	0.00000248	2	-2.2705	-52.3377	101.25	-	1.58	-0.485	-11.1784	SLV 3	0.214				No
2.7	0.000452	0.7	0.00000248	2	-2.0546	-63.3429	101.73	-	1.58	-0.3738	-11.5248	SLV 3	0.182				No
2.9	0.000452	1.4	0.00000241	2,3	12.8324	-44.2007	-70.19	-	1.58	3.8685	-13.325	SLV 16	0.301				No
3.21	0.000452	1.4	0.00000241	2,3	-10.699	28.0698	13.51	-	1.58	-4.0765	10.6949	SLV 1	0.381				No
3.52	0.000452	1.4	0.00000241	2,3	-10.3781	19.0126	13.99	-	1.58	-5.2733	9.6607	SLV 1	0.508				No
3.83	0.000452	0.7	0.00000241	3	21.6427	-7.0913	-14.64	-	1.58	12.0448	-3.9465	SLV 11	0.557				No
4.14	0.000452	0.7	0.00000241	3	23.5515	-1.435	11.45	-	1.58	12.488	-0.7609	SLV 7	0.53				No
4.46	0.000452	0.7	0.00000241	3	25.9894	-1.0506	11.94	-	1.58	12.6334	-0.5107	SLV 7	0.486				No
4.77	0.000452	0.7	0.00000241	3	-31.4303	-6.9705	-38.16	-	1.58	-13.3506	-2.9609	SLV 6	0.425				No
5.08	0.000452	0.7	0.00000241	3	-35.407	-10.721	-37.68	-	1.58	-12.612	-3.8189	SLV 6	0.356				No
5.39	0.000452	0.7	0.00000241	3	-39.4351	-14.4772	-37.19	-	1.58	-12.0644	-4.429	SLV 6	0.306				No
5.7	0.000358	1.4	0.00000241	3	-27.2887	43.759	-78.67	-	1.58	-5.665	9.0842	SLV 14	0.208				No

Verifica a pressoflessione in SLD

La struttura oppure parte di essa, è stata dichiarata come non dissipativa pertanto la verifica a pressoflessione, per tutte o solo alcune sezioni, viene eseguita calcolando i momenti resistenti in campo sostanzialmente elastico secondo D.M. 17-01-2018 §7.4.1

Le dilatazioni ultime utilizzate sono le dilatazioni limite elastiche

Quota	As	%	At	Pos.	Mx	My	N	MRdx	MRdy	Comb.	Coeff.s.	Verifica
-1	0.000452	1.4	0.000001	1,2	-13.8542	26.1873	3.06	-5.4127	10.2311	SLD 3	0.391	No
-0.69	0.000452	1.4	0.000001	1,2	-12.2764	22.217	3.53	-5.5625	10.0665	SLD 3	0.453	No
-0.38	0.000452	1.4	0.000001	1,2	-10.6374	18.0536	4.01	-5.7932	9.8321	SLD 3	0.545	No
-0.08	0.000452	0.7	0.000001	2	-9.0454	13.9489	4.5	-6.1366	9.4633	SLD 3	0.678	No
0.23	0.000452	0.7	0.000001	2	-7.4788	9.8306	4.98	-6.7092	8.8189	SLD 3	0.897	No
0.54	0.000452	0.7	0.000001	2	-5.9677	5.7151	5.46	-7.7941	7.4641	SLD 3	1.306	Si
0.85	0.000452	0.7	0.000001	2	-4.9934	0.5811	-24.87	-16.9597	1.0838	SLD 7	1.865	Si
1.16	0.000452	0.7	0.000001	2	-3.4319	-2.6864	6.42	-7.9915	-6.2556	SLD 3	2.329	Si
1.47	0.000452	0.7	0.000001	2	-2.7331	-7.0158	6.91	-4.0051	-10.281	SLD 3	1.465	Si
1.78	0.000452	0.7	0.000001	2	-2.5224	-11.3755	7.39	-2.5366	-11.4394	SLD 3	1.006	Si
2.08	0.000452	0.7	0.000001	2	-2.7482	-15.7401	7.87	-2.069	-11.8499	SLD 3	0.753	Si
2.39	0.000452	0.7	0.000001	2	-0.4197	-20.1063	8.35	-0.2679	-12.8353	SLD 3	0.638	No

Quota	As	%	At	Pos.	Mx	My	N	MRdx	MRdy	Comb.	Coeff.s.	Verifica
2.7	0.000452	0.7	0.000001	2	-0.2797	-24.4025	8.82	-0.1484	-12.9511	SLD 3	0.531	No
2.9	0.000452	1.4	0.00000102	2,3	5.7233	-19.9386	-45.25	4.0808	-14.2165	SLD 16	0.713	No
3.21	0.000452	1.4	0.00000102	2,3	4.5594	-15.3143	-44.77	4.4638	-14.9934	SLD 16	0.979	No
3.52	0.000452	1.4	0.00000102	2,3	7.9784	-6.2443	-22.49	11.0198	-8.6247	SLD 11	1.381	Si
3.83	0.000452	0.7	0.00000102	3	8.048	-3.6791	-22.01	13.3773	-6.1153	SLD 11	1.662	Si
4.14	0.000452	0.7	0.00000102	3	-11.7409	-0.2586	-42.05	-19.0384	-0.4193	SLD 10	1.622	Si
4.46	0.000452	0.7	0.00000102	3	-13.5452	0.636	-41.57	-17.7383	0.8329	SLD 10	1.31	Si
4.77	0.000452	0.7	0.00000102	3	-15.5371	1.5696	-41.08	-16.4434	1.6612	SLD 10	1.058	Si
5.08	0.000452	0.7	0.00000102	3	-17.6672	2.502	-40.6	-15.5051	2.1958	SLD 10	0.878	No
5.39	0.000452	0.7	0.00000102	3	-12.2479	15.432	-46.6	-8.8168	11.1089	SLD 14	0.72	No
5.7	0.000358	1.4	0.00000102	3	-13.8023	19.4424	-46.12	-6.4504	9.0863	SLD 14	0.467	No

Indicatori di rischio sismico a pressoflessione in SLV

E' attiva l'opzione fattori parziali di sicurezza unitari per meccanismi duttili di strutture esistenti con fattore q
La struttura oppure parte di essa, è stata dichiarata come non dissipativa pertanto la verifica a pressoflessione, per tutte o solo alcune sezioni, viene eseguita calcolando i momenti resistenti in campo sostanzialmente elastico secondo D.M. 17-01-2018 §7.4.1

Le dilatazioni ultime utilizzate sono le dilatazioni limite elastiche

Quota	Molt.	TR	I.R.TR	PGA	I.R.PGA	Comb.	Ver.
-1	0.192	27	0.232	0.047	0.237	SLV 3	No
-0.69	0.217	33	0.252	0.052	0.26	SLV 3	No
-0.38	0.252	43	0.281	0.059	0.294	SLV 3	No
-0.08	0.3	58	0.318	0.067	0.338	SLV 3	No
0.23	0.37	87	0.375	0.081	0.405	SLV 3	No
0.54	0.477	145	0.463	0.1	0.501	SLV 3	No
0.85	0.604	261	0.589	0.126	0.631	SLV 7	No
1.16	0.643	304	0.627	0.133	0.668	SLV 3	No
1.47	0.509	171	0.495	0.107	0.536	SLV 3	No
1.78	0.402	102	0.401	0.086	0.433	SLV 3	No
2.08	0.328	69	0.341	0.073	0.367	SLV 3	No
2.39	0.289	54	0.309	0.065	0.327	SLV 3	No
2.7	0.25	42	0.279	0.058	0.291	SLV 3	No
2.9	0.278	50	0.299	0.063	0.315	SLV 16	No
3.21	0.395	98	0.394	0.085	0.426	SLV 16	No
3.52	0.538	196	0.524	0.113	0.567	SLV 11	No
3.83	0.602	258	0.586	0.125	0.629	SLV 11	No
4.14	0.592	248	0.577	0.124	0.619	SLV 7	No
4.46	0.523	183	0.509	0.11	0.551	SLV 10	No
4.77	0.423	113	0.418	0.09	0.452	SLV 6	No
5.08	0.343	75	0.353	0.076	0.381	SLV 10	No
5.39	0.267	47	0.292	0.061	0.306	SLV 14	No
5.7	0.144	16	0.188	0.037	0.186	SLV 14	No

Indicatori di rischio sismico a pressoflessione in SLD Resistenza

La struttura oppure parte di essa, è stata dichiarata come non dissipativa pertanto la verifica a pressoflessione, per tutte o solo alcune sezioni, viene eseguita calcolando i momenti resistenti in campo sostanzialmente elastico secondo D.M. 17-01-2018 §7.4.1

Le dilatazioni ultime utilizzate sono le dilatazioni limite elastiche

Quota	Molt.	TR	I.R.TR	PGA	I.R.PGA	Comb.	Ver.
-1	0.48	27	0.582	0.047	0.55	SLD 3	No
-0.69	0.543	34	0.64	0.053	0.612	SLD 3	No
-0.38	0.631	43	0.705	0.059	0.682	SLD 3	No
-0.08	0.751	58	0.797	0.067	0.784	SLD 3	No
0.23	0.926	87	0.941	0.081	0.939	SLD 3	No
0.54	1.195	145	1.16	0.1	1.161	SLD 3	Si
0.85	1.514	262	1.478	0.126	1.466	SLD 7	Si
1.16	1.605	303	1.569	0.133	1.548	SLD 3	Si
1.47	1.271	170	1.238	0.107	1.239	SLD 3	Si
1.78	1.004	101	1	0.086	1	SLD 3	Si
2.08	0.819	69	0.855	0.073	0.85	SLD 3	No
2.39	0.725	54	0.774	0.065	0.758	SLD 3	No
2.7	0.625	42	0.698	0.058	0.675	SLD 3	No
2.9	0.688	49	0.743	0.062	0.724	SLD 16	No
3.21	0.979	96	0.979	0.084	0.979	SLD 16	No
3.52	1.332	191	1.299	0.112	1.3	SLD 11	Si
3.83	1.5	255	1.462	0.125	1.454	SLD 11	Si
4.14	1.48	248	1.445	0.124	1.436	SLD 7	Si
4.46	1.314	184	1.279	0.11	1.28	SLD 10	Si
4.77	1.061	113	1.047	0.09	1.047	SLD 6	Si
5.08	0.857	75	0.885	0.076	0.883	SLD 10	No
5.39	0.666	47	0.731	0.061	0.71	SLD 14	No
5.7	0.358	16	0.47	0.037	0.432	SLD 14	No

Verifica a taglio-torsione in famiglia SLU

Quota	Staffe	Ved.x	Ved.y	Ned	Comb.V	Cot	Vres	c.s.v	Mt	As,t	Al,t	Comb.Tor.	Trcd	Trsd	Trld	c.s.v-T	Ver.
-1	2X/2Y ø6/14.8	0.95	0.42	-87.39	SLU 19	2.5	50.88	53.29	0.00038	0	0.00000002	SLU 1	7.79391	0.00038	0.00038	1.02	Si
-0.69	2X/2Y ø6/14.8	0.95	0.42	-86.79	SLU 19	2.5	50.88	53.29	0.00038	0	0.00000002	SLU 1	7.79391	0.00038	0.00038	1.02	Si
-0.38	2X/2Y ø6/14.8	0.95	0.42	-86.15	SLU 19	2.5	50.88	53.29	0.00038	0	0.00000002	SLU 1	7.79391	0.00038	0.00038	1.02	Si
-0.08	2X/2Y ø6/14.8	0.95	0.42	-85.53	SLU 19	2.5	50.88	53.29	0.00038	0	0.00000002	SLU 1	7.79391	0.00038	0.00038	1.02	Si
0.23	2X/2Y ø6/14.8	0.95	0.42	-84.9	SLU 19	2.5	50.88	53.29	0.00038	0	0.00000002	SLU 1	7.79391	0.00038	0.00038	1.02	Si
0.54	2X/2Y ø6/14.8	0.95	0.42	-84.28	SLU 19	2.5	50.88	53.29	0.00038	0	0.00000002	SLU 1	7.79391	0.00038	0.00038	1.02	Si
0.85	2X/2Y ø6/14.8	0.95	0.42	-83.64	SLU 19	2.5	50.88	53.29	0.00038	0	0.00000002	SLU 1	7.79391	0.00038	0.00038	1.02	Si
1.16	2X/2Y ø6/14.8	0.95	0.42	-83.02	SLU 19	2.5	50.88	53.29	0.00038	0	0.00000002	SLU 1	7.79391	0.00038	0.00038	1.02	Si
1.47	2X/2Y ø6/14.8	0.95	0.42	-82.4	SLU 19	2.5	50.88	53.29	0.00038	0	0.00000002	SLU 1	7.79391	0.00038	0.00038	1.02	Si
1.78	2X/2Y ø6/14.8	0.95	0.42	-81.77	SLU 19	2.5	50.88	53.29	0.00038	0	0.00000002	SLU 1	7.79391	0.00038	0.00038	1.02	Si
2.08	2X/2Y ø6/14.8	0.95	0.42	-81.14	SLU 19	2.5	50.88	53.29	0.00038	0	0.00000002	SLU 1	7.79391	0.00038	0.00038	1.02	Si
2.39	2X/2Y ø6/14.8	0.95	0.42	-80.52	SLU 19	2.5	50.88	53.29	0.00038	0	0.00000002	SLU 1	7.79391	0.00038	0.00038	1.02	Si

Quota	Staffe	Ved.x	Ved.y	Ned	Comb.V	Cot	Vres	c.s.V	Mt	As,t	Al,t	Comb.Tor.	Trcd	Trsd	Trld	c.s.V-T	Ver.
2.7	2X/2Y ø6/14.8	0.95	0.42	-79.9	SLU 19	2.5	50.88	53.29	0.00038	0	0.00000002	SLU 1	7.79391	0.00038	0.00038	1.02	Sl
2.9	2X/2Y ø6/14.7	3.8	-2.58	-39.27	SLU 19	2.5	51.07	13.42	-0.00166	0.00000001	0.00000008	SLU 1	7.79391	0.00166	0.00166	1.02	Sl
3.21	2X/2Y ø6/14.7	3.8	-2.58	-38.65	SLU 19	2.5	51.07	13.42	-0.00166	0.00000001	0.00000008	SLU 1	7.79391	0.00166	0.00166	1.02	Sl
3.52	2X/2Y ø6/14.7	3.8	-2.58	-38.02	SLU 19	2.5	51.07	13.42	-0.00166	0.00000001	0.00000008	SLU 1	7.79391	0.00166	0.00166	1.02	Sl
3.83	2X/2Y ø6/14.7	3.8	-2.58	-37.38	SLU 19	2.5	51.07	13.42	-0.00166	0.00000001	0.00000008	SLU 1	7.79391	0.00166	0.00166	1.02	Sl
4.14	2X/2Y ø6/14.7	3.8	-2.58	-36.75	SLU 19	2.5	51.07	13.42	-0.00166	0.00000001	0.00000008	SLU 1	7.79391	0.00166	0.00166	1.02	Sl
4.46	2X/2Y ø6/14.7	3.8	-2.58	-36.12	SLU 19	2.5	51.07	13.42	-0.00166	0.00000001	0.00000008	SLU 1	7.79391	0.00166	0.00166	1.02	Sl
4.77	2X/2Y ø6/14.7	3.8	-2.58	-35.49	SLU 19	2.5	51.07	13.42	-0.00166	0.00000001	0.00000008	SLU 1	7.79391	0.00166	0.00166	1.02	Sl
5.08	2X/2Y ø6/14.7	3.8	-2.58	-34.86	SLU 19	2.5	51.07	13.42	-0.00166	0.00000001	0.00000008	SLU 1	7.79391	0.00166	0.00166	1.02	Sl
5.39	2X/2Y ø6/14.7	3.8	-2.58	-34.22	SLU 19	2.5	51.07	13.42	-0.00166	0.00000001	0.00000008	SLU 1	7.79391	0.00166	0.00166	1.02	Sl
5.7	2X/2Y ø6/14.7	3.8	-2.58	-33.6	SLU 19	2.5	51.07	13.42	-0.00166	0.00000001	0.00000008	SLU 1	7.79391	0.00166	0.00166	1.02	Sl

Verifica a taglio-torsione in famiglia SLV

Quota	Staffe	Ved.x	Ved.y	Ned	Comb.V	Cot	Vres	c.s.V	Mt	As,t	Al,t	Comb.Tor.	Trcd	Trsd	Trld	c.s.V-T	Ver.
-1	2X/2Y ø6/14.8	37.26	19.47	-213.9	SLV 14	2.5	50.43	1.35	0.05426	0.00000041	0.00000248	SLV 1	7.79391	0.05426	0.05426	1.02	Sl
-0.69	2X/2Y ø6/14.8	37.26	19.47	-213.44	SLV 14	2.5	50.43	1.35	0.05426	0.00000041	0.00000248	SLV 1	7.79391	0.05426	0.05426	1.02	Sl
-0.38	2X/2Y ø6/14.8	37.26	19.47	-212.95	SLV 14	2.5	50.43	1.35	0.05426	0.00000041	0.00000248	SLV 1	7.79391	0.05426	0.05426	1.02	Sl
-0.08	2X/2Y ø6/14.8	36.97	19.28	-212.47	SLV 14	2.5	50.43	1.36	0.05426	0.00000041	0.00000248	SLV 1	7.79391	0.05426	0.05426	1.02	Sl
0.23	2X/2Y ø6/14.8	36.97	19.28	-211.99	SLV 14	2.5	50.43	1.36	0.05426	0.00000041	0.00000248	SLV 1	7.79391	0.05426	0.05426	1.02	Sl
0.54	2X/2Y ø6/14.8	36.97	19.28	-211.5	SLV 14	2.5	50.43	1.36	0.05426	0.00000041	0.00000248	SLV 1	7.79391	0.05426	0.05426	1.02	Sl
0.85	2X/2Y ø6/14.8	36.97	19.28	-211.02	SLV 14	2.5	50.43	1.36	0.05426	0.00000041	0.00000248	SLV 1	7.79391	0.05426	0.05426	1.02	Sl
1.16	2X/2Y ø6/14.8	36.97	19.28	-210.54	SLV 14	2.5	50.43	1.36	0.05426	0.00000041	0.00000248	SLV 1	7.79391	0.05426	0.05426	1.02	Sl
1.47	2X/2Y ø6/14.8	36.97	19.28	-210.06	SLV 14	2.5	50.43	1.36	0.05426	0.00000041	0.00000248	SLV 1	7.79391	0.05426	0.05426	1.02	Sl
1.78	2X/2Y ø6/14.8	36.97	19.28	-209.58	SLV 14	2.5	50.43	1.36	0.05426	0.00000041	0.00000248	SLV 1	7.79391	0.05426	0.05426	1.02	Sl
2.08	2X/2Y ø6/14.8	36.97	19.28	-209.1	SLV 14	2.5	50.43	1.36	0.05426	0.00000041	0.00000248	SLV 1	7.79391	0.05426	0.05426	1.02	Sl
2.39	2X/2Y ø6/14.8	36.97	19.28	-208.61	SLV 14	2.5	50.43	1.36	0.05426	0.00000041	0.00000248	SLV 1	7.79391	0.05426	0.05426	1.02	Sl
2.7	2X/2Y ø6/14.8	36.97	19.28	-208.14	SLV 14	2.5	50.43	1.36	0.05426	0.00000041	0.00000248	SLV 1	7.79391	0.05426	0.05426	1.02	Sl
2.9	2X/2Y ø6/14.7	33.89	-16.68	-70.19	SLV 16	2.5	50.48	1.49	0.04267	0.00000032	0.00000195	SLV 1	7.79391	0.04267	0.04267	1.02	Sl
3.21	2X/2Y ø6/14.7	33.89	-16.68	-69.71	SLV 16	2.5	50.48	1.49	0.04267	0.00000032	0.00000195	SLV 1	7.79391	0.04267	0.04267	1.02	Sl
3.52	2X/2Y ø6/14.7	33.89	-16.68	-69.23	SLV 16	2.5	50.48	1.49	0.04267	0.00000032	0.00000195	SLV 1	7.79391	0.04267	0.04267	1.02	Sl
3.83	2X/2Y ø6/14.7	33.89	-16.68	-68.74	SLV 16	2.5	50.48	1.49	0.04267	0.00000032	0.00000195	SLV 1	7.79391	0.04267	0.04267	1.02	Sl
4.14	2X/2Y ø6/14.7	33.89	-16.68	-68.25	SLV 16	2.5	50.48	1.49	0.04267	0.00000032	0.00000195	SLV 1	7.79391	0.04267	0.04267	1.02	Sl
4.46	2X/2Y ø6/14.7	33.89	-16.68	-67.77	SLV 16	2.5	50.48	1.49	0.04267	0.00000032	0.00000195	SLV 1	7.79391	0.04267	0.04267	1.02	Sl
4.77	2X/2Y ø6/14.7	33.89	-16.68	-67.28	SLV 16	2.5	50.48	1.49	0.04267	0.00000032	0.00000195	SLV 1	7.79391	0.04267	0.04267	1.02	Sl
5.08	2X/2Y ø6/14.7	33.89	-16.68	-66.8	SLV 16	2.5	50.48	1.49	0.04267	0.00000032	0.00000195	SLV 1	7.79391	0.04267	0.04267	1.02	Sl
5.39	2X/2Y ø6/14.7	33.89	-16.68	-66.31	SLV 16	2.5	50.48	1.49	0.04267	0.00000032	0.00000195	SLV 1	7.79391	0.04267	0.04267	1.02	Sl
5.7	2X/2Y ø6/14.7	33.89	-16.68	-65.83	SLV 16	2.5	50.48	1.49	0.04267	0.00000032	0.00000195	SLV 1	7.79391	0.04267	0.04267	1.02	Sl

Verifica taglio ciclico secondo Circolare 7 21-01-19 §C8.7.2.3.5 formula [C8.7.2.8] in combinazione SLV

Quota	Q.inf.	Q.sup.	Dir.	Lv	x	h	p.tot	θ.m	θ.y	μΔ.pl	VRd	VRcd(cotθ=1)	VRsd	Vw	VR	Vu	VEd	NEd	Comb.	Verifica
-1	1.225	2.8	X	2.013	0.165	0.25	0.0072	0.009707	0.014184	0	29.364	105.37	50.432	20.173	24.158	50.432	37.265	-213.903	SLV 14	Sl
-1	1.225	2.8	Y	2.013	0.093	0.25	0.0072	0.007985	0.014184	0	26.093	96.248	50.498	20.199	22.535	50.498	19.468	-62.865	SLV 11	Sl

Verifica a taglio-torsione in famiglia SLD Resistenza

Quota	Staffe	Ved.x	Ved.y	Ned	Comb.V	Cot	Vres	c.s.V	Mt	As,t	Al,t	Comb.Tor.	Trcd	Trsd	Trld	c.s.V-T	Ver.
-1	2X/2Y ø6/14.8	15.27	8.03	-121	SLD 14	2.5	50.71	3.32	0.02196	0.00000016	0.000001	SLD 1	7.79391	0.02196	0.02196	1.02	Sl
-0.69	2X/2Y ø6/14.8	15.27	8.03	-120.54	SLD 14	2.5	50.71	3.32	0.02196	0.00000016	0.000001	SLD 1	7.79391	0.02196	0.02196	1.02	Sl
-0.38	2X/2Y ø6/14.8	15.27	8.03	-120.05	SLD 14	2.5	50.71	3.32	0.02196	0.00000016	0.000001	SLD 1	7.79391	0.02196	0.02196	1.02	Sl
-0.08	2X/2Y ø6/14.8	15.14	7.95	-119.57	SLD 14	2.5	50.71	3.35	0.02196	0.00000016	0.000001	SLD 1	7.79391	0.02196	0.02196	1.02	Sl
0.23	2X/2Y ø6/14.8	15.14	7.95	-119.08	SLD 14	2.5	50.71	3.35	0.02196	0.00000016	0.000001	SLD 1	7.79391	0.02196	0.02196	1.02	Sl
0.54	2X/2Y ø6/14.8	15.14	7.95	-118.6	SLD 14	2.5	50.71	3.35	0.02196	0.00000016	0.000001	SLD 1	7.79391	0.02196	0.02196	1.02	Sl
0.85	2X/2Y ø6/14.8	15.14	7.95	-118.12	SLD 14	2.5	50.71	3.35	0.02196	0.00000016	0.000001	SLD 1	7.79391	0.02196	0.02196	1.02	Sl
1.16	2X/2Y ø6/14.8	15.14	7.95	-117.64	SLD 14	2.5	50.71	3.35	0.02196	0.00000016	0.000001	SLD 1	7.79391	0.02196	0.02196	1.02	Sl
1.47	2X/2Y ø6/14.8	15.14	7.95	-117.16	SLD 14	2.5	50.71	3.35	0.02196	0.00000016	0.000001	SLD 1	7.79391	0.02196	0.02196	1.02	Sl
1.78	2X/2Y ø6/14.8	15.14	7.95	-116.67	SLD 14	2.5	50.71	3.35	0.02196	0.00000016	0.000001	SLD 1	7.79391	0.02196	0.02196	1.02	Sl
2.08	2X/2Y ø6/14.8	15.14	7.95	-116.19	SLD 14	2.5	50.71	3.35	0.02196	0.00000016	0.000001	SLD 1	7.79391	0.02196	0.02196	1.02	Sl
2.39	2X/2Y ø6/14.8	15.14	7.95	-115.71	SLD 14	2.5	50.71	3.35	0.02196	0.00000016	0.000001	SLD 1	7.79391	0.02196	0.02196	1.02	Sl

Quota	Staffe	Ved.x	Ved.y	Ned	Comb.V	Cot	Vres	c.s.V	Mt	As,t	Al,t	Comb.Tor.	Trcd	Trsd	Trld	c.s.V-T	Ver.
2.7	2X/2Y ø6/14.8	15.14	7.95	-115.24	SLD 14	2.5	50.71	3.35	0.02196	0.00000016	0.000001	SLD 1	7.79391	0.02196	0.02196	1.02	Si
2.9	2X/2Y ø6/14.7	15.06	-8.03	-45.25	SLD 16	2.5	50.84	3.37	0.01596	0.00000012	0.00000073	SLD 1	7.79391	0.01596	0.01596	1.02	Si
3.21	2X/2Y ø6/14.7	15.06	-8.03	-44.77	SLD 16	2.5	50.84	3.37	0.01596	0.00000012	0.00000073	SLD 1	7.79391	0.01596	0.01596	1.02	Si
3.52	2X/2Y ø6/14.7	15.06	-8.03	-44.29	SLD 16	2.5	50.84	3.37	0.01596	0.00000012	0.00000073	SLD 1	7.79391	0.01596	0.01596	1.02	Si
3.83	2X/2Y ø6/14.7	15.06	-8.03	-43.8	SLD 16	2.5	50.84	3.37	0.01596	0.00000012	0.00000073	SLD 1	7.79391	0.01596	0.01596	1.02	Si
4.14	2X/2Y ø6/14.7	15.06	-8.03	-43.31	SLD 16	2.5	50.84	3.37	0.01596	0.00000012	0.00000073	SLD 1	7.79391	0.01596	0.01596	1.02	Si
4.46	2X/2Y ø6/14.7	15.06	-8.03	-42.83	SLD 16	2.5	50.84	3.37	0.01596	0.00000012	0.00000073	SLD 1	7.79391	0.01596	0.01596	1.02	Si
4.77	2X/2Y ø6/14.7	15.06	-8.03	-42.34	SLD 16	2.5	50.84	3.37	0.01596	0.00000012	0.00000073	SLD 1	7.79391	0.01596	0.01596	1.02	Si
5.08	2X/2Y ø6/14.7	15.06	-8.03	-41.86	SLD 16	2.5	50.84	3.37	0.01596	0.00000012	0.00000073	SLD 1	7.79391	0.01596	0.01596	1.02	Si
5.39	2X/2Y ø6/14.7	15.06	-8.03	-41.37	SLD 16	2.5	50.84	3.37	0.01596	0.00000012	0.00000073	SLD 1	7.79391	0.01596	0.01596	1.02	Si
5.7	2X/2Y ø6/14.7	15.06	-8.03	-40.89	SLD 16	2.5	50.84	3.37	0.01596	0.00000012	0.00000073	SLD 1	7.79391	0.01596	0.01596	1.02	Si

Indicatori di rischio sismico a taglio in SLV

Quota	Molt.	TR	I.R.TR	PGA	I.R.PGA	Comb.	
-0.69	1.371	2114	1.389	0.255	1.279	SLV 14	Si
-0.38	1.371	2114	1.389	0.255	1.279	SLV 14	Si
-0.08	1.383	2114	1.389	0.255	1.279	SLV 14	Si
0.23	1.383	2114	1.389	0.255	1.279	SLV 14	Si
0.54	1.383	2114	1.389	0.255	1.279	SLV 14	Si
0.85	1.383	2114	1.389	0.255	1.279	SLV 14	Si
1.16	1.383	2114	1.389	0.255	1.279	SLV 14	Si
1.47	1.383	2114	1.389	0.255	1.279	SLV 14	Si
1.78	1.383	2114	1.389	0.255	1.279	SLV 14	Si
2.08	1.383	2114	1.389	0.255	1.279	SLV 14	Si
2.39	1.383	2114	1.389	0.255	1.279	SLV 14	Si
2.7	1.383	2114	1.389	0.255	1.279	SLV 14	Si
2.9	1.547	2114	1.389	0.255	1.279	SLV 16	Si
3.21	1.547	2114	1.389	0.255	1.279	SLV 16	Si
3.52	1.547	2114	1.389	0.255	1.279	SLV 16	Si
3.83	1.547	2114	1.389	0.255	1.279	SLV 16	Si
4.14	1.547	2114	1.389	0.255	1.279	SLV 16	Si
4.46	1.547	2114	1.389	0.255	1.279	SLV 16	Si
4.77	1.547	2114	1.389	0.255	1.279	SLV 16	Si
5.08	1.547	2114	1.389	0.255	1.279	SLV 16	Si
5.39	1.547	2114	1.389	0.255	1.279	SLV 16	Si
5.7	1.547	2114	1.389	0.255	1.279	SLV 16	Si

Indicatori di rischio sismico a taglio in SLD Resistenza

Quota	Molt.	TR	I.R.TR	PGA	I.R.PGA	Comb.	
-1	3.426	2110	3.477	0.255	2.966	SLD 14	Si
-0.69	3.426	2110	3.477	0.255	2.966	SLD 14	Si
-0.38	3.426	2110	3.477	0.255	2.966	SLD 14	Si
-0.08	3.455	2110	3.477	0.255	2.966	SLD 14	Si
0.23	3.455	2110	3.477	0.255	2.966	SLD 14	Si
0.54	3.455	2110	3.477	0.255	2.966	SLD 14	Si
0.85	3.455	2110	3.477	0.255	2.966	SLD 14	Si
1.16	3.455	2110	3.477	0.255	2.966	SLD 14	Si
1.47	3.455	2110	3.477	0.255	2.966	SLD 14	Si
1.78	3.455	2110	3.477	0.255	2.966	SLD 14	Si
2.08	3.455	2110	3.477	0.255	2.966	SLD 14	Si
2.39	3.455	2110	3.477	0.255	2.966	SLD 14	Si
2.7	3.455	2110	3.477	0.255	2.966	SLD 14	Si
2.9	3.848	2110	3.477	0.255	2.966	SLD 16	Si
3.21	3.848	2110	3.477	0.255	2.966	SLD 16	Si
3.52	3.848	2110	3.477	0.255	2.966	SLD 16	Si
3.83	3.848	2110	3.477	0.255	2.966	SLD 16	Si
4.14	3.848	2110	3.477	0.255	2.966	SLD 16	Si
4.46	3.848	2110	3.477	0.255	2.966	SLD 16	Si
4.77	3.848	2110	3.477	0.255	2.966	SLD 16	Si
5.08	3.848	2110	3.477	0.255	2.966	SLD 16	Si
5.39	3.848	2110	3.477	0.255	2.966	SLD 16	Si
5.7	3.848	2110	3.477	0.255	2.966	SLD 16	Si

Verifiche nodi trave colonna

Riepilogo dei dati per le diverse tipologie di verifica eseguite per i nodi

Pilastrata	Q.Nodo	Escluso	Confinato	Segnalazioni
Pilastrata P3	-1.225	Si	No	
Pilastrata P3	2.8	No	No	
Pilastrata P3	5.8	No	No	

Verifiche nodi trave colonna in combinazioni SLD

Riepilogo dei dati per la verifica del nodo secondo Circolare 7 21-01-19 §C8.7.2.3.5.

Pilastrata	Q.Nodo	Angolo travatura	Aj	Vpc	Vtc	Vnc	Nc	σnc	σnc,lim	Comb.c	Vpt	Vtt	Vnt	Nt	σnt	σnt,lim	Comb.t	Segnalazioni	Verifica
Pilastrata P3	2.8	180	0.06468	8.258	210.193	218.451	-16.204	3505	4173	SLD 2	8.213	210.193	218.406	-6.695	3325	867	SLD 3		No

Verifiche nodi trave colonna in combinazioni SLD

Riepilogo dei dati per la verifica del nodo secondo Circolare 7 21-01-19 §C8.7.2.3.5.

Pilastrata	Q.Nodo	Angolo travatura	Aj	Vpc	Vtc	Vnc	Nc	σnc	σnc,lim	Comb.c	Vpt	Vtt	Vnt	Nt	σnt	σnt,lim	Comb.t	Segnalazioni	Verifica
Pilastrata P3	5.8	91	0.06767	0	227.15	227.15	0	3357	4173	SLD 7	0	227.15	227.15	0	3357	867	SLD 7		No
	5.8	180	0.06468	0	172.646	172.646	0	2669	4173	SLD 1	0	172.646	172.646	0	2669	867	SLD 1		No

Verifiche nodi trave colonna in combinazioni SLV**Riepilogo dei dati per la verifica del nodo secondo Circolare 7 21-01-19 §C8.7.2.3.5.**

Pilastrata	Q.Nodo	Angolo travatura	Aj	Vpc	Vtc	Vnc	Nc	onc	onc,lim	Comb.c	Vpt	Vtt	Vnt	Nt	ont	ont,lim	Comb.t	Segnalazioni	Verifica
Pilastrata P3	2.8	180	0.06468	12.03	210.193	222.222	-	3768	4173	SLV 6	24.072	210.193	234.265	25.857	3827	867	SLV 3		No

Verifiche nodi trave colonna in combinazioni SLV**Riepilogo dei dati per la verifica del nodo secondo Circolare 7 21-01-19 §C8.7.2.3.5.**

Pilastrata	Q.Nodo	Angolo travatura	Aj	Vpc	Vtc	Vnc	Nc	onc	onc,lim	Comb.c	Vpt	Vtt	Vnt	Nt	ont	ont,lim	Comb.t	Segnalazioni	Verifica
Pilastrata P3	5.8	91	0.06767	0	275.348	275.348	0	4069	4173	SLV 3	0	275.348	275.348	0	4069	867	SLV 3		No
Pilastrata P3	5.8	180	0.06468	0	210.193	210.193	0	3250	4173	SLV 1	0	210.193	210.193	0	3250	867	SLV 1		No

Indicatori di rischio sismico dei nodi in SLD

Pilastrata	Q.Nodo	Angolo travatura	Moltiplicatore	TR	I.R.TR	PGA	I.R.PGA	Comb.	Ver.
Pilastrata P3	2.8	180	0.199	6	0.314	0.024	0.274	SLD 16	No

Indicatori di rischio sismico dei nodi in SLD

Pilastrata	Q.Nodo	Angolo travatura	Moltiplicatore	TR	I.R.TR	PGA	I.R.PGA	Comb.	Ver.
Pilastrata P3	5.8	91	0.278	10	0.387	0.03	0.347	SLD 10	No
Pilastrata P3	5.8	180	0.317	13	0.431	0.034	0.392	SLD 16	No

Indicatori di rischio sismico dei nodi in SLV

Pilastrata	Q.Nodo	Angolo travatura	Moltiplicatore	TR	I.R.TR	PGA	I.R.PGA	Comb.	Ver.
Pilastrata P3	2.8	180	0.079	6	0.125	0.024	0.118	SLV 16	No

Indicatori di rischio sismico dei nodi in SLV

Pilastrata	Q.Nodo	Angolo travatura	Moltiplicatore	TR	I.R.TR	PGA	I.R.PGA	Comb.	Ver.
Pilastrata P3	5.8	91	0.112	10	0.155	0.03	0.15	SLV 10	No
Pilastrata P3	5.8	180	0.127	13	0.172	0.034	0.169	SLV 16	No

Verifica di instabilità

Q.inf.	Q.sup.	Quota	λ,x	λ,y	λ,limX	λ,limY	M 2° ord.	Nsd	Comb.	M0ed,x	M2,x	M0ed,y	M2,y	Mver,x	Mver,y	C.s x	C.s y	Risultato	(5.38)	(5.39)	Ver.	
-	1.225	2.8	2.7	56	56	59	59	No	-79.9	SLU 19	0.6008	1.9584	1.1234	1.9309	1.09	2.5585	6.03	5.21	Min	No	5.05	Si
-	1.225	2.8	-1	56	56	56	56	No	-87.39	SLU 19	0.6008	2.1665	1.1234	2.1117	-0.6008	-1.1234	5.51		X	Si		Si
-	1.225	2.8	-1	56	56	+++	+++	No	3.06	SLD 3	9.1498	0.071	11.7113	0.071	-	26.1873	0.95	0.51	Min	No	0.39	No
-	1.225	2.8	-1	56	56	100	100	No	-27.75	SLD 7	12.2754	0.6434	3.6196	0.6483	-	5.3689	0.64	4.32	X	No	0.57	No
-	1.225	2.8	-1	56	56	+++	+++	No	95.96	SLV 3	23.1614	2.2247	29.7203	2.2247	-	66.3713	0.31	0.18	Min	No	0.14	No
-	1.225	2.8	-1	56	56	+++	+++	No	18.69	SLV 7	31.2622	0.4333	9.9971	0.4333	-	14.3118	0.23	0.84	X	No	0.2	No
-	1.225	2.8	2.7	56	56	59	59	No	-79.9	SLU 19	0.6008	1.9584	1.1234	1.9309	1.09	2.5585	6.03	5.21	Min	No	5.05	Si
-	1.225	2.8	2.7	56	56	59	59	No	-79.9	SLU 19	0.6008	1.9584	1.1234	1.9309	1.09	2.5585	6.03	5.21	Y	No	5.05	Si
-	1.225	2.8	-1	56	56	+++	+++	No	3.06	SLD 3	9.1498	0.071	11.7113	0.071	-	26.1873	0.95	0.51	Min	No	0.39	No
-	1.225	2.8	-1	56	56	260	260	No	-4.11	SLD 1	3.5192	0.0953	12.4142	0.0953	-3.5192	27.7685		0.49	Y	Si		No
-	1.225	2.8	-1	56	56	+++	+++	No	95.96	SLV 3	23.1614	2.2247	29.7203	2.2247	-	66.3713	0.31	0.18	Min	No	0.14	No
-	1.225	2.8	-1	56	56	+++	+++	No	78.26	SLV 1	9.1625	1.8215	31.4752	1.8143	-9.1625	70.3183		0.17	Y	Si		No
2.8	5.8	5.7	42	42	91	91	No	-33.6	SLU 19	3.4343	0.5027	2.4517	0.4976	-6.2347	4.8885	2.9	4.16	Min	No	1.95	Si	
2.8	5.8	5.7	42	42	93	93	No	-31.76	SLU 16	3.3782	0.4754	1.6857	0.4922	-6.2067	3.6019	2.81	6.07	X	No	2.2	Si	
2.8	5.8	5.7	42	42	78	78	No	-46.12	SLD 14	7.7894	0.5891	8.3273	0.594	-	19.4424	1.1	0.69	Min	No	0.47	No	
2.8	5.8	5.7	42	42	84	84	No	-39.63	SLD 10	15.8613	0.5062	1.8671	0.5963	-	4.3529	0.58		X	Si		No	
2.8	5.8	5.7	42	42	59	59	No	-78.67	SLV 14	15.4594	1.0048	18.7227	1.0132	-	43.759	0.53	0.29	Min	No	0.21	No	
2.8	5.8	5.7	42	42	67	67	No	-62.32	SLV 10	35.2864	0.7959	2.6404	0.8975	-	6.1918	0.25		X	Si		No	
2.8	5.8	5.7	42	42	91	91	No	-33.6	SLU 19	3.4343	0.5027	2.4517	0.4976	-6.2347	4.8885	2.9	4.16	Min	No	1.95	Si	
2.8	5.8	2.9	42	42	84	84	No	-39.27	SLU 19	3.4343	0.6044	2.4517	0.5794	3.4343	-5.7296		4.11	Y	Si		Si	
2.8	5.8	5.7	42	42	78	78	No	-46.12	SLD 14	7.7894	0.5891	8.3273	0.594	-	19.4424	1.1	0.69	Min	No	0.47	No	
2.8	5.8	5.7	42	42	82	82	No	-40.89	SLD 16	2.4632	0.6426	9.5427	0.5266	-4.4255	22.2699		0.57	Y	Si		No	
2.8	5.8	5.7	42	42	59	59	No	-78.67	SLV 14	15.4594	1.0048	18.7227	1.0132	-	43.759	0.53	0.29	Min	No	0.21	No	
2.8	5.8	5.7	42	42	+++	+++	No	17.39	SLV 1	9.1851	0.2221	19.0051	0.2239	-	44.4513		0.23	Y	Si		No	

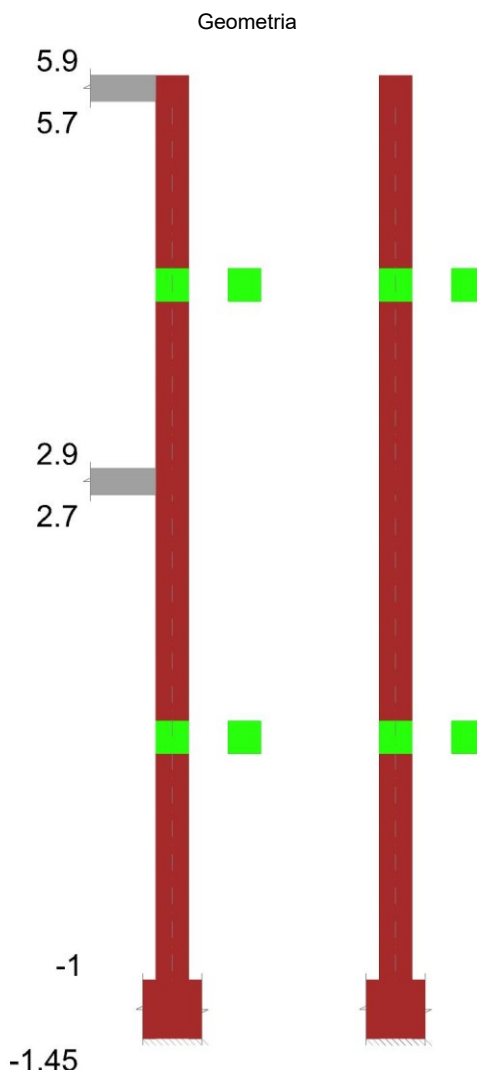
Verifiche di gerarchia delle resistenze nei nodi trave pilastro

Verifiche di gerarchia delle resistenze nei nodi trave pilastro non presenti in quanto la verifica è non necessaria per la pilastrata

per il nodo Appoggio 5.8 in quanto elemento di materiale esistente.

per il nodo Appoggio 2.8 in quanto elemento di materiale esistente.

per il nodo Appoggio -1.225 in quanto elemento di materiale esistente.

Pilastrata P4**Dati della pilastrata**

Analisi di edificio esistente con fattore di struttura.

Fattore di struttura per meccanismi duttili in direzione X: 1.5

Fattore di struttura per meccanismi duttili in direzione Y: 1.5

Fattore di struttura per meccanismi fragili in direzione X: 1

Fattore di struttura per meccanismi fragili in direzione Y: 1

Verifica dei meccanismi fragili condotta secondo Circolare 7 21-01-19 (SC8.7.2.2) Analisi lineare con fattore q.

Fattore di amplificazione dei meccanismi fragili della componente sismica in direzione X: 1

Fattore di amplificazione dei meccanismi fragili della componente sismica in direzione Y: 1

Campate costituenti la pilastrata

Q.inf.	Q.sup.	Sezione	Esistente	Secondaria	Dissipativa	Interna a parete	Sovreresistenza	Materiale CLS	Materiale Acciaio	FC
-1	2.7	R 25x25	Si	No	No	No		C15/18 Vigone C LC2	Vigone_FeB32k_LC2_FC = 1.2	1.2
2.9	5.7	R 25x25	Si	No	No	No		C15/18 Vigone C LC2	Vigone_FeB32k_LC2_FC = 1.2	1.2

Disposizione delle armature longitudinali

Posizione	X	Y	Diametro	Area	Q.inf.	Q.sup.	Sezione	Materiale
p.1	-0.0862	-0.0862	0.012	0.0001131	-1.225	-1	R 25x25	Vigone FeB32k LC2
p.1	0.0862	-0.0862	0.012	0.0001131	-1.225	-1	R 25x25	Vigone FeB32k LC2
p.1	0.0862	0.0862	0.012	0.0001131	-1.225	-1	R 25x25	Vigone FeB32k LC2
p.1	-0.0862	0.0862	0.012	0.0001131	-1.225	-1	R 25x25	Vigone FeB32k LC2
p.2	-0.0862	-0.0862	0.012	0.0001131	-1	2.9	R 25x25	Vigone FeB32k LC2
p.2	0.0862	-0.0862	0.012	0.0001131	-1	2.9	R 25x25	Vigone FeB32k LC2
p.2	0.0862	0.0862	0.012	0.0001131	-1	2.9	R 25x25	Vigone FeB32k LC2
p.2	-0.0862	0.0862	0.012	0.0001131	-1	2.9	R 25x25	Vigone FeB32k LC2
p.3	-0.0862	-0.0862	0.012	0.0001131	2.9	5.494	R 25x25	Vigone FeB32k LC2
p.3	0.0862	-0.0862	0.012	0.0001131	2.9	5.494	R 25x25	Vigone FeB32k LC2
p.3	0.0862	0.0862	0.012	0.0001131	2.9	5.494	R 25x25	Vigone FeB32k LC2
p.3	-0.0862	0.0862	0.012	0.0001131	2.9	5.494	R 25x25	Vigone FeB32k LC2

Controlli geometrici NTC18

Nessuna anomalia

Verifiche delle sezioni

Verifica a pressoflessione in SLU

Quota	As	%	At	Pos.	Mx	My	N	MRdx	MRdy	Comb.	Coeff.s.	Verifica
-1	0.000452	1.4	0.00000003	1,2	0.5736	-4.8449	-97.48	2.0588	-17.3901	SLU 19	3.589	Si
-0.69	0.000452	1.4	0.00000003	1,2	0.4876	-3.5739	-96.88	1.9869	-14.5625	SLU 19	4.075	Si
-0.38	0.000452	1.4	0.00000003	1,2	0.3973	-2.2386	-96.24	1.8549	-10.4508	SLU 19	4.668	Si
-0.08	0.000452	0.7	0.00000003	2	0.308	-0.9244	-95.62	1.5508	-4.655	SLU 19	5.035	Si
0.23	0.000452	0.7	0.00000003	2	0.2182	0.3858	-94.99	1.1061	1.9553	SLU 19	5.069	Si
0.54	0.000452	0.7	0.00000003	2	0.1285	1.696	-94.36	0.6447	8.5105	SLU 19	5.018	Si
0.85	0.000452	0.7	0.00000003	2	0.038	3.0165	-93.73	0.1684	13.3599	SLU 19	4.429	Si
1.16	0.000452	0.7	0.00000003	2	-0.051	4.3164	-93.11	-0.1994	16.8646	SLU 19	3.907	Si
1.47	0.000452	0.7	0.00000003	2	-0.1408	5.6267	-92.49	-0.4859	19.4192	SLU 19	3.451	Si
1.78	0.000452	0.7	0.00000003	2	-0.2305	6.9369	-91.86	-0.7074	21.2856	SLU 19	3.068	Si
2.08	0.000452	0.7	0.00000003	2	-0.3203	8.2471	-91.23	-0.8813	22.6941	SLU 19	2.752	Si
2.39	0.000452	0.7	0.00000003	2	-0.41	9.5573	-90.61	-1.018	23.7276	SLU 19	2.483	Si
2.7	0.000452	0.7	0.00000003	2	-0.4983	10.8463	-89.99	-1.1051	24.053	SLU 19	2.218	Si
2.9	0.000452	1.4	0.00000015	2,3	-0.5084	-15.9512	-37.04	-0.4863	-15.2571	SLU 19	0.956	No
3.21	0.000452	1.4	0.00000015	2,3	-0.4556	-12.6232	-36.41	-0.5853	-16.2174	SLU 19	1.285	Si
3.52	0.000452	1.4	0.00000015	2,3	-0.4019	-9.2408	-35.78	-0.7907	-18.1789	SLU 19	1.967	Si
3.83	0.000452	0.7	0.00000015	3	-0.3483	-5.8584	-35.15	-1.3217	-22.2327	SLU 19	3.795	Si
4.14	0.000452	0.7	0.00000015	3	-0.2946	-2.4761	-34.52	-2.4509	-20.5982	SLU 19	8.319	Si
4.46	0.000452	0.7	0.00000015	3	-0.1867	2.675	-33.56	-1.5084	-21.6119	SLU 16	8.079	Si
4.77	0.000452	0.7	0.00000015	3	-0.1451	5.3906	-32.93	-0.6078	22.5813	SLU 16	4.189	Si
5.08	0.000452	0.7	0.00000015	3	-0.1035	8.1061	-32.3	-0.2359	18.4801	SLU 16	2.28	Si
5.39	0.000452	0.7	0.00000015	3	-0.08	11.0534	-31.99	-0.1176	16.2492	SLU 19	1.47	Si
5.7	0.000358	1.4	0.00000015	3	-0.0272	14.3814	-31.37	-0.023	12.1897	SLU 19	0.848	No

Verifica a pressoflessione in SLV (domini sostanzialmente elastici)

E' attiva l'opzione fattori parziali di sicurezza unitari per meccanismi duttili di strutture esistenti con fattore q
La struttura oppure parte di essa, è stata dichiarata come non dissipativa pertanto la verifica a pressoflessione, per tutte o solo alcune sezioni, viene eseguita calcolando i momenti resistenti in campo sostanzialmente elastico secondo D.M. 17-01-2018 §7.4.1

Le dilatazioni ultime utilizzate sono le dilatazioni limite elastiche

Quota	As	%	At	Pos.	Mx	My	N	ε _{cu}	ε _{fk}	MRdx	MRdy	Comb.	C.S.	Nmin	Nim	Comb.Nmin	Ver.
-1	0.000452	1.4	0.00000248	1,2	-23.7073	89.9453	-14.69	-	1.58	-3.1538	11.9653	SLV 4	0.133				No
-0.69	0.000452	1.4	0.00000248	1,2	-20.9419	77.3336	-14.22	-	1.58	-3.2259	11.9126	SLV 4	0.154				No
-0.38	0.000452	1.4	0.00000248	1,2	-18.0605	64.1201	-13.74	-	1.58	-3.3455	11.8774	SLV 4	0.185				No
-0.08	0.000452	0.7	0.00000248	2	-15.2484	51.0975	-13.25	-	1.58	-3.5265	11.8175	SLV 4	0.231				No
0.23	0.000452	0.7	0.00000248	2	-12.4618	38.0258	-12.77	-	1.58	-3.8381	11.7115	SLV 4	0.308				No
0.54	0.000452	0.7	0.00000248	2	-9.739	24.9741	-12.29	-	1.58	-4.4785	11.4843	SLV 4	0.46				No
0.85	0.000452	0.7	0.00000248	2	-20.568	5.9183	-41.21	-	1.58	-13.8173	3.9759	SLV 7	0.672				No
1.16	0.000452	0.7	0.00000248	2	-14.2318	2.3229	-40.73	-	1.58	-16.1461	2.6353	SLV 7	1.135				Si
1.47	0.000452	0.7	0.00000248	2	-4.2176	-13.0273	-10.84	-	1.58	-3.9592	-12.2291	SLV 4	0.939				No
1.78	0.000452	0.7	0.00000248	2	2.0881	35.6202	-102.69	-	1.58	1.0099	17.2264	SLV 15	0.484				No
2.08	0.000452	0.7	0.00000248	2	8.1703	50.2132	-102.2	-	1.58	2.4227	14.8894	SLV 15	0.297				No
2.39	0.000452	0.7	0.00000248	2	3.7281	64.6775	-110.28	-	1.58	0.8812	15.2882	SLV 13	0.236				No
2.7	0.000452	0.7	0.00000248	2	4.3734	79.1904	-109.81	-	1.58	0.8195	14.8396	SLV 13	0.187				No
2.9	0.000452	1.4	0.00000241	2,3	-25.2379	-18.5998	-27.89	-	1.58	-9.9812	-7.3559	SLV 6	0.395				No
3.21	0.000452	1.4	0.00000241	2,3	-22.5678	-14.7334	-27.41	-	1.58	-10.5266	-6.8722	SLV 6	0.466				No
3.52	0.000452	1.4	0.00000241	2,3	-19.8542	-11.0891	-26.93	-	1.58	-11.2254	-6.2697	SLV 6	0.565				No
3.83	0.000452	0.7	0.00000241	3	-17.1405	-7.8925	-26.44	-	1.58	-12.0418	-5.5447	SLV 6	0.703				No
4.14	0.000452	0.7	0.00000241	3	-9.9507	-12.421	-14.51	-	1.58	-7.7295	-9.6484	SLV 2	0.777				No
4.46	0.000452	0.7	0.00000241	3	7.765	13.8739	-35.78	-	1.58	6.9258	12.3745	SLV 15	0.892				No
4.77	0.000452	0.7	0.00000241	3	1.557	21.2957	-38.46	-	1.58	1.1199	15.3177	SLV 13	0.719				No
5.08	0.000452	0.7	0.00000241	3	1.0912	27.0892	-37.97	-	1.58	0.6032	14.9746	SLV 13	0.553				No
5.39	0.000452	0.7	0.00000241	3	0.6257	32.9851	-37.49	-	1.58	0.2799	14.7548	SLV 13	0.447				No
5.7	0.000358	1.4	0.00000241	3	0.1689	38.8518	-37.01	-	1.58	0.0504	11.5837	SLV 13	0.298				No

Verifica a pressoflessione in SLD

La struttura oppure parte di essa, è stata dichiarata come non dissipativa pertanto la verifica a pressoflessione, per tutte o solo alcune sezioni, viene eseguita calcolando i momenti resistenti in campo sostanzialmente elastico secondo D.M. 17-01-2018 §7.4.1

Le dilatazioni ultime utilizzate sono le dilatazioni limite elastiche

Quota	As	%	At	Pos.	Mx	My	N	MRdx	MRdy	Comb.	Coeff.s.	Verifica
-1	0.000452	1.4	0.000001	1,2	9.9875	-39.9454	-85.31	3.5874	-14.3481	SLD 13	0.359	No
-0.69	0.000452	1.4	0.000001	1,2	8.797	-33.8597	-84.84	3.8345	-14.7589	SLD 13	0.436	No
-0.38	0.000452	1.4	0.000001	1,2	-7.0906	24.8365	-44	-3.8788	13.5865	SLD 4	0.547	No
-0.08	0.000452	0.7	0.000001	2	-5.994	20.0906	-43.51	-4.1695	13.9752	SLD 4	0.696	No
0.23	0.000452	0.7	0.000001	2	-4.9102	15.3246	-43.03	-4.6871	14.6285	SLD 4	0.955	No
0.54	0.000452	0.7	0.000001	2	-3.8542	10.5679	-42.55	-5.817	15.9498	SLD 4	1.509	Si
0.85	0.000452	0.7	0.000001	2	-8.2205	3.4164	-53.83	-19.5715	8.1339	SLD 7	2.381	Si
1.16	0.000452	0.7	0.000001	2	-5.165	3.4778	-62.78	-18.4762	12.441	SLD 11	3.577	Si
1.47	0.000452	0.7	0.000001	2	1.5949	9.789	-81.46	4.136	25.3864	SLD 13	2.593	Si
1.78	0.000452	0.7	0.000001	2	0.737	16.668	-77.56	0.9366	21.1821	SLD 15	1.271	Si
2.08	0.000452	0.7	0.000001	2	3.2295	22.9595	-77.08	2.4283	17.2633	SLD 15	0.752	No
2.39	0.000452	0.7	0.000001	2	1.3214	29.2	-80.02	0.776	17.1486	SLD 13	0.587	No

Quota	As	%	At	Pos.	Mx	My	N	MRdx	MRdy	Comb.	Coeff.s.	Verifica
2.7	0.000452	0.7	0.000001	2	1.5503	35.4529	-79.55	0.7129	16.3035	SLD 13	0.46	No
2.9	0.000452	1.4	0.00000102	2,3	-9.0935	-14.7513	-28.86	-7.0373	-11.4158	SLD 5	0.774	No
3.21	0.000452	1.4	0.00000102	2,3	-9.3478	-10.6296	-27.07	-8.9567	-10.1849	SLD 6	0.958	No
3.52	0.000452	1.4	0.00000102	2,3	-8.2242	-7.7917	-26.58	-10.2467	-9.7078	SLD 6	1.246	Si
3.83	0.000452	0.7	0.00000102	3	-4.9237	-7.0585	-21.5	-8.2511	-11.8284	SLD 2	1.676	Si
4.14	0.000452	0.7	0.00000102	3	-4.1455	-5.5777	-21.01	-9.0313	-12.1515	SLD 2	2.179	Si
4.46	0.000452	0.7	0.00000102	3	3.0509	6.3018	-29.28	7.5406	15.5754	SLD 15	2.472	Si
4.77	0.000452	0.7	0.00000102	3	0.5483	10.6329	-30.06	0.8892	17.2438	SLD 13	1.622	Si
5.08	0.000452	0.7	0.00000102	3	0.3832	14.3217	-29.57	0.4323	16.1565	SLD 13	1.128	Si
5.39	0.000452	0.7	0.00000102	3	0.2182	18.0565	-29.09	0.188	15.5589	SLD 13	0.862	No
5.7	0.000358	1.4	0.00000102	3	0.0563	21.7608	-28.61	0.0312	12.0582	SLD 13	0.554	No

Indicatori di rischio sismico a pressoflessione in SLV

E' attiva l'opzione fattori parziali di sicurezza unitari per meccanismi duttili di strutture esistenti con fattore q La struttura oppure parte di essa, è stata dichiarata come non dissipativa pertanto la verifica a pressoflessione, per tutte o solo alcune sezioni, viene eseguita calcolando i momenti resistenti in campo sostanzialmente elastico secondo D.M. 17-01-2018 §7.4.1

Le dilatazioni ultime utilizzate sono le dilatazioni limite elastiche

Quota	Molt.	TR	I.R.TR	PGA	I.R.PGA	Comb.	Ver.
-1	0.159	19	0.201	0.04	0.202	SLV 13	No
-0.69	0.194	28	0.236	0.048	0.241	SLV 13	No
-0.38	0.248	42	0.279	0.058	0.291	SLV 13	No
-0.08	0.307	61	0.325	0.069	0.346	SLV 4	No
0.23	0.386	94	0.388	0.084	0.418	SLV 4	No
0.54	0.536	194	0.522	0.113	0.564	SLV 4	No
0.85	0.73	417	0.714	0.15	0.752	SLV 7	No
1.16	1.102	1252	1.12	0.217	1.089	SLV 7	Si
1.47	0.962	856	0.959	0.193	0.966	SLV 4	No
1.78	0.5	163	0.486	0.105	0.525	SLV 15	No
2.08	0.302	59	0.32	0.068	0.341	SLV 15	No
2.39	0.23	37	0.264	0.055	0.274	SLV 13	No
2.7	0.174	23	0.218	0.044	0.22	SLV 13	No
2.9	0.248	42	0.279	0.058	0.291	SLV 5	No
3.21	0.38	91	0.382	0.082	0.413	SLV 6	No
3.52	0.53	189	0.516	0.111	0.558	SLV 6	No
3.83	0.701	377	0.685	0.145	0.725	SLV 2	No
4.14	0.793	513	0.777	0.162	0.811	SLV 2	No
4.46	0.9	719	0.892	0.182	0.91	SLV 15	No
4.77	0.697	372	0.681	0.144	0.721	SLV 13	No
5.08	0.473	142	0.459	0.099	0.496	SLV 13	No
5.39	0.31	62	0.327	0.07	0.349	SLV 13	No
5.7	0.087	7	0.134	0.025	0.127	SLV 13	No

Indicatori di rischio sismico a pressoflessione in SLD Resistenza

La struttura oppure parte di essa, è stata dichiarata come non dissipativa pertanto la verifica a pressoflessione, per tutte o solo alcune sezioni, viene eseguita calcolando i momenti resistenti in campo sostanzialmente elastico secondo D.M. 17-01-2018 §7.4.1

Le dilatazioni ultime utilizzate sono le dilatazioni limite elastiche

Quota	Molt.	TR	I.R.TR	PGA	I.R.PGA	Comb.	Ver.
-1	0.398	19	0.504	0.04	0.468	SLD 13	No
-0.69	0.487	28	0.591	0.048	0.56	SLD 13	No
-0.38	0.621	42	0.698	0.058	0.675	SLD 13	No
-0.08	0.769	61	0.813	0.069	0.802	SLD 4	No
0.23	0.967	94	0.971	0.084	0.97	SLD 4	No
0.54	1.342	194	1.307	0.113	1.309	SLD 4	Si
0.85	1.832	420	1.794	0.151	1.749	SLD 7	Si
1.16	2.752	1244	2.8	0.217	2.523	SLD 7	Si
1.47	2.4	849	2.394	0.192	2.234	SLD 4	Si
1.78	1.254	164	1.22	0.105	1.221	SLD 15	Si
2.08	0.755	59	0.802	0.068	0.79	SLD 15	No
2.39	0.577	37	0.663	0.055	0.636	SLD 13	No
2.7	0.436	23	0.545	0.044	0.511	SLD 13	No
2.9	0.609	40	0.684	0.057	0.66	SLD 5	No
3.21	0.938	89	0.949	0.082	0.948	SLD 6	No
3.52	1.309	182	1.273	0.11	1.275	SLD 6	Si
3.83	1.734	366	1.695	0.143	1.662	SLD 6	Si
4.14	1.977	508	1.939	0.161	1.874	SLD 2	Si
4.46	2.248	714	2.23	0.181	2.105	SLD 15	Si
4.77	1.75	375	1.712	0.144	1.677	SLD 13	Si
5.08	1.186	143	1.153	0.099	1.154	SLD 13	Si
5.39	0.775	62	0.819	0.07	0.809	SLD 13	No
5.7	0.221	7	0.335	0.025	0.294	SLD 13	No

Verifica a taglio-torsione in famiglia SLU

Quota	Staffe	Ved.x	Ved.y	Ned	Comb.V	Cot	Vres	c.s.v	Mt	As,t	Al,t	Comb.Tor.	Trcd	Trsd	Trld	c.s.v-T	Ver.
-1	2X/2Y ø6/14.8	4.25	-0.29	-97.48	SLU 19	2.5	50.88	11.96	0.00038	0	0.00000002	SLU 1	7.79391	0.00038	0.00038	1.02	Si
-0.69	2X/2Y ø6/14.8	4.25	-0.29	-96.88	SLU 19	2.5	50.88	11.96	0.00038	0	0.00000002	SLU 1	7.79391	0.00038	0.00038	1.02	Si
-0.38	2X/2Y ø6/14.8	4.25	-0.29	-96.24	SLU 19	2.5	50.88	11.96	0.00038	0	0.00000002	SLU 1	7.79391	0.00038	0.00038	1.02	Si
-0.08	2X/2Y ø6/14.8	4.25	-0.29	-95.62	SLU 19	2.5	50.88	11.96	0.00038	0	0.00000002	SLU 1	7.79391	0.00038	0.00038	1.02	Si
0.23	2X/2Y ø6/14.8	4.25	-0.29	-94.99	SLU 19	2.5	50.88	11.96	0.00038	0	0.00000002	SLU 1	7.79391	0.00038	0.00038	1.02	Si
0.54	2X/2Y ø6/14.8	4.25	-0.29	-94.36	SLU 19	2.5	50.88	11.96	0.00038	0	0.00000002	SLU 1	7.79391	0.00038	0.00038	1.02	Si
0.85	2X/2Y ø6/14.8	4.25	-0.29	-93.73	SLU 19	2.5	50.88	11.96	0.00038	0	0.00000002	SLU 1	7.79391	0.00038	0.00038	1.02	Si
1.16	2X/2Y ø6/14.8	4.25	-0.29	-93.11	SLU 19	2.5	50.88	11.96	0.00038	0	0.00000002	SLU 1	7.79391	0.00038	0.00038	1.02	Si
1.47	2X/2Y ø6/14.8	4.25	-0.29	-92.49	SLU 19	2.5	50.88	11.96	0.00038	0	0.00000002	SLU 1	7.79391	0.00038	0.00038	1.02	Si
1.78	2X/2Y ø6/14.8	4.25	-0.29	-91.86	SLU 19	2.5	50.88	11.96	0.00038	0	0.00000002	SLU 1	7.79391	0.00038	0.00038	1.02	Si
2.08	2X/2Y ø6/14.8	4.25	-0.29	-91.23	SLU 19	2.5	50.88	11.96	0.00038	0	0.00000002	SLU 1	7.79391	0.00038	0.00038	1.02	Si
2.39	2X/2Y ø6/14.8	4.25	-0.29	-90.61	SLU 19	2.5	50.88	11.96	0.00038	0	0.00000002	SLU 1	7.79391	0.00038	0.00038	1.02	Si

Quota	Staffe	Ved.x	Ved.y	Ned	Comb.V	Cot	Vres	c.s.V	Mt	As,t	Al,t	Comb.Tor.	Trcd	Trsd	Trld	c.s.V-T	Ver.
2.7	2X/2Y ø6/14.8	4.25	-0.29	-89.99	SLV 19	2.5	50.88	11.96	0.00038	0	0.00000002	SLV 1	7.79391	0.00038	0.00038	1.02	Sl
2.9	2X/2Y ø6/14.7	10.88	0.17	-37.04	SLV 19	2.5	51.07	4.69	-0.00166	0.00000001	0.00000008	SLV 1	7.79391	0.00166	0.00166	1.02	Sl
3.21	2X/2Y ø6/14.7	10.88	0.17	-36.41	SLV 19	2.5	51.07	4.69	-0.00166	0.00000001	0.00000008	SLV 1	7.79391	0.00166	0.00166	1.02	Sl
3.52	2X/2Y ø6/14.7	10.88	0.17	-35.78	SLV 19	2.5	51.07	4.69	-0.00166	0.00000001	0.00000008	SLV 1	7.79391	0.00166	0.00166	1.02	Sl
3.83	2X/2Y ø6/14.7	10.88	0.17	-35.15	SLV 19	2.5	51.07	4.69	-0.00166	0.00000001	0.00000008	SLV 1	7.79391	0.00166	0.00166	1.02	Sl
4.14	2X/2Y ø6/14.7	10.88	0.17	-34.52	SLV 19	2.5	51.07	4.69	-0.00166	0.00000001	0.00000008	SLV 1	7.79391	0.00166	0.00166	1.02	Sl
4.46	2X/2Y ø6/14.7	10.88	0.17	-33.89	SLV 19	2.5	51.07	4.69	-0.00166	0.00000001	0.00000008	SLV 1	7.79391	0.00166	0.00166	1.02	Sl
4.77	2X/2Y ø6/14.7	10.88	0.17	-33.25	SLV 19	2.5	51.07	4.69	-0.00166	0.00000001	0.00000008	SLV 1	7.79391	0.00166	0.00166	1.02	Sl
5.08	2X/2Y ø6/14.7	10.88	0.17	-32.62	SLV 19	2.5	51.07	4.69	-0.00166	0.00000001	0.00000008	SLV 1	7.79391	0.00166	0.00166	1.02	Sl
5.39	2X/2Y ø6/14.7	10.88	0.17	-31.99	SLV 19	2.5	51.07	4.69	-0.00166	0.00000001	0.00000008	SLV 1	7.79391	0.00166	0.00166	1.02	Sl
5.7	2X/2Y ø6/14.7	10.88	0.17	-31.37	SLV 19	2.5	51.07	4.69	-0.00166	0.00000001	0.00000008	SLV 1	7.79391	0.00166	0.00166	1.02	Sl

Verifica a taglio-torsione in famiglia SLV

Quota	Staffe	Ved.x	Ved.y	Ned	Comb.V	Cot	Vres	c.s.V	Mt	As,t	Al,t	Comb.Tor.	Trcd	Trsd	Trld	c.s.V-T	Ver.
-1	2X/2Y ø6/14.8	47.27	-22.55	-115.57	SLV 13	2.5	50.86	1.08	0.05426	0.00000041	0.00000248	SLV 1	7.79391	0.05426	0.05426	1.02	Sl
-0.69	2X/2Y ø6/14.8	47.27	-22.55	-115.1	SLV 13	2.5	50.86	1.08	0.05426	0.00000041	0.00000248	SLV 1	7.79391	0.05426	0.05426	1.02	Sl
-0.38	2X/2Y ø6/14.8	47.27	-22.55	-114.61	SLV 13	2.5	50.86	1.08	0.05426	0.00000041	0.00000248	SLV 1	7.79391	0.05426	0.05426	1.02	Sl
-0.08	2X/2Y ø6/14.8	46.64	-22.4	-114.13	SLV 13	2.5	50.86	1.09	0.05426	0.00000041	0.00000248	SLV 1	7.79391	0.05426	0.05426	1.02	Sl
0.23	2X/2Y ø6/14.8	46.64	-22.4	-113.65	SLV 13	2.5	50.86	1.09	0.05426	0.00000041	0.00000248	SLV 1	7.79391	0.05426	0.05426	1.02	Sl
0.54	2X/2Y ø6/14.8	46.64	-22.4	-113.17	SLV 13	2.5	50.86	1.09	0.05426	0.00000041	0.00000248	SLV 1	7.79391	0.05426	0.05426	1.02	Sl
0.85	2X/2Y ø6/14.8	46.64	-22.4	-112.68	SLV 13	2.5	50.86	1.09	0.05426	0.00000041	0.00000248	SLV 1	7.79391	0.05426	0.05426	1.02	Sl
1.16	2X/2Y ø6/14.8	46.64	-22.4	-112.21	SLV 13	2.5	50.86	1.09	0.05426	0.00000041	0.00000248	SLV 1	7.79391	0.05426	0.05426	1.02	Sl
1.47	2X/2Y ø6/14.8	46.64	-22.4	-111.72	SLV 13	2.5	50.86	1.09	0.05426	0.00000041	0.00000248	SLV 1	7.79391	0.05426	0.05426	1.02	Sl
1.78	2X/2Y ø6/14.8	46.64	-22.4	-111.24	SLV 13	2.5	50.86	1.09	0.05426	0.00000041	0.00000248	SLV 1	7.79391	0.05426	0.05426	1.02	Sl
2.08	2X/2Y ø6/14.8	46.64	-22.4	-110.76	SLV 13	2.5	50.86	1.09	0.05426	0.00000041	0.00000248	SLV 1	7.79391	0.05426	0.05426	1.02	Sl
2.39	2X/2Y ø6/14.8	46.64	-22.4	-110.28	SLV 13	2.5	50.86	1.09	0.05426	0.00000041	0.00000248	SLV 1	7.79391	0.05426	0.05426	1.02	Sl
2.7	2X/2Y ø6/14.8	46.64	-22.4	-109.81	SLV 13	2.5	50.86	1.09	0.05426	0.00000041	0.00000248	SLV 1	7.79391	0.05426	0.05426	1.02	Sl
2.9	2X/2Y ø6/14.7	19.73	8.89	-41.37	SLV 13	2.5	51.09	2.59	0.04267	0.00000032	0.00000195	SLV 1	7.79391	0.04267	0.04267	1.02	Sl
3.21	2X/2Y ø6/14.7	19.73	8.89	-40.89	SLV 13	2.5	51.09	2.59	0.04267	0.00000032	0.00000195	SLV 1	7.79391	0.04267	0.04267	1.02	Sl
3.52	2X/2Y ø6/14.7	19.73	8.89	-40.4	SLV 13	2.5	51.09	2.59	0.04267	0.00000032	0.00000195	SLV 1	7.79391	0.04267	0.04267	1.02	Sl
3.83	2X/2Y ø6/14.7	19.73	8.89	-39.92	SLV 13	2.5	51.09	2.59	0.04267	0.00000032	0.00000195	SLV 1	7.79391	0.04267	0.04267	1.02	Sl
4.14	2X/2Y ø6/14.7	19.73	8.89	-39.43	SLV 13	2.5	51.09	2.59	0.04267	0.00000032	0.00000195	SLV 1	7.79391	0.04267	0.04267	1.02	Sl
4.46	2X/2Y ø6/14.7	19.73	8.89	-38.94	SLV 13	2.5	51.09	2.59	0.04267	0.00000032	0.00000195	SLV 1	7.79391	0.04267	0.04267	1.02	Sl
4.77	2X/2Y ø6/14.7	19.73	8.89	-38.46	SLV 13	2.5	51.09	2.59	0.04267	0.00000032	0.00000195	SLV 1	7.79391	0.04267	0.04267	1.02	Sl
5.08	2X/2Y ø6/14.7	19.73	8.89	-37.97	SLV 13	2.5	51.09	2.59	0.04267	0.00000032	0.00000195	SLV 1	7.79391	0.04267	0.04267	1.02	Sl
5.39	2X/2Y ø6/14.7	19.73	8.89	-37.49	SLV 13	2.5	51.09	2.59	0.04267	0.00000032	0.00000195	SLV 1	7.79391	0.04267	0.04267	1.02	Sl
5.7	2X/2Y ø6/14.7	19.73	8.89	-37.01	SLV 13	2.5	51.09	2.59	0.04267	0.00000032	0.00000195	SLV 1	7.79391	0.04267	0.04267	1.02	Sl

Verifica taglio ciclico secondo Circolare 7 21-01-19 §C8.7.2.3.5 formula [C8.7.2.8] in combinazione SLV

Quota	Q.inf.	Q.sup.	Dir.	Lv	x	h	p.tot	θ _m	θ _y	μΔ _{pl}	VRd	VRcd(cotθ=1)	VRsd	Vw	VR	Vu	VEd	NEd	Comb.	Verifica
-1	1.225	2.8	X	2.013	0.118	0.25	0.0072	0.013882	0.014184	0	29.364	105.37	50.86	20.344	23.822	50.86	47.265	-115.568	SLV 13	Sl
-1	1.225	2.8	Y	2.013	0.093	0.25	0.0072	0.008455	0.014184	0	26.059	96.197	50.486	20.194	22.523	50.486	-22.551	-62.6	SLV 6	Sl

Verifica a taglio-torsione in famiglia SLD Resistenza

Quota	Staffe	Ved.x	Ved.y	Ned	Comb.V	Cot	Vres	c.s.V	Mt	As,t	Al,t	Comb.Tor.	Trcd	Trsd	Trld	c.s.V-T	Ver.
-1	2X/2Y ø6/14.8	20.42	-9.17	-85.31	SLD 13	2.5	50.88	2.49	0.02196	0.00000016	0.0000001	SLD 1	7.79391	0.02196	0.02196	1.02	Sl
-0.69	2X/2Y ø6/14.8	20.42	-9.17	-84.84	SLD 13	2.5	50.88	2.49	0.02196	0.00000016	0.0000001	SLD 1	7.79391	0.02196	0.02196	1.02	Sl
-0.38	2X/2Y ø6/14.8	20.42	-9.17	-84.36	SLD 13	2.5	50.88	2.49	0.02196	0.00000016	0.0000001	SLD 1	7.79391	0.02196	0.02196	1.02	Sl
-0.08	2X/2Y ø6/14.8	20.13	-9.1	-83.87	SLD 13	2.5	50.88	2.53	0.02196	0.00000016	0.0000001	SLD 1	7.79391	0.02196	0.02196	1.02	Sl
0.23	2X/2Y ø6/14.8	20.13	-9.1	-83.39	SLD 13	2.5	50.88	2.53	0.02196	0.00000016	0.0000001	SLD 1	7.79391	0.02196	0.02196	1.02	Sl
0.54	2X/2Y ø6/14.8	20.13	-9.1	-82.91	SLD 13	2.5	50.88	2.53	0.02196	0.00000016	0.0000001	SLD 1	7.79391	0.02196	0.02196	1.02	Sl
0.85	2X/2Y ø6/14.8	20.13	-9.1	-82.42	SLD 13	2.5	50.88	2.53	0.02196	0.00000016	0.0000001	SLD 1	7.79391	0.02196	0.02196	1.02	Sl
1.16	2X/2Y ø6/14.8	20.13	-9.1	-81.95	SLD 13	2.5	50.88	2.53	0.02196	0.00000016	0.0000001	SLD 1	7.79391	0.02196	0.02196	1.02	Sl
1.47	2X/2Y ø6/14.8	20.13	-9.1	-81.46	SLD 13	2.5	50.88	2.53	0.02196	0.00000016	0.0000001	SLD 1	7.79391	0.02196	0.02196	1.02	Sl
1.78	2X/2Y ø6/14.8	20.13	-9.1	-80.98	SLD 13	2.5	50.88	2.53	0.02196	0.00000016	0.0000001	SLD 1	7.79391	0.02196	0.02196	1.02	Sl
2.08	2X/2Y ø6/14.8	20.13	-9.1	-80.5	SLD 13	2.5	50.88	2.53	0.02196	0.00000016	0.0000001	SLD 1	7.79391	0.02196	0.02196	1.02	Sl
2.39	2X/2Y ø6/14.8	20.13	-9.1	-80.02	SLD 13	2.5	50.88	2.53	0.02196	0.00000016	0.0000001	SLD 1	7.79391	0.02196	0.02196	1.02	Sl

Quota	Staffe	Ved.x	Ved.y	Ned	Comb.V	Cot	Vres	c.s.V	Mt	As,t	Al,t	Comb.Tor.	Trcd	Trsd	Trld	c.s.V-T	Ver.
2.7	2X/2Y ø6/14.8	20.13	-9.1	-79.55	SLD 13	2.5	50.88	2.53	0.02196	0.00000016	0.0000001	SLD 1	7.79391	0.02196	0.02196	1.02	Si
2.9	2X/2Y ø6/14.7	12.36	3.67	-32.97	SLD 13	2.5	51.1	4.13	0.01596	0.00000012	0.00000073	SLD 1	7.79391	0.01596	0.01596	1.02	Si
3.21	2X/2Y ø6/14.7	12.36	3.67	-32.49	SLD 13	2.5	51.1	4.13	0.01596	0.00000012	0.00000073	SLD 1	7.79391	0.01596	0.01596	1.02	Si
3.52	2X/2Y ø6/14.7	12.36	3.67	-32	SLD 13	2.5	51.1	4.13	0.01596	0.00000012	0.00000073	SLD 1	7.79391	0.01596	0.01596	1.02	Si
3.83	2X/2Y ø6/14.7	12.36	3.67	-31.52	SLD 13	2.5	51.1	4.13	0.01596	0.00000012	0.00000073	SLD 1	7.79391	0.01596	0.01596	1.02	Si
4.14	2X/2Y ø6/14.7	12.36	3.67	-31.03	SLD 13	2.5	51.1	4.13	0.01596	0.00000012	0.00000073	SLD 1	7.79391	0.01596	0.01596	1.02	Si
4.46	2X/2Y ø6/14.7	12.36	3.67	-30.54	SLD 13	2.5	51.1	4.13	0.01596	0.00000012	0.00000073	SLD 1	7.79391	0.01596	0.01596	1.02	Si
4.77	2X/2Y ø6/14.7	12.36	3.67	-30.06	SLD 13	2.5	51.1	4.13	0.01596	0.00000012	0.00000073	SLD 1	7.79391	0.01596	0.01596	1.02	Si
5.08	2X/2Y ø6/14.7	12.36	3.67	-29.57	SLD 13	2.5	51.1	4.13	0.01596	0.00000012	0.00000073	SLD 1	7.79391	0.01596	0.01596	1.02	Si
5.39	2X/2Y ø6/14.7	12.36	3.67	-29.09	SLD 13	2.5	51.1	4.13	0.01596	0.00000012	0.00000073	SLD 1	7.79391	0.01596	0.01596	1.02	Si
5.7	2X/2Y ø6/14.7	12.36	3.67	-28.61	SLD 13	2.5	51.1	4.13	0.01596	0.00000012	0.00000073	SLD 1	7.79391	0.01596	0.01596	1.02	Si

Indicatori di rischio sismico a taglio in SLV

Quota	Molt.	TR	I.R.TR	PGA	I.R.PGA	Comb.	
-0.69	1.082	1188	1.096	0.214	1.072	SLV 13	Si
-0.38	1.082	1188	1.096	0.214	1.072	SLV 13	Si
-0.08	1.096	1232	1.113	0.216	1.084	SLV 13	Si
0.23	1.096	1232	1.113	0.216	1.084	SLV 13	Si
0.54	1.096	1232	1.113	0.216	1.084	SLV 13	Si
0.85	1.096	1232	1.113	0.216	1.084	SLV 13	Si
1.16	1.096	1232	1.113	0.216	1.084	SLV 13	Si
1.47	1.096	1232	1.113	0.216	1.084	SLV 13	Si
1.78	1.096	1232	1.113	0.216	1.084	SLV 13	Si
2.08	1.096	1232	1.113	0.216	1.084	SLV 13	Si
2.39	1.096	1232	1.113	0.216	1.084	SLV 13	Si
2.7	1.096	1232	1.113	0.216	1.084	SLV 13	Si
2.9	3.52	2114	1.389	0.255	1.279	SLV 13	Si
3.21	3.52	2114	1.389	0.255	1.279	SLV 13	Si
3.52	3.52	2114	1.389	0.255	1.279	SLV 13	Si
3.83	3.52	2114	1.389	0.255	1.279	SLV 13	Si
4.14	3.52	2114	1.389	0.255	1.279	SLV 13	Si
4.46	3.52	2114	1.389	0.255	1.279	SLV 13	Si
4.77	3.52	2114	1.389	0.255	1.279	SLV 13	Si
5.08	3.52	2114	1.389	0.255	1.279	SLV 13	Si
5.39	3.52	2114	1.389	0.255	1.279	SLV 13	Si
5.7	3.52	2114	1.389	0.255	1.279	SLV 13	Si

Indicatori di rischio sismico a taglio in SLD Resistenza

Quota	Molt.	TR	I.R.TR	PGA	I.R.PGA	Comb.	
-1	2.699	1176	2.736	0.213	2.48	SLD 13	Si
-0.69	2.699	1176	2.736	0.213	2.48	SLD 13	Si
-0.38	2.699	1176	2.736	0.213	2.48	SLD 13	Si
-0.08	2.74	1229	2.786	0.216	2.514	SLD 13	Si
0.23	2.74	1229	2.786	0.216	2.514	SLD 13	Si
0.54	2.74	1229	2.786	0.216	2.514	SLD 13	Si
0.85	2.74	1229	2.786	0.216	2.514	SLD 13	Si
1.16	2.74	1229	2.786	0.216	2.514	SLD 13	Si
1.47	2.74	1229	2.786	0.216	2.514	SLD 13	Si
1.78	2.74	1229	2.786	0.216	2.514	SLD 13	Si
2.08	2.74	1229	2.786	0.216	2.514	SLD 13	Si
2.39	2.74	1229	2.786	0.216	2.514	SLD 13	Si
2.7	2.74	1229	2.786	0.216	2.514	SLD 13	Si
2.9	8.632	2110	3.477	0.255	2.966	SLD 13	Si
3.21	8.632	2110	3.477	0.255	2.966	SLD 13	Si
3.52	8.632	2110	3.477	0.255	2.966	SLD 13	Si
3.83	8.632	2110	3.477	0.255	2.966	SLD 13	Si
4.14	8.632	2110	3.477	0.255	2.966	SLD 13	Si
4.46	8.632	2110	3.477	0.255	2.966	SLD 13	Si
4.77	8.632	2110	3.477	0.255	2.966	SLD 13	Si
5.08	8.632	2110	3.477	0.255	2.966	SLD 13	Si
5.39	8.632	2110	3.477	0.255	2.966	SLD 13	Si
5.7	8.632	2110	3.477	0.255	2.966	SLD 13	Si

Verifiche nodi trave colonna

Riepilogo dei dati per le diverse tipologie di verifica eseguite per i nodi

Pilastrata	Q.Nodo	Escluso	Confinato	Segnalazioni
Pilastrata P4	-1.225	Si	No	
Pilastrata P4	2.8	No	No	
Pilastrata P4	5.8	No	No	

Verifiche nodi trave colonna in combinazioni SLD

Riepilogo dei dati per la verifica del nodo secondo Circolare 7 21-01-19 §C8.7.2.3.5.

Pilastrata	Q.Nodo	Angolo travatura	Aj	Vpc	Vtc	Vnc	Nc	onc	onc,lim	Comb.c	Vpt	Vtt	Vnt	Nt	ont	ont,lim	Comb.t	Segnalazioni	Verifica
Pilastrata P4	2.8	180	0.06468	-	272.2	269.993	-	4345	4173	SLD 4	-	272.2	269.993	-	4010	867	SLD 4		No

Verifiche nodi trave colonna in combinazioni SLD

Riepilogo dei dati per la verifica del nodo secondo Circolare 7 21-01-19 §C8.7.2.3.5.

Pilastrata	Q.Nodo	Angolo travatura	Aj	Vpc	Vtc	Vnc	Nc	onc	onc,lim	Comb.c	Vpt	Vtt	Vnt	Nt	ont	ont,lim	Comb.t	Segnalazioni	Verifica
Pilastrata P4	5.8	180	0.06468	0	147.111	147.111	0	2274	4173	SLD 13	0	147.111	147.111	0	2274	867	SLD 13		No

Verifiche nodi trave colonna in combinazioni SLV**Riepilogo dei dati per la verifica del nodo secondo Circolare 7 21-01-19 §C8.7.2.3.5.**

Pilastrata	Q.Nodo	Angolo travatura	Aj	Vpc	Vtc	Vnc	Nc	onc	onc,lim	Comb.c	Vpt	Vtt	Vnt	Nt	ont	ont,lim	Comb.t	Segnalazioni	Verifica
Pilastrata P4	2.8	180	0.06468	3.355	272.2	275.555	-17.368	4397	4173	SLV 8	5.167	272.2	277.367	-13.298	4187	867	SLV 4		No

Verifiche nodi trave colonna in combinazioni SLV**Riepilogo dei dati per la verifica del nodo secondo Circolare 7 21-01-19 §C8.7.2.3.5.**

Pilastrata	Q.Nodo	Angolo travatura	Aj	Vpc	Vtc	Vnc	Nc	onc	onc,lim	Comb.c	Vpt	Vtt	Vnt	Nt	ont	ont,lim	Comb.t	Segnalazioni	Verifica
Pilastrata P4	5.8	180	0.06468	0	272.2	272.2	0	4208	4173	SLV 4	0	272.2	272.2	0	4208	867	SLV 4		No

Indicatori di rischio sismico dei nodi in SLD

Pilastrata	Q.Nodo	Angolo travatura	Moltiplicatore	TR	I.R.TR	PGA	I.R.PGA	Comb.	Ver.
Pilastrata P4	2.8	180	0	0	0	0	0	SLD 1	No

Indicatori di rischio sismico dei nodi in SLD

Pilastrata	Q.Nodo	Angolo travatura	Moltiplicatore	TR	I.R.TR	PGA	I.R.PGA	Comb.	Ver.
Pilastrata P4	5.8	180	0	0	0	0	0	SLD 1	No

Indicatori di rischio sismico dei nodi in SLV

Pilastrata	Q.Nodo	Angolo travatura	Moltiplicatore	TR	I.R.TR	PGA	I.R.PGA	Comb.	Ver.
Pilastrata P4	2.8	180	0	0	0	0	0	SLV 1	No

Indicatori di rischio sismico dei nodi in SLV

Pilastrata	Q.Nodo	Angolo travatura	Moltiplicatore	TR	I.R.TR	PGA	I.R.PGA	Comb.	Ver.
Pilastrata P4	5.8	180	0	0	0	0	0	SLV 1	No

Verifica di instabilità

Q.inf.	Q.sup.	Quota	λ,x	λ,y	λ,limX	λ,limY	M 2° ord.	Nsd	Comb.	M0ed,x	M2,x	M0ed,y	M2,y	Mver,x	Mver,y	C.s x	C.s y	Risultato	(5.38)	(5.39)	Ver.
-1.225	2.8	-0.075	56	56	54	54	Si	-95.62	SLU 19	0.2562	2.3051	4.517	2.3092	2.5613	-6.8262	4.57	3.06	Min	No	2.82	Si
-1.225	2.8	-1	56	56	53	53	Si	-97.48	SLU 19	0.2562	2.3542	4.517	2.3524	2.6103	-6.8694	4.48		X	Si		Si
-1.225	2.8	-1	56	56	57	57	No	-85.31	SLD 13	7.2015	1.9824	17.8742	1.9777	9.9875	-39.9454	2.84	0.41	Min	No	0.36	No
-1.225	2.8	-1	56	56	70	70	No	-56.71	SLD 7	12.6782	1.3148	5.164	1.3394	-24.4109	10.5814	0.69	2.24	X	No	0.54	No
-1.225	2.8	-1	56	56	137	137	No	-14.69	SLV 4	17.6352	0.3405	39.9076	0.3405	-23.7073	89.9453	0.6	0.15	Min	No	0.13	No
-1.225	2.8	-1	56	56	79	79	No	-44.1	SLV 7	31.9289	1.0223	13.5507	1.0223	-61.491	30.7247	0.23	0.5	X	No	0.18	No
-1.225	2.8	2.7	56	56	55	55	Si	-89.99	SLU 19	0.2562	2.1817	4.517	2.1706	-2.4379	10.8463		2.24	Min	Si		Si
-1.225	2.8	2.7	56	56	55	55	Si	-89.99	SLU 19	0.2562	2.1817	4.517	2.1706	-2.4379	10.8463		2.24	Y	Si		Si
-1.225	2.8	-1	56	56	57	57	No	-85.31	SLD 13	7.2015	1.9824	17.8742	1.9777	9.9875	-39.9454	2.84	0.41	Min	No	0.36	No
-1.225	2.8	-1	56	56	57	57	No	-85.31	SLD 13	7.2015	1.9824	17.8742	1.9777	9.9875	-39.9454	2.84	0.41	Y	No	0.36	No
-1.225	2.8	-1	56	56	137	137	No	-14.69	SLV 4	17.6352	0.3405	39.9076	0.3405	-23.7073	89.9453	0.6	0.15	Min	No	0.13	No
-1.225	2.8	-1	56	56	137	137	No	-14.69	SLV 4	17.6352	0.3405	39.9076	0.3405	-23.7073	89.9453	0.6	0.15	Y	No	0.13	No
2.8	5.8	4.456	42	42	90	90	No	-33.89	SLU 19	0.3195	0.5024	6.8371	0.5369	-0.3195	6.8371	14.21	3.03	Min	No	3	Si
2.8	5.8	2.9	42	42	87	87	No	-37.04	SLU 19	0.3195	0.5493	6.8371	0.477	-0.5084	15.9512	13		X	Si		Si
2.8	5.8	2.9	42	42	98	98	No	-28.86	SLD 5	5.6408	0.3717	6.3653	0.3717	-9.0935	14.7513	2.03	1.1	Min	No	0.77	No
2.8	5.8	2.9	42	42	100	100	No	-27.55	SLD 6	6.4913	0.3548	5.8193	0.3548	-10.4534	13.5334	1.67	1.21	X	No	0.77	No
2.8	5.8	2.9	42	42	100	100	No	-27.89	SLV 6	15.6684	0.3592	7.9901	0.3592	-25.2379	18.5998	0.59	0.83	Min	No	0.4	No
2.8	5.8	2.9	42	42	100	100	No	-27.89	SLV 6	15.6684	0.3592	7.9901	0.3592	-25.2379	18.5998	0.59	0.83	X	No	0.4	No
2.8	5.8	5.7	42	42	94	94	No	-31.37	SLU 19	0.3195	0.458	6.8371	0.404	-0.3195	14.3814		0.85	Min	Si		No
2.8	5.8	5.7	42	42	94	94	No	-31.37	SLU 19	0.3195	0.458	6.8371	0.404	-0.3195	14.3814		0.85	Y	Si		No
2.8	5.8	5.7	42	42	98	98	No	-28.61	SLD 13	0.9518	0.3906	10.2661	0.3684	0.9518	21.7608		0.55	Min	Si		No
2.8	5.8	5.7	42	42	98	98	No	-28.61	SLD 13	0.9518	0.3906	10.2661	0.3684	0.9518	21.7608		0.55	Y	Si		No
2.8	5.8	5.7	42	42	87	87	No	-37.01	SLV 13	2.6958	0.4836	21.8721	0.4766	2.6958	38.8518		0.3	Min	Si		No
2.8	5.8	5.7	42	42	87	87	No	-37.01	SLV 13	2.6958	0.4836	21.8721	0.4766	2.6958	38.8518		0.3	Y	Si		No

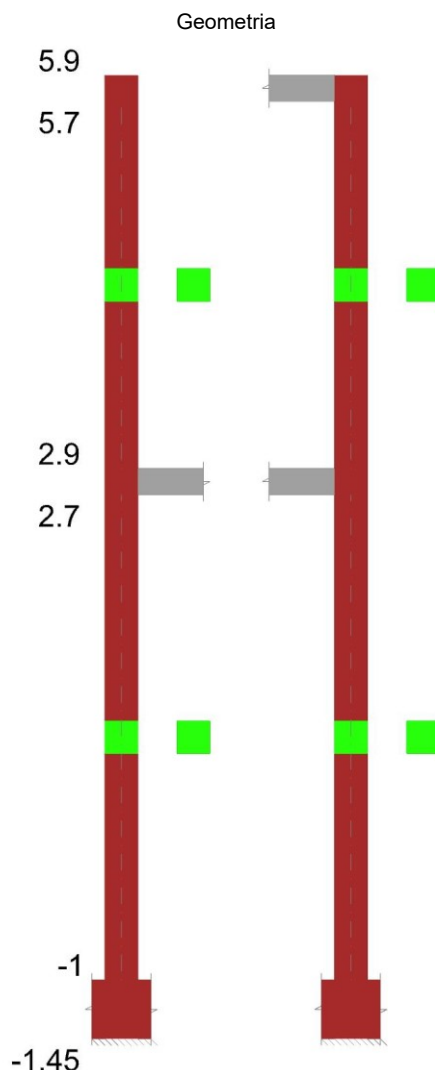
Verifiche di gerarchia delle resistenze nei nodi trave pilastro

Verifiche di gerarchia delle resistenze nei nodi trave pilastro non presenti in quanto la verifica è non necessaria per la pilastrata

per il nodo Appoggio -1.225 in quanto elemento di materiale esistente.

per il nodo Appoggio 2.8 in quanto elemento di materiale esistente.

per il nodo Appoggio 5.8 in quanto elemento di materiale esistente.

Pilastrata P5**Dati della pilastrata**

Analisi di edificio esistente con fattore di struttura.

Fattore di struttura per meccanismi duttili in direzione X: 1.5

Fattore di struttura per meccanismi duttili in direzione Y: 1.5

Fattore di struttura per meccanismi fragili in direzione X: 1

Fattore di struttura per meccanismi fragili in direzione Y: 1

Verifica dei meccanismi fragili condotta secondo Circolare 7 21-01-19 (SC8.7.2.2) Analisi lineare con fattore q.

Fattore di amplificazione dei meccanismi fragili della componente sismica in direzione X: 1

Fattore di amplificazione dei meccanismi fragili della componente sismica in direzione Y: 1

Campate costituenti la pilastrata

Q.inf.	Q.sup.	Sezione	Esistente	Secondaria	Dissipativa	Interna a parete	Sovreresistenza	Materiale CLS	Materiale Acciaio	FC
-1	2.7	R 25x25	Si	No	No	No		C15/18 Vigone C LC2	Vigone_FeB32k_LC2_FC = 1.2	1.2
2.9	5.7	R 25x25	Si	No	No	No		C15/18 Vigone C LC2	Vigone_FeB32k_LC2_FC = 1.2	1.2

Disposizione delle armature longitudinali

Posizione	X	Y	Diametro	Area	Q.inf.	Q.sup.	Sezione	Materiale
p.1	-0.0862	-0.0862	0.012	0.0001131	-1.225	-1	R 25x25	Vigone FeB32k LC2
p.1	0.0862	-0.0862	0.012	0.0001131	-1.225	-1	R 25x25	Vigone FeB32k LC2
p.1	0.0862	0.0862	0.012	0.0001131	-1.225	-1	R 25x25	Vigone FeB32k LC2
p.1	-0.0862	0.0862	0.012	0.0001131	-1.225	-1	R 25x25	Vigone FeB32k LC2
p.2	-0.0862	-0.0862	0.012	0.0001131	-1	2.9	R 25x25	Vigone FeB32k LC2
p.2	0.0862	-0.0862	0.012	0.0001131	-1	2.9	R 25x25	Vigone FeB32k LC2
p.2	0.0862	0.0862	0.012	0.0001131	-1	2.9	R 25x25	Vigone FeB32k LC2
p.2	-0.0862	0.0862	0.012	0.0001131	-1	2.9	R 25x25	Vigone FeB32k LC2
p.3	-0.0862	-0.0862	0.012	0.0001131	2.9	5.494	R 25x25	Vigone FeB32k LC2
p.3	0.0862	-0.0862	0.012	0.0001131	2.9	5.494	R 25x25	Vigone FeB32k LC2
p.3	0.0862	0.0862	0.012	0.0001131	2.9	5.494	R 25x25	Vigone FeB32k LC2
p.3	-0.0862	0.0862	0.012	0.0001131	2.9	5.494	R 25x25	Vigone FeB32k LC2

Controlli geometrici NTC18

Nessuna anomalia

Verifiche delle sezioni

Verifica a pressoflessione in SLU

Quota	As	%	At	Pos.	Mx	My	N	MRdx	MRdy	Comb.	Coeff.s.	Verifica
-1	0.000452	1.4	0.00000003	1,2	-1.973	1.9527	-122.47	-7.4415	7.3651	SLU 19	3.772	Si
-0.69	0.000452	1.4	0.00000003	1,2	-1.3436	1.4993	-121.87	-5.308	5.9234	SLU 19	3.951	Si
-0.38	0.000452	1.4	0.00000003	1,2	-0.6823	1.023	-121.23	-2.7096	4.0626	SLU 19	3.971	Si
-0.08	0.000452	0.7	0.00000003	2	-0.0328	0.5538	-120.61	-0.1308	2.211	SLU 19	3.992	Si
0.23	0.000452	0.7	0.00000003	2	0.6129	0.0857	-119.98	2.4593	0.3439	SLU 19	4.013	Si
0.54	0.000452	0.7	0.00000003	2	1.2585	-0.3824	-119.36	5.0765	-1.5427	SLU 19	4.034	Si
0.85	0.000452	0.7	0.00000003	2	1.9091	-0.8542	-118.72	7.702	-3.4462	SLU 19	4.034	Si
1.16	0.000452	0.7	0.00000003	2	2.5497	-1.3187	-118.1	9.6982	-5.0159	SLU 19	3.804	Si
1.47	0.000452	0.7	0.00000003	2	3.1953	-1.7868	-117.48	11.4074	-6.3791	SLU 19	3.57	Si
1.78	0.000452	0.7	0.00000003	2	3.8409	-2.255	-116.85	12.8303	-7.5326	SLU 19	3.34	Si
2.08	0.000452	0.7	0.00000003	2	4.4865	-2.7231	-116.22	13.9789	-8.4846	SLU 19	3.116	Si
2.39	0.000452	0.7	0.00000003	2	5.1321	-3.1912	-115.6	14.8857	-9.2562	SLU 19	2.9	Si
2.7	0.000452	0.7	0.00000003	2	5.7673	-3.6518	-114.98	15.5493	-9.8457	SLU 19	2.696	Si
2.9	0.000452	1.4	0.00000015	2,3	-17.2953	0.8457	-44.12	-15.6313	0.7643	SLU 19	0.904	No
3.21	0.000452	1.4	0.00000015	2,3	-13.4075	0.758	-43.49	-16.8738	0.954	SLU 19	1.259	Si
3.52	0.000452	1.4	0.00000015	2,3	-9.4563	0.6689	-42.86	-19.528	1.3814	SLU 19	2.065	Si
3.83	0.000452	0.7	0.00000015	3	-5.505	0.5799	-42.23	-23.3268	2.4571	SLU 19	4.237	Si
4.14	0.000452	0.7	0.00000015	3	-1.5537	0.4908	-41.6	-14.4306	4.5583	SLU 19	9.288	Si
4.46	0.000452	0.7	0.00000015	3	4.0092	0.1106	-40.57	23.3991	0.6458	SLU 16	5.836	Si
4.77	0.000452	0.7	0.00000015	3	7.2634	0.0894	-39.94	21.6677	0.2668	SLU 16	2.983	Si
5.08	0.000452	0.7	0.00000015	3	10.5175	0.0682	-39.31	17.9416	0.1164	SLU 16	1.706	Si
5.39	0.000452	0.7	0.00000015	3	14.2513	0.1345	-39.07	15.9758	0.1508	SLU 19	1.121	Si
5.7	0.000358	1.4	0.00000015	3	18.1391	0.0468	-38.45	12.1525	0.0314	SLU 19	0.67	No

Verifica a pressoflessione in SLV (domini sostanzialmente elastici)

E' attiva l'opzione fattori parziali di sicurezza unitari per meccanismi duttili di strutture esistenti con fattore q
La struttura oppure parte di essa, è stata dichiarata come non dissipativa pertanto la verifica a pressoflessione, per tutte o solo alcune sezioni, viene eseguita calcolando i momenti resistenti in campo sostanzialmente elastico secondo D.M. 17-01-2018 §7.4.1

Le dilatazioni ultime utilizzate sono le dilatazioni limite elastiche

Quota	As	%	At	Pos.	Mx	My	N	ε _{cu}	ε _{fk}	MRdx	MRdy	Comb.	C.S.	Nmin	Niim	Comb.Nmin	Ver.
-1	0.000452	1.4	0.00000248	1,2	65.8232	51.5041	-22.12	-	1.58	9.2217	7.2156	SLV 5	0.14				No
-0.69	0.000452	1.4	0.00000248	1,2	56.9182	43.8304	-21.65	-	1.58	9.2893	7.1533	SLV 5	0.163				No
-0.38	0.000452	1.4	0.00000248	1,2	47.5631	35.7845	-21.17	-	1.58	9.4193	7.0867	SLV 5	0.198				No
-0.08	0.000452	0.7	0.00000248	2	38.2903	27.81	-20.68	-	1.58	9.617	6.9848	SLV 5	0.251				No
0.23	0.000452	0.7	0.00000248	2	28.957	19.7498	-20.2	-	1.58	9.9679	6.7985	SLV 5	0.344				No
0.54	0.000452	0.7	0.00000248	2	21.4925	0.3026	39.4	-	1.58	11.4077	0.1606	SLV 10	0.531				No
0.85	0.000452	0.7	0.00000248	2	11.2302	-0.0508	39.89	-	1.58	10.0612	-0.0456	SLV 10	0.896				No
1.16	0.000452	0.7	0.00000248	2	1.9105	5.3556	25.84	-	1.58	2.8616	8.0221	SLV 14	1.498				Si
1.47	0.000452	0.7	0.00000248	2	-3.4599	13.2382	26.32	-	1.58	-2.6413	10.1059	SLV 14	0.763				No
1.78	0.000452	0.7	0.00000248	2	-18.0946	-20.6455	-17.79	-	1.58	-7.9417	-9.0613	SLV 5	0.439				No
2.08	0.000452	0.7	0.00000248	2	-27.4043	-28.7052	-17.31	-	1.58	-8.1548	-8.5419	SLV 5	0.298				No
2.39	0.000452	0.7	0.00000248	2	-36.7383	-36.7687	-16.83	-	1.58	-8.2657	-8.2725	SLV 5	0.225				No
2.7	0.000452	0.7	0.00000248	2	-45.931	-44.703	-16.36	-	1.58	-8.3296	-8.1069	SLV 5	0.181				No
2.9	0.000452	1.4	0.00000241	2,3	-59.1119	-22.9396	-69.83	-	1.58	-12.1917	-4.7312	SLV 12	0.206				No
3.21	0.000452	1.4	0.00000241	2,3	-44.6668	-20.4915	-69.35	-	1.58	-12.0644	-5.5347	SLV 12	0.27				No
3.52	0.000452	1.4	0.00000241	2,3	-30.0078	-18.0034	-68.86	-	1.58	-11.7976	-7.0781	SLV 12	0.393				No
3.83	0.000452	0.7	0.00000241	3	9.3245	16.0869	6.38	-	1.58	5.6407	9.7315	SLV 5	0.605				No
4.14	0.000452	0.7	0.00000241	3	-0.2192	13.5126	6.87	-	1.58	-0.2064	12.7193	SLV 5	0.941				No
4.46	0.000452	0.7	0.00000241	3	-9.9161	10.9382	7.35	-	1.58	-7.331	8.0866	SLV 5	0.739				No
4.77	0.000452	0.7	0.00000241	3	29.058	-8.0512	-66.92	-	1.58	14.2913	-3.9597	SLV 12	0.492				No
5.08	0.000452	0.7	0.00000241	3	46.6776	-1.4853	-69.45	-	1.58	15.1666	-0.4826	SLV 7	0.325				No
5.39	0.000452	0.7	0.00000241	3	62.3127	-0.8187	-68.97	-	1.58	14.7564	-0.1939	SLV 7	0.237				No
5.7	0.000358	1.4	0.00000241	3	77.7083	-0.1628	-68.49	-	1.58	11.6238	-0.0244	SLV 7	0.15				No

Verifica a pressoflessione in SLD

La struttura oppure parte di essa, è stata dichiarata come non dissipativa pertanto la verifica a pressoflessione, per tutte o solo alcune sezioni, viene eseguita calcolando i momenti resistenti in campo sostanzialmente elastico secondo D.M. 17-01-2018 §7.4.1

Le dilatazioni ultime utilizzate sono le dilatazioni limite elastiche

Quota	As	%	At	Pos.	Mx	My	N	MRdx	MRdy	Comb.	Coeff.s.	Verifica
-1	0.000452	1.4	0.000001	1,2	25.743	21.3315	-57.13	10.2614	8.5029	SLD 5	0.399	No
-0.69	0.000452	1.4	0.000001	1,2	22.3725	18.0951	-56.66	10.6165	8.5867	SLD 5	0.475	No
-0.38	0.000452	1.4	0.000001	1,2	18.8316	14.7023	-56.17	11.1704	8.721	SLD 5	0.593	No
-0.08	0.000452	0.7	0.000001	2	15.3201	11.3396	-55.69	12.0486	8.9181	SLD 5	0.786	No
0.23	0.000452	0.7	0.000001	2	11.7839	7.9396	-55.21	13.7068	9.2352	SLD 5	1.163	Si
0.54	0.000452	0.7	0.000001	2	8.9968	-0.0137	-51.09	19.0107	-0.0289	SLD 10	2.113	Si
0.85	0.000452	0.7	0.000001	2	-3.0844	-0.7039	-124.72	-14.1857	-3.2374	SLD 7	4.599	Si
1.16	0.000452	0.7	0.000001	2	1.0929	-3.2853	-118.4	4.9976	-15.0231	SLD 3	4.573	Si
1.47	0.000452	0.7	0.000001	2	3.7423	-6.8396	-117.91	10.5965	-19.3669	SLD 3	2.832	Si
1.78	0.000452	0.7	0.000001	2	-6.0767	-9.1009	-52.8	-10.0864	-15.1062	SLD 5	1.66	Si
2.08	0.000452	0.7	0.000001	2	-9.6021	-12.5007	-52.32	-9.4943	-12.3603	SLD 5	0.989	No
2.39	0.000452	0.7	0.000001	2	-13.1388	-15.9021	-51.84	-9.1532	-11.0783	SLD 5	0.697	No

Quota	As	%	At	Pos.	Mx	My	N	MRdx	MRdy	Comb.	Coeff.s.	Verifica
2.7	0.000452	0.7	0.000001	2	-16.6228	-19.249	-51.36	-8.9572	-10.3723	SLD 5	0.539	No
2.9	0.000452	1.4	0.00000102	2,3	-30.4005	-9.0134	-47.45	-13.2649	-3.9329	SLD 12	0.436	No
3.21	0.000452	1.4	0.00000102	2,3	-23.024	-8.0505	-46.97	-13.421	-4.6927	SLD 12	0.583	No
3.52	0.000452	1.4	0.00000102	2,3	-15.5372	-7.0719	-46.49	-13.7004	-6.2358	SLD 12	0.882	No
3.83	0.000452	0.7	0.00000102	3	-8.0929	-6.0933	-46	-14.0663	-10.5907	SLD 12	1.738	Si
4.14	0.000452	0.7	0.00000102	3	-0.2929	5.5999	-15.51	-0.8962	17.1327	SLD 5	3.059	Si
4.46	0.000452	0.7	0.00000102	3	7.1626	-4.136	-45.03	16.8451	-9.727	SLD 12	2.352	Si
4.77	0.000452	0.7	0.00000102	3	14.609	-3.1573	-44.54	15.9601	-3.4493	SLD 12	1.092	Si
5.08	0.000452	0.7	0.00000102	3	23.2895	-0.5256	-45.28	15.9968	-0.361	SLD 7	0.687	No
5.39	0.000452	0.7	0.00000102	3	31.1737	-0.2851	-44.79	15.3159	-0.14	SLD 7	0.491	No
5.7	0.000358	1.4	0.00000102	3	38.9365	-0.0485	-44.31	11.9684	-0.0149	SLD 7	0.307	No

Indicatori di rischio sismico a pressoflessione in SLV

E' attiva l'opzione fattori parziali di sicurezza unitari per meccanismi duttili di strutture esistenti con fattore q
La struttura oppure parte di essa, è stata dichiarata come non dissipativa pertanto la verifica a pressoflessione, per tutte o solo alcune sezioni, viene eseguita calcolando i momenti resistenti in campo sostanzialmente elastico secondo D.M. 17-01-2018 §7.4.1

Le dilatazioni ultime utilizzate sono le dilatazioni limite elastiche

Quota	Molt.	TR	I.R.TR	PGA	I.R.PGA	Comb.	Ver.
-1	0.2	29	0.239	0.049	0.245	SLV 5	No
-0.69	0.23	37	0.264	0.055	0.274	SLV 5	No
-0.38	0.274	49	0.297	0.062	0.312	SLV 5	No
-0.08	0.337	73	0.349	0.075	0.376	SLV 5	No
0.23	0.442	123	0.433	0.093	0.468	SLV 5	No
0.54	0.628	287	0.612	0.131	0.654	SLV 10	No
0.85	0.926	774	0.92	0.186	0.933	SLV 10	No
1.16	1.266	1871	1.321	0.246	1.232	SLV 14	Si
1.47	0.846	609	0.834	0.172	0.859	SLV 14	No
1.78	0.549	206	0.535	0.115	0.578	SLV 5	No
2.08	0.397	99	0.396	0.085	0.428	SLV 5	No
2.39	0.31	62	0.327	0.07	0.349	SLV 5	No
2.7	0.255	44	0.284	0.059	0.297	SLV 5	No
2.9	0.097	8	0.141	0.027	0.135	SLV 12	No
3.21	0.184	25	0.225	0.046	0.229	SLV 12	No
3.52	0.345	76	0.355	0.076	0.383	SLV 12	No
3.83	0.676	344	0.66	0.14	0.7	SLV 5	No
4.14	0.949	826	0.945	0.19	0.954	SLV 5	No
4.46	0.793	513	0.777	0.162	0.811	SLV 5	No
4.77	0.445	125	0.436	0.094	0.471	SLV 12	No
5.08	0.23	37	0.264	0.055	0.274	SLV 7	No
5.39	0.115	11	0.161	0.031	0.157	SLV 7	No
5.7	0.004	0	0	0	0	SLV 7	No

Indicatori di rischio sismico a pressoflessione in SLD Resistenza

La struttura oppure parte di essa, è stata dichiarata come non dissipativa pertanto la verifica a pressoflessione, per tutte o solo alcune sezioni, viene eseguita calcolando i momenti resistenti in campo sostanzialmente elastico secondo D.M. 17-01-2018 §7.4.1

Le dilatazioni ultime utilizzate sono le dilatazioni limite elastiche

Quota	Molt.	TR	I.R.TR	PGA	I.R.PGA	Comb.	Ver.
-1	0.501	29	0.6	0.049	0.569	SLD 5	No
-0.69	0.577	37	0.663	0.055	0.636	SLD 5	No
-0.38	0.686	49	0.743	0.062	0.724	SLD 5	No
-0.08	0.846	73	0.875	0.075	0.873	SLD 5	No
0.23	1.107	124	1.088	0.094	1.088	SLD 5	Si
0.54	1.572	287	1.534	0.131	1.517	SLD 10	Si
0.85	2.318	775	2.306	0.186	2.165	SLD 10	Si
1.16	3.162	1860	3.302	0.246	2.854	SLD 14	Si
1.47	2.113	607	2.086	0.171	1.992	SLD 14	Si
1.78	1.371	205	1.337	0.115	1.338	SLD 5	Si
2.08	0.992	99	0.992	0.085	0.992	SLD 5	No
2.39	0.775	62	0.819	0.07	0.809	SLD 5	No
2.7	0.638	44	0.711	0.059	0.689	SLD 5	No
2.9	0.242	8	0.354	0.027	0.313	SLD 12	No
3.21	0.459	25	0.564	0.046	0.531	SLD 12	No
3.52	0.857	75	0.885	0.076	0.883	SLD 12	No
3.83	1.674	336	1.637	0.139	1.609	SLD 5	Si
4.14	2.365	817	2.356	0.19	2.204	SLD 5	Si
4.46	1.977	508	1.939	0.161	1.874	SLD 5	Si
4.77	1.113	125	1.091	0.094	1.092	SLD 12	Si
5.08	0.576	37	0.663	0.055	0.636	SLD 7	No
5.39	0.289	11	0.403	0.031	0.363	SLD 7	No
5.7	0.013	0	0	0	0	SLD 7	No

Verifica a taglio-torsione in famiglia SLU

Quota	Staffe	Ved.x	Ved.y	Ned	Comb.V	Cot	Vres	c.s.v	Mt	As,t	Al,t	Comb.Tor.	Trcd	Trsd	Trld	c.s.v-T	Ver.
-1	2X/2Y ø6/14.8	-1.51	2.11	-122.47	SLU 19	2.5	50.88	24.16	0.00038	0	0.00000002	SLU 1	7.79391	0.00038	0.00038	1.02	Si
-0.69	2X/2Y ø6/14.8	-1.51	2.11	-121.87	SLU 19	2.5	50.88	24.16	0.00038	0	0.00000002	SLU 1	7.79391	0.00038	0.00038	1.02	Si
-0.38	2X/2Y ø6/14.8	-1.51	2.11	-121.23	SLU 19	2.5	50.88	24.16	0.00038	0	0.00000002	SLU 1	7.79391	0.00038	0.00038	1.02	Si
-0.08	2X/2Y ø6/14.8	-1.51	2.11	-120.61	SLU 19	2.5	50.88	24.16	0.00038	0	0.00000002	SLU 1	7.79391	0.00038	0.00038	1.02	Si
0.23	2X/2Y ø6/14.8	-1.51	2.11	-119.98	SLU 19	2.5	50.88	24.16	0.00038	0	0.00000002	SLU 1	7.79391	0.00038	0.00038	1.02	Si
0.54	2X/2Y ø6/14.8	-1.51	2.11	-119.36	SLU 19	2.5	50.88	24.16	0.00038	0	0.00000002	SLU 1	7.79391	0.00038	0.00038	1.02	Si
0.85	2X/2Y ø6/14.8	-1.51	2.11	-118.72	SLU 19	2.5	50.88	24.16	0.00038	0	0.00000002	SLU 1	7.79391	0.00038	0.00038	1.02	Si
1.16	2X/2Y ø6/14.8	-1.51	2.11	-118.1	SLU 19	2.5	50.88	24.16	0.00038	0	0.00000002	SLU 1	7.79391	0.00038	0.00038	1.02	Si
1.47	2X/2Y ø6/14.8	-1.51	2.11	-117.48	SLU 19	2.5	50.88	24.16	0.00038	0	0.00000002	SLU 1	7.79391	0.00038	0.00038	1.02	Si
1.78	2X/2Y ø6/14.8	-1.51	2.11	-116.85	SLU 19	2.5	50.88	24.16	0.00038	0	0.00000002	SLU 1	7.79391	0.00038	0.00038	1.02	Si
2.08	2X/2Y ø6/14.8	-1.51	2.11	-116.22	SLU 19	2.5	50.88	24.16	0.00038	0	0.00000002	SLU 1	7.79391	0.00038	0.00038	1.02	Si
2.39	2X/2Y ø6/14.8	-1.51	2.11	-115.6	SLU 19	2.5	50.88	24.16	0.00038	0	0.00000002	SLU 1	7.79391	0.00038	0.00038	1.02	Si

Quota	Staffe	Ved.x	Ved.y	Ned	Comb.V	Cot	Vres	c.s.V	Mt	As,t	Al,t	Comb.Tor.	Trcd	Trsd	Trld	c.s.V-T	Ver.
2.7	2X/2Y ø6/14.8	-1.51	2.11	-114.98	SLV 19	2.5	50.88	24.16	0.00038	0	0.00000002	SLV 1	7.79391	0.00038	0.00038	1.02	Sl
2.9	2X/2Y ø6/14.7	-0.29	12.7	-44.12	SLV 19	2.5	51.07	4.02	0.00166	-	0.00000001	SLV 1	7.79391	0.00166	0.00166	1.02	Sl
3.21	2X/2Y ø6/14.7	-0.29	12.7	-43.49	SLV 19	2.5	51.07	4.02	0.00166	-	0.00000001	SLV 1	7.79391	0.00166	0.00166	1.02	Sl
3.52	2X/2Y ø6/14.7	-0.29	12.7	-42.86	SLV 19	2.5	51.07	4.02	0.00166	-	0.00000001	SLV 1	7.79391	0.00166	0.00166	1.02	Sl
3.83	2X/2Y ø6/14.7	-0.29	12.7	-42.23	SLV 19	2.5	51.07	4.02	0.00166	-	0.00000001	SLV 1	7.79391	0.00166	0.00166	1.02	Sl
4.14	2X/2Y ø6/14.7	-0.29	12.7	-41.6	SLV 19	2.5	51.07	4.02	0.00166	-	0.00000001	SLV 1	7.79391	0.00166	0.00166	1.02	Sl
4.46	2X/2Y ø6/14.7	-0.29	12.7	-40.97	SLV 19	2.5	51.07	4.02	0.00166	-	0.00000001	SLV 1	7.79391	0.00166	0.00166	1.02	Sl
4.77	2X/2Y ø6/14.7	-0.29	12.7	-40.33	SLV 19	2.5	51.07	4.02	0.00166	-	0.00000001	SLV 1	7.79391	0.00166	0.00166	1.02	Sl
5.08	2X/2Y ø6/14.7	-0.29	12.7	-39.7	SLV 19	2.5	51.07	4.02	0.00166	-	0.00000001	SLV 1	7.79391	0.00166	0.00166	1.02	Sl
5.39	2X/2Y ø6/14.7	-0.29	12.7	-39.07	SLV 19	2.5	51.07	4.02	0.00166	-	0.00000001	SLV 1	7.79391	0.00166	0.00166	1.02	Sl
5.7	2X/2Y ø6/14.7	-0.29	12.7	-38.45	SLV 19	2.5	51.49	4.06	0.00166	-	0.00000001	SLV 1	7.79391	0.00166	0.00166	1.02	Sl

Verifica a taglio-torsione in famiglia SLV

Quota	Staffe	Ved.x	Ved.y	Ned	Comb.V	Cot	Vres	c.s.V	Mt	As,t	Al,t	Comb.Tor.	Trcd	Trsd	Trld	c.s.V-T	Ver.
-1	2X/2Y ø6/14.8	-37.66	35.24	-130.78	SLV 1	2.5	50.16	1.33	0.05426	0.00000041	0.00000248	SLV 1	7.79391	0.05426	0.05426	1.02	Sl
-0.69	2X/2Y ø6/14.8	-37.66	35.24	-130.31	SLV 1	2.5	50.16	1.33	0.05426	0.00000041	0.00000248	SLV 1	7.79391	0.05426	0.05426	1.02	Sl
-0.38	2X/2Y ø6/14.8	-37.66	35.24	-129.82	SLV 1	2.5	50.16	1.33	0.05426	0.00000041	0.00000248	SLV 1	7.79391	0.05426	0.05426	1.02	Sl
-0.08	2X/2Y ø6/14.8	-37.56	35.13	-129.34	SLV 1	2.5	50.16	1.34	0.05426	0.00000041	0.00000248	SLV 1	7.79391	0.05426	0.05426	1.02	Sl
0.23	2X/2Y ø6/14.8	-37.56	35.13	-128.86	SLV 1	2.5	50.16	1.34	0.05426	0.00000041	0.00000248	SLV 1	7.79391	0.05426	0.05426	1.02	Sl
0.54	2X/2Y ø6/14.8	-37.56	35.13	-128.38	SLV 1	2.5	50.16	1.34	0.05426	0.00000041	0.00000248	SLV 1	7.79391	0.05426	0.05426	1.02	Sl
0.85	2X/2Y ø6/14.8	-37.56	35.13	-127.89	SLV 1	2.5	50.16	1.34	0.05426	0.00000041	0.00000248	SLV 1	7.79391	0.05426	0.05426	1.02	Sl
1.16	2X/2Y ø6/14.8	-37.56	35.13	-127.42	SLV 1	2.5	50.16	1.34	0.05426	0.00000041	0.00000248	SLV 1	7.79391	0.05426	0.05426	1.02	Sl
1.47	2X/2Y ø6/14.8	-37.56	35.13	-126.93	SLV 1	2.5	50.16	1.34	0.05426	0.00000041	0.00000248	SLV 1	7.79391	0.05426	0.05426	1.02	Sl
1.78	2X/2Y ø6/14.8	-37.56	35.13	-126.45	SLV 1	2.5	50.16	1.34	0.05426	0.00000041	0.00000248	SLV 1	7.79391	0.05426	0.05426	1.02	Sl
2.08	2X/2Y ø6/14.8	-37.56	35.13	-125.97	SLV 1	2.5	50.16	1.34	0.05426	0.00000041	0.00000248	SLV 1	7.79391	0.05426	0.05426	1.02	Sl
2.39	2X/2Y ø6/14.8	-37.56	35.13	-125.49	SLV 1	2.5	50.16	1.34	0.05426	0.00000041	0.00000248	SLV 1	7.79391	0.05426	0.05426	1.02	Sl
2.7	2X/2Y ø6/14.8	-37.56	35.13	-125.01	SLV 1	2.5	50.16	1.34	0.05426	0.00000041	0.00000248	SLV 1	7.79391	0.05426	0.05426	1.02	Sl
2.9	2X/2Y ø6/14.7	-9.09	50.08	-72.85	SLV 7	2.5	50.83	1.01	0.04267	0.00000032	0.00000195	SLV 1	7.79391	0.04267	0.04267	1.02	Sl
3.21	2X/2Y ø6/14.7	-9.09	50.08	-72.37	SLV 7	2.5	50.83	1.01	0.04267	0.00000032	0.00000195	SLV 1	7.79391	0.04267	0.04267	1.02	Sl
3.52	2X/2Y ø6/14.7	-9.09	50.08	-71.88	SLV 7	2.5	50.83	1.01	0.04267	0.00000032	0.00000195	SLV 1	7.79391	0.04267	0.04267	1.02	Sl
3.83	2X/2Y ø6/14.7	-9.09	50.08	-71.4	SLV 7	2.5	50.83	1.01	0.04267	0.00000032	0.00000195	SLV 1	7.79391	0.04267	0.04267	1.02	Sl
4.14	2X/2Y ø6/14.7	-9.09	50.08	-70.91	SLV 7	2.5	50.83	1.01	0.04267	0.00000032	0.00000195	SLV 1	7.79391	0.04267	0.04267	1.02	Sl
4.46	2X/2Y ø6/14.7	-9.09	50.08	-70.43	SLV 7	2.5	50.83	1.01	0.04267	0.00000032	0.00000195	SLV 1	7.79391	0.04267	0.04267	1.02	Sl
4.77	2X/2Y ø6/14.7	-9.09	50.08	-69.94	SLV 7	2.5	50.83	1.01	0.04267	0.00000032	0.00000195	SLV 1	7.79391	0.04267	0.04267	1.02	Sl
5.08	2X/2Y ø6/14.7	-9.09	50.08	-69.45	SLV 7	2.5	50.83	1.01	0.04267	0.00000032	0.00000195	SLV 1	7.79391	0.04267	0.04267	1.02	Sl
5.39	2X/2Y ø6/14.7	-9.09	50.08	-68.97	SLV 7	2.5	50.83	1.01	0.04267	0.00000032	0.00000195	SLV 1	7.79391	0.04267	0.04267	1.02	Sl
5.7	2X/2Y ø6/14.7	-9.09	50.08	-68.49	SLV 7	2.5	51.25	1.02	0.04267	0.00000032	0.00000195	SLV 1	7.79391	0.04267	0.04267	1.02	Sl

Verifica taglio ciclico secondo Circolare 7 21-01-19 §C8.7.2.3.5 formula [C8.7.2.8] in combinazione SLV

Quota	Q.inf.	Q.sup.	Dir.	Lv	x	h	p.tot	θ,m	θ,y	μ,Δpl	VRd	VRcd(cotθ=1)	VRsd	Vw	VR	Vu	VEd	NEd	Comb.	Verifica
-1	1.225	2.8	X	2.013	0.125	0.25	0.0072	0.010878	0.014184	0	29.364	105.37	50.156	20.063	23.805	50.156	37.662	130.778	SLV 1	Sl
-1	1.225	2.8	Y	2.013	0.157	0.25	0.0072	0.011008	0.014184	0	29.364	105.37	50.727	20.291	24.438	50.727	35.24	198.102	SLV 7	Sl

Verifica a taglio-torsione in famiglia SLD Resistenza

Quota	Staffe	Ved.x	Ved.y	Ned	Comb.V	Cot	Vres	c.s.V	Mt	As,t	Al,t	Comb.Tor.	Trcd	Trsd	Trld	c.s.V-T	Ver.
-1	2X/2Y ø6/14.8	-15.64	14.76	-100.61	SLD 1	2.5	50.59	3.24	0.02196	0.00000016	0.000001	SLD 1	7.79391	0.02196	0.02196	1.02	Sl
-0.69	2X/2Y ø6/14.8	-15.64	14.76	-100.15	SLD 1	2.5	50.59	3.24	0.02196	0.00000016	0.000001	SLD 1	7.79391	0.02196	0.02196	1.02	Sl
-0.38	2X/2Y ø6/14.8	-15.64	14.76	-99.66	SLD 1	2.5	50.59	3.24	0.02196	0.00000016	0.000001	SLD 1	7.79391	0.02196	0.02196	1.02	Sl
-0.08	2X/2Y ø6/14.8	-15.59	14.71	-99.18	SLD 1	2.5	50.59	3.24	0.02196	0.00000016	0.000001	SLD 1	7.79391	0.02196	0.02196	1.02	Sl
0.23	2X/2Y ø6/14.8	-15.59	14.71	-98.7	SLD 1	2.5	50.59	3.24	0.02196	0.00000016	0.000001	SLD 1	7.79391	0.02196	0.02196	1.02	Sl
0.54	2X/2Y ø6/14.8	-15.59	14.71	-98.21	SLD 1	2.5	50.59	3.24	0.02196	0.00000016	0.000001	SLD 1	7.79391	0.02196	0.02196	1.02	Sl
0.85	2X/2Y ø6/14.8	-15.59	14.71	-97.73	SLD 1	2.5	50.59	3.24	0.02196	0.00000016	0.000001	SLD 1	7.79391	0.02196	0.02196	1.02	Sl
1.16	2X/2Y ø6/14.8	-15.59	14.71	-97.25	SLD 1	2.5	50.59	3.24	0.02196	0.00000016	0.000001	SLD 1	7.79391	0.02196	0.02196	1.02	Sl
1.47	2X/2Y ø6/14.8	-15.59	14.71	-96.77	SLD 1	2.5	50.59	3.24	0.02196	0.00000016	0.000001	SLD 1	7.79391	0.02196	0.02196	1.02	Sl
1.78	2X/2Y ø6/14.8	-15.59	14.71	-96.29	SLD 1	2.5	50.59	3.24	0.02196	0.00000016	0.000001	SLD 1	7.79391	0.02196	0.02196	1.02	Sl
2.08	2X/2Y ø6/14.8	-15.59	14.71	-95.81	SLD 1	2.5	50.59	3.24	0.02196	0.00000016	0.000001	SLD 1	7.79391	0.02196	0.02196	1.02	Sl
2.39	2X/2Y ø6/14.8	-15.59	14.71	-95.32	SLD 1	2.5	50.59	3.24	0.02196	0.00000016	0.000001	SLD 1	7.79391	0.02196	0.02196	1.02	Sl

Quota	Staffe	Ved.x	Ved.y	Ned	Comb.V	Cot	Vres	c.s.V	Mt	As,t	Al,t	Comb.Tor.	Trcd	Trsd	Trld	c.s.V-T	Ver.
2.7	2X/2Y ø6/14.8	-15.59	14.71	-94.85	SLD 1	2.5	50.59	3.24	0.02196	0.00000016	0.0000001	SLD 1	7.79391	0.02196	0.02196	1.02	Si
2.9	2X/2Y ø6/14.7	-3.78	25.28	-48.67	SLD 7	2.5	50.98	2.02	0.01596	0.00000012	0.00000073	SLD 1	7.79391	0.01596	0.01596	1.02	Si
3.21	2X/2Y ø6/14.7	-3.78	25.28	-48.2	SLD 7	2.5	50.98	2.02	0.01596	0.00000012	0.00000073	SLD 1	7.79391	0.01596	0.01596	1.02	Si
3.52	2X/2Y ø6/14.7	-3.78	25.28	-47.71	SLD 7	2.5	50.98	2.02	0.01596	0.00000012	0.00000073	SLD 1	7.79391	0.01596	0.01596	1.02	Si
3.83	2X/2Y ø6/14.7	-3.78	25.28	-47.22	SLD 7	2.5	50.98	2.02	0.01596	0.00000012	0.00000073	SLD 1	7.79391	0.01596	0.01596	1.02	Si
4.14	2X/2Y ø6/14.7	-3.78	25.28	-46.74	SLD 7	2.5	50.98	2.02	0.01596	0.00000012	0.00000073	SLD 1	7.79391	0.01596	0.01596	1.02	Si
4.46	2X/2Y ø6/14.7	-3.78	25.28	-46.25	SLD 7	2.5	50.98	2.02	0.01596	0.00000012	0.00000073	SLD 1	7.79391	0.01596	0.01596	1.02	Si
4.77	2X/2Y ø6/14.7	-3.78	25.28	-45.77	SLD 7	2.5	50.98	2.02	0.01596	0.00000012	0.00000073	SLD 1	7.79391	0.01596	0.01596	1.02	Si
5.08	2X/2Y ø6/14.7	-3.78	25.28	-45.28	SLD 7	2.5	50.98	2.02	0.01596	0.00000012	0.00000073	SLD 1	7.79391	0.01596	0.01596	1.02	Si
5.39	2X/2Y ø6/14.7	-3.78	25.28	-44.79	SLD 7	2.5	50.98	2.02	0.01596	0.00000012	0.00000073	SLD 1	7.79391	0.01596	0.01596	1.02	Si
5.7	2X/2Y ø6/14.7	-3.78	25.28	-44.31	SLD 7	2.5	51.4	2.03	0.01596	0.00000012	0.00000073	SLD 1	7.79391	0.01596	0.01596	1.02	Si

Indicatori di rischio sismico a taglio in SLV

Quota	Molt.	TR	I.R.TR	PGA	I.R.PGA	Comb.	
-0.69	1.359	2114	1.389	0.255	1.279	SLV 1	Si
-0.38	1.359	2114	1.389	0.255	1.279	SLV 1	Si
-0.08	1.363	2114	1.389	0.255	1.279	SLV 1	Si
0.23	1.363	2114	1.389	0.255	1.279	SLV 1	Si
0.54	1.363	2114	1.389	0.255	1.279	SLV 1	Si
0.85	1.363	2114	1.389	0.255	1.279	SLV 1	Si
1.16	1.363	2114	1.389	0.255	1.279	SLV 1	Si
1.47	1.363	2114	1.389	0.255	1.279	SLV 1	Si
1.78	1.363	2114	1.389	0.255	1.279	SLV 1	Si
2.08	1.363	2114	1.389	0.255	1.279	SLV 1	Si
2.39	1.363	2114	1.389	0.255	1.279	SLV 1	Si
2.7	1.363	2114	1.389	0.255	1.279	SLV 1	Si
2.9	1.025	1017	1.029	0.204	1.022	SLV 7	Si
3.21	1.025	1017	1.029	0.204	1.022	SLV 7	Si
3.52	1.025	1017	1.029	0.204	1.022	SLV 7	Si
3.83	1.025	1017	1.029	0.204	1.022	SLV 7	Si
4.14	1.025	1017	1.029	0.204	1.022	SLV 7	Si
4.46	1.025	1017	1.029	0.204	1.022	SLV 7	Si
4.77	1.025	1017	1.029	0.204	1.022	SLV 7	Si
5.08	1.025	1017	1.029	0.204	1.022	SLV 7	Si
5.39	1.025	1017	1.029	0.204	1.022	SLV 7	Si
5.7	1.035	1045	1.04	0.206	1.031	SLV 7	Si

Indicatori di rischio sismico a taglio in SLD Resistenza

Quota	Molt.	TR	I.R.TR	PGA	I.R.PGA	Comb.	
-1	3.396	2110	3.477	0.255	2.966	SLD 1	Si
-0.69	3.396	2110	3.477	0.255	2.966	SLD 1	Si
-0.38	3.396	2110	3.477	0.255	2.966	SLD 1	Si
-0.08	3.408	2110	3.477	0.255	2.966	SLD 1	Si
0.23	3.408	2110	3.477	0.255	2.966	SLD 1	Si
0.54	3.408	2110	3.477	0.255	2.966	SLD 1	Si
0.85	3.408	2110	3.477	0.255	2.966	SLD 1	Si
1.16	3.408	2110	3.477	0.255	2.966	SLD 1	Si
1.47	3.408	2110	3.477	0.255	2.966	SLD 1	Si
1.78	3.408	2110	3.477	0.255	2.966	SLD 1	Si
2.08	3.408	2110	3.477	0.255	2.966	SLD 1	Si
2.39	3.408	2110	3.477	0.255	2.966	SLD 1	Si
2.7	3.408	2110	3.477	0.255	2.966	SLD 1	Si
2.9	2.547	993	2.553	0.203	2.355	SLD 7	Si
3.21	2.547	993	2.553	0.203	2.355	SLD 7	Si
3.52	2.547	993	2.553	0.203	2.355	SLD 7	Si
3.83	2.547	993	2.553	0.203	2.355	SLD 7	Si
4.14	2.547	993	2.553	0.203	2.355	SLD 7	Si
4.46	2.547	993	2.553	0.203	2.355	SLD 7	Si
4.77	2.547	993	2.553	0.203	2.355	SLD 7	Si
5.08	2.547	993	2.553	0.203	2.355	SLD 7	Si
5.39	2.547	993	2.553	0.203	2.355	SLD 7	Si
5.7	2.57	1020	2.581	0.204	2.375	SLD 7	Si

Verifiche nodi trave colonna

Riepilogo dei dati per le diverse tipologie di verifica eseguite per i nodi

Pilastrata	Q.Nodo	Escluso	Confinato	Segnalazioni
Pilastrata P5	-1.225	Si	No	
Pilastrata P5	2.8	No	No	
Pilastrata P5	5.8	No	No	

Verifiche nodi trave colonna in combinazioni SLD

Riepilogo dei dati per la verifica del nodo secondo Circolare 7 21-01-19 §C8.7.2.3.5.

Pilastrata	Q.Nodo	Angolo travatura	Aj	Vpc	Vtc	Vnc	Nc	σnc	σnc,lim	Comb.c	Vpt	Vtt	Vnt	Nt	σnt	σnt,lim	Comb.t	Segnalazioni	Verifica
Pilastrata P5	2.8	270	0.06468	8.108	272.676	280.784	-	4468	4173	SLD 10	8.108	272.676	280.784	-	4217	867	SLD 10		No
	2.8	360	0.06468	3.072	136.909	139.981	16.235	2562	4173	SLD 12	2.258	136.909	139.167	16.235	1959	867	SLD 14		No
							47.464							26.123					

Verifiche nodi trave colonna in combinazioni SLD

Riepilogo dei dati per la verifica del nodo secondo Circolare 7 21-01-19 §C8.7.2.3.5.

Pilastrata	Q.Nodo	Angolo travatura	Aj	Vpc	Vtc	Vnc	Nc	σnc	σnc,lim	Comb.c	Vpt	Vtt	Vnt	Nt	σnt	σnt,lim	Comb.t	Segnalazioni	Verifica
Pilastrata P5	5.8	270	0.066	0	275.386	275.386	0	4173	4173	SLD 7	0	275.386	275.386	0	4173	867	SLD 7		No

Verifiche nodi trave colonna in combinazioni SLV**Riepilogo dei dati per la verifica del nodo secondo Circolare 7 21-01-19 §C8.7.2.3.5.**

Pilastrata	Q.Nodo	Angolo travatura	Aj	Vpc	Vtc	Vnc	Nc	onc	onc,lim	Comb.c	Vpt	Vtt	Vnt	Nt	ont	ont,lim	Comb.t	Segnalazioni	Verifica
Pilastrata P5	2.8	270	0.06468	32.915	272.676	305.591	7.938	4664	4173	SLV 10	32.915	272.676	305.591	7.938	4786	867	SLV 10		No
	2.8	360	0.06468	7.821	136.909	144.73	-69.839	2842	4173	SLV 12	-4.546	136.909	132.363	6.958	2101	867	SLV 9		No

Verifiche nodi trave colonna in combinazioni SLV**Riepilogo dei dati per la verifica del nodo secondo Circolare 7 21-01-19 §C8.7.2.3.5.**

Pilastrata	Q.Nodo	Angolo travatura	Aj	Vpc	Vtc	Vnc	Nc	onc	onc,lim	Comb.c	Vpt	Vtt	Vnt	Nt	ont	ont,lim	Comb.t	Segnalazioni	Verifica
Pilastrata P5	5.8	270	0.066	0	275.386	275.386	0	4173	4173	SLV 3	0	275.386	275.386	0	4173	867	SLV 3		No

Indicatori di rischio sismico dei nodi in SLD

Pilastrata	Q.Nodo	Angolo travatura	Moltiplicatore	TR	I.R.TR	PGA	I.R.PGA	Comb.	Ver.
Pilastrata P5	2.8	270	0	0	0	0	0	SLV 1	No
	2.8	360	0,267	10	0,387	0,03	0,347	SLD 1	No

Indicatori di rischio sismico dei nodi in SLD

Pilastrata	Q.Nodo	Angolo travatura	Moltiplicatore	TR	I.R.TR	PGA	I.R.PGA	Comb.	Ver.
Pilastrata P5	5.8	270	0	0	0	0	0	SLD 1	No

Indicatori di rischio sismico dei nodi in SLV

Pilastrata	Q.Nodo	Angolo travatura	Moltiplicatore	TR	I.R.TR	PGA	I.R.PGA	Comb.	Ver.
Pilastrata P5	2.8	270	0	0	0	0	0	SLV 1	No
	2.8	360	0,107	10	0,155	0,03	0,15	SLV 1	No

Indicatori di rischio sismico dei nodi in SLV

Pilastrata	Q.Nodo	Angolo travatura	Moltiplicatore	TR	I.R.TR	PGA	I.R.PGA	Comb.	Ver.
Pilastrata P5	5.8	270	0	0	0	0	0	SLV 1	No

Verifica di instabilità

Q.inf.	Q.sup.	Quota	λ,x	λ,y	λ,limX	λ,limY	M 2° ord.	Nsd	Comb.	M0ed,x	M2,x	M0ed,y	M2,y	Mver,x	Mver,y	C.s x	C.s y	Risultato	(5.38)	(5.39)	Ver.
-1.225	2.8	-1	56	56	48	48	Si	-122.47	SLV 19	2.6072	2.9377	1.5245	2.9634	-5.545	4.4879	3	3.25	Min	No	2.54	Si
1.225	2.8	-1	56	56	48	48	Si	-122.47	SLV 19	2.6072	2.9377	1.5245	2.9634	-5.545	4.4879	3	3.25	X	No	2.54	Si
-1.225	2.8	-1	56	56	70	70	Si	-57.13	SLD 5	11.3459	1.3244	9.5407	1.3244	25.743	21.3315	0.65	0.82	Min	No	0.4	No
1.225	2.8	-1	56	56	91	91	Si	-33.49	SLD 10	12.6064	0.7764	0.9782	0.8179	28.5722	1.5974	0.53		X	Si		No
-1.225	2.8	-1	56	56	112	112	Si	-22.12	SLV 5	29.0998	0.5128	22.9916	0.5128	65.8232	51.5041	0.21	0.27	Min	No	0.14	No
1.225	2.8	-1	56	56	+	+	Si	37	SLV 10	32.2454	0.8578	1.0246	0.8918	72.8859	2.1539	0.18		X	Si		No
-1.225	2.8	-1	56	56	48	48	Si	-122.47	SLV 19	2.6072	2.9377	1.5245	2.9634	-5.545	4.4879	3	3.25	Min	No	2.54	Si
1.225	2.8	-1	56	56	48	48	Si	-122.47	SLV 19	2.6072	2.9377	1.5245	2.9634	-5.545	4.4879	3	3.25	Y	No	2.54	Si
-1.225	2.8	-1	56	56	70	70	Si	-57.13	SLD 5	11.3459	1.3244	9.5407	1.3244	25.743	21.3315	0.65	0.82	Min	No	0.4	No
1.225	2.8	-1	56	56	68	68	Si	-60.49	SLD 16	2.6519	1.4189	12.6127	1.4022	-5.7598	-	4.82	0.58	Y	No	0.52	No
-1.225	2.8	-1	56	56	112	112	Si	-22.12	SLV 5	29.0998	0.5128	22.9916	0.5128	65.8232	51.5041	0.21	0.27	Min	No	0.14	No
1.225	2.8	-1	56	56	96	96	Si	-30.32	SLV 16	5.77	0.7029	32.4051	0.7029	-	-	0.19		Y	Si		No
2.8	5.8	5.7	42	42	85	85	No	-38.45	SLV 19	7.7891	0.4911	0.5321	0.5597	18.1391	0.5321	0.67		Min	Si		No
2.8	5.8	5.7	42	42	85	85	No	-38.45	SLV 19	7.7891	0.4911	0.5321	0.5597	18.1391	0.5321	0.67		X	Si		No
2.8	5.8	5.7	42	42	79	79	No	-44.31	SLD 7	16.64	0.566	1.3586	0.6426	38.9365	-1.3586	0.31		Min	Si		No
2.8	5.8	5.7	42	42	79	79	No	-44.31	SLD 7	16.64	0.566	1.3586	0.6426	38.9365	-1.3586	0.31		X	Si		No
2.8	5.8	5.7	42	42	64	64	No	-68.49	SLV 7	33.1963	0.8748	3.7947	0.9151	77.7083	-3.7947	0.15		Min	Si		No
2.8	5.8	5.7	42	42	64	64	No	-68.49	SLV 7	33.1963	0.8748	3.7947	0.9151	77.7083	-3.7947	0.15		X	Si		No
2.8	5.8	4.144	42	42	82	82	No	-41.6	SLV 19	7.7891	0.5783	0.5321	0.5967	-7.7891	0.5321	2.75	11.57	Min	No	2.71	Si
2.8	5.8	2.9	42	42	79	79	No	-44.12	SLV 19	7.7891	0.5682	0.5321	0.6325	-	0.8457		10.62	Y	Si		Si
2.8	5.8	2.9	42	42	76	76	No	-47.45	SLD 12	15.8024	0.6111	5.5685	0.6176	-	-9.0134	0.51	2.6	Min	No	0.44	No
2.8	5.8	2.9	42	42	97	97	No	-29.42	SLD 1	3.4561	0.4661	6.8697	0.3789	-7.1769	11.0969	2.85	1.57	Y	No	1.07	Si
2.8	5.8	2.9	42	42	63	63	No	-69.83	SLV 12	31.1251	0.8993	14.1813	0.8993	-	-	0.25	0.79	Min	No	0.21	No
2.8	5.8	2.9	42	42	106	106	No	-24.86	SLV 1	0.5811	0.3939	16.5281	0.3201	-1.3752	26.7142		0.55	Y	Si		No

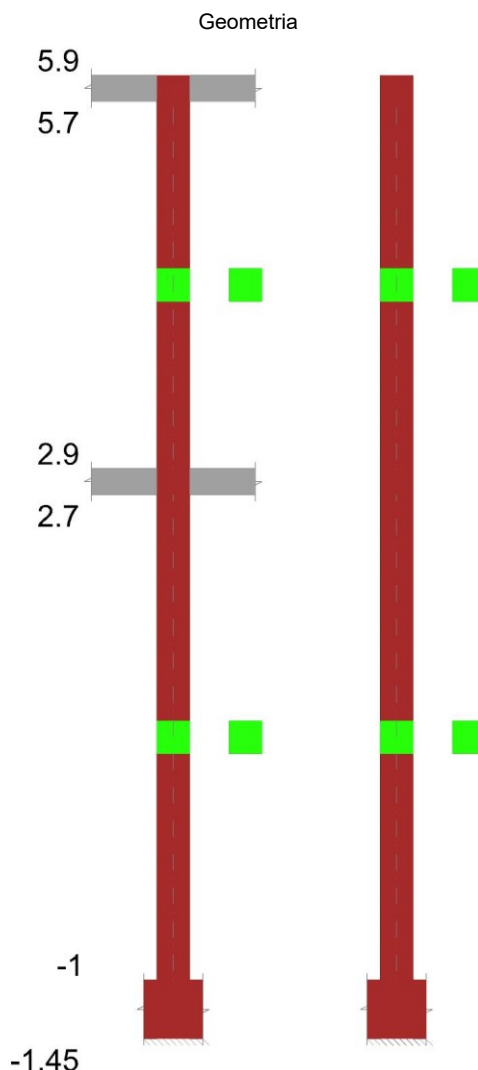
Verifiche di gerarchia delle resistenze nei nodi trave pilastro

Verifiche di gerarchia delle resistenze nei nodi trave pilastro non presenti in quanto la verifica è non necessaria per la pilastrata

per il nodo Appoggio 5.8 in quanto elemento di materiale esistente.

per il nodo Appoggio -1.225 in quanto elemento di materiale esistente.

per il nodo Appoggio 2.8 in quanto elemento di materiale esistente.

Pilastrata P6**Dati della pilastrata**

Analisi di edificio esistente con fattore di struttura.

Fattore di struttura per meccanismi duttili in direzione X: 1.5

Fattore di struttura per meccanismi duttili in direzione Y: 1.5

Fattore di struttura per meccanismi fragili in direzione X: 1

Fattore di struttura per meccanismi fragili in direzione Y: 1

Verifica dei meccanismi fragili condotta secondo Circolare 7 21-01-19 (SC8.7.2.2) Analisi lineare con fattore q.

Fattore di amplificazione dei meccanismi fragili della componente sismica in direzione X: 1

Fattore di amplificazione dei meccanismi fragili della componente sismica in direzione Y: 1

Campate costituenti la pilastrata

Q.inf.	Q.sup.	Sezione	Esistente	Secondaria	Dissipativa	Interna a parete	Sovreresistenza	Materiale CLS	Materiale Acciaio	FC
-1	2.7	R 25x25	Si	No	No	No		C15/18 Vigone C LC2	Vigone_FeB32k_LC2_FC = 1.2	1.2
2.9	5.7	R 25x25	Si	No	No	No		C15/18 Vigone C LC2	Vigone_FeB32k_LC2_FC = 1.2	1.2

Disposizione delle armature longitudinali

Posizione	X	Y	Diametro	Area	Q.inf.	Q.sup.	Sezione	Materiale
p.1	-0.0862	-0.0862	0.012	0.0001131	-1.225	-1	R 25x25	Vigone FeB32k LC2
p.1	0.0862	-0.0862	0.012	0.0001131	-1.225	-1	R 25x25	Vigone FeB32k LC2
p.1	0.0862	0.0862	0.012	0.0001131	-1.225	-1	R 25x25	Vigone FeB32k LC2
p.1	-0.0862	0.0862	0.012	0.0001131	-1.225	-1	R 25x25	Vigone FeB32k LC2
p.2	-0.0862	-0.0862	0.012	0.0001131	-1	2.9	R 25x25	Vigone FeB32k LC2
p.2	0.0862	-0.0862	0.012	0.0001131	-1	2.9	R 25x25	Vigone FeB32k LC2
p.2	0.0862	0.0862	0.012	0.0001131	-1	2.9	R 25x25	Vigone FeB32k LC2
p.2	-0.0862	0.0862	0.012	0.0001131	-1	2.9	R 25x25	Vigone FeB32k LC2
p.3	-0.0862	-0.0862	0.012	0.0001131	2.9	5.494	R 25x25	Vigone FeB32k LC2
p.3	0.0862	-0.0862	0.012	0.0001131	2.9	5.494	R 25x25	Vigone FeB32k LC2
p.3	0.0862	0.0862	0.012	0.0001131	2.9	5.494	R 25x25	Vigone FeB32k LC2
p.3	-0.0862	0.0862	0.012	0.0001131	2.9	5.494	R 25x25	Vigone FeB32k LC2

Controlli geometrici NTC18

Nessuna anomalia

Verifiche delle sezioni

Verifica a pressoflessione in SLU

Quota	As	%	At	Pos.	Mx	My	N	MRdx	MRdy	Comb.	Coeff.s.	Verifica
-1	0.000452	1.4	0.00000003	1,2	1.3426	1.3565	-170.44	3.7926	3.832	SLU 19	2.825	Si
-0.69	0.000452	1.4	0.00000003	1,2	1.1002	0.9546	-169.84	3.1188	2.7062	SLU 19	2.835	Si
-0.38	0.000452	1.4	0.00000003	1,2	0.8455	0.5324	-169.2	2.4058	1.5149	SLU 19	2.846	Si
-0.08	0.000452	0.7	0.00000003	2	0.5938	0.1181	-168.58	1.6958	0.3372	SLU 19	2.856	Si
0.23	0.000452	0.7	0.00000003	2	0.3413	-0.2932	-167.95	0.9786	-0.8406	SLU 19	2.867	Si
0.54	0.000452	0.7	0.00000003	2	0.0889	-0.7045	-167.32	0.2559	-2.0272	SLU 19	2.877	Si
0.85	0.000452	0.7	0.00000003	2	-0.1655	-1.119	-166.69	-0.4779	-3.2322	SLU 19	2.888	Si
1.16	0.000452	0.7	0.00000003	2	-0.4159	-1.5271	-166.07	-1.2057	-4.4273	SLU 19	2.899	Si
1.47	0.000452	0.7	0.00000003	2	-0.6683	-1.9384	-165.44	-1.9449	-5.641	SLU 19	2.91	Si
1.78	0.000452	0.7	0.00000003	2	-0.9207	-2.3497	-164.82	-2.6896	-6.8639	SLU 19	2.921	Si
2.08	0.000452	0.7	0.00000003	2	-1.1731	-2.761	-164.19	-3.398	-7.9972	SLU 19	2.897	Si
2.39	0.000452	0.7	0.00000003	2	-1.4255	-3.1722	-163.57	-4.0269	-8.9611	SLU 19	2.825	Si
2.7	0.000452	0.7	0.00000003	2	-1.6739	-3.5769	-162.95	-4.612	-9.8554	SLU 19	2.755	Si
2.9	0.000452	1.4	0.00000015	2,3	-1.6982	11.0312	-64.43	-3.2496	21.1093	SLU 19	1.914	Si
3.21	0.000452	1.4	0.00000015	2,3	-1.5186	8.7097	-63.81	-3.8451	22.0527	SLU 19	2.532	Si
3.52	0.000452	1.4	0.00000015	2,3	-1.3362	6.3503	-63.18	-4.6228	21.9706	SLU 19	3.46	Si
3.83	0.000452	0.7	0.00000015	3	-1.1537	3.9909	-62.54	-5.4877	18.9835	SLU 19	4.757	Si
4.14	0.000452	0.7	0.00000015	3	-0.9712	1.6315	-61.91	-6.6182	11.1177	SLU 19	6.814	Si
4.46	0.000452	0.7	0.00000015	3	-0.6138	-1.3327	-62.86	-4.4217	-9.6012	SLU 16	7.204	Si
4.77	0.000452	0.7	0.00000015	3	-0.4718	-3.1848	-62.23	-2.6079	-17.6061	SLU 16	5.528	Si
5.08	0.000452	0.7	0.00000015	3	-0.4238	-5.4468	-60.02	-1.7548	-22.556	SLU 19	4.141	Si
5.39	0.000452	0.7	0.00000015	3	-0.2413	-7.8062	-59.38	-0.7421	-24.0087	SLU 19	3.076	Si
5.7	0.000358	1.4	0.00000015	3	-0.0617	-10.1277	-58.76	-0.1135	-18.6294	SLU 19	1.839	Si

Verifica a pressoflessione in SLV (domini sostanzialmente elastici)

E' attiva l'opzione fattori parziali di sicurezza unitari per meccanismi duttili di strutture esistenti con fattore q
La struttura oppure parte di essa, è stata dichiarata come non dissipativa pertanto la verifica a pressoflessione, per tutte o solo alcune sezioni, viene eseguita calcolando i momenti resistenti in campo sostanzialmente elastico secondo D.M. 17-01-2018 §7.4.1

Le dilatazioni ultime utilizzate sono le dilatazioni limite elastiche

Quota	As	%	At	Pos.	Mx	My	N	ε _{cu}	ε _{fk}	MRdx	MRdy	Comb.	C.S.	Nmin	Nim	Comb.Nmin	Ver.
-1	0.000452	1.4	0.00000248	1,2	-23.1179	105.5052	-56.24	-	1.58	-2.7668	12.6273	SLV 4	0.12				No
-0.69	0.000452	1.4	0.00000248	1,2	-20.6767	88.7551	-55.78	-	1.58	-2.9371	12.6077	SLV 4	0.142				No
-0.38	0.000452	1.4	0.00000248	1,2	-11.2899	71.1848	-55.29	-	1.58	-2.1067	13.2829	SLV 4	0.187				No
-0.08	0.000452	0.7	0.00000248	2	-10.0212	53.8298	-54.81	-	1.58	-2.4902	13.3763	SLV 4	0.248				No
0.23	0.000452	0.7	0.00000248	2	-33.3607	19.2296	-76.31	-	1.58	-11.9586	6.8931	SLV 8	0.358				No
0.54	0.000452	0.7	0.00000248	2	-27.278	10.0906	-75.83	-	1.58	-14.1201	5.2233	SLV 8	0.518				No
0.85	0.000452	0.7	0.00000248	2	-21.1751	0.9301	-75.35	-	1.58	-18.6812	0.8205	SLV 8	0.882				No
1.16	0.000452	0.7	0.00000248	2	-4.2008	-15.433	-52.88	-	1.58	-4.3409	-15.9478	SLV 4	1.033				Si
1.47	0.000452	0.7	0.00000248	2	-2.1717	-33.4904	-52.4	-	1.58	-0.9742	-15.0231	SLV 4	0.449				No
1.78	0.000452	0.7	0.00000248	2	-0.1977	-50.9333	-51.91	-	1.58	-0.0571	-14.702	SLV 4	0.289				No
2.08	0.000452	0.7	0.00000248	2	4.2085	-68.3821	-51.43	-	1.58	0.8576	-13.9353	SLV 4	0.204				No
2.39	0.000452	0.7	0.00000248	2	6.4587	-85.8331	-50.95	-	1.58	1.0266	-13.643	SLV 4	0.159				No
2.7	0.000452	0.7	0.00000248	2	8.9175	-	-50.48	-	1.58	1.1639	-13.4432	SLV 4	0.131				No
2.9	0.000452	1.4	0.00000241	2,3	9.4452	54.3149	-32.52	-	1.58	2.2617	13.0057	SLV 4	0.239				No
3.21	0.000452	1.4	0.00000241	2,3	8.4465	41.3399	-32.04	-	1.58	2.6492	12.9659	SLV 4	0.314				No
3.52	0.000452	1.4	0.00000241	2,3	7.4314	28.1627	-31.56	-	1.58	3.4162	12.9463	SLV 4	0.46				No
3.83	0.000452	0.7	0.00000241	3	14.0528	12.1967	-35.86	-	1.58	10.2301	8.8789	SLV 8	0.728				No
4.14	0.000452	0.7	0.00000241	3	11.8295	2.4205	-35.37	-	1.58	15.9366	3.2608	SLV 8	1.347				Si
4.46	0.000452	0.7	0.00000241	3	4.3862	-11.6097	-30.1	-	1.58	5.22	-13.8168	SLV 4	1.19				Si
4.77	0.000452	0.7	0.00000241	3	3.3711	-24.7419	-29.61	-	1.58	1.9025	-13.9631	SLV 4	0.564				No
5.08	0.000452	0.7	0.00000241	3	2.356	-37.9182	-29.12	-	1.58	0.8669	-13.952	SLV 4	0.368				No
5.39	0.000452	0.7	0.00000241	3	1.3409	-51.1048	-28.64	-	1.58	0.3654	-13.9256	SLV 4	0.272				No
5.7	0.000358	1.4	0.00000241	3	0.3422	-64.0834	-28.16	-	1.58	0.0588	-11.0211	SLV 4	0.172				No

Verifica a pressoflessione in SLD

La struttura oppure parte di essa, è stata dichiarata come non dissipativa pertanto la verifica a pressoflessione, per tutte o solo alcune sezioni, viene eseguita calcolando i momenti resistenti in campo sostanzialmente elastico secondo D.M. 17-01-2018 §7.4.1

Le dilatazioni ultime utilizzate sono le dilatazioni limite elastiche

Quota	As	%	At	Pos.	Mx	My	N	MRdx	MRdy	Comb.	Coeff.s.	Verifica
-1	0.000452	1.4	0.000001	1,2	-8.7409	42.6186	-90.25	-3.0148	14.6993	SLD 4	0.345	No
-0.69	0.000452	1.4	0.000001	1,2	-7.8563	35.7849	-89.78	-3.3183	15.1146	SLD 4	0.422	No
-0.38	0.000452	1.4	0.000001	1,2	-4.1906	28.6182	-89.29	-2.4582	16.7874	SLD 4	0.587	No
-0.08	0.000452	0.7	0.000001	2	-3.7808	21.5431	-88.81	-3.2081	18.2802	SLD 4	0.849	No
0.23	0.000452	0.7	0.000001	2	-13.2124	7.5768	-97.13	-18.513	10.6165	SLD 8	1.401	Si
0.54	0.000452	0.7	0.000001	2	10.9625	-4.6092	-124.4	21.4225	-9.0071	SLD 9	1.954	Si
0.85	0.000452	0.7	0.000001	2	8.2936	-1.2684	-123.91	24.153	-3.694	SLD 9	2.912	Si
1.16	0.000452	0.7	0.000001	2	-6.2689	-2.9952	-95.69	-20.4047	-9.7491	SLD 8	3.255	Si
1.47	0.000452	0.7	0.000001	2	-1.1435	-14.0469	-86.4	-1.9919	-24.4699	SLD 4	1.742	Si
1.78	0.000452	0.7	0.000001	2	-0.4671	-21.1552	-85.92	-0.4435	-20.087	SLD 4	0.95	No
2.08	0.000452	0.7	0.000001	2	1.283	-28.2662	-85.44	0.802	-17.6679	SLD 4	0.625	No
2.39	0.000452	0.7	0.000001	2	2.0806	-35.3782	-84.96	0.9664	-16.4319	SLD 4	0.464	No

Quota	As	%	At	Pos.	Mx	My	N	MRdx	MRdy	Comb.	Coeff.s.	Verifica
2.7	0.000452	0.7	0.000001	2	2.9667	-42.3753	-84.48	1.0975	-15.6759	SLD 4	0.37	No
2.9	0.000452	1.4	0.00000102	2,3	3.1667	26.0632	-41.85	1.7842	14.6842	SLD 4	0.563	No
3.21	0.000452	1.4	0.00000102	2,3	2.8319	19.931	-41.38	2.1551	15.1676	SLD 4	0.761	No
3.52	0.000452	1.4	0.00000102	2,3	2.4915	13.703	-40.89	2.9457	16.2007	SLD 4	1.182	Si
3.83	0.000452	0.7	0.00000102	3	5.2575	6.3295	-42.33	11.9177	14.3476	SLD 8	2.267	Si
4.14	0.000452	0.7	0.00000102	3	-5.7053	0.182	-50.5	-27.6783	0.8831	SLD 9	4.851	Si
4.46	0.000452	0.7	0.00000102	3	3.5939	-3.4543	-41.36	15.7039	-15.0939	SLD 8	4.37	Si
4.77	0.000452	0.7	0.00000102	3	1.1302	-11.2964	-38.95	1.7894	-17.8851	SLD 4	1.583	Si
5.08	0.000452	0.7	0.00000102	3	0.7899	-17.5239	-38.46	0.7307	-16.2111	SLD 4	0.925	No
5.39	0.000452	0.7	0.00000102	3	0.4495	-23.756	-37.97	0.293	-15.4837	SLD 4	0.652	No
5.7	0.000358	1.4	0.00000102	3	0.1147	-29.8898	-37.49	0.0459	-11.9786	SLD 4	0.401	No

Indicatori di rischio sismico a pressoflessione in SLV

E' attiva l'opzione fattori parziali di sicurezza unitari per meccanismi duttili di strutture esistenti con fattore q
La struttura oppure parte di essa, è stata dichiarata come non dissipativa pertanto la verifica a pressoflessione, per tutte o solo alcune sezioni, viene eseguita calcolando i momenti resistenti in campo sostanzialmente elastico secondo D.M. 17-01-2018 §7.4.1

Le dilatazioni ultime utilizzate sono le dilatazioni limite elastiche

Quota	Molt.	TR	I.R.TR	PGA	I.R.PGA	Comb.	Ver.
-1	0.186	25	0.225	0.046	0.229	SLV 4	No
-0.69	0.218	34	0.255	0.053	0.264	SLV 4	No
-0.38	0.279	51	0.302	0.063	0.318	SLV 4	No
-0.08	0.36	82	0.366	0.079	0.395	SLV 4	No
0.23	0.488	153	0.473	0.102	0.512	SLV 8	No
0.54	0.644	305	0.628	0.134	0.669	SLV 8	No
0.85	0.925	771	0.918	0.186	0.932	SLV 8	No
1.16	1.021	1002	1.023	0.203	1.018	SLV 4	Si
1.47	0.562	218	0.547	0.118	0.59	SLV 4	No
1.78	0.386	94	0.388	0.084	0.418	SLV 4	No
2.08	0.287	54	0.309	0.065	0.327	SLV 4	No
2.39	0.228	36	0.261	0.054	0.271	SLV 4	No
2.7	0.189	26	0.229	0.047	0.233	SLV 4	No
2.9	0.207	31	0.246	0.051	0.253	SLV 4	No
3.21	0.3	58	0.318	0.067	0.338	SLV 4	No
3.52	0.472	141	0.458	0.099	0.495	SLV 4	No
3.83	0.766	468	0.748	0.157	0.786	SLV 8	No
4.14	1.246	1788	1.297	0.243	1.215	SLV 8	Si
4.46	1.145	1399	1.172	0.225	1.127	SLV 4	Si
4.77	0.596	252	0.581	0.124	0.623	SLV 4	No
5.08	0.37	87	0.375	0.081	0.405	SLV 4	No
5.39	0.249	42	0.279	0.058	0.291	SLV 4	No
5.7	0.128	13	0.172	0.034	0.169	SLV 4	No

Indicatori di rischio sismico a pressoflessione in SLD Resistenza

La struttura oppure parte di essa, è stata dichiarata come non dissipativa pertanto la verifica a pressoflessione, per tutte o solo alcune sezioni, viene eseguita calcolando i momenti resistenti in campo sostanzialmente elastico secondo D.M. 17-01-2018 §7.4.1

Le dilatazioni ultime utilizzate sono le dilatazioni limite elastiche

Quota	Molt.	TR	I.R.TR	PGA	I.R.PGA	Comb.	Ver.
-1	0.465	25	0.564	0.046	0.531	SLD 4	No
-0.69	0.547	34	0.64	0.053	0.612	SLD 4	No
-0.38	0.7	51	0.756	0.063	0.737	SLD 4	No
-0.08	0.902	83	0.923	0.079	0.921	SLD 4	No
0.23	1.223	154	1.189	0.102	1.19	SLD 8	Si
0.54	1.613	306	1.575	0.134	1.554	SLD 8	Si
0.85	2.318	775	2.306	0.186	2.165	SLD 8	Si
1.16	2.556	1004	2.564	0.203	2.363	SLD 4	Si
1.47	1.406	218	1.371	0.118	1.369	SLD 4	Si
1.78	0.966	94	0.971	0.084	0.97	SLD 4	No
2.08	0.72	54	0.774	0.065	0.758	SLD 4	No
2.39	0.571	36	0.655	0.054	0.629	SLD 4	No
2.7	0.473	26	0.573	0.047	0.541	SLD 4	No
2.9	0.516	31	0.616	0.051	0.587	SLD 4	No
3.21	0.748	58	0.797	0.067	0.784	SLD 4	No
3.52	1.174	139	1.14	0.098	1.141	SLD 4	Si
3.83	1.898	458	1.859	0.156	1.807	SLD 8	Si
4.14	3.077	1719	3.197	0.24	2.786	SLD 8	Si
4.46	2.857	1387	2.927	0.225	2.609	SLD 4	Si
4.77	1.488	251	1.452	0.124	1.443	SLD 4	Si
5.08	0.926	87	0.941	0.081	0.939	SLD 4	No
5.39	0.623	42	0.698	0.058	0.675	SLD 4	No
5.7	0.32	13	0.431	0.034	0.392	SLD 4	No

Verifica a taglio-torsione in famiglia SLU

Quota	Staffe	Ved.x	Ved.y	Ned	Comb.V	Cot	Vres	c.s.v	Mt	As,t	Al,t	Comb.Tor.	Trcd	Trsd	Trld	c.s.v-T	Ver.
-1	2X/2Y ø6/14.8	-1.34	-0.81	-170.44	SLU 19	2.5	50.88	37.92	0.00038	0	0.00000002	SLU 1	7.79391	0.00038	0.00038	1.02	Si
-0.69	2X/2Y ø6/14.8	-1.34	-0.81	-169.84	SLU 19	2.5	50.88	37.92	0.00038	0	0.00000002	SLU 1	7.79391	0.00038	0.00038	1.02	Si
-0.38	2X/2Y ø6/14.8	-1.34	-0.81	-169.2	SLU 19	2.5	50.88	37.92	0.00038	0	0.00000002	SLU 1	7.79391	0.00038	0.00038	1.02	Si
-0.08	2X/2Y ø6/14.8	-1.34	-0.81	-168.58	SLU 19	2.5	50.88	37.92	0.00038	0	0.00000002	SLU 1	7.79391	0.00038	0.00038	1.02	Si
0.23	2X/2Y ø6/14.8	-1.34	-0.81	-167.95	SLU 19	2.5	50.88	37.92	0.00038	0	0.00000002	SLU 1	7.79391	0.00038	0.00038	1.02	Si
0.54	2X/2Y ø6/14.8	-1.34	-0.81	-167.32	SLU 19	2.5	50.88	37.92	0.00038	0	0.00000002	SLU 1	7.79391	0.00038	0.00038	1.02	Si
0.85	2X/2Y ø6/14.8	-1.34	-0.81	-166.69	SLU 19	2.5	50.88	37.92	0.00038	0	0.00000002	SLU 1	7.79391	0.00038	0.00038	1.02	Si
1.16	2X/2Y ø6/14.8	-1.34	-0.81	-166.07	SLU 19	2.5	50.88	37.92	0.00038	0	0.00000002	SLU 1	7.79391	0.00038	0.00038	1.02	Si
1.47	2X/2Y ø6/14.8	-1.34	-0.81	-165.44	SLU 19	2.5	50.88	37.92	0.00038	0	0.00000002	SLU 1	7.79391	0.00038	0.00038	1.02	Si
1.78	2X/2Y ø6/14.8	-1.34	-0.81	-164.82	SLU 19	2.5	50.88	37.92	0.00038	0	0.00000002	SLU 1	7.79391	0.00038	0.00038	1.02	Si
2.08	2X/2Y ø6/14.8	-1.34	-0.81	-164.19	SLU 19	2.5	50.88	37.92	0.00038	0	0.00000002	SLU 1	7.79391	0.00038	0.00038	1.02	Si
2.39	2X/2Y ø6/14.8	-1.34	-0.81	-163.57	SLU 19	2.5	50.88	37.92	0.00038	0	0.00000002	SLU 1	7.79391	0.00038	0.00038	1.02	Si

Quota	Staffe	Ved.x	Ved.y	Ned	Comb.V	Cot	Vres	c.s.V	Mt	As,t	Al,t	Comb.Tor.	Trcd	Trsd	Trld	c.s.V-T	Ver.
2.7	2X/2Y ø6/14.8	-1.34	-0.81	-162.95	SLU 19	2.5	50.88	37.92	0.00038	0	0.00000002	SLU 1	7.79391	0.00038	0.00038	1.02	Si
2.9	2X/2Y ø6/14.7	-7.57	0.57	-64.43	SLU 19	2.5	51.07	6.74	0.00166	-	0.00000001	SLU 1	7.79391	0.00166	0.00166	1.02	Si
3.21	2X/2Y ø6/14.7	-7.57	0.57	-63.81	SLU 19	2.5	51.07	6.74	0.00166	-	0.00000001	SLU 1	7.79391	0.00166	0.00166	1.02	Si
3.52	2X/2Y ø6/14.7	-7.57	0.57	-63.18	SLU 19	2.5	51.07	6.74	0.00166	-	0.00000001	SLU 1	7.79391	0.00166	0.00166	1.02	Si
3.83	2X/2Y ø6/14.7	-7.57	0.57	-62.54	SLU 19	2.5	51.07	6.74	0.00166	-	0.00000001	SLU 1	7.79391	0.00166	0.00166	1.02	Si
4.14	2X/2Y ø6/14.7	-7.57	0.57	-61.91	SLU 19	2.5	51.07	6.74	0.00166	-	0.00000001	SLU 1	7.79391	0.00166	0.00166	1.02	Si
4.46	2X/2Y ø6/14.7	-7.57	0.57	-61.28	SLU 19	2.5	51.07	6.74	0.00166	-	0.00000001	SLU 1	7.79391	0.00166	0.00166	1.02	Si
4.77	2X/2Y ø6/14.7	-7.57	0.57	-60.65	SLU 19	2.5	51.07	6.74	0.00166	-	0.00000001	SLU 1	7.79391	0.00166	0.00166	1.02	Si
5.08	2X/2Y ø6/14.7	-7.57	0.57	-60.02	SLU 19	2.5	51.07	6.74	0.00166	-	0.00000001	SLU 1	7.79391	0.00166	0.00166	1.02	Si
5.39	2X/2Y ø6/14.7	-7.57	0.57	-59.38	SLU 19	2.5	51.07	6.74	0.00166	-	0.00000001	SLU 1	7.79391	0.00166	0.00166	1.02	Si
5.7	2X/2Y ø6/14.7	-7.57	0.57	-58.76	SLU 19	2.5	51.07	6.74	0.00166	-	0.00000001	SLU 1	7.79391	0.00166	0.00166	1.02	Si

Verifica a taglio-torsione in famiglia SLV

Quota	Staffe	Ved.x	Ved.y	Ned	Comb.V	Cot	Vres	c.s.V	Mt	As,t	Al,t	Comb.Tor.	Trcd	Trsd	Trld	c.s.V-T	Ver.
-1	2X/2Y ø6/14.8	-55.75	-21.25	-56.24	SLV 4	2.5	50.85	0.91	0.05426	0.00000041	0.00000248	SLV 1	7.79391	0.05426	0.05426	1.02	No
-0.69	2X/2Y ø6/14.8	-55.75	-21.25	-55.78	SLV 4	2.5	50.85	0.91	0.05426	0.00000041	0.00000248	SLV 1	7.79391	0.05426	0.05426	1.02	No
-0.38	2X/2Y ø6/14.8	-55.75	-21.25	-55.29	SLV 4	2.5	50.85	0.91	0.05426	0.00000041	0.00000248	SLV 1	7.79391	0.05426	0.05426	1.02	No
-0.08	2X/2Y ø6/14.8	-55.27	-21.19	-54.81	SLV 4	2.5	50.85	0.92	0.05426	0.00000041	0.00000248	SLV 1	7.79391	0.05426	0.05426	1.02	No
0.23	2X/2Y ø6/14.8	-55.27	-21.19	-54.32	SLV 4	2.5	50.85	0.92	0.05426	0.00000041	0.00000248	SLV 1	7.79391	0.05426	0.05426	1.02	No
0.54	2X/2Y ø6/14.8	-55.27	-21.19	-53.84	SLV 4	2.5	50.85	0.92	0.05426	0.00000041	0.00000248	SLV 1	7.79391	0.05426	0.05426	1.02	No
0.85	2X/2Y ø6/14.8	-55.27	-21.19	-53.36	SLV 4	2.5	50.85	0.92	0.05426	0.00000041	0.00000248	SLV 1	7.79391	0.05426	0.05426	1.02	No
1.16	2X/2Y ø6/14.8	-55.27	-21.19	-52.88	SLV 4	2.5	50.85	0.92	0.05426	0.00000041	0.00000248	SLV 1	7.79391	0.05426	0.05426	1.02	No
1.47	2X/2Y ø6/14.8	-55.27	-21.19	-52.4	SLV 4	2.5	50.85	0.92	0.05426	0.00000041	0.00000248	SLV 1	7.79391	0.05426	0.05426	1.02	No
1.78	2X/2Y ø6/14.8	-55.27	-21.19	-51.91	SLV 4	2.5	50.85	0.92	0.05426	0.00000041	0.00000248	SLV 1	7.79391	0.05426	0.05426	1.02	No
2.08	2X/2Y ø6/14.8	-55.27	-21.19	-51.43	SLV 4	2.5	50.85	0.92	0.05426	0.00000041	0.00000248	SLV 1	7.79391	0.05426	0.05426	1.02	No
2.39	2X/2Y ø6/14.8	-55.27	-21.19	-50.95	SLV 4	2.5	50.85	0.92	0.05426	0.00000041	0.00000248	SLV 1	7.79391	0.05426	0.05426	1.02	No
2.7	2X/2Y ø6/14.8	-55.27	-21.19	-50.48	SLV 4	2.5	50.85	0.92	0.05426	0.00000041	0.00000248	SLV 1	7.79391	0.05426	0.05426	1.02	No
2.9	2X/2Y ø6/14.7	-42.15	8.25	-32.52	SLV 4	2.5	51.04	1.21	0.04267	0.00000032	0.00000195	SLV 1	7.79391	0.04267	0.04267	1.02	Si
3.21	2X/2Y ø6/14.7	-42.15	8.25	-32.04	SLV 4	2.5	51.04	1.21	0.04267	0.00000032	0.00000195	SLV 1	7.79391	0.04267	0.04267	1.02	Si
3.52	2X/2Y ø6/14.7	-42.15	8.25	-31.56	SLV 4	2.5	51.04	1.21	0.04267	0.00000032	0.00000195	SLV 1	7.79391	0.04267	0.04267	1.02	Si
3.83	2X/2Y ø6/14.7	-42.15	8.25	-31.07	SLV 4	2.5	51.04	1.21	0.04267	0.00000032	0.00000195	SLV 1	7.79391	0.04267	0.04267	1.02	Si
4.14	2X/2Y ø6/14.7	-42.15	8.25	-30.58	SLV 4	2.5	51.04	1.21	0.04267	0.00000032	0.00000195	SLV 1	7.79391	0.04267	0.04267	1.02	Si
4.46	2X/2Y ø6/14.7	-42.15	8.25	-30.1	SLV 4	2.5	51.04	1.21	0.04267	0.00000032	0.00000195	SLV 1	7.79391	0.04267	0.04267	1.02	Si
4.77	2X/2Y ø6/14.7	-42.15	8.25	-29.61	SLV 4	2.5	51.04	1.21	0.04267	0.00000032	0.00000195	SLV 1	7.79391	0.04267	0.04267	1.02	Si
5.08	2X/2Y ø6/14.7	-42.15	8.25	-29.12	SLV 4	2.5	51.04	1.21	0.04267	0.00000032	0.00000195	SLV 1	7.79391	0.04267	0.04267	1.02	Si
5.39	2X/2Y ø6/14.7	-42.15	8.25	-28.64	SLV 4	2.5	51.04	1.21	0.04267	0.00000032	0.00000195	SLV 1	7.79391	0.04267	0.04267	1.02	Si
5.7	2X/2Y ø6/14.7	-42.15	8.25	-28.16	SLV 4	2.5	51.04	1.21	0.04267	0.00000032	0.00000195	SLV 1	7.79391	0.04267	0.04267	1.02	Si

Verifica taglio ciclico secondo Circolare 7 21-01-19 §C8.7.2.3.5 formula [C8.7.2.8] in combinazione SLV

Quota	Q.inf.	Q.sup.	Dir.	Lv	x	h	p.tot	θ _m	θ _y	μΔ _{pl}	VRd	VRcd(cotθ=1)	VRsd	Vw	VR	Vu	VEd	NEd	Comb.	Verifica
-1	1.225	2.8	X	2.013	0.089	0.25	0.0072	0.015017	0.014184	0.059	25.253	94.988	50.849	20.339	22.462	50.849	55.753	-56.241	SLV 4	No
-1	1.225	2.8	Y	2.013	0.133	0.25	0.0072	0.009256	0.014184	0	29.364	105.37	50.403	20.161	24.088	50.403	21.249	147.614	SLV 9	Si

Verifica a taglio-torsione in famiglia SLD Resistenza

Quota	Staffe	Ved.x	Ved.y	Ned	Comb.V	Cot	Vres	c.s.V	Mt	As,t	Al,t	Comb.Tor.	Trcd	Trsd	Trld	c.s.V-T	Ver.
-1	2X/2Y ø6/14.8	-22.76	-8.84	-90.25	SLD 4	2.5	50.87	2.24	0.02196	0.00000016	0.000001	SLD 1	7.79391	0.02196	0.02196	1.02	Si
-0.69	2X/2Y ø6/14.8	-22.76	-8.84	-89.78	SLD 4	2.5	50.87	2.24	0.02196	0.00000016	0.000001	SLD 1	7.79391	0.02196	0.02196	1.02	Si
-0.38	2X/2Y ø6/14.8	-22.76	-8.84	-89.29	SLD 4	2.5	50.87	2.24	0.02196	0.00000016	0.000001	SLD 1	7.79391	0.02196	0.02196	1.02	Si
-0.08	2X/2Y ø6/14.8	-22.54	-8.82	-88.81	SLD 4	2.5	50.87	2.26	0.02196	0.00000016	0.000001	SLD 1	7.79391	0.02196	0.02196	1.02	Si
0.23	2X/2Y ø6/14.8	-22.54	-8.82	-88.33	SLD 4	2.5	50.87	2.26	0.02196	0.00000016	0.000001	SLD 1	7.79391	0.02196	0.02196	1.02	Si
0.54	2X/2Y ø6/14.8	-22.54	-8.82	-87.85	SLD 4	2.5	50.87	2.26	0.02196	0.00000016	0.000001	SLD 1	7.79391	0.02196	0.02196	1.02	Si
0.85	2X/2Y ø6/14.8	-22.54	-8.82	-87.36	SLD 4	2.5	50.87	2.26	0.02196	0.00000016	0.000001	SLD 1	7.79391	0.02196	0.02196	1.02	Si
1.16	2X/2Y ø6/14.8	-22.54	-8.82	-86.89	SLD 4	2.5	50.87	2.26	0.02196	0.00000016	0.000001	SLD 1	7.79391	0.02196	0.02196	1.02	Si
1.47	2X/2Y ø6/14.8	-22.54	-8.82	-86.4	SLD 4	2.5	50.87	2.26	0.02196	0.00000016	0.000001	SLD 1	7.79391	0.02196	0.02196	1.02	Si
1.78	2X/2Y ø6/14.8	-22.54	-8.82	-85.92	SLD 4	2.5	50.87	2.26	0.02196	0.00000016	0.000001	SLD 1	7.79391	0.02196	0.02196	1.02	Si
2.08	2X/2Y ø6/14.8	-22.54	-8.82	-85.44	SLD 4	2.5	50.87	2.26	0.02196	0.00000016	0.000001	SLD 1	7.79391	0.02196	0.02196	1.02	Si
2.39	2X/2Y ø6/14.8	-22.54	-8.82	-84.96	SLD 4	2.5	50.87	2.26	0.02196	0.00000016	0.000001	SLD 1	7.79391	0.02196	0.02196	1.02	Si

Quota	Staffe	Ved.x	Ved.y	Ned	Comb.V	Cot	Vres	c.s.V	Mt	As,t	Al,t	Comb.Tor.	Trcd	Trsd	Trld	c.s.V-T	Ver.
2.7	2X/2Y ø6/14.8	-22.54	-8.82	-84.48	SLD 4	2.5	50.87	2.26	0.02196	0.00000016	0.0000001	SLD 1	7.79391	0.02196	0.02196	1.02	Si
2.9	2X/2Y ø6/14.7	-19.94	3.57	-41.85	SLD 4	2.5	51.06	2.56	0.01596	0.00000012	0.00000073	SLD 1	7.79391	0.01596	0.01596	1.02	Si
3.21	2X/2Y ø6/14.7	-19.94	3.57	-41.38	SLD 4	2.5	51.06	2.56	0.01596	0.00000012	0.00000073	SLD 1	7.79391	0.01596	0.01596	1.02	Si
3.52	2X/2Y ø6/14.7	-19.94	3.57	-40.89	SLD 4	2.5	51.06	2.56	0.01596	0.00000012	0.00000073	SLD 1	7.79391	0.01596	0.01596	1.02	Si
3.83	2X/2Y ø6/14.7	-19.94	3.57	-40.4	SLD 4	2.5	51.06	2.56	0.01596	0.00000012	0.00000073	SLD 1	7.79391	0.01596	0.01596	1.02	Si
4.14	2X/2Y ø6/14.7	-19.94	3.57	-39.92	SLD 4	2.5	51.06	2.56	0.01596	0.00000012	0.00000073	SLD 1	7.79391	0.01596	0.01596	1.02	Si
4.46	2X/2Y ø6/14.7	-19.94	3.57	-39.43	SLD 4	2.5	51.06	2.56	0.01596	0.00000012	0.00000073	SLD 1	7.79391	0.01596	0.01596	1.02	Si
4.77	2X/2Y ø6/14.7	-19.94	3.57	-38.95	SLD 4	2.5	51.06	2.56	0.01596	0.00000012	0.00000073	SLD 1	7.79391	0.01596	0.01596	1.02	Si
5.08	2X/2Y ø6/14.7	-19.94	3.57	-38.46	SLD 4	2.5	51.06	2.56	0.01596	0.00000012	0.00000073	SLD 1	7.79391	0.01596	0.01596	1.02	Si
5.39	2X/2Y ø6/14.7	-19.94	3.57	-37.97	SLD 4	2.5	51.06	2.56	0.01596	0.00000012	0.00000073	SLD 1	7.79391	0.01596	0.01596	1.02	Si
5.7	2X/2Y ø6/14.7	-19.94	3.57	-37.49	SLD 4	2.5	51.06	2.56	0.01596	0.00000012	0.00000073	SLD 1	7.79391	0.01596	0.01596	1.02	Si

Indicatori di rischio sismico a taglio in SLV

Quota	Molt.	TR	I.R.TR	PGA	I.R.PGA	Comb.	
-0.69	0.912	744	0.905	0.184	0.92	SLV 4	No
-0.38	0.912	744	0.905	0.184	0.92	SLV 4	No
-0.08	0.92	761	0.913	0.185	0.927	SLV 4	No
0.23	0.92	761	0.913	0.185	0.927	SLV 4	No
0.54	0.92	761	0.913	0.185	0.927	SLV 4	No
0.85	0.92	761	0.913	0.185	0.927	SLV 4	No
1.16	0.92	761	0.913	0.185	0.927	SLV 4	No
1.47	0.92	761	0.913	0.185	0.927	SLV 4	No
1.78	0.92	761	0.913	0.185	0.927	SLV 4	No
2.08	0.92	761	0.913	0.185	0.927	SLV 4	No
2.39	0.92	761	0.913	0.185	0.927	SLV 4	No
2.7	0.92	761	0.913	0.185	0.927	SLV 4	No
2.9	1.242	1772	1.292	0.242	1.212	SLV 4	Si
3.21	1.242	1772	1.292	0.242	1.212	SLV 4	Si
3.52	1.242	1772	1.292	0.242	1.212	SLV 4	Si
3.83	1.242	1772	1.292	0.242	1.212	SLV 4	Si
4.14	1.242	1772	1.292	0.242	1.212	SLV 4	Si
4.46	1.242	1772	1.292	0.242	1.212	SLV 4	Si
4.77	1.242	1772	1.292	0.242	1.212	SLV 4	Si
5.08	1.242	1772	1.292	0.242	1.212	SLV 4	Si
5.39	1.242	1772	1.292	0.242	1.212	SLV 4	Si
5.7	1.242	1772	1.292	0.242	1.212	SLV 4	Si

Indicatori di rischio sismico a taglio in SLD Resistenza

Quota	Molt.	TR	I.R.TR	PGA	I.R.PGA	Comb.	
-1	2.277	739	2.261	0.183	2.13	SLD 4	Si
-0.69	2.277	739	2.261	0.183	2.13	SLD 4	Si
-0.38	2.277	739	2.261	0.183	2.13	SLD 4	Si
-0.08	2.301	759	2.286	0.185	2.15	SLD 4	Si
0.23	2.301	759	2.286	0.185	2.15	SLD 4	Si
0.54	2.301	759	2.286	0.185	2.15	SLD 4	Si
0.85	2.301	759	2.286	0.185	2.15	SLD 4	Si
1.16	2.301	759	2.286	0.185	2.15	SLD 4	Si
1.47	2.301	759	2.286	0.185	2.15	SLD 4	Si
1.78	2.301	759	2.286	0.185	2.15	SLD 4	Si
2.08	2.301	759	2.286	0.185	2.15	SLD 4	Si
2.39	2.301	759	2.286	0.185	2.15	SLD 4	Si
2.7	2.301	759	2.286	0.185	2.15	SLD 4	Si
2.9	3.092	1743	3.215	0.241	2.798	SLD 4	Si
3.21	3.092	1743	3.215	0.241	2.798	SLD 4	Si
3.52	3.092	1743	3.215	0.241	2.798	SLD 4	Si
3.83	3.092	1743	3.215	0.241	2.798	SLD 4	Si
4.14	3.092	1743	3.215	0.241	2.798	SLD 4	Si
4.46	3.092	1743	3.215	0.241	2.798	SLD 4	Si
4.77	3.092	1743	3.215	0.241	2.798	SLD 4	Si
5.08	3.092	1743	3.215	0.241	2.798	SLD 4	Si
5.39	3.092	1743	3.215	0.241	2.798	SLD 4	Si
5.7	3.092	1743	3.215	0.241	2.798	SLD 4	Si

Verifiche nodi trave colonna

Riepilogo dei dati per le diverse tipologie di verifica eseguite per i nodi

Pilastrata	Q.Nodo	Escluso	Confinato	Segnalazioni
Pilastrata P6	-1.225	Si	No	
Pilastrata P6	2.8	No	No	
Pilastrata P6	5.8	No	No	

Verifiche nodi trave colonna in combinazioni SLD

Riepilogo dei dati per la verifica del nodo secondo Circolare 7 21-01-19 §C8.7.2.3.5.

Pilastrata	Q.Nodo	Angolo travatura	Aj	Vpc	Vtc	Vnc	Nc	onc	onc,lim	Comb.c	Vpt	Vtt	Vnt	Nt	ont	ont,lim	Comb.t	Segnalazioni	Verifica
Pilastrata P6	2.8	0	0.06468	-	408.367	391.768	-	6400	4173	SLD 2	-	408.367	391.768	-	5732	867	SLD 2		No
	2.8	180	0.06468	16.599	408.367	391.768	43.209	6400	4173	SLD 2	16.599	408.367	391.768	43.209	5732	867	SLD 2		No
				16.599	408.367	391.768	43.209	6400	4173	SLD 2	16.599	408.367	391.768	43.209	5732	867	SLD 2		No

Verifiche nodi trave colonna in combinazioni SLD

Riepilogo dei dati per la verifica del nodo secondo Circolare 7 21-01-19 §C8.7.2.3.5.

Pilastrata	Q.Nodo	Angolo travatura	Aj	Vpc	Vtc	Vnc	Nc	onc	onc,lim	Comb.c	Vpt	Vtt	Vnt	Nt	ont	ont,lim	Comb.t	Segnalazioni	Verifica
Pilastrata P6	5.8	0	0.06468	0	215.533	215.533	0	3332	4173	SLD 4	0	215.533	215.533	0	3332	867	SLD 4		No
	5.8	180	0.06468	0	215.533	215.533	0	3332	4173	SLD 4	0	215.533	215.533	0	3332	867	SLD 4		No

Verifiche nodi trave colonna in combinazioni SLV**Riepilogo dei dati per la verifica del nodo secondo Circolare 7 21-01-19 §C8.7.2.3.5.**

Pilastrata	Q.Nodo	Angolo travatura	Aj	Vpc	Vtc	Vnc	Nc	onc	onc,lim	Comb.c	Vpt	Vtt	Vnt	Nt	ont	ont,lim	Comb.t	Segnalazioni	Verifica	
Pilastrata P6	2.8	0	0.06468	-	386.993	375.161	-	6245	4173	SLV 16	-	386.993	375.161	-	5387	867	SLV 16		No	
	2.8	180	0.06468	11.832	386.993	375.161	55.474	-	6245	4173	SLV 16	11.832	386.993	375.161	55.474	-	5387	867	SLV 16	No

Verifiche nodi trave colonna in combinazioni SLV**Riepilogo dei dati per la verifica del nodo secondo Circolare 7 21-01-19 §C8.7.2.3.5.**

Pilastrata	Q.Nodo	Angolo travatura	Aj	Vpc	Vtc	Vnc	Nc	onc	onc,lim	Comb.c	Vpt	Vtt	Vnt	Nt	ont	ont,lim	Comb.t	Segnalazioni	Verifica
Pilastrata P6	5.8	0	0.06468	0	377.143	377.143	0	5831	4173	SLV 2	0	377.143	377.143	0	5831	867	SLV 2		No
	5.8	180	0.06468	0	377.143	377.143	0	5831	4173	SLV 2	0	377.143	377.143	0	5831	867	SLV 2		No

Indicatori di rischio sismico dei nodi in SLD

Pilastrata	Q.Nodo	Angolo travatura	Moltiplicatore	TR	I.R.TR	PGA	I.R.PGA	Comb.	Ver.
Pilastrata P6	2.8	0	0.043	0	0	0	0	SLD 4	No
	2.8	180	0.043	0	0	0	0	SLD 4	No

Indicatori di rischio sismico dei nodi in SLD

Pilastrata	Q.Nodo	Angolo travatura	Moltiplicatore	TR	I.R.TR	PGA	I.R.PGA	Comb.	Ver.
Pilastrata P6	5.8	0	0.044	0	0	0	0	SLD 4	No
	5.8	180	0.044	0	0	0	0	SLD 4	No

Indicatori di rischio sismico dei nodi in SLV

Pilastrata	Q.Nodo	Angolo travatura	Moltiplicatore	TR	I.R.TR	PGA	I.R.PGA	Comb.	Ver.
Pilastrata P6	2.8	0	0.043	2	0.08	0.014	0.071	SLV 7	No
	2.8	180	0.043	2	0.08	0.014	0.071	SLV 7	No

Indicatori di rischio sismico dei nodi in SLV

Pilastrata	Q.Nodo	Angolo travatura	Moltiplicatore	TR	I.R.TR	PGA	I.R.PGA	Comb.	Ver.
Pilastrata P6	5.8	0	0.018	0	0	0	0	SLV 4	No
	5.8	180	0.018	0	0	0	0	SLV 4	No

Verifica di instabilità

Q.inf.	Q.sup.	Quota	λ,x	λ,y	λ,limX	λ,limY	M 2° ord.	Nsd	Comb.	M0ed,x	M2,x	M0ed,y	M2,y	Mver,x	Mver,y	C.s x	C.s y	Risultato	(5.38)	(5.39)	Ver.	
-	2.8	-1	56	56	40	40	Si	-170.44	SLU 19	0.7039	4.127	1.5625	4.0995	4.8309	5.662	2.53	2.41	Min	No	2.15	Si	
1.225	2.8	-1	56	56	40	40	Si	-170.44	SLU 19	0.7039	4.127	1.5625	4.0995	4.8309	5.662	2.53	2.41	X	No	2.15	Si	
-	2.8	-1	56	56	55	55	Si	-90.25	SLD 4	4.3473	2.1065	19.1755	2.0922	-8.7409	42.6186	3.18	0.39	Min	No	0.34	No	
1.225	2.8	-1	56	56	53	53	Si	-99.05	SLD 8	11.977	2.3021	10.184	2.3014	-	23.4816	22.6181	0.88	0.94	X	No	0.46	No
-	2.8	-1	56	56	70	70	No	-56.24	SLV 4	11.1007	1.3038	47.4174	1.3038	-	105.5052	0.74	0.13	Min	No	0.12	No	
1.225	2.8	-1	56	56	60	60	Si	-78.23	SLV 8	30.2467	1.8136	24.9281	1.8136	-	23.1179	55.4774	0.25	0.28	X	No	0.15	No
-	2.8	-1	56	56	40	40	Si	-170.44	SLU 19	0.7039	4.127	1.5625	4.0995	4.8309	5.662	2.53	2.41	Min	No	2.15	Si	
1.225	2.8	-1	56	56	40	40	Si	-170.44	SLU 19	0.7039	4.127	1.5625	4.0995	4.8309	5.662	2.53	2.41	Y	No	2.15	Si	
-	2.8	-1	56	56	55	55	Si	-90.25	SLD 4	4.3473	2.1065	19.1755	2.0922	-8.7409	42.6186	3.18	0.39	Min	No	0.34	No	
1.225	2.8	2.7	56	56	57	57	Si	-84.48	SLD 4	4.3473	2.0092	19.1755	1.9586	4.3473	-42.3753	-	0.38	Y	Si		No	
-	2.8	-1	56	56	70	70	No	-56.24	SLV 4	11.1007	1.3038	47.4174	1.3038	-	23.1179	105.5052	0.74	0.13	Min	No	0.12	No
1.225	2.8	-1	56	56	70	70	No	-56.24	SLV 4	11.1007	1.3038	47.4174	1.3038	-	23.1179	105.5052	0.74	0.13	Y	No	0.12	No
-	2.8	-1	56	56	40	40	Si	-170.44	SLU 19	0.7039	4.127	1.5625	4.0995	4.8309	5.662	2.53	2.41	Min	No	2.15	Si	
1.225	2.8	-1	56	56	40	40	Si	-170.44	SLU 19	0.7039	4.127	1.5625	4.0995	4.8309	5.662	2.53	2.41	Y	No	2.15	Si	
-	2.8	-1	56	56	55	55	Si	-90.25	SLD 4	4.3473	2.1065	19.1755	2.0922	-8.7409	42.6186	3.18	0.39	Min	No	0.34	No	
1.225	2.8	2.7	56	56	57	57	Si	-84.48	SLD 4	4.3473	2.0092	19.1755	1.9586	4.3473	-42.3753	-	0.38	Y	Si		No	
-	2.8	-1	56	56	70	70	No	-56.24	SLV 4	11.1007	1.3038	47.4174	1.3038	-	23.1179	105.5052	0.74	0.13	Min	No	0.12	No
1.225	2.8	-1	56	56	70	70	No	-56.24	SLV 4	11.1007	1.3038	47.4174	1.3038	-	23.1179	105.5052	0.74	0.13	Y	No	0.12	No
2.8	5.8	3.522	42	42	66	66	No	-63.18	SLU 19	0.6318	1.1713	4.731	0.9303	-1.3362	6.3503	7.28	3.72	Min	No	3.46	Si	
2.8	5.8	2.9	42	42	66	66	No	-64.43	SLU 19	0.6443	1.195	4.731	0.9528	-1.6982	11.0312	6.81		X	Si		Si	
2.8	5.8	2.9	42	42	80	80	No	-43.78	SLD 8	0.4378	0.7284	9.7903	0.5639	7.7396	20.8442	3.18	0.79	Min	No	0.64	No	
2.8	5.8	2.9	42	42	73	73	No	-52.44	SLD 9	0.5244	0.8661	3.7926	0.8309	-9.977	-6.7287	2.35	4.25	X	No	1.44	Si	
2.8	5.8	2.9	42	42	86	86	No	-37.31	SLV 8	12.8616	0.4805	19.9504	0.4805	20.6869	41.4364	0.77	0.35	Min	No	0.27	No	
2.8	5.8	2.9	42	42	69	69	No	-58.92	SLV 9	14.2528	0.7588	13.9527	0.7588	-	-27.321	0.75	0.61	X	No	0.37	No	
2.8	5.8	5.7	42	42	69	69	No	-58.76	SLU 19	0.5876	1.0694	4.731	0.8774	-0.5876	-10.1277		1.84	Min	Si		Si	
2.8	5.8	5.7	42	42	69	69	No	-58.76	SLU 19	0.5876	1.0694	4.731	0.8774	-0.5876	-10.1277		1.84	Y	Si		Si	
2.8	5.8	5.7	42	42	86	86	No	-37.49	SLD 4	0.3749	0.6437	12.7976	0.4829	0.3749	-29.8898		0.4	Min	Si		No	
2.8	5.8	5.7	42	42	86	86	No	-37.49	SLD 4	0.3749	0.6437	12.7976	0.4829	0.3749	-29.8898		0.4	Y	Si		No	
2.8	5.8	5.7	42	42	99	99	No	-28.16	SLV 4	0.2816	0.4609	27.4143	0.3627	0.3422	-64.0834		0.17	Min	Si		No	
2.8	5.8	5.7	42	42	99	99	No	-28.16	SLV 4	0.2816	0.4609	27.4143	0.3627	0.3422	-64.0834		0.17	Y	Si		No	

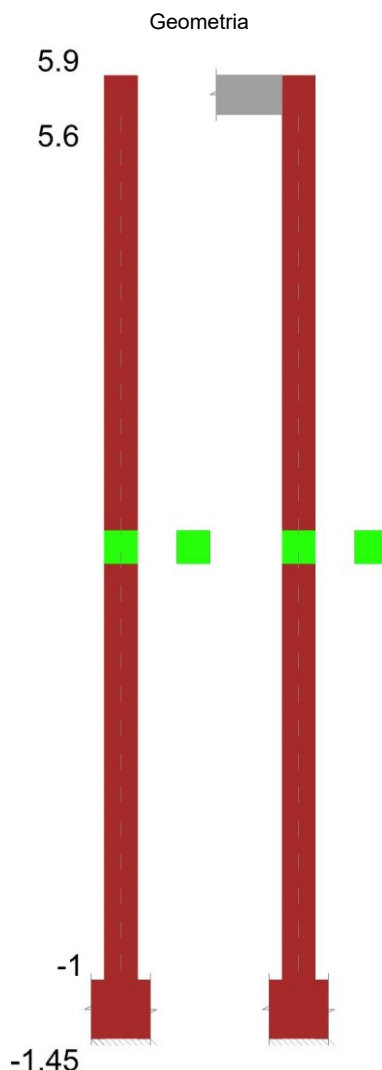
Verifiche di gerarchia delle resistenze nei nodi trave pilastro

Verifiche di gerarchia delle resistenze nei nodi trave pilastro non presenti in quanto la verifica è non necessaria per la pilastrata

per il nodo Appoggio 2.8 in quanto elemento di materiale esistente.

per il nodo Appoggio -1.225 in quanto elemento di materiale esistente.

per il nodo Appoggio 5.8 in quanto elemento di materiale esistente.

Pilastrata P7**Dati della pilastrata**

Analisi di edificio esistente con fattore di struttura.

Fattore di struttura per meccanismi duttili in direzione X: 1.5

Fattore di struttura per meccanismi duttili in direzione Y: 1.5

Fattore di struttura per meccanismi fragili in direzione X: 1

Fattore di struttura per meccanismi fragili in direzione Y: 1

Verifica dei meccanismi fragili condotta secondo Circolare 7 21-01-19 (SC8.7.2.2) Analisi lineare con fattore q.

Fattore di amplificazione dei meccanismi fragili della componente sismica in direzione X: 1

Fattore di amplificazione dei meccanismi fragili della componente sismica in direzione Y: 1

Campate costituenti la pilastrata

Q.inf.	Q.sup.	Sezione	Esistente	Secondaria	Dissipativa	Interna a parete	Sovreresistenza	Materiale CLS	Materiale Acciaio	FC
-1	5.6	R 25x25	Si	No	No	No		C15/18 Vigone C LC2	Vigone_FeB32k_LC2_FC = 1.2	1.2

Disposizioni delle armature longitudinali

Posizione	X	Y	Diametro	Area	Q.inf.	Q.sup.	Sezione	Materiale
p.1	-0.0862	-0.0862	0.012	0.0001131	-1.225	-1	R 25x25	Vigone FeB32k LC2
p.1	0.0862	-0.0862	0.012	0.0001131	-1.225	-1	R 25x25	Vigone FeB32k LC2
p.1	0.0862	0.0862	0.012	0.0001131	-1.225	-1	R 25x25	Vigone FeB32k LC2
p.1	-0.0862	0.0862	0.012	0.0001131	-1.225	-1	R 25x25	Vigone FeB32k LC2
p.2	-0.0862	-0.0862	0.012	0.0001131	-1	5.475	R 25x25	Vigone FeB32k LC2
p.2	0.0862	-0.0862	0.012	0.0001131	-1	5.475	R 25x25	Vigone FeB32k LC2
p.2	0.0862	0.0862	0.012	0.0001131	-1	5.475	R 25x25	Vigone FeB32k LC2
p.2	-0.0862	0.0862	0.012	0.0001131	-1	5.475	R 25x25	Vigone FeB32k LC2

Controlli geometrici NTC18

Nessuna anomalia

Verifiche delle sezioni**Verifica a pressoflessione in SLU**

Quota	As	%	At	Pos.	Mx	My	N	MRdx	MRdy	Comb.	Coeff.s.	Verifica
-1	0.000452	1.4	0.00000004	1,2	-7.8834	-0.2221	-80.2	-23.3582	-0.658	SLU 19	2.963	Si
-0.7	0.000452	1.4	0.00000004	1,2	-6.7886	-0.2134	-79.58	-22.2784	-0.7004	SLU 19	3.282	Si
-0.4	0.000452	1.4	0.00000004	1,2	-5.7114	-0.2049	-78.98	-20.9177	-0.7504	SLU 19	3.662	Si
-0.1	0.000452	0.7	0.00000004	2	-4.6282	-0.1961	-78.37	-19.1182	-0.8102	SLU 19	4.131	Si
0.2	0.000452	0.7	0.00000004	2	-3.5215	-0.1868	-77.76	-16.5999	-0.8806	SLU 19	4.714	Si
0.5	0.000452	0.7	0.00000004	2	-2.4383	-0.1777	-77.15	-13.1639	-0.9593	SLU 19	5.399	Si

Quota	As	%	At	Pos.	Mx	My	N	MRdx	MRdy	Comb.	Coeff.s.	Verifica
0.8	0.000452	0.7	0.00000004	2	-1.3433	-0.1685	-76.54	-8.3401	-1.0459	SLU 19	6.208	Si
1.1	0.000452	0.7	0.00000004	2	-0.2484	-0.1592	-75.93	-1.5748	-1.0097	SLU 19	6.341	Si
1.4	0.000452	0.7	0.00000004	2	0.8466	-0.15	-75.32	5.4114	-0.9589	SLU 19	6.392	Si
1.7	0.000452	0.7	0.00000004	2	1.9416	-0.1408	-74.71	11.4142	-0.8277	SLU 19	5.879	Si
2	0.000452	0.7	0.00000004	2	3.0365	-0.1316	-74.11	15.6465	-0.6779	SLU 19	5.153	Si
2.3	0.000452	0.7	0.00000004	2	4.1315	-0.1223	-73.5	18.68	-0.5532	SLU 19	4.521	Si
2.6	0.000452	0.7	0.00000004	2	5.2265	-0.1131	-72.89	20.8812	-0.4519	SLU 19	3.995	Si
2.9	0.000452	0.7	0.00000004	2	6.3112	-0.1037	-72.28	22.5136	-0.3701	SLU 19	3.567	Si
3.2	0.000452	0.7	0.00000004	2	7.3756	-0.0941	-71.67	23.7575	-0.303	SLU 19	3.221	Si
3.5	0.000452	0.7	0.00000004	2	8.4399	-0.0844	-71.06	24.2987	-0.243	SLU 19	2.879	Si
3.8	0.000452	0.7	0.00000004	2	9.5042	-0.0747	-70.45	23.9494	-0.1884	SLU 19	2.52	Si
4.1	0.000452	0.7	0.00000004	2	10.5685	-0.0651	-69.84	23.2776	-0.1433	SLU 19	2.203	Si
4.4	0.000452	0.7	0.00000004	2	11.6328	-0.0554	-69.23	22.4382	-0.1069	SLU 19	1.929	Si
4.7	0.000452	0.7	0.00000004	2	12.6971	-0.0458	-68.62	21.5444	-0.0776	SLU 19	1.697	Si
5	0.000452	0.7	0.00000004	2	13.7615	-0.0361	-68.01	20.6436	-0.0541	SLU 19	1.5	Si
5.3	0.000452	0.7	0.00000004	2	14.8258	-0.0264	-67.4	19.7389	-0.0352	SLU 19	1.331	Si
5.6	0.000377	0.7	0.00000004	2	15.8724	-0.0169	-66.8	16.2545	-0.0173	SLU 19	1.024	Si

Verifica a pressoflessione in SLV (domini sostanzialmente elastici)

E' attiva l'opzione fattori parziali di sicurezza unitari per meccanismi duttili di strutture esistenti con fattore q
La struttura oppure parte di essa, è stata dichiarata come non dissipativa pertanto la verifica a pressoflessione, per tutte o solo alcune sezioni, viene eseguita calcolando i momenti resistenti in campo sostanzialmente elastico secondo D.M. 17-01-2018 §7.4.1

Le dilatazioni ultime utilizzate sono le dilatazioni limite elastiche

Quota	As	%	At	Pos.	Mx	My	N	ε _{cu}	ε _{fk}	MRdx	MRdy	Comb.	C.S.	Nmin	Nlim	Comb.Nmin	Ver.
-1	0.000452	1.4	0.00000023	1,2	-84.8379	-28.81	-85.29	-	1.58	-12.3358	-4.1891	SLV 12	0.145				No
-0.7	0.000452	1.4	0.00000023	1,2	-75.7542	-26.3049	-84.82	-	1.58	-12.3754	-4.2972	SLV 12	0.163				No
-0.4	0.000452	1.4	0.00000023	1,2	-66.8448	-23.871	-84.36	-	1.58	-12.4581	-4.4489	SLV 12	0.186				No
-0.1	0.000452	0.7	0.00000023	2	51.9695	21.1786	-18.08	-	1.58	11.2529	4.5858	SLV 5	0.217				No
0.2	0.000452	0.7	0.00000023	2	44.253	18.6503	-17.6	-	1.58	11.2152	4.7266	SLV 5	0.253				No
0.5	0.000452	0.7	0.00000023	2	36.8476	16.2158	-17.14	-	1.58	11.1656	4.9137	SLV 5	0.303				No
0.8	0.000452	0.7	0.00000023	2	29.6398	13.819	-16.67	-	1.58	11.0991	5.1747	SLV 5	0.374				No
1.1	0.000452	0.7	0.00000023	2	23.0129	11.5508	-16.2	-	1.58	11.0062	5.5243	SLV 5	0.478				No
1.4	0.000452	0.7	0.00000023	2	17.45	9.5623	-15.73	-	1.58	10.8993	5.9726	SLV 5	0.625				No
1.7	0.000452	0.7	0.00000023	2	14.2233	8.1182	-15.26	-	1.58	10.9101	6.2271	SLV 5	0.767				No
2	0.000452	0.7	0.00000023	2	12.2264	6.9783	-14.63	-	1.58	13.8192	7.8874	SLV 3	1.13				Si
2.3	0.000452	0.7	0.00000023	2	-15.1262	7.5125	-17.37	-	1.58	-11.4291	5.6763	SLV 9	0.756				No
2.6	0.000452	0.7	0.00000023	2	20.4567	15.5647	-57.82	-	1.58	11.1514	8.4847	SLV 15	0.545				No
2.9	0.000452	0.7	0.00000023	2	34.2006	3.3562	-75.12	-	1.58	15.7076	1.5414	SLV 11	0.459				No
3.2	0.000452	0.7	0.00000023	2	36.001	0.6705	-78.73	-	1.58	16.3887	0.3052	SLV 12	0.455				No
3.5	0.000452	0.7	0.00000023	2	37.3823	0.594	-78.26	-	1.58	16.2565	0.2583	SLV 12	0.435				No
3.8	0.000452	0.7	0.00000023	2	39.4049	0.5176	-77.8	-	1.58	16.0845	0.2113	SLV 12	0.408				No
4.1	0.000452	0.7	0.00000023	2	42.0474	0.4412	-77.33	-	1.58	15.8901	0.1667	SLV 12	0.378				No
4.4	0.000452	0.7	0.00000023	2	45.3073	0.3647	-76.86	-	1.58	15.6851	0.1262	SLV 12	0.346				No
4.7	0.000452	0.7	0.00000023	2	49.2216	0.2881	-76.39	-	1.58	15.477	0.0906	SLV 12	0.314				No
5	0.000452	0.7	0.00000023	2	53.6384	0.2113	-75.92	-	1.58	15.284	0.0602	SLV 12	0.285				No
5.3	0.000452	0.7	0.00000023	2	58.3534	0.1341	-75.45	-	1.58	15.1145	0.0347	SLV 12	0.259				No
5.6	0.000377	0.7	0.00000023	2	63.1984	0.0632	-74.99	-	1.58	12.6285	0.0126	SLV 12	0.2				No

Verifica a pressoflessione in SLD

La struttura oppure parte di essa, è stata dichiarata come non dissipativa pertanto la verifica a pressoflessione, per tutte o solo alcune sezioni, viene eseguita calcolando i momenti resistenti in campo sostanzialmente elastico secondo D.M. 17-01-2018 §7.4.1

Le dilatazioni ultime utilizzate sono le dilatazioni limite elastiche

Quota	As	%	At	Pos.	Mx	My	N	MRdx	MRdy	Comb.	Coeff.s.	Verifica
-1	0.000452	1.4	0.00000094	1,2	-37.0166	-11.6032	-65.65	-13.3886	-4.1968	SLD 12	0.362	No
-0.7	0.000452	1.4	0.00000094	1,2	-32.9468	-10.5985	-65.18	-13.561	-4.3624	SLD 12	0.412	No
-0.4	0.000452	1.4	0.00000094	1,2	-28.9549	-9.6236	-64.71	-13.7891	-4.583	SLD 12	0.476	No
-0.1	0.000452	0.7	0.00000094	2	-24.9478	-8.6448	-64.25	-14.1	-4.8859	SLD 12	0.565	No
0.2	0.000452	0.7	0.00000094	2	-20.861	-7.6238	-63.77	-14.5666	-5.3234	SLD 12	0.698	No
0.5	0.000452	0.7	0.00000094	2	-16.9266	-6.6412	-63.31	-15.2454	-5.9816	SLD 12	0.901	No
0.8	0.000452	0.7	0.00000094	2	11.3299	5.4596	-36.31	13.7266	6.6145	SLD 5	1.212	Si
1.1	0.000452	0.7	0.00000094	2	9.1302	4.558	-35.84	14.4577	7.2176	SLD 5	1.584	Si
1.4	0.000452	0.7	0.00000094	2	7.395	3.7718	-35.37	15.4905	7.9008	SLD 5	2.095	Si
1.7	0.000452	0.7	0.00000094	2	6.6503	3.2079	-34.91	16.4842	7.9515	SLD 5	2.479	Si
2	0.000452	0.7	0.00000094	2	6.2488	2.7584	-34.47	20.9178	9.2336	SLD 3	3.347	Si
2.3	0.000452	0.7	0.00000094	2	10.0345	-3.1637	-59.22	19.8668	-6.2637	SLD 8	1.98	Si
2.6	0.000452	0.7	0.00000094	2	13.9411	1.1543	-58.4	19.6085	1.6236	SLD 11	1.407	Si
2.9	0.000452	0.7	0.00000094	2	16.3875	1.2574	-57.93	18.3252	1.4061	SLD 11	1.118	Si
3.2	0.000452	0.7	0.00000094	2	17.4017	0.192	-59.09	18.7763	0.2072	SLD 12	1.079	Si
3.5	0.000452	0.7	0.00000094	2	18.27	0.1696	-58.62	18.4133	0.171	SLD 12	1.008	Si
3.8	0.000452	0.7	0.00000094	2	19.4217	0.1472	-58.15	18.0061	0.1365	SLD 12	0.927	No
4.1	0.000452	0.7	0.00000094	2	19.8067	-2.178	-56.4	16.6998	-1.8363	SLD 8	0.843	No
4.4	0.000452	0.7	0.00000094	2	22.5535	0.1024	-57.22	17.1829	0.078	SLD 12	0.762	No
4.7	0.000452	0.7	0.00000094	2	24.5509	0.08	-56.75	16.7891	0.0547	SLD 12	0.684	No
5	0.000452	0.7	0.00000094	2	26.7696	0.0574	-56.28	16.4389	0.0353	SLD 12	0.614	No
5.3	0.000452	0.7	0.00000094	2	29.1179	0.0347	-55.81	16.1396	0.0193	SLD 12	0.554	No

Quota	As	%	At	Pos.	Mx	My	N	MRdx	MRdy	Comb.	Coeff.s.	Verifica
5.6	0.000377	0.7	0.00000094	2	31.518	0.0145	-55.35	13.4273	0.0062	SLD 12	0.426	No

Indicatori di rischio sismico a pressoflessione in SLV

E' attiva l'opzione fattori parziali di sicurezza unitari per meccanismi duttili di strutture esistenti con fattore q
La struttura oppure parte di essa, è stata dichiarata come non dissipativa pertanto la verifica a pressoflessione, per tutte o solo alcune sezioni, viene eseguita calcolando i momenti resistenti in campo sostanzialmente elastico secondo D.M. 17-01-2018 §7.4.1

Le dilatazioni ultime utilizzate sono le dilatazioni limite elastiche

Quota	Molt.	TR	I.R.TR	PGA	I.R.PGA	Comb.	Ver.
-1	0.141	16	0.188	0.037	0.186	SLV 12	No
-0.7	0.165	21	0.21	0.042	0.211	SLV 12	No
-0.4	0.195	28	0.236	0.048	0.241	SLV 12	No
-0.1	0.235	38	0.267	0.055	0.278	SLV 12	No
0.2	0.29	54	0.309	0.065	0.327	SLV 12	No
0.5	0.365	84	0.37	0.08	0.399	SLV 12	No
0.8	0.457	132	0.445	0.096	0.482	SLV 5	No
1.1	0.554	210	0.539	0.116	0.582	SLV 5	No
1.4	0.685	355	0.668	0.141	0.708	SLV 5	No
1.7	0.805	534	0.79	0.164	0.822	SLV 5	No
2	1.109	1277	1.129	0.219	1.096	SLV 3	Si
2.3	0.773	481	0.757	0.158	0.793	SLV 8	No
2.6	0.565	221	0.55	0.118	0.593	SLV 15	No
2.9	0.457	132	0.445	0.096	0.482	SLV 11	No
3.2	0.439	122	0.431	0.093	0.466	SLV 12	No
3.5	0.405	103	0.402	0.087	0.435	SLV 12	No
3.8	0.364	84	0.37	0.08	0.399	SLV 12	No
4.1	0.321	66	0.335	0.072	0.359	SLV 12	No
4.4	0.278	50	0.299	0.063	0.315	SLV 12	No
4.7	0.236	38	0.267	0.055	0.278	SLV 12	No
5	0.198	29	0.239	0.049	0.245	SLV 12	No
5.3	0.166	21	0.21	0.042	0.211	SLV 12	No
5.6	0.097	8	0.141	0.027	0.135	SLV 12	No

Indicatori di rischio sismico a pressoflessione in SLD Resistenza

La struttura oppure parte di essa, è stata dichiarata come non dissipativa pertanto la verifica a pressoflessione, per tutte o solo alcune sezioni, viene eseguita calcolando i momenti resistenti in campo sostanzialmente elastico secondo D.M. 17-01-2018 §7.4.1

Le dilatazioni ultime utilizzate sono le dilatazioni limite elastiche

Quota	Molt.	TR	I.R.TR	PGA	I.R.PGA	Comb.	Ver.
-1	0.352	16	0.47	0.037	0.432	SLD 12	No
-0.7	0.413	21	0.525	0.042	0.49	SLD 12	No
-0.4	0.489	28	0.591	0.048	0.56	SLD 12	No
-0.1	0.588	38	0.67	0.055	0.644	SLD 12	No
0.2	0.726	55	0.779	0.066	0.764	SLD 12	No
0.5	0.915	85	0.932	0.08	0.93	SLD 12	No
0.8	1.145	132	1.116	0.096	1.117	SLD 5	Si
1.1	1.383	209	1.347	0.116	1.347	SLD 5	Si
1.4	1.695	346	1.657	0.14	1.627	SLD 5	Si
1.7	1.961	498	1.924	0.16	1.862	SLD 5	Si
2	2.679	1151	2.712	0.212	2.464	SLD 3	Si
2.3	1.859	435	1.82	0.153	1.772	SLD 8	Si
2.6	1.381	209	1.347	0.116	1.347	SLD 15	Si
2.9	1.121	127	1.098	0.095	1.099	SLD 11	Si
3.2	1.086	119	1.07	0.092	1.07	SLD 12	Si
3.5	1.008	102	1.004	0.086	1.004	SLD 12	Si
3.8	0.914	85	0.932	0.08	0.93	SLD 12	No
4.1	0.807	67	0.845	0.072	0.839	SLD 8	No
4.4	0.699	51	0.756	0.063	0.737	SLD 12	No
4.7	0.593	39	0.677	0.056	0.652	SLD 12	No
5	0.497	29	0.6	0.049	0.569	SLD 12	No
5.3	0.414	21	0.525	0.042	0.49	SLD 12	No
5.6	0.242	8	0.354	0.027	0.313	SLD 12	No

Verifica a taglio-torsione in famiglia SLU

Quota	Staffe	Ved.x	Ved.y	Ned	Comb.V	Cot	Vres	c.s.V	Mt	As,t	Al,t	Comb.Tor.	Trcd	Trsd	Trld	c.s.V-T	Ver.
-1	2X/2Y ø6/15	0.03	3.6	-80.2	SLU 19	2.5	50.2	13.96	-	0	0.00000002	SLU 1	7.79391	0.00048	0.00048	1.02	Si
-0.7	2X/2Y ø6/15	0.03	3.6	-79.58	SLU 19	2.5	50.2	13.96	0.00048	0	0.00000002	SLU 1	7.79391	0.00048	0.00048	1.02	Si
-0.4	2X/2Y ø6/15	0.03	3.6	-78.98	SLU 19	2.5	50.2	13.96	0.00048	0	0.00000002	SLU 1	7.79391	0.00048	0.00048	1.02	Si
-0.1	2X/2Y ø6/15	0.03	3.6	-78.37	SLU 19	2.5	50.2	13.96	0.00048	0	0.00000002	SLU 1	7.79391	0.00048	0.00048	1.02	Si
0.2	2X/2Y ø6/15	0.03	3.6	-77.76	SLU 19	2.5	50.2	13.96	0.00048	0	0.00000002	SLU 1	7.79391	0.00048	0.00048	1.02	Si
0.5	2X/2Y ø6/15	0.03	3.6	-77.15	SLU 19	2.5	50.2	13.96	0.00048	0	0.00000002	SLU 1	7.79391	0.00048	0.00048	1.02	Si
0.8	2X/2Y ø6/15	0.03	3.6	-76.54	SLU 19	2.5	50.2	13.96	0.00048	0	0.00000002	SLU 1	7.79391	0.00048	0.00048	1.02	Si
1.1	2X/2Y ø6/15	0.03	3.6	-75.93	SLU 19	2.5	50.2	13.96	0.00048	0	0.00000002	SLU 1	7.79391	0.00048	0.00048	1.02	Si
1.4	2X/2Y ø6/15	0.03	3.6	-75.32	SLU 19	2.5	50.2	13.96	0.00048	0	0.00000002	SLU 1	7.79391	0.00048	0.00048	1.02	Si
1.7	2X/2Y ø6/15	0.03	3.6	-74.71	SLU 19	2.5	50.2	13.96	0.00048	0	0.00000002	SLU 1	7.79391	0.00048	0.00048	1.02	Si
2	2X/2Y ø6/15	0.03	3.6	-74.11	SLU 19	2.5	50.2	13.96	0.00048	0	0.00000002	SLU 1	7.79391	0.00048	0.00048	1.02	Si
2.3	2X/2Y ø6/15	0.03	3.6	-73.5	SLU 19	2.5	50.2	13.96	0.00048	0	0.00000002	SLU 1	7.79391	0.00048	0.00048	1.02	Si
2.6	2X/2Y ø6/15	0.03	3.6	-72.89	SLU 19	2.5	50.2	13.96	0.00048	0	0.00000002	SLU 1	7.79391	0.00048	0.00048	1.02	Si
2.9	2X/2Y ø6/15	0.03	3.6	-72.28	SLU 19	2.5	50.2	13.96	0.00048	0	0.00000002	SLU 1	7.79391	0.00048	0.00048	1.02	Si
3.2	2X/2Y ø6/15	0.03	3.6	-71.67	SLU 19	2.5	50.2	13.96	0.00048	0	0.00000002	SLU 1	7.79391	0.00048	0.00048	1.02	Si
3.5	2X/2Y ø6/15	0.03	3.6	-71.06	SLU 19	2.5	50.2	13.96	0.00048	0	0.00000002	SLU 1	7.79391	0.00048	0.00048	1.02	Si
3.8	2X/2Y ø6/15	0.03	3.6	-70.45	SLU 19	2.5	50.2	13.96	0.00048	0	0.00000002	SLU 1	7.79391	0.00048	0.00048	1.02	Si

Quota	Staffe	Ved.x	Ved.y	Ned	Comb.V	Cot	Vres	c.s.V	Mt	As,t	Al,t	Comb.Tor.	Trcd	Trsd	Trld	c.s.V-T	Ver.
4.1	2X/2Y ø6/15	0.03	3.6	-69.84	SLU 19	2.5	50.2	13.96	-	0	0.00000002	SLU 1	7.79391	0.00048	0.00048	1.02	Si
4.4	2X/2Y ø6/15	0.03	3.6	-69.23	SLU 19	2.5	50.2	13.96	-	0	0.00000002	SLU 1	7.79391	0.00048	0.00048	1.02	Si
4.7	2X/2Y ø6/15	0.03	3.6	-68.62	SLU 19	2.5	50.2	13.96	-	0	0.00000002	SLU 1	7.79391	0.00048	0.00048	1.02	Si
5	2X/2Y ø6/15	0.03	3.6	-68.01	SLU 19	2.5	50.2	13.96	-	0	0.00000002	SLU 1	7.79391	0.00048	0.00048	1.02	Si
5.3	2X/2Y ø6/15	0.03	3.6	-67.4	SLU 19	2.5	50.2	13.96	-	0	0.00000002	SLU 1	7.79391	0.00048	0.00048	1.02	Si
5.6	2X/2Y ø6/15	0.03	3.6	-66.8	SLU 19	2.5	50.2	13.96	-	0	0.00000002	SLU 1	7.79391	0.00048	0.00048	1.02	Si

Verifica a taglio-torsione in famiglia SLV

Quota	Staffe	Ved.x	Ved.y	Ned	Comb.V	Cot	Vres	c.s.V	Mt	As,t	Al,t	Comb.Tor.	Trcd	Trsd	Trld	c.s.V-T	Ver.
-1	2X/2Y ø6/15	15.53	30.11	-85.29	SLV 12	2.5	49.53	1.64	0.04522	0.000000034	0.00000207	SLV 1	7.79391	0.04522	0.04522	1.02	Si
-0.7	2X/2Y ø6/15	15.53	30.11	-84.82	SLV 12	2.5	49.53	1.64	0.04522	0.000000034	0.00000207	SLV 1	7.79391	0.04522	0.04522	1.02	Si
-0.4	2X/2Y ø6/15	15.53	30.11	-84.36	SLV 12	2.5	49.53	1.64	0.04522	0.000000034	0.00000207	SLV 1	7.79391	0.04522	0.04522	1.02	Si
-0.1	2X/2Y ø6/15	14.96	30.22	-83.89	SLV 12	2.5	49.53	1.64	0.04522	0.000000034	0.00000207	SLV 1	7.79391	0.04522	0.04522	1.02	Si
0.2	2X/2Y ø6/15	14.96	30.22	-83.42	SLV 12	2.5	49.53	1.64	0.04522	0.000000034	0.00000207	SLV 1	7.79391	0.04522	0.04522	1.02	Si
0.5	2X/2Y ø6/15	14.96	30.22	-82.95	SLV 12	2.5	49.53	1.64	0.04522	0.000000034	0.00000207	SLV 1	7.79391	0.04522	0.04522	1.02	Si
0.8	2X/2Y ø6/15	14.96	30.22	-82.48	SLV 12	2.5	49.53	1.64	0.04522	0.000000034	0.00000207	SLV 1	7.79391	0.04522	0.04522	1.02	Si
1.1	2X/2Y ø6/15	14.96	30.22	-82.01	SLV 12	2.5	49.53	1.64	0.04522	0.000000034	0.00000207	SLV 1	7.79391	0.04522	0.04522	1.02	Si
1.4	2X/2Y ø6/15	14.96	30.22	-81.55	SLV 12	2.5	49.53	1.64	0.04522	0.000000034	0.00000207	SLV 1	7.79391	0.04522	0.04522	1.02	Si
1.7	2X/2Y ø6/15	14.96	30.22	-81.08	SLV 12	2.5	49.53	1.64	0.04522	0.000000034	0.00000207	SLV 1	7.79391	0.04522	0.04522	1.02	Si
2	2X/2Y ø6/15	14.96	30.22	-80.61	SLV 12	2.5	49.53	1.64	0.04522	0.000000034	0.00000207	SLV 1	7.79391	0.04522	0.04522	1.02	Si
2.3	2X/2Y ø6/15	14.96	30.22	-80.14	SLV 12	2.5	49.53	1.64	0.04522	0.000000034	0.00000207	SLV 1	7.79391	0.04522	0.04522	1.02	Si
2.6	2X/2Y ø6/15	14.96	30.22	-79.67	SLV 12	2.5	49.53	1.64	0.04522	0.000000034	0.00000207	SLV 1	7.79391	0.04522	0.04522	1.02	Si
2.9	2X/2Y ø6/15	6.55	19.27	-79.2	SLV 12	2.5	49.53	2.57	0.04522	0.000000034	0.00000207	SLV 1	7.79391	0.04522	0.04522	1.02	Si
3.2	2X/2Y ø6/15	6.55	19.27	-78.73	SLV 12	2.5	49.53	2.57	0.04522	0.000000034	0.00000207	SLV 1	7.79391	0.04522	0.04522	1.02	Si
3.5	2X/2Y ø6/15	6.55	19.27	-78.26	SLV 12	2.5	49.53	2.57	0.04522	0.000000034	0.00000207	SLV 1	7.79391	0.04522	0.04522	1.02	Si
3.8	2X/2Y ø6/15	6.55	19.27	-77.8	SLV 12	2.5	49.53	2.57	0.04522	0.000000034	0.00000207	SLV 1	7.79391	0.04522	0.04522	1.02	Si
4.1	2X/2Y ø6/15	6.55	19.27	-77.33	SLV 12	2.5	49.53	2.57	0.04522	0.000000034	0.00000207	SLV 1	7.79391	0.04522	0.04522	1.02	Si
4.4	2X/2Y ø6/15	6.55	19.27	-76.86	SLV 12	2.5	49.53	2.57	0.04522	0.000000034	0.00000207	SLV 1	7.79391	0.04522	0.04522	1.02	Si
4.7	2X/2Y ø6/15	6.55	19.27	-76.39	SLV 12	2.5	49.53	2.57	0.04522	0.000000034	0.00000207	SLV 1	7.79391	0.04522	0.04522	1.02	Si
5	2X/2Y ø6/15	6.55	19.27	-75.92	SLV 12	2.5	49.53	2.57	0.04522	0.000000034	0.00000207	SLV 1	7.79391	0.04522	0.04522	1.02	Si
5.3	2X/2Y ø6/15	6.55	19.27	-75.45	SLV 12	2.5	49.53	2.57	0.04522	0.000000034	0.00000207	SLV 1	7.79391	0.04522	0.04522	1.02	Si
5.6	2X/2Y ø6/15	6.55	19.27	-74.99	SLV 12	2.5	49.53	2.57	0.04522	0.000000034	0.00000207	SLV 1	7.79391	0.04522	0.04522	1.02	Si

Verifica taglio ciclico secondo Circolare 7 21-01-19 §C8.7.2.3.5 formula [C8.7.2.8] in combinazione SLV

Quota	Q.inf	Q.sup.	Dir.	Lv	x	h	p.tot	θ,m	θ,y	μΔ,pl	VRd	VRcd(cotθ=1)	VRsd	Vw	VR	Vu	VED	NEd	Comb.	Verifica	
-1	1.225	5.75	X	3.513	0.096	0.25	0.0072	0.010186	0.021856	0	26.879	97.427	49.583	19.833	21.399	49.583	15.528	-	SLV 16	Si	
-1	1.225	5.75	Y	3.513	0.103	0.25	0.0072	0.018094	0.021856	0	28.935	100.512	49.531	19.812	21.609	49.531	30.113	-	SLV 12	Si	
																		69.069	-		
																			85.293	-	

Verifica a taglio-torsione in famiglia SLD Resistenza

Quota	Staffe	Ved.x	Ved.y	Ned	Comb.V	Cot	Vres	c.s.V	Mt	As,t	Al,t	Comb.Tor.	Trcd	Trsd	Trld	c.s.V-T	Ver.
-1	2X/2Y ø6/15	6.26	13.49	-65.65	SLD 12	2.5	49.93	3.7	0.01771	0.000000013	0.000000081	SLD 1	7.79391	0.01771	0.01771	1.02	Si
-0.7	2X/2Y ø6/15	6.26	13.49	-65.18	SLD 12	2.5	49.93	3.7	0.01771	0.000000013	0.000000081	SLD 1	7.79391	0.01771	0.01771	1.02	Si
-0.4	2X/2Y ø6/15	6.26	13.49	-64.71	SLD 12	2.5	49.93	3.7	0.01771	0.000000013	0.000000081	SLD 1	7.79391	0.01771	0.01771	1.02	Si
-0.1	2X/2Y ø6/15	6.01	13.54	-64.25	SLD 12	2.5	49.93	3.69	0.01771	0.000000013	0.000000081	SLD 1	7.79391	0.01771	0.01771	1.02	Si
0.2	2X/2Y ø6/15	6.01	13.54	-63.77	SLD 12	2.5	49.93	3.69	0.01771	0.000000013	0.000000081	SLD 1	7.79391	0.01771	0.01771	1.02	Si
0.5	2X/2Y ø6/15	6.01	13.54	-63.31	SLD 12	2.5	49.93	3.69	0.01771	0.000000013	0.000000081	SLD 1	7.79391	0.01771	0.01771	1.02	Si
0.8	2X/2Y ø6/15	6.01	13.54	-62.84	SLD 12	2.5	49.93	3.69	0.01771	0.000000013	0.000000081	SLD 1	7.79391	0.01771	0.01771	1.02	Si
1.1	2X/2Y ø6/15	6.01	13.54	-62.37	SLD 12	2.5	49.93	3.69	0.01771	0.000000013	0.000000081	SLD 1	7.79391	0.01771	0.01771	1.02	Si
1.4	2X/2Y ø6/15	6.01	13.54	-61.9	SLD 12	2.5	49.93	3.69	0.01771	0.000000013	0.000000081	SLD 1	7.79391	0.01771	0.01771	1.02	Si
1.7	2X/2Y ø6/15	6.01	13.54	-61.44	SLD 12	2.5	49.93	3.69	0.01771	0.000000013	0.000000081	SLD 1	7.79391	0.01771	0.01771	1.02	Si
2	2X/2Y ø6/15	6.01	13.54	-60.97	SLD 12	2.5	49.93	3.69	0.01771	0.000000013	0.000000081	SLD 1	7.79391	0.01771	0.01771	1.02	Si
2.3	2X/2Y ø6/15	6.01	13.54	-60.5	SLD 12	2.5	49.93	3.69	0.01771	0.000000013	0.000000081	SLD 1	7.79391	0.01771	0.01771	1.02	Si
2.6	2X/2Y ø6/15	6.01	13.54	-60.03	SLD 12	2.5	49.93	3.69	0.01771	0.000000013	0.000000081	SLD 1	7.79391	0.01771	0.01771	1.02	Si
2.9	2X/2Y ø6/15	2.65	9.38	-59.56	SLD 12	2.5	49.93	5.32	0.01771	0.000000013	0.000000081	SLD 1	7.79391	0.01771	0.01771	1.02	Si
3.2	2X/2Y ø6/15	2.65	9.38	-59.09	SLD 12	2.5	49.93	5.32	0.01771	0.000000013	0.000000081	SLD 1	7.79391	0.01771	0.01771	1.02	Si
3.5	2X/2Y ø6/15	2.65	9.38	-58.62	SLD 12	2.5	49.93	5.32	0.01771	0.000000013	0.000000081	SLD 1	7.79391	0.01771	0.01771	1.02	Si
3.8	2X/2Y ø6/15	2.65	9.38	-58.15	SLD 12	2.5	49.93	5.32	0.01771	0.000000013	0.000000081	SLD 1	7.79391	0.01771	0.01771	1.02	Si
4.1	2X/2Y ø6/15	2.65	9.38	-57.69	SLD 12	2.5	49.93	5.32	0.01771	0.000000013	0.000000081	SLD 1	7.79391	0.01771	0.01771	1.02	Si
4.4	2X/2Y ø6/15	2.65	9.38	-57.22	SLD 12	2.5	49.93	5.32	0.01771	0.000000013	0.000000081	SLD 1	7.79391	0.01771	0.01771	1.02	Si
4.7	2X/2Y ø6/15	2.65	9.38	-56.75	SLD 12	2.5	49.93	5.32	0.01771	0.000000013	0.000000081	SLD 1	7.79391	0.01771	0.01771	1.02	Si
5	2X/2Y ø6/15	2.65	9.38	-56.28	SLD 12	2.5	49.93	5.32	0.01								

Quota	Molt.	TR	I.R.TR	PGA	I.R.PGA	Comb.	
0.2	4.261	2110	3.477	0.255	2.966	SLD 12	Si
0.5	4.261	2110	3.477	0.255	2.966	SLD 12	Si
0.8	4.261	2110	3.477	0.255	2.966	SLD 12	Si
1.1	4.261	2110	3.477	0.255	2.966	SLD 12	Si
1.4	4.261	2110	3.477	0.255	2.966	SLD 12	Si
1.7	4.261	2110	3.477	0.255	2.966	SLD 12	Si
2	4.261	2110	3.477	0.255	2.966	SLD 12	Si
2.3	4.261	2110	3.477	0.255	2.966	SLD 12	Si
2.6	4.261	2110	3.477	0.255	2.966	SLD 12	Si
2.9	6.756	2110	3.477	0.255	2.966	SLD 12	Si
3.2	6.756	2110	3.477	0.255	2.966	SLD 12	Si
3.5	6.756	2110	3.477	0.255	2.966	SLD 12	Si
3.8	6.756	2110	3.477	0.255	2.966	SLD 12	Si
4.1	6.756	2110	3.477	0.255	2.966	SLD 12	Si
4.4	6.756	2110	3.477	0.255	2.966	SLD 12	Si
4.7	6.756	2110	3.477	0.255	2.966	SLD 12	Si
5	6.756	2110	3.477	0.255	2.966	SLD 12	Si
5.3	6.756	2110	3.477	0.255	2.966	SLD 12	Si
5.6	6.756	2110	3.477	0.255	2.966	SLD 12	Si

Verifiche nodi trave colonna**Riepilogo dei dati per le diverse tipologie di verifica eseguite per i nodi**

Pilastrata	Q.Nodo	Escluso	Confinato	Segnalazioni
Pilastrata P7	-1.225	Si	No	
Pilastrata P7	5.75	No	No	

Verifiche nodi trave colonna in combinazioni SLD**Riepilogo dei dati per la verifica del nodo secondo Circolare 7 21-01-19 §C8.7.2.3.5.**

Pilastrata	Q.Nodo	Angolo travatura	Aj	Vpc	Vtc	Vnc	Nc	onc	onc,lim	Comb.c	Vpt	Vtt	Vnt	Nt	ont	ont,lim	Comb.t	Segnalazioni	Verifica
Pilastrata P7	5.75	270	0.04312	0	126.323	126.323	0	2929	4173	SLD 12	0	126.323	126.323	0	2929	867	SLD 12		No

Verifiche nodi trave colonna in combinazioni SLV**Riepilogo dei dati per la verifica del nodo secondo Circolare 7 21-01-19 §C8.7.2.3.5.**

Pilastrata	Q.Nodo	Angolo travatura	Aj	Vpc	Vtc	Vnc	Nc	onc	onc,lim	Comb.c	Vpt	Vtt	Vnt	Nt	ont	ont,lim	Comb.t	Segnalazioni	Verifica
Pilastrata P7	5.75	270	0.04312	0	246.377	246.377	0	5714	4173	SLV 5	0	246.377	246.377	0	5714	867	SLV 5		No

Indicatori di rischio sismico dei nodi in SLD

Pilastrata	Q.Nodo	Angolo travatura	Moltiplicatore	TR	I.R.TR	PGA	I.R.PGA	Comb.	Ver.
Pilastrata P7	5.75	270	0.117	2	0.2	0.014	0.165	SLD 12	No

Indicatori di rischio sismico dei nodi in SLV

Pilastrata	Q.Nodo	Angolo travatura	Moltiplicatore	TR	I.R.TR	PGA	I.R.PGA	Comb.	Ver.
Pilastrata P7	5.75	270	0.047	2	0.08	0.014	0.071	SLV 12	No

Verifica di instabilità

Q.inf.	Q.sup.	Quota	λ_x	λ_y	λ_{limX}	λ_{limY}	M 2° ord.	Nsd	Comb.	M0ed,x	M2,x	M0ed,y	M2,y	Mver,x	Mver,y	C.s x	C.s y	Risultato (5.38)	(5.39)	Ver.			
-	1.225	5.75	5.6	97	97	64	64	Si	-66.8	SLU 19	6.6399	4.6507	0.1413	4.6507	15.8724	-4.792	1.02		Min	Si		Si	
-	1.225	5.75	5.6	97	97	64	64	Si	-66.8	SLU 19	6.6399	4.6507	0.1413	4.6507	15.8724	-4.792	1.02		X	Si		Si	
-	1.225	5.75	-1	97	97	65	65	Si	-65.65	SLD 12	16.0289	4.5706	7.4077	4.5706	-	-	0.43	2.01	Min	No	0.36	No	
-	1.225	5.75	5.6	97	97	71	71	Si	-55.35	SLD 12	16.0289	3.8534	7.4077	3.8534	31.518	11.261	0.43		X	Si		No	
-	1.225	5.75	-1	97	97	57	57	Si	-85.29	SLV 12	36.6634	5.938	18.3908	5.938	-	-28.81	0.17	0.63	Min	No	0.15	No	
-	1.225	5.75	-1	97	97	57	57	Si	-85.29	SLV 12	36.6634	5.938	18.3908	5.938	84.8379	-28.81	0.17	0.63	X	No	0.15	No	
-	1.225	5.75	1.1	97	97	60	60	Si	-75.93	SLU 19	6.6399	5.2864	0.1413	5.2864	-	-5.4276	1.93	3.85	Min	No	1.48	Si	
-	1.225	5.75	-1	97	97	59	59	Si	-80.2	SLU 19	6.6399	5.5831	0.1413	5.5831	11.9262	-5.7243		3.65	Y	Si		Si	
-	1.225	5.75	-1	97	97	65	65	Si	-65.65	SLD 12	16.0289	4.5706	7.4077	4.5706	-	-	0.43	2.01	Min	No	0.36	No	
-	1.225	5.75	-1	97	97	78	78	Si	-45.58	SLD 1	6.1511	3.1735	11.5139	3.1735	10.7804	17.8707	1.93	0.97	Y	No	0.68	No	
-	1.225	5.75	-1	97	97	57	57	Si	-85.29	SLV 12	36.6634	5.938	18.3908	5.938	-	-28.81	0.17	0.63	Min	No	0.15	No	
-	1.225	5.75	-1	97	97	88	88	Si	-35.7	SLV 1	14.8138	2.4857	28.9269	2.4857	84.8379	34.2482	44.9029	0.43	0.32	Y	No	0.21	No

Verifiche di gerarchia delle resistenze nei nodi trave pilastro

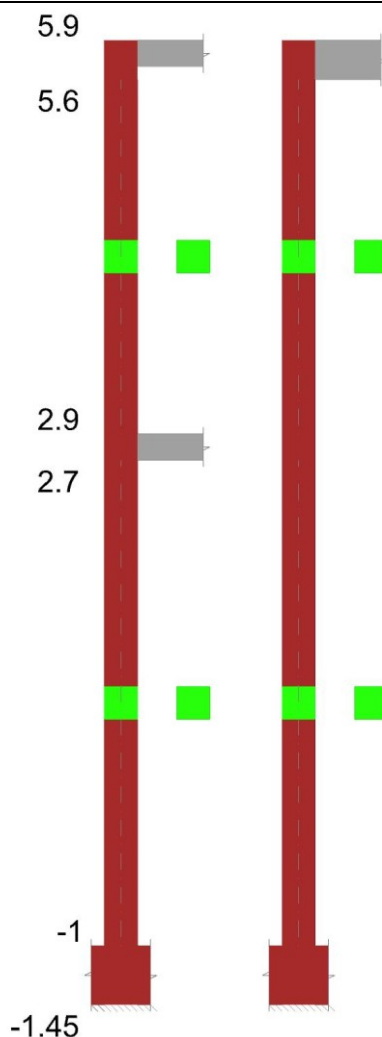
Verifiche di gerarchia delle resistenze nei nodi trave pilastro non presenti in quanto la verifica è non necessaria per la pilastrata

per il nodo Appoggio -1.225 in quanto elemento di materiale esistente.

per il nodo Appoggio 5.75 in quanto elemento di materiale esistente.

Pilastrata P8

Geometria



Dati della pilastrata

Analisi di edificio esistente con fattore di struttura.

Fattore di struttura per meccanismi duttili in direzione X: 1.5

Fattore di struttura per meccanismi duttili in direzione Y: 1.5

Fattore di struttura per meccanismi fragili in direzione X: 1

Fattore di struttura per meccanismi fragili in direzione Y: 1

Verifica dei meccanismi fragili condotta secondo Circolare 7 21-01-19 (§C8.7.2.2) Analisi lineare con fattore q.

Fattore di amplificazione dei meccanismi fragili della componente sismica in direzione X: 1

Fattore di amplificazione dei meccanismi fragili della componente sismica in direzione Y: 1

Campate costituenti la pilastrata

Q.inf.	Q.sup.	Sezione	Esistente	Secondaria	Dissipativa	Interna a parete	Sovreresistenza	Materiale CLS	Materiale Acciaio	FC
-1	2.7	R 25x25	Si	No	No	No		C15/18 Vigone C LC2	Vigone_FeB32k_LC2_FC = 1.2	1.2
2.9	5.6	R 25x25	Si	No	No	No		C15/18 Vigone C LC2	Vigone_FeB32k_LC2_FC = 1.2	1.2

Disposizione delle armature longitudinali

Posizione	X	Y	Diametro	Area	Q.inf.	Q.sup.	Sezione	Materiale
p.1	-0.0862	-0.0862	0.012	0.0001131	-1.225	-1	R 25x25	Vigone FeB32k LC2
p.1	0.0862	-0.0862	0.012	0.0001131	-1.225	-1	R 25x25	Vigone FeB32k LC2
p.1	0.0862	0.0862	0.012	0.0001131	-1.225	-1	R 25x25	Vigone FeB32k LC2
p.1	-0.0862	0.0862	0.012	0.0001131	-1.225	-1	R 25x25	Vigone FeB32k LC2
p.2	-0.0862	-0.0862	0.012	0.0001131	-1	5.479	R 25x25	Vigone FeB32k LC2
p.2	0.0862	-0.0862	0.012	0.0001131	-1	5.479	R 25x25	Vigone FeB32k LC2
p.2	0.0862	0.0862	0.012	0.0001131	-1	5.479	R 25x25	Vigone FeB32k LC2
p.2	-0.0862	0.0862	0.012	0.0001131	-1	5.479	R 25x25	Vigone FeB32k LC2

Controlli geometrici NTC18

Nessuna anomalia

Verifiche delle sezioni

Verifica a pressoflessione in SLU

Quota	As	%	At	Pos.	Mx	My	N	MRdx	MRdy	Comb.	Coeff.s.	Verifica
-1	0.000452	1.4	0.00000003	1,2	-0.3338	7.2651	-178.3	-0.7164	15.5915	SLU 19	2.146	Si
-0.69	0.000452	1.4	0.00000003	1,2	-0.0915	5.3327	-177.69	-0.2182	12.7139	SLU 19	2.384	Si
-0.38	0.000452	1.4	0.00000003	1,2	0.1631	3.3025	-177.06	0.4334	8.7777	SLU 19	2.658	Si
-0.19	0.000452	0.7	0.00000003	2	0.3232	2.0238	-176.66	0.8808	5.5159	SLU 19	2.725	Si
-0.08	0.000452	0.7	0.00000003	2	0.4112	1.3081	-176.43	1.122	3.5696	SLU 19	2.729	Si
0.23	0.000452	0.7	0.00000003	2	0.6549	-0.675	-175.8	1.7936	-1.8485	SLU 19	2.739	Si
0.54	0.000452	0.7	0.00000003	2	0.8987	-2.658	-175.18	2.4699	-7.3055	SLU 19	2.748	Si
0.85	0.000452	0.7	0.00000003	2	1.1443	-4.6566	-174.55	2.8396	-11.5554	SLU 19	2.481	Si
1.16	0.000452	0.7	0.00000003	2	1.3862	-6.6241	-173.92	3.0905	-14.7685	SLU 19	2.23	Si
1.47	0.000452	0.7	0.00000003	2	1.6299	-8.6072	-173.3	3.2662	-17.2479	SLU 19	2.004	Si

Quota	As	%	At	Pos.	Mx	My	N	MRdx	MRdy	Comb.	Coeff.s.	Verifica
1.78	0.000452	0.7	0.00000003	2	1.8737	-10.5902	-172.67	3.3838	-19.1257	SLU 19	1.806	Si
2.08	0.000452	0.7	0.00000003	2	2.1174	-12.5733	-172.05	3.4616	-20.5551	SLU 19	1.635	Si
2.39	0.000452	0.7	0.00000003	2	2.3612	-14.5563	-171.42	3.5149	-21.6689	SLU 19	1.489	Si
2.7	0.000452	0.7	0.00000003	2	2.601	-16.5072	-170.8	3.5343	-22.4306	SLU 19	1.359	Si
2.9	0.000452	0.7	0.00000015	2	1.9107	25.9279	-89.13	1.2706	17.2415	SLU 19	0.665	No
3.2	0.000452	0.7	0.00000015	2	-0.3595	21.1434	-88.53	-0.3215	18.91	SLU 19	0.894	No
3.5	0.000452	0.7	0.00000015	2	-2.6681	16.2778	-87.93	-3.343	20.3954	SLU 19	1.253	Si
3.8	0.000452	0.7	0.00000015	2	-4.9768	11.4122	-87.32	-8.0049	18.356	SLU 19	1.608	Si
4.1	0.000452	0.7	0.00000015	2	-7.2854	6.5466	-86.71	-14.4946	13.0247	SLU 19	1.99	Si
4.4	0.000452	0.7	0.00000015	2	-9.594	1.681	-86.1	-22.4325	3.9305	SLU 19	2.338	Si
4.7	0.000452	0.7	0.00000015	2	-11.9027	-3.1846	-85.49	-20.5785	-5.5058	SLU 19	1.729	Si
5	0.000452	0.7	0.00000015	2	-14.2113	-8.0502	-84.88	-16.1621	-9.1552	SLU 19	1.137	Si
5.3	0.000452	0.7	0.00000015	2	-16.52	-12.9158	-84.27	-13.7612	-10.7589	SLU 19	0.833	No
5.6	0.00038	0.7	0.00000015	2	-18.7901	-17.7002	-83.67	-11.1722	-10.5241	SLU 19	0.595	No

Verifica a pressoflessione in SLV (domini sostanzialmente elastici)

E' attiva l'opzione fattori parziali di sicurezza unitari per meccanismi duttili di strutture esistenti con fattore q
La struttura oppure parte di essa, è stata dichiarata come non dissipativa pertanto la verifica a pressoflessione, per tutte o solo alcune sezioni, viene eseguita calcolando i momenti resistenti in campo sostanzialmente elastico secondo D.M. 17-01-2018 §7.4.1

Le dilatazioni ultime utilizzate sono le dilatazioni limite elastiche

Quota	As	%	At	Pos.	Mx	My	N	ε _{cu}	ε _{fk}	MRdx	MRdy	Comb.	C.S.	Nmin	Nlim	Comb.Nmin	Ver.
-1	0.000452	1.4	0.00000248	1,2	-37.1567	62.7392	-146.95	-	1.58	-7.0619	11.924	SLV 4	0.19				No
-0.69	0.000452	1.4	0.00000248	1,2	-33.1143	53.0869	-146.48	2.02	1.58	-7.53	12.0717	SLV 4	0.227				No
-0.38	0.000452	1.4	0.00000248	1,2	-53.8988	-16.4404	-61.18	2.02	1.58	-12.6731	-3.8656	SLV 12	0.235				No
-0.19	0.000452	0.7	0.00000248	2	-50.0043	-14.8754	-60.87	2.02	1.58	-12.816	-3.8125	SLV 12	0.256				No
-0.08	0.000452	0.7	0.00000248	2	-47.7081	-13.9185	-60.7	2.02	1.58	-12.9183	-3.7688	SLV 12	0.271				No
0.23	0.000452	0.7	0.00000248	2	-41.3959	-11.2749	-60.21	2.02	1.58	-13.2718	-3.6148	SLV 12	0.321				No
0.54	0.000452	0.7	0.00000248	2	-35.2087	-8.6549	-59.73	2.02	1.58	-13.7594	-3.3823	SLV 12	0.391				No
0.85	0.000452	0.7	0.00000248	2	-29.2312	-6.0935	-59.25	2.02	1.58	-14.4897	-3.0205	SLV 12	0.496				No
1.16	0.000452	0.7	0.00000248	2	-23.9001	-3.6694	-58.77	2.02	1.58	-15.5981	-2.3948	SLV 12	0.653				No
1.47	0.000452	0.7	0.00000248	2	-19.2037	-2.1628	-58.29	2.02	1.58	-16.9475	-1.9087	SLV 12	0.883				No
1.78	0.000452	0.7	0.00000248	2	11.8677	-27.9844	-175.73	2.02	1.58	8.0203	-18.9122	SLV 1	0.676				No
2.08	0.000452	0.7	0.00000248	2	12.5728	-37.5734	-163.99	2.02	1.58	5.6143	-16.7782	SLV 2	0.447				No
2.39	0.000452	0.7	0.00000248	2	8.3696	-49.6465	-141.66	2.02	1.58	2.711	-16.0809	SLV 4	0.324				No
2.7	0.000452	0.7	0.00000248	2	18.5311	-60.0546	-141.18	2.02	1.58	4.347	-14.0876	SLV 4	0.235				No
2.9	0.000452	0.7	0.00000243	2	15.4543	32.6454	-72.51	2.02	1.58	5.9848	12.6421	SLV 3	0.387				No
3.2	0.000452	0.7	0.00000243	2	12.1669	24.9171	-72.05	2.02	1.58	6.4769	13.2643	SLV 3	0.532				No
3.5	0.000452	0.7	0.00000243	2	-23.7939	13.3958	-91.25	2.02	1.58	-13.7173	7.7227	SLV 9	0.577				No
3.8	0.000452	0.7	0.00000243	2	-29.1476	9.0461	-90.78	2.02	1.58	-15.1057	4.6881	SLV 9	0.518				No
4.1	0.000452	0.7	0.00000243	2	-32.9606	6.1244	-90.31	2.02	1.58	-15.7339	2.9235	SLV 9	0.477				No
4.4	0.000452	0.7	0.00000243	2	-41.8621	-3.1907	-99.7	2.02	1.58	-16.197	-1.2345	SLV 5	0.387				No
4.7	0.000452	0.7	0.00000243	2	-48.9521	-10.1667	-99.23	2.02	1.58	-14.4965	-3.0107	SLV 5	0.296				No
5	0.000452	0.7	0.00000243	2	-56.4235	-17.0351	-98.76	2.02	1.58	-13.396	-4.0444	SLV 5	0.237				No
5.3	0.000452	0.7	0.00000243	2	-64.136	-23.9301	-98.29	2.02	1.58	-12.6316	-4.713	SLV 5	0.197				No
5.6	0.00038	0.7	0.00000243	2	-71.8553	-30.7207	-97.83	2.02	1.58	-10.3572	-4.4281	SLV 5	0.144				No

Verifica a pressoflessione in SLD

La struttura oppure parte di essa, è stata dichiarata come non dissipativa pertanto la verifica a pressoflessione, per tutte o solo alcune sezioni, viene eseguita calcolando i momenti resistenti in campo sostanzialmente elastico secondo D.M. 17-01-2018 §7.4.1

Le dilatazioni ultime utilizzate sono le dilatazioni limite elastiche

Quota	As	%	At	Pos.	Mx	My	N	MRdx	MRdy	Comb.	Coeff.s.	Verifica
-1	0.000452	1.4	0.000001	1,2	-14.9987	27.6227	-128.81	-8.141	14.9931	SLD 4	0.543	No
-0.69	0.000452	1.4	0.000001	1,2	-13.2871	23.0871	-128.34	-9.1134	15.8351	SLD 4	0.686	No
-0.38	0.000452	1.4	0.000001	1,2	-21.4964	-5.4271	-93.86	-17.7994	-4.4938	SLD 12	0.828	No
-0.19	0.000452	0.7	0.000001	2	-19.875	-5.2502	-93.55	-18.2747	-4.8274	SLD 12	0.919	No
-0.08	0.000452	0.7	0.000001	2	-18.9217	-5.1155	-93.38	-18.6176	-5.0332	SLD 12	0.984	No
0.23	0.000452	0.7	0.000001	2	-16.3028	-4.7455	-92.9	-19.8212	-5.7696	SLD 12	1.216	Si
0.54	0.000452	0.7	0.000001	2	-13.7393	-4.3859	-92.41	-21.4882	-6.8595	SLD 12	1.564	Si
0.85	0.000452	0.7	0.000001	2	-11.2685	-4.059	-91.93	-22.1607	-7.9823	SLD 12	1.967	Si
1.16	0.000452	0.7	0.000001	2	10.7762	-3.9104	-135.2	22.1034	-8.0207	SLD 5	2.051	Si
1.47	0.000452	0.7	0.000001	2	5.3725	-9.9871	-138.23	10.712	-19.913	SLD 1	1.994	Si
1.78	0.000452	0.7	0.000001	2	5.5215	-14.881	-137.75	8.1886	-22.0691	SLD 1	1.483	Si
2.08	0.000452	0.7	0.000001	2	5.9109	-19.7708	-137.27	6.6721	-22.317	SLD 1	1.129	Si
2.39	0.000452	0.7	0.000001	2	7.1105	-24.1269	-132.29	5.7014	-19.3455	SLD 2	0.802	No
2.7	0.000452	0.7	0.000001	2	8.5487	-29.7896	-123.04	4.8701	-16.9708	SLD 4	0.57	No
2.9	0.000452	0.7	0.00000103	2	7.0392	22.8842	-66.12	4.5695	14.8553	SLD 3	0.649	No
3.2	0.000452	0.7	0.00000103	2	4.8011	17.8947	-65.66	4.4055	16.4204	SLD 3	0.918	No
3.5	0.000452	0.7	0.00000103	2	-10.6461	11.2534	-73.02	-12.2619	12.9614	SLD 9	1.152	Si
3.8	0.000452	0.7	0.00000103	2	-13.5971	7.5897	-72.56	-15.7302	8.7804	SLD 9	1.157	Si
4.1	0.000452	0.7	0.00000103	2	-15.9707	4.5336	-72.09	-17.6732	5.0169	SLD 9	1.107	Si
4.4	0.000452	0.7	0.00000103	2	-20.4055	-1.1357	-75.61	-18.906	-1.0523	SLD 5	0.927	No
4.7	0.000452	0.7	0.00000103	2	-24.1353	-5.8518	-75.14	-15.8024	-3.8314	SLD 5	0.655	No
5	0.000452	0.7	0.00000103	2	-28.0278	-10.529	-74.67	-13.9628	-5.2453	SLD 5	0.498	No
5.3	0.000452	0.7	0.00000103	2	-32.0211	-15.2182	-74.2	-12.7654	-6.0668	SLD 5	0.399	No

Quota	As	%	At	Pos.	Mx	My	N	MRdx	MRdy	Comb.	Coeff.s.	Verifica
5.6	0.00038	0.7	0.00000103	2	-36.0043	-19.8339	-73.74	-10.2831	-5.6647	SLD 5	0.286	No

Indicatori di rischio sismico a pressoflessione in SLV

E' attiva l'opzione fattori parziali di sicurezza unitari per meccanismi duttili di strutture esistenti con fattore q
La struttura oppure parte di essa, è stata dichiarata come non dissipativa pertanto la verifica a pressoflessione, per tutte o solo alcune sezioni, viene eseguita calcolando i momenti resistenti in campo sostanzialmente elastico secondo D.M. 17-01-2018 §7.4.1

Le dilatazioni ultime utilizzate sono le dilatazioni limite elastiche

Quota	Molt.	TR	I.R.TR	PGA	I.R.PGA	Comb.	Ver.
-1	0.245	41	0.276	0.057	0.288	SLV 4	No
-0.69	0.3	58	0.318	0.067	0.338	SLV 4	No
-0.38	0.356	81	0.365	0.078	0.393	SLV 12	No
-0.19	0.38	91	0.382	0.082	0.413	SLV 12	No
-0.08	0.396	98	0.394	0.085	0.426	SLV 12	No
0.23	0.448	127	0.438	0.095	0.474	SLV 12	No
0.54	0.519	179	0.505	0.109	0.546	SLV 12	No
0.85	0.618	275	0.602	0.129	0.644	SLV 12	No
1.16	0.751	446	0.734	0.154	0.772	SLV 12	No
1.47	0.922	765	0.915	0.185	0.929	SLV 12	No
1.78	0.691	364	0.675	0.143	0.715	SLV 1	No
2.08	0.454	130	0.443	0.096	0.479	SLV 1	No
2.39	0.316	64	0.331	0.071	0.354	SLV 2	No
2.7	0.215	33	0.252	0.052	0.26	SLV 4	No
2.9	0.088	7	0.134	0.025	0.127	SLV 3	No
3.2	0.336	72	0.347	0.075	0.374	SLV 3	No
3.5	0.5	163	0.486	0.105	0.525	SLV 9	No
3.8	0.478	145	0.463	0.1	0.501	SLV 9	No
4.1	0.448	127	0.438	0.095	0.474	SLV 9	No
4.4	0.366	85	0.372	0.08	0.401	SLV 5	No
4.7	0.226	36	0.261	0.054	0.271	SLV 5	No
5	0.122	12	0.167	0.033	0.163	SLV 5	No
5.3	0.041	1	0.06	0.01	0.052	SLV 5	No
5.6	0	0	0	0	0	SLV 1	No

Indicatori di rischio sismico a pressoflessione in SLD Resistenza

La struttura oppure parte di essa, è stata dichiarata come non dissipativa pertanto la verifica a pressoflessione, per tutte o solo alcune sezioni, viene eseguita calcolando i momenti resistenti in campo sostanzialmente elastico secondo D.M. 17-01-2018 §7.4.1

Le dilatazioni ultime utilizzate sono le dilatazioni limite elastiche

Quota	Molt.	TR	I.R.TR	PGA	I.R.PGA	Comb.	Ver.
-1	0.613	41	0.691	0.057	0.667	SLD 4	No
-0.69	0.752	58	0.797	0.067	0.784	SLD 4	No
-0.38	0.893	81	0.913	0.078	0.912	SLD 12	No
-0.19	0.951	91	0.958	0.082	0.957	SLD 12	No
-0.08	0.99	99	0.992	0.085	0.992	SLD 12	No
0.23	1.123	127	1.098	0.095	1.099	SLD 12	Si
0.54	1.301	180	1.267	0.109	1.269	SLD 12	Si
0.85	1.547	276	1.51	0.129	1.495	SLD 12	Si
1.16	1.877	445	1.837	0.154	1.788	SLD 12	Si
1.47	2.289	749	2.274	0.184	2.14	SLD 12	Si
1.78	1.723	360	1.684	0.142	1.651	SLD 1	Si
2.08	1.131	129	1.106	0.095	1.106	SLD 1	Si
2.39	0.791	64	0.829	0.071	0.821	SLD 2	No
2.7	0.535	33	0.632	0.052	0.604	SLD 4	No
2.9	0.219	7	0.335	0.025	0.294	SLD 3	No
3.2	0.828	70	0.86	0.074	0.856	SLD 3	No
3.5	1.246	161	1.211	0.104	1.212	SLD 9	Si
3.8	1.195	145	1.16	0.1	1.161	SLD 9	Si
4.1	1.123	127	1.098	0.095	1.099	SLD 9	Si
4.4	0.92	86	0.936	0.08	0.935	SLD 5	No
4.7	0.566	36	0.655	0.054	0.629	SLD 5	No
5	0.307	12	0.418	0.033	0.378	SLD 5	No
5.3	0.104	1	0.151	0.01	0.119	SLD 5	No
5.6	0	0	0	0	0	SLD 1	No

Verifica a taglio-torsione in famiglia SLU

Quota	Staffe	Ved.x	Ved.y	Ned	Comb.V	Cot	Vres	c.s.v	Mt	As,t	Al,t	Comb.Tor.	Trcd	Trsd	Trld	c.s.v-T	Ver.
-1	2X/2Y ø6/14.8	-6.44	0.81	-178.3	SLU 19	2.5	50.88	7.9	0.00038	0	0.00000002	SLU 1	7.79391	0.00038	0.00038	1.02	Si
-0.69	2X/2Y ø6/14.8	-6.44	0.81	-177.69	SLU 19	2.5	50.88	7.9	0.00038	0	0.00000002	SLU 1	7.79391	0.00038	0.00038	1.02	Si
-0.38	2X/2Y ø6/14.8	-6.44	0.81	-177.06	SLU 19	2.5	50.88	7.9	0.00038	0	0.00000002	SLU 1	7.79391	0.00038	0.00038	1.02	Si
-0.19	2X/2Y ø6/14.8	-6.44	0.81	-176.66	SLU 19	2.5	50.88	7.9	0.00038	0	0.00000002	SLU 1	7.79391	0.00038	0.00038	1.02	Si
-0.08	2X/2Y ø6/14.8	-6.44	0.81	-176.43	SLU 19	2.5	50.88	7.9	0.00038	0	0.00000002	SLU 1	7.79391	0.00038	0.00038	1.02	Si
0.23	2X/2Y ø6/14.8	-6.44	0.81	-175.8	SLU 19	2.5	50.88	7.9	0.00038	0	0.00000002	SLU 1	7.79391	0.00038	0.00038	1.02	Si
0.54	2X/2Y ø6/14.8	-6.44	0.81	-175.18	SLU 19	2.5	50.88	7.9	0.00038	0	0.00000002	SLU 1	7.79391	0.00038	0.00038	1.02	Si
0.85	2X/2Y ø6/14.8	-6.44	0.81	-174.55	SLU 19	2.5	50.88	7.9	0.00038	0	0.00000002	SLU 1	7.79391	0.00038	0.00038	1.02	Si
1.16	2X/2Y ø6/14.8	-6.44	0.81	-173.92	SLU 19	2.5	50.88	7.9	0.00038	0	0.00000002	SLU 1	7.79391	0.00038	0.00038	1.02	Si
1.47	2X/2Y ø6/14.8	-6.44	0.81	-173.3	SLU 19	2.5	50.88	7.9	0.00038	0	0.00000002	SLU 1	7.79391	0.00038	0.00038	1.02	Si
1.78	2X/2Y ø6/14.8	-6.44	0.81	-172.67	SLU 19	2.5	50.88	7.9	0.00038	0	0.00000002	SLU 1	7.79391	0.00038	0.00038	1.02	Si
2.08	2X/2Y ø6/14.8	-6.44	0.81	-172.05	SLU 19	2.5	50.88	7.9	0.00038	0	0.00000002	SLU 1	7.79391	0.00038	0.00038	1.02	Si
2.39	2X/2Y ø6/14.8	-6.44	0.81	-171.42	SLU 19	2.5	50.88	7.9	0.00038	0	0.00000002	SLU 1	7.79391	0.00038	0.00038	1.02	Si
2.7	2X/2Y ø6/14.8	-6.44	0.81	-170.8	SLU 19	2.5	50.88	7.9	0.00038	0	0.00000002	SLU 1	7.79391	0.00038	0.00038	1.02	Si
2.9	2X/2Y ø6/14.7	-16.22	-7.72	-89.13	SLU 19	2.5	51.06	3.15	0.00168	0.00000001	0.00000008	SLU 1	7.79391	0.00168	0.00168	1.02	Si
3.2	2X/2Y ø6/14.7	-16.22	-7.72	-88.53	SLU 19	2.5	51.06	3.15	0.00168	0.00000001	0.00000008	SLU 1	7.79391	0.00168	0.00168	1.02	Si

Corpo C-Vigone

Quota	Staffe	Ved.x	Ved.y	Ned	Comb.V	Cot	Vres	c.s.V	Mt	As,t	Al,t	Comb.Tor.	Trcd	Trsd	Trld	c.s.V-T	Ver.
3.5	2X/2Y ø6/14.7	-16.22	-7.72	-87.93	SLU 19	2.5	51.06	3.15	-0.00168	0.00000001	0.00000008	SLU 1	7.79391	0.00168	0.00168	1.02	Sl
3.8	2X/2Y ø6/14.7	-16.22	-7.72	-87.32	SLU 19	2.5	51.06	3.15	-0.00168	0.00000001	0.00000008	SLU 1	7.79391	0.00168	0.00168	1.02	Sl
4.1	2X/2Y ø6/14.7	-16.22	-7.72	-86.71	SLU 19	2.5	51.06	3.15	-0.00168	0.00000001	0.00000008	SLU 1	7.79391	0.00168	0.00168	1.02	Sl
4.4	2X/2Y ø6/14.7	-16.22	-7.72	-86.1	SLU 19	2.5	51.06	3.15	-0.00168	0.00000001	0.00000008	SLU 1	7.79391	0.00168	0.00168	1.02	Sl
4.7	2X/2Y ø6/14.7	-16.22	-7.72	-85.49	SLU 19	2.5	51.06	3.15	-0.00168	0.00000001	0.00000008	SLU 1	7.79391	0.00168	0.00168	1.02	Sl
5	2X/2Y ø6/14.7	-16.22	-7.72	-84.88	SLU 19	2.5	51.06	3.15	-0.00168	0.00000001	0.00000008	SLU 1	7.79391	0.00168	0.00168	1.02	Sl
5.3	2X/2Y ø6/14.7	-16.22	-7.72	-84.27	SLU 19	2.5	51.06	3.15	-0.00168	0.00000001	0.00000008	SLU 1	7.79391	0.00168	0.00168	1.02	Sl
5.6	2X/2Y ø6/14.7	-16.22	-7.72	-83.67	SLU 19	2.5	51.06	3.15	-0.00168	0.00000001	0.00000008	SLU 1	7.79391	0.00168	0.00168	1.02	Sl

Verifica a taglio-torsione in famiglia SLV

Quota	Staffe	Ved.x	Ved.y	Ned	Comb.V	Cot	Vres	c.s.V	Mt	As,t	Al,t	Comb.Tor.	Trcd	Trsd	Trld	c.s.V-T	Ver.
-1	2X/2Y ø6/14.8	-35.06	19.91	-158.2	SLV 3	2.5	50.42	1.44	0.05426	0.00000041	0.00000248	SLV 1	7.79391	0.05426	0.05426	1.02	Sl
-0.69	2X/2Y ø6/14.8	-35.06	19.91	-157.74	SLV 3	2.5	50.42	1.44	0.05426	0.00000041	0.00000248	SLV 1	7.79391	0.05426	0.05426	1.02	Sl
-0.38	2X/2Y ø6/14.8	-35.06	19.91	-157.25	SLV 3	2.5	50.42	1.44	0.05426	0.00000041	0.00000248	SLV 1	7.79391	0.05426	0.05426	1.02	Sl
-0.19	2X/2Y ø6/14.8	-34.72	19.92	-156.94	SLV 3	2.5	50.42	1.45	0.05426	0.00000041	0.00000248	SLV 1	7.79391	0.05426	0.05426	1.02	Sl
-0.08	2X/2Y ø6/14.8	-34.72	19.92	-156.76	SLV 3	2.5	50.42	1.45	0.05426	0.00000041	0.00000248	SLV 1	7.79391	0.05426	0.05426	1.02	Sl
0.23	2X/2Y ø6/14.8	-34.72	19.92	-156.28	SLV 3	2.5	50.42	1.45	0.05426	0.00000041	0.00000248	SLV 1	7.79391	0.05426	0.05426	1.02	Sl
0.54	2X/2Y ø6/14.8	-34.72	19.92	-155.8	SLV 3	2.5	50.42	1.45	0.05426	0.00000041	0.00000248	SLV 1	7.79391	0.05426	0.05426	1.02	Sl
0.85	2X/2Y ø6/14.8	-34.72	19.92	-155.32	SLV 3	2.5	50.42	1.45	0.05426	0.00000041	0.00000248	SLV 1	7.79391	0.05426	0.05426	1.02	Sl
1.16	2X/2Y ø6/14.8	-34.72	19.92	-154.84	SLV 3	2.5	50.42	1.45	0.05426	0.00000041	0.00000248	SLV 1	7.79391	0.05426	0.05426	1.02	Sl
1.47	2X/2Y ø6/14.8	-34.72	19.92	-154.36	SLV 3	2.5	50.42	1.45	0.05426	0.00000041	0.00000248	SLV 1	7.79391	0.05426	0.05426	1.02	Sl
1.78	2X/2Y ø6/14.8	-34.72	19.92	-153.87	SLV 3	2.5	50.42	1.45	0.05426	0.00000041	0.00000248	SLV 1	7.79391	0.05426	0.05426	1.02	Sl
2.08	2X/2Y ø6/14.8	-34.72	19.92	-153.39	SLV 3	2.5	50.42	1.45	0.05426	0.00000041	0.00000248	SLV 1	7.79391	0.05426	0.05426	1.02	Sl
2.39	2X/2Y ø6/14.8	-34.72	19.92	-152.91	SLV 3	2.5	50.42	1.45	0.05426	0.00000041	0.00000248	SLV 1	7.79391	0.05426	0.05426	1.02	Sl
2.7	2X/2Y ø6/14.8	-34.72	19.92	-152.44	SLV 3	2.5	50.42	1.45	0.05426	0.00000041	0.00000248	SLV 1	7.79391	0.05426	0.05426	1.02	Sl
2.9	2X/2Y ø6/14.7	-30.1	-26.67	-91.96	SLV 1	2.5	50.53	1.68	0.04304	0.00000032	0.00000197	SLV 1	7.79391	0.04304	0.04304	1.02	Sl
3.2	2X/2Y ø6/14.7	-30.1	-26.67	-91.5	SLV 1	2.5	50.53	1.68	0.04304	0.00000032	0.00000197	SLV 1	7.79391	0.04304	0.04304	1.02	Sl
3.5	2X/2Y ø6/14.7	-30.1	-26.67	-91.03	SLV 1	2.5	50.53	1.68	0.04304	0.00000032	0.00000197	SLV 1	7.79391	0.04304	0.04304	1.02	Sl
3.8	2X/2Y ø6/14.7	-30.1	-26.67	-90.56	SLV 1	2.5	50.53	1.68	0.04304	0.00000032	0.00000197	SLV 1	7.79391	0.04304	0.04304	1.02	Sl
4.1	2X/2Y ø6/14.7	-30.1	-26.67	-90.09	SLV 1	2.5	50.53	1.68	0.04304	0.00000032	0.00000197	SLV 1	7.79391	0.04304	0.04304	1.02	Sl
4.4	2X/2Y ø6/14.7	-30.1	-26.67	-89.62	SLV 1	2.5	50.53	1.68	0.04304	0.00000032	0.00000197	SLV 1	7.79391	0.04304	0.04304	1.02	Sl
4.7	2X/2Y ø6/14.7	-30.1	-26.67	-89.15	SLV 1	2.5	50.53	1.68	0.04304	0.00000032	0.00000197	SLV 1	7.79391	0.04304	0.04304	1.02	Sl
5	2X/2Y ø6/14.7	-30.1	-26.67	-88.68	SLV 1	2.5	50.53	1.68	0.04304	0.00000032	0.00000197	SLV 1	7.79391	0.04304	0.04304	1.02	Sl
5.3	2X/2Y ø6/14.7	-30.1	-26.67	-88.21	SLV 1	2.5	50.53	1.68	0.04304	0.00000032	0.00000197	SLV 1	7.79391	0.04304	0.04304	1.02	Sl
5.6	2X/2Y ø6/14.7	-30.1	-26.67	-87.75	SLV 1	2.5	50.53	1.68	0.04304	0.00000032	0.00000197	SLV 1	7.79391	0.04304	0.04304	1.02	Sl

Verifica taglio ciclico secondo Circolare 7 21-01-19 §C8.7.2.3.5 formula [C8.7.2.8] in combinazione SLV

Quota	Q.inf.	Q.sup.	Dir.	Lv	x	h	p,tot	θ,m	θ,y	μ,Δ.pl	VRd	VRcd(cotθ=1)	VRsd	Vw	VR	Vu	VEd	NEd	Comb.	Verifica
-1	-	2.8	X	2.013	0.138	0.25	0.0072	0.009344	0.014184	0	29.364	105.37	50.42	20.168	24.187	50.42	-	-158.2	SLV 3	Sl
-1	1.225	2.8	Y	2.013	0.106	0.25	0.0072	0.00953	0.014184	0	29.364	101.448	50.415	20.166	23.181	50.415	35.058	-	SLV 8	Sl
-1	-	2.8	Y	2.013	0.106	0.25	0.0072	0.00953	0.014184	0	29.364	101.448	50.415	20.166	23.181	50.415	19.911	90.218	SLV 8	Sl

Verifica a taglio-torsione in famiglia SLD Resistenza

Quota	Staffe	Ved.x	Ved.y	Ned	Comb.V	Cot	Vres	c.s.V	Mt	As,t	Al,t	Comb.Tor.	Trcd	Trsd	Trld	c.s.V-T	Ver.
-1	2X/2Y ø6/14.8	-16.29	8.32	-133.31	SLD 3	2.5	50.7	3.11	0.02196	0.00000016	0.000001	SLD 1	7.79391	0.02196	0.02196	1.02	Sl
-0.69	2X/2Y ø6/14.8	-16.29	8.32	-132.84	SLD 3	2.5	50.7	3.11	0.02196	0.00000016	0.000001	SLD 1	7.79391	0.02196	0.02196	1.02	Sl
-0.38	2X/2Y ø6/14.8	-16.29	8.32	-132.35	SLD 3	2.5	50.7	3.11	0.02196	0.00000016	0.000001	SLD 1	7.79391	0.02196	0.02196	1.02	Sl
-0.19	2X/2Y ø6/14.8	-16.14	8.33	-132.05	SLD 3	2.5	50.7	3.14	0.02196	0.00000016	0.000001	SLD 1	7.79391	0.02196	0.02196	1.02	Sl
-0.08	2X/2Y ø6/14.8	-16.14	8.33	-131.87	SLD 3	2.5	50.7	3.14	0.02196	0.00000016	0.000001	SLD 1	7.79391	0.02196	0.02196	1.02	Sl
0.23	2X/2Y ø6/14.8	-16.14	8.33	-131.39	SLD 3	2.5	50.7	3.14	0.02196	0.00000016	0.000001	SLD 1	7.79391	0.02196	0.02196	1.02	Sl
0.54	2X/2Y ø6/14.8	-16.14	8.33	-130.91	SLD 3	2.5	50.7	3.14	0.02196	0.00000016	0.000001	SLD 1	7.79391	0.02196	0.02196	1.02	Sl
0.85	2X/2Y ø6/14.8	-16.14	8.33	-130.42	SLD 3	2.5	50.7	3.14	0.02196	0.00000016	0.000001	SLD 1	7.79391	0.02196	0.02196	1.02	Sl
1.16	2X/2Y ø6/14.8	-16.14	8.33	-129.94	SLD 3	2.5	50.7	3.14	0.02196	0.00000016	0.000001	SLD 1	7.79391	0.02196	0.02196	1.02	Sl
1.47	2X/2Y ø6/14.8	-16.14	8.33	-129.46	SLD 3	2.5	50.7	3.14	0.02196	0.00000016	0.000001	SLD 1	7.79391	0.02196	0.02196	1.02	Sl
1.78	2X/2Y ø6/14.8	-16.14	8.33	-128.98	SLD 3	2.5	50.7	3.14	0.02196	0.00000016	0.000001	SLD 1	7.79391	0.02196	0.02196	1.02	Sl
2.08	2X/2Y ø6/14.8	-16.14	8.33	-128.5	SLD 3	2.5	50.7	3.14	0.02196	0.00000016	0.000001	SLD 1	7.79391	0.02196	0.02196	1.02	Sl
2.39	2X/2Y ø6/14.8	-16.14	8.33	-128.02	SLD 3	2.5	50.7	3.14	0.02196	0.00000016	0.000001	SLD 1	7.79391	0.02196	0.02196	1.02	Sl
2.7	2X/2Y ø6/14.8	-16.14	8.33	-127.54	SLD 3	2.5	50.7	3.14	0.02196	0.00000016	0.000001	SLD 1	7.79391	0.02196	0.02196	1.02	Sl

Quota	Staffe	Ved.x	Ved.y	Ned	Comb.V	Cot	Vres	c.s.V	Mt	As,t	Al,t	Comb.Tor.	Trcd	Trsd	Trld	c.s.V-T	Ver.
2.9	2X/2Y ø6/14.7	-18.5	-13.75	-73.93	SLD 1	2.5	50.89	2.75	0.0161	0.00000012	0.00000074	SLD 1	7.79391	0.0161	0.0161	1.02	Si
3.2	2X/2Y ø6/14.7	-18.5	-13.75	-73.47	SLD 1	2.5	50.89	2.75	0.0161	0.00000012	0.00000074	SLD 1	7.79391	0.0161	0.0161	1.02	Si
3.5	2X/2Y ø6/14.7	-18.5	-13.75	-73	SLD 1	2.5	50.89	2.75	0.0161	0.00000012	0.00000074	SLD 1	7.79391	0.0161	0.0161	1.02	Si
3.8	2X/2Y ø6/14.7	-18.5	-13.75	-72.53	SLD 1	2.5	50.89	2.75	0.0161	0.00000012	0.00000074	SLD 1	7.79391	0.0161	0.0161	1.02	Si
4.1	2X/2Y ø6/14.7	-18.5	-13.75	-72.06	SLD 1	2.5	50.89	2.75	0.0161	0.00000012	0.00000074	SLD 1	7.79391	0.0161	0.0161	1.02	Si
4.4	2X/2Y ø6/14.7	-18.5	-13.75	-71.59	SLD 1	2.5	50.89	2.75	0.0161	0.00000012	0.00000074	SLD 1	7.79391	0.0161	0.0161	1.02	Si
4.7	2X/2Y ø6/14.7	-18.5	-13.75	-71.13	SLD 1	2.5	50.89	2.75	0.0161	0.00000012	0.00000074	SLD 1	7.79391	0.0161	0.0161	1.02	Si
5	2X/2Y ø6/14.7	-18.5	-13.75	-70.66	SLD 1	2.5	50.89	2.75	0.0161	0.00000012	0.00000074	SLD 1	7.79391	0.0161	0.0161	1.02	Si
5.3	2X/2Y ø6/14.7	-18.5	-13.75	-70.19	SLD 1	2.5	50.89	2.75	0.0161	0.00000012	0.00000074	SLD 1	7.79391	0.0161	0.0161	1.02	Si
5.6	2X/2Y ø6/14.7	-18.5	-13.75	-69.73	SLD 1	2.5	50.89	2.75	0.0161	0.00000012	0.00000074	SLD 1	7.79391	0.0161	0.0161	1.02	Si

Indicatori di rischio sismico a taglio in SLV

Quota	Molt.	TR	I.R.TR	PGA	I.R.PGA	Comb.	Ver.
-0.69	1.506	2114	1.389	0.255	1.279	SLV 3	Si
-0.38	1.506	2114	1.389	0.255	1.279	SLV 3	Si
-0.19	1.523	2114	1.389	0.255	1.279	SLV 3	Si
-0.08	1.523	2114	1.389	0.255	1.279	SLV 3	Si
0.23	1.523	2114	1.389	0.255	1.279	SLV 3	Si
0.54	1.523	2114	1.389	0.255	1.279	SLV 3	Si
0.85	1.523	2114	1.389	0.255	1.279	SLV 3	Si
1.16	1.523	2114	1.389	0.255	1.279	SLV 3	Si
1.47	1.523	2114	1.389	0.255	1.279	SLV 3	Si
1.78	1.523	2114	1.389	0.255	1.279	SLV 3	Si
2.08	1.523	2114	1.389	0.255	1.279	SLV 3	Si
2.39	1.523	2114	1.389	0.255	1.279	SLV 3	Si
2.7	1.523	2114	1.389	0.255	1.279	SLV 3	Si
2.9	2.084	2114	1.389	0.255	1.279	SLV 1	Si
3.2	2.084	2114	1.389	0.255	1.279	SLV 1	Si
3.5	2.084	2114	1.389	0.255	1.279	SLV 1	Si
3.8	2.084	2114	1.389	0.255	1.279	SLV 1	Si
4.1	2.084	2114	1.389	0.255	1.279	SLV 1	Si
4.4	2.084	2114	1.389	0.255	1.279	SLV 1	Si
4.7	2.084	2114	1.389	0.255	1.279	SLV 1	Si
5	2.084	2114	1.389	0.255	1.279	SLV 1	Si
5.3	2.084	2114	1.389	0.255	1.279	SLV 1	Si
5.6	2.084	2114	1.389	0.255	1.279	SLV 1	Si

Indicatori di rischio sismico a taglio in SLD Resistenza

Quota	Molt.	TR	I.R.TR	PGA	I.R.PGA	Comb.	Ver.
-1	3.754	2110	3.477	0.255	2.966	SLD 3	Si
-0.69	3.754	2110	3.477	0.255	2.966	SLD 3	Si
-0.38	3.754	2110	3.477	0.255	2.966	SLD 3	Si
-0.19	3.801	2110	3.477	0.255	2.966	SLD 3	Si
-0.08	3.801	2110	3.477	0.255	2.966	SLD 3	Si
0.23	3.801	2110	3.477	0.255	2.966	SLD 3	Si
0.54	3.801	2110	3.477	0.255	2.966	SLD 3	Si
0.85	3.801	2110	3.477	0.255	2.966	SLD 3	Si
1.16	3.801	2110	3.477	0.255	2.966	SLD 3	Si
1.47	3.801	2110	3.477	0.255	2.966	SLD 3	Si
1.78	3.801	2110	3.477	0.255	2.966	SLD 3	Si
2.08	3.801	2110	3.477	0.255	2.966	SLD 3	Si
2.39	3.801	2110	3.477	0.255	2.966	SLD 3	Si
2.7	3.801	2110	3.477	0.255	2.966	SLD 3	Si
2.9	5.163	2110	3.477	0.255	2.966	SLD 1	Si
3.2	5.163	2110	3.477	0.255	2.966	SLD 1	Si
3.5	5.163	2110	3.477	0.255	2.966	SLD 1	Si
3.8	5.163	2110	3.477	0.255	2.966	SLD 1	Si
4.1	5.163	2110	3.477	0.255	2.966	SLD 1	Si
4.4	5.163	2110	3.477	0.255	2.966	SLD 1	Si
4.7	5.163	2110	3.477	0.255	2.966	SLD 1	Si
5	5.163	2110	3.477	0.255	2.966	SLD 1	Si
5.3	5.163	2110	3.477	0.255	2.966	SLD 1	Si
5.6	5.163	2110	3.477	0.255	2.966	SLD 1	Si

Verifiche nodi trave colonna

Riepilogo dei dati per le diverse tipologie di verifica eseguite per i nodi

Pilastrata	Q.Nodo	Escluso	Confinato	Segnalazioni
Pilastrata P8	-1.225	Si	No	
Pilastrata P8	2.8	No	No	
Pilastrata P8	5.75	No	No	

Verifiche nodi trave colonna in combinazioni SLD

Riepilogo dei dati per la verifica del nodo secondo Circolare 7 21-01-19 §C8.7.2.3.5.

Pilastrata	Q.Nodo	Angolo travatura	Aj	Vpc	Vtc	Vnc	Nc	onc	onc,lim	Comb.c	Vpt	Vtt	Vnt	Nt	ont	ont,lim	Comb.t	Segnalazioni	Verifica
Pilastrata P8	2.8	0	0.06468	-18.502	398.354	379.852	-73.944	6472	4173	SLD 1	18.502	398.354	379.852	-73.944	5329	867	SLD 1		No

Verifiche nodi trave colonna in combinazioni SLD

Riepilogo dei dati per la verifica del nodo secondo Circolare 7 21-01-19 §C8.7.2.3.5.

Pilastrata	Q.Nodo	Angolo travatura	Aj	Vpc	Vtc	Vnc	Nc	onc	onc,lim	Comb.c	Vpt	Vtt	Vnt	Nt	ont	ont,lim	Comb.t	Segnalazioni	Verifica
Pilastrata P8	5.75	0	0.06468	0	189.879	189.879	0	2936	4173	SLD 1	0	189.879	189.879	0	2936	867	SLD 1		No
	5.75	90	0.04312	0	160.504	160.504	0	3722	4173	SLD 5	0	160.504	160.504	0	3722	867	SLD 5		No

Verifiche nodi trave colonna in combinazioni SLV**Riepilogo dei dati per la verifica del nodo secondo Circolare 7 21-01-19 §C8.7.2.3.5.**

Pilastrata	Q.Nodo	Angolo travatura	Aj	Vpc	Vtc	Vnc	Nc	onc	onc,lim	Comb.c	Vpt	Vtt	Vnt	Nt	ont	ont,lim	Comb.t	Segnalazioni	Verifica
Pilastrata P8	2.8	0	0.06468	1.578	458.657	460.235	-	7587	4173	SLV 13	8.755	458.657	467.411	-	6986	867	SLV 16		No
							59.113							31.563					

Verifiche nodi trave colonna in combinazioni SLV**Riepilogo dei dati per la verifica del nodo secondo Circolare 7 21-01-19 §C8.7.2.3.5.**

Pilastrata	Q.Nodo	Angolo travatura	Aj	Vpc	Vtc	Vnc	Nc	onc	onc,lim	Comb.c	Vpt	Vtt	Vnt	Nt	ont	ont,lim	Comb.t	Segnalazioni	Verifica
Pilastrata P8	5.75	0	0.06468	0	334.425	334.425	0	5170	4173	SLV 1	0	334.425	334.425	0	5170	867	SLV 1		No
	5.75	90	0.04312	0	246.377	246.377	0	5714	4173	SLV 5	0	246.377	246.377	0	5714	867	SLV 5		No

Indicatori di rischio sismico dei nodi in SLD

Pilastrata	Q.Nodo	Angolo travatura	Moltiplicatore	TR	I.R.TR	PGA	I.R.PGA	Comb.	Ver.
Pilastrata P8	2.8	0	0	0	0	0	0	SLD 1	No

Indicatori di rischio sismico dei nodi in SLD

Pilastrata	Q.Nodo	Angolo travatura	Moltiplicatore	TR	I.R.TR	PGA	I.R.PGA	Comb.	Ver.
Pilastrata P8	5.75	0	0	0	0	0	0	SLD 1	No
	5.75	90	0	0	0	0	0	SLD 1	No

Indicatori di rischio sismico dei nodi in SLV

Pilastrata	Q.Nodo	Angolo travatura	Moltiplicatore	TR	I.R.TR	PGA	I.R.PGA	Comb.	Ver.
Pilastrata P8	2.8	0	0	0	0	0	0	SLV 1	No

Indicatori di rischio sismico dei nodi in SLV

Pilastrata	Q.Nodo	Angolo travatura	Moltiplicatore	TR	I.R.TR	PGA	I.R.PGA	Comb.	Ver.
Pilastrata P8	5.75	0	0	0	0	0	0	SLV 1	No
	5.75	90	0	0	0	0	0	SLV 1	No

Verifica di instabilità

Q.inf.	Q.sup.	Quota	λ,x	λ,y	λ,limX	λ,limY	M 2° ord.	Nsd	Comb.	M0ed,x	M2,x	M0ed,y	M2,y	Mver,x	Mver,y	C.s x	C.s y	Risultato (5.38)	(5.39)	Ver.		
-	2.8	-	56	56	40	40	Si	-176.43	SLV 19	1.4015	4.2711	6.873	4.2562	5.6726	11.1292	2.35	1.78	Min	No	1.58	Si	
1.225	-	0.075	-	-	-	-	-	-	-	-	-	-	-	-	-	-	-	-	-	-	-	-
-	2.8	-1	56	56	39	39	Si	-178.3	SLV 19	1.4015	4.2876	6.873	4.2908	-5.6891	11.1638	2.34		X	Si		Si	
1.225	-	-	-	-	-	-	-	-	-	-	-	-	-	-	-	-	-	-	-	-	-	-
-	2.8	-1	56	56	46	46	Si	-128.81	SLD 4	6.534	2.9888	12.5867	3.018	-	27.6227	1.89	0.79	Min	No	0.54	No	
1.225	-	-	-	-	-	-	-	-	-	-	-	-	-	14.9987	-	-	-	-	-	-	-	-
-	2.8	-1	56	56	51	51	Si	-106.07	SLD 8	13.2079	2.4589	7.1657	2.541	-	9.7068	0.76	2.85	X	No	0.6	No	
1.225	-	-	-	-	-	-	-	-	-	-	-	-	-	26.5466	-	-	-	-	-	-	-	-
-	2.8	-1	56	56	43	43	Si	-146.95	SLV 4	16.2695	3.4066	28.1017	3.4066	-	62.7392	0.54	0.27	Min	No	0.19	No	
1.225	-	-	-	-	-	-	-	-	-	-	-	-	-	37.1567	-	-	-	-	-	-	-	-
-	2.8	-1	56	56	55	55	Si	-90.22	SLV 8	34.0703	2.0915	11.8845	2.1307	-	15.7419	0.23	1.57	X	No	0.2	No	
1.225	-	-	-	-	-	-	-	-	-	-	-	-	-	66.0188	-	-	-	-	-	-	-	-
-	2.8	2.7	56	56	40	40	Si	-170.8	SLV 19	1.4015	4.1274	6.873	4.1194	5.5289	-	1.41	Min	Si		Si		
1.225	-	-	-	-	-	-	-	-	-	-	-	-	-	16.5072	-	-	-	-	-	-	-	-
-	2.8	2.7	56	56	40	40	Si	-170.8	SLV 19	1.4015	4.1274	6.873	4.1194	5.5289	-	1.41	Y	Si		Si		
1.225	-	-	-	-	-	-	-	-	-	-	-	-	-	16.5072	-	-	-	-	-	-	-	-
-	2.8	-1	56	56	46	46	Si	-128.81	SLD 4	6.534	2.9888	12.5867	3.018	-	27.6227	1.89	0.79	Min	No	0.54	No	
1.225	-	-	-	-	-	-	-	-	-	-	-	-	-	14.9987	-	-	-	-	-	-	-	-
-	2.8	2.7	56	56	47	47	Si	-127.54	SLD 3	4.3734	3.0002	13.0288	3.0214	7.5123	-30.487	3.29	0.68	Y	No	0.58	No	
1.225	-	-	-	-	-	-	-	-	-	-	-	-	-	7.5123	-	-	-	-	-	-	-	-
-	2.8	-1	56	56	43	43	Si	-146.95	SLV 4	16.2695	3.4066	28.1017	3.4066	-	62.7392	0.54	0.27	Min	No	0.19	No	
1.225	-	-	-	-	-	-	-	-	-	-	-	-	-	37.1567	-	-	-	-	-	-	-	-
-	2.8	-1	56	56	72	72	Si	-53.32	SLV 16	8.1746	1.2378	26.9905	1.2362	-	-	0.24	Y	Si		No		
1.225	-	-	-	-	-	-	-	-	-	-	-	-	-	10.1355	-	-	-	-	-	-	-	-
2.8	5.75	5.6	41	41	58	58	No	-83.67	SLV 19	11.1331	1.1996	11.0523	1.2182	-	-	0.9	0.98	Min	No	0.59	No	
2.8	5.75	5.6	41	41	58	58	No	-83.67	SLV 19	11.1331	1.1996	11.0523	1.2182	-	-	0.9	0.98	X	No	0.59	No	
2.8	5.75	5.6	41	41	61	61	No	-73.74	SLD 5	24.6167	0.9183	9.6176	0.9183	-	-	0.39	0.85	Min	No	0.29	No	
2.8	5.75	5.6	41	41	61	61	No	-73.74	SLD 5	24.6167	0.9183	9.6176	0.9183	-	-	0.39	0.85	X	No	0.29	No	
2.8	5.75	5.6	41	41	53	53	No	-97.83	SLV 5	50.3582	1.2183	14.1771	1.2183	-	-	0.18	0.51	Min	No	0.14	No	
2.8	5.75	5.6	41	41	53	53	No	-97.83	SLV 5	50.3582	1.2183	14.1771	1.2183	-	-	0.18	0.51	X	No	0.14	No	
2.8	5.75	5.6	41	41	58	58	No	-83.67	SLV 19	11.1331	1.1996	11.0523	1.2182	-	-	0.9	0.98	Min	No	0.59	No	
2.8	5.75	2.9	41	41	56	56	No	-89.13	SLV 19	11.1331	1.2742	11.0523	1.11	11.1331	25.9279	-	0.67	Y	Si		No	
2.8	5.75	5.6	41	41	61	61	No	-73.74	SLD 5	24.6167	0.9183	9.6176	0.9183	-	-	0.39	0.85	Min	No	0.29	No	
2.8	5.75	5.6	41	41	63	63	No	-69.73	SLD 1	13.7566	0.8683	11.656	0.8683	-	-25.332	0.65	0.59	Y	No	0.34	No	
2.8	5.75	5.6	41	41	53	53	No	-97.83	SLV 5	50.3582	1.2183	14.1771	1.2183	-	-	0.18	0.51	Min	No	0.14	No	
2.8	5.75	5.6	41	41	56	56	No	-87.75	SLV 1	23.48	1.0928	20.2593	1.0928	-41.021	-	0.34	0.31	Y	No	0.18	No	
														71.8553	-	-	-	-	-	-	-	-
														23.7022	-	-	-	-	-	-	-	-
														44.4381	-	-	-	-	-	-	-	-

Verifiche di gerarchia delle resistenze nei nodi trave pilastro

Verifiche di gerarchia delle resistenze nei nodi trave pilastro non presenti in quanto la verifica è non necessaria per la pilastrata

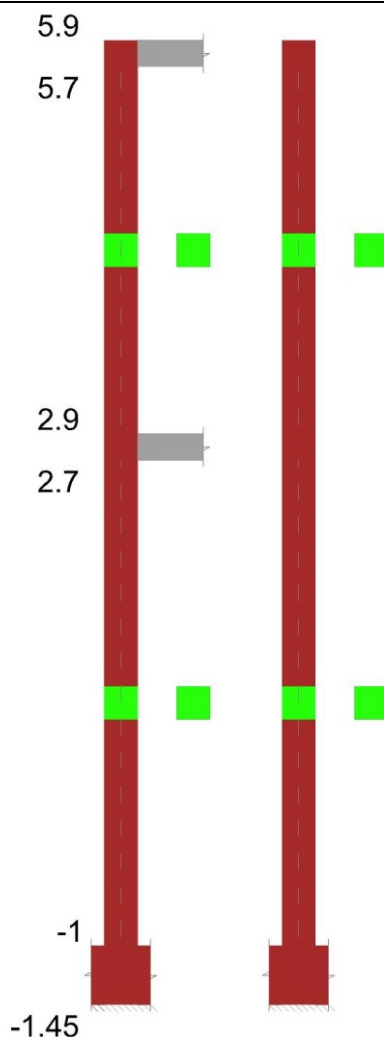
per il nodo Appoggio 2.8 in quanto elemento di materiale esistente.

per il nodo Appoggio 5.75 in quanto elemento di materiale esistente.

per il nodo Appoggio -1.225 in quanto elemento di materiale esistente.

Pilastrata P9

Geometria



Dati della pilastrata

Analisi di edificio esistente con fattore di struttura.

Fattore di struttura per meccanismi duttili in direzione X: 1.5

Fattore di struttura per meccanismi duttili in direzione Y: 1.5

Fattore di struttura per meccanismi fragili in direzione X: 1

Fattore di struttura per meccanismi fragili in direzione Y: 1

Verifica dei meccanismi fragili condotta secondo Circolare 7 21-01-19 (§C8.7.2.2) Analisi lineare con fattore q.

Fattore di amplificazione dei meccanismi fragili della componente sismica in direzione X: 1

Fattore di amplificazione dei meccanismi fragili della componente sismica in direzione Y: 1

Campate costituenti la pilastrata

Q.inf.	Q.sup.	Sezione	Esistente	Secondaria	Dissipativa	Interna a parete	Sovreresistenza	Materiale CLS	Materiale Acciaio	FC
-1	2.7	R 25x25	Si	No	No	No		C15/18 Vigone C LC2	Vigone_FeB32k_LC2_FC = 1.2	1.2
2.9	5.7	R 25x25	Si	No	No	No		C15/18 Vigone C LC2	Vigone_FeB32k_LC2_FC = 1.2	1.2

Disposizione delle armature longitudinali

Posizione	X	Y	Diametro	Area	Q.inf.	Q.sup.	Sezione	Materiale
p.1	-0.0862	-0.0862	0.012	0.0001131	-1.225	-1	R 25x25	Vigone FeB32k LC2
p.1	0.0862	-0.0862	0.012	0.0001131	-1.225	-1	R 25x25	Vigone FeB32k LC2
p.1	0.0862	0.0862	0.012	0.0001131	-1.225	-1	R 25x25	Vigone FeB32k LC2
p.1	-0.0862	0.0862	0.012	0.0001131	-1.225	-1	R 25x25	Vigone FeB32k LC2
p.2	-0.0862	-0.0862	0.012	0.0001131	-1	2.9	R 25x25	Vigone FeB32k LC2
p.2	0.0862	-0.0862	0.012	0.0001131	-1	2.9	R 25x25	Vigone FeB32k LC2
p.2	0.0862	0.0862	0.012	0.0001131	-1	2.9	R 25x25	Vigone FeB32k LC2
p.2	-0.0862	0.0862	0.012	0.0001131	-1	2.9	R 25x25	Vigone FeB32k LC2
p.3	-0.0862	-0.0862	0.012	0.0001131	2.9	5.494	R 25x25	Vigone FeB32k LC2
p.3	0.0862	-0.0862	0.012	0.0001131	2.9	5.494	R 25x25	Vigone FeB32k LC2
p.3	0.0862	0.0862	0.012	0.0001131	2.9	5.494	R 25x25	Vigone FeB32k LC2
p.3	-0.0862	0.0862	0.012	0.0001131	2.9	5.494	R 25x25	Vigone FeB32k LC2

Controlli geometrici NTC18

Nessuna anomalia

Verifiche delle sezioni

Verifica a pressoflessione in SLU

Quota	As	%	At	Pos.	Mx	My	N	MRdx	MRdy	Comb.	Coeff.s.	Verifica
-1	0.000452	1.4	0.00000003	1,2	1.8395	0.5925	-63.57	12.1858	3.9249	SLU 19	6.624	Si
-0.69	0.000452	1.4	0.00000003	1,2	1.4947	0.3968	-62.96	10.5764	2.8077	SLU 19	7.076	Si
-0.38	0.000452	1.4	0.00000003	1,2	1.1324	0.1912	-62.33	8.5788	1.4486	SLU 19	7.576	Si
-0.08	0.000452	0.7	0.00000003	2	0.775	-0.0111	-61.7	6.0473	-0.0865	SLU 19	7.803	Si
0.23	0.000452	0.7	0.00000003	2	0.4174	-0.2127	-61.08	3.29	-1.6769	SLU 19	7.883	Si
0.54	0.000452	0.7	0.00000003	2	0.0597	-0.4143	-60.45	0.4755	-3.3002	SLU 19	7.965	Si

Quota	As	%	At	Pos.	Mx	My	N	MRdx	MRdy	Comb.	Coeff.s.	Verifica
0.85	0.000452	0.7	0.00000003	2	-0.3007	-0.6176	-59.82	-2.4207	-4.9706	SLU 19	8.049	Si
1.16	0.000452	0.7	0.00000003	2	-0.6556	-0.8176	-59.2	-5.3321	-6.6498	SLU 19	8.133	Si
1.47	0.000452	0.7	0.00000003	2	-1.0132	-1.0192	-58.57	-7.8439	-7.8903	SLU 19	7.741	Si
1.78	0.000452	0.7	0.00000003	2	-1.3709	-1.2209	-57.94	-9.9448	-8.8566	SLU 19	7.254	Si
2.08	0.000452	0.7	0.00000003	2	-1.7285	-1.4225	-57.32	-11.6707	-9.6044	SLU 19	6.752	Si
2.39	0.000452	0.7	0.00000003	2	-2.0862	-1.6241	-56.69	-13.0542	-10.163	SLU 19	6.258	Si
2.7	0.000452	0.7	0.00000003	2	-2.438	-1.8225	-56.08	-14.1574	-10.5831	SLU 19	5.807	Si
2.9	0.000452	1.4	0.00000015	2,3	-2.4722	7.6806	-25.25	-5.2273	16.24	SLU 19	2.114	Si
3.21	0.000452	1.4	0.00000015	2,3	-2.2099	6.0668	-24.62	-6.177	16.958	SLU 19	2.795	Si
3.52	0.000452	1.4	0.00000015	2,3	-1.9432	4.4266	-23.99	-7.6453	17.4161	SLU 19	3.934	Si
3.83	0.000452	0.7	0.00000015	3	-1.6765	2.7864	-23.36	-9.9846	16.5944	SLU 19	5.956	Si
4.14	0.000452	0.7	0.00000015	3	-1.4098	1.1462	-22.73	-15.3869	12.509	SLU 19	10.914	Si
4.46	0.000452	0.7	0.00000015	3	-1.1432	-0.4941	-22.1	-16.7862	-7.2545	SLU 19	14.684	Si
4.77	0.000452	0.7	0.00000015	3	-0.8765	-2.1343	-21.46	-7.9304	-19.3101	SLU 19	9.048	Si
5.08	0.000452	0.7	0.00000015	3	-0.6098	-3.7745	-20.83	-3.3263	-20.5875	SLU 19	5.454	Si
5.39	0.000452	0.7	0.00000015	3	-0.3432	-5.4147	-20.2	-1.1315	-17.8522	SLU 19	3.297	Si
5.7	0.000358	1.4	0.00000015	3	-0.0808	-7.0285	-19.58	-0.1496	-13.0133	SLU 19	1.851	Si

Verifica a pressoflessione in SLV (domini sostanzialmente elastici)

E' attiva l'opzione fattori parziali di sicurezza unitari per meccanismi duttili di strutture esistenti con fattore q
La struttura oppure parte di essa, è stata dichiarata come non dissipativa pertanto la verifica a pressoflessione, per tutte o solo alcune sezioni, viene eseguita calcolando i momenti resistenti in campo sostanzialmente elastico secondo D.M. 17-01-2018 §7.4.1

Le dilatazioni ultime utilizzate sono le dilatazioni limite elastiche

Quota	As	%	At	Pos.	Mx	My	N	ε _{cu}	ε _{fk}	MRdx	MRdy	Comb.	C.S.	Nmin	Nlim	Comb.Nmin	Ver.
-1	0.000452	1.4	0.00000248	1,2	13.7385	-96.9431	64.13	-	1.58	1.6828	-11.8742	SLV 13	0.122				No
-0.69	0.000452	1.4	0.00000248	1,2	12.6284	-82.4772	64.59	2.02	1.58	1.7857	-11.6625	SLV 13	0.141				No
-0.38	0.000452	1.4	0.00000248	1,2	11.4549	-67.312	65.08	2.02	1.58	1.9399	-11.3991	SLV 13	0.169				No
-0.08	0.000452	0.7	0.00000248	2	10.2913	-52.3825	65.56	2.02	1.58	2.1632	-11.0107	SLV 13	0.21				No
0.23	0.000452	0.7	0.00000248	2	37.7975	-19.9677	24.66	2.02	1.58	9.8038	-5.1791	SLV 9	0.259				No
0.54	0.000452	0.7	0.00000248	2	30.8238	-12.3861	25.14	2.02	1.58	10.3167	-4.1456	SLV 9	0.335				No
0.85	0.000452	0.7	0.00000248	2	23.7802	-4.8438	25.63	2.02	1.58	11.1218	-2.2654	SLV 9	0.468				No
1.16	0.000452	0.7	0.00000248	2	16.6986	1.0129	26.11	2.02	1.58	11.4265	0.6931	SLV 9	0.684				No
1.47	0.000452	0.7	0.00000248	2	-6.2556	22.5372	49.92	2.02	1.58	-2.7396	9.8702	SLV 15	0.438				No
1.78	0.000452	0.7	0.00000248	2	-3.7986	37.4657	68.45	2.02	1.58	-1.1153	11.0006	SLV 13	0.294				No
2.08	0.000452	0.7	0.00000248	2	-10.8343	52.4136	68.93	2.02	1.58	-2.2537	10.9027	SLV 13	0.208				No
2.39	0.000452	0.7	0.00000248	2	-15.3135	67.3674	69.42	2.02	1.58	-2.5088	11.037	SLV 13	0.164				No
2.7	0.000452	0.7	0.00000248	2	-20.0419	82.0815	69.89	2.02	1.58	-2.7109	11.1025	SLV 13	0.135				No
2.9	0.000452	1.4	0.00000241	2,3	24.0298	23.2417	-39.12	2.02	1.58	9.0868	8.7888	SLV 8	0.378				No
3.21	0.000452	1.4	0.00000241	2,3	-24.4085	-9.611	2.91	2.02	1.58	-10.9239	-4.3013	SLV 9	0.448				No
3.52	0.000452	1.4	0.00000241	2,3	-21.4814	-5.9871	3.4	2.02	1.58	-11.5402	-3.2164	SLV 9	0.537				No
3.83	0.000452	0.7	0.00000241	3	-18.5542	-0.4553	3.88	2.02	1.58	-13.0041	-0.3191	SLV 9	0.701				No
4.14	0.000452	0.7	0.00000241	3	-11.9285	7.2828	13.22	2.02	1.58	-9.1105	5.5623	SLV 13	0.764				No
4.46	0.000452	0.7	0.00000241	3	-9.6874	12.3568	13.71	2.02	1.58	-6.5504	8.3553	SLV 13	0.676				No
4.77	0.000452	0.7	0.00000241	3	-7.4464	17.4424	14.19	2.02	1.58	-4.3505	10.1905	SLV 13	0.584				No
5.08	0.000452	0.7	0.00000241	3	-5.2054	22.6697	14.68	2.02	1.58	-2.6091	11.3628	SLV 13	0.501				No
5.39	0.000452	0.7	0.00000241	3	2.5122	-35.2952	-44.09	2.02	1.58	1.0341	-14.5291	SLV 4	0.412				No
5.7	0.000358	1.4	0.00000241	3	0.6547	-42.6519	-43.61	2.02	1.58	0.1781	-11.6045	SLV 4	0.272				No

Verifica a pressoflessione in SLD

La struttura oppure parte di essa, è stata dichiarata come non dissipativa pertanto la verifica a pressoflessione, per tutte o solo alcune sezioni, viene eseguita calcolando i momenti resistenti in campo sostanzialmente elastico secondo D.M. 17-01-2018 §7.4.1

Le dilatazioni ultime utilizzate sono le dilatazioni limite elastiche

Quota	As	%	At	Pos.	Mx	My	N	MRdx	MRdy	Comb.	Coeff.s.	Verifica
-1	0.000452	1.4	0.000001	1,2	6.1987	-38.5763	-0.14	2.0015	-12.4556	SLD 13	0.323	No
-0.69	0.000452	1.4	0.000001	1,2	5.6196	-32.8532	0.33	2.115	-12.3648	SLD 13	0.376	No
-0.38	0.000452	1.4	0.000001	1,2	5.0083	-26.8556	0.81	2.2845	-12.2496	SLD 13	0.456	No
-0.08	0.000452	0.7	0.000001	2	4.4042	-20.9546	1.3	2.5369	-12.07	SLD 13	0.576	No
0.23	0.000452	0.7	0.000001	2	15.2648	-8.0652	-14.78	11.1011	-5.8653	SLD 9	0.727	No
0.54	0.000452	0.7	0.000001	2	12.3359	-5.1025	-14.3	12.0036	-4.965	SLD 9	0.973	No
0.85	0.000452	0.7	0.000001	2	9.3803	-2.1599	-13.82	13.6417	-3.1412	SLD 9	1.454	Si
1.16	0.000452	0.7	0.000001	2	6.4171	0.1183	-13.34	16.2524	0.2995	SLD 9	2.533	Si
1.47	0.000452	0.7	0.000001	2	-2.9436	8.6658	-3.52	-3.9878	11.74	SLD 15	1.355	Si
1.78	0.000452	0.7	0.000001	2	-2.0555	14.5649	4.19	-1.73	12.2586	SLD 13	0.842	No
2.08	0.000452	0.7	0.000001	2	-5.1018	20.4726	4.67	-2.9096	11.6758	SLD 13	0.57	No
2.39	0.000452	0.7	0.000001	2	-7.0308	26.383	5.15	-3.0933	11.6077	SLD 13	0.44	No
2.7	0.000452	0.7	0.000001	2	-9.0606	32.1989	5.62	-3.2479	11.5423	SLD 13	0.358	No
2.9	0.000452	1.4	0.00000102	2,3	8.7686	12.3283	-26.67	7.7973	10.9626	SLD 8	0.889	No
3.21	0.000452	1.4	0.00000102	2,3	7.8444	9.3426	-26.19	8.9204	10.624	SLD 8	1.137	Si
3.52	0.000452	1.4	0.00000102	2,3	-9.4667	-0.7594	-9.05	-14.1143	-1.1323	SLD 9	1.491	Si
3.83	0.000452	0.7	0.00000102	3	-8.1758	0.8743	-8.57	-14.0354	1.501	SLD 9	1.717	Si
4.14	0.000452	0.7	0.00000102	3	-5.373	3.3119	-4.51	-10.4719	6.4548	SLD 13	1.949	Si
4.46	0.000452	0.7	0.00000102	3	-4.3627	4.6812	-4.02	-8.2157	8.8155	SLD 13	1.883	Si
4.77	0.000452	0.7	0.00000102	3	2.197	-9.0969	-27.33	3.7782	-15.644	SLD 4	1.72	Si
5.08	0.000452	0.7	0.00000102	3	1.5383	-12.715	-26.84	1.864	-15.4073	SLD 4	1.212	Si
5.39	0.000452	0.7	0.00000102	3	0.8797	-16.36	-26.36	0.8186	-15.2237	SLD 4	0.931	No

Quota	As	%	At	Pos.	Mx	My	N	MRdx	MRdy	Comb.	Coeff.s.	Verifica
5.7	0.000358	1.4	0.00000102	3	0.2322	-19.96	-25.88	0.1394	-11.9854	SLD 4	0.6	No

Indicatori di rischio sismico a pressoflessione in SLV

E' attiva l'opzione fattori parziali di sicurezza unitari per meccanismi duttili di strutture esistenti con fattore q La struttura oppure parte di essa, è stata dichiarata come non dissipativa pertanto la verifica a pressoflessione, per tutte o solo alcune sezioni, viene eseguita calcolando i momenti resistenti in campo sostanzialmente elastico secondo D.M. 17-01-2018 §7.4.1

Le dilatazioni ultime utilizzate sono le dilatazioni limite elastiche

Quota	Molt.	TR	I.R.TR	PGA	I.R.PGA	Comb.	Ver.
-1	0.15	17	0.192	0.038	0.191	SLV 13	No
-0.69	0.172	22	0.214	0.043	0.216	SLV 13	No
-0.38	0.205	30	0.243	0.05	0.249	SLV 13	No
-0.08	0.252	43	0.281	0.059	0.294	SLV 13	No
0.23	0.308	61	0.325	0.069	0.346	SLV 9	No
0.54	0.39	96	0.391	0.084	0.422	SLV 9	No
0.85	0.529	188	0.515	0.111	0.557	SLV 9	No
1.16	0.742	434	0.726	0.152	0.764	SLV 9	No
1.47	0.502	165	0.488	0.105	0.528	SLV 15	No
1.78	0.348	77	0.357	0.077	0.385	SLV 13	No
2.08	0.251	42	0.279	0.058	0.291	SLV 13	No
2.39	0.199	29	0.239	0.049	0.245	SLV 13	No
2.7	0.165	21	0.21	0.042	0.211	SLV 13	No
2.9	0.354	80	0.363	0.078	0.391	SLV 8	No
3.21	0.462	135	0.45	0.097	0.486	SLV 8	No
3.52	0.57	226	0.555	0.119	0.598	SLV 9	No
3.83	0.711	390	0.694	0.146	0.734	SLV 9	No
4.14	0.768	471	0.75	0.157	0.787	SLV 13	No
4.46	0.697	372	0.681	0.144	0.721	SLV 13	No
4.77	0.626	285	0.611	0.13	0.653	SLV 13	No
5.08	0.494	158	0.479	0.104	0.519	SLV 4	No
5.39	0.367	86	0.374	0.08	0.403	SLV 4	No
5.7	0.201	30	0.243	0.05	0.249	SLV 4	No

Indicatori di rischio sismico a pressoflessione in SLD Resistenza

La struttura oppure parte di essa, è stata dichiarata come non dissipativa pertanto la verifica a pressoflessione, per tutte o solo alcune sezioni, viene eseguita calcolando i momenti resistenti in campo sostanzialmente elastico secondo D.M. 17-01-2018 §7.4.1

Le dilatazioni ultime utilizzate sono le dilatazioni limite elastiche

Quota	Molt.	TR	I.R.TR	PGA	I.R.PGA	Comb.	Ver.
-1	0.375	17	0.482	0.038	0.444	SLD 13	No
-0.69	0.432	22	0.535	0.043	0.5	SLD 13	No
-0.38	0.514	31	0.616	0.051	0.587	SLD 13	No
-0.08	0.631	43	0.705	0.059	0.682	SLD 13	No
0.23	0.771	61	0.813	0.069	0.802	SLD 9	No
0.54	0.979	96	0.979	0.084	0.979	SLD 9	No
0.85	1.326	189	1.293	0.111	1.295	SLD 9	Si
1.16	1.859	435	1.82	0.153	1.772	SLD 9	Si
1.47	1.256	165	1.223	0.105	1.224	SLD 15	Si
1.78	0.872	78	0.899	0.077	0.897	SLD 13	No
2.08	0.628	43	0.705	0.059	0.682	SLD 13	No
2.39	0.499	29	0.6	0.049	0.569	SLD 13	No
2.7	0.413	21	0.525	0.042	0.49	SLD 13	No
2.9	0.875	78	0.899	0.077	0.897	SLD 8	No
3.21	1.145	132	1.116	0.096	1.117	SLD 8	Si
3.52	1.41	220	1.376	0.118	1.374	SLD 9	Si
3.83	1.758	379	1.72	0.145	1.683	SLD 9	Si
4.14	1.91	465	1.87	0.156	1.817	SLD 13	Si
4.46	1.742	371	1.705	0.144	1.67	SLD 13	Si
4.77	1.566	285	1.53	0.13	1.513	SLD 13	Si
5.08	1.234	158	1.201	0.104	1.203	SLD 4	Si
5.39	0.918	85	0.932	0.08	0.93	SLD 4	No
5.7	0.504	30	0.608	0.05	0.578	SLD 4	No

Verifica a taglio-torsione in famiglia SLU

Quota	Staffe	Ved.x	Ved.y	Ned	Comb.V	Cot	Vres	c.s.V	Mt	As,t	Al,t	Comb.Tor.	Trcd	Trsd	Trld	c.s.V-T	Ver.
-1	2X/2Y ø6/14.8	-0.66	-1.15	-63.57	SLU 19	2.5	50.88	44.09	0.00038	0	0.00000002	SLU 1	7.79391	0.00038	0.00038	1.02	Si
-0.69	2X/2Y ø6/14.8	-0.66	-1.15	-62.96	SLU 19	2.5	50.88	44.09	0.00038	0	0.00000002	SLU 1	7.79391	0.00038	0.00038	1.02	Si
-0.38	2X/2Y ø6/14.8	-0.66	-1.15	-62.33	SLU 19	2.5	50.88	44.09	0.00038	0	0.00000002	SLU 1	7.79391	0.00038	0.00038	1.02	Si
-0.08	2X/2Y ø6/14.8	-0.66	-1.15	-61.7	SLU 19	2.5	50.88	44.09	0.00038	0	0.00000002	SLU 1	7.79391	0.00038	0.00038	1.02	Si
0.23	2X/2Y ø6/14.8	-0.66	-1.15	-61.08	SLU 19	2.5	50.88	44.09	0.00038	0	0.00000002	SLU 1	7.79391	0.00038	0.00038	1.02	Si
0.54	2X/2Y ø6/14.8	-0.66	-1.15	-60.45	SLU 19	2.5	50.88	44.09	0.00038	0	0.00000002	SLU 1	7.79391	0.00038	0.00038	1.02	Si
0.85	2X/2Y ø6/14.8	-0.66	-1.15	-59.82	SLU 19	2.5	50.88	44.09	0.00038	0	0.00000002	SLU 1	7.79391	0.00038	0.00038	1.02	Si
1.16	2X/2Y ø6/14.8	-0.66	-1.15	-59.2	SLU 19	2.5	50.88	44.09	0.00038	0	0.00000002	SLU 1	7.79391	0.00038	0.00038	1.02	Si
1.47	2X/2Y ø6/14.8	-0.66	-1.15	-58.57	SLU 19	2.5	50.88	44.09	0.00038	0	0.00000002	SLU 1	7.79391	0.00038	0.00038	1.02	Si
1.78	2X/2Y ø6/14.8	-0.66	-1.15	-57.94	SLU 19	2.5	50.88	44.09	0.00038	0	0.00000002	SLU 1	7.79391	0.00038	0.00038	1.02	Si
2.08	2X/2Y ø6/14.8	-0.66	-1.15	-57.32	SLU 19	2.5	50.88	44.09	0.00038	0	0.00000002	SLU 1	7.79391	0.00038	0.00038	1.02	Si
2.39	2X/2Y ø6/14.8	-0.66	-1.15	-56.69	SLU 19	2.5	50.88	44.09	0.00038	0	0.00000002	SLU 1	7.79391	0.00038	0.00038	1.02	Si
2.7	2X/2Y ø6/14.8	-0.66	-1.15	-56.08	SLU 19	2.5	50.88	44.09	0.00038	0	0.00000002	SLU 1	7.79391	0.00038	0.00038	1.02	Si
2.9	2X/2Y ø6/14.7	-5.27	0.85	-25.25	SLU 19	2.5	51.07	9.69	-0.00166	0.00000001	0.00000008	SLU 1	7.79391	0.00166	0.00166	1.02	Si
3.21	2X/2Y ø6/14.7	-5.27	0.85	-24.62	SLU 19	2.5	51.07	9.69	-0.00166	0.00000001	0.00000008	SLU 1	7.79391	0.00166	0.00166	1.02	Si
3.52	2X/2Y ø6/14.7	-5.27	0.85	-23.99	SLU 19	2.5	51.07	9.69	-0.00166	0.00000001	0.00000008	SLU 1	7.79391	0.00166	0.00166	1.02	Si
3.83	2X/2Y ø6/14.7	-5.27	0.85	-23.36	SLU 19	2.5	51.07	9.69	-0.00166	0.00000001	0.00000008	SLU 1	7.79391	0.00166	0.00166	1.02	Si

Quota	Staffe	Ved.x	Ved.y	Ned	Comb.V	Cot	Vres	c.s.V	Mt	As,t	Al,t	Comb.Tor.	Trcd	Trsd	Trld	c.s.V-T	Ver.
4.14	2X/2Y ø6/14.7	-5.27	0.85	-22.73	SLU 19	2.5	51.07	9.69	-0.00166	0.00000001	0.00000008	SLU 1	7.79391	0.00166	0.00166	1.02	Si
4.46	2X/2Y ø6/14.7	-5.27	0.85	-22.1	SLU 19	2.5	51.07	9.69	-0.00166	0.00000001	0.00000008	SLU 1	7.79391	0.00166	0.00166	1.02	Si
4.77	2X/2Y ø6/14.7	-5.27	0.85	-21.46	SLU 19	2.5	51.07	9.69	-0.00166	0.00000001	0.00000008	SLU 1	7.79391	0.00166	0.00166	1.02	Si
5.08	2X/2Y ø6/14.7	-5.27	0.85	-20.83	SLU 19	2.5	51.07	9.69	-0.00166	0.00000001	0.00000008	SLU 1	7.79391	0.00166	0.00166	1.02	Si
5.39	2X/2Y ø6/14.7	-5.27	0.85	-20.2	SLU 19	2.5	51.07	9.69	-0.00166	0.00000001	0.00000008	SLU 1	7.79391	0.00166	0.00166	1.02	Si
5.7	2X/2Y ø6/14.7	-5.27	0.85	-19.58	SLU 19	2.5	51.07	9.69	-0.00166	0.00000001	0.00000008	SLU 1	7.79391	0.00166	0.00166	1.02	Si

Verifica a taglio-torsione in famiglia SLV

Quota	Staffe	Ved.x	Ved.y	Ned	Comb.V	Cot	Vres	c.s.V	Mt	As,t	Al,t	Comb.Tor.	Trcd	Trsd	Trld	c.s.V-T	Ver.
-1	2X/2Y ø6/14.8	-49.32	-26.07	-150.12	SLV 4	2.5	50.85	1.03	-0.00218	0.00000002	0.00000001	SLV 13	7.79391	0.00218	0.00218	0.9	No
-0.69	2X/2Y ø6/14.8	-49.32	-26.07	-149.65	SLV 4	2.5	50.85	1.03	-0.00218	0.00000002	0.00000001	SLV 13	7.79391	0.00218	0.00218	0.9	No
-0.38	2X/2Y ø6/14.8	-49.32	-26.07	-149.16	SLV 4	2.5	50.85	1.03	-0.00218	0.00000002	0.00000001	SLV 13	7.79391	0.00218	0.00218	0.9	No
-0.08	2X/2Y ø6/14.8	-48.76	-26.07	-148.68	SLV 4	2.5	50.85	1.04	-0.00218	0.00000002	0.00000001	SLV 13	7.79391	0.00218	0.00218	0.91	No
0.23	2X/2Y ø6/14.8	-48.76	-26.07	-148.2	SLV 4	2.5	50.85	1.04	-0.00218	0.00000002	0.00000001	SLV 13	7.79391	0.00218	0.00218	0.91	No
0.54	2X/2Y ø6/14.8	-48.76	-26.07	-147.72	SLV 4	2.5	50.85	1.04	-0.00218	0.00000002	0.00000001	SLV 13	7.79391	0.00218	0.00218	0.91	No
0.85	2X/2Y ø6/14.8	-48.76	-26.07	-147.23	SLV 4	2.5	50.85	1.04	-0.00218	0.00000002	0.00000001	SLV 13	7.79391	0.00218	0.00218	0.91	No
1.16	2X/2Y ø6/14.8	-48.76	-26.07	-146.75	SLV 4	2.5	50.85	1.04	-0.00218	0.00000002	0.00000001	SLV 13	7.79391	0.00218	0.00218	0.91	No
1.47	2X/2Y ø6/14.8	-48.76	-26.07	-146.27	SLV 4	2.5	50.85	1.04	-0.00218	0.00000002	0.00000001	SLV 13	7.79391	0.00218	0.00218	0.91	No
1.78	2X/2Y ø6/14.8	-48.76	-26.07	-145.79	SLV 4	2.5	50.85	1.04	-0.00218	0.00000002	0.00000001	SLV 13	7.79391	0.00218	0.00218	0.91	No
2.08	2X/2Y ø6/14.8	-48.76	-26.07	-145.31	SLV 4	2.5	50.85	1.04	-0.00218	0.00000002	0.00000001	SLV 13	7.79391	0.00218	0.00218	0.91	No
2.39	2X/2Y ø6/14.8	-48.76	-26.07	-144.83	SLV 4	2.5	50.85	1.04	-0.00218	0.00000002	0.00000001	SLV 13	7.79391	0.00218	0.00218	0.91	No
2.7	2X/2Y ø6/14.8	-48.76	-26.07	-144.35	SLV 4	2.5	50.85	1.04	-0.00218	0.00000002	0.00000001	SLV 13	7.79391	0.00218	0.00218	0.91	No
2.9	2X/2Y ø6/14.7	-24.15	9.55	-47.97	SLV 4	2.5	51.04	2.11	0.04267	0.00000032	0.00000195	SLV 1	7.79391	0.04267	0.04267	1.02	Si
3.21	2X/2Y ø6/14.7	-24.15	9.55	-47.49	SLV 4	2.5	51.04	2.11	0.04267	0.00000032	0.00000195	SLV 1	7.79391	0.04267	0.04267	1.02	Si
3.52	2X/2Y ø6/14.7	-24.15	9.55	-47.01	SLV 4	2.5	51.04	2.11	0.04267	0.00000032	0.00000195	SLV 1	7.79391	0.04267	0.04267	1.02	Si
3.83	2X/2Y ø6/14.7	-24.15	9.55	-46.52	SLV 4	2.5	51.04	2.11	0.04267	0.00000032	0.00000195	SLV 1	7.79391	0.04267	0.04267	1.02	Si
4.14	2X/2Y ø6/14.7	-24.15	9.55	-46.03	SLV 4	2.5	51.04	2.11	0.04267	0.00000032	0.00000195	SLV 1	7.79391	0.04267	0.04267	1.02	Si
4.46	2X/2Y ø6/14.7	-24.15	9.55	-45.55	SLV 4	2.5	51.04	2.11	0.04267	0.00000032	0.00000195	SLV 1	7.79391	0.04267	0.04267	1.02	Si
4.77	2X/2Y ø6/14.7	-24.15	9.55	-45.06	SLV 4	2.5	51.04	2.11	0.04267	0.00000032	0.00000195	SLV 1	7.79391	0.04267	0.04267	1.02	Si
5.08	2X/2Y ø6/14.7	-24.15	9.55	-44.58	SLV 4	2.5	51.04	2.11	0.04267	0.00000032	0.00000195	SLV 1	7.79391	0.04267	0.04267	1.02	Si
5.39	2X/2Y ø6/14.7	-24.15	9.55	-44.09	SLV 4	2.5	51.04	2.11	0.04267	0.00000032	0.00000195	SLV 1	7.79391	0.04267	0.04267	1.02	Si
5.7	2X/2Y ø6/14.7	-24.15	9.55	-43.61	SLV 4	2.5	51.04	2.11	0.04267	0.00000032	0.00000195	SLV 1	7.79391	0.04267	0.04267	1.02	Si

Verifica taglio ciclico secondo Circolare 7 21-01-19 §C8.7.2.3.5 formula [C8.7.2.8] in combinazione SLV

Quota	Q.inf.	Q.sup.	Dir.	Lv	x	h	p,tot	θ,m	θ,y	μΔ,pl	VRd	VRcd(cotθ=1)	VRsd	Vw	VR	Vu	VEd	NEd	Comb.	Verifica
-1	-1.225	2.8	X	2.013	0.134	0.25	0.0072	0.014217	0.014184	0.002	29.364	105.37	50.849	20.339	24.267	50.849	-49.322	150.117	SLV 4	Si
-1	-1.225	2.8	Y	2.013	0.073	0.25	0.0072	0.010322	0.014184	0	18.125	84.296	50.403	20.161	20.365	50.403	-26.069	22.744	SLV 9	Si

Verifica a taglio-torsione in famiglia SLD Resistenza

Quota	Staffe	Ved.x	Ved.y	Ned	Comb.V	Cot	Vres	c.s.V	Mt	As,t	Al,t	Comb.Tor.	Trcd	Trsd	Trld	c.s.V-T	Ver.
-1	2X/2Y ø6/14.8	-19.97	-10.9	-85.85	SLD 4	2.5	50.87	2.55	0.02196	0.00000016	0.000001	SLD 1	7.79391	0.02196	0.02196	1.02	Si
-0.69	2X/2Y ø6/14.8	-19.97	-10.9	-85.39	SLD 4	2.5	50.87	2.55	0.02196	0.00000016	0.000001	SLD 1	7.79391	0.02196	0.02196	1.02	Si
-0.38	2X/2Y ø6/14.8	-19.97	-10.9	-84.9	SLD 4	2.5	50.87	2.55	0.02196	0.00000016	0.000001	SLD 1	7.79391	0.02196	0.02196	1.02	Si
-0.08	2X/2Y ø6/14.8	-19.71	-10.9	-84.42	SLD 4	2.5	50.87	2.58	0.02196	0.00000016	0.000001	SLD 1	7.79391	0.02196	0.02196	1.02	Si
0.23	2X/2Y ø6/14.8	-19.71	-10.9	-83.93	SLD 4	2.5	50.87	2.58	0.02196	0.00000016	0.000001	SLD 1	7.79391	0.02196	0.02196	1.02	Si
0.54	2X/2Y ø6/14.8	-19.71	-10.9	-83.45	SLD 4	2.5	50.87	2.58	0.02196	0.00000016	0.000001	SLD 1	7.79391	0.02196	0.02196	1.02	Si
0.85	2X/2Y ø6/14.8	-19.71	-10.9	-82.97	SLD 4	2.5	50.87	2.58	0.02196	0.00000016	0.000001	SLD 1	7.79391	0.02196	0.02196	1.02	Si
1.16	2X/2Y ø6/14.8	-19.71	-10.9	-82.49	SLD 4	2.5	50.87	2.58	0.02196	0.00000016	0.000001	SLD 1	7.79391	0.02196	0.02196	1.02	Si
1.47	2X/2Y ø6/14.8	-19.71	-10.9	-82.01	SLD 4	2.5	50.87	2.58	0.02196	0.00000016	0.000001	SLD 1	7.79391	0.02196	0.02196	1.02	Si
1.78	2X/2Y ø6/14.8	-19.71	-10.9	-81.52	SLD 4	2.5	50.87	2.58	0.02196	0.00000016	0.000001	SLD 1	7.79391	0.02196	0.02196	1.02	Si
2.08	2X/2Y ø6/14.8	-19.71	-10.9	-81.04	SLD 4	2.5	50.87	2.58	0.02196	0.00000016	0.000001	SLD 1	7.79391	0.02196	0.02196	1.02	Si
2.39	2X/2Y ø6/14.8	-19.71	-10.9	-80.56	SLD 4	2.5	50.87	2.58	0.02196	0.00000016	0.000001	SLD 1	7.79391	0.02196	0.02196	1.02	Si
2.7	2X/2Y ø6/14.8	-19.71	-10.9	-80.09	SLD 4	2.5	50.87	2.58	0.02196	0.00000016	0.000001	SLD 1	7.79391	0.02196	0.02196	1.02	Si
2.9	2X/2Y ø6/14.7	-11.81	4.2	-30.24	SLD 4	2.5	51.06	4.32	0.01596	0.00000012	0.00000073	SLD 1	7.79391	0.01596	0.01596	1.02	Si
3.21	2X/2Y ø6/14.7	-11.81	4.2	-29.76	SLD 4	2.5	51.06	4.32	0.01596	0.00000012	0.00000073	SLD 1	7.79391	0.01596	0.01596	1.02	Si
3.52	2X/2Y ø6/14.7	-11.81	4.2	-29.27	SLD 4	2.5	51.06	4.32	0.01596	0.00000012	0.00000073	SLD 1	7.79391	0.01596	0.01596	1.02	Si
3.83	2X/2Y ø6/14.7	-11.81	4.2	-28.79	SLD 4	2.5	51.06	4.32	0.01596	0.00000012	0.00000073	SLD 1	7.79391	0.01596	0.01596	1.02	Si

Quota	Staffe	Ved.x	Ved.y	Ned	Comb.V	Cot	Vres	c.s.V	Mt	As,t	Al,t	Comb.Tor.	Trcd	Trsd	Trld	c.s.V-T	Ver.
4.14	2X/2Y ø6/14.7	-11.81	4.2	-28.3	SLD 4	2.5	51.06	4.32	0.01596	0.00000012	0.00000073	SLD 1	7.79391	0.01596	0.01596	1.02	Si
4.46	2X/2Y ø6/14.7	-11.81	4.2	-27.82	SLD 4	2.5	51.06	4.32	0.01596	0.00000012	0.00000073	SLD 1	7.79391	0.01596	0.01596	1.02	Si
4.77	2X/2Y ø6/14.7	-11.81	4.2	-27.33	SLD 4	2.5	51.06	4.32	0.01596	0.00000012	0.00000073	SLD 1	7.79391	0.01596	0.01596	1.02	Si
5.08	2X/2Y ø6/14.7	-11.81	4.2	-26.84	SLD 4	2.5	51.06	4.32	0.01596	0.00000012	0.00000073	SLD 1	7.79391	0.01596	0.01596	1.02	Si
5.39	2X/2Y ø6/14.7	-11.81	4.2	-26.36	SLD 4	2.5	51.06	4.32	0.01596	0.00000012	0.00000073	SLD 1	7.79391	0.01596	0.01596	1.02	Si
5.7	2X/2Y ø6/14.7	-11.81	4.2	-25.88	SLD 4	2.5	51.06	4.32	0.01596	0.00000012	0.00000073	SLD 1	7.79391	0.01596	0.01596	1.02	Si

Indicatori di rischio sismico a taglio in SLV

Quota	Molt.	TR	I.R.TR	PGA	I.R.PGA	Comb.	
-0.69	1.031	1034	1.036	0.205	1.028	SLV 4	Si
-0.38	1.031	1034	1.036	0.205	1.028	SLV 4	Si
-0.08	1.045	1074	1.052	0.208	1.04	SLV 4	Si
0.23	1.045	1074	1.052	0.208	1.04	SLV 4	Si
0.54	1.045	1074	1.052	0.208	1.04	SLV 4	Si
0.85	1.045	1074	1.052	0.208	1.04	SLV 4	Si
1.16	1.045	1074	1.052	0.208	1.04	SLV 4	Si
1.47	1.045	1074	1.052	0.208	1.04	SLV 4	Si
1.78	1.045	1074	1.052	0.208	1.04	SLV 4	Si
2.08	1.045	1074	1.052	0.208	1.04	SLV 4	Si
2.39	1.045	1074	1.052	0.208	1.04	SLV 4	Si
2.7	1.045	1074	1.052	0.208	1.04	SLV 4	Si
2.9	2.304	2114	1.389	0.255	1.279	SLV 4	Si
3.21	2.304	2114	1.389	0.255	1.279	SLV 4	Si
3.52	2.304	2114	1.389	0.255	1.279	SLV 4	Si
3.83	2.304	2114	1.389	0.255	1.279	SLV 4	Si
4.14	2.304	2114	1.389	0.255	1.279	SLV 4	Si
4.46	2.304	2114	1.389	0.255	1.279	SLV 4	Si
4.77	2.304	2114	1.389	0.255	1.279	SLV 4	Si
5.08	2.304	2114	1.389	0.255	1.279	SLV 4	Si
5.39	2.304	2114	1.389	0.255	1.279	SLV 4	Si
5.7	2.304	2114	1.389	0.255	1.279	SLV 4	Si

Indicatori di rischio sismico a taglio in SLD Resistenza

Quota	Molt.	TR	I.R.TR	PGA	I.R.PGA	Comb.	
-1	2.576	1027	2.588	0.205	2.38	SLD 4	Si
-0.69	2.576	1027	2.588	0.205	2.38	SLD 4	Si
-0.38	2.576	1027	2.588	0.205	2.38	SLD 4	Si
-0.08	2.611	1068	2.63	0.207	2.409	SLD 4	Si
0.23	2.611	1068	2.63	0.207	2.409	SLD 4	Si
0.54	2.611	1068	2.63	0.207	2.409	SLD 4	Si
0.85	2.611	1068	2.63	0.207	2.409	SLD 4	Si
1.16	2.611	1068	2.63	0.207	2.409	SLD 4	Si
1.47	2.611	1068	2.63	0.207	2.409	SLD 4	Si
1.78	2.611	1068	2.63	0.207	2.409	SLD 4	Si
2.08	2.611	1068	2.63	0.207	2.409	SLD 4	Si
2.39	2.611	1068	2.63	0.207	2.409	SLD 4	Si
2.7	2.611	1068	2.63	0.207	2.409	SLD 4	Si
2.9	5.703	2110	3.477	0.255	2.966	SLD 4	Si
3.21	5.703	2110	3.477	0.255	2.966	SLD 4	Si
3.52	5.703	2110	3.477	0.255	2.966	SLD 4	Si
3.83	5.703	2110	3.477	0.255	2.966	SLD 4	Si
4.14	5.703	2110	3.477	0.255	2.966	SLD 4	Si
4.46	5.703	2110	3.477	0.255	2.966	SLD 4	Si
4.77	5.703	2110	3.477	0.255	2.966	SLD 4	Si
5.08	5.703	2110	3.477	0.255	2.966	SLD 4	Si
5.39	5.703	2110	3.477	0.255	2.966	SLD 4	Si
5.7	5.703	2110	3.477	0.255	2.966	SLD 4	Si

Verifiche nodi trave colonna

Riepilogo dei dati per le diverse tipologie di verifica eseguite per i nodi

Pilastrata	Q.Nodo	Escluso	Confinato	Segnalazioni
Pilastrata P9	-1.225	Si	No	
Pilastrata P9	2.8	No	No	
Pilastrata P9	5.8	No	No	

Verifiche nodi trave colonna in combinazioni SLD

Riepilogo dei dati per la verifica del nodo secondo Circolare 7 21-01-19 §C8.7.2.3.5.

Pilastrata	Q.Nodo	Angolo travatura	Aj	Vpc	Vtc	Vnc	Nc	onc	onc,lim	Comb.c	Vpt	Vtt	Vnt	Nt	ont	ont,lim	Comb.t	Segnalazioni	Verifica
Pilastrata P9	2.8	0	0.06468	4.88	272.2	277.08	-6.46	4334	4173	SLD 13	4.88	272.2	277.08	-6.46	4234	867	SLD 13		No

Verifiche nodi trave colonna in combinazioni SLD

Riepilogo dei dati per la verifica del nodo secondo Circolare 7 21-01-19 §C8.7.2.3.5.

Pilastrata	Q.Nodo	Angolo travatura	Aj	Vpc	Vtc	Vnc	Nc	onc	onc,lim	Comb.c	Vpt	Vtt	Vnt	Nt	ont	ont,lim	Comb.t	Segnalazioni	Verifica
Pilastrata P9	5.8	0	0.06468	0	134.996	134.996	0	2087	4173	SLD 4	0	134.996	134.996	0	2087	867	SLD 4		No

Verifiche nodi trave colonna in combinazioni SLV

Riepilogo dei dati per la verifica del nodo secondo Circolare 7 21-01-19 §C8.7.2.3.5.

Pilastrata	Q.Nodo	Angolo travatura	Aj	Vpc	Vtc	Vnc	Nc	onc	onc,lim	Comb.c	Vpt	Vtt	Vnt	Nt	ont	ont,lim	Comb.t	Segnalazioni	Verifica
Pilastrata P9	2.8	0	0.06468	17.214	272.2	289.414	11.273	4388	4173	SLV 13	17.214	272.2	289.414	11.273	4562	867	SLV 13		No

Verifiche nodi trave colonna in combinazioni SLV

Riepilogo dei dati per la verifica del nodo secondo Circolare 7 21-01-19 §C8.7.2.3.5.

Pilastrata	Q.Nodo	Angolo travatura	Aj	Vpc	Vtc	Vnc	Nc	onc	onc,lim	Comb.c	Vpt	Vtt	Vnt	Nt	ont	ont,lim	Comb.t	Segnalazioni	Verifica
Pilastrata P9	5.8	0	0.06468	0	249.835	249.835	0	3863	4173	SLV 4	0	249.835	249.835	0	3863	867	SLV 4		No

Indicatori di rischio sismico dei nodi in SLD

Pilastrata	Q.Nodo	Angolo travatura	Moltiplicatore	TR	I.R.TR	PGA	I.R.PGA	Comb.	Ver.
Pilastrata P9	2.8	0	0.134	3	0.237	0.017	0.199	SLD 4	No

Indicatori di rischio sismico dei nodi in SLD

Pilastrata	Q.Nodo	Angolo travatura	Moltiplicatore	TR	I.R.TR	PGA	I.R.PGA	Comb.	Ver.
Pilastrata P9	5.8	0	0.282	11	0.403	0.031	0.363	SLD 4	No

Indicatori di rischio sismico dei nodi in SLV

Pilastrata	Q.Nodo	Angolo travatura	Moltiplicatore	TR	I.R.TR	PGA	I.R.PGA	Comb.	Ver.
Pilastrata P9	2.8	0	0.053	3	0.094	0.017	0.086	SLV 4	No

Indicatori di rischio sismico dei nodi in SLV

Pilastrata	Q.Nodo	Angolo travatura	Moltiplicatore	TR	I.R.TR	PGA	I.R.PGA	Comb.	Ver.
Pilastrata P9	5.8	0	0.114	11	0.161	0.031	0.157	SLV 4	No

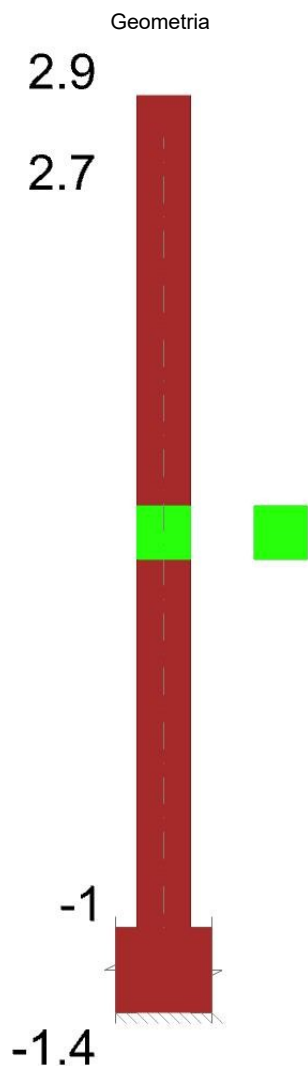
Verifica di instabilità

Q.inf.	Q.sup.	Quota	λ_x	λ_y	λ_{limX}	λ_{limY}	M 2° ord.	Nsd	Comb.	M0ed,x	M2,x	M0ed,y	M2,y	Mver,x	Mver,y	C.s x	C.s y	Risultato (5.38)	(5.39)	Ver.		
-	1.225	2.8	2.7	56	56	70	70	No	-56.08	SLU 19	1.0239	1.3596	0.8368	1.351	-2.438	-1.8225	6.67	7.38	Min	No	5.81	Si
-	1.225	2.8	2.7	56	56	70	70	No	-56.08	SLU 19	1.0239	1.3596	0.8368	1.351	-2.438	-1.8225	6.67	7.38	X	No	5.81	Si
-	1.225	2.8	-1	56	56	194	194	No	-7.36	SLD 15	7.6699	0.1706	15.2336	0.1706	-8.9875	-	1.61	0.4	Min	No	0.35	No
-	1.225	2.8	-1	56	56	87	87	No	-36.75	SLD 5	15.6185	0.852	0.834	0.8967	30.0831	-0.834	0.5		X	Si		No
-	1.225	2.8	-1	56	56	+	+	Si	46.07	SLV 15	19.3638	1.0681	38.333	1.0681	-	0.47	0.15	Min	No	0.13	No	
-	1.225	2.8	-1	56	56	101	101	Si	-27.36	SLV 5	38.929	0.6343	1.4024	0.6435	73.409	-1.4819	0.19		X	Si		No
-	1.225	2.8	2.7	56	56	70	70	No	-56.08	SLU 19	1.0239	1.3596	0.8368	1.351	-2.438	-1.8225	6.67	7.38	Min	No	5.81	Si
-	1.225	2.8	2.7	56	56	70	70	No	-56.08	SLU 19	1.0239	1.3596	0.8368	1.351	-2.438	-1.8225	6.67	7.38	Y	No	5.81	Si
-	1.225	2.8	-1	56	56	1408	1408	No	-0.14	SLD 13	3.9092	0.0032	17.2135	0.0032	6.1987	-	0.35	Min	Si		No	
-	1.225	2.8	-1	56	56	1408	1408	No	-0.14	SLD 13	3.9092	0.0032	17.2135	0.0032	6.1987	-	0.35	Y	Si		No	
-	1.225	2.8	-1	56	56	+	+	Si	46.07	SLV 15	19.3638	1.0681	38.333	1.0681	-	0.47	0.15	Min	No	0.13	No	
-	1.225	2.8	-1	56	56	+	+	Si	64.13	SLV 13	8.6807	1.4956	43.2829	1.4866	-	-	0.13	Y	Si		No	
2.8	2.8	5.8	2.9	42	42	105	105	No	-25.25	SLU 19	1.5337	0.3746	3.2937	0.3251	-2.4722	7.6806	9.49	2.21	Min	No	2.11	Si
2.8	2.8	5.8	2.9	42	42	105	105	No	-25.25	SLU 19	1.5337	0.3746	3.2937	0.3251	-2.4722	7.6806	9.49	2.21	X	No	2.11	Si
2.8	2.8	5.8	2.9	42	42	102	102	No	-26.67	SLD 8	5.4651	0.3434	6.5954	0.3434	8.7686	12.3283	2.07	1.34	Min	No	0.89	No
2.8	2.8	5.8	2.9	42	42	166	166	No	-10.02	SLD 9	7.4868	0.129	2.686	0.1587	-	-2.686	1.21	7.31	X	No	1.08	Si
2.8	2.8	5.8	2.9	42	42	84	84	No	-39.12	SLV 8	14.9701	0.5038	13.4083	0.5038	24.0298	23.2417	0.65	0.68	Min	No	0.38	No
2.8	2.8	5.8	2.9	42	42	+	+	No	2.43	SLV 9	16.9918	0.0313	9.3318	0.0313	-	-	0.49	0.99	X	No	0.38	No
2.8	2.8	5.8	5.7	42	42	119	119	No	-19.58	SLU 19	1.5337	0.2848	3.2937	0.2522	-1.5337	-7.0285		1.85	Min	Si		Si
2.8	2.8	5.8	5.7	42	42	119	119	No	-19.58	SLU 19	1.5337	0.2848	3.2937	0.2522	-1.5337	-7.0285		1.85	Y	Si		Si
2.8	2.8	5.8	5.7	42	42	103	103	No	-25.88	SLD 4	3.8179	0.3465	8.4787	0.3333	3.8179	-19.96		0.6	Min	Si		No
2.8	2.8	5.8	5.7	42	42	103	103	No	-25.88	SLD 4	3.8179	0.3465	8.4787	0.3333	3.8179	-19.96		0.6	Y	Si		No
2.8	2.8	5.8	5.7	42	42	80	80	No	-43.61	SLV 4	0.4361	0.7082	18.0719	0.5617	0.6547	-	0.27	Min	Si		No	
2.8	2.8	5.8	5.7	42	42	80	80	No	-43.61	SLV 4	0.4361	0.7082	18.0719	0.5617	0.6547	-	0.27	Y	Si		No	

Verifiche di gerarchia delle resistenze nei nodi trave pilastro

Verifiche di gerarchia delle resistenze nei nodi trave pilastro non presenti in quanto la verifica è non necessaria per la pilastrata per il nodo Appoggio 5.8 in quanto elemento di materiale esistente.
per il nodo Appoggio 2.8 in quanto elemento di materiale esistente.
per il nodo Appoggio -1.225 in quanto elemento di materiale esistente.

Pilastrata P10



Dati della pilastrata

Analisi di edificio esistente con fattore di struttura.

Fattore di struttura per meccanismi duttili in direzione X: 1.5

Fattore di struttura per meccanismi duttili in direzione Y: 1.5

Fattore di struttura per meccanismi fragili in direzione X: 1

Fattore di struttura per meccanismi fragili in direzione Y: 1

Verifica dei meccanismi fragili condotta secondo Circolare 7 21-01-19 (SC8.7.2.2) Analisi lineare con fattore q.

Fattore di amplificazione dei meccanismi fragili della componente sismica in direzione X: 1

Fattore di amplificazione dei meccanismi fragili della componente sismica in direzione Y: 1

Campate costituenti la pilastrata

Q.inf.	Q.sup.	Sezione	Esistente	Secondaria	Dissipativa	Interna a parete	Sovraresistenza	Materiale CLS	Materiale Acciaio	FC
-1	2.7	R 25x25	Si	No	No	No		C15/18 Vigone C LC2	Vigone_FeB32k_LC2_FC = 1.2	1.2

Disposizione delle armature longitudinali

Posizione	X	Y	Diametro	Area	Q.inf.	Q.sup.	Sezione	Materiale
p.1	-0.0831	-0.0831	0.012	0.0001131	-1.2	-1	R 25x25	Vigone FeB32k LC2
p.1	0.0831	-0.0831	0.012	0.0001131	-1.2	-1	R 25x25	Vigone FeB32k LC2
p.1	0.0831	0.0831	0.012	0.0001131	-1.2	-1	R 25x25	Vigone FeB32k LC2
p.1	-0.0831	0.0831	0.012	0.0001131	-1.2	-1	R 25x25	Vigone FeB32k LC2
p.2	-0.0831	-0.0831	0.012	0.0001131	-1	2.496	R 25x25	Vigone FeB32k LC2
p.2	0.0831	-0.0831	0.012	0.0001131	-1	2.496	R 25x25	Vigone FeB32k LC2
p.2	0.0831	0.0831	0.012	0.0001131	-1	2.496	R 25x25	Vigone FeB32k LC2
p.2	-0.0831	0.0831	0.012	0.0001131	-1	2.496	R 25x25	Vigone FeB32k LC2

Controlli geometrici NTC18

Nessuna anomalia

Verifiche delle sezioni

Verifica a pressoflessione in SLU

Quota	As	%	At	Pos.	Mx	My	N	MRdx	MRdy	Comb.	Coeff.s.	Verifica
-1	0.000452	1.4	0.00000003	1,2	0.7888	0.2176	-7.71	20.7334	5.7184	SLU 19	26.283	Si
-0.69	0.000452	1.4	0.00000003	1,2	0.727	0.2005	-7.1	20.733	5.7183	SLU 19	28.519	Si
-0.38	0.000452	1.4	0.00000003	1,2	0.662	0.1826	-6.47	20.7329	5.7183	SLU 19	31.318	Si
-0.08	0.000452	0.7	0.00000003	2	0.5979	0.1649	-5.84	20.7329	5.7183	SLU 19	34.676	Si
0.23	0.000452	0.7	0.00000003	2	0.5338	0.1472	-5.21	20.7329	5.7183	SLU 19	38.841	Si
0.54	0.000452	0.7	0.00000003	2	0.4697	0.1295	-4.59	20.7329	5.7183	SLU 19	44.144	Si

Quota	As	%	At	Pos.	Mx	My	N	MRdx	MRdy	Comb.	Coeff.s.	Verifica
0.85	0.000452	0.7	0.00000003	2	0.405	0.1117	-3.96	20.7329	5.7183	SLU 19	51.188	Si
1.16	0.000452	0.7	0.00000003	2	0.3414	0.0942	-3.33	20.7329	5.7183	SLU 19	60.726	Si
1.47	0.000452	0.7	0.00000003	2	0.2773	0.0765	-2.71	20.7329	5.7183	SLU 19	74.769	Si
1.78	0.000452	0.7	0.00000003	2	0.2132	0.0588	-2.08	20.7329	5.7183	SLU 19	97.261	Si
2.08	0.000452	0.7	0.00000003	2	0.149	0.0411	-1.46	20.7329	5.7183	SLU 19	139.105	Si
2.39	0.000452	0.7	0.00000003	2	0.0849	0.0234	-0.83	20.7329	5.7183	SLU 19	244.144	Si
2.7	0.000364	1.4	0.00000003	2	0.0218	0.006	-0.21	19.0167	5.2449	SLU 19	870.858	Si

Verifica a pressoflessione in SLV (domini sostanzialmente elastici)

E' attiva l'opzione fattori parziali di sicurezza unitari per meccanismi duttili di strutture esistenti con fattore q
La struttura oppure parte di essa, è stata dichiarata come non dissipativa pertanto la verifica a pressoflessione, per tutte o solo alcune sezioni, viene eseguita calcolando i momenti resistenti in campo sostanzialmente elastico secondo D.M. 17-01-2018 §7.4.1

Le dilatazioni ultime utilizzate sono le dilatazioni limite elastiche

Quota	As	%	At	Pos.	Mx	My	N	ε _{cu}	ε _{fk}	MRdx	MRdy	Comb.	C.S.	Nmin	Nlim	Comb.Nmin	Ver.
-1	0.000452	1.4	0.00000245	1,2	62.7873	22.136	-5.93	-	1.58	11.1857	3.9436	SLV 5	0.178				No
-0.69	0.000452	1.4	0.00000245	1,2	57.861	20.3781	-5.46	-	1.58	11.1606	3.9307	SLV 5	0.193				No
-0.38	0.000452	1.4	0.00000245	1,2	52.6888	18.5869	-4.97	-	1.58	11.1574	3.936	SLV 5	0.212				No
-0.08	0.000452	0.7	0.00000245	2	47.5887	16.8375	-4.49	-	1.58	11.1516	3.9456	SLV 5	0.234				No
0.23	0.000452	0.7	0.00000245	2	42.485	15.0317	-4.01	-	1.58	11.1516	3.9456	SLV 5	0.262				No
0.54	0.000452	0.7	0.00000245	2	37.3813	13.226	-3.53	-	1.58	11.1516	3.9456	SLV 5	0.298				No
0.85	0.000452	0.7	0.00000245	2	32.2375	11.406	-3.04	-	1.58	11.1516	3.9456	SLV 5	0.346				No
1.16	0.000452	0.7	0.00000245	2	27.1738	9.6145	-2.57	-	1.58	11.1516	3.9456	SLV 5	0.41				No
1.47	0.000452	0.7	0.00000245	2	22.0701	7.8087	-2.08	-	1.58	11.1516	3.9456	SLV 5	0.505				No
1.78	0.000452	0.7	0.00000245	2	16.9664	6.0029	-1.6	-	1.58	11.1516	3.9456	SLV 5	0.657				No
2.08	0.000452	0.7	0.00000245	2	11.8627	4.1972	-1.12	-	1.58	11.1516	3.9456	SLV 5	0.94				No
2.39	0.000452	0.7	0.00000245	2	6.759	2.3914	-0.64	-	1.58	11.1516	3.9456	SLV 5	1.65				Si
2.7	0.000364	1.4	0.00000245	2	1.738	0.6149	-0.16	-	1.58	9.1941	3.253	SLV 5	5.29				Si

Verifica a pressoflessione in SLD

La struttura oppure parte di essa, è stata dichiarata come non dissipativa pertanto la verifica a pressoflessione, per tutte o solo alcune sezioni, viene eseguita calcolando i momenti resistenti in campo sostanzialmente elastico secondo D.M. 17-01-2018 §7.4.1

Le dilatazioni ultime utilizzate sono le dilatazioni limite elastiche

Quota	As	%	At	Pos.	Mx	My	N	MRdx	MRdy	Comb.	Coeff.s.	Verifica
-1	0.000452	1.4	0.00000099	1,2	25.4001	8.9369	-5.93	11.3309	3.9867	SLD 5	0.446	No
-0.69	0.000452	1.4	0.00000099	1,2	23.4074	8.2265	-5.46	11.3222	3.9792	SLD 5	0.484	No
-0.38	0.000452	1.4	0.00000099	1,2	21.3156	7.5061	-4.97	11.3183	3.9856	SLD 5	0.531	No
-0.08	0.000452	0.7	0.00000099	2	19.2527	6.8032	-4.49	11.3114	3.997	SLD 5	0.588	No
0.23	0.000452	0.7	0.00000099	2	17.1879	6.0736	-4.01	11.3114	3.997	SLD 5	0.658	No
0.54	0.000452	0.7	0.00000099	2	15.1231	5.344	-3.53	11.3114	3.997	SLD 5	0.748	No
0.85	0.000452	0.7	0.00000099	2	13.0421	4.6086	-3.04	11.3114	3.997	SLD 5	0.867	No
1.16	0.000452	0.7	0.00000099	2	10.9936	3.8847	-2.57	11.3114	3.997	SLD 5	1.029	Si
1.47	0.000452	0.7	0.00000099	2	8.9288	3.1551	-2.08	11.3114	3.997	SLD 5	1.267	Si
1.78	0.000452	0.7	0.00000099	2	6.864	2.4255	-1.6	11.3114	3.997	SLD 5	1.648	Si
2.08	0.000452	0.7	0.00000099	2	4.7992	1.6959	-1.12	11.3114	3.997	SLD 5	2.357	Si
2.39	0.000452	0.7	0.00000099	2	2.7344	0.9663	-0.64	11.3114	3.997	SLD 5	4.137	Si
2.7	0.000364	1.4	0.00000099	2	0.7031	0.2485	-0.16	9.3354	3.2988	SLD 5	13.277	Si

Indicatori di rischio sismico a pressoflessione in SLV

E' attiva l'opzione fattori parziali di sicurezza unitari per meccanismi duttili di strutture esistenti con fattore q
La struttura oppure parte di essa, è stata dichiarata come non dissipativa pertanto la verifica a pressoflessione, per tutte o solo alcune sezioni, viene eseguita calcolando i momenti resistenti in campo sostanzialmente elastico secondo D.M. 17-01-2018 §7.4.1

Le dilatazioni ultime utilizzate sono le dilatazioni limite elastiche

Quota	Molt.	TR	I.R.TR	PGA	I.R.PGA	Comb.	Ver.
-1	0.178	24	0.221	0.045	0.225	SLV 5	No
-0.69	0.193	27	0.232	0.047	0.237	SLV 5	No
-0.38	0.211	32	0.249	0.051	0.257	SLV 5	No
-0.08	0.234	38	0.267	0.055	0.278	SLV 5	No
0.23	0.262	46	0.289	0.061	0.303	SLV 5	No
0.54	0.298	58	0.318	0.067	0.338	SLV 5	No
0.85	0.346	76	0.355	0.076	0.383	SLV 5	No
1.16	0.41	106	0.407	0.088	0.44	SLV 5	No
1.47	0.505	167	0.49	0.106	0.531	SLV 5	No
1.78	0.657	321	0.641	0.136	0.682	SLV 5	No
2.08	0.939	804	0.934	0.189	0.945	SLV 5	No
2.39	1.648	2114	1.389	0.255	1.279	SLV 5	Si
2.7	5.293	2114	1.389	0.255	1.279	SLV 5	Si

Indicatori di rischio sismico a pressoflessione in SLD Resistenza

La struttura oppure parte di essa, è stata dichiarata come non dissipativa pertanto la verifica a pressoflessione, per tutte o solo alcune sezioni, viene eseguita calcolando i momenti resistenti in campo sostanzialmente elastico secondo D.M. 17-01-2018 §7.4.1

Le dilatazioni ultime utilizzate sono le dilatazioni limite elastiche

Quota	Molt.	TR	I.R.TR	PGA	I.R.PGA	Comb.	Ver.
-1	0.445	24	0.555	0.045	0.521	SLD 5	No
-0.69	0.483	27	0.582	0.047	0.55	SLD 5	No
-0.38	0.53	32	0.624	0.051	0.596	SLD 5	No
-0.08	0.587	38	0.67	0.055	0.644	SLD 5	No
0.23	0.658	46	0.724	0.061	0.703	SLD 5	No
0.54	0.748	58	0.797	0.067	0.784	SLD 5	No
0.85	0.867	77	0.895	0.077	0.892	SLD 5	No
1.16	1.029	107	1.024	0.088	1.024	SLD 5	Si

Quota	Molt.	TR	I.R.TR	PGA	I.R.PGA	Comb.	Ver.
1.47	1.268	168	1.232	0.106	1.233	SLD 5	Si
1.78	1.648	323	1.611	0.136	1.586	SLD 5	Si
2.08	2.359	811	2.349	0.189	2.199	SLD 5	Si
2.39	4.138	2110	3.477	0.255	2.966	SLD 5	Si
2.7	13.275	2110	3.477	0.255	2.966	SLD 5	Si

Verifica a taglio-torsione in famiglia SLU

Quota	Staffe	Ved.x	Ved.y	Ned	Comb.V	Cot	Vres	c.s.V	Mt	As,t	Al,t	Comb.Tor.	Trcd	Trsd	Trld	c.s.V-T	Ver.
-1	2X/2Y ø6/14.8	-0.06	-0.21	-7.71	SLU 19	2.5	50.12	241.45	0.00037	0	0.00000002	SLU 1	7.79391	0.00037	0.00037	1.02	Si
-0.69	2X/2Y ø6/14.8	-0.06	-0.21	-7.1	SLU 19	2.5	50.12	241.45	0.00037	0	0.00000002	SLU 1	7.79391	0.00037	0.00037	1.02	Si
-0.38	2X/2Y ø6/14.8	-0.06	-0.21	-6.47	SLU 19	2.5	50.12	241.45	0.00037	0	0.00000002	SLU 1	7.79391	0.00037	0.00037	1.02	Si
-0.08	2X/2Y ø6/14.8	-0.06	-0.21	-5.84	SLU 19	2.5	50.12	241.45	0.00037	0	0.00000002	SLU 1	7.79391	0.00037	0.00037	1.02	Si
0.23	2X/2Y ø6/14.8	-0.06	-0.21	-5.21	SLU 19	2.5	50.12	241.45	0.00037	0	0.00000002	SLU 1	7.79391	0.00037	0.00037	1.02	Si
0.54	2X/2Y ø6/14.8	-0.06	-0.21	-4.59	SLU 19	2.5	50.12	241.45	0.00037	0	0.00000002	SLU 1	7.79391	0.00037	0.00037	1.02	Si
0.85	2X/2Y ø6/14.8	-0.06	-0.21	-3.96	SLU 19	2.5	50.12	241.45	0.00037	0	0.00000002	SLU 1	7.79391	0.00037	0.00037	1.02	Si
1.16	2X/2Y ø6/14.8	-0.06	-0.21	-3.33	SLU 19	2.5	50.12	241.45	0.00037	0	0.00000002	SLU 1	7.79391	0.00037	0.00037	1.02	Si
1.47	2X/2Y ø6/14.8	-0.06	-0.21	-2.71	SLU 19	2.5	50.12	241.45	0.00037	0	0.00000002	SLU 1	7.79391	0.00037	0.00037	1.02	Si
1.78	2X/2Y ø6/14.8	-0.06	-0.21	-2.08	SLU 19	2.5	50.12	241.45	0.00037	0	0.00000002	SLU 1	7.79391	0.00037	0.00037	1.02	Si
2.08	2X/2Y ø6/14.8	-0.06	-0.21	-1.46	SLU 19	2.5	50.12	241.45	0.00037	0	0.00000002	SLU 1	7.79391	0.00037	0.00037	1.02	Si
2.39	2X/2Y ø6/14.8	-0.06	-0.21	-0.83	SLU 19	2.5	50.12	241.45	0.00037	0	0.00000002	SLU 1	7.79391	0.00037	0.00037	1.02	Si
2.7	2X/2Y ø6/14.8	-0.06	-0.21	-0.21	SLU 19	2.5	50.82	244.85	0.00037	0	0.00000002	SLU 1	7.79391	0.00037	0.00037	1.02	Si

Verifica a taglio-torsione in famiglia SLV

Quota	Staffe	Ved.x	Ved.y	Ned	Comb.V	Cot	Vres	c.s.V	Mt	As,t	Al,t	Comb.Tor.	Trcd	Trsd	Trld	c.s.V-T	Ver.
-1	2X/2Y ø6/14.8	-12.82	-16.59	-5.93	SLV 5	2.5	49.43	2.98	0.05359	0.00000004	0.00000245	SLV 1	7.79391	0.05359	0.05359	1.02	Si
-0.69	2X/2Y ø6/14.8	-12.82	-16.59	-5.46	SLV 5	2.5	49.43	2.98	0.05359	0.00000004	0.00000245	SLV 1	7.79391	0.05359	0.05359	1.02	Si
-0.38	2X/2Y ø6/14.8	-12.82	-16.59	-4.97	SLV 5	2.5	49.43	2.98	0.05359	0.00000004	0.00000245	SLV 1	7.79391	0.05359	0.05359	1.02	Si
-0.08	2X/2Y ø6/14.8	-11.58	-16.52	-4.49	SLV 5	2.5	49.43	2.99	0.05359	0.00000004	0.00000245	SLV 1	7.79391	0.05359	0.05359	1.02	Si
0.23	2X/2Y ø6/14.8	-11.58	-16.52	-4.01	SLV 5	2.5	49.43	2.99	0.05359	0.00000004	0.00000245	SLV 1	7.79391	0.05359	0.05359	1.02	Si
0.54	2X/2Y ø6/14.8	-11.58	-16.52	-3.53	SLV 5	2.5	49.43	2.99	0.05359	0.00000004	0.00000245	SLV 1	7.79391	0.05359	0.05359	1.02	Si
0.85	2X/2Y ø6/14.8	-11.58	-16.52	-3.04	SLV 5	2.5	49.43	2.99	0.05359	0.00000004	0.00000245	SLV 1	7.79391	0.05359	0.05359	1.02	Si
1.16	2X/2Y ø6/14.8	-11.58	-16.52	-2.57	SLV 5	2.5	49.43	2.99	0.05359	0.00000004	0.00000245	SLV 1	7.79391	0.05359	0.05359	1.02	Si
1.47	2X/2Y ø6/14.8	-11.58	-16.52	-2.08	SLV 5	2.5	49.43	2.99	0.05359	0.00000004	0.00000245	SLV 1	7.79391	0.05359	0.05359	1.02	Si
1.78	2X/2Y ø6/14.8	-11.58	-16.52	-1.6	SLV 5	2.5	49.43	2.99	0.05359	0.00000004	0.00000245	SLV 1	7.79391	0.05359	0.05359	1.02	Si
2.08	2X/2Y ø6/14.8	-11.58	-16.52	-1.12	SLV 5	2.5	49.43	2.99	0.05359	0.00000004	0.00000245	SLV 1	7.79391	0.05359	0.05359	1.02	Si
2.39	2X/2Y ø6/14.8	-11.58	-16.52	-0.64	SLV 5	2.5	49.43	2.99	0.05359	0.00000004	0.00000245	SLV 1	7.79391	0.05359	0.05359	1.02	Si
2.7	2X/2Y ø6/14.8	-11.58	-16.52	-0.16	SLV 5	2.5	50.13	3.03	0.05359	0.00000004	0.00000245	SLV 1	7.79391	0.05359	0.05359	1.02	Si

Verifica taglio ciclico secondo Circolare 7 21-01-19 §C8.7.2.3.5 formula [C8.7.2.8] in combinazione SLV

Quota	Q.inf.	Q.sup.	Dir.	Lv	x	h	p.tot	θ _m	θ _y	μΔ _{pl}	VRd	VRcd(cotθ=1)	VRsd	Vw	VR	Vu	VEd	NEd	Comb.	Verifica
-1	-1.2	2.8	X	2.013	0.065	0.25	0.0072	0.007267	0.024847	0	18.693	84.14	49.412	19.765	20.214	49.412	-12.82	-5.927	SLV 1	Si
-1	-1.2	2.8	Y	2.013	0.065	0.25	0.0072	0.010369	0.024847	0	18.693	84.14	49.43	19.772	20.22	49.43	16.588	-5.927	SLV 5	Si

Verifica a taglio-torsione in famiglia SLD Resistenza

Quota	Staffe	Ved.x	Ved.y	Ned	Comb.V	Cot	Vres	c.s.V	Mt	As,t	Al,t	Comb.Tor.	Trcd	Trsd	Trld	c.s.V-T	Ver.
-1	2X/2Y ø6/14.8	-5.22	-6.71	-5.93	SLD 5	2.5	49.84	7.43	0.02169	0.00000016	0.00000099	SLD 1	7.79391	0.02169	0.02169	1.02	Si
-0.69	2X/2Y ø6/14.8	-5.22	-6.71	-5.46	SLD 5	2.5	49.84	7.43	0.02169	0.00000016	0.00000099	SLD 1	7.79391	0.02169	0.02169	1.02	Si
-0.38	2X/2Y ø6/14.8	-5.22	-6.71	-4.97	SLD 5	2.5	49.84	7.43	0.02169	0.00000016	0.00000099	SLD 1	7.79391	0.02169	0.02169	1.02	Si
-0.08	2X/2Y ø6/14.8	-4.65	-6.68	-4.49	SLD 5	2.5	49.84	7.46	0.02169	0.00000016	0.00000099	SLD 1	7.79391	0.02169	0.02169	1.02	Si
0.23	2X/2Y ø6/14.8	-4.65	-6.68	-4.01	SLD 5	2.5	49.84	7.46	0.02169	0.00000016	0.00000099	SLD 1	7.79391	0.02169	0.02169	1.02	Si
0.54	2X/2Y ø6/14.8	-4.65	-6.68	-3.53	SLD 5	2.5	49.84	7.46	0.02169	0.00000016	0.00000099	SLD 1	7.79391	0.02169	0.02169	1.02	Si
0.85	2X/2Y ø6/14.8	-4.65	-6.68	-3.04	SLD 5	2.5	49.84	7.46	0.02169	0.00000016	0.00000099	SLD 1	7.79391	0.02169	0.02169	1.02	Si
1.16	2X/2Y ø6/14.8	-4.65	-6.68	-2.57	SLD 5	2.5	49.84	7.46	0.02169	0.00000016	0.00000099	SLD 1	7.79391	0.02169	0.02169	1.02	Si
1.47	2X/2Y ø6/14.8	-4.65	-6.68	-2.08	SLD 5	2.5	49.84	7.46	0.02169	0.00000016	0.00000099	SLD 1	7.79391	0.02169	0.02169	1.02	Si
1.78	2X/2Y ø6/14.8	-4.65	-6.68	-1.6	SLD 5	2.5	49.84	7.46	0.02169	0.00000016	0.00000099	SLD 1	7.79391	0.02169	0.02169	1.02	Si
2.08	2X/2Y ø6/14.8	-4.65	-6.68	-1.12	SLD 5	2.5	49.84	7.46	0.02169	0.00000016	0.00000099	SLD 1	7.79391	0.02169	0.02169	1.02	Si
2.39	2X/2Y ø6/14.8	-4.65	-6.68	-0.64	SLD 5	2.5	49.84	7.46	0.02169	0.00000016	0.00000099	SLD 1	7.79391	0.02169	0.02169	1.02	Si
2.7	2X/2Y ø6/14.8	-4.65	-6.68	-0.16	SLD 5	2.5	50.55	7.56	0.02169	0.00000016	0.00000099	SLD 1	7.79391	0.02169	0.02169	1.02	Si

Indicatori di rischio sismico a taglio in SLV

Quota	Molt.	TR	I.R.TR	PGA	I.R.PGA	Comb.	Ver.
-0.69	3.039	2114	1.389	0.255	1.279	SLV 5	Si
-0.38	3.039	2114	1.389	0.255	1.279	SLV 5	Si
-0.08	3.051	2114	1.389	0.255	1.279	SLV 5	Si
0.23	3.051	2114	1.389	0.255	1.279	SLV 5	Si
0.54	3.051	2114	1.389	0.255	1.279	SLV 5	Si
0.85	3.051	2114	1.389	0.255	1.279	SLV 5	Si
1.16	3.051	2114	1.389	0.255	1.279	SLV 5	Si
1.47	3.051	2114	1.389	0.255	1.279	SLV 5	Si
1.78	3.051	2114	1.389	0.255	1.279	SLV 5	Si
2.08	3.051	2114	1.389	0.255	1.279	SLV 5	Si
2.39	3.051	2114	1.389	0.255	1.279	SLV 5	Si
2.7	3.092	2114	1.389	0.255	1.279	SLV 5	Si

Indicatori di rischio sismico a taglio in SLD Resistenza

Quota	Molt.	TR	I.R.TR	PGA	I.R.PGA	Comb.	Ver.
-1	7.59	2110	3.477	0.255	2.966	SLD 5	Si

Quota	Molt.	TR	I.R.TR	PGA	I.R.PGA	Comb.	
-0.69	7.59	2110	3.477	0.255	2.966	SLD 5	Si
-0.38	7.59	2110	3.477	0.255	2.966	SLD 5	Si
-0.08	7.631	2110	3.477	0.255	2.966	SLD 5	Si
0.23	7.631	2110	3.477	0.255	2.966	SLD 5	Si
0.54	7.631	2110	3.477	0.255	2.966	SLD 5	Si
0.85	7.631	2110	3.477	0.255	2.966	SLD 5	Si
1.16	7.631	2110	3.477	0.255	2.966	SLD 5	Si
1.47	7.631	2110	3.477	0.255	2.966	SLD 5	Si
1.78	7.631	2110	3.477	0.255	2.966	SLD 5	Si
2.08	7.631	2110	3.477	0.255	2.966	SLD 5	Si
2.39	7.631	2110	3.477	0.255	2.966	SLD 5	Si
2.7	7.74	2110	3.477	0.255	2.966	SLD 5	Si

Verifiche nodi trave colonna

Verifiche dei nodi trave pilastro non presenti in quanto la verifica è non necessaria per la pilastrata.
Le travature che convergono al nodo in questione sono tutte svincolate

Verifica di instabilità

Q.inf.	Q.sup.	Quota	λ_x	λ_y	λ_{limX}	λ_{limY}	M 2° ord.	Nsd	Comb.	M0ed,x	M2,x	M0ed,y	M2,y	Mver,x	Mver,y	C.s x	C.s y	Risultato	(5.38)	(5.39)	Ver.
-1.2	2.8	-1	111	111	190	190	No	-7.71	SLU 19	0.1027	0.8956	0.1027	0.8956	0.7888	0.2176	29.69	55.75	Min	No	26.28	Si
-1.2	2.8	-1	111	111	190	190	No	-7.71	SLU 19	0.1027	0.8956	0.1027	0.8956	0.7888	0.2176	29.69	55.75	X	No	26.28	Si
-1.2	2.8	-1	111	111	216	216	No	-5.93	SLD 5	0.079	0.6889	0.079	0.6889	25.4001	8.9369	0.53	1.57	Min	No	0.45	No
-1.2	2.8	-1	111	111	216	216	No	-5.93	SLD 5	0.079	0.6889	0.079	0.6889	25.4001	8.9369	0.53	1.57	X	No	0.45	No
-1.2	2.8	-1	111	111	216	216	No	-5.93	SLV 5	0.079	0.6889	0.079	0.6889	62.7873	22.136	0.21	0.61	Min	No	0.18	No
-1.2	2.8	-1	111	111	216	216	No	-5.93	SLV 5	0.079	0.6889	0.079	0.6889	62.7873	22.136	0.21	0.61	X	No	0.18	No
-1.2	2.8	-1	111	111	190	190	No	-7.71	SLU 19	0.1027	0.8956	0.1027	0.8956	0.7888	0.2176	29.69	55.75	Min	No	26.28	Si
-1.2	2.8	-1	111	111	190	190	No	-7.71	SLU 19	0.1027	0.8956	0.1027	0.8956	0.7888	0.2176	29.69	55.75	Y	No	26.28	Si
-1.2	2.8	-1	111	111	216	216	No	-5.93	SLD 5	0.079	0.6889	0.079	0.6889	25.4001	8.9369	0.53	1.57	Min	No	0.45	No
-1.2	2.8	-1	111	111	216	216	No	-5.93	SLD 1	0.079	0.6889	0.079	0.6889	13.1318	17.6758	1.05	0.77	Y	No	0.53	No
-1.2	2.8	-1	111	111	216	216	No	-5.93	SLV 5	0.079	0.6889	0.079	0.6889	62.7873	22.136	0.21	0.61	Min	No	0.18	No
-1.2	2.8	-1	111	111	216	216	No	-5.93	SLV 1	0.079	0.6889	0.079	0.6889	32.099	43.9905	0.42	0.3	Y	No	0.21	No

Verifiche di gerarchia delle resistenze nei nodi trave pilastro

Verifiche di gerarchia delle resistenze nei nodi trave pilastro non presenti in quanto la verifica è non necessaria per la pilastrata
per il nodo Appoggio 2.8 in quanto elemento di materiale esistente.
per il nodo Appoggio -1.2 in quanto elemento di materiale esistente.

5.2 Verifiche travate C.A.

Le unità di misura elencate nel capitolo sono in [m, kN] ove non espressamente specificato.

N°: indice progressivo della sezione.

Descrizione: descrizione della sezione.

Tipo: tipo di sezione.

Base: base della sezione. [m]

Altezza: altezza della sezione. [m]

Copriferro sup.: distanza del bordo della staffa dalla superficie superiore del getto. [m]

Copriferro inf.: distanza del bordo della staffa dalla superficie inferiore del getto. [m]

Copriferro lat.: distanza del bordo della staffa dalle superfici laterali del getto. [m]

x: distanza da asse appoggio sinistro. [m]

A sup.: area efficace di armatura longitudinale superiore. [m²]

C.b. sup.: distanza dal bordo del baricentro dell'armatura longitudinale superiore. [m]

A inf.: area efficace di armatura longitudinale inferiore. [m²]

C.b. inf.: distanza dal bordo del baricentro dell'armatura longitudinale inferiore. [m]

M+ela: momento flettente desunto dal solutore che tende le fibre inferiori. [kN*m]

Comb.: combinazione.

M+des: momento flettente di progetto che tende le fibre inferiori. [kN*m]

M+ult: momento ultimo per trazione delle fibre inferiori. [kN*m]

x/d: rapporto tra posizione asse neutro e altezza utile.

coeff: coefficiente di sicurezza.

M-ela: momento flettente desunto dal solutore che tende le fibre superiori. [kN*m]

M-des: momento flettente di progetto che tende le fibre superiori. [kN*m]

M-ult: momento ultimo per trazione delle fibre superiori. [kN*m]

Verifica: stato di verifica.

A st: area di staffe per unità di lunghezza. [m²]

A sl: area di armatura longitudinale tesa per valutazione resistenza taglio in assenza di armature a taglio. [m²]

A sag: area equivalente di barre piegate per unità di lunghezza. [m²]

Vela: taglio elastico. [kN]

Vdes: taglio di progetto. [kN]

Vrd: resistenza a taglio della sezione senza armature. [kN]

Vrcd: sforzo di taglio che produce il cedimento delle bielle. [kN]

Vrsd: resistenza a taglio per la presenza delle armature. [kN]

Vult: taglio ultimo. [kN]

cotg θ : cotg dell'angolo di inclinazione dei puntoni in calcestruzzo.

T gravità: taglio dovuto ai carichi gravitazionali. [kN]

T sisma: taglio dovuto a sisma. [kN]

T ultimo: taglio ultimo. [kN]

Comb.: combinazione per indicatore minimo per taglio.

Pga: pga per taglio.

Tr: tempo di ritorno per taglio.

Ind. taglio: indicatore di rischio per taglio.

M gravità: momento dovuto ai carichi gravitazionali. [kN*m]

M sisma: momento dovuto a sisma. [kN*m]

M ultimo: momento ultimo. [kN*m]

Comb.: combinazione per indicatore minimo per momento.

Pga: pga per momento.

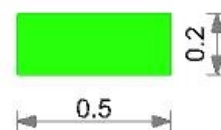
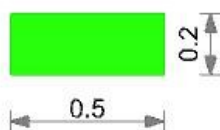
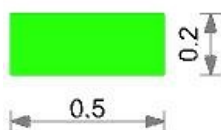
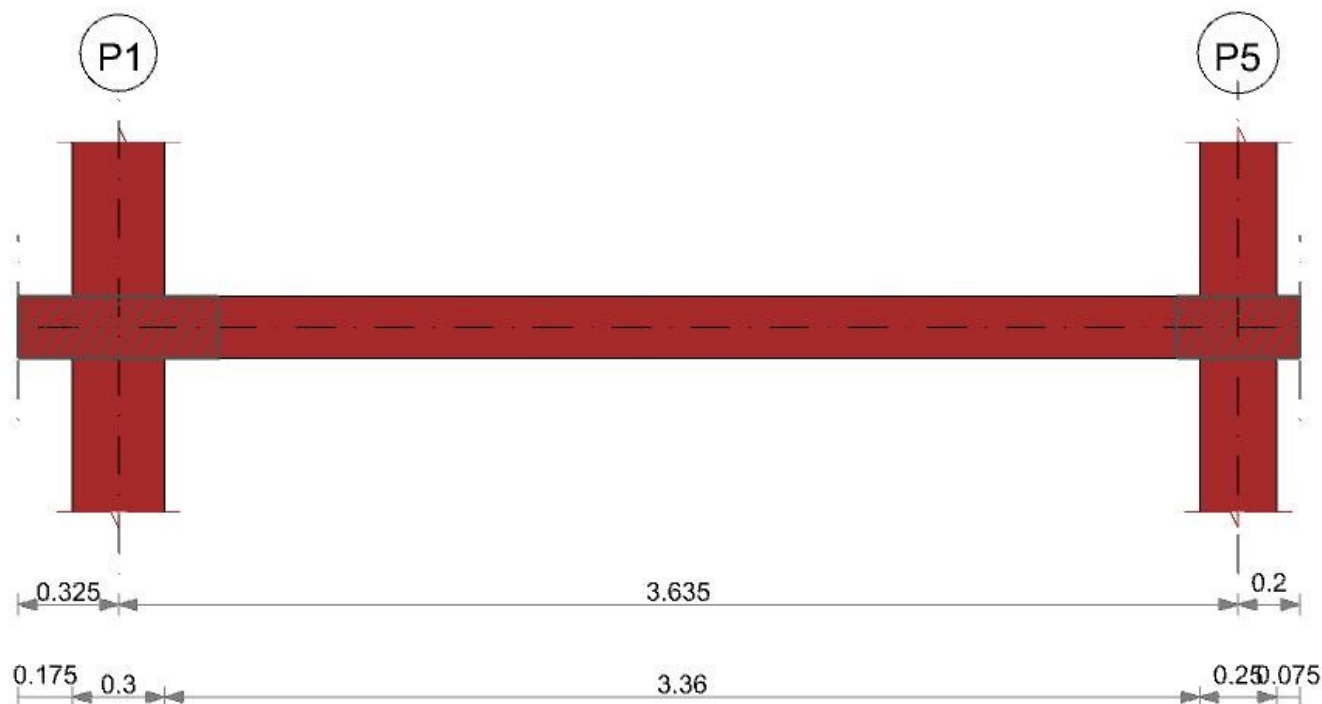
Tr: tempo di ritorno per momento.

Ind. momento: indicatore di rischio per momento.

Ver: stato di verifica.

Trave a "Piano 1" P1-P5

Geometria



Caratteristiche dei materiali

Acciaio: Vigone FeB32k LC2 Fym 386700 Livello di conoscenza LC2 Fattore di confidenza 1.2

Calcestruzzo: C16/20 LC2 Rcm 20000 Livello di conoscenza LC2 Fattore di confidenza 1.2

Elenco delle sezioni

N°	Descrizione	Tipo	Base	Altezza	Copriferro sup.	Copriferro inf.	Copriferro lat.
1	R 50x20	Rettangolare	0.5	0.2	0.025	0.025	0.025

Diagramma verifica stato limite ultimo flessione

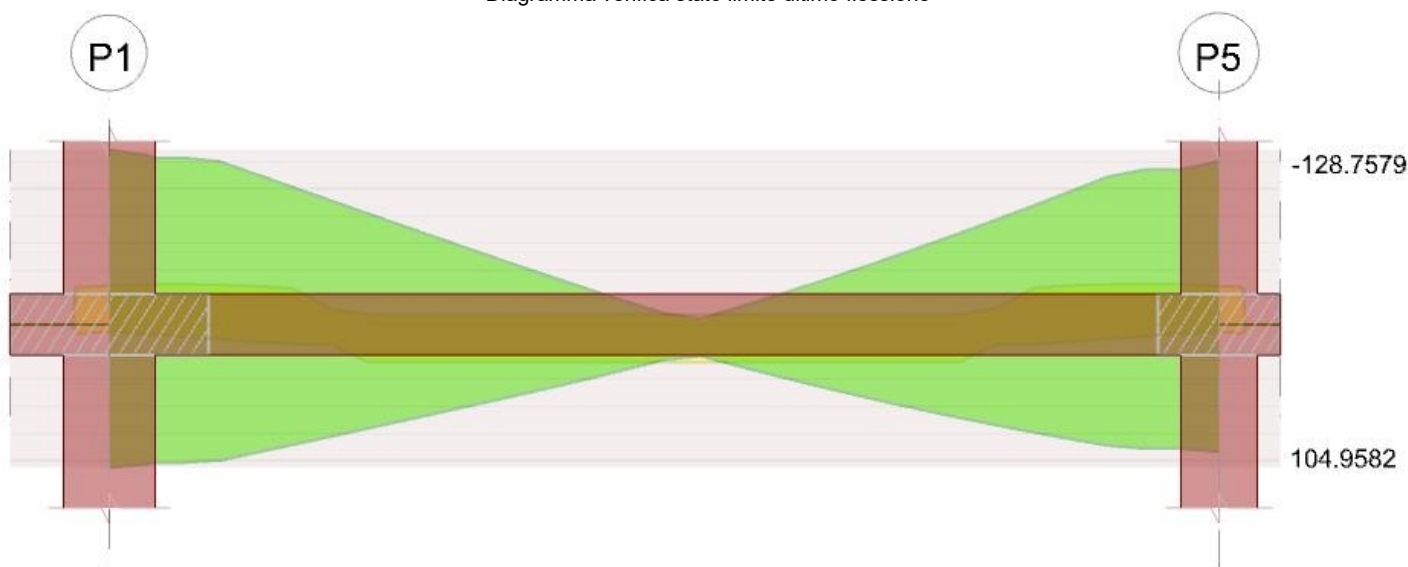


Diagramma verifica stato limite ultimo taglio

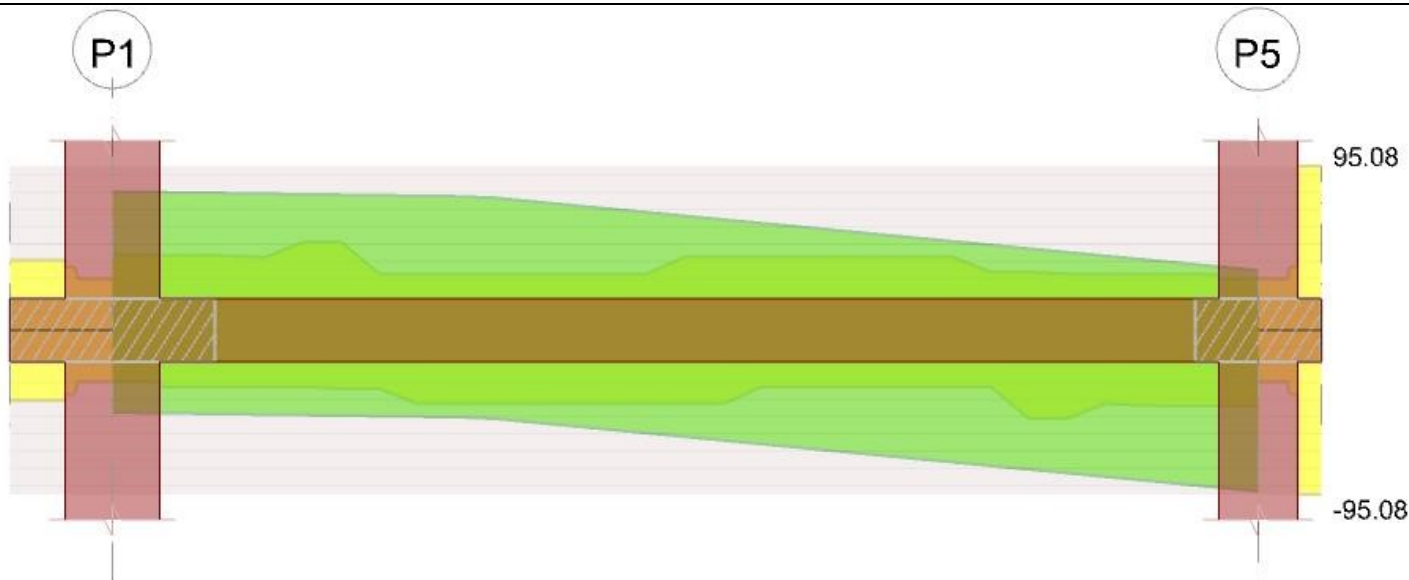
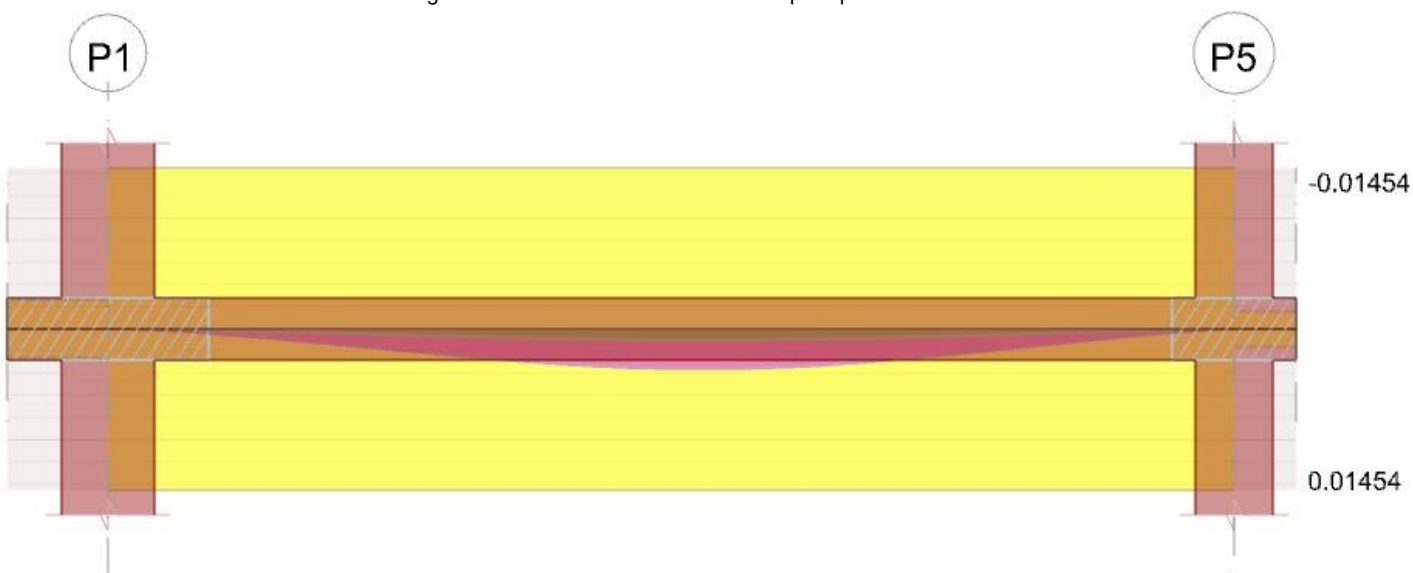


Diagramma verifica stato limite esercizio quasi permanente freccia

**Output campate**

Campata 2 tra i fili P1 - P5, sezione R 50x20, aste 35, 36

Verifiche a flessione in famiglia SLU

x	A sup.	C.b. sup.	A inf.	C.b. inf.	M+ela	Comb.	M+des	M+ult	x/d	coeff	M-ela	Comb.	M-des	M-ult	x/d	coeff	Verifica
0	0.000648	0.038	0.000091	0.038							-21.8951	SLU 19	-19.8781	-25.3169	0.322	1.27	Si
0.15	0.000685	0.038	0.000147	0.038							-17.8974	SLU 19	-17.8974	-26.6071	0.321	1.49	Si
1.82	0.000157	0.038	0.000616	0.038	16.2157	SLU 19	16.5015	24.2254	0.294	1.47							Si
3.51	0.000676	0.038	0.000129	0.038							-18.7643	SLU 19	-18.7643	-26.2815	0.323	1.4	Si
3.64	0.000642	0.038	0.000096	0.038							-24.6597	SLU 19	-21.6095	-25.1233	0.318	1.16	Si

Verifiche a flessione in famiglia SLV (domini sostanzialmente elastici)

La struttura oppure parte di essa, è stata dichiarata come non dissipativa pertanto la verifica a pressoflessione, per tutte o solo alcune sezioni, viene eseguita calcolando i momenti resistenti in campo sostanzialmente elastico secondo D.M. 17-01-2018 §7.4.1

Le dilatazioni ultime utilizzate sono le seguenti: $\epsilon_{c2} = 0.002$, $\epsilon_{yd} = 0.00156$

E' attiva l'opzione fattori parziali di sicurezza unitari per meccanismi duttili di strutture esistenti con fattore γ

x	A sup.	C.b. sup.	A inf.	C.b. inf.	M+ela	Comb.	M+des	M+ult	x/d	coeff	M-ela	Comb.	M-des	M-ult	x/d	coeff	Verifica
0	0.000648	0.038	0.000091	0.038	108.5222	SLV 7	104.9582	4.7726	0.18	0.05	-134.7763	SLV 10	-128.7579	-28.6983	0.372	0.22	No
0.15	0.000685	0.038	0.000147	0.038	101.3663	SLV 7	101.3663	7.2786	0.204	0.07	-122.7674	SLV 10	-122.7674	-30.1949	0.379	0.25	No
1.82	0.000157	0.038	0.000616	0.038	14.9694	SLV 7	25.7354	27.368	0.36	1.06	3.8666	SLV 10	-8.3521	-7.6945	0.207	0.92	No
3.51	0.000676	0.038	0.000129	0.038	91.0281	SLV 10	91.0281	6.4473	0.196	0.07	-114.1332	SLV 7	-114.1332	-29.8202	0.378	0.26	Si
3.64	0.000642	0.038	0.000096	0.038	95.51	SLV 10	93.3295	5.0141	0.182	0.05	-125.622	SLV 7	-119.8171	-28.4606	0.371	0.24	Si

Verifiche SLD Resistenza a flessione (domini sostanzialmente elastici)

La struttura oppure parte di essa, è stata dichiarata come non dissipativa pertanto la verifica a pressoflessione, per tutte o solo alcune sezioni, viene eseguita calcolando i momenti resistenti in campo sostanzialmente elastico secondo D.M. 17-01-2018 §7.4.1

Le dilatazioni ultime utilizzate sono le seguenti: $\epsilon_{c2} = 0.002$, $\epsilon_{yd} = 0.00156$

x	A sup.	C.b. sup.	A inf.	C.b. inf.	M+ela	Comb.	M+des	M+ult	x/d	coeff	M-ela	Comb.	M-des	M-ult	x/d	coeff	Verifica
0	0.000648	0.038	0.000091	0.038	35.5131	SLD 7	34.8245	4.7726	0.18	0.14	-61.7671	SLD 10	-58.6242	-28.6983	0.372	0.49	No
0.15	0.000685	0.038	0.000147	0.038	34.1081	SLD 7	34.1081	7.2786	0.204	0.21	-55.5091	SLD 10	-55.5091	-30.1949	0.379	0.54	No
1.82	0.000157	0.038	0.000616	0.038	11.637	SLD 7	15.5055	27.368	0.36	1.77							Si
3.51	0.000676	0.038	0.000129	0.038	29.4656	SLD 10	29.5363	6.4473	0.196	0.22	-52.5707	SLD 7	-52.5707	-29.8202	0.378	0.57	Si
3.64	0.000642	0.038	0.000096	0.038	29.1551	SLD 10	29.1551	5.0141	0.182	0.17	-59.2671	SLD 7	-55.8584	-28.4606	0.371	0.51	Si

Verifiche a taglio in famiglia SLU

x	A st	A sl	A sag	Vela	Comb.	Vdes	Vrd	Vrcd	Vrsd	Vult	cotgθ	coeff	Verifica
0	0	0.000685	0	26.9	SLU 19	26.9	44.13	98.53	0	44.13	2.5	1.64	Si
0.15	0.0000032	0.000662	0	26.41	SLU 19	26.41	43.63	98.53	32.66	43.63	2.5	1.65	Si
1.82	0.0000032	0.000616	0	4.2	SLU 19	4.2	42.59	98.53	32.66	42.59	2.5	10.14	Si
3.51	0.0000032	0.000676	0	-45.52	SLU 19	-45.52	-43.93	-98.53	-32.66	-43.93	2.5	0.97	Si
3.64	0	0.000676	0	-49.2	SLU 19	-49.2	-43.93	-98.53	0	-43.93	2.5	0.89	Si

Verifiche a taglio in famiglia SLV

x	A st	A sl	A sag	Vela	Comb.	Vdes	Vrd	Vrcd	Vrsd	Vult	cotgθ	coeff	Verifica
0	0	0.000685	0	80.25	SLV 10	80.25	44.13	98.53	0	44.13	2.5	0.55	Si
0	0	0.000147	0	-47.52	SLV 7	-47.52	-29.82	-98.53	0	-29.82	2.5	0.63	Si
0.15	0.0000032	0.000662	0	79.87	SLV 10	79.87	43.63	98.53	32.66	43.63	2.5	0.55	No
0.15	0.0000032	0.000147	0	-47.89	SLV 7	-47.89	-29.82	-98.53	-32.66	-32.66	2.5	0.68	No
1.82	0.0000032	0.000616	0	66.17	SLV 10	66.17	42.59	98.53	32.66	42.59	2.5	0.64	No
1.82	0.0000032	0.000616	0	-61.6	SLV 7	-61.6	-42.59	-98.53	-32.66	-42.59	2.5	0.69	No
2.79	0.0000032	0.000308	0	49.36	SLV 10	49.36	33.8	98.53	32.66	33.8	2.5	0.68	No
2.79	0.0000032	0.000157	0	-78.4	SLV 7	-78.4	-29.82	-98.53	-32.66	-32.66	2.5	0.42	No
3.51	0.0000032	0.000129	0	36.82	SLV 10	36.82	29.82	98.53	32.66	32.66	2.5	0.89	Si
3.51	0.0000032	0.000676	0	-90.94	SLV 7	-90.94	-43.93	-98.53	-32.66	-43.93	2.5	0.48	Si
3.64	0	0.000129	0	34.66	SLV 10	34.66	29.82	98.53	0	29.82	2.5	0.86	Si
3.64	0	0.000676	0	-93.11	SLV 7	-93.11	-43.93	-98.53	0	-43.93	2.5	0.47	Si

Verifiche SLD Resistenza a taglio

x	A st	A sl	A sag	Vela	Comb.	Vdes	Vrd	Vrcd	Vrsd	Vult	cotgθ	coeff	Verifica
0	0	0.000685	0	41.91	SLD 10	41.91	44.13	98.53	0	44.13	2.5	1.05	Si
0	0	0.000147	0	-9.18	SLD 7	-9.18	-29.82	-98.53	0	-29.82	2.5	3.25	Si
0.15	0.0000032	0.000662	0	41.53	SLD 10	41.53	43.63	98.53	32.66	43.63	2.5	1.05	Si
0.15	0.0000032	0.000147	0	-9.55	SLD 7	-9.55	-29.82	-98.53	-32.66	-32.66	2.5	3.42	Si
1.82	0.0000032	0.000616	0	27.83	SLD 10	27.83	42.59	98.53	32.66	42.59	2.5	1.53	Si
1.82	0.0000032	0.000616	0	-23.26	SLD 7	-23.26	-42.59	-98.53	-32.66	-42.59	2.5	1.83	Si
3.51	0.0000032	0.000676	0	-52.6	SLD 7	-52.6	-43.93	-98.53	-32.66	-43.93	2.5	0.84	Si
3.64	0	0.000676	0	-54.77	SLD 7	-54.77	-43.93	-98.53	0	-43.93	2.5	0.8	Si

Indicatori di rischio sismico SLV

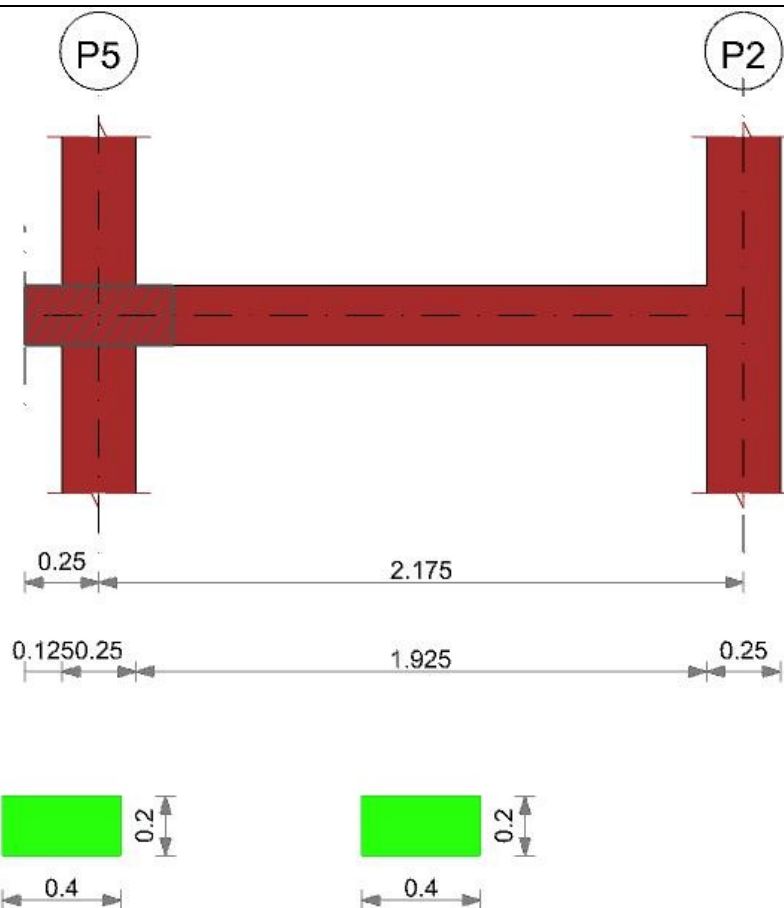
x	T gravità	T sisma	T ultimo	Comb.	Pga	Tr	Ind. taglio	M gravità	M sisma	M ultimo	Comb.	Pga	Tr	Ind. momento	Ver
0.15	15.99	63.88	43.63	SLV 10	0.09	118	0.425	-10.7005	112.0669	7.2786	SLV 7	0.04	20	0.205	No
0.85	14.25	63.88	32.66	SLV 10	0.07	54	0.309	-2.7549	-78.9651	-7.6945	SLV 10	0.02	3	0.094	No
1.82	2.29	63.88	42.59	SLV 10	0.13	290	0.615	8.6917	-17.0438	-7.6945	SLV 10	0.19	855	0.958	No
3.51	-27.06	-63.88	-43.93	SLV 7	0.06	46	0.289	-11.5525	102.5806	6.4473	SLV 10	0.04	23	0.218	Si

Indicatori di rischio sismico SLD resistenza

x	T gravità	T sisma	T ultimo	Comb.	Pga	Tr	Ind. taglio	M gravità	M sisma	M ultimo	Comb.	Pga	Tr	Ind. momento	Ver
0.15	15.99	25.54	43.63	SLD 10	0.09	118	1.066	-10.7005	44.8086	7.2786	SLD 7	0.04	20	0.515	No
0.85	14.25	25.54	32.66	SLD 10	0.07	54	0.774	-2.7549	-31.5729	-7.6945	SLD 10	0.02	3	0.237	No
1.82	2.29	25.54	42.59	SLD 10	0.13	290	1.541	8.6917	-6.8138	-7.6945	SLD 10	0.19	853	2.398	Si
3.51	-27.06	-25.54	-43.93	SLD 7	0.06	46	0.724	-11.5525	41.0181	6.4473	SLD 10	0.04	23	0.545	Si

Trave a "Piano 1" P5-P2

Geometria



Caratteristiche dei materiali

Acciaio: Vigone_FeB32k_LC2 Fym 386700 Livello di conoscenza LC2 Fattore di confidenza 1.2
 Calcestruzzo: C16/20 LC2 Rcm 20000 Livello di conoscenza LC2 Fattore di confidenza 1.2

Elenco delle sezioni

N°	Descrizione	Tipo	Base	Altezza	Copriferro sup.	Copriferro inf.	Copriferro lat.
1	R 40x20	Rettangolare	0.4	0.2	0.025	0.025	0.025

Diagramma verifica stato limite ultimo flessione

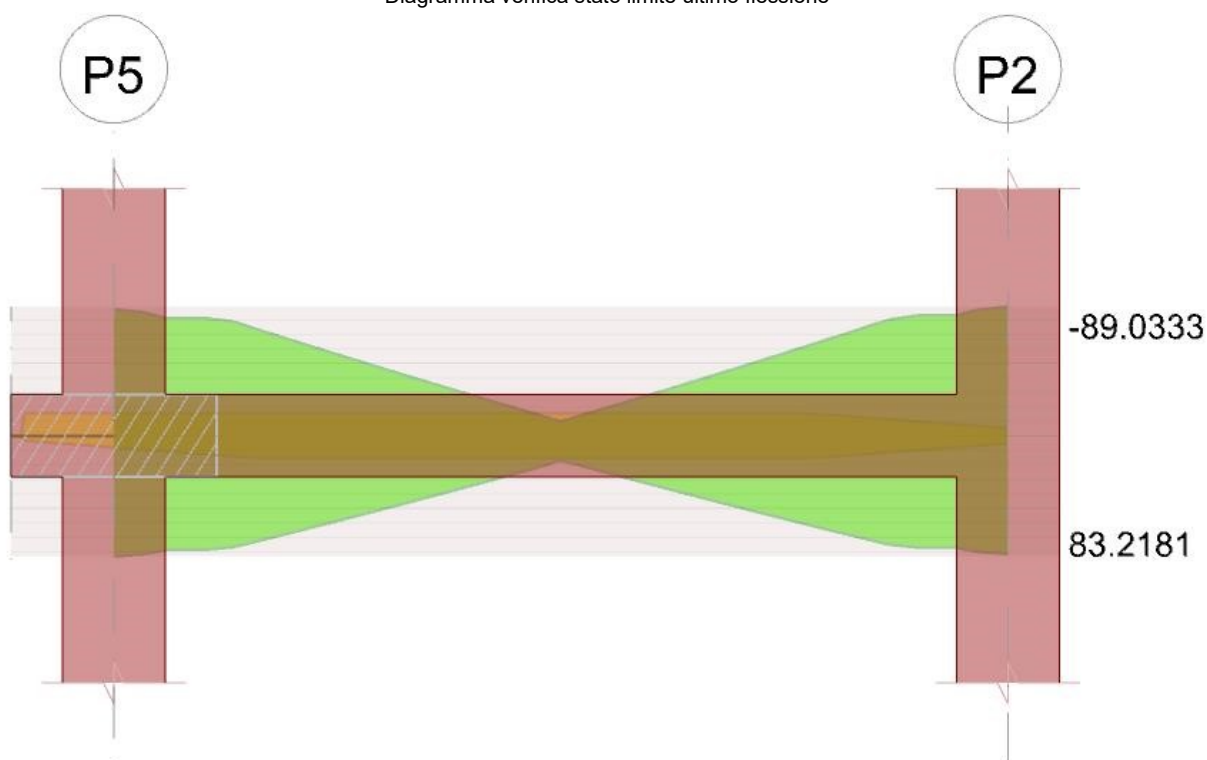


Diagramma verifica stato limite ultimo taglio

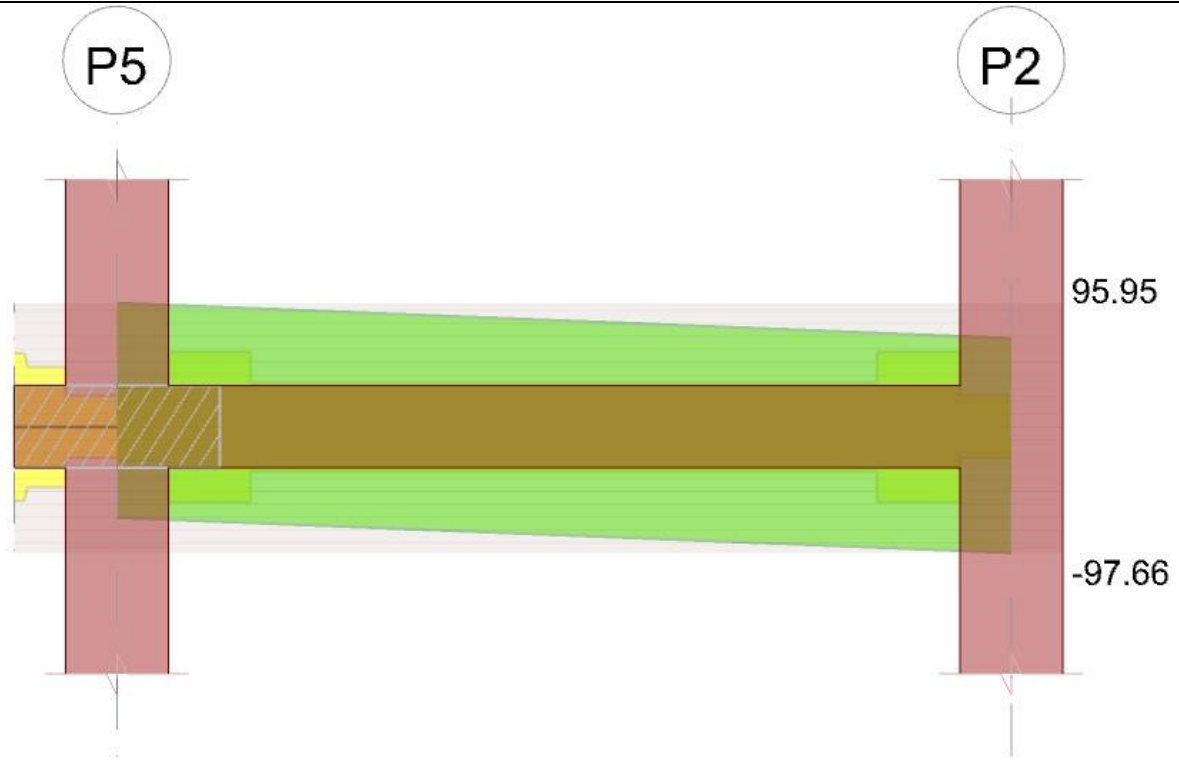
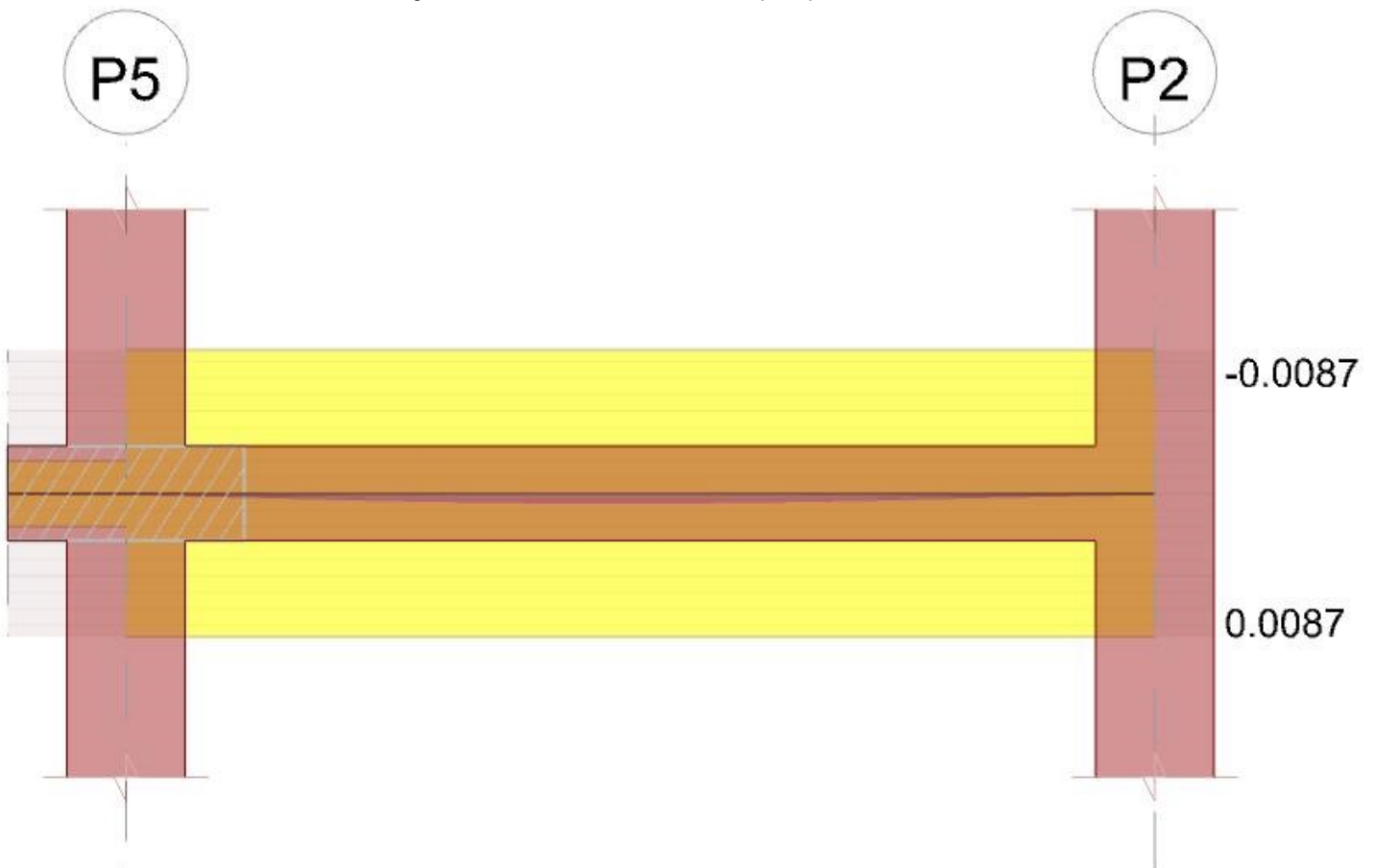


Diagramma verifica stato limite esercizio quasi permanente freccia



Output campate

Campata 2 tra i fili P5 - P2, sezione R 40x20, asta 30

Verifiche a flessione in famiglia SLU

x	A sup.	C.b. sup.	A inf.	C.b. inf.	M+ela	Comb.	M+des	M+ult	x/d	coeff	M-ela	Comb.	M-des	M-ult	x/d	coeff	Verifica
0	0.000339	0.037	0.000167	0.037							-4.7211	SLU 19	-3.4044	-14.047	0.229	4.13	Si
0.13	0.000339	0.037	0.000227	0.037	-0.8563	SLU 1	0.1453	10.0188	0.209	68.94	-2.2391	SLU 19	-2.2391	-14.046	0.229	6.27	Si
1.09	0.000339	0.037	0.000339	0.037	6.0945	SLU 19	6.1378	14.0446	0.229	2.29							Si
2.05	0.000167	0.037	0.000167	0.037							-4.8399	SLU 19	-4.8399	-7.7687	0.184	1.61	Si
2.18	0.000106	0.037	0.000106	0.037							-7.6597	SLU 19	-6.1741	-5.3945	0.146	0.87	No

Verifiche a flessione in famiglia SLV (domini sostanzialmente elastici)

La struttura oppure parte di essa, è stata dichiarata come non dissipativa pertanto la verifica a pressoflessione, per tutte o solo alcune sezioni, viene eseguita calcolando i momenti resistenti in campo sostanzialmente elastico secondo D.M. 17-01-2018 §7.4.1

Le dilatazioni ultime utilizzate sono le seguenti: $\epsilon_{c2} = 0.002$, $\epsilon_{yd} = 0.00156$

E' attiva l'opzione fattori parziali di sicurezza unitari per meccanismi duttili di strutture esistenti con fattore γ

x	A sup.	C.b. sup.	A inf.	C.b. inf.	M+ela	Comb.	M+des	M+ult	x/d	coeff	M-ela	Comb.	M-des	M-ult	x/d	coeff	Verifica
0	0.000339	0.037	0.000167	0.037	87.6238	SLV 16	83.2181	7.9947	0.223	0.1	-93.2317	SLV 1	-87.2414	-15.575	0.301	0.18	Si
0.13	0.000339	0.037	0.000227	0.037	78.7209	SLV 16	78.7209	10.6695	0.25	0.14	-81.3425	SLV 1	-81.3425	-15.56	0.299	0.19	No
1.09	0.000339	0.037	0.000339	0.037	3.7289	SLV 7	17.0483	15.5344	0.295	0.91	3.6319	SLV 10	-10.0608	-15.5344	0.295	1.54	No
2.05	0.000167	0.037	0.000167	0.037	77.107	SLV 1	77.107	7.9904	0.222	0.1	-83.0273	SLV 16	-83.0273	-7.9904	0.222	0.1	No
2.18	0.000106	0.037	0.000106	0.037	85.7957	SLV 1	81.4971	5.2226	0.184	0.06	-95.1307	SLV 16	-89.0333	-5.2226	0.184	0.06	No

Verifiche SLD Resistenza a flessione (domini sostanzialmente elastici)

La struttura oppure parte di essa, è stata dichiarata come non dissipativa pertanto la verifica a pressoflessione, per tutte o solo alcune sezioni, viene eseguita calcolando i momenti resistenti in campo sostanzialmente elastico secondo D.M. 17-01-2018 §7.4.1

Le dilatazioni ultime utilizzate sono le seguenti: $\epsilon_{c2} = 0.002$, $\epsilon_{yd} = 0.00156$

x	A sup.	C.b. sup.	A inf.	C.b. inf.	M+ela	Comb.	M+des	M+ult	x/d	coeff	M-ela	Comb.	M-des	M-ult	x/d	coeff	Verifica
0	0.000339	0.037	0.000167	0.037	33.3439	SLD 16	32.0584	7.9947	0.223	0.25	-38.9519	SLD 1	-36.0817	-15.575	0.301	0.43	Si
0.13	0.000339	0.037	0.000227	0.037	30.6814	SLD 16	30.6814	10.6695	0.25	0.35	-33.303	SLD 1	-33.303	-15.56	0.299	0.47	No
1.09	0.000339	0.037	0.000339	0.037	3.7	SLD 7	9.0057	15.5344	0.295	1.72	3.6608	SLD 10	-1.9969	-15.5344	0.295	7.78	Si
2.05	0.000167	0.037	0.000167	0.037	29.0462	SLD 1	29.0462	7.9904	0.222	0.28	-34.9665	SLD 16	-34.9665	-7.9904	0.222	0.23	No
2.18	0.000106	0.037	0.000106	0.037	31.4946	SLD 1	30.3161	5.2226	0.184	0.17	-40.8296	SLD 16	-37.8523	-5.2226	0.184	0.14	No

Verifiche a taglio in famiglia SLU

x	A st	A sl	A sag	Vela	Comb.	Vdes	Vrd	Vrcd	Vrsd	Vult	cotgθ	coeff	Verifica
0	0	0.000339	0	21.24	SLU 19	21.24	30.21	79.31	0	30.21	2.5	1.42	Si
0.13	0.0000057	0.000339	0	18.64	SLU 19	18.64	30.21	79.31	58.11	58.11	2.5	3.12	Si
1.09	0.0000033	0.000339	0	-1.35	SLU 19	-1.35	-30.21	-79.31	-34.3	-34.3	2.5	25.38	Si
2.05	0.0000057	0.000167	0	-21.35	SLU 19	-21.35	-24.01	-79.31	-58.11	-58.11	2.5	2.72	Si
2.18	0	0.000167	0	-23.94	SLU 19	-23.94	-24.01	-79.31	0	-24.01	2.5	1	Si

Verifiche a taglio in famiglia SLV

x	A st	A sl	A sag	Vela	Comb.	Vdes	Vrd	Vrcd	Vrsd	Vult	cotgθ	coeff	Verifica
0	0	0.000339	0	95.95	SLV 1	95.95	30.21	79.31	0	30.21	2.5	0.31	Si
0	0	0.000227	0	-70.39	SLV 16	-70.39	-26.43	-79.31	0	-26.43	2.5	0.38	Si
0.13	0.0000057	0.000339	0	94.38	SLV 1	94.38	30.21	79.31	58.11	58.11	2.5	0.62	No
0.13	0.0000057	0.000227	0	-71.95	SLV 16	-71.95	-26.43	-79.31	-58.11	-58.11	2.5	0.81	No
1.09	0.0000033	0.000339	0	82.31	SLV 1	82.31	30.21	79.31	34.3	34.3	2.5	0.42	No
1.09	0.0000033	0.000339	0	-84.03	SLV 16	-84.03	-30.21	-79.31	-34.3	-34.3	2.5	0.41	No
2.05	0.0000057	0.000167	0	70.24	SLV 1	70.24	24.01	79.31	58.11	58.11	2.5	0.83	No
2.05	0.0000057	0.000167	0	-96.1	SLV 16	-96.1	-24.01	-79.31	-58.11	-58.11	2.5	0.6	No
2.18	0	0.000167	0	68.67	SLV 1	68.67	24.01	79.31	0	24.01	2.5	0.35	Si
2.18	0	0.000167	0	-97.66	SLV 16	-97.66	-24.01	-79.31	0	-24.01	2.5	0.25	Si

Verifiche SLD Resistenza a taglio

x	A st	A sl	A sag	Vela	Comb.	Vdes	Vrd	Vrcd	Vrsd	Vult	cotgθ	coeff	Verifica
0	0	0.000339	0	46.03	SLD 1	46.03	30.21	79.31	0	30.21	2.5	0.66	Si
0	0	0.000227	0	-20.46	SLD 16	-20.46	-26.43	-79.31	0	-26.43	2.5	1.29	Si
0.13	0.0000057	0.000339	0	44.46	SLD 1	44.46	30.21	79.31	58.11	58.11	2.5	1.31	Si
0.13	0.0000057	0.000227	0	-22.03	SLD 16	-22.03	-26.43	-79.31	-58.11	-58.11	2.5	2.64	Si
1.09	0.0000033	0.000339	0	32.39	SLD 1	32.39	30.21	79.31	34.3	34.3	2.5	1.06	Si
1.09	0.0000033	0.000339	0	-34.1	SLD 16	-34.1	-30.21	-79.31	-34.3	-34.3	2.5	1.01	Si
2.05	0.0000057	0.000167	0	20.32	SLD 1	20.32	24.01	79.31	58.11	58.11	2.5	2.86	Si
2.05	0.0000057	0.000167	0	-46.17	SLD 16	-46.17	-24.01	-79.31	-58.11	-58.11	2.5	1.26	Si
2.18	0	0.000167	0	18.75	SLD 1	18.75	24.01	79.31	0	24.01	2.5	1.28	Si
2.18	0	0.000167	0	-47.74	SLD 16	-47.74	-24.01	-79.31	0	-24.01	2.5	0.5	Si

Indicatori di rischio sismico SLV

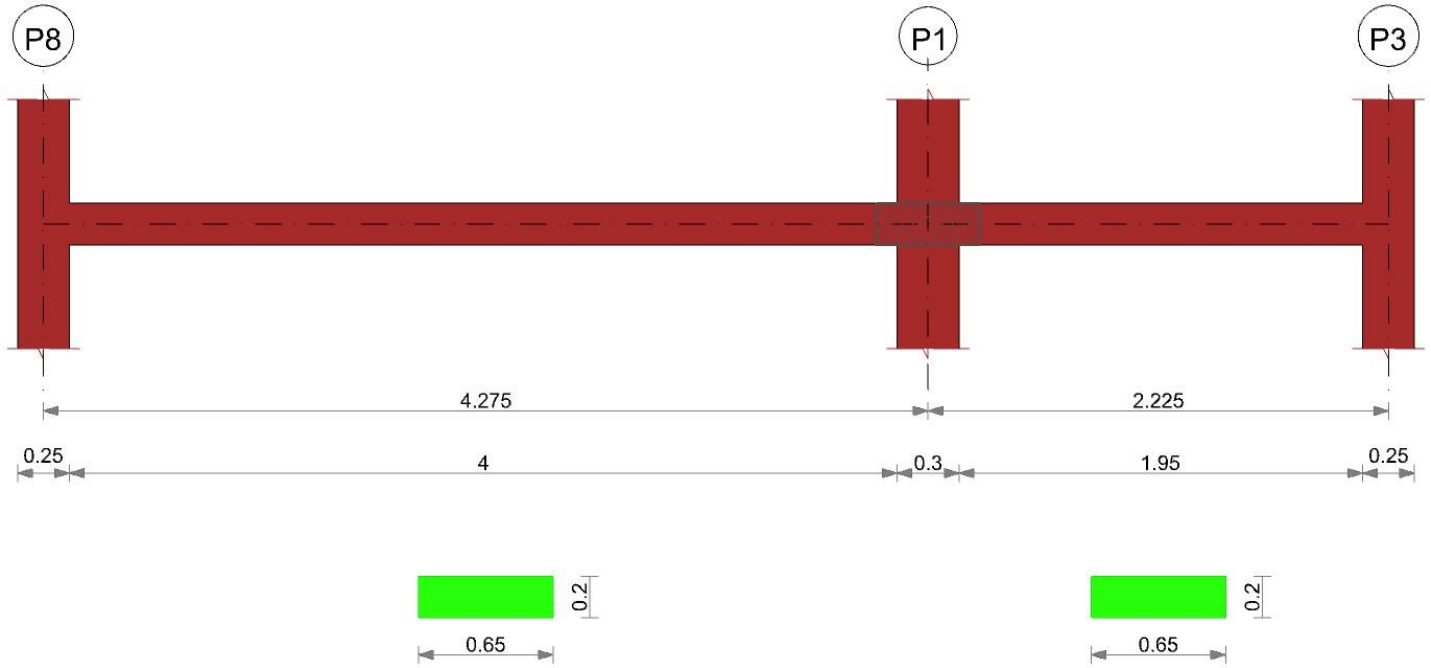
x	T gravità	T sisma	T ultimo	Comb.	Pga	Tr	Ind. taglio	M gravità	M sisma	M ultimo	Comb.	Pga	Tr	Ind. momento	Ver
0.13	11.21	83.17	58.11	SLV 1	0.12	220	0.549	-1.3108	80.0317	10.6695	SLV 16	0.04	17	0.192	No
1.09	-0.86	-83.17	-34.3	SLV 16	0.09	102	0.401	3.6497	13.3986	15.5344	SLV 16	0.18	691	0.878	No
2.05	-12.93	-83.17	-58.11	SLV 16	0.11	201	0.529	-2.9601	-80.0672	-7.9904	SLV 16	0.02	4	0.106	No

Indicatori di rischio sismico SLD resistenza

x	T gravità	T sisma	T ultimo	Comb.	Pga	Tr	Ind. taglio	M gravità	M sisma	M ultimo	Comb.	Pga	Tr	Ind. momento	Ver
0.13	11.21	33.25	58.11	SLD 1	0.12	220	1.376	-1.3108	31.9922	10.6695	SLD 16	0.04	17	0.482	No
1.09	-0.86	-33.25	-34.3	SLD 16	0.09	102	1.004	3.6497	5.356	15.5344	SLD 16	0.18	690	2.199	Si
2.05	-12.93	-33.25	-58.11	SLD 16	0.11	201	1.326	-2.9601	-32.0064	-7.9904	SLD 16	0.02	4	0.266	No

Trave a "Piano 1" P8-P3

Geometria



Caratteristiche dei materiali

Acciaio: Vigone_FeB32k_LC2 Fym 386700 Livello di conoscenza LC2 Fattore di confidenza 1.2
 Calcestruzzo: C16/20 LC2 Rcm 20000 Livello di conoscenza LC2 Fattore di confidenza 1.2

Elenco delle sezioni

N°	Descrizione	Tipo	Base	Altezza	Copriferro sup.	Copriferro inf.	Copriferro lat.
1	R. 65x20	Rettangolare	0.65	0.2	0.025	0.025	0.025

Diagramma verifica stato limite ultimo flessione

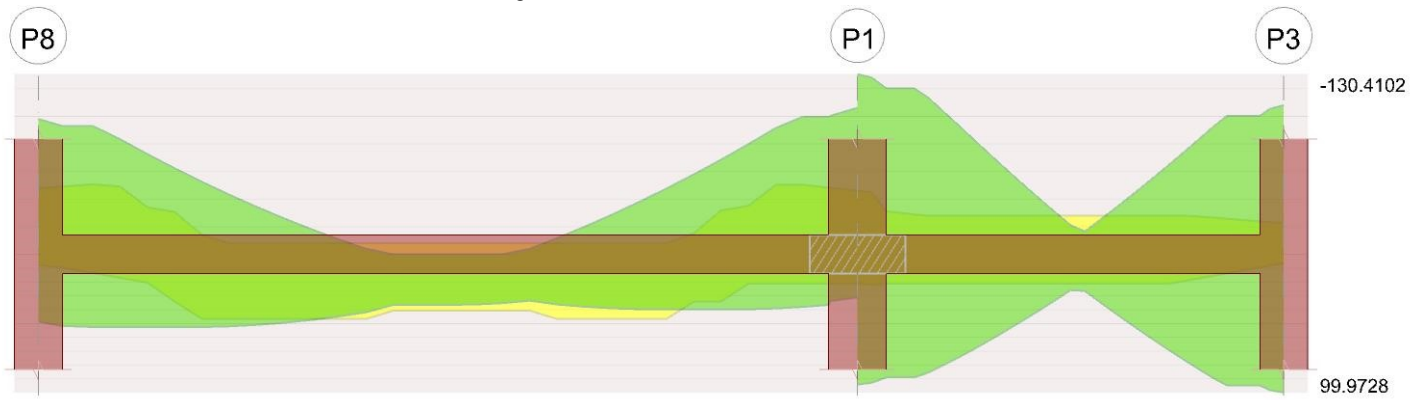


Diagramma verifica stato limite ultimo taglio

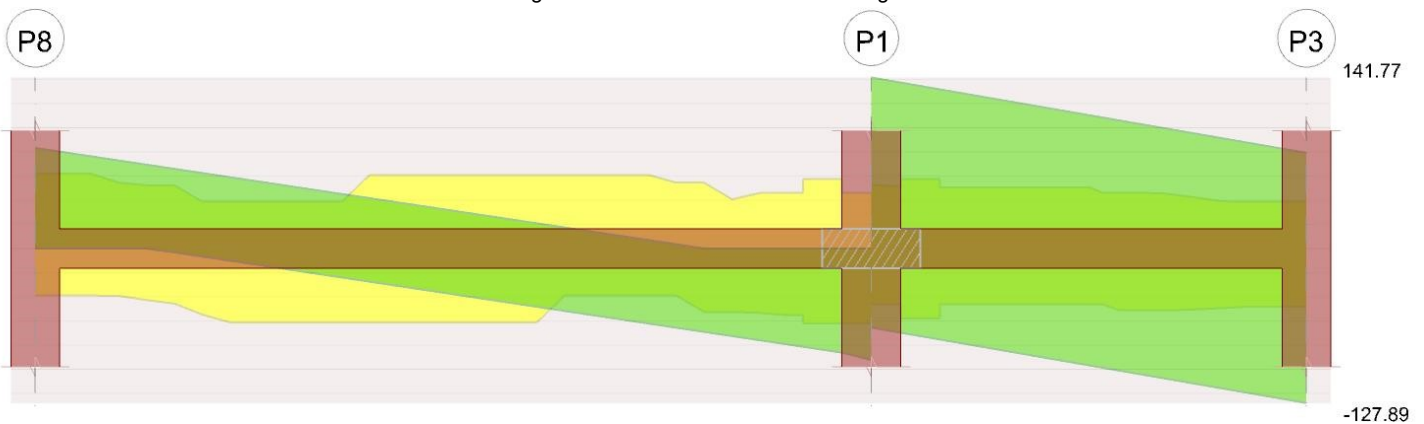
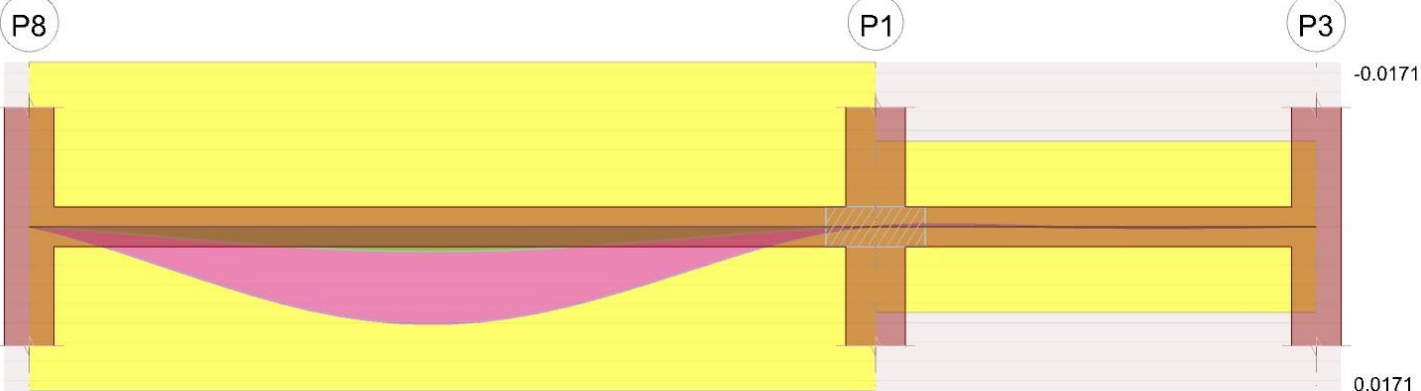


Diagramma verifica stato limite esercizio quasi permanente freccia



Output campate

Campata 1 tra i fili P8 - P1, sezione R 65x20, asta 33

Verifiche a flessione in famiglia SLU

x	A sup.	C.b. sup.	A inf.	C.b. inf.	M+ela	Comb.	M+des	M+ult	x/d	coeff	M-ela	Comb.	M-des	M-ult	x/d	coeff	Verifica
0	0.001103	0.038	0.000151	0.038							-44.8133	SLU 19	-39.78	-41.4818	0.404	1.04	Si
0.13	0.001137	0.038	0.000193	0.038							-35.0193	SLU 19	-35.0193	-42.6829	0.401	1.22	Si
2.14	0.000157	0.038	0.001078	0.038	36.1514	SLU 19	36.5212	40.7164	0.391	1.11							Si
4.12	0.001117	0.038	0.000462	0.038							-54.912	SLU 19	-54.912	-42.4266	0.329	0.77	No
4.27	0.00106	0.038	0.000462	0.038							-68.2673	SLU 19	-61.3717	-40.493	0.318	0.66	No

Verifiche a flessione in famiglia SLV (domini sostanzialmente elastici)

La struttura oppure parte di essa, è stata dichiarata come non dissipativa pertanto la verifica a pressoflessione, per tutte o solo alcune sezioni, viene eseguita calcolando i momenti resistenti in campo sostanzialmente elastico secondo D.M. 17-01-2018 §7.4.1

Le dilatazioni ultime utilizzate sono le seguenti: $\epsilon_{c2} = 0.002$, $\epsilon_{yd} = 0.00156$

E' attiva l'opzione fattori parziali di sicurezza unitari per meccanismi duttili di strutture esistenti con fattore γ

x	A sup.	C.b. sup.	A inf.	C.b. inf.	M+ela	Comb.	M+des	M+ult	x/d	coeff	M-ela	Comb.	M-des	M-ult	x/d	coeff	Verifica
0	0.001103	0.038	0.000151	0.038	48.5656	SLV 16	48.5656	7.7015	0.195	0.16	-103.1241	SLV 1	-97.9377	-47.7164	0.421	0.49	No
0.13	0.001137	0.038	0.000193	0.038	50.1337	SLV 16	51.7591	9.5536	0.207	0.18	-92.9147	SLV 1	-92.9147	-49.0396	0.425	0.53	No
2.14	0.000157	0.038	0.001078	0.038	23.5042	SLV 14	29.8501	46.7163	0.416	1.57							Si
4.12	0.001117	0.038	0.000462	0.038	33.9055	SLV 1	36.5239	21.1593	0.269	0.58	-99.5669	SLV 16	-99.5669	-48.3019	0.407	0.49	No
4.27	0.00106	0.038	0.000462	0.038	31.0994	SLV 1	31.0994	21.1663	0.27	0.68	-112.7425	SLV 16	-106.024	-46.0582	0.397	0.43	No

Verifiche SLD Resistenza a flessione (domini sostanzialmente elastici)

La struttura oppure parte di essa, è stata dichiarata come non dissipativa pertanto la verifica a pressoflessione, per tutte o solo alcune sezioni, viene eseguita calcolando i momenti resistenti in campo sostanzialmente elastico secondo D.M. 17-01-2018 §7.4.1

Le dilatazioni ultime utilizzate sono le seguenti: $\epsilon_{c2} = 0.002$, $\epsilon_{yd} = 0.00156$

x	A sup.	C.b. sup.	A inf.	C.b. inf.	M+ela	Comb.	M+des	M+ult	x/d	coeff	M-ela	Comb.	M-des	M-ult	x/d	coeff	Verifica
0	0.001103	0.038	0.000151	0.038	3.0432	SLD 16	3.0432	7.7015	0.195	2.53	-57.6018	SLD 1	-53.712	-47.7164	0.421	0.89	No
0.13	0.001137	0.038	0.000193	0.038	7.2046	SLD 16	12.5643	9.5536	0.207	0.76	-49.9856	SLD 1	-49.9856	-49.0396	0.425	0.98	No
2.14	0.000157	0.038	0.001078	0.038	22.3235	SLD 14	24.9374	46.7163	0.416	1.87							Si
3.28	0.000157	0.038	0.001078	0.038	17.084	SLD 1	19.7178	46.7163	0.416	2.37	-12.8553	SLD 16	-21.3482	-7.9749	0.196	0.37	No
4.12	0.001117	0.038	0.000462	0.038	-6.1494	SLD 1	0.2032	21.1593	0.269	104.12	-59.5119	SLD 16	-59.5119	-48.3019	0.407	0.81	No
4.27	0.00106	0.038	0.000462	0.038							-69.5757	SLD 16	-64.4131	-46.0582	0.397	0.72	No

Verifiche a taglio in famiglia SLU

x	A st	A sl	A sag	Vela	Comb.	Vdes	Vrd	Vrcd	Vrsd	Vult	cotg θ	coeff	Verifica
0	0	0.001137	0	81.24	SLU 19	81.24	62.23	128.08	0	62.23	2.5	0.77	Si
0.13	0.0000033	0.001137	0	76.17	SLU 19	76.17	62.23	128.08	33.44	62.23	2.5	0.82	No
2.14	0.0000033	0.001078	0	-5.49	SLU 19	-5.49	-61.13	-128.08	-33.44	-61.13	2.5	11.14	Si
4.12	0.0000057	0.001117	0	-86.13	SLU 19	-86.13	-61.87	-128.08	-57.76	-61.87	2.5	0.72	No
4.27	0	0.001117	0	-92.22	SLU 19	-92.22	-61.87	-128.08	0	-61.87	2.5	0.67	Si

Verifiche a taglio in famiglia SLV

x	A st	A sl	A sag	Vela	Comb.	Vdes	Vrd	Vrcd	Vrsd	Vult	cotg θ	coeff	Verifica
0	0	0.001137	0	83.41	SLV 1	83.41	62.23	128.08	0	62.23	2.5	0.75	Si
0.13	0.0000033	0.001137	0	80.37	SLV 1	80.37	62.23	128.08	33.44	62.23	2.5	0.77	No
2.14	0.0000033	0.001078	0	31.4	SLV 1	31.4	61.13	128.08	33.44	61.13	2.5	1.95	Si
2.14	0.0000033	0.001078	0	-37.73	SLV 16	-37.73	-61.13	-128.08	-33.44	-61.13	2.5	1.62	Si
3.28	0.0000033	0.00077	0	3.66	SLV 1	3.66	54.65	128.08	33.44	54.65	2.5	14.94	Si
3.28	0.0000033	0.000157	0	-65.47	SLV 16	-65.47	-38.77	-128.08	-33.44	-38.77	2.5	0.59	No
4.12	0.0000057	0.001117	0	-86.09	SLV 16	-86.09	-61.87	-128.08	-57.76	-61.87	2.5	0.72	No
4.27	0	0.001117	0	-89.74	SLV 16	-89.74	-61.87	-128.08	0	-61.87	2.5	0.69	Si

Verifiche SLD Resistenza a taglio

x	A st	A sl	A sag	Vela	Comb.	Vdes	Vrd	Vrcd	Vrsd	Vult	cotg θ	coeff	Verifica
0	0	0.001137	0	62.66	SLD 1	62.66	62.23	128.08	0	62.23	2.5	0.99	Si
0.13	0.0000033	0.001137	0	59.62	SLD 1	59.62	62.23	128.08	33.44	62.23	2.5	1.04	Si
2.14	0.0000033	0.001078	0	10.65	SLD 1	10.65	61.13	128.08	33.44	61.13	2.5	5.74	Si
2.14	0.0000033	0.001078	0	-16.99	SLD 16	-16.99	-61.13	-128.08	-33.44	-61.13	2.5	3.6	Si
3.28	0.0000033	0.000157	0	-44.73	SLD 16	-44.73	-38.77	-128.08	-33.44	-38.77	2.5	0.87	No
4.12	0.0000057	0.001117	0	-65.35	SLD 16	-65.35	-61.87	-128.08	-57.76	-61.87	2.5	0.95	No
4.27	0	0.001117	0	-69	SLD 16	-69	-61.87	-128.08	0	-61.87	2.5	0.9	Si

Indicatori di rischio sismico SLV

x	T gravità	T sisma	T ultimo	Comb.	Pga	Tr	Ind. taglio	M gravità	M sisma	M ultimo	Comb.	Pga	Tr	Ind. momento	Ver
0.13	45.8	34.57	62.23	SLV 1	0.1	144	0.462	-21.3905	-71.5242	-49.0396	SLV 1	0.08	94	0.388	No
2.14	-3.17	-34.57	-61.13	SLV 16	0.26	2114	1.389	21.6653	8.1848	46.7163	SLV 16	0.26	2114	1.389	Si
3.28	-30.91	-34.57	-38.77	SLV 16	0.05	36	0.261	-3.8911	-43.6641	-7.9749	SLV 16	0.03	7	0.134	No
4.12	-51.53	-34.57	-61.87	SLV 16	0.07	58	0.318	-32.8307	-66.7362	-48.3019	SLV 16	0.05	37	0.264	No

Indicatori di rischio sismico SLD resistenza

x	T gravità	T sisma	T ultimo	Comb.	Pga	Tr	Ind. taglio	M gravità	M sisma	M ultimo	Comb.	Pga	Tr	Ind. momento	Ver
0.13	45.8	13.82	62.23	SLD 1	0.1	144	1.157	-21.3905	-28.5951	-49.0396	SLD 1	0.08	94	0.971	No
2.14	-3.17	-13.82	-61.13	SLD 16	0.26	2110	3.477	21.6653	3.2721	46.7163	SLD 16	0.26	2110	3.477	Si

x	T gravità	T sisma	T ultimo	Comb.	Pga	Tr	Ind. taglio	M gravità	M sisma	M ultimo	Comb.	Pga	Tr	Ind. momento	Ver
3.28	-30.91	-13.82	-38.77	SLD 16	0.05	36	0.655	-3.8911	-17.4571	-7.9749	SLD 16	0.03	7	0.335	No
4.12	-51.53	-13.82	-61.87	SLD 16	0.07	58	0.797	-32.8307	-26.6813	-48.3019	SLD 16	0.05	37	0.663	No

Campata 2 tra i fili P1 - P3, sezione R 65x20, asta 34**Verifiche a flessione in famiglia SLU**

x	A sup.	C.b. sup.	A inf.	C.b. inf.	M+ela	Comb.	M+des	M+ult	x/d	coeff	M-ela	Comb.	M-des	M-ult	x/d	coeff	Verifica
0	0.00106	0.038	0.000462	0.038							-35.8441	SLU 19	-31.0131	-40.493	0.318	1.31	Si
0.15	0.000696	0.038	0.000462	0.038							-26.708	SLU 19	-26.708	-27.7984	0.255	1.04	Si
0.3	0.000641	0.038	0.000462	0.038							-18.7917	SLU 19	-26.708	-25.8535	0.247	0.97	No
1.11	0.000619	0.038	0.000462	0.038	6.7735	SLU 19	8.17	19.5259	0.225	2.39							Si
2.1	0.000521	0.038	0.000193	0.038	-2.1006	SLU 1	1.2599	9.9737	0.195	7.92	-4.1583	SLU 19	-4.1583	-21.5943	0.228	5.19	Si
2.23	0.000487	0.038	0.000126	0.038							-8.7876	SLU 19	-6.2989	-20.3672	0.218	3.23	Si

Verifiche a flessione in famiglia SLV (domini sostanzialmente elastici)

La struttura oppure parte di essa, è stata dichiarata come non dissipativa pertanto la verifica a pressoflessione, per tutte o solo alcune sezioni, viene eseguita calcolando i momenti resistenti in campo sostanzialmente elastico secondo D.M. 17-01-2018 §7.4.1

Le dilatazioni ultime utilizzate sono le seguenti: $\epsilon_c = 0.002$, $\epsilon_{yd} = 0.00156$

E' attiva l'opzione fattori parziali di sicurezza unitari per meccanismi duttili di strutture esistenti con fattore γ

x	A sup.	C.b. sup.	A inf.	C.b. inf.	M+ela	Comb.	M+des	M+ult	x/d	coeff	M-ela	Comb.	M-des	M-ult	x/d	coeff	Verifica
0	0.00106	0.038	0.000462	0.038	99.0873	SLV 16	94.1799	21.1663	0.27	0.22	-141.0415	SLV 1	-130.4102	-46.0582	0.397	0.35	No
0.15	0.000696	0.038	0.000462	0.038	88.9586	SLV 16	88.9586	21.2193	0.274	0.24	-120.0929	SLV 1	-120.0929	-31.1873	0.33	0.26	No
1.11	0.000619	0.038	0.000462	0.038	8.9578	SLV 16	25.875	21.2319	0.275	0.82	-0.6851	SLV 1	-21.0568	-27.9538	0.314	1.33	No
2.1	0.000521	0.038	0.000193	0.038	94.7948	SLV 1	94.7948	9.4516	0.199	0.1	-100.1603	SLV 16	-100.1603	-23.8593	0.297	0.24	No
2.23	0.000487	0.038	0.000126	0.038	104.9431	SLV 1	99.9728	6.4149	0.174	0.06	-115.9098	SLV 16	-107.9312	-22.4321	0.29	0.21	No

Verifiche SLD Resistenza a flessione (domini sostanzialmente elastici)

La struttura oppure parte di essa, è stata dichiarata come non dissipativa pertanto la verifica a pressoflessione, per tutte o solo alcune sezioni, viene eseguita calcolando i momenti resistenti in campo sostanzialmente elastico secondo D.M. 17-01-2018 §7.4.1

Le dilatazioni ultime utilizzate sono le seguenti: $\epsilon_c = 0.002$, $\epsilon_{yd} = 0.00156$

x	A sup.	C.b. sup.	A inf.	C.b. inf.	M+ela	Comb.	M+des	M+ult	x/d	coeff	M-ela	Comb.	M-des	M-ult	x/d	coeff	Verifica
0	0.00106	0.038	0.000462	0.038	27.0252	SLD 16	26.7809	21.1663	0.27	0.79	-68.9794	SLD 1	-63.0112	-46.0582	0.397	0.73	No
0.15	0.000696	0.038	0.000462	0.038	26.2226	SLD 16	26.2226	21.2193	0.274	0.81	-57.3569	SLD 1	-57.3569	-31.1873	0.33	0.54	No
1.11	0.000619	0.038	0.000462	0.038	6.0637	SLD 16	11.7906	21.2319	0.275	1.8	2.209	SLD 1	-6.9724	-27.9538	0.314	4.01	Si
2.1	0.000521	0.038	0.000193	0.038	36.2899	SLD 1	36.2899	9.4516	0.199	0.26	-41.6554	SLD 16	-41.6554	-23.8593	0.297	0.57	No
2.23	0.000487	0.038	0.000126	0.038	38.6663	SLD 1	37.582	6.4149	0.174	0.17	-49.6331	SLD 16	-45.5403	-22.4321	0.29	0.49	No

Verifiche a taglio in famiglia SLU

x	A st	A sl	A sag	Vela	Comb.	Vdes	Vrd	Vrcd	Vrsd	Vult	cotgθ	coeff	Verifica
0	0	0.000696	0	64.45	SLU 19	64.45	52.84	128.08	0	52.84	2.5	0.82	Si
0.15	0.0000057	0.000641	0	57.4	SLU 19	57.4	51.41	128.08	57.76	57.76	2.5	1.01	Si
1.11	0.0000032	0.000462	0	12.16	SLU 19	12.16	46.09	128.08	33	46.09	2.5	3.79	Si
2.1	0.0000032	0.000521	0	-34.25	SLU 19	-34.25	-47.98	-128.08	-33	-47.98	2.5	1.4	Si
2.23	0	0.000521	0	-40.2	SLU 19	-40.2	-47.98	-128.08	0	-47.98	2.5	1.19	Si

Verifiche a taglio in famiglia SLV

x	A st	A sl	A sag	Vela	Comb.	Vdes	Vrd	Vrcd	Vrsd	Vult	cotgθ	coeff	Verifica
0	0	0.000696	0	141.77	SLV 1	141.77	52.84	128.08	0	52.84	2.5	0.37	Si
0	0	0.000462	0	-65.41	SLV 16	-65.41	-46.09	-128.08	0	-46.09	2.5	0.7	Si
0.15	0.0000057	0.000641	0	137.56	SLV 1	137.56	51.41	128.08	57.76	57.76	2.5	0.42	No
0.15	0.0000057	0.000462	0	-69.62	SLV 16	-69.62	-46.09	-128.08	-57.76	-57.76	2.5	0.83	No
1.11	0.0000032	0.000619	0	110.56	SLV 1	110.56	50.82	128.08	33	50.82	2.5	0.46	No
1.11	0.0000032	0.000462	0	-96.63	SLV 16	-96.63	-46.09	-128.08	-33	-46.09	2.5	0.48	No
2.1	0.0000032	0.000193	0	82.85	SLV 1	82.85	38.77	128.08	33	38.77	2.5	0.47	No
2.1	0.0000032	0.000521	0	-124.33	SLV 16	-124.33	-47.98	-128.08	-33	-47.98	2.5	0.39	No
2.23	0	0.000193	0	79.29	SLV 1	79.29	38.77	128.08	0	38.77	2.5	0.49	Si
2.23	0	0.000521	0	-127.89	SLV 16	-127.89	-47.98	-128.08	0	-47.98	2.5	0.38	Si

Verifiche SLD Resistenza a taglio

x	A st	A sl	A sag	Vela	Comb.	Vdes	Vrd	Vrcd	Vrsd	Vult	cotgθ	coeff	Verifica
0	0	0.000696	0	79.6	SLD 1	79.6	52.84	128.08	0	52.84	2.5	0.66	Si
0	0	0.000462	0	-3.23	SLD 16	-3.23	-46.09	-128.08	0	-46.09	2.5	14.25	Si
0.15	0.0000057	0.000641	0	75.39	SLD 1	75.39	51.41	128.08	57.76	57.76	2.5	0.77	No
0.15	0.0000057	0.000462	0	-7.44	SLD 16	-7.44	-46.09	-128.08	-57.76	-57.76	2.5	7.76	Si
1.11	0.0000032	0.000462	0	48.38	SLD 1	48.38	46.09	128.08	33	46.09	2.5	0.95	No
1.11	0.0000032	0.000462	0	-34.45	SLD 16	-34.45	-46.09	-128.08	-33	-46.09	2.5	1.34	Si
2.1	0.0000032	0.000193	0	20.67	SLD 1	20.67	38.77	128.08	33	38.77	2.5	1.88	Si
2.1	0.0000032	0.000521	0	-62.16	SLD 16	-62.16	-47.98	-128.08	-33	-47.98	2.5	0.77	No
2.23	0	0.000193	0	17.12	SLD 1	17.12	38.77	128.08	0	38.77	2.5	2.26	Si
2.23	0	0.000521	0	-65.71	SLD 16	-65.71	-47.98	-128.08	0	-47.98	2.5	0.73	Si

Indicatori di rischio sismico SLV

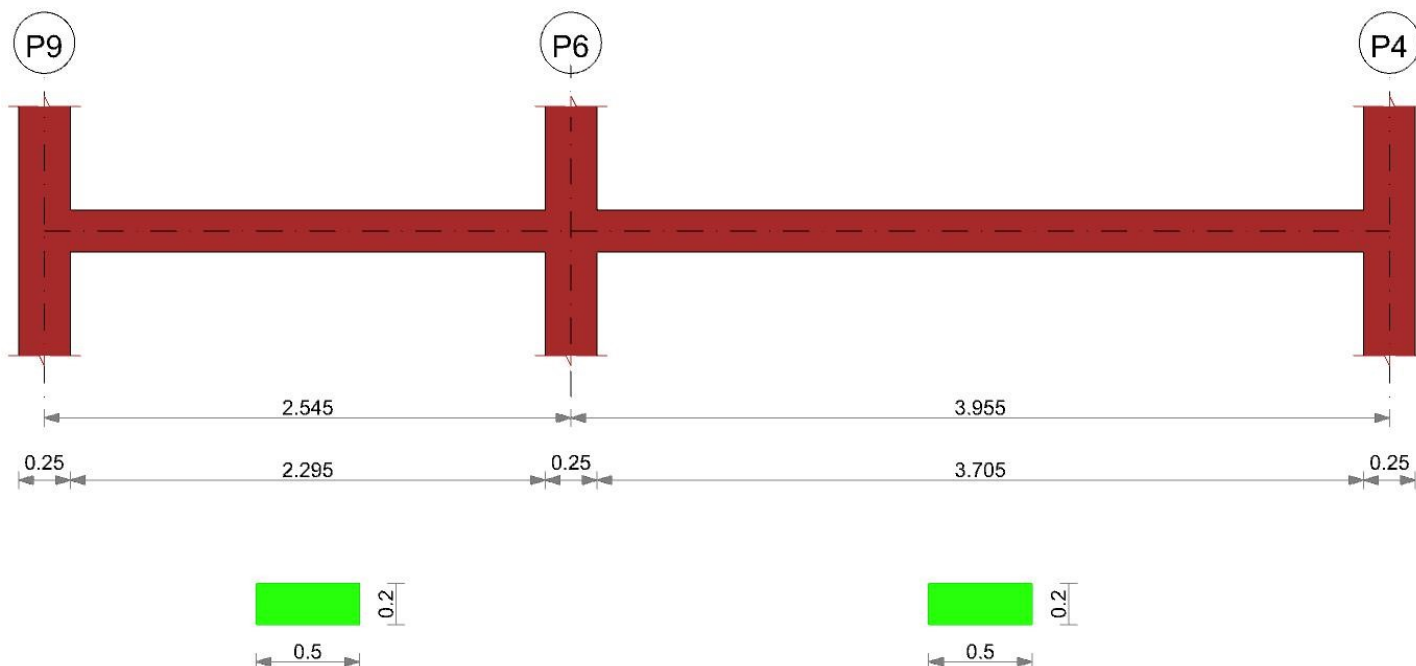
x	T gravità	T sisma	T ultimo	Comb.	Pga	Tr	Ind. taglio	M gravità	M sisma	M ultimo	Comb.	Pga	Tr	Ind. momento	Ver
0.15	33.97	103.59	57.76	SLV 1	0.05	37	0.264	-15.5671	-104.5257	-31.1873	SLV 1	0.04	17	0.192	No
1.11	6.97	103.59	50.82	SLV 1	0.09	113	0.418	2.4091	23.4659	21.2319	SLV 16	0.16	529	0.787	No
2.1	-20.74	-103.59	-47.98	SLV 16	0.06	46	0.289	-2.6827	97.4775	9.4516	SLV 1	0.03	13	0.172	No

Indicatori di rischio sismico SLD resistenza

x	T gravità	T sisma	T ultimo	Comb.	Pga	Tr	Ind. taglio	M gravità	M sisma	M ultimo	Comb.	Pga	Tr	Ind. momento	Ver
0.15	33.97	41.42	57.76	SLD 1	0.05	37	0.663	-15.5671	-41.7898	-31.1873	SLD 1	0.04	17	0.482	No
1.11	6.97	41.42	46.09	SLD 1	0.08	90	0.954	2.4091	9.3815	21.2319	SLD 16	0.16	529	1.972	No
2.1	-20.74	-41.42	-47.98	SLD 16	0.06	46	0.724	-2.6827	38.9726	9.4516	SLD 1	0.03	13	0.431	No

Trave a "Piano 1" P9-P4

Geometria



Caratteristiche dei materiali

Acciaio: Vigone FeB32k LC2 Fym 386700 Livello di conoscenza LC2 Fattore di confidenza 1.2
 Calcestruzzo: C16/20 LC2 Rcm 20000 Livello di conoscenza LC2 Fattore di confidenza 1.2

Elenco delle sezioni

N°	Descrizione	Tipo	Base	Altezza	Copriferro sup.	Copriferro inf.	Copriferro lat.
1	R 50x20	Rettangolare	0.5	0.2	0.025	0.025	0.025

Diagramma verifica stato limite ultimo flessione

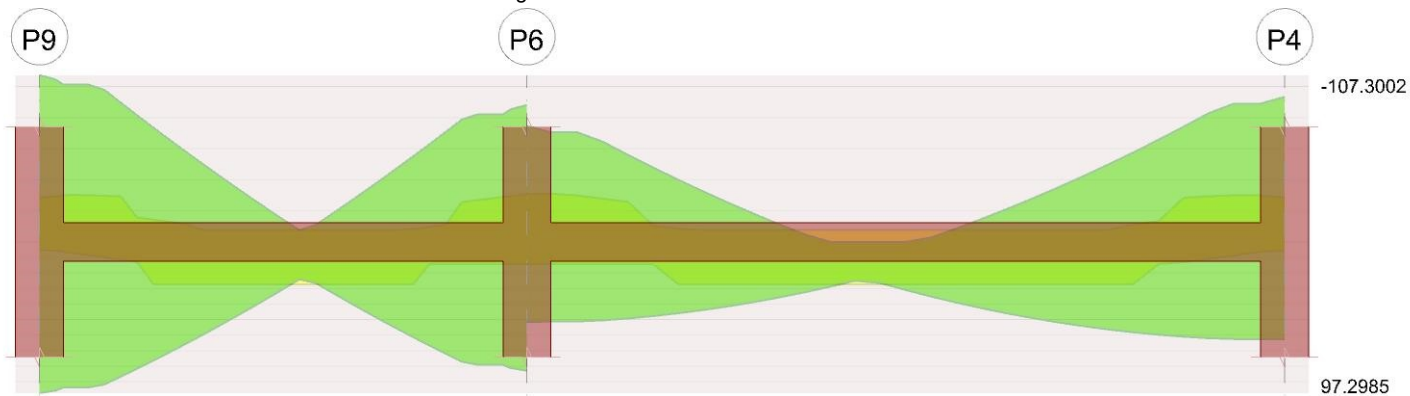
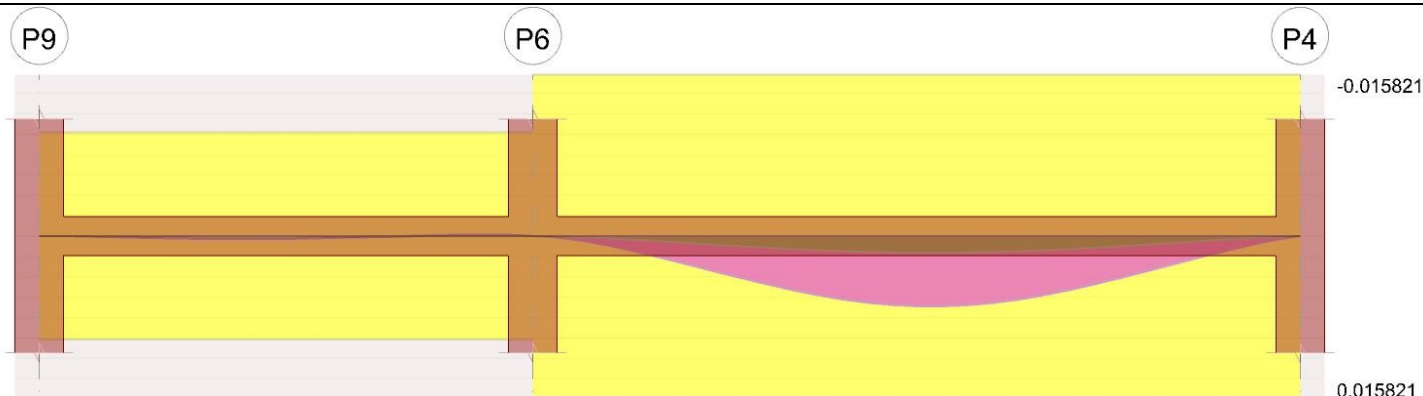


Diagramma verifica stato limite ultimo taglio



Diagramma verifica stato limite esercizio quasi permanente freccia



Output campate

Campata 1 tra i fili P9 - P6, sezione R 50x20, asta 31

Verifiche a flessione in famiglia SLU

x	A sup.	C.b. sup.	A inf.	C.b. inf.	M+ela	Comb.	M+des	M+ult	x/d	coeff	M-ela	Comb.	M-des	M-ult	x/d	coeff	Verifica
0	0.000641	0.038	0.000102	0.038							-10.1254	SLU 19	-8.1938	-25.085	0.316	3.06	Si
0.13	0.000675	0.038	0.000129	0.038							-6.5675	SLU 19	-6.4549	-26.2412	0.322	4.07	Si
1.27	0.000157	0.038	0.000616	0.038	6.0155	SLU 19	7.4617	24.2254	0.294	3.25							Si
2.12	0.000234	0.038	0.000308	0.038							-8.2705	SLU 19	-11.8173	-10.6727	0.201	0.9	No
2.42	0.000654	0.038	0.000308	0.038							-18.1119	SLU 19	-15.9318	-25.5548	0.284	1.6	Si
2.54	0.000701	0.038	0.000308	0.038							-22.9275	SLU 19	-18.187	-27.1898	0.296	1.5	Si

Verifiche a flessione in famiglia SLV (domini sostanzialmente elastici)

La struttura oppure parte di essa, è stata dichiarata come non dissipativa pertanto la verifica a pressoflessione, per tutte o solo alcune sezioni, viene eseguita calcolando i momenti resistenti in campo sostanzialmente elastico secondo D.M. 17-01-2018 §7.4.1

Le dilatazioni ultime utilizzate sono le seguenti: $\epsilon_{c2} = 0.002$, $\epsilon_{yd} = 0.00156$

E' attiva l'opzione fattori parziali di sicurezza unitari per meccanismi duttili di strutture esistenti con fattore γ

x	A sup.	C.b. sup.	A inf.	C.b. inf.	M+ela	Comb.	M+des	M+ult	x/d	coeff	M-ela	Comb.	M-des	M-ult	x/d	coeff	Verifica
0	0.000641	0.038	0.000102	0.038	100.7679	SLV 13	97.2985	5.2634	0.185	0.05	-113.532	SLV 4	-107.3002	-28.4112	0.37	0.26	No
0.13	0.000675	0.038	0.000129	0.038	34.7356	SLV 13	34.9807	6.4471	0.196	0.18	-43.1516	SLV 4	-42.9112	-29.7723	0.377	0.29	No
1.27	0.000157	0.038	0.000616	0.038	11.6456	SLV 13	30.3858	27.368	0.36	0.9	-4.3233	SLV 4	-14.3656	-7.6945	0.207	0.54	No
2.42	0.000654	0.038	0.000308	0.038	70.8718	SLV 4	79.2104	14.2703	0.258	0.18	-92.0166	SLV 13	-82.0679	-28.9077	0.362	0.35	No
2.54	0.000701	0.038	0.000308	0.038	77.7471	SLV 4	82.9214	14.2657	0.258	0.17	-104.6269	SLV 13	-88.0581	-30.8233	0.374	0.35	No

Verifiche SLD Resistenza a flessione (domini sostanzialmente elastici)

La struttura oppure parte di essa, è stata dichiarata come non dissipativa pertanto la verifica a pressoflessione, per tutte o solo alcune sezioni, viene eseguita calcolando i momenti resistenti in campo sostanzialmente elastico secondo D.M. 17-01-2018 §7.4.1

Le dilatazioni ultime utilizzate sono le seguenti: $\epsilon_{c2} = 0.002$, $\epsilon_{yd} = 0.00156$

x	A sup.	C.b. sup.	A inf.	C.b. inf.	M+ela	Comb.	M+des	M+ult	x/d	coeff	M-ela	Comb.	M-des	M-ult	x/d	coeff	Verifica
0	0.000641	0.038	0.000102	0.038	36.4568	SLD 13	35.7767	5.2634	0.185	0.15	-49.2209	SLD 4	-46.0081	-28.4112	0.37	0.62	No
0.13	0.000675	0.038	0.000129	0.038	34.7356	SLD 13	34.9807	6.4471	0.196	0.18	-43.1516	SLD 4	-42.9112	-29.7723	0.377	0.69	No
1.27	0.000157	0.038	0.000616	0.038	6.8528	SLD 13	14.8243	27.368	0.36	1.85	0.4694	SLD 4	-2.8176	-7.6945	0.207	2.73	Si
2.42	0.000654	0.038	0.000308	0.038	21.9904	SLD 4	26.6426	14.2703	0.258	0.54	-43.1353	SLD 13	-38.3906	-28.9077	0.362	0.75	No
2.54	0.000701	0.038	0.000308	0.038	23.0182	SLD 4	27.3347	14.2657	0.258	0.52	-49.898	SLD 13	-41.5914	-30.8233	0.374	0.74	No

Verifiche a taglio in famiglia SLU

x	A st	A sl	A sag	Vela	Comb.	Vdes	Vrd	Vrcd	Vrsd	Vult	cotgθ	coeff	Verifica
0	0	0.000675	0	30.4	SLU 19	31.3	43.91	98.53	0	43.91	2.5	1.4	Si
0.13	0.0000057	0.000675	0	26.92	SLU 19	27.82	43.91	98.53	57.76	57.76	2.5	2.08	Si
1.27	0.0000033	0.000616	0	-9.03	SLU 19	-4.13	-42.59	-98.53	-33.53	-42.59	2.5	10.31	Si
2.42	0.0000057	0.000605	0	-36.98	SLU 19	-36.08	-42.35	-98.53	-57.76	-57.76	2.5	1.6	Si
2.54	0	0.000637	0	-40.47	SLU 19	-39.56	-43.08	-98.53	0	-43.08	2.5	1.09	Si

Verifiche a taglio in famiglia SLV

x	A st	A sl	A sag	Vela	Comb.	Vdes	Vrd	Vrcd	Vrsd	Vult	cotgθ	coeff	Verifica
0	0	0.000675	0	96.5	SLV 4	99.95	43.91	98.53	0	43.91	2.5	0.44	Si
0	0	0.000129	0	-59.38	SLV 13	-59.38	-29.82	-98.53	0	-29.82	2.5	0.5	Si
0.13	0.0000057	0.000675	0	94.41	SLV 4	97.85	43.91	98.53	57.76	57.76	2.5	0.59	No
0.13	0.0000057	0.000129	0	-61.48	SLV 13	-61.48	-29.82	-98.53	-57.76	-57.76	2.5	0.94	No
1.27	0.0000033	0.000157	0	75.17	SLV 4	78.62	29.82	98.53	33.53	33.53	2.5	0.43	No
1.27	0.0000033	0.000616	0	-80.72	SLV 13	-80.72	-42.59	-98.53	-33.53	-42.59	2.5	0.53	No
1.95	0.0000033	0.000308	0	63.79	SLV 4	67.24	33.8	98.53	33.53	33.8	2.5	0.5	No
1.95	0.0000033	0.000157	0	-92.09	SLV 13	-92.09	-29.82	-98.53	-33.53	-33.53	2.5	0.36	No
2.42	0.0000057	0.000308	0	55.93	SLV 4	59.38	33.8	98.53	57.76	57.76	2.5	0.97	No
2.42	0.0000057	0.000605	0	-99.95	SLV 13	-99.95	-42.35	-98.53	-57.76	-57.76	2.5	0.58	No
2.54	0	0.000308	0	53.83	SLV 4	57.28	33.8	98.53	0	33.8	2.5	0.59	Si
2.54	0	0.000637	0	-102.05	SLV 13	-102.05	-43.08	-98.53	0	-43.08	2.5	0.42	Si

Verifiche SLD Resistenza a taglio

x	A st	A sl	A sag	Vela	Comb.	Vdes	Vrd	Vrcd	Vrsd	Vult	cotgθ	coeff	Verifica
0	0	0.000675	0	49.72	SLD 4	51.65	43.91	98.53	0	43.91	2.5	0.85	Si
0	0	0.000129	0	-12.6	SLD 13	-10.64	-29.82	-98.53	0	-29.82	2.5	2.8	Si
0.13	0.0000057	0.000675	0	47.63	SLD 4	49.55	43.91	98.53	57.76	57.76	2.5	1.17	Si
0.13	0.0000057	0.000129	0	-14.7	SLD 13	-12.74	-29.82	-98.53	-57.76	-57.76	2.5	4.53	Si
1.27	0.0000033	0.000616	0	28.39	SLD 4	30.31	42.59	98.53	33.53	42.59	2.5	1.41	Si
1.27	0.0000033	0.000616	0	-33.94	SLD 13	-31.97	-42.59	-98.53	-33.53	-42.59	2.5	1.33	Si
1.95	0.0000033	0.000308	0	17.01	SLD 4	18.93	33.8	98.53	33.53	33.8	2.5	1.79	Si
1.95	0.0000033	0.000157	0	-45.31	SLD 13	-43.35	-29.82	-98.53	-33.53	-33.53	2.5	0.77	No
2.42	0.0000057	0.000308	0	9.15	SLD 4	11.07	33.8	98.53	57.76	57.76	2.5	5.22	Si
2.42	0.0000057	0.000605	0	-53.17	SLD 13	-51.21	-42.35	-98.53	-57.76	-57.76	2.5	1.13	Si
2.54	0	0.000308	0	7.05	SLD 4	8.98	33.8	98.53	0	33.8	2.5	3.77	Si
2.54	0	0.000637	0	-55.27	SLD 13	-53.31	-43.08	-98.53	0	-43.08	2.5	0.81	Si

Indicatori di rischio sismico SLV

x	T gravità	T sisma	T ultimo	Comb.	Pga	Tr	Ind. taglio	M gravità	M sisma	M ultimo	Comb.	Pga	Tr	Ind. momento	Ver
0.13	16.46	77.94	57.76	SLV 4	0.11	188	0.515	-4.142	97.8551	6.4471	SLV 13	0.03	10	0.155	No

x	T gravità	T sisma	T ultimo	Comb.	Pga	Tr	Ind. taglio	M gravità	M sisma	M ultimo	Comb.	Pga	Tr	Ind. momento	Ver
1.27	-2.77	77.94	33.53	SLV 4	0.1	137	0.452	4.4592	-19.2395	-7.6945	SLV 4	0.13	291	0.616	No
2.12	-17	-77.94	-52.5	SLV 13	0.1	131	0.444	-6.8459	-63.9167	-11.0572	SLV 13	0.02	4	0.106	No
2.42	-22.01	-77.94	-57.76	SLV 13	0.1	133	0.447	-9.2945	87.5862	14.2703	SLV 4	0.06	48	0.294	No

Indicatori di rischio sismico SLD resistenza

x	T gravità	T sisma	T ultimo	Comb.	Pga	Tr	Ind. taglio	M gravità	M sisma	M ultimo	Comb.	Pga	Tr	Ind. momento	Ver
0.13	16.46	31.16	57.76	SLD 4	0.11	188	1.29	-4.142	39.1227	6.4471	SLD 13	0.03	10	0.387	No
1.27	-2.77	-31.16	-42.59	SLD 13	0.11	172	1.244	4.4592	-7.6915	-7.6945	SLD 4	0.13	291	1.543	Si
2.12	-17	-31.16	-52.5	SLD 13	0.1	131	1.113	-6.8459	-25.5551	-11.0572	SLD 13	0.02	4	0.266	No
2.42	-22.01	-31.16	-57.76	SLD 13	0.1	133	1.119	-9.2945	35.0185	14.2703	SLD 4	0.06	48	0.737	No

Campata 2 tra i fili P6 - P4, sezione R 50x20, asta 32**Verifiche a flessione in famiglia SLU**

x	A sup.	C.b. sup.	A inf.	C.b. inf.	M+ela	Comb.	M+des	M+ult	x/d	coeff	M-ela	Comb.	M-des	M-ult	x/d	coeff	Verifica
0	0.000701	0.038	0.000308	0.038							-38.472	SLV 19	-32.6256	-27.1898	0.296	0.83	No
0.13	0.000704	0.038	0.000308	0.038							-31.4979	SLV 19	-29.2776	-27.297	0.297	0.93	No
1.98	0.000157	0.038	0.000616	0.038	21.0349	SLV 19	22.199	24.2254	0.294	1.09							Si
3.83	0.000675	0.038	0.000129	0.038							-22.0487	SLV 19	-21.9762	-26.2412	0.322	1.19	Si
3.96	0.000641	0.038	0.000107	0.038							-28.3852	SLV 19	-25.0779	-25.0866	0.315	1	Si

Verifiche a flessione in famiglia SLV (domini sostanzialmente elastici)

La struttura oppure parte di essa, è stata dichiarata come non dissipativa pertanto la verifica a pressoflessione, per tutte o solo alcune sezioni, viene eseguita calcolando i momenti resistenti in campo sostanzialmente elastico secondo D.M. 17-01-2018 §7.4.1

Le dilatazioni ultime utilizzate sono le seguenti: $\epsilon_{c2} = 0.002$, $\epsilon_{yd} = 0.00156$

E' attiva l'opzione fattori parziali di sicurezza unitari per meccanismi duttili di strutture esistenti con fattore γ

x	A sup.	C.b. sup.	A inf.	C.b. inf.	M+ela	Comb.	M+des	M+ult	x/d	coeff	M-ela	Comb.	M-des	M-ult	x/d	coeff	Verifica
0	0.000701	0.038	0.000308	0.038	41.4926	SLV 13	51.6554	14.2657	0.258	0.28	-87.6936	SLV 4	-74.616	-30.8233	0.374	0.41	No
0.13	0.000704	0.038	0.000308	0.038	41.0996	SLV 13	51.2317	14.2654	0.258	0.28	-78.9238	SLV 4	-70.4316	-30.9476	0.375	0.44	No
1.98	0.000157	0.038	0.000616	0.038	20.4549	SLV 4	30.9923	27.368	0.36	0.88							No
3.83	0.000675	0.038	0.000129	0.038	62.2591	SLV 4	62.5363	6.4471	0.196	0.1	-89.3309	SLV 13	-89.0003	-29.7723	0.377	0.33	No
3.96	0.000641	0.038	0.000107	0.038	63.0149	SLV 4	62.8375	5.4726	0.187	0.09	-97.738	SLV 13	-93.3072	-28.4113	0.37	0.3	No

Verifiche SLD Resistenza a flessione (domini sostanzialmente elastici)

La struttura oppure parte di essa, è stata dichiarata come non dissipativa pertanto la verifica a pressoflessione, per tutte o solo alcune sezioni, viene eseguita calcolando i momenti resistenti in campo sostanzialmente elastico secondo D.M. 17-01-2018 §7.4.1

Le dilatazioni ultime utilizzate sono le seguenti: $\epsilon_{c2} = 0.002$, $\epsilon_{yd} = 0.00156$

x	A sup.	C.b. sup.	A inf.	C.b. inf.	M+ela	Comb.	M+des	M+ult	x/d	coeff	M-ela	Comb.	M-des	M-ult	x/d	coeff	Verifica
0	0.000701	0.038	0.000308	0.038	2.7246	SLD 13	7.7144	14.2657	0.258	1.85	-48.9257	SLD 4	-41.0385	-30.8233	0.374	0.75	No
0.13	0.000704	0.038	0.000308	0.038	5.0814	SLD 13	12.606	14.2654	0.258	1.13	-42.9056	SLD 4	-38.1677	-30.9476	0.375	0.81	No
1.98	0.000157	0.038	0.000616	0.038	15.7162	SLD 4	20.5326	27.368	0.36	1.33							Si
3.83	0.000675	0.038	0.000129	0.038	16.7665	SLD 4	19.541	6.4471	0.196	0.33	-43.8383	SLD 13	-43.6806	-29.7723	0.377	0.68	No
3.96	0.000641	0.038	0.000107	0.038	14.7725	SLD 4	14.7725	5.4726	0.187	0.37	-49.4957	SLD 13	-46.5262	-28.4113	0.37	0.61	No

Verifiche a taglio in famiglia SLU

x	A st	A sl	A sag	Vela	Comb.	Vdes	Vrd	Vrcd	Vrsd	Vult	cotgθ	coeff	Verifica
0	0	0.000704	0	57.63	SLV 19	57.05	44.54	98.53	0	44.54	2.5	0.78	Si
0.13	0.0000057	0.000677	0	54.15	SLV 19	53.57	43.95	98.53	57.76	57.76	2.5	1.08	Si
1.98	0.0000032	0.000616	0	2.55	SLV 19	1.97	42.59	98.53	32.95	42.59	2.5	21.61	Si
3.83	0.0000032	0.000675	0	-49.05	SLV 19	-49.63	-43.91	-98.53	-32.95	-43.91	2.5	0.88	No
3.96	0	0.000675	0	-52.53	SLV 19	-53.11	-43.91	-98.53	0	-43.91	2.5	0.83	Si

Verifiche a taglio in famiglia SLV

x	A st	A sl	A sag	Vela	Comb.	Vdes	Vrd	Vrcd	Vrsd	Vult	cotgθ	coeff	Verifica
0	0	0.000704	0	71.26	SLV 4	71.26	44.54	98.53	0	44.54	2.5	0.62	Si
0	0	0.000308	0	-2.04	SLV 13	-4.68	-33.8	-98.53	0	-33.8	2.5	7.22	Si
0.13	0.0000057	0.000677	0	69.17	SLV 4	69.17	43.95	98.53	57.76	57.76	2.5	0.84	No
0.13	0.0000057	0.000308	0	-4.13	SLV 13	-6.78	-33.8	-98.53	-57.76	-57.76	2.5	8.52	Si
0.79	0.0000032	0.000157	0	58	SLV 4	58	29.82	98.53	32.95	32.95	2.5	0.57	No
0.79	0.0000032	0.000308	0	-15.3	SLV 13	-17.95	-33.8	-98.53	-32.95	-33.8	2.5	1.88	Si
1.98	0.0000032	0.000616	0	38.1	SLV 4	38.1	42.59	98.53	32.95	42.59	2.5	1.12	Si
1.98	0.0000032	0.000616	0	-35.2	SLV 13	-37.85	-42.59	-98.53	-32.95	-42.59	2.5	1.13	Si
3.83	0.0000032	0.000129	0	7.04	SLV 4	7.04	29.82	98.53	32.95	32.95	2.5	4.68	Si
3.83	0.0000032	0.000675	0	-66.27	SLV 13	-68.91	-43.91	-98.53	-32.95	-43.91	2.5	0.64	No
3.96	0	0.000129	0	4.94	SLV 4	4.94	29.82	98.53	0	29.82	2.5	6.04	Si
3.96	0	0.000675	0	-68.36	SLV 13	-71.01	-43.91	-98.53	0	-43.91	2.5	0.62	Si

Verifiche SLD Resistenza a taglio

x	A st	A sl	A sag	Vela	Comb.	Vdes	Vrd	Vrcd	Vrsd	Vult	cotgθ	coeff	Verifica
0	0	0.000704	0	49.27	SLD 4	48.03	44.54	98.53	0	44.54	2.5	0.93	Si
0.13	0.0000057	0.000677	0	47.17	SLD 4	45.93	43.95	98.53	57.76	57.76	2.5	1.26	Si
1.98	0.0000032	0.000616	0	16.1	SLD 4	14.87	42.59	98.53	32.95	42.59	2.5	2.86	Si
1.98	0.0000032	0.000616	0	-13.2	SLD 13	-14.46	-42.59	-98.53	-32.95	-42.59	2.5	2.94	Si
3.83	0.0000032	0.000675	0	-44.27	SLD 13	-45.53	-43.91	-98.53	-32.95	-43.91	2.5	0.96	No
3.96	0	0.000675	0	-46.36	SLD 13	-47.63	-43.91	-98.53	0	-43.91	2.5	0.92	Si

Indicatori di rischio sismico SLV

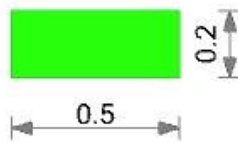
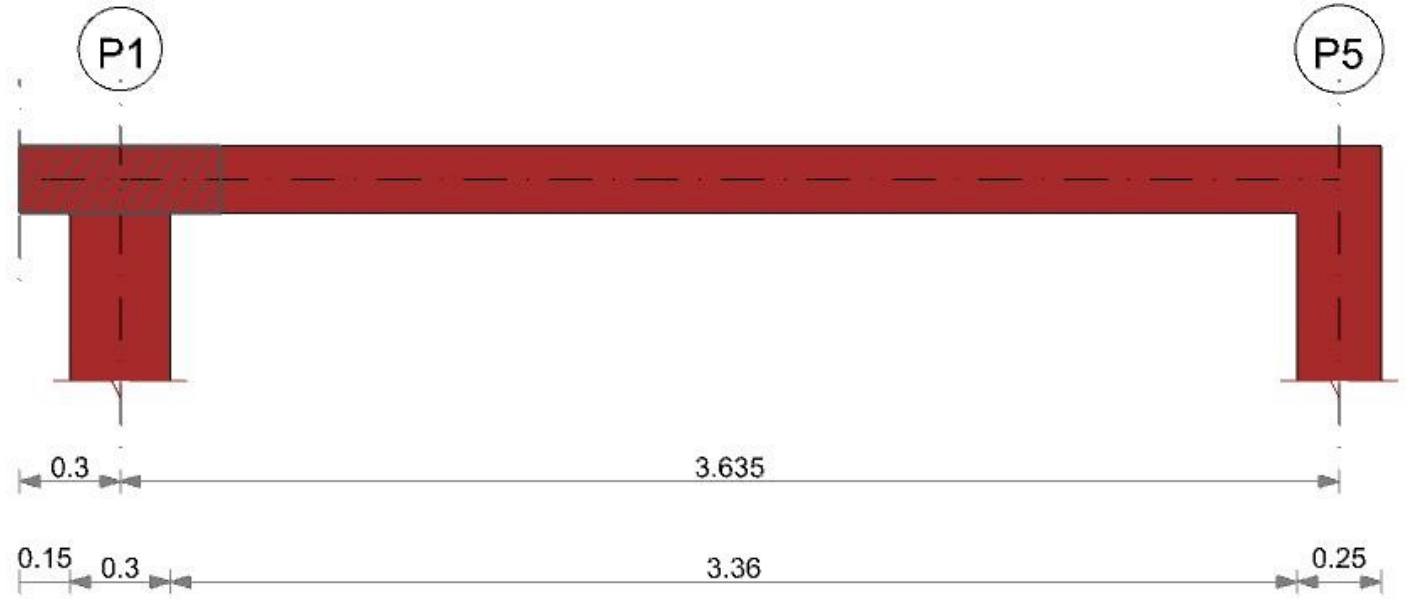
x	T gravità	T sisma	T ultimo	Comb.	Pga	Tr	Ind. taglio	M gravità	M sisma	M ultimo	Comb.	Pga	Tr	Ind. momento	Ver
0.13	32.52	36.65	57.76	SLV 4	0.14	360	0.672	-17.6106	-53.7566	-30.9476	SLV 4	0.06	42	0.279	No
0.66	23.56	36.65	51.6	SLV 4	0.16	467	0.748	-7.2914	-41.3523	-10.456	SLV 4	0.02	5	0.116	No
1.98	1.45	36.65	42.59	SLV 4	0.22	1322	1.146	13.127	17.4262	27.368	SLV 4	0.17	557	0.804	No
3.83	-29.61	-36.65	-43.91	SLV 13	0.08	96	0.391	-13.4934	-75.5069	-29.7723	SLV 13	0.05	33	0.252	No

Indicatori di rischio sismico SLD resistenza

x	T gravità	T sisma	T ultimo	Comb.	Pga	Tr	Ind. taglio	M gravità	M sisma	M ultimo	Comb.	Pga	Tr	Ind. momento	Ver
0.13	32.52	14.65	57.76	SLD 4	0.14	360	1.684	-17.6106	-21.4926	-30.9476	SLD 4	0.06	42	0.698	No
0.66	23.56	14.65	51.6	SLD 4	0.16	467	1.873	-7.2914	-16.5334	-10.456	SLD 4	0.02	5	0.292	No
1.98	1.45	14.65	42.59	SLD 4	0.22	1318	2.867	13.127	6.9665	27.368	SLD 4	0.17	556	2.012	Si
3.83	-29.61	-14.65	-43.91	SLD 13	0.08	96	0.979	-13.4934	-30.1872	-29.7723	SLD 13	0.05	33	0.632	No

Trave a "Piano 2" P1-P5

Geometria



Caratteristiche dei materiali

Acciaio: Vigone_FeB32k_LC2 Fym 386700 Livello di conoscenza LC2 Fattore di confidenza 1.2
 Calcestruzzo: C16/20 LC2 Rcm 20000 Livello di conoscenza LC2 Fattore di confidenza 1.2

Elenco delle sezioni

N°	Descrizione	Tipo	Base	Altezza	Copriferro sup.	Copriferro inf.	Copriferro lat.
1	R 50x20	Rettangolare	0.5	0.2	0.025	0.025	0.025

Diagramma verifica stato limite ultimo flessione

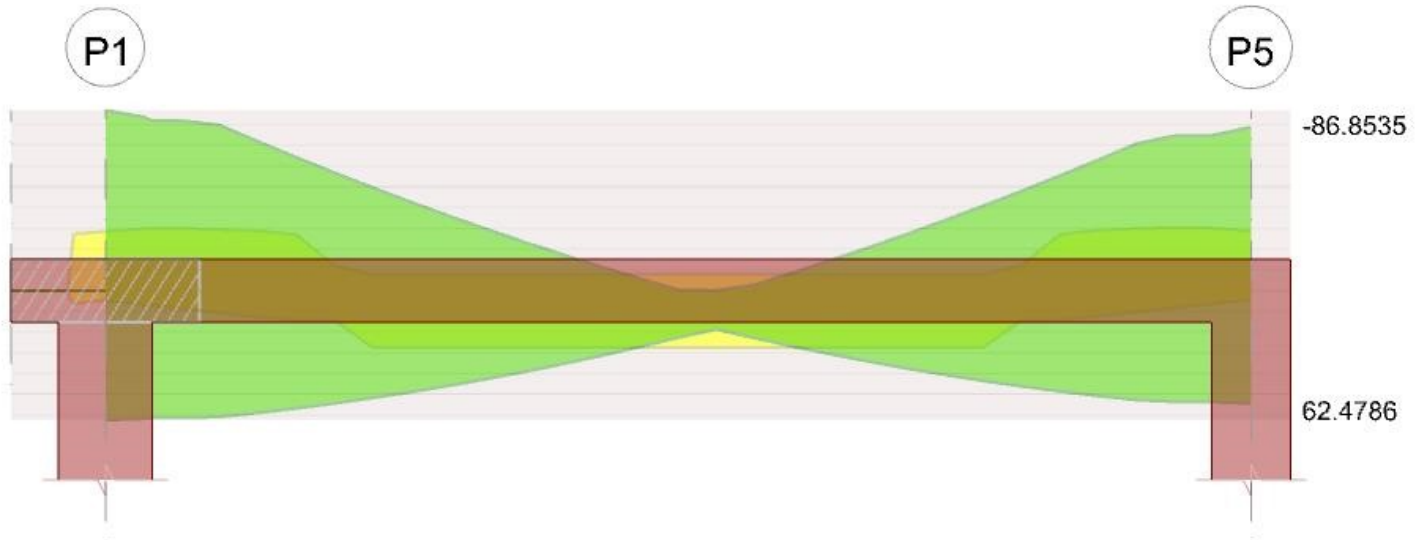


Diagramma verifica stato limite ultimo taglio

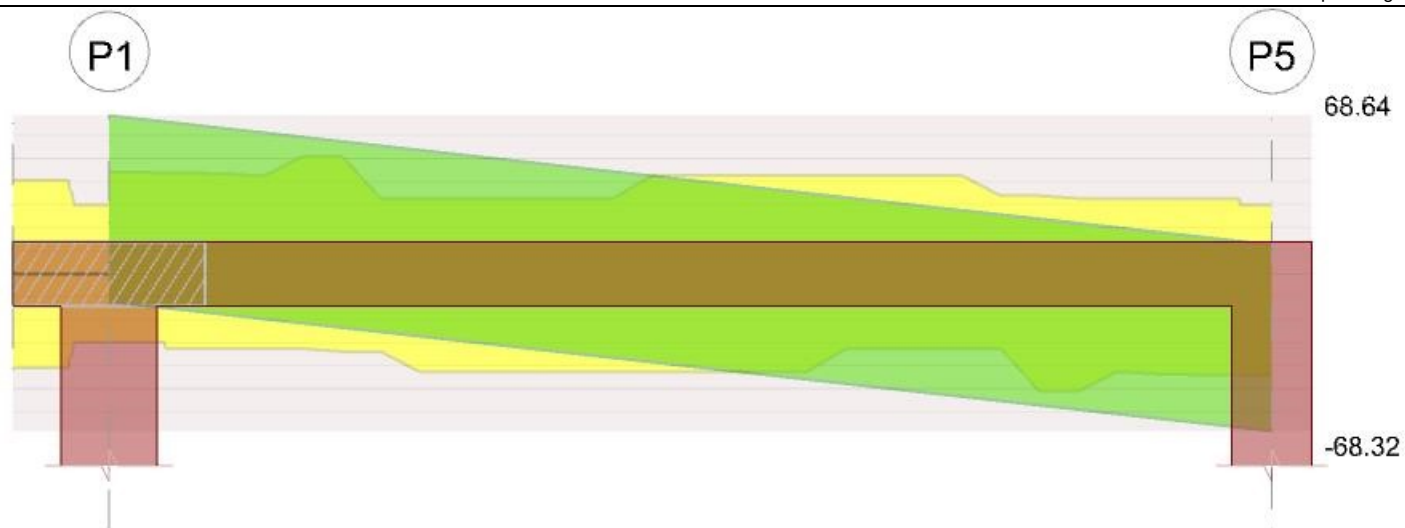
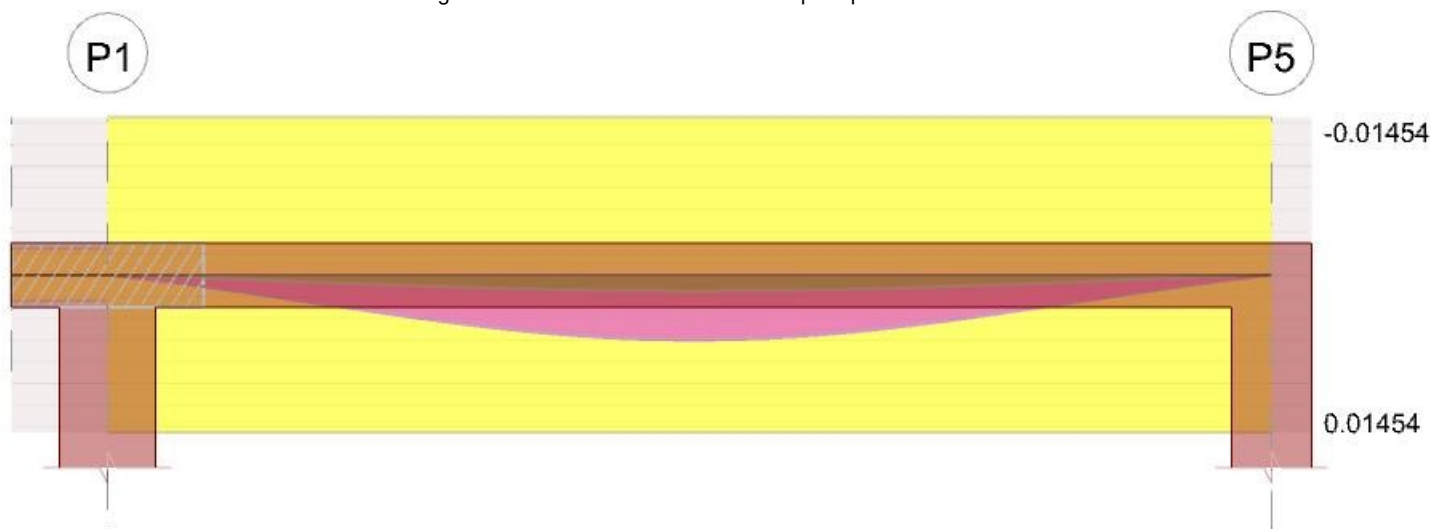


Diagramma verifica stato limite esercizio quasi permanente freccia



Output campate

Campata 2 tra i fili P1 - P5, sezione R 50x20, asta 44

Verifiche a flessione in famiglia SLU

x	A sup.	C.b. sup.	A inf.	C.b. inf.	M+ela	Comb.	M+des	M+ult	x/d	coeff	M-ela	Comb.	M-des	M-ult	x/d	coeff	Verifica
0	0.000641	0.038	0.000091	0.038							-19.4852	SLU 16	-16.6108	-25.0894	0.319	1.51	Si
0.15	0.000682	0.038	0.000147	0.038							-13.9641	SLU 19	-13.9641	-26.4883	0.32	1.9	Si
1.82	0.000157	0.038	0.000616	0.038	15.9991	SLU 16	15.9991	24.2254	0.294	1.51							Si
3.51	0.000682	0.038	0.000129	0.038							-14.8618	SLU 19	-14.8618	-26.5094	0.326	1.78	Si
3.64	0.000649	0.038	0.000083	0.038							-19.4726	SLU 19	-17.0876	-25.3426	0.325	1.48	Si

Verifiche a flessione in famiglia SLV (domini sostanzialmente elastici)

La struttura oppure parte di essa, è stata dichiarata come non dissipativa pertanto la verifica a pressoflessione, per tutte o solo alcune sezioni, viene eseguita calcolando i momenti resistenti in campo sostanzialmente elastico secondo D.M. 17-01-2018 §7.4.1

Le dilatazioni ultime utilizzate sono le seguenti: $\epsilon_{c2} = 0.002$, $\epsilon_{yd} = 0.00156$

E' attiva l'opzione fattori parziali di sicurezza unitari per meccanismi duttili di strutture esistenti con fattore γ

x	A sup.	C.b. sup.	A inf.	C.b. inf.	M+ela	Comb.	M+des	M+ult	x/d	coeff	M-ela	Comb.	M-des	M-ult	x/d	coeff	Verifica
0	0.000641	0.038	0.000091	0.038	63.4114	SLV 7	62.4786	4.7705	0.18	0.08	-91.9804	SLV 10	-86.8535	-28.4243	0.371	0.33	No
0.15	0.000682	0.038	0.000147	0.038	61.3919	SLV 7	61.3919	7.2781	0.204	0.12	-81.8802	SLV 10	-81.8802	-30.0529	0.378	0.37	No
1.82	0.000157	0.038	0.000616	0.038	15.7563	SLV 7	22.7129	27.368	0.36	1.2	7.1652	SLV 10	-0.3882	-7.6945	0.207	19.82	Si
3.51	0.000682	0.038	0.000129	0.038	53.6477	SLV 10	53.6477	6.4486	0.197	0.12	-74.574	SLV 7	-74.574	-30.0926	0.379	0.4	No
3.64	0.000649	0.038	0.000083	0.038	55.3307	SLV 10	54.5477	4.4016	0.177	0.08	-82.9907	SLV 7	-78.724	-28.7361	0.373	0.37	No

Verifiche SLD Resistenza a flessione (domini sostanzialmente elastici)

La struttura oppure parte di essa, è stata dichiarata come non dissipativa pertanto la verifica a pressoflessione, per tutte o solo alcune sezioni, viene eseguita calcolando i momenti resistenti in campo sostanzialmente elastico secondo D.M. 17-01-2018 §7.4.1

Le dilatazioni ultime utilizzate sono le seguenti: $\epsilon_{c2} = 0.002$, $\epsilon_{yd} = 0.00156$

x	A sup.	C.b. sup.	A inf.	C.b. inf.	M+ela	Comb.	M+des	M+ult	x/d	coeff	M-ela	Comb.	M-des	M-ult	x/d	coeff	Verifica
0	0.000641	0.038	0.000091	0.038	16.928	SLD 7	16.928	4.7705	0.18	0.28	-45.497	SLD 10	-42.1831	-28.4243	0.371	0.67	No
0.15	0.000682	0.038	0.000147	0.038	18.5345	SLD 7	20.0248	7.2781	0.204	0.36	-39.0228	SLD 10	-39.0228	-30.0529	0.378	0.77	No
1.82	0.000157	0.038	0.000616	0.038	13.1946	SLD 7	15.8092	27.368	0.36	1.73							Si
3.51	0.000682	0.038	0.000129	0.038	15.2786	SLD 10	16.7637	6.4486	0.197	0.38	-36.205	SLD 7	-36.205	-30.0926	0.379	0.83	No
3.64	0.000649	0.038	0.000083	0.038	13.94	SLD 10	13.94	4.4016	0.177	0.32	-41.6	SLD 7	-38.8441	-28.7361	0.373	0.74	No

Verifiche a taglio in famiglia SLU

x	A st	A sl	A sag	Vela	Comb.	Vdes	Vrd	Vrcd	Vrsd	Vult	cotg θ	coeff	Verifica
0	0	0.000682	0	38.7	SLU 16	38.7	44.06	98.53	0	44.06	2.5	1.14	Si
0.15	0	0.000665	0	35.53	SLU 16	35.53	43.69	98.53	0	43.69	2.5	1.23	Si
1.82	0.0000032	0.000616	0	0.37	SLU 16	0.37	42.59	98.53	32.66	42.59	2.5	115.73	Si

x	A st	A sl	A sag	Vela	Comb.	Vdes	Vrd	Vrcd	Vrsd	Vult	cotgθ	coeff	Verifica
1.82	0.0000032	0.000616	0	-0.15	SLV 4	-0.15	-42.59	-98.53	-32.66	-42.59	2.5	289.69	Si
3.51	0.0000032	0.000682	0	-35.61	SLV 19	-35.61	-44.08	-98.53	-32.66	-44.08	2.5	1.24	Si
3.64	0	0.000682	0	-38.24	SLV 19	-38.24	-44.08	-98.53	0	-44.08	2.5	1.15	Si

Verifiche a taglio in famiglia SLV

x	A st	A sl	A sag	Vela	Comb.	Vdes	Vrd	Vrcd	Vrsd	Vult	cotgθ	coeff	Verifica
0	0	0.000682	0	68.64	SLV 10	68.64	44.06	98.53	0	44.06	2.5	0.64	Si
0	0	0.000147	0	-12.16	SLV 7	-12.16	-29.82	-98.53	0	-29.82	2.5	2.45	Si
0.15	0	0.000665	0	66.31	SLV 10	66.31	43.69	98.53	0	43.69	2.5	0.66	No
0.15	0	0.000147	0	-14.49	SLV 7	-14.49	-29.82	-98.53	0	-29.82	2.5	2.06	Si
0.85	0.0000032	0.000157	0	55.5	SLV 10	55.5	29.82	98.53	32.66	32.66	2.5	0.59	No
0.85	0.0000032	0.000308	0	-25.3	SLV 7	-25.3	-33.8	-98.53	-32.66	-33.8	2.5	1.34	Si
1.82	0.0000032	0.000616	0	40.51	SLV 10	40.51	42.59	98.53	32.66	42.59	2.5	1.05	Si
1.82	0.0000032	0.000616	0	-40.29	SLV 7	-40.29	-42.59	-98.53	-32.66	-42.59	2.5	1.06	Si
3.51	0.0000032	0.000129	0	14.4	SLV 10	14.4	29.82	98.53	32.66	32.66	2.5	2.27	Si
3.51	0.0000032	0.000682	0	-66.4	SLV 7	-66.4	-44.08	-98.53	-32.66	-44.08	2.5	0.66	No
3.64	0	0.000129	0	12.47	SLV 10	12.47	29.82	98.53	0	29.82	2.5	2.39	Si
3.64	0	0.000682	0	-68.32	SLV 7	-68.32	-44.08	-98.53	0	-44.08	2.5	0.65	Si

Verifiche SLD Resistenza a taglio

x	A st	A sl	A sag	Vela	Comb.	Vdes	Vrd	Vrcd	Vrsd	Vult	cotgθ	coeff	Verifica
0	0	0.000682	0	44.46	SLD 10	44.46	44.06	98.53	0	44.06	2.5	0.99	Si
0.15	0	0.000665	0	42.14	SLD 10	42.14	43.69	98.53	0	43.69	2.5	1.04	Si
1.82	0.0000032	0.000616	0	16.34	SLD 10	16.34	42.59	98.53	32.66	42.59	2.5	2.61	Si
1.82	0.0000032	0.000616	0	-16.12	SLD 7	-16.12	-42.59	-98.53	-32.66	-42.59	2.5	2.64	Si
3.51	0.0000032	0.000682	0	-42.23	SLD 7	-42.23	-44.08	-98.53	-32.66	-44.08	2.5	1.04	Si
3.64	0	0.000682	0	-44.15	SLD 7	-44.15	-44.08	-98.53	0	-44.08	2.5	1	Si

Indicatori di rischio sismico SLV

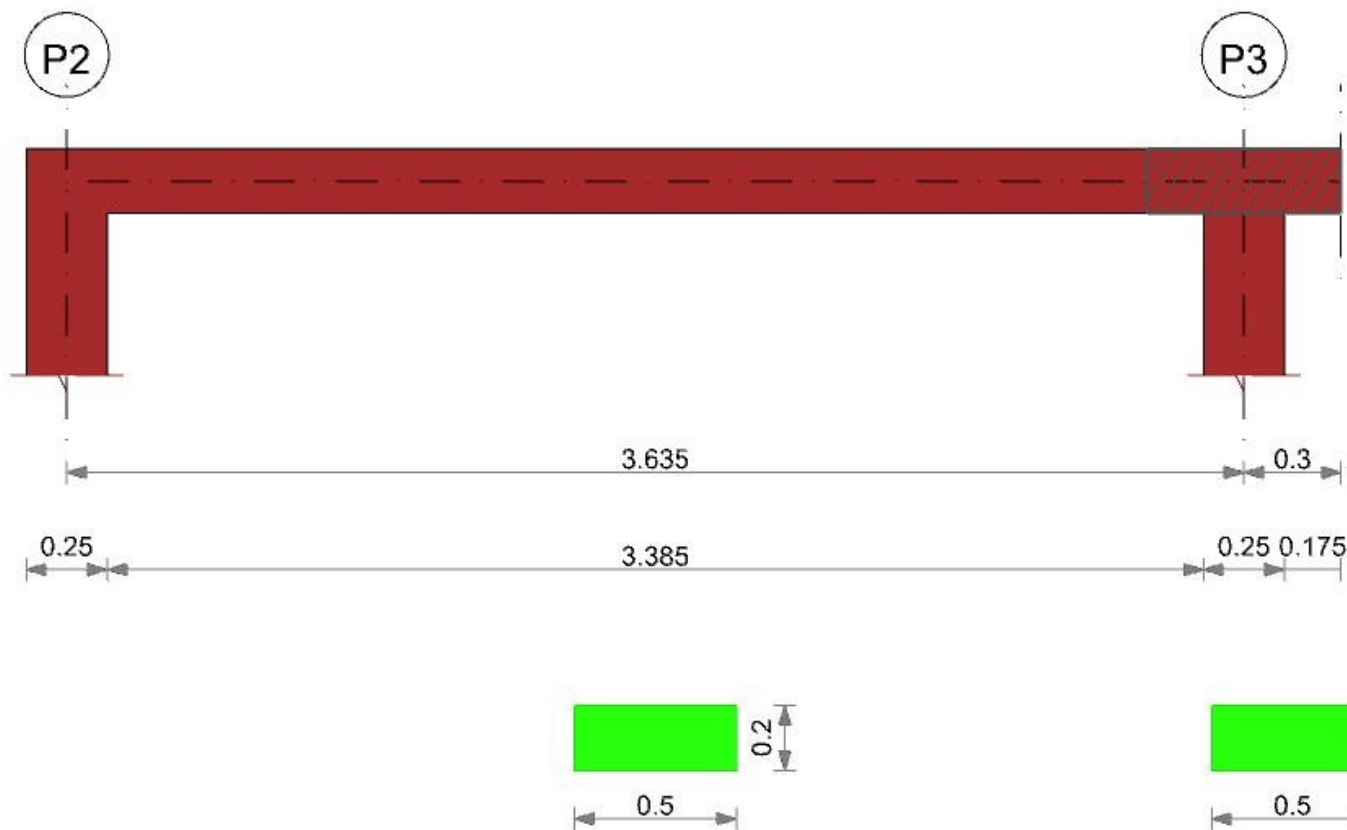
x	T gravità	T sisma	T ultimo	Comb.	Pga	Tr	Ind. taglio	M gravità	M sisma	M ultimo	Comb.	Pga	Tr	Ind. momento	Ver
0.15	25.91	40.4	43.69	SLV 10	0.09	122	0.431	-10.2441	71.6361	7.2781	SLV 7	0.06	41	0.276	No
0.85	15.1	40.4	32.66	SLV 10	0.09	119	0.427	1.0947	-50.7029	-7.6945	SLV 10	0.04	23	0.218	No
1.82	0.11	40.4	42.59	SLV 10	0.21	1093	1.06	11.1623	11.5505	27.368	SLV 7	0.26	2114	1.389	Si
3.51	-26	-40.4	-44.08	SLV 7	0.09	126	0.437	-10.4632	64.1109	6.4486	SLV 10	0.06	46	0.289	No

Indicatori di rischio sismico SLD resistenza

x	T gravità	T sisma	T ultimo	Comb.	Pga	Tr	Ind. taglio	M gravità	M sisma	M ultimo	Comb.	Pga	Tr	Ind. momento	Ver
0.15	25.91	16.23	43.69	SLD 10	0.09	121	1.077	-10.2441	28.7786	7.2781	SLD 7	0.06	40	0.684	No
0.85	15.1	16.23	32.66	SLD 10	0.09	118	1.066	1.0947	-20.3713	-7.6945	SLD 10	0.04	22	0.535	No
1.82	0.11	16.23	42.59	SLD 10	0.21	1077	2.639	11.1623	4.6469	27.368	SLD 7	0.26	2110	3.477	Si
3.51	-26	-16.23	-44.08	SLD 7	0.09	125	1.091	-10.4632	25.7418	6.4486	SLD 10	0.06	46	0.724	No

Trave a "Piano 2" P2-P3

Geometria



Caratteristiche dei materiali

Acciaio: Vigone FeB32k LC2 Fym 386700 Livello di conoscenza LC2 Fattore di confidenza 1.2

Calcestruzzo: C16/20 LC2 Rcm 20000 Livello di conoscenza LC2 Fattore di confidenza 1.2

Elenco delle sezioni

N°	Descrizione	Tipo	Base	Altezza	Copriferro sup.	Copriferro inf.	Copriferro lat.
1	R 50x20	Rettangolare	0.5	0.2	0.025	0.025	0.025

Diagramma verifica stato limite ultimo flessione

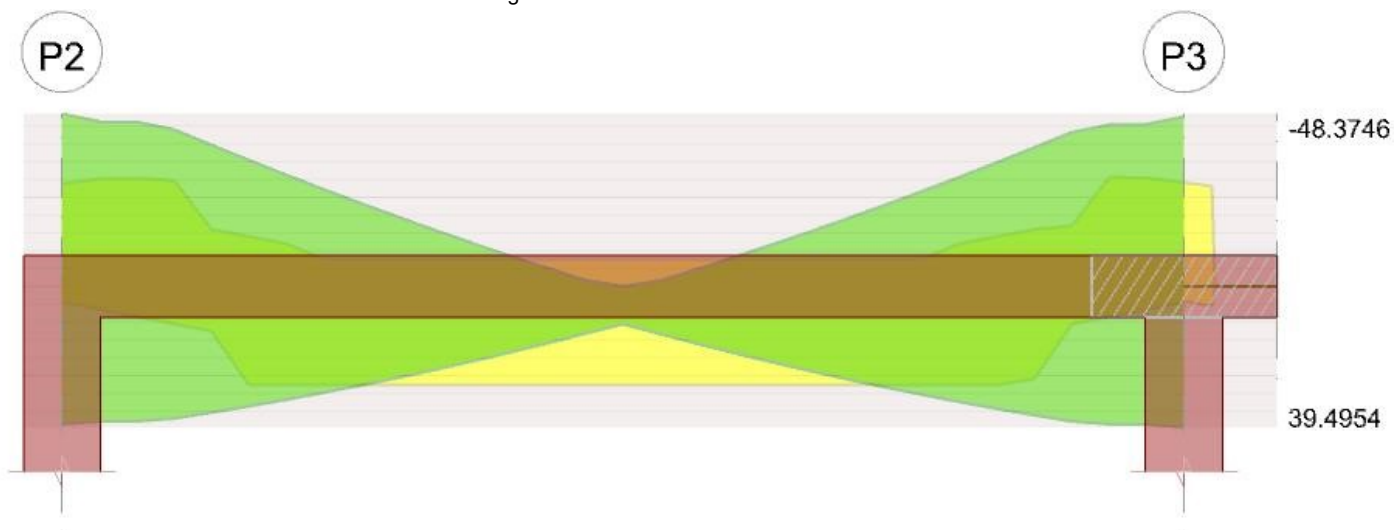


Diagramma verifica stato limite ultimo taglio

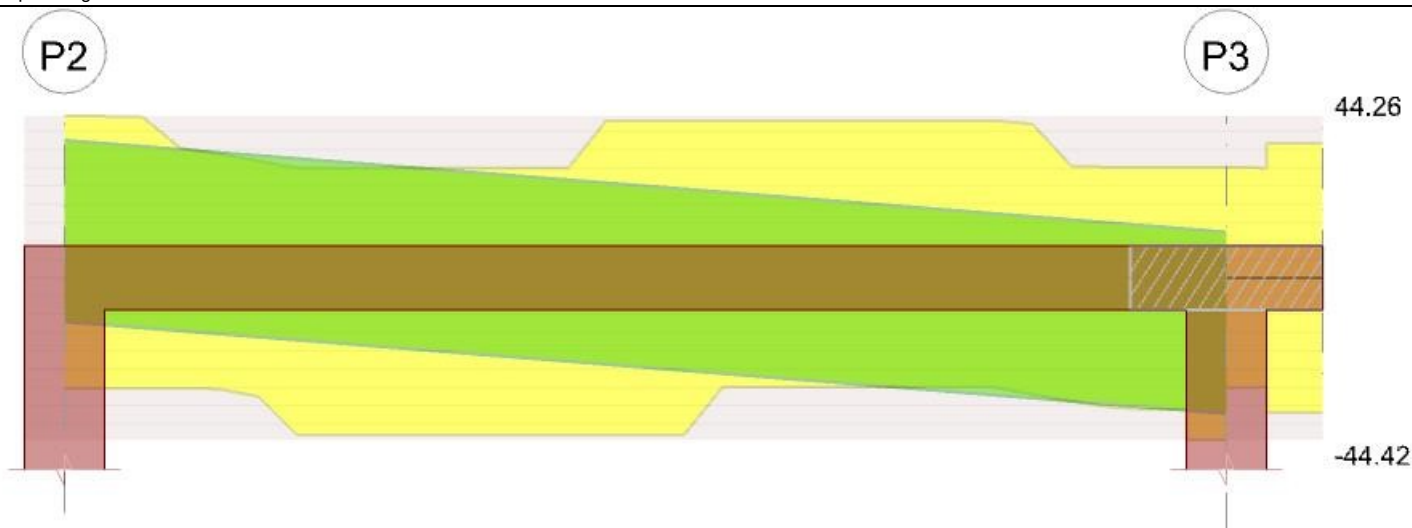
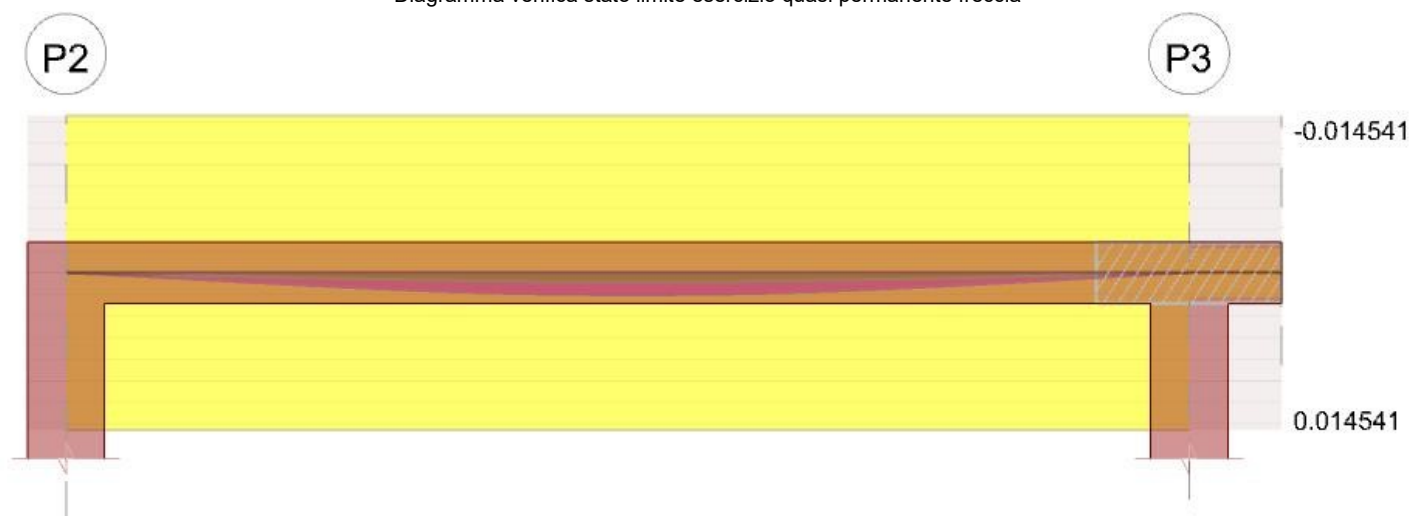


Diagramma verifica stato limite esercizio quasi permanente freccia



Output campate

Campata 1 tra i fili P2 - P3, sezione R 50x20, asta 43

Verifiche a flessione in famiglia SLU

x	A sup.	C.b. sup.	A inf.	C.b. inf.	M+ela	Comb.	M+des	M+ult	x/d	coeff	M-ela	Comb.	M-des	M-ult	x/d	coeff	Verifica
0	0.000641	0.036	0.000083	0.036							-7.6549	SLU 16	-6.5826	-25.4732	0.315	3.87	Si
0.13	0.000675	0.036	0.00013	0.036							-5.5803	SLU 16	-5.5803	-26.6615	0.314	4.78	Si
1.7	0.000157	0.038	0.000616	0.036	8.1959	SLU 19	8.3043	24.5703	0.291	2.96							Si
1.82	0.000157	0.038	0.000616	0.036	8.3043	SLU 16	8.3043	24.5703	0.291	2.96							Si
3.51	0.000682	0.036	0.00013	0.036							-4.4892	SLU 19	-4.4892	-26.9198	0.317	6	Si
3.64	0.000649	0.036	0.000083	0.036							-6.4932	SLU 19	-5.4557	-25.7301	0.318	4.72	Si

Verifiche a flessione in famiglia SLV (domini sostanzialmente elastici)

La struttura oppure parte di essa, è stata dichiarata come non dissipativa pertanto la verifica a pressoflessione, per tutte o solo alcune sezioni, viene eseguita calcolando i momenti resistenti in campo sostanzialmente elastico secondo D.M. 17-01-2018 §7.4.1

Le dilatazioni ultime utilizzate sono le seguenti: $\epsilon_{c2} = 0.002$, $\epsilon_{yd} = 0.00156$

E' attiva l'opzione fattori parziali di sicurezza unitari per meccanismi duttili di strutture esistenti con fattore γ

x	A sup.	C.b. sup.	A inf.	C.b. inf.	M+ela	Comb.	M+des	M+ult	x/d	coeff	M-ela	Comb.	M-des	M-ult	x/d	coeff	Verifica
0	0.000641	0.036	0.000083	0.036	39.3957	SLV 10	38.641	4.3971	0.171	0.11	-50.7194	SLV 7	-48.3746	-28.7825	0.369	0.59	No
0.13	0.000675	0.036	0.00013	0.036	37.8342	SLV 10	37.8342	6.5337	0.192	0.17	-46.0818	SLV 7	-46.0818	-30.1202	0.375	0.65	No
1.82	0.000157	0.038	0.000616	0.036	6.2744	SLV 16	10.561	27.7365	0.358	2.63							Si
3.51	0.000682	0.036	0.00013	0.036	38.6624	SLV 7	38.6624	6.5354	0.192	0.17	-45.313	SLV 10	-45.313	-30.4189	0.376	0.67	No
3.64	0.000649	0.036	0.000083	0.036	40.2756	SLV 7	39.4954	4.3998	0.171	0.11	-49.899	SLV 10	-47.5796	-29.0834	0.371	0.61	No

Verifiche SLD Resistenza a flessione (domini sostanzialmente elastici)

La struttura oppure parte di essa, è stata dichiarata come non dissipativa pertanto la verifica a pressoflessione, per tutte o solo alcune sezioni, viene eseguita calcolando i momenti resistenti in campo sostanzialmente elastico secondo D.M. 17-01-2018 §7.4.1

Le dilatazioni ultime utilizzate sono le seguenti: $\epsilon_{c2} = 0.002$, $\epsilon_{yd} = 0.00156$

x	A sup.	C.b. sup.	A inf.	C.b. inf.	M+ela	Comb.	M+des	M+ult	x/d	coeff	M-ela	Comb.	M-des	M-ult	x/d	coeff	Verifica
0	0.000641	0.036	0.000083	0.036	12.5198	SLD 10	12.5198	4.3971	0.171	0.35	-23.8435	SLD 7	-22.4231	-28.7825	0.369	1.28	No
0.13	0.000675	0.036	0.00013	0.036	12.8071	SLD 10	13.0239	6.5337	0.192	0.5	-21.0547	SLD 7	-21.0547	-30.1202	0.375	1.43	No
1.82	0.000157	0.038	0.000616	0.036	6.2066	SLD 16	7.8888	27.7365	0.358	3.52							Si
3.51	0.000682	0.036	0.00013	0.036	13.6173	SLD 7	13.757	6.5354	0.192	0.48	-20.2679	SLD 10	-20.2679	-30.4189	0.376	1.5	No
3.64	0.000649	0.036	0.000083	0.036	13.3816	SLD 7	13.3816	4.3998	0.171	0.33	-23.005	SLD 10	-21.6101	-29.0834	0.371	1.35	No

Verifiche a taglio in famiglia SLU

x	A st	A sl	A sag	Vela	Comb.	Vdes	Vrd	Vrcd	Vrsd	Vult	cotgθ	coeff	Verifica
0	0	0.000675	0	17.19	SLU 16	17.19	44.26	99.69	0	44.26	2.5	2.57	Si
0.13	0.0000014	0.000675	0	16.04	SLU 16	16.04	44.24	99.64	14.57	44.24	2.5	2.76	Si

x	A st	A sl	A sag	Vela	Comb.	Vdes	Vrd	Vrcd	Vrsd	Vult	cotgθ	coeff	Verifica
1.82	0.0000014	0.000616	0	0.35	SLU 16	0.35	42.94	99.74	14.59	42.94	2.5	122.96	Si
3.39	0.0000014	0.000367	0.0000122	-14.36	SLU 19	-14.36	-36.08	-99.57	-22.8	-36.08	2.5	2.51	Si
3.51	0.0000014	0.000682	0	-15.46	SLU 19	-15.46	-44.4	-99.62	-14.57	-44.4	2.5	2.87	Si
3.64	0	0.000682	0	-16.63	SLU 19	-16.63	-44.42	-99.68	0	-44.42	2.5	2.67	Si

Verifiche a taglio in famiglia SLV

x	A st	A sl	A sag	Vela	Comb.	Vdes	Vrd	Vrcd	Vrsd	Vult	cotgθ	coeff	Verifica
0	0	0.000675	0	37.54	SLV 7	37.54	44.26	99.69	0	44.26	2.5	1.18	Si
0	0	0.00013	0	-12.05	SLV 10	-12.05	-30.19	-99.74	0	-30.19	2.5	2.51	Si
0.13	0.0000014	0.000675	0	36.69	SLV 7	36.69	44.24	99.64	14.57	44.24	2.5	1.21	Si
0.13	0.0000014	0.00013	0	-12.91	SLV 10	-12.91	-30.19	-99.74	-14.59	-30.19	2.5	2.34	Si
0.73	0.0000014	0.000157	0	32.55	SLV 7	32.55	29.97	99	14.48	29.97	2.5	0.92	No
0.73	0.0000014	0.000616	0	-17.04	SLV 10	-17.04	-42.94	-99.74	-14.59	-42.94	2.5	2.52	Si
1.82	0.0000014	0.000616	0	25.05	SLV 7	25.05	42.94	99.74	14.59	42.94	2.5	1.71	Si
1.82	0.0000014	0.000616	0	-24.55	SLV 10	-24.55	-42.94	-99.74	-14.59	-42.94	2.5	1.75	Si
3.51	0.0000014	0.00013	0	13.33	SLV 7	13.33	30.19	99.74	14.59	30.19	2.5	2.27	Si
3.51	0.0000014	0.000682	0	-36.27	SLV 10	-36.27	-44.4	-99.62	-14.57	-44.4	2.5	1.22	Si
3.64	0	0.00013	0	12.46	SLV 7	12.46	30.19	99.74	0	30.19	2.5	2.42	Si
3.64	0	0.000682	0	-37.13	SLV 10	-37.13	-44.42	-99.68	0	-44.42	2.5	1.2	Si

Verifiche SLD Resistenza a taglio

x	A st	A sl	A sag	Vela	Comb.	Vdes	Vrd	Vrcd	Vrsd	Vult	cotgθ	coeff	Verifica
0	0	0.000675	0	22.75	SLD 7	22.75	44.26	99.69	0	44.26	2.5	1.95	Si
0.13	0.0000014	0.000675	0	21.89	SLD 7	21.89	44.24	99.64	14.57	44.24	2.5	2.02	Si
0.73	0.0000014	0.000157	0	17.76	SLD 7	17.76	29.97	99	14.48	29.97	2.5	1.69	Si
0.73	0.0000014	0.000616	0	-2.25	SLD 10	-2.25	-42.94	-99.74	-14.59	-42.94	2.5	19.1	Si
1.82	0.0000014	0.000616	0	10.25	SLD 7	10.25	42.94	99.74	14.59	42.94	2.5	4.19	Si
1.82	0.0000014	0.000616	0	-9.76	SLD 10	-9.76	-42.94	-99.74	-14.59	-42.94	2.5	4.4	Si
3.51	0.0000014	0.000682	0	-21.48	SLD 10	-21.48	-44.4	-99.62	-14.57	-44.4	2.5	2.07	Si
3.64	0	0.000682	0	-22.34	SLD 10	-22.34	-44.42	-99.68	0	-44.42	2.5	1.99	Si

Indicatori di rischio sismico SLV

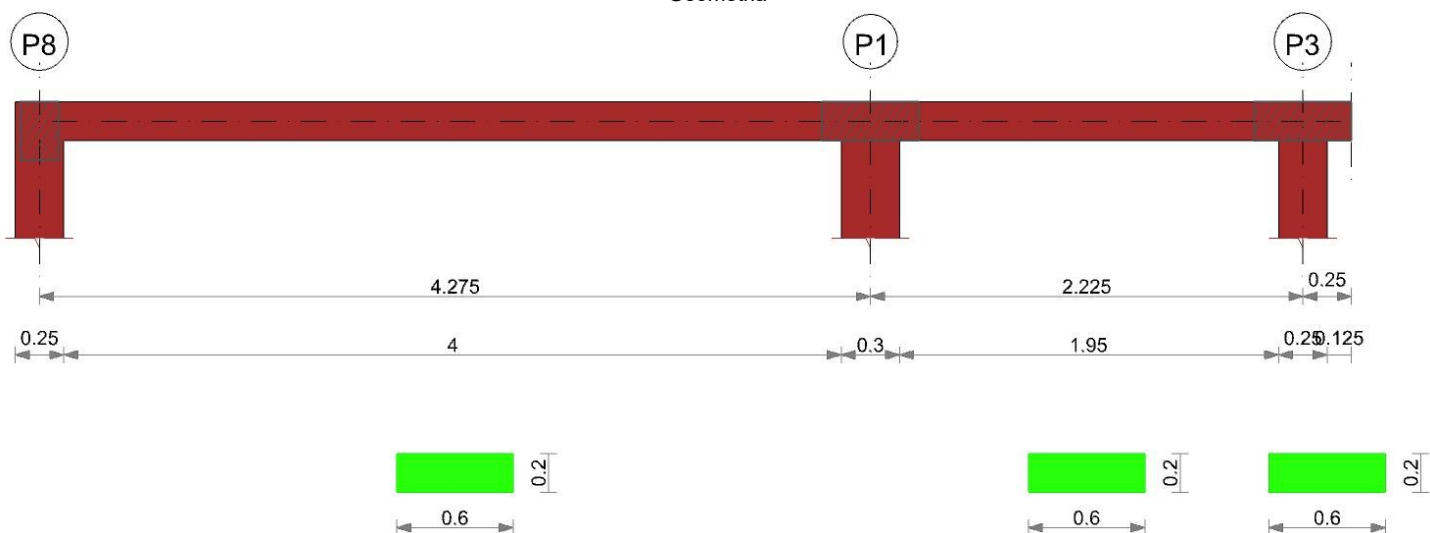
x	T gravità	T sisma	T ultimo	Comb.	Pga	Tr	Ind. taglio	M gravità	M sisma	M ultimo	Comb.	Pga	Tr	Ind. momento	Ver
0.13	11.89	24.8	44.24	SLV 7	0.25	2042	1.369	-4.1238	41.958	6.5337	SLV 10	0.06	43	0.281	No
1.82	0.25	24.8	42.94	SLV 7	0.26	2114	1.389	6.0815	-4.4795	-7.6447	SLV 10	0.26	2114	1.389	Si
3.51	-11.47	-24.8	-44.4	SLV 10	0.26	2114	1.389	-3.3253	41.9877	6.5354	SLV 7	0.06	38	0.267	No

Indicatori di rischio sismico SLD resistenza

x	T gravità	T sisma	T ultimo	Comb.	Pga	Tr	Ind. taglio	M gravità	M sisma	M ultimo	Comb.	Pga	Tr	Ind. momento	Ver
0.13	11.89	10.01	44.24	SLD 7	0.25	1983	3.389	-4.1238	16.9309	6.5337	SLD 10	0.06	43	0.705	No
1.82	0.25	10.01	42.94	SLD 7	0.26	2110	3.477	5.9919	-1.7957	-7.6447	SLD 7	0.26	2110	3.477	Si
3.51	-11.47	-10.01	-44.4	SLD 10	0.25	2088	3.462	-3.3253	16.9426	6.5354	SLD 7	0.06	38	0.67	No

Trave a "Piano 2" P8-P3

Geometria



Caratteristiche dei materiali

Acciaio: Vigone_FeB32k_LC2 Fym 386700 Livello di conoscenza LC2 Fattore di confidenza 1.2

Calcestruzzo: C16/20 LC2 Rcm 20000 Livello di conoscenza LC2 Fattore di confidenza 1.2

Elenco delle sezioni

N°	Descrizione	Tipo	Base	Altezza	Copri ferro sup.	Copri ferro inf.	Copri ferro lat.
1	R 60x20	Rettangolare	0.6	0.2	0.025	0.025	0.025

Diagramma verifica stato limite ultimo flessione

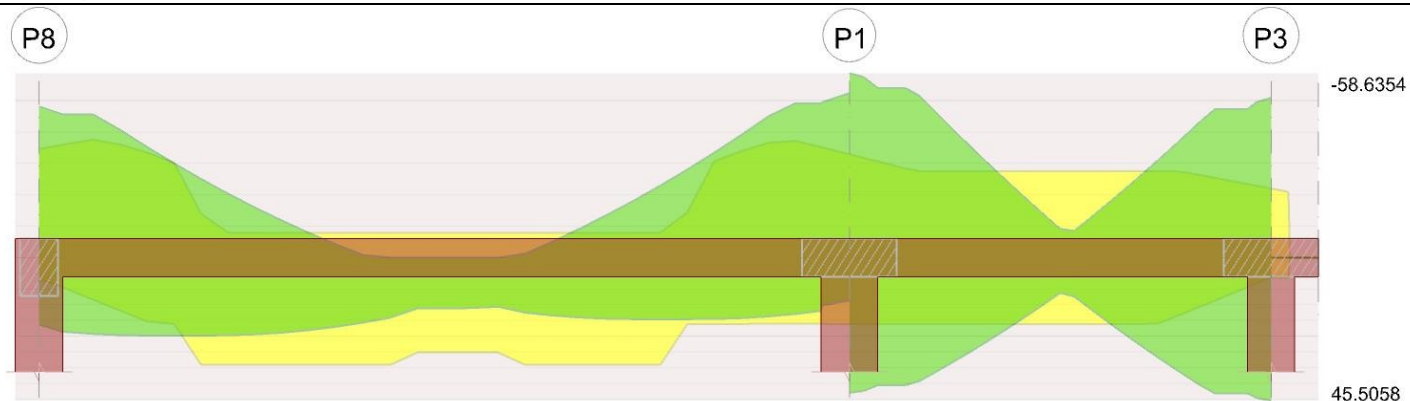


Diagramma verifica stato limite ultimo taglio

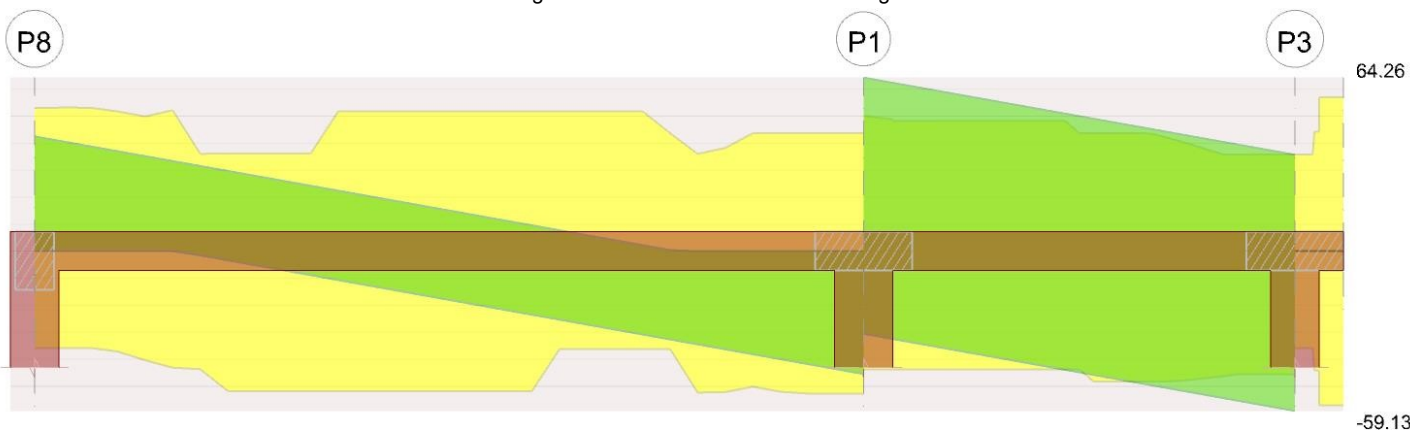
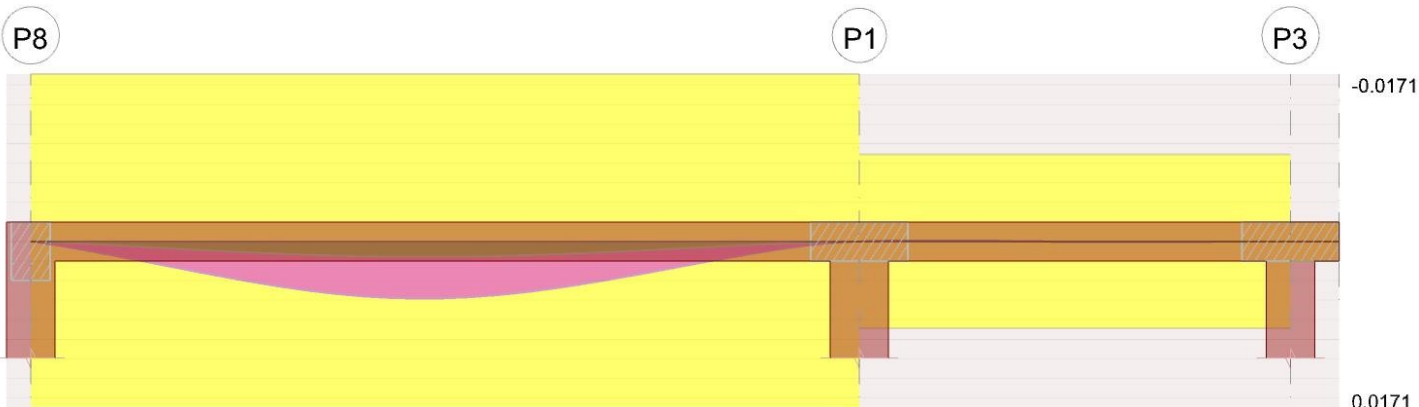


Diagramma verifica stato limite esercizio quasi permanente freccia



Output campate

Campata 1 tra i fili P8 - P1, sezione R 60x20, asta 37

Verifiche a flessione in famiglia SLU

x	A sup.	C.b. sup.	A inf.	C.b. inf.	M+ela	Comb.	M+des	M+ult	x/d	coeff	M-ela	Comb.	M-des	M-ult	x/d	coeff	Verifica
0	0.000795	0.038	0.000137	0.038							-21.0354	SLU 19	-18.8333	-31.0089	0.321	1.65	Si
0.13	0.000829	0.038	0.000193	0.038							-16.7483	SLU 19	-16.7483	-32.1983	0.32	1.92	Si
2.14	0.000157	0.036	0.00077	0.038	16.0049	SLU 16	16.1666	30.1964	0.304	1.87							Si
4.12	0.000807	0.038	0.000462	0.038							-23.1536	SLU 16	-23.1536	-31.5185	0.28	1.36	Si
4.27	0.000751	0.038	0.000462	0.038							-28.8937	SLU 16	-25.93	-29.5441	0.27	1.14	Si

Verifiche a flessione in famiglia SLV (domini sostanzialmente elastici)

La struttura oppure parte di essa, è stata dichiarata come non dissipativa pertanto la verifica a pressoflessione, per tutte o solo alcune sezioni, viene eseguita calcolando i momenti resistenti in campo sostanzialmente elastico secondo D.M. 17-01-2018 §7.4.1

Le dilatazioni ultime utilizzate sono le seguenti: $\epsilon_{c2} = 0.002$, $\epsilon_{yd} = 0.00156$

E' attiva l'opzione fattori parziali di sicurezza unitari per meccanismi duttili di strutture esistenti con fattore q

x	A sup.	C.b. sup.	A inf.	C.b. inf.	M+ela	Comb.	M+des	M+ult	x/d	coeff	M-ela	Comb.	M-des	M-ult	x/d	coeff	Verifica
0	0.000795	0.038	0.000137	0.038	21.3162	SLV 16	21.3162	6.9776	0.19	0.33	-50.7454	SLV 1	-48.1036	-34.5237	0.374	0.72	No
0.13	0.000829	0.038	0.000193	0.038	22.379	SLV 16	23.5756	9.436	0.209	0.4	-45.5479	SLV 1	-45.5479	-35.895	0.378	0.79	No
2.14	0.000157	0.036	0.00077	0.038	12.1359	SLV 16	15.1292	34.1285	0.368	2.26							Si
4.12	0.000807	0.038	0.000462	0.038	15.3015	SLV 1	16.9565	21.0795	0.28	1.24	-49.0852	SLV 16	-49.0852	-35.137	0.362	0.72	No
4.27	0.000751	0.038	0.000462	0.038	13.5931	SLV 1	13.5931	21.0893	0.28	1.55	-55.7553	SLV 16	-52.3513	-32.8747	0.351	0.63	No

Verifiche SLD Resistenza a flessione (domini sostanzialmente elastici)

La struttura oppure parte di essa, è stata dichiarata come non dissipativa pertanto la verifica a pressoflessione, per tutte o solo alcune sezioni, viene eseguita calcolando i momenti resistenti in campo sostanzialmente elastico secondo D.M. 17-01-2018 §7.4.1

Le dilatazioni ultime utilizzate sono le seguenti: $\epsilon_{c2} = 0.002$, $\epsilon_{yd} = 0.00156$

x	A sup.	C.b. sup.	A inf.	C.b. inf.	M+ela	Comb.	M+des	M+ult	x/d	coeff	M-ela	Comb.	M-des	M-ult	x/d	coeff	Verifica
0	0.000795	0.038	0.000137	0.038							-29.1843	SLD 1	-27.161	-34.5237	0.374	1.27	Si
0.13	0.000829	0.038	0.000193	0.038	2.0552	SLD 16	5.0334	9.436	0.209	1.87	-25.224	SLD 1	-25.224	-35.895	0.378	1.42	Si
2.14	0.000157	0.036	0.00077	0.038	11.7194	SLD 16	12.9413	34.1285	0.368	2.64							Si
3.28	0.000157	0.036	0.00077	0.038	8.6897	SLD 1	10.1639	34.1285	0.368	3.36	-5.9029	SLD 16	-10.2344	-7.939	0.195	0.78	No
4.12	0.000807	0.038	0.000462	0.038							-29.8161	SLD 16	-29.8161	-35.137	0.362	1.18	Si
4.27	0.000751	0.038	0.000462	0.038							-35.0015	SLD 16	-32.3398	-32.8747	0.351	1.02	Si

Verifiche a taglio in famiglia SLU

x	A st	A sl	A sag	Vela	Comb.	Vdes	Vrd	Vrcd	Vrsd	Vult	cotgθ	coeff	Verifica
0	0	0.000829	0	35.54	SLU 19	35.54	53.12	118.28	0	53.12	2.5	1.49	Si
0.13	0.0000033	0.000829	0	33.36	SLU 19	33.36	53.13	118.34	33.24	53.13	2.5	1.59	Si
2.14	0.0000033	0.00077	0	-2.38	SLU 16	-2.38	-51.81	-118.23	-33.21	-51.81	2.5	21.8	Si
4.12	0.0000033	0.000807	0	-37.02	SLU 16	-37.02	-52.72	-118.52	-33.29	-52.72	2.5	1.42	Si
4.27	0	0.000807	0	-39.63	SLU 16	-39.63	-52.72	-118.54	0	-52.72	2.5	1.33	Si

Verifiche a taglio in famiglia SLV

x	A st	A sl	A sag	Vela	Comb.	Vdes	Vrd	Vrcd	Vrsd	Vult	cotgθ	coeff	Verifica
0	0	0.000829	0	42.5	SLV 1	42.5	53.12	118.28	0	53.12	2.5	1.25	Si
0.13	0.0000033	0.000829	0	40.89	SLV 1	40.89	53.13	118.34	33.24	53.13	2.5	1.3	Si
2.14	0.0000033	0.00077	0	15.05	SLV 1	15.05	51.81	118.23	33.21	51.81	2.5	3.44	Si
2.14	0.0000033	0.00077	0	-18.03	SLV 16	-18.03	-51.81	-118.23	-33.21	-51.81	2.5	2.87	Si
3.28	0.0000033	0.000462	0	0.41	SLV 1	0.41	43.7	118.23	33.21	43.7	2.5	106.02	Si
3.28	0.0000033	0.000157	0	-32.67	SLV 16	-32.67	-36.23	-119.69	-33.62	-36.23	2.5	1.11	Si
4.12	0.0000033	0.000807	0	-43.55	SLV 16	-43.55	-52.72	-118.52	-33.29	-52.72	2.5	1.21	Si
4.27	0	0.000807	0	-45.47	SLV 16	-45.47	-52.72	-118.54	0	-52.72	2.5	1.16	Si

Verifiche SLD Resistenza a taglio

x	A st	A sl	A sag	Vela	Comb.	Vdes	Vrd	Vrcd	Vrsd	Vult	cotgθ	coeff	Verifica
0	0	0.000829	0	32.6	SLD 1	32.6	53.12	118.28	0	53.12	2.5	1.63	Si
0.13	0.0000033	0.000829	0	30.99	SLD 1	30.99	53.13	118.34	33.24	53.13	2.5	1.71	Si
2.14	0.0000033	0.00077	0	5.15	SLD 1	5.15	51.81	118.23	33.21	51.81	2.5	10.06	Si
2.14	0.0000033	0.00077	0	-8.13	SLD 16	-8.13	-51.81	-118.23	-33.21	-51.81	2.5	6.37	Si
4.12	0.0000033	0.000807	0	-33.65	SLD 16	-33.65	-52.72	-118.52	-33.29	-52.72	2.5	1.57	Si
4.27	0	0.000807	0	-35.58	SLD 16	-35.58	-52.72	-118.54	0	-52.72	2.5	1.48	Si

Indicatori di rischio sismico SLV

x	T gravità	T sisma	T ultimo	Comb.	Pga	Tr	Ind. taglio	M gravità	M sisma	M ultimo	Comb.	Pga	Tr	Ind. momento	Ver
0.13	24.35	16.54	53.13	SLV 1	0.26	2114	1.389	-11.5844	33.9635	9.436	SLV 16	0.13	277	0.604	No
2.14	-1.49	-16.54	-51.81	SLV 16	0.26	2114	1.389	11.4693	-3.6599	-7.939	SLV 1	0.26	2114	1.389	Si
3.28	-16.13	-16.54	-36.23	SLV 16	0.24	1665	1.259	-1.7428	-21.1539	-7.939	SLV 16	0.07	56	0.313	No
4.12	-27.01	-16.54	-52.72	SLV 16	0.26	2114	1.389	-16.8918	-32.1934	-35.137	SLV 16	0.12	223	0.552	No

Indicatori di rischio sismico SLD resistenza

x	T gravità	T sisma	T ultimo	Comb.	Pga	Tr	Ind. taglio	M gravità	M sisma	M ultimo	Comb.	Pga	Tr	Ind. momento	Ver
0.13	24.35	6.64	53.13	SLD 1	0.26	2110	3.477	-11.5844	13.6396	9.436	SLD 16	0.13	274	1.506	Si
2.14	-1.49	-6.64	-51.81	SLD 16	0.26	2110	3.477	11.4693	-1.472	-7.939	SLD 1	0.26	2110	3.477	Si
3.28	-16.13	-6.64	-36.23	SLD 16	0.24	1640	3.136	-1.7428	-8.4916	-7.939	SLD 16	0.07	55	0.779	No
4.12	-27.01	-6.64	-52.72	SLD 16	0.26	2110	3.477	-16.8918	-12.9243	-35.137	SLD 16	0.12	220	1.376	Si

Campata 2 tra i fili P1 - P3, sezione R 60x20, asta 40**Verifiche a flessione in famiglia SLU**

x	A sup.	C.b. sup.	A inf.	C.b. inf.	M+ela	Comb.	M+des	M+ult	x/d	coeff	M-ela	Comb.	M-des	M-ult	x/d	coeff	Verifica
0	0.000751	0.038	0.000462	0.038							-13.7447	SLU 16	-11.9567	-29.5441	0.27	2.47	Si
0.07	0.000723	0.038	0.000462	0.038							-12.0235	SLU 16	-11.5673	-28.566	0.266	2.47	Si
0.15	0.000694	0.038	0.000462	0.038							-10.3638	SLU 16	-10.3638	-27.5661	0.261	2.66	Si
1.11	0.000619	0.037	0.000462	0.038	2.6298	SLU 19	2.829	19.2735	0.227	6.81							Si
2.1	0.000521	0.038	0.000193	0.038							-3.2764	SLU 19	-3.2764	-21.4041	0.237	6.53	Si
2.23	0.000487	0.038	0.000126	0.038							-5.2243	SLU 19	-4.1874	-20.1765	0.228	4.82	Si

Verifiche a flessione in famiglia SLV (domini sostanzialmente elastici)

La struttura oppure parte di essa, è stata dichiarata come non dissipativa pertanto la verifica a pressoflessione, per tutte o solo alcune sezioni, viene eseguita calcolando i momenti resistenti in campo sostanzialmente elastico secondo D.M. 17-01-2018 §7.4.1

Le dilatazioni ultime utilizzate sono le seguenti: $\epsilon_{c2} = 0.002$, $\epsilon_{yd} = 0.00156$

E' attiva l'opzione fattori parziali di sicurezza unitari per meccanismi duttili di strutture esistenti con fattore γ

x	A sup.	C.b. sup.	A inf.	C.b. inf.	M+ela	Comb.	M+des	M+ult	x/d	coeff	M-ela	Comb.	M-des	M-ult	x/d	coeff	Verifica
0	0.000751	0.038	0.000462	0.038	45.3073	SLV 16	43.0146	21.0893	0.28	0.49	-63.454	SLV 1	-58.6354	-32.8747	0.351	0.56	No
0.15	0.000694	0.038	0.000462	0.038	40.578	SLV 16	40.578	21.0992	0.281	0.52	-53.9603	SLV 1	-53.9603	-30.5953	0.339	0.57	No
1.11	0.000619	0.037	0.000462	0.038	3.393	SLV 14	11.2222	21.113	0.283	1.88	0.059	SLV 3	-9.1269	-27.5242	0.323	3.02	Si
2.1	0.000521	0.038	0.000193	0.038	43.1748	SLV 1	43.1748	9.3898	0.205	0.22	-47.1931	SLV 16	-47.1931	-23.4038	0.307	0.5	No
2.23	0.000487	0.038	0.000126	0.038	47.744	SLV 1	45.5058	6.3866	0.179	0.14	-54.4763	SLV 16	-50.7885	-21.9695	0.3	0.43	Si

Verifiche SLD Resistenza a flessione (domini sostanzialmente elastici)

La struttura oppure parte di essa, è stata dichiarata come non dissipativa pertanto la verifica a pressoflessione, per tutte o solo alcune sezioni, viene eseguita calcolando i momenti resistenti in campo sostanzialmente elastico secondo D.M. 17-01-2018 §7.4.1

Le dilatazioni ultime utilizzate sono le seguenti: $\epsilon_{c2} = 0.002$, $\epsilon_{yd} = 0.00156$

x	A sup.	C.b. sup.	A inf.	C.b. inf.	M+ela	Comb.	M+des	M+ult	x/d	coeff	M-ela	Comb.	M-des	M-ult	x/d	coeff	Verifica
0	0.000751	0.038	0.000462	0.038	12.759	SLD 16	12.5947	21.0893	0.28	1.67	-30.9057	SLD 1	-28.2155	-32.8747	0.351	1.17	Si
0.15	0.000694	0.038	0.000462	0.038	12.2866	SLD 16	12.2866	21.0992	0.281	1.72	-25.6689	SLD 1	-25.6689	-30.5953	0.339	1.19	Si
1.11	0.000619	0.037	0.000462	0.038	2.3996	SLD 14	5.1355	21.113	0.283	4.11	1.0524	SLD 3	-3.0402	-27.5242	0.323	9.05	Si
2.1	0.000521	0.038	0.000193	0.038	16.1246	SLD 1	16.1246	9.3898	0.205	0.58	-20.1429	SLD 16	-20.1429	-23.4038	0.307	1.16	No
2.23	0.000487	0.038	0.000126	0.038	17.1464	SLD 1	16.6819	6.3866	0.179	0.38	-23.8787	SLD 16	-21.9645	-21.9695	0.3	1	Si

Verifiche a taglio in famiglia SLU

x	A st	A sl	A sag	Vela	Comb.	Vdes	Vrd	Vrcd	Vrsd	Vult	cotgθ	coeff	Verifica
0	0	0.000694	0	23.85	SLU 16	23.85	50.14	118.54	0	50.14	2.5	2.1	Si
0.15	0.0000032	0.000639	0	21.24	SLU 16	21.24	48.78	118.56	32.67	48.78	2.5	2.3	Si
1.11	0.0000032	0.000462	0	4.46	SLU 16	4.46	43.7	118.23	32.58	43.7	2.5	9.79	Si
2.1	0.0000032	0.000521	0	-14.58	SLU 19	-14.58	-45.53	-118.4	-32.63	-45.53	2.5	3.12	Si
2.23	0	0.000521	0	-16.76	SLU 19	-16.76	-45.51	-118.31	0	-45.51	2.5	2.72	Si

Verifiche a taglio in famiglia SLV

x	A st	A sl	A sag	Vela	Comb.	Vdes	Vrd	Vrcd	Vrsd	Vult	cotgθ	coeff	Verifica
0	0	0.000694	0	64.26	SLV 1	64.26	50.14	118.54	0	50.14	2.5	0.78	Si
0	0	0.000462	0	-30.56	SLV 16	-30.56	-43.7	-118.23	0	-43.7	2.5	1.43	Si
0.15	0.0000032	0.000639	0	62.33	SLV 1	62.33	48.78	118.56	32.67	48.78	2.5	0.78	No
0.15	0.0000032	0.000462	0	-32.49	SLV 16	-32.49	-43.7	-118.23	-32.58	-43.7	2.5	1.35	Si

x	A st	A sl	A sag	Vela	Comb.	Vdes	Vrd	Vrcd	Vrsd	Vult	cotgθ	coeff	Verifica
1.11	0.0000032	0.000462	0	49.98	SLV 1	49.98	43.7	118.23	32.58	43.7	2.5	0.87	No
1.11	0.0000032	0.000462	0	-44.85	SLV 16	-44.85	-43.7	-118.23	-32.58	-43.7	2.5	0.97	No
2.1	0.0000032	0.000193	0	37.3	SLV 1	37.3	35.79	118.23	32.58	35.79	2.5	0.96	No
2.1	0.0000032	0.000521	0	-57.53	SLV 16	-57.53	-45.53	-118.4	-32.63	-45.53	2.5	0.79	No
2.23	0	0.000193	0	35.69	SLV 1	35.69	35.79	118.23	0	35.79	2.5	1	Si
2.23	0	0.000521	0	-59.13	SLV 16	-59.13	-45.51	-118.31	0	-45.51	2.5	0.77	Si

Verifiche SLD Resistenza a taglio

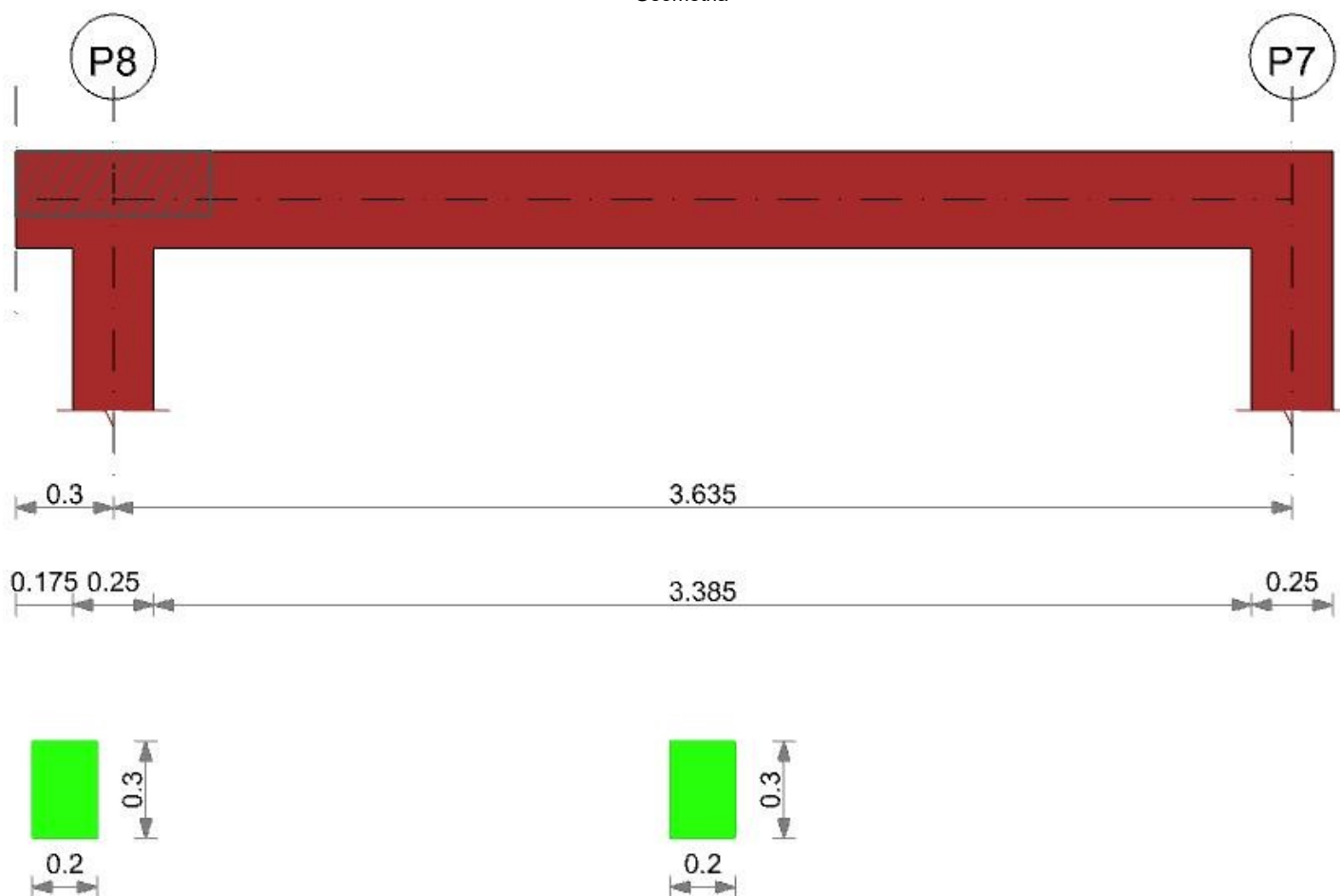
x	A st	A sl	A sag	Vela	Comb.	Vdes	Vrd	Vrcd	Vrsd	Vult	cotgθ	coeff	Verifica
0	0	0.000694	0	35.88	SLD 1	35.88	50.14	118.54	0	50.14	2.5	1.4	Si
0	0	0.000462	0	-2.18	SLD 16	-2.18	-43.7	-118.23	0	-43.7	2.5	20.03	Si
0.15	0.0000032	0.000639	0	33.95	SLD 1	33.95	48.78	118.56	32.67	48.78	2.5	1.44	Si
0.15	0.0000032	0.000462	0	-4.11	SLD 16	-4.11	-43.7	-118.23	-32.58	-43.7	2.5	10.64	Si
1.11	0.0000032	0.000462	0	21.6	SLD 1	21.6	43.7	118.23	32.58	43.7	2.5	2.02	Si
1.11	0.0000032	0.000462	0	-16.47	SLD 16	-16.47	-43.7	-118.23	-32.58	-43.7	2.5	2.65	Si
2.1	0.0000032	0.000193	0	8.92	SLD 1	8.92	35.79	118.23	32.58	35.79	2.5	4.01	Si
2.1	0.0000032	0.000521	0	-29.15	SLD 16	-29.15	-45.53	-118.4	-32.63	-45.53	2.5	1.56	Si
2.23	0	0.000193	0	7.31	SLD 1	7.31	35.79	118.23	0	35.79	2.5	4.89	Si
2.23	0	0.000521	0	-30.75	SLD 16	-30.75	-45.51	-118.31	0	-45.51	2.5	1.48	Si

Indicatori di rischio sismico SLV

x	T gravità	T sisma	T ultimo	Comb.	Pga	Tr	Ind. taglio	M gravità	M sisma	M ultimo	Comb.	Pga	Tr	Ind. momento	Ver
0.15	14.92	47.41	48.78	SLV 1	0.15	394	0.697	-6.6912	-47.2692	-30.5953	SLV 1	0.11	168	0.492	No
1.11	2.57	47.41	43.7	SLV 1	0.18	652	0.857	1.0476	10.1746	21.113	SLV 16	0.26	2114	1.389	No
2.1	-10.11	-47.41	-45.53	SLV 16	0.15	441	0.73	-2.0092	45.184	9.3898	SLV 1	0.06	43	0.281	No

Indicatori di rischio sismico SLD resistenza

x	T gravità	T sisma	T ultimo	Comb.	Pga	Tr	Ind. taglio	M gravità	M sisma	M ultimo	Comb.	Pga	Tr	Ind. momento	Ver
0.15	14.92	19.03	48.78	SLD 1	0.15	390	1.74	-6.6912	-18.9778	-30.5953	SLD 1	0.11	166	1.226	Si
1.11	2.57	19.03	43.7	SLD 1	0.17	644	2.137	1.0476	4.0878	21.113	SLD 16	0.26	2110	3.477	Si
2.1	-10.11	-19.03	-45.53	SLD 16	0.15	436	1.821	-2.0092	18.1338	9.3898	SLD 1	0.06	43	0.705	No

Trave a "Piano 2" P8-P7**Geometria****Caratteristiche dei materiali**

Acciaio: Vigone_FeB32k_LC2 Fym 386700 Livello di conoscenza LC2 Fattore di confidenza 1.2

Calcestruzzo: C16/20 LC2 Rcm 20000 Livello di conoscenza LC2 Fattore di confidenza 1.2

Elenco delle sezioni

N°	Descrizione	Tipo	Base	Altezza	Copriferro sup.	Copriferro inf.	Copriferro lat.
1	R 20x30	Rettangolare	0.2	0.3	0.025	0.025	0.025

Diagramma verifica stato limite ultimo flessione

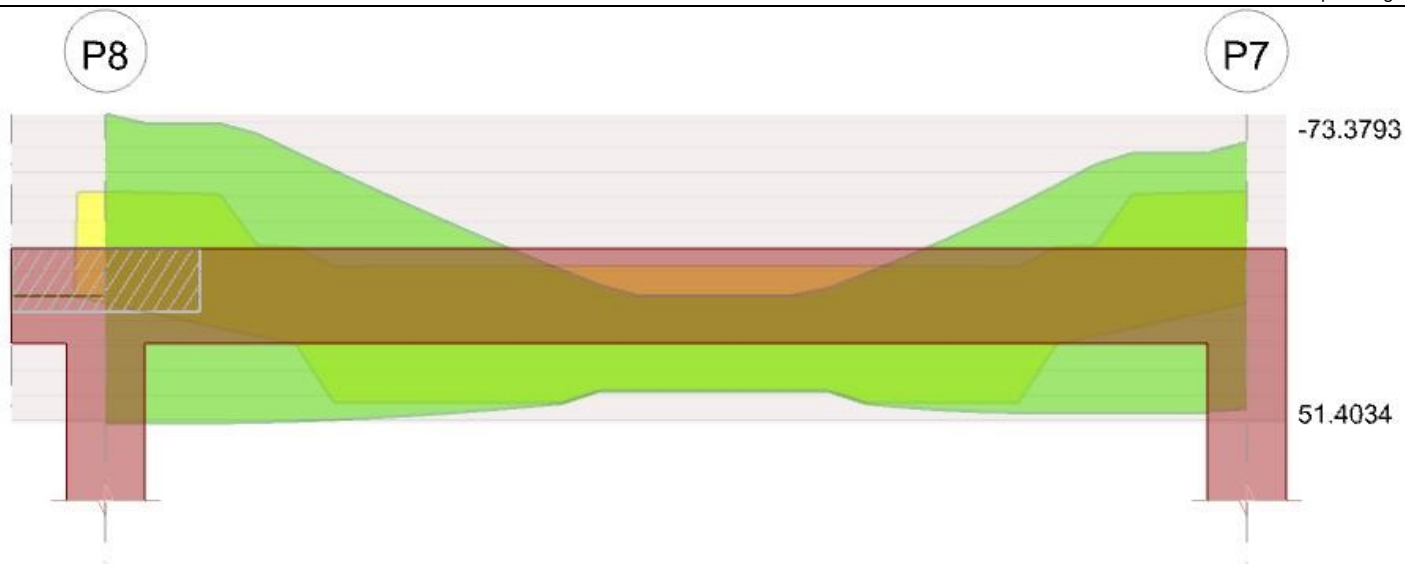


Diagramma verifica stato limite ultimo taglio

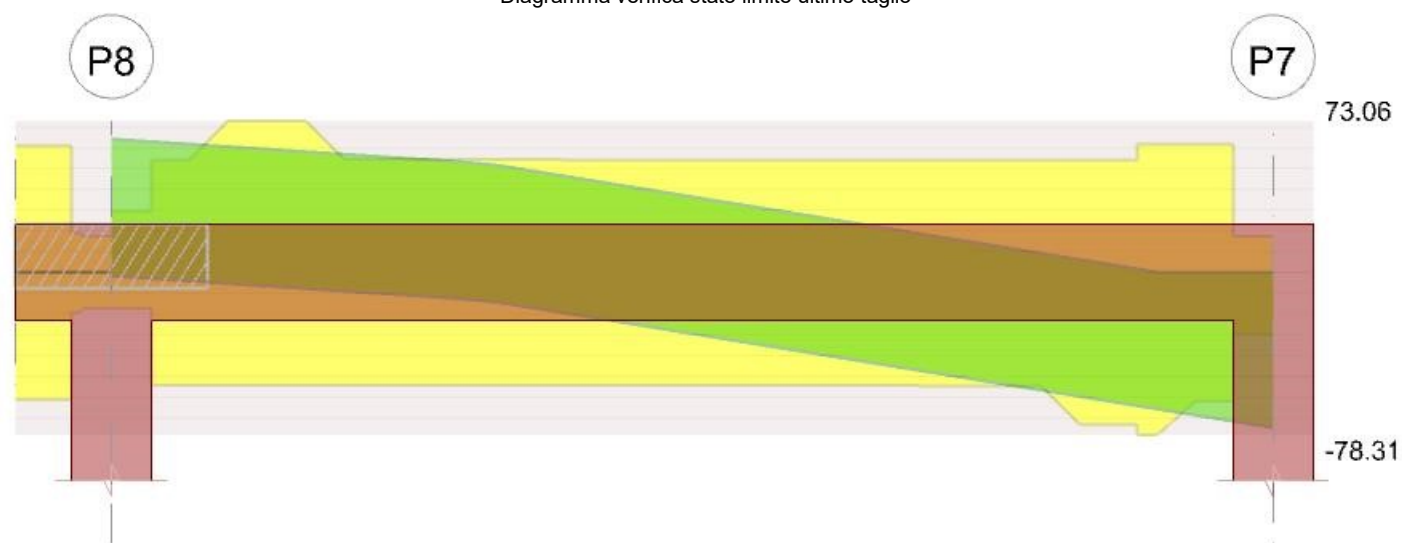
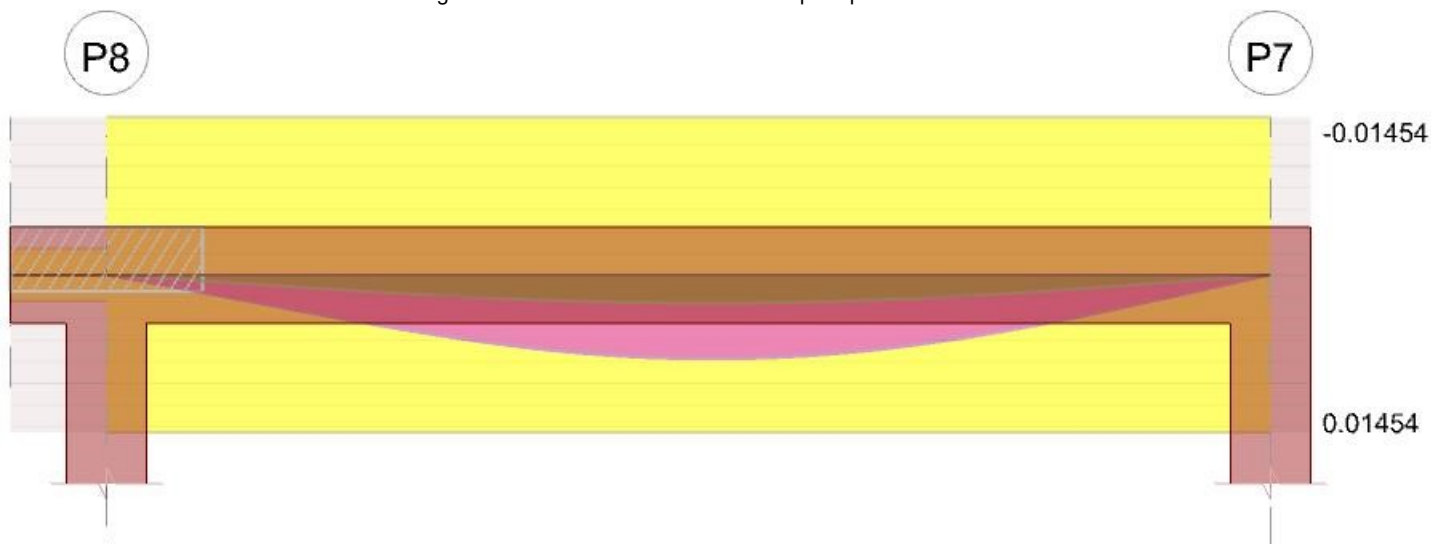


Diagramma verifica stato limite esercizio quasi permanente freccia



Output campate

Campata 2 tra i fili P8 - P7, sezione R 20x30, aste 41, 42

Verifiche a flessione in famiglia SLU

x	A sup.	C.b. sup.	A inf.	C.b. inf.	M+ela	Comb.	M+des	M+ult	x/d	coeff	M-ela	Comb.	M-des	M-ult	x/d	coeff	Verifica
0	0.00062	0.04	0.000035	0.04							-20.4286	SLU 19	-17.448	-36.2173	0.503	2.08	Si
0.13	0.000611	0.04	0.000082	0.04							-14.5729	SLU 19	-14.5729	-36.5913	0.454	2.51	Si
1.82	0.000157	0.038	0.000616	0.04	38.2442	SLU 19	38.6703	37.9199	0.394	0.98							No
3.15	0.000276	0.039	0.000217	0.04	10.8861	SLU 19	22.871	14.6182	0.158	0.64	4.9353	SLU 1	-4.6625	-18.3003	0.176	3.92	No
3.51	0.000611	0.04	0.000082	0.04	-4.3191	SLU 1	5.1279	6.2324	0.145	1.22	-8.6459	SLU 19	-8.6459	-36.5913	0.454	4.23	Si

x	A sup.	C.b. sup.	A inf.	C.b. inf.	M+ela	Comb.	M+des	M+ult	x/d	coeff	M-ela	Comb.	M-des	M-ult	x/d	coeff	Verifica
3.64	0.00062	0.04	0.000035	0.04							-16.5997	SLV 19	-12.4839	-36.2173	0.503	2.9	Si

Verifiche a flessione in famiglia SLV (domini sostanzialmente elastici)

La struttura oppure parte di essa, è stata dichiarata come non dissipativa pertanto la verifica a pressoflessione, per tutte o solo alcune sezioni, viene eseguita calcolando i momenti resistenti in campo sostanzialmente elastico secondo D.M. 17-01-2018 §7.4.1

Le dilatazioni ultime utilizzate sono le seguenti: $\epsilon_{c2} = 0.002$, $\epsilon_{yd} = 0.00156$

E' attiva l'opzione fattori parziali di sicurezza unitari per meccanismi duttili di strutture esistenti con fattore γ

x	A sup.	C.b. sup.	A inf.	C.b. inf.	M+ela	Comb.	M+des	M+ult	x/d	coeff	M-ela	Comb.	M-des	M-ult	x/d	coeff	Verifica
0	0.00062	0.04	0.000035	0.04	51.475	SLV 12	51.4034	2.8764	0.136	0.06	-77.3578	SLV 5	-73.3793	-42.054	0.451	0.57	No
0.13	0.000611	0.04	0.000082	0.04	51.2228	SLV 12	51.2228	6.3434	0.166	0.12	-69.4466	SLV 5	-69.4466	-41.7436	0.439	0.6	No
1.82	0.000157	0.038	0.000616	0.04	32.0931	SLV 11	37.6549	42.9183	0.428	1.14							Si
3.51	0.000611	0.04	0.000082	0.04	46.4596	SLV 5	47.1981	6.3434	0.166	0.13	-57.57	SLV 12	-57.57	-41.7436	0.439	0.73	No
3.64	0.00062	0.04	0.000035	0.04	45.5355	SLV 5	45.5355	2.8764	0.136	0.06	-66.6564	SLV 12	-62.0425	-42.054	0.451	0.68	No

Verifiche SLD Resistenza a flessione (domini sostanzialmente elastici)

La struttura oppure parte di essa, è stata dichiarata come non dissipativa pertanto la verifica a pressoflessione, per tutte o solo alcune sezioni, viene eseguita calcolando i momenti resistenti in campo sostanzialmente elastico secondo D.M. 17-01-2018 §7.4.1

Le dilatazioni ultime utilizzate sono le seguenti: $\epsilon_{c2} = 0.002$, $\epsilon_{yd} = 0.00156$

x	A sup.	C.b. sup.	A inf.	C.b. inf.	M+ela	Comb.	M+des	M+ult	x/d	coeff	M-ela	Comb.	M-des	M-ult	x/d	coeff	Verifica
0	0.00062	0.04	0.000035	0.04	12.9671	SLD 12	12.9671	2.8764	0.136	0.22	-38.8498	SLD 5	-36.0799	-42.054	0.451	1.17	No
0.13	0.000611	0.04	0.000082	0.04	15.1511	SLD 12	19.6403	6.3434	0.166	0.32	-33.3748	SLD 5	-33.3748	-41.7436	0.439	1.25	No
1.82	0.000157	0.038	0.000616	0.04	27.3771	SLD 11	28.3226	42.9183	0.428	1.52							Si
3.51	0.000611	0.04	0.000082	0.04	15.4644	SLD 5	20.9373	6.3434	0.166	0.3	-26.5748	SLD 12	-26.5748	-41.7436	0.439	1.57	No
3.64	0.00062	0.04	0.000035	0.04	12.1046	SLD 5	12.1046	2.8764	0.136	0.24	-33.2255	SLD 12	-29.8197	-42.054	0.451	1.41	No

Verifiche a taglio in famiglia SLU

x	A st	A sl	A sag	Vela	Comb.	Vdes	Vrd	Vrcd	Vrsd	Vult	cotgθ	coeff	Verifica
0	0	0.000602	0	47.72	SLU 19	47.72	29.52	63.27	0	29.52	2.5	0.62	Si
0.13	0.0000033	0.000593	0	46	SLU 19	46	29.38	63.28	54.11	54.11	2.5	1.18	Si
1.82	0.0000033	0.000616	0	6.02	SLU 19	6.02	29.75	63.25	54.09	54.09	2.5	8.99	Si
3.51	0.0000038	0.000593	0	-61.41	SLU 19	-61.41	-29.38	-63.28	-61.83	-61.83	2.5	1.01	Si
3.64	0	0.000602	0	-66.39	SLU 19	-66.39	-29.52	-63.27	0	-29.52	2.5	0.44	Si

Verifiche a taglio in famiglia SLV

x	A st	A sl	A sag	Vela	Comb.	Vdes	Vrd	Vrcd	Vrsd	Vult	cotgθ	coeff	Verifica
0	0	0.000602	0	64.18	SLV 5	64.18	29.52	63.27	0	29.52	2.5	0.46	Si
0	0	0.000082	0	-1.63	SLV 12	-1.63	-17.41	-63.25	0	-17.41	2.5	10.66	Si
0.13	0.0000033	0.000593	0	62.92	SLV 5	62.92	29.38	63.28	54.11	54.11	2.5	0.86	No
0.13	0.0000033	0.000082	0	-2.89	SLV 12	-2.89	-17.41	-63.25	-54.09	-54.09	2.5	18.72	Si
1.82	0.0000033	0.000616	0	36.38	SLV 5	36.38	29.75	63.25	54.09	54.09	2.5	1.49	Si
1.82	0.0000033	0.000616	0	-29.43	SLV 12	-29.43	-29.75	-63.25	-54.09	-54.09	2.5	1.84	Si
3.51	0.0000038	0.000593	0	-71.56	SLV 12	-71.56	-29.38	-63.28	-61.83	-61.83	2.5	0.86	No
3.64	0	0.000602	0	-74.67	SLV 12	-74.67	-29.52	-63.27	0	-29.52	2.5	0.4	Si

Verifiche SLD Resistenza a taglio

x	A st	A sl	A sag	Vela	Comb.	Vdes	Vrd	Vrcd	Vrsd	Vult	cotgθ	coeff	Verifica
0	0	0.000602	0	44.54	SLD 5	44.54	29.52	63.27	0	29.52	2.5	0.66	Si
0.13	0.0000033	0.000593	0	43.28	SLD 5	43.28	29.38	63.28	54.11	54.11	2.5	1.25	Si
1.82	0.0000033	0.000616	0	16.74	SLD 5	16.74	29.75	63.25	54.09	54.09	2.5	3.23	Si
1.82	0.0000033	0.000616	0	-9.79	SLD 12	-9.79	-29.75	-63.25	-54.09	-54.09	2.5	5.52	Si
3.51	0.0000038	0.000593	0	-51.92	SLD 12	-51.92	-29.38	-63.28	-61.83	-61.83	2.5	1.19	Si
3.64	0	0.000602	0	-55.03	SLD 12	-55.03	-29.52	-63.27	0	-29.52	2.5	0.54	Si

Indicatori di rischio sismico SLV

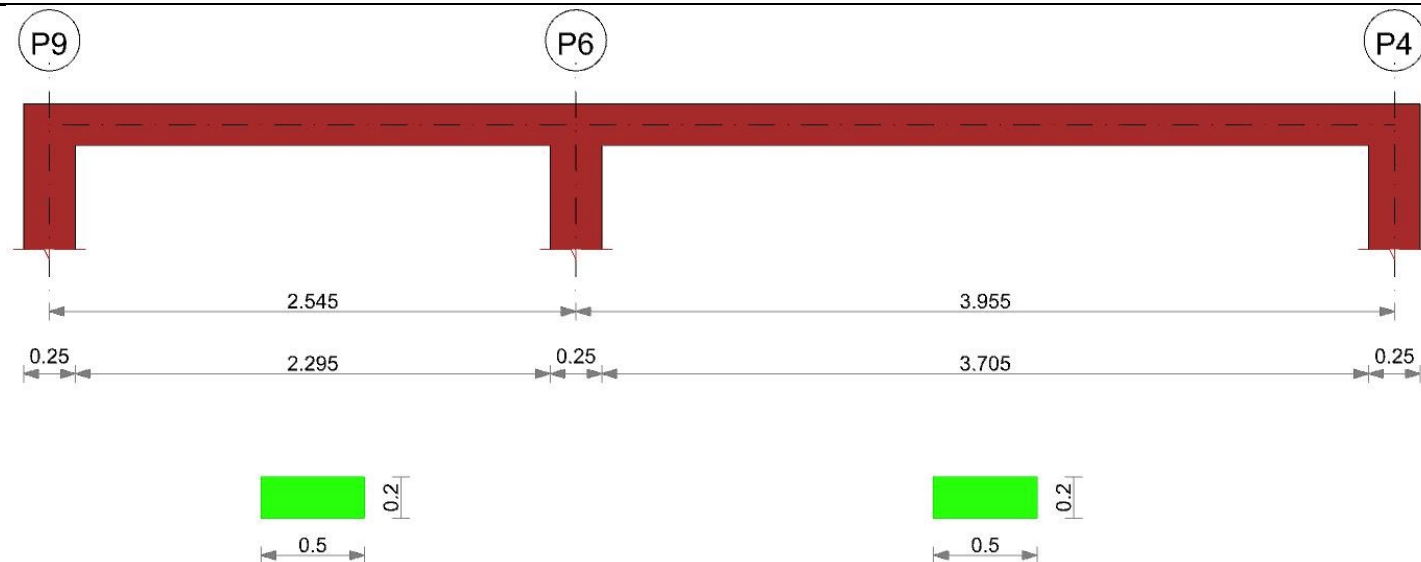
x	T gravità	T sisma	T ultimo	Comb.	Pga	Tr	Ind. taglio	M gravità	M sisma	M ultimo	Comb.	Pga	Tr	Ind. momento	Ver
0.13	30.02	32.91	54.11	SLV 5	0.15	419	0.715	-9.1119	60.3347	6.3434	SLV 12	0.06	44	0.284	No
1.82	3.47	32.91	54.09	SLV 5	0.26	2114	1.389	22.0981	15.5568	42.9183	SLV 12	0.26	2114	1.389	Si
3.51	-38.65	-32.91	-61.83	SLV 12	0.15	381	0.688	-5.5552	52.0148	6.3434	SLV 5	0.05	36	0.261	No

Indicatori di rischio sismico SLD resistenza

x	T gravità	T sisma	T ultimo	Comb.	Pga	Tr	Ind. taglio	M gravità	M sisma	M ultimo	Comb.	Pga	Tr	Ind. momento	Ver
0.13	30.02	13.27	54.11	SLD 5	0.15	411	1.778	-9.1119	24.2629	6.3434	SLD 12	0.06	44	0.711	No
1.82	3.47	13.27	54.09	SLD 5	0.26	2110	3.477	22.0981	6.2244	42.9183	SLD 12	0.26	2110	3.477	Si
3.51	-38.65	-13.27	-61.83	SLD 12	0.14	373	1.709	-5.5552	21.0196	6.3434	SLD 5	0.05	36	0.655	No

Trave a "Piano 2" P9-P4

Geometria



Caratteristiche dei materiali

Acciaio: Vigone_FeB32k_LC2 Fym 386700 Livello di conoscenza LC2 Fattore di confidenza 1.2
 Calcestruzzo: C16/20 LC2 Rcm 20000 Livello di conoscenza LC2 Fattore di confidenza 1.2

Elenco delle sezioni

N°	Descrizione	Tipo	Base	Altezza	Copriferro sup.	Copriferro inf.	Copriferro lat.
1	R 50x20	Rettangolare	0.5	0.2	0.025	0.025	0.025

Diagramma verifica stato limite ultimo flessione

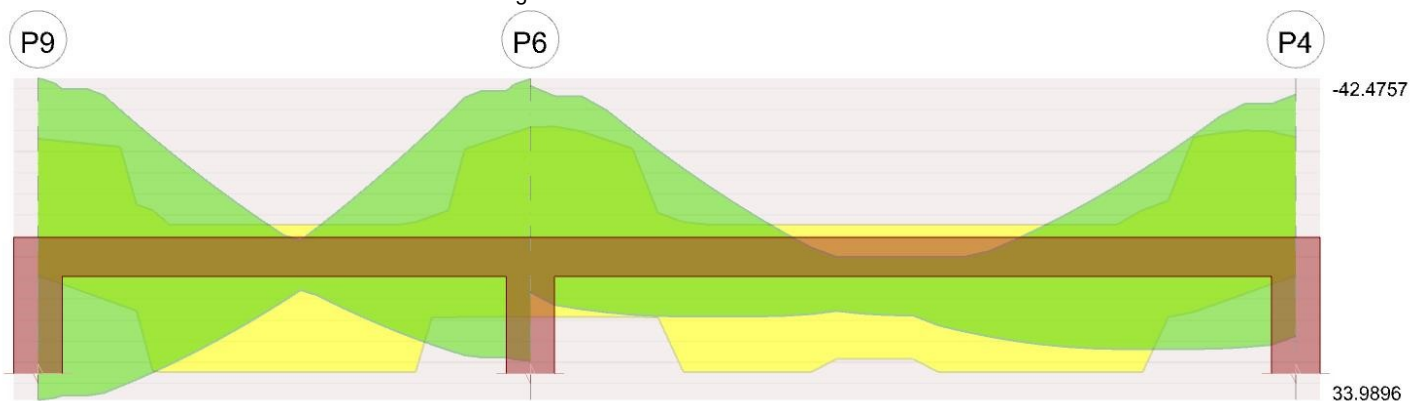
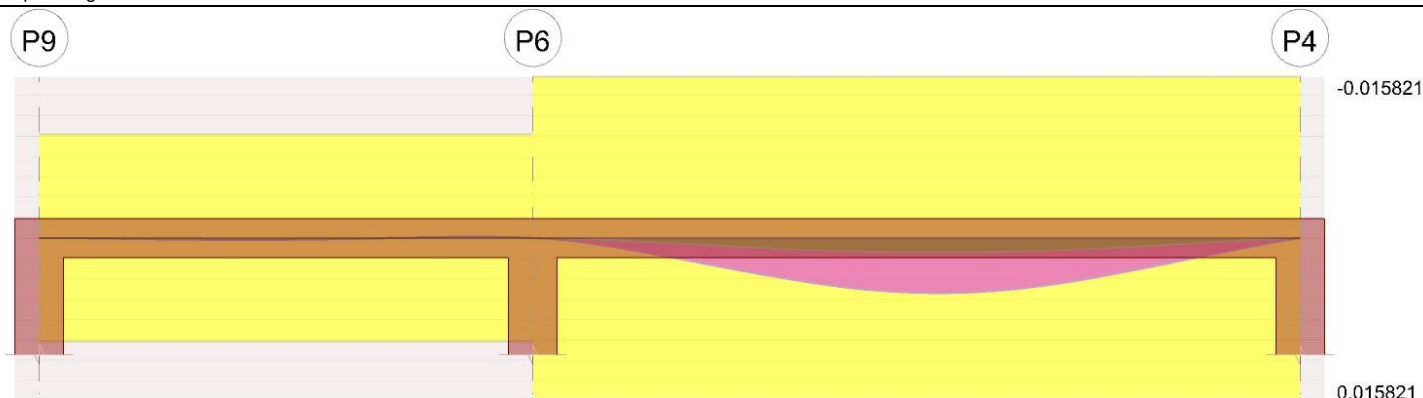


Diagramma verifica stato limite ultimo taglio



Diagramma verifica stato limite esercizio quasi permanente freccia



Output campate

Campata 1 tra i fili P9 - P6, sezione R 50x20, asta 38

Verifiche a flessione in famiglia SLU

x	A sup.	C.b. sup.	A inf.	C.b. inf.	M+ela	Comb.	M+des	M+ult	x/d	coeff	M-ela	Comb.	M-des	M-ult	x/d	coeff	Verifica
0	0.000633	0.038	0.000084	0.038							-7.5821	SLU 19	-6.3868	-24.7903	0.318	3.88	Si
0.13	0.000619	0.038	0.000129	0.038							-5.3075	SLU 19	-5.3075	-24.3407	0.301	4.59	Si
1.27	0.000157	0.038	0.000616	0.038	3.4759	SLU 19	3.6122	24.2254	0.294	6.71							Si
2.12	0.000234	0.038	0.000308	0.038							-5.4771	SLU 16	-8.9	-10.6727	0.201	1.2	Si
2.42	0.000654	0.038	0.000308	0.038							-11.4681	SLU 16	-11.4681	-25.5548	0.284	2.23	Si
2.54	0.000701	0.038	0.000308	0.038							-14.3953	SLU 16	-12.8737	-27.1898	0.296	2.11	Si

Verifiche a flessione in famiglia SLV (domini sostanzialmente elastici)

La struttura oppure parte di essa, è stata dichiarata come non dissipativa pertanto la verifica a pressoflessione, per tutte o solo alcune sezioni, viene eseguita calcolando i momenti resistenti in campo sostanzialmente elastico secondo D.M. 17-01-2018 §7.4.1

Le dilatazioni ultime utilizzate sono le seguenti: $\epsilon_{c2} = 0.002$, $\epsilon_{yd} = 0.00156$

E' attiva l'opzione fattori parziali di sicurezza unitari per meccanismi duttili di strutture esistenti con fattore γ

x	A sup.	C.b. sup.	A inf.	C.b. inf.	M+ela	Comb.	M+des	M+ult	x/d	coeff	M-ela	Comb.	M-des	M-ult	x/d	coeff	Verifica
0	0.000633	0.038	0.000084	0.038	34.9883	SLV 13	33.9896	4.4698	0.177	0.13	-45.1797	SLV 4	-42.4757	-28.0712	0.369	0.66	No
0.13	0.000619	0.038	0.000129	0.038	11.1386	SLV 13	11.1545	6.4356	0.195	0.58	-18.0901	SLV 4	-18.0901	-27.5134	0.363	0.69	No
1.27	0.000157	0.038	0.000616	0.038	4.9592	SLV 13	10.3717	27.368	0.36	2.64	0.0389	SLV 4	-5.1058	-7.6945	0.207	1.51	Si
2.42	0.000654	0.038	0.000308	0.038	23.8247	SLV 4	23.8247	14.2703	0.258	0.6	-39.4089	SLV 13	-39.4089	-28.9077	0.362	0.73	No
2.54	0.000701	0.038	0.000308	0.038	25.4375	SLV 4	24.674	14.2657	0.258	0.58	-45.2022	SLV 13	-42.2632	-30.8233	0.374	0.73	No

Verifiche SLD Resistenza a flessione (domini sostanzialmente elastici)

La struttura oppure parte di essa, è stata dichiarata come non dissipativa pertanto la verifica a pressoflessione, per tutte o solo alcune sezioni, viene eseguita calcolando i momenti resistenti in campo sostanzialmente elastico secondo D.M. 17-01-2018 §7.4.1

Le dilatazioni ultime utilizzate sono le seguenti: $\epsilon_{c2} = 0.002$, $\epsilon_{yd} = 0.00156$

x	A sup.	C.b. sup.	A inf.	C.b. inf.	M+ela	Comb.	M+des	M+ult	x/d	coeff	M-ela	Comb.	M-des	M-ult	x/d	coeff	Verifica
0	0.000633	0.038	0.000084	0.038	11.0054	SLD 13	11.0054	4.4698	0.177	0.41	-21.1968	SLD 4	-19.6009	-28.0712	0.369	1.43	No
0.13	0.000619	0.038	0.000129	0.038	11.1386	SLD 13	11.1545	6.4356	0.195	0.58	-18.0901	SLD 4	-18.0901	-27.5134	0.363	1.52	No
1.27	0.000157	0.038	0.000616	0.038	3.4974	SLD 13	5.7486	27.368	0.36	4.76	1.5006	SLD 4	-0.4826	-7.6945	0.207	15.94	Si
2.42	0.000654	0.038	0.000308	0.038	4.8945	SLD 4	5.4412	14.2703	0.258	2.62	-20.4787	SLD 13	-20.4787	-28.9077	0.362	1.41	Si
2.54	0.000701	0.038	0.000308	0.038	4.2909	SLD 4	4.2909	14.2657	0.258	3.32	-24.0556	SLD 13	-22.2246	-30.8233	0.374	1.39	Si

Verifiche a taglio in famiglia SLU

x	A st	A sl	A sag	Vela	Comb.	Vdes	Vrd	Vrcd	Vrsd	Vult	cotgθ	coeff	Verifica
0	0	0.000614	0	19.37	SLU 19	19.37	42.56	98.53	0	42.56	2.5	2.2	Si
0.13	0.0000057	0.000605	0	17.27	SLU 19	17.27	42.35	98.53	57.76	57.76	2.5	3.34	Si
1.27	0.0000033	0.000616	0	-3.24	SLU 16	-3.24	-42.59	-98.53	-33.53	-42.59	2.5	13.16	Si
2.42	0.0000057	0.000605	0	-22.49	SLU 16	-22.49	-42.35	-98.53	-57.76	-57.76	2.5	2.57	Si
2.54	0	0.000637	0	-24.59	SLU 16	-24.59	-43.08	-98.53	0	-43.08	2.5	1.75	Si

Verifiche a taglio in famiglia SLV

x	A st	A sl	A sag	Vela	Comb.	Vdes	Vrd	Vrcd	Vrsd	Vult	cotgθ	coeff	Verifica
0	0	0.000614	0	43.45	SLV 4	43.45	42.56	98.53	0	42.56	2.5	0.98	Si
0	0	0.000129	0	-15.81	SLV 13	-15.81	-29.82	-98.53	0	-29.82	2.5	1.89	Si
0.13	0.0000057	0.000605	0	41.91	SLV 4	41.91	42.35	98.53	57.76	57.76	2.5	1.38	Si
0.13	0.0000057	0.000129	0	-17.35	SLV 13	-17.35	-29.82	-98.53	-57.76	-57.76	2.5	3.33	Si
1.27	0.0000033	0.000616	0	27.75	SLV 4	27.75	42.59	98.53	33.53	42.59	2.5	1.53	Si
1.27	0.0000033	0.000616	0	-31.51	SLV 13	-31.51	-42.59	-98.53	-33.53	-42.59	2.5	1.35	Si
1.95	0.0000033	0.000308	0	19.37	SLV 4	19.37	33.8	98.53	33.53	33.8	2.5	1.74	Si
1.95	0.0000033	0.000157	0	-39.88	SLV 13	-39.88	-29.82	-98.53	-33.53	-33.53	2.5	0.84	No
2.42	0.0000057	0.000308	0	13.59	SLV 4	13.59	33.8	98.53	57.76	57.76	2.5	4.25	Si
2.42	0.0000057	0.000605	0	-45.67	SLV 13	-45.67	-42.35	-98.53	-57.76	-57.76	2.5	1.26	Si
2.54	0	0.000308	0	12.05	SLV 4	12.05	33.8	98.53	0	33.8	2.5	2.81	Si
2.54	0	0.000637	0	-47.21	SLV 13	-47.21	-43.08	-98.53	0	-43.08	2.5	0.91	Si

Verifiche SLD Resistenza a taglio

x	A st	A sl	A sag	Vela	Comb.	Vdes	Vrd	Vrcd	Vrsd	Vult	cotgθ	coeff	Verifica
0	0	0.000614	0	25.72	SLD 4	25.72	42.56	98.53	0	42.56	2.5	1.65	Si
0.13	0.0000057	0.000605	0	24.17	SLD 4	24.17	42.35	98.53	57.76	57.76	2.5	2.39	Si
1.27	0.0000033	0.000616	0	10.01	SLD 4	10.01	42.59	98.53	33.53	42.59	2.5	4.25	Si
1.27	0.0000033	0.000616	0	-13.78	SLD 13	-13.78	-42.59	-98.53	-33.53	-42.59	2.5	3.09	Si
2.42	0.0000057	0.000605	0	-27.93	SLD 13	-27.93	-42.35	-98.53	-57.76	-57.76	2.5	2.07	Si
2.54	0	0.000637	0	-29.48	SLD 13	-29.48	-43.08	-98.53	0	-43.08	2.5	1.46	Si

Indicatori di rischio sismico SLV

x	T gravità	T sisma	T ultimo	Comb.	Pga	Tr	Ind. taglio	M gravità	M sisma	M ultimo	Comb.	Pga	Tr	Ind. momento	Ver
0.13	12.28	29.63	57.76	SLV 4	0.26	2114	1.389	-3.4757	36.3809	6.4356	SLV 13	0.06	49	0.297	No
1.27	-1.88	-29.63	-42.59	SLV 13	0.26	2114	1.389	2.633	-7.7388	-7.6945	SLV 4	0.26	2114	1.389	Si
2.12	-12.35	-29.63	-52.5	SLV 13	0.26	2114	1.389	-5.963	-28.0885	-11.0572	SLV 13	0.04	24	0.221	No
2.42	-16.04	-29.63	-57.76	SLV 13	0.26	2114	1.389	-7.7921	-31.6168	-28.9077	SLV 13	0.14	334	0.652	No

Indicatori di rischio sismico SLD resistenza

x	T gravità	T sisma	T ultimo	Comb.	Pga	Tr	Ind. taglio	M gravità	M sisma	M ultimo	Comb.	Pga	Tr	Ind. momento	Ver
0.13	12.28	11.9	57.76	SLD 4	0.26	2110	3.477	-3.4757	14.6143	6.4356	SLD 13	0.06	48	0.737	No
1.27	-1.88	-11.9	-42.59	SLD 13	0.26	2110	3.477	2.633	-3.1156	-7.6945	SLD 4	0.26	2110	3.477	Si
2.12	-12.35	-11.9	-52.5	SLD 13	0.26	2110	3.477	-5.963	-11.27	-11.0572	SLD 13	0.04	24	0.555	No
2.42	-16.04	-11.9	-57.76	SLD 13	0.26	2110	3.477	-7.7921	-12.6866	-28.9077	SLD 13	0.14	331	1.627	Si

Campata 2 tra i fili P6 - P4, sezione R 50x20, asta 39

Verifiche a flessione in famiglia SLU

x	A sup.	C.b. sup.	A inf.	C.b. inf.	M+ela	Comb.	M+des	M+ult	x/d	coeff	M-ela	Comb.	M-des	M-ult	x/d	coeff	Verifica
0	0.000701	0.038	0.000308	0.038							-23.7319	SLU 16	-21.5177	-27.1898	0.296	1.26	Si
0.13	0.000704	0.038	0.000308	0.038							-19.4274	SLU 16	-19.4274	-27.297	0.297	1.41	Si
0.66	0.000222	0.038	0.000308	0.038	-2.7271	SLU 1	0.1531	13.2922	0.209	86.79	-3.9848	SLU 19	-8.6598	-10.1873	0.199	1.18	Si
1.98	0.000157	0.038	0.000616	0.038	13.744	SLU 16	13.9089	24.2254	0.294	1.74							Si
3.83	0.000675	0.038	0.000129	0.038							-11.7669	SLU 19	-11.7669	-26.2412	0.322	2.23	Si
3.96	0.000641	0.038	0.000084	0.038							-15.523	SLU 19	-13.583	-25.0763	0.321	1.85	Si

Verifiche a flessione in famiglia SLV (domini sostanzialmente elastici)

La struttura oppure parte di essa, è stata dichiarata come non dissipativa pertanto la verifica a pressoflessione, per tutte o solo alcune sezioni, viene eseguita calcolando i momenti resistenti in campo sostanzialmente elastico secondo D.M. 17-01-2018 §7.4.1

Le dilatazioni ultime utilizzate sono le seguenti: $\epsilon_{c2} = 0.002$, $\epsilon_{yd} = 0.00156$

E' attiva l'opzione fattori parziali di sicurezza unitari per meccanismi duttili di strutture esistenti con fattore γ

x	A sup.	C.b. sup.	A inf.	C.b. inf.	M+ela	Comb.	M+des	M+ult	x/d	coeff	M-ela	Comb.	M-des	M-ult	x/d	coeff	Verifica
0	0.000701	0.038	0.000308	0.038	8.3401	SLV 13	8.3401	14.2657	0.258	1.71	-43.099	SLV 4	-40.6019	-30.8233	0.374	0.76	No
0.13	0.000704	0.038	0.000308	0.038	9.7346	SLV 13	11.3939	14.2654	0.258	1.25	-38.1953	SLV 4	-38.1953	-30.9476	0.375	0.81	No
0.66	0.000222	0.038	0.000308	0.038	12.0731	SLV 4	14.6105	27.368	0.36	1.87							Si
1.98	0.000157	0.038	0.000616	0.038	10.7968	SLV 4	11.8522	27.368	0.36	2.31							Si
3.83	0.000675	0.038	0.000129	0.038	19.7799	SLV 4	20.8624	6.4471	0.196	0.31	-36.3718	SLV 13	-36.3718	-29.7723	0.377	0.82	No
3.96	0.000641	0.038	0.000084	0.038	18.7859	SLV 4	18.7859	4.4725	0.177	0.24	-40.8752	SLV 13	-38.5782	-28.4152	0.371	0.74	No

Verifiche SLD Resistenza a flessione (domini sostanzialmente elastici)

La struttura oppure parte di essa, è stata dichiarata come non dissipativa pertanto la verifica a pressoflessione, per tutte o solo alcune sezioni, viene eseguita calcolando i momenti resistenti in campo sostanzialmente elastico secondo D.M. 17-01-2018 §7.4.1

Le dilatazioni ultime utilizzate sono le seguenti: $\epsilon_{c2} = 0.002$, $\epsilon_{yd} = 0.00156$

x	A sup.	C.b. sup.	A inf.	C.b. inf.	M+ela	Comb.	M+des	M+ult	x/d	coeff	M-ela	Comb.	M-des	M-ult	x/d	coeff	Verifica
0	0.000701	0.038	0.000308	0.038							-27.7034	SLD 4	-25.731	-30.8233	0.374	1.2	Si
0.13	0.000704	0.038	0.000308	0.038							-23.8495	SLD 4	-23.8495	-30.9476	0.375	1.3	Si
0.66	0.000222	0.038	0.000308	0.038	3.6905	SLD 13	5.6682	14.3222	0.263	2.53	-9.5244	SLD 4	-13.9806	-10.456	0.229	0.75	No
1.98	0.000157	0.038	0.000616	0.038	10.7968	SLD 4	11.8522	27.368	0.36	2.31							Si
3.83	0.000675	0.038	0.000129	0.038	2.9908	SLD 4	5.585	6.4471	0.196	1.15	-19.5828	SLD 13	-19.5828	-29.7723	0.377	1.52	Si
3.96	0.000641	0.038	0.000084	0.038	0.947	SLD 4	0.947	4.4725	0.177	4.72	-23.0363	SLD 13	-21.2641	-28.4152	0.371	1.34	Si

Verifiche a taglio in famiglia SLU

x	A st	A sl	A sag	Vela	Comb.	Vdes	Vrd	Vrcd	Vrsd	Vult	cotgθ	coeff	Verifica
0	0	0.000704	0	35.54	SLU 16	35.54	44.54	98.53	0	44.54	2.5	1.25	Si
0.13	0.0000057	0.000677	0	33.44	SLU 16	33.44	43.95	98.53	57.76	57.76	2.5	1.73	Si
1.98	0.0000032	0.000616	0	2.36	SLU 16	2.36	42.59	98.53	32.95	42.59	2.5	18.07	Si
3.83	0.0000032	0.000675	0	-29.06	SLU 19	-29.06	-43.91	-98.53	-32.95	-43.91	2.5	1.51	Si
3.96	0	0.000675	0	-31.16	SLU 19	-31.16	-43.91	-98.53	0	-43.91	2.5	1.41	Si

Verifiche a taglio in famiglia SLV

x	A st	A sl	A sag	Vela	Comb.	Vdes	Vrd	Vrcd	Vrsd	Vult	cotgθ	coeff	Verifica
0	0	0.000704	0	40.05	SLV 4	40.05	44.54	98.53	0	44.54	2.5	1.11	Si
0.13	0.0000057	0.000677	0	38.5	SLV 4	38.5	43.95	98.53	57.76	57.76	2.5	1.5	Si
0.79	0.0000032	0.000157	0	30.29	SLV 4	30.29	29.82	98.53	32.95	32.95	2.5	1.09	Si
1.98	0.0000032	0.000616	0	15.64	SLV 4	15.64	42.59	98.53	32.95	42.59	2.5	2.72	Si
1.98	0.0000032	0.000616	0	-12.44	SLV 13	-12.44	-42.59	-98.53	-32.95	-42.59	2.5	3.42	Si
3.83	0.0000032	0.000675	0	-35.3	SLV 13	-35.3	-43.91	-98.53	-32.95	-43.91	2.5	1.24	Si
3.96	0	0.000675	0	-36.84	SLV 13	-36.84	-43.91	-98.53	0	-43.91	2.5	1.19	Si

Verifiche SLD Resistenza a taglio

x	A st	A sl	A sag	Vela	Comb.	Vdes	Vrd	Vrcd	Vrsd	Vult	cotgθ	coeff	Verifica
0	0	0.000704	0	31.65	SLD 4	31.65	44.54	98.53	0	44.54	2.5	1.41	Si
0.13	0.0000057	0.000677	0	30.1	SLD 4	30.1	43.95	98.53	57.76	57.76	2.5	1.92	Si
1.98	0.0000032	0.000616	0	7.24	SLD 4	7.24	42.59	98.53	32.95	42.59	2.5	5.88	Si
1.98	0.0000032	0.000616	0	-4.04	SLD 13	-4.04	-42.59	-98.53	-32.95	-42.59	2.5	10.55	Si
3.83	0.0000032	0.000675	0	-26.9	SLD 13	-26.9	-43.91	-98.53	-32.95	-43.91	2.5	1.63	Si
3.96	0	0.000675	0	-28.44	SLD 13	-28.44	-43.91	-98.53	0	-43.91	2.5	1.54	Si

Indicatori di rischio sismico SLV

x	T gravità	T sisma	T ultimo	Comb.	Pga	Tr	Ind. taglio	M gravità	M sisma	M ultimo	Comb.	Pga	Tr	Ind. momento	Ver
0.13	24.46	14.04	57.76	SLV 4	0.26	2114	1.389	-14.2304	-23.965	-30.9476	SLV 4	0.14	372	0.681	No
0.66	17.87	14.04	51.6	SLV 4	0.26	2114	1.389	-6.3585	-18.9933	-10.456	SLV 4	0.05	33	0.252	No
1.98	1.6	14.04	42.59	SLV 4	0.26	2114	1.389	9.9836	4.6269	27.368	SLV 4	0.26	2114	1.389	Si
3.83	-21.26	-14.04	-43.91	SLV 13	0.26	2114	1.389	-8.296	28.0759	6.4471	SLV 4	0.11	184	0.51	No

Indicatori di rischio sismico SLD resistenza

x	T gravità	T sisma	T ultimo	Comb.	Pga	Tr	Ind. taglio	M gravità	M sisma	M ultimo	Comb.	Pga	Tr	Ind. momento	Ver
0.13	24.46	5.64	57.76	SLD 4	0.26	2110	3.477	-14.2304	-9.6191	-30.9476	SLD 4	0.14	368	1.699	Si
0.66	17.87	5.64	51.6	SLD 4	0.26	2110	3.477	-6.3585	-7.6221	-10.456	SLD 4	0.05	33	0.632	No
1.98	1.6	5.64	42.59	SLD 4	0.26	2110	3.477	9.9836	1.8687	27.368	SLD 4	0.26	2110	3.477	Si
3.83	-21.26	-5.64	-43.91	SLD 13	0.26	2110	3.477	-8.296	11.2868	6.4471	SLD 4	0.11	182	1.273	Si

5.3 Verifica edifici esistenti

Le unità di misura elencate nel capitolo sono in [m, kN, deg] ove non espressamente specificato.

Desc.: descrizione.

Stato limite: (C.A.) tipologia di verifica analizzata.

Molt.: moltiplicatore minimo della azione sismica che produce lo stato limite.

Comb.: combinazione.

PGA: accelerazione al suolo.

iPGA (ζE): indicatore di rischio sismico in termini di PGA ovvero rapporto tra l'azione sismica massima sopportabile dall'elemento e l'azione sismica massima che si utilizzerebbe nel progetto nuovo (§C8.3).

TR: tempo di ritorno.

(TR/TRrif)^{.41}: indicatore di rischio sismico in termini di periodo di ritorno.

fa: fattore di accelerazione.

Trave: titolo della trave.

Verifica: stato di verifica.

Pressoflessione: dati della verifica a pressoflessione.

Coeff.s.: coefficiente di sicurezza a flessione.

iTR: indicatore di rischio sismico in termini di tempo di ritorno.

campata: campata di riferimento.

dist.: ascissa relativa all'inizio della campata. [m]

C.S. PF: coefficiente di sicurezza a flessione.

Taglio: dati della verifica a taglio.

Coeff.s.: coefficiente di sicurezza a taglio.

C.S. T: coefficiente di sicurezza a taglio.

Pilastro: titolo del pilastro.

Instabilità: coefficiente di sicurezza instabilità.

Nodi: dati della verifica dei nodi.

C.S. N: coefficiente di sicurezza del nodo.

Conf.: nodo interamente confinato.

Pilastro: pilastro cui appartiene il nodo.

Quota: quota del nodo. [m]

Ag: area della sezione trasversale del pilastro. [m²]

Angolo Trave: angolo della giacitura della trave considerata rispetto al sistema di riferimento globale. [deg]

Compressione: dati della verifica della tensione di compressione del nodo.

Vnc: azione tagliante sul nodo per il calcolo della tensione di compressione. [kN]

Nc: azione assiale sul nodo per il calcolo della tensione di compressione. [kN]

Snc: tensione di compressione agente. [kN/m²]

Snc,lim: tensione di compressione limite. [kN/m²]

Comb. c: combinazione che dà il valore peggiore per la tensione di compressione.

Trazione: dati della verifica della tensione di trazione del nodo.

Vnt: azione tagliante sul nodo per il calcolo della tensione di trazione. [kN]

Nt: azione assiale sul nodo per il calcolo della tensione di trazione. [kN]

Snt: tensione di trazione agente. [kN/m²]

Snt,lim: tensione di trazione limite. [kN/m²]

Comb. t: combinazione che dà il valore peggiore per la tensione di trazione.

TR,C: periodo di ritorno di capacità.

TR,Rif: periodo di ritorno di riferimento.

PAM: perdita media annua attesa.

Classe PAM: classe di rischio PAM.

IS-V: indice di sicurezza.

Classe IS-V: classe di rischio IS-V.

Tipo rottura: tipo di rottura che fornisce il valore minimo degli elementi considerati.

Verifica di elementi dotati di indicatori di rischio sismico mediante analisi con fattore q

Verifiche condotte secondo D.M. 17-01-18 (N.T.C.) § C8.7.2.4

Accelerazioni e tempi di ritorno

Accelerazione di aggancio SLV (ag/g_SLV*S*ST) PGA,SLVrif = 0.2

Accelerazione di aggancio SLO (ag/g_SLO*S*ST) PGA,SLOrif = 0.069

Tr,SLVrif = 949 anni

Tr,SLOrif = 60 anni

Moltiplicatori minimi delle condizioni sismiche

(Il valore di ζE corrisponde al valore di I.R. PGA secondo quanto riportato nella Circolare 7 21-01-19 §C8.3)

Rottura a taglio

Moltiplicatore: 0.222

Trave a "Piano 1" P8-P3

Taglio gravitazionale 27.777

Taglio sismico 103.591

Taglio ultimo 50.817

Combinazione SLV 1

Campata 2

Sezione a distanza 0.371

Tempo di ritorno 35 anni

Indicatore $iTr=(Tr/Tr,SLVrif)^{.41} = 0.258$

PGA 0.053

Indicatore $iPGA=PGA/PGA,SLVrif = 0.268$

Fattore di accelerazione $fa = 0.2674$

Rottura a flessione

Moltiplicatore: 0

Pilastrata P8

Valori azioni gravitazionali $N= -57.55$ $Mx= -1191.124$ $My= -1251.835$

Valori azioni sismiche $N= 0$ $Mx= 0$ $My= 0$

Momenti ultimi $Mx= -928.155$ $My= -975.463$

Combinazione SLV 1

Sezione a quota 5.6

Tempo di ritorno 0 anni

Indicatore $iTr=(Tr/Tr,SLVrif)^{.41} = 0$
 PGA 0
 Indicatore $iPGA=PGA/PGA,SLVrif = 0$
 Fattore di accelerazione $fa = 0$

Rottura di un nodo

Moltiplicatore: 0
 Pilastrata P1
 Combinazione SLD 1
 Sezione a quota 2.8
 Tempo di ritorno 0 anni
 Indicatore $iTr=(Tr/Tr,SLVrif)^{.41} = 0$
 PGA 0

Indicatore $iPGA=PGA/PGA,SLVrif = 0$
 Fattore di accelerazione $fa = 0$

Raggiungimento dello spostamento limite di interpiano

Moltiplicatore: 0.58
 Combinazione SLO 12
 tra Nodo 11 e Nodo 42
 Tempo di ritorno 23 anni
 Indicatore $iTr=(Tr/Tr,SLOrif)^{.41} = 0.675$
 PGA 0.044

Indicatore $iPGA=PGA/PGA,SLOrif = 0.64$

Indicatori minimi riferiti al solo materiale C.A.

Desc.	Stato limite	Molt.	Comb.	PGA	iPGA (ZE)	TR	(TR/TRrif)^.41	fa
Trave a "Piano 1" P8-P3	Taglio	0.222	SLV 1	0.0534	0.2676	35	0.2585	0.2674
Trave a "Piano 2" P8-P7	Flessione	0.052	SLV 5	0.0142	0.071	2	0.0799	0.071
Pilastrata P1	Taglio	0.869	SLV 14	0.1759	0.8811	655	0.859	0.881
Pilastrata P8	Flessione	0	SLV 1	0	0	0	0	0
Pilastrata P1	Nodi	0	SLD 1	0	0	0	0	0

Verifica a flessione semplice e a taglio delle travi

Trave	Pressoflessione						Taglio						Verifica
	Coeff.s.	Molt.	iPGA (ZE)	iTR	campata	dist.	Coeff.s.	Molt.	iPGA (ZE)	iTR	campata	dist.	
Trave a "Piano 1" P1-P5	0.045	0.063	0.086	0.094	2	0.848	0.417	0.284	0.321	0.304	2	2.787	No
Trave a "Piano 1" P5-P2	0.059	0.063	0.098	0.106	2	2.05	0.368	0.293	0.332	0.313	2	1.813	No
Trave a "Piano 1" P8-P3	0.064	0.094	0.127	0.134	1	3.277	0.386	0.222	0.268	0.258	2	0.371	No
Trave a "Piano 1" P9-P4	0.054	0.066	0.098	0.106	1	2.121	0.364	0.249	0.291	0.279	1	1.951	No
Trave a "Piano 2" P1-P5	0.076	0.173	0.22	0.218	2	0.848	0.588	0.435	0.461	0.427	2	0.848	No
Trave a "Piano 2" P2-P3	0.111	0.235	0.278	0.267	1	3.51	0.921	0.896	0.905	0.887	1	0.727	No
Trave a "Piano 2" P8-P3	0.181	0.252	0.294	0.281	2	2.1	0.783	0.714	0.737	0.697	2	0.15	No
Trave a "Piano 2" P8-P7	0.056	0.052	0.071	0.08	2	3.272	0.86	0.704	0.727	0.688	2	3.51	No
Trave a "Piano 2" P9-P4	0.132	0.181	0.225	0.221	1	2.121	0.841	0.786	0.804	0.77	1	1.951	No

Verifica a pressoflessione e taglio dei pilastri; verifica dei nodi; verifica di instabilità

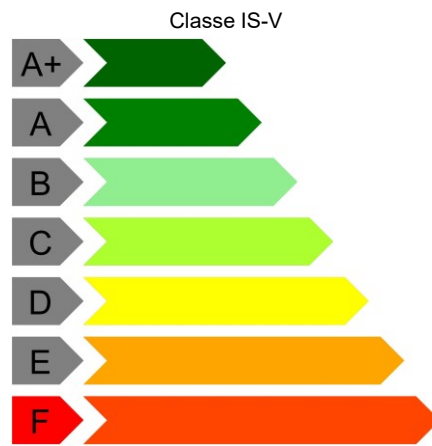
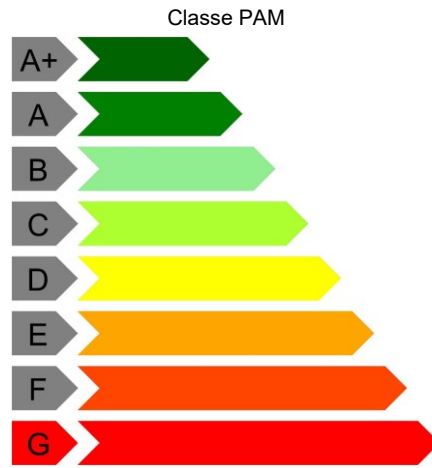
Pilastro	Pressoflessione				Taglio				Nodi				Instabilità	Verifica	
	C.S. PF	Molt.	iPGA (ZE)	iTR	C.S. T	Molt.	iPGA (ZE)	iTR	C.S. N	Molt.	iPGA (ZE)	iTR			Conf.
Pilastrata P1	0.114	0.022	0	0	0.863	0.869	0.881	0.859	0.148	0	0	0	No	0.114	No
Pilastrata P2	0.166	0.153	0.197	0.197	1.336	1.359	1.279	1.389	0.215	0.094	0.127	0.134	No	0.166	No
Pilastrata P3	0.141	0.144	0.186	0.188	1.353	1.371	1.279	1.389	0.213	0.079	0.118	0.125	No	0.141	No
Pilastrata P4	0.133	0.087	0.127	0.134	1.076	1.082	1.072	1.096	0.206	0	0	0	No	0.133	No
Pilastrata P5	0.14	0.004	0	0	1.015	1.025	1.022	1.029	0.181	0	0	0	No	0.14	No
Pilastrata P6	0.12	0.128	0.169	0.172	0.912	0.912	0.92	0.905	0.149	0.043	0	0	No	0.12	No
Pilastrata P7	0.145	0.097	0.135	0.141	1.639	1.715	1.279	1.389	0.152	0.047	0.071	0.08	No	0.145	No
Pilastrata P8	0.144	0	0	0	1.438	1.506	1.279	1.389	0.124	0	0	0	No	0.144	No
Pilastrata P9	0.122	0.15	0.191	0.192	1.031	1.031	1.028	1.036	0.19	0.053	0.086	0.094	No	0.131	No
Pilastrata P10	0.178	0.178	0.225	0.221	2.98	3.039	1.279	1.389					No	0.178	No

Riepilogo dei dati per la verifica dei nodi secondo Circolare 7 21-01-19 §C8.7.2.3.5

Pilastro	Compressione								Trazione				
	Quota	Ag	Angolo Trave	Vnc	Nc	Snc	Snc,lim	Comb. c	Vnt	Nt	Snt	Snt,lim	Comb. t
Pilastrata P1	2.8	0.09	180	601.04	-31.09	6160.6	4173.1	SLV 11	601.04	-31.09	5850.1	866.7	SLV 11
	2.8	0.09	0	601.04	-31.09	6160.6	4173.1	SLV 11	601.04	-31.09	5850.1	866.7	SLV 11
	2.8	0.09	90	285.14	-95.61	3365.3	4173.1	SLV 3	306.99	-28.76	2926	866.7	SLV 12
	5.8	0.09	180	484.15	0	4835.7	4173.1	SLV 13	484.15	0	4835.7	866.7	SLV 13
	5.8	0.09	0	484.15	0	4835.7	4173.1	SLV 13	484.15	0	4835.7	866.7	SLV 13
Pilastrata P2	2.8	0.0625	180	72.29	-30.26	1375.7	4173.1	SLV 3	74.19	2.14	1163.7	866.7	SLV 5
	5.8	0.0625	271	272.31	0	4024	4173.1	SLV 5	272.31	0	4024	866.7	SLV 5
	2.8	0.0625	180	222.22	-41.08	3767.8	4173.1	SLV 6	234.26	25.86	3827.2	866.7	SLV 3
Pilastrata P3	5.8	0.0625	180	210.19	0	3249.6	4173.1	SLV 1	210.19	0	3249.6	866.7	SLV 1
	5.8	0.0625	91	275.35	0	4068.9	4173.1	SLV 3	275.35	0	4068.9	866.7	SLV 3
	2.8	0.0625	180	275.56	-17.37	4396.5	4173.1	SLV 8	277.37	-13.3	4186.6	866.7	SLV 4
	5.8	0.0625	180	272.2	0	4208.3	4173.1	SLV 4	272.2	0	4208.3	866.7	SLV 4
	2.8	0.0625	360	144.73	-69.84	2841.6	4173.1	SLV 12	132.36	6.96	2100.9	866.7	SLV 9
Pilastrata P4	2.8	0.0625	270	305.59	7.94	4663.6	4173.1	SLV 10	305.59	7.94	4786.3	866.7	SLV 10
	5.8	0.0625	270	275.39	0	4172.5	4173.1	SLD 7	275.39	0	4172.5	866.7	SLD 7
	2.8	0.0625	180	391.77	-43.21	6400	4173.1	SLD 2	391.77	-43.21	5732	866.7	SLD 2
	2.8	0.0625	0	391.77	-43.21	6400	4173.1	SLD 2	391.77	-43.21	5732	866.7	SLD 2
	5.8	0.0625	180	377.14	0	5830.7	4173.1	SLV 2	377.14	0	5830.7	866.7	SLV 2
Pilastrata P5	5.8	0.0625	270	377.14	0	5830.7	4173.1	SLV 2	377.14	0	5830.7	866.7	SLV 2
	5.75	0.0625	90	246.38	0	5713.6	4173.1	SLV 5	246.38	0	5713.6	866.7	SLV 5
	2.8	0.0625	0	460.23	-59.11	7587	4173.1	SLV 13	467.41	-31.56	6986.4	866.7	SLV 16
	5.75	0.0625	0	334.42	0	5170.3	4173.1	SLV 1	334.42	0	5170.3	866.7	SLV 1
	5.75	0.0625	90	246.38	0	5713.6	4173.1	SLV 5	246.38	0	5713.6	866.7	SLV 5
Pilastrata P6	2.8	0.0625	0	289.41	11.27	4388.1	4173.1	SLV 13	289.41	11.27	4562.4	866.7	SLV 13
	5.8	0.0625	0	249.84	0	3862.5	4173.1	SLV 4	249.84	0	3862.5	866.7	SLV 4

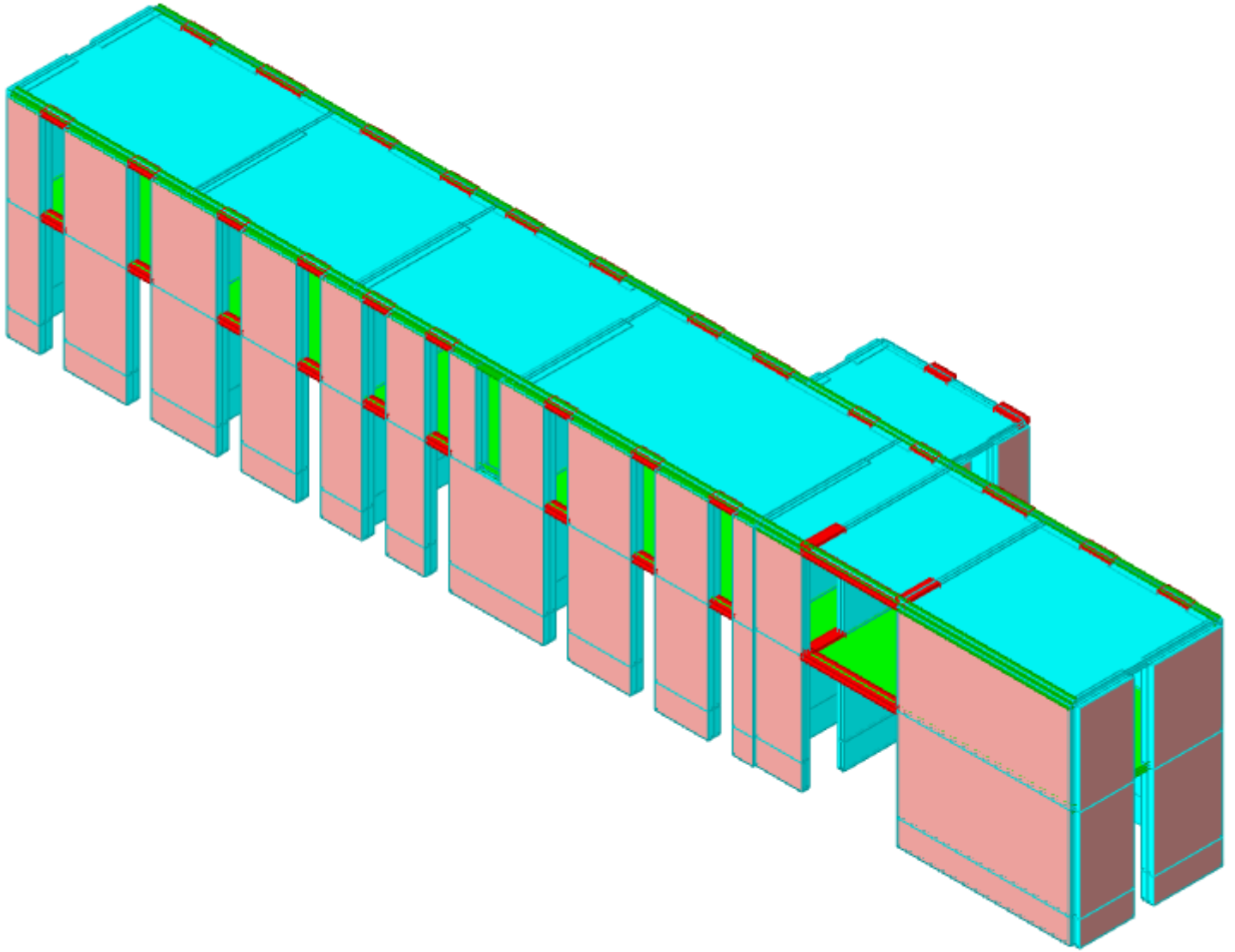
Coefficienti relativi alle Linee guida per la classificazione del rischio sismico delle costruzioni secondo il D.M. 24 09/01/2020

TR,C	TR,Rif	PAM	Classe PAM	IS-V	Classe IS-V	Tipo rottura
0	949	8.22	G	0	F	flessione pilastri



CORPO D

1 Rappresentazione generale dell'edificio



Vista assometrica dell'edificio nella sua interezza

2 Dati generali

2.1 Materiali

2.1.1 Materiali c.a.

Descrizione: Descrizione o nome assegnato all'elemento.

Rck: Resistenza caratteristica cubica; valore medio nel caso di edificio esistente. [kN/m²]

E: Modulo di elasticità longitudinale del materiale per edifici o materiali nuovi. [kN/m²]

Gamma: Peso specifico del materiale. [kN/m³]

Poisson: Coefficiente di Poisson. Il valore è adimensionale.

G: Modulo di elasticità tangenziale del materiale, viene impiegato nella modellazione di aste. [kN/m²]

Alfa: Coefficiente longitudinale di dilatazione termica. [°C-1]

Descrizione	Rck	E	Gamma	Poisson	G	Alfa
C16/20 LC2	20000	25612685	25	0.1	Default (11642130)	0.00001

2.1.2 Curve di materiali c.a.

Descrizione: descrizione o nome assegnato all'elemento.

Curva: curva caratteristica.

Reaz.traz.: reagisce a trazione.

Comp.frag.: ha comportamento fragile.

E.compr.: modulo di elasticità a compressione. [kN/m²]

Incr.compr.: incrudimento di compressione. Il valore è adimensionale.

EpsEc: ε elastico a compressione. Il valore è adimensionale.

EpsUc: ε ultimo a compressione. Il valore è adimensionale.

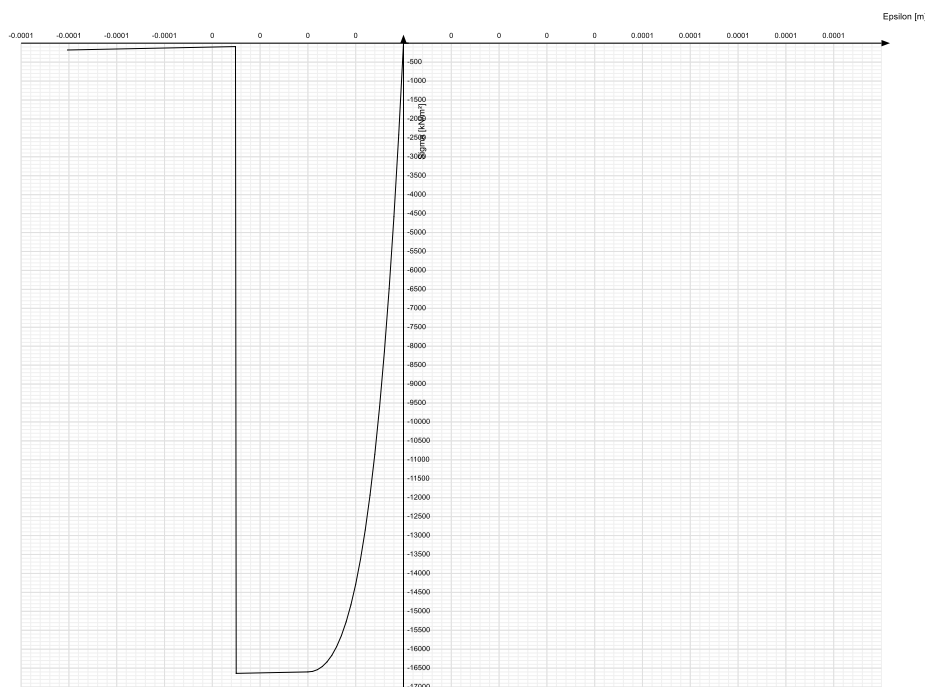
E.traz.: modulo di elasticità a trazione. [kN/m²]

Incr.traz.: incrudimento di trazione. Il valore è adimensionale.

EpsEt: ε elastico a trazione. Il valore è adimensionale.

EpsUt: ε ultimo a trazione. Il valore è adimensionale.

Descrizione	Curva									
	Reaz.traz.	Comp.frag.	E.compr.	Incr.compr.	EpsEc	EpsUc	E.traz.	Incr.traz.	EpsEt	EpsUt
C16/20 LC2	No	Si	25612685	0.001	-0.002	-0.0035	25612685	0.001	0.0000534	0.0000587



2.1.3 Materiali muratura

2.1.3.1 Proprietà muratura base

Descrizione: descrizione o nome assegnato all'elemento.

E: modulo di elasticità longitudinale del materiale per edifici o materiali nuovi. [kN/m²]

G: modulo di elasticità tangenziale del materiale, viene impiegato nella modellazione di aste e di elementi guscio a comportamento ortotropo. [kN/m²]

Poisson: coefficiente di Poisson. Il valore è adimensionale.

Gamma: peso specifico del materiale. [kN/m³]

Alfa: coefficiente longitudinale di dilatazione termica. [°C-1]

Descrizione	E	G	Poisson	Gamma	Alfa
(circ.617 C8A.2) Muratura in mattoni pieni e malta di calce LC2	3200000	Default (1280000)	0.25	18	0.000006

2.1.3.2 Proprietà muratura DM87

Descrizione: descrizione o nome assegnato all'elemento.

Tipo di blocchi: tipo di blocchi (D.M. 87).

fbk: resistenza caratteristica a compressione dell'elemento. [kN/m²]

fbk_o: resistenza caratteristica a compressione dell'elemento in direzione orizzontale nel piano del muro. Dato da richiedere al produttore. [kN/m²]

Malta: classe della malta.

fk: resistenza caratteristica della muratura a compressione. [kN/m²]

fvk0: resistenza caratteristica a taglio della muratura. [kN/m²]

Descrizione	Tipo di blocchi	fbk	fbk _o	Malta	fk	fvk0
(circ.617 C8A.2) Muratura in mattoni pieni e malta di calce LC2	Laterizio	6000	1200	M4	3200	100

2.1.3.3 Proprietà muratura Circ.81

Descrizione: descrizione o nome assegnato all'elemento.

sigma k: resistenza a compressione σ k per edifici esistenti in muratura. Circ. LL.PP. 30-7-81 n.21745 tabella 1. [kN/m²]

tau k: resistenza tangenziale per edifici esistenti in muratura. Circ. LL.PP 30-7-81 n.21745 tabella 1. [kN/m²]

fkt: resistenza caratteristica a trazione della muratura per edifici nuovi. [kN/m²]

Mu: fattore di duttilità. Circ. LL.PP 30-7-81 n.21745 tabella 2. Il valore è adimensionale.

E plastico: modulo di elasticità longitudinale della muratura per verifiche agli stati limite di plasticizzazione. [kN/m²]

G plastico: modulo di elasticità tangenziale della muratura per verifiche agli stati limite di plasticizzazione. [kN/m²]

Descrizione	sigma k	tau k	fkt	Mu	E plastico	G plastico
(circ.617 C8A.2) Muratura in mattoni pieni e malta di calce LC2	3000	120	0	1.5	792000	132000

2.1.3.4 Proprietà muratura NTC 2008 1

Descrizione: descrizione o nome assegnato all'elemento.

Tipo blocchi: tipo di blocchi (D.M. 14-01-08 11.10.1, 11.10.V, VI).

Cat.blocchi: categoria blocchi (D.M. 14-01-08 4.5.6.1).

fbk: resistenza caratteristica a compressione dell'elemento dichiarata dal produttore (D.M. 14-01-08 11.10.1.1.1). [kN/m²]

fbk_o: resistenza caratteristica a compressione dell'elemento in direzione orizzontale nel piano del muro. Dato da richiedere al produttore (D.M. 14-01-08 11.10.1.1.1). [kN/m²]

Tipo malta: tipo di malta (D.M. 14-01-08 11.10.2).

Res.compr.malta: resistenza media a compressione della malta (D.M. 14-01-08 11.10.2.1). [kN/m²]

GammaM: coefficiente parziale di sicurezza sulla resistenza a compressione della muratura (D.M. 14-01-08 4.5.6.1, 4.5.II). Il valore è adimensionale.

Descrizione	Tipo blocchi	Cat.blocchi	fbk	fbk _o	Tipo malta	Res.compr.malta	GammaM
(circ.617 C8A.2) Muratura in mattoni pieni e malta di calce LC2	Laterizio	II	6000	1200	Composizione prescritta	2500	3

2.1.3.5 Proprietà muratura NTC 2008 2

Descrizione: descrizione o nome assegnato all'elemento.

Livello di conoscenza: indica se il materiale è nuovo o esistente, e in tal caso il livello di conoscenza secondo Circ.617 02/02/09 §C8A. Informazione impiegata solo in analisi D.M. 14-01-08 (N.T.C.) e D.M. 17-01-18 (N.T.C.).

Cl.esec.: classe di esecuzione (D.M. 14-01-08 4.5.6.1).

fk: resistenza caratteristica a compressione della muratura (D.M. 14-01-08 4.5.6.1, 11.10.3.1). [kN/m²]

fvk0: resistenza caratteristica a taglio della muratura in assenza di tensioni normali (D.M. 14-01-08 4.5.6.1, 11.10.3.2). [kN/m²]

fhk: resistenza caratteristica della muratura a compressione in direzione orizzontale (nel piano della parete) D.M. 14-01-08. [kN/m²]

fkt: resistenza caratteristica a trazione (D.M. 14-01-08). [kN/m²]

f medio: resistenza media a compressione della muratura, per materiale esistente. [kN/m²]

tau medio: resistenza media a taglio della muratura, per materiale esistente. [kN/m²]

E medio: valore medio del modulo di elasticità normale utilizzato per materiale esistente in caso di analisi statica non-lineare (pushover). [kN/m²]

G medio: valore medio del modulo di elasticità tangenziale utilizzato per materiale esistente in caso di analisi statica non-lineare (pushover). [kN/m²]

Descrizione	Livello di conoscenza	Cl.esec.	fk	fvk0	fhk	fkt	f medio	tau medio	E medio	G medio
(circ.617 C8A.2) Muratura in mattoni pieni e malta di calce LC2	LC2 (FC = 1.2)	2	3200	100	600	0	Default (3200)	Default (76)	Default (1500000)	Default (500000)

2.1.3.6 Proprietà muratura Ord.3431

Descrizione: descrizione o nome assegnato all'elemento.

Tipo blocchi: tipo di blocchi

fbk: resistenza caratteristica a compressione dell'elemento. [kN/m²]

fbk_o: resistenza caratteristica a compressione dell'elemento in direzione orizzontale nel piano del muro. Dato da richiedere al produttore. [kN/m²]

Tipo malta: classe della malta.

fk: resistenza caratteristica della muratura a compressione. [kN/m²]

fvk0: resistenza caratteristica a taglio della muratura. [kN/m²]

fhk: resistenza caratteristica della muratura a compressione in direzione orizzontale (nel piano della parete). [kN/m²]

fkt: resistenza caratteristica a trazione. [kN/m²]

f medio: resistenza media a compressione della muratura, per edificio esistente. [kN/m²]

tau medio: resistenza media a taglio della muratura, per edificio esistente. [kN/m²]

Descrizione	Tipo blocchi	fbk	fbk	Tipo malta	fk	fvk0	fhk	fkt	f medio	tau medio
(circ.617 C8A.2) Muratura in mattoni pieni e malta di calce LC2	Laterizio	6000	1200	M4	3200	100	600	0	3200	76

3 Dati di definizione

3.1 Preferenze commessa

3.1.1 Preferenze di analisi

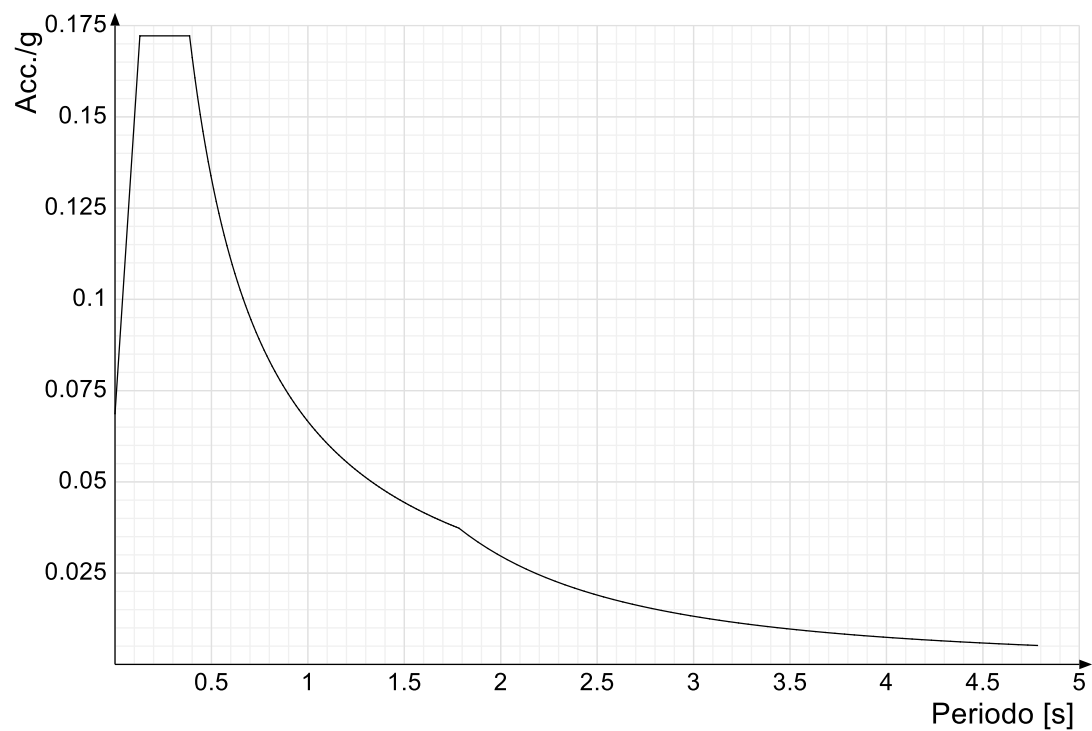
Metodo di analisi	D.M. 17-01-18 (N.T.C.)	
Tipo di costruzione	2 - Costruzioni con livelli di prestazioni ordinari	
Vn	50	
Classe d'uso	IV	
Vr	100	
Tipo di analisi	Lineare dinamica	
Considera sisma Z	Solo se $Ag \geq 0.15$ g, conformemente a §3.2.3.1	
Località	Torino, Vigone; Latitudine ED50 44.8438° (44° 50' 38''); Longitudine ED50 7.4897° (7° 29' 23''); Altitudine s.l.m. 261.75 m.	
Categoria del suolo	C - Depositi di terreni a grana grossa mediamente addensati o terreni a grana fina mediamente consistenti	
Categoria topografica	T1 - Superficie pianeggiante, pendii e rilievi isolati con inclinazione media $i \leq 15^\circ$	
Ss orizzontale SLO	1.5	
Tb orizzontale SLO	0.129	[s]
Tc orizzontale SLO	0.387	[s]
Td orizzontale SLO	1.783	[s]
Ss orizzontale SLD	1.5	
Tb orizzontale SLD	0.135	[s]
Tc orizzontale SLD	0.404	[s]
Td orizzontale SLD	1.83	[s]
Ss orizzontale SLV	1.4991	
Tb orizzontale SLV	0.145	[s]
Tc orizzontale SLV	0.436	[s]
Td orizzontale SLV	2.133	[s]
St	1	
PVr SLO (%)	81	
Tr SLO	60.21	
Ag/g SLO	0.0458	
Fo SLO	2.508	
Tc* SLO	0.225	[s]
PVr SLD (%)	63	
Tr SLD	101	
Ag/g SLD	0.0574	
Fo SLD	2.52	
Tc* SLD	0.24	[s]
PVr SLV (%)	10	
Tr SLV	949.12	
Ag/g SLV	0.1331	
Fo SLV	2.515	
Tc* SLV	0.27	[s]
Smorzamento viscoso (%)	5	
Classe di duttilità	Non dissipativa	
Rotazione del sisma	0	[deg]
Quota dello '0' sismico	-1	[m]
Regolarità in pianta	No	
Regolarità in elevazione	No	
Edificio muratura	Si	
Edificio esistente	Si	
Altezza costruzione	8.365	[m]
T1,x	0.14724	[s]
T1,y	0.13591	[s]
λ SLO,x	0.85	
λ SLO,y	0.85	
λ SLD,x	0.85	
λ SLD,y	0.85	
λ SLV,x	0.85	
λ SLV,y	0.85	
Numero modi	27	
Metodo di Ritz	applicato	
Limite spostamenti interpiano SLD	0.002	
Fattore di comportamento per sisma SLD X	1.5	
Fattore di comportamento per sisma SLD Y	1.5	
Fattore di comportamento per sisma SLV X	1.5	
Fattore di comportamento per sisma SLV Y	1.5	
Coefficiente di sicurezza per carico limite (fondazioni superficiali)	2.3	
Coefficiente di sicurezza per scorrimento (fondazioni superficiali)	1.1	
Coefficiente di sicurezza portanza verticale pali infissi, punta	1.15	
Coefficiente di sicurezza portanza verticale pali infissi, laterale compressione	1.15	
Coefficiente di sicurezza portanza verticale pali infissi, laterale trazione	1.25	
Coefficiente di sicurezza portanza verticale pali trivellati, punta	1.35	
Coefficiente di sicurezza portanza verticale pali trivellati, laterale compressione	1.15	
Coefficiente di sicurezza portanza verticale pali trivellati, laterale trazione	1.25	
Coefficiente di sicurezza portanza verticale micropali, punta	1.35	
Coefficiente di sicurezza portanza verticale micropali, laterale compressione	1.15	
Coefficiente di sicurezza portanza verticale micropali, laterale trazione	1.25	
Coefficiente di sicurezza portanza trasversale pali	1.3	
Fattore di correlazione resistenza caratteristica dei pali in base alle verticali indagate	1.7	
Coefficiente di sicurezza per ribaltamento (plinti superficiali)	1.15	
Percentuale di adeguamento (%)	100	
Parametro percentuale di adeguamento	Pga	

3.1.2 Spettri D.M. 17-01-18

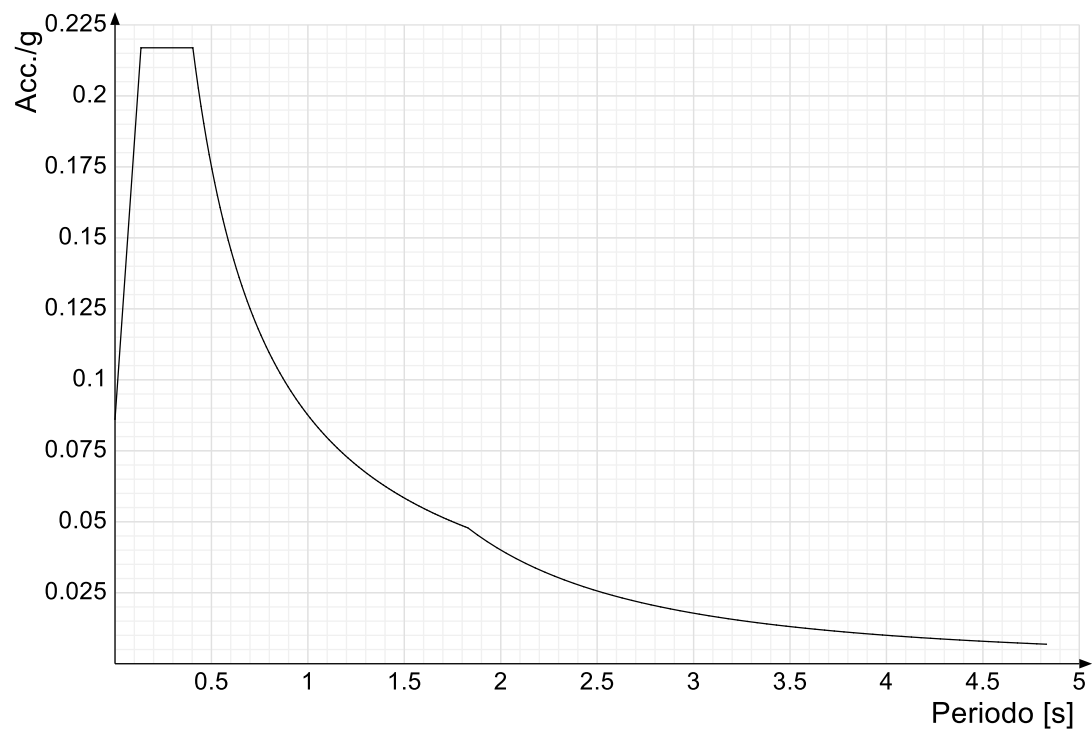
Acc.g: Accelerazione spettrale normalizzata ottenuta dividendo l'accelerazione spettrale per l'accelerazione di gravità.

Periodo: Periodo di vibrazione.

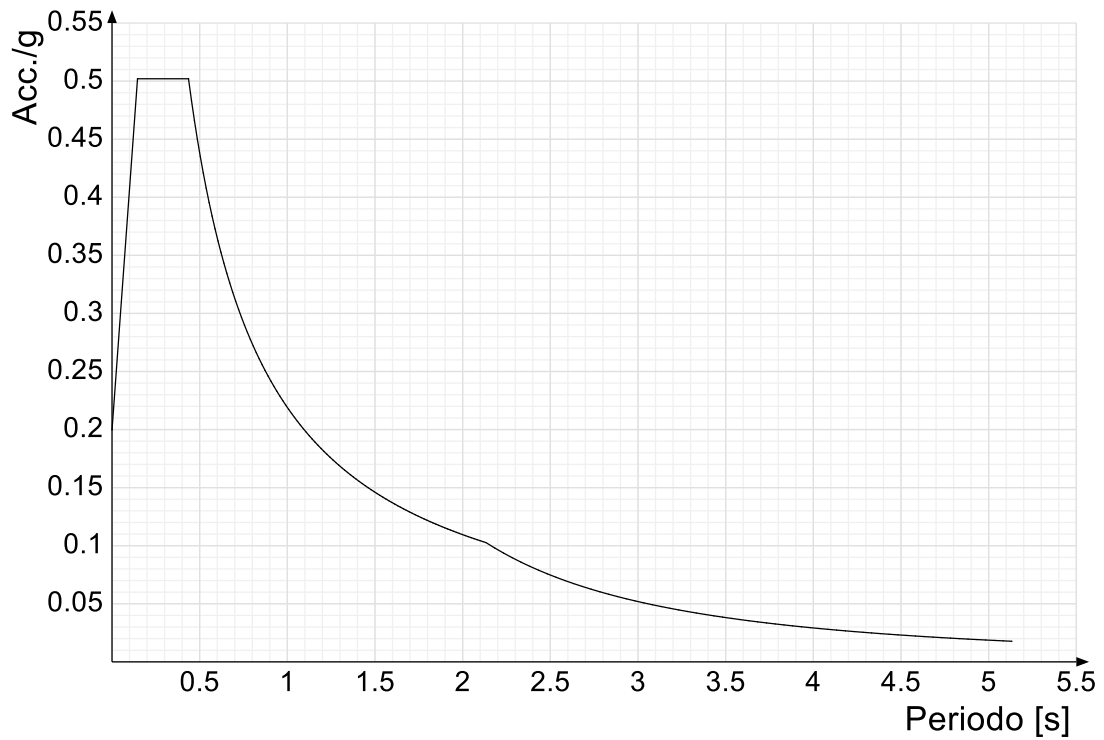
Spettro di risposta elastico in accelerazione delle componenti orizzontali SLO § 3.2.3.2.1 [3.2.2]



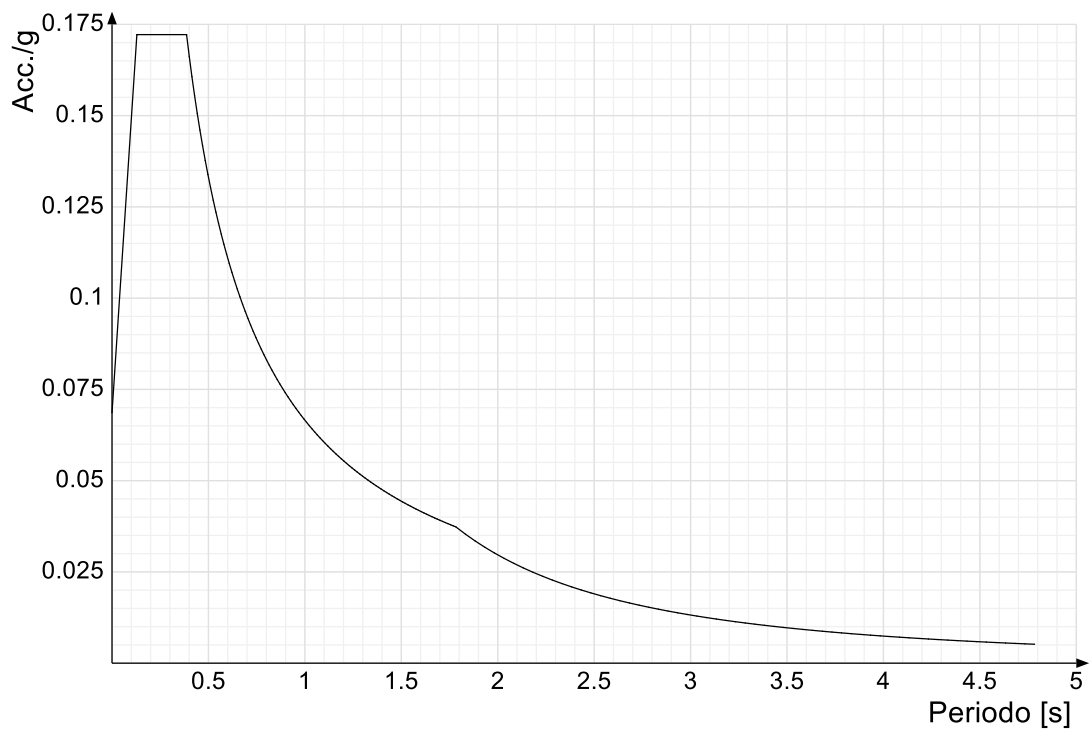
Spettro di risposta elastico in accelerazione delle componenti orizzontali SLD § 3.2.3.2.1 [3.2.2]

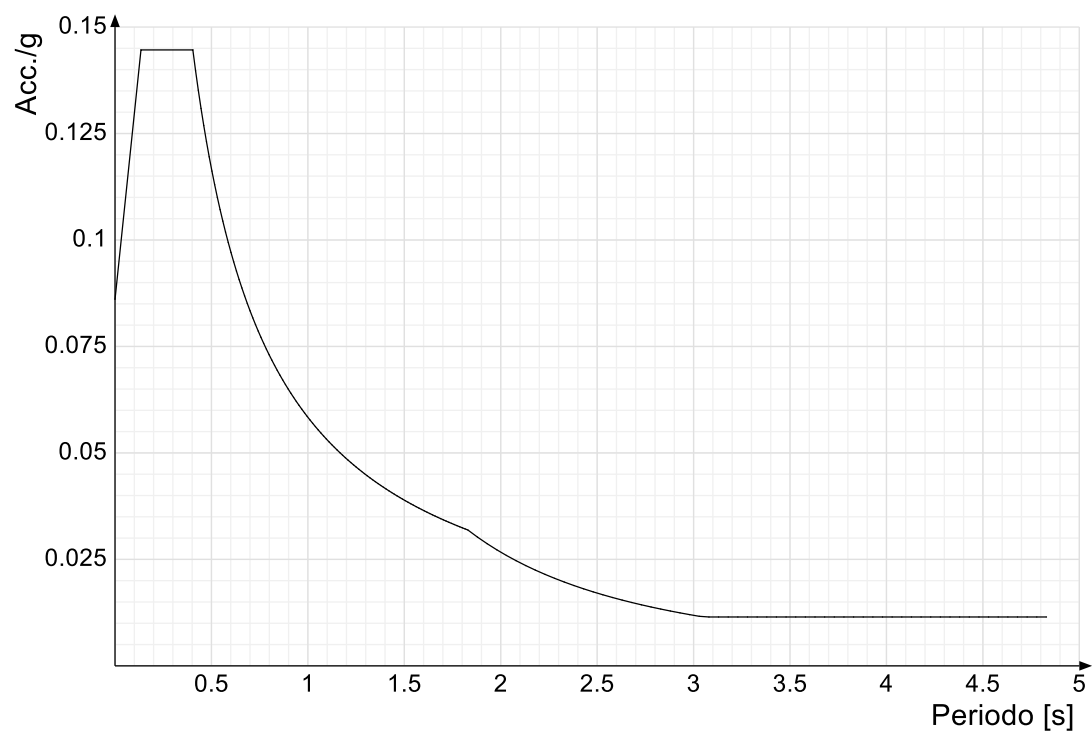
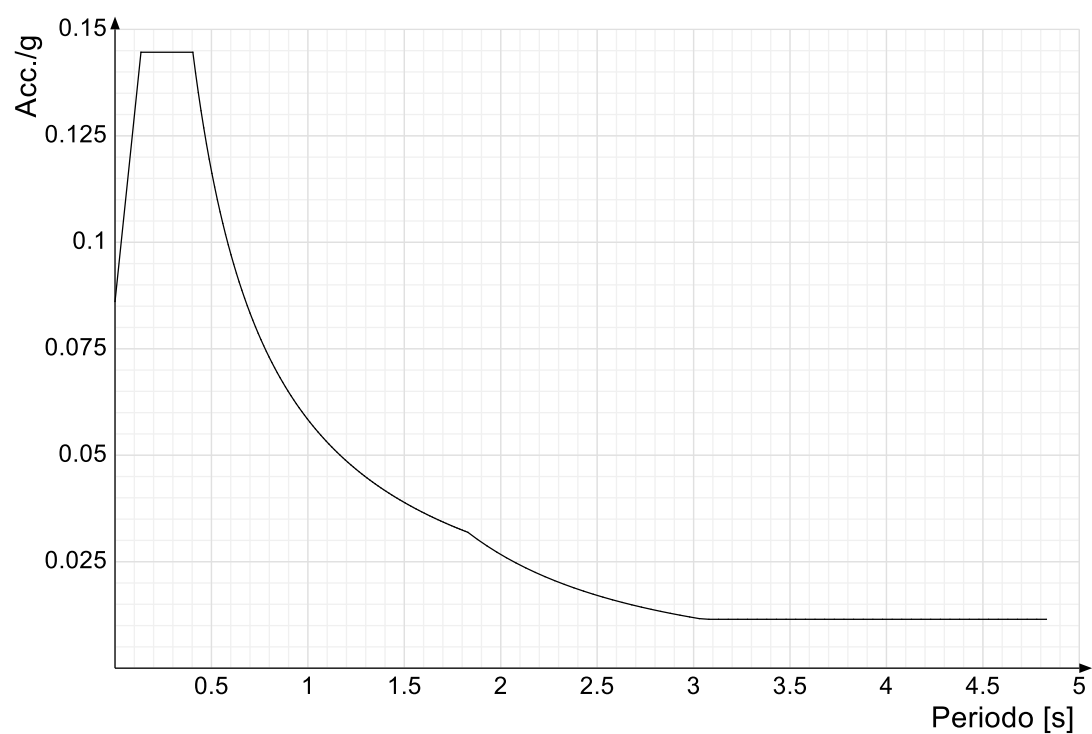


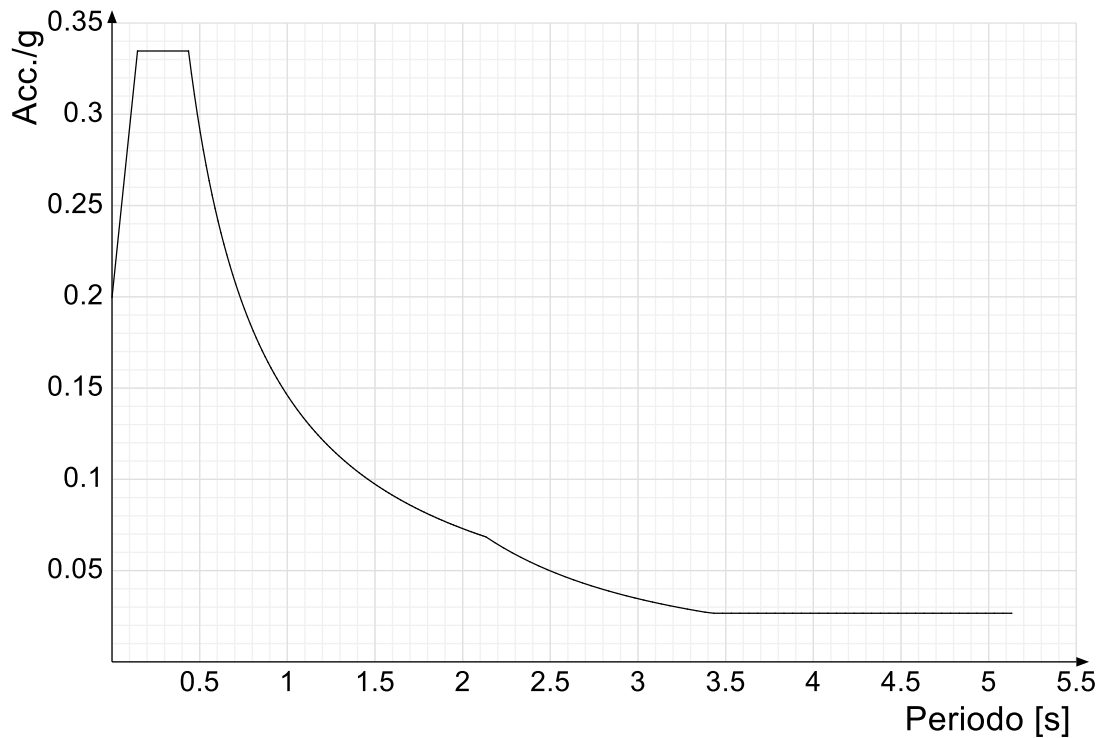
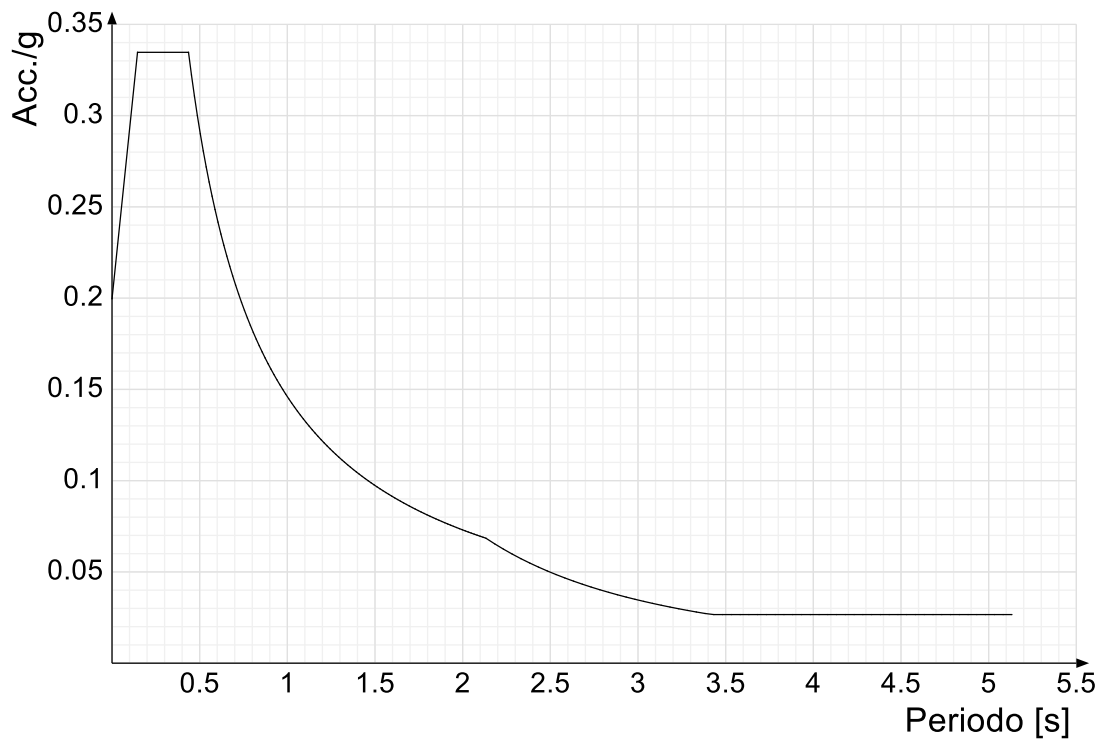
Spettro di risposta elastico in accelerazione delle componenti orizzontali SLV § 3.2.3.2.1 [3.2.2]



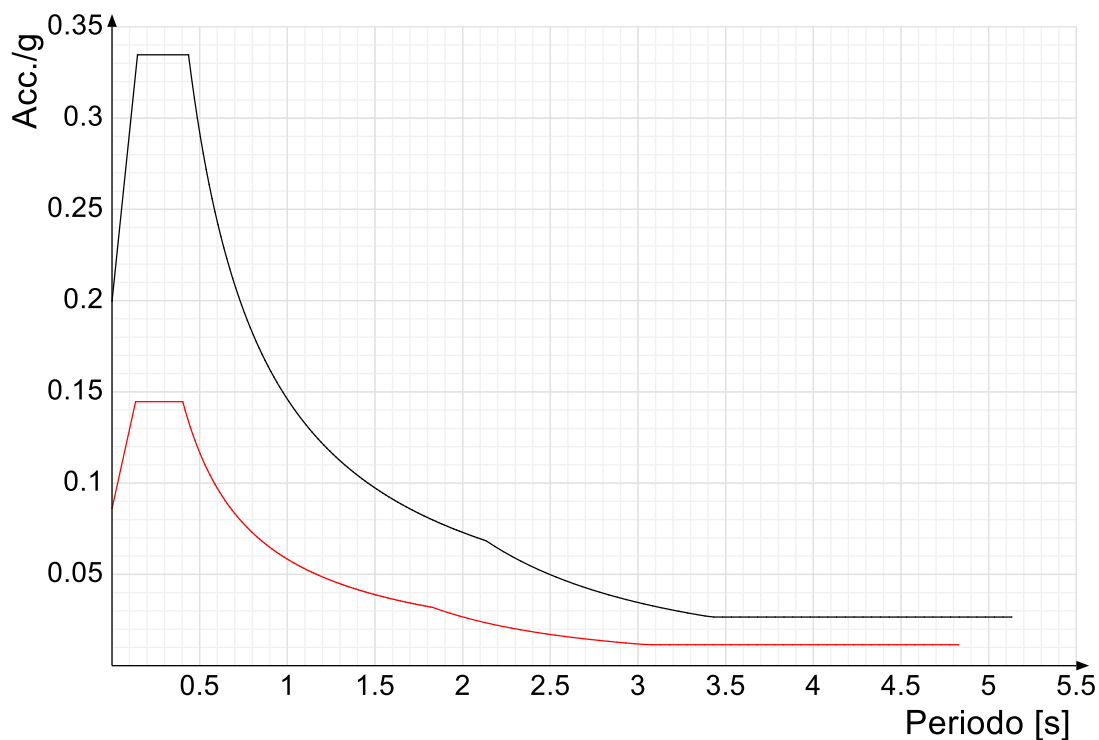
Spettro di risposta di progetto in accelerazione delle componenti orizzontali SLO § 3.2.3.4



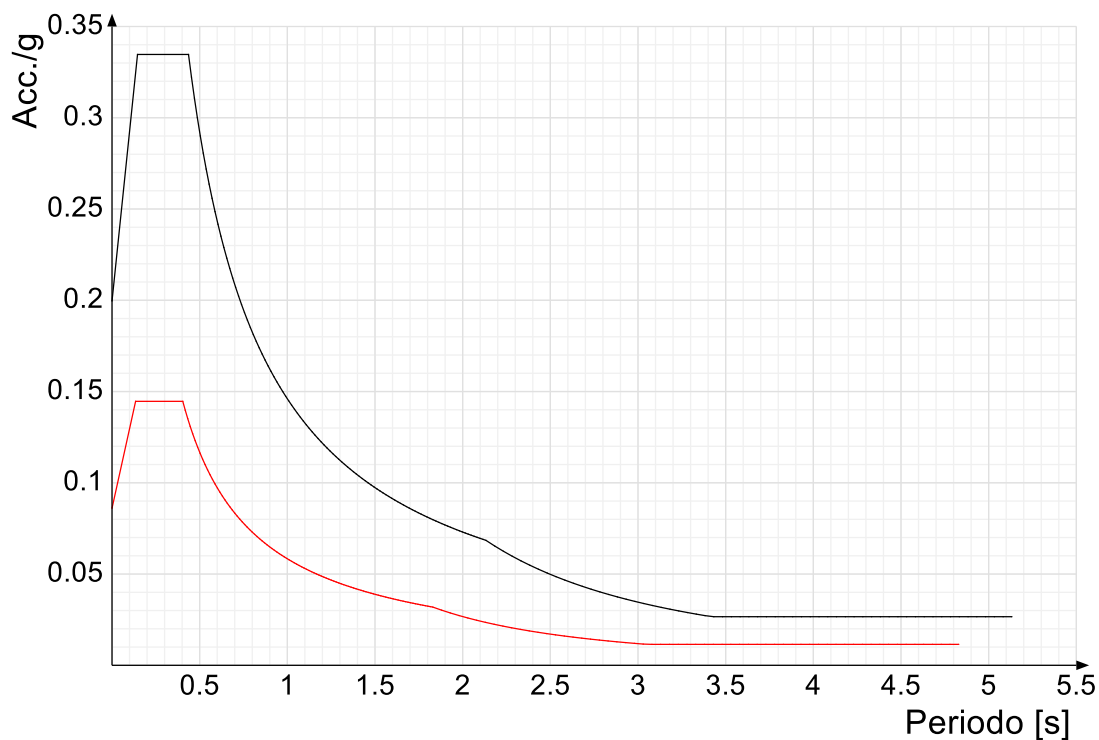
Spettro di risposta di progetto in accelerazione della componente X SLD § 3.2.3.5**Spettro di risposta di progetto in accelerazione della componente Y SLD § 3.2.3.5**

Spettro di risposta di progetto in accelerazione della componente X SLV § 3.2.3.5**Spettro di risposta di progetto in accelerazione della componente Y SLV § 3.2.3.5****Confronti spettri SLV-SLD**

Vengono confrontati lo spettro Spettro di risposta di progetto in accelerazione della componente X SLD § 3.2.3.5 (di colore rosso) e Spettro di risposta di progetto in accelerazione della componente X SLV § 3.2.3.5 (di colore nero).



Vengono confrontati lo spettro Spettro di risposta di progetto in accelerazione della componente Y SLD § 3.2.3.5 (di colore rosso) e Spettro di risposta di progetto in accelerazione della componente Y SLV § 3.2.3.5 (di colore nero).



3.2 Azioni e carichi

3.2.1 Condizioni elementari di carico

Descrizione: nome assegnato alla condizione elementare.

Nome breve: nome breve assegnato alla condizione elementare.

Durata: descrive la durata della condizione (necessario per strutture in legno).

Psi0: coefficiente moltiplicatore ψ_0 . Il valore è adimensionale.

Psi1: coefficiente moltiplicatore ψ_1 . Il valore è adimensionale.

Psi2: coefficiente moltiplicatore ψ_2 . Il valore è adimensionale.

Var.segno: descrive se la condizione elementare ha la possibilità di variare di segno.

Descrizione	Nome breve	Durata	Psi0	Psi1	Psi2	Var.segno
Pesi strutturali	Pesi	Permanente				

Descrizione	Nome breve	Durata	Psi0	Psi1	Psi2	Var.segno
Permanenti portati	Port.	Permanente				
Variabile C	Variabile C	Media	0.7	0.7	0.6	
Neve	Neve	Media	0.5	0.2	0	
Variabile H	Variabile H	Media	0	0	0	
ΔT	ΔT	Media	0.6	0.5	0	No
Sisma X SLV	X SLV					
Sisma Y SLV	Y SLV					
Sisma Z SLV	Z SLV					
Eccentricità Y per sisma X SLV	EY SLV					
Eccentricità X per sisma Y SLV	EX SLV					
Sisma X SLD	X SLD					
Sisma Y SLD	Y SLD					
Sisma Z SLD	Z SLD					
Eccentricità Y per sisma X SLD	EY SLD					
Eccentricità X per sisma Y SLD	EX SLD					
Sisma X SLO	X SLO					
Sisma Y SLO	Y SLO					
Sisma Z SLO	Z SLO					
Eccentricità Y per sisma X SLO	EY SLO					
Eccentricità X per sisma Y SLO	EX SLO					
Terreno sisma X SLV	Tr x SLV					
Terreno sisma Y SLV	Tr y SLV					
Terreno sisma Z SLV	Tr z SLV					
Terreno sisma X SLD	Tr x SLD					
Terreno sisma Y SLD	Tr y SLD					
Terreno sisma Z SLD	Tr z SLD					
Terreno sisma X SLO	Tr x SLO					
Terreno sisma Y SLO	Tr y SLO					
Terreno sisma Z SLO	Tr z SLO					
Rig. Ux	R Ux					
Rig. Uy	R Uy					
Rig. Rz	R Rz					

3.2.2 Combinazioni di carico

Nome: E' il nome esteso che contraddistingue la condizione elementare di carico.

Nome breve: E' il nome compatto della condizione elementare di carico, che viene utilizzato altrove nella relazione.

Pesi: Pesi strutturali

Port.: Permanenti portati

Variabile C: Variabile C

Neve: Neve

Variabile H: Variabile H

ΔT : ΔT

X SLO: Sisma X SLO

Y SLO: Sisma Y SLO

Z SLO: Sisma Z SLO

EY SLO: Eccentricità Y per sisma X SLO

EX SLO: Eccentricità X per sisma Y SLO

Tr x SLO: Terreno sisma X SLO

Tr y SLO: Terreno sisma Y SLO

Tr z SLO: Terreno sisma Z SLO

X SLD: Sisma X SLD

Y SLD: Sisma Y SLD

Z SLD: Sisma Z SLD

EY SLD: Eccentricità Y per sisma X SLD

EX SLD: Eccentricità X per sisma Y SLD

Tr x SLD: Terreno sisma X SLD

Tr y SLD: Terreno sisma Y SLD

Tr z SLD: Terreno sisma Z SLD

X SLV: Sisma X SLV

Y SLV: Sisma Y SLV

Z SLV: Sisma Z SLV

EY SLV: Eccentricità Y per sisma X SLV

EX SLV: Eccentricità X per sisma Y SLV

Tr x SLV: Terreno sisma X SLV

Tr y SLV: Terreno sisma Y SLV

Tr z SLV: Terreno sisma Z SLV

R Ux: Rig. Ux

R Uy: Rig. Uy

R Rz: Rig. Rz

Tutte le combinazioni di carico vengono raggruppate per famiglia di appartenenza. Le celle di una riga contengono i coefficienti moltiplicatori della i-esima combinazione, dove il valore della prima cella è da intendersi come moltiplicatore associato alla prima condizione elementare, la seconda cella si riferisce alla seconda condizione elementare e così via.

Famiglia SLU

Il nome compatto della famiglia è SLU.

Nome	Nome breve	Pesi	Port.	Variabile C	Neve	Variabile H	ΔT
1	SLU 1	1	0.8	0	0	0	0
2	SLU 2	1	0.8	0	0	1.5	0
3	SLU 3	1	0.8	0	0.75	1.5	0
4	SLU 4	1	0.8	0	1.5	0	0
5	SLU 5	1	0.8	1.05	0	1.5	0
6	SLU 6	1	0.8	1.05	0.75	1.5	0
7	SLU 7	1	0.8	1.05	1.5	0	0
8	SLU 8	1	0.8	1.5	0	0	0
9	SLU 9	1	0.8	1.5	0.75	0	0
10	SLU 10	1	1.5	0	0	0	0
11	SLU 11	1	1.5	0	0	1.5	0
12	SLU 12	1	1.5	0	0.75	1.5	0
13	SLU 13	1	1.5	0	1.5	0	0

Nome	Nome breve	Pesi	Port.	Variabile C	Neve	Variabile H	ΔT
14	SLU 14	1	1.5	1.05	0	1.5	0
15	SLU 15	1	1.5	1.05	0.75	1.5	0
16	SLU 16	1	1.5	1.05	1.5	0	0
17	SLU 17	1	1.5	1.5	0	0	0
18	SLU 18	1	1.5	1.5	0.75	0	0
19	SLU 19	1.3	0.8	0	0	0	0
20	SLU 20	1.3	0.8	0	0	1.5	0
21	SLU 21	1.3	0.8	0	0.75	1.5	0
22	SLU 22	1.3	0.8	0	1.5	0	0
23	SLU 23	1.3	0.8	1.05	0	1.5	0
24	SLU 24	1.3	0.8	1.05	0.75	1.5	0
25	SLU 25	1.3	0.8	1.05	1.5	0	0
26	SLU 26	1.3	0.8	1.5	0	0	0
27	SLU 27	1.3	0.8	1.5	0.75	0	0
28	SLU 28	1.3	1.5	0	0	0	0
29	SLU 29	1.3	1.5	0	0	1.5	0
30	SLU 30	1.3	1.5	0	0.75	1.5	0
31	SLU 31	1.3	1.5	0	1.5	0	0
32	SLU 32	1.3	1.5	1.05	0	1.5	0
33	SLU 33	1.3	1.5	1.05	0.75	1.5	0
34	SLU 34	1.3	1.5	1.05	1.5	0	0
35	SLU 35	1.3	1.5	1.5	0	0	0
36	SLU 36	1.3	1.5	1.5	0.75	0	0

Famiglia SLE rara

Il nome compatto della famiglia è SLE RA.

Nome	Nome breve	Pesi	Port.	Variabile C	Neve	Variabile H	ΔT
1	SLE RA 1	1	1	0	0	0	0
2	SLE RA 2	1	1	0	0	1	0
3	SLE RA 3	1	1	0	0.5	1	0
4	SLE RA 4	1	1	0	1	0	0
5	SLE RA 5	1	1	0.7	0	1	0
6	SLE RA 6	1	1	0.7	0.5	1	0
7	SLE RA 7	1	1	0.7	1	0	0
8	SLE RA 8	1	1	1	0	0	0
9	SLE RA 9	1	1	1	0.5	0	0

Famiglia SLE frequente

Il nome compatto della famiglia è SLE FR.

Nome	Nome breve	Pesi	Port.	Variabile C	Neve	Variabile H	ΔT
1	SLE FR 1	1	1	0	0	0	0
2	SLE FR 2	1	1	0	0.2	0	0
3	SLE FR 3	1	1	0.6	0.2	0	0
4	SLE FR 4	1	1	0.7	0	0	0

Famiglia SLE quasi permanente

Il nome compatto della famiglia è SLE QP.

Nome	Nome breve	Pesi	Port.	Variabile C	Neve	Variabile H	ΔT
1	SLE QP 1	1	1	0	0	0	0
2	SLE QP 2	1	1	0.6	0	0	0

Famiglia SLU eccezionale

Il nome compatto della famiglia è SLU EX.

Nome	Nome breve	Pesi	Port.	Variabile C	Neve	Variabile H	ΔT
1	SLU EX 1	1	1	0	0	0	0
2	SLU EX 2	1	1	0.6	0	0	0

Famiglia SLO

Il nome compatto della famiglia è SLO.

Poiché il numero di condizioni elementari previste per le combinazioni di questa famiglia è cospicuo, la tabella verrà spezzata in più parti.

Nome	Nome breve	Pesi	Port.	Variabile C	Neve	Variabile H	ΔT	X SLO
1	SLO 1	1	1	0.6	0	0	0	-1
2	SLO 2	1	1	0.6	0	0	0	-1
3	SLO 3	1	1	0.6	0	0	0	-1
4	SLO 4	1	1	0.6	0	0	0	-1
5	SLO 5	1	1	0.6	0	0	0	-0.3
6	SLO 6	1	1	0.6	0	0	0	-0.3
7	SLO 7	1	1	0.6	0	0	0	-0.3
8	SLO 8	1	1	0.6	0	0	0	-0.3
9	SLO 9	1	1	0.6	0	0	0	0.3
10	SLO 10	1	1	0.6	0	0	0	0.3
11	SLO 11	1	1	0.6	0	0	0	0.3
12	SLO 12	1	1	0.6	0	0	0	0.3
13	SLO 13	1	1	0.6	0	0	0	1
14	SLO 14	1	1	0.6	0	0	0	1
15	SLO 15	1	1	0.6	0	0	0	1
16	SLO 16	1	1	0.6	0	0	0	1

Nome	Nome breve	Y SLO	Z SLO	EY SLO	EX SLO	Tr x SLO	Tr y SLO	Tr z SLO
1	SLO 1	-0.3	0	-1	0.3	-1	-0.3	0
2	SLO 2	-0.3	0	1	-0.3	-1	-0.3	0
3	SLO 3	0.3	0	-1	0.3	-1	0.3	0
4	SLO 4	0.3	0	1	-0.3	-1	0.3	0
5	SLO 5	-1	0	-0.3	1	-0.3	-1	0
6	SLO 6	-1	0	0.3	-1	-0.3	-1	0
7	SLO 7	1	0	-0.3	1	-0.3	1	0
8	SLO 8	1	0	0.3	-1	-0.3	1	0
9	SLO 9	-1	0	-0.3	1	0.3	-1	0
10	SLO 10	-1	0	0.3	-1	0.3	-1	0
11	SLO 11	1	0	-0.3	1	0.3	1	0
12	SLO 12	1	0	0.3	-1	0.3	1	0
13	SLO 13	-0.3	0	-1	0.3	1	-0.3	0
14	SLO 14	-0.3	0	1	-0.3	1	-0.3	0
15	SLO 15	0.3	0	-1	0.3	1	0.3	0
16	SLO 16	0.3	0	1	-0.3	1	0.3	0

Famiglia SLD

Il nome compatto della famiglia è SLD.

Poiché il numero di condizioni elementari previste per le combinazioni di questa famiglia è cospicuo, la tabella verrà spezzata in più parti.

Nome	Nome breve	Pesi	Port.	Variabile C	Neve	Variabile H	ΔT	X SLD
1	SLD 1	1	1	0.6	0	0	0	-1
2	SLD 2	1	1	0.6	0	0	0	-1
3	SLD 3	1	1	0.6	0	0	0	-1
4	SLD 4	1	1	0.6	0	0	0	-1
5	SLD 5	1	1	0.6	0	0	0	-0.3
6	SLD 6	1	1	0.6	0	0	0	-0.3
7	SLD 7	1	1	0.6	0	0	0	-0.3
8	SLD 8	1	1	0.6	0	0	0	-0.3
9	SLD 9	1	1	0.6	0	0	0	0.3
10	SLD 10	1	1	0.6	0	0	0	0.3
11	SLD 11	1	1	0.6	0	0	0	0.3
12	SLD 12	1	1	0.6	0	0	0	0.3
13	SLD 13	1	1	0.6	0	0	0	1
14	SLD 14	1	1	0.6	0	0	0	1
15	SLD 15	1	1	0.6	0	0	0	1
16	SLD 16	1	1	0.6	0	0	0	1

Nome	Nome breve	Y SLD	Z SLD	EY SLD	EX SLD	Tr x SLD	Tr y SLD	Tr z SLD
1	SLD 1	-0.3	0	-1	0.3	-1	-0.3	0
2	SLD 2	-0.3	0	1	-0.3	-1	-0.3	0
3	SLD 3	0.3	0	-1	0.3	-1	0.3	0
4	SLD 4	0.3	0	1	-0.3	-1	0.3	0
5	SLD 5	-1	0	-0.3	1	-0.3	-1	0
6	SLD 6	-1	0	0.3	-1	-0.3	-1	0
7	SLD 7	1	0	-0.3	1	-0.3	1	0
8	SLD 8	1	0	0.3	-1	-0.3	1	0
9	SLD 9	-1	0	-0.3	1	0.3	-1	0
10	SLD 10	-1	0	0.3	-1	0.3	-1	0
11	SLD 11	1	0	-0.3	1	0.3	1	0
12	SLD 12	1	0	0.3	-1	0.3	1	0
13	SLD 13	-0.3	0	-1	0.3	1	-0.3	0
14	SLD 14	-0.3	0	1	-0.3	1	-0.3	0
15	SLD 15	0.3	0	-1	0.3	1	0.3	0
16	SLD 16	0.3	0	1	-0.3	1	0.3	0

Famiglia SLV

Il nome compatto della famiglia è SLV.

Poiché il numero di condizioni elementari previste per le combinazioni di questa famiglia è cospicuo, la tabella verrà spezzata in più parti.

Nome	Nome breve	Pesi	Port.	Variabile C	Neve	Variabile H	ΔT	X SLV
1	SLV 1	1	1	0.6	0	0	0	-1
2	SLV 2	1	1	0.6	0	0	0	-1
3	SLV 3	1	1	0.6	0	0	0	-1
4	SLV 4	1	1	0.6	0	0	0	-1
5	SLV 5	1	1	0.6	0	0	0	-0.3
6	SLV 6	1	1	0.6	0	0	0	-0.3
7	SLV 7	1	1	0.6	0	0	0	-0.3
8	SLV 8	1	1	0.6	0	0	0	-0.3
9	SLV 9	1	1	0.6	0	0	0	-0.3
10	SLV 10	1	1	0.6	0	0	0	0.3
11	SLV 11	1	1	0.6	0	0	0	0.3
12	SLV 12	1	1	0.6	0	0	0	0.3
13	SLV 13	1	1	0.6	0	0	0	1
14	SLV 14	1	1	0.6	0	0	0	1
15	SLV 15	1	1	0.6	0	0	0	1
16	SLV 16	1	1	0.6	0	0	0	1

Nome	Nome breve	Y SLV	Z SLV	EY SLV	EX SLV	Tr x SLV	Tr y SLV	Tr z SLV
1	SLV 1	-0.3	0	-1	0.3	-1	-0.3	0
2	SLV 2	-0.3	0	1	-0.3	-1	-0.3	0
3	SLV 3	0.3	0	-1	0.3	-1	0.3	0
4	SLV 4	0.3	0	1	-0.3	-1	0.3	0
5	SLV 5	-1	0	-0.3	1	-0.3	-1	0
6	SLV 6	-1	0	0.3	-1	-0.3	-1	0
7	SLV 7	1	0	-0.3	1	-0.3	1	0
8	SLV 8	1	0	0.3	-1	-0.3	1	0
9	SLV 9	-1	0	-0.3	1	0.3	-1	0
10	SLV 10	-1	0	0.3	-1	0.3	-1	0
11	SLV 11	1	0	-0.3	1	0.3	1	0
12	SLV 12	1	0	0.3	-1	0.3	1	0
13	SLV 13	-0.3	0	-1	0.3	1	-0.3	0
14	SLV 14	-0.3	0	1	-0.3	1	-0.3	0
15	SLV 15	0.3	0	-1	0.3	1	0.3	0
16	SLV 16	0.3	0	1	-0.3	1	0.3	0

Famiglia Calcolo rigidità torsionale/flessionale di piano

Il nome compatto della famiglia è CRTFP.

Nome	Nome breve	R Ux	R Uy	R Rz
Rig. Ux+	CRTFP Ux+	1	0	0
Rig. Ux-	CRTFP Ux-	-1	0	0
Rig. Uy+	CRTFP Uy+	0	1	0
Rig. Uy-	CRTFP Uy-	0	-1	0
Rig. Rz+	CRTFP Rz+	0	0	1
Rig. Rz-	CRTFP Rz-	0	0	-1

3.2.3 Definizioni di carichi lineari

Nome: nome identificativo della definizione di carico.

Valori: valori associati alle condizioni di carico.

Condizione: condizione di carico a cui sono associati i valori.

Descrizione: nome assegnato alla condizione elementare.

Fx i.: valore iniziale della forza, per unità di lunghezza, agente in direzione X. [kN/m]

Fx f.: valore finale della forza, per unità di lunghezza, agente in direzione X. [kN/m]
Fy i.: valore iniziale della forza, per unità di lunghezza, agente in direzione Y. [kN/m]
Fy f.: valore finale della forza, per unità di lunghezza, agente in direzione Y. [kN/m]
Fz i.: valore iniziale della forza, per unità di lunghezza, agente in direzione Z. [kN/m]
Fz f.: valore finale della forza, per unità di lunghezza, agente in direzione Z. [kN/m]
Mx i.: valore iniziale della coppia, per unità di lunghezza, agente attorno l'asse X. [kN]
Mx f.: valore finale della coppia, per unità di lunghezza, agente attorno l'asse X. [kN]
My i.: valore iniziale della coppia, per unità di lunghezza, agente attorno l'asse Y. [kN]
My f.: valore finale della coppia, per unità di lunghezza, agente attorno l'asse Y. [kN]
Mz i.: valore iniziale della coppia, per unità di lunghezza, agente attorno l'asse Z. [kN]
Mz f.: valore finale della coppia, per unità di lunghezza, agente attorno l'asse Z. [kN]

Nome	Condizione Descrizione	Valori											
		Fx i.	Fx f.	Fy i.	Fy f.	Fz i.	Fz f.	Mx i.	Mx f.	My i.	My f.	Mz i.	Mz f.
Tetto	Pesi strutturali	0	0	0	0	0	0	0	0	0	0	0	0
	Permanenti portati	0	0	0	0	-1.9	-1.9	0	0	0	0	0	0
	Variabile C	0	0	0	0	0	0	0	0	0	0	0	0
	Neve	0	0	0	0	-4.2	-4.2	0	0	0	0	0	0
	Variabile H	0	0	0	0	0	0	0	0	0	0	0	0

3.2.4 Definizioni di carichi superficiali

Nome: nome identificativo della definizione di carico.

Valori: valori associati alle condizioni di carico.

Condizione: condizione di carico a cui sono associati i valori.

Descrizione: nome assegnato alla condizione elementare.

Valore: modulo del carico superficiale applicato alla superficie. [kN/m²]

Applicazione: modalità con cui il carico è applicato alla superficie.

Nome	Condizione Descrizione	Valori		Applicazione
		Valore		
Solaio putrelle e tavelloni	Pesi strutturali	2.5		Verticale
	Permanenti portati	1.5		Verticale
	Variabile C	3		Verticale
	Neve	0		Verticale
	Variabile H	0		Verticale
Solaio putrelle e tavelloni-Sottotetto	Pesi strutturali	2.5		Verticale
	Permanenti portati	1.5		Verticale
	Variabile C	0		Verticale
	Neve	0		Verticale
	Variabile H	0.5		Verticale

3.3 Quote

3.3.1 Livelli

Descrizione breve: Nome sintetico assegnato al livello.

Descrizione: Nome assegnato al livello.

Quota: Quota superiore espressa nel sistema di riferimento assoluto. [m]

Spessore: Spessore del livello. [m]

Descrizione breve	Descrizione	Quota	Spessore
L1	Fondazione -100	-1	0.45
L2	Piano -10	-0.1	0.2
L3	Piano 1	3.75	0.25
L4	Piano 2	7.49	0.25
L5	Banchina	8.2	0.2
L6	Colmo	9.8	0.2

3.3.2 Tronchi

Descrizione breve: Nome sintetico assegnato al tronco.

Descrizione: Nome assegnato al tronco.

Quota 1: Riferimento della prima quota di definizione del tronco. esprimibile come livello, falda, piano orizzontale alla Z specificata. [m]

Quota 2: Riferimento della seconda quota di definizione del tronco. esprimibile come livello, falda, piano orizzontale alla Z specificata. [m]

Descrizione breve	Descrizione	Quota 1	Quota 2
T1	Fondazione -100 - Piano -10	Fondazione -100	Piano -10
T2	Piano -10 - Piano 1	Piano -10	Piano 1
T3	Piano 1 - Piano 2	Piano 1	Piano 2
T4	Piano 2 - Banchina	Piano 2	Banchina
T5	Fondazione -100 - Piano 1	Fondazione -100	Piano 1

4 Risultati numerici

4.1 Spostamenti di interpiano

Nodo inferiore: Nodo inferiore.

I.: Numero dell'elemento nell'insieme che lo contiene.

Pos.: Coordinate del nodo.

X: Coordinata X. [m]

Y: Coordinata Y. [m]

Z: Coordinata Z. [m]

Nodo superiore: Nodo superiore.

I.: Numero dell'elemento nell'insieme che lo contiene.

Pos.: Coordinate del nodo.

Z: Coordinata Z. [m]

Spost. rel.: Spostamento relativo. Il valore è adimensionale.

Comb.: Combinazione.

n.b.: Nome breve o compatto della combinazione di carico.

Spostamento inferiore: Spostamento in pianta del nodo inferiore.

X: Coordinata X. [m]

Y: Coordinata Y. [m]

Spostamento superiore: Spostamento in pianta del nodo superiore.

X: Coordinata X. [m]

Y: Coordinata Y. [m]

S.V.: Si intende non verificato qualora lo spostamento relativo sia superiore al valore limite espresso nelle preferenze di analisi.

limite = 0.001333

I.	Nodo inferiore			Nodo superiore		Spost. rel.	Comb. n.b.	Spostamento inferiore		Spostamento superiore		S.V.
	X	Y	Z	I.	Pos. Z			X	Y	X	Y	
2	1.4	9.275	-1.225	1122	3.625	0.000139	SLO 1	0	0	-0.00058	-0.00035	si
2	1.4	9.275	-1.225	1122	3.625	0.000139	SLO 2	0	0	-0.00058	-0.00035	si
2	1.4	9.275	-1.225	1122	3.625	0.00009	SLO 3	0	0	-0.00043	-0.00009	si
2	1.4	9.275	-1.225	1122	3.625	0.00009	SLO 4	0	0	-0.00043	-0.00009	si
2	1.4	9.275	-1.225	1122	3.625	0.000137	SLO 5	0	0	-0.00041	-0.00052	si
2	1.4	9.275	-1.225	1122	3.625	0.000137	SLO 6	0	0	-0.00041	-0.00052	si
2	1.4	9.275	-1.225	1122	3.625	0.000071	SLO 7	0	0	0.00008	0.00033	si
2	1.4	9.275	-1.225	1122	3.625	0.000071	SLO 8	0	0	0.00008	0.00033	si
2	1.4	9.275	-1.225	1122	3.625	0.000089	SLO 9	0	0	-0.00013	-0.00041	si
2	1.4	9.275	-1.225	1122	3.625	0.000089	SLO 10	0	0	-0.00013	-0.00041	si
2	1.4	9.275	-1.225	1122	3.625	0.000119	SLO 11	0	0	0.00037	0.00044	si
2	1.4	9.275	-1.225	1122	3.625	0.000119	SLO 12	0	0	0.00037	0.00044	si
2	1.4	9.275	-1.225	1122	3.625	0.00008	SLO 13	0	0	0.00039	0.00001	si
2	1.4	9.275	-1.225	1122	3.625	0.00008	SLO 14	0	0	0.00039	0.00001	si
2	1.4	9.275	-1.225	1122	3.625	0.000123	SLO 15	0	0	0.00053	0.00027	si
2	1.4	9.275	-1.225	1122	3.625	0.000123	SLO 16	0	0	0.00053	0.00027	si
5	3.65	9.275	-1.225	1125	3.625	0.000138	SLO 1	0	0	-0.00058	-0.00034	si
5	3.65	9.275	-1.225	1125	3.625	0.000138	SLO 2	0	0	-0.00058	-0.00034	si
5	3.65	9.275	-1.225	1125	3.625	0.000089	SLO 3	0	0	-0.00043	-0.00008	si
5	3.65	9.275	-1.225	1125	3.625	0.000089	SLO 4	0	0	-0.00043	-0.00008	si
5	3.65	9.275	-1.225	1125	3.625	0.000137	SLO 5	0	0	-0.00041	-0.00052	si
5	3.65	9.275	-1.225	1125	3.625	0.000137	SLO 6	0	0	-0.00041	-0.00052	si
5	3.65	9.275	-1.225	1125	3.625	0.000075	SLO 7	0	0	0.00009	0.00036	si
5	3.65	9.275	-1.225	1125	3.625	0.000075	SLO 8	0	0	0.00009	0.00036	si
5	3.65	9.275	-1.225	1125	3.625	0.000089	SLO 9	0	0	-0.00012	-0.00041	si
5	3.65	9.275	-1.225	1125	3.625	0.000089	SLO 10	0	0	-0.00012	-0.00041	si
5	3.65	9.275	-1.225	1125	3.625	0.000123	SLO 11	0	0	0.00037	0.00046	si
5	3.65	9.275	-1.225	1125	3.625	0.000123	SLO 12	0	0	0.00037	0.00046	si
5	3.65	9.275	-1.225	1125	3.625	0.00008	SLO 13	0	0	0.00039	0.00002	si
5	3.65	9.275	-1.225	1125	3.625	0.00008	SLO 14	0	0	0.00039	0.00002	si
5	3.65	9.275	-1.225	1125	3.625	0.000125	SLO 15	0	0	0.00054	0.00028	si
5	3.65	9.275	-1.225	1125	3.625	0.000125	SLO 16	0	0	0.00054	0.00028	si
6	4.45	9.275	-1.225	1126	3.625	0.000138	SLO 1	0	0	-0.00058	-0.00034	si
6	4.45	9.275	-1.225	1126	3.625	0.000138	SLO 2	0	0	-0.00058	-0.00034	si
6	4.45	9.275	-1.225	1126	3.625	0.000089	SLO 3	0	0	-0.00043	-0.00008	si
6	4.45	9.275	-1.225	1126	3.625	0.000089	SLO 4	0	0	-0.00043	-0.00008	si
6	4.45	9.275	-1.225	1126	3.625	0.000138	SLO 5	0	0	-0.00041	-0.00052	si
6	4.45	9.275	-1.225	1126	3.625	0.000138	SLO 6	0	0	-0.00041	-0.00052	si
6	4.45	9.275	-1.225	1126	3.625	0.000077	SLO 7	0	0	0.00008	0.00036	si
6	4.45	9.275	-1.225	1126	3.625	0.000077	SLO 8	0	0	0.00008	0.00036	si
6	4.45	9.275	-1.225	1126	3.625	0.000089	SLO 9	0	0	-0.00012	-0.00041	si
6	4.45	9.275	-1.225	1126	3.625	0.000089	SLO 10	0	0	-0.00012	-0.00041	si
6	4.45	9.275	-1.225	1126	3.625	0.000124	SLO 11	0	0	0.00037	0.00047	si
6	4.45	9.275	-1.225	1126	3.625	0.000124	SLO 12	0	0	0.00037	0.00047	si
6	4.45	9.275	-1.225	1126	3.625	0.00008	SLO 13	0	0	0.00039	0.00002	si
6	4.45	9.275	-1.225	1126	3.625	0.00008	SLO 14	0	0	0.00039	0.00002	si
6	4.45	9.275	-1.225	1126	3.625	0.000126	SLO 15	0	0	0.00054	0.00029	si
6	4.45	9.275	-1.225	1126	3.625	0.000126	SLO 16	0	0	0.00054	0.00029	si
10	7.3	9.275	-1.225	1130	3.625	0.000138	SLO 1	0	0	-0.00057	-0.00035	si
10	7.3	9.275	-1.225	1130	3.625	0.000138	SLO 2	0	0	-0.00057	-0.00035	si
10	7.3	9.275	-1.225	1130	3.625	0.000088	SLO 3	0	0	-0.00042	-0.00007	si
10	7.3	9.275	-1.225	1130	3.625	0.000088	SLO 4	0	0	-0.00042	-0.00007	si
10	7.3	9.275	-1.225	1130	3.625	0.00014	SLO 5	0	0	-0.00041	-0.00054	si
10	7.3	9.275	-1.225	1130	3.625	0.00014	SLO 6	0	0	-0.00041	-0.00054	si
10	7.3	9.275	-1.225	1130	3.625	0.000081	SLO 7	0	0	0.00009	0.00038	si
10	7.3	9.275	-1.225	1130	3.625	0.000081	SLO 8	0	0	0.00009	0.00038	si
10	7.3	9.275	-1.225	1130	3.625	0.000091	SLO 9	0	0	-0.00012	-0.00043	si
10	7.3	9.275	-1.225	1130	3.625	0.000091	SLO 10	0	0	-0.00012	-0.00043	si
10	7.3	9.275	-1.225	1130	3.625	0.000129	SLO 11	0	0	0.00037	0.0005	si
10	7.3	9.275	-1.225	1130	3.625	0.000129	SLO 12	0	0	0.00037	0.0005	si

I.	Nodo inferiore			Nodo superiore		Spost. rel.	Comb.	Spostamento inferiore		Spostamento superiore		S.V.
	X	Pos.		I.	Pos.			X	Y	X	Y	
		Y	Z									
164	1.4	53.065	-1.225	1285	3.625	0.000124	SLO 11	0	0	0.0003	0.00052	si
164	1.4	53.065	-1.225	1285	3.625	0.000124	SLO 12	0	0	0.0003	0.00052	si
164	1.4	53.065	-1.225	1285	3.625	0.000082	SLO 13	0	0	0.00039	0.00006	si
164	1.4	53.065	-1.225	1285	3.625	0.000082	SLO 14	0	0	0.00039	0.00006	si
164	1.4	53.065	-1.225	1285	3.625	0.000126	SLO 15	0	0	0.00051	0.00034	si
164	1.4	53.065	-1.225	1285	3.625	0.000126	SLO 16	0	0	0.00051	0.00034	si
167	3.85	53.065	-1.225	1288	3.625	0.000145	SLO 1	0	0	-0.00063	-0.00032	si
167	3.85	53.065	-1.225	1288	3.625	0.000145	SLO 2	0	0	-0.00063	-0.00032	si
167	3.85	53.065	-1.225	1288	3.625	0.000105	SLO 3	0	0	-0.00051	-0.00005	si
167	3.85	53.065	-1.225	1288	3.625	0.000105	SLO 4	0	0	-0.00051	-0.00005	si
167	3.85	53.065	-1.225	1288	3.625	0.000133	SLO 5	0	0	-0.00041	-0.00005	si
167	3.85	53.065	-1.225	1288	3.625	0.000133	SLO 6	0	0	-0.00041	-0.00005	si
167	3.85	53.065	-1.225	1288	3.625	0.000079	SLO 7	0	0	-0.00001	0.00038	si
167	3.85	53.065	-1.225	1288	3.625	0.000079	SLO 8	0	0	-0.00001	0.00038	si
167	3.85	53.065	-1.225	1288	3.625	0.000082	SLO 9	0	0	-0.00011	-0.00038	si
167	3.85	53.065	-1.225	1288	3.625	0.000082	SLO 10	0	0	-0.00011	-0.00038	si
167	3.85	53.065	-1.225	1288	3.625	0.000119	SLO 11	0	0	0.0003	0.00049	si
167	3.85	53.065	-1.225	1288	3.625	0.000119	SLO 12	0	0	0.0003	0.00049	si
167	3.85	53.065	-1.225	1288	3.625	0.000082	SLO 13	0	0	0.0004	0.00005	si
167	3.85	53.065	-1.225	1288	3.625	0.000082	SLO 14	0	0	0.0004	0.00005	si
167	3.85	53.065	-1.225	1288	3.625	0.000125	SLO 15	0	0	0.00052	0.00032	si
167	3.85	53.065	-1.225	1288	3.625	0.000125	SLO 16	0	0	0.00052	0.00032	si
168	4.85	53.065	-1.225	1289	3.625	0.000145	SLO 1	0	0	-0.00063	-0.00031	si
168	4.85	53.065	-1.225	1289	3.625	0.000145	SLO 2	0	0	-0.00063	-0.00031	si
168	4.85	53.065	-1.225	1289	3.625	0.000105	SLO 3	0	0	-0.00051	-0.00005	si
168	4.85	53.065	-1.225	1289	3.625	0.000105	SLO 4	0	0	-0.00051	-0.00005	si
168	4.85	53.065	-1.225	1289	3.625	0.000131	SLO 5	0	0	-0.00041	-0.00049	si
168	4.85	53.065	-1.225	1289	3.625	0.000131	SLO 6	0	0	-0.00041	-0.00049	si
168	4.85	53.065	-1.225	1289	3.625	0.000077	SLO 7	0	0	-0.00001	0.00038	si
168	4.85	53.065	-1.225	1289	3.625	0.000077	SLO 8	0	0	-0.00001	0.00038	si
168	4.85	53.065	-1.225	1289	3.625	0.000081	SLO 9	0	0	-0.00011	-0.00038	si
168	4.85	53.065	-1.225	1289	3.625	0.000081	SLO 10	0	0	-0.00011	-0.00038	si
168	4.85	53.065	-1.225	1289	3.625	0.000117	SLO 11	0	0	0.0003	0.00048	si
168	4.85	53.065	-1.225	1289	3.625	0.000117	SLO 12	0	0	0.0003	0.00048	si
168	4.85	53.065	-1.225	1289	3.625	0.000082	SLO 13	0	0	0.0004	0.00005	si
168	4.85	53.065	-1.225	1289	3.625	0.000082	SLO 14	0	0	0.0004	0.00005	si
168	4.85	53.065	-1.225	1289	3.625	0.000124	SLO 15	0	0	0.00052	0.00031	si
168	4.85	53.065	-1.225	1289	3.625	0.000124	SLO 16	0	0	0.00052	0.00031	si
171	7.3	53.065	-1.225	1292	3.625	0.000142	SLO 1	0	0	-0.00063	-0.00029	si
171	7.3	53.065	-1.225	1292	3.625	0.000142	SLO 2	0	0	-0.00063	-0.00029	si
171	7.3	53.065	-1.225	1292	3.625	0.000104	SLO 3	0	0	-0.0005	-0.00005	si
171	7.3	53.065	-1.225	1292	3.625	0.000104	SLO 4	0	0	-0.0005	-0.00005	si
171	7.3	53.065	-1.225	1292	3.625	0.000126	SLO 5	0	0	-0.00041	-0.00045	si
171	7.3	53.065	-1.225	1292	3.625	0.000126	SLO 6	0	0	-0.00041	-0.00045	si
171	7.3	53.065	-1.225	1292	3.625	0.000073	SLO 7	0	0	0	0.00035	si
171	7.3	53.065	-1.225	1292	3.625	0.000073	SLO 8	0	0	0	0.00035	si
171	7.3	53.065	-1.225	1292	3.625	0.000075	SLO 9	0	0	-0.00011	-0.00035	si
171	7.3	53.065	-1.225	1292	3.625	0.000075	SLO 10	0	0	-0.00011	-0.00035	si
171	7.3	53.065	-1.225	1292	3.625	0.000113	SLO 11	0	0	0.0003	0.00046	si
171	7.3	53.065	-1.225	1292	3.625	0.000113	SLO 12	0	0	0.0003	0.00046	si
171	7.3	53.065	-1.225	1292	3.625	0.000082	SLO 13	0	0	0.00039	0.00005	si
171	7.3	53.065	-1.225	1292	3.625	0.000082	SLO 14	0	0	0.00039	0.00005	si
171	7.3	53.065	-1.225	1292	3.625	0.000123	SLO 15	0	0	0.00052	0.00029	si
171	7.3	53.065	-1.225	1292	3.625	0.000123	SLO 16	0	0	0.00052	0.00029	si
1122	1.4	9.275	3.625	1999	7.365	0.000204	SLO 1	-0.00058	-0.00035	-0.00128	-0.00064	si
1122	1.4	9.275	3.625	1999	7.365	0.000204	SLO 2	-0.00058	-0.00035	-0.00128	-0.00064	si
1122	1.4	9.275	3.625	1999	7.365	0.000137	SLO 3	-0.00043	-0.00009	-0.00094	-0.0001	si
1122	1.4	9.275	3.625	1999	7.365	0.000137	SLO 4	-0.00043	-0.00009	-0.00094	-0.0001	si
1122	1.4	9.275	3.625	1999	7.365	0.000191	SLO 5	-0.00041	-0.00052	-0.00095	-0.001	si
1122	1.4	9.275	3.625	1999	7.365	0.000191	SLO 6	-0.00041	-0.00052	-0.00095	-0.001	si
1122	1.4	9.275	3.625	1999	7.365	0.000122	SLO 7	0.00008	0.00033	0.0002	0.00078	si
1122	1.4	9.275	3.625	1999	7.365	0.000122	SLO 8	0.00008	0.00033	0.0002	0.00078	si
1122	1.4	9.275	3.625	1999	7.365	0.000109	SLO 9	-0.00013	-0.00041	-0.00032	-0.00077	si
1122	1.4	9.275	3.625	1999	7.365	0.000109	SLO 10	-0.00013	-0.00041	-0.00032	-0.00077	si
1122	1.4	9.275	3.625	1999	7.365	0.000193	SLO 11	0.00037	0.00044	0.00083	0.001	si
1122	1.4	9.275	3.625	1999	7.365	0.000193	SLO 12	0.00037	0.00044	0.00083	0.001	si
1122	1.4	9.275	3.625	1999	7.365	0.00012	SLO 13	0.00039	0.00001	0.00082	0.00011	si
1122	1.4	9.275	3.625	1999	7.365	0.00012	SLO 14	0.00039	0.00001	0.00082	0.00011	si
1122	1.4	9.275	3.625	1999	7.365	0.000196	SLO 15	0.00053	0.00027	0.00116	0.00064	si
1122	1.4	9.275	3.625	1999	7.365	0.000196	SLO 16	0.00053	0.00027	0.00116	0.00064	si
1125	3.65	9.275	3.625	2002	7.365	0.000209	SLO 1	-0.00058	-0.00034	-0.00128	-0.00068	si
1125	3.65	9.275	3.625	2002	7.365	0.000209	SLO 2	-0.00058	-0.00034	-0.00128	-0.00068	si
1125	3.65	9.275	3.625	2002	7.365	0.000137	SLO 3	-0.00043	-0.00008	-0.00094	-0.00012	si
1125	3.65	9.275	3.625	2002	7.365	0.000137	SLO 4	-0.00043	-0.00008	-0.00094	-0.00012	si
1125	3.65	9.275	3.625	2002	7.365	0.000202	SLO 5	-0.00041	-0.00052	-0.00094	-0.00106	si
1125	3.65	9.275	3.625	2002	7.365	0.000202	SLO 6	-0.00041	-0.00052	-0.00094	-0.00106	si
1125	3.65	9.275	3.625	2002	7.365	0.000126	SLO 7	0.00009	0.00036	0.0002	0.00081	si
1125	3.65	9.275	3.625	2002	7.365	0.000126	SLO 8	0.00009	0.00036	0.0002	0.00081	si
1125	3.65	9.275	3.625	2002	7.365	0.000121	SLO 9	-0.00012	-0.00041	-0.00031	-0.00083	si
1125	3.65	9.275	3.625	2002	7.365	0.000121	SLO 10	-0.00012	-0.00041	-0.00031	-0.00083	si
1125	3.65	9.275	3.625	2002	7.365	0.000199	SLO 11	0.00037	0.00046	0.00083	0.00105	si
1125	3.65	9.275	3.625	2002	7.365	0.000199	SLO 12	0.00037	0.00046	0.00083	0.00105	si
1125	3.65	9.275	3.625	2002	7.365	0.000119	SLO 13	0.00039	0.00002	0.00083	0.00011	si
1125	3.65	9.275	3.625	2002	7.365	0.000119	SLO 14	0.00039	0.00002	0.00083	0.00011	si
1125	3.65	9.275	3.625	2002	7.365	0.000198	SLO 15	0.00054	0.00028	0.00117	0.00067	si
1125	3.65	9.275	3.625	2002	7.365	0.000198	SLO 16	0.00054	0.00028	0.00117	0.00067	si
1126	4.45	9.275	3.625	2003	7.365	0.00021	SLO 1	-0.00058	-0.00034	-0.00128	-0.0007	si
1126	4.45	9.275	3.625	2003	7.365	0.00021	SLO 2	-0.00058	-0.00034	-0.00128	-0.0007	si
1126	4.45	9.275	3.625	2003	7.365	0.000136	SLO 3	-0.00043	-0.00008	-0.00093	-0.00012	si
1126	4.45	9.275	3.625	2003	7.365	0.000136	SLO 4	-0.00043	-0.00008	-0.00093	-0.00012	si
1126	4.45	9.275	3.625	2003	7.365	0.000205	SLO 5	-0.00041	-0.00052	-0.00094	-0.00108	si
1126	4.45	9.275	3.625	2003	7.365	0.000205	SLO 6	-0.00041	-0.00052	-0.00094	-0.00108	si
1126	4.45	9.275	3.625	2003	7.365	0.000128	SLO 7	0.00008	0.00036	0.0002	0.00083	si
1126	4.45	9.275	3.625									

I.	Nodo inferiore			Nodo superiore		Spost. rel.	Comb.	Spostamento inferiore		Spostamento superiore		S.V.
	X	Y	Z	I.	Pos.			X	Y	X	Y	
1288	3.85	53.065	3.625	2162	7.365	0.000232	SLO 2	-0.00063	-0.00032	-0.00138	-0.00075	si
1288	3.85	53.065	3.625	2162	7.365	0.000162	SLO 3	-0.00051	-0.00005	-0.00111	-0.00014	si
1288	3.85	53.065	3.625	2162	7.365	0.000162	SLO 4	-0.00051	-0.00005	-0.00111	-0.00014	si
1288	3.85	53.065	3.625	2162	7.365	0.000226	SLO 5	-0.00041	-0.00005	-0.00093	-0.00117	si
1288	3.85	53.065	3.625	2162	7.365	0.000226	SLO 6	-0.00041	-0.00005	-0.00093	-0.00117	si
1288	3.85	53.065	3.625	2162	7.365	0.000128	SLO 7	-0.00001	0.00038	-0.00003	0.00086	si
1288	3.85	53.065	3.625	2162	7.365	0.000128	SLO 8	-0.00001	0.00038	-0.00003	0.00086	si
1288	3.85	53.065	3.625	2162	7.365	0.000148	SLO 9	-0.00011	-0.00038	-0.00028	-0.00091	si
1288	3.85	53.065	3.625	2162	7.365	0.000148	SLO 10	-0.00011	-0.00038	-0.00028	-0.00091	si
1288	3.85	53.065	3.625	2162	7.365	0.000188	SLO 11	0.00003	0.00049	0.00063	0.00112	si
1288	3.85	53.065	3.625	2162	7.365	0.000188	SLO 12	0.00003	0.00049	0.00063	0.00112	si
1288	3.85	53.065	3.625	2162	7.365	0.000109	SLO 13	0.00004	0.00005	0.00008	0.00001	si
1288	3.85	53.065	3.625	2162	7.365	0.000109	SLO 14	0.00004	0.00005	0.00008	0.00001	si
1288	3.85	53.065	3.625	2162	7.365	0.000181	SLO 15	0.00052	0.00032	0.00107	0.00071	si
1288	3.85	53.065	3.625	2162	7.365	0.000181	SLO 16	0.00052	0.00032	0.00107	0.00071	si
1289	4.85	53.065	3.625	2163	7.365	0.000231	SLO 1	-0.00063	-0.00031	-0.00138	-0.00075	si
1289	4.85	53.065	3.625	2163	7.365	0.000231	SLO 2	-0.00063	-0.00031	-0.00138	-0.00075	si
1289	4.85	53.065	3.625	2163	7.365	0.000162	SLO 3	-0.00051	-0.00005	-0.00111	-0.00014	si
1289	4.85	53.065	3.625	2163	7.365	0.000162	SLO 4	-0.00051	-0.00005	-0.00111	-0.00014	si
1289	4.85	53.065	3.625	2163	7.365	0.000227	SLO 5	-0.00041	-0.00049	-0.00093	-0.00116	si
1289	4.85	53.065	3.625	2163	7.365	0.000227	SLO 6	-0.00041	-0.00049	-0.00093	-0.00116	si
1289	4.85	53.065	3.625	2163	7.365	0.000129	SLO 7	-0.00001	0.00038	-0.00003	0.00086	si
1289	4.85	53.065	3.625	2163	7.365	0.000129	SLO 8	-0.00001	0.00038	-0.00003	0.00086	si
1289	4.85	53.065	3.625	2163	7.365	0.000149	SLO 9	-0.00011	-0.00038	-0.00028	-0.00091	si
1289	4.85	53.065	3.625	2163	7.365	0.000149	SLO 10	-0.00011	-0.00038	-0.00028	-0.00091	si
1289	4.85	53.065	3.625	2163	7.365	0.000188	SLO 11	0.00003	0.00048	0.00063	0.00111	si
1289	4.85	53.065	3.625	2163	7.365	0.000188	SLO 12	0.00003	0.00048	0.00063	0.00111	si
1289	4.85	53.065	3.625	2163	7.365	0.000109	SLO 13	0.00004	0.00005	0.00008	0.00009	si
1289	4.85	53.065	3.625	2163	7.365	0.000109	SLO 14	0.00004	0.00005	0.00008	0.00009	si
1289	4.85	53.065	3.625	2163	7.365	0.000181	SLO 15	0.00052	0.00031	0.00107	0.00071	si
1289	4.85	53.065	3.625	2163	7.365	0.000181	SLO 16	0.00052	0.00031	0.00107	0.00071	si
1292	7.3	53.065	3.625	2166	7.365	0.000233	SLO 1	-0.00063	-0.00029	-0.00137	-0.00074	si
1292	7.3	53.065	3.625	2166	7.365	0.000233	SLO 2	-0.00063	-0.00029	-0.00137	-0.00074	si
1292	7.3	53.065	3.625	2166	7.365	0.000162	SLO 3	-0.00051	-0.00005	-0.00111	-0.00014	si
1292	7.3	53.065	3.625	2166	7.365	0.000162	SLO 4	-0.00051	-0.00005	-0.00111	-0.00014	si
1292	7.3	53.065	3.625	2166	7.365	0.000231	SLO 5	-0.00041	-0.00045	-0.00093	-0.00114	si
1292	7.3	53.065	3.625	2166	7.365	0.000231	SLO 6	-0.00041	-0.00045	-0.00093	-0.00114	si
1292	7.3	53.065	3.625	2166	7.365	0.000128	SLO 7	0	0.00035	-0.00002	0.00083	si
1292	7.3	53.065	3.625	2166	7.365	0.000128	SLO 8	0	0.00035	-0.00002	0.00083	si
1292	7.3	53.065	3.625	2166	7.365	0.000153	SLO 9	-0.00011	-0.00035	-0.00027	-0.00009	si
1292	7.3	53.065	3.625	2166	7.365	0.000153	SLO 10	-0.00011	-0.00035	-0.00027	-0.00009	si
1292	7.3	53.065	3.625	2166	7.365	0.000188	SLO 11	0.00003	0.00046	0.00063	0.00108	si
1292	7.3	53.065	3.625	2166	7.365	0.000188	SLO 12	0.00003	0.00046	0.00063	0.00108	si
1292	7.3	53.065	3.625	2166	7.365	0.00011	SLO 13	0.00039	0.00005	0.00008	0.00008	si
1292	7.3	53.065	3.625	2166	7.365	0.00011	SLO 14	0.00039	0.00005	0.00008	0.00008	si
1292	7.3	53.065	3.625	2166	7.365	0.000181	SLO 15	0.00052	0.00029	0.00108	0.00067	si
1292	7.3	53.065	3.625	2166	7.365	0.000181	SLO 16	0.00052	0.00029	0.00108	0.00067	si

4.2 Verifica effetti secondo ordine

Quota inf.: Quota inferiore esprimibile come livello, falda, piano orizzontale alla Z specificata, espressa con notazione breve. esprimibile come livello, falda, piano orizzontale alla Z specificata. [m]

Quota sup.: Quota superiore esprimibile come livello, falda, piano orizzontale alla Z specificata, espressa con notazione breve. esprimibile come livello, falda, piano orizzontale alla Z specificata. [m]

Comb.: Combinazione.

n.b.: Nome breve o compatto della combinazione di carico.

Carico verticale: Carico verticale. [kN]

Spostamento: Spostamento medio di interpiano. [m]

Forza orizzontale totale: Forza orizzontale totale. [kN]

Altezza del piano: Altezza del piano. [m]

Theta: Coefficiente Theta formula (7.3.2) § 7.3.1 NTC 2008. Il valore è adimensionale.

Quota inf.	Quota sup.	Comb.	Carico verticale	Spostamento	Forza orizzontale totale	Altezza del piano	Theta
		n.b.					
L1	L3	SLV 1	6020.43	0.00307	1241.73	4.85	0.003
L1	L3	SLV 2	6020.43	0.00307	1241.73	4.85	0.003
L1	L3	SLV 3	6088.02	0.00202	1211.76	4.85	0.002
L1	L3	SLV 4	6088.02	0.00202	1211.76	4.85	0.002
L1	L3	SLV 5	5863.86	0.00304	1506.65	4.85	0.002
L1	L3	SLV 6	5863.86	0.00304	1506.65	4.85	0.002
L1	L3	SLV 7	6089.17	0.00193	1482.06	4.85	0.002
L1	L3	SLV 8	6089.17	0.00193	1482.06	4.85	0.002
L1	L3	SLV 9	5797.25	0.00196	1482.06	4.85	0.002
L1	L3	SLV 10	5797.25	0.00196	1482.06	4.85	0.002
L1	L3	SLV 11	6022.56	0.00298	1506.65	4.85	0.002
L1	L3	SLV 12	6022.56	0.00298	1506.65	4.85	0.002
L1	L3	SLV 13	5798.39	0.00194	1211.76	4.85	0.002
L1	L3	SLV 14	5798.39	0.00194	1211.76	4.85	0.002
L1	L3	SLV 15	5865.99	0.00299	1241.73	4.85	0.003
L1	L3	SLV 16	5865.99	0.00299	1241.73	4.85	0.003
L3	L4	SLV 1	1322.84	0.00354	480.61	3.74	0.003
L3	L4	SLV 2	1322.84	0.00354	480.61	3.74	0.003
L3	L4	SLV 3	1333.1	0.00218	501.09	3.74	0.002
L3	L4	SLV 4	1333.1	0.00218	501.09	3.74	0.002
L3	L4	SLV 5	1310.12	0.00378	566.42	3.74	0.002
L3	L4	SLV 6	1310.12	0.00378	566.42	3.74	0.002
L3	L4	SLV 7	1344.3	0.00249	583.9	3.74	0.002
L3	L4	SLV 8	1344.3	0.00249	583.9	3.74	0.002
L3	L4	SLV 9	1309.47	0.00255	583.9	3.74	0.002
L3	L4	SLV 10	1309.47	0.00255	583.9	3.74	0.002
L3	L4	SLV 11	1343.65	0.00369	566.42	3.74	0.002
L3	L4	SLV 12	1343.65	0.00369	566.42	3.74	0.002

Quota inf.	Quota sup.	Comb.	Carico verticale	Spostamento	Forza orizzontale totale	Altezza del piano	Theta
		n.b.					
L3	L4	SLV 13	1320.67	0.00204	501.09	3.74	0.001
L3	L4	SLV 14	1320.67	0.00204	501.09	3.74	0.001
L3	L4	SLV 15	1330.93	0.00341	480.61	3.74	0.003
L3	L4	SLV 16	1330.93	0.00341	480.61	3.74	0.003

4.3 Tagli ai livelli

Livello: Livello rispetto a cui è calcolato il taglio.

Nome: Nome completo del livello.

Cont.: Contesto nel quale viene valutato il taglio.

n.br.: Nome breve della condizione o combinazione di carico.

Totale: Totale del taglio al livello.

F: Forza del taglio. [kN]

X: Componente lungo l'asse X globale. [kN]

Y: Componente lungo l'asse Y globale. [kN]

Z: Componente lungo l'asse Z globale. [kN]

Aste verticali: Contributo al taglio totale dato dalle aste verticali.

F: Forza del taglio. [kN]

X: Componente lungo l'asse X globale. [kN]

Y: Componente lungo l'asse Y globale. [kN]

Z: Componente lungo l'asse Z globale. [kN]

Pareti: Contributo al taglio totale dato dalle pareti e piastre generiche verticali.

F: Forza del taglio. [kN]

X: Componente lungo l'asse X globale. [kN]

Y: Componente lungo l'asse Y globale. [kN]

Z: Componente lungo l'asse Z globale. [kN]

Livello	Cont.	Totale			Aste verticali			Pareti		
		F			F			F		
Nome	n.br.	X	Y	Z	X	Y	Z	X	Y	Z
Fondazione -100	Pesi	0	0	-8598.24	0	0	0	0	0	-8598.24
Fondazione -100	Port.	0	0	-989.55	0	0	0	0	0	-989.55
Fondazione -100	Variabile C	0	0	-829.78	0	0	0	0	0	-829.78
Fondazione -100	Neve	0	0	-355.8	0	0	0	0	0	-355.8
Fondazione -100	Variabile H	0	0	-136.81	0	0	0	0	0	-136.81
Fondazione -100	X SLV	1711.38	99.14	202.18	0	0	0	1711.38	99.14	202.18
Fondazione -100	Y SLV	108.25	1752.17	-376.42	0	0	0	108.25	1752.17	-376.42
Fondazione -100	X SLD	742.8	40.71	88.05	0	0	0	742.8	40.71	88.05
Fondazione -100	Y SLD	45.91	767.62	-168.41	0	0	0	45.91	767.62	-168.41
Fondazione -100	X SLO	875.17	46.59	104.47	0	0	0	875.17	46.59	104.47
Fondazione -100	Y SLO	52.96	898.54	-200.75	0	0	0	52.96	898.54	-200.75
Fondazione -100	R Ux	0.01	0	0	0	0	0	0.01	0	0
Fondazione -100	R Uy	0	0.01	0	0	0	0	0	0.01	0
Fondazione -100	R Rz	0	0	0	0	0	0	0	0	0
Fondazione -100	SLU 1	0	0	-9389.88	0	0	0	0	0	-9389.88
Fondazione -100	SLU 2	0	0	-9595.1	0	0	0	0	0	-9595.1
Fondazione -100	SLU 3	0	0	-9861.96	0	0	0	0	0	-9861.96
Fondazione -100	SLU 4	0	0	-9923.59	0	0	0	0	0	-9923.59
Fondazione -100	SLU 5	0	0	-10466.37	0	0	0	0	0	-10466.37
Fondazione -100	SLU 6	0	0	-10733.22	0	0	0	0	0	-10733.22
Fondazione -100	SLU 7	0	0	-10794.86	0	0	0	0	0	-10794.86
Fondazione -100	SLU 8	0	0	-10634.55	0	0	0	0	0	-10634.55
Fondazione -100	SLU 9	0	0	-10901.4	0	0	0	0	0	-10901.4
Fondazione -100	SLU 10	0	0	-10082.57	0	0	0	0	0	-10082.57
Fondazione -100	SLU 11	0	0	-10287.79	0	0	0	0	0	-10287.79
Fondazione -100	SLU 12	0	0	-10554.64	0	0	0	0	0	-10554.64
Fondazione -100	SLU 13	0	0	-10616.27	0	0	0	0	0	-10616.27
Fondazione -100	SLU 14	0	0	-11159.06	0	0	0	0	0	-11159.06
Fondazione -100	SLU 15	0	0	-11425.91	0	0	0	0	0	-11425.91
Fondazione -100	SLU 16	0	0	-11487.54	0	0	0	0	0	-11487.54
Fondazione -100	SLU 17	0	0	-11327.24	0	0	0	0	0	-11327.24
Fondazione -100	SLU 18	0	0	-11594.09	0	0	0	0	0	-11594.09
Fondazione -100	SLU 19	0	0	-11969.35	0	0	0	0	0	-11969.35
Fondazione -100	SLU 20	0	0	-12174.57	0	0	0	0	0	-12174.57
Fondazione -100	SLU 21	0	0	-12441.43	0	0	0	0	0	-12441.43
Fondazione -100	SLU 22	0	0	-12503.06	0	0	0	0	0	-12503.06
Fondazione -100	SLU 23	0	0	-13045.84	0	0	0	0	0	-13045.84
Fondazione -100	SLU 24	0	0	-13312.7	0	0	0	0	0	-13312.7
Fondazione -100	SLU 25	0	0	-13374.33	0	0	0	0	0	-13374.33
Fondazione -100	SLU 26	0	0	-13214.02	0	0	0	0	0	-13214.02
Fondazione -100	SLU 27	0	0	-13480.88	0	0	0	0	0	-13480.88
Fondazione -100	SLU 28	0	0	-12662.04	0	0	0	0	0	-12662.04
Fondazione -100	SLU 29	0	0	-12867.26	0	0	0	0	0	-12867.26
Fondazione -100	SLU 30	0	0	-13134.11	0	0	0	0	0	-13134.11
Fondazione -100	SLU 31	0	0	-13195.75	0	0	0	0	0	-13195.75
Fondazione -100	SLU 32	0	0	-13738.53	0	0	0	0	0	-13738.53
Fondazione -100	SLU 33	0	0	-14005.38	0	0	0	0	0	-14005.38
Fondazione -100	SLU 34	0	0	-14067.01	0	0	0	0	0	-14067.01
Fondazione -100	SLU 35	0	0	-13906.71	0	0	0	0	0	-13906.71
Fondazione -100	SLU 36	0	0	-14173.56	0	0	0	0	0	-14173.56
Fondazione -100	SLE RA 1	0	0	-9587.79	0	0	0	0	0	-9587.79
Fondazione -100	SLE RA 2	0	0	-9724.61	0	0	0	0	0	-9724.61
Fondazione -100	SLE RA 3	0	0	-9902.51	0	0	0	0	0	-9902.51
Fondazione -100	SLE RA 4	0	0	-9943.6	0	0	0	0	0	-9943.6
Fondazione -100	SLE RA 5	0	0	-10305.45	0	0	0	0	0	-10305.45
Fondazione -100	SLE RA 6	0	0	-10483.35	0	0	0	0	0	-10483.35
Fondazione -100	SLE RA 7	0	0	-10524.44	0	0	0	0	0	-10524.44
Fondazione -100	SLE RA 8	0	0	-10417.57	0	0	0	0	0	-10417.57
Fondazione -100	SLE RA 9	0	0	-10595.47	0	0	0	0	0	-10595.47
Fondazione -100	SLE FR 1	0	0	-9587.79	0	0	0	0	0	-9587.79
Fondazione -100	SLE FR 2	0	0	-9658.95	0	0	0	0	0	-9658.95

Livello	Cont.	Totale			Aste verticali			Pareti		
		Nome	n.br.	F	X	Y	Z	X	Y	Z
Fondazione -100	SLE FR 3	0	0	-10156.82	0	0	0	0	0	-10156.82
Fondazione -100	SLE FR 4	0	0	-10168.64	0	0	0	0	0	-10168.64
Fondazione -100	SLE QP 1	0	0	-9587.79	0	0	0	0	0	-9587.79
Fondazione -100	SLE QP 2	0	0	-10085.66	0	0	0	0	0	-10085.66
Fondazione -100	SLO 1	-891.06	-316.15	-10129.9	0	0	0	-891.06	-316.15	-10129.9
Fondazione -100	SLO 2	-891.06	-316.15	-10129.9	0	0	0	-891.06	-316.15	-10129.9
Fondazione -100	SLO 3	-859.28	222.98	-10250.35	0	0	0	-859.28	222.98	-10250.35
Fondazione -100	SLO 4	-859.28	222.98	-10250.35	0	0	0	-859.28	222.98	-10250.35
Fondazione -100	SLO 5	-315.51	-912.52	-9916.25	0	0	0	-315.51	-912.52	-9916.25
Fondazione -100	SLO 6	-315.51	-912.52	-9916.25	0	0	0	-315.51	-912.52	-9916.25
Fondazione -100	SLO 7	-209.59	884.57	-10317.75	0	0	0	-209.59	884.57	-10317.75
Fondazione -100	SLO 8	-209.59	884.57	-10317.75	0	0	0	-209.59	884.57	-10317.75
Fondazione -100	SLO 9	209.59	-884.57	-9853.56	0	0	0	209.59	-884.57	-9853.56
Fondazione -100	SLO 10	209.59	-884.57	-9853.56	0	0	0	209.59	-884.57	-9853.56
Fondazione -100	SLO 11	315.51	912.52	-10255.07	0	0	0	315.51	912.52	-10255.07
Fondazione -100	SLO 12	315.51	912.52	-10255.07	0	0	0	315.51	912.52	-10255.07
Fondazione -100	SLO 13	859.28	-222.98	-9920.96	0	0	0	859.28	-222.98	-9920.96
Fondazione -100	SLO 14	859.28	-222.98	-9920.96	0	0	0	859.28	-222.98	-9920.96
Fondazione -100	SLO 15	891.06	316.15	-10041.42	0	0	0	891.06	316.15	-10041.42
Fondazione -100	SLO 16	891.06	316.15	-10041.42	0	0	0	891.06	316.15	-10041.42
Fondazione -100	SLD 1	-756.57	-271	-10123.19	0	0	0	-756.57	-271	-10123.19
Fondazione -100	SLD 2	-756.57	-271	-10123.19	0	0	0	-756.57	-271	-10123.19
Fondazione -100	SLD 3	-729.03	189.57	-10224.23	0	0	0	-729.03	189.57	-10224.23
Fondazione -100	SLD 4	-729.03	189.57	-10224.23	0	0	0	-729.03	189.57	-10224.23
Fondazione -100	SLD 5	-268.75	-779.83	-9943.66	0	0	0	-268.75	-779.83	-9943.66
Fondazione -100	SLD 6	-268.75	-779.83	-9943.66	0	0	0	-268.75	-779.83	-9943.66
Fondazione -100	SLD 7	-176.93	755.4	-10280.48	0	0	0	-176.93	755.4	-10280.48
Fondazione -100	SLD 8	-176.93	755.4	-10280.48	0	0	0	-176.93	755.4	-10280.48
Fondazione -100	SLD 9	176.93	-755.4	-9890.83	0	0	0	176.93	-755.4	-9890.83
Fondazione -100	SLD 10	176.93	-755.4	-9890.83	0	0	0	176.93	-755.4	-9890.83
Fondazione -100	SLD 11	268.75	779.83	-10227.65	0	0	0	268.75	779.83	-10227.65
Fondazione -100	SLD 12	268.75	779.83	-10227.65	0	0	0	268.75	779.83	-10227.65
Fondazione -100	SLD 13	729.03	-189.57	-9947.09	0	0	0	729.03	-189.57	-9947.09
Fondazione -100	SLD 14	729.03	-189.57	-9947.09	0	0	0	729.03	-189.57	-9947.09
Fondazione -100	SLD 15	756.57	271	-10048.13	0	0	0	756.57	271	-10048.13
Fondazione -100	SLD 16	756.57	271	-10048.13	0	0	0	756.57	271	-10048.13
Fondazione -100	SLV 1	-1743.86	-624.79	-10174.92	0	0	0	-1743.86	-624.79	-10174.92
Fondazione -100	SLV 2	-1743.86	-624.79	-10174.92	0	0	0	-1743.86	-624.79	-10174.92
Fondazione -100	SLV 3	-1678.91	426.51	-10400.77	0	0	0	-1678.91	426.51	-10400.77
Fondazione -100	SLV 4	-1678.91	426.51	-10400.77	0	0	0	-1678.91	426.51	-10400.77
Fondazione -100	SLV 5	-621.67	-1781.91	-9769.89	0	0	0	-621.67	-1781.91	-9769.89
Fondazione -100	SLV 6	-621.67	-1781.91	-9769.89	0	0	0	-621.67	-1781.91	-9769.89
Fondazione -100	SLV 7	-405.16	1722.43	-10522.73	0	0	0	-405.16	1722.43	-10522.73
Fondazione -100	SLV 8	-405.16	1722.43	-10522.73	0	0	0	-405.16	1722.43	-10522.73
Fondazione -100	SLV 9	405.16	-1722.43	-9648.58	0	0	0	405.16	-1722.43	-9648.58
Fondazione -100	SLV 10	405.16	-1722.43	-9648.58	0	0	0	405.16	-1722.43	-9648.58
Fondazione -100	SLV 11	621.67	1781.91	-10401.42	0	0	0	621.67	1781.91	-10401.42
Fondazione -100	SLV 12	621.67	1781.91	-10401.42	0	0	0	621.67	1781.91	-10401.42
Fondazione -100	SLV 13	1678.91	-426.51	-9770.55	0	0	0	1678.91	-426.51	-9770.55
Fondazione -100	SLV 14	1678.91	-426.51	-9770.55	0	0	0	1678.91	-426.51	-9770.55
Fondazione -100	SLV 15	1743.86	624.79	-9996.4	0	0	0	1743.86	624.79	-9996.4
Fondazione -100	SLV 16	1743.86	624.79	-9996.4	0	0	0	1743.86	624.79	-9996.4
Fondazione -100	CRTFP Ux+	0.01	0	0	0	0	0	0.01	0	0
Fondazione -100	CRTFP Ux-	-0.01	0	0	0	0	0	-0.01	0	0
Fondazione -100	CRTFP Uy+	0	0.01	0	0	0	0	0	0.01	0
Fondazione -100	CRTFP Uy-	0	-0.01	0	0	0	0	0	-0.01	0
Fondazione -100	CRTFP Rz+	0	0	0	0	0	0	0	0	0
Fondazione -100	CRTFP Rz-	0	0	0	0	0	0	0	0	0
Piano -10	Pesi	0	0	-7744.71	0	0	0	0	0	-7744.71
Piano -10	Port.	0	0	-989.55	0	0	0	0	0	-989.55
Piano -10	Variabile C	0	0	-829.78	0	0	0	0	0	-829.78
Piano -10	Neve	0	0	-355.8	0	0	0	0	0	-355.8
Piano -10	Variabile H	0	0	-136.81	0	0	0	0	0	-136.81
Piano -10	X SLV	1593.95	60	356.19	0	0	0	1593.95	60	356.19
Piano -10	Y SLV	57.31	1698.6	-321.71	0	0	0	57.31	1698.6	-321.71
Piano -10	X SLD	692.19	23.75	155.8	0	0	0	692.19	23.75	155.8
Piano -10	Y SLD	23.78	744.8	-143.81	0	0	0	23.78	744.8	-143.81
Piano -10	X SLO	818.5	26.96	185.11	0	0	0	818.5	26.96	185.11
Piano -10	Y SLO	27.47	875.47	-171.35	0	0	0	27.47	875.47	-171.35
Piano -10	R Ux	0.01	0	0	0	0	0	0.01	0	0
Piano -10	R Uy	0	0.01	0	0	0	0	0	0.01	0
Piano -10	R Rz	0	0	0	0	0	0	0	0	0
Piano -10	SLU 1	0	0	-8536.35	0	0	0	0	0	-8536.35
Piano -10	SLU 2	0	0	-8741.57	0	0	0	0	0	-8741.57
Piano -10	SLU 3	0	0	-9008.43	0	0	0	0	0	-9008.43
Piano -10	SLU 4	0	0	-9070.06	0	0	0	0	0	-9070.06
Piano -10	SLU 5	0	0	-9612.84	0	0	0	0	0	-9612.84
Piano -10	SLU 6	0	0	-9879.7	0	0	0	0	0	-9879.7
Piano -10	SLU 7	0	0	-9941.33	0	0	0	0	0	-9941.33
Piano -10	SLU 8	0	0	-9781.02	0	0	0	0	0	-9781.02
Piano -10	SLU 9	0	0	-10047.87	0	0	0	0	0	-10047.87
Piano -10	SLU 10	0	0	-9229.04	0	0	0	0	0	-9229.04
Piano -10	SLU 11	0	0	-9434.26	0	0	0	0	0	-9434.26
Piano -10	SLU 12	0	0	-9701.11	0	0	0	0	0	-9701.11
Piano -10	SLU 13	0	0	-9762.74	0	0	0	0	0	-9762.74
Piano -10	SLU 14	0	0	-10305.53	0	0	0	0	0	-10305.53
Piano -10	SLU 15	0	0	-10572.38	0	0	0	0	0	-10572.38
Piano -10	SLU 16	0	0	-10634.01	0	0	0	0	0	-10634.01
Piano -10	SLU 17	0	0	-10473.71	0	0	0	0	0	-10473.71
Piano -10	SLU 18	0	0	-10740.56	0	0	0	0	0	-10740.56
Piano -10	SLU 19	0	0	-10859.76	0	0	0	0	0	-10859.76
Piano -10	SLU 20	0	0	-11064.99	0	0	0	0	0	-11064.99
Piano -10	SLU 21	0	0	-11331.84	0	0	0	0	0	-11331.84
Piano -10	SLU 22	0	0	-11393.47	0	0	0	0	0	-11393.47
Piano -10	SLU 23	0	0	-11936.26	0	0	0	0	0	-11936.26
Piano -10	SLU 24	0	0	-12203.11	0	0	0	0	0	-12203.11
Piano -10	SLU 25	0	0	-12264.74	0	0	0	0	0	-12264.74
Piano -10	SLU 26	0	0	-12104.43	0	0	0	0	0	-12104.43
Piano -10	SLU 27	0	0	-12371.29	0	0	0	0	0	-12371.29

Livello	Cont.	Totale			Aste verticali			Pareti		
		F			F			F		
Nome	n.br.	X	Y	Z	X	Y	Z	X	Y	Z
Piano -10	SLU 28	0	0	-11552.45	0	0	0	0	0	-11552.45
Piano -10	SLU 29	0	0	-11757.67	0	0	0	0	0	-11757.67
Piano -10	SLU 30	0	0	-12024.53	0	0	0	0	0	-12024.53
Piano -10	SLU 31	0	0	-12086.16	0	0	0	0	0	-12086.16
Piano -10	SLU 32	0	0	-12628.94	0	0	0	0	0	-12628.94
Piano -10	SLU 33	0	0	-12895.79	0	0	0	0	0	-12895.79
Piano -10	SLU 34	0	0	-12957.43	0	0	0	0	0	-12957.43
Piano -10	SLU 35	0	0	-12797.12	0	0	0	0	0	-12797.12
Piano -10	SLU 36	0	0	-13063.97	0	0	0	0	0	-13063.97
Piano -10	SLE RA 1	0	0	-8734.26	0	0	0	0	0	-8734.26
Piano -10	SLE RA 2	0	0	-8871.08	0	0	0	0	0	-8871.08
Piano -10	SLE RA 3	0	0	-9048.98	0	0	0	0	0	-9048.98
Piano -10	SLE RA 4	0	0	-9090.07	0	0	0	0	0	-9090.07
Piano -10	SLE RA 5	0	0	-9451.92	0	0	0	0	0	-9451.92
Piano -10	SLE RA 6	0	0	-9629.82	0	0	0	0	0	-9629.82
Piano -10	SLE RA 7	0	0	-9670.91	0	0	0	0	0	-9670.91
Piano -10	SLE RA 8	0	0	-9564.04	0	0	0	0	0	-9564.04
Piano -10	SLE RA 9	0	0	-9741.94	0	0	0	0	0	-9741.94
Piano -10	SLE FR 1	0	0	-8734.26	0	0	0	0	0	-8734.26
Piano -10	SLE FR 2	0	0	-8805.42	0	0	0	0	0	-8805.42
Piano -10	SLE FR 3	0	0	-9303.29	0	0	0	0	0	-9303.29
Piano -10	SLE FR 4	0	0	-9315.11	0	0	0	0	0	-9315.11
Piano -10	SLE QP 1	0	0	-8734.26	0	0	0	0	0	-8734.26
Piano -10	SLE QP 2	0	0	-9232.13	0	0	0	0	0	-9232.13
Piano -10	SLO 1	-826.74	-289.6	-9365.84	0	0	0	-826.74	-289.6	-9365.84
Piano -10	SLO 2	-826.74	-289.6	-9365.84	0	0	0	-826.74	-289.6	-9365.84
Piano -10	SLO 3	-810.25	235.68	-9468.65	0	0	0	-810.25	235.68	-9468.65
Piano -10	SLO 4	-810.25	235.68	-9468.65	0	0	0	-810.25	235.68	-9468.65
Piano -10	SLO 5	-273.02	-883.55	-9116.31	0	0	0	-273.02	-883.55	-9116.31
Piano -10	SLO 6	-273.02	-883.55	-9116.31	0	0	0	-273.02	-883.55	-9116.31
Piano -10	SLO 7	-218.08	867.38	-9459.02	0	0	0	-218.08	867.38	-9459.02
Piano -10	SLO 8	-218.08	867.38	-9459.02	0	0	0	-218.08	867.38	-9459.02
Piano -10	SLO 9	218.08	-867.38	-9005.24	0	0	0	218.08	-867.38	-9005.24
Piano -10	SLO 10	218.08	-867.38	-9005.24	0	0	0	218.08	-867.38	-9005.24
Piano -10	SLO 11	273.02	883.55	-9347.95	0	0	0	273.02	883.55	-9347.95
Piano -10	SLO 12	273.02	883.55	-9347.95	0	0	0	273.02	883.55	-9347.95
Piano -10	SLO 13	810.25	-235.68	-8995.61	0	0	0	810.25	-235.68	-8995.61
Piano -10	SLO 14	810.25	-235.68	-8995.61	0	0	0	810.25	-235.68	-8995.61
Piano -10	SLO 15	826.74	289.6	-9098.42	0	0	0	826.74	289.6	-9098.42
Piano -10	SLO 16	826.74	289.6	-9098.42	0	0	0	826.74	289.6	-9098.42
Piano -10	SLD 1	-699.33	-247.19	-9344.79	0	0	0	-699.33	-247.19	-9344.79
Piano -10	SLD 2	-699.33	-247.19	-9344.79	0	0	0	-699.33	-247.19	-9344.79
Piano -10	SLD 3	-685.06	199.69	-9431.08	0	0	0	-685.06	199.69	-9431.08
Piano -10	SLD 4	-685.06	199.69	-9431.08	0	0	0	-685.06	199.69	-9431.08
Piano -10	SLD 5	-231.44	-751.92	-9135.06	0	0	0	-231.44	-751.92	-9135.06
Piano -10	SLD 6	-231.44	-751.92	-9135.06	0	0	0	-231.44	-751.92	-9135.06
Piano -10	SLD 7	-183.88	737.67	-9422.68	0	0	0	-183.88	737.67	-9422.68
Piano -10	SLD 8	-183.88	737.67	-9422.68	0	0	0	-183.88	737.67	-9422.68
Piano -10	SLD 9	183.88	-737.67	-9041.58	0	0	0	183.88	-737.67	-9041.58
Piano -10	SLD 10	183.88	-737.67	-9041.58	0	0	0	183.88	-737.67	-9041.58
Piano -10	SLD 11	231.44	751.92	-9329.2	0	0	0	231.44	751.92	-9329.2
Piano -10	SLD 12	231.44	751.92	-9329.2	0	0	0	231.44	751.92	-9329.2
Piano -10	SLD 13	685.06	-199.69	-9033.18	0	0	0	685.06	-199.69	-9033.18
Piano -10	SLD 14	685.06	-199.69	-9033.18	0	0	0	685.06	-199.69	-9033.18
Piano -10	SLD 15	699.33	247.19	-9119.47	0	0	0	699.33	247.19	-9119.47
Piano -10	SLD 16	699.33	247.19	-9119.47	0	0	0	699.33	247.19	-9119.47
Piano -10	SLV 1	-1611.14	-569.59	-9491.81	0	0	0	-1611.14	-569.59	-9491.81
Piano -10	SLV 2	-1611.14	-569.59	-9491.81	0	0	0	-1611.14	-569.59	-9491.81
Piano -10	SLV 3	-1576.76	449.58	-9684.83	0	0	0	-1576.76	449.58	-9684.83
Piano -10	SLV 4	-1576.76	449.58	-9684.83	0	0	0	-1576.76	449.58	-9684.83
Piano -10	SLV 5	-535.49	-1716.61	-9017.28	0	0	0	-535.49	-1716.61	-9017.28
Piano -10	SLV 6	-535.49	-1716.61	-9017.28	0	0	0	-535.49	-1716.61	-9017.28
Piano -10	SLV 7	-420.88	1680.6	-9660.7	0	0	0	-420.88	1680.6	-9660.7
Piano -10	SLV 8	-420.88	1680.6	-9660.7	0	0	0	-420.88	1680.6	-9660.7
Piano -10	SLV 9	420.88	-1680.6	-8803.56	0	0	0	420.88	-1680.6	-8803.56
Piano -10	SLV 10	420.88	-1680.6	-8803.56	0	0	0	420.88	-1680.6	-8803.56
Piano -10	SLV 11	535.49	1716.61	-9446.98	0	0	0	535.49	1716.61	-9446.98
Piano -10	SLV 12	535.49	1716.61	-9446.98	0	0	0	535.49	1716.61	-9446.98
Piano -10	SLV 13	1576.76	-449.58	-8779.43	0	0	0	1576.76	-449.58	-8779.43
Piano -10	SLV 14	1576.76	-449.58	-8779.43	0	0	0	1576.76	-449.58	-8779.43
Piano -10	SLV 15	1611.14	569.59	-8972.45	0	0	0	1611.14	569.59	-8972.45
Piano -10	SLV 16	1611.14	569.59	-8972.45	0	0	0	1611.14	569.59	-8972.45
Piano -10	CRTFP Ux+	0.01	0	0	0	0	0	0.01	0	0
Piano -10	CRTFP Ux-	-0.01	0	0	0	0	0	-0.01	0	0
Piano -10	CRTFP Uy+	0	0.01	0	0	0	0	0	0.01	0
Piano -10	CRTFP Uy-	0	-0.01	0	0	0	0	0	-0.01	0
Piano -10	CRTFP Rz+	0	0	0	0	0	0	0	0	0
Piano -10	CRTFP Rz-	0	0	0	0	0	0	0	0	0
Piano 1	Pesi	0	0	-3704.26	0	0	0	0	0	-3704.26
Piano 1	Port.	0	0	-574.66	0	0	0	0	0	-574.66
Piano 1	Variabile C	0	0	0	0	0	0	0	0	0
Piano 1	Neve	0	0	-355.8	0	0	0	0	0	-355.8
Piano 1	Variabile H	0	0	-136.81	0	0	0	0	0	-136.81
Piano 1	X SLV	1134.35	-36.91	65.31	0	0	0	1134.35	-36.91	65.31
Piano 1	Y SLV	-8.74	1266.39	-53.44	0	0	0	-8.74	1266.39	-53.44
Piano 1	X SLD	493.2	-18.6	28.56	0	0	0	493.2	-18.6	28.56
Piano 1	Y SLD	-5.4	554.72	-24.45	0	0	0	-5.4	554.72	-24.45
Piano 1	X SLO	584.97	-22.08	34.16	0	0	0	584.97	-22.08	34.16
Piano 1	Y SLO	-6.6	658.7	-29.19	0	0	0	-6.6	658.7	-29.19
Piano 1	R Ux	0.01	0	0	0	0	0	0.01	0	0
Piano 1	R Uy	0	0.01	0	0	0	0	0	0.01	0
Piano 1	R Rz	0	0	0	0	0	0	0	0	0
Piano 1	SLU 1	0	0	-4163.98	0	0	0	0	0	-4163.98
Piano 1	SLU 2	0	0	-4369.21	0	0	0	0	0	-4369.21
Piano 1	SLU 3	0	0	-4636.06	0	0	0	0	0	-4636.06
Piano 1	SLU 4	0	0	-4697.69	0	0	0	0	0	-4697.69
Piano 1	SLU 5	0	0	-4369.21	0	0	0	0	0	-4369.21
Piano 1	SLU 6	0	0	-4636.06	0	0	0	0	0	-4636.06
Piano 1	SLU 7	0	0	-4697.69	0	0	0	0	0	-4697.69

Livello	Cont.	Totale			Aste verticali			Pareti		
		Nome	n.br.	F	X	Y	Z	X	Y	Z
Piano 1	SLU 8	0	0	-4163.98	0	0	0	0	0	-4163.98
Piano 1	SLU 9	0	0	-4430.84	0	0	0	0	0	-4430.84
Piano 1	SLU 10	0	0	-4566.25	0	0	0	0	0	-4566.25
Piano 1	SLU 11	0	0	-4771.47	0	0	0	0	0	-4771.47
Piano 1	SLU 12	0	0	-5038.32	0	0	0	0	0	-5038.32
Piano 1	SLU 13	0	0	-5099.96	0	0	0	0	0	-5099.96
Piano 1	SLU 14	0	0	-4771.47	0	0	0	0	0	-4771.47
Piano 1	SLU 15	0	0	-5038.32	0	0	0	0	0	-5038.32
Piano 1	SLU 16	0	0	-5099.96	0	0	0	0	0	-5099.96
Piano 1	SLU 17	0	0	-4566.25	0	0	0	0	0	-4566.25
Piano 1	SLU 18	0	0	-4833.1	0	0	0	0	0	-4833.1
Piano 1	SLU 19	0	0	-5275.26	0	0	0	0	0	-5275.26
Piano 1	SLU 20	0	0	-5480.48	0	0	0	0	0	-5480.48
Piano 1	SLU 21	0	0	-5747.34	0	0	0	0	0	-5747.34
Piano 1	SLU 22	0	0	-5808.97	0	0	0	0	0	-5808.97
Piano 1	SLU 23	0	0	-5480.48	0	0	0	0	0	-5480.48
Piano 1	SLU 24	0	0	-5747.34	0	0	0	0	0	-5747.34
Piano 1	SLU 25	0	0	-5808.97	0	0	0	0	0	-5808.97
Piano 1	SLU 26	0	0	-5275.26	0	0	0	0	0	-5275.26
Piano 1	SLU 27	0	0	-5542.12	0	0	0	0	0	-5542.12
Piano 1	SLU 28	0	0	-5677.52	0	0	0	0	0	-5677.52
Piano 1	SLU 29	0	0	-5882.75	0	0	0	0	0	-5882.75
Piano 1	SLU 30	0	0	-6149.6	0	0	0	0	0	-6149.6
Piano 1	SLU 31	0	0	-6211.23	0	0	0	0	0	-6211.23
Piano 1	SLU 32	0	0	-5882.75	0	0	0	0	0	-5882.75
Piano 1	SLU 33	0	0	-6149.6	0	0	0	0	0	-6149.6
Piano 1	SLU 34	0	0	-6211.23	0	0	0	0	0	-6211.23
Piano 1	SLU 35	0	0	-5677.52	0	0	0	0	0	-5677.52
Piano 1	SLU 36	0	0	-5944.38	0	0	0	0	0	-5944.38
Piano 1	SLE RA 1	0	0	-4278.92	0	0	0	0	0	-4278.92
Piano 1	SLE RA 2	0	0	-4415.73	0	0	0	0	0	-4415.73
Piano 1	SLE RA 3	0	0	-4593.63	0	0	0	0	0	-4593.63
Piano 1	SLE RA 4	0	0	-4634.72	0	0	0	0	0	-4634.72
Piano 1	SLE RA 5	0	0	-4415.73	0	0	0	0	0	-4415.73
Piano 1	SLE RA 6	0	0	-4593.63	0	0	0	0	0	-4593.63
Piano 1	SLE RA 7	0	0	-4634.72	0	0	0	0	0	-4634.72
Piano 1	SLE RA 8	0	0	-4278.92	0	0	0	0	0	-4278.92
Piano 1	SLE RA 9	0	0	-4456.82	0	0	0	0	0	-4456.82
Piano 1	SLE FR 1	0	0	-4278.92	0	0	0	0	0	-4278.92
Piano 1	SLE FR 2	0	0	-4350.08	0	0	0	0	0	-4350.08
Piano 1	SLE FR 3	0	0	-4350.08	0	0	0	0	0	-4350.08
Piano 1	SLE FR 4	0	0	-4278.92	0	0	0	0	0	-4278.92
Piano 1	SLE QP 1	0	0	-4278.92	0	0	0	0	0	-4278.92
Piano 1	SLE QP 2	0	0	-4278.92	0	0	0	0	0	-4278.92
Piano 1	SLO 1	-582.99	-175.53	-4304.32	0	0	0	-582.99	-175.53	-4304.32
Piano 1	SLO 2	-582.99	-175.53	-4304.32	0	0	0	-582.99	-175.53	-4304.32
Piano 1	SLO 3	-586.95	219.69	-4321.84	0	0	0	-586.95	219.69	-4321.84
Piano 1	SLO 4	-586.95	219.69	-4321.84	0	0	0	-586.95	219.69	-4321.84
Piano 1	SLO 5	-168.9	-652.08	-4259.97	0	0	0	-168.9	-652.08	-4259.97
Piano 1	SLO 6	-168.9	-652.08	-4259.97	0	0	0	-168.9	-652.08	-4259.97
Piano 1	SLO 7	-182.09	665.33	-4318.36	0	0	0	-182.09	665.33	-4318.36
Piano 1	SLO 8	-182.09	665.33	-4318.36	0	0	0	-182.09	665.33	-4318.36
Piano 1	SLO 9	182.09	-665.33	-4239.47	0	0	0	182.09	-665.33	-4239.47
Piano 1	SLO 10	182.09	-665.33	-4239.47	0	0	0	182.09	-665.33	-4239.47
Piano 1	SLO 11	168.9	652.08	-4297.86	0	0	0	168.9	652.08	-4297.86
Piano 1	SLO 12	168.9	652.08	-4297.86	0	0	0	168.9	652.08	-4297.86
Piano 1	SLO 13	586.95	-219.69	-4235.99	0	0	0	586.95	-219.69	-4235.99
Piano 1	SLO 14	586.95	-219.69	-4235.99	0	0	0	586.95	-219.69	-4235.99
Piano 1	SLO 15	582.99	175.53	-4253.51	0	0	0	582.99	175.53	-4253.51
Piano 1	SLO 16	582.99	175.53	-4253.51	0	0	0	582.99	175.53	-4253.51
Piano 1	SLD 1	-491.58	-147.82	-4300.14	0	0	0	-491.58	-147.82	-4300.14
Piano 1	SLD 2	-491.58	-147.82	-4300.14	0	0	0	-491.58	-147.82	-4300.14
Piano 1	SLD 3	-494.82	185.01	-4314.81	0	0	0	-494.82	185.01	-4314.81
Piano 1	SLD 4	-494.82	185.01	-4314.81	0	0	0	-494.82	185.01	-4314.81
Piano 1	SLD 5	-142.56	-549.14	-4263.03	0	0	0	-142.56	-549.14	-4263.03
Piano 1	SLD 6	-142.56	-549.14	-4263.03	0	0	0	-142.56	-549.14	-4263.03
Piano 1	SLD 7	-153.36	560.3	-4311.94	0	0	0	-153.36	560.3	-4311.94
Piano 1	SLD 8	-153.36	560.3	-4311.94	0	0	0	-153.36	560.3	-4311.94
Piano 1	SLD 9	153.36	-560.3	-4245.89	0	0	0	153.36	-560.3	-4245.89
Piano 1	SLD 10	153.36	-560.3	-4245.89	0	0	0	153.36	-560.3	-4245.89
Piano 1	SLD 11	142.56	549.14	-4294.8	0	0	0	142.56	549.14	-4294.8
Piano 1	SLD 12	142.56	549.14	-4294.8	0	0	0	142.56	549.14	-4294.8
Piano 1	SLD 13	494.82	-185.01	-4243.02	0	0	0	494.82	-185.01	-4243.02
Piano 1	SLD 14	494.82	-185.01	-4243.02	0	0	0	494.82	-185.01	-4243.02
Piano 1	SLD 15	491.58	147.82	-4257.69	0	0	0	491.58	147.82	-4257.69
Piano 1	SLD 16	491.58	147.82	-4257.69	0	0	0	491.58	147.82	-4257.69
Piano 1	SLV 1	-1131.73	-343	-4328.2	0	0	0	-1131.73	-343	-4328.2
Piano 1	SLV 2	-1131.73	-343	-4328.2	0	0	0	-1131.73	-343	-4328.2
Piano 1	SLV 3	-1136.98	416.83	-4360.26	0	0	0	-1136.98	416.83	-4360.26
Piano 1	SLV 4	-1136.98	416.83	-4360.26	0	0	0	-1136.98	416.83	-4360.26
Piano 1	SLV 5	-331.57	-1255.32	-4245.07	0	0	0	-331.57	-1255.32	-4245.07
Piano 1	SLV 6	-331.57	-1255.32	-4245.07	0	0	0	-331.57	-1255.32	-4245.07
Piano 1	SLV 7	-349.04	1277.47	-4351.96	0	0	0	-349.04	1277.47	-4351.96
Piano 1	SLV 8	-349.04	1277.47	-4351.96	0	0	0	-349.04	1277.47	-4351.96
Piano 1	SLV 9	349.04	-1277.47	-4205.88	0	0	0	349.04	-1277.47	-4205.88
Piano 1	SLV 10	349.04	-1277.47	-4205.88	0	0	0	349.04	-1277.47	-4205.88
Piano 1	SLV 11	331.57	1255.32	-4312.77	0	0	0	331.57	1255.32	-4312.77
Piano 1	SLV 12	331.57	1255.32	-4312.77	0	0	0	331.57	1255.32	-4312.77
Piano 1	SLV 13	1136.98	-416.83	-4197.57	0	0	0	1136.98	-416.83	-4197.57
Piano 1	SLV 14	1136.98	-416.83	-4197.57	0	0	0	1136.98	-416.83	-4197.57
Piano 1	SLV 15	1131.73	343	-4229.64	0	0	0	1131.73	343	-4229.64
Piano 1	SLV 16	1131.73	343	-4229.64	0	0	0	1131.73	343	-4229.64
Piano 1	CRTFP Ux+	0.01	0	0	0	0	0	0.01	0	0
Piano 1	CRTFP Ux-	-0.01	0	0	0	0	0	-0.01	0	0
Piano 1	CRTFP Uy+	0	0.01	0	0	0	0	0	0.01	0
Piano 1	CRTFP Uy-	0	-0.01	0	0	0	0	0	-0.01	0
Piano 1	CRTFP Rz+	0	0	0	0	0	0	0	0	0
Piano 1	CRTFP Rz-	0	0	0	0	0	0	0	0	0

4.4 Risposta modale

Modo: Identificativo del modo di vibrare.

Periodo: Periodo. [s]

Massa X: Massa partecipante in direzione globale X. Il valore è adimensionale.

Massa Y: Massa partecipante in direzione globale Y. Il valore è adimensionale.

Massa Z: Massa partecipante in direzione globale Z. Il valore è adimensionale.

Massa rot X: Massa rotazionale partecipante attorno la direzione globale X. Il valore è adimensionale.

Massa rot Y: Massa rotazionale partecipante attorno la direzione globale Y. Il valore è adimensionale.

Massa rot Z: Massa rotazionale partecipante attorno la direzione globale Z. Il valore è adimensionale.

Totale masse partecipanti:

Traslazione X: 0.938022

Traslazione Y: 0.905796

Traslazione Z: 0

Rotazione X: 0.957108

Rotazione Y: 0.943662

Rotazione Z: 0.822186

Modo	Periodo	Massa X	Massa Y	Massa Z	Massa rot X	Massa rot Y	Massa rot Z
1	0.920196607	0.001316765	0.000000354	0	0.000000239	0.000895216	0.000228741
2	0.838902719	0.000000476	0.001031687	0	0.00025068	0.000000214	0.000017227
3	0.837885374	0.000001332	0.001243637	0	0.000301536	0.000000001	0.00002338
4	0.795666553	0.000733945	0	0	0.000000074	0.000327324	0.000312074
5	0.763492408	0.000000935	0.000516988	0	0.000983578	0.000000059	0.000006222
6	0.676009901	0.005426445	0.000001891	0	0.000000535	0.00528611	0.001021844
7	0.631930098	0.010989894	0.000004757	0	0.000000319	0.006201894	0.001625659
8	0.609615559	0.000000836	0.016350783	0	0.013173222	0.000000883	0.0002536
9	0.573258104	0.000000367	0.001465107	0	0.001193933	0.00000593	0.00008052
10	0.551557515	0.007401214	0.000004273	0	0.000002628	0.004611515	0.003377164
11	0.539451568	0.000000172	0.011047221	0	0.007264596	0.000015863	0.000227258
12	0.526794031	0.004348143	0.000013668	0	0.000003166	0.009752681	0.003973698
13	0.497557051	0.002518023	0.000107357	0	0.000044357	0.000921407	0.002058705
14	0.46334996	0.000436535	0.001815251	0	0.001744667	0.000004095	0.000044423
15	0.445504834	0.003558667	0.000795961	0	0.000195896	0.000121759	0.002171522
16	0.405613829	0.000026865	0.025301006	0	0.013964919	0.000003672	0.000389201
17	0.361185101	0.093133459	0.001018118	0	0.000113648	0.068101471	0.122765458
18	0.344653068	0.141160614	0.003634856	0	0.001269622	0.086848478	0.12166253
19	0.331371328	0.004852703	0.044103229	0	0.027434295	0.002032094	0.007213717
20	0.290451058	0.000864449	0.055988708	0	0.048440879	0.000248885	0.000056907
21	0.253555315	0.017705381	0.000250522	0	0.000208019	0.012668071	0.006264655
22	0.201740641	0.012247361	0.042893593	0	0.040632891	0.018494964	0.003277068
23	0.18163042	0.121311775	0.000237388	0	0.000031762	0.168373036	0.126312561
24	0.147240687	0.233813296	0.216522471	0	0.305871964	0.320422761	0.126705755
25	0.135911875	0.176270525	0.348618475	0	0.490492545	0.238316934	0.193277458
26	0.056312665	0.046669711	0.070509241	0	0.002300703	0.000006301	0.032227032
27	0.052821204	0.053232556	0.062319273	0	0.001287573	0.000000029	0.066611607

4.5 Equilibrio forze

Contributo: Nome attribuito al sistema risultante.

Fx: Componente X di forza del sistema risultante. [kN]

Fy: Componente Y di forza del sistema risultante. [kN]

Fz: Componente Z di forza del sistema risultante. [kN]

Mx: Componente di momento attorno l'asse X del sistema risultante. [kN*m]

My: Componente di momento attorno l'asse Y del sistema risultante. [kN*m]

Mz: Componente di momento attorno l'asse Z del sistema risultante. [kN*m]

Bilancio in condizione di carico: Pesi strutturali

Contributo	Fx	Fy	Fz	Mx	My	Mz
Forze applicate	0	0	-8598.23922	-269067.993	40634.5218	0
Reazioni	0	0	8598.23922	269067.993	-40634.5218	0
P-Delta	0	0	0	0	0	0
Totale	0	0	0	0	0	0

Bilancio in condizione di carico: Permanenti portati

Contributo	Fx	Fy	Fz	Mx	My	Mz
Forze applicate	0	0	-989.55135	-30396.3963	4549.9156	0
Reazioni	0	0	989.55135	30396.3963	-4549.9156	0
P-Delta	0	0	0	0	0	0
Totale	0	0	0	0	0	0

Bilancio in condizione di carico: Variabile C

Contributo	Fx	Fy	Fz	Mx	My	Mz
Forze applicate	0	0	-829.77975	-25431.1733	3856.4977	0
Reazioni	0	0	829.77975	25431.1733	-3856.4977	0
P-Delta	0	0	0	0	0	0
Totale	0	0	0	0	0	0

Bilancio in condizione di carico: Neve

Contributo	Fx	Fy	Fz	Mx	My	Mz
Forze applicate	0	0	-355.8048	-11075.2891	1547.1373	0
Reazioni	0	0	355.8048	11075.2891	-1547.1373	0
P-Delta	0	0	0	0	0	0
Totale	0	0	0	0	0	0

Bilancio in condizione di carico: Variabile H

Contributo	Fx	Fy	Fz	Mx	My	Mz
Forze applicate	0	0	-136.81462	-4189.7126	635.8678	0
Reazioni	0	0	136.81462	4189.7126	-635.8678	0
P-Delta	0	0	0	0	0	0
Totale	0	0	0	0	0	0

Bilancio in condizione di carico: Sisma X SLV

Contributo	Fx	Fy	Fz	Mx	My	Mz
Forze applicate	2750.27305	0	0	0	13879.3395	-85586.356
Reazioni	-2750.27305	0	0	0	-13879.3395	85586.356
P-Delta	0	0	0	0	0	0
Totale	0	0	0	0	0	0

Bilancio in condizione di carico: Sisma Y SLV

Contributo	Fx	Fy	Fz	Mx	My	Mz
Forze applicate	0	2677.57458	0	-13512.4644	0	12512.0458
Reazioni	0	-2677.57458	0	13512.4644	0	-12512.0458
P-Delta	0	0	0	0	0	0
Totale	0	0	0	0	0	0

Bilancio in condizione di carico: Sisma X SLD

Contributo	Fx	Fy	Fz	Mx	My	Mz
Forze applicate	1188.4816	0	0	0	5997.7098	-36984.6221
Reazioni	-1188.4816	0	0	0	-5997.7098	36984.6221
P-Delta	0	0	0	0	0	0
Totale	0	0	0	0	0	0

Bilancio in condizione di carico: Sisma Y SLD

Contributo	Fx	Fy	Fz	Mx	My	Mz
Forze applicate	0	1188.4816	0	-5997.7098	0	5553.659
Reazioni	0	-1188.4816	0	5997.7098	0	-5553.659
P-Delta	0	0	0	0	0	0
Totale	0	0	0	0	0	0

Bilancio in condizione di carico: Sisma X SLO

Contributo	Fx	Fy	Fz	Mx	My	Mz
Forze applicate	1414.96407	0	0	0	7140.6607	-44032.5802
Reazioni	-1414.96407	0	0	0	-7140.6607	44032.5802
P-Delta	0	0	0	0	0	0
Totale	0	0	0	0	0	0

Bilancio in condizione di carico: Sisma Y SLO

Contributo	Fx	Fy	Fz	Mx	My	Mz
Forze applicate	0	1414.96407	0	-7140.6607	0	6611.9896
Reazioni	0	-1414.96407	0	7140.6607	0	-6611.9896
P-Delta	0	0	0	0	0	0
Totale	0	0	0	0	0	0

Bilancio in condizione di carico: Rig. Ux

Contributo	Fx	Fy	Fz	Mx	My	Mz
Forze applicate	0.01	0	0	0	0.0737	-0.3075
Reazioni	-0.01	0	0	0	-0.0736	0.3075
P-Delta	0	0	0	0	0	0
Totale	0	0	0	0	0	0

Bilancio in condizione di carico: Rig. Uy

Contributo	Fx	Fy	Fz	Mx	My	Mz
Forze applicate	0	0.01	0	-0.0737	0	0.0462
Reazioni	0	-0.01	0	0.0737	0	-0.0462
P-Delta	0	0	0	0	0	0
Totale	0	0	0	0	0	0

Bilancio in condizione di carico: Rig. Rz

Contributo	Fx	Fy	Fz	Mx	My	Mz
Forze applicate	0	0	0	0	0	0.0001
Reazioni	0	0	0	0	0	-0.0001
P-Delta	0	0	0	0	0	0
Totale	0	0	0	0	0	0

4.6 Risposta di spettro

Spettro: Condizione elementare corrispondente allo spettro.

n.b.: Nome breve della condizione elementare.

Fx: Componente della forza lungo l'asse X. [kN]

Fy: Componente della forza lungo l'asse Y. [kN]

Fz: Componente della forza lungo l'asse Z. [kN]

Mx: Componente della coppia attorno all'asse X. [kN*m]

My: Componente della coppia attorno all'asse Y. [kN*m]

Mz: Componente della coppia attorno all'asse Z. [kN*m]

Max X: Massima reazione lungo l'asse X.

Valore: Valore massimo della reazione. [kN]

Angolo: Angolo d'ingresso del sisma che provoca il valore massimo della reazione. [deg]

Max Y: Massima reazione lungo l'asse Y.

Valore: Valore massimo della reazione. [kN]

Angolo: Angolo d'ingresso del sisma che provoca il valore massimo della reazione. [deg]

Max Z: Massima reazione lungo l'asse Z.

Valore: Valore massimo della reazione. [kN]

Angolo: Angolo d'ingresso del sisma che provoca il valore massimo della reazione. [deg]

Spettro n.b.	Fx	Fy	Fz	Mx	My	Mz	Max X		Max Y		Max Z	
							Valore	Angolo	Valore	Angolo	Valore	Angolo
X SLV	1547.3156	682.1596	0	3.641E03	7574.9133	4.858E04	1547.6728	1	1710.2878	94	0	0
Y SLV	682.1596	1706.8664	0	8.958E03	3.580E03	2.263E04	1547.6728	1	1710.2878	94	0	0
X SLD	673.2365	299.4951	0	1.599E03	3.299E03	2.116E04	673.2534	1	751.697	95	0	0
Y SLD	299.4951	749.4892	0	3.935E03	1.571E03	1.003E04	673.2534	1	751.697	95	0	0
X SLO	799.0414	355.4519	0	1.903E03	3.928E03	2.510E04	799.0646	1	890.9987	95	0	0
Y SLO	355.4519	888.3335	0	4.684E03	1.871E03	1.190E04	799.0646	1	890.9987	95	0	0

5 Verifiche

5.1 Verifiche maschi in muratura

Le unità di misura elencate nel capitolo sono in [m, kN] ove non espressamente specificato.

X ini.: coordinate del punto iniziale del maschio. [m]

Y ini.: coordinate del punto iniziale del maschio. [m]

X fin.: coordinate del punto finale del maschio. [m]

Y fin.: coordinate del punto finale del maschio. [m]

Quota i.: livello o falda inferiore.

Quota.s: livello o falda superiore.

l: lunghezza del maschio. [m]

Sp.: spessore. [m]

h netta: altezza netta (a filo solai). [m]

h ini.: altezza nel modello al punto iniziale. [m]

h fin.: altezza nel modello al punto finale. [m]

a: distanza tra irrigidimenti laterali. [m]

a.s.,sx: lunghezza di appoggio del solaio di sinistra. [m]

a.s.,dx: lunghezza di appoggio del solaio di destra. [m]

fb: resistenza normalizzata a compressione verticale dei blocchi. [kN/m²]

fk: resistenza caratteristica a compressione della muratura utilizzata. [kN/m²]

fvk0: resistenza caratteristica a taglio in assenza di carichi verticali. [kN/m²]

fmedio: resistenza media a compressione della muratura utilizzata. [kN/m²]

τ0: resistenza media a taglio in assenza di azioni normali [C8.7.1.16]. [kN/m²]

fv0: resistenza media a taglio in assenza di azioni normali [C8.7.1.17]. [kN/m²]

μ: coefficiente di attrito [C8.7.1.17].

φ: coefficiente di ammassamento o ingranamento secondo Circolare 7 21-01-19 §C8.7.1.3.1.1.

fv,lim: valore massimo della resistenza a taglio che può essere impiegata nel calcolo. [kN/m²]

E: modulo di elasticità longitudinale della muratura utilizzato. [kN/m²]

G: modulo di elasticità tangenziale della muratura utilizzato. [kN/m²]

FC: fattore di confidenza della muratura.

Comb.: combinazione.

Quota: quota della sezione di verifica. [m]

N: sforzo normale alla quota. [kN]

M: momento flettente nel piano. [kN*m]

p: fattore laterale di vincolo (4.5.6).

es1: eccentricità dovuta alla posizione eccentrica dei maschi sovrastanti la sezione di verifica. [m]

es2: eccentricità dovuta alla risultante eccentrica delle reazioni di appoggio dei solai soprastanti. [m]

ea: eccentricità dovuta a tolleranze di esecuzione. [m]

ev: eccentricità dovuta ad azioni ortogonali (vento, sisma). [m]

e ver: eccentricità di verifica nel piano normale al piano medio del maschio. [m]

Φt: coefficiente di riduzione della resistenza per eccentricità nel piano normale al mediano.

Φl: coefficiente di riduzione della resistenza per eccentricità nel piano mediano.

Nu: sforzo normale ultimo. [kN]

Verifica: stato di verifica.

Quota: quota della sezione di verifica. [m]

N: sforzo normale. [kN]

σ0: tensione media di compressione. [kN/m²]

Mu: momento flettente ultimo. [kN*m]

c.s.: coefficiente di sicurezza.

V par: taglio nel piano. [kN]

σN: tensione media di compressione sulla parte reagente. [kN/m²]

l': lunghezza della parte compressa della parete. [m]

fvd: resistenza a taglio di calcolo. [kN/m²]

Vt scorr.: taglio ultimo per verifica a scorrimento. [kN]

Vt fess.diag.: taglio ultimo per verifica a fessurazione diagonale regolare [C8.7.1.17]. [kN]

Vt,lim: taglio limite [C8.7.1.18]. [kN]

c.s.: coefficiente di sicurezza a taglio.

fd: resistenza a compressione di calcolo. [kN/m²]

Sa: accelerazione massima, adimensionalizzata rispetto a g, che l'elemento strutturale subisce durante il sisma.

M: momento flettente fuori piano. [kN*m]

Mc: momento di collasso per azioni perpendicolari al piano. [kN*m]

Coeff.s.: coefficiente di sicurezza.

Stato limite: pF_SLU=Presso flessione per azioni non sismiche; V_SLU=Taglio per azioni non sismiche; PF_SLV=Presso flessione per azioni sismiche;

V_SLV=Taglio per azioni sismiche; PFFP_SLV=Presso flessione fuori piano per azioni sismiche; R_SLV=Ribaltamento per azioni sismiche.

Maschio 1

Verifiche condotte secondo D.M. 17-01-18 (N.T.C.)

Dati geometrici

X ini.	Y ini.	X fin.	Y fin.	Quota i.	Quota.s	l	Sp.	h netta	h ini.	h fin.	a	a.s.,sx	a.s.,dx
1.4	16.44	1.4	9.275	L3	L4	7.165	0.25	3.49	3.74	3.74			

Caratteristiche del materiale

(circ.617 C8A.2) Muratura in mattoni pieni e malta di calce LC2

fb	fk	fvk0	fmedio	r0	fv0	μ	ϕ	fv,lim	E	G	FC
6000			3450	90	200	0.58	0.77	325	3200000	1280000	1.2

Verifica a pressoflessione per azioni non sismiche 4.5.6.2 D.M. 17-01-18 (N.T.C.) $\gamma_M = 3$

Comb.	Quota	N	M	p	es1	es2	ea	ev	e ver	ϕ_t	Φ_I	Nu	Verifica
SLU 29	3.625	-310.52		1	0	0.0288	0.0175	0	0.0462	0.31	1	537.18	Si
SLU 29	5.495	-235.6		1	0	0.0288	0.0175	0	0.0231	0.49	1	840.41	Si
SLU 29	7.365	-191.36		1	0	0.0288	0.0175	0	0.0462	0.31	1	537.18	Si
SLU 30	3.625	-334.06		1	0	0.0252	0.0175	0	0.0426	0.34	1	583.31	Si
SLU 30	5.495	-260.88		1	0	0.0252	0.0175	0	0.0213	0.5	1	864.03	Si
SLU 30	7.365	-218.58		1	0	0.0252	0.0175	0	0.0426	0.34	1	583.31	Si
SLU 32	3.625	-302.98		1	0	0.0289	0.0175	0	0.0463	0.31	1	535.57	Si
SLU 32	5.495	-231.75		1	0	0.0289	0.0175	0	0.0232	0.49	1	839.59	Si
SLU 32	7.365	-190.53		1	0	0.0289	0.0175	0	0.0463	0.31	1	535.57	Si
SLU 33	3.625	-326.51		1	0	0.0253	0.0175	0	0.0427	0.34	1	582.07	Si
SLU 33	5.495	-257.03		1	0	0.0253	0.0175	0	0.0214	0.5	1	863.4	Si
SLU 33	7.365	-217.75		1	0	0.0253	0.0175	0	0.0427	0.34	1	582.07	Si
SLU 28	3.625	-293.89		1	0	0.0282	0.0175	0	0.0456	0.32	1	545.06	Si
SLU 28	5.495	-217.71		1	0	0.0282	0.0175	0	0.0228	0.49	1	844.45	Si
SLU 28	7.365	-172.06		1	0	0.0282	0.0175	0	0.0456	0.32	1	545.06	Si
SLU 31	3.625	-340.96		1	0	0.0214	0.0175	0	0.0388	0.37	1	633.07	Si
SLU 31	5.495	-268.26		1	0	0.0214	0.0175	0	0.0194	0.52	1	895.86	Si
SLU 31	7.365	-226.51		1	0	0.0214	0.0175	0	0.0388	0.37	1	633.07	Si
SLU 20	3.625	-279.61		1	0	0.03	0.0175	0	0.0474	0.3	1	521.86	Si
SLU 20	5.495	-200.95		1	0	0.03	0.0175	0	0.0237	0.49	1	832.57	Si
SLU 20	7.365	-152.88		1	0	0.03	0.0175	0	0.0474	0.3	1	521.86	Si
SLU 34	3.625	-333.42		1	0	0.0215	0.0175	0	0.0389	0.37	1	632.03	Si
SLU 34	5.495	-264.41		1	0	0.0215	0.0175	0	0.0195	0.52	1	895.15	Si
SLU 34	7.365	-225.68		1	0	0.0215	0.0175	0	0.0389	0.37	1	632.03	Si
SLU 23	3.625	-272.06		1	0	0.0301	0.0175	0	0.0476	0.3	1	519.75	Si
SLU 23	5.495	-197.1		1	0	0.0301	0.0175	0	0.0238	0.48	1	831.49	Si
SLU 23	7.365	-152.05		1	0	0.0301	0.0175	0	0.0476	0.3	1	519.75	Si
SLU 21	3.625	-303.15		1	0	0.0254	0.0175	0	0.0429	0.34	1	580.15	Si
SLU 21	5.495	-226.22		1	0	0.0254	0.0175	0	0.0214	0.5	1	862.41	Si
SLU 21	7.365	-180.11		1	0	0.0254	0.0175	0	0.0429	0.34	1	580.15	Si

Verifica a pressoflessione nel piano secondo D.M. 17-01-18 NTC §7.8.2.2.1 in combinazioni sismiche, $\gamma_M = 2$

Comb.	Quota	N	M	σ_0	Mu	c.s.	Verifica
SLV 8	3.63	-326.76	-446.807	182	995.8495	2.229	Si
SLV 8	7.37	-130.59	-95.0865	73	439.913	4.626	Si
SLV 11	3.63	-277.26	-455.7529	155	867.4601	1.903	Si
SLV 11	7.37	-126.36	-97.6136	71	426.5359	4.37	Si
SLV 9	3.63	-103.16	423.8809	0	0	0	No, e>1/2
SLV 9	7.37	-116.25	-184.908	65	394.3552	2.133	Si
SLV 10	3.63	-103.16	423.8809	0	0	0	No, e>1/2
SLV 10	7.37	-116.25	-184.908	65	394.3552	2.133	Si
SLV 6	3.63	-152.66	432.8269	85	508.767	1.175	Si
SLV 6	7.37	-120.48	-182.3809	67	407.8722	2.236	Si
SLV 12	3.63	-277.26	-455.7529	155	867.4601	1.903	Si
SLV 12	7.37	-126.36	-97.6136	71	426.5359	4.37	Si
SLV 7	3.63	-326.76	-446.807	182	995.8495	2.229	Si
SLV 7	7.37	-130.59	-95.0865	73	439.913	4.626	Si
SLV 13	3.63	-106.35	105.5722	59	362.4882	3.434	Si
SLV 13	7.37	-114.85	-157.3032	64	389.8696	2.478	Si
SLV 5	3.63	-152.66	432.8269	85	508.767	1.175	Si
SLV 5	7.37	-120.48	-182.3809	67	407.8722	2.236	Si
SLV 14	3.63	-106.35	105.5722	59	362.4882	3.434	Si
SLV 14	7.37	-114.85	-157.3032	64	389.8696	2.478	Si

Verifica a taglio nel piano secondo D.M. 17-01-18 (N.T.C.) §7.8.2.2.2 con rottura per scorrimento in combinazioni non sismiche, $\gamma_M = 3$

Comb.	Quota	N	V par	M	σ_0	σ_N	l'	fvd	Vt scorr.	Vt fess.diag.	Vt,lim	c.s.	Verifica
SLU 15	3.63	-273.98	91.01	-29.214	153	7.165	76	136.04			179.75	1.49	Si
SLU 15	7.37	-197.07	91.05	-213.2687	110	7.165	70	125.79			167.24	1.38	Si
SLU 32	3.63	-302.98	93.77	-20.0992	169	7.165	78	139.91			184.25	1.49	Si
SLU 32	7.37	-190.53	93.82	-212.2559	106	7.165	70	124.92			166.13	1.33	Si
SLU 27	3.63	-275.74	86.57	-4.5665	154	7.165	76	136.28			180.03	1.57	Si
SLU 27	7.37	-159.62	86.62	-182.9251	89	7.165	67	120.8			160.8	1.39	Si
SLU 36	3.63	-306.65	101.5	-14.0563	171	7.165	78	140.4			184.81	1.38	Si
SLU 36	7.37	-198.11	101.55	-221.1537	111	7.165	70	125.93			167.41	1.24	Si
SLU 33	3.63	-326.51	100.94	-32.6004	182	7.165	80	143.05			187.82	1.42	Si
SLU 33	7.37	-217.75	100.99	-238.3487	122	7.165	72	128.55			170.7	1.27	Si
SLU 18	3.63	-254.11	91.56	-10.67	142	7.165	74	133.4			176.6	1.46	Si
SLU 18	7.37	-177.42	91.61	-196.0737	99	7.165	69	123.17			163.89	1.34	Si
SLU 25	3.63	-302.51	87.94	-27.1039	169	7.165	78	139.85			184.17	1.59	Si
SLU 25	7.37	-187.2	87.99	-207.6792	105	7.165	69	124.47			165.57	1.41	Si
SLU 34	3.63	-333.42	102.87	-36.5938	186	7.165	80	143.97			188.85	1.4	Si
SLU 34	7.37	-225.68	102.91	-245.9078	126	7.165	72	129.6			172	1.26	Si
SLU 35	3.63	-283.11	94.33	-1.5552	158	7.165	77	137.26			181.18	1.46	Si
SLU 35	7.37	-170.87	94.38	-195.0609	95	7.165	68	122.3			162.76	1.3	Si
SLU 16	3.63	-280.88	92.94	-33.2074	157	7.165	76	136.97			180.83	1.47	Si
SLU 16	7.37	-205	92.98	-220.8278	114	7.165	71	126.85			168.57	1.36	Si

Verifica a taglio nel piano secondo D.M. 17-01-18 (N.T.C.) §7.8.2.2.2 con rottura per scorrimento in combinazioni sismiche, $\gamma_M = 2$

Comb.	Quota	N	V par	M	σ_0	σ_N	l'	fvd	Vt scorr.	Vt fess.diag.	Vt,lim	c.s.	Verifica
SLV 7	3.63	-326.76	-177.76	-446.807	197	6.6453	123	203.8			256.07	1.15	Si
SLV 7	7.37	-130.59	-149.26	-95.0865	73	7.165	98	175.39			221.28	1.18	Si
SLD 9	3.63	-165.59	167.8	179.7478	92	7.165	102	182.39			227.87	1.09	Si
SLD 9	7.37	-120.23	155.32	-159.7962	71	6.7603	98	164.89			219.29	1.06	Si
SLV 10	3.63	-103.16	302.06	423.8809	0	0	83	0			215.97	0	No, Vu<V
SLV 10	7.37	-116.25	273.62	-184.908	78	5.9758	99	147.75			218.52	0.54	No, Vu<V
SLD 10	3.63	-165.59	167.8	179.7478	92	7.165	102	182.39			227.87	1.09	Si
SLD 10	7.37	-120.23	155.32	-159.7962	71	6.7603	98	164.89			219.29	1.06	Si
SLV 9	3.63	-103.16	302.06	423.8809	0	0	83	0			215.97	0	No, Vu<V
SLV 9	7.37	-116.25	273.62	-184.908	78	5.9758	99	147.75			218.52	0.54	No, Vu<V
SLV 14	3.63	-106.35	194.33	105.5722	59	7.165	95	170.54			216.59	0.88	No, Vu<V

Comb.	Quota	N	V par	M	σ_0	σ_N	I'	fvd	Vt scorr.	Vt fess.diag.	Vt,lim	c.s.	Verifica
SLV 14	7.37	-114.85	188.87	-157.3032		69	6.6387	97	161.28		218.25	0.85	No, Vu<V
SLV 8	3.63	-326.76	-177.76	-446.807		197	6.6453	123	203.8		256.07	1.15	Si
SLV 8	7.37	-130.59	-149.26	-95.0865		73	7.165	98	175.39		221.28	1.18	Si
SLV 5	3.63	-152.66	262.36	432.8269		272	2.242	138	77.24		225.46	0.29	No, Vu<V
SLV 5	7.37	-120.48	231.92	-182.3809		78	6.2063	99	153.39		219.33	0.66	No, Vu<V
SLV 6	3.63	-152.66	262.36	432.8269		272	2.242	138	77.24		225.46	0.29	No, Vu<V
SLV 6	7.37	-120.48	231.92	-182.3809		78	6.2063	99	153.39		219.33	0.66	No, Vu<V
SLV 13	3.63	-106.35	194.33	105.5722		59	7.165	95	170.54		216.59	0.88	No, Vu<V
SLV 13	7.37	-114.85	188.87	-157.3032		69	6.6387	97	161.28		218.25	0.85	No, Vu<V

Verifica a pressoflessione fuori piano D.M. 17-01-18 (N.T.C.)quota 5.495 Wa 0.0005 denominatore 8 $\gamma_M = 2$

Comb.	fd	Sa	σ_0	N	M	Mc	Coeff.s.	Verifica
SLV 14	1438	0.43	51	-90.86	7.0696	10.8859	1.54	Si
SLV 13	1438	0.43	51	-90.86	7.0696	10.8859	1.54	Si
SLV 9	1438	0.43	55	-97.97	7.0696	11.6986	1.65	Si
SLV 10	1438	0.43	55	-97.97	7.0696	11.6986	1.65	Si
SLV 16	1438	0.43	65	-116.99	7.0696	13.8426	1.96	Si
SLV 15	1438	0.43	65	-116.99	7.0696	13.8426	1.96	Si
SLV 6	1438	0.43	73	-130.21	7.0696	15.3079	2.17	Si
SLV 5	1438	0.43	73	-130.21	7.0696	15.3079	2.17	Si
SLV 12	1438	0.43	103	-185.09	7.0696	21.1802	3	Si
SLV 11	1438	0.43	103	-185.09	7.0696	21.1802	3	Si

Tabella dei coefficienti di sicurezza minimi

Stato limite	Coeff.s.	Comb.	Verifica
PF SLU	1.73	SLU 29	Si
V SLU	1.24	SLU 36	Si
PF SLV	0	SLV 9	No
V SLV	0	SLV 9	No
PF SLV	1.54	SLV 13	Si

Maschio 2

Verifiche condotte secondo D.M. 17-01-18 (N.T.C.)

Dati geometrici

X ini.	Y ini.	X fin.	Y fin.	Quota i.	Quota.s	l	Sp.	h netta	h ini.	h fin.	a	a.s.,sx	a.s.,dx
1.4	22.265	1.4	20.34	L3	L4	1.925	0.3	3.49	3.74	3.74			

Caratteristiche del materiale

(circ.617 C8A.2) Muratura in mattoni pieni e malta di calce LC2

fb	fk	fvk0	fmedio	r0	fv0	μ	ϕ	fv,lim	E	G	FC
6000			3450	90	200	0.58	0.77	325	3200000	1280000	1.2

Verifica a pressoflessione per azioni non sismiche 4.5.6.2 D.M. 17-01-18 (N.T.C.) $\gamma_M = 3$

Comb.	Quota	N	M	p	es1	es2	ea	ev	e ver	ϕ_t	ϕ_l	Nu	Verifica
SLU 30	3.625	-91.95		1	0	0.0206	0.0175	0	0.038	0.48	1	267.89	Si
SLU 30	5.495	-103.3		1	0	0.0206	0.0175	0	0.019	0.62	1	345.45	Si
SLU 30	7.365	-86.17		1	0	0.0206	0.0175	0	0.038	0.48	1	267.89	Si
SLU 31	3.625	-93.95		1	0	0.0175	0.0175	0	0.0349	0.5	1	278.92	Si
SLU 31	5.495	-106.38		1	0	0.0175	0.0175	0	0.0175	0.64	1	353.61	Si
SLU 31	7.365	-89.34		1	0	0.0175	0.0175	0	0.0349	0.5	1	278.92	Si
SLU 29	3.625	-84.97		1	0	0.0236	0.0175	0	0.041	0.47	1	257.35	Si
SLU 29	5.495	-92.67		1	0	0.0236	0.0175	0	0.0205	0.61	1	337.65	Si
SLU 29	7.365	-75.29		1	0	0.0236	0.0175	0	0.041	0.47	1	257.35	Si
SLU 21	3.625	-84.9		1	0	0.0206	0.0175	0	0.0381	0.48	1	267.76	Si
SLU 21	5.495	-90.99		1	0	0.0206	0.0175	0	0.019	0.62	1	345.35	Si
SLU 21	7.365	-71.57		1	0	0.0206	0.0175	0	0.0381	0.48	1	267.76	Si
SLU 33	3.625	-83.19		1	0	0.0212	0.0175	0	0.0387	0.48	1	265.57	Si
SLU 33	5.495	-94.78		1	0	0.0212	0.0175	0	0.0193	0.62	1	343.73	Si
SLU 33	7.365	-83.52		1	0	0.0212	0.0175	0	0.0387	0.48	1	265.57	Si
SLU 34	3.625	-85.19		1	0	0.018	0.0175	0	0.0355	0.5	1	277.02	Si
SLU 34	5.495	-97.86		1	0	0.018	0.0175	0	0.0177	0.64	1	352.21	Si
SLU 34	7.365	-86.68		1	0	0.018	0.0175	0	0.0355	0.5	1	277.02	Si
SLU 22	3.625	-86.9		1	0	0.0169	0.0175	0	0.0344	0.51	1	280.95	Si
SLU 22	5.495	-94.07		1	0	0.0169	0.0175	0	0.0175	0.64	1	353.69	Si
SLU 22	7.365	-74.73		1	0	0.0169	0.0175	0	0.0344	0.51	1	280.95	Si
SLU 28	3.625	-80		1	0	0.0231	0.0175	0	0.0406	0.47	1	258.98	Si
SLU 28	5.495	-85.11		1	0	0.0231	0.0175	0	0.0203	0.61	1	338.85	Si
SLU 28	7.365	-67.58		1	0	0.0231	0.0175	0	0.0406	0.47	1	258.98	Si
SLU 20	3.625	-77.92		1	0	0.0243	0.0175	0	0.0418	0.46	1	254.66	Si
SLU 20	5.495	-80.35		1	0	0.0243	0.0175	0	0.0209	0.61	1	335.65	Si
SLU 20	7.365	-60.69		1	0	0.0243	0.0175	0	0.0418	0.46	1	254.66	Si
SLU 32	3.625	-76.22		1	0	0.0244	0.0175	0	0.0419	0.46	1	254.3	Si
SLU 32	5.495	-84.15		1	0	0.0244	0.0175	0	0.0209	0.61	1	335.39	Si
SLU 32	7.365	-72.64		1	0	0.0244	0.0175	0	0.0419	0.46	1	254.3	Si

Verifica a pressoflessione nel piano secondo D.M. 17-01-18 NTC §7.8.2.2.1 in combinazioni sismiche, $\gamma_M = 2$

Comb.	Quota	N	M	σ_0	Mu	c.s.	Verifica
SLV 11	3.63	6.64	-55.1125	0	0	0	No, Trazione
SLV 11	7.37	-50.65	55.5179	0	0	0	No, e>1/2
SLV 7	3.63	-23.28	-48.2856	0	0	0	No, e>1/2
SLV 7	7.37	-55.21	51.7137	96	48.9817	0.947	No, M>Mu
SLV 14	3.63	-19.11	-40.8937	0	0	0	No, e>1/2
SLV 14	7.37	-37.95	60.2967	0	0	0	No, e>1/2
SLD 1	3.63	-82.62	-27.5346	143	70.214	2.55	Si
SLD 1	7.37	-49.83	51.1535	0	0	0	No, e>1/2
SLV 10	3.63	-86.69	-20.984	150	73.1883	3.488	Si
SLV 10	7.37	-39.3	56.0417	0	0	0	No, e>1/2
SLV 12	3.63	6.64	-55.1125	0	0	0	No, Trazione
SLV 12	7.37	-50.65	55.5179	0	0	0	No, e>1/2
SLV 8	3.63	-23.28	-48.2856	0	0	0	No, e>1/2
SLV 8	7.37	-55.21	51.7137	96	48.9817	0.947	No, M>Mu
SLV 9	3.63	-86.69	-20.984	150	73.1883	3.488	Si

Comb.	Quota	N	M	σ_0	Mu	c.s.	Verifica
SLV 9	7.37	-39.3	56.0417	0	0	0	No, e>1/2
SLV 6	3.63	-116.61	-14.157	202	93.6915	6.618	Si
SLV 6	7.37	-43.86	52.2374	0	0	0	No, e>1/2
SLV 13	3.63	-19.11	-40.8937	0	0	0	No, e>1/2
SLV 13	7.37	-37.95	60.2967	0	0	0	No, e>1/2

Verifica a taglio nel piano secondo D.M. 17-01-18 (N.T.C.) §7.8.2.2.2 con rottura per scorrimento in combinazioni non sismiche, $\gamma_M = 3$

Comb.	Quota	N	V par	M	σ_0	σ_N	I'	fvd	Vt scorr.	Vt fess.diag.	Vt,lim	c.s.	Verifica
SLU 1	3.63	-57.98	-21.76	-24.601		120	1.6145	72	34.64		35.31	1.59	Si
SLU 1	7.37	-44.6	-28.32	47.9991		0	0	56	0		33.75	0	No, Vu<V
SLU 29	3.63	-84.97	-35	-36.892		179	1.585	79	37.75		38.28	1.08	Si
SLU 29	7.37	-75.29	-44.81	78.2258		0	0	56	0		37.24	0	No, Vu<V
SLU 24	3.63	-76.14	-37.36	-46.054		237	1.073	87	28.04		37.34	0.75	No, Vu<V
SLU 24	7.37	-68.91	-47.99	76.4708		0	0	56	0		36.55	0	No, Vu<V
SLU 23	3.63	-69.17	-34.01	-44.9641		246	0.9373	88	24.84		36.57	0.73	No, Vu<V
SLU 23	7.37	-58.03	-44.09	67.2715		0	0	56	0		35.32	0	No, Vu<V
SLU 22	3.63	-86.9	-32.71	-31.9927		162	1.7831	77	41.3		38.48	1.26	Si
SLU 22	7.37	-74.73	-41.88	75.9421		0	0	56	0		37.18	0	No, Vu<V
SLU 25	3.63	-78.14	-38.34	-46.3894		235	1.1066	87	28.86		37.55	0.75	No, Vu<V
SLU 25	7.37	-72.08	-49.12	79.1489		0	0	56	0		36.89	0	No, Vu<V
SLU 26	3.63	-60.44	-34.06	-50.3796		521	0.3869	108	12.57		35.6	0.37	No, Vu<V
SLU 26	7.37	-49.18	-44.43	62.1248		0	0	56	0		34.29	0	No, Vu<V
SLU 27	3.63	-67.42	-37.4	-51.4695		376	0.5971	106	18.94		36.38	0.51	No, Vu<V
SLU 27	7.37	-60.06	-48.33	71.3241		0	0	56	0		35.55	0	No, Vu<V
SLU 20	3.63	-77.92	-28.38	-30.5674		152	1.7107	76	38.9		37.53	1.37	Si
SLU 20	7.37	-60.69	-36.85	64.0646		0	0	56	0		35.62	0	No, Vu<V
SLU 21	3.63	-84.9	-31.73	-31.6572		160	1.7689	77	40.8		38.27	1.29	Si
SLU 21	7.37	-71.57	-40.75	73.2639		0	0	56	0		36.84	0	No, Vu<V

Verifica a taglio nel piano secondo D.M. 17-01-18 (N.T.C.) §7.8.2.2.2 con rottura per scorrimento in combinazioni sismiche, $\gamma_M = 2$

Comb.	Quota	N	V par	M	σ_0	σ_N	I'	fvd	Vt scorr.	Vt fess.diag.	Vt,lim	c.s.	Verifica
SLV 7	3.63	-23.28	-42.51	-48.2856		0	0	83	0		45.1	0	No, Vu<V
SLV 7	7.37	-55.21	-26.48	51.7137		2375	0.0775	163	3.78		49.2	0.14	No, Vu<V
SLD 1	3.63	-82.62	-15.63	-27.5346		146	1.8877	113	63.72		52.47	4.08	Si
SLD 1	7.37	-49.83	-29.03	51.1535		0	0	83	0		48.54	0	No, Vu<V
SLV 9	3.63	-86.69	-11.23	-20.984		150	1.925	113	65.46		52.94	5.83	Si
SLV 9	7.37	-39.3	-42.98	56.0417		0	0	83	0		47.2	0	No, Vu<V
SLV 8	3.63	-23.28	-42.51	-48.2856		0	0	83	0		45.1	0	No, Vu<V
SLV 8	7.37	-55.21	-26.48	51.7137		2375	0.0775	163	3.78		49.2	0.14	No, Vu<V
SLV 6	3.63	-116.61	0.49	-14.157		202	1.925	124	71.45		56.26	145.99	Si
SLV 6	7.37	-43.86	-34.41	52.2374		0	0	83	0		47.78	0	No, Vu<V
SLV 10	3.63	-86.69	-11.23	-20.984		150	1.925	113	65.46		52.94	5.83	Si
SLV 10	7.37	-39.3	-42.98	56.0417		0	0	83	0		47.2	0	No, Vu<V
SLV 13	3.63	-19.11	-39.95	-40.8937		0	0	83	0		44.53	0	No, Vu<V
SLV 13	7.37	-37.95	-50.21	60.2967		0	0	83	0		47.03	0	No, Vu<V
SLV 11	3.63	6.64	-54.23	-55.1125		0	0	83	0		40.87	0	No, Vu<V
SLV 11	7.37	-50.65	-35.05	55.5179		0	0	83	0		48.64	0	No, Vu<V
SLV 14	3.63	-19.11	-39.95	-40.8937		0	0	83	0		44.53	0	No, Vu<V
SLV 14	7.37	-37.95	-50.21	60.2967		0	0	83	0		47.03	0	No, Vu<V
SLV 12	3.63	6.64	-54.23	-55.1125		0	0	83	0		40.87	0	No, Vu<V
SLV 12	7.37	-50.65	-35.05	55.5179		0	0	83	0		48.64	0	No, Vu<V

Verifica a pressoflessione fuori piano D.M. 17-01-18 (N.T.C.)

quota 5.495 Wa 0.0005 denominatore 8 $\gamma_M = 2$

Comb.	fd	Sa	σ_0	N	M	Mc	Coeff.s.	Verifica
SLV 15	1438	0.43	41	-23.94	2.2792	3.4695	1.52	Si
SLV 16	1438	0.43	41	-23.94	2.2792	3.4695	1.52	Si
SLV 12	1438	0.43	54	-31.12	2.2792	4.4623	1.96	Si
SLV 11	1438	0.43	54	-31.12	2.2792	4.4623	1.96	Si
SLV 14	1438	0.43	60	-34.88	2.2792	4.9733	2.18	Si
SLV 13	1438	0.43	60	-34.88	2.2792	4.9733	2.18	Si
SLV 8	1438	0.43	83	-48.21	2.2792	6.7377	2.96	Si
SLV 7	1438	0.43	83	-48.21	2.2792	6.7377	2.96	Si
SLV 10	1438	0.43	117	-67.58	2.2792	9.166	4.02	Si
SLV 9	1438	0.43	117	-67.58	2.2792	9.166	4.02	Si

Tabella dei coefficienti di sicurezza minimi

Stato limite	Coeff.s.	Comb.	Verifica
PF SLU	2.914	SLU 30	Si
V SLU	0	SLU 1	No
PF SLV	0	SLV 16	No
V SLV	0	SLD 1	No
PFFP SLV	1.522	SLV 15	Si

Maschio 3

Verifiche condotte secondo D.M. 17-01-18 (N.T.C.)

Dati geometrici

X ini.	Y ini.	X fin.	Y fin.	Quota i.	Quota.s	l	Sp.	h netta	h ini.	h fin.	a	a.s.,sx	a.s.,dx
1.4	23.115	1.4	22.265	L3	L4	0.85	0.5	3.49	3.74	3.74			

Caratteristiche del materiale

(circ.617 C8A.2) Muratura in mattoni pieni e malta di calce LC2

fb	fk	fvk0	fmedio	τ_0	fv0	μ	ϕ	fv,lim	E	G	FC
6000			3450	90	200	0.58	0.77	325	3200000	1280000	1.2

Verifica a pressoflessione per azioni non sismiche 4.5.6.2 D.M. 17-01-18 (N.T.C.) $\gamma_M = 3$

Comb.	Quota	N	M	p	es1	es2	ea	ev	e ver	Φ_t	Φ_I	Nu	Verifica
SLU 30	3.625	-67.15		1	0	0.0502	0.0175	0	0.0676	0.57	1	232.47	Si
SLU 30	5.495	-31.73		1	0	0.0502	0.0175	0	0.0338	0.72	1	292.72	Si
SLU 30	7.365	-26.04		1	0	0.0502	0.0175	0	0.0676	0.57	1	232.47	Si
SLU 33	3.625	-69.55		1	0	0.044	0.0175	0	0.0614	0.59	1	242.17	Si

Comb.	Quota	N	M	p	es1	es2	ea	ev	e ver	φt	ΦI	Nu	Verifica
SLU 33	5.495	-36.65		1	0	0.044	0.0175	0	0.0307	0.74	1	300.48	Si
SLU 33	7.365	-29.71		1	0	0.044	0.0175	0	0.0614	0.59	1	242.17	Si
SLU 29	3.625	-64.28		1	0	0.0552	0.0175	0	0.0727	0.55	1	224.57	Si
SLU 29	5.495	-30.72		1	0	0.0552	0.0175	0	0.0363	0.7	1	286.4	Si
SLU 29	7.365	-23.65		1	0	0.0552	0.0175	0	0.0727	0.55	1	224.57	Si
SLU 32	3.625	-66.68		1	0	0.0478	0.0175	0	0.0652	0.58	1	236.18	Si
SLU 32	5.495	-35.63		1	0	0.0478	0.0175	0	0.0326	0.73	1	295.69	Si
SLU 32	7.365	-27.33		1	0	0.0478	0.0175	0	0.0652	0.58	1	236.18	Si
SLU 34	3.625	-70.42		1	0	0.0378	0.0175	0	0.0553	0.62	1	251.77	Si
SLU 34	5.495	-36.96		1	0	0.0378	0.0175	0	0.0276	0.76	1	308.17	Si
SLU 34	7.365	-30.39		1	0	0.0378	0.0175	0	0.0553	0.62	1	251.77	Si
SLU 31	3.625	-68.02		1	0	0.043	0.0175	0	0.0605	0.6	1	243.64	Si
SLU 31	5.495	-32.04		1	0	0.043	0.0175	0	0.0302	0.74	1	301.66	Si
SLU 31	7.365	-26.71		1	0	0.043	0.0175	0	0.0605	0.6	1	243.64	Si
SLU 36	3.625	-68.58		1	0	0.0389	0.0175	0	0.0563	0.61	1	250.16	Si
SLU 36	5.495	-38.04		1	0	0.0389	0.0175	0	0.0282	0.75	1	306.87	Si
SLU 36	7.365	-29.58		1	0	0.0389	0.0175	0	0.0563	0.61	1	250.16	Si
SLU 28	3.625	-62.29		1	0	0.0524	0.0175	0	0.0698	0.56	1	229.04	Si
SLU 28	5.495	-30.01		1	0	0.0524	0.0175	0	0.0349	0.71	1	289.97	Si
SLU 28	7.365	-21.95		1	0	0.0524	0.0175	0	0.0698	0.56	1	229.04	Si
SLU 21	3.625	-62.32		1	0	0.0508	0.0175	0	0.0682	0.57	1	231.51	Si
SLU 21	5.495	-28.67		1	0	0.0508	0.0175	0	0.0341	0.72	1	291.95	Si
SLU 21	7.365	-21.4		1	0	0.0508	0.0175	0	0.0682	0.57	1	231.51	Si
SLU 35	3.625	-65.72		1	0	0.0423	0.0175	0	0.0597	0.6	1	244.84	Si
SLU 35	5.495	-37.03		1	0	0.0423	0.0175	0	0.0299	0.74	1	302.62	Si
SLU 35	7.365	-27.2		1	0	0.0423	0.0175	0	0.0597	0.6	1	244.84	Si

Verifica a pressoflessione nel piano secondo D.M. 17-01-18 NTC §7.8.2.2.1 in combinazioni sismiche, $\gamma_M = 2$

Comb.	Quota	N	M	σ_0	Mu	c.s.	Verifica
SLD 12	3.63	-57	-10.7911	134	21.5651	1.998	Si
SLD 12	7.37	-9.43	8.0677	0	0	0	No, $e > 1/2$
SLV 10	3.63	-8.92	8.6681	0	0	0	No, $e > 1/2$
SLV 10	7.37	-39.6	-13.6797	93	15.5482	1.137	Si
SLV 12	3.63	-67.88	-17.1646	160	25.0795	1.461	Si
SLV 12	7.37	1.47	14.5973	0	0	0	No, Trazione
SLV 8	3.63	-87.53	-20.1651	206	30.9299	1.534	Si
SLV 8	7.37	3.67	19.522	0	0	0	No, Trazione
SLD 8	3.63	-65.64	-12.1284	154	24.3696	2.009	Si
SLD 8	7.37	-8.44	10.2424	0	0	0	No, $e > 1/2$
SLD 11	3.63	-57	-10.7911	134	21.5651	1.998	Si
SLD 11	7.37	-9.43	8.0677	0	0	0	No, $e > 1/2$
SLV 3	3.63	-89.81	-14.6243	211	31.5682	2.159	Si
SLV 3	7.37	-8.13	15.3704	0	0	0	No, $e > 1/2$
SLV 11	3.63	-67.88	-17.1646	160	25.0795	1.461	Si
SLV 11	7.37	1.47	14.5973	0	0	0	No, Trazione
SLV 7	3.63	-87.53	-20.1651	206	30.9299	1.534	Si
SLV 7	7.37	3.67	19.522	0	0	0	No, Trazione
SLV 9	3.63	-8.92	8.6681	0	0	0	No, $e > 1/2$
SLV 9	7.37	-39.6	-13.6797	93	15.5482	1.137	Si

Verifica a taglio nel piano secondo D.M. 17-01-18 (N.T.C.) §7.8.2.2.2 con rottura per scorrimento in combinazioni non sismiche, $\gamma_M = 3$

Comb.	Quota	N	V par	M	σ_0	σ_N	I'	fvd	Vt scorr.	Vt fess.diag.	Vt lim	c.s.	Verifica
SLU 35	3.63	-65.72	-10.34	-9.0972		155	0.85	76	32.37		28.51	3.13	Si
SLU 35	7.37	-27.2	1.36	3.1301		64	0.85	64	27.24		24.15	20.06	Si
SLU 36	3.63	-68.58	-11.16	-9.26		161	0.85	77	32.76		28.8	2.94	Si
SLU 36	7.37	-29.58	1.09	4.2969		70	0.8392	65	27.26		24.45	25.04	Si
SLU 31	3.63	-68.02	-11.04	-6.5645		160	0.85	77	32.68		28.75	2.96	Si
SLU 31	7.37	-26.71	-0.56	7.5419		125	0.428	72	15.45		24.09	27.47	Si
SLU 16	3.63	-58.43	-10.2	-7.562		137	0.85	74	31.4		27.74	3.08	Si
SLU 16	7.37	-27.61	0.4	5.4567		81	0.6822	66	22.63		24.2	57.09	Si
SLU 25	3.63	-65.59	-10.33	-7.6829		154	0.85	76	32.36		28.49	3.13	Si
SLU 25	7.37	-25.75	0.43	4.9317		74	0.7005	65	22.89		23.97	53.02	Si
SLU 33	3.63	-69.55	-11.44	-8.5064		164	0.85	77	32.88		28.9	2.87	Si
SLU 33	7.37	-29.71	0.51	5.733		85	0.6961	67	23.3		24.46	45.92	Si
SLU 30	3.63	-67.15	-10.79	-6.5055		158	0.85	77	32.56		28.66	3.02	Si
SLU 30	7.37	-26.04	-0.46	7.1877		117	0.4468	71	15.88		24.01	34.55	Si
SLU 32	3.63	-66.68	-10.63	-8.3435		157	0.85	76	32.5		28.61	3.06	Si
SLU 32	7.37	-27.33	0.78	4.5662		71	0.7737	65	25.14		24.17	32.36	Si
SLU 34	3.63	-70.42	-11.69	-8.5653		166	0.85	78	33		28.99	2.82	Si
SLU 34	7.37	-30.39	0.4	6.0872		90	0.674	68	22.77		24.54	56.3	Si
SLU 15	3.63	-57.56	-9.94	-7.503		135	0.85	74	31.29		27.64	3.15	Si
SLU 15	7.37	-26.94	0.5	5.1026		76	0.7067	66	23.22		24.12	46.52	Si

Verifica a taglio nel piano secondo D.M. 17-01-18 (N.T.C.) §7.8.2.2.2 con rottura per scorrimento in combinazioni sismiche, $\gamma_M = 2$

Comb.	Quota	N	V par	M	σ_0	σ_N	I'	fvd	Vt scorr.	Vt fess.diag.	Vt lim	c.s.	Verifica
SLD 11	3.63	-57	-14.25	-10.7911		161	0.707	116	40.86		38.17	2.87	Si
SLD 11	7.37	-9.43	-6.08	8.0677		0	0	83	0		32.13	0	No, Vu < V
SLV 11	3.63	-67.88	-23.01	-17.1646		263	0.5165	136	35.1		39.43	1.52	Si
SLV 11	7.37	1.47	-14.45	14.5973		0	0	83	0		30.58	0	No, Vu < V
SLD 8	3.63	-65.64	-16.91	-12.1284		182	0.7207	120	43.15		39.17	2.55	Si
SLD 8	7.37	-8.44	-9.36	10.2424		0	0	83	0		32	0	No, Vu < V
SLV 3	3.63	-89.81	-22.9	-14.6243		228	0.7865	129	50.73		41.84	2.22	Si
SLV 3	7.37	-8.13	-17.48	15.3704		0	0	83	0		31.95	0	No, Vu < V
SLD 12	3.63	-57	-14.25	-10.7911		161	0.707	116	40.86		38.17	2.87	Si
SLD 12	7.37	-9.43	-6.08	8.0677		0	0	83	0		32.13	0	No, Vu < V
SLV 9	3.63	-8.92	14.38	8.6681		0	0	83	0		32.06	0	No, Vu < V
SLV 9	7.37	-39.6	22.98	-13.6797		332	0.2388	150	17.87		36.08	0.78	No, Vu < V
SLV 12	3.63	-67.88	-23.01	-17.1646		263	0.5165	136	35.1		39.43	1.52	Si
SLV 12	7.37	1.47	-14.45	14.5973		0	0	83	0		30.58	0	No, Vu < V
SLV 4	3.63	-89.81	-22.9	-14.6243		228	0.7865	129	50.73		41.84	2.22	Si
SLV 4	7.37	-8.13	-17.48	15.3704		0	0	83	0		31.95	0	No, Vu < V
SLV 10	3.63	-8.92	14.38	8.6681		0	0	83	0		32.06	0	No, Vu < V
SLV 10	7.37	-39.6	22.98	-13.6797		332	0.2388	150	17.87		36.08	0.78	No, Vu < V
SLV 7	3.63	-87.53	-29	-20.1651		300	0.5839	143	41.83		41.59	1.44	Si
SLV 7	7.37	3.67	-21.9	19.522		0	0	83	0		30.26	0	No, Vu < V

Verifica a pressoflessione fuori piano D.M. 17-01-18 (N.T.C.)quota 5.495 Wa 0.0009 denominatore 8 $\gamma M = 2$

Comb.	fd	Sa	σ_0	N	M	Mc	Coeff.s.	Verifica
SLV 16	1438	0.43	21	-8.8	1.6774	2.1631	1.29	Si
SLV 15	1438	0.43	21	-8.8	1.6774	2.1631	1.29	Si
SLV 11	1438	0.43	29	-12.44	1.6774	3.036	1.81	Si
SLV 12	1438	0.43	29	-12.44	1.6774	3.036	1.81	Si
SLV 14	1438	0.43	33	-13.98	1.6774	3.4004	2.03	Si
SLV 13	1438	0.43	33	-13.98	1.6774	3.4004	2.03	Si
SLV 8	1438	0.43	49	-20.74	1.6774	4.9777	2.97	Si
SLV 7	1438	0.43	49	-20.74	1.6774	4.9777	2.97	Si
SLV 9	1438	0.43	70	-29.7	1.6774	6.9995	4.17	Si
SLV 10	1438	0.43	70	-29.7	1.6774	6.9995	4.17	Si

Tabella dei coefficienti di sicurezza minimi

Stato limite	Coeff.s.	Comb.	Verifica
PF SLU	3.462	SLU 30	Si
V SLU	2.822	SLU 34	Si
PF SLV	0	SLV 12	No
V SLV	0	SLD 3	No
PFFF SLV	1.29	SLV 15	Si

Maschio 4

Verifiche condotte secondo D.M. 17-01-18 (N.T.C.)

Dati geometrici

X ini.	Y ini.	X fin.	Y fin.	Quota i.	Quota.s	l	Sp.	h netta	h ini.	h fin.	a	a.s.,sx	a.s.,dx
1.4	26.315	1.4	24.115	L3	L4	2.2	0.5	3.49	3.74	3.74			

Caratteristiche del materiale

(circ.617 C8A.2) Muratura in mattoni pieni e malta di calce LC2

fb	fk	fvk0	fmedio	τ_0	fv0	μ	φ	fv,lim	E	G	FC
6000			3450	90	200	0.58	0.77	325	3200000	1280000	1.2

Verifica a pressoflessione per azioni non sismiche 4.5.6.2 D.M. 17-01-18 (N.T.C.) $\gamma M = 3$

Comb.	Quota	N	M	p	es1	es2	ea	ev	e ver	Φ_t	Φ_l	Nu	Verifica
SLU 30	3.625	-183.03		1	0	0.039	0.0175	0	0.0564	0.61	1	647.04	Si
SLU 30	5.495	-125.27		1	0	0.039	0.0175	0	0.0282	0.75	1	793.92	Si
SLU 30	7.365	-86.76		1	0	0.039	0.0175	0	0.0564	0.61	1	647.04	Si
SLU 33	3.625	-181.64		1	0	0.0396	0.0175	0	0.057	0.61	1	644.46	Si
SLU 33	5.495	-123.88		1	0	0.0396	0.0175	0	0.0285	0.75	1	791.86	Si
SLU 33	7.365	-85.37		1	0	0.0396	0.0175	0	0.057	0.61	1	644.46	Si
SLU 31	3.625	-186.23		1	0	0.0331	0.0175	0	0.0505	0.64	1	670.89	Si
SLU 31	5.495	-128.47		1	0	0.0331	0.0175	0	0.0253	0.77	1	813.01	Si
SLU 31	7.365	-89.96		1	0	0.0331	0.0175	0	0.0505	0.64	1	670.89	Si
SLU 34	3.625	-184.83		1	0	0.0336	0.0175	0	0.051	0.63	1	668.79	Si
SLU 34	5.495	-127.07		1	0	0.0336	0.0175	0	0.0255	0.77	1	811.32	Si
SLU 34	7.365	-88.57		1	0	0.0336	0.0175	0	0.051	0.63	1	668.79	Si
SLU 29	3.625	-172.04		1	0	0.0446	0.0175	0	0.0621	0.59	1	624.16	Si
SLU 29	5.495	-114.28		1	0	0.0446	0.0175	0	0.031	0.74	1	775.62	Si
SLU 29	7.365	-75.77		1	0	0.0446	0.0175	0	0.0621	0.59	1	624.16	Si
SLU 32	3.625	-170.65		1	0	0.0454	0.0175	0	0.0629	0.59	1	620.78	Si
SLU 32	5.495	-112.89		1	0	0.0454	0.0175	0	0.0314	0.73	1	772.91	Si
SLU 32	7.365	-74.38		1	0	0.0454	0.0175	0	0.0629	0.59	1	620.78	Si
SLU 36	3.625	-173.25		1	0	0.0386	0.0175	0	0.0561	0.62	1	648.32	Si
SLU 36	5.495	-115.48		1	0	0.0386	0.0175	0	0.028	0.75	1	794.94	Si
SLU 36	7.365	-76.98		1	0	0.0386	0.0175	0	0.0561	0.62	1	648.32	Si
SLU 28	3.625	-164.24		1	0	0.0438	0.0175	0	0.0612	0.6	1	627.61	Si
SLU 28	5.495	-106.48		1	0	0.0438	0.0175	0	0.0306	0.74	1	778.37	Si
SLU 28	7.365	-67.98		1	0	0.0438	0.0175	0	0.0612	0.6	1	627.61	Si
SLU 35	3.625	-162.25		1	0	0.0451	0.0175	0	0.0625	0.59	1	622.26	Si
SLU 35	5.495	-104.49		1	0	0.0451	0.0175	0	0.0313	0.73	1	774.1	Si
SLU 35	7.365	-65.99		1	0	0.0451	0.0175	0	0.0625	0.59	1	622.26	Si
SLU 21	3.625	-167.85		1	0	0.0393	0.0175	0	0.0567	0.61	1	645.7	Si
SLU 21	5.495	-110.09		1	0	0.0393	0.0175	0	0.0284	0.75	1	792.85	Si
SLU 21	7.365	-71.58		1	0	0.0393	0.0175	0	0.0567	0.61	1	645.7	Si

Verifica a pressoflessione nel piano secondo D.M. 17-01-18 NTC §7.8.2.2.1 in combinazioni sismiche, $\gamma M = 2$

Comb.	Quota	N	M	σ_0	Mu	c.s.	Verifica
SLV 15	3.63	-102.85	-20.2258	93	104.476	5.165	Si
SLV 15	7.37	-33.63	18.8296	31	36.0656	1.915	Si
SLV 5	3.63	-133.31	73.2148	121	132.1009	1.804	Si
SLV 5	7.37	-54.87	-49.497	50	57.8927	1.17	Si
SLV 8	3.63	-121.67	-75.0439	111	121.7209	1.622	Si
SLV 8	7.37	-49.69	53.1032	45	52.6419	0.991	No, M>Mu
SLV 7	3.63	-121.67	-75.0439	111	121.7209	1.622	Si
SLV 7	7.37	-49.69	53.1032	45	52.6419	0.991	No, M>Mu
SLV 12	3.63	-111.1	-73.6927	101	112.1094	1.521	Si
SLV 12	7.37	-41.44	53.8585	0	0	0	No, e>1/2
SLV 16	3.63	-102.85	-20.2258	93	104.476	5.165	Si
SLV 16	7.37	-33.63	18.8296	31	36.0656	1.915	Si
SLV 11	3.63	-111.1	-73.6927	101	112.1094	1.521	Si
SLV 11	7.37	-41.44	53.8585	0	0	0	No, e>1/2
SLV 6	3.63	-133.31	73.2148	121	132.1009	1.804	Si
SLV 6	7.37	-54.87	-49.497	50	57.8927	1.17	Si
SLV 9	3.63	-122.75	74.5659	112	122.6909	1.645	Si
SLV 9	7.37	-46.62	-48.7417	42	49.502	1.016	Si
SLV 10	3.63	-122.75	74.5659	112	122.6909	1.645	Si
SLV 10	7.37	-46.62	-48.7417	42	49.502	1.016	Si

Verifica a taglio nel piano secondo D.M. 17-01-18 (N.T.C.) §7.8.2.2.2 con rottura per scorrimento in combinazioni non sismiche, $\gamma M = 3$

Comb.	Quota	N	V par	M	σ_0	σ_N	l'	fvd	Vt scorr.	Vt fess.diag.	Vt,lim	c.s.	Verifica
SLU 32	3.63	-170.65	-0.93	-0.0402		155	2.2	76	83.86		73.84	90.02	Si

Comb.	Quota	N	V par	M	σ_0	σ_N	I'	fvd	Vt scorr.	Vt fess.diag.	Vt,lim	c.s.	Verifica
SLU 32	7.37	-74.38	-0.93	3.4442		68	2.2	65	71.03		63	76.24	Si
SLU 22	3.63	-171.04	-0.96	2.1735		155	2.2	76	83.92		73.88	87.45	Si
SLU 22	7.37	-74.77	-0.96	5.7624		68	2.2	65	71.08		63.05	74.07	Si
SLU 36	3.63	-173.25	-1.01	-0.7123		157	2.2	77	84.21		74.11	83.25	Si
SLU 36	7.37	-76.98	-1.01	3.0709		70	2.2	65	71.37		63.32	70.56	Si
SLU 34	3.63	-184.83	-1.11	0.8272		168	2.2	78	85.76		75.31	76.98	Si
SLU 34	7.37	-88.57	-1.11	4.9933		81	2.2	66	72.92		64.72	65.46	Si
SLU 33	3.63	-181.64	-1.05	0.6942		165	2.2	78	85.33		74.98	81.54	Si
SLU 33	7.37	-85.37	-1.05	4.6079		78	2.2	66	72.49		64.33	69.28	Si
SLU 30	3.63	-183.03	-1.02	2.5727		166	2.2	78	85.52		75.12	84.05	Si
SLU 30	7.37	-86.76	-1.02	6.378		79	2.2	66	72.68		64.5	71.43	Si
SLU 31	3.63	-186.23	-1.08	2.7057		169	2.2	78	85.94		75.45	79.21	Si
SLU 31	7.37	-89.96	-1.08	6.7634		82	2.2	66	73.11		64.88	67.38	Si
SLU 13	3.63	-155.83	-0.95	2.6834		142	2.2	74	81.89		72.28	86.24	Si
SLU 13	7.37	-81.78	-0.95	6.2347		74	2.2	65	72.02		63.9	75.84	Si
SLU 16	3.63	-154.44	-0.98	0.8049		140	2.2	74	81.7		72.13	83.5	Si
SLU 16	7.37	-80.39	-0.98	4.4646		73	2.2	65	71.83		63.73	73.41	Si
SLU 25	3.63	-169.65	-0.99	0.295		154	2.2	76	83.73		73.74	84.7	Si
SLU 25	7.37	-73.38	-0.99	3.9923		67	2.2	64	70.9		62.88	71.71	Si

Verifica a taglio nel piano secondo D.M. 17-01-18 (N.T.C.) §7.8.2.2.2 con rottura per scorrimento in combinazioni sismiche, $\gamma_M = 2$

Comb.	Quota	N	V par	M	σ_0	σ_N	I'	fvd	Vt scorr.	Vt fess.diag.	Vt,lim	c.s.	Verifica
SLV 12	3.63	-111.1	-35.74	-73.6927		170	1.3101	117	76.81		94.45	2.15	Si
SLV 12	7.37	-41.44	-27.9	53.8585		0	0	83	0		85.51	0	No, Vu<V
SLV 16	3.63	-102.85	3.2	-20.2258		93	2.2	102	112.24		93.43	35.09	Si
SLV 16	7.37	-33.63	-19.26	18.8296		42	1.6202	92	74.23		84.44	3.85	Si
SLV 5	3.63	-133.31	34.44	73.2148		161	1.6524	116	95.51		97.13	2.77	Si
SLV 5	7.37	-54.87	26.6	-49.497		185	0.5938	120	35.71		87.3	1.34	Si
SLV 9	3.63	-122.75	43.92	74.5659		166	1.4776	117	86.11		95.86	1.96	Si
SLV 9	7.37	-46.62	19.72	-48.7417		571	0.1634	163	13.28		86.2	0.67	No, Vu<V
SLV 11	3.63	-111.1	-35.74	-73.6927		170	1.3101	117	76.81		94.45	2.15	Si
SLV 11	7.37	-41.44	-27.9	53.8585		0	0	83	0		85.51	0	No, Vu<V
SLV 6	3.63	-133.31	34.44	73.2148		161	1.6524	116	95.51		97.13	2.77	Si
SLV 6	7.37	-54.87	26.6	-49.497		185	0.5938	120	35.71		87.3	1.34	Si
SLV 15	3.63	-102.85	3.2	-20.2258		93	2.2	102	112.24		93.43	35.09	Si
SLV 15	7.37	-33.63	-19.26	18.8296		42	1.6202	92	74.23		84.44	3.85	Si
SLV 10	3.63	-122.75	43.92	74.5659		166	1.4776	117	86.11		95.86	1.96	Si
SLV 10	7.37	-46.62	19.72	-48.7417		571	0.1634	163	13.28		86.2	0.67	No, Vu<V
SLV 8	3.63	-121.67	-45.21	-75.0439		168	1.4496	117	84.74		95.73	1.87	Si
SLV 8	7.37	-49.69	-21.01	53.1032		1056	0.0942	163	7.65		86.61	0.36	No, Vu<V
SLV 7	3.63	-121.67	-45.21	-75.0439		168	1.4496	117	84.74		95.73	1.87	Si
SLV 7	7.37	-49.69	-21.01	53.1032		1056	0.0942	163	7.65		86.61	0.36	No, Vu<V

Verifica a pressoflessione fuori piano D.M. 17-01-18 (N.T.C.)

quota 5.495 Wa 0.0009 denominatore 8 $\gamma_M = 2$

Comb.	fd	Sa	σ_0	N	M	Mc	Coeff.s.	Verifica
SLV 16	1438	0.43	57	-62.33	4.3414	14.8589	3.42	Si
SLV 15	1438	0.43	57	-62.33	4.3414	14.8589	3.42	Si
SLV 14	1438	0.43	58	-63.67	4.3414	15.1629	3.49	Si
SLV 13	1438	0.43	58	-63.67	4.3414	15.1629	3.49	Si
SLV 11	1438	0.43	65	-71.11	4.3414	16.8361	3.88	Si
SLV 12	1438	0.43	65	-71.11	4.3414	16.8361	3.88	Si
SLV 10	1438	0.43	69	-75.58	4.3414	17.8324	4.11	Si
SLV 9	1438	0.43	69	-75.58	4.3414	17.8324	4.11	Si
SLV 7	1438	0.43	73	-79.97	4.3414	18.8039	4.33	Si
SLV 8	1438	0.43	73	-79.97	4.3414	18.8039	4.33	Si

Tabella dei coefficienti di sicurezza minimi

Stato limite	Coeff.s.	Comb.	Verifica
PF SLU	3.535	SLU 30	Si
V SLU	65.462	SLU 34	Si
PF SLV	0	SLV 11	No
V SLV	0	SLV 11	No
PFPF SLV	3.423	SLV 15	Si

Maschio 5

Verifiche condotte secondo D.M. 17-01-18 (N.T.C.)

Dati geometrici

X ini.	Y ini.	X fin.	Y fin.	Quota i.	Quota s.	l	Sp.	h netta	h ini.	h fin.	a	a.s.,sx	a.s.,dx
1.4	29.915	1.4	27.315	L3	L4	2.6	0.5	3.49	3.74	3.74			

Caratteristiche del materiale

(circ.617 C8A.2) Muratura in mattoni pieni e malta di calce LC2

fb	fk	fvk0	fmedio	τ_0	fv0	μ	ϕ	fv,lim	E	G	FC
6000			3450	90	200	0.58	0.77	325	3200000	1280000	1.2

Verifica a pressoflessione per azioni non sismiche 4.5.6.2 D.M. 17-01-18 (N.T.C.) $\gamma_M = 3$

Comb.	Quota	N	M	p	es1	es2	ea	ev	e ver	Φ_t	Φ_l	Nu	Verifica
SLU 30	3.625	-203.57		1	0	0.0445	0.0175	0	0.0619	0.59	1	738.35	Si
SLU 30	5.495	-158.06		1	0	0.0445	0.0175	0	0.031	0.74	1	917.2	Si
SLU 30	7.365	-89.8		1	0	0.0445	0.0175	0	0.0619	0.59	1	738.35	Si
SLU 33	3.625	-203.4		1	0	0.0445	0.0175	0	0.062	0.59	1	737.97	Si
SLU 33	5.495	-157.9		1	0	0.0445	0.0175	0	0.031	0.74	1	916.9	Si
SLU 33	7.365	-89.63		1	0	0.0445	0.0175	0	0.062	0.59	1	737.97	Si
SLU 29	3.625	-192.37		1	0	0.0508	0.0175	0	0.0682	0.57	1	708.06	Si
SLU 29	5.495	-146.86		1	0	0.0508	0.0175	0	0.0341	0.72	1	892.97	Si
SLU 29	7.365	-78.6		1	0	0.0508	0.0175	0	0.0682	0.57	1	708.06	Si
SLU 32	3.625	-192.21		1	0	0.0509	0.0175	0	0.0683	0.57	1	707.56	Si
SLU 32	5.495	-146.7		1	0	0.0509	0.0175	0	0.0342	0.72	1	892.57	Si
SLU 32	7.365	-78.44		1	0	0.0509	0.0175	0	0.0683	0.57	1	707.56	Si
SLU 31	3.625	-206.82		1	0	0.0378	0.0175	0	0.0552	0.62	1	770.43	Si
SLU 31	5.495	-161.31		1	0	0.0378	0.0175	0	0.0276	0.76	1	942.87	Si
SLU 31	7.365	-93.05		1	0	0.0378	0.0175	0	0.0552	0.62	1	770.43	Si

Comb.	Quota	N	M	p	es1	es2	ea	ev	e ver	φt	Φl	Nu	Verifica
SLV 34	3.625	-206.66		1	0	0.0378	0.0175	0	0.0553	0.62	1	770.12	Si
SLV 34	5.495	-161.15		1	0	0.0378	0.0175	0	0.0276	0.76	1	942.62	Si
SLV 34	7.365	-92.89		1	0	0.0378	0.0175	0	0.0553	0.62	1	770.12	Si
SLV 36	3.625	-195.4		1	0	0.043	0.0175	0	0.0605	0.6	1	745.15	Si
SLV 36	5.495	-149.89		1	0	0.043	0.0175	0	0.0302	0.74	1	922.64	Si
SLV 36	7.365	-81.63		1	0	0.043	0.0175	0	0.0605	0.6	1	745.15	Si
SLV 28	3.625	-184.44		1	0	0.0497	0.0175	0	0.0672	0.57	1	713.21	Si
SLV 28	5.495	-138.93		1	0	0.0497	0.0175	0	0.0336	0.72	1	897.08	Si
SLV 28	7.365	-70.66		1	0	0.0497	0.0175	0	0.0672	0.57	1	713.21	Si
SLV 35	3.625	-184.21		1	0	0.0499	0.0175	0	0.0673	0.57	1	712.43	Si
SLV 35	5.495	-138.7		1	0	0.0499	0.0175	0	0.0337	0.72	1	896.46	Si
SLV 35	7.365	-70.43		1	0	0.0499	0.0175	0	0.0673	0.57	1	712.43	Si
SLV 21	3.625	-187.69		1	0	0.0449	0.0175	0	0.0624	0.59	1	736.07	Si
SLV 21	5.495	-142.18		1	0	0.0449	0.0175	0	0.0312	0.73	1	915.38	Si
SLV 21	7.365	-73.92		1	0	0.0449	0.0175	0	0.0624	0.59	1	736.07	Si

Verifica a pressoflessione nel piano secondo D.M. 17-01-18 NTC §7.8.2.2.1 in combinazioni sismiche, γM = 2

Comb.	Quota	N	M	σ0	Mu	c.s.	Verifica
SLV 7	3.63	-141.11	-94.4752	109	167.1517	1.769	Si
SLV 7	7.37	-52.46	54.7332	40	65.9425	1.205	Si
SLV 5	3.63	-138	126.7827	106	163.8171	1.292	Si
SLV 5	7.37	-49.72	-70.4977	0	0	0	No, e>1/2
SLV 16	3.63	-134.53	-76.2298	103	160.0811	2.1	Si
SLV 16	7.37	-50.15	49.1993	39	63.1324	1.283	Si
SLV 12	3.63	-138.58	-121.7959	107	164.4369	1.35	Si
SLV 12	7.37	-51.83	72.4087	0	0	0	No, e>1/2
SLV 11	3.63	-138.58	-121.7959	107	164.4369	1.35	Si
SLV 11	7.37	-51.83	72.4087	0	0	0	No, e>1/2
SLV 6	3.63	-138	126.7827	106	163.8171	1.292	Si
SLV 6	7.37	-49.72	-70.4977	0	0	0	No, e>1/2
SLV 15	3.63	-134.53	-76.2298	103	160.0811	2.1	Si
SLV 15	7.37	-50.15	49.1993	39	63.1324	1.283	Si
SLV 8	3.63	-141.11	-94.4752	109	167.1517	1.769	Si
SLV 8	7.37	-52.46	54.7332	40	65.9425	1.205	Si
SLV 10	3.63	-135.47	99.4619	104	161.0893	1.62	Si
SLV 10	7.37	-49.09	-52.8222	38	61.849	1.171	Si
SLV 9	3.63	-135.47	99.4619	104	161.0893	1.62	Si
SLV 9	7.37	-49.09	-52.8222	38	61.849	1.171	Si

Verifica a taglio nel piano secondo D.M. 17-01-18 (N.T.C.) §7.8.2.2.2 con rottura per scorrimento in combinazioni non sismiche, γM = 3

Comb.	Quota	N	V par	M	σ0	σN	I'	fvd	Vt scorr.	Vt fess.diag.	Vt,lim	c.s.	Verifica
SLV 31	3.63	-206.82	0.8	4.4252		159	2.6	77	99.8		98.12	124.24	Si
SLV 31	7.37	-93.05	0.8	1.421		72	2.6	65	84.63		83.91	105.36	Si
SLV 11	3.63	-157.66	0.7	3.5806		121	2.6	72	93.24		92.25	134.04	Si
SLV 11	7.37	-70.15	0.7	0.9788		54	2.6	63	81.58		80.75	117.26	Si
SLV 15	3.63	-168.69	0.75	4.0818		130	2.6	73	94.71		93.59	126.57	Si
SLV 15	7.37	-81.18	0.75	1.283		62	2.6	64	83.05		82.28	110.97	Si
SLV 33	3.63	-203.4	0.79	4.4492		156	2.6	76	99.34		97.72	125.11	Si
SLV 33	7.37	-89.63	0.79	1.4794		69	2.6	65	84.17		83.44	106	Si
SLV 30	3.63	-203.57	0.83	4.4239		157	2.6	76	99.36		97.74	119.27	Si
SLV 30	7.37	-89.8	0.83	1.308		69	2.6	65	84.19		83.46	101.06	Si
SLV 34	3.63	-206.66	0.76	4.4505		159	2.6	77	99.78		98.1	130.56	Si
SLV 34	7.37	-92.89	0.76	1.5924		71	2.6	65	84.61		83.89	110.71	Si
SLV 29	3.63	-192.37	0.74	3.9481		148	2.6	75	97.87		96.43	132.01	Si
SLV 29	7.37	-78.6	0.74	1.1752		60	2.6	64	82.7		81.93	111.55	Si
SLV 16	3.63	-171.95	0.72	4.0831		132	2.6	73	95.15		93.99	132.43	Si
SLV 16	7.37	-84.44	0.72	1.396		65	2.6	64	83.48		82.73	116.19	Si
SLV 12	3.63	-168.86	0.79	4.0565		130	2.6	73	94.74		93.61	120.32	Si
SLV 12	7.37	-81.34	0.79	1.1116		63	2.6	64	83.07		82.31	105.5	Si
SLV 13	3.63	-172.11	0.76	4.0578		132	2.6	73	95.17		94.01	125.63	Si
SLV 13	7.37	-84.6	0.76	1.2246		65	2.6	64	83.5		82.75	110.23	Si

Verifica a taglio nel piano secondo D.M. 17-01-18 (N.T.C.) §7.8.2.2.2 con rottura per scorrimento in combinazioni sismiche, γM = 2

Comb.	Quota	N	V par	M	σ0	σN	I'	fvd	Vt scorr.	Vt fess.diag.	Vt,lim	c.s.	Verifica
SLV 6	3.63	-138	55.1	126.7827		241	1.1439	132	75.26		125.65	1.37	Si
SLV 6	7.37	-49.72	38.54	-70.4977		0	0	83	0		113.04	0	No, Vu<V
SLV 12	3.63	-138.58	-54.28	-121.7959		219	1.2633	127	80.36		125.73	1.48	Si
SLV 12	7.37	-51.83	-37.71	72.4087		0	0	83	0		113.35	0	No, Vu<V
SLV 16	3.63	-134.53	-33.6	-76.2298		122	2.2001	108	118.58		125.18	3.53	Si
SLV 16	7.37	-50.15	-24.36	49.1993		105	0.9567	104	49.89		113.1	2.05	Si
SLV 9	3.63	-135.47	43.5	99.4619		160	1.6974	115	97.82		125.3	2.25	Si
SLV 9	7.37	-49.09	29.74	-52.8222		146	0.6721	113	37.82		112.94	1.27	Si
SLV 15	3.63	-134.53	-33.6	-76.2298		122	2.2001	108	118.58		125.18	3.53	Si
SLV 15	7.37	-50.15	-24.36	49.1993		105	0.9567	104	49.89		113.1	2.05	Si
SLV 7	3.63	-141.11	-42.68	-94.4752		149	1.8915	113	107.04		126.07	2.51	Si
SLV 7	7.37	-52.46	-28.92	54.7332		136	0.7698	111	42.57		113.45	1.47	Si
SLV 8	3.63	-141.11	-42.68	-94.4752		149	1.8915	113	107.04		126.07	2.51	Si
SLV 8	7.37	-52.46	-28.92	54.7332		136	0.7698	111	42.57		113.45	1.47	Si
SLV 5	3.63	-138	55.1	126.7827		241	1.1439	132	75.26		125.65	1.37	Si
SLV 5	7.37	-49.72	38.54	-70.4977		0	0	83	0		113.04	0	No, Vu<V
SLV 10	3.63	-135.47	43.5	99.4619		160	1.6974	115	97.82		125.3	2.25	Si
SLV 10	7.37	-49.09	29.74	-52.8222		146	0.6721	113	37.82		112.94	1.27	Si
SLV 11	3.63	-138.58	-54.28	-121.7959		219	1.2633	127	80.36		125.73	1.48	Si
SLV 11	7.37	-51.83	-37.71	72.4087		0	0	83	0		113.35	0	No, Vu<V

Verifica a pressoflessione fuori piano D.M. 17-01-18 (N.T.C.)

quota 5.495 Wa 0.0009 denominatore 8 γM = 2

Comb.	fd	Sa	σ0	N	M	Mc	Coeff.s.	Verifica
SLV 14	1438	0.43	77	-100.73	5.1308	23.5852	4.6	Si
SLV 13	1438	0.43	77	-100.73	5.1308	23.5852	4.6	Si
SLV 15	1438	0.43	78	-100.84	5.1308	23.6103	4.6	Si
SLV 16	1438	0.43	78	-100.84	5.1308	23.6103	4.6	Si
SLV 10	1438	0.43	79	-102.34	5.1308	23.9373	4.67	Si
SLV 9	1438	0.43	79	-102.34	5.1308	23.9373	4.67	Si
SLV 12	1438	0.43	79	-102.73	5.1308	24.0209	4.68	Si
SLV 11	1438	0.43	79	-102.73	5.1308	24.0209	4.68	Si
SLV 5	1438	0.43	80	-103.84	5.1308	24.2635	4.73	Si

Comb.	fd	Sa	σ_0	N	M	Mc	Coeff.s.	Verifica
SLV 6	1438	0.43	80	-103.84	5.1308	24.2635	4.73	Si

Tabella dei coefficienti di sicurezza minimi

Stato limite	Coeff.s.	Comb.	Verifica
PF SLU	3.627	SLU 30	Si
V SLU	101.058	SLU 30	Si
PF SLV	0	SLV 5	No
V SLV	0	SLV 5	No
PPFP SLV	4.597	SLV 13	Si

Maschio 6

Verifiche condotte secondo D.M. 17-01-18 (N.T.C.)

Dati geometrici

X ini.	Y ini.	X fin.	Y fin.	Quota i.	Quota.s	l	Sp.	h netta	h ini.	h fin.	a	a.s.,sx	a.s.,dx
1.4	32.715	1.4	30.915	L3	L4	1.8	0.5	3.49	3.74	3.74			

Caratteristiche del materiale

(circ.617 C8A.2) Muratura in mattoni pieni e malta di calce LC2

fb	fk	fvk0	fmedio	τ_0	fv0	μ	φ	fv,lim	E	G	FC
6000			3450	90	200	0.58	0.77	325	3200000	1280000	1.2

Verifica a pressoflessione per azioni non sismiche 4.5.6.2 D.M. 17-01-18 (N.T.C.) $\gamma_M = 3$

Comb.	Quota	N	M	p	es1	es2	ea	ev	e ver	ϕ_t	Φ_I	Nu	Verifica
SLU 29	3.625	-116.25		1	0	0.0694	0.0175	0	0.0868	0.5	1	428.16	Si
SLU 29	5.495	-86.93		1	0	0.0694	0.0175	0	0.0434	0.66	1	572.47	Si
SLU 29	7.365	-52.06		1	0	0.0694	0.0175	0	0.0868	0.5	1	428.16	Si
SLU 30	3.625	-121.07		1	0	0.0618	0.0175	0	0.0793	0.53	1	453.63	Si
SLU 30	5.495	-92.11		1	0	0.0618	0.0175	0	0.0396	0.68	1	588.95	Si
SLU 30	7.365	-58.39		1	0	0.0618	0.0175	0	0.0793	0.53	1	453.63	Si
SLU 32	3.625	-112.44		1	0	0.0696	0.0175	0	0.0871	0.5	1	427.24	Si
SLU 32	5.495	-85.56		1	0	0.0696	0.0175	0	0.0435	0.66	1	572.03	Si
SLU 32	7.365	-51.86		1	0	0.0696	0.0175	0	0.0871	0.5	1	427.24	Si
SLU 20	3.625	-109.96		1	0	0.0718	0.0175	0	0.0893	0.49	1	419.56	Si
SLU 20	5.495	-79.18		1	0	0.0718	0.0175	0	0.0446	0.66	1	568.38	Si
SLU 20	7.365	-41.82		1	0	0.0718	0.0175	0	0.0893	0.49	1	419.56	Si
SLU 28	3.625	-112.33		1	0	0.0681	0.0175	0	0.0856	0.5	1	432.48	Si
SLU 28	5.495	-82.66		1	0	0.0681	0.0175	0	0.0428	0.67	1	574.53	Si
SLU 28	7.365	-46.65		1	0	0.0681	0.0175	0	0.0856	0.5	1	432.48	Si
SLU 33	3.625	-117.26		1	0	0.062	0.0175	0	0.0795	0.53	1	452.94	Si
SLU 33	5.495	-90.75		1	0	0.062	0.0175	0	0.0397	0.68	1	588.4	Si
SLU 33	7.365	-58.2		1	0	0.062	0.0175	0	0.0795	0.53	1	452.94	Si
SLU 21	3.625	-114.78		1	0	0.0624	0.0175	0	0.0798	0.52	1	451.82	Si
SLU 21	5.495	-84.36		1	0	0.0624	0.0175	0	0.0399	0.68	1	587.5	Si
SLU 21	7.365	-48.16		1	0	0.0624	0.0175	0	0.0798	0.52	1	451.82	Si
SLU 23	3.625	-106.15		1	0	0.0722	0.0175	0	0.0896	0.49	1	418.38	Si
SLU 23	5.495	-77.81		1	0	0.0722	0.0175	0	0.0448	0.66	1	567.81	Si
SLU 23	7.365	-41.63		1	0	0.0722	0.0175	0	0.0896	0.49	1	418.38	Si
SLU 31	3.625	-121.97		1	0	0.0536	0.0175	0	0.071	0.56	1	481.01	Si
SLU 31	5.495	-93.03		1	0	0.0536	0.0175	0	0.0355	0.71	1	610.85	Si
SLU 31	7.365	-59.31		1	0	0.0536	0.0175	0	0.071	0.56	1	481.01	Si
SLU 19	3.625	-106.04		1	0	0.0706	0.0175	0	0.088	0.49	1	423.83	Si
SLU 19	5.495	-74.91		1	0	0.0706	0.0175	0	0.044	0.66	1	570.41	Si
SLU 19	7.365	-36.41		1	0	0.0706	0.0175	0	0.088	0.49	1	423.83	Si

Verifica a pressoflessione nel piano secondo D.M. 17-01-18 NTC §7.8.2.2.1 in combinazioni sismiche, $\gamma_M = 2$

Comb.	Quota	N	M	σ_0	Mu	c.s.	Verifica
SLV 15	3.63	12.01	-25.6417	0	0	0	No, Trazione
SLV 15	7.37	-35.56	27.4136	40	30.9691	1.13	Si
SLV 9	3.63	-23.49	70.8778	0	0	0	No, e>1/2
SLV 9	7.37	-20.32	-11.1464	23	17.9493	1.61	Si
SLV 6	3.63	-85.5	68.8115	95	70.9687	1.031	Si
SLV 6	7.37	-21.38	-19.8243	0	0	0	No, e>1/2
SLV 11	3.63	-80.19	-81.3224	0	0	0	No, e>1/2
SLV 11	7.37	-45.67	32.6009	51	39.3934	1.208	Si
SLV 12	3.63	-80.19	-81.3224	0	0	0	No, e>1/2
SLV 12	7.37	-45.67	32.6009	51	39.3934	1.208	Si
SLV 13	3.63	29.02	20.0184	0	0	0	No, Trazione
SLV 13	7.37	-27.96	14.2894	31	24.5205	1.716	Si
SLV 10	3.63	-23.49	70.8778	0	0	0	No, e>1/2
SLV 10	7.37	-20.32	-11.1464	23	17.9493	1.61	Si
SLV 16	3.63	12.01	-25.6417	0	0	0	No, Trazione
SLV 16	7.37	-35.56	27.4136	40	30.9691	1.13	Si
SLV 5	3.63	-85.5	68.8115	95	70.9687	1.031	Si
SLV 5	7.37	-21.38	-19.8243	0	0	0	No, e>1/2
SLV 14	3.63	29.02	20.0184	0	0	0	No, Trazione
SLV 14	7.37	-27.96	14.2894	31	24.5205	1.716	Si

Verifica a taglio nel piano secondo D.M. 17-01-18 (N.T.C.) §7.8.2.2.2 con rottura per scorrimento in combinazioni non sismiche, $\gamma_M = 3$

Comb.	Quota	N	V par	M	σ_0	σ_N	l'	fvd	Vt scorr.	Vt fess.diag.	Vt,lim	c.s.	Verifica
SLU 36	3.63	-111.7	-7.23	-9.222		124	1.8	72	64.89		57.43	8.98	Si
SLU 36	7.37	-52.7	-7.23	10.9169		59	1.8	63	57.03		50.54	7.88	Si
SLU 35	3.63	-106.88	-6.51	-8.9351		119	1.8	71	64.25		56.9	9.87	Si
SLU 35	7.37	-46.37	-6.52	9.0567		52	1.8	62	56.18		49.75	8.62	Si
SLU 30	3.63	-121.07	-6.57	-7.9068		135	1.8	73	66.14		58.45	10.08	Si
SLU 30	7.37	-58.39	-6.58	11.051		65	1.8	64	57.79		51.25	8.79	Si
SLU 25	3.63	-111.86	-6.66	-8.5843		124	1.8	72	64.91		57.45	9.75	Si
SLU 25	7.37	-48.88	-6.67	10.8295		54	1.8	63	56.52		50.06	8.47	Si
SLU 32	3.63	-112.44	-6.54	-8.5766		125	1.8	72	64.99		57.51	9.94	Si
SLU 32	7.37	-51.86	-6.55	9.5379		58	1.8	63	56.92		50.44	8.69	Si
SLU 31	3.63	-121.97	-6.96	-8.1422		136	1.8	74	66.26		58.54	9.52	Si
SLU 31	7.37	-59.31	-6.97	12.2813		66	1.8	64	57.91		51.36	8.31	Si
SLU 18	3.63	-88.89	-6.44	-7.7299		99	1.8	69	61.85		54.87	9.61	Si

Comb.	Quota	N	V par	M	σ_0	σ_N	I'	fvd	Vt scorr.	Vt fess.diag.	Vt,lim	c.s.	Verifica
SLU 18	7.37	-47	-6.45	9.8308		52	1.8	63	56.27		49.83	8.73	Si
SLU 16	3.63	-95.34	-6.86	-7.6068		106	1.8	70	62.71		55.61	9.14	Si
SLU 16	7.37	-53.41	-6.87	11.5422		59	1.8	63	57.12		50.63	8.32	Si
SLU 33	3.63	-117.26	-7.25	-8.8635		130	1.8	73	65.63		58.04	9.05	Si
SLU 33	7.37	-58.2	-7.26	11.398		65	1.8	64	57.76		51.22	7.95	Si
SLU 34	3.63	-118.15	-7.65	-9.0989		131	1.8	73	65.75		58.13	8.6	Si
SLU 34	7.37	-59.12	-7.66	12.6283		66	1.8	64	57.88		51.34	7.56	Si

Verifica a taglio nel piano secondo D.M. 17-01-18 (N.T.C.) §7.8.2.2.2 con rottura per scorrimento in combinazioni sismiche, $\gamma_M = 2$

Comb.	Quota	N	V par	M	σ_0	σ_N	I'	fvd	Vt scorr.	Vt fess.diag.	Vt,lim	c.s.	Verifica
SLV 11	3.63	-80.19	-42	-81.3224		0	0	83	0		75.96	0	No, Vu<V
SLV 11	7.37	-45.67	-23.33	32.6009		164	0.5583	116	32.4		71.53	1.39	Si
SLV 10	3.63	-23.49	27.83	70.8778		0	0	83	0		68.54	0	No, Vu<V
SLV 10	7.37	-20.32	6.83	-11.1464		39	1.0543	91	47.99		68.1	7.03	Si
SLV 15	3.63	12.01	-23.75	-25.6417		0	0	83	0		63.45	0	No, Vu<V
SLV 15	7.37	-35.56	-21.67	27.4136		184	0.3873	120	23.25		70.18	1.07	Si
SLV 14	3.63	29.02	-2.8	20.0184		0	0	83	0		60.87	0	No, Vu<V
SLV 14	7.37	-27.96	-12.62	14.2894		48	1.1666	93	54.2		69.15	4.29	Si
SLV 9	3.63	-23.49	27.83	70.8778		0	0	83	0		68.54	0	No, Vu<V
SLV 9	7.37	-20.32	6.83	-11.1464		39	1.0543	91	47.99		68.1	7.03	Si
SLV 13	3.63	29.02	-2.8	20.0184		0	0	83	0		60.87	0	No, Vu<V
SLV 13	7.37	-27.96	-12.62	14.2894		48	1.1666	93	54.2		69.15	4.29	Si
SLV 6	3.63	-85.5	33.14	68.8115		599	0.2856	163	23.21		76.61	0.7	No, Vu<V
SLV 6	7.37	-21.38	14.46	-19.8243		0	0	83	0		68.25	0	No, Vu<V
SLV 5	3.63	-85.5	33.14	68.8115		599	0.2856	163	23.21		76.61	0.7	No, Vu<V
SLV 5	7.37	-21.38	14.46	-19.8243		0	0	83	0		68.25	0	No, Vu<V
SLV 16	3.63	12.01	-23.75	-25.6417		0	0	83	0		63.45	0	No, Vu<V
SLV 16	7.37	-35.56	-21.67	27.4136		184	0.3873	120	23.25		70.18	1.07	Si
SLV 12	3.63	-80.19	-42	-81.3224		0	0	83	0		75.96	0	No, Vu<V
SLV 12	7.37	-45.67	-23.33	32.6009		164	0.5583	116	32.4		71.53	1.39	Si

Verifica a pressoflessione fuori piano D.M. 17-01-18 (N.T.C.)

quota 5.495 Wa 0.0009 denominatore 8 $\gamma_M = 2$

Comb.	fd	Sa	σ_0	N	M	Mc	Coeff.s.	Verifica
SLV 13	1438	0.43	0	-8.09	3.5521	0	0	No, e>t/2
SLV 14	1438	0.43	0	-8.09	3.5521	0	0	No, e>t/2
SLV 15	1438	0.43	18	-16.05	3.5521	3.9531	1.11	Si
SLV 16	1438	0.43	18	-16.05	3.5521	3.9531	1.11	Si
SLV 9	1438	0.43	37	-33.14	3.5521	8.0347	2.26	Si
SLV 10	1438	0.43	37	-33.14	3.5521	8.0347	2.26	Si
SLV 11	1438	0.43	66	-59.65	3.5521	14.1032	3.97	Si
SLV 12	1438	0.43	66	-59.65	3.5521	14.1032	3.97	Si
SLV 6	1438	0.43	70	-62.56	3.5521	14.7496	4.15	Si
SLV 5	1438	0.43	70	-62.56	3.5521	14.7496	4.15	Si

Tabella dei coefficienti di sicurezza minimi

Stato limite	Coeff.s.	Comb.	Verifica
PF SLU	3.683	SLU 29	Si
V SLU	7.559	SLU 34	Si
PF SLV	0	SLV 16	No
V SLV	0	SLV 5	No
PPFP SLV	0	SLV 13	No

Maschio 7

Verifiche condotte secondo D.M. 17-01-18 (N.T.C.)

Dati geometrici

X ini.	Y ini.	X fin.	Y fin.	Quota i.	Quota.s	l	Sp.	h netta	h ini.	h fin.	a	a.s.,sx	a.s.,dx
1.4	34.815	1.4	33.715	L3	L4	1.1	0.5	3.49	3.74	3.74			

Caratteristiche del materiale

(circ.617 C8A.2) Muratura in mattoni pieni e malta di calce LC2

fb	fk	fvk0	fmedio	τ_0	fv0	μ	ϕ	fv,lim	E	G	FC
6000			3450	90	200	0.58	0.77	325	3200000	1280000	1.2

Verifica a pressoflessione per azioni non sismiche 4.5.6.2 D.M. 17-01-18 (N.T.C.) $\gamma_M = 3$

Comb.	Quota	N	M	p	es1	es2	ea	ev	e ver	ϕ_t	Φ_I	Nu	Verifica
SLU 33	3.625	-90.21			1	0	0.0402	0.0175	0	0.0576	0.61	321.06	Si
SLU 33	5.495	-70.95			1	0	0.0402	0.0175	0	0.0288	0.75	395	Si
SLU 33	7.365	-42.07			1	0	0.0402	0.0175	0	0.0576	0.61	321.06	Si
SLU 30	3.625	-89.86			1	0	0.0405	0.0175	0	0.058	0.61	320.39	Si
SLU 30	5.495	-70.61			1	0	0.0405	0.0175	0	0.029	0.75	394.46	Si
SLU 30	7.365	-41.73			1	0	0.0405	0.0175	0	0.058	0.61	320.39	Si
SLU 34	3.625	-91.66			1	0	0.0342	0.0175	0	0.0516	0.63	333.21	Si
SLU 34	5.495	-72.41			1	0	0.0342	0.0175	0	0.0258	0.77	404.71	Si
SLU 34	7.365	-43.53			1	0	0.0342	0.0175	0	0.0516	0.63	333.21	Si
SLU 32	3.625	-85.19			1	0	0.0456	0.0175	0	0.0631	0.59	310.05	Si
SLU 32	5.495	-65.93			1	0	0.0456	0.0175	0	0.0315	0.73	386.19	Si
SLU 32	7.365	-37.05			1	0	0.0456	0.0175	0	0.0631	0.59	310.05	Si
SLU 31	3.625	-91.32			1	0	0.0344	0.0175	0	0.0519	0.63	332.66	Si
SLU 31	5.495	-72.06			1	0	0.0344	0.0175	0	0.0259	0.77	404.27	Si
SLU 31	7.365	-43.18			1	0	0.0344	0.0175	0	0.0519	0.63	332.66	Si
SLU 29	3.625	-84.84			1	0	0.046	0.0175	0	0.0635	0.59	309.19	Si
SLU 29	5.495	-65.59			1	0	0.046	0.0175	0	0.0317	0.73	385.49	Si
SLU 29	7.365	-36.71			1	0	0.046	0.0175	0	0.0635	0.59	309.19	Si
SLU 36	3.625	-86.79			1	0	0.0385	0.0175	0	0.0559	0.62	324.5	Si
SLU 36	5.495	-67.54			1	0	0.0385	0.0175	0	0.028	0.75	397.74	Si
SLU 36	7.365	-38.65			1	0	0.0385	0.0175	0	0.0559	0.62	324.5	Si
SLU 35	3.625	-81.77			1	0	0.0442	0.0175	0	0.0617	0.59	312.88	Si
SLU 35	5.495	-62.52			1	0	0.0442	0.0175	0	0.0308	0.74	388.44	Si
SLU 35	7.365	-33.64			1	0	0.0442	0.0175	0	0.0617	0.59	312.88	Si
SLU 28	3.625	-81.28			1	0	0.0449	0.0175	0	0.0623	0.59	311.55	Si
SLU 28	5.495	-62.03			1	0	0.0449	0.0175	0	0.0312	0.73	387.38	Si
SLU 28	7.365	-33.14			1	0	0.0449	0.0175	0	0.0623	0.59	311.55	Si

Comb.	Quota	N	M	p	es1	es2	ea	ev	e ver	φt	ΦI	Nu	Verifica
SLU 24	3.625	-82.94		1	0	0.0404	0.0175	0	0.0579	0.61	1	320.6	Si
SLU 24	5.495	-63.68		1	0	0.0404	0.0175	0	0.0289	0.75	1	394.62	Si
SLU 24	7.365	-34.8		1	0	0.0404	0.0175	0	0.0579	0.61	1	320.6	Si

Verifica a pressoflessione nel piano secondo D.M. 17-01-18 NTC §7.8.2.2.1 in combinazioni sismiche, $\gamma_M = 2$

Comb.	Quota	N	M	σ_0	Mu	c.s.	Verifica
SLV 8	3.63	-49.38	-24.7031	90	25.1647	1.019	Si
SLV 8	7.37	-12.1	6.5234	22	6.5349	1.002	Si
SLV 5	3.63	-70.36	31.0925	128	34.6448	1.114	Si
SLV 5	7.37	-33.46	-15.6381	61	17.4868	1.118	Si
SLV 10	3.63	-72.86	38.2779	132	35.7282	0.933	No, M>Mu
SLV 10	7.37	-36.09	-18.3647	66	18.7839	1.023	Si
SLV 9	3.63	-72.86	38.2779	132	35.7282	0.933	No, M>Mu
SLV 9	7.37	-36.09	-18.3647	66	18.7839	1.023	Si
SLV 7	3.63	-49.38	-24.7031	90	25.1647	1.019	Si
SLV 7	7.37	-12.1	6.5234	22	6.5349	1.002	Si
SLV 14	3.63	-68.44	27.1324	124	33.8082	1.246	Si
SLV 14	7.37	-31.68	-13.7893	58	16.6045	1.204	Si
SLV 6	3.63	-70.36	31.0925	128	34.6448	1.114	Si
SLV 6	7.37	-33.46	-15.6381	61	17.4868	1.118	Si
SLD 9	3.63	-66.29	20.66	121	32.8634	1.591	Si
SLD 9	7.37	-29.38	-11.3944	53	15.4502	1.356	Si
SLV 13	3.63	-68.44	27.1324	124	33.8082	1.246	Si
SLV 13	7.37	-31.68	-13.7893	58	16.6045	1.204	Si
SLD 10	3.63	-66.29	20.66	121	32.8634	1.591	Si
SLD 10	7.37	-29.38	-11.3944	53	15.4502	1.356	Si

Verifica a taglio nel piano secondo D.M. 17-01-18 (N.T.C.) §7.8.2.2.2 con rottura per scorrimento in combinazioni non sismiche, $\gamma_M = 3$

Comb.	Quota	N	V par	M	σ_0	σ_N	I'	fvd	Vt scorr.	Vt fess.diag.	Vt,lim	c.s.	Verifica
SLU 35	3.63	-81.77	4.93	10.06		149	1.1	75	41.46		36.55	8.41	Si
SLU 35	7.37	-33.64	4.93	-8.3816		75	0.9024	65	29.55		31.06	5.99	Si
SLU 33	3.63	-90.21	5.49	10.653		164	1.1	77	42.58		37.43	7.76	Si
SLU 33	7.37	-42.07	5.49	-9.8795		89	0.9455	67	31.87		32.09	5.81	Si
SLU 16	3.63	-76.5	4.99	9.5865		139	1.1	74	40.76		35.99	8.16	Si
SLU 16	7.37	-39.47	4.99	-9.0868		82	0.9594	67	31.91		31.78	6.39	Si
SLU 30	3.63	-89.86	5.06	9.4147		163	1.1	77	42.54		37.39	8.41	Si
SLU 30	7.37	-41.73	5.06	-9.5089		86	0.9664	67	32.41		32.05	6.4	Si
SLU 25	3.63	-84.39	4.84	9.4737		153	1.1	76	41.81		36.82	8.63	Si
SLU 25	7.37	-36.26	4.84	-8.6464		78	0.9346	66	30.8		31.39	6.36	Si
SLU 36	3.63	-86.79	5.36	10.7101		158	1.1	77	42.13		37.07	7.86	Si
SLU 36	7.37	-38.65	5.36	-9.347		84	0.9246	67	30.84		31.68	5.75	Si
SLU 32	3.63	-85.19	5.06	10.0029		155	1.1	76	41.91		36.91	8.29	Si
SLU 32	7.37	-37.05	5.06	-8.9141		80	0.9283	66	30.73		31.49	6.07	Si
SLU 27	3.63	-79.52	4.6	9.3543		145	1.1	75	41.16		36.31	8.95	Si
SLU 27	7.37	-31.39	4.6	-7.8398		70	0.9007	65	29.2		30.78	6.35	Si
SLU 34	3.63	-91.66	5.61	10.8294		167	1.1	78	42.78		37.58	7.62	Si
SLU 34	7.37	-43.53	5.61	-10.1536		92	0.9502	68	32.2		32.27	5.74	Si
SLU 31	3.63	-91.32	5.18	9.5912		166	1.1	78	42.73		37.54	8.25	Si
SLU 31	7.37	-43.18	5.18	-9.783		89	0.9703	67	32.71		32.23	6.31	Si

Verifica a taglio nel piano secondo D.M. 17-01-18 (N.T.C.) §7.8.2.2.2 con rottura per scorrimento in combinazioni sismiche, $\gamma_M = 2$

Comb.	Quota	N	V par	M	σ_0	σ_N	I'	fvd	Vt scorr.	Vt fess.diag.	Vt,lim	c.s.	Verifica
SLV 7	3.63	-49.38	-13.11	-24.7031		662	0.1493	163	12.13		46.46	0.93	No, Vu<V
SLV 7	7.37	-12.1	-1.58	6.5234		743	0.0326	163	2.65		41.57	1.67	Si
SLV 9	3.63	-66.29	10.65	20.66		185	0.715	120	43.05		48.52	4.04	Si
SLD 9	7.37	-29.38	5.59	-11.3944		121	0.4863	107	26.14		43.91	4.68	Si
SLV 10	3.63	-72.86	19.9	38.2779		1972	0.0739	163	6		49.3	0.3	No, Vu<V
SLV 10	7.37	-36.09	8.38	-18.3647		585	0.1235	163	10.03		44.78	1.2	Si
SLV 8	3.63	-49.38	-13.11	-24.7031		662	0.1493	163	12.13		46.46	0.93	No, Vu<V
SLV 8	7.37	-12.1	-1.58	6.5234		743	0.0326	163	2.65		41.57	1.67	Si
SLV 13	3.63	-68.44	14.52	27.1324		297	0.4607	143	32.88		48.78	2.27	Si
SLV 13	7.37	-31.68	3.25	-13.7893		184	0.3443	120	20.68		44.21	6.37	Si
SLD 10	3.63	-66.29	10.65	20.66		185	0.715	120	43.05		48.52	4.04	Si
SLD 10	7.37	-29.38	5.59	-11.3944		121	0.4863	107	26.14		43.91	4.68	Si
SLV 9	3.63	-72.86	19.9	38.2779		1972	0.0739	163	6		49.3	0.3	No, Vu<V
SLV 9	7.37	-36.09	8.38	-18.3647		585	0.1235	163	10.03		44.78	1.2	Si
SLV 14	3.63	-68.44	14.52	27.1324		297	0.4607	143	32.88		48.78	2.27	Si
SLV 14	7.37	-31.68	3.25	-13.7893		184	0.3443	120	20.68		44.21	6.37	Si
SLV 5	3.63	-70.36	15.83	31.0925		434	0.3242	163	26.34		49	1.66	Si
SLV 5	7.37	-33.46	9.46	-15.6381		270	0.2479	137	17.02		44.44	1.8	Si
SLV 6	3.63	-70.36	15.83	31.0925		434	0.3242	163	26.34		49	1.66	Si
SLV 6	7.37	-33.46	9.46	-15.6381		270	0.2479	137	17.02		44.44	1.8	Si

Verifica a pressoflessione fuori piano D.M. 17-01-18 (N.T.C.)

quota 5.495 Wa 0.0009 denominatore 8 $\gamma_M = 2$

Comb.	fd	Sa	σ_0	N	M	Mc	Coeff.s.	Verifica
SLV 8	1438	0.43	59	-32.43	2.1707	7.7164	3.55	Si
SLV 7	1438	0.43	59	-32.43	2.1707	7.7164	3.55	Si
SLV 12	1438	0.43	62	-34.34	2.1707	8.1465	3.75	Si
SLV 11	1438	0.43	62	-34.34	2.1707	8.1465	3.75	Si
SLV 3	1438	0.43	71	-39.25	2.1707	9.2393	4.26	Si
SLV 4	1438	0.43	71	-39.25	2.1707	9.2393	4.26	Si
SLV 15	1438	0.43	83	-45.62	2.1707	10.6302	4.9	Si
SLV 16	1438	0.43	83	-45.62	2.1707	10.6302	4.9	Si
SLV 1	1438	0.43	85	-47	2.1707	10.9292	5.03	Si
SLV 2	1438	0.43	85	-47	2.1707	10.9292	5.03	Si

Tabella dei coefficienti di sicurezza minimi

Stato limite	Coeff.s.	Comb.	Verifica
PF SLU	3.559	SLU 33	Si
V SLU	5.739	SLU 34	Si
PF SLV	0.933	SLV 9	No
V SLV	0.302	SLV 9	No
PF SLV	3.555	SLV 7	Si

Maschio 8

Verifiche condotte secondo D.M. 17-01-18 (N.T.C.)

Dati geometrici

X ini.	Y ini.	X fin.	Y fin.	Quota i.	Quota.s	l	Sp.	h netta	h ini.	h fin.	a	a.s.,sx	a.s.,dx
1.4	37.415	1.4	35.815	L3	L4	1.6	0.5	3.49	3.74	3.74			

Caratteristiche del materiale

(circ.617 C8A.2) Muratura in mattoni pieni e malta di calce LC2

fb	fk	fvk0	fmedio	r0	fv0	μ	φ	fv,lim	E	G	FC
6000			3450	90	200	0.58	0.77	325	3200000	1280000	1.2

Verifica a pressoflessione per azioni non sismiche 4.5.6.2 D.M. 17-01-18 (N.T.C.) γM = 3

Comb.	Quota	N	M	p	es1	es2	ea	ev	e ver	Φt	Φl	Nu	Verifica
SLU 30	3.625	-133.34		1	0	0.0388	0.0175	0	0.0563	0.61	1	470.98	Si
SLU 30	5.495	-105.33		1	0	0.0388	0.0175	0	0.0281	0.75	1	577.72	Si
SLU 30	7.365	-63.32		1	0	0.0388	0.0175	0	0.0563	0.61	1	470.98	Si
SLU 33	3.625	-132.73		1	0	0.0392	0.0175	0	0.0566	0.61	1	469.87	Si
SLU 33	5.495	-104.72		1	0	0.0392	0.0175	0	0.0283	0.75	1	576.83	Si
SLU 33	7.365	-62.71		1	0	0.0392	0.0175	0	0.0566	0.61	1	469.87	Si
SLU 31	3.625	-135.66		1	0	0.033	0.0175	0	0.0504	0.64	1	488.25	Si
SLU 31	5.495	-107.65		1	0	0.033	0.0175	0	0.0252	0.77	1	591.54	Si
SLU 31	7.365	-65.64		1	0	0.033	0.0175	0	0.0504	0.64	1	488.25	Si
SLU 34	3.625	-135.05		1	0	0.0333	0.0175	0	0.0507	0.64	1	487.34	Si
SLU 34	5.495	-107.04		1	0	0.0333	0.0175	0	0.0254	0.77	1	590.81	Si
SLU 34	7.365	-65.03		1	0	0.0333	0.0175	0	0.0507	0.64	1	487.34	Si
SLU 29	3.625	-125.37		1	0	0.0444	0.0175	0	0.0619	0.59	1	454.53	Si
SLU 29	5.495	-97.36		1	0	0.0444	0.0175	0	0.0309	0.74	1	564.56	Si
SLU 29	7.365	-55.36		1	0	0.0444	0.0175	0	0.0619	0.59	1	454.53	Si
SLU 32	3.625	-124.76		1	0	0.0449	0.0175	0	0.0624	0.59	1	453.07	Si
SLU 32	5.495	-96.75		1	0	0.0449	0.0175	0	0.0312	0.73	1	563.39	Si
SLU 32	7.365	-54.75		1	0	0.0449	0.0175	0	0.0624	0.59	1	453.07	Si
SLU 36	3.625	-126.82		1	0	0.0381	0.0175	0	0.0555	0.62	1	473.15	Si
SLU 36	5.495	-98.81		1	0	0.0381	0.0175	0	0.0278	0.76	1	579.46	Si
SLU 36	7.365	-56.81		1	0	0.0381	0.0175	0	0.0555	0.62	1	473.15	Si
SLU 28	3.625	-119.72		1	0	0.0435	0.0175	0	0.061	0.6	1	457.14	Si
SLU 28	5.495	-91.72		1	0	0.0435	0.0175	0	0.0305	0.74	1	566.65	Si
SLU 28	7.365	-49.71		1	0	0.0435	0.0175	0	0.061	0.6	1	457.14	Si
SLU 35	3.625	-118.85		1	0	0.0443	0.0175	0	0.0617	0.59	1	454.86	Si
SLU 35	5.495	-90.85		1	0	0.0443	0.0175	0	0.0309	0.74	1	564.82	Si
SLU 35	7.365	-48.84		1	0	0.0443	0.0175	0	0.0617	0.59	1	454.86	Si
SLU 21	3.625	-122.2		1	0	0.0392	0.0175	0	0.0566	0.61	1	469.89	Si
SLU 21	5.495	-94.2		1	0	0.0392	0.0175	0	0.0283	0.75	1	576.85	Si
SLU 21	7.365	-52.19		1	0	0.0392	0.0175	0	0.0566	0.61	1	469.89	Si

Verifica a pressoflessione nel piano secondo D.M. 17-01-18 NTC §7.8.2.2.1 in combinazioni sismiche, γM = 2

Comb.	Quota	N	M	σ0	Mu	c.s.	Verifica
SLV 15	3.63	-79.14	-23.8781	99	58.1891	2.437	Si
SLV 15	7.37	-25.15	10.1919	31	19.6016	1.923	Si
SLV 12	3.63	-89.1	-41.5498	111	64.78	1.559	Si
SLV 12	7.37	-35.12	25.0394	44	27.087	1.082	Si
SLV 6	3.63	-89.5	44.3148	112	65.044	1.468	Si
SLV 6	7.37	-35.76	-25.5099	45	27.5635	1.081	Si
SLV 7	3.63	-95.75	-33.3865	120	69.0969	2.07	Si
SLV 7	7.37	-41.84	23.1636	52	32.0418	1.383	Si
SLV 8	3.63	-95.75	-33.3865	120	69.0969	2.07	Si
SLV 8	7.37	-41.84	23.1636	52	32.0418	1.383	Si
SLV 16	3.63	-79.14	-23.8781	99	58.1891	2.437	Si
SLV 16	7.37	-25.15	10.1919	31	19.6016	1.923	Si
SLV 5	3.63	-89.5	44.3148	112	65.044	1.468	Si
SLV 5	7.37	-35.76	-25.5099	45	27.5635	1.081	Si
SLV 9	3.63	-82.85	36.1515	104	60.659	1.678	Si
SLV 9	7.37	-29.04	-23.6342	0	0	0	No, e>1/2
SLV 11	3.63	-89.1	-41.5498	111	64.78	1.559	Si
SLV 11	7.37	-35.12	25.0394	44	27.087	1.082	Si
SLV 10	3.63	-82.85	36.1515	104	60.659	1.678	Si
SLV 10	7.37	-29.04	-23.6342	0	0	0	No, e>1/2

Verifica a taglio nel piano secondo D.M. 17-01-18 (N.T.C.) §7.8.2.2.2 con rottura per scorrimento in combinazioni non sismiche, γM = 3

Comb.	Quota	N	V par	M	σ0	σN	l'	fvd	Vt scorr.	Vt fess.diag.	Vt,lim	c.s.	Verifica
SLU 36	3.63	-126.82	0.61	2.0389		159	1.6	77	61.35		53.98	99.88	Si
SLU 36	7.37	-56.81	0.61	-0.2585		71	1.6	65	52.02		46.15	84.68	Si
SLU 23	3.63	-113.62	0.56	1.7637		142	1.6	74	59.59		52.6	106.39	Si
SLU 23	7.37	-43.61	0.56	-0.3313		55	1.6	63	50.26		44.52	89.72	Si
SLU 35	3.63	-118.85	0.6	1.9243		149	1.6	75	60.29		53.15	99.73	Si
SLU 35	7.37	-48.84	0.6	-0.3367		61	1.6	64	50.96		45.17	84.29	Si
SLU 32	3.63	-124.76	0.61	1.9985		156	1.6	76	61.08		53.77	100.92	Si
SLU 32	7.37	-54.75	0.61	-0.265		68	1.6	65	51.74		45.9	85.5	Si
SLU 33	3.63	-132.73	0.61	2.1131		166	1.6	78	62.14		54.59	101.05	Si
SLU 33	7.37	-62.71	0.61	-0.1868		78	1.6	66	52.81		46.86	85.87	Si
SLU 27	3.63	-115.68	0.57	1.804		145	1.6	75	59.87		52.82	105.18	Si
SLU 27	7.37	-45.67	0.57	-0.3247		57	1.6	63	50.53		44.78	88.78	Si
SLU 24	3.63	-121.59	0.57	1.8783		152	1.6	76	60.66		53.44	106.44	Si
SLU 24	7.37	-51.58	0.57	-0.2531		64	1.6	64	51.32		45.51	90.06	Si
SLU 25	3.63	-123.91	0.56	1.8812		155	1.6	76	60.97		53.68	108.76	Si
SLU 25	7.37	-53.9	0.56	-0.2154		67	1.6	65	51.63		45.8	92.1	Si
SLU 26	3.63	-107.71	0.56	1.6894		135	1.6	74	58.81		51.96	105.11	Si
SLU 26	7.37	-37.7	0.56	-0.403		47	1.6	62	49.47		43.77	88.43	Si
SLU 34	3.63	-135.05	0.61	2.116		169	1.6	78	62.45		54.83	103.11	Si
SLU 34	7.37	-65.03	0.61	-0.1491		81	1.6	66	53.12		47.14	87.7	Si

Verifica a taglio nel piano secondo D.M. 17-01-18 (N.T.C.) §7.8.2.2.2 con rottura per scorrimento in combinazioni sismiche, γM = 2

Comb.	Quota	N	V par	M	σ0	σN	l'	fvd	Vt scorr.	Vt fess.diag.	Vt,lim	c.s.	Verifica
SLV 5	3.63	-89.5	26.42	44.3148		196	0.9146	122	56.01		69.75	2.12	Si
SLV 5	7.37	-35.76	9.69	-25.5099		275	0.2601	138	17.99		62.94	1.86	Si

Comb.	Quota	N	V par	M	σ_0	σ_N	I'	fvd	Vt scorr.	Vt fess.diag.	Vt,lim	c.s.	Verifica
SLV 12	3.63	-89.1	-25.56	-41.5498		178	1.001	119	59.53		69.7	2.33	Si
SLV 12	7.37	-35.12	-8.82	25.0394		269	0.2611	137	17.9		62.86	2.03	Si
SLV 8	3.63	-95.75	-18.83	-33.3865		141	1.354	112	75.56		70.5	4.01	Si
SLV 8	7.37	-41.84	-10.26	23.1636		113	0.7393	106	39.17		63.75	3.82	Si
SLV 11	3.63	-89.1	-25.56	-41.5498		178	1.001	119	59.53		69.7	2.33	Si
SLV 11	7.37	-35.12	-8.82	25.0394		269	0.2611	137	17.9		62.86	2.03	Si
SLV 7	3.63	-95.75	-18.83	-33.3865		141	1.354	112	75.56		70.5	4.01	Si
SLV 7	7.37	-41.84	-10.26	23.1636		113	0.7393	106	39.17		63.75	3.82	Si
SLV 9	3.63	-82.85	19.7	36.1515		152	1.0909	114	62.02		68.94	3.15	Si
SLV 9	7.37	-29.04	11.12	-23.6342		0	0	83	0		62.04	0	No, Vu<V
SLV 10	3.63	-82.85	19.7	36.1515		152	1.0909	114	62.02		68.94	3.15	Si
SLV 10	7.37	-29.04	11.12	-23.6342		0	0	83	0		62.04	0	No, Vu<V
SLV 15	3.63	-79.14	-17.57	-23.8781		106	1.4949	105	78.12		68.49	4.45	Si
SLV 15	7.37	-25.15	-0.16	10.1919		42	1.1842	92	54.37		61.51	330.54	Si
SLV 16	3.63	-79.14	-17.57	-23.8781		106	1.4949	105	78.12		68.49	4.45	Si
SLV 16	7.37	-25.15	-0.16	10.1919		42	1.1842	92	54.37		61.51	330.54	Si
SLV 6	3.63	-89.5	26.42	44.3148		196	0.9146	122	56.01		69.75	2.12	Si
SLV 6	7.37	-35.76	9.69	-25.5099		275	0.2601	138	17.99		62.94	1.86	Si

Verifica a pressoflessione fuori piano D.M. 17-01-18 (N.T.C.)

quota 5.495 Wa 0.0009 denominatore 8 $\gamma_M = 2$

Comb.	fd	Sa	σ_0	N	M	Mc	Coeff.s.	Verifica
SLV 13	1438	0.43	72	-57.35	3.1574	13.4953	4.27	Si
SLV 14	1438	0.43	72	-57.35	3.1574	13.4953	4.27	Si
SLV 16	1438	0.43	74	-58.86	3.1574	13.8299	4.38	Si
SLV 15	1438	0.43	74	-58.86	3.1574	13.8299	4.38	Si
SLV 9	1438	0.43	78	-62.33	3.1574	14.5885	4.62	Si
SLV 10	1438	0.43	78	-62.33	3.1574	14.5885	4.62	Si
SLV 12	1438	0.43	84	-67.39	3.1574	15.6864	4.97	Si
SLV 11	1438	0.43	84	-67.39	3.1574	15.6864	4.97	Si
SLV 6	1438	0.43	85	-68.12	3.1574	15.8429	5.02	Si
SLV 5	1438	0.43	85	-68.12	3.1574	15.8429	5.02	Si

Tabella dei coefficienti di sicurezza minimi

Stato limite	Coeff.s.	Comb.	Verifica
PF SLU	3.532	SLU 30	Si
V SLU	84.289	SLU 35	Si
PF SLV	0	SLV 9	No
V SLV	0	SLV 9	No
FFFF SLV	4.274	SLV 13	Si

Maschio 9

Verifiche condotte secondo D.M. 17-01-18 (N.T.C.)

Dati geometrici

X ini.	Y ini.	X fin.	Y fin.	Quota i.	Quota.s	l	Sp.	h netta	h ini.	h fin.	a	a.s.,sx	a.s.,dx
1.4	40.115	1.4	38.415	L3	L4	1.7	0.5	3.49	3.74	3.74			

Caratteristiche del materiale

(circ.617 C8A.2) Muratura in mattoni pieni e malta di calce LC2

fb	fk	fvk0	fmedio	r0	fv0	μ	φ	fv,lim	E	G	FC
6000			3450	90	200	0.58	0.77	325	3200000	1280000	1.2

Verifica a pressoflessione per azioni non sismiche 4.5.6.2 D.M. 17-01-18 (N.T.C.) $\gamma_M = 3$

Comb.	Quota	N	M	p	es1	es2	ea	ev	e ver	ϕ_t	Φ_I	Nu	Verifica
SLU 30	3.625	-107.25		1	0	0.039	0.0175	0	0.0564	0.61	1	499.86	Si
SLU 30	5.495	-73.08		1	0	0.039	0.0175	0	0.0282	0.75	1	613.39	Si
SLU 30	7.365	-66.98		1	0	0.039	0.0175	0	0.0564	0.61	1	499.86	Si
SLU 29	3.625	-102.19		1	0	0.0444	0.0175	0	0.0618	0.59	1	483.1	Si
SLU 29	5.495	-67.37		1	0	0.0444	0.0175	0	0.0309	0.74	1	599.98	Si
SLU 29	7.365	-58.89		1	0	0.0444	0.0175	0	0.0618	0.59	1	483.1	Si
SLU 31	3.625	-108.76		1	0	0.0332	0.0175	0	0.0506	0.64	1	518.13	Si
SLU 31	5.495	-74.75		1	0	0.0332	0.0175	0	0.0253	0.77	1	628	Si
SLU 31	7.365	-69.32		1	0	0.0332	0.0175	0	0.0506	0.64	1	518.13	Si
SLU 33	3.625	-102.43		1	0	0.0388	0.0175	0	0.0562	0.61	1	500.57	Si
SLU 33	5.495	-71.92		1	0	0.0388	0.0175	0	0.0281	0.75	1	613.95	Si
SLU 33	7.365	-67.37		1	0	0.0388	0.0175	0	0.0562	0.61	1	500.57	Si
SLU 21	3.625	-101.71		1	0	0.0393	0.0175	0	0.0567	0.61	1	498.97	Si
SLU 21	5.495	-65.36		1	0	0.0393	0.0175	0	0.0284	0.75	1	612.67	Si
SLU 21	7.365	-55.32		1	0	0.0393	0.0175	0	0.0567	0.61	1	498.97	Si
SLU 28	3.625	-98.64		1	0	0.0433	0.0175	0	0.0607	0.6	1	486.55	Si
SLU 28	5.495	-63.34		1	0	0.0433	0.0175	0	0.0304	0.74	1	602.74	Si
SLU 28	7.365	-53.14		1	0	0.0433	0.0175	0	0.0607	0.6	1	486.55	Si
SLU 20	3.625	-96.65		1	0	0.046	0.0175	0	0.0635	0.59	1	477.92	Si
SLU 20	5.495	-59.65		1	0	0.046	0.0175	0	0.0317	0.73	1	595.83	Si
SLU 20	7.365	-47.23		1	0	0.046	0.0175	0	0.0635	0.59	1	477.92	Si
SLU 32	3.625	-97.38		1	0	0.0441	0.0175	0	0.0615	0.59	1	484.01	Si
SLU 32	5.495	-66.21		1	0	0.0441	0.0175	0	0.0308	0.74	1	600.7	Si
SLU 32	7.365	-59.28		1	0	0.0441	0.0175	0	0.0615	0.59	1	484.01	Si
SLU 34	3.625	-103.94		1	0	0.033	0.0175	0	0.0504	0.64	1	518.71	Si
SLU 34	5.495	-73.59		1	0	0.033	0.0175	0	0.0252	0.77	1	628.47	Si
SLU 34	7.365	-69.71		1	0	0.033	0.0175	0	0.0504	0.64	1	518.71	Si
SLU 22	3.625	-103.22		1	0	0.0323	0.0175	0	0.0497	0.64	1	520.97	Si
SLU 22	5.495	-67.04		1	0	0.0323	0.0175	0	0.0249	0.77	1	630.27	Si
SLU 22	7.365	-57.67		1	0	0.0323	0.0175	0	0.0497	0.64	1	520.97	Si

Verifica a pressoflessione nel piano secondo D.M. 17-01-18 NTC §7.8.2.2.1 in combinazioni sismiche, $\gamma_M = 2$

Comb.	Quota	N	M	σ_0	Mu	c.s.	Verifica
SLV 8	3.63	-111.32	-46.7352	131	84.4771	1.808	Si
SLV 8	7.37	-25.93	28.1009	0	0	0	No, $e>1/2$
SLV 11	3.63	-63.74	-45.19	75	50.8506	1.125	Si
SLV 11	7.37	-32.22	27.1079	38	26.5376	0.979	No, $M>Mu$
SLV 16	3.63	2.71	-8.9954	0	0	0	No, Trazione
SLV 16	7.37	-46.18	5.5201	54	37.5094	6.795	Si

Comb.	Quota	N	M	σ_0	Mu	c.s.	Verifica
SLV 15	3.63	2.71	-8.9954	0	0	0	No, Trazione
SLV 15	7.37	-46.18	5.5201	54	37.5094	6.795	Si
SLV 14	3.63	12.08	20.4835	0	0	0	No, Trazione
SLV 14	7.37	-51.86	-11.9909	61	41.8801	3.493	Si
SLV 12	3.63	-63.74	-45.19	75	50.8506	1.125	Si
SLV 12	7.37	-32.22	27.1079	38	26.5376	0.979	No, M>Mu
SLV 9	3.63	-32.5	53.0728	0	0	0	No, e>1/2
SLV 9	7.37	-51.15	-31.2618	60	41.3338	1.322	Si
SLV 13	3.63	12.08	20.4835	0	0	0	No, Trazione
SLV 13	7.37	-51.86	-11.9909	61	41.8801	3.493	Si
SLV 10	3.63	-32.5	53.0728	0	0	0	No, e>1/2
SLV 10	7.37	-51.15	-31.2618	60	41.3338	1.322	Si
SLV 7	3.63	-111.32	-46.7352	131	84.4771	1.808	Si
SLV 7	7.37	-25.93	28.1009	0	0	0	No, e>1/2

Verifica a taglio nel piano secondo D.M. 17-01-18 (N.T.C.) §7.8.2.2.2 con rottura per scorrimento in combinazioni non sismiche, $\gamma_M = 3$

Comb.	Quota	N	V par	M	σ_0	σ_N	I'	fvd	Vt scorr.	Vt fess.diag.	Vt.lim	c.s.	Verifica
SLU 35	3.63	-91.76	4.77	4.7729		108	1.7	70	59.46		52.71	12.46	Si
SLU 35	7.37	-53.7	4.78	-2.2165		63	1.7	64	54.38		48.22	11.39	Si
SLU 31	3.63	-108.76	4.63	4.1484		128	1.7	73	61.72		54.6	13.32	Si
SLU 31	7.37	-69.32	4.64	-2.7454		82	1.7	66	56.47		50.11	12.17	Si
SLU 25	3.63	-98.4	4.49	4.2883		116	1.7	71	60.34		53.45	13.45	Si
SLU 25	7.37	-58.05	4.49	-2.3209		68	1.7	65	54.96		48.76	12.24	Si
SLU 15	3.63	-82.41	4.65	4.2614		97	1.7	68	58.21		51.64	12.53	Si
SLU 15	7.37	-60.87	4.65	-2.4583		72	1.7	65	55.34		49.1	11.89	Si
SLU 32	3.63	-97.38	4.79	4.6462		115	1.7	71	60.21		53.34	12.57	Si
SLU 32	7.37	-59.28	4.8	-2.4311		70	1.7	65	55.13		48.9	11.49	Si
SLU 34	3.63	-103.94	5.25	4.8622		122	1.7	72	61.08		54.07	11.63	Si
SLU 34	7.37	-69.71	5.26	-2.7872		82	1.7	66	56.52		50.16	10.75	Si
SLU 33	3.63	-102.43	5.16	4.8438		121	1.7	72	60.88		53.9	11.79	Si
SLU 33	7.37	-67.37	5.17	-2.7255		79	1.7	66	56.2		49.88	10.87	Si
SLU 36	3.63	-96.82	5.14	4.9704		114	1.7	71	60.13		53.28	11.69	Si
SLU 36	7.37	-61.79	5.15	-2.5108		73	1.7	65	55.46		49.21	10.77	Si
SLU 18	3.63	-76.79	4.63	4.3881		90	1.7	68	57.46		50.99	12.42	Si
SLU 18	7.37	-55.29	4.63	-2.2437		65	1.7	64	54.59		48.42	11.79	Si
SLU 16	3.63	-83.92	4.74	4.2798		99	1.7	69	58.41		51.82	12.33	Si
SLU 16	7.37	-63.21	4.74	-2.5201		74	1.7	65	55.65		49.38	11.74	Si

Verifica a taglio nel piano secondo D.M. 17-01-18 (N.T.C.) §7.8.2.2.2 con rottura per scorrimento in combinazioni sismiche, $\gamma_M = 2$

Comb.	Quota	N	V par	M	σ_0	σ_N	I'	fvd	Vt scorr.	Vt fess.diag.	Vt.lim	c.s.	Verifica
SLV 9	3.63	-32.5	34.59	53.0728		0	0	83	0		66.14	0	No, Vu<V
SLV 9	7.37	-51.15	16.14	-31.2618		143	0.7163	112	40.08		68.61	2.48	Si
SLV 13	3.63	12.08	17.62	20.4835		0	0	83	0		59.82	0	No, Vu<V
SLV 13	7.37	-51.86	15.43	-11.9909		61	1.7	96	81.21		68.7	5.26	Si
SLV 15	3.63	2.71	-0.23	-8.9954		0	0	83	0		61.2	0	No, Vu<V
SLV 15	7.37	-46.18	9.31	5.5201		54	1.7	94	80.07		67.96	8.6	Si
SLV 12	3.63	-63.74	-24.93	-45.19		301	0.4229	144	30.37		70.23	1.22	Si
SLV 12	7.37	-32.22	-4.26	27.1079		2478	0.026	163	2.11		66.1	0.5	No, Vu<V
SLV 16	3.63	2.71	-0.23	-8.9954		0	0	83	0		61.2	0	No, Vu<V
SLV 16	7.37	-46.18	9.31	5.5201		54	1.7	94	80.07		67.96	8.6	Si
SLV 14	3.63	12.08	17.62	20.4835		0	0	83	0		59.82	0	No, Vu<V
SLV 14	7.37	-51.86	15.43	-11.9909		61	1.7	96	81.21		68.7	5.26	Si
SLV 11	3.63	-63.74	-24.93	-45.19		301	0.4229	144	30.37		70.23	1.22	Si
SLV 11	7.37	-32.22	-4.26	27.1079		2478	0.026	163	2.11		66.1	0.5	No, Vu<V
SLV 7	3.63	-111.32	-28.24	-46.7352		173	1.2905	118	76.03		76.03	2.69	Si
SLV 7	7.37	-25.93	-9.78	28.1009		0	0	83	0		65.24	0	No, Vu<V
SLV 8	3.63	-111.32	-28.24	-46.7352		173	1.2905	118	76.03		76.03	2.69	Si
SLV 8	7.37	-25.93	-9.78	28.1009		0	0	83	0		65.24	0	No, Vu<V
SLV 10	3.63	-32.5	34.59	53.0728		0	0	83	0		66.14	0	No, Vu<V
SLV 10	7.37	-51.15	16.14	-31.2618		143	0.7163	112	40.08		68.61	2.48	Si

Verifica a pressoflessione fuori piano D.M. 17-01-18 (N.T.C.)

quota 5.495 Wa 0.0009 denominatore 8 $\gamma_M = 2$

Comb.	fd	Sa	σ_0	N	M	Mc	Coeff.s.	Verifica
SLV 14	1438	0.43	0	-11.35	3.3547	0	0	No, e>t/2
SLV 15	1438	0.43	0	-11.87	3.3547	0	0	No, e>t/2
SLV 16	1438	0.43	0	-11.87	3.3547	0	0	No, e>t/2
SLV 13	1438	0.43	0	-11.35	3.3547	0	0	No, e>t/2
SLV 10	1438	0.43	41	-35.08	3.3547	8.4745	2.53	Si
SLV 9	1438	0.43	41	-35.08	3.3547	8.4745	2.53	Si
SLV 11	1438	0.43	43	-36.79	3.3547	8.8721	2.64	Si
SLV 12	1438	0.43	43	-36.79	3.3547	8.8721	2.64	Si
SLV 6	1438	0.43	66	-55.94	3.3547	13.2309	3.94	Si
SLV 5	1438	0.43	66	-55.94	3.3547	13.2309	3.94	Si

Tabella dei coefficienti di sicurezza minimi

Stato limite	Coeff.s.	Comb.	Verifica
PF SLU	4.661	SLU 30	Si
V SLU	10.746	SLU 34	Si
PF SLV	0	SLV 16	No
V SLV	0	SLV 7	No
PFFP SLV	0	SLV 13	No

Maschio 10

Verifiche condotte secondo D.M. 17-01-18 (N.T.C.)

Dati geometrici

X ini.	Y ini.	X fin.	Y fin.	Quota i.	Quota s.	l	Sp.	h netta	h ini.	h fin.	a	a.s.,sx	a.s.,dx
1.4	43.415	1.4	41.115	L3	L4	2.3	0.5	3.49	3.74	3.74			

Caratteristiche del materiale

(circ.617 C8A.2) Muratura in mattoni pieni e malta di calce LC2

fb	fk	fvk0	fmedio	r0	fv0	μ	φ	fv,lim	E	G	FC
6000			3450	90	200	0.58	0.77	325	3200000	1280000	1.2

Verifica a pressoflessione per azioni non sismiche 4.5.6.2 D.M. 17-01-18 (N.T.C.) $\gamma_M = 3$

Comb.	Quota	N	M	p	es1	es2	ea	ev	e ver	Φ_t	Φ_l	Nu	Verifica	
SLU 30	3.625	-181			1	0	0.044	0.0175	0	0.0614	0.59	1	655.22	Si
SLU 30	5.495	-140.75			1	0	0.044	0.0175	0	0.0307	0.74	1	813.02	Si
SLU 30	7.365	-80.36			1	0	0.044	0.0175	0	0.0614	0.59	1	655.22	Si
SLU 33	3.625	-180.8			1	0	0.0441	0.0175	0	0.0615	0.59	1	654.75	Si
SLU 33	5.495	-140.54			1	0	0.0441	0.0175	0	0.0308	0.74	1	812.64	Si
SLU 33	7.365	-80.16			1	0	0.0441	0.0175	0	0.0615	0.59	1	654.75	Si
SLU 29	3.625	-171.01			1	0	0.0502	0.0175	0	0.0677	0.57	1	628.78	Si
SLU 29	5.495	-130.75			1	0	0.0502	0.0175	0	0.0338	0.72	1	791.87	Si
SLU 29	7.365	-70.36			1	0	0.0502	0.0175	0	0.0677	0.57	1	628.78	Si
SLU 32	3.625	-170.8			1	0	0.0504	0.0175	0	0.0678	0.57	1	628.16	Si
SLU 32	5.495	-130.55			1	0	0.0504	0.0175	0	0.0339	0.72	1	791.37	Si
SLU 32	7.365	-70.16			1	0	0.0504	0.0175	0	0.0678	0.57	1	628.16	Si
SLU 31	3.625	-183.91			1	0	0.0373	0.0175	0	0.0548	0.62	1	683.27	Si
SLU 31	5.495	-143.66			1	0	0.0373	0.0175	0	0.0274	0.76	1	835.47	Si
SLU 31	7.365	-83.27			1	0	0.0373	0.0175	0	0.0548	0.62	1	683.27	Si
SLU 34	3.625	-183.71			1	0	0.0374	0.0175	0	0.0549	0.62	1	682.89	Si
SLU 34	5.495	-143.45			1	0	0.0374	0.0175	0	0.0274	0.76	1	835.16	Si
SLU 34	7.365	-83.07			1	0	0.0374	0.0175	0	0.0549	0.62	1	682.89	Si
SLU 36	3.625	-173.63			1	0	0.0426	0.0175	0	0.0601	0.6	1	661	Si
SLU 36	5.495	-133.37			1	0	0.0426	0.0175	0	0.03	0.74	1	817.64	Si
SLU 36	7.365	-72.98			1	0	0.0426	0.0175	0	0.0601	0.6	1	661	Si
SLU 28	3.625	-163.92			1	0	0.0491	0.0175	0	0.0666	0.57	1	633.33	Si
SLU 28	5.495	-123.66			1	0	0.0491	0.0175	0	0.0333	0.72	1	795.51	Si
SLU 28	7.365	-63.28			1	0	0.0491	0.0175	0	0.0666	0.57	1	633.33	Si
SLU 35	3.625	-163.63			1	0	0.0494	0.0175	0	0.0668	0.57	1	632.37	Si
SLU 35	5.495	-123.37			1	0	0.0494	0.0175	0	0.0334	0.72	1	794.74	Si
SLU 35	7.365	-62.99			1	0	0.0494	0.0175	0	0.0668	0.57	1	632.37	Si
SLU 21	3.625	-166.84			1	0	0.0444	0.0175	0	0.0619	0.59	1	653.36	Si
SLU 21	5.495	-126.59			1	0	0.0444	0.0175	0	0.0309	0.74	1	811.54	Si
SLU 21	7.365	-66.2			1	0	0.0444	0.0175	0	0.0619	0.59	1	653.36	Si

Verifica a pressoflessione nel piano secondo D.M. 17-01-18 NTC §7.8.2.2.1 in combinazioni sismiche, $\gamma_M = 2$

Comb.	Quota	N	M	σ_0	Mu	c.s.	Verifica
SLV 9	3.63	-124.74	86.2807	108	130.7145	1.515	Si
SLV 9	7.37	-41.03	-53.4948	0	0	0	No, $e > 1/2$
SLV 11	3.63	-124.34	-81.6534	108	130.3418	1.596	Si
SLV 11	7.37	-40.75	51.0259	0	0	0	No, $e > 1/2$
SLV 12	3.63	-124.34	-81.6534	108	130.3418	1.596	Si
SLV 12	7.37	-40.75	51.0259	0	0	0	No, $e > 1/2$
SLV 10	3.63	-124.74	86.2807	108	130.7145	1.515	Si
SLV 10	7.37	-41.03	-53.4948	0	0	0	No, $e > 1/2$
SLV 5	3.63	-121.38	87.9595	106	127.5321	1.45	Si
SLV 5	7.37	-50.15	-54.5793	44	55.609	1.019	Si
SLD 9	3.63	-123.65	39.6792	108	129.6841	3.268	Si
SLD 9	7.37	-43.46	-24.542	38	48.4311	1.973	Si
SLD 10	3.63	-123.65	39.6792	108	129.6841	3.268	Si
SLD 10	7.37	-43.46	-24.542	38	48.4311	1.973	Si
SLV 7	3.63	-120.99	-79.9745	105	127.1572	1.59	Si
SLV 7	7.37	-49.86	49.9414	43	55.3015	1.107	Si
SLV 8	3.63	-120.99	-79.9745	105	127.1572	1.59	Si
SLV 8	7.37	-49.86	49.9414	43	55.3015	1.107	Si
SLV 6	3.63	-121.38	87.9595	106	127.5321	1.45	Si
SLV 6	7.37	-50.15	-54.5793	44	55.609	1.019	Si

Verifica a taglio nel piano secondo D.M. 17-01-18 (N.T.C.) §7.8.2.2.2 con rottura per scorrimento in combinazioni non sismiche, $\gamma_M = 3$

Comb.	Quota	N	V par	M	σ_0	σ_N	I'	fvd	Vt scorr.	Vt fess.diag.	Vt,lim	c.s.	Verifica
SLU 24	3.63	-166.64	1.79	4.267		145	2.3	75	86.11		75.96	48.19	Si
SLU 24	7.37	-66	1.79	-2.4151		57	2.3	63	72.69		64.41	40.68	Si
SLU 18	3.63	-142.8	1.81	4.2851		124	2.3	72	82.93		73.39	45.82	Si
SLU 18	7.37	-65.38	1.81	-2.4842		57	2.3	63	72.61		64.34	40.11	Si
SLU 34	3.63	-183.71	2.05	4.8696		160	2.3	77	88.38		77.75	43.15	Si
SLU 34	7.37	-83.07	2.05	-2.7918		72	2.3	65	74.96		66.51	36.59	Si
SLU 16	3.63	-152.89	1.81	4.28		133	2.3	73	84.27		74.49	46.63	Si
SLU 16	7.37	-75.47	1.81	-2.4798		66	2.3	64	73.95		65.59	40.92	Si
SLU 15	3.63	-149.98	1.81	4.2914		130	2.3	73	83.89		74.17	46.32	Si
SLU 15	7.37	-72.56	1.81	-2.4815		63	2.3	64	73.56		65.23	40.62	Si
SLU 27	3.63	-159.47	1.79	4.2606		139	2.3	74	85.15		75.2	47.68	Si
SLU 27	7.37	-58.82	1.79	-2.4179		51	2.3	62	71.73		63.51	40.17	Si
SLU 35	3.63	-163.63	1.95	4.647		142	2.3	75	85.71		75.64	43.91	Si
SLU 35	7.37	-62.99	1.95	-2.6534		55	2.3	63	72.29		64.04	37.03	Si
SLU 36	3.63	-173.63	2.05	4.8747		151	2.3	76	87.04		76.7	42.44	Si
SLU 36	7.37	-72.98	2.05	-2.7962		63	2.3	64	73.62		65.28	35.89	Si
SLU 32	3.63	-170.8	1.95	4.6533		149	2.3	75	86.66		76.4	44.38	Si
SLU 32	7.37	-70.16	1.95	-2.6506		61	2.3	64	73.24		64.93	37.5	Si
SLU 33	3.63	-180.8	2.05	4.8811		157	2.3	77	88		77.45	42.88	Si
SLU 33	7.37	-80.16	2.05	-2.7934		70	2.3	65	74.58		66.16	36.34	Si

Verifica a taglio nel piano secondo D.M. 17-01-18 (N.T.C.) §7.8.2.2.2 con rottura per scorrimento in combinazioni sismiche, $\gamma_M = 2$

Comb.	Quota	N	V par	M	σ_0	σ_N	I'	fvd	Vt scorr.	Vt fess.diag.	Vt,lim	c.s.	Verifica
SLV 10	3.63	-124.74	43.23	86.2807		181	1.3749	120	82.24		99.79	1.9	Si
SLV 10	7.37	-41.03	25.33	-53.4948		0	0	83	0		89.08	0	No, $Vu < V$
SLV 7	3.63	-120.99	-40.6	-79.9745		165	1.467	116	85.32		99.33	2.1	Si
SLV 7	7.37	-49.86	-22.7	49.9414		224	0.4449	128	28.51		90.27	1.26	Si
SLV 5	3.63	-121.38	42.89	87.9595		190	1.2761	121	77.45		99.38	1.81	Si
SLV 5	7.37	-50.15	27.48	-54.5793		543	0.1847	163	15.01		90.31	0.55	No, $Vu < V$
SLV 11	3.63	-124.34	-40.25	-81.6534		168	1.48	117	86.53		99.74	2.15	Si
SLV 11	7.37	-40.75	-24.84	51.0259		0	0	83	0		89.04	0	No, $Vu < V$
SLV 9	3.63	-124.74	43.23	86.2807		181	1.3749	120	82.24		99.79	1.9	Si
SLV 9	7.37	-41.03	25.33	-53.4948		0	0	83	0		89.08	0	No, $Vu < V$
SLV 8	3.63	-120.99	-40.6	-79.9745		165	1.467	116	85.32		99.33	2.1	Si
SLV 8	7.37	-49.86	-22.7	49.9414		224	0.4449	128	28.51		90.27	1.26	Si
SLV 12	3.63	-124.34	-40.25	-81.6534		168	1.48	117	86.53		99.74	2.15	Si
SLV 12	7.37	-40.75	-24.84	51.0259		0	0	83	0		89.04	0	No, $Vu < V$

Comb.	Quota	N	V par	M	σ_0	σ_N	I'	fvd	Vt scorr.	Vt fess.diag.	Vt,lim	c.s.	Verifica
SLV 6	3.63	-121.38	42.89	87.9595		190	1.2761	121	77.45		99.38	1.81	Si
SLV 6	7.37	-50.15	27.48	-54.5793		543	0.1847	163	15.01		90.31	0.55	No, Vu<V
SLD 10	3.63	-123.65	19.78	39.6792		108	2.3	105	120.56		99.66	6.09	Si
SLD 10	7.37	-43.46	11.89	-24.542		50	1.7558	93	81.85		89.41	6.88	Si
SLD 9	3.63	-123.65	19.78	39.6792		108	2.3	105	120.56		99.66	6.09	Si
SLD 9	7.37	-43.46	11.89	-24.542		50	1.7558	93	81.85		89.41	6.88	Si

Verifica a pressoflessione fuori piano D.M. 17-01-18 (N.T.C.)

quota 5.495 Wa 0.0009 denominatore 8 $\gamma_M = 2$

Comb.	fd	Sa	σ_0	N	M	Mc	Coeff.s.	Verifica
SLV 16	1438	0.43	64	-73.71	4.5387	17.4609	3.85	Si
SLV 15	1438	0.43	64	-73.71	4.5387	17.4609	3.85	Si
SLV 14	1438	0.43	64	-73.78	4.5387	17.476	3.85	Si
SLV 13	1438	0.43	64	-73.78	4.5387	17.476	3.85	Si
SLV 12	1438	0.43	75	-86.34	4.5387	20.2582	4.46	Si
SLV 11	1438	0.43	75	-86.34	4.5387	20.2582	4.46	Si
SLV 9	1438	0.43	75	-86.56	4.5387	20.3077	4.47	Si
SLV 10	1438	0.43	75	-86.56	4.5387	20.3077	4.47	Si
SLV 7	1438	0.43	85	-97.23	4.5387	22.6254	4.98	Si
SLV 8	1438	0.43	85	-97.23	4.5387	22.6254	4.98	Si

Tabella dei coefficienti di sicurezza minimi

Stato limite	Coeff.s.	Comb.	Verifica
PF SLU	3.62	SLU 30	Si
V SLU	35.894	SLU 36	Si
PF SLV	0	SLV 9	No
V SLV	0	SLV 9	No
PFFP SLV	3.847	SLV 15	Si

Maschio 11

Verifiche condotte secondo D.M. 17-01-18 (N.T.C.)

Dati geometrici

X ini.	Y ini.	X fin.	Y fin.	Quota i.	Quota.s	l	Sp.	h netta	h ini.	h fin.	a	a.s.,sx	a.s.,dx
1.4	47.115	1.4	44.415	L3	L4	2.7	0.5	3.49	3.74	3.74			

Caratteristiche del materiale

(circ.617 C8A.2) Muratura in mattoni pieni e malta di calce LC2

fb	fk	fvk0	fmedio	τ_0	fv0	μ	φ	fv,lim	E	G	FC
6000			3450	90	200	0.58	0.77	325	3200000	1280000	1.2

Verifica a pressoflessione per azioni non sismiche 4.5.6.2 D.M. 17-01-18 (N.T.C.) $\gamma_M = 3$

Comb.	Quota	N	M	p	es1	es2	ea	ev	e ver	Φ_t	Φ_I	Nu	Verifica
SLU 30	3.625	-181.92		1	0	0.0482	0.0175	0	0.0657	0.58	1	748.15	Si
SLU 30	5.495	-124.3		1	0	0.0482	0.0175	0	0.0328	0.72	1	937.59	Si
SLU 30	7.365	-86.06		1	0	0.0482	0.0175	0	0.0657	0.58	1	748.15	Si
SLU 29	3.625	-173.38		1	0	0.0551	0.0175	0	0.0725	0.55	1	714.04	Si
SLU 29	5.495	-115.12		1	0	0.0551	0.0175	0	0.0363	0.7	1	910.3	Si
SLU 29	7.365	-75.33		1	0	0.0551	0.0175	0	0.0725	0.55	1	714.04	Si
SLU 33	3.625	-178.19		1	0	0.0483	0.0175	0	0.0658	0.58	1	747.52	Si
SLU 33	5.495	-122.82		1	0	0.0483	0.0175	0	0.0329	0.72	1	937.09	Si
SLU 33	7.365	-85.83		1	0	0.0483	0.0175	0	0.0658	0.58	1	747.52	Si
SLU 32	3.625	-169.65		1	0	0.0552	0.0175	0	0.0727	0.55	1	713.22	Si
SLU 32	5.495	-113.64		1	0	0.0552	0.0175	0	0.0363	0.7	1	909.65	Si
SLU 32	7.365	-75.1		1	0	0.0552	0.0175	0	0.0727	0.55	1	713.22	Si
SLU 31	3.625	-184.42		1	0	0.0409	0.0175	0	0.0584	0.61	1	784.26	Si
SLU 31	5.495	-126.98		1	0	0.0409	0.0175	0	0.0292	0.75	1	966.49	Si
SLU 31	7.365	-89.18		1	0	0.0409	0.0175	0	0.0584	0.61	1	784.26	Si
SLU 28	3.625	-167.34		1	0	0.0539	0.0175	0	0.0714	0.56	1	719.82	Si
SLU 28	5.495	-108.61		1	0	0.0539	0.0175	0	0.0357	0.71	1	914.93	Si
SLU 28	7.365	-67.72		1	0	0.0539	0.0175	0	0.0714	0.56	1	719.82	Si
SLU 20	3.625	-162.48		1	0	0.0574	0.0175	0	0.0748	0.54	1	702.48	Si
SLU 20	5.495	-102.55		1	0	0.0574	0.0175	0	0.0374	0.7	1	901.05	Si
SLU 20	7.365	-60.13		1	0	0.0574	0.0175	0	0.0748	0.54	1	702.48	Si
SLU 34	3.625	-180.69		1	0	0.041	0.0175	0	0.0585	0.61	1	783.75	Si
SLU 34	5.495	-125.5		1	0	0.041	0.0175	0	0.0292	0.75	1	966.08	Si
SLU 34	7.365	-88.95		1	0	0.041	0.0175	0	0.0585	0.61	1	783.75	Si
SLU 21	3.625	-171.03		1	0	0.0487	0.0175	0	0.0662	0.58	1	745.65	Si
SLU 21	5.495	-111.73		1	0	0.0487	0.0175	0	0.0331	0.72	1	935.6	Si
SLU 21	7.365	-70.86		1	0	0.0487	0.0175	0	0.0662	0.58	1	745.65	Si
SLU 23	3.625	-158.76		1	0	0.0576	0.0175	0	0.0751	0.54	1	701.4	Si
SLU 23	5.495	-101.07		1	0	0.0576	0.0175	0	0.0375	0.7	1	900.19	Si
SLU 23	7.365	-59.91		1	0	0.0576	0.0175	0	0.0751	0.54	1	701.4	Si

Verifica a pressoflessione nel piano secondo D.M. 17-01-18 NTC §7.8.2.2.1 in combinazioni sismiche, $\gamma_M = 2$

Comb.	Quota	N	M	σ_0	Mu	c.s.	Verifica
SLV 11	3.63	-86.63	-118.7775	0	0	0	No, e>1/2
SLV 11	7.37	-47.16	56.2528	35	61.841	1.099	Si
SLV 7	3.63	-150.59	-112.3602	112	184.741	1.644	Si
SLV 7	7.37	-45.23	55.6942	34	59.3874	1.066	Si
SLV 12	3.63	-86.63	-118.7775	0	0	0	No, e>1/2
SLV 12	7.37	-47.16	56.2528	35	61.841	1.099	Si
SLV 15	3.63	-15.92	-42.6885	0	0	0	No, e>1/2
SLV 15	7.37	-51.1	16.7444	38	66.8524	3.993	Si
SLV 13	3.63	-19.27	28.9478	0	0	0	No, e>1/2
SLV 13	7.37	-52.56	-17.6786	39	68.6971	3.886	Si
SLV 9	3.63	-97.8	120.0104	72	124.2027	1.035	Si
SLV 9	7.37	-52.02	-58.4903	39	68.0079	1.163	Si
SLV 16	3.63	-15.92	-42.6885	0	0	0	No, e>1/2
SLV 16	7.37	-51.1	16.7444	38	66.8524	3.993	Si
SLV 14	3.63	-19.27	28.9478	0	0	0	No, e>1/2
SLV 14	7.37	-52.56	-17.6786	39	68.6971	3.886	Si
SLV 8	3.63	-150.59	-112.3602	112	184.741	1.644	Si
SLV 8	7.37	-45.23	55.6942	34	59.3874	1.066	Si

Comb.	Quota	N	M	σ_0	Mu	c.s.	Verifica
SLV 10	3.63	-97.8	120.0104	72	124.2027	1.035	Si
SLV 10	7.37	-52.02	-58.4903	39	68.0079	1.163	Si

Verifica a taglio nel piano secondo D.M. 17-01-18 (N.T.C.) §7.8.2.2.2 con rottura per scorrimento in combinazioni non sismiche, $\gamma_M = 3$

Comb.	Quota	N	V par	M	σ_0	σ_N	l'	fvd	Vt scorr.	Vt fess.diag.	Vt,lim	c.s.	Verifica
SLU 18	3.63	-137.32	2.29	4.9349		102	2.7	69	93.31		96.04	40.71	Si
SLU 18	7.37	-70.01	2.29	-1.8765		52	2.7	62	84.34		86.66	36.77	Si
SLU 32	3.63	-169.65	2.5	5.5326		126	2.7	72	97.62		100.23	38.98	Si
SLU 32	7.37	-75.1	2.51	-2.0698		56	2.7	63	85.01		87.4	33.93	Si
SLU 30	3.63	-181.92	2.36	5.1823		135	2.7	74	99.26		101.78	42.06	Si
SLU 30	7.37	-86.06	2.36	-1.9787		64	2.7	64	86.47		88.99	36.62	Si
SLU 24	3.63	-167.3	2.31	5.1222		124	2.7	72	97.31		99.93	42.21	Si
SLU 24	7.37	-70.63	2.31	-1.8955		52	2.7	63	84.42		86.75	36.59	Si
SLU 33	3.63	-178.19	2.63	5.7334		132	2.7	73	98.76		101.31	37.55	Si
SLU 33	7.37	-85.83	2.63	-2.1771		64	2.7	64	86.44		88.95	32.84	Si
SLU 35	3.63	-162.01	2.49	5.5252		120	2.7	72	96.6		99.26	38.78	Si
SLU 35	7.37	-67.4	2.49	-2.0339		50	2.7	62	83.99		86.28	33.69	Si
SLU 25	3.63	-169.8	2.3	5.0793		126	2.7	72	97.64		100.25	42.4	Si
SLU 25	7.37	-73.75	2.3	-1.8818		55	2.7	63	84.83		87.21	36.82	Si
SLU 27	3.63	-159.66	2.29	5.1147		118	2.7	71	96.29		98.96	42	Si
SLU 27	7.37	-62.93	2.29	-1.8596		47	2.7	62	83.39		85.61	36.35	Si
SLU 34	3.63	-180.69	2.63	5.6906		134	2.7	73	99.09		101.63	37.71	Si
SLU 34	7.37	-88.95	2.63	-2.1635		66	2.7	64	86.86		89.4	33.04	Si
SLU 36	3.63	-170.55	2.62	5.726		126	2.7	72	97.74		100.35	37.34	Si
SLU 36	7.37	-78.13	2.62	-2.1412		58	2.7	63	85.42		87.84	32.62	Si

Verifica a taglio nel piano secondo D.M. 17-01-18 (N.T.C.) §7.8.2.2.2 con rottura per scorrimento in combinazioni sismiche, $\gamma_M = 2$

Comb.	Quota	N	V par	M	σ_0	σ_N	l'	fvd	Vt scorr.	Vt fess.diag.	Vt,lim	c.s.	Verifica
SLV 8	3.63	-150.59	-53.97	-112.3602		166	1.8117	117	105.6		136.52	1.96	Si
SLV 8	7.37	-45.23	-27.3	55.6942		254	0.356	134	23.88		120.89	0.87	No, Vu<V
SLV 12	3.63	-86.63	-54.54	-118.7775		0	0	83	0		127.26	0	No, Vu<V
SLV 12	7.37	-47.16	-24.83	56.2528		200	0.4713	123	29.07		121.19	1.17	Si
SLV 14	3.63	-19.27	17.54	28.9478		0	0	83	0		116.72	0	No, Vu<V
SLV 14	7.37	-52.56	14.16	-17.6786		39	2.7	91	123.01		122.04	8.69	Si
SLV 7	3.63	-150.59	-53.97	-112.3602		166	1.8117	117	105.6		136.52	1.96	Si
SLV 7	7.37	-45.23	-27.3	55.6942		254	0.356	134	23.88		120.89	0.87	No, Vu<V
SLV 10	3.63	-97.8	57.37	120.0104		530	0.3687	163	29.96		128.93	0.52	No, Vu<V
SLV 10	7.37	-52.02	30.71	-58.4903		154	0.6766	114	38.6		121.96	1.26	Si
SLV 11	3.63	-86.63	-54.54	-118.7775		0	0	83	0		127.26	0	No, Vu<V
SLV 11	7.37	-47.16	-24.83	56.2528		200	0.4713	123	29.07		121.19	1.17	Si
SLV 16	3.63	-15.92	-16.03	-42.6885		0	0	83	0		116.17	0	No, Vu<V
SLV 16	7.37	-51.1	-2.5	16.7444		38	2.7	91	122.72		121.81	49.05	Si
SLV 15	3.63	-15.92	-16.03	-42.6885		0	0	83	0		116.17	0	No, Vu<V
SLV 15	7.37	-51.1	-2.5	16.7444		38	2.7	91	122.72		121.81	49.05	Si
SLV 9	3.63	-97.8	57.37	120.0104		530	0.3687	163	29.96		128.93	0.52	No, Vu<V
SLV 9	7.37	-52.02	30.71	-58.4903		154	0.6766	114	38.6		121.96	1.26	Si
SLV 13	3.63	-19.27	17.54	28.9478		0	0	83	0		116.72	0	No, Vu<V
SLV 13	7.37	-52.56	14.16	-17.6786		39	2.7	91	123.01		122.04	8.69	Si

Verifica a pressoflessione fuori piano D.M. 17-01-18 (N.T.C.)

quota 5.495 Wa 0.0009 denominatore 8 $\gamma_M = 2$

Comb.	fd	Sa	σ_0	N	M	Mc	Coeff.s.	Verifica
SLV 15	1438	0.43	23	-30.66	5.3281	7.5226	1.41	Si
SLV 16	1438	0.43	23	-30.66	5.3281	7.5226	1.41	Si
SLV 14	1438	0.43	24	-32.24	5.3281	7.9033	1.48	Si
SLV 13	1438	0.43	24	-32.24	5.3281	7.9033	1.48	Si
SLV 11	1438	0.43	46	-62.76	5.3281	15.0924	2.83	Si
SLV 12	1438	0.43	46	-62.76	5.3281	15.0924	2.83	Si
SLV 10	1438	0.43	50	-68.03	5.3281	16.3069	3.06	Si
SLV 9	1438	0.43	50	-68.03	5.3281	16.3069	3.06	Si
SLV 8	1438	0.43	68	-91.85	5.3281	21.6842	4.07	Si
SLV 7	1438	0.43	68	-91.85	5.3281	21.6842	4.07	Si

Tabella dei coefficienti di sicurezza minimi

Stato limite	Coeff.s.	Comb.	Verifica
PF SLU	4.113	SLU 30	Si
V SLU	32.615	SLU 36	Si
PF SLV	0	SLV 11	No
V SLV	0	SLV 11	No
PF SLV	1.412	SLV 15	Si

Maschio 12

Verifiche condotte secondo D.M. 17-01-18 (N.T.C.)

Dati geometrici

X ini.	Y ini.	X fin.	Y fin.	Quota i.	Quota s.	l	Sp.	h netta	h ini.	h fin.	a	a.s.,sx	a.s.,dx
1.4	50.715	1.4	48.115	L3	L4	2.6	0.5	3.49	3.74	3.74			

Caratteristiche del materiale

(circ.617 C8A.2) Muratura in mattoni pieni e malta di calce LC2

fb	fk	fvk0	fmedio	r0	fv0	μ	ϕ	fv,lim	E	G	FC
6000			3450	90	200	0.58	0.77	325	3200000	1280000	1.2

Verifica a pressoflessione per azioni non sismiche 4.5.6.2 D.M. 17-01-18 (N.T.C.) $\gamma_M = 3$

Comb.	Quota	N	M	p	es1	es2	ea	ev	e ver	ϕ_t	ϕ_l	Nu	Verifica
SLU 30	3.625	-203		1	0	0.0448	0.0175	0	0.0622	0.59	1	736.87	Si
SLU 30	5.495	-157.49		1	0	0.0448	0.0175	0	0.0311	0.74	1	916.02	Si
SLU 30	7.365	-89.23		1	0	0.0448	0.0175	0	0.0622	0.59	1	736.87	Si
SLU 33	3.625	-202.83		1	0	0.0449	0.0175	0	0.0623	0.59	1	736.47	Si
SLU 33	5.495	-157.32		1	0	0.0449	0.0175	0	0.0312	0.74	1	915.7	Si
SLU 33	7.365	-89.06		1	0	0.0449	0.0175	0	0.0623	0.59	1	736.47	Si
SLU 29	3.625	-191.89		1	0	0.0511	0.0175	0	0.0686	0.57	1	706.43	Si

Comb.	Quota	N	M	p	es1	es2	ea	ev	e ver	φt	ΦI	Nu	Verifica
SLU 29	5.495	-146.38		1	0	0.0511	0.0175	0	0.0343	0.72	1	891.66	Si
SLU 29	7.365	-78.12		1	0	0.0511	0.0175	0	0.0686	0.57	1	706.43	Si
SLU 32	3.625	-191.73		1	0	0.0512	0.0175	0	0.0687	0.57	1	705.9	Si
SLU 32	5.495	-146.22		1	0	0.0512	0.0175	0	0.0343	0.72	1	891.24	Si
SLU 32	7.365	-77.96		1	0	0.0512	0.0175	0	0.0687	0.57	1	705.9	Si
SLU 31	3.625	-206.23		1	0	0.038	0.0175	0	0.0555	0.62	1	769.16	Si
SLU 31	5.495	-160.72		1	0	0.038	0.0175	0	0.0277	0.76	1	941.86	Si
SLU 31	7.365	-92.46		1	0	0.038	0.0175	0	0.0555	0.62	1	769.16	Si
SLU 34	3.625	-206.06		1	0	0.0381	0.0175	0	0.0555	0.62	1	768.84	Si
SLU 34	5.495	-160.55		1	0	0.0381	0.0175	0	0.0278	0.76	1	941.59	Si
SLU 34	7.365	-92.29		1	0	0.0381	0.0175	0	0.0555	0.62	1	768.84	Si
SLU 36	3.625	-194.89		1	0	0.0433	0.0175	0	0.0608	0.6	1	743.73	Si
SLU 36	5.495	-149.38		1	0	0.0433	0.0175	0	0.0304	0.74	1	921.51	Si
SLU 36	7.365	-81.12		1	0	0.0433	0.0175	0	0.0608	0.6	1	743.73	Si
SLU 28	3.625	-184.02		1	0	0.05	0.0175	0	0.0675	0.57	1	711.67	Si
SLU 28	5.495	-138.51		1	0	0.05	0.0175	0	0.0337	0.72	1	895.85	Si
SLU 28	7.365	-70.25		1	0	0.05	0.0175	0	0.0675	0.57	1	711.67	Si
SLU 35	3.625	-183.79		1	0	0.0502	0.0175	0	0.0677	0.57	1	710.85	Si
SLU 35	5.495	-138.28		1	0	0.0502	0.0175	0	0.0338	0.72	1	895.2	Si
SLU 35	7.365	-70.01		1	0	0.0502	0.0175	0	0.0677	0.57	1	710.85	Si
SLU 21	3.625	-187.25		1	0	0.0452	0.0175	0	0.0627	0.59	1	734.67	Si
SLU 21	5.495	-141.74		1	0	0.0452	0.0175	0	0.0313	0.73	1	914.25	Si
SLU 21	7.365	-73.48		1	0	0.0452	0.0175	0	0.0627	0.59	1	734.67	Si

Verifica a pressoflessione nel piano secondo D.M. 17-01-18 NTC §7.8.2.2.1 in combinazioni sismiche, $\gamma_M = 2$

Comb.	Quota	N	M	σ_0	Mu	c.s.	Verifica
SLV 9	3.63	-132.21	92.5509	102	157.5676	1.702	Si
SLV 9	7.37	-41.92	-58.5447	0	0	0	No, $e > 1/2$
SLD 9	3.63	-135.43	43.0999	104	161.0502	3.737	Si
SLD 9	7.37	-46.7	-26.4969	36	58.9198	2.224	Si
SLV 7	3.63	-143.79	-83.8327	111	170.0067	2.028	Si
SLV 7	7.37	-59.05	55.8476	45	73.9107	1.323	Si
SLV 12	3.63	-139.88	-107.2698	108	165.8287	1.546	Si
SLV 12	7.37	-50.97	55.6173	39	64.1305	1.153	Si
SLV 11	3.63	-139.88	-107.2698	108	165.8287	1.546	Si
SLV 11	7.37	-50.97	55.6173	39	64.1305	1.153	Si
SLV 5	3.63	-136.12	115.988	105	161.7947	1.395	Si
SLV 5	7.37	-50	-58.3144	38	62.9569	1.08	Si
SLV 10	3.63	-132.21	92.5509	102	157.5676	1.702	Si
SLV 10	7.37	-41.92	-58.5447	0	0	0	No, $e > 1/2$
SLV 6	3.63	-136.12	115.988	105	161.7947	1.395	Si
SLV 6	7.37	-50	-58.3144	38	62.9569	1.08	Si
SLV 8	3.63	-143.79	-83.8327	111	170.0067	2.028	Si
SLV 8	7.37	-59.05	55.8476	45	73.9107	1.323	Si
SLD 10	3.63	-135.43	43.0999	104	161.0502	3.737	Si
SLD 10	7.37	-46.7	-26.4969	36	58.9198	2.224	Si

Verifica a taglio nel piano secondo D.M. 17-01-18 (N.T.C.) §7.8.2.2.2 con rottura per scorrimento in combinazioni non sismiche, $\gamma_M = 3$

Comb.	Quota	N	V par	M	σ_0	σ_N	I'	fvd	Vt scorr.	Vt fess.diag.	Vt,lim	c.s.	Verifica
SLU 33	3.63	-202.83	2.28	6.4308		156	2.6	76	99.27		97.65	43.54	Si
SLU 33	7.37	-89.06	2.28	-2.0967		69	2.6	65	84.1		83.36	36.88	Si
SLU 32	3.63	-191.73	2.19	6.2442		147	2.6	75	97.79		96.35	44.57	Si
SLU 32	7.37	-77.96	2.19	-1.962		60	2.6	64	82.62		81.84	37.65	Si
SLU 36	3.63	-194.89	2.26	6.4987		150	2.6	76	98.21		96.72	43.48	Si
SLU 36	7.37	-81.12	2.26	-1.9496		62	2.6	64	83.04		82.27	36.76	Si
SLU 34	3.63	-206.06	2.27	6.393		159	2.6	77	99.7		98.03	43.95	Si
SLU 34	7.37	-92.29	2.27	-2.0904		71	2.6	65	84.53		83.8	37.26	Si
SLU 24	3.63	-187.08	2.05	5.809		144	2.6	75	97.17		95.8	47.47	Si
SLU 24	7.37	-73.31	2.05	-1.8461		56	2.6	63	82		81.19	40.06	Si
SLU 30	3.63	-203	2.1	5.7488		156	2.6	76	99.29		97.67	47.24	Si
SLU 30	7.37	-89.23	2.1	-2.1111		69	2.6	65	84.12		83.39	40.03	Si
SLU 31	3.63	-206.23	2.09	5.711		159	2.6	77	99.72		98.05	47.72	Si
SLU 31	7.37	-92.46	2.09	-2.1048		71	2.6	65	84.55		83.83	40.46	Si
SLU 35	3.63	-183.79	2.17	6.3122		141	2.6	74	96.73		95.41	44.51	Si
SLU 35	7.37	-70.01	2.17	-1.8149		54	2.6	63	81.56		80.73	37.53	Si
SLU 25	3.63	-190.32	2.04	5.7711		146	2.6	75	97.6		96.18	47.96	Si
SLU 25	7.37	-76.55	2.04	-1.8399		59	2.6	63	82.43		81.64	40.5	Si
SLU 27	3.63	-179.14	2.03	5.8769		138	2.6	74	96.11		94.85	47.45	Si
SLU 27	7.37	-65.37	2.03	-1.699		50	2.6	62	80.94		80.07	39.96	Si

Verifica a taglio nel piano secondo D.M. 17-01-18 (N.T.C.) §7.8.2.2.2 con rottura per scorrimento in combinazioni sismiche, $\gamma_M = 2$

Comb.	Quota	N	V par	M	σ_0	σ_N	I'	fvd	Vt scorr.	Vt fess.diag.	Vt,lim	c.s.	Verifica
SLV 12	3.63	-139.88	-44.79	-107.2698		175	1.5994	118	94.62		125.9	2.11	Si
SLV 12	7.37	-50.97	-29.13	55.6173		163	0.6262	116	36.29		113.22	1.25	Si
SLV 7	3.63	-143.79	-44.16	-83.8327		134	2.1509	110	118.38		126.43	2.68	Si
SLV 7	7.37	-59.05	-27.84	55.8476		111	1.0627	106	56.09		114.43	2.01	Si
SLD 6	3.63	-137.15	21.83	53.2906		105	2.6	104	135.76		125.53	6.22	Si
SLD 6	7.37	-50.23	14.96	-26.3253		43	2.3278	92	107.04		113.11	7.16	Si
SLV 9	3.63	-132.21	47.21	92.5509		147	1.7999	113	101.44		124.86	2.15	Si
SLV 9	7.37	-41.92	30.89	-58.5447		0	0	83	0		111.85	0	No, $V_u < V$
SLD 5	3.63	-137.15	21.83	53.2906		105	2.6	104	135.76		125.53	6.22	Si
SLD 5	7.37	-50.23	14.96	-26.3253		43	2.3278	92	107.04		113.11	7.16	Si
SLV 11	3.63	-139.88	-44.79	-107.2698		175	1.5994	118	94.62		125.9	2.11	Si
SLV 11	7.37	-50.97	-29.13	55.6173		163	0.6262	116	36.29		113.22	1.25	Si
SLV 6	3.63	-136.12	47.84	115.988		203	1.3437	124	83.21		125.39	1.74	Si
SLV 6	7.37	-50	32.19	-58.3144		249	0.4013	133	26.72		113.08	0.83	No, $V_u < V$
SLV 10	3.63	-132.21	47.21	92.5509		147	1.7999	113	101.44		124.86	2.15	Si
SLV 10	7.37	-41.92	30.89	-58.5447		0	0	83	0		111.85	0	No, $V_u < V$
SLV 5	3.63	-136.12	47.84	115.988		203	1.3437	124	83.21		125.39	1.74	Si
SLV 5	7.37	-50	32.19	-58.3144		249	0.4013	133	26.72		113.08	0.83	No, $V_u < V$
SLV 8	3.63	-143.79	-44.16	-83.8327		134	2.1509	110	118.38		126.43	2.68	Si
SLV 8	7.37	-59.05	-27.84	55.8476		111	1.0627	106	56.09		114.43	2.01	Si

Verifica a pressoflessione fuori piano D.M. 17-01-18 (N.T.C.)

quota 5.495 Wa 0.0009 denominatore 8 $\gamma_M = 2$

Comb.	fd	Sa	σ_0	N	M	Mc	Coeff.s.	Verifica	
SLV 13	1438		0.43	76	-99.42	5.1308	23.299	4.54	Si

Comb.	fd	Sa	σ_0	N	M	Mc	Coeff.s.	Verifica
SLV 14	1438	0.43	76	-99.42	5.1308	23.299	4.54	Si
SLV 9	1438	0.43	77	-99.48	5.1308	23.3125	4.54	Si
SLV 10	1438	0.43	77	-99.48	5.1308	23.3125	4.54	Si
SLV 16	1438	0.43	78	-101.03	5.1308	23.6506	4.61	Si
SLV 15	1438	0.43	78	-101.03	5.1308	23.6506	4.61	Si
SLV 6	1438	0.43	78	-101.14	5.1308	23.6756	4.61	Si
SLV 5	1438	0.43	78	-101.14	5.1308	23.6756	4.61	Si
SLV 12	1438	0.43	81	-104.85	5.1308	24.4813	4.77	Si
SLV 11	1438	0.43	81	-104.85	5.1308	24.4813	4.77	Si

Tabella dei coefficienti di sicurezza minimi

Stato limite	Coeff.s.	Comb.	Verifica
PF SLU	3.63	SLU 30	Si
V SLU	36.76	SLU 36	Si
PF SLV	0	SLV 9	No
V SLV	0	SLV 9	No
PFFP SLV	4.541	SLV 13	Si

Maschio 13

Verifiche condotte secondo D.M. 17-01-18 (N.T.C.)

Dati geometrici

X ini.	Y ini.	X fin.	Y fin.	Quota i.	Quota.s	l	Sp.	h netta	h ini.	h fin.	a	a.s.,sx	a.s.,dx
1.4	53.065	1.4	51.715	L3	L4	1.35	0.5	3.49	3.74	3.74			

Caratteristiche del materiale

(circ.617 C8A.2) Muratura in mattoni pieni e malta di calce LC2

fb	fk	fvk0	fmedio	τ_0	fv0	μ	φ	fv,lim	E	G	FC
6000			3450	90	200	0.58	0.77	325	3200000	1280000	1.2

Verifica a pressoflessione per azioni non sismiche 4.5.6.2 D.M. 17-01-18 (N.T.C.) $\gamma_M = 3$

Comb.	Quota	N	M	p	es1	es2	ea	ev	e ver	Φ_t	Φ_I	Nu	Verifica
SLU 29	3.625	-74.85		1	0	0.055	0.0175	0	0.0724	0.55	1	357.29	Si
SLU 29	5.495	-51.77		1	0	0.055	0.0175	0	0.0362	0.7	1	455.37	Si
SLU 29	7.365	-37.74		1	0	0.055	0.0175	0	0.0724	0.55	1	357.29	Si
SLU 30	3.625	-77.87		1	0	0.0481	0.0175	0	0.0655	0.58	1	374.37	Si
SLU 30	5.495	-55.96		1	0	0.0481	0.0175	0	0.0328	0.73	1	469.03	Si
SLU 30	7.365	-43.13		1	0	0.0481	0.0175	0	0.0655	0.58	1	374.37	Si
SLU 20	3.625	-71.76		1	0	0.0573	0.0175	0	0.0748	0.54	1	351.48	Si
SLU 20	5.495	-46.45		1	0	0.0573	0.0175	0	0.0374	0.7	1	450.72	Si
SLU 20	7.365	-30.12		1	0	0.0573	0.0175	0	0.0748	0.54	1	351.48	Si
SLU 28	3.625	-72.69		1	0	0.0538	0.0175	0	0.0713	0.56	1	360.15	Si
SLU 28	5.495	-48.79		1	0	0.0538	0.0175	0	0.0356	0.71	1	457.66	Si
SLU 28	7.365	-33.92		1	0	0.0538	0.0175	0	0.0713	0.56	1	360.15	Si
SLU 31	3.625	-78.73		1	0	0.0408	0.0175	0	0.0583	0.61	1	392.42	Si
SLU 31	5.495	-57.18		1	0	0.0408	0.0175	0	0.0291	0.75	1	483.47	Si
SLU 31	7.365	-44.71		1	0	0.0408	0.0175	0	0.0583	0.61	1	392.42	Si
SLU 21	3.625	-74.78		1	0	0.0486	0.0175	0	0.066	0.58	1	373.11	Si
SLU 21	5.495	-50.64		1	0	0.0486	0.0175	0	0.033	0.72	1	468.02	Si
SLU 21	7.365	-35.51		1	0	0.0486	0.0175	0	0.066	0.58	1	373.11	Si
SLU 32	3.625	-71.15		1	0	0.0552	0.0175	0	0.0726	0.55	1	356.79	Si
SLU 32	5.495	-49.82		1	0	0.0552	0.0175	0	0.0363	0.7	1	454.97	Si
SLU 32	7.365	-37.6		1	0	0.0552	0.0175	0	0.0726	0.55	1	356.79	Si
SLU 33	3.625	-74.17		1	0	0.0482	0.0175	0	0.0657	0.58	1	373.99	Si
SLU 33	5.495	-54.01		1	0	0.0482	0.0175	0	0.0328	0.72	1	468.73	Si
SLU 33	7.365	-43		1	0	0.0482	0.0175	0	0.0657	0.58	1	373.99	Si
SLU 19	3.625	-69.6		1	0	0.0562	0.0175	0	0.0736	0.55	1	354.33	Si
SLU 19	5.495	-43.47		1	0	0.0562	0.0175	0	0.0368	0.7	1	453	Si
SLU 19	7.365	-26.3		1	0	0.0562	0.0175	0	0.0736	0.55	1	354.33	Si
SLU 23	3.625	-68.07		1	0	0.0576	0.0175	0	0.075	0.54	1	350.83	Si
SLU 23	5.495	-44.5		1	0	0.0576	0.0175	0	0.0375	0.7	1	450.2	Si
SLU 23	7.365	-29.98		1	0	0.0576	0.0175	0	0.075	0.54	1	350.83	Si

Verifica a pressoflessione nel piano secondo D.M. 17-01-18 NTC §7.8.2.2.1 in combinazioni sismiche, $\gamma_M = 2$

Comb.	Quota	N	M	σ_0	Mu	c.s.	Verifica
SLV 8	3.63	-39.86	-24.4567	59	25.6028	1.047	Si
SLV 8	7.37	-37.36	15.6121	55	24.0781	1.542	Si
SLV 11	3.63	-13.11	-29.9101	0	0	0	No, e>1/2
SLV 11	7.37	-40.03	20.178	59	25.7096	1.274	Si
SLV 6	3.63	-93.15	19.6071	138	55.7736	2.845	Si
SLV 6	7.37	-8.65	-6.0539	0	0	0	No, e>1/2
SLV 7	3.63	-39.86	-24.4567	59	25.6028	1.047	Si
SLV 7	7.37	-37.36	15.6121	55	24.0781	1.542	Si
SLV 15	3.63	-0.55	-20.8501	0	0	0	No, e>1/2
SLV 15	7.37	-33.09	17.9218	49	21.4413	1.196	Si
SLV 14	3.63	-16.54	-7.631	24	10.9388	1.433	Si
SLV 14	7.37	-24.48	11.4221	36	16.0323	1.404	Si
SLV 13	3.63	-16.54	-7.631	24	10.9388	1.433	Si
SLV 13	7.37	-24.48	11.4221	36	16.0323	1.404	Si
SLV 12	3.63	-13.11	-29.9101	0	0	0	No, e>1/2
SLV 12	7.37	-40.03	20.178	59	25.7096	1.274	Si
SLV 16	3.63	-0.55	-20.8501	0	0	0	No, e>1/2
SLV 16	7.37	-33.09	17.9218	49	21.4413	1.196	Si
SLV 5	3.63	-93.15	19.6071	138	55.7736	2.845	Si
SLV 5	7.37	-8.65	-6.0539	0	0	0	No, e>1/2

Verifica a taglio nel piano secondo D.M. 17-01-18 (N.T.C.) §7.8.2.2.2 con rottura per scorrimento in combinazioni non sismiche, $\gamma_M = 3$

Comb.	Quota	N	V par	M	σ_0	σ_N	l'	fvd	Vt scorr.	Vt fess.diag.	Vt,lim	c.s.	Verifica
SLU 36	3.63	-70.43	-10.33	-8.7225	104	1.35	69	46.89			41.58	4.54	Si
SLU 36	7.37	-39.12	-10.38	11.3348	68	1.1558	65	37.32			37.86	3.6	Si
SLU 35	3.63	-67.41	-9.46	-8.422	100	1.35	69	46.49			41.24	4.91	Si
SLU 35	7.37	-33.73	-9.5	9.9611	59	1.1389	63	36.13			37.18	3.8	Si
SLU 15	3.63	-58.93	-9.45	-7.3119	87	1.35	67	45.36			40.25	4.8	Si

Comb.	Quota	N	V par	M	σ_0	σ_N	I'	fvd	Vt scorr.	Vt fess.diag.	Vt,lim	c.s.	Verifica
SLU 15	7.37	-38.94	-9.49	10.9809		66	1.179	64	37.94		37.83	4	Si
SLU 27	3.63	-67.34	-8.68	-7.6306		100	1.35	69	46.48		41.23	5.35	Si
SLU 27	7.37	-31.5	-8.72	9.2959		55	1.1397	63	35.86		36.89	4.11	Si
SLU 33	3.63	-74.17	-10.4	-8.0361		110	1.35	70	47.39		42	4.56	Si
SLU 33	7.37	-43	-10.45	12.1762		73	1.1754	65	38.38		38.34	3.67	Si
SLU 16	3.63	-59.79	-9.72	-7.4156		89	1.35	67	45.47		40.35	4.68	Si
SLU 16	7.37	-40.52	-9.76	11.3897		69	1.1817	65	38.23		38.03	3.92	Si
SLU 18	3.63	-55.19	-9.39	-7.9983		82	1.35	66	44.86		39.01	4.78	Si
SLU 18	7.37	-35.06	-9.42	10.1395		61	1.1575	64	36.83		37.35	3.91	Si
SLU 34	3.63	-75.04	-10.66	-8.1398		111	1.35	70	47.5		42.1	4.46	Si
SLU 34	7.37	-44.58	-10.71	12.585		76	1.178	66	38.67		38.53	3.61	Si
SLU 32	3.63	-71.15	-9.52	-7.7356		105	1.35	70	46.99		41.66	4.93	Si
SLU 32	7.37	-37.6	-9.57	10.8025		65	1.1631	64	37.32		37.67	3.9	Si
SLU 25	3.63	-71.95	-9.01	-7.0479		107	1.35	70	47.09		41.75	5.23	Si
SLU 25	7.37	-36.95	-9.06	10.546		63	1.1689	64	37.4		37.58	4.13	Si

Verifica a taglio nel piano secondo D.M. 17-01-18 (N.T.C.) §7.8.2.2 con rottura per scorrimento in combinazioni sismiche, $\gamma_M = 2$

Comb.	Quota	N	V par	M	σ_0	σ_N	I'	fvd	Vt scorr.	Vt fess.diag.	Vt,lim	c.s.	Verifica
SLV 12	3.63	-13.11	-33.31	-29.9101		0	0	83	0		50.78	0	No, Vu<V
SLV 12	7.37	-40.03	-15.96	20.178		156	0.5128	115	29.37		54.41	1.84	Si
SLV 14	3.63	-16.54	-14.88	-7.631		52	0.6407	94	30		51.25	2.02	Si
SLV 14	7.37	-24.48	-20.37	11.4221		78	0.6251	99	30.94		52.34	1.52	Si
SLV 11	3.63	-13.11	-33.31	-29.9101		0	0	83	0		50.78	0	No, Vu<V
SLV 11	7.37	-40.03	-15.96	20.178		156	0.5128	115	29.37		54.41	1.84	Si
SLV 15	3.63	-0.55	-28.36	-20.8501		0	0	83	0		48.99	0	No, Vu<V
SLV 15	7.37	-33.09	-23.37	17.9218		165	0.4003	116	23.3		53.49	1	No, Vu<V
SLV 13	3.63	-16.54	-14.88	-7.631		52	0.6407	94	30		51.25	2.02	Si
SLV 13	7.37	-24.48	-20.37	11.4221		78	0.6251	99	30.94		52.34	1.52	Si
SLV 8	3.63	-39.86	-24.09	-24.4567		433	0.1841	163	14.96		54.38	0.62	No, Vu<V
SLV 8	7.37	-37.36	-6.6	15.6121		97	0.7715	103	39.62		54.06	6	Si
SLV 6	3.63	-93.15	20.83	19.6071		138	1.35	111	74.88		60.94	3.6	Si
SLV 6	7.37	-8.65	3.41	-6.0539		0	0	83	0		50.15	0	No, Vu<V
SLV 7	3.63	-39.86	-24.09	-24.4567		433	0.1841	163	14.96		54.38	0.62	No, Vu<V
SLV 7	7.37	-37.36	-6.6	15.6121		97	0.7715	103	39.62		54.06	6	Si
SLV 5	3.63	-93.15	20.83	19.6071		138	1.35	111	74.88		60.94	3.6	Si
SLV 5	7.37	-8.65	3.41	-6.0539		0	0	83	0		50.15	0	No, Vu<V
SLV 16	3.63	-0.55	-28.36	-20.8501		0	0	83	0		48.99	0	No, Vu<V
SLV 16	7.37	-33.09	-23.37	17.9218		165	0.4003	116	23.3		53.49	1	No, Vu<V

Verifica a pressoflessione fuori piano D.M. 17-01-18 (N.T.C.)

quota 5.495 Wa 0.0009 denominatore 8 $\gamma_M = 2$

Comb.	fd	Sa	σ_0	N	M	Mc	Coeff.s.	Verifica
SLV 16	1438	0.43	24	-16.47	2.664	4.0345	1.51	Si
SLV 15	1438	0.43	24	-16.47	2.664	4.0345	1.51	Si
SLV 14	1438	0.43	26	-17.23	2.664	4.2173	1.58	Si
SLV 13	1438	0.43	26	-17.23	2.664	4.2173	1.58	Si
SLV 12	1438	0.43	42	-28.46	2.664	6.8692	2.58	Si
SLV 11	1438	0.43	42	-28.46	2.664	6.8692	2.58	Si
SLV 10	1438	0.43	46	-31	2.664	7.4586	2.8	Si
SLV 9	1438	0.43	46	-31	2.664	7.4586	2.8	Si
SLV 7	1438	0.43	59	-39.5	2.664	9.402	3.53	Si
SLV 8	1438	0.43	59	-39.5	2.664	9.402	3.53	Si

Tabella dei coefficienti di sicurezza minimi

Stato limite	Coeff.s.	Comb.	Verifica
PF SLU	4.774	SLU 29	Si
V SLU	3.596	SLU 36	Si
PF SLV	0	SLV 5	No
V SLV	0	SLV 5	No
FFFF SLV	1.514	SLV 15	Si

Maschio 14

Verifiche condotte secondo D.M. 17-01-18 (N.T.C.)

Dati geometrici

X ini.	Y ini.	X fin.	Y fin.	Quota i.	Quota.s	l	Sp.	h netta	h ini.	h fin.	a	a.s.,sx	a.s.,dx
1.4	9.275	3.65	9.275	L3	L4	2.25	0.5	3.49	3.74	3.74			

Caratteristiche del materiale

(circ.617 C8A.2) Muratura in mattoni pieni e malta di calce LC2

fb	fk	fvk0	fmedio	τ_0	fv0	μ	ϕ	fv,lim	E	G	FC
6000			3450	90	200	0.58	0.77	325	3200000	1280000	1.2

Verifica a pressoflessione per azioni non sismiche 4.5.6.2 D.M. 17-01-18 (N.T.C.) $\gamma_M = 3$

Comb.	Quota	N	M	p	es1	es2	ea	ev	e ver	ϕ_t	Φ	Nu	Verifica
SLU 34	3.625	-156.89		1	0	0	0.0175	0	0.0175	0.82	1	883.21	Si
SLU 34	5.495	-85.89		1	0	0	0.0175	0	0.0175	0.82	1	883.21	Si
SLU 34	7.365	-9.41		1	0	0	0.0175	0	0.0175	0.82	1	883.21	Si
SLU 33	3.625	-155.61		1	0	0	0.0175	0	0.0175	0.82	1	883.21	Si
SLU 33	5.495	-85.08		1	0	0	0.0175	0	0.0175	0.82	1	883.21	Si
SLU 33	7.365	-9.15		1	0	0	0.0175	0	0.0175	0.82	1	883.21	Si
SLU 36	3.625	-155.48		1	0	0	0.0175	0	0.0175	0.82	1	883.21	Si
SLU 36	5.495	-84.64		1	0	0	0.0175	0	0.0175	0.82	1	883.21	Si
SLU 36	7.365	-8.81		1	0	0	0.0175	0	0.0175	0.82	1	883.21	Si
SLU 32	3.625	-151		1	0	0	0.0175	0	0.0175	0.82	1	883.21	Si
SLU 32	5.495	-82.22		1	0	0	0.0175	0	0.0175	0.82	1	883.21	Si
SLU 32	7.365	-8.23		1	0	0	0.0175	0	0.0175	0.82	1	883.21	Si
SLU 35	3.625	-150.87		1	0	0	0.0175	0	0.0175	0.82	1	883.21	Si
SLU 35	5.495	-81.77		1	0	0	0.0175	0	0.0175	0.82	1	883.21	Si
SLU 35	7.365	-7.9		1	0	0	0.0175	0	0.0175	0.82	1	883.21	Si
SLU 31	3.625	-149.42		1	0	0	0.0175	0	0.0175	0.82	1	883.21	Si
SLU 31	5.495	-82.11		1	0	0	0.0175	0	0.0175	0.82	1	883.21	Si
SLU 31	7.365	-8.65		1	0	0	0.0175	0	0.0175	0.82	1	883.21	Si
SLU 30	3.625	-148.14		1	0	0	0.0175	0	0.0175	0.82	1	883.21	Si

Comb.	Quota	N	M	p	es1	es2	ea	ev	e ver	φt	Φl	Nu	Verifica
SLU 30	5.495	-81.31		1	0	0	0.0175	0	0.0175	0.82	1	883.21	Si
SLU 30	7.365	-8.39		1	0	0	0.0175	0	0.0175	0.82	1	883.21	Si
SLU 25	3.625	-147.75		1	0	0	0.0175	0	0.0175	0.82	1	883.21	Si
SLU 25	5.495	-80.5		1	0	0	0.0175	0	0.0175	0.82	1	883.21	Si
SLU 25	7.365	-7.84		1	0	0	0.0175	0	0.0175	0.82	1	883.21	Si
SLU 24	3.625	-146.48		1	0	0	0.0175	0	0.0175	0.82	1	883.21	Si
SLU 24	5.495	-79.7		1	0	0	0.0175	0	0.0175	0.82	1	883.21	Si
SLU 24	7.365	-7.58		1	0	0	0.0175	0	0.0175	0.82	1	883.21	Si
SLU 27	3.625	-146.35		1	0	0	0.0175	0	0.0175	0.82	1	883.21	Si
SLU 27	5.495	-79.25		1	0	0	0.0175	0	0.0175	0.82	1	883.21	Si
SLU 27	7.365	-7.25		1	0	0	0.0175	0	0.0175	0.82	1	883.21	Si

Verifica a pressoflessione nel piano secondo D.M. 17-01-18 NTC §7.8.2.2.1 in combinazioni sismiche, $\gamma_M = 2$

Comb.	Quota	N	M	σ0	Mu	c.s.	Verifica
SLV 14	3.63	-175.63	37.4388	156	172.341	4.603	Si
SLV 14	7.37	-12.08	-13.59	0	0	0	No, e>1/2
SLV 7	3.63	-4.68	-4.0041	4	5.2477	1.311	Si
SLV 7	7.37	4.22	4.746	0	0	0	No, Trazione
SLV 13	3.63	-175.63	37.4388	156	172.341	4.603	Si
SLV 13	7.37	-12.08	-13.59	0	0	0	No, e>1/2
SLD 16	3.63	-114.22	18.7318	102	117.8211	6.29	Si
SLD 16	7.37	-6.13	-6.9007	0	0	0	No, e>1/2
SLV 12	3.63	-27.03	18.356	24	29.8082	1.624	Si
SLV 12	7.37	1.66	1.8642	0	0	0	No, Trazione
SLV 11	3.63	-27.03	18.356	24	29.8082	1.624	Si
SLV 11	7.37	1.66	1.8642	0	0	0	No, Trazione
SLV 8	3.63	-4.68	-4.0041	4	5.2477	1.311	Si
SLV 8	7.37	4.22	4.746	0	0	0	No, Trazione
SLV 15	3.63	-119.08	40.6714	106	122.3585	3.008	Si
SLV 15	7.37	-7.12	-8.009	0	0	0	No, e>1/2
SLV 4	3.63	-44.59	-33.8622	40	48.5348	1.433	Si
SLV 4	7.37	1.42	1.5969	0	0	0	No, Trazione
SLV 3	3.63	-44.59	-33.8622	40	48.5348	1.433	Si
SLV 3	7.37	1.42	1.5969	0	0	0	No, Trazione

Verifica a taglio nel piano secondo D.M. 17-01-18 (N.T.C.) §7.8.2.2.2 con rottura per scorrimento in combinazioni non sismiche, $\gamma_M = 2$

3

Comb.	Quota	N	V par	M	σ0	σN	I'	fvd	Vt scorr.	Vt fess.diag.	Vt.lim	c.s.	Verifica
SLU 30	3.63	-148.14	15.41	1.7208		132	2.25	73	82.25		72.71	5.34	Si
SLU 30	7.37	-8.39	15.4	-9.4417		41618	0.0004	108	0.02		55.55	0	No, Vu<V
SLU 16	3.63	-129.05	16.78	2.7776		115	2.25	71	79.71		70.62	4.75	Si
SLU 16	7.37	-8.61	16.78	-9.6859		43525	0.0004	108	0.02		55.58	0	No, Vu<V
SLU 15	3.63	-127.77	16.39	2.7431		114	2.25	71	79.54		70.47	4.85	Si
SLU 15	7.37	-8.35	16.38	-9.3921		41972	0.0004	108	0.02		55.54	0	No, Vu<V
SLU 34	3.63	-156.89	18.36	2.9115		139	2.25	74	83.42		73.66	4.54	Si
SLU 34	7.37	-9.41	18.35	-10.5839		46583	0.0004	108	0.02		55.69	0	No, Vu<V
SLU 36	3.63	-155.48	18.05	3.3304		138	2.25	74	83.23		73.5	4.61	Si
SLU 36	7.37	-8.81	18.04	-9.9142		42667	0.0004	108	0.02		55.61	0	No, Vu<V
SLU 32	3.63	-151	16.56	2.8004		134	2.25	73	82.63		73.02	4.99	Si
SLU 32	7.37	-8.23	16.55	-9.2568		39664	0.0004	108	0.02		55.53	0	No, Vu<V
SLU 33	3.63	-155.61	17.96	2.8769		138	2.25	74	83.25		73.52	4.63	Si
SLU 33	7.37	-9.15	17.96	-10.229		45041	0.0004	108	0.02		55.66	0	No, Vu<V
SLU 18	3.63	-127.64	16.47	3.1966		113	2.25	71	79.52		70.46	4.83	Si
SLU 18	7.37	-8.02	16.46	-9.0163		39568	0.0004	108	0.02		55.5	0	No, Vu<V
SLU 35	3.63	-150.87	16.64	3.2539		134	2.25	73	82.62		73.01	4.96	Si
SLU 35	7.37	-7.9	16.63	-8.881		37323	0.0004	108	0.02		55.48	0	No, Vu<V
SLU 31	3.63	-149.42	15.8	1.7554		133	2.25	73	82.42		72.85	5.22	Si
SLU 31	7.37	-8.65	15.8	-9.7355		43164	0.0004	108	0.02		55.59	0	No, Vu<V

Verifica a taglio nel piano secondo D.M. 17-01-18 (N.T.C.) §7.8.2.2.2 con rottura per scorrimento in combinazioni sismiche, $\gamma_M = 2$

Comb.	Quota	N	V par	M	σ0	σN	I'	fvd	Vt scorr.	Vt fess.diag.	Vt.lim	c.s.	Verifica
SLV 7	3.63	-4.68	-26.98	-4.0041		12	0.8086	86	34.63		82.2	1.28	Si
SLV 7	7.37	4.22	-17.2	4.746		0	0	83	0		80.91	0	No, Vu<V
SLV 12	3.63	-27.03	-9.77	18.356		40	1.3375	91	61.14		85.35	6.26	Si
SLV 12	7.37	1.66	-8.28	1.8642		0	0	83	0		81.28	0	No, Vu<V
SLV 3	3.63	-44.59	-26.62	-33.8622		81	1.0967	100	54.61		87.75	2.05	Si
SLV 3	7.37	1.42	-11.12	1.5969		0	0	83	0		81.32	0	No, Vu<V
SLV 8	3.63	-4.68	-26.98	-4.0041		12	0.8086	86	34.63		82.2	1.28	Si
SLV 8	7.37	4.22	-17.2	4.746		0	0	83	0		80.91	0	No, Vu<V
SLD 16	3.63	-114.22	19.57	18.7318		102	2.25	104	116.59		96.67	5.96	Si
SLD 16	7.37	-6.13	14.28	-6.9007		0	0	83	0		82.41	0	No, Vu<V
SLV 11	3.63	-27.03	-9.77	18.356		40	1.3375	91	61.14		85.35	6.26	Si
SLV 11	7.37	1.66	-8.28	1.8642		0	0	83	0		81.28	0	No, Vu<V
SLV 4	3.63	-44.59	-26.62	-33.8622		81	1.0967	100	54.61		87.75	2.05	Si
SLV 4	7.37	1.42	-11.12	1.5969		0	0	83	0		81.32	0	No, Vu<V
SLV 13	3.63	-175.63	48.26	37.4388		156	2.25	115	128.88		103.9	2.67	Si
SLV 13	7.37	-12.08	32.75	-13.59		0	0	83	0		83.25	0	No, Vu<V
SLV 14	3.63	-175.63	48.26	37.4388		156	2.25	115	128.88		103.9	2.67	Si
SLV 14	7.37	-12.08	32.75	-13.59		0	0	83	0		83.25	0	No, Vu<V
SLV 15	3.63	-119.08	30.74	40.6714		106	2.25	105	117.57		97.26	3.82	Si
SLV 15	7.37	-7.12	18.62	-8.009		0	0	83	0		82.55	0	No, Vu<V

Verifica a pressoflessione fuori piano D.M. 17-01-18 (N.T.C.)

quota 5.495 Wa 0.0009 denominatore 8 $\gamma_M = 2$

Comb.	fd	Sa	σ0	N	M	Mc	Coeff.s.	Verifica
SLV 7	1438	0.43	0	-3.86	4.4401	0	0	No, e>t/2
SLV 11	1438	0.43	0	-16.84	4.4401	0	0	No, e>t/2
SLV 12	1438	0.43	0	-16.84	4.4401	0	0	No, e>t/2
SLV 8	1438	0.43	0	-3.86	4.4401	0	0	No, e>t/2
SLV 3	1438	0.43	21	-23.29	4.4401	5.7228	1.29	Si
SLV 4	1438	0.43	21	-23.29	4.4401	5.7228	1.29	Si
SLV 1	1438	0.43	47	-52.91	4.4401	12.7189	2.86	Si
SLV 2	1438	0.43	47	-52.91	4.4401	12.7189	2.86	Si
SLV 15	1438	0.43	59	-66.54	4.4401	15.8293	3.57	Si
SLV 16	1438	0.43	59	-66.54	4.4401	15.8293	3.57	Si

Tabella dei coefficienti di sicurezza minimi

Stato limite	Coeff.s.	Comb.	Verifica
PF SLU	5.63	SLU 34	Si
V SLU	0.001	SLU 34	No
PF SLV	0	SLV 12	No
V SLV	0	SLD 11	No
PFFP SLV	0	SLV 7	No

Maschio 15

Verifiche condotte secondo D.M. 17-01-18 (N.T.C.)

Dati geometrici

X ini.	Y ini.	X fin.	Y fin.	Quota i.	Quota.s	l	Sp.	h netta	h ini.	h fin.	a	a.s.,sx	a.s.,dx
3.85	53.065	1.4	53.065	L3	L4	2.45	0.5	3.49	3.74	3.74			

Caratteristiche del materiale

(circ.617 C8A.2) Muratura in mattoni pieni e malta di calce LC2

fb	fk	fvk0	fmedio	r0	fv0	μ	φ	fv,lim	E	G	FC
6000			3450	90	200	0.58	0.77	325	3200000	1280000	1.2

Verifica a pressoflessione per azioni non sismiche 4.5.6.2 D.M. 17-01-18 (N.T.C.) $\gamma_M = 3$

Comb.	Quota	N	M	p	es1	es2	ea	ev	e ver	Φ_t	Φ_I	Nu	Verifica
SLU 34	3.625	-139.52		1	0	0	0.0175	0	0.0175	0.82	1	961.72	Si
SLU 34	5.495	-64.31		1	0	0	0.0175	0	0.0175	0.82	1	961.72	Si
SLU 34	7.365	-3.7		1	0	0	0.0175	0	0.0175	0.82	1	961.72	Si
SLU 33	3.625	-138.69		1	0	0	0.0175	0	0.0175	0.82	1	961.72	Si
SLU 33	5.495	-63.84		1	0	0	0.0175	0	0.0175	0.82	1	961.72	Si
SLU 33	7.365	-3.59		1	0	0	0.0175	0	0.0175	0.82	1	961.72	Si
SLU 36	3.625	-138.37		1	0	0	0.0175	0	0.0175	0.82	1	961.72	Si
SLU 36	5.495	-63.59		1	0	0	0.0175	0	0.0175	0.82	1	961.72	Si
SLU 36	7.365	-3.4		1	0	0	0.0175	0	0.0175	0.82	1	961.72	Si
SLU 32	3.625	-135.92		1	0	0	0.0175	0	0.0175	0.82	1	961.72	Si
SLU 32	5.495	-62.24		1	0	0	0.0175	0	0.0175	0.82	1	961.72	Si
SLU 32	7.365	-3.2		1	0	0	0.0175	0	0.0175	0.82	1	961.72	Si
SLU 31	3.625	-135.75		1	0	0	0.0175	0	0.0175	0.82	1	961.72	Si
SLU 31	5.495	-62.28		1	0	0	0.0175	0	0.0175	0.82	1	961.72	Si
SLU 31	7.365	-3.48		1	0	0	0.0175	0	0.0175	0.82	1	961.72	Si
SLU 35	3.625	-135.61		1	0	0	0.0175	0	0.0175	0.82	1	961.72	Si
SLU 35	5.495	-61.99		1	0	0	0.0175	0	0.0175	0.82	1	961.72	Si
SLU 35	7.365	-3.01		1	0	0	0.0175	0	0.0175	0.82	1	961.72	Si
SLU 30	3.625	-134.92		1	0	0	0.0175	0	0.0175	0.82	1	961.72	Si
SLU 30	5.495	-61.81		1	0	0	0.0175	0	0.0175	0.82	1	961.72	Si
SLU 30	7.365	-3.37		1	0	0	0.0175	0	0.0175	0.82	1	961.72	Si
SLU 25	3.625	-134.36		1	0	0	0.0175	0	0.0175	0.82	1	961.72	Si
SLU 25	5.495	-61.38		1	0	0	0.0175	0	0.0175	0.82	1	961.72	Si
SLU 25	7.365	-3.07		1	0	0	0.0175	0	0.0175	0.82	1	961.72	Si
SLU 24	3.625	-133.53		1	0	0	0.0175	0	0.0175	0.82	1	961.72	Si
SLU 24	5.495	-60.91		1	0	0	0.0175	0	0.0175	0.82	1	961.72	Si
SLU 24	7.365	-2.96		1	0	0	0.0175	0	0.0175	0.82	1	961.72	Si
SLU 27	3.625	-133.21		1	0	0	0.0175	0	0.0175	0.82	1	961.72	Si
SLU 27	5.495	-60.66		1	0	0	0.0175	0	0.0175	0.82	1	961.72	Si
SLU 27	7.365	-2.78		1	0	0	0.0175	0	0.0175	0.82	1	961.72	Si

Verifica a pressoflessione nel piano secondo D.M. 17-01-18 NTC §7.8.2.2.1 in combinazioni sismiche, $\gamma_M = 2$

Comb.	Quota	N	M	σ_0	μ_u	c.s.	Verifica
SLV 12	3.63	-163.11	-12.108	133	178.0312	14.704	Si
SLV 12	7.37	-0.8	0.9814	0	0	0	No, e>1/2
SLV 8	3.63	-135.21	13.3006	110	150.6745	11.328	Si
SLV 8	7.37	0.37	-0.4455	0	0	0	No, Trazione
SLV 7	3.63	-135.21	13.3006	110	150.6745	11.328	Si
SLV 7	7.37	0.37	-0.4455	0	0	0	No, Trazione
SLV 2	3.63	-40.31	48.7997	33	48.0493	0.985	No, M>Mu
SLV 2	7.37	-0.66	0.8268	0	0	0	No, e>1/2
SLV 1	3.63	-40.31	48.7997	33	48.0493	0.985	No, M>Mu
SLV 1	7.37	-0.66	0.8268	0	0	0	No, e>1/2
SLV 3	3.63	-69.09	46.097	56	80.7326	1.751	Si
SLV 3	7.37	0.45	-0.5288	0	0	0	No, Trazione
SLV 4	3.63	-69.09	46.097	56	80.7326	1.751	Si
SLV 4	7.37	0.45	-0.5288	0	0	0	No, Trazione
SLD 8	3.63	-116.03	8.8405	95	131.1226	14.832	Si
SLD 8	7.37	-0.99	1.2138	0	0	0	No, e>1/2
SLV 11	3.63	-163.11	-12.108	133	178.0312	14.704	Si
SLV 11	7.37	-0.8	0.9814	0	0	0	No, e>1/2
SLD 1	3.63	-74.8	24.1112	61	87.0555	3.611	Si
SLD 1	7.37	-1.45	1.7814	0	0	0	No, e>1/2

Verifica a taglio nel piano secondo D.M. 17-01-18 (N.T.C.) §7.8.2.2.2 con rottura per scorrimento in combinazioni non sismiche, $\gamma_M = 3$

Comb.	Quota	N	V par	M	σ_0	σ_N	l'	fvd	Vt scorr.	Vt fess.diag.	Vt,lim	c.s.	Verifica
SLU 18	3.63	-110.88	-7.32	7.4866		91	2.45	68	82.84		77.41	11.31	Si
SLU 18	7.37	-3.09	-7.29	3.7842		1957	0.0032	108	0.17		62.79	0.02	No, Vu<V
SLU 36	3.63	-138.37	-8.01	8.3109		113	2.45	71	86.51		80.72	10.8	Si
SLU 36	7.37	-3.4	-7.97	4.1666		2094	0.0033	108	0.18		62.83	0.02	No, Vu<V
SLU 16	3.63	-112.03	-7.57	7.9643		91	2.45	68	82.99		77.55	10.96	Si
SLU 16	7.37	-3.39	-7.54	4.1469		2241	0.003	108	0.16		62.83	0.02	No, Vu<V
SLU 34	3.63	-139.52	-8.26	8.7885		114	2.45	71	86.66		80.85	10.49	Si
SLU 34	7.37	-3.7	-8.22	4.5293		2373	0.0031	108	0.17		62.88	0.02	No, Vu<V
SLU 30	3.63	-134.92	-7.01	7.8157		110	2.45	70	86.04		80.31	12.27	Si
SLU 30	7.37	-3.37	-6.97	4.1225		2187	0.0031	108	0.17		62.83	0.02	No, Vu<V
SLU 33	3.63	-138.69	-8.05	8.5473		113	2.45	71	86.55		80.75	10.75	Si
SLU 33	7.37	-3.59	-8.01	4.3906		2280	0.0031	108	0.17		62.86	0.02	No, Vu<V
SLU 15	3.63	-111.2	-7.37	7.723		91	2.45	68	82.88		77.45	11.25	Si
SLU 15	7.37	-3.27	-7.33	4.0082		2147	0.0031	108	0.17		62.81	0.02	No, Vu<V
SLU 13	3.63	-108.25	-6.53	7.2327		88	2.45	67	82.49		77.09	12.63	Si

Comb.	Quota	N	V par	M	σ_0	σ_N	I'	fvd	Vt scorr.	Vt fess.diag.	Vt,lim	c.s.	Verifica
SLU 13	7.37	-3.17	-6.5	3.8788		2153	0.0029	108	0.16		62.8	0.02	No, Vu<V
SLU 31	3.63	-135.75	-7.22	8.0569		111	2.45	70	86.16		80.41	11.93	Si
SLU 31	7.37	-3.48	-7.18	4.2612		2281	0.0031	108	0.17		62.84	0.02	No, Vu<V
SLU 32	3.63	-135.92	-7.36	7.7561		111	2.45	70	86.18		80.43	11.71	Si
SLU 32	7.37	-3.2	-7.32	3.913		1961	0.0033	108	0.18		62.8	0.02	No, Vu<V

Verifica a taglio nel piano secondo D.M. 17-01-18 (N.T.C.) §7.8.2.2.2 con rottura per scorrimento in combinazioni sismiche, $\gamma_M = 2$

Comb.	Quota	N	V par	M	σ_0	σ_N	I'	fvd	Vt scorr.	Vt fess.diag.	Vt,lim	c.s.	Verifica
SLV 11	3.63	-163.11	-31.91	-12.108		133	2.45	110	134.7		115.72	4.22	Si
SLV 11	7.37	-0.8	-23.96	0.9814		0	0	83	0		93.6	0	No, Vu<V
SLD 8	3.63	-116.03	-7.46	8.8405		95	2.45	102	125.29		109.76	16.78	Si
SLD 8	7.37	-0.99	-8.66	1.2138		0	0	83	0		93.62	0	No, Vu<V
SLV 1	3.63	-40.31	34.99	48.7997		1870	0.0431	163	3.5		99.44	0.1	No, Vu<V
SLV 1	7.37	-0.66	16.43	0.8268		0	0	83	0		93.57	0	No, Vu<V
SLV 3	3.63	-69.09	24.97	46.097		83	1.6735	100	83.55		103.48	3.35	Si
SLV 3	7.37	0.45	7.96	-0.5288		0	0	83	0		93.41	0	No, Vu<V
SLV 4	3.63	-69.09	24.97	46.097		83	1.6735	100	83.55		103.48	3.35	Si
SLV 4	7.37	0.45	7.96	-0.5288		0	0	83	0		93.41	0	No, Vu<V
SLD 4	3.63	-87.33	8.14	23.0304		71	2.45	98	119.55		105.97	14.68	Si
SLD 4	7.37	-0.96	0.75	1.1816		0	0	83	0		93.62	0	No, Vu<V
SLD 1	3.63	-74.8	12.47	24.1112		61	2.45	96	117.04		104.27	9.39	Si
SLD 1	7.37	-1.45	4.42	1.7814		0	0	83	0		93.69	0	No, Vu<V
SLV 8	3.63	-135.21	-11.04	13.3006		110	2.45	105	129.13		112.23	11.69	Si
SLV 8	7.37	0.37	-13.79	-0.4455		0	0	83	0		93.42	0	No, Vu<V
SLV 12	3.63	-163.11	-31.91	-12.108		133	2.45	110	134.7		115.72	4.22	Si
SLV 12	7.37	-0.8	-23.96	0.9814		0	0	83	0		93.6	0	No, Vu<V
SLV 7	3.63	-135.21	-11.04	13.3006		110	2.45	105	129.13		112.23	11.69	Si
SLV 7	7.37	0.37	-13.79	-0.4455		0	0	83	0		93.42	0	No, Vu<V

Verifica a pressoflessione fuori piano D.M. 17-01-18 (N.T.C.)

quota 5.495 Wa 0.0009 denominatore 8 $\gamma_M = 2$

Comb.	fd	Sa	σ_0	N	M	Mc	Coeff.s.	Verifica
SLV 2	1438	0.43	0	-18.07	4.8348	0	0	No, e>t/2
SLV 1	1438	0.43	0	-18.07	4.8348	0	0	No, e>t/2
SLV 5	1438	0.43	19	-23.08	4.8348	5.681	1.18	Si
SLV 6	1438	0.43	19	-23.08	4.8348	5.681	1.18	Si
SLV 4	1438	0.43	23	-27.64	4.8348	6.7835	1.4	Si
SLV 3	1438	0.43	23	-27.64	4.8348	6.7835	1.4	Si
SLV 10	1438	0.43	30	-36.95	4.8348	9.0093	1.86	Si
SLV 9	1438	0.43	30	-36.95	4.8348	9.0093	1.86	Si
SLV 8	1438	0.43	45	-55	4.8348	13.2439	2.74	Si
SLV 7	1438	0.43	45	-55	4.8348	13.2439	2.74	Si

Tabella dei coefficienti di sicurezza minimi

Stato limite	Coeff.s.	Comb.	Verifica
PF SLU	6.893	SLU 34	Si
V SLU	0.021	SLU 34	No
PF SLV	0	SLV 8	No
V SLV	0	SLD 1	No
PPFP SLV	0	SLV 1	No

Maschio 16

Verifiche condotte secondo D.M. 17-01-18 (N.T.C.)

Dati geometrici

X ini.	Y ini.	X fin.	Y fin.	Quota i.	Quota.s	l	Sp.	h netta	h ini.	h fin.	a	a.s.,sx	a.s.,dx
5.85	22.265	1.4	22.265	L3	L4	4.45	0.3	3.49	3.74	3.74			

Caratteristiche del materiale

(circ.617 C8A.2) Muratura in mattoni pieni e malta di calce LC2

fb	fk	fvk0	fmedio	τ_0	fv0	μ	ϕ	fv,lim	E	G	FC
6000			3450	90	200	0.58	0.77	325	3200000	1280000	1.2

Verifica a pressoflessione per azioni non sismiche 4.5.6.2 D.M. 17-01-18 (N.T.C.) $\gamma_M = 3$

Comb.	Quota	N	M	p	es1	es2	ea	ev	e ver	Φ_t	Φ_l	Nu	Verifica
SLU 34	3.625	-185.28		1	0	0	0.0175	0	0.0175	0.64	1	817.63	Si
SLU 34	5.495	-116.81		1	0	0	0.0175	0	0.0175	0.64	1	817.63	Si
SLU 34	7.365	-19.26		1	0	0	0.0175	0	0.0175	0.64	1	817.63	Si
SLU 33	3.625	-183.7		1	0	0	0.0175	0	0.0175	0.64	1	817.63	Si
SLU 33	5.495	-115.74		1	0	0	0.0175	0	0.0175	0.64	1	817.63	Si
SLU 33	7.365	-18.64		1	0	0	0.0175	0	0.0175	0.64	1	817.63	Si
SLU 36	3.625	-183.04		1	0	0	0.0175	0	0.0175	0.64	1	817.63	Si
SLU 36	5.495	-115.21		1	0	0	0.0175	0	0.0175	0.64	1	817.63	Si
SLU 36	7.365	-17.28		1	0	0	0.0175	0	0.0175	0.64	1	817.63	Si
SLU 32	3.625	-178.16		1	0	0	0.0175	0	0.0175	0.64	1	817.63	Si
SLU 32	5.495	-112.02		1	0	0	0.0175	0	0.0175	0.64	1	817.63	Si
SLU 32	7.365	-16.52		1	0	0	0.0175	0	0.0175	0.64	1	817.63	Si
SLU 31	3.625	-177.59		1	0	0	0.0175	0	0.0175	0.64	1	817.63	Si
SLU 31	5.495	-111.87		1	0	0	0.0175	0	0.0175	0.64	1	817.63	Si
SLU 31	7.365	-18.94		1	0	0	0.0175	0	0.0175	0.64	1	817.63	Si
SLU 35	3.625	-177.51		1	0	0	0.0175	0	0.0175	0.64	1	817.63	Si
SLU 35	5.495	-111.48		1	0	0	0.0175	0	0.0175	0.64	1	817.63	Si
SLU 35	7.365	-15.16		1	0	0	0.0175	0	0.0175	0.64	1	817.63	Si
SLU 30	3.625	-176		1	0	0	0.0175	0	0.0175	0.64	1	817.63	Si
SLU 30	5.495	-110.8		1	0	0	0.0175	0	0.0175	0.64	1	817.63	Si
SLU 30	7.365	-18.32		1	0	0	0.0175	0	0.0175	0.64	1	817.63	Si
SLU 25	3.625	-174.8		1	0	0	0.0175	0	0.0175	0.64	1	817.63	Si
SLU 25	5.495	-109.84		1	0	0	0.0175	0	0.0175	0.64	1	817.63	Si
SLU 25	7.365	-16.14		1	0	0	0.0175	0	0.0175	0.64	1	817.63	Si
SLU 24	3.625	-173.22		1	0	0	0.0175	0	0.0175	0.64	1	817.63	Si
SLU 24	5.495	-108.77		1	0	0	0.0175	0	0.0175	0.64	1	817.63	Si
SLU 24	7.365	-15.52		1	0	0	0.0175	0	0.0175	0.64	1	817.63	Si
SLU 27	3.625	-172.56		1	0	0	0.0175	0	0.0175	0.64	1	817.63	Si
SLU 27	5.495	-108.24		1	0	0	0.0175	0	0.0175	0.64	1	817.63	Si

Comb.	Quota	N	M	p	es1	es2	ea	ev	e ver	φt	Φl	Nu	Verifica	
SLU 27	7.365	-14.16			1	0	0	0.0175	0	0.0175	0.64	1	817.63	Si

Verifica a pressoflessione nel piano secondo D.M. 17-01-18 NTC §7.8.2.2.1 in combinazioni sismiche, $\gamma_M = 2$

Comb.	Quota	N	M	σ_0	Mu	c.s.	Verifica
SLD 8	3.63	-137.81	-19.0017	103	280.7276	14.774	Si
SLD 8	7.37	-12.68	28.2172	0	0	0	No, e>1/2
SLV 2	3.63	-39.12	186.4402	0	0	0	No, e>1/2
SLV 2	7.37	-1.32	3.3982	0	0	0	No, e>1/2
SLV 1	3.63	-39.12	186.4402	0	0	0	No, e>1/2
SLV 1	7.37	-1.32	3.3982	0	0	0	No, e>1/2
SLV 4	3.63	-63.78	133.4077	48	136.3701	1.022	Si
SLV 4	7.37	-5.27	12.1333	0	0	0	No, e>1/2
SLV 5	3.63	-65.46	135.1731	49	139.803	1.034	Si
SLV 5	7.37	-1.98	4.5984	0	0	0	No, e>1/2
SLV 6	3.63	-65.46	135.1731	49	139.803	1.034	Si
SLV 6	7.37	-1.98	4.5984	0	0	0	No, e>1/2
SLV 3	3.63	-63.78	133.4077	48	136.3701	1.022	Si
SLV 3	7.37	-5.27	12.1333	0	0	0	No, e>1/2
SLV 7	3.63	-147.67	-41.6018	111	298.8173	7.183	Si
SLV 7	7.37	-15.13	33.7155	0	0	0	No, e>1/2
SLD 1	3.63	-90.5	80.2193	68	190.1955	2.371	Si
SLD 1	7.37	-6.71	15.1129	0	0	0	No, e>1/2
SLV 8	3.63	-147.67	-41.6018	111	298.8173	7.183	Si
SLV 8	7.37	-15.13	33.7155	0	0	0	No, e>1/2

Verifica a taglio nel piano secondo D.M. 17-01-18 (N.T.C.) §7.8.2.2.2 con rottura per scorrimento in combinazioni non sismiche, $\gamma_M = 2$

Comb.	Quota	N	V par	M	σ_0	σ_N	I'	fvd	Vt scorr.	Vt fess.diag.	Vt,lim	c.s.	Verifica
SLU 16	3.63	-152.04	-36.71	0.9887		114	4.45	71	94.44		125.51	2.57	Si
SLU 16	7.37	-17.4	-36.67	38.6934		13535	0.0043	108	0.14		100.45	0	No, Vu<V
SLU 36	3.63	-183.04	-40.2	-3.0588		137	4.45	74	98.57		130.6	2.45	Si
SLU 36	7.37	-17.28	-40.16	38.4152		13067	0.0044	108	0.14		100.42	0	No, Vu<V
SLU 33	3.63	-183.7	-39.73	0.1534		138	4.45	74	98.66		130.71	2.48	Si
SLU 33	7.37	-18.64	-39.68	41.4441		14419	0.0043	108	0.14		100.71	0	No, Vu<V
SLU 35	3.63	-177.51	-37.42	-4.9574		133	4.45	73	97.83		129.71	2.61	Si
SLU 35	7.37	-15.16	-37.37	33.7117		11269	0.0045	108	0.15		99.98	0	No, Vu<V
SLU 34	3.63	-185.28	-40.51	0.7581		139	4.45	74	98.87		130.96	2.44	Si
SLU 34	7.37	-19.26	-40.46	42.8169		14949	0.0043	108	0.14		100.84	0	No, Vu<V
SLU 18	3.63	-149.8	-36.4	-2.8282		112	4.45	71	94.14		125.14	2.59	Si
SLU 18	7.37	-15.42	-36.36	34.2917		11652	0.0044	108	0.14		100.04	0	No, Vu<V
SLU 30	3.63	-176	-33.97	4.6297		132	4.45	73	97.63		129.47	2.87	Si
SLU 30	7.37	-18.32	-33.91	40.7399		14616	0.0042	108	0.14		100.64	0	No, Vu<V
SLU 15	3.63	-150.45	-35.93	0.384		113	4.45	71	94.23		125.25	2.62	Si
SLU 15	7.37	-16.78	-35.89	37.3206		13004	0.0043	108	0.14		100.32	0	No, Vu<V
SLU 31	3.63	-177.59	-34.75	5.2344		133	4.45	73	97.85		129.72	2.82	Si
SLU 31	7.37	-18.94	-34.69	42.1127		15149	0.0042	108	0.14		100.77	0	No, Vu<V
SLU 32	3.63	-178.16	-36.95	-1.7452		133	4.45	73	97.92		129.82	2.65	Si
SLU 32	7.37	-16.52	-36.9	36.7406		12611	0.0044	108	0.14		100.27	0	No, Vu<V

Verifica a taglio nel piano secondo D.M. 17-01-18 (N.T.C.) §7.8.2.2.2 con rottura per scorrimento in combinazioni sismiche, $\gamma_M = 2$

Comb.	Quota	N	V par	M	σ_0	σ_N	I'	fvd	Vt scorr.	Vt fess.diag.	Vt,lim	c.s.	Verifica
SLV 6	3.63	-65.46	58.61	135.1731		455	0.4801	163	23.4		158.7	0.4	No, Vu<V
SLV 6	7.37	-1.98	38.93	4.5984		0	0	83	0		145.54	0	No, Vu<V
SLD 8	3.63	-137.81	-34.13	-19.0017		103	4.45	104	138.81		172.49	4.07	Si
SLD 8	7.37	-12.68	-31.81	28.2172		0	0	83	0		147.84	0	No, Vu<V
SLV 7	3.63	-147.67	-46.69	-41.6018		111	4.45	105	140.78		174.28	3.02	Si
SLV 7	7.37	-15.13	-41.5	33.7155		0	0	83	0		148.36	0	No, Vu<V
SLV 5	3.63	-65.46	58.61	135.1731		455	0.4801	163	23.4		158.7	0.4	No, Vu<V
SLV 5	7.37	-1.98	38.93	4.5984		0	0	83	0		145.54	0	No, Vu<V
SLD 1	3.63	-90.5	26.59	80.2193		75	4.0159	98	118.5		163.6	4.46	Si
SLD 1	7.37	-6.71	14.4	15.1129		0	0	83	0		146.56	0	No, Vu<V
SLV 2	3.63	-39.12	92.68	186.4402		0	0	83	0		153.38	0	No, Vu<V
SLV 2	7.37	-1.32	64.71	3.3982		0	0	83	0		145.4	0	No, Vu<V
SLV 1	3.63	-39.12	92.68	186.4402		0	0	83	0		153.38	0	No, Vu<V
SLV 1	7.37	-1.32	64.71	3.3982		0	0	83	0		145.4	0	No, Vu<V
SLV 4	3.63	-63.78	61.1	133.4077		531	0.4003	163	19.52		158.37	0.32	No, Vu<V
SLV 4	7.37	-5.27	40.59	12.1333		0	0	83	0		146.25	0	No, Vu<V
SLV 3	3.63	-63.78	61.1	133.4077		531	0.4003	163	19.52		158.37	0.32	No, Vu<V
SLV 3	7.37	-5.27	40.59	12.1333		0	0	83	0		146.25	0	No, Vu<V
SLV 8	3.63	-147.67	-46.69	-41.6018		111	4.45	105	140.78		174.28	3.02	Si
SLV 8	7.37	-15.13	-41.5	33.7155		0	0	83	0		148.36	0	No, Vu<V

Verifica a pressoflessione fuori piano D.M. 17-01-18 (N.T.C.)

quota 5.495 Wa 0.0005 denominatore 8 $\gamma_M = 2$

Comb.	fd	Sa	σ_0	N	M	Mc	Coeff.s.	Verifica
SLV 1	1438	0.43	0	-34.47	5.2689	0	0	No, e>t/2
SLV 2	1438	0.43	0	-34.47	5.2689	0	0	No, e>t/2
SLV 3	1438	0.43	35	-47.3	5.2689	6.8895	1.31	Si
SLV 4	1438	0.43	35	-47.3	5.2689	6.8895	1.31	Si
SLV 5	1438	0.43	36	-48	5.2689	6.9885	1.33	Si
SLV 6	1438	0.43	36	-48	5.2689	6.9885	1.33	Si
SLV 9	1438	0.43	54	-72.44	5.2689	10.3834	1.97	Si
SLV 10	1438	0.43	54	-72.44	5.2689	10.3834	1.97	Si
SLV 8	1438	0.43	68	-90.79	5.2689	12.86	2.44	Si
SLV 7	1438	0.43	68	-90.79	5.2689	12.86	2.44	Si

Tabella dei coefficienti di sicurezza minimi

Stato limite	Coeff.s.	Comb.	Verifica
PF SLU	4.413	SLU 34	Si
V SLU	0.003	SLU 34	No
PF SLV	0	SLD 1	No
V SLV	0	SLD 1	No
PPFP SLV	0	SLV 1	No

Maschio 17

Verifiche condotte secondo D.M. 17-01-18 (N.T.C.)

Dati geometrici

X ini.	Y ini.	X fin.	Y fin.	Quota i.	Quota.s	l	Sp.	h netta	h ini.	h fin.	a	a.s.,sx	a.s.,dx
5.85	32.165	1.4	32.165	L3	L4	4.45	0.5	3.49	3.74	3.74			

Caratteristiche del materiale

(circ.617 C8A.2) Muratura in mattoni pieni e malta di calce LC2

fb	fk	fvk0	fmedio	r0	fv0	μ	φ	fv,lim	E	G	FC
6000			3450	90	200	0.58	0.77	325	3200000	1280000	1.2

Verifica a pressoflessione per azioni non sismiche 4.5.6.2 D.M. 17-01-18 (N.T.C.) γM = 3

Comb.	Quota	N	M	p	es1	es2	ea	ev	e ver	Φt	Φl	Nu	Verifica
SLU 34	3.625	-224.73		1	0	0	0.0175	0	0.0175	0.82	1	1746.8	Si
SLU 34	5.495	-141.83		1	0	0	0.0175	0	0.0175	0.82	1	1746.8	Si
SLU 34	7.365	-10.28		1	0	0	0.0175	0	0.0175	0.82	1	1746.8	Si
SLU 33	3.625	-224.72		1	0	0	0.0175	0	0.0175	0.82	1	1746.8	Si
SLU 33	5.495	-141.84		1	0	0	0.0175	0	0.0175	0.82	1	1746.8	Si
SLU 33	7.365	-10.29		1	0	0	0.0175	0	0.0175	0.82	1	1746.8	Si
SLU 36	3.625	-224		1	0	0	0.0175	0	0.0175	0.82	1	1746.8	Si
SLU 36	5.495	-140.41		1	0	0	0.0175	0	0.0175	0.82	1	1746.8	Si
SLU 36	7.365	-9.51		1	0	0	0.0175	0	0.0175	0.82	1	1746.8	Si
SLU 32	3.625	-222.3		1	0	0	0.0175	0	0.0175	0.82	1	1746.8	Si
SLU 32	5.495	-139.79		1	0	0	0.0175	0	0.0175	0.82	1	1746.8	Si
SLU 32	7.365	-9.39		1	0	0	0.0175	0	0.0175	0.82	1	1746.8	Si
SLU 35	3.625	-221.58		1	0	0	0.0175	0	0.0175	0.82	1	1746.8	Si
SLU 35	5.495	-138.36		1	0	0	0.0175	0	0.0175	0.82	1	1746.8	Si
SLU 35	7.365	-8.61		1	0	0	0.0175	0	0.0175	0.82	1	1746.8	Si
SLU 31	3.625	-220.81		1	0	0	0.0175	0	0.0175	0.82	1	1746.8	Si
SLU 31	5.495	-140.34		1	0	0	0.0175	0	0.0175	0.82	1	1746.8	Si
SLU 31	7.365	-9.97		1	0	0	0.0175	0	0.0175	0.82	1	1746.8	Si
SLU 30	3.625	-220.79		1	0	0	0.0175	0	0.0175	0.82	1	1746.8	Si
SLU 30	5.495	-140.36		1	0	0	0.0175	0	0.0175	0.82	1	1746.8	Si
SLU 30	7.365	-9.98		1	0	0	0.0175	0	0.0175	0.82	1	1746.8	Si
SLU 25	3.625	-219.02		1	0	0	0.0175	0	0.0175	0.82	1	1746.8	Si
SLU 25	5.495	-137.56		1	0	0	0.0175	0	0.0175	0.82	1	1746.8	Si
SLU 25	7.365	-8.51		1	0	0	0.0175	0	0.0175	0.82	1	1746.8	Si
SLU 24	3.625	-219		1	0	0	0.0175	0	0.0175	0.82	1	1746.8	Si
SLU 24	5.495	-137.58		1	0	0	0.0175	0	0.0175	0.82	1	1746.8	Si
SLU 24	7.365	-8.52		1	0	0	0.0175	0	0.0175	0.82	1	1746.8	Si
SLU 29	3.625	-218.38		1	0	0	0.0175	0	0.0175	0.82	1	1746.8	Si
SLU 29	5.495	-138.31		1	0	0	0.0175	0	0.0175	0.82	1	1746.8	Si
SLU 29	7.365	-9.08		1	0	0	0.0175	0	0.0175	0.82	1	1746.8	Si

Verifica a pressoflessione nel piano secondo D.M. 17-01-18 NTC §7.8.2.2.1 in combinazioni sismiche, γM = 2

Comb.	Quota	N	M	σ0	Mu	c.s.	Verifica
SLV 8	3.63	-104.39	269.9833	0	0	0	No, e>1/2
SLV 8	7.37	-9.02	20.0383	4	20.0119	0.999	No, M>Mu
SLV 6	3.63	-169.93	-56.7281	76	354.4642	6.248	Si
SLV 6	7.37	2.78	-6.2064	0	0	0	No, Trazione
SLV 7	3.63	-104.39	269.9833	0	0	0	No, e>1/2
SLV 7	7.37	-9.02	20.0383	4	20.0119	0.999	No, M>Mu
SLV 14	3.63	-276.82	-282.2752	124	553.2188	1.96	Si
SLV 14	7.37	-14.14	31.5134	0	0	0	No, e>1/2
SLV 9	3.63	-229.85	-213.6032	103	468.1873	2.192	Si
SLV 9	7.37	-3.12	6.9632	0	0	0	No, e>1/2
SLV 4	3.63	-57.42	338.6553	0	0	0	No, e>1/2
SLV 4	7.37	1.99	-4.5119	0	0	0	No, Trazione
SLV 10	3.63	-229.85	-213.6032	103	468.1873	2.192	Si
SLV 10	7.37	-3.12	6.9632	0	0	0	No, e>1/2
SLD 16	3.63	-206.34	-64.4701	93	424.2594	6.581	Si
SLD 16	7.37	-11.1	24.7266	0	0	0	No, e>1/2
SLV 5	3.63	-169.93	-56.7281	76	354.4642	6.248	Si
SLV 5	7.37	2.78	-6.2064	0	0	0	No, Trazione
SLV 13	3.63	-276.82	-282.2752	124	553.2188	1.96	Si
SLV 13	7.37	-14.14	31.5134	0	0	0	No, e>1/2

Verifica a taglio nel piano secondo D.M. 17-01-18 (N.T.C.) §7.8.2.2.2 con rottura per scorrimento in combinazioni non sismiche, γM = 3

Comb.	Quota	N	V par	M	σ0	σN	I'	fvd	Vt scorr.	Vt fess.diag.	Vt,lim	c.s.	Verifica
SLU 36	3.63	-224	-5.09	46.2578		101	4.45	69	153.48		204.2	30.16	Si
SLU 36	7.37	-9.51	-5.02	21.1555		5785	0.0033	108	0.18		163.29	0.04	No, Vu<V
SLU 32	3.63	-222.3	-4.79	43.6042		100	4.45	69	153.25		203.91	32	Si
SLU 32	7.37	-9.39	-4.72	20.8902		5742	0.0033	108	0.18		163.26	0.04	No, Vu<V
SLU 14	3.63	-175.29	-4.69	39.3001		79	4.45	66	146.98		195.66	31.31	Si
SLU 14	7.37	-8.39	-4.64	18.6481		5123	0.0033	108	0.18		163.04	0.04	No, Vu<V
SLU 33	3.63	-224.72	-4.87	48.698		101	4.45	69	153.57		204.33	31.56	Si
SLU 33	7.37	-10.29	-4.8	22.8952		6319	0.0033	108	0.18		163.45	0.04	No, Vu<V
SLU 35	3.63	-221.58	-5.01	41.164		100	4.45	69	153.16		203.79	30.56	Si
SLU 35	7.37	-8.61	-4.95	19.1506		5208	0.0033	108	0.18		163.09	0.04	No, Vu<V
SLU 34	3.63	-224.73	-4.51	50.0404		101	4.45	69	153.58		204.33	34.02	Si
SLU 34	7.37	-10.28	-4.45	22.8649		6314	0.0033	108	0.18		163.45	0.04	No, Vu<V
SLU 18	3.63	-176.98	-4.99	41.9537		80	4.45	66	147.21		195.97	29.48	Si
SLU 18	7.37	-8.5	-4.94	18.9134		5166	0.0033	108	0.18		163.07	0.04	No, Vu<V
SLU 17	3.63	-174.57	-4.92	36.8599		78	4.45	66	146.89		195.53	29.87	Si
SLU 17	7.37	-7.6	-4.87	16.9085		4589	0.0033	108	0.18		162.88	0.04	No, Vu<V
SLU 15	3.63	-177.71	-4.77	44.3939		80	4.45	66	147.31		196.09	30.87	Si
SLU 15	7.37	-9.29	-4.72	20.6531		5700	0.0033	108	0.18		163.24	0.04	No, Vu<V
SLU 16	3.63	-177.72	-4.42	45.7363		80	4.45	66	147.31		196.1	33.33	Si
SLU 16	7.37	-9.27	-4.36	20.6228		5694	0.0033	108	0.18		163.24	0.04	No, Vu<V

Verifica a taglio nel piano secondo D.M. 17-01-18 (N.T.C.) §7.8.2.2.2 con rottura per scorrimento in combinazioni sismiche, γM = 2

Comb.	Quota	N	V par	M	σ0	σN	I'	fvd	Vt scorr.	Vt fess.diag.	Vt,lim	c.s.	Verifica
SLD 16	3.63	-206.34	-56.36	-64.4701		93	4.45	102	226.68		283.17	4.02	Si
SLD 16	7.37	-11.1	-44.32	24.7266		0	0	83	0		244.25	0	No, Vu<V

Comb.	Quota	N	V par	M	σ_0	σ_N	I'	fvd	Vt scorr.	Vt fess.diag.	Vt,lim	c.s.	Verifica
SLV 13	3.63	-276.82	-171.69	-282.2752		153	3.6159		114	206.03	295.97	1.2	Si
SLV 13	7.37	-14.14	-126.54	31.5134		0	0		83	0	244.9	0	No, Vu<V
SLV 7	3.63	-104.39	117.63	269.9833		0	0		83	0	263.57	0	No, Vu<V
SLV 7	7.37	-9.02	77.5	20.0383		1349	0.0134		163	1.09	243.8	0.01	No, Vu<V
SLV 4	3.63	-57.42	166.08	338.6553		0	0		83	0	254.02	0	No, Vu<V
SLV 4	7.37	1.99	121.03	-4.5119		0	0		83	0	241.41	0	No, Vu<V
SLV 6	3.63	-169.93	-35.71	-56.7281		76	4.45		99	219.4	276.33	6.14	Si
SLV 6	7.37	2.78	-17.27	-6.2064		0	0		83	0	241.24	0	No, Vu<V
SLV 14	3.63	-276.82	-171.69	-282.2752		153	3.6159		114	206.03	295.97	1.2	Si
SLV 14	7.37	-14.14	-126.54	31.5134		0	0		83	0	244.9	0	No, Vu<V
SLV 9	3.63	-229.85	-123.24	-213.6032		118	3.8871		107	207.93	287.51	1.69	Si
SLV 9	7.37	-3.12	-83.01	6.9632		0	0		83	0	242.52	0	No, Vu<V
SLV 5	3.63	-169.93	-35.71	-56.7281		76	4.45		99	219.4	276.33	6.14	Si
SLV 5	7.37	2.78	-17.27	-6.2064		0	0		83	0	241.24	0	No, Vu<V
SLV 10	3.63	-229.85	-123.24	-213.6032		118	3.8871		107	207.93	287.51	1.69	Si
SLV 10	7.37	-3.12	-83.01	6.9632		0	0		83	0	242.52	0	No, Vu<V
SLV 8	3.63	-104.39	117.63	269.9833		0	0		83	0	263.57	0	No, Vu<V
SLV 8	7.37	-9.02	77.5	20.0383		1349	0.0134		163	1.09	243.8	0.01	No, Vu<V

Verifica a pressoflessione fuori piano D.M. 17-01-18 (N.T.C.)

quota 5.495 Wa 0.0009 denominatore 8 $\gamma_M = 2$

Comb.	fd	Sa	σ_0	N	M	Mc	Coeff.s.	Verifica
SLV 3	1438	0.43	25	-55.5	8.7815	13.5922	1.55	Si
SLV 4	1438	0.43	25	-55.5	8.7815	13.5922	1.55	Si
SLV 1	1438	0.43	25	-56.59	8.7815	13.8526	1.58	Si
SLV 2	1438	0.43	25	-56.59	8.7815	13.8526	1.58	Si
SLV 7	1438	0.43	40	-88.3	8.7815	21.3589	2.43	Si
SLV 8	1438	0.43	40	-88.3	8.7815	21.3589	2.43	Si
SLV 6	1438	0.43	41	-91.92	8.7815	22.2042	2.53	Si
SLV 5	1438	0.43	41	-91.92	8.7815	22.2042	2.53	Si
SLV 11	1438	0.43	53	-117.51	8.7815	28.1068	3.2	Si
SLV 12	1438	0.43	53	-117.51	8.7815	28.1068	3.2	Si

Tabella dei coefficienti di sicurezza minimi

Stato limite	Coeff.s.	Comb.	Verifica
PF SLV	7.773	SLV 34	Si
V SLV	0.035	SLV 36	No
PF SLV	0	SLV 6	No
V SLV	0	SLV 9	No
PPFF SLV	1.548	SLV 3	Si

Maschio 18

Verifiche condotte secondo D.M. 17-01-18 (N.T.C.)

Dati geometrici

X ini.	Y ini.	X fin.	Y fin.	Quota i.	Quota.s	l	Sp.	h netta	h ini.	h fin.	a	a.s.,sx	a.s.,dx
5.95	38.965	1.4	38.965	L3	L4	4.55	0.5	3.49	3.74	3.74			

Caratteristiche del materiale

(circ.617 C8A.2) Muratura in mattoni pieni e malta di calce LC2

fb	fk	fvk0	fmedio	r0	fv0	μ	ϕ	fv,lim	E	G	FC
6000			3450	90	200	0.58	0.77	325	3200000	1280000	1.2

Verifica a pressoflessione per azioni non sismiche 4.5.6.2 D.M. 17-01-18 (N.T.C.) $\gamma_M = 3$

Comb.	Quota	N	M	p	es1	es2	ea	ev	e ver	ϕ_t	Φ_I	Nu	Verifica
SLV 34	3.625	-244.87		1	0	0	0.0175	0	0.0175	0.82	1	1786.05	Si
SLV 34	5.495	-150.94		1	0	0	0.0175	0	0.0175	0.82	1	1786.05	Si
SLV 34	7.365	-5.61		1	0	0	0.0175	0	0.0175	0.82	1	1786.05	Si
SLV 33	3.625	-243.84		1	0	0	0.0175	0	0.0175	0.82	1	1786.05	Si
SLV 33	5.495	-150.08		1	0	0	0.0175	0	0.0175	0.82	1	1786.05	Si
SLV 33	7.365	-5.42		1	0	0	0.0175	0	0.0175	0.82	1	1786.05	Si
SLV 36	3.625	-243.45		1	0	0	0.0175	0	0.0175	0.82	1	1786.05	Si
SLV 36	5.495	-148.61		1	0	0	0.0175	0	0.0175	0.82	1	1786.05	Si
SLV 36	7.365	-4.99		1	0	0	0.0175	0	0.0175	0.82	1	1786.05	Si
SLV 32	3.625	-240.16		1	0	0	0.0175	0	0.0175	0.82	1	1786.05	Si
SLV 32	5.495	-147.05		1	0	0	0.0175	0	0.0175	0.82	1	1786.05	Si
SLV 32	7.365	-4.77		1	0	0	0.0175	0	0.0175	0.82	1	1786.05	Si
SLV 35	3.625	-239.77		1	0	0	0.0175	0	0.0175	0.82	1	1786.05	Si
SLV 35	5.495	-145.57		1	0	0	0.0175	0	0.0175	0.82	1	1786.05	Si
SLV 35	7.365	-4.34		1	0	0	0.0175	0	0.0175	0.82	1	1786.05	Si
SLV 31	3.625	-239.57		1	0	0	0.0175	0	0.0175	0.82	1	1786.05	Si
SLV 31	5.495	-149.31		1	0	0	0.0175	0	0.0175	0.82	1	1786.05	Si
SLV 31	7.365	-5.52		1	0	0	0.0175	0	0.0175	0.82	1	1786.05	Si
SLV 30	3.625	-238.55		1	0	0	0.0175	0	0.0175	0.82	1	1786.05	Si
SLV 30	5.495	-148.45		1	0	0	0.0175	0	0.0175	0.82	1	1786.05	Si
SLV 30	7.365	-5.33		1	0	0	0.0175	0	0.0175	0.82	1	1786.05	Si
SLV 25	3.625	-237.79		1	0	0	0.0175	0	0.0175	0.82	1	1786.05	Si
SLV 25	5.495	-146.04		1	0	0	0.0175	0	0.0175	0.82	1	1786.05	Si
SLV 25	7.365	-4.65		1	0	0	0.0175	0	0.0175	0.82	1	1786.05	Si
SLV 24	3.625	-236.77		1	0	0	0.0175	0	0.0175	0.82	1	1786.05	Si
SLV 24	5.495	-145.18		1	0	0	0.0175	0	0.0175	0.82	1	1786.05	Si
SLV 24	7.365	-4.46		1	0	0	0.0175	0	0.0175	0.82	1	1786.05	Si
SLV 27	3.625	-236.38		1	0	0	0.0175	0	0.0175	0.82	1	1786.05	Si
SLV 27	5.495	-143.71		1	0	0	0.0175	0	0.0175	0.82	1	1786.05	Si
SLV 27	7.365	-4.03		1	0	0	0.0175	0	0.0175	0.82	1	1786.05	Si

Verifica a pressoflessione nel piano secondo D.M. 17-01-18 NTC §7.8.2.2.1 in combinazioni sismiche, $\gamma_M = 2$

Comb.	Quota	N	M	σ_0	Mu	c.s.	Verifica
SLD 8	3.63	-156.44	21.9775	69	335.8776	15.283	Si
SLD 8	7.37	-3.66	8.3777	0	0	0	No, e>1/2
SLV 3	3.63	-84.97	237.3112	0	0	0	No, e>1/2
SLV 3	7.37	0.42	-0.3551	0	0	0	No, Trazione
SLV 6	3.63	-182.04	226.2375	80	387.0107	1.711	Si
SLV 6	7.37	0.84	-1.6818	0	0	0	No, Trazione

Comb.	Quota	N	M	σ_0	Mu	c.s.	Verifica
SLD 1	3.63	-145.89	157.3803	64	314.486	1.998	Si
SLD 1	7.37	-0.88	2.2626	0	0	0	No, e>1/2
SLV 8	3.63	-126.11	-3.9554	55	273.8745	69.241	Si
SLV 8	7.37	-4.43	10.2073	0	0	0	No, e>1/2
SLV 2	3.63	-101.75	306.369	0	0	0	No, e>1/2
SLV 2	7.37	2	-3.9218	0	0	0	No, Trazione
SLV 7	3.63	-126.11	-3.9554	55	273.8745	69.241	Si
SLV 7	7.37	-4.43	10.2073	0	0	0	No, e>1/2
SLV 5	3.63	-182.04	226.2375	80	387.0107	1.711	Si
SLV 5	7.37	0.84	-1.6818	0	0	0	No, Trazione
SLV 4	3.63	-84.97	237.3112	0	0	0	No, e>1/2
SLV 4	7.37	0.42	-0.3551	0	0	0	No, Trazione
SLV 1	3.63	-101.75	306.369	0	0	0	No, e>1/2
SLV 1	7.37	2	-3.9218	0	0	0	No, Trazione

Verifica a taglio nel piano secondo D.M. 17-01-18 (N.T.C.) §7.8.2.2 con rottura per scorrimento in combinazioni non sismiche, $\gamma_M = 3$

Comb.	Quota	N	V par	M	σ_0	σ_N	I'	fvd	Vt scorr.	Vt fess.diag.	Vt,lim	c.s.	Verifica
SLU 15	3.63	-193.75	-7.14	65.7388	85	4.55	67	152.22	202.64	21.31	Si		
SLU 15	7.37	-4.92	-7.09	11.1789	1583	0.0062	108	0.34	165.92	0.05	No, Vu<V		
SLU 31	3.63	-239.57	-6.99	66.0612	105	4.55	70	158.33	210.59	22.65	Si		
SLU 31	7.37	-5.52	-6.92	12.5443	1818	0.0061	108	0.33	166.05	0.05	No, Vu<V		
SLU 36	3.63	-243.45	-8.15	70.531	107	4.55	70	158.85	211.25	19.49	Si		
SLU 36	7.37	-4.99	-8.08	11.3452	1551	0.0064	108	0.35	165.94	0.04	No, Vu<V		
SLU 30	3.63	-238.55	-6.91	64.0364	105	4.55	70	158.19	210.42	22.91	Si		
SLU 30	7.37	-5.33	-6.84	12.117	1748	0.0061	108	0.33	166.01	0.05	No, Vu<V		
SLU 16	3.63	-194.78	-7.23	67.7636	86	4.55	67	152.36	202.83	21.08	Si		
SLU 16	7.37	-5.11	-7.17	11.6062	1653	0.0062	108	0.33	165.96	0.05	No, Vu<V		
SLU 34	3.63	-244.87	-8.11	73.9069	108	4.55	70	159.04	211.49	19.61	Si		
SLU 34	7.37	-5.61	-8.04	12.7411	1797	0.0062	108	0.34	166.07	0.04	No, Vu<V		
SLU 32	3.63	-240.16	-7.59	65.1438	106	4.55	70	158.41	210.69	20.88	Si		
SLU 32	7.37	-4.77	-7.52	10.8336	1489	0.0064	108	0.35	165.89	0.05	No, Vu<V		
SLU 33	3.63	-243.84	-8.03	71.882	107	4.55	70	158.9	211.32	19.8	Si		
SLU 33	7.37	-5.42	-7.96	12.3138	1727	0.0063	108	0.34	166.03	0.04	No, Vu<V		
SLU 35	3.63	-239.77	-7.71	63.7928	105	4.55	70	158.36	210.62	20.54	Si		
SLU 35	7.37	-4.34	-7.65	9.865	1315	0.0066	108	0.36	165.8	0.05	No, Vu<V		
SLU 18	3.63	-193.36	-7.27	64.3878	85	4.55	67	152.17	202.58	20.94	Si		
SLU 18	7.37	-4.49	-7.21	10.2103	1407	0.0064	108	0.35	165.83	0.05	No, Vu<V		

Verifica a taglio nel piano secondo D.M. 17-01-18 (N.T.C.) §7.8.2.2 con rottura per scorrimento in combinazioni sismiche, $\gamma_M = 2$

Comb.	Quota	N	V par	M	σ_0	σ_N	I'	fvd	Vt scorr.	Vt fess.diag.	Vt,lim	c.s.	Verifica
SLV 3	3.63	-84.97	133.02	237.3112	0	0	83	0	265.11	0	No, Vu<V		
SLV 3	7.37	0.42	96.77	-0.3551	0	0	83	0	247.19	0	No, Vu<V		
SLV 5	3.63	-182.04	10.97	226.2375	118	3.0965	107	165.43	284.11	15.08	Si		
SLV 5	7.37	0.84	-4.21	-1.6818	0	0	83	0	247.1	0	No, Vu<V		
SLV 6	3.63	-182.04	10.97	226.2375	118	3.0965	107	165.43	284.11	15.08	Si		
SLV 6	7.37	0.84	-4.21	-1.6818	0	0	83	0	247.1	0	No, Vu<V		
SLV 4	3.63	-84.97	133.02	237.3112	0	0	83	0	265.11	0	No, Vu<V		
SLV 4	7.37	0.42	96.77	-0.3551	0	0	83	0	247.19	0	No, Vu<V		
SLV 1	3.63	-101.75	119.06	306.369	0	0	83	0	268.49	0	No, Vu<V		
SLV 1	7.37	2	80.42	-3.9218	0	0	83	0	246.85	0	No, Vu<V		
SLD 1	3.63	-145.89	49.01	157.3803	81	3.5888	100	178.71	277.19	3.65	Si		
SLD 1	7.37	-0.88	32.2	2.2626	0	0	83	0	247.47	0	No, Vu<V		
SLV 2	3.63	-101.75	119.06	306.369	0	0	83	0	268.49	0	No, Vu<V		
SLV 2	7.37	2	80.42	-3.9218	0	0	83	0	246.85	0	No, Vu<V		
SLV 8	3.63	-126.11	57.51	-3.9554	55	4.55	94	214.8	273.33	3.74	Si		
SLV 8	7.37	-4.43	50.29	10.2073	0	0	83	0	248.24	0	No, Vu<V		
SLD 8	3.63	-156.44	22.33	21.9775	69	4.55	97	220.87	279.23	9.89	Si		
SLD 8	7.37	-3.66	19.2	8.3777	0	0	83	0	248.08	0	No, Vu<V		
SLV 7	3.63	-126.11	57.51	-3.9554	55	4.55	94	214.8	273.33	3.74	Si		
SLV 7	7.37	-4.43	50.29	10.2073	0	0	83	0	248.24	0	No, Vu<V		

Verifica a pressoflessione fuori piano D.M. 17-01-18 (N.T.C.)

quota 5.495 Wa 0.0009 denominatore 8 $\gamma_M = 2$

Comb.	fd	Sa	σ_0	N	M	Mc	Coeff.s.	Verifica
SLV 4	1438	0.43	24	-54.39	8.9788	13.3314	1.48	Si
SLV 3	1438	0.43	24	-54.39	8.9788	13.3314	1.48	Si
SLV 7	1438	0.43	25	-55.85	8.9788	13.6831	1.52	Si
SLV 8	1438	0.43	25	-55.85	8.9788	13.6831	1.52	Si
SLV 1	1438	0.43	35	-79.11	8.9788	19.2141	2.14	Si
SLV 2	1438	0.43	35	-79.11	8.9788	19.2141	2.14	Si
SLV 12	1438	0.43	36	-81.83	8.9788	19.8549	2.21	Si
SLV 11	1438	0.43	36	-81.83	8.9788	19.8549	2.21	Si
SLV 6	1438	0.43	61	-138.25	8.9788	32.8431	3.66	Si
SLV 5	1438	0.43	61	-138.25	8.9788	32.8431	3.66	Si

Tabella dei coefficienti di sicurezza minimi

Stato limite	Coeff.s.	Comb.	Verifica
PF SLU	7.294	SLU 34	Si
V SLU	0.042	SLU 34	No
PF SLV	0	SLV 6	No
V SLV	0	SLD 1	No
PFFF SLV	1.485	SLV 3	Si

Maschio 19

Verifiche condotte secondo D.M. 17-01-18 (N.T.C.)

Dati geometrici

X ini.	Y ini.	X fin.	Y fin.	Quota i.	Quota s.	l	Sp.	h netta	h ini.	h fin.	a	a.s.,sx	a.s.,dx
5.95	45.69	1.4	45.69	L3	L4	4.55	0.4	3.49	3.74	3.74			

Caratteristiche del materiale

(circ.617 C8A.2) Muratura in mattoni pieni e malta di calce LC2

fb	fk	fvk0	fmedio	r0	fv0	μ	φ	fv,lim	E	G	FC
6000			3450	90	200	0.58	0.77	325	3200000	1280000	1.2

Verifica a pressoflessione per azioni non sismiche 4.5.6.2 D.M. 17-01-18 (N.T.C.) $\gamma_M = 3$

Comb.	Quota	N	M	p	es1	es2	ea	ev	e ver	ϕ_t	Φ_I	Nu	Verifica
SLU 34	3.625	-195.24		1	0	0	0.0175	0	0.0175	0.76	1	1318.31	Si
SLU 34	5.495	-90.21		1	0	0	0.0175	0	0.0175	0.76	1	1318.31	Si
SLU 34	7.365	-9.56		1	0	0	0.0175	0	0.0175	0.76	1	1318.31	Si
SLU 33	3.625	-194.33		1	0	0	0.0175	0	0.0175	0.76	1	1318.31	Si
SLU 33	5.495	-89.48		1	0	0	0.0175	0	0.0175	0.76	1	1318.31	Si
SLU 33	7.365	-9.26		1	0	0	0.0175	0	0.0175	0.76	1	1318.31	Si
SLU 36	3.625	-193.66		1	0	0	0.0175	0	0.0175	0.76	1	1318.31	Si
SLU 36	5.495	-88.31		1	0	0	0.0175	0	0.0175	0.76	1	1318.31	Si
SLU 36	7.365	-8.66		1	0	0	0.0175	0	0.0175	0.76	1	1318.31	Si
SLU 31	3.625	-191.44		1	0	0	0.0175	0	0.0175	0.76	1	1318.31	Si
SLU 31	5.495	-88.66		1	0	0	0.0175	0	0.0175	0.76	1	1318.31	Si
SLU 31	7.365	-9.26		1	0	0	0.0175	0	0.0175	0.76	1	1318.31	Si
SLU 32	3.625	-191.11		1	0	0	0.0175	0	0.0175	0.76	1	1318.31	Si
SLU 32	5.495	-86.9		1	0	0	0.0175	0	0.0175	0.76	1	1318.31	Si
SLU 32	7.365	-8.23		1	0	0	0.0175	0	0.0175	0.76	1	1318.31	Si
SLU 30	3.625	-190.52		1	0	0	0.0175	0	0.0175	0.76	1	1318.31	Si
SLU 30	5.495	-87.92		1	0	0	0.0175	0	0.0175	0.76	1	1318.31	Si
SLU 30	7.365	-8.96		1	0	0	0.0175	0	0.0175	0.76	1	1318.31	Si
SLU 35	3.625	-190.44		1	0	0	0.0175	0	0.0175	0.76	1	1318.31	Si
SLU 35	5.495	-85.73		1	0	0	0.0175	0	0.0175	0.76	1	1318.31	Si
SLU 35	7.365	-7.63		1	0	0	0.0175	0	0.0175	0.76	1	1318.31	Si
SLU 25	3.625	-189.37		1	0	0	0.0175	0	0.0175	0.76	1	1318.31	Si
SLU 25	5.495	-86.01		1	0	0	0.0175	0	0.0175	0.76	1	1318.31	Si
SLU 25	7.365	-7.99		1	0	0	0.0175	0	0.0175	0.76	1	1318.31	Si
SLU 24	3.625	-188.45		1	0	0	0.0175	0	0.0175	0.76	1	1318.31	Si
SLU 24	5.495	-85.28		1	0	0	0.0175	0	0.0175	0.76	1	1318.31	Si
SLU 24	7.365	-7.69		1	0	0	0.0175	0	0.0175	0.76	1	1318.31	Si
SLU 27	3.625	-187.78		1	0	0	0.0175	0	0.0175	0.76	1	1318.31	Si
SLU 27	5.495	-84.11		1	0	0	0.0175	0	0.0175	0.76	1	1318.31	Si
SLU 27	7.365	-7.09		1	0	0	0.0175	0	0.0175	0.76	1	1318.31	Si

Verifica a pressoflessione nel piano secondo D.M. 17-01-18 NTC §7.8.2.2.1 in combinazioni sismiche, $\gamma_M = 2$

Comb.	Quota	N	M	σ_0	Mu	c.s.	Verifica
SLV 4	3.63	-53.56	203.4902	0	0	0	No, e>1/2
SLV 4	7.37	4.02	-9.2945	0	0	0	No, Trazione
SLV 11	3.63	-214.86	-152.0504	118	441.5709	2.904	Si
SLV 11	7.37	-14.12	32.1402	0	0	0	No, e>1/2
SLV 6	3.63	-71.54	208.658	0	0	0	No, e>1/2
SLV 6	7.37	3.39	-7.7458	0	0	0	No, Trazione
SLV 12	3.63	-214.86	-152.0504	118	441.5709	2.904	Si
SLV 12	7.37	-14.12	32.1402	0	0	0	No, e>1/2
SLV 14	3.63	-232.83	-146.8826	128	474.2343	3.229	Si
SLV 14	7.37	-14.75	33.6889	0	0	0	No, e>1/2
SLV 9	3.63	-132.71	82.4419	73	283.9008	3.444	Si
SLV 9	7.37	-3.22	7.3778	0	0	0	No, e>1/2
SLV 10	3.63	-132.71	82.4419	73	283.9008	3.444	Si
SLV 10	7.37	-3.22	7.3778	0	0	0	No, e>1/2
SLV 5	3.63	-71.54	208.658	0	0	0	No, e>1/2
SLV 5	7.37	3.39	-7.7458	0	0	0	No, Trazione
SLV 13	3.63	-232.83	-146.8826	128	474.2343	3.229	Si
SLV 13	7.37	-14.75	33.6889	0	0	0	No, e>1/2
SLD 1	3.63	-93.48	135.1307	51	203.7185	1.508	Si
SLD 1	7.37	0.14	-0.3916	0	0	0	No, Trazione

Verifica a taglio nel piano secondo D.M. 17-01-18 (N.T.C.) §7.8.2.2.2 con rottura per scorrimento in combinazioni non sismiche, $\gamma_M = 3$

Comb.	Quota	N	V par	M	σ_0	σ_N	I'	fvd	Vt scorr.	Vt fess.diag.	Vt,lim	c.s.	Verifica
SLU 36	3.63	-193.66	-8.38	47.0379		106	4.55	70	126.93		168.81	15.15	Si
SLU 36	7.37	-8.66	-8.3	19.6872		4370	0.005	108	0.21		133.75	0.03	No, Vu<V
SLU 30	3.63	-190.52	-7.17	44.4414		105	4.55	70	126.51		168.28	17.65	Si
SLU 30	7.37	-8.96	-7.09	20.3715		4635	0.0048	108	0.21		133.82	0.03	No, Vu<V
SLU 34	3.63	-195.24	-8.51	50.1579		107	4.55	70	127.14		169.08	14.94	Si
SLU 34	7.37	-9.56	-8.43	21.7331		4886	0.0049	108	0.21		133.95	0.03	No, Vu<V
SLU 33	3.63	-194.33	-8.35	48.6829		107	4.55	70	127.02		168.93	15.22	Si
SLU 33	7.37	-9.26	-8.26	21.0593		4725	0.0049	108	0.21		133.88	0.03	No, Vu<V
SLU 32	3.63	-191.11	-7.71	43.7451		105	4.55	70	126.59		168.38	16.42	Si
SLU 32	7.37	-8.23	-7.63	18.7181		4170	0.0049	108	0.21		133.66	0.03	No, Vu<V
SLU 31	3.63	-191.44	-7.33	45.9164		105	4.55	70	126.64		168.44	17.28	Si
SLU 31	7.37	-9.26	-7.25	21.0463		4796	0.0048	108	0.21		133.88	0.03	No, Vu<V
SLU 35	3.63	-190.44	-7.74	42.1001		105	4.55	70	126.5		168.27	16.34	Si
SLU 35	7.37	-7.63	-7.66	17.3469		3815	0.005	108	0.22		133.53	0.03	No, Vu<V
SLU 15	3.63	-154.54	-7.61	44.514		85	4.55	67	121.72		162.03	16	Si
SLU 15	7.37	-8.38	-7.54	19.0463		4282	0.0049	108	0.21		133.69	0.03	No, Vu<V
SLU 16	3.63	-155.45	-7.77	45.989		85	4.55	67	121.84		162.19	15.68	Si
SLU 16	7.37	-8.67	-7.7	19.7211		4443	0.0049	108	0.21		133.76	0.03	No, Vu<V
SLU 18	3.63	-153.87	-7.64	42.869		85	4.55	67	121.63		161.91	15.92	Si
SLU 18	7.37	-7.77	-7.57	17.6752		3926	0.005	108	0.21		133.56	0.03	No, Vu<V

Verifica a taglio nel piano secondo D.M. 17-01-18 (N.T.C.) §7.8.2.2.2 con rottura per scorrimento in combinazioni sismiche, $\gamma_M = 2$

Comb.	Quota	N	V par	M	σ_0	σ_N	I'	fvd	Vt scorr.	Vt fess.diag.	Vt,lim	c.s.	Verifica
SLD 1	3.63	-93.48	61.08	135.1307		94	2.4881	102	101.63		217.2	1.66	Si
SLD 1	7.37	0.14	45.71	-0.3916		0	0	83	0		197.8	0	No, Vu<V
SLV 14	3.63	-232.83	-119.21	-146.8826		128	4.55	109	198.23		243.23	1.66	Si
SLV 14	7.37	-14.75	-90.91	33.6889		0	0	83	0		201.01	0	No, Vu<V
SLV 6	3.63	-71.54	97.87	208.658		0	0	83	0		212.81	0	No, Vu<V
SLV 6	7.37	3.39	76.4	-7.7458		0	0	83	0		197.09	0	No, Vu<V
SLV 10	3.63	-132.71	18.03	82.4419		73	4.55	98	178.21		224.83	9.89	Si
SLV 10	7.37	-3.22	15.66	7.3778		0	0	83	0		198.53	0	No, Vu<V
SLV 13	3.63	-232.83	-119.21	-146.8826		128	4.55	109	198.23		243.23	1.66	Si
SLV 13	7.37	-14.75	-90.91	33.6889		0	0	83	0		201.01	0	No, Vu<V
SLV 12	3.63	-214.86	-107.95	-152.0504		118	4.55	107	194.64		240.03	1.8	Si
SLV 12	7.37	-14.12	-86.36	32.1402		0	0	83	0		200.87	0	No, Vu<V
SLV 5	3.63	-71.54	97.87	208.658		0	0	83	0		212.81	0	No, Vu<V
SLV 5	7.37	3.39	76.4	-7.7458		0	0	83	0		197.09	0	No, Vu<V

Comb.	Quota	N	V par	M	σ_0	σ_N	I'	fvd	Vt scorr.	Vt fess.diag.	Vt,lim	c.s.	Verifica
SLV 9	3.63	-132.71	18.03	82.4419		73	4.55		98	178.21	224.83	9.89	Si
SLV 9	7.37	-3.22	15.66	7.3778		0	0		83	0	198.53	0	No, Vu<V
SLV 4	3.63	-53.56	109.13	203.4902		0	0		83	0	209.15	0	No, Vu<V
SLV 4	7.37	4.02	80.95	-9.2945		0	0		83	0	196.95	0	No, Vu<V
SLV 11	3.63	-214.86	-107.95	-152.0504		118	4.55		107	194.64	240.03	1.8	Si
SLV 11	7.37	-14.12	-86.36	32.1402		0	0		83	0	200.87	0	No, Vu<V

Verifica a pressoflessione fuori piano D.M. 17-01-18 (N.T.C.)quota 5.495 Wa 0.0007 denominatore 8 $\gamma_M = 2$

Comb.	fd	Sa	σ_0	N	M	Mc	Coeff.s.	Verifica
SLV 3	1438	0.43	0	-18.75	7.1831	0	0	No, e>t/2
SLV 5	1438	0.43	0	-22.29	7.1831	0	0	No, e>t/2
SLV 1	1438	0.43	0	-3.18	7.1831	0	0	No, e>t/2
SLV 2	1438	0.43	0	-3.18	7.1831	0	0	No, e>t/2
SLV 6	1438	0.43	0	-22.29	7.1831	0	0	No, e>t/2
SLV 4	1438	0.43	0	-18.75	7.1831	0	0	No, e>t/2
SLV 10	1438	0.43	30	-54.23	7.1831	10.5811	1.47	Si
SLV 9	1438	0.43	30	-54.23	7.1831	10.5811	1.47	Si
SLV 8	1438	0.43	41	-74.18	7.1831	14.3414	2	Si
SLV 7	1438	0.43	41	-74.18	7.1831	14.3414	2	Si

Tabella dei coefficienti di sicurezza minimi

Stato limite	Coeff.s.	Comb.	Verifica
PF SLU	6.752	SLU 34	Si
V SLU	0.025	SLU 34	No
PF SLV	0	SLV 6	No
V SLV	0	SLD 1	No
PFFP SLV	0	SLV 1	No

Maschio 20

Verifiche condotte secondo D.M. 17-01-18 (N.T.C.)

Dati geometrici

X ini.	Y ini.	X fin.	Y fin.	Quota i.	Quota.s	l	Sp.	h netta	h ini.	h fin.	a	a.s.,sx	a.s.,dx
7.3	16.44	2.85	16.44	L3	L4	4.45	0.25	3.49	3.74	3.74			

Caratteristiche del materiale

(circ.617 C8A.2) Muratura in mattoni pieni e malta di calce LC2

fb	fk	fvk0	fmedio	τ_0	fv0	μ	φ	fv,lim	E	G	FC
6000			3450	90	200	0.58	0.77	325	3200000	1280000	1.2

Verifica a pressoflessione per azioni non sismiche 4.5.6.2 D.M. 17-01-18 (N.T.C.) $\gamma_M = 3$

Comb.	Quota	N	M	p	es1	es2	ea	ev	e ver	Φ_t	Φ_I	Nu	Verifica
SLU 34	3.625	-150.05		1	0	0	0.0175	0	0.0175	0.54	1	578.38	Si
SLU 34	5.495	-91.52		1	0	0	0.0175	0	0.0175	0.54	1	578.38	Si
SLU 34	7.365	-10.56		1	0	0	0.0175	0	0.0175	0.54	1	578.38	Si
SLU 33	3.625	-148.85		1	0	0	0.0175	0	0.0175	0.54	1	578.38	Si
SLU 33	5.495	-90.63		1	0	0	0.0175	0	0.0175	0.54	1	578.38	Si
SLU 33	7.365	-10.32		1	0	0	0.0175	0	0.0175	0.54	1	578.38	Si
SLU 36	3.625	-148.66		1	0	0	0.0175	0	0.0175	0.54	1	578.38	Si
SLU 36	5.495	-89.75		1	0	0	0.0175	0	0.0175	0.54	1	578.38	Si
SLU 36	7.365	-10.05		1	0	0	0.0175	0	0.0175	0.54	1	578.38	Si
SLU 32	3.625	-144.81		1	0	0	0.0175	0	0.0175	0.54	1	578.38	Si
SLU 32	5.495	-87.61		1	0	0	0.0175	0	0.0175	0.54	1	578.38	Si
SLU 32	7.365	-9.52		1	0	0	0.0175	0	0.0175	0.54	1	578.38	Si
SLU 35	3.625	-144.62		1	0	0	0.0175	0	0.0175	0.54	1	578.38	Si
SLU 35	5.495	-86.73		1	0	0	0.0175	0	0.0175	0.54	1	578.38	Si
SLU 35	7.365	-9.26		1	0	0	0.0175	0	0.0175	0.54	1	578.38	Si
SLU 31	3.625	-143.85		1	0	0	0.0175	0	0.0175	0.54	1	578.38	Si
SLU 31	5.495	-88.6		1	0	0	0.0175	0	0.0175	0.54	1	578.38	Si
SLU 31	7.365	-9.89		1	0	0	0.0175	0	0.0175	0.54	1	578.38	Si
SLU 30	3.625	-142.65		1	0	0	0.0175	0	0.0175	0.54	1	578.38	Si
SLU 30	5.495	-87.71		1	0	0	0.0175	0	0.0175	0.54	1	578.38	Si
SLU 30	7.365	-9.65		1	0	0	0.0175	0	0.0175	0.54	1	578.38	Si
SLU 25	3.625	-142.26		1	0	0	0.0175	0	0.0175	0.54	1	578.38	Si
SLU 25	5.495	-86.27		1	0	0	0.0175	0	0.0175	0.54	1	578.38	Si
SLU 25	7.365	-9.22		1	0	0	0.0175	0	0.0175	0.54	1	578.38	Si
SLU 24	3.625	-141.06		1	0	0	0.0175	0	0.0175	0.54	1	578.38	Si
SLU 24	5.495	-85.38		1	0	0	0.0175	0	0.0175	0.54	1	578.38	Si
SLU 24	7.365	-8.98		1	0	0	0.0175	0	0.0175	0.54	1	578.38	Si
SLU 27	3.625	-140.88		1	0	0	0.0175	0	0.0175	0.54	1	578.38	Si
SLU 27	5.495	-84.5		1	0	0	0.0175	0	0.0175	0.54	1	578.38	Si
SLU 27	7.365	-8.71		1	0	0	0.0175	0	0.0175	0.54	1	578.38	Si

Verifica a pressoflessione nel piano secondo D.M. 17-01-18 NTC §7.8.2.2.1 in combinazioni sismiche, $\gamma_M = 2$

Comb.	Quota	N	M	σ_0	Mu	c.s.	Verifica
SLV 16	3.63	-32.54	-164.3994	0	0	0	No, e>l/2
SLV 16	7.37	-4.13	19.3644	0	0	0	No, e>l/2
SLV 14	3.63	-39.63	-126.8632	0	0	0	No, e>l/2
SLV 14	7.37	0.59	23.1569	0	0	0	No, Trazione
SLV 15	3.63	-32.54	-164.3994	0	0	0	No, e>l/2
SLV 15	7.37	-4.13	19.3644	0	0	0	No, e>l/2
SLV 2	3.63	-179.99	159.4945	162	347.4488	2.178	Si
SLV 2	7.37	-8.81	-25.1861	0	0	0	No, e>l/2
SLV 5	3.63	-139.13	103.0615	125	277.8788	2.696	Si
SLV 5	7.37	-0.01	-3.8415	0	0	0	No, e>l/2
SLV 6	3.63	-139.13	103.0615	125	277.8788	2.696	Si
SLV 6	7.37	-0.01	-3.8415	0	0	0	No, e>l/2
SLV 13	3.63	-39.63	-126.8632	0	0	0	No, e>l/2
SLV 13	7.37	0.59	23.1569	0	0	0	No, Trazione
SLV 10	3.63	-97.02	17.1542	87	200.4652	11.686	Si
SLV 10	7.37	2.81	10.6614	0	0	0	No, Trazione
SLV 9	3.63	-97.02	17.1542	87	200.4652	11.686	Si
SLV 9	7.37	2.81	10.6614	0	0	0	No, Trazione

Comb.	Quota	N	M	σ_0	Mu	c.s.	Verifica
SLV 1	3.63	-179.99	159.4945	162	347.4488	2.178	Si
SLV 1	7.37	-8.81	-25.1861	0	0	0	No, $e > 1/2$

Verifica a taglio nel piano secondo D.M. 17-01-18 (N.T.C.) §7.8.2.2.2 con rottura per scorrimento in combinazioni non sismiche, $\gamma_M = 3$

Comb.	Quota	N	V par	M	σ_0	σ_N	l'	fvd	Vt scorr.	Vt fess.diag.	Vt,lim	c.s.	Verifica
SLU 34	3.63	-150.05	25.33	-5.7911		135	4.45	74	81.81		108.43	3.23	Si
SLU 34	7.37	-10.56	25.25	-6.7194		9	4.45	57	63.21		82.88	2.5	Si
SLU 25	3.63	-142.26	21.4	-4.3626		128	4.45	73	80.77		107.17	3.77	Si
SLU 25	7.37	-9.22	21.32	-4.9073		8	4.45	57	63.03		82.6	2.96	Si
SLU 32	3.63	-144.81	22.87	-4.2192		130	4.45	73	81.11		107.58	3.55	Si
SLU 32	7.37	-9.52	22.79	-5.2688		9	4.45	57	63.08		82.66	2.77	Si
SLU 15	3.63	-121.37	22.61	-5.1492		109	4.45	70	77.99		103.7	3.45	Si
SLU 15	7.37	-9.07	22.54	-6.4134		8	4.45	57	63.01		82.56	2.8	Si
SLU 16	3.63	-122.57	23.18	-5.4925		110	4.45	70	78.15		103.9	3.37	Si
SLU 16	7.37	-9.31	23.1	-6.753		8	4.45	57	63.05		82.62	2.73	Si
SLU 35	3.63	-144.62	23.15	-2.8962		130	4.45	73	81.09		107.55	3.5	Si
SLU 35	7.37	-9.26	23.07	-4.823		8	4.45	57	63.04		82.6	2.73	Si
SLU 33	3.63	-148.85	24.77	-5.4478		134	4.45	73	81.65		108.24	3.3	Si
SLU 33	7.37	-10.32	24.68	-6.3798		9	4.45	57	63.18		82.83	2.56	Si
SLU 31	3.63	-143.85	21.57	-6.8121		129	4.45	73	80.98		107.43	3.75	Si
SLU 31	7.37	-9.89	21.49	-5.9593		9	4.45	57	63.12		82.74	2.94	Si
SLU 36	3.63	-148.66	25.05	-4.1248		134	4.45	73	81.63		108.21	3.26	Si
SLU 36	7.37	-10.05	24.96	-5.9341		9	4.45	57	63.15		82.77	2.53	Si
SLU 18	3.63	-121.19	22.89	-3.8262		109	4.45	70	77.96		103.67	3.41	Si
SLU 18	7.37	-8.8	22.82	-5.9677		8	4.45	57	62.98		82.51	2.76	Si

Verifica a taglio nel piano secondo D.M. 17-01-18 (N.T.C.) §7.8.2.2.2 con rottura per scorrimento in combinazioni sismiche, $\gamma_M = 2$

Comb.	Quota	N	V par	M	σ_0	σ_N	l'	fvd	Vt scorr.	Vt fess.diag.	Vt,lim	c.s.	Verifica
SLV 9	3.63	-97.02	-0.15	17.1542		87	4.45	101	112.11		140.44	732.64	Si
SLV 9	7.37	2.81	1.82	10.6614		0	0	83	0		120.31	0	No, Vu<V
SLV 5	3.63	-139.13	56	103.0615		125	4.45	108	120.53		148.11	2.15	Si
SLV 5	7.37	-0.01	45.18	-3.8415		0	0	83	0		120.93	0	No, Vu<V
SLV 13	3.63	-39.63	-74.75	-126.8632		0	0	83	0		129.25	0	No, Vu<V
SLV 13	7.37	0.59	-54.79	23.1569		0	0	83	0		120.8	0	No, Vu<V
SLV 14	3.63	-39.63	-74.75	-126.8632		0	0	83	0		129.25	0	No, Vu<V
SLV 14	7.37	0.59	-54.79	23.1569		0	0	83	0		120.8	0	No, Vu<V
SLV 10	3.63	-97.02	-0.15	17.1542		87	4.45	101	112.11		140.44	732.64	Si
SLV 10	7.37	2.81	1.82	10.6614		0	0	83	0		120.31	0	No, Vu<V
SLV 2	3.63	-179.99	112.44	159.4945		179	4.0166	119	119.68		155.2	1.06	Si
SLV 2	7.37	-8.81	89.74	-25.1861		0	0	83	0		122.82	0	No, Vu<V
SLV 1	3.63	-179.99	112.44	159.4945		179	4.0166	119	119.68		155.2	1.06	Si
SLV 1	7.37	-8.81	89.74	-25.1861		0	0	83	0		122.82	0	No, Vu<V
SLV 6	3.63	-139.13	56	103.0615		125	4.45	108	120.53		148.11	2.15	Si
SLV 6	7.37	-0.01	45.18	-3.8415		0	0	83	0		120.93	0	No, Vu<V
SLV 16	3.63	-32.54	-82.53	-164.3994		0	0	83	0		127.8	0	No, Vu<V
SLV 16	7.37	-4.13	-59.94	19.3644		0	0	83	0		121.82	0	No, Vu<V
SLV 15	3.63	-32.54	-82.53	-164.3994		0	0	83	0		127.8	0	No, Vu<V
SLV 15	7.37	-4.13	-59.94	19.3644		0	0	83	0		121.82	0	No, Vu<V

Verifica a pressoflessione fuori piano D.M. 17-01-18 (N.T.C.)

quota 5.495 Wa 0.0005 denominatore 8 $\gamma_M = 2$

Comb.	fd	Sa	σ_0	N	M	Mc	Coeff.s.	Verifica
SLV 13	1438	0.43	0	-28.56	4.3907	0	0	No, $e > t/2$
SLV 16	1438	0.43	0	-28.82	4.3907	0	0	No, $e > t/2$
SLV 14	1438	0.43	0	-28.56	4.3907	0	0	No, $e > t/2$
SLV 15	1438	0.43	0	-28.82	4.3907	0	0	No, $e > t/2$
SLV 10	1438	0.43	48	-52.98	4.3907	6.3645	1.45	Si
SLV 9	1438	0.43	48	-52.98	4.3907	6.3645	1.45	Si
SLV 11	1438	0.43	48	-53.87	4.3907	6.4664	1.47	Si
SLV 12	1438	0.43	48	-53.87	4.3907	6.4664	1.47	Si
SLV 5	1438	0.43	67	-74.18	4.3907	8.7667	2	Si
SLV 6	1438	0.43	67	-74.18	4.3907	8.7667	2	Si

Tabella dei coefficienti di sicurezza minimi

Stato limite	Coeff.s.	Comb.	Verifica
PF SLU	3.855	SLU 34	Si
V SLU	2.504	SLU 34	Si
PF SLV	0	SLV 14	No
V SLV	0	SLD 13	No
PPFP SLV	0	SLV 13	No

Maschio 21

Verifiche condotte secondo D.M. 17-01-18 (N.T.C.)

Dati geometrici

X ini.	Y ini.	X fin.	Y fin.	Quota i.	Quota.s	l	Sp.	h netta	h ini.	h fin.	a	a.s,sx	a.s,dx
7.3	20.34	2.85	20.34	L3	L4	4.45	0.25	3.49	3.74	3.74			

Caratteristiche del materiale

(circ.617 C8A.2) Muratura in mattoni pieni e malta di calce LC2

fb	fk	fvk0	fmedio	r0	fv0	μ	ϕ	fv,lim	E	G	FC
6000			3450	90	200	0.58	0.77	325	3200000	1280000	1.2

Verifica a pressoflessione per azioni non sismiche 4.5.6.2 D.M. 17-01-18 (N.T.C.) $\gamma_M = 3$

Comb.	Quota	N	M	p	es1	es2	ea	ev	e ver	ϕ_t	ϕ_l	Nu	Verifica
SLU 34	3.625	-144.17		1	0	0	0.0175	0	0.0175	0.54	1	578.38	Si
SLU 34	5.495	-85.72		1	0	0	0.0175	0	0.0175	0.54	1	578.38	Si
SLU 34	7.365	-10.98		1	0	0	0.0175	0	0.0175	0.54	1	578.38	Si
SLU 33	3.625	-143.53		1	0	0	0.0175	0	0.0175	0.54	1	578.38	Si
SLU 33	5.495	-85.35		1	0	0	0.0175	0	0.0175	0.54	1	578.38	Si
SLU 33	7.365	-10.81		1	0	0	0.0175	0	0.0175	0.54	1	578.38	Si
SLU 36	3.625	-143.39		1	0	0	0.0175	0	0.0175	0.54	1	578.38	Si

Comb.	Quota	N	M	p	es1	es2	ea	ev	e ver	φt	ΦI	Nu	Verifica
SLU 36	5.495	-84.57		1	0	0	0.0175	0	0.0175	0.54	1	578.38	Si
SLU 36	7.365	-10.36		1	0	0	0.0175	0	0.0175	0.54	1	578.38	Si
SLU 32	3.625	-140.13		1	0	0	0.0175	0	0.0175	0.54	1	578.38	Si
SLU 32	5.495	-83.02		1	0	0	0.0175	0	0.0175	0.54	1	578.38	Si
SLU 32	7.365	-9.97		1	0	0	0.0175	0	0.0175	0.54	1	578.38	Si
SLU 35	3.625	-140		1	0	0	0.0175	0	0.0175	0.54	1	578.38	Si
SLU 35	5.495	-82.24		1	0	0	0.0175	0	0.0175	0.54	1	578.38	Si
SLU 35	7.365	-9.51		1	0	0	0.0175	0	0.0175	0.54	1	578.38	Si
SLU 31	3.625	-138.06		1	0	0	0.0175	0	0.0175	0.54	1	578.38	Si
SLU 31	5.495	-82.97		1	0	0	0.0175	0	0.0175	0.54	1	578.38	Si
SLU 31	7.365	-10.47		1	0	0	0.0175	0	0.0175	0.54	1	578.38	Si
SLU 30	3.625	-137.41		1	0	0	0.0175	0	0.0175	0.54	1	578.38	Si
SLU 30	5.495	-82.6		1	0	0	0.0175	0	0.0175	0.54	1	578.38	Si
SLU 30	7.365	-10.3		1	0	0	0.0175	0	0.0175	0.54	1	578.38	Si
SLU 25	3.625	-136.81		1	0	0	0.0175	0	0.0175	0.54	1	578.38	Si
SLU 25	5.495	-81.05		1	0	0	0.0175	0	0.0175	0.54	1	578.38	Si
SLU 25	7.365	-9.5		1	0	0	0.0175	0	0.0175	0.54	1	578.38	Si
SLU 24	3.625	-136.17		1	0	0	0.0175	0	0.0175	0.54	1	578.38	Si
SLU 24	5.495	-80.68		1	0	0	0.0175	0	0.0175	0.54	1	578.38	Si
SLU 24	7.365	-9.34		1	0	0	0.0175	0	0.0175	0.54	1	578.38	Si
SLU 27	3.625	-136.04		1	0	0	0.0175	0	0.0175	0.54	1	578.38	Si
SLU 27	5.495	-79.9		1	0	0	0.0175	0	0.0175	0.54	1	578.38	Si
SLU 27	7.365	-8.88		1	0	0	0.0175	0	0.0175	0.54	1	578.38	Si

Verifica a pressoflessione nel piano secondo D.M. 17-01-18 NTC §7.8.2.2.1 in combinazioni sismiche, $\gamma_M = 2$

Comb.	Quota	N	M	σ_0	Mu	c.s.	Verifica
SLD 13	3.63	-64.68	-54.5226	58	137.0574	2.514	Si
SLD 13	7.37	-3.37	7.8892	0	0	0	No, $e > 1/2$
SLV 15	3.63	-28.56	-145.2729	0	0	0	No, $e > 1/2$
SLV 15	7.37	-2.69	11.6176	0	0	0	No, $e > 1/2$
SLV 7	3.63	-148.76	19.2417	134	294.7716	15.319	Si
SLV 7	7.37	-14.39	-32.1318	0	0	0	No, $e > 1/2$
SLV 3	3.63	-190.14	136.2767	171	363.8858	2.67	Si
SLV 3	7.37	-14.32	-33.5468	0	0	0	No, $e > 1/2$
SLV 16	3.63	-28.56	-145.2729	0	0	0	No, $e > 1/2$
SLV 16	7.37	-2.69	11.6176	0	0	0	No, $e > 1/2$
SLV 5	3.63	-105.41	72.0778	95	216.3463	3.002	Si
SLV 5	7.37	-2.55	8.9897	0	0	0	No, $e > 1/2$
SLV 9	3.63	-56.93	-12.3871	51	121.373	9.798	Si
SLV 9	7.37	0.94	22.5391	0	0	0	No, Trazione
SLD 14	3.63	-64.68	-54.5226	58	137.0574	2.514	Si
SLD 14	7.37	-3.37	7.8892	0	0	0	No, $e > 1/2$
SLV 6	3.63	-105.41	72.0778	95	216.3463	3.002	Si
SLV 6	7.37	-2.55	8.9897	0	0	0	No, $e > 1/2$
SLV 4	3.63	-190.14	136.2767	171	363.8858	2.67	Si
SLV 4	7.37	-14.32	-33.5468	0	0	0	No, $e > 1/2$

Verifica a taglio nel piano secondo D.M. 17-01-18 (N.T.C.) §7.8.2.2.2 con rottura per scorrimento in combinazioni non sismiche, $\gamma_M = 3$

Comb.	Quota	N	V par	M	σ_0	σ_N	I'	fvd	Vt scorr.	Vt fess.diag.	Vt lim	c.s.	Verifica
SLU 18	3.63	-116.74	24.97	4.6092		105	4.45	70	77.37		102.91	3.1	Si
SLU 18	7.37	-9.06	22.63	-8.568		9	3.8373	57	54.5		82.56	2.41	Si
SLU 32	3.63	-140.13	25.11	4.4913		126	4.45	72	80.49		106.82	3.2	Si
SLU 32	7.37	-9.97	22.59	-8.2623		10	4.1885	57	59.5		82.75	2.63	Si
SLU 31	3.63	-138.06	22.64	2.1249		124	4.45	72	80.21		106.48	3.54	Si
SLU 31	7.37	-10.47	21.16	-9.0837		10	4.0718	57	57.95		82.86	2.74	Si
SLU 14	3.63	-113.48	22.68	3.7455		102	4.45	69	76.94		102.35	3.39	Si
SLU 14	7.37	-8.67	20.7	-7.9995		9	3.9071	57	55.42		82.48	2.68	Si
SLU 15	3.63	-116.87	24.36	3.3306		105	4.45	70	77.39		102.93	3.18	Si
SLU 15	7.37	-9.51	22.62	-9.3657		10	3.7211	57	52.95		82.66	2.34	Si
SLU 35	3.63	-140	25.72	5.7699		126	4.45	72	80.47		106.8	3.13	Si
SLU 35	7.37	-9.51	22.61	-7.4646		9	4.3214	57	61.29		82.66	2.71	Si
SLU 36	3.63	-143.39	27.4	5.355		129	4.45	73	80.92		107.35	2.95	Si
SLU 36	7.37	-10.36	24.53	-8.8308		10	4.1169	57	58.56		82.84	2.39	Si
SLU 16	3.63	-117.52	24.71	3.3497		106	4.45	70	77.47		103.04	3.13	Si
SLU 16	7.37	-9.68	22.97	-9.6002		10	3.6999	57	52.68		82.69	2.29	Si
SLU 33	3.63	-143.53	26.79	4.0764		129	4.45	73	80.94		107.38	3.02	Si
SLU 33	7.37	-10.81	24.51	-9.6285		11	4.0029	57	57.04		82.93	2.33	Si
SLU 34	3.63	-144.17	27.14	4.0956		130	4.45	73	81.03		107.48	2.99	Si
SLU 34	7.37	-10.98	24.86	-9.863		11	3.9799	57	56.74		82.97	2.28	Si

Verifica a taglio nel piano secondo D.M. 17-01-18 (N.T.C.) §7.8.2.2.2 con rottura per scorrimento in combinazioni sismiche, $\gamma_M = 2$

Comb.	Quota	N	V par	M	σ_0	σ_N	I'	fvd	Vt scorr.	Vt fess.diag.	Vt lim	c.s.	Verifica
SLV 16	3.63	-28.56	-74.21	-145.2729		0	0	83	0		126.98	0	No, $V_u < V$
SLV 16	7.37	-2.69	-49.06	11.6176		0	0	83	0		121.51	0	No, $V_u < V$
SLV 5	3.63	-105.41	21.73	72.0778		95	4.45	102	113.79		142	5.24	Si
SLV 5	7.37	-2.55	-0.55	8.9897		0	0	83	0		121.48	0	No, $V_u < V$
SLV 7	3.63	-148.76	70.07	19.2417		134	4.45	110	122.46		149.81	1.75	Si
SLV 7	7.37	-14.39	74.45	-32.1318		0	0	83	0		124.01	0	No, $V_u < V$
SLV 6	3.63	-105.41	21.73	72.0778		95	4.45	102	113.79		142	5.24	Si
SLV 6	7.37	-2.55	-0.55	8.9897		0	0	83	0		121.48	0	No, $V_u < V$
SLV 15	3.63	-28.56	-74.21	-145.2729		0	0	83	0		126.98	0	No, $V_u < V$
SLV 15	7.37	-2.69	-49.06	11.6176		0	0	83	0		121.51	0	No, $V_u < V$
SLV 4	3.63	-190.14	121.73	136.2767		171	4.45	118	130.74		156.91	1.07	Si
SLV 4	7.37	-14.32	100.57	-33.5468		0	0	83	0		124	0	No, $V_u < V$
SLV 9	3.63	-56.93	-37.05	-12.3871		51	4.45	94	104.1		132.73	2.81	Si
SLV 9	7.37	0.94	-45.44	22.5391		0	0	83	0		120.72	0	No, $V_u < V$
SLD 13	3.63	-64.68	-29.5	-54.5226		62	4.146	96	99.31		134.25	3.37	Si
SLD 13	7.37	-3.37	-23.13	7.8892		0	0	83	0		121.65	0	No, $V_u < V$
SLD 14	3.63	-64.68	-29.5	-54.5226		62	4.146	96	99.31		134.25	3.37	Si
SLD 14	7.37	-3.37	-23.13	7.8892		0	0	83	0		121.65	0	No, $V_u < V$
SLV 3	3.63	-190.14	121.73	136.2767		171	4.45	118	130.74		156.91	1.07	Si
SLV 3	7.37	-14.32	100.57	-33.5468		0	0	83	0		124	0	No, $V_u < V$

Verifica a pressoflessione fuori piano D.M. 17-01-18 (N.T.C.)

quota 5.495 Wa 0.0005 denominatore 8 $\gamma_M = 2$

Comb.	fd	Sa	σ_0	N	M	Mc	Coeff.s.	Verifica
SLV 15	1438		0.43	0	-25.9	4.3907	0	No, $e > t/2$

Comb.	fd	Sa	σ_0	N	M	Mc	Coeff.s.	Verifica
SLV 14	1438	0.43	0	-11.15	4.3907	0	0	No, e>t/2
SLV 16	1438	0.43	0	-25.9	4.3907	0	0	No, e>t/2
SLV 9	1438	0.43	0	-23.53	4.3907	0	0	No, e>t/2
SLV 10	1438	0.43	0	-23.53	4.3907	0	0	No, e>t/2
SLV 13	1438	0.43	0	-11.15	4.3907	0	0	No, e>t/2
SLV 5	1438	0.43	44	-48.89	4.3907	5.8911	1.34	Si
SLV 6	1438	0.43	44	-48.89	4.3907	5.8911	1.34	Si
SLV 12	1438	0.43	65	-72.68	4.3907	8.5988	1.96	Si
SLV 11	1438	0.43	65	-72.68	4.3907	8.5988	1.96	Si

Tabella dei coefficienti di sicurezza minimi

Stato limite	Coeff.s.	Comb.	Verifica
PF SLU	4.012	SLU 34	Si
V SLU	2.282	SLU 34	Si
PF SLV	0	SLV 14	No
V SLV	0	SLD 13	No
PFFP SLV	0	SLV 9	No

Maschio 22

Verifiche condotte secondo D.M. 17-01-18 (N.T.C.)

Dati geometrici

X ini.	Y ini.	X fin.	Y fin.	Quota i.	Quota.s	l	Sp.	h netta	h ini.	h fin.	a	a.s.,sx	a.s.,dx
4.45	9.275	7.3	9.275	L3	L4	2.85	0.5	3.49	3.74	3.74			

Caratteristiche del materiale

(circ.617 C8A.2) Muratura in mattoni pieni e malta di calce LC2

fb	fk	fvk0	fmedio	τ_0	fv0	μ	φ	fv,lim	E	G	FC
6000			3450	90	200	0.58	0.77	325	3200000	1280000	1.2

Verifica a pressoflessione per azioni non sismiche 4.5.6.2 D.M. 17-01-18 (N.T.C.) $\gamma_M = 3$

Comb.	Quota	N	M	p	es1	es2	ea	ev	e ver	Φ_t	Φ_I	Nu	Verifica
SLU 34	3.625	-171.81		1	0	0	0.0175	0	0.0175	0.82	1	1118.73	Si
SLU 34	5.495	-75.44		1	0	0	0.0175	0	0.0175	0.82	1	1118.73	Si
SLU 34	7.365	-2.61		1	0	0	0.0175	0	0.0175	0.82	1	1118.73	Si
SLU 33	3.625	-170.81		1	0	0	0.0175	0	0.0175	0.82	1	1118.73	Si
SLU 33	5.495	-74.9		1	0	0	0.0175	0	0.0175	0.82	1	1118.73	Si
SLU 33	7.365	-2.54		1	0	0	0.0175	0	0.0175	0.82	1	1118.73	Si
SLU 36	3.625	-170.73		1	0	0	0.0175	0	0.0175	0.82	1	1118.73	Si
SLU 36	5.495	-74.81		1	0	0	0.0175	0	0.0175	0.82	1	1118.73	Si
SLU 36	7.365	-2.51		1	0	0	0.0175	0	0.0175	0.82	1	1118.73	Si
SLU 32	3.625	-167.21		1	0	0	0.0175	0	0.0175	0.82	1	1118.73	Si
SLU 32	5.495	-72.94		1	0	0	0.0175	0	0.0175	0.82	1	1118.73	Si
SLU 32	7.365	-2.3		1	0	0	0.0175	0	0.0175	0.82	1	1118.73	Si
SLU 35	3.625	-167.14		1	0	0	0.0175	0	0.0175	0.82	1	1118.73	Si
SLU 35	5.495	-72.86		1	0	0	0.0175	0	0.0175	0.82	1	1118.73	Si
SLU 35	7.365	-2.27		1	0	0	0.0175	0	0.0175	0.82	1	1118.73	Si
SLU 31	3.625	-165.94		1	0	0	0.0175	0	0.0175	0.82	1	1118.73	Si
SLU 31	5.495	-72.35		1	0	0	0.0175	0	0.0175	0.82	1	1118.73	Si
SLU 31	7.365	-2.3		1	0	0	0.0175	0	0.0175	0.82	1	1118.73	Si
SLU 30	3.625	-164.94		1	0	0	0.0175	0	0.0175	0.82	1	1118.73	Si
SLU 30	5.495	-71.8		1	0	0	0.0175	0	0.0175	0.82	1	1118.73	Si
SLU 30	7.365	-2.23		1	0	0	0.0175	0	0.0175	0.82	1	1118.73	Si
SLU 25	3.625	-164.67		1	0	0	0.0175	0	0.0175	0.82	1	1118.73	Si
SLU 25	5.495	-71.6		1	0	0	0.0175	0	0.0175	0.82	1	1118.73	Si
SLU 25	7.365	-2.17		1	0	0	0.0175	0	0.0175	0.82	1	1118.73	Si
SLU 24	3.625	-163.67		1	0	0	0.0175	0	0.0175	0.82	1	1118.73	Si
SLU 24	5.495	-71.05		1	0	0	0.0175	0	0.0175	0.82	1	1118.73	Si
SLU 24	7.365	-2.1		1	0	0	0.0175	0	0.0175	0.82	1	1118.73	Si
SLU 27	3.625	-163.59		1	0	0	0.0175	0	0.0175	0.82	1	1118.73	Si
SLU 27	5.495	-70.97		1	0	0	0.0175	0	0.0175	0.82	1	1118.73	Si
SLU 27	7.365	-2.06		1	0	0	0.0175	0	0.0175	0.82	1	1118.73	Si

Verifica a pressoflessione nel piano secondo D.M. 17-01-18 NTC §7.8.2.2.1 in combinazioni sismiche, $\gamma_M = 2$

Comb.	Quota	N	M	σ_0	Mu	c.s.	Verifica
SLV 13	3.63	-88.13	53.8261	62	119.2253	2.215	Si
SLV 13	7.37	1.84	-2.2671	0	0	0	No, Trazione
SLV 12	3.63	-60.81	75.2471	43	83.6293	1.111	Si
SLV 12	7.37	-3.79	5.4054	0	0	0	No, e>l/2
SLV 10	3.63	-156.88	-38.0182	110	203.4153	5.35	Si
SLV 10	7.37	2.27	-3.0506	0	0	0	No, Trazione
SLV 15	3.63	-59.31	87.8057	0	0	0	No, e>l/2
SLV 15	7.37	0.03	0.2697	0	0	0	No, Trazione
SLV 11	3.63	-60.81	75.2471	43	83.6293	1.111	Si
SLV 11	7.37	-3.79	5.4054	0	0	0	No, e>l/2
SLV 9	3.63	-156.88	-38.0182	110	203.4153	5.35	Si
SLV 9	7.37	2.27	-3.0506	0	0	0	No, Trazione
SLV 6	3.63	-186.99	-82.7622	131	237.8503	2.874	Si
SLV 6	7.37	0.82	-1.1853	0	0	0	No, Trazione
SLV 14	3.63	-88.13	53.8261	62	119.2253	2.215	Si
SLV 14	7.37	1.84	-2.2671	0	0	0	No, Trazione
SLV 5	3.63	-186.99	-82.7622	131	237.8503	2.874	Si
SLV 5	7.37	0.82	-1.1853	0	0	0	No, Trazione
SLD 16	3.63	-95.98	35.9346	67	129.2315	3.596	Si
SLD 16	7.37	-0.82	1.2937	0	0	0	No, e>l/2

Verifica a taglio nel piano secondo D.M. 17-01-18 (N.T.C.) §7.8.2.2.2 con rottura per scorrimento in combinazioni non sismiche, $\gamma_M = 3$

Comb.	Quota	N	V par	M	σ_0	σ_N	l'	fvd	Vt scorr.	Vt fess.diag.	Vt,lim	c.s.	Verifica
SLU 25	3.63	-164.67	-16.53	-4.8644		116	2.85	71	101.12		109.73	6.12	Si
SLU 25	7.37	-2.17	-16.51	3.0855		825	0.0053	108	0.28		84.71	0.02	No, Vu<V
SLU 36	3.63	-170.73	-19.13	-5.9479		120	2.85	72	101.93		110.55	5.33	Si
SLU 36	7.37	-2.51	-19.11	3.5705		966	0.0052	108	0.28		84.77	0.01	No, Vu<V
SLU 32	3.63	-167.21	-17.65	-5.4007		117	2.85	71	101.46		110.08	5.75	Si

Comb.	Quota	N	V par	M	σ_0	σ_N	I'	fvd	Vt scorr.	Vt fess.diag.	Vt,lim	c.s.	Verifica
SLU 32	7.37	-2.3	-17.62	3.2793		880	0.0052	108	0.28		84.73	0.02	No, Vu<V
SLU 35	3.63	-167.14	-17.76	-5.96		117	2.85	71	101.45		110.07	5.71	Si
SLU 35	7.37	-2.27	-17.74	3.2312		865	0.0053	108	0.28		84.73	0.02	No, Vu<V
SLU 31	3.63	-165.94	-16.78	-3.9851		116	2.85	71	101.29		109.9	6.04	Si
SLU 31	7.37	-2.3	-16.76	3.2691		882	0.0052	108	0.28		84.73	0.02	No, Vu<V
SLU 33	3.63	-170.81	-19.01	-5.3886		120	2.85	72	101.94		110.56	5.36	Si
SLU 33	7.37	-2.54	-18.99	3.6186		982	0.0052	108	0.28		84.77	0.01	No, Vu<V
SLU 15	3.63	-137.7	-17.18	-4.7037		97	2.85	68	97.53		105.99	5.68	Si
SLU 15	7.37	-2.34	-17.16	3.3333		918	0.0051	108	0.28		84.74	0.02	No, Vu<V
SLU 18	3.63	-137.62	-17.3	-5.263		97	2.85	68	97.52		105.98	5.64	Si
SLU 18	7.37	-2.31	-17.28	3.2852		902	0.0051	108	0.28		84.73	0.02	No, Vu<V
SLU 16	3.63	-138.7	-17.55	-4.6657		97	2.85	69	97.66		106.13	5.57	Si
SLU 16	7.37	-2.41	-17.53	3.4324		949	0.0051	108	0.28		84.75	0.02	No, Vu<V
SLU 34	3.63	-171.81	-19.38	-5.3505		121	2.85	72	102.07		110.7	5.27	Si
SLU 34	7.37	-2.61	-19.36	3.7176		1012	0.0052	108	0.28		84.79	0.01	No, Vu<V

Verifica a taglio nel piano secondo D.M. 17-01-18 (N.T.C.) §7.8.2.2 con rottura per scorrimento in combinazioni sismiche, $\gamma_M = 2$

Comb.	Quota	N	V par	M	σ_0	σ_N	I'	fvd	Vt scorr.	Vt fess.diag.	Vt,lim	c.s.	Verifica
SLV 11	3.63	-60.81	38.24	75.2471		216	0.5628	127	35.61		136.86	0.93	No, Vu<V
SLV 11	7.37	-3.79	28.53	5.4054		0	0	83	0		127.16	0	No, Vu<V
SLV 12	3.63	-60.81	38.24	75.2471		216	0.5628	127	35.61		136.86	0.93	No, Vu<V
SLV 12	7.37	-3.79	28.53	5.4054		0	0	83	0		127.16	0	No, Vu<V
SLV 14	3.63	-88.13	26.34	53.8261		72	2.4427	98	119.4		141.27	4.53	Si
SLV 14	7.37	1.84	7.5	-2.2671		0	0	83	0		126.16	0	No, Vu<V
SLV 15	3.63	-59.31	47.54	87.8057		0	0	83	0		136.61	0	No, Vu<V
SLV 15	7.37	0.03	26.45	0.2697		0	0	83	0		126.48	0	No, Vu<V
SLV 13	3.63	-88.13	26.34	53.8261		72	2.4427	98	119.4		141.27	4.53	Si
SLV 13	7.37	1.84	7.5	-2.2671		0	0	83	0		126.16	0	No, Vu<V
SLD 16	3.63	-95.98	13.98	35.9346		67	2.85	97	137.95		142.51	9.87	Si
SLD 16	7.37	-0.82	4.83	1.2937		0	0	83	0		126.63	0	No, Vu<V
SLV 6	3.63	-186.99	-61.58	-82.7622		131	2.85	110	156.15		156.19	2.54	Si
SLV 6	7.37	0.82	-51.83	-1.1853		0	0	83	0		126.34	0	No, Vu<V
SLV 5	3.63	-186.99	-61.58	-82.7622		131	2.85	110	156.15		156.19	2.54	Si
SLV 5	7.37	0.82	-51.83	-1.1853		0	0	83	0		126.34	0	No, Vu<V
SLV 10	3.63	-156.88	-32.41	-38.0182		110	2.85	105	150.13		151.8	4.63	Si
SLV 10	7.37	2.27	-34.66	-3.0506		0	0	83	0		126.08	0	No, Vu<V
SLV 9	3.63	-156.88	-32.41	-38.0182		110	2.85	105	150.13		151.8	4.63	Si
SLV 9	7.37	2.27	-34.66	-3.0506		0	0	83	0		126.08	0	No, Vu<V

Verifica a pressoflessione fuori piano D.M. 17-01-18 (N.T.C.)

quota 5.495 Wa 0.0009 denominatore 8 $\gamma_M = 2$

Comb.	fd	Sa	σ_0	N	M	Mc	Coeff.s.	Verifica
SLV 16	1438	0.43	18	-25.06	5.6241	6.1747	1.1	Si
SLV 15	1438	0.43	18	-25.06	5.6241	6.1747	1.1	Si
SLV 12	1438	0.43	21	-30.32	5.6241	7.4489	1.32	Si
SLV 11	1438	0.43	21	-30.32	5.6241	7.4489	1.32	Si
SLV 14	1438	0.43	24	-34.75	5.6241	8.5132	1.51	Si
SLV 13	1438	0.43	24	-34.75	5.6241	8.5132	1.51	Si
SLV 7	1438	0.43	31	-44.52	5.6241	10.8462	1.93	Si
SLV 8	1438	0.43	31	-44.52	5.6241	10.8462	1.93	Si
SLV 10	1438	0.43	44	-62.61	5.6241	15.0905	2.68	Si
SLV 9	1438	0.43	44	-62.61	5.6241	15.0905	2.68	Si

Tabella dei coefficienti di sicurezza minimi

Stato limite	Coeff.s.	Comb.	Verifica
PF SLU	6.512	SLU 34	Si
V SLU	0.014	SLU 34	No
PF SLV	0	SLV 16	No
V SLV	0	SLV 9	No
FFFF SLV	1.098	SLV 15	Si

Maschio 23

Verifiche condotte secondo D.M. 17-01-18 (N.T.C.)

Dati geometrici

X ini.	Y ini.	X fin.	Y fin.	Quota i.	Quota.s	l	Sp.	h netta	h ini.	h fin.	a	a.s.,sx	a.s.,dx
7.3	53.065	4.85	53.065	L3	L4	2.45	0.5	3.49	3.74	3.74			

Caratteristiche del materiale

(circ.617 C8A.2) Muratura in mattoni pieni e malta di calce LC2

fb	fk	fvk0	fmedio	τ_0	fv0	μ	ϕ	fv,lim	E	G	FC
6000			3450	90	200	0.58	0.77	325	3200000	1280000	1.2

Verifica a pressoflessione per azioni non sismiche 4.5.6.2 D.M. 17-01-18 (N.T.C.) $\gamma_M = 3$

Comb.	Quota	N	M	p	es1	es2	ea	ev	e ver	ϕ_t	Φ	Nu	Verifica
SLU 34	3.625	-148.63		1	0	0	0.0175	0	0.0175	0.82	1	961.72	Si
SLU 34	5.495	-65.92		1	0	0	0.0175	0	0.0175	0.82	1	961.72	Si
SLU 34	7.365	-6.37		1	0	0	0.0175	0	0.0175	0.82	1	961.72	Si
SLU 33	3.625	-147.48		1	0	0	0.0175	0	0.0175	0.82	1	961.72	Si
SLU 33	5.495	-65.25		1	0	0	0.0175	0	0.0175	0.82	1	961.72	Si
SLU 33	7.365	-6.17		1	0	0	0.0175	0	0.0175	0.82	1	961.72	Si
SLU 36	3.625	-147.07		1	0	0	0.0175	0	0.0175	0.82	1	961.72	Si
SLU 36	5.495	-64.9		1	0	0	0.0175	0	0.0175	0.82	1	961.72	Si
SLU 36	7.365	-5.93		1	0	0	0.0175	0	0.0175	0.82	1	961.72	Si
SLU 32	3.625	-143.68		1	0	0	0.0175	0	0.0175	0.82	1	961.72	Si
SLU 32	5.495	-63.06		1	0	0	0.0175	0	0.0175	0.82	1	961.72	Si
SLU 32	7.365	-5.5		1	0	0	0.0175	0	0.0175	0.82	1	961.72	Si
SLU 31	3.625	-143.43		1	0	0	0.0175	0	0.0175	0.82	1	961.72	Si
SLU 31	5.495	-63.17		1	0	0	0.0175	0	0.0175	0.82	1	961.72	Si
SLU 31	7.365	-5.84		1	0	0	0.0175	0	0.0175	0.82	1	961.72	Si
SLU 35	3.625	-143.27		1	0	0	0.0175	0	0.0175	0.82	1	961.72	Si
SLU 35	5.495	-62.71		1	0	0	0.0175	0	0.0175	0.82	1	961.72	Si
SLU 35	7.365	-5.26		1	0	0	0.0175	0	0.0175	0.82	1	961.72	Si
SLU 30	3.625	-142.28		1	0	0	0.0175	0	0.0175	0.82	1	961.72	Si

Comb.	Quota	N	M	p	es1	es2	ea	ev	e ver	φt	ΦI	Nu	Verifica
SLV 30	5.495	-62.5		1	0	0	0.0175	0	0.0175	0.82	1	961.72	Si
SLV 30	7.365	-5.64		1	0	0	0.0175	0	0.0175	0.82	1	961.72	Si
SLV 25	3.625	-141.57		1	0	0	0.0175	0	0.0175	0.82	1	961.72	Si
SLV 25	5.495	-61.92		1	0	0	0.0175	0	0.0175	0.82	1	961.72	Si
SLV 25	7.365	-5.25		1	0	0	0.0175	0	0.0175	0.82	1	961.72	Si
SLV 24	3.625	-140.41		1	0	0	0.0175	0	0.0175	0.82	1	961.72	Si
SLV 24	5.495	-61.25		1	0	0	0.0175	0	0.0175	0.82	1	961.72	Si
SLV 24	7.365	-5.05		1	0	0	0.0175	0	0.0175	0.82	1	961.72	Si
SLV 27	3.625	-140		1	0	0	0.0175	0	0.0175	0.82	1	961.72	Si
SLV 27	5.495	-60.9		1	0	0	0.0175	0	0.0175	0.82	1	961.72	Si
SLV 27	7.365	-4.81		1	0	0	0.0175	0	0.0175	0.82	1	961.72	Si

Verifica a pressoflessione nel piano secondo D.M. 17-01-18 NTC §7.8.2.2.1 in combinazioni sismiche, $\gamma_M = 2$

Comb.	Quota	N	M	σ0	Mu	c.s.	Verifica
SLV 13	3.63	-36.77	-44.3279	30	43.941	0.991	No, M>Mu
SLV 13	7.37	3.32	4.1335	0	0	0	No, Trazione
SLV 6	3.63	-43.19	4.1166	35	51.3856	12.483	Si
SLV 6	7.37	1.51	1.8105	0	0	0	No, Trazione
SLV 14	3.63	-36.77	-44.3279	30	43.941	0.991	No, M>Mu
SLV 14	7.37	3.32	4.1335	0	0	0	No, Trazione
SLD 1	3.63	-116.14	26.0728	95	131.2298	5.033	Si
SLD 1	7.37	-4.82	-5.9273	0	0	0	No, e>1/2
SLV 4	3.63	-175.04	60.2033	143	189.3512	3.145	Si
SLV 4	7.37	-10.36	-12.7476	0	0	0	No, e>1/2
SLV 2	3.63	-129.1	49.469	105	144.5116	2.921	Si
SLV 2	7.37	-6.47	-7.9863	0	0	0	No, e>1/2
SLV 1	3.63	-129.1	49.469	105	144.5116	2.921	Si
SLV 1	7.37	-6.47	-7.9863	0	0	0	No, e>1/2
SLV 3	3.63	-175.04	60.2033	143	189.3512	3.145	Si
SLV 3	7.37	-10.36	-12.7476	0	0	0	No, e>1/2
SLV 9	3.63	-15.49	-24.0225	0	0	0	No, e>1/2
SLV 9	7.37	4.44	5.4464	0	0	0	No, Trazione
SLV 5	3.63	-43.19	4.1166	35	51.3856	12.483	Si
SLV 5	7.37	1.51	1.8105	0	0	0	No, Trazione

Verifica a taglio nel piano secondo D.M. 17-01-18 (N.T.C.) §7.8.2.2.2 con rottura per scorrimento in combinazioni non sismiche, $\gamma_M = 3$

Comb.	Quota	N	V par	M	σ0	σN	I'	fvd	Vt scorr.	Vt fess.diag.	Vt.lim	c.s.	Verifica
SLV 34	3.63	-148.63	17.04	12.9291		121	2.45	72	87.87		81.92	5.16	Si
SLV 34	7.37	-6.37	17.01	-7.7994		4669	0.0027	108	0.15		63.28	0.01	No, Vu<V
SLV 36	3.63	-147.07	16.68	13.5019		120	2.45	72	87.66		81.73	5.26	Si
SLV 36	7.37	-5.93	16.65	-7.2561		4211	0.0028	108	0.15		63.21	0.01	No, Vu<V
SLV 35	3.63	-143.27	15.25	12.8375		117	2.45	71	87.16		81.29	5.71	Si
SLV 35	7.37	-5.26	15.23	-6.4354		3609	0.0029	108	0.16		63.11	0.01	No, Vu<V
SLV 33	3.63	-147.48	16.6	12.7205		120	2.45	72	87.72		81.78	5.28	Si
SLV 33	7.37	-6.17	16.58	-7.5535		4486	0.0028	108	0.15		63.25	0.01	No, Vu<V
SLV 32	3.63	-143.68	15.18	12.0561		117	2.45	71	87.21		81.34	5.74	Si
SLV 32	7.37	-5.5	15.16	-6.7328		3878	0.0028	108	0.15		63.15	0.01	No, Vu<V
SLV 15	3.63	-119.63	15.29	11.6425		98	2.45	69	84.01		78.48	5.49	Si
SLV 15	7.37	-5.69	15.27	-6.9611		4263	0.0027	108	0.14		63.18	0.01	No, Vu<V
SLV 18	3.63	-119.22	15.37	12.4239		97	2.45	69	83.95		78.43	5.46	Si
SLV 18	7.37	-5.44	15.35	-6.6637		3982	0.0027	108	0.15		63.14	0.01	No, Vu<V
SLV 16	3.63	-120.78	15.73	11.8512		99	2.45	69	84.16		78.62	5.35	Si
SLV 16	7.37	-5.89	15.71	-7.207		4448	0.0026	108	0.14		63.21	0.01	No, Vu<V
SLV 31	3.63	-143.43	14.56	10.0424		117	2.45	71	87.18		81.31	5.99	Si
SLV 31	7.37	-5.84	14.54	-7.1523		4315	0.0027	108	0.15		63.2	0.01	No, Vu<V
SLV 30	3.63	-142.28	14.13	9.8337		116	2.45	71	87.03		81.17	6.16	Si
SLV 30	7.37	-5.64	14.1	-6.9064		4131	0.0027	108	0.15		63.17	0.01	No, Vu<V

Verifica a taglio nel piano secondo D.M. 17-01-18 (N.T.C.) §7.8.2.2.2 con rottura per scorrimento in combinazioni sismiche, $\gamma_M = 2$

Comb.	Quota	N	V par	M	σ0	σN	I'	fvd	Vt scorr.	Vt fess.diag.	Vt.lim	c.s.	Verifica
SLV 5	3.63	-43.19	-10.23	4.1166		35	2.45	90	110.72		99.85	10.82	Si
SLV 5	7.37	1.51	-12.56	1.8105		0	0	83	0		93.24	0	No, Vu<V
SLV 6	3.63	-43.19	-10.23	4.1166		35	2.45	90	110.72		99.85	10.82	Si
SLV 6	7.37	1.51	-12.56	1.8105		0	0	83	0		93.24	0	No, Vu<V
SLV 13	3.63	-36.77	-35.47	-44.3279		1252	0.0587	163	4.77		98.93	0.13	No, Vu<V
SLV 13	7.37	3.32	-19.45	4.1335		0	0	83	0		92.96	0	No, Vu<V
SLD 1	3.63	-116.14	21.51	26.0728		95	2.45	102	125.31		109.78	5.83	Si
SLD 1	7.37	-4.82	15.13	-5.9273		0	0	83	0		94.21	0	No, Vu<V
SLV 4	3.63	-175.04	55.09	60.2033		143	2.45	112	137.09		117.18	2.49	Si
SLV 4	7.37	-10.36	39.03	-12.7476		0	0	83	0		95.04	0	No, Vu<V
SLV 2	3.63	-129.1	36.58	49.469		105	2.45	104	127.9		111.45	3.5	Si
SLV 2	7.37	-6.47	21.9	-7.9863		0	0	83	0		94.46	0	No, Vu<V
SLV 9	3.63	-15.49	-31.85	-24.0225		0	0	83	0		95.81	0	No, Vu<V
SLV 9	7.37	4.44	-24.96	5.4464		0	0	83	0		92.79	0	No, Vu<V
SLV 3	3.63	-175.04	55.09	60.2033		143	2.45	112	137.09		117.18	2.49	Si
SLV 3	7.37	-10.36	39.03	-12.7476		0	0	83	0		95.04	0	No, Vu<V
SLV 14	3.63	-36.77	-35.47	-44.3279		1252	0.0587	163	4.77		98.93	0.13	No, Vu<V
SLV 14	7.37	3.32	-19.45	4.1335		0	0	83	0		92.96	0	No, Vu<V
SLV 1	3.63	-129.1	36.58	49.469		105	2.45	104	127.9		111.45	3.5	Si
SLV 1	7.37	-6.47	21.9	-7.9863		0	0	83	0		94.46	0	No, Vu<V

Verifica a pressoflessione fuori piano D.M. 17-01-18 (N.T.C.)

quota 5.495 Wa 0.0009 denominatore 8 $\gamma_M = 2$

Comb.	fd	Sa	σ0	N	M	Mc	Coeff.s.	Verifica
SLV 5	1438	0.43	0	-17.82	4.8348	0	0	No, e>t/2
SLV 14	1438	0.43	0	-8.98	4.8348	0	0	No, e>t/2
SLV 10	1438	0.43	0	-2.13	4.8348	0	0	No, e>t/2
SLV 6	1438	0.43	0	-17.82	4.8348	0	0	No, e>t/2
SLV 13	1438	0.43	0	-8.98	4.8348	0	0	No, e>t/2
SLV 9	1438	0.43	0	-2.13	4.8348	0	0	No, e>t/2
SLV 16	1438	0.43	25	-30.54	4.8348	7.4803	1.55	Si
SLV 15	1438	0.43	25	-30.54	4.8348	7.4803	1.55	Si
SLV 2	1438	0.43	50	-61.27	4.8348	14.6906	3.04	Si
SLV 1	1438	0.43	50	-61.27	4.8348	14.6906	3.04	Si

Tabella dei coefficienti di sicurezza minimi

Stato limite	Coeff.s.	Comb.	Verifica
PF SLU	6.47	SLU 34	Si
V SLU	0.009	SLU 34	No
PF SLV	0	SLV 14	No
V SLV	0	SLD 1	No
PFFP SLV	0	SLV 5	No

Maschio 24

Verifiche condotte secondo D.M. 17-01-18 (N.T.C.)

Dati geometrici

X ini.	Y ini.	X fin.	Y fin.	Quota i.	Quota.s	l	Sp.	h netta	h ini.	h fin.	a	a.s.,sx	a.s.,dx
7.3	9.275	7.3	10.315	L3	L4	1.04	0.5	3.49	3.74	3.74			

Caratteristiche del materiale

(circ.617 C8A.2) Muratura in mattoni pieni e malta di calce LC2

fb	fk	fvk0	fmedio	r0	fv0	μ	φ	fv,lim	E	G	FC
6000			3450	90	200	0.58	0.77	325	3200000	1280000	1.2

Verifica a pressoflessione per azioni non sismiche 4.5.6.2 D.M. 17-01-18 (N.T.C.) $\gamma_M = 3$

Comb.	Quota	N	M	p	es1	es2	ea	ev	e ver	φt	φl	Nu	Verifica
SLU 20	3.625	-45.85		1	0	0.047	0.0175	0	0.0644	0.58	1	290.52	Si
SLU 20	5.495	-41.03		1	0	0.047	0.0175	0	0.0322	0.73	1	363.02	Si
SLU 20	7.365	-28.3		1	0	0.047	0.0175	0	0.0644	0.58	1	290.52	Si
SLU 29	3.625	-46.15		1	0	0.0453	0.0175	0	0.0627	0.59	1	293.77	Si
SLU 29	5.495	-44.62		1	0	0.0453	0.0175	0	0.0314	0.73	1	365.63	Si
SLU 29	7.365	-35.29		1	0	0.0453	0.0175	0	0.0627	0.59	1	293.77	Si
SLU 30	3.625	-47.65		1	0	0.0398	0.0175	0	0.0572	0.61	1	304.27	Si
SLU 30	5.495	-47.76		1	0	0.0398	0.0175	0	0.0286	0.75	1	374.02	Si
SLU 30	7.365	-40.15		1	0	0.0398	0.0175	0	0.0572	0.61	1	304.27	Si
SLU 21	3.625	-47.35		1	0	0.0401	0.0175	0	0.0575	0.61	1	303.7	Si
SLU 21	5.495	-44.17		1	0	0.0401	0.0175	0	0.0288	0.75	1	373.57	Si
SLU 21	7.365	-33.16		1	0	0.0401	0.0175	0	0.0575	0.61	1	303.7	Si
SLU 19	3.625	-44.82		1	0	0.0458	0.0175	0	0.0632	0.59	1	292.78	Si
SLU 19	5.495	-38.81		1	0	0.0458	0.0175	0	0.0316	0.73	1	364.83	Si
SLU 19	7.365	-24.84		1	0	0.0458	0.0175	0	0.0632	0.59	1	292.78	Si
SLU 28	3.625	-45.12		1	0	0.0442	0.0175	0	0.0616	0.59	1	295.9	Si
SLU 28	5.495	-42.4		1	0	0.0442	0.0175	0	0.0308	0.74	1	367.33	Si
SLU 28	7.365	-31.83		1	0	0.0442	0.0175	0	0.0616	0.59	1	295.9	Si
SLU 31	3.625	-48.13		1	0	0.0338	0.0175	0	0.0513	0.63	1	315.67	Si
SLU 31	5.495	-48.69		1	0	0.0338	0.0175	0	0.0256	0.77	1	383.15	Si
SLU 31	7.365	-41.56		1	0	0.0338	0.0175	0	0.0513	0.63	1	315.67	Si
SLU 22	3.625	-47.83		1	0	0.0329	0.0175	0	0.0504	0.64	1	317.43	Si
SLU 22	5.495	-45.1		1	0	0.0329	0.0175	0	0.0252	0.77	1	384.56	Si
SLU 22	7.365	-34.56		1	0	0.0329	0.0175	0	0.0504	0.64	1	317.43	Si
SLU 23	3.625	-40.48		1	0	0.0467	0.0175	0	0.0641	0.58	1	291.1	Si
SLU 23	5.495	-38.43		1	0	0.0467	0.0175	0	0.0321	0.73	1	363.48	Si
SLU 23	7.365	-28.48		1	0	0.0467	0.0175	0	0.0641	0.58	1	291.1	Si
SLU 33	3.625	-42.29		1	0	0.0396	0.0175	0	0.0571	0.61	1	304.61	Si
SLU 33	5.495	-45.17		1	0	0.0396	0.0175	0	0.0285	0.75	1	374.3	Si
SLU 33	7.365	-40.33		1	0	0.0396	0.0175	0	0.0571	0.61	1	304.61	Si

Verifica a pressoflessione nel piano secondo D.M. 17-01-18 NTC §7.8.2.2.1 in combinazioni sismiche, $\gamma_M = 2$

Comb.	Quota	N	M	σ0	Mu	c.s.	Verifica
SLV 1	3.63	25.36	-18.9182	0	0	0	No, Trazione
SLV 1	7.37	-29.66	17.1878	0	0	0	No, e>1/2
SLV 5	3.63	23.33	-22.6222	0	0	0	No, Trazione
SLV 5	7.37	-35.5	17.6853	68	17.4281	0.985	No, M>Mu
SLV 9	3.63	-3.35	-17.538	0	0	0	No, e>1/2
SLV 9	7.37	-33.6	13.3014	65	16.55	1.244	Si
SLD 1	3.63	-6.94	-11.755	0	0	0	No, e>1/2
SLD 1	7.37	-25.9	11.6831	50	12.9176	1.106	Si
SLV 4	3.63	0.42	-10.6592	0	0	0	No, Trazione
SLV 4	7.37	-22.76	12.3774	0	0	0	No, e>1/2
SLV 3	3.63	0.42	-10.6592	0	0	0	No, Trazione
SLV 3	7.37	-22.76	12.3774	0	0	0	No, e>1/2
SLV 10	3.63	-3.35	-17.538	0	0	0	No, e>1/2
SLV 10	7.37	-33.6	13.3014	65	16.55	1.244	Si
SLD 10	3.63	-19.36	-11.2124	0	0	0	No, e>1/2
SLD 10	7.37	-27.68	10.0134	53	13.7681	1.375	Si
SLV 2	3.63	25.36	-18.9182	0	0	0	No, Trazione
SLV 2	7.37	-29.66	17.1878	0	0	0	No, e>1/2
SLV 6	3.63	23.33	-22.6222	0	0	0	No, Trazione
SLV 6	7.37	-35.5	17.6853	68	17.4281	0.985	No, M>Mu

Verifica a taglio nel piano secondo D.M. 17-01-18 (N.T.C.) §7.8.2.2.2 con rottura per scorrimento in combinazioni non sismiche, $\gamma_M = 3$

Comb.	Quota	N	V par	M	σ0	σN	l'	fvd	Vt scorr.	Vt fess.diag.	Vt,lim	c.s.	Verifica
SLU 35	3.63	-37.45	-11.12	-9.9282	98	0.7647	69	26.23	26.23	30.06	2.36	Si	
SLU 35	7.37	-32.1	-11.14	10.7986	117	0.5507	71	19.58	19.58	29.41	1.76	Si	
SLU 26	3.63	-37.15	-9.29	-8.5793	86	0.8671	67	29.04	29.04	30.03	3.13	Si	
SLU 26	7.37	-25.1	-9.31	8.7687	98	0.5121	69	17.57	17.57	28.53	1.89	Si	
SLU 32	3.63	-40.78	-11.15	-9.4478	94	0.865	68	29.46	29.46	30.46	2.64	Si	
SLU 32	7.37	-35.47	-11.18	11.3793	119	0.5976	71	21.33	21.33	29.82	1.91	Si	
SLU 17	3.63	-27.19	-9.95	-8.945	95	0.573	68	19.54	19.54	28.79	1.96	Si	
SLU 17	7.37	-28.21	-9.97	9.5507	104	0.5443	69	18.88	18.88	28.92	1.89	Si	
SLU 18	3.63	-28.69	-10.88	-9.4252	100	0.5746	69	19.79	19.79	28.98	1.82	Si	
SLU 18	7.37	-33.07	-10.9	10.7969	114	0.5805	71	20.53	20.53	29.53	1.88	Si	
SLU 16	3.63	-32.5	-11.17	-9.0722	90	0.7225	68	24.4	24.4	29.46	2.19	Si	
SLU 16	7.37	-37.85	-11.2	11.7307	120	0.6302	72	22.55	22.55	30.11	2.01	Si	
SLU 27	3.63	-38.65	-10.21	-9.0595	90	0.8569	68	28.96	28.96	30.21	2.83	Si	
SLU 27	7.37	-29.96	-10.24	10.0149	108	0.5573	70	19.48	19.48	29.14	1.9	Si	
SLU 33	3.63	-42.29	-12.08	-9.928	99	0.8557	69	29.41	29.41	30.64	2.43	Si	

Comb.	Quota	N	V par	M	σ_0	σ_N	I'	fvd	Vt scorr.	Vt fess.diag.	Vt,lim	c.s.	Verifica
SLU 33	7.37	-40.33	-12.11	12.6255		130	0.6209	73	22.63		30.41	1.87	Si
SLU 36	3.63	-38.96	-12.05	-10.4084		103	0.7584	69	26.26		30.24	2.18	Si
SLU 36	7.37	-36.96	-12.07	12.0448		127	0.5823	72	21.1		30	1.75	Si
SLU 34	3.63	-42.76	-12.34	-10.0554		100	0.8546	69	29.44		30.7	2.39	Si
SLU 34	7.37	-41.74	-12.37	12.9787		133	0.6272	73	22.99		30.58	1.86	Si

Verifica a taglio nel piano secondo D.M. 17-01-18 (N.T.C.) §7.8.2.2.2 con rottura per scorrimento in combinazioni sismiche, $\gamma_M = 2$

Comb.	Quota	N	V par	M	σ_0	σ_N	I'	fvd	Vt scorr.	Vt fess.diag.	Vt,lim	c.s.	Verifica
SLD 6	3.63	-7.82	-17.09	-13.3981		0	0	83	0		38.8	0	No, Vu<V
SLD 6	7.37	-28.48	-10.75	11.9102		186	0.3056	121	18.43		41.6	1.71	Si
SLV 9	3.63	-3.35	-22.82	-17.538		0	0	83	0		38.16	0	No, Vu<V
SLV 9	7.37	-33.6	-10.39	13.3014		180	0.3725	119	22.24		42.27	2.14	Si
SLV 6	3.63	23.33	-29.73	-22.6222		0	0	83	0		34.13	0	No, Vu<V
SLV 6	7.37	-35.5	-15.26	17.6853		1085	0.0654	163	5.32		42.52	0.35	No, Vu<V
SLV 10	3.63	-3.35	-22.82	-17.538		0	0	83	0		38.16	0	No, Vu<V
SLV 10	7.37	-33.6	-10.39	13.3014		180	0.3725	119	22.24		42.27	2.14	Si
SLD 1	3.63	-6.94	-14.8	-11.755		0	0	83	0		38.67	0	No, Vu<V
SLD 1	7.37	-25.9	-11.56	11.6831		251	0.2066	133	13.79		41.26	1.19	Si
SLV 5	3.63	23.33	-29.73	-22.6222		0	0	83	0		34.13	0	No, Vu<V
SLV 5	7.37	-35.5	-15.26	17.6853		1085	0.0654	163	5.32		42.52	0.35	No, Vu<V
SLV 1	3.63	25.36	-24.56	-18.9182		0	0	83	0		33.81	0	No, Vu<V
SLV 1	7.37	-29.66	-17.13	17.1878		0	0	83	0		41.76	0	No, Vu<V
SLV 3	3.63	0.42	-13.21	-10.6592		0	0	83	0		37.62	0	No, Vu<V
SLV 3	7.37	-22.76	-13.86	12.3774		0	0	83	0		40.85	0	No, Vu<V
SLD 10	3.63	-19.36	-14.12	-11.2124		0	0	83	0		40.39	0	No, Vu<V
SLD 10	7.37	-27.68	-8.67	10.0134		117	0.4749	107	25.32		41.5	2.92	Si
SLV 2	3.63	25.36	-24.56	-18.9182		0	0	83	0		33.81	0	No, Vu<V
SLV 2	7.37	-29.66	-17.13	17.1878		0	0	83	0		41.76	0	No, Vu<V

Verifica a pressoflessione fuori piano D.M. 17-01-18 (N.T.C.)

quota 5.495 Wa 0.0009 denominatore 8 $\gamma_M = 2$

Comb.	fd	Sa	σ_0	N	M	Mc	Coeff.s.	Verifica
SLV 2	1438	0.43	0	-7.17	2.0523	0	0	No, e>t/2
SLV 1	1438	0.43	0	-7.17	2.0523	0	0	No, e>t/2
SLV 6	1438	0.43	22	-11.66	2.0523	2.861	1.39	Si
SLV 5	1438	0.43	22	-11.66	2.0523	2.861	1.39	Si
SLV 4	1438	0.43	29	-14.91	2.0523	3.6393	1.77	Si
SLV 3	1438	0.43	29	-14.91	2.0523	3.6393	1.77	Si
SLV 10	1438	0.43	45	-23.24	2.0523	5.5981	2.73	Si
SLV 9	1438	0.43	45	-23.24	2.0523	5.5981	2.73	Si
SLV 7	1438	0.43	72	-37.45	2.0523	8.8105	4.29	Si
SLV 8	1438	0.43	72	-37.45	2.0523	8.8105	4.29	Si

Tabella dei coefficienti di sicurezza minimi

Stato limite	Coeff.s.	Comb.	Verifica
PF SLU	6.337	SLU 20	Si
V SLU	1.748	SLU 36	Si
PF SLV	0	SLV 6	No
V SLV	0	SLD 1	No
PPFP SLV	0	SLV 1	No

Maschio 25

Verifiche condotte secondo D.M. 17-01-18 (N.T.C.)

Dati geometrici

X ini.	Y ini.	X fin.	Y fin.	Quota i.	Quota.s	l	Sp.	h netta	h ini.	h fin.	a	a.s.,sx	a.s.,dx
7.3	11.515	7.3	13.515	L3	L4	2	0.5	3.49	3.74	3.74			

Caratteristiche del materiale

(circ.617 C8A.2) Muratura in mattoni pieni e malta di calce LC2

fb	fk	fvk0	fmedio	τ_0	fv0	μ	ϕ	fv,lim	E	G	FC
6000			3450	90	200	0.58	0.77	325	3200000	1280000	1.2

Verifica a pressoflessione per azioni non sismiche 4.5.6.2 D.M. 17-01-18 (N.T.C.) $\gamma_M = 3$

Comb.	Quota	N	M	p	es1	es2	ea	ev	e ver	Φ_t	Φ_l	Nu	Verifica
SLU 30	3.625	-168.23		1	0	0.0381	0.0175	0	0.0555	0.62	1	591.49	Si
SLU 30	5.495	-115.72		1	0	0.0381	0.0175	0	0.0278	0.76	1	724.36	Si
SLU 30	7.365	-80.72		1	0	0.0381	0.0175	0	0.0555	0.62	1	591.49	Si
SLU 33	3.625	-167.27		1	0	0.0385	0.0175	0	0.056	0.62	1	589.8	Si
SLU 33	5.495	-114.76		1	0	0.0385	0.0175	0	0.028	0.75	1	723.01	Si
SLU 33	7.365	-79.75		1	0	0.0385	0.0175	0	0.056	0.62	1	589.8	Si
SLU 31	3.625	-171.17		1	0	0.0323	0.0175	0	0.0498	0.64	1	612.62	Si
SLU 31	5.495	-118.66		1	0	0.0323	0.0175	0	0.0249	0.77	1	741.27	Si
SLU 31	7.365	-83.65		1	0	0.0323	0.0175	0	0.0498	0.64	1	612.62	Si
SLU 34	3.625	-170.21		1	0	0.0327	0.0175	0	0.0502	0.64	1	611.24	Si
SLU 34	5.495	-117.7		1	0	0.0327	0.0175	0	0.0251	0.77	1	740.17	Si
SLU 34	7.365	-82.69		1	0	0.0327	0.0175	0	0.0502	0.64	1	611.24	Si
SLU 29	3.625	-158.13		1	0	0.0435	0.0175	0	0.061	0.6	1	571.45	Si
SLU 29	5.495	-105.62		1	0	0.0435	0.0175	0	0.0305	0.74	1	708.33	Si
SLU 29	7.365	-70.62		1	0	0.0435	0.0175	0	0.061	0.6	1	571.45	Si
SLU 32	3.625	-157.17		1	0	0.0441	0.0175	0	0.0616	0.59	1	569.24	Si
SLU 32	5.495	-104.66		1	0	0.0441	0.0175	0	0.0308	0.74	1	706.56	Si
SLU 32	7.365	-69.66		1	0	0.0441	0.0175	0	0.0616	0.59	1	569.24	Si
SLU 36	3.625	-159.69		1	0	0.0375	0.0175	0	0.0549	0.62	1	593.71	Si
SLU 36	5.495	-107.18		1	0	0.0375	0.0175	0	0.0275	0.76	1	726.14	Si
SLU 36	7.365	-72.18		1	0	0.0375	0.0175	0	0.0549	0.62	1	593.71	Si
SLU 28	3.625	-150.97		1	0	0.0426	0.0175	0	0.0601	0.6	1	574.75	Si
SLU 28	5.495	-98.46		1	0	0.0426	0.0175	0	0.03	0.74	1	710.97	Si
SLU 28	7.365	-63.45		1	0	0.0426	0.0175	0	0.0601	0.6	1	574.75	Si
SLU 35	3.625	-149.59		1	0	0.0436	0.0175	0	0.061	0.6	1	571.28	Si
SLU 35	5.495	-97.08		1	0	0.0436	0.0175	0	0.0305	0.74	1	708.19	Si
SLU 35	7.365	-62.08		1	0	0.0436	0.0175	0	0.061	0.6	1	571.28	Si
SLU 21	3.625	-154.17		1	0	0.0384	0.0175	0	0.0558	0.62	1	590.44	Si
SLU 21	5.495	-101.66		1	0	0.0384	0.0175	0	0.0279	0.75	1	723.52	Si

Comb.	Quota	N	M	p	es1	es2	ea	ev	e ver	φt	ΦI	Nu	Verifica	
SLV 21	7.365	-66.66			1	0	0.0384	0.0175	0	0.0558	0.62	1	590.44	Si

Verifica a pressoflessione nel piano secondo D.M. 17-01-18 NTC §7.8.2.2.1 in combinazioni sismiche, $\gamma_M = 2$

Comb.	Quota	N	M	σ_0	Mu	c.s.	Verifica
SLV 10	3.63	-117.6	-39.5987	118	106.2811	2.684	Si
SLV 10	7.37	-50.49	30.2382	50	48.4043	1.601	Si
SLV 2	3.63	-102.88	-31.6016	103	94.2212	2.982	Si
SLV 2	7.37	-35.75	11.8917	36	34.7048	2.918	Si
SLV 1	3.63	-102.88	-31.6016	103	94.2212	2.982	Si
SLV 1	7.37	-35.75	11.8917	36	34.7048	2.918	Si
SLV 6	3.63	-111.47	-51.101	111	101.2992	1.982	Si
SLV 6	7.37	-44.43	31.4861	44	42.8118	1.36	Si
SLV 9	3.63	-117.6	-39.5987	118	106.2811	2.684	Si
SLV 9	7.37	-50.49	30.2382	50	48.4043	1.601	Si
SLV 12	3.63	-113.51	54.455	114	102.9663	1.891	Si
SLV 12	7.37	-45.91	-29.9055	46	44.1872	1.478	Si
SLV 11	3.63	-113.51	54.455	114	102.9663	1.891	Si
SLV 11	7.37	-45.91	-29.9055	46	44.1872	1.478	Si
SLV 5	3.63	-111.47	-51.101	111	101.2992	1.982	Si
SLV 5	7.37	-44.43	31.4861	44	42.8118	1.36	Si
SLV 7	3.63	-107.38	42.9527	107	97.9435	2.28	Si
SLV 7	7.37	-39.85	-28.6576	40	38.5494	1.345	Si
SLV 8	3.63	-107.38	42.9527	107	97.9435	2.28	Si
SLV 8	7.37	-39.85	-28.6576	40	38.5494	1.345	Si

Verifica a taglio nel piano secondo D.M. 17-01-18 (N.T.C.) §7.8.2.2.2 con rottura per scorrimento in combinazioni non sismiche, $\gamma_M = 2$

Comb.	Quota	N	V par	M	σ_0	σ_N	I'	fvd	Vt scorr.	Vt fess.diag.	Vt,lim	c.s.	Verifica
SLU 24	3.63	-153.21	0.3	2.2344		153	2	76	75.98		66.93	250.36	Si
SLU 24	7.37	-65.69	0.3	1.0993		66	2	64	64.31		57.04	211.91	Si
SLU 9	3.63	-117.75	0.31	2.0814		118	2	71	71.26		63.11	226.64	Si
SLU 9	7.37	-50.43	0.31	0.9055		50	2	62	62.28		55.14	198.09	Si
SLU 35	3.63	-149.59	0.37	2.5375		150	2	76	75.5		66.55	203.42	Si
SLU 35	7.37	-62.08	0.37	1.1494		62	2	64	63.83		56.6	171.98	Si
SLU 36	3.63	-159.69	0.36	2.6036		160	2	77	76.85		67.6	212.47	Si
SLU 36	7.37	-72.18	0.36	1.2509		72	2	65	65.18		57.83	180.21	Si
SLU 17	3.63	-121.71	0.31	2.1841		122	2	72	71.78		63.55	230.61	Si
SLU 17	7.37	-54.39	0.31	1.0199		54	2	63	62.81		55.64	201.77	Si
SLU 27	3.63	-145.63	0.37	2.4348		146	2	75	74.97		66.13	200.31	Si
SLU 27	7.37	-58.12	0.37	1.035		58	2	63	63.3		56.1	169.14	Si
SLU 8	3.63	-107.65	0.32	2.0153		108	2	70	69.91		61.98	215.86	Si
SLU 8	7.37	-40.33	0.32	0.804		40	2	61	60.93		53.84	188.14	Si
SLU 26	3.63	-135.53	0.38	2.3687		136	2	74	73.63		65.05	191.86	Si
SLU 26	7.37	-48.02	0.38	0.9335		48	2	62	61.96		54.83	161.46	Si
SLU 25	3.63	-156.14	0.32	2.3076		156	2	76	76.37		67.23	236.29	Si
SLU 25	7.37	-68.63	0.32	1.0988		69	2	65	64.71		57.4	200.19	Si
SLU 23	3.63	-143.11	0.31	2.1683		143	2	75	74.64		65.86	238.48	Si
SLU 23	7.37	-55.59	0.31	0.9978		56	2	63	62.97		55.79	201.19	Si

Verifica a taglio nel piano secondo D.M. 17-01-18 (N.T.C.) §7.8.2.2.2 con rottura per scorrimento in combinazioni sismiche, $\gamma_M = 2$

Comb.	Quota	N	V par	M	σ_0	σ_N	I'	fvd	Vt scorr.	Vt fess.diag.	Vt,lim	c.s.	Verifica
SLV 6	3.63	-111.47	-26.01	-51.101		137	1.6247	111	89.99		87.13	3.46	Si
SLV 6	7.37	-44.43	-12.05	31.4861		102	0.8739	104	45.3		78.64	3.76	Si
SLV 4	3.63	-101.66	12.87	-3.3855		102	2	104	103.66		85.94	8.06	Si
SLV 4	7.37	-34.38	1.42	-6.1514		34	2	90	90.21		77.29	63.49	Si
SLV 11	3.63	-113.51	26.48	54.455		145	1.5608	112	87.74		87.38	3.31	Si
SLV 11	7.37	-45.91	12.53	-29.9055		88	1.0459	101	52.76		78.84	4.21	Si
SLV 10	3.63	-117.6	-28.63	-39.5987		118	1.9898	107	106.43		87.87	3.72	Si
SLV 10	7.37	-50.49	-10.67	30.2382		84	1.2033	100	60.24		79.44	5.64	Si
SLV 12	3.63	-113.51	26.48	54.455		145	1.5608	112	87.74		87.38	3.31	Si
SLV 12	7.37	-45.91	12.53	-29.9055		88	1.0459	101	52.76		78.84	4.21	Si
SLV 7	3.63	-107.38	29.1	42.9527		119	1.8	107	96.48		86.64	3.32	Si
SLV 7	7.37	-39.85	11.15	-28.6576		95	0.8425	102	43.08		78.03	3.86	Si
SLV 9	3.63	-117.6	-28.63	-39.5987		118	1.9898	107	106.43		87.87	3.72	Si
SLV 9	7.37	-50.49	-10.67	30.2382		84	1.2033	100	60.24		79.44	5.64	Si
SLV 5	3.63	-111.47	-26.01	-51.101		137	1.6247	111	89.99		87.13	3.46	Si
SLV 5	7.37	-44.43	-12.05	31.4861		102	0.8739	104	45.3		78.64	3.76	Si
SLV 3	3.63	-101.66	12.87	-3.3855		102	2	104	103.66		85.94	8.06	Si
SLV 3	7.37	-34.38	1.42	-6.1514		34	2	90	90.21		77.29	63.49	Si
SLV 8	3.63	-107.38	29.1	42.9527		119	1.8	107	96.48		86.64	3.32	Si
SLV 8	7.37	-39.85	11.15	-28.6576		95	0.8425	102	43.08		78.03	3.86	Si

Verifica a pressoflessione fuori piano D.M. 17-01-18 (N.T.C.)

quota 5.495 Wa 0.0009 denominatore 8 $\gamma_M = 2$

Comb.	fd	Sa	σ_0	N	M	Mc	Coeff.s.	Verifica
SLV 3	1438	0.43	65	-65.28	3.9467	15.4479	3.91	Si
SLV 4	1438	0.43	65	-65.28	3.9467	15.4479	3.91	Si
SLV 2	1438	0.43	66	-66.24	3.9467	15.6613	3.97	Si
SLV 1	1438	0.43	66	-66.24	3.9467	15.6613	3.97	Si
SLV 8	1438	0.43	69	-68.6	3.9467	16.1874	4.1	Si
SLV 7	1438	0.43	69	-68.6	3.9467	16.1874	4.1	Si
SLV 5	1438	0.43	72	-71.79	3.9467	16.893	4.28	Si
SLV 6	1438	0.43	72	-71.79	3.9467	16.893	4.28	Si
SLV 11	1438	0.43	72	-72.41	3.9467	17.0287	4.31	Si
SLV 12	1438	0.43	72	-72.41	3.9467	17.0287	4.31	Si

Tabella dei coefficienti di sicurezza minimi

Stato limite	Coeff.s.	Comb.	Verifica
PF SLV	3.516	SLV 30	Si
V SLV	161.455	SLV 26	Si
PF SLV	1.345	SLV 7	Si
V SLV	3.313	SLV 11	Si
PFSLV	3.914	SLV 3	Si

Maschio 26

Verifiche condotte secondo D.M. 17-01-18 (N.T.C.)

Dati geometrici

X ini.	Y ini.	X fin.	Y fin.	Quota i.	Quota.s	l	Sp.	h netta	h ini.	h fin.	a	a.s.,sx	a.s.,dx
7.3	14.715	7.3	16.965	L3	L4	2.25	0.5	3.49	3.74	3.74			

Caratteristiche del materiale

(circ.617 C8A.2) Muratura in mattoni pieni e malta di calce LC2

fb	fk	fvk0	fmedio	r0	fv0	μ	φ	fv,lim	E	G	FC
6000			3450	90	200	0.58	0.77	325	3200000	1280000	1.2

Verifica a pressoflessione per azioni non sismiche 4.5.6.2 D.M. 17-01-18 (N.T.C.) γM = 3

Comb.	Quota	N	M	p	es1	es2	ea	ev	e ver	Φt	Φl	Nu	Verifica
SLU 30	3.625	-150.59		1	0	0.0394	0.0175	0	0.0568	0.61	1	659.97	Si
SLU 30	5.495	-104.26		1	0	0.0394	0.0175	0	0.0284	0.75	1	810.55	Si
SLU 30	7.365	-87.77		1	0	0.0394	0.0175	0	0.0568	0.61	1	659.97	Si
SLU 29	3.625	-143.07		1	0	0.0449	0.0175	0	0.0623	0.59	1	637.17	Si
SLU 29	5.495	-95.72		1	0	0.0449	0.0175	0	0.0312	0.73	1	792.21	Si
SLU 29	7.365	-77.01		1	0	0.0449	0.0175	0	0.0623	0.59	1	637.17	Si
SLU 31	3.625	-152.75		1	0	0.0335	0.0175	0	0.0509	0.63	1	684.47	Si
SLU 31	5.495	-106.73		1	0	0.0335	0.0175	0	0.0255	0.77	1	830.15	Si
SLU 31	7.365	-90.89		1	0	0.0335	0.0175	0	0.0509	0.63	1	684.47	Si
SLU 33	3.625	-145.01		1	0	0.0394	0.0175	0	0.0569	0.61	1	659.89	Si
SLU 33	5.495	-101.97		1	0	0.0394	0.0175	0	0.0284	0.75	1	810.48	Si
SLU 33	7.365	-87.73		1	0	0.0394	0.0175	0	0.0569	0.61	1	659.89	Si
SLU 32	3.625	-137.49		1	0	0.0449	0.0175	0	0.0624	0.59	1	637.06	Si
SLU 32	5.495	-93.43		1	0	0.0449	0.0175	0	0.0312	0.73	1	792.21	Si
SLU 32	7.365	-76.96		1	0	0.0449	0.0175	0	0.0624	0.59	1	637.06	Si
SLU 21	3.625	-141.7		1	0	0.0397	0.0175	0	0.0572	0.61	1	658.67	Si
SLU 21	5.495	-92.84		1	0	0.0397	0.0175	0	0.0286	0.75	1	809.5	Si
SLU 21	7.365	-72.45		1	0	0.0397	0.0175	0	0.0572	0.61	1	658.67	Si
SLU 34	3.625	-147.18		1	0	0.0335	0.0175	0	0.0509	0.63	1	684.4	Si
SLU 34	5.495	-104.44		1	0	0.0335	0.0175	0	0.0255	0.77	1	830.09	Si
SLU 34	7.365	-90.85		1	0	0.0335	0.0175	0	0.0509	0.63	1	684.4	Si
SLU 28	3.625	-137.71		1	0	0.0439	0.0175	0	0.0613	0.59	1	641.45	Si
SLU 28	5.495	-89.65		1	0	0.0439	0.0175	0	0.0307	0.74	1	795.72	Si
SLU 28	7.365	-69.36		1	0	0.0439	0.0175	0	0.0613	0.59	1	641.45	Si
SLU 20	3.625	-134.18		1	0	0.0466	0.0175	0	0.0641	0.58	1	629.97	Si
SLU 20	5.495	-84.3		1	0	0.0466	0.0175	0	0.032	0.73	1	786.54	Si
SLU 20	7.365	-61.68		1	0	0.0466	0.0175	0	0.0641	0.58	1	629.97	Si
SLU 22	3.625	-143.87		1	0	0.0326	0.0175	0	0.05	0.64	1	688.18	Si
SLU 22	5.495	-95.31		1	0	0.0326	0.0175	0	0.025	0.77	1	833.12	Si
SLU 22	7.365	-75.57		1	0	0.0326	0.0175	0	0.05	0.64	1	688.18	Si

Verifica a pressoflessione nel piano secondo D.M. 17-01-18 NTC §7.8.2.2.1 in combinazioni sismiche, γM = 2

Comb.	Quota	N	M	σ0	Mu	c.s.	Verifica
SLV 6	3.63	-88.79	-67.5691	79	93.4371	1.383	Si
SLV 6	7.37	-47.06	31.985	42	51.1276	1.598	Si
SLV 9	3.63	-134.82	-67.1918	120	136.7964	2.036	Si
SLV 9	7.37	-48.77	37.3854	43	52.9176	1.415	Si
SLV 8	3.63	-66.76	78.4056	0	0	0	No, e>1/2
SLV 8	7.37	-51.15	-32.595	45	55.4005	1.7	Si
SLV 10	3.63	-134.82	-67.1918	120	136.7964	2.036	Si
SLV 10	7.37	-48.77	37.3854	43	52.9176	1.415	Si
SLV 3	3.63	-20.77	26.8743	0	0	0	No, e>1/2
SLV 3	7.37	-47.72	-16.2924	42	51.8224	3.181	Si
SLV 11	3.63	-112.79	78.7829	100	116.4763	1.478	Si
SLV 11	7.37	-52.86	-27.1946	47	57.1791	2.103	Si
SLV 4	3.63	-20.77	26.8743	0	0	0	No, e>1/2
SLV 4	7.37	-47.72	-16.2924	42	51.8224	3.181	Si
SLV 5	3.63	-88.79	-67.5691	79	93.4371	1.383	Si
SLV 5	7.37	-47.06	31.985	42	51.1276	1.598	Si
SLV 7	3.63	-66.76	78.4056	0	0	0	No, e>1/2
SLV 7	7.37	-51.15	-32.595	45	55.4005	1.7	Si
SLV 12	3.63	-112.79	78.7829	100	116.4763	1.478	Si
SLV 12	7.37	-52.86	-27.1946	47	57.1791	2.103	Si

Verifica a taglio nel piano secondo D.M. 17-01-18 (N.T.C.) §7.8.2.2.2 con rottura per scorrimento in combinazioni non sismiche, γM = 3

Comb.	Quota	N	V par	M	σ0	σN	l'	fvd	Vt scorr.	Vt fess.diag.	Vt,lim	c.s.	Verifica
SLU 34	3.63	-147.18	7.79	8.5101		131	2.25	73	82.12		72.61	10.55	Si
SLU 34	7.37	-90.85	7.79	4.6486		81	2.25	66	74.61		66.22	9.58	Si
SLU 17	3.63	-102.36	6.94	7.5025		91	2.25	68	76.15		67.57	10.97	Si
SLU 17	7.37	-60.87	6.94	2.087		54	2.25	63	70.62		62.55	10.18	Si
SLU 36	3.63	-137.27	8.07	8.8674		122	2.25	72	80.8		71.53	10.01	Si
SLU 36	7.37	-80.06	8.07	3.4131		71	2.25	65	73.17		64.92	9.06	Si
SLU 18	3.63	-109.88	7.33	7.7993		98	2.25	69	77.15		68.44	10.53	Si
SLU 18	7.37	-71.63	7.33	2.8709		64	2.25	64	72.05		63.89	9.83	Si
SLU 33	3.63	-145.01	7.64	8.3456		129	2.25	73	81.84		72.37	10.72	Si
SLU 33	7.37	-87.73	7.64	4.4693		78	2.25	66	74.2		65.85	9.71	Si
SLU 32	3.63	-137.49	7.25	8.0488		122	2.25	72	80.83		71.55	11.15	Si
SLU 32	7.37	-76.96	7.25	3.6854		68	2.25	65	72.76		64.54	10.04	Si
SLU 26	3.63	-120.86	6.65	7.7485		107	2.25	70	78.61		69.7	11.82	Si
SLU 26	7.37	-53.97	6.65	1.7963		48	2.25	62	69.7		61.68	10.48	Si
SLU 35	3.63	-129.74	7.68	8.5706		115	2.25	71	79.8		70.69	10.39	Si
SLU 35	7.37	-69.29	7.68	2.6292		62	2.25	64	71.74		63.6	9.34	Si
SLU 27	3.63	-128.38	7.04	8.0453		114	2.25	71	79.62		70.54	11.31	Si
SLU 27	7.37	-64.73	7.04	2.5802		58	2.25	63	71.13		63.04	10.1	Si
SLU 16	3.63	-119.79	7.04	7.442		106	2.25	70	78.47		69.58	11.14	Si
SLU 16	7.37	-82.42	7.04	4.1063		73	2.25	65	73.49		65.21	10.43	Si

Verifica a taglio nel piano secondo D.M. 17-01-18 (N.T.C.) §7.8.2.2.2 con rottura per scorrimento in combinazioni sismiche, γM = 2

Comb.	Quota	N	V par	M	σ0	σN	l'	fvd	Vt scorr.	Vt fess.diag.	Vt,lim	c.s.	Verifica
SLV 4	3.63	-20.77	27.48	26.8743		0	0	83	0		84.48	0	No, Vu<V
SLV 4	7.37	-47.72	30.1	-16.2924		42	2.25	92	103.29		88.17	3.43	Si

Comb.	Quota	N	V par	M	σ_0	σN	I'	fvd	Vt scorr.	Vt fess.diag.	Vt,lim	c.s.	Verifica
SLV 11	3.63	-112.79	36.89	78.7829		176	1.2795	119	75.87		96.49	2.06	Si
SLV 11	7.37	-52.86	14.42	-27.1946		58	1.8316	95	86.89		88.85	6.02	Si
SLV 5	3.63	-88.79	-27.19	-67.5691		163	1.092	116	63.26		93.51	2.33	Si
SLV 5	7.37	-47.06	-4.72	31.985		70	1.3359	97	65.07		88.08	13.79	Si
SLV 9	3.63	-134.82	-34.35	-67.1918		143	1.8799	112	105.29		99.15	3.07	Si
SLV 9	7.37	-48.77	-17.04	37.3854		91	1.0752	101	54.55		88.31	3.2	Si
SLV 3	3.63	-20.77	27.48	26.8743		0	0	83	0		84.48	0	No, Vu<V
SLV 3	7.37	-47.72	30.1	-16.2924		42	2.25	92	103.29		88.17	3.43	Si
SLV 12	3.63	-112.79	36.89	78.7829		176	1.2795	119	75.87		96.49	2.06	Si
SLV 12	7.37	-52.86	14.42	-27.1946		58	1.8316	95	86.89		88.85	6.02	Si
SLV 10	3.63	-134.82	-34.35	-67.1918		143	1.8799	112	105.29		99.15	3.07	Si
SLV 10	7.37	-48.77	-17.04	37.3854		91	1.0752	101	54.55		88.31	3.2	Si
SLV 8	3.63	-66.76	44.05	78.4056		0	0	83	0		90.68	0	No, Vu<V
SLV 8	7.37	-51.15	26.74	-32.595		70	1.4632	97	71.2		88.63	2.66	Si
SLV 6	3.63	-88.79	-27.19	-67.5691		163	1.092	116	63.26		93.51	2.33	Si
SLV 6	7.37	-47.06	-4.72	31.985		70	1.3359	97	65.07		88.08	13.79	Si
SLV 7	3.63	-66.76	44.05	78.4056		0	0	83	0		90.68	0	No, Vu<V
SLV 7	7.37	-51.15	26.74	-32.595		70	1.4632	97	71.2		88.63	2.66	Si

Verifica a pressoflessione fuori piano D.M. 17-01-18 (N.T.C.)

quota 5.495 Wa 0.0009 denominatore 8 $\gamma M = 2$

Comb.	fd	Sa	σ_0	N	M	Mc	Coeff.s.	Verifica
SLV 2	1438	0.43	23	-25.78	4.4401	6.325	1.42	Si
SLV 1	1438	0.43	23	-25.78	4.4401	6.325	1.42	Si
SLV 3	1438	0.43	25	-27.68	4.4401	6.7811	1.53	Si
SLV 4	1438	0.43	25	-27.68	4.4401	6.7811	1.53	Si
SLV 6	1438	0.43	45	-50.45	4.4401	12.1502	2.74	Si
SLV 5	1438	0.43	45	-50.45	4.4401	12.1502	2.74	Si
SLV 8	1438	0.43	50	-56.78	4.4401	13.6086	3.06	Si
SLV 7	1438	0.43	50	-56.78	4.4401	13.6086	3.06	Si
SLV 10	1438	0.43	65	-73.5	4.4401	17.3915	3.92	Si
SLV 9	1438	0.43	65	-73.5	4.4401	17.3915	3.92	Si

Tabella dei coefficienti di sicurezza minimi

Stato limite	Coeff.s.	Comb.	Verifica
PF SLU	4.383	SLU 30	Si
V SLU	9.065	SLU 36	Si
PF SLV	0	SLV 3	No
V SLV	0	SLV 3	No
FFFF SLV	1.425	SLV 1	Si

Maschio 27

Verifiche condotte secondo D.M. 17-01-18 (N.T.C.)

Dati geometrici

X ini.	Y ini.	X fin.	Y fin.	Quota i.	Quota.s	l	Sp.	h netta	h ini.	h fin.	a	a.s.,sx	a.s.,dx
7.3	18.715	7.3	20.815	L3	L4	2.1	0.5	3.49	3.74	3.74			

Caratteristiche del materiale

(circ.617 C8A.2) Muratura in mattoni pieni e malta di calce LC2

fb	fk	fvk0	fmedio	r0	fv0	μ	ϕ	fv,lim	E	G	FC
6000			3450	90	200	0.58	0.77	325	3200000	1280000	1.2

Verifica a pressoflessione per azioni non sismiche 4.5.6.2 D.M. 17-01-18 (N.T.C.) $\gamma M = 3$

Comb.	Quota	N	M	p	es1	es2	ea	ev	e ver	ϕ_t	Φ_I	Nu	Verifica
SLU 30	3.625	-134.71		1	0	0.0339	0.0175	0	0.0513	0.63	1	637.35	Si
SLU 30	5.495	-98.4		1	0	0.0339	0.0175	0	0.0257	0.77	1	773.61	Si
SLU 30	7.365	-83.87		1	0	0.0339	0.0175	0	0.0513	0.63	1	637.35	Si
SLU 29	3.625	-128.83		1	0	0.0381	0.0175	0	0.0555	0.62	1	621.11	Si
SLU 29	5.495	-91.23		1	0	0.0381	0.0175	0	0.0278	0.76	1	760.62	Si
SLU 29	7.365	-74.61		1	0	0.0381	0.0175	0	0.0555	0.62	1	621.11	Si
SLU 31	3.625	-135.81		1	0	0.0292	0.0175	0	0.0467	0.65	1	655.32	Si
SLU 31	5.495	-99.89		1	0	0.0292	0.0175	0	0.0233	0.78	1	788	Si
SLU 31	7.365	-85.56		1	0	0.0292	0.0175	0	0.0467	0.65	1	655.32	Si
SLU 21	3.625	-127.88		1	0	0.0341	0.0175	0	0.0516	0.63	1	636.4	Si
SLU 21	5.495	-88.08		1	0	0.0341	0.0175	0	0.0258	0.77	1	772.85	Si
SLU 21	7.365	-69.28		1	0	0.0341	0.0175	0	0.0516	0.63	1	636.4	Si
SLU 33	3.625	-127.53		1	0	0.0338	0.0175	0	0.0513	0.63	1	637.39	Si
SLU 33	5.495	-96.25		1	0	0.0338	0.0175	0	0.0256	0.77	1	773.65	Si
SLU 33	7.365	-83.9		1	0	0.0338	0.0175	0	0.0513	0.63	1	637.39	Si
SLU 28	3.625	-124.05		1	0	0.0373	0.0175	0	0.0547	0.62	1	624.15	Si
SLU 28	5.495	-85.55		1	0	0.0373	0.0175	0	0.0274	0.76	1	763.05	Si
SLU 28	7.365	-67.04		1	0	0.0373	0.0175	0	0.0547	0.62	1	624.15	Si
SLU 20	3.625	-122		1	0	0.0394	0.0175	0	0.0568	0.61	1	616.07	Si
SLU 20	5.495	-80.91		1	0	0.0394	0.0175	0	0.0284	0.75	1	756.59	Si
SLU 20	7.365	-60.02		1	0	0.0394	0.0175	0	0.0568	0.61	1	616.07	Si
SLU 34	3.625	-128.63		1	0	0.0292	0.0175	0	0.0466	0.65	1	655.36	Si
SLU 34	5.495	-97.75		1	0	0.0292	0.0175	0	0.0233	0.78	1	788.03	Si
SLU 34	7.365	-85.59		1	0	0.0292	0.0175	0	0.0466	0.65	1	655.36	Si
SLU 22	3.625	-128.98		1	0	0.0285	0.0175	0	0.0459	0.65	1	658.09	Si
SLU 22	5.495	-89.57		1	0	0.0285	0.0175	0	0.023	0.79	1	790.21	Si
SLU 22	7.365	-70.97		1	0	0.0285	0.0175	0	0.0459	0.65	1	658.09	Si
SLU 32	3.625	-121.66		1	0	0.038	0.0175	0	0.0555	0.62	1	621.17	Si
SLU 32	5.495	-89.09		1	0	0.038	0.0175	0	0.0277	0.76	1	760.67	Si
SLU 32	7.365	-74.64		1	0	0.038	0.0175	0	0.0555	0.62	1	621.17	Si

Verifica a pressoflessione nel piano secondo D.M. 17-01-18 NTC §7.8.2.2.1 in combinazioni sismiche, $\gamma M = 2$

Comb.	Quota	N	M	σ_0	Mu	c.s.	Verifica
SLV 16	3.63	-153.96	14.9136	147	142.2606	9.539	Si
SLV 16	7.37	-36.72	-37.5666	35	37.4543	0.997	No, M>Mu
SLV 15	3.63	-153.96	14.9136	147	142.2606	9.539	Si
SLV 15	7.37	-36.72	-37.5666	35	37.4543	0.997	No, M>Mu
SLV 7	3.63	-36.33	73.8589	0	0	0	No, e>1/2
SLV 7	7.37	-28.97	-44.3521	0	0	0	No, e>1/2

Comb.	Quota	N	M	σ_0	Mu	c.s.	Verifica
SLV 1	3.63	-25.68	-31.7472	0	0	0	No, e>1/2
SLV 1	7.37	-60.04	21.8961	57	60.0916	2.744	Si
SLV 2	3.63	-25.68	-31.7472	0	0	0	No, e>1/2
SLV 2	7.37	-60.04	21.8961	57	60.0916	2.744	Si
SLV 11	3.63	-80.47	73.1145	77	79.1935	1.083	Si
SLV 11	7.37	-25.75	-54.6877	0	0	0	No, e>1/2
SLV 8	3.63	-36.33	73.8589	0	0	0	No, e>1/2
SLV 8	7.37	-28.97	-44.3521	0	0	0	No, e>1/2
SLV 3	3.63	-6.83	17.3949	0	0	0	No, e>1/2
SLV 3	7.37	-47.43	-3.1147	45	47.9582	15.397	Si
SLV 4	3.63	-6.83	17.3949	0	0	0	No, e>1/2
SLV 4	7.37	-47.43	-3.1147	45	47.9582	15.397	Si
SLV 12	3.63	-80.47	73.1145	77	79.1935	1.083	Si
SLV 12	7.37	-25.75	-54.6877	0	0	0	No, e>1/2

Verifica a taglio nel piano secondo D.M. 17-01-18 (N.T.C.) §7.8.2.2.2 con rottura per scorrimento in combinazioni non sismiche, $\gamma_M = 3$

Comb.	Quota	N	V par	M	σ_0	σ_N	I'	fvd	Vt scorr.	Vt fess.diag.	Vt.lim	c.s.	Verifica
SLU 18	3.63	-94.43	7.38	-9.8554		90	2.1	68	70.92		62.94	9.61	Si
SLU 18	7.37	-68.09	7.41	-12.0621		65	2.1	64	67.41		59.78	9.1	Si
SLU 33	3.63	-127.53	8.15	-11.7132		121	2.1	72	75.34		66.69	9.25	Si
SLU 33	7.37	-83.9	8.18	-14.5513		80	2.1	66	69.52		61.7	8.5	Si
SLU 13	3.63	-110.56	7.64	-8.2931		105	2.1	70	73.07		64.8	9.56	Si
SLU 13	7.37	-77.31	7.67	-15.4435		74	2.1	65	68.64		60.91	8.95	Si
SLU 31	3.63	-135.81	8.12	-10.3033		129	2.1	73	76.44		67.6	9.41	Si
SLU 31	7.37	-85.56	8.15	-16.8264		81	2.1	66	69.74		61.9	8.56	Si
SLU 34	3.63	-128.63	8.84	-11.3746		123	2.1	72	75.48		66.82	8.54	Si
SLU 34	7.37	-85.59	8.87	-16.4429		82	2.1	66	69.75		61.9	7.87	Si
SLU 15	3.63	-102.29	7.67	-9.7031		97	2.1	69	71.97		63.85	9.38	Si
SLU 15	7.37	-75.64	7.7	-13.1683		72	2.1	65	68.42		60.71	8.89	Si
SLU 30	3.63	-134.71	7.43	-10.6419		128	2.1	73	76.29		67.48	10.26	Si
SLU 30	7.37	-83.87	7.46	-14.9349		80	2.1	66	69.52		61.69	9.32	Si
SLU 16	3.63	-103.38	8.36	-9.3644		98	2.1	69	72.12		63.98	8.63	Si
SLU 16	7.37	-77.34	8.39	-15.0599		74	2.1	65	68.64		60.91	8.19	Si
SLU 25	3.63	-121.8	7.21	-10.6016		116	2.1	71	74.57		66.06	10.35	Si
SLU 25	7.37	-71	7.24	-14.0317		68	2.1	65	67.8		60.14	9.37	Si
SLU 36	3.63	-119.68	7.86	-11.8655		114	2.1	71	74.29		65.82	9.46	Si
SLU 36	7.37	-76.34	7.89	-13.4451		73	2.1	65	68.51		60.79	8.69	Si

Verifica a taglio nel piano secondo D.M. 17-01-18 (N.T.C.) §7.8.2.2.2 con rottura per scorrimento in combinazioni sismiche, $\gamma_M = 2$

Comb.	Quota	N	V par	M	σ_0	σ_N	I'	fvd	Vt scorr.	Vt fess.diag.	Vt.lim	c.s.	Verifica
SLV 2	3.63	-25.68	-0.26	-31.7472		0	0	83	0		79.72	0	No, Vu<V
SLV 2	7.37	-60.04	-0.88	21.8961		58	2.0559	95	97.67		84.34	110.57	Si
SLV 15	3.63	-153.96	8.9	14.9136		147	2.1	113	118.29		95.84	13.29	Si
SLV 15	7.37	-36.72	9.57	-37.5666		907	0.081	163	6.58		81.23	0.69	No, Vu<V
SLV 16	3.63	-153.96	8.9	14.9136		147	2.1	113	118.29		95.84	13.29	Si
SLV 16	7.37	-36.72	9.57	-37.5666		907	0.081	163	6.58		81.23	0.69	No, Vu<V
SLV 11	3.63	-80.47	47.51	73.1145		379	0.4242	159	33.77		86.97	0.71	No, Vu<V
SLV 11	7.37	-25.75	21.86	-54.6877		0	0	83	0		79.73	0	No, Vu<V
SLV 4	3.63	-6.83	27.31	17.3949		0	0	83	0		77.07	0	No, Vu<V
SLV 4	7.37	-47.43	9.63	-3.1147		45	2.1	92	96.99		82.68	10.07	Si
SLV 1	3.63	-25.68	-0.26	-31.7472		0	0	83	0		79.72	0	No, Vu<V
SLV 1	7.37	-60.04	-0.88	21.8961		58	2.0559	95	97.67		84.34	110.57	Si
SLV 7	3.63	-36.33	53.03	73.8589		0	0	83	0		81.18	0	No, Vu<V
SLV 7	7.37	-28.97	21.88	-44.3521		0	0	83	0		80.18	0	No, Vu<V
SLV 8	3.63	-36.33	53.03	73.8589		0	0	83	0		81.18	0	No, Vu<V
SLV 8	7.37	-28.97	21.88	-44.3521		0	0	83	0		80.18	0	No, Vu<V
SLV 12	3.63	-80.47	47.51	73.1145		379	0.4242	159	33.77		86.97	0.71	No, Vu<V
SLV 12	7.37	-25.75	21.86	-54.6877		0	0	83	0		79.73	0	No, Vu<V
SLV 3	3.63	-6.83	27.31	17.3949		0	0	83	0		77.07	0	No, Vu<V
SLV 3	7.37	-47.43	9.63	-3.1147		45	2.1	92	96.99		82.68	10.07	Si

Verifica a pressoflessione fuori piano D.M. 17-01-18 (N.T.C.)

quota 5.495 Wa 0.0009 denominatore 8 $\gamma_M = 2$

Comb.	fd	Sa	σ_0	N	M	Mc	Coeff.s.	Verifica
SLV 4	1438	0.43	18	-18.94	4.1441	4.6657	1.13	Si
SLV 3	1438	0.43	18	-18.94	4.1441	4.6657	1.13	Si
SLV 8	1438	0.43	23	-24.21	4.1441	5.9374	1.43	Si
SLV 7	1438	0.43	23	-24.21	4.1441	5.9374	1.43	Si
SLV 1	1438	0.43	34	-35.49	4.1441	8.6275	2.08	Si
SLV 2	1438	0.43	34	-35.49	4.1441	8.6275	2.08	Si
SLV 11	1438	0.43	43	-45.27	4.1441	10.9176	2.63	Si
SLV 12	1438	0.43	43	-45.27	4.1441	10.9176	2.63	Si
SLV 6	1438	0.43	76	-79.37	4.1441	18.6152	4.49	Si
SLV 5	1438	0.43	76	-79.37	4.1441	18.6152	4.49	Si

Tabella dei coefficienti di sicurezza minimi

Stato limite	Coeff.s.	Comb.	Verifica
PF SLU	4.731	SLU 30	Si
V SLU	7.866	SLU 34	Si
PF SLV	0	SLV 1	No
V SLV	0	SLV 1	No
PFFF SLV	1.126	SLV 3	Si

Maschio 28

Verifiche condotte secondo D.M. 17-01-18 (N.T.C.)

Dati geometrici

X ini.	Y ini.	X fin.	Y fin.	Quota i.	Quota s.	l	Sp.	h netta	h ini.	h fin.	a	a.s.,sx	a.s.,dx
7.3	21.715	7.3	23.365	L3	L4	1.65	0.5	3.49	3.74	3.74			

Caratteristiche del materiale

(circ.617 C8A.2) Muratura in mattoni pieni e malta di calce LC2

fb	fk	fvk0	fmedio	r0	fv0	μ	φ	fv,lim	E	G	FC
6000			3450	90	200	0.58	0.77	325	3200000	1280000	1.2

Verifica a pressoflessione per azioni non sismiche 4.5.6.2 D.M. 17-01-18 (N.T.C.) $\gamma_M = 3$

Comb.	Quota	N	M	p	es1	es2	ea	ev	e ver	Φt	Φl	Nu	Verifica	
SLU 30	3.625	-160.99			1	0	0.0134	0.0175	0	0.0309	0.74	1	582.56	Si
SLU 30	5.495	-117.67			1	0	0.0134	0.0175	0	0.0175	0.82	1	647.69	Si
SLU 30	7.365	-88.79			1	0	0.0134	0.0175	0	0.0309	0.74	1	582.56	Si
SLU 33	3.625	-160.2			1	0	0.0135	0.0175	0	0.031	0.74	1	581.98	Si
SLU 33	5.495	-116.88			1	0	0.0135	0.0175	0	0.0175	0.82	1	647.69	Si
SLU 33	7.365	-88			1	0	0.0135	0.0175	0	0.031	0.74	1	581.98	Si
SLU 31	3.625	-160.44			1	0	0.0119	0.0175	0	0.0293	0.75	1	590.02	Si
SLU 31	5.495	-117.12			1	0	0.0119	0.0175	0	0.0175	0.82	1	647.69	Si
SLU 31	7.365	-88.24			1	0	0.0119	0.0175	0	0.0293	0.75	1	590.02	Si
SLU 34	3.625	-159.65			1	0	0.012	0.0175	0	0.0294	0.75	1	589.5	Si
SLU 34	5.495	-116.33			1	0	0.012	0.0175	0	0.0175	0.82	1	647.69	Si
SLU 34	7.365	-87.45			1	0	0.012	0.0175	0	0.0294	0.75	1	589.5	Si
SLU 29	3.625	-152.92			1	0	0.0147	0.0175	0	0.0322	0.73	1	576.05	Si
SLU 29	5.495	-109.6			1	0	0.0147	0.0175	0	0.0175	0.82	1	647.69	Si
SLU 29	7.365	-80.72			1	0	0.0147	0.0175	0	0.0322	0.73	1	576.05	Si
SLU 32	3.625	-152.13			1	0	0.0149	0.0175	0	0.0323	0.73	1	575.34	Si
SLU 32	5.495	-108.81			1	0	0.0149	0.0175	0	0.0175	0.82	1	647.69	Si
SLU 32	7.365	-79.92			1	0	0.0149	0.0175	0	0.0323	0.73	1	575.34	Si
SLU 36	3.625	-151.24			1	0	0.0133	0.0175	0	0.0307	0.74	1	583.3	Si
SLU 36	5.495	-107.92			1	0	0.0133	0.0175	0	0.0175	0.82	1	647.69	Si
SLU 36	7.365	-79.04			1	0	0.0133	0.0175	0	0.0307	0.74	1	583.3	Si
SLU 21	3.625	-145.7			1	0	0.0135	0.0175	0	0.0309	0.74	1	582.23	Si
SLU 21	5.495	-102.38			1	0	0.0135	0.0175	0	0.0175	0.82	1	647.69	Si
SLU 21	7.365	-73.5			1	0	0.0135	0.0175	0	0.0309	0.74	1	582.23	Si
SLU 28	3.625	-144.29			1	0	0.0145	0.0175	0	0.032	0.73	1	577.1	Si
SLU 28	5.495	-100.97			1	0	0.0145	0.0175	0	0.0175	0.82	1	647.69	Si
SLU 28	7.365	-72.09			1	0	0.0145	0.0175	0	0.032	0.73	1	577.1	Si
SLU 24	3.625	-144.91			1	0	0.0136	0.0175	0	0.0311	0.74	1	581.52	Si
SLU 24	5.495	-101.59			1	0	0.0136	0.0175	0	0.0175	0.82	1	647.69	Si
SLU 24	7.365	-72.71			1	0	0.0136	0.0175	0	0.0311	0.74	1	581.52	Si

Verifica a pressoflessione nel piano secondo D.M. 17-01-18 NTC §7.8.2.2.1 in combinazioni sismiche, $\gamma_M = 2$

Comb.	Quota	N	M	σ_0	Mu	c.s.	Verifica
SLV 15	3.63	-111.3	65.55	135	81.6853	1.246	Si
SLV 15	7.37	-55.79	-26.4152	68	43.4803	1.646	Si
SLV 10	3.63	-103.76	-54.4436	126	76.7881	1.41	Si
SLV 10	7.37	-48.11	26.9091	58	37.7954	1.405	Si
SLV 9	3.63	-103.76	-54.4436	126	76.7881	1.41	Si
SLV 9	7.37	-48.11	26.9091	58	37.7954	1.405	Si
SLV 7	3.63	-110.61	73.014	134	81.2416	1.113	Si
SLV 7	7.37	-55.18	-28.4191	67	43.0325	1.514	Si
SLV 16	3.63	-111.3	65.55	135	81.6853	1.246	Si
SLV 16	7.37	-55.79	-26.4152	68	43.4803	1.646	Si
SLV 11	3.63	-112.31	93.4614	0	0	0	No, e>1/2
SLV 11	7.37	-56.88	-37.9755	69	44.2779	1.166	Si
SLV 8	3.63	-110.61	73.014	134	81.2416	1.113	Si
SLV 8	7.37	-55.18	-28.4191	67	43.0325	1.514	Si
SLV 12	3.63	-112.31	93.4614	0	0	0	No, e>1/2
SLV 12	7.37	-56.88	-37.9755	69	44.2779	1.166	Si
SLV 5	3.63	-102.06	-74.891	124	75.6716	1.01	Si
SLV 5	7.37	-46.41	36.4655	56	36.5257	1.002	Si
SLV 6	3.63	-102.06	-74.891	124	75.6716	1.01	Si
SLV 6	7.37	-46.41	36.4655	56	36.5257	1.002	Si

Verifica a taglio nel piano secondo D.M. 17-01-18 (N.T.C.) §7.8.2.2.2 con rottura per scorrimento in combinazioni non sismiche, $\gamma_M = 3$

Comb.	Quota	N	V par	M	σ_0	σ_N	l'	fvd	Vt scorr.	Vt fess.diag.	Vt,lim	c.s.	Verifica
SLU 36	3.63	-151.24	4.21	14.599		183	1.65	80	66		57.75	15.66	Si
SLU 36	7.37	-79.04	4.21	-1.1609		96	1.65	68	56.37		50.01	13.38	Si
SLU 25	3.63	-144.36	3.63	12.4759		175	1.65	79	65.08		57.06	17.95	Si
SLU 25	7.37	-72.16	3.63	-1.0855		87	1.65	67	55.46		49.21	15.29	Si
SLU 34	3.63	-159.65	4.06	14.0301		194	1.65	81	67.12		58.59	16.55	Si
SLU 34	7.37	-87.45	4.06	-1.1399		106	1.65	70	57.49		50.98	14.17	Si
SLU 18	3.63	-125.5	3.71	12.8877		152	1.65	76	62.57		55.12	16.87	Si
SLU 18	7.37	-69.96	3.71	-0.9862		85	1.65	67	55.16		48.96	14.87	Si
SLU 27	3.63	-135.95	3.78	13.0448		165	1.65	78	63.96		56.2	16.9	Si
SLU 27	7.37	-63.75	3.78	-1.1064		77	1.65	66	54.33		48.22	14.36	Si
SLU 35	3.63	-143.16	4.08	14.1475		174	1.65	79	64.92		56.94	15.91	Si
SLU 35	7.37	-70.96	4.08	-1.1108		86	1.65	67	55.3		49.07	13.55	Si
SLU 17	3.63	-117.42	3.58	12.4362		142	1.65	75	61.49		54.27	17.2	Si
SLU 17	7.37	-61.88	3.58	-0.9361		75	1.65	66	54.08		47.99	15.13	Si
SLU 32	3.63	-152.13	3.89	13.5314		184	1.65	80	66.12		57.84	16.99	Si
SLU 32	7.37	-79.92	3.89	-1.0237		97	1.65	68	56.49		50.12	14.52	Si
SLU 26	3.63	-127.88	3.65	12.5933		155	1.65	76	62.88		55.37	17.23	Si
SLU 26	7.37	-55.68	3.65	-1.0563		67	1.65	65	53.26		47.24	14.59	Si
SLU 33	3.63	-160.2	4.03	13.9829		194	1.65	81	67.19		58.64	16.69	Si
SLU 33	7.37	-88	4.03	-1.0738		107	1.65	70	57.57		51.04	14.3	Si

Verifica a taglio nel piano secondo D.M. 17-01-18 (N.T.C.) §7.8.2.2.2 con rottura per scorrimento in combinazioni sismiche, $\gamma_M = 2$

Comb.	Quota	N	V par	M	σ_0	σ_N	l'	fvd	Vt scorr.	Vt fess.diag.	Vt,lim	c.s.	Verifica
SLV 9	3.63	-103.76	-26.41	-54.4436		230	0.9008	129	58.29		73.29	2.21	Si
SLV 9	7.37	-48.11	-15.6	26.9091		121	0.7977	107	42.83		66.39	2.75	Si
SLV 6	3.63	-102.06	-35.49	-74.891		746	0.2735	163	22.22		73.09	0.63	No, Vu<V
SLV 6	7.37	-46.41	-22.25	36.4655		788	0.1178	163	9.57		66.17	0.43	No, Vu<V
SLV 8	3.63	-110.61	31.78	73.014		447	0.4947	163	40.2		74.1	1.27	Si
SLV 8	7.37	-55.18	20.97	-28.4191		119	0.93	107	49.78		67.31	2.37	Si
SLV 15	3.63	-111.3	27.91	65.55		314	0.7082	146	51.77		74.18	1.85	Si
SLV 15	7.37	-55.79	20.24	-26.4152		106	1.0546	104	55.1		67.38	2.72	Si
SLV 5	3.63	-102.06	-35.49	-74.891		746	0.2735	163	22.22		73.09	0.63	No, Vu<V
SLV 5	7.37	-46.41	-22.25	36.4655		788	0.1178	163	9.57		66.17	0.43	No, Vu<V
SLV 16	3.63	-111.3	27.91	65.55		314	0.7082	146	51.77		74.18	1.85	Si
SLV 16	7.37	-55.79	20.24	-26.4152		106	1.0546	104	55.1		67.38	2.72	Si
SLV 11	3.63	-112.31	40.86	93.4614		0	0	83	0		74.3	0	No, Vu<V
SLV 11	7.37	-56.88	27.62	-37.9755		241	0.4721	132	31.04		67.52	1.12	Si

Comb.	Quota	N	V par	M	σ_0	σ_N	I'	fvd	Vt scorr.	Vt fess.diag.	Vt,lim	c.s.	Verifica
SLV 7	3.63	-110.61	31.78	73.014		447	0.4947	163	40.2		74.1	1.27	Si
SLV 7	7.37	-55.18	20.97	-28.4191		119	0.93	107	49.78		67.31	2.37	Si
SLV 12	3.63	-112.31	40.86	93.4614		0	0	83	0		74.3	0	No, Vu<V
SLV 12	7.37	-56.88	27.62	-37.9755		241	0.4721	132	31.04		67.52	1.12	Si
SLV 10	3.63	-103.76	-26.41	-54.4436		230	0.9008	129	58.29		73.29	2.21	Si
SLV 10	7.37	-48.11	-15.6	26.9091		121	0.797	107	42.83		66.39	2.75	Si

Verifica a pressoflessione fuori piano D.M. 17-01-18 (N.T.C.)

quota 5.495 Wa 0.0009 denominatore 8 $\gamma_M = 2$

Comb.	fd	Sa	σ_0	N	M	Mc	Coeff.s.	Verifica
SLV 6	1438	0.43	84	-69.14	3.2561	16.0987	4.94	Si
SLV 5	1438	0.43	84	-69.14	3.2561	16.0987	4.94	Si
SLV 2	1438	0.43	85	-70.06	3.2561	16.2976	5.01	Si
SLV 1	1438	0.43	85	-70.06	3.2561	16.2976	5.01	Si
SLV 10	1438	0.43	86	-70.71	3.2561	16.4372	5.05	Si
SLV 9	1438	0.43	86	-70.71	3.2561	16.4372	5.05	Si
SLV 3	1438	0.43	88	-72.42	3.2561	16.8048	5.16	Si
SLV 4	1438	0.43	88	-72.42	3.2561	16.8048	5.16	Si
SLV 13	1438	0.43	91	-75.3	3.2561	17.4186	5.35	Si
SLV 14	1438	0.43	91	-75.3	3.2561	17.4186	5.35	Si

Tabella dei coefficienti di sicurezza minimi

Stato limite	Coeff.s.	Comb.	Verifica
PF SLU	3.619	SLU 30	Si
V SLU	13.378	SLU 36	Si
PF SLV	0	SLV 11	No
V SLV	0	SLV 11	No
PFFP SLV	4.944	SLV 5	Si

Maschio 29

Verifiche condotte secondo D.M. 17-01-18 (N.T.C.)

Dati geometrici

X ini.	Y ini.	X fin.	Y fin.	Quota i.	Quota.s	l	Sp.	h netta	h ini.	h fin.	a	a.s.,sx	a.s.,dx
7.3	24.265	7.3	26.815	L3	L4	2.55	0.5	3.49	3.74	3.74			

Caratteristiche del materiale

(circ.617 C8A.2) Muratura in mattoni pieni e malta di calce LC2

fb	fk	fvk0	fmedio	τ_0	fv0	μ	φ	fv,lim	E	G	FC
6000			3450	90	200	0.58	0.77	325	3200000	1280000	1.2

Verifica a pressoflessione per azioni non sismiche 4.5.6.2 D.M. 17-01-18 (N.T.C.) $\gamma_M = 3$

Comb.	Quota	N	M	p	es1	es2	ea	ev	e ver	Φ_t	Φ_I	Nu	Verifica
SLU 30	3.625	-192.54		1	0	0.0215	0.0175	0	0.0389	0.69	1	839.65	Si
SLU 30	5.495	-137.45		1	0	0.0215	0.0175	0	0.0195	0.81	1	985.82	Si
SLU 30	7.365	-110.27		1	0	0.0215	0.0175	0	0.0389	0.69	1	839.65	Si
SLU 33	3.625	-189.53		1	0	0.0215	0.0175	0	0.0389	0.69	1	839.8	Si
SLU 33	5.495	-136.12		1	0	0.0215	0.0175	0	0.0195	0.81	1	985.89	Si
SLU 33	7.365	-110.37		1	0	0.0215	0.0175	0	0.0389	0.69	1	839.8	Si
SLU 31	3.625	-192.85		1	0	0.0188	0.0175	0	0.0363	0.7	1	859.75	Si
SLU 31	5.495	-137.8		1	0	0.0188	0.0175	0	0.0181	0.82	1	995.87	Si
SLU 31	7.365	-110.85		1	0	0.0188	0.0175	0	0.0363	0.7	1	859.75	Si
SLU 29	3.625	-184		1	0	0.0238	0.0175	0	0.0413	0.67	1	820.88	Si
SLU 29	5.495	-128.02		1	0	0.0238	0.0175	0	0.0206	0.8	1	976.96	Si
SLU 29	7.365	-99.35		1	0	0.0238	0.0175	0	0.0413	0.67	1	820.88	Si
SLU 34	3.625	-189.84		1	0	0.0188	0.0175	0	0.0362	0.7	1	859.87	Si
SLU 34	5.495	-136.48		1	0	0.0188	0.0175	0	0.0181	0.82	1	995.93	Si
SLU 34	7.365	-110.94		1	0	0.0188	0.0175	0	0.0362	0.7	1	859.87	Si
SLU 32	3.625	-180.99		1	0	0.0238	0.0175	0	0.0413	0.67	1	820.99	Si
SLU 32	5.495	-126.7		1	0	0.0238	0.0175	0	0.0206	0.8	1	977.04	Si
SLU 32	7.365	-99.45		1	0	0.0238	0.0175	0	0.0413	0.67	1	820.99	Si
SLU 36	3.625	-180		1	0	0.0208	0.0175	0	0.0383	0.69	1	844.53	Si
SLU 36	5.495	-126.48		1	0	0.0208	0.0175	0	0.0191	0.81	1	988.26	Si
SLU 36	7.365	-100.06		1	0	0.0208	0.0175	0	0.0383	0.69	1	844.53	Si
SLU 28	3.625	-175.77		1	0	0.0234	0.0175	0	0.0409	0.68	1	825.08	Si
SLU 28	5.495	-118.95		1	0	0.0234	0.0175	0	0.0204	0.8	1	978.54	Si
SLU 28	7.365	-89		1	0	0.0234	0.0175	0	0.0409	0.68	1	825.08	Si
SLU 21	3.625	-178.35		1	0	0.0217	0.0175	0	0.0391	0.69	1	838.41	Si
SLU 21	5.495	-121.13		1	0	0.0217	0.0175	0	0.0196	0.81	1	985.2	Si
SLU 21	7.365	-91.05		1	0	0.0217	0.0175	0	0.0391	0.69	1	838.41	Si
SLU 24	3.625	-175.33		1	0	0.0216	0.0175	0	0.0391	0.69	1	838.58	Si
SLU 24	5.495	-119.8		1	0	0.0216	0.0175	0	0.0195	0.81	1	985.29	Si
SLU 24	7.365	-91.14		1	0	0.0216	0.0175	0	0.0391	0.69	1	838.58	Si

Verifica a pressoflessione nel piano secondo D.M. 17-01-18 NTC §7.8.2.2.1 in combinazioni sismiche, $\gamma_M = 2$

Comb.	Quota	N	M	σ_0	Mu	c.s.	Verifica
SLV 15	3.63	-39.42	124.9589	0	0	0	No, e>1/2
SLV 15	7.37	-63.81	-34.1706	50	78.0257	2.283	Si
SLV 7	3.63	-126.16	237.8223	0	0	0	No, e>1/2
SLV 7	7.37	-60.93	-40.2373	48	74.6527	1.855	Si
SLV 12	3.63	-76.79	263.0507	0	0	0	No, e>1/2
SLV 12	7.37	-61.22	-49.9808	48	74.9922	1.5	Si
SLV 8	3.63	-126.16	237.8223	0	0	0	No, e>1/2
SLV 8	7.37	-60.93	-40.2373	48	74.6527	1.855	Si
SLV 10	3.63	-134.57	-215.5919	0	0	0	No, e>1/2
SLV 10	7.37	-67.65	27.6696	53	82.5095	2.982	Si
SLV 9	3.63	-134.57	-215.5919	0	0	0	No, e>1/2
SLV 9	7.37	-67.65	27.6696	53	82.5095	2.982	Si
SLV 11	3.63	-76.79	263.0507	0	0	0	No, e>1/2
SLV 11	7.37	-61.22	-49.9808	48	74.9922	1.5	Si
SLV 16	3.63	-39.42	124.9589	0	0	0	No, e>1/2
SLV 16	7.37	-63.81	-34.1706	50	78.0257	2.283	Si
SLV 6	3.63	-183.93	-240.8203	0	0	0	No, e>1/2
SLV 6	7.37	-67.36	37.4131	53	82.173	2.196	Si

Comb.	Quota	N	M	σ_0	Mu	c.s.	Verifica
SLV 5	3.63	-183.93	-240.8203	0	0	0	No, e>1/2
SLV 5	7.37	-67.36	37.4131	53	82.173	2.196	Si

Verifica a taglio nel piano secondo D.M. 17-01-18 (N.T.C.) §7.8.2.2.2 con rottura per scorrimento in combinazioni non sismiche, $\gamma_M = 3$

Comb.	Quota	N	V par	M	σ_0	σ_N	l'	fvd	Vt scorr.	Vt fess.diag.	Vt,lim	c.s.	Verifica
SLU 17	3.63	-137.92	10.91	16.465		108	2.55	70	89.22		86.69	8.18	Si
SLU 17	7.37	-78.11	10.91	-8.1173		61	2.55	64	81.25		78.94	7.44	Si
SLU 18	3.63	-146.46	11.1	16.495		115	2.55	71	90.36		87.74	8.14	Si
SLU 18	7.37	-89.03	11.11	-7.3284		70	2.55	65	82.7		80.41	7.45	Si
SLU 15	3.63	-155.99	10.93	14.7139		122	2.55	72	91.63		88.9	8.38	Si
SLU 15	7.37	-99.34	10.94	-7.9885		78	2.55	66	84.08		81.78	7.69	Si
SLU 27	3.63	-165.8	10.67	16.3407		130	2.55	73	92.94		90.07	8.71	Si
SLU 27	7.37	-80.84	10.68	-6.9805		63	2.55	64	81.61		79.31	7.64	Si
SLU 32	3.63	-180.99	12.04	16.411		142	2.55	74	94.96		91.86	7.89	Si
SLU 32	7.37	-99.45	12.04	-9.8811		78	2.55	66	84.09		81.79	6.98	Si
SLU 34	3.63	-189.84	11.73	16.249		149	2.55	75	96.15		92.89	8.2	Si
SLU 34	7.37	-110.94	11.73	-7.2449		87	2.55	67	85.63		83.28	7.3	Si
SLU 35	3.63	-171.46	12.21	18.1921		134	2.55	73	93.69		90.74	7.68	Si
SLU 35	7.37	-89.14	12.21	-9.221		70	2.55	65	82.72		80.43	6.77	Si
SLU 36	3.63	-180	12.4	18.222		141	2.55	74	94.83		91.75	7.65	Si
SLU 36	7.37	-100.06	12.41	-8.4321		78	2.55	66	84.18		81.87	6.79	Si
SLU 26	3.63	-157.26	10.48	16.3107		123	2.55	72	91.8		89.05	8.76	Si
SLU 26	7.37	-69.91	10.48	-7.7694		55	2.55	63	80.16		77.82	7.65	Si
SLU 33	3.63	-189.53	12.23	16.4409		149	2.55	75	96.1		92.85	7.86	Si
SLU 33	7.37	-110.37	12.24	-9.0922		87	2.55	67	85.55		83.21	6.99	Si

Verifica a taglio nel piano secondo D.M. 17-01-18 (N.T.C.) §7.8.2.2.2 con rottura per scorrimento in combinazioni sismiche, $\gamma_M = 2$

Comb.	Quota	N	V par	M	σ_0	σ_N	l'	fvd	Vt scorr.	Vt fess.diag.	Vt,lim	c.s.	Verifica
SLV 6	3.63	-183.93	-88.57	-240.8203		0	0	83	0		127.16	0	No, Vu<V
SLV 6	7.37	-67.36	-68.72	37.4131		62	2.1588	96	103.42		111.45	1.5	Si
SLV 11	3.63	-76.79	104.46	263.0507		0	0	83	0		112.8	0	No, Vu<V
SLV 11	7.37	-61.22	84.62	-49.9808		89	1.3759	101	69.57		110.56	0.82	No, Vu<V
SLV 7	3.63	-126.16	89.97	237.8223		0	0	83	0		119.63	0	No, Vu<V
SLV 7	7.37	-60.93	64.25	-40.2373		66	1.844	97	89.02		110.52	1.39	Si
SLV 10	3.63	-134.57	-74.08	-215.5919		0	0	83	0		120.76	0	No, Vu<V
SLV 10	7.37	-67.65	-48.35	27.6696		53	2.55	94	119.78		111.49	2.48	Si
SLV 5	3.63	-183.93	-88.57	-240.8203		0	0	83	0		127.16	0	No, Vu<V
SLV 5	7.37	-67.36	-68.72	37.4131		62	2.1588	96	103.42		111.45	1.5	Si
SLV 12	3.63	-76.79	104.46	263.0507		0	0	83	0		112.8	0	No, Vu<V
SLV 12	7.37	-61.22	84.62	-49.9808		89	1.3759	101	69.57		110.56	0.82	No, Vu<V
SLV 9	3.63	-134.57	-74.08	-215.5919		0	0	83	0		120.76	0	No, Vu<V
SLV 9	7.37	-67.65	-48.35	27.6696		53	2.55	94	119.78		111.49	2.48	Si
SLV 16	3.63	-39.42	58.87	124.9589		0	0	83	0		107.34	0	No, Vu<V
SLV 16	7.37	-63.81	61.85	-34.1706		58	2.2185	95	105.2		110.93	1.7	Si
SLV 8	3.63	-126.16	89.97	237.8223		0	0	83	0		119.63	0	No, Vu<V
SLV 8	7.37	-60.93	64.25	-40.2373		66	1.844	97	89.02		110.52	1.39	Si
SLV 15	3.63	-39.42	58.87	124.9589		0	0	83	0		107.34	0	No, Vu<V
SLV 15	7.37	-63.81	61.85	-34.1706		58	2.2185	95	105.2		110.93	1.7	Si

Verifica a pressoflessione fuori piano D.M. 17-01-18 (N.T.C.)

quota 5.495 Wa 0.0009 denominatore 8 $\gamma_M = 2$

Comb.	fd	Sa	σ_0	N	M	Mc	Coeff.s.	Verifica
SLV 12	1438	0.43	53	-67.07	5.0321	16.0464	3.19	Si
SLV 11	1438	0.43	53	-67.07	5.0321	16.0464	3.19	Si
SLV 16	1438	0.43	56	-70.79	5.0321	16.8927	3.36	Si
SLV 15	1438	0.43	56	-70.79	5.0321	16.8927	3.36	Si
SLV 8	1438	0.43	58	-73.89	5.0321	17.5967	3.5	Si
SLV 7	1438	0.43	58	-73.89	5.0321	17.5967	3.5	Si
SLV 13	1438	0.43	63	-80.79	5.0321	19.1498	3.81	Si
SLV 14	1438	0.43	63	-80.79	5.0321	19.1498	3.81	Si
SLV 3	1438	0.43	73	-93.51	5.0321	21.9752	4.37	Si
SLV 4	1438	0.43	73	-93.51	5.0321	21.9752	4.37	Si

Tabella dei coefficienti di sicurezza minimi

Stato limite	Coeff.s.	Comb.	Verifica
PF SLU	4.361	SLU 30	Si
V SLU	6.773	SLU 35	Si
PF SLV	0	SLV 5	No
V SLV	0	SLV 5	No
PFFP SLV	3.189	SLV 11	Si

Maschio 30

Verifiche condotte secondo D.M. 17-01-18 (N.T.C.)

Dati geometrici

X ini.	Y ini.	X fin.	Y fin.	Quota i.	Quota.s	l	Sp.	h netta	h ini.	h fin.	a	a.s.,sx	a.s.,dx
7.3	28.215	7.3	29.715	L3	L4	1.5	0.5	3.49	3.74	3.74			

Caratteristiche del materiale

(circ.617 C8A.2) Muratura in mattoni pieni e malta di calce LC2

fb	fk	fvk0	fmedio	r0	fv0	μ	ϕ	fv,lim	E	G	FC
6000			3450	90	200	0.58	0.77	325	3200000	1280000	1.2

Verifica a pressoflessione per azioni non sismiche 4.5.6.2 D.M. 17-01-18 (N.T.C.) $\gamma_M = 3$

Comb.	Quota	N	M	p	es1	es2	ea	ev	e ver	ϕ_t	Φ_I	Nu	Verifica
SLU 33	3.625	-139.25		1	0	0.0313	0.0175	0	0.0488	0.64	1	462.28	Si
SLU 33	5.495	-99.87		1	0	0.0313	0.0175	0	0.0244	0.78	1	558.2	Si
SLU 33	7.365	-73.61		1	0	0.0313	0.0175	0	0.0488	0.64	1	462.28	Si
SLU 30	3.625	-139.23		1	0	0.0313	0.0175	0	0.0488	0.64	1	462.25	Si
SLU 30	5.495	-99.85		1	0	0.0313	0.0175	0	0.0244	0.78	1	558.18	Si
SLU 30	7.365	-73.59		1	0	0.0313	0.0175	0	0.0488	0.64	1	462.25	Si
SLU 34	3.625	-141.81		1	0	0.0266	0.0175	0	0.0441	0.66	1	475.21	Si

Comb.	Quota	N	M	p	es1	es2	ea	ev	e ver	ϕ_t	Φ_I	Nu	Verifica
SLU 34	5.495	-102.43		1	0	0.0266	0.0175	0	0.022	0.79	1	568.55	Si
SLU 34	7.365	-76.18		1	0	0.0266	0.0175	0	0.0441	0.66	1	475.21	Si
SLU 31	3.625	-141.79		1	0	0.0266	0.0175	0	0.0441	0.66	1	475.19	Si
SLU 31	5.495	-102.41		1	0	0.0266	0.0175	0	0.022	0.79	1	568.53	Si
SLU 31	7.365	-76.16		1	0	0.0266	0.0175	0	0.0441	0.66	1	475.19	Si
SLU 32	3.625	-130.34		1	0	0.0356	0.0175	0	0.0531	0.63	1	450.38	Si
SLU 32	5.495	-90.96		1	0	0.0356	0.0175	0	0.0265	0.76	1	548.69	Si
SLU 32	7.365	-64.7		1	0	0.0356	0.0175	0	0.0531	0.63	1	450.38	Si
SLU 29	3.625	-130.32		1	0	0.0356	0.0175	0	0.0531	0.63	1	450.35	Si
SLU 29	5.495	-90.94		1	0	0.0356	0.0175	0	0.0265	0.76	1	548.66	Si
SLU 29	7.365	-64.68		1	0	0.0356	0.0175	0	0.0531	0.63	1	450.35	Si
SLU 36	3.625	-132.92		1	0	0.0301	0.0175	0	0.0476	0.65	1	465.49	Si
SLU 36	5.495	-93.53		1	0	0.0301	0.0175	0	0.0238	0.78	1	560.77	Si
SLU 36	7.365	-67.28		1	0	0.0301	0.0175	0	0.0476	0.65	1	465.49	Si
SLU 24	3.625	-126.53		1	0	0.0315	0.0175	0	0.0489	0.64	1	461.77	Si
SLU 24	5.495	-87.15		1	0	0.0315	0.0175	0	0.0245	0.78	1	557.7	Si
SLU 24	7.365	-60.89		1	0	0.0315	0.0175	0	0.0489	0.64	1	461.77	Si
SLU 21	3.625	-126.51		1	0	0.0315	0.0175	0	0.049	0.64	1	461.75	Si
SLU 21	5.495	-87.13		1	0	0.0315	0.0175	0	0.0245	0.78	1	557.78	Si
SLU 21	7.365	-60.87		1	0	0.0315	0.0175	0	0.049	0.64	1	461.75	Si
SLU 35	3.625	-124.01		1	0	0.0347	0.0175	0	0.0522	0.63	1	452.79	Si
SLU 35	5.495	-84.63		1	0	0.0347	0.0175	0	0.0261	0.77	1	550.62	Si
SLU 35	7.365	-58.37		1	0	0.0347	0.0175	0	0.0522	0.63	1	452.79	Si

Verifica a pressoflessione nel piano secondo D.M. 17-01-18 NTC §7.8.2.2.1 in combinazioni sismiche, $\gamma_M = 2$

Comb.	Quota	N	M	σ_0	Mu	c.s.	Verifica
SLV 7	3.63	-83.07	48.9562	111	56.6573	1.157	Si
SLV 7	7.37	-37.9	-17.031	51	27.252	1.6	Si
SLV 10	3.63	-102.1	-63.0811	136	68.0427	1.079	Si
SLV 10	7.37	-46.29	16.2532	62	32.9629	2.028	Si
SLV 9	3.63	-102.1	-63.0811	136	68.0427	1.079	Si
SLV 9	7.37	-46.29	16.2532	62	32.9629	2.028	Si
SLV 11	3.63	-92.72	48.1257	124	62.5028	1.299	Si
SLV 11	7.37	-36.71	-20.7986	49	26.4265	1.271	Si
SLD 5	3.63	-92.53	-31.2975	123	62.3909	1.993	Si
SLD 5	7.37	-44.46	8.5641	59	31.7271	3.705	Si
SLV 12	3.63	-92.72	48.1257	124	62.5028	1.299	Si
SLV 12	7.37	-36.71	-20.7986	49	26.4265	1.271	Si
SLV 6	3.63	-92.45	-62.2506	123	62.3452	1.002	Si
SLV 6	7.37	-47.49	20.0208	63	33.7696	1.687	Si
SLV 8	3.63	-83.07	48.9562	111	56.6573	1.157	Si
SLV 8	7.37	-37.9	-17.031	51	27.252	1.6	Si
SLV 5	3.63	-92.45	-62.2506	123	62.3452	1.002	Si
SLV 5	7.37	-47.49	20.0208	63	33.7696	1.687	Si
SLD 6	3.63	-92.53	-31.2975	123	62.3909	1.993	Si
SLD 6	7.37	-44.46	8.5641	59	31.7271	3.705	Si

Verifica a taglio nel piano secondo D.M. 17-01-18 (N.T.C.) §7.8.2.2.2 con rottura per scorrimento in combinazioni non sismiche, $\gamma_M = 3$

Comb.	Quota	N	V par	M	σ_0	σ_N	I'	fvd	Vt scorr.	Vt fess.diag.	Vt,lim	c.s.	Verifica
SLU 35	3.63	-124.01	-2.75	-10.6384	165	1.5	78	58.2			51.14	21.18	Si
SLU 35	7.37	-58.37	-2.75	-0.3593	78	1.5	66	49.45			43.88	17.99	Si
SLU 23	3.63	-117.62	-2.31	-9.0867	157	1.5	76	57.35			50.48	24.78	Si
SLU 23	7.37	-51.99	-2.31	-0.4325	69	1.5	65	48.6			43.11	21	Si
SLU 34	3.63	-141.81	-2.63	-10.7488	189	1.5	81	60.58			52.93	23.06	Si
SLU 34	7.37	-76.18	-2.63	-0.9257	102	1.5	69	51.82			45.96	19.73	Si
SLU 32	3.63	-130.34	-2.56	-10.2179	174	1.5	79	59.05			51.78	23.06	Si
SLU 32	7.37	-64.7	-2.56	-0.6421	86	1.5	67	50.29			44.63	19.64	Si
SLU 17	3.63	-101.69	-2.41	-9.288	136	1.5	74	55.23			48.79	22.93	Si
SLU 17	7.37	-51.2	-2.41	-0.2809	68	1.5	65	48.49			43.02	20.14	Si
SLU 36	3.63	-132.92	-2.8	-11.048	177	1.5	79	59.39			52.04	21.21	Si
SLU 36	7.37	-67.28	-2.8	-0.5781	90	1.5	68	50.64			44.94	18.09	Si
SLU 26	3.63	-111.29	-2.5	-9.5072	148	1.5	75	56.51			49.81	22.58	Si
SLU 26	7.37	-45.65	-2.5	-0.1497	61	1.5	64	47.75			42.33	19.09	Si
SLU 33	3.63	-139.25	-2.61	-10.6275	186	1.5	80	60.23			52.68	23.07	Si
SLU 33	7.37	-73.61	-2.61	-0.8609	98	1.5	69	51.48			45.67	19.71	Si
SLU 27	3.63	-120.2	-2.55	-9.9167	160	1.5	77	57.69			50.74	22.6	Si
SLU 27	7.37	-54.56	-2.55	-0.3685	73	1.5	65	48.94			43.43	19.17	Si
SLU 18	3.63	-110.6	-2.46	-9.6976	147	1.5	75	56.41			49.74	22.94	Si
SLU 18	7.37	-60.11	-2.46	-0.4997	80	1.5	66	49.68			44.09	20.2	Si

Verifica a taglio nel piano secondo D.M. 17-01-18 (N.T.C.) §7.8.2.2.2 con rottura per scorrimento in combinazioni sismiche, $\gamma_M = 2$

Comb.	Quota	N	V par	M	σ_0	σ_N	I'	fvd	Vt scorr.	Vt fess.diag.	Vt,lim	c.s.	Verifica
SLV 5	3.63	-92.45	-25.08	-62.2506		804	0.2301	163	18.69		66.41	0.75	No, Vu<V
SLV 5	7.37	-47.49	-14.03	20.0208		96	0.9852	103	50.55		60.84	3.6	Si
SLV 6	3.63	-92.45	-25.08	-62.2506		804	0.2301	163	18.69		66.41	0.75	No, Vu<V
SLV 6	7.37	-47.49	-14.03	20.0208		96	0.9852	103	50.55		60.84	3.6	Si
SLD 10	3.63	-96.76	-12.89	-31.6666		153	1.2682	114	72.19		66.92	5.6	Si
SLD 10	7.37	-43.94	-8.3	6.92		59	1.5	95	71.29		60.38	8.59	Si
SLV 10	3.63	-102.1	-27.06	-63.0811		515	0.3965	163	32.21		67.54	1.19	Si
SLV 10	7.37	-46.29	-16.62	16.2532		77	1.1966	99	59.12		60.69	3.56	Si
SLV 7	3.63	-83.07	23.49	48.9562		345	0.4821	152	36.7		65.29	1.56	Si
SLV 7	7.37	-37.9	13.05	-17.031		84	0.902	100	45.17		59.59	3.46	Si
SLV 9	3.63	-102.1	-27.06	-63.0811		515	0.3965	163	32.21		67.54	1.19	Si
SLV 9	7.37	-46.29	-16.62	16.2532		77	1.1966	99	59.12		60.69	3.56	Si
SLV 8	3.63	-83.07	23.49	48.9562		345	0.4821	152	36.7		65.29	1.56	Si
SLV 8	7.37	-37.9	13.05	-17.031		84	0.902	100	45.17		59.59	3.46	Si
SLV 11	3.63	-92.72	21.51	48.1257		268	0.6928	137	47.41		66.44	2.2	Si
SLV 11	7.37	-36.71	10.46	-20.7986		133	0.5501	110	30.26		59.43	2.89	Si
SLV 12	3.63	-92.72	21.51	48.1257		268	0.6928	137	47.41		66.44	2.2	Si
SLV 12	7.37	-36.71	10.46	-20.7986		133	0.5501	110	30.26		59.43	2.89	Si
SLD 9	3.63	-96.76	-12.89	-31.6666		153	1.2682	114	72.19		66.92	5.6	Si
SLD 9	7.37	-43.94	-8.3	6.92		59	1.5	95	71.29		60.38	8.59	Si

Verifica a pressoflessione fuori piano D.M. 17-01-18 (N.T.C.)

quota 5.495 Wa 0.0009 denominatore 8 $\gamma_M = 2$

Comb.	fd	Sa	σ_0	N	M	Mc	Coeff.s.	Verifica
SLV 16	1438		0.43	72	-53.84	2.9601	12.6699	4.28

Comb.	fd	Sa	σ_0	N	M	Mc	Coeff.s.	Verifica
SLV 15	1438	0.43	72	-53.84	2.9601	12.6699	4.28	Si
SLV 12	1438	0.43	74	-55.7	2.9601	13.079	4.42	Si
SLV 11	1438	0.43	74	-55.7	2.9601	13.079	4.42	Si
SLV 14	1438	0.43	75	-56.52	2.9601	13.2579	4.48	Si
SLV 13	1438	0.43	75	-56.52	2.9601	13.2579	4.48	Si
SLV 7	1438	0.43	80	-59.97	2.9601	14.0112	4.73	Si
SLV 8	1438	0.43	80	-59.97	2.9601	14.0112	4.73	Si
SLV 10	1438	0.43	86	-64.62	2.9601	15.0148	5.07	Si
SLV 9	1438	0.43	86	-64.62	2.9601	15.0148	5.07	Si

Tabella dei coefficienti di sicurezza minimi

Stato limite	Coeff.s.	Comb.	Verifica
PF SLU	3.32	SLU 33	Si
V SLU	17.992	SLU 35	Si
PF SLV	1.002	SLV 5	Si
V SLV	0.745	SLV 5	No
PFFP SLV	4.28	SLV 15	Si

Maschio 31

Verifiche condotte secondo D.M. 17-01-18 (N.T.C.)

Dati geometrici

X ini.	Y ini.	X fin.	Y fin.	Quota i.	Quota s.	l	Sp.	h netta	h ini.	h fin.	a	a.s.,sx	a.s.,dx
7.3	30.915	7.3	32.165	L3	L4	1.25	0.5	3.49	3.74	3.74			

Caratteristiche del materiale

(circ.617 C8A.2) Muratura in mattoni pieni e malta di calce LC2

fb	fk	fvk0	fmedio	τ_0	fv0	μ	φ	fv,lim	E	G	FC
6000			3450	90	200	0.58	0.77	325	3200000	1280000	1.2

Verifica a pressoflessione per azioni non sismiche 4.5.6.2 D.M. 17-01-18 (N.T.C.) $\gamma_M = 3$

Comb.	Quota	N	M	p	es1	es2	ea	ev	e ver	Φ_t	Φ_I	Nu	Verifica
SLU 30	3.625	-100.12		1	0	0.0423	0.0175	0	0.0597	0.6	1	360	Si
SLU 30	5.495	-67.3		1	0	0.0423	0.0175	0	0.0299	0.74	1	444.98	Si
SLU 30	7.365	-45.43		1	0	0.0423	0.0175	0	0.0597	0.6	1	360	Si
SLU 33	3.625	-100.05		1	0	0.0423	0.0175	0	0.0598	0.6	1	359.85	Si
SLU 33	5.495	-67.23		1	0	0.0423	0.0175	0	0.0299	0.74	1	444.86	Si
SLU 33	7.365	-45.36		1	0	0.0423	0.0175	0	0.0598	0.6	1	359.85	Si
SLU 29	3.625	-94.47		1	0	0.0483	0.0175	0	0.0657	0.58	1	346.18	Si
SLU 29	5.495	-61.65		1	0	0.0483	0.0175	0	0.0329	0.72	1	433.92	Si
SLU 29	7.365	-39.77		1	0	0.0483	0.0175	0	0.0657	0.58	1	346.18	Si
SLU 32	3.625	-94.4		1	0	0.0484	0.0175	0	0.0658	0.58	1	345.98	Si
SLU 32	5.495	-61.58		1	0	0.0484	0.0175	0	0.0329	0.72	1	433.77	Si
SLU 32	7.365	-39.7		1	0	0.0484	0.0175	0	0.0658	0.58	1	345.98	Si
SLU 31	3.625	-101.78		1	0	0.0359	0.0175	0	0.0533	0.63	1	374.68	Si
SLU 31	5.495	-68.96		1	0	0.0359	0.0175	0	0.0267	0.76	1	456.72	Si
SLU 31	7.365	-47.08		1	0	0.0359	0.0175	0	0.0533	0.63	1	374.68	Si
SLU 34	3.625	-101.71		1	0	0.036	0.0175	0	0.0534	0.63	1	374.55	Si
SLU 34	5.495	-68.89		1	0	0.036	0.0175	0	0.0267	0.76	1	456.63	Si
SLU 34	7.365	-47.01		1	0	0.036	0.0175	0	0.0534	0.63	1	374.55	Si
SLU 36	3.625	-96.03		1	0	0.0409	0.0175	0	0.0583	0.61	1	363.19	Si
SLU 36	5.495	-63.21		1	0	0.0409	0.0175	0	0.0292	0.75	1	447.53	Si
SLU 36	7.365	-41.33		1	0	0.0409	0.0175	0	0.0583	0.61	1	363.19	Si
SLU 28	3.625	-90.47		1	0	0.0472	0.0175	0	0.0647	0.58	1	348.59	Si
SLU 28	5.495	-57.66		1	0	0.0472	0.0175	0	0.0323	0.73	1	435.85	Si
SLU 28	7.365	-35.78		1	0	0.0472	0.0175	0	0.0647	0.58	1	348.59	Si
SLU 35	3.625	-90.37		1	0	0.0474	0.0175	0	0.0648	0.58	1	348.28	Si
SLU 35	5.495	-57.56		1	0	0.0474	0.0175	0	0.0324	0.73	1	435.61	Si
SLU 35	7.365	-35.68		1	0	0.0474	0.0175	0	0.0648	0.58	1	348.28	Si
SLU 21	3.625	-92.12		1	0	0.0427	0.0175	0	0.0602	0.6	1	359.02	Si
SLU 21	5.495	-59.3		1	0	0.0427	0.0175	0	0.0301	0.74	1	444.2	Si
SLU 21	7.365	-37.42		1	0	0.0427	0.0175	0	0.0602	0.6	1	359.02	Si

Verifica a pressoflessione nel piano secondo D.M. 17-01-18 NTC §7.8.2.2.1 in combinazioni sismiche, $\gamma_M = 2$

Comb.	Quota	N	M	σ_0	Mu	c.s.	Verifica
SLD 12	3.63	-72.47	20.8616	116	40.9932	1.965	Si
SLD 12	7.37	-30.51	-11.7423	49	18.3094	1.559	Si
SLV 8	3.63	-76.06	31.9903	122	42.803	1.338	Si
SLV 8	7.37	-34.22	-16.2919	55	20.427	1.254	Si
SLV 7	3.63	-76.06	31.9903	122	42.803	1.338	Si
SLV 7	7.37	-34.22	-16.2919	55	20.427	1.254	Si
SLV 16	3.63	-74.6	27.547	119	42.0716	1.527	Si
SLV 16	7.37	-32.69	-14.4167	52	19.5572	1.357	Si
SLD 11	3.63	-72.47	20.8616	116	40.9932	1.965	Si
SLD 11	7.37	-30.51	-11.7423	49	18.3094	1.559	Si
SLV 11	3.63	-78.44	39.4187	126	43.9905	1.116	Si
SLV 11	7.37	-36.65	-19.2828	59	21.8069	1.131	Si
SLV 5	3.63	-57.15	-26.69	91	33.0457	1.238	Si
SLV 5	7.37	-14.79	7.5808	24	9.066	1.196	Si
SLV 15	3.63	-74.6	27.547	119	42.0716	1.527	Si
SLV 15	7.37	-32.69	-14.4167	52	19.5572	1.357	Si
SLV 6	3.63	-57.15	-26.69	91	33.0457	1.238	Si
SLV 6	7.37	-14.79	7.5808	24	9.066	1.196	Si
SLV 12	3.63	-78.44	39.4187	126	43.9905	1.116	Si
SLV 12	7.37	-36.65	-19.2828	59	21.8069	1.131	Si

Verifica a taglio nel piano secondo D.M. 17-01-18 (N.T.C.) §7.8.2.2.2 con rottura per scorrimento in combinazioni non sismiche, $\gamma_M = 3$

Comb.	Quota	N	V par	M	σ_0	σ_N	l'	fvd	Vt scorr.	Vt fess.diag.	Vt,lim	c.s.	Verifica
SLU 16	3.63	-84.79	4.87	8.7906		136	1.25	74	46.03		40.67	9.46	Si
SLU 16	7.37	-42.72	4.87	-9.4152		70	1.2137	65	39.41		35.85	8.1	Si
SLU 34	3.63	-101.71	5.48	10.0373		163	1.25	77	48.28		42.45	8.81	Si
SLU 34	7.37	-47.01	5.48	-10.4552		78	1.2078	66	39.82		36.37	7.27	Si
SLU 36	3.63	-96.03	5.14	9.9397		154	1.25	76	47.53		41.86	9.25	Si

Comb.	Quota	N	V par	M	σ_0	σ_N	I'	fvd	Vt scorr.	Vt fess.diag.	Vt,lim	c.s.	Verifica
SLU 36	7.37	-41.33	5.14	-9.2677		69	1.2023	65	38.91		35.68	7.58	Si
SLU 31	3.63	-101.78	5.18	8.9105		163	1.25	77	48.29		42.45	9.33	Si
SLU 31	7.37	-47.08	5.18	-10.4583		78	1.2086	66	39.85		36.38	7.69	Si
SLU 30	3.63	-100.12	5.02	8.6654		160	1.25	77	48.07		42.28	9.58	Si
SLU 30	7.37	-45.43	5.02	-10.1008		75	1.2079	66	39.61		36.18	7.89	Si
SLU 32	3.63	-94.4	4.85	9.2117		151	1.25	76	47.31		41.69	9.76	Si
SLU 32	7.37	-39.7	4.85	-8.9115		66	1.2016	64	38.67		35.48	7.98	Si
SLU 33	3.63	-100.05	5.32	9.7922		160	1.25	77	48.06		42.28	9.04	Si
SLU 33	7.37	-45.36	5.32	-10.0978		75	1.2071	66	39.58		36.17	7.44	Si
SLU 25	3.63	-93.7	4.74	8.942		150	1.25	76	47.22		41.61	9.96	Si
SLU 25	7.37	-39.01	4.74	-8.785		65	1.1993	64	38.52		35.4	8.13	Si
SLU 35	3.63	-90.37	4.66	9.3592		145	1.25	75	46.77		41.26	10.03	Si
SLU 35	7.37	-35.68	4.66	-8.0814		60	1.1955	64	37.96		34.98	8.14	Si
SLU 15	3.63	-83.13	4.71	8.5455		133	1.25	73	45.81		40.49	9.73	Si
SLU 15	7.37	-41.06	4.71	-9.0577		68	1.2132	65	39.17		35.65	8.32	Si

Verifica a taglio nel piano secondo D.M. 17-01-18 (N.T.C.) §7.8.2.2 con rottura per scorrimento in combinazioni sismiche, $\gamma_M = 2$

Comb.	Quota	N	V par	M	σ_0	σ_N	I'	fvd	Vt scorr.	Vt fess.diag.	Vt,lim	c.s.	Verifica
SLV 12	3.63	-78.44	17.69	39.4187		427	0.3674	163	29.85		55.51	1.69	Si
SLV 12	7.37	-36.65	7.94	-19.2828		247	0.2966	133	19.69		50.32	2.48	Si
SLV 7	3.63	-76.06	19.74	31.9903		248	0.6132	133	40.76		55.22	2.07	Si
SLV 7	7.37	-34.22	5.16	-16.2919		153	0.4466	114	25.45		50	4.93	Si
SLV 16	3.63	-74.6	4.48	27.547		194	0.7672	122	46.89		55.05	10.46	Si
SLV 16	7.37	-32.69	8.89	-14.4167		118	0.552	107	29.54		49.8	3.32	Si
SLV 10	3.63	-59.53	-13.2	-19.2617		132	0.9043	110	49.59		53.22	3.76	Si
SLV 10	7.37	-17.23	1.37	4.5899		32	1.0756	90	48.26		47.72	35.24	Si
SLV 11	3.63	-78.44	17.69	39.4187		427	0.3674	163	29.85		55.51	1.69	Si
SLV 11	7.37	-36.65	7.94	-19.2828		247	0.2966	133	19.69		50.32	2.48	Si
SLV 8	3.63	-76.06	19.74	31.9903		248	0.6132	133	40.76		55.22	2.07	Si
SLV 8	7.37	-34.22	5.16	-16.2919		153	0.4466	114	25.45		50	4.93	Si
SLV 6	3.63	-57.15	-11.15	-26.69		241	0.4739	132	31.18		52.93	2.8	Si
SLV 6	7.37	-14.79	-1.41	7.5808		88	0.3375	101	17.02		47.39	12.05	Si
SLV 9	3.63	-59.53	-13.2	-19.2617		132	0.9043	110	49.59		53.22	3.76	Si
SLV 9	7.37	-17.23	1.37	4.5899		32	1.0756	90	48.26		47.72	35.24	Si
SLV 15	3.63	-74.6	4.48	27.547		194	0.7672	122	46.89		55.05	10.46	Si
SLV 15	7.37	-32.69	8.89	-14.4167		118	0.552	107	29.54		49.8	3.32	Si
SLV 5	3.63	-57.15	-11.15	-26.69		241	0.4739	132	31.18		52.93	2.8	Si
SLV 5	7.37	-14.79	-1.41	7.5808		88	0.3375	101	17.02		47.39	12.05	Si

Verifica a pressoflessione fuori piano D.M. 17-01-18 (N.T.C.)

 quota 5.495 Wa 0.0009 denominatore 8 $\gamma_M = 2$

Comb.	fd	Sa	σ_0	N	M	Mc	Coeff.s.	Verifica
SLV 6	1438	0.43	45	-28.07	2.4667	6.7599	2.74	Si
SLV 5	1438	0.43	45	-28.07	2.4667	6.7599	2.74	Si
SLV 9	1438	0.43	47	-29.5	2.4667	7.0912	2.87	Si
SLV 10	1438	0.43	47	-29.5	2.4667	7.0912	2.87	Si
SLV 2	1438	0.43	58	-36.03	2.4667	8.5833	3.48	Si
SLV 1	1438	0.43	58	-36.03	2.4667	8.5833	3.48	Si
SLV 14	1438	0.43	65	-40.81	2.4667	9.6576	3.92	Si
SLV 13	1438	0.43	65	-40.81	2.4667	9.6576	3.92	Si
SLV 4	1438	0.43	71	-44.29	2.4667	10.4305	4.23	Si
SLV 3	1438	0.43	71	-44.29	2.4667	10.4305	4.23	Si

Tabella dei coefficienti di sicurezza minimi

Stato limite	Coeff.s.	Comb.	Verifica
PF SLU	3.596	SLU 30	Si
V SLU	7.267	SLU 34	Si
PF SLV	1.116	SLV 11	Si
V SLV	1.688	SLV 11	Si
PPFF SLV	2.74	SLV 5	Si

Maschio 32

Verifiche condotte secondo D.M. 17-01-18 (N.T.C.)

Dati geometrici

X ini.	Y ini.	X fin.	Y fin.	Quota i.	Quota.s	l	Sp.	h netta	h ini.	h fin.	a	a.s.,sx	a.s.,dx
7.3	33.215	7.3	33.735	L3	L4	0.52	0.5	3.49	3.74	3.74			

Caratteristiche del materiale

(circ.617 C8A.2) Muratura in mattoni pieni e malta di calce LC2

fb	fk	fvk0	fmedio	τ_0	fv0	μ	ϕ	fv,lim	E	G	FC
6000			3450	90	200	0.58	0.77	325	3200000	1280000	1.2

Verifica a pressoflessione per azioni non sismiche 4.5.6.2 D.M. 17-01-18 (N.T.C.) $\gamma_M = 3$

Comb.	Quota	N	M	p	es1	es2	ea	ev	e ver	ϕ_t	Φ	Nu	Verifica
SLU 30	3.625	-60.13		1	0	0.0419	0.0175	0	0.0594	0.6	1	150.09	Si
SLU 30	5.495	-46.48		1	0	0.0419	0.0175	0	0.0297	0.74	1	185.38	Si
SLU 30	7.365	-37.38		1	0	0.0419	0.0175	0	0.0594	0.6	1	150.09	Si
SLU 33	3.625	-60.09		1	0	0.042	0.0175	0	0.0594	0.6	1	150.05	Si
SLU 33	5.495	-46.43		1	0	0.042	0.0175	0	0.0297	0.74	1	185.34	Si
SLU 33	7.365	-37.33		1	0	0.042	0.0175	0	0.0594	0.6	1	150.05	Si
SLU 29	3.625	-56.73		1	0	0.0461	0.0175	0	0.0636	0.59	1	146.07	Si
SLU 29	5.495	-43.08		1	0	0.0461	0.0175	0	0.0318	0.73	1	182.16	Si
SLU 29	7.365	-33.97		1	0	0.0461	0.0175	0	0.0636	0.59	1	146.07	Si
SLU 32	3.625	-56.68		1	0	0.0462	0.0175	0	0.0636	0.59	1	146.02	Si
SLU 32	5.495	-43.03		1	0	0.0462	0.0175	0	0.0318	0.73	1	182.12	Si
SLU 32	7.365	-33.93		1	0	0.0462	0.0175	0	0.0636	0.59	1	146.02	Si
SLU 31	3.625	-60.04		1	0	0.037	0.0175	0	0.0544	0.62	1	154.83	Si
SLU 31	5.495	-46.39		1	0	0.037	0.0175	0	0.0272	0.76	1	189.17	Si
SLU 31	7.365	-37.29		1	0	0.037	0.0175	0	0.0544	0.62	1	154.83	Si
SLU 34	3.625	-60		1	0	0.037	0.0175	0	0.0545	0.62	1	154.78	Si
SLU 34	5.495	-46.35		1	0	0.037	0.0175	0	0.0272	0.76	1	189.13	Si
SLU 34	7.365	-37.25		1	0	0.037	0.0175	0	0.0545	0.62	1	154.78	Si
SLU 36	3.625	-56.58		1	0	0.0408	0.0175	0	0.0582	0.61	1	151.2	Si

Comb.	Quota	N	M	p	es1	es2	ea	ev	e ver	ϕ t	Φ	Nu	Verifica
SLU 36	5.495	-42.93		1	0	0.0408	0.0175	0	0.0291	0.75	1	186.27	Si
SLU 36	7.365	-33.83		1	0	0.0408	0.0175	0	0.0582	0.61	1	151.2	Si
SLU 28	3.625	-53.24		1	0	0.0452	0.0175	0	0.0627	0.59	1	146.93	Si
SLU 28	5.495	-39.59		1	0	0.0452	0.0175	0	0.0313	0.73	1	182.85	Si
SLU 28	7.365	-30.49		1	0	0.0452	0.0175	0	0.0627	0.59	1	146.93	Si
SLU 35	3.625	-53.18		1	0	0.0453	0.0175	0	0.0628	0.59	1	146.84	Si
SLU 35	5.495	-39.52		1	0	0.0453	0.0175	0	0.0314	0.73	1	182.77	Si
SLU 35	7.365	-30.42		1	0	0.0453	0.0175	0	0.0628	0.59	1	146.84	Si
SLU 21	3.625	-53.8		1	0	0.042	0.0175	0	0.0595	0.6	1	150.02	Si
SLU 21	5.495	-40.14		1	0	0.042	0.0175	0	0.0297	0.74	1	185.32	Si
SLU 21	7.365	-31.04		1	0	0.042	0.0175	0	0.0595	0.6	1	150.02	Si

Verifica a pressoflessione nel piano secondo D.M. 17-01-18 NTC §7.8.2.2.1 in combinazioni sismiche, $\gamma_M = 2$

Comb.	Quota	N	M	σ_0	μ_u	c.s.	Verifica
SLD 5	3.63	-43.2	-5.5476	166	9.7044	1.749	Si
SLD 5	7.37	-25.46	4.5294	98	6.0902	1.345	Si
SLD 9	3.63	-41.85	-4.9725	161	9.4485	1.9	Si
SLD 9	7.37	-24.7	4.0836	95	5.9223	1.45	Si
SLV 10	3.63	-44.81	-8.3075	172	10.0078	1.205	Si
SLV 10	7.37	-28.1	6.0651	108	6.6603	1.098	Si
SLV 9	3.63	-44.81	-8.3075	172	10.0078	1.205	Si
SLV 9	7.37	-28.1	6.0651	108	6.6603	1.098	Si
SLD 10	3.63	-41.85	-4.9725	161	9.4485	1.9	Si
SLD 10	7.37	-24.7	4.0836	95	5.9223	1.45	Si
SLV 1	3.63	-46.7	-6.5391	180	10.3579	1.584	Si
SLV 1	7.37	-27.05	5.4493	104	6.4338	1.181	Si
SLV 2	3.63	-46.7	-6.5391	180	10.3579	1.584	Si
SLV 2	7.37	-27.05	5.4493	104	6.4338	1.181	Si
SLD 6	3.63	-43.2	-5.5476	166	9.7044	1.749	Si
SLD 6	7.37	-25.46	4.5294	98	6.0902	1.345	Si
SLV 5	3.63	-47.89	-9.6257	184	10.5738	1.099	Si
SLV 5	7.37	-29.86	7.0872	115	7.0341	0.993	No, M>Mu
SLV 6	3.63	-47.89	-9.6257	184	10.5738	1.099	Si
SLV 6	7.37	-29.86	7.0872	115	7.0341	0.993	No, M>Mu

Verifica a taglio nel piano secondo D.M. 17-01-18 (N.T.C.) §7.8.2.2.2 con rottura per scorrimento in combinazioni non sismiche, $\gamma_M = 3$

Comb.	Quota	N	V par	M	σ_0	σ_N	I'	fvd	Vt scorr.	Vt fess.diag.	Vt,lim	c.s.	Verifica
SLU 25	3.63	-53.67	-1.9	-3.3241		206	0.52	83	21.6		18.79	11.36	Si
SLU 25	7.37	-30.91	-1.9	3.7899		150	0.4122	76	15.57		16.44	8.19	Si
SLU 33	3.63	-60.09	-2.14	-3.7438		231	0.52	86	22.46		19.4	10.47	Si
SLU 33	7.37	-37.33	-2.14	4.2777		171	0.4362	78	17.1		17.14	7.97	Si
SLU 35	3.63	-53.18	-1.87	-3.4584		205	0.52	83	21.53		18.74	11.54	Si
SLU 35	7.37	-30.42	-1.87	3.5178		140	0.4331	74	16.09		16.39	8.62	Si
SLU 36	3.63	-56.58	-2.06	-3.7147		218	0.52	85	21.99		19.07	10.67	Si
SLU 36	7.37	-33.83	-2.06	3.9933		159	0.4258	77	16.34		16.76	7.93	Si
SLU 34	3.63	-60	-2.21	-3.8151		231	0.52	86	22.44		19.4	10.16	Si
SLU 34	7.37	-37.25	-2.21	4.4449		177	0.4222	79	16.69		17.13	7.56	Si
SLU 30	3.63	-60.13	-2.03	-3.3796		231	0.52	86	22.46		19.41	11.05	Si
SLU 30	7.37	-37.38	-2.03	4.2221		169	0.4411	78	17.24		17.14	8.48	Si
SLU 16	3.63	-50.85	-1.97	-3.3798		196	0.52	82	21.22		18.52	10.79	Si
SLU 16	7.37	-33.34	-1.97	3.9753		158	0.4223	77	16.18		16.71	8.23	Si
SLU 27	3.63	-50.25	-1.75	-3.2238		193	0.52	81	21.14		18.46	12.05	Si
SLU 27	7.37	-27.49	-1.75	3.3383		132	0.4157	73	15.21		16.06	8.67	Si
SLU 32	3.63	-56.68	-1.95	-3.4874		218	0.52	85	22		19.08	11.29	Si
SLU 32	7.37	-33.93	-1.95	3.8022		153	0.4438	76	16.85		16.77	8.65	Si
SLU 31	3.63	-60.04	-2.1	-3.4509		231	0.52	86	22.45		19.4	10.71	Si
SLU 31	7.37	-37.29	-2.1	4.3893		175	0.4269	79	16.83		17.13	8.03	Si

Verifica a taglio nel piano secondo D.M. 17-01-18 (N.T.C.) §7.8.2.2.2 con rottura per scorrimento in combinazioni sismiche, $\gamma_M = 2$

Comb.	Quota	N	V par	M	σ_0	σ_N	I'	fvd	Vt scorr.	Vt fess.diag.	Vt,lim	c.s.	Verifica
SLV 8	3.63	-34.26	3.95	3.5869		147	0.4659	113	26.26		23.28	6.64	Si
SLV 8	7.37	-15.96	-1.06	-0.9997		61	0.52	96	24.86		21.03	23.36	Si
SLD 5	3.63	-43.2	-3.52	-5.5476		219	0.3947	127	25.09		24.31	7.13	Si
SLD 5	7.37	-25.46	-1.42	4.5294		207	0.2464	125	15.36		22.23	10.78	Si
SLV 6	3.63	-47.89	-6.36	-9.6257		541	0.177	163	14.38		24.83	2.26	Si
SLV 6	7.37	-29.86	-1.57	7.0872		879	0.068	163	5.52		22.76	3.51	Si
SLD 6	3.63	-43.2	-3.52	-5.5476		219	0.3947	127	25.09		24.31	7.13	Si
SLD 6	7.37	-25.46	-1.42	4.5294		207	0.2464	125	15.36		22.23	10.78	Si
SLV 7	3.63	-34.26	3.95	3.5869		147	0.4659	113	26.26		23.28	6.64	Si
SLV 7	7.37	-15.96	-1.06	-0.9997		61	0.52	96	24.86		21.03	23.36	Si
SLV 5	3.63	-47.89	-6.36	-9.6257		541	0.177	163	14.38		24.83	2.26	Si
SLV 5	7.37	-29.86	-1.57	7.0872		879	0.068	163	5.52		22.76	3.51	Si
SLV 9	3.63	-44.81	-6.57	-8.3075		400	0.2238	163	18.19		24.49	2.77	Si
SLV 9	7.37	-28.1	-1.55	6.0651		424	0.1325	163	10.77		22.55	6.94	Si
SLV 12	3.63	-31.19	3.74	4.905		202	0.3081	124	19.08		22.92	5.1	Si
SLV 12	7.37	-14.21	-1.04	-2.0218		80	0.353	99	17.55		20.8	16.81	Si
SLV 11	3.63	-31.19	3.74	4.905		202	0.3081	124	19.08		22.92	5.1	Si
SLV 11	7.37	-14.21	-1.04	-2.0218		80	0.353	99	17.55		20.8	16.81	Si
SLV 10	3.63	-44.81	-6.57	-8.3075		400	0.2238	163	18.19		24.49	2.77	Si
SLV 10	7.37	-28.1	-1.55	6.0651		424	0.1325	163	10.77		22.55	6.94	Si

Verifica a pressoflessione fuori piano D.M. 17-01-18 (N.T.C.)quota 5.495 Wa 0.0009 denominatore 8 $\gamma_M = 2$

Comb.	fd	Sa	σ_0	N	M	Mc	Coeff.s.	Verifica
SLV 11	1438	0.43	77	-20.01	1.0262	4.6883	4.57	Si
SLV 12	1438	0.43	77	-20.01	1.0262	4.6883	4.57	Si
SLV 7	1438	0.43	85	-22.05	1.0262	5.131	5	Si
SLV 8	1438	0.43	85	-22.05	1.0262	5.131	5	Si
SLV 15	1438	0.43	89	-23.23	1.0262	5.3835	5.25	Si
SLV 16	1438	0.43	89	-23.23	1.0262	5.3835	5.25	Si
SLV 14	1438	0.43	108	-28.03	1.0262	6.3898	6.23	Si
SLV 13	1438	0.43	108	-28.03	1.0262	6.3898	6.23	Si
SLV 4	1438	0.43	116	-30.04	1.0262	6.799	6.63	Si
SLV 3	1438	0.43	116	-30.04	1.0262	6.799	6.63	Si

Tabella dei coefficienti di sicurezza minimi

Stato limite	Coeff.s.	Comb.	Verifica
PF SLU	2.496	SLU 30	Si
V SLU	7.556	SLU 34	Si
PF SLV	0.993	SLV 5	No
V SLV	2.262	SLV 5	Si
PFFP SLV	4.569	SLV 11	Si

Maschio 33

Verifiche condotte secondo D.M. 17-01-18 (N.T.C.)

Dati geometrici

X ini.	Y ini.	X fin.	Y fin.	Quota i.	Quota.s	l	Sp.	h netta	h ini.	h fin.	a	a.s.,sx	a.s.,dx
7.3	34.935	7.3	37.215	L3	L4	2.28	0.5	3.49	3.74	3.74			

Caratteristiche del materiale

(circ.617 C8A.2) Muratura in mattoni pieni e malta di calce LC2

fb	fk	fvk0	fmedio	r0	fv0	μ	φ	fv,lim	E	G	FC
6000			3450	90	200	0.58	0.77	325	3200000	1280000	1.2

Verifica a pressoflessione per azioni non sismiche 4.5.6.2 D.M. 17-01-18 (N.T.C.) $\gamma_M = 3$

Comb.	Quota	N	M	p	es1	es2	ea	ev	e ver	Φ_t	Φ_I	Nu	Verifica
SLU 33	3.625	-189.12		1	0	0.0392	0.0175	0	0.0567	0.61	1	669.53	Si
SLU 33	5.495	-129.26		1	0	0.0392	0.0175	0	0.0283	0.75	1	821.96	Si
SLU 33	7.365	-89.35		1	0	0.0392	0.0175	0	0.0567	0.61	1	669.53	Si
SLU 30	3.625	-188.82		1	0	0.0393	0.0175	0	0.0568	0.61	1	668.97	Si
SLU 30	5.495	-128.95		1	0	0.0393	0.0175	0	0.0284	0.75	1	821.51	Si
SLU 30	7.365	-89.05		1	0	0.0393	0.0175	0	0.0568	0.61	1	668.97	Si
SLU 34	3.625	-192.26		1	0	0.0333	0.0175	0	0.0508	0.64	1	694.18	Si
SLU 34	5.495	-132.4		1	0	0.0333	0.0175	0	0.0254	0.77	1	841.68	Si
SLU 34	7.365	-92.49		1	0	0.0333	0.0175	0	0.0508	0.64	1	694.18	Si
SLU 31	3.625	-191.95		1	0	0.0334	0.0175	0	0.0509	0.63	1	693.72	Si
SLU 31	5.495	-132.09		1	0	0.0334	0.0175	0	0.0254	0.77	1	841.31	Si
SLU 31	7.365	-92.19		1	0	0.0334	0.0175	0	0.0509	0.63	1	693.72	Si
SLU 32	3.625	-178.23		1	0	0.0446	0.0175	0	0.0621	0.59	1	646.69	Si
SLU 32	5.495	-118.37		1	0	0.0446	0.0175	0	0.031	0.74	1	803.69	Si
SLU 32	7.365	-78.46		1	0	0.0446	0.0175	0	0.0621	0.59	1	646.69	Si
SLU 29	3.625	-177.92		1	0	0.0448	0.0175	0	0.0623	0.59	1	645.96	Si
SLU 29	5.495	-118.06		1	0	0.0448	0.0175	0	0.0311	0.74	1	803.1	Si
SLU 29	7.365	-78.15		1	0	0.0448	0.0175	0	0.0623	0.59	1	645.96	Si
SLU 36	3.625	-181.5		1	0	0.0377	0.0175	0	0.0552	0.62	1	675.77	Si
SLU 36	5.495	-121.64		1	0	0.0377	0.0175	0	0.0276	0.76	1	826.95	Si
SLU 36	7.365	-81.73		1	0	0.0377	0.0175	0	0.0552	0.62	1	675.77	Si
SLU 35	3.625	-170.6		1	0	0.0435	0.0175	0	0.061	0.6	1	651.43	Si
SLU 35	5.495	-110.74		1	0	0.0435	0.0175	0	0.0305	0.74	1	807.48	Si
SLU 35	7.365	-70.83		1	0	0.0435	0.0175	0	0.061	0.6	1	651.43	Si
SLU 28	3.625	-170.16		1	0	0.0438	0.0175	0	0.0612	0.6	1	650.29	Si
SLU 28	5.495	-110.3		1	0	0.0438	0.0175	0	0.0306	0.74	1	806.57	Si
SLU 28	7.365	-70.4		1	0	0.0438	0.0175	0	0.0612	0.6	1	650.29	Si
SLU 24	3.625	-173.47		1	0	0.0395	0.0175	0	0.057	0.61	1	668.1	Si
SLU 24	5.495	-113.61		1	0	0.0395	0.0175	0	0.0285	0.75	1	820.81	Si
SLU 24	7.365	-73.7		1	0	0.0395	0.0175	0	0.057	0.61	1	668.1	Si

Verifica a pressoflessione nel piano secondo D.M. 17-01-18 NTC §7.8.2.2.1 in combinazioni sismiche, $\gamma_M = 2$

Comb.	Quota	N	M	σ_0	Mu	c.s.	Verifica
SLV 7	3.63	-126.59	56.5928	111	131.2	2.318	Si
SLV 7	7.37	-49.99	-25.3407	44	54.9467	2.168	Si
SLV 8	3.63	-126.59	56.5928	111	131.2	2.318	Si
SLV 8	7.37	-49.99	-25.3407	44	54.9467	2.168	Si
SLV 1	3.63	-128.47	-50.9353	113	132.9461	2.61	Si
SLV 1	7.37	-51.63	21.157	45	56.674	2.679	Si
SLV 2	3.63	-128.47	-50.9353	113	132.9461	2.61	Si
SLV 2	7.37	-51.63	21.157	45	56.674	2.679	Si
SLV 9	3.63	-128.67	-61.1989	113	133.1315	2.175	Si
SLV 9	7.37	-51.78	25.585	45	56.8318	2.221	Si
SLV 11	3.63	-126.3	73.6369	111	130.9296	1.778	Si
SLV 11	7.37	-49.73	-32.7146	44	54.67	1.671	Si
SLV 12	3.63	-126.3	73.6369	111	130.9296	1.778	Si
SLV 12	7.37	-49.73	-32.7146	44	54.67	1.671	Si
SLV 5	3.63	-128.96	-78.243	113	133.4008	1.705	Si
SLV 5	7.37	-52.04	32.9589	46	57.1076	1.733	Si
SLV 6	3.63	-128.96	-78.243	113	133.4008	1.705	Si
SLV 6	7.37	-52.04	32.9589	46	57.1076	1.733	Si
SLV 10	3.63	-128.67	-61.1989	113	133.1315	2.175	Si
SLV 10	7.37	-51.78	25.585	45	56.8318	2.221	Si

Verifica a taglio nel piano secondo D.M. 17-01-18 (N.T.C.) §7.8.2.2.2 con rottura per scorrimento in combinazioni non sismiche, $\gamma_M = 3$

Comb.	Quota	N	V par	M	σ_0	σ_N	l'	fvd	Vt scorr.	Vt fess.diag.	Vt,lim	c.s.	Verifica
SLU 34	3.63	-192.26	-0.93	-3.6459	169	2.28	78	88.97			78.12	95.83	Si
SLU 34	7.37	-92.49	-0.93	-0.1737	81	2.28	66	75.67			67.15	81.5	Si
SLU 25	3.63	-176.61	-0.88	-3.2198	155	2.28	76	86.88			76.5	99.16	Si
SLU 25	7.37	-76.84	-0.88	0.057	67	2.28	65	73.58			65.27	83.98	Si
SLU 26	3.63	-154.95	-0.87	-2.6975	136	2.28	74	83.99			74.21	96.24	Si
SLU 26	7.37	-55.18	-0.87	0.5667	48	2.28	62	70.69			62.56	81	Si
SLU 36	3.63	-181.5	-0.95	-3.3872	159	2.28	77	87.53			77.01	92.37	Si
SLU 36	7.37	-81.73	-0.95	0.157	72	2.28	65	74.23			65.86	78.33	Si
SLU 24	3.63	-173.47	-0.86	-3.1767	152	2.28	76	86.46			76.17	100.47	Si
SLU 24	7.37	-73.7	-0.86	0.0417	65	2.28	64	73.16			64.88	85.02	Si
SLU 27	3.63	-165.84	-0.9	-2.9611	145	2.28	75	85.45			75.37	95.42	Si
SLU 27	7.37	-66.07	-0.9	0.3878	58	2.28	63	72.14			63.94	80.57	Si
SLU 33	3.63	-189.12	-0.91	-3.6028	166	2.28	78	88.55			77.79	97.01	Si
SLU 33	7.37	-89.35	-0.91	-0.189	78	2.28	66	75.25			66.78	82.44	Si
SLU 32	3.63	-178.23	-0.89	-3.3392	156	2.28	76	87.1			76.67	97.85	Si

Comb.	Quota	N	V par	M	σ_0	σ_N	I'	fvd	Vt scorr.	Vt fess.diag.	Vt,lim	c.s.	Verifica
SLU 32	7.37	-78.46	-0.89	-0.0102		69	2.28	65	73.79		65.46	82.9	Si
SLU 35	3.63	-170.6	-0.92	-3.1236		150	2.28	76	86.08		75.87	93.06	Si
SLU 35	7.37	-70.83	-0.92	0.3359		62	2.28	64	72.78		64.53	78.68	Si
SLU 23	3.63	-162.57	-0.84	-2.9131		143	2.28	75	85.01		75.02	101.46	Si
SLU 23	7.37	-62.8	-0.84	0.2206		55	2.28	63	71.71		63.53	85.58	Si

Verifica a taglio nel piano secondo D.M. 17-01-18 (N.T.C.) §7.8.2.2 con rottura per scorrimento in combinazioni sismiche, $\gamma_M = 2$

Comb.	Quota	N	V par	M	σ_0	σ_N	I'	fvd	Vt scorr.	Vt fess.diag.	Vt,lim	c.s.	Verifica
SLV 8	3.63	-126.59	29.62	56.5928		122	2.0789	108	111.94		99.27	3.78	Si
SLV 8	7.37	-49.99	15.65	-25.3407		53	1.8993	94	89.14		89.56	5.7	Si
SLV 10	3.63	-128.67	-30.92	-61.1989		129	1.9931	109	108.78		99.52	3.52	Si
SLV 10	7.37	-51.78	-16.95	25.585		53	1.9376	94	91.09		89.8	5.38	Si
SLV 7	3.63	-126.59	29.62	56.5928		122	2.0789	108	111.94		99.27	3.78	Si
SLV 7	7.37	-49.99	15.65	-25.3407		53	1.8993	94	89.14		89.56	5.7	Si
SLV 5	3.63	-128.96	-37.82	-78.243		161	1.5998	116	92.45		99.56	2.44	Si
SLV 5	7.37	-52.04	-17.43	32.9589		68	1.5199	97	73.74		89.83	4.23	Si
SLV 9	3.63	-128.67	-30.92	-61.1989		129	1.9931	109	108.78		99.52	3.52	Si
SLV 9	7.37	-51.78	-16.95	25.585		53	1.9376	94	91.09		89.8	5.38	Si
SLV 11	3.63	-126.3	36.53	73.6369		151	1.6709	114	94.88		99.24	2.6	Si
SLV 11	7.37	-49.73	16.13	-32.7146		69	1.4465	97	70.22		89.53	4.35	Si
SLV 6	3.63	-128.96	-37.82	-78.243		161	1.5998	116	92.45		99.56	2.44	Si
SLV 6	7.37	-52.04	-17.43	32.9589		68	1.5199	97	73.74		89.83	4.23	Si
SLV 12	3.63	-126.3	36.53	73.6369		151	1.6709	114	94.88		99.24	2.6	Si
SLV 12	7.37	-49.73	16.13	-32.7146		69	1.4465	97	70.22		89.53	4.35	Si
SLV 1	3.63	-128.47	-22.27	-50.9353		115	2.2306	106	118.63		99.5	5.33	Si
SLV 1	7.37	-51.63	-6.42	21.157		47	2.1906	93	101.6		89.78	15.83	Si
SLV 2	3.63	-128.47	-22.27	-50.9353		115	2.2306	106	118.63		99.5	5.33	Si
SLV 2	7.37	-51.63	-6.42	21.157		47	2.1906	93	101.6		89.78	15.83	Si

Verifica a pressoflessione fuori piano D.M. 17-01-18 (N.T.C.)

quota 5.495 Wa 0.0009 denominatore 8 $\gamma_M = 2$

Comb.	fd	Sa	σ_0	N	M	Mc	Coeff.s.	Verifica
SLV 11	1438	0.43	71	-80.46	4.4993	18.9521	4.21	Si
SLV 12	1438	0.43	71	-80.46	4.4993	18.9521	4.21	Si
SLV 8	1438	0.43	71	-80.71	4.4993	19.0091	4.22	Si
SLV 7	1438	0.43	71	-80.71	4.4993	19.0091	4.22	Si
SLV 16	1438	0.43	71	-80.85	4.4993	19.0402	4.23	Si
SLV 15	1438	0.43	71	-80.85	4.4993	19.0402	4.23	Si
SLV 13	1438	0.43	71	-81.45	4.4993	19.1726	4.26	Si
SLV 14	1438	0.43	71	-81.45	4.4993	19.1726	4.26	Si
SLV 4	1438	0.43	72	-81.71	4.4993	19.2298	4.27	Si
SLV 3	1438	0.43	72	-81.71	4.4993	19.2298	4.27	Si

Tabella dei coefficienti di sicurezza minimi

Stato limite	Coeff.s.	Comb.	Verifica
PF SLU	3.54	SLU 33	Si
V SLU	78.33	SLU 36	Si
PF SLV	1.671	SLV 11	Si
V SLV	2.444	SLV 5	Si
PFPP SLV	4.212	SLV 11	Si

Maschio 34

Verifiche condotte secondo D.M. 17-01-18 (N.T.C.)

Dati geometrici

X ini.	Y ini.	X fin.	Y fin.	Quota i.	Quota.s	I	Sp.	h netta	h ini.	h fin.	a	a.s.,sx	a.s.,dx
7.3	38.415	7.3	39.915	L3	L4	1.5	0.5	3.49	3.74	3.74			

Caratteristiche del materiale

(circ.617 C8A.2) Muratura in mattoni pieni e malta di calce LC2

fb	fk	fvk0	fmedio	τ_0	fv0	μ	ϕ	fv,lim	E	G	FC
6000			3450	90	200	0.58	0.77	325	3200000	1280000	1.2

Verifica a pressoflessione per azioni non sismiche 4.5.6.2 D.M. 17-01-18 (N.T.C.) $\gamma_M = 3$

Comb.	Quota	N	M	p	es1	es2	ea	ev	e ver	Φ_t	Φ_l	Nu	Verifica
SLU 30	3.625	-135.16		1	0	0.0332	0.0175	0	0.0506	0.64	1	457.19	Si
SLU 30	5.495	-95.77		1	0	0.0332	0.0175	0	0.0253	0.77	1	554.13	Si
SLU 30	7.365	-69.52		1	0	0.0332	0.0175	0	0.0506	0.64	1	457.19	Si
SLU 33	3.625	-134.73		1	0	0.0334	0.0175	0	0.0508	0.64	1	456.63	Si
SLU 33	5.495	-95.35		1	0	0.0334	0.0175	0	0.0254	0.77	1	553.68	Si
SLU 33	7.365	-69.1		1	0	0.0334	0.0175	0	0.0508	0.64	1	456.63	Si
SLU 31	3.625	-137.64		1	0	0.0282	0.0175	0	0.0456	0.66	1	470.95	Si
SLU 31	5.495	-98.26		1	0	0.0282	0.0175	0	0.0228	0.79	1	565.14	Si
SLU 31	7.365	-72.01		1	0	0.0282	0.0175	0	0.0456	0.66	1	470.95	Si
SLU 34	3.625	-137.22		1	0	0.0283	0.0175	0	0.0458	0.65	1	470.49	Si
SLU 34	5.495	-97.84		1	0	0.0283	0.0175	0	0.0229	0.79	1	564.77	Si
SLU 34	7.365	-71.58		1	0	0.0283	0.0175	0	0.0458	0.65	1	470.49	Si
SLU 29	3.625	-126.59		1	0	0.0378	0.0175	0	0.0553	0.62	1	444.32	Si
SLU 29	5.495	-87.2		1	0	0.0378	0.0175	0	0.0276	0.76	1	543.84	Si
SLU 29	7.365	-60.95		1	0	0.0378	0.0175	0	0.0553	0.62	1	444.32	Si
SLU 32	3.625	-126.16		1	0	0.0381	0.0175	0	0.0555	0.62	1	443.59	Si
SLU 32	5.495	-86.78		1	0	0.0381	0.0175	0	0.0278	0.76	1	543.25	Si
SLU 32	7.365	-60.53		1	0	0.0381	0.0175	0	0.0555	0.62	1	443.59	Si
SLU 36	3.625	-128.47		1	0	0.0323	0.0175	0	0.0497	0.64	1	459.6	Si
SLU 36	5.495	-89.08		1	0	0.0323	0.0175	0	0.0249	0.77	1	556.06	Si
SLU 36	7.365	-62.83		1	0	0.0323	0.0175	0	0.0497	0.64	1	459.6	Si
SLU 28	3.625	-120.5		1	0	0.037	0.0175	0	0.0544	0.62	1	446.66	Si
SLU 28	5.495	-81.12		1	0	0.037	0.0175	0	0.0272	0.76	1	545.71	Si
SLU 28	7.365	-54.86		1	0	0.037	0.0175	0	0.0544	0.62	1	446.66	Si
SLU 21	3.625	-123.09		1	0	0.0334	0.0175	0	0.0508	0.64	1	456.57	Si
SLU 21	5.495	-83.7		1	0	0.0334	0.0175	0	0.0254	0.77	1	553.63	Si
SLU 21	7.365	-57.45		1	0	0.0334	0.0175	0	0.0508	0.64	1	456.57	Si
SLU 35	3.625	-119.9		1	0	0.0374	0.0175	0	0.0548	0.62	1	445.52	Si
SLU 35	5.495	-80.51		1	0	0.0374	0.0175	0	0.0274	0.76	1	544.8	Si

Comb.	Quota	N	M	p	es1	es2	ea	ev	e ver	Φt	Φl	Nu	Verifica
SLV 35	7.365	-54.26		1	0	0.0374	0.0175	0	0.0548	0.62	1	445.52	Si

Verifica a pressoflessione nel piano secondo D.M. 17-01-18 NTC §7.8.2.2.1 in combinazioni sismiche, $\gamma_M = 2$

Comb.	Quota	N	M	σ_0	Mu	c.s.	Verifica
SLV 1	3.63	-90.32	-22.9984	120	61.0646	2.655	Si
SLV 1	7.37	-39.85	15.5404	53	28.5846	1.839	Si
SLV 6	3.63	-90.68	-35.4362	121	61.2824	1.729	Si
SLV 6	7.37	-40.22	23.9415	54	28.8379	1.205	Si
SLV 8	3.63	-89.08	25.5226	119	60.3169	2.363	Si
SLV 8	7.37	-38.57	-17.4045	51	27.7133	1.592	Si
SLV 9	3.63	-90.51	-27.8096	121	61.1799	2.2	Si
SLV 9	7.37	-40.04	18.7387	53	28.7182	1.533	Si
SLV 10	3.63	-90.51	-27.8096	121	61.1799	2.2	Si
SLV 10	7.37	-40.04	18.7387	53	28.7182	1.533	Si
SLV 7	3.63	-89.08	25.5226	119	60.3169	2.363	Si
SLV 7	7.37	-38.57	-17.4045	51	27.7133	1.592	Si
SLV 12	3.63	-88.91	33.1493	119	60.2139	1.816	Si
SLV 12	7.37	-38.4	-22.6073	51	27.5931	1.221	Si
SLV 2	3.63	-90.32	-22.9984	120	61.0646	2.655	Si
SLV 2	7.37	-39.85	15.5404	53	28.5846	1.839	Si
SLV 5	3.63	-90.68	-35.4362	121	61.2824	1.729	Si
SLV 5	7.37	-40.22	23.9415	54	28.8379	1.205	Si
SLV 11	3.63	-88.91	33.1493	119	60.2139	1.816	Si
SLV 11	7.37	-38.4	-22.6073	51	27.5931	1.221	Si

Verifica a taglio nel piano secondo D.M. 17-01-18 (N.T.C.) §7.8.2.2.2 con rottura per scorrimento in combinazioni non sismiche, $\gamma_M = 3$

Comb.	Quota	N	V par	M	σ_0	σ_N	I'	fvd	Vt scorr.	Vt fess.diag.	Vt,lim	c.s.	Verifica
SLU 15	3.63	-112.9	-0.68	-1.608		151	1.5	76	56.72		49.98	83.1	Si
SLU 15	7.37	-62.41	-0.68	0.9446		83	1.5	67	49.99		44.36	73.24	Si
SLU 27	3.63	-116.4	-0.66	-1.5408		155	1.5	76	57.19		50.35	87.14	Si
SLU 27	7.37	-50.76	-0.66	0.9135		68	1.5	65	48.43		42.96	73.81	Si
SLU 16	3.63	-115.38	-0.68	-1.6087		154	1.5	76	57.05		50.24	83.3	Si
SLU 16	7.37	-64.89	-0.68	0.9527		87	1.5	67	50.32		44.66	73.47	Si
SLU 33	3.63	-134.73	-0.77	-1.8113		180	1.5	80	59.63		52.23	77.68	Si
SLU 33	7.37	-69.1	-0.77	1.0599		92	1.5	68	50.88		45.15	66.28	Si
SLU 34	3.63	-137.22	-0.77	-1.812		183	1.5	80	59.96		52.48	77.87	Si
SLU 34	7.37	-71.58	-0.77	1.068		95	1.5	68	51.21		45.44	66.5	Si
SLU 24	3.63	-122.66	-0.66	-1.5611		164	1.5	77	58.02		51	87.7	Si
SLU 24	7.37	-57.03	-0.66	0.9133		76	1.5	66	49.27		43.72	74.47	Si
SLU 36	3.63	-128.47	-0.76	-1.7909		171	1.5	78	58.8		51.59	77.13	Si
SLU 36	7.37	-62.83	-0.76	1.0601		84	1.5	67	50.04		44.41	65.65	Si
SLU 18	3.63	-106.63	-0.68	-1.5877		142	1.5	75	55.88		49.32	82.53	Si
SLU 18	7.37	-56.14	-0.68	0.9449		75	1.5	66	49.15		43.62	72.59	Si
SLU 32	3.63	-126.16	-0.72	-1.7087		168	1.5	78	58.49		51.36	80.85	Si
SLU 32	7.37	-60.53	-0.72	0.997		81	1.5	66	49.74		44.14	68.75	Si
SLU 35	3.63	-119.9	-0.72	-1.6884		160	1.5	77	57.65		50.71	80.29	Si
SLU 35	7.37	-54.26	-0.72	0.9972		72	1.5	65	48.9		43.39	68.1	Si

Verifica a taglio nel piano secondo D.M. 17-01-18 (N.T.C.) §7.8.2.2.2 con rottura per scorrimento in combinazioni sismiche, $\gamma_M = 2$

Comb.	Quota	N	V par	M	σ_0	σ_N	I'	fvd	Vt scorr.	Vt fess.diag.	Vt,lim	c.s.	Verifica
SLV 7	3.63	-89.08	16.2	25.5226		128	1.3905	109	75.75		66.01	4.68	Si
SLV 7	7.37	-38.57	5.86	-17.4045		86	0.8964	101	45.07		59.68	7.69	Si
SLV 10	3.63	-90.51	-17.17	-27.8096		136	1.3283	111	73.45		66.18	4.28	Si
SLV 10	7.37	-40.04	-6.83	18.7387		95	0.846	102	43.26		59.87	6.33	Si
SLV 5	3.63	-90.68	-21.88	-35.4362		168	1.0777	117	63.04		66.2	2.88	Si
SLV 5	7.37	-40.22	-7.9	23.9415		173	0.464	118	27.38		59.89	3.47	Si
SLV 8	3.63	-89.08	16.2	25.5226		128	1.3905	109	75.75		66.01	4.68	Si
SLV 8	7.37	-38.57	5.86	-17.4045		86	0.8964	101	45.07		59.68	7.69	Si
SLV 9	3.63	-90.51	-17.17	-27.8096		136	1.3283	111	73.45		66.18	4.28	Si
SLV 9	7.37	-40.04	-6.83	18.7387		95	0.846	102	43.26		59.87	6.33	Si
SLV 6	3.63	-90.68	-21.88	-35.4362		168	1.0777	117	63.04		66.2	2.88	Si
SLV 6	7.37	-40.22	-7.9	23.9415		173	0.464	118	27.38		59.89	3.47	Si
SLV 11	3.63	-88.91	20.91	33.1493		157	1.1315	115	64.93		65.99	3.11	Si
SLV 11	7.37	-38.4	6.93	-22.6073		159	0.4838	115	27.84		59.65	4.02	Si
SLV 12	3.63	-88.91	20.91	33.1493		157	1.1315	115	64.93		65.99	3.11	Si
SLV 12	7.37	-38.4	6.93	-22.6073		159	0.4838	115	27.84		59.65	4.02	Si
SLV 2	3.63	-90.32	-14.05	-22.9984		122	1.4861	108	79.99		66.16	5.69	Si
SLV 2	7.37	-39.85	-4.33	15.5404		74	1.0799	98	52.97		59.84	12.23	Si
SLV 1	3.63	-90.32	-14.05	-22.9984		122	1.4861	108	79.99		66.16	5.69	Si
SLV 1	7.37	-39.85	-4.33	15.5404		74	1.0799	98	52.97		59.84	12.23	Si

Verifica a pressoflessione fuori piano D.M. 17-01-18 (N.T.C.)

quota 5.495 Wa 0.0009 denominatore 8 $\gamma_M = 2$

Comb.	fd	Sa	σ_0	N	M	Mc	Coeff.s.	Verifica
SLV 11	1438	0.43	78	-58.62	2.9601	13.7174	4.63	Si
SLV 12	1438	0.43	78	-58.62	2.9601	13.7174	4.63	Si
SLV 7	1438	0.43	78	-58.79	2.9601	13.7554	4.65	Si
SLV 8	1438	0.43	78	-58.79	2.9601	13.7554	4.65	Si
SLV 16	1438	0.43	79	-58.97	2.9601	13.7946	4.66	Si
SLV 15	1438	0.43	79	-58.97	2.9601	13.7946	4.66	Si
SLV 13	1438	0.43	79	-59.45	2.9601	13.8988	4.7	Si
SLV 14	1438	0.43	79	-59.45	2.9601	13.8988	4.7	Si
SLV 4	1438	0.43	79	-59.56	2.9601	13.9212	4.7	Si
SLV 3	1438	0.43	79	-59.56	2.9601	13.9212	4.7	Si

Tabella dei coefficienti di sicurezza minimi

Stato limite	Coeff.s.	Comb.	Verifica
PF SLU	3.383	SLU 30	Si
V SLU	65.647	SLU 36	Si
PF SLV	1.205	SLV 5	Si
V SLV	2.881	SLV 5	Si
PPFP SLV	4.634	SLV 11	Si

Maschio 35

Verifiche condotte secondo D.M. 17-01-18 (N.T.C.)

Dati geometrici

X ini.	Y ini.	X fin.	Y fin.	Quota i.	Quota.s	l	Sp.	h netta	h ini.	h fin.	a	a.s.,sx	a.s.,dx
7.3	41.115	7.3	43.215	L3	L4	2.1	0.5	3.49	3.74	3.74			

Caratteristiche del materiale

(circ.617 C8A.2) Muratura in mattoni pieni e malta di calce LC2

fb	fk	fvk0	fmedio	τ0	fv0	μ	φ	fv,lim	E	G	FC
6000			3450	90	200	0.58	0.77	325	3200000	1280000	1.2

Verifica a pressoflessione per azioni non sismiche 4.5.6.2 D.M. 17-01-18 (N.T.C.) γM = 3

Comb.	Quota	N	M	p	es1	es2	ea	ev	e ver	Φt	Φl	Nu	Verifica
SLU 33	3.625	-175.19		1	0	0.0387	0.0175	0	0.0562	0.61	1	618.48	Si
SLU 33	5.495	-120.05		1	0	0.0387	0.0175	0	0.0281	0.75	1	758.52	Si
SLU 33	7.365	-83.29		1	0	0.0387	0.0175	0	0.0562	0.61	1	618.48	Si
SLU 30	3.625	-174.79		1	0	0.0389	0.0175	0	0.0564	0.61	1	617.77	Si
SLU 30	5.495	-119.66		1	0	0.0389	0.0175	0	0.0282	0.75	1	757.95	Si
SLU 30	7.365	-82.9		1	0	0.0389	0.0175	0	0.0564	0.61	1	617.77	Si
SLU 34	3.625	-178.12		1	0	0.0329	0.0175	0	0.0504	0.64	1	640.93	Si
SLU 34	5.495	-122.99		1	0	0.0329	0.0175	0	0.0252	0.77	1	776.48	Si
SLU 34	7.365	-86.23		1	0	0.0329	0.0175	0	0.0504	0.64	1	640.93	Si
SLU 31	3.625	-177.73		1	0	0.0331	0.0175	0	0.0505	0.64	1	640.35	Si
SLU 31	5.495	-122.59		1	0	0.0331	0.0175	0	0.0253	0.77	1	776.01	Si
SLU 31	7.365	-85.84		1	0	0.0331	0.0175	0	0.0505	0.64	1	640.35	Si
SLU 32	3.625	-165.08		1	0	0.0441	0.0175	0	0.0615	0.59	1	597.82	Si
SLU 32	5.495	-109.95		1	0	0.0441	0.0175	0	0.0308	0.74	1	741.99	Si
SLU 32	7.365	-73.19		1	0	0.0441	0.0175	0	0.0615	0.59	1	597.82	Si
SLU 29	3.625	-164.69		1	0	0.0443	0.0175	0	0.0618	0.59	1	596.9	Si
SLU 29	5.495	-109.55		1	0	0.0443	0.0175	0	0.0309	0.74	1	741.25	Si
SLU 29	7.365	-72.8		1	0	0.0443	0.0175	0	0.0618	0.59	1	596.9	Si
SLU 36	3.625	-168.19		1	0	0.0372	0.0175	0	0.0547	0.62	1	624.37	Si
SLU 36	5.495	-113.06		1	0	0.0372	0.0175	0	0.0273	0.76	1	763.23	Si
SLU 36	7.365	-76.3		1	0	0.0372	0.0175	0	0.0547	0.62	1	624.37	Si
SLU 35	3.625	-158.09		1	0	0.0429	0.0175	0	0.0603	0.6	1	602.43	Si
SLU 35	5.495	-102.95		1	0	0.0429	0.0175	0	0.0302	0.74	1	745.67	Si
SLU 35	7.365	-66.2		1	0	0.0429	0.0175	0	0.0603	0.6	1	602.43	Si
SLU 28	3.625	-157.52		1	0	0.0433	0.0175	0	0.0607	0.6	1	601	Si
SLU 28	5.495	-102.39		1	0	0.0433	0.0175	0	0.0304	0.74	1	744.53	Si
SLU 28	7.365	-65.63		1	0	0.0433	0.0175	0	0.0607	0.6	1	601	Si
SLU 24	3.625	-160.67		1	0	0.039	0.0175	0	0.0565	0.61	1	617.35	Si
SLU 24	5.495	-105.54		1	0	0.039	0.0175	0	0.0282	0.75	1	757.61	Si
SLU 24	7.365	-68.78		1	0	0.039	0.0175	0	0.0565	0.61	1	617.35	Si

Verifica a pressoflessione nel piano secondo D.M. 17-01-18 NTC §7.8.2.2.1 in combinazioni sismiche, γM = 2

Comb.	Quota	N	M	σ0	Mu	c.s.	Verifica
SLV 12	3.63	-114.36	57.6918	109	109.3782	1.896	Si
SLV 12	7.37	-46.32	-35.9426	44	46.884	1.304	Si
SLV 11	3.63	-114.36	57.6918	109	109.3782	1.896	Si
SLV 11	7.37	-46.32	-35.9426	44	46.884	1.304	Si
SLV 6	3.63	-122.05	-61.0371	116	115.9626	1.9	Si
SLV 6	7.37	-48.72	36.4326	46	49.2131	1.351	Si
SLV 9	3.63	-116.02	-59.408	110	110.8049	1.865	Si
SLV 9	7.37	-48.46	28.4049	46	48.958	1.724	Si
SLV 10	3.63	-116.02	-59.408	110	110.8049	1.865	Si
SLV 10	7.37	-48.46	28.4049	46	48.958	1.724	Si
SLV 5	3.63	-122.05	-61.0371	116	115.9626	1.9	Si
SLV 5	7.37	-48.72	36.4326	46	49.2131	1.351	Si
SLV 8	3.63	-120.4	56.0627	115	114.5522	2.043	Si
SLV 8	7.37	-46.59	-27.9149	44	47.1401	1.689	Si
SLV 16	3.63	-107.91	18.6076	103	103.7731	5.577	Si
SLV 16	7.37	-46.76	-22.7867	45	47.3123	2.076	Si
SLV 15	3.63	-107.91	18.6076	103	103.7731	5.577	Si
SLV 15	7.37	-46.76	-22.7867	45	47.3123	2.076	Si
SLV 7	3.63	-120.4	56.0627	115	114.5522	2.043	Si
SLV 7	7.37	-46.59	-27.9149	44	47.1401	1.689	Si

Verifica a taglio nel piano secondo D.M. 17-01-18 (N.T.C.) §7.8.2.2.2 con rottura per scorrimento in combinazioni non sismiche, γM = 3

Comb.	Quota	N	V par	M	σ0	σN	l'	fvd	Vt scorr.	Vt fess.diag.	Vt,lim	c.s.	Verifica
SLU 35	3.63	-158.09	-0.74	-2.3645	151	2.1	76	79.41			69.98	107.69	Si
SLU 35	7.37	-66.2	-0.74	0.3934	63	2.1	64	67.16			59.55	91.07	Si
SLU 32	3.63	-165.08	-0.77	-2.5119	157	2.1	77	80.34			70.71	104.24	Si
SLU 32	7.37	-73.19	-0.77	0.3708	70	2.1	65	68.09			60.41	88.34	Si
SLU 33	3.63	-175.19	-0.82	-2.7052	167	2.1	78	81.69			71.75	99.74	Si
SLU 33	7.37	-83.29	-0.82	0.3581	79	2.1	66	69.44			61.63	84.78	Si
SLU 30	3.63	-174.79	-0.76	-2.5925	166	2.1	78	81.64			71.71	106.73	Si
SLU 30	7.37	-82.9	-0.76	0.2684	79	2.1	66	69.39			61.58	90.71	Si
SLU 36	3.63	-168.19	-0.79	-2.5578	160	2.1	77	80.76			71.03	102.79	Si
SLU 36	7.37	-76.3	-0.79	0.3807	73	2.1	65	68.51			60.78	87.19	Si
SLU 16	3.63	-148.95	-0.72	-2.3896	142	2.1	74	78.19			69.01	109.08	Si
SLU 16	7.37	-78.26	-0.72	0.2914	75	2.1	65	68.77			61.02	95.93	Si
SLU 29	3.63	-164.69	-0.72	-2.3992	157	2.1	76	80.29			70.67	112.04	Si
SLU 29	7.37	-72.8	-0.72	0.2811	69	2.1	65	68.04			60.36	94.94	Si
SLU 34	3.63	-178.12	-0.81	-2.7029	170	2.1	78	82.08			72.05	101.24	Si
SLU 34	7.37	-86.23	-0.81	0.3295	82	2.1	67	69.83			61.97	86.13	Si
SLU 31	3.63	-177.73	-0.76	-2.5901	169	2.1	78	82.03			72.01	108.41	Si
SLU 31	7.37	-85.84	-0.76	0.2397	82	2.1	66	69.78			61.93	92.22	Si
SLU 15	3.63	-146.01	-0.73	-2.3919	139	2.1	74	77.8			68.7	107.3	Si
SLU 15	7.37	-75.33	-0.73	0.32	72	2.1	65	68.38			60.67	94.3	Si

Verifica a taglio nel piano secondo D.M. 17-01-18 (N.T.C.) §7.8.2.2.2 con rottura per scorrimento in combinazioni sismiche, γM = 2

Comb.	Quota	N	V par	M	σ0	σN	l'	fvd	Vt scorr.	Vt fess.diag.	Vt,lim	c.s.	Verifica
SLV 10	3.63	-116.02	-31.76	-59.408	144	1.6139	112	90.45			91.37	2.85	Si
SLV 10	7.37	-48.46	-14.24	28.4049	70	1.3914	97	67.67			82.81	4.75	Si

Comb.	Quota	N	V par	M	σ_0	σ_N	I'	fvd	Vt scorr.	Vt fess.diag.	Vt,lim	c.s.	Verifica
SLV 2	3.63	-128.51	-7.9	-21.9529		122	2.1	108	113.2		92.86	14.32	Si
SLV 2	7.37	-48.28	-10.74	23.2767		57	1.7036	95	80.64		82.79	7.51	Si
SLV 5	3.63	-122.05	-30.67	-61.0371		148	1.6497	113	93.15		92.09	3.04	Si
SLV 5	7.37	-48.72	-17.6	36.4326		107	0.9066	105	47.52		82.85	2.7	Si
SLV 8	3.63	-120.4	30.73	56.0627		137	1.753	111	97.12		91.89	3.16	Si
SLV 8	7.37	-46.59	13.21	-27.9149		69	1.3524	97	65.67		82.56	4.97	Si
SLV 11	3.63	-114.36	29.64	57.6918		140	1.6366	111	91.07		91.17	3.07	Si
SLV 11	7.37	-46.32	16.57	-35.9426		113	0.8223	106	43.53		82.53	2.63	Si
SLV 6	3.63	-122.05	-30.67	-61.0371		148	1.6497	113	93.15		92.09	3.04	Si
SLV 6	7.37	-48.72	-17.6	36.4326		107	0.9066	105	47.52		82.85	2.7	Si
SLV 7	3.63	-120.4	30.73	56.0627		137	1.753	111	97.12		91.89	3.16	Si
SLV 7	7.37	-46.59	13.21	-27.9149		69	1.3524	97	65.67		82.56	4.97	Si
SLV 1	3.63	-128.51	-7.9	-21.9529		122	2.1	108	113.2		92.86	14.32	Si
SLV 1	7.37	-48.28	-10.74	23.2767		57	1.7036	95	80.64		82.79	7.51	Si
SLV 12	3.63	-114.36	29.64	57.6918		140	1.6366	111	91.07		91.17	3.07	Si
SLV 12	7.37	-46.32	16.57	-35.9426		113	0.8223	106	43.53		82.53	2.63	Si
SLV 9	3.63	-116.02	-31.76	-59.408		144	1.6139	112	90.45		91.37	2.85	Si
SLV 9	7.37	-48.46	-14.24	28.4049		70	1.3914	97	67.67		82.81	4.75	Si

Verifica a pressoflessione fuori piano D.M. 17-01-18 (N.T.C.)

quota 5.495 Wa 0.0009 denominatore 8 $\gamma_M = 2$

Comb.	fd	Sa	σ_0	N	M	Mc	Coeff.s.	Verifica
SLV 8	1438	0.43	71	-75.06	4.1441	17.6661	4.26	Si
SLV 7	1438	0.43	71	-75.06	4.1441	17.6661	4.26	Si
SLV 11	1438	0.43	71	-75.06	4.1441	17.6676	4.26	Si
SLV 12	1438	0.43	71	-75.06	4.1441	17.6676	4.26	Si
SLV 3	1438	0.43	72	-75.56	4.1441	17.7783	4.29	Si
SLV 4	1438	0.43	72	-75.56	4.1441	17.7783	4.29	Si
SLV 16	1438	0.43	72	-75.59	4.1441	17.7833	4.29	Si
SLV 15	1438	0.43	72	-75.59	4.1441	17.7833	4.29	Si
SLV 2	1438	0.43	72	-76.01	4.1441	17.8759	4.31	Si
SLV 1	1438	0.43	72	-76.01	4.1441	17.8759	4.31	Si

Tabella dei coefficienti di sicurezza minimi

Stato limite	Coeff.s.	Comb.	Verifica
PF SLU	3.53	SLU 33	Si
V SLU	84.779	SLU 33	Si
PF SLV	1.304	SLV 11	Si
V SLV	2.626	SLV 11	Si
FFFF SLV	4.263	SLV 7	Si

Maschio 36

Verifiche condotte secondo D.M. 17-01-18 (N.T.C.)

Dati geometrici

X ini.	Y ini.	X fin.	Y fin.	Quota i.	Quota.s	l	Sp.	h netta	h ini.	h fin.	a	a.s.,sx	a.s.,dx
7.3	44.415	7.3	46.965	L3	L4	2.55	0.5	3.49	3.74	3.74			

Caratteristiche del materiale

(circ.617 C8A.2) Muratura in mattoni pieni e malta di calce LC2

fb	fk	fvk0	fmedio	r0	fv0	μ	φ	fv,lim	E	G	FC
6000			3450	90	200	0.58	0.77	325	3200000	1280000	1.2

Verifica a pressoflessione per azioni non sismiche 4.5.6.2 D.M. 17-01-18 (N.T.C.) $\gamma_M = 3$

Comb.	Quota	N	M	p	es1	es2	ea	ev	e ver	ϕ_t	Φ_I	Nu	Verifica
SLU 30	3.625	-213.04		1	0	0.0386	0.0175	0	0.0561	0.62	1	751.58	Si
SLU 30	5.495	-146.09		1	0	0.0386	0.0175	0	0.028	0.75	1	921.51	Si
SLU 30	7.365	-101.46		1	0	0.0386	0.0175	0	0.0561	0.62	1	751.58	Si
SLU 33	3.625	-212.76		1	0	0.0387	0.0175	0	0.0562	0.61	1	751.08	Si
SLU 33	5.495	-145.81		1	0	0.0387	0.0175	0	0.0281	0.75	1	921.11	Si
SLU 33	7.365	-101.18		1	0	0.0387	0.0175	0	0.0562	0.61	1	751.08	Si
SLU 31	3.625	-216.7		1	0	0.0328	0.0175	0	0.0503	0.64	1	778.87	Si
SLU 31	5.495	-149.75		1	0	0.0328	0.0175	0	0.0251	0.77	1	943.35	Si
SLU 31	7.365	-105.12		1	0	0.0328	0.0175	0	0.0503	0.64	1	778.87	Si
SLU 34	3.625	-216.42		1	0	0.0329	0.0175	0	0.0503	0.64	1	778.46	Si
SLU 34	5.495	-149.47		1	0	0.0329	0.0175	0	0.0252	0.77	1	943.02	Si
SLU 34	7.365	-104.84		1	0	0.0329	0.0175	0	0.0503	0.64	1	778.46	Si
SLU 29	3.625	-200.48		1	0	0.0441	0.0175	0	0.0615	0.59	1	725.98	Si
SLU 29	5.495	-133.53		1	0	0.0441	0.0175	0	0.0308	0.74	1	901.03	Si
SLU 29	7.365	-88.9		1	0	0.0441	0.0175	0	0.0615	0.59	1	725.98	Si
SLU 32	3.625	-200.2		1	0	0.0442	0.0175	0	0.0617	0.59	1	725.33	Si
SLU 32	5.495	-133.25		1	0	0.0442	0.0175	0	0.0308	0.74	1	900.5	Si
SLU 32	7.365	-88.62		1	0	0.0442	0.0175	0	0.0617	0.59	1	725.33	Si
SLU 36	3.625	-203.74		1	0	0.0374	0.0175	0	0.0549	0.62	1	757.23	Si
SLU 36	5.495	-136.79		1	0	0.0374	0.0175	0	0.0274	0.76	1	926.03	Si
SLU 36	7.365	-92.16		1	0	0.0374	0.0175	0	0.0549	0.62	1	757.23	Si
SLU 28	3.625	-191.58		1	0	0.0431	0.0175	0	0.0606	0.6	1	730.54	Si
SLU 28	5.495	-124.63		1	0	0.0431	0.0175	0	0.0303	0.74	1	904.67	Si
SLU 28	7.365	-79.99		1	0	0.0431	0.0175	0	0.0606	0.6	1	730.54	Si
SLU 35	3.625	-191.18		1	0	0.0433	0.0175	0	0.0608	0.6	1	729.53	Si
SLU 35	5.495	-124.23		1	0	0.0433	0.0175	0	0.0304	0.74	1	903.86	Si
SLU 35	7.365	-79.59		1	0	0.0433	0.0175	0	0.0608	0.6	1	729.53	Si
SLU 21	3.625	-195.26		1	0	0.039	0.0175	0	0.0564	0.61	1	749.98	Si
SLU 21	5.495	-128.31		1	0	0.039	0.0175	0	0.0282	0.75	1	920.23	Si
SLU 21	7.365	-83.68		1	0	0.039	0.0175	0	0.0564	0.61	1	749.98	Si

Verifica a pressoflessione nel piano secondo D.M. 17-01-18 NTC §7.8.2.2.1 in combinazioni sismiche, $\gamma_M = 2$

Comb.	Quota	N	M	σ_0	Mu	c.s.	Verifica
SLV 9	3.63	-139.86	-102.5263	110	162.3144	1.583	Si
SLV 9	7.37	-53.66	31.5488	42	66.0653	2.094	Si
SLV 8	3.63	-146.74	87.6195	115	169.4665	1.934	Si
SLV 8	7.37	-61.27	-20.1607	48	75.0434	3.722	Si
SLV 14	3.63	-144.42	-66.4344	113	167.0631	2.515	Si
SLV 14	7.37	-57.96	2.2894	45	71.1457	31.076	Si

Comb.	Quota	N	M	σ_0	Mu	c.s.	Verifica
SLV 2	3.63	-139.69	0.5088	110	162.1374	318.671	Si
SLV 2	7.37	-54.37	26.8191	43	66.9042	2.495	Si
SLV 5	3.63	-138.44	-82.4433	109	160.83	1.951	Si
SLV 5	7.37	-52.59	38.9077	41	64.7875	1.665	Si
SLV 13	3.63	-144.42	-66.4344	113	167.0631	2.515	Si
SLV 13	7.37	-57.96	2.2894	45	71.1457	31.076	Si
SLV 7	3.63	-146.74	87.6195	115	169.4665	1.934	Si
SLV 7	7.37	-61.27	-20.1607	48	75.0434	3.722	Si
SLV 6	3.63	-138.44	-82.4433	109	160.83	1.951	Si
SLV 6	7.37	-52.59	38.9077	41	64.7875	1.665	Si
SLV 1	3.63	-139.69	0.5088	110	162.1374	318.671	Si
SLV 1	7.37	-54.37	26.8191	43	66.9042	2.495	Si
SLV 10	3.63	-139.86	-102.5263	110	162.3144	1.583	Si
SLV 10	7.37	-53.66	31.5488	42	66.0653	2.094	Si

Verifica a taglio nel piano secondo D.M. 17-01-18 (N.T.C.) §7.8.2.2 con rottura per scorrimento in combinazioni non sismiche, $\gamma_M = 3$

Comb.	Quota	N	V par	M	σ_0	σ_N	I'	fvd	Vt scorr.	Vt fess.diag.	Vt.lim	c.s.	Verifica
SLU 25	3.63	-198.64	-4.95	-10.1698	156	2.55	76	97.32	93.9	19.65	Si		
SLU 25	7.37	-87.05	-4.95	8.3565	68	2.55	65	82.44	80.15	16.64	Si		
SLU 31	3.63	-216.7	-5.14	-9.7321	170	2.55	78	99.73	95.94	19.39	Si		
SLU 31	7.37	-105.12	-5.14	9.503	82	2.55	67	84.85	82.53	16.5	Si		
SLU 34	3.63	-216.42	-5.78	-11.6931	170	2.55	78	99.69	95.91	17.24	Si		
SLU 34	7.37	-104.84	-5.78	9.9274	82	2.55	67	84.81	82.49	14.67	Si		
SLU 15	3.63	-177.35	-5.1	-10.3713	139	2.55	74	94.48	91.44	18.53	Si		
SLU 15	7.37	-91.51	-5.1	8.6999	72	2.55	65	83.04	80.74	16.28	Si		
SLU 18	3.63	-168.32	-5.06	-10.7543	132	2.55	73	93.28	90.37	18.44	Si		
SLU 18	7.37	-82.49	-5.06	8.1634	65	2.55	64	81.83	79.54	16.18	Si		
SLU 16	3.63	-181	-5.19	-10.446	142	2.55	74	94.97	91.86	18.3	Si		
SLU 16	7.37	-95.17	-5.19	8.9651	75	2.55	66	83.52	81.23	16.09	Si		
SLU 36	3.63	-203.74	-5.65	-12.0014	160	2.55	77	98	94.48	17.35	Si		
SLU 36	7.37	-92.16	-5.65	9.1256	72	2.55	65	83.12	80.83	14.71	Si		
SLU 32	3.63	-200.2	-5.28	-11.0862	157	2.55	76	97.53	94.08	18.45	Si		
SLU 32	7.37	-88.62	-5.28	8.6786	70	2.55	65	82.65	80.36	15.64	Si		
SLU 33	3.63	-212.76	-5.69	-11.6183	167	2.55	78	99.2	95.5	17.43	Si		
SLU 33	7.37	-101.18	-5.69	9.6622	79	2.55	66	84.32	82.02	14.82	Si		
SLU 35	3.63	-191.18	-5.24	-11.4693	150	2.55	76	96.32	93.04	18.37	Si		
SLU 35	7.37	-79.59	-5.24	8.142	62	2.55	64	81.45	79.15	15.53	Si		

Verifica a taglio nel piano secondo D.M. 17-01-18 (N.T.C.) §7.8.2.2 con rottura per scorrimento in combinazioni sismiche, $\gamma_M = 2$

Comb.	Quota	N	V par	M	σ_0	σ_N	I'	fvd	Vt scorr.	Vt fess.diag.	Vt.lim	c.s.	Verifica
SLV 10	3.63	-139.86	-43.99	-102.5263	172	1.6258	118	95.72	121.46	2.18	Si		
SLV 10	7.37	-53.66	-19.49	31.5488	52	2.0613	94	96.62	109.45	4.96	Si		
SLV 5	3.63	-138.44	-41.8	-82.4433	136	2.0385	110	112.63	121.27	2.69	Si		
SLV 5	7.37	-52.59	-20.06	38.9077	66	1.6055	96	77.41	109.29	3.86	Si		
SLV 7	3.63	-146.74	36.96	87.6195	144	2.0336	112	114.08	122.37	3.09	Si		
SLV 7	7.37	-61.27	12.46	-20.1607	48	2.55	93	118.5	110.56	9.51	Si		
SLD 10	3.63	-141.78	-21.32	-49.224	111	2.55	106	134.61	121.71	6.31	Si		
SLD 10	7.37	-55.8	-10.54	17.0488	44	2.55	92	117.41	109.77	11.14	Si		
SLV 9	3.63	-139.86	-43.99	-102.5263	172	1.6258	118	95.72	121.46	2.18	Si		
SLV 9	7.37	-53.66	-19.49	31.5488	52	2.0613	94	96.62	109.45	4.96	Si		
SLD 9	3.63	-141.78	-21.32	-49.224	111	2.55	106	134.61	121.71	6.31	Si		
SLD 9	7.37	-55.8	-10.54	17.0488	44	2.55	92	117.41	109.77	11.14	Si		
SLV 11	3.63	-148.15	34.77	67.5366	121	2.4574	107	132.02	122.55	3.8	Si		
SLV 11	7.37	-62.34	13.03	-27.5196	50	2.5007	93	116.67	110.72	8.95	Si		
SLV 12	3.63	-148.15	34.77	67.5366	121	2.4574	107	132.02	122.55	3.8	Si		
SLV 12	7.37	-62.34	13.03	-27.5196	50	2.5007	93	116.67	110.72	8.95	Si		
SLV 8	3.63	-146.74	36.96	87.6195	144	2.0336	112	114.08	122.37	3.09	Si		
SLV 8	7.37	-61.27	12.46	-20.1607	48	2.55	93	118.5	110.56	9.51	Si		
SLV 6	3.63	-138.44	-41.8	-82.4433	136	2.0385	110	112.63	121.27	2.69	Si		
SLV 6	7.37	-52.59	-20.06	38.9077	66	1.6055	96	77.41	109.29	3.86	Si		

Verifica a pressoflessione fuori piano D.M. 17-01-18 (N.T.C.)

quota 5.495 Wa 0.0009 denominatore 8 $\gamma_M = 2$

Comb.	fd	Sa	σ_0	N	M	Mc	Coeff.s.	Verifica
SLV 10	1438	0.43	69	-87.62	5.0321	20.6726	4.11	Si
SLV 9	1438	0.43	69	-87.62	5.0321	20.6726	4.11	Si
SLV 6	1438	0.43	69	-87.71	5.0321	20.6934	4.11	Si
SLV 5	1438	0.43	69	-87.71	5.0321	20.6934	4.11	Si
SLV 14	1438	0.43	71	-90.4	5.0321	21.2892	4.23	Si
SLV 13	1438	0.43	71	-90.4	5.0321	21.2892	4.23	Si
SLV 1	1438	0.43	71	-90.71	5.0321	21.3581	4.24	Si
SLV 2	1438	0.43	71	-90.71	5.0321	21.3581	4.24	Si
SLV 15	1438	0.43	73	-92.88	5.0321	21.8363	4.34	Si
SLV 16	1438	0.43	73	-92.88	5.0321	21.8363	4.34	Si

Tabella dei coefficienti di sicurezza minimi

Stato limite	Coeff.s.	Comb.	Verifica
PF SLU	3.528	SLU 30	Si
V SLU	14.671	SLU 34	Si
PF SLV	1.583	SLV 9	Si
V SLV	2.176	SLV 9	Si
PFFP SLV	4.108	SLV 9	Si

Maschio 37

Verifiche condotte secondo D.M. 17-01-18 (N.T.C.)

Dati geometrici

X ini.	Y ini.	X fin.	Y fin.	Quota i.	Quota s.	l	Sp.	h netta	h ini.	h fin.	a	a.s.,sx	a.s.,dx
7.3	48.715	7.3	50.615	L3	L4	1.9	0.5	3.49	3.74	3.74			

Caratteristiche del materiale

(circ.617 C8A.2) Muratura in mattoni pieni e malta di calce LC2

fb	fk	fvk0	fmedio	r0	fv0	μ	φ	fv,lim	E	G	FC
6000			3450	90	200	0.58	0.77	325	3200000	1280000	1.2

Verifica a pressoflessione per azioni non sismiche 4.5.6.2 D.M. 17-01-18 (N.T.C.) $\gamma_M = 3$

Comb.	Quota	N	M	p	es1	es2	ea	ev	e ver	φt	ΦI	Nu	Verifica
SLU 30	3.625	-171.8		1	0	0.0329	0.0175	0	0.0504	0.64	1	579.9	Si
SLU 30	5.495	-121.92		1	0	0.0329	0.0175	0	0.0252	0.77	1	702.54	Si
SLU 30	7.365	-88.66		1	0	0.0329	0.0175	0	0.0504	0.64	1	579.9	Si
SLU 33	3.625	-171.41		1	0	0.0331	0.0175	0	0.0505	0.64	1	579.39	Si
SLU 33	5.495	-121.53		1	0	0.0331	0.0175	0	0.0253	0.77	1	702.13	Si
SLU 33	7.365	-88.27		1	0	0.0331	0.0175	0	0.0505	0.64	1	579.39	Si
SLU 31	3.625	-174.96		1	0	0.028	0.0175	0	0.0454	0.66	1	597.19	Si
SLU 31	5.495	-125.08		1	0	0.028	0.0175	0	0.0227	0.79	1	716.37	Si
SLU 31	7.365	-91.82		1	0	0.028	0.0175	0	0.0454	0.66	1	597.19	Si
SLU 34	3.625	-174.57		1	0	0.0281	0.0175	0	0.0455	0.66	1	596.78	Si
SLU 34	5.495	-124.69		1	0	0.0281	0.0175	0	0.0228	0.79	1	716.04	Si
SLU 34	7.365	-91.43		1	0	0.0281	0.0175	0	0.0455	0.66	1	596.78	Si
SLU 29	3.625	-160.95		1	0	0.0375	0.0175	0	0.055	0.62	1	563.85	Si
SLU 29	5.495	-111.07		1	0	0.0375	0.0175	0	0.0275	0.76	1	689.69	Si
SLU 29	7.365	-77.81		1	0	0.0375	0.0175	0	0.055	0.62	1	563.85	Si
SLU 32	3.625	-160.56		1	0	0.0377	0.0175	0	0.0552	0.62	1	563.19	Si
SLU 32	5.495	-110.68		1	0	0.0377	0.0175	0	0.0276	0.76	1	689.16	Si
SLU 32	7.365	-77.42		1	0	0.0377	0.0175	0	0.0552	0.62	1	563.19	Si
SLU 36	3.625	-163.55		1	0	0.0319	0.0175	0	0.0494	0.64	1	583.32	Si
SLU 36	5.495	-113.67		1	0	0.0319	0.0175	0	0.0247	0.77	1	705.27	Si
SLU 36	7.365	-80.41		1	0	0.0319	0.0175	0	0.0494	0.64	1	583.32	Si
SLU 28	3.625	-153.26		1	0	0.0366	0.0175	0	0.0541	0.62	1	566.92	Si
SLU 28	5.495	-103.38		1	0	0.0366	0.0175	0	0.027	0.76	1	692.15	Si
SLU 28	7.365	-70.12		1	0	0.0366	0.0175	0	0.0541	0.62	1	566.92	Si
SLU 21	3.625	-156.49		1	0	0.0331	0.0175	0	0.0506	0.64	1	579.24	Si
SLU 21	5.495	-106.61		1	0	0.0331	0.0175	0	0.0253	0.77	1	702.01	Si
SLU 21	7.365	-73.35		1	0	0.0331	0.0175	0	0.0506	0.64	1	579.24	Si
SLU 35	3.625	-152.7		1	0	0.0369	0.0175	0	0.0544	0.62	1	565.9	Si
SLU 35	5.495	-102.82		1	0	0.0369	0.0175	0	0.0272	0.76	1	691.33	Si
SLU 35	7.365	-69.56		1	0	0.0369	0.0175	0	0.0544	0.62	1	565.9	Si

Verifica a pressoflessione nel piano secondo D.M. 17-01-18 NTC §7.8.2.2.1 in combinazioni sismiche, $\gamma_M = 2$

Comb.	Quota	N	M	σ0	Mu	c.s.	Verifica
SLV 12	3.63	-116.37	83.8891	122	99.4692	1.186	Si
SLV 12	7.37	-53.81	-21.7852	57	48.7496	2.238	Si
SLV 8	3.63	-116.63	104.7777	123	99.6677	0.951	No, M>Mu
SLV 8	7.37	-51.33	-20.9387	54	46.6042	2.226	Si
SLV 10	3.63	-111.98	-73.3386	118	96.1147	1.311	Si
SLV 10	7.37	-49.37	8.3727	52	44.9091	5.364	Si
SLD 7	3.63	-115.31	54.9081	121	98.6648	1.797	Si
SLD 7	7.37	-50.77	-12.7332	53	46.1211	3.622	Si
SLV 9	3.63	-111.98	-73.3386	118	96.1147	1.311	Si
SLV 9	7.37	-49.37	8.3727	52	44.9091	5.364	Si
SLV 4	3.63	-115.4	74.1181	121	98.73	1.332	Si
SLV 4	7.37	-46.88	-9.3958	49	42.7342	4.548	Si
SLV 11	3.63	-116.37	83.8891	122	99.4692	1.186	Si
SLV 11	7.37	-53.81	-21.7852	57	48.7496	2.238	Si
SLD 8	3.63	-115.31	54.9081	121	98.6648	1.797	Si
SLD 8	7.37	-50.77	-12.7332	53	46.1211	3.622	Si
SLV 7	3.63	-116.63	104.7777	123	99.6677	0.951	No, M>Mu
SLV 7	7.37	-51.33	-20.9387	54	46.6042	2.226	Si
SLV 3	3.63	-115.4	74.1181	121	98.73	1.332	Si
SLV 3	7.37	-46.88	-9.3958	49	42.7342	4.548	Si

Verifica a taglio nel piano secondo D.M. 17-01-18 (N.T.C.) §7.8.2.2.2 con rottura per scorrimento in combinazioni non sismiche, $\gamma_M = 3$

Comb.	Quota	N	V par	M	σ0	σN	I'	fvd	Vt scorr.	Vt fess.diag.	Vt,lim	c.s.	Verifica
SLU 34	3.63	-174.57	9.35	24.378		184	1.9	80	76.05		66.55	8.14	Si
SLU 34	7.37	-91.43	9.35	-10.5855		96	1.9	68	64.97		57.64	6.95	Si
SLU 32	3.63	-160.56	8.7	23.0719		169	1.9	78	74.19		65.13	8.53	Si
SLU 32	7.37	-77.42	8.7	-9.4549		81	1.9	66	63.1		56	7.26	Si
SLU 36	3.63	-163.55	9.5	25.4143		172	1.9	79	74.58		65.44	7.85	Si
SLU 36	7.37	-80.41	9.5	-10.1245		85	1.9	67	63.5		56.36	6.68	Si
SLU 17	3.63	-124.91	8.01	21.7531		131	1.9	73	69.43		61.38	8.67	Si
SLU 17	7.37	-60.95	8.01	-8.1929		64	1.9	64	60.91		54.01	7.61	Si
SLU 33	3.63	-171.41	9.19	24.0365		180	1.9	80	75.63		66.23	8.23	Si
SLU 33	7.37	-88.27	9.19	-10.3224		93	1.9	68	64.55		57.28	7.03	Si
SLU 35	3.63	-152.7	9.01	24.4496		161	1.9	77	73.14		64.32	8.12	Si
SLU 35	7.37	-69.56	9.01	-9.257		73	1.9	65	62.05		55.06	6.89	Si
SLU 27	3.63	-148.24	8.33	22.57		156	1.9	76	72.54		63.86	8.71	Si
SLU 27	7.37	-65.1	8.33	-8.5885		69	1.9	65	61.46		54.52	7.38	Si
SLU 16	3.63	-146.78	8.34	21.6815		155	1.9	76	72.35		63.71	8.67	Si
SLU 16	7.37	-82.82	8.34	-9.5215		87	1.9	67	63.82		56.64	7.65	Si
SLU 18	3.63	-135.76	8.5	22.7178		143	1.9	75	70.88		62.55	8.34	Si
SLU 18	7.37	-71.8	8.5	-9.0604		76	1.9	66	62.35		55.33	7.34	Si
SLU 26	3.63	-137.39	7.84	21.6054		145	1.9	75	71.1		62.72	9.07	Si
SLU 26	7.37	-54.25	7.84	-7.721		57	1.9	63	60.01		53.18	7.65	Si

Verifica a taglio nel piano secondo D.M. 17-01-18 (N.T.C.) §7.8.2.2.2 con rottura per scorrimento in combinazioni sismiche, $\gamma_M = 2$

Comb.	Quota	N	V par	M	σ0	σN	I'	fvd	Vt scorr.	Vt fess.diag.	Vt,lim	c.s.	Verifica
SLV 8	3.63	-116.63	37.78	104.7777		1506	0.1549	163	12.59		84.06	0.33	No, Vu<V
SLV 8	7.37	-51.33	25.67	-20.9387		63	1.6261	96	78.02		75.92	3.04	Si
SLV 12	3.63	-116.37	35.85	83.8891		339	0.6874	151	51.91		84.03	1.45	Si
SLV 12	7.37	-53.81	19.57	-21.7852		66	1.6354	96	78.9		76.24	4.03	Si
SLV 5	3.63	-112.24	-24.09	-52.4499		155	1.4481	114	82.78		83.54	3.44	Si
SLV 5	7.37	-46.89	-7.8	9.2193		49	1.9	93	88.54		75.33	11.35	Si
SLV 7	3.63	-116.63	37.78	104.7777		1506	0.1549	163	12.59		84.06	0.33	No, Vu<V
SLV 7	7.37	-51.33	25.67	-20.9387		63	1.6261	96	78.02		75.92	3.04	Si
SLV 3	3.63	-115.4	18.37	74.1181		250	0.9232	133	61.54		83.91	3.35	Si
SLV 3	7.37	-46.88	21.06	-9.3958		49	1.9	93	88.54		75.33	4.2	Si
SLV 4	3.63	-115.4	18.37	74.1181		250	0.9232	133	61.54		83.91	3.35	Si
SLV 4	7.37	-46.88	21.06	-9.3958		49	1.9	93	88.54		75.33	4.2	Si
SLV 10	3.63	-111.98	-26.01	-73.3386		253	0.8851	134	59.28		83.51	2.28	Si
SLV 10	7.37	-49.37	-13.9	8.3727		52	1.9	94	89.04		75.66	6.41	Si

Comb.	Quota	N	V par	M	σ_0	σ_N	I'	fvd	Vt scorr.	Vt fess.diag.	Vt,lim	c.s.	Verifica
SLV 11	3.63	-116.37	35.85	83.8891		339	0.6874	151	51.91		84.03	1.45	Si
SLV 11	7.37	-53.81	19.57	-21.7852		66	1.6354	96	78.9		76.24	4.03	Si
SLV 9	3.63	-111.98	-26.01	-73.3386		253	0.8851	134	59.28		83.51	2.28	Si
SLV 9	7.37	-49.37	-13.9	8.3727		52	1.9	94	89.04		75.66	6.41	Si
SLV 6	3.63	-112.24	-24.09	-52.4499		155	1.4481	114	82.78		83.54	3.44	Si
SLV 6	7.37	-46.89	-7.8	9.2193		49	1.9	93	88.54		75.33	11.35	Si

Verifica a pressoflessione fuori piano D.M. 17-01-18 (N.T.C.)quota 5.495 Wa 0.0009 denominatore 8 $\gamma_M = 2$

Comb.	fd	Sa	σ_0	N	M	Mc	Coeff.s.	Verifica
SLV 10	1438	0.43	78	-73.81	3.7494	17.2788	4.61	Si
SLV 9	1438	0.43	78	-73.81	3.7494	17.2788	4.61	Si
SLV 5	1438	0.43	78	-73.95	3.7494	17.3088	4.62	Si
SLV 6	1438	0.43	78	-73.95	3.7494	17.3088	4.62	Si
SLV 14	1438	0.43	79	-75.09	3.7494	17.5572	4.68	Si
SLV 13	1438	0.43	79	-75.09	3.7494	17.5572	4.68	Si
SLV 1	1438	0.43	80	-75.54	3.7494	17.657	4.71	Si
SLV 2	1438	0.43	80	-75.54	3.7494	17.657	4.71	Si
SLV 16	1438	0.43	80	-76.32	3.7494	17.8251	4.75	Si
SLV 15	1438	0.43	80	-76.32	3.7494	17.8251	4.75	Si

Tabella dei coefficienti di sicurezza minimi

Stato limite	Coeff.s.	Comb.	Verifica
PF SLU	3.375	SLU 30	Si
V SLU	6.683	SLU 36	Si
PF SLV	0.951	SLV 7	No
V SLV	0.333	SLV 7	No
PFFP SLV	4.608	SLV 9	Si

Maschio 38

Verifiche condotte secondo D.M. 17-01-18 (N.T.C.)

Dati geometrici

X ini.	Y ini.	X fin.	Y fin.	Quota i.	Quota.s	l	Sp.	h netta	h ini.	h fin.	a	a.s.,sx	a.s.,dx
7.3	51.815	7.3	53.065	L3	L4	1.25	0.5	3.49	3.74	3.74			

Caratteristiche del materiale

(circ.617 C8A.2) Muratura in mattoni pieni e malta di calce LC2

fb	fk	fvk0	fmedio	τ_0	fv0	μ	φ	fv,lim	E	G	FC
6000			3450	90	200	0.58	0.77	325	3200000	1280000	1.2

Verifica a pressoflessione per azioni non sismiche 4.5.6.2 D.M. 17-01-18 (N.T.C.) $\gamma_M = 3$

Comb.	Quota	N	M	p	es1	es2	ea	ev	e ver	Φ_t	Φ_I	Nu	Verifica
SLU 29	3.625	-63.37		1	0	0.0549	0.0175	0	0.0724	0.55	1	330.91	Si
SLU 29	5.495	-44.39		1	0	0.0549	0.0175	0	0.0362	0.7	1	421.71	Si
SLU 29	7.365	-34.97		1	0	0.0549	0.0175	0	0.0724	0.55	1	330.91	Si
SLU 20	3.625	-62.4		1	0	0.057	0.0175	0	0.0744	0.54	1	326.22	Si
SLU 20	5.495	-40.35		1	0	0.057	0.0175	0	0.0372	0.7	1	417.95	Si
SLU 20	7.365	-28.05		1	0	0.057	0.0175	0	0.0744	0.54	1	326.22	Si
SLU 30	3.625	-65.12		1	0	0.0482	0.0175	0	0.0656	0.58	1	346.38	Si
SLU 30	5.495	-47.75		1	0	0.0482	0.0175	0	0.0328	0.72	1	434.08	Si
SLU 30	7.365	-39.85		1	0	0.0482	0.0175	0	0.0656	0.58	1	346.38	Si
SLU 28	3.625	-62.08		1	0	0.0536	0.0175	0	0.0711	0.56	1	333.85	Si
SLU 28	5.495	-41.99		1	0	0.0536	0.0175	0	0.0355	0.71	1	424.06	Si
SLU 28	7.365	-31.5		1	0	0.0536	0.0175	0	0.0711	0.56	1	333.85	Si
SLU 21	3.625	-64.15		1	0	0.0485	0.0175	0	0.066	0.58	1	345.63	Si
SLU 21	5.495	-43.71		1	0	0.0485	0.0175	0	0.033	0.72	1	433.48	Si
SLU 21	7.365	-32.93		1	0	0.0485	0.0175	0	0.066	0.58	1	345.63	Si
SLU 19	3.625	-61.11		1	0	0.0556	0.0175	0	0.0731	0.55	1	329.32	Si
SLU 19	5.495	-37.95		1	0	0.0556	0.0175	0	0.0365	0.7	1	420.44	Si
SLU 19	7.365	-24.59		1	0	0.0556	0.0175	0	0.0731	0.55	1	329.32	Si
SLU 31	3.625	-65.58		1	0	0.041	0.0175	0	0.0584	0.61	1	363.03	Si
SLU 31	5.495	-48.7		1	0	0.041	0.0175	0	0.0292	0.75	1	447.41	Si
SLU 31	7.365	-41.26		1	0	0.041	0.0175	0	0.0584	0.61	1	363.03	Si
SLU 32	3.625	-58.6		1	0	0.0551	0.0175	0	0.0725	0.55	1	330.57	Si
SLU 32	5.495	-42.08		1	0	0.0551	0.0175	0	0.0363	0.7	1	421.43	Si
SLU 32	7.365	-34.87		1	0	0.0551	0.0175	0	0.0725	0.55	1	330.57	Si
SLU 23	3.625	-57.63		1	0	0.0572	0.0175	0	0.0746	0.54	1	325.77	Si
SLU 23	5.495	-38.04		1	0	0.0572	0.0175	0	0.0373	0.7	1	417.59	Si
SLU 23	7.365	-27.96		1	0	0.0572	0.0175	0	0.0746	0.54	1	325.77	Si
SLU 22	3.625	-64.61		1	0	0.0398	0.0175	0	0.0573	0.61	1	365.66	Si
SLU 22	5.495	-44.65		1	0	0.0398	0.0175	0	0.0286	0.75	1	449.51	Si
SLU 22	7.365	-34.34		1	0	0.0398	0.0175	0	0.0573	0.61	1	365.66	Si

Verifica a pressoflessione nel piano secondo D.M. 17-01-18 NTC §7.8.2.2.1 in combinazioni sismiche, $\gamma_M = 2$

Comb.	Quota	N	M	σ_0	Mu	c.s.	Verifica
SLD 4	3.63	-12	13.9833	0	0	0	No, e>1/2
SLD 4	7.37	-20.88	-11.9257	33	12.6952	1.065	Si
SLD 3	3.63	-12	13.9833	0	0	0	No, e>1/2
SLD 3	7.37	-20.88	-11.9257	33	12.6952	1.065	Si
SLV 12	3.63	4.82	35.4946	0	0	0	No, Trazione
SLV 12	7.37	-20.38	-15.1982	0	0	0	No, e>1/2
SLD 11	3.63	-22.79	17.4206	0	0	0	No, e>1/2
SLD 11	7.37	-21.64	-11.4644	35	13.1443	1.147	Si
SLV 3	3.63	29.49	27.5178	0	0	0	No, Trazione
SLV 3	7.37	-18.64	-16.2459	0	0	0	No, e>1/2
SLD 7	3.63	-8.36	21.0072	0	0	0	No, e>1/2
SLD 7	7.37	-20.83	-12.8592	33	12.6661	0.985	No, M>Mu
SLV 11	3.63	4.82	35.4946	0	0	0	No, Trazione
SLV 11	7.37	-20.38	-15.1982	0	0	0	No, e>1/2
SLV 4	3.63	29.49	27.5178	0	0	0	No, Trazione
SLV 4	7.37	-18.64	-16.2459	0	0	0	No, e>1/2
SLD 12	3.63	-22.79	17.4206	0	0	0	No, e>1/2
SLD 12	7.37	-21.64	-11.4644	35	13.1443	1.147	Si

Comb.	Quota	N	M	σ_0	Mu	c.s.	Verifica
SLD 8	3.63	-8.36	21.0072	0	0	0	No, $e>1/2$
SLD 8	7.37	-20.83	-12.8592	33	12.6661	0.985	No, $M>Mu$

Verifica a taglio nel piano secondo D.M. 17-01-18 (N.T.C.) §7.8.2.2.2 con rottura per scorrimento in combinazioni non sismiche, $\gamma_M = 3$

Comb.	Quota	N	V par	M	σ_0	σ_N	l'	fvd	Vt scorr.	Vt fess.diag.	Vt,lim	c.s.	Verifica
SLU 33	3.63	-60.35	11.1	5.8121		97	1.25	68	42.77		37.94	3.85	Si
SLU 33	7.37	-39.75	11.16	-14.559		102	0.7763	69	26.86		35.49	2.41	Si
SLU 35	3.63	-55.26	9.87	5.5444		88	1.25	67	42.09		37.35	4.26	Si
SLU 35	7.37	-31.37	9.92	-12.2713		89	0.7014	67	23.67		34.44	2.39	Si
SLU 36	3.63	-57.01	10.95	6.091		91	1.25	68	42.32		37.56	3.87	Si
SLU 36	7.37	-36.25	11	-13.8053		99	0.7324	69	25.18		35.06	2.29	Si
SLU 15	3.63	-46.5	10.25	5.6406		74	1.25	65	40.92		36.31	3.99	Si
SLU 15	7.37	-35.9	10.3	-13.179		93	0.7737	68	26.28		35.01	2.55	Si
SLU 18	3.63	-43.17	10.1	5.9195		69	1.25	65	40.48		35.91	4.01	Si
SLU 18	7.37	-32.4	10.14	-12.4253		89	0.7245	67	24.44		34.57	2.41	Si
SLU 16	3.63	-46.96	10.58	5.8243		75	1.25	66	40.98		36.37	3.87	Si
SLU 16	7.37	-37.32	10.63	-13.6325		96	0.7791	68	26.62		35.19	2.5	Si
SLU 27	3.63	-56.04	8.97	4.8485		90	1.25	68	42.19		37.44	4.7	Si
SLU 27	7.37	-29.33	9.02	-11.3776		82	0.7113	67	23.67		34.18	2.62	Si
SLU 32	3.63	-58.6	10.02	5.2656		94	1.25	68	42.54		37.74	4.24	Si
SLU 32	7.37	-34.87	10.08	-13.025		92	0.7545	68	25.61		34.88	2.54	Si
SLU 34	3.63	-60.81	11.43	5.9958		97	1.25	69	42.83		38	3.75	Si
SLU 34	7.37	-41.17	11.49	-15.0124		105	0.781	70	27.18		35.66	2.37	Si
SLU 17	3.63	-41.42	9.02	5.3729		66	1.25	64	40.24		35.69	4.46	Si
SLU 17	7.37	-27.52	9.06	-10.8914		80	0.6877	66	22.77		33.95	2.51	Si

Verifica a taglio nel piano secondo D.M. 17-01-18 (N.T.C.) §7.8.2.2.2 con rottura per scorrimento in combinazioni sismiche, $\gamma_M = 2$

Comb.	Quota	N	V par	M	σ_0	σ_N	l'	fvd	Vt scorr.	Vt fess.diag.	Vt,lim	c.s.	Verifica
SLV 3	3.63	29.49	30.53	27.5178		0	0	83	0	0	40.79	0	No, $Vu<V$
SLV 3	7.37	-18.64	23.79	-16.2459		0	0	83	0	0	47.92	0	No, $Vu<V$
SLD 12	3.63	-22.79	17.16	17.4206		0	0	83	0	0	48.48	0	No, $Vu<V$
SLD 12	7.37	-21.64	11.61	-11.4644		151	0.286	114	16.24		48.33	1.4	Si
SLV 11	3.63	4.82	30.77	35.4946		0	0	83	0	0	44.59	0	No, $Vu<V$
SLV 11	7.37	-20.38	18.05	-15.1982		0	0	83	0	0	48.15	0	No, $Vu<V$
SLD 4	3.63	-12	17.08	13.9833		0	0	83	0	0	47	0	No, $Vu<V$
SLD 4	7.37	-20.88	14.1	-11.9257		258	0.1618	135	10.92		48.22	0.77	No, $Vu<V$
SLV 4	3.63	29.49	30.53	27.5178		0	0	83	0	0	40.79	0	No, $Vu<V$
SLV 4	7.37	-18.64	23.79	-16.2459		0	0	83	0	0	47.92	0	No, $Vu<V$
SLV 7	3.63	37.52	40.02	43.5466		0	0	83	0	0	39.48	0	No, $Vu<V$
SLV 7	7.37	-18.55	25.67	-18.3544		0	0	83	0	0	47.9	0	No, $Vu<V$
SLV 12	3.63	4.82	30.77	35.4946		0	0	83	0	0	44.59	0	No, $Vu<V$
SLV 12	7.37	-20.38	18.05	-15.1982		0	0	83	0	0	48.15	0	No, $Vu<V$
SLD 7	3.63	-8.36	21.25	21.0072		0	0	83	0	0	46.49	0	No, $Vu<V$
SLD 7	7.37	-20.83	14.96	-12.8592		1785	0.0233	163	1.9		48.21	0.13	No, $Vu<V$
SLD 11	3.63	-22.79	17.16	17.4206		0	0	83	0	0	48.48	0	No, $Vu<V$
SLD 11	7.37	-21.64	11.61	-11.4644		151	0.286	114	16.24		48.33	1.4	Si
SLV 8	3.63	37.52	40.02	43.5466		0	0	83	0	0	39.48	0	No, $Vu<V$
SLV 8	7.37	-18.55	25.67	-18.3544		0	0	83	0	0	47.9	0	No, $Vu<V$

Verifica a pressoflessione fuori piano D.M. 17-01-18 (N.T.C.)

quota 5.495 Wa 0.0009 denominatore 8 $\gamma_M = 2$

Comb.	fd	Sa	σ_0	N	M	Mc	Coeff.s.	Verifica
SLV 7	1438	0.43	0	9.88	2.4667	0	0	No, Trazione
SLV 3	1438	0.43	0	4.29	2.4667	0	0	No, Trazione
SLV 8	1438	0.43	0	9.88	2.4667	0	0	No, Trazione
SLV 11	1438	0.43	0	-4.88	2.4667	0	0	No, $e>t/2$
SLV 12	1438	0.43	0	-4.88	2.4667	0	0	No, $e>t/2$
SLV 4	1438	0.43	0	4.29	2.4667	0	0	No, Trazione
SLV 1	1438	0.43	24	-15.27	2.4667	3.7407	1.52	Si
SLV 2	1438	0.43	24	-15.27	2.4667	3.7407	1.52	Si
SLV 16	1438	0.43	72	-44.91	2.4667	10.5668	4.28	Si
SLV 15	1438	0.43	72	-44.91	2.4667	10.5668	4.28	Si

Tabella dei coefficienti di sicurezza minimi

Stato limite	Coeff.s.	Comb.	Verifica
PF SLU	5.222	SLU 29	Si
V SLU	2.289	SLU 36	Si
PF SLV	0	SLV 12	No
V SLV	0	SLD 3	No
PFFP SLV	0	SLV 8	No

Maschio 39

Verifiche condotte secondo D.M. 17-01-18 (N.T.C.)

Dati geometrici

X ini.	Y ini.	X fin.	Y fin.	Quota i.	Quota s.	l	Sp.	h netta	h ini.	h fin.	a	a.s.sx	a.s.dx
7.3	20.34	8.02	20.34	L3	L4	0.72	0.4	3.49	3.74	3.74			

Caratteristiche del materiale

(circ.617 C8A.2) Muratura in mattoni pieni e malta di calce LC2

fb	fk	fvk0	fmedio	τ_0	fv0	μ	ϕ	fv,lim	E	G	FC
6000			3450	90	200	0.58	0.77	325	3200000	1280000	1.2

Verifica a pressoflessione per azioni non sismiche 4.5.6.2 D.M. 17-01-18 (N.T.C.) $\gamma_M = 3$

Comb.	Quota	N	M	p	es1	es2	ea	ev	e ver	ϕ_t	ϕ_l	Nu	Verifica
SLU 34	3.625	-43.34		1	0	0	0.0175	0	0.0175	0.76	1	208.61	Si
SLU 34	5.495	-20.23		1	0	0	0.0175	0	0.0175	0.76	1	208.61	Si
SLU 34	7.365	-5.11		1	0	0	0.0175	0	0.0175	0.76	1	208.61	Si
SLU 33	3.625	-43.09		1	0	0	0.0175	0	0.0175	0.76	1	208.61	Si
SLU 33	5.495	-20.1		1	0	0	0.0175	0	0.0175	0.76	1	208.61	Si
SLU 33	7.365	-4.99		1	0	0	0.0175	0	0.0175	0.76	1	208.61	Si
SLU 36	3.625	-42.48		1	0	0	0.0175	0	0.0175	0.76	1	208.61	Si

Comb.	Quota	N	M	p	es1	es2	ea	ev	e ver	φt	ΦI	Nu	Verifica
SLU 36	5.495	-18.88		1	0	0	0.0175	0	0.0175	0.76	1	208.61	Si
SLU 36	7.365	-4.4		1	0	0	0.0175	0	0.0175	0.76	1	208.61	Si
SLU 31	3.625	-41.92		1	0	0	0.0175	0	0.0175	0.76	1	208.61	Si
SLU 31	5.495	-20.47		1	0	0	0.0175	0	0.0175	0.76	1	208.61	Si
SLU 31	7.365	-5.29		1	0	0	0.0175	0	0.0175	0.76	1	208.61	Si
SLU 30	3.625	-41.67		1	0	0	0.0175	0	0.0175	0.76	1	208.61	Si
SLU 30	5.495	-20.35		1	0	0	0.0175	0	0.0175	0.76	1	208.61	Si
SLU 30	7.365	-5.17		1	0	0	0.0175	0	0.0175	0.76	1	208.61	Si
SLU 32	3.625	-41.63		1	0	0	0.0175	0	0.0175	0.76	1	208.61	Si
SLU 32	5.495	-18.86		1	0	0	0.0175	0	0.0175	0.76	1	208.61	Si
SLU 32	7.365	-4.35		1	0	0	0.0175	0	0.0175	0.76	1	208.61	Si
SLU 35	3.625	-41.01		1	0	0	0.0175	0	0.0175	0.76	1	208.61	Si
SLU 35	5.495	-17.63		1	0	0	0.0175	0	0.0175	0.76	1	208.61	Si
SLU 35	7.365	-3.76		1	0	0	0.0175	0	0.0175	0.76	1	208.61	Si
SLU 25	3.625	-40.52		1	0	0	0.0175	0	0.0175	0.76	1	208.61	Si
SLU 25	5.495	-18.21		1	0	0	0.0175	0	0.0175	0.76	1	208.61	Si
SLU 25	7.365	-4.17		1	0	0	0.0175	0	0.0175	0.76	1	208.61	Si
SLU 24	3.625	-40.28		1	0	0	0.0175	0	0.0175	0.76	1	208.61	Si
SLU 24	5.495	-18.08		1	0	0	0.0175	0	0.0175	0.76	1	208.61	Si
SLU 24	7.365	-4.05		1	0	0	0.0175	0	0.0175	0.76	1	208.61	Si
SLU 29	3.625	-40.21		1	0	0	0.0175	0	0.0175	0.76	1	208.61	Si
SLU 29	5.495	-19.11		1	0	0	0.0175	0	0.0175	0.76	1	208.61	Si
SLU 29	7.365	-4.52		1	0	0	0.0175	0	0.0175	0.76	1	208.61	Si

Verifica a pressoflessione nel piano secondo D.M. 17-01-18 NTC §7.8.2.2.1 in combinazioni sismiche, $\gamma_M = 2$

Comb.	Quota	N	M	σ_0	Mu	c.s.	Verifica
SLV 2	3.63	-10.19	-2.2501	35	3.5627	1.583	Si
SLV 2	7.37	3.1	1.632	0	0	0	No, Trazione
SLV 6	3.63	-20.66	-3.3106	72	7.0012	2.115	Si
SLV 6	7.37	4.85	1.8004	0	0	0	No, Trazione
SLV 13	3.63	-47.84	2.5395	166	14.8819	5.86	Si
SLV 13	7.37	-4.78	-2.0121	0	0	0	No, e>1/2
SLV 10	3.63	-31.96	-1.8738	111	10.4596	5.582	Si
SLV 10	7.37	2.49	0.7072	0	0	0	No, Trazione
SLV 5	3.63	-20.66	-3.3106	72	7.0012	2.115	Si
SLV 5	7.37	4.85	1.8004	0	0	0	No, Trazione
SLV 14	3.63	-47.84	2.5395	166	14.8819	5.86	Si
SLV 14	7.37	-4.78	-2.0121	0	0	0	No, e>1/2
SLV 4	3.63	-12.51	0.0959	43	4.3446	45.324	Si
SLV 4	7.37	-0.77	0.3944	0	0	0	No, e>1/2
SLD 1	3.63	-21.49	-0.2298	75	7.263	31.609	Si
SLD 1	7.37	-0.24	0.2482	0	0	0	No, e>1/2
SLV 9	3.63	-31.96	-1.8738	111	10.4596	5.582	Si
SLV 9	7.37	2.49	0.7072	0	0	0	No, Trazione
SLV 3	3.63	-12.51	0.0959	43	4.3446	45.324	Si
SLV 3	7.37	-0.77	0.3944	0	0	0	No, e>1/2

Verifica a taglio nel piano secondo D.M. 17-01-18 (N.T.C.) §7.8.2.2.2 con rottura per scorrimento in combinazioni non sismiche, $\gamma_M = 3$

Comb.	Quota	N	V par	M	σ_0	σ_N	I'	fvd	Vt scorr.	Vt fess.diag.	Vt,lim	c.s.	Verifica
SLU 34	3.63	-43.34	4.23	1.828		150	0.72	76	21.78		19.19	5.14	Si
SLU 34	7.37	-5.11	1.98	-1.5145		67	0.1916	64	4.94		14.64	2.49	Si
SLU 12	3.63	-34.07	2.88	1.2433		118	0.72	71	20.54		18.19	7.13	Si
SLU 12	7.37	-4.71	1.97	-1.4227		68	0.1731	65	4.47		14.58	2.27	Si
SLU 22	3.63	-39.1	3.35	1.4745		136	0.72	74	21.21		18.74	6.34	Si
SLU 22	7.37	-4.35	1.73	-1.3156		63	0.1727	64	4.42		14.53	2.56	Si
SLU 30	3.63	-41.67	3.57	1.5545		145	0.72	75	21.56		19.02	6.04	Si
SLU 30	7.37	-5.17	2.13	-1.5583		74	0.1751	65	4.58		14.64	2.15	Si
SLU 16	3.63	-35.74	3.55	1.5168		124	0.72	72	20.76		18.38	5.86	Si
SLU 16	7.37	-4.65	1.83	-1.3789		61	0.1912	64	4.87		14.57	2.66	Si
SLU 31	3.63	-41.92	3.59	1.5658		146	0.72	75	21.59		19.04	6.01	Si
SLU 31	7.37	-5.29	2.15	-1.5994		76	0.1731	66	4.55		14.66	2.11	Si
SLU 13	3.63	-34.32	2.91	1.2546		119	0.72	71	20.58		18.22	7.08	Si
SLU 13	7.37	-4.83	2	-1.4638		71	0.171	65	4.44		14.6	2.22	Si
SLU 29	3.63	-40.21	3.53	1.5437		140	0.72	74	21.36		18.86	6.05	Si
SLU 29	7.37	-4.52	1.85	-1.3564		63	0.1807	64	4.62		14.55	2.5	Si
SLU 21	3.63	-38.85	3.32	1.4632		135	0.72	74	21.18		18.72	6.38	Si
SLU 21	7.37	-4.23	1.7	-1.2745		60	0.1751	64	4.45		14.51	2.62	Si
SLU 33	3.63	-43.09	4.21	1.8167		150	0.72	76	21.75		19.17	5.17	Si
SLU 33	7.37	-4.99	1.96	-1.4734		64	0.1941	64	4.98		14.62	2.54	Si

Verifica a taglio nel piano secondo D.M. 17-01-18 (N.T.C.) §7.8.2.2.2 con rottura per scorrimento in combinazioni sismiche, $\gamma_M = 2$

Comb.	Quota	N	V par	M	σ_0	σ_N	I'	fvd	Vt scorr.	Vt fess.diag.	Vt,lim	c.s.	Verifica
SLV 5	3.63	-20.66	-1.5	-3.3106		86	0.5993	101	24.11		23.68	16.1	Si
SLV 5	7.37	4.85	0.28	1.8004		0	0	83	0		20.15	0	No, Vu<V
SLV 10	3.63	-31.96	1.52	-1.8738		111	0.72	106	30.39		25.08	20.04	Si
SLV 10	7.37	2.49	1.98	0.7072		0	0	83	0		20.51	0	No, Vu<V
SLD 1	3.63	-21.49	0.44	-0.2298		75	0.72	98	28.3		23.78	64.42	Si
SLD 1	7.37	-0.24	-0.19	0.2482		0	0	83	0		20.9	0	No, Vu<V
SLV 13	3.63	-47.84	7.14	2.5395		166	0.72	117	33.57		26.92	4.7	Si
SLV 13	7.37	-4.78	3.89	-2.0121		0	0	83	0		21.55	0	No, Vu<V
SLV 3	3.63	-12.51	-1.11	0.0959		43	0.72	92	26.5		22.61	23.95	Si
SLV 3	7.37	-0.77	-1.83	0.3944		0	0	83	0		20.98	0	No, Vu<V
SLV 9	3.63	-31.96	1.52	-1.8738		111	0.72	106	30.39		25.08	20.04	Si
SLV 9	7.37	2.49	1.98	0.7072		0	0	83	0		20.51	0	No, Vu<V
SLV 2	3.63	-10.19	-2.91	-2.2501		61	0.4177	96	15.96		22.3	5.49	Si
SLV 2	7.37	3.1	-1.77	1.632		0	0	83	0		20.42	0	No, Vu<V
SLV 14	3.63	-47.84	7.14	2.5395		166	0.72	117	33.57		26.92	4.7	Si
SLV 14	7.37	-4.78	3.89	-2.0121		0	0	83	0		21.55	0	No, Vu<V
SLV 4	3.63	-12.51	-1.11	0.0959		43	0.72	92	26.5		22.61	23.95	Si
SLV 4	7.37	-0.77	-1.83	0.3944		0	0	83	0		20.98	0	No, Vu<V
SLV 6	3.63	-20.66	-1.5	-3.3106		86	0.5993	101	24.11		23.68	16.1	Si
SLV 6	7.37	4.85	0.28	1.8004		0	0	83	0		20.15	0	No, Vu<V

Verifica a pressoflessione fuori piano D.M. 17-01-18 (N.T.C.)

quota 5.495 Wa 0.0007 denominatore 8 $\gamma_M = 2$

Comb.	fd	Sa	σ_0	N	M	Mc	Coeff.s.	Verifica
SLV 1	1438		0.43	0	-3.76	1.1367	0	No, e>t/2

Comb.	fd	Sa	σ_0	N	M	Mc	Coeff.s.	Verifica
SLV 3	1438	0.43	0	-4.48	1.1367	0	0	No, $e>t/2$
SLV 4	1438	0.43	0	-4.48	1.1367	0	0	No, $e>t/2$
SLV 2	1438	0.43	0	-3.76	1.1367	0	0	No, $e>t/2$
SLV 5	1438	0.43	32	-9.31	1.1367	1.8128	1.59	Si
SLV 6	1438	0.43	32	-9.31	1.1367	1.8128	1.59	Si
SLV 7	1438	0.43	41	-11.71	1.1367	2.2649	1.99	Si
SLV 8	1438	0.43	41	-11.71	1.1367	2.2649	1.99	Si
SLV 9	1438	0.43	51	-14.79	1.1367	2.833	2.49	Si
SLV 10	1438	0.43	51	-14.79	1.1367	2.833	2.49	Si

Tabella dei coefficienti di sicurezza minimi

Stato limite	Coeff.s.	Comb.	Verifica
PF SLU	4.814	SLU 34	Si
V SLU	2.114	SLU 31	Si
PF SLV	0	SLV 10	No
V SLV	0	SLD 1	No
PFFP SLV	0	SLV 1	No

Maschio 40

Verifiche condotte secondo D.M. 17-01-18 (N.T.C.)

Dati geometrici

X ini.	Y ini.	X fin.	Y fin.	Quota i.	Quota s.	l	Sp.	h netta	h ini.	h fin.	a	a.s.,sx	a.s.,dx
8.02	26.165	7.3	26.165	L3	L4	0.72	0.5	3.49	3.74	3.74			

Caratteristiche del materiale

(circ.617 C8A.2) Muratura in mattoni pieni e malta di calce LC2

fb	fk	fvk0	fmedio	τ_0	fv0	μ	φ	fv,lim	E	G	FC
6000			3450	90	200	0.58	0.77	325	3200000	1280000	1.2

Verifica a pressoflessione per azioni non sismiche 4.5.6.2 D.M. 17-01-18 (N.T.C.) $\gamma_M = 3$

Comb.	Quota	N	M	p	es1	es2	ea	ev	e ver	Φt	ΦI	Nu	Verifica
SLU 34	3.625	-71.14		1	0	0	0.0175	0	0.0175	0.82	1	282.63	Si
SLU 34	5.495	-38.65		1	0	0	0.0175	0	0.0175	0.82	1	282.63	Si
SLU 34	7.365	-6.95		1	0	0	0.0175	0	0.0175	0.82	1	282.63	Si
SLU 33	3.625	-70.89		1	0	0	0.0175	0	0.0175	0.82	1	282.63	Si
SLU 33	5.495	-38.44		1	0	0	0.0175	0	0.0175	0.82	1	282.63	Si
SLU 33	7.365	-6.95		1	0	0	0.0175	0	0.0175	0.82	1	282.63	Si
SLU 36	3.625	-69.72		1	0	0	0.0175	0	0.0175	0.82	1	282.63	Si
SLU 36	5.495	-37.39		1	0	0	0.0175	0	0.0175	0.82	1	282.63	Si
SLU 36	7.365	-6.57		1	0	0	0.0175	0	0.0175	0.82	1	282.63	Si
SLU 32	3.625	-67.96		1	0	0	0.0175	0	0.0175	0.82	1	282.63	Si
SLU 32	5.495	-36.39		1	0	0	0.0175	0	0.0175	0.82	1	282.63	Si
SLU 32	7.365	-6.4		1	0	0	0.0175	0	0.0175	0.82	1	282.63	Si
SLU 31	3.625	-67.63		1	0	0	0.0175	0	0.0175	0.82	1	282.63	Si
SLU 31	5.495	-36.83		1	0	0	0.0175	0	0.0175	0.82	1	282.63	Si
SLU 31	7.365	-6.55		1	0	0	0.0175	0	0.0175	0.82	1	282.63	Si
SLU 30	3.625	-67.37		1	0	0	0.0175	0	0.0175	0.82	1	282.63	Si
SLU 30	5.495	-36.61		1	0	0	0.0175	0	0.0175	0.82	1	282.63	Si
SLU 30	7.365	-6.56		1	0	0	0.0175	0	0.0175	0.82	1	282.63	Si
SLU 35	3.625	-66.79		1	0	0	0.0175	0	0.0175	0.82	1	282.63	Si
SLU 35	5.495	-35.34		1	0	0	0.0175	0	0.0175	0.82	1	282.63	Si
SLU 35	7.365	-6.02		1	0	0	0.0175	0	0.0175	0.82	1	282.63	Si
SLU 25	3.625	-64.96		1	0	0	0.0175	0	0.0175	0.82	1	282.63	Si
SLU 25	5.495	-34.6		1	0	0	0.0175	0	0.0175	0.82	1	282.63	Si
SLU 25	7.365	-5.8		1	0	0	0.0175	0	0.0175	0.82	1	282.63	Si
SLU 24	3.625	-64.71		1	0	0	0.0175	0	0.0175	0.82	1	282.63	Si
SLU 24	5.495	-34.38		1	0	0	0.0175	0	0.0175	0.82	1	282.63	Si
SLU 24	7.365	-5.8		1	0	0	0.0175	0	0.0175	0.82	1	282.63	Si
SLU 29	3.625	-64.44		1	0	0	0.0175	0	0.0175	0.82	1	282.63	Si
SLU 29	5.495	-34.57		1	0	0	0.0175	0	0.0175	0.82	1	282.63	Si
SLU 29	7.365	-6.01		1	0	0	0.0175	0	0.0175	0.82	1	282.63	Si

Verifica a pressoflessione nel piano secondo D.M. 17-01-18 NTC §7.8.2.2.1 in combinazioni sismiche, $\gamma_M = 2$

Comb.	Quota	N	M	σ_0	Mu	c.s.	Verifica
SLV 1	3.63	14.58	8.7143	0	0	0	No, Trazione
SLV 1	7.37	2.68	-0.8041	0	0	0	No, Trazione
SLV 10	3.63	-20.89	-1.2592	58	7.163	5.689	Si
SLV 10	7.37	3.81	-1.3826	0	0	0	No, Trazione
SLV 3	3.63	-10.79	6.0957	0	0	0	No, $e>l/2$
SLV 3	7.37	-2.84	1.1587	0	0	0	No, $e>l/2$
SLV 6	3.63	9.14	4.754	0	0	0	No, Trazione
SLV 6	7.37	6.26	-2.1725	0	0	0	No, Trazione
SLV 9	3.63	-20.89	-1.2592	58	7.163	5.689	Si
SLV 9	7.37	3.81	-1.3826	0	0	0	No, Trazione
SLD 6	3.63	-23.37	0.5432	65	7.9669	14.666	Si
SLD 6	7.37	0.4	-0.1133	0	0	0	No, Trazione
SLV 5	3.63	9.14	4.754	0	0	0	No, Trazione
SLV 5	7.37	6.26	-2.1725	0	0	0	No, Trazione
SLV 2	3.63	14.58	8.7143	0	0	0	No, Trazione
SLV 2	7.37	2.68	-0.8041	0	0	0	No, Trazione
SLV 4	3.63	-10.79	6.0957	0	0	0	No, $e>l/2$
SLV 4	7.37	-2.84	1.1587	0	0	0	No, $e>l/2$
SLD 1	3.63	-21.01	2.2912	58	7.2025	3.144	Si
SLD 1	7.37	-1.18	0.4897	0	0	0	No, $e>l/2$

Verifica a taglio nel piano secondo D.M. 17-01-18 (N.T.C.) §7.8.2.2.2 con rottura per scorrimento in combinazioni non sismiche, $\gamma_M = 3$

Comb.	Quota	N	V par	M	σ_0	σ_N	l'	fvd	Vt scorr.	Vt fess.diag.	Vt,lim	c.s.	Verifica
SLU 32	3.63	-67.96	-4.6	-3.8779		189	0.72	81	29.06		25.4	6.32	Si
SLU 32	7.37	-6.4	-4.53	2.2968		3040	0.0042	108	0.23		18.3	0.05	No, $Vu<V$
SLU 15	3.63	-59.69	-4.43	-3.6322		166	0.72	78	27.96		24.56	6.31	Si
SLU 15	7.37	-6.27	-4.37	2.2473		2989	0.0042	108	0.23		18.28	0.05	No, $Vu<V$
SLU 35	3.63	-66.79	-4.48	-3.859		186	0.72	80	28.9		25.28	6.45	Si

Comb.	Quota	N	V par	M	σ_0	σ_N	I'	fvd	Vt scorr.	Vt fess.diag.	Vt,lim	c.s.	Verifica
SLU 35	7.37	-6.02	-4.41	2.1582		2861	0.0042	108	0.23		18.24	0.05	No, Vu<V
SLU 16	3.63	-59.94	-4.46	-3.6566		167	0.72	78	27.99		24.59	6.28	Si
SLU 16	7.37	-6.26	-4.41	2.2444		2960	0.0042	108	0.23		18.28	0.05	No, Vu<V
SLU 31	3.63	-67.63	-4.51	-3.6931		188	0.72	81	29.02		25.36	6.44	Si
SLU 31	7.37	-6.55	-4.46	2.3476		3034	0.0043	108	0.23		18.32	0.05	No, Vu<V
SLU 34	3.63	-71.14	-4.97	-4.1349		198	0.72	82	29.49		25.71	5.93	Si
SLU 34	7.37	-6.95	-4.91	2.491		3262	0.0043	108	0.23		18.37	0.05	No, Vu<V
SLU 30	3.63	-67.37	-4.48	-3.6687		187	0.72	81	28.98		25.34	6.47	Si
SLU 30	7.37	-6.56	-4.43	2.3505		3061	0.0043	108	0.23		18.32	0.05	No, Vu<V
SLU 18	3.63	-58.52	-4.31	-3.6133		163	0.72	77	27.8		24.44	6.45	Si
SLU 18	7.37	-5.88	-4.26	2.1088		2809	0.0042	108	0.23		18.22	0.05	No, Vu<V
SLU 36	3.63	-69.72	-4.83	-4.0916		194	0.72	81	29.3		25.57	6.07	Si
SLU 36	7.37	-6.57	-4.76	2.3554		3110	0.0042	108	0.23		18.32	0.05	No, Vu<V
SLU 33	3.63	-70.89	-4.94	-4.1106		197	0.72	82	29.45		25.69	5.96	Si
SLU 33	7.37	-6.95	-4.88	2.4939		3290	0.0042	108	0.23		18.37	0.05	No, Vu<V

Verifica a taglio nel piano secondo D.M. 17-01-18 (N.T.C.) §7.8.2.2 con rottura per scorrimento in combinazioni sismiche, $\gamma_M = 2$

Comb.	Quota	N	V par	M	σ_0	σ_N	I'	fvd	Vt scorr.	Vt fess.diag.	Vt,lim	c.s.	Verifica
SLV 4	3.63	-10.79	8.32	6.0957		0	0	83	0		27.61	0	No, Vu<V
SLV 4	7.37	-2.84	-4.17	1.1587		0	0	83	0		26.5	0	No, Vu<V
SLV 1	3.63	14.58	13.01	8.7143		0	0	83	0		23.88	0	No, Vu<V
SLV 1	7.37	2.68	-1.1	-0.8041		0	0	83	0		25.7	0	No, Vu<V
SLV 9	3.63	-20.89	0.65	-1.2592		58	0.72	95	34.18		28.96	52.46	Si
SLV 9	7.37	3.81	2.01	-1.3826		0	0	83	0		25.53	0	No, Vu<V
SLV 10	3.63	-20.89	0.65	-1.2592		58	0.72	95	34.18		28.96	52.46	Si
SLV 10	7.37	3.81	2.01	-1.3826		0	0	83	0		25.53	0	No, Vu<V
SLV 3	3.63	-10.79	8.32	6.0957		0	0	83	0		27.61	0	No, Vu<V
SLV 3	7.37	-2.84	-4.17	1.1587		0	0	83	0		26.5	0	No, Vu<V
SLD 1	3.63	-21.01	3.93	2.2912		58	0.72	95	34.2		28.97	8.69	Si
SLD 1	7.37	-1.18	-2.17	0.4897		0	0	83	0		26.26	0	No, Vu<V
SLV 5	3.63	9.14	8.88	4.754		0	0	83	0		24.73	0	No, Vu<V
SLV 5	7.37	6.26	2.22	-2.1725		0	0	83	0		25.16	0	No, Vu<V
SLV 6	3.63	9.14	8.88	4.754		0	0	83	0		24.73	0	No, Vu<V
SLV 6	7.37	6.26	2.22	-2.1725		0	0	83	0		25.16	0	No, Vu<V
SLV 2	3.63	14.58	13.01	8.7143		0	0	83	0		23.88	0	No, Vu<V
SLV 2	7.37	2.68	-1.1	-0.8041		0	0	83	0		25.7	0	No, Vu<V
SLD 6	3.63	-23.37	2.12	0.5432		65	0.72	96	34.67		29.28	16.35	Si
SLD 6	7.37	0.4	-0.71	-0.1133		0	0	83	0		26.03	0	No, Vu<V

Verifica a pressoflessione fuori piano D.M. 17-01-18 (N.T.C.)

quota 5.495 Wa 0.0009 denominatore 8 $\gamma_M = 2$

Comb.	fd	Sa	σ_0	N	M	Mc	Coeff.s.	Verifica
SLV 5	1438	0.43	0	3.44	1.4208	0	0	No, Trazione
SLV 2	1438	0.43	0	-1.32	1.4208	0	0	No, e>t/2
SLV 1	1438	0.43	0	-1.32	1.4208	0	0	No, e>t/2
SLV 6	1438	0.43	0	3.44	1.4208	0	0	No, Trazione
SLV 10	1438	0.43	19	-6.7	1.4208	1.6484	1.16	Si
SLV 9	1438	0.43	19	-6.7	1.4208	1.6484	1.16	Si
SLV 3	1438	0.43	43	-15.55	1.4208	3.7493	2.64	Si
SLV 4	1438	0.43	43	-15.55	1.4208	3.7493	2.64	Si
SLV 14	1438	0.43	98	-35.12	1.4208	8.0795	5.69	Si
SLV 13	1438	0.43	98	-35.12	1.4208	8.0795	5.69	Si

Tabella dei coefficienti di sicurezza minimi

Stato limite	Coeff.s.	Comb.	Verifica
PF SLU	3.973	SLU 34	Si
V SLU	0.047	SLU 33	No
PF SLV	0	SLV 10	No
V SLV	0	SLD 1	No
PPFF SLV	0	SLV 6	No

Maschio 41

Verifiche condotte secondo D.M. 17-01-18 (N.T.C.)

Dati geometrici

X ini.	Y ini.	X fin.	Y fin.	Quota i.	Quota.s	l	Sp.	h netta	h ini.	h fin.	a	a.s.,sx	a.s.,dx
9.12	20.34	10.43	20.34	L3	L4	1.31	0.4	3.49	3.74	3.74			

Caratteristiche del materiale

(circ.617 C8A.2) Muratura in mattoni pieni e malta di calce LC2

fb	fk	fvk0	fmedio	τ_0	fv0	μ	ϕ	fv,lim	E	G	FC
6000			3450	90	200	0.58	0.77	325	3200000	1280000	1.2

Verifica a pressoflessione per azioni non sismiche 4.5.6.2 D.M. 17-01-18 (N.T.C.) $\gamma_M = 3$

Comb.	Quota	N	M	p	es1	es2	ea	ev	e ver	ϕ_t	Φ	Nu	Verifica
SLU 32	3.625	-52.85		1	0	0	0.0175	0	0.0175	0.76	1	379.56	Si
SLU 32	5.495	-34.51		1	0	0	0.0175	0	0.0175	0.76	1	379.56	Si
SLU 32	7.365	-6.99		1	0	0	0.0175	0	0.0175	0.76	1	379.56	Si
SLU 33	3.625	-52.85		1	0	0	0.0175	0	0.0175	0.76	1	379.56	Si
SLU 33	5.495	-34.51		1	0	0	0.0175	0	0.0175	0.76	1	379.56	Si
SLU 33	7.365	-6.99		1	0	0	0.0175	0	0.0175	0.76	1	379.56	Si
SLU 29	3.625	-52.78		1	0	0	0.0175	0	0.0175	0.76	1	379.56	Si
SLU 29	5.495	-34.44		1	0	0	0.0175	0	0.0175	0.76	1	379.56	Si
SLU 29	7.365	-6.92		1	0	0	0.0175	0	0.0175	0.76	1	379.56	Si
SLU 30	3.625	-52.78		1	0	0	0.0175	0	0.0175	0.76	1	379.56	Si
SLU 30	5.495	-34.44		1	0	0	0.0175	0	0.0175	0.76	1	379.56	Si
SLU 30	7.365	-6.92		1	0	0	0.0175	0	0.0175	0.76	1	379.56	Si
SLU 35	3.625	-52.24		1	0	0	0.0175	0	0.0175	0.76	1	379.56	Si
SLU 35	5.495	-33.89		1	0	0	0.0175	0	0.0175	0.76	1	379.56	Si
SLU 35	7.365	-6.38		1	0	0	0.0175	0	0.0175	0.76	1	379.56	Si
SLU 36	3.625	-52.23		1	0	0	0.0175	0	0.0175	0.76	1	379.56	Si
SLU 36	5.495	-33.89		1	0	0	0.0175	0	0.0175	0.76	1	379.56	Si
SLU 36	7.365	-6.38		1	0	0	0.0175	0	0.0175	0.76	1	379.56	Si
SLU 34	3.625	-52.2		1	0	0	0.0175	0	0.0175	0.76	1	379.56	Si

Comb.	Quota	N	M	p	es1	es2	ea	ev	e ver	φt	Φl	Nu	Verifica
SLU 34	5.495	-33.86		1	0	0	0.0175	0	0.0175	0.76	1	379.56	Si
SLU 34	7.365	-6.34		1	0	0	0.0175	0	0.0175	0.76	1	379.56	Si
SLU 28	3.625	-52.13		1	0	0	0.0175	0	0.0175	0.76	1	379.56	Si
SLU 28	5.495	-33.79		1	0	0	0.0175	0	0.0175	0.76	1	379.56	Si
SLU 28	7.365	-6.28		1	0	0	0.0175	0	0.0175	0.76	1	379.56	Si
SLU 31	3.625	-52.13		1	0	0	0.0175	0	0.0175	0.76	1	379.56	Si
SLU 31	5.495	-33.79		1	0	0	0.0175	0	0.0175	0.76	1	379.56	Si
SLU 31	7.365	-6.27		1	0	0	0.0175	0	0.0175	0.76	1	379.56	Si
SLU 23	3.625	-51.92		1	0	0	0.0175	0	0.0175	0.76	1	379.56	Si
SLU 23	5.495	-33.58		1	0	0	0.0175	0	0.0175	0.76	1	379.56	Si
SLU 23	7.365	-6.06		1	0	0	0.0175	0	0.0175	0.76	1	379.56	Si

Verifica a pressoflessione nel piano secondo D.M. 17-01-18 NTC §7.8.2.2.1 in combinazioni sismiche, $\gamma_M = 2$

Comb.	Quota	N	M	σ0	Mu	c.s.	Verifica
SLV 2	3.63	-40.39	-6.3989	77	24.7892	3.874	Si
SLV 2	7.37	-4.85	4.0286	0	0	0	No, e>1/2
SLV 7	3.63	-39.8	-1.4957	76	24.4497	16.347	Si
SLV 7	7.37	-7.11	4.9454	0	0	0	No, e>1/2
SLV 3	3.63	-40.24	-5.0852	77	24.7029	4.858	Si
SLV 3	7.37	-6.17	4.9087	0	0	0	No, e>1/2
SLD 1	3.63	-40.14	-4.3768	77	24.6416	5.63	Si
SLD 1	7.37	-4.75	3.4476	0	0	0	No, e>1/2
SLD 8	3.63	-39.87	-2.2467	76	24.4861	10.899	Si
SLD 8	7.37	-5.72	3.8617	0	0	0	No, e>1/2
SLV 8	3.63	-39.8	-1.4957	76	24.4497	16.347	Si
SLV 8	7.37	-7.11	4.9454	0	0	0	No, e>1/2
SLV 4	3.63	-40.24	-5.0852	77	24.7029	4.858	Si
SLV 4	7.37	-6.17	4.9087	0	0	0	No, e>1/2
SLV 1	3.63	-40.39	-6.3989	77	24.7892	3.874	Si
SLV 1	7.37	-4.85	4.0286	0	0	0	No, e>1/2
SLV 5	3.63	-40.3	-5.8746	77	24.7377	4.211	Si
SLV 5	7.37	-2.73	2.0119	0	0	0	No, e>1/2
SLV 6	3.63	-40.3	-5.8746	77	24.7377	4.211	Si
SLV 6	7.37	-2.73	2.0119	0	0	0	No, e>1/2

Verifica a taglio nel piano secondo D.M. 17-01-18 (N.T.C.) §7.8.2.2.2 con rottura per scorrimento in combinazioni non sismiche, $\gamma_M = 2$

3

Comb.	Quota	N	V par	M	σ0	σN	I'	fvd	Vt scorr.	Vt fess.diag.	Vt.lim	c.s.	Verifica
SLU 36	3.63	-52.23	-2.27	-4.3313		100	1.31	69	36.08		32	15.86	Si
SLU 36	7.37	-6.38	-2.27	4.1759		59912	0.0003	108	0.01		26.22	0.01	No, Vu<V
SLU 24	3.63	-51.92	-2.04	-3.647		99	1.31	69	36.03		31.97	17.69	Si
SLU 24	7.37	-6.06	-2.04	3.971		55865	0.0003	108	0.01		26.18	0.01	No, Vu<V
SLU 32	3.63	-52.85	-2.31	-4.0637		101	1.31	69	36.16		32.07	15.64	Si
SLU 32	7.37	-6.99	-2.31	4.5804		63908	0.0003	108	0.01		26.31	0.01	No, Vu<V
SLU 23	3.63	-51.92	-2.04	-3.6675		99	1.31	69	36.03		31.97	17.64	Si
SLU 23	7.37	-6.06	-2.04	3.9718		56508	0.0003	108	0.01		26.18	0.01	No, Vu<V
SLU 26	3.63	-51.31	-2.01	-3.9557		98	1.31	69	35.95		31.89	17.87	Si
SLU 26	7.37	-5.45	-2.01	3.5682		53302	0.0003	108	0.01		26.09	0.01	No, Vu<V
SLU 35	3.63	-52.24	-2.28	-4.3518		100	1.31	69	36.08		32	15.82	Si
SLU 35	7.37	-6.38	-2.28	4.1768		60579	0.0003	108	0.01		26.22	0.01	No, Vu<V
SLU 17	3.63	-40.66	-1.97	-3.829		78	1.31	66	34.53		30.65	17.55	Si
SLU 17	7.37	-5.39	-1.97	3.5294		51312	0.0003	108	0.01		26.08	0.01	No, Vu<V
SLU 34	3.63	-52.2	-2.16	-3.9396		100	1.31	69	36.07		32	16.67	Si
SLU 34	7.37	-6.34	-2.16	4.1549		57906	0.0003	108	0.01		26.22	0.01	No, Vu<V
SLU 27	3.63	-51.31	-2.01	-3.9352		98	1.31	69	35.95		31.89	17.92	Si
SLU 27	7.37	-5.45	-2.01	3.5673		52597	0.0003	108	0.01		26.09	0.01	No, Vu<V
SLU 33	3.63	-52.85	-2.31	-4.0432		101	1.31	69	36.16		32.07	15.68	Si
SLU 33	7.37	-6.99	-2.31	4.5795		63289	0.0003	108	0.01		26.31	0.01	No, Vu<V

Verifica a taglio nel piano secondo D.M. 17-01-18 (N.T.C.) §7.8.2.2.2 con rottura per scorrimento in combinazioni sismiche, $\gamma_M = 2$

Comb.	Quota	N	V par	M	σ0	σN	I'	fvd	Vt scorr.	Vt fess.diag.	Vt.lim	c.s.	Verifica
SLD 8	3.63	-39.87	-1.46	-2.2467		76	1.31	99	51.64		43.37	35.25	Si
SLD 8	7.37	-5.72	-0.15	3.8617		0	0	83	0		38.79	0	No, Vu<V
SLV 7	3.63	-39.8	-1.33	-1.4957		76	1.31	99	51.63		43.36	38.92	Si
SLV 7	7.37	-7.11	1.64	4.9454		0	0	83	0		38.99	0	No, Vu<V
SLV 1	3.63	-40.39	-6.66	-6.3989		77	1.31	99	51.75		43.43	7.77	Si
SLV 1	7.37	-4.85	-0.1	4.0286		0	0	83	0		38.67	0	No, Vu<V
SLV 2	3.63	-40.39	-6.66	-6.3989		77	1.31	99	51.75		43.43	7.77	Si
SLV 2	7.37	-4.85	-0.1	4.0286		0	0	83	0		38.67	0	No, Vu<V
SLV 6	3.63	-40.3	-4.57	-5.8746		77	1.31	99	51.73		43.42	11.31	Si
SLV 6	7.37	-2.73	-3.44	2.0119		0	0	83	0		38.36	0	No, Vu<V
SLV 4	3.63	-40.24	-5.69	-5.0852		77	1.31	99	51.72		43.41	9.09	Si
SLV 4	7.37	-6.17	1.42	4.9087		0	0	83	0		38.85	0	No, Vu<V
SLV 5	3.63	-40.3	-4.57	-5.8746		77	1.31	99	51.73		43.42	11.31	Si
SLV 5	7.37	-2.73	-3.44	2.0119		0	0	83	0		38.36	0	No, Vu<V
SLD 1	3.63	-40.14	-3.77	-4.3768		77	1.31	99	51.69		43.4	13.71	Si
SLD 1	7.37	-4.75	-0.91	3.4476		0	0	83	0		38.65	0	No, Vu<V
SLV 8	3.63	-39.8	-1.33	-1.4957		76	1.31	99	51.63		43.36	38.92	Si
SLV 8	7.37	-7.11	1.64	4.9454		0	0	83	0		38.99	0	No, Vu<V
SLV 3	3.63	-40.24	-5.69	-5.0852		77	1.31	99	51.72		43.41	9.09	Si
SLV 3	7.37	-6.17	1.42	4.9087		0	0	83	0		38.85	0	No, Vu<V

Verifica a pressoflessione fuori piano D.M. 17-01-18 (N.T.C.)

quota 5.495 Wa 0.0007 denominatore 8 $\gamma_M = 2$

Comb.	fd	Sa	σ0	N	M	Mc	Coeff.s.	Verifica
SLV 13	1438	0.43	48	-25.13	2.0681	4.8293	2.34	Si
SLV 14	1438	0.43	48	-25.13	2.0681	4.8293	2.34	Si
SLV 9	1438	0.43	48	-25.2	2.0681	4.8408	2.34	Si
SLV 10	1438	0.43	48	-25.2	2.0681	4.8408	2.34	Si
SLV 16	1438	0.43	48	-25.41	2.0681	4.8809	2.36	Si
SLV 15	1438	0.43	48	-25.41	2.0681	4.8809	2.36	Si
SLV 6	1438	0.43	49	-25.53	2.0681	4.9023	2.37	Si
SLV 5	1438	0.43	49	-25.53	2.0681	4.9023	2.37	Si
SLV 12	1438	0.43	50	-26.13	2.0681	5.0126	2.42	Si
SLV 11	1438	0.43	50	-26.13	2.0681	5.0126	2.42	Si

Tabella dei coefficienti di sicurezza minimi

Stato limite	Coeff.s.	Comb.	Verifica
PF SLU	7.181	SLU 32	Si
V SLU	0.005	SLU 35	No
PF SLV	0	SLD 1	No
V SLV	0	SLD 1	No
PFFP SLV	2.335	SLV 13	Si

Maschio 42

Verifiche condotte secondo D.M. 17-01-18 (N.T.C.)

Dati geometrici

X ini.	Y ini.	X fin.	Y fin.	Quota i.	Quota.s	l	Sp.	h netta	h ini.	h fin.	a	a.s.,sx	a.s.,dx
10.43	26.165	9.12	26.165	L3	L4	1.31	0.5	3.49	3.74	3.74			

Caratteristiche del materiale

(circ.617 C8A.2) Muratura in mattoni pieni e malta di calce LC2

fb	fk	fvk0	fmedio	r0	fv0	μ	φ	fv,lim	E	G	FC
6000			3450	90	200	0.58	0.77	325	3200000	1280000	1.2

Verifica a pressoflessione per azioni non sismiche 4.5.6.2 D.M. 17-01-18 (N.T.C.) $\gamma_M = 3$

Comb.	Quota	N	M	p	es1	es2	ea	ev	e ver	ϕ_t	ϕ_l	Nu	Verifica
SLU 33	3.625	-85.17		1	0	0	0.0175	0	0.0175	0.82	1	514.23	Si
SLU 33	5.495	-48.66		1	0	0	0.0175	0	0.0175	0.82	1	514.23	Si
SLU 33	7.365	-3.04		1	0	0	0.0175	0	0.0175	0.82	1	514.23	Si
SLU 36	3.625	-85.09		1	0	0	0.0175	0	0.0175	0.82	1	514.23	Si
SLU 36	5.495	-48.52		1	0	0	0.0175	0	0.0175	0.82	1	514.23	Si
SLU 36	7.365	-2.92		1	0	0	0.0175	0	0.0175	0.82	1	514.23	Si
SLU 32	3.625	-84.91		1	0	0	0.0175	0	0.0175	0.82	1	514.23	Si
SLU 32	5.495	-48.51		1	0	0	0.0175	0	0.0175	0.82	1	514.23	Si
SLU 32	7.365	-3.02		1	0	0	0.0175	0	0.0175	0.82	1	514.23	Si
SLU 35	3.625	-84.83		1	0	0	0.0175	0	0.0175	0.82	1	514.23	Si
SLU 35	5.495	-48.37		1	0	0	0.0175	0	0.0175	0.82	1	514.23	Si
SLU 35	7.365	-2.9		1	0	0	0.0175	0	0.0175	0.82	1	514.23	Si
SLU 34	3.625	-83.9		1	0	0	0.0175	0	0.0175	0.82	1	514.23	Si
SLU 34	5.495	-47.89		1	0	0	0.0175	0	0.0175	0.82	1	514.23	Si
SLU 34	7.365	-2.83		1	0	0	0.0175	0	0.0175	0.82	1	514.23	Si
SLU 30	3.625	-81.78		1	0	0	0.0175	0	0.0175	0.82	1	514.23	Si
SLU 30	5.495	-46.85		1	0	0	0.0175	0	0.0175	0.82	1	514.23	Si
SLU 30	7.365	-2.8		1	0	0	0.0175	0	0.0175	0.82	1	514.23	Si
SLU 24	3.625	-81.77		1	0	0	0.0175	0	0.0175	0.82	1	514.23	Si
SLU 24	5.495	-46.71		1	0	0	0.0175	0	0.0175	0.82	1	514.23	Si
SLU 24	7.365	-2.63		1	0	0	0.0175	0	0.0175	0.82	1	514.23	Si
SLU 27	3.625	-81.69		1	0	0	0.0175	0	0.0175	0.82	1	514.23	Si
SLU 27	5.495	-46.57		1	0	0	0.0175	0	0.0175	0.82	1	514.23	Si
SLU 27	7.365	-2.5		1	0	0	0.0175	0	0.0175	0.82	1	514.23	Si
SLU 29	3.625	-81.51		1	0	0	0.0175	0	0.0175	0.82	1	514.23	Si
SLU 29	5.495	-46.71		1	0	0	0.0175	0	0.0175	0.82	1	514.23	Si
SLU 29	7.365	-2.78		1	0	0	0.0175	0	0.0175	0.82	1	514.23	Si
SLU 23	3.625	-81.51		1	0	0	0.0175	0	0.0175	0.82	1	514.23	Si
SLU 23	5.495	-46.57		1	0	0	0.0175	0	0.0175	0.82	1	514.23	Si
SLU 23	7.365	-2.61		1	0	0	0.0175	0	0.0175	0.82	1	514.23	Si

Verifica a pressoflessione nel piano secondo D.M. 17-01-18 NTC §7.8.2.2.1 in combinazioni sismiche, $\gamma_M = 2$

Comb.	Quota	N	M	σ_0	Mu	c.s.	Verifica
SLV 13	3.63	-2.74	-29.1601	0	0	0	No, e>1/2
SLV 13	7.37	1.7	1.1183	0	0	0	No, Trazione
SLV 5	3.63	-27.16	3.0929	41	17.186	5.557	Si
SLV 5	7.37	-0.04	-0.0274	0	0	0	No, e>1/2
SLV 9	3.63	-0.02	-15.134	0	0	0	No, e>1/2
SLV 9	7.37	1.68	1.0989	0	0	0	No, Trazione
SLV 3	3.63	-122.68	37.8006	187	68.0384	1.8	Si
SLV 3	7.37	-5.72	-3.7459	0	0	0	No, e>1/2
SLD 1	3.63	-76.08	16.1968	116	45.096	2.784	Si
SLD 1	7.37	-2.89	-1.894	0	0	0	No, e>1/2
SLV 4	3.63	-122.68	37.8006	187	68.0384	1.8	Si
SLV 4	7.37	-5.72	-3.7459	0	0	0	No, e>1/2
SLV 6	3.63	-27.16	3.0929	41	17.186	5.557	Si
SLV 6	7.37	-0.04	-0.0274	0	0	0	No, e>1/2
SLV 10	3.63	-0.02	-15.134	0	0	0	No, e>1/2
SLV 10	7.37	1.68	1.0989	0	0	0	No, Trazione
SLV 2	3.63	-93.21	31.5961	142	53.9408	1.707	Si
SLV 2	7.37	-4.02	-2.6361	0	0	0	No, e>1/2
SLV 14	3.63	-2.74	-29.1601	0	0	0	No, e>1/2
SLV 14	7.37	1.7	1.1183	0	0	0	No, Trazione

Verifica a taglio nel piano secondo D.M. 17-01-18 (N.T.C.) §7.8.2.2.2 con rottura per scorrimento in combinazioni non sismiche, $\gamma_M = 3$

Comb.	Quota	N	V par	M	σ_0	σ_N	l'	fvd	Vt scorr.	Vt fess.diag.	Vt,lim	c.s.	Verifica
SLU 14	3.63	-68.14	5.53	4.8984	104	1.31	69	45.47			40.33	8.23	Si
SLU 14	7.37	-2.64	5.52	-1.73	6544	0.0008	108	0.04			32.02	0.01	No, Vu<V
SLU 24	3.63	-81.77	5.81	5.665	125	1.31	72	47.29			41.85	8.15	Si
SLU 24	7.37	-2.63	5.79	-1.7202	6241	0.0008	108	0.05			32.02	0.01	No, Vu<V
SLU 32	3.63	-84.91	6.44	5.9737	130	1.31	73	47.71			42.19	7.41	Si
SLU 32	7.37	-3.02	6.42	-1.9796	7425	0.0008	108	0.04			32.08	0.01	No, Vu<V
SLU 36	3.63	-85.09	6.49	6.0321	130	1.31	73	47.73			42.21	7.36	Si
SLU 36	7.37	-2.92	6.47	-1.9101	6922	0.0008	108	0.05			32.06	0.01	No, Vu<V
SLU 35	3.63	-84.83	6.42	5.9718	130	1.31	73	47.7			42.18	7.43	Si
SLU 35	7.37	-2.9	6.41	-1.8968	7014	0.0008	108	0.04			32.06	0.01	No, Vu<V
SLU 33	3.63	-85.17	6.5	6.034	130	1.31	73	47.75			42.22	7.34	Si
SLU 33	7.37	-3.04	6.49	-1.9929	7329	0.0008	108	0.04			32.08	0.01	No, Vu<V
SLU 29	3.63	-81.51	5.75	5.6091	124	1.31	72	47.26			41.82	8.22	Si
SLU 29	7.37	-2.78	5.73	-1.8178	6826	0.0008	108	0.04			32.04	0.01	No, Vu<V
SLU 30	3.63	-81.78	5.81	5.6693	125	1.31	72	47.29			41.85	8.14	Si

Comb.	Quota	N	V par	M	σ_0	σ_N	I'	fvd	Vt scorr.	Vt fess.diag.	Vt,lim	c.s.	Verifica
SLU 30	7.37	-2.8	5.79	-1.8311		6730	0.0008	108	0.05		32.05	0.01	No, Vu<V
SLU 23	3.63	-81.51	5.74	5.6047		124	1.31	72	47.26		41.82	8.23	Si
SLU 23	7.37	-2.61	5.73	-1.7069		6333	0.0008	108	0.04		32.02	0.01	No, Vu<V
SLU 34	3.63	-83.9	6.25	5.936		128	1.31	73	47.58		42.08	7.61	Si
SLU 34	7.37	-2.83	6.24	-1.8541		6580	0.0009	108	0.05		32.05	0.01	No, Vu<V

Verifica a taglio nel piano secondo D.M. 17-01-18 (N.T.C.) §7.8.2.2.2 con rottura per scorrimento in combinazioni sismiche, $\gamma_M = 2$

Comb.	Quota	N	V par	M	σ_0	σ_N	I'	fvd	Vt scorr.	Vt fess.diag.	Vt,lim	c.s.	Verifica
SLV 3	3.63	-122.68	29.8	37.8006		236	1.0406	130	67.9		62.77	2.28	Si
SLV 3	7.37	-5.72	16.44	-3.7459		0	0	83	0		48.29	0	No, Vu<V
SLV 5	3.63	-27.16	-2.71	3.0929		41	1.31	92	60.02		51.25	22.17	Si
SLV 5	7.37	-0.04	-1.55	-0.0274		0	0	83	0		47.47	0	No, Vu<V
SLV 6	3.63	-27.16	-2.71	3.0929		41	1.31	92	60.02		51.25	22.17	Si
SLV 6	7.37	-0.04	-1.55	-0.0274		0	0	83	0		47.47	0	No, Vu<V
SLV 10	3.63	-0.02	-15.5	-15.134		0	0	83	0		47.47	0	No, Vu<V
SLV 10	7.37	1.68	-7.18	1.0989		0	0	83	0		47.22	0	No, Vu<V
SLV 14	3.63	-2.74	-20.96	-29.1601		0	0	83	0		47.86	0	No, Vu<V
SLV 14	7.37	1.7	-7.61	1.1183		0	0	83	0		47.22	0	No, Vu<V
SLV 9	3.63	-0.02	-15.5	-15.134		0	0	83	0		47.47	0	No, Vu<V
SLV 9	7.37	1.68	-7.18	1.0989		0	0	83	0		47.22	0	No, Vu<V
SLV 13	3.63	-2.74	-20.96	-29.1601		0	0	83	0		47.86	0	No, Vu<V
SLV 13	7.37	1.7	-7.61	1.1183		0	0	83	0		47.22	0	No, Vu<V
SLD 1	3.63	-76.08	11.95	16.1968		116	1.31	107	69.8		57.44	5.84	Si
SLD 1	7.37	-2.89	7.37	-1.894		0	0	83	0		47.88	0	No, Vu<V
SLV 4	3.63	-122.68	29.8	37.8006		236	1.0406	130	67.9		62.77	2.28	Si
SLV 4	7.37	-5.72	16.44	-3.7459		0	0	83	0		48.29	0	No, Vu<V
SLV 2	3.63	-93.21	21.69	31.5961		197	0.948	123	58.14		59.46	2.68	Si
SLV 2	7.37	-4.02	11.17	-2.6361		0	0	83	0		48.04	0	No, Vu<V

Verifica a pressoflessione fuori piano D.M. 17-01-18 (N.T.C.)

 quota 5.495 Wa 0.0009 denominatore 8 $\gamma_M = 2$

Comb.	fd	Sa	σ_0	N	M	Mc	Coeff.s.	Verifica
SLV 9	1438	0.43	0	-9.35	2.5851	0	0	No, e>t/2
SLV 10	1438	0.43	0	-9.35	2.5851	0	0	No, e>t/2
SLV 14	1438	0.43	0	-7.08	2.5851	0	0	No, e>t/2
SLV 13	1438	0.43	0	-7.08	2.5851	0	0	No, e>t/2
SLV 16	1438	0.43	29	-18.85	2.5851	4.6016	1.78	Si
SLV 15	1438	0.43	29	-18.85	2.5851	4.6016	1.78	Si
SLV 6	1438	0.43	35	-23.07	2.5851	5.6018	2.17	Si
SLV 5	1438	0.43	35	-23.07	2.5851	5.6018	2.17	Si
SLV 12	1438	0.43	74	-48.58	2.5851	11.4088	4.41	Si
SLV 11	1438	0.43	74	-48.58	2.5851	11.4088	4.41	Si

Tabella dei coefficienti di sicurezza minimi

Stato limite	Coeff.s.	Comb.	Verifica
PF SLU	6.037	SLU 33	Si
V SLU	0.007	SLU 32	No
PF SLV	0	SLV 16	No
V SLV	0	SLD 1	No
PPFP SLV	0	SLV 9	No

Maschio 43

Verifiche condotte secondo D.M. 17-01-18 (N.T.C.)

Dati geometrici

X ini.	Y ini.	X fin.	Y fin.	Quota i.	Quota.s	l	Sp.	h netta	h ini.	h fin.	a	a.s.,sx	a.s.,dx
10.43	21.415	10.43	23.365	L3	L4	1.95	0.3	3.49	3.74	3.74			

Caratteristiche del materiale

(circ.617 C8A.2) Muratura in mattoni pieni e malta di calce LC2

fb	fk	fvk0	fmedio	τ_0	fv0	μ	ϕ	fv,lim	E	G	FC
6000			3450	90	200	0.58	0.77	325	3200000	1280000	1.2

Verifica a pressoflessione per azioni non sismiche 4.5.6.2 D.M. 17-01-18 (N.T.C.) $\gamma_M = 3$

Comb.	Quota	N	M	p	es1	es2	ea	ev	e ver	Φ_t	Φ_l	Nu	Verifica
SLU 33	3.625	-81.1		1	0	0.0319	0.0175	0	0.0493	0.41	1	230.83	Si
SLU 33	5.495	-55.5		1	0	0.0319	0.0175	0	0.0247	0.57	1	319.92	Si
SLU 33	7.365	-29.9		1	0	0.0319	0.0175	0	0.0493	0.41	1	230.83	Si
SLU 32	3.625	-81.11		1	0	0.0319	0.0175	0	0.0493	0.41	1	230.89	Si
SLU 32	5.495	-55.52		1	0	0.0319	0.0175	0	0.0247	0.57	1	319.96	Si
SLU 32	7.365	-29.92		1	0	0.0319	0.0175	0	0.0493	0.41	1	230.89	Si
SLU 30	3.625	-81.36		1	0	0.0316	0.0175	0	0.0491	0.41	1	231.81	Si
SLU 30	5.495	-55.76		1	0	0.0316	0.0175	0	0.0245	0.57	1	320.64	Si
SLU 30	7.365	-30.16		1	0	0.0316	0.0175	0	0.0491	0.41	1	231.81	Si
SLU 29	3.625	-81.37		1	0	0.0316	0.0175	0	0.0491	0.41	1	231.87	Si
SLU 29	5.495	-55.77		1	0	0.0316	0.0175	0	0.0245	0.57	1	320.69	Si
SLU 29	7.365	-30.18		1	0	0.0316	0.0175	0	0.0491	0.41	1	231.87	Si
SLU 36	3.625	-77.6		1	0	0.0318	0.0175	0	0.0492	0.41	1	231.21	Si
SLU 36	5.495	-52		1	0	0.0318	0.0175	0	0.0246	0.57	1	320.2	Si
SLU 36	7.365	-26.4		1	0	0.0318	0.0175	0	0.0492	0.41	1	231.21	Si
SLU 35	3.625	-77.61		1	0	0.0318	0.0175	0	0.0492	0.41	1	231.28	Si
SLU 35	5.495	-52.02		1	0	0.0318	0.0175	0	0.0246	0.57	1	320.25	Si
SLU 35	7.365	-26.42		1	0	0.0318	0.0175	0	0.0492	0.41	1	231.28	Si
SLU 34	3.625	-77.69		1	0	0.0317	0.0175	0	0.0491	0.41	1	231.62	Si
SLU 34	5.495	-52.09		1	0	0.0317	0.0175	0	0.0246	0.57	1	320.5	Si
SLU 34	7.365	-26.5		1	0	0.0317	0.0175	0	0.0491	0.41	1	231.62	Si
SLU 31	3.625	-77.95		1	0	0.0314	0.0175	0	0.0488	0.42	1	232.71	Si
SLU 31	5.495	-52.35		1	0	0.0314	0.0175	0	0.0244	0.57	1	321.31	Si
SLU 31	7.365	-26.75		1	0	0.0314	0.0175	0	0.0488	0.42	1	232.71	Si
SLU 28	3.625	-77.98		1	0	0.0313	0.0175	0	0.0488	0.42	1	232.85	Si
SLU 28	5.495	-52.38		1	0	0.0313	0.0175	0	0.0244	0.57	1	321.41	Si
SLU 28	7.365	-26.79		1	0	0.0313	0.0175	0	0.0488	0.42	1	232.85	Si
SLU 24	3.625	-76.45		1	0	0.0314	0.0175	0	0.0489	0.41	1	232.51	Si
SLU 24	5.495	-50.85		1	0	0.0314	0.0175	0	0.0244	0.57	1	321.16	Si

Comb.	Quota	N	M	p	es1	es2	ea	ev	e ver	φt	ΦI	Nu	Verifica	
SLV 24	7.365	-25.25			1	0	0.0314	0.0175	0	0.0489	0.41	1	232.51	Si

Verifica a pressoflessione nel piano secondo D.M. 17-01-18 NTC §7.8.2.2.1 in combinazioni sismiche, $\gamma_M = 2$

Comb.	Quota	N	M	σ_0	Mu	c.s.	Verifica
SLV 12	3.63	-54.26	25.1564	93	48.8863	1.943	Si
SLV 12	7.37	-12.89	-7.0659	22	12.3447	1.747	Si
SLV 9	3.63	-65.48	-27.1356	112	57.9936	2.137	Si
SLV 9	7.37	-27.95	5.7261	48	26.1885	4.574	Si
SLV 7	3.63	-52.16	31.1453	89	47.1411	1.514	Si
SLV 7	7.37	-10.92	-8.2321	19	10.481	1.273	Si
SLV 10	3.63	-65.48	-27.1356	112	57.9936	2.137	Si
SLV 10	7.37	-27.95	5.7261	48	26.1885	4.574	Si
SLV 5	3.63	-63.38	-21.1467	108	56.3127	2.663	Si
SLV 5	7.37	-25.98	4.5598	44	24.4061	5.352	Si
SLV 6	3.63	-63.38	-21.1467	108	56.3127	2.663	Si
SLV 6	7.37	-25.98	4.5598	44	24.4061	5.352	Si
SLV 8	3.63	-52.16	31.1453	89	47.1411	1.514	Si
SLV 8	7.37	-10.92	-8.2321	19	10.481	1.273	Si
SLV 3	3.63	-53.63	19.8302	92	48.3651	2.439	Si
SLV 3	7.37	-13.88	-5.1156	24	13.2706	2.594	Si
SLV 4	3.63	-53.63	19.8302	92	48.3651	2.439	Si
SLV 4	7.37	-13.88	-5.1156	24	13.2706	2.594	Si
SLV 11	3.63	-54.26	25.1564	93	48.8863	1.943	Si
SLV 11	7.37	-12.89	-7.0659	22	12.3447	1.747	Si

Verifica a taglio nel piano secondo D.M. 17-01-18 (N.T.C.) §7.8.2.2.2 con rottura per scorrimento in combinazioni non sismiche, $\gamma_M = 3$

Comb.	Quota	N	V par	M	σ_0	σ_N	I'	fvd	Vt scorr.	Vt fess.diag.	Vt,lim	c.s.	Verifica
SLU 33	3.63	-81.1	1.33	3.1077		139	1.95	74	43.31		38.25	32.47	Si
SLU 33	7.37	-29.9	1.33	-1.8811		51	1.95	62	36.49		32.31	27.35	Si
SLU 35	3.63	-77.61	1.32	3.1477		133	1.95	73	42.85		37.87	32.51	Si
SLU 35	7.37	-26.42	1.32	-1.7819		45	1.95	62	36.02		31.86	27.33	Si
SLU 36	3.63	-77.6	1.37	3.304		133	1.95	73	42.85		37.87	31.34	Si
SLU 36	7.37	-26.4	1.37	-1.8092		45	1.95	62	36.02		31.86	26.35	Si
SLU 25	3.63	-73.04	1.17	2.8088		125	1.95	72	42.24		37.38	36.23	Si
SLU 25	7.37	-21.84	1.17	-1.5511		37	1.95	61	35.41		31.27	30.38	Si
SLU 15	3.63	-65.4	1.18	2.7777		112	1.95	70	41.22		36.53	35.01	Si
SLU 15	7.37	-26.02	1.18	-1.626		44	1.95	61	35.97		31.81	30.55	Si
SLU 18	3.63	-61.9	1.21	2.974		106	1.95	70	40.75		36.14	33.66	Si
SLU 18	7.37	-22.52	1.21	-1.554		38	1.95	61	35.5		31.36	29.32	Si
SLU 34	3.63	-77.69	1.33	3.19		133	1.95	73	42.86		37.88	32.24	Si
SLU 34	7.37	-26.5	1.33	-1.782		45	1.95	62	36.03		31.87	27.1	Si
SLU 27	3.63	-72.95	1.2	2.9229		125	1.95	72	42.23		37.37	35.09	Si
SLU 27	7.37	-21.75	1.2	-1.5782		37	1.95	61	35.4		31.25	29.41	Si
SLU 16	3.63	-62	1.17	2.86		106	1.95	70	40.77		36.15	34.76	Si
SLU 16	7.37	-22.61	1.17	-1.5268		39	1.95	61	35.52		31.37	30.28	Si
SLU 32	3.63	-81.11	1.28	2.9514		139	1.95	74	43.32		38.25	33.71	Si
SLU 32	7.37	-29.92	1.28	-1.8539		51	1.95	62	36.49		32.31	28.4	Si

Verifica a taglio nel piano secondo D.M. 17-01-18 (N.T.C.) §7.8.2.2.2 con rottura per scorrimento in combinazioni sismiche, $\gamma_M = 2$

Comb.	Quota	N	V par	M	σ_0	σ_N	I'	fvd	Vt scorr.	Vt fess.diag.	Vt,lim	c.s.	Verifica
SLV 8	3.63	-52.16	14.88	31.1453		153	1.1335	114	38.77		49.37	2.61	Si
SLV 8	7.37	-10.92	5.56	-8.2321		55	0.6627	94	18.75		43.94	3.37	Si
SLV 6	3.63	-63.38	-11.82	-21.1467		110	1.924	105	60.77		50.75	5.14	Si
SLV 6	7.37	-25.98	-3.24	4.5598		44	1.95	92	53.95		46	16.63	Si
SLV 7	3.63	-52.16	14.88	31.1453		153	1.1335	114	38.77		49.37	2.61	Si
SLV 7	7.37	-10.92	5.56	-8.2321		55	0.6627	94	18.75		43.94	3.37	Si
SLV 3	3.63	-53.63	7.08	19.8302		98	1.8157	103	56.12		49.56	7.93	Si
SLV 3	7.37	-13.88	3.15	-5.1156		25	1.8194	88	48.26		44.36	15.3	Si
SLV 5	3.63	-63.38	-11.82	-21.1467		110	1.924	105	60.77		50.75	5.14	Si
SLV 5	7.37	-25.98	-3.24	4.5598		44	1.95	92	53.95		46	16.63	Si
SLV 4	3.63	-53.63	7.08	19.8302		98	1.8157	103	56.12		49.56	7.93	Si
SLV 4	7.37	-13.88	3.15	-5.1156		25	1.8194	88	48.26		44.36	15.3	Si
SLV 11	3.63	-54.26	13.56	25.1564		118	1.5341	107	49.2		49.64	3.63	Si
SLV 11	7.37	-12.89	4.99	-7.0659		34	1.281	90	34.6		44.22	6.94	Si
SLV 10	3.63	-65.48	-13.14	-27.1356		130	1.6817	109	55.14		51.01	4.2	Si
SLV 10	7.37	-27.95	-3.82	5.7261		48	1.95	93	54.34		46.27	14.22	Si
SLV 9	3.63	-65.48	-13.14	-27.1356		130	1.6817	109	55.14		51.01	4.2	Si
SLV 9	7.37	-27.95	-3.82	5.7261		48	1.95	93	54.34		46.27	14.22	Si
SLV 12	3.63	-54.26	13.56	25.1564		118	1.5341	107	49.2		49.64	3.63	Si
SLV 12	7.37	-12.89	4.99	-7.0659		34	1.281	90	34.6		44.22	6.94	Si

Verifica a pressoflessione fuori piano D.M. 17-01-18 (N.T.C.)

quota 5.495 Wa 0.0005 denominatore 8 $\gamma_M = 2$

Comb.	fd	Sa	σ_0	N	M	Mc	Coeff.s.	Verifica
SLV 7	1438	0.43	56	-32.89	2.3088	4.7062	2.04	Si
SLV 8	1438	0.43	56	-32.89	2.3088	4.7062	2.04	Si
SLV 3	1438	0.43	58	-33.98	2.3088	4.8554	2.1	Si
SLV 4	1438	0.43	58	-33.98	2.3088	4.8554	2.1	Si
SLV 11	1438	0.43	60	-35.04	2.3088	4.9989	2.17	Si
SLV 12	1438	0.43	60	-35.04	2.3088	4.9989	2.17	Si
SLV 1	1438	0.43	63	-37.08	2.3088	5.2736	2.28	Si
SLV 2	1438	0.43	63	-37.08	2.3088	5.2736	2.28	Si
SLV 16	1438	0.43	70	-41.17	2.3088	5.8199	2.52	Si
SLV 15	1438	0.43	70	-41.17	2.3088	5.8199	2.52	Si

Tabella dei coefficienti di sicurezza minimi

Stato limite	Coeff.s.	Comb.	Verifica
PF SLV	2.846	SLV 33	Si
V SLV	26.347	SLV 36	Si
PF SLV	1.273	SLV 7	Si
V SLV	2.605	SLV 7	Si
PF SLV	2.038	SLV 7	Si

Maschio 44

Verifiche condotte secondo D.M. 17-01-18 (N.T.C.)

Dati geometrici

X ini.	Y ini.	X fin.	Y fin.	Quota i.	Quota.s	l	Sp.	h netta	h ini.	h fin.	a	a.s.,sx	a.s.,dx
10.43	24.265	10.43	26.165	L3	L4	1.9	0.3	3.49	3.74	3.74			

Caratteristiche del materiale

(circ.617 C8A.2) Muratura in mattoni pieni e malta di calce LC2

fb	fk	fvk0	fmedio	r0	fv0	μ	φ	fv,lim	E	G	FC
6000			3450	90	200	0.58	0.77	325	3200000	1280000	1.2

Verifica a pressoflessione per azioni non sismiche 4.5.6.2 D.M. 17-01-18 (N.T.C.) $\gamma_M = 3$

Comb.	Quota	N	M	p	es1	es2	ea	ev	e ver	Φt	Φl	Nu	Verifica
SLU 29	3.625	-50.71		1	0	0.0418	0.0175	0	0.0592	0.34	1	188.26	Si
SLU 29	5.495	-36.01		1	0	0.0418	0.0175	0	0.0296	0.54	1	293.87	Si
SLU 29	7.365	-22.24		1	0	0.0418	0.0175	0	0.0592	0.34	1	188.26	Si
SLU 30	3.625	-50.46		1	0	0.0418	0.0175	0	0.0592	0.34	1	188.24	Si
SLU 30	5.495	-35.88		1	0	0.0418	0.0175	0	0.0296	0.54	1	293.86	Si
SLU 30	7.365	-22.23		1	0	0.0418	0.0175	0	0.0592	0.34	1	188.24	Si
SLU 20	3.625	-50.12		1	0	0.0414	0.0175	0	0.0589	0.35	1	189.61	Si
SLU 20	5.495	-33.96		1	0	0.0414	0.0175	0	0.0294	0.54	1	294.5	Si
SLU 20	7.365	-18.66		1	0	0.0414	0.0175	0	0.0589	0.35	1	189.61	Si
SLU 21	3.625	-49.87		1	0	0.0414	0.0175	0	0.0589	0.35	1	189.58	Si
SLU 21	5.495	-33.83		1	0	0.0414	0.0175	0	0.0294	0.54	1	294.49	Si
SLU 21	7.365	-18.66		1	0	0.0414	0.0175	0	0.0589	0.35	1	189.58	Si
SLU 28	3.625	-49.44		1	0	0.0416	0.0175	0	0.059	0.35	1	189.05	Si
SLU 28	5.495	-34.12		1	0	0.0416	0.0175	0	0.0295	0.54	1	294.24	Si
SLU 28	7.365	-19.67		1	0	0.0416	0.0175	0	0.059	0.35	1	189.05	Si
SLU 31	3.625	-48.96		1	0	0.0416	0.0175	0	0.059	0.35	1	189	Si
SLU 31	5.495	-33.86		1	0	0.0416	0.0175	0	0.0295	0.54	1	294.22	Si
SLU 31	7.365	-19.66		1	0	0.0416	0.0175	0	0.059	0.35	1	189	Si
SLU 19	3.625	-48.86		1	0	0.0411	0.0175	0	0.0586	0.35	1	190.79	Si
SLU 19	5.495	-32.07		1	0	0.0411	0.0175	0	0.0293	0.54	1	295.05	Si
SLU 19	7.365	-16.09		1	0	0.0411	0.0175	0	0.0586	0.35	1	190.79	Si
SLU 22	3.625	-48.37		1	0	0.0411	0.0175	0	0.0586	0.35	1	190.73	Si
SLU 22	5.495	-31.82		1	0	0.0411	0.0175	0	0.0293	0.54	1	295.03	Si
SLU 22	7.365	-16.09		1	0	0.0411	0.0175	0	0.0586	0.35	1	190.73	Si
SLU 32	3.625	-47.49		1	0	0.0419	0.0175	0	0.0594	0.34	1	187.84	Si
SLU 32	5.495	-34.39		1	0	0.0419	0.0175	0	0.0297	0.54	1	293.67	Si
SLU 32	7.365	-22.18		1	0	0.0419	0.0175	0	0.0594	0.34	1	187.84	Si
SLU 33	3.625	-47.25		1	0	0.0419	0.0175	0	0.0594	0.34	1	187.82	Si
SLU 33	5.495	-34.26		1	0	0.0419	0.0175	0	0.0297	0.54	1	293.66	Si
SLU 33	7.365	-22.17		1	0	0.0419	0.0175	0	0.0594	0.34	1	187.82	Si

Verifica a pressoflessione nel piano secondo D.M. 17-01-18 NTC §7.8.2.2.1 in combinazioni sismiche, $\gamma_M = 2$

Comb.	Quota	N	M	σ0	Mu	c.s.	Verifica
SLV 4	3.63	20.07	22.8685	0	0	0	No, Trazione
SLV 4	7.37	-14.65	-15.6186	0	0	0	No, e>1/2
SLV 2	3.63	1.4	5.7748	0	0	0	No, Trazione
SLV 2	7.37	-13.14	-9.5023	23	12.2489	1.289	Si
SLD 7	3.63	-16.04	20.064	0	0	0	No, e>1/2
SLD 7	7.37	-15.36	-11.7432	27	14.2661	1.215	Si
SLV 1	3.63	1.4	5.7748	0	0	0	No, Trazione
SLV 1	7.37	-13.14	-9.5023	23	12.2489	1.289	Si
SLV 11	3.63	-18.99	32.5477	0	0	0	No, e>1/2
SLV 11	7.37	-16.95	-14.7807	30	15.709	1.063	Si
SLV 3	3.63	20.07	22.8685	0	0	0	No, Trazione
SLV 3	7.37	-14.65	-15.6186	0	0	0	No, e>1/2
SLD 8	3.63	-16.04	20.064	0	0	0	No, e>1/2
SLD 8	7.37	-15.36	-11.7432	27	14.2661	1.215	Si
SLD 3	3.63	-11.34	13.7542	0	0	0	No, e>1/2
SLD 3	7.37	-14.46	-10.489	25	13.4555	1.283	Si
SLV 12	3.63	-18.99	32.5477	0	0	0	No, e>1/2
SLV 12	7.37	-16.95	-14.7807	30	15.709	1.063	Si
SLD 4	3.63	-11.34	13.7542	0	0	0	No, e>1/2
SLD 4	7.37	-14.46	-10.489	25	13.4555	1.283	Si

Verifica a taglio nel piano secondo D.M. 17-01-18 (N.T.C.) §7.8.2.2.2 con rottura per scorrimento in combinazioni non sismiche, $\gamma_M = 3$

Comb.	Quota	N	V par	M	σ0	σN	l'	fvd	Vt scorr.	Vt fess.diag.	Vt,lim	c.s.	Verifica
SLU 25	3.63	-45.15	9.53	8.4506		79	1.9	66	37.69		33.45	3.95	Si
SLU 25	7.37	-16.03	9.57	-7.6548		38	1.4172	61	25.76		29.77	2.69	Si
SLU 33	3.63	-47.25	11.41	9.6089		83	1.9	67	37.97		33.7	3.33	Si
SLU 33	7.37	-22.17	11.45	-9.6734		48	1.5412	62	28.64		30.58	2.5	Si
SLU 36	3.63	-44.61	11.46	10.323		78	1.9	66	37.61		33.38	3.28	Si
SLU 36	7.37	-19.58	11.5	-9.0992		45	1.4557	62	26.87		30.24	2.34	Si
SLU 17	3.63	-33.74	9.91	9.0786		59	1.9	63	36.17		32.06	3.65	Si
SLU 17	7.37	-16.81	9.94	-7.7592		38	1.4653	61	26.66		29.87	2.68	Si
SLU 27	3.63	-44.02	10.06	9.222		77	1.9	66	37.54		33.31	3.73	Si
SLU 27	7.37	-16	10.1	-7.8204		39	1.3841	61	25.2		29.77	2.49	Si
SLU 35	3.63	-44.86	11.34	10.1617		79	1.9	66	37.65		33.41	3.32	Si
SLU 35	7.37	-19.58	11.38	-9.0554		45	1.4627	62	26.99		30.24	2.37	Si
SLU 34	3.63	-45.74	10.92	9.5516		80	1.9	66	37.77		33.52	3.46	Si
SLU 34	7.37	-19.6	10.97	-8.9336		44	1.4827	61	27.33		30.24	2.49	Si
SLU 18	3.63	-33.49	10.02	9.2399		59	1.9	63	36.13		32.02	3.6	Si
SLU 18	7.37	-16.81	10.06	-7.803		38	1.4572	61	26.53		29.87	2.64	Si
SLU 26	3.63	-44.27	9.95	9.0607		78	1.9	66	37.57		33.34	3.78	Si
SLU 26	7.37	-16.01	9.99	-7.7766		38	1.3926	61	25.34		29.77	2.54	Si
SLU 32	3.63	-47.49	11.29	9.4476		83	1.9	67	38		33.72	3.37	Si
SLU 32	7.37	-22.18	11.33	-9.6296		48	1.5473	62	28.75		30.58	2.54	Si

Verifica a taglio nel piano secondo D.M. 17-01-18 (N.T.C.) §7.8.2.2.2 con rottura per scorrimento in combinazioni sismiche, $\gamma_M = 2$

Comb.	Quota	N	V par	M	σ0	σN	l'	fvd	Vt scorr.	Vt fess.diag.	Vt,lim	c.s.	Verifica
SLV 12	3.63	-18.99	27.14	32.5477		0	0	83	0		43.97	0	No, Vu<V
SLV 12	7.37	-16.95	14.42	-14.7807		242	0.2337	132	9.23		43.69	0.64	No, Vu<V

Comb.	Quota	N	V par	M	σ_0	σ_N	I'	fvd	Vt scorr.	Vt fess.diag.	Vt,lim	c.s.	Verifica
SLD 3	3.63	-11.34	17.95	13.7542		0	0	83	0		42.92	0	No, Vu<V
SLD 3	7.37	-14.46	16.32	-10.489		71	0.6745	98	19.75		43.35	1.21	Si
SLV 1	3.63	1.4	16.37	5.7748		0	0	83	0		41.1	0	No, Vu<V
SLV 1	7.37	-13.14	20.37	-9.5023		64	0.6808	96	19.65		43.17	0.96	No, Vu<V
SLV 11	3.63	-18.99	27.14	32.5477		0	0	83	0		43.97	0	No, Vu<V
SLV 11	7.37	-16.95	14.42	-14.7807		242	0.2337	132	9.23		43.69	0.64	No, Vu<V
SLV 2	3.63	1.4	16.37	5.7748		0	0	83	0		41.1	0	No, Vu<V
SLV 2	7.37	-13.14	20.37	-9.5023		64	0.6808	96	19.65		43.17	0.96	No, Vu<V
SLD 4	3.63	-11.34	17.95	13.7542		0	0	83	0		42.92	0	No, Vu<V
SLD 4	7.37	-14.46	16.32	-10.489		71	0.6745	98	19.75		43.35	1.21	Si
SLV 4	3.63	20.07	30.97	22.8685		0	0	83	0		38.29	0	No, Vu<V
SLV 4	7.37	-14.65	27.34	-15.6186		0	0	83	0		43.38	0	No, Vu<V
SLD 7	3.63	-16.04	20.51	20.064		0	0	83	0		43.57	0	No, Vu<V
SLD 7	7.37	-15.36	14.96	-11.7432		92	0.5557	102	16.96		43.47	1.13	Si
SLV 3	3.63	20.07	30.97	22.8685		0	0	83	0		38.29	0	No, Vu<V
SLV 3	7.37	-14.65	27.34	-15.6186		0	0	83	0		43.38	0	No, Vu<V
SLD 8	3.63	-16.04	20.51	20.064		0	0	83	0		43.57	0	No, Vu<V
SLD 8	7.37	-15.36	14.96	-11.7432		92	0.5557	102	16.96		43.47	1.13	Si

Verifica a pressoflessione fuori piano D.M. 17-01-18 (N.T.C.)

quota 5.495 Wa 0.0005 denominatore 8 $\gamma_M = 2$

Comb.	fd	Sa	σ_0	N	M	Mc	Coeff.s.	Verifica
SLV 3	1438	0.43	0	-0.33	2.2496	0	0	No, e>t/2
SLV 7	1438	0.43	0	-4.52	2.2496	0	0	No, e>t/2
SLV 8	1438	0.43	0	-4.52	2.2496	0	0	No, e>t/2
SLV 1	1438	0.43	0	-8.89	2.2496	0	0	No, e>t/2
SLV 2	1438	0.43	0	-8.89	2.2496	0	0	No, e>t/2
SLV 4	1438	0.43	0	-0.33	2.2496	0	0	No, e>t/2
SLV 11	1438	0.43	29	-16.68	2.2496	2.4419	1.09	Si
SLV 12	1438	0.43	29	-16.68	2.2496	2.4419	1.09	Si
SLV 6	1438	0.43	58	-33.06	2.2496	4.724	2.1	Si
SLV 5	1438	0.43	58	-33.06	2.2496	4.724	2.1	Si

Tabella dei coefficienti di sicurezza minimi

Stato limite	Coeff.s.	Comb.	Verifica
PF SLU	3.713	SLU 29	Si
V SLU	2.337	SLU 36	Si
PF SLV	0	SLV 8	No
V SLV	0	SLD 3	No
PPFF SLV	0	SLV 1	No

Maschio 45

Verifiche condotte secondo D.M. 17-01-18 (N.T.C.)

Dati geometrici

X ini.	Y ini.	X fin.	Y fin.	Quota i.	Quota.s	l	Sp.	h netta	h ini.	h fin.	a	a.s.,sx	a.s.,dx
7.3	30.915	7.3	33.735	L1	L3	2.82	0.5	4.5	4.85	4.85			

Caratteristiche del materiale

(circ.617 C8A.2) Muratura in mattoni pieni e malta di calce LC2

fb	fk	fvk0	fmedio	r0	fv0	μ	ϕ	fv,lim	E	G	FC
6000			3450	90	200	0.58	0.77	325	3200000	1280000	1.2

Verifica a pressoflessione per azioni non sismiche 4.5.6.2 D.M. 17-01-18 (N.T.C.) $\gamma_M = 3$

Comb.	Quota	N	M	p	es1	es2	ea	ev	e ver	ϕ_t	Φ_I	Nu	Verifica
SLU 36	-1.225	-434.98		1	0	0.0252	0.0225	0	0.0477	0.61	1	819.92	Si
SLU 36	1.2	-354.97		1	0	0.0252	0.0225	0	0.0239	0.74	1	996.84	Si
SLU 36	3.625	-274.96		1	0	0.0252	0.0225	0	0.0477	0.61	1	819.92	Si
SLU 35	-1.225	-425.86		1	0	0.0261	0.0225	0	0.0486	0.6	1	815.43	Si
SLU 35	1.2	-345.85		1	0	0.0261	0.0225	0	0.0243	0.74	1	993.3	Si
SLU 35	3.625	-265.84		1	0	0.0261	0.0225	0	0.0486	0.6	1	815.43	Si
SLU 34	-1.225	-428.14		1	0	0.0224	0.0225	0	0.0449	0.62	1	834.69	Si
SLU 34	1.2	-348.12		1	0	0.0224	0.0225	0	0.0225	0.75	1	1007.92	Si
SLU 34	3.625	-268.11		1	0	0.0224	0.0225	0	0.0449	0.62	1	834.69	Si
SLU 33	-1.225	-426.5		1	0	0.0225	0.0225	0	0.045	0.62	1	833.97	Si
SLU 33	1.2	-346.49		1	0	0.0225	0.0225	0	0.0225	0.75	1	1007.91	Si
SLU 33	3.625	-266.47		1	0	0.0225	0.0225	0	0.045	0.62	1	833.97	Si
SLU 32	-1.225	-417.37		1	0	0.0233	0.0225	0	0.0458	0.61	1	829.83	Si
SLU 32	1.2	-337.36		1	0	0.0233	0.0225	0	0.0229	0.74	1	1004.65	Si
SLU 32	3.625	-257.35		1	0	0.0233	0.0225	0	0.0458	0.61	1	829.83	Si
SLU 27	-1.225	-408.16		1	0	0.025	0.0225	0	0.0475	0.61	1	821	Si
SLU 27	1.2	-328.15		1	0	0.025	0.0225	0	0.0238	0.74	1	997.69	Si
SLU 27	3.625	-248.14		1	0	0.025	0.0225	0	0.0475	0.61	1	821	Si
SLU 26	-1.225	-399.04		1	0	0.026	0.0225	0	0.0485	0.6	1	816.05	Si
SLU 26	1.2	-319.03		1	0	0.026	0.0225	0	0.0242	0.74	1	993.79	Si
SLU 26	3.625	-239.02		1	0	0.026	0.0225	0	0.0485	0.6	1	816.05	Si
SLU 25	-1.225	-401.31		1	0	0.0218	0.0225	0	0.0443	0.62	1	837.44	Si
SLU 25	1.2	-321.3		1	0	0.0218	0.0225	0	0.0225	0.75	1	1007.92	Si
SLU 25	3.625	-241.29		1	0	0.0218	0.0225	0	0.0443	0.62	1	837.44	Si
SLU 24	-1.225	-399.67		1	0	0.022	0.0225	0	0.0445	0.62	1	836.67	Si
SLU 24	1.2	-319.66		1	0	0.022	0.0225	0	0.0225	0.75	1	1007.92	Si
SLU 24	3.625	-239.65		1	0	0.022	0.0225	0	0.0445	0.62	1	836.67	Si
SLU 23	-1.225	-390.55		1	0	0.0229	0.0225	0	0.0454	0.62	1	832.15	Si
SLU 23	1.2	-310.54		1	0	0.0229	0.0225	0	0.0227	0.74	1	1006.48	Si
SLU 23	3.625	-230.53		1	0	0.0229	0.0225	0	0.0454	0.62	1	832.15	Si

Verifica a pressoflessione nel piano secondo D.M. 17-01-18 NTC §7.8.2.2.1 in combinazioni sismiche, $\gamma_M = 2$

Comb.	Quota	N	M	σ_0	Mu	c.s.	Verifica	
SLV 6	-1.23	-297.57	-290.5131		211	347.1062	1.195	Si
SLV 6	3.63	-169.8	41.9311		120	215.8181	5.147	Si
SLV 5	-1.23	-297.57	-290.5131		211	347.1062	1.195	Si
SLV 5	3.63	-169.8	41.9311		120	215.8181	5.147	Si
SLV 2	-1.23	-299.26	-184.273		212	348.6612	1.892	Si
SLV 2	3.63	-176.24	20.8707		125	223.0725	10.688	Si

Comb.	Quota	N	M	σ_0	Mu	c.s.	Verifica
SLV 12	-1.23	-306.51	291.1418	217	355.2865	1.22	Si
SLV 12	3.63	-188.09	-49.8026	133	236.2577	4.744	Si
SLV 7	-1.23	-305.56	226.9622	217	354.4236	1.562	Si
SLV 7	3.63	-188.12	-42.5193	133	236.2825	5.557	Si
SLV 10	-1.23	-298.52	-226.3334	212	347.9815	1.537	Si
SLV 10	3.63	-169.77	34.6478	120	215.7927	6.228	Si
SLV 8	-1.23	-305.56	226.9622	217	354.4236	1.562	Si
SLV 8	3.63	-188.12	-42.5193	133	236.2825	5.557	Si
SLV 1	-1.23	-299.26	-184.273	212	348.6612	1.892	Si
SLV 1	3.63	-176.24	20.8707	125	223.0725	10.688	Si
SLV 11	-1.23	-306.51	291.1418	217	355.2865	1.22	Si
SLV 11	3.63	-188.09	-49.8026	133	236.2577	4.744	Si
SLV 9	-1.23	-298.52	-226.3334	212	347.9815	1.537	Si
SLV 9	3.63	-169.77	34.6478	120	215.7927	6.228	Si

Verifica a taglio nel piano secondo D.M. 17-01-18 (N.T.C.) §7.8.2.2 con rottura per scorrimento in combinazioni non sismiche, $\gamma_M = 3$

Comb.	Quota	N	V par	M	σ_0	σ_N	I'	fvd	Vt scorr.	Vt fess.diag.	Vt,lim	c.s.	Verifica
SLU 21	-1.23	-362.42	1.56	1.3909		257	2.82	90	126.66		108.61	81.22	Si
SLU 21	3.63	-202.4	1.56	-6.1722		144	2.82	75	105.32		92.93	67.54	Si
SLU 25	-1.23	-401.31	1.6	1.1787		285	2.82	94	131.84		112.09	82.36	Si
SLU 25	3.63	-241.29	1.6	-6.5853		171	2.82	78	110.51		96.97	69.03	Si
SLU 19	-1.23	-345.82	1.59	1.0646		245	2.82	88	124.44		107.09	78.24	Si
SLU 19	3.63	-185.8	1.59	-6.6494		132	2.82	73	103.11		91.15	64.83	Si
SLU 27	-1.23	-408.16	1.3	0.4621		289	2.82	94	132.75		112.69	101.79	Si
SLU 27	3.63	-248.14	1.3	-5.8632		176	2.82	79	111.42		97.67	85.43	Si
SLU 22	-1.23	-364.06	1.91	1.8891		258	2.82	90	126.87		108.76	66.26	Si
SLU 22	3.63	-204.04	1.91	-7.3975		145	2.82	75	105.54		93.1	55.12	Si
SLU 20	-1.23	-353.3	1.4	0.9787		251	2.82	89	125.44		107.77	89.77	Si
SLU 20	3.63	-193.28	1.4	-5.7981		137	2.82	74	104.1		91.96	74.5	Si
SLU 4	-1.23	-291.33	1.47	1.596		207	2.82	83	117.18		101.94	79.87	Si
SLU 4	3.63	-168.24	1.47	-5.5198		119	2.82	71	100.76		89.23	68.68	Si
SLU 28	-1.23	-372.64	1.29	0.8851		264	2.82	91	128.02		109.53	99.61	Si
SLU 28	3.63	-212.62	1.29	-5.348		151	2.82	76	106.68		94.01	83.01	Si
SLU 31	-1.23	-390.88	1.61	1.7096		277	2.82	93	130.45		111.16	81.05	Si
SLU 31	3.63	-230.86	1.61	-6.0961		164	2.82	77	109.11		95.91	67.8	Si
SLU 1	-1.23	-273.09	1.14	0.7716		194	2.82	81	114.74		100.16	100.39	Si
SLU 1	3.63	-149.99	1.14	-4.7717		106	2.82	70	98.33		87.18	86.03	Si

Verifica a taglio nel piano secondo D.M. 17-01-18 (N.T.C.) §7.8.2.2 con rottura per scorrimento in combinazioni sismiche, $\gamma_M = 2$

Comb.	Quota	N	V par	M	σ_0	σ_N	I'	fvd	Vt scorr.	Vt fess.diag.	Vt,lim	c.s.	Verifica
SLV 8	-1.23	-305.56	58.61	226.9622		305	2.0017	144	144.51		139.6	2.47	Si
SLV 8	3.63	-188.12	55.1	-42.5193		133	2.82	110	155.12		126.53	2.82	Si
SLV 10	-1.23	-298.52	-56.85	-226.3334		305	1.9554	144	141.18		138.85	2.48	Si
SLV 10	3.63	-169.77	-53.35	34.6478		120	2.82	107	151.45		124.37	2.84	Si
SLV 5	-1.23	-297.57	-70.76	-290.5131		457	1.3012	163	105.72		138.75	1.49	Si
SLV 5	3.63	-169.8	-67.02	41.9311		120	2.82	107	151.46		124.37	2.26	Si
SLV 6	-1.23	-297.57	-70.76	-290.5131		457	1.3012	163	105.72		138.75	1.49	Si
SLV 6	3.63	-169.8	-67.02	41.9311		120	2.82	107	151.46		124.37	2.26	Si
SLV 15	-1.23	-304.82	43.46	184.9018		253	2.4102	134	161.39		139.52	3.71	Si
SLV 15	3.63	-181.66	41.98	-28.7422		129	2.82	109	153.83		125.78	3.66	Si
SLV 11	-1.23	-306.51	72.51	291.1418		444	1.3804	163	112.16		139.7	1.55	Si
SLV 11	3.63	-188.09	68.78	-49.8026		133	2.82	110	155.12		126.53	2.26	Si
SLV 9	-1.23	-298.52	-56.85	-226.3334		305	1.9554	144	141.18		138.85	2.48	Si
SLV 9	3.63	-169.77	-53.35	34.6478		120	2.82	107	151.45		124.37	2.84	Si
SLV 16	-1.23	-304.82	43.46	184.9018		253	2.4102	134	161.39		139.52	3.71	Si
SLV 16	3.63	-181.66	41.98	-28.7422		129	2.82	109	153.83		125.78	3.66	Si
SLV 12	-1.23	-306.51	72.51	291.1418		444	1.3804	163	112.16		139.7	1.55	Si
SLV 12	3.63	-188.09	68.78	-49.8026		133	2.82	110	155.12		126.53	2.26	Si
SLV 7	-1.23	-305.56	58.61	226.9622		305	2.0017	144	144.51		139.6	2.47	Si
SLV 7	3.63	-188.12	55.1	-42.5193		133	2.82	110	155.12		126.53	2.82	Si

Verifica a pressoflessione fuori piano D.M. 17-01-18 (N.T.C.)

quota 1.2 W_a 0.0009 denominatore 8 $\gamma_M = 2$

Comb.	fd	Sa	σ_0	N	M	Mc	Coeff.s.	Verifica
SLV 6	1438	0.28	167	-235.79	5.9602	50.8796	8.54	Si
SLV 5	1438	0.28	167	-235.79	5.9602	50.8796	8.54	Si
SLV 10	1438	0.28	168	-236.78	5.9602	51.0588	8.57	Si
SLV 9	1438	0.28	168	-236.78	5.9602	51.0588	8.57	Si
SLV 1	1438	0.28	168	-237.58	5.9602	51.205	8.59	Si
SLV 2	1438	0.28	168	-237.58	5.9602	51.205	8.59	Si
SLV 4	1438	0.28	170	-240.11	5.9602	51.6613	8.67	Si
SLV 3	1438	0.28	170	-240.11	5.9602	51.6613	8.67	Si
SLV 13	1438	0.28	171	-240.88	5.9602	51.7995	8.69	Si
SLV 14	1438	0.28	171	-240.88	5.9602	51.7995	8.69	Si

Tabella dei coefficienti di sicurezza minimi

Stato limite	Coeff.s.	Comb.	Verifica
PF SLU	1.885	SLU 36	Si
V SLU	55.118	SLU 22	Si
PF SLV	1.195	SLV 5	Si
V SLV	1.494	SLV 5	Si
PFPF SLV	8.537	SLV 5	Si

Maschio 46

Verifiche condotte secondo D.M. 17-01-18 (N.T.C.)

Dati geometrici

X ini.	Y ini.	X fin.	Y fin.	Quota i.	Quota s.	l	Sp.	h netta	h ini.	h fin.	a	a.s.,sx	a.s.,dx
7.3	34.935	7.3	37.215	L1	L3	2.28	0.5	4.5	4.85	4.85			

Caratteristiche del materiale

(circ.617 C8A.2) Muratura in mattoni pieni e malta di calce LC2

fb	fk	fvk0	fmedio	r0	fv0	μ	φ	fv,lim	E	G	FC
6000			3450	90	200	0.58	0.77	325	320000	1280000	1.2

Verifica a pressoflessione per azioni non sismiche 4.5.6.2 D.M. 17-01-18 (N.T.C.) $\gamma_M = 3$

Comb.	Quota	N	M	p	es1	es2	ea	ev	e ver	Φ_t	Φ_l	Nu	Verifica
SLU 36	-1.225	-416.85		1	0	0.0195	0.0225	0	0.042	0.63	1	686.89	Si
SLU 36	1.2	-352.16		1	0	0.0195	0.0225	0	0.0225	0.75	1	814.92	Si
SLU 36	3.625	-287.47		1	0	0.0195	0.0225	0	0.042	0.63	1	686.89	Si
SLU 35	-1.225	-405.82		1	0	0.0203	0.0225	0	0.0428	0.63	1	683.62	Si
SLU 35	1.2	-341.13		1	0	0.0203	0.0225	0	0.0225	0.75	1	814.92	Si
SLU 35	3.625	-276.44		1	0	0.0203	0.0225	0	0.0428	0.63	1	683.62	Si
SLU 34	-1.225	-413.99		1	0	0.017	0.0225	0	0.0395	0.64	1	702.36	Si
SLU 34	1.2	-349.3		1	0	0.017	0.0225	0	0.0225	0.75	1	814.92	Si
SLU 34	3.625	-284.61		1	0	0.017	0.0225	0	0.0395	0.64	1	702.36	Si
SLU 33	-1.225	-410.86		1	0	0.0172	0.0225	0	0.0397	0.64	1	701.11	Si
SLU 33	1.2	-346.17		1	0	0.0172	0.0225	0	0.0225	0.75	1	814.92	Si
SLU 33	3.625	-281.48		1	0	0.0172	0.0225	0	0.0397	0.64	1	701.11	Si
SLU 32	-1.225	-399.82		1	0	0.0179	0.0225	0	0.0404	0.64	1	696.46	Si
SLU 32	1.2	-335.13		1	0	0.0179	0.0225	0	0.0225	0.75	1	814.92	Si
SLU 32	3.625	-270.45		1	0	0.0179	0.0225	0	0.0404	0.64	1	696.46	Si
SLU 27	-1.225	-390.24		1	0	0.0192	0.0225	0	0.0417	0.63	1	688.01	Si
SLU 27	1.2	-325.55		1	0	0.0192	0.0225	0	0.0225	0.75	1	814.92	Si
SLU 27	3.625	-260.86		1	0	0.0192	0.0225	0	0.0417	0.63	1	688.01	Si
SLU 26	-1.225	-379.2		1	0	0.0201	0.0225	0	0.0426	0.63	1	684.44	Si
SLU 26	1.2	-314.51		1	0	0.0201	0.0225	0	0.0225	0.75	1	814.92	Si
SLU 26	3.625	-249.82		1	0	0.0201	0.0225	0	0.0426	0.63	1	684.44	Si
SLU 25	-1.225	-387.38		1	0	0.0165	0.0225	0	0.039	0.65	1	705.82	Si
SLU 25	1.2	-322.69		1	0	0.0165	0.0225	0	0.0225	0.75	1	814.92	Si
SLU 25	3.625	-258		1	0	0.0165	0.0225	0	0.039	0.65	1	705.82	Si
SLU 24	-1.225	-384.24		1	0	0.0167	0.0225	0	0.0392	0.64	1	704.48	Si
SLU 24	1.2	-319.55		1	0	0.0167	0.0225	0	0.0225	0.75	1	814.92	Si
SLU 24	3.625	-254.87		1	0	0.0167	0.0225	0	0.0392	0.64	1	704.48	Si
SLU 23	-1.225	-373.21		1	0	0.0175	0.0225	0	0.04	0.64	1	699.48	Si
SLU 23	1.2	-308.52		1	0	0.0175	0.0225	0	0.0225	0.75	1	814.92	Si
SLU 23	3.625	-243.83		1	0	0.0175	0.0225	0	0.04	0.64	1	699.48	Si

Verifica a pressoflessione nel piano secondo D.M. 17-01-18 NTC §7.8.2.2.1 in combinazioni sismiche, $\gamma_M = 2$

Comb.	Quota	N	M	σ_0	Mu	c.s.	Verifica
SLV 15	-1.23	-289.24	102.1006	254	261.2621	2.559	Si
SLV 15	3.63	-189.47	15.2939	166	186.6158	12.202	Si
SLV 16	-1.23	-289.24	102.1006	254	261.2621	2.559	Si
SLV 16	3.63	-189.47	15.2939	166	186.6158	12.202	Si
SLV 6	-1.23	-289.17	-161.3347	254	261.2207	1.619	Si
SLV 6	3.63	-190.06	-26.577	167	187.1088	7.04	Si
SLV 12	-1.23	-289.27	161.6754	254	261.285	1.616	Si
SLV 12	3.63	-189.33	24.6505	166	186.503	7.566	Si
SLV 10	-1.23	-289.17	-126.074	254	261.2205	2.072	Si
SLV 10	3.63	-189.99	-20.9244	167	187.0433	8.939	Si
SLV 11	-1.23	-289.27	161.6754	254	261.285	1.616	Si
SLV 11	3.63	-189.33	24.6505	166	186.503	7.566	Si
SLV 8	-1.23	-289.27	126.4148	254	261.2852	2.067	Si
SLV 8	3.63	-189.41	18.9979	166	186.5685	9.82	Si
SLV 5	-1.23	-289.17	-161.3347	254	261.2207	1.619	Si
SLV 5	3.63	-190.06	-26.577	167	187.1088	7.04	Si
SLV 7	-1.23	-289.27	126.4148	254	261.2852	2.067	Si
SLV 7	3.63	-189.41	18.9979	166	186.5685	9.82	Si
SLV 9	-1.23	-289.17	-126.074	254	261.2205	2.072	Si
SLV 9	3.63	-189.99	-20.9244	167	187.0433	8.939	Si

Verifica a taglio nel piano secondo D.M. 17-01-18 (N.T.C.) §7.8.2.2.2 con rottura per scorrimento in combinazioni non sismiche, $\gamma_M = 3$

Comb.	Quota	N	V par	M	σ_0	σ_N	I'	fvd	Vt scorr.	Vt fess.diag.	Vt,lim	c.s.	Verifica
SLU 13	-1.23	-311.78	0.4	0.7463	273	2.28	92	104.9			89.5	263.61	Si
SLU 13	3.63	-212.25	0.4	-1.1837	186	2.28	80	91.63			80.13	230.27	Si
SLU 31	-1.23	-381.58	0.44	0.7847	335	2.28	100	114.21			95.52	261.97	Si
SLU 31	3.63	-252.2	0.44	-1.3298	221	2.28	85	96.96			84.02	222.4	Si
SLU 11	-1.23	-297.61	0.34	0.4738	261	2.28	90	103.01			88.23	300.79	Si
SLU 11	3.63	-198.09	0.34	-1.1873	174	2.28	79	89.74			78.71	262.04	Si
SLU 34	-1.23	-413.99	0.42	0.5558	363	2.28	104	118.53			98.19	279.85	Si
SLU 34	3.63	-284.61	0.42	-1.4994	250	2.28	89	101.28			87.04	239.12	Si
SLU 15	-1.23	-341.05	0.38	0.4242	299	2.28	95	108.81			92.07	286.26	Si
SLU 15	3.63	-241.53	0.38	-1.4193	212	2.28	84	95.54			83	251.35	Si
SLU 16	-1.23	-344.19	0.39	0.5175	302	2.28	96	109.23			92.34	283.31	Si
SLU 16	3.63	-244.67	0.39	-1.3523	215	2.28	84	95.96			83.3	248.89	Si
SLU 29	-1.23	-367.41	0.38	0.5121	322	2.28	99	112.32			94.33	295.19	Si
SLU 29	3.63	-238.03	0.38	-1.3334	209	2.28	83	95.07			82.66	249.85	Si
SLU 30	-1.23	-378.45	0.43	0.6914	332	2.28	100	113.79			95.26	264.3	Si
SLU 30	3.63	-249.07	0.43	-1.3967	218	2.28	85	96.54			83.72	224.24	Si
SLU 12	-1.23	-308.64	0.39	0.653	271	2.28	92	104.49			89.22	266.2	Si
SLU 12	3.63	-209.12	0.39	-1.2507	183	2.28	80	91.22			79.82	232.39	Si
SLU 33	-1.23	-410.86	0.42	0.4626	360	2.28	104	118.11			97.94	282.49	Si
SLU 33	3.63	-281.48	0.42	-1.5653	247	2.28	88	100.86			86.75	241.23	Si

Verifica a taglio nel piano secondo D.M. 17-01-18 (N.T.C.) §7.8.2.2.2 con rottura per scorrimento in combinazioni sismiche, $\gamma_M = 2$

Comb.	Quota	N	V par	M	σ_0	σ_N	I'	fvd	Vt scorr.	Vt fess.diag.	Vt,lim	c.s.	Verifica
SLV 12	-1.23	-289.27	29.36	161.6754	332	1.7433	150	130.49			117.26	4.44	Si
SLV 12	3.63	-189.33	29.9	24.6505	166	2.28	117	132.87			106.57	4.44	Si
SLV 11	-1.23	-289.27	29.36	161.6754	332	1.7433	150	130.49			117.26	4.44	Si
SLV 11	3.63	-189.33	29.9	24.6505	166	2.28	117	132.87			106.57	4.44	Si
SLV 7	-1.23	-289.27	23.36	126.4148	274	2.109	138	145.73			117.26	6.24	Si
SLV 7	3.63	-189.41	23.12	18.9979	166	2.28	117	132.88			106.58	5.75	Si
SLV 15	-1.23	-289.24	18.08	102.1006	254	2.28	134	152.85			117.26	8.46	Si
SLV 15	3.63	-189.47	19.41	15.2939	166	2.28	117	132.89			106.59	6.85	Si
SLV 9	-1.23	-289.17	-22.89	-126.074	274	2.1121	138	145.84			117.25	6.37	Si
SLV 9	3.63	-189.99	-22.66	-20.9244	167	2.28	117	133			106.65	5.87	Si
SLV 8	-1.23	-289.27	23.36	126.4148	274	2.109	138	145.73			117.26	6.24	Si
SLV 8	3.63	-189.41	23.12	18.9979	166	2.28	117	132.88			106.58	5.75	Si
SLV 16	-1.23	-289.24	18.08	102.1006	254	2.28	134	152.85			117.26	8.46	Si
SLV 16	3.63	-189.47	19.41	15.2939	166	2.28	117	132.89			106.59	6.85	Si

Comb.	Quota	N	V par	M	σ_0	σ_N	I'	fvd	Vt scorr.	Vt fess.diag.	Vt,lim	c.s.	Verifica
SLV 10	-1.23	-289.17	-22.89	-126.074		274	2.1121	138	145.84		117.25	6.37	Si
SLV 10	3.63	-189.99	-22.66	-20.9244		167	2.28	117	133		106.65	5.87	Si
SLV 5	-1.23	-289.17	-28.89	-161.3347		331	1.7462	150	130.6		117.25	4.52	Si
SLV 5	3.63	-190.06	-29.43	-26.577		167	2.28	117	133.01		106.65	4.52	Si
SLV 6	-1.23	-289.17	-28.89	-161.3347		331	1.7462	150	130.6		117.25	4.52	Si
SLV 6	3.63	-190.06	-29.43	-26.577		167	2.28	117	133.01		106.65	4.52	Si

Verifica a pressoflessione fuori piano D.M. 17-01-18 (N.T.C.)

quota 1.2 Wa 0.0009 denominatore 8 $\gamma_M = 2$

Comb.	fd	Sa	σ_0	N	M	Mc	Coeff.s.	Verifica
SLV 12	1438	0.28	210	-239.24	4.8189	49.5377	10.28	Si
SLV 11	1438	0.28	210	-239.24	4.8189	49.5377	10.28	Si
SLV 7	1438	0.28	210	-239.29	4.8189	49.5457	10.28	Si
SLV 8	1438	0.28	210	-239.29	4.8189	49.5457	10.28	Si
SLV 15	1438	0.28	210	-239.32	4.8189	49.5508	10.28	Si
SLV 16	1438	0.28	210	-239.32	4.8189	49.5508	10.28	Si
SLV 13	1438	0.28	210	-239.44	4.8189	49.57	10.29	Si
SLV 14	1438	0.28	210	-239.44	4.8189	49.57	10.29	Si
SLV 4	1438	0.28	210	-239.48	4.8189	49.5773	10.29	Si
SLV 3	1438	0.28	210	-239.48	4.8189	49.5773	10.29	Si

Tabella dei coefficienti di sicurezza minimi

Stato limite	Coeff.s.	Comb.	Verifica
PF SLU	1.648	SLU 36	Si
V SLU	222.402	SLU 31	Si
PF SLV	1.616	SLV 11	Si
V SLV	4.444	SLV 11	Si
PFFP SLV	10.28	SLV 11	Si

Maschio 47

Verifiche condotte secondo D.M. 17-01-18 (N.T.C.)

Dati geometrici

X ini.	Y ini.	X fin.	Y fin.	Quota i.	Quota.s	l	Sp.	h netta	h ini.	h fin.	a	a.s.,sx	a.s.,dx
7.3	38.415	7.3	39.915	L1	L3	1.5	0.5	4.5	4.85	4.85			

Caratteristiche del materiale

(circ.617 C8A.2) Muratura in mattoni pieni e malta di calce LC2

fb	fk	fvk0	fmedio	τ_0	fv0	μ	φ	fv,lim	E	G	FC
6000			3450	90	200	0.58	0.77	325	3200000	1280000	1.2

Verifica a pressoflessione per azioni non sismiche 4.5.6.2 D.M. 17-01-18 (N.T.C.) $\gamma_M = 3$

Comb.	Quota	N	M	p	es1	es2	ea	ev	e ver	Φ_t	Φ_I	Nu	Verifica
SLU 36	-1.225	-296.56		1	0	0.0174	0.0225	0	0.0399	0.64	1	460.32	Si
SLU 36	1.2	-254.01		1	0	0.0174	0.0225	0	0.0225	0.75	1	536.13	Si
SLU 36	3.625	-211.45		1	0	0.0174	0.0225	0	0.0399	0.64	1	460.32	Si
SLU 35	-1.225	-288.2		1	0	0.0182	0.0225	0	0.0407	0.64	1	457.2	Si
SLU 35	1.2	-245.64		1	0	0.0182	0.0225	0	0.0225	0.75	1	536.13	Si
SLU 35	3.625	-203.08		1	0	0.0182	0.0225	0	0.0407	0.64	1	457.2	Si
SLU 34	-1.225	-294.11		1	0	0.0153	0.0225	0	0.0378	0.65	1	469.78	Si
SLU 34	1.2	-251.55		1	0	0.0153	0.0225	0	0.0225	0.75	1	536.13	Si
SLU 34	3.625	-208.99		1	0	0.0153	0.0225	0	0.0378	0.65	1	469.78	Si
SLU 33	-1.225	-291.68		1	0	0.0154	0.0225	0	0.0379	0.65	1	469.01	Si
SLU 33	1.2	-249.13		1	0	0.0154	0.0225	0	0.0225	0.75	1	536.13	Si
SLU 33	3.625	-206.57		1	0	0.0154	0.0225	0	0.0379	0.65	1	469.01	Si
SLU 32	-1.225	-283.32		1	0	0.0161	0.0225	0	0.0386	0.65	1	466.17	Si
SLU 32	1.2	-240.76		1	0	0.0161	0.0225	0	0.0225	0.75	1	536.13	Si
SLU 32	3.625	-198.2		1	0	0.0161	0.0225	0	0.0386	0.65	1	466.17	Si
SLU 27	-1.225	-276.23		1	0	0.0173	0.0225	0	0.0398	0.64	1	461.06	Si
SLU 27	1.2	-233.67		1	0	0.0173	0.0225	0	0.0225	0.75	1	536.13	Si
SLU 27	3.625	-191.11		1	0	0.0173	0.0225	0	0.0398	0.64	1	461.06	Si
SLU 26	-1.225	-267.87		1	0	0.0181	0.0225	0	0.0406	0.64	1	457.63	Si
SLU 26	1.2	-225.31		1	0	0.0181	0.0225	0	0.0225	0.75	1	536.13	Si
SLU 26	3.625	-182.75		1	0	0.0181	0.0225	0	0.0406	0.64	1	457.63	Si
SLU 25	-1.225	-273.77		1	0	0.0149	0.0225	0	0.0374	0.66	1	471.56	Si
SLU 25	1.2	-231.22		1	0	0.0149	0.0225	0	0.0225	0.75	1	536.13	Si
SLU 25	3.625	-188.66		1	0	0.0149	0.0225	0	0.0374	0.66	1	471.56	Si
SLU 24	-1.225	-271.35		1	0	0.015	0.0225	0	0.0375	0.65	1	470.72	Si
SLU 24	1.2	-228.79		1	0	0.015	0.0225	0	0.0225	0.75	1	536.13	Si
SLU 24	3.625	-186.23		1	0	0.015	0.0225	0	0.0375	0.65	1	470.72	Si
SLU 23	-1.225	-262.99		1	0	0.0158	0.0225	0	0.0383	0.65	1	467.64	Si
SLU 23	1.2	-220.43		1	0	0.0158	0.0225	0	0.0225	0.75	1	536.13	Si
SLU 23	3.625	-177.87		1	0	0.0158	0.0225	0	0.0383	0.65	1	467.64	Si

Verifica a pressoflessione nel piano secondo D.M. 17-01-18 NTC §7.8.2.2.1 in combinazioni sismiche, $\gamma_M = 2$

Comb.	Quota	N	M	σ_0	Mu	c.s.	Verifica
SLV 6	-1.23	-205.3	-51.667	274	119.4787	2.312	Si
SLV 6	3.63	-135.89	0.0976	181	86.805	889.585	Si
SLV 5	-1.23	-205.3	-51.667	274	119.4787	2.312	Si
SLV 5	3.63	-135.89	0.0976	181	86.805	889.585	Si
SLV 10	-1.23	-205.01	-40.4701	273	119.3623	2.949	Si
SLV 10	3.63	-135.57	-2.9688	181	86.6354	29.182	Si
SLV 8	-1.23	-202.8	40.5458	270	118.4409	2.921	Si
SLV 8	3.63	-141.3	2.655	188	89.633	33.76	Si
SLV 7	-1.23	-202.8	40.5458	270	118.4409	2.921	Si
SLV 7	3.63	-141.3	2.655	188	89.633	33.76	Si
SLV 9	-1.23	-205.01	-40.4701	273	119.3623	2.949	Si
SLV 9	3.63	-135.57	-2.9688	181	86.6354	29.182	Si
SLV 15	-1.23	-203.07	32.5312	271	118.5512	3.644	Si
SLV 15	3.63	-138.71	-4.8838	185	88.2849	18.077	Si
SLV 12	-1.23	-202.52	51.7427	270	118.3233	2.287	Si
SLV 12	3.63	-140.98	-0.4113	188	89.4662	217.498	Si
SLV 11	-1.23	-202.52	51.7427	270	118.3233	2.287	Si
SLV 11	3.63	-140.98	-0.4113	188	89.4662	217.498	Si

Comb.	Quota	N	M	σ_0	Mu	c.s.	Verifica
SLV 16	-1.23	-203.07	32.5312	271	118.5512	3.644	Si
SLV 16	3.63	-138.71	-4.8838	185	88.2849	18.077	Si

Verifica a taglio nel piano secondo D.M. 17-01-18 (N.T.C.) §7.8.2.2.2 con rottura per scorrimento in combinazioni non sismiche, $\gamma_M = 3$

Comb.	Quota	N	V par	M	σ_0	σ_N	l'	fvd	Vt scorr.	Vt fess.diag.	Vt,lim	c.s.	Verifica
SLU 29	-1.23	-258.08	0.1	0.1697		344	1.5	101	76.08		63.43	750.88	Si
SLU 29	3.63	-172.96	0.1	-0.3217		231	1.5	86	64.73		55.94	638.87	Si
SLU 21	-1.23	-246.11	0.11	0.2093		328	1.5	99	74.48		62.43	688.57	Si
SLU 21	3.63	-160.99	0.11	-0.3153		215	1.5	84	63.13		54.8	583.65	Si
SLU 12	-1.23	-218.31	0.11	0.2065		291	1.5	94	70.77		60.05	643.91	Si
SLU 12	3.63	-152.83	0.11	-0.3266		204	1.5	83	62.04		54.02	564.48	Si
SLU 30	-1.23	-266.44	0.12	0.2298		355	1.5	103	77.19		64.12	628.37	Si
SLU 30	3.63	-181.32	0.12	-0.366		242	1.5	88	65.84		56.72	535.98	Si
SLU 22	-1.23	-248.53	0.12	0.2446		331	1.5	100	74.8		62.63	645.6	Si
SLU 22	3.63	-163.41	0.12	-0.3174		218	1.5	85	63.45		55.04	547.65	Si
SLU 31	-1.23	-268.86	0.13	0.2651		358	1.5	103	77.51		64.31	593.78	Si
SLU 31	3.63	-183.74	0.13	-0.3681		245	1.5	88	66.17		56.94	506.84	Si
SLU 3	-1.23	-197.98	0.1	0.186		264	1.5	91	68.06		58.24	714.68	Si
SLU 3	3.63	-132.5	0.1	-0.2759		177	1.5	79	59.33		52	623.02	Si
SLU 11	-1.23	-209.95	0.09	0.1464		280	1.5	93	69.66		59.31	788.13	Si
SLU 11	3.63	-144.47	0.09	-0.2823		193	1.5	81	60.93		53.2	689.36	Si
SLU 4	-1.23	-200.4	0.1	0.2213		267	1.5	91	68.39		58.46	664.36	Si
SLU 4	3.63	-134.92	0.1	-0.2779		180	1.5	80	59.66		52.25	579.55	Si
SLU 13	-1.23	-220.73	0.12	0.2418		294	1.5	95	71.1		60.26	604.5	Si
SLU 13	3.63	-155.26	0.12	-0.3286		207	1.5	83	62.37		54.25	530.27	Si

Verifica a taglio nel piano secondo D.M. 17-01-18 (N.T.C.) §7.8.2.2.2 con rottura per scorrimento in combinazioni sismiche, $\gamma_M = 2$

Comb.	Quota	N	V par	M	σ_0	σ_N	l'	fvd	Vt scorr.	Vt fess.diag.	Vt,lim	c.s.	Verifica
SLV 16	-1.23	-203.07	10.04	32.5312		271	1.5	137	103.11		78.44	10.27	Si
SLV 16	3.63	-138.71	5.88	-4.8838		185	1.5	120	90.24		71.69	15.35	Si
SLV 11	-1.23	-202.52	16.54	51.7427		273	1.4835	138	102.32		78.38	6.19	Si
SLV 11	3.63	-140.98	10.66	-0.4113		188	1.5	121	90.7		71.93	8.51	Si
SLV 15	-1.23	-203.07	10.04	32.5312		271	1.5	137	103.11		78.44	10.27	Si
SLV 15	3.63	-138.71	5.88	-4.8838		185	1.5	120	90.24		71.69	15.35	Si
SLV 12	-1.23	-202.52	16.54	51.7427		273	1.4835	138	102.32		78.38	6.19	Si
SLV 12	3.63	-140.98	10.66	-0.4113		188	1.5	121	90.7		71.93	8.51	Si
SLV 8	-1.23	-202.8	13.21	40.5458		270	1.5	137	103.06		78.41	7.8	Si
SLV 8	3.63	-141.3	8.91	2.655		188	1.5	121	90.76		71.97	10.19	Si
SLV 7	-1.23	-202.8	13.21	40.5458		270	1.5	137	103.06		78.41	7.8	Si
SLV 7	3.63	-141.3	8.91	2.655		188	1.5	121	90.76		71.97	10.19	Si
SLV 5	-1.23	-205.3	-16.46	-51.667		275	1.495	138	103.35		78.66	6.28	Si
SLV 5	3.63	-135.89	-10.58	0.0976		181	1.5	120	89.68		71.37	8.48	Si
SLV 6	-1.23	-205.3	-16.46	-51.667		275	1.495	138	103.35		78.66	6.28	Si
SLV 6	3.63	-135.89	-10.58	0.0976		181	1.5	120	89.68		71.37	8.48	Si
SLV 9	-1.23	-205.01	-13.13	-40.4701		273	1.5	138	103.5		78.63	7.88	Si
SLV 9	3.63	-135.57	-8.83	-2.9688		181	1.5	119	89.61		71.34	10.15	Si
SLV 10	-1.23	-205.01	-13.13	-40.4701		273	1.5	138	103.5		78.63	7.88	Si
SLV 10	3.63	-135.57	-8.83	-2.9688		181	1.5	119	89.61		71.34	10.15	Si

Verifica a pressoflessione fuori piano D.M. 17-01-18 (N.T.C.)

quota 1.2 Wa 0.0009 denominatore 8 $\gamma_M = 2$

Comb.	fd	Sa	σ_0	N	M	Mc	Coeff.s.	Verifica
SLV 12	1438	0.28	226	-169.77	3.1703	34.5792	10.91	Si
SLV 11	1438	0.28	226	-169.77	3.1703	34.5792	10.91	Si
SLV 7	1438	0.28	227	-170.05	3.1703	34.6238	10.92	Si
SLV 8	1438	0.28	227	-170.05	3.1703	34.6238	10.92	Si
SLV 15	1438	0.28	227	-170.32	3.1703	34.666	10.93	Si
SLV 16	1438	0.28	227	-170.32	3.1703	34.666	10.93	Si
SLV 14	1438	0.28	228	-171.08	3.1703	34.7848	10.97	Si
SLV 13	1438	0.28	228	-171.08	3.1703	34.7848	10.97	Si
SLV 4	1438	0.28	228	-171.26	3.1703	34.8144	10.98	Si
SLV 3	1438	0.28	228	-171.26	3.1703	34.8144	10.98	Si

Tabella dei coefficienti di sicurezza minimi

Stato limite	Coeff.s.	Comb.	Verifica
PF SLU	1.552	SLU 36	Si
V SLU	506.843	SLU 31	Si
PF SLV	2.287	SLV 11	Si
V SLV	6.186	SLV 11	Si
PPFP SLV	10.907	SLV 11	Si

Maschio 48

Verifiche condotte secondo D.M. 17-01-18 (N.T.C.)

Dati geometrici

X ini.	Y ini.	X fin.	Y fin.	Quota i.	Quota.s	l	Sp.	h netta	h ini.	h fin.	a	a.s.,sx	a.s.,dx
7.3	41.115	7.3	43.215	L1	L3	2.1	0.5	4.5	4.85	4.85			

Caratteristiche del materiale

(circ.617 C8A.2) Muratura in mattoni pieni e malta di calce LC2

fb	fk	fvk0	fmedio	r0	fv0	μ	ϕ	fv,lim	E	G	FC
6000			3450	90	200	0.58	0.77	325	3200000	1280000	1.2

Verifica a pressoflessione per azioni non sismiche 4.5.6.2 D.M. 17-01-18 (N.T.C.) $\gamma_M = 3$

Comb.	Quota	N	M	p	es1	es2	ea	ev	e ver	ϕ_t	ϕ_l	Nu	Verifica
SLU 36	-1.225	-386.62		1	0	0.0193	0.0225	0	0.0418	0.63	1	633.41	Si
SLU 36	1.2	-327.04		1	0	0.0193	0.0225	0	0.0225	0.75	1	750.58	Si
SLU 36	3.625	-267.46		1	0	0.0193	0.0225	0	0.0418	0.63	1	633.41	Si
SLU 35	-1.225	-376.34		1	0	0.0201	0.0225	0	0.0426	0.63	1	630.43	Si
SLU 35	1.2	-316.76		1	0	0.0201	0.0225	0	0.0225	0.75	1	750.58	Si
SLU 35	3.625	-257.18		1	0	0.0201	0.0225	0	0.0426	0.63	1	630.43	Si
SLU 34	-1.225	-383.91		1	0	0.0169	0.0225	0	0.0394	0.64	1	647.93	Si

Comb.	Quota	N	M	p	es1	es2	ea	ev	e ver	ϕt	ΦI	Nu	Verifica
SLU 34	1.2	-324.33		1	0	0.0169	0.0225	0	0.0225	0.75	1	750.58	Si
SLU 34	3.625	-264.74		1	0	0.0169	0.0225	0	0.0394	0.64	1	647.93	Si
SLU 33	-1.225	-380.92		1	0	0.0171	0.0225	0	0.0396	0.64	1	646.76	Si
SLU 33	1.2	-321.34		1	0	0.0171	0.0225	0	0.0225	0.75	1	750.58	Si
SLU 33	3.625	-261.76		1	0	0.0171	0.0225	0	0.0396	0.64	1	646.76	Si
SLU 32	-1.225	-370.65		1	0	0.0178	0.0225	0	0.0403	0.64	1	642.52	Si
SLU 32	1.2	-311.06		1	0	0.0178	0.0225	0	0.0225	0.75	1	750.58	Si
SLU 32	3.625	-251.48		1	0	0.0178	0.0225	0	0.0403	0.64	1	642.52	Si
SLU 27	-1.225	-361.89		1	0	0.019	0.0225	0	0.0415	0.63	1	634.44	Si
SLU 27	1.2	-302.31		1	0	0.019	0.0225	0	0.0225	0.75	1	750.58	Si
SLU 27	3.625	-242.72		1	0	0.019	0.0225	0	0.0415	0.63	1	634.44	Si
SLU 26	-1.225	-351.61		1	0	0.0199	0.0225	0	0.0424	0.63	1	631.19	Si
SLU 26	1.2	-292.03		1	0	0.0199	0.0225	0	0.0225	0.75	1	750.58	Si
SLU 26	3.625	-232.45		1	0	0.0199	0.0225	0	0.0424	0.63	1	631.19	Si
SLU 25	-1.225	-359.18		1	0	0.0163	0.0225	0	0.0388	0.65	1	651.1	Si
SLU 25	1.2	-299.59		1	0	0.0163	0.0225	0	0.0225	0.75	1	750.58	Si
SLU 25	3.625	-240.01		1	0	0.0163	0.0225	0	0.0388	0.65	1	651.1	Si
SLU 24	-1.225	-356.19		1	0	0.0166	0.0225	0	0.0391	0.65	1	649.84	Si
SLU 24	1.2	-296.61		1	0	0.0166	0.0225	0	0.0225	0.75	1	750.58	Si
SLU 24	3.625	-237.02		1	0	0.0166	0.0225	0	0.0391	0.65	1	649.84	Si
SLU 23	-1.225	-345.91		1	0	0.0173	0.0225	0	0.0398	0.64	1	645.28	Si
SLU 23	1.2	-286.33		1	0	0.0173	0.0225	0	0.0225	0.75	1	750.58	Si
SLU 23	3.625	-226.75		1	0	0.0173	0.0225	0	0.0398	0.64	1	645.28	Si

Verifica a pressoflessione nel piano secondo D.M. 17-01-18 NTC §7.8.2.2.1 in combinazioni sismiche, $\gamma_M = 2$

Comb.	Quota	N	M	σ_0	Mu	c.s.	Verifica
SLV 7	-1.23	-265.82	102.5124	253	221.279	2.159	Si
SLV 7	3.63	-171.83	17.3859	164	156.2548	8.987	Si
SLV 5	-1.23	-270.98	-130.9152	258	224.4308	1.714	Si
SLV 5	3.63	-176.42	-13.8122	168	159.7701	11.567	Si
SLV 8	-1.23	-265.82	102.5124	253	221.279	2.159	Si
SLV 8	3.63	-171.83	17.3859	164	156.2548	8.987	Si
SLV 9	-1.23	-270.34	-102.2032	257	224.0416	2.192	Si
SLV 9	3.63	-180.99	-20.5116	172	163.234	7.958	Si
SLV 16	-1.23	-266.23	83.0221	254	221.5354	2.668	Si
SLV 16	3.63	-183.34	-8.0489	175	164.9994	20.5	Si
SLV 11	-1.23	-265.17	131.2244	253	220.8844	1.683	Si
SLV 11	3.63	-176.4	10.6864	168	159.7531	14.949	Si
SLV 15	-1.23	-266.23	83.0221	254	221.5354	2.668	Si
SLV 15	3.63	-183.34	-8.0489	175	164.9994	20.5	Si
SLV 10	-1.23	-270.34	-102.2032	257	224.0416	2.192	Si
SLV 10	3.63	-180.99	-20.5116	172	163.234	7.958	Si
SLV 6	-1.23	-270.98	-130.9152	258	224.4308	1.714	Si
SLV 6	3.63	-176.42	-13.8122	168	159.7701	11.567	Si
SLV 12	-1.23	-265.17	131.2244	253	220.8844	1.683	Si
SLV 12	3.63	-176.4	10.6864	168	159.7531	14.949	Si

Verifica a taglio nel piano secondo D.M. 17-01-18 (N.T.C.) §7.8.2.2.2 con rottura per scorrimento in combinazioni non sismiche, $\gamma_M = 3$

Comb.	Quota	N	V par	M	σ_0	σ_N	I'	fvd	Vt scorr.	Vt fess.diag.	Vt,lim	c.s.	Verifica
SLU 12	-1.23	-285.99	0.56	0.6117		272	2.1	92	96.46		82.33	171.58	Si
SLU 12	3.63	-194.32	0.56	-2.115		185	2.1	80	84.24		73.69	149.84	Si
SLU 22	-1.23	-328.87	0.59	0.7489		313	2.1	97	102.18		86.07	174.26	Si
SLU 22	3.63	-209.71	0.59	-2.095		200	2.1	82	86.29		75.21	147.17	Si
SLU 34	-1.23	-383.91	0.62	0.4484		366	2.1	104	109.52		90.65	177.55	Si
SLU 34	3.63	-264.74	0.62	-2.5433		252	2.1	89	93.63		80.41	151.79	Si
SLU 31	-1.23	-353.6	0.67	0.7944		337	2.1	100	105.48		88.16	157.97	Si
SLU 31	3.63	-234.44	0.67	-2.4441		223	2.1	85	89.59		77.59	134.17	Si
SLU 29	-1.23	-340.34	0.57	0.5362		324	2.1	99	103.71		87.05	182.23	Si
SLU 29	3.63	-221.18	0.57	-2.2241		211	2.1	84	87.82		76.32	154.31	Si
SLU 21	-1.23	-325.88	0.56	0.6523		310	2.1	97	101.78		85.82	181.46	Si
SLU 21	3.63	-206.72	0.56	-2.0681		197	2.1	82	85.9		74.92	153.13	Si
SLU 30	-1.23	-350.62	0.64	0.6979		334	2.1	100	105.08		87.91	163.6	Si
SLU 30	3.63	-231.45	0.64	-2.4172		220	2.1	85	89.19		77.3	138.87	Si
SLU 13	-1.23	-288.97	0.59	0.7082		275	2.1	92	96.86		82.59	164.83	Si
SLU 13	3.63	-197.31	0.59	-2.1419		188	2.1	81	84.64		73.99	144.03	Si
SLU 4	-1.23	-264.24	0.51	0.6627		252	2.1	89	93.57		80.36	184.81	Si
SLU 4	3.63	-172.58	0.51	-1.7928		164	2.1	77	81.34		71.49	160.67	Si
SLU 33	-1.23	-380.92	0.59	0.3519		363	2.1	104	109.12		90.41	184.51	Si
SLU 33	3.63	-261.76	0.59	-2.5165		249	2.1	89	93.23		80.13	157.65	Si

Verifica a taglio nel piano secondo D.M. 17-01-18 (N.T.C.) §7.8.2.2.2 con rottura per scorrimento in combinazioni sismiche, $\gamma_M = 2$

Comb.	Quota	N	V par	M	σ_0	σ_N	I'	fvd	Vt scorr.	Vt fess.diag.	Vt,lim	c.s.	Verifica
SLV 16	-1.23	-266.23	15.9	83.0221		254	2.1	134	140.75		107.99	8.85	Si
SLV 16	3.63	-183.34	15.2	-8.0489		175	2.1	118	124.17		99.16	8.17	Si
SLV 6	-1.23	-270.98	-24.89	-130.9152		319	1.7006	147	125.05		108.47	5.02	Si
SLV 6	3.63	-176.42	-23.77	-13.8122		168	2.1	117	122.78		98.39	5.17	Si
SLV 5	-1.23	-270.98	-24.89	-130.9152		319	1.7006	147	125.05		108.47	5.02	Si
SLV 5	3.63	-176.42	-23.77	-13.8122		168	2.1	117	122.78		98.39	5.17	Si
SLV 15	-1.23	-266.23	15.9	83.0221		254	2.1	134	140.75		107.99	8.85	Si
SLV 15	3.63	-183.34	15.2	-8.0489		175	2.1	118	124.17		99.16	8.17	Si
SLV 12	-1.23	-265.17	25.6	131.2244		318	1.6654	147	122.43		107.88	4.78	Si
SLV 12	3.63	-176.4	24.47	10.6864		168	2.1	117	122.78		98.38	5.02	Si
SLV 11	-1.23	-265.17	25.6	131.2244		318	1.6654	147	122.43		107.88	4.78	Si
SLV 11	3.63	-176.4	24.47	10.6864		168	2.1	117	122.78		98.38	5.02	Si
SLV 10	-1.23	-270.34	-19.63	-102.2032		268	2.0158	137	138.06		108.4	7.03	Si
SLV 10	3.63	-180.99	-18.75	-20.5116		172	2.1	118	123.7		98.9	6.6	Si
SLV 8	-1.23	-265.82	20.34	102.5124		267	1.993	137	136.21		107.94	6.7	Si
SLV 8	3.63	-171.83	19.46	17.3859		164	2.1	116	121.87		97.87	6.26	Si
SLV 9	-1.23	-270.34	-19.63	-102.2032		268	2.0158	137	138.06		108.4	7.03	Si
SLV 9	3.63	-180.99	-18.75	-20.5116		172	2.1	118	123.7		98.9	6.6	Si
SLV 7	-1.23	-265.82	20.34	102.5124		267	1.993	137	136.21		107.94	6.7	Si
SLV 7	3.63	-171.83	19.46	17.3859		164	2.1	116	121.87		97.87	6.26	Si

Verifica a pressoflessione fuori piano D.M. 17-01-18 (N.T.C.)

quota 1.2 W_a 0.0009 denominatore 8 $\gamma_M = 2$

Comb.	fd	Sa	σ_0	N	M	Mc	Coeff.s.	Verifica	
SLV 12		1438	0.28	209	-219.16	4.4384	45.4299	10.24	Si

Comb.	fd	Sa	σ_0	N	M	Mc	Coeff.s.	Verifica
SLV 11	1438	0.28	209	-219.16	4.4384	45.4299	10.24	Si
SLV 8	1438	0.28	209	-219.84	4.4384	45.5419	10.26	Si
SLV 7	1438	0.28	209	-219.84	4.4384	45.5419	10.26	Si
SLV 16	1438	0.28	210	-220.28	4.4384	45.6154	10.28	Si
SLV 15	1438	0.28	210	-220.28	4.4384	45.6154	10.28	Si
SLV 13	1438	0.28	211	-221.93	4.4384	45.8854	10.34	Si
SLV 14	1438	0.28	211	-221.93	4.4384	45.8854	10.34	Si
SLV 4	1438	0.28	212	-222.55	4.4384	45.987	10.36	Si
SLV 3	1438	0.28	212	-222.55	4.4384	45.987	10.36	Si

Tabella dei coefficienti di sicurezza minimi

Stato limite	Coeff.s.	Comb.	Verifica
PF SLU	1.638	SLU 36	Si
V SLU	134.173	SLU 31	Si
PF SLV	1.683	SLV 11	Si
V SLV	4.783	SLV 11	Si
PPFP SLV	10.236	SLV 11	Si

Maschio 49

Verifiche condotte secondo D.M. 17-01-18 (N.T.C.)

Dati geometrici

X ini.	Y ini.	X fin.	Y fin.	Quota i.	Quota s.	l	Sp.	h netta	h ini.	h fin.	a	a.s.,sx	a.s.,dx
7.3	44.415	7.3	46.965	L1	L3	2.55	0.5	4.5	4.85	4.85			

Caratteristiche del materiale

(circ.617 C8A.2) Muratura in mattoni pieni e malta di calce LC2

fb	fk	fvk0	fmedio	τ_0	fv0	μ	φ	fv,lim	E	G	FC
6000			3450	90	200	0.58	0.77	325	3200000	1280000	1.2

Verifica a pressoflessione per azioni non sismiche 4.5.6.2 D.M. 17-01-18 (N.T.C.) $\gamma_M = 3$

Comb.	Quota	N	M	p	es1	es2	ea	ev	e ver	Φ_t	Φ_I	Nu	Verifica
SLU 36	-1.225	-470.83		1	0	0.0192	0.0225	0	0.0417	0.63	1	769.52	Si
SLU 36	1.2	-398.48		1	0	0.0192	0.0225	0	0.0225	0.75	1	911.42	Si
SLU 36	3.625	-326.13		1	0	0.0192	0.0225	0	0.0417	0.63	1	769.52	Si
SLU 35	-1.225	-458.38		1	0	0.02	0.0225	0	0.0425	0.63	1	765.94	Si
SLU 35	1.2	-386.03		1	0	0.02	0.0225	0	0.0225	0.75	1	911.42	Si
SLU 35	3.625	-313.68		1	0	0.02	0.0225	0	0.0425	0.63	1	765.94	Si
SLU 34	-1.225	-467.26		1	0	0.0168	0.0225	0	0.0393	0.64	1	787.19	Si
SLU 34	1.2	-394.91		1	0	0.0168	0.0225	0	0.0225	0.75	1	911.42	Si
SLU 34	3.625	-322.56		1	0	0.0168	0.0225	0	0.0393	0.64	1	787.19	Si
SLU 33	-1.225	-463.63		1	0	0.017	0.0225	0	0.0395	0.64	1	785.78	Si
SLU 33	1.2	-391.28		1	0	0.017	0.0225	0	0.0225	0.75	1	911.42	Si
SLU 33	3.625	-318.93		1	0	0.017	0.0225	0	0.0395	0.64	1	785.78	Si
SLU 32	-1.225	-451.18		1	0	0.0177	0.0225	0	0.0402	0.64	1	780.67	Si
SLU 32	1.2	-378.83		1	0	0.0177	0.0225	0	0.0225	0.75	1	911.42	Si
SLU 32	3.625	-306.48		1	0	0.0177	0.0225	0	0.0402	0.64	1	780.67	Si
SLU 27	-1.225	-440.66		1	0	0.019	0.0225	0	0.0415	0.63	1	770.77	Si
SLU 27	1.2	-368.31		1	0	0.019	0.0225	0	0.0225	0.75	1	911.42	Si
SLU 27	3.625	-295.96		1	0	0.019	0.0225	0	0.0415	0.63	1	770.77	Si
SLU 26	-1.225	-428.21		1	0	0.0198	0.0225	0	0.0423	0.63	1	766.86	Si
SLU 26	1.2	-355.86		1	0	0.0198	0.0225	0	0.0225	0.75	1	911.42	Si
SLU 26	3.625	-283.51		1	0	0.0198	0.0225	0	0.0423	0.63	1	766.86	Si
SLU 25	-1.225	-437.09		1	0	0.0163	0.0225	0	0.0388	0.65	1	791.01	Si
SLU 25	1.2	-364.74		1	0	0.0163	0.0225	0	0.0225	0.75	1	911.42	Si
SLU 25	3.625	-292.39		1	0	0.0163	0.0225	0	0.0388	0.65	1	791.01	Si
SLU 24	-1.225	-433.46		1	0	0.0165	0.0225	0	0.039	0.65	1	789.5	Si
SLU 24	1.2	-361.11		1	0	0.0165	0.0225	0	0.0225	0.75	1	911.42	Si
SLU 24	3.625	-288.76		1	0	0.0165	0.0225	0	0.039	0.65	1	789.5	Si
SLU 23	-1.225	-421.01		1	0	0.0172	0.0225	0	0.0397	0.64	1	784	Si
SLU 23	1.2	-348.66		1	0	0.0172	0.0225	0	0.0225	0.75	1	911.42	Si
SLU 23	3.625	-276.32		1	0	0.0172	0.0225	0	0.0397	0.64	1	784	Si

Verifica a pressoflessione nel piano secondo D.M. 17-01-18 NTC §7.8.2.2.1 in combinazioni sismiche, $\gamma_M = 2$

Comb.	Quota	N	M	σ_0	Mu	c.s.	Verifica
SLV 1	-1.23	-315.18	-136.1254	247	320.5511	2.355	Si
SLV 1	3.63	-205.92	5.3643	162	227.8466	42.475	Si
SLV 6	-1.23	-314.22	-213.386	246	319.8266	1.499	Si
SLV 6	3.63	-204.39	-39.4432	160	226.4095	5.74	Si
SLV 8	-1.23	-333.36	164.4512	261	334.0881	2.032	Si
SLV 8	3.63	-221.64	50.5797	174	242.389	4.792	Si
SLV 11	-1.23	-338.29	211.579	265	337.6607	1.596	Si
SLV 11	3.63	-225.51	39.1801	177	245.9011	6.276	Si
SLV 9	-1.23	-319.15	-166.2582	250	323.5535	1.946	Si
SLV 9	3.63	-208.26	-50.8427	163	230.0308	4.524	Si
SLV 10	-1.23	-319.15	-166.2582	250	323.5535	1.946	Si
SLV 10	3.63	-208.26	-50.8427	163	230.0308	4.524	Si
SLV 5	-1.23	-314.22	-213.386	246	319.8266	1.499	Si
SLV 5	3.63	-204.39	-39.4432	160	226.4095	5.74	Si
SLV 12	-1.23	-338.29	211.579	265	337.6607	1.596	Si
SLV 12	3.63	-225.51	39.1801	177	245.9011	6.276	Si
SLV 2	-1.23	-315.18	-136.1254	247	320.5511	2.355	Si
SLV 2	3.63	-205.92	5.3643	162	227.8466	42.475	Si
SLV 7	-1.23	-333.36	164.4512	261	334.0881	2.032	Si
SLV 7	3.63	-221.64	50.5797	174	242.389	4.792	Si

Verifica a taglio nel piano secondo D.M. 17-01-18 (N.T.C.) §7.8.2.2.2 con rottura per scorrimento in combinazioni non sismiche, $\gamma_M = 3$

Comb.	Quota	N	V par	M	σ_0	σ_N	l'	fvd	Vt scorr.	Vt fess.diag.	Vt,lim	c.s.	Verifica
SLU 27	-1.23	-440.66	-0.43	-1.6283		346	2.55	102	129.59		107.99	300.33	Si
SLU 27	3.63	-295.96	-0.43	0.4643		232	2.55	87	110.29		95.28	255.62	Si
SLU 8	-1.23	-349.67	-0.6	-1.8777		274	2.55	92	117.46		100.18	196.2	Si
SLU 8	3.63	-238.36	-0.6	1.0258		187	2.55	80	102.62		89.72	171.41	Si
SLU 26	-1.23	-428.21	-0.56	-1.8641		336	2.55	100	127.93		106.95	228.93	Si

Comb.	Quota	N	V par	M	σ_0	σ_N	I'	fvd	Vt scorr.	Vt fess.diag.	Vt,lim	c.s.	Verifica
SLU 26	3.63	-283.51	-0.56	0.8462		222	2.55	85	108.64		94.1	194.4	Si
SLU 31	-1.23	-429.89	0.43	0.1342		337	2.55	101	128.15		107.09	298.95	Si
SLU 31	3.63	-285.19	0.43	-1.9448		224	2.55	85	108.86		94.26	253.95	Si
SLU 35	-1.23	-458.38	-0.56	-2.0489		360	2.55	103	131.95		109.44	236.39	Si
SLU 35	3.63	-313.68	-0.56	0.6583		246	2.55	88	112.66		96.92	201.83	Si
SLU 9	-1.23	-362.12	-0.47	-1.6419		284	2.55	93	119.12		101.29	252.73	Si
SLU 9	3.63	-250.81	-0.47	0.6444		197	2.55	82	104.28		90.95	221.24	Si
SLU 22	-1.23	-399.72	0.43	0.3191		314	2.55	97	124.13		104.55	290	Si
SLU 22	3.63	-255.02	0.43	-1.7569		200	2.55	82	104.84		91.36	244.92	Si
SLU 18	-1.23	-392.29	-0.47	-1.8267		308	2.55	97	123.14		103.91	261.61	Si
SLU 18	3.63	-280.98	-0.47	0.4561		220	2.55	85	108.3		93.86	230.08	Si
SLU 4	-1.23	-321.18	0.39	0.3055		252	2.55	89	113.66		97.61	292.78	Si
SLU 4	3.63	-209.87	0.39	-1.5772		165	2.55	78	98.82		86.84	254.55	Si
SLU 17	-1.23	-379.84	-0.6	-2.0625		298	2.55	95	121.48		102.84	203.13	Si
SLU 17	3.63	-268.53	-0.6	0.8379		211	2.55	84	106.64		92.67	178.32	Si

Verifica a taglio nel piano secondo D.M. 17-01-18 (N.T.C.) §7.8.2.2 con rottura per scorrimento in combinazioni sismiche, $\gamma_M = 2$

Comb.	Quota	N	V par	M	σ_0	σ_N	I'	fvd	Vt scorr.	Vt fess.diag.	Vt,lim	c.s.	Verifica
SLV 5	-1.23	-314.22	-43.31	-213.386		352	1.7877	154	137.33		130.2	3.17	Si
SLV 5	3.63	-204.39	-31.9	-39.4432		160	2.55	115	147.13		118.36	4.61	Si
SLV 2	-1.23	-315.18	-27.2	-136.1254		249	2.5293	133	168.42		130.29	6.19	Si
SLV 2	3.63	-205.92	-6.84	5.3643		162	2.55	116	147.43		118.54	21.55	Si
SLV 6	-1.23	-314.22	-43.31	-213.386		352	1.7877	154	137.33		130.2	3.17	Si
SLV 6	3.63	-204.39	-31.9	-39.4432		160	2.55	115	147.13		118.36	4.61	Si
SLV 11	-1.23	-338.29	43	211.579		347	1.9487	153	148.85		132.65	3.46	Si
SLV 11	3.63	-225.51	31.59	39.1801		177	2.55	119	151.35		120.73	4.79	Si
SLV 12	-1.23	-338.29	43	211.579		347	1.9487	153	148.85		132.65	3.46	Si
SLV 12	3.63	-225.51	31.59	39.1801		177	2.55	119	151.35		120.73	4.79	Si
SLV 9	-1.23	-319.15	-34.02	-166.2582		282	2.2622	140	158.09		130.7	4.65	Si
SLV 9	3.63	-208.26	-33.78	-50.8427		163	2.55	116	147.9		118.8	4.38	Si
SLV 7	-1.23	-333.36	33.71	164.4512		284	2.3451	140	164.38		132.15	4.88	Si
SLV 7	3.63	-221.64	33.46	50.5797		174	2.55	118	150.58		120.3	4.5	Si
SLV 10	-1.23	-319.15	-34.02	-166.2582		282	2.2622	140	158.09		130.7	4.65	Si
SLV 10	3.63	-208.26	-33.78	-50.8427		163	2.55	116	147.9		118.8	4.38	Si
SLV 1	-1.23	-315.18	-27.2	-136.1254		249	2.5293	133	168.42		130.29	6.19	Si
SLV 1	3.63	-205.92	-6.84	5.3643		162	2.55	116	147.43		118.54	21.55	Si
SLV 8	-1.23	-333.36	33.71	164.4512		284	2.3451	140	164.38		132.15	4.88	Si
SLV 8	3.63	-221.64	33.46	50.5797		174	2.55	118	150.58		120.3	4.5	Si

Verifica a pressoflessione fuori piano D.M. 17-01-18 (N.T.C.)

quota 1.2 W_a 0.0009 denominatore $\gamma_M = 2$

Comb.	fd	Sa	σ_0	N	M	Mc	Coeff.s.	Verifica
SLV 5	1438	0.28	205	-260.83	5.3895	54.2901	10.07	Si
SLV 6	1438	0.28	205	-260.83	5.3895	54.2901	10.07	Si
SLV 10	1438	0.28	206	-263.03	5.3895	54.6548	10.14	Si
SLV 9	1438	0.28	206	-263.03	5.3895	54.6548	10.14	Si
SLV 2	1438	0.28	207	-264.34	5.3895	54.8714	10.18	Si
SLV 1	1438	0.28	207	-264.34	5.3895	54.8714	10.18	Si
SLV 4	1438	0.28	211	-269.54	5.3895	55.7266	10.34	Si
SLV 3	1438	0.28	211	-269.54	5.3895	55.7266	10.34	Si
SLV 13	1438	0.28	213	-271.66	5.3895	56.0728	10.4	Si
SLV 14	1438	0.28	213	-271.66	5.3895	56.0728	10.4	Si

Tabella dei coefficienti di sicurezza minimi

Stato limite	Coeff.s.	Comb.	Verifica
PF SLU	1.634	SLU 36	Si
V SLU	171.408	SLU 8	Si
PF SLV	1.499	SLV 5	Si
V SLV	3.171	SLV 5	Si
FFFF SLV	10.073	SLV 5	Si

Maschio 50

Verifiche condotte secondo D.M. 17-01-18 (N.T.C.)

Dati geometrici

X ini.	Y ini.	X fin.	Y fin.	Quota i.	Quota.s	l	Sp.	h netta	h ini.	h fin.	a	a.s.,sx	a.s.,dx
1.4	16.44	1.4	9.275	L1	L3	7.165	0.25	4.5	4.85	4.85			

Caratteristiche del materiale

(circ.617 C8A.2) Muratura in mattoni pieni e malta di calce LC2

fb	fk	fvk0	fmedio	τ_0	fv0	μ	ϕ	fv,lim	E	G	FC
6000			3450	90	200	0.58	0.77	325	3200000	1280000	1.2

Verifica a pressoflessione per azioni non sismiche 4.5.6.2 D.M. 17-01-18 (N.T.C.) $\gamma_M = 3$

Comb.	Quota	N	M	p	es1	es2	ea	ev	e ver	ϕ_t	Φ	Nu	Verifica
SLU 36	-1.225	-728.28		1	0	0.0156	0.0225	0	0.0381	0.29	1	498.66	No
SLU 36	1.2	-641.84		1	0	0.0156	0.0225	0	0.0225	0.4	1	680.88	Si
SLU 36	3.625	-565.52		1	0	0.0156	0.0225	0	0.0381	0.29	1	498.66	No
SLU 35	-1.225	-707.35		1	0	0.0162	0.0225	0	0.0387	0.29	1	490.99	No
SLU 35	1.2	-619.96		1	0	0.0162	0.0225	0	0.0225	0.4	1	680.88	Si
SLU 35	3.625	-542.67		1	0	0.0162	0.0225	0	0.0387	0.29	1	490.99	No
SLU 34	-1.225	-721.11		1	0	0.0137	0.0225	0	0.0362	0.3	1	520.83	No
SLU 34	1.2	-634.22		1	0	0.0137	0.0225	0	0.0225	0.4	1	680.88	Si
SLU 34	3.625	-556.92		1	0	0.0137	0.0225	0	0.0362	0.3	1	520.83	No
SLU 33	-1.225	-714.91		1	0	0.0138	0.0225	0	0.0363	0.3	1	518.88	No
SLU 33	1.2	-627.75		1	0	0.0138	0.0225	0	0.0225	0.4	1	680.88	Si
SLU 33	3.625	-550.21		1	0	0.0138	0.0225	0	0.0363	0.3	1	518.88	No
SLU 32	-1.225	-693.98		1	0	0.0144	0.0225	0	0.0369	0.3	1	511.86	No
SLU 32	1.2	-605.87		1	0	0.0144	0.0225	0	0.0225	0.4	1	680.88	Si
SLU 32	3.625	-527.36		1	0	0.0144	0.0225	0	0.0369	0.3	1	511.86	No
SLU 27	-1.225	-676.8		1	0	0.0155	0.0225	0	0.038	0.29	1	499.55	No
SLU 27	1.2	-587.87		1	0	0.0155	0.0225	0	0.0225	0.4	1	680.88	Si
SLU 27	3.625	-508.63		1	0	0.0155	0.0225	0	0.038	0.29	1	499.55	No
SLU 26	-1.225	-655.87		1	0	0.0162	0.0225	0	0.0387	0.29	1	491.03	No

Comb.	Quota	N	M	p	es1	es2	ea	ev	e ver	φt	ΦI	Nu	Verifica
SLV 26	1.2	-565.99		1	0	0.0162	0.0225	0	0.0225	0.4	1	680.88	Si
SLV 26	3.625	-485.78		1	0	0.0162	0.0225	0	0.0387	0.29	1	491.03	Si
SLV 25	-1.225	-669.63		1	0	0.0134	0.0225	0	0.0359	0.31	1	524.26	No
SLV 25	1.2	-580.25		1	0	0.0134	0.0225	0	0.0225	0.4	1	680.88	Si
SLV 25	3.625	-500.03		1	0	0.0134	0.0225	0	0.0359	0.31	1	524.26	Si
SLV 24	-1.225	-663.43		1	0	0.0136	0.0225	0	0.0361	0.3	1	522.13	No
SLV 24	1.2	-573.78		1	0	0.0136	0.0225	0	0.0225	0.4	1	680.88	Si
SLV 24	3.625	-493.32		1	0	0.0136	0.0225	0	0.0361	0.3	1	522.13	Si
SLV 18	-1.225	-612.12		1	0	0.0165	0.0225	0	0.039	0.28	1	487.38	No
SLV 18	1.2	-548.17		1	0	0.0165	0.0225	0	0.0225	0.4	1	680.88	Si
SLV 18	3.625	-492.61		1	0	0.0165	0.0225	0	0.039	0.28	1	487.38	No

Verifica a pressoflessione nel piano secondo D.M. 17-01-18 NTC §7.8.2.2.1 in combinazioni sismiche, $\gamma_M = 2$

Comb.	Quota	N	M	σ0	Mu	c.s.	Verifica
SLV 11	-1.23	-668.24	-1130.7743	373	1663.0581	1.471	Si
SLV 11	3.63	-429.65	-541.6684	240	1237.056	2.284	Si
SLV 5	-1.23	-328.2	977.588	183	999.4633	1.022	Si
SLV 5	3.63	-302.81	161.1097	169	934.7396	5.802	Si
SLV 12	-1.23	-668.24	-1130.7743	373	1663.0581	1.471	Si
SLV 12	3.63	-429.65	-541.6684	240	1237.056	2.284	Si
SLV 8	-1.23	-752.61	-972.3367	420	1769.0925	1.819	Si
SLV 8	3.63	-500.6	-564.1896	279	1383.2143	2.452	Si
SLV 16	-1.23	-421.27	-633.1444	235	1218.7132	1.925	Si
SLV 16	3.63	-277.64	-261.5389	155	868.4673	3.321	Si
SLV 10	-1.23	-243.83	819.1504	136	776.2088	0.948	No, M>Mu
SLV 10	3.63	-231.86	183.6309	129	742.6378	4.044	Si
SLV 6	-1.23	-328.2	977.588	183	999.4633	1.022	Si
SLV 6	3.63	-302.81	161.1097	169	934.7396	5.802	Si
SLV 7	-1.23	-752.61	-972.3367	420	1769.0925	1.819	Si
SLV 7	3.63	-500.6	-564.1896	279	1383.2143	2.452	Si
SLV 9	-1.23	-243.83	819.1504	136	776.2088	0.948	No, M>Mu
SLV 9	3.63	-231.86	183.6309	129	742.6378	4.044	Si
SLV 15	-1.23	-421.27	-633.1444	235	1218.7132	1.925	Si
SLV 15	3.63	-277.64	-261.5389	155	868.4673	3.321	Si

Verifica a taglio nel piano secondo D.M. 17-01-18 (N.T.C.) §7.8.2.2.2 con rottura per scorrimento in combinazioni non sismiche, $\gamma_M = 3$

Comb.	Quota	N	V par	M	σ0	σN	I'	fvd	Vt scorr.	Vt fess.diag.	Vt,lim	c.s.	Verifica
SLV 35	-1.23	-707.35	64.88	-121.4833	395	7.165	108	193.83			238.26	2.99	Si
SLV 35	3.63	-542.67	65.01	-298.2783	303	7.165	96	171.87			217.88	2.64	Si
SLV 15	-1.23	-598.74	58.31	-110.4768	334	7.165	100	179.35			225.03	3.08	Si
SLV 15	3.63	-477.3	58.41	-268.4553	266	7.165	91	163.15			209.25	2.79	Si
SLV 34	-1.23	-721.11	65.64	-124.4991	403	7.165	108	194.05			239.88	2.96	Si
SLV 34	3.63	-556.92	65.76	-303.1832	311	7.165	97	173.77			219.72	2.64	Si
SLV 27	-1.23	-676.8	59.26	-111.2137	378	7.165	106	189.75			234.61	3.2	Si
SLV 27	3.63	-508.63	59.38	-273.2192	284	7.165	93	167.33			213.43	2.82	Si
SLV 17	-1.23	-591.18	58.33	-110.09	330	7.165	100	178.34			224.08	3.06	Si
SLV 17	3.63	-469.76	58.44	-268.1601	262	7.165	91	162.15			208.23	2.77	Si
SLV 16	-1.23	-604.95	59.09	-113.1058	338	7.165	101	180.17			225.81	3.05	Si
SLV 16	3.63	-484.02	59.19	-273.0651	270	7.165	92	164.05			210.15	2.77	Si
SLV 36	-1.23	-728.28	67.94	-128.3121	407	7.165	108	194.05			240.73	2.86	Si
SLV 36	3.63	-565.52	68.07	-313.0825	316	7.165	98	174.92			220.82	2.57	Si
SLV 18	-1.23	-612.12	61.39	-116.9188	342	7.165	101	181.13			226.7	2.95	Si
SLV 18	3.63	-492.61	61.5	-282.9644	275	7.165	92	165.2			211.3	2.69	Si
SLV 33	-1.23	-714.91	64.86	-121.8701	399	7.165	108	194.05			239.15	2.99	Si
SLV 33	3.63	-550.21	64.97	-298.5734	307	7.165	97	172.88			218.86	2.66	Si
SLV 32	-1.23	-693.98	61.79	-115.0413	387	7.165	107	192.04			236.67	3.11	Si
SLV 32	3.63	-527.36	61.91	-283.7692	294	7.165	95	169.83			215.89	2.74	Si

Verifica a taglio nel piano secondo D.M. 17-01-18 (N.T.C.) §7.8.2.2.2 con rottura per scorrimento in combinazioni sismiche, $\gamma_M = 2$

Comb.	Quota	N	V par	M	σ0	σN	I'	fvd	Vt scorr.	Vt fess.diag.	Vt,lim	c.s.	Verifica
SLV 14	-1.23	-293.95	137.42	-48.167		164	7.165	116	208.06		250.58	1.51	Si
SLV 14	3.63	-218.3	130.71	-43.9491		122	7.165	108	192.93		237.46	1.48	Si
SLV 9	-1.23	-243.83	263.6	819.1504		1458	0.669	163	27.18		241.97	0.1	No, Vu<V
SLV 9	3.63	-231.86	260.61	183.6309		129	7.165	109	195.64		239.87	0.75	No, Vu<V
SLV 11	-1.23	-668.24	-161.45	-		471	5.671	163	230.39		307.37	1.43	Si
SLV 11	3.63	-429.65	-162.17	-541.6684		247	6.9653	133	231.04		272.54	1.42	Si
SLV 5	-1.23	-328.2	244.24	977.588		725	1.8116	163	73.6		256.3	0.3	No, Vu<V
SLV 5	3.63	-302.81	245.13	161.1097		169	7.165	117	209.83		252.08	0.86	No, Vu<V
SLV 13	-1.23	-293.95	137.42	-48.167		164	7.165	116	208.06		250.58	1.51	Si
SLV 13	3.63	-218.3	130.71	-43.9491		122	7.165	108	192.93		237.46	1.48	Si
SLV 12	-1.23	-668.24	-161.45	-		471	5.671	163	230.39		307.37	1.43	Si
SLV 12	3.63	-429.65	-162.17	-541.6684		247	6.9653	133	231.04		272.54	1.42	Si
SLV 7	-1.23	-752.61	-180.81	-972.3367		438	6.8717	163	279.16		318.78	1.54	Si
SLV 7	3.63	-500.6	-177.65	-564.1896		279	7.165	139	249.39		283.35	1.4	Si
SLV 6	-1.23	-328.2	244.24	977.588		725	1.8116	163	73.6		256.3	0.3	No, Vu<V
SLV 6	3.63	-302.81	245.13	161.1097		169	7.165	117	209.83		252.08	0.86	No, Vu<V
SLV 10	-1.23	-243.83	263.6	819.1504		1458	0.669	163	27.18		241.97	0.1	No, Vu<V
SLV 10	3.63	-231.86	260.61	183.6309		129	7.165	109	195.64		239.87	0.75	No, Vu<V
SLV 8	-1.23	-752.61	-180.81	-972.3367		438	6.8717	163	279.16		318.78	1.54	Si
SLV 8	3.63	-500.6	-177.65	-564.1896		279	7.165	139	249.39		283.35	1.4	Si

Verifica a pressoflessione fuori piano D.M. 17-01-18 (N.T.C.)

quota 1,2 Wa 0,0005 denominatore 8 $\gamma_M = 2$

Comb.	fd	Sa	σ0	N	M	Mc	Coeff.s.	Verifica	
SLV 10	1438		0.28	123	-220.36	7.5717	24.7714	3.27	Si
SLV 9	1438		0.28	123	-220.36	7.5717	24.7714	3.27	Si
SLV 13	1438		0.28	138	-246.85	7.5717	27.3763	3.62	Si
SLV 14	1438		0.28	138	-246.85	7.5717	27.3763	3.62	Si
SLV 6	1438		0.28	167	-299.05	7.5717	32.2737	4.26	Si
SLV 5	1438		0.28	167	-299.05	7.5717	32.2737	4.26	Si
SLV 16	1438		0.28	194	-348.25	7.5717	36.6051	4.83	Si
SLV 15	1438		0.28	194	-348.25	7.5717	36.6051	4.83	Si
SLV 2	1438		0.28	284	-509.16	7.5717	48.8392	6.45	Si
SLV 1	1438		0.28	284	-509.16	7.5717	48.8392	6.45	Si

Tabella dei coefficienti di sicurezza minimi

Stato limite	Coeff.s.	Comb.	Verifica
PF SLU	0.685	SLU 36	No
V SLU	2.57	SLU 36	Si
PF SLV	0.948	SLV 9	No
V SLV	0.103	SLV 9	No
PFFP SLV	3.272	SLV 9	Si

Maschio 51

Verifiche condotte secondo D.M. 17-01-18 (N.T.C.)

Dati geometrici

X ini.	Y ini.	X fin.	Y fin.	Quota i.	Quota.s	l	Sp.	h netta	h ini.	h fin.	a	a.s.,sx	a.s.,dx
1.4	22.265	1.4	20.34	L1	L3	1.925	0.3	4.5	4.85	4.85			

Caratteristiche del materiale

(circ.617 C8A.2) Muratura in mattoni pieni e malta di calce LC2

fb	fk	fvk0	fmedio	r0	fv0	μ	φ	fv,lim	E	G	FC
6000			3450	90	200	0.58	0.77	325	3200000	1280000	1.2

Verifica a pressoflessione per azioni non sismiche 4.5.6.2 D.M. 17-01-18 (N.T.C.) $\gamma_M = 3$

Comb.	Quota	N	M	p	es1	es2	ea	ev	e ver	Φ_t	Φ_l	Nu	Verifica
SLU 36	-1.225	-206.78		1	0	0.0167	0.0225	0	0.0392	0.39	1	215.28	Si
SLU 36	1.2	-191.25		1	0	0.0167	0.0225	0	0.0225	0.5	1	277.27	Si
SLU 36	3.625	-169.81		1	0	0.0167	0.0225	0	0.0392	0.39	1	215.28	Si
SLU 35	-1.225	-201.64		1	0	0.0173	0.0225	0	0.0398	0.39	1	213.32	Si
SLU 35	1.2	-186.1		1	0	0.0173	0.0225	0	0.0225	0.5	1	277.27	Si
SLU 35	3.625	-164.37		1	0	0.0173	0.0225	0	0.0398	0.39	1	213.32	Si
SLU 34	-1.225	-205.31		1	0	0.0149	0.0225	0	0.0374	0.4	1	221.88	Si
SLU 34	1.2	-187.36		1	0	0.0149	0.0225	0	0.0225	0.5	1	277.27	Si
SLU 34	3.625	-165.31		1	0	0.0149	0.0225	0	0.0374	0.4	1	221.88	Si
SLU 33	-1.225	-203.86		1	0	0.015	0.0225	0	0.0375	0.4	1	221.38	Si
SLU 33	1.2	-185.89		1	0	0.015	0.0225	0	0.0225	0.5	1	277.27	Si
SLU 33	3.625	-163.75		1	0	0.015	0.0225	0	0.0375	0.4	1	221.38	Si
SLU 32	-1.225	-198.71		1	0	0.0155	0.0225	0	0.038	0.4	1	219.55	Si
SLU 32	1.2	-180.73		1	0	0.0155	0.0225	0	0.0225	0.5	1	277.27	Si
SLU 32	3.625	-158.3		1	0	0.0155	0.0225	0	0.038	0.4	1	219.55	Si
SLU 27	-1.225	-194.26		1	0	0.0165	0.0225	0	0.039	0.39	1	216.17	Si
SLU 27	1.2	-176.82		1	0	0.0165	0.0225	0	0.0225	0.5	1	277.27	Si
SLU 27	3.625	-154.29		1	0	0.0165	0.0225	0	0.039	0.39	1	216.17	Si
SLU 26	-1.225	-189.12		1	0	0.0171	0.0225	0	0.0396	0.39	1	214.03	Si
SLU 26	1.2	-171.66		1	0	0.0171	0.0225	0	0.0225	0.5	1	277.27	Si
SLU 26	3.625	-148.84		1	0	0.0171	0.0225	0	0.0396	0.39	1	214.03	Si
SLU 25	-1.225	-192.8		1	0	0.0144	0.0225	0	0.0369	0.4	1	223.48	Si
SLU 25	1.2	-172.93		1	0	0.0144	0.0225	0	0.0225	0.5	1	277.27	Si
SLU 25	3.625	-149.78		1	0	0.0144	0.0225	0	0.0369	0.4	1	223.48	Si
SLU 24	-1.225	-191.34		1	0	0.0146	0.0225	0	0.0371	0.4	1	222.94	Si
SLU 24	1.2	-171.46		1	0	0.0146	0.0225	0	0.0225	0.5	1	277.27	Si
SLU 24	3.625	-148.23		1	0	0.0146	0.0225	0	0.0371	0.4	1	222.94	Si
SLU 23	-1.225	-186.2		1	0	0.0151	0.0225	0	0.0376	0.4	1	220.97	Si
SLU 23	1.2	-166.3		1	0	0.0151	0.0225	0	0.0225	0.5	1	277.27	Si
SLU 23	3.625	-142.78		1	0	0.0151	0.0225	0	0.0376	0.4	1	220.97	Si

Verifica a pressoflessione nel piano secondo D.M. 17-01-18 NTC §7.8.2.2.1 in combinazioni sismiche, $\gamma_M = 2$

Comb.	Quota	N	M	σ_0	μ	c.s.	Verifica
SLV 7	-1.23	-52.96	-39.8609	92	47.1494	1.183	Si
SLV 7	3.63	-76.65	28.1404	133	65.7584	2.337	Si
SLD 16	-1.23	-72.3	-9.999	125	62.4611	6.247	Si
SLD 16	3.63	-76.22	32.6228	132	65.4386	2.006	Si
SLV 14	-1.23	-55.73	1.9979	96	49.4024	24.728	Si
SLV 14	3.63	-62.91	34.2961	109	55.1501	1.608	Si
SLV 16	-1.23	21.95	-24.9291	0	0	0	No, Trazione
SLV 16	3.63	-30.93	29.9288	0	0	0	No, e>1/2
SLV 11	-1.23	23.44	-47.4685	0	0	0	No, Trazione
SLV 11	3.63	-38.33	26.6142	66	34.8876	1.311	Si
SLV 8	-1.23	-52.96	-39.8609	92	47.1494	1.183	Si
SLV 8	3.63	-76.65	28.1404	133	65.7584	2.337	Si
SLV 15	-1.23	21.95	-24.9291	0	0	0	No, Trazione
SLV 15	3.63	-30.93	29.9288	0	0	0	No, e>1/2
SLV 12	-1.23	23.44	-47.4685	0	0	0	No, Trazione
SLV 12	3.63	-38.33	26.6142	66	34.8876	1.311	Si
SLV 13	-1.23	-55.73	1.9979	96	49.4024	24.728	Si
SLV 13	3.63	-62.91	34.2961	109	55.1501	1.608	Si
SLD 15	-1.23	-72.3	-9.999	125	62.4611	6.247	Si
SLD 15	3.63	-76.22	32.6228	132	65.4386	2.006	Si

Verifica a taglio nel piano secondo D.M. 17-01-18 (N.T.C.) §7.8.2.2.2 con rottura per scorrimento in combinazioni non sismiche, $\gamma_M = 3$

Comb.	Quota	N	V par	M	σ_0	σ_N	l'	fvd	Vt scorr.	Vt fess.diag.	Vt,lim	c.s.	Verifica
SLU 17	-1.23	-166.38	-4.58	0.2367	288	1.925	94	54.27			46.08	11.86	Si
SLU 17	3.63	-141.77	-26.12	51.388	263	1.8	91	48.9			43.87	1.87	Si
SLU 33	-1.23	-203.86	-2.52	1.5562	353	1.925	103	59.26			49.26	23.48	Si
SLU 33	3.63	-163.75	-28.19	51.5247	284	1.925	93	53.92			45.85	1.91	Si
SLU 35	-1.23	-201.64	-4.2	0.8255	349	1.925	102	58.97			49.08	14.04	Si
SLU 35	3.63	-164.37	-29.27	56.7877	296	1.851	95	52.77			45.91	1.8	Si
SLU 34	-1.23	-205.31	-2.47	1.57	356	1.925	103	59.46			49.38	24.1	Si
SLU 34	3.63	-165.31	-28.44	51.6808	286	1.925	94	54.12			45.99	1.9	Si
SLU 27	-1.23	-194.26	-3.29	1.0746	336	1.925	100	57.99			48.47	17.64	Si
SLU 27	3.63	-154.29	-26.89	51.6077	273	1.884	92	51.97			45.01	1.93	Si
SLU 32	-1.23	-198.71	-2.74	1.4099	344	1.925	101	58.58			48.84	21.38	Si
SLU 32	3.63	-158.3	-27.31	50.927	274	1.9224	92	53.15			45.37	1.95	Si
SLU 16	-1.23	-170.05	-2.84	0.9811	294	1.925	95	54.76			46.41	19.25	Si
SLU 16	3.63	-142.71	-25.29	46.2812	248	1.9146	89	50.94			43.96	2.01	Si
SLU 26	-1.23	-189.12	-3.5	0.9283	327	1.925	99	57.3			48.04	16.36	Si

Comb.	Quota	N	V par	M	σ_0	σ_N	I'	fvd	Vt scorr.	Vt fess.diag.	Vt,lim	c.s.	Verifica
SLU 26	3.63	-148.84	-26.01	51.0099		267	1.8594	91	50.84		44.52	1.95	Si
SLU 18	-1.23	-171.52	-4.36	0.383		297	1.925	95	54.95		46.53	12.6	Si
SLU 18	3.63	-147.21	-27	51.9858		268	1.8281	91	50.1		44.37	1.86	Si
SLU 36	-1.23	-206.78	-3.98	0.9718		358	1.925	103	59.65		49.5	14.97	Si
SLU 36	3.63	-169.81	-30.15	57.3855		302	1.8737	96	53.87		46.38	1.79	Si

Verifica a taglio nel piano secondo D.M. 17-01-18 (N.T.C.) §7.8.2.2 con rottura per scorrimento in combinazioni sismiche, $\gamma_M = 2$

Comb.	Quota	N	V par	M	σ_0	σ_N	I'	fvd	Vt scorr.	Vt fess.diag.	Vt,lim	c.s.	Verifica
SLV 12	-1.23	23.44	-31.15	-47.4685		0	0	83	0		38.3	0	No, Vu<V
SLV 12	3.63	-38.33	-38.29	26.6142		159	0.8044	115	27.78		47.08	0.73	No, Vu<V
SLV 11	-1.23	23.44	-31.15	-47.4685		0	0	83	0		38.3	0	No, Vu<V
SLV 11	3.63	-38.33	-38.29	26.6142		159	0.8044	115	27.78		47.08	0.73	No, Vu<V
SLV 14	-1.23	-55.73	-7.63	1.9979		96	1.925	103	59.27		49.27	7.77	Si
SLV 14	3.63	-62.91	-24.52	34.2961		167	1.2519	117	43.88		50.14	1.79	Si
SLV 15	-1.23	21.95	-22.94	-24.9291		0	0	83	0		38.54	0	No, Vu<V
SLV 15	3.63	-30.93	-34.37	29.9288		0	0	83	0		46.11	0	No, Vu<V
SLV 7	-1.23	-52.96	-22.86	-39.8609		280	0.6296	139	26.33		48.92	1.15	Si
SLV 7	3.63	-76.65	-31.79	28.1404		143	1.7861	112	59.98		51.78	1.89	Si
SLD 12	-1.23	-71.46	-14.37	-19.9366		124	1.925	108	62.42		51.17	4.34	Si
SLD 12	3.63	-79.43	-27.16	31.1516		155	1.711	114	58.66		52.1	2.16	Si
SLV 13	-1.23	-55.73	-7.63	1.9979		96	1.925	103	59.27		49.27	7.77	Si
SLV 13	3.63	-62.91	-24.52	34.2961		167	1.2519	117	43.88		50.14	1.79	Si
SLD 11	-1.23	-71.46	-14.37	-19.9366		124	1.925	108	62.42		51.17	4.34	Si
SLD 11	3.63	-79.43	-27.16	31.1516		155	1.711	114	58.66		52.1	2.16	Si
SLV 8	-1.23	-52.96	-22.86	-39.8609		280	0.6296	139	26.33		48.92	1.15	Si
SLV 8	3.63	-76.65	-31.79	28.1404		143	1.7861	112	59.98		51.78	1.89	Si
SLV 16	-1.23	21.95	-22.94	-24.9291		0	0	83	0		38.54	0	No, Vu<V
SLV 16	3.63	-30.93	-34.37	29.9288		0	0	83	0		46.11	0	No, Vu<V

Verifica a pressoflessione fuori piano D.M. 17-01-18 (N.T.C.)quota 1.2 W_a 0.0005 denominatore 8 $\gamma_M = 2$

Comb.	fd	Sa	σ_0	N	M	Mc	Coeff.s.	Verifica
SLV 11	1438	0.28	0	-2.26	2.4411	0	0	No, e>t/2
SLV 15	1438	0.28	0	1.85	2.4411	0	0	No, Trazione
SLV 12	1438	0.28	0	-2.26	2.4411	0	0	No, e>t/2
SLV 16	1438	0.28	0	1.85	2.4411	0	0	No, Trazione
SLV 13	1438	0.28	97	-55.76	2.4411	7.7033	3.16	Si
SLV 14	1438	0.28	97	-55.76	2.4411	7.7033	3.16	Si
SLV 7	1438	0.28	110	-63.38	2.4411	8.6536	3.54	Si
SLV 8	1438	0.28	110	-63.38	2.4411	8.6536	3.54	Si
SLV 10	1438	0.28	336	-194.29	2.4411	21.1188	8.65	Si
SLV 9	1438	0.28	336	-194.29	2.4411	21.1188	8.65	Si

Tabella dei coefficienti di sicurezza minimi

Stato limite	Coeff.s.	Comb.	Verifica
PF SLU	1.041	SLU 36	Si
V SLU	1.787	SLU 36	Si
PF SLV	0	SLV 16	No
V SLV	0	SLV 11	No
PPFP SLV	0	SLV 16	No

Maschio 52

Verifiche condotte secondo D.M. 17-01-18 (N.T.C.)

Dati geometrici

X ini.	Y ini.	X fin.	Y fin.	Quota i.	Quota.s	l	Sp.	h netta	h ini.	h fin.	a	a.s.,sx	a.s.,dx
1.4	23.115	1.4	22.265	L1	L3	0.85	0.5	4.5	4.85	4.85			

Caratteristiche del materiale

(circ.617 C8A.2) Muratura in mattoni pieni e malta di calce LC2

fb	fk	fvk0	fmedio	τ_0	fv0	μ	ϕ	fv,lim	E	G	FC
6000			3450	90	200	0.58	0.77	325	3200000	1280000	1.2

Verifica a pressoflessione per azioni non sismiche 4.5.6.2 D.M. 17-01-18 (N.T.C.) $\gamma_M = 3$

Comb.	Quota	N	M	p	es1	es2	ea	ev	e ver	Φ_t	Φ_l	Nu	Verifica
SLU 36	-1.225	-158.17		1	0	0.0198	0.0225	0	0.0423	0.63	1	255.67	Si
SLU 36	1.2	-114.19		1	0	0.0198	0.0225	0	0.0225	0.75	1	303.81	Si
SLU 36	3.625	-105.76		1	0	0.0198	0.0225	0	0.0423	0.63	1	255.67	Si
SLU 35	-1.225	-154.41		1	0	0.0207	0.0225	0	0.0432	0.62	1	254.22	Si
SLU 35	1.2	-110.34		1	0	0.0207	0.0225	0	0.0225	0.75	1	303.81	Si
SLU 35	3.625	-101.04		1	0	0.0207	0.0225	0	0.0432	0.62	1	254.22	Si
SLU 34	-1.225	-156.35		1	0	0.017	0.0225	0	0.0395	0.64	1	261.97	Si
SLU 34	1.2	-114.48		1	0	0.017	0.0225	0	0.0225	0.75	1	303.81	Si
SLU 34	3.625	-106.42		1	0	0.017	0.0225	0	0.0395	0.64	1	261.97	Si
SLU 33	-1.225	-155.2		1	0	0.0172	0.0225	0	0.0397	0.64	1	261.41	Si
SLU 33	1.2	-113.32		1	0	0.0172	0.0225	0	0.0225	0.75	1	303.81	Si
SLU 33	3.625	-105.02		1	0	0.0172	0.0225	0	0.0397	0.64	1	261.41	Si
SLU 32	-1.225	-151.44		1	0	0.018	0.0225	0	0.0405	0.64	1	259.42	Si
SLU 32	1.2	-109.48		1	0	0.018	0.0225	0	0.0225	0.75	1	303.81	Si
SLU 32	3.625	-100.3		1	0	0.018	0.0225	0	0.0405	0.64	1	259.42	Si
SLU 27	-1.225	-148.55		1	0	0.0195	0.0225	0	0.042	0.63	1	256.07	Si
SLU 27	1.2	-106.01		1	0	0.0195	0.0225	0	0.0225	0.75	1	303.81	Si
SLU 27	3.625	-95.91		1	0	0.0195	0.0225	0	0.042	0.63	1	256.07	Si
SLU 26	-1.225	-144.79		1	0	0.0205	0.0225	0	0.043	0.62	1	254.49	Si
SLU 26	1.2	-102.17		1	0	0.0205	0.0225	0	0.0225	0.75	1	303.81	Si
SLU 26	3.625	-91.18		1	0	0.0205	0.0225	0	0.043	0.62	1	254.49	Si
SLU 25	-1.225	-146.73		1	0	0.0164	0.0225	0	0.0389	0.65	1	263.3	Si
SLU 25	1.2	-106.31		1	0	0.0164	0.0225	0	0.0225	0.75	1	303.81	Si
SLU 25	3.625	-96.57		1	0	0.0164	0.0225	0	0.0389	0.65	1	263.3	Si
SLU 24	-1.225	-145.58		1	0	0.0167	0.0225	0	0.0392	0.64	1	262.7	Si
SLU 24	1.2	-105.15		1	0	0.0167	0.0225	0	0.0225	0.75	1	303.81	Si
SLU 24	3.625	-95.17		1	0	0.0167	0.0225	0	0.0392	0.64	1	262.7	Si
SLU 23	-1.225	-141.82		1	0	0.0176	0.0225	0	0.0401	0.64	1	260.56	Si
SLU 23	1.2	-101.3		1	0	0.0176	0.0225	0	0.0225	0.75	1	303.81	Si

Comb.	Quota	N	M	p	es1	es2	ea	ev	e ver	φt	ΦI	Nu	Verifica	
SLV 23	3.625	-90.45			1	0	0.0176	0.0225	0	0.0401	0.64	1	260.56	Si

Verifica a pressoflessione nel piano secondo D.M. 17-01-18 NTC §7.8.2.2.1 in combinazioni sismiche, $\gamma_M = 2$

Comb.	Quota	N	M	σ_0	Mu	c.s.	Verifica
SLV 16	-1.23	-44.38	-5.7956	104	17.2494	2.976	Si
SLV 16	3.63	-28.38	-1.652	67	11.4033	6.903	Si
SLV 9	-1.23	-4.38	6.5087	0	0	0	No, $e > 1/2$
SLV 9	3.63	-81.4	-9.4858	192	29.1716	3.075	Si
SLV 10	-1.23	-4.38	6.5087	0	0	0	No, $e > 1/2$
SLV 10	3.63	-81.4	-9.4858	192	29.1716	3.075	Si
SLV 15	-1.23	-44.38	-5.7956	104	17.2494	2.976	Si
SLV 15	3.63	-28.38	-1.652	67	11.4033	6.903	Si
SLV 7	-1.23	-215.2	-18.6548	506	53.5582	2.871	Si
SLV 7	3.63	-59.71	6.4898	140	22.4595	3.461	Si
SLV 14	-1.23	2.84	1.0844	0	0	0	No, Trazione
SLV 14	3.63	-41.32	-6.0235	97	16.1621	2.683	Si
SLV 13	-1.23	2.84	1.0844	0	0	0	No, Trazione
SLV 13	3.63	-41.32	-6.0235	97	16.1621	2.683	Si
SLV 8	-1.23	-215.2	-18.6548	506	53.5582	2.871	Si
SLV 8	3.63	-59.71	6.4898	140	22.4595	3.461	Si
SLV 12	-1.23	-161.79	-16.4243	381	47.3371	2.882	Si
SLV 12	3.63	-38.29	5.086	90	15.0728	2.964	Si
SLV 11	-1.23	-161.79	-16.4243	381	47.3371	2.882	Si
SLV 11	3.63	-38.29	5.086	90	15.0728	2.964	Si

Verifica a taglio nel piano secondo D.M. 17-01-18 (N.T.C.) §7.8.2.2.2 con rottura per scorrimento in combinazioni non sismiche, $\gamma_M =$

3

Comb.	Quota	N	V par	M	σ_0	σ_N	I'	fvd	Vt scorr.	Vt fess.diag.	Vt,lim	c.s.	Verifica
SLU 17	-1.23	-127.83	-13.07	-8.0691		301	0.85	96	40.65		34.38	3.11	Si
SLU 17	3.63	-85.72	8.47	-0.6113		202	0.85	82	35.04		30.52	4.14	Si
SLU 33	-1.23	-155.2	-14.19	-8.7264		365	0.85	104	44.3		36.68	3.12	Si
SLU 33	3.63	-105.02	11.47	-2.9628		247	0.85	89	37.61		32.35	3.28	Si
SLU 36	-1.23	-158.17	-15.25	-9.3949		372	0.85	105	44.7		36.92	2.93	Si
SLU 36	3.63	-105.76	10.9	-1.8061		249	0.85	89	37.71		32.42	3.46	Si
SLU 26	-1.23	-144.79	-13.97	-8.5627		341	0.85	101	42.92		35.82	3.07	Si
SLU 26	3.63	-91.18	8.53	-0.5399		215	0.85	84	35.77		31.05	4.19	Si
SLU 32	-1.23	-151.44	-14.03	-8.6168		356	0.85	103	43.8		36.37	3.12	Si
SLU 32	3.63	-100.3	10.53	-2.2396		236	0.85	87	36.98		31.91	3.51	Si
SLU 31	-1.23	-143.33	-11.5	-7.038		337	0.85	101	42.72		35.7	3.71	Si
SLU 31	3.63	-96.94	11.47	-4.6536		228	0.85	86	36.54		31.6	3.19	Si
SLU 35	-1.23	-154.41	-15.1	-9.2853		363	0.85	104	44.2		36.61	2.93	Si
SLU 35	3.63	-101.04	9.97	-1.0829		238	0.85	87	37.08		31.98	3.72	Si
SLU 27	-1.23	-148.55	-14.13	-8.6722		350	0.85	102	43.42		36.13	3.07	Si
SLU 27	3.63	-95.91	9.47	-1.2631		226	0.85	86	36.4		31.5	3.84	Si
SLU 18	-1.23	-131.59	-13.23	-8.1787		310	0.85	97	41.16		34.71	3.11	Si
SLU 18	3.63	-90.44	9.4	-1.3345		213	0.85	84	35.67		30.98	3.79	Si
SLU 34	-1.23	-156.35	-14.24	-8.7645		368	0.85	105	44.46		36.77	3.12	Si
SLU 34	3.63	-106.42	11.73	-3.1666		250	0.85	89	37.8		32.48	3.22	Si

Verifica a taglio nel piano secondo D.M. 17-01-18 (N.T.C.) §7.8.2.2.2 con rottura per scorrimento in combinazioni sismiche, $\gamma_M = 2$

Comb.	Quota	N	V par	M	σ_0	σ_N	I'	fvd	Vt scorr.	Vt fess.diag.	Vt,lim	c.s.	Verifica
SLV 13	-1.23	2.84	1.58	1.0844		0	0	83	0		30.38	0	No, Vu<V
SLV 13	3.63	-41.32	10.44	-6.0235		99	0.8376	103	43.16		36.29	4.13	Si
SLV 6	-1.23	-57.8	3.96	4.2782		136	0.85	111	46.98		38.27	11.85	Si
SLV 6	3.63	-102.82	27.16	-8.082		242	0.85	132	55.98		43.2	2.06	Si
SLV 14	-1.23	2.84	1.58	1.0844		0	0	83	0		30.38	0	No, Vu<V
SLV 14	3.63	-41.32	10.44	-6.0235		99	0.8376	103	43.16		36.29	4.13	Si
SLV 5	-1.23	-57.8	3.96	4.2782		136	0.85	111	46.98		38.27	11.85	Si
SLV 5	3.63	-102.82	27.16	-8.082		242	0.85	132	55.98		43.2	2.06	Si
SLV 12	-1.23	-161.79	-23.81	-16.4243		381	0.85	159	67.77		48.91	2.85	Si
SLV 12	3.63	-38.29	-12.73	5.086		90	0.85	101	43.07		35.92	3.38	Si
SLV 7	-1.23	-215.2	-27.85	-18.6548		506	0.85	163	69.06		53.57	2.48	Si
SLV 7	3.63	-59.71	-11.21	6.4898		140	0.85	111	47.36		38.49	4.22	Si
SLV 9	-1.23	-4.38	8	6.5087		0	0	83	0		31.43	0	No, Vu<V
SLV 9	3.63	-81.4	25.64	-9.4858		192	0.85	122	51.7		40.93	2.02	Si
SLV 11	-1.23	-161.79	-23.81	-16.4243		381	0.85	159	67.77		48.91	2.85	Si
SLV 11	3.63	-38.29	-12.73	5.086		90	0.85	101	43.07		35.92	3.38	Si
SLV 8	-1.23	-215.2	-27.85	-18.6548		506	0.85	163	69.06		53.57	2.48	Si
SLV 8	3.63	-59.71	-11.21	6.4898		140	0.85	111	47.36		38.49	4.22	Si
SLV 10	-1.23	-4.38	8	6.5087		0	0	83	0		31.43	0	No, Vu<V
SLV 10	3.63	-81.4	25.64	-9.4858		192	0.85	122	51.7		40.93	2.02	Si

Verifica a pressoflessione fuori piano D.M. 17-01-18 (N.T.C.)

quota 1.2 Wa 0.0009 denominatore 8 $\gamma_M = 2$

Comb.	fd	Sa	σ_0	N	M	Mc	Coeff.s.	Verifica
SLV 14	1438	0.28		3.34	1.7965	0	0	No, Trazione
SLV 13	1438	0.28		3.34	1.7965	0	0	No, Trazione
SLV 9	1438	0.28	17	-7.43	1.7965	1.8307	1.02	Si
SLV 10	1438	0.28	17	-7.43	1.7965	1.8307	1.02	Si
SLV 15	1438	0.28	65	-27.43	1.7965	6.4947	3.62	Si
SLV 16	1438	0.28	65	-27.43	1.7965	6.4947	3.62	Si
SLV 5	1438	0.28	112	-47.43	1.7965	10.7747	6	Si
SLV 6	1438	0.28	112	-47.43	1.7965	10.7747	6	Si
SLV 12	1438	0.28	259	-109.99	1.7965	21.674	12.06	Si
SLV 11	1438	0.28	259	-109.99	1.7965	21.674	12.06	Si

Tabella dei coefficienti di sicurezza minimi

Stato limite	Coeff.s.	Comb.	Verifica
PF SLV	1.616	SLV 36	Si
V SLV	2.928	SLV 35	Si
PF SLV	0	SLV 14	No
V SLV	0	SLV 9	No
PFSLV	0	SLV 14	No

Maschio 53

Verifiche condotte secondo D.M. 17-01-18 (N.T.C.)

Dati geometrici

X ini.	Y ini.	X fin.	Y fin.	Quota i.	Quota.s	l	Sp.	h netta	h ini.	h fin.	a	a.s.,sx	a.s.,dx
1.4	26.315	1.4	24.115	L1	L3	2.2	0.5	4.5	4.85	4.85			

Caratteristiche del materiale

(circ.617 C8A.2) Muratura in mattoni pieni e malta di calce LC2

fb	fk	fvk0	fmedio	τ0	fv0	μ	φ	fv,lim	E	G	FC
6000			3450	90	200	0.58	0.77	325	3200000	1280000	1.2

Verifica a pressoflessione per azioni non sismiche 4.5.6.2 D.M. 17-01-18 (N.T.C.) γM = 3

Comb.	Quota	N	M	p	es1	es2	ea	ev	e ver	Φt	Φl	Nu	Verifica
SLU 36	-1.225	-400.21		1	0	0.0196	0.0225	0	0.0421	0.63	1	662.21	Si
SLU 36	1.2	-334.44		1	0	0.0196	0.0225	0	0.0225	0.75	1	786.32	Si
SLU 36	3.625	-275.37		1	0	0.0196	0.0225	0	0.0421	0.63	1	662.21	Si
SLU 35	-1.225	-389.9		1	0	0.0204	0.0225	0	0.0429	0.63	1	659.12	Si
SLU 35	1.2	-324.14		1	0	0.0204	0.0225	0	0.0225	0.75	1	786.32	Si
SLU 35	3.625	-265.06		1	0	0.0204	0.0225	0	0.0429	0.63	1	659.12	Si
SLU 34	-1.225	-397.05		1	0	0.0172	0.0225	0	0.0397	0.64	1	676.75	Si
SLU 34	1.2	-331.29		1	0	0.0172	0.0225	0	0.0225	0.75	1	786.32	Si
SLU 34	3.625	-272.21		1	0	0.0172	0.0225	0	0.0397	0.64	1	676.75	Si
SLU 33	-1.225	-394.06		1	0	0.0174	0.0225	0	0.0399	0.64	1	675.54	Si
SLU 33	1.2	-328.3		1	0	0.0174	0.0225	0	0.0225	0.75	1	786.32	Si
SLU 33	3.625	-269.22		1	0	0.0174	0.0225	0	0.0399	0.64	1	675.54	Si
SLU 32	-1.225	-383.76		1	0	0.0181	0.0225	0	0.0406	0.64	1	671.13	Si
SLU 32	1.2	-317.99		1	0	0.0181	0.0225	0	0.0225	0.75	1	786.32	Si
SLU 32	3.625	-258.92		1	0	0.0181	0.0225	0	0.0406	0.64	1	671.13	Si
SLU 27	-1.225	-375.06		1	0	0.0193	0.0225	0	0.0418	0.63	1	663.41	Si
SLU 27	1.2	-309.3		1	0	0.0193	0.0225	0	0.0225	0.75	1	786.32	Si
SLU 27	3.625	-250.22		1	0	0.0193	0.0225	0	0.0418	0.63	1	663.41	Si
SLU 26	-1.225	-364.76		1	0	0.0202	0.0225	0	0.0427	0.63	1	660.04	Si
SLU 26	1.2	-298.99		1	0	0.0202	0.0225	0	0.0225	0.75	1	786.32	Si
SLU 26	3.625	-239.92		1	0	0.0202	0.0225	0	0.0427	0.63	1	660.04	Si
SLU 25	-1.225	-371.91		1	0	0.0166	0.0225	0	0.0391	0.65	1	680.26	Si
SLU 25	1.2	-306.15		1	0	0.0166	0.0225	0	0.0225	0.75	1	786.32	Si
SLU 25	3.625	-247.07		1	0	0.0166	0.0225	0	0.0391	0.65	1	680.26	Si
SLU 24	-1.225	-368.92		1	0	0.0168	0.0225	0	0.0393	0.64	1	678.96	Si
SLU 24	1.2	-303.15		1	0	0.0168	0.0225	0	0.0225	0.75	1	786.32	Si
SLU 24	3.625	-244.08		1	0	0.0168	0.0225	0	0.0393	0.64	1	678.96	Si
SLU 23	-1.225	-358.62		1	0	0.0176	0.0225	0	0.0401	0.64	1	674.23	Si
SLU 23	1.2	-292.85		1	0	0.0176	0.0225	0	0.0225	0.75	1	786.32	Si
SLU 23	3.625	-233.78		1	0	0.0176	0.0225	0	0.0401	0.64	1	674.23	Si

Verifica a pressoflessione nel piano secondo D.M. 17-01-18 NTC §7.8.2.2.1 in combinazioni sismiche, γM = 2

Comb.	Quota	N	M	σ0	Mu	c.s.	Verifica
SLV 7	-1.23	-275.4	-120.7722	250	240.8695	1.994	Si
SLV 7	3.63	-184.1	20.6678	167	174.7695	8.456	Si
SLV 6	-1.23	-287.79	153.5168	262	248.7841	1.621	Si
SLV 6	3.63	-189.04	-14.3433	172	178.6956	12.458	Si
SLV 11	-1.23	-267.89	-152.2735	244	235.9429	1.549	Si
SLV 11	3.63	-174.58	21.3371	159	167.0908	7.831	Si
SLV 12	-1.23	-267.89	-152.2735	244	235.9429	1.549	Si
SLV 12	3.63	-174.58	21.3371	159	167.0908	7.831	Si
SLV 8	-1.23	-275.4	-120.7722	250	240.8695	1.994	Si
SLV 8	3.63	-184.1	20.6678	167	174.7695	8.456	Si
SLV 10	-1.23	-280.27	122.0155	255	244.0099	2	Si
SLV 10	3.63	-179.52	-13.674	163	171.0939	12.512	Si
SLV 9	-1.23	-280.27	122.0155	255	244.0099	2	Si
SLV 9	3.63	-179.52	-13.674	163	171.0939	12.512	Si
SLV 16	-1.23	-263.45	-93.0239	240	232.9925	2.505	Si
SLV 16	3.63	-165.2	9.8642	150	159.3818	16.158	Si
SLV 5	-1.23	-287.79	153.5168	262	248.7841	1.621	Si
SLV 5	3.63	-189.04	-14.3433	172	178.6956	12.458	Si
SLV 15	-1.23	-263.45	-93.0239	240	232.9925	2.505	Si
SLV 15	3.63	-165.2	9.8642	150	159.3818	16.158	Si

Verifica a taglio nel piano secondo D.M. 17-01-18 (N.T.C.) §7.8.2.2.2 con rottura per scorrimento in combinazioni non sismiche, γM = 3

Comb.	Quota	N	V par	M	σ0	σN	l'	fvd	Vt scorr.	Vt fess.diag.	Vt,lim	c.s.	Verifica
SLU 14	-1.23	-316.57	-0.84	0.6868		288	2.2	94	103.32		87.75	123.22	Si
SLU 14	3.63	-220.54	-0.84	4.7533		200	2.2	82	90.52		78.87	107.95	Si
SLU 32	-1.23	-383.76	-0.89	0.857		349	2.2	102	112.28		93.46	125.66	Si
SLU 32	3.63	-258.92	-0.89	5.1907		235	2.2	87	95.63		82.53	107.03	Si
SLU 18	-1.23	-333.01	-1.03	0.6028		303	2.2	96	105.51		89.18	101.99	Si
SLU 18	3.63	-236.98	-1.03	5.6204		215	2.2	84	92.71		80.46	89.61	Si
SLU 36	-1.23	-400.21	-1.09	0.7731		364	2.2	104	114.47		94.81	105.06	Si
SLU 36	3.63	-275.37	-1.09	6.0577		250	2.2	89	97.83		84.06	89.78	Si
SLU 8	-1.23	-297.57	-0.94	0.6256		271	2.2	92	100.79		86.07	107.17	Si
SLU 8	3.63	-201.54	-0.94	5.1867		183	2.2	80	87.98		76.99	93.56	Si
SLU 27	-1.23	-375.06	-0.98	0.7413		341	2.2	101	111.12		92.74	113.39	Si
SLU 27	3.63	-250.22	-0.98	5.4941		227	2.2	86	94.47		81.72	96.41	Si
SLU 35	-1.23	-389.9	-1.11	0.8277		354	2.2	103	113.1		93.97	102.34	Si
SLU 35	3.63	-265.06	-1.11	6.1876		241	2.2	88	96.45		83.11	87.28	Si
SLU 9	-1.23	-307.87	-0.92	0.571		280	2.2	93	102.16		86.98	110.46	Si
SLU 9	3.63	-211.84	-0.92	5.0568		193	2.2	81	89.36		78.02	96.61	Si
SLU 26	-1.23	-364.76	-1	0.7959		332	2.2	100	109.75		91.88	110.24	Si
SLU 26	3.63	-239.92	-1	5.624		218	2.2	85	93.1		80.74	93.52	Si
SLU 17	-1.23	-322.71	-1.05	0.6574		293	2.2	95	104.14		88.29	99.17	Si
SLU 17	3.63	-226.68	-1.05	5.7503		206	2.2	83	91.34		79.47	86.98	Si

Verifica a taglio nel piano secondo D.M. 17-01-18 (N.T.C.) §7.8.2.2.2 con rottura per scorrimento in combinazioni sismiche, γM = 2

Comb.	Quota	N	V par	M	σ0	σN	l'	fvd	Vt scorr.	Vt fess.diag.	Vt,lim	c.s.	Verifica
SLV 11	-1.23	-267.89	-33.5	-152.2735		336	1.5947	151	120.02		112	3.58	Si
SLV 11	3.63	-174.58	-29.78	21.3371		159	2.2	115	126.58		101.92	4.25	Si

Comb.	Quota	N	V par	M	σ_0	σ_N	I'	fvd	Vt scorr.	Vt fess.diag.	Vt,lim	c.s.	Verifica
SLV 10	-1.23	-280.27	23.57	122.0155		281	1.994	140	139.14		113.27	5.9	Si
SLV 10	3.63	-179.52	27.39	-13.674		163	2.2	116	127.57		102.48	4.66	Si
SLV 5	-1.23	-287.79	32.31	153.5168		339	1.6997	151	128.38		114.03	3.97	Si
SLV 5	3.63	-189.04	28.59	-14.3433		172	2.2	118	129.47		103.54	4.53	Si
SLV 6	-1.23	-287.79	32.31	153.5168		339	1.6997	151	128.38		114.03	3.97	Si
SLV 6	3.63	-189.04	28.59	-14.3433		172	2.2	118	129.47		103.54	4.53	Si
SLV 12	-1.23	-267.89	-33.5	-152.2735		336	1.5947	151	120.02		112	3.58	Si
SLV 12	3.63	-174.58	-29.78	21.3371		159	2.2	115	126.58		101.92	4.25	Si
SLV 9	-1.23	-280.27	23.57	122.0155		281	1.994	140	139.14		113.27	5.9	Si
SLV 9	3.63	-179.52	27.39	-13.674		163	2.2	116	127.57		102.48	4.66	Si
SLV 7	-1.23	-275.4	-24.76	-120.7722		278	1.9844	139	137.76		112.77	5.56	Si
SLV 7	3.63	-184.1	-28.58	20.6678		167	2.2	117	128.49		102.99	4.5	Si
SLV 16	-1.23	-263.45	-23.72	-93.0239		240	2.2	131	144.36		111.54	6.09	Si
SLV 16	3.63	-165.2	-11.17	9.8642		150	2.2	113	124.71		100.85	11.17	Si
SLV 8	-1.23	-275.4	-24.76	-120.7722		278	1.9844	139	137.76		112.77	5.56	Si
SLV 8	3.63	-184.1	-28.58	20.6678		167	2.2	117	128.49		102.99	4.5	Si
SLV 15	-1.23	-263.45	-23.72	-93.0239		240	2.2	131	144.36		111.54	6.09	Si
SLV 15	3.63	-165.2	-11.17	9.8642		150	2.2	113	124.71		100.85	11.17	Si

Verifica a pressoflessione fuori piano D.M. 17-01-18 (N.T.C.)

quota 1.2 Wa 0.0009 denominatore 8 $\gamma_M = 2$

Comb.	fd	Sa	σ_0	N	M	Mc	Coeff.s.	Verifica
SLV 16	1438	0.28	198	-217.64	4.6498	45.6003	9.81	Si
SLV 15	1438	0.28	198	-217.64	4.6498	45.6003	9.81	Si
SLV 11	1438	0.28	199	-219.03	4.6498	45.8348	9.86	Si
SLV 12	1438	0.28	199	-219.03	4.6498	45.8348	9.86	Si
SLV 14	1438	0.28	201	-221.16	4.6498	46.1923	9.93	Si
SLV 13	1438	0.28	201	-221.16	4.6498	46.1923	9.93	Si
SLV 8	1438	0.28	203	-223.74	4.6498	46.6239	10.03	Si
SLV 7	1438	0.28	203	-223.74	4.6498	46.6239	10.03	Si
SLV 9	1438	0.28	210	-230.75	4.6498	47.7844	10.28	Si
SLV 10	1438	0.28	210	-230.75	4.6498	47.7844	10.28	Si

Tabella dei coefficienti di sicurezza minimi

Stato limite	Coeff.s.	Comb.	Verifica
PF SLU	1.655	SLU 36	Si
V SLU	86.979	SLU 17	Si
PF SLV	1.549	SLV 11	Si
V SLV	3.583	SLV 11	Si
FFFF SLV	9.807	SLV 15	Si

Maschio 54

Verifiche condotte secondo D.M. 17-01-18 (N.T.C.)

Dati geometrici

X ini.	Y ini.	X fin.	Y fin.	Quota i.	Quota.s	l	Sp.	h netta	h ini.	h fin.	a	a.s.,sx	a.s.,dx
1.4	29.915	1.4	27.315	L1	L3	2.6	0.5	4.5	4.85	4.85			

Caratteristiche del materiale

(circ.617 C8A.2) Muratura in mattoni pieni e malta di calce LC2

fb	fk	fvk0	fmedio	r0	fv0	μ	ϕ	fv,lim	E	G	FC
6000			3450	90	200	0.58	0.77	325	3200000	1280000	1.2

Verifica a pressoflessione per azioni non sismiche 4.5.6.2 D.M. 17-01-18 (N.T.C.) $\gamma_M = 3$

Comb.	Quota	N	M	p	es1	es2	ea	ev	e ver	ϕ_t	Φ_I	Nu	Verifica
SLU 36	-1.225	-450.91		1	0	0.0211	0.0225	0	0.0436	0.62	1	775.78	Si
SLU 36	1.2	-373.19		1	0	0.0211	0.0225	0	0.0225	0.75	1	929.29	Si
SLU 36	3.625	-303.38		1	0	0.0211	0.0225	0	0.0436	0.62	1	775.78	Si
SLU 35	-1.225	-439.83		1	0	0.0219	0.0225	0	0.0444	0.62	1	771.95	Si
SLU 35	1.2	-362.11		1	0	0.0219	0.0225	0	0.0225	0.75	1	929.29	Si
SLU 35	3.625	-292.29		1	0	0.0219	0.0225	0	0.0444	0.62	1	771.95	Si
SLU 34	-1.225	-447.74		1	0	0.0184	0.0225	0	0.0409	0.63	1	790.52	Si
SLU 34	1.2	-370.02		1	0	0.0184	0.0225	0	0.0225	0.75	1	929.29	Si
SLU 34	3.625	-300.2		1	0	0.0184	0.0225	0	0.0409	0.63	1	790.52	Si
SLU 33	-1.225	-444.53		1	0	0.0186	0.0225	0	0.0411	0.63	1	789.02	Si
SLU 33	1.2	-366.81		1	0	0.0186	0.0225	0	0.0225	0.75	1	929.29	Si
SLU 33	3.625	-296.99		1	0	0.0186	0.0225	0	0.0411	0.63	1	789.02	Si
SLU 32	-1.225	-433.44		1	0	0.0193	0.0225	0	0.0418	0.63	1	784.06	Si
SLU 32	1.2	-355.72		1	0	0.0193	0.0225	0	0.0225	0.75	1	929.29	Si
SLU 32	3.625	-285.9		1	0	0.0193	0.0225	0	0.0418	0.63	1	784.06	Si
SLU 27	-1.225	-424.02		1	0	0.0207	0.0225	0	0.0432	0.62	1	777.58	Si
SLU 27	1.2	-346.3		1	0	0.0207	0.0225	0	0.0225	0.75	1	929.29	Si
SLU 27	3.625	-276.48		1	0	0.0207	0.0225	0	0.0432	0.62	1	777.58	Si
SLU 26	-1.225	-412.93		1	0	0.0216	0.0225	0	0.0441	0.62	1	773.45	Si
SLU 26	1.2	-335.21		1	0	0.0216	0.0225	0	0.0225	0.75	1	929.29	Si
SLU 26	3.625	-265.39		1	0	0.0216	0.0225	0	0.0441	0.62	1	773.45	Si
SLU 25	-1.225	-420.84		1	0	0.0178	0.0225	0	0.0403	0.64	1	795.37	Si
SLU 25	1.2	-343.12		1	0	0.0178	0.0225	0	0.0225	0.75	1	929.29	Si
SLU 25	3.625	-273.3		1	0	0.0178	0.0225	0	0.0403	0.64	1	795.37	Si
SLU 24	-1.225	-417.63		1	0	0.018	0.0225	0	0.0405	0.64	1	793.78	Si
SLU 24	1.2	-339.91		1	0	0.018	0.0225	0	0.0225	0.75	1	929.29	Si
SLU 24	3.625	-270.09		1	0	0.018	0.0225	0	0.0405	0.64	1	793.78	Si
SLU 23	-1.225	-406.55		1	0	0.0188	0.0225	0	0.0413	0.63	1	786.85	Si
SLU 23	1.2	-328.82		1	0	0.0188	0.0225	0	0.0225	0.75	1	929.29	Si
SLU 23	3.625	-259.01		1	0	0.0188	0.0225	0	0.0413	0.63	1	786.85	Si

Verifica a pressoflessione nel piano secondo D.M. 17-01-18 NTC §7.8.2.2.1 in combinazioni sismiche, $\gamma_M = 2$

Comb.	Quota	N	M	σ_0	Mu	c.s.	Verifica
SLV 7	-1.23	-316.7	-181.7509	244	329.6209	1.814	Si
SLV 7	3.63	-209.53	-24.6481	161	236.4548	9.593	Si
SLV 12	-1.23	-315.37	-235.6923	243	328.584	1.394	Si
SLV 12	3.63	-196.49	-19.3755	151	223.8349	11.552	Si
SLV 10	-1.23	-313.03	-184.4828	241	326.7452	1.771	Si
SLV 10	3.63	-193.22	33.0952	149	220.6322	6.667	Si

Comb.	Quota	N	M	σ_0	Mu	c.s.	Verifica
SLV 8	-1.23	-316.7	-181.7509	244	329.6209	1.814	Si
SLV 8	3.63	-209.53	-24.6481	161	236.4548	9.593	Si
SLV 5	-1.23	-314.36	238.4242	242	327.7872	1.375	Si
SLV 5	3.63	-206.26	27.8226	159	233.3217	8.386	Si
SLV 11	-1.23	-315.37	-235.6923	243	328.584	1.394	Si
SLV 11	3.63	-196.49	-19.3755	151	223.8349	11.552	Si
SLV 1	-1.23	-316.72	154.2945	244	329.64	2.136	Si
SLV 1	3.63	-222.62	3.3065	171	248.8445	75.259	Si
SLV 2	-1.23	-316.72	154.2945	244	329.64	2.136	Si
SLV 2	3.63	-222.62	3.3065	171	248.8445	75.259	Si
SLV 6	-1.23	-314.36	238.4242	242	327.7872	1.375	Si
SLV 6	3.63	-206.26	27.8226	159	233.3217	8.386	Si
SLV 9	-1.23	-313.03	184.4828	241	326.7452	1.771	Si
SLV 9	3.63	-193.22	33.0952	149	220.6322	6.667	Si

Verifica a taglio nel piano secondo D.M. 17-01-18 (N.T.C.) §7.8.2.2 con rottura per scorrimento in combinazioni non sismiche, $\gamma_M = 3$

Comb.	Quota	N	V par	M	σ_0	σ_N	I'	fvd	Vt scorr.	Vt fess.diag.	Vt,lim	c.s.	Verifica
SLU 30	-1.23	-411.25	-1.25	0.6046		316	2.6	98	127.06		106.91	101.45	Si
SLU 30	3.63	-263.71	-1.25	6.679		203	2.6	83	107.38		93.51	85.74	Si
SLU 34	-1.23	-447.74	-1.25	1.2918		344	2.6	101	131.92		109.97	105.57	Si
SLU 34	3.63	-300.2	-1.25	7.3526		231	2.6	86	112.25		97	89.82	Si
SLU 22	-1.23	-387.56	-1.08	0.4126		298	2.6	95	123.9		104.88	114.83	Si
SLU 22	3.63	-240.02	-1.08	5.6454		185	2.6	80	104.23		91.18	96.6	Si
SLU 16	-1.23	-370.51	-1.17	1.0246		285	2.6	94	121.62		103.39	104.16	Si
SLU 16	3.63	-257.02	-1.17	6.6875		198	2.6	82	106.49		92.86	91.2	Si
SLU 13	-1.23	-337.23	-1.25	0.1134		259	2.6	90	117.19		100.41	93.64	Si
SLU 13	3.63	-223.74	-1.25	6.1829		172	2.6	79	102.05		89.54	81.55	Si
SLU 4	-1.23	-310.33	-1	0.1454		239	2.6	87	113.6		97.95	113.96	Si
SLU 4	3.63	-196.84	-1	4.9802		151	2.6	76	98.47		86.76	98.78	Si
SLU 12	-1.23	-334.02	-1.17	0.3373		257	2.6	90	116.76		100.12	99.76	Si
SLU 12	3.63	-220.53	-1.17	6.0139		170	2.6	78	101.63		89.21	86.83	Si
SLU 15	-1.23	-367.3	-1.09	1.2485		283	2.6	93	121.2		103.1	111.54	Si
SLU 15	3.63	-253.81	-1.09	6.5184		195	2.6	82	106.06		92.54	97.61	Si
SLU 33	-1.23	-444.53	-1.17	1.5157		342	2.6	101	131.49		109.71	112.52	Si
SLU 33	3.63	-296.99	-1.17	7.1836		228	2.6	86	111.82		96.7	95.69	Si
SLU 31	-1.23	-414.46	-1.33	0.3807		319	2.6	98	127.48		107.19	95.6	Si
SLU 31	3.63	-266.92	-1.33	6.848		205	2.6	83	107.81		93.82	80.85	Si

Verifica a taglio nel piano secondo D.M. 17-01-18 (N.T.C.) §7.8.2.2 con rottura per scorrimento in combinazioni sismiche, $\gamma_M = 2$

Comb.	Quota	N	V par	M	σ_0	σ_N	I'	fvd	Vt scorr.	Vt fess.diag.	Vt,lim	c.s.	Verifica
SLV 6	-1.23	-314.36	44.39	238.4242		387	1.6246	161	130.56		132.13	2.94	Si
SLV 6	3.63	-206.26	39.05	27.8226		159	2.6	115	149.59		120.44	3.83	Si
SLV 10	-1.23	-313.03	32.41	184.4828		294	2.132	142	151.44		131.99	4.67	Si
SLV 10	3.63	-193.22	37.59	33.0952		149	2.6	113	146.98		118.95	3.91	Si
SLV 5	-1.23	-314.36	44.39	238.4242		387	1.6246	161	130.56		132.13	2.94	Si
SLV 5	3.63	-206.26	39.05	27.8226		159	2.6	115	149.59		120.44	3.83	Si
SLV 7	-1.23	-316.7	-33.58	-181.7509		291	2.1783	141	154.1		132.37	4.59	Si
SLV 7	3.63	-209.53	-38.77	-24.6481		161	2.6	116	150.24		120.81	3.88	Si
SLV 16	-1.23	-313.01	-32.26	-151.5626		256	2.4474	134	164.57		131.99	5.1	Si
SLV 16	3.63	-180.13	-14.7	5.1406		139	2.6	111	144.36		117.44	9.82	Si
SLV 12	-1.23	-315.37	-45.57	-235.6923		380	1.658	159	132.16		132.23	2.9	Si
SLV 12	3.63	-196.49	-40.23	-19.3755		151	2.6	114	147.63		119.33	3.67	Si
SLV 8	-1.23	-316.7	-33.58	-181.7509		291	2.1783	141	154.1		132.37	4.59	Si
SLV 8	3.63	-209.53	-38.77	-24.6481		161	2.6	116	150.24		120.81	3.88	Si
SLV 11	-1.23	-315.37	-45.57	-235.6923		380	1.658	159	132.16		132.23	2.9	Si
SLV 11	3.63	-196.49	-40.23	-19.3755		151	2.6	114	147.63		119.33	3.67	Si
SLV 9	-1.23	-313.03	32.41	184.4828		294	2.132	142	151.44		131.99	4.67	Si
SLV 9	3.63	-193.22	37.59	33.0952		149	2.6	113	146.98		118.95	3.91	Si
SLV 15	-1.23	-313.01	-32.26	-151.5626		256	2.4474	134	164.57		131.99	5.1	Si
SLV 15	3.63	-180.13	-14.7	5.1406		139	2.6	111	144.36		117.44	9.82	Si

Verifica a pressoflessione fuori piano D.M. 17-01-18 (N.T.C.)

quota 1.2 W_a 0.0009 denominatore 8 $\gamma_M = 2$

Comb.	fd	Sa	σ_0	N	M	Mc	Coef.f.s.	Verifica
SLV 13	1438	0.28	192	-249.01	5.4952	52.4936	9.55	Si
SLV 14	1438	0.28	192	-249.01	5.4952	52.4936	9.55	Si
SLV 16	1438	0.28	192	-249.63	5.4952	52.6006	9.57	Si
SLV 15	1438	0.28	192	-249.63	5.4952	52.6006	9.57	Si
SLV 10	1438	0.28	194	-252.31	5.4952	53.0583	9.66	Si
SLV 9	1438	0.28	194	-252.31	5.4952	53.0583	9.66	Si
SLV 11	1438	0.28	196	-254.39	5.4952	53.4123	9.72	Si
SLV 12	1438	0.28	196	-254.39	5.4952	53.4123	9.72	Si
SLV 6	1438	0.28	197	-255.76	5.4952	53.6453	9.76	Si
SLV 5	1438	0.28	197	-255.76	5.4952	53.6453	9.76	Si

Tabella dei coefficienti di sicurezza minimi

Stato limite	Coef.f.s.	Comb.	Verifica
PF SLU	1.72	SLU 36	Si
V SLU	80.851	SLU 31	Si
PF SLV	1.375	SLV 5	Si
V SLV	2.9	SLV 11	Si
PFFF SLV	9.553	SLV 13	Si

Maschio 55

Verifiche condotte secondo D.M. 17-01-18 (N.T.C.)

Dati geometrici

X ini.	Y ini.	X fin.	Y fin.	Quota i.	Quota s.	l	Sp.	h netta	h ini.	h fin.	a	a.s.,sx	a.s.,dx
1.4	34.815	1.4	30.915	L1	L3	3.9	0.5	4.5	4.85	4.85			

Caratteristiche del materiale

(circ.617 C8A.2) Muratura in mattoni pieni e malta di calce LC2

fb	fk	fvk0	fmedio	r0	fv0	μ	φ	fv,lim	E	G	FC
6000			3450	90	200	0.58	0.77	325	3200000	1280000	1.2

Verifica a pressoflessione per azioni non sismiche 4.5.6.2 D.M. 17-01-18 (N.T.C.) $\gamma_M = 3$

Comb.	Quota	N	M	p	es1	es2	ea	ev	e ver	φt	ΦI	Nu	Verifica
SLU 36	-1.225	-549.37			1	0	0.0282	0.0225	0	0.0507	0.6	1112.15	Si
SLU 36	1.2	-428.25			1	0	0.0282	0.0225	0	0.0254	0.73	1361.46	Si
SLU 36	3.625	-339.41			1	0	0.0282	0.0225	0	0.0507	0.6	1112.15	Si
SLU 35	-1.225	-539.77			1	0	0.0291	0.0225	0	0.0516	0.59	1106.01	Si
SLU 35	1.2	-418.6			1	0	0.0291	0.0225	0	0.0258	0.73	1356.62	Si
SLU 35	3.625	-329.43			1	0	0.0291	0.0225	0	0.0516	0.59	1106.01	Si
SLU 34	-1.225	-544.39			1	0	0.0249	0.0225	0	0.0474	0.61	1135.94	Si
SLU 34	1.2	-422.99			1	0	0.0249	0.0225	0	0.0237	0.74	1380.19	Si
SLU 34	3.625	-332.63			1	0	0.0249	0.0225	0	0.0474	0.61	1135.94	Si
SLU 33	-1.225	-541.97			1	0	0.0251	0.0225	0	0.0476	0.61	1134.62	Si
SLU 33	1.2	-420.58			1	0	0.0251	0.0225	0	0.0238	0.74	1379.16	Si
SLU 33	3.625	-330.2			1	0	0.0251	0.0225	0	0.0476	0.61	1134.62	Si
SLU 32	-1.225	-532.36			1	0	0.0259	0.0225	0	0.0484	0.6	1129.01	Si
SLU 32	1.2	-410.93			1	0	0.0259	0.0225	0	0.0242	0.74	1374.73	Si
SLU 32	3.625	-320.22			1	0	0.0259	0.0225	0	0.0484	0.6	1129.01	Si
SLU 27	-1.225	-523.84			1	0	0.0275	0.0225	0	0.05	0.6	1117.18	Si
SLU 27	1.2	-402.36			1	0	0.0275	0.0225	0	0.025	0.73	1365.42	Si
SLU 27	3.625	-311.5			1	0	0.0275	0.0225	0	0.05	0.6	1117.18	Si
SLU 26	-1.225	-514.24			1	0	0.0285	0.0225	0	0.051	0.59	1110.63	Si
SLU 26	1.2	-392.71			1	0	0.0285	0.0225	0	0.0255	0.73	1360.26	Si
SLU 26	3.625	-301.52			1	0	0.0285	0.0225	0	0.051	0.59	1110.63	Si
SLU 25	-1.225	-518.86			1	0	0.0239	0.0225	0	0.0464	0.61	1143.26	Si
SLU 25	1.2	-397.09			1	0	0.0239	0.0225	0	0.0232	0.74	1385.96	Si
SLU 25	3.625	-304.72			1	0	0.0239	0.0225	0	0.0464	0.61	1143.26	Si
SLU 24	-1.225	-516.44			1	0	0.0241	0.0225	0	0.0466	0.61	1141.88	Si
SLU 24	1.2	-394.68			1	0	0.0241	0.0225	0	0.0233	0.74	1384.87	Si
SLU 24	3.625	-302.29			1	0	0.0241	0.0225	0	0.0466	0.61	1141.88	Si
SLU 23	-1.225	-506.83			1	0	0.0249	0.0225	0	0.0474	0.61	1135.98	Si
SLU 23	1.2	-385.03			1	0	0.0249	0.0225	0	0.0237	0.74	1380.22	Si
SLU 23	3.625	-292.31			1	0	0.0249	0.0225	0	0.0474	0.61	1135.98	Si

Verifica a pressoflessione nel piano secondo D.M. 17-01-18 NTC §7.8.2.2.1 in combinazioni sismiche, $\gamma_M = 2$

Comb.	Quota	N	M	σ0	Mu	c.s.	Verifica
SLV 5	-1.23	-435.36	626.9098	223	693.8277	1.107	Si
SLV 5	3.63	-259.73	-27.3206	133	451.2645	16.517	Si
SLV 14	-1.23	-7.68	113.5816	0	0	0	No, e>1/2
SLV 14	3.63	-107.39	-121.1691	55	199.9666	1.65	Si
SLV 15	-1.23	-47.03	-245.164	0	0	0	No, e>1/2
SLV 15	3.63	-108.87	-89.8868	56	202.5936	2.254	Si
SLV 13	-1.23	-7.68	113.5816	0	0	0	No, e>1/2
SLV 13	3.63	-107.39	-121.1691	55	199.9666	1.65	Si
SLV 12	-1.23	-347.93	-612.6588	178	579.3965	0.946	No, M>Mu
SLV 12	3.63	-193.56	16.7946	99	346.7783	20.648	Si
SLV 9	-1.23	-216.78	583.1598	0	0	0	No, e>1/2
SLV 9	3.63	-188.62	-87.4796	97	338.6924	3.872	Si
SLV 10	-1.23	-216.78	583.1598	0	0	0	No, e>1/2
SLV 10	3.63	-188.62	-87.4796	97	338.6924	3.872	Si
SLV 11	-1.23	-347.93	-612.6588	178	579.3965	0.946	No, M>Mu
SLV 11	3.63	-193.56	16.7946	99	346.7783	20.648	Si
SLV 6	-1.23	-435.36	626.9098	223	693.8277	1.107	Si
SLV 6	3.63	-259.73	-27.3206	133	451.2645	16.517	Si
SLV 16	-1.23	-47.03	-245.164	0	0	0	No, e>1/2
SLV 16	3.63	-108.87	-89.8868	56	202.5936	2.254	Si

Verifica a taglio nel piano secondo D.M. 17-01-18 (N.T.C.) §7.8.2.2.2 con rottura per scorrimento in combinazioni non sismiche, $\gamma_M = 3$

Comb.	Quota	N	V par	M	σ0	σN	I'	fvd	Vt scorr.	Vt fess.diag.	Vt,lim	c.s.	Verifica
SLU 36	-1.23	-549.37	6.68	10.0275	282	3.9	93	181.58	93	181.58	200.87	27.17	Si
SLU 36	3.63	-339.41	6.72	-14.5658	174	3.9	79	153.59	99	153.59	175.1	22.84	Si
SLU 15	-1.23	-441.25	5.83	7.6291	226	3.9	86	167.17	86	167.17	188.04	28.66	Si
SLU 15	3.63	-280.87	5.87	-13.8522	144	3.9	75	145.78	75	145.78	167.21	24.85	Si
SLU 33	-1.23	-541.97	5.85	9.3305	278	3.9	93	180.6	93	180.6	200.02	30.86	Si
SLU 33	3.63	-330.2	5.89	-12.4819	169	3.9	78	152.36	78	152.36	173.88	25.86	Si
SLU 14	-1.23	-431.64	5.48	8.0964	221	3.9	85	165.89	85	165.89	186.86	30.26	Si
SLU 14	3.63	-270.89	5.51	-11.9412	139	3.9	74	144.45	74	144.45	165.83	26.2	Si
SLU 9	-1.23	-423.12	5.39	7.9667	217	3.9	84	164.75	84	164.75	185.8	30.59	Si
SLU 9	3.63	-262.17	5.42	-11.7473	134	3.9	73	143.29	73	143.29	164.61	26.45	Si
SLU 34	-1.23	-544.39	5.98	8.8546	279	3.9	93	180.92	93	180.92	200.3	30.24	Si
SLU 34	3.63	-332.63	6.02	-13.5918	171	3.9	78	152.68	78	152.68	174.2	25.36	Si
SLU 18	-1.23	-448.65	6.67	8.3261	230	3.9	86	168.15	86	168.15	188.95	25.23	Si
SLU 18	3.63	-290.08	6.7	-15.9361	149	3.9	75	147.01	75	147.01	168.47	21.94	Si
SLU 16	-1.23	-443.68	5.96	7.1533	228	3.9	86	167.49	86	167.49	188.34	28.08	Si
SLU 16	3.63	-283.3	6	-14.9621	145	3.9	75	146.11	75	146.11	167.54	24.36	Si
SLU 35	-1.23	-539.77	6.33	10.4948	277	3.9	92	180.3	92	180.3	199.76	28.47	Si
SLU 35	3.63	-329.43	6.37	-12.6547	169	3.9	78	152.26	78	152.26	173.78	23.9	Si
SLU 17	-1.23	-439.05	6.31	8.7934	225	3.9	86	166.87	86	166.87	187.77	26.43	Si
SLU 17	3.63	-280.1	6.35	-14.025	144	3.9	75	145.68	75	145.68	167.1	22.95	Si

Verifica a taglio nel piano secondo D.M. 17-01-18 (N.T.C.) §7.8.2.2.2 con rottura per scorrimento in combinazioni sismiche, $\gamma_M = 2$

Comb.	Quota	N	V par	M	σ0	σN	I'	fvd	Vt scorr.	Vt fess.diag.	Vt,lim	c.s.	Verifica
SLV 12	-1.23	-347.93	-132.91	-612.6588		1226	0.5675	163	46.11		240.47	0.35	No, Vu<V
SLV 12	3.63	-193.56	-133.74	16.7946		99	3.9	103	201.21		217.12	1.5	Si
SLV 6	-1.23	-435.36	139.49	626.9098		569	1.53	163	124.32		252.74	0.89	No, Vu<V
SLV 6	3.63	-259.73	140.38	-27.3206		133	3.9	110	214.45		227.43	1.53	Si
SLV 13	-1.23	-7.68	67.25	113.5816		0	0	83	0		185.14	0	No, Vu<V
SLV 13	3.63	-107.39	70.82	-121.1691		87	2.465	101	124.18		202.92	1.75	Si
SLV 14	-1.23	-7.68	67.25	113.5816		0	0	83	0		185.14	0	No, Vu<V
SLV 14	3.63	-107.39	70.82	-121.1691		87	2.465	101	124.18		202.92	1.75	Si
SLV 10	-1.23	-216.78	152.21	583.1598		0	0	83	0		220.79	0	No, Vu<V
SLV 10	3.63	-188.62	154.91	-87.4796		97	3.9	103	200.22		216.33	1.29	Si
SLV 15	-1.23	-47.03	-18.28	-245.164		0	0	83	0		192.35	0	No, Vu<V
SLV 15	3.63	-108.87	-15.77	-89.8868		65	3.3731	96	162.32		203.17	10.29	Si
SLV 5	-1.23	-435.36	139.49	626.9098		569	1.53	163	124.32		252.74	0.89	No, Vu<V
SLV 5	3.63	-259.73	140.38	-27.3206		133	3.9	110	214.45		227.43	1.53	Si

Comb.	Quota	N	V par	M	σ_0	σ_N	I'	fvd	Vt scorr.	Vt fess.diag.	Vt,lim	c.s.	Verifica
SLV 16	-1.23	-47.03	-18.28	-245.164		0	0	83	0		192.35	0	No, Vu<V
SLV 16	3.63	-108.87	-15.77	-89.8868		65	3.3731	96	162.32		203.17	10.29	Si
SLV 9	-1.23	-216.78	152.21	583.1598		0	0	83	0		220.79	0	No, Vu<V
SLV 9	3.63	-188.62	154.91	-87.4796		97	3.9	103	200.22		216.33	1.29	Si
SLV 11	-1.23	-347.93	-132.91	-612.6588		1226	0.5675	163	46.11		240.47	0.35	No, Vu<V
SLV 11	3.63	-193.56	-133.74	16.7946		99	3.9	103	201.21		217.12	1.5	Si

Verifica a pressoflessione fuori piano D.M. 17-01-18 (N.T.C.)quota 1.2 Wa 0.0009 denominatore 8 $\gamma_M = 2$

Comb.	fd	Sa	σ_0	N	M	Mc	Coeff.s.	Verifica
SLV 13	1438	0.28	0	-16.77	8.2428	0	0	No, $e>t/2$
SLV 14	1438	0.28	0	-16.77	8.2428	0	0	No, $e>t/2$
SLV 15	1438	0.28	25	-47.8	8.2428	11.7095	1.42	Si
SLV 16	1438	0.28	25	-47.8	8.2428	11.7095	1.42	Si
SLV 9	1438	0.28	85	-166.53	8.2428	38.7233	4.7	Si
SLV 10	1438	0.28	85	-166.53	8.2428	38.7233	4.7	Si
SLV 11	1438	0.28	138	-269.97	8.2428	59.8455	7.26	Si
SLV 12	1438	0.28	138	-269.97	8.2428	59.8455	7.26	Si
SLV 6	1438	0.28	167	-325.94	8.2428	70.3375	8.53	Si
SLV 5	1438	0.28	167	-325.94	8.2428	70.3375	8.53	Si

Tabella dei coefficienti di sicurezza minimi

Stato limite	Coeff.s.	Comb.	Verifica
PF SLU	2.024	SLU 36	Si
V SLU	21.943	SLU 18	Si
PF SLV	0	SLV 9	No
V SLV	0	SLV 9	No
PFFP SLV	0	SLV 13	No

Maschio 56

Verifiche condotte secondo D.M. 17-01-18 (N.T.C.)

Dati geometrici

X ini.	Y ini.	X fin.	Y fin.	Quota i.	Quota.s	l	Sp.	h netta	h ini.	h fin.	a	a.s.,sx	a.s.,dx
1.4	37.415	1.4	35.815	L1	L3	1.6	0.5	4.5	4.85	4.85			

Caratteristiche del materiale

(circ.617 C8A.2) Muratura in mattoni pieni e malta di calce LC2

fb	fk	fvk0	fmedio	τ_0	fv0	μ	φ	fv,lim	E	G	FC
6000			3450	90	200	0.58	0.77	325	3200000	1280000	1.2

Verifica a pressoflessione per azioni non sismiche 4.5.6.2 D.M. 17-01-18 (N.T.C.) $\gamma_M = 3$

Comb.	Quota	N	M	p	es1	es2	ea	ev	e ver	Φ_t	Φ_I	Nu	Verifica
SLU 36	-1.225	-291.73		1	0	0.0196	0.0225	0	0.0421	0.63	1	481.8	Si
SLU 36	1.2	-243.9		1	0	0.0196	0.0225	0	0.0225	0.75	1	571.87	Si
SLU 36	3.625	-200.94		1	0	0.0196	0.0225	0	0.0421	0.63	1	481.8	Si
SLU 35	-1.225	-284.12		1	0	0.0203	0.0225	0	0.0428	0.63	1	479.53	Si
SLU 35	1.2	-236.29		1	0	0.0203	0.0225	0	0.0225	0.75	1	571.87	Si
SLU 35	3.625	-193.32		1	0	0.0203	0.0225	0	0.0428	0.63	1	479.53	Si
SLU 34	-1.225	-289.47		1	0	0.0171	0.0225	0	0.0396	0.64	1	492.47	Si
SLU 34	1.2	-241.64		1	0	0.0171	0.0225	0	0.0225	0.75	1	571.87	Si
SLU 34	3.625	-198.68		1	0	0.0171	0.0225	0	0.0396	0.64	1	492.47	Si
SLU 33	-1.225	-287.25		1	0	0.0173	0.0225	0	0.0398	0.64	1	491.57	Si
SLU 33	1.2	-239.42		1	0	0.0173	0.0225	0	0.0225	0.75	1	571.87	Si
SLU 33	3.625	-196.45		1	0	0.0173	0.0225	0	0.0398	0.64	1	491.57	Si
SLU 32	-1.225	-279.63		1	0	0.018	0.0225	0	0.0405	0.64	1	488.33	Si
SLU 32	1.2	-231.8		1	0	0.018	0.0225	0	0.0225	0.75	1	571.87	Si
SLU 32	3.625	-188.84		1	0	0.018	0.0225	0	0.0405	0.64	1	488.33	Si
SLU 27	-1.225	-273.22		1	0	0.0193	0.0225	0	0.0418	0.63	1	482.62	Si
SLU 27	1.2	-225.39		1	0	0.0193	0.0225	0	0.0225	0.75	1	571.87	Si
SLU 27	3.625	-182.43		1	0	0.0193	0.0225	0	0.0418	0.63	1	482.62	Si
SLU 26	-1.225	-265.61		1	0	0.0201	0.0225	0	0.0426	0.63	1	480.14	Si
SLU 26	1.2	-217.78		1	0	0.0201	0.0225	0	0.0225	0.75	1	571.87	Si
SLU 26	3.625	-174.82		1	0	0.0201	0.0225	0	0.0426	0.63	1	480.14	Si
SLU 25	-1.225	-270.96		1	0	0.0166	0.0225	0	0.0391	0.65	1	494.94	Si
SLU 25	1.2	-223.13		1	0	0.0166	0.0225	0	0.0225	0.75	1	571.87	Si
SLU 25	3.625	-180.17		1	0	0.0166	0.0225	0	0.0391	0.65	1	494.94	Si
SLU 24	-1.225	-268.74		1	0	0.0168	0.0225	0	0.0393	0.64	1	493.98	Si
SLU 24	1.2	-220.91		1	0	0.0168	0.0225	0	0.0225	0.75	1	571.87	Si
SLU 24	3.625	-177.95		1	0	0.0168	0.0225	0	0.0393	0.64	1	493.98	Si
SLU 23	-1.225	-261.12		1	0	0.0176	0.0225	0	0.0401	0.64	1	490.5	Si
SLU 23	1.2	-213.29		1	0	0.0176	0.0225	0	0.0225	0.75	1	571.87	Si
SLU 23	3.625	-170.33		1	0	0.0176	0.0225	0	0.0401	0.64	1	490.5	Si

Verifica a pressoflessione nel piano secondo D.M. 17-01-18 NTC §7.8.2.2.1 in combinazioni sismiche, $\gamma_M = 2$

Comb.	Quota	N	M	σ_0	Mu	c.s.	Verifica
SLV 16	-1.23	-191.72	-41.4414	240	123.2949	2.975	Si
SLV 16	3.63	-121.88	5.9424	152	85.345	14.362	Si
SLV 8	-1.23	-219.64	-47.6349	275	136.2298	2.86	Si
SLV 8	3.63	-160.28	3.0145	200	107.2008	35.562	Si
SLV 12	-1.23	-210.94	-62.6419	264	132.337	2.113	Si
SLV 12	3.63	-149.85	5.5171	187	101.5036	18.398	Si
SLV 11	-1.23	-210.94	-62.6419	264	132.337	2.113	Si
SLV 11	3.63	-149.85	5.5171	187	101.5036	18.398	Si
SLV 15	-1.23	-191.72	-41.4414	240	123.2949	2.975	Si
SLV 15	3.63	-121.88	5.9424	152	85.345	14.362	Si
SLV 6	-1.23	-193.71	62.9615	242	124.2605	1.974	Si
SLV 6	3.63	-115.12	-4.1127	144	81.2528	19.757	Si
SLV 7	-1.23	-219.64	-47.6349	275	136.2298	2.86	Si
SLV 7	3.63	-160.28	3.0145	200	107.2008	35.562	Si
SLV 5	-1.23	-193.71	62.9615	242	124.2605	1.974	Si
SLV 5	3.63	-115.12	-4.1127	144	81.2528	19.757	Si
SLV 10	-1.23	-185.02	47.9545	231	119.9987	2.502	Si
SLV 10	3.63	-104.69	-1.6101	131	74.7846	46.448	Si

Comb.	Quota	N	M	σ_0	Mu	c.s.	Verifica
SLV 9	-1.23	-185.02	47.9545	231	119.9987	2.502	si
SLV 9	3.63	-104.69	-1.6101	131	74.7846	46.448	si

Verifica a taglio nel piano secondo D.M. 17-01-18 (N.T.C.) §7.8.2.2.2 con rottura per scorrimento in combinazioni non sismiche, $\gamma_M = 3$

Comb.	Quota	N	V par	M	σ_0	σ_N	l'	fvd	Vt scorr.	Vt fess.diag.	Vt,lim	c.s.	Verifica
SLU 36	-1.23	-291.73	-0.21	0.1954		365	1.6	104	83.34		69	403.06	Si
SLU 36	3.63	-200.94	-0.21	1.1982		251	1.6	89	71.24		61.19	344.52	Si
SLU 30	-1.23	-264.2	-0.2	0.0255		330	1.6	100	79.67		66.73	403.82	Si
SLU 30	3.63	-173.41	-0.2	0.9824		217	1.6	84	67.57		58.62	342.46	Si
SLU 15	-1.23	-238.43	-0.21	0.0877		298	1.6	95	76.24		64.53	367.61	Si
SLU 15	3.63	-168.59	-0.21	1.0935		211	1.6	84	66.92		58.16	322.71	Si
SLU 31	-1.23	-266.43	-0.21	-0.0292		333	1.6	100	79.97		66.92	376.06	Si
SLU 31	3.63	-175.64	-0.21	1.0021		220	1.6	85	67.86		58.83	319.13	Si
SLU 18	-1.23	-242.91	-0.2	0.1535		304	1.6	96	76.83		64.92	389.92	Si
SLU 18	3.63	-173.07	-0.2	1.1091		216	1.6	84	67.52		58.59	342.67	Si
SLU 16	-1.23	-240.65	-0.22	0.033		301	1.6	96	76.53		64.73	343.61	Si
SLU 16	3.63	-170.81	-0.22	1.1132		214	1.6	84	67.22		58.37	301.8	Si
SLU 34	-1.23	-289.47	-0.23	0.0749		362	1.6	104	83.04		68.82	357.23	Si
SLU 34	3.63	-198.68	-0.23	1.2023		248	1.6	89	70.93		60.99	305.15	Si
SLU 13	-1.23	-217.61	-0.2	-0.0711		272	1.6	92	73.46		62.7	362	Si
SLU 13	3.63	-147.77	-0.2	0.913		185	1.6	80	64.15		56.12	316.11	Si
SLU 12	-1.23	-215.39	-0.19	-0.0164		269	1.6	91	73.16		62.5	390.05	Si
SLU 12	3.63	-145.55	-0.19	0.8933		182	1.6	80	63.85		55.89	340.41	Si
SLU 33	-1.23	-287.25	-0.22	0.1296		359	1.6	103	82.74		68.64	381.13	Si
SLU 33	3.63	-196.45	-0.22	1.1826		246	1.6	88	70.64		60.78	325.37	Si

Verifica a taglio nel piano secondo D.M. 17-01-18 (N.T.C.) §7.8.2.2.2 con rottura per scorrimento in combinazioni sismiche, $\gamma_M = 2$

Comb.	Quota	N	V par	M	σ_0	σ_N	l'	fvd	Vt scorr.	Vt fess.diag.	Vt,lim	c.s.	Verifica
SLV 10	-1.23	-185.02	17	47.9545		231	1.6	130	103.67		80.43	6.1	Si
SLV 10	3.63	-104.69	11.52	-1.6101		131	1.6	110	87.61		71.55	7.6	Si
SLV 6	-1.23	-193.71	17.37	62.9615		272	1.4249	138	98.12		81.34	5.65	Si
SLV 6	3.63	-115.12	11.86	-4.1127		144	1.6	112	89.69		72.77	7.56	Si
SLV 8	-1.23	-219.64	-17.23	-47.6349		275	1.6	138	110.59		83.97	6.42	Si
SLV 8	3.63	-160.28	-11.74	3.0145		200	1.6	123	98.72		77.81	8.41	Si
SLV 7	-1.23	-219.64	-17.23	-47.6349		275	1.6	138	110.59		83.97	6.42	Si
SLV 7	3.63	-160.28	-11.74	3.0145		200	1.6	123	98.72		77.81	8.41	Si
SLV 9	-1.23	-185.02	17	47.9545		231	1.6	130	103.67		80.43	6.1	Si
SLV 9	3.63	-104.69	11.52	-1.6101		131	1.6	110	87.61		71.55	7.6	Si
SLV 11	-1.23	-210.94	-17.59	-62.6419		280	1.5091	139	105.07		83.1	5.97	Si
SLV 11	3.63	-149.85	-12.09	5.5171		187	1.6	121	96.64		76.67	7.99	Si
SLD 12	-1.23	-206.25	-7.76	-27.346		258	1.6	135	107.92		82.62	13.91	Si
SLD 12	3.63	-140.16	-5.34	2.7763		175	1.6	118	94.7		75.6	17.75	Si
SLV 12	-1.23	-210.94	-17.59	-62.6419		280	1.5091	139	105.07		83.1	5.97	Si
SLV 12	3.63	-149.85	-12.09	5.5171		187	1.6	121	96.64		76.67	7.99	Si
SLV 5	-1.23	-193.71	17.37	62.9615		272	1.4249	138	98.12		81.34	5.65	Si
SLV 5	3.63	-115.12	11.86	-4.1127		144	1.6	112	89.69		72.77	7.56	Si
SLD 11	-1.23	-206.25	-7.76	-27.346		258	1.6	135	107.92		82.62	13.91	Si
SLD 11	3.63	-140.16	-5.34	2.7763		175	1.6	118	94.7		75.6	17.75	Si

Verifica a pressoflessione fuori piano D.M. 17-01-18 (N.T.C.)

quota 1.2 Wa 0.0009 denominatore 8 $\gamma_M = 2$

Comb.	fd	Sa	σ_0	N	M	Mc	Coeff.s.	Verifica
SLV 13	1438	0.28	165	-131.73	3.3817	28.4941	8.43	Si
SLV 14	1438	0.28	165	-131.73	3.3817	28.4941	8.43	Si
SLV 15	1438	0.28	174	-139.6	3.3817	29.9154	8.85	Si
SLV 16	1438	0.28	174	-139.6	3.3817	29.9154	8.85	Si
SLV 10	1438	0.28	179	-143.46	3.3817	30.6012	9.05	Si
SLV 9	1438	0.28	179	-143.46	3.3817	30.6012	9.05	Si
SLV 5	1438	0.28	202	-161.38	3.3817	33.6847	9.96	Si
SLV 6	1438	0.28	202	-161.38	3.3817	33.6847	9.96	Si
SLV 11	1438	0.28	212	-169.69	3.3817	35.0581	10.37	Si
SLV 12	1438	0.28	212	-169.69	3.3817	35.0581	10.37	Si

Tabella dei coefficienti di sicurezza minimi

Stato limite	Coeff.s.	Comb.	Verifica
PF SLU	1.652	SLU 36	Si
V SLU	301.797	SLU 16	Si
PF SLV	1.974	SLV 5	Si
V SLV	5.649	SLV 5	Si
PF SLV	8.426	SLV 13	Si

Maschio 57

Verifiche condotte secondo D.M. 17-01-18 (N.T.C.)

Dati geometrici

X ini.	Y ini.	X fin.	Y fin.	Quota i.	Quota s.	l	Sp.	h netta	h ini.	h fin.	a	a.s.,sx	a.s.,dx
1.4	40.115	1.4	38.415	L1	L3	1.7	0.5	4.5	4.85	4.85			

Caratteristiche del materiale

(circ.617 C8A.2) Muratura in mattoni pieni e malta di calce LC2

fb	fk	fvk0	fmedio	r0	fv0	μ	ϕ	fv,lim	E	G	FC
6000			3450	90	200	0.58	0.77	325	3200000	1280000	1.2

Verifica a pressoflessione per azioni non sismiche 4.5.6.2 D.M. 17-01-18 (N.T.C.) $\gamma_M = 3$

Comb.	Quota	N	M	p	es1	es2	ea	ev	e ver	Φ_t	Φ_l	Nu	Verifica
SLU 36	-1.225	-254.06		1	0	0.0235	0.0225	0	0.046	0.61	1	499.66	Si
SLU 36	1.2	-200.43		1	0	0.0235	0.0225	0	0.023	0.74	1	605.17	Si
SLU 36	3.625	-177.89		1	0	0.0235	0.0225	0	0.046	0.61	1	499.66	Si
SLU 35	-1.225	-249.29		1	0	0.0242	0.0225	0	0.0467	0.61	1	497.43	Si
SLU 35	1.2	-195.63		1	0	0.0242	0.0225	0	0.0234	0.74	1	603.42	Si
SLU 35	3.625	-172.66		1	0	0.0242	0.0225	0	0.0467	0.61	1	497.43	Si
SLU 34	-1.225	-252.7		1	0	0.0207	0.0225	0	0.0432	0.62	1	508.45	Si

Comb.	Quota	N	M	p	es1	es2	ea	ev	e ver	φt	Φl	Nu	Verifica
SLU 34	1.2	-198.85		1	0	0.0207	0.0225	0	0.0225	0.75	1	607.61	Si
SLU 34	3.625	-174.79		1	0	0.0207	0.0225	0	0.0432	0.62	1	508.45	Si
SLU 33	-1.225	-251.24		1	0	0.0209	0.0225	0	0.0434	0.62	1	507.87	Si
SLU 33	1.2	-197.4		1	0	0.0209	0.0225	0	0.0225	0.75	1	607.61	Si
SLU 33	3.625	-173.24		1	0	0.0209	0.0225	0	0.0434	0.62	1	507.87	Si
SLU 32	-1.225	-246.47		1	0	0.0215	0.0225	0	0.044	0.62	1	505.84	Si
SLU 32	1.2	-192.6		1	0	0.0215	0.0225	0	0.0225	0.75	1	607.61	Si
SLU 32	3.625	-168.01		1	0	0.0215	0.0225	0	0.044	0.62	1	505.84	Si
SLU 27	-1.225	-242.61		1	0	0.0228	0.0225	0	0.0453	0.62	1	501.8	Si
SLU 27	1.2	-188.72		1	0	0.0228	0.0225	0	0.0227	0.74	1	606.86	Si
SLU 27	3.625	-164.01		1	0	0.0228	0.0225	0	0.0453	0.62	1	501.8	Si
SLU 26	-1.225	-237.84		1	0	0.0236	0.0225	0	0.0461	0.61	1	499.45	Si
SLU 26	1.2	-183.92		1	0	0.0236	0.0225	0	0.023	0.74	1	605.01	Si
SLU 26	3.625	-158.77		1	0	0.0236	0.0225	0	0.0461	0.61	1	499.45	Si
SLU 25	-1.225	-241.25		1	0	0.0197	0.0225	0	0.0422	0.63	1	511.4	Si
SLU 25	1.2	-187.14		1	0	0.0197	0.0225	0	0.0225	0.75	1	607.61	Si
SLU 25	3.625	-160.91		1	0	0.0197	0.0225	0	0.0422	0.63	1	511.4	Si
SLU 24	-1.225	-239.79		1	0	0.0199	0.0225	0	0.0424	0.63	1	510.79	Si
SLU 24	1.2	-185.69		1	0	0.0199	0.0225	0	0.0225	0.75	1	607.61	Si
SLU 24	3.625	-159.35		1	0	0.0199	0.0225	0	0.0424	0.63	1	510.79	Si
SLU 23	-1.225	-235.02		1	0	0.0206	0.0225	0	0.0431	0.62	1	508.68	Si
SLU 23	1.2	-180.89		1	0	0.0206	0.0225	0	0.0225	0.75	1	607.61	Si
SLU 23	3.625	-154.12		1	0	0.0206	0.0225	0	0.0431	0.62	1	508.68	Si

Verifica a pressoflessione nel piano secondo D.M. 17-01-18 NTC §7.8.2.2.1 in combinazioni sismiche, $\gamma_M = 2$

Comb.	Quota	N	M	σ_0	Mu	c.s.	Verifica
SLV 11	-1.23	-155.46	-80.7233	183	112.3611	1.392	Si
SLV 11	3.63	-91.17	-14.0145	107	70.6952	5.044	Si
SLV 6	-1.23	-207.94	84.6888	245	141.3629	1.669	Si
SLV 6	3.63	-147.84	15.7488	174	107.7779	6.844	Si
SLV 15	-1.23	46.94	-29.8313	0	0	0	No, Trazione
SLV 15	3.63	-35.29	-4.5969	42	28.9742	6.303	Si
SLV 10	-1.23	-62.38	80.0719	0	0	0	No, $e > 1/2$
SLV 10	3.63	-97.92	15.0898	115	75.382	4.996	Si
SLV 16	-1.23	46.94	-29.8313	0	0	0	No, Trazione
SLV 16	3.63	-35.29	-4.5969	42	28.9742	6.303	Si
SLV 12	-1.23	-155.46	-80.7233	183	112.3611	1.392	Si
SLV 12	3.63	-91.17	-14.0145	107	70.6952	5.044	Si
SLV 9	-1.23	-62.38	80.0719	0	0	0	No, $e > 1/2$
SLV 9	3.63	-97.92	15.0898	115	75.382	4.996	Si
SLV 13	-1.23	74.87	18.4072	0	0	0	No, Trazione
SLV 13	3.63	-37.31	4.1344	44	30.5731	7.395	Si
SLV 5	-1.23	-207.94	84.6888	245	141.3629	1.669	Si
SLV 5	3.63	-147.84	15.7488	174	107.7779	6.844	Si
SLV 14	-1.23	74.87	18.4072	0	0	0	No, Trazione
SLV 14	3.63	-37.31	4.1344	44	30.5731	7.395	Si

Verifica a taglio nel piano secondo D.M. 17-01-18 (N.T.C.) §7.8.2.2.2 con rottura per scorrimento in combinazioni non sismiche, $\gamma_M = 3$

Comb.	Quota	N	V par	M	σ_0	σ_N	I'	fvd	Vt scorr.	Vt fess.diag.	Vt,lim	c.s.	Verifica
SLU 8	-1.23	-190.69	1.38	2.528		224	1.7	85	72.65		62.89	52.79	Si
SLU 8	3.63	-132.21	1.39	0.5233		156	1.7	76	64.85		57.09	46.65	Si
SLU 17	-1.23	-202.14	1.52	2.6955		238	1.7	87	74.17		63.97	48.74	Si
SLU 17	3.63	-146.09	1.54	0.7095		172	1.7	78	66.7		58.52	43.4	Si
SLU 9	-1.23	-195.46	1.35	2.4452		230	1.7	86	73.28		63.34	54.47	Si
SLU 9	3.63	-137.44	1.36	0.7267		162	1.7	77	65.55		57.64	48.2	Si
SLU 33	-1.23	-251.24	1.39	2.701		296	1.7	95	80.72		68.38	58.15	Si
SLU 33	3.63	-173.24	1.41	1.4478		204	1.7	83	70.32		61.22	49.99	Si
SLU 18	-1.23	-206.91	1.49	2.6128		243	1.7	88	74.81		64.41	50.17	Si
SLU 18	3.63	-151.32	1.51	0.9129		178	1.7	79	67.4		59.05	44.73	Si
SLU 35	-1.23	-249.29	1.66	3.0999		293	1.7	95	80.46		68.21	48.53	Si
SLU 35	3.63	-172.66	1.68	0.948		203	1.7	83	70.24		61.17	41.9	Si
SLU 27	-1.23	-242.61	1.48	2.8496		285	1.7	94	79.57		67.63	53.71	Si
SLU 27	3.63	-164.01	1.5	0.9651		193	1.7	81	69.09		60.32	46.08	Si
SLU 26	-1.23	-237.84	1.51	2.9323		280	1.7	93	78.93		67.21	52.2	Si
SLU 26	3.63	-158.77	1.53	0.7618		187	1.7	80	68.39		59.8	44.71	Si
SLU 36	-1.23	-254.06	1.63	3.0172		299	1.7	95	81.1		68.63	49.84	Si
SLU 36	3.63	-177.89	1.65	1.1513		209	1.7	83	70.94		61.67	43.09	Si
SLU 32	-1.23	-246.47	1.42	2.7838		290	1.7	94	80.08		67.97	56.45	Si
SLU 32	3.63	-168.01	1.44	1.2445		198	1.7	82	69.62		60.71	48.45	Si

Verifica a taglio nel piano secondo D.M. 17-01-18 (N.T.C.) §7.8.2.2.2 con rottura per scorrimento in combinazioni sismiche, $\gamma_M = 2$

Comb.	Quota	N	V par	M	σ_0	σ_N	I'	fvd	Vt scorr.	Vt fess.diag.	Vt,lim	c.s.	Verifica
SLV 15	-1.23	46.94	1.02	-29.8313		0	0	83	0		54.37	0	No, $V_u < V$
SLV 15	3.63	-35.29	6.45	-4.5969		42	1.7	92	77.89		66.51	12.08	Si
SLV 14	-1.23	74.87	15.52	18.4072		0	0	83	0		49.57	0	No, $V_u < V$
SLV 14	3.63	-37.31	14.84	4.1344		44	1.7	92	78.3		66.78	5.28	Si
SLV 13	-1.23	74.87	15.52	18.4072		0	0	83	0		49.57	0	No, $V_u < V$
SLV 13	3.63	-37.31	14.84	4.1344		44	1.7	92	78.3		66.78	5.28	Si
SLV 10	-1.23	-62.38	27.32	80.0719		0	0	83	0		70.05	0	No, $V_u < V$
SLV 10	3.63	-97.92	17.86	15.0898		115	1.7	106	90.42		74.44	5.06	Si
SLV 6	-1.23	-207.94	22.93	84.6888		313	1.3282	146	96.93		86.64	4.23	Si
SLV 6	3.63	-147.84	12.06	15.7488		174	1.7	118	100.4		80.21	8.32	Si
SLV 5	-1.23	-207.94	22.93	84.6888		313	1.3282	146	96.93		86.64	4.23	Si
SLV 5	3.63	-147.84	12.06	15.7488		174	1.7	118	100.4		80.21	8.32	Si
SLV 9	-1.23	-62.38	27.32	80.0719		0	0	83	0		70.05	0	No, $V_u < V$
SLV 9	3.63	-97.92	17.86	15.0898		115	1.7	106	90.42		74.44	5.06	Si
SLV 16	-1.23	46.94	1.02	-29.8313		0	0	83	0		54.37	0	No, $V_u < V$
SLV 16	3.63	-35.29	6.45	-4.5969		42	1.7	92	77.89		66.51	12.08	Si
SLV 11	-1.23	-155.46	-21.01	-80.7233		313	0.9922	146	72.43		81.05	3.45	Si
SLV 11	3.63	-91.17	-10.11	-14.0145		107	1.7	105	89.07		73.63	8.81	Si
SLV 12	-1.23	-155.46	-21.01	-80.7233		313	0.9922	146	72.43		81.05	3.45	Si
SLV 12	3.63	-91.17	-10.11	-14.0145		107	1.7	105	89.07		73.63	8.81	Si

Verifica a pressoflessione fuori piano D.M. 17-01-18 (N.T.C.)

quota 1.2 Wa 0.0009 denominatore 8 $\gamma_M = 2$

Comb.	fd	Sa	σ_0	N	M	Mc	Coeff.s.	Verifica
SLV 14	1438	0.28	0	46.95	3.593	0	0	No, Trazione

Comb.	fd	Sa	σ_0	N	M	Mc	Coeff.s.	Verifica
SLV 16	1438	0.28	0	27.95	3.593	0	0	No, Trazione
SLV 13	1438	0.28	0	46.95	3.593	0	0	No, Trazione
SLV 15	1438	0.28	0	27.95	3.593	0	0	No, Trazione
SLV 10	1438	0.28	65	-55.14	3.593	13.0523	3.63	Si
SLV 9	1438	0.28	65	-55.14	3.593	13.0523	3.63	Si
SLV 11	1438	0.28	139	-118.48	3.593	26.2409	7.3	Si
SLV 12	1438	0.28	139	-118.48	3.593	26.2409	7.3	Si
SLV 6	1438	0.28	190	-161.64	3.593	34.1216	9.5	Si
SLV 5	1438	0.28	190	-161.64	3.593	34.1216	9.5	Si

Tabella dei coefficienti di sicurezza minimi

Stato limite	Coeff.s.	Comb.	Verifica
PF SLU	1.967	SLU 36	Si
V SLU	41.899	SLU 35	Si
PF SLV	0	SLV 16	No
V SLV	0	SLV 9	No
PPFP SLV	0	SLV 16	No

Maschio 58

Verifiche condotte secondo D.M. 17-01-18 (N.T.C.)

Dati geometrici

X ini.	Y ini.	X fin.	Y fin.	Quota i.	Quota s.	l	Sp.	h netta	h ini.	h fin.	a	a.s.,sx	a.s.,dx
1.4	43.415	1.4	41.115	L1	L3	2.3	0.5	4.5	4.85	4.85			

Caratteristiche del materiale

(circ.617 C8A.2) Muratura in mattoni pieni e malta di calce LC2

fb	fk	fvk0	fmedio	τ_0	fv0	μ	φ	fv,lim	E	G	FC
6000			3450	90	200	0.58	0.77	325	3200000	1280000	1.2

Verifica a pressoflessione per azioni non sismiche 4.5.6.2 D.M. 17-01-18 (N.T.C.) $\gamma_M = 3$

Comb.	Quota	N	M	p	es1	es2	ea	ev	e ver	Φ_t	Φ_l	Nu	Verifica
SLU 36	-1.225	-399.51		1	0	0.021	0.0225	0	0.0435	0.62	1	686.47	Si
SLU 36	1.2	-330.75		1	0	0.021	0.0225	0	0.0225	0.75	1	822.07	Si
SLU 36	3.625	-269		1	0	0.021	0.0225	0	0.0435	0.62	1	686.47	Si
SLU 35	-1.225	-389.66		1	0	0.0218	0.0225	0	0.0443	0.62	1	683.09	Si
SLU 35	1.2	-320.91		1	0	0.0218	0.0225	0	0.0225	0.75	1	822.07	Si
SLU 35	3.625	-259.15		1	0	0.0218	0.0225	0	0.0443	0.62	1	683.09	Si
SLU 34	-1.225	-396.74		1	0	0.0184	0.0225	0	0.0409	0.63	1	699.62	Si
SLU 34	1.2	-327.98		1	0	0.0184	0.0225	0	0.0225	0.75	1	822.07	Si
SLU 34	3.625	-266.23		1	0	0.0184	0.0225	0	0.0409	0.63	1	699.62	Si
SLU 33	-1.225	-393.87		1	0	0.0186	0.0225	0	0.0411	0.63	1	698.28	Si
SLU 33	1.2	-325.12		1	0	0.0186	0.0225	0	0.0225	0.75	1	822.07	Si
SLU 33	3.625	-263.36		1	0	0.0186	0.0225	0	0.0411	0.63	1	698.28	Si
SLU 32	-1.225	-384.03		1	0	0.0193	0.0225	0	0.0418	0.63	1	693.78	Si
SLU 32	1.2	-315.27		1	0	0.0193	0.0225	0	0.0225	0.75	1	822.07	Si
SLU 32	3.625	-253.51		1	0	0.0193	0.0225	0	0.0418	0.63	1	693.78	Si
SLU 27	-1.225	-375.69		1	0	0.0206	0.0225	0	0.0431	0.62	1	688.08	Si
SLU 27	1.2	-306.93		1	0	0.0206	0.0225	0	0.0225	0.75	1	822.07	Si
SLU 27	3.625	-245.17		1	0	0.0206	0.0225	0	0.0431	0.62	1	688.08	Si
SLU 26	-1.225	-365.84		1	0	0.0215	0.0225	0	0.044	0.62	1	684.42	Si
SLU 26	1.2	-297.09		1	0	0.0215	0.0225	0	0.0225	0.75	1	822.07	Si
SLU 26	3.625	-235.33		1	0	0.0215	0.0225	0	0.044	0.62	1	684.42	Si
SLU 25	-1.225	-372.92		1	0	0.0177	0.0225	0	0.0402	0.64	1	703.91	Si
SLU 25	1.2	-304.16		1	0	0.0177	0.0225	0	0.0225	0.75	1	822.07	Si
SLU 25	3.625	-242.4		1	0	0.0177	0.0225	0	0.0402	0.64	1	703.91	Si
SLU 24	-1.225	-370.05		1	0	0.0179	0.0225	0	0.0404	0.64	1	702.49	Si
SLU 24	1.2	-301.3		1	0	0.0179	0.0225	0	0.0225	0.75	1	822.07	Si
SLU 24	3.625	-239.54		1	0	0.0179	0.0225	0	0.0404	0.64	1	702.49	Si
SLU 23	-1.225	-360.2		1	0	0.0187	0.0225	0	0.0412	0.63	1	697.37	Si
SLU 23	1.2	-291.45		1	0	0.0187	0.0225	0	0.0225	0.75	1	822.07	Si
SLU 23	3.625	-229.69		1	0	0.0187	0.0225	0	0.0412	0.63	1	697.37	Si

Verifica a pressoflessione nel piano secondo D.M. 17-01-18 NTC §7.8.2.2.1 in combinazioni sismiche, $\gamma_M = 2$

Comb.	Quota	N	M	σ_0	Mu	c.s.	Verifica
SLV 16	-1.23	-238.76	-100.6778	208	227.9206	2.264	Si
SLV 16	3.63	-147.4	-1.6673	128	151.7293	91.001	Si
SLV 11	-1.23	-266.06	-173.7072	231	248.0381	1.428	Si
SLV 11	3.63	-155.33	0.8229	135	158.8803	193.066	Si
SLV 8	-1.23	-290.03	-141.2774	252	264.6893	1.874	Si
SLV 8	3.63	-171.29	2.5309	149	172.9684	68.342	Si
SLV 15	-1.23	-238.76	-100.6778	208	227.9206	2.264	Si
SLV 15	3.63	-147.4	-1.6673	128	151.7293	91.001	Si
SLV 9	-1.23	-267.93	143.0474	233	249.3704	1.743	Si
SLV 9	3.63	-185.88	-0.5988	162	185.4866	309.757	Si
SLV 6	-1.23	-291.9	175.4771	254	265.9483	1.516	Si
SLV 6	3.63	-201.84	1.1092	176	198.7764	179.211	Si
SLV 7	-1.23	-290.03	-141.2774	252	264.6893	1.874	Si
SLV 7	3.63	-171.29	2.5309	149	172.9684	68.342	Si
SLV 12	-1.23	-266.06	-173.7072	231	248.0381	1.428	Si
SLV 12	3.63	-155.33	0.8229	135	158.8803	193.066	Si
SLV 10	-1.23	-267.93	143.0474	233	249.3704	1.743	Si
SLV 10	3.63	-185.88	-0.5988	162	185.4866	309.757	Si
SLV 5	-1.23	-291.9	175.4771	254	265.9483	1.516	Si
SLV 5	3.63	-201.84	1.1092	176	198.7764	179.211	Si

Verifica a taglio nel piano secondo D.M. 17-01-18 (N.T.C.) §7.8.2.2.2 con rottura per scorrimento in combinazioni non sismiche, $\gamma_M = 3$

Comb.	Quota	N	V par	M	σ_0	σ_N	l'	fvd	Vt scorr.	Vt fess.diag.	Vt,lim	c.s.	Verifica
SLU 30	-1.23	-364.44	-0.21	0.6072	317	2.3	98	112.48			94.63	523.61	Si
SLU 30	3.63	-233.92	-0.21	1.6491	203	2.3	83	95.08			82.78	442.61	Si
SLU 21	-1.23	-340.61	-0.19	0.5142	296	2.3	95	109.3			92.58	568.94	Si
SLU 21	3.63	-210.1	-0.19	1.446	183	2.3	80	91.9			80.43	478.36	Si
SLU 22	-1.23	-343.48	-0.22	0.38	299	2.3	95	109.69			92.83	490.33	Si

Comb.	Quota	N	V par	M	σ_0	σ_N	I'	fvd	Vt scorr.	Vt fess.diag.	Vt,lim	c.s.	Verifica
SLU 22	3.63	-212.97	-0.22	1.465		185	2.3	80	92.28		80.72	412.54	Si
SLU 29	-1.23	-354.59	-0.15	0.7578		308	2.3	97	111.17		93.79	719.96	Si
SLU 29	3.63	-224.08	-0.15	1.5066		195	2.3	82	93.77		81.82	607.26	Si
SLU 3	-1.23	-272.18	-0.17	0.3816		237	2.3	87	100.18		86.43	574.54	Si
SLU 3	3.63	-171.78	-0.17	1.2272		149	2.3	75	86.79		76.5	497.77	Si
SLU 12	-1.23	-296	-0.2	0.4745		257	2.3	90	103.36		88.62	524.49	Si
SLU 12	3.63	-195.6	-0.2	1.4303		170	2.3	78	89.97		78.97	456.56	Si
SLU 4	-1.23	-275.04	-0.21	0.2474		239	2.3	87	100.56		86.69	488.3	Si
SLU 4	3.63	-174.65	-0.21	1.2462		152	2.3	76	87.18		76.8	423.3	Si
SLU 31	-1.23	-367.3	-0.25	0.473		319	2.3	98	112.86		94.87	458.06	Si
SLU 31	3.63	-236.79	-0.25	1.668		206	2.3	83	95.46		83.06	387.43	Si
SLU 11	-1.23	-286.15	-0.14	0.6251		249	2.3	89	102.04		87.72	746.74	Si
SLU 11	3.63	-185.76	-0.14	1.2879		162	2.3	77	88.66		77.96	648.78	Si
SLU 13	-1.23	-298.86	-0.23	0.3404		260	2.3	90	103.74		88.88	453.72	Si
SLU 13	3.63	-198.47	-0.23	1.4493		173	2.3	79	90.35		79.26	395.17	Si

Verifica a taglio nel piano secondo D.M. 17-01-18 (N.T.C.) §7.8.2.2 con rottura per scorrimento in combinazioni sismiche, $\gamma_M = 2$

Comb.	Quota	N	V par	M	σ_0	σ_N	I'	fvd	Vt scorr.	Vt fess.diag.	Vt,lim	c.s.	Verifica
SLV 15	-1.23	-238.76	-25.77	-100.6778		219	2.185	127	138.79		112.75	5.39	Si
SLV 15	3.63	-147.4	-18.76	-1.6673		128	2.3	109	125.31		102.49	6.68	Si
SLV 8	-1.23	-290.03	-26.46	-141.2774		292	1.9886	142	140.87		118.11	5.32	Si
SLV 8	3.63	-171.29	-28.1	2.5309		149	2.3	113	130.09		105.27	4.63	Si
SLV 5	-1.23	-291.9	36.23	175.4771		355	1.6465	154	126.98		118.3	3.5	Si
SLV 5	3.63	-201.84	33.75	1.1092		176	2.3	118	136.2		108.72	4.04	Si
SLV 10	-1.23	-267.93	26.42	143.0474		290	1.8483	141	130.6		115.83	4.94	Si
SLV 10	3.63	-185.88	28.07	-0.5988		162	2.3	116	133.01		106.93	4.74	Si
SLV 11	-1.23	-266.06	-36.27	-173.7072		357	1.4914	155	115.35		115.63	3.18	Si
SLV 11	3.63	-155.33	-33.78	0.8229		135	2.3	110	126.9		103.42	3.76	Si
SLV 16	-1.23	-238.76	-25.77	-100.6778		219	2.185	127	138.79		112.75	5.39	Si
SLV 16	3.63	-147.4	-18.76	-1.6673		128	2.3	109	125.31		102.49	6.68	Si
SLV 12	-1.23	-266.06	-36.27	-173.7072		357	1.4914	155	115.35		115.63	3.18	Si
SLV 12	3.63	-155.33	-33.78	0.8229		135	2.3	110	126.9		103.42	3.76	Si
SLV 6	-1.23	-291.9	36.23	175.4771		355	1.6465	154	126.98		118.3	3.5	Si
SLV 6	3.63	-201.84	33.75	1.1092		176	2.3	118	136.2		108.72	4.04	Si
SLV 7	-1.23	-290.03	-26.46	-141.2774		292	1.9886	142	140.87		118.11	5.32	Si
SLV 7	3.63	-171.29	-28.1	2.5309		149	2.3	113	130.09		105.27	4.63	Si
SLV 9	-1.23	-267.93	26.42	143.0474		290	1.8483	141	130.6		115.83	4.94	Si
SLV 9	3.63	-185.88	28.07	-0.5988		162	2.3	116	133.01		106.93	4.74	Si

Verifica a pressoflessione fuori piano D.M. 17-01-18 (N.T.C.)

quota 1.2 W_a 0.0009 denominatore $\gamma_M = 2$

Comb.	fd	Sa	σ_0	N	M	Mc	Coeff.s.	Verifica
SLV 15	1438	0.28	149	-171.25	4.8611	37.5945	7.73	Si
SLV 16	1438	0.28	149	-171.25	4.8611	37.5945	7.73	Si
SLV 13	1438	0.28	149	-171.75	4.8611	37.69	7.75	Si
SLV 14	1438	0.28	149	-171.75	4.8611	37.69	7.75	Si
SLV 12	1438	0.28	182	-208.87	4.8611	44.4559	9.15	Si
SLV 11	1438	0.28	182	-208.87	4.8611	44.4559	9.15	Si
SLV 10	1438	0.28	183	-210.56	4.8611	44.7514	9.21	Si
SLV 9	1438	0.28	183	-210.56	4.8611	44.7514	9.21	Si
SLV 7	1438	0.28	210	-241.63	4.8611	50.0191	10.29	Si
SLV 8	1438	0.28	210	-241.63	4.8611	50.0191	10.29	Si

Tabella dei coefficienti di sicurezza minimi

Stato limite	Coeff.s.	Comb.	Verifica
PF SLU	1.718	SLU 36	Si
V SLU	387.432	SLU 31	Si
PF SLV	1.428	SLV 11	Si
V SLV	3.181	SLV 11	Si
FFFF SLV	7.734	SLV 15	Si

Maschio 59

Verifiche condotte secondo D.M. 17-01-18 (N.T.C.)

Dati geometrici

X ini.	Y ini.	X fin.	Y fin.	Quota i.	Quota.s	l	Sp.	h netta	h ini.	h fin.	a	a.s.,sx	a.s.,dx
1.4	47.115	1.4	44.415	L1	L3	2.7	0.5	4.5	4.85	4.85			

Caratteristiche del materiale

(circ.617 C8A.2) Muratura in mattoni pieni e malta di calce LC2

fb	fk	fvk0	fmedio	τ_0	fv0	μ	ϕ	fv,lim	E	G	FC
6000			3450	90	200	0.58	0.77	325	3200000	1280000	1.2

Verifica a pressoflessione per azioni non sismiche 4.5.6.2 D.M. 17-01-18 (N.T.C.) $\gamma_M = 3$

Comb.	Quota	N	M	p	es1	es2	ea	ev	e ver	ϕ_t	Φ	Nu	Verifica
SLU 36	-1.225	-412.64		1	0	0.0243	0.0225	0	0.0468	0.61	1	789.47	Si
SLU 36	1.2	-327.69		1	0	0.0243	0.0225	0	0.0234	0.74	1	957.92	Si
SLU 36	3.625	-272.95		1	0	0.0243	0.0225	0	0.0468	0.61	1	789.47	Si
SLU 35	-1.225	-404.62		1	0	0.0251	0.0225	0	0.0476	0.61	1	785.63	Si
SLU 35	1.2	-319.67		1	0	0.0251	0.0225	0	0.0238	0.74	1	954.9	Si
SLU 35	3.625	-264.54		1	0	0.0251	0.0225	0	0.0476	0.61	1	785.63	Si
SLU 34	-1.225	-410.13		1	0	0.0213	0.0225	0	0.0438	0.62	1	804.36	Si
SLU 34	1.2	-325.01		1	0	0.0213	0.0225	0	0.0225	0.75	1	965.03	Si
SLU 34	3.625	-269.28		1	0	0.0213	0.0225	0	0.0438	0.62	1	804.36	Si
SLU 33	-1.225	-407.76		1	0	0.0215	0.0225	0	0.044	0.62	1	803.38	Si
SLU 33	1.2	-322.65		1	0	0.0215	0.0225	0	0.0225	0.75	1	965.03	Si
SLU 33	3.625	-266.82		1	0	0.0215	0.0225	0	0.044	0.62	1	803.38	Si
SLU 32	-1.225	-399.75		1	0	0.0222	0.0225	0	0.0447	0.62	1	799.9	Si
SLU 32	1.2	-314.63		1	0	0.0222	0.0225	0	0.0225	0.75	1	965.03	Si
SLU 32	3.625	-258.41		1	0	0.0222	0.0225	0	0.0447	0.62	1	799.9	Si
SLU 27	-1.225	-393.09		1	0	0.0236	0.0225	0	0.0461	0.61	1	792.99	Si
SLU 27	1.2	-308		1	0	0.0236	0.0225	0	0.0231	0.74	1	960.69	Si
SLU 27	3.625	-251.62		1	0	0.0236	0.0225	0	0.0461	0.61	1	792.99	Si
SLU 26	-1.225	-385.07		1	0	0.0244	0.0225	0	0.0469	0.61	1	788.94	Si

Comb.	Quota	N	M	p	es1	es2	ea	ev	e ver	φt	Φl	Nu	Verifica
SLU 26	1.2	-299.98		1	0	0.0244	0.0225	0	0.0235	0.74	1	957.5	Si
SLU 26	3.625	-243.21		1	0	0.0244	0.0225	0	0.0469	0.61	1	788.94	Si
SLU 25	-1.225	-390.58		1	0	0.0203	0.0225	0	0.0428	0.63	1	809.21	Si
SLU 25	1.2	-305.32		1	0	0.0203	0.0225	0	0.0225	0.75	1	965.03	Si
SLU 25	3.625	-247.96		1	0	0.0203	0.0225	0	0.0428	0.63	1	809.21	Si
SLU 24	-1.225	-388.21		1	0	0.0205	0.0225	0	0.043	0.62	1	808.2	Si
SLU 24	1.2	-302.95		1	0	0.0205	0.0225	0	0.0225	0.75	1	965.03	Si
SLU 24	3.625	-245.49		1	0	0.0205	0.0225	0	0.043	0.62	1	808.2	Si
SLU 23	-1.225	-380.2		1	0	0.0213	0.0225	0	0.0438	0.62	1	804.58	Si
SLU 23	1.2	-294.94		1	0	0.0213	0.0225	0	0.0225	0.75	1	965.03	Si
SLU 23	3.625	-237.09		1	0	0.0213	0.0225	0	0.0438	0.62	1	804.58	Si

Verifica a pressoflessione nel piano secondo D.M. 17-01-18 NTC §7.8.2.2.1 in combinazioni sismiche, $\gamma_M = 2$

Comb.	Quota	N	M	σ0	Mu	c.s.	Verifica
SLV 16	-1.23	22.91	-105.3359	0	0	0	No, Trazione
SLV 16	3.63	-56.12	-10.7288	42	73.1904	6.822	Si
SLV 12	-1.23	-172.17	-268.9542	0	0	0	No, e>1/2
SLV 12	3.63	-124.57	-21.738	92	155.4641	7.152	Si
SLV 8	-1.23	-357.02	-252.2582	264	377.6599	1.497	Si
SLV 8	3.63	-197.1	-17.9753	146	234.2902	13.034	Si
SLV 10	-1.23	-230.98	254.1804	171	268.1543	1.055	Si
SLV 10	3.63	-170.8	22.2589	127	206.7063	9.286	Si
SLV 7	-1.23	-357.02	-252.2582	264	377.6599	1.497	Si
SLV 7	3.63	-197.1	-17.9753	146	234.2902	13.034	Si
SLV 11	-1.23	-172.17	-268.9542	0	0	0	No, e>1/2
SLV 11	3.63	-124.57	-21.738	92	155.4641	7.152	Si
SLV 13	-1.23	5.27	51.6045	0	0	0	No, Trazione
SLV 13	3.63	-70	2.4703	52	90.4844	36.629	Si
SLV 9	-1.23	-230.98	254.1804	171	268.1543	1.055	Si
SLV 9	3.63	-170.8	22.2589	127	206.7063	9.286	Si
SLV 15	-1.23	22.91	-105.3359	0	0	0	No, Trazione
SLV 15	3.63	-56.12	-10.7288	42	73.1904	6.822	Si
SLV 14	-1.23	5.27	51.6045	0	0	0	No, Trazione
SLV 14	3.63	-70	2.4703	52	90.4844	36.629	Si

Verifica a taglio nel piano secondo D.M. 17-01-18 (N.T.C.) §7.8.2.2.2 con rottura per scorrimento in combinazioni non sismiche, $\gamma_M = 2$

Comb.	Quota	N	V par	M	σ0	σN	I'	fvd	Vt scorr.	Vt fess.diag.	Vt.lim	c.s.	Verifica
SLU 3	-1.23	-288.04	-0.36	0.2355	213	2.7	84	113.41	98.48	312.99	Si		
SLU 3	3.63	-176.12	-0.36	2.4343	130	2.7	73	98.48	87.08	273.04	Si		
SLU 29	-1.23	-375.19	-0.36	0.6958	278	2.7	93	125.03	106.52	344.41	Si		
SLU 29	3.63	-230.25	-0.36	3.0734	171	2.7	78	105.7	92.77	292.86	Si		
SLU 4	-1.23	-290.41	-0.41	0.023	215	2.7	84	113.72	98.71	278.87	Si		
SLU 4	3.63	-178.58	-0.41	2.4496	132	2.7	73	98.81	87.34	243.3	Si		
SLU 30	-1.23	-383.2	-0.45	0.443	284	2.7	93	126.09	107.23	280.23	Si		
SLU 30	3.63	-238.66	-0.45	3.2715	177	2.7	79	106.82	93.62	238.56	Si		
SLU 13	-1.23	-309.96	-0.43	0.0974	230	2.7	86	116.33	100.56	267.8	Si		
SLU 13	3.63	-199.91	-0.43	2.7863	148	2.7	75	101.65	89.62	235.01	Si		
SLU 21	-1.23	-363.66	-0.42	0.3686	269	2.7	91	123.49	105.49	291.67	Si		
SLU 21	3.63	-217.33	-0.42	2.9349	161	2.7	77	103.98	91.44	246.77	Si		
SLU 12	-1.23	-307.59	-0.39	0.3099	228	2.7	86	116.01	100.34	298.29	Si		
SLU 12	3.63	-197.44	-0.39	2.7709	146	2.7	75	101.33	89.36	261.74	Si		
SLU 22	-1.23	-366.02	-0.47	0.1561	271	2.7	92	123.8	105.7	264.06	Si		
SLU 22	3.63	-219.8	-0.47	2.9503	163	2.7	77	104.31	91.7	223.46	Si		
SLU 20	-1.23	-355.64	-0.34	0.6214	263	2.7	91	122.42	104.77	363.89	Si		
SLU 20	3.63	-208.93	-0.33	2.7368	155	2.7	76	102.86	90.57	307.5	Si		
SLU 31	-1.23	-385.57	-0.5	0.2305	286	2.7	94	126.41	107.43	255.15	Si		
SLU 31	3.63	-241.13	-0.49	3.2869	179	2.7	79	107.15	93.87	217.24	Si		

Verifica a taglio nel piano secondo D.M. 17-01-18 (N.T.C.) §7.8.2.2.2 con rottura per scorrimento in combinazioni sismiche, $\gamma_M = 2$

Comb.	Quota	N	V par	M	σ0	σN	I'	fvd	Vt scorr.	Vt fess.diag.	Vt.lim	c.s.	Verifica
SLV 14	-1.23	5.27	15.24	51.6045	0	0	83	0	97.06	0	0	No, Vu<V	
SLV 14	3.63	-70	12.85	2.4703	52	2.7	94	126.5	107.49	9.84	Si		
SLV 7	-1.23	-357.02	-56.5	-252.2582	370	1.9303	157	151.83	140.33	2.69	Si		
SLV 7	3.63	-197.1	-45.15	-17.9753	146	2.7	113	151.92	123.12	3.37	Si		
SLV 9	-1.23	-230.98	56.25	254.1804	617	0.7486	163	60.82	126.96	1.08	Si		
SLV 9	3.63	-170.8	44.9	22.2589	127	2.7	109	146.66	120.05	3.27	Si		
SLV 15	-1.23	22.91	-18.89	-105.3359	0	0	83	0	94.45	0	No, Vu<V		
SLV 15	3.63	-56.12	-14.27	-10.7288	42	2.7	92	123.72	105.65	8.67	Si		
SLV 11	-1.23	-172.17	-57.52	-268.9542	0	0	83	0	120.22	0	No, Vu<V		
SLV 11	3.63	-124.57	-45.5	-21.738	92	2.7	102	137.41	114.46	3.02	Si		
SLV 16	-1.23	22.91	-18.89	-105.3359	0	0	83	0	94.45	0	No, Vu<V		
SLV 16	3.63	-56.12	-14.27	-10.7288	42	2.7	92	123.72	105.65	8.67	Si		
SLV 13	-1.23	5.27	15.24	51.6045	0	0	83	0	97.06	0	No, Vu<V		
SLV 13	3.63	-70	12.85	2.4703	52	2.7	94	126.5	107.49	9.84	Si		
SLV 10	-1.23	-230.98	56.25	254.1804	617	0.7486	163	60.82	126.96	1.08	Si		
SLV 10	3.63	-170.8	44.9	22.2589	127	2.7	109	146.66	120.05	3.27	Si		
SLV 8	-1.23	-357.02	-56.5	-252.2582	370	1.9303	157	151.83	140.33	2.69	Si		
SLV 8	3.63	-197.1	-45.15	-17.9753	146	2.7	113	151.92	123.12	3.37	Si		
SLV 12	-1.23	-172.17	-57.52	-268.9542	0	0	83	0	120.22	0	No, Vu<V		
SLV 12	3.63	-124.57	-45.5	-21.738	92	2.7	102	137.41	114.46	3.02	Si		

Verifica a pressoflessione fuori piano D.M. 17-01-18 (N.T.C.)

quota 1.2 Wa 0.0009 denominatore 8 $\gamma_M = 2$

Comb.	fd	Sa	σ0	N	M	Mc	Coeff.s.	Verifica
SLV 15	1438	0.28	0	8.61	5.7065	0	0	No, Trazione
SLV 16	1438	0.28	0	8.61	5.7065	0	0	No, Trazione
SLV 13	1438	0.28	0	-5.67	5.7065	0	0	No, e>t/2
SLV 14	1438	0.28	0	-5.67	5.7065	0	0	No, e>t/2
SLV 12	1438	0.28	100	-135.64	5.7065	31.1206	5.45	Si
SLV 11	1438	0.28	100	-135.64	5.7065	31.1206	5.45	Si
SLV 10	1438	0.28	136	-183.25	5.7065	40.7235	7.14	Si
SLV 9	1438	0.28	136	-183.25	5.7065	40.7235	7.14	Si
SLV 8	1438	0.28	203	-273.56	5.7065	57.048	10	Si
SLV 7	1438	0.28	203	-273.56	5.7065	57.048	10	Si

Tabella dei coefficienti di sicurezza minimi

Stato limite	Coeff.s.	Comb.	Verifica
PF SLU	1.913	SLU 36	Si
V SLU	217.245	SLU 31	Si
PF SLV	0	SLV 16	No
V SLV	0	SLV 11	No
PFFP SLV	0	SLV 16	No

Maschio 60

Verifiche condotte secondo D.M. 17-01-18 (N.T.C.)

Dati geometrici

X ini.	Y ini.	X fin.	Y fin.	Quota i.	Quota.s	l	Sp.	h netta	h ini.	h fin.	a	a.s.,sx	a.s.,dx
1.4	50.715	1.4	48.115	L1	L3	2.6	0.5	4.5	4.85	4.85			

Caratteristiche del materiale

(circ.617 C8A.2) Muratura in mattoni pieni e malta di calce LC2

fb	fk	fvk0	fmedio	r0	fv0	μ	φ	fv,lim	E	G	FC
6000			3450	90	200	0.58	0.77	325	3200000	1280000	1.2

Verifica a pressoflessione per azioni non sismiche 4.5.6.2 D.M. 17-01-18 (N.T.C.) $\gamma M = 3$

Comb.	Quota	N	M	p	es1	es2	ea	ev	e ver	φt	ΦI	Nu	Verifica
SLU 36	-1.225	-449.05		1	0	0.0212	0.0225	0	0.0437	0.62	1	775.15	Si
SLU 36	1.2	-371.33		1	0	0.0212	0.0225	0	0.0225	0.75	1	929.29	Si
SLU 36	3.625	-301.51		1	0	0.0212	0.0225	0	0.0437	0.62	1	775.15	Si
SLU 35	-1.225	-438.07		1	0	0.022	0.0225	0	0.0445	0.62	1	771.32	Si
SLU 35	1.2	-360.35		1	0	0.022	0.0225	0	0.0225	0.75	1	929.29	Si
SLU 35	3.625	-290.54		1	0	0.022	0.0225	0	0.0445	0.62	1	771.32	Si
SLU 34	-1.225	-445.94		1	0	0.0185	0.0225	0	0.041	0.63	1	789.69	Si
SLU 34	1.2	-368.21		1	0	0.0185	0.0225	0	0.0225	0.75	1	929.29	Si
SLU 34	3.625	-298.4		1	0	0.0185	0.0225	0	0.041	0.63	1	789.69	Si
SLU 33	-1.225	-442.73		1	0	0.0187	0.0225	0	0.0412	0.63	1	788.17	Si
SLU 33	1.2	-365.01		1	0	0.0187	0.0225	0	0.0225	0.75	1	929.29	Si
SLU 33	3.625	-295.2		1	0	0.0187	0.0225	0	0.0412	0.63	1	788.17	Si
SLU 32	-1.225	-431.76		1	0	0.0195	0.0225	0	0.042	0.63	1	783.51	Si
SLU 32	1.2	-354.03		1	0	0.0195	0.0225	0	0.0225	0.75	1	929.29	Si
SLU 32	3.625	-284.22		1	0	0.0195	0.0225	0	0.042	0.63	1	783.51	Si
SLU 27	-1.225	-422.48		1	0	0.0208	0.0225	0	0.0433	0.62	1	777.03	Si
SLU 27	1.2	-344.75		1	0	0.0208	0.0225	0	0.0225	0.75	1	929.29	Si
SLU 27	3.625	-274.94		1	0	0.0208	0.0225	0	0.0433	0.62	1	777.03	Si
SLU 26	-1.225	-411.5		1	0	0.0217	0.0225	0	0.0442	0.62	1	772.89	Si
SLU 26	1.2	-333.78		1	0	0.0217	0.0225	0	0.0225	0.75	1	929.29	Si
SLU 26	3.625	-263.96		1	0	0.0217	0.0225	0	0.0442	0.62	1	772.89	Si
SLU 25	-1.225	-419.36		1	0	0.0179	0.0225	0	0.0404	0.64	1	794.64	Si
SLU 25	1.2	-341.64		1	0	0.0179	0.0225	0	0.0225	0.75	1	929.29	Si
SLU 25	3.625	-271.83		1	0	0.0179	0.0225	0	0.0404	0.64	1	794.64	Si
SLU 24	-1.225	-416.16		1	0	0.0181	0.0225	0	0.0406	0.64	1	793.04	Si
SLU 24	1.2	-338.44		1	0	0.0181	0.0225	0	0.0225	0.75	1	929.29	Si
SLU 24	3.625	-268.62		1	0	0.0181	0.0225	0	0.0406	0.64	1	793.04	Si
SLU 23	-1.225	-405.18		1	0	0.0189	0.0225	0	0.0414	0.63	1	786.37	Si
SLU 23	1.2	-327.46		1	0	0.0189	0.0225	0	0.0225	0.75	1	929.29	Si
SLU 23	3.625	-257.65		1	0	0.0189	0.0225	0	0.0414	0.63	1	786.37	Si

Verifica a pressoflessione nel piano secondo D.M. 17-01-18 NTC §7.8.2.2.1 in combinazioni sismiche, $\gamma M = 2$

Comb.	Quota	N	M	σ0	Mu	c.s.	Verifica
SLV 11	-1.23	-320.22	-250.2861	246	332.3659	1.328	Si
SLV 11	3.63	-220.13	-1.7377	169	246.5113	141.861	Si
SLV 8	-1.23	-327.25	-198.6602	252	337.7796	1.7	Si
SLV 8	3.63	-235.72	1.4172	181	260.9629	184.136	Si
SLV 6	-1.23	-307.37	249.5969	236	322.2604	1.291	Si
SLV 6	3.63	-180.48	6.8132	139	207.9666	30.524	Si
SLV 15	-1.23	-305.06	-153.6263	235	320.4161	2.086	Si
SLV 15	3.63	-182.61	-3.5299	140	210.0987	59.521	Si
SLV 10	-1.23	-300.34	197.971	231	316.6179	1.599	Si
SLV 10	3.63	-164.89	3.6583	127	192.1053	52.512	Si
SLV 16	-1.23	-305.06	-153.6263	235	320.4161	2.086	Si
SLV 16	3.63	-182.61	-3.5299	140	210.0987	59.521	Si
SLV 7	-1.23	-327.25	-198.6602	252	337.7796	1.7	Si
SLV 7	3.63	-235.72	1.4172	181	260.9629	184.136	Si
SLV 5	-1.23	-307.37	249.5969	236	322.2604	1.291	Si
SLV 5	3.63	-180.48	6.8132	139	207.9666	30.524	Si
SLV 12	-1.23	-320.22	-250.2861	246	332.3659	1.328	Si
SLV 12	3.63	-220.13	-1.7377	169	246.5113	141.861	Si
SLV 9	-1.23	-300.34	197.971	231	316.6179	1.599	Si
SLV 9	3.63	-164.89	3.6583	127	192.1053	52.512	Si

Verifica a taglio nel piano secondo D.M. 17-01-18 (N.T.C.) §7.8.2.2.2 con rottura per scorrimento in combinazioni non sismiche, $\gamma M = 3$

Comb.	Quota	N	V par	M	σ0	σN	I'	fvd	Vt scorr.	Vt fess.diag.	Vt,lim	c.s.	Verifica
SLU 31	-1.23	-413.05	-1.19	-1.6422		318	2.6	98	127.3		107.07	106.6	Si
SLU 31	3.63	-265.52	-1.19	4.1495		204	2.6	83	107.62		93.69	90.13	Si
SLU 21	-1.23	-383.28	-1.02	-1.2932		295	2.6	95	123.33		104.5	120.77	Si
SLU 21	3.63	-235.74	-1.02	3.6594		181	2.6	80	103.65		90.75	101.51	Si
SLU 4	-1.23	-309.37	-0.92	-1.3656		238	2.6	87	113.47		97.86	122.86	Si
SLU 4	3.63	-195.88	-0.92	3.1137		151	2.6	76	98.34		86.66	106.48	Si
SLU 22	-1.23	-386.48	-1.08	-1.523		297	2.6	95	123.75		104.78	114.6	Si
SLU 22	3.63	-238.94	-1.08	3.7143		184	2.6	80	104.08		91.07	96.38	Si
SLU 34	-1.23	-445.94	-1.04	-1.0293		343	2.6	101	131.68		109.83	127.01	Si
SLU 34	3.63	-298.4	-1.04	3.999		230	2.6	86	112.01		96.83	108.04	Si
SLU 29	-1.23	-398.88	-1	-1.06		307	2.6	96	125.41		105.85	125.47	Si
SLU 29	3.63	-251.34	-1	3.7875		193	2.6	81	105.73		92.3	105.79	Si
SLU 30	-1.23	-409.85	-1.14	-1.4124		315	2.6	98	126.87		106.79	111.73	Si
SLU 30	3.63	-262.32	-1.14	4.0946		202	2.6	82	107.2		93.38	94.41	Si
SLU 13	-1.23	-335.94	-1.04	-1.4848		258	2.6	90	117.01		100.3	112.74	Si

Comb.	Quota	N	V par	M	σ_0	σ_N	I'	fvd	Vt scorr.	Vt fess.diag.	Vt.lim	c.s.	Verifica
SLU 13	3.63	-222.45	-1.04	3.5489		171	2.6	78	101.88		89.41	98.16	Si
SLU 3	-1.23	-306.17	-0.86	-1.1359		236	2.6	87	113.04		97.56	130.71	Si
SLU 3	3.63	-192.68	-0.86	3.0588		148	2.6	75	97.91		86.32	113.21	Si
SLU 12	-1.23	-332.74	-0.98	-1.255		256	2.6	90	116.59		100.01	119.07	Si
SLU 12	3.63	-219.25	-0.98	3.494		169	2.6	78	101.46		89.08	103.61	Si

Verifica a taglio nel piano secondo D.M. 17-01-18 (N.T.C.) §7.8.2.2.2 con rottura per scorrimento in combinazioni sismiche, $\gamma_M = 2$

Comb.	Quota	N	V par	M	σ_0	σ_N	I'	fvd	Vt scorr.	Vt fess.diag.	Vt.lim	c.s.	Verifica
SLV 16	-1.23	-305.06	-33.23	-153.6263		255	2.3892	134	160.56		131.16	4.83	Si
SLV 16	3.63	-182.61	-18.86	-3.5299		140	2.6	111	144.85		117.73	7.68	Si
SLV 15	-1.23	-305.06	-33.23	-153.6263		255	2.3892	134	160.56		131.16	4.83	Si
SLV 15	3.63	-182.61	-18.86	-3.5299		140	2.6	111	144.85		117.73	7.68	Si
SLV 11	-1.23	-320.22	-48.25	-250.2861		412	1.5552	163	126.36		132.73	2.62	Si
SLV 11	3.63	-220.13	-46.7	-1.7377		169	2.6	117	152.36		122	3.26	Si
SLV 5	-1.23	-307.37	47.06	249.5969		420	1.4639	163	118.94		131.4	2.53	Si
SLV 5	3.63	-180.48	45.51	6.8132		139	2.6	111	144.43		117.48	3.17	Si
SLV 9	-1.23	-300.34	34.97	197.971		312	1.9225	146	140.17		130.67	4.01	Si
SLV 9	3.63	-164.89	42.59	3.6583		127	2.6	109	141.31		115.66	3.32	Si
SLV 8	-1.23	-327.25	-36.16	-198.6602		315	2.0788	146	152.07		133.45	4.21	Si
SLV 8	3.63	-235.72	-43.78	1.4172		181	2.6	120	155.48		123.74	3.55	Si
SLV 10	-1.23	-300.34	34.97	197.971		312	1.9225	146	140.17		130.67	4.01	Si
SLV 10	3.63	-164.89	42.59	3.6583		127	2.6	109	141.31		115.66	3.32	Si
SLV 6	-1.23	-307.37	47.06	249.5969		420	1.4639	163	118.94		131.4	2.53	Si
SLV 6	3.63	-180.48	45.51	6.8132		139	2.6	111	144.43		117.48	3.17	Si
SLV 12	-1.23	-320.22	-48.25	-250.2861		412	1.5552	163	126.36		132.73	2.62	Si
SLV 12	3.63	-220.13	-46.7	-1.7377		169	2.6	117	152.36		122	3.26	Si
SLV 7	-1.23	-327.25	-36.16	-198.6602		315	2.0788	146	152.07		133.45	4.21	Si
SLV 7	3.63	-235.72	-43.78	1.4172		181	2.6	120	155.48		123.74	3.55	Si

Verifica a pressoflessione fuori piano D.M. 17-01-18 (N.T.C.)

quota 1.2 W_a 0.0009 denominatore 8 $\gamma_M = 2$

Comb.	fd	Sa	σ_0	N	M	Mc	Coeff.s.	Verifica
SLV 9	1438	0.28	187	-243.3	5.4952	51.5086	9.37	Si
SLV 10	1438	0.28	187	-243.3	5.4952	51.5086	9.37	Si
SLV 14	1438	0.28	189	-245.98	5.4952	51.9722	9.46	Si
SLV 13	1438	0.28	189	-245.98	5.4952	51.9722	9.46	Si
SLV 5	1438	0.28	190	-246.48	5.4952	52.0576	9.47	Si
SLV 6	1438	0.28	190	-246.48	5.4952	52.0576	9.47	Si
SLV 16	1438	0.28	193	-251.45	5.4952	52.9118	9.63	Si
SLV 15	1438	0.28	193	-251.45	5.4952	52.9118	9.63	Si
SLV 1	1438	0.28	197	-256.56	5.4952	53.781	9.79	Si
SLV 2	1438	0.28	197	-256.56	5.4952	53.781	9.79	Si

Tabella dei coefficienti di sicurezza minimi

Stato limite	Coeff.s.	Comb.	Verifica
PF SLU	1.726	SLU 36	Si
V SLU	90.126	SLU 31	Si
PF SLV	1.291	SLV 5	Si
V SLV	2.527	SLV 5	Si
PPFP SLV	9.373	SLV 9	Si

Maschio 61

Verifiche condotte secondo D.M. 17-01-18 (N.T.C.)

Dati geometrici

X ini.	Y ini.	X fin.	Y fin.	Quota i.	Quota.s	l	Sp.	h netta	h ini.	h fin.	a	a.s.,sx	a.s.,dx
1.4	53.065	1.4	51.715	L1	L3	1.35	0.5	4.5	4.85	4.85			

Caratteristiche del materiale

(circ.617 C8A.2) Muratura in mattoni pieni e malta di calce LC2

fb	fk	fvk0	fmedio	τ_0	fv0	μ	ϕ	fv,lim	E	G	FC
6000			3450	90	200	0.58	0.77	325	3200000	1280000	1.2

Verifica a pressoflessione per azioni non sismiche 4.5.6.2 D.M. 17-01-18 (N.T.C.) $\gamma_M = 3$

Comb.	Quota	N	M	p	es1	es2	ea	ev	e ver	Φ_t	Φ_l	Nu	Verifica
SLU 36	-1.225	-183.07		1	0	0.0272	0.0225	0	0.0497	0.6	1	387.46	Si
SLU 36	1.2	-150.18		1	0	0.0272	0.0225	0	0.0249	0.73	1	473.23	Si
SLU 36	3.625	-121.8		1	0	0.0272	0.0225	0	0.0497	0.6	1	387.46	Si
SLU 35	-1.225	-180.38		1	0	0.0279	0.0225	0	0.0504	0.6	1	385.79	Si
SLU 35	1.2	-147.41		1	0	0.0279	0.0225	0	0.0252	0.73	1	471.92	Si
SLU 35	3.625	-118.87		1	0	0.0279	0.0225	0	0.0504	0.6	1	385.79	Si
SLU 34	-1.225	-182.29		1	0	0.024	0.0225	0	0.0465	0.61	1	395.44	Si
SLU 34	1.2	-148.68		1	0	0.024	0.0225	0	0.0233	0.74	1	479.52	Si
SLU 34	3.625	-119.44		1	0	0.024	0.0225	0	0.0465	0.61	1	395.44	Si
SLU 33	-1.225	-181.55		1	0	0.0242	0.0225	0	0.0467	0.61	1	395.01	Si
SLU 33	1.2	-147.9		1	0	0.0242	0.0225	0	0.0234	0.74	1	479.18	Si
SLU 33	3.625	-118.59		1	0	0.0242	0.0225	0	0.0467	0.61	1	395.01	Si
SLU 32	-1.225	-178.86		1	0	0.0248	0.0225	0	0.0473	0.61	1	393.49	Si
SLU 32	1.2	-145.14		1	0	0.0248	0.0225	0	0.0237	0.74	1	477.98	Si
SLU 32	3.625	-115.66		1	0	0.0248	0.0225	0	0.0473	0.61	1	393.49	Si
SLU 27	-1.225	-176.49		1	0	0.0262	0.0225	0	0.0487	0.6	1	390.14	Si
SLU 27	1.2	-142.89		1	0	0.0262	0.0225	0	0.0243	0.73	1	475.34	Si
SLU 27	3.625	-113.5		1	0	0.0262	0.0225	0	0.0487	0.6	1	390.14	Si
SLU 26	-1.225	-173.79		1	0	0.0269	0.0225	0	0.0494	0.6	1	388.41	Si
SLU 26	1.2	-140.13		1	0	0.0269	0.0225	0	0.0247	0.73	1	473.98	Si
SLU 26	3.625	-110.57		1	0	0.0269	0.0225	0	0.0494	0.6	1	388.41	Si
SLU 25	-1.225	-175.71		1	0	0.0227	0.0225	0	0.0452	0.62	1	398.77	Si
SLU 25	1.2	-141.4		1	0	0.0227	0.0225	0	0.0226	0.75	1	482.14	Si
SLU 25	3.625	-111.14		1	0	0.0227	0.0225	0	0.0452	0.62	1	398.77	Si
SLU 24	-1.225	-174.97		1	0	0.0229	0.0225	0	0.0454	0.62	1	398.34	Si
SLU 24	1.2	-140.62		1	0	0.0229	0.0225	0	0.0227	0.74	1	481.8	Si
SLU 24	3.625	-110.3		1	0	0.0229	0.0225	0	0.0454	0.62	1	398.34	Si
SLU 23	-1.225	-172.27		1	0	0.0235	0.0225	0	0.046	0.61	1	396.79	Si
SLU 23	1.2	-137.85		1	0	0.0235	0.0225	0	0.023	0.74	1	480.58	Si

Comb.	Quota	N	M	p	es1	es2	ea	ev	e ver	φt	ΦI	Nu	Verifica
SLV 23	3.625	-107.36		1	0	0.0235	0.0225	0	0.046	0.61	1	396.79	Si

Verifica a pressoflessione nel piano secondo D.M. 17-01-18 NTC §7.8.2.2.1 in combinazioni sismiche, $\gamma_M = 2$

Comb.	Quota	N	M	σ_0	Mu	c.s.	Verifica
SLV 15	-1.23	41.88	-21.7045	0	0	0	No, Trazione
SLV 15	3.63	-35.97	6.8048	53	23.2228	3.413	Si
SLD 12	-1.23	-74.95	-20.5602	111	45.9946	2.237	Si
SLD 12	3.63	-75.41	4.1565	112	46.2481	11.127	Si
SLV 11	-1.23	1.18	-44.5365	0	0	0	No, Trazione
SLV 11	3.63	-65.08	4.6198	96	40.4608	8.758	Si
SLD 11	-1.23	-74.95	-20.5602	111	45.9946	2.237	Si
SLD 11	3.63	-75.41	4.1565	112	46.2481	11.127	Si
SLV 16	-1.23	41.88	-21.7045	0	0	0	No, Trazione
SLV 16	3.63	-35.97	6.8048	53	23.2228	3.413	Si
SLV 9	-1.23	-178.47	35.9148	264	94.4008	2.628	Si
SLV 9	3.63	-73.62	4.8148	109	45.2566	9.399	Si
SLV 10	-1.23	-178.47	35.9148	264	94.4008	2.628	Si
SLV 10	3.63	-73.62	4.8148	109	45.2566	9.399	Si
SLV 12	-1.23	1.18	-44.5365	0	0	0	No, Trazione
SLV 12	3.63	-65.08	4.6198	96	40.4608	8.758	Si
SLV 7	-1.23	-87.6	-39.9713	130	52.8499	1.322	Si
SLV 7	3.63	-92.58	2.8055	137	55.4794	19.775	Si
SLV 8	-1.23	-87.6	-39.9713	130	52.8499	1.322	Si
SLV 8	3.63	-92.58	2.8055	137	55.4794	19.775	Si

Verifica a taglio nel piano secondo D.M. 17-01-18 (N.T.C.) §7.8.2.2.2 con rottura per scorrimento in combinazioni non sismiche, $\gamma_M = 2$

Comb.	Quota	N	V par	M	σ_0	σ_N	I'	fvd	Vt scorr.	Vt fess.diag.	Vt,lim	c.s.	Verifica
SLU 26	-1.23	-173.79	-3.58	-2.9597		257	1.35	90	60.67		52.02	16.93	Si
SLU 26	3.63	-110.57	-3.75	5.9078		164	1.35	77	52.24		45.92	13.95	Si
SLU 34	-1.23	-182.29	-3.56	-3.0145		270	1.35	92	61.81		52.79	17.38	Si
SLU 34	3.63	-119.44	-3.73	5.4924		177	1.35	79	53.43		46.82	14.34	Si
SLU 35	-1.23	-180.38	-4	-3.2576		267	1.35	91	61.55		52.61	15.41	Si
SLU 35	3.63	-118.87	-4.17	6.4785		176	1.35	79	53.35		46.76	12.81	Si
SLU 27	-1.23	-176.49	-3.61	-3.0056		261	1.35	90	61.03		52.26	16.9	Si
SLU 27	3.63	-113.5	-3.78	5.8404		168	1.35	78	52.63		46.22	13.94	Si
SLU 9	-1.23	-140.79	-3.27	-2.6587		209	1.35	83	56.27		48.93	17.2	Si
SLU 9	3.63	-94.25	-3.41	5.2825		140	1.35	74	50.07		44.21	14.7	Si
SLU 18	-1.23	-147.37	-3.68	-2.9566		218	1.35	85	57.15		49.56	15.52	Si
SLU 18	3.63	-102.54	-3.83	5.8533		152	1.35	76	51.17		45.08	13.37	Si
SLU 32	-1.23	-178.86	-3.51	-2.9354		265	1.35	91	61.35		52.48	17.47	Si
SLU 32	3.63	-115.66	-3.68	5.5826		171	1.35	78	52.92		46.44	14.39	Si
SLU 33	-1.23	-181.55	-3.54	-2.9812		269	1.35	91	61.71		52.72	17.43	Si
SLU 33	3.63	-118.59	-3.71	5.5152		176	1.35	79	53.31		46.74	14.37	Si
SLU 17	-1.23	-144.68	-3.66	-2.9107		214	1.35	84	56.79		49.3	15.53	Si
SLU 17	3.63	-99.61	-3.8	5.9206		148	1.35	75	50.78		44.78	13.38	Si
SLU 36	-1.23	-183.07	-4.02	-3.3035		271	1.35	92	61.91		52.86	15.39	Si
SLU 36	3.63	-121.8	-4.2	6.4112		180	1.35	80	53.74		47.06	12.81	Si

Verifica a taglio nel piano secondo D.M. 17-01-18 (N.T.C.) §7.8.2.2.2 con rottura per scorrimento in combinazioni sismiche, $\gamma_M = 2$

Comb.	Quota	N	V par	M	σ_0	σ_N	I'	fvd	Vt scorr.	Vt fess.diag.	Vt,lim	c.s.	Verifica
SLV 14	-1.23	-12.02	-9.8	2.4308		18	1.35	87	58.65		50.62	5.99	Si
SLV 14	3.63	-38.54	-17.06	6.8633		57	1.35	95	63.96		54.21	3.75	Si
SLV 2	-1.23	-307.96	20.18	17.6481		456	1.35	163	109.69		82.21	5.43	Si
SLV 2	3.63	-130.23	22.21	0.8155		193	1.35	122	82.3		65.11	3.7	Si
SLV 11	-1.23	1.18	-32.1	-44.5365		0	0	83	0		48.74	0	No, Vu<V
SLV 11	3.63	-65.08	-25.3	4.6198		96	1.35	103	69.27		57.58	2.74	Si
SLV 13	-1.23	-12.02	-9.8	2.4308		18	1.35	87	58.65		50.62	5.99	Si
SLV 13	3.63	-38.54	-17.06	6.8633		57	1.35	95	63.96		54.21	3.75	Si
SLV 16	-1.23	41.88	-24.93	-21.7045		0	0	83	0		42.41	0	No, Vu<V
SLV 16	3.63	-35.97	-27.21	6.8048		53	1.35	94	63.44		53.87	2.33	Si
SLV 1	-1.23	-307.96	20.18	17.6481		456	1.35	163	109.69		82.21	5.43	Si
SLV 1	3.63	-130.23	22.21	0.8155		193	1.35	122	82.3		65.11	3.7	Si
SLV 12	-1.23	1.18	-32.1	-44.5365		0	0	83	0		48.74	0	No, Vu<V
SLV 12	3.63	-65.08	-25.3	4.6198		96	1.35	103	69.27		57.58	2.74	Si
SLV 15	-1.23	41.88	-24.93	-21.7045		0	0	83	0		42.41	0	No, Vu<V
SLV 15	3.63	-35.97	-27.21	6.8048		53	1.35	94	63.44		53.87	2.33	Si
SLV 8	-1.23	-87.6	-23.1	-39.9713		267	0.6561	137	44.86		60.29	1.94	Si
SLV 8	3.63	-92.58	-13.52	2.8055		137	1.35	111	74.77		60.87	5.53	Si
SLV 7	-1.23	-87.6	-23.1	-39.9713		267	0.6561	137	44.86		60.29	1.94	Si
SLV 7	3.63	-92.58	-13.52	2.8055		137	1.35	111	74.77		60.87	5.53	Si

Verifica a pressoflessione fuori piano D.M. 17-01-18 (N.T.C.)

quota 1.2 Wa 0.0009 denominatore 8 $\gamma_M = 2$

Comb.	fd	Sa	σ_0	N	M	Mc	Coeff.s.	Verifica
SLV 15	1438	0.28	0	12.77	2.8533	0	0	No, Trazione
SLV 16	1438	0.28	0	12.77	2.8533	0	0	No, Trazione
SLV 12	1438	0.28	26	-17.61	2.8533	4.3091	1.51	Si
SLV 11	1438	0.28	26	-17.61	2.8533	4.3091	1.51	Si
SLV 13	1438	0.28	33	-22.27	2.8533	5.4161	1.9	Si
SLV 14	1438	0.28	33	-22.27	2.8533	5.4161	1.9	Si
SLV 8	1438	0.28	117	-78.7	2.8533	17.7966	6.24	Si
SLV 7	1438	0.28	117	-78.7	2.8533	17.7966	6.24	Si
SLV 9	1438	0.28	199	-134.41	2.8533	28.1258	9.86	Si
SLV 10	1438	0.28	199	-134.41	2.8533	28.1258	9.86	Si

Tabella dei coefficienti di sicurezza minimi

Stato limite	Coeff.s.	Comb.	Verifica
PF SLV	2.116	SLV 36	Si
V SLV	12.808	SLV 35	Si
PF SLV	0	SLV 16	No
V SLV	0	SLV 11	No
PPFP SLV	0	SLV 16	No

Maschio 62

Verifiche condotte secondo D.M. 17-01-18 (N.T.C.)

Dati geometrici

X ini.	Y ini.	X fin.	Y fin.	Quota i.	Quota.s	l	Sp.	h netta	h ini.	h fin.	a	a.s.,sx	a.s.,dx
1.4	9.275	3.65	9.275	L1	L3	2.25	0.5	4.5	4.85	4.85			

Caratteristiche del materiale

(circ.617 C8A.2) Muratura in mattoni pieni e malta di calce LC2

fb	fk	fvk0	fmedio	$\tau 0$	fv0	μ	φ	fv,lim	E	G	FC
6000			3450	90	200	0.58	0.77	325	3200000	1280000	1.2

Verifica a pressoflessione per azioni non sismiche 4.5.6.2 D.M. 17-01-18 (N.T.C.) $\gamma M = 3$

Comb.	Quota	N	M	p	es1	es2	ea	ev	e ver	Φt	ΦI	Nu	Verifica
SLU 36	-1.225	-337.55		1	0	0	0.0225	0	0.0225	0.75	1	804.2	Si
SLU 36	1.2	-249.63		1	0	0	0.0225	0	0.0225	0.75	1	804.2	Si
SLU 36	3.625	-169.34		1	0	0	0.0225	0	0.0225	0.75	1	804.2	Si
SLU 34	-1.225	-336.86		1	0	0	0.0225	0	0.0225	0.75	1	804.2	Si
SLU 34	1.2	-249.4		1	0	0	0.0225	0	0.0225	0.75	1	804.2	Si
SLU 34	3.625	-170.09		1	0	0	0.0225	0	0.0225	0.75	1	804.2	Si
SLU 33	-1.225	-334.9		1	0	0	0.0225	0	0.0225	0.75	1	804.2	Si
SLU 33	1.2	-247.7		1	0	0	0.0225	0	0.0225	0.75	1	804.2	Si
SLU 33	3.625	-168.63		1	0	0	0.0225	0	0.0225	0.75	1	804.2	Si
SLU 35	-1.225	-330.39		1	0	0	0.0225	0	0.0225	0.75	1	804.2	Si
SLU 35	1.2	-243.42		1	0	0	0.0225	0	0.0225	0.75	1	804.2	Si
SLU 35	3.625	-164.1		1	0	0	0.0225	0	0.0225	0.75	1	804.2	Si
SLU 32	-1.225	-327.74		1	0	0	0.0225	0	0.0225	0.75	1	804.2	Si
SLU 32	1.2	-241.49		1	0	0	0.0225	0	0.0225	0.75	1	804.2	Si
SLU 32	3.625	-163.39		1	0	0	0.0225	0	0.0225	0.75	1	804.2	Si
SLU 27	-1.225	-321.08		1	0	0	0.0225	0	0.0225	0.75	1	804.2	Si
SLU 27	1.2	-235.65		1	0	0	0.0225	0	0.0225	0.75	1	804.2	Si
SLU 27	3.625	-158.28		1	0	0	0.0225	0	0.0225	0.75	1	804.2	Si
SLU 25	-1.225	-320.39		1	0	0	0.0225	0	0.0225	0.75	1	804.2	Si
SLU 25	1.2	-235.42		1	0	0	0.0225	0	0.0225	0.75	1	804.2	Si
SLU 25	3.625	-159.03		1	0	0	0.0225	0	0.0225	0.75	1	804.2	Si
SLU 31	-1.225	-318.55		1	0	0	0.0225	0	0.0225	0.75	1	804.2	Si
SLU 31	1.2	-234.4		1	0	0	0.0225	0	0.0225	0.75	1	804.2	Si
SLU 31	3.625	-159.59		1	0	0	0.0225	0	0.0225	0.75	1	804.2	Si
SLU 24	-1.225	-318.43		1	0	0	0.0225	0	0.0225	0.75	1	804.2	Si
SLU 24	1.2	-233.72		1	0	0	0.0225	0	0.0225	0.75	1	804.2	Si
SLU 24	3.625	-157.58		1	0	0	0.0225	0	0.0225	0.75	1	804.2	Si
SLU 30	-1.225	-316.59		1	0	0	0.0225	0	0.0225	0.75	1	804.2	Si
SLU 30	1.2	-232.7		1	0	0	0.0225	0	0.0225	0.75	1	804.2	Si
SLU 30	3.625	-158.14		1	0	0	0.0225	0	0.0225	0.75	1	804.2	Si

Verifica a pressoflessione nel piano secondo D.M. 17-01-18 NTC §7.8.2.2.1 in combinazioni sismiche, $\gamma M = 2$

Comb.	Quota	N	M	$\sigma 0$	Mu	c.s.	Verifica
SLV 16	-1.23	-265.18	155.1835	236	240.7775	1.552	Si
SLV 16	3.63	-135.76	7.3487	121	137.6493	18.731	Si
SLV 1	-1.23	-216.55	-163.3475	192	205.238	1.256	Si
SLV 1	3.63	-100.77	-22.1243	90	105.0568	4.748	Si
SLV 11	-1.23	-23.39	31.2695	0	0	0	No, $e > l/2$
SLV 11	3.63	-16.1	23.1526	0	0	0	No, $e > l/2$
SLV 3	-1.23	-68.34	-171.5419	0	0	0	No, $e > l/2$
SLV 3	3.63	-29.95	-4.9026	27	32.9551	6.722	Si
SLV 12	-1.23	-23.39	31.2695	0	0	0	No, $e > l/2$
SLV 12	3.63	-16.1	23.1526	0	0	0	No, $e > l/2$
SLV 8	-1.23	35.66	-66.7481	0	0	0	No, Trazione
SLV 8	3.63	15.65	19.4772	0	0	0	No, Trazione
SLV 4	-1.23	-68.34	-171.5419	0	0	0	No, $e > l/2$
SLV 4	3.63	-29.95	-4.9026	27	32.9551	6.722	Si
SLV 2	-1.23	-216.55	-163.3475	192	205.238	1.256	Si
SLV 2	3.63	-100.77	-22.1243	90	105.0568	4.748	Si
SLV 7	-1.23	35.66	-66.7481	0	0	0	No, Trazione
SLV 7	3.63	15.65	19.4772	0	0	0	No, Trazione
SLV 15	-1.23	-265.18	155.1835	236	240.7775	1.552	Si
SLV 15	3.63	-135.76	7.3487	121	137.6493	18.731	Si

Verifica a taglio nel piano secondo D.M. 17-01-18 (N.T.C.) §7.8.2.2.2 con rottura per scorrimento in combinazioni non sismiche, $\gamma M = 3$

Comb.	Quota	N	V par	M	$\sigma 0$	σN	l'	fvd	Vt scorr.	Vt fess.diag.	Vt,lim	c.s.	Verifica
SLU 15	-1.23	-272.84	9.26	-5.0754	243	2.25	88	98.88			85.16	10.67	Si
SLU 15	3.63	-139.69	9.25	-10.6728	124	2.25	72	81.13			71.79	8.77	Si
SLU 34	-1.23	-336.86	10.3	-6.0154	299	2.25	95	107.41			90.89	10.43	Si
SLU 34	3.63	-170.09	10.28	-11.9383	151	2.25	76	85.18			75.05	8.28	Si
SLU 16	-1.23	-274.8	9.41	-5.1053	244	2.25	88	99.14			85.34	10.54	Si
SLU 16	3.63	-141.15	9.39	-10.8322	125	2.25	72	81.32			71.95	8.66	Si
SLU 18	-1.23	-275.49	9.8	-5.1206	245	2.25	88	99.23			85.4	10.12	Si
SLU 18	3.63	-140.4	9.79	-11.1592	125	2.25	72	81.22			71.87	8.3	Si
SLU 33	-1.23	-334.9	10.15	-5.9854	298	2.25	95	107.15			90.72	10.55	Si
SLU 33	3.63	-168.63	10.14	-11.7789	150	2.25	76	84.98			74.9	8.38	Si
SLU 35	-1.23	-330.39	10.16	-5.819	294	2.25	95	106.55			90.32	10.49	Si
SLU 35	3.63	-164.1	10.14	-11.6288	146	2.25	75	84.38			74.42	8.32	Si
SLU 36	-1.23	-337.55	10.69	-6.0306	300	2.25	96	107.51			90.95	10.05	Si
SLU 36	3.63	-169.34	10.68	-12.2653	151	2.25	76	85.08			74.98	7.97	Si
SLU 27	-1.23	-321.08	9.2	-5.5085	285	2.25	94	105.31			89.51	11.45	Si
SLU 27	3.63	-158.28	9.18	-10.5739	141	2.25	74	83.6			73.8	9.11	Si
SLU 32	-1.23	-327.74	9.62	-5.7737	291	2.25	94	106.2			90.09	11.04	Si
SLU 32	3.63	-163.39	9.6	-11.1425	145	2.25	75	84.29			74.35	8.78	Si
SLU 17	-1.23	-268.33	9.27	-4.9089	239	2.25	87	98.28			84.74	10.6	Si
SLU 17	3.63	-135.16	9.26	-10.5227	120	2.25	72	80.52			71.29	8.7	Si

Verifica a taglio nel piano secondo D.M. 17-01-18 (N.T.C.) §7.8.2.2.2 con rottura per scorrimento in combinazioni sismiche, $\gamma M = 2$

Comb.	Quota	N	V par	M	$\sigma 0$	σN	l'	fvd	Vt scorr.	Vt fess.diag.	Vt,lim	c.s.	Verifica
SLV 16	-1.23	-265.18	49.34	155.1835	328	1.6194	149	120.51			113.63	2.44	Si
SLV 16	3.63	-135.76	38.16	7.3487	121	2.25	107	120.9			99.27	3.17	Si

Comb.	Quota	N	V par	M	σ_0	σ_N	I'	fvd	Vt scorr.	Vt fess.diag.	Vt,lim	c.s.	Verifica
SLV 11	-1.23	-23.39	-9.58	31.2695		0	0	83	0		84.84	0	No, Vu<V
SLV 11	3.63	-16.1	-18.84	23.1526		0	0	83	0		83.82	0	No, Vu<V
SLV 14	-1.23	-413.38	68.34	163.3779		378	2.1893	159	173.9		128.12	2.54	Si
SLV 14	3.63	-206.59	61.05	-9.8729		184	2.25	120	135.07		107.37	2.21	Si
SLV 7	-1.23	35.66	-41.08	-66.7481		0	0	83	0		76.18	0	No, Vu<V
SLV 7	3.63	15.65	-44.8	19.4772		0	0	83	0		79.22	0	No, Vu<V
SLV 15	-1.23	-265.18	49.34	155.1835		328	1.6194	149	120.51		113.63	2.44	Si
SLV 15	3.63	-135.76	38.16	7.3487		121	2.25	107	120.9		99.27	3.17	Si
SLV 8	-1.23	35.66	-41.08	-66.7481		0	0	83	0		76.18	0	No, Vu<V
SLV 8	3.63	15.65	-44.8	19.4772		0	0	83	0		79.22	0	No, Vu<V
SLV 3	-1.23	-68.34	-55.66	-171.5419		0	0	83	0		90.89	0	No, Vu<V
SLV 3	3.63	-29.95	-48.38	-4.9026		27	2.25	89	99.74		85.75	2.06	Si
SLV 13	-1.23	-413.38	68.34	163.3779		378	2.1893	159	173.9		128.12	2.54	Si
SLV 13	3.63	-206.59	61.05	-9.8729		184	2.25	120	135.07		107.37	2.21	Si
SLV 12	-1.23	-23.39	-9.58	31.2695		0	0	83	0		84.84	0	No, Vu<V
SLV 12	3.63	-16.1	-18.84	23.1526		0	0	83	0		83.82	0	No, Vu<V
SLV 4	-1.23	-68.34	-55.66	-171.5419		0	0	83	0		90.89	0	No, Vu<V
SLV 4	3.63	-29.95	-48.38	-4.9026		27	2.25	89	99.74		85.75	2.06	Si

Verifica a pressoflessione fuori piano D.M. 17-01-18 (N.T.C.)

quota 1.2 Wa 0.0009 denominatore 8 $\gamma_M = 2$

Comb.	fd	Sa	σ_0	N	M	Mc	Coeff.s.	Verifica
SLV 12	1438	0.28	0	-4.66	4.7554	0	0	No, e>t/2
SLV 11	1438	0.28	0	-4.66	4.7554	0	0	No, e>t/2
SLV 8	1438	0.28	0	40.13	4.7554	0	0	No, Trazione
SLV 7	1438	0.28	0	40.13	4.7554	0	0	No, Trazione
SLV 3	1438	0.28	39	-43.42	4.7554	10.5112	2.21	Si
SLV 4	1438	0.28	39	-43.42	4.7554	10.5112	2.21	Si
SLV 1	1438	0.28	142	-159.81	4.7554	35.3083	7.42	Si
SLV 2	1438	0.28	142	-159.81	4.7554	35.3083	7.42	Si
SLV 15	1438	0.28	171	-192.71	4.7554	41.4229	8.71	Si
SLV 16	1438	0.28	171	-192.71	4.7554	41.4229	8.71	Si

Tabella dei coefficienti di sicurezza minimi

Stato limite	Coeff.s.	Comb.	Verifica
PF SLU	2.382	SLU 36	Si
V SLU	7.968	SLU 36	Si
PF SLV	0	SLV 8	No
V SLV	0	SLV 3	No
FFFF SLV	0	SLV 8	No

Maschio 63

Verifiche condotte secondo D.M. 17-01-18 (N.T.C.)

Dati geometrici

X ini.	Y ini.	X fin.	Y fin.	Quota i.	Quota.s	l	Sp.	h netta	h ini.	h fin.	a	a.s.,sx	a.s.,dx
3.85	53.065	1.4	53.065	L1	L3	2.45	0.5	4.5	4.85	4.85			

Caratteristiche del materiale

(circ.617 C8A.2) Muratura in mattoni pieni e malta di calce LC2

fb	fk	fvk0	fmedio	r0	fv0	μ	ϕ	fv,lim	E	G	FC
6000			3450	90	200	0.58	0.77	325	3200000	1280000	1.2

Verifica a pressoflessione per azioni non sismiche 4.5.6.2 D.M. 17-01-18 (N.T.C.) $\gamma_M = 3$

Comb.	Quota	N	M	p	es1	es2	ea	ev	e ver	ϕ_t	Φ_I	Nu	Verifica
SLU 36	-1.225	-297.37		1	0	0	0.0225	0	0.0225	0.75	1	875.68	Si
SLU 36	1.2	-220.92		1	0	0	0.0225	0	0.0225	0.75	1	875.68	Si
SLU 36	3.625	-143.01		1	0	0	0.0225	0	0.0225	0.75	1	875.68	Si
SLU 34	-1.225	-296.65		1	0	0	0.0225	0	0.0225	0.75	1	875.68	Si
SLU 34	1.2	-220.92		1	0	0	0.0225	0	0.0225	0.75	1	875.68	Si
SLU 34	3.625	-143.87		1	0	0	0.0225	0	0.0225	0.75	1	875.68	Si
SLU 33	-1.225	-295.66		1	0	0	0.0225	0	0.0225	0.75	1	875.68	Si
SLU 33	1.2	-219.96		1	0	0	0.0225	0	0.0225	0.75	1	875.68	Si
SLU 33	3.625	-142.99		1	0	0	0.0225	0	0.0225	0.75	1	875.68	Si
SLU 35	-1.225	-294.18		1	0	0	0.0225	0	0.0225	0.75	1	875.68	Si
SLU 35	1.2	-217.81		1	0	0	0.0225	0	0.0225	0.75	1	875.68	Si
SLU 35	3.625	-140.06		1	0	0	0.0225	0	0.0225	0.75	1	875.68	Si
SLU 32	-1.225	-292.47		1	0	0	0.0225	0	0.0225	0.75	1	875.68	Si
SLU 32	1.2	-216.85		1	0	0	0.0225	0	0.0225	0.75	1	875.68	Si
SLU 32	3.625	-140.04		1	0	0	0.0225	0	0.0225	0.75	1	875.68	Si
SLU 27	-1.225	-289.88		1	0	0	0.0225	0	0.0225	0.75	1	875.68	Si
SLU 27	1.2	-214.13		1	0	0	0.0225	0	0.0225	0.75	1	875.68	Si
SLU 27	3.625	-137.23		1	0	0	0.0225	0	0.0225	0.75	1	875.68	Si
SLU 25	-1.225	-289.17		1	0	0	0.0225	0	0.0225	0.75	1	875.68	Si
SLU 25	1.2	-214.13		1	0	0	0.0225	0	0.0225	0.75	1	875.68	Si
SLU 25	3.625	-138.1		1	0	0	0.0225	0	0.0225	0.75	1	875.68	Si
SLU 24	-1.225	-288.18		1	0	0	0.0225	0	0.0225	0.75	1	875.68	Si
SLU 24	1.2	-213.18		1	0	0	0.0225	0	0.0225	0.75	1	875.68	Si
SLU 24	3.625	-137.21		1	0	0	0.0225	0	0.0225	0.75	1	875.68	Si
SLU 31	-1.225	-287.54		1	0	0	0.0225	0	0.0225	0.75	1	875.68	Si
SLU 31	1.2	-213.65		1	0	0	0.0225	0	0.0225	0.75	1	875.68	Si
SLU 31	3.625	-139.01		1	0	0	0.0225	0	0.0225	0.75	1	875.68	Si
SLU 26	-1.225	-286.7		1	0	0	0.0225	0	0.0225	0.75	1	875.68	Si
SLU 26	1.2	-211.02		1	0	0	0.0225	0	0.0225	0.75	1	875.68	Si
SLU 26	3.625	-134.29		1	0	0	0.0225	0	0.0225	0.75	1	875.68	Si

Verifica a pressoflessione nel piano secondo D.M. 17-01-18 NTC §7.8.2.2.1 in combinazioni sismiche, $\gamma_M = 2$

Comb.	Quota	N	M	σ_0	Mu	c.s.	Verifica
SLV 4	-1.23	-112.15	201.7295	0	0	0	No, e>1/2
SLV 4	3.63	-61.36	34.3917	50	72.0883	2.096	Si
SLV 3	-1.23	-112.15	201.7295	0	0	0	No, e>1/2
SLV 3	3.63	-61.36	34.3917	50	72.0883	2.096	Si
SLV 5	-1.23	-30.45	107.1028	0	0	0	No, e>1/2
SLV 5	3.63	-32.52	16.8239	27	38.9741	2.317	Si

Comb.	Quota	N	M	σ_0	Mu	c.s.	Verifica
SLD 1	-1.23	-135.94	102.5574	111	151.4028	1.476	Si
SLD 1	3.63	-71.44	19.8181	58	83.3352	4.205	Si
SLV 1	-1.23	-25.68	223.4133	0	0	0	No, e>1/2
SLV 1	3.63	-29.09	34.7232	24	34.9469	1.006	Si
SLV 6	-1.23	-30.45	107.1028	0	0	0	No, e>1/2
SLV 6	3.63	-32.52	16.8239	27	38.9741	2.317	Si
SLV 2	-1.23	-25.68	223.4133	0	0	0	No, e>1/2
SLV 2	3.63	-29.09	34.7232	24	34.9469	1.006	Si
SLV 14	-1.23	-327.54	-181.1816	267	313.4326	1.73	Si
SLV 14	3.63	-146.46	-17.5228	120	161.8532	9.237	Si
SLV 13	-1.23	-327.54	-181.1816	267	313.4326	1.73	Si
SLV 13	3.63	-146.46	-17.5228	120	161.8532	9.237	Si
SLD 2	-1.23	-135.94	102.5574	111	151.4028	1.476	Si
SLD 2	3.63	-71.44	19.8181	58	83.3352	4.205	Si

Verifica a taglio nel piano secondo D.M. 17-01-18 (N.T.C.) §7.8.2.2 con rottura per scorrimento in combinazioni non sismiche, $\gamma_M = 3$

Comb.	Quota	N	V par	M	σ_0	σ_N	I'	fvd	Vt scorr.	Vt fess.diag.	Vt.lim	c.s.	Verifica
SLU 17	-1.23	-233	-3.05	14.2336		190	2.45	81	99.12		86.6	32.53	Si
SLU 17	3.63	-112.2	-2.93	11.7015		92	2.45	68	83.02		73.67	28.33	Si
SLU 33	-1.23	-295.66	-3.09	15.987		241	2.45	88	107.48		92.59	34.83	Si
SLU 33	3.63	-142.99	-2.94	13.807		117	2.45	71	87.12		77.17	29.64	Si
SLU 16	-1.23	-235.46	-2.89	14.4935		192	2.45	81	99.45		86.84	34.41	Si
SLU 16	3.63	-116.01	-2.77	12.8372		95	2.45	68	83.52		74.11	30.14	Si
SLU 32	-1.23	-292.47	-2.97	15.2339		239	2.45	87	107.05		92.3	36.03	Si
SLU 32	3.63	-140.04	-2.83	12.7982		114	2.45	71	86.73		76.84	30.68	Si
SLU 34	-1.23	-296.65	-3.13	16.1969		242	2.45	88	107.61		92.69	34.35	Si
SLU 34	3.63	-143.87	-2.98	14.1128		117	2.45	71	87.24		77.27	29.23	Si
SLU 15	-1.23	-234.47	-2.84	14.2836		191	2.45	81	99.32		86.74	34.93	Si
SLU 15	3.63	-115.12	-2.72	12.5314		94	2.45	68	83.41		74.01	30.61	Si
SLU 35	-1.23	-294.18	-3.29	15.937		240	2.45	88	107.28		92.46	32.62	Si
SLU 35	3.63	-140.06	-3.14	12.9771		114	2.45	71	86.73		76.84	27.58	Si
SLU 18	-1.23	-236.18	-3.16	14.9866		193	2.45	81	99.55		86.91	31.49	Si
SLU 18	3.63	-115.14	-3.04	12.7103		94	2.45	68	83.41		74.01	27.42	Si
SLU 27	-1.23	-289.88	-2.96	14.636		237	2.45	87	106.71		92.06	36.06	Si
SLU 27	3.63	-137.23	-2.82	11.8813		112	2.45	70	86.35		76.53	30.65	Si
SLU 36	-1.23	-297.37	-3.4	16.6901		243	2.45	88	107.7		92.75	31.64	Si
SLU 36	3.63	-143.01	-3.26	13.9859		117	2.45	71	87.12		77.17	26.76	Si

Verifica a taglio nel piano secondo D.M. 17-01-18 (N.T.C.) §7.8.2.2 con rottura per scorrimento in combinazioni sismiche, $\gamma_M = 2$

Comb.	Quota	N	V par	M	σ_0	σ_N	I'	fvd	Vt scorr.	Vt fess.diag.	Vt.lim	c.s.	Verifica
SLV 3	-1.23	-112.15	65.9	201.7295		0	0	83	0		103.76	0	No, Vu<V
SLV 3	3.63	-61.36	46.78	34.3917		62	1.9936	96	95.34		97.26	2.04	Si
SLV 16	-1.23	-414.01	-88.82	-202.8653		376	2.205	158	174.68		136.13	1.97	Si
SLV 16	3.63	-178.72	-70.86	-17.8543		146	2.45	113	137.83		111.71	1.94	Si
SLV 4	-1.23	-112.15	65.9	201.7295		0	0	83	0		103.76	0	No, Vu<V
SLV 4	3.63	-61.36	46.78	34.3917		62	1.9936	96	95.34		97.26	2.04	Si
SLV 15	-1.23	-414.01	-88.82	-202.8653		376	2.205	158	174.68		136.13	1.97	Si
SLV 15	3.63	-178.72	-70.86	-17.8543		146	2.45	113	137.83		111.71	1.94	Si
SLV 5	-1.23	-30.45	52.93	107.1028		0	0	83	0		93.08	0	No, Vu<V
SLV 5	3.63	-32.52	49.76	16.8239		31	2.1231	89	94.97		93.36	1.91	Si
SLV 2	-1.23	-25.68	84.9	223.4133		0	0	83	0		92.42	0	No, Vu<V
SLV 2	3.63	-29.09	67.16	34.7232		616	0.0945	163	7.68		92.89	0.11	No, Vu<V
SLV 13	-1.23	-327.54	-69.81	-181.1816		325	2.0155	148	149.49		127.7	2.14	Si
SLV 13	3.63	-146.46	-50.48	-17.5228		120	2.45	107	131.37		107.93	2.6	Si
SLV 14	-1.23	-327.54	-69.81	-181.1816		325	2.0155	148	149.49		127.7	2.14	Si
SLV 14	3.63	-146.46	-50.48	-17.5228		120	2.45	107	131.37		107.93	2.6	Si
SLV 1	-1.23	-25.68	84.9	223.4133		0	0	83	0		92.42	0	No, Vu<V
SLV 1	3.63	-29.09	67.16	34.7232		616	0.0945	163	7.68		92.89	0.11	No, Vu<V
SLV 6	-1.23	-30.45	52.93	107.1028		0	0	83	0		93.08	0	No, Vu<V
SLV 6	3.63	-32.52	49.76	16.8239		31	2.1231	89	94.97		93.36	1.91	Si

Verifica a pressoflessione fuori piano D.M. 17-01-18 (N.T.C.)

quota 1.2 W_a 0.0009 denominatore 8 $\gamma_M = 2$

Comb.	fd	Sa	σ_0	N	M	Mc	Coeff.s.	Verifica
SLV 2	1438	0.28	19	-23.56	5.1782	5.7977	1.12	Si
SLV 1	1438	0.28	19	-23.56	5.1782	5.7977	1.12	Si
SLV 5	1438	0.28	20	-24.29	5.1782	5.9742	1.15	Si
SLV 6	1438	0.28	20	-24.29	5.1782	5.9742	1.15	Si
SLV 4	1438	0.28	71	-87.08	5.1782	20.5026	3.96	Si
SLV 3	1438	0.28	71	-87.08	5.1782	20.5026	3.96	Si
SLV 10	1438	0.28	72	-88.43	5.1782	20.8017	4.02	Si
SLV 9	1438	0.28	72	-88.43	5.1782	20.8017	4.02	Si
SLV 8	1438	0.28	193	-236.01	5.1782	49.6986	9.6	Si
SLV 7	1438	0.28	193	-236.01	5.1782	49.6986	9.6	Si

Tabella dei coefficienti di sicurezza minimi

Stato limite	Coeff.s.	Comb.	Verifica
PF SLU	2.945	SLU 36	Si
V SLU	26.757	SLU 36	Si
PF SLV	0	SLV 1	No
V SLV	0	SLV 1	No
PFFP SLV	1.12	SLV 1	Si

Maschio 64

Verifiche condotte secondo D.M. 17-01-18 (N.T.C.)

Dati geometrici

X ini.	Y ini.	X fin.	Y fin.	Quota i.	Quota s.	l	Sp.	h netta	h ini.	h fin.	a	a.s.,sx	a.s.,dx
5.85	22.265	1.4	22.265	L1	L3	4.45	0.3	4.5	4.85	4.85			

Caratteristiche del materiale

(circ.617 C8A.2) Muratura in mattoni pieni e malta di calce LC2

fb	fk	fvk0	fmedio	r0	fv0	μ	φ	fv,lim	E	G	FC
6000			3450	90	200	0.58	0.77	325	3200000	1280000	1.2

Verifica a pressoflessione per azioni non sismiche 4.5.6.2 D.M. 17-01-18 (N.T.C.) $\gamma_M = 3$

Comb.	Quota	N	M	p	es1	es2	ea	ev	e ver	Φ_t	Φ_l	Nu	Verifica
SLU 36	-1.225	-383.59		1	0	0	0.0225	0	0.0225	0.5	1	640.97	Si
SLU 36	1.2	-303.34		1	0	0	0.0225	0	0.0225	0.5	1	640.97	Si
SLU 36	3.625	-207.69		1	0	0	0.0225	0	0.0225	0.5	1	640.97	Si
SLU 34	-1.225	-382.77		1	0	0	0.0225	0	0.0225	0.5	1	640.97	Si
SLU 34	1.2	-302.84		1	0	0	0.0225	0	0.0225	0.5	1	640.97	Si
SLU 34	3.625	-207.43		1	0	0	0.0225	0	0.0225	0.5	1	640.97	Si
SLU 33	-1.225	-380.75		1	0	0	0.0225	0	0.0225	0.5	1	640.97	Si
SLU 33	1.2	-300.84		1	0	0	0.0225	0	0.0225	0.5	1	640.97	Si
SLU 33	3.625	-205.75		1	0	0	0.0225	0	0.0225	0.5	1	640.97	Si
SLU 35	-1.225	-376.48		1	0	0	0.0225	0	0.0225	0.5	1	640.97	Si
SLU 35	1.2	-296.33		1	0	0	0.0225	0	0.0225	0.5	1	640.97	Si
SLU 35	3.625	-201.84		1	0	0	0.0225	0	0.0225	0.5	1	640.97	Si
SLU 32	-1.225	-373.64		1	0	0	0.0225	0	0.0225	0.5	1	640.97	Si
SLU 32	1.2	-293.83		1	0	0	0.0225	0	0.0225	0.5	1	640.97	Si
SLU 32	3.625	-199.9		1	0	0	0.0225	0	0.0225	0.5	1	640.97	Si
SLU 27	-1.225	-367.24		1	0	0	0.0225	0	0.0225	0.5	1	640.97	Si
SLU 27	1.2	-287.47		1	0	0	0.0225	0	0.0225	0.5	1	640.97	Si
SLU 27	3.625	-194.58		1	0	0	0.0225	0	0.0225	0.5	1	640.97	Si
SLU 25	-1.225	-366.42		1	0	0	0.0225	0	0.0225	0.5	1	640.97	Si
SLU 25	1.2	-286.96		1	0	0	0.0225	0	0.0225	0.5	1	640.97	Si
SLU 25	3.625	-194.32		1	0	0	0.0225	0	0.0225	0.5	1	640.97	Si
SLU 24	-1.225	-364.4		1	0	0	0.0225	0	0.0225	0.5	1	640.97	Si
SLU 24	1.2	-284.96		1	0	0	0.0225	0	0.0225	0.5	1	640.97	Si
SLU 24	3.625	-192.64		1	0	0	0.0225	0	0.0225	0.5	1	640.97	Si
SLU 31	-1.225	-364.27		1	0	0	0.0225	0	0.0225	0.5	1	640.97	Si
SLU 31	1.2	-285.31		1	0	0	0.0225	0	0.0225	0.5	1	640.97	Si
SLU 31	3.625	-193.18		1	0	0	0.0225	0	0.0225	0.5	1	640.97	Si
SLU 30	-1.225	-362.24		1	0	0	0.0225	0	0.0225	0.5	1	640.97	Si
SLU 30	1.2	-283.31		1	0	0	0.0225	0	0.0225	0.5	1	640.97	Si
SLU 30	3.625	-191.5		1	0	0	0.0225	0	0.0225	0.5	1	640.97	Si

Verifica a pressoflessione nel piano secondo D.M. 17-01-18 NTC §7.8.2.2.1 in combinazioni sismiche, $\gamma_M = 2$

Comb.	Quota	N	M	σ_0	Mu	c.s.	Verifica
SLD 1	-1.23	-168.7	233.0188	126	336.5351	1.444	Si
SLD 1	3.63	-92.68	88.8573	69	194.4916	2.189	Si
SLV 3	-1.23	-122.15	439.4526	0	0	0	No, e>1/2
SLV 3	3.63	-61.64	128.4738	46	131.9611	1.027	Si
SLV 2	-1.23	-29.31	508.4208	0	0	0	No, e>1/2
SLV 2	3.63	-25.02	163.7337	0	0	0	No, e>1/2
SLD 2	-1.23	-168.7	233.0188	126	336.5351	1.444	Si
SLD 2	3.63	-92.68	88.8573	69	194.4916	2.189	Si
SLV 1	-1.23	-29.31	508.4208	0	0	0	No, e>1/2
SLV 1	3.63	-25.02	163.7337	0	0	0	No, e>1/2
SLV 6	-1.23	-61.36	271.5415	0	0	0	No, e>1/2
SLV 6	3.63	-53.37	124.2518	0	0	0	No, e>1/2
SLV 5	-1.23	-61.36	271.5415	0	0	0	No, e>1/2
SLV 5	3.63	-53.37	124.2518	0	0	0	No, e>1/2
SLV 4	-1.23	-122.15	439.4526	0	0	0	No, e>1/2
SLV 4	3.63	-61.64	128.4738	46	131.9611	1.027	Si
SLV 15	-1.23	-523.19	-467.2396	392	790.7234	1.692	Si
SLV 15	3.63	-264.7	-101.8648	198	493.3923	4.844	Si
SLV 16	-1.23	-523.19	-467.2396	392	790.7234	1.692	Si
SLV 16	3.63	-264.7	-101.8648	198	493.3923	4.844	Si

Verifica a taglio nel piano secondo D.M. 17-01-18 (N.T.C.) §7.8.2.2.2 con rottura per scorrimento in combinazioni non sismiche, $\gamma_M = 3$

Comb.	Quota	N	V par	M	σ_0	σ_N	I'	fvd	Vt scorr.	Vt fess.diag.	Vt,lim	c.s.	Verifica
SLU 35	-1.23	-376.48	-13.91	33.373		282	4.45	93	124.36		156.96	8.94	Si
SLU 35	3.63	-201.84	-13.8	49.1407		151	4.45	76	101.08		132.11	7.32	Si
SLU 34	-1.23	-382.77	-13.98	35.4764		287	4.45	94	125.2		157.78	8.96	Si
SLU 34	3.63	-207.43	-13.86	49.9985		155	4.45	76	101.82		132.98	7.35	Si
SLU 18	-1.23	-310.9	-12.97	33.5475		233	4.45	87	115.62		148.12	8.91	Si
SLU 18	3.63	-172.29	-12.88	47.1813		129	4.45	73	97.14		127.43	7.54	Si
SLU 36	-1.23	-383.59	-14.49	35.9607		287	4.45	94	125.31		157.89	8.65	Si
SLU 36	3.63	-207.69	-14.38	51.7353		156	4.45	76	101.86		133.02	7.08	Si
SLU 27	-1.23	-367.24	-12.78	30.0453		275	4.45	92	123.13		155.75	9.63	Si
SLU 27	3.63	-194.58	-12.67	44.7496		146	4.45	75	100.11		130.98	7.9	Si
SLU 33	-1.23	-380.75	-13.83	34.6112		285	4.45	94	124.93		157.52	9.03	Si
SLU 33	3.63	-205.75	-13.72	49.1892		154	4.45	76	101.6		132.72	7.41	Si
SLU 32	-1.23	-373.64	-13.25	32.0235		280	4.45	93	123.98		156.59	9.36	Si
SLU 32	3.63	-199.9	-13.14	46.5946		150	4.45	76	100.82		131.81	7.67	Si
SLU 16	-1.23	-310.08	-12.45	33.0632		232	4.45	87	115.51		148	9.27	Si
SLU 16	3.63	-172.03	-12.36	45.4446		129	4.45	73	97.1		127.39	7.86	Si
SLU 17	-1.23	-303.79	-12.39	30.9598		228	4.45	86	114.67		147.13	9.26	Si
SLU 17	3.63	-166.44	-12.3	44.5867		125	4.45	72	96.36		126.48	7.84	Si
SLU 15	-1.23	-308.05	-12.31	32.1979		231	4.45	86	115.24		147.72	9.36	Si
SLU 15	3.63	-170.35	-12.21	44.6352		128	4.45	73	96.88		127.12	7.93	Si

Verifica a taglio nel piano secondo D.M. 17-01-18 (N.T.C.) §7.8.2.2.2 con rottura per scorrimento in combinazioni sismiche, $\gamma_M = 2$

Comb.	Quota	N	V par	M	σ_0	σ_N	I'	fvd	Vt scorr.	Vt fess.diag.	Vt,lim	c.s.	Verifica
SLV 6	-1.23	-61.36	81	271.5415		0	0	83	0		156.13	0	No, Vu<V
SLV 6	3.63	-53.37	84.61	124.2518		0	0	83	0		154.54	0	No, Vu<V
SLV 5	-1.23	-61.36	81	271.5415		0	0	83	0		156.13	0	No, Vu<V
SLV 5	3.63	-53.37	84.61	124.2518		0	0	83	0		154.54	0	No, Vu<V
SLV 14	-1.23	-430.35	-121.38	-398.2713		368	3.8986	157	183.53		217.12	1.51	Si
SLV 14	3.63	-228.08	-106.2	-66.6048		171	4.45	118	156.87		186.18	1.48	Si
SLV 3	-1.23	-122.15	103.43	439.4526		0	0	83	0		167.71	0	No, Vu<V
SLV 3	3.63	-61.64	88.41	128.4738		487	0.422	163	20.57		156.19	0.23	No, Vu<V
SLV 1	-1.23	-29.31	134.39	508.4208		0	0	83	0		149.66	0	No, Vu<V
SLV 1	3.63	-25.02	123.81	163.7337		0	0	83	0		148.78	0	No, Vu<V
SLV 2	-1.23	-29.31	134.39	508.4208		0	0	83	0		149.66	0	No, Vu<V
SLV 2	3.63	-25.02	123.81	163.7337		0	0	83	0		148.78	0	No, Vu<V
SLV 13	-1.23	-430.35	-121.38	-398.2713		368	3.8986	157	183.53		217.12	1.51	Si
SLV 13	3.63	-228.08	-106.2	-66.6048		171	4.45	118	156.87		186.18	1.48	Si

Comb.	Quota	N	V par	M	σ_0	σ_N	I'	fvd	Vt scorr.	Vt fess.diag.	Vt,lim	c.s.	Verifica
SLV 15	-1.23	-523.19	-152.34	-467.2396		436	3.9958	163	194.8		229.93	1.28	Si
SLV 15	3.63	-264.7	-141.61	-101.8648		198	4.45	123	164.19		192.15	1.16	Si
SLV 4	-1.23	-122.15	103.43	439.4526		0	0	83	0		167.71	0	No, Vu<V
SLV 4	3.63	-61.64	88.41	128.4738		487	0.422	163	20.57		156.19	0.23	No, Vu<V
SLV 16	-1.23	-523.19	-152.34	-467.2396		436	3.9958	163	194.8		229.93	1.28	Si
SLV 16	3.63	-264.7	-141.61	-101.8648		198	4.45	123	164.19		192.15	1.16	Si

Verifica a pressoflessione fuori piano D.M. 17-01-18 (N.T.C.)

quota 1.2 Wa 0.0005 denominatore 8 $\gamma_M = 2$

Comb.	fd	Sa	σ_0	N	M	Mc	Coeff.s.	Verifica
SLV 2	1438	0.28	0	-24.66	5.6431	0	0	No, e>t/2
SLV 1	1438	0.28	0	-24.66	5.6431	0	0	No, e>t/2
SLV 5	1438	0.28	48	-63.41	5.6431	9.1424	1.62	Si
SLV 6	1438	0.28	48	-63.41	5.6431	9.1424	1.62	Si
SLV 4	1438	0.28	65	-87.05	5.6431	12.3611	2.19	Si
SLV 3	1438	0.28	65	-87.05	5.6431	12.3611	2.19	Si
SLV 9	1438	0.28	119	-159.03	5.6431	21.5285	3.81	Si
SLV 10	1438	0.28	119	-159.03	5.6431	21.5285	3.81	Si
SLV 8	1438	0.28	203	-271.39	5.6431	33.936	6.01	Si
SLV 7	1438	0.28	203	-271.39	5.6431	33.936	6.01	Si

Tabella dei coefficienti di sicurezza minimi

Stato limite	Coeff.s.	Comb.	Verifica
PF SLU	1.671	SLU 36	Si
V SLU	7.085	SLU 36	Si
PF SLV	0	SLV 1	No
V SLV	0	SLV 1	No
PFFP SLV	0	SLV 1	No

Maschio 65

Verifiche condotte secondo D.M. 17-01-18 (N.T.C.)

Dati geometrici

X ini.	Y ini.	X fin.	Y fin.	Quota i.	Quota.s	l	Sp.	h netta	h ini.	h fin.	a	a.s.,sx	a.s.,dx
5.85	32.165	1.4	32.165	L1	L3	4.45	0.5	4.5	4.85	4.85			

Caratteristiche del materiale

(circ.617 C8A.2) Muratura in mattoni pieni e malta di calce LC2

fb	fk	fvk0	fmedio	τ_0	fv0	μ	φ	fv,lim	E	G	FC
6000			3450	90	200	0.58	0.77	325	3200000	1280000	1.2

Verifica a pressoflessione per azioni non sismiche 4.5.6.2 D.M. 17-01-18 (N.T.C.) $\gamma_M = 3$

Comb.	Quota	N	M	p	es1	es2	ea	ev	e ver	Φ_t	Φ_I	Nu	Verifica
SLU 36	-1.225	-498.16		1	0	0	0.0225	0	0.0225	0.75	1	1590.52	Si
SLU 36	1.2	-369.67		1	0	0	0.0225	0	0.0225	0.75	1	1590.52	Si
SLU 36	3.625	-234.3		1	0	0	0.0225	0	0.0225	0.75	1	1590.52	Si
SLU 34	-1.225	-495.83		1	0	0	0.0225	0	0.0225	0.75	1	1590.52	Si
SLU 34	1.2	-367.63		1	0	0	0.0225	0	0.0225	0.75	1	1590.52	Si
SLU 34	3.625	-233.78		1	0	0	0.0225	0	0.0225	0.75	1	1590.52	Si
SLU 33	-1.225	-495.79		1	0	0	0.0225	0	0.0225	0.75	1	1590.52	Si
SLU 33	1.2	-367.57		1	0	0	0.0225	0	0.0225	0.75	1	1590.52	Si
SLU 33	3.625	-233.73		1	0	0	0.0225	0	0.0225	0.75	1	1590.52	Si
SLU 35	-1.225	-495.21		1	0	0	0.0225	0	0.0225	0.75	1	1590.52	Si
SLU 35	1.2	-366.77		1	0	0	0.0225	0	0.0225	0.75	1	1590.52	Si
SLU 35	3.625	-231.73		1	0	0	0.0225	0	0.0225	0.75	1	1590.52	Si
SLU 32	-1.225	-492.85		1	0	0	0.0225	0	0.0225	0.75	1	1590.52	Si
SLU 32	1.2	-364.67		1	0	0	0.0225	0	0.0225	0.75	1	1590.52	Si
SLU 32	3.625	-231.17		1	0	0	0.0225	0	0.0225	0.75	1	1590.52	Si
SLU 27	-1.225	-488.73		1	0	0	0.0225	0	0.0225	0.75	1	1590.52	Si
SLU 27	1.2	-360.61		1	0	0	0.0225	0	0.0225	0.75	1	1590.52	Si
SLU 27	3.625	-227.25		1	0	0	0.0225	0	0.0225	0.75	1	1590.52	Si
SLU 25	-1.225	-486.4		1	0	0	0.0225	0	0.0225	0.75	1	1590.52	Si
SLU 25	1.2	-358.57		1	0	0	0.0225	0	0.0225	0.75	1	1590.52	Si
SLU 25	3.625	-226.73		1	0	0	0.0225	0	0.0225	0.75	1	1590.52	Si
SLU 24	-1.225	-486.36		1	0	0	0.0225	0	0.0225	0.75	1	1590.52	Si
SLU 24	1.2	-358.5		1	0	0	0.0225	0	0.0225	0.75	1	1590.52	Si
SLU 24	3.625	-226.69		1	0	0	0.0225	0	0.0225	0.75	1	1590.52	Si
SLU 26	-1.225	-485.78		1	0	0	0.0225	0	0.0225	0.75	1	1590.52	Si
SLU 26	1.2	-357.71		1	0	0	0.0225	0	0.0225	0.75	1	1590.52	Si
SLU 26	3.625	-224.68		1	0	0	0.0225	0	0.0225	0.75	1	1590.52	Si
SLU 31	-1.225	-483.54		1	0	0	0.0225	0	0.0225	0.75	1	1590.52	Si
SLU 31	1.2	-356.1		1	0	0	0.0225	0	0.0225	0.75	1	1590.52	Si
SLU 31	3.625	-226.56		1	0	0	0.0225	0	0.0225	0.75	1	1590.52	Si

Verifica a pressoflessione nel piano secondo D.M. 17-01-18 NTC §7.8.2.2.1 in combinazioni sismiche, $\gamma_M = 2$

Comb.	Quota	N	M	σ_0	Mu	c.s.	Verifica
SLV 3	-1.23	-54.12	711.9037	0	0	0	No, e>1/2
SLV 3	3.63	-44.27	251.7268	0	0	0	No, e>1/2
SLV 6	-1.23	-287.89	573.1115	129	572.7251	0.999	No, M>Mu
SLV 6	3.63	-114.07	-22.5919	51	243.1502	10.763	Si
SLD 1	-1.23	-236.23	411.8244	106	479.9429	1.165	Si
SLD 1	3.63	-111.98	102.531	50	238.8841	2.33	Si
SLV 4	-1.23	-54.12	711.9037	0	0	0	No, e>1/2
SLV 4	3.63	-44.27	251.7268	0	0	0	No, e>1/2
SLV 5	-1.23	-287.89	573.1115	129	572.7251	0.999	No, M>Mu
SLV 5	3.63	-114.07	-22.5919	51	243.1502	10.763	Si
SLD 2	-1.23	-236.23	411.8244	106	479.9429	1.165	Si
SLD 2	3.63	-111.98	102.531	50	238.8841	2.33	Si
SLV 1	-1.23	-60.17	894.232	0	0	0	No, e>1/2
SLV 1	3.63	-33.12	181.9069	0	0	0	No, e>1/2
SLV 15	-1.23	-684.59	-813.3444	308	1139.6469	1.401	Si
SLV 15	3.63	-312.68	-99.8228	141	615.6921	6.168	Si
SLV 16	-1.23	-684.59	-813.3444	308	1139.6469	1.401	Si
SLV 16	3.63	-312.68	-99.8228	141	615.6921	6.168	Si

Comb.	Quota	N	M	σ_0	Mu	c.s.	Verifica
SLV 2	-1.23	-60.17	894.232	0	0	0	No, $e > 1/2$
SLV 2	3.63	-33.12	181.9069	0	0	0	No, $e > 1/2$

Verifica a taglio nel piano secondo D.M. 17-01-18 (N.T.C.) §7.8.2.2.2 con rottura per scorrimento in combinazioni non sismiche, $\gamma_M = 3$

Comb.	Quota	N	V par	M	σ_0	σ_N	I'	fvd	Vt scorr.	Vt fess.diag.	Vt,lim	c.s.	Verifica
SLU 36	-1.23	-498.16	-4.87	71.181		224	4.45	85	190.03		244.07	39.01	Si
SLU 36	3.63	-234.3	-4.71	69.1727		105	4.45	70	154.85		203.67	32.86	Si
SLU 35	-1.23	-495.21	-4.58	66.3374		223	4.45	85	189.64		243.66	41.44	Si
SLU 35	3.63	-231.73	-4.42	63.7398		104	4.45	69	154.51		203.24	34.96	Si
SLU 33	-1.23	-495.79	-4.65	67.8165		223	4.45	85	189.72		243.74	40.79	Si
SLU 33	3.63	-233.73	-4.49	68.7482		105	4.45	70	154.78		203.58	34.44	Si
SLU 32	-1.23	-492.85	-4.36	62.9729		222	4.45	85	189.32		243.32	43.46	Si
SLU 32	3.63	-231.17	-4.2	63.3142		104	4.45	69	154.43		203.15	36.76	Si
SLU 14	-1.23	-387.28	-4.26	58.4214		174	4.45	79	175.25		227.97	41.11	Si
SLU 14	3.63	-183.55	-4.14	57.6811		82	4.45	67	148.09		194.95	35.78	Si
SLU 15	-1.23	-390.23	-4.56	63.2665		175	4.45	79	175.64		228.41	38.54	Si
SLU 15	3.63	-186.12	-4.43	63.1151		84	4.45	67	148.43		195.4	33.5	Si
SLU 17	-1.23	-389.65	-4.48	61.7859		175	4.45	79	175.56		228.33	39.16	Si
SLU 17	3.63	-184.12	-4.36	58.1057		83	4.45	67	148.16		195.05	34.01	Si
SLU 16	-1.23	-390.27	-4.5	64.9434		175	4.45	79	175.65		228.42	39.01	Si
SLU 16	3.63	-186.17	-4.38	64.5253		84	4.45	67	148.43		195.41	33.92	Si
SLU 34	-1.23	-495.83	-4.6	69.495		223	4.45	85	189.72		243.74	41.28	Si
SLU 34	3.63	-233.78	-4.44	70.1593		105	4.45	70	154.78		203.59	34.87	Si
SLU 18	-1.23	-392.59	-4.78	66.6294		176	4.45	79	175.96		228.77	36.83	Si
SLU 18	3.63	-186.69	-4.65	63.5396		84	4.45	67	148.5		195.5	31.94	Si

Verifica a taglio nel piano secondo D.M. 17-01-18 (N.T.C.) §7.8.2.2.2 con rottura per scorrimento in combinazioni sismiche, $\gamma_M = 2$

Comb.	Quota	N	V par	M	σ_0	σ_N	I'	fvd	Vt scorr.	Vt fess.diag.	Vt,lim	c.s.	Verifica
SLV 1	-1.23	-60.17	223.97	894.232		0	0	83	0		251.76	0	No, $V_u < V$
SLV 1	3.63	-33.12	207.55	181.9069		0	0	83	0		246.18	0	No, $V_u < V$
SLD 2	-1.23	-236.23	95.89	411.8244		327	1.4451	149	107.46		285.46	1.12	Si
SLD 2	3.63	-111.98	88.9	102.531		57	3.928	95	186.06		262.13	2.09	Si
SLV 16	-1.23	-684.59	-229.14	-813.3444		440	3.1108	163	252.75		357.2	1.1	Si
SLV 16	3.63	-312.68	-212.49	-99.8228		141	4.45	111	247.95		298.91	1.17	Si
SLV 4	-1.23	-54.12	212.49	711.9037		0	0	83	0		250.52	0	No, $V_u < V$
SLV 4	3.63	-44.27	199.29	251.7268		0	0	83	0		248.49	0	No, $V_u < V$
SLV 5	-1.23	-287.89	82.8	573.1115		819	0.7028	163	57.1		294.62	0.69	No, $V_u < V$
SLV 5	3.63	-114.07	73.05	-22.5919		51	4.45	94	208.23		262.54	2.85	Si
SLV 15	-1.23	-684.59	-229.14	-813.3444		440	3.1108	163	252.75		357.2	1.1	Si
SLV 15	3.63	-312.68	-212.49	-99.8228		141	4.45	111	247.95		298.91	1.17	Si
SLD 1	-1.23	-236.23	95.89	411.8244		327	1.4451	149	107.46		285.46	1.12	Si
SLD 1	3.63	-111.98	88.9	102.531		57	3.928	95	186.06		262.13	2.09	Si
SLV 2	-1.23	-60.17	223.97	894.232		0	0	83	0		251.76	0	No, $V_u < V$
SLV 2	3.63	-33.12	207.55	181.9069		0	0	83	0		246.18	0	No, $V_u < V$
SLV 3	-1.23	-54.12	212.49	711.9037		0	0	83	0		250.52	0	No, $V_u < V$
SLV 3	3.63	-44.27	199.29	251.7268		0	0	83	0		248.49	0	No, $V_u < V$
SLV 6	-1.23	-287.89	82.8	573.1115		819	0.7028	163	57.1		294.62	0.69	No, $V_u < V$
SLV 6	3.63	-114.07	73.05	-22.5919		51	4.45	94	208.23		262.54	2.85	Si

Verifica a pressoflessione fuori piano D.M. 17-01-18 (N.T.C.)

quota 1.2 Wa 0.0009 denominatore 8 $\gamma_M = 2$

Comb.	fd	Sa	σ_0	N	M	Mc	Coeff.s.	Verifica
SLV 4	1438	0.28	0	-23.17	9.4052	0	0	No, $e > t/2$
SLV 3	1438	0.28	0	-23.17	9.4052	0	0	No, $e > t/2$
SLV 2	1438	0.28	18	-40.16	9.4052	9.8914	1.05	Si
SLV 1	1438	0.28	18	-40.16	9.4052	9.8914	1.05	Si
SLV 7	1438	0.28	78	-173.02	9.4052	40.5028	4.31	Si
SLV 8	1438	0.28	78	-173.02	9.4052	40.5028	4.31	Si
SLV 6	1438	0.28	103	-229.66	9.4052	52.5647	5.59	Si
SLV 5	1438	0.28	103	-229.66	9.4052	52.5647	5.59	Si
SLV 12	1438	0.28	143	-318.46	9.4052	70.2892	7.47	Si
SLV 11	1438	0.28	143	-318.46	9.4052	70.2892	7.47	Si

Tabella dei coefficienti di sicurezza minimi

Stato limite	Coeff.s.	Comb.	Verifica
PF SLU	3.193	SLU 36	Si
V SLU	31.941	SLU 18	Si
PF SLV	0	SLV 1	No
V SLV	0	SLV 1	No
PFFP SLV	0	SLV 3	No

Maschio 66

Verifiche condotte secondo D.M. 17-01-18 (N.T.C.)

Dati geometrici

X ini.	Y ini.	X fin.	Y fin.	Quota i.	Quota s.	l	Sp.	h netta	h ini.	h fin.	a	a.s.sx	a.s.dx
5.95	38.965	1.4	38.965	L1	L3	4.55	0.5	4.5	4.85	4.85			

Caratteristiche del materiale

(circ.617 C8A.2) Muratura in mattoni pieni e malta di calce LC2

fb	fk	fvk0	fmedio	τ_0	fv0	μ	ϕ	fv,lim	E	G	FC
6000			3450	90	200	0.58	0.77	325	3200000	1280000	1.2

Verifica a pressoflessione per azioni non sismiche 4.5.6.2 D.M. 17-01-18 (N.T.C.) $\gamma_M = 3$

Comb.	Quota	N	M	p	es1	es2	ea	ev	e ver	ϕ_t	Φ_I	Nu	Verifica
SLU 36	-1.225	-528.84		1	0	0	0.0225	0	0.0225	0.75	1	1626.26	Si
SLU 36	1.2	-395.63		1	0	0	0.0225	0	0.0225	0.75	1	1626.26	Si
SLU 36	3.625	-250.35		1	0	0	0.0225	0	0.0225	0.75	1	1626.26	Si
SLU 34	-1.225	-527.8		1	0	0	0.0225	0	0.0225	0.75	1	1626.26	Si
SLU 34	1.2	-394.81		1	0	0	0.0225	0	0.0225	0.75	1	1626.26	Si
SLU 34	3.625	-251.05		1	0	0	0.0225	0	0.0225	0.75	1	1626.26	Si
SLU 33	-1.225	-526.66		1	0	0	0.0225	0	0.0225	0.75	1	1626.26	Si

Comb.	Quota	N	M	p	es1	es2	ea	ev	e ver	φt	ΦI	Nu	Verifica
SLU 33	1.2	-393.67			1	0	0.0225	0	0.0225	0.75	1	1626.26	Si
SLU 33	3.625	-250			1	0	0.0225	0	0.0225	0.75	1	1626.26	Si
SLU 35	-1.225	-524.6			1	0	0.0225	0	0.0225	0.75	1	1626.26	Si
SLU 35	1.2	-391.42			1	0	0.0225	0	0.0225	0.75	1	1626.26	Si
SLU 35	3.625	-246.57			1	0	0.0225	0	0.0225	0.75	1	1626.26	Si
SLU 32	-1.225	-522.42			1	0	0.0225	0	0.0225	0.75	1	1626.26	Si
SLU 32	1.2	-389.46			1	0	0.0225	0	0.0225	0.75	1	1626.26	Si
SLU 32	3.625	-246.23			1	0	0.0225	0	0.0225	0.75	1	1626.26	Si
SLU 27	-1.225	-518.57			1	0	0.0225	0	0.0225	0.75	1	1626.26	Si
SLU 27	1.2	-385.62			1	0	0.0225	0	0.0225	0.75	1	1626.26	Si
SLU 27	3.625	-242.51			1	0	0.0225	0	0.0225	0.75	1	1626.26	Si
SLU 25	-1.225	-517.53			1	0	0.0225	0	0.0225	0.75	1	1626.26	Si
SLU 25	1.2	-384.8			1	0	0.0225	0	0.0225	0.75	1	1626.26	Si
SLU 25	3.625	-243.21			1	0	0.0225	0	0.0225	0.75	1	1626.26	Si
SLU 24	-1.225	-516.39			1	0	0.0225	0	0.0225	0.75	1	1626.26	Si
SLU 24	1.2	-383.66			1	0	0.0225	0	0.0225	0.75	1	1626.26	Si
SLU 24	3.625	-242.17			1	0	0.0225	0	0.0225	0.75	1	1626.26	Si
SLU 31	-1.225	-515.48			1	0	0.0225	0	0.0225	0.75	1	1626.26	Si
SLU 31	1.2	-383.08			1	0	0.0225	0	0.0225	0.75	1	1626.26	Si
SLU 31	3.625	-243.88			1	0	0.0225	0	0.0225	0.75	1	1626.26	Si
SLU 30	-1.225	-514.34			1	0	0.0225	0	0.0225	0.75	1	1626.26	Si
SLU 30	1.2	-381.93			1	0	0.0225	0	0.0225	0.75	1	1626.26	Si
SLU 30	3.625	-242.83			1	0	0.0225	0	0.0225	0.75	1	1626.26	Si

Verifica a pressoflessione nel piano secondo D.M. 17-01-18 NTC §7.8.2.2.1 in combinazioni sismiche, $\gamma_M = 2$

Comb.	Quota	N	M	σ_0	Mu	c.s.	Verifica
SLV 4	-1.23	-135.57	814.6972	0	0	0	No, $e>1/2$
SLV 4	3.63	-61.01	179.3864	0	0	0	No, $e>1/2$
SLD 2	-1.23	-275.58	472.6479	121	564.7967	1.195	Si
SLD 2	3.63	-138.84	140.0206	61	300.0826	2.143	Si
SLV 3	-1.23	-135.57	814.6972	0	0	0	No, $e>1/2$
SLV 3	3.63	-61.01	179.3864	0	0	0	No, $e>1/2$
SLD 1	-1.23	-275.58	472.6479	121	564.7967	1.195	Si
SLD 1	3.63	-138.84	140.0206	61	300.0826	2.143	Si
SLV 5	-1.23	-291.22	649.2842	128	593.1158	0.913	No, $M>Mu$
SLV 5	3.63	-182.1	226.1144	80	387.1373	1.712	Si
SLV 15	-1.23	-668.21	-908.7243	294	1154.7464	1.271	Si
SLV 15	3.63	-288.12	-151.2933	127	587.5333	3.883	Si
SLV 16	-1.23	-668.21	-908.7243	294	1154.7464	1.271	Si
SLV 16	3.63	-288.12	-151.2933	127	587.5333	3.883	Si
SLV 1	-1.23	-121.37	1016.7516	0	0	0	No, $e>1/2$
SLV 1	3.63	-80.21	254.3706	0	0	0	No, $e>1/2$
SLV 2	-1.23	-121.37	1016.7516	0	0	0	No, $e>1/2$
SLV 2	3.63	-80.21	254.3706	0	0	0	No, $e>1/2$
SLV 6	-1.23	-291.22	649.2842	128	593.1158	0.913	No, $M>Mu$
SLV 6	3.63	-182.1	226.1144	80	387.1373	1.712	Si

Verifica a taglio nel piano secondo D.M. 17-01-18 (N.T.C.) §7.8.2.2.2 con rottura per scorrimento in combinazioni non sismiche, $\gamma_M = 2$

Comb.	Quota	N	V par	M	σ_0	σ_N	I'	fvd	Vt scorr.	Vt fess.diag.	Vt lim	c.s.	Verifica
SLU 36	-1.23	-528.84	-8.38	92.0536	232	4.55	87	196.9			255.11	23.49	Si
SLU 36	3.63	-250.35	-8.24	86.2127	110	4.55	70	159.77			212.42	19.4	Si
SLU 33	-1.23	-526.66	-8.24	88.2756	231	4.55	86	196.61			254.81	23.87	Si
SLU 33	3.63	-250	-8.09	85.8929	110	4.55	70	159.72			212.36	19.74	Si
SLU 16	-1.23	-415.87	-7.48	82.8652	183	4.55	80	181.84			238.72	24.3	Si
SLU 16	3.63	-200.39	-7.37	80.5188	88	4.55	67	153.11			203.81	20.78	Si
SLU 34	-1.23	-527.8	-8.33	90.1109	232	4.55	86	196.76			254.97	23.63	Si
SLU 34	3.63	-251.05	-8.18	87.9664	110	4.55	70	159.86			212.54	19.54	Si
SLU 17	-1.23	-412.68	-7.06	79.1194	181	4.55	80	181.41			238.24	25.68	Si
SLU 17	3.63	-195.91	-6.95	71.8188	86	4.55	67	152.51			203.03	21.95	Si
SLU 15	-1.23	-414.74	-7.39	81.0299	182	4.55	80	181.69			238.55	24.58	Si
SLU 15	3.63	-199.34	-7.28	78.4452	88	4.55	67	152.97			203.63	21.02	Si
SLU 27	-1.23	-518.57	-7.23	78.2732	228	4.55	86	195.53			253.67	27.06	Si
SLU 27	3.63	-242.51	-7.09	72.3599	107	4.55	70	158.72			211.09	22.4	Si
SLU 35	-1.23	-524.6	-7.91	86.3651	231	4.55	86	196.34			254.52	24.83	Si
SLU 35	3.63	-246.57	-7.76	79.2664	108	4.55	70	159.27			211.78	20.51	Si
SLU 18	-1.23	-416.91	-7.54	84.8079	183	4.55	80	181.98			238.87	24.14	Si
SLU 18	3.63	-199.69	-7.42	78.7651	88	4.55	67	153.01			203.69	20.62	Si
SLU 32	-1.23	-522.42	-7.76	82.587	230	4.55	86	196.05			254.21	25.27	Si
SLU 32	3.63	-246.23	-7.62	78.9465	108	4.55	70	159.22			211.72	20.9	Si

Verifica a taglio nel piano secondo D.M. 17-01-18 (N.T.C.) §7.8.2.2.2 con rottura per scorrimento in combinazioni sismiche, $\gamma_M = 2$

Comb.	Quota	N	V par	M	σ_0	σ_N	I'	fvd	Vt scorr.	Vt fess.diag.	Vt lim	c.s.	Verifica
SLV 4	-1.23	-135.57	214.83	814.6972		0	0	83	0		275.18	0	No, $Vu<V$
SLV 4	3.63	-61.01	212.4	179.3864		0	0	83	0		260.21	0	No, $Vu<V$
SLV 13	-1.23	-654	-225.18	-706.6699		365	3.5834	156	280.11		362.58	1.24	Si
SLV 13	3.63	-307.32	-222.54	-76.309		135	4.55	110	251.05		306.9	1.13	Si
SLV 6	-1.23	-291.22	89.38	649.2842		4270	0.1364	163	11.08		304.07	0.12	No, $Vu<V$
SLV 6	3.63	-182.1	61.31	226.1144		117	3.0999	107	165.58		284.12	2.7	Si
SLV 14	-1.23	-654	-225.18	-706.6699		365	3.5834	156	280.11		362.58	1.24	Si
SLV 14	3.63	-307.32	-222.54	-76.309		135	4.55	110	251.05		306.9	1.13	Si
SLV 5	-1.23	-291.22	89.38	649.2842		4270	0.1364	163	11.08		304.07	0.12	No, $Vu<V$
SLV 5	3.63	-182.1	61.31	226.1144		117	3.0999	107	165.58		284.12	2.7	Si
SLV 3	-1.23	-135.57	214.83	814.6972		0	0	83	0		275.18	0	No, $Vu<V$
SLV 3	3.63	-61.01	212.4	179.3864		0	0	83	0		260.21	0	No, $Vu<V$
SLV 1	-1.23	-121.37	230.55	1016.7516		0	0	83	0		272.39	0	No, $Vu<V$
SLV 1	3.63	-80.21	213.02	254.3706		0	0	83	0		264.14	0	No, $Vu<V$
SLV 15	-1.23	-668.21	-240.9	-908.7243		487	2.7452	163	223.04		364.68	0.93	No, $Vu<V$
SLV 15	3.63	-288.12	-223.16	-151.2933		127	4.55	109	247.21		303.52	1.11	Si
SLV 16	-1.23	-668.21	-240.9	-908.7243		487	2.7452	163	223.04		364.68	0.93	No, $Vu<V$
SLV 16	3.63	-288.12	-223.16	-151.2933		127	4.55	109	247.21		303.52	1.11	Si
SLV 2	-1.23	-121.37	230.55	1016.7516		0	0	83	0		272.39	0	No, $Vu<V$
SLV 2	3.63	-80.21	213.02	254.3706		0	0	83	0		264.14	0	No, $Vu<V$

Verifica a pressoflessione fuori piano D.M. 17-01-18 (N.T.C.)

quota 1.2 Wa 0.0009 denominatore 8 $\gamma_M = 2$

Comb.	fd	Sa	σ_0	N	M	Mc	Coeff.s.	Verifica
SLV 2	1438	0.28	39	-89.82	9.6166	21.7291	2.26	Si

Comb.	fd	Sa	σ_0	N	M	Mc	Coeff.s.	Verifica
SLV 1	1438	0.28	39	-89.82	9.6166	21.7291	2.26	Si
SLV 3	1438	0.28	41	-93.56	9.6166	22.6032	2.35	Si
SLV 4	1438	0.28	41	-93.56	9.6166	22.6032	2.35	Si
SLV 5	1438	0.28	99	-226.16	9.6166	51.9405	5.4	Si
SLV 6	1438	0.28	99	-226.16	9.6166	51.9405	5.4	Si
SLV 7	1438	0.28	105	-238.64	9.6166	54.5382	5.67	Si
SLV 8	1438	0.28	105	-238.64	9.6166	54.5382	5.67	Si
SLV 10	1438	0.28	152	-346.77	9.6166	75.8781	7.89	Si
SLV 9	1438	0.28	152	-346.77	9.6166	75.8781	7.89	Si

Tabella dei coefficienti di sicurezza minimi

Stato limite	Coeff.s.	Comb.	Verifica
PF SLU	3.075	SLU 36	Si
V SLU	19.395	SLU 36	Si
PF SLV	0	SLV 1	No
V SLV	0	SLV 1	No
PFFP SLV	2.26	SLV 1	Si

Maschio 67

Verifiche condotte secondo D.M. 17-01-18 (N.T.C.)

Dati geometrici

X ini.	Y ini.	X fin.	Y fin.	Quota i.	Quota s.	l	Sp.	h netta	h ini.	h fin.	a	a.s.,sx	a.s.,dx
5.95	45.69	1.4	45.69	L1	L3	4.55	0.4	4.5	4.85	4.85			

Caratteristiche del materiale

(circ.617 C8A.2) Muratura in mattoni pieni e malta di calce LC2

fb	fk	fvk0	fmedio	τ_0	fv0	μ	φ	fv,lim	E	G	FC
6000			3450	90	200	0.58	0.77	325	3200000	1280000	1.2

Verifica a pressoflessione per azioni non sismiche 4.5.6.2 D.M. 17-01-18 (N.T.C.) $\gamma_M = 3$

Comb.	Quota	N	M	p	es1	es2	ea	ev	e ver	Φ_t	Φ_I	Nu	Verifica
SLU 36	-1.225	-426.27		1	0	0	0.0225	0	0.0225	0.66	1	1143.3	Si
SLU 36	1.2	-321.7		1	0	0	0.0225	0	0.0225	0.66	1	1143.3	Si
SLU 36	3.625	-206.2		1	0	0	0.0225	0	0.0225	0.66	1	1143.3	Si
SLU 34	-1.225	-425.52		1	0	0	0.0225	0	0.0225	0.66	1	1143.3	Si
SLU 34	1.2	-321.12		1	0	0	0.0225	0	0.0225	0.66	1	1143.3	Si
SLU 34	3.625	-206.6		1	0	0	0.0225	0	0.0225	0.66	1	1143.3	Si
SLU 33	-1.225	-424.45		1	0	0	0.0225	0	0.0225	0.66	1	1143.3	Si
SLU 33	1.2	-320.04		1	0	0	0.0225	0	0.0225	0.66	1	1143.3	Si
SLU 33	3.625	-205.63		1	0	0	0.0225	0	0.0225	0.66	1	1143.3	Si
SLU 35	-1.225	-422.45		1	0	0	0.0225	0	0.0225	0.66	1	1143.3	Si
SLU 35	1.2	-317.88		1	0	0	0.0225	0	0.0225	0.66	1	1143.3	Si
SLU 35	3.625	-202.77		1	0	0	0.0225	0	0.0225	0.66	1	1143.3	Si
SLU 32	-1.225	-420.63		1	0	0	0.0225	0	0.0225	0.66	1	1143.3	Si
SLU 32	1.2	-316.22		1	0	0	0.0225	0	0.0225	0.66	1	1143.3	Si
SLU 32	3.625	-202.2		1	0	0	0.0225	0	0.0225	0.66	1	1143.3	Si
SLU 27	-1.225	-417.22		1	0	0	0.0225	0	0.0225	0.66	1	1143.3	Si
SLU 27	1.2	-312.79		1	0	0	0.0225	0	0.0225	0.66	1	1143.3	Si
SLU 27	3.625	-198.93		1	0	0	0.0225	0	0.0225	0.66	1	1143.3	Si
SLU 25	-1.225	-416.46		1	0	0	0.0225	0	0.0225	0.66	1	1143.3	Si
SLU 25	1.2	-312.2		1	0	0	0.0225	0	0.0225	0.66	1	1143.3	Si
SLU 25	3.625	-199.33		1	0	0	0.0225	0	0.0225	0.66	1	1143.3	Si
SLU 24	-1.225	-415.39		1	0	0	0.0225	0	0.0225	0.66	1	1143.3	Si
SLU 24	1.2	-311.13		1	0	0	0.0225	0	0.0225	0.66	1	1143.3	Si
SLU 24	3.625	-198.35		1	0	0	0.0225	0	0.0225	0.66	1	1143.3	Si
SLU 31	-1.225	-414.85		1	0	0	0.0225	0	0.0225	0.66	1	1143.3	Si
SLU 31	1.2	-310.84		1	0	0	0.0225	0	0.0225	0.66	1	1143.3	Si
SLU 31	3.625	-199.53		1	0	0	0.0225	0	0.0225	0.66	1	1143.3	Si
SLU 30	-1.225	-413.77		1	0	0	0.0225	0	0.0225	0.66	1	1143.3	Si
SLU 30	1.2	-309.77		1	0	0	0.0225	0	0.0225	0.66	1	1143.3	Si
SLU 30	3.625	-198.56		1	0	0	0.0225	0	0.0225	0.66	1	1143.3	Si

Verifica a pressoflessione nel piano secondo D.M. 17-01-18 NTC §7.8.2.2.1 in combinazioni sismiche, $\gamma_M = 2$

Comb.	Quota	N	M	σ_0	Mu	c.s.	Verifica
SLV 1	-1.23	16.09	844.9861	0	0	0	No, Trazione
SLV 1	3.63	-1.1	206.5245	0	0	0	No, e>1/2
SLD 1	-1.23	-172.36	393.1925	0	0	0	No, e>1/2
SLD 1	3.63	-85.59	115.4297	47	187.2184	1.622	Si
SLD 3	-1.23	-202.08	316.6023	111	417.9497	1.32	Si
SLD 3	3.63	-100.27	91.4833	55	217.8243	2.381	Si
SLV 4	-1.23	-52.02	669.3288	0	0	0	No, e>1/2
SLV 4	3.63	-34.83	151.4549	0	0	0	No, e>1/2
SLV 2	-1.23	16.09	844.9861	0	0	0	No, Trazione
SLV 2	3.63	-1.1	206.5245	0	0	0	No, e>1/2
SLD 2	-1.23	-172.36	393.1925	0	0	0	No, e>1/2
SLD 2	3.63	-85.59	115.4297	47	187.2184	1.622	Si
SLV 5	-1.23	-114.01	552.1008	0	0	0	No, e>1/2
SLV 5	3.63	-54.63	177.1505	0	0	0	No, e>1/2
SLV 3	-1.23	-52.02	669.3288	0	0	0	No, e>1/2
SLV 3	3.63	-34.83	151.4549	0	0	0	No, e>1/2
SLV 6	-1.23	-114.01	552.1008	0	0	0	No, e>1/2
SLV 6	3.63	-54.63	177.1505	0	0	0	No, e>1/2
SLD 4	-1.23	-202.08	316.6023	111	417.9497	1.32	Si
SLD 4	3.63	-100.27	91.4833	55	217.8243	2.381	Si

Verifica a taglio nel piano secondo D.M. 17-01-18 (N.T.C.) §7.8.2.2.2 con rottura per scorrimento in combinazioni non sismiche, $\gamma_M = 3$

Comb.	Quota	N	V par	M	σ_0	σ_N	l'	fvd	Vt scorr.	Vt fess.diag.	Vt,lim	c.s.	Verifica
SLU 16	-1.23	-336.03	-5.36	69.6539	185	4.55	80	145.92			191.47	27.22	Si
SLU 16	3.63	-165.74	-5.22	69.3784	91	4.55	68	123.21			164	23.62	Si
SLU 36	-1.23	-426.27	-6	77.645	234	4.55	87	157.95			204.54	26.33	Si
SLU 36	3.63	-206.2	-5.82	75.5625	113	4.55	71	128.6			170.93	22.1	Si
SLU 17	-1.23	-332.96	-5.15	66.5507	183	4.55	80	145.51			191.01	28.25	Si

Comb.	Quota	N	V par	M	σ_0	σ_N	I'	fvd	Vt scorr.	Vt fess.diag.	Vt,lim	c.s.	Verifica
SLU 17	3.63	-161.91	-5.01	63.5252		89	4.55	67	122.7		163.33	24.5	Si
SLU 18	-1.23	-336.78	-5.49	71.2117		185	4.55	80	146.02		191.59	26.58	Si
SLU 18	3.63	-165.34	-5.35	68.9541		91	4.55	68	123.16		163.93	23.03	Si
SLU 32	-1.23	-420.63	-5.44	70.0022		231	4.55	86	157.19		203.75	28.9	Si
SLU 32	3.63	-202.2	-5.26	68.95		111	4.55	70	128.07		170.26	24.33	Si
SLU 15	-1.23	-334.96	-5.28	68.2297		184	4.55	80	145.77		191.31	27.62	Si
SLU 15	3.63	-164.77	-5.13	67.7705		91	4.55	68	123.08		163.83	23.98	Si
SLU 14	-1.23	-331.14	-4.93	63.5688		182	4.55	80	145.26		190.74	29.44	Si
SLU 14	3.63	-161.34	-4.79	62.3416		89	4.55	67	122.62		163.23	25.58	Si
SLU 35	-1.23	-422.45	-5.66	72.9841		232	4.55	87	157.44		204	27.84	Si
SLU 35	3.63	-202.77	-5.48	70.1336		111	4.55	70	128.15		170.35	23.39	Si
SLU 34	-1.23	-425.52	-5.87	76.0873		234	4.55	87	157.85		204.43	26.91	Si
SLU 34	3.63	-206.6	-5.69	75.9868		114	4.55	71	128.66		171	22.62	Si
SLU 33	-1.23	-424.45	-5.78	74.6631		233	4.55	87	157.7		204.28	27.27	Si
SLU 33	3.63	-205.63	-5.6	74.3789		113	4.55	71	128.53		170.83	22.93	Si

Verifica a taglio nel piano secondo D.M. 17-01-18 (N.T.C.) §7.8.2.2 con rottura per scorrimento in combinazioni sismiche, $\gamma_M = 2$

Comb.	Quota	N	V par	M	σ_0	σ_N	I'	fvd	Vt scorr.	Vt fess.diag.	Vt,lim	c.s.	Verifica
SLD 1	-1.23	-172.36	96.63	393.1925		0	0	83	0		232.29	0	No, Vu<V
SLD 1	3.63	-85.59	90.89	115.4297		77	2.779	99	109.75		215.63	1.21	Si
SLV 6	-1.23	-114.01	120.25	552.1008		0	0	83	0		221.23	0	No, Vu<V
SLV 6	3.63	-54.63	122.84	177.1505		0	0	83	0		209.37	0	No, Vu<V
SLV 1	-1.23	16.09	227.16	844.9861		0	0	83	0		194.3	0	No, Vu<V
SLV 1	3.63	-1.1	213.53	206.5245		0	0	83	0		198.06	0	No, Vu<V
SLV 5	-1.23	-114.01	120.25	552.1008		0	0	83	0		221.23	0	No, Vu<V
SLV 5	3.63	-54.63	122.84	177.1505		0	0	83	0		209.37	0	No, Vu<V
SLD 2	-1.23	-172.36	96.63	393.1925		0	0	83	0		232.29	0	No, Vu<V
SLD 2	3.63	-85.59	90.89	115.4297		77	2.779	99	109.75		215.63	1.21	Si
SLV 2	-1.23	16.09	227.16	844.9861		0	0	83	0		194.3	0	No, Vu<V
SLV 2	3.63	-1.1	213.53	206.5245		0	0	83	0		198.06	0	No, Vu<V
SLV 4	-1.23	-52.02	191.15	669.3288		0	0	83	0		208.83	0	No, Vu<V
SLV 4	3.63	-34.83	173.18	151.4549		0	0	83	0		205.26	0	No, Vu<V
SLV 16	-1.23	-650.77	-234.3	-753.0109		485	3.3537	163	217.99		308.4	0.93	No, Vu<V
SLV 16	3.63	-300.2	-220.41	-116.0359		165	4.55	116	211.71		254.86	0.96	No, Vu<V
SLV 3	-1.23	-52.02	191.15	669.3288		0	0	83	0		208.83	0	No, Vu<V
SLV 3	3.63	-34.83	173.18	151.4549		0	0	83	0		205.26	0	No, Vu<V
SLV 15	-1.23	-650.77	-234.3	-753.0109		485	3.3537	163	217.99		308.4	0.93	No, Vu<V
SLV 15	3.63	-300.2	-220.41	-116.0359		165	4.55	116	211.71		254.86	0.96	No, Vu<V

Verifica a pressoflessione fuori piano D.M. 17-01-18 (N.T.C.)

quota 1.2 W_a 0.0007 denominatore 8 $\gamma_M = 2$

Comb.	fd	Sa	σ_0	N	M	Mc	Coeff.s.	Verifica
SLV 2	1438	0.28	0	19.99	7.6933	0	0	No, Trazione
SLV 1	1438	0.28	0	19.99	7.6933	0	0	No, Trazione
SLV 4	1438	0.28	0	-33.38	7.6933	0	0	No, $e>t/2$
SLV 3	1438	0.28	0	-33.38	7.6933	0	0	No, $e>t/2$
SLV 5	1438	0.28	43	-79.06	7.6933	15.2502	1.98	Si
SLV 6	1438	0.28	43	-79.06	7.6933	15.2502	1.98	Si
SLV 9	1438	0.28	119	-217.33	7.6933	39.2188	5.1	Si
SLV 10	1438	0.28	119	-217.33	7.6933	39.2188	5.1	Si
SLV 7	1438	0.28	141	-256.96	7.6933	45.4532	5.91	Si
SLV 8	1438	0.28	141	-256.96	7.6933	45.4532	5.91	Si

Tabella dei coefficienti di sicurezza minimi

Stato limite	Coeff.s.	Comb.	Verifica
PF SLU	2.682	SLU 36	Si
V SLU	22.102	SLU 36	Si
PF SLV	0	SLV 2	No
V SLV	0	SLD 1	No
PPFF SLV	0	SLV 2	No

Maschio 68

Verifiche condotte secondo D.M. 17-01-18 (N.T.C.)

Dati geometrici

X ini.	Y ini.	X fin.	Y fin.	Quota i.	Quota.s	l	Sp.	h netta	h ini.	h fin.	a	a.s.,sx	a.s.,dx
7.3	16.44	2.85	16.44	L1	L3	4.45	0.25	4.5	4.85	4.85			

Caratteristiche del materiale

(circ.617 C8A.2) Muratura in mattoni pieni e malta di calce LC2

fb	fk	fvk0	fmedio	τ_0	fv0	μ	ϕ	fv,lim	E	G	FC
6000			3450	90	200	0.58	0.77	325	3200000	1280000	1.2

Verifica a pressoflessione per azioni non sismiche 4.5.6.2 D.M. 17-01-18 (N.T.C.) $\gamma_M = 3$

Comb.	Quota	N	M	p	es1	es2	ea	ev	e ver	ϕ_t	Φ	Nu	Verifica
SLU 36	-1.225	-314.97		1	0	0	0.0225	0	0.0225	0.4	1	422.88	Si
SLU 36	1.2	-244.95		1	0	0	0.0225	0	0.0225	0.4	1	422.88	Si
SLU 36	3.625	-162.94		1	0	0	0.0225	0	0.0225	0.4	1	422.88	Si
SLU 34	-1.225	-314.7		1	0	0	0.0225	0	0.0225	0.4	1	422.88	Si
SLU 34	1.2	-244.81		1	0	0	0.0225	0	0.0225	0.4	1	422.88	Si
SLU 34	3.625	-163.65		1	0	0	0.0225	0	0.0225	0.4	1	422.88	Si
SLU 33	-1.225	-312.95		1	0	0	0.0225	0	0.0225	0.4	1	422.88	Si
SLU 33	1.2	-243.19		1	0	0	0.0225	0	0.0225	0.4	1	422.88	Si
SLU 33	3.625	-162.3		1	0	0	0.0225	0	0.0225	0.4	1	422.88	Si
SLU 35	-1.225	-309.13		1	0	0	0.0225	0	0.0225	0.4	1	422.88	Si
SLU 35	1.2	-239.53		1	0	0	0.0225	0	0.0225	0.4	1	422.88	Si
SLU 35	3.625	-158.43		1	0	0	0.0225	0	0.0225	0.4	1	422.88	Si
SLU 32	-1.225	-307.11		1	0	0	0.0225	0	0.0225	0.4	1	422.88	Si
SLU 32	1.2	-237.76		1	0	0	0.0225	0	0.0225	0.4	1	422.88	Si
SLU 32	3.625	-157.79		1	0	0	0.0225	0	0.0225	0.4	1	422.88	Si
SLU 27	-1.225	-301.99		1	0	0	0.0225	0	0.0225	0.4	1	422.88	Si
SLU 27	1.2	-232.96		1	0	0	0.0225	0	0.0225	0.4	1	422.88	Si
SLU 27	3.625	-153.62		1	0	0	0.0225	0	0.0225	0.4	1	422.88	Si
SLU 25	-1.225	-301.72		1	0	0	0.0225	0	0.0225	0.4	1	422.88	Si

Comb.	Quota	N	M	p	es1	es2	ea	ev	e ver	φt	Φl	Nu	Verifica
SLU 25	1.2	-232.82		1	0	0	0.0225	0	0.0225	0.4	1	422.88	Si
SLU 25	3.625	-154.33		1	0	0	0.0225	0	0.0225	0.4	1	422.88	Si
SLU 31	-1.225	-300.46		1	0	0	0.0225	0	0.0225	0.4	1	422.88	Si
SLU 31	1.2	-231.82		1	0	0	0.0225	0	0.0225	0.4	1	422.88	Si
SLU 31	3.625	-154.79		1	0	0	0.0225	0	0.0225	0.4	1	422.88	Si
SLU 24	-1.225	-299.97		1	0	0	0.0225	0	0.0225	0.4	1	422.88	Si
SLU 24	1.2	-231.2		1	0	0	0.0225	0	0.0225	0.4	1	422.88	Si
SLU 24	3.625	-152.98		1	0	0	0.0225	0	0.0225	0.4	1	422.88	Si
SLU 30	-1.225	-298.7		1	0	0	0.0225	0	0.0225	0.4	1	422.88	Si
SLU 30	1.2	-230.19		1	0	0	0.0225	0	0.0225	0.4	1	422.88	Si
SLU 30	3.625	-153.44		1	0	0	0.0225	0	0.0225	0.4	1	422.88	Si

Verifica a pressoflessione nel piano secondo D.M. 17-01-18 NTC §7.8.2.2.1 in combinazioni sismiche, $\gamma_M = 2$

Comb.	Quota	N	M	σ0	Mu	c.s.	Verifica
SLV 2	-1.23	-409.13	426.9027	368	636.3328	1.491	Si
SLV 2	3.63	-195.71	107.4245	176	372.7585	3.47	Si
SLV 12	-1.23	-205.57	-230.7852	185	388.2179	1.682	Si
SLV 12	3.63	-107.25	-142.5866	96	219.8087	1.542	Si
SLV 13	-1.23	-24.2	-326.791	0	0	0	No, e>1/2
SLV 13	3.63	-23.85	-62.2661	0	0	0	No, e>1/2
SLV 11	-1.23	-205.57	-230.7852	185	388.2179	1.682	Si
SLV 11	3.63	-107.25	-142.5866	96	219.8087	1.542	Si
SLV 14	-1.23	-24.2	-326.791	0	0	0	No, e>1/2
SLV 14	3.63	-23.85	-62.2661	0	0	0	No, e>1/2
SLV 15	-1.23	-45.72	-404.2311	0	0	0	No, e>1/2
SLV 15	3.63	-34.59	-126.7486	0	0	0	No, e>1/2
SLV 1	-1.23	-409.13	426.9027	368	636.3328	1.491	Si
SLV 1	3.63	-195.71	107.4245	176	372.7585	3.47	Si
SLV 16	-1.23	-45.72	-404.2311	0	0	0	No, e>1/2
SLV 16	3.63	-34.59	-126.7486	0	0	0	No, e>1/2
SLD 15	-1.23	-148.09	-169.6142	133	293.6044	1.731	Si
SLD 15	3.63	-79.96	-60.6877	72	167.4476	2.759	Si
SLD 16	-1.23	-148.09	-169.6142	133	293.6044	1.731	Si
SLD 16	3.63	-79.96	-60.6877	72	167.4476	2.759	Si

Verifica a taglio nel piano secondo D.M. 17-01-18 (N.T.C.) §7.8.2.2.2 con rottura per scorrimento in combinazioni non sismiche, $\gamma_M = 3$

Comb.	Quota	N	V par	M	σ0	σN	I'	fvd	Vt scorr.	Vt fess.diag.	Vt,lim	c.s.	Verifica
SLU 18	-1.23	-254.75	17.53	15.1664		229	4.45	86	95.77		122.83	5.46	Si
SLU 18	3.63	-133.9	17.4	-16.8492		120	4.45	72	79.66		104.62	4.58	Si
SLU 35	-1.23	-309.13	17.88	16.269		278	4.45	93	103.02		130.2	5.76	Si
SLU 35	3.63	-158.43	17.72	-15.7668		142	4.45	75	82.93		108.56	4.68	Si
SLU 36	-1.23	-314.97	19.11	17.4308		283	4.45	93	103.8		130.96	5.43	Si
SLU 36	3.63	-162.94	18.95	-17.6303		146	4.45	75	83.53		109.27	4.41	Si
SLU 32	-1.23	-307.11	17.28	16.5139		276	4.45	92	102.75		129.93	5.94	Si
SLU 32	3.63	-157.79	17.13	-15.7321		142	4.45	74	82.84		108.46	4.84	Si
SLU 16	-1.23	-254.48	17.3	15.7471		229	4.45	86	95.74		122.79	5.53	Si
SLU 16	3.63	-134.62	17.18	-17.367		121	4.45	72	79.75		104.74	4.64	Si
SLU 14	-1.23	-246.89	15.7	14.2495		222	4.45	85	94.72		121.73	6.03	Si
SLU 14	3.63	-128.76	15.58	-14.9511		116	4.45	71	78.97		103.77	5.07	Si
SLU 33	-1.23	-312.95	18.52	17.6758		281	4.45	93	103.53		130.7	5.59	Si
SLU 33	3.63	-162.3	18.36	-17.5956		146	4.45	75	83.45		109.17	4.54	Si
SLU 34	-1.23	-314.7	18.89	18.0115		283	4.45	93	103.77		130.93	5.49	Si
SLU 34	3.63	-163.65	18.73	-18.1481		147	4.45	75	83.63		109.38	4.46	Si
SLU 15	-1.23	-252.73	16.93	15.4114		227	4.45	86	95.5		122.55	5.64	Si
SLU 15	3.63	-133.27	16.81	-16.8146		120	4.45	72	79.57		104.51	4.73	Si
SLU 17	-1.23	-248.91	16.29	14.0046		224	4.45	85	94.99		122.01	5.83	Si
SLU 17	3.63	-129.4	16.17	-14.9857		116	4.45	71	79.06		103.88	4.89	Si

Verifica a taglio nel piano secondo D.M. 17-01-18 (N.T.C.) §7.8.2.2.2 con rottura per scorrimento in combinazioni sismiche, $\gamma_M = 2$

Comb.	Quota	N	V par	M	σ0	σN	I'	fvd	Vt scorr.	Vt fess.diag.	Vt,lim	c.s.	Verifica
SLV 10	-1.23	-133.81	-55.71	27.3487		120	4.45	107	119.47		145.53	2.14	Si
SLV 10	3.63	-71.49	-61.65	72.3553		79	3.6385	99	90.1		134.07	1.46	Si
SLV 1	-1.23	-409.13	117.2	426.9027		462	3.5447	163	144		187.97	1.23	Si
SLV 1	3.63	-195.71	106.22	107.4245		176	4.45	119	131.85		156.08	1.24	Si
SLV 16	-1.23	-45.72	-94.55	-404.2311		0	0	83	0		129.04	0	No, Vu<V
SLV 16	3.63	-34.59	-83.79	-126.7486		0	0	83	0		126.8	0	No, Vu<V
SLV 2	-1.23	-409.13	117.2	426.9027		462	3.5447	163	144		187.97	1.23	Si
SLV 2	3.63	-195.71	106.22	107.4245		176	4.45	119	131.85		156.08	1.24	Si
SLV 13	-1.23	-24.2	-113.97	-326.791		0	0	83	0		124.67	0	No, Vu<V
SLV 13	3.63	-23.85	-108.2	-62.2661		0	0	83	0		124.6	0	No, Vu<V
SLV 3	-1.23	-430.66	136.62	349.4626		406	4.2406	163	172.28		190.9	1.26	Si
SLV 3	3.63	-206.44	130.64	42.9419		186	4.45	120	134		157.84	1.03	Si
SLV 9	-1.23	-133.81	-55.71	27.3487		120	4.45	107	119.47		145.53	2.14	Si
SLV 9	3.63	-71.49	-61.65	72.3553		79	3.6385	99	90.1		134.07	1.46	Si
SLV 14	-1.23	-24.2	-113.97	-326.791		0	0	83	0		124.67	0	No, Vu<V
SLV 14	3.63	-23.85	-108.2	-62.2661		0	0	83	0		124.6	0	No, Vu<V
SLV 15	-1.23	-45.72	-94.55	-404.2311		0	0	83	0		129.04	0	No, Vu<V
SLV 15	3.63	-34.59	-83.79	-126.7486		0	0	83	0		126.8	0	No, Vu<V
SLV 4	-1.23	-430.66	136.62	349.4626		406	4.2406	163	172.28		190.9	1.26	Si
SLV 4	3.63	-206.44	130.64	42.9419		186	4.45	120	134		157.84	1.03	Si

Verifica a pressoflessione fuori piano D.M. 17-01-18 (N.T.C.)

quota 1.2 Wa 0.0005 denominatore 8 $\gamma_M = 2$

Comb.	fd	Sa	σ0	N	M	Mc	Coeff.s.	Verifica
SLV 13	1438	0.28	0	-11.42	4.7026	0	0	No, e>t/2
SLV 16	1438	0.28	0	-34.39	4.7026	0	0	No, e>t/2
SLV 14	1438	0.28	0	-11.42	4.7026	0	0	No, e>t/2
SLV 15	1438	0.28	0	-34.39	4.7026	0	0	No, e>t/2
SLV 9	1438	0.28	82	-90.92	4.7026	10.6053	2.26	Si
SLV 10	1438	0.28	82	-90.92	4.7026	10.6053	2.26	Si
SLV 12	1438	0.28	151	-167.49	4.7026	18.3565	3.9	Si
SLV 11	1438	0.28	151	-167.49	4.7026	18.3565	3.9	Si
SLV 6	1438	0.28	164	-182.04	4.7026	19.7075	4.19	Si
SLV 5	1438	0.28	164	-182.04	4.7026	19.7075	4.19	Si

Tabella dei coefficienti di sicurezza minimi

Stato limite	Coeff.s.	Comb.	Verifica
PF SLU	1.343	SLU 36	Si
V SLU	4.407	SLU 36	Si
PF SLV	0	SLV 13	No
V SLV	0	SLV 13	No
PFFP SLV	0	SLV 13	No

Maschio 69

Verifiche condotte secondo D.M. 17-01-18 (N.T.C.)

Dati geometrici

X ini.	Y ini.	X fin.	Y fin.	Quota i.	Quota.s	l	Sp.	h netta	h ini.	h fin.	a	a.s.,sx	a.s.,dx
7.3	20.34	2.85	20.34	L1	L3	4.45	0.25	4.5	4.85	4.85			

Caratteristiche del materiale

(circ.617 C8A.2) Muratura in mattoni pieni e malta di calce LC2

fb	fk	fvk0	fmedio	r0	fv0	μ	φ	fv,lim	E	G	FC
6000			3450	90	200	0.58	0.77	325	3200000	1280000	1.2

Verifica a pressoflessione per azioni non sismiche 4.5.6.2 D.M. 17-01-18 (N.T.C.) $\gamma_M = 3$

Comb.	Quota	N	M	p	es1	es2	ea	ev	e ver	φt	ΦI	Nu	Verifica
SLU 36	-1.225	-303.17		1	0	0	0.0225	0	0.0225	0.4	1	422.88	Si
SLU 36	1.2	-235.42		1	0	0	0.0225	0	0.0225	0.4	1	422.88	Si
SLU 36	3.625	-155.72		1	0	0	0.0225	0	0.0225	0.4	1	422.88	Si
SLU 34	-1.225	-302.08		1	0	0	0.0225	0	0.0225	0.4	1	422.88	Si
SLU 34	1.2	-234.61		1	0	0	0.0225	0	0.0225	0.4	1	422.88	Si
SLU 34	3.625	-155.86		1	0	0	0.0225	0	0.0225	0.4	1	422.88	Si
SLU 33	-1.225	-300.99		1	0	0	0.0225	0	0.0225	0.4	1	422.88	Si
SLU 33	1.2	-233.63		1	0	0	0.0225	0	0.0225	0.4	1	422.88	Si
SLU 33	3.625	-155.09		1	0	0	0.0225	0	0.0225	0.4	1	422.88	Si
SLU 35	-1.225	-298.26		1	0	0	0.0225	0	0.0225	0.4	1	422.88	Si
SLU 35	1.2	-230.81		1	0	0	0.0225	0	0.0225	0.4	1	422.88	Si
SLU 35	3.625	-151.93		1	0	0	0.0225	0	0.0225	0.4	1	422.88	Si
SLU 32	-1.225	-296.08		1	0	0	0.0225	0	0.0225	0.4	1	422.88	Si
SLU 32	1.2	-229.01		1	0	0	0.0225	0	0.0225	0.4	1	422.88	Si
SLU 32	3.625	-151.3		1	0	0	0.0225	0	0.0225	0.4	1	422.88	Si
SLU 27	-1.225	-291.03		1	0	0	0.0225	0	0.0225	0.4	1	422.88	Si
SLU 27	1.2	-224.14		1	0	0	0.0225	0	0.0225	0.4	1	422.88	Si
SLU 27	3.625	-147.02		1	0	0	0.0225	0	0.0225	0.4	1	422.88	Si
SLU 25	-1.225	-289.94		1	0	0	0.0225	0	0.0225	0.4	1	422.88	Si
SLU 25	1.2	-223.34		1	0	0	0.0225	0	0.0225	0.4	1	422.88	Si
SLU 25	3.625	-147.16		1	0	0	0.0225	0	0.0225	0.4	1	422.88	Si
SLU 24	-1.225	-288.86		1	0	0	0.0225	0	0.0225	0.4	1	422.88	Si
SLU 24	1.2	-222.35		1	0	0	0.0225	0	0.0225	0.4	1	422.88	Si
SLU 24	3.625	-146.39		1	0	0	0.0225	0	0.0225	0.4	1	422.88	Si
SLU 31	-1.225	-288.08		1	0	0	0.0225	0	0.0225	0.4	1	422.88	Si
SLU 31	1.2	-221.96		1	0	0	0.0225	0	0.0225	0.4	1	422.88	Si
SLU 31	3.625	-147.34		1	0	0	0.0225	0	0.0225	0.4	1	422.88	Si
SLU 30	-1.225	-287		1	0	0	0.0225	0	0.0225	0.4	1	422.88	Si
SLU 30	1.2	-220.98		1	0	0	0.0225	0	0.0225	0.4	1	422.88	Si
SLU 30	3.625	-146.57		1	0	0	0.0225	0	0.0225	0.4	1	422.88	Si

Verifica a pressoflessione nel piano secondo D.M. 17-01-18 NTC §7.8.2.2.1 in combinazioni sismiche, $\gamma_M = 2$

Comb.	Quota	N	M	σ0	Mu	c.s.	Verifica
SLV 14	-1.23	12.12	-313.8898	0	0	0	No, Trazione
SLV 14	3.63	5.36	-66.3855	0	0	0	No, Trazione
SLV 15	-1.23	-20.62	-373.4576	0	0	0	No, e>1/2
SLV 15	3.63	-24.41	-110.6082	0	0	0	No, e>1/2
SLV 13	-1.23	12.12	-313.8898	0	0	0	No, Trazione
SLV 13	3.63	5.36	-66.3855	0	0	0	No, Trazione
SLD 16	-1.23	-132.65	-154.1213	119	266.3427	1.728	Si
SLD 16	3.63	-72.92	-49.5449	66	153.5374	3.099	Si
SLV 10	-1.23	-100.27	6.74	90	206.6482	30.66	Si
SLV 10	3.63	-30.56	45.5111	27	66.4755	1.461	Si
SLV 9	-1.23	-100.27	6.74	90	206.6482	30.66	Si
SLV 9	3.63	-30.56	45.5111	27	66.4755	1.461	Si
SLV 1	-1.23	-418.14	403.6361	376	644.175	1.596	Si
SLV 1	3.63	-196.52	105.9102	177	374.0364	3.532	Si
SLV 2	-1.23	-418.14	403.6361	376	644.175	1.596	Si
SLV 2	3.63	-196.52	105.9102	177	374.0364	3.532	Si
SLV 16	-1.23	-20.62	-373.4576	0	0	0	No, e>1/2
SLV 16	3.63	-24.41	-110.6082	0	0	0	No, e>1/2
SLD 15	-1.23	-132.65	-154.1213	119	266.3427	1.728	Si
SLD 15	3.63	-72.92	-49.5449	66	153.5374	3.099	Si

Verifica a taglio nel piano secondo D.M. 17-01-18 (N.T.C.) §7.8.2.2.2 con rottura per scorrimento in combinazioni non sismiche, $\gamma_M = 3$

Comb.	Quota	N	V par	M	σ0	σN	I'	fvd	Vt scorr.	Vt fess.diag.	Vt,lim	c.s.	Verifica
SLU 17	-1.23	-240.04	16.98	18.0172	216	4.45	84	93.81			120.76	5.52	Si
SLU 17	3.63	-123.99	12.04	-5.7884	111	4.45	70	78.34			102.98	6.5	Si
SLU 14	-1.23	-237.87	16.41	18.3289	214	4.45	84	93.52			120.45	5.7	Si
SLU 14	3.63	-123.35	11.24	-5.7782	111	4.45	70	78.25			102.88	6.96	Si
SLU 36	-1.23	-303.17	20.14	22.6793	273	4.45	92	102.23			129.41	5.07	Si
SLU 36	3.63	-155.72	13.48	-6.2023	140	4.45	74	82.57			108.13	6.13	Si
SLU 32	-1.23	-296.08	18.53	21.5906	266	4.45	91	101.28			128.47	5.47	Si
SLU 32	3.63	-151.3	11.69	-5.1213	136	4.45	74	81.98			107.43	7.01	Si
SLU 33	-1.23	-300.99	19.57	22.991	272	4.45	92	101.94			129.12	5.21	Si
SLU 33	3.63	-155.09	12.67	-6.1921	139	4.45	74	82.48			108.03	6.51	Si
SLU 35	-1.23	-298.26	19.1	21.2789	268	4.45	91	101.57			128.76	5.32	Si
SLU 35	3.63	-151.93	12.49	-5.1315	137	4.45	74	82.06			107.53	6.57	Si
SLU 16	-1.23	-243.86	17.73	20.2034	219	4.45	85	94.32			121.3	5.32	Si
SLU 16	3.63	-127.92	12.51	-7.0524	115	4.45	71	78.86			103.63	6.3	Si
SLU 18	-1.23	-244.95	18.03	19.4176	220	4.45	85	94.47			121.45	5.24	Si

Comb.	Quota	N	V par	M	σ_0	σ_N	I'	fvd	Vt scorr.	Vt fess.diag.	Vt.lim	c.s.	Verifica
SLU 18	3.63	-127.78	13.03	-6.8592		115	4.45	71	78.84		103.61	6.05	Si
SLU 34	-1.23	-302.08	19.85	23.4651		272	4.45	92	102.08		129.26	5.14	Si
SLU 34	3.63	-155.86	12.96	-6.3955		140	4.45	74	82.59		108.16	6.37	Si
SLU 15	-1.23	-242.78	17.45	19.7293		218	4.45	85	94.18		121.15	5.4	Si
SLU 15	3.63	-127.14	12.23	-6.849		114	4.45	71	78.76		103.51	6.44	Si

Verifica a taglio nel piano secondo D.M. 17-01-18 (N.T.C.) §7.8.2.2.2 con rottura per scorrimento in combinazioni sismiche, $\gamma_M = 2$

Comb.	Quota	N	V par	M	σ_0	σ_N	I'	fvd	Vt scorr.	Vt fess.diag.	Vt.lim	c.s.	Verifica
SLV 14	-1.23	12.12	-108.75	-313.8898		0	0	83	0		116.95	0	No, Vu<V
SLV 14	3.63	5.36	-116.22	-66.3855		0	0	83	0		118.42	0	No, Vu<V
SLV 4	-1.23	-450.88	133.72	344.0682		411	4.3857	163	178.17		193.6	1.33	Si
SLV 4	3.63	-226.29	130.58	61.6875		203	4.45	124	137.97		161.04	1.06	Si
SLV 15	-1.23	-20.62	-88.82	-373.4576		0	0	83	0		123.93	0	No, Vu<V
SLV 15	3.63	-24.41	-90.61	-110.6082		0	0	83	0		124.72	0	No, Vu<V
SLV 13	-1.23	12.12	-108.75	-313.8898		0	0	83	0		116.95	0	No, Vu<V
SLV 13	3.63	5.36	-116.22	-66.3855		0	0	83	0		118.42	0	No, Vu<V
SLV 2	-1.23	-418.14	113.79	403.6361		443	3.779	163	153.52		189.2	1.35	Si
SLV 2	3.63	-196.52	104.97	105.9102		177	4.45	119	132.01		156.21	1.26	Si
SLV 9	-1.23	-100.27	-54.11	6.74		90	4.45	101	112.76		139.48	2.08	Si
SLV 9	3.63	-30.56	-68.68	45.5111		55	2.2078	94	52.11		125.98	0.76	No, Vu<V
SLV 1	-1.23	-418.14	113.79	403.6361		443	3.779	163	153.52		189.2	1.35	Si
SLV 1	3.63	-196.52	104.97	105.9102		177	4.45	119	132.01		156.21	1.26	Si
SLV 3	-1.23	-450.88	133.72	344.0682		411	4.3857	163	178.17		193.6	1.33	Si
SLV 3	3.63	-226.29	130.58	61.6875		203	4.45	124	137.97		161.04	1.06	Si
SLV 16	-1.23	-20.62	-88.82	-373.4576		0	0	83	0		123.93	0	No, Vu<V
SLV 16	3.63	-24.41	-90.61	-110.6082		0	0	83	0		124.72	0	No, Vu<V
SLV 10	-1.23	-100.27	-54.11	6.74		90	4.45	101	112.76		139.48	2.08	Si
SLV 10	3.63	-30.56	-68.68	45.5111		55	2.2078	94	52.11		125.98	0.76	No, Vu<V

Verifica a pressoflessione fuori piano D.M. 17-01-18 (N.T.C.)

quota 1.2 W_a 0.0005 denominatore $\gamma_M = 2$

Comb.	fd	Sa	σ_0	N	M	Mc	Coeff.s.	Verifica
SLV 16	1438	0.28	0	-16.67	4.7026	0	0	No, $e>t/2$
SLV 14	1438	0.28	0	19.1	4.7026	0	0	No, Trazione
SLV 15	1438	0.28	0	-16.67	4.7026	0	0	No, $e>t/2$
SLV 13	1438	0.28	0	19.1	4.7026	0	0	No, Trazione
SLV 9	1438	0.28	52	-57.89	4.7026	6.9281	1.47	Si
SLV 10	1438	0.28	52	-57.89	4.7026	6.9281	1.47	Si
SLV 6	1438	0.28	144	-159.66	4.7026	17.6131	3.75	Si
SLV 5	1438	0.28	144	-159.66	4.7026	17.6131	3.75	Si
SLV 12	1438	0.28	159	-177.13	4.7026	19.2564	4.09	Si
SLV 11	1438	0.28	159	-177.13	4.7026	19.2564	4.09	Si

Tabella dei coefficienti di sicurezza minimi

Stato limite	Coeff.s.	Comb.	Verifica
PF SLU	1.395	SLU 36	Si
V SLU	5.075	SLU 36	Si
PF SLV	0	SLV 14	No
V SLV	0	SLV 13	No
PPFP SLV	0	SLV 14	No

Maschio 70

Verifiche condotte secondo D.M. 17-01-18 (N.T.C.)

Dati geometrici

X ini.	Y ini.	X fin.	Y fin.	Quota i.	Quota.s	l	Sp.	h netta	h ini.	h fin.	a	a.s.,sx	a.s.,dx
4.45	9.275	7.3	9.275	L1	L3	2.85	0.5	4.5	4.85	4.85			

Caratteristiche del materiale

(circ.617 C8A.2) Muratura in mattoni pieni e malta di calce LC2

fb	fk	fvk0	fmedio	τ_0	fv0	μ	ϕ	fv,lim	E	G	FC
6000			3450	90	200	0.58	0.77	325	3200000	1280000	1.2

Verifica a pressoflessione per azioni non sismiche 4.5.6.2 D.M. 17-01-18 (N.T.C.) $\gamma_M = 3$

Comb.	Quota	N	M	p	es1	es2	ea	ev	e ver	Φ_t	Φ_l	Nu	Verifica
SLU 36	-1.225	-359.57		1	0	0	0.0225	0	0.0225	0.75	1	1018.65	Si
SLU 36	1.2	-266.36		1	0	0	0.0225	0	0.0225	0.75	1	1018.65	Si
SLU 36	3.625	-174.55		1	0	0	0.0225	0	0.0225	0.75	1	1018.65	Si
SLU 34	-1.225	-358.25		1	0	0	0.0225	0	0.0225	0.75	1	1018.65	Si
SLU 34	1.2	-266.02		1	0	0	0.0225	0	0.0225	0.75	1	1018.65	Si
SLU 34	3.625	-175.62		1	0	0	0.0225	0	0.0225	0.75	1	1018.65	Si
SLU 33	-1.225	-357.14		1	0	0	0.0225	0	0.0225	0.75	1	1018.65	Si
SLU 33	1.2	-264.91		1	0	0	0.0225	0	0.0225	0.75	1	1018.65	Si
SLU 33	3.625	-174.54		1	0	0	0.0225	0	0.0225	0.75	1	1018.65	Si
SLU 35	-1.225	-355.47		1	0	0	0.0225	0	0.0225	0.75	1	1018.65	Si
SLU 35	1.2	-262.32		1	0	0	0.0225	0	0.0225	0.75	1	1018.65	Si
SLU 35	3.625	-170.69		1	0	0	0.0225	0	0.0225	0.75	1	1018.65	Si
SLU 32	-1.225	-353.03		1	0	0	0.0225	0	0.0225	0.75	1	1018.65	Si
SLU 32	1.2	-260.87		1	0	0	0.0225	0	0.0225	0.75	1	1018.65	Si
SLU 32	3.625	-170.68		1	0	0	0.0225	0	0.0225	0.75	1	1018.65	Si
SLU 27	-1.225	-349.39		1	0	0	0.0225	0	0.0225	0.75	1	1018.65	Si
SLU 27	1.2	-257.1		1	0	0	0.0225	0	0.0225	0.75	1	1018.65	Si
SLU 27	3.625	-166.81		1	0	0	0.0225	0	0.0225	0.75	1	1018.65	Si
SLU 25	-1.225	-348.06		1	0	0	0.0225	0	0.0225	0.75	1	1018.65	Si
SLU 25	1.2	-256.77		1	0	0	0.0225	0	0.0225	0.75	1	1018.65	Si
SLU 25	3.625	-167.88		1	0	0	0.0225	0	0.0225	0.75	1	1018.65	Si
SLU 24	-1.225	-346.95		1	0	0	0.0225	0	0.0225	0.75	1	1018.65	Si
SLU 24	1.2	-255.66		1	0	0	0.0225	0	0.0225	0.75	1	1018.65	Si
SLU 24	3.625	-166.8		1	0	0	0.0225	0	0.0225	0.75	1	1018.65	Si
SLU 31	-1.225	-345.57		1	0	0	0.0225	0	0.0225	0.75	1	1018.65	Si
SLU 31	1.2	-255.81		1	0	0	0.0225	0	0.0225	0.75	1	1018.65	Si
SLU 31	3.625	-169.09		1	0	0	0.0225	0	0.0225	0.75	1	1018.65	Si
SLU 26	-1.225	-345.28		1	0	0	0.0225	0	0.0225	0.75	1	1018.65	Si
SLU 26	1.2	-253.06		1	0	0	0.0225	0	0.0225	0.75	1	1018.65	Si

Comb.	Quota	N	M	p	es1	es2	ea	ev	e ver	φt	Φl	Nu	Verifica
SLV 26	3.625	-162.95			1	0	0.0225	0	0.0225	0.75	1	1018.65	Si

Verifica a pressoflessione nel piano secondo D.M. 17-01-18 NTC §7.8.2.2.1 in combinazioni sismiche, $\gamma_M = 2$

Comb.	Quota	N	M	σ_0	Mu	c.s.	Verifica
SLV 4	-1.23	-353.69	-271.3343	248	401.6275	1.48	Si
SLV 4	3.63	-175.17	-35.8409	123	224.5103	6.264	Si
SLV 15	-1.23	-75.55	292.4282	0	0	0	No, e>1/2
SLV 15	3.63	-41.39	65.4342	0	0	0	No, e>1/2
SLV 14	-1.23	-175.33	260.603	0	0	0	No, e>1/2
SLV 14	3.63	-77.14	34.7471	54	105.058	3.024	Si
SLV 1	-1.23	-453.47	-303.1594	318	477.9015	1.576	Si
SLV 1	3.63	-210.93	-66.5279	148	264.1618	3.971	Si
SLV 12	-1.23	-56.49	132.2407	0	0	0	No, e>1/2
SLV 12	3.63	-46.5	65.7894	33	64.4941	0.98	No, M>Mu
SLV 13	-1.23	-175.33	260.603	0	0	0	No, e>1/2
SLV 13	3.63	-77.14	34.7471	54	105.058	3.024	Si
SLV 3	-1.23	-353.69	-271.3343	248	401.6275	1.48	Si
SLV 3	3.63	-175.17	-35.8409	123	224.5103	6.264	Si
SLV 16	-1.23	-75.55	292.4282	0	0	0	No, e>1/2
SLV 16	3.63	-41.39	65.4342	0	0	0	No, e>1/2
SLV 2	-1.23	-453.47	-303.1594	318	477.9015	1.576	Si
SLV 2	3.63	-210.93	-66.5279	148	264.1618	3.971	Si
SLV 11	-1.23	-56.49	132.2407	0	0	0	No, e>1/2
SLV 11	3.63	-46.5	65.7894	33	64.4941	0.98	No, M>Mu

Verifica a taglio nel piano secondo D.M. 17-01-18 (N.T.C.) §7.8.2.2.2 con rottura per scorrimento in combinazioni non sismiche, $\gamma_M = 2$

Comb.	Quota	N	V par	M	σ_0	σ_N	I'	fvd	Vt scorr.	Vt fess.diag.	Vt,lim	c.s.	Verifica
SLU 18	-1.23	-286.76	-7.73	-7.4209		201	2.85	82	117.4		102.28	15.18	Si
SLU 18	3.63	-141.14	-7.69	-0.2564		99	2.85	69	97.99		86.92	12.75	Si
SLU 15	-1.23	-284.32	-7.15	-7.6019		200	2.85	82	117.08		102.04	16.38	Si
SLU 15	3.63	-141.13	-7.1	0.174		99	2.85	69	97.98		86.92	13.8	Si
SLU 27	-1.23	-349.39	-7.46	-7.2255		245	2.85	88	125.75		108.22	16.86	Si
SLU 27	3.63	-166.81	-7.4	-0.8773		117	2.85	71	101.41		89.82	13.7	Si
SLU 35	-1.23	-355.47	-8.22	-7.8003		249	2.85	89	126.56		108.77	15.39	Si
SLU 35	3.63	-170.69	-8.17	-0.8992		120	2.85	72	101.93		90.25	12.48	Si
SLU 33	-1.23	-357.14	-7.91	-8.5846		251	2.85	89	126.78		108.93	16.02	Si
SLU 33	3.63	-174.54	-7.86	-0.0756		122	2.85	72	102.44		90.67	13.04	Si
SLU 36	-1.23	-359.57	-8.5	-8.4036		252	2.85	89	127.11		109.15	14.95	Si
SLU 36	3.63	-174.55	-8.44	-0.506		122	2.85	72	102.44		90.68	12.13	Si
SLU 32	-1.23	-353.03	-7.64	-7.9813		248	2.85	89	126.24		108.55	16.53	Si
SLU 32	3.63	-170.68	-7.58	-0.4688		120	2.85	72	101.92		90.25	13.45	Si
SLU 17	-1.23	-282.65	-7.45	-6.8177		198	2.85	82	116.85		101.88	15.68	Si
SLU 17	3.63	-137.28	-7.41	-0.6495		96	2.85	68	97.47		86.48	13.16	Si
SLU 34	-1.23	-358.25	-7.98	-8.7016		251	2.85	89	126.93		109.03	15.91	Si
SLU 34	3.63	-175.62	-7.92	0.0711		123	2.85	72	102.58		90.79	12.95	Si
SLU 16	-1.23	-285.43	-7.21	-7.7189		200	2.85	82	117.22		102.15	16.26	Si
SLU 16	3.63	-142.2	-7.16	0.3207		100	2.85	69	98.13		87.04	13.7	Si

Verifica a taglio nel piano secondo D.M. 17-01-18 (N.T.C.) §7.8.2.2.2 con rottura per scorrimento in combinazioni sismiche, $\gamma_M = 2$

Comb.	Quota	N	V par	M	σ_0	σ_N	I'	fvd	Vt scorr.	Vt fess.diag.	Vt,lim	c.s.	Verifica
SLV 1	-1.23	-453.47	-96.08	-303.1594		400	2.2694	163	184.39		155.68	1.92	Si
SLV 1	3.63	-210.93	-87.98	-66.5279		148	2.85	113	160.94		130.29	1.83	Si
SLV 2	-1.23	-453.47	-96.08	-303.1594		400	2.2694	163	184.39		155.68	1.92	Si
SLV 2	3.63	-210.93	-87.98	-66.5279		148	2.85	113	160.94		130.29	1.83	Si
SLV 15	-1.23	-75.55	85.85	292.4282		0	0	83	0		113.68	0	No, Vu<V
SLV 15	3.63	-41.39	77.84	65.4342		0	0	83	0		109.09	0	No, Vu<V
SLV 14	-1.23	-175.33	71.08	260.603		0	0	83	0		126.14	0	No, Vu<V
SLV 14	3.63	-77.14	56.82	34.7471		54	2.85	94	134.18		113.89	2.36	Si
SLV 12	-1.23	-56.49	44.59	132.2407		0	0	83	0		111.15	0	No, Vu<V
SLV 12	3.63	-46.5	51.69	65.7894		3039	0.0306	163	2.49		109.79	0.05	No, Vu<V
SLV 16	-1.23	-75.55	85.85	292.4282		0	0	83	0		113.68	0	No, Vu<V
SLV 16	3.63	-41.39	77.84	65.4342		0	0	83	0		109.09	0	No, Vu<V
SLV 13	-1.23	-175.33	71.08	260.603		0	0	83	0		126.14	0	No, Vu<V
SLV 13	3.63	-77.14	56.82	34.7471		54	2.85	94	134.18		113.89	2.36	Si
SLV 11	-1.23	-56.49	44.59	132.2407		0	0	83	0		111.15	0	No, Vu<V
SLV 11	3.63	-46.5	51.69	65.7894		3039	0.0306	163	2.49		109.79	0.05	No, Vu<V
SLV 4	-1.23	-353.69	-81.3	-271.3343		358	1.9735	155	152.97		145.77	1.88	Si
SLV 4	3.63	-175.17	-66.96	-35.8409		123	2.85	108	153.78		126.12	2.3	Si
SLV 3	-1.23	-353.69	-81.3	-271.3343		358	1.9735	155	152.97		145.77	1.88	Si
SLV 3	3.63	-175.17	-66.96	-35.8409		123	2.85	108	153.78		126.12	2.3	Si

Verifica a pressoflessione fuori piano D.M. 17-01-18 (N.T.C.)

quota 1.2 Wa 0.0009 denominatore 8 $\gamma_M = 2$

Comb.	fd	Sa	σ_0	N	M	Mc	Coeff.s.	Verifica
SLV 15	1438	0.28	41	-58.38	6.0236	14.1061	2.34	Si
SLV 16	1438	0.28	41	-58.38	6.0236	14.1061	2.34	Si
SLV 11	1438	0.28	44	-63.39	6.0236	15.2702	2.54	Si
SLV 12	1438	0.28	44	-63.39	6.0236	15.2702	2.54	Si
SLV 14	1438	0.28	83	-117.84	6.0236	27.4664	4.56	Si
SLV 13	1438	0.28	83	-117.84	6.0236	27.4664	4.56	Si
SLV 7	1438	0.28	89	-127.14	6.0236	29.4637	4.89	Si
SLV 8	1438	0.28	89	-127.14	6.0236	29.4637	4.89	Si
SLV 10	1438	0.28	184	-261.58	6.0236	55.5714	9.23	Si
SLV 9	1438	0.28	184	-261.58	6.0236	55.5714	9.23	Si

Tabella dei coefficienti di sicurezza minimi

Stato limite	Coeff.s.	Comb.	Verifica
PF SLV	2.833	SLV 36	Si
V SLV	12.135	SLV 36	Si
PF SLV	0	SLV 11	No
V SLV	0	SLV 11	No
PPFP SLV	2.342	SLV 15	Si

Maschio 71

Verifiche condotte secondo D.M. 17-01-18 (N.T.C.)

Dati geometrici

X ini.	Y ini.	X fin.	Y fin.	Quota i.	Quota.s	l	Sp.	h netta	h ini.	h fin.	a	a.s.,sx	a.s.,dx
7.3	53.065	4.85	53.065	L1	L3	2.45	0.5	4.5	4.85	4.85			

Caratteristiche del materiale

(circ.617 C8A.2) Muratura in mattoni pieni e malta di calce LC2

fb	fk	fvk0	fmedio	r0	fv0	μ	φ	fv,lim	E	G	FC
6000			3450	90	200	0.58	0.77	325	3200000	1280000	1.2

Verifica a pressoflessione per azioni non sismiche 4.5.6.2 D.M. 17-01-18 (N.T.C.) γM = 3

Comb.	Quota	N	M	p	es1	es2	ea	ev	e ver	Φt	Φl	Nu	Verifica
SLU 36	-1.225	-318.19		1	0	0	0.0225	0	0.0225	0.75	1	875.68	Si
SLU 36	1.2	-230.84		1	0	0	0.0225	0	0.0225	0.75	1	875.68	Si
SLU 36	3.625	-155.98		1	0	0	0.0225	0	0.0225	0.75	1	875.68	Si
SLU 34	-1.225	-317.97		1	0	0	0.0225	0	0.0225	0.75	1	875.68	Si
SLU 34	1.2	-230.99		1	0	0	0.0225	0	0.0225	0.75	1	875.68	Si
SLU 34	3.625	-157		1	0	0	0.0225	0	0.0225	0.75	1	875.68	Si
SLU 33	-1.225	-316.26		1	0	0	0.0225	0	0.0225	0.75	1	875.68	Si
SLU 33	1.2	-229.52		1	0	0	0.0225	0	0.0225	0.75	1	875.68	Si
SLU 33	3.625	-155.72		1	0	0	0.0225	0	0.0225	0.75	1	875.68	Si
SLU 35	-1.225	-312.66		1	0	0	0.0225	0	0.0225	0.75	1	875.68	Si
SLU 35	1.2	-226.06		1	0	0	0.0225	0	0.0225	0.75	1	875.68	Si
SLU 35	3.625	-151.76		1	0	0	0.0225	0	0.0225	0.75	1	875.68	Si
SLU 32	-1.225	-310.73		1	0	0	0.0225	0	0.0225	0.75	1	875.68	Si
SLU 32	1.2	-224.74		1	0	0	0.0225	0	0.0225	0.75	1	875.68	Si
SLU 32	3.625	-151.5		1	0	0	0.0225	0	0.0225	0.75	1	875.68	Si
SLU 27	-1.225	-305.99		1	0	0	0.0225	0	0.0225	0.75	1	875.68	Si
SLU 27	1.2	-220.55		1	0	0	0.0225	0	0.0225	0.75	1	875.68	Si
SLU 27	3.625	-147.57		1	0	0	0.0225	0	0.0225	0.75	1	875.68	Si
SLU 25	-1.225	-305.77		1	0	0	0.0225	0	0.0225	0.75	1	875.68	Si
SLU 25	1.2	-220.71		1	0	0	0.0225	0	0.0225	0.75	1	875.68	Si
SLU 25	3.625	-148.59		1	0	0	0.0225	0	0.0225	0.75	1	875.68	Si
SLU 31	-1.225	-304.55		1	0	0	0.0225	0	0.0225	0.75	1	875.68	Si
SLU 31	1.2	-220.21		1	0	0	0.0225	0	0.0225	0.75	1	875.68	Si
SLU 31	3.625	-149.55		1	0	0	0.0225	0	0.0225	0.75	1	875.68	Si
SLU 24	-1.225	-304.06		1	0	0	0.0225	0	0.0225	0.75	1	875.68	Si
SLU 24	1.2	-219.24		1	0	0	0.0225	0	0.0225	0.75	1	875.68	Si
SLU 24	3.625	-147.31		1	0	0	0.0225	0	0.0225	0.75	1	875.68	Si
SLU 30	-1.225	-302.84		1	0	0	0.0225	0	0.0225	0.75	1	875.68	Si
SLU 30	1.2	-218.74		1	0	0	0.0225	0	0.0225	0.75	1	875.68	Si
SLU 30	3.625	-148.27		1	0	0	0.0225	0	0.0225	0.75	1	875.68	Si

Verifica a pressoflessione nel piano secondo D.M. 17-01-18 NTC §7.8.2.2.1 in combinazioni sismiche, γM = 2

Comb.	Quota	N	M	σ0	Mu	c.s.	Verifica
SLV 2	-1.23	-305.92	229.1329	250	298.1618	1.301	Si
SLV 2	3.63	-151.75	24.3135	124	167.0495	6.871	Si
SLV 10	-1.23	27.81	-46.3532	0	0	0	No, Trazione
SLV 10	3.63	1.44	-9.4546	0	0	0	No, Trazione
SLV 15	-1.23	-155.57	-212.4483	0	0	0	No, e>1/2
SLV 15	3.63	-70.17	-20.808	57	81.9233	3.937	Si
SLV 16	-1.23	-155.57	-212.4483	0	0	0	No, e>1/2
SLV 16	3.63	-70.17	-20.808	57	81.9233	3.937	Si
SLV 5	-1.23	-56.27	84.2152	0	0	0	No, e>1/2
SLV 5	3.63	-39.58	4.815	32	47.204	9.804	Si
SLV 13	-1.23	-25.66	-206.0951	0	0	0	No, e>1/2
SLV 13	3.63	-15.03	-23.2516	0	0	0	No, e>1/2
SLV 14	-1.23	-25.66	-206.0951	0	0	0	No, e>1/2
SLV 14	3.63	-15.03	-23.2516	0	0	0	No, e>1/2
SLV 6	-1.23	-56.27	84.2152	0	0	0	No, e>1/2
SLV 6	3.63	-39.58	4.815	32	47.204	9.804	Si
SLV 9	-1.23	27.81	-46.3532	0	0	0	No, Trazione
SLV 9	3.63	1.44	-9.4546	0	0	0	No, Trazione
SLV 1	-1.23	-305.92	229.1329	250	298.1618	1.301	Si
SLV 1	3.63	-151.75	24.3135	124	167.0495	6.871	Si

Verifica a taglio nel piano secondo D.M. 17-01-18 (N.T.C.) §7.8.2.2.2 con rottura per scorrimento in combinazioni non sismiche, γM = 3

Comb.	Quota	N	V par	M	σ0	σN	l'	fvd	Vt scorr.	Vt fess.diag.	Vt,lim	c.s.	Verifica
SLU 34	-1.23	-317.97	7.84	13.6449		260	2.45	90	110.45		94.64	14.1	Si
SLU 34	3.63	-157	7.77	2.6806		128	2.45	73	88.99		78.71	11.45	Si
SLU 35	-1.23	-312.66	7.75	13.0673		255	2.45	90	109.74		94.16	14.16	Si
SLU 35	3.63	-151.76	7.68	2.4421		124	2.45	72	88.29		78.14	11.49	Si
SLU 15	-1.23	-254.57	7.21	12.1883		208	2.45	83	102		88.71	14.15	Si
SLU 15	3.63	-127.31	7.16	2.233		104	2.45	69	85.03		75.41	11.88	Si
SLU 17	-1.23	-250.97	7.26	11.827		205	2.45	83	101.52		88.36	13.98	Si
SLU 17	3.63	-123.35	7.21	2.0451		101	2.45	69	84.5		74.95	11.72	Si
SLU 32	-1.23	-310.73	7.23	12.6221		254	2.45	89	109.49		93.98	15.15	Si
SLU 32	3.63	-151.5	7.16	2.4817		124	2.45	72	88.26		78.11	12.32	Si
SLU 16	-1.23	-256.28	7.35	12.4046		209	2.45	83	102.23		88.87	13.91	Si
SLU 16	3.63	-128.6	7.3	2.2836		105	2.45	70	85.2		75.55	11.68	Si
SLU 14	-1.23	-249.04	6.74	11.3818		203	2.45	83	101.26		88.17	15.02	Si
SLU 14	3.63	-123.09	6.69	2.0847		100	2.45	69	84.47		74.92	12.63	Si
SLU 18	-1.23	-256.5	7.73	12.6335		209	2.45	83	102.26		88.89	13.23	Si
SLU 18	3.63	-127.57	7.68	2.1935		104	2.45	69	85.06		75.43	11.08	Si
SLU 36	-1.23	-318.19	8.22	13.8738		260	2.45	90	110.48		94.66	13.45	Si
SLU 36	3.63	-155.98	8.15	2.5905		127	2.45	73	88.85		78.6	10.9	Si
SLU 33	-1.23	-316.26	7.69	13.4286		258	2.45	90	110.22		94.48	14.33	Si
SLU 33	3.63	-155.72	7.63	2.6301		127	2.45	73	88.82		78.57	11.64	Si

Verifica a taglio nel piano secondo D.M. 17-01-18 (N.T.C.) §7.8.2.2.2 con rottura per scorrimento in combinazioni sismiche, γM = 2

Comb.	Quota	N	V par	M	σ0	σN	l'	fvd	Vt scorr.	Vt fess.diag.	Vt,lim	c.s.	Verifica
SLV 6	-1.23	-56.27	6.83	84.2152		0	0	83	0		96.58	0	No, Vu<V
SLV 6	3.63	-39.58	-5.66	4.815		32	2.45	90	110		94.33	19.45	Si

Comb.	Quota	N	V par	M	σ_0	σ_N	I'	fvd	Vt scorr.	Vt fess.diag.	Vt,lim	c.s.	Verifica
SLV 13	-1.23	-25.66	-74.39	-206.0951		0	0	83	0		92.41	0	No, Vu<V
SLV 13	3.63	-15.03	-63.2	-23.2516		0	0	83	0		90.92	0	No, Vu<V
SLV 15	-1.23	-155.57	-62.55	-212.4483		0	0	83	0		109.01	0	No, Vu<V
SLV 15	3.63	-70.17	-46.38	-20.808		57	2.45	95	116.12		98.41	2.5	Si
SLV 16	-1.23	-155.57	-62.55	-212.4483		0	0	83	0		109.01	0	No, Vu<V
SLV 16	3.63	-70.17	-46.38	-20.808		57	2.45	95	116.12		98.41	2.5	Si
SLV 10	-1.23	27.81	-37.03	-46.3532		0	0	83	0		84.64	0	No, Vu<V
SLV 10	3.63	1.44	-41.28	-9.4546		0	0	83	0		88.56	0	No, Vu<V
SLV 5	-1.23	-56.27	6.83	84.2152		0	0	83	0		96.58	0	No, Vu<V
SLV 5	3.63	-39.58	-5.66	4.815		32	2.45	90	110		94.33	19.45	Si
SLV 2	-1.23	-305.92	71.81	229.1329		428	1.428	163	116.03		125.5	1.62	Si
SLV 2	3.63	-151.75	55.53	24.3135		124	2.45	108	132.43		108.56	2.38	Si
SLV 14	-1.23	-25.66	-74.39	-206.0951		0	0	83	0		92.41	0	No, Vu<V
SLV 14	3.63	-15.03	-63.2	-23.2516		0	0	83	0		90.92	0	No, Vu<V
SLV 1	-1.23	-305.92	71.81	229.1329		428	1.428	163	116.03		125.5	1.62	Si
SLV 1	3.63	-151.75	55.53	24.3135		124	2.45	108	132.43		108.56	2.38	Si
SLV 9	-1.23	27.81	-37.03	-46.3532		0	0	83	0		84.64	0	No, Vu<V
SLV 9	3.63	1.44	-41.28	-9.4546		0	0	83	0		88.56	0	No, Vu<V

Verifica a pressoflessione fuori piano D.M. 17-01-18 (N.T.C.)

quota 1.2 Wa 0.0009 denominatore 8 $\gamma_M = 2$

Comb.	fd	Sa	σ_0	N	M	Mc	Coeff.s.	Verifica
SLV 10	1438	0.28	0	25.61	5.1782	0	0	No, Trazione
SLV 14	1438	0.28	0	-12.58	5.1782	0	0	No, e>t/2
SLV 9	1438	0.28	0	25.61	5.1782	0	0	No, Trazione
SLV 13	1438	0.28	0	-12.58	5.1782	0	0	No, e>t/2
SLV 6	1438	0.28	31	-37.61	5.1782	9.1669	1.77	Si
SLV 5	1438	0.28	31	-37.61	5.1782	9.1669	1.77	Si
SLV 15	1438	0.28	89	-108.55	5.1782	25.1693	4.86	Si
SLV 16	1438	0.28	89	-108.55	5.1782	25.1693	4.86	Si
SLV 1	1438	0.28	182	-223.33	5.1782	47.5026	9.17	Si
SLV 2	1438	0.28	182	-223.33	5.1782	47.5026	9.17	Si

Tabella dei coefficienti di sicurezza minimi

Stato limite	Coeff.s.	Comb.	Verifica
PF SLV	2.752	SLV 36	Si
V SLV	10.903	SLV 36	Si
PF SLV	0	SLV 10	No
V SLV	0	SLV 5	No
PF SLV	0	SLV 10	No

Maschio 72

Verifiche condotte secondo D.M. 17-01-18 (N.T.C.)

Dati geometrici

X ini.	Y ini.	X fin.	Y fin.	Quota i.	Quota.s	l	Sp.	h netta	h ini.	h fin.	a	a.s.,sx	a.s.,dx
7.3	9.275	7.3	10.315	L1	L3	1.04	0.5	4.5	4.85	4.85			

Caratteristiche del materiale

(circ.617 C8A.2) Muratura in mattoni pieni e malta di calce LC2

fb	fk	fvk0	fmedio	r0	fv0	μ	φ	fv,lim	E	G	FC
6000			3450	90	200	0.58	0.77	325	3200000	1280000	1.2

Verifica a pressoflessione per azioni non sismiche 4.5.6.2 D.M. 17-01-18 (N.T.C.) $\gamma_M = 3$

Comb.	Quota	N	M	p	es1	es2	ea	ev	e ver	ϕ_t	Φ_I	Nu	Verifica
SLV 36	-1.225	-122.47		1	0	0.0295	0.0225	0	0.052	0.59	1	294.23	Si
SLV 36	1.2	-99.4		1	0	0.0295	0.0225	0	0.026	0.72	1	361.21	Si
SLV 36	3.625	-86.75		1	0	0.0295	0.0225	0	0.052	0.59	1	294.23	Si
SLV 35	-1.225	-121.22		1	0	0.03	0.0225	0	0.0525	0.59	1	293.25	Si
SLV 35	1.2	-98.09		1	0	0.03	0.0225	0	0.0262	0.72	1	360.44	Si
SLV 35	3.625	-85.26		1	0	0.03	0.0225	0	0.0525	0.59	1	293.25	Si
SLV 34	-1.225	-122.44		1	0	0.0262	0.0225	0	0.0487	0.6	1	300.44	Si
SLV 34	1.2	-98.38		1	0	0.0262	0.0225	0	0.0244	0.73	1	366.1	Si
SLV 34	3.625	-84.33		1	0	0.0262	0.0225	0	0.0487	0.6	1	300.44	Si
SLV 33	-1.225	-122.01		1	0	0.0264	0.0225	0	0.0489	0.6	1	300.17	Si
SLV 33	1.2	-97.95		1	0	0.0264	0.0225	0	0.0244	0.73	1	365.89	Si
SLV 33	3.625	-83.87		1	0	0.0264	0.0225	0	0.0489	0.6	1	300.17	Si
SLV 32	-1.225	-120.77		1	0	0.0268	0.0225	0	0.0493	0.6	1	299.26	Si
SLV 32	1.2	-96.64		1	0	0.0268	0.0225	0	0.0247	0.73	1	365.17	Si
SLV 32	3.625	-82.38		1	0	0.0268	0.0225	0	0.0493	0.6	1	299.26	Si
SLV 27	-1.225	-119.8		1	0	0.028	0.0225	0	0.0505	0.6	1	296.99	Si
SLV 27	1.2	-95.79		1	0	0.028	0.0225	0	0.0253	0.73	1	363.38	Si
SLV 27	3.625	-81.63		1	0	0.028	0.0225	0	0.0505	0.6	1	296.99	Si
SLV 26	-1.225	-118.55		1	0	0.0286	0.0225	0	0.0511	0.59	1	295.99	Si
SLV 26	1.2	-94.48		1	0	0.0286	0.0225	0	0.0255	0.73	1	362.6	Si
SLV 26	3.625	-80.14		1	0	0.0286	0.0225	0	0.0511	0.59	1	295.99	Si
SLV 25	-1.225	-119.77		1	0	0.0245	0.0225	0	0.047	0.61	1	303.69	Si
SLV 25	1.2	-94.77		1	0	0.0245	0.0225	0	0.0235	0.74	1	368.66	Si
SLV 25	3.625	-79.21		1	0	0.0245	0.0225	0	0.047	0.61	1	303.69	Si
SLV 24	-1.225	-119.34		1	0	0.0247	0.0225	0	0.0472	0.61	1	303.41	Si
SLV 24	1.2	-94.34		1	0	0.0247	0.0225	0	0.0236	0.74	1	368.44	Si
SLV 24	3.625	-78.75		1	0	0.0247	0.0225	0	0.0472	0.61	1	303.41	Si
SLV 23	-1.225	-118.11		1	0	0.0251	0.0225	0	0.0476	0.61	1	302.5	Si
SLV 23	1.2	-93.03		1	0	0.0251	0.0225	0	0.0238	0.74	1	367.72	Si
SLV 23	3.625	-77.26		1	0	0.0251	0.0225	0	0.0476	0.61	1	302.5	Si

Verifica a pressoflessione nel piano secondo D.M. 17-01-18 NTC §7.8.2.2.1 in combinazioni sismiche, $\gamma_M = 2$

Comb.	Quota	N	M	σ_0	Mu	c.s.	Verifica
SLV 2	-1.23	67.79	-14.5719	0	0	0	No, Trazione
SLV 2	3.63	-0.52	8.8235	0	0	0	No, e>1/2
SLV 5	-1.23	39.67	-21.2547	0	0	0	No, Trazione
SLV 5	3.63	-9.24	7.3298	0	0	0	No, e>1/2
SLD 2	-1.23	-22.29	-7.9443	43	11.1864	1.408	Si
SLD 2	3.63	-34.03	5.8238	65	16.7461	2.875	Si

Comb.	Quota	N	M	σ_0	Mu	c.s.	Verifica
SLV 1	-1.23	67.79	-14.5719	0	0	0	No, Trazione
SLV 1	3.63	-0.52	8.8235	0	0	0	No, e>1/2
SLV 3	-1.23	13	-4.8277	0	0	0	No, Trazione
SLV 3	3.63	-22.06	7.3584	42	11.0722	1.505	Si
SLD 1	-1.23	-22.29	-7.9443	43	11.1864	1.408	Si
SLD 1	3.63	-34.03	5.8238	65	16.7461	2.875	Si
SLV 10	-1.23	-39.22	-17.2387	75	19.1367	1.11	Si
SLV 10	3.63	-38.26	4.5845	74	18.6968	4.078	Si
SLV 9	-1.23	-39.22	-17.2387	75	19.1367	1.11	Si
SLV 9	3.63	-38.26	4.5845	74	18.6968	4.078	Si
SLV 6	-1.23	39.67	-21.2547	0	0	0	No, Trazione
SLV 6	3.63	-9.24	7.3298	0	0	0	No, e>1/2
SLV 4	-1.23	13	-4.8277	0	0	0	No, Trazione
SLV 4	3.63	-22.06	7.3584	42	11.0722	1.505	Si

Verifica a taglio nel piano secondo D.M. 17-01-18 (N.T.C.) §7.8.2.2 con rottura per scorrimento in combinazioni non sismiche, $\gamma_M = 3$

Comb.	Quota	N	V par	M	σ_0	σ_N	I'	fvd	Vt scorr.	Vt fess.diag.	Vt.lim	c.s.	Verifica
SLU 8	-1.23	-92.88	-3.79	-3.8969	179	1.04	79	41.27	36.16	10.9	Si		
SLU 8	3.63	-66	-3.85	4.9865	127	1.04	72	37.69	33.34	9.79	Si		
SLU 18	-1.23	-96.79	-4.26	-4.3201	186	1.04	80	41.79	36.55	9.81	Si		
SLU 18	3.63	-72.62	-4.33	5.4809	140	1.04	74	38.57	34.06	8.91	Si		
SLU 17	-1.23	-95.55	-4.25	-4.3161	184	1.04	80	41.63	36.42	9.8	Si		
SLU 17	3.63	-71.13	-4.31	5.539	137	1.04	74	38.37	33.9	8.89	Si		
SLU 27	-1.23	-119.8	-4.23	-4.4211	230	1.04	86	44.86	38.77	10.61	Si		
SLU 27	3.63	-81.63	-4.3	5.4205	157	1.04	76	39.77	35.01	9.25	Si		
SLU 34	-1.23	-122.44	-4.15	-4.3392	235	1.04	87	45.21	39.02	10.9	Si		
SLU 34	3.63	-84.33	-4.23	5.1003	162	1.04	77	40.13	35.29	9.49	Si		
SLU 35	-1.23	-121.22	-4.67	-4.8363	233	1.04	87	45.05	38.91	9.64	Si		
SLU 35	3.63	-85.26	-4.75	6.031	164	1.04	77	40.26	35.38	8.47	Si		
SLU 33	-1.23	-122.01	-4.15	-4.3528	235	1.04	87	45.16	38.98	10.87	Si		
SLU 33	3.63	-83.87	-4.23	5.1183	161	1.04	77	40.07	35.24	9.47	Si		
SLU 32	-1.23	-120.77	-4.14	-4.3488	232	1.04	87	44.99	38.86	10.87	Si		
SLU 32	3.63	-82.38	-4.21	5.1764	158	1.04	77	39.87	35.08	9.46	Si		
SLU 26	-1.23	-118.55	-4.21	-4.4171	228	1.04	86	44.7	38.66	10.61	Si		
SLU 26	3.63	-80.14	-4.29	5.4786	154	1.04	76	39.57	34.85	9.23	Si		
SLU 36	-1.23	-122.47	-4.69	-4.8403	236	1.04	87	45.22	39.02	9.65	Si		
SLU 36	3.63	-86.75	-4.77	5.9729	167	1.04	78	40.46	35.53	8.48	Si		

Verifica a taglio nel piano secondo D.M. 17-01-18 (N.T.C.) §7.8.2.2 con rottura per scorrimento in combinazioni sismiche, $\gamma_M = 2$

Comb.	Quota	N	V par	M	σ_0	σ_N	I'	fvd	Vt scorr.	Vt fess.diag.	Vt.lim	c.s.	Verifica
SLD 2	-1.23	-22.29	-9.18	-7.9443	91	0.491	101	24.92	40.78	2.71	Si		
SLD 2	3.63	-34.03	-9.6	5.8238	65	1.04	96	50.14	42.33	5.22	Si		
SLV 9	-1.23	-39.22	-16.58	-17.2387	325	0.2415	148	17.91	42.99	1.08	Si		
SLV 9	3.63	-38.26	-8.19	4.5845	74	1.04	98	50.99	42.87	6.22	Si		
SLV 6	-1.23	39.67	-22.41	-21.2547	0	0	83	0	31.41	0	No, Vu<V		
SLV 6	3.63	-9.24	-15.86	7.3298	0	0	83	0	39	0	No, Vu<V		
SLV 4	-1.23	13	-7.54	-4.8277	0	0	83	0	35.75	0	No, Vu<V		
SLV 4	3.63	-22.06	-12.9	7.3584	79	0.5592	99	27.71	40.75	2.15	Si		
SLD 1	-1.23	-22.29	-9.18	-7.9443	91	0.491	101	24.92	40.78	2.71	Si		
SLD 1	3.63	-34.03	-9.6	5.8238	65	1.04	96	50.14	42.33	5.22	Si		
SLV 2	-1.23	67.79	-17.55	-14.5719	0	0	83	0	26.07	0	No, Vu<V		
SLV 2	3.63	-0.52	-18.39	8.8235	0	0	83	0	37.76	0	No, Vu<V		
SLV 1	-1.23	67.79	-17.55	-14.5719	0	0	83	0	26.07	0	No, Vu<V		
SLV 1	3.63	-0.52	-18.39	8.8235	0	0	83	0	37.76	0	No, Vu<V		
SLV 10	-1.23	-39.22	-16.58	-17.2387	325	0.2415	148	17.91	42.99	1.08	Si		
SLV 10	3.63	-38.26	-8.19	4.5845	74	1.04	98	50.99	42.87	6.22	Si		
SLV 5	-1.23	39.67	-22.41	-21.2547	0	0	83	0	31.41	0	No, Vu<V		
SLV 5	3.63	-9.24	-15.86	7.3298	0	0	83	0	39	0	No, Vu<V		
SLV 3	-1.23	13	-7.54	-4.8277	0	0	83	0	35.75	0	No, Vu<V		
SLV 3	3.63	-22.06	-12.9	7.3584	79	0.5592	99	27.71	40.75	2.15	Si		

Verifica a pressoflessione fuori piano D.M. 17-01-18 (N.T.C.)

quota 1.2 W_a 0.0009 denominatore 8 $\gamma_M = 2$

Comb.	fd	Sa	σ_0	N	M	Mc	Coeff.s.	Verifica
SLV 3	1438	0.28	0	5.8	2.1981	0	0	No, Trazione
SLV 1	1438	0.28	0	45.68	2.1981	0	0	No, Trazione
SLV 6	1438	0.28	0	23.92	2.1981	0	0	No, Trazione
SLV 4	1438	0.28	0	5.8	2.1981	0	0	No, Trazione
SLV 5	1438	0.28	0	23.92	2.1981	0	0	No, Trazione
SLV 2	1438	0.28	0	45.68	2.1981	0	0	No, Trazione
SLV 9	1438	0.28	67	-34.6	2.1981	8.1783	3.72	Si
SLV 10	1438	0.28	67	-34.6	2.1981	8.1783	3.72	Si
SLV 7	1438	0.28	210	-108.99	2.1981	22.5738	10.27	Si
SLV 8	1438	0.28	210	-108.99	2.1981	22.5738	10.27	Si

Tabella dei coefficienti di sicurezza minimi

Stato limite	Coeff.s.	Comb.	Verifica
PF SLU	2.403	SLU 36	Si
V SLU	8.471	SLU 35	Si
PF SLV	0	SLV 6	No
V SLV	0	SLV 1	No
PFFP SLV	0	SLV 6	No

Maschio 73

Verifiche condotte secondo D.M. 17-01-18 (N.T.C.)

Dati geometrici

X ini.	Y ini.	X fin.	Y fin.	Quota i.	Quota s.	l	Sp.	h netta	h ini.	h fin.	a	a.s.,sx	a.s.,dx
7.3	11.515	7.3	13.515	L1	L3	2	0.5	4.5	4.85	4.85			

Caratteristiche del materiale

(circ.617 C8A.2) Muratura in mattoni pieni e malta di calce LC2

fb	fk	fvk0	fmedio	r0	fv0	μ	φ	fv,lim	E	G	FC
6000			3450	90	200	0.58	0.77	325	3200000	1280000	1.2

Verifica a pressoflessione per azioni non sismiche 4.5.6.2 D.M. 17-01-18 (N.T.C.) $\gamma_M = 3$

Comb.	Quota	N	M	p	es1	es2	ea	ev	e ver	φt	ΦI	Nu	Verifica
SLU 36	-1.225	-368			1	0	0.0193	0.0225	0	0.0418	0.63	603.19	Si
SLU 36	1.2	-308.21			1	0	0.0193	0.0225	0	0.0225	0.75	714.84	Si
SLU 36	3.625	-254.51			1	0	0.0193	0.0225	0	0.0418	0.63	603.19	Si
SLU 35	-1.225	-358.39			1	0	0.0201	0.0225	0	0.0426	0.63	600.4	Si
SLU 35	1.2	-298.6			1	0	0.0201	0.0225	0	0.0225	0.75	714.84	Si
SLU 35	3.625	-244.9			1	0	0.0201	0.0225	0	0.0426	0.63	600.4	Si
SLU 34	-1.225	-365.14			1	0	0.0169	0.0225	0	0.0394	0.64	616.89	Si
SLU 34	1.2	-305.35			1	0	0.0169	0.0225	0	0.0225	0.75	714.84	Si
SLU 34	3.625	-251.65			1	0	0.0169	0.0225	0	0.0394	0.64	616.89	Si
SLU 33	-1.225	-362.35			1	0	0.0171	0.0225	0	0.0396	0.64	615.79	Si
SLU 33	1.2	-302.56			1	0	0.0171	0.0225	0	0.0225	0.75	714.84	Si
SLU 33	3.625	-248.86			1	0	0.0171	0.0225	0	0.0396	0.64	615.79	Si
SLU 32	-1.225	-352.74			1	0	0.0178	0.0225	0	0.0403	0.64	611.81	Si
SLU 32	1.2	-292.96			1	0	0.0178	0.0225	0	0.0225	0.75	714.84	Si
SLU 32	3.625	-239.25			1	0	0.0178	0.0225	0	0.0403	0.64	611.81	Si
SLU 27	-1.225	-344.62			1	0	0.019	0.0225	0	0.0415	0.63	604.22	Si
SLU 27	1.2	-284.83			1	0	0.019	0.0225	0	0.0225	0.75	714.84	Si
SLU 27	3.625	-231.13			1	0	0.019	0.0225	0	0.0415	0.63	604.22	Si
SLU 26	-1.225	-335.01			1	0	0.0199	0.0225	0	0.0424	0.63	601.18	Si
SLU 26	1.2	-275.22			1	0	0.0199	0.0225	0	0.0225	0.75	714.84	Si
SLU 26	3.625	-221.52			1	0	0.0199	0.0225	0	0.0424	0.63	601.18	Si
SLU 25	-1.225	-341.76			1	0	0.0164	0.0225	0	0.0389	0.65	619.96	Si
SLU 25	1.2	-281.97			1	0	0.0164	0.0225	0	0.0225	0.75	714.84	Si
SLU 25	3.625	-228.27			1	0	0.0164	0.0225	0	0.0389	0.65	619.96	Si
SLU 24	-1.225	-338.97			1	0	0.0166	0.0225	0	0.0391	0.65	618.79	Si
SLU 24	1.2	-279.18			1	0	0.0166	0.0225	0	0.0225	0.75	714.84	Si
SLU 24	3.625	-225.48			1	0	0.0166	0.0225	0	0.0391	0.65	618.79	Si
SLU 23	-1.225	-329.36			1	0	0.0173	0.0225	0	0.0398	0.64	614.51	Si
SLU 23	1.2	-269.58			1	0	0.0173	0.0225	0	0.0225	0.75	714.84	Si
SLU 23	3.625	-215.87			1	0	0.0173	0.0225	0	0.0398	0.64	614.51	Si

Verifica a pressoflessione nel piano secondo D.M. 17-01-18 NTC §7.8.2.2.1 in combinazioni sismiche, $\gamma_M = 2$

Comb.	Quota	N	M	σ0	Mu	c.s.	Verifica
SLV 7	-1.23	-243.54	93.5868	244	194.999	2.084	Si
SLV 7	3.63	-143.9	-4.837	144	126.9559	26.247	Si
SLV 10	-1.23	-266.87	-99.7371	267	208.5811	2.091	Si
SLV 10	3.63	-191.9	9.754	192	161.7641	16.584	Si
SLV 9	-1.23	-266.87	-99.7371	267	208.5811	2.091	Si
SLV 9	3.63	-191.9	9.754	192	161.7641	16.584	Si
SLV 11	-1.23	-254.71	120.2467	255	201.6125	1.677	Si
SLV 11	3.63	-154.08	-3.1564	154	134.6474	42.658	Si
SLV 8	-1.23	-243.54	93.5868	244	194.999	2.084	Si
SLV 8	3.63	-143.9	-4.837	144	126.9559	26.247	Si
SLV 6	-1.23	-255.7	-126.397	256	202.1899	1.6	Si
SLV 6	3.63	-181.73	8.0734	182	154.7025	19.162	Si
SLV 12	-1.23	-254.71	120.2467	255	201.6125	1.677	Si
SLV 12	3.63	-154.08	-3.1564	154	134.6474	42.658	Si
SLV 5	-1.23	-255.7	-126.397	256	202.1899	1.6	Si
SLV 5	3.63	-181.73	8.0734	182	154.7025	19.162	Si
SLV 1	-1.23	-238.42	-80.5058	238	191.8954	2.384	Si
SLV 1	3.63	-156.62	1.5941	157	136.5478	85.66	Si
SLV 2	-1.23	-238.42	-80.5058	238	191.8954	2.384	Si
SLV 2	3.63	-156.62	1.5941	157	136.5478	85.66	Si

Verifica a taglio nel piano secondo D.M. 17-01-18 (N.T.C.) §7.8.2.2.2 con rottura per scorrimento in combinazioni non sismiche, $\gamma_M = 3$

Comb.	Quota	N	V par	M	σ0	σN	I'	fvd	Vt scorr.	Vt fess.diag.	Vt,lim	c.s.	Verifica
SLU 36	-1.23	-368	-1.75	-4.6386	368	2	105	104.62			86.53	59.76	Si
SLU 36	3.63	-254.51	-1.75	3.8518	255	2	89	89.49			76.8	51.12	Si
SLU 32	-1.23	-352.74	-1.63	-4.4031	353	2	103	102.59			85.28	62.75	Si
SLU 32	3.63	-239.25	-1.63	3.5259	239	2	87	87.46			75.39	53.49	Si
SLU 26	-1.23	-335.01	-1.57	-4.1976	335	2	100	100.22			83.81	64.02	Si
SLU 26	3.63	-221.52	-1.57	3.3949	222	2	85	85.09			73.73	54.36	Si
SLU 18	-1.23	-306.44	-1.52	-4.011	306	2	96	96.41			81.39	63.3	Si
SLU 18	3.63	-219.14	-1.52	3.3766	219	2	85	84.77			73.5	55.65	Si
SLU 34	-1.23	-365.14	-1.66	-4.3713	365	2	104	104.24			86.29	62.81	Si
SLU 34	3.63	-251.65	-1.66	3.6779	252	2	89	89.11			76.53	53.69	Si
SLU 27	-1.23	-344.62	-1.6	-4.2352	345	2	102	101.5			84.61	63.63	Si
SLU 27	3.63	-231.13	-1.6	3.5016	231	2	86	86.37			74.63	54.14	Si
SLU 33	-1.23	-362.35	-1.66	-4.4407	362	2	104	103.87			86.07	62.4	Si
SLU 33	3.63	-248.86	-1.66	3.6327	249	2	89	88.74			76.28	53.31	Si
SLU 35	-1.23	-358.39	-1.72	-4.601	358	2	103	103.34			85.74	60.05	Si
SLU 35	3.63	-244.9	-1.72	3.7451	245	2	88	88.21			75.91	51.26	Si
SLU 17	-1.23	-296.83	-1.49	-3.9733	297	2	95	95.13			80.56	63.7	Si
SLU 17	3.63	-209.53	-1.49	3.2699	210	2	83	83.49			72.58	55.91	Si
SLU 24	-1.23	-338.97	-1.51	-4.0373	339	2	101	100.75			84.14	66.76	Si
SLU 24	3.63	-225.48	-1.51	3.2824	225	2	86	85.62			74.1	56.73	Si

Verifica a taglio nel piano secondo D.M. 17-01-18 (N.T.C.) §7.8.2.2.2 con rottura per scorrimento in combinazioni sismiche, $\gamma_M = 2$

Comb.	Quota	N	V par	M	σ0	σN	I'	fvd	Vt scorr.	Vt fess.diag.	Vt,lim	c.s.	Verifica
SLV 12	-1.23	-254.71	25.44	120.2467		322	1.5837	148	116.93		102.96	4.6	Si
SLV 12	3.63	-154.08	20.93	-3.1564		154		114	114.15		92.13	5.45	Si
SLV 8	-1.23	-243.54	25.59	93.5868		264	1.8472	136	125.67		101.82	4.91	Si
SLV 8	3.63	-143.9	20.3	-4.837		144		112	112.11		90.96	5.52	Si
SLV 7	-1.23	-243.54	25.59	93.5868		264	1.8472	136	125.67		101.82	4.91	Si
SLV 7	3.63	-143.9	20.3	-4.837		144		112	112.11		90.96	5.52	Si
SLV 6	-1.23	-255.7	-27.72	-126.397		337	1.517	151	114.35		103.06	4.13	Si
SLV 6	3.63	-181.73	-23.21	8.0734		182		120	119.68		95.23	5.16	Si
SLV 5	-1.23	-255.7	-27.72	-126.397		337	1.517	151	114.35		103.06	4.13	Si
SLV 5	3.63	-181.73	-23.21	8.0734		182		120	119.68		95.23	5.16	Si
SLV 9	-1.23	-266.87	-27.87	-99.7371		284	1.8788	140	131.66		104.19	4.72	Si
SLV 9	3.63	-191.9	-22.58	9.754		192		122	121.71		96.34	5.39	Si
SLV 11	-1.23	-254.71	25.44	120.2467		322	1.5837	148	116.93		102.96	4.6	Si
SLV 11	3.63	-154.08	20.93	-3.1564		154		114	114.15		92.13	5.45	Si

Comb.	Quota	N	V par	M	σ_0	σ_N	I'	fvd	Vt scorr.	Vt fess.diag.	Vt,lim	c.s.	Verifica
SLD 5	-1.23	-255.55	-12.77	-57.1578		256	2	134	134.44		103.05	10.53	Si
SLD 5	3.63	-173.99	-10.81	4.8954		174	2	118	118.13		94.37	10.93	Si
SLD 6	-1.23	-255.55	-12.77	-57.1578		256	2	134	134.44		103.05	10.53	Si
SLD 6	3.63	-173.99	-10.81	4.8954		174	2	118	118.13		94.37	10.93	Si
SLV 10	-1.23	-266.87	-27.87	-99.7371		284	1.8788	140	131.66		104.19	4.72	Si
SLV 10	3.63	-191.9	-22.58	9.754		192		122	121.71		96.34	5.39	Si

Verifica a pressoflessione fuori piano D.M. 17-01-18 (N.T.C.)quota 1.2 Wa 0.0009 denominatore 8 $\gamma_M = 2$

Comb.	fd	Sa	σ_0	N	M	Mc	Coeff.s.	Verifica
SLV 3	1438	0.28	166	-165.66	4.2271	35.8009	8.47	Si
SLV 4	1438	0.28	166	-165.66	4.2271	35.8009	8.47	Si
SLV 1	1438	0.28	169	-169.38	4.2271	36.4748	8.63	Si
SLV 2	1438	0.28	169	-169.38	4.2271	36.4748	8.63	Si
SLV 8	1438	0.28	191	-190.52	4.2271	40.2026	9.51	Si
SLV 7	1438	0.28	191	-190.52	4.2271	40.2026	9.51	Si
SLV 5	1438	0.28	203	-202.9	4.2271	42.3013	10.01	Si
SLV 6	1438	0.28	203	-202.9	4.2271	42.3013	10.01	Si
SLV 11	1438	0.28	216	-215.53	4.2271	44.3782	10.5	Si
SLV 12	1438	0.28	216	-215.53	4.2271	44.3782	10.5	Si

Tabella dei coefficienti di sicurezza minimi

Stato limite	Coeff.s.	Comb.	Verifica
PF SLU	1.639	SLU 36	Si
V SLU	51.119	SLU 36	Si
PF SLV	1.6	SLV 5	Si
V SLV	4.125	SLV 5	Si
PFFP SLV	8.469	SLV 3	Si

Maschio 74

Verifiche condotte secondo D.M. 17-01-18 (N.T.C.)

Dati geometrici

X ini.	Y ini.	X fin.	Y fin.	Quota i.	Quota.s	l	Sp.	h netta	h ini.	h fin.	a	a.s.,sx	a.s.,dx
7.3	14.715	7.3	16.965	L1	L3	2.25	0.5	4.5	4.85	4.85			

Caratteristiche del materiale

(circ.617 C8A.2) Muratura in mattoni pieni e malta di calce LC2

fb	fk	fvk0	fmedio	τ_0	fv0	μ	φ	fv,lim	E	G	FC
6000			3450	90	200	0.58	0.77	325	3200000	1280000	1.2

Verifica a pressoflessione per azioni non sismiche 4.5.6.2 D.M. 17-01-18 (N.T.C.) $\gamma_M = 3$

Comb.	Quota	N	M	p	es1	es2	ea	ev	e ver	Φ_t	Φ_I	Nu	Verifica
SLU 36	-1.225	-334.43		1	0	0.0238	0.0225	0	0.0463	0.61	1	660.09	Si
SLU 36	1.2	-270.68		1	0	0.0238	0.0225	0	0.0231	0.74	1	800	Si
SLU 36	3.625	-232.53		1	0	0.0238	0.0225	0	0.0463	0.61	1	660.09	Si
SLU 35	-1.225	-328.35		1	0	0.0246	0.0225	0	0.0471	0.61	1	656.85	Si
SLU 35	1.2	-264.19		1	0	0.0246	0.0225	0	0.0235	0.74	1	797.45	Si
SLU 35	3.625	-225.12		1	0	0.0246	0.0225	0	0.0471	0.61	1	656.85	Si
SLU 34	-1.225	-332.53		1	0	0.0208	0.0225	0	0.0433	0.62	1	672.32	Si
SLU 34	1.2	-268.65		1	0	0.0208	0.0225	0	0.0225	0.75	1	804.2	Si
SLU 34	3.625	-229.65		1	0	0.0208	0.0225	0	0.0433	0.62	1	672.32	Si
SLU 33	-1.225	-330.81		1	0	0.021	0.0225	0	0.0435	0.62	1	671.51	Si
SLU 33	1.2	-266.8		1	0	0.021	0.0225	0	0.0225	0.75	1	804.2	Si
SLU 33	3.625	-227.53		1	0	0.021	0.0225	0	0.0435	0.62	1	671.51	Si
SLU 32	-1.225	-324.73		1	0	0.0217	0.0225	0	0.0442	0.62	1	668.58	Si
SLU 32	1.2	-260.31		1	0	0.0217	0.0225	0	0.0225	0.75	1	804.2	Si
SLU 32	3.625	-220.12		1	0	0.0217	0.0225	0	0.0442	0.62	1	668.58	Si
SLU 27	-1.225	-319.5		1	0	0.0231	0.0225	0	0.0456	0.61	1	662.77	Si
SLU 27	1.2	-254.75		1	0	0.0231	0.0225	0	0.0228	0.74	1	802.11	Si
SLU 27	3.625	-213.94		1	0	0.0231	0.0225	0	0.0456	0.61	1	662.77	Si
SLU 26	-1.225	-313.42		1	0	0.024	0.0225	0	0.0465	0.61	1	659.33	Si
SLU 26	1.2	-248.26		1	0	0.024	0.0225	0	0.0232	0.74	1	799.4	Si
SLU 26	3.625	-206.53		1	0	0.024	0.0225	0	0.0465	0.61	1	659.33	Si
SLU 25	-1.225	-317.6		1	0	0.0199	0.0225	0	0.0424	0.63	1	676.11	Si
SLU 25	1.2	-252.72		1	0	0.0199	0.0225	0	0.0225	0.75	1	804.2	Si
SLU 25	3.625	-211.06		1	0	0.0199	0.0225	0	0.0424	0.63	1	676.11	Si
SLU 24	-1.225	-315.88		1	0	0.0201	0.0225	0	0.0426	0.63	1	675.27	Si
SLU 24	1.2	-250.88		1	0	0.0201	0.0225	0	0.0225	0.75	1	804.2	Si
SLU 24	3.625	-208.93		1	0	0.0201	0.0225	0	0.0426	0.63	1	675.27	Si
SLU 23	-1.225	-309.8		1	0	0.0209	0.0225	0	0.0434	0.62	1	672.21	Si
SLU 23	1.2	-244.39		1	0	0.0209	0.0225	0	0.0225	0.75	1	804.2	Si
SLU 23	3.625	-201.52		1	0	0.0209	0.0225	0	0.0434	0.62	1	672.21	Si

Verifica a pressoflessione nel piano secondo D.M. 17-01-18 NTC §7.8.2.2.1 in combinazioni sismiche, $\gamma_M = 2$

Comb.	Quota	N	M	σ_0	Mu	c.s.	Verifica
SLV 2	-1.23	-50.04	-58.3356	0	0	0	No, e>1/2
SLV 2	3.63	-67.35	-20.0104	60	72.0536	3.601	Si
SLV 11	-1.23	-256.37	163.4862	228	234.6254	1.435	Si
SLV 11	3.63	-189.27	31.6969	168	183.6093	5.793	Si
SLV 5	-1.23	-222.57	-165.8882	198	209.8522	1.265	Si
SLV 5	3.63	-123.57	-31.7134	110	126.5198	3.989	Si
SLV 3	-1.23	-23.71	38.948	0	0	0	No, e>1/2
SLV 3	3.63	-71.39	-3.0623	63	76.1399	24.863	Si
SLV 1	-1.23	-50.04	-58.3356	0	0	0	No, e>1/2
SLV 1	3.63	-67.35	-20.0104	60	72.0536	3.601	Si
SLV 7	-1.23	-134.81	158.3905	0	0	0	No, e>1/2
SLV 7	3.63	-137.04	24.78	122	138.7976	5.601	Si
SLV 6	-1.23	-222.57	-165.8882	198	209.8522	1.265	Si
SLV 6	3.63	-123.57	-31.7134	110	126.5198	3.989	Si
SLV 4	-1.23	-23.71	38.948	0	0	0	No, e>1/2
SLV 4	3.63	-71.39	-3.0623	63	76.1399	24.863	Si
SLV 8	-1.23	-134.81	158.3905	0	0	0	No, e>1/2
SLV 8	3.63	-137.04	24.78	122	138.7976	5.601	Si

Comb.	Quota	N	M	σ_0	Mu	c.s.	Verifica
SLV 12	-1.23	-256.37	163.4862	228	234.6254	1.435	Si
SLV 12	3.63	-189.27	31.6969	168	183.6093	5.793	Si

Verifica a taglio nel piano secondo D.M. 17-01-18 (N.T.C.) §7.8.2.2.2 con rottura per scorrimento in combinazioni non sismiche, $\gamma_M = 3$

Comb.	Quota	N	V par	M	σ_0	σ_N	l'	fvd	Vt scorr.	Vt fess.diag.	Vt,lim	c.s.	Verifica
SLU 32	-1.23	-324.73	2.53	-1.7726		289	2.25	94	105.8		89.83	41.79	Si
SLU 32	3.63	-220.12	2.54	-0.2234		196	2.25	82	91.85		80.13	36.21	Si
SLU 18	-1.23	-272.18	2.61	-1.7129		242	2.25	88	98.79		85.1	37.81	Si
SLU 18	3.63	-197.69	2.62	-0.162		176	2.25	79	88.86		77.9	33.95	Si
SLU 16	-1.23	-270.28	2.68	-1.2808		240	2.25	88	98.54		84.92	36.77	Si
SLU 16	3.63	-194.81	2.68	-0.6437		173	2.25	79	88.47		77.61	32.96	Si
SLU 36	-1.23	-334.43	2.82	-1.8968		297	2.25	95	107.09		90.68	38.02	Si
SLU 36	3.63	-232.53	2.82	-0.1041		207	2.25	83	93.5		81.34	33.13	Si
SLU 34	-1.23	-332.53	2.88	-1.4647		296	2.25	95	106.84		90.51	37.05	Si
SLU 34	3.63	-229.65	2.89	-0.5858		204	2.25	83	93.12		81.06	32.24	Si
SLU 17	-1.23	-266.1	2.36	-1.8665		237	2.25	87	97.98		84.53	41.59	Si
SLU 17	3.63	-190.28	2.36	0.1359		169	2.25	78	87.87		77.14	37.23	Si
SLU 31	-1.23	-313.91	2.44	-0.8146		279	2.25	93	104.35		88.87	42.77	Si
SLU 31	3.63	-205.64	2.44	-1.0144		183	2.25	80	89.92		78.7	36.79	Si
SLU 35	-1.23	-328.35	2.56	-2.0504		292	2.25	94	106.28		90.15	41.52	Si
SLU 35	3.63	-225.12	2.56	0.1939		200	2.25	82	92.52		80.62	36.07	Si
SLU 33	-1.23	-330.81	2.79	-1.619		294	2.25	95	106.61		90.36	38.23	Si
SLU 33	3.63	-227.53	2.79	-0.5214		202	2.25	83	92.84		80.86	33.23	Si
SLU 15	-1.23	-268.56	2.59	-1.4352		239	2.25	87	98.31		84.76	38.03	Si
SLU 15	3.63	-192.69	2.59	-0.5794		171	2.25	78	88.19		77.39	34.07	Si

Verifica a taglio nel piano secondo D.M. 17-01-18 (N.T.C.) §7.8.2.2.2 con rottura per scorrimento in combinazioni sismiche, $\gamma_M = 2$

Comb.	Quota	N	V par	M	σ_0	σ_N	l'	fvd	Vt scorr.	Vt fess.diag.	Vt,lim	c.s.	Verifica
SLV 1	-1.23	-50.04	3.2	-58.3356		0	0	83	0		88.48	0	No, Vu<V
SLV 1	3.63	-67.35	8.22	-20.0104		60	2.25	95	107.22		90.76	13.04	Si
SLV 3	-1.23	-23.71	24.38	38.948		0	0	83	0		84.89	0	No, Vu<V
SLV 3	3.63	-71.39	26.64	-3.0623		63	2.25	96	108.03		91.28	4.05	Si
SLV 6	-1.23	-222.57	-30.02	-165.8882		391	1.139	161	91.98		109.11	3.06	Si
SLV 6	3.63	-123.57	-24.33	-31.7134		110	2.25	105	118.46		97.8	4.87	Si
SLV 12	-1.23	-256.37	33.28	163.4862		351	1.4619	153	112.19		112.71	3.37	Si
SLV 12	3.63	-189.27	27.59	31.6969		168	2.25	117	131.6		105.44	4.77	Si
SLV 5	-1.23	-222.57	-30.02	-165.8882		391	1.139	161	91.98		109.11	3.06	Si
SLV 5	3.63	-123.57	-24.33	-31.7134		110	2.25	105	118.46		97.8	4.87	Si
SLV 11	-1.23	-256.37	33.28	163.4862		351	1.4619	153	112.19		112.71	3.37	Si
SLV 11	3.63	-189.27	27.59	31.6969		168	2.25	117	131.6		105.44	4.77	Si
SLV 7	-1.23	-134.81	40.57	158.3905		0	0	83	0		99.15	0	No, Vu<V
SLV 7	3.63	-137.04	37.07	24.78		122	2.25	108	121.16		99.42	3.27	Si
SLV 2	-1.23	-50.04	3.2	-58.3356		0	0	83	0		88.48	0	No, Vu<V
SLV 2	3.63	-67.35	8.22	-20.0104		60	2.25	95	107.22		90.76	13.04	Si
SLV 4	-1.23	-23.71	24.38	38.948		0	0	83	0		84.89	0	No, Vu<V
SLV 4	3.63	-71.39	26.64	-3.0623		63	2.25	96	108.03		91.28	4.05	Si
SLV 8	-1.23	-134.81	40.57	158.3905		0	0	83	0		99.15	0	No, Vu<V
SLV 8	3.63	-137.04	37.07	24.78		122	2.25	108	121.16		99.42	3.27	Si

Verifica a pressoflessione fuori piano D.M. 17-01-18 (N.T.C.)

quota 1.2 Wa 0.0009 denominatore 8 $\gamma_M = 2$

Comb.	fd	Sa	σ_0	N	M	Mc	Coeff.s.	Verifica
SLV 3	1438	0.28	21	-23.31	4.7554	5.7283	1.2	Si
SLV 4	1438	0.28	21	-23.31	4.7554	5.7283	1.2	Si
SLV 2	1438	0.28	40	-44.7	4.7554	10.811	2.27	Si
SLV 1	1438	0.28	40	-44.7	4.7554	10.811	2.27	Si
SLV 7	1438	0.28	95	-107.02	4.7554	24.6713	5.19	Si
SLV 8	1438	0.28	95	-107.02	4.7554	24.6713	5.19	Si
SLV 5	1438	0.28	159	-178.31	4.7554	38.7956	8.16	Si
SLV 6	1438	0.28	159	-178.31	4.7554	38.7956	8.16	Si
SLV 12	1438	0.28	178	-200.16	4.7554	42.7527	8.99	Si
SLV 11	1438	0.28	178	-200.16	4.7554	42.7527	8.99	Si

Tabella dei coefficienti di sicurezza minimi

Stato limite	Coeff.s.	Comb.	Verifica
PF SLU	1.974	SLU 36	Si
V SLU	32.235	SLU 34	Si
PF SLV	0	SLV 1	No
V SLV	0	SLV 1	No
PFFP SLV	1.205	SLV 3	Si

Maschio 75

Verifiche condotte secondo D.M. 17-01-18 (N.T.C.)

Dati geometrici

X ini.	Y ini.	X fin.	Y fin.	Quota i.	Quota.s	l	Sp.	h netta	h ini.	h fin.	a	a.s,sx	a.s,dx
7.3	18.165	7.3	20.815	L1	L3	2.65	0.5	4.5	4.85	4.85			

Caratteristiche del materiale

(circ.617 C8A.2) Muratura in mattoni pieni e malta di calce LC2

fb	fk	fvk0	fmedio	r0	fv0	μ	ϕ	fv,lim	E	G	FC
6000			3450	90	200	0.58	0.77	325	3200000	1280000	1.2

Verifica a pressoflessione per azioni non sismiche 4.5.6.2 D.M. 17-01-18 (N.T.C.) $\gamma_M = 3$

Comb.	Quota	N	M	p	es1	es2	ea	ev	e ver	Φ_t	Φ_l	Nu	Verifica
SLU 36	-1.225	-366.22		1	0	0.0249	0.0225	0	0.0474	0.61	1	771.91	Si
SLU 36	1.2	-289.59		1	0	0.0249	0.0225	0	0.0237	0.74	1	937.86	Si
SLU 36	3.625	-236.55		1	0	0.0249	0.0225	0	0.0474	0.61	1	771.91	Si
SLU 35	-1.225	-361.14		1	0	0.0255	0.0225	0	0.048	0.61	1	768.89	Si
SLU 35	1.2	-284.46		1	0	0.0255	0.0225	0	0.024	0.74	1	935.49	Si
SLU 35	3.625	-230.82		1	0	0.0255	0.0225	0	0.048	0.61	1	768.89	Si
SLU 34	-1.225	-361.9		1	0	0.0222	0.0225	0	0.0447	0.62	1	785.35	Si

Comb.	Quota	N	M	p	es1	es2	ea	ev	e ver	φt	ΦI	Nu	Verifica
SLU 34	1.2	-284.84		1	0	0.0222	0.0225	0	0.0225	0.75	1	947.16	Si
SLU 34	3.625	-230.06		1	0	0.0222	0.0225	0	0.0447	0.62	1	785.35	Si
SLU 33	-1.225	-361.17		1	0	0.0223	0.0225	0	0.0448	0.62	1	784.92	Si
SLU 33	1.2	-284.08		1	0	0.0223	0.0225	0	0.0225	0.75	1	947.16	Si
SLU 33	3.625	-229.16		1	0	0.0223	0.0225	0	0.0448	0.62	1	784.92	Si
SLU 32	-1.225	-356.09		1	0	0.0228	0.0225	0	0.0453	0.62	1	782.14	Si
SLU 32	1.2	-278.95		1	0	0.0228	0.0225	0	0.0227	0.74	1	945.92	Si
SLU 32	3.625	-223.43		1	0	0.0228	0.0225	0	0.0453	0.62	1	782.14	Si
SLU 27	-1.225	-350.62		1	0	0.0242	0.0225	0	0.0467	0.61	1	775.32	Si
SLU 27	1.2	-273.56		1	0	0.0242	0.0225	0	0.0234	0.74	1	940.56	Si
SLU 27	3.625	-217.83		1	0	0.0242	0.0225	0	0.0467	0.61	1	775.32	Si
SLU 26	-1.225	-345.54		1	0	0.0249	0.0225	0	0.0474	0.61	1	772.14	Si
SLU 26	1.2	-268.43		1	0	0.0249	0.0225	0	0.0237	0.74	1	938.05	Si
SLU 26	3.625	-212.11		1	0	0.0249	0.0225	0	0.0474	0.61	1	772.14	Si
SLU 25	-1.225	-346.29		1	0	0.0212	0.0225	0	0.0437	0.62	1	790.06	Si
SLU 25	1.2	-268.81		1	0	0.0212	0.0225	0	0.0225	0.75	1	947.16	Si
SLU 25	3.625	-211.35		1	0	0.0212	0.0225	0	0.0437	0.62	1	790.06	Si
SLU 24	-1.225	-345.56		1	0	0.0213	0.0225	0	0.0438	0.62	1	789.62	Si
SLU 24	1.2	-268.06		1	0	0.0213	0.0225	0	0.0225	0.75	1	947.16	Si
SLU 24	3.625	-210.44		1	0	0.0213	0.0225	0	0.0438	0.62	1	789.62	Si
SLU 23	-1.225	-340.48		1	0	0.0219	0.0225	0	0.0444	0.62	1	786.71	Si
SLU 23	1.2	-262.92		1	0	0.0219	0.0225	0	0.0225	0.75	1	947.16	Si
SLU 23	3.625	-204.72		1	0	0.0219	0.0225	0	0.0444	0.62	1	786.71	Si

Verifica a pressoflessione nel piano secondo D.M. 17-01-18 NTC §7.8.2.2.1 in combinazioni sismiche, $\gamma_M = 2$

Comb.	Quota	N	M	σ_0	Mu	c.s.	Verifica
SLV 11	-1.23	-201	213.8516	152	233.2619	1.091	Si
SLV 11	3.63	-112.11	9.6786	85	138.2595	14.285	Si
SLV 3	-1.23	-55.48	63.9886	42	70.9914	1.109	Si
SLV 3	3.63	-54.68	11.62	41	70.0073	6.025	Si
SLV 7	-1.23	-97.09	216.7555	0	0	0	No, $e > 1/2$
SLV 7	3.63	-62.66	6.8582	47	79.8082	11.637	Si
SLV 6	-1.23	-324.58	-229.4012	245	343.8457	1.499	Si
SLV 6	3.63	-204.71	29.8648	155	236.9483	7.934	Si
SLV 10	-1.23	-428.49	-232.3051	323	417.486	1.797	Si
SLV 10	3.63	-254.17	32.6853	192	283.9008	8.686	Si
SLV 4	-1.23	-55.48	63.9886	42	70.9914	1.109	Si
SLV 4	3.63	-54.68	11.62	41	70.0073	6.025	Si
SLV 12	-1.23	-201	213.8516	152	233.2619	1.091	Si
SLV 12	3.63	-112.11	9.6786	85	138.2595	14.285	Si
SLV 9	-1.23	-428.49	-232.3051	323	417.486	1.797	Si
SLV 9	3.63	-254.17	32.6853	192	283.9008	8.686	Si
SLV 5	-1.23	-324.58	-229.4012	245	343.8457	1.499	Si
SLV 5	3.63	-204.71	29.8648	155	236.9483	7.934	Si
SLV 8	-1.23	-97.09	216.7555	0	0	0	No, $e > 1/2$
SLV 8	3.63	-62.66	6.8582	47	79.8082	11.637	Si

Verifica a taglio nel piano secondo D.M. 17-01-18 (N.T.C.) §7.8.2.2.2 con rottura per scorrimento in combinazioni non sismiche, $\gamma_M = 3$

Comb.	Quota	N	V par	M	σ_0	σ_N	I'	fvd	Vt scorr.	Vt fess.diag.	Vt,lim	c.s.	Verifica
SLU 20	-1.23	-318.53	-6.1	-9.8302	240	2.65	88	116.08			100.04	19.02	Si
SLU 20	3.63	-176.22	-6.09	26.5873	133	2.65	73	97.11			85.83	15.95	Si
SLU 21	-1.23	-323.61	-6.44	-10.1444	244	2.65	88	116.76			100.51	18.14	Si
SLU 21	3.63	-181.95	-6.42	28.4247	137	2.65	74	97.87			86.45	15.25	Si
SLU 29	-1.23	-334.13	-6.18	-10.6112	252	2.65	89	118.16			101.47	19.11	Si
SLU 29	3.63	-194.93	-6.17	28.8185	147	2.65	75	99.6			87.83	16.15	Si
SLU 19	-1.23	-314.17	-5.81	-9.4128	237	2.65	87	115.5			99.63	19.86	Si
SLU 19	3.63	-171.4	-5.8	25.2071	129	2.65	73	96.46			85.31	16.63	Si
SLU 22	-1.23	-324.33	-6.48	-10.0413	245	2.65	88	116.86			100.57	18.04	Si
SLU 22	3.63	-182.85	-6.46	28.882	138	2.65	74	97.99			86.54	15.17	Si
SLU 30	-1.23	-339.21	-6.51	-10.9254	256	2.65	90	118.84			101.94	18.24	Si
SLU 30	3.63	-200.66	-6.5	30.6559	151	2.65	76	100.37			88.43	15.45	Si
SLU 28	-1.23	-329.78	-5.89	-10.1938	249	2.65	89	117.58			101.07	19.95	Si
SLU 28	3.63	-190.11	-5.88	27.4383	143	2.65	75	98.96			87.32	16.84	Si
SLU 31	-1.23	-339.94	-6.56	-10.8223	257	2.65	90	118.94			102	18.14	Si
SLU 31	3.63	-201.56	-6.54	31.1131	152	2.65	76	100.49			88.53	15.37	Si
SLU 3	-1.23	-255.22	-5.11	-8.1782	193	2.65	81	107.64			93.98	21.05	Si
SLU 3	3.63	-147.33	-5.1	23.1961	111	2.65	70	93.25			82.65	18.28	Si
SLU 4	-1.23	-255.95	-5.16	-8.0751	193	2.65	81	107.74			94.05	20.89	Si
SLU 4	3.63	-148.23	-5.14	23.6534	112	2.65	70	93.38			82.75	18.16	Si

Verifica a taglio nel piano secondo D.M. 17-01-18 (N.T.C.) §7.8.2.2.2 con rottura per scorrimento in combinazioni sismiche, $\gamma_M = 2$

Comb.	Quota	N	V par	M	σ_0	σ_N	I'	fvd	Vt scorr.	Vt fess.diag.	Vt,lim	c.s.	Verifica
SLV 8	-1.23	-97.09	60.28	216.7555		0	0	83	0		109.18	0	No, $V_u < V$
SLV 8	3.63	-62.66	47.21	6.8582		47	2.65	93	122.95		104.7	2.6	Si
SLV 9	-1.23	-428.49	-67.7	-232.3051		365	2.3486	156	183.55		145.41	2.71	Si
SLV 9	3.63	-254.17	-54.61	32.6853		192	2.65	122	161.25		127.64	2.95	Si
SLV 11	-1.23	-201	52.29	213.8516		513	0.7832	163	63.64		121.71	1.22	Si
SLV 11	3.63	-112.11	44.61	9.6786		85	2.65	100	132.84		111.08	2.98	Si
SLV 3	-1.23	-55.48	27.61	63.9886		216	0.5149	126	32.55		103.74	1.18	Si
SLV 3	3.63	-54.68	15.51	11.62		41	2.65	92	121.35		103.64	7.82	Si
SLV 5	-1.23	-324.58	-59.7	-229.4012		350	1.8547	153	142.19		135.1	2.38	Si
SLV 5	3.63	-204.71	-52.01	29.8648		155	2.65	114	151.36		122.13	2.91	Si
SLV 10	-1.23	-428.49	-67.7	-232.3051		365	2.3486	156	183.55		145.41	2.71	Si
SLV 10	3.63	-254.17	-54.61	32.6853		192	2.65	122	161.25		127.64	2.95	Si
SLV 4	-1.23	-55.48	27.61	63.9886		216	0.5149	126	32.55		103.74	1.18	Si
SLV 4	3.63	-54.68	15.51	11.62		41	2.65	92	121.35		103.64	7.82	Si
SLV 6	-1.23	-324.58	-59.7	-229.4012		350	1.8547	153	142.19		135.1	2.38	Si
SLV 6	3.63	-204.71	-52.01	29.8648		155	2.65	114	151.36		122.13	2.91	Si
SLV 12	-1.23	-201	52.29	213.8516		513	0.7832	163	63.64		121.71	1.22	Si
SLV 12	3.63	-112.11	44.61	9.6786		85	2.65	100	132.84		111.08	2.98	Si
SLV 7	-1.23	-97.09	60.28	216.7555		0	0	83	0		109.18	0	No, $V_u < V$
SLV 7	3.63	-62.66	47.21	6.8582		47	2.65	93	122.95		104.7	2.6	Si

Verifica a pressoflessione fuori piano D.M. 17-01-18 (N.T.C.)

quota 1.2 Wa 0.0009 denominatore 8 $\gamma_M = 2$

Comb.	fd	Sa	σ_0	N	M	Mc	Coeff.s.	Verifica
SLV 4	1438	0.28	27	-35.79	5.6009	8.7497	1.56	Si

Comb.	fd	Sa	σ_0	N	M	Mc	Coeff.s.	Verifica
SLV 3	1438	0.28	27	-35.79	5.6009	8.7497	1.56	Si
SLV 8	1438	0.28	53	-69.92	5.6009	16.7246	2.99	Si
SLV 7	1438	0.28	53	-69.92	5.6009	16.7246	2.99	Si
SLV 2	1438	0.28	68	-90.52	5.6009	21.3647	3.81	Si
SLV 1	1438	0.28	68	-90.52	5.6009	21.3647	3.81	Si
SLV 11	1438	0.28	116	-153.9	5.6009	34.8175	6.22	Si
SLV 12	1438	0.28	116	-153.9	5.6009	34.8175	6.22	Si
SLV 6	1438	0.28	190	-252.35	5.6009	53.2541	9.51	Si
SLV 5	1438	0.28	190	-252.35	5.6009	53.2541	9.51	Si

Tabella dei coefficienti di sicurezza minimi

Stato limite	Coeff.s.	Comb.	Verifica
PF SLV	2.108	SLV 36	Si
V SLV	15.167	SLV 22	Si
PF SLV	0	SLV 7	No
V SLV	0	SLV 7	No
PFFP SLV	1.562	SLV 3	Si

Maschio 76

Verifiche condotte secondo D.M. 17-01-18 (N.T.C.)

Dati geometrici

X ini.	Y ini.	X fin.	Y fin.	Quota i.	Quota s.	l	Sp.	h netta	h ini.	h fin.	a	a.s.,sx	a.s.,dx
7.3	21.715	7.3	29.715	L1	L3	8	0.5	4.5	4.85	4.85			

Caratteristiche del materiale

(circ.617 C8A.2) Muratura in mattoni pieni e malta di calce LC2

fb	fk	fvk0	fmedio	τ_0	fv0	μ	φ	fv,lim	E	G	FC
6000			3450	90	200	0.58	0.77	325	3200000	1280000	1.2

Verifica a pressoflessione per azioni non sismiche 4.5.6.2 D.M. 17-01-18 (N.T.C.) $\gamma_M = 3$

Comb.	Quota	N	M	p	es1	es2	ea	ev	e ver	Φ_t	Φ_I	Nu	Verifica
SLV 36	-1.225	-1222.77		1	0	0.0173	0.0225	0	0.0398	0.64	1	2457.3	Si
SLV 36	1.2	-994.39		1	0	0.0173	0.0225	0	0.0225	0.75	1	2859.36	Si
SLV 36	3.625	-799.38		1	0	0.0173	0.0225	0	0.0398	0.64	1	2457.3	Si
SLV 35	-1.225	-1198.59		1	0	0.0179	0.0225	0	0.0404	0.64	1	2444.19	Si
SLV 35	1.2	-969.81		1	0	0.0179	0.0225	0	0.0225	0.75	1	2859.36	Si
SLV 35	3.625	-774.14		1	0	0.0179	0.0225	0	0.0404	0.64	1	2444.19	Si
SLV 34	-1.225	-1206.55		1	0	0.0154	0.0225	0	0.0379	0.65	1	2503.48	Si
SLV 34	1.2	-978.02		1	0	0.0154	0.0225	0	0.0225	0.75	1	2859.36	Si
SLV 34	3.625	-781.2		1	0	0.0154	0.0225	0	0.0379	0.65	1	2503.48	Si
SLV 33	-1.225	-1204.64		1	0	0.0154	0.0225	0	0.0379	0.65	1	2502.41	Si
SLV 33	1.2	-975.86		1	0	0.0154	0.0225	0	0.0225	0.75	1	2859.36	Si
SLV 33	3.625	-778.85		1	0	0.0154	0.0225	0	0.0379	0.65	1	2502.41	Si
SLV 32	-1.225	-1180.46		1	0	0.0159	0.0225	0	0.0384	0.65	1	2490.45	Si
SLV 32	1.2	-951.28		1	0	0.0159	0.0225	0	0.0225	0.75	1	2859.36	Si
SLV 32	3.625	-753.61		1	0	0.0159	0.0225	0	0.0384	0.65	1	2490.45	Si
SLV 27	-1.225	-1149.74		1	0	0.0172	0.0225	0	0.0397	0.64	1	2461.32	Si
SLV 27	1.2	-920.54		1	0	0.0172	0.0225	0	0.0225	0.75	1	2859.36	Si
SLV 27	3.625	-722.68		1	0	0.0172	0.0225	0	0.0397	0.64	1	2461.32	Si
SLV 26	-1.225	-1125.55		1	0	0.0178	0.0225	0	0.0403	0.64	1	2446.92	Si
SLV 26	1.2	-895.96		1	0	0.0178	0.0225	0	0.0225	0.75	1	2859.36	Si
SLV 26	3.625	-697.44		1	0	0.0178	0.0225	0	0.0403	0.64	1	2446.92	Si
SLV 25	-1.225	-1133.51		1	0	0.015	0.0225	0	0.0375	0.66	1	2512.64	Si
SLV 25	1.2	-904.17		1	0	0.015	0.0225	0	0.0225	0.75	1	2859.36	Si
SLV 25	3.625	-704.5		1	0	0.015	0.0225	0	0.0375	0.66	1	2512.64	Si
SLV 24	-1.225	-1131.6		1	0	0.015	0.0225	0	0.0375	0.66	1	2511.48	Si
SLV 24	1.2	-902.02		1	0	0.015	0.0225	0	0.0225	0.75	1	2859.36	Si
SLV 24	3.625	-702.15		1	0	0.015	0.0225	0	0.0375	0.66	1	2511.48	Si
SLV 23	-1.225	-1107.42		1	0	0.0156	0.0225	0	0.0381	0.65	1	2498.51	Si
SLV 23	1.2	-877.43		1	0	0.0156	0.0225	0	0.0225	0.75	1	2859.36	Si
SLV 23	3.625	-676.91		1	0	0.0156	0.0225	0	0.0381	0.65	1	2498.51	Si

Verifica a pressoflessione nel piano secondo D.M. 17-01-18 NTC §7.8.2.2.1 in combinazioni sismiche, $\gamma_M = 2$

Comb.	Quota	N	M	σ_0	Mu	c.s.	Verifica
SLV 8	-1.23	-996.89	2364.1606	249	3174.2234	1.343	Si
SLV 8	3.63	-528.82	77.5377	132	1886.4229	24.329	Si
SLV 5	-1.23	-1011.03	-2571.3531	253	3207.5484	1.247	Si
SLV 5	3.63	-587.13	-307.8183	147	2066.388	6.713	Si
SLV 7	-1.23	-996.89	2364.1606	249	3174.2234	1.343	Si
SLV 7	3.63	-528.82	77.5377	132	1886.4229	24.329	Si
SLV 6	-1.23	-1011.03	-2571.3531	253	3207.5484	1.247	Si
SLV 6	3.63	-587.13	-307.8183	147	2066.388	6.713	Si
SLV 11	-1.23	-701.38	2397.6456	175	2402.9069	1.002	Si
SLV 11	3.63	-463.26	70.4016	116	1677.3864	23.826	Si
SLV 13	-1.23	-365.81	-771.3726	91	1353.7103	1.755	Si
SLV 13	3.63	-424.66	-188.4052	106	1551.0391	8.232	Si
SLV 9	-1.23	-715.52	-2537.8681	179	2443.0716	0.963	No, M>Mu
SLV 9	3.63	-521.56	-314.9544	130	1863.6088	5.917	Si
SLV 10	-1.23	-715.52	-2537.8681	179	2443.0716	0.963	No, M>Mu
SLV 10	3.63	-521.56	-314.9544	130	1863.6088	5.917	Si
SLV 14	-1.23	-365.81	-771.3726	91	1353.7103	1.755	Si
SLV 14	3.63	-424.66	-188.4052	106	1551.0391	8.232	Si
SLV 12	-1.23	-701.38	2397.6456	175	2402.9069	1.002	Si
SLV 12	3.63	-463.26	70.4016	116	1677.3864	23.826	Si

Verifica a taglio nel piano secondo D.M. 17-01-18 (N.T.C.) §7.8.2.2.2 con rottura per scorrimento in combinazioni non sismiche, $\gamma_M = 3$

Comb.	Quota	N	V par	M	σ_0	σ_N	l'	fvd	Vt scorr.	Vt fess.diag.	Vt,lim	c.s.	Verifica
SLV 18	-1.23	-1013.38	11.54	-114.6391		253	8	89	357.34		460.14	30.95	Si
SLV 18	3.63	-692.07	11.56	-158.1201		173	8	79	314.5		413.8	27.2	Si
SLV 36	-1.23	-1222.77	12.88	-131.0209		306	8	96	385.26		487.97	29.92	Si
SLV 36	3.63	-799.38	12.9	-179.7632		200	8	82	328.81		429.83	25.49	Si
SLV 33	-1.23	-1204.64	12.71	-123.8991		301	8	96	382.84		485.62	30.13	Si

Comb.	Quota	N	V par	M	σ_0	σ_N	I'	fvd	Vt scorr.	Vt fess.diag.	Vt,lim	c.s.	Verifica
SLU 33	3.63	-778.85	12.73	-172.905		195	8	82	326.07		426.81	25.61	Si
SLU 17	-1.23	-989.19	11.36	-117.4426		247	8	89	354.11		456.81	31.16	Si
SLU 17	3.63	-666.83	11.38	-160.5175		167	8	78	311.13		409.94	27.34	Si
SLU 35	-1.23	-1198.59	12.7	-133.8244		300	8	96	382.03		484.84	30.09	Si
SLU 35	3.63	-774.14	12.72	-182.1607		194	8	81	325.44		426.12	25.59	Si
SLU 27	-1.23	-1149.74	11.06	-118.5729		287	8	94	375.52		478.45	33.96	Si
SLU 27	3.63	-722.68	11.08	-160.1368		181	8	80	318.58		418.44	28.76	Si
SLU 34	-1.23	-1206.55	12.15	-117.3686		302	8	96	383.1		485.87	31.53	Si
SLU 34	3.63	-781.2	12.17	-163.4706		195	8	82	326.38		427.16	26.81	Si
SLU 15	-1.23	-995.25	11.38	-107.5174		249	8	89	354.92		457.65	31.2	Si
SLU 15	3.63	-671.54	11.4	-151.2619		168	8	78	311.76		410.67	27.36	Si
SLU 14	-1.23	-971.06	11.19	-110.3209		243	8	88	351.7		454.3	31.42	Si
SLU 14	3.63	-646.3	11.21	-153.6594		162	8	77	308.4		406.77	27.5	Si
SLU 32	-1.23	-1180.46	12.53	-126.7027		295	8	95	379.62		482.47	30.3	Si
SLU 32	3.63	-753.61	12.55	-175.3025		188	8	81	322.7		423.07	25.71	Si

Verifica a taglio nel piano secondo D.M. 17-01-18 (N.T.C.) §7.8.2.2 con rottura per scorrimento in combinazioni sismiche, $\gamma_M = 2$

Comb.	Quota	N	V par	M	σ_0	σ_N	I'	fvd	Vt scorr.	Vt fess.diag.	Vt,lim	c.s.	Verifica
SLV 5	-1.23	-1011.03	-482.19	-		463	4.3701	163	355.07		616.57	0.74	No, Vu<V
SLV 5	3.63	-587.13	-469.77	2571.3531		147	8	113	450.76		547.74	0.96	No, Vu<V
SLV 6	-1.23	-1011.03	-482.19	-		463	4.3701	163	355.07		616.57	0.74	No, Vu<V
SLV 6	3.63	-587.13	-469.77	2571.3531		147	8	113	450.76		547.74	0.96	No, Vu<V
SLV 10	-1.23	-715.52	-436.29	-		1053	1.3593	163	110.44		569.47	0.25	No, Vu<V
SLV 10	3.63	-521.56	-446.02	2537.8681		130	8	109	437.65		536.31	0.98	No, Vu<V
SLV 12	-1.23	-701.38	498.69	-314.9544		804	1.7446	163	141.75		567.12	0.28	No, Vu<V
SLV 12	3.63	-463.26	486.3	2397.6456		116	8	106	425.98		525.94	0.88	No, Vu<V
SLV 7	-1.23	-996.89	452.78	70.4016		408	4.8854	163	396.94		614.4	0.88	No, Vu<V
SLV 7	3.63	-528.82	462.55	2364.1606		132	8	110	439.1		537.59	0.95	No, Vu<V
SLV 8	-1.23	-996.89	452.78	77.5377		408	4.8854	163	396.94		614.4	0.88	No, Vu<V
SLV 8	3.63	-528.82	462.55	2364.1606		132	8	110	439.1		537.59	0.95	No, Vu<V
SLV 16	-1.23	-361.56	225	709.2815		118	6.1149	107	327.1		507.33	1.45	Si
SLV 16	3.63	-407.17	187.7	-72.7984		102	8	104	414.77		515.76	2.21	Si
SLV 11	-1.23	-701.38	498.69	70.4016		804	1.7446	163	141.75		567.12	0.28	No, Vu<V
SLV 11	3.63	-463.26	486.3	2397.6456		116	8	106	425.98		525.94	0.88	No, Vu<V
SLV 15	-1.23	-361.56	225	709.2815		118	6.1149	107	327.1		507.33	1.45	Si
SLV 15	3.63	-407.17	187.7	-72.7984		102	8	104	414.77		515.76	2.21	Si
SLV 9	-1.23	-715.52	-436.29	-		1053	1.3593	163	110.44		569.47	0.25	No, Vu<V
SLV 9	3.63	-521.56	-446.02	2537.8681		130	8	109	437.65		536.31	0.98	No, Vu<V

Verifica a pressoflessione fuori piano D.M. 17-01-18 (N.T.C.)

quota 1.2 Wa 0.0009 denominatore 8 $\gamma_M = 2$

Comb.	fd	Sa	σ_0	N	M	Mc	Coeff.s.	Verifica
SLV 16	1438	0.28	89	-356.75	16.9083	82.6782	4.89	Si
SLV 15	1438	0.28	89	-356.75	16.9083	82.6782	4.89	Si
SLV 14	1438	0.28	91	-363.62	16.9083	84.1426	4.98	Si
SLV 13	1438	0.28	91	-363.62	16.9083	84.1426	4.98	Si
SLV 11	1438	0.28	143	-572.16	16.9083	126.2955	7.47	Si
SLV 12	1438	0.28	143	-572.16	16.9083	126.2955	7.47	Si
SLV 10	1438	0.28	149	-595.06	16.9083	130.6535	7.73	Si
SLV 9	1438	0.28	149	-595.06	16.9083	130.6535	7.73	Si
SLV 7	1438	0.28	191	-763.67	16.9083	161.0868	9.53	Si
SLV 8	1438	0.28	191	-763.67	16.9083	161.0868	9.53	Si

Tabella dei coefficienti di sicurezza minimi

Stato limite	Coeff.s.	Comb.	Verifica
PF SLU	2.01	SLU 36	Si
V SLU	25.49	SLU 36	Si
PF SLV	0.963	SLV 9	No
V SLV	0.253	SLV 9	No
PFFP SLV	4.89	SLV 15	Si

Maschio 77

Verifiche condotte secondo D.M. 17-01-18 (N.T.C.)

Dati geometrici

X ini.	Y ini.	X fin.	Y fin.	Quota i.	Quota s.	I	Sp.	h netta	h ini.	h fin.	a	a.s.,sx	a.s.,dx
7.3	48.715	7.3	53.065	L1	L3	4.35	0.5	4.5	4.85	4.85			

Caratteristiche del materiale

(circ.617 C8A.2) Muratura in mattoni pieni e malta di calce LC2

fb	fk	fvk0	fmedio	τ_0	fv0	μ	ϕ	fv,lim	E	G	FC
6000			3450	90	200	0.58	0.77	325	3200000	1280000	1.2

Verifica a pressoflessione per azioni non sismiche 4.5.6.2 D.M. 17-01-18 (N.T.C.) $\gamma_M = 3$

Comb.	Quota	N	M	p	es1	es2	ea	ev	e ver	Φ_t	Φ_I	Nu	Verifica
SLU 36	-1.225	-592.42		1	0	0.029	0.0225	0	0.0515	0.59	1	1234.46	Si
SLU 36	1.2	-476.5		1	0	0.029	0.0225	0	0.0257	0.73	1	1513.82	Si
SLU 36	3.625	-368.77		1	0	0.029	0.0225	0	0.0515	0.59	1	1234.46	Si
SLU 35	-1.225	-581.53		1	0	0.03	0.0225	0	0.0525	0.59	1	1226.52	Si
SLU 35	1.2	-464.86		1	0	0.03	0.0225	0	0.0262	0.72	1	1507.56	Si
SLU 35	3.625	-356.57		1	0	0.03	0.0225	0	0.0525	0.59	1	1226.52	Si
SLU 34	-1.225	-588.19		1	0	0.0255	0.0225	0	0.048	0.61	1	1262.77	Si
SLU 34	1.2	-471.89		1	0	0.0255	0.0225	0	0.024	0.74	1	1536.11	Si
SLU 34	3.625	-363.29		1	0	0.0255	0.0225	0	0.048	0.61	1	1262.77	Si
SLU 33	-1.225	-585.11		1	0	0.0257	0.0225	0	0.0482	0.6	1	1260.78	Si
SLU 33	1.2	-468.57		1	0	0.0257	0.0225	0	0.0241	0.74	1	1534.54	Si
SLU 33	3.625	-359.79		1	0	0.0257	0.0225	0	0.0482	0.6	1	1260.78	Si
SLU 32	-1.225	-574.22		1	0	0.0266	0.0225	0	0.0491	0.6	1	1253.56	Si
SLU 32	1.2	-456.93		1	0	0.0266	0.0225	0	0.0246	0.73	1	1528.86	Si
SLU 32	3.625	-347.59		1	0	0.0266	0.0225	0	0.0491	0.6	1	1253.56	Si
SLU 27	-1.225	-565.02		1	0	0.0284	0.0225	0	0.0509	0.59	1	1239.64	Si

Comb.	Quota	N	M	p	es1	es2	ea	ev	e ver	φt	Φl	Nu	Verifica
SLU 27	1.2	-447.18		1	0	0.0284	0.0225	0	0.0254	0.73	1	1517.89	Si
SLU 27	3.625	-337.58		1	0	0.0284	0.0225	0	0.0509	0.59	1	1239.64	Si
SLU 26	-1.225	-554.13		1	0	0.0294	0.0225	0	0.0519	0.59	1	1231.13	Si
SLU 26	1.2	-435.54		1	0	0.0294	0.0225	0	0.026	0.73	1	1511.19	Si
SLU 26	3.625	-325.38		1	0	0.0294	0.0225	0	0.0519	0.59	1	1231.13	Si
SLU 25	-1.225	-560.79		1	0	0.0245	0.0225	0	0.047	0.61	1	1270.68	Si
SLU 25	1.2	-442.57		1	0	0.0245	0.0225	0	0.0235	0.74	1	1542.34	Si
SLU 25	3.625	-332.09		1	0	0.0245	0.0225	0	0.047	0.61	1	1270.68	Si
SLU 24	-1.225	-557.71		1	0	0.0247	0.0225	0	0.0472	0.61	1	1268.6	Si
SLU 24	1.2	-439.25		1	0	0.0247	0.0225	0	0.0236	0.74	1	1540.7	Si
SLU 24	3.625	-328.59		1	0	0.0247	0.0225	0	0.0472	0.61	1	1268.6	Si
SLU 23	-1.225	-546.82		1	0	0.0257	0.0225	0	0.0482	0.6	1	1260.96	Si
SLU 23	1.2	-427.61		1	0	0.0257	0.0225	0	0.0241	0.74	1	1534.69	Si
SLU 23	3.625	-316.39		1	0	0.0257	0.0225	0	0.0482	0.6	1	1260.96	Si

Verifica a pressoflessione nel piano secondo D.M. 17-01-18 NTC §7.8.2.2.1 in combinazioni sismiche, $\gamma_M = 2$

Comb.	Quota	N	M	σ_0	Mu	c.s.	Verifica
SLV 11	-1.23	-338.7	630.8	156	642.7886	1.019	Si
SLV 11	3.63	-199.95	-129.5927	92	402.1721	3.103	Si
SLV 4	-1.23	-110.02	160.0597	51	229.3819	1.433	Si
SLV 4	3.63	-155.35	-181.7203	71	318.1302	1.751	Si
SLV 12	-1.23	-338.7	630.8	156	642.7886	1.019	Si
SLV 12	3.63	-199.95	-129.5927	92	402.1721	3.103	Si
SLV 9	-1.23	-664.93	-654.5604	306	1084.372	1.657	Si
SLV 9	3.63	-333.53	-39.4967	153	634.3922	16.062	Si
SLV 8	-1.23	-180.46	621.1704	0	0	0	No, $e > 1/2$
SLV 8	3.63	-157.79	-168.2056	73	322.8083	1.919	Si
SLV 10	-1.23	-664.93	-654.5604	306	1084.372	1.657	Si
SLV 10	3.63	-333.53	-39.4967	153	634.3922	16.062	Si
SLV 5	-1.23	-506.68	-664.19	233	891.9248	1.343	Si
SLV 5	3.63	-291.37	-78.1096	134	564.2479	7.224	Si
SLV 7	-1.23	-180.46	621.1704	0	0	0	No, $e > 1/2$
SLV 7	3.63	-157.79	-168.2056	73	322.8083	1.919	Si
SLV 3	-1.23	-110.02	160.0597	51	229.3819	1.433	Si
SLV 3	3.63	-155.35	-181.7203	71	318.1302	1.751	Si
SLV 6	-1.23	-506.68	-664.19	233	891.9248	1.343	Si
SLV 6	3.63	-291.37	-78.1096	134	564.2479	7.224	Si

Verifica a taglio nel piano secondo D.M. 17-01-18 (N.T.C.) §7.8.2.2.2 con rottura per scorrimento in combinazioni non sismiche, $\gamma_M = 3$

Comb.	Quota	N	V par	M	σ_0	σ_N	I'	fvd	Vt scorr.	Vt fess.diag.	Vt.lim	c.s.	Verifica
SLU 27	-1.23	-565.02	33.68	-24.7966		260	4.35	90	196.17		243.71	5.83	Si
SLU 27	3.63	-337.58	33.77	-146.1894		155	4.35	76	165.84		211.73	4.91	Si
SLU 15	-1.23	-476.11	34.45	-25.0458		219	4.35	85	184.31		231.73	5.35	Si
SLU 15	3.63	-306.53	34.54	-148.1737		141	4.35	74	161.7		206.98	4.68	Si
SLU 18	-1.23	-483.41	35.49	-27.3385		222	4.35	85	185.29		232.74	5.22	Si
SLU 18	3.63	-315.52	35.58	-151.8931		145	4.35	75	162.9		208.36	4.58	Si
SLU 16	-1.23	-479.17	35.26	-24.9926		220	4.35	85	184.72		232.15	5.24	Si
SLU 16	3.63	-310.03	35.35	-151.1284		143	4.35	75	162.17		207.52	4.59	Si
SLU 32	-1.23	-574.22	35.65	-25.9229		264	4.35	91	197.4		244.91	5.54	Si
SLU 32	3.63	-347.59	35.75	-155.1494		160	4.35	77	167.18		213.23	4.68	Si
SLU 36	-1.23	-592.42	39.17	-29.1605		272	4.35	92	199.82		247.28	5.1	Si
SLU 36	3.63	-368.77	39.27	-168.953		170	4.35	78	170		216.39	4.33	Si
SLU 17	-1.23	-472.52	33.02	-26.3937		217	4.35	85	183.84		231.23	5.57	Si
SLU 17	3.63	-303.32	33.11	-141.8088		139	4.35	74	161.28		206.48	4.87	Si
SLU 35	-1.23	-581.53	36.7	-28.2156		267	4.35	91	198.37		245.86	5.41	Si
SLU 35	3.63	-356.57	36.8	-158.8687		164	4.35	77	168.38		214.58	4.58	Si
SLU 34	-1.23	-588.19	38.93	-26.8145		270	4.35	92	199.26		246.73	5.12	Si
SLU 34	3.63	-363.29	39.04	-168.1883		167	4.35	78	169.27		215.58	4.34	Si
SLU 33	-1.23	-585.11	38.12	-26.8678		269	4.35	91	198.85		246.33	5.22	Si
SLU 33	3.63	-359.79	38.23	-165.2337		165	4.35	78	168.8		215.06	4.42	Si

Verifica a taglio nel piano secondo D.M. 17-01-18 (N.T.C.) §7.8.2.2.2 con rottura per scorrimento in combinazioni sismiche, $\gamma_M = 2$

Comb.	Quota	N	V par	M	σ_0	σ_N	I'	fvd	Vt scorr.	Vt fess.diag.	Vt.lim	c.s.	Verifica
SLV 3	-1.23	-110.02	119.11	160.0597		102	2.1604	104	112.02		250.59	0.94	No, Vu<V
SLV 3	3.63	-155.35	147.78	-181.7203		103	3.0157	104	156.72		259.13	1.06	Si
SLV 12	-1.23	-338.7	200.02	630.8		722	0.9378	163	76.19		291.13	0.38	No, Vu<V
SLV 12	3.63	-199.95	190.93	-129.5927		92	4.35	102	221.24		267.27	1.16	Si
SLV 9	-1.23	-664.93	-176.04	-654.5604		372	3.5718	158	281.81		340.72	1.6	Si
SLV 9	3.63	-333.53	-184.06	-39.4967		153	4.35	114	247.96		290.28	1.35	Si
SLV 10	-1.23	-664.93	-176.04	-654.5604		372	3.5718	158	281.81		340.72	1.6	Si
SLV 10	3.63	-333.53	-184.06	-39.4967		153	4.35	114	247.96		290.28	1.35	Si
SLV 7	-1.23	-180.46	223.42	621.1704		0	0	83	0		263.74	0	No, Vu<V
SLV 7	3.63	-157.79	231.59	-168.2056		95	3.3269	102	170.18		259.58	0.73	No, Vu<V
SLV 8	-1.23	-180.46	223.42	621.1704		0	0	83	0		263.74	0	No, Vu<V
SLV 8	3.63	-157.79	231.59	-168.2056		95	3.3269	102	170.18		259.58	0.73	No, Vu<V
SLV 11	-1.23	-338.7	200.02	630.8		722	0.9378	163	76.19		291.13	0.38	No, Vu<V
SLV 11	3.63	-199.95	190.93	-129.5927		92	4.35	102	221.24		267.27	1.16	Si
SLV 4	-1.23	-110.02	119.11	160.0597		102	2.1604	104	112.02		250.59	0.94	No, Vu<V
SLV 4	3.63	-155.35	147.78	-181.7203		103	3.0157	104	156.72		259.13	1.06	Si
SLV 5	-1.23	-506.68	-152.63	-664.19		391	2.5924	162	209.35		317.64	1.37	Si
SLV 5	3.63	-291.37	-143.4	-78.1096		134	4.35	110	239.52		283.22	1.67	Si
SLV 6	-1.23	-506.68	-152.63	-664.19		391	2.5924	162	209.35		317.64	1.37	Si
SLV 6	3.63	-291.37	-143.4	-78.1096		134	4.35	110	239.52		283.22	1.67	Si

Verifica a pressoflessione fuori piano D.M. 17-01-18 (N.T.C.)

quota 1,2 Wa 0.0009 denominatore 8 $\gamma_M = 2$

Comb.	fd	Sa	σ_0	N	M	Mc	Coeff.s.	Verifica
SLV 3	1438	0.28	79	-171.64	9.1939	40.1387	4.37	Si
SLV 4	1438	0.28	79	-171.64	9.1939	40.1387	4.37	Si
SLV 8	1438	0.28	81	-177.14	9.1939	41.3328	4.5	Si
SLV 7	1438	0.28	81	-177.14	9.1939	41.3328	4.5	Si
SLV 2	1438	0.28	111	-241.63	9.1939	54.9144	5.97	Si
SLV 1	1438	0.28	111	-241.63	9.1939	54.9144	5.97	Si
SLV 11	1438	0.28	116	-251.84	9.1939	56.9932	6.2	Si
SLV 12	1438	0.28	116	-251.84	9.1939	56.9932	6.2	Si
SLV 6	1438	0.28	189	-410.43	9.1939	86.7603	9.44	Si
SLV 5	1438	0.28	189	-410.43	9.1939	86.7603	9.44	Si

Tabella dei coefficienti di sicurezza minimi

Stato limite	Coeff.s.	Comb.	Verifica
PF SLU	2.084	SLU 36	Si
V SLU	4.329	SLU 36	Si
PF SLV	0	SLV 7	No
V SLV	0	SLV 7	No
PFFP SLV	4.366	SLV 3	Si

Maschio 78

Verifiche condotte secondo D.M. 17-01-18 (N.T.C.)

Dati geometrici

X ini.	Y ini.	X fin.	Y fin.	Quota i.	Quota.s	l	Sp.	h netta	h ini.	h fin.	a	a.s.,sx	a.s.,dx
7.3	20.34	8.02	20.34	L1	L3	0.72	0.4	4.5	4.85	4.85			

Caratteristiche del materiale

(circ.617 C8A.2) Muratura in mattoni pieni e malta di calce LC2

fb	fk	fvk0	fmedio	r0	fv0	μ	φ	fv,lim	E	G	FC
6000			3450	90	200	0.58	0.77	325	3200000	1280000	1.2

Verifica a pressoflessione per azioni non sismiche 4.5.6.2 D.M. 17-01-18 (N.T.C.) $\gamma_M = 3$

Comb.	Quota	N	M	p	es1	es2	ea	ev	e ver	ϕ_t	Φ_I	Nu	Verifica
SLU 36	-1.225	-78.25		1	0	0	0.0225	0	0.0225	0.66	1	180.92	Si
SLU 36	1.2	-59.68		1	0	0	0.0225	0	0.0225	0.66	1	180.92	Si
SLU 36	3.625	-46.05		1	0	0	0.0225	0	0.0225	0.66	1	180.92	Si
SLU 34	-1.225	-77.5		1	0	0	0.0225	0	0.0225	0.66	1	180.92	Si
SLU 34	1.2	-59.07		1	0	0	0.0225	0	0.0225	0.66	1	180.92	Si
SLU 34	3.625	-46.23		1	0	0	0.0225	0	0.0225	0.66	1	180.92	Si
SLU 33	-1.225	-77.35		1	0	0	0.0225	0	0.0225	0.66	1	180.92	Si
SLU 33	1.2	-58.86		1	0	0	0.0225	0	0.0225	0.66	1	180.92	Si
SLU 33	3.625	-45.95		1	0	0	0.0225	0	0.0225	0.66	1	180.92	Si
SLU 35	-1.225	-77.31		1	0	0	0.0225	0	0.0225	0.66	1	180.92	Si
SLU 35	1.2	-58.49		1	0	0	0.0225	0	0.0225	0.66	1	180.92	Si
SLU 35	3.625	-44.64		1	0	0	0.0225	0	0.0225	0.66	1	180.92	Si
SLU 32	-1.225	-76.41		1	0	0	0.0225	0	0.0225	0.66	1	180.92	Si
SLU 32	1.2	-57.67		1	0	0	0.0225	0	0.0225	0.66	1	180.92	Si
SLU 32	3.625	-44.54		1	0	0	0.0225	0	0.0225	0.66	1	180.92	Si
SLU 27	-1.225	-75.42		1	0	0	0.0225	0	0.0225	0.66	1	180.92	Si
SLU 27	1.2	-56.41		1	0	0	0.0225	0	0.0225	0.66	1	180.92	Si
SLU 27	3.625	-42.89		1	0	0	0.0225	0	0.0225	0.66	1	180.92	Si
SLU 25	-1.225	-74.66		1	0	0	0.0225	0	0.0225	0.66	1	180.92	Si
SLU 25	1.2	-55.8		1	0	0	0.0225	0	0.0225	0.66	1	180.92	Si
SLU 25	3.625	-43.07		1	0	0	0.0225	0	0.0225	0.66	1	180.92	Si
SLU 24	-1.225	-74.52		1	0	0	0.0225	0	0.0225	0.66	1	180.92	Si
SLU 24	1.2	-55.59		1	0	0	0.0225	0	0.0225	0.66	1	180.92	Si
SLU 24	3.625	-42.79		1	0	0	0.0225	0	0.0225	0.66	1	180.92	Si
SLU 26	-1.225	-74.48		1	0	0	0.0225	0	0.0225	0.66	1	180.92	Si
SLU 26	1.2	-55.22		1	0	0	0.0225	0	0.0225	0.66	1	180.92	Si
SLU 26	3.625	-41.48		1	0	0	0.0225	0	0.0225	0.66	1	180.92	Si
SLU 23	-1.225	-73.58		1	0	0	0.0225	0	0.0225	0.66	1	180.92	Si
SLU 23	1.2	-54.4		1	0	0	0.0225	0	0.0225	0.66	1	180.92	Si
SLU 23	3.625	-41.38		1	0	0	0.0225	0	0.0225	0.66	1	180.92	Si

Verifica a pressoflessione nel piano secondo D.M. 17-01-18 NTC §7.8.2.2.1 in combinazioni sismiche, $\gamma_M = 2$

Comb.	Quota	N	M	σ_0	μ	c.s.	Verifica
SLV 2	-1.23	35.86	-11.1718	0	0	0	No, Trazione
SLV 2	3.63	0.36	2.6139	0	0	0	No, Trazione
SLV 15	-1.23	-149.38	15.4537	519	30.9489	2.003	Si
SLV 15	3.63	-64.61	-0.8331	224	18.9882	22.792	Si
SLV 1	-1.23	35.86	-11.1718	0	0	0	No, Trazione
SLV 1	3.63	0.36	2.6139	0	0	0	No, Trazione
SLV 3	-1.23	8.1	-8.5082	0	0	0	No, Trazione
SLV 3	3.63	-10.41	2.2782	36	3.6382	1.597	Si
SLD 1	-1.23	-16.63	-3.6466	58	5.7034	1.564	Si
SLD 1	3.63	-18.03	1.6311	63	6.1597	3.776	Si
SLV 4	-1.23	8.1	-8.5082	0	0	0	No, Trazione
SLV 4	3.63	-10.41	2.2782	36	3.6382	1.597	Si
SLV 6	-1.23	13.12	-5.8926	0	0	0	No, Trazione
SLV 6	3.63	-6.03	1.9165	21	2.1352	1.114	Si
SLD 2	-1.23	-16.63	-3.6466	58	5.7034	1.564	Si
SLD 2	3.63	-18.03	1.6311	63	6.1597	3.776	Si
SLV 16	-1.23	-149.38	15.4537	519	30.9489	2.003	Si
SLV 16	3.63	-64.61	-0.8331	224	18.9882	22.792	Si
SLV 5	-1.23	13.12	-5.8926	0	0	0	No, Trazione
SLV 5	3.63	-6.03	1.9165	21	2.1352	1.114	Si

Verifica a taglio nel piano secondo D.M. 17-01-18 (N.T.C.) §7.8.2.2.2 con rottura per scorrimento in combinazioni non sismiche, $\gamma_M = 3$

Comb.	Quota	N	V par	M	σ_0	σ_N	l'	fvd	Vt scorr.	Vt fess.diag.	Vt,lim	c.s.	Verifica
SLU 21	-1.23	-70.57	4.78	2.798	245	0.72	88	25.41	88	25.41	21.87	5.32	Si
SLU 21	3.63	-39.91	-2.5	1.3443	139	0.72	74	21.32	74	21.32	18.83	8.54	Si
SLU 22	-1.23	-70.71	4.76	2.7837	246	0.72	88	25.43	88	25.43	21.88	5.34	Si
SLU 22	3.63	-40.19	-2.51	1.3486	140	0.72	74	21.36	74	21.36	18.86	8.5	Si
SLU 29	-1.23	-72.46	4.77	2.7799	252	0.72	89	25.66	89	25.66	22.04	5.38	Si
SLU 29	3.63	-41.66	-2.42	1.326	145	0.72	75	21.55	75	21.55	19.01	8.92	Si
SLU 23	-1.23	-73.58	4.8	2.7921	255	0.72	90	25.81	90	25.81	22.14	5.37	Si
SLU 23	3.63	-41.38	-2.02	1.1397	144	0.72	75	21.52	75	21.52	18.99	10.67	Si
SLU 28	-1.23	-71.67	4.79	2.7967	249	0.72	89	25.56	89	25.56	21.97	5.34	Si
SLU 28	3.63	-40.52	-2.35	1.2822	141	0.72	74	21.4	74	21.4	18.89	9.13	Si
SLU 26	-1.23	-74.48	4.82	2.793	259	0.72	90	25.93	90	25.93	22.22	5.38	Si
SLU 26	3.63	-41.48	-1.78	1.0289	144	0.72	75	21.53	75	21.53	19	12.11	Si
SLU 30	-1.23	-73.4	4.74	2.7489	255	0.72	90	25.79	90	25.79	22.13	5.44	Si
SLU 30	3.63	-43.07	-2.5	1.3741	150	0.72	75	21.74	75	21.74	19.16	8.7	Si
SLU 20	-1.23	-69.62	4.81	2.8291	242	0.72	88	25.28	88	25.28	21.78	5.26	Si

Comb.	Quota	N	V par	M	σ_0	σ_N	I'	fvd	Vt scorr.	Vt fess.diag.	Vt,lim	c.s.	Verifica
SLU 20	3.63	-38.5	-2.41	1.2961		134	0.72	73	21.13		18.68	8.76	Si
SLU 19	-1.23	-68.83	4.82	2.8459		239	0.72	87	25.18		21.71	5.22	Si
SLU 19	3.63	-37.36	-2.34	1.2524		130	0.72	73	20.98		18.55	8.96	Si
SLU 24	-1.23	-74.52	4.77	2.761		259	0.72	90	25.94		22.23	5.44	Si
SLU 24	3.63	-42.79	-2.1	1.1878		149	0.72	75	21.71		19.13	10.33	Si

Verifica a taglio nel piano secondo D.M. 17-01-18 (N.T.C.) §7.8.2.2 con rottura per scorrimento in combinazioni sismiche, $\gamma_M = 2$

Comb.	Quota	N	V par	M	σ_0	σ_N	I'	fvd	Vt scorr.	Vt fess.diag.	Vt,lim	c.s.	Verifica
SLV 1	-1.23	35.86	-11.18	-11.1718		0	0	83	0		14.79	0	No, Vu<V
SLV 1	3.63	0.36	-8.7	2.6139		0	0	83	0		20.82	0	No, Vu<V
SLV 5	-1.23	13.12	-5.41	-5.8926		0	0	83	0		18.87	0	No, Vu<V
SLV 5	3.63	-6.03	-6.62	1.9165		119	0.1272	107	5.45		21.73	0.82	No, Vu<V
SLV 13	-1.23	-121.63	15.49	12.7901		422	0.72	163	46.8		34.22	3.02	Si
SLV 13	3.63	-53.83	3.63	-0.4974		187	0.72	121	34.77		27.59	9.59	Si
SLV 4	-1.23	8.1	-8.12	-8.5082		0	0	83	0		19.66	0	No, Vu<V
SLV 4	3.63	-10.41	-6.78	2.2782		61	0.4237	96	16.21		22.33	2.39	Si
SLV 16	-1.23	-149.38	18.55	15.4537		519	0.72	163	46.8		36.59	2.52	Si
SLV 16	3.63	-64.61	5.54	-0.8331		224	0.72	128	36.92		28.75	6.66	Si
SLV 15	-1.23	-149.38	18.55	15.4537		519	0.72	163	46.8		36.59	2.52	Si
SLV 15	3.63	-64.61	5.54	-0.8331		224	0.72	128	36.92		28.75	6.66	Si
SLV 3	-1.23	8.1	-8.12	-8.5082		0	0	83	0		19.66	0	No, Vu<V
SLV 3	3.63	-10.41	-6.78	2.2782		61	0.4237	96	16.21		22.33	2.39	Si
SLV 2	-1.23	35.86	-11.18	-11.1718		0	0	83	0		14.79	0	No, Vu<V
SLV 2	3.63	0.36	-8.7	2.6139		0	0	83	0		20.82	0	No, Vu<V
SLV 14	-1.23	-121.63	15.49	12.7901		422	0.72	163	46.8		34.22	3.02	Si
SLV 14	3.63	-53.83	3.63	-0.4974		187	0.72	121	34.77		27.59	9.59	Si
SLV 6	-1.23	13.12	-5.41	-5.8926		0	0	83	0		18.87	0	No, Vu<V
SLV 6	3.63	-6.03	-6.62	1.9165		119	0.1272	107	5.45		21.73	0.82	No, Vu<V

Verifica a pressoflessione fuori piano D.M. 17-01-18 (N.T.C.)

quota 1.2 W_a 0.0007 denominatore 8 $\gamma_M = 2$

Comb.	fd	Sa	σ_0	N	M	Mc	Coeff.s.	Verifica
SLV 2	1438	0.28	0	17.2	1.2174	0	0	No, Trazione
SLV 6	1438	0.28	0	4.39	1.2174	0	0	No, Trazione
SLV 5	1438	0.28	0	4.39	1.2174	0	0	No, Trazione
SLV 4	1438	0.28	0	-1.71	1.2174	0	0	No, e>t/2
SLV 3	1438	0.28	0	-1.71	1.2174	0	0	No, e>t/2
SLV 1	1438	0.28	0	17.2	1.2174	0	0	No, Trazione
SLV 10	1438	0.28	89	-25.5	1.2174	4.7301	3.89	Si
SLV 9	1438	0.28	89	-25.5	1.2174	4.7301	3.89	Si
SLV 8	1438	0.28	204	-58.63	1.2174	9.7729	8.03	Si
SLV 7	1438	0.28	204	-58.63	1.2174	9.7729	8.03	Si

Tabella dei coefficienti di sicurezza minimi

Stato limite	Coeff.s.	Comb.	Verifica
PF SLU	2.312	SLU 36	Si
V SLU	5.219	SLU 19	Si
PF SLV	0	SLV 6	No
V SLV	0	SLV 1	No
PPFP SLV	0	SLV 6	No

Maschio 79

Verifiche condotte secondo D.M. 17-01-18 (N.T.C.)

Dati geometrici

X ini.	Y ini.	X fin.	Y fin.	Quota i.	Quota s.	l	Sp.	h netta	h ini.	h fin.	a	a.s.,sx	a.s.,dx
10.43	26.165	7.3	26.165	L1	L3	3.13	0.5	4.5	4.85	4.85			

Caratteristiche del materiale

(circ.617 C8A.2) Muratura in mattoni pieni e malta di calce LC2

fb	fk	fvk0	fmedio	τ_0	fv0	μ	ϕ	fv,lim	E	G	FC
6000			3450	90	200	0.58	0.77	325	3200000	1280000	1.2

Verifica a pressoflessione per azioni non sismiche 4.5.6.2 D.M. 17-01-18 (N.T.C.) $\gamma_M = 3$

Comb.	Quota	N	M	p	es1	es2	ea	ev	e ver	Φ_t	Φ_l	Nu	Verifica
SLU 36	-1.225	-389.33		1	0	0	0.0225	0	0.0225	0.75	1	1118.72	Si
SLU 36	1.2	-294.72		1	0	0	0.0225	0	0.0225	0.75	1	1118.72	Si
SLU 36	3.625	-167.38		1	0	0	0.0225	0	0.0225	0.75	1	1118.72	Si
SLU 33	-1.225	-385.68		1	0	0	0.0225	0	0.0225	0.75	1	1118.72	Si
SLU 33	1.2	-291.78		1	0	0	0.0225	0	0.0225	0.75	1	1118.72	Si
SLU 33	3.625	-167.18		1	0	0	0.0225	0	0.0225	0.75	1	1118.72	Si
SLU 35	-1.225	-385.26		1	0	0	0.0225	0	0.0225	0.75	1	1118.72	Si
SLU 35	1.2	-290.88		1	0	0	0.0225	0	0.0225	0.75	1	1118.72	Si
SLU 35	3.625	-164.14		1	0	0	0.0225	0	0.0225	0.75	1	1118.72	Si
SLU 34	-1.225	-384.62		1	0	0	0.0225	0	0.0225	0.75	1	1118.72	Si
SLU 34	1.2	-290.63		1	0	0	0.0225	0	0.0225	0.75	1	1118.72	Si
SLU 34	3.625	-166.04		1	0	0	0.0225	0	0.0225	0.75	1	1118.72	Si
SLU 32	-1.225	-381.61		1	0	0	0.0225	0	0.0225	0.75	1	1118.72	Si
SLU 32	1.2	-287.94		1	0	0	0.0225	0	0.0225	0.75	1	1118.72	Si
SLU 32	3.625	-163.95		1	0	0	0.0225	0	0.0225	0.75	1	1118.72	Si
SLU 27	-1.225	-373.58		1	0	0	0.0225	0	0.0225	0.75	1	1118.72	Si
SLU 27	1.2	-279.91		1	0	0	0.0225	0	0.0225	0.75	1	1118.72	Si
SLU 27	3.625	-156.31		1	0	0	0.0225	0	0.0225	0.75	1	1118.72	Si
SLU 24	-1.225	-369.93		1	0	0	0.0225	0	0.0225	0.75	1	1118.72	Si
SLU 24	1.2	-276.98		1	0	0	0.0225	0	0.0225	0.75	1	1118.72	Si
SLU 24	3.625	-156.12		1	0	0	0.0225	0	0.0225	0.75	1	1118.72	Si
SLU 26	-1.225	-369.51		1	0	0	0.0225	0	0.0225	0.75	1	1118.72	Si
SLU 26	1.2	-276.07		1	0	0	0.0225	0	0.0225	0.75	1	1118.72	Si
SLU 26	3.625	-153.08		1	0	0	0.0225	0	0.0225	0.75	1	1118.72	Si
SLU 25	-1.225	-368.87		1	0	0	0.0225	0	0.0225	0.75	1	1118.72	Si
SLU 25	1.2	-275.83		1	0	0	0.0225	0	0.0225	0.75	1	1118.72	Si
SLU 25	3.625	-154.97		1	0	0	0.0225	0	0.0225	0.75	1	1118.72	Si
SLU 23	-1.225	-365.86		1	0	0	0.0225	0	0.0225	0.75	1	1118.72	Si
SLU 23	1.2	-273.14		1	0	0	0.0225	0	0.0225	0.75	1	1118.72	Si

Comb.	Quota	N	M	p	es1	es2	ea	ev	e ver	φt	ΦI	Nu	Verifica	
SLV 23	3.625	-152.88			1	0	0	0.0225	0	0.0225	0.75	1	1118.72	Si

Verifica a pressoflessione nel piano secondo D.M. 17-01-18 NTC §7.8.2.2.1 in combinazioni sismiche, $\gamma_M = 2$

Comb.	Quota	N	M	σ_0	Mu	c.s.	Verifica
SLV 2	-1.23	-103.36	315.396	0	0	0	No, $e > 1/2$
SLV 2	3.63	-67.23	-84.7453	43	101.5213	1.198	Si
SLV 4	-1.23	-200.44	290.4684	128	280.8035	0.967	No, $M > Mu$
SLV 4	3.63	-129.83	-77.677	83	189.3858	2.438	Si
SLV 14	-1.23	-363.75	-273.144	232	460.9817	1.688	Si
SLV 14	3.63	-106.6	85.5088	68	157.524	1.842	Si
SLV 6	-1.23	-81.24	138.4892	0	0	0	No, $e > 1/2$
SLV 6	3.63	-7.98	-33.4028	0	0	0	No, $e > 1/2$
SLV 10	-1.23	-159.36	-38.0728	102	228.611	6.005	Si
SLV 10	3.63	-19.79	17.6734	13	30.6558	1.735	Si
SLV 5	-1.23	-81.24	138.4892	0	0	0	No, $e > 1/2$
SLV 5	3.63	-7.98	-33.4028	0	0	0	No, $e > 1/2$
SLV 13	-1.23	-363.75	-273.144	232	460.9817	1.688	Si
SLV 13	3.63	-106.6	85.5088	68	157.524	1.842	Si
SLV 3	-1.23	-200.44	290.4684	128	280.8035	0.967	No, $M > Mu$
SLV 3	3.63	-129.83	-77.677	83	189.3858	2.438	Si
SLV 9	-1.23	-159.36	-38.0728	102	228.611	6.005	Si
SLV 9	3.63	-19.79	17.6734	13	30.6558	1.735	Si
SLV 1	-1.23	-103.36	315.396	0	0	0	No, $e > 1/2$
SLV 1	3.63	-67.23	-84.7453	43	101.5213	1.198	Si

Verifica a taglio nel piano secondo D.M. 17-01-18 (N.T.C.) §7.8.2.2.2 con rottura per scorrimento in combinazioni non sismiche, $\gamma_M = 3$

Comb.	Quota	N	V par	M	σ_0	σ_N	I'	fvd	Vt scorr.	Vt fess.diag.	Vt,lim	c.s.	Verifica
SLU 35	-1.23	-385.26	-3.91	14.5402		246	3.13	88	138.31		124.15	35.34	Si
SLU 35	3.63	-164.14	-3.62	8.8781		105	3.13	70	108.83		100.69	30.08	Si
SLU 16	-1.23	-310.26	-4.95	15.2811		198	3.13	82	128.31		116.72	25.91	Si
SLU 16	3.63	-137.15	-4.71	14.9723		88	3.13	67	105.23		97.44	22.33	Si
SLU 7	-1.23	-294.5	-3.75	12.2143		188	3.13	81	126.21		115.1	33.62	Si
SLU 7	3.63	-126.08	-3.53	10.2373		81	3.13	66	103.75		96.07	29.36	Si
SLU 36	-1.23	-389.33	-4.66	16.0034		249	3.13	89	138.86		124.54	29.81	Si
SLU 36	3.63	-167.38	-4.36	11.9544		107	3.13	70	109.26		101.07	25.07	Si
SLU 17	-1.23	-310.9	-4.06	13.8566		199	3.13	82	128.4		116.78	31.63	Si
SLU 17	3.63	-135.25	-3.81	10.3413		86	3.13	67	104.98		97.2	27.55	Si
SLU 15	-1.23	-311.31	-4.51	14.7238		199	3.13	82	128.45		116.83	28.5	Si
SLU 15	3.63	-138.29	-4.27	13.4863		88	3.13	67	105.38		97.57	24.7	Si
SLU 33	-1.23	-385.68	-4.36	15.4074		246	3.13	88	138.37		124.19	31.72	Si
SLU 33	3.63	-167.18	-4.07	12.0231		107	3.13	70	109.24		101.05	26.81	Si
SLU 14	-1.23	-307.25	-3.76	13.2606		196	3.13	82	127.91		116.41	33.98	Si
SLU 14	3.63	-135.06	-3.53	10.41		86	3.13	67	104.95		97.18	29.76	Si
SLU 34	-1.23	-384.62	-4.81	15.9646		246	3.13	88	138.23		124.08	28.75	Si
SLU 34	3.63	-166.04	-4.52	13.5091		106	3.13	70	109.08		100.91	24.13	Si
SLU 18	-1.23	-314.96	-4.8	15.3199		201	3.13	82	128.94		117.2	26.85	Si
SLU 18	3.63	-138.48	-4.55	13.4176		88	3.13	67	105.41		97.6	23.16	Si

Verifica a taglio nel piano secondo D.M. 17-01-18 (N.T.C.) §7.8.2.2.2 con rottura per scorrimento in combinazioni sismiche, $\gamma_M = 2$

Comb.	Quota	N	V par	M	σ_0	σ_N	I'	fvd	Vt scorr.	Vt fess.diag.	Vt,lim	c.s.	Verifica
SLV 3	-1.23	-200.44	176.39	290.4684		1154	0.3475	163	28.23		145.5	0.16	No, $V_u < V$
SLV 3	3.63	-129.83	166.7	-77.677		90	2.9001	101	146.8		136.55	0.88	No, $V_u < V$
SLV 1	-1.23	-103.36	181.56	315.396		0	0	83	0		133.03	0	No, $V_u < V$
SLV 1	3.63	-67.23	165.27	-84.7453		147	0.9136	113	51.51		128.08	0.31	No, $V_u < V$
SLV 4	-1.23	-200.44	176.39	290.4684		1154	0.3475	163	28.23		145.5	0.16	No, $V_u < V$
SLV 4	3.63	-129.83	166.7	-77.677		90	2.9001	101	146.8		136.55	0.88	No, $V_u < V$
SLV 14	-1.23	-363.75	-180.42	-273.144		298	2.4423	143	174.51		164.36	0.97	No, $V_u < V$
SLV 14	3.63	-106.6	-170.33	85.5088		93	2.2885	102	116.67		133.47	0.68	No, $V_u < V$
SLV 13	-1.23	-363.75	-180.42	-273.144		298	2.4423	143	174.51		164.36	0.97	No, $V_u < V$
SLV 13	3.63	-106.6	-170.33	85.5088		93	2.2885	102	116.67		133.47	0.68	No, $V_u < V$
SLV 2	-1.23	-103.36	181.56	315.396		0	0	83	0		133.03	0	No, $V_u < V$
SLV 2	3.63	-67.23	165.27	-84.7453		147	0.9136	113	51.51		128.08	0.31	No, $V_u < V$
SLV 5	-1.23	-81.24	60.91	138.4892		0	0	83	0		130.03	0	No, $V_u < V$
SLV 5	3.63	-7.98	46.15	-33.4028		0	0	83	0		119.52	0	No, $V_u < V$
SLV 6	-1.23	-81.24	60.91	138.4892		0	0	83	0		130.03	0	No, $V_u < V$
SLV 6	3.63	-7.98	46.15	-33.4028		0	0	83	0		119.52	0	No, $V_u < V$
SLV 16	-1.23	-460.83	-185.6	-298.0716		335	2.7545	150	206.94		174.61	1.11	Si
SLV 16	3.63	-169.19	-168.9	92.5771		111	3.0535	105	161.07		141.61	0.95	No, $V_u < V$
SLV 15	-1.23	-460.83	-185.6	-298.0716		335	2.7545	150	206.94		174.61	1.11	Si
SLV 15	3.63	-169.19	-168.9	92.5771		111	3.0535	105	161.07		141.61	0.95	No, $V_u < V$

Verifica a pressoflessione fuori piano D.M. 17-01-18 (N.T.C.)

quota 1.2 W_a 0.0009 denominatore 8 $\gamma_M = 2$

Comb.	fd	Sa	σ_0	N	M	Mc	Coeff.s.	Verifica
SLV 6	1438	0.28	44	-69.42	6.6154	16.7255	2.53	Si
SLV 5	1438	0.28	44	-69.42	6.6154	16.7255	2.53	Si
SLV 2	1438	0.28	54	-84.93	6.6154	20.2885	3.07	Si
SLV 1	1438	0.28	54	-84.93	6.6154	20.2885	3.07	Si
SLV 10	1438	0.28	80	-124.43	6.6154	29.0823	4.4	Si
SLV 9	1438	0.28	80	-124.43	6.6154	29.0823	4.4	Si
SLV 3	1438	0.28	98	-153.22	6.6154	35.2353	5.33	Si
SLV 4	1438	0.28	98	-153.22	6.6154	35.2353	5.33	Si
SLV 13	1438	0.28	171	-268.27	6.6154	57.6584	8.72	Si
SLV 14	1438	0.28	171	-268.27	6.6154	57.6584	8.72	Si

Tabella dei coefficienti di sicurezza minimi

Stato limite	Coeff.s.	Comb.	Verifica
PF SLV	2.873	SLV 36	Si
V SLV	22.325	SLV 16	Si
PF SLV	0	SLV 1	No
V SLV	0	SLV 1	No
PPFP SLV	2.528	SLV 5	Si

Maschio 80

Verifiche condotte secondo D.M. 17-01-18 (N.T.C.)

Dati geometrici

X ini.	Y ini.	X fin.	Y fin.	Quota i.	Quota.s	l	Sp.	h netta	h ini.	h fin.	a	a.s.,sx	a.s.,dx
9.12	20.34	10.43	20.34	L1	L3	1.31	0.4	4.5	4.85	4.85			

Caratteristiche del materiale

(circ.617 C8A.2) Muratura in mattoni pieni e malta di calce LC2

fb	fk	fvk0	fmedio	r0	fv0	μ	φ	fv,lim	E	G	FC
6000			3450	90	200	0.58	0.77	325	3200000	1280000	1.2

Verifica a pressoflessione per azioni non sismiche 4.5.6.2 D.M. 17-01-18 (N.T.C.) γM = 3

Comb.	Quota	N	M	p	es1	es2	ea	ev	e ver	Φt	Φl	Nu	Verifica
SLU 35	-1.225	-121.73		1	0	0	0.0225	0	0.0225	0.66	1	329.17	Si
SLU 35	1.2	-90.4		1	0	0	0.0225	0	0.0225	0.66	1	329.17	Si
SLU 35	3.625	-62.26		1	0	0	0.0225	0	0.0225	0.66	1	329.17	Si
SLU 36	-1.225	-121.73		1	0	0	0.0225	0	0.0225	0.66	1	329.17	Si
SLU 36	1.2	-90.4		1	0	0	0.0225	0	0.0225	0.66	1	329.17	Si
SLU 36	3.625	-62.26		1	0	0	0.0225	0	0.0225	0.66	1	329.17	Si
SLU 32	-1.225	-121.24		1	0	0	0.0225	0	0.0225	0.66	1	329.17	Si
SLU 32	1.2	-89.91		1	0	0	0.0225	0	0.0225	0.66	1	329.17	Si
SLU 32	3.625	-61.77		1	0	0	0.0225	0	0.0225	0.66	1	329.17	Si
SLU 33	-1.225	-121.24		1	0	0	0.0225	0	0.0225	0.66	1	329.17	Si
SLU 33	1.2	-89.91		1	0	0	0.0225	0	0.0225	0.66	1	329.17	Si
SLU 33	3.625	-61.77		1	0	0	0.0225	0	0.0225	0.66	1	329.17	Si
SLU 34	-1.225	-120.56		1	0	0	0.0225	0	0.0225	0.66	1	329.17	Si
SLU 34	1.2	-89.23		1	0	0	0.0225	0	0.0225	0.66	1	329.17	Si
SLU 34	3.625	-61.09		1	0	0	0.0225	0	0.0225	0.66	1	329.17	Si
SLU 26	-1.225	-119.87		1	0	0	0.0225	0	0.0225	0.66	1	329.17	Si
SLU 26	1.2	-88.54		1	0	0	0.0225	0	0.0225	0.66	1	329.17	Si
SLU 26	3.625	-60.4		1	0	0	0.0225	0	0.0225	0.66	1	329.17	Si
SLU 27	-1.225	-119.87		1	0	0	0.0225	0	0.0225	0.66	1	329.17	Si
SLU 27	1.2	-88.54		1	0	0	0.0225	0	0.0225	0.66	1	329.17	Si
SLU 27	3.625	-60.4		1	0	0	0.0225	0	0.0225	0.66	1	329.17	Si
SLU 23	-1.225	-119.38		1	0	0	0.0225	0	0.0225	0.66	1	329.17	Si
SLU 23	1.2	-88.05		1	0	0	0.0225	0	0.0225	0.66	1	329.17	Si
SLU 23	3.625	-59.91		1	0	0	0.0225	0	0.0225	0.66	1	329.17	Si
SLU 24	-1.225	-119.38		1	0	0	0.0225	0	0.0225	0.66	1	329.17	Si
SLU 24	1.2	-88.05		1	0	0	0.0225	0	0.0225	0.66	1	329.17	Si
SLU 24	3.625	-59.91		1	0	0	0.0225	0	0.0225	0.66	1	329.17	Si
SLU 25	-1.225	-118.7		1	0	0	0.0225	0	0.0225	0.66	1	329.17	Si
SLU 25	1.2	-87.37		1	0	0	0.0225	0	0.0225	0.66	1	329.17	Si
SLU 25	3.625	-59.23		1	0	0	0.0225	0	0.0225	0.66	1	329.17	Si

Verifica a pressoflessione nel piano secondo D.M. 17-01-18 NTC §7.8.2.2.1 in combinazioni sismiche, γM = 2

Comb.	Quota	N	M	σ0	Mu	c.s.	Verifica
SLV 6	-1.23	-92.62	-21.3744	177	51.8882	2.428	Si
SLV 6	3.63	-50.88	0.8006	97	30.6772	38.318	Si
SLV 2	-1.23	-93.37	-32.7619	178	52.2371	1.594	Si
SLV 2	3.63	-52.16	0.6445	100	31.3812	48.693	Si
SLV 1	-1.23	-93.37	-32.7619	178	52.2371	1.594	Si
SLV 1	3.63	-52.16	0.6445	100	31.3812	48.693	Si
SLV 3	-1.23	-93.14	-25.7605	178	52.1297	2.024	Si
SLV 3	3.63	-50.18	0.7964	96	30.2936	38.039	Si
SLV 5	-1.23	-92.62	-21.3744	177	51.8882	2.428	Si
SLV 5	3.63	-50.88	0.8006	97	30.6772	38.318	Si
SLV 4	-1.23	-93.14	-25.7605	178	52.1297	2.024	Si
SLV 4	3.63	-50.18	0.7964	96	30.2936	38.039	Si
SLV 15	-1.23	-90.22	30.1135	172	50.7666	1.686	Si
SLV 15	3.63	-39.94	1.7489	76	24.5263	14.024	Si
SLV 14	-1.23	-90.45	23.1121	173	50.8754	2.201	Si
SLV 14	3.63	-41.91	1.597	80	25.6553	16.065	Si
SLV 16	-1.23	-90.22	30.1135	172	50.7666	1.686	Si
SLV 16	3.63	-39.94	1.7489	76	24.5263	14.024	Si
SLV 13	-1.23	-90.45	23.1121	173	50.8754	2.201	Si
SLV 13	3.63	-41.91	1.597	80	25.6553	16.065	Si

Verifica a taglio nel piano secondo D.M. 17-01-18 (N.T.C.) §7.8.2.2.2 con rottura per scorrimento in combinazioni non sismiche, γM = 3

Comb.	Quota	N	V par	M	σ0	σN	l'	fvd	Vt scorr.	Vt fess.diag.	Vt,lim	c.s.	Verifica
SLU 9	-1.23	-93.59	-0.78	-1.8837	179	1.31	79	41.59			36.44	53.28	Si
SLU 9	3.63	-47.85	-0.78	1.9019	91	1.31	68	35.49			31.49	45.47	Si
SLU 33	-1.23	-121.24	-0.81	-2.1413	231	1.31	86	45.28			39.12	55.76	Si
SLU 33	3.63	-61.77	-0.81	1.7972	118	1.31	71	37.35			33.08	45.99	Si
SLU 17	-1.23	-95.45	-0.86	-2.0864	182	1.31	80	41.84			36.62	48.55	Si
SLU 17	3.63	-49.71	-0.86	2.0931	95	1.31	68	35.74			31.71	41.47	Si
SLU 26	-1.23	-119.87	-0.81	-1.9146	229	1.31	86	45.09			38.99	55.85	Si
SLU 26	3.63	-60.4	-0.81	2.0014	115	1.31	71	37.16			32.92	46.03	Si
SLU 18	-1.23	-95.45	-0.89	-2.2077	182	1.31	80	41.84			36.62	46.96	Si
SLU 18	3.63	-49.71	-0.89	2.113	95	1.31	68	35.74			31.71	40.12	Si
SLU 35	-1.23	-121.73	-0.92	-2.2386	232	1.31	87	45.34			39.17	49.4	Si
SLU 35	3.63	-62.26	-0.92	2.2125	119	1.31	71	37.41			33.13	40.76	Si
SLU 16	-1.23	-94.28	-0.79	-2.0637	180	1.31	80	41.68			36.5	52.87	Si
SLU 16	3.63	-48.54	-0.79	1.7601	93	1.31	68	35.58			31.57	45.13	Si
SLU 36	-1.23	-121.73	-0.95	-2.236	232	1.31	87	45.34			39.17	47.88	Si
SLU 36	3.63	-62.26	-0.95	2.2324	119	1.31	71	37.41			33.13	39.51	Si
SLU 27	-1.23	-119.87	-0.84	-2.036	229	1.31	86	45.09			38.99	53.9	Si
SLU 27	3.63	-60.4	-0.84	2.0213	115	1.31	71	37.16			32.92	44.43	Si
SLU 34	-1.23	-120.56	-0.84	-2.2159	230	1.31	86	45.19			39.06	53.51	Si
SLU 34	3.63	-61.09	-0.84	1.8795	117	1.31	71	37.26			33	44.12	Si

Verifica a taglio nel piano secondo D.M. 17-01-18 (N.T.C.) §7.8.2.2.2 con rottura per scorrimento in combinazioni sismiche, γM = 2

Comb.	Quota	N	V par	M	σ0	σN	l'	fvd	Vt scorr.	Vt fess.diag.	Vt,lim	c.s.	Verifica
SLV 2	-1.23	-93.37	-5.96	-32.7619	256	0.9123	135	49.08			49.69	8.24	Si
SLV 2	3.63	-52.16	-7.41	0.6445	100	1.31	103	54.1			44.9	7.3	Si

Comb.	Quota	N	V par	M	σ_0	σ_N	I'	fvd	Vt scorr.	Vt fess.diag.	Vt,lim	c.s.	Verifica
SLV 6	-1.23	-92.62	-3.01	-21.3744		182	1.2726	120	60.94		49.61	20.27	Si
SLV 6	3.63	-50.88	-4.51	0.8006		97	1.31	103	53.84		44.74	11.93	Si
SLV 15	-1.23	-90.22	4.92	30.1135		234	0.9637	130	50.17		49.34	10.2	Si
SLV 15	3.63	-39.94	6.38	1.7489		76	1.31	99	51.65		43.37	8.1	Si
SLV 1	-1.23	-93.37	-5.96	-32.7619		256	0.9123	135	49.08		49.69	8.24	Si
SLV 1	3.63	-52.16	-7.41	0.6445		100	1.31	103	54.1		44.9	7.3	Si
SLV 13	-1.23	-90.45	4.36	23.1121		189	1.1984	121	58.04		49.37	13.32	Si
SLV 13	3.63	-41.91	5.11	1.597		80	1.31	99	52.05		43.62	10.19	Si
SLV 14	-1.23	-90.45	4.36	23.1121		189	1.1984	121	58.04		49.37	13.32	Si
SLV 14	3.63	-41.91	5.11	1.597		80	1.31	99	52.05		43.62	10.19	Si
SLV 5	-1.23	-92.62	-3.01	-21.3744		182	1.2726	120	60.94		49.61	20.27	Si
SLV 5	3.63	-50.88	-4.51	0.8006		97	1.31	103	53.84		44.74	11.93	Si
SLV 3	-1.23	-93.14	-5.4	-25.7605		205	1.1352	124	56.47		49.67	10.46	Si
SLV 3	3.63	-50.18	-6.15	0.7964		96	1.31	102	53.7		44.66	8.74	Si
SLV 16	-1.23	-90.22	4.92	30.1135		234	0.9637	130	50.17		49.34	10.2	Si
SLV 16	3.63	-39.94	6.38	1.7489		76	1.31	99	51.65		43.37	8.1	Si
SLV 4	-1.23	-93.14	-5.4	-25.7605		205	1.1352	124	56.47		49.67	10.46	Si
SLV 4	3.63	-50.18	-6.15	0.7964		96	1.31	102	53.7		44.66	8.74	Si

Verifica a pressoflessione fuori piano D.M. 17-01-18 (N.T.C.)

quota 1.2 Wa 0.0007 denominatore 8 $\gamma_M = 2$

Comb.	fd	Sa	σ_0	N	M	Mc	Coeff.s.	Verifica
SLV 15	1438	0.28	126	-66.05	2.215	11.8467	5.35	Si
SLV 16	1438	0.28	126	-66.05	2.215	11.8467	5.35	Si
SLV 14	1438	0.28	127	-66.42	2.215	11.9061	5.38	Si
SLV 13	1438	0.28	127	-66.42	2.215	11.9061	5.38	Si
SLV 11	1438	0.28	127	-66.63	2.215	11.9395	5.39	Si
SLV 12	1438	0.28	127	-66.63	2.215	11.9395	5.39	Si
SLV 8	1438	0.28	129	-67.51	2.215	12.078	5.45	Si
SLV 7	1438	0.28	129	-67.51	2.215	12.078	5.45	Si
SLV 10	1438	0.28	130	-67.88	2.215	12.1367	5.48	Si
SLV 9	1438	0.28	130	-67.88	2.215	12.1367	5.48	Si

Tabella dei coefficienti di sicurezza minimi

Stato limite	Coeff.s.	Comb.	Verifica
PF SLU	2.704	SLU 35	Si
V SLU	39.511	SLU 36	Si
PF SLV	1.594	SLV 1	Si
V SLV	7.296	SLV 1	Si
FFFF SLV	5.348	SLV 15	Si

Maschio 81

Verifiche condotte secondo D.M. 17-01-18 (N.T.C.)

Dati geometrici

X ini.	Y ini.	X fin.	Y fin.	Quota i.	Quota.s	l	Sp.	h netta	h ini.	h fin.	a	a.s.,sx	a.s.,dx
10.43	21.415	10.43	23.365	L1	L3	1.95	0.3	4.5	4.85	4.85			

Caratteristiche del materiale

(circ.617 C8A.2) Muratura in mattoni pieni e malta di calce LC2

fb	fk	fvk0	fmedio	r0	fv0	μ	φ	fv,lim	E	G	FC
6000			3450	90	200	0.58	0.77	325	3200000	1280000	1.2

Verifica a pressoflessione per azioni non sismiche 4.5.6.2 D.M. 17-01-18 (N.T.C.) $\gamma_M = 3$

Comb.	Quota	N	M	p	es1	es2	ea	ev	e ver	ϕ_t	Φ_I	Nu	Verifica
SLU 35	-1.225	-191.1		1	0	0.0122	0.0225	0	0.0347	0.42	1	234.17	Si
SLU 35	1.2	-157.43		1	0	0.0122	0.0225	0	0.0225	0.5	1	280.87	Si
SLU 35	3.625	-124.7		1	0	0.0122	0.0225	0	0.0347	0.42	1	234.17	Si
SLU 36	-1.225	-191.06		1	0	0.0122	0.0225	0	0.0347	0.42	1	234.15	Si
SLU 36	1.2	-157.39		1	0	0.0122	0.0225	0	0.0225	0.5	1	280.87	Si
SLU 36	3.625	-124.67		1	0	0.0122	0.0225	0	0.0347	0.42	1	234.15	Si
SLU 32	-1.225	-188.36		1	0	0.0108	0.0225	0	0.0333	0.43	1	239.24	Si
SLU 32	1.2	-154.69		1	0	0.0108	0.0225	0	0.0225	0.5	1	280.87	Si
SLU 32	3.625	-121.97		1	0	0.0108	0.0225	0	0.0333	0.43	1	239.24	Si
SLU 33	-1.225	-188.32		1	0	0.0108	0.0225	0	0.0333	0.43	1	239.23	Si
SLU 33	1.2	-154.66		1	0	0.0108	0.0225	0	0.0225	0.5	1	280.87	Si
SLU 33	3.625	-121.93		1	0	0.0108	0.0225	0	0.0333	0.43	1	239.23	Si
SLU 34	-1.225	-185		1	0	0.0111	0.0225	0	0.0336	0.42	1	238.14	Si
SLU 34	1.2	-151.33		1	0	0.0111	0.0225	0	0.0225	0.5	1	280.87	Si
SLU 34	3.625	-118.61		1	0	0.0111	0.0225	0	0.0336	0.42	1	238.14	Si
SLU 26	-1.225	-181.82		1	0	0.0118	0.0225	0	0.0343	0.42	1	235.62	Si
SLU 26	1.2	-148.15		1	0	0.0118	0.0225	0	0.0225	0.5	1	280.87	Si
SLU 26	3.625	-115.43		1	0	0.0118	0.0225	0	0.0343	0.42	1	235.62	Si
SLU 27	-1.225	-181.78		1	0	0.0118	0.0225	0	0.0343	0.42	1	235.61	Si
SLU 27	1.2	-148.12		1	0	0.0118	0.0225	0	0.0225	0.5	1	280.87	Si
SLU 27	3.625	-115.39		1	0	0.0118	0.0225	0	0.0343	0.42	1	235.61	Si
SLU 23	-1.225	-179.08		1	0	0.0103	0.0225	0	0.0328	0.43	1	241.15	Si
SLU 23	1.2	-145.42		1	0	0.0103	0.0225	0	0.0225	0.5	1	280.87	Si
SLU 23	3.625	-112.69		1	0	0.0103	0.0225	0	0.0328	0.43	1	241.15	Si
SLU 24	-1.225	-179.05		1	0	0.0103	0.0225	0	0.0328	0.43	1	241.14	Si
SLU 24	1.2	-145.38		1	0	0.0103	0.0225	0	0.0225	0.5	1	280.87	Si
SLU 24	3.625	-112.65		1	0	0.0103	0.0225	0	0.0328	0.43	1	241.14	Si
SLU 25	-1.225	-175.72		1	0	0.0106	0.0225	0	0.0331	0.43	1	240.01	Si
SLU 25	1.2	-142.06		1	0	0.0106	0.0225	0	0.0225	0.5	1	280.87	Si
SLU 25	3.625	-109.33		1	0	0.0106	0.0225	0	0.0331	0.43	1	240.01	Si

Verifica a pressoflessione nel piano secondo D.M. 17-01-18 NTC §7.8.2.2.1 in combinazioni sismiche, $\gamma_M = 2$

Comb.	Quota	N	M	σ_0	Mu	c.s.	Verifica
SLV 9	-1.23	-151.37	-45.8246	259	116.3344	2.539	Si
SLV 9	3.63	-104.64	-10.4482	179	87.0878	8.335	Si
SLV 10	-1.23	-151.37	-45.8246	259	116.3344	2.539	Si
SLV 10	3.63	-104.64	-10.4482	179	87.0878	8.335	Si
SLV 6	-1.23	-150.81	-59.6958	258	116.0197	1.944	Si
SLV 6	3.63	-98.06	-8.356	168	82.4905	9.872	Si

Comb.	Quota	N	M	σ_0	Mu	c.s.	Verifica
SLV 15	-1.23	-134.41	38.3223	230	106.4053	2.777	Si
SLV 15	3.63	-92.98	-0.2982	159	78.8606	264.483	Si
SLV 8	-1.23	-123.71	44.8639	211	99.7406	2.223	Si
SLV 8	3.63	-68.3	11.0149	117	60.2311	5.468	Si
SLV 7	-1.23	-123.71	44.8639	211	99.7406	2.223	Si
SLV 7	3.63	-68.3	11.0149	117	60.2311	5.468	Si
SLV 12	-1.23	-124.27	58.7351	212	100.0967	1.704	Si
SLV 12	3.63	-74.88	8.9226	128	65.3627	7.325	Si
SLV 16	-1.23	-134.41	38.3223	230	106.4053	2.777	Si
SLV 16	3.63	-92.98	-0.2982	159	78.8606	264.483	Si
SLV 5	-1.23	-150.81	-59.6958	258	116.0197	1.944	Si
SLV 5	3.63	-98.06	-8.356	168	82.4905	9.872	Si
SLV 11	-1.23	-124.27	58.7351	212	100.0967	1.704	Si
SLV 11	3.63	-74.88	8.9226	128	65.3627	7.325	Si

Verifica a taglio nel piano secondo D.M. 17-01-18 (N.T.C.) §7.8.2.2 con rottura per scorrimento in combinazioni non sismiche, $\gamma_M = 3$

Comb.	Quota	N	V par	M	σ_0	σ_N	I'	fvd	Vt scorr.	Vt fess.diag.	Vt lim	c.s.	Verifica
SLU 31	-1.23	-170.94	-0.25	-0.5597		292	1.95	95	55.29		46.89	225.66	Si
SLU 31	3.63	-104.55	-0.25	0.6287		179	1.95	79	46.44		40.68	189.53	Si
SLU 25	-1.23	-175.72	-0.24	-0.5991		300	1.95	96	55.93		47.31	237.06	Si
SLU 25	3.63	-109.33	-0.24	0.5451		187	1.95	80	47.08		41.16	199.54	Si
SLU 15	-1.23	-153.45	-0.22	-0.5264		262	1.95	91	52.96		45.34	241.17	Si
SLU 15	3.63	-102.37	-0.22	0.5387		175	1.95	79	46.15		40.46	210.16	Si
SLU 13	-1.23	-136.06	-0.21	-0.4394		233	1.95	87	50.64		43.74	236.8	Si
SLU 13	3.63	-84.99	-0.21	0.5978		145	1.95	75	43.83		38.66	204.96	Si
SLU 34	-1.23	-185	-0.27	-0.6277		316	1.95	98	57.17		48.11	215.46	Si
SLU 34	3.63	-118.61	-0.27	0.6591		203	1.95	83	48.31		42.07	182.09	Si
SLU 30	-1.23	-174.26	-0.23	-0.5785		298	1.95	95	55.73		47.18	241.86	Si
SLU 30	3.63	-107.87	-0.23	0.5391		184	1.95	80	46.88		41.02	203.44	Si
SLU 22	-1.23	-161.66	-0.22	-0.5311		276	1.95	92	54.05		46.08	250.69	Si
SLU 22	3.63	-95.27	-0.22	0.5147		163	1.95	77	45.2		39.74	209.63	Si
SLU 33	-1.23	-188.32	-0.25	-0.6466		322	1.95	98	57.61		48.39	229.75	Si
SLU 33	3.63	-121.93	-0.25	0.5696		208	1.95	83	48.76		42.4	194.44	Si
SLU 36	-1.23	-191.06	-0.25	-0.6681		327	1.95	99	57.97		48.62	231.41	Si
SLU 36	3.63	-124.67	-0.25	0.547		213	1.95	84	49.12		42.66	196.08	Si
SLU 16	-1.23	-150.12	-0.23	-0.5075		257	1.95	90	52.52		45.04	224.27	Si
SLU 16	3.63	-99.05	-0.23	0.6282		169	1.95	78	45.71		40.13	195.19	Si

Verifica a taglio nel piano secondo D.M. 17-01-18 (N.T.C.) §7.8.2.2 con rottura per scorrimento in combinazioni sismiche, $\gamma_M = 2$

Comb.	Quota	N	V par	M	σ_0	σ_N	I'	fvd	Vt scorr.	Vt fess.diag.	Vt lim	c.s.	Verifica
SLV 6	-1.23	-150.81	-10.5	-59.6958		289	1.7375	141	73.6		60.42	7.01	Si
SLV 6	3.63	-98.06	-8.95	-8.356		168	1.95	117	68.36		54.79	7.64	Si
SLV 9	-1.23	-151.37	-7.95	-45.8246		259	1.95	135	79.02		60.47	9.94	Si
SLV 9	3.63	-104.64	-8.18	-10.4482		179	1.95	119	69.68		55.52	8.52	Si
SLV 10	-1.23	-151.37	-7.95	-45.8246		259	1.95	135	79.02		60.47	9.94	Si
SLV 10	3.63	-104.64	-8.18	-10.4482		179	1.95	119	69.68		55.52	8.52	Si
SLV 5	-1.23	-150.81	-10.5	-59.6958		289	1.7375	141	73.6		60.42	7.01	Si
SLV 5	3.63	-98.06	-8.95	-8.356		168	1.95	117	68.36		54.79	7.64	Si
SLV 1	-1.23	-140.68	-7.12	-39.283		240	1.95	131	76.89		59.38	10.79	Si
SLV 1	3.63	-79.96	-3.97	0.8648		137	1.95	111	64.74		52.72	16.31	Si
SLV 12	-1.23	-124.27	10.18	58.7351		275	1.507	138	62.53		57.65	6.14	Si
SLV 12	3.63	-74.88	8.64	8.9226		128	1.95	109	63.73		52.13	7.38	Si
SLV 2	-1.23	-140.68	-7.12	-39.283		240	1.95	131	76.89		59.38	10.79	Si
SLV 2	3.63	-79.96	-3.97	0.8648		137	1.95	111	64.74		52.72	16.31	Si
SLV 7	-1.23	-123.71	7.63	44.8639		224	1.837	128	70.67		57.59	9.26	Si
SLV 7	3.63	-68.3	7.86	11.0149		117	1.95	107	62.41		51.34	7.94	Si
SLV 11	-1.23	-124.27	10.18	58.7351		275	1.507	138	62.53		57.65	6.14	Si
SLV 11	3.63	-74.88	8.64	8.9226		128	1.95	109	63.73		52.13	7.38	Si
SLV 8	-1.23	-123.71	7.63	44.8639		224	1.837	128	70.67		57.59	9.26	Si
SLV 8	3.63	-68.3	7.86	11.0149		117	1.95	107	62.41		51.34	7.94	Si

Verifica a pressoflessione fuori piano D.M. 17-01-18 (N.T.C.)

quota 1.2 W_a 0.0005 denominatore 8 $\gamma_M = 2$

Comb.	fd	Sa	σ_0	N	M	Mc	Coeff.s.	Verifica
SLV 7	1438	0.28	170	-99.49	2.4728	12.8461	5.19	Si
SLV 8	1438	0.28	170	-99.49	2.4728	12.8461	5.19	Si
SLV 11	1438	0.28	175	-102.51	2.4728	13.1708	5.33	Si
SLV 12	1438	0.28	175	-102.51	2.4728	13.1708	5.33	Si
SLV 3	1438	0.28	177	-103.42	2.4728	13.2685	5.37	Si
SLV 4	1438	0.28	177	-103.42	2.4728	13.2685	5.37	Si
SLV 2	1438	0.28	188	-109.81	2.4728	13.9409	5.64	Si
SLV 1	1438	0.28	188	-109.81	2.4728	13.9409	5.64	Si
SLV 15	1438	0.28	194	-113.48	2.4728	14.3195	5.79	Si
SLV 16	1438	0.28	194	-113.48	2.4728	14.3195	5.79	Si

Tabella dei coefficienti di sicurezza minimi

Stato limite	Coeff.s.	Comb.	Verifica
PF SLU	1.225	SLU 35	Si
V SLU	182.093	SLU 34	Si
PF SLV	1.704	SLV 11	Si
V SLV	6.141	SLV 11	Si
PFFP SLV	5.195	SLV 7	Si

Maschio 82

Verifiche condotte secondo D.M. 17-01-18 (N.T.C.)

Dati geometrici

X ini.	Y ini.	X fin.	Y fin.	Quota i.	Quota s.	l	Sp.	h netta	h ini.	h fin.	a	a.s.,sx	a.s.,dx
10.43	24.265	10.43	26.165	L1	L3	1.9	0.3	4.5	4.85	4.85			

Caratteristiche del materiale

(circ.617 C8A.2) Muratura in mattoni pieni e malta di calce LC2

fb	fk	fvk0	fmedio	r0	fv0	μ	φ	fv,lim	E	G	FC
6000			3450	90	200	0.58	0.77	325	3200000	1280000	1.2

Verifica a pressoflessione per azioni non sismiche 4.5.6.2 D.M. 17-01-18 (N.T.C.) $\gamma_M = 3$

Comb.	Quota	N	M	p	es1	es2	ea	ev	e ver	Φ_t	Φ_l	Nu	Verifica
SLU 36	-1.225	-129.57		1	0	0.0189	0.0225	0	0.0414	0.38	1	204.86	Si
SLU 36	1.2	-99.5		1	0	0.0189	0.0225	0	0.0225	0.5	1	273.67	Si
SLU 36	3.625	-78.65		1	0	0.0189	0.0225	0	0.0414	0.38	1	204.86	Si
SLU 35	-1.225	-129.61		1	0	0.0188	0.0225	0	0.0413	0.38	1	205.07	Si
SLU 35	1.2	-99.71		1	0	0.0188	0.0225	0	0.0225	0.5	1	273.67	Si
SLU 35	3.625	-78.91		1	0	0.0188	0.0225	0	0.0413	0.38	1	205.07	Si
SLU 27	-1.225	-126.54		1	0	0.0178	0.0225	0	0.0403	0.38	1	208.59	Si
SLU 27	1.2	-96.34		1	0	0.0178	0.0225	0	0.0225	0.5	1	273.67	Si
SLU 27	3.625	-74.61		1	0	0.0178	0.0225	0	0.0403	0.38	1	208.59	Si
SLU 26	-1.225	-126.58		1	0	0.0178	0.0225	0	0.0403	0.38	1	208.8	Si
SLU 26	1.2	-96.55		1	0	0.0178	0.0225	0	0.0225	0.5	1	273.67	Si
SLU 26	3.625	-74.86		1	0	0.0178	0.0225	0	0.0403	0.38	1	208.8	Si
SLU 33	-1.225	-128.62		1	0	0.0168	0.0225	0	0.0393	0.39	1	212.28	Si
SLU 33	1.2	-98.23		1	0	0.0168	0.0225	0	0.0225	0.5	1	273.67	Si
SLU 33	3.625	-76.65		1	0	0.0168	0.0225	0	0.0393	0.39	1	212.28	Si
SLU 32	-1.225	-128.66		1	0	0.0167	0.0225	0	0.0392	0.39	1	212.48	Si
SLU 32	1.2	-98.44		1	0	0.0167	0.0225	0	0.0225	0.5	1	273.67	Si
SLU 32	3.625	-76.91		1	0	0.0167	0.0225	0	0.0392	0.39	1	212.48	Si
SLU 34	-1.225	-127.52		1	0	0.0171	0.0225	0	0.0396	0.39	1	211.15	Si
SLU 34	1.2	-96.98		1	0	0.0171	0.0225	0	0.0225	0.5	1	273.67	Si
SLU 34	3.625	-75.2		1	0	0.0171	0.0225	0	0.0396	0.39	1	211.15	Si
SLU 24	-1.225	-125.6		1	0	0.0156	0.0225	0	0.0381	0.4	1	216.53	Si
SLU 24	1.2	-95.07		1	0	0.0156	0.0225	0	0.0225	0.5	1	273.67	Si
SLU 24	3.625	-72.6		1	0	0.0156	0.0225	0	0.0381	0.4	1	216.53	Si
SLU 23	-1.225	-125.64		1	0	0.0155	0.0225	0	0.038	0.4	1	216.72	Si
SLU 23	1.2	-95.28		1	0	0.0155	0.0225	0	0.0225	0.5	1	273.67	Si
SLU 23	3.625	-72.86		1	0	0.0155	0.0225	0	0.038	0.4	1	216.72	Si
SLU 25	-1.225	-124.5		1	0	0.0159	0.0225	0	0.0384	0.39	1	215.42	Si
SLU 25	1.2	-93.82		1	0	0.0159	0.0225	0	0.0225	0.5	1	273.67	Si
SLU 25	3.625	-71.15		1	0	0.0159	0.0225	0	0.0384	0.39	1	215.42	Si

Verifica a pressoflessione nel piano secondo D.M. 17-01-18 NTC §7.8.2.2.1 in combinazioni sismiche, $\gamma_M = 2$

Comb.	Quota	N	M	σ_0	Mu	c.s.	Verifica
SLD 7	-1.23	-44.35	25.7031	78	39.4517	1.535	Si
SLD 7	3.63	-33.66	0.6484	59	30.4309	46.935	Si
SLV 1	-1.23	21.55	-20.9078	0	0	0	No, Trazione
SLV 1	3.63	-16.81	-6.644	29	15.5878	2.346	Si
SLV 2	-1.23	21.55	-20.9078	0	0	0	No, Trazione
SLV 2	3.63	-16.81	-6.644	29	15.5878	2.346	Si
SLV 8	-1.23	21.49	55.7193	0	0	0	No, Trazione
SLV 8	3.63	-5.72	4.732	10	5.3902	1.139	Si
SLV 4	-1.23	67.03	12.4512	0	0	0	No, Trazione
SLV 4	3.63	4.34	-1.9147	0	0	0	No, Trazione
SLV 3	-1.23	67.03	12.4512	0	0	0	No, Trazione
SLV 3	3.63	4.34	-1.9147	0	0	0	No, Trazione
SLV 7	-1.23	21.49	55.7193	0	0	0	No, Trazione
SLV 7	3.63	-5.72	4.732	10	5.3902	1.139	Si
SLD 8	-1.23	-44.35	25.7031	78	39.4517	1.535	Si
SLD 8	3.63	-33.66	0.6484	59	30.4309	46.935	Si
SLV 12	-1.23	-63.02	59.4474	111	54.4552	0.916	No, M>Mu
SLV 12	3.63	-35.51	5.7	62	32.0103	5.616	Si
SLV 11	-1.23	-63.02	59.4474	111	54.4552	0.916	No, M>Mu
SLV 11	3.63	-35.51	5.7	62	32.0103	5.616	Si

Verifica a taglio nel piano secondo D.M. 17-01-18 (N.T.C.) §7.8.2.2.2 con rottura per scorrimento in combinazioni non sismiche, $\gamma_M = 3$

Comb.	Quota	N	V par	M	σ_0	σ_N	I'	fvd	Vt scorr.	Vt fess.diag.	Vt,lim	c.s.	Verifica
SLU 27	-1.23	-126.54	3.88	2.8848	222	1.9	85	48.54			42.05	12.52	Si
SLU 27	3.63	-74.61	3.94	-3.9404	131	1.9	73	41.61			36.79	10.55	Si
SLU 17	-1.23	-102.73	3.78	2.8673	180	1.9	80	45.36			39.73	12.01	Si
SLU 17	3.63	-65.16	3.83	-3.9852	114	1.9	71	40.35			35.75	10.53	Si
SLU 26	-1.23	-126.58	3.93	2.8129	222	1.9	85	48.54			42.05	12.36	Si
SLU 26	3.63	-74.86	3.99	-4.0419	131	1.9	73	41.65			36.82	10.43	Si
SLU 23	-1.23	-125.64	3.56	2.5723	220	1.9	85	48.42			41.96	13.59	Si
SLU 23	3.63	-72.86	3.63	-3.5206	128	1.9	73	41.38			36.6	11.4	Si
SLU 18	-1.23	-102.69	3.73	2.9392	180	1.9	80	45.36			39.72	12.16	Si
SLU 18	3.63	-64.9	3.79	-3.8836	114	1.9	71	40.32			35.72	10.65	Si
SLU 36	-1.23	-129.57	4.23	3.2531	227	1.9	86	48.94			42.34	11.57	Si
SLU 36	3.63	-78.65	4.3	-4.3132	138	1.9	74	42.15			37.23	9.8	Si
SLU 32	-1.23	-128.66	3.91	2.9406	226	1.9	86	48.82			42.25	12.47	Si
SLU 32	3.63	-76.91	3.98	-3.8934	135	1.9	74	41.92			37.04	10.52	Si
SLU 33	-1.23	-128.62	3.87	3.0125	226	1.9	86	48.82			42.25	12.63	Si
SLU 33	3.63	-76.65	3.94	-3.7919	134	1.9	73	41.89			37.01	10.64	Si
SLU 35	-1.23	-129.61	4.28	3.1812	227	1.9	86	48.95			42.34	11.44	Si
SLU 35	3.63	-78.91	4.35	-4.4147	138	1.9	74	42.19			37.26	9.7	Si
SLU 34	-1.23	-127.52	3.78	3.0154	224	1.9	85	48.67			42.14	12.89	Si
SLU 34	3.63	-75.2	3.84	-3.6852	132	1.9	73	41.69			36.86	10.85	Si

Verifica a taglio nel piano secondo D.M. 17-01-18 (N.T.C.) §7.8.2.2.2 con rottura per scorrimento in combinazioni sismiche, $\gamma_M = 2$

Comb.	Quota	N	V par	M	σ_0	σ_N	I'	fvd	Vt scorr.	Vt fess.diag.	Vt,lim	c.s.	Verifica
SLV 12	-1.23	-63.02	25.31	59.4474		10364	0.0203	163	0.99		49.6	0.04	No, Vu<V
SLV 12	3.63	-35.51	13.91	5.7		62	1.9	96	54.6		46.16	3.93	Si
SLV 2	-1.23	21.55	10.28	-20.9078		0	0	83	0		38.05	0	No, Vu<V
SLV 2	3.63	-16.81	16.76	-6.644		34	1.6646	90	44.98		43.67	2.68	Si
SLV 7	-1.23	21.49	34.77	55.7193		0	0	83	0		38.06	0	No, Vu<V
SLV 7	3.63	-5.72	25.34	4.732		52	0.3685	94	10.36		42.13	0.41	No, Vu<V
SLV 4	-1.23	67.03	26.68	12.4512		0	0	83	0		30.06	0	No, Vu<V
SLV 4	3.63	4.34	26.87	-1.9147		0	0	83	0		40.67	0	No, Vu<V
SLV 11	-1.23	-63.02	25.31	59.4474		10364	0.0203	163	0.99		49.6	0.04	No, Vu<V
SLV 11	3.63	-35.51	13.91	5.7		62	1.9	96	54.6		46.16	3.93	Si
SLV 3	-1.23	67.03	26.68	12.4512		0	0	83	0		30.06	0	No, Vu<V
SLV 3	3.63	4.34	26.87	-1.9147		0	0	83	0		40.67	0	No, Vu<V
SLD 8	-1.23	-44.35	16.79	25.7031		133	1.1114	110	36.66		47.3	2.18	Si
SLD 8	3.63	-33.66	12.75	0.6484		59	1.9	95	54.23		45.92	4.25	Si

Comb.	Quota	N	V par	M	σ_0	σ_N	I'	fvd	Vt scorr.	Vt fess.diag.	Vt,lim	c.s.	Verifica
SLD 7	-1.23	-44.35	16.79	25.7031		133	1.1114	110	36.66		47.3	2.18	Si
SLD 7	3.63	-33.66	12.75	0.6484		59	1.9	95	54.23		45.92	4.25	Si
SLV 1	-1.23	21.55	10.28	-20.9078		0	0	83	0		38.05	0	No, Vu<V
SLV 1	3.63	-16.81	16.76	-6.644		34	1.6646	90	44.98		43.67	2.68	Si
SLV 8	-1.23	21.49	34.77	55.7193		0	0	83	0		38.06	0	No, Vu<V
SLV 8	3.63	-5.72	25.34	4.732		52	0.3685	94	10.36		42.13	0.41	No, Vu<V

Verifica a pressoflessione fuori piano D.M. 17-01-18 (N.T.C.)

quota 1.2 Wa 0.0005 denominatore 8 $\gamma_M = 2$

Comb.	fd	Sa	σ_0	N	M	Mc	Coeff.s.	Verifica
SLV 7	1438	0.28	0	9.42	2.4094	0	0	No, Trazione
SLV 8	1438	0.28	0	9.42	2.4094	0	0	No, Trazione
SLV 3	1438	0.28	0	39.47	2.4094	0	0	No, Trazione
SLV 2	1438	0.28	0	7.3	2.4094	0	0	No, Trazione
SLV 1	1438	0.28	0	7.3	2.4094	0	0	No, Trazione
SLV 4	1438	0.28	0	39.47	2.4094	0	0	No, Trazione
SLV 12	1438	0.28	85	-48.51	2.4094	6.7703	2.81	Si
SLV 11	1438	0.28	85	-48.51	2.4094	6.7703	2.81	Si
SLV 6	1438	0.28	172	-97.82	2.4094	12.6117	5.23	Si
SLV 5	1438	0.28	172	-97.82	2.4094	12.6117	5.23	Si

Tabella dei coefficienti di sicurezza minimi

Stato limite	Coeff.s.	Comb.	Verifica
PF SLU	1.581	SLU 36	Si
V SLU	9.702	SLU 35	Si
PF SLV	0	SLV 8	No
V SLV	0	SLV 1	No
PFFP SLV	0	SLV 8	No

5.2 Verifica edifici esistenti

Desc.: descrizione.

Stato limite: (muratura) V=Taglio; PF=Pressoflessione; PFFP=Pressoflessione fuori piano; R=Ribaltamento.

Molt.: moltiplicatore minimo della azione sismica che produce lo stato limite.

Comb.: combinazione.

PGA: accelerazione al suolo.

iPGA (ζE): indicatore di rischio sismico in termini di PGA ovvero rapporto tra l'azione sismica massima sopportabile dall'elemento e l'azione sismica massima che si utilizzerebbe nel progetto nuovo (§C8.3).

TR: tempo di ritorno.

(TR/TRrif)^{.41}: indicatore di rischio sismico in termini di periodo di ritorno.

fa: fattore di accelerazione.

Stato limite: (muratura) V=Taglio; PF=Presso flessione; PFFP=Pressoflessione fuori piano; R=Ribaltamento.

Coeff.s.: coefficiente minimo prodotto dallo stato limite.

Verifica: stato di verifica.

Maschio: maschio.

Stato limite: (maschio muratura) V=Taglio; PF=Presso flessione; PFFP=Presso flessione fuori piano; R=Ribaltamento.

TR,C: periodo di ritorno di capacità.

TR,Rif: periodo di ritorno di riferimento.

PAM: perdita media annua attesa.

Classe PAM: classe di rischio PAM.

IS-V: indice di sicurezza.

Classe IS-V: classe di rischio IS-V.

Tipo rottura: tipo di rottura che fornisce il valore minimo degli elementi considerati.

Verifica di elementi dotati di indicatori di rischio sismico mediante analisi con fattore q

Verifiche condotte secondo D.M. 17-01-18 (N.T.C.) § C8.7.1

Accelerazioni e tempi di ritorno

Accelerazione di aggancio SLV ($ag/g_{SLV} \cdot S \cdot ST$) PGA, SLVrif = 0.2

Accelerazione di aggancio SLO ($ag/g_{SLO} \cdot S \cdot ST$) PGA, SLOrif = 0.069

Tr, SLVrif = 949 anni

Tr, SLOrif = 60 anni

Moltiplicatori minimi delle condizioni sismiche

(Il valore di ζE corrisponde al valore di I.R. PGA secondo quanto riportato nella Circolare 7 21-01-19 §C8.3)

Rottura a taglio

Moltiplicatore: 0

Maschio 2 "Piano 1 - Piano 2"

Lunghezza: 1.925; altezza: 3.49; spessore: 0.3; sezione a quota: 7.365

Combinazione SLV 1 N = -47.26 V par. = -34.73 I' = 0 fvd = 83 Vt scorrimento = 0 Vt fess. diag. = 0

Tempo di ritorno 0 anni

Indicatore $iTr = (Tr/Tr, SLVrif)^{.41} = 0$

PGA 0

Indicatore $iPGA = PGA/PGA, SLVrif = 0$

Fattore di accelerazione $fa = 0$

Rottura a flessione

Moltiplicatore: 0

Maschio 2 "Piano 1 - Piano 2"

Lunghezza: 1.925; altezza: 3.49; spessore: 0.3 sezione a quota 7.365

Combinazione SLV 5 N = -47.26 M = 53.8777 $\sigma_0 = 0$ fd = 1438 Mu = 0

Tempo di ritorno 0 anni

Indicatore iTr=(Tr/Tr,SLVrif)^.41 = 0

PGA 0

Indicatore iPGA=PGA/PGA,SLVrif = 0

Fattore di accelerazione fa = 0

Rottura a pressoflessione nel piano ortogonale

Moltiplicatore: 0.567

Maschio 82 "Quote generiche"

Lunghezza: 1.9; altezza: 4.5; spessore: 0.3; sezione a quota: 1.2

Combinazione SLV 3 fd= 1438 Ta= 0.11 Wa= 5 N= -9.28 M= 1.3665 Mc= 1.3741

Tempo di ritorno 197 anni

Indicatore iTr=(Tr/Tr,SLVrif)^.41 = 0.525

PGA 0.113

Indicatore iPGA=PGA/PGA,SLVrif = 0.568

Fattore di accelerazione fa = 0.5676

Raggiungimento dello spostamento limite di interpiano

Moltiplicatore: 6.258

Combinazione SLO 5

tra Nodo 1130 e Nodo 2007

Tempo di ritorno 2110 anni

Indicatore iTr=(Tr/Tr,SLOrif)^.41 = 4.304

PGA 0.255

Indicatore iPGA=PGA/PGA,SLOrif = 3.719

Indicatori minimi riferiti al solo materiale muratura

Desc.	Stato limite	Molt.	Comb.	PGA	iPGA (ZE)	TR	(TR/TRrif)^.41	fa
Maschio 2 "Piano 1 - Piano 2"	PF	0	SLV 5	0	0	0	0	0
Maschio 2 "Piano 1 - Piano 2"	V	0	SLV 1	0	0	0	0	0
Maschio 82 "Quote generiche"	PFFP	0.567	SLV 3	0.1134	0.5679	197	0.5249	0.5676

Coefficienti di sicurezza riferiti al solo materiale muratura

Desc.	Stato limite	Coeff.s.	Comb.	Verifica
Maschio 1 "Piano 1 - Piano 2"	PF SLU	1.73	SLU 29	Si
Maschio 1 "Piano 1 - Piano 2"	V SLU	1.24	SLU 36	Si
Maschio 1 "Piano 1 - Piano 2"	PF	0	SLV 9	No
Maschio 1 "Piano 1 - Piano 2"	V	0	SLV 9	No
Maschio 1 "Piano 1 - Piano 2"	PFFP	1.54	SLV 13	Si
Maschio 2 "Piano 1 - Piano 2"	PF SLU	2.914	SLU 30	Si
Maschio 2 "Piano 1 - Piano 2"	V SLU	0	SLU 1	No
Maschio 2 "Piano 1 - Piano 2"	PF	0	SLV 16	No
Maschio 2 "Piano 1 - Piano 2"	V	0	SLD 1	No
Maschio 2 "Piano 1 - Piano 2"	PFFP	1.522	SLV 15	Si
Maschio 3 "Piano 1 - Piano 2"	PF SLU	3.462	SLU 30	Si
Maschio 3 "Piano 1 - Piano 2"	V SLU	2.822	SLU 34	Si
Maschio 3 "Piano 1 - Piano 2"	PF	0	SLV 12	No
Maschio 3 "Piano 1 - Piano 2"	V	0	SLD 3	No
Maschio 3 "Piano 1 - Piano 2"	PFFP	1.29	SLV 15	Si
Maschio 4 "Piano 1 - Piano 2"	PF SLU	3.535	SLU 30	Si
Maschio 4 "Piano 1 - Piano 2"	V SLU	65.462	SLU 34	Si
Maschio 4 "Piano 1 - Piano 2"	PF	0	SLV 11	No
Maschio 4 "Piano 1 - Piano 2"	V	0	SLV 11	No
Maschio 4 "Piano 1 - Piano 2"	PFFP	3.423	SLV 15	Si
Maschio 5 "Piano 1 - Piano 2"	PF SLU	3.627	SLU 30	Si
Maschio 5 "Piano 1 - Piano 2"	V SLU	101.058	SLU 30	Si
Maschio 5 "Piano 1 - Piano 2"	PF	0	SLV 5	No
Maschio 5 "Piano 1 - Piano 2"	V	0	SLV 5	No
Maschio 5 "Piano 1 - Piano 2"	PFFP	4.597	SLV 13	Si
Maschio 6 "Piano 1 - Piano 2"	PF SLU	3.683	SLU 29	Si
Maschio 6 "Piano 1 - Piano 2"	V SLU	7.559	SLU 34	Si
Maschio 6 "Piano 1 - Piano 2"	PF	0	SLV 16	No
Maschio 6 "Piano 1 - Piano 2"	V	0	SLV 5	No
Maschio 6 "Piano 1 - Piano 2"	PFFP	0	SLV 13	No
Maschio 7 "Piano 1 - Piano 2"	PF SLU	3.559	SLU 33	Si
Maschio 7 "Piano 1 - Piano 2"	V SLU	5.739	SLU 34	Si
Maschio 7 "Piano 1 - Piano 2"	PF	0.933	SLV 9	No
Maschio 7 "Piano 1 - Piano 2"	V	0.302	SLV 9	No
Maschio 7 "Piano 1 - Piano 2"	PFFP	3.555	SLV 7	Si
Maschio 8 "Piano 1 - Piano 2"	PF SLU	3.532	SLU 30	Si
Maschio 8 "Piano 1 - Piano 2"	V SLU	84.289	SLU 35	Si
Maschio 8 "Piano 1 - Piano 2"	PF	0	SLV 9	No
Maschio 8 "Piano 1 - Piano 2"	V	0	SLV 9	No
Maschio 8 "Piano 1 - Piano 2"	PFFP	4.274	SLV 13	Si
Maschio 9 "Piano 1 - Piano 2"	PF SLU	4.661	SLU 30	Si
Maschio 9 "Piano 1 - Piano 2"	V SLU	10.746	SLU 34	Si
Maschio 9 "Piano 1 - Piano 2"	PF	0	SLV 16	No
Maschio 9 "Piano 1 - Piano 2"	V	0	SLV 7	No
Maschio 9 "Piano 1 - Piano 2"	PFFP	0	SLV 13	No
Maschio 10 "Piano 1 - Piano 2"	PF SLU	3.62	SLU 30	Si
Maschio 10 "Piano 1 - Piano 2"	V SLU	35.894	SLU 36	Si
Maschio 10 "Piano 1 - Piano 2"	PF	0	SLV 9	No
Maschio 10 "Piano 1 - Piano 2"	V	0	SLV 9	No
Maschio 10 "Piano 1 - Piano 2"	PFFP	3.847	SLV 15	Si
Maschio 11 "Piano 1 - Piano 2"	PF SLU	4.113	SLU 30	Si
Maschio 11 "Piano 1 - Piano 2"	V SLU	32.615	SLU 36	Si
Maschio 11 "Piano 1 - Piano 2"	PF	0	SLV 11	No
Maschio 11 "Piano 1 - Piano 2"	V	0	SLV 11	No
Maschio 11 "Piano 1 - Piano 2"	PFFP	1.412	SLV 15	Si
Maschio 12 "Piano 1 - Piano 2"	PF SLU	3.63	SLU 30	Si
Maschio 12 "Piano 1 - Piano 2"	V SLU	36.76	SLU 36	Si
Maschio 12 "Piano 1 - Piano 2"	PF	0	SLV 9	No
Maschio 12 "Piano 1 - Piano 2"	V	0	SLV 9	No
Maschio 12 "Piano 1 - Piano 2"	PFFP	4.541	SLV 13	Si
Maschio 13 "Piano 1 - Piano 2"	PF SLU	4.774	SLU 29	Si

Desc.	Stato limite	Coeff.s.	Comb.	Verifica
Maschio 13 "Piano 1 - Piano 2"	V SLU	3.596	SLU 36	Si
Maschio 13 "Piano 1 - Piano 2"	PF	0	SLV 5	No
Maschio 13 "Piano 1 - Piano 2"	V	0	SLV 5	No
Maschio 13 "Piano 1 - Piano 2"	FFFF	1.514	SLV 15	Si
Maschio 14 "Piano 1 - Piano 2"	PF SLU	5.63	SLU 34	Si
Maschio 14 "Piano 1 - Piano 2"	V SLU	0.001	SLU 34	No
Maschio 14 "Piano 1 - Piano 2"	PF	0	SLV 12	No
Maschio 14 "Piano 1 - Piano 2"	V	0	SLD 11	No
Maschio 14 "Piano 1 - Piano 2"	FFFF	0	SLV 7	No
Maschio 15 "Piano 1 - Piano 2"	PF SLU	6.893	SLU 34	Si
Maschio 15 "Piano 1 - Piano 2"	V SLU	0.021	SLU 34	No
Maschio 15 "Piano 1 - Piano 2"	PF	0	SLV 8	No
Maschio 15 "Piano 1 - Piano 2"	V	0	SLD 1	No
Maschio 15 "Piano 1 - Piano 2"	FFFF	0	SLV 1	No
Maschio 16 "Piano 1 - Piano 2"	PF SLU	4.413	SLU 34	Si
Maschio 16 "Piano 1 - Piano 2"	V SLU	0.003	SLU 34	No
Maschio 16 "Piano 1 - Piano 2"	PF	0	SLD 1	No
Maschio 16 "Piano 1 - Piano 2"	V	0	SLD 1	No
Maschio 16 "Piano 1 - Piano 2"	FFFF	0	SLV 1	No
Maschio 17 "Piano 1 - Piano 2"	PF SLU	7.773	SLU 34	Si
Maschio 17 "Piano 1 - Piano 2"	V SLU	0.035	SLU 36	No
Maschio 17 "Piano 1 - Piano 2"	PF	0	SLV 6	No
Maschio 17 "Piano 1 - Piano 2"	V	0	SLD 9	No
Maschio 17 "Piano 1 - Piano 2"	FFFF	1.548	SLV 3	Si
Maschio 18 "Piano 1 - Piano 2"	PF SLU	7.294	SLU 34	Si
Maschio 18 "Piano 1 - Piano 2"	V SLU	0.042	SLU 34	No
Maschio 18 "Piano 1 - Piano 2"	PF	0	SLV 6	No
Maschio 18 "Piano 1 - Piano 2"	V	0	SLD 1	No
Maschio 18 "Piano 1 - Piano 2"	FFFF	1.485	SLV 3	Si
Maschio 19 "Piano 1 - Piano 2"	PF SLU	6.752	SLU 34	Si
Maschio 19 "Piano 1 - Piano 2"	V SLU	0.025	SLU 34	No
Maschio 19 "Piano 1 - Piano 2"	PF	0	SLV 6	No
Maschio 19 "Piano 1 - Piano 2"	V	0	SLD 1	No
Maschio 19 "Piano 1 - Piano 2"	FFFF	0	SLV 1	No
Maschio 20 "Piano 1 - Piano 2"	PF SLU	3.855	SLU 34	Si
Maschio 20 "Piano 1 - Piano 2"	V SLU	2.504	SLU 34	Si
Maschio 20 "Piano 1 - Piano 2"	PF	0	SLV 14	No
Maschio 20 "Piano 1 - Piano 2"	V	0	SLD 13	No
Maschio 20 "Piano 1 - Piano 2"	FFFF	0	SLV 13	No
Maschio 21 "Piano 1 - Piano 2"	PF SLU	4.012	SLU 34	Si
Maschio 21 "Piano 1 - Piano 2"	V SLU	2.282	SLU 34	Si
Maschio 21 "Piano 1 - Piano 2"	PF	0	SLV 14	No
Maschio 21 "Piano 1 - Piano 2"	V	0	SLD 13	No
Maschio 21 "Piano 1 - Piano 2"	FFFF	0	SLV 9	No
Maschio 22 "Piano 1 - Piano 2"	PF SLU	6.512	SLU 34	Si
Maschio 22 "Piano 1 - Piano 2"	V SLU	0.014	SLU 34	No
Maschio 22 "Piano 1 - Piano 2"	PF	0	SLV 16	No
Maschio 22 "Piano 1 - Piano 2"	V	0	SLD 9	No
Maschio 22 "Piano 1 - Piano 2"	FFFF	1.098	SLV 15	Si
Maschio 23 "Piano 1 - Piano 2"	PF SLU	6.47	SLU 34	Si
Maschio 23 "Piano 1 - Piano 2"	V SLU	0.009	SLU 34	No
Maschio 23 "Piano 1 - Piano 2"	PF	0	SLV 14	No
Maschio 23 "Piano 1 - Piano 2"	V	0	SLD 1	No
Maschio 23 "Piano 1 - Piano 2"	FFFF	0	SLV 5	No
Maschio 24 "Piano 1 - Piano 2"	PF SLU	6.337	SLU 20	Si
Maschio 24 "Piano 1 - Piano 2"	V SLU	1.748	SLU 36	Si
Maschio 24 "Piano 1 - Piano 2"	PF	0	SLV 6	No
Maschio 24 "Piano 1 - Piano 2"	V	0	SLD 1	No
Maschio 24 "Piano 1 - Piano 2"	FFFF	0	SLV 1	No
Maschio 25 "Piano 1 - Piano 2"	PF SLU	3.516	SLU 30	Si
Maschio 25 "Piano 1 - Piano 2"	V SLU	161.455	SLU 26	Si
Maschio 25 "Piano 1 - Piano 2"	PF	1.345	SLV 7	Si
Maschio 25 "Piano 1 - Piano 2"	V	3.313	SLV 11	Si
Maschio 25 "Piano 1 - Piano 2"	FFFF	3.914	SLV 3	Si
Maschio 26 "Piano 1 - Piano 2"	PF SLU	4.383	SLU 30	Si
Maschio 26 "Piano 1 - Piano 2"	V SLU	9.065	SLU 36	Si
Maschio 26 "Piano 1 - Piano 2"	PF	0	SLV 3	No
Maschio 26 "Piano 1 - Piano 2"	V	0	SLV 3	No
Maschio 26 "Piano 1 - Piano 2"	FFFF	1.425	SLV 1	Si
Maschio 27 "Piano 1 - Piano 2"	PF SLU	4.731	SLU 30	Si
Maschio 27 "Piano 1 - Piano 2"	V SLU	7.866	SLU 34	Si
Maschio 27 "Piano 1 - Piano 2"	PF	0	SLV 1	No
Maschio 27 "Piano 1 - Piano 2"	V	0	SLV 1	No
Maschio 27 "Piano 1 - Piano 2"	FFFF	1.126	SLV 3	Si
Maschio 28 "Piano 1 - Piano 2"	PF SLU	3.619	SLU 30	Si
Maschio 28 "Piano 1 - Piano 2"	V SLU	13.378	SLU 36	Si
Maschio 28 "Piano 1 - Piano 2"	PF	0	SLV 11	No
Maschio 28 "Piano 1 - Piano 2"	V	0	SLV 11	No
Maschio 28 "Piano 1 - Piano 2"	FFFF	4.944	SLV 5	Si
Maschio 29 "Piano 1 - Piano 2"	PF SLU	4.361	SLU 30	Si
Maschio 29 "Piano 1 - Piano 2"	V SLU	6.773	SLU 35	Si
Maschio 29 "Piano 1 - Piano 2"	PF	0	SLV 5	No
Maschio 29 "Piano 1 - Piano 2"	V	0	SLV 5	No
Maschio 29 "Piano 1 - Piano 2"	FFFF	3.189	SLV 11	Si
Maschio 30 "Piano 1 - Piano 2"	PF SLU	3.32	SLU 33	Si
Maschio 30 "Piano 1 - Piano 2"	V SLU	17.992	SLU 35	Si
Maschio 30 "Piano 1 - Piano 2"	PF	1.002	SLV 5	Si
Maschio 30 "Piano 1 - Piano 2"	V	0.745	SLV 5	No
Maschio 30 "Piano 1 - Piano 2"	FFFF	4.28	SLV 15	Si
Maschio 31 "Piano 1 - Piano 2"	PF SLU	3.596	SLU 30	Si
Maschio 31 "Piano 1 - Piano 2"	V SLU	7.267	SLU 34	Si
Maschio 31 "Piano 1 - Piano 2"	PF	1.116	SLV 11	Si
Maschio 31 "Piano 1 - Piano 2"	V	1.688	SLV 11	Si
Maschio 31 "Piano 1 - Piano 2"	FFFF	2.74	SLV 5	Si
Maschio 32 "Piano 1 - Piano 2"	PF SLU	2.496	SLU 30	Si
Maschio 32 "Piano 1 - Piano 2"	V SLU	7.556	SLU 34	Si
Maschio 32 "Piano 1 - Piano 2"	PF	0.993	SLV 5	No
Maschio 32 "Piano 1 - Piano 2"	V	2.262	SLV 5	Si
Maschio 32 "Piano 1 - Piano 2"	FFFF	4.569	SLV 11	Si
Maschio 33 "Piano 1 - Piano 2"	PF SLU	3.54	SLU 33	Si
Maschio 33 "Piano 1 - Piano 2"	V SLU	78.33	SLU 36	Si

Desc.	Stato limite	Coeff.s.	Comb.	Verifica
Maschio 33 "Piano 1 - Piano 2"	PF	1.671	SLV 11	Si
Maschio 33 "Piano 1 - Piano 2"	V	2.444	SLV 5	Si
Maschio 33 "Piano 1 - Piano 2"	PFFF	4.212	SLV 11	Si
Maschio 34 "Piano 1 - Piano 2"	PF SLU	3.383	SLU 30	Si
Maschio 34 "Piano 1 - Piano 2"	V SLU	65.647	SLU 36	Si
Maschio 34 "Piano 1 - Piano 2"	PF	1.205	SLV 5	Si
Maschio 34 "Piano 1 - Piano 2"	V	2.881	SLV 5	Si
Maschio 34 "Piano 1 - Piano 2"	PFFF	4.634	SLV 11	Si
Maschio 35 "Piano 1 - Piano 2"	PF SLU	3.53	SLU 33	Si
Maschio 35 "Piano 1 - Piano 2"	V SLU	84.779	SLU 33	Si
Maschio 35 "Piano 1 - Piano 2"	PF	1.304	SLV 11	Si
Maschio 35 "Piano 1 - Piano 2"	V	2.626	SLV 11	Si
Maschio 35 "Piano 1 - Piano 2"	PFFF	4.263	SLV 7	Si
Maschio 36 "Piano 1 - Piano 2"	PF SLU	3.528	SLU 30	Si
Maschio 36 "Piano 1 - Piano 2"	V SLU	14.671	SLU 34	Si
Maschio 36 "Piano 1 - Piano 2"	PF	1.583	SLV 9	Si
Maschio 36 "Piano 1 - Piano 2"	V	2.176	SLV 9	Si
Maschio 36 "Piano 1 - Piano 2"	PFFF	4.108	SLV 9	Si
Maschio 37 "Piano 1 - Piano 2"	PF SLU	3.375	SLU 30	Si
Maschio 37 "Piano 1 - Piano 2"	V SLU	6.683	SLU 36	Si
Maschio 37 "Piano 1 - Piano 2"	PF	0.951	SLV 7	No
Maschio 37 "Piano 1 - Piano 2"	V	0.333	SLV 7	No
Maschio 37 "Piano 1 - Piano 2"	PFFF	4.608	SLV 9	Si
Maschio 38 "Piano 1 - Piano 2"	PF SLU	5.222	SLU 29	Si
Maschio 38 "Piano 1 - Piano 2"	V SLU	2.289	SLU 36	Si
Maschio 38 "Piano 1 - Piano 2"	PF	0	SLV 12	No
Maschio 38 "Piano 1 - Piano 2"	V	0	SLD 3	No
Maschio 38 "Piano 1 - Piano 2"	PFFF	0	SLV 8	No
Maschio 39 "Piano 1 - Piano 2"	PF SLU	4.814	SLU 34	Si
Maschio 39 "Piano 1 - Piano 2"	V SLU	2.114	SLU 31	Si
Maschio 39 "Piano 1 - Piano 2"	PF	0	SLV 10	No
Maschio 39 "Piano 1 - Piano 2"	V	0	SLD 1	No
Maschio 39 "Piano 1 - Piano 2"	PFFF	0	SLV 1	No
Maschio 40 "Piano 1 - Piano 2"	PF SLU	3.973	SLU 34	Si
Maschio 40 "Piano 1 - Piano 2"	V SLU	0.047	SLU 33	No
Maschio 40 "Piano 1 - Piano 2"	PF	0	SLV 10	No
Maschio 40 "Piano 1 - Piano 2"	V	0	SLD 1	No
Maschio 40 "Piano 1 - Piano 2"	PFFF	0	SLV 6	No
Maschio 41 "Piano 1 - Piano 2"	PF SLU	7.181	SLU 32	Si
Maschio 41 "Piano 1 - Piano 2"	V SLU	0.005	SLU 35	No
Maschio 41 "Piano 1 - Piano 2"	PF	0	SLD 1	No
Maschio 41 "Piano 1 - Piano 2"	V	0	SLD 1	No
Maschio 41 "Piano 1 - Piano 2"	PFFF	2.335	SLV 13	Si
Maschio 42 "Piano 1 - Piano 2"	PF SLU	6.037	SLU 33	Si
Maschio 42 "Piano 1 - Piano 2"	V SLU	0.007	SLU 32	No
Maschio 42 "Piano 1 - Piano 2"	PF	0	SLV 16	No
Maschio 42 "Piano 1 - Piano 2"	V	0	SLD 1	No
Maschio 42 "Piano 1 - Piano 2"	PFFF	0	SLV 9	No
Maschio 43 "Piano 1 - Piano 2"	PF SLU	2.846	SLU 33	Si
Maschio 43 "Piano 1 - Piano 2"	V SLU	26.347	SLU 36	Si
Maschio 43 "Piano 1 - Piano 2"	PF	1.273	SLV 7	Si
Maschio 43 "Piano 1 - Piano 2"	V	2.605	SLV 7	Si
Maschio 43 "Piano 1 - Piano 2"	PFFF	2.038	SLV 7	Si
Maschio 44 "Piano 1 - Piano 2"	PF SLU	3.713	SLU 29	Si
Maschio 44 "Piano 1 - Piano 2"	V SLU	2.337	SLU 36	Si
Maschio 44 "Piano 1 - Piano 2"	PF	0	SLV 8	No
Maschio 44 "Piano 1 - Piano 2"	V	0	SLD 3	No
Maschio 44 "Piano 1 - Piano 2"	PFFF	0	SLV 1	No
Maschio 45 "Fondazione -100 - Piano 1"	PF SLU	1.885	SLU 36	Si
Maschio 45 "Fondazione -100 - Piano 1"	V SLU	55.118	SLU 22	Si
Maschio 45 "Fondazione -100 - Piano 1"	PF	1.195	SLV 5	Si
Maschio 45 "Fondazione -100 - Piano 1"	V	1.494	SLV 5	Si
Maschio 45 "Fondazione -100 - Piano 1"	PFFF	8.537	SLV 5	Si
Maschio 46 "Fondazione -100 - Piano 1"	PF SLU	1.648	SLU 36	Si
Maschio 46 "Fondazione -100 - Piano 1"	V SLU	222.402	SLU 31	Si
Maschio 46 "Fondazione -100 - Piano 1"	PF	1.616	SLV 11	Si
Maschio 46 "Fondazione -100 - Piano 1"	V	4.444	SLV 11	Si
Maschio 46 "Fondazione -100 - Piano 1"	PFFF	10.28	SLV 11	Si
Maschio 47 "Fondazione -100 - Piano 1"	PF SLU	1.552	SLU 36	Si
Maschio 47 "Fondazione -100 - Piano 1"	V SLU	506.843	SLU 31	Si
Maschio 47 "Fondazione -100 - Piano 1"	PF	2.287	SLV 11	Si
Maschio 47 "Fondazione -100 - Piano 1"	V	6.186	SLV 11	Si
Maschio 47 "Fondazione -100 - Piano 1"	PFFF	10.907	SLV 11	Si
Maschio 48 "Fondazione -100 - Piano 1"	PF SLU	1.638	SLU 36	Si
Maschio 48 "Fondazione -100 - Piano 1"	V SLU	134.173	SLU 31	Si
Maschio 48 "Fondazione -100 - Piano 1"	PF	1.683	SLV 11	Si
Maschio 48 "Fondazione -100 - Piano 1"	V	4.783	SLV 11	Si
Maschio 48 "Fondazione -100 - Piano 1"	PFFF	10.236	SLV 11	Si
Maschio 49 "Fondazione -100 - Piano 1"	PF SLU	1.634	SLU 36	Si
Maschio 49 "Fondazione -100 - Piano 1"	V SLU	171.408	SLU 8	Si
Maschio 49 "Fondazione -100 - Piano 1"	PF	1.499	SLV 5	Si
Maschio 49 "Fondazione -100 - Piano 1"	V	3.171	SLV 5	Si
Maschio 49 "Fondazione -100 - Piano 1"	PFFF	10.073	SLV 5	Si
Maschio 50 "Quote generiche"	PF SLU	0.685	SLU 36	No
Maschio 50 "Quote generiche"	V SLU	2.57	SLU 36	Si
Maschio 50 "Quote generiche"	PF	0.948	SLV 9	No
Maschio 50 "Quote generiche"	V	0.103	SLV 9	No
Maschio 50 "Quote generiche"	PFFF	3.272	SLV 9	Si
Maschio 51 "Quote generiche"	PF SLU	1.041	SLU 36	Si
Maschio 51 "Quote generiche"	V SLU	1.787	SLU 36	Si
Maschio 51 "Quote generiche"	PF	0	SLV 16	No
Maschio 51 "Quote generiche"	V	0	SLV 11	No
Maschio 51 "Quote generiche"	PFFF	0	SLV 16	No
Maschio 52 "Quote generiche"	PF SLU	1.616	SLU 36	Si
Maschio 52 "Quote generiche"	V SLU	2.928	SLU 35	Si
Maschio 52 "Quote generiche"	PF	0	SLV 14	No
Maschio 52 "Quote generiche"	V	0	SLV 9	No
Maschio 52 "Quote generiche"	PFFF	0	SLV 14	No
Maschio 53 "Quote generiche"	PF SLU	1.655	SLU 36	Si
Maschio 53 "Quote generiche"	V SLU	86.979	SLU 17	Si
Maschio 53 "Quote generiche"	PF	1.549	SLV 11	Si

Desc.	Stato limite	Coeff.s.	Comb.	Verifica
Maschio 53 "Quote generiche"	V	3.583	SLV 11	Si
Maschio 53 "Quote generiche"	PFFF	9.807	SLV 15	Si
Maschio 54 "Quote generiche"	PF SLU	1.72	SLU 36	Si
Maschio 54 "Quote generiche"	V SLU	80.851	SLU 31	Si
Maschio 54 "Quote generiche"	PF	1.375	SLV 5	Si
Maschio 54 "Quote generiche"	V	2.9	SLV 11	Si
Maschio 54 "Quote generiche"	PFFF	9.553	SLV 13	Si
Maschio 55 "Quote generiche"	PF SLU	2.024	SLU 36	Si
Maschio 55 "Quote generiche"	V SLU	21.943	SLU 18	Si
Maschio 55 "Quote generiche"	PF	0	SLV 9	No
Maschio 55 "Quote generiche"	V	0	SLV 9	No
Maschio 55 "Quote generiche"	PFFF	0	SLV 13	No
Maschio 56 "Quote generiche"	PF SLU	1.652	SLU 36	Si
Maschio 56 "Quote generiche"	V SLU	301.797	SLU 16	Si
Maschio 56 "Quote generiche"	PF	1.974	SLV 5	Si
Maschio 56 "Quote generiche"	V	5.649	SLV 5	Si
Maschio 56 "Quote generiche"	PFFF	8.426	SLV 13	Si
Maschio 57 "Quote generiche"	PF SLU	1.967	SLU 36	Si
Maschio 57 "Quote generiche"	V SLU	41.899	SLU 35	Si
Maschio 57 "Quote generiche"	PF	0	SLV 16	No
Maschio 57 "Quote generiche"	V	0	SLV 9	No
Maschio 57 "Quote generiche"	PFFF	0	SLV 16	No
Maschio 58 "Quote generiche"	PF SLU	1.718	SLU 36	Si
Maschio 58 "Quote generiche"	V SLU	387.432	SLU 31	Si
Maschio 58 "Quote generiche"	PF	1.428	SLV 11	Si
Maschio 58 "Quote generiche"	V	3.181	SLV 11	Si
Maschio 58 "Quote generiche"	PFFF	7.734	SLV 15	Si
Maschio 59 "Quote generiche"	PF SLU	1.913	SLU 36	Si
Maschio 59 "Quote generiche"	V SLU	217.245	SLU 31	Si
Maschio 59 "Quote generiche"	PF	0	SLV 16	No
Maschio 59 "Quote generiche"	V	0	SLV 11	No
Maschio 59 "Quote generiche"	PFFF	0	SLV 16	No
Maschio 60 "Quote generiche"	PF SLU	1.726	SLU 36	Si
Maschio 60 "Quote generiche"	V SLU	90.126	SLU 31	Si
Maschio 60 "Quote generiche"	PF	1.291	SLV 5	Si
Maschio 60 "Quote generiche"	V	2.527	SLV 5	Si
Maschio 60 "Quote generiche"	PFFF	9.373	SLV 9	Si
Maschio 61 "Quote generiche"	PF SLU	2.116	SLU 36	Si
Maschio 61 "Quote generiche"	V SLU	12.808	SLU 35	Si
Maschio 61 "Quote generiche"	PF	0	SLV 16	No
Maschio 61 "Quote generiche"	V	0	SLV 11	No
Maschio 61 "Quote generiche"	PFFF	0	SLV 16	No
Maschio 62 "Quote generiche"	PF SLU	2.382	SLU 36	Si
Maschio 62 "Quote generiche"	V SLU	7.968	SLU 36	Si
Maschio 62 "Quote generiche"	PF	0	SLV 8	No
Maschio 62 "Quote generiche"	V	0	SLV 3	No
Maschio 62 "Quote generiche"	PFFF	0	SLV 8	No
Maschio 63 "Quote generiche"	PF SLU	2.945	SLU 36	Si
Maschio 63 "Quote generiche"	V SLU	26.757	SLU 36	Si
Maschio 63 "Quote generiche"	PF	0	SLV 1	No
Maschio 63 "Quote generiche"	V	0	SLV 1	No
Maschio 63 "Quote generiche"	PFFF	1.12	SLV 1	Si
Maschio 64 "Quote generiche"	PF SLU	1.671	SLU 36	Si
Maschio 64 "Quote generiche"	V SLU	7.085	SLU 36	Si
Maschio 64 "Quote generiche"	PF	0	SLV 1	No
Maschio 64 "Quote generiche"	V	0	SLV 1	No
Maschio 64 "Quote generiche"	PFFF	0	SLV 1	No
Maschio 65 "Quote generiche"	PF SLU	3.193	SLU 36	Si
Maschio 65 "Quote generiche"	V SLU	31.941	SLU 18	Si
Maschio 65 "Quote generiche"	PF	0	SLV 1	No
Maschio 65 "Quote generiche"	V	0	SLV 1	No
Maschio 65 "Quote generiche"	PFFF	0	SLV 3	No
Maschio 66 "Quote generiche"	PF SLU	3.075	SLU 36	Si
Maschio 66 "Quote generiche"	V SLU	19.395	SLU 36	Si
Maschio 66 "Quote generiche"	PF	0	SLV 1	No
Maschio 66 "Quote generiche"	V	0	SLV 1	No
Maschio 66 "Quote generiche"	PFFF	2.26	SLV 1	Si
Maschio 67 "Quote generiche"	PF SLU	2.682	SLU 36	Si
Maschio 67 "Quote generiche"	V SLU	22.102	SLU 36	Si
Maschio 67 "Quote generiche"	PF	0	SLV 2	No
Maschio 67 "Quote generiche"	V	0	SLD 1	No
Maschio 67 "Quote generiche"	PFFF	0	SLV 2	No
Maschio 68 "Quote generiche"	PF SLU	1.343	SLU 36	Si
Maschio 68 "Quote generiche"	V SLU	4.407	SLU 36	Si
Maschio 68 "Quote generiche"	PF	0	SLV 13	No
Maschio 68 "Quote generiche"	V	0	SLV 13	No
Maschio 68 "Quote generiche"	PFFF	0	SLV 13	No
Maschio 69 "Quote generiche"	PF SLU	1.395	SLU 36	Si
Maschio 69 "Quote generiche"	V SLU	5.075	SLU 36	Si
Maschio 69 "Quote generiche"	PF	0	SLV 14	No
Maschio 69 "Quote generiche"	V	0	SLV 13	No
Maschio 69 "Quote generiche"	PFFF	0	SLV 14	No
Maschio 70 "Quote generiche"	PF SLU	2.833	SLU 36	Si
Maschio 70 "Quote generiche"	V SLU	12.135	SLU 36	Si
Maschio 70 "Quote generiche"	PF	0	SLV 11	No
Maschio 70 "Quote generiche"	V	0	SLV 11	No
Maschio 70 "Quote generiche"	PFFF	2.342	SLV 15	Si
Maschio 71 "Quote generiche"	PF SLU	2.752	SLU 36	Si
Maschio 71 "Quote generiche"	V SLU	10.903	SLU 36	Si
Maschio 71 "Quote generiche"	PF	0	SLV 10	No
Maschio 71 "Quote generiche"	V	0	SLV 5	No
Maschio 71 "Quote generiche"	PFFF	0	SLV 10	No
Maschio 72 "Quote generiche"	PF SLU	2.403	SLU 36	Si
Maschio 72 "Quote generiche"	V SLU	8.471	SLU 35	Si
Maschio 72 "Quote generiche"	PF	0	SLV 6	No
Maschio 72 "Quote generiche"	V	0	SLV 1	No
Maschio 72 "Quote generiche"	PFFF	0	SLV 6	No
Maschio 73 "Quote generiche"	PF SLU	1.639	SLU 36	Si
Maschio 73 "Quote generiche"	V SLU	51.119	SLU 36	Si
Maschio 73 "Quote generiche"	PF	1.6	SLV 5	Si
Maschio 73 "Quote generiche"	V	4.125	SLV 5	Si

Desc.	Stato limite	Coeff.s.	Comb.	Verifica
Maschio 73 "Quote generiche"	PFFF	8.469	SLV 3	Si
Maschio 74 "Quote generiche"	PF SLU	1.974	SLU 36	Si
Maschio 74 "Quote generiche"	V SLU	32.235	SLU 34	Si
Maschio 74 "Quote generiche"	PF	0	SLV 1	No
Maschio 74 "Quote generiche"	V	0	SLV 1	No
Maschio 74 "Quote generiche"	PFFF	1.205	SLV 3	Si
Maschio 75 "Quote generiche"	PF SLU	2.108	SLU 36	Si
Maschio 75 "Quote generiche"	V SLU	15.167	SLU 22	Si
Maschio 75 "Quote generiche"	PF	0	SLV 7	No
Maschio 75 "Quote generiche"	V	0	SLV 7	No
Maschio 75 "Quote generiche"	PFFF	1.562	SLV 3	Si
Maschio 76 "Quote generiche"	PF SLU	2.01	SLU 36	Si
Maschio 76 "Quote generiche"	V SLU	25.49	SLU 36	Si
Maschio 76 "Quote generiche"	PF	0.963	SLV 9	No
Maschio 76 "Quote generiche"	V	0.253	SLV 9	No
Maschio 76 "Quote generiche"	PFFF	4.89	SLV 15	Si
Maschio 77 "Quote generiche"	PF SLU	2.084	SLU 36	Si
Maschio 77 "Quote generiche"	V SLU	4.329	SLU 36	Si
Maschio 77 "Quote generiche"	PF	0	SLV 7	No
Maschio 77 "Quote generiche"	V	0	SLV 7	No
Maschio 77 "Quote generiche"	PFFF	4.366	SLV 3	Si
Maschio 78 "Quote generiche"	PF SLU	2.312	SLU 36	Si
Maschio 78 "Quote generiche"	V SLU	5.219	SLU 19	Si
Maschio 78 "Quote generiche"	PF	0	SLV 6	No
Maschio 78 "Quote generiche"	V	0	SLV 1	No
Maschio 78 "Quote generiche"	PFFF	0	SLV 6	No
Maschio 79 "Quote generiche"	PF SLU	2.873	SLU 36	Si
Maschio 79 "Quote generiche"	V SLU	22.325	SLU 16	Si
Maschio 79 "Quote generiche"	PF	0	SLV 1	No
Maschio 79 "Quote generiche"	V	0	SLV 1	No
Maschio 79 "Quote generiche"	PFFF	2.528	SLV 5	Si
Maschio 80 "Quote generiche"	PF SLU	2.704	SLU 35	Si
Maschio 80 "Quote generiche"	V SLU	39.511	SLU 36	Si
Maschio 80 "Quote generiche"	PF	1.594	SLV 1	Si
Maschio 80 "Quote generiche"	V	7.296	SLV 1	Si
Maschio 80 "Quote generiche"	PFFF	5.348	SLV 15	Si
Maschio 81 "Quote generiche"	PF SLU	1.225	SLU 35	Si
Maschio 81 "Quote generiche"	V SLU	182.093	SLU 34	Si
Maschio 81 "Quote generiche"	PF	1.704	SLV 11	Si
Maschio 81 "Quote generiche"	V	6.141	SLV 11	Si
Maschio 81 "Quote generiche"	PFFF	5.195	SLV 7	Si
Maschio 82 "Quote generiche"	PF SLU	1.581	SLU 36	Si
Maschio 82 "Quote generiche"	V SLU	9.702	SLU 35	Si
Maschio 82 "Quote generiche"	PF	0	SLV 8	No
Maschio 82 "Quote generiche"	V	0	SLV 1	No
Maschio 82 "Quote generiche"	PFFF	0	SLV 8	No

Verifica maschi in muratura

Maschio	Stato limite	Molt.	Comb.	PGA	iPGA (ZE)	TR	(TR/TRrif)^4.1	Verifica
1	PF	0.91	SLV 9	0.181	0.907	712	0.889	No
	V	0.48	SLV 9	0.093	0.466	122	0.431	No
	PFFF	1.258	SLV 13	0.251	1.256	1990	1.355	Si
2	PF	0	SLV 5	0	0	0	0	No
	V	0	SLV 1	0	0	0	0	No
	PFFF	1.168	SLV 15	0.233	1.165	1559	1.226	Si
3	PF	0.176	SLV 7	0.034	0.169	13	0.172	No
	V	0.175	SLV 7	0.034	0.169	13	0.172	No
	PFFF	1.086	SLV 15	0.216	1.084	1230	1.112	Si
4	PF	0.835	SLV 11	0.166	0.829	549	0.799	No
	V	0.782	SLV 11	0.155	0.775	451	0.737	No
	PFFF	2.33	SLV 15	0.255	1.279	2114	1.389	Si
5	PF	0.891	SLV 5	0.177	0.887	668	0.866	No
	V	0.804	SLV 5	0.159	0.797	488	0.761	No
	PFFF	4.242	SLV 13	0.255	1.279	2114	1.389	Si
6	PF	0.605	SLV 9	0.119	0.594	222	0.551	No
	V	0.596	SLV 9	0.117	0.586	214	0.543	No
	PFFF	0.906	SLV 13	0.181	0.907	712	0.889	No
7	PF	0.903	SLV 9	0.18	0.9	696	0.881	No
	V	0.865	SLV 9	0.172	0.86	610	0.834	No
	PFFF	2.03	SLV 7	0.255	1.279	2114	1.389	Si
8	PF	0.961	SLV 9	0.192	0.96	841	0.952	No
	V	0.941	SLV 9	0.187	0.939	789	0.927	No
	PFFF	2.877	SLV 13	0.255	1.279	2114	1.389	Si
9	PF	0.65	SLV 13	0.13	0.651	283	0.609	No
	V	0.633	SLV 9	0.124	0.623	252	0.581	No
	PFFF	0.954	SLV 13	0.19	0.954	826	0.945	No
10	PF	0.863	SLV 9	0.171	0.859	608	0.833	No
	V	0.815	SLV 9	0.161	0.808	508	0.774	No
	PFFF	2.486	SLV 15	0.255	1.279	2114	1.389	Si
11	PF	0.886	SLV 15	0.177	0.887	667	0.865	No
	V	0.868	SLV 11	0.172	0.863	617	0.838	No
	PFFF	1.127	SLV 15	0.224	1.123	1384	1.167	Si
12	PF	0.918	SLV 9	0.183	0.916	733	0.9	No
	V	0.85	SLV 9	0.169	0.845	579	0.817	No
	PFFF	4.069	SLV 13	0.255	1.279	2114	1.389	Si
13	PF	0.579	SLV 11	0.113	0.568	197	0.525	No
	V	0.523	SLV 11	0.102	0.512	153	0.473	No
	PFFF	1.19	SLV 15	0.237	1.187	1658	1.257	Si
14	PF	0	SLV 1	0	0	0	0	No
	V	0	SLV 1	0	0	0	0	No
	PFFF	0.809	SLV 7	0.16	0.803	498	0.768	No
15	PF	0	SLV 1	0	0	0	0	No
	V	0	SLV 1	0	0	0	0	No
	PFFF	0.968	SLV 1	0.193	0.968	862	0.961	No
16	PF	0	SLV 1	0	0	0	0	No
	V	0	SLV 1	0	0	0	0	No
	PFFF	0.983	SLV 1	0.196	0.983	901	0.979	No
17	PF	0	SLV 1	0	0	0	0	No
	V	0	SLV 1	0	0	0	0	No
	PFFF	1.233	SLV 3	0.246	1.231	1864	1.319	Si
18	PF	0	SLV 1	0	0	0	0	No

Maschio	Stato limite	Molt.	Comb.	PGA	iPGA (zE)	TR	(TR/TRrif)^.41	Verifica
	V	0	SLV 1	0	0	0	0	No
	PFFF	1.194	SLV 3	0.238	1.191	1675	1.262	Si
19	PF	0	SLV 1	0	0	0	0	No
	V	0	SLV 1	0	0	0	0	No
	PFFF	0.659	SLV 1	0.132	0.66	294	0.619	No
20	PF	0.413	SLV 13	0.082	0.413	91	0.382	No
	V	0.382	SLV 1	0.076	0.383	76	0.355	No
	PFFF	0.896	SLV 13	0.179	0.896	688	0.876	No
21	PF	0.432	SLV 13	0.086	0.429	100	0.397	No
	V	0.336	SLV 3	0.067	0.335	57	0.316	No
	PFFF	0.711	SLV 13	0.142	0.712	360	0.672	No
22	PF	0	SLV 9	0	0	0	0	No
	V	0	SLV 1	0	0	0	0	No
	PFFF	1.044	SLV 15	0.208	1.043	1084	1.056	Si
23	PF	0	SLV 1	0	0	0	0	No
	V	0	SLV 1	0	0	0	0	No
	PFFF	0.725	SLV 9	0.143	0.717	366	0.677	No
24	PF	0.218	SLV 5	0.042	0.211	21	0.21	No
	V	0.197	SLV 5	0.038	0.191	17	0.192	No
	PFFF	0.963	SLV 1	0.192	0.963	850	0.956	No
25	PF	1.287	SLV 7	0.255	1.279	2114	1.389	Si
	V	1.258	SLV 7	0.252	1.262	2026	1.365	Si
	PFFF	3.095	SLV 3	0.255	1.279	2114	1.389	Si
26	PF	0.935	SLV 7	0.186	0.932	773	0.919	No
	V	0.847	SLV 7	0.168	0.842	573	0.813	No
	PFFF	1.135	SLV 1	0.226	1.131	1415	1.178	Si
27	PF	0.594	SLV 11	0.116	0.583	211	0.54	No
	V	0.579	SLV 11	0.113	0.568	197	0.525	No
	PFFF	1.035	SLV 3	0.206	1.034	1055	1.044	Si
28	PF	0.862	SLV 11	0.171	0.857	605	0.831	No
	V	0.8	SLV 11	0.158	0.793	481	0.757	No
	PFFF	3.992	SLV 5	0.255	1.279	2114	1.389	Si
29	PF	0.455	SLV 11	0.088	0.442	107	0.409	No
	V	0.413	SLV 11	0.08	0.403	86	0.374	No
	PFFF	2.136	SLV 11	0.255	1.279	2114	1.389	Si
30	PF	1.002	SLV 5	0.2	1.002	953	1.002	Si
	V	0.962	SLV 5	0.192	0.96	842	0.952	No
	PFFF	2.996	SLV 15	0.255	1.279	2114	1.389	Si
31	PF	1.074	SLV 5	0.215	1.075	1197	1.1	Si
	V	1.077	SLV 5	0.215	1.078	1209	1.104	Si
	PFFF	1.731	SLV 5	0.255	1.279	2114	1.389	Si
32	PF	0.981	SLV 5	0.196	0.98	895	0.976	No
	V	1.185	SLV 5	0.237	1.188	1663	1.259	Si
	PFFF	2.191	SLV 11	0.255	1.279	2114	1.389	Si
33	PF	1.644	SLV 11	0.255	1.279	2114	1.389	Si
	V	1.499	SLV 5	0.255	1.279	2114	1.389	Si
	PFFF	4.043	SLV 11	0.255	1.279	2114	1.389	Si
34	PF	1.208	SLV 11	0.242	1.211	1770	1.291	Si
	V	1.203	SLV 11	0.241	1.206	1747	1.284	Si
	PFFF	4.411	SLV 11	0.255	1.279	2114	1.389	Si
35	PF	1.292	SLV 11	0.255	1.279	2114	1.389	Si
	V	1.228	SLV 11	0.246	1.232	1870	1.321	Si
	PFFF	4.138	SLV 7	0.255	1.279	2114	1.389	Si
36	PF	1.606	SLV 9	0.255	1.279	2114	1.389	Si
	V	1.4	SLV 9	0.255	1.279	2114	1.389	Si
	PFFF	3.621	SLV 9	0.255	1.279	2114	1.389	Si
37	PF	0.941	SLV 7	0.187	0.939	789	0.927	No
	V	0.882	SLV 7	0.175	0.878	648	0.855	No
	PFFF	4.209	SLV 9	0.255	1.279	2114	1.389	Si
38	PF	0.265	SLV 7	0.052	0.26	33	0.252	No
	V	0.249	SLV 7	0.048	0.241	28	0.236	No
	PFFF	0.603	SLV 7	0.118	0.592	220	0.549	No
39	PF	0.337	SLV 5	0.065	0.327	54	0.309	No
	V	0.307	SLV 13	0.061	0.306	47	0.292	No
	PFFF	0.868	SLV 1	0.173	0.869	629	0.845	No
40	PF	0	SLV 1	0	0	0	0	No
	V	0	SLV 1	0	0	0	0	No
	PFFF	0.734	SLV 5	0.145	0.726	379	0.686	No
41	PF	0	SLV 1	0	0	0	0	No
	V	0	SLV 1	0	0	0	0	No
	PFFF	2.257	SLV 13	0.255	1.279	2114	1.389	Si
42	PF	0	SLV 1	0	0	0	0	No
	V	0	SLV 1	0	0	0	0	No
	PFFF	0.914	SLV 13	0.182	0.914	729	0.898	No
43	PF	1.149	SLV 7	0.23	1.152	1501	1.207	Si
	V	1.122	SLV 7	0.224	1.124	1385	1.168	Si
	PFFF	1.757	SLV 7	0.255	1.279	2114	1.389	Si
44	PF	0.37	SLV 7	0.072	0.362	67	0.337	No
	V	0.328	SLV 7	0.063	0.318	51	0.302	No
	PFFF	0.625	SLV 3	0.125	0.626	255	0.583	No
45	PF	1.192	SLV 5	0.238	1.195	1692	1.268	Si
	V	1.111	SLV 5	0.222	1.113	1340	1.152	Si
	PFFF			0.255	1.279	2114	1.389	Si
46	PF	1.617	SLV 11	0.255	1.279	2114	1.389	Si
	V	1.679	SLV 11	0.255	1.279	2114	1.389	Si
	PFFF			0.255	1.279	2114	1.389	Si
47	PF	2.273	SLV 11	0.255	1.279	2114	1.389	Si
	V	2.304	SLV 11	0.255	1.279	2114	1.389	Si
	PFFF			0.255	1.279	2114	1.389	Si
48	PF	1.674	SLV 11	0.255	1.279	2114	1.389	Si
	V	1.741	SLV 11	0.255	1.279	2114	1.389	Si
	PFFF			0.255	1.279	2114	1.389	Si
49	PF	1.48	SLV 5	0.255	1.279	2114	1.389	Si
	V	1.468	SLV 5	0.255	1.279	2114	1.389	Si
	PFFF			0.255	1.279	2114	1.389	Si
50	PF	0.973	SLV 9	0.194	0.972	872	0.966	No
	V	0.669	SLV 9	0.132	0.659	293	0.618	No
	PFFF	1.577	SLV 9	0.255	1.279	2114	1.389	Si
51	PF	0.659	SLV 11	0.13	0.649	281	0.607	No
	V	0.636	SLV 11	0.125	0.626	255	0.583	No
	PFFF	0.874	SLV 15	0.175	0.875	642	0.852	No

Maschio	Stato limite	Molt.	Comb.	PGA	IPGA (zE)	TR	(TR/TRrif)^.41	Verifica
52	PF	0.916	SLV 9	0.182	0.913	727	0.896	No
	V	0.912	SLV 9	0.181	0.908	716	0.891	No
	PFFP	0.881	SLV 13	0.176	0.881	655	0.859	No
53	PF	1.524	SLV 11	0.255	1.279	2114	1.389	Si
	V	1.533	SLV 11	0.255	1.279	2114	1.389	Si
	PFFP			0.255	1.279	2114	1.389	Si
54	PF	1.376	SLV 5	0.255	1.279	2114	1.389	Si
	V	1.382	SLV 5	0.255	1.279	2114	1.389	Si
	PFFP			0.255	1.279	2114	1.389	Si
55	PF	0.766	SLV 9	0.151	0.758	426	0.72	No
	V	0.695	SLV 9	0.137	0.686	326	0.645	No
	PFFP	0.947	SLV 13	0.189	0.947	808	0.936	No
56	PF	1.914	SLV 5	0.255	1.279	2114	1.389	Si
	V	1.949	SLV 5	0.255	1.279	2114	1.389	Si
	PFFP	3.445	SLV 13	0.255	1.279	2114	1.389	Si
57	PF	0.649	SLV 13	0.13	0.65	282	0.608	No
	V	0.646	SLV 13	0.129	0.647	278	0.604	No
	PFFP	0.695	SLV 13	0.139	0.696	338	0.655	No
58	PF	1.404	SLV 11	0.255	1.279	2114	1.389	Si
	V	1.409	SLV 11	0.255	1.279	2114	1.389	Si
	PFFP	3.007	SLV 15	0.255	1.279	2114	1.389	Si
59	PF	0.739	SLV 15	0.148	0.739	398	0.7	No
	V	0.738	SLV 15	0.148	0.739	398	0.7	No
	PFFP	0.878	SLV 15	0.175	0.878	648	0.855	No
60	PF	1.284	SLV 5	0.255	1.279	2114	1.389	Si
	V	1.286	SLV 5	0.255	1.279	2114	1.389	Si
	PFFP			0.255	1.279	2114	1.389	Si
61	PF	0.634	SLV 15	0.127	0.634	264	0.592	No
	V	0.62	SLV 15	0.124	0.621	250	0.579	No
	PFFP	0.814	SLV 15	0.163	0.815	520	0.781	No
62	PF	0.706	SLV 3	0.141	0.707	353	0.667	No
	V	0.687	SLV 3	0.137	0.689	329	0.648	No
	PFFP	0.748	SLV 7	0.148	0.74	399	0.701	No
63	PF	0.551	SLV 1	0.11	0.551	183	0.509	No
	V	0.527	SLV 1	0.105	0.527	164	0.487	No
	PFFP	1.016	SLV 1	0.203	1.015	994	1.019	Si
64	PF	0.546	SLV 1	0.109	0.546	179	0.505	No
	V	0.507	SLV 1	0.101	0.506	149	0.468	No
	PFFP	0.939	SLV 1	0.187	0.939	790	0.928	No
65	PF	0.483	SLV 1	0.096	0.482	132	0.445	No
	V	0.446	SLV 1	0.089	0.445	109	0.412	No
	PFFP	0.948	SLV 3	0.189	0.948	811	0.938	No
66	PF	0.498	SLV 1	0.099	0.496	142	0.459	No
	V	0.46	SLV 1	0.091	0.458	117	0.424	No
	PFFP	1.209	SLV 1	0.241	1.207	1748	1.285	Si
67	PF	0.413	SLV 1	0.082	0.413	91	0.382	No
	V	0.378	SLV 1	0.076	0.378	74	0.351	No
	PFFP	0.801	SLV 1	0.16	0.802	496	0.766	No
68	PF	0.603	SLV 15	0.121	0.604	232	0.561	No
	V	0.569	SLV 13	0.114	0.569	198	0.526	No
	PFFP	0.865	SLV 13	0.173	0.866	622	0.841	No
69	PF	0.582	SLV 13	0.116	0.582	210	0.539	No
	V	0.535	SLV 13	0.107	0.534	170	0.494	No
	PFFP	0.745	SLV 13	0.149	0.746	407	0.707	No
70	PF	0.645	SLV 15	0.129	0.646	277	0.604	No
	V	0.619	SLV 15	0.124	0.619	248	0.577	No
	PFFP	1.211	SLV 15	0.241	1.208	1753	1.286	Si
71	PF	0.604	SLV 13	0.121	0.605	233	0.562	No
	V	0.584	SLV 13	0.117	0.585	213	0.542	No
	PFFP	0.78	SLV 9	0.154	0.773	449	0.736	No
72	PF	0.468	SLV 1	0.093	0.466	122	0.431	No
	V	0.461	SLV 1	0.092	0.46	118	0.425	No
	PFFP	0.568	SLV 1	0.113	0.568	197	0.525	No
73	PF	1.616	SLV 5	0.255	1.279	2114	1.389	Si
	V	1.664	SLV 5	0.255	1.279	2114	1.389	Si
	PFFP	3.41	SLV 3	0.255	1.279	2114	1.389	Si
74	PF	0.914	SLV 7	0.182	0.911	722	0.894	No
	V	0.896	SLV 7	0.178	0.893	681	0.873	No
	PFFP	1.021	SLV 3	0.204	1.021	1011	1.026	Si
75	PF	0.768	SLV 7	0.152	0.76	429	0.722	No
	V	0.745	SLV 7	0.147	0.737	395	0.698	No
	PFFP	1.068	SLV 3	0.213	1.066	1167	1.088	Si
76	PF	0.966	SLV 9	0.193	0.965	854	0.958	No
	V	0.722	SLV 11	0.142	0.714	362	0.674	No
	PFFP	1.733	SLV 15	0.255	1.279	2114	1.389	Si
77	PF	0.764	SLV 7	0.151	0.756	423	0.718	No
	V	0.627	SLV 7	0.123	0.617	245	0.574	No
	PFFP	1.679	SLV 3	0.255	1.279	2114	1.389	Si
78	PF	0.48	SLV 1	0.096	0.479	130	0.443	No
	V	0.479	SLV 1	0.095	0.477	129	0.441	No
	PFFP	0.643	SLV 1	0.129	0.644	275	0.602	No
79	PF	0.703	SLV 1	0.14	0.704	349	0.664	No
	V	0.573	SLV 1	0.115	0.574	202	0.53	No
	PFFP	1.252	SLV 5	0.251	1.256	1993	1.356	Si
80	PF	1.634	SLV 1	0.255	1.279	2114	1.389	Si
	V	1.765	SLV 15	0.255	1.279	2114	1.389	Si
	PFFP	4.884	SLV 15	0.255	1.279	2114	1.389	Si
81	PF	1.609	SLV 11	0.255	1.279	2114	1.389	Si
	V	1.677	SLV 11	0.255	1.279	2114	1.389	Si
	PFFP	3.679	SLV 7	0.255	1.279	2114	1.389	Si
82	PF	0.531	SLV 7	0.104	0.52	159	0.481	No
	V	0.507	SLV 7	0.099	0.495	141	0.458	No
	PFFP	0.567	SLV 3	0.113	0.568	197	0.525	No

Coefficients relativi alle Linee guida per la classificazione del rischio sismico delle costruzioni secondo il D.M. 24 09/01/2020

TR,C	TR,Rif	PAM	Classe PAM	IS-V	Classe IS-V	Tipo rottura
0	949	8.22	G	0	F	taglio maschio muratura

